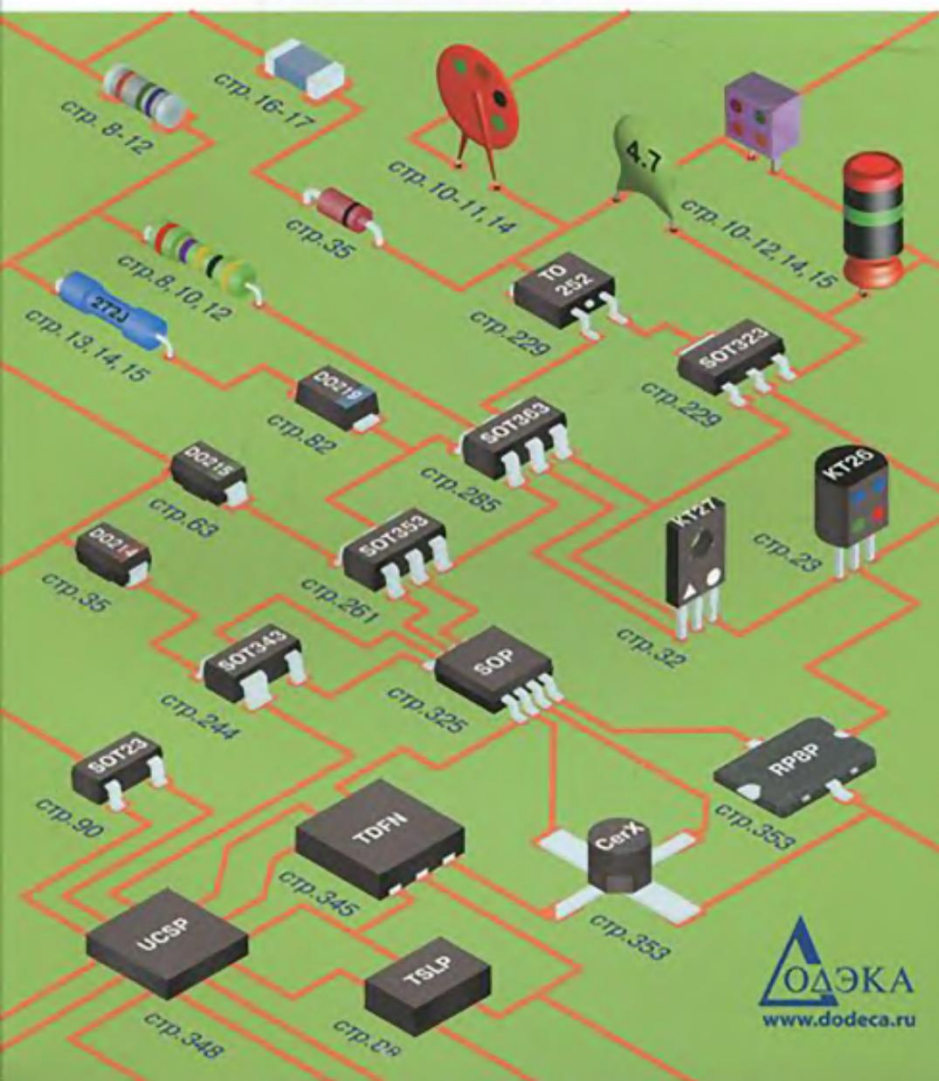


МАРКИРОВКА ЭЛЕКТРОННЫХ КОМПОНЕНТОВ

ОПРЕДЕЛИТЕЛЬ





RadioHata.RU

Портал радиолюбителя

[Радиотехнические журналы](#)

[Журнал Радио](#)

[Программы для радиолюбителя](#)

[Начинающему радиолюбителю](#)

[Телевидение и Радио](#)

[Источники питания](#)

[Для дома и быта](#)

[Прием-передача](#)

[Полезное видео](#)

[Автолюбителю](#)

[Аудиотехника](#)

[Arduino / Raspberry](#)

[Разное](#)

МАРКИРОВКА ЭЛЕКТРОННЫХ КОМПОНЕНТОВ

ОПРЕДЕЛИТЕЛЬ

*12-е издание
переработанное*



Издательский дом «Додэка-XXI»
Москва

УДК 621.382-777(035)
ББК 32.844-06-7я22+32.852-06-7я22
М27

М27 Маркировка электронных компонентов. Определитель. — Изд. 12, перераб. —
М.: Додэка-XXI», — 386 с.

ISBN 978-5-94120-131-0

Книга представляет собой справочник-определитель электронных компонентов по их внешнему виду. Пользуясь данным справочником, можно расшифровать кодовую или цветовую маркировку большинства пассивных (резисторы, конденсаторы, катушки индуктивности) и активных (дискретные компоненты и микросхемы) электронных компонентов отечественного и импортного производства. Справочные материалы приведены в графической и табличной форме.

Поиск в определителе осуществляется по типу корпуса компонента, а далее по типу маркировки: цветовой или кодовой. Справочник содержит более 15000 кодовых маркировок активных компонентов: диодов, динисторов, стабилитронов, биполярных и полевых транзисторов, ключей, усилителей, компараторов, цифровых потенциометров, цифроаналоговых и аналого-цифровых преобразователей, вентилях и т.п. в корпусах для поверхностного монтажа, включая такие корпуса, как SOD, SOT, MSOP, TQFN, UCSP. На все компоненты приводится справочная информация о функциональном назначении приборов, фирме-производителе, основных характеристиках и особенностях, а также цоколевке выводов. В отдельных главах приведены подробные сведения по цветовой и кодовой маркировке отечественных компонентов в корпусах типа КТ-26 и КТ-27.

В главах, посвященных пассивным компонентам, рассмотрены принципы цветовой и кодовой маркировки резисторов, конденсаторов, катушек индуктивности и других элементов по номиналу, допускам и другим параметрам, а также нестандартная маркировка компонентов некоторых ведущих фирм-производителей.

Книга предназначена для широкого круга радиолюбителей и радиоинженеров.

УДК 621.382-777(035.5)
ББК 32.844-06-7я22+32.852-06-7я22

Материалы подготовили
А. А. Бахметьев, В. Б. Еков, И. С. Кирихин, А. В. Перебаскин, В. М. Халикеев
Главный редактор *В. М. Халикеев*
Дизайн обложки *А. Ю. Анненков*
Иллюстрации *А. Ю. Анненков, И. Л. Люско*
Верстка *А. Ю. Анненков*

Издательский дом «Додэка-XXI»

105318 Москва, а/я 70
Тел/факс: (495) 366-24-29, 366-81-45
E-mail: books@dodeca.ru; red@dodeca.ru

Формат 70 x 100/32. Бумага офсетная. Гарнитура «PragmaticaC».
Печать офсетная. Объем 11,5 п. л. Тираж 3000 экз. Заказ № 829
Отпечатано с готовых диапозитивов в ОАО «Щербинская типография».
117623 Москва, ул. Типографская, д. 10. Тел. 659-23-27.

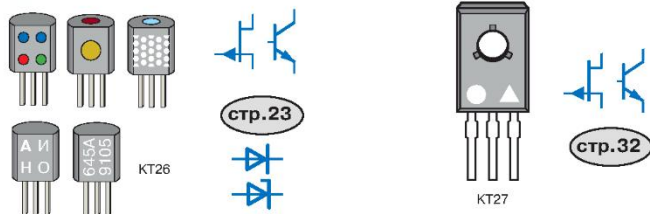
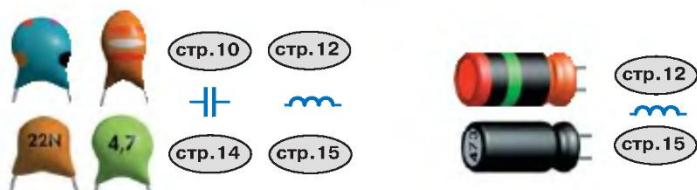
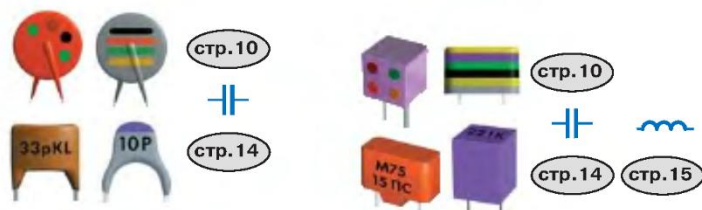
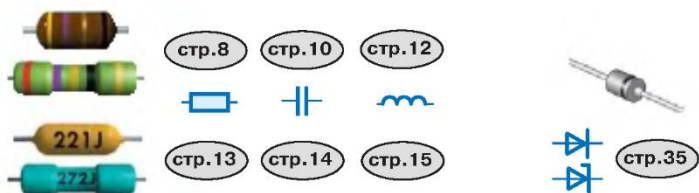
Все права защищены. Никакая часть этого издания не может быть воспроизведена в любой форме или любыми средствами, электронными или механическими, включая фотографирование, сканирование или иные средства копирования или сохранения информации без письменного разрешения издательства.

ISBN 978-5-94120-131-0

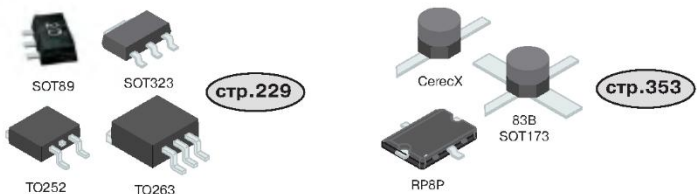
© Издательский дом «Додэка-XXI»

СОДЕРЖАНИЕ

Навигатор по внешнему виду компонентов	4
Корпуса для монтажа в отверстия	4
Корпуса для поверхностного монтажа	5
Общие правила маркировки	6
Это необходимо знать	6
Цветовая маркировка пассивных компонентов	7
Символьная маркировка пассивных компонентов	7
Цифровая маркировка пассивных компонентов	7
Цветовая маркировка резисторов	8
Цветовая маркировка конденсаторов	10
Цветовая маркировка катушек индуктивности	12
Кодовая маркировка выводных резисторов	13
Кодовая маркировка выводных конденсаторов	14
Кодовая маркировка выводных катушек индуктивности	15
Маркировка резисторов для поверхностного монтажа	16
Маркировка конденсаторов для поверхностного монтажа	17
Маркировка индуктивностей для поверхностного монтажа	18
Таблицы соответствия	19
Ряды номинальных значений по EIA	21
Маркировка отечественных п/п приборов в корпусе КТ-26 (ТО-92)	22
История	22
Общие принципы маркировки	23
Типы маркировки полупроводниковых приборов	23
Цифро-буквенная маркировка	24
Цветовая четырехточечная маркировка	26
Символьно-цветовая маркировка	27
Цветовая двухточечная маркировка	29
Символьно-буквенная маркировка	30
Нестандартизируемая маркировка	31
Маркировка отечественных п/п приборов в корпусе КТ-27 (ТО-126)	32
Маркировка п/п компонентов для поверхностного монтажа	33
Назначение колонок в таблицах	33
SOD66/91	34
SOD110, DO214, SMA/B/C	35
SOD123/323, DO215/216	63
SOD523/623/723, DO219, SMF	82
SOT883, TSLP, μ DFN	88
SOT23-3, SOT323/523	90
SOT89/223, TO252/263	229
SOT143/343	244
SOT23-5, SOT353/553	261
SOT23-6, SOT363/563	285
MSOP/SOP-8/10	325
LFCSP, TDFN, TQFN	345
UCSP, WCSP	348
SOT173	353
Размеры корпусов для поверхностного монтажа	354
Список фирм-производителей	362
Список сокращений и условных обозначений	366
Список обозначений функции прибора	367
Таблица соответствия обозначений наиболее популярных корпусов	368



Корпуса для поверхностного монтажа



ОБЩИЕ ПРАВИЛА МАРКИРОВКИ

Это необходимо знать

Для того чтобы правильно воспринимать и использовать материал, представленный в этой книге, необходимо ознакомиться со следующей информацией.

Очень важны размеры корпусов, поскольку внешне многие корпуса похожи друг на друга, а для идентификации прибора необходимо знать не только маркировку, но и тип корпуса. Но и это может не спасти. Так, корпус типа SOD-80 у фирмы Philips имеет диаметр 1.6 мм (ном.), а корпус с таким же названием у ряда других фирм имеет диаметр 1.4 мм, что даже меньше диаметра другого, более компактного, корпуса фирмы Philips SOD-80C. Корпус типа SOD-15 фирмы SGS-Thomson очень похож на корпуса 7043 и SMC, но не совпадает с ними по установочным размерам.

Возможны ситуации, когда фирмы-производители в одном и том же корпусе под одной и той же маркировкой выпускают разные приборы. Например, фирма Philips выпускает в корпусе SOT-323 *p-n-p*-транзистор BC818W и маркирует его кодом 6Н, а фирма Motorola в таком же корпусе с той же маркировкой 6Н помещает *p-n-p*-транзистор MUN5131T1. Такая же ситуация встречается и внутри одной фирмы. Например, у фирмы Siemens в корпусе SOT-23 под маркировкой 1A выпускаются транзисторы BC846A и SMBT3904, имеющие разные параметры. Различить такие приборы, установленные на плате, можно только по окружающим их компонентам и, соответственно, схеме включения.

Путаница существует не только с маркировкой, но и цоколевкой корпусов. Например, корпус типа SOT-89 у фирм Rohm, Siemens, Toshiba имеет цоколевку 1-2-3 (вид сверху), а у Philips этот же корпус имеет цоколевку 2-3-1 или 3-2-1. В данной книге номера выводов и их функциональное значение у разных фирм приведены к единой системе.

Не лучше ситуация и с пассивными компонентами для поверхностного монтажа. Если на корпусе стоит маркировка 103, то это может быть резистор номиналом 10 кОм, конденсатор емкостью 10 нФ или индуктивность 10 мГн. Если на корпусе стоит маркировка 2R2, то это может быть и резистор номиналом 2.2 Ом, и конденсатор емкостью 2.2 пФ. Код 107 может означать 0.1 Ом (Philips) или 100 мкФ (Panasonic).

В корпусах типа 0603, 0805 и т.п. без маркировки могут находиться конденсатор, индуктивность или резистор-перемычка (Zero-Ohm, jumper).

Цветная полоса или выемка-ключ на корпусах типа SOD-123, DO-215 может указывать на катод диода или вывод «плюс» у электролитического конденсатора.

По внешнему виду очень трудно отличить друг от друга R, C и L, если они находятся в цилиндрических корпусах с выводами и маркируются цветными кольцами. Но и после идентификации могут возникнуть сложности с определением параметров компонента. Например, на практике для цветовой маркировки постоянных конденсаторов используются несколько методик (см. главу «Конденсаторы. Цветовая маркировка»).

В одинаковых корпусах с одинаковым цветовым кодом может выпускаться целая серия приборов с разными параметрами. Например, фирма Motorola выпускает в корпусе типа SOD-80, маркируемом одним цветным кольцом, целую серию стабилитронов (51 прибор) с напряжением стабилизации от 1.8 до 100 В и током от 0.1 до 1.7 А. В таком же корпусе фирма Philips выпускает серию диодов.



SOD80



SOD15



7343



SMC



SOT323

BC818W
(Philips)
MVN5131T1
(Motorola)



SOT23

BC846A
(Siemens)
SMBT3904
(Siemens)



SOD123

Конденсатор — 
Диод — катод 
Стабилитрон — катод



R

L

C

Необходимо правильно определять сам цвет маркировки. На практике могут встречаться сложности с различием следующих оттенков: серый — св. голубой — серебристый; голубой — бирюзовый — электрик; желтый — золотистый; оранжевый — св. коричневый — табачный — бежевый.

Черное кольцо посередине корпуса имеют не только резисторы-перемычки (Zero-Ohm, jumper), но и другие приборы, особенно с учетом технологического разброса при нанесении маркировки.

Многие фирмы, помимо принципов маркировки, указанных в публикациях Международной Электротехнической Комиссии (IEC), используют свою внутрифирменную цветовую и кодовую маркировки. Например, встречается маркировка SMD-резисторов, когда вместо цифры 8 ставится двоеточие. В таких случаях маркировка 1:23 означает 182 кОм, а :0R6 — 80,6 Ом.

SOT (SOD) — Small Outline Transistor (Diode) — в дословном переводе означает «малогабаритный транзистор (диод)». На современном этапе в корпуса типа SOT помещают не только транзисторы и диоды, но и транзисторы с резисторами, стабилитроны, стабилизаторы напряжения на базе операционного усилителя и многое другое, а количество выводов может быть больше трех. Органы стандартизации не успевают за новыми разработками фирм, и те вынуждены вводить свои новые обозначения, которые представлены в «Сводной таблице корпусов».

Цветовая маркировка пассивных компонентов

В соответствии с ГОСТ175-72 и требованиями Публикации 62 IEC цветовая маркировка наносится в виде 3, 4, 5 или 6 цветных колец. Маркировочные кольца должны быть сдвинуты к одному из выводов или ширина первого или второго кольца должна быть в два раза больше других, что на практике выдерживается не всегда. Вместо цветowych колец могут использоваться цветные точки.

При маркировке конденсаторов тремя кольцами допуск равен 20%; возможно сочетание двух колец и точки, указывающей на множитель. При маркировке пятью кольцами цвет корпуса указывает на значение рабочего напряжения. В полярных конденсаторах положительный вывод отмечается точкой или выводом большего диаметра.

Для индуктивностей кодируется номинальное значение индуктивности и допуск, т.е. допускаемое отклонение от указанного номинала. Наиболее часто применяется кодировка 4 или 3 цветными кольцами или точками. Первые две метки указывают на значение номинальной индуктивности в микрогенри (мкГн), третья метка — множитель, четвертая — допуск. В случае кодирования 3 метками подразумевается допуск 20%. Цветное кольцо, обозначающее первую цифру номинала, может быть шире, чем все остальные.

Символьная маркировка пассивных компонентов

При символьной маркировке используются 2 или 3 цифры в сочетании с символом, расположенным на месте десятичной точки и обозначающим единицу измерения.

После номинала может указываться допуск и ТКЕ. Отсутствие маркировки допуска обычно означает допуск по умолчанию $\pm 20\%$. Для конденсаторов дополнительно может указываться рабочее напряжение, символьное обозначение которого обычно размещается в начале, перед номиналом.

Иногда применяется непосредственная маркировка номинала без указания множителя. В этом случае надпись «680K» на индуктивности будет означать не 68 мкГн $\pm 10\%$ (в соответствии со стандартной маркировкой), а 680 мкГн $\pm 10\%$.

Помимо вышеуказанных параметров на корпус может наноситься дополнительная кодированная информация, например о дате выпуска, типе, номинальной мощности и т.д.

Цифровая маркировка пассивных компонентов

При этом способе используются 3 или 4 цифры, последняя из которых обозначает количество нулей, добавляемых к стоящим впереди цифрам. Исключение составляют цифры 7, 8 и 9 для сопротивлений и цифра 9 для конденсаторов, обозначающие множитель в соответствии с приведенной ниже таблицей. Полученное значение равно номиналу в Ом для сопротивлений, пФ для емкостей и мкГн для индуктивностей. Для электролитических конденсаторов номинальное значение обычно дается сразу в мкФ. При использовании 2 цифр номинальное значение берется из ряда E24 и имеет допуск 5% и более, при 3 цифрах номинальное значение берется из ряда E96 и имеет допуск 1% и менее.

Кроме стандартных способов маркировки используются и нестандартные, часть из которых приведена в примерах.

ЦВЕТОВАЯ МАРКИРОВКА РЕЗИСТОРОВ

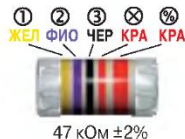
3 метки ①-②-⊗ (допуск 20%)



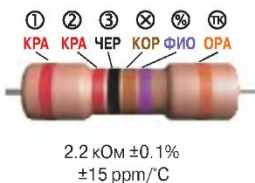
4 метки ①-②-⊗-⊗



5 меток ①-②-③-⊗-⊗



6 меток ①-②-③-⊗-⊗-ТК



① ② ③ ⊗ ⊗ ТК
Номинал Множ. Допуск ТК

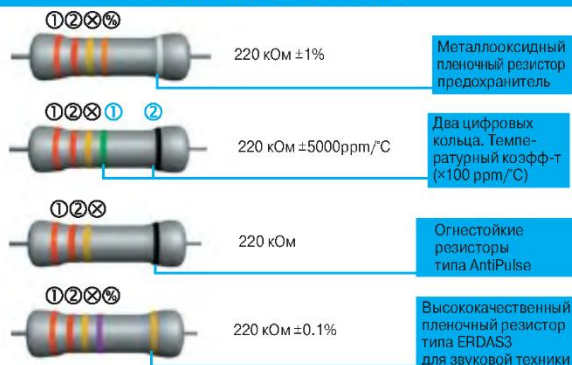
	0	0	1	±20%	
ЧЕР					
КОР	1	1	1	10	±1% 100
КРА	2	2	2	10 ²	±2% 50
ОРА	3	3	3	10 ³	15
ЖЕЛ	4	4	4	10 ⁴	25
ЗЕЛ	5	5	5	10 ⁵	±0.5% 10
ГОЛ	6	6	6	10 ⁶	±0.25% 10
ФИО	7	7	7	10 ⁷	±0.1% 5
СЕР	8	8	8	10 ⁸	±0.05% 1
БЕЛ	9	9	9		
ЗОЛ				0.1 ±5%	
СРБ				0.01 ±10%	

Нестандартная маркировка

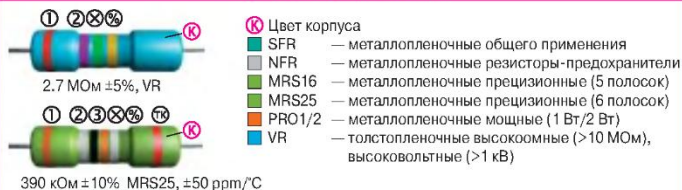
Маркировка фирмы Corning Glass Work (CGW)



Маркировка фирмы Panasonic



Маркировка фирмы Philips

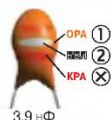


ЦВЕТОВАЯ МАРКИРОВКА КОНДЕНСАТОРОВ

3 метки

1

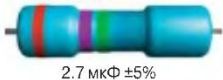
① ② ×



3.9 нФ

① ② ×

КРА ФИО ЗЕЛ



2.7 мкФ ±5%

2

① ② ×



0.5 мкФ

4 метки

1

① ② × %



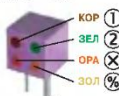
3 мкФ ±2%

① ② × %

КРА ФИО ЗЕЛ ЗОЛ



2.7 мкФ ±5%



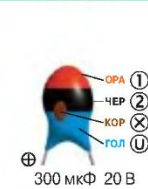
15 нФ ±5%



2.2 мкФ ±2%

2

① ② × U



300 мкФ 20 В

1

① ② ③ × % ТК

Номинал Множ. Допуск ТКЕ

ЧЕР	0	0	0	1	±20%	NPO
КОР	1	1	1	10	±1%	N33
КРА	2	2	2	10 ²	±2%	N75
ОРА	3	3	3	10 ³		N150
ЖЕЛ	4	4	4	10 ⁴		N220
ЗЕЛ	5	5	5	10 ⁵		N330
ГОЛ	6	6	6	10 ⁶		N470
ФИО	7	7	7	10 ⁷		N750
СЕР	8	8	8	10 ⁸	±30%	Y5R
БЕЛ	9	9	9		-20...+80%	SL
ЗОЛ				0.1	±5%	
СРБ				0.01	±10%	Y5P

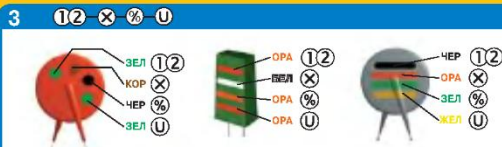
2

① ② × U

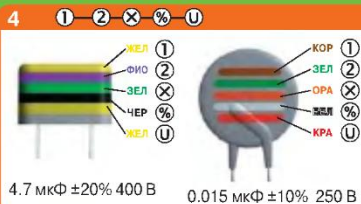
Номинал Множ. Напряж.

ЧЕР	0	0	1	10 В
КОР	1	1	10	
КРА	2	2	10 ²	
ОРА	3	3		
ЖЕЛ	4	4		6.3 В
ЗЕЛ	5	5		16 В
ГОЛ	6	6		20 В
ФИО	7	7		
СЕР	8	8	0.01	25 В
БЕЛ	9	9	0.1	3 В
ЗОЛ				35 В

4 метки



5 меток



6 меток



3 1 2 X % U

	Номинал	Множ.	Допуск	Напряж.
ЧЕР	10	1	±20%	4 В
КОР	12	10	±1%	6.3 В
КРА	15	10 ²	±2%	10 В
ОРА	18	10 ³	±0.25 мкФ	16 В
ЖЕЛ	22	10 ⁴	0.5 мкФ	40 В
ЗЕЛ	27	10 ⁵	±5%	20/25 В
ГОЛ	33	10 ⁶	±1%	30/32 В
ФИО	39	10 ⁷	-20...+50%	
СЕР	47	10 ⁻²	-20...+80%	3.2 В
БЕЛ	56	10 ⁻¹	±10%	63 В
СРБ	68			2.5 В
ЗОЛ	82		±5%	1.6 В

4 1 2 X % U

	Номинал	Множ.	Допуск	Напряж.
КОР	1	0	±10%	
КОР	1	5	±20%	
КРА	2	2		250 В
ОРА	3	3		400 В
ЖЕЛ	2	2	10 ⁵	
ГОЛ	4	7	10 ⁶	

ЦВЕТОВАЯ МАРКИРОВКА КАТУШЕК ИНДУКТИВНОСТИ

3 метки ① ② ⊗ (допуск 20%)

2 5 10³
① ② ⊗
КРА ЗЕЛ ОРА



25 мГн ±20%


4 7 1
① ② ⊗
ЖЕЛ ФИО ЧЕР



47 мкГн ±20%


4 метки ① ② ⊗ %

4 7 0.1 ±20%
① ② ⊗ %
ЖЕЛ ФИО ЗОЛ ЧЕР



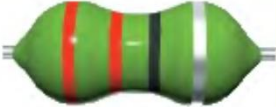
4.7 мкГн ±20%

2 7 1 ±5%
① ② ⊗ %
КРА ФИО ЧЕР ЗОЛ



27 мГн ±5%

2 2 1 ±10%
① ② ⊗ %
КРА КРА ЧЕР СРБ



22 мкГн ±10%

	①	②	⊗	%
	Номинал		Множ.	Допуск
ЧЕР	0	1		±20%
КОР	1	1	10	
КРА	2	2	10 ²	
ОРА	3	3	10 ³	
ЖЕЛ	4	4		
ЗЕЛ	5	5		
ГОЛ	6	6		
ФИО	7	7		
СЕР	8	8		
БЕЛ	9	9		
ЗОЛ			0.1	±5%
СРБ			0.01	±10%

КОДОВАЯ МАРКИРОВКА ВЫВОДНЫХ РЕЗИСТОРОВ

НОМИНАЛ [Ом]		ДОПУСК (%)
① ② ③	Базовое значение из рядов E3, E6, E12, E24, E48, E96, E192	МЭК 62
		СТ СЭВ 1810-79
ⓔ	Множитель как десятичная запятая	ГОСТ 11076-69
	R(E) = Ом K(K) = кОм (10^3 Ом) M(M) = МОм (10^6 Ом) G(Г) = ГОм (10^9 Ом) T(Т) = ТОм (10^{12} Ом)	Допуск [%]
		E E ±0.001
		L L ±0.002
		R R ±0.005
		P P ±0.01
		U U ±0.02
		A X ±0.05
		B B ±0.1
		C C ±0.25
		D D ±0.5
		F F ±1
		G G ±2
		J J, I ±5
		K K ±10
		M M ±20
		N N ±30



A33M	или	E33M	= 0.33 Ом ±20%
4R7F	или	4R7F	= 4.7 Ом ±1%
330R	или	K330	= 330 Ом ±2%
110KD	или	M110	= 110 кОм ±0.5%
220MN	или	G22N	= 220 МОм ±30%
1M1M			= 1.1 МОм ±30%
12GM			= 12 ГОм ±10%

Презионные резисторы фирмы **Panasonic**

① ② ③ X % ТК

10 кОм ±1%
±50ppm/°C

Тип резистора 55

TK

① ② ③ % ТК

1 кОм ±0.1%
±5ppm/°C

Тип резистора ERNSB

TK

TKC [ppm/°C]

E ±25
C ±50
D ±100

5 ±5

Перемычки
керамика-металл
(R < 13 МОм)

КОДОВАЯ МАРКИРОВКА ВЫВОДНЫХ КОНДЕНСАТОРОВ

1 ①②X%



47 нФ ±10%



6.8 нФ ±20%



220 пФ ±5%

2 ①②E%TK



15 пФ ±0.25%
-75 ppm/°C



33 пФ ±0.10%
-75 ppm/°C

3 U①②③X%



16.2 нФ ±10%, 20 В

4 ①②U



Маркировка в мкФ
0.02 мкФ
10 В

5 ①②E%TK



Смешанная маркировка
10 пФ
750 ppm/°C



6.8 мкФ ±0.10%
TKE ±90%

**Напря-
жение**
[В]

U
G 4
J 6.3/7
A 10
C 16
D 20
E 25
V 35

Номинал

Вариант 1:

①②③E

2 или 3 цифры
и буква как де-
сятичная точка
и единица изм.:

E E

Р П пФ
P, p пФ
н Н нФ
м, m мкФ

Вариант 2:

①②③X

3 или 4 цифры,
последняя из
которых равна
числу добавочных
нулей, кроме:

9 = × 0.1

Единица
измерения:
пФ

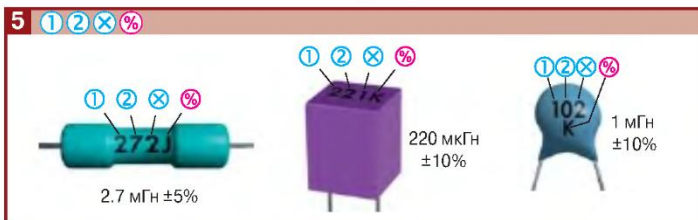
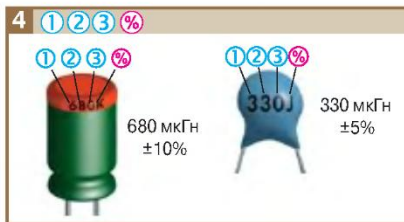
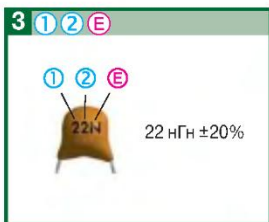
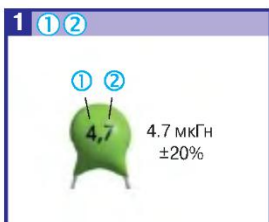
Допуск [%]

% %
B Ж ±0.1
C Y ±0.25
D Д ±0.5
F P ±1
G Л ±2
J И ±5
K C ±10
M B ±20
N B ±30
Q O -10...+30
T Э -10...+50
Y Ю -10...+100
S Б -20...+50
Z A -20...+80

ТКЕ [ppm/°C]

TK TK
A П100
B Н10
C МП0
D Н30
E Н70
F Н90
H М33
K М2200
L М75
N П33
P М150
R М220
S П330
T М470
U М750
V М1500
X Н50
Z Н20

КОДОВАЯ МАРКИРОВКА ВЫВОДНЫХ КАТУШЕК ИНДУКТИВНОСТИ



Номинал

Вариант 1:

① ② E
2 цифры и буква
как десятичная
точка и ед. изм. E
мкГн
нГн

Вариант 2:

① ② ×
3 цифры, последняя из
которых равна числу
доб. нулей. Ед. изм. мкГн

Вариант 3:

① ② ③
3 цифры.
Единица
изм. мкГн

Допуск

%
D ±0.3 нГн
J ±5 %
K ±10 %
M ±20 %

МАРКИРОВКА РЕЗИСТОРОВ ДЛЯ ПОВЕРХНОСТНОГО МОНТАЖА

XXX

1 2 X

допуск 1%,
размер 0603



12.4 кОм

Множитель:

S — 10^{-2} C — 10^2

R — 10^{-1} D — 10^3

A — 1 E — 10^4

B — 10 F — 10^5

1 2 Номер номинального значения из ряда E96:

01 — 100	21 — 162	41 — 261	61 — 422	81 — 681
02 — 102	22 — 165	42 — 267	62 — 432	82 — 698
03 — 105	23 — 169	43 — 274	63 — 442	83 — 715
04 — 107	24 — 174	44 — 280	64 — 453	84 — 732
05 — 110	25 — 178	45 — 287	65 — 464	85 — 750
06 — 113	26 — 182	46 — 294	66 — 475	86 — 768
07 — 115	27 — 187	47 — 301	67 — 487	87 — 787
08 — 118	28 — 191	48 — 309	68 — 499	88 — 806
09 — 121	29 — 196	49 — 316	69 — 511	89 — 825
10 — 124	30 — 200	50 — 324	70 — 523	90 — 845
11 — 127	31 — 205	51 — 332	71 — 536	91 — 866
12 — 130	32 — 210	52 — 340	72 — 549	92 — 887
13 — 133	33 — 215	53 — 348	73 — 562	93 — 909
14 — 137	34 — 221	54 — 357	74 — 576	94 — 931
15 — 140	35 — 226	55 — 365	75 — 590	95 — 953
16 — 143	36 — 232	56 — 374	76 — 604	96 — 976
17 — 147	37 — 237	57 — 383	77 — 619	
18 — 150	38 — 243	58 — 392	78 — 634	
19 — 154	39 — 249	59 — 402	79 — 649	
20 — 158	40 — 255	60 — 412	80 — 665	

XXX

1 2 X



1 Ом



33 кОм



10 МОм

XXXX

1 2 3 X



42.2 кОм



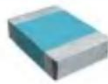
0.47 Ом

1 2 3 Номинал [Ом]:
0...9

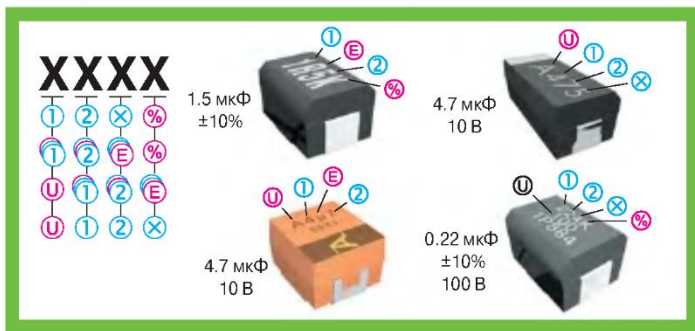
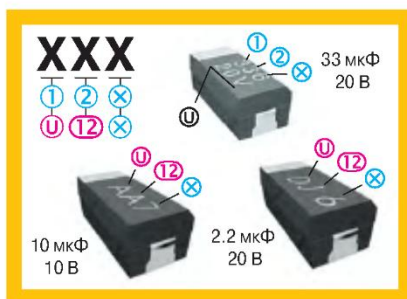
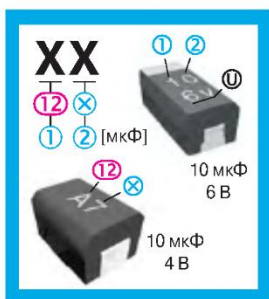
X Множитель:
1 — 10^0 4 — 10^4 7 — 10^{-2}
2 — 10^2 5 — 10^5 8 — 10^{-1}
3 — 10^3 6 — 10^6 9 — 10^0

E Десятичная
точка: R

Перемычки
(Jumper-Chip)
R < 50 МОм



МАРКИРОВКА КОНДЕНСАТОРОВ ДЛЯ ПОВЕРХНОСТНОГО МОНТАЖА



Ⓢ Рабочее напряжение:

G — 4
J — 6.3/7 **D** — 20
A — 10 **E** — 25
C — 16 **V** — 35

Ⓢ Рабочее напряжение:

0...9 — величина
V — вольты

Ⓢ Номинал [пФ]:

A — 1.0 **M** — 3.0 **Y** — 8.2
B — 1.1 **N** — 3.3 **Z** — 9.1
C — 1.2 **P** — 3.6 **a** — 2.5
D — 1.3 **Q** — 3.9 **b** — 3.5
E — 1.5 **R** — 4.3 **d** — 4.0
F — 1.6 **S** — 4.7 **e** — 4.5
G — 1.8 **T** — 5.1 **f** — 5.0
H — 2.0 **U** — 5.6 **m** — 6.0
J — 2.2 **V** — 6.2 **n** — 7.0
K — 2.4 **W** — 6.8 **t** — 8.0
L — 2.7 **X** — 7.5 **g** — 9.0

Ⓢ Множитель:

9 — 0.1
0 — 1
1 — 10
2 — 10²
3 — 10³
4 — 10⁴
5 — 10⁵
6 — 10⁶
7 — 10⁷

Ⓢ Десятичная точка и единица измерения:

μ — мкФ **R** — мкФ

Ⓢ Номинал:

(ⓈⓈⓈ) — [пФ]
0...9

Ⓢ Допуск [%]:

J — ±5,
K — ±10,
M — ±20

Маркировка конденсаторов для поверхностного монтажа

XXXXXX

D U 1 2 X %

T

Температура пайки:

G — 250°C/5 с

H — 260°C/5 с

J — 260°C/10 с

D

Диапазон рабочего напряжения:

0 — <10 В

1 — <100 В

2 — <1000 В



0.22 мкФ ±10% 100 В

МАРКИРОВКА ИНДУКТИВНОСТЕЙ ДЛЯ ПОВЕРХНОСТНОГО МОНТАЖА

XXX

1 2 X
1 2 E

Допуск ±20%

XXXX

1 2 X %
1 2 E %



0.68 мкГн ±20%

Номинал

Вариант 1:

1 2 E

2 цифры и буква как десятичная точка и ед. изм.

E

R мкГн

N нГн

Вариант 2:

1 2 X

3 цифры, последняя из которых равна числу доб. нулей. Ед. изм. мкГн

Вариант 3:

1 2 3

3 цифры. Единица изм. мкГн

Допуск

%

D ±0.3 нГн

J ±5 %

K ±10 %

M ±20 %

ТАБЛИЦЫ СООТВЕТСТВИЯ

Ниже приведены таблицы соответствия между параметрами и их обозначением с помощью цвета, символов и цифр. Для названий цвета используются следующие сокращения: чер — черный, кор — коричневый, кра — красный, т-кра — темно-красный, ора — оранжевый, жел — желтый, зел — зеленый, т-зел — темно-зеленый, гол — голубой, син — синий, фио — фиолетовый, сер — серый, бел — белый, зол — золотой, сrb — серебряный, роз — розовый, беж — бежевый, сал — салатный, таб — табачный, бир — бирюзовый, эле — электрик.

Н ① ② ③ Маркировка номинального значения

Единица измерения: сопротивление — Ом, емкости — пФ, индуктивности — мкГн

Значение	0	1	2	3	4	5	6	7	8	9
Цветовая маркировка	 чер	 кор	 кра	 ора	 жел	 зел	 гол	 фио	 сер	 бел
Цифровая марк.	0	1	2	3	4	5	6	7	8	9

⊗ Маркировка множителя
















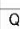
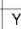
Значение	0.01	0.1	1	10	10 ²	10 ³	10 ⁴	10 ⁵	10 ⁶	10 ⁷	10 ⁸	10 ⁹
Цветовая маркировка	 сер	 зол	 чер	 кор	 кра	 ора	 жел	 зел	 гол	 фио	 сер	 бел
Цифровая маркировка	R	7	8	9	1	2	3	4	5	6		
	C		9	0	1	2	3	4	5	6	7	8

Е Маркировка единицы измерения

Положение символа указывает на положение десятичной точки



Значение	Сопротивления					Емкости				Индуктивности	
	Ом	кОм	МОм	ГОм	ТОм	пФ	нФ	мкФ	нГн	мкГн	
Сим-вол	R	K	M	G	T	R,P	n	μ	N	R	
рус.	Е	К	М	Г	Т	П	Н	м,μ	Н	Р	

⊗ Маркировка допуска

Значение [%]		±0.001	±0.002			±0.005			±0.01	±0.02	±0.05	±0.1	±0.25	±0.5	±1	±2	±5	±10	±20	±30	-10+30	-10+50	-10+100	-20+50	-20+80
Цветовая маркировка	R																								
	C L																								
Сим-вол:	межд. рус.	E	L	R	P	U	A	B	C	D	F	G	J	K	M	N	Q	T	Y	S	Z				
								Ж*	У*	Д*	Р*	Л	И	С	В	Ф	О	Э	Ю	Б	А				

* Для конденсаторов емкостью < 10 пФ допуск имеет размерность пикофард.
Для индуктивности используются допуски ±5%, ±10% и ±20%, символ D = ±0.3 нГн

⊗ Маркировка температурного коэффициента сопротивлений

Значение	1	5	10	15	25	50	100
Цвет	 сер	 фио	 гол	 ора	 жел	 кра	 кор
Символ (межд.)					E	C	D

Таблицы соответствия

ТК Маркировка ненормируемого температурного коэффициента емкости

Группа	H10	H20	H30	H50	H70	H90
Допуск в диапазоне -60...+85°C	±10%	±20%	±30%	±50%	±70%	±90%
Цвет*	ора+чер	ора+кра	ора+зел	ора+гол	ора+фио	ора+бел
Символ (межд.)	B	Z	D	X	E	F

* Современная цветовая кодировка. Цветные полосы или точки. Второй цвет может быть представлен цветом корпуса.

ТК Маркировка линейного температурного коэффициента емкости

Группа	межд. рус.	P100 П100	P33 П33	NP0 МПО	N030 M33	N080 M75	N150 M150	N220 M220	N330 M330	N470 M470	N750 M750	N1500 M1500	N2200 M2200
ТКЕ [ppm/°C]		100	33	0	-33	-75	-150	-220	-330	-470	-750	-1500	-2200
Разброс*		-49 ...+130		-75 ...+30	-80 ...+30	-80 ...+30	-105 ...+30	-120 ...+30	-180 ...+60	-210 ...+60	-330 ...+120	-670 ...+250	
Цвет**		кра+фио	сер	чер	кор	кра	ора	жел	зел	гол	фио	ора+ора	жел+ора
Символ (межд.)		A	N	C	H	L	P	R	S	T	U	V	K

* Реальный разброс для импортных конденсаторов в диапазоне температур -55...+85°C.

** Современная цветовая кодировка в соответствии с EIA. Цветные полосы или точки. Второй цвет может быть представлен цветом корпуса.

ТК Маркировка нелинейного температурного коэффициента емкости

Обозначения групп приведены в соответствии со стандартом EIA, в скобках указан стандарт IEC.

Маркировка дана в соответствии с EIA. Некоторые фирмы, например Panasonic, используют другой кодировкой.

		Допуск						
		±7.5%	±10%	±15%	±22%	+22...-56%	+22...-82%	+150...-1500%
Темп. диап.	-10...+85°C	Z5P: B	Z5P: C		Z5S	Z5U (2E): E	Z5V: F,	
	-30...+85°C	Y5F	Y5P:	Y5R: R,	Y5S: S,	Y5U: A	Y5V (2F)	
	-55...+85°C	X5F	X5P		X5S	X5U:	X5V	
	-55...+125°C			X7R (2R)				
	-55...+150°C							SLO (GP): Nil,

* В зависимости от технологий, которыми обладает фирма, диапазон может быть другим. Например, фирма Philips для группы Y5P нормирует -55...+125 °C.

U Маркировка рабочего напряжения емкостей

Значение [В]	2.5	3	4	6.3/7	10	16	20	25	35	50	63	100	250	400	630
Код (межд.)	0E,E		0G,G	0J,J	1A,A	1C,C	1D,D	1E,V	1V,V	1H	1J	2A	2E	2G	2J

РЯДЫ НОМИНАЛЬНЫХ ЗНАЧЕНИЙ ПО ЕІА

Допуски: Е3 — 50%, Е6 — 20%, Е12 — 10%, Е24 — 5%, Е48 — 2%, Е96 — 1%, Е192 — < 0.5%

Не использ.	E3	100	220						470				
Редко исп.	E6	100	150	220	330	470	680						
	E12	100	120	150	180	220	270	330	390	470	560	680	820
	E24	100	120	150	180	220	270	330	390	470	560	680	820
		110	130	160	200	240	300	360	430	510	620	750	910

E48	E96	E192	E48	E96	E192	E48	E96	E192	E48	E96	E192	E48	E96	E192	E48	E96	E192
100	100	100	147	147	147	215	215	215	316	316	316	464	464	464	681	681	681
	101			149			218			320			470			690	
	102	102		150	150	221	221		324	324		475	475		698	698	
	104			152			223			328			481			706	
105	105	105	154	154	154	226	226	226	332	332	332	487	487	487	715	715	715
	106			156			229			336			493			723	
	107	107		158	158	232	232		340	340		499	499		732	732	
	109			160			234			344			505			741	
110	110	110	162	162	162	237	237	237	348	348	348	511	511	511	750	750	750
	111			164			240			352			517			759	
	113	113		165	165	243	243		357	357		523	523		768	768	
	114			167			246			361			530			777	
115	115	115	169	169	169	249	249	249	365	365	365	536	536	536	787	787	787
	117			172			252			370			542			796	
	118	118		174	174	255	255		374	374		549	549		806	806	
	120			176			258			379			556			816	
121	121	121	178	178	178	261	261	261	383	383	383	562	562	562	825	825	825
	123			180			264			388			569			835	
	124	124		182	182	267	267		392	392		576	576		845	845	
	126			184			271			397			583			856	
127	127	127	187	187	187	274	274	274	402	402	402	590	590	590	866	866	866
	129			189			277			407			597			876	
	130	130		191	191	280	280		412	412		604	604		887	887	
	132			193			284			417			612			898	
133	133	133	196	196	196	287	287	287	422	422	422	619	619	619	909	909	909
	135			198			291			427			626			920	
	137	137		200	200	294	294		432	432		634	634		931	931	
	138			203			298			437			642			942	
140	140	140	205	205	205	301	301	301	442	442	442	649	649	649	953	953	953
	142			208			305			448			657			965	
	143	143		210	210	309	309		453	453		665	665		976	976	
	145			213			312			459			673			988	

МАРКИРОВКА ОТЧЕСТВЕННЫХ П/П ПРИБОРОВ В КОРПУСЕ КТ-26 (ТО-92)

Нет, не удалось нам догнать буржуев нигде, кроме как в области цветовой и кодовой маркировки радиокомпонентов. Здесь мы не только допнали загнивающий Запад, но и перегнали его, как говорится, «навсегда». Никому иностранцу никогда не удастся расшифровать таинственные и постоянно меняющиеся комбинации странных значков и таинственных точек, коими маркируются отечественные полупроводниковые приборы. Что, в общем-то, хорошо: чего не понимают, того хотя бы опасаются, так что можно считать отечественную маркировку частью нашей оборонной инициативы, как говорится, «наш ответ на ультиматум Керзона». Но в своей страсти зашифровать и засекречивать все и вся мы зашли слишком далеко, так как и собственное население уже не может понять, что же за загадочные приборы вляпаны в наши неказистые платы.

Невозможно объять необъятное, поэтому из всей массы приборов мы постарались выбрать группу, которая наиболее часто маркируется всевозможными кодами. Понятно, что применение кодовой маркировки связано в первую очередь с размерами, а значит, и типом корпуса. Безусловным лидером по частоте применения кодовой маркировки является корпус типа КТ-26. Выпускавшийся ранее корпус КТП-4 представляет собой модификацию КТ-26 и, следовательно, тоже попадает под рассмотрение. В связи с вышеизложенным, упор, сделанный в данном издании на маркировку полупроводниковых приборов, выпускающихся в корпусе КТ-26, является закономерным и позволяет ответить на большинство вопросов, связанных с кодовой маркировкой.

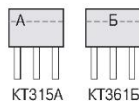
Первый и самый неутешительный вывод, полученный в результате исследований: по маркировке полупроводниковых приборов, выпускающихся в корпусе КТ-26, часто НЕВОЗМОЖНО однозначно установить тип прибора. Можно долго рассуждать, почему так случилось и кто в этом виноват; мы же считаем, что сложившаяся ситуация является, результатом во-первых, нашего российского менталитета, то есть привычкой решать все проблемы административным путем, а во-вторых, особенностей протекания исторического процесса в нашей стране. Из последнего утверждения следует очень важный вывод: маркировка полупроводниковых приборов, выпускающихся в корпусе КТ-26, есть категория историческая. Это значит, в частности, что если производитель какого-нибудь транзистора в 1992 году маркировал его, допустим, красной точкой, а в 1993 году перестал выпускать этот транзистор, то в 1994 году мог появиться другой (а иногда и тот же самый) производитель и замаркировать красной точкой совершенно другой прибор, считая, что данная конкретная маркировка «свободна».

Вобщем-то, служение полупроводниковой промышленности в советское время нуждам военно-промышленного комплекса не пошло ей на пользу. До сих пор принципы маркировки компонентов их изготовитель считает исключительно своей прерогативой и руководствуется в них даже не ГОСТами, а своими сиюминутными интересами, как-то: наличием или отсутствием необходимой краски, трудностями, связанными с изготовлением клейма, и т.п. Выполнение требований по маркировке, внесенных в ТУ, обходят обычно следующим образом: достаточно крупные партии приборов выпускаются «по нормам главного конструктора» или «по конкретному контракту», что позволяет маркировать эти партии так, как удобно изготовителю. Еще «хлеще» маркируются приборы, выпускаемые в странах СНГ для российского рынка. Самостоятельно, видимо, не позволяет маркировать по российским стандартам, а свои выработать просто некогда, да и некому, надо быстрее клепать приборы, а то скоро эту «высокотехнологичную продукцию» никто брать не будет. Исключения в лучшую сторону достаточно редки и серьезного исследователя интересовать не могут.

История

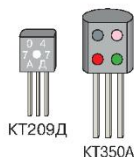
Первым массовым транзистором с кодовой маркировкой был КТ315 в миниатюрном пластмассовом корпусе КТ-13. На нем в левом верхнем углу плоской стороны ставилась буква, обозначающая группу, ниже иногда указывалась дата изготовления. Через несколько лет в корпусе КТ-13 стали выпускать транзистор прямой проводимости — КТ361. Для отличия от КТ315 буква, обозначающая группу, ставилась посередине верхней части плоской стороны.

В 1974 году появился транзистор КТ375 в корпусе КТ-26 (тогда еще с круглыми выводами), который маркировался цифрами 375 и буквой, указывающей группу транзистора.



Маркировка отечественных п/п приборов в корпусе КТ-26 (ТО-92)

В 1976 году появляется целая группа транзисторов в корпусах КТП-4 и КТ-26, отмаркированных цветовым четырехточечным кодом, и транзистор КТ209 (корпус КТП-4), который маркировался буквой А в левом нижнем углу плоской стороны корпуса. В правом нижнем углу плоской стороны корпуса буквой указывалась группа прибора, выше — двумя цифрами год, а еще выше — двумя цифрами дата изготовления. Понять, что это за приборы, без расшифровки кода было уже невозможно, поэтому 1976 год можно считать началом эры цветовой и кодовой маркировки корпуса КТ-26 в СССР.



В 1979 году появляются транзисторы в корпусе КТ-26, маркированные символами. Сначала символы ставятся где попало, но к 1985 году они обретают постоянное место в левом верхнем углу плоской стороны корпуса. Примерно в это же время появляются транзисторы, маркируемые двумя цветовыми метками. С 1988 года набирает обороты сокращенная символическая маркировка.

Общие принципы маркировки

Корпус КТ-26 (ТО-92) изготавливается из пластмассы темного, чаще черного, цвета, поэтому все надписи наносятся белой или серебристой краской. Маркировка обычно наносится на срезе боковой поверхности корпуса, реже — на цилиндрической части боковой поверхности корпуса, на торце корпуса цветовым кодом указывают группу прибора.

Встречаются приборы, торец корпуса которых целиком закрашен каким-либо цветом. Это, за немногими исключениями, внутривзаводская маркировка, которая, как правило, не стандартизируется и не расшифровывается (обозначает иногда разбраковку по одному или нескольким параметрам: номер смены и т.п.). Уловить какие-нибудь закономерности здесь не удалось, да и не очень надо, так как для массового потребителя данный тип маркировки несет немного полезной информации.

На корпусе стараются указать тип прибора, группу, дату выпуска (год, месяц или номер смены). Наиболее важными представляются тип и группа прибора — на них мы и сосредоточим свое внимание; что касается даты изготовления, то часто она вообще не указывается. Когда же дата указывается, чаще всего это делается согласно ГОСТ 25486-82 (см. раздел Символьно-буквенная маркировка) или просто: двумя цифрами год, двумя (одной) месяц (например, 95 09 означает 1995 год, сентябрь-месяц). Встречается обратный порядок указания года и месяца (например, 3-74 означает март 1974 года) или обозначение только года изготовления двумя цифрами (например, 85 — 1985 год).

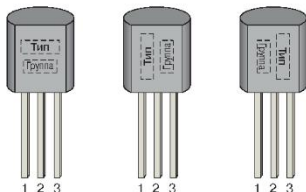
Типы маркировки полупроводниковых приборов

Для удобства все рассмотренные варианты маркировки полупроводниковых приборов, выпускающихся в корпусе КТ-26, были разбиты на шесть классов, которым были присвоены условные названия:



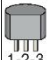
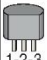

Цифро-буквенная маркировка

Цифро-буквенная маркировка может быть полной и сокращенной. Наносится на срез боковой поверхности корпуса, как правило, в две строки друг над другом, возможны как правый поворот надписи, так и левый, а также маркировка в одну строку. Относительно полный список сокращенного варианта цифро-буквенной маркировки приведен ниже в таблице (используемые условные обозначения расшифрованы в списке сокращений). Приборы, тип и группа которых промаркированы полностью, по понятным причинам в данном издании не рассматриваются.



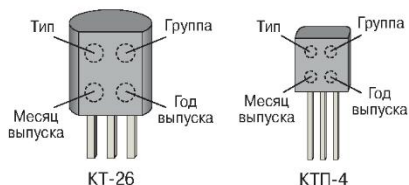
Тип	Функция	Маркировка	Тип	Функция	Маркировка	Тип	Функция	Маркировка
КТ969А1	п-п-п	Е-С-В 1А	КТ307Е1	п-FET	Г-Д-С 307Е	КТ349В	п-п-п	С-В-Е 349В
КР1188ЕН5	рег+	И-С-О 8ЕН5	КТ307Ж1	п-FET	Г-Д-С 307Ж	КТ350А	п-п-п	С-В-Е 350А
КР1188ЕН8	рег+	И-С-О 8ЕН8	КТ313А1	п-п-п	С-В-Е 313А1	КТ351А	п-п-п	С-В-Е 351А
КР1188ЕН9	рег+	И-С-О 8ЕН9	КТ313А2	п-п-п	Е-С-В 313А2	КТ351Б	п-п-п	С-В-Е 351Б
КР1188ЕН12	рег+	И-С-О 8ЕН12	КТ313Б1	п-п-п	С-В-Е 313Б1	КТ352А	п-п-п	С-В-Е 352А
КТ117АМ	О	Е-В1-В2 17А	КТ313Б2	п-п-п	Е-С-В 313Б2	КТ352Б	п-п-п	С-В-Е 352Б
КТ117ВМ	О	Е-В1-В2 17В	КТ313В1	п-п-п	С-В-Е 313В1	КТ355АМ	п-п-п	С-В-Е 355А
КТ117ВМ	О	Е-В1-В2 17В	КТ313В2	п-п-п	Е-С-В 313В2	КТ357В	п-п-п	С-В-Е 357А
КТ117ГМ	О	Е-В1-В2 17Г	КТ313Г1	п-п-п	С-В-Е 313Г1	КТ357А	п-п-п	С-В-Е 357Б
КР1157ЕН1	рег+	С-О-И 57В1	КТ313Г2	п-п-п	Е-С-В 313Г2	КТ357Б	п-п-п	С-В-Е 357Б
КР1168ЕН1	рег+	С-О-И 68ВН1	КТ3157А	п-п-п	С-Е-В 3157А	КТ361А2	п-п-п	Е-С-В 361А2
КР142ЕН17А	рег+	О-С-И 69	КТ315А1	п-п-п	Е-С-В 315А1	КТ361А3	п-п-п	Е-С-В 361А3
КР142ЕН17Б	рег+	О-С-И 70	КТ315Б1	п-п-п	Е-С-В 315Б1	КТ361Б2	п-п-п	Е-С-В 361Б2
КР142ЕН19	рег+	Г-А-К 71	КТ315В1	п-п-п	Е-С-В 315В1	КТ361В2	п-п-п	Е-С-В 361В2
КТ123А	О	В1-Е-В2 123А	КТ315Г1	п-п-п	Е-С-В 315Г1	КТ361Г2	п-п-п	Е-С-В 361Г2
КТ123Б	О	В1-Е-В2 123Б	КТ315Д1	п-п-п	Е-С-В 315Д1	КТ361Г3	п-п-п	Е-С-В 361Г3
КР1125КП3А	btd	К-А1-А2 153А	КТ315Е1	п-п-п	Е-С-В 315Е1	КТ361Д2	п-п-п	Е-С-В 361Д2
КР1125КП3Б	btd	К-А1-А2 153Б	КТ315Ж1	п-п-п	Е-С-В 315Ж1	КТ361Д3	п-п-п	Е-С-В 361Д3
КР1125КП3В	btd	К-А1-А2 153В	КТ315И1	п-п-п	Е-С-В 315И1	КТ361Е2	п-п-п	Е-С-В 361Е2
КТ208А1	п-п-п	С-В-Е 208А	КТ315Н1	п-п-п	Е-С-В 315Н1	КТ361Ж2	п-п-п	Е-С-В 361Ж2
КТ208Б1	п-п-п	С-В-Е 208Б	КТ315П1	п-п-п	Е-С-В 315П1	КТ361И2	п-п-п	Е-С-В 361И2
КТ208В1	п-п-п	С-В-Е 208В	КТ316АМ	п-п-п	С-В-Е 316А(М)	КТ361К2	п-п-п	Е-С-В 361К2
КТ209А	п-п-п	С-В-Е 209А	КТ316БМ	п-п-п	С-В-Е 316Б(М)	КТ361Л2	п-п-п	Е-С-В 361Л2
КТ209Б	п-п-п	С-В-Е 209Б	КТ316ВМ	п-п-п	С-В-Е 316В(М)	КТ361М2	п-п-п	Е-С-В 361М2
КТ209Б1	п-п-п	С-В-Е 209Б1	КТ316ГМ	п-п-п	С-В-Е 316Г(М)	КТ361Н2	п-п-п	Е-С-В 361Н2
КТ209В	п-п-п	С-В-Е 209В	КТ316ДМ	п-п-п	С-В-Е 316Д(М)	КТ361П2	п-п-п	Е-С-В 361П2
КТ209Б1	п-п-п	С-В-Е 209Б1	КТ325АМ	п-п-п	С-Е-В 325А	КТ363АМ	п-п-п	С-Е-В 363АМ
КТ209В2	п-п-п	С-В-Е 209В2	КТ325БМ	п-п-п	С-Е-В 325Б	КТ363БМ	п-п-п	С-Е-В 363БМ
КТ209Г	п-п-п	С-В-Е 209Г	КТ325ВМ	п-п-п	С-Е-В 325В	КТ364А	nFET	Г-Д-С 364А
КТ209Д	п-п-п	С-В-Е 209Д	КТ326АМ	п-п-п	С-В-Е 326АМ	КТ364Б	nFET	Г-Д-С 364Б
КТ209Е	п-п-п	С-В-Е 209Е	КТ326БМ	п-п-п	С-В-Е 326БМ	КТ364В	nFET	Г-Д-С 364В
КТ209Ж	п-п-п	С-В-Е 209Ж	КТ337А	п-п-п	С-В-Е 337А	КТ364Г	nFET	Г-Д-С 364Г
КТ209И	п-п-п	С-В-Е 209И	КТ337Б	п-п-п	С-В-Е 337Б	КТ364Д	nFET	Г-Д-С 364Д
КТ209К	п-п-п	С-В-Е 209К	КТ337В	п-п-п	С-В-Е 337В	КТ364Е	nFET	Г-Д-С 364Е
КТ209Л	п-п-п	С-В-Е 209Л	КТ339АМ	п-п-п	С-Е-В 339А	КТ364Ж	nFET	Г-Д-С 364Ж
КТ209М	п-п-п	С-В-Е 209М	КТ342АМ	п-п-п	С-Е-В 342АМ	КТ364И	nFET	Г-Д-С 364И
КТ219А	п-п-п	С-В-Е 219А	КТ342БМ	п-п-п	С-Е-В 342БМ	КТ368АМ	п-п-п	С-Е-В 368А/М
КТ306АМ	п-п-п	С-В-Е 306А	КТ342ВМ	п-п-п	С-Е-В 342ВМ	КТ368БМ	п-п-п	С-Е-В 368Б/М
КТ306БМ	п-п-п	С-В-Е 306Б	КТ342ГМ	п-п-п	С-Е-В 342ГМ	КТ368ВМ	п-п-п	С-Е-В 368В/М
КТ306ВМ	п-п-п	С-В-Е 306В	КТ342ДМ	п-п-п	С-Е-В 342ДМ	КТ373А	п-п-п	Е-Б-С 373А
КТ308ГМ	п-п-п	С-В-Е 308Г	КТ345А	п-п-п	С-Е-В 345А	КТ373Б	п-п-п	Е-Б-С 373Б
КТ306ДМ	п-п-п	С-В-Е 306Д	КТ345Б	п-п-п	С-Е-В 345Б	КТ373В	п-п-п	Е-Б-С 373В
КТ307А1	п-FET	Г-Д-С 307А	КТ345В	п-п-п	С-Е-В 345В	КТ373Г	п-п-п	Е-Б-С 373Г
КТ307Б1	п-FET	Г-Д-С 307Б	КТ349А	п-п-п	С-Е-В 349А	КТ375А	п-п-п	С-В-Е 375А
КТ307Г1	п-FET	Г-Д-С 307Г	КТ349Б	п-п-п	С-Е-В 349Б	КТ375Б	п-п-п	С-В-Е 375Б

Маркировка отечественных п/п приборов в корпусе КТ-26 (ТО-92)

Тип	Функция	 Маркировка	Тип	Функция	 Маркировка	Тип	Функция	 Маркировка
КТ399АМ	п-р-п	С-В-Е 399А	КТ686Г	р-р-р	С-В-Е 686Г	КТ6110Д	п-р-п	Е-В-С 6110Д
КТ399БМ	п-р-п	С-В-Е 399Б	КТ686Д	р-р-р	С-В-Е 686Д	КТ6111А	п-р-п	Е-В-С 6111А
КТ399ВМ	п-р-п	С-В-Е 399В	КТ686Е	р-р-р	С-В-Е 686Е	КТ6111Б	п-р-п	Е-В-С 6111Б
КТ399ГМ	п-р-п	С-В-Е 399Г	КТ686Ж	р-р-р	С-В-Е 686Ж	КТ6111В	п-р-п	Е-В-С 6111В
КП501А	п-МОС	Г-Д-С 501А	КТ698А	п-р-п	С-В-Е 698А	КТ6111Г	п-р-п	Е-В-С 6111Г
КП501Б	п-МОС	Г-Д-С 501Б	КТ698Б	п-р-п	С-В-Е 698Б	КТ6112А	п-р-п	Е-В-С 6112А
КП501В	п-МОС	Г-Д-С 501В	КТ698В	п-р-п	С-В-Е 698В	КТ6112Б	п-р-п	Е-В-С 6112Б
КП502А	п-МОС	С-Д-Г 502А	КТ698Г	п-р-п	С-В-Е 698Г	КТ6112В	п-р-п	Е-В-С 6112В
КТ502А	р-р-р	С-В-Е 502А	КТ698Д	п-р-п	С-В-Е 698Д	КТ6113А	п-р-п	Е-В-С 6113А
КТ502Б	р-р-р	С-В-Е 502Б	КТ698Е	п-р-п	С-В-Е 698Е	КТ6113Б	п-р-п	Е-В-С 6113Б
КТ502В	р-р-р	С-В-Е 502В	КТ698Ж	п-р-п	С-В-Е 698Ж	КТ6113В	п-р-п	Е-В-С 6113В
КТ502Г	р-р-р	С-В-Е 502Г	КТ698И	п-р-п	С-В-Е 698И	КТ6113Г	п-р-п	Е-В-С 6113Г
КТ502Д	р-р-р	С-В-Е 502Д	КТ698К	п-р-п	С-В-Е 698К	КТ6113Д	п-р-п	Е-В-С 6113Д
КТ502Е	р-р-р	С-В-Е 502Е	КТ3102АМ	п-р-п	С-В-Е 3102АМ	КТ6113Е	п-р-п	Е-В-С 6113Е
КП503А	п-МОС	С-Д-Г 503А	КТ3102ВМ	п-р-п	С-В-Е 3102ВМ	КТ6114А	п-р-п	Е-В-С 6114А
КТ503А	п-р-п	С-В-Е 503А	КТ3102ВМ	п-р-п	С-В-Е 3102ВМ	КТ6114Б	п-р-п	Е-В-С 6114Б
КТ503Б	п-р-п	С-В-Е 503Б	КТ3102ГМ	п-р-п	С-В-Е 3102ГМ	КТ6114В	п-р-п	Е-В-С 6114В
КТ503В	п-р-п	С-В-Е 503В	КТ3102ДМ	п-р-п	С-В-Е 3102ДМ	КТ6114Г	п-р-п	Е-В-С 6114Г
КТ503Г	п-р-п	С-В-Е 503Г	КТ3102ЕМ	п-р-п	С-В-Е 3102ЕМ	КТ6114Д	п-р-п	Е-В-С 6114Д
КТ503Д	п-р-п	С-В-Е 503Д	КТ3102ЖМ	п-р-п	С-В-Е 3102ЖМ	КТ6114Е	п-р-п	Е-В-С 6114Е
КТ503Е	п-р-п	С-В-Е 503Е	КТ3102ИМ	п-р-п	С-В-Е 3102ИМ	КТ6115А	п-р-п	Е-В-С 6115А
КП504А	п-МОС	С-Д-Г 504А	КТ3102КМ	п-р-п	С-В-Е 3102КМ	КТ6115Б	п-р-п	Е-В-С 6115Б
КП504Б	п-МОС	С-Д-Г 504Б	КТ3107А	п-р-п	С-В-Е 3107А	КТ6115В	п-р-п	Е-В-С 6115В
КП504В	п-МОС	С-Д-Г 504В	КТ3107А1	п-р-п	В-С-Е 3107А1	КТ6115Г	п-р-п	Е-В-С 6115Г
КП505А	п-МОС	С-Д-Г 505А	КТ3107Б	п-р-п	С-В-Е 3107Б	КТ6115Д	п-р-п	Е-В-С 6115Д
КП505Б	п-МОС	С-Д-Г 505Б	КТ3107Б1	п-р-п	В-С-Е 3107Б1	КТ6115Е	п-р-п	Е-В-С 6115Е
КП505В	п-МОС	С-Д-Г 505В	КТ3107В	п-р-п	С-В-Е 3107В	КТ6116А	п-р-п	Е-В-С 6116А
КП505Г	п-МОС	С-Д-Г 505Г	КТ3107В1	п-р-п	В-С-Е 3107В1	КТ6116Б	п-р-п	Е-В-С 6116Б
КП505Д	п-МОС	С-Д-Г 505Д	КТ3107Г	п-р-п	С-В-Е 3107Г	КТ6117А	п-р-п	Е-В-С 6117А
КС515Г1	dz	515Г1	КТ3107Г1	п-р-п	В-С-Е 3107Г1	КТ6117Б	п-р-п	Е-В-С 6117Б
КС520В1	dz	520В1	КТ3107Д	п-р-п	С-В-Е 3107Д	КТ6127А	п-р-п	С-В-Е 6127А
КТ531В1	dz	531В1	КТ3107Д1	п-р-п	В-С-Е 3107Д1	КТ6127Б	п-р-п	С-В-Е 6127Б
КТ632А1	р-р-р	С-В-Е 632А1	КТ3107Е	п-р-п	С-В-Е 3107Е	КТ6127В	п-р-п	С-В-Е 6127В
КТ632Б1	р-р-р	С-В-Е 632Б1	КТ3107Е1	п-р-п	В-С-Е 3107Е1	КТ6127Г	п-р-п	С-В-Е 6127Г
КТ632В1	р-р-р	С-В-Е 632В1	КТ3107Ж	п-р-п	С-В-Е 3107Ж	КТ6127Д	п-р-п	С-В-Е 6127Д
КТ638А	п-р-п	С-В-Е 638А	КТ3107Ж1	п-р-п	В-С-Е 3107Ж1	КТ6127Е	п-р-п	С-В-Е 6127Е
КТ638Б	п-р-п	С-В-Е 638Б	КТ3107И	п-р-п	С-В-Е 3107И	КТ6127Ж	п-р-п	С-В-Е 6127Ж
КТ645А	п-р-п	С-В-Е 645А	КТ3107И1	п-р-п	В-С-Е 3107И1	КТ6127И	п-р-п	С-В-Е 6127И
КТ645Б	п-р-п	С-В-Е 645Б	КТ3107К	п-р-п	С-В-Е 3107К	КТ6127К	п-р-п	С-В-Е 6127К
КТ660А	п-р-п	С-В-Е 660А	КТ3107К1	п-р-п	В-С-Е 3107К1	КТ6128А	п-р-п	Е-В-С 6128А
КТ660Б	п-р-п	С-В-Е 660Б	КТ3107Л	п-р-п	С-В-Е 3107Л	КТ6128Б	п-р-п	Е-В-С 6128Б
КТ668А	п-р-п	С-В-Е 668А	КТ3107Л1	п-р-п	В-С-Е 3107Л1	КТ6128В	п-р-п	Е-В-С 6128В
КТ668Б	п-р-п	С-В-Е 668Б	КТ3117А1	п-р-п	С-В-Е 3117	КТ6128Г	п-р-п	Е-В-С 6128Г
КТ668В	п-р-п	С-В-Е 668В	КТ3126А	п-р-п	С-В-Е 3126А	КТ6128Д	п-р-п	Е-В-С 6128Д
КТ680А	п-р-п	С-В-Е 680А	КТ3126Б	п-р-п	С-В-Е 3126Б	КТ6128Е	п-р-п	Е-В-С 6128Е
КТ681А	п-р-п	С-В-Е 681А	КТ3128А1	п-р-п	С-В-Е 3128А1	КТ6133А	п-р-п	С-В-Е 6133А
КТ684А	п-р-п	В-С-Е 684А	КТ3128Б1	п-р-п	С-В-Е 3128Б1	КТ6133Б	п-р-п	С-В-Е 6133Б
КТ684Б	п-р-п	В-С-Е 684Б	КТ3166А	п-р-п	С-В-Е 3166А	КТ6133В	п-р-п	С-В-Е 6133В
КТ684В	п-р-п	В-С-Е 684В	КТ3166Б	п-р-п	С-В-Е 3166Б	КТ6134А	п-р-п	С-В-Е 6134А
КТ684Г	п-р-п	С-В-Е 684Г	КТ3166В	п-р-п	С-В-Е 3166В	КТ6134Б	п-р-п	С-В-Е 6134Б
КТ685А	п-р-п	С-В-Е 685А	КТ3166Г	п-р-п	С-В-Е 3166Г	КТ6134В	п-р-п	С-В-Е 6134В
КТ685Б	п-р-п	С-В-Е 685Б	КТ6109А	п-р-п	Е-В-С 6109А	КТ6135А	п-р-п	С-В-Е 6135А
КТ685В	п-р-п	С-В-Е 685В	КТ6109Б	п-р-п	Е-В-С 6109Б	КТ6135Б	п-р-п	С-В-Е 6135Б
КТ685Г	п-р-п	С-В-Е 685Г	КТ6109В	п-р-п	Е-В-С 6109В	КТ6135В	п-р-п	С-В-Е 6135В
КТ685Д	п-р-п	С-В-Е 685Д	КТ6109Г	п-р-п	Е-В-С 6109Г	КТ6135Г	п-р-п	С-В-Е 6135Г
КТ685Е	п-р-п	С-В-Е 685Е	КТ6109Д	п-р-п	Е-В-С 6109Д	КТ6136А	п-р-п	С-В-Е 6136А
КТ685Ж	п-р-п	С-В-Е 685Ж	КТ6110А	п-р-п	Е-В-С 6110А	КТ6137А	п-р-п	С-В-Е 6137А
КТ686А	п-р-п	С-В-Е 686А	КТ6110Б	п-р-п	Е-В-С 6110Б	КР1210ЕН1	ref	К-К-А ВН
КТ686Б	п-р-п	С-В-Е 686Б	КТ6110В	п-р-п	Е-В-С 6110В			
КТ686В	п-р-п	С-В-Е 686В	КТ6110Г	п-р-п	Е-В-С 6110Г			

Цветовая четырехточечная маркировка

Использовалась до 1986 года. Почти все приборы, отмаркированные четырьмя цветными точками на срезе боковой поверхности корпуса, выпускались как в корпусе КТ-26 (Рис. 18), так и в корпусе КТП-4 (Рис. 19). Точки наносятся цветной эмалью типа ЭП140. Кодирование группы, месяца и года выпуска производится строго согласно цветовым рядам, приведенным в таблицах ниже. Также в последней таблице приведены все варианты данного класса маркировки (расшифровку колонки «Функция» см. в списке сокращений).



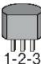




















М Левая нижняя точка (месяц выпуска)

Месяц	Январь	Февраль	Март	Апрель	Май	Июнь	Июль	Август	Сентябрь	Октябрь	Ноябрь	Декабрь
Цвет	беж	син	зел	кра	сал	сер	кор	ора	эле	бел	жел	гол

Г Правая нижняя точка (год выпуска)

Год	1977	1978	1979	1980	1981	1982	1983	1984	1985	1986
Цвет	беж	сал	ора	эле	бир	бел	кра	кор	зел	гол

Т Б Варианты маркировки

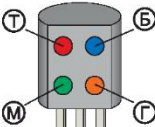
Т		Тип	Функция		Б Цвет правой верхней точки (буква группы)											
					А	Б	В	Г	Д	Е	Ж	И	К	Л	М	
					 роз	 жел	 син	 беж	 ора	 бел	 з/е	 сал	 зел	 кра	 сер	
Цвет левой верхней точки (тип)	 гол	КТ3107	р-п-р	С-В-Е	А	Б	В	Г	Д		Е	Ж	И	К	Л	
	 кор	КТ326	р-п-р	С-В-Е	АМ	БМ										
	 кра	КТ337	р-п-р	С-В-Е	А	Б	В									
	 бел	КТ345	р-п-р	С-В-Е	А	Б	В									
	 син	КТ349	р-п-р	С-В-Е	А	Б	В									
	 сер	КТ350	р-п-р	С-В-Е	А											
	 жел	КТ351	р-п-р	С-В-Е	А	Б										
	 зел	КТ352	р-п-р	С-В-Е	А	Б										
	 роз	КТ363	р-п-р	С-В-Е	АМ	БМ										

Т

Б

М

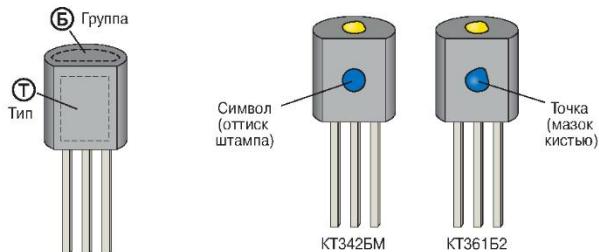
Г



С В Е
КТ337В
март, 1979

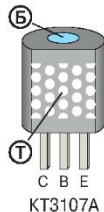
Символьно-цветовая маркировка

Основным признаком является наличие цветных геометрических символов на срезе боковой поверхности корпуса и отсутствие каких-либо букв/цифр. Тип прибора указывается на срезе боковой поверхности корпуса цветным геометрическим символом, группа — на торце корпуса цветными точками (см. рисунок). Различают два способа нанесения маркировки: в первом случае маркировка наносится с помощью наклейки и занимает все поверхность от левого края до правого (первая таблица), а во втором случае символ наносится штампом (вторая таблица). Используемые в таблицах условные обозначения расшифрованы в списке сокращений. Следует различать символьную и двухточечную маркировку: кружок-символ наносится с помощью специального штампа и поэтому имеет четкую форму и «оттиснутый» вид, а точка наносится кистью и поэтому не имеет четкой формы, но заполняется краской гораздо более плотно (см. рисунок).




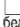













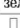

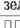
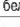


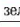
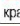

Символьно-цветовая маркировка наклейкой

Т	Тип	Функция	1-2-3	Б Цвет точки на торце (буква группы)											
				нет	крас	бел	зел	гол	2 бел	2 зел	2 крас	2 гол	бел+зел	бел+крас	бел+гол
Наклейка на боковом срезе (тип)	КТ3102	п-р-п	С-В-Е		АМ	БМ	ЕМ	ДМ	ВМ		ГМ		ИМ	ЖМ	КМ
	КТ3107	р-р-р	С-В-Е		Ж	К	Б	А	Л	Е	И	В	Г	Д	
	КТ316	п-р-п	С-В-Е		АМ	БМ	ВМ	ГМ	ДМ						
	КТ3144	п-р-п	С-В-Е	А											
	КТ201	п-р-п	С-В-Е		АМ	БМ	ВМ	ГМ	ДМ						
	КТ399	п-р-п	С-В-Е		АМ	БМ	ВМ	ГМ							
	КР1064КТ1	btd	Д-Г-С		А	Б	В	Г							
	КЖ101	cld	І-С-О	А1											
	КС106	dz	С-В-Е	А1											



Маркировка отечественных п/п приборов в корпусе КТ-26 (ТО-92)

Символьно-цветовая маркировка геометрической фигурой

Т	Тип	Функция		Б Цвет точки на торце (буква группы)										
				нет	бел	зел	кра	жел	син	2 бел	2 зел	2 кра	2 жел	2 син
 бел	КТ645	п-р-п	С-В-Е	А	Б									
 зел	КТ645	п-р-п	С-В-Е		И	Д	В	Г	Е	М	Л	К	Ж	
 бел	КТ645	п-р-п	С-В-Е	А	Б									
 зел	КТ3126	р-п-р	С-В-Е	А		Б								
 син	КТ361	р-п-р	Е-С-В	А3...*	А2	И2	Г3	Б2	Д2					
 бел	КТ6109	р-п-р	Е-В-С		А	Б	В	Г	Д					
 зел	КТ6110	п-р-п	Е-В-С		А	Б	В	Г	Д					
 бел	КТ6114	п-р-п	Е-В-С		А	Б	В			Г	Д	Е		
 зел	КТ6115	р-п-р	Е-В-С		А	Б	В			Г	Д	Е		
 зел	КТ6116	р-п-р	Е-В-С	А		Б								
 бел	КТ6117	п-р-п	Е-В-С	А	Б									
 бел	КТ502	р-п-р	С-В-Е		А	Б	В	Г	Д	Е				
 зел	КТ503	п-р-п	С-В-Е		А	Б	В	Г	Д	Е				
 зел	КТ315	п-р-п	Е-С-В		Е1	В1	А1	Б1	Г1	Р1	Н1	Ж1	Д1	И1
 бел	КП365	п-FET	Г-С-Д	А	Б									
 зел	КП501	п-MOS	Г-Д-С	А	Б	В								
 бел	КТ6111	п-р-п	Е-В-С			В	А	Б	Г					
 бел	КТ3117	р-п-р	С-В-Е	А1										
 зел	КД130	d	А1-К-А2	АС										
 зел	КД130 КВ134	d var	К1-А-К2 К1-А-К2	АС1 А1										
 кра	КВС111	var	А1-К-А2		А	В		Г	Б	Д-2				
 син	КТ660	п-р-п	С-В-Е	А										
 син	КТ660	п-р-п	С-В-Е	Б										

Метка на боковом срезе (тип)

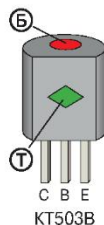
Б

Т

С В Е

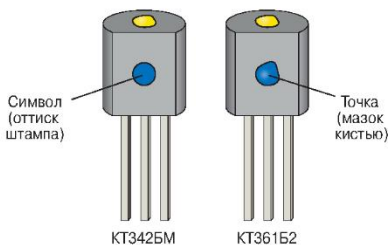
KT503B

*А3, В2, Д3, Е2, Ж2, К2, Л2, М2, Н2, Г2, П2



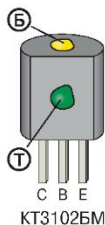
Цветовая двухточечная маркировка

Отличается наличием цветной точки на срезе боковой поверхности корпуса (капля краски, наносимая кистью вручную), кодирующей тип прибора; на торце корпуса цветной точкой указывается группа. Точки наносятся цветной эмалью типа ЭП140 по ГОСТ 24709-81. Кодирование группы производится согласно цветовому ряду, приведенному во второй строке таблицы с вариантами данного класса маркировки, хотя возможны как частичные нарушения этого ряда, так и полное пренебрежение ими. Расшифровку колонки «Функция» см. в списке сокращений.



Следует различать символическую и двухточечную маркировку: кружок-символ наносится с помощью специального штампа и поэтому имеет четкую форму и «оттиснутый» вид, а точка наносится кистью и поэтому не имеет четкой формы, но заполняется краской гораздо более плотно (см. рисунок).

		Функция	1-2-3	Б Цвет точки на торце (буква группы)												
Т	Тип			нет	роз	А	Б	В	Г	Д	Е	Ж	И	К	Л	М
						т-кра	жел	т-зел	гол	син	бел	кор	срб	ора	таб	сер
Цвет точки на боковом срезе (тип)	сер	КТ209	р-п-р	С-В-Е		А	Б	В	Г	Д	Е	Ж	И	К	Л	М
	т-зел	КТ3102	п-р-п	С-В-Е		АМ	БМ	ВМ	ГМ	ДМ	ЕМ	ЖМ			ИМ	КМ
	таб	КТ364	п-FET	G-D-S		А	Б	В	Г	Д	Е				И	
	кор	КТ326	р-п-р	С-В-Е	АМ		БМ									
	т-кра	КТ203	р-п-р	С-В-Е		АМ	БМ	ВМ								
	кра	КТ6112	р-п-р	Е-В-С		А	Б	В								
	ора	КТ313	р-п-р	С-В-Е		А1	Б1	В1	Г1							
		КТ638	п-р-п	С-В-Е		А	Б	В	Г	Д	Е					
	жел	КТ502	р-п-р	С-В-Е		А	Б	В	Г	Д	Е					
	гол	КТ6111	п-р-п	Е-В-С		А	Б	В		Г						
		КТ339	п-р-п	С-Е-В	А											
	син	КТ342	р-п-р	С-В-Е		АМ	БМ	ВМ	ГМ	ДМ						
		КВ131	var	А-К	А/А2											
	бел	КТ503	п-р-п	С-В-Е		А	Б	В	Г	Д	Е					
	срб	КТ632	р-п-р	С-В-Е		А1	Б1	В1								

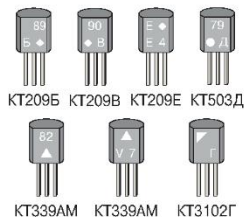


Символьно-буквенная маркировка

Основным признаком этой маркировки является сочетание геометрических символов, букв и цифр. Срез боковой поверхности корпуса делится на четыре информационных поля. До 1991 года встречались различные порядки использования информационных полей (см. рисунок).

В настоящее время используется следующий порядок: верхнее левое поле обозначает тип прибора (один геометрический символ, буква или цифра), верхнее правое поле — группу (одна буква), нижнее левое поле — год выпуска, нижнее правое — месяц выпуска (дата согласно ГОСТ 25486-82).

Варианты маркировки приведены в таблице.



М Левый нижний символ (год выпуска)

Символ	U	V	W	X	A	B	C	D	E	F	H	I	K	L	M
Год	1986	1987	1988	1989	1990	1991	1992	1993	1994	1995	1996	1997	1998	1999	2000

Г Правый нижний символ (месяц выпуска)

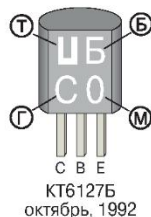
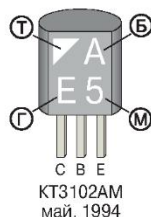
Символ	1	2	3	4	5	6	7	8	9	O	N	D
Месяц	Январь	Февраль	Март	Апрель	Май	Июнь	Июль	Август	Сентябрь	Октябрь	Ноябрь	Декабрь

Т Маркировка типонимала

Т	Тип	Функция	Т	Тип	Функция				
		1-2-3			1-2-3				
Накатка на боковом срезе (тип)	1	КТ632х1	р-п-р	С-В-Е	Накатка на боковом срезе (тип)	Ц	КТ6127х	р-п-р	С-В-Е
	2	КТ638	п-п-п	С-В-Е		С	КТ523х	р-п-р	С-В-Е
	3	КТ3102хМ2	п-п-п	Е-С-В		Т	КТ3166х	п-п-п	Д-Г-С
	4	КТ3102хМ2	п-п-п	Е-С-В		Л	КТ313х1	р-п-р	І-С-О
	7	КТ3107х2	р-п-р	В-С-Е		●	КТ503х	п-п-п	С-В-Е
	І	КТ681А	р-п-р	С-В-Е		◐	КТ502х	р-п-р	С-В-Е
	ІА	КР1157Е-ххх02А	рег+	О-С-І		◑	КТ3102хМ	п-п-п	С-В-Е
	А	КР1157Е-ххх01А	рег+ н-FET	С-І-О В-С-Е		◒	КТ203хМ	р-п-р	С-В-Е
	Б	КР1364х	н-FET	Г-Д-С		◅	КТ3157А	р-п-р	С-Е-В
	В	КР1361х	н-FET	Г-Д-С		◆	КТ342хМ	п-п-п	С-В-Е
	В	КР1307х1	н-FET	Г-Д-С		◇	КТ209х1	р-п-р	С-В-Е
	В	КР1171С-ххх	vd	І-С-О		◈	КТ3107х2	р-п-р	С-В-Е
	Г	КР1170Е-ххх	рег+ п-п-п	О-С-І О-С-І		◉	КТ326хМ	р-п-р	С-В-Е
	Г	КТ680А	п-п-п	О-С-І		◊	КТ339хМ	п-п-п	С-Е-В
	Г	КТ680А3	п-п-п	С-В-Е		◌			
	П	КТ517х	п-п-п	С-В-Е		◍			
		КТ698х	п-п-п	С-В-Е		◎			

Т	Б	М
КТ3102АМ		
май, 1994		

Т	Б	М
ЦБ		
С0		
КТ6127Б		
октябрь, 1992		

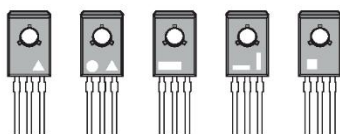
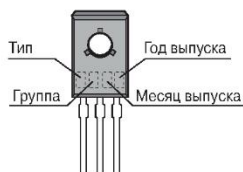


Нестандартизируемая маркировка

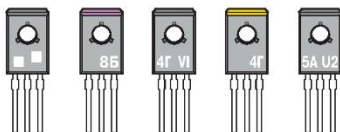
Включает приборы, маркировка которых не подпадает под вышеперечисленные классы. Многие из них приведены ниже.



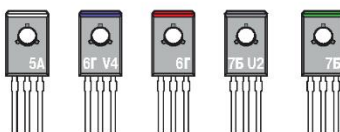
МАРКИРОВКА ОТЕЧЕСТВЕННЫХ П/П ПРИБОРОВ В КОРПУСЕ КТ-27 (ТО-126)



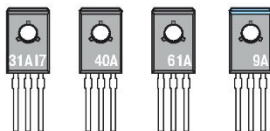
КТ646А КТ646Б КТ972А КТ972Б КТ973А



КТ973Б КТ683Б КТ814Г КТ814Г КТ815А



КТ815А КТ816Г КТ816Г КТ817Б КТ817Б



КТ8131А КТ940 КТ961А КТ9115

МАРКИРОВКА П/П КОМПОНЕТОВ ДЛЯ ПОВЕРХНОСТНОГО МОНТАЖА

Назначение колонок в таблицах

- Код** — код, нанесенный на корпус. Сортировка по кодам задана с приоритетом цифр перед буквами, следовательно, код 618 расположен раньше, чем код 64S и 6A, а код A1 — после 9A. Бывают ситуации, когда совпадают код и тип корпуса, а приборы разные. Например, на корпусе типа SOT-323 нанесен код 6H. У фирмы «Philips» это л-р-п-транзистор типа BC818W, а у фирмы «Motorola» это р-п-р-транзистор типа MUN5131T1 с совершенно другими параметрами;
- Типоминал** — типоминал (полное название прибора);
- Б** — сокращенное название фирмы-производителя. Например, SIEM — фирма «Siemens», HP — «Hewlett-Packard» и т.д. Для расшифровки необходимо воспользоваться таблицей «Список фирм-производителей», помещенной в конце книги;
- Ф** — функциональное назначение прибора. Например, п-р-п-транзистор с указанной проводимостью, shd — диод Шоттки и т.д. Для расшифровки необходимо воспользоваться таблицей «Список обозначений функции прибора», помещенной в конце книги;
- Особенности** — особенности или основные электрические характеристики прибора. Для расшифровки необходимо воспользоваться таблицей «Список сокращений и условных обозначений», помещенной в конце книги;
- Корпус** — название корпуса (EIAJ, JEDEC...);
- Ц/Цоколевка** — цоколевка. Аббревиатуры выводов приводятся в порядке возрастания номеров выводов, начиная с первого. Нумерация выводов указана на корпусах в колоннотитуле. Для расшифровки необходимо воспользоваться таблицей «Список сокращений и условных обозначений», помещенной в конце книги.



1 2 SOD66, SOD91

SOD66/91

Код	Типономинал	Б	Ф	Особенности	Корпус	Ц: 1+2
11D	BYD11D	PHIL	byg	$V_{DS} < 200 \text{ В}$; $I_D < 0.5 \text{ А}$; $V_{GS}(0.5 \text{ А}) < 0.91 \text{ В}$; $V_{DS} > 225 \text{ В}$; $I_{SS} < 1 \text{ мкА}$; $C_{DS} = 14 \text{ пФ}$; $t_{RR} = 3 \text{ мкс}$	SOD-91	К * А
11G	BYD11G	PHIL	byg	$V_{DS} < 400 \text{ В}$; $I_D < 0.5 \text{ А}$; $V_{GS}(0.5 \text{ А}) < 0.91 \text{ В}$; $V_{DS} > 450 \text{ В}$; $I_{SS} < 1 \text{ мкА}$; $C_{DS} = 14 \text{ пФ}$; $t_{RR} = 3 \text{ мкс}$	SOD-91	К * А
11J	BYD11J	PHIL	byg	$V_{DS} < 600 \text{ В}$; $I_D < 0.5 \text{ А}$; $V_{GS}(0.5 \text{ А}) < 0.91 \text{ В}$; $V_{DS} > 650 \text{ В}$; $I_{SS} < 1 \text{ мкА}$; $C_{DS} = 14 \text{ пФ}$; $t_{RR} = 3 \text{ мкс}$	SOD-91	К * А
11K	BYD11K	PHIL	byg	$V_{DS} < 800 \text{ В}$; $I_D < 0.5 \text{ А}$; $V_{GS}(0.5 \text{ А}) < 0.91 \text{ В}$; $V_{DS} > 900 \text{ В}$; $I_{SS} < 1 \text{ мкА}$; $C_{DS} = 14 \text{ пФ}$; $t_{RR} = 3 \text{ мкс}$	SOD-91	К * А
11M	BYD11M	PHIL	byg	$V_{DS} < 1000 \text{ В}$; $I_D < 0.5 \text{ А}$; $V_{GS}(0.5 \text{ А}) < 0.91 \text{ В}$; $V_{DS} > 1100 \text{ В}$; $I_{SS} < 1 \text{ мкА}$; $C_{DS} = 14 \text{ пФ}$; $t_{RR} = 3 \text{ мкс}$	SOD-91	К * А
31D	BYD31D	PHIL	byg	$V_{DS} < 200 \text{ В}$; $I_D < 0.44 \text{ А}$; $V_{GS}(0.5 \text{ А}) < 1.35 \text{ В}$; $V_{DS} > 300 \text{ В}$; $C_{DS} = 9 \text{ пФ}$; $t_{RR} < 250 \text{ нс}$	SOD-91	К * А
31G	BYD31G	PHIL	byg	$V_{DS} < 400 \text{ В}$; $I_D < 0.44 \text{ А}$; $V_{GS}(0.5 \text{ А}) < 1.35 \text{ В}$; $V_{DS} > 500 \text{ В}$; $C_{DS} = 9 \text{ пФ}$; $t_{RR} < 250 \text{ нс}$	SOD-91	К * А
31J	BYD31J	PHIL	byg	$V_{DS} < 600 \text{ В}$; $I_D < 0.44 \text{ А}$; $V_{GS}(0.5 \text{ А}) < 1.35 \text{ В}$; $V_{DS} > 700 \text{ В}$; $C_{DS} = 9 \text{ пФ}$; $t_{RR} < 250 \text{ нс}$	SOD-91	К * А
31K	BYD31K	PHIL	byg	$V_{DS} < 800 \text{ В}$; $I_D < 0.44 \text{ А}$; $V_{GS}(0.5 \text{ А}) < 1.35 \text{ В}$; $V_{DS} > 900 \text{ В}$; $C_{DS} = 9 \text{ пФ}$; $t_{RR} < 300 \text{ нс}$	SOD-91	К * А
31M	BYD31M	PHIL	fid	$V_{DS} < 1000 \text{ В}$; $I_D < 0.44 \text{ А}$; $V_{GS}(0.5 \text{ А}) < 1.35 \text{ В}$; $V_{DS} > 1100 \text{ В}$; $C_{DS} = 8 \text{ пФ}$; $t_{RR} < 300 \text{ нс}$	SOD-91	К * А
C10PH	BZV85-C10	PHIL	dz	$V_{ZT}(I_{ZT}) = 25 \text{ мА} = 9.4 \dots 10.6 \text{ В}$; $Z_{ZT} < 8 \text{ Ом}$	SOD-66	К * А
C11PH	BZV85-C11	PHIL	dz	$V_{ZT}(I_{ZT}) = 20 \text{ мА} = 10.4 \dots 11.6 \text{ В}$; $Z_{ZT} < 10 \text{ Ом}$	SOD-66	К * А
C12PH	BZV85-C12	PHIL	dz	$V_{ZT}(I_{ZT}) = 20 \text{ мА} = 11.4 \dots 12.7 \text{ В}$; $Z_{ZT} < 10 \text{ Ом}$	SOD-66	К * А
C13PH	BZV85-C13	PHIL	dz	$V_{ZT}(I_{ZT}) = 20 \text{ мА} = 12.4 \dots 14.1 \text{ В}$; $Z_{ZT} < 10 \text{ Ом}$	SOD-66	К * А
C15PH	BZV85-C15	PHIL	dz	$V_{ZT}(I_{ZT}) = 15 \text{ мА} = 13.8 \dots 15.6 \text{ В}$; $Z_{ZT} < 15 \text{ Ом}$	SOD-66	К * А
C16PH	BZV85-C16	PHIL	dz	$V_{ZT}(I_{ZT}) = 15 \text{ мА} = 15.3 \dots 17.1 \text{ В}$; $Z_{ZT} < 15 \text{ Ом}$	SOD-66	К * А
C18PH	BZV85-C18	PHIL	dz	$V_{ZT}(I_{ZT}) = 15 \text{ мА} = 16.8 \dots 19.1 \text{ В}$; $Z_{ZT} < 20 \text{ Ом}$	SOD-66	К * А
C20PH	BZV85-C20	PHIL	dz	$V_{ZT}(I_{ZT}) = 10 \text{ мА} = 18.8 \dots 21.2 \text{ В}$; $Z_{ZT} < 24 \text{ Ом}$	SOD-66	К * А
C22PH	BZV85-C22	PHIL	dz	$V_{ZT}(I_{ZT}) = 10 \text{ мА} = 20.8 \dots 23.3 \text{ В}$; $Z_{ZT} < 25 \text{ Ом}$	SOD-66	К * А
C24PH	BZV85-C24	PHIL	dz	$V_{ZT}(I_{ZT}) = 10 \text{ мА} = 22.8 \dots 25.6 \text{ В}$; $Z_{ZT} < 30 \text{ Ом}$	SOD-66	К * А
C27PH	BZV85-C27	PHIL	dz	$V_{ZT}(I_{ZT}) = 8 \text{ мА} = 25.1 \dots 28.9 \text{ В}$; $Z_{ZT} < 40 \text{ Ом}$	SOD-66	К * А
C30PH	BZV85-C30	PHIL	dz	$V_{ZT}(I_{ZT}) = 8 \text{ мА} = 28.32 \text{ В}$; $Z_{ZT} < 45 \text{ Ом}$	SOD-66	К * А
C33PH	BZV85-C33	PHIL	dz	$V_{ZT}(I_{ZT}) = 8 \text{ мА} = 31.35 \text{ В}$; $Z_{ZT} < 45 \text{ Ом}$	SOD-66	К * А
C36PH	BZV85-C36	PHIL	dz	$V_{ZT}(I_{ZT}) = 8 \text{ мА} = 34.38 \text{ В}$; $Z_{ZT} < 50 \text{ Ом}$	SOD-66	К * А
C39PH	BZV85-C39	PHIL	dz	$V_{ZT}(I_{ZT}) = 6 \text{ мА} = 37.41 \text{ В}$; $Z_{ZT} < 60 \text{ Ом}$	SOD-66	К * А
C3V6PH	BZV85-C3V6	PHIL	dz	$V_{ZT}(I_{ZT}) = 60 \text{ мА} = 3.4 \dots 3.8 \text{ В}$; $Z_{ZT} < 15 \text{ Ом}$	SOD-66	К * А
C3V9PH	BZV85-C3V9	PHIL	dz	$V_{ZT}(I_{ZT}) = 60 \text{ мА} = 3.7 \dots 4.1 \text{ В}$; $Z_{ZT} < 15 \text{ Ом}$	SOD-66	К * А
C43PH	BZV85-C43	PHIL	dz	$V_{ZT}(I_{ZT}) = 6 \text{ мА} = 40.46 \text{ В}$; $Z_{ZT} < 75 \text{ Ом}$	SOD-66	К * А
C47PH	BZV85-C47	PHIL	dz	$V_{ZT}(I_{ZT}) = 4 \text{ мА} = 44.50 \text{ В}$; $Z_{ZT} < 100 \text{ Ом}$	SOD-66	К * А
C4V3PH	BZV85-C4V3	PHIL	dz	$V_{ZT}(I_{ZT}) = 50 \text{ мА} = 4.0 \dots 4.6 \text{ В}$; $Z_{ZT} < 13 \text{ Ом}$	SOD-66	К * А
C4V7PH	BZV85-C4V7	PHIL	dz	$V_{ZT}(I_{ZT}) = 45 \text{ мА} = 4.4 \dots 5.0 \text{ В}$; $Z_{ZT} < 13 \text{ Ом}$	SOD-66	К * А
C51PH	BZV85-C51	PHIL	dz	$V_{ZT}(I_{ZT}) = 4 \text{ мА} = 48.54 \text{ В}$; $Z_{ZT} < 125 \text{ Ом}$	SOD-66	К * А
C56PH	BZV85-C56	PHIL	dz	$V_{ZT}(I_{ZT}) = 4 \text{ мА} = 52.60 \text{ В}$; $Z_{ZT} < 150 \text{ Ом}$	SOD-66	К * А
C5V1PH	BZV85-C5V1	PHIL	dz	$V_{ZT}(I_{ZT}) = 45 \text{ мА} = 4.8 \dots 5.4 \text{ В}$; $Z_{ZT} < 10 \text{ Ом}$	SOD-66	К * А
C5V6PH	BZV85-C5V6	PHIL	dz	$V_{ZT}(I_{ZT}) = 45 \text{ мА} = 5.2 \dots 6.0 \text{ В}$; $Z_{ZT} < 7 \text{ Ом}$	SOD-66	К * А
C62PH	BZV85-C62	PHIL	dz	$V_{ZT}(I_{ZT}) = 4 \text{ мА} = 58.68 \text{ В}$; $Z_{ZT} < 175 \text{ Ом}$	SOD-66	К * А
C68PH	BZV85-C68	PHIL	dz	$V_{ZT}(I_{ZT}) = 4 \text{ мА} = 64.72 \text{ В}$; $Z_{ZT} < 200 \text{ Ом}$	SOD-66	К * А
C6V2PH	BZV85-C6V2	PHIL	dz	$V_{ZT}(I_{ZT}) = 35 \text{ мА} = 5.8 \dots 6.6 \text{ В}$; $Z_{ZT} < 4 \text{ Ом}$	SOD-66	К * А
C6V8PH	BZV85-C6V8	PHIL	dz	$V_{ZT}(I_{ZT}) = 35 \text{ мА} = 6.4 \dots 7.2 \text{ В}$; $Z_{ZT} < 3.5 \text{ Ом}$	SOD-66	К * А
C75PH	BZV85-C75	PHIL	dz	$V_{ZT}(I_{ZT}) = 4 \text{ мА} = 70.80 \text{ В}$; $Z_{ZT} < 225 \text{ Ом}$	SOD-66	К * А
C7V5PH	BZV85-C7V5	PHIL	dz	$V_{ZT}(I_{ZT}) = 35 \text{ мА} = 7.0 \dots 7.9 \text{ В}$; $Z_{ZT} < 3 \text{ Ом}$	SOD-66	К * А
C8V2PH	BZV85-C8V2	PHIL	dz	$V_{ZT}(I_{ZT}) = 25 \text{ мА} = 7.7 \dots 8.7 \text{ В}$; $Z_{ZT} < 5 \text{ Ом}$	SOD-66	К * А
C9V1PH	BZV85-C9V1	PHIL	dz	$V_{ZT}(I_{ZT}) = 25 \text{ мА} = 8.5 \dots 9.6 \text{ В}$; $Z_{ZT} < 5 \text{ Ом}$	SOD-66	К * А
S11	BAS11	PHIL	dl	$V_{DS} < 300 \text{ В}$; $I_D < 300 \text{ мА}$; $V_{GS}(I_D = 300 \text{ мА}) < 1.0 \text{ В}$; $C_{DS} = 20 \text{ пФ}$; $t_{RR} < 1 \text{ мкс}$	SOD-91	К * А
S12	BAS12	PHIL	dl	$V_{DS} < 400 \text{ В}$; $I_D < 300 \text{ мА}$; $V_{GS}(I_D = 300 \text{ мА}) < 1.0 \text{ В}$; $C_{DS} = 20 \text{ пФ}$; $t_{RR} < 1 \text{ мкс}$	SOD-91	К * А



SOD110, DO214, SMA/B/C

Код	Типономинал	Б	Ф	Особенности	Корпус	Ц:1+2
01C100PH	BZG01-C100	PHIL	dz	$V_{ZT} (I_{ZT}=2.7 \text{ mA})=94...106 \text{ В}; Z_{T1} < 350 \text{ Ом}$	DO-214AC, SMA	K•A
01C109PH	BZG01-C10	PHIL	dz	$V_{ZT} (I_{ZT}=25 \text{ mA})=9.4...10.6 \text{ В}; Z_{T1} < 7 \text{ Ом}$	DO-214AC, SMA	K•A
01C110PH	BZG01-C110	PHIL	dz	$V_{ZT} (I_{ZT}=2.7 \text{ mA})=104...116 \text{ В}; Z_{T1} < 450 \text{ Ом}$	DO-214AC, SMA	K•A
01C11PH	BZG01-C11	PHIL	dz	$V_{ZT} (I_{ZT}=20 \text{ mA})=10.4...11.6 \text{ В}; Z_{T1} < 8 \text{ Ом}$	DO-214AC, SMA	K•A
01C120PH	BZG01-C120	PHIL	dz	$V_{ZT} (I_{ZT}=2 \text{ mA})=114...127 \text{ В}; Z_{T1} < 550 \text{ Ом}$	DO-214AC, SMA	K•A
01C12PH	BZG01-C12	PHIL	dz	$V_{ZT} (I_{ZT}=20 \text{ mA})=11.4...12.7 \text{ В}; Z_{T1} < 9 \text{ Ом}$	DO-214AC, SMA	K•A
01C130PH	BZG01-C130	PHIL	dz	$V_{ZT} (I_{ZT}=2 \text{ mA})=124...141 \text{ В}; Z_{T1} < 700 \text{ Ом}$	DO-214AC, SMA	K•A
01C13PH	BZG01-C13	PHIL	dz	$V_{ZT} (I_{ZT}=20 \text{ mA})=12.4...14.1 \text{ В}; Z_{T1} < 100 \text{ Ом}$	DO-214AC, SMA	K•A
01C150PH	BZG01-C150	PHIL	dz	$V_{ZT} (I_{ZT}=2 \text{ mA})=138...156 \text{ В}; Z_{T1} < 1000 \text{ Ом}$	DO-214AC, SMA	K•A
01C15PH	BZG01-C15	PHIL	dz	$V_{ZT} (I_{ZT}=15 \text{ mA})=13.8...15.6 \text{ В}; Z_{T1} < 150 \text{ Ом}$	DO-214AC, SMA	K•A
01C180PH	BZG01-C180	PHIL	dz	$V_{ZT} (I_{ZT}=1.5 \text{ mA})=153...171 \text{ В}; Z_{T1} < 1100 \text{ Ом}$	DO-214AC, SMA	K•A
01C18PH	BZG01-C18	PHIL	dz	$V_{ZT} (I_{ZT}=15 \text{ mA})=15.3...17.1 \text{ В}; Z_{T1} < 150 \text{ Ом}$	DO-214AC, SMA	K•A
01C180PH	BZG01-C180	PHIL	dz	$V_{ZT} (I_{ZT}=1.5 \text{ mA})=168...191 \text{ В}; Z_{T1} < 1200 \text{ Ом}$	DO-214AC, SMA	K•A
01C18PH	BZG01-C18	PHIL	dz	$V_{ZT} (I_{ZT}=15 \text{ mA})=16.8...19.1 \text{ В}; Z_{T1} < 200 \text{ Ом}$	DO-214AC, SMA	K•A
01C200PH	BZG01-C200	PHIL	dz	$V_{ZT} (I_{ZT}=1.5 \text{ mA})=188...212 \text{ В}; Z_{T1} < 1500 \text{ Ом}$	DO-214AC, SMA	K•A
01C20PH	BZG01-C20	PHIL	dz	$V_{ZT} (I_{ZT}=10 \text{ mA})=18.8...21.2 \text{ В}; Z_{T1} < 240 \text{ Ом}$	DO-214AC, SMA	K•A
01C220PH	BZG01-C220	PHIL	dz	$V_{ZT} (I_{ZT}=1 \text{ mA})=208...233 \text{ В}; Z_{T1} < 2250 \text{ Ом}$	DO-214AC, SMA	K•A
01C22PH	BZG01-C22	PHIL	dz	$V_{ZT} (I_{ZT}=10 \text{ mA})=20.8...23.3 \text{ В}; Z_{T1} < 250 \text{ Ом}$	DO-214AC, SMA	K•A
01C240PH	BZG01-C240	PHIL	dz	$V_{ZT} (I_{ZT}=1 \text{ mA})=228...256 \text{ В}; Z_{T1} < 2550 \text{ Ом}$	DO-214AC, SMA	K•A
01C24PH	BZG01-C24	PHIL	dz	$V_{ZT} (I_{ZT}=10 \text{ mA})=22.8...25.6 \text{ В}; Z_{T1} < 250 \text{ Ом}$	DO-214AC, SMA	K•A
01C270PH	BZG01-C270	PHIL	dz	$V_{ZT} (I_{ZT}=1 \text{ mA})=251...289 \text{ В}; Z_{T1} < 3000 \text{ Ом}$	DO-214AC, SMA	K•A
01C27PH	BZG01-C27	PHIL	dz	$V_{ZT} (I_{ZT}=8 \text{ mA})=25.1...28.9 \text{ В}; Z_{T1} < 30 \text{ Ом}$	DO-214AC, SMA	K•A
01C30PH	BZG01-C30	PHIL	dz	$V_{ZT} (I_{ZT}=8 \text{ mA})=28...32 \text{ В}; Z_{T1} < 30 \text{ Ом}$	DO-214AC, SMA	K•A
01C33PH	BZG01-C33	PHIL	dz	$V_{ZT} (I_{ZT}=8 \text{ mA})=31...35 \text{ В}; Z_{T1} < 35 \text{ Ом}$	DO-214AC, SMA	K•A
01C36PH	BZG01-C36	PHIL	dz	$V_{ZT} (I_{ZT}=8 \text{ mA})=34...38 \text{ В}; Z_{T1} < 40 \text{ Ом}$	DO-214AC, SMA	K•A
01C39PH	BZG01-C39	PHIL	dz	$V_{ZT} (I_{ZT}=6 \text{ mA})=37...41 \text{ В}; Z_{T1} < 50 \text{ Ом}$	DO-214AC, SMA	K•A
01C43PH	BZG01-C43	PHIL	dz	$V_{ZT} (I_{ZT}=6 \text{ mA})=40...46 \text{ В}; Z_{T1} < 50 \text{ Ом}$	DO-214AC, SMA	K•A
01C47PH	BZG01-C47	PHIL	dz	$V_{ZT} (I_{ZT}=4 \text{ mA})=44...50 \text{ В}; Z_{T1} < 90 \text{ Ом}$	DO-214AC, SMA	K•A
01C51PH	BZG01-C51	PHIL	dz	$V_{ZT} (I_{ZT}=4 \text{ mA})=48...54 \text{ В}; Z_{T1} < 115 \text{ Ом}$	DO-214AC, SMA	K•A
01C56PH	BZG01-C56	PHIL	dz	$V_{ZT} (I_{ZT}=4 \text{ mA})=52...60 \text{ В}; Z_{T1} < 120 \text{ Ом}$	DO-214AC, SMA	K•A
01C62PH	BZG01-C62	PHIL	dz	$V_{ZT} (I_{ZT}=4 \text{ mA})=58...66 \text{ В}; Z_{T1} < 125 \text{ Ом}$	DO-214AC, SMA	K•A
01C68PH	BZG01-C68	PHIL	dz	$V_{ZT} (I_{ZT}=4 \text{ mA})=64...72 \text{ В}; Z_{T1} < 130 \text{ Ом}$	DO-214AC, SMA	K•A
01C75PH	BZG01-C75	PHIL	dz	$V_{ZT} (I_{ZT}=4 \text{ mA})=70...79 \text{ В}; Z_{T1} < 135 \text{ Ом}$	DO-214AC, SMA	K•A
01C82PH	BZG01-C82	PHIL	dz	$V_{ZT} (I_{ZT}=2.7 \text{ mA})=77...87 \text{ В}; Z_{T1} < 200 \text{ Ом}$	DO-214AC, SMA	K•A
01C91PH	BZG01-C91	PHIL	dz	$V_{ZT} (I_{ZT}=2.7 \text{ mA})=85...96 \text{ В}; Z_{T1} < 250 \text{ Ом}$	DO-214AC, SMA	K•A
03C100PH	BZG03-C100	PHIL	dz	$V_{ZT} (I_{ZT}=5 \text{ mA})=94...106 \text{ В}; Z_{T1} < 200 \text{ Ом}$	DO-214AC, SMA	K•A
03C10PH	BZG03-C10	PHIL	dz	$V_{ZT} (I_{ZT}=50 \text{ mA})=9.4...10.6 \text{ В}; Z_{T1} < 4 \text{ Ом}$	DO-214AC, SMA	K•A
03C110PH	BZG03-C110	PHIL	dz	$V_{ZT} (I_{ZT}=5 \text{ mA})=104...116 \text{ В}; Z_{T1} < 250 \text{ Ом}$	DO-214AC, SMA	K•A
03C11PH	BZG03-C11	PHIL	dz	$V_{ZT} (I_{ZT}=50 \text{ mA})=10.4...11.6 \text{ В}; Z_{T1} < 7 \text{ Ом}$	DO-214AC, SMA	K•A
03C120PH	BZG03-C120	PHIL	dz	$V_{ZT} (I_{ZT}=5 \text{ mA})=114...127 \text{ В}; Z_{T1} < 250 \text{ Ом}$	DO-214AC, SMA	K•A
03C12PH	BZG03-C12	PHIL	dz	$V_{ZT} (I_{ZT}=50 \text{ mA})=11.4...12.7 \text{ В}; Z_{T1} < 7 \text{ Ом}$	DO-214AC, SMA	K•A
03C130PH	BZG03-C130	PHIL	dz	$V_{ZT} (I_{ZT}=5 \text{ mA})=124...141 \text{ В}; Z_{T1} < 300 \text{ Ом}$	DO-214AC, SMA	K•A
03C13PH	BZG03-C13	PHIL	dz	$V_{ZT} (I_{ZT}=50 \text{ mA})=12.4...14.1 \text{ В}; Z_{T1} < 100 \text{ Ом}$	DO-214AC, SMA	K•A
03C150PH	BZG03-C150	PHIL	dz	$V_{ZT} (I_{ZT}=5 \text{ mA})=138...156 \text{ В}; Z_{T1} < 800 \text{ Ом}$	DO-214AC, SMA	K•A
03C15PH	BZG03-C15	PHIL	dz	$V_{ZT} (I_{ZT}=50 \text{ mA})=13.8...15.6 \text{ В}; Z_{T1} < 100 \text{ Ом}$	DO-214AC, SMA	K•A
03C180PH	BZG03-C180	PHIL	dz	$V_{ZT} (I_{ZT}=5 \text{ mA})=153...171 \text{ В}; Z_{T1} < 350 \text{ Ом}$	DO-214AC, SMA	K•A
03C18PH	BZG03-C18	PHIL	dz	$V_{ZT} (I_{ZT}=25 \text{ mA})=15.3...17.1 \text{ В}; Z_{T1} < 150 \text{ Ом}$	DO-214AC, SMA	K•A
03C180PH	BZG03-C180	PHIL	dz	$V_{ZT} (I_{ZT}=5 \text{ mA})=168...191 \text{ В}; Z_{T1} < 400 \text{ Ом}$	DO-214AC, SMA	K•A
03C18PH	BZG03-C18	PHIL	dz	$V_{ZT} (I_{ZT}=25 \text{ mA})=16.8...19.1 \text{ В}; Z_{T1} < 150 \text{ Ом}$	DO-214AC, SMA	K•A



DO214, SMA, SMB, SMC, SOD110

Код	Типономинал	Б	Ф	Особенности	Корпус	Ц: 1-2
03C200PH	BZG03-C200	PHIL	dz	$V_{ZT} (I_T = 5 \text{ mA}) = 188 \dots 212 \text{ В}$, $Z_{T1} < 500 \text{ Ом}$	DO-214AC, SMA	К * А
03C20PH	BZG03-C20	PHIL	dz	$V_{ZT} (I_T = 25 \text{ mA}) = 18 \dots 21 \text{ В}$, $Z_{T1} < 15 \text{ Ом}$	DO-214AC, SMA	К * А
03C220PH	BZG03-C220	PHIL	dz	$V_{ZT} (I_T = 2 \text{ mA}) = 208 \dots 233 \text{ В}$, $Z_{T1} < 750 \text{ Ом}$	DO-214AC, SMA	К * А
03C22PH	BZG03-C22	PHIL	dz	$V_{ZT} (I_T = 25 \text{ mA}) = 20 \dots 23 \text{ В}$, $Z_{T1} < 15 \text{ Ом}$	DO-214AC, SMA	К * А
03C240PH	BZG03-C240	PHIL	dz	$V_{ZT} (I_T = 2 \text{ mA}) = 228 \dots 256 \text{ В}$, $Z_{T1} < 850 \text{ Ом}$	DO-214AC, SMA	К * А
03C24PH	BZG03-C24	PHIL	dz	$V_{ZT} (I_T = 25 \text{ mA}) = 22 \dots 25 \text{ В}$, $Z_{T1} < 15 \text{ Ом}$	DO-214AC, SMA	К * А
03C270PH	BZG03-C270	PHIL	dz	$V_{ZT} (I_T = 2 \text{ mA}) = 251 \dots 289 \text{ В}$, $Z_{T1} < 1000 \text{ Ом}$	DO-214AC, SMA	К * А
03C27PH	BZG03-C27	PHIL	dz	$V_{ZT} (I_T = 25 \text{ mA}) = 25 \dots 28 \text{ В}$, $Z_{T1} < 15 \text{ Ом}$	DO-214AC, SMA	К * А
03C30PH	BZG03-C30	PHIL	dz	$V_{ZT} (I_T = 25 \text{ mA}) = 28 \dots 32 \text{ В}$, $Z_{T1} < 15 \text{ Ом}$	DO-214AC, SMA	К * А
03C33PH	BZG03-C33	PHIL	dz	$V_{ZT} (I_T = 25 \text{ mA}) = 31 \dots 35 \text{ В}$, $Z_{T1} < 15 \text{ Ом}$	DO-214AC, SMA	К * А
03C36PH	BZG03-C36	PHIL	dz	$V_{ZT} (I_T = 10 \text{ mA}) = 34 \dots 38 \text{ В}$, $Z_{T1} < 40 \text{ Ом}$	DO-214AC, SMA	К * А
03C39PH	BZG03-C39	PHIL	dz	$V_{ZT} (I_T = 10 \text{ mA}) = 37 \dots 41 \text{ В}$, $Z_{T1} < 40 \text{ Ом}$	DO-214AC, SMA	К * А
03C43PH	BZG03-C43	PHIL	dz	$V_{ZT} (I_T = 10 \text{ mA}) = 40 \dots 46 \text{ В}$, $Z_{T1} < 45 \text{ Ом}$	DO-214AC, SMA	К * А
03C47PH	BZG03-C47	PHIL	dz	$V_{ZT} (I_T = 10 \text{ mA}) = 44 \dots 50 \text{ В}$, $Z_{T1} < 45 \text{ Ом}$	DO-214AC, SMA	К * А
03C51PH	BZG03-C51	PHIL	dz	$V_{ZT} (I_T = 10 \text{ mA}) = 48 \dots 54 \text{ В}$, $Z_{T1} < 60 \text{ Ом}$	DO-214AC, SMA	К * А
03C56PH	BZG03-C56	PHIL	dz	$V_{ZT} (I_T = 10 \text{ mA}) = 52 \dots 60 \text{ В}$, $Z_{T1} < 60 \text{ Ом}$	DO-214AC, SMA	К * А
03C62PH	BZG03-C62	PHIL	dz	$V_{ZT} (I_T = 10 \text{ mA}) = 58 \dots 66 \text{ В}$, $Z_{T1} < 80 \text{ Ом}$	DO-214AC, SMA	К * А
03C68PH	BZG03-C68	PHIL	dz	$V_{ZT} (I_T = 10 \text{ mA}) = 64 \dots 72 \text{ В}$, $Z_{T1} < 80 \text{ Ом}$	DO-214AC, SMA	К * А
03C75PH	BZG03-C75	PHIL	dz	$V_{ZT} (I_T = 10 \text{ mA}) = 70 \dots 79 \text{ В}$, $Z_{T1} < 100 \text{ Ом}$	DO-214AC, SMA	К * А
03C82PH	BZG03-C82	PHIL	dz	$V_{ZT} (I_T = 10 \text{ mA}) = 77 \dots 87 \text{ В}$, $Z_{T1} < 100 \text{ Ом}$	DO-214AC, SMA	К * А
03C91PH	BZG03-C91	PHIL	dz	$V_{ZT} (I_T = 5 \text{ mA}) = 85 \dots 96 \text{ В}$, $Z_{T1} < 200 \text{ Ом}$	DO-214AC, SMA	К * А
04100PH	BZG04-100	PHIL	vs	$V_{98} (I_T = 5 \text{ mA}) = 114 \text{ В}$, $V_{98M} = 167 \text{ В}$	DO-214AC, SMA	К * А
0410PH	BZG04-10	PHIL	vs	$V_{98} (I_T = 50 \text{ mA}) = 11 \dots 14 \text{ В}$, $V_{98M} = 17 \text{ В}$	DO-214AC, SMA	К * А
04110PH	BZG04-110	PHIL	vs	$V_{98} (I_T = 5 \text{ mA}) = 124 \text{ В}$, $V_{98M} = 185 \text{ В}$	DO-214AC, SMA	К * А
0411PH	BZG04-11	PHIL	vs	$V_{98} (I_T = 50 \text{ mA}) = 12 \dots 14 \text{ В}$, $V_{98M} = 18 \dots 19 \text{ В}$	DO-214AC, SMA	К * А
04120PH	BZG04-120	PHIL	vs	$V_{98} (I_T = 5 \text{ mA}) = 138 \text{ В}$, $V_{98M} = 204 \text{ В}$	DO-214AC, SMA	К * А
0412PH	BZG04-12	PHIL	vs	$V_{98} (I_T = 50 \text{ mA}) = 13 \dots 18 \text{ В}$, $V_{98M} = 20 \dots 29 \text{ В}$	DO-214AC, SMA	К * А
04130PH	BZG04-130	PHIL	vs	$V_{98} (I_T = 5 \text{ mA}) = 153 \text{ В}$, $V_{98M} = 224 \text{ В}$	DO-214AC, SMA	К * А
0413PH	BZG04-13	PHIL	vs	$V_{98} (I_T = 25 \text{ mA}) = 15 \dots 18 \text{ В}$, $V_{98M} = 22 \dots 29 \text{ В}$	DO-214AC, SMA	К * А
04150PH	BZG04-150	PHIL	vs	$V_{98} (I_T = 5 \text{ mA}) = 168 \text{ В}$, $V_{98M} = 249 \text{ В}$	DO-214AC, SMA	К * А
0415PH	BZG04-15	PHIL	vs	$V_{98} (I_T = 25 \text{ mA}) = 16 \dots 18 \text{ В}$, $V_{98M} = 25 \dots 28 \text{ В}$	DO-214AC, SMA	К * А
04160PH	BZG04-160	PHIL	vs	$V_{98} (I_T = 5 \text{ mA}) = 188 \text{ В}$, $V_{98M} = 279 \text{ В}$	DO-214AC, SMA	К * А
0416PH	BZG04-16	PHIL	vs	$V_{98} (I_T = 25 \text{ mA}) = 18 \dots 18 \text{ В}$, $V_{98M} = 28 \dots 28 \text{ В}$	DO-214AC, SMA	К * А
04180PH	BZG04-180	PHIL	vs	$V_{98} (I_T = 2 \text{ mA}) = 208 \text{ В}$, $V_{98M} = 305 \text{ В}$	DO-214AC, SMA	К * А
0418PH	BZG04-18	PHIL	vs	$V_{98} (I_T = 25 \text{ mA}) = 20 \dots 20 \text{ В}$, $V_{98M} = 31 \dots 31 \text{ В}$	DO-214AC, SMA	К * А
04200PH	BZG04-200	PHIL	vs	$V_{98} (I_T = 2 \text{ mA}) = 228 \text{ В}$, $V_{98M} = 336 \text{ В}$	DO-214AC, SMA	К * А
0420PH	BZG04-20	PHIL	vs	$V_{98} (I_T = 25 \text{ mA}) = 22 \dots 22 \text{ В}$, $V_{98M} = 33 \dots 33 \text{ В}$	DO-214AC, SMA	К * А
04220PH	BZG04-220	PHIL	vs	$V_{98} (I_T = 2 \text{ mA}) = 251 \text{ В}$, $V_{98M} = 380 \text{ В}$	DO-214AC, SMA	К * А
0422PH	BZG04-22	PHIL	vs	$V_{98} (I_T = 25 \text{ mA}) = 25 \dots 25 \text{ В}$, $V_{98M} = 38 \dots 38 \text{ В}$	DO-214AC, SMA	К * А
0424PH	BZG04-24	PHIL	vs	$V_{98} (I_T = 25 \text{ mA}) = 28 \text{ В}$, $V_{98M} = 42 \dots 28 \text{ В}$	DO-214AC, SMA	К * А
0427PH	BZG04-27	PHIL	vs	$V_{98} (I_T = 25 \text{ mA}) = 31 \text{ В}$, $V_{98M} = 46 \dots 28 \text{ В}$	DO-214AC, SMA	К * А
0430PH	BZG04-30	PHIL	vs	$V_{98} (I_T = 10 \text{ mA}) = 34 \text{ В}$, $V_{98M} = 50 \dots 18 \text{ В}$	DO-214AC, SMA	К * А
0433PH	BZG04-33	PHIL	vs	$V_{98} (I_T = 10 \text{ mA}) = 37 \text{ В}$, $V_{98M} = 54 \dots 18 \text{ В}$	DO-214AC, SMA	К * А
0436PH	BZG04-36	PHIL	vs	$V_{98} (I_T = 10 \text{ mA}) = 40 \text{ В}$, $V_{98M} = 60 \dots 78 \text{ В}$	DO-214AC, SMA	К * А
0439PH	BZG04-39	PHIL	vs	$V_{98} (I_T = 10 \text{ mA}) = 44 \text{ В}$, $V_{98M} = 65 \dots 58 \text{ В}$	DO-214AC, SMA	К * А
0443PH	BZG04-43	PHIL	vs	$V_{98} (I_T = 10 \text{ mA}) = 48 \text{ В}$, $V_{98M} = 70 \dots 88 \text{ В}$	DO-214AC, SMA	К * А
0447PH	BZG04-47	PHIL	vs	$V_{98} (I_T = 10 \text{ mA}) = 52 \text{ В}$, $V_{98M} = 78 \dots 68 \text{ В}$	DO-214AC, SMA	К * А
0451PH	BZG04-51	PHIL	vs	$V_{98} (I_T = 10 \text{ mA}) = 58 \text{ В}$, $V_{98M} = 86 \dots 58 \text{ В}$	DO-214AC, SMA	К * А
0456PH	BZG04-56	PHIL	vs	$V_{98} (I_T = 10 \text{ mA}) = 64 \text{ В}$, $V_{98M} = 94 \dots 48 \text{ В}$	DO-214AC, SMA	К * А
0462PH	BZG04-62	PHIL	vs	$V_{98} (I_T = 10 \text{ mA}) = 70 \text{ В}$, $V_{98M} = 103 \dots 58 \text{ В}$	DO-214AC, SMA	К * А
0468PH	BZG04-68	PHIL	vs	$V_{98} (I_T = 10 \text{ mA}) = 77 \text{ В}$, $V_{98M} = 114 \dots 78 \text{ В}$	DO-214AC, SMA	К * А
0475PH	BZG04-75	PHIL	vs	$V_{98} (I_T = 5 \text{ mA}) = 85 \text{ В}$, $V_{98M} = 126 \text{ В}$	DO-214AC, SMA	К * А
0482PH	BZG04-82	PHIL	vs	$V_{98} (I_T = 5 \text{ mA}) = 94 \text{ В}$, $V_{98M} = 139 \text{ В}$	DO-214AC, SMA	К * А



Код	Типономинал	Б	Ф	Особенности	Корпус	Ц:1-2
048V2PH	BZG04-8V2	PHIL	vs	$V_{BR}(I_T=50\text{ mA})=9.4\text{ В}$; $V_{WM}=14.8\text{ В}$	DO-214AC, SMA	К*А
0491PH	BZG04-91	PHIL	vs	$V_{BR}(I_T=5\text{ mA})=104\text{ В}$; $V_{WM}=152\text{ В}$	DO-214AC, SMA	К*А
049V1PH	BZG04-9V1	PHIL	vs	$V_{BR}(I_T=50\text{ mA})=10.4\text{ В}$; $V_{WM}=15.7\text{ В}$	DO-214AC, SMA	К*А
10	SML4740	GS	dz	$V_{I_2}(I_{I_2}=25.0\text{ mA})=10\text{ В}$; $Z_{I_1}=7.0\text{ Ом}$	DO-214AC, SMA	К*А
10	U1ZB10	TOSH	dz	$V_{I_2}(I_{I_2}=10\text{ mA})=9.0...11.0\text{ В}$; $Z_{I_1}(I_{I_1}=10\text{ mA})<300\text{ Ом}$	DO-214AC, SMA	К*А
100	U1ZB100	TOSH	dz	$V_{I_2}(I_{I_2}=3\text{ mA})=90...110\text{ В}$; $Z_{I_1}(I_{I_1}=3\text{ mA})<300\text{ Ом}$	DO-214AC, SMA	К*А
100A	P6SMB100AT3	ON	vs	$V_{BR}(I_T=1\text{ mA})=95...105\text{ В}$; $V_{WM}=137\text{ В}$	DO-214AA, SMB	К*А
10A	15SMC10AT3	MOT	vs	$V_{BR}(I_T=1.0\text{ mA})=9.5...10.5\text{ В}$; $V_{WM}=8.55\text{ В}$; $I_{PP}=103\text{ А}$	DO-214AB, SMC	К*А
10A	P6SMB10AT3	ON	vs	$V_{BR}(I_T=1\text{ mA})=9.5...10.5\text{ В}$; $V_{WM}=14.5\text{ В}$	DO-214AA, SMB	К*А
11	SML4741	GS	dz	$V_{I_2}(I_{I_2}=23.0\text{ mA})=11\text{ В}$; $Z_{I_1}=8.0\text{ Ом}$	DO-214AC, SMA	К*А
11	U1ZB11	TOSH	dz	$V_{I_2}(I_{I_2}=10\text{ mA})=9.9...12.1\text{ В}$; $Z_{I_1}(I_{I_1}=10\text{ mA})<300\text{ Ом}$	DO-214AC, SMA	К*А
110	U1ZB110	TOSH	dz	$V_{I_2}(I_{I_2}=3\text{ mA})=99...121\text{ В}$; $Z_{I_1}(I_{I_1}=3\text{ mA})<300\text{ Ом}$	DO-214AC, SMA	К*А
110A	P6SMB110AT3	ON	vs	$V_{BR}(I_T=1\text{ mA})=105...116\text{ В}$; $V_{WM}=152\text{ В}$	DO-214AA, SMB	К*А
11A	15SMC11AT3	MOT	vs	$V_{BR}(I_T=1.0\text{ mA})=10.5...11.6\text{ В}$; $V_{WM}=9.4\text{ В}$; $I_{PP}=96\text{ А}$	DO-214AB, SMC	К*А
11A	P6SMB11AT3	ON	vs	$V_{BR}(I_T=1\text{ mA})=10.5...11.6\text{ В}$; $V_{WM}=15.6\text{ В}$	DO-214AA, SMB	К*А
11C	P6SMB11CAT3	ON	vs	$V_{BR}(I_T=1\text{ mA})=10.5...11.6\text{ В}$; $V_{WM}=15.6\text{ В}$	DO-214AA, SMB	x*x
12	SML4742	GS	dz	$V_{I_2}(I_{I_2}=21.0\text{ mA})=12\text{ В}$; $Z_{I_1}=9.0\text{ Ом}$	DO-214AC, SMA	К*А
12	U1ZB12	TOSH	dz	$V_{I_2}(I_{I_2}=10\text{ mA})=10.8...13.2\text{ В}$; $Z_{I_1}(I_{I_1}=10\text{ mA})<300\text{ Ом}$	DO-214AC, SMA	К*А
120A	P6SMB120AT3	ON	vs	$V_{BR}(I_T=1\text{ mA})=114...126\text{ В}$; $V_{WM}=165\text{ В}$	DO-214AA, SMB	К*А
12A	15SMC12AT3	MOT	vs	$V_{BR}(I_T=1.0\text{ mA})=11.4...12.6\text{ В}$; $V_{WM}=10.2\text{ В}$; $I_{PP}=90\text{ А}$	DO-214AB, SMC	К*А
12A	P6SMB12AT3	ON	vs	$V_{BR}(I_T=1\text{ mA})=11.4...12.6\text{ В}$; $V_{WM}=16.7\text{ В}$	DO-214AA, SMB	К*А
12C	P6SMB12CAT3	ON	vs	$V_{BR}(I_T=1\text{ mA})=11.4...12.6\text{ В}$; $V_{WM}=16.7\text{ В}$	DO-214AA, SMB	x*x
13	SML4743	GS	dz	$V_{I_2}(I_{I_2}=19.0\text{ mA})=13\text{ В}$; $Z_{I_1}=10.0\text{ Ом}$	DO-214AC, SMA	К*А
13	U1ZB13	TOSH	dz	$V_{I_2}(I_{I_2}=10\text{ mA})=11.7...14.3\text{ В}$; $Z_{I_1}(I_{I_1}=10\text{ mA})<300\text{ Ом}$	DO-214AC, SMA	К*А
130A	P6SMB130AT3	ON	vs	$V_{BR}(I_T=1\text{ mA})=124...137\text{ В}$; $V_{WM}=179\text{ В}$	DO-214AA, SMB	К*А
13A	15SMC13AT3	MOT	vs	$V_{BR}(I_T=1.0\text{ mA})=12.4...13.7\text{ В}$; $V_{WM}=11.1\text{ В}$; $I_{PP}=82\text{ А}$	DO-214AB, SMC	К*А
13A	P6SMB13AT3	ON	vs	$V_{BR}(I_T=1\text{ mA})=12.4...13.7\text{ В}$; $V_{WM}=18.2\text{ В}$	DO-214AA, SMB	К*А
13C	P6SMB13CAT3	ON	vs	$V_{BR}(I_T=1\text{ mA})=12.4...13.7\text{ В}$; $V_{WM}=18.2\text{ В}$	DO-214AA, SMB	x*x
15	SML4744	GS	dz	$V_{I_2}(I_{I_2}=17.0\text{ mA})=15\text{ В}$; $Z_{I_1}=14.0\text{ Ом}$	DO-214AC, SMA	К*А
15	U1ZB15	TOSH	dz	$V_{I_2}(I_{I_2}=10\text{ mA})=13.5...16.5\text{ В}$; $Z_{I_1}(I_{I_1}=10\text{ mA})<300\text{ Ом}$	DO-214AC, SMA	К*А
150	U1ZB150	TOSH	dz	$V_{I_2}(I_{I_2}=2\text{ mA})=135...165\text{ В}$; $Z_{I_1}(I_{I_1}=2\text{ mA})<450\text{ Ом}$	DO-214AC, SMA	К*А
150A	P6SMB150AT3	ON	vs	$V_{BR}(I_T=1\text{ mA})=143...158\text{ В}$; $V_{WM}=207\text{ В}$	DO-214AA, SMB	К*А
15A	15SMC15AT3	MOT	vs	$V_{BR}(I_T=1.0\text{ mA})=14.3...15.8\text{ В}$; $V_{WM}=12.8\text{ В}$; $I_{PP}=71\text{ А}$	DO-214AB, SMC	К*А
15A	P6SMB15AT3	ON	vs	$V_{BR}(I_T=1\text{ mA})=14.3...15.8\text{ В}$; $V_{WM}=21.2\text{ В}$	DO-214AA, SMB	К*А
15C	P6SMB15CAT3	ON	vs	$V_{BR}(I_T=1\text{ mA})=14.3...15.8\text{ В}$; $V_{WM}=21.2\text{ В}$	DO-214AA, SMB	x*x
16	SML4745	GS	dz	$V_{I_2}(I_{I_2}=15.5\text{ mA})=16\text{ В}$; $Z_{I_1}=16.0\text{ Ом}$	DO-214AC, SMA	К*А
16	U1ZB16	TOSH	dz	$V_{I_2}(I_{I_2}=10\text{ mA})=14.4...17.6\text{ В}$; $Z_{I_1}(I_{I_1}=10\text{ mA})<300\text{ Ом}$	DO-214AC, SMA	К*А
160A	P6SMB160AT3	ON	vs	$V_{BR}(I_T=1\text{ mA})=152...168\text{ В}$; $V_{WM}=219\text{ В}$	DO-214AA, SMB	К*А
16A	15SMC16AT3	MOT	vs	$V_{BR}(I_T=1.0\text{ mA})=15.2...16.8\text{ В}$; $V_{WM}=13.6\text{ В}$; $I_{PP}=67\text{ А}$	DO-214AB, SMC	К*А
16A	P6SMB16AT3	ON	vs	$V_{BR}(I_T=1\text{ mA})=15.2...16.8\text{ В}$; $V_{WM}=22.5\text{ В}$	DO-214AA, SMB	К*А
16C	P6SMB16CAT3	ON	vs	$V_{BR}(I_T=1\text{ mA})=15.2...16.8\text{ В}$; $V_{WM}=22.5\text{ В}$	DO-214AA, SMB	x*x
170A	P6SMB170AT3	ON	vs	$V_{BR}(I_T=1\text{ mA})=162...179\text{ В}$; $V_{WM}=234\text{ В}$	DO-214AA, SMB	К*А
18	SML4746	GS	dz	$V_{I_2}(I_{I_2}=14.0\text{ mA})=18\text{ В}$; $Z_{I_1}=20.0\text{ Ом}$	DO-214AC, SMA	К*А
18	U1ZB18	TOSH	dz	$V_{I_2}(I_{I_2}=10\text{ mA})=16.2...19.8\text{ В}$; $Z_{I_1}(I_{I_1}=10\text{ mA})<300\text{ Ом}$	DO-214AC, SMA	К*А
180	U1ZB180	TOSH	dz	$V_{I_2}(I_{I_2}=1.5\text{ mA})=162...198\text{ В}$; $Z_{I_1}(I_{I_1}=1.5\text{ mA})<500\text{ Ом}$	DO-214AC, SMA	К*А
180A	P6SMB180AT3	ON	vs	$V_{BR}(I_T=1\text{ mA})=171...189\text{ В}$; $V_{WM}=246\text{ В}$	DO-214AA, SMB	К*А
18A	15SMC18AT3	MOT	vs	$V_{BR}(I_T=1.0\text{ mA})=17.1...18.9\text{ В}$; $V_{WM}=15.3\text{ В}$; $I_{PP}=59.5\text{ А}$	DO-214AB, SMC	К*А
18A	P6SMB18AT3	ON	vs	$V_{BR}(I_T=1\text{ mA})=17.1...18.9\text{ В}$; $V_{WM}=25.2\text{ В}$	DO-214AA, SMB	К*А
18C	P6SMB18CAT3	ON	vs	$V_{BR}(I_T=1\text{ mA})=17.1...18.9\text{ В}$; $V_{WM}=25.2\text{ В}$	DO-214AA, SMB	x*x
1C	10BQ015	IR	shd	$V_R<15\text{ В}$; $V_F<0.32\text{ В}$; $I_R<1\text{ А}$	DO-214AA, SMB	К*А
1F	10BQ040	IR	shd	$V_R<40\text{ В}$; $V_F<0.49\text{ В}$; $I_R<1\text{ А}$	DO-214AA, SMB	К*А
1F	10MQ040N	IR	shd	$V_R<40\text{ В}$; $V_F<0.51\text{ В}$; $I_R<1\text{ А}$	DO-214AC, SMA	К*А
1J	10BQ100	IR	shd	$V_R<100\text{ В}$; $V_F<0.62\text{ В}$; $I_R<1\text{ А}$	DO-214AA, SMB	К*А



DO214, SMA, SMB, SMC, SOD110

Код	Типономинал	Б	Ф	Особенности	Корпус	Ц: 1-2
1J	10MQ100N	IR	shd	$V_R < 100 \text{ В}$; $V_F < 0.68 \text{ В}$; $I_F < 2.1 \text{ А}$	DO-214AC, SMA	K * A
1P	10BF10	IR	shd	$V_R < 100 \text{ В}$; $V_F < 0.95 \text{ В}$; $I_F < 1 \text{ А}$; $I_{FS} < 100 \text{ мкА}$; $t_{RR} = 35 \text{ нс}$	DO-214AA, SMB	K * A
1P	10BF40	IR	shd	$V_R < 400 \text{ В}$; $V_F < 1.4 \text{ В}$; $I_F < 1 \text{ А}$; $I_{FS} < 100 \text{ мкА}$; $t_{RR} = 50 \text{ нс}$	DO-214AA, SMB	K * A
1S	10BF20	IR	shd	$V_R < 200 \text{ В}$; $V_F < 0.95 \text{ В}$; $I_F < 1 \text{ А}$; $I_{FS} < 100 \text{ мкА}$; $t_{RR} = 35 \text{ нс}$	DO-214AA, SMB	K * A
1U	10BF60	IR	shd	$V_R < 600 \text{ В}$; $V_F < 1.7 \text{ В}$; $I_F < 1 \text{ А}$; $I_{FS} < 100 \text{ мкА}$; $t_{RR} = 100 \text{ нс}$	DO-214AA, SMB	K * A
1V	10BF80	IR	shd	$V_R < 800 \text{ В}$; $V_F < 1.7 \text{ В}$; $I_F < 1 \text{ А}$; $I_{FS} < 100 \text{ мкА}$; $t_{RR} = 100 \text{ нс}$	DO-214AA, SMB	K * A
1X	10BF100	IR	shd	$V_R < 1000 \text{ В}$; $V_F < 1.7 \text{ В}$; $I_F < 1 \text{ А}$; $I_{FS} < 100 \text{ мкА}$; $t_{RR} = 100 \text{ нс}$	DO-214AA, SMB	K * A
20	SML4747	GS	dz	$V_2 (I_2 = 12.5 \text{ мА}) = 20 \text{ В}$; $Z_{CT} = 22.0 \text{ Ом}$	DO-214AC, SMA	K * A
20	U1ZB20	TOSH	dz	$V_2 (I_2 = 10 \text{ мА}) = 18.0 \dots 22.0 \text{ В}$; $Z_{CT} (I_2 = 10 \text{ мА}) < 30.0 \text{ Ом}$	DO-214AC, SMA	K * A
200	U1ZB200	TOSH	dz	$V_2 (I_2 = 0.5 \text{ мА}) = 180 \dots 220 \text{ В}$; $Z_{CT} (I_2 = 0.5 \text{ мА}) < 500 \text{ Ом}$	DO-214AC, SMA	K * A
200A	PeSMB200AT3	ON	vs	$V_{BR} (I_1 = 1 \text{ мА}) = 190 \dots 210 \text{ В}$; $V_{WM} = 274 \text{ В}$	DO-214AA, SMB	K * A
200Y	U1ZB200-Y	TOSH	dz	$V_2 (I_2 = 0.5 \text{ мА}) = 190 \dots 210 \text{ В}$; $Z_{CT} (I_2 = 0.5 \text{ мА}) < 500 \text{ Ом}$	DO-214AC, SMA	K * A
200Z	U1ZB200-Z	TOSH	dz	$V_2 (I_2 = 0.5 \text{ мА}) = 200 \dots 220 \text{ В}$; $Z_{CT} (I_2 = 0.5 \text{ мА}) < 500 \text{ Ом}$	DO-214AC, SMA	K * A
20A	1.5SMC20AT3	MOT	vs	$V_{BR} (I_1 = 1.0 \text{ мА}) = 19 \dots 21 \text{ В}$; $V_{WM} = 17.1 \text{ В}$; $I_{SP} = 54 \text{ А}$	DO-214AB, SMC	K * A
20A	PeSMB20AT3	ON	vs	$V_{BR} (I_1 = 1 \text{ мА}) = 19 \dots 21 \text{ В}$; $V_{WM} = 27.7 \text{ В}$	DO-214AA, SMB	K * A
20C	PeSMB20CAT3	ON	vs	$V_{BR} (I_1 = 1 \text{ мА}) = 19 \dots 21 \text{ В}$; $V_{WM} = 27.7 \text{ В}$	DO-214AA, SMB	K * x
22	SML4748	GS	dz	$V_2 (I_2 = 11.5 \text{ мА}) = 22 \text{ В}$; $Z_{CT} = 23.0 \text{ Ом}$	DO-214AC, SMA	K * A
22	U1ZB22	TOSH	dz	$V_2 (I_2 = 10 \text{ мА}) = 19.8 \dots 24.2 \text{ В}$; $Z_{CT} (I_2 = 10 \text{ мА}) < 30.0 \text{ Ом}$	DO-214AC, SMA	K * A
220	U1ZB220	TOSH	dz	$V_2 (I_2 = 0.5 \text{ мА}) = 198 \dots 242 \text{ В}$; $Z_{CT} (I_2 = 0.5 \text{ мА}) < 500 \text{ Ом}$	DO-214AC, SMA	K * A
220Y	U1ZB220-Y	TOSH	dz	$V_2 (I_2 = 0.5 \text{ мА}) = 210 \dots 230 \text{ В}$; $Z_{CT} (I_2 = 0.5 \text{ мА}) < 500 \text{ Ом}$	DO-214AC, SMA	K * A
220Z	U1ZB220-Z	TOSH	dz	$V_2 (I_2 = 0.5 \text{ мА}) = 220 \dots 240 \text{ В}$; $Z_{CT} (I_2 = 0.5 \text{ мА}) < 500 \text{ Ом}$	DO-214AC, SMA	K * A
22A	1.5SMC22AT3	MOT	vs	$V_{BR} (I_1 = 1.0 \text{ мА}) = 20.9 \dots 23.1 \text{ В}$; $V_{WM} = 18.8 \text{ В}$; $I_{SP} = 49 \text{ А}$	DO-214AB, SMC	K * A
22A	PeSMB22AT3	ON	vs	$V_{BR} (I_1 = 1 \text{ мА}) = 20.9 \dots 23.1 \text{ В}$; $V_{WM} = 30.6 \text{ В}$	DO-214AA, SMB	K * A
22C	PeSMB22CAT3	ON	vs	$V_{BR} (I_1 = 1 \text{ мА}) = 20.9 \dots 23.1 \text{ В}$; $V_{WM} = 30.6 \text{ В}$	DO-214AA, SMB	K * x
24	SML4749	GS	dz	$V_2 (I_2 = 10.5 \text{ мА}) = 24 \text{ В}$; $Z_{CT} = 25.0 \text{ Ом}$	DO-214AC, SMA	K * A
24	U1ZB24	TOSH	dz	$V_2 (I_2 = 10 \text{ мА}) = 21.6 \dots 26.4 \text{ В}$; $Z_{CT} (I_2 = 10 \text{ мА}) < 30.0 \text{ Ом}$	DO-214AC, SMA	K * A
240	U1ZB240	TOSH	dz	$V_2 (I_2 = 0.5 \text{ мА}) = 216 \dots 264 \text{ В}$; $Z_{CT} (I_2 = 0.5 \text{ мА}) < 500 \text{ Ом}$	DO-214AC, SMA	K * A
240Y	U1ZB240-Y	TOSH	dz	$V_2 (I_2 = 0.5 \text{ мА}) = 230 \dots 250 \text{ В}$; $Z_{CT} (I_2 = 0.5 \text{ мА}) < 500 \text{ Ом}$	DO-214AC, SMA	K * A
240Z	U1ZB240-Z	TOSH	dz	$V_2 (I_2 = 0.5 \text{ мА}) = 240 \dots 260 \text{ В}$; $Z_{CT} (I_2 = 0.5 \text{ мА}) < 500 \text{ Ом}$	DO-214AC, SMA	K * A
24A	1.5SMC24AT3	MOT	vs	$V_{BR} (I_1 = 1.0 \text{ мА}) = 22.8 \dots 25.2 \text{ В}$; $V_{WM} = 20.5 \text{ В}$; $I_{SP} = 45 \text{ А}$	DO-214AB, SMC	K * A
24A	PeSMB24AT3	ON	vs	$V_{BR} (I_1 = 1 \text{ мА}) = 22.8 \dots 25.2 \text{ В}$; $V_{WM} = 33.2 \text{ В}$	DO-214AA, SMB	K * A
24C	PeSMB24CAT3	ON	vs	$V_{BR} (I_1 = 1 \text{ мА}) = 22.8 \dots 25.2 \text{ В}$; $V_{WM} = 33.2 \text{ В}$	DO-214AA, SMB	K * x
27	SML4750	GS	dz	$V_2 (I_2 = 9.5 \text{ мА}) = 27 \text{ В}$; $Z_{CT} = 35.0 \text{ Ом}$	DO-214AC, SMA	K * A
27	U1ZB27	TOSH	dz	$V_2 (I_2 = 10 \text{ мА}) = 24.3 \dots 29.7 \text{ В}$; $Z_{CT} (I_2 = 10 \text{ мА}) < 30.0 \text{ Ом}$	DO-214AC, SMA	K * A
270	U1ZB270	TOSH	dz	$V_2 (I_2 = 0.5 \text{ мА}) = 243 \dots 297 \text{ В}$; $Z_{CT} (I_2 = 0.5 \text{ мА}) < 500 \text{ Ом}$	DO-214AC, SMA	K * A
270X	U1ZB270-X	TOSH	dz	$V_2 (I_2 = 0.5 \text{ мА}) = 250 \dots 270 \text{ В}$; $Z_{CT} (I_2 = 0.5 \text{ мА}) < 500 \text{ Ом}$	DO-214AC, SMA	K * A
270Y	U1ZB270-Y	TOSH	dz	$V_2 (I_2 = 0.5 \text{ мА}) = 260 \dots 280 \text{ В}$; $Z_{CT} (I_2 = 0.5 \text{ мА}) < 500 \text{ Ом}$	DO-214AC, SMA	K * A
270Z	U1ZB270-Z	TOSH	dz	$V_2 (I_2 = 0.5 \text{ мА}) = 270 \dots 290 \text{ В}$; $Z_{CT} (I_2 = 0.5 \text{ мА}) < 500 \text{ Ом}$	DO-214AC, SMA	K * A
27A	1.5SMC27AT3	MOT	vs	$V_{BR} (I_1 = 1.0 \text{ мА}) = 25.7 \dots 28.4 \text{ В}$; $V_{WM} = 23.1 \text{ В}$; $I_{SP} = 40 \text{ А}$	DO-214AB, SMC	K * A
27A	PeSMB27AT3	ON	vs	$V_{BR} (I_1 = 1 \text{ мА}) = 25.7 \dots 28.4 \text{ В}$; $V_{WM} = 37.5 \text{ В}$	DO-214AA, SMB	K * A
27C	PeSMB27CAT3	ON	vs	$V_{BR} (I_1 = 1 \text{ мА}) = 25.7 \dots 28.4 \text{ В}$; $V_{WM} = 37.5 \text{ В}$	DO-214AA, SMB	K * x
30	SML4751	GS	dz	$V_2 (I_2 = 8.5 \text{ мА}) = 30 \text{ В}$; $Z_{CT} = 40.0 \text{ Ом}$	DO-214AC, SMA	K * A
30	U1ZB30	TOSH	dz	$V_2 (I_2 = 10 \text{ мА}) = 27.0 \dots 33.0 \text{ В}$; $Z_{CT} (I_2 = 10 \text{ мА}) < 30.0 \text{ Ом}$	DO-214AC, SMA	K * A
300	U1ZB300	TOSH	dz	$V_2 (I_2 = 0.5 \text{ мА}) = 270 \dots 330 \text{ В}$; $Z_{CT} (I_2 = 0.5 \text{ мА}) < 500 \text{ Ом}$	DO-214AC, SMA	K * A
300X	U1ZB300-X	TOSH	dz	$V_2 (I_2 = 0.5 \text{ мА}) = 280 \dots 300 \text{ В}$; $Z_{CT} (I_2 = 0.5 \text{ мА}) < 500 \text{ Ом}$	DO-214AC, SMA	K * A
300Y	U1ZB300-Y	TOSH	dz	$V_2 (I_2 = 0.5 \text{ мА}) = 290 \dots 310 \text{ В}$; $Z_{CT} (I_2 = 0.5 \text{ мА}) < 500 \text{ Ом}$	DO-214AC, SMA	K * A
300Z	U1ZB300-Z	TOSH	dz	$V_2 (I_2 = 0.5 \text{ мА}) = 300 \dots 320 \text{ В}$; $Z_{CT} (I_2 = 0.5 \text{ мА}) < 500 \text{ Ом}$	DO-214AC, SMA	K * A
30A	1.5SMC30AT3	MOT	vs	$V_{BR} (I_1 = 1.0 \text{ мА}) = 28.5 \dots 31.5 \text{ В}$; $V_{WM} = 25.6 \text{ В}$; $I_{SP} = 36 \text{ А}$	DO-214AB, SMC	K * A
30A	PeSMB30AT3	ON	vs	$V_{BR} (I_1 = 1 \text{ мА}) = 28.5 \dots 31.5 \text{ В}$; $V_{WM} = 41.4 \text{ В}$	DO-214AA, SMB	K * A
30C	PeSMB30CAT3	ON	vs	$V_{BR} (I_1 = 1 \text{ мА}) = 28.5 \dots 31.5 \text{ В}$; $V_{WM} = 41.4 \text{ В}$	DO-214AA, SMB	K * x
33	SML4752	GS	dz	$V_2 (I_2 = 7.5 \text{ мА}) = 33 \text{ В}$; $Z_{CT} = 45.0 \text{ Ом}$	DO-214AC, SMA	K * A
33	U1ZB33	TOSH	dz	$V_2 (I_2 = 10 \text{ мА}) = 29.7 \dots 36.3 \text{ В}$; $Z_{CT} (I_2 = 10 \text{ мА}) < 30.0 \text{ Ом}$	DO-214AC, SMA	K * A
330	U1ZB330	TOSH	dz	$V_2 (I_2 = 0.5 \text{ мА}) = 297 \dots 363 \text{ В}$; $Z_{CT} (I_2 = 0.5 \text{ мА}) < 500 \text{ Ом}$	DO-214AC, SMA	K * A



Код	Типономинал	Б	Ф	Особенности	Корпус	Ц:1-2
330X	U1ZB330-X	TOSH	dz	$V_Z (I_{ZT}=0.5 \text{ mA})=310 \dots 330 \text{ B}$; $Z_{CT} (I_{ZT}=0.5 \text{ mA}) < 5000 \text{ Ом}$	DO-214AC, SMA	K•A
330Y	U1ZB330-Y	TOSH	dz	$V_Z (I_{ZT}=0.5 \text{ mA})=320 \dots 340 \text{ B}$; $Z_{CT} (I_{ZT}=0.5 \text{ mA}) < 5000 \text{ Ом}$	DO-214AC, SMA	K•A
330Z	U1ZB330-Z	TOSH	dz	$V_Z (I_{ZT}=0.5 \text{ mA})=330 \dots 350 \text{ B}$; $Z_{CT} (I_{ZT}=0.5 \text{ mA}) < 5000 \text{ Ом}$	DO-214AC, SMA	K•A
33A	15SMC33AT3	MOT	vs	$V_{BR} (I_T=1.0 \text{ mA})=31.4 \dots 34.7 \text{ B}$; $V_{WM}=28.2 \text{ B}$; $I_{PP}=33 \text{ A}$	DO-214AB, SMC	K•A
33A	P6SMB33AT3	ON	vs	$V_{BR} (I_T=1 \text{ mA})=31.4 \dots 34.7 \text{ B}$; $V_{WM}=45.7 \text{ B}$	DO-214AA, SMB	K•A
33C	P6SMB33CAT3	ON	vs	$V_{BR} (I_T=1 \text{ mA})=31.4 \dots 34.7 \text{ B}$; $V_{WM}=45.7 \text{ B}$	DO-214AA, SMB	x•x
36	SML4753	GS	dz	$V_Z (I_Z=7.0 \text{ mA})=36 \text{ B}$; $Z_{CT}=60.0 \text{ Ом}$	DO-214AC, SMA	K•A
36	U1ZB36	TOSH	dz	$V_Z (I_{ZT}=9 \text{ mA})=32.4 \dots 39.6 \text{ B}$; $Z_{CT} (I_{ZT}=9 \text{ mA}) < 30 \text{ Ом}$	DO-214AC, SMA	K•A
36A	15SMC36AT3	MOT	vs	$V_{BR} (I_T=1.0 \text{ mA})=34.2 \dots 37.8 \text{ B}$; $V_{WM}=30.8 \text{ B}$; $I_{PP}=30 \text{ A}$	DO-214AB, SMC	K•A
36A	P6SMB36AT3	ON	vs	$V_{BR} (I_T=1 \text{ mA})=34.2 \dots 37.8 \text{ B}$; $V_{WM}=49.9 \text{ B}$	DO-214AA, SMB	K•A
36C	P6SMB36CAT3	ON	vs	$V_{BR} (I_T=1 \text{ mA})=34.2 \dots 37.8 \text{ B}$; $V_{WM}=49.9 \text{ B}$	DO-214AA, SMB	x•x
39	SML4754	GS	dz	$V_Z (I_Z=6.5 \text{ mA})=39 \text{ B}$; $Z_{CT}=60.0 \text{ Ом}$	DO-214AC, SMA	K•A
390	U1ZB390	TOSH	dz	$V_Z (I_{ZT}=0.5 \text{ mA})=351 \dots 429 \text{ B}$; $Z_{CT} (I_{ZT}=0.5 \text{ mA}) < 10000 \text{ Ом}$	DO-214AC, SMA	K•A
39A	15SMC39AT3	MOT	vs	$V_{BR} (I_T=1.0 \text{ mA})=37.1 \dots 41 \text{ B}$; $V_{WM}=33.3 \text{ B}$; $I_{PP}=28 \text{ A}$	DO-214AB, SMC	K•A
39A	P6SMB39AT3	ON	vs	$V_{BR} (I_T=1 \text{ mA})=37.1 \dots 41.0 \text{ B}$; $V_{WM}=53.9 \text{ B}$	DO-214AA, SMB	K•A
39C	P6SMB39CAT3	ON	vs	$V_{BR} (I_T=1 \text{ mA})=37.1 \dots 41.0 \text{ B}$; $V_{WM}=53.9 \text{ B}$	DO-214AA, SMB	x•x
3C	30BQ015	IR	shd	$V_R=15 \text{ B}$; $V_F < 0.3 \text{ B}$; $I_F=3 \text{ A}$	DO-214AB, SMC	K•A
3F	15MQ40N	IR	shd	$V_R < 40 \text{ B}$; $V_F < 0.43 \text{ B}$; $I_F < 3 \text{ A}$	DO-214AC, SMA	K•A
3F	30BQ040	IR	shd	$V_R=40 \text{ B}$; $V_F < 0.43 \text{ B}$; $I_F=3 \text{ A}$	DO-214AB, SMC	K•A
3H	30BQ060	IR	shd	$V_R=60 \text{ B}$; $V_F < 0.52 \text{ B}$; $I_F=3 \text{ A}$	DO-214AB, SMC	K•A
3J	30BQ100	IR	shd	$V_R=100 \text{ B}$; $V_F < 0.62 \text{ B}$; $I_F=3 \text{ A}$	DO-214AB, SMC	K•A
43	SML4755	GS	dz	$V_Z (I_Z=6.0 \text{ mA})=43 \text{ B}$; $Z_{CT}=70.0 \text{ Ом}$	DO-214AC, SMA	K•A
43	U1ZB43	TOSH	dz	$V_Z (I_{ZT}=7 \text{ mA})=38.7 \dots 47.3 \text{ B}$; $Z_{CT} (I_{ZT}=7 \text{ mA}) < 40 \text{ Ом}$	DO-214AC, SMA	K•A
43A	15SMC43AT3	MOT	vs	$V_{BR} (I_T=1.0 \text{ mA})=40.9 \dots 45.2 \text{ B}$; $V_{WM}=36.8 \text{ B}$; $I_{PP}=25.3 \text{ A}$	DO-214AB, SMC	K•A
43A	P6SMB43AT3	ON	vs	$V_{BR} (I_T=1 \text{ mA})=40.9 \dots 45.2 \text{ B}$; $V_{WM}=59.3 \text{ B}$	DO-214AA, SMB	K•A
43C	P6SMB43CAT3	ON	vs	$V_{BR} (I_T=1 \text{ mA})=40.9 \dots 45.2 \text{ B}$; $V_{WM}=59.3 \text{ B}$	DO-214AA, SMB	x•x
47	SML4756	GS	dz	$V_Z (I_Z=5.5 \text{ mA})=47 \text{ B}$; $Z_{CT}=80.0 \text{ Ом}$	DO-214AC, SMA	K•A
47	U1ZB47	TOSH	dz	$V_Z (I_{ZT}=6 \text{ mA})=42.3 \dots 51.7 \text{ B}$; $Z_{CT} (I_{ZT}=6 \text{ mA}) < 65 \text{ Ом}$	DO-214AC, SMA	K•A
47A	15SMC47AT3	MOT	vs	$V_{BR} (I_T=1.0 \text{ mA})=44.7 \dots 49.4 \text{ B}$; $V_{WM}=40.2 \text{ B}$; $I_{PP}=23.2 \text{ A}$	DO-214AB, SMC	K•A
47A	P6SMB47AT3	ON	vs	$V_{BR} (I_T=1 \text{ mA})=44.7 \dots 49.4 \text{ B}$; $V_{WM}=64.8 \text{ B}$	DO-214AA, SMB	K•A
47C	P6SMB47CAT3	ON	vs	$V_{BR} (I_T=1 \text{ mA})=44.7 \dots 49.4 \text{ B}$; $V_{WM}=64.8 \text{ B}$	DO-214AA, SMB	x•x
51	SML4757	GS	dz	$V_Z (I_Z=5.0 \text{ mA})=51 \text{ B}$; $Z_{CT}=95.0 \text{ Ом}$	DO-214AC, SMA	K•A
51	U1ZB51	TOSH	dz	$V_Z (I_{ZT}=6 \text{ mA})=45.9 \dots 56.1 \text{ B}$; $Z_{CT} (I_{ZT}=6 \text{ mA}) < 65 \text{ Ом}$	DO-214AC, SMA	K•A
51A	15SMC51AT3	MOT	vs	$V_{BR} (I_T=1.0 \text{ mA})=48.5 \dots 53.6 \text{ B}$; $V_{WM}=43.6 \text{ B}$; $I_{PP}=21.4 \text{ A}$	DO-214AB, SMC	K•A
51A	P6SMB51AT3	ON	vs	$V_{BR} (I_T=1 \text{ mA})=48.5 \dots 53.6 \text{ B}$; $V_{WM}=70.1 \text{ B}$	DO-214AA, SMB	K•A
51C	P6SMB51CAT3	ON	vs	$V_{BR} (I_T=1 \text{ mA})=48.5 \dots 53.6 \text{ B}$; $V_{WM}=70.1 \text{ B}$	DO-214AA, SMB	x•x
56	SML4758	GS	dz	$V_Z (I_Z=4.5 \text{ mA})=56 \text{ B}$; $Z_{CT}=110.0 \text{ Ом}$	DO-214AC, SMA	K•A
56A	15SMC56AT3	MOT	vs	$V_{BR} (I_T=1.0 \text{ mA})=53.2 \dots 58.8 \text{ B}$; $V_{WM}=47.8 \text{ B}$; $I_{PP}=19.5 \text{ A}$	DO-214AB, SMC	K•A
56A	P6SMB56AT3	ON	vs	$V_{BR} (I_T=1 \text{ mA})=53.2 \dots 58.8 \text{ B}$; $V_{WM}=77 \text{ B}$	DO-214AA, SMB	K•A
56C	P6SMB56CAT3	ON	vs	$V_{BR} (I_T=1 \text{ mA})=53.2 \dots 58.8 \text{ B}$; $V_{WM}=77 \text{ B}$	DO-214AA, SMB	x•x
6.8	U1ZB6.8	TOSH	dz	$V_Z (I_{ZT}=10 \text{ mA})=6.2 \dots 7.4 \text{ B}$; $Z_{CT} (I_{ZT}=10 \text{ mA}) < 60 \text{ Ом}$	DO-214AC, SMA	K•A
62	SML4759	GS	dz	$V_Z (I_Z=4.0 \text{ mA})=62 \text{ B}$; $Z_{CT}=125.0 \text{ Ом}$	DO-214AC, SMA	K•A
62A	15SMC62AT3	MOT	vs	$V_{BR} (I_T=1.0 \text{ mA})=58.9 \dots 65.1 \text{ B}$; $V_{WM}=53 \text{ B}$; $I_{PP}=17.7 \text{ A}$	DO-214AB, SMC	K•A
62A	P6SMB62AT3	ON	vs	$V_{BR} (I_T=1 \text{ mA})=58.9 \dots 65.1 \text{ B}$; $V_{WM}=85 \text{ B}$	DO-214AA, SMB	K•A
62C	P6SMB62CAT3	ON	vs	$V_{BR} (I_T=1 \text{ mA})=58.9 \dots 65.1 \text{ B}$; $V_{WM}=85 \text{ B}$	DO-214AA, SMB	x•x
68	SML4760	GS	dz	$V_Z (I_Z=3.7 \text{ mA})=68 \text{ B}$; $Z_{CT}=150.0 \text{ Ом}$	DO-214AC, SMA	K•A
68	U1ZB68	TOSH	dz	$V_Z (I_{ZT}=4 \text{ mA})=61.2 \dots 74.8 \text{ B}$; $Z_{CT} (I_{ZT}=4 \text{ mA}) < 120 \text{ Ом}$	DO-214AC, SMA	K•A
68A	15SMC68AT3	MOT	vs	$V_{BR} (I_T=1.0 \text{ mA})=64.6 \dots 71.4 \text{ B}$; $V_{WM}=58.1 \text{ B}$; $I_{PP}=16.3 \text{ A}$	DO-214AB, SMC	K•A
68A	P6SMB68AT3	ON	vs	$V_{BR} (I_T=1 \text{ mA})=64.6 \dots 71.4 \text{ B}$; $V_{WM}=92 \text{ B}$	DO-214AA, SMB	K•A
68C	P6SMB68CAT3	ON	vs	$V_{BR} (I_T=1 \text{ mA})=64.6 \dots 71.4 \text{ B}$; $V_{WM}=92 \text{ B}$	DO-214AA, SMB	x•x
6P2	SML4735	GS	dz	$V_Z (I_Z=41.0 \text{ mA})=6.2 \text{ B}$; $Z_{CT}=2.0 \text{ Ом}$	DO-214AC, SMA	K•A
6P8	SML4736	GS	dz	$V_Z (I_Z=37.0 \text{ mA})=6.8 \text{ B}$; $Z_{CT}=3.5 \text{ Ом}$	DO-214AC, SMA	K•A
6V8A	15SMC6.8AT3	MOT	vs	$V_{BR} (I_T=10.0 \text{ mA})=6.45 \dots 7.14 \text{ B}$; $V_{WM}=5.8 \text{ B}$; $I_{PP}=143 \text{ A}$	DO-214AB, SMC	K•A



DO214, SMA, SMB, SMC, SOD110

Код	Типономинал	Б	Ф	Особенности	Корпус	Ц: 1-2
6V8A	PeSMB6 8AT3	ON	vs	$V_{Z1}(I_Z=10\text{ mA})=6.45...7.14\text{ В}$; $V_{WM}=10.5\text{ В}$	DO-214AA, SMB	K * A
7.5	U1ZB7.5	TOSH	dz	$V_Z(I_{ZT}=10\text{ mA})=6.8...8.3\text{ В}$; $Z_{ZT}(I_{ZT}=10\text{ mA})<30\text{ Ом}$	DO-214AC, SMA	K * A
75	SML4761	GS	dz	$V_Z(I_{ZT}=3.3\text{ mA})=75\text{ В}$; $Z_{ZT}=175.0\text{ Ом}$	DO-214AC, SMA	K * A
75	U1ZB75	TOSH	dz	$V_Z(I_{ZT}=4\text{ mA})=67.5...82.6\text{ В}$; $Z_{ZT}(I_{ZT}=4\text{ mA})<150\text{ Ом}$	DO-214AC, SMA	K * A
75A	1.5SMC75AT3	MOT	vs	$V_{Z1}(I_Z=1.0\text{ mA})=71.3...78.8\text{ В}$; $V_{WM}=64.1\text{ В}$; $I_{sp}=14.6\text{ A}$	DO-214AB, SMC	K * A
75A	PeSMB75AT3	ON	vs	$V_{Z1}(I_Z=1\text{ mA})=71.3...78.8\text{ В}$; $V_{WM}=103\text{ В}$	DO-214AA, SMB	K * A
75C	PeSMB75CAT3	ON	vs	$V_{Z1}(I_Z=1\text{ mA})=71.3...78.8\text{ В}$; $V_{WM}=103\text{ В}$	DO-214AA, SMB	K * x
7P5	SML4737	GS	dz	$V_Z(I_{ZT}=34.0\text{ mA})=7.5\text{ В}$; $Z_{ZT}=4.0\text{ Ом}$	DO-214AC, SMA	K * A
7V5A	1.5SMC7.5AT3	MOT	vs	$V_{Z1}(I_Z=10.0\text{ mA})=7.13...7.88\text{ В}$; $V_{WM}=6.4\text{ В}$; $I_{sp}=132\text{ A}$	DO-214AB, SMC	K * A
7V5A	PeSMB7.5AT3	ON	vs	$V_{Z1}(I_Z=10\text{ mA})=7.13...7.88\text{ В}$; $V_{WM}=11.3\text{ В}$	DO-214AA, SMB	K * A
8.2	U1ZB8.2	TOSH	dz	$V_Z(I_{ZT}=10\text{ mA})=7.4...9.1\text{ В}$; $Z_{ZT}(I_{ZT}=10\text{ mA})<30\text{ Ом}$	DO-214AC, SMA	K * A
813B	1SMA5913BT3	ON	dz	$V_Z(I_{ZT}=113.6\text{ mA})=3.3\text{ В}$; $Z_{ZT}=10.0\text{ Ом}$	DO-214AC, SMA	K * A
814B	1SMA5914BT3	ON	dz	$V_Z(I_{ZT}=104.2\text{ mA})=3.6\text{ В}$; $Z_{ZT}=9.0\text{ Ом}$	DO-214AC, SMA	K * A
815B	1SMA5915BT3	ON	dz	$V_Z(I_{ZT}=96.1\text{ mA})=3.9\text{ В}$; $Z_{ZT}=7.5\text{ Ом}$	DO-214AC, SMA	K * A
816B	1SMA5916BT3	ON	dz	$V_Z(I_{ZT}=87.2\text{ mA})=4.3\text{ В}$; $Z_{ZT}=6.0\text{ Ом}$	DO-214AC, SMA	K * A
817B	1SMA5917BT3	ON	dz	$V_Z(I_{ZT}=79.8\text{ mA})=4.7\text{ В}$; $Z_{ZT}=5.0\text{ Ом}$	DO-214AC, SMA	K * A
818B	1SMA5918BT3	ON	dz	$V_Z(I_{ZT}=73.5\text{ mA})=5.1\text{ В}$; $Z_{ZT}=4.0\text{ Ом}$	DO-214AC, SMA	K * A
819B	1SMA5919BT3	ON	dz	$V_Z(I_{ZT}=66.9\text{ mA})=5.6\text{ В}$; $Z_{ZT}=2.0\text{ Ом}$	DO-214AC, SMA	K * A
82	SML4762	GS	dz	$V_Z(I_{ZT}=3.0\text{ mA})=82\text{ В}$; $Z_{ZT}=200.0\text{ Ом}$	DO-214AC, SMA	K * A
82	U1ZB82	TOSH	dz	$V_Z(I_{ZT}=3\text{ mA})=73.8...90.2\text{ В}$; $Z_{ZT}(I_{ZT}=3\text{ mA})<170\text{ Ом}$	DO-214AC, SMA	K * A
820B	1SMA5920BT3	ON	dz	$V_Z(I_{ZT}=60.5\text{ mA})=6.2\text{ В}$; $Z_{ZT}=2.0\text{ Ом}$	DO-214AC, SMA	K * A
821B	1SMA5921BT3	ON	dz	$V_Z(I_{ZT}=55.1\text{ mA})=6.8\text{ В}$; $Z_{ZT}=2.5\text{ Ом}$	DO-214AC, SMA	K * A
822B	1SMA5922BT3	ON	dz	$V_Z(I_{ZT}=50.0\text{ mA})=7.5\text{ В}$; $Z_{ZT}=3.0\text{ Ом}$	DO-214AC, SMA	K * A
823B	1SMA5923BT3	ON	dz	$V_Z(I_{ZT}=45.7\text{ mA})=8.2\text{ В}$; $Z_{ZT}=3.5\text{ Ом}$	DO-214AC, SMA	K * A
824B	1SMA5924BT3	ON	dz	$V_Z(I_{ZT}=41.2\text{ mA})=9.1\text{ В}$; $Z_{ZT}=4.0\text{ Ом}$	DO-214AC, SMA	K * A
825B	1SMA5925BT3	ON	dz	$V_Z(I_{ZT}=37.5\text{ mA})=10\text{ В}$; $Z_{ZT}=4.5\text{ Ом}$	DO-214AC, SMA	K * A
826B	1SMA5926BT3	ON	dz	$V_Z(I_{ZT}=34.1\text{ mA})=11\text{ В}$; $Z_{ZT}=5.5\text{ Ом}$	DO-214AC, SMA	K * A
827B	1SMA5927BT3	ON	dz	$V_Z(I_{ZT}=31.2\text{ mA})=12\text{ В}$; $Z_{ZT}=6.5\text{ Ом}$	DO-214AC, SMA	K * A
828B	1SMA5928BT3	ON	dz	$V_Z(I_{ZT}=28.8\text{ mA})=13\text{ В}$; $Z_{ZT}=7.0\text{ Ом}$	DO-214AC, SMA	K * A
829B	1SMA5929BT3	ON	dz	$V_Z(I_{ZT}=25.0\text{ mA})=15\text{ В}$; $Z_{ZT}=9.0\text{ Ом}$	DO-214AC, SMA	K * A
82A	1.5SMC82AT3	MOT	vs	$V_{Z1}(I_Z=1.0\text{ mA})=77.9...86.1\text{ В}$; $V_{WM}=70.1\text{ В}$; $I_{sp}=13.3\text{ A}$	DO-214AB, SMC	K * A
82A	PeSMB82AT3	ON	vs	$V_{Z1}(I_Z=1\text{ mA})=77.9...86.1\text{ В}$; $V_{WM}=113\text{ В}$	DO-214AA, SMB	K * A
82C	PeSMB82CAT3	ON	vs	$V_{Z1}(I_Z=1\text{ mA})=77.9...86.1\text{ В}$; $V_{WM}=113\text{ В}$	DO-214AA, SMB	K * x
830B	1SMA5930BT3	ON	dz	$V_Z(I_{ZT}=23.4\text{ mA})=16\text{ В}$; $Z_{ZT}=10\text{ Ом}$	DO-214AC, SMA	K * A
831B	1SMA5931BT3	ON	dz	$V_Z(I_{ZT}=20.8\text{ mA})=18\text{ В}$; $Z_{ZT}=12\text{ Ом}$	DO-214AC, SMA	K * A
832B	1SMA5932BT3	ON	dz	$V_Z(I_{ZT}=18.7\text{ mA})=20\text{ В}$; $Z_{ZT}=14\text{ Ом}$	DO-214AC, SMA	K * A
833B	1SMA5933BT3	ON	dz	$V_Z(I_{ZT}=17.0\text{ mA})=22\text{ В}$; $Z_{ZT}=17.5\text{ Ом}$	DO-214AC, SMA	K * A
834B	1SMA5934BT3	ON	dz	$V_Z(I_{ZT}=15.6\text{ mA})=24\text{ В}$; $Z_{ZT}=19\text{ Ом}$	DO-214AC, SMA	K * A
835B	1SMA5935BT3	ON	dz	$V_Z(I_{ZT}=13.9\text{ mA})=27\text{ В}$; $Z_{ZT}=23\text{ Ом}$	DO-214AC, SMA	K * A
836B	1SMA5936BT3	ON	dz	$V_Z(I_{ZT}=12.5\text{ mA})=30\text{ В}$; $Z_{ZT}=26\text{ Ом}$	DO-214AC, SMA	K * A
837B	1SMA5937BT3	ON	dz	$V_Z(I_{ZT}=11.4\text{ mA})=33\text{ В}$; $Z_{ZT}=33\text{ Ом}$	DO-214AC, SMA	K * A
838B	1SMA5938BT3	ON	dz	$V_Z(I_{ZT}=10.4\text{ mA})=36\text{ В}$; $Z_{ZT}=38\text{ Ом}$	DO-214AC, SMA	K * A
839B	1SMA5939BT3	ON	dz	$V_Z(I_{ZT}=9.6\text{ mA})=39\text{ В}$; $Z_{ZT}=45\text{ Ом}$	DO-214AC, SMA	K * A
840B	1SMA5940BT3	ON	dz	$V_Z(I_{ZT}=8.7\text{ mA})=43\text{ В}$; $Z_{ZT}=53\text{ Ом}$	DO-214AC, SMA	K * A
841B	1SMA5941BT3	ON	dz	$V_Z(I_{ZT}=8.0\text{ mA})=47\text{ В}$; $Z_{ZT}=67\text{ Ом}$	DO-214AC, SMA	K * A
842B	1SMA5942BT3	ON	dz	$V_Z(I_{ZT}=7.3\text{ mA})=51\text{ В}$; $Z_{ZT}=70\text{ Ом}$	DO-214AC, SMA	K * A
843B	1SMA5943BT3	ON	dz	$V_Z(I_{ZT}=6.7\text{ mA})=56\text{ В}$; $Z_{ZT}=86\text{ Ом}$	DO-214AC, SMA	K * A
844B	1SMA5944BT3	ON	dz	$V_Z(I_{ZT}=6.0\text{ mA})=62\text{ В}$; $Z_{ZT}=100\text{ Ом}$	DO-214AC, SMA	K * A
845B	1SMA5945BT3	ON	dz	$V_Z(I_{ZT}=5.5\text{ mA})=68\text{ В}$; $Z_{ZT}=120\text{ Ом}$	DO-214AC, SMA	K * A
8P2	SML4738	GS	dz	$V_Z(I_{ZT}=31.0\text{ mA})=8.2\text{ В}$; $Z_{ZT}=4.5\text{ Ом}$	DO-214AC, SMA	K * A
8V2A	1.5SMC8.2AT3	MOT	vs	$V_{Z1}(I_Z=10.0\text{ mA})=7.79...8.61\text{ В}$; $V_{WM}=7.02\text{ В}$; $I_{sp}=124\text{ A}$	DO-214AB, SMC	K * A
8V2A	PeSMB8.2AT3	ON	vs	$V_{Z1}(I_Z=10\text{ mA})=7.79...8.61\text{ В}$; $V_{WM}=12.1\text{ В}$	DO-214AA, SMB	K * A
9.1	U1ZB9.1	TOSH	dz	$V_Z(I_{ZT}=10\text{ mA})=8.2...10.1\text{ В}$; $Z_{ZT}(I_{ZT}=10\text{ mA})<30\text{ Ом}$	DO-214AC, SMA	K * A



Код	Типономинал	Б	Ф	Особенности	Корпус	Ц:1-2
91	SML4763	GS	dz	$V_{ZT}(I_T=2.0\text{ mA})=91\text{ В}$; $Z_{ZT}=250.0\text{ Ом}$	DO-214AC, SMA	K•A
913B	1SMB5913BT3	ON	dz	$V_{ZT}(I_T=113.6\text{ mA})=3.3\text{ В}$; $Z_{ZT}=10.0\text{ Ом}$	DO-214AA, SMB	K•A
914B	1SMB5914BT3	ON	dz	$V_{ZT}(I_T=104.2\text{ mA})=3.6\text{ В}$; $Z_{ZT}=9.0\text{ Ом}$	DO-214AA, SMB	K•A
915B	1SMB5915BT3	ON	dz	$V_{ZT}(I_T=96.1\text{ mA})=3.9\text{ В}$; $Z_{ZT}=7.5\text{ Ом}$	DO-214AA, SMB	K•A
916B	1SMB5916BT3	ON	dz	$V_{ZT}(I_T=87.2\text{ mA})=4.3\text{ В}$; $Z_{ZT}=6.0\text{ Ом}$	DO-214AA, SMB	K•A
917B	1SMB5917BT3	ON	dz	$V_{ZT}(I_T=79.8\text{ mA})=4.7\text{ В}$; $Z_{ZT}=5.0\text{ Ом}$	DO-214AA, SMB	K•A
918B	1SMB5918BT3	ON	dz	$V_{ZT}(I_T=73.5\text{ mA})=5.1\text{ В}$; $Z_{ZT}=4.0\text{ Ом}$	DO-214AA, SMB	K•A
919B	1SMB5919BT3	ON	dz	$V_{ZT}(I_T=68.9\text{ mA})=5.6\text{ В}$; $Z_{ZT}=2.0\text{ Ом}$	DO-214AA, SMB	K•A
91A	1SMC91AT3	MOT	vs	$V_{BR}(I_T=1.0\text{ mA})=86.5...95.5\text{ В}$; $V_{WM}=77.8\text{ В}$; $I_{PP}=12\text{ A}$	DO-214AB, SMC	K•A
91A	P5SMB91AT3	ON	vs	$V_{BR}(I_T=1\text{ mA})=86.5...95.5\text{ В}$; $V_{WM}=125\text{ В}$	DO-214AA, SMB	K•A
91C	P5SMB91CAT3	ON	vs	$V_{BR}(I_T=1\text{ mA})=86.5...95.5\text{ В}$; $V_{WM}=125\text{ В}$	DO-214AA, SMB	x•x
920B	1SMB5920BT3	ON	dz	$V_{ZT}(I_T=60.5\text{ mA})=6.2\text{ В}$; $Z_{ZT}=2.0\text{ Ом}$	DO-214AA, SMB	K•A
921B	1SMB5921BT3	ON	dz	$V_{ZT}(I_T=55.1\text{ mA})=6.8\text{ В}$; $Z_{ZT}=2.5\text{ Ом}$	DO-214AA, SMB	K•A
922B	1SMB5922BT3	ON	dz	$V_{ZT}(I_T=50.0\text{ mA})=7.5\text{ В}$; $Z_{ZT}=3.0\text{ Ом}$	DO-214AA, SMB	K•A
923B	1SMB5923BT3	ON	dz	$V_{ZT}(I_T=45.7\text{ mA})=8.2\text{ В}$; $Z_{ZT}=3.5\text{ Ом}$	DO-214AA, SMB	K•A
924B	1SMB5924BT3	ON	dz	$V_{ZT}(I_T=41.2\text{ mA})=9.1\text{ В}$; $Z_{ZT}=4.0\text{ Ом}$	DO-214AA, SMB	K•A
925B	1SMB5925BT3	ON	dz	$V_{ZT}(I_T=37.5\text{ mA})=10\text{ В}$; $Z_{ZT}=4.5\text{ Ом}$	DO-214AA, SMB	K•A
926B	1SMB5926BT3	ON	dz	$V_{ZT}(I_T=34.1\text{ mA})=11\text{ В}$; $Z_{ZT}=5.5\text{ Ом}$	DO-214AA, SMB	K•A
927B	1SMB5927BT3	ON	dz	$V_{ZT}(I_T=31.2\text{ mA})=12\text{ В}$; $Z_{ZT}=6.5\text{ Ом}$	DO-214AA, SMB	K•A
928B	1SMB5928BT3	ON	dz	$V_{ZT}(I_T=28.8\text{ mA})=13\text{ В}$; $Z_{ZT}=7.0\text{ Ом}$	DO-214AA, SMB	K•A
929B	1SMB5929BT3	ON	dz	$V_{ZT}(I_T=25.0\text{ mA})=15\text{ В}$; $Z_{ZT}=9.0\text{ Ом}$	DO-214AA, SMB	K•A
930B	1SMB5930BT3	ON	dz	$V_{ZT}(I_T=23.4\text{ mA})=16\text{ В}$; $Z_{ZT}=10\text{ Ом}$	DO-214AA, SMB	K•A
931B	1SMB5931BT3	ON	dz	$V_{ZT}(I_T=20.8\text{ mA})=18\text{ В}$; $Z_{ZT}=12\text{ Ом}$	DO-214AA, SMB	K•A
932B	1SMB5932BT3	ON	dz	$V_{ZT}(I_T=18.7\text{ mA})=20\text{ В}$; $Z_{ZT}=14\text{ Ом}$	DO-214AA, SMB	K•A
933B	1SMB5933BT3	ON	dz	$V_{ZT}(I_T=17.0\text{ mA})=22\text{ В}$; $Z_{ZT}=17.5\text{ Ом}$	DO-214AA, SMB	K•A
934B	1SMB5934BT3	ON	dz	$V_{ZT}(I_T=15.6\text{ mA})=24\text{ В}$; $Z_{ZT}=19\text{ Ом}$	DO-214AA, SMB	K•A
935B	1SMB5935BT3	ON	dz	$V_{ZT}(I_T=13.9\text{ mA})=27\text{ В}$; $Z_{ZT}=23\text{ Ом}$	DO-214AA, SMB	K•A
936B	1SMB5936BT3	ON	dz	$V_{ZT}(I_T=12.5\text{ mA})=30\text{ В}$; $Z_{ZT}=28\text{ Ом}$	DO-214AA, SMB	K•A
937B	1SMB5937BT3	ON	dz	$V_{ZT}(I_T=11.4\text{ mA})=33\text{ В}$; $Z_{ZT}=33\text{ Ом}$	DO-214AA, SMB	K•A
938B	1SMB5938BT3	ON	dz	$V_{ZT}(I_T=10.4\text{ mA})=36\text{ В}$; $Z_{ZT}=38\text{ Ом}$	DO-214AA, SMB	K•A
939B	1SMB5939BT3	ON	dz	$V_{ZT}(I_T=9.6\text{ mA})=39\text{ В}$; $Z_{ZT}=45\text{ Ом}$	DO-214AA, SMB	K•A
940B	1SMB5940BT3	ON	dz	$V_{ZT}(I_T=8.7\text{ mA})=43\text{ В}$; $Z_{ZT}=53\text{ Ом}$	DO-214AA, SMB	K•A
941B	1SMB5941BT3	ON	dz	$V_{ZT}(I_T=8.0\text{ mA})=47\text{ В}$; $Z_{ZT}=67\text{ Ом}$	DO-214AA, SMB	K•A
942B	1SMB5942BT3	ON	dz	$V_{ZT}(I_T=7.3\text{ mA})=51\text{ В}$; $Z_{ZT}=70\text{ Ом}$	DO-214AA, SMB	K•A
943B	1SMB5943BT3	ON	dz	$V_{ZT}(I_T=6.7\text{ mA})=56\text{ В}$; $Z_{ZT}=88\text{ Ом}$	DO-214AA, SMB	K•A
944B	1SMB5944BT3	ON	dz	$V_{ZT}(I_T=6.0\text{ mA})=62\text{ В}$; $Z_{ZT}=100\text{ Ом}$	DO-214AA, SMB	K•A
945B	1SMB5945BT3	ON	dz	$V_{ZT}(I_T=5.5\text{ mA})=68\text{ В}$; $Z_{ZT}=120\text{ Ом}$	DO-214AA, SMB	K•A
946B	1SMB5946BT3	ON	dz	$V_{ZT}(I_T=5.0\text{ mA})=75\text{ В}$; $Z_{ZT}=140\text{ Ом}$	DO-214AA, SMB	K•A
947B	1SMB5947BT3	ON	dz	$V_{ZT}(I_T=4.6\text{ mA})=82\text{ В}$; $Z_{ZT}=160\text{ Ом}$	DO-214AA, SMB	K•A
948B	1SMB5948BT3	ON	dz	$V_{ZT}(I_T=4.1\text{ mA})=91\text{ В}$; $Z_{ZT}=200\text{ Ом}$	DO-214AA, SMB	K•A
949B	1SMB5949BT3	ON	dz	$V_{ZT}(I_T=3.7\text{ mA})=100\text{ В}$; $Z_{ZT}=250\text{ Ом}$	DO-214AA, SMB	K•A
950B	1SMB5950BT3	ON	dz	$V_{ZT}(I_T=3.4\text{ mA})=110\text{ В}$; $Z_{ZT}=300\text{ Ом}$	DO-214AA, SMB	K•A
951B	1SMB5951BT3	ON	dz	$V_{ZT}(I_T=3.1\text{ mA})=120\text{ В}$; $Z_{ZT}=380\text{ Ом}$	DO-214AA, SMB	K•A
952B	1SMB5952BT3	ON	dz	$V_{ZT}(I_T=2.9\text{ mA})=130\text{ В}$; $Z_{ZT}=450\text{ Ом}$	DO-214AA, SMB	K•A
953B	1SMB5953BT3	ON	dz	$V_{ZT}(I_T=2.5\text{ mA})=150\text{ В}$; $Z_{ZT}=600\text{ Ом}$	DO-214AA, SMB	K•A
954B	1SMB5954BT3	ON	dz	$V_{ZT}(I_T=2.3\text{ mA})=160\text{ В}$; $Z_{ZT}=700\text{ Ом}$	DO-214AA, SMB	K•A
955B	1SMB5955BT3	ON	dz	$V_{ZT}(I_T=2.1\text{ mA})=180\text{ В}$; $Z_{ZT}=900\text{ Ом}$	DO-214AA, SMB	K•A
956B	1SMB5956BT3	ON	dz	$V_{ZT}(I_T=1.9\text{ mA})=200\text{ В}$; $Z_{ZT}=1200\text{ Ом}$	DO-214AA, SMB	K•A
9P1	SML4739	GS	dz	$V_{ZT}(I_T=28.0\text{ mA})=9.1\text{ В}$; $Z_{ZT}=5.0\text{ Ом}$	DO-214AC, SMA	K•A
9V1A	1SMC91AT3	MOT	vs	$V_{BR}(I_T=10.0\text{ mA})=8.65...9.56\text{ В}$; $V_{WM}=7.78\text{ В}$; $I_{PP}=112\text{ A}$	DO-214AB, SMC	K•A
9V1A	P5SMB91AT3	ON	vs	$V_{BR}(I_T=1\text{ mA})=8.65...9.55\text{ В}$; $V_{WM}=13.4\text{ В}$	DO-214AA, SMB	K•A
A6	BAS2.16	PHIL	di	$V_R < 75\text{ В}$; $I_R < 250\text{ mA}$; $V_F(I_R=150\text{ mA}) < 1.25\text{ В}$; $I_S < 50\text{ mA}$; $C_J < 1.5\text{ пФ}$; $t_{RRS} < 4\text{ нс}$	SOD-110	K•A



DO214, SMA, SMB, SMC, SOD110

Код	Типономинал	Б	Ф	Особенности	Корпус	Ц: 1-2
AD	SMBJ5 0C	VISH	vs	$V_{95}(I_T=10\text{ mA})=6.40\ldots 7.55\text{ В}; V_{WM}=5.0\text{ В}; I_{95}=62.5\text{ А}$	DO-214AA, SMB	x x x
ADP	TPSMA8 8	GS	vs	$V_{95}(I_T=10\text{ mA})=6.12\ldots 7.48\text{ В}; V_{WM}=5.50\text{ В}; I_{95}=37.0\text{ А}$	DO-214AC, SMA	K A
AE	SMBJ5 0CA	VISH	vs	$V_{95}(I_T=10\text{ mA})=6.40\ldots 7.23\text{ В}; V_{WM}=5.0\text{ В}; I_{95}=65.2\text{ А}$	DO-214AA, SMB	x x x
AEP	TPSMA8 8A	GS	vs	$V_{95}(I_T=10\text{ mA})=6.45\ldots 7.14\text{ В}; V_{WM}=5.80\text{ В}; I_{95}=38.1\text{ А}$	DO-214AC, SMA	K A
AF	SMBJ5 0C	VISH	vs	$V_{95}(I_T=10\text{ mA})=6.67\ldots 8.45\text{ В}; V_{WM}=6.0\text{ В}; I_{95}=52.6\text{ А}$	DO-214AA, SMB	x x x
AFP	TPSMA7 5	GS	vs	$V_{95}(I_T=10\text{ mA})=6.75\ldots 8.25\text{ В}; V_{WM}=6.05\text{ В}; I_{95}=34.2\text{ А}$	DO-214AC, SMA	K A
AG	SMBJ5 0CA	VISH	vs	$V_{95}(I_T=10\text{ mA})=6.67\ldots 7.67\text{ В}; V_{WM}=6.0\text{ В}; I_{95}=58.3\text{ А}$	DO-214AA, SMB	x x x
AGP	TPSMA7 5A	GS	vs	$V_{95}(I_T=10\text{ mA})=7.13\ldots 7.88\text{ В}; V_{WM}=6.40\text{ В}; I_{95}=35.4\text{ А}$	DO-214AC, SMA	K A
AH	SMBJ5 0C	VISH	vs	$V_{95}(I_T=10\text{ mA})=7.22\ldots 9.14\text{ В}; V_{WM}=6.5\text{ В}; I_{95}=48.7\text{ А}$	DO-214AA, SMB	x x x
AHP	TPSMA8 2	GS	vs	$V_{95}(I_T=10\text{ mA})=7.38\ldots 9.02\text{ В}; V_{WM}=6.63\text{ В}; I_{95}=32.0\text{ А}$	DO-214AC, SMA	K A
AK	SMBJ5 5CA	VISH	vs	$V_{95}(I_T=10\text{ mA})=7.22\ldots 8.30\text{ В}; V_{WM}=6.5\text{ В}; I_{95}=53.6\text{ А}$	DO-214AA, SMB	x x x
AKP	TPSMA8 2A	GS	vs	$V_{95}(I_T=10\text{ mA})=7.79\ldots 8.61\text{ В}; V_{WM}=7.02\text{ В}; I_{95}=33.1\text{ А}$	DO-214AC, SMA	K A
AL	SMBJ7 0C	VISH	vs	$V_{95}(I_T=10\text{ mA})=7.78\ldots 9.86\text{ В}; V_{WM}=7.0\text{ В}; I_{95}=45.1\text{ А}$	DO-214AA, SMB	x x x
ALP	TPSMA9 1	GS	vs	$V_{95}(I_T=1.0\text{ mA})=8.19\ldots 10.00\text{ В}; V_{WM}=7.37\text{ В}; I_{95}=29.0\text{ А}$	DO-214AC, SMA	K A
AM	SMBJ7 0CA	VISH	vs	$V_{95}(I_T=10\text{ mA})=7.78\ldots 8.95\text{ В}; V_{WM}=7.0\text{ В}; I_{95}=50.0\text{ А}$	DO-214AA, SMB	x x x
AMP	TPSMA9 1A	GS	vs	$V_{95}(I_T=1.0\text{ mA})=8.65\ldots 9.56\text{ В}; V_{WM}=7.78\text{ В}; I_{95}=29.9\text{ А}$	DO-214AC, SMA	K A
AN	SMBJ7 5C	VISH	vs	$V_{95}(I_T=1.0\text{ mA})=8.33\ldots 10.80\text{ В}; V_{WM}=7.5\text{ В}; I_{95}=42.0\text{ А}$	DO-214AA, SMB	x x x
ANP	TPSMA10	GS	vs	$V_{95}(I_T=1.0\text{ mA})=9.00\ldots 11.00\text{ В}; V_{WM}=8.10\text{ В}; I_{95}=26.7\text{ А}$	DO-214AC, SMA	K A
AP	SMBJ7 5CA	VISH	vs	$V_{95}(I_T=1.0\text{ mA})=8.33\ldots 9.58\text{ В}; V_{WM}=7.5\text{ В}; I_{95}=46.5\text{ А}$	DO-214AA, SMB	x x x
APP	TPSMA10A	GS	vs	$V_{95}(I_T=1.0\text{ mA})=9.50\ldots 10.50\text{ В}; V_{WM}=8.65\text{ В}; I_{95}=27.6\text{ А}$	DO-214AC, SMA	K A
AQ	SMBJ8 0C	VISH	vs	$V_{95}(I_T=1.0\text{ mA})=8.89\ldots 11.30\text{ В}; V_{WM}=8.0\text{ В}; I_{95}=40.0\text{ А}$	DO-214AA, SMB	x x x
AQP	TPSMA11	GS	vs	$V_{95}(I_T=1.0\text{ mA})=9.90\ldots 12.10\text{ В}; V_{WM}=8.92\text{ В}; I_{95}=24.7\text{ А}$	DO-214AC, SMA	K A
AR	SMBJ8 0CA	VISH	vs	$V_{95}(I_T=1.0\text{ mA})=8.89\ldots 10.23\text{ В}; V_{WM}=8.0\text{ В}; I_{95}=44.1\text{ А}$	DO-214AA, SMB	x x x
ARP	TPSMA11A	GS	vs	$V_{95}(I_T=1.0\text{ mA})=10.50\ldots 11.60\text{ В}; V_{WM}=9.40\text{ В}; I_{95}=25.6\text{ А}$	DO-214AC, SMA	K A
AS	SMBJ8 5C	VISH	vs	$V_{95}(I_T=1.0\text{ mA})=9.44\ldots 11.92\text{ В}; V_{WM}=8.5\text{ В}; I_{95}=37.7\text{ А}$	DO-214AA, SMB	x x x
ASP	TPSMA12	GS	vs	$V_{95}(I_T=1.0\text{ mA})=10.80\ldots 13.20\text{ В}; V_{WM}=9.72\text{ В}; I_{95}=23.1\text{ А}$	DO-214AC, SMA	K A
AT	SMBJ8 5CA	VISH	vs	$V_{95}(I_T=1.0\text{ mA})=9.44\ldots 10.82\text{ В}; V_{WM}=8.5\text{ В}; I_{95}=41.7\text{ А}$	DO-214AA, SMB	x x x
ATP	TPSMA12A	GS	vs	$V_{95}(I_T=1.0\text{ mA})=11.40\ldots 12.60\text{ В}; V_{WM}=10.20\text{ В}; I_{95}=24.0\text{ А}$	DO-214AC, SMA	K A
AU	SMBJ9 0C	VISH	vs	$V_{95}(I_T=1.0\text{ mA})=10.00\ldots 12.80\text{ В}; V_{WM}=9.0\text{ В}; I_{95}=35.5\text{ А}$	DO-214AA, SMB	x x x
AUP	TPSMA13	GS	vs	$V_{95}(I_T=1.0\text{ mA})=11.70\ldots 14.30\text{ В}; V_{WM}=10.50\text{ В}; I_{95}=21.1\text{ А}$	DO-214AC, SMA	K A
AV	pSMBJ9 0CA	VISH	vs	$V_{95}(I_T=1.0\text{ mA})=10.00\ldots 11.50\text{ В}; V_{WM}=9.0\text{ В}; I_{95}=39.0\text{ А}$	DO-214AA, SMB	x x x
AVP	TPSMA13A	GS	vs	$V_{95}(I_T=1.0\text{ mA})=12.40\ldots 13.70\text{ В}; V_{WM}=11.10\text{ В}; I_{95}=22.0\text{ А}$	DO-214AC, SMA	K A
AW	SMBJ10C	VISH	vs	$V_{95}(I_T=1.0\text{ mA})=11.10\ldots 14.10\text{ В}; V_{WM}=10.0\text{ В}; I_{95}=31.9\text{ А}$	DO-214AA, SMB	x x x
AWP	TPSMA15	GS	vs	$V_{95}(I_T=1.0\text{ mA})=13.50\ldots 16.30\text{ В}; V_{WM}=12.10\text{ В}; I_{95}=18.2\text{ А}$	DO-214AC, SMA	K A
AX	SMBJ10CA	VISH	vs	$V_{95}(I_T=1.0\text{ mA})=11.10\ldots 12.80\text{ В}; V_{WM}=10.0\text{ В}; I_{95}=35.3\text{ А}$	DO-214AA, SMB	x x x
AXP	TPSMA15A	GS	vs	$V_{95}(I_T=1.0\text{ mA})=14.30\ldots 15.80\text{ В}; V_{WM}=12.80\text{ В}; I_{95}=18.9\text{ А}$	DO-214AC, SMA	K A
AY	SMBJ11C	VISH	vs	$V_{95}(I_T=1.0\text{ mA})=12.20\ldots 15.40\text{ В}; V_{WM}=11.0\text{ В}; I_{95}=29.9\text{ А}$	DO-214AA, SMB	x x x
AYP	TPSMA16	GS	vs	$V_{95}(I_T=1.0\text{ mA})=14.40\ldots 17.60\text{ В}; V_{WM}=12.90\text{ В}; I_{95}=17.0\text{ А}$	DO-214AC, SMA	K A
AZ	SMBJ11CA	VISH	vs	$V_{95}(I_T=1.0\text{ mA})=12.20\ldots 14.40\text{ В}; V_{WM}=11.0\text{ В}; I_{95}=33.0\text{ А}$	DO-214AA, SMB	x x x
AZP	TPSMA16A	GS	vs	$V_{95}(I_T=1.0\text{ mA})=15.20\ldots 16.80\text{ В}; V_{WM}=13.60\text{ В}; I_{95}=17.8\text{ А}$	DO-214AC, SMA	K A
BD	SMBJ12C	VISH	vs	$V_{95}(I_T=1.0\text{ mA})=13.30\ldots 16.90\text{ В}; V_{WM}=12.0\text{ В}; I_{95}=27.3\text{ А}$	DO-214AA, SMB	x x x
BDD	SMCJ5 0C	VISH	vs	$V_{95}(I_T=10\text{ mA})=6.40\ldots 7.55\text{ В}; V_{WM}=5.0\text{ В}; I_{95}=156.2\text{ А}$	DO-214AB, SMC	x x x
BDE	SMCJ5 0CA	VISH	vs	$V_{95}(I_T=10\text{ mA})=6.40\ldots 7.25\text{ В}; V_{WM}=5.0\text{ В}; I_{95}=163.0\text{ А}$	DO-214AB, SMC	x x x
BDF	SMCJ5 0C	VISH	vs	$V_{95}(I_T=10\text{ mA})=6.67\ldots 8.45\text{ В}; V_{WM}=6.0\text{ В}; I_{95}=131.6\text{ А}$	DO-214AB, SMC	x x x
BDG	SMCJ5 0CA	VISH	vs	$V_{95}(I_T=10\text{ mA})=6.67\ldots 7.67\text{ В}; V_{WM}=6.0\text{ В}; I_{95}=145.6\text{ А}$	DO-214AB, SMC	x x x
BDH	SMCJ5 5C	VISH	vs	$V_{95}(I_T=10\text{ mA})=7.22\ldots 9.14\text{ В}; V_{WM}=6.5\text{ В}; I_{95}=122.0\text{ А}$	DO-214AB, SMC	x x x
BDK	SMCJ5 5CA	VISH	vs	$V_{95}(I_T=10\text{ mA})=7.22\ldots 8.30\text{ В}; V_{WM}=6.5\text{ В}; I_{95}=133.9\text{ А}$	DO-214AB, SMC	x x x
BDL	SMCJ7 0C	VISH	vs	$V_{95}(I_T=10\text{ mA})=7.78\ldots 9.86\text{ В}; V_{WM}=7.0\text{ В}; I_{95}=112.8\text{ А}$	DO-214AB, SMC	x x x
BDM	SMCJ7 0CA	VISH	vs	$V_{95}(I_T=10\text{ mA})=7.78\ldots 8.95\text{ В}; V_{WM}=7.0\text{ В}; I_{95}=125.0\text{ А}$	DO-214AB, SMC	x x x
BDN	SMCJ7 5C	VISH	vs	$V_{95}(I_T=1.0\text{ mA})=8.33\ldots 10.80\text{ В}; V_{WM}=7.5\text{ В}; I_{95}=104.9\text{ А}$	DO-214AB, SMC	x x x
BDP	SMCJ7 5CA	VISH	vs	$V_{95}(I_T=1.0\text{ mA})=8.33\ldots 9.58\text{ В}; V_{WM}=7.5\text{ В}; I_{95}=116.3\text{ А}$	DO-214AB, SMC	x x x
BDP	TPSMA18	GS	vs	$V_{95}(I_T=1.0\text{ mA})=16.20\ldots 19.80\text{ В}; V_{WM}=14.50\text{ В}; I_{95}=15.1\text{ А}$	DO-214AC, SMA	K A
BDQ	SMCJ8 0C	VISH	vs	$V_{95}(I_T=1.0\text{ mA})=8.89\ldots 11.30\text{ В}; V_{WM}=8.0\text{ В}; I_{95}=100.0\text{ А}$	DO-214AB, SMC	x x x



Код	Типономинал	Б	Ф	Особенности	Корпус	Ц:1-2
BDR	SMCJ8.0CA	VISH	vs	$V_{BR}(I_T = 1.0 \text{ mA}) = 8.89 \dots 10.23 \text{ В}$; $V_{WM} = 8.0 \text{ В}$; $I_{SP} = 110.3 \text{ А}$	DO-214AB, SMC	x * x
BDS	SMCJ8.5C	VISH	vs	$V_{BR}(I_T = 1.0 \text{ mA}) = 9.44 \dots 11.92 \text{ В}$; $V_{WM} = 8.5 \text{ В}$; $I_{SP} = 94.3 \text{ А}$	DO-214AB, SMC	x * x
BDT	SMCJ8.5CA	VISH	vs	$V_{BR}(I_T = 1.0 \text{ mA}) = 9.44 \dots 10.82 \text{ В}$; $V_{WM} = 8.5 \text{ В}$; $I_{SP} = 104.2 \text{ А}$	DO-214AB, SMC	x * x
BDU	SMCJ9.0C	VISH	vs	$V_{BR}(I_T = 1.0 \text{ mA}) = 10.00 \dots 12.80 \text{ В}$; $V_{WM} = 9.0 \text{ В}$; $I_{SP} = 88.7 \text{ А}$	DO-214AB, SMC	x * x
BDV	SMCJ9.0CA	VISH	vs	$V_{BR}(I_T = 1.0 \text{ mA}) = 10.00 \dots 11.50 \text{ В}$; $V_{WM} = 9.0 \text{ В}$; $I_{SP} = 97.4 \text{ А}$	DO-214AB, SMC	x * x
BOW	SMCJ10C	VISH	vs	$V_{BR}(I_T = 1.0 \text{ mA}) = 11.10 \dots 14.10 \text{ В}$; $V_{WM} = 10.0 \text{ В}$; $I_{SP} = 79.8 \text{ А}$	DO-214AB, SMC	x * x
BOX	SMCJ10CA	VISH	vs	$V_{BR}(I_T = 1.0 \text{ mA}) = 11.10 \dots 12.80 \text{ В}$; $V_{WM} = 10.0 \text{ В}$; $I_{SP} = 88.2 \text{ А}$	DO-214AB, SMC	x * x
BOY	SMCJ11C	VISH	vs	$V_{BR}(I_T = 1.0 \text{ mA}) = 12.20 \dots 15.40 \text{ В}$; $V_{WM} = 11.0 \text{ В}$; $I_{SP} = 74.6 \text{ А}$	DO-214AB, SMC	x * x
BOZ	SMCJ11CA	VISH	vs	$V_{BR}(I_T = 1.0 \text{ mA}) = 12.20 \dots 14.40 \text{ В}$; $V_{WM} = 11.0 \text{ В}$; $I_{SP} = 82.4 \text{ А}$	DO-214AB, SMC	x * x
BE	SMBJ12CA	VISH	vs	$V_{BR}(I_T = 1.0 \text{ mA}) = 13.30 \dots 15.30 \text{ В}$; $V_{WM} = 12.0 \text{ В}$; $I_{SP} = 30.2 \text{ А}$	DO-214AA, SMB	x * x
BED	SMCJ12C	VISH	vs	$V_{BR}(I_T = 1.0 \text{ mA}) = 13.30 \dots 16.90 \text{ В}$; $V_{WM} = 12.0 \text{ В}$; $I_{SP} = 68.2 \text{ А}$	DO-214AB, SMC	x * x
BEE	SMCJ12CA	VISH	vs	$V_{BR}(I_T = 1.0 \text{ mA}) = 13.30 \dots 15.30 \text{ В}$; $V_{WM} = 12.0 \text{ В}$; $I_{SP} = 75.3 \text{ А}$	DO-214AB, SMC	x * x
BEF	SMCJ13C	VISH	vs	$V_{BR}(I_T = 1.0 \text{ mA}) = 14.40 \dots 18.20 \text{ В}$; $V_{WM} = 13.0 \text{ В}$; $I_{SP} = 63.0 \text{ А}$	DO-214AB, SMC	x * x
BEG	SMCJ13CA	VISH	vs	$V_{BR}(I_T = 1.0 \text{ mA}) = 14.40 \dots 16.50 \text{ В}$; $V_{WM} = 13.0 \text{ В}$; $I_{SP} = 69.7 \text{ А}$	DO-214AB, SMC	x * x
BEH	SMCJ14C	VISH	vs	$V_{BR}(I_T = 1.0 \text{ mA}) = 15.60 \dots 19.80 \text{ В}$; $V_{WM} = 14.0 \text{ В}$; $I_{SP} = 58.1 \text{ А}$	DO-214AB, SMC	x * x
BEK	SMCJ14CA	VISH	vs	$V_{BR}(I_T = 1.0 \text{ mA}) = 15.60 \dots 17.90 \text{ В}$; $V_{WM} = 14.0 \text{ В}$; $I_{SP} = 64.7 \text{ А}$	DO-214AB, SMC	x * x
BEL	SMCJ15C	VISH	vs	$V_{BR}(I_T = 1.0 \text{ mA}) = 16.70 \dots 21.10 \text{ В}$; $V_{WM} = 15.0 \text{ В}$; $I_{SP} = 55.8 \text{ А}$	DO-214AB, SMC	x * x
BEM	SMCJ15CA	VISH	vs	$V_{BR}(I_T = 1.0 \text{ mA}) = 16.70 \dots 19.20 \text{ В}$; $V_{WM} = 15.0 \text{ В}$; $I_{SP} = 61.5 \text{ А}$	DO-214AB, SMC	x * x
BEN	SMCJ16C	VISH	vs	$V_{BR}(I_T = 1.0 \text{ mA}) = 17.80 \dots 22.60 \text{ В}$; $V_{WM} = 16.0 \text{ В}$; $I_{SP} = 52.1 \text{ А}$	DO-214AB, SMC	x * x
BEP	SMCJ16CA	VISH	vs	$V_{BR}(I_T = 1.0 \text{ mA}) = 17.80 \dots 20.50 \text{ В}$; $V_{WM} = 16.0 \text{ В}$; $I_{SP} = 57.7 \text{ А}$	DO-214AB, SMC	x * x
BEP	TPSMA18A	GS	vs	$V_{BR}(I_T = 1.0 \text{ mA}) = 17.10 \dots 18.90 \text{ В}$; $V_{WM} = 15.30 \text{ В}$; $I_{SP} = 15.9 \text{ А}$	DO-214AC, SMA	K * A
BEQ	SMCJ17C	VISH	vs	$V_{BR}(I_T = 1.0 \text{ mA}) = 18.90 \dots 23.90 \text{ В}$; $V_{WM} = 17.0 \text{ В}$; $I_{SP} = 49.2 \text{ А}$	DO-214AB, SMC	x * x
BES	SMCJ17CA	VISH	vs	$V_{BR}(I_T = 1.0 \text{ mA}) = 18.90 \dots 21.70 \text{ В}$; $V_{WM} = 17.0 \text{ В}$; $I_{SP} = 53.3 \text{ А}$	DO-214AB, SMC	x * x
BET	SMCJ18C	VISH	vs	$V_{BR}(I_T = 1.0 \text{ mA}) = 20.00 \dots 25.30 \text{ В}$; $V_{WM} = 18.0 \text{ В}$; $I_{SP} = 46.6 \text{ А}$	DO-214AB, SMC	x * x
BEI	SMCJ18CA	VISH	vs	$V_{BR}(I_T = 1.0 \text{ mA}) = 20.00 \dots 23.30 \text{ В}$; $V_{WM} = 18.0 \text{ В}$; $I_{SP} = 51.4 \text{ А}$	DO-214AB, SMC	x * x
BEJ	SMCJ20C	VISH	vs	$V_{BR}(I_T = 1.0 \text{ mA}) = 22.20 \dots 28.10 \text{ В}$; $V_{WM} = 20.0 \text{ В}$; $I_{SP} = 41.9 \text{ А}$	DO-214AB, SMC	x * x
BEV	SMCJ20CA	VISH	vs	$V_{BR}(I_T = 1.0 \text{ mA}) = 22.20 \dots 25.50 \text{ В}$; $V_{WM} = 20.0 \text{ В}$; $I_{SP} = 46.3 \text{ А}$	DO-214AB, SMC	x * x
BEW	SMCJ22C	VISH	vs	$V_{BR}(I_T = 1.0 \text{ mA}) = 24.40 \dots 30.90 \text{ В}$; $V_{WM} = 22.0 \text{ В}$; $I_{SP} = 38.1 \text{ А}$	DO-214AB, SMC	x * x
BEX	SMCJ22CA	VISH	vs	$V_{BR}(I_T = 1.0 \text{ mA}) = 24.40 \dots 28.00 \text{ В}$; $V_{WM} = 22.0 \text{ В}$; $I_{SP} = 42.2 \text{ А}$	DO-214AB, SMC	x * x
BEY	SMCJ24C	VISH	vs	$V_{BR}(I_T = 1.0 \text{ mA}) = 26.70 \dots 33.80 \text{ В}$; $V_{WM} = 24.0 \text{ В}$; $I_{SP} = 34.9 \text{ А}$	DO-214AB, SMC	x * x
BEZ	SMCJ24CA	VISH	vs	$V_{BR}(I_T = 1.0 \text{ mA}) = 26.70 \dots 30.70 \text{ В}$; $V_{WM} = 24.0 \text{ В}$; $I_{SP} = 38.6 \text{ А}$	DO-214AB, SMC	x * x
BF	SMBJ13C	VISH	vs	$V_{BR}(I_T = 1.0 \text{ mA}) = 14.40 \dots 18.20 \text{ В}$; $V_{WM} = 13.0 \text{ В}$; $I_{SP} = 25.2 \text{ А}$	DO-214AA, SMB	x * x
BFD	SMCJ26C	VISH	vs	$V_{BR}(I_T = 1.0 \text{ mA}) = 28.90 \dots 36.80 \text{ В}$; $V_{WM} = 26.0 \text{ В}$; $I_{SP} = 32.2 \text{ А}$	DO-214AB, SMC	x * x
BFE	SMCJ26CA	VISH	vs	$V_{BR}(I_T = 1.0 \text{ mA}) = 28.90 \dots 33.20 \text{ В}$; $V_{WM} = 26.0 \text{ В}$; $I_{SP} = 35.6 \text{ А}$	DO-214AB, SMC	x * x
BFF	SMCJ28C	VISH	vs	$V_{BR}(I_T = 1.0 \text{ mA}) = 31.10 \dots 39.40 \text{ В}$; $V_{WM} = 28.0 \text{ В}$; $I_{SP} = 30.0 \text{ А}$	DO-214AB, SMC	x * x
BFG	SMCJ28CA	VISH	vs	$V_{BR}(I_T = 1.0 \text{ mA}) = 31.10 \dots 35.80 \text{ В}$; $V_{WM} = 28.0 \text{ В}$; $I_{SP} = 33.0 \text{ А}$	DO-214AB, SMC	x * x
BFH	SMCJ30C	VISH	vs	$V_{BR}(I_T = 1.0 \text{ mA}) = 33.30 \dots 42.40 \text{ В}$; $V_{WM} = 30.0 \text{ В}$; $I_{SP} = 28.0 \text{ А}$	DO-214AB, SMC	x * x
BFK	SMCJ30CA	VISH	vs	$V_{BR}(I_T = 1.0 \text{ mA}) = 33.30 \dots 38.30 \text{ В}$; $V_{WM} = 30.0 \text{ В}$; $I_{SP} = 31.0 \text{ А}$	DO-214AB, SMC	x * x
BFL	SMCJ33C	VISH	vs	$V_{BR}(I_T = 1.0 \text{ mA}) = 36.70 \dots 46.90 \text{ В}$; $V_{WM} = 33.0 \text{ В}$; $I_{SP} = 25.2 \text{ А}$	DO-214AB, SMC	x * x
BFM	SMCJ33CA	VISH	vs	$V_{BR}(I_T = 1.0 \text{ mA}) = 36.70 \dots 42.20 \text{ В}$; $V_{WM} = 33.0 \text{ В}$; $I_{SP} = 28.1 \text{ А}$	DO-214AB, SMC	x * x
BFN	SMCJ36C	VISH	vs	$V_{BR}(I_T = 1.0 \text{ mA}) = 40.00 \dots 50.70 \text{ В}$; $V_{WM} = 36.0 \text{ В}$; $I_{SP} = 23.3 \text{ А}$	DO-214AB, SMC	x * x
BFP	SMCJ36CA	VISH	vs	$V_{BR}(I_T = 1.0 \text{ mA}) = 40.00 \dots 46.00 \text{ В}$; $V_{WM} = 36.0 \text{ В}$; $I_{SP} = 25.8 \text{ А}$	DO-214AB, SMC	x * x
BFP	TPSMA20	GS	vs	$V_{BR}(I_T = 1.0 \text{ mA}) = 18.00 \dots 22.00 \text{ В}$; $V_{WM} = 16.20 \text{ В}$; $I_{SP} = 13.7 \text{ А}$	DO-214AC, SMA	K * A
BFQ	SMCJ40C	VISH	vs	$V_{BR}(I_T = 1.0 \text{ mA}) = 44.40 \dots 56.30 \text{ В}$; $V_{WM} = 40.0 \text{ В}$; $I_{SP} = 21.0 \text{ А}$	DO-214AB, SMC	x * x
BFR	SMCJ40CA	VISH	vs	$V_{BR}(I_T = 1.0 \text{ mA}) = 44.40 \dots 51.10 \text{ В}$; $V_{WM} = 40.0 \text{ В}$; $I_{SP} = 23.2 \text{ А}$	DO-214AB, SMC	x * x
BFS	SMCJ43C	VISH	vs	$V_{BR}(I_T = 1.0 \text{ mA}) = 47.80 \dots 60.50 \text{ В}$; $V_{WM} = 43.0 \text{ В}$; $I_{SP} = 19.6 \text{ А}$	DO-214AB, SMC	x * x
BFT	SMCJ43CA	VISH	vs	$V_{BR}(I_T = 1.0 \text{ mA}) = 47.80 \dots 54.90 \text{ В}$; $V_{WM} = 43.0 \text{ В}$; $I_{SP} = 21.6 \text{ А}$	DO-214AB, SMC	x * x
BFU	SMCJ45C	VISH	vs	$V_{BR}(I_T = 1.0 \text{ mA}) = 50.00 \dots 63.30 \text{ В}$; $V_{WM} = 45.0 \text{ В}$; $I_{SP} = 18.7 \text{ А}$	DO-214AB, SMC	x * x
BFV	SMCJ45CA	VISH	vs	$V_{BR}(I_T = 1.0 \text{ mA}) = 50.00 \dots 57.50 \text{ В}$; $V_{WM} = 45.0 \text{ В}$; $I_{SP} = 20.6 \text{ А}$	DO-214AB, SMC	x * x
BFW	SMCJ48C	VISH	vs	$V_{BR}(I_T = 1.0 \text{ mA}) = 53.30 \dots 67.50 \text{ В}$; $V_{WM} = 48.0 \text{ В}$; $I_{SP} = 17.5 \text{ А}$	DO-214AB, SMC	x * x
BFX	SMCJ48CA	VISH	vs	$V_{BR}(I_T = 1.0 \text{ mA}) = 53.30 \dots 61.30 \text{ В}$; $V_{WM} = 48.0 \text{ В}$; $I_{SP} = 19.4 \text{ А}$	DO-214AB, SMC	x * x
BFY	SMCJ51C	VISH	vs	$V_{BR}(I_T = 1.0 \text{ mA}) = 56.70 \dots 71.80 \text{ В}$; $V_{WM} = 51.0 \text{ В}$; $I_{SP} = 16.5 \text{ А}$	DO-214AB, SMC	x * x
BFZ	SMCJ51CA	VISH	vs	$V_{BR}(I_T = 1.0 \text{ mA}) = 56.70 \dots 65.20 \text{ В}$; $V_{WM} = 51.0 \text{ В}$; $I_{SP} = 18.2 \text{ А}$	DO-214AB, SMC	x * x



DO214, SMA, SMB, SMC, SOD110

Код	Типономинал	Б	Ф	Особенности	Корпус	Ц: 1*2
BG	SMCJ13CA	VISH	vs	$V_{BR}(I_T=1.0\text{ mA})=14.40\ldots 16.50\text{ В}$, $V_{WM}=13.0\text{ В}$, $I_{PP}=27.9\text{ А}$	DO-214AA, SMB	x*x
BGD	SMCJ54C	VISH	vs	$V_{BR}(I_T=1.0\text{ mA})=60.00\ldots 76.00\text{ В}$, $V_{WM}=54.0\text{ В}$, $I_{PP}=15.6\text{ А}$	DO-214AB, SMC	x*x
BGE	SMCJ54CA	VISH	vs	$V_{BR}(I_T=1.0\text{ mA})=60.00\ldots 69.00\text{ В}$, $V_{WM}=54.0\text{ В}$, $I_{PP}=17.2\text{ А}$	DO-214AB, SMC	x*x
BGF	SMCJ58C	VISH	vs	$V_{BR}(I_T=1.0\text{ mA})=64.40\ldots 81.60\text{ В}$, $V_{WM}=58.0\text{ В}$, $I_{PP}=14.6\text{ А}$	DO-214AB, SMC	x*x
BGG	SMCJ58CA	VISH	vs	$V_{BR}(I_T=1.0\text{ mA})=64.40\ldots 74.60\text{ В}$, $V_{WM}=58.0\text{ В}$, $I_{PP}=16.0\text{ А}$	DO-214AB, SMC	x*x
BGH	SMCJ60C	VISH	vs	$V_{BR}(I_T=1.0\text{ mA})=66.70\ldots 84.50\text{ В}$, $V_{WM}=60.0\text{ В}$, $I_{PP}=14.0\text{ А}$	DO-214AB, SMC	x*x
BGK	SMCJ60CA	VISH	vs	$V_{BR}(I_T=1.0\text{ mA})=66.70\ldots 76.70\text{ В}$, $V_{WM}=60.0\text{ В}$, $I_{PP}=15.5\text{ А}$	DO-214AB, SMC	x*x
BGL	SMCJ64C	VISH	vs	$V_{BR}(I_T=1.0\text{ mA})=71.10\ldots 90.10\text{ В}$, $V_{WM}=64.0\text{ В}$, $I_{PP}=13.2\text{ А}$	DO-214AB, SMC	x*x
BGM	SMCJ64CA	VISH	vs	$V_{BR}(I_T=1.0\text{ mA})=71.10\ldots 81.80\text{ В}$, $V_{WM}=64.0\text{ В}$, $I_{PP}=14.6\text{ А}$	DO-214AB, SMC	x*x
BGN	SMCJ70C	VISH	vs	$V_{BR}(I_T=1.0\text{ mA})=77.80\ldots 98.60\text{ В}$, $V_{WM}=70.0\text{ В}$, $I_{PP}=12.0\text{ А}$	DO-214AB, SMC	x*x
BGP	SMCJ70CA	VISH	vs	$V_{BR}(I_T=1.0\text{ mA})=77.80\ldots 89.50\text{ В}$, $V_{WM}=70.0\text{ В}$, $I_{PP}=13.3\text{ А}$	DO-214AB, SMC	x*x
BGP	TPSMA20A	GS	vs	$V_{BR}(I_T=1.0\text{ mA})=19.00\ldots 21.00\text{ В}$, $V_{WM}=17.10\text{ В}$, $I_{PP}=14.4\text{ А}$	DO-214AC, SMA	K*A
BGQ	SMCJ75C	VISH	vs	$V_{BR}(I_T=1.0\text{ mA})=83.30\ldots 106.00\text{ В}$, $V_{WM}=75.0\text{ В}$, $I_{PP}=11.2\text{ А}$	DO-214AB, SMC	x*x
BGR	SMCJ75CA	VISH	vs	$V_{BR}(I_T=1.0\text{ mA})=83.30\ldots 95.80\text{ В}$, $V_{WM}=75.0\text{ В}$, $I_{PP}=12.4\text{ А}$	DO-214AB, SMC	x*x
BGS	SMCJ78C	VISH	vs	$V_{BR}(I_T=1.0\text{ mA})=86.70\ldots 110.00\text{ В}$, $V_{WM}=78.0\text{ В}$, $I_{PP}=10.8\text{ А}$	DO-214AB, SMC	x*x
BGT	SMCJ78CA	VISH	vs	$V_{BR}(I_T=1.0\text{ mA})=86.70\ldots 99.70\text{ В}$, $V_{WM}=78.0\text{ В}$, $I_{PP}=11.4\text{ А}$	DO-214AB, SMC	x*x
BGU	SMCJ85C	VISH	vs	$V_{BR}(I_T=1.0\text{ mA})=94.40\ldots 119.20\text{ В}$, $V_{WM}=85.0\text{ В}$, $I_{PP}=9.9\text{ А}$	DO-214AB, SMC	x*x
BGV	SMCJ85CA	VISH	vs	$V_{BR}(I_T=1.0\text{ mA})=94.40\ldots 108.20\text{ В}$, $V_{WM}=85.0\text{ В}$, $I_{PP}=10.4\text{ А}$	DO-214AB, SMC	x*x
BGW	SMCJ90C	VISH	vs	$V_{BR}(I_T=1.0\text{ mA})=100.00\ldots 126.50\text{ В}$, $V_{WM}=90.0\text{ В}$, $I_{PP}=9.4\text{ А}$	DO-214AB, SMC	x*x
BGX	SMCJ90CA	VISH	vs	$V_{BR}(I_T=1.0\text{ mA})=100.00\ldots 115.50\text{ В}$, $V_{WM}=90.0\text{ В}$, $I_{PP}=10.3\text{ А}$	DO-214AB, SMC	x*x
BGY	SMCJ100C	VISH	vs	$V_{BR}(I_T=1.0\text{ mA})=111.00\ldots 141.00\text{ В}$, $V_{WM}=100.0\text{ В}$, $I_{PP}=8.4\text{ А}$	DO-214AB, SMC	x*x
BGZ	SMCJ100CA	VISH	vs	$V_{BR}(I_T=1.0\text{ mA})=111.00\ldots 128.00\text{ В}$, $V_{WM}=100.0\text{ В}$, $I_{PP}=9.3\text{ А}$	DO-214AB, SMC	x*x
BH	SMBJ14C	VISH	vs	$V_{BR}(I_T=1.0\text{ mA})=15.60\ldots 19.80\text{ В}$, $V_{WM}=14.0\text{ В}$, $I_{PP}=23.3\text{ А}$	DO-214AA, SMB	x*x
BHD	SMCJ110C	VISH	vs	$V_{BR}(I_T=1.0\text{ mA})=122.00\ldots 154.50\text{ В}$, $V_{WM}=110.0\text{ В}$, $I_{PP}=7.7\text{ А}$	DO-214AB, SMC	x*x
BHE	SMCJ110CA	VISH	vs	$V_{BR}(I_T=1.0\text{ mA})=122.00\ldots 140.50\text{ В}$, $V_{WM}=110.0\text{ В}$, $I_{PP}=8.4\text{ А}$	DO-214AB, SMC	x*x
BHF	SMCJ120C	VISH	vs	$V_{BR}(I_T=1.0\text{ mA})=133.00\ldots 169.00\text{ В}$, $V_{WM}=120.0\text{ В}$, $I_{PP}=7.0\text{ А}$	DO-214AB, SMC	x*x
BHG	SMCJ120CA	VISH	vs	$V_{BR}(I_T=1.0\text{ mA})=133.00\ldots 153.00\text{ В}$, $V_{WM}=120.0\text{ В}$, $I_{PP}=7.9\text{ А}$	DO-214AB, SMC	x*x
BHH	SMCJ130C	VISH	vs	$V_{BR}(I_T=1.0\text{ mA})=144.00\ldots 182.50\text{ В}$, $V_{WM}=130.0\text{ В}$, $I_{PP}=6.5\text{ А}$	DO-214AB, SMC	x*x
BHK	SMCJ130CA	VISH	vs	$V_{BR}(I_T=1.0\text{ mA})=144.00\ldots 165.50\text{ В}$, $V_{WM}=130.0\text{ В}$, $I_{PP}=7.2\text{ А}$	DO-214AB, SMC	x*x
BHL	SMCJ150C	VISH	vs	$V_{BR}(I_T=1.0\text{ mA})=167.00\ldots 211.50\text{ В}$, $V_{WM}=150.0\text{ В}$, $I_{PP}=5.6\text{ А}$	DO-214AB, SMC	x*x
BHM	SMCJ150CA	VISH	vs	$V_{BR}(I_T=1.0\text{ mA})=167.00\ldots 192.50\text{ В}$, $V_{WM}=150.0\text{ В}$, $I_{PP}=6.2\text{ А}$	DO-214AB, SMC	x*x
BHN	SMCJ160C	VISH	vs	$V_{BR}(I_T=1.0\text{ mA})=178.00\ldots 226.00\text{ В}$, $V_{WM}=160.0\text{ В}$, $I_{PP}=5.2\text{ А}$	DO-214AB, SMC	x*x
BHP	SMCJ160CA	VISH	vs	$V_{BR}(I_T=1.0\text{ mA})=178.00\ldots 205.00\text{ В}$, $V_{WM}=160.0\text{ В}$, $I_{PP}=5.8\text{ А}$	DO-214AB, SMC	x*x
BHP	TPSMA22	GS	vs	$V_{BR}(I_T=1.0\text{ mA})=19.80\ldots 24.20\text{ В}$, $V_{WM}=17.80\text{ В}$, $I_{PP}=12.5\text{ А}$	DO-214AC, SMA	K*A
BHQ	SMCJ170C	VISH	vs	$V_{BR}(I_T=1.0\text{ mA})=189.00\ldots 239.50\text{ В}$, $V_{WM}=170.0\text{ В}$, $I_{PP}=4.9\text{ А}$	DO-214AB, SMC	x*x
BHR	SMCJ170CA	VISH	vs	$V_{BR}(I_T=1.0\text{ mA})=189.00\ldots 217.50\text{ В}$, $V_{WM}=170.0\text{ В}$, $I_{PP}=5.5\text{ А}$	DO-214AB, SMC	x*x
BK	SMBJ14CA	VISH	vs	$V_{BR}(I_T=1.0\text{ mA})=15.60\ldots 17.90\text{ В}$, $V_{WM}=14.0\text{ В}$, $I_{PP}=25.8\text{ А}$	DO-214AA, SMB	x*x
BKP	TPSMA22A	GS	vs	$V_{BR}(I_T=1.0\text{ mA})=20.90\ldots 23.10\text{ В}$, $V_{WM}=18.80\text{ В}$, $I_{PP}=13.1\text{ А}$	DO-214AC, SMA	K*A
BL	SMBJ15C	VISH	vs	$V_{BR}(I_T=1.0\text{ mA})=16.70\ldots 21.10\text{ В}$, $V_{WM}=15.0\text{ В}$, $I_{PP}=22.3\text{ А}$	DO-214AA, SMB	x*x
BLP	TPSMA24	GS	vs	$V_{BR}(I_T=1.0\text{ mA})=21.60\ldots 26.40\text{ В}$, $V_{WM}=19.40\text{ В}$, $I_{PP}=11.5\text{ А}$	DO-214AC, SMA	K*A
BM	SMBJ15CA	VISH	vs	$V_{BR}(I_T=1.0\text{ mA})=16.70\ldots 19.20\text{ В}$, $V_{WM}=15.0\text{ В}$, $I_{PP}=24.0\text{ А}$	DO-214AA, SMB	x*x
BMP	TPSMA24A	GS	vs	$V_{BR}(I_T=1.0\text{ mA})=22.80\ldots 25.20\text{ В}$, $V_{WM}=20.50\text{ В}$, $I_{PP}=12.0\text{ А}$	DO-214AC, SMA	K*A
BN	SMBJ16C	VISH	vs	$V_{BR}(I_T=1.0\text{ mA})=17.80\ldots 22.60\text{ В}$, $V_{WM}=16.0\text{ В}$, $I_{PP}=20.8\text{ А}$	DO-214AA, SMB	x*x
BNP	TPSMA27	GS	vs	$V_{BR}(I_T=1.0\text{ mA})=24.30\ldots 29.70\text{ В}$, $V_{WM}=21.80\text{ В}$, $I_{PP}=10.2\text{ А}$	DO-214AC, SMA	K*A
BOP	TPSMA30	GS	vs	$V_{BR}(I_T=1.0\text{ mA})=27.00\ldots 33.00\text{ В}$, $V_{WM}=24.30\text{ В}$, $I_{PP}=9.2\text{ А}$	DO-214AC, SMA	K*A
BP	SMBJ16CA	VISH	vs	$V_{BR}(I_T=1.0\text{ mA})=17.80\ldots 20.50\text{ В}$, $V_{WM}=16.0\text{ В}$, $I_{PP}=23.1\text{ А}$	DO-214AA, SMB	x*x
BPP	TPSMA27A	GS	vs	$V_{BR}(I_T=1.0\text{ mA})=25.70\ldots 28.40\text{ В}$, $V_{WM}=23.10\text{ В}$, $I_{PP}=10.7\text{ А}$	DO-214AC, SMA	K*A
BQ	SMBJ17C	VISH	vs	$V_{BR}(I_T=1.0\text{ mA})=18.90\ldots 23.90\text{ В}$, $V_{WM}=17.0\text{ В}$, $I_{PP}=19.7\text{ А}$	DO-214AA, SMB	x*x
BR	SMBJ17CA	VISH	vs	$V_{BR}(I_T=1.0\text{ mA})=18.90\ldots 21.70\text{ В}$, $V_{WM}=17.0\text{ В}$, $I_{PP}=21.7\text{ А}$	DO-214AA, SMB	x*x
BRP	TPSMA30A	GS	vs	$V_{BR}(I_T=1.0\text{ mA})=28.50\ldots 31.50\text{ В}$, $V_{WM}=25.60\text{ В}$, $I_{PP}=9.7\text{ А}$	DO-214AC, SMA	K*A
BS	SMBJ18C	VISH	vs	$V_{BR}(I_T=1.0\text{ mA})=20.00\ldots 25.30\text{ В}$, $V_{WM}=18.0\text{ В}$, $I_{PP}=18.6\text{ А}$	DO-214AA, SMB	x*x
BSP	TPSMA33	GS	vs	$V_{BR}(I_T=1.0\text{ mA})=29.70\ldots 36.30\text{ В}$, $V_{WM}=26.80\text{ В}$, $I_{PP}=8.4\text{ А}$	DO-214AC, SMA	K*A
BT	SMBJ18CA	VISH	vs	$V_{BR}(I_T=1.0\text{ mA})=20.00\ldots 23.30\text{ В}$, $V_{WM}=18.0\text{ В}$, $I_{PP}=20.5\text{ А}$	DO-214AA, SMB	x*x



Код	Типономинал	Б	Ф	Особенности	Корпус	Ц:1-2
ВТР	TPSMA3A3S	GS	vs	$V_{BR}(I_T = 1.0 \text{ mA}) = 31.40 \dots 34.70 \text{ В}$; $V_{MVR} = 28.20 \text{ В}$; $I_{PP} = 8.8 \text{ А}$	DO-214AC, SMA	К*А
ВUJ	SMBJ20C	VISH	vs	$V_{BR}(I_T = 1.0 \text{ mA}) = 22.20 \dots 28.10 \text{ В}$; $V_{MVR} = 20.0 \text{ В}$; $I_{PP} = 16.7 \text{ А}$	DO-214AA, SMB	х*х
ВUP	TPSMA36S	GS	vs	$V_{BR}(I_T = 1.0 \text{ mA}) = 32.40 \dots 39.60 \text{ В}$; $V_{MVR} = 29.10 \text{ В}$; $I_{PP} = 7.7 \text{ А}$	DO-214AC, SMA	К*А
ВUJ	SMBJ20CA	VISH	vs	$V_{BR}(I_T = 1.0 \text{ mA}) = 22.20 \dots 25.50 \text{ В}$; $V_{MVR} = 20.0 \text{ В}$; $I_{PP} = 18.5 \text{ А}$	DO-214AA, SMB	х*х
ВUP	TPSMA36A	GS	vs	$V_{BR}(I_T = 1.0 \text{ mA}) = 34.20 \dots 37.80 \text{ В}$; $V_{MVR} = 30.80 \text{ В}$; $I_{PP} = 8.0 \text{ А}$	DO-214AC, SMA	К*А
ВW	SMBJ22C	VISH	vs	$V_{BR}(I_T = 1.0 \text{ mA}) = 24.40 \dots 30.90 \text{ В}$; $V_{MVR} = 22.0 \text{ В}$; $I_{PP} = 15.2 \text{ А}$	DO-214AA, SMB	х*х
ВWP	TPSMA39S	GS	vs	$V_{BR}(I_T = 1.0 \text{ mA}) = 35.10 \dots 42.90 \text{ В}$; $V_{MVR} = 31.60 \text{ В}$; $I_{PP} = 7.1 \text{ А}$	DO-214AC, SMA	К*А
ВX	SMBJ22CA	VISH	vs	$V_{BR}(I_T = 1.0 \text{ mA}) = 24.40 \dots 28.00 \text{ В}$; $V_{MVR} = 22.0 \text{ В}$; $I_{PP} = 16.9 \text{ А}$	DO-214AA, SMB	х*х
ВXP	TPSMA39A	GS	vs	$V_{BR}(I_T = 1.0 \text{ mA}) = 37.10 \dots 41.00 \text{ В}$; $V_{MVR} = 33.30 \text{ В}$; $I_{PP} = 7.4 \text{ А}$	DO-214AC, SMA	К*А
ВY	SMBJ24C	VISH	vs	$V_{BR}(I_T = 1.0 \text{ mA}) = 26.70 \dots 33.80 \text{ В}$; $V_{MVR} = 24.0 \text{ В}$; $I_{PP} = 14.0 \text{ А}$	DO-214AA, SMB	х*х
ВYP	TPSMA43S	GS	vs	$V_{BR}(I_T = 1.0 \text{ mA}) = 38.70 \dots 47.30 \text{ В}$; $V_{MVR} = 34.80 \text{ В}$; $I_{PP} = 6.5 \text{ А}$	DO-214AC, SMA	К*А
ВZ	SMBJ24AC	VISH	vs	$V_{BR}(I_T = 1.0 \text{ mA}) = 26.70 \dots 30.70 \text{ В}$; $V_{MVR} = 24.0 \text{ В}$; $I_{PP} = 15.4 \text{ А}$	DO-214AA, SMB	х*х
ВZP	TPSMA43A	GS	vs	$V_{BR}(I_T = 1.0 \text{ mA}) = 40.90 \dots 45.20 \text{ В}$; $V_{MVR} = 36.80 \text{ В}$; $I_{PP} = 6.7 \text{ А}$	DO-214AC, SMA	К*А
C2	SMBJ703-200	STM	frd	$V_{AK} < 200 \text{ В}$; $I_{EK} < 3 \text{ А}$; $V_{EK}(I_{EK} = 3 \text{ А}) < 1.4 \text{ В}$; $I_{AK} < 0.6 \text{ mA}$; $t_{RR} < 60 \text{ нс}$	DO-214AB, SMC	К*А
C3	SMBJ703-300	STM	frd	$V_{AK} < 300 \text{ В}$; $I_{EK} < 3 \text{ А}$; $V_{EK}(I_{EK} = 3 \text{ А}) < 1.4 \text{ В}$; $I_{AK} < 0.6 \text{ mA}$; $t_{RR} < 60 \text{ нс}$	DO-214AB, SMC	К*А
C4	SMBJ703-400	STM	frd	$V_{AK} < 400 \text{ В}$; $I_{EK} < 3 \text{ А}$; $V_{EK}(I_{EK} = 3 \text{ А}) < 1.4 \text{ В}$; $I_{AK} < 0.6 \text{ mA}$; $t_{RR} < 60 \text{ нс}$	DO-214AB, SMC	К*А
CD	SMBJ26C	VISH	vs	$V_{BR}(I_T = 1.0 \text{ mA}) = 28.90 \dots 36.80 \text{ В}$; $V_{MVR} = 26.0 \text{ В}$; $I_{PP} = 12.4 \text{ А}$	DO-214AA, SMB	х*х
CE	SMBJ26CA	VISH	vs	$V_{BR}(I_T = 1.0 \text{ mA}) = 28.90 \dots 33.20 \text{ В}$; $V_{MVR} = 26.0 \text{ В}$; $I_{PP} = 14.2 \text{ А}$	DO-214AA, SMB	х*х
CF	SMBJ28C	VISH	vs	$V_{BR}(I_T = 1.0 \text{ mA}) = 31.10 \dots 39.40 \text{ В}$; $V_{MVR} = 28.0 \text{ В}$; $I_{PP} = 12.0 \text{ А}$	DO-214AA, SMB	х*х
CG	SMBJ28CA	VISH	vs	$V_{BR}(I_T = 1.0 \text{ mA}) = 31.10 \dots 35.80 \text{ В}$; $V_{MVR} = 28.0 \text{ В}$; $I_{PP} = 13.2 \text{ А}$	DO-214AA, SMB	х*х
CH	SMB30C	VISH	vs	$V_{BR}(I_T = 1.0 \text{ mA}) = 33.30 \dots 42.20 \text{ В}$; $V_{MVR} = 30.0 \text{ В}$; $I_{PP} = 11.2 \text{ А}$	DO-214AC, SMA	х*х
CK	SMBJ30CA	VISH	vs	$V_{BR}(I_T = 1.0 \text{ mA}) = 33.30 \dots 38.30 \text{ В}$; $V_{MVR} = 30.0 \text{ В}$; $I_{PP} = 12.4 \text{ А}$	DO-214AA, SMB	х*х
CL	SMBJ33C	VISH	vs	$V_{BR}(I_T = 1.0 \text{ mA}) = 36.70 \dots 46.90 \text{ В}$; $V_{MVR} = 33.0 \text{ В}$; $I_{PP} = 10.2 \text{ А}$	DO-214AA, SMB	х*х
CM	SMBJ33CA	VISH	vs	$V_{BR}(I_T = 1.0 \text{ mA}) = 36.70 \dots 42.20 \text{ В}$; $V_{MVR} = 33.0 \text{ В}$; $I_{PP} = 11.3 \text{ А}$	DO-214AA, SMB	х*х
CN	SMBJ36C	VISH	vs	$V_{BR}(I_T = 1.0 \text{ mA}) = 40.00 \dots 50.70 \text{ В}$; $V_{MVR} = 36.0 \text{ В}$; $I_{PP} = 9.3 \text{ А}$	DO-214AA, SMB	х*х
CQ	SMBJ36CA	VISH	vs	$V_{BR}(I_T = 1.0 \text{ mA}) = 40.00 \dots 46.00 \text{ В}$; $V_{MVR} = 36.0 \text{ В}$; $I_{PP} = 10.3 \text{ А}$	DO-214AA, SMB	х*х
CP	SMBJ40C	VISH	vs	$V_{BR}(I_T = 1.0 \text{ mA}) = 44.40 \dots 56.30 \text{ В}$; $V_{MVR} = 40.0 \text{ В}$; $I_{PP} = 8.4 \text{ А}$	DO-214AA, SMB	х*х
CR	SMBJ40CA	VISH	vs	$V_{BR}(I_T = 1.0 \text{ mA}) = 44.40 \dots 51.10 \text{ В}$; $V_{MVR} = 40.0 \text{ В}$; $I_{PP} = 9.3 \text{ А}$	DO-214AA, SMB	х*х
CS	SMBJ43C	VISH	vs	$V_{BR}(I_T = 1.0 \text{ mA}) = 47.80 \dots 60.50 \text{ В}$; $V_{MVR} = 43.0 \text{ В}$; $I_{PP} = 7.8 \text{ А}$	DO-214AA, SMB	х*х
CT	SMBJ43CA	VISH	vs	$V_{BR}(I_T = 1.0 \text{ mA}) = 47.80 \dots 54.90 \text{ В}$; $V_{MVR} = 43.0 \text{ В}$; $I_{PP} = 8.6 \text{ А}$	DO-214AA, SMB	х*х
CU	SMBJ45C	VISH	vs	$V_{BR}(I_T = 1.0 \text{ mA}) = 50.00 \dots 63.30 \text{ В}$; $V_{MVR} = 45.0 \text{ В}$; $I_{PP} = 7.5 \text{ А}$	DO-214AA, SMB	х*х
CV	SMBJ45CA	VISH	vs	$V_{BR}(I_T = 1.0 \text{ mA}) = 50.00 \dots 57.50 \text{ В}$; $V_{MVR} = 45.0 \text{ В}$; $I_{PP} = 8.3 \text{ А}$	DO-214AA, SMB	х*х
CW	SMBJ48C	VISH	vs	$V_{BR}(I_T = 1.0 \text{ mA}) = 53.30 \dots 67.50 \text{ В}$; $V_{MVR} = 48.0 \text{ В}$; $I_{PP} = 7.0 \text{ А}$	DO-214AA, SMB	х*х
CX	SMBJ48CA	VISH	vs	$V_{BR}(I_T = 1.0 \text{ mA}) = 53.30 \dots 61.30 \text{ В}$; $V_{MVR} = 48.0 \text{ В}$; $I_{PP} = 7.7 \text{ А}$	DO-214AA, SMB	х*х
CY	SMBJ51C	VISH	vs	$V_{BR}(I_T = 1.0 \text{ mA}) = 56.70 \dots 71.80 \text{ В}$; $V_{MVR} = 51.0 \text{ В}$; $I_{PP} = 6.6 \text{ А}$	DO-214AA, SMB	х*х
CZ	SMBJ51CA	VISH	vs	$V_{BR}(I_T = 1.0 \text{ mA}) = 56.70 \dots 65.20 \text{ В}$; $V_{MVR} = 51.0 \text{ В}$; $I_{PP} = 7.3 \text{ А}$	DO-214AA, SMB	х*х
D20	SMBJW04-200	STM	frd	$V_{AK} < 200 \text{ В}$; $I_{EK} < 4 \text{ А}$; $V_{EK}(I_{EK} = 4 \text{ А}) < 0.85 \text{ В}$; $I_{AK} < 0.5 \text{ mA}$; $t_{RR} < 35 \text{ нс}$	DO-214AB, SMC	К*А
DD	SMBJ54C	VISH	vs	$V_{BR}(I_T = 1.0 \text{ mA}) = 60.00 \dots 76.00 \text{ В}$; $V_{MVR} = 54.0 \text{ В}$; $I_{PP} = 6.2 \text{ А}$	DO-214AA, SMB	х*х
DDP	TPSMC6.8	GS	vs	$V_{BR}(I_T = 10.0 \text{ mA}) = 6.12 \dots 7.48 \text{ В}$; $V_{MVR} = 5.50 \text{ В}$; $I_{PP} = 139 \text{ А}$	DO-214AB, SMC	К*А
DE	SMBJ54CA	VISH	vs	$V_{BR}(I_T = 1.0 \text{ mA}) = 60.00 \dots 69.00 \text{ В}$; $V_{MVR} = 54.0 \text{ В}$; $I_{PP} = 6.9 \text{ А}$	DO-214AA, SMB	х*х
DEF	TPSMC6.8A	GS	vs	$V_{BR}(I_T = 10.0 \text{ mA}) = 6.45 \dots 7.14 \text{ В}$; $V_{MVR} = 5.80 \text{ В}$; $I_{PP} = 143 \text{ А}$	DO-214AB, SMC	К*А
DEP	SMBJ58C	VISH	vs	$V_{BR}(I_T = 1.0 \text{ mA}) = 64.40 \dots 81.60 \text{ В}$; $V_{MVR} = 58.0 \text{ В}$; $I_{PP} = 5.8 \text{ А}$	DO-214AA, SMB	х*х
DFF	TPSMC7.5	GS	vs	$V_{BR}(I_T = 10.0 \text{ mA}) = 6.75 \dots 8.25 \text{ В}$; $V_{MVR} = 6.05 \text{ В}$; $I_{PP} = 128 \text{ А}$	DO-214AB, SMC	К*А
DG	SMBJ58CA	VISH	vs	$V_{BR}(I_T = 1.0 \text{ mA}) = 64.40 \dots 74.60 \text{ В}$; $V_{MVR} = 58.0 \text{ В}$; $I_{PP} = 6.4 \text{ А}$	DO-214AA, SMB	х*х
DGP	TPSMC7.5A	GS	vs	$V_{BR}(I_T = 10.0 \text{ mA}) = 7.13 \dots 7.88 \text{ В}$; $V_{MVR} = 6.40 \text{ В}$; $I_{PP} = 133 \text{ А}$	DO-214AB, SMC	К*А
DH	SMBJ60C	VISH	vs	$V_{BR}(I_T = 1.0 \text{ mA}) = 66.70 \dots 84.50 \text{ В}$; $V_{MVR} = 60.0 \text{ В}$; $I_{PP} = 5.6 \text{ А}$	DO-214AA, SMB	х*х
DHP	TPSMC8.2	GS	vs	$V_{BR}(I_T = 10.0 \text{ mA}) = 7.38 \dots 9.02 \text{ В}$; $V_{MVR} = 6.63 \text{ В}$; $I_{PP} = 120 \text{ А}$	DO-214AB, SMC	К*А
DH	SMBJ60CA	VISH	vs	$V_{BR}(I_T = 1.0 \text{ mA}) = 66.70 \dots 76.70 \text{ В}$; $V_{MVR} = 60.0 \text{ В}$; $I_{PP} = 6.2 \text{ А}$	DO-214AA, SMB	х*х
DKP	TPSMC8.2A	GS	vs	$V_{BR}(I_T = 10.0 \text{ mA}) = 7.79 \dots 8.61 \text{ В}$; $V_{MVR} = 7.02 \text{ В}$; $I_{PP} = 124 \text{ А}$	DO-214AB, SMC	К*А
DL	SMBJ64C	VISH	vs	$V_{BR}(I_T = 1.0 \text{ mA}) = 71.10 \dots 90.10 \text{ В}$; $V_{MVR} = 64.0 \text{ В}$; $I_{PP} = 5.3 \text{ А}$	DO-214AA, SMB	х*х
DLP	TPSMC9.1	GS	vs	$V_{BR}(I_T = 1.0 \text{ mA}) = 8.19 \dots 10.0 \text{ В}$; $V_{MVR} = 7.37 \text{ В}$; $I_{PP} = 109 \text{ А}$	DO-214AB, SMC	К*А
DM	SMBJ64CA	VISH	vs	$V_{BR}(I_T = 1.0 \text{ mA}) = 71.10 \dots 81.80 \text{ В}$; $V_{MVR} = 64.0 \text{ В}$; $I_{PP} = 5.8 \text{ А}$	DO-214AA, SMB	х*х
DMP	TPSMC9.1A	GS	vs	$V_{BR}(I_T = 1.0 \text{ mA}) = 8.66 \dots 9.55 \text{ В}$; $V_{MVR} = 7.78 \text{ В}$; $I_{PP} = 112 \text{ А}$	DO-214AB, SMC	К*А



DO214, SMA, SMB, SMC, SOD110

Код	Типономинал	Б	Ф	Особенности	Корпус	Ц: 1+2
DN	SMBJ70C	VISH	vs	$V_{BR}(I_T=1.0\text{ mA})=77.80\ldots 98.60\text{ В}$; $V_{WM}=70.0\text{ В}$; $I_{PP}=4.8\text{ А}$	DO-214AA, SMB	x x x
DNP	TPSMC10	GS	vs	$V_{BR}(I_T=1.0\text{ mA})=9.00\ldots 11.0\text{ В}$; $V_{WM}=8.10\text{ В}$; $I_{PP}=100\text{ А}$	DO-214AB, SMC	K A A
DOP	TPSMC11	GS	vs	$V_{BR}(I_T=1.0\text{ mA})=9.90\ldots 12.1\text{ В}$; $V_{WM}=8.92\text{ В}$; $I_{PP}=92.6\text{ А}$	DO-214AB, SMC	K A A
DP	SMBJ70CA	VISH	vs	$V_{BR}(I_T=1.0\text{ mA})=77.80\ldots 89.50\text{ В}$; $V_{WM}=70.0\text{ В}$; $I_{PP}=5.3\text{ А}$	DO-214AA, SMB	x x x
DPP	TPSMC10A	GS	vs	$V_{BR}(I_T=1.0\text{ mA})=9.50\ldots 10.5\text{ В}$; $V_{WM}=8.55\text{ В}$; $I_{PP}=103\text{ А}$	DO-214AB, SMC	K A A
DQ	SMBJ75C	VISH	vs	$V_{BR}(I_T=1.0\text{ mA})=83.30\ldots 106.00\text{ В}$; $V_{WM}=75.0\text{ В}$; $I_{PP}=4.5\text{ А}$	DO-214AA, SMB	x x x
DR	SMBJ75CA	VISH	vs	$V_{BR}(I_T=1.0\text{ mA})=83.30\ldots 95.80\text{ В}$; $V_{WM}=75.0\text{ В}$; $I_{PP}=4.9\text{ А}$	DO-214AA, SMB	x x x
DRP	TPSMC11A	GS	vs	$V_{BR}(I_T=1.0\text{ mA})=10.5\ldots 11.6\text{ В}$; $V_{WM}=9.40\text{ В}$; $I_{PP}=96.2\text{ А}$	DO-214AB, SMC	K A A
DS	SMBJ78C	VISH	vs	$V_{BR}(I_T=1.0\text{ mA})=86.70\ldots 110.00\text{ В}$; $V_{WM}=78.0\text{ В}$; $I_{PP}=4.3\text{ А}$	DO-214AA, SMB	x x x
DSP	TPSMC12	GS	vs	$V_{BR}(I_T=1.0\text{ mA})=10.8\ldots 13.2\text{ В}$; $V_{WM}=9.72\text{ В}$; $I_{PP}=86.7\text{ А}$	DO-214AB, SMC	K A A
DT	SMBJ78CA	VISH	vs	$V_{BR}(I_T=1.0\text{ mA})=86.70\ldots 99.70\text{ В}$; $V_{WM}=78.0\text{ В}$; $I_{PP}=4.7\text{ А}$	DO-214AA, SMB	x x x
DTP	TPSMC12A	GS	vs	$V_{BR}(I_T=1.0\text{ mA})=11.4\ldots 12.6\text{ В}$; $V_{WM}=10.2\text{ В}$; $I_{PP}=89.8\text{ А}$	DO-214AB, SMC	K A A
DU	SMBJ85C	VISH	vs	$V_{BR}(I_T=1.0\text{ mA})=94.40\ldots 119.20\text{ В}$; $V_{WM}=85.0\text{ В}$; $I_{PP}=3.9\text{ А}$	DO-214AA, SMB	x x x
DUP	TPSMC13	GS	vs	$V_{BR}(I_T=1.0\text{ mA})=11.7\ldots 14.3\text{ В}$; $V_{WM}=10.5\text{ В}$; $I_{PP}=78.9\text{ А}$	DO-214AB, SMC	K A A
DV	SMBJ85CA	VISH	vs	$V_{BR}(I_T=1.0\text{ mA})=94.40\ldots 108.20\text{ В}$; $V_{WM}=85.0\text{ В}$; $I_{PP}=4.4\text{ А}$	DO-214AA, SMB	x x x
DVP	TPSMC13A	GS	vs	$V_{BR}(I_T=1.0\text{ mA})=12.4\ldots 13.7\text{ В}$; $V_{WM}=11.1\text{ В}$; $I_{PP}=82.4\text{ А}$	DO-214AB, SMC	K A A
DW	SMBJ90C	VISH	vs	$V_{BR}(I_T=1.0\text{ mA})=100.0\ldots 126.50\text{ В}$; $V_{WM}=90.0\text{ В}$; $I_{PP}=3.8\text{ А}$	DO-214AA, SMB	x x x
DWP	TPSMC15	GS	vs	$V_{BR}(I_T=1.0\text{ mA})=13.5\ldots 16.5\text{ В}$; $V_{WM}=12.1\text{ В}$; $I_{PP}=68.2\text{ А}$	DO-214AB, SMC	K A A
DX	SMBJ90CA	VISH	vs	$V_{BR}(I_T=1.0\text{ mA})=100.0\ldots 115.50\text{ В}$; $V_{WM}=90.0\text{ В}$; $I_{PP}=4.1\text{ А}$	DO-214AA, SMB	x x x
DXP	TPSMC15A	GS	vs	$V_{BR}(I_T=1.0\text{ mA})=14.3\ldots 15.8\text{ В}$; $V_{WM}=12.8\text{ В}$; $I_{PP}=70.8\text{ А}$	DO-214AB, SMC	K A A
DY	SMBJ103C	VISH	vs	$V_{BR}(I_T=1.0\text{ mA})=111.0\ldots 141.00\text{ В}$; $V_{WM}=100.0\text{ В}$; $I_{PP}=3.4\text{ А}$	DO-214AA, SMB	x x x
DYP	TPSMC16	GS	vs	$V_{BR}(I_T=1.0\text{ mA})=14.4\ldots 17.6\text{ В}$; $V_{WM}=12.9\text{ В}$; $I_{PP}=63.8\text{ А}$	DO-214AB, SMC	K A A
DZ	SMBJ103CA	VISH	vs	$V_{BR}(I_T=1.0\text{ mA})=111.0\ldots 128.00\text{ В}$; $V_{WM}=100.0\text{ В}$; $I_{PP}=3.7\text{ А}$	DO-214AA, SMB	x x x
DZP	TPSMC16A	GS	vs	$V_{BR}(I_T=1.0\text{ mA})=15.2\ldots 16.8\text{ В}$; $V_{WM}=13.6\text{ В}$; $I_{PP}=65.7\text{ А}$	DO-214AB, SMC	K A A
EA	ES1A	GS	fd	$V_R=50\text{ В}$; $I_R=1\text{ А}$; $C_0=7\text{ нФ}$	DO-214AC, SMA	K A A
EA	ES2A	GS	fd	$V_R=50\text{ В}$; $I_R=2\text{ А}$; $C_0=18\text{ нФ}$	DO-214AA, SMB	K A A
EA	ES3A	GS	fd	$V_R=50\text{ В}$; $I_R=3\text{ А}$; $C_0=45\text{ нФ}$	DO-214AB, SMC	K A A
EB	ES1B	GS	fd	$V_R=100\text{ В}$; $I_R=1\text{ А}$; $C_0=7\text{ нФ}$	DO-214AC, SMA	K A A
EB	ES2B	GS	fd	$V_R=100\text{ В}$; $I_R=2\text{ А}$; $C_0=18\text{ нФ}$	DO-214AA, SMB	K A A
EB	ES3B	GS	fd	$V_R=100\text{ В}$; $I_R=3\text{ А}$; $C_0=45\text{ нФ}$	DO-214AB, SMC	K A A
EC	ES1C	GS	fd	$V_R=150\text{ В}$; $I_R=1\text{ А}$; $C_0=7\text{ нФ}$	DO-214AC, SMA	K A A
EC	ES2C	GS	fd	$V_R=150\text{ В}$; $I_R=2\text{ А}$; $C_0=18\text{ нФ}$	DO-214AA, SMB	K A A
EC	ES3C	GS	fd	$V_R=150\text{ В}$; $I_R=3\text{ А}$; $C_0=45\text{ нФ}$	DO-214AB, SMC	K A A
ED	ES1D	GS	fd	$V_R=200\text{ В}$; $I_R=1\text{ А}$; $C_0=7\text{ нФ}$	DO-214AC, SMA	K A A
ED	ES2D	GS	fd	$V_R=200\text{ В}$; $I_R=2\text{ А}$; $C_0=18\text{ нФ}$	DO-214AA, SMB	K A A
ED	ES3D	GS	fd	$V_R=200\text{ В}$; $I_R=3\text{ А}$; $C_0=45\text{ нФ}$	DO-214AB, SMC	K A A
ED	SMBJ110C	VISH	vs	$V_{BR}(I_T=1.0\text{ mA})=122.0\ldots 154.50\text{ В}$; $V_{WM}=110.0\text{ В}$; $I_{PP}=3.0\text{ А}$	DO-214AA, SMB	x x x
EE	TPSMC18	GS	vs	$V_{BR}(I_T=1.0\text{ mA})=16.2\ldots 19.8\text{ В}$; $V_{WM}=14.5\text{ В}$; $I_{PP}=56.6\text{ А}$	DO-214AB, SMC	K A A
EE	SMBJ110CA	VISH	vs	$V_{BR}(I_T=1.0\text{ mA})=122.0\ldots 140.00\text{ В}$; $V_{WM}=110.0\text{ В}$; $I_{PP}=3.4\text{ А}$	DO-214AA, SMB	x x x
EEP	TPSMC18A	GS	vs	$V_{BR}(I_T=1.0\text{ mA})=17.1\ldots 18.9\text{ В}$; $V_{WM}=15.3\text{ В}$; $I_{PP}=59.5\text{ А}$	DO-214AB, SMC	K A A
EF	SMBJ120C	VISH	vs	$V_{BR}(I_T=1.0\text{ mA})=133.0\ldots 169.00\text{ В}$; $V_{WM}=120.0\text{ В}$; $I_{PP}=2.8\text{ А}$	DO-214AA, SMB	x x x
EFP	TPSMC20	GS	vs	$V_{BR}(I_T=1.0\text{ mA})=18.0\ldots 22.0\text{ В}$; $V_{WM}=16.2\text{ В}$; $I_{PP}=51.5\text{ А}$	DO-214AB, SMC	K A A
EG	SMBJ120CA	VISH	vs	$V_{BR}(I_T=1.0\text{ mA})=133.0\ldots 153.00\text{ В}$; $V_{WM}=120.0\text{ В}$; $I_{PP}=3.1\text{ А}$	DO-214AA, SMB	x x x
EGP	TPSMC20A	GS	vs	$V_{BR}(I_T=1.0\text{ mA})=19.0\ldots 21.0\text{ В}$; $V_{WM}=17.1\text{ В}$; $I_{PP}=54.2\text{ А}$	DO-214AB, SMC	K A A
EH	SMBJ130C	VISH	vs	$V_{BR}(I_T=1.0\text{ mA})=144.0\ldots 182.50\text{ В}$; $V_{WM}=130.0\text{ В}$; $I_{PP}=2.6\text{ А}$	DO-214AA, SMB	x x x
EHP	TPSMC22	GS	vs	$V_{BR}(I_T=1.0\text{ mA})=19.8\ldots 24.2\text{ В}$; $V_{WM}=17.8\text{ В}$; $I_{PP}=47.0\text{ А}$	DO-214AB, SMC	K A A
EK	SMBJ130CA	VISH	vs	$V_{BR}(I_T=1.0\text{ mA})=144.0\ldots 165.50\text{ В}$; $V_{WM}=130.0\text{ В}$; $I_{PP}=2.9\text{ А}$	DO-214AA, SMB	x x x
EKP	TPSMC22A	GS	vs	$V_{BR}(I_T=1.0\text{ mA})=20.9\ldots 23.1\text{ В}$; $V_{WM}=18.8\text{ В}$; $I_{PP}=49.0\text{ А}$	DO-214AB, SMC	K A A
EL	SMBJ150C	VISH	vs	$V_{BR}(I_T=1.0\text{ mA})=167.0\ldots 211.50\text{ В}$; $V_{WM}=150.0\text{ В}$; $I_{PP}=2.2\text{ А}$	DO-214AA, SMB	x x x
ELP	TPSMC24	GS	vs	$V_{BR}(I_T=1.0\text{ mA})=21.6\ldots 26.4\text{ В}$; $V_{WM}=19.4\text{ В}$; $I_{PP}=43.2\text{ А}$	DO-214AB, SMC	K A A
EM	SMBJ150CA	VISH	vs	$V_{BR}(I_T=1.0\text{ mA})=167.0\ldots 192.50\text{ В}$; $V_{WM}=150.0\text{ В}$; $I_{PP}=2.5\text{ А}$	DO-214AA, SMB	x x x
EMP	TPSMC24A	GS	vs	$V_{BR}(I_T=1.0\text{ mA})=22.8\ldots 25.2\text{ В}$; $V_{WM}=20.5\text{ В}$; $I_{PP}=45.2\text{ А}$	DO-214AB, SMC	K A A
EN	SMBJ160C	VISH	vs	$V_{BR}(I_T=1.0\text{ mA})=178.0\ldots 226.00\text{ В}$; $V_{WM}=160.0\text{ В}$; $I_{PP}=2.1\text{ А}$	DO-214AA, SMB	x x x



Код	Типономинал	Б	Ф	Особенности	Корпус	Ц:1-2
ENP	TPSMC27	GS	vs	$V_{BR}(I_T = 1.0 \text{ mA}) = 24.3 \dots 29.7 \text{ В}$; $V_{DM} = 21.8 \text{ В}$; $I_{SP} = 38.4 \text{ А}$	DO-214AB, SMC	K • A
EP	SMBJ160CA	VISH	vs	$V_{BR}(I_T = 1.0 \text{ mA}) = 178.0 \dots 205.0 \text{ В}$; $V_{WM} = 160.0 \text{ В}$; $I_{SP} = 2.3 \text{ А}$	DO-214AA, SMB	x • x
EPP	TPSMC27A	GS	vs	$V_{BR}(I_T = 1.0 \text{ mA}) = 25.7 \dots 28.4 \text{ В}$; $V_{DM} = 23.1 \text{ В}$; $I_{SP} = 40.0 \text{ А}$	DO-214AB, SMC	K • A
EQ	SMBJ170C	VISH	vs	$V_{BR}(I_T = 1.0 \text{ mA}) = 189.0 \dots 239.50 \text{ В}$; $V_{WM} = 170.0 \text{ В}$; $I_{SP} = 2.0 \text{ А}$	DO-214AA, SMB	x • x
EOP	TPSMC30	GS	vs	$V_{BR}(I_T = 1.0 \text{ mA}) = 27.0 \dots 33.0 \text{ В}$; $V_{DM} = 24.3 \text{ В}$; $I_{SP} = 34.5 \text{ А}$	DO-214AB, SMC	K • A
ER	SMBJ170CA	VISH	vs	$V_{BR}(I_T = 1.0 \text{ mA}) = 189.0 \dots 217.50 \text{ В}$; $V_{WM} = 170.0 \text{ В}$; $I_{SP} = 2.2 \text{ А}$	DO-214AA, SMB	x • x
ERP	TPSMC30A	GS	vs	$V_{BR}(I_T = 1.0 \text{ mA}) = 28.5 \dots 31.5 \text{ В}$; $V_{DM} = 25.6 \text{ В}$; $I_{SP} = 36.2 \text{ А}$	DO-214AB, SMC	K • A
ESP	TPSMC33	GS	vs	$V_{BR}(I_T = 1.0 \text{ mA}) = 29.7 \dots 36.3 \text{ В}$; $V_{DM} = 26.8 \text{ В}$; $I_{SP} = 31.4 \text{ А}$	DO-214AB, SMC	K • A
ETP	TPSMC33A	GS	vs	$V_{BR}(I_T = 1.0 \text{ mA}) = 31.4 \dots 34.7 \text{ В}$; $V_{DM} = 28.2 \text{ В}$; $I_{SP} = 32.8 \text{ А}$	DO-214AB, SMC	K • A
EUP	TPSMC36	GS	vs	$V_{BR}(I_T = 1.0 \text{ mA}) = 32.4 \dots 39.6 \text{ В}$; $V_{DM} = 29.1 \text{ В}$; $I_{SP} = 28.8 \text{ А}$	DO-214AB, SMC	K • A
EVP	TPSMC36A	GS	vs	$V_{BR}(I_T = 1.0 \text{ mA}) = 34.2 \dots 37.8 \text{ В}$; $V_{DM} = 30.8 \text{ В}$; $I_{SP} = 30.1 \text{ А}$	DO-214AB, SMC	K • A
EWP	TPSMC39	GS	vs	$V_{BR}(I_T = 1.0 \text{ mA}) = 35.1 \dots 42.9 \text{ В}$; $V_{DM} = 31.6 \text{ В}$; $I_{SP} = 26.6 \text{ А}$	DO-214AB, SMC	K • A
EXP	TPSMC39A	GS	vs	$V_{BR}(I_T = 1.0 \text{ mA}) = 37.1 \dots 41.0 \text{ В}$; $V_{DM} = 33.3 \text{ В}$; $I_{SP} = 27.8 \text{ А}$	DO-214AB, SMC	K • A
EYP	TPSMC43	GS	vs	$V_{BR}(I_T = 1.0 \text{ mA}) = 38.7 \dots 47.3 \text{ В}$; $V_{DM} = 34.8 \text{ В}$; $I_{SP} = 24.2 \text{ А}$	DO-214AB, SMC	K • A
EZP	TPSMC43A	GS	vs	$V_{BR}(I_T = 1.0 \text{ mA}) = 40.9 \dots 45.2 \text{ В}$; $V_{DM} = 36.8 \text{ В}$; $I_{SP} = 25.3 \text{ А}$	DO-214AB, SMC	K • A
FBB	SMCJ5.0CA	STM	vs	$V_{BR}(I_T = 10.0 \text{ mA}) = 6.67 \dots 7.67 \text{ В}$; $V_{WM} = 6.0 \text{ В}$; $I_{SP} = 145.6 \text{ А}$	DO-214AB, SMC	x • x
FBC	SMCJ5.0CA	STM	vs	$V_{BR}(I_T = 10.0 \text{ mA}) = 7.22 \dots 8.30 \text{ В}$; $V_{WM} = 6.5 \text{ В}$; $I_{SP} = 133.9 \text{ А}$	DO-214AB, SMC	x • x
FBCA	SMCJ5.0CA	STM	vs	$V_{BR}(I_T = 10.0 \text{ mA}) = 6.40 \dots 7.25 \text{ В}$; $V_{WM} = 5.0 \text{ В}$; $I_{SP} = 163.0 \text{ А}$	DO-214AB, SMC	x • x
FBD	SMCJ8.5CA	STM	vs	$V_{BR}(I_T = 1.0 \text{ mA}) = 9.44 \dots 10.82 \text{ В}$; $V_{WM} = 8.5 \text{ В}$; $I_{SP} = 104.2 \text{ А}$	DO-214AB, SMC	x • x
FBF	SMCJ10CA	STM	vs	$V_{BR}(I_T = 1.0 \text{ mA}) = 11.10 \dots 14.10 \text{ В}$; $V_{WM} = 10.0 \text{ В}$; $I_{SP} = 79.8 \text{ А}$	DO-214AB, SMC	x • x
FBH	SMCJ12CA	STM	vs	$V_{BR}(I_T = 1.0 \text{ mA}) = 13.30 \dots 16.90 \text{ В}$; $V_{WM} = 12.0 \text{ В}$; $I_{SP} = 68.2 \text{ А}$	DO-214AB, SMC	x • x
FBI	SMCJ13CA	STM	vs	$V_{BR}(I_T = 1.0 \text{ mA}) = 14.40 \dots 18.20 \text{ В}$; $V_{WM} = 13.0 \text{ В}$; $I_{SP} = 63.0 \text{ А}$	DO-214AB, SMC	x • x
FBJ	SMCJ15CA	STM	vs	$V_{BR}(I_T = 1.0 \text{ mA}) = 16.70 \dots 21.10 \text{ В}$; $V_{WM} = 15.0 \text{ В}$; $I_{SP} = 55.8 \text{ А}$	DO-214AB, SMC	x • x
FBL	SMCJ18CA	STM	vs	$V_{BR}(I_T = 1.0 \text{ mA}) = 20.00 \dots 25.30 \text{ В}$; $V_{WM} = 18.0 \text{ В}$; $I_{SP} = 46.6 \text{ А}$	DO-214AB, SMC	x • x
FBM	SMCJ20CA	STM	vs	$V_{BR}(I_T = 1.0 \text{ mA}) = 22.20 \dots 26.50 \text{ В}$; $V_{WM} = 20.0 \text{ В}$; $I_{SP} = 46.3 \text{ А}$	DO-214AB, SMC	x • x
FBN	SMCJ22CA	STM	vs	$V_{BR}(I_T = 1.0 \text{ mA}) = 24.40 \dots 28.00 \text{ В}$; $V_{WM} = 22.0 \text{ В}$; $I_{SP} = 42.2 \text{ А}$	DO-214AB, SMC	x • x
FBO	SMCJ24CA	STM	vs	$V_{BR}(I_T = 1.0 \text{ mA}) = 26.70 \dots 30.70 \text{ В}$; $V_{WM} = 24.0 \text{ В}$; $I_{SP} = 38.6 \text{ А}$	DO-214AB, SMC	x • x
FBP	SMCJ26CA	STM	vs	$V_{BR}(I_T = 1.0 \text{ mA}) = 28.90 \dots 33.20 \text{ В}$; $V_{WM} = 26.0 \text{ В}$; $I_{SP} = 35.6 \text{ А}$	DO-214AB, SMC	x • x
FBQ	SMCJ28CA	STM	vs	$V_{BR}(I_T = 1.0 \text{ mA}) = 31.10 \dots 35.80 \text{ В}$; $V_{WM} = 28.0 \text{ В}$; $I_{SP} = 33.0 \text{ А}$	DO-214AB, SMC	x • x
FBR	SMCJ30CA	STM	vs	$V_{BR}(I_T = 1.0 \text{ mA}) = 33.30 \dots 42.40 \text{ В}$; $V_{WM} = 30.0 \text{ В}$; $I_{SP} = 28.0 \text{ А}$	DO-214AB, SMC	x • x
FBS	SMCJ33CA	STM	vs	$V_{BR}(I_T = 1.0 \text{ mA}) = 36.70 \dots 42.20 \text{ В}$; $V_{WM} = 33.0 \text{ В}$; $I_{SP} = 28.1 \text{ А}$	DO-214AB, SMC	x • x
FBU	SMCJ40CA	STM	vs	$V_{BR}(I_T = 1.0 \text{ mA}) = 44.40 \dots 51.10 \text{ В}$; $V_{WM} = 40.0 \text{ В}$; $I_{SP} = 23.2 \text{ А}$	DO-214AB, SMC	x • x
FBW	SMCJ48CA	STM	vs	$V_{BR}(I_T = 1.0 \text{ mA}) = 53.30 \dots 61.30 \text{ В}$; $V_{WM} = 48.0 \text{ В}$; $I_{SP} = 19.4 \text{ А}$	DO-214AB, SMC	x • x
FBZ	SMCJ58CA	STM	vs	$V_{BR}(I_T = 1.0 \text{ mA}) = 64.40 \dots 74.60 \text{ В}$; $V_{WM} = 58.0 \text{ В}$; $I_{SP} = 16.0 \text{ А}$	DO-214AB, SMC	x • x
FJA	SMCJ5.0A	STM	vs	$V_{BR}(I_T = 10.0 \text{ mA}) = 6.40 \dots 7.25 \text{ В}$; $V_{WM} = 5.0 \text{ В}$; $I_{SP} = 163.0 \text{ А}$	DO-214AB, SMC	K • A
FJB	SMCJ6.0A	STM	vs	$V_{BR}(I_T = 10.0 \text{ mA}) = 6.67 \dots 7.67 \text{ В}$; $V_{WM} = 6.0 \text{ В}$; $I_{SP} = 145.6 \text{ А}$	DO-214AB, SMC	K • A
FJC	SMCJ6.5A	STM	vs	$V_{BR}(I_T = 10.0 \text{ mA}) = 7.22 \dots 8.30 \text{ В}$; $V_{WM} = 6.5 \text{ В}$; $I_{SP} = 133.9 \text{ А}$	DO-214AB, SMC	K • A
FJD	SMCJ8.5A	STM	vs	$V_{BR}(I_T = 1.0 \text{ mA}) = 9.44 \dots 10.82 \text{ В}$; $V_{WM} = 8.5 \text{ В}$; $I_{SP} = 104.2 \text{ А}$	DO-214AB, SMC	K • A
FJF	SMCJ10A	STM	vs	$V_{BR}(I_T = 1.0 \text{ mA}) = 11.10 \dots 12.80 \text{ В}$; $V_{WM} = 10.0 \text{ В}$; $I_{SP} = 88.2 \text{ А}$	DO-214AB, SMC	K • A
FJH	SMCJ12A	STM	vs	$V_{BR}(I_T = 1.0 \text{ mA}) = 13.30 \dots 15.30 \text{ В}$; $V_{WM} = 12.0 \text{ В}$; $I_{SP} = 75.3 \text{ А}$	DO-214AB, SMC	K • A
FJI	SMCJ13A	STM	vs	$V_{BR}(I_T = 1.0 \text{ mA}) = 14.40 \dots 16.50 \text{ В}$; $V_{WM} = 13.0 \text{ В}$; $I_{SP} = 69.7 \text{ А}$	DO-214AB, SMC	K • A
FJU	SMCJ15A	STM	vs	$V_{BR}(I_T = 1.0 \text{ mA}) = 16.70 \dots 19.20 \text{ В}$; $V_{WM} = 15.0 \text{ В}$; $I_{SP} = 61.5 \text{ А}$	DO-214AB, SMC	K • A
FJL	SMCJ18A	STM	vs	$V_{BR}(I_T = 1.0 \text{ mA}) = 20.00 \dots 23.30 \text{ В}$; $V_{WM} = 18.0 \text{ В}$; $I_{SP} = 51.4 \text{ А}$	DO-214AB, SMC	K • A
FJM	SMCJ20A	STM	vs	$V_{BR}(I_T = 1.0 \text{ mA}) = 22.20 \dots 26.10 \text{ В}$; $V_{WM} = 20.0 \text{ В}$; $I_{SP} = 41.9 \text{ А}$	DO-214AB, SMC	K • A
FJN	SMCJ22A	STM	vs	$V_{BR}(I_T = 1.0 \text{ mA}) = 24.40 \dots 28.00 \text{ В}$; $V_{WM} = 22.0 \text{ В}$; $I_{SP} = 42.2 \text{ А}$	DO-214AB, SMC	K • A
FJO	SMCJ24A	STM	vs	$V_{BR}(I_T = 1.0 \text{ mA}) = 26.70 \dots 30.70 \text{ В}$; $V_{WM} = 24.0 \text{ В}$; $I_{SP} = 38.6 \text{ А}$	DO-214AB, SMC	K • A
FJP	SMCJ26A	STM	vs	$V_{BR}(I_T = 1.0 \text{ mA}) = 28.90 \dots 36.80 \text{ В}$; $V_{WM} = 26.0 \text{ В}$; $I_{SP} = 32.2 \text{ А}$	DO-214AB, SMC	K • A
FJQ	SMCJ28A	STM	vs	$V_{BR}(I_T = 1.0 \text{ mA}) = 31.10 \dots 35.80 \text{ В}$; $V_{WM} = 28.0 \text{ В}$; $I_{SP} = 33.0 \text{ А}$	DO-214AB, SMC	K • A
FJR	SMCJ30A	STM	vs	$V_{BR}(I_T = 1.0 \text{ mA}) = 33.30 \dots 42.40 \text{ В}$; $V_{WM} = 30.0 \text{ В}$; $I_{SP} = 28.0 \text{ А}$	DO-214AB, SMC	K • A
FJS	SMCJ33A	STM	vs	$V_{BR}(I_T = 1.0 \text{ mA}) = 36.70 \dots 42.20 \text{ В}$; $V_{WM} = 33.0 \text{ В}$; $I_{SP} = 28.1 \text{ А}$	DO-214AB, SMC	K • A
FJU	SMCJ40A	STM	vs	$V_{BR}(I_T = 1.0 \text{ mA}) = 44.40 \dots 51.10 \text{ В}$; $V_{WM} = 40.0 \text{ В}$; $I_{SP} = 23.2 \text{ А}$	DO-214AB, SMC	K • A
FJW	SMCJ48A	STM	vs	$V_{BR}(I_T = 1.0 \text{ mA}) = 53.30 \dots 61.30 \text{ В}$; $V_{WM} = 48.0 \text{ В}$; $I_{SP} = 19.4 \text{ А}$	DO-214AB, SMC	K • A
FJZ	SMCJ58A	STM	vs	$V_{BR}(I_T = 1.0 \text{ mA}) = 64.40 \dots 74.60 \text{ В}$; $V_{WM} = 58.0 \text{ В}$; $I_{SP} = 16.0 \text{ А}$	DO-214AB, SMC	K • A



DO214, SMA, SMB, SMC, SOD110

Код	Типономинал	Б	Ф	Особенности	Корпус	Ц: 1-2
GA	GF1A	VISH	dr	$V_R < 50\text{ В}$; $I_R < 1\text{ А}$; $V_F(I_F = 1\text{ А}) < 1\text{ В}$	DO-214BA	K • A
GA	GF1A	GS	dr	$V_R < 50\text{ В}$; $I_R < 1\text{ А}$; $V_F(I_F = 1\text{ А}) < 1\text{ В}$	DO-214BA	K • A
GB	GF1B	VISH	dr	$V_R < 100\text{ В}$; $I_R < 1\text{ А}$; $V_F(I_F = 1\text{ А}) < 1\text{ В}$	DO-214BA	K • A
GB	GF1B	GS	dr	$V_R < 100\text{ В}$; $I_R < 1\text{ А}$; $V_F(I_F = 1\text{ А}) < 1\text{ В}$	DO-214BA	K • A
GBB	SMCJ70CA	STM	vs	$V_{95}(I_T = 1.0\text{ мА}) = 77.80...89.50\text{ В}$; $V_{WM} = 70.0\text{ В}$; $I_{95} = 13.3\text{ А}$	DO-214AB, SMC	K • x
GBCA	SMCJ60CA	STM	vs	$V_{95}(I_T = 1.0\text{ мА}) = 66.70...76.70\text{ В}$; $V_{WM} = 60.0\text{ В}$; $I_{95} = 15.5\text{ А}$	DO-214AB, SMC	K • x
GBE	SMCJ85CA	STM	vs	$V_{95}(I_T = 1.0\text{ мА}) = 94.40...108.20\text{ В}$; $V_{WM} = 85.0\text{ В}$; $I_{95} = 10.4\text{ А}$	DO-214AB, SMC	K • x
GBG	SMCJ100CA	STM	vs	$V_{95}(I_T = 1.0\text{ мА}) = 111.00...141.00\text{ В}$; $V_{WM} = 100.0\text{ В}$; $I_{95} = 8.4\text{ А}$	DO-214AB, SMC	K • x
GBI	SMCJ130CA	STM	vs	$V_{95}(I_T = 1.0\text{ мА}) = 144.00...182.50\text{ В}$; $V_{WM} = 130.0\text{ В}$; $I_{95} = 6.5\text{ А}$	DO-214AB, SMC	K • x
GBL	SMCJ154CA	STM	vs	$V_{95}(I_T = 1.0\text{ мА}) = 171\text{ В}$; $V_{WM} = 154.0\text{ В}$; $I_{95} = 6.1\text{ А}$	DO-214AB, SMC	K • x
GBM	SMCJ170CA	STM	vs	$V_{95}(I_T = 1.0\text{ мА}) = 189.00...217.50\text{ В}$; $V_{WM} = 170.0\text{ В}$; $I_{95} = 5.5\text{ А}$	DO-214AB, SMC	K • x
GBN	SMCJ188CA	STM	vs	$V_{95}(I_T = 1.0\text{ мА}) = 209\text{ В}$; $V_{WM} = 188.0\text{ В}$; $I_{95} = 4.5\text{ А}$	DO-214AB, SMC	K • x
GD	GF1D	VISH	dr	$V_R < 200\text{ В}$; $I_R < 1\text{ А}$; $V_F(I_F = 1\text{ А}) < 1\text{ В}$	DO-214BA	K • A
GD	GF1D	GS	dr	$V_R < 200\text{ В}$; $I_R < 1\text{ А}$; $V_F(I_F = 1\text{ А}) < 1\text{ В}$	DO-214BA	K • A
GDD	SMCJ5 0	VISH	vs	$V_{95}(I_T = 10\text{ мА}) = 6.40...7.55\text{ В}$; $V_{WM} = 5.0\text{ В}$; $I_{95} = 156.2\text{ А}$	DO-214AB, SMC	K • A
GDE	1SMC5.0AT3	ON	vs	$V_{95}(I_T = 10\text{ мА}) = 6.4...7.0\text{ В}$; $V_{WM} = 9.2\text{ В}$; $I_{95} = 163\text{ А}$	DO-214AB, SMC	K • A
GDE	SMCJ5 0A	VISH	vs	$V_{95}(I_T = 10\text{ мА}) = 6.40...7.25\text{ В}$; $V_{WM} = 5.0\text{ В}$; $I_{95} = 163.0\text{ А}$	DO-214AB, SMC	K • A
GDF	SMCJ6 0	VISH	vs	$V_{95}(I_T = 10\text{ мА}) = 6.67...8.45\text{ В}$; $V_{WM} = 6.0\text{ В}$; $I_{95} = 131.6\text{ А}$	DO-214AB, SMC	K • A
GDG	1SMC6.0AT3	ON	vs	$V_{95}(I_T = 10\text{ мА}) = 6.67...7.37\text{ В}$; $V_{WM} = 10.3\text{ В}$; $I_{95} = 145.6\text{ А}$	DO-214AB, SMC	K • A
GDG	SMCJ6 0A	VISH	vs	$V_{95}(I_T = 10\text{ мА}) = 6.67...7.67\text{ В}$; $V_{WM} = 6.0\text{ В}$; $I_{95} = 145.6\text{ А}$	DO-214AB, SMC	K • A
GDH	SMCJ6 5	VISH	vs	$V_{95}(I_T = 10\text{ мА}) = 7.22...9.14\text{ В}$; $V_{WM} = 6.5\text{ В}$; $I_{95} = 122.0\text{ А}$	DO-214AB, SMC	K • A
GDK	1SMC6.5AT3	ON	vs	$V_{95}(I_T = 10\text{ мА}) = 7.22...7.98\text{ В}$; $V_{WM} = 11.2\text{ В}$; $I_{95} = 133.9\text{ А}$	DO-214AB, SMC	K • A
GDK	SMCJ6 5A	VISH	vs	$V_{95}(I_T = 10\text{ мА}) = 7.22...8.30\text{ В}$; $V_{WM} = 6.5\text{ В}$; $I_{95} = 133.9\text{ А}$	DO-214AB, SMC	K • A
GDL	SMCJ7 0	VISH	vs	$V_{95}(I_T = 10\text{ мА}) = 7.78...9.85\text{ В}$; $V_{WM} = 7.0\text{ В}$; $I_{95} = 112.8\text{ А}$	DO-214AB, SMC	K • A
GDM	1SMC7.0AT3	ON	vs	$V_{95}(I_T = 10\text{ мА}) = 7.78...8.6\text{ В}$; $V_{WM} = 12\text{ В}$; $I_{95} = 125\text{ А}$	DO-214AB, SMC	K • A
GDM	SMCJ7 0A	VISH	vs	$V_{95}(I_T = 10\text{ мА}) = 7.78...8.95\text{ В}$; $V_{WM} = 7.0\text{ В}$; $I_{95} = 125.0\text{ А}$	DO-214AB, SMC	K • A
GDN	SMCJ7 5	VISH	vs	$V_{95}(I_T = 1.0\text{ мА}) = 8.33...10.80\text{ В}$; $V_{WM} = 7.5\text{ В}$; $I_{95} = 104.9\text{ А}$	DO-214AB, SMC	K • A
GDP	1SMC7.5AT3	ON	vs	$V_{95}(I_T = 1.0\text{ мА}) = 8.33...9.21\text{ В}$; $V_{WM} = 12.9\text{ В}$; $I_{95} = 116.3\text{ А}$	DO-214AB, SMC	K • A
GDP	SMCJ7 5A	VISH	vs	$V_{95}(I_T = 1.0\text{ мА}) = 8.33...9.58\text{ В}$; $V_{WM} = 7.5\text{ В}$; $I_{95} = 116.3\text{ А}$	DO-214AB, SMC	K • A
GDC	SMCJ8 0	VISH	vs	$V_{95}(I_T = 1.0\text{ мА}) = 8.89...11.30\text{ В}$; $V_{WM} = 8.0\text{ В}$; $I_{95} = 100.0\text{ А}$	DO-214AB, SMC	K • A
GDR	1SMC8.0AT3	ON	vs	$V_{95}(I_T = 1.0\text{ мА}) = 8.89...9.83\text{ В}$; $V_{WM} = 13.6\text{ В}$; $I_{95} = 110.3\text{ А}$	DO-214AB, SMC	K • A
GDR	SMCJ8 0A	VISH	vs	$V_{95}(I_T = 1.0\text{ мА}) = 8.89...10.23\text{ В}$; $V_{WM} = 8.0\text{ В}$; $I_{95} = 110.3\text{ А}$	DO-214AB, SMC	K • A
GDS	SMCJ8 5	VISH	vs	$V_{95}(I_T = 1.0\text{ мА}) = 9.44...11.92\text{ В}$; $V_{WM} = 8.5\text{ В}$; $I_{95} = 94.3\text{ А}$	DO-214AB, SMC	K • A
GDT	1SMC8.5AT3	ON	vs	$V_{95}(I_T = 1.0\text{ мА}) = 9.44...10.4\text{ В}$; $V_{WM} = 14.4\text{ В}$; $I_{95} = 104.2\text{ А}$	DO-214AB, SMC	K • A
GDT	SMCJ8 5A	VISH	vs	$V_{95}(I_T = 1.0\text{ мА}) = 9.44...10.82\text{ В}$; $V_{WM} = 8.5\text{ В}$; $I_{95} = 104.2\text{ А}$	DO-214AB, SMC	K • A
GDU	SMCJ9 0	VISH	vs	$V_{95}(I_T = 1.0\text{ мА}) = 10.00...12.80\text{ В}$; $V_{WM} = 9.0\text{ В}$; $I_{95} = 88.7\text{ А}$	DO-214AB, SMC	K • A
GDV	1SMC9.0AT3	ON	vs	$V_{95}(I_T = 1.0\text{ мА}) = 10...11.1\text{ В}$; $V_{WM} = 15.4\text{ В}$; $I_{95} = 97.4\text{ А}$	DO-214AB, SMC	K • A
GDV	SMCJ9 0A	VISH	vs	$V_{95}(I_T = 1.0\text{ мА}) = 10.00...11.50\text{ В}$; $V_{WM} = 9.0\text{ В}$; $I_{95} = 97.4\text{ А}$	DO-214AB, SMC	K • A
GDW	SMCJ10	VISH	vs	$V_{95}(I_T = 1.0\text{ мА}) = 11.10...14.10\text{ В}$; $V_{WM} = 10.0\text{ В}$; $I_{95} = 79.8\text{ А}$	DO-214AB, SMC	K • A
GDX	1SMC10AT3	ON	vs	$V_{95}(I_T = 1.0\text{ мА}) = 11.1...12.3\text{ В}$; $V_{WM} = 17\text{ В}$; $I_{95} = 88.2\text{ А}$	DO-214AB, SMC	K • A
GDX	SMCJ1 0A	VISH	vs	$V_{95}(I_T = 1.0\text{ мА}) = 11.10...12.80\text{ В}$; $V_{WM} = 10.0\text{ В}$; $I_{95} = 88.2\text{ А}$	DO-214AB, SMC	K • A
GDY	SMCJ11	VISH	vs	$V_{95}(I_T = 1.0\text{ мА}) = 12.20...15.40\text{ В}$; $V_{WM} = 11.0\text{ В}$; $I_{95} = 74.6\text{ А}$	DO-214AB, SMC	K • A
GDZ	1SMC11AT3	ON	vs	$V_{95}(I_T = 1.0\text{ мА}) = 12.2...13.5\text{ В}$; $V_{WM} = 18.2\text{ В}$; $I_{95} = 82.4\text{ А}$	DO-214AB, SMC	K • A
GDZ	SMCJ1 1A	VISH	vs	$V_{95}(I_T = 1.0\text{ мА}) = 12.20...14.40\text{ В}$; $V_{WM} = 11.0\text{ В}$; $I_{95} = 82.4\text{ А}$	DO-214AB, SMC	K • A
GED	SMCJ12	VISH	vs	$V_{95}(I_T = 1.0\text{ мА}) = 13.30...16.90\text{ В}$; $V_{WM} = 12.0\text{ В}$; $I_{95} = 68.2\text{ А}$	DO-214AB, SMC	K • A
GEE	1SMC12AT3	ON	vs	$V_{95}(I_T = 1.0\text{ мА}) = 13.3...14.7\text{ В}$; $V_{WM} = 19.9\text{ В}$; $I_{95} = 75.3\text{ А}$	DO-214AB, SMC	K • A
GEE	SMCJ1 2A	VISH	vs	$V_{95}(I_T = 1.0\text{ мА}) = 13.30...15.30\text{ В}$; $V_{WM} = 12.0\text{ В}$; $I_{95} = 75.3\text{ А}$	DO-214AB, SMC	K • A
GEF	SMCJ13	VISH	vs	$V_{95}(I_T = 1.0\text{ мА}) = 14.40...18.20\text{ В}$; $V_{WM} = 13.0\text{ В}$; $I_{95} = 63.0\text{ А}$	DO-214AB, SMC	K • A
GEG	1SMC13AT3	ON	vs	$V_{95}(I_T = 1.0\text{ мА}) = 14.4...15.9\text{ В}$; $V_{WM} = 21.5\text{ В}$; $I_{95} = 69.7\text{ А}$	DO-214AB, SMC	K • A
GEG	SMCJ1 3A	VISH	vs	$V_{95}(I_T = 1.0\text{ мА}) = 14.40...16.50\text{ В}$; $V_{WM} = 13.0\text{ В}$; $I_{95} = 69.7\text{ А}$	DO-214AB, SMC	K • A
GEH	SMCJ14	VISH	vs	$V_{95}(I_T = 1.0\text{ мА}) = 15.60...19.80\text{ В}$; $V_{WM} = 14.0\text{ В}$; $I_{95} = 58.1\text{ А}$	DO-214AB, SMC	K • A
GEK	1SMC14AT3	ON	vs	$V_{95}(I_T = 1.0\text{ мА}) = 15.6...17.2\text{ В}$; $V_{WM} = 23.2\text{ В}$; $I_{95} = 64.7\text{ А}$	DO-214AB, SMC	K • A
GEK	SMCJ1 4A	VISH	vs	$V_{95}(I_T = 1.0\text{ мА}) = 15.60...17.90\text{ В}$; $V_{WM} = 14.0\text{ В}$; $I_{95} = 64.7\text{ А}$	DO-214AB, SMC	K • A



Код	Типономинал	Б	Ф	Особенности	Корпус	Ц:1-2
GEL	SMCJ15	VISH	vs	$V_{BR}(I_T=1.0\text{ mA})=16.70...21.10\text{ В}; V_{WM}=15.0\text{ В}; I_{SP}=55.8\text{ А}$	DO-214AB, SMC	K•A
GEM	1SMC15AT3	ON	vs	$V_{BR}(I_T=1.0\text{ mA})=16.7...18.5\text{ В}; V_{WM}=24.4\text{ В}; I_{SP}=61.5\text{ А}$	DO-214AB, SMC	K•A
GEM	SMCJ15A	VISH	vs	$V_{BR}(I_T=1.0\text{ mA})=16.70...19.20\text{ В}; V_{WM}=15.0\text{ В}; I_{SP}=61.5\text{ А}$	DO-214AB, SMC	K•A
GEN	SMCJ16	VISH	vs	$V_{BR}(I_T=1.0\text{ mA})=17.80...22.60\text{ В}; V_{WM}=16.0\text{ В}; I_{SP}=52.1\text{ А}$	DO-214AB, SMC	K•A
GEP	1SMC16AT3	ON	vs	$V_{BR}(I_T=1.0\text{ mA})=17.8...19.7\text{ В}; V_{WM}=26\text{ В}; I_{SP}=57.7\text{ А}$	DO-214AB, SMC	K•A
GEP	SMCJ16A	VISH	vs	$V_{BR}(I_T=1.0\text{ mA})=17.80...20.50\text{ В}; V_{WM}=16.0\text{ В}; I_{SP}=57.7\text{ А}$	DO-214AB, SMC	K•A
GEQ	SMCJ17	VISH	vs	$V_{BR}(I_T=1.0\text{ mA})=18.90...23.90\text{ В}; V_{WM}=17.0\text{ В}; I_{SP}=49.2\text{ А}$	DO-214AB, SMC	K•A
GER	1SMC17AT3	ON	vs	$V_{BR}(I_T=1.0\text{ mA})=18.9...20.9\text{ В}; V_{WM}=27.6\text{ В}; I_{SP}=53.3\text{ А}$	DO-214AB, SMC	K•A
GER	SMCJ17A	VISH	vs	$V_{BR}(I_T=1.0\text{ mA})=18.90...21.70\text{ В}; V_{WM}=17.0\text{ В}; I_{SP}=53.3\text{ А}$	DO-214AB, SMC	K•A
GES	SMCJ18	VISH	vs	$V_{BR}(I_T=1.0\text{ mA})=20.00...25.30\text{ В}; V_{WM}=18.0\text{ В}; I_{SP}=46.6\text{ А}$	DO-214AB, SMC	K•A
GET	1SMC18AT3	ON	vs	$V_{BR}(I_T=1.0\text{ mA})=20...22.1\text{ В}; V_{WM}=29.2\text{ В}; I_{SP}=51.4\text{ А}$	DO-214AB, SMC	K•A
GET	SMCJ18A	VISH	vs	$V_{BR}(I_T=1.0\text{ mA})=20.00...23.30\text{ В}; V_{WM}=18.0\text{ В}; I_{SP}=51.4\text{ А}$	DO-214AB, SMC	K•A
GEU	SMCJ20	VISH	vs	$V_{BR}(I_T=1.0\text{ mA})=22.20...28.10\text{ В}; V_{WM}=20.0\text{ В}; I_{SP}=41.9\text{ А}$	DO-214AB, SMC	K•A
GEV	1SMC20AT3	ON	vs	$V_{BR}(I_T=1.0\text{ mA})=22.2...24.5\text{ В}; V_{WM}=32.4\text{ В}; I_{SP}=46.9\text{ А}$	DO-214AB, SMC	K•A
GEV	SMCJ20A	VISH	vs	$V_{BR}(I_T=1.0\text{ mA})=22.20...25.50\text{ В}; V_{WM}=20.0\text{ В}; I_{SP}=46.3\text{ А}$	DO-214AB, SMC	K•A
GEW	SMCJ22	VISH	vs	$V_{BR}(I_T=1.0\text{ mA})=24.40...30.90\text{ В}; V_{WM}=22.0\text{ В}; I_{SP}=38.1\text{ А}$	DO-214AB, SMC	K•A
GEX	1SMC22AT3	ON	vs	$V_{BR}(I_T=1.0\text{ mA})=24.4...26.9\text{ В}; V_{WM}=35.5\text{ В}; I_{SP}=42.2\text{ А}$	DO-214AB, SMC	K•A
GEX	SMCJ22A	VISH	vs	$V_{BR}(I_T=1.0\text{ mA})=24.40...28.00\text{ В}; V_{WM}=22.0\text{ В}; I_{SP}=42.2\text{ А}$	DO-214AB, SMC	K•A
GEY	SMCJ24	VISH	vs	$V_{BR}(I_T=1.0\text{ mA})=26.70...33.80\text{ В}; V_{WM}=24.0\text{ В}; I_{SP}=34.9\text{ А}$	DO-214AB, SMC	K•A
GEZ	1SMC24AT3	ON	vs	$V_{BR}(I_T=1.0\text{ mA})=26.7...29.5\text{ В}; V_{WM}=38.9\text{ В}; I_{SP}=38.6\text{ А}$	DO-214AB, SMC	K•A
GEZ	SMCJ24A	VISH	vs	$V_{BR}(I_T=1.0\text{ mA})=26.70...30.70\text{ В}; V_{WM}=24.0\text{ В}; I_{SP}=38.6\text{ А}$	DO-214AB, SMC	K•A
GFD	SMCJ26	VISH	vs	$V_{BR}(I_T=1.0\text{ mA})=28.90...36.80\text{ В}; V_{WM}=26.0\text{ В}; I_{SP}=32.2\text{ А}$	DO-214AB, SMC	K•A
GFE	1SMC26AT3	ON	vs	$V_{BR}(I_T=1.0\text{ mA})=28.9...31.9\text{ В}; V_{WM}=42.1\text{ В}; I_{SP}=35.6\text{ А}$	DO-214AB, SMC	K•A
GFE	SMCJ26A	VISH	vs	$V_{BR}(I_T=1.0\text{ mA})=28.90...33.20\text{ В}; V_{WM}=26.0\text{ В}; I_{SP}=35.6\text{ А}$	DO-214AB, SMC	K•A
GFF	SMCJ28	VISH	vs	$V_{BR}(I_T=1.0\text{ mA})=31.10...39.40\text{ В}; V_{WM}=28.0\text{ В}; I_{SP}=30.0\text{ А}$	DO-214AB, SMC	K•A
GFG	1SMC28AT3	ON	vs	$V_{BR}(I_T=1.0\text{ mA})=31.1...34.4\text{ В}; V_{WM}=45.4\text{ В}; I_{SP}=33\text{ А}$	DO-214AB, SMC	K•A
GFG	SMCJ28A	VISH	vs	$V_{BR}(I_T=1.0\text{ mA})=31.10...35.80\text{ В}; V_{WM}=28.0\text{ В}; I_{SP}=33.0\text{ А}$	DO-214AB, SMC	K•A
GFI	SMCJ30	VISH	vs	$V_{BR}(I_T=1.0\text{ mA})=33.30...42.40\text{ В}; V_{WM}=30.0\text{ В}; I_{SP}=28.0\text{ А}$	DO-214AB, SMC	K•A
GFK	1SMC30AT3	ON	vs	$V_{BR}(I_T=1.0\text{ mA})=33.3...36.8\text{ В}; V_{WM}=48.4\text{ В}; I_{SP}=31\text{ А}$	DO-214AB, SMC	K•A
GFK	SMCJ30A	VISH	vs	$V_{BR}(I_T=1.0\text{ mA})=33.30...38.30\text{ В}; V_{WM}=30.0\text{ В}; I_{SP}=31.0\text{ А}$	DO-214AB, SMC	K•A
GFL	SMCJ33	VISH	vs	$V_{BR}(I_T=1.0\text{ mA})=36.70...46.90\text{ В}; V_{WM}=33.0\text{ В}; I_{SP}=25.2\text{ А}$	DO-214AB, SMC	K•A
GFM	1SMC33AT3	ON	vs	$V_{BR}(I_T=1.0\text{ mA})=36.7...40.6\text{ В}; V_{WM}=53.3\text{ В}; I_{SP}=28.1\text{ А}$	DO-214AB, SMC	K•A
GFM	SMCJ33A	VISH	vs	$V_{BR}(I_T=1.0\text{ mA})=36.70...42.20\text{ В}; V_{WM}=33.0\text{ В}; I_{SP}=28.1\text{ А}$	DO-214AB, SMC	K•A
GFN	SMCJ36	VISH	vs	$V_{BR}(I_T=1.0\text{ mA})=40.00...50.70\text{ В}; V_{WM}=36.0\text{ В}; I_{SP}=23.3\text{ А}$	DO-214AB, SMC	K•A
GFP	1SMC36AT3	ON	vs	$V_{BR}(I_T=1.0\text{ mA})=40.0...44.2\text{ В}; V_{WM}=58.1\text{ В}; I_{SP}=25.8\text{ А}$	DO-214AB, SMC	K•A
GFP	SMCJ36A	VISH	vs	$V_{BR}(I_T=1.0\text{ mA})=40.00...46.00\text{ В}; V_{WM}=36.0\text{ В}; I_{SP}=25.8\text{ А}$	DO-214AB, SMC	K•A
GQQ	SMCJ40	VISH	vs	$V_{BR}(I_T=1.0\text{ mA})=44.40...56.30\text{ В}; V_{WM}=40.0\text{ В}; I_{SP}=21.0\text{ А}$	DO-214AB, SMC	K•A
GFR	1SMC40AT3	ON	vs	$V_{BR}(I_T=1.0\text{ mA})=44.4...49.1\text{ В}; V_{WM}=64.5\text{ В}; I_{SP}=32.2\text{ А}$	DO-214AB, SMC	K•A
GFR	SMCJ40A	VISH	vs	$V_{BR}(I_T=1.0\text{ mA})=44.40...51.10\text{ В}; V_{WM}=40.0\text{ В}; I_{SP}=23.2\text{ А}$	DO-214AB, SMC	K•A
GFS	SMCJ43	VISH	vs	$V_{BR}(I_T=1.0\text{ mA})=47.80...60.50\text{ В}; V_{WM}=43.0\text{ В}; I_{SP}=19.6\text{ А}$	DO-214AB, SMC	K•A
GFT	1SMC43AT3	ON	vs	$V_{BR}(I_T=1.0\text{ mA})=47.8...52.8\text{ В}; V_{WM}=69.4\text{ В}; I_{SP}=21.6\text{ А}$	DO-214AB, SMC	K•A
GFT	SMCJ43A	VISH	vs	$V_{BR}(I_T=1.0\text{ mA})=47.80...54.90\text{ В}; V_{WM}=43.0\text{ В}; I_{SP}=21.6\text{ А}$	DO-214AB, SMC	K•A
GFI	SMCJ45	VISH	vs	$V_{BR}(I_T=1.0\text{ mA})=50.00...63.30\text{ В}; V_{WM}=45.0\text{ В}; I_{SP}=18.7\text{ А}$	DO-214AB, SMC	K•A
GFV	1SMC45AT3	ON	vs	$V_{BR}(I_T=1.0\text{ mA})=50.0...55.3\text{ В}; V_{WM}=72.2\text{ В}; I_{SP}=20.6\text{ А}$	DO-214AB, SMC	K•A
GFV	SMCJ45A	VISH	vs	$V_{BR}(I_T=1.0\text{ mA})=50.00...57.50\text{ В}; V_{WM}=45.0\text{ В}; I_{SP}=20.6\text{ А}$	DO-214AB, SMC	K•A
GFW	SMCJ48	VISH	vs	$V_{BR}(I_T=1.0\text{ mA})=53.30...67.50\text{ В}; V_{WM}=48.0\text{ В}; I_{SP}=17.5\text{ А}$	DO-214AB, SMC	K•A
GFX	1SMC48AT3	ON	vs	$V_{BR}(I_T=1.0\text{ mA})=53.3...58.9\text{ В}; V_{WM}=77.4\text{ В}; I_{SP}=19.4\text{ А}$	DO-214AB, SMC	K•A
GFX	SMCJ48A	VISH	vs	$V_{BR}(I_T=1.0\text{ mA})=53.30...61.30\text{ В}; V_{WM}=48.0\text{ В}; I_{SP}=19.4\text{ А}$	DO-214AB, SMC	K•A
GFY	SMCJ51	VISH	vs	$V_{BR}(I_T=1.0\text{ mA})=56.70...71.80\text{ В}; V_{WM}=51.0\text{ В}; I_{SP}=16.5\text{ А}$	DO-214AB, SMC	K•A
GFZ	1SMC51AT3	ON	vs	$V_{BR}(I_T=1.0\text{ mA})=56.7...62.7\text{ В}; V_{WM}=82.4\text{ В}; I_{SP}=18.2\text{ А}$	DO-214AB, SMC	K•A
GFZ	SMCJ51A	VISH	vs	$V_{BR}(I_T=1.0\text{ mA})=56.70...65.20\text{ В}; V_{WM}=51.0\text{ В}; I_{SP}=18.2\text{ А}$	DO-214AB, SMC	K•A
GG	GF1G	VISH	dr	$V_A < 400\text{ В}; I_C < 1\text{ А}; V_{CE}(I_C=1\text{ А}) < 1.1\text{ В}$	DO-214BA	K•A
GG	GF1G	GS	dr	$V_A < 400\text{ В}; I_C < 1\text{ А}; V_{CE}(I_C=1\text{ А}) < 1.1\text{ В}$	DO-214BA	K•A



DO214, SMA, SMB, SMC, SOD110

Код	Типономинал	Б	Ф	Особенности	Корпус	Ц: 1-2
GGD	SMCJ54	VISH	vs	$V_{BR}(I_T=1.0\text{ mA})=60.00...76.00\text{ B}$, $V_{WM}=54.0\text{ B}$, $I_{SP}=15.6\text{ A}$	DO-214AB, SMC	K * A
GGE	1SMC54T3	ON	vs	$V_{BR}(I_T=1.0\text{ mA})=60.0...66.3\text{ B}$, $V_{WM}=87.1\text{ B}$, $I_{SP}=17.2\text{ A}$	DO-214AB, SMC	K * A
GGE	SMCJ54A	VISH	vs	$V_{BR}(I_T=1.0\text{ mA})=60.00...69.00\text{ B}$, $V_{WM}=54.0\text{ B}$, $I_{SP}=17.2\text{ A}$	DO-214AB, SMC	K * A
GGF	SMCJ58	VISH	vs	$V_{BR}(I_T=1.0\text{ mA})=64.40...81.60\text{ B}$, $V_{WM}=58.0\text{ B}$, $I_{SP}=14.6\text{ A}$	DO-214AB, SMC	K * A
GGG	1SMC58T3	ON	vs	$V_{BR}(I_T=1.0\text{ mA})=64.4...71.2\text{ B}$, $V_{WM}=93.6\text{ B}$, $I_{SP}=16.0\text{ A}$	DO-214AB, SMC	K * A
GGG	SMCJ58A	VISH	vs	$V_{BR}(I_T=1.0\text{ mA})=64.40...74.60\text{ B}$, $V_{WM}=58.0\text{ B}$, $I_{SP}=16.0\text{ A}$	DO-214AB, SMC	K * A
GGH	SMCJ60	VISH	vs	$V_{BR}(I_T=1.0\text{ mA})=66.70...84.50\text{ B}$, $V_{WM}=60.0\text{ B}$, $I_{SP}=14.0\text{ A}$	DO-214AB, SMC	K * A
GGK	1SMC60T3	ON	vs	$V_{BR}(I_T=1.0\text{ mA})=66.7...73.7\text{ B}$, $V_{WM}=96.8\text{ B}$, $I_{SP}=15.5\text{ A}$	DO-214AB, SMC	K * A
GGK	SMCJ60A	VISH	vs	$V_{BR}(I_T=1.0\text{ mA})=66.70...76.70\text{ B}$, $V_{WM}=60.0\text{ B}$, $I_{SP}=15.5\text{ A}$	DO-214AB, SMC	K * A
GGL	SMCJ64	VISH	vs	$V_{BR}(I_T=1.0\text{ mA})=71.10...90.10\text{ B}$, $V_{WM}=64.0\text{ B}$, $I_{SP}=13.2\text{ A}$	DO-214AB, SMC	K * A
GGM	1SMC64T3	ON	vs	$V_{BR}(I_T=1.0\text{ mA})=71.1...78.6\text{ B}$, $V_{WM}=103\text{ B}$, $I_{SP}=14.6\text{ A}$	DO-214AB, SMC	K * A
GGM	SMCJ64A	VISH	vs	$V_{BR}(I_T=1.0\text{ mA})=71.10...81.80\text{ B}$, $V_{WM}=64.0\text{ B}$, $I_{SP}=14.6\text{ A}$	DO-214AB, SMC	K * A
GGN	SMCJ70	VISH	vs	$V_{BR}(I_T=1.0\text{ mA})=77.80...96.60\text{ B}$, $V_{WM}=70.0\text{ B}$, $I_{SP}=12.0\text{ A}$	DO-214AB, SMC	K * A
GGP	1SMC70T3	ON	vs	$V_{BR}(I_T=1.0\text{ mA})=77.8...86\text{ B}$, $V_{WM}=113\text{ B}$, $I_{SP}=13.3\text{ A}$	DO-214AB, SMC	K * A
GGP	SMCJ70A	VISH	vs	$V_{BR}(I_T=1.0\text{ mA})=77.80...89.50\text{ B}$, $V_{WM}=70.0\text{ B}$, $I_{SP}=13.3\text{ A}$	DO-214AB, SMC	K * A
GGQ	SMCJ75	VISH	vs	$V_{BR}(I_T=1.0\text{ mA})=83.30...106.00\text{ B}$, $V_{WM}=75.0\text{ B}$, $I_{SP}=11.2\text{ A}$	DO-214AB, SMC	K * A
GGR	1SMC75T3	ON	vs	$V_{BR}(I_T=1.0\text{ mA})=83.3...92.1\text{ B}$, $V_{WM}=121\text{ B}$, $I_{SP}=12.4\text{ A}$	DO-214AB, SMC	K * A
GGR	SMCJ75A	VISH	vs	$V_{BR}(I_T=1.0\text{ mA})=83.30...95.80\text{ B}$, $V_{WM}=75.0\text{ B}$, $I_{SP}=12.4\text{ A}$	DO-214AB, SMC	K * A
GGs	SMCJ78	VISH	vs	$V_{BR}(I_T=1.0\text{ mA})=86.70...110.00\text{ B}$, $V_{WM}=78.0\text{ B}$, $I_{SP}=10.8\text{ A}$	DO-214AB, SMC	K * A
GGT	1SMC78T3	ON	vs	$V_{BR}(I_T=1.0\text{ mA})=86.7...95.8\text{ B}$, $V_{WM}=126\text{ B}$, $I_{SP}=11.4\text{ A}$	DO-214AB, SMC	K * A
GGT	SMCJ78A	VISH	vs	$V_{BR}(I_T=1.0\text{ mA})=86.70...99.70\text{ B}$, $V_{WM}=78.0\text{ B}$, $I_{SP}=11.4\text{ A}$	DO-214AB, SMC	K * A
GGU	SMCJ85	VISH	vs	$V_{BR}(I_T=1.0\text{ mA})=94.40...119.20\text{ B}$, $V_{WM}=85.0\text{ B}$, $I_{SP}=9.9\text{ A}$	DO-214AB, SMC	K * A
GGV	SMCJ85A	VISH	vs	$V_{BR}(I_T=1.0\text{ mA})=94.40...108.20\text{ B}$, $V_{WM}=85.0\text{ B}$, $I_{SP}=10.4\text{ A}$	DO-214AB, SMC	K * A
GGW	SMCJ90	VISH	vs	$V_{BR}(I_T=1.0\text{ mA})=100.00...126.50\text{ B}$, $V_{WM}=90.0\text{ B}$, $I_{SP}=9.4\text{ A}$	DO-214AB, SMC	K * A
GGX	SMCJ90A	VISH	vs	$V_{BR}(I_T=1.0\text{ mA})=100.00...115.50\text{ B}$, $V_{WM}=90.0\text{ B}$, $I_{SP}=10.3\text{ A}$	DO-214AB, SMC	K * A
GGY	SMCJ100	VISH	vs	$V_{BR}(I_T=1.0\text{ mA})=111.00...141.00\text{ B}$, $V_{WM}=100.0\text{ B}$, $I_{SP}=8.4\text{ A}$	DO-214AB, SMC	K * A
GGZ	SMCJ100A	VISH	vs	$V_{BR}(I_T=1.0\text{ mA})=111.00...128.00\text{ B}$, $V_{WM}=100.0\text{ B}$, $I_{SP}=9.3\text{ A}$	DO-214AB, SMC	K * A
GHD	SMCJ110	VISH	vs	$V_{BR}(I_T=1.0\text{ mA})=122.00...154.50\text{ B}$, $V_{WM}=110.0\text{ B}$, $I_{SP}=7.7\text{ A}$	DO-214AB, SMC	K * A
GHE	SMCJ110A	VISH	vs	$V_{BR}(I_T=1.0\text{ mA})=122.00...140.50\text{ B}$, $V_{WM}=110.0\text{ B}$, $I_{SP}=8.4\text{ A}$	DO-214AB, SMC	K * A
GHF	SMCJ120	VISH	vs	$V_{BR}(I_T=1.0\text{ mA})=133.00...169.00\text{ B}$, $V_{WM}=120.0\text{ B}$, $I_{SP}=7.0\text{ A}$	DO-214AB, SMC	K * A
GHG	SMCJ120A	VISH	vs	$V_{BR}(I_T=1.0\text{ mA})=133.00...153.00\text{ B}$, $V_{WM}=120.0\text{ B}$, $I_{SP}=7.9\text{ A}$	DO-214AB, SMC	K * A
GHH	SMCJ130	VISH	vs	$V_{BR}(I_T=1.0\text{ mA})=144.00...182.50\text{ B}$, $V_{WM}=130.0\text{ B}$, $I_{SP}=6.5\text{ A}$	DO-214AB, SMC	K * A
GHK	SMCJ130A	VISH	vs	$V_{BR}(I_T=1.0\text{ mA})=144.00...165.50\text{ B}$, $V_{WM}=130.0\text{ B}$, $I_{SP}=7.2\text{ A}$	DO-214AB, SMC	K * A
GHL	SMCJ150	VISH	vs	$V_{BR}(I_T=1.0\text{ mA})=167.00...211.50\text{ B}$, $V_{WM}=150.0\text{ B}$, $I_{SP}=5.6\text{ A}$	DO-214AB, SMC	K * A
GHM	SMCJ150A	VISH	vs	$V_{BR}(I_T=1.0\text{ mA})=167.00...192.50\text{ B}$, $V_{WM}=150.0\text{ B}$, $I_{SP}=6.2\text{ A}$	DO-214AB, SMC	K * A
GHN	SMCJ160	VISH	vs	$V_{BR}(I_T=1.0\text{ mA})=178.00...228.00\text{ B}$, $V_{WM}=160.0\text{ B}$, $I_{SP}=5.2\text{ A}$	DO-214AB, SMC	K * A
GHP	SMCJ160A	VISH	vs	$V_{BR}(I_T=1.0\text{ mA})=178.00...205.00\text{ B}$, $V_{WM}=160.0\text{ B}$, $I_{SP}=5.8\text{ A}$	DO-214AB, SMC	K * A
GHQ	SMCJ170	VISH	vs	$V_{BR}(I_T=1.0\text{ mA})=189.00...239.50\text{ B}$, $V_{WM}=170.0\text{ B}$, $I_{SP}=4.9\text{ A}$	DO-214AB, SMC	K * A
GHR	SMCJ170A	VISH	vs	$V_{BR}(I_T=1.0\text{ mA})=189.00...217.50\text{ B}$, $V_{WM}=170.0\text{ B}$, $I_{SP}=5.5\text{ A}$	DO-214AB, SMC	K * A
GJ	GF1J	VISH	dr	$V_R < 600\text{ B}$, $I_T < 1\text{ A}$, $V_F(I_T=1\text{ A}) < 1.1\text{ B}$	DO-214BA	K * A
GJ	GF1J	GS	dr	$V_R < 600\text{ B}$, $I_T < 1\text{ A}$, $V_F(I_T=1\text{ A}) < 1.1\text{ B}$	DO-214BA	K * A
GK	GF1K	VISH	dr	$V_R < 800\text{ B}$, $I_T < 1\text{ A}$, $V_F(I_T=1\text{ A}) < 1.2\text{ B}$	DO-214BA	K * A
GK	GF1K	GS	dr	$V_R < 800\text{ B}$, $I_T < 1\text{ A}$, $V_F(I_T=1\text{ A}) < 1.2\text{ B}$	DO-214BA	K * A
GM	GF1M	VISH	dr	$V_R < 1000\text{ B}$, $I_T < 1\text{ A}$, $V_F(I_T=1\text{ A}) < 1.2\text{ B}$	DO-214BA	K * A
GM	GF1M	GS	dr	$V_R < 1000\text{ B}$, $I_T < 1\text{ A}$, $V_F(I_T=1\text{ A}) < 1.2\text{ B}$	DO-214BA	K * A
GUA	SMCJ60A	STM	vs	$V_{BR}(I_T=1.0\text{ mA})=66.70...76.70\text{ B}$, $V_{WM}=60.0\text{ B}$, $I_{SP}=15.5\text{ A}$	DO-214AB, SMC	K * A
GUB	SMCJ70A	STM	vs	$V_{BR}(I_T=1.0\text{ mA})=77.80...89.50\text{ B}$, $V_{WM}=70.0\text{ B}$, $I_{SP}=13.3\text{ A}$	DO-214AB, SMC	K * A
GUE	SMCJ85A	STM	vs	$V_{BR}(I_T=1.0\text{ mA})=94.40...108.20\text{ B}$, $V_{WM}=85.0\text{ B}$, $I_{SP}=10.4\text{ A}$	DO-214AB, SMC	K * A
GUG	SMCJ100A	STM	vs	$V_{BR}(I_T=1.0\text{ mA})=111.00...141.00\text{ B}$, $V_{WM}=100.0\text{ B}$, $I_{SP}=8.4\text{ A}$	DO-214AB, SMC	K * A
GUI	SMCJ130A	STM	vs	$V_{BR}(I_T=1.0\text{ mA})=144.00...182.50\text{ B}$, $V_{WM}=130.0\text{ B}$, $I_{SP}=6.5\text{ A}$	DO-214AB, SMC	K * A
GUL	SMCJ150A	STM	vs	$V_{BR}(I_T=1.0\text{ mA})=171\text{ B}$, $V_{WM}=154.0\text{ B}$, $I_{SP}=6.1\text{ A}$	DO-214AB, SMC	K * A
GUM	SMCJ170A	STM	vs	$V_{BR}(I_T=1.0\text{ mA})=189.00...217.50\text{ B}$, $V_{WM}=170.0\text{ B}$, $I_{SP}=5.5\text{ A}$	DO-214AB, SMC	K * A
GUN	SMCJ186A	STM	vs	$V_{BR}(I_T=1.0\text{ mA})=209\text{ B}$, $V_{WM}=188.0\text{ B}$, $I_{SP}=4.6\text{ A}$	DO-214AB, SMC	K * A



Код	Типономинал	Б	Ф	Особенности	Корпус	Ц:1-2
HD	SMAJ5 0	VISH	vs	$V_{BR}(I_T=10.0\text{ mA})=6.40...7.30\text{ B}$; $V_{WM}=9.6\text{ B}$; $I_{SP}=41.6\text{ A}$	DO-214AC, SMA	К*А
HE	SMAJ5 0A	VISH	vs	$V_{BR}(I_T=10.0\text{ mA})=6.4...7.0\text{ B}$; $V_{WM}=9.2\text{ B}$; $I_{SP}=43.5\text{ A}$	DO-214AC, SMA	К*А
HF	SMAJ6 0	VISH	vs	$V_{BR}(I_T=10.0\text{ mA})=6.67...8.15\text{ B}$; $V_{WM}=11.4\text{ B}$; $I_{SP}=35.1\text{ A}$	DO-214AC, SMA	К*А
HG	SMAJ6 0A	VISH	vs	$V_{BR}(I_T=10.0\text{ mA})=6.67...7.37\text{ B}$; $V_{WM}=10.3\text{ B}$; $I_{SP}=38.8\text{ A}$	DO-214AC, SMA	К*А
HH	SMAJ6 5	VISH	vs	$V_{BR}(I_T=10.0\text{ mA})=7.22...8.82\text{ B}$; $V_{WM}=12.3\text{ B}$; $I_{SP}=32.5\text{ A}$	DO-214AC, SMA	К*А
HK	SMAJ6 5A	VISH	vs	$V_{BR}(I_T=10.0\text{ mA})=7.22...7.98\text{ B}$; $V_{WM}=11.2\text{ B}$; $I_{SP}=35.7\text{ A}$	DO-214AC, SMA	К*А
HL	SMAJ7 0	VISH	vs	$V_{BR}(I_T=10.0\text{ mA})=7.78...9.51\text{ B}$; $V_{WM}=13.3\text{ B}$; $I_{SP}=30.1\text{ A}$	DO-214AC, SMA	К*А
HM	SMAJ7 0A	VISH	vs	$V_{BR}(I_T=10.0\text{ mA})=7.78...8.60\text{ B}$; $V_{WM}=12.0\text{ B}$; $I_{SP}=33.3\text{ A}$	DO-214AC, SMA	К*А
HN	SMAJ7 5	VISH	vs	$V_{BR}(I_T=1.0\text{ mA})=8.33...10.3\text{ B}$; $V_{WM}=14.3\text{ B}$; $I_{SP}=28.0\text{ A}$	DO-214AC, SMA	К*А
HP	SMAJ7 5A	VISH	vs	$V_{BR}(I_T=1.0\text{ mA})=8.33...9.21\text{ B}$; $V_{WM}=12.9\text{ B}$; $I_{SP}=31.0\text{ A}$	DO-214AC, SMA	К*А
HQ	SMAJ8 0	VISH	vs	$V_{BR}(I_T=1.0\text{ mA})=8.89...10.9\text{ B}$; $V_{WM}=15.0\text{ B}$; $I_{SP}=26.5\text{ A}$	DO-214AC, SMA	К*А
HR	SMAJ8 0A	VISH	vs	$V_{BR}(I_T=1.0\text{ mA})=8.89...9.83\text{ B}$; $V_{WM}=13.6\text{ B}$; $I_{SP}=29.4\text{ A}$	DO-214AC, SMA	К*А
HS	SMAJ8 5	VISH	vs	$V_{BR}(I_T=1.0\text{ mA})=9.44...11.5\text{ B}$; $V_{WM}=15.9\text{ B}$; $I_{SP}=25.1\text{ A}$	DO-214AC, SMA	К*А
HT	SMAJ8 5A	VISH	vs	$V_{BR}(I_T=1.0\text{ mA})=9.44...10.4\text{ B}$; $V_{WM}=14.4\text{ B}$; $I_{SP}=27.7\text{ A}$	DO-214AC, SMA	К*А
HU	SMAJ9 0	VISH	vs	$V_{BR}(I_T=1.0\text{ mA})=10.0...12.2\text{ B}$; $V_{WM}=16.9\text{ B}$; $I_{SP}=23.6\text{ A}$	DO-214AC, SMA	К*А
HV	SMAJ9 0A	VISH	vs	$V_{BR}(I_T=1.0\text{ mA})=10.0...11.1\text{ B}$; $V_{WM}=15.4\text{ B}$; $I_{SP}=26.0\text{ A}$	DO-214AC, SMA	К*А
HW	SMAJ10	VISH	vs	$V_{BR}(I_T=1.0\text{ mA})=11.1...13.6\text{ B}$; $V_{WM}=18.8\text{ B}$; $I_{SP}=21.2\text{ A}$	DO-214AC, SMA	К*А
HX	SMAJ10A	VISH	vs	$V_{BR}(I_T=1.0\text{ mA})=11.1...12.3\text{ B}$; $V_{WM}=17.0\text{ B}$; $I_{SP}=23.5\text{ A}$	DO-214AC, SMA	К*А
HY	SMAJ11	VISH	vs	$V_{BR}(I_T=1.0\text{ mA})=12.2...14.9\text{ B}$; $V_{WM}=20.1\text{ B}$; $I_{SP}=20.0\text{ A}$	DO-214AC, SMA	К*А
IZ	SMAJ11A	VISH	vs	$V_{BR}(I_T=1.0\text{ mA})=12.2...13.5\text{ B}$; $V_{WM}=18.2\text{ B}$; $I_{SP}=22.0\text{ A}$	DO-214AC, SMA	К*А
ID	SMAJ12	VISH	vs	$V_{BR}(I_T=1.0\text{ mA})=13.3...16.3\text{ B}$; $V_{WM}=22.0\text{ B}$; $I_{SP}=18.1\text{ A}$	DO-214AC, SMA	К*А
IE	SMAJ12A	VISH	vs	$V_{BR}(I_T=1.0\text{ mA})=13.3...14.7\text{ B}$; $V_{WM}=19.9\text{ B}$; $I_{SP}=20.1\text{ A}$	DO-214AC, SMA	К*А
IF	SMAJ13	VISH	vs	$V_{BR}(I_T=1.0\text{ mA})=14.4...17.6\text{ B}$; $V_{WM}=23.8\text{ B}$; $I_{SP}=16.8\text{ A}$	DO-214AC, SMA	К*А
IG	SMAJ13A	VISH	vs	$V_{BR}(I_T=1.0\text{ mA})=14.4...15.9\text{ B}$; $V_{WM}=21.5\text{ B}$; $I_{SP}=18.6\text{ A}$	DO-214AC, SMA	К*А
IH	SMAJ14	VISH	vs	$V_{BR}(I_T=1.0\text{ mA})=15.6...19.1\text{ B}$; $V_{WM}=25.8\text{ B}$; $I_{SP}=15.5\text{ A}$	DO-214AC, SMA	К*А
IK	SMAJ14A	VISH	vs	$V_{BR}(I_T=1.0\text{ mA})=15.6...17.2\text{ B}$; $V_{WM}=23.2\text{ B}$; $I_{SP}=17.2\text{ A}$	DO-214AC, SMA	К*А
IL	SMAJ15	VISH	vs	$V_{BR}(I_T=1.0\text{ mA})=16.7...20.4\text{ B}$; $V_{WM}=26.9\text{ B}$; $I_{SP}=14.8\text{ A}$	DO-214AC, SMA	К*А
IM	SMAJ15A	VISH	vs	$V_{BR}(I_T=1.0\text{ mA})=16.7...18.5\text{ B}$; $V_{WM}=24.4\text{ B}$; $I_{SP}=16.4\text{ A}$	DO-214AC, SMA	К*А
IN	SMAJ16	VISH	vs	$V_{BR}(I_T=1.0\text{ mA})=17.8...21.8\text{ B}$; $V_{WM}=28.8\text{ B}$; $I_{SP}=13.8\text{ A}$	DO-214AC, SMA	К*А
IP	SMAJ16A	VISH	vs	$V_{BR}(I_T=1.0\text{ mA})=17.8...19.7\text{ B}$; $V_{WM}=26.0\text{ B}$; $I_{SP}=15.3\text{ A}$	DO-214AC, SMA	К*А
IQ	SMAJ17	VISH	vs	$V_{BR}(I_T=1.0\text{ mA})=18.9...23.1\text{ B}$; $V_{WM}=30.5\text{ B}$; $I_{SP}=13.1\text{ A}$	DO-214AC, SMA	К*А
IR	SMAJ17A	VISH	vs	$V_{BR}(I_T=1.0\text{ mA})=18.9...20.9\text{ B}$; $V_{WM}=27.6\text{ B}$; $I_{SP}=14.5\text{ A}$	DO-214AC, SMA	К*А
IS	SMAJ18	VISH	vs	$V_{BR}(I_T=1.0\text{ mA})=20.0...24.4\text{ B}$; $V_{WM}=32.2\text{ B}$; $I_{SP}=12.4\text{ A}$	DO-214AC, SMA	К*А
IT	SMAJ18A	VISH	vs	$V_{BR}(I_T=1.0\text{ mA})=20.0...22.1\text{ B}$; $V_{WM}=29.2\text{ B}$; $I_{SP}=13.7\text{ A}$	DO-214AC, SMA	К*А
IU	SMAJ20	VISH	vs	$V_{BR}(I_T=1.0\text{ mA})=22.2...27.1\text{ B}$; $V_{WM}=35.8\text{ B}$; $I_{SP}=11.1\text{ A}$	DO-214AC, SMA	К*А
IV	SMAJ20A	VISH	vs	$V_{BR}(I_T=1.0\text{ mA})=22.2...24.5\text{ B}$; $V_{WM}=32.4\text{ B}$; $I_{SP}=12.3\text{ A}$	DO-214AC, SMA	К*А
IW	SMAJ22	VISH	vs	$V_{BR}(I_T=1.0\text{ mA})=24.4...29.8\text{ B}$; $V_{WM}=39.4\text{ B}$; $I_{SP}=10.1\text{ A}$	DO-214AC, SMA	К*А
IX	SMAJ22A	VISH	vs	$V_{BR}(I_T=1.0\text{ mA})=24.4...26.9\text{ B}$; $V_{WM}=35.5\text{ B}$; $I_{SP}=11.2\text{ A}$	DO-214AC, SMA	К*А
IY	SMAJ24	VISH	vs	$V_{BR}(I_T=1.0\text{ mA})=26.7...32.6\text{ B}$; $V_{WM}=43.0\text{ B}$; $I_{SP}=9.3\text{ A}$	DO-214AC, SMA	К*А
IZ	SMAJ24A	VISH	vs	$V_{BR}(I_T=1.0\text{ mA})=26.7...29.5\text{ B}$; $V_{WM}=38.9\text{ B}$; $I_{SP}=10.3\text{ A}$	DO-214AC, SMA	К*А
JD	SMAJ26	VISH	vs	$V_{BR}(I_T=1.0\text{ mA})=28.9...31.9\text{ B}$; $V_{WM}=46.6\text{ B}$; $I_{SP}=8.6\text{ A}$	DO-214AC, SMA	К*А
JE	SMAJ26A	VISH	vs	$V_{BR}(I_T=1.0\text{ mA})=28.9...25.3\text{ B}$; $V_{WM}=42.1\text{ B}$; $I_{SP}=9.5\text{ A}$	DO-214AC, SMA	К*А
JF	SMAJ28	VISH	vs	$V_{BR}(I_T=1.0\text{ mA})=31.1...38.0\text{ B}$; $V_{WM}=50.0\text{ B}$; $I_{SP}=8.0\text{ A}$	DO-214AC, SMA	К*А
JG	SMAJ28A	VISH	vs	$V_{BR}(I_T=1.0\text{ mA})=31.1...34.4\text{ B}$; $V_{WM}=45.4\text{ B}$; $I_{SP}=8.8\text{ A}$	DO-214AC, SMA	К*А
JH	SMAJ30	VISH	vs	$V_{BR}(I_T=1.0\text{ mA})=33.3...40.7\text{ B}$; $V_{WM}=53.5\text{ B}$; $I_{SP}=7.5\text{ A}$	DO-214AC, SMA	К*А
JK	SMAJ30A	VISH	vs	$V_{BR}(I_T=1.0\text{ mA})=33.3...36.8\text{ B}$; $V_{WM}=48.4\text{ B}$; $I_{SP}=8.3\text{ A}$	DO-214AC, SMA	К*А
JL	SMAJ33	VISH	vs	$V_{BR}(I_T=1.0\text{ mA})=36.7...44.9\text{ B}$; $V_{WM}=59.0\text{ B}$; $I_{SP}=6.8\text{ A}$	DO-214AC, SMA	К*А
JM	SMAJ33A	VISH	vs	$V_{BR}(I_T=1.0\text{ mA})=36.7...40.6\text{ B}$; $V_{WM}=53.3\text{ B}$; $I_{SP}=7.5\text{ A}$	DO-214AC, SMA	К*А
JN	SMAJ36	VISH	vs	$V_{BR}(I_T=1.0\text{ mA})=40.0...48.9\text{ B}$; $V_{WM}=64.3\text{ B}$; $I_{SP}=6.2\text{ A}$	DO-214AC, SMA	К*А
JP	SMAJ36A	VISH	vs	$V_{BR}(I_T=1.0\text{ mA})=40.0...44.2\text{ B}$; $V_{WM}=58.1\text{ B}$; $I_{SP}=6.9\text{ A}$	DO-214AC, SMA	К*А
JQ	SMAJ40	VISH	vs	$V_{BR}(I_T=1.0\text{ mA})=44.4...54.3\text{ B}$; $V_{WM}=71.4\text{ B}$; $I_{SP}=5.6\text{ A}$	DO-214AC, SMA	К*А
JR	SMAJ40A	VISH	vs	$V_{BR}(I_T=1.0\text{ mA})=44.4...49.1\text{ B}$; $V_{WM}=64.5\text{ B}$; $I_{SP}=6.2\text{ A}$	DO-214AC, SMA	К*А
JS	SMAJ43	VISH	vs	$V_{BR}(I_T=1.0\text{ mA})=47.8...58.4\text{ B}$; $V_{WM}=76.7\text{ B}$; $I_{SP}=5.2\text{ A}$	DO-214AC, SMA	К*А



DO214, SMA, SMB, SMC, SOD110

Код	Типономинал	Б	Ф	Особенности	Корпус	Ц: 1-2
JT	SMAJ43A	VISH	vs	$V_{98}(I_T=1.0\text{ mA})=47.8\text{...}52.8\text{ B}$; $V_{DM}=69.4\text{ B}$; $I_{90}=5.7\text{ A}$	DO-214AC, SMA	K * A
JU	SMAJ45	VISH	vs	$V_{98}(I_T=1.0\text{ mA})=50.0\text{...}61.1\text{ B}$; $V_{DM}=80.3\text{ B}$; $I_{90}=5.0\text{ A}$	DO-214AC, SMA	K * A
JV	SMAJ45A	VISH	vs	$V_{98}(I_T=1.0\text{ mA})=50.0\text{...}55.3\text{ B}$; $V_{DM}=72.7\text{ B}$; $I_{90}=5.5\text{ A}$	DO-214AC, SMA	K * A
JW	SMAJ48	VISH	vs	$V_{98}(I_T=1.0\text{ mA})=53.3\text{...}65.1\text{ B}$; $V_{DM}=85.5\text{ B}$; $I_{90}=4.7\text{ A}$	DO-214AC, SMA	K * A
JX	SMAJ48A	VISH	vs	$V_{98}(I_T=1.0\text{ mA})=53.3\text{...}58.9\text{ B}$; $V_{DM}=77.4\text{ B}$; $I_{90}=5.2\text{ A}$	DO-214AC, SMA	K * A
JY	SMAJ51	VISH	vs	$V_{98}(I_T=1.0\text{ mA})=56.7\text{...}69.3\text{ B}$; $V_{DM}=91.1\text{ B}$; $I_{90}=4.4\text{ A}$	DO-214AC, SMA	K * A
JZ	SMAJ51A	VISH	vs	$V_{98}(I_T=1.0\text{ mA})=56.7\text{...}62.7\text{ B}$; $V_{DM}=82.4\text{ B}$; $I_{90}=4.9\text{ A}$	DO-214AC, SMA	K * A
KD	SMBJ5 0	VISH	vs	$V_{98}(I_T=10\text{ mA})=6.40\text{...}7.55\text{ B}$; $V_{DM}=5.0\text{ B}$; $I_{90}=62.5\text{ A}$	DO-214AA, SMB	K * A
KDP	TPSMB6 8	GS	vs	$V_{98}(I_T=10\text{ mA})=6.12\text{...}7.48\text{ B}$; $V_{DM}=5.50\text{ B}$; $I_{90}=55.6\text{ A}$	DO-214AA, SMB	K * A
KE	1SMB5 0AT3	ON	vs	$V_{98}(I_T=10\text{ mA})=6.4\text{...}7.0\text{ B}$; $V_{DM}=9.2\text{ B}$; $I_{90}=65.2\text{ A}$	DO-214AA, SMB	K * A
KE	SMBJ5 0A	VISH	vs	$V_{98}(I_T=10\text{ mA})=6.40\text{...}7.23\text{ B}$; $V_{DM}=5.0\text{ B}$; $I_{90}=65.2\text{ A}$	DO-214AA, SMB	K * A
KEP	TPSMB6 8A	GS	vs	$V_{98}(I_T=10\text{ mA})=6.45\text{...}7.14\text{ B}$; $V_{DM}=5.80\text{ B}$; $I_{90}=57.1\text{ A}$	DO-214AA, SMB	K * A
KF	SMBJ5 0A	VISH	vs	$V_{98}(I_T=10\text{ mA})=6.67\text{...}8.45\text{ B}$; $V_{DM}=6.0\text{ B}$; $I_{90}=52.6\text{ A}$	DO-214AA, SMB	K * A
KFP	TPSMB7 5	GS	vs	$V_{98}(I_T=10\text{ mA})=6.75\text{...}8.25\text{ B}$; $V_{DM}=6.05\text{ B}$; $I_{90}=51.3\text{ A}$	DO-214AA, SMB	K * A
KG	1SMB6 0AT3	ON	vs	$V_{98}(I_T=10\text{ mA})=6.67\text{...}7.37\text{ B}$; $V_{DM}=10.3\text{ B}$; $I_{90}=58.3\text{ A}$	DO-214AA, SMB	K * A
KG	SMBJ5 0A	VISH	vs	$V_{98}(I_T=10\text{ mA})=6.67\text{...}7.67\text{ B}$; $V_{DM}=6.0\text{ B}$; $I_{90}=58.3\text{ A}$	DO-214AA, SMB	K * A
KGP	TPSMB7 5A	GS	vs	$V_{98}(I_T=10\text{ mA})=7.13\text{...}7.88\text{ B}$; $V_{DM}=6.40\text{ B}$; $I_{90}=53.1\text{ A}$	DO-214AA, SMB	K * A
KH	SMBJ5 5	VISH	vs	$V_{98}(I_T=10\text{ mA})=7.22\text{...}9.14\text{ B}$; $V_{DM}=6.5\text{ B}$; $I_{90}=48.7\text{ A}$	DO-214AA, SMB	K * A
KHP	TPSMB8 2	GS	vs	$V_{98}(I_T=10\text{ mA})=7.38\text{...}9.02\text{ B}$; $V_{DM}=6.63\text{ B}$; $I_{90}=48.0\text{ A}$	DO-214AA, SMB	K * A
KK	1SMB6 5AT3	ON	vs	$V_{98}(I_T=10\text{ mA})=7.22\text{...}7.98\text{ B}$; $V_{DM}=11.2\text{ B}$; $I_{90}=53.6\text{ A}$	DO-214AA, SMB	K * A
KK	SMBJ5 5A	VISH	vs	$V_{98}(I_T=10\text{ mA})=7.22\text{...}8.30\text{ B}$; $V_{DM}=6.5\text{ B}$; $I_{90}=53.6\text{ A}$	DO-214AA, SMB	K * A
KKP	TPSMB8 2A	GS	vs	$V_{98}(I_T=10\text{ mA})=7.79\text{...}8.61\text{ B}$; $V_{DM}=7.02\text{ B}$; $I_{90}=49.6\text{ A}$	DO-214AA, SMB	K * A
KL	SMBJ7 0	VISH	vs	$V_{98}(I_T=10\text{ mA})=7.78\text{...}9.86\text{ B}$; $V_{DM}=7.0\text{ B}$; $I_{90}=45.1\text{ A}$	DO-214AA, SMB	K * A
KLP	TPSMB9 1	GS	vs	$V_{98}(I_T=1.0\text{ mA})=8.19\text{...}10.0\text{ B}$; $V_{DM}=7.37\text{ B}$; $I_{90}=43.5\text{ A}$	DO-214AA, SMB	K * A
KM	1SMB7 0AT3	ON	vs	$V_{98}(I_T=10\text{ mA})=7.78\text{...}8.6\text{ B}$; $V_{DM}=12.0\text{ B}$; $I_{90}=50.0\text{ A}$	DO-214AA, SMB	K * A
KM	SMBJ7 0A	VISH	vs	$V_{98}(I_T=10\text{ mA})=7.78\text{...}8.95\text{ B}$; $V_{DM}=7.0\text{ B}$; $I_{90}=50.0\text{ A}$	DO-214AA, SMB	K * A
KMP	TPSMB9 1A	GS	vs	$V_{98}(I_T=1.0\text{ mA})=8.65\text{...}9.55\text{ B}$; $V_{DM}=7.78\text{ B}$; $I_{90}=44.8\text{ A}$	DO-214AA, SMB	K * A
KN	SMBJ7 5	VISH	vs	$V_{98}(I_T=1.0\text{ mA})=8.33\text{...}10.80\text{ B}$; $V_{DM}=7.5\text{ B}$; $I_{90}=42.0\text{ A}$	DO-214AA, SMB	K * A
KNP	TPSMB10	GS	vs	$V_{98}(I_T=1.0\text{ mA})=9.00\text{...}11.0\text{ B}$; $V_{DM}=8.10\text{ B}$; $I_{90}=40.0\text{ A}$	DO-214AA, SMB	K * A
KP	1SMB7 5AT3	ON	vs	$V_{98}(I_T=1.0\text{ mA})=8.33\text{...}9.21\text{ B}$; $V_{DM}=12.9\text{ B}$; $I_{90}=46.5\text{ A}$	DO-214AA, SMB	K * A
KP	SMBJ7 5A	VISH	vs	$V_{98}(I_T=1.0\text{ mA})=8.33\text{...}9.58\text{ B}$; $V_{DM}=7.5\text{ B}$; $I_{90}=46.5\text{ A}$	DO-214AA, SMB	K * A
KPP	TPSMB10A	GS	vs	$V_{98}(I_T=1.0\text{ mA})=9.50\text{...}10.5\text{ B}$; $V_{DM}=8.55\text{ B}$; $I_{90}=41.4\text{ A}$	DO-214AA, SMB	K * A
KQ	SMBJ8 0	VISH	vs	$V_{98}(I_T=1.0\text{ mA})=8.89\text{...}11.30\text{ B}$; $V_{DM}=8.0\text{ B}$; $I_{90}=40.0\text{ A}$	DO-214AA, SMB	K * A
KQP	TPSMB11	GS	vs	$V_{98}(I_T=1.0\text{ mA})=9.90\text{...}12.1\text{ B}$; $V_{DM}=8.92\text{ B}$; $I_{90}=37.0\text{ A}$	DO-214AA, SMB	K * A
KR	1SMB8 0AT3	ON	vs	$V_{98}(I_T=1.0\text{ mA})=8.89\text{...}9.83\text{ B}$; $V_{DM}=13.6\text{ B}$; $I_{90}=44.1\text{ A}$	DO-214AA, SMB	K * A
KR	SMBJ8 0A	VISH	vs	$V_{98}(I_T=1.0\text{ mA})=8.89\text{...}10.23\text{ B}$; $V_{DM}=8.0\text{ B}$; $I_{90}=44.1\text{ A}$	DO-214AA, SMB	K * A
KRP	TPSMB11A	GS	vs	$V_{98}(I_T=1.0\text{ mA})=10.5\text{...}11.6\text{ B}$; $V_{DM}=9.40\text{ B}$; $I_{90}=38.5\text{ A}$	DO-214AA, SMB	K * A
KS	SMBJ8 5	VISH	vs	$V_{98}(I_T=1.0\text{ mA})=9.44\text{...}11.92\text{ B}$; $V_{DM}=8.5\text{ B}$; $I_{90}=37.7\text{ A}$	DO-214AA, SMB	K * A
KSP	TPSMB12	GS	vs	$V_{98}(I_T=1.0\text{ mA})=10.8\text{...}13.2\text{ B}$; $V_{DM}=9.72\text{ B}$; $I_{90}=34.7\text{ A}$	DO-214AA, SMB	K * A
KT	1SMB8 5AT3	ON	vs	$V_{98}(I_T=1.0\text{ mA})=9.44\text{...}10.4\text{ B}$; $V_{DM}=14.4\text{ B}$; $I_{90}=41.7\text{ A}$	DO-214AA, SMB	K * A
KT	SMBJ8 5A	VISH	vs	$V_{98}(I_T=1.0\text{ mA})=9.44\text{...}10.82\text{ B}$; $V_{DM}=8.5\text{ B}$; $I_{90}=41.7\text{ A}$	DO-214AA, SMB	K * A
KTP	TPSMB12A	GS	vs	$V_{98}(I_T=1.0\text{ mA})=11.4\text{...}12.6\text{ B}$; $V_{DM}=10.2\text{ B}$; $I_{90}=35.9\text{ A}$	DO-214AA, SMB	K * A
KU	SMBJ9 0	VISH	vs	$V_{98}(I_T=1.0\text{ mA})=10.00\text{...}12.80\text{ B}$; $V_{DM}=9.0\text{ B}$; $I_{90}=35.5\text{ A}$	DO-214AA, SMB	K * A
KUP	TPSMB13	GS	vs	$V_{98}(I_T=1.0\text{ mA})=11.7\text{...}14.3\text{ B}$; $V_{DM}=10.5\text{ B}$; $I_{90}=31.6\text{ A}$	DO-214AA, SMB	K * A
KV	1SMB9 0AT3	ON	vs	$V_{98}(I_T=1.0\text{ mA})=10.0\text{...}11.1\text{ B}$; $V_{DM}=15.4\text{ B}$; $I_{90}=39\text{ A}$	DO-214AA, SMB	K * A
KV	SMBJ9 0A	VISH	vs	$V_{98}(I_T=1.0\text{ mA})=10.00\text{...}11.50\text{ B}$; $V_{DM}=9.0\text{ B}$; $I_{90}=39.0\text{ A}$	DO-214AA, SMB	K * A
KVP	TPSMB13A	GS	vs	$V_{98}(I_T=1.0\text{ mA})=12.4\text{...}13.7\text{ B}$; $V_{DM}=11.1\text{ B}$; $I_{90}=33.0\text{ A}$	DO-214AA, SMB	K * A
KW	SMBJ10	VISH	vs	$V_{98}(I_T=1.0\text{ mA})=11.10\text{...}14.10\text{ B}$; $V_{DM}=10.0\text{ B}$; $I_{90}=31.9\text{ A}$	DO-214AA, SMB	K * A
KWP	TPSMB15	GS	vs	$V_{98}(I_T=1.0\text{ mA})=13.5\text{...}16.5\text{ B}$; $V_{DM}=12.1\text{ B}$; $I_{90}=27.3\text{ A}$	DO-214AA, SMB	K * A
KX	1SMB10AT3	ON	vs	$V_{98}(I_T=1.0\text{ mA})=11.1\text{...}12.3\text{ B}$; $V_{DM}=17\text{ B}$; $I_{90}=35.3\text{ A}$	DO-214AA, SMB	K * A
KX	SMBJ10A	VISH	vs	$V_{98}(I_T=1.0\text{ mA})=11.10\text{...}12.80\text{ B}$; $V_{DM}=10.0\text{ B}$; $I_{90}=35.3\text{ A}$	DO-214AA, SMB	K * A
KXC	1SMB10CAT3	ON	vs	$V_{98}(I_T=1.0\text{ mA})=11.1\text{...}12.27\text{ B}$; $V_{DM}=17\text{ B}$; $I_{90}=35.3\text{ A}$	DO-214AA, SMB	x * x
KXP	TPSMB15A	GS	vs	$V_{98}(I_T=1.0\text{ mA})=14.3\text{...}15.8\text{ B}$; $V_{DM}=12.8\text{ B}$; $I_{90}=28.3\text{ A}$	DO-214AA, SMB	K * A



Код	Типономинал	Б	Ф	Особенности	Корпус	Ц:1-2
KY	SMBJ11	VISH	vs	$V_{BR}(I_T = 1.0 \text{ mA}) = 12.20 \dots 15.40 \text{ В}; V_{WM} = 11.0 \text{ В}; I_{SP} = 29.9 \text{ А}$	DO-214AAA SMB	K•A
KYP	TPSMB16	GS	vs	$V_{BR}(I_T = 1.0 \text{ mA}) = 14.4 \dots 17.6 \text{ В}; V_{WM} = 12.9 \text{ В}; I_{SP} = 25.5 \text{ А}$	DO-214AA SMB	K•A
KZ	1SMB11AT3	ON	vs	$V_{BR}(I_T = 1.0 \text{ mA}) = 12.2 \dots 13.5 \text{ В}; V_{WM} = 18.2 \text{ В}; I_{SP} = 33 \text{ А}$	DO-214AA SMB	K•A
KZ	SMBJ11A	VISH	vs	$V_{BR}(I_T = 1.0 \text{ mA}) = 12.20 \dots 14.40 \text{ В}; V_{WM} = 11.0 \text{ В}; I_{SP} = 33.0 \text{ А}$	DO-214AA SMB	K•A
KZC	1SMB11CAT3	ON	vs	$V_{BR}(I_T = 1.0 \text{ mA}) = 12.2 \dots 13.5 \text{ В}; V_{WM} = 18.2 \text{ В}; I_{SP} = 33 \text{ А}$	DO-214AA SMB	x•x
KZP	TPSMB15A	GS	vs	$V_{BR}(I_T = 1.0 \text{ mA}) = 15.2 \dots 16.8 \text{ В}; V_{WM} = 13.6 \text{ В}; I_{SP} = 26.7 \text{ А}$	DO-214AA SMB	K•A
LD	SMBJ12A	VISH	vs	$V_{BR}(I_T = 1.0 \text{ mA}) = 13.30 \dots 16.90 \text{ В}; V_{WM} = 12.0 \text{ В}; I_{SP} = 27.3 \text{ А}$	DO-214AA SMB	K•A
LDP	TPSMB18	GS	vs	$V_{BR}(I_T = 1.0 \text{ mA}) = 16.2 \dots 19.8 \text{ В}; V_{WM} = 14.5 \text{ В}; I_{SP} = 22.6 \text{ А}$	DO-214AA SMB	K•A
LE	1SMB12AT3	ON	vs	$V_{BR}(I_T = 1.0 \text{ mA}) = 13.3 \dots 14.7 \text{ В}; V_{WM} = 19.9 \text{ В}; I_{SP} = 30.2 \text{ А}$	DO-214AA SMB	K•A
LE	SMBJ12A	VISH	vs	$V_{BR}(I_T = 1.0 \text{ mA}) = 13.30 \dots 15.30 \text{ В}; V_{WM} = 12.0 \text{ В}; I_{SP} = 30.2 \text{ А}$	DO-214AA SMB	K•A
LEC	1SMB12CAT3	ON	vs	$V_{BR}(I_T = 1.0 \text{ mA}) = 13.3 \dots 14.7 \text{ В}; V_{WM} = 19.9 \text{ В}; I_{SP} = 30.2 \text{ А}$	DO-214AA SMB	x•x
LEP	TPSMB18A	GS	vs	$V_{BR}(I_T = 1.0 \text{ mA}) = 17.1 \dots 18.9 \text{ В}; V_{WM} = 15.3 \text{ В}; I_{SP} = 23.8 \text{ А}$	DO-214AA SMB	K•A
LF	SMBJ13A	VISH	vs	$V_{BR}(I_T = 1.0 \text{ mA}) = 14.40 \dots 18.20 \text{ В}; V_{WM} = 13.0 \text{ В}; I_{SP} = 26.2 \text{ А}$	DO-214AA SMB	K•A
LFP	TPSMB20	GS	vs	$V_{BR}(I_T = 1.0 \text{ mA}) = 18.0 \dots 22.0 \text{ В}; V_{WM} = 16.2 \text{ В}; I_{SP} = 20.6 \text{ А}$	DO-214AA SMB	K•A
LG	1SMB13AT3	ON	vs	$V_{BR}(I_T = 1.0 \text{ mA}) = 14.4 \dots 15.9 \text{ В}; V_{WM} = 21.5 \text{ В}; I_{SP} = 27.9 \text{ А}$	DO-214AA SMB	K•A
LGB	SMBJ13A	VISH	vs	$V_{BR}(I_T = 1.0 \text{ mA}) = 14.40 \dots 16.50 \text{ В}; V_{WM} = 13.0 \text{ В}; I_{SP} = 27.9 \text{ А}$	DO-214AA SMB	K•A
LGC	1SMB13CAT3	ON	vs	$V_{BR}(I_T = 1.0 \text{ mA}) = 14.4 \dots 15.9 \text{ В}; V_{WM} = 21.5 \text{ В}; I_{SP} = 27.9 \text{ А}$	DO-214AA SMB	x•x
LH	SMBJ14A	VISH	vs	$V_{BR}(I_T = 1.0 \text{ mA}) = 15.60 \dots 19.80 \text{ В}; V_{WM} = 14.0 \text{ В}; I_{SP} = 23.3 \text{ А}$	DO-214AA SMB	K•A
LHP	TPSMB22	GS	vs	$V_{BR}(I_T = 1.0 \text{ mA}) = 19.8 \dots 24.2 \text{ В}; V_{WM} = 17.8 \text{ В}; I_{SP} = 18.8 \text{ А}$	DO-214AA SMB	K•A
LK	1SMB14AT3	ON	vs	$V_{BR}(I_T = 1.0 \text{ mA}) = 15.6 \dots 17.2 \text{ В}; V_{WM} = 23.2 \text{ В}; I_{SP} = 25.8 \text{ А}$	DO-214AA SMB	K•A
LK	SMBJ14A	VISH	vs	$V_{BR}(I_T = 1.0 \text{ mA}) = 15.60 \dots 17.90 \text{ В}; V_{WM} = 14.0 \text{ В}; I_{SP} = 25.8 \text{ А}$	DO-214AA SMB	K•A
LKC	1SMB14CAT3	ON	vs	$V_{BR}(I_T = 1.0 \text{ mA}) = 15.6 \dots 17.2 \text{ В}; V_{WM} = 23.2 \text{ В}; I_{SP} = 25.8 \text{ А}$	DO-214AA SMB	x•x
LKP	TPSMB22A	GS	vs	$V_{BR}(I_T = 1.0 \text{ mA}) = 20.9 \dots 23.1 \text{ В}; V_{WM} = 18.8 \text{ В}; I_{SP} = 19.6 \text{ А}$	DO-214AA SMB	K•A
LL	SMBJ15	VISH	vs	$V_{BR}(I_T = 1.0 \text{ mA}) = 16.70 \dots 21.10 \text{ В}; V_{WM} = 15.0 \text{ В}; I_{SP} = 22.3 \text{ А}$	DO-214AA SMB	K•A
LLP	TPSMB24	GS	vs	$V_{BR}(I_T = 1.0 \text{ mA}) = 21.6 \dots 26.4 \text{ В}; V_{WM} = 19.4 \text{ В}; I_{SP} = 17.3 \text{ А}$	DO-214AA SMB	K•A
LM	1SMB15AT3	ON	vs	$V_{BR}(I_T = 1.0 \text{ mA}) = 16.7 \dots 18.5 \text{ В}; V_{WM} = 24.4 \text{ В}; I_{SP} = 24 \text{ А}$	DO-214AA SMB	K•A
LM	SMBJ15A	VISH	vs	$V_{BR}(I_T = 1.0 \text{ mA}) = 16.70 \dots 19.20 \text{ В}; V_{WM} = 15.0 \text{ В}; I_{SP} = 24.0 \text{ А}$	DO-214AA SMB	K•A
LMC	1SMB15CAT3	ON	vs	$V_{BR}(I_T = 1.0 \text{ mA}) = 16.7 \dots 18.5 \text{ В}; V_{WM} = 24.4 \text{ В}; I_{SP} = 24 \text{ А}$	DO-214AA SMB	x•x
LMP	TPSMB24A	GS	vs	$V_{BR}(I_T = 1.0 \text{ mA}) = 22.8 \dots 25.2 \text{ В}; V_{WM} = 20.5 \text{ В}; I_{SP} = 18.1 \text{ А}$	DO-214AA SMB	K•A
LN	SMBJ16	VISH	vs	$V_{BR}(I_T = 1.0 \text{ mA}) = 17.80 \dots 22.60 \text{ В}; V_{WM} = 16.0 \text{ В}; I_{SP} = 20.8 \text{ А}$	DO-214AA SMB	K•A
LNP	TPSMB27	GS	vs	$V_{BR}(I_T = 1.0 \text{ mA}) = 24.3 \dots 29.7 \text{ В}; V_{WM} = 21.8 \text{ В}; I_{SP} = 15.3 \text{ А}$	DO-214AA SMB	K•A
LP	1SMB16AT3	ON	vs	$V_{BR}(I_T = 1.0 \text{ mA}) = 17.8 \dots 19.7 \text{ В}; V_{WM} = 26 \text{ В}; I_{SP} = 23.1 \text{ А}$	DO-214AA SMB	K•A
LP	SMBJ16A	VISH	vs	$V_{BR}(I_T = 1.0 \text{ mA}) = 17.80 \dots 20.50 \text{ В}; V_{WM} = 16.0 \text{ В}; I_{SP} = 23.1 \text{ А}$	DO-214AA SMB	K•A
LPC	1SMB16CAT3	ON	vs	$V_{BR}(I_T = 1.0 \text{ mA}) = 17.8 \dots 19.7 \text{ В}; V_{WM} = 26 \text{ В}; I_{SP} = 23.1 \text{ А}$	DO-214AA SMB	x•x
LPP	TPSMB27A	GS	vs	$V_{BR}(I_T = 1.0 \text{ mA}) = 25.7 \dots 28.4 \text{ В}; V_{WM} = 23.1 \text{ В}; I_{SP} = 16.0 \text{ А}$	DO-214AA SMB	K•A
LQ	SMBJ17	VISH	vs	$V_{BR}(I_T = 1.0 \text{ mA}) = 18.90 \dots 23.90 \text{ В}; V_{WM} = 17.0 \text{ В}; I_{SP} = 19.7 \text{ А}$	DO-214AA SMB	K•A
LQP	TPSMB30	GS	vs	$V_{BR}(I_T = 1.0 \text{ mA}) = 27.0 \dots 33.0 \text{ В}; V_{WM} = 24.3 \text{ В}; I_{SP} = 13.8 \text{ А}$	DO-214AA SMB	K•A
LR	1SMB17AT3	ON	vs	$V_{BR}(I_T = 1.0 \text{ mA}) = 18.9 \dots 20.9 \text{ В}; V_{WM} = 27.6 \text{ В}; I_{SP} = 21.7 \text{ А}$	DO-214AA SMB	K•A
LR	SMBJ17A	VISH	vs	$V_{BR}(I_T = 1.0 \text{ mA}) = 18.90 \dots 21.70 \text{ В}; V_{WM} = 17.0 \text{ В}; I_{SP} = 21.7 \text{ А}$	DO-214AA SMB	K•A
LRC	1SMB17CAT3	ON	vs	$V_{BR}(I_T = 1.0 \text{ mA}) = 18.9 \dots 20.9 \text{ В}; V_{WM} = 27.6 \text{ В}; I_{SP} = 21.7 \text{ А}$	DO-214AA SMB	x•x
LRP	TPSMB30A	GS	vs	$V_{BR}(I_T = 1.0 \text{ mA}) = 28.5 \dots 31.5 \text{ В}; V_{WM} = 25.6 \text{ В}; I_{SP} = 14.5 \text{ А}$	DO-214AA SMB	K•A
LS	SMBJ18	VISH	vs	$V_{BR}(I_T = 1.0 \text{ mA}) = 20.00 \dots 25.30 \text{ В}; V_{WM} = 18.0 \text{ В}; I_{SP} = 18.6 \text{ А}$	DO-214AA SMB	K•A
LSP	TPSMB33	GS	vs	$V_{BR}(I_T = 1.0 \text{ mA}) = 29.7 \dots 36.3 \text{ В}; V_{WM} = 26.8 \text{ В}; I_{SP} = 12.6 \text{ А}$	DO-214AA SMB	K•A
LT	1SMB18AT3	ON	vs	$V_{BR}(I_T = 1.0 \text{ mA}) = 20.0 \dots 22.1 \text{ В}; V_{WM} = 29.2 \text{ В}; I_{SP} = 20.5 \text{ А}$	DO-214AA SMB	K•A
LT	SMBJ18A	VISH	vs	$V_{BR}(I_T = 1.0 \text{ mA}) = 20.00 \dots 23.30 \text{ В}; V_{WM} = 18.0 \text{ В}; I_{SP} = 20.5 \text{ А}$	DO-214AA SMB	K•A
LTC	1SMB18CAT3	ON	vs	$V_{BR}(I_T = 1.0 \text{ mA}) = 20.0 \dots 22.1 \text{ В}; V_{WM} = 29.2 \text{ В}; I_{SP} = 20.5 \text{ А}$	DO-214AA SMB	x•x
LTP	TPSMB33A	GS	vs	$V_{BR}(I_T = 1.0 \text{ mA}) = 31.4 \dots 34.7 \text{ В}; V_{WM} = 28.2 \text{ В}; I_{SP} = 13.1 \text{ А}$	DO-214AA SMB	K•A
LW	SMBJ20	VISH	vs	$V_{BR}(I_T = 1.0 \text{ mA}) = 22.20 \dots 28.10 \text{ В}; V_{WM} = 20.0 \text{ В}; I_{SP} = 16.7 \text{ А}$	DO-214AA SMB	K•A
LWP	TPSMB36	GS	vs	$V_{BR}(I_T = 1.0 \text{ mA}) = 32.4 \dots 39.6 \text{ В}; V_{WM} = 29.1 \text{ В}; I_{SP} = 11.5 \text{ А}$	DO-214AA SMB	K•A
LV	1SMB20AT3	ON	vs	$V_{BR}(I_T = 1.0 \text{ mA}) = 22.2 \dots 24.5 \text{ В}; V_{WM} = 32.4 \text{ В}; I_{SP} = 18.5 \text{ А}$	DO-214AA SMB	K•A
LV	SMBJ20A	VISH	vs	$V_{BR}(I_T = 1.0 \text{ mA}) = 22.20 \dots 25.50 \text{ В}; V_{WM} = 20.0 \text{ В}; I_{SP} = 18.5 \text{ А}$	DO-214AA SMB	K•A
LVC	1SMB20CAT3	ON	vs	$V_{BR}(I_T = 1.0 \text{ mA}) = 22.2 \dots 24.5 \text{ В}; V_{WM} = 32.4 \text{ В}; I_{SP} = 18.5 \text{ А}$	DO-214AA SMB	x•x
LVP	TPSMB36A	GS	vs	$V_{BR}(I_T = 1.0 \text{ mA}) = 34.2 \dots 37.8 \text{ В}; V_{WM} = 30.8 \text{ В}; I_{SP} = 12.0 \text{ А}$	DO-214AA SMB	K•A



DO214, SMA, SMB, SMC, SOD110

Код	Типономинал	Б	Ф	Особенности	Корпус	Ц: 1-2
LW	SMBJ22	VISH	vs	$V_{BR}(I_T=1.0\text{ mA})=24.40...30.90\text{ В}$, $V_{WM}=22.0\text{ В}$, $I_{PP}=15.2\text{ А}$	DO-214AA, SMB	K * A
LWP	TPSMB39	GS	vs	$V_{BR}(I_T=1.0\text{ mA})=35.1...42.9\text{ В}$, $V_{WM}=31.6\text{ В}$, $I_{PP}=10.6\text{ А}$	DO-214AA, SMB	K * A
LX	1SMB22AT3	ON	vs	$V_{BR}(I_T=1.0\text{ mA})=24.4...26.9\text{ В}$, $V_{WM}=35.5\text{ В}$, $I_{PP}=16.9\text{ А}$	DO-214AA, SMB	K * A
LX	SMBJ22A	VISH	vs	$V_{BR}(I_T=1.0\text{ mA})=24.40...28.00\text{ В}$, $V_{WM}=22.0\text{ В}$, $I_{PP}=16.9\text{ А}$	DO-214AA, SMB	K * A
LXC	1SMB22CAT3	ON	vs	$V_{BR}(I_T=1.0\text{ mA})=24.4...26.9\text{ В}$, $V_{WM}=35.5\text{ В}$, $I_{PP}=16.9\text{ А}$	DO-214AA, SMB	x * x
LXP	TPSMB39A	GS	vs	$V_{BR}(I_T=1.0\text{ mA})=37.1...41.0\text{ В}$, $V_{WM}=33.3\text{ В}$, $I_{PP}=11.1\text{ А}$	DO-214AA, SMB	K * A
LY	SMBJ24A	VISH	vs	$V_{BR}(I_T=1.0\text{ mA})=26.70...33.80\text{ В}$, $V_{WM}=24.0\text{ В}$, $I_{PP}=14.0\text{ А}$	DO-214AA, SMB	K * A
LYP	TPSMB43	GS	vs	$V_{BR}(I_T=1.0\text{ mA})=38.7...47.3\text{ В}$, $V_{WM}=34.8\text{ В}$, $I_{PP}=9.7\text{ А}$	DO-214AA, SMB	K * A
LZ	1SMB24AT3	ON	vs	$V_{BR}(I_T=1.0\text{ mA})=26.7...29.5\text{ В}$, $V_{WM}=38.9\text{ В}$, $I_{PP}=15.4\text{ А}$	DO-214AA, SMB	K * A
LZ	SMBJ24A	VISH	vs	$V_{BR}(I_T=1.0\text{ mA})=26.70...30.70\text{ В}$, $V_{WM}=24.0\text{ В}$, $I_{PP}=15.4\text{ А}$	DO-214AA, SMB	K * A
LZC	1SMB24CAT3	ON	vs	$V_{BR}(I_T=1.0\text{ mA})=26.7...29.5\text{ В}$, $V_{WM}=38.9\text{ В}$, $I_{PP}=15.4\text{ А}$	DO-214AA, SMB	x * x
LZP	TPSMB43A	GS	vs	$V_{BR}(I_T=1.0\text{ mA})=40.9...45.2\text{ В}$, $V_{WM}=36.8\text{ В}$, $I_{PP}=10.1\text{ А}$	DO-214AA, SMB	K * A
MD	SMBJ26	VISH	vs	$V_{BR}(I_T=1.0\text{ mA})=28.90...36.80\text{ В}$, $V_{WM}=26.0\text{ В}$, $I_{PP}=12.4\text{ А}$	DO-214AA, SMB	K * A
ME	1SMB26AT3	ON	vs	$V_{BR}(I_T=1.0\text{ mA})=28.9...31.9\text{ В}$, $V_{WM}=42.1\text{ В}$, $I_{PP}=14.2\text{ А}$	DO-214AA, SMB	K * A
ME	SMBJ26A	VISH	vs	$V_{BR}(I_T=1.0\text{ mA})=28.90...33.20\text{ В}$, $V_{WM}=26.0\text{ В}$, $I_{PP}=14.2\text{ А}$	DO-214AA, SMB	K * A
MEC	1SMB26CAT3	ON	vs	$V_{BR}(I_T=1.0\text{ mA})=28.9...31.9\text{ В}$, $V_{WM}=42.1\text{ В}$, $I_{PP}=14.2\text{ А}$	DO-214AA, SMB	x * x
MF	SMBJ28	VISH	vs	$V_{BR}(I_T=1.0\text{ mA})=31.10...39.40\text{ В}$, $V_{WM}=28.0\text{ В}$, $I_{PP}=12.0\text{ А}$	DO-214AA, SMB	K * A
MG	1SMB28AT3	ON	vs	$V_{BR}(I_T=1.0\text{ mA})=31.1...34.4\text{ В}$, $V_{WM}=45.4\text{ В}$, $I_{PP}=13.2\text{ А}$	DO-214AA, SMB	K * A
MG	SMBJ28A	VISH	vs	$V_{BR}(I_T=1.0\text{ mA})=31.10...35.80\text{ В}$, $V_{WM}=28.0\text{ В}$, $I_{PP}=13.2\text{ А}$	DO-214AA, SMB	K * A
MGC	1SMB28CAT3	ON	vs	$V_{BR}(I_T=1.0\text{ mA})=31.1...34.4\text{ В}$, $V_{WM}=45.4\text{ В}$, $I_{PP}=13.2\text{ А}$	DO-214AA, SMB	x * x
MH	SMB30	VISH	vs	$V_{BR}(I_T=1.0\text{ mA})=33.30...42.20\text{ В}$, $V_{WM}=30.0\text{ В}$, $I_{PP}=11.2\text{ А}$	DO-214AC, SMA	K * A
MK	1SMB30AT3	ON	vs	$V_{BR}(I_T=1.0\text{ mA})=33.3...35.8\text{ В}$, $V_{WM}=48.4\text{ В}$, $I_{PP}=12.4\text{ А}$	DO-214AA, SMB	K * A
MK	SMBJ30A	VISH	vs	$V_{BR}(I_T=1.0\text{ mA})=33.30...38.30\text{ В}$, $V_{WM}=30.0\text{ В}$, $I_{PP}=12.4\text{ А}$	DO-214AA, SMB	K * A
MKC	1SMB30CAT3	ON	vs	$V_{BR}(I_T=1.0\text{ mA})=33.3...35.8\text{ В}$, $V_{WM}=48.4\text{ В}$, $I_{PP}=12.4\text{ А}$	DO-214AA, SMB	x * x
ML	SMBJ33	VISH	vs	$V_{BR}(I_T=1.0\text{ mA})=36.70...46.90\text{ В}$, $V_{WM}=33.0\text{ В}$, $I_{PP}=10.2\text{ А}$	DO-214AA, SMB	K * A
MM	1SMB33AT3	ON	vs	$V_{BR}(I_T=1.0\text{ mA})=36.7...40.6\text{ В}$, $V_{WM}=53.3\text{ В}$, $I_{PP}=11.3\text{ А}$	DO-214AA, SMB	K * A
MM	SMBJ33A	VISH	vs	$V_{BR}(I_T=1.0\text{ mA})=36.70...42.20\text{ В}$, $V_{WM}=33.0\text{ В}$, $I_{PP}=11.3\text{ А}$	DO-214AA, SMB	K * A
MMC	1SMB33CAT3	ON	vs	$V_{BR}(I_T=1.0\text{ mA})=36.7...40.6\text{ В}$, $V_{WM}=53.3\text{ В}$, $I_{PP}=11.3\text{ А}$	DO-214AA, SMB	x * x
MN	SMBJ36	VISH	vs	$V_{BR}(I_T=1.0\text{ mA})=40.00...50.70\text{ В}$, $V_{WM}=36.0\text{ В}$, $I_{PP}=9.3\text{ А}$	DO-214AA, SMB	K * A
MP	1SMB36AT3	ON	vs	$V_{BR}(I_T=1.0\text{ mA})=40.0...44.2\text{ В}$, $V_{WM}=58.1\text{ В}$, $I_{PP}=10.3\text{ А}$	DO-214AA, SMB	K * A
MP	SMBJ36A	VISH	vs	$V_{BR}(I_T=1.0\text{ mA})=40.00...46.00\text{ В}$, $V_{WM}=36.0\text{ В}$, $I_{PP}=10.3\text{ А}$	DO-214AA, SMB	K * A
MPC	1SMB36CAT3	ON	vs	$V_{BR}(I_T=1.0\text{ mA})=40.0...44.2\text{ В}$, $V_{WM}=58.1\text{ В}$, $I_{PP}=10.3\text{ А}$	DO-214AA, SMB	x * x
MQ	SMBJ40	VISH	vs	$V_{BR}(I_T=1.0\text{ mA})=44.40...56.30\text{ В}$, $V_{WM}=40.0\text{ В}$, $I_{PP}=8.4\text{ А}$	DO-214AA, SMB	K * A
MR	1SMB40AT3	ON	vs	$V_{BR}(I_T=1.0\text{ mA})=44.4...49.1\text{ В}$, $V_{WM}=64.5\text{ В}$, $I_{PP}=9.3\text{ А}$	DO-214AA, SMB	K * A
MR	SMBJ40A	VISH	vs	$V_{BR}(I_T=1.0\text{ mA})=44.40...51.10\text{ В}$, $V_{WM}=40.0\text{ В}$, $I_{PP}=9.3\text{ А}$	DO-214AA, SMB	K * A
MRC	1SMB40CAT3	ON	vs	$V_{BR}(I_T=1.0\text{ mA})=44.4...49.1\text{ В}$, $V_{WM}=64.5\text{ В}$, $I_{PP}=9.3\text{ А}$	DO-214AA, SMB	x * x
MS	SMBJ43	VISH	vs	$V_{BR}(I_T=1.0\text{ mA})=47.80...60.50\text{ В}$, $V_{WM}=43.0\text{ В}$, $I_{PP}=7.8\text{ А}$	DO-214AA, SMB	K * A
MT	1SMB43AT3	ON	vs	$V_{BR}(I_T=1.0\text{ mA})=47.8...52.8\text{ В}$, $V_{WM}=69.4\text{ В}$, $I_{PP}=8.6\text{ А}$	DO-214AA, SMB	K * A
MT	SMBJ43A	VISH	vs	$V_{BR}(I_T=1.0\text{ mA})=47.80...54.90\text{ В}$, $V_{WM}=43.0\text{ В}$, $I_{PP}=8.6\text{ А}$	DO-214AA, SMB	K * A
MTC	1SMB43CAT3	ON	vs	$V_{BR}(I_T=1.0\text{ mA})=47.8...52.8\text{ В}$, $V_{WM}=69.4\text{ В}$, $I_{PP}=8.6\text{ А}$	DO-214AA, SMB	x * x
MU	SMBJ45	VISH	vs	$V_{BR}(I_T=1.0\text{ mA})=50.00...63.30\text{ В}$, $V_{WM}=45.0\text{ В}$, $I_{PP}=7.5\text{ А}$	DO-214AA, SMB	K * A
MV	1SMB45AT3	ON	vs	$V_{BR}(I_T=1.0\text{ mA})=50.0...55.3\text{ В}$, $V_{WM}=72.7\text{ В}$, $I_{PP}=8.3\text{ А}$	DO-214AA, SMB	K * A
MV	SMBJ45A	VISH	vs	$V_{BR}(I_T=1.0\text{ mA})=50.00...57.50\text{ В}$, $V_{WM}=45.0\text{ В}$, $I_{PP}=8.3\text{ А}$	DO-214AA, SMB	K * A
MVC	1SMB45CAT3	ON	vs	$V_{BR}(I_T=1.0\text{ mA})=50.0...55.3\text{ В}$, $V_{WM}=72.7\text{ В}$, $I_{PP}=8.3\text{ А}$	DO-214AA, SMB	x * x
MW	SMBJ48	VISH	vs	$V_{BR}(I_T=1.0\text{ mA})=53.30...67.50\text{ В}$, $V_{WM}=48.0\text{ В}$, $I_{PP}=7.0\text{ А}$	DO-214AA, SMB	K * A
MX	1SMB48AT3	ON	vs	$V_{BR}(I_T=1.0\text{ mA})=53.3...58.9\text{ В}$, $V_{WM}=77.4\text{ В}$, $I_{PP}=7.7\text{ А}$	DO-214AA, SMB	K * A
MX	SMBJ48A	VISH	vs	$V_{BR}(I_T=1.0\text{ mA})=53.30...61.30\text{ В}$, $V_{WM}=48.0\text{ В}$, $I_{PP}=7.7\text{ А}$	DO-214AA, SMB	K * A
MXC	1SMB48CAT3	ON	vs	$V_{BR}(I_T=1.0\text{ mA})=53.3...58.9\text{ В}$, $V_{WM}=77.4\text{ В}$, $I_{PP}=7.7\text{ А}$	DO-214AA, SMB	x * x
MY	SMBJ51	VISH	vs	$V_{BR}(I_T=1.0\text{ mA})=56.70...71.80\text{ В}$, $V_{WM}=51.0\text{ В}$, $I_{PP}=6.6\text{ А}$	DO-214AA, SMB	K * A
MZ	1SMB51AT3	ON	vs	$V_{BR}(I_T=1.0\text{ mA})=56.7...62.7\text{ В}$, $V_{WM}=82.4\text{ В}$, $I_{PP}=7.3\text{ А}$	DO-214AA, SMB	K * A
MZ	SMBJ51A	VISH	vs	$V_{BR}(I_T=1.0\text{ mA})=56.70...65.20\text{ В}$, $V_{WM}=51.0\text{ В}$, $I_{PP}=7.3\text{ А}$	DO-214AA, SMB	K * A
MZC	1SMB51CAT3	ON	vs	$V_{BR}(I_T=1.0\text{ mA})=56.7...62.7\text{ В}$, $V_{WM}=82.4\text{ В}$, $I_{PP}=7.3\text{ А}$	DO-214AA, SMB	x * x
ND	SMBJ54	VISH	vs	$V_{BR}(I_T=1.0\text{ mA})=60.00...76.00\text{ В}$, $V_{WM}=54.0\text{ В}$, $I_{PP}=6.2\text{ А}$	DO-214AA, SMB	K * A



Код	Типономинал	Б	Ф	Особенности	Корпус	Ц:1-2
NE	1SMB54AT3	ON	vs	$V_{BR}(I_T=1.0\text{ mA})=60.0..66.3\text{ B}$; $V_{WM}=87.1\text{ B}$; $I_{SP}=6.9\text{ A}$	DO-214AAA, SMB	K•A
NE	SMBJ54A	VISH	vs	$V_{BR}(I_T=1.0\text{ mA})=60.00..69.00\text{ B}$; $V_{WM}=54.0\text{ B}$; $I_{SP}=6.9\text{ A}$	DO-214AA, SMB	K•A
NEC	1SMB54CAT3	ON	vs	$V_{BR}(I_T=1.0\text{ mA})=60.0..66.3\text{ B}$; $V_{WM}=87.1\text{ B}$; $I_{SP}=6.9\text{ A}$	DO-214AA, SMB	x•x
NF	SMBJ58	VISH	vs	$V_{BR}(I_T=1.0\text{ mA})=64.40..81.60\text{ B}$; $V_{WM}=58.0\text{ B}$; $I_{SP}=5.8\text{ A}$	DO-214AA, SMB	K•A
NG	1SMB58AT3	ON	vs	$V_{BR}(I_T=1.0\text{ mA})=64.4..71.2\text{ B}$; $V_{WM}=93.6\text{ B}$; $I_{SP}=6.4\text{ A}$	DO-214AA, SMB	K•A
NG	SMBJ58A	VISH	vs	$V_{BR}(I_T=1.0\text{ mA})=64.40..74.60\text{ B}$; $V_{WM}=58.0\text{ B}$; $I_{SP}=6.4\text{ A}$	DO-214AA, SMB	K•A
NGC	1SMB58CAT3	ON	vs	$V_{BR}(I_T=1.0\text{ mA})=64.4..71.18\text{ B}$; $V_{WM}=93.6\text{ B}$; $I_{SP}=6.4\text{ A}$	DO-214AA, SMB	K•A
NH	SMBJ60	VISH	vs	$V_{BR}(I_T=1.0\text{ mA})=66.70..84.50\text{ B}$; $V_{WM}=60.0\text{ B}$; $I_{SP}=5.6\text{ A}$	DO-214AA, SMB	K•A
NK	1SMB60AT3	ON	vs	$V_{BR}(I_T=1.0\text{ mA})=66.7..73.7\text{ B}$; $V_{WM}=96.8\text{ B}$; $I_{SP}=6.2\text{ A}$	DO-214AA, SMB	K•A
NK	SMBJ60A	VISH	vs	$V_{BR}(I_T=1.0\text{ mA})=66.70..76.70\text{ B}$; $V_{WM}=60.0\text{ B}$; $I_{SP}=6.2\text{ A}$	DO-214AA, SMB	K•A
NKC	1SMB60CAT3	ON	vs	$V_{BR}(I_T=1.0\text{ mA})=66.7..73.72\text{ B}$; $V_{WM}=96.8\text{ B}$; $I_{SP}=6.2\text{ A}$	DO-214AA, SMB	x•x
NL	SMBJ64	VISH	vs	$V_{BR}(I_T=1.0\text{ mA})=71.10..90.10\text{ B}$; $V_{WM}=64.0\text{ B}$; $I_{SP}=5.3\text{ A}$	DO-214AA, SMB	K•A
NM	1SMB64AT3	ON	vs	$V_{BR}(I_T=1.0\text{ mA})=71.1..78.6\text{ B}$; $V_{WM}=103\text{ B}$; $I_{SP}=5.8\text{ A}$	DO-214AA, SMB	K•A
NM	SMBJ64A	VISH	vs	$V_{BR}(I_T=1.0\text{ mA})=71.10..81.80\text{ B}$; $V_{WM}=64.0\text{ B}$; $I_{SP}=5.8\text{ A}$	DO-214AA, SMB	K•A
NMC	1SMB64CAT3	ON	vs	$V_{BR}(I_T=1.0\text{ mA})=71.1..78.58\text{ B}$; $V_{WM}=103\text{ B}$; $I_{SP}=5.8\text{ A}$	DO-214AA, SMB	x•x
NN	SMBJ70	VISH	vs	$V_{BR}(I_T=1.0\text{ mA})=77.80..98.60\text{ B}$; $V_{WM}=70.0\text{ B}$; $I_{SP}=4.8\text{ A}$	DO-214AA, SMB	K•A
NP	1SMB70AT3	ON	vs	$V_{BR}(I_T=1.0\text{ mA})=77.8..86\text{ B}$; $V_{WM}=113\text{ B}$; $I_{SP}=5.3\text{ A}$	DO-214AA, SMB	K•A
NP	SMBJ70A	VISH	vs	$V_{BR}(I_T=1.0\text{ mA})=77.80..89.50\text{ B}$; $V_{WM}=70.0\text{ B}$; $I_{SP}=5.3\text{ A}$	DO-214AA, SMB	K•A
NPC	1SMB70CAT3	ON	vs	$V_{BR}(I_T=1.0\text{ mA})=77.8..85.99\text{ B}$; $V_{WM}=113\text{ B}$; $I_{SP}=5.3\text{ A}$	DO-214AA, SMB	x•x
NQ	SMBJ75	VISH	vs	$V_{BR}(I_T=1.0\text{ mA})=83.30..106.00\text{ B}$; $V_{WM}=75.0\text{ B}$; $I_{SP}=4.5\text{ A}$	DO-214AA, SMB	K•A
NR	1SMB75AT3	ON	vs	$V_{BR}(I_T=1.0\text{ mA})=83.3..92.1\text{ B}$; $V_{WM}=121\text{ B}$; $I_{SP}=4.9\text{ A}$	DO-214AA, SMB	K•A
NR	SMBJ75A	VISH	vs	$V_{BR}(I_T=1.0\text{ mA})=83.30..95.80\text{ B}$; $V_{WM}=75.0\text{ B}$; $I_{SP}=4.9\text{ A}$	DO-214AA, SMB	K•A
NRC	1SMB75CAT3	ON	vs	$V_{BR}(I_T=1.0\text{ mA})=83.3..92.07\text{ B}$; $V_{WM}=121\text{ B}$; $I_{SP}=4.9\text{ A}$	DO-214AA, SMB	x•x
NS	SMBJ78	VISH	vs	$V_{BR}(I_T=1.0\text{ mA})=86.70..110.00\text{ B}$; $V_{WM}=78.0\text{ B}$; $I_{SP}=4.3\text{ A}$	DO-214AA, SMB	K•A
NT	1SMB78AT3	ON	vs	$V_{BR}(I_T=1.0\text{ mA})=86.7..95.83\text{ B}$; $V_{WM}=126\text{ B}$; $I_{SP}=4.7\text{ A}$	DO-214AA, SMB	K•A
NT	SMBJ78A	VISH	vs	$V_{BR}(I_T=1.0\text{ mA})=86.70..99.70\text{ B}$; $V_{WM}=78.0\text{ B}$; $I_{SP}=4.7\text{ A}$	DO-214AA, SMB	K•A
NTC	1SMB78CAT3	ON	vs	$V_{BR}(I_T=1.0\text{ mA})=86.7..95.83\text{ B}$; $V_{WM}=126\text{ B}$; $I_{SP}=4.7\text{ A}$	DO-214AA, SMB	x•x
NU	SMBJ85	VISH	vs	$V_{BR}(I_T=1.0\text{ mA})=94.40..119.20\text{ B}$; $V_{WM}=85.0\text{ B}$; $I_{SP}=3.9\text{ A}$	DO-214AA, SMB	K•A
NV	1SMB85AT3	ON	vs	$V_{BR}(I_T=1.0\text{ mA})=94.4..104\text{ B}$; $V_{WM}=137\text{ B}$; $I_{SP}=4.4\text{ A}$	DO-214AA, SMB	K•A
NV	SMBJ85A	VISH	vs	$V_{BR}(I_T=1.0\text{ mA})=94.40..108.20\text{ B}$; $V_{WM}=85.0\text{ B}$; $I_{SP}=4.4\text{ A}$	DO-214AA, SMB	K•A
NW	SMBJ90	VISH	vs	$V_{BR}(I_T=1.0\text{ mA})=100.0..126.50\text{ B}$; $V_{WM}=90.0\text{ B}$; $I_{SP}=3.8\text{ A}$	DO-214AA, SMB	K•A
NX	1SMB90AT3	ON	vs	$V_{BR}(I_T=1.0\text{ mA})=100..111\text{ B}$; $V_{WM}=146\text{ B}$; $I_{SP}=4.1\text{ A}$	DO-214AA, SMB	K•A
NX	SMBJ90A	VISH	vs	$V_{BR}(I_T=1.0\text{ mA})=100.0..115.50\text{ B}$; $V_{WM}=90.0\text{ B}$; $I_{SP}=4.1\text{ A}$	DO-214AA, SMB	K•A
NY	SMBJ100	VISH	vs	$V_{BR}(I_T=1.0\text{ mA})=111.0..141.00\text{ B}$; $V_{WM}=100.0\text{ B}$; $I_{SP}=3.4\text{ A}$	DO-214AA, SMB	K•A
NZ	1SMB100AT3	ON	vs	$V_{BR}(I_T=1.0\text{ mA})=111..123\text{ B}$; $V_{WM}=162\text{ B}$; $I_{SP}=3.7\text{ A}$	DO-214AA, SMB	K•A
NZ	SMBJ100A	VISH	vs	$V_{BR}(I_T=1.0\text{ mA})=111.0..128.00\text{ B}$; $V_{WM}=100.0\text{ B}$; $I_{SP}=3.7\text{ A}$	DO-214AA, SMB	K•A
PD	SMBJ110	VISH	vs	$V_{BR}(I_T=1.0\text{ mA})=122.0..154.50\text{ B}$; $V_{WM}=110.0\text{ B}$; $I_{SP}=3.0\text{ A}$	DO-214AA, SMB	K•A
PE	1SMB110AT3	ON	vs	$V_{BR}(I_T=1.0\text{ mA})=122..136\text{ B}$; $V_{WM}=177\text{ B}$; $I_{SP}=3.4\text{ A}$	DO-214AA, SMB	K•A
PE	SMBJ110A	VISH	vs	$V_{BR}(I_T=1.0\text{ mA})=122.0..140.00\text{ B}$; $V_{WM}=110.0\text{ B}$; $I_{SP}=3.4\text{ A}$	DO-214AA, SMB	K•A
PF	SMBJ120	VISH	vs	$V_{BR}(I_T=1.0\text{ mA})=133.0..169.00\text{ B}$; $V_{WM}=120.0\text{ B}$; $I_{SP}=2.8\text{ A}$	DO-214AA, SMB	K•A
PG	1SMB120AT3	ON	vs	$V_{BR}(I_T=1.0\text{ mA})=133..147\text{ B}$; $V_{WM}=193\text{ B}$; $I_{SP}=3.1\text{ A}$	DO-214AA, SMB	K•A
PG	SMBJ120A	VISH	vs	$V_{BR}(I_T=1.0\text{ mA})=133.0..153.00\text{ B}$; $V_{WM}=120.0\text{ B}$; $I_{SP}=3.1\text{ A}$	DO-214AA, SMB	K•A
PH	SMBJ130	VISH	vs	$V_{BR}(I_T=1.0\text{ mA})=144.0..182.50\text{ B}$; $V_{WM}=130.0\text{ B}$; $I_{SP}=2.6\text{ A}$	DO-214AA, SMB	K•A
PK	1SMB130AT3	ON	vs	$V_{BR}(I_T=1.0\text{ mA})=144..159\text{ B}$; $V_{WM}=209\text{ B}$; $I_{SP}=2.9\text{ A}$	DO-214AA, SMB	K•A
PK	SMBJ130A	VISH	vs	$V_{BR}(I_T=1.0\text{ mA})=144.0..165.50\text{ B}$; $V_{WM}=130.0\text{ B}$; $I_{SP}=2.9\text{ A}$	DO-214AA, SMB	K•A
PL	SMBJ150	VISH	vs	$V_{BR}(I_T=1.0\text{ mA})=167.0..211.50\text{ B}$; $V_{WM}=150.0\text{ B}$; $I_{SP}=2.2\text{ A}$	DO-214AA, SMB	K•A
PM	1SMB150AT3	ON	vs	$V_{BR}(I_T=1.0\text{ mA})=167..185\text{ B}$; $V_{WM}=243\text{ B}$; $I_{SP}=2.5\text{ A}$	DO-214AA, SMB	K•A
PM	SMBJ150A	VISH	vs	$V_{BR}(I_T=1.0\text{ mA})=167.0..192.50\text{ B}$; $V_{WM}=150.0\text{ B}$; $I_{SP}=2.5\text{ A}$	DO-214AA, SMB	K•A
PN	SMBJ160	VISH	vs	$V_{BR}(I_T=1.0\text{ mA})=178.0..226.00\text{ B}$; $V_{WM}=160.0\text{ B}$; $I_{SP}=2.1\text{ A}$	DO-214AA, SMB	K•A
PP	1SMB160AT3	ON	vs	$V_{BR}(I_T=1.0\text{ mA})=178..197\text{ B}$; $V_{WM}=259\text{ B}$; $I_{SP}=2.2\text{ A}$	DO-214AA, SMB	K•A
PP	SMBJ170AT3	ON	vs	$V_{BR}(I_T=1.0\text{ mA})=189..209\text{ B}$; $V_{WM}=275\text{ B}$; $I_{SP}=2.2\text{ A}$	DO-214AA, SMB	K•A
QE	1SMA5.0AT3	ON	vs	$V_{BR}(I_T=10.0\text{ mA})=6.4..7.0\text{ B}$; $V_{WM}=9.2\text{ B}$; $I_{SP}=43.5\text{ A}$	DO-214AC, SMA	K•A
QG	1SMA5.0AT3	ON	vs	$V_{BR}(I_T=10.0\text{ mA})=6.67..7.37\text{ B}$; $V_{WM}=10.3\text{ B}$; $I_{SP}=38.8\text{ A}$	DO-214AC, SMA	K•A



DO214, SMA, SMB, SMC, SOD110

Код	Типономинал	Б	Ф	Особенности	Корпус	Ц: 1-2
OK	1SMA6.5AT3	ON	vs	$V_{BR}(I_T=10\text{ mA})=7.22\ldots 7.98\text{ В}; V_{WM}=11.2\text{ В}; I_{PP}=35.7\text{ А}$	DO-214AC, SMA	K * A
OM	1SMA7.0AT3	ON	vs	$V_{BR}(I_T=10\text{ mA})=7.78\ldots 8.6\text{ В}; V_{WM}=12.0\text{ В}; I_{PP}=33.3\text{ А}$	DO-214AC, SMA	K * A
OP	1SMA7.5AT3	ON	vs	$V_{BR}(I_T=1.0\text{ mA})=8.33\ldots 9.21\text{ В}; V_{WM}=12.9\text{ В}; I_{PP}=31.0\text{ А}$	DO-214AC, SMA	K * A
QR	1SMA8.0AT3	ON	vs	$V_{BR}(I_T=1.0\text{ mA})=8.89\ldots 9.83\text{ В}; V_{WM}=13.6\text{ В}; I_{PP}=29.4\text{ А}$	DO-214AC, SMA	K * A
QT	1SMA8.5AT3	ON	vs	$V_{BR}(I_T=1.0\text{ mA})=9.44\ldots 10.4\text{ В}; V_{WM}=14.4\text{ В}; I_{PP}=27.8\text{ А}$	DO-214AC, SMA	K * A
QV	1SMA9.0AT3	ON	vs	$V_{BR}(I_T=1.0\text{ mA})=10\ldots 11.1\text{ В}; V_{WM}=15.4\text{ В}; I_{PP}=26.0\text{ А}$	DO-214AC, SMA	K * A
QX	1SMA10AT3	ON	vs	$V_{BR}(I_T=1.0\text{ mA})=11.1\ldots 12.3\text{ В}; V_{WM}=17.0\text{ В}; I_{PP}=23.5\text{ А}$	DO-214AC, SMA	K * A
QXC	1SMA10CAT3	ON	vs	$V_{BR}(I_T=1.0\text{ mA})=11.1\ldots 12.27\text{ В}; V_{WM}=17.0\text{ В}; I_{PP}=23.5\text{ А}$	DO-214AC, SMA	x * x
QZ	1SMA11AT3	ON	vs	$V_{BR}(I_T=1.0\text{ mA})=12\ldots 13.5\text{ В}; V_{WM}=18.2\text{ В}; I_{PP}=22.0\text{ А}$	DO-214AC, SMA	K * A
QZC	1SMA11CAT3	ON	vs	$V_{BR}(I_T=1.0\text{ mA})=12\ldots 13.48\text{ В}; V_{WM}=18.2\text{ В}; I_{PP}=22.0\text{ А}$	DO-214AC, SMA	x * x
RA	RGF1A	VISH	dr	$V_R < 50\text{ В}; I_T < 1\text{ А}; V_T(I_T=1\text{ А}) < 1.3\text{ В}; C_0=8.5\text{ нФ}$	DO-214BA	K * A
RB	RGF1B	VISH	dr	$V_R < 100\text{ В}; I_T < 1\text{ А}; V_T(I_T=1\text{ А}) < 1.3\text{ В}; C_0=8.5\text{ нФ}$	DO-214BA	K * A
RD	RGF1D	VISH	dr	$V_R < 200\text{ В}; I_T < 1\text{ А}; V_T(I_T=1\text{ А}) < 1.3\text{ В}; C_0=8.5\text{ нФ}$	DO-214BA	K * A
RD	SMAJ54	VISH	vs	$V_{BR}(I_T=1.0\text{ mA})=60.0\ldots 73.3\text{ В}; V_{WM}=96.3\text{ В}; I_{PP}=4.2\text{ А}$	DO-214AC, SMA	K * A
RE	1SMA12AT3	ON	vs	$V_{BR}(I_T=1.0\text{ mA})=13.3\ldots 14.7\text{ В}; V_{WM}=19.9\text{ В}; I_{PP}=20.1\text{ А}$	DO-214AC, SMA	K * A
RE	SMAJ54A	VISH	vs	$V_{BR}(I_T=1.0\text{ mA})=60.0\ldots 66.3\text{ В}; V_{WM}=87.1\text{ В}; I_{PP}=4.6\text{ А}$	DO-214AC, SMA	K * A
REC	1SMA12CAT3	ON	vs	$V_{BR}(I_T=1.0\text{ mA})=13.3\ldots 14.7\text{ В}; V_{WM}=19.9\text{ В}; I_{PP}=20.1\text{ А}$	DO-214AC, SMA	x * x
RF	SMAJ58	VISH	vs	$V_{BR}(I_T=1.0\text{ mA})=64.4\ldots 78.7\text{ В}; V_{WM}=103\text{ В}; I_{PP}=3.9\text{ А}$	DO-214AC, SMA	K * A
RG	1SMA13AT3	ON	vs	$V_{BR}(I_T=1.0\text{ mA})=14.4\ldots 15.9\text{ В}; V_{WM}=21.5\text{ В}; I_{PP}=18.6\text{ А}$	DO-214AC, SMA	x * x
RG	RGF1G	VISH	dr	$V_R < 400\text{ В}; I_T < 1\text{ А}; V_T(I_T=1\text{ А}) < 1.3\text{ В}; C_0=8.5\text{ нФ}$	DO-214BA	K * A
RG	SMAJ58A	VISH	vs	$V_{BR}(I_T=1.0\text{ mA})=64.4\ldots 71.2\text{ В}; V_{WM}=93.6\text{ В}; I_{PP}=4.3\text{ А}$	DO-214AC, SMA	K * A
RGC	1SMA13CAT3	ON	vs	$V_{BR}(I_T=1.0\text{ mA})=14.4\ldots 15.92\text{ В}; V_{WM}=21.5\text{ В}; I_{PP}=18.6\text{ А}$	DO-214AC, SMA	x * x
RH	SMAJ60	VISH	vs	$V_{BR}(I_T=1.0\text{ mA})=66.7\ldots 81.5\text{ В}; V_{WM}=107\text{ В}; I_{PP}=3.7\text{ А}$	DO-214AC, SMA	K * A
RJ	RGF1J	VISH	dr	$V_R < 600\text{ В}; I_T < 1\text{ А}; V_T(I_T=1\text{ А}) < 1.3\text{ В}; C_0=8.5\text{ нФ}$	DO-214BA	K * A
RK	1SMA14AT3	ON	vs	$V_{BR}(I_T=1.0\text{ mA})=15.6\ldots 17.24\text{ В}; V_{WM}=23.2\text{ В}; I_{PP}=17.2\text{ А}$	DO-214AC, SMA	K * A
RK	RGF1K	VISH	dr	$V_R < 800\text{ В}; I_T < 1\text{ А}; V_T(I_T=1\text{ А}) < 1.3\text{ В}; C_0=8.5\text{ нФ}$	DO-214BA	K * A
RK	SMAJ60A	VISH	vs	$V_{BR}(I_T=1.0\text{ mA})=66\ldots 73.7\text{ В}; V_{WM}=96.8\text{ В}; I_{PP}=4.1\text{ А}$	DO-214AC, SMA	K * A
RKC	1SMA14CAT3	ON	vs	$V_{BR}(I_T=1.0\text{ mA})=15.6\ldots 17.24\text{ В}; V_{WM}=23.2\text{ В}; I_{PP}=17.2\text{ А}$	DO-214AC, SMA	x * x
RL	SMAJ64	VISH	vs	$V_{BR}(I_T=1.0\text{ mA})=71.1\ldots 86.4\text{ В}; V_{WM}=114\text{ В}; I_{PP}=3.5\text{ А}$	DO-214AC, SMA	K * A
RM	1SMA15AT3	ON	vs	$V_{BR}(I_T=1.0\text{ mA})=16.7\ldots 18.5\text{ В}; V_{WM}=24.4\text{ В}; I_{PP}=16.4\text{ А}$	DO-214AC, SMA	K * A
RM	RGF1M	VISH	dr	$V_R < 1000\text{ В}; I_T < 1\text{ А}; V_T(I_T=1\text{ А}) < 1.3\text{ В}; C_0=8.5\text{ нФ}$	DO-214BA	K * A
RM	SMAJ64A	VISH	vs	$V_{BR}(I_T=1.0\text{ mA})=71.1\ldots 78.6\text{ В}; V_{WM}=103\text{ В}; I_{PP}=3.9\text{ А}$	DO-214AC, SMA	K * A
RMC	1SMA15CAT3	ON	vs	$V_{BR}(I_T=1.0\text{ mA})=16.7\ldots 18.46\text{ В}; V_{WM}=24.4\text{ В}; I_{PP}=16.4\text{ А}$	DO-214AC, SMA	x * x
RN	SMAJ70	VISH	vs	$V_{BR}(I_T=1.0\text{ mA})=77.8\ldots 95.1\text{ В}; V_{WM}=126\text{ В}; I_{PP}=3.2\text{ А}$	DO-214AC, SMA	K * A
RP	1SMA16AT3	ON	vs	$V_{BR}(I_T=1.0\text{ mA})=17.8\ldots 19.7\text{ В}; V_{WM}=26.0\text{ В}; I_{PP}=15.4\text{ А}$	DO-214AC, SMA	K * A
RP	SMAJ70A	VISH	vs	$V_{BR}(I_T=1.0\text{ mA})=77.8\ldots 86.0\text{ В}; V_{WM}=113\text{ В}; I_{PP}=3.5\text{ А}$	DO-214AC, SMA	K * A
RPBF	MMT05B230T3	ON	TSPD	$V_{BR}=190\text{ В}; I_{PPS}>50\text{ А}; C_1<75\text{ нФ}$	DO-214AA, SMB	K * A
RPBG	MMT05B260T3	ON	TSPD	$V_{BR}=240\text{ В}; I_{PPS}>50\text{ А}; C_1<75\text{ нФ}$	DO-214AA, SMB	K * A
RPBJ	MMT05B310T3	ON	TSPD	$V_{BR}=280\text{ В}; I_{PPS}>50\text{ А}; C_1<75\text{ нФ}$	DO-214AA, SMB	K * A
RPC	1SMA16CAT3	ON	vs	$V_{BR}(I_T=1.0\text{ mA})=17.8\ldots 19.67\text{ В}; V_{WM}=26.0\text{ В}; I_{PP}=15.4\text{ А}$	DO-214AC, SMA	x * x
RPDF	MMT10B230T3	ON	TSPD	$V_{BR}=190\text{ В}; I_{PPS}>100\text{ А}; C_1<200\text{ нФ}$	DO-214AA, SMB	K * A
RPDG	MMT10B260T3	ON	TSPD	$V_{BR}=240\text{ В}; I_{PPS}>100\text{ А}; C_1<200\text{ нФ}$	DO-214AA, SMB	K * A
RPDJ	MMT10B310T3	ON	TSPD	$V_{BR}=280\text{ В}; I_{PPS}>100\text{ А}; C_1<200\text{ нФ}$	DO-214AA, SMB	K * A
RQ	SMAJ75	VISH	vs	$V_{BR}(I_T=1.0\text{ mA})=83.3\ldots 102\text{ В}; V_{WM}=134\text{ В}; I_{PP}=3.0\text{ А}$	DO-214AC, SMA	K * A
RR	1SMA17AT3	ON	vs	$V_{BR}(I_T=1.0\text{ mA})=18.9\ldots 20.9\text{ В}; V_{WM}=27.6\text{ В}; I_{PP}=14.5\text{ А}$	DO-214AC, SMA	K * A
RR	SMAJ75A	VISH	vs	$V_{BR}(I_T=1.0\text{ mA})=83.3\ldots 92.1\text{ В}; V_{WM}=121\text{ В}; I_{PP}=3.3\text{ А}$	DO-214AC, SMA	K * A
RRC	1SMA17CAT3	ON	vs	$V_{BR}(I_T=1.0\text{ mA})=18.9\ldots 20.9\text{ В}; V_{WM}=27.6\text{ В}; I_{PP}=14.5\text{ А}$	DO-214AC, SMA	x * x
RS	SMAJ78	VISH	vs	$V_{BR}(I_T=1.0\text{ mA})=86.7\ldots 106\text{ В}; V_{WM}=139\text{ В}; I_{PP}=2.9\text{ А}$	DO-214AC, SMA	K * A
RT	1SMA18AT3	ON	vs	$V_{BR}(I_T=1.0\text{ mA})=20\ldots 22.1\text{ В}; V_{WM}=29.2\text{ В}; I_{PP}=13.7\text{ А}$	DO-214AC, SMA	K * A
RT	SMAJ78A	VISH	vs	$V_{BR}(I_T=1.0\text{ mA})=86.7\ldots 95.8\text{ В}; V_{WM}=126\text{ В}; I_{PP}=2.2\text{ А}$	DO-214AC, SMA	K * A
RTC	1SMA18CAT3	ON	vs	$V_{BR}(I_T=1.0\text{ mA})=20\ldots 22.11\text{ В}; V_{WM}=29.2\text{ В}; I_{PP}=13.7\text{ А}$	DO-214AC, SMA	x * x
RU	SMAJ85	VISH	vs	$V_{BR}(I_T=1.0\text{ mA})=94.4\ldots 115\text{ В}; V_{WM}=151\text{ В}; I_{PP}=2.6\text{ А}$	DO-214AC, SMA	K * A
RV	1SMA20AT3	ON	vs	$V_{BR}(I_T=1.0\text{ mA})=22.2\ldots 24.5\text{ В}; V_{WM}=32.4\text{ В}; I_{PP}=12.3\text{ А}$	DO-214AC, SMA	K * A



Код	Типономинал	Б	Ф	Особенности	Корпус	Ц:1-2
RV	SMAJR5A	VISH	vs	$V_{GR}(I_T = 1.0 \text{ mA}) = 94.4 \dots 104 \text{ В}$; $V_{WM} = 137 \text{ В}$; $I_{SP} = 2.9 \text{ A}$	DO-214AC, SMA	K • A
RVC	1SMA20CAT3	ON	vs	$V_{GR}(I_T = 1.0 \text{ mA}) = 22.2 \dots 24.54 \text{ В}$; $V_{WM} = 32.4 \text{ В}$; $I_{SP} = 12.3 \text{ A}$	DO-214AC, SMA	x • x
RW	SMAJ90	VISH	vs	$V_{GR}(I_T = 1.0 \text{ mA}) = 100 \dots 122 \text{ В}$; $V_{WM} = 160 \text{ В}$; $I_{SP} = 2.5 \text{ A}$	DO-214AC, SMA	K • A
PX	1SMA22AT3	ON	vs	$V_{GR}(I_T = 1.0 \text{ mA}) = 24.4 \dots 26.9 \text{ В}$; $V_{WM} = 35.5 \text{ В}$; $I_{SP} = 11.3 \text{ A}$	DO-214AC, SMA	K • A
PX	SMAJ90A	VISH	vs	$V_{GR}(I_T = 1.0 \text{ mA}) = 100 \dots 111 \text{ В}$; $V_{WM} = 146 \text{ В}$; $I_{SP} = 2.7 \text{ A}$	DO-214AC, SMA	K • A
PXC	1SMA22CAT3	ON	vs	$V_{GR}(I_T = 1.0 \text{ mA}) = 24.4 \dots 26.97 \text{ В}$; $V_{WM} = 35.5 \text{ В}$; $I_{SP} = 11.3 \text{ A}$	DO-214AC, SMA	x • x
PY	SMAJ100	VISH	vs	$V_{GR}(I_T = 1.0 \text{ mA}) = 111 \dots 136 \text{ В}$; $V_{WM} = 179 \text{ В}$; $I_{SP} = 2.2 \text{ A}$	DO-214AC, SMA	K • A
RZ	1SMA24AT3	ON	vs	$V_{GR}(I_T = 1.0 \text{ mA}) = 26.7 \dots 29.5 \text{ В}$; $V_{WM} = 38.9 \text{ В}$; $I_{SP} = 10.3 \text{ A}$	DO-214AC, SMA	K • A
RZ	SMAJ100A	VISH	vs	$V_{GR}(I_T = 1.0 \text{ mA}) = 111 \dots 123 \text{ В}$; $V_{WM} = 162 \text{ В}$; $I_{SP} = 2.5 \text{ A}$	DO-214AC, SMA	K • A
RZC	1SMA24CAT3	ON	vs	$V_{GR}(I_T = 1.0 \text{ mA}) = 26.7 \dots 29.51 \text{ В}$; $V_{WM} = 38.9 \text{ В}$; $I_{SP} = 10.3 \text{ A}$	DO-214AC, SMA	x • x
SI A	SI A	FAIR	dr	$V_{G1} < 50 \text{ В}$; $I_T < 1 \text{ A}$; $V_T(I_T = 1 \text{ A}) < 1.1 \text{ В}$	DO-214AC, SMA	K • A
SI A	SMB4001	MCC	dr	$V_{G1} < 50 \text{ В}$; $I_T = 1 \text{ A}$; $V_T(I_T = 1 \text{ A}) < 1.1 \text{ В}$; $C_0 = 12 \text{ нФ}$	DO-214AA, SMB	K • A
SI B	SI B	FAIR	dr	$V_{G1} < 100 \text{ В}$; $I_T < 1 \text{ A}$; $V_T(I_T = 1 \text{ A}) < 1.1 \text{ В}$	DO-214AC, SMA	K • A
SI B	SMB4002	MCC	dr	$V_{G1} < 100 \text{ В}$; $I_T = 1 \text{ A}$; $V_T(I_T = 1 \text{ A}) < 1.1 \text{ В}$; $C_0 = 12 \text{ нФ}$	DO-214AA, SMB	K • A
SI D	SI D	FAIR	dr	$V_{G1} < 200 \text{ В}$; $I_T < 1 \text{ A}$; $V_T(I_T = 1 \text{ A}) < 1.1 \text{ В}$	DO-214AC, SMA	K • A
SI D	SMB4003	MCC	dr	$V_{G1} < 200 \text{ В}$; $I_T = 1 \text{ A}$; $V_T(I_T = 1 \text{ A}) < 1.1 \text{ В}$; $C_0 = 12 \text{ нФ}$	DO-214AA, SMB	K • A
SI G	SI G	FAIR	dr	$V_{G1} < 400 \text{ В}$; $I_T < 1 \text{ A}$; $V_T(I_T = 1 \text{ A}) < 1.1 \text{ В}$	DO-214AC, SMA	K • A
SI G	SMB4004	MCC	dr	$V_{G1} < 400 \text{ В}$; $I_T = 1 \text{ A}$; $V_T(I_T = 1 \text{ A}) < 1.1 \text{ В}$; $C_0 = 12 \text{ нФ}$	DO-214AA, SMB	K • A
SI J	SI J	FAIR	dr	$V_{G1} < 600 \text{ В}$; $I_T < 1 \text{ A}$; $V_T(I_T = 1 \text{ A}) < 1.1 \text{ В}$	DO-214AC, SMA	K • A
SI J	SMB4005	MCC	dr	$V_{G1} < 600 \text{ В}$; $I_T = 1 \text{ A}$; $V_T(I_T = 1 \text{ A}) < 1.1 \text{ В}$; $C_0 = 12 \text{ нФ}$	DO-214AA, SMB	K • A
SI K	SI K	FAIR	dr	$V_{G1} < 800 \text{ В}$; $I_T < 1 \text{ A}$; $V_T(I_T = 1 \text{ A}) < 1.1 \text{ В}$	DO-214AC, SMA	K • A
SI K	SMB4006	MCC	dr	$V_{G1} < 800 \text{ В}$; $I_T = 1 \text{ A}$; $V_T(I_T = 1 \text{ A}) < 1.1 \text{ В}$; $C_0 = 12 \text{ нФ}$	DO-214AA, SMB	K • A
SI M	SI M	FAIR	dr	$V_{G1} < 1000 \text{ В}$; $I_T < 1 \text{ A}$; $V_T(I_T = 1 \text{ A}) < 1.1 \text{ В}$	DO-214AC, SMA	K • A
SI M	SMB4007	MCC	dr	$V_{G1} < 1000 \text{ В}$; $I_T = 1 \text{ A}$; $V_T(I_T = 1 \text{ A}) < 1.1 \text{ В}$; $C_0 = 12 \text{ нФ}$	DO-214AA, SMB	K • A
SD	SMAJ110	VISH	vs	$V_{GR}(I_T = 1.0 \text{ mA}) = 122 \dots 149 \text{ В}$; $V_{WM} = 196 \text{ В}$; $I_{SP} = 2.0 \text{ A}$	DO-214AC, SMA	K • A
SE	1SMA26AT3	ON	vs	$V_{GR}(I_T = 1.0 \text{ mA}) = 28.9 \dots 31.9 \text{ В}$; $V_{WM} = 42.1 \text{ В}$; $I_{SP} = 9.5 \text{ A}$	DO-214AC, SMA	K • A
SE	SMAJ110A	VISH	vs	$V_{GR}(I_T = 1.0 \text{ mA}) = 122 \dots 135 \text{ В}$; $V_{WM} = 177 \text{ В}$; $I_{SP} = 2.3 \text{ A}$	DO-214AC, SMA	K • A
SEC	1SMA26CAT3	ON	vs	$V_{GR}(I_T = 1.0 \text{ mA}) = 28.9 \dots 31.94 \text{ В}$; $V_{WM} = 42.1 \text{ В}$; $I_{SP} = 9.5 \text{ A}$	DO-214AC, SMA	x • x
SF	SMAJ120	VISH	vs	$V_{GR}(I_T = 1.0 \text{ mA}) = 133 \dots 163 \text{ В}$; $V_{WM} = 214 \text{ В}$; $I_{SP} = 1.9 \text{ A}$	DO-214AC, SMA	K • A
SG	1SMA28AT3	ON	vs	$V_{GR}(I_T = 1.0 \text{ mA}) = 31.1 \dots 34.4 \text{ В}$; $V_{WM} = 45.4 \text{ В}$; $I_{SP} = 8.8 \text{ A}$	DO-214AC, SMA	K • A
SG	SMAJ120A	VISH	vs	$V_{GR}(I_T = 1.0 \text{ mA}) = 133 \dots 147 \text{ В}$; $V_{WM} = 193 \text{ В}$; $I_{SP} = 2.0 \text{ A}$	DO-214AC, SMA	K • A
SGC	1SMA28CAT3	ON	vs	$V_{GR}(I_T = 1.0 \text{ mA}) = 31.1 \dots 34.37 \text{ В}$; $V_{WM} = 45.4 \text{ В}$; $I_{SP} = 8.8 \text{ A}$	DO-214AC, SMA	x • x
SH	SMAJ130	VISH	vs	$V_{GR}(I_T = 1.0 \text{ mA}) = 144 \dots 176 \text{ В}$; $V_{WM} = 231 \text{ В}$; $I_{SP} = 1.7 \text{ A}$	DO-214AC, SMA	K • A
SK	1SMA30AT3	ON	vs	$V_{GR}(I_T = 1.0 \text{ mA}) = 33.3 \dots 36.8 \text{ В}$; $V_{WM} = 48.4 \text{ В}$; $I_{SP} = 8.3 \text{ A}$	DO-214AC, SMA	K • A
SK	SMAJ130A	VISH	vs	$V_{GR}(I_T = 1.0 \text{ mA}) = 144 \dots 159 \text{ В}$; $V_{WM} = 209 \text{ В}$; $I_{SP} = 1.9 \text{ A}$	DO-214AC, SMA	K • A
SKC	1SMA30CAT3	ON	vs	$V_{GR}(I_T = 1.0 \text{ mA}) = 33.3 \dots 36.81 \text{ В}$; $V_{WM} = 48.4 \text{ В}$; $I_{SP} = 8.3 \text{ A}$	DO-214AC, SMA	x • x
SL	SMAJ150	VISH	vs	$V_{GR}(I_T = 1.0 \text{ mA}) = 167 \dots 204 \text{ В}$; $V_{WM} = 268 \text{ В}$; $I_{SP} = 1.5 \text{ A}$	DO-214AC, SMA	K • A
SM	1SMA33AT3	ON	vs	$V_{GR}(I_T = 1.0 \text{ mA}) = 36.7 \dots 40.6 \text{ В}$; $V_{WM} = 53.3 \text{ В}$; $I_{SP} = 7.5 \text{ A}$	DO-214AC, SMA	K • A
SM	SMAJ150A	VISH	vs	$V_{GR}(I_T = 1.0 \text{ mA}) = 167 \dots 185 \text{ В}$; $V_{WM} = 243 \text{ В}$; $I_{SP} = 1.6 \text{ A}$	DO-214AC, SMA	K • A
SMC	1SMA33CAT3	ON	vs	$V_{GR}(I_T = 1.0 \text{ mA}) = 36.7 \dots 40.56 \text{ В}$; $V_{WM} = 53.3 \text{ В}$; $I_{SP} = 7.5 \text{ A}$	DO-214AC, SMA	x • x
SN	SMAJ160	VISH	vs	$V_{GR}(I_T = 1.0 \text{ mA}) = 178 \dots 218 \text{ В}$; $V_{WM} = 287 \text{ В}$; $I_{SP} = 1.4 \text{ A}$	DO-214AC, SMA	K • A
SP	1SMA36AT3	ON	vs	$V_{GR}(I_T = 1.0 \text{ mA}) = 40 \dots 44.2 \text{ В}$; $V_{WM} = 58.1 \text{ В}$; $I_{SP} = 6.9 \text{ A}$	DO-214AC, SMA	K • A
SP	SMAJ160A	VISH	vs	$V_{GR}(I_T = 1.0 \text{ mA}) = 178 \dots 197 \text{ В}$; $V_{WM} = 259 \text{ В}$; $I_{SP} = 1.5 \text{ A}$	DO-214AC, SMA	K • A
SPC	1SMA36CAT3	ON	vs	$V_{GR}(I_T = 1.0 \text{ mA}) = 40 \dots 44.21 \text{ В}$; $V_{WM} = 58.1 \text{ В}$; $I_{SP} = 6.9 \text{ A}$	DO-214AC, SMA	x • x
SQ	SMAJ170	VISH	vs	$V_{GR}(I_T = 1.0 \text{ mA}) = 189 \dots 231 \text{ В}$; $V_{WM} = 304 \text{ В}$; $I_{SP} = 1.3 \text{ A}$	DO-214AC, SMA	K • A
SR	1SMA40AT3	ON	vs	$V_{GR}(I_T = 1.0 \text{ mA}) = 44.4 \dots 49.1 \text{ В}$; $V_{WM} = 64.5 \text{ В}$; $I_{SP} = 6.2 \text{ A}$	DO-214AC, SMA	K • A
SR	SMAJ170	VISH	vs	$V_{GR}(I_T = 1.0 \text{ mA}) = 189 \dots 209 \text{ В}$; $V_{WM} = 275 \text{ В}$; $I_{SP} = 1.4 \text{ A}$	DO-214AC, SMA	K • A
SRC	1SMA40CAT3	ON	vs	$V_{GR}(I_T = 1.0 \text{ mA}) = 44.4 \dots 49.07 \text{ В}$; $V_{WM} = 64.5 \text{ В}$; $I_{SP} = 6.2 \text{ A}$	DO-214AC, SMA	x • x
ST	1SMA43AT3	ON	vs	$V_{GR}(I_T = 1.0 \text{ mA}) = 47.8 \dots 52.8 \text{ В}$; $V_{WM} = 69.4 \text{ В}$; $I_{SP} = 5.8 \text{ A}$	DO-214AC, SMA	K • A
STC	1SMA43CAT3	ON	vs	$V_{GR}(I_T = 1.0 \text{ mA}) = 47.8 \dots 52.83 \text{ В}$; $V_{WM} = 69.4 \text{ В}$; $I_{SP} = 5.8 \text{ A}$	DO-214AC, SMA	x • x
SV	1SMA45AT3	ON	vs	$V_{GR}(I_T = 1.0 \text{ mA}) = 50 \dots 55.3 \text{ В}$; $V_{WM} = 72.2 \text{ В}$; $I_{SP} = 5.5 \text{ A}$	DO-214AC, SMA	K • A
SVC	1SMA45CAT3	ON	vs	$V_{GR}(I_T = 1.0 \text{ mA}) = 50 \dots 55.3 \text{ В}$; $V_{WM} = 72.2 \text{ В}$; $I_{SP} = 5.5 \text{ A}$	DO-214AC, SMA	x • x
SX	1SMA48AT3	ON	vs	$V_{GR}(I_T = 1.0 \text{ mA}) = 53.3 \dots 58.9 \text{ В}$; $V_{WM} = 77.4 \text{ В}$; $I_{SP} = 6.2 \text{ A}$	DO-214AC, SMA	K • A



DO214, SMA, SMB, SMC, SOD110

Код	Типономинал	Б	Ф	Особенности	Корпус	Ц: 1-2
SXC	1SMA48CAT3	ON	vs	$V_{BR}(I_T=1.0\text{ mA})=53.3...58.91\text{ В}$; $V_{WM}=77.4\text{ В}$; $I_{PP}=5.2\text{ А}$	DO-214AC, SMA	x x x
SZ	1SMA51AT3	ON	vs	$V_{BR}(I_T=1.0\text{ mA})=56.7...62.7\text{ В}$; $V_{WM}=82.4\text{ В}$; $I_{PP}=4.9\text{ А}$	DO-214AC, SMA	K A
SZC	1SMA51CAT3	ON	vs	$V_{BR}(I_T=1.0\text{ mA})=56.7...62.67\text{ В}$; $V_{WM}=82.4\text{ В}$; $I_{PP}=4.9\text{ А}$	DO-214AC, SMA	x x x
TD	SMAJ5.0C	VISH	vs	$V_{BR}(I_T=10\text{ mA})=64.0...7.30\text{ В}$; $V_{WM}=9.6\text{ В}$; $I_{PP}=41.6\text{ А}$	DO-214AC, SMA	x x x
TE	1SMA54AT3	ON	vs	$V_{BR}(I_T=1.0\text{ mA})=60...66.3\text{ В}$; $V_{WM}=87.1\text{ В}$; $I_{PP}=4.6\text{ А}$	DO-214AC, SMA	K A
TE	SMAJ5.0AC	VISH	vs	$V_{BR}(I_T=10\text{ mA})=64.4...7.0\text{ В}$; $V_{WM}=9.2\text{ В}$; $I_{PP}=43.5\text{ А}$	DO-214AC, SMA	x x x
TEC	1SMA54CAT3	ON	vs	$V_{BR}(I_T=1.0\text{ mA})=60...66.32\text{ В}$; $V_{WM}=87.1\text{ В}$; $I_{PP}=4.6\text{ А}$	DO-214AC, SMA	x x x
TF	SMAJ6.0C	VISH	vs	$V_{BR}(I_T=10\text{ mA})=6.67...8.15\text{ В}$; $V_{WM}=11.4\text{ В}$; $I_{PP}=35.1\text{ А}$	DO-214AC, SMA	x x x
TG	1SMA58AT3	ON	vs	$V_{BR}(I_T=1.0\text{ mA})=64.4...71.5\text{ В}$; $V_{WM}=93.6\text{ В}$; $I_{PP}=4.3\text{ А}$	DO-214AC, SMA	K A
TG	SMAJ6.0AC	VISH	vs	$V_{BR}(I_T=10\text{ mA})=6.67...7.37\text{ В}$; $V_{WM}=10.3\text{ В}$; $I_{PP}=38.8\text{ А}$	DO-214AC, SMA	x x x
TGC	1SMA58CAT3	ON	vs	$V_{BR}(I_T=1.0\text{ mA})=64.4...71.5\text{ В}$; $V_{WM}=93.6\text{ В}$; $I_{PP}=4.3\text{ А}$	DO-214AC, SMA	x x x
TH	SMAJ6.5C	VISH	vs	$V_{BR}(I_T=10\text{ mA})=7.22...8.82\text{ В}$; $V_{WM}=12.3\text{ В}$; $I_{PP}=32.5\text{ А}$	DO-214AC, SMA	x x x
TK	1SMA60AT3	ON	vs	$V_{BR}(I_T=1.0\text{ mA})=66.7...73.7\text{ В}$; $V_{WM}=96.8\text{ В}$; $I_{PP}=4.1\text{ А}$	DO-214AC, SMA	K A
TK	SMAJ6.5AC	VISH	vs	$V_{BR}(I_T=10\text{ mA})=7.22...7.98\text{ В}$; $V_{WM}=11.2\text{ В}$; $I_{PP}=35.7\text{ А}$	DO-214AC, SMA	x x x
TKC	1SMA60CAT3	ON	vs	$V_{BR}(I_T=1.0\text{ mA})=66.7...73.72\text{ В}$; $V_{WM}=96.8\text{ В}$; $I_{PP}=4.1\text{ А}$	DO-214AC, SMA	x x x
TL	SMAJ7.0C	VISH	vs	$V_{BR}(I_T=10\text{ mA})=7.78...9.51\text{ В}$; $V_{WM}=13.3\text{ В}$; $I_{PP}=30.1\text{ А}$	DO-214AC, SMA	x x x
TM	1SMA64AT3	ON	vs	$V_{BR}(I_T=1.0\text{ mA})=71.1...78.6\text{ В}$; $V_{WM}=103\text{ В}$; $I_{PP}=3.9\text{ А}$	DO-214AC, SMA	K A
TM	SMAJ7.0AC	VISH	vs	$V_{BR}(I_T=10\text{ mA})=7.78...8.60\text{ В}$; $V_{WM}=12.0\text{ В}$; $I_{PP}=33.3\text{ А}$	DO-214AC, SMA	x x x
TMC	1SMA64CAT3	ON	vs	$V_{BR}(I_T=1.0\text{ mA})=71.1...78.58\text{ В}$; $V_{WM}=103\text{ В}$; $I_{PP}=3.9\text{ А}$	DO-214AC, SMA	x x x
TN	SMAJ7.5C	VISH	vs	$V_{BR}(I_T=1.0\text{ mA})=8.33...10.3\text{ В}$; $V_{WM}=14.3\text{ В}$; $I_{PP}=28.0\text{ А}$	DO-214AC, SMA	x x x
TP	1SMA70AT3	ON	vs	$V_{BR}(I_T=1.0\text{ mA})=77.8...86\text{ В}$; $V_{WM}=113\text{ В}$; $I_{PP}=3.5\text{ А}$	DO-214AC, SMA	K A
TP	SMAJ7.5AC	VISH	vs	$V_{BR}(I_T=1.0\text{ mA})=8.33...9.21\text{ В}$; $V_{WM}=12.9\text{ В}$; $I_{PP}=31.0\text{ А}$	DO-214AC, SMA	x x x
TPC	1SMA70CAT3	ON	vs	$V_{BR}(I_T=1.0\text{ mA})=77.8...85.99\text{ В}$; $V_{WM}=113\text{ В}$; $I_{PP}=3.5\text{ А}$	DO-214AC, SMA	x x x
TQ	SMAJ8.0C	VISH	vs	$V_{BR}(I_T=1.0\text{ mA})=8.89...10.9\text{ В}$; $V_{WM}=15.0\text{ В}$; $I_{PP}=26.5\text{ А}$	DO-214AC, SMA	x x x
TR	1SMA75AT3	ON	vs	$V_{BR}(I_T=1.0\text{ mA})=83.3...92.1\text{ В}$; $V_{WM}=121\text{ В}$; $I_{PP}=3.3\text{ А}$	DO-214AC, SMA	K A
TR	SMAJ8.0AC	VISH	vs	$V_{BR}(I_T=1.0\text{ mA})=8.89...9.83\text{ В}$; $V_{WM}=13.6\text{ В}$; $I_{PP}=29.4\text{ А}$	DO-214AC, SMA	x x x
TRC	1SMA75CAT3	ON	vs	$V_{BR}(I_T=1.0\text{ mA})=83.3...92.1\text{ В}$; $V_{WM}=121\text{ В}$; $I_{PP}=3.3\text{ А}$	DO-214AC, SMA	x x x
TS	1SMA78AT3	ON	vs	$V_{BR}(I_T=1.0\text{ mA})=86.7...95.83\text{ В}$; $V_{WM}=126\text{ В}$; $I_{PP}=3.2\text{ А}$	DO-214AC, SMA	K A
TS	SMAJ8.5C	VISH	vs	$V_{BR}(I_T=1.0\text{ mA})=9.44...11.5\text{ В}$; $V_{WM}=15.9\text{ В}$; $I_{PP}=25.1\text{ А}$	DO-214AC, SMA	x x x
TSC	1SMA78CAT3	ON	vs	$V_{BR}(I_T=1.0\text{ mA})=86.7...95.83\text{ В}$; $V_{WM}=126\text{ В}$; $I_{PP}=3.2\text{ А}$	DO-214AC, SMA	x x x
TT	SMAJ8.5AC	VISH	vs	$V_{BR}(I_T=1.0\text{ mA})=9.44...10.4\text{ В}$; $V_{WM}=14.4\text{ В}$; $I_{PP}=27.7\text{ А}$	DO-214AC, SMA	x x x
TU	SMAJ9.0C	VISH	vs	$V_{BR}(I_T=1.0\text{ mA})=10.0...12.2\text{ В}$; $V_{WM}=16.9\text{ В}$; $I_{PP}=23.6\text{ А}$	DO-214AC, SMA	x x x
TV	SMAJ9.0AC	VISH	vs	$V_{BR}(I_T=1.0\text{ mA})=10.0...11.1\text{ В}$; $V_{WM}=15.4\text{ В}$; $I_{PP}=26.0\text{ А}$	DO-214AC, SMA	x x x
TW	SMAJ10C	VISH	vs	$V_{BR}(I_T=1.0\text{ mA})=11.1...13.6\text{ В}$; $V_{WM}=18.8\text{ В}$; $I_{PP}=21.2\text{ А}$	DO-214AC, SMA	x x x
TX	SMAJ10AC	VISH	vs	$V_{BR}(I_T=1.0\text{ mA})=11.1...12.3\text{ В}$; $V_{WM}=17.0\text{ В}$; $I_{PP}=23.5\text{ А}$	DO-214AC, SMA	x x x
TY	SMAJ11C	VISH	vs	$V_{BR}(I_T=1.0\text{ mA})=12.2...14.9\text{ В}$; $V_{WM}=20.1\text{ В}$; $I_{PP}=20.0\text{ А}$	DO-214AC, SMA	x x x
TZ	SMAJ11AC	VISH	vs	$V_{BR}(I_T=1.0\text{ mA})=12.2...13.5\text{ В}$; $V_{WM}=18.2\text{ В}$; $I_{PP}=22.0\text{ А}$	DO-214AC, SMA	x x x
U1A	MURS105T3	ON	dr	$V_R < 50\text{ В}$; $I_F=1\text{ А}$; $V_F(I_F=1\text{ А}) < 0.71\text{ В}$; $t_{RR} < 35\text{ нс}$	DO-214AA, SMB	K A
U1B	MURS110T3	ON	dr	$V_R < 100\text{ В}$; $I_F=1\text{ А}$; $V_F(I_F=1\text{ А}) < 0.71\text{ В}$; $t_{RR} < 35\text{ нс}$	DO-214AA, SMB	K A
U1C	MURS115T3	ON	dr	$V_R < 150\text{ В}$; $I_F=1\text{ А}$; $V_F(I_F=1\text{ А}) < 0.71\text{ В}$; $t_{RR} < 35\text{ нс}$	DO-214AA, SMB	K A
U1D	MURS120T3	ON	dr	$V_R < 200\text{ В}$; $I_F=1\text{ А}$; $V_F(I_F=1\text{ А}) < 0.71\text{ В}$; $t_{RR} < 35\text{ нс}$	DO-214AA, SMB	K A
U1G	MURS140T3	ON	dr	$V_R < 400\text{ В}$; $I_F=1\text{ А}$; $V_F(I_F=1\text{ А}) < 1.05\text{ В}$; $t_{RR} < 75\text{ нс}$	DO-214AA, SMB	K A
U1J	MURS160T3	ON	dr	$V_R < 600\text{ В}$; $I_F=1\text{ А}$; $V_F(I_F=1\text{ А}) < 1.05\text{ В}$; $t_{RR} < 75\text{ нс}$	DO-214AA, SMB	K A
UA	US1A	GS	fd	$V_R=50\text{ В}$; $I_F=1\text{ А}$; $C_0=17\text{ нФ}$	DO-214AC, SMA	K A
UB	US1B	GS	fd	$V_R=100\text{ В}$; $I_F=1\text{ А}$; $C_0=17\text{ нФ}$	DO-214AC, SMA	K A
UD	SMAJ12C	VISH	vs	$V_{BR}(I_T=1.0\text{ mA})=13.3...16.3\text{ В}$; $V_{WM}=22.0\text{ В}$; $I_{PP}=18.1\text{ А}$	DO-214AC, SMA	x x x
UD	US1D	GS	fd	$V_R=200\text{ В}$; $I_F=1\text{ А}$; $C_0=17\text{ нФ}$	DO-214AC, SMA	K A
UE	SMAJ12AC	VISH	vs	$V_{BR}(I_T=1.0\text{ mA})=13.3...14.7\text{ В}$; $V_{WM}=19.9\text{ В}$; $I_{PP}=20.1\text{ А}$	DO-214AC, SMA	x x x
UF	SMAJ13C	VISH	vs	$V_{BR}(I_T=1.0\text{ mA})=14.4...17.6\text{ В}$; $V_{WM}=23.8\text{ В}$; $I_{PP}=16.8\text{ А}$	DO-214AC, SMA	x x x
UG	SMAJ13AC	VISH	vs	$V_{BR}(I_T=1.0\text{ mA})=14.4...15.9\text{ В}$; $V_{WM}=21.5\text{ В}$; $I_{PP}=18.6\text{ А}$	DO-214AC, SMA	x x x
UG	US1G	GS	fd	$V_R=400\text{ В}$; $I_F=1\text{ А}$; $C_0=17\text{ нФ}$	DO-214AC, SMA	K A
UH	SMAJ14C	VISH	vs	$V_{BR}(I_T=1.0\text{ mA})=15.6...19.1\text{ В}$; $V_{WM}=25.8\text{ В}$; $I_{PP}=15.5\text{ А}$	DO-214AC, SMA	x x x
UJ	US1J	GS	fd	$V_R=600\text{ В}$; $I_F=1\text{ А}$; $C_0=15\text{ нФ}$	DO-214AC, SMA	K A



Код	Типономинал	Б	Ф	Особенности	Корпус	Ц: 1-2
UK	SMAJ14AC	VISH	vs	$V_{BR}(I_T = 1.0 \text{ mA}) = 15.6 \dots 17.2 \text{ В}$; $V_{WM} = 23.2 \text{ В}$; $I_{SP} = 17.2 \text{ А}$	DO-214AC, SMA	x * x
UL	SMAJ15C	VISH	vs	$V_{BR}(I_T = 1.0 \text{ mA}) = 16.7 \dots 20.4 \text{ В}$; $V_{WM} = 26.9 \text{ В}$; $I_{SP} = 14.8 \text{ А}$	DO-214AC, SMA	x * x
UM	SMAJ15AC	VISH	vs	$V_{BR}(I_T = 1.0 \text{ mA}) = 16.7 \dots 18.5 \text{ В}$; $V_{WM} = 24.4 \text{ В}$; $I_{SP} = 16.4 \text{ А}$	DO-214AC, SMA	x * x
UN	SMAJ16C	VISH	vs	$V_{BR}(I_T = 1.0 \text{ mA}) = 17.8 \dots 21.8 \text{ В}$; $V_{WM} = 28.8 \text{ В}$; $I_{SP} = 13.6 \text{ А}$	DO-214AC, SMA	x * x
UP	SMAJ16AC	VISH	vs	$V_{BR}(I_T = 1.0 \text{ mA}) = 17.8 \dots 19.7 \text{ В}$; $V_{WM} = 26.0 \text{ В}$; $I_{SP} = 15.3 \text{ А}$	DO-214AC, SMA	x * x
UQ	SMAJ17C	VISH	vs	$V_{BR}(I_T = 1.0 \text{ mA}) = 18.9 \dots 23.1 \text{ В}$; $V_{WM} = 30.5 \text{ В}$; $I_{SP} = 13.1 \text{ А}$	DO-214AC, SMA	x * x
UR	SMAJ17AC	VISH	vs	$V_{BR}(I_T = 1.0 \text{ mA}) = 18.9 \dots 20.9 \text{ В}$; $V_{WM} = 27.6 \text{ В}$; $I_{SP} = 14.5 \text{ А}$	DO-214AC, SMA	x * x
US	SMAJ18C	VISH	vs	$V_{BR}(I_T = 1.0 \text{ mA}) = 20.0 \dots 24.4 \text{ В}$; $V_{WM} = 32.2 \text{ В}$; $I_{SP} = 12.4 \text{ А}$	DO-214AC, SMA	x * x
UT	SMAJ18AC	VISH	vs	$V_{BR}(I_T = 1.0 \text{ mA}) = 20.0 \dots 22.1 \text{ В}$; $V_{WM} = 29.2 \text{ В}$; $I_{SP} = 13.7 \text{ А}$	DO-214AC, SMA	x * x
UU	SMAJ20C	VISH	vs	$V_{BR}(I_T = 1.0 \text{ mA}) = 22.2 \dots 27.1 \text{ В}$; $V_{WM} = 35.8 \text{ В}$; $I_{SP} = 11.1 \text{ А}$	DO-214AC, SMA	x * x
UV	SMAJ20AC	VISH	vs	$V_{BR}(I_T = 1.0 \text{ mA}) = 22.2 \dots 24.5 \text{ В}$; $V_{WM} = 32.4 \text{ В}$; $I_{SP} = 12.3 \text{ А}$	DO-214AC, SMA	x * x
UW	SMAJ22C	VISH	vs	$V_{BR}(I_T = 1.0 \text{ mA}) = 24.4 \dots 29.8 \text{ В}$; $V_{WM} = 39.4 \text{ В}$; $I_{SP} = 10.1 \text{ А}$	DO-214AC, SMA	x * x
UX	SMAJ22AC	VISH	vs	$V_{BR}(I_T = 1.0 \text{ mA}) = 24.4 \dots 26.9 \text{ В}$; $V_{WM} = 35.5 \text{ В}$; $I_{SP} = 11.2 \text{ А}$	DO-214AC, SMA	x * x
UY	SMAJ24C	VISH	vs	$V_{BR}(I_T = 1.0 \text{ mA}) = 26.7 \dots 32.6 \text{ В}$; $V_{WM} = 43.0 \text{ В}$; $I_{SP} = 9.3 \text{ А}$	DO-214AC, SMA	x * x
UZ	SMAJ24AC	VISH	vs	$V_{BR}(I_T = 1.0 \text{ mA}) = 26.7 \dots 29.5 \text{ В}$; $V_{WM} = 38.9 \text{ В}$; $I_{SP} = 10.3 \text{ А}$	DO-214AC, SMA	x * x
VD	SMAJ26C	VISH	vs	$V_{BR}(I_T = 1.0 \text{ mA}) = 28.9 \dots 31.9 \text{ В}$; $V_{WM} = 46.6 \text{ В}$; $I_{SP} = 8.6 \text{ А}$	DO-214AC, SMA	x * x
VE	SMAJ26AC	VISH	vs	$V_{BR}(I_T = 1.0 \text{ mA}) = 28.9 \dots 25.3 \text{ В}$; $V_{WM} = 42.1 \text{ В}$; $I_{SP} = 9.5 \text{ А}$	DO-214AC, SMA	x * x
VF	SMAJ28C	VISH	vs	$V_{BR}(I_T = 1.0 \text{ mA}) = 31.1 \dots 38.0 \text{ В}$; $V_{WM} = 50.0 \text{ В}$; $I_{SP} = 8.0 \text{ А}$	DO-214AC, SMA	x * x
VG	SMAJ28AC	VISH	vs	$V_{BR}(I_T = 1.0 \text{ mA}) = 31.1 \dots 34.4 \text{ В}$; $V_{WM} = 45.4 \text{ В}$; $I_{SP} = 8.8 \text{ А}$	DO-214AC, SMA	x * x
VH	SMAJ30C	VISH	vs	$V_{BR}(I_T = 1.0 \text{ mA}) = 33.3 \dots 40.7 \text{ В}$; $V_{WM} = 53.5 \text{ В}$; $I_{SP} = 7.5 \text{ А}$	DO-214AC, SMA	x * x
VK	SMAJ30AC	VISH	vs	$V_{BR}(I_T = 1.0 \text{ mA}) = 33.3 \dots 36.8 \text{ В}$; $V_{WM} = 48.4 \text{ В}$; $I_{SP} = 8.3 \text{ А}$	DO-214AC, SMA	x * x
VL	SMAJ33C	VISH	vs	$V_{BR}(I_T = 1.0 \text{ mA}) = 36.7 \dots 44.9 \text{ В}$; $V_{WM} = 59.0 \text{ В}$; $I_{SP} = 6.8 \text{ А}$	DO-214AC, SMA	x * x
VM	SMAJ33AC	VISH	vs	$V_{BR}(I_T = 1.0 \text{ mA}) = 36.7 \dots 40.6 \text{ В}$; $V_{WM} = 53.3 \text{ В}$; $I_{SP} = 7.5 \text{ А}$	DO-214AC, SMA	x * x
VN	SMAJ36C	VISH	vs	$V_{BR}(I_T = 1.0 \text{ mA}) = 40.0 \dots 48.9 \text{ В}$; $V_{WM} = 64.3 \text{ В}$; $I_{SP} = 6.2 \text{ А}$	DO-214AC, SMA	x * x
VP	SMAJ36AC	VISH	vs	$V_{BR}(I_T = 1.0 \text{ mA}) = 40.0 \dots 44.2 \text{ В}$; $V_{WM} = 58.1 \text{ В}$; $I_{SP} = 6.9 \text{ А}$	DO-214AC, SMA	x * x
VQ	SMAJ40C	VISH	vs	$V_{BR}(I_T = 1.0 \text{ mA}) = 44.4 \dots 54.3 \text{ В}$; $V_{WM} = 71.4 \text{ В}$; $I_{SP} = 5.6 \text{ А}$	DO-214AC, SMA	x * x
VR	SMAJ40AC	VISH	vs	$V_{BR}(I_T = 1.0 \text{ mA}) = 44.4 \dots 49.1 \text{ В}$; $V_{WM} = 64.5 \text{ В}$; $I_{SP} = 6.2 \text{ А}$	DO-214AC, SMA	x * x
VS	SMAJ43C	VISH	vs	$V_{BR}(I_T = 1.0 \text{ mA}) = 47.8 \dots 58.4 \text{ В}$; $V_{WM} = 76.7 \text{ В}$; $I_{SP} = 5.2 \text{ А}$	DO-214AC, SMA	x * x
VT	SMAJ43AC	VISH	vs	$V_{BR}(I_T = 1.0 \text{ mA}) = 47.8 \dots 52.8 \text{ В}$; $V_{WM} = 69.4 \text{ В}$; $I_{SP} = 5.7 \text{ А}$	DO-214AC, SMA	x * x
VU	SMAJ45C	VISH	vs	$V_{BR}(I_T = 1.0 \text{ mA}) = 50.0 \dots 61.1 \text{ В}$; $V_{WM} = 80.3 \text{ В}$; $I_{SP} = 5.0 \text{ А}$	DO-214AC, SMA	x * x
VV	SMAJ45AC	VISH	vs	$V_{BR}(I_T = 1.0 \text{ mA}) = 50.0 \dots 55.3 \text{ В}$; $V_{WM} = 72.7 \text{ В}$; $I_{SP} = 5.5 \text{ А}$	DO-214AC, SMA	x * x
VW	SMAJ48C	VISH	vs	$V_{BR}(I_T = 1.0 \text{ mA}) = 53.3 \dots 65.1 \text{ В}$; $V_{WM} = 85.5 \text{ В}$; $I_{SP} = 4.7 \text{ А}$	DO-214AC, SMA	x * x
VX	SMAJ48AC	VISH	vs	$V_{BR}(I_T = 1.0 \text{ mA}) = 53.3 \dots 58.9 \text{ В}$; $V_{WM} = 77.4 \text{ В}$; $I_{SP} = 5.2 \text{ А}$	DO-214AC, SMA	x * x
VY	SMAJ51C	VISH	vs	$V_{BR}(I_T = 1.0 \text{ mA}) = 56.7 \dots 69.3 \text{ В}$; $V_{WM} = 91.1 \text{ В}$; $I_{SP} = 4.4 \text{ А}$	DO-214AC, SMA	x * x
VZ	SMAJ51AC	VISH	vs	$V_{BR}(I_T = 1.0 \text{ mA}) = 56.7 \dots 62.7 \text{ В}$; $V_{WM} = 82.4 \text{ В}$; $I_{SP} = 4.9 \text{ А}$	DO-214AC, SMA	x * x
WD	SMAJ54C	VISH	vs	$V_{BR}(I_T = 1.0 \text{ mA}) = 60.0 \dots 73.3 \text{ В}$; $V_{WM} = 96.3 \text{ В}$; $I_{SP} = 4.2 \text{ А}$	DO-214AC, SMA	x * x
WE	SMAJ54AC	VISH	vs	$V_{BR}(I_T = 1.0 \text{ mA}) = 60.0 \dots 66.3 \text{ В}$; $V_{WM} = 87.1 \text{ В}$; $I_{SP} = 4.6 \text{ А}$	DO-214AC, SMA	x * x
WF	SMAJ58C	VISH	vs	$V_{BR}(I_T = 1.0 \text{ mA}) = 64.4 \dots 78.7 \text{ В}$; $V_{WM} = 103 \text{ В}$; $I_{SP} = 3.9 \text{ А}$	DO-214AC, SMA	x * x
WG	SMAJ58AC	VISH	vs	$V_{BR}(I_T = 1.0 \text{ mA}) = 64.4 \dots 71.2 \text{ В}$; $V_{WM} = 93.6 \text{ В}$; $I_{SP} = 4.3 \text{ А}$	DO-214AC, SMA	x * x
WH	SMAJ60C	VISH	vs	$V_{BR}(I_T = 1.0 \text{ mA}) = 66.7 \dots 81.5 \text{ В}$; $V_{WM} = 107 \text{ В}$; $I_{SP} = 3.7 \text{ А}$	DO-214AC, SMA	x * x
WK	SMAJ60AC	VISH	vs	$V_{BR}(I_T = 1.0 \text{ mA}) = 66.7 \dots 73.7 \text{ В}$; $V_{WM} = 96.8 \text{ В}$; $I_{SP} = 4.1 \text{ А}$	DO-214AC, SMA	x * x
WL	SMAJ64C	VISH	vs	$V_{BR}(I_T = 1.0 \text{ mA}) = 71.1 \dots 86.4 \text{ В}$; $V_{WM} = 114 \text{ В}$; $I_{SP} = 3.5 \text{ А}$	DO-214AC, SMA	x * x
WM	SMAJ64AC	VISH	vs	$V_{BR}(I_T = 1.0 \text{ mA}) = 71.1 \dots 78.6 \text{ В}$; $V_{WM} = 103 \text{ В}$; $I_{SP} = 3.9 \text{ А}$	DO-214AC, SMA	x * x
WN	SMAJ70C	VISH	vs	$V_{BR}(I_T = 1.0 \text{ mA}) = 77.8 \dots 95.1 \text{ В}$; $V_{WM} = 125 \text{ В}$; $I_{SP} = 3.2 \text{ А}$	DO-214AC, SMA	x * x
WO	BZX284-B2V4	PHIL	dz	$V_Z (I_{ZT} = 5 \text{ mA}) = 2.35 \dots 2.45 \text{ В}$; $Z_{TK} < 100 \text{ Ом}$	SOD-110	K * A
WP	BZX284-B2V7	PHIL	dz	$V_Z (I_{ZT} = 5 \text{ mA}) = 2.65 \dots 2.75 \text{ В}$; $Z_{TK} < 100 \text{ Ом}$	SOD-110	K * A
WP	SMAJ70AC	VISH	vs	$V_{BR}(I_T = 1.0 \text{ mA}) = 77.8 \dots 86.0 \text{ В}$; $V_{WM} = 113 \text{ В}$; $I_{SP} = 3.5 \text{ А}$	DO-214AC, SMA	x * x
WQ	BZX284-B3V0	PHIL	dz	$V_Z (I_{ZT} = 5 \text{ mA}) = 2.94 \dots 3.06 \text{ В}$; $Z_{TK} < 95 \text{ Ом}$	SOD-110	K * A
WQ	SMAJ75C	VISH	vs	$V_{BR}(I_T = 1.0 \text{ mA}) = 83.3 \dots 102 \text{ В}$; $V_{WM} = 134 \text{ В}$; $I_{SP} = 3.0 \text{ А}$	DO-214AC, SMA	x * x
WR	BZX284-B3V3	PHIL	dz	$V_Z (I_{ZT} = 5 \text{ mA}) = 3.23 \dots 3.37 \text{ В}$; $Z_{TK} < 95 \text{ Ом}$	SOD-110	K * A
WR	SMAJ75AC	VISH	vs	$V_{BR}(I_T = 1.0 \text{ mA}) = 83.3 \dots 92.1 \text{ В}$; $V_{WM} = 121 \text{ В}$; $I_{SP} = 3.3 \text{ А}$	DO-214AC, SMA	x * x
WS	BZX284-B3V6	PHIL	dz	$V_Z (I_{ZT} = 5 \text{ mA}) = 3.53 \dots 3.67 \text{ В}$; $Z_{TK} < 90 \text{ Ом}$	SOD-110	K * A
WS	SMAJ78C	VISH	vs	$V_{BR}(I_T = 1.0 \text{ mA}) = 86.7 \dots 106 \text{ В}$; $V_{WM} = 139 \text{ В}$; $I_{SP} = 2.9 \text{ А}$	DO-214AC, SMA	x * x



DO214, SMA, SMB, SMC, SOD110

Код	Типономинал	Б	Ф	Особенности	Корпус	Ц: 1-2
WT	BZX284-B3V9	PHIL	dz	$V_Z(U_{ZT}=5\text{ mA})=3.82...3.96\text{ В}$; $Z_{T1}<90\text{ Ом}$	SOD-110	K•A
WT	SMAJ78AC	VISH	vs	$V_{BR}(I_T=1.0\text{ mA})=86.7...95.8\text{ В}$; $V_{RM}=126\text{ В}$; $I_{RP}=2.2\text{ A}$	DO-214AC, SMA	x•x
WU	BZX284-B4V3	PHIL	dz	$V_Z(U_{ZT}=5\text{ mA})=4.21...4.39\text{ В}$; $Z_{T1}<90\text{ Ом}$	SOD-110	K•A
WU	SMAJ85C	VISH	vs	$V_{BR}(I_T=1.0\text{ mA})=94.4...115\text{ В}$; $V_{RM}=151\text{ В}$; $I_{RP}=2.6\text{ A}$	DO-214AC, SMA	x•x
WV	BZX284-B4V7	PHIL	dz	$V_Z(U_{ZT}=5\text{ mA})=4.61...4.79\text{ В}$; $Z_{T1}<80\text{ Ом}$	SOD-110	K•A
WV	SMAJ85AC	VISH	vs	$V_{BR}(I_T=1.0\text{ mA})=94.4...104\text{ В}$; $V_{RM}=137\text{ В}$; $I_{RP}=2.9\text{ A}$	DO-214AC, SMA	x•x
WW	BZX284-B5V1	PHIL	dz	$V_Z(U_{ZT}=5\text{ mA})=5.0...5.2\text{ В}$; $Z_{T1}<60\text{ Ом}$	SOD-110	K•A
WW	SMAJ90C	VISH	vs	$V_{BR}(I_T=1.0\text{ mA})=100...122\text{ В}$; $V_{RM}=160\text{ В}$; $I_{RP}=2.5\text{ A}$	DO-214AC, SMA	x•x
WX	BZX284-B5V6	PHIL	dz	$V_Z(U_{ZT}=5\text{ mA})=5.49...5.71\text{ В}$; $Z_{T1}<40\text{ Ом}$	SOD-110	K•A
WX	SMAJ90AC	VISH	vs	$V_{BR}(I_T=1.0\text{ mA})=100...111\text{ В}$; $V_{RM}=146\text{ В}$; $I_{RP}=2.7\text{ A}$	DO-214AC, SMA	x•x
WY	BZX284-B6V2	PHIL	dz	$V_Z(U_{ZT}=5\text{ mA})=6.08...6.32\text{ В}$; $Z_{T1}<10\text{ Ом}$	SOD-110	K•A
WY	SMAJ100C	VISH	vs	$V_{BR}(I_T=1.0\text{ mA})=111...136\text{ В}$; $V_{RM}=179\text{ В}$; $I_{RP}=2.2\text{ A}$	DO-214AC, SMA	x•x
WZ	BZX284-B6V8	PHIL	dz	$V_Z(U_{ZT}=5\text{ mA})=6.66...6.94\text{ В}$; $Z_{T1}<15\text{ Ом}$	SOD-110	K•A
WZ	SMAJ100AC	VISH	vs	$V_{BR}(I_T=1.0\text{ mA})=111...123\text{ В}$; $V_{RM}=162\text{ В}$; $I_{RP}=2.5\text{ A}$	DO-214AC, SMA	x•x
XA	BZX284-B7V5	PHIL	dz	$V_Z(U_{ZT}=5\text{ mA})=7.35...7.66\text{ В}$; $Z_{T1}<10\text{ Ом}$	SOD-110	K•A
XB	BZX284-B8V2	PHIL	dz	$V_Z(U_{ZT}=5\text{ mA})=8.04...8.36\text{ В}$; $Z_{T1}<10\text{ Ом}$	SOD-110	K•A
XC	BZX284-B9V1	PHIL	dz	$V_Z(U_{ZT}=5\text{ mA})=8.92...9.28\text{ В}$; $Z_{T1}<10\text{ Ом}$	SOD-110	K•A
XD	BZX284-B10	PHIL	dz	$V_Z(U_{ZT}=5\text{ mA})=9.8...10.2\text{ В}$; $Z_{T1}<10\text{ Ом}$	SOD-110	K•A
XD	SMAJ110C	VISH	vs	$V_{BR}(I_T=1.0\text{ mA})=122...149\text{ В}$; $V_{RM}=196\text{ В}$; $I_{RP}=2.0\text{ A}$	DO-214AC, SMA	x•x
XE	BZX284-B11	PHIL	dz	$V_Z(U_{ZT}=5\text{ mA})=10.8...11.2\text{ В}$; $Z_{T1}<10\text{ Ом}$	SOD-110	K•A
XE	SMAJ110AC	VISH	vs	$V_{BR}(I_T=1.0\text{ mA})=122...135\text{ В}$; $V_{RM}=177\text{ В}$; $I_{RP}=2.3\text{ A}$	DO-214AC, SMA	x•x
XF	BZX284-B12	PHIL	dz	$V_Z(U_{ZT}=5\text{ mA})=11.8...12.2\text{ В}$; $Z_{T1}<10\text{ Ом}$	SOD-110	K•A
XF	SMAJ120C	VISH	vs	$V_{BR}(I_T=1.0\text{ mA})=133...163\text{ В}$; $V_{RM}=214\text{ В}$; $I_{RP}=1.9\text{ A}$	DO-214AC, SMA	x•x
XG	BZX284-B13	PHIL	dz	$V_Z(U_{ZT}=5\text{ mA})=12.7...13.3\text{ В}$; $Z_{T1}<10\text{ Ом}$	SOD-110	K•A
XG	SMAJ120AC	VISH	vs	$V_{BR}(I_T=1.0\text{ mA})=133...147\text{ В}$; $V_{RM}=193\text{ В}$; $I_{RP}=2.0\text{ A}$	DO-214AC, SMA	x•x
XH	BZX284-B15	PHIL	dz	$V_Z(U_{ZT}=5\text{ mA})=14.7...15.3\text{ В}$; $Z_{T1}<15\text{ Ом}$	SOD-110	K•A
XH	SMAJ130C	VISH	vs	$V_{BR}(I_T=1.0\text{ mA})=144...176\text{ В}$; $V_{RM}=231\text{ В}$; $I_{RP}=1.7\text{ A}$	DO-214AC, SMA	x•x
XI	BZX284-B16	PHIL	dz	$V_Z(U_{ZT}=5\text{ mA})=15.7...16.3\text{ В}$; $Z_{T1}<20\text{ Ом}$	SOD-110	K•A
XJ	BZX284-B18	PHIL	dz	$V_Z(U_{ZT}=5\text{ mA})=17.6...18.4\text{ В}$; $Z_{T1}<20\text{ Ом}$	SOD-110	K•A
XK	BZX284-B20	PHIL	dz	$V_Z(U_{ZT}=5\text{ mA})=19.6...20.4\text{ В}$; $Z_{T1}<20\text{ Ом}$	SOD-110	K•A
XK	SMAJ130AC	VISH	vs	$V_{BR}(I_T=1.0\text{ mA})=144...159\text{ В}$; $V_{RM}=209\text{ В}$; $I_{RP}=1.9\text{ A}$	DO-214AC, SMA	x•x
XL	BZX284-B22	PHIL	dz	$V_Z(U_{ZT}=5\text{ mA})=21.6...22.4\text{ В}$; $Z_{T1}<30\text{ Ом}$	SOD-110	K•A
XL	SMAJ150C	VISH	vs	$V_{BR}(I_T=1.0\text{ mA})=167...204\text{ В}$; $V_{RM}=268\text{ В}$; $I_{RP}=1.5\text{ A}$	DO-214AC, SMA	x•x
XM	BZX284-B24	PHIL	dz	$V_Z(U_{ZT}=5\text{ mA})=23.5...24.5\text{ В}$; $Z_{T1}<30\text{ Ом}$	SOD-110	K•A
XM	SMAJ150AC	VISH	vs	$V_{BR}(I_T=1.0\text{ mA})=167...185\text{ В}$; $V_{RM}=243\text{ В}$; $I_{RP}=1.6\text{ A}$	DO-214AC, SMA	x•x
XN	BZX284-B27	PHIL	dz	$V_Z(U_{ZT}=5\text{ mA})=26.5...27.5\text{ В}$; $Z_{T1}<40\text{ Ом}$	SOD-110	K•A
XN	SMAJ160C	VISH	vs	$V_{BR}(I_T=1.0\text{ mA})=178...218\text{ В}$; $V_{RM}=287\text{ В}$; $I_{RP}=1.4\text{ A}$	DO-214AC, SMA	x•x
XO	BZX284-B30	PHIL	dz	$V_Z(U_{ZT}=5\text{ mA})=29.4...30.6\text{ В}$; $Z_{T1}<40\text{ Ом}$	SOD-110	K•A
XP	BZX284-B33	PHIL	dz	$V_Z(U_{ZT}=5\text{ mA})=32.3...33.7\text{ В}$; $Z_{T1}<40\text{ Ом}$	SOD-110	K•A
XP	SMAJ160AC	VISH	vs	$V_{BR}(I_T=1.0\text{ mA})=178...197\text{ В}$; $V_{RM}=259\text{ В}$; $I_{RP}=1.5\text{ A}$	DO-214AC, SMA	x•x
XQ	BZX284-B36	PHIL	dz	$V_Z(U_{ZT}=5\text{ mA})=35.3...36.7\text{ В}$; $Z_{T1}<60\text{ Ом}$	SOD-110	K•A
XQ	SMAJ170C	VISH	vs	$V_{BR}(I_T=1.0\text{ mA})=189...231\text{ В}$; $V_{RM}=304\text{ В}$; $I_{RP}=1.3\text{ A}$	DO-214AC, SMA	x•x
XR	BZX284-B39	PHIL	dz	$V_Z(U_{ZT}=5\text{ mA})=38.2...39.8\text{ В}$; $Z_{T1}<75\text{ Ом}$	SOD-110	K•A
XR	SMAJ170C	VISH	vs	$V_{BR}(I_T=1.0\text{ mA})=189...209\text{ В}$; $V_{RM}=275\text{ В}$; $I_{RP}=1.4\text{ A}$	DO-214AC, SMA	x•x
XS	BZX284-B43	PHIL	dz	$V_Z(U_{ZT}=5\text{ mA})=42.1...43.9\text{ В}$; $Z_{T1}<80\text{ Ом}$	SOD-110	K•A
XT	BZX284-B47	PHIL	dz	$V_Z(U_{ZT}=5\text{ mA})=46.1...47.9\text{ В}$; $Z_{T1}<90\text{ Ом}$	SOD-110	K•A
XU	BZX284-B51	PHIL	dz	$V_Z(U_{ZT}=5\text{ mA})=50.0...52.0\text{ В}$; $Z_{T1}<110\text{ Ом}$	SOD-110	K•A
XV	BZX284-B56	PHIL	dz	$V_Z(U_{ZT}=5\text{ mA})=54.9...57.1\text{ В}$; $Z_{T1}<120\text{ Ом}$	SOD-110	K•A
XW	BZX284-B62	PHIL	dz	$V_Z(U_{ZT}=5\text{ mA})=60.8...63.2\text{ В}$; $Z_{T1}<140\text{ Ом}$	SOD-110	K•A
XX	BZX284-B68	PHIL	dz	$V_Z(U_{ZT}=5\text{ mA})=66.6...69.4\text{ В}$; $Z_{T1}<160\text{ Ом}$	SOD-110	K•A
XY	BZX284-B75	PHIL	dz	$V_Z(U_{ZT}=5\text{ mA})=73.5...76.5\text{ В}$; $Z_{T1}<175\text{ Ом}$	SOD-110	K•A
YO	BZX284-C2V4	PHIL	dz	$V_Z(U_{ZT}=5\text{ mA})=2.2...2.8\text{ В}$; $Z_{T1}<100\text{ Ом}$	SOD-110	K•A
YP	BZX284-C2V7	PHIL	dz	$V_Z(U_{ZT}=5\text{ mA})=2.5...2.9\text{ В}$; $Z_{T1}<100\text{ Ом}$	SOD-110	K•A



Код	Типономинал	Б	Ф	Особенности	Корпус	Ц:1-2
YQ	BZX284-C3V0	PHIL	dz	$V_Z (I_Z = 5 \text{ mA}) = 2.8 \dots 3.2 \text{ B}$; $Z_{T1} < 95 \text{ Ом}$	SOD-110	К•А
YR	BZX284-C3V3	PHIL	dz	$V_Z (I_Z = 5 \text{ mA}) = 3.1 \dots 3.5 \text{ B}$; $Z_{T1} < 95 \text{ Ом}$	SOD-110	К•А
YS	BZX284-C3V6	PHIL	dz	$V_Z (I_Z = 5 \text{ mA}) = 3.4 \dots 3.8 \text{ B}$; $Z_{T1} < 90 \text{ Ом}$	SOD-110	К•А
YT	BZX284-C3V9	PHIL	dz	$V_Z (I_Z = 5 \text{ mA}) = 3.7 \dots 4.1 \text{ B}$; $Z_{T1} < 90 \text{ Ом}$	SOD-110	К•А
YU	BZX284-C4V3	PHIL	dz	$V_Z (I_Z = 5 \text{ mA}) = 4 \dots 4.6 \text{ B}$; $Z_{T1} < 90 \text{ Ом}$	SOD-110	К•А
YV	BZX284-C4V7	PHIL	dz	$V_Z (I_Z = 5 \text{ mA}) = 4.4 \dots 5 \text{ B}$; $Z_{T1} < 80 \text{ Ом}$	SOD-110	К•А
YW	BZX284-C5V1	PHIL	dz	$V_Z (I_Z = 5 \text{ mA}) = 4.8 \dots 5.4 \text{ B}$; $Z_{T1} < 60 \text{ Ом}$	SOD-110	К•А
YX	BZX284-C5V6	PHIL	dz	$V_Z (I_Z = 5 \text{ mA}) = 5.2 \dots 6 \text{ B}$; $Z_{T1} < 40 \text{ Ом}$	SOD-110	К•А
YY	BZX284-C6V2	PHIL	dz	$V_Z (I_Z = 5 \text{ mA}) = 5.8 \dots 6.6 \text{ B}$; $Z_{T1} < 10 \text{ Ом}$	SOD-110	К•А
YZ	BZX284-C6V8	PHIL	dz	$V_Z (I_Z = 5 \text{ mA}) = 6.4 \dots 7.2 \text{ B}$; $Z_{T1} < 15 \text{ Ом}$	SOD-110	К•А
Z100	UZ2100	TOSH	dz	$V_Z (I_Z = 3 \text{ mA}) = 90 \dots 110 \text{ B}$; $Z_{T1} (I_{T1} = 3 \text{ mA}) < 300 \text{ Ом}$	DO-214AA, SMB	К•А
Z12	UZ212	TOSH	dz	$V_Z (I_Z = 10 \text{ mA}) = 10.8 \dots 13.2 \text{ B}$; $Z_{T1} (I_{T1} = 10 \text{ mA}) < 30 \text{ Ом}$	DO-214AA, SMB	К•А
Z13	UZ213	TOSH	dz	$V_Z (I_Z = 10 \text{ mA}) = 11.7 \dots 14.3 \text{ B}$; $Z_{T1} (I_{T1} = 10 \text{ mA}) < 30 \text{ Ом}$	DO-214AA, SMB	К•А
Z15	UZ215	TOSH	dz	$V_Z (I_Z = 10 \text{ mA}) = 13.5 \dots 16.5 \text{ B}$; $Z_{T1} (I_{T1} = 10 \text{ mA}) < 30 \text{ Ом}$	DO-214AA, SMB	К•А
Z16	UZ216	TOSH	dz	$V_Z (I_Z = 10 \text{ mA}) = 14.4 \dots 17.6 \text{ B}$; $Z_{T1} (I_{T1} = 10 \text{ mA}) < 30 \text{ Ом}$	DO-214AA, SMB	К•А
Z18	UZ218	TOSH	dz	$V_Z (I_Z = 10 \text{ mA}) = 16.2 \dots 19.8 \text{ B}$; $Z_{T1} (I_{T1} = 10 \text{ mA}) < 30 \text{ Ом}$	DO-214AA, SMB	К•А
Z20	UZ220	TOSH	dz	$V_Z (I_Z = 10 \text{ mA}) = 18.0 \dots 22.0 \text{ B}$; $Z_{T1} (I_{T1} = 10 \text{ mA}) < 30 \text{ Ом}$	DO-214AA, SMB	К•А
Z22	UZ222	TOSH	dz	$V_Z (I_Z = 10 \text{ mA}) = 19.8 \dots 24.2 \text{ B}$; $Z_{T1} (I_{T1} = 10 \text{ mA}) < 30 \text{ Ом}$	DO-214AA, SMB	К•А
Z24	UZ224	TOSH	dz	$V_Z (I_Z = 10 \text{ mA}) = 21.6 \dots 26.4 \text{ B}$; $Z_{T1} (I_{T1} = 10 \text{ mA}) < 30 \text{ Ом}$	DO-214AA, SMB	К•А
Z27	UZ227	TOSH	dz	$V_Z (I_Z = 10 \text{ mA}) = 24.3 \dots 29.7 \text{ B}$; $Z_{T1} (I_{T1} = 10 \text{ mA}) < 30 \text{ Ом}$	DO-214AA, SMB	К•А
Z30	UZ230	TOSH	dz	$V_Z (I_Z = 10 \text{ mA}) = 27.0 \dots 33.0 \text{ B}$; $Z_{T1} (I_{T1} = 10 \text{ mA}) < 30 \text{ Ом}$	DO-214AA, SMB	К•А
Z33	UZ233	TOSH	dz	$V_Z (I_Z = 10 \text{ mA}) = 29.7 \dots 36.3 \text{ B}$; $Z_{T1} (I_{T1} = 10 \text{ mA}) < 30 \text{ Ом}$	DO-214AA, SMB	К•А
Z36	UZ236	TOSH	dz	$V_Z (I_Z = 9 \text{ mA}) = 32.4 \dots 39.6 \text{ B}$; $Z_{T1} (I_{T1} = 9 \text{ mA}) < 30 \text{ Ом}$	DO-214AA, SMB	К•А
Z43	UZ243	TOSH	dz	$V_Z (I_Z = 7 \text{ mA}) = 36.7 \dots 47.3 \text{ B}$; $Z_{T1} (I_{T1} = 7 \text{ mA}) < 40 \text{ Ом}$	DO-214AA, SMB	К•А
Z47	UZ247	TOSH	dz	$V_Z (I_Z = 6 \text{ mA}) = 42.3 \dots 51.7 \text{ B}$; $Z_{T1} (I_{T1} = 6 \text{ mA}) < 66 \text{ Ом}$	DO-214AA, SMB	К•А
Z51	UZ251	TOSH	dz	$V_Z (I_Z = 6 \text{ mA}) = 45.9 \dots 56.1 \text{ B}$; $Z_{T1} (I_{T1} = 6 \text{ mA}) < 66 \text{ Ом}$	DO-214AA, SMB	К•А
Z58	UZ258	TOSH	dz	$V_Z (I_Z = 4 \text{ mA}) = 61.2 \dots 74.8 \text{ B}$; $Z_{T1} (I_{T1} = 4 \text{ mA}) < 120 \text{ Ом}$	DO-214AA, SMB	К•А
Z75	UZ275	TOSH	dz	$V_Z (I_Z = 4 \text{ mA}) = 67.5 \dots 82.5 \text{ B}$; $Z_{T1} (I_{T1} = 4 \text{ mA}) < 150 \text{ Ом}$	DO-214AA, SMB	К•А
Z82	UZ282	TOSH	dz	$V_Z (I_Z = 3 \text{ mA}) = 73.8 \dots 90.2 \text{ B}$; $Z_{T1} (I_{T1} = 3 \text{ mA}) < 170 \text{ Ом}$	DO-214AA, SMB	К•А
ZA	BZX284-C7V5	PHIL	dz	$V_Z (I_Z = 5 \text{ mA}) = 7 \dots 7.9 \text{ B}$; $Z_{T1} < 10 \text{ Ом}$	SOD-110	К•А
ZB	BZX284-C8V2	PHIL	dz	$V_Z (I_Z = 5 \text{ mA}) = 7.7 \dots 8.7 \text{ B}$; $Z_{T1} < 10 \text{ Ом}$	SOD-110	К•А
ZC	BZX284-C9V1	PHIL	dz	$V_Z (I_Z = 5 \text{ mA}) = 8.5 \dots 9.6 \text{ B}$; $Z_{T1} < 10 \text{ Ом}$	SOD-110	К•А
ZD	BZX284-C10	PHIL	dz	$V_Z (I_Z = 5 \text{ mA}) = 9.4 \dots 10.6 \text{ B}$; $Z_{T1} < 10 \text{ Ом}$	SOD-110	К•А
ZE	BZX284-C11	PHIL	dz	$V_Z (I_Z = 5 \text{ mA}) = 10.4 \dots 11.6 \text{ B}$; $Z_{T1} < 10 \text{ Ом}$	SOD-110	К•А
ZF	BZX284-C12	PHIL	dz	$V_Z (I_Z = 5 \text{ mA}) = 11.4 \dots 12.7 \text{ B}$; $Z_{T1} < 10 \text{ Ом}$	SOD-110	К•А
ZG	BZX284-C13	PHIL	dz	$V_Z (I_Z = 5 \text{ mA}) = 12.4 \dots 14.1 \text{ B}$; $Z_{T1} < 10 \text{ Ом}$	SOD-110	К•А
ZH	BZX284-C15	PHIL	dz	$V_Z (I_Z = 5 \text{ mA}) = 13.8 \dots 15.6 \text{ B}$; $Z_{T1} < 15 \text{ Ом}$	SOD-110	К•А
ZHK	SM2Z5V1	STM	dz	$V_Z = 5.1 \text{ B}$; $P_S = 2 \text{ Вт}$	DO-214AC, SMA	К•А
ZHK	SMA2Z5V1	VISH	dz	$V_Z (I_Z = 100 \text{ mA}) = 4.8 \dots 5.4 \text{ B}$; $Z_{T1} = 5.0 \text{ Ом}$	DO-214AC, SMA	К•А
ZHL	SM2Z5V6	STM	dz	$V_Z = 5.6 \text{ B}$; $P_S = 2 \text{ Вт}$	DO-214AC, SMA	К•А
ZHL	SMA2Z5V6	VISH	dz	$V_Z (I_Z = 100 \text{ mA}) = 5.2 \dots 6.0 \text{ B}$; $Z_{T1} = 2.0 \text{ Ом}$	DO-214AC, SMA	К•А
ZHN	SMA2Z5V2	VISH	dz	$V_Z (I_Z = 100 \text{ mA}) = 5.8 \dots 6.6 \text{ B}$; $Z_{T1} = 2.0 \text{ Ом}$	DO-214AC, SMA	К•А
ZHO	SMA2Z5V8	VISH	dz	$V_Z (I_Z = 100 \text{ mA}) = 6.4 \dots 7.21 \text{ B}$; $Z_{T1} = 2.0 \text{ Ом}$	DO-214AC, SMA	К•А
ZHQ	SMA2Z7V5	VISH	dz	$V_Z (I_Z = 100 \text{ mA}) = 7.0 \dots 7.9 \text{ B}$; $Z_{T1} = 2.0 \text{ Ом}$	DO-214AC, SMA	К•А
ZHR	SMA2Z5V2	VISH	dz	$V_Z (I_Z = 100 \text{ mA}) = 7.7 \dots 8.7 \text{ B}$; $Z_{T1} = 2.0 \text{ Ом}$	DO-214AC, SMA	К•А
ZHT	SMA2Z9V1	VISH	dz	$V_Z (I_Z = 50 \text{ mA}) = 8.5 \dots 9.6 \text{ B}$; $Z_{T1} = 4.0 \text{ Ом}$	DO-214AC, SMA	К•А
ZHU	SMA210	VISH	dz	$V_Z (I_Z = 50 \text{ mA}) = 9.4 \dots 10.6 \text{ B}$; $Z_{T1} = 4.0 \text{ Ом}$	DO-214AC, SMA	К•А
ZHW	SM2Z12	STM	dz	$V_Z = 12.0 \text{ B}$; $P_S = 2 \text{ Вт}$	DO-214AC, SMA	К•А
ZHW	SMA212	VISH	dz	$V_Z (I_Z = 50 \text{ mA}) = 11.4 \dots 12.7 \text{ B}$; $Z_{T1} = 7.0 \text{ Ом}$	DO-214AC, SMA	К•А
ZHZ	SMA215	VISH	dz	$V_Z (I_Z = 50 \text{ mA}) = 13.8 \dots 15.6 \text{ B}$; $Z_{T1} = 10 \text{ Ом}$	DO-214AC, SMA	К•А
ZI	BZX284-C16	PHIL	dz	$V_Z (I_Z = 5 \text{ mA}) = 15.3 \dots 17.1 \text{ B}$; $Z_{T1} < 20 \text{ Ом}$	SOD-110	К•А
ZJ	BZX284-C18	PHIL	dz	$V_Z (I_Z = 5 \text{ mA}) = 16.8 \dots 19.1 \text{ B}$; $Z_{T1} < 20 \text{ Ом}$	SOD-110	К•А
ZJA	SMA216	VISH	dz	$V_Z (I_Z = 25 \text{ mA}) = 15.3 \dots 17.1 \text{ B}$; $Z_{T1} = 15 \text{ Ом}$	DO-214AC, SMA	К•А



DO214, SMA, SMB, SMC, SOD110

Код	Типономинал	Б	Ф	Особенности	Корпус	Ц: 1-2
ZJF	SMZ218	STM	dz	$V_2 (I_2 = 18.0 \text{ В}, P_5 = 2 \text{ Вт})$	DO-214AC, SMA	K • A
ZJF	SMAZ18	VISH	dz	$V_2 (I_2 = 25 \text{ мА}) = 18.8 \dots 19.1 \text{ В}, Z_{21} = 15 \text{ Ом}$	DO-214AC, SMA	K • A
ZJG	SMAZ20	VISH	dz	$V_2 (I_2 = 25 \text{ мА}) = 18.8 \dots 21.2 \text{ В}, Z_{21} = 15 \text{ Ом}$	DO-214AC, SMA	K • A
ZJK	SMAZ22	VISH	dz	$V_2 (I_2 = 25 \text{ мА}) = 20.8 \dots 23.3 \text{ В}, Z_{21} = 15 \text{ Ом}$	DO-214AC, SMA	K • A
ZJL	SMAZ24	VISH	dz	$V_2 (I_2 = 25 \text{ мА}) = 22.8 \dots 25.6 \text{ В}, Z_{21} = 15 \text{ Ом}$	DO-214AC, SMA	K • A
ZJN	SMAZ27	VISH	dz	$V_2 (I_2 = 25 \text{ мА}) = 25.1 \dots 28.9 \text{ В}, Z_{21} = 15 \text{ Ом}$	DO-214AC, SMA	K • A
ZJQ	SMZ230	STM	dz	$V_2 = 30.0 \text{ В}, P_5 = 2 \text{ Вт}$	DO-214AC, SMA	K • A
ZJQ	SMAZ30	VISH	dz	$V_2 (I_2 = 25 \text{ мА}) = 28 \dots 32 \text{ В}, Z_{21} = 15 \text{ Ом}$	DO-214AC, SMA	K • A
ZJR	SMAZ33	VISH	dz	$V_2 (I_2 = 25 \text{ мА}) = 31 \dots 35 \text{ В}, Z_{21} = 15 \text{ Ом}$	DO-214AC, SMA	K • A
ZJS	SMAZ36	VISH	dz	$V_2 (I_2 = 10 \text{ мА}) = 34 \dots 38 \text{ В}, Z_{21} = 40 \text{ Ом}$	DO-214AC, SMA	K • A
ZJT	SMAZ39	VISH	dz	$V_2 (I_2 = 10 \text{ мА}) = 37 \dots 41 \text{ В}, Z_{21} = 40 \text{ Ом}$	DO-214AC, SMA	K • A
ZJV	SMAZ47	VISH	dz	$V_2 (I_2 = 10 \text{ мА}) = 44 \dots 50 \text{ В}, Z_{21} = 45 \text{ Ом}$	DO-214AC, SMA	K • A
ZK	BZX284-C20	PHIL	dz	$V_2 (I_2 = 5.0 \text{ мА}) = 18.8 \dots 21.2 \text{ В}, Z_{21} < 20 \text{ Ом}$	SOD-110	K • A
ZKM	SMAZ68	VISH	dz	$V_2 (I_2 = 10 \text{ мА}) = 64 \dots 72 \text{ В}, Z_{21} = 80 \text{ Ом}$	DO-214AC, SMA	K • A
ZKQ	SMAZ100	VISH	dz	$V_2 (I_2 = 5.0 \text{ мА}) = 94 \dots 106 \text{ В}, Z_{21} = 200 \text{ Ом}$	DO-214AC, SMA	K • A
ZKR	SMZ2150	STM	dz	$V_2 = 150 \text{ В}, P_5 = 2 \text{ Вт}$	DO-214AC, SMA	K • A
ZKR	SMAZ150	VISH	dz	$V_2 (I_2 = 5.0 \text{ мА}) = 138 \dots 156 \text{ В}, Z_{21} = 300 \text{ Ом}$	DO-214AC, SMA	K • A
ZKW	SMAZ200	VISH	dz	$V_2 (I_2 = 5.0 \text{ мА}) = 188 \dots 212 \text{ В}, Z_{21} = 350 \text{ Ом}$	DO-214AC, SMA	K • A
ZL	BZX284-C22	PHIL	dz	$V_2 (I_2 = 5 \text{ мА}) = 21.6 \dots 22.4 \text{ В}, Z_{21} < 25 \text{ Ом}$	SOD-110	K • A
ZLGP	TPSMB20A	GS	vs	$V_{BR} (I_1 = 1.0 \text{ мА}) = 19.0 \dots 21.0 \text{ В}, V_{BW} = 17.1 \text{ В}, I_{pp} = 21.7 \text{ А}$	DO-214AA, SMB	K • A
ZM	BZX284-C24	PHIL	dz	$V_2 (I_2 = 5 \text{ мА}) = 22.8 \dots 23.3 \text{ В}, Z_{21} < 30 \text{ Ом}$	SOD-110	K • A
ZN	BZX284-C27	PHIL	dz	$V_2 (I_2 = 5 \text{ мА}) = 25.1 \dots 28.9 \text{ В}, Z_{21} < 40 \text{ Ом}$	SOD-110	K • A
ZO	BZX284-C30	PHIL	dz	$V_2 (I_2 = 5 \text{ мА}) = 28 \dots 32 \text{ В}, Z_{21} < 40 \text{ Ом}$	SOD-110	K • A
ZP	BZX284-C33	PHIL	dz	$V_2 (I_2 = 5 \text{ мА}) = 31 \dots 35 \text{ В}, Z_{21} < 40 \text{ Ом}$	SOD-110	K • A
ZQ	BZX284-C36	PHIL	dz	$V_2 (I_2 = 5 \text{ мА}) = 34 \dots 38 \text{ В}, Z_{21} < 60 \text{ Ом}$	SOD-110	K • A
ZR	BZX284-C39	PHIL	dz	$V_2 (I_2 = 5 \text{ мА}) = 37 \dots 41 \text{ В}, Z_{21} < 75 \text{ Ом}$	SOD-110	K • A
ZS	BZX284-C43	PHIL	dz	$V_2 (I_2 = 5 \text{ мА}) = 40 \dots 46 \text{ В}, Z_{21} < 80 \text{ Ом}$	SOD-110	K • A
ZT	BZX284-C47	PHIL	dz	$V_2 (I_2 = 5 \text{ мА}) = 44 \dots 50 \text{ В}, Z_{21} < 90 \text{ Ом}$	SOD-110	K • A
ZU	BZX284-C51	PHIL	dz	$V_2 (I_2 = 5 \text{ мА}) = 48 \dots 54 \text{ В}, Z_{21} < 110 \text{ Ом}$	SOD-110	K • A
ZV	BZX284-C56	PHIL	dz	$V_2 (I_2 = 5 \text{ мА}) = 52 \dots 60 \text{ В}, Z_{21} < 120 \text{ Ом}$	SOD-110	K • A
ZW	BZX284-C62	PHIL	dz	$V_2 (I_2 = 5 \text{ мА}) = 58 \dots 66 \text{ В}, Z_{21} < 140 \text{ Ом}$	SOD-110	K • A
ZX	BZX284-C68	PHIL	dz	$V_2 (I_2 = 5 \text{ мА}) = 64 \dots 72 \text{ В}, Z_{21} < 160 \text{ Ом}$	SOD-110	K • A
ZY	BZX284-C75	PHIL	dz	$V_2 (I_2 = 5 \text{ мА}) = 70 \dots 79 \text{ В}, Z_{21} < 175 \text{ Ом}$	SOD-110	K • A



SOD123/323, DO215/216

Код	Типономинал	Б	Ф	Особенности	Корпус	Ц:1*2
40	ZLS400	ZETEX	shd	$V_R < 40 В$; $I_R < 0.52 А$; $V_F(I_R = 0.4 А) < 0.5 В$; $I_{R1} < 10 мА$; $C_{D0} < 15 пФ$	SOD-323, SC-76	K * A
46	BAT46J	STM	shd	$V_R < 100 В$; $I_R < 150 мА$; $V_F(I_R = 10 мА) < 0.45 мВ$; $C_{D0} < 10 пФ$	SOD-323, SC-76	K * A
86	BAT54J	STM	shd	$V_R < 30 В$; $I_R < 300 мА$; $V_F(I_R = 100 мА) < 0.9 В$; $I_{R1} < 1 мА$; $C_{D0} < 10 пФ$; $t_{RR} < 5 нс$	SOD-323, SC-76	K * A
0 2	GDZ2V0B	VISH	dz	$V_Z = 2.0 В$; $Z_{T1}(I_Z = 5 мА) = 100 Ом$	SOD-323, SC-76	K * A
1 (кра)	BB669	INF	var	$V_R < 30 В$; $I_R < 20 мА$; $I_{S1} < 0.01 мкА$; $C_{D0} = 51...61.5 пФ$; $C_{D0B} = 2.5...2.9$	SOD-323, SC-76	K * A
1 2	GDZ2V2B	VISH	dz	$V_Z = 2.2 В$; $Z_{T1}(I_Z = 5 мА) = 100 Ом$	SOD-323, SC-76	K * A
1B	MA2J111	PAN	di	$V_R < 80 В$; $I_R < 100 мА$; $V_F(I_R = 100 мА) < 1.2 В$; $t_{RR} < 3 нс$	SOD-323, SC-76	K * A
1C	MA2J112	PAN	di	$V_R < 40 В$; $I_R < 200 мА$; $V_F(I_R = 200 мА) < 1.1 В$; $t_{RR} < 10 нс$	SOD-323, SC-76	K * A
1D	MA2J113	PAN	di	$V_R < 80 В$; $I_R < 200 мА$; $V_F(I_R = 200 мА) < 1.1 В$; $t_{RR} < 10 нс$	SOD-323, SC-76	K * A
1E	MA2J114	PAN	dr	$V_R < 150 В$; $I_R < 200 мА$; $V_F(I_R = 200 мА) < 1.2 В$	SOD-323, SC-76	K * A
1F	MA2J115	PAN	dr	$V_R < 200 В$; $I_R < 200 мА$; $V_F(I_R = 200 мА) < 1.2 В$	SOD-323, SC-76	K * A
1H	MA2J116	PAN	di	$V_R < 80 В$; $I_R < 100 мА$; $V_F(I_R = 100 мА) < 1.2 В$; $t_{RR} < 100 нс$	SOD-323, SC-76	K * A
1P	CMD218L	CSI	dz	$V_Z(I_{Z1} = 0.5 мА) = 18 В$; $P_D < 250 мВт$	SOD-323, SC-76	K * A
2	BB419	SIEM	var	$V_R < 28 В$; $I_R < 20 мА$; $I_{S1} < 0.02 мкА$; $C_{D0B} = 26...32 пФ$; $C_{D0B}/C_{D0B} = 5...6.5$	SOD-123	K * A
2 (бел)	BB439	INF	var	$V_R < 28 В$; $I_R(V_R = 28 В) < 0.02 мкА$; $C_{D0B} = 31.5...37.5 пФ$; $C_{D0B} = 4.3...6 пФ$	SOD-323, SC-76	K * A
2 (син)	BAR64-03W	INF	pin	$V_R < 150 В$; $I_R < 100 мА$; $V_F(I_R = 50 мА) < 1.1 В$; $C_{D0} < 0.35 пФ$	SOD-323, SC-76	K * A
2 2	GDZ2V4B	VISH	dz	$V_Z = 2.4 В$; $Z_{T1}(I_Z = 5 мА) = 100 Ом$	SOD-323, SC-76	K * A
20B	1PMT5920B	ON	dz	$V_Z(I_{Z1} = 60.5 мА) = 6.2 В$; $Z_{T1} = 2.0 Ом$	DO-216AA, PWFRM	K * A
21B	1PMT5921B	ON	dz	$V_Z(I_{Z1} = 55.1 мА) = 6.8 В$; $Z_{T1} = 2.5 Ом$	DO-216AA, PWFRM	K * A
22B	1PMT5922B	ON	dz	$V_Z(I_{Z1} = 50.0 мА) = 7.5 В$; $Z_{T1} = 3.0 Ом$	DO-216AA, PWFRM	K * A
23B	1PMT5923B	ON	dz	$V_Z(I_{Z1} = 45.7 мА) = 8.2 В$; $Z_{T1} = 3.5 Ом$	DO-216AA, PWFRM	K * A
24B	1PMT5924B	ON	dz	$V_Z(I_{Z1} = 41.2 мА) = 9.1 В$; $Z_{T1} = 4.0 Ом$	DO-216AA, PWFRM	K * A
25B	1PMT5925B	ON	dz	$V_Z(I_{Z1} = 37.5 мА) = 10 В$; $Z_{T1} = 4.5 Ом$	DO-216AA, PWFRM	K * A
27B	1PMT5927B	ON	dz	$V_Z(I_{Z1} = 31.2 мА) = 12 В$; $Z_{T1} = 6.5 Ом$	DO-216AA, PWFRM	K * A
29B	1PMT5929B	ON	dz	$V_Z(I_{Z1} = 25.0 мА) = 15 В$; $Z_{T1} = 9.0 Ом$	DO-216AA, PWFRM	K * A
2P	CMD220L	CSI	dz	$V_Z(I_{Z1} = 0.5 мА) = 20 В$; $P_D < 250 мВт$	SOD-323, SC-76	K * A
3 (бел)	BAT60A	INF	shd	$V_R < 10 В$; $I_R < 3 А$; $V_F(I_R = 10 мА) < 0.15 В$; $I_{R1} < 2.6 мА$; $C_{D0} = 20 пФ$	SOD-323, SC-76	K * A
3 2	GDZ2V7B	VISH	dz	$V_Z = 2.7 В$; $Z_{T1}(I_Z = 5 мА) = 110 Ом$	SOD-323, SC-76	K * A
30B	1PMT5930B	ON	dz	$V_Z(I_{Z1} = 23.4 мА) = 16 В$; $Z_{T1} = 10 Ом$	DO-216AA, PWFRM	K * A
31B	1PMT5931B	ON	dz	$V_Z(I_{Z1} = 20.8 мА) = 18 В$; $Z_{T1} = 12 Ом$	DO-216AA, PWFRM	K * A
33B	1PMT5933B	ON	dz	$V_Z(I_{Z1} = 17.0 мА) = 22 В$; $Z_{T1} = 17.5 Ом$	DO-216AA, PWFRM	K * A
34B	1PMT5934B	ON	dz	$V_Z(I_{Z1} = 15.6 мА) = 24 В$; $Z_{T1} = 19 Ом$	DO-216AA, PWFRM	K * A
35B	1PMT5935B	ON	dz	$V_Z(I_{Z1} = 13.9 мА) = 27 В$; $Z_{T1} = 23 Ом$	DO-216AA, PWFRM	K * A
36B	1PMT5936B	ON	dz	$V_Z(I_{Z1} = 12.5 мА) = 30 В$; $Z_{T1} = 28 Ом$	DO-216AA, PWFRM	K * A
39B	1PMT5939B	ON	dz	$V_Z(I_{Z1} = 9.6 мА) = 39 В$; $Z_{T1} = 45 Ом$	DO-216AA, PWFRM	K * A
3P	CMD222L	CSI	dz	$V_Z(I_{Z1} = 0.5 мА) = 22 В$; $P_D < 250 мВт$	SOD-323, SC-76	K * A
4 (бел)	BAS140W	INF	shd	$V_R < 40 В$; $I_R < 120 мА$; $V_F(I_R = 40 мА) < 1 В$; $I_{R1} < 1.0 мА$; $C_{D0} < 5 пФ$	SOD-323, SC-76	K * A
4 (кра)	BB644	INF	var	$V_R < 30 В$; $I_R < 20 мА$; $I_{S1} < 0.01 мкА$; $C_{D0} = 39...44.5 пФ$; $C_{D0B} = 2.4...2.75$	SOD-323, SC-76	K * A
4 2	GDZ3V0B	VISH	dz	$V_Z = 3.0 В$; $Z_{T1}(I_Z = 5 мА) = 120 Ом$	SOD-323, SC-76	K * A
41B	1PMT5941B	ON	dz	$V_Z(I_{Z1} = 8.0 мА) = 47 В$; $Z_{T1} = 67 Ом$	DO-216AA, PWFRM	K * A
4K	MMSD3000T1	MOT	di	$V_R < 30 В$; $I_R < 200 мА$; $V_F(I_R = 10 мА) < 0.95 В$; $C_{D0} < 2 пФ$; $t_{RR} < 3 нс$	SOD-123	K * A
4P	CMD224L	CSI	dz	$V_Z(I_{Z1} = 0.5 мА) = 24 В$; $P_D < 250 мВт$	SOD-323, SC-76	K * A
5 (бел)	BBV53-03W	INF	var	$V_R < 6 В$; $I_R < 20 мА$; $I_{S1} < 0.01 мкА$; $C_{D0} = 4.8...5.8 пФ$; $C_{D0B} = 1.85...3.1 пФ$	SOD-323, SC-76	K * A
5 (кра)	BBV57-03W	INF	var	$V_R < 10 В$; $I_R < 20 мА$; $I_{S1} < 0.001 мкА$; $C_{D0} = 16.5...18.6 пФ$; $C_{D0B} = 4...5.5 пФ$	SOD-323, SC-76	K * A
5 (син)	BAT60B	INF	shd	$V_R < 10 В$; $I_R < 3 А$; $V_F(I_R = 10 мА) < 0.24 В$; $I_{R1} < 10 мА$; $C_{D0} = 25 пФ$	SOD-323, SC-76	K * A
5 2	GDZ3V3B	VISH	dz	$V_Z = 3.3 В$; $Z_{T1}(I_Z = 5 мА) = 1210 Ом$	SOD-323, SC-76	K * A
5D	MMSD914T1	ON	di	$V_R < 100 В$; $I_R < 200 мА$; $V_F(I_R = 10 мА) < 1 В$; $C_{D0} < 4 пФ$	SOD-123	K * A
5I	MMSD4146T1	ON	di	$V_R < 100 В$; $I_R < 200 мА$; $V_F(I_R = 10 мА) < 1 В$; $C_{D0} < 4 пФ$	SOD-123	K * A

**DO215, SOD123/323****DO216AA**

Код	Типономинял	Б	Ф	Особенности	Корпус	Ц1*2
5P	CMD227L	CSI	dz	$V_2(t_{ZT}) = 0.5 \text{ мА}$; $P_0 < 250 \text{ мВт}$	SOD-323, SC-76	K * A
6 (кра)	BBY55-03W	INF	var	$V_A < 10 \text{ В}$; $I_F < 20 \text{ мА}$; $I_{F1} < 0.005 \text{ мА}$; $C_{1B} = 37 \dots 43 \text{ пФ}$; $C_{10B} = 12 \dots 1 \text{ пФ}$	SOD-323, SC-76	K * A
62	GDZ3V6B	VISH	dz	$V_2 = 3.6 \text{ В}$; $Z_{2T}(I_2 = 5 \text{ мА}) = 100 \text{ Ом}$	SOD-323, SC-76	K * A
6P	CMD23GL	CSI	dz	$V_2(t_{ZT}) = 0.5 \text{ мА}$; $P_0 < 250 \text{ мВт}$	SOD-323, SC-76	K * A
6S	MMSD71RKT1	ON	ci	$V_A < 80 \text{ В}$; $I_F < 200 \text{ мА}$; $V_F(I_F = 100 \text{ мА}) < 1.2 \text{ В}$; $C_0 < 2 \text{ пФ}$	SOD-123	K * A
7 (бел)	BAS170W	INF	shd	$V_A < 70 \text{ В}$; $I_F < 70 \text{ мА}$; $V_F(I_F = 15 \text{ мА}) < 1.0 \text{ В}$; $I_{F1} < 0.1 \text{ мА}$; $C_0 < 2.0 \text{ пФ}$	SOD-323, SC-76	K * A
7 (бел)	BBY55-03W	INF	var	$V_A < 16 \text{ В}$; $I_F < 20 \text{ мА}$; $I_{F1} < 0.003 \text{ мА}$; $C_{1B} = 17.5 \dots 19.6 \text{ пФ}$; $C_{10B} = 5.5 \dots 6.5 \text{ пФ}$	SOD-323, SC-76	K * A
72	GDZ3V9B	VISH	dz	$V_2 = 3.9 \text{ В}$; $Z_{2T}(I_2 = 5 \text{ мА}) = 100 \text{ Ом}$	SOD-323, SC-76	K * A
76	BAS70J	STM	shd	$V_A < 70 \text{ В}$; $I_F < 70 \text{ мА}$; $V_F(I_F = 1 \text{ мА}) < 0.41 \text{ В}$; $I_{F1} < 0.1 \text{ мА}$; $C_0 < 2.0 \text{ пФ}$	SOD-323, SC-76	K * A
7N	CMDZ1L8	CSI	dz	$V_2(t_{ZT}) = 0.5 \text{ мА}$; $P_0 < 250 \text{ мВт}$	SOD-323, SC-76	K * A
7P	CMD233L	CSI	dz	$V_2(t_{ZT}) = 0.5 \text{ мА}$; $P_0 < 250 \text{ мВт}$	SOD-323, SC-76	K * A
8 (жел)	BBY55-03W	INF	var	$V_A < 10 \text{ В}$; $I_F < 20 \text{ мА}$; $I_{F1} < 0.01 \text{ мА}$; $C_{1B} = 17.5 \dots 19.3 \text{ пФ}$; $C_{10B} = 5.5 \dots 6.6 \text{ пФ}$	SOD-323, SC-76	K * A
82	GDZ4V3B	VISH	dz	$V_2 = 4.3 \text{ В}$; $Z_{2T}(I_2 = 5 \text{ мА}) = 100 \text{ Ом}$	SOD-323, SC-76	K * A
8N	CMDZ2L0	CSI	dz	$V_2(t_{ZT}) = 0.5 \text{ мА}$; $P_0 < 250 \text{ мВт}$	SOD-323, SC-76	K * A
8P	CMDZ36L	CSI	dz	$V_2(t_{ZT}) = 0.5 \text{ мА}$; $P_0 < 250 \text{ мВт}$	SOD-323, SC-76	K * A
92	GDZ4V7B	VISH	dz	$V_2 = 4.7 \text{ В}$; $Z_{2T}(I_2 = 5 \text{ мА}) = 100 \text{ Ом}$	SOD-323, SC-76	K * A
913B	1PMT5913B73	MOT	dz	$V_2(t_{ZT}) = 113.6 \text{ мА}$; $P_0 = 3.3 \text{ В}$; $Z_{2T} = 10.0 \text{ Ом}$	DO-216AA, PWIRM	K * A
914B	1PMT5914B73	MOT	dz	$V_2(t_{ZT}) = 104.2 \text{ мА}$; $P_0 = 3.6 \text{ В}$; $Z_{2T} = 9.0 \text{ Ом}$	DO-216AA, PWIRM	K * A
915B	1PMT5915B73	MOT	dz	$V_2(t_{ZT}) = 96.1 \text{ мА}$; $P_0 = 3.9 \text{ В}$; $Z_{2T} = 7.5 \text{ Ом}$	DO-216AA, PWIRM	K * A
916B	1PMT5916B73	MOT	dz	$V_2(t_{ZT}) = 87.2 \text{ мА}$; $P_0 = 4.3 \text{ В}$; $Z_{2T} = 6.0 \text{ Ом}$	DO-216AA, PWIRM	K * A
917B	1PMT5917B73	MOT	dz	$V_2(t_{ZT}) = 79.8 \text{ мА}$; $P_0 = 4.7 \text{ В}$; $Z_{2T} = 5.0 \text{ Ом}$	DO-216AA, PWIRM	K * A
918B	1PMT5918B73	MOT	dz	$V_2(t_{ZT}) = 73.5 \text{ мА}$; $P_0 = 5.1 \text{ В}$; $Z_{2T} = 4.0 \text{ Ом}$	DO-216AA, PWIRM	K * A
919B	1PMT5919B73	MOT	dz	$V_2(t_{ZT}) = 66.9 \text{ мА}$; $P_0 = 5.6 \text{ В}$; $Z_{2T} = 2.0 \text{ Ом}$	DO-216AA, PWIRM	K * A
920B	1PMT5920B73	MOT	dz	$V_2(t_{ZT}) = 60.5 \text{ мА}$; $P_0 = 6.2 \text{ В}$; $Z_{2T} = 2.0 \text{ Ом}$	DO-216AA, PWIRM	K * A
921B	1PMT5921B73	MOT	dz	$V_2(t_{ZT}) = 55.1 \text{ мА}$; $P_0 = 6.8 \text{ В}$; $Z_{2T} = 2.5 \text{ Ом}$	DO-216AA, PWIRM	K * A
922B	1PMT5922B73	MOT	dz	$V_2(t_{ZT}) = 50.0 \text{ мА}$; $P_0 = 7.5 \text{ В}$; $Z_{2T} = 3.0 \text{ Ом}$	DO-216AA, PWIRM	K * A
923B	1PMT5923B73	MOT	dz	$V_2(t_{ZT}) = 45.7 \text{ мА}$; $P_0 = 8.2 \text{ В}$; $Z_{2T} = 3.5 \text{ Ом}$	DO-216AA, PWIRM	K * A
924B	1PMT5924B73	MOT	dz	$V_2(t_{ZT}) = 41.2 \text{ мА}$; $P_0 = 9.1 \text{ В}$; $Z_{2T} = 4.0 \text{ Ом}$	DO-216AA, PWIRM	K * A
925B	1PMT5925B73	MOT	dz	$V_2(t_{ZT}) = 37.5 \text{ мА}$; $P_0 = 10 \text{ В}$; $Z_{2T} = 4.5 \text{ Ом}$	DO-216AA, PWIRM	K * A
926B	1PMT5926B73	MOT	dz	$V_2(t_{ZT}) = 34.1 \text{ мА}$; $P_0 = 11 \text{ В}$; $Z_{2T} = 5.0 \text{ Ом}$	DO-216AA, PWIRM	K * A
927B	1PMT5927B73	MOT	dz	$V_2(t_{ZT}) = 31.2 \text{ мА}$; $P_0 = 12 \text{ В}$; $Z_{2T} = 6.0 \text{ Ом}$	DO-216AA, PWIRM	K * A
928B	1PMT5928B73	MOT	dz	$V_2(t_{ZT}) = 28.8 \text{ мА}$; $P_0 = 13 \text{ В}$; $Z_{2T} = 7.0 \text{ Ом}$	DO-216AA, PWIRM	K * A
929B	1PMT5929B73	MOT	dz	$V_2(t_{ZT}) = 25.0 \text{ мА}$; $P_0 = 15 \text{ В}$; $Z_{2T} = 9.0 \text{ Ом}$	DO-216AA, PWIRM	K * A
930B	1PMT5930B73	MOT	dz	$V_2(t_{ZT}) = 23.4 \text{ мА}$; $P_0 = 16 \text{ В}$; $Z_{2T} = 10 \text{ Ом}$	DO-216AA, PWIRM	K * A
931B	1PMT5931B73	MOT	dz	$V_2(t_{ZT}) = 20.8 \text{ мА}$; $P_0 = 18 \text{ В}$; $Z_{2T} = 12 \text{ Ом}$	DO-216AA, PWIRM	K * A
932B	1PMT5932B73	MOT	dz	$V_2(t_{ZT}) = 18.7 \text{ мА}$; $P_0 = 20 \text{ В}$; $Z_{2T} = 14 \text{ Ом}$	DO-216AA, PWIRM	K * A
933B	1PMT5933B73	MOT	dz	$V_2(t_{ZT}) = 17.0 \text{ мА}$; $P_0 = 22 \text{ В}$; $Z_{2T} = 17.5 \text{ Ом}$	DO-216AA, PWIRM	K * A
934B	1PMT5934B73	MOT	dz	$V_2(t_{ZT}) = 15.6 \text{ мА}$; $P_0 = 24 \text{ В}$; $Z_{2T} = 19 \text{ Ом}$	DO-216AA, PWIRM	K * A
935B	1PMT5935B73	MOT	dz	$V_2(t_{ZT}) = 13.9 \text{ мА}$; $P_0 = 27 \text{ В}$; $Z_{2T} = 23 \text{ Ом}$	DO-216AA, PWIRM	K * A
936B	1PMT5936B73	MOT	dz	$V_2(t_{ZT}) = 12.5 \text{ мА}$; $P_0 = 30 \text{ В}$; $Z_{2T} = 26 \text{ Ом}$	DO-216AA, PWIRM	K * A
937B	1PMT5937B73	MOT	dz	$V_2(t_{ZT}) = 11.4 \text{ мА}$; $P_0 = 33 \text{ В}$; $Z_{2T} = 33 \text{ Ом}$	DO-216AA, PWIRM	K * A
938B	1PMT5938B73	MOT	dz	$V_2(t_{ZT}) = 10.4 \text{ мА}$; $P_0 = 36 \text{ В}$; $Z_{2T} = 38 \text{ Ом}$	DO-216AA, PWIRM	K * A
939B	1PMT5939B73	MOT	dz	$V_2(t_{ZT}) = 9.6 \text{ мА}$; $P_0 = 39 \text{ В}$; $Z_{2T} = 45 \text{ Ом}$	DO-216AA, PWIRM	K * A
940B	1PMT5940B73	MOT	dz	$V_2(t_{ZT}) = 8.7 \text{ мА}$; $P_0 = 43 \text{ В}$; $Z_{2T} = 53 \text{ Ом}$	DO-216AA, PWIRM	K * A
941B	1PMT5941B73	MOT	dz	$V_2(t_{ZT}) = 8.0 \text{ мА}$; $P_0 = 47 \text{ В}$; $Z_{2T} = 67 \text{ Ом}$	DO-216AA, PWIRM	K * A
942B	1PMT5942B73	MOT	dz	$V_2(t_{ZT}) = 7.3 \text{ мА}$; $P_0 = 51 \text{ В}$; $Z_{2T} = 70 \text{ Ом}$	DO-216AA, PWIRM	K * A
943B	1PMT5943B73	MOT	dz	$V_2(t_{ZT}) = 6.7 \text{ мА}$; $P_0 = 56 \text{ В}$; $Z_{2T} = 86 \text{ Ом}$	DO-216AA, PWIRM	K * A
944B	1PMT5944B73	MOT	dz	$V_2(t_{ZT}) = 6.0 \text{ мА}$; $P_0 = 62 \text{ В}$; $Z_{2T} = 100 \text{ Ом}$	DO-216AA, PWIRM	K * A
945B	1PMT5945B73	MOT	dz	$V_2(t_{ZT}) = 5.5 \text{ мА}$; $P_0 = 68 \text{ В}$; $Z_{2T} = 120 \text{ Ом}$	DO-216AA, PWIRM	K * A
946B	1PMT5946B73	MOT	dz	$V_2(t_{ZT}) = 5.0 \text{ мА}$; $P_0 = 75 \text{ В}$; $Z_{2T} = 140 \text{ Ом}$	DO-216AA, PWIRM	K * A
947B	1PMT5947B73	MOT	dz	$V_2(t_{ZT}) = 4.6 \text{ мА}$; $P_0 = 82 \text{ В}$; $Z_{2T} = 160 \text{ Ом}$	DO-216AA, PWIRM	K * A
948B	1PMT5948B73	MOT	dz	$V_2(t_{ZT}) = 4.1 \text{ мА}$; $P_0 = 91 \text{ В}$; $Z_{2T} = 200 \text{ Ом}$	DO-216AA, PWIRM	K * A



Код	Типономинал	Б	Ф	Особенности	Корпус	Ц:1+2
9N	CMD22L2	CSI	dz	$V_{f(I_{f1}=0.5\text{ mA})}=2.2\text{ В}$; $P_D<250\text{ мВт}$	SOD-323, SC-76	K * A
9P	CMD239L	CSI	dz	$V_{f(I_{f1}=0.5\text{ mA})}=39\text{ В}$; $P_D<250\text{ мВт}$	SOD-323, SC-76	K * A
A	1S5355	ROHM	di	$V_F<80\text{ В}$; $I_F<225\text{ mA}$; $V_F(I_F=100\text{ mA})<1.2\text{ В}$; $I_S<0.1\text{ мкА}$; $t_{RR}<4\text{ нс}$	SOD-323, SC-76	K * A
A	BAT14098	SIEM	shd	$V_F<4\text{ В}$; $I_F<90\text{ mA}$; $V_F(I_F=10\text{ mA})<0.55\text{ В}$; $C_{0.5\text{ В}}<0.35\text{ пФ}$	SOD-123	K * A
A	BA597	INF	pin	$V_F>50\text{ В}$; $I_F<100\text{ mA}$; $V_F(I_F=100\text{ mA})<0.9\text{ В}$; $I_S<0.02\text{ мкА}$	SOD-323, SC-76	K * A
A1	MMSZ10T1	ON	dz	$V_2(I_{Z1}=5\text{ mA})=9.5...10.5\text{ В}$; $I_S<0.1\text{ мкА}$	SOD-123	K * A
A2	1N4148W	VIS	sd	$V_F<75\text{ В}$; $I_F=150\text{ mA}$; $P_D=400\text{ мВт}$; $t_{RR}<4\text{ нс}$	SOD-123	K * A
A2	BA592	PHIL	dtv	$V_F<35\text{ В}$; $I_F<10\text{ mA}$; $V_F(I_F=100\text{ mA})<1.0\text{ В}$; $I_S<0.02\text{ мкА}$	SOD-323, SC-76	K * A
A2	BB208-03	PHIL	var	$V_F>10\text{ В}$; $I_F(I_{F1}=10\text{ В})<0.01\text{ мкА}$; $C_{10\text{ В}}=19.9...23.2\text{ пФ}$; $C_{2.5\text{ В}}=4.5...5.4\text{ пФ}$	SOD-323, SC-76	K * A
A2	MMSZ11T1	ON	dz	$V_2(I_{Z1}=5\text{ mA})=10.45...11.55\text{ В}$; $I_S<0.1\text{ мкА}$	SOD-123	K * A
A3	1N4448W	VIS	sd	$V_F<75\text{ В}$; $I_F=150\text{ mA}$; $P_D=500\text{ мВт}$; $t_{RR}<4\text{ нс}$	SOD-123	K * A
A3	BAP64-03	PHIL	pin	$V_F<175\text{ В}$; $I_F<100\text{ mA}$; $V_F(I_F=50\text{ mA})<1.1\text{ В}$; $I_S<0.1\text{ мкА}$	SOD-323, SC-76	K * A
A3	MMSZ12T1	ON	dz	$V_2(I_{Z1}=5\text{ mA})=11.4...12.6\text{ В}$; $I_S<0.1\text{ мкА}$	SOD-123	K * A
A4	1N4150W	VIS	sd	$V_F<50\text{ В}$; $I_F=400\text{ mA}$; $P_D=410\text{ мВт}$; $t_{RR}<4\text{ нс}$	SOD-123	K * A
A4	1N4150W	WTE	sd	$V_F<50\text{ В}$; $I_F=400\text{ mA}$; $P_D=410\text{ мВт}$; $t_{RR}<4\text{ нс}$	SOD-123	K * A
A4	MMSZ13T1	ON	dz	$V_2(I_{Z1}=5\text{ mA})=12.35...13.65\text{ В}$; $I_S<0.05\text{ мкА}$	SOD-123	K * A
A5	1N4151W	VIS	sd	$V_F<75\text{ В}$; $I_F=500\text{ mA}$; $P_D=410\text{ мВт}$; $t_{RR}<2\text{ нс}$	SOD-123	K * A
A5	1N4151W	WTE	sd	$V_F<75\text{ В}$; $I_F=500\text{ mA}$; $P_D=500\text{ мВт}$; $t_{RR}<2\text{ нс}$	SOD-123	K * A
A5	BAP51-03	PHIL	pin	$V_F>50\text{ В}$; $I_F<50\text{ mA}$; $V_F(I_F=50\text{ mA})<1.1\text{ В}$; $I_S<1\text{ мкА}$	SOD-323, SC-76	K * A
A5	MMSZ15T1	ON	dz	$V_2(I_{Z1}=5\text{ mA})=14.25...15.75\text{ В}$; $I_S<0.05\text{ мкА}$	SOD-123	K * A
A6	BAS16D	GS	di	$V_F<75\text{ В}$; $I_F<250\text{ mA}$; $V_F(I_F=150\text{ mA})<1.25\text{ В}$; $I_S<50\text{ мкА}$; $C_0<2\text{ пФ}$; $t_{RR}<6\text{ нс}$	SOD-123	K * A
A6	BAS16D	VISH	di	$V_F<75\text{ В}$; $I_F<250\text{ mA}$; $V_F(I_F=150\text{ mA})<1.25\text{ В}$; $I_S<50\text{ мкА}$; $C_0<2\text{ пФ}$; $t_{RR}<6\text{ нс}$	SOD-123	K * A
A6	BAS16WS	GS	di	$V_F<75\text{ В}$; $I_F<250\text{ mA}$; $V_F(I_F=150\text{ mA})<1.25\text{ В}$; $I_S<50\text{ мкА}$; $C_0<2\text{ пФ}$; $t_{RR}<6\text{ нс}$	SOD-323, SC-76	K * A
A6	BAS316	PHIL	fd	$V_F<85\text{ В}$; $I_F<250\text{ mA}$; $V_F(I_F=50\text{ mA})<1.0\text{ В}$; $C_0<1.5\text{ пФ}$; $t_{RR}<4\text{ нс}$	SOD-323, SC-76	K * A
A8	BAP50-03	PHIL	pin	$V_F>50\text{ В}$; $I_F<50\text{ mA}$; $V_F(I_F=50\text{ mA})<1.1\text{ В}$; $I_S<0.1\text{ мкА}$	SOD-323, SC-76	K * A
A8	BAV19W	VISH	di	$V_F<100\text{ В}$; $I_F<250\text{ mA}$; $V_F(I_F=100\text{ mA})<1\text{ В}$; $I_S<0.1\text{ мкА}$; $C_0=1.5\text{ пФ}$; $t_{RR}<50\text{ нс}$	SOD-123	K * A
A8	BAV19W	DIODS	di	$V_F<100\text{ В}$; $I_F<250\text{ mA}$; $V_F(I_F=100\text{ mA})<1\text{ В}$; $C_0<5\text{ пФ}$; $t_{RR}<50\text{ нс}$	SOD-123	K * A
A8	BAV19W	WTE	di	$V_F<100\text{ В}$; $I_F<400\text{ mA}$; $V_F(I_F=100\text{ mA})<1\text{ В}$; $C_0<5\text{ пФ}$; $t_{RR}<50\text{ нс}$	SOD-123	K * A
A8	BAV19W	TSC	di	$V_F<100\text{ В}$; $I_F<400\text{ mA}$; $V_F(I_F=100\text{ mA})<1\text{ В}$; $C_0<5\text{ пФ}$; $t_{RR}<50\text{ нс}$	SOD-123	K * A
A8	BAV19W	MCC	di	$V_F<100\text{ В}$; $I_F<400\text{ mA}$; $V_F(I_F=100\text{ mA})<1\text{ В}$; $C_0<5\text{ пФ}$; $t_{RR}<50\text{ нс}$	SOD-123	K * A
A80	BAV20W	WTE	di	$V_F<150\text{ В}$; $I_F<400\text{ mA}$; $V_F(I_F=100\text{ mA})<1\text{ В}$; $C_0<5\text{ пФ}$; $t_{RR}<50\text{ нс}$	SOD-123	K * A
A82	BAV21W	WTE	di	$V_F<200\text{ В}$; $I_F<400\text{ mA}$; $V_F(I_F=100\text{ mA})<1\text{ В}$; $C_0<5\text{ пФ}$; $t_{RR}<50\text{ нс}$	SOD-123	K * A
A9	BAV20W	VISH	di	$V_F<150\text{ В}$; $I_F<250\text{ mA}$; $V_F(I_F=100\text{ mA})<1\text{ В}$; $I_S<0.1\text{ мкА}$; $C_0=1.5\text{ пФ}$; $t_{RR}<50\text{ нс}$	SOD-123	K * A
AA	BAV21W	VISH	di	$V_F<200\text{ В}$; $I_F<250\text{ mA}$; $V_F(I_F=100\text{ mA})<1\text{ В}$; $I_S<0.1\text{ мкА}$; $C_0=1.5\text{ пФ}$; $t_{RR}<50\text{ нс}$	SOD-123	K * A
AA	ZMV829A	ZETEX	var	$V_F<25\text{ В}$; $I_F<200\text{ mA}$; $I_S<0.02\text{ мкА}$; $C_{25\text{ В}}=7.38...9.02\text{ пФ}$; $C_{200\text{ В}}=4.3...5.8$	SOD-323, SC-76	K * A
AB	ZMV830A	ZETEX	var	$V_F<25\text{ В}$; $I_F<200\text{ mA}$; $I_S<0.02\text{ мкА}$; $C_{25\text{ В}}=9...11\text{ пФ}$; $C_{200\text{ В}}=4.5...6.0$	SOD-323, SC-76	K * A
AC	ZMV831A	ZETEX	var	$V_F<25\text{ В}$; $I_F<200\text{ mA}$; $I_S<0.02\text{ мкА}$; $C_{25\text{ В}}=13.5...16.5\text{ пФ}$; $C_{200\text{ В}}=4.5...6.0$	SOD-323, SC-76	K * A
AD	ZMV832A	ZETEX	var	$V_F<25\text{ В}$; $I_F<200\text{ mA}$; $I_S<0.02\text{ мкА}$; $C_{25\text{ В}}=19.8...24.2\text{ пФ}$; $C_{200\text{ В}}=5...5.5$	SOD-323, SC-76	K * A
AE	ZMV833A	ZETEX	var	$V_F<25\text{ В}$; $I_F<200\text{ mA}$; $I_S<0.02\text{ мкА}$; $C_{25\text{ В}}=29.7...36.3\text{ пФ}$; $C_{200\text{ В}}=5...5.5$	SOD-323, SC-76	K * A
AF	ZMV834A	ZETEX	var	$V_F<25\text{ В}$; $I_F<200\text{ mA}$; $I_S<0.02\text{ мкА}$; $C_{25\text{ В}}=42.3...51.7\text{ пФ}$; $C_{200\text{ В}}=5...5.5$	SOD-323, SC-76	K * A
AG	ZMV835A	ZETEX	var	$V_F<25\text{ В}$; $I_F<200\text{ mA}$; $I_S<0.02\text{ мкА}$; $C_{25\text{ В}}=61.2...74.8\text{ пФ}$; $C_{200\text{ В}}=5...5.5$	SOD-323, SC-76	K * A
AH	ZMV930	ZETEX	var	$V_F<12\text{ В}$; $I_F<100\text{ mA}$; $I_S<0.1\text{ мкА}$; $C_{2.5\text{ В}}=4.3...5.5\text{ пФ}$	SOD-323, SC-76	K * A
AJ	ZMV931	ZETEX	var	$V_F<12\text{ В}$; $I_F<100\text{ mA}$; $I_S<0.1\text{ мкА}$; $C_{2.5\text{ В}}=6.5...7.8\text{ пФ}$	SOD-323, SC-76	K * A
AK	ZMV932	ZETEX	var	$V_F<12\text{ В}$; $I_F<100\text{ mA}$; $I_S<0.1\text{ мкА}$; $C_{2.5\text{ В}}=8.5...10.5\text{ пФ}$	SOD-323, SC-76	K * A
AL	ZMV933	ZETEX	var	$V_F<12\text{ В}$; $I_F<100\text{ mA}$; $I_S<0.1\text{ мкА}$; $C_{2.5\text{ В}}=18...27\text{ пФ}$	SOD-323, SC-76	K * A
AM	ZMV933A	ZETEX	var	$V_F<12\text{ В}$; $I_F<100\text{ mA}$; $I_S<0.1\text{ мкА}$; $C_{2.5\text{ В}}=20.25...24.75\text{ пФ}$	SOD-323, SC-76	K * A
AN	ZMV934	ZETEX	var	$V_F<12\text{ В}$; $I_F<100\text{ mA}$; $I_S<0.1\text{ мкА}$; $C_{2.5\text{ В}}=40...66\text{ пФ}$	SOD-323, SC-76	K * A
AO	ZMV934A	ZETEX	var	$V_F<12\text{ В}$; $I_F<100\text{ mA}$; $I_S<0.1\text{ мкА}$; $C_{2.5\text{ В}}=47.25...57.75\text{ пФ}$	SOD-323, SC-76	K * A
AP	CMD22L4	CSI	dz	$V_{f(I_{f1}=0.5\text{ mA})}=2.4\text{ В}$; $P_D<250\text{ мВт}$	SOD-323, SC-76	K * A
AR	CMD243L	CSI	dz	$V_{f(I_{f1}=0.5\text{ mA})}=43\text{ В}$; $P_D<250\text{ мВт}$	SOD-323, SC-76	K * A
B	BAS16-03W	INF	di	$V_F<80\text{ В}$; $I_F<250\text{ mA}$; $V_F(I_F=150\text{ mA})<1.25\text{ В}$; $I_S<50\text{ мкА}$	SOD-323, SC-76	K * A
B	BAT15098	SIEM	shd	$V_F<4\text{ В}$; $I_F<110\text{ mA}$; $V_F(I_F=10\text{ mA})<0.32\text{ В}$; $C_0<0.35\text{ пФ}$	SOD-123	K * A



DO215, SOD123/323



DO216AA

Код	Типономинал	Б	Ф	Особенности	Корпус	Ц1*2
B0	BZX399C4V3	PHIL	dz	$V_2(t_{T1})=50 \text{ мкА})=4.09...4.52 \text{ В}$; $P_D < 300 \text{ мВт}$	SOD-323, SC-76	К*А
B1	BZX399C1V8	PHIL	dz	$V_2(t_{T1})=50 \text{ мкА})=1.715...1.89 \text{ В}$; $P_D < 300 \text{ мВт}$	SOD-323, SC-76	К*А
B2	BZX399C2V0	PHIL	dz	$V_2(t_{T1})=50 \text{ мкА})=1.9...2.1 \text{ В}$; $P_D < 300 \text{ мВт}$	SOD-323, SC-76	К*А
B3	BZX399C2V2	PHIL	dz	$V_2(t_{T1})=50 \text{ мкА})=2.09...2.31 \text{ В}$; $P_D < 300 \text{ мВт}$	SOD-323, SC-76	К*А
B4	BZX399C2V4	PHIL	dz	$V_2(t_{T1})=50 \text{ мкА})=2.28...2.52 \text{ В}$; $P_D < 300 \text{ мВт}$	SOD-323, SC-76	К*А
B5	BZX399C2V7	PHIL	dz	$V_2(t_{T1})=50 \text{ мкА})=2.57...2.84 \text{ В}$; $P_D < 300 \text{ мВт}$	SOD-323, SC-76	К*А
B6	BZX399C3V0	PHIL	dz	$V_2(t_{T1})=50 \text{ мкА})=2.85...3.15 \text{ В}$; $P_D < 300 \text{ мВт}$	SOD-323, SC-76	К*А
B7	BZX399C3V3	PHIL	dz	$V_2(t_{T1})=50 \text{ мкА})=3.14...3.47 \text{ В}$; $P_D < 300 \text{ мВт}$	SOD-323, SC-76	К*А
B8	BZX399C3V6	PHIL	dz	$V_2(t_{T1})=50 \text{ мкА})=3.42...3.78 \text{ В}$; $P_D < 300 \text{ мВт}$	SOD-323, SC-76	К*А
B9	BZX399C3V9	PHIL	dz	$V_2(t_{T1})=50 \text{ мкА})=3.71...4.1 \text{ В}$; $P_D < 300 \text{ мВт}$	SOD-323, SC-76	К*А
BA	BZX399C4V7	PHIL	dz	$V_2(t_{T1})=50 \text{ мкА})=4.47...4.94 \text{ В}$; $P_D < 300 \text{ мВт}$	SOD-323, SC-76	К*А
BB	BZX399C5V1	PHIL	dz	$V_2(t_{T1})=50 \text{ мкА})=4.85...5.36 \text{ В}$; $P_D < 300 \text{ мВт}$	SOD-323, SC-76	К*А
BC	BZX399C5V6	PHIL	dz	$V_2(t_{T1})=50 \text{ мкА})=5.32...5.88 \text{ В}$; $P_D < 300 \text{ мВт}$	SOD-323, SC-76	К*А
BD	BZX399C8V2	PHIL	dz	$V_2(t_{T1})=50 \text{ мкА})=5.89...6.51 \text{ В}$; $P_D < 300 \text{ мВт}$	SOD-323, SC-76	К*А
BD	ZHCS400	ZETEX	shd	$V_A < 40 \text{ В}$; $I_F < 400 \text{ мА}$; $V_F(I_F=400 \text{ мА}) < 0.5 \text{ В}$; $I_S < 40 \text{ мкА}$; $C_D=20 \text{ пФ}$	SOD-323, SC-76	К*А
BE	BZX399C8V8	PHIL	dz	$V_2(t_{T1})=50 \text{ мкА})=6.46...7.14 \text{ В}$; $P_D < 300 \text{ мВт}$	SOD-323, SC-76	К*А
BF	BZX399C7V5	PHIL	dz	$V_2(t_{T1})=50 \text{ мкА})=7.13...7.88 \text{ В}$; $P_D < 300 \text{ мВт}$	SOD-323, SC-76	К*А
BG	BZX399C8V2	PHIL	dz	$V_2(t_{T1})=50 \text{ мкА})=7.79...8.61 \text{ В}$; $P_D < 300 \text{ мВт}$	SOD-323, SC-76	К*А
BH	BZX399C9V1	PHIL	dz	$V_2(t_{T1})=50 \text{ мкА})=8.65...9.56 \text{ В}$; $P_D < 300 \text{ мВт}$	SOD-323, SC-76	К*А
BJ	BZX399C10	PHIL	dz	$V_2(t_{T1})=50 \text{ мкА})=9.5...10.5 \text{ В}$; $P_D < 300 \text{ мВт}$	SOD-323, SC-76	К*А
BK	BZX399C11	PHIL	dz	$V_2(t_{T1})=50 \text{ мкА})=10.45...11.55 \text{ В}$; $P_D < 300 \text{ мВт}$	SOD-323, SC-76	К*А
BL	BZX399C12	PHIL	dz	$V_2(t_{T1})=50 \text{ мкА})=11.4...12.6 \text{ В}$; $P_D < 300 \text{ мВт}$	SOD-323, SC-76	К*А
BM	BZX399C13	PHIL	dz	$V_2(t_{T1})=50 \text{ мкА})=12.35...13.65 \text{ В}$; $P_D < 300 \text{ мВт}$	SOD-323, SC-76	К*А
BN	BZX399C15	PHIL	dz	$V_2(t_{T1})=50 \text{ мкА})=14.25...15.75 \text{ В}$; $P_D < 300 \text{ мВт}$	SOD-323, SC-76	К*А
BP	BZX399C16	PHIL	dz	$V_2(t_{T1})=50 \text{ мкА})=15.2...16.8 \text{ В}$; $P_D < 300 \text{ мВт}$	SOD-323, SC-76	К*А
BP	CMOZ2L5	CSI	dz	$V_2(t_{T1})=0.5 \text{ мА})=2.5 \text{ В}$; $P_D < 250 \text{ мВт}$	SOD-323, SC-76	К*А
BQ	BZX399C18	PHIL	dz	$V_2(t_{T1})=50 \text{ мкА})=17.1...18.9 \text{ В}$; $P_D < 300 \text{ мВт}$	SOD-323, SC-76	К*А
BR	BZX399C20	PHIL	dz	$V_2(t_{T1})=50 \text{ мкА})=19...21 \text{ В}$; $P_D < 300 \text{ мВт}$	SOD-323, SC-76	К*А
BR	CMOZ47L	CSI	dz	$V_2(t_{T1})=0.5 \text{ мА})=47 \text{ В}$; $P_D < 250 \text{ мВт}$	SOD-323, SC-76	К*А
BS	BZX399C22	PHIL	dz	$V_2(t_{T1})=50 \text{ мкА})=20.9...23.1 \text{ В}$; $P_D < 300 \text{ мВт}$	SOD-323, SC-76	К*А
BT	BZX399C24	PHIL	dz	$V_2(t_{T1})=50 \text{ мкА})=22.8...25.2 \text{ В}$; $P_D < 300 \text{ мВт}$	SOD-323, SC-76	К*А
BU	BZX399C27	PHIL	dz	$V_2(t_{T1})=50 \text{ мкА})=25.65...28.35 \text{ В}$; $P_D < 300 \text{ мВт}$	SOD-323, SC-76	К*А
BV	BZX399C30	PHIL	dz	$V_2(t_{T1})=50 \text{ мкА})=28.5...31.5 \text{ В}$; $P_D < 300 \text{ мВт}$	SOD-323, SC-76	К*А
BW	BZX399C33	PHIL	dz	$V_2(t_{T1})=50 \text{ мкА})=31.35...34.65 \text{ В}$; $P_D < 300 \text{ мВт}$	SOD-323, SC-76	К*А
BX	BZX399C36	PHIL	dz	$V_2(t_{T1})=50 \text{ мкА})=34.2...37.8 \text{ В}$; $P_D < 300 \text{ мВт}$	SOD-323, SC-76	К*А
BY	BZX399C39	PHIL	dz	$V_2(t_{T1})=50 \text{ мкА})=37.05...40.95 \text{ В}$; $P_D < 300 \text{ мВт}$	SOD-323, SC-76	К*А
BZ	BZX399C43	PHIL	dz	$V_2(t_{T1})=50 \text{ мкА})=40.85...46.15 \text{ В}$; $P_D < 300 \text{ мВт}$	SOD-323, SC-76	К*А
C	KV1832E	TOKO	var	$C=4...17 \text{ пФ}$	SOD-323, SC-76	К*А
C (6en)	BAT165	INF	shd	$V_A < 40 \text{ В}$; $I_F < 750 \text{ мА}$; $V_F(I_F=750 \text{ мА}) < 0.7 \text{ В}$; $C_D < 12 \text{ пФ}$	SOD-323, SC-76	К*А
C (6en)	BAT65	SIEM	shd	$V_A < 30 \text{ В}$; $I_F < 500 \text{ мА}$; $V_F(I_F=500 \text{ мА}) < 0.7 \text{ В}$; $I_S < 10 \text{ мкА}$; $C_D < 12 \text{ пФ}$	SOD-123	К*А
C1	1SS352	TOSH	ci	$V_A < 80 \text{ В}$; $I_F < 200 \text{ мА}$; $V_F(I_F=100 \text{ мА}) < 1.2 \text{ В}$; $I_S < 0.5 \text{ мкА}$	SOD-323, SC-76	К*А
C1	MMS25221BT1	ON	dz	$V_2(t_{T1})=20 \text{ мА})=2.28...2.52 \text{ В}$; $I_S < 100 \text{ мкА}$	SOD-123	К*А
C2	MMS25222BT1	ON	dz	$V_2(t_{T1})=20 \text{ мА})=2.37...2.63 \text{ В}$; $I_S < 100 \text{ мкА}$	SOD-123	К*А
C3	MMS25223BT1	ON	dz	$V_2(t_{T1})=20 \text{ мА})=2.57...2.84 \text{ В}$; $I_S < 75 \text{ мкА}$	SOD-123	К*А
C4	MMS25224BT1	ON	dz	$V_2(t_{T1})=20 \text{ мА})=2.66...2.94 \text{ В}$; $I_S < 75 \text{ мкА}$	SOD-123	К*А
C48	CMHD4448	CNTRL	ci	$V_A < 75 \text{ В}$; $I_F < 500 \text{ мА}$; $V_F(I_F=10 \text{ мА}) < 1 \text{ В}$; $C_D < 4 \text{ пФ}$; $f_{TSS} < 4 \text{ нс}$	SOD-123	К*А
C5	MMS25225	VISH	dz	$V_2(t_{T1})=20 \text{ мА})=3 \text{ В}$; $I_S < 50 \text{ мкА}$	SOD-123	К*А
C5	MMS25225BT1	ON	dz	$V_2(t_{T1})=20 \text{ мА})=2.85...3.15 \text{ В}$; $I_S < 50 \text{ мкА}$	SOD-123	К*А
CA	MMS24691	VISH	dz	$V_2(t_{T1})=50 \text{ мкА})=5.89...6.51 \text{ В}$; $I_S < 10 \text{ мкА}$	SOD-123	К*А
CA	MMS24691T1	ON	dz	$V_2(t_{T1})=50 \text{ мкА})=5.89...6.51 \text{ В}$; $I_S < 10 \text{ мкА}$	SOD-123	К*А
CA	ZMV829B	ZETEX	var	$V_A < 25 \text{ В}$; $I_F < 200 \text{ мА}$; $I_S < 0.02 \text{ мА}$; $C_{2B}=7.79...8.61 \text{ пФ}$; $C_{2B}/C_{20B}=4.3...5.8$	SOD-323, SC-76	К*А
CB	ZMV830B	ZETEX	var	$V_A < 25 \text{ В}$; $I_F < 200 \text{ мА}$; $I_S < 0.02 \text{ мА}$; $C_{2B}=9.5...10.5 \text{ пФ}$; $C_{2B}/C_{20B}=4.5...6.0$	SOD-323, SC-76	К*А



Код	Типономинал	Б	Ф	Особенности	Корпус	Ц:1+2
CC	MMS24678T1	ON	dz	$V_Z(I_{ZT}=50\text{ мкА})=1.71...1.89\text{ В}; I_{\text{H}} < 7.5\text{ мкА}$	SOD-123	K * A
CC	ZMV831B	ZETEX	var	$V_{\text{H}} < 25\text{ В}; I_{\text{H}} < 200\text{ мА}; I_{\text{H}} < 0.02\text{ мкА}; C_{20\text{ В}}=14.25...15.75\text{ пФ}; C_{20\text{ В}}/C_{20\text{ В}}=4.5...6.0$	SOD-323, SC-76	K * A
CC1	CMH25221B	CSI	dz	$V_Z=2.4\text{ В (5%)}; P_D < 500\text{ мВт}$	SOD-123	K * A
CC2	CMH25222B	CSI	dz	$V_Z=2.5\text{ В (5%)}; P_D < 500\text{ мВт}$	SOD-123	K * A
CC3	CMH25223B	CSI	dz	$V_Z=2.7\text{ В (5%)}; P_D < 500\text{ мВт}$	SOD-123	K * A
CC4	CMH25224B	CSI	dz	$V_Z=2.8\text{ В (5%)}; P_D < 500\text{ мВт}$	SOD-123	K * A
CC5	CMH25225B	CSI	dz	$V_Z=3.0\text{ В (5%)}; P_D < 500\text{ мВт}$	SOD-123	K * A
CD	MMS24679T1	ON	dz	$V_Z(I_{ZT}=50\text{ мкА})=1.90...2.10\text{ В}; I_{\text{H}} < 5\text{ мкА}$	SOD-123	K * A
CD	ZMV832B	ZETEX	var	$V_{\text{H}} < 25\text{ В}; I_{\text{H}} < 200\text{ мА}; I_{\text{H}} < 0.02\text{ мкА}; C_{20\text{ В}}=20.9...23.1\text{ пФ}; C_{20\text{ В}}/C_{20\text{ В}}=5...6.5$	SOD-323, SC-76	K * A
CD1	CMH25226B	CSI	dz	$V_Z=3.3\text{ В (5%)}; P_D < 500\text{ мВт}$	SOD-123	K * A
CD2	CMH25227B	CSI	dz	$V_Z=3.6\text{ В (5%)}; P_D < 500\text{ мВт}$	SOD-123	K * A
CD3	CMH25228B	CSI	dz	$V_Z=3.9\text{ В (5%)}; P_D < 500\text{ мВт}$	SOD-123	K * A
CD4	CMH25229B	CSI	dz	$V_Z=4.3\text{ В (5%)}; P_D < 500\text{ мВт}$	SOD-123	K * A
CD5	CMH25230B	CSI	dz	$V_Z=4.7\text{ В (5%)}; P_D < 500\text{ мВт}$	SOD-123	K * A
CE	MMS24680T1	ON	dz	$V_Z(I_{ZT}=50\text{ мкА})=2.09...2.31\text{ В}; I_{\text{H}} < 4\text{ мкА}$	SOD-123	K * A
CE	ZMV833B	ZETEX	var	$V_{\text{H}} < 25\text{ В}; I_{\text{H}} < 200\text{ мА}; I_{\text{H}} < 0.02\text{ мкА}; C_{20\text{ В}}=31.35...34.65\text{ пФ}; C_{20\text{ В}}/C_{20\text{ В}}=5...6.5$	SOD-323, SC-76	K * A
CE1	CMH25231B	CSI	dz	$V_Z=5.1\text{ В (5%)}; P_D < 500\text{ мВт}$	SOD-123	K * A
CE2	CMH25232B	CSI	dz	$V_Z=5.6\text{ В (5%)}; P_D < 500\text{ мВт}$	SOD-123	K * A
CE3	CMH25233B	CSI	dz	$V_Z=6.0\text{ В (5%)}; P_D < 500\text{ мВт}$	SOD-123	K * A
CE4	CMH25234B	CSI	dz	$V_Z=6.2\text{ В (5%)}; P_D < 500\text{ мВт}$	SOD-123	K * A
CE5	CMH25235B	CSI	dz	$V_Z=6.8\text{ В (5%)}; P_D < 500\text{ мВт}$	SOD-123	K * A
CF	MMS24681	VISH	dz	$V_Z(I_{ZT}=50\text{ мкА})=2.28...2.52\text{ В}; I_{\text{H}} < 2\text{ мкА}$	SOD-123	K * A
CF	MMS24681T1	ON	dz	$V_Z(I_{ZT}=50\text{ мкА})=2.28...2.52\text{ В}; I_{\text{H}} < 2\text{ мкА}$	SOD-123	K * A
CF	ZMV834B	ZETEX	var	$V_{\text{H}} < 25\text{ В}; I_{\text{H}} < 200\text{ мА}; I_{\text{H}} < 0.02\text{ мкА}; C_{20\text{ В}}=44.65...49.35\text{ пФ}; C_{20\text{ В}}/C_{20\text{ В}}=5...6.5$	SOD-323, SC-76	K * A
CF1	CMH25236B	CSI	dz	$V_Z=7.5\text{ В (5%)}; P_D < 500\text{ мВт}$	SOD-123	K * A
CF2	CMH25237B	CSI	dz	$V_Z=8.2\text{ В (5%)}; P_D < 500\text{ мВт}$	SOD-123	K * A
CF3	CMH25238B	CSI	dz	$V_Z=8.7\text{ В (5%)}; P_D < 500\text{ мВт}$	SOD-123	K * A
CF4	CMH25239B	CSI	dz	$V_Z=9.1\text{ В (5%)}; P_D < 500\text{ мВт}$	SOD-123	K * A
CF5	CMH25240B	CSI	dz	$V_Z=10\text{ В (5%)}; P_D < 500\text{ мВт}$	SOD-123	K * A
CG	ZMV835B	ZETEX	var	$V_{\text{H}} < 25\text{ В}; I_{\text{H}} < 200\text{ мА}; I_{\text{H}} < 0.02\text{ мкА}; C_{20\text{ В}}=64.6...71.4\text{ пФ}; C_{20\text{ В}}/C_{20\text{ В}}=5...6.5$	SOD-323, SC-76	K * A
CH	MMS24682	VISH	dz	$V_Z(I_{ZT}=50\text{ мкА})=2.57...2.84\text{ В}; I_{\text{H}} < 1\text{ мкА}$	SOD-123	K * A
CH	MMS24682T1	ON	dz	$V_Z(I_{ZT}=50\text{ мкА})=2.57...2.84\text{ В}; I_{\text{H}} < 1\text{ мкА}$	SOD-123	K * A
CH1	CMH25241B	CSI	dz	$V_Z=11\text{ В (5%)}; P_D < 500\text{ мВт}$	SOD-123	K * A
CH2	CMH25242B	CSI	dz	$V_Z=12\text{ В (5%)}; P_D < 500\text{ мВт}$	SOD-123	K * A
CH3	CMH25243B	CSI	dz	$V_Z=13\text{ В (5%)}; P_D < 500\text{ мВт}$	SOD-123	K * A
CH4	CMH25244B	CSI	dz	$V_Z=14\text{ В (5%)}; P_D < 500\text{ мВт}$	SOD-123	K * A
CH5	CMH25245B	CSI	dz	$V_Z=15\text{ В (5%)}; P_D < 500\text{ мВт}$	SOD-123	K * A
CJ	MMS24683	VISH	dz	$V_Z(I_{ZT}=50\text{ мкА})=2.85...3.15\text{ В}; I_{\text{H}} < 0.8\text{ мкА}$	SOD-123	K * A
CJ	MMS24683T1	ON	dz	$V_Z(I_{ZT}=50\text{ мкА})=2.85...3.15\text{ В}; I_{\text{H}} < 0.8\text{ мкА}$	SOD-123	K * A
CJ1	CMH25246B	CSI	dz	$V_Z=16\text{ В (5%)}; P_D < 500\text{ мВт}$	SOD-123	K * A
CJ2	CMH25247B	CSI	dz	$V_Z=17\text{ В (5%)}; P_D < 500\text{ мВт}$	SOD-123	K * A
CJ3	CMH25248B	CSI	dz	$V_Z=18\text{ В (5%)}; P_D < 500\text{ мВт}$	SOD-123	K * A
CJ4	CMH25249B	CSI	dz	$V_Z=19\text{ В (5%)}; P_D < 500\text{ мВт}$	SOD-123	K * A
CJ5	CMH25250B	CSI	dz	$V_Z=20\text{ В (5%)}; P_D < 500\text{ мВт}$	SOD-123	K * A
CK	MMS24684	VISH	dz	$V_Z(I_{ZT}=50\text{ мкА})=3.14...3.47\text{ В}; I_{\text{H}} < 7.5\text{ мкА}$	SOD-123	K * A
CK	MMS24684T1	ON	dz	$V_Z(I_{ZT}=50\text{ мкА})=3.14...3.47\text{ В}; I_{\text{H}} < 7.5\text{ мкА}$	SOD-123	K * A
CK1	CMH25251B	CSI	dz	$V_Z=22\text{ В (5%)}; P_D < 500\text{ мВт}$	SOD-123	K * A
CK2	CMH25252B	CSI	dz	$V_Z=24\text{ В (5%)}; P_D < 500\text{ мВт}$	SOD-123	K * A
CK3	CMH25253B	CSI	dz	$V_Z=25\text{ В (5%)}; P_D < 500\text{ мВт}$	SOD-123	K * A
CK4	CMH25254B	CSI	dz	$V_Z=27\text{ В (5%)}; P_D < 500\text{ мВт}$	SOD-123	K * A
CK5	CMH25255B	CSI	dz	$V_Z=28\text{ В (5%)}; P_D < 500\text{ мВт}$	SOD-123	K * A
CL1	MMS24685T1	ON	dz	$V_Z(I_{ZT}=5\text{ мА})=2.28...2.52\text{ В}; I_{\text{H}} < 50\text{ мкА}$	SOD-123	K * A



DO215, SOD123/323



DO216AA

Код	Типономинал	Б	Ф	Особенности	Корпус	Ц:1:2
CL2	MMSZ2V7ET1	ON	dz	$V_2(I_{T1}=5\text{ мА})=2.57...2.84\text{ В}$; $I_2 < 20\text{ мкА}$	SOD-123	К ● А
CL3	MMSZ3V0ET1	ON	dz	$V_2(I_{T1}=5\text{ мА})=2.85...3.15\text{ В}$; $I_2 < 10\text{ мкА}$	SOD-123	К ● А
CL4	MMSZ3V3ET1	ON	dz	$V_2(I_{T1}=5\text{ мА})=3.14...3.47\text{ В}$; $I_2 < 5\text{ мкА}$	SOD-123	К ● А
CL5	MMSZ3V6ET1	ON	dz	$V_2(I_{T1}=5\text{ мА})=3.42...3.78\text{ В}$; $I_2 < 5\text{ мкА}$	SOD-123	К ● А
CL6	MMSZ3V9ET1	ON	dz	$V_2(I_{T1}=5\text{ мА})=3.71...4.10\text{ В}$; $I_2 < 3\text{ мкА}$	SOD-123	К ● А
CL7	MMSZ4V3ET1	ON	dz	$V_2(I_{T1}=5\text{ мА})=4.09...4.52\text{ В}$; $I_2 < 3\text{ мкА}$	SOD-123	К ● А
CL8	MMSZ4V7ET1	ON	dz	$V_2(I_{T1}=5\text{ мА})=4.47...4.94\text{ В}$; $I_2 < 2\text{ мкА}$	SOD-123	К ● А
CL9	MMSZ5V1ET1	ON	dz	$V_2(I_{T1}=5\text{ мА})=4.85...5.36\text{ В}$; $I_2 < 1\text{ мкА}$	SOD-123	К ● А
CM	MMSZ4685	VISH	dz	$V_2(I_{T1}=50\text{ мкА})=3.42...3.78\text{ В}$; $I_2 < 7.5\text{ мкА}$	SOD-123	К ● А
CM	MMSZ4685T1	ON	dz	$V_2(I_{T1}=50\text{ мкА})=3.42...3.78\text{ В}$; $I_2 < 7.5\text{ мкА}$	SOD-123	К ● А
CM1	CMHZ256B	CSI	dz	$V_2=30\text{ В}$ (5%); $P_0 < 500\text{ мВт}$	SOD-123	К ● А
CM1	MMSZ5V8ET1	ON	dz	$V_2(I_{T1}=5\text{ мА})=5.32...5.88\text{ В}$; $I_2 < 3\text{ мкА}$	SOD-123	К ● А
CM2	CMHZ257B	CSI	dz	$V_2=33\text{ В}$ (5%); $P_0 < 500\text{ мВт}$	SOD-123	К ● А
CM2	MMSZ6V2ET1	ON	dz	$V_2(I_{T1}=5\text{ мА})=5.89...6.51\text{ В}$; $I_2 < 2\text{ мкА}$	SOD-123	К ● А
CM3	CMHZ258B	CSI	dz	$V_2=36\text{ В}$ (5%); $P_0 < 500\text{ мВт}$	SOD-123	К ● А
CM3	MMSZ6V8ET1	ON	dz	$V_2(I_{T1}=5\text{ мА})=6.46...7.14\text{ В}$; $I_2 < 1\text{ мкА}$	SOD-123	К ● А
CM4	CMHZ259B	CSI	dz	$V_2=39\text{ В}$ (5%); $P_0 < 500\text{ мВт}$	SOD-123	К ● А
CM4	MMSZ7V5ET1	ON	dz	$V_2(I_{T1}=5\text{ мА})=7.13...7.88\text{ В}$; $I_2 < 0.7\text{ мкА}$	SOD-123	К ● А
CM5	CMHZ260B	CSI	dz	$V_2=43\text{ В}$ (5%); $P_0 < 500\text{ мВт}$	SOD-123	К ● А
CM5	MMSZ8V2ET1	ON	dz	$V_2(I_{T1}=5\text{ мА})=7.79...8.61\text{ В}$; $I_2 < 0.5\text{ мкА}$	SOD-123	К ● А
CM6	MMSZ9V1ET1	ON	dz	$V_2(I_{T1}=5\text{ мА})=8.65...9.56\text{ В}$; $I_2 < 0.2\text{ мкА}$	SOD-123	К ● А
CM7	MMSZ10ET1	ON	dz	$V_2(I_{T1}=5\text{ мА})=9.5...10.5\text{ В}$; $I_2 < 0.1\text{ мкА}$	SOD-123	К ● А
CM8	MMSZ11ET1	ON	dz	$V_2(I_{T1}=5\text{ мА})=10.45...11.55\text{ В}$; $I_2 < 0.1\text{ мкА}$	SOD-123	К ● А
CM9	MMSZ12ET1	ON	dz	$V_2(I_{T1}=5\text{ мА})=11.4...12.6\text{ В}$; $I_2 < 0.1\text{ мкА}$	SOD-123	К ● А
CN	MMSZ4686	VISH	dz	$V_2(I_{T1}=50\text{ мкА})=3.71...4.10\text{ В}$; $I_2 < 5\text{ мкА}$	SOD-123	К ● А
CN	MMSZ4686T1	ON	dz	$V_2(I_{T1}=50\text{ мкА})=3.71...4.10\text{ В}$; $I_2 < 5\text{ мкА}$	SOD-123	К ● А
CN1	CMHZ261B	CSI	dz	$V_2=47\text{ В}$ (5%); $P_0 < 500\text{ мВт}$	SOD-123	К ● А
CN1	MMSZ13ET1	ON	dz	$V_2(I_{T1}=5\text{ мА})=12.35...13.65\text{ В}$; $I_2 < 0.05\text{ мкА}$	SOD-123	К ● А
CN2	CMHZ262B	CSI	dz	$V_2=51\text{ В}$ (5%); $P_0 < 500\text{ мВт}$	SOD-123	К ● А
CN2	MMSZ15ET1	ON	dz	$V_2(I_{T1}=5\text{ мА})=14.25...15.75\text{ В}$; $I_2 < 0.05\text{ мкА}$	SOD-123	К ● А
CN3	CMHZ263B	CSI	dz	$V_2=56\text{ В}$ (5%); $P_0 < 500\text{ мВт}$	SOD-123	К ● А
CN3	MMSZ16ET1	ON	dz	$V_2(I_{T1}=5\text{ мА})=15.2...16.8\text{ В}$; $I_2 < 0.05\text{ мкА}$	SOD-123	К ● А
CN4	CMHZ264B	CSI	dz	$V_2=60\text{ В}$ (5%); $P_0 < 500\text{ мВт}$	SOD-123	К ● А
CN4	MMSZ18ET1	ON	dz	$V_2(I_{T1}=5\text{ мА})=17.1...18.9\text{ В}$; $I_2 < 0.05\text{ мкА}$	SOD-123	К ● А
CN5	CMHZ265B	CSI	dz	$V_2=62\text{ В}$ (5%); $P_0 < 500\text{ мВт}$	SOD-123	К ● А
CN5	MMSZ20ET1	ON	dz	$V_2(I_{T1}=5\text{ мА})=19.0...21.0\text{ В}$; $I_2 < 0.05\text{ мкА}$	SOD-123	К ● А
CN6	MMSZ22ET1	ON	dz	$V_2(I_{T1}=5\text{ мА})=20.9...23.1\text{ В}$; $I_2 < 0.05\text{ мкА}$	SOD-123	К ● А
CN7	MMSZ24ET1	ON	dz	$V_2(I_{T1}=5\text{ мА})=22.8...25.2\text{ В}$; $I_2 < 0.05\text{ мкА}$	SOD-123	К ● А
CN8	MMSZ27ET1	ON	dz	$V_2(I_{T1}=5\text{ мА})=25.65...28.35\text{ В}$; $I_2 < 0.05\text{ мкА}$	SOD-123	К ● А
CN9	MMSZ30ET1	ON	dz	$V_2(I_{T1}=5\text{ мА})=28.50...31.5\text{ В}$; $I_2 < 0.05\text{ мкА}$	SOD-123	К ● А
C03	CMHD2003	CNTRL	di	$V_A < 250\text{ В}$; $I_T < 250\text{ мА}$; $V_F(I_F=100\text{ мА}) < 1\text{ В}$; $C_{D0}=1.5\text{ нФ}$; $I_{RR} < 50\text{ нс}$	SOD-123	К ● А
CP	CMZ2L7	CSI	dz	$V_2(I_{T1}=0.5\text{ мА})=2.7\text{ В}$; $P_0 < 250\text{ мВт}$	SOD-323, SC-76	К ● А
CP	MMSZ4687	VISH	dz	$V_2(I_{T1}=50\text{ мкА})=4.09...4.52\text{ В}$; $I_2 < 4\text{ мкА}$	SOD-123	К ● А
CP	MMSZ4687T1	ON	dz	$V_2(I_{T1}=50\text{ мкА})=4.09...4.52\text{ В}$; $I_2 < 4\text{ мкА}$	SOD-123	К ● А
CP1	CMHZ266B	CSI	dz	$V_2=68\text{ В}$ (5%); $P_0 < 500\text{ мВт}$	SOD-123	К ● А
CP1	MMSZ33ET1	ON	dz	$V_2(I_{T1}=5\text{ мА})=31.35...34.65\text{ В}$; $I_2 < 0.05\text{ мкА}$	SOD-123	К ● А
CP2	CMHZ267B	CSI	dz	$V_2=75\text{ В}$ (5%); $P_0 < 500\text{ мВт}$	SOD-123	К ● А
CP2	MMSZ36ET1	ON	dz	$V_2(I_{T1}=5\text{ мА})=34.2...37.8\text{ В}$; $I_2 < 0.05\text{ мкА}$	SOD-123	К ● А
CP3	CMHZ268B	CSI	dz	$V_2=82\text{ В}$ (5%); $P_0 < 500\text{ мВт}$	SOD-123	К ● А
CP3	MMSZ39ET1	ON	dz	$V_2(I_{T1}=5\text{ мА})=37.05...41.0\text{ В}$; $I_2 < 0.05\text{ мкА}$	SOD-123	К ● А
CP4	CMHZ269B	CSI	dz	$V_2=87\text{ В}$ (5%); $P_0 < 500\text{ мВт}$	SOD-123	К ● А
CP4	MMSZ43ET1	ON	dz	$V_2(I_{T1}=5\text{ мА})=40.85...45.15\text{ В}$; $I_2 < 0.05\text{ мкА}$	SOD-123	К ● А



Код	Типономинал	Б	Ф	Особенности	Корпус	Ц:1+2
CP5	CMH25270B	CSI	dz	$V_z = 91 \text{ В (5\%)}; P_D < 500 \text{ мВт}$	SOD-123	K * A
CP5	MMS247ET1	ON	dz	$V_z (I_{ZT} = 5 \text{ мА}) = 44.65...49.35 \text{ В}; I_R < 0.05 \text{ мкА}$	SOD-123	K * A
CP6	MMS251ET1	ON	dz	$V_z (I_{ZT} = 5 \text{ мА}) = 48.45...53.55 \text{ В}; I_R < 0.05 \text{ мкА}$	SOD-123	K * A
CP7	MMS268ET1	ON	dz	$V_z (I_{ZT} = 5 \text{ мА}) = 53.20...58.80 \text{ В}; I_R < 0.05 \text{ мкА}$	SOD-123	K * A
CR1	CMH25271B	CSI	dz	$V_z = 100 \text{ В (5\%)}; P_D < 500 \text{ мВт}$	SOD-123	K * A
CR2	CMH25272B	CSI	dz	$V_z = 110 \text{ В (5\%)}; P_D < 500 \text{ мВт}$	SOD-123	K * A
CR3	CMH25273B	CSI	dz	$V_z = 120 \text{ В (5\%)}; P_D < 500 \text{ мВт}$	SOD-123	K * A
CR4	CMH25274B	CSI	dz	$V_z = 130 \text{ В (5\%)}; P_D < 500 \text{ мВт}$	SOD-123	K * A
CR5	CMH25275B	CSI	dz	$V_z = 140 \text{ В (5\%)}; P_D < 500 \text{ мВт}$	SOD-123	K * A
CS1	CMH25276B	CSI	dz	$V_z = 150 \text{ В (5\%)}; P_D < 500 \text{ мВт}$	SOD-123	K * A
CS2	CMH25277B	CSI	dz	$V_z = 160 \text{ В (5\%)}; P_D < 500 \text{ мВт}$	SOD-123	K * A
CS3	CMH25278B	CSI	dz	$V_z = 170 \text{ В (5\%)}; P_D < 500 \text{ мВт}$	SOD-123	K * A
CS4	CMH25279B	CSI	dz	$V_z = 180 \text{ В (5\%)}; P_D < 500 \text{ мВт}$	SOD-123	K * A
CS5	CMH25280B	CSI	dz	$V_z = 190 \text{ В (5\%)}; P_D < 500 \text{ мВт}$	SOD-123	K * A
CT	MMS24688	VISH	dz	$V_z (I_{ZT} = 50 \text{ мкА}) = 4.47...4.94 \text{ В}; I_R < 10 \text{ нА}$	SOD-123	K * A
CT	MMS24688T1	ON	dz	$V_z (I_{ZT} = 50 \text{ мкА}) = 4.47...4.94 \text{ В}; I_R < 10 \text{ нА}$	SOD-123	K * A
CT1	CMH25281B	CSI	dz	$V_z = 200 \text{ В (5\%)}; P_D < 500 \text{ мВт}$	SOD-123	K * A
CU	MMS24689	VISH	dz	$V_z (I_{ZT} = 50 \text{ мкА}) = 4.85...5.36 \text{ В}; I_R < 10 \text{ нА}$	SOD-123	K * A
CU	MMS24689T1	ON	dz	$V_z (I_{ZT} = 50 \text{ мкА}) = 4.85...5.36 \text{ В}; I_R < 10 \text{ нА}$	SOD-123	K * A
CV	MMS24690	VISH	dz	$V_z (I_{ZT} = 50 \text{ мкА}) = 5.32...5.88 \text{ В}; I_R < 10 \text{ нА}$	SOD-123	K * A
CV	MMS24690T1	ON	dz	$V_z (I_{ZT} = 50 \text{ мкА}) = 5.32...5.88 \text{ В}; I_R < 10 \text{ нА}$	SOD-123	K * A
CX	MMS24692	VISH	dz	$V_z (I_{ZT} = 50 \text{ мкА}) = 6.46...7.14 \text{ В}; I_R < 10 \text{ нА}$	SOD-123	K * A
CX	MMS24692T1	ON	dz	$V_z (I_{ZT} = 50 \text{ мкА}) = 6.46...7.14 \text{ В}; I_R < 10 \text{ нА}$	SOD-123	K * A
CY	MMS24693	VISH	dz	$V_z (I_{ZT} = 50 \text{ мкА}) = 7.13...7.88 \text{ В}; I_R < 10 \text{ нА}$	SOD-123	K * A
CY	MMS24693T1	ON	dz	$V_z (I_{ZT} = 50 \text{ мкА}) = 7.13...7.88 \text{ В}; I_R < 10 \text{ нА}$	SOD-123	K * A
CZ	MMS24694	VISH	dz	$V_z (I_{ZT} = 50 \text{ мкА}) = 7.79...8.61 \text{ В}; I_R < 1 \text{ мкА}$	SOD-123	K * A
CZ	MMS24694T1	ON	dz	$V_z (I_{ZT} = 50 \text{ мкА}) = 7.79...8.61 \text{ В}; I_R < 1 \text{ мкА}$	SOD-123	K * A
D	1SS376	ROHM	di	$V_R < 250 \text{ В}; I_R < 300 \text{ мА}; V_F (I_F = 100 \text{ мА}) < 1.2 \text{ В}; t_{\text{FRR}} < 100 \text{ нс}$	SOD-323, SC-76	K * A
D	BAS21-03W	INF	inf	$V_R < 200 \text{ В}; I_R < 250 \text{ мА}; V_F (I_F = 100 \text{ мА}) < 1.0 \text{ В}; I_R < 0.1 \text{ мкА}$	SOD-323, SC-76	K * A
D1	MMS25226	VISH	dz	$V_z (I_{ZT} = 20 \text{ мА}) = 3.3 \text{ В}; I_R < 25 \text{ мкА}$	SOD-123	K * A
D1	MMS25226BT1	ON	dz	$V_z (I_{ZT} = 20 \text{ мА}) = 3.14...3.47 \text{ В}; I_R < 25 \text{ мкА}$	SOD-123	K * A
D2	MMS25227	VISH	dz	$V_z (I_{ZT} = 20 \text{ мА}) = 3.6 \text{ В}; I_R < 15 \text{ мкА}$	SOD-123	K * A
D2	MMS25227BT1	ON	dz	$V_z (I_{ZT} = 20 \text{ мА}) = 3.42...3.78 \text{ В}; I_R < 15 \text{ мкА}$	SOD-123	K * A
D3	MMS25228	VISH	dz	$V_z (I_{ZT} = 20 \text{ мА}) = 3.9 \text{ В}; I_R < 10 \text{ мкА}$	SOD-123	K * A
D3	MMS25228BT1	ON	dz	$V_z (I_{ZT} = 20 \text{ мА}) = 3.71...4.10 \text{ В}; I_R < 10 \text{ мкА}$	SOD-123	K * A
D4	MMS25229	VISH	dz	$V_z (I_{ZT} = 20 \text{ мА}) = 4.3 \text{ В}; I_R < 5 \text{ мкА}$	SOD-123	K * A
D4	MMS25229BT1	ON	dz	$V_z (I_{ZT} = 20 \text{ мА}) = 4.09...4.52 \text{ В}; I_R < 5 \text{ мкА}$	SOD-123	K * A
D5	MMS25230	VISH	dz	$V_z (I_{ZT} = 20 \text{ мА}) = 4.7 \text{ В}; I_R < 5 \text{ мкА}$	SOD-123	K * A
D5	MMS25230BT1	ON	dz	$V_z (I_{ZT} = 20 \text{ мА}) = 4.47...4.94 \text{ В}; I_R < 5 \text{ мкА}$	SOD-123	K * A
D76	BAR18J	SGS	shd	$V_{BR} > 70 \text{ В}; V_F (I_F = 1 \text{ мА}) < 0.41 \text{ В}; I_R < 200 \text{ нА}; C_T < 1.7 \text{ нФ}$	SOD-323, SC-76	K * A
DA	MMS24708	VISH	dz	$V_z (I_{ZT} = 50 \text{ мкА}) = 20.9...23.1 \text{ В}; I_R < 0.01 \text{ мкА}$	SOD-123	K * A
DA	MMS24708T1	ON	dz	$V_z (I_{ZT} = 50 \text{ мкА}) = 20.9...23.1 \text{ В}; I_R < 0.01 \text{ мкА}$	SOD-123	K * A
DC	MMS24695	VISH	dz	$V_z (I_{ZT} = 50 \text{ мкА}) = 8.27...9.14 \text{ В}; I_R < 1 \text{ мкА}$	SOD-123	K * A
DC	MMS24695T1	ON	dz	$V_z (I_{ZT} = 50 \text{ мкА}) = 8.27...9.14 \text{ В}; I_R < 1 \text{ мкА}$	SOD-123	K * A
DD	MMS24696	VISH	dz	$V_z (I_{ZT} = 50 \text{ мкА}) = 8.65...9.56 \text{ В}; I_R < 1 \text{ мкА}$	SOD-123	K * A
DD	MMS24696T1	ON	dz	$V_z (I_{ZT} = 50 \text{ мкА}) = 8.65...9.56 \text{ В}; I_R < 1 \text{ мкА}$	SOD-123	K * A
DE	MMS24697	VISH	dz	$V_z (I_{ZT} = 50 \text{ мкА}) = 9.5...10.6 \text{ В}; I_R < 1 \text{ мкА}$	SOD-123	K * A
DE	MMS24697T1	ON	dz	$V_z (I_{ZT} = 50 \text{ мкА}) = 9.5...10.6 \text{ В}; I_R < 1 \text{ мкА}$	SOD-123	K * A
DF	MMS24698	VISH	dz	$V_z (I_{ZT} = 50 \text{ мкА}) = 10.5...11.6 \text{ В}; I_R < 0.05 \text{ мкА}$	SOD-123	K * A
DF	MMS24698T1	ON	dz	$V_z (I_{ZT} = 50 \text{ мкА}) = 10.5...11.6 \text{ В}; I_R < 0.05 \text{ мкА}$	SOD-123	K * A
DH	MMS24699	VISH	dz	$V_z (I_{ZT} = 50 \text{ мкА}) = 11.4...12.6 \text{ В}; I_R < 0.05 \text{ мкА}$	SOD-123	K * A
DH	MMS24699T1	ON	dz	$V_z (I_{ZT} = 50 \text{ мкА}) = 11.4...12.6 \text{ В}; I_R < 0.05 \text{ мкА}$	SOD-123	K * A

**DO215, SOD123/323****DO216AA**

Код	Типономинал	Б	Ф	Особенности	Корпус	Ц1*2
DJ	MMSZ4700	VISH	dz	$V_2(t_{T1})=50 \text{ мкА})=12.4...13.7 \text{ В}; I_3 < 0.05 \text{ мкА}$	SOD-123	К*А
DJ	MMSZ4700T1	ON	dz	$V_2(t_{T1})=50 \text{ мкА})=12.4...13.7 \text{ В}; I_3 < 0.05 \text{ мкА}$	SOD-123	К*А
DK	MMSZ4701	VISH	dz	$V_2(t_{T1})=50 \text{ мкА})=13.3...14.7 \text{ В}; I_3 < 0.05 \text{ мкА}$	SOD-123	К*А
DK	MMSZ4701T1	ON	dz	$V_2(t_{T1})=50 \text{ мкА})=13.3...14.7 \text{ В}; I_3 < 0.05 \text{ мкА}$	SOD-123	К*А
DM	MMSZ4702	VISH	dz	$V_2(t_{T1})=50 \text{ мкА})=14.3...15.8 \text{ В}; I_3 < 0.05 \text{ мкА}$	SOD-123	К*А
DM	MMSZ4702T1	ON	dz	$V_2(t_{T1})=50 \text{ мкА})=14.3...15.8 \text{ В}; I_3 < 0.05 \text{ мкА}$	SOD-123	К*А
DN	MMSZ4703	VISH	dz	$V_2(t_{T1})=50 \text{ мкА})=15.2...16.8 \text{ В}; I_3 < 0.05 \text{ мкА}$	SOD-123	К*А
DN	MMSZ4703T1	ON	dz	$V_2(t_{T1})=50 \text{ мкА})=15.2...16.8 \text{ В}; I_3 < 0.05 \text{ мкА}$	SOD-123	К*А
DP	CMDZ2L8	CSI	dz	$V_2(t_{T1})=0.5 \text{ мА})=2.8 \text{ В}; P_D < 250 \text{ мВт}$	SOD-323, SC-76	К*А
DP	MMSZ4704	VISH	dz	$V_2(t_{T1})=50 \text{ мкА})=16.2...17.9 \text{ В}; I_3 < 0.05 \text{ мкА}$	SOD-123	К*А
DP	MMSZ4704T1	ON	dz	$V_2(t_{T1})=50 \text{ мкА})=16.2...17.9 \text{ В}; I_3 < 0.05 \text{ мкА}$	SOD-123	К*А
DT	MMSZ4705	VISH	dz	$V_2(t_{T1})=50 \text{ мкА})=17.1...18.9 \text{ В}; I_3 < 0.05 \text{ мкА}$	SOD-123	К*А
DT	MMSZ4705T1	ON	dz	$V_2(t_{T1})=50 \text{ мкА})=17.1...18.9 \text{ В}; I_3 < 0.05 \text{ мкА}$	SOD-123	К*А
DU	MMSZ4706	VISH	dz	$V_2(t_{T1})=50 \text{ мкА})=18.1...20.0 \text{ В}; I_3 < 0.05 \text{ мкА}$	SOD-123	К*А
DU	MMSZ4706T1	ON	dz	$V_2(t_{T1})=50 \text{ мкА})=18.1...20.0 \text{ В}; I_3 < 0.05 \text{ мкА}$	SOD-123	К*А
DV	MMSZ4707	VISH	dz	$V_2(t_{T1})=50 \text{ мкА})=19.0...21.0 \text{ В}; I_3 < 0.01 \text{ мкА}$	SOD-123	К*А
DV	MMSZ4707T1	ON	dz	$V_2(t_{T1})=50 \text{ мкА})=19.0...21.0 \text{ В}; I_3 < 0.01 \text{ мкА}$	SOD-123	К*А
DY	MMSZ4710	VISH	dz	$V_2(t_{T1})=50 \text{ мкА})=23.8...26.3 \text{ В}; I_3 < 0.01 \text{ мкА}$	SOD-123	К*А
DY	MMSZ4710T1	ON	dz	$V_2(t_{T1})=50 \text{ мкА})=23.8...26.3 \text{ В}; I_3 < 0.01 \text{ мкА}$	SOD-123	К*А
DZ	MMSZ4709	VISH	dz	$V_2(t_{T1})=50 \text{ мкА})=22.8...25.2 \text{ В}; I_3 < 0.01 \text{ мкА}$	SOD-123	К*А
DZ	MMSZ4709T1	ON	dz	$V_2(t_{T1})=50 \text{ мкА})=22.8...25.2 \text{ В}; I_3 < 0.01 \text{ мкА}$	SOD-123	К*А
E	1SS380	ROHM	cl	$V_R < 40 \text{ В}; I_F < 225 \text{ мА}; V_F(I_F=100 \text{ мА}) < 1.2 \text{ В}; I_3 < 0.01 \text{ мкА}$	SOD-323, SC-76	К*А
E1	MMSZ5231	VISH	dz	$V_2(t_{T1})=20 \text{ мА})=5.1 \text{ В}; I_3 < 5 \text{ мкА}$	SOD-123	К*А
E1	MMSZ5231BT1	ON	dz	$V_2(t_{T1})=20 \text{ мА})=4.85...5.38 \text{ В}; I_3 < 5 \text{ мкА}$	SOD-123	К*А
E2	MMSZ5232	VISH	dz	$V_2(t_{T1})=20 \text{ мА})=5.6 \text{ В}; I_3 < 5 \text{ мкА}$	SOD-123	К*А
E2	MMSZ5232BT1	ON	dz	$V_2(t_{T1})=20 \text{ мА})=5.32...5.88 \text{ В}; I_3 < 5 \text{ мкА}$	SOD-123	К*А
E3	MMSZ5233	VISH	dz	$V_2(t_{T1})=20 \text{ мА})=6.0 \text{ В}; I_3 < 5 \text{ мкА}$	SOD-123	К*А
E3	MMSZ5233BT1	ON	dz	$V_2(t_{T1})=20 \text{ мА})=5.70...6.30 \text{ В}; I_3 < 5 \text{ мкА}$	SOD-123	К*А
E4	MMSZ5234	VISH	dz	$V_2(t_{T1})=20 \text{ мА})=6.2 \text{ В}; I_3 < 5 \text{ мкА}$	SOD-123	К*А
E4	MMSZ5234BT1	ON	dz	$V_2(t_{T1})=20 \text{ мА})=5.89...6.51 \text{ В}; I_3 < 5 \text{ мкА}$	SOD-123	К*А
E5	MMSZ5235	VISH	dz	$V_2(t_{T1})=20 \text{ мА})=6.8 \text{ В}; I_3 < 3 \text{ мкА}$	SOD-123	К*А
E5	MMSZ5235BT1	ON	dz	$V_2(t_{T1})=20 \text{ мА})=6.46...7.14 \text{ В}; I_3 < 3 \text{ мкА}$	SOD-123	К*А
EA	MMSZ4711	VISH	dz	$V_2(t_{T1})=50 \text{ мкА})=25.7...28.4 \text{ В}; I_3 < 0.01 \text{ мкА}$	SOD-123	К*А
EA	MMSZ4711T1	ON	dz	$V_2(t_{T1})=50 \text{ мкА})=25.7...28.4 \text{ В}; I_3 < 0.01 \text{ мкА}$	SOD-123	К*А
EC	MMSZ4712	VISH	dz	$V_2(t_{T1})=50 \text{ мкА})=26.6...29.4 \text{ В}; I_3 < 0.01 \text{ мкА}$	SOD-123	К*А
EC	MMSZ4712T1	ON	dz	$V_2(t_{T1})=50 \text{ мкА})=26.6...29.4 \text{ В}; I_3 < 0.01 \text{ мкА}$	SOD-123	К*А
ED	MMSZ4713	VISH	dz	$V_2(t_{T1})=50 \text{ мкА})=28.5...31.5 \text{ В}; I_3 < 0.01 \text{ мкА}$	SOD-123	К*А
ED	MMSZ4713T1	ON	dz	$V_2(t_{T1})=50 \text{ мкА})=28.5...31.5 \text{ В}; I_3 < 0.01 \text{ мкА}$	SOD-123	К*А
EE	MMSZ4714	VISH	dz	$V_2(t_{T1})=50 \text{ мкА})=31.4...34.7 \text{ В}; I_3 < 0.01 \text{ мкА}$	SOD-123	К*А
EE	MMSZ4714T1	ON	dz	$V_2(t_{T1})=50 \text{ мкА})=31.4...34.7 \text{ В}; I_3 < 0.01 \text{ мкА}$	SOD-123	К*А
EF	MMSZ4715	VISH	dz	$V_2(t_{T1})=50 \text{ мкА})=34.2...37.8 \text{ В}; I_3 < 0.01 \text{ мкА}$	SOD-123	К*А
EF	MMSZ4715T1	ON	dz	$V_2(t_{T1})=50 \text{ мкА})=34.2...37.8 \text{ В}; I_3 < 0.01 \text{ мкА}$	SOD-123	К*А
EH	MMSZ4716	VISH	dz	$V_2(t_{T1})=50 \text{ мкА})=37.1...41.0 \text{ В}; I_3 < 0.01 \text{ мкА}$	SOD-123	К*А
EH	MMSZ4716T1	ON	dz	$V_2(t_{T1})=50 \text{ мкА})=37.05...40.95 \text{ В}; I_3 < 0.01 \text{ мкА}$	SOD-123	К*А
EJ	MMSZ4717	VISH	dz	$V_2(t_{T1})=50 \text{ мкА})=40.9...45.2 \text{ В}; I_3 < 0.01 \text{ мкА}$	SOD-123	К*А
EJ	MMSZ4717T1	ON	dz	$V_2(t_{T1})=50 \text{ мкА})=40.85...45.15 \text{ В}; I_3 < 0.01 \text{ мкА}$	SOD-123	К*А
F	KV1831E	TOKO	var	$C=2.5...22 \text{ нФ}$	SOD-323, SC-76	К*А
F1	MMSZ5236	VISH	dz	$V_2(t_{T1})=20 \text{ мА})=7.5 \text{ В}; I_3 < 5 \text{ мкА}$	SOD-123	К*А
F1	MMSZ5236BT1	ON	dz	$V_2(t_{T1})=20 \text{ мА})=7.13...7.88 \text{ В}; I_3 < 5 \text{ мкА}$	SOD-123	К*А
F2	MMSZ5237	VISH	dz	$V_2(t_{T1})=20 \text{ мА})=8.2 \text{ В}; I_3 < 5 \text{ мкА}$	SOD-123	К*А
F2	MMSZ5237BT1	ON	dz	$V_2(t_{T1})=20 \text{ мА})=7.79...8.61 \text{ В}; I_3 < 5 \text{ мкА}$	SOD-123	К*А
F3	MMSZ5238	VISH	dz	$V_2(t_{T1})=20 \text{ мА})=8.7 \text{ В}; I_3 < 5 \text{ мкА}$	SOD-123	К*А



Код	Типономинал	Б	Ф	Особенности	Корпус	Ц:1+2
F3	MMS25238BT1	ON	dz	$V_{Z}(I_{Z1}=20\text{ мА})=8.27...9.14\text{ В}$; $I_{B1}<3\text{ мкА}$	SOD-123	K*А
F4	MMS25239	VISH	dz	$V_{Z}(I_{Z1}=20\text{ мА})=9.1\text{ В}$; $I_{B1}<5\text{ мкА}$	SOD-123	K*А
F4	MMS25239BT1	ON	dz	$V_{Z}(I_{Z1}=20\text{ мА})=8.65...9.56\text{ В}$; $I_{B1}<3\text{ мкА}$	SOD-123	K*А
F5	1S5403	TOSH	di	$V_R=200\text{ В}$; $I_F<300\text{ мА}$; $V_F(I_F=100\text{ мА})<1.2\text{ В}$; $I_{B1}<1\text{ мкА}$; $t_{RR}<80\text{ нс}$	SOD-323, SC-76	K*А
F5	MMS25240	VISH	dz	$V_{Z}(I_{Z1}=20\text{ мА})=10\text{ В}$; $I_{B1}<3\text{ мкА}$	SOD-123	K*А
F5	MMS25240BT1	ON	dz	$V_{Z}(I_{Z1}=20\text{ мА})=9.5...10.5\text{ В}$; $I_{B1}<3\text{ мкА}$	SOD-123	K*А
FP	CMD23L3	CSI	dz	$V_{Z}(I_{Z1}=0.5\text{ мА})=3.3\text{ В}$; $P_D<250\text{ мВт}$	SOD-323, SC-76	K*А
G	BAR63-03W	INF	pin	$V_R<50\text{ В}$; $I_F<100\text{ мА}$; $V_F(I_F=100\text{ мА})<1.2\text{ В}$; $I_{B1}<0.01\text{ мкА}$	SOD-323, SC-76	K*А
G	KV1181E	TOKO	var	$C=2...16\text{ нФ}$	SOD-323, SC-76	K*А
GP	CMD23L6	CSI	dz	$V_{Z}(I_{Z1}=0.5\text{ мА})=3.6\text{ В}$; $P_D<250\text{ мВт}$	SOD-323, SC-76	K*А
H	BBY51-03W	INF	var	$V_R<7\text{ В}$; $I_F<20\text{ мА}$; $I_{B1}<0.01\text{ мкА}$; $C_{1B}=5.05...5.75\text{ нФ}$; $C_4V=2.5...3.7\text{ нФ}$	SOD-323, SC-76	K*А
H1	MMS25241	VISH	dz	$V_{Z}(I_{Z1}=20\text{ мА})=11\text{ В}$; $I_{B1}<5\text{ мкА}$	SOD-123	K*А
H1	MMS25241BT1	ON	dz	$V_{Z}(I_{Z1}=20\text{ мА})=10.45...11.55\text{ В}$; $I_{B1}<2\text{ мкА}$	SOD-123	K*А
H2	MMS25242	VISH	dz	$V_{Z}(I_{Z1}=20\text{ мА})=12\text{ В}$; $I_{B1}<3\text{ мкА}$	SOD-123	K*А
H2	MMS25242BT1	ON	dz	$V_{Z}(I_{Z1}=20\text{ мА})=11.4...12.6\text{ В}$; $I_{B1}<1\text{ мкА}$	SOD-123	K*А
H3	MMS25243	VISH	dz	$V_{Z}(I_{Z1}=9.5\text{ мА})=13\text{ В}$; $I_{B1}<0.5\text{ мкА}$	SOD-123	K*А
H3	MMS25243BT1	ON	dz	$V_{Z}(I_{Z1}=9.5\text{ мА})=12.35...13.65\text{ В}$; $I_{B1}<0.5\text{ мкА}$	SOD-123	K*А
H4	MMS25244	VISH	dz	$V_{Z}(I_{Z1}=8.5\text{ мА})=14\text{ В}$; $I_{B1}<0.1\text{ мкА}$	SOD-123	K*А
H4	MMS25244BT1	ON	dz	$V_{Z}(I_{Z1}=8.5\text{ мА})=13.30...14.70\text{ В}$; $I_{B1}<0.1\text{ мкА}$	SOD-123	K*А
H5	MMS25245	VISH	dz	$V_{Z}(I_{Z1}=8.5\text{ мА})=15\text{ В}$; $I_{B1}<0.1\text{ мкА}$	SOD-123	K*А
H5	MMS25245BT1	ON	dz	$V_{Z}(I_{Z1}=8.5\text{ мА})=14.25...15.75\text{ В}$; $I_{B1}<0.1\text{ мкА}$	SOD-123	K*А
HP	CMD23L9	CSI	dz	$V_{Z}(I_{Z1}=0.5\text{ мА})=3.9\text{ В}$; $P_D<250\text{ мВт}$	SOD-323, SC-76	K*А
I1 (Gen)	BBY52-03W	INF	var	$V_R<7\text{ В}$; $I_F<20\text{ мА}$; $I_{B1}<0.01\text{ мкА}$; $C_{1B}=1.4...2.2\text{ нФ}$; $C_{4B}=0.85...1.45\text{ нФ}$	SOD-323, SC-76	K*А
J1	MMS25246	VISH	dz	$V_{Z}(I_{Z1}=7.8\text{ мА})=16\text{ В}$; $I_{B1}<0.1\text{ мкА}$	SOD-123	K*А
J1	MMS25246BT1	ON	dz	$V_{Z}(I_{Z1}=7.8\text{ мА})=15.2...16.8\text{ В}$; $I_{B1}<0.1\text{ мкА}$	SOD-123	K*А
J2	MMS25247	VISH	dz	$V_{Z}(I_{Z1}=7.4\text{ мА})=17\text{ В}$; $I_{B1}<0.1\text{ мкА}$	SOD-123	K*А
J2	MMS25247BT1	ON	dz	$V_{Z}(I_{Z1}=7.0\text{ мА})=16.15...17.85\text{ В}$; $I_{B1}<0.1\text{ мкА}$	SOD-123	K*А
J3	MMS25248	VISH	dz	$V_{Z}(I_{Z1}=7.0\text{ мА})=18\text{ В}$; $I_{B1}<0.1\text{ мкА}$	SOD-123	K*А
J3	MMS25248BT1	ON	dz	$V_{Z}(I_{Z1}=7.0\text{ мА})=17.1...18.9\text{ В}$; $I_{B1}<0.1\text{ мкА}$	SOD-123	K*А
J4	MMS25249	VISH	dz	$V_{Z}(I_{Z1}=6.6\text{ мА})=19\text{ В}$; $I_{B1}<0.1\text{ мкА}$	SOD-123	K*А
J5	MMS25250	VISH	dz	$V_{Z}(I_{Z1}=6.2\text{ мА})=20\text{ В}$; $I_{B1}<0.1\text{ мкА}$	SOD-123	K*А
J5	MMS25250BT1	ON	dz	$V_{Z}(I_{Z1}=6.2\text{ мА})=19.0...21.0\text{ В}$; $I_{B1}<0.1\text{ мкА}$	SOD-123	K*А
J_P	CMD24L3	CSI	dz	$V_{Z}(I_{Z1}=0.5\text{ мА})=4.3\text{ В}$; $P_D<250\text{ мВт}$	SOD-323, SC-76	K*А
K	BAT68-03W	INF	shd	$V_R<8\text{ В}$; $I_F<130\text{ мА}$; $V_F(I_F=10\text{ мА})<0.5\text{ В}$; $I_{B1}<0.1\text{ мкА}$; $C_D<1.0\text{ нФ}$	SOD-323, SC-76	K*А
K1	MMS25251	VISH	dz	$V_{Z}(I_{Z1}=5.6\text{ мА})=22\text{ В}$; $I_{B1}<0.1\text{ мкА}$	SOD-123	K*А
K1	MMS25251BT1	ON	dz	$V_{Z}(I_{Z1}=5.6\text{ мА})=20.9...23.1\text{ В}$; $I_{B1}<0.1\text{ мкА}$	SOD-123	K*А
K2	MMS25252	VISH	dz	$V_{Z}(I_{Z1}=5.2\text{ мА})=24\text{ В}$; $I_{B1}<0.1\text{ мкА}$	SOD-123	K*А
K2	MMS25252BT1	ON	dz	$V_{Z}(I_{Z1}=5.2\text{ мА})=22.8...25.2\text{ В}$; $I_{B1}<0.1\text{ мкА}$	SOD-123	K*А
K3	MMS25253	VISH	dz	$V_{Z}(I_{Z1}=5.0\text{ мА})=25\text{ В}$; $I_{B1}<0.1\text{ мкА}$	SOD-123	K*А
K3	MMS25253BT1	ON	dz	$V_{Z}(I_{Z1}=5.0\text{ мА})=23.75...26.25\text{ В}$; $I_{B1}<0.1\text{ мкА}$	SOD-123	K*А
K4	MMS25254	VISH	dz	$V_{Z}(I_{Z1}=4.6\text{ мА})=27\text{ В}$; $I_{B1}<0.1\text{ мкА}$	SOD-123	K*А
K4	MMS25254BT1	ON	dz	$V_{Z}(I_{Z1}=5.0\text{ мА})=25.65...28.35\text{ В}$; $I_{B1}<0.1\text{ мкА}$	SOD-123	K*А
K5	MMS25255	VISH	dz	$V_{Z}(I_{Z1}=4.5\text{ мА})=28\text{ В}$; $I_{B1}<0.1\text{ мкА}$	SOD-123	K*А
K5	MMS25255BT1	ON	dz	$V_{Z}(I_{Z1}=4.5\text{ мА})=26.6...29.4\text{ В}$; $I_{B1}<0.1\text{ мкА}$	SOD-123	K*А
KP	CMD24L7	CSI	dz	$V_{Z}(I_{Z1}=0.5\text{ мА})=4.7\text{ В}$; $P_D<250\text{ мВт}$	SOD-323, SC-76	K*А
L	BAT62-03W	INF	shd	$V_R<40\text{ В}$; $I_F<20\text{ мА}$; $V_F(I_F=2\text{ мА})<1\text{ В}$; $I_{B1}<10\text{ мкА}$; $C_D<0.6\text{ нФ}$	SOD-323, SC-76	K*А
L2	BAT42W	WTE	shd	$V_R<30\text{ В}$; $I_F<200\text{ мА}$; $V_F(I_F=50\text{ мА})<0.65\text{ мВ}$; $C_D=10\text{ нФ}$	SOD-123	K*А
L2	BAT42W	VISH	shd	$V_R<30\text{ В}$; $I_F<200\text{ мА}$; $V_F(I_F=50\text{ мА})<0.65\text{ мВ}$; $C_D=10\text{ нФ}$	SOD-123	K*А
L2	BAT42WS	WTE	shd	$V_R<30\text{ В}$; $I_F<200\text{ мА}$; $V_F(I_F=50\text{ мА})<0.65\text{ мВ}$; $C_D=10\text{ нФ}$	SOD-323, SC-76	K*А
L2	BAT42WS	PANJIT	shd	$V_R<30\text{ В}$; $I_F<200\text{ мА}$; $V_F(I_F=10\text{ мА})<0.4\text{ мВ}$	SOD-323, SC-76	K*А
L3	BAT43W	WTE	shd	$V_R<30\text{ В}$; $I_F<200\text{ мА}$; $V_F(I_F=15\text{ мА})<0.45\text{ мВ}$; $C_D=10\text{ нФ}$	SOD-123	K*А
L3	BAT43W	VISH	shd	$V_R<30\text{ В}$; $I_F<200\text{ мА}$; $V_F(I_F=15\text{ мА})<0.45\text{ мВ}$; $C_D=10\text{ нФ}$	SOD-123	K*А



DO215, SOD123/323



DO216AA

Код	Типономинял	Б	Ф	Особенности	Корпус	Ц:1*2
L3	BAT43WS	WTE	shd	$V_A < 30 \text{ В}$; $I_F < 200 \text{ мА}$; $V_F(I_F = 15 \text{ мА}) < 0.45 \text{ мВ}$; $C_{0.5 \text{ В}} = 10 \text{ пФ}$	SOD-323, SC-76	К*А
L3	BAT43WS	PANJIT	shd	$V_A < 30 \text{ В}$; $I_F < 200 \text{ мА}$; $V_F(I_F = 2 \text{ мА}) < 0.33 \text{ мВ}$	SOD-323, SC-76	К*А
L4	BAT54WS	PANJIT	shd	$V_A < 30 \text{ В}$; $I_F < 200 \text{ мА}$; $V_F(I_F = 1 \text{ мА}) < 0.32 \text{ мВ}$	SOD-323, SC-76	К*А
L6	BAT46W	VISH	shd	$V_A < 100 \text{ В}$; $I_F < 150 \text{ мА}$; $V_F(I_F = 10 \text{ мА}) < 0.45 \text{ мВ}$; $C_{0.5 \text{ В}} = 10 \text{ пФ}$	SOD-123	К*А
L6	BAT46W	TSC	shd	$V_A < 100 \text{ В}$; $I_F < 150 \text{ мА}$; $V_F(I_F = 10 \text{ мА}) < 0.45 \text{ мВ}$; $C_{0.5 \text{ В}} = 10 \text{ пФ}$	SOD-123	К*А
L7	BAT17W	VISH	shd	$V_A < 4 \text{ В}$; $I_F < 30 \text{ мА}$; $V_F(I_F = 10 \text{ мА}) < 0.6 \text{ В}$; $I_S < 0.25 \text{ мА}$; $C_{0.5 \text{ В}} < 0.75 \text{ пФ}$	SOD-123	К*А
LP	CMDZSL1	CSI	dz	$V_A(I_{T1} = 0.5 \text{ мА}) = 5.1 \text{ В}$; $P_D < 250 \text{ мВт}$	SOD-323, SC-76	К*А
M	BB512	SIEM	var	$V_A < 12 \text{ В}$; $I_F < 50 \text{ мА}$; $I_S < 0.02 \text{ мА}$; $C_{1 \text{ В}} = 440 \dots 520 \text{ пФ}$; $C_{1 \text{ В}}/C_{0.5 \text{ В}} > 15$	SOD-123	К*А
M (син)	BAR65-03W	INF	pin	$V_A < 30 \text{ В}$; $I_F < 100 \text{ мА}$; $V_F(I_F = 100 \text{ мА}) < 1.0 \text{ В}$; $C_{0.5 \text{ В}} < 0.9 \text{ пФ}$	SOD-323, SC-76	К*А
M1	MMSZ5256	VISH	dz	$V_2(I_{T1} = 4.2 \text{ мА}) = 30 \text{ В}$; $I_S < 0.1 \text{ мА}$	SOD-123	К*А
M1	MMSZ5268BT1	ON	dz	$V_2(I_{T1} = 4.2 \text{ мА}) = 28.5 \dots 31.5 \text{ В}$; $I_S < 0.1 \text{ мА}$	SOD-123	К*А
M2	MMSZ5257	VISH	dz	$V_2(I_{T1} = 3.8 \text{ мА}) = 33 \text{ В}$; $I_S < 0.1 \text{ мА}$	SOD-123	К*А
M2	MMSZ5257BT1	ON	dz	$V_2(I_{T1} = 3.8 \text{ мА}) = 31.35 \dots 34.65 \text{ В}$; $I_S < 0.1 \text{ мА}$	SOD-123	К*А
M3	MMSZ5258	VISH	dz	$V_2(I_{T1} = 3.4 \text{ мА}) = 36 \text{ В}$; $I_S < 0.1 \text{ мА}$	SOD-123	К*А
M3	MMSZ5258BT1	ON	dz	$V_2(I_{T1} = 3.4 \text{ мА}) = 34.2 \dots 37.8 \text{ В}$; $I_S < 0.1 \text{ мА}$	SOD-123	К*А
M4	MMSZ5259	VISH	dz	$V_2(I_{T1} = 3.2 \text{ мА}) = 39 \text{ В}$; $I_S < 0.1 \text{ мА}$	SOD-123	К*А
M4	MMSZ5259BT1	ON	dz	$V_2(I_{T1} = 3.2 \text{ мА}) = 37.05 \dots 40.95 \text{ В}$; $I_S < 0.1 \text{ мА}$	SOD-123	К*А
M5	MMSZ5260	VISH	dz	$V_2(I_{T1} = 3.0 \text{ мА}) = 43 \text{ В}$; $I_S < 0.1 \text{ мА}$	SOD-123	К*А
M5	MMSZ5260BT1	ON	dz	$V_2(I_{T1} = 3.0 \text{ мА}) = 40.85 \dots 45.15 \text{ В}$; $I_S < 0.1 \text{ мА}$	SOD-123	К*А
N1	MMSZ5261	VISH	dz	$V_2(I_{T1} = 2.7 \text{ мА}) = 47 \text{ В}$; $I_S < 0.1 \text{ мА}$	SOD-123	К*А
N1	MMSZ5261BT1	ON	dz	$V_2(I_{T1} = 2.7 \text{ мА}) = 44.65 \dots 49.35 \text{ В}$; $I_S < 0.1 \text{ мА}$	SOD-123	К*А
N2	MMSZ5262	VISH	dz	$V_2(I_{T1} = 2.5 \text{ мА}) = 51 \text{ В}$; $I_S < 0.1 \text{ мА}$	SOD-123	К*А
N2	MMSZ5262BT1	ON	dz	$V_2(I_{T1} = 2.5 \text{ мА}) = 48.45 \dots 53.55 \text{ В}$; $I_S < 0.1 \text{ мА}$	SOD-123	К*А
N3	MMSZ5263	VISH	dz	$V_2(I_{T1} = 2.2 \text{ мА}) = 56 \text{ В}$; $I_S < 0.1 \text{ мА}$	SOD-123	К*А
N3	MMSZ5263BT1	ON	dz	$V_2(I_{T1} = 2.2 \text{ мА}) = 53.20 \dots 58.80 \text{ В}$; $I_S < 0.1 \text{ мА}$	SOD-123	К*А
N4	MMSZ5264	VISH	dz	$V_2(I_{T1} = 2.1 \text{ мА}) = 60 \text{ В}$; $I_S < 0.1 \text{ мА}$	SOD-123	К*А
N4	MMSZ5264BT1	ON	dz	$V_2(I_{T1} = 2.1 \text{ мА}) = 57.00 \dots 63.00 \text{ В}$; $I_S < 0.1 \text{ мА}$	SOD-123	К*А
N5	MMSZ5265	VISH	dz	$V_2(I_{T1} = 2.0 \text{ мА}) = 62 \text{ В}$; $I_S < 0.1 \text{ мА}$	SOD-123	К*А
N5	MMSZ5265BT1	ON	dz	$V_2(I_{T1} = 2.0 \text{ мА}) = 58.90 \dots 65.10 \text{ В}$; $I_S < 0.1 \text{ мА}$	SOD-123	К*А
NP	CMDZSL6	CSI	dz	$V_A(I_{T1} = 0.5 \text{ мА}) = 5.6 \text{ В}$; $P_D < 250 \text{ мВт}$	SOD-323, SC-76	К*А
O (бен)	BAT14-03W	SIEM	shd	$V_A < 4 \text{ В}$; $I_F < 90 \text{ мА}$; $V_F(I_F = 10 \text{ мА}) < 0.66 \text{ мВ}$; $C_{0.5 \text{ В}} < 0.35 \text{ пФ}$	SOD-323, SC-76	К*А
OP	CMDZSL2	CSI	dz	$V_A(I_{T1} = 0.5 \text{ мА}) = 6.2 \text{ В}$; $P_D < 250 \text{ мВт}$	SOD-323, SC-76	К*А
P	BA586	INF	pin	$V_A < 50 \text{ В}$; $I_F < 50 \text{ мА}$; $V_F(I_F = 50 \text{ мА}) < 1.15 \text{ В}$; $I_S < 0.05 \text{ мА}$; $C_{0.5 \text{ В}} < 0.2 \text{ пФ}$	SOD-123	К*А
P	KV1841E	TOKO	var	$C = 7 \dots 15 \text{ пФ}$	SOD-323, SC-76	К*А
P (бен)	BAT15-03W	INF	shd	$V_A < 4 \text{ В}$; $I_F < 110 \text{ мА}$; $V_F(I_F = 10 \text{ мА}) < 0.41 \text{ В}$; $C_{0.5 \text{ В}} < 0.35 \text{ пФ}$	SOD-323, SC-76	К*А
P1	BB131	PHIL	var	$V_A > 30 \text{ В}$; $I_A(I_A = 30 \text{ В}) < 0.01 \text{ мА}$; $C_{0.5 \text{ В}} = 8 \dots 17 \text{ пФ}$; $C_{28 \text{ В}} = 0.7 \dots 1.055 \text{ пФ}$	SOD-323, SC-76	К*А
P1	MMSZ5266	VISH	dz	$V_2(I_{T1} = 1.8 \text{ мА}) = 68 \text{ В}$; $I_S < 0.1 \text{ мА}$	SOD-123	К*А
P1	MMSZ5266BT1	ON	dz	$V_2(I_{T1} = 1.8 \text{ мА}) = 64.60 \dots 71.40 \text{ В}$; $I_S < 0.1 \text{ мА}$	SOD-123	К*А
P2	BB132	PHIL	var	$V_A > 30 \text{ В}$; $I_A(I_A = 30 \text{ В}) < 0.01 \text{ мА}$; $C_{0.5 \text{ В}} = 60 \dots 75 \text{ пФ}$; $C_{28 \text{ В}} = 2.3 \dots 2.75 \text{ пФ}$	SOD-323, SC-76	К*А
P2	MMSZ5267	VISH	dz	$V_2(I_{T1} = 1.7 \text{ мА}) = 75 \text{ В}$; $I_S < 0.1 \text{ мА}$	SOD-123	К*А
P2	MMSZ5267BT1	ON	dz	$V_2(I_{T1} = 1.7 \text{ мА}) = 71.25 \dots 78.75 \text{ В}$; $I_S < 0.1 \text{ мА}$	SOD-123	К*А
P3	BB133	PHIL	var	$V_A > 30 \text{ В}$; $I_A(I_A = 30 \text{ В}) < 0.01 \text{ мА}$; $C_{0.5 \text{ В}} = 38 \dots 46 \text{ пФ}$; $C_{28 \text{ В}} = 2.2 \dots 2.6 \text{ пФ}$	SOD-323, SC-76	К*А
P3	BB133	LRC	var	$V_A > 30 \text{ В}$; $I_A(I_A = 30 \text{ В}) < 0.01 \text{ мА}$; $C_{0.5 \text{ В}} = 38 \dots 46 \text{ пФ}$; $C_{28 \text{ В}} = 2.2 \dots 2.6 \text{ пФ}$	SOD-323, SC-76	К*А
P3	MMSZ5268BT1	ON	dz	$V_2(I_{T1} = 1.5 \text{ мА}) = 77.9 \dots 86.1 \text{ В}$; $I_S < 0.1 \text{ мА}$	SOD-123	К*А
P4	BB134	PHIL	var	$V_A > 30 \text{ В}$; $I_A(I_A = 30 \text{ В}) < 0.01 \text{ мА}$; $C_{0.5 \text{ В}} = 17.5 \dots 21 \text{ пФ}$; $C_{28 \text{ В}} = 1.7 \dots 2.1 \text{ пФ}$	SOD-323, SC-76	К*А
P4	BB134	LRC	var	$V_A > 30 \text{ В}$; $I_A(I_A = 30 \text{ В}) < 0.01 \text{ мА}$; $C_{0.5 \text{ В}} = 17.5 \dots 21 \text{ пФ}$; $C_{28 \text{ В}} = 1.7 \dots 2.1 \text{ пФ}$	SOD-323, SC-76	К*А
P4	MMSZ5269BT1	ON	dz	$V_2(I_{T1} = 1.4 \text{ мА}) = 82.65 \dots 91.35 \text{ В}$; $I_S < 0.1 \text{ мА}$	SOD-123	К*А
P5	BB135	PHIL	var	$V_A > 30 \text{ В}$; $I_A(I_A = 30 \text{ В}) < 0.01 \text{ мА}$; $C_{0.5 \text{ В}} = 17.5 \dots 21 \text{ пФ}$; $C_{28 \text{ В}} = 1.7 \dots 2.1 \text{ пФ}$	SOD-323, SC-76	К*А
P5	BB135	LRC	var	$V_A > 30 \text{ В}$; $I_A(I_A = 30 \text{ В}) < 0.01 \text{ мА}$; $C_{0.5 \text{ В}} = 17.5 \dots 21 \text{ пФ}$; $C_{28 \text{ В}} = 1.7 \dots 2.1 \text{ пФ}$	SOD-323, SC-76	К*А
P5	MMSZ5270BT1	ON	dz	$V_2(I_{T1} = 1.4 \text{ мА}) = 86.45 \dots 95.55 \text{ В}$; $I_S < 0.1 \text{ мА}$	SOD-123	К*А
P6	BB146	PHIL	var	$V_A > 30 \text{ В}$; $I_A(I_A = 30 \text{ В}) < 0.01 \text{ мА}$; $C_{0.5 \text{ В}} = 35 \dots 43 \text{ пФ}$; $C_{28 \text{ В}} = 1.7 \dots 2.1 \text{ пФ}$	SOD-323, SC-76	К*А
P7	BB147	PHIL	var	$V_A > 30 \text{ В}$; $I_A(I_A = 30 \text{ В}) < 0.02 \text{ мА}$; $C_{0.5 \text{ В}} = 92 \dots 112 \text{ пФ}$; $C_{28 \text{ В}} = 2.4 \dots 2.8 \text{ пФ}$	SOD-323, SC-76	К*А



Код	Типономинал	Б	Ф	Особенности	Корпус	Ц:1*2
P8	BB148	PHIL	var	$V_R > 30 В$; $I_R (V_R = 30 В) < 0.02 мА$; $C_{1B} = 36.8...41.8 пФ$; $C_{2B} = 2.4...2.75 пФ$	SOD-323, SC-76	K*А
P9	BB149	PHIL	var	$V_R > 30 В$; $I_R (V_R = 30 В) < 0.02 мА$; $C_{1B} = 18...19.5 пФ$; $C_{2B} = 1.9...2.25 пФ$	SOD-323, SC-76	K*А
P9	BB149	LRC	var	$V_R > 30 В$; $I_R (V_R = 30 В) < 0.02 мА$; $C_{0.5B} = 18...19.5 пФ$; $C_{2B} = 1.9...2.25 пФ$	SOD-323, SC-76	K*А
PA	BB151	PHIL	var	$V_R > 10 В$; $I_R (V_R = 10 В) < 0.01 мА$; $C_{1B} = 15.4...17 пФ$; $C_{2B} = 9.9...11.3 пФ$	SOD-323, SC-76	K*А
PB	BB152	PHIL	var	$V_R > 32 В$; $I_R (V_R = 30 В) < 0.01 мА$; $C_{1B} = 52...62 пФ$; $C_{2B} = 2.48...2.89 пФ$	SOD-323, SC-76	K*А
PC	BB153	PHIL	var	$V_R > 32 В$; $I_R (V_R = 30 В) < 0.01 мА$; $C_{1B} = 34.65...42.35 пФ$; $C_{2B} = 2.361...2.754 пФ$	SOD-323, SC-76	K*А
PE	BB155	PHIL	var	$V_R > 10 В$; $I_R (V_R = 10 В) < 0.01 мА$; $C_0 34V = 45...49.8 пФ$; $C_2 82V = 24.55...26.7 пФ$	SOD-323, SC-76	K*А
PF	BB156	PHIL	var	$V_R > 10 В$; $I_R (V_R = 10 В) < 0.01 мА$; $C_{1B} = 14.4...17.6 пФ$; $C_{2B} = 7.6...9.6 пФ$	SOD-323, SC-76	K*А
PG	BB157	PHIL	var	$V_R > 30 В$; $I_R (V_R = 30 В) < 0.01 мА$; $C_{1B} = 37.5...43.8 пФ$; $C_{2B} = 2.42...2.76 пФ$	SOD-323, SC-76	K*А
PH	BB158	PHIL	var	$V_R > 30 В$; $I_R (V_R = 30 В) < 0.01 мА$; $C_{1B} = 36.8...41.8 пФ$; $C_{2B} = 2.4...2.75 пФ$	SOD-323, SC-76	K*А
PJ	BB159	PHIL	var	$V_R > 30 В$; $I_R (V_R = 30 В) < 0.01 мА$; $C_{1B} = 18...19.5 пФ$; $C_{2B} = 1.9...2.25 пФ$	SOD-323, SC-76	K*А
PK	BB164	PHIL	var	$V_R > 30 В$; $I_R (V_R = 30 В) < 0.01 мА$; $C_{1B} = 62...76 пФ$; $C_{2B} = 2.9...3.4 пФ$	SOD-323, SC-76	K*А
PL	BB149A	PHIL	var	$V_R > 30 В$; $I_R (V_R = 30 В) < 0.02 мА$; $C_{1B} = 19.22...21.26 пФ$; $C_{2B} = 1.951...2.225 пФ$	SOD-323, SC-76	K*А
PM	BB154	PHIL	var	$V_R > 30 В$; $I_R (V_R = 30 В) < 0.01 мА$; $C_{1B} = 18.5...21.25 пФ$; $C_{2B} = 1.9...2.2 пФ$	SOD-323, SC-76	K*А
PN	BB190	PHIL	var	$V_R > 10 В$; $I_R (V_R = 10 В) < 0.003 мА$; $C_{1B} = 18...20 пФ$; $C_{4B} = 10.1...11.6 пФ$	SOD-323, SC-76	K*А
PP	CMD28L8	CSI	dz	$V_Z (I_Z = 0.5 мА) = 6.8 В$; $P_D < 250 мВт$	SOD-323, SC-76	K*А
QP	CMDZ7L5	CSI	dz	$V_Z (I_Z = 0.5 мА) = 7.5 В$; $P_D < 250 мВт$	SOD-323, SC-76	K*А
R (деп.)	BA595	INF	pin	$V_R > 50 В$; $I_R < 50 мА$; $V_Z (I_Z = 50 мА) < 1.1 В$; $I_S < 0.02 мА$	SOD-323, SC-76	K*А
R2	MMS25272BT1	ON	dz	$V_Z (I_Z = 1.1 мА) = 104.5...115.5 В$; $I_S < 0.1 мА$	SOD-123	K*А
RP	CMD28L2	CSI	dz	$V_Z (I_Z = 0.5 мА) = 8.2 В$; $P_D < 250 мВт$	SOD-323, SC-76	K*А
S	BA582	INF	div	$V_R < 35 В$; $I_R < 100 мА$; $V_Z (I_Z = 100 мА) < 1.0 В$; $I_S < 0.02 мА$; $C_0 < 1.1 пФ$	SOD-123	K*А
S	BB515	SIEM	var	$V_R < 30 В$; $I_R < 20 мА$; $I_S < 0.01 мА$; $C_{1B} = 17.5...20 пФ$; $C_{1B}/C_{2B} = 8.2...9.8$	SOD-123	K*А
S	BB619	SIEM	var	$V_R < 30 В$; $I_R < 20 мА$; $I_S < 0.01 мА$; $C_{1B} = 36...42 пФ$; $C_{1B}/C_{2B} > 13.5$	SOD-123	K*А
S	BB619C	SIEM	var	$V_R < 30 В$; $I_R < 20 мА$; $I_S < 0.01 мА$; $C_{1B} = 36...42 пФ$; $C_{1B}/C_{2B} > 13.5$	SOD-123	K*А
S	BB620	SIEM	var	$V_R < 30 В$; $I_R < 20 мА$; $I_S < 0.01 мА$; $C_{1B} = 62...76 пФ$; $C_{1B}/C_{2B} = 19.5...25$	SOD-123	K*А
S (деп.)	BB535	INF	var	$V_R < 30 В$; $I_R < 20 мА$; $I_S < 0.01 мА$; $C_{1B} = 17.5...20 пФ$; $C_{1B}/C_{2B} = 8.2...9.8$	SOD-323, SC-76	K*А
S (хвн.)	BB639	INF	var	$V_R < 30 В$; $I_R < 20 мА$; $I_S < 0.01 мА$; $C_{1B} = 36...40 пФ$; $C_{1B}/C_{2B} = 14.7$	SOD-323, SC-76	K*А
S (хвн.)	BB639C	INF	var	$V_R < 30 В$; $I_R < 20 мА$; $I_S < 0.01 мА$; $C_{1B} = 36.5...42 пФ$; $C_{1B}/C_{2B} = 15.3$	SOD-323, SC-76	K*А
S (хвн.)	BB640	INF	var	$V_R < 30 В$; $I_R < 20 мА$; $I_S < 0.01 мА$; $C_{1B} = 62...76 пФ$; $C_{2B} = 2.8...3.3$	SOD-323, SC-76	K*А
S (опн.)	BA592	INF	div	$V_R < 35 В$; $I_R < 100 мА$; $V_Z (I_Z = 100 мА) < 1.0 В$; $I_S < 0.02 мА$	SOD-323, SC-76	K*А
S2	1SS315	TOSH	shd	$V_R < 5 В$; $I_R < 30 мА$; $V_Z (I_Z = 2 мА) = 0.25 В$; $I_S (V_S = 0.5 В) < 25 мА$; $C_T = 0.6 пФ$	SOD-323, SC-76	K*А
S3	1SS357	TOSH	shd	$V_R > 40 В$; $V_Z (I_Z = 100 мА) < 0.6 В$; $I_S (V_S = 40 В) < 5 мА$	SOD-323, SC-76	K*А
S4	1SS367	TOSH	shd	$V_R > 10 В$; $V_Z (I_Z = 100 мА) < 0.5 В$; $I_S (V_S = 10 В) < 20 мА$	SOD-323, SC-76	K*А
S5	1SS404	TOSH	shd	$V_R > 20 В$; $V_Z (I_Z = 300 мА) < 0.45 В$; $I_S (V_S = 20 В) < 50 мА$; $C_T = 46 пФ$	SOD-323, SC-76	K*А
S6	SD103AW	VISH	shd	$V_R < 40 В$; $V_Z (I_Z = 200 мА) < 0.6 В$; $C_0 = 50 пФ$	SOD-123	K*А
S7	BAT42W	DIODS	shd	$V_R < 30 В$; $I_R < 200 мА$; $V_Z (I_Z = 50 мА) < 0.65 мВ$; $C_0 = 10 пФ$	SOD-123	K*А
S7	BAT42W	TSC	shd	$V_R < 30 В$; $I_R < 200 мА$; $V_Z (I_Z = 50 мА) < 0.65 мВ$; $C_0 = 10 пФ$	SOD-123	K*А
S7	BAT42WS	DIODS	shd	$V_R < 30 В$; $I_R < 200 мА$; $V_Z (I_Z = 50 мА) < 0.65 мВ$; $C_0 = 10 пФ$	SOD-323, SC-76	K*А
S7	SD103BW	VISH	shd	$V_R < 30 В$; $V_Z (I_Z = 200 мА) < 0.6 В$; $C_0 = 50 пФ$	SOD-123	K*А
S8	BAT43W	DIODS	shd	$V_R < 30 В$; $I_R < 200 мА$; $V_Z (I_Z = 15 мА) < 0.45 мВ$; $C_0 = 10 пФ$	SOD-123	K*А
S8	BAT43W	TSC	shd	$V_R < 30 В$; $I_R < 200 мА$; $V_Z (I_Z = 15 мА) < 0.45 мВ$; $C_0 = 10 пФ$	SOD-123	K*А
S8	BAT43WS	DIODS	shd	$V_R < 30 В$; $I_R < 200 мА$; $V_Z (I_Z = 15 мА) < 0.45 мВ$; $C_0 = 10 пФ$	SOD-323, SC-76	K*А
S8	SD103CW	VISH	shd	$V_R < 20 В$; $V_Z (I_Z = 200 мА) < 0.6 В$; $C_0 = 50 пФ$	SOD-123	K*А
S9	BAT46W	DIODS	shd	$V_R < 100 В$; $I_R < 150 мА$; $V_Z (I_Z = 10 мА) < 0.45 мВ$; $C_0 = 10 пФ$	SOD-123	K*А
SA	SD101AW	VISH	shd	$V_R < 60 В$; $I_R < 30 мА$; $V_Z (I_Z = 15 мА) < 1.0 В$; $C_0 < 2 пФ$	SOD-123	K*А
SB	BAT54T1	ON	shd	$V_R < 30 В$; $I_R < 200 мА$; $V_Z (I_Z = 30 мА) < 0.5 В$; $t_{RR} < 5 нс$	SOD-123	K*А
SB	SD101BW	VISH	shd	$V_R < 50 В$; $I_R < 30 мА$; $V_Z (I_Z = 15 мА) < 0.95 В$; $C_0 < 2 пФ$	SOD-123	K*А
SC	SD101CW	VISH	shd	$V_R < 40 В$; $I_R < 30 мА$; $V_Z (I_Z = 15 мА) < 0.9 В$; $C_0 < 2 пФ$	SOD-123	K*А
SP	CMD29L1	CSI	dz	$V_Z (I_Z = 0.5 мА) = 9.1 В$; $P_D < 250 мВт$	SOD-323, SC-76	K*А
T	BB811	SIEM	var	$V_R < 30 В$; $I_R < 20 мА$; $I_S < 0.02 мА$; $C_{1B} = 7.8...9.8 пФ$; $C_{1B}/C_{2B} = 7.8...9.5$	SOD-123	K*А



DO215, SOD123/323



DO216AA

Код	Типономинал	Б	Ф	Особенности	Корпус	Ц:1*2
T (сгн)	BAR67-03W	INF	pin	$V_A < 150 В$; $I_F < 200 мА$; $V_F(I_F = 50 мА) < 1.2 В$; $C_{FB} < 0.9 пФ$	SOD-323, SC-76	К*А
T1	GDZ5V1B	VISH	dz	$V_2 = 5.1 В$; $Z_{HT}(I_2 = 5 мА) = 80 Ом$	SOD-323, SC-76	К*А
T2	GDZ5V6B	VISH	dz	$V_2 = 5.6 В$; $Z_{HT}(I_2 = 5 мА) = 80 Ом$	SOD-323, SC-76	К*А
T3	GDZ8V2B	VISH	dz	$V_2 = 6.2 В$; $Z_{HT}(I_2 = 5 мА) = 80 Ом$	SOD-323, SC-76	К*А
T4	GDZ5v8B	VISH	dz	$V_2 = 6.8 В$; $Z_{HT}(I_2 = 5 мА) = 40 Ом$	SOD-323, SC-76	К*А
T5	GDZ7V5B	VISH	dz	$V_2 = 7.5 В$; $Z_{HT}(I_2 = 5 мА) = 30 Ом$	SOD-323, SC-76	К*А
T6	GDZ8V2B	VISH	dz	$V_2 = 8.2 В$; $Z_{HT}(I_2 = 5 мА) = 30 Ом$	SOD-323, SC-76	К*А
T7	GDZ9V1B	VISH	dz	$V_2 = 9.1 В$; $Z_{HT}(I_2 = 5 мА) = 30 Ом$	SOD-323, SC-76	К*А
T8	GDZ10B	VISH	dz	$V_2 = 10 В$; $Z_{HT}(I_2 = 5 мА) = 30 Ом$	SOD-323, SC-76	К*А
T9	GDZ11B	VISH	dz	$V_2 = 11 В$; $Z_{HT}(I_2 = 5 мА) = 30 Ом$	SOD-323, SC-76	К*А
TA	GDZ12B	VISH	dz	$V_2 = 12 В$; $Z_{HT}(I_2 = 5 мА) = 30 Ом$	SOD-323, SC-76	К*А
TB	GDZ13B	VISH	dz	$V_2 = 13 В$; $Z_{HT}(I_2 = 5 мА) = 37 Ом$	SOD-323, SC-76	К*А
TC	GDZ15B	VISH	dz	$V_2 = 15 В$; $Z_{HT}(I_2 = 5 мА) = 42 Ом$	SOD-323, SC-76	К*А
TD	GDZ16B	VISH	dz	$V_2 = 16 В$; $Z_{HT}(I_2 = 5 мА) = 50 Ом$	SOD-323, SC-76	К*А
TE	GDZ18B	VISH	dz	$V_2 = 18 В$; $Z_{HT}(I_2 = 5 мА) = 65 Ом$	SOD-323, SC-76	К*А
TH	GDZ20B	VISH	dz	$V_2 = 20 В$; $Z_{HT}(I_2 = 5 мА) = 85 Ом$	SOD-323, SC-76	К*А
TK	GDZ22B	VISH	dz	$V_2 = 22 В$; $Z_{HT}(I_2 = 5 мА) = 100 Ом$	SOD-323, SC-76	К*А
TL	GDZ24B	VISH	dz	$V_2 = 24 В$; $Z_{HT}(I_2 = 5 мА) = 120 Ом$	SOD-323, SC-76	К*А
TM	GDZ27B	VISH	dz	$V_2 = 27 В$; $Z_{HT}(I_2 = 5 мА) = 150 Ом$	SOD-323, SC-76	К*А
TN	GDZ30B	VISH	dz	$V_2 = 30 В$; $Z_{HT}(I_2 = 5 мА) = 200 Ом$	SOD-323, SC-76	К*А
TP	GDZ33B	VISH	dz	$V_2 = 33 В$; $Z_{HT}(I_2 = 5 мА) = 250 Ом$	SOD-323, SC-76	К*А
TT	GDZ36B	VISH	dz	$V_2 = 36 В$; $Z_{HT}(I_2 = 5 мА) = 300 Ом$	SOD-323, SC-76	К*А
T1	MMSZ2V4T1	ON	dz	$V_2(I_{T1} = 5 мА) = 2.28...2.52 В$; $I_F < 50 мА$	SOD-123	К*А
T2	1SV215	TOSH	var	$V_A > 30 В$; $I_A(V_A = 28 В) < 0.01 мА$; $C_{25B} = 26...32 пФ$; $C_{25B} = 2.5...3.2 пФ$	SOD-323, SC-76	К*А
T2	BAV19W	DIODS	ci	$V_A < 100 В$; $I_F < 250 мА$; $V_F(I_F = 100 мА) < 1 В$; $C_0 < 5 пФ$; $t_{RR} < 50 нс$	SOD-123	К*А
T2	BAV20W	DIODS	ci	$V_A < 150 В$; $I_F < 250 мА$; $V_F(I_F = 100 мА) < 1 В$; $C_0 < 5 пФ$; $t_{RR} < 50 нс$	SOD-123	К*А
T2	BAV20W	TSC	ci	$V_A < 150 В$; $I_F < 400 мА$; $V_F(I_F = 100 мА) < 1 В$; $C_0 < 5 пФ$; $t_{RR} < 50 нс$	SOD-123	К*А
T2	BAV20W	MCC	ci	$V_A < 150 В$; $I_F < 400 мА$; $V_F(I_F = 100 мА) < 1 В$; $C_0 < 5 пФ$; $t_{RR} < 50 нс$	SOD-123	К*А
T2	MMSZ2V7T1	ON	dz	$V_2(I_{T1} = 5 мА) = 2.57...2.84 В$; $I_F < 20 мА$	SOD-123	К*А
T3	1SV245	TOSH	var	$V_A > 30 В$; $I_A(V_A = 28 В) < 0.01 мА$; $C_{25B} = 3.31...4.55 пФ$; $C_{25B} = 0.61...0.77 пФ$	SOD-323, SC-76	К*А
T3	BAV19W	DIODS	ci	$V_A < 100 В$; $I_F < 250 мА$; $V_F(I_F = 100 мА) < 1 В$; $C_0 < 5 пФ$; $t_{RR} < 50 нс$	SOD-123	К*А
T3	BAV20W	DIODS	ci	$V_A < 150 В$; $I_F < 250 мА$; $V_F(I_F = 100 мА) < 1 В$; $C_0 < 5 пФ$; $t_{RR} < 50 нс$	SOD-123	К*А
T3	BAV21W	DIODS	ci	$V_A < 200 В$; $I_F < 250 мА$; $V_F(I_F = 100 мА) < 1 В$; $C_0 < 5 пФ$; $t_{RR} < 50 нс$	SOD-123	К*А
T3	BAV21W	TSC	ci	$V_A < 200 В$; $I_F < 400 мА$; $V_F(I_F = 100 мА) < 1 В$; $C_0 < 5 пФ$; $t_{RR} < 50 нс$	SOD-123	К*А
T3	BAV21W	MCC	ci	$V_A < 200 В$; $I_F < 400 мА$; $V_F(I_F = 100 мА) < 1 В$; $C_0 < 5 пФ$; $t_{RR} < 50 нс$	SOD-123	К*А
T3	MMSZ3V0T1	ON	dz	$V_2(I_{T1} = 5 мА) = 2.85...3.15 В$; $I_F < 10 мА$	SOD-123	К*А
T4	1N4148W	DIODS	sd	$V_A = 75 В$; $I_F = 300 мА$; $P_{35} = 350 мВт$; $t_{RR} < 4 нс$	SOD-123	К*А
T4	1SV216	TOSH	var	$V_A > 30 В$; $I_A(V_A = 28 В) < 0.01 мА$; $C_{25B} = 10.5...16 пФ$; $C_{10B} = 3.3...5.7 пФ$	SOD-323, SC-76	К*А
T4	MMSZ3V3T1	ON	dz	$V_2(I_{T1} = 5 мА) = 3.14...3.47 В$; $I_F < 5 мА$	SOD-123	К*А
T5	1N4448W	DIODS	sd	$V_A = 75 В$; $I_F = 500 мА$; $P_{40} = 400 мВт$; $t_{RR} < 4 нс$	SOD-123	К*А
T5	MMSZ3V6T1	ON	dz	$V_2(I_{T1} = 5 мА) = 3.42...3.78 В$; $I_F < 5 мА$	SOD-123	К*А
T7	1SV217	TOSH	var	$V_A > 30 В$; $I_A(V_A = 28 В) < 0.01 мА$; $C_{25B} = 33...39 пФ$; $C_{25B} = 2.6...3.2 пФ$	SOD-323, SC-76	К*А
T7	1SV230	TOSH	var	$V_A > 30 В$; $I_A(V_A = 28 В) < 0.01 мА$; $C_{25B} = 13.9...16.1 пФ$; $C_{20B} = 1.7...2.1 пФ$	SOD-323, SC-76	К*А
T8	1SV229	TOSH	var	$V_A > 15 В$; $I_A(V_A = 15 В) < 0.003 мА$; $C_{25B} = 14...16 пФ$; $C_{10B} = 1.5...2 пФ$	SOD-323, SC-76	К*А
T9	1SV232	TOSH	var	$V_A > 30 В$; $I_A(V_A = 28 В) < 0.01 мА$; $C_{25B} = 28...32 пФ$; $C_{25B} = 2.75...3.1 пФ$	SOD-323, SC-76	К*А
TA	1SV231	TOSH	var	$V_A > 30 В$; $I_A(V_A = 28 В) < 0.01 мА$; $C_{25B} = 41...49.5 пФ$; $C_{25B} = 2.7...3.4 пФ$	SOD-323, SC-76	К*А
TC	1SV239	TOSH	var	$V_A > 15 В$; $I_A(V_A = 15 В) < 0.003 мА$; $C_{25B} = 3.8...4.7 пФ$; $C_{10B} = 1.5...2 пФ$	SOD-323, SC-76	К*А
TD	1SV262	TOSH	var	$V_A > 34 В$; $I_A(V_A = 32 В) < 0.01 мА$; $C_{25B} = 33...38 пФ$; $C_{25B} = 2.6...3 пФ$	SOD-323, SC-76	К*А
TE	1SV269	TOSH	var	$V_A > 34 В$; $I_A(V_A = 32 В) < 0.01 мА$; $C_{25B} = 29...34 пФ$; $C_{25B} = 2.5...2.9 пФ$	SOD-323, SC-76	К*А
TF	1SV270	TOSH	var	$V_A > 10 В$; $I_A(V_A = 10 В) < 0.003 мА$; $C_{15B} = 15...17 пФ$; $C_{45B} = 7.3...8.7 пФ$	SOD-323, SC-76	К*А
TG	1SV271	TOSH	pin	$V_A > 50 В$; $I_F < 50 мА$; $V_F(I_F = 50 мА) < 1 В$; $I_0 < 0.1 мА$	SOD-323, SC-76	К*А
TH	1SV293	TOSH	var	$V_A > 10 В$; $I_A(V_A = 10 В) < 0.003 мА$; $C_{15B} = 18...20 пФ$; $C_{45B} = 10...11.6 пФ$	SOD-323, SC-76	К*А



Код	Типономинал	Б	Ф	Особенности	Корпус	Ц:1+2
П	1SV214	TOSH	var	$V_R > 30\text{ В}; I_R (V_R = 28\text{ В}) < 0.01\text{ мА}; C_{25\text{ В}} = 14.16...16.25\text{ нФ}; C_{25\text{ В}} = 2.11...2.43\text{ нФ}$	SOD-323, SC-76	К*А
ТJ	1SV288	TOSH	var	$V_R > 30\text{ В}; I_R (V_R = 28\text{ В}) < 0.01\text{ мА}; C_{25\text{ В}} = 4.1...49.5\text{ нФ}; C_{25\text{ В}} = 2.5...3.2\text{ нФ}$	SOD-323, SC-76	К*А
ТK	1SV287	TOSH	var	$V_R > 30\text{ В}; I_R (V_R = 28\text{ В}) < 0.01\text{ мА}; C_{25\text{ В}} = 4.2...5.7\text{ нФ}; C_{25\text{ В}} = 0.53...0.68\text{ нФ}$	SOD-323, SC-76	К*А
ТL	1SV276	TOSH	var	$V_R > 10\text{ В}; I_R (V_R = 10\text{ В}) < 0.003\text{ мА}; C_{1\text{ В}} = 15...17\text{ нФ}; C_{4\text{ В}} = 7...8.5\text{ нФ}$	SOD-323, SC-76	К*А
ТO	1SV277	TOSH	var	$V_R > 10\text{ В}; I_R (V_R = 10\text{ В}) < 0.003\text{ мА}; C_{1\text{ В}} = 4...4.9\text{ нФ}; C_{4\text{ В}} = 1.85...2.35\text{ нФ}$	SOD-323, SC-76	К*А
ТP	CMDZ1GL	CSI	dz	$V_{Z1}(I_{Z1} = 0.5\text{ мА}) = 10\text{ В}; P_D < 250\text{ мВт}$	SOD-323, SC-76	К*А
ТT	1SV302	TOSH	var	$V_R > 30\text{ В}; I_R (V_R = 28\text{ В}) < 0.01\text{ мА}; C_{25\text{ В}} = 42...51\text{ нФ}; C_{25\text{ В}} = 2.1...3.1\text{ нФ}$	SOD-323, SC-76	К*А
ТV	1SV304	TOSH	var	$V_R > 10\text{ В}; I_R (V_R = 10\text{ В}) < 0.003\text{ мА}; C_{1\text{ В}} = 17.3...19.3\text{ нФ}; C_{4\text{ В}} = 5.3...6.6\text{ нФ}$	SOD-323, SC-76	К*А
ТX	1SV307	TOSH	pin	$V_R > 30\text{ В}; I_R < 50\text{ мА}; V_Z(I_Z = 50\text{ мА}) < 1\text{ В}; I_R < 0.1\text{ мА}$	SOD-323, SC-76	К*А
ТY	1SS314	TOSH	di	$V_R < 30\text{ В}; I_R < 100\text{ мА}; V_Z(I_Z = 2\text{ мА}) < 0.85\text{ В}; I_R < 0.1\text{ мА}$	SOD-323, SC-76	К*А
U (бен)	BB545	INF	var	$V_R > 30\text{ В}; I_R < 20\text{ мА}; I_R < 0.01\text{ мА}; C_{1\text{ В}} = 18.5...21.5\text{ нФ}; C_{1\text{ В}}/C_{25\text{ В}} = 9...11$	SOD-323, SC-76	К*А
U1	MMS23V9T1	ON	dz	$V_{Z1}(I_{Z1} = 5\text{ мА}) = 3.71...4.10\text{ В}; I_R < 3\text{ мА}$	SOD-123	К*А
U2	MMS24V3T1	ON	dz	$V_{Z1}(I_{Z1} = 5\text{ мА}) = 4.09...4.52\text{ В}; I_R < 3\text{ мА}$	SOD-123	К*А
U3	MMS24V7T1	ON	dz	$V_{Z1}(I_{Z1} = 5\text{ мА}) = 4.47...4.94\text{ В}; I_R < 2\text{ мА}$	SOD-123	К*А
U4	MMS25V1T1	ON	dz	$V_{Z1}(I_{Z1} = 5\text{ мА}) = 4.85...5.36\text{ В}; I_R < 1\text{ мА}$	SOD-123	К*А
U5	MMS25V6T1	ON	dz	$V_{Z1}(I_{Z1} = 5\text{ мА}) = 5.32...5.88\text{ В}; I_R < 3\text{ мА}$	SOD-123	К*А
UP	CMDZ11L	CSI	dz	$V_{Z1}(I_{Z1} = 0.5\text{ мА}) = 11\text{ В}; P_D < 250\text{ мВт}$	SOD-323, SC-76	К*А
V1	1SV310	TOSH	var	$V_R > 10\text{ В}; I_R (V_R = 10\text{ В}) < 0.003\text{ мА}; C_{1\text{ В}} = 9.7...11.1\text{ нФ}; C_{4\text{ В}} = 4.45...5.45\text{ нФ}$	SOD-323, SC-76	К*А
V1	MMS26V2T1	ON	dz	$V_{Z1}(I_{Z1} = 5\text{ мА}) = 5.89...6.51\text{ В}; I_R < 2\text{ мА}$	SOD-123	К*А
V2	1SV328	TOSH	var	$V_R > 10\text{ В}; I_R (V_R = 10\text{ В}) < 0.003\text{ мА}; C_{1\text{ В}} = 5.7...6.7\text{ нФ}; C_{4\text{ В}} = 1.85...2.45\text{ нФ}$	SOD-323, SC-76	К*А
V2	MMS26V8T1	ON	dz	$V_{Z1}(I_{Z1} = 5\text{ мА}) = 6.46...7.14\text{ В}; I_R < 1\text{ мА}$	SOD-123	К*А
V3	MMS27V5T1	ON	dz	$V_{Z1}(I_{Z1} = 5\text{ мА}) = 7.13...7.88\text{ В}; I_R < 0.7\text{ мА}$	SOD-123	К*А
V4	MMS28V2T1	ON	dz	$V_{Z1}(I_{Z1} = 5\text{ мА}) = 7.79...8.61\text{ В}; I_R < 0.5\text{ мА}$	SOD-123	К*А
V5	MMS29V1T1	ON	dz	$V_{Z1}(I_{Z1} = 5\text{ мА}) = 8.65...9.58\text{ В}; I_R < 0.2\text{ мА}$	SOD-123	К*А
V6	1SV313	TOSH	var	$V_R > 10\text{ В}; I_R (V_R = 10\text{ В}) < 0.003\text{ мА}; C_{0.5\text{ В}} = 7.3...8.4\text{ нФ}; C_{25\text{ В}} = 2.75...3.4\text{ нФ}$	SOD-323, SC-76	К*А
V7	1SV322	TOSH	var	$V_R > 10\text{ В}; I_R (V_R = 10\text{ В}) < 0.003\text{ мА}; C_{1\text{ В}} = 26.5...29.5\text{ нФ}; C_{4\text{ В}} = 6...7.1\text{ нФ}$	SOD-323, SC-76	К*А
V8	1SV324	TOSH	var	$V_R > 10\text{ В}; I_R (V_R = 10\text{ В}) < 0.003\text{ мА}; C_{1\text{ В}} = 44...49.5\text{ нФ}; C_{4\text{ В}} = 9.2...12\text{ нФ}$	SOD-323, SC-76	К*А
VP	CMDZ12L	CSI	dz	$V_{Z1}(I_{Z1} = 0.5\text{ мА}) = 12\text{ В}; P_D < 250\text{ мВт}$	SOD-323, SC-76	К*А
W1	BZT52B2V4	VISH	dz	$V_{Z1}(I_{Z1} = 5\text{ мА}) = 2.35...2.45\text{ В}; Z_{T1} < 85\text{ Ом}$	SOD-123	К*А
W1	BZT52C2V4	VISH	dz	$V_{Z1}(I_{Z1} = 5\text{ мА}) = 2.2...2.6\text{ В}; Z_{T1} < 85\text{ Ом}$	SOD-123	К*А
W1	BZT52C2V7S	DIODS	dz	$V_{Z1}(I_{Z1} = 5\text{ мА}) = 2.5...2.9\text{ В}; Z_{T1} < 100\text{ Ом}$	SOD-323, SC-76	К*А
W1	BZX384B2V4	VISH	dz	$V_{Z1}(I_{Z1} = 5\text{ мА}) = 2.35...2.45\text{ В}; Z_{T1} < 100\text{ Ом}$	SOD-323, SC-76	К*А
W1	BZX384C2V4	VISH	dz	$V_{Z1}(I_{Z1} = 5\text{ мА}) = 2.2...2.6\text{ В}; Z_{T1} < 100\text{ Ом}$	SOD-323, SC-76	К*А
W2	BZT52B2V7	VISH	dz	$V_{Z1}(I_{Z1} = 5\text{ мА}) = 2.65...2.75\text{ В}; Z_{T1} < 83\text{ Ом}$	SOD-123	К*А
W2	BZT52C2V7	VISH	dz	$V_{Z1}(I_{Z1} = 5\text{ мА}) = 2.5...2.9\text{ В}; Z_{T1} < 83\text{ Ом}$	SOD-123	К*А
W2	BZT52C3V0S	DIODS	dz	$V_{Z1}(I_{Z1} = 5\text{ мА}) = 2.8...3.2\text{ В}; Z_{T1} < 95\text{ Ом}$	SOD-323, SC-76	К*А
W2	BZX384B2V7	VISH	dz	$V_{Z1}(I_{Z1} = 5\text{ мА}) = 2.65...2.75\text{ В}; Z_{T1} < 100\text{ Ом}$	SOD-323, SC-76	К*А
W2	BZX384C2V7	VISH	dz	$V_{Z1}(I_{Z1} = 5\text{ мА}) = 2.5...2.9\text{ В}; Z_{T1} < 100\text{ Ом}$	SOD-323, SC-76	К*А
W3	BZT52B3V0	VISH	dz	$V_{Z1}(I_{Z1} = 5\text{ мА}) = 2.94...3.06\text{ В}; Z_{T1} < 95\text{ Ом}$	SOD-123	К*А
W3	BZT52C3V0	VISH	dz	$V_{Z1}(I_{Z1} = 5\text{ мА}) = 2.8...3.2\text{ В}; Z_{T1} < 95\text{ Ом}$	SOD-123	К*А
W3	BZT52C3V3S	DIODS	dz	$V_{Z1}(I_{Z1} = 5\text{ мА}) = 3.1...3.5\text{ В}; Z_{T1} < 95\text{ Ом}$	SOD-323, SC-76	К*А
W3	BZX384B3V0	VISH	dz	$V_{Z1}(I_{Z1} = 5\text{ мА}) = 2.94...3.06\text{ В}; Z_{T1} < 95\text{ Ом}$	SOD-323, SC-76	К*А
W3	BZX384C3V0	VISH	dz	$V_{Z1}(I_{Z1} = 5\text{ мА}) = 2.8...3.2\text{ В}; Z_{T1} < 95\text{ Ом}$	SOD-323, SC-76	К*А
W4	BZT52B3V3	VISH	dz	$V_{Z1}(I_{Z1} = 5\text{ мА}) = 3.23...3.37\text{ В}; Z_{T1} < 95\text{ Ом}$	SOD-123	К*А
W4	BZT52C3V3	VISH	dz	$V_{Z1}(I_{Z1} = 5\text{ мА}) = 3.1...3.5\text{ В}; Z_{T1} < 95\text{ Ом}$	SOD-123	К*А
W4	BZT52C3V6S	DIODS	dz	$V_{Z1}(I_{Z1} = 5\text{ мА}) = 3.4...3.8\text{ В}; Z_{T1} < 90\text{ Ом}$	SOD-323, SC-76	К*А
W4	BZX384B3V3	VISH	dz	$V_{Z1}(I_{Z1} = 5\text{ мА}) = 3.23...3.37\text{ В}; Z_{T1} < 95\text{ Ом}$	SOD-323, SC-76	К*А
W4	BZX384C3V3	VISH	dz	$V_{Z1}(I_{Z1} = 5\text{ мА}) = 3.1...3.5\text{ В}; Z_{T1} < 95\text{ Ом}$	SOD-323, SC-76	К*А
W5	BZT52B3V6	VISH	dz	$V_{Z1}(I_{Z1} = 5\text{ мА}) = 3.53...3.67\text{ В}; Z_{T1} < 95\text{ Ом}$	SOD-123	К*А
W5	BZT52C3V6	VISH	dz	$V_{Z1}(I_{Z1} = 5\text{ мА}) = 3.4...3.8\text{ В}; Z_{T1} < 95\text{ Ом}$	SOD-123	К*А
W5	BZT52C3V9S	DIODS	dz	$V_{Z1}(I_{Z1} = 5\text{ мА}) = 3.7...4.1\text{ В}; Z_{T1} < 90\text{ Ом}$	SOD-323, SC-76	К*А



DO215, SOD123/323



DO216AA

Код	Типономинал	Б	Ф	Особенности	Корпус	Ц1*2
W5	BZX384B3V6	VISH	dz	$V_2(I_{T1}=5\text{ mA})=3.53...3.67\text{ В}$, $Z_{T1}<90\text{ Ом}$	SOD-323, SC-76	К*А
W5	BZX384C3V6	VISH	dz	$V_2(I_{T1}=5\text{ mA})=3.4...3.8\text{ В}$, $Z_{T1}<90\text{ Ом}$	SOD-323, SC-76	К*А
W6	BZT52B3V9	VISH	dz	$V_2(I_{T1}=5\text{ mA})=3.82...3.98\text{ В}$, $Z_{T1}<95\text{ Ом}$	SOD-123	К*А
W6	BZT52C3V9	VISH	dz	$V_2(I_{T1}=5\text{ mA})=3.7...4.1\text{ В}$, $Z_{T1}<95\text{ Ом}$	SOD-123	К*А
W6	BZT52C4V3S	DIODS	dz	$V_2(I_{T1}=5\text{ mA})=4...4.6\text{ В}$, $Z_{T1}<90\text{ Ом}$	SOD-323, SC-76	К*А
W6	BZX384B3V9	VISH	dz	$V_2(I_{T1}=5\text{ mA})=3.82...3.98\text{ В}$, $Z_{T1}<90\text{ Ом}$	SOD-323, SC-76	К*А
W6	BZX384C3V9	VISH	dz	$V_2(I_{T1}=5\text{ mA})=3.7...4.1\text{ В}$, $Z_{T1}<90\text{ Ом}$	SOD-323, SC-76	К*А
W7	BZT52B4V3	VISH	dz	$V_2(I_{T1}=5\text{ mA})=4.21...4.39\text{ В}$, $Z_{T1}<95\text{ Ом}$	SOD-123	К*А
W7	BZT52C4V3	VISH	dz	$V_2(I_{T1}=5\text{ mA})=4...4.6\text{ В}$, $Z_{T1}<95\text{ Ом}$	SOD-123	К*А
W7	BZT52C4V7S	DIODS	dz	$V_2(I_{T1}=5\text{ mA})=4.4...5\text{ В}$, $Z_{T1}<80\text{ Ом}$	SOD-323, SC-76	К*А
W7	BZX384B4V3	VISH	dz	$V_2(I_{T1}=5\text{ mA})=4.21...4.39\text{ В}$, $Z_{T1}<90\text{ Ом}$	SOD-323, SC-76	К*А
W7	BZX384C4V3	VISH	dz	$V_2(I_{T1}=5\text{ mA})=4...4.6\text{ В}$, $Z_{T1}<90\text{ Ом}$	SOD-323, SC-76	К*А
W8	BZT52B4V7	VISH	dz	$V_2(I_{T1}=5\text{ mA})=4.61...4.79\text{ В}$, $Z_{T1}<80\text{ Ом}$	SOD-123	К*А
W8	BZT52C4V7	VISH	dz	$V_2(I_{T1}=5\text{ mA})=4.4...5\text{ В}$, $Z_{T1}<80\text{ Ом}$	SOD-123	К*А
W8	BZT52C5V1S	DIODS	dz	$V_2(I_{T1}=5\text{ mA})=4.8...5.4\text{ В}$, $Z_{T1}<60\text{ Ом}$	SOD-323, SC-76	К*А
W8	BZX384B4V7	VISH	dz	$V_2(I_{T1}=5\text{ mA})=4.61...4.79\text{ В}$, $Z_{T1}<80\text{ Ом}$	SOD-323, SC-76	К*А
W8	BZX384C4V7	VISH	dz	$V_2(I_{T1}=5\text{ mA})=4.4...5.0\text{ В}$, $Z_{T1}<80\text{ Ом}$	SOD-323, SC-76	К*А
W9	BZT52B5V1	VISH	dz	$V_2(I_{T1}=5\text{ mA})=5.0...5.2\text{ В}$, $Z_{T1}<60\text{ Ом}$	SOD-123	К*А
W9	BZT52C5V1	VISH	dz	$V_2(I_{T1}=5\text{ mA})=4.8...5.4\text{ В}$, $Z_{T1}<80\text{ Ом}$	SOD-123	К*А
W9	BZT52C5V6S	DIODS	dz	$V_2(I_{T1}=5\text{ mA})=5.2...6\text{ В}$, $Z_{T1}<40\text{ Ом}$	SOD-323, SC-76	К*А
W9	BZX384B5V1	VISH	dz	$V_2(I_{T1}=5\text{ mA})=5.0...5.2\text{ В}$, $Z_{T1}<80\text{ Ом}$	SOD-323, SC-76	К*А
W9	BZX384C5V1	VISH	dz	$V_2(I_{T1}=5\text{ mA})=4.8...5.4\text{ В}$, $Z_{T1}<80\text{ Ом}$	SOD-323, SC-76	К*А
WA	BZT52B5V6	VISH	dz	$V_2(I_{T1}=5\text{ mA})=5.49...5.71\text{ В}$, $Z_{T1}<40\text{ Ом}$	SOD-123	К*А
WA	BZT52C5V6	VISH	dz	$V_2(I_{T1}=5\text{ mA})=5.2...6\text{ В}$, $Z_{T1}<40\text{ Ом}$	SOD-123	К*А
WA	BZT52C5V2S	DIODS	dz	$V_2(I_{T1}=5\text{ mA})=5.8...6.6\text{ В}$, $Z_{T1}<10\text{ Ом}$	SOD-323, SC-76	К*А
WA	BZX384B5V6	VISH	dz	$V_2(I_{T1}=5\text{ mA})=5.49...5.71\text{ В}$, $Z_{T1}<40\text{ Ом}$	SOD-323, SC-76	К*А
WA	BZX384C5V6	VISH	dz	$V_2(I_{T1}=5\text{ mA})=5.2...6\text{ В}$, $Z_{T1}<40\text{ Ом}$	SOD-323, SC-76	К*А
WA	SMZG3789A	GS	dz	$V_2(I_2=37.5\text{ mA})=10\text{ В}\pm 10\%$, $Z_{T1}=5.0\text{ Ом}$	DO-215AA	К*А
WB	BZT52B6V2	VISH	dz	$V_2(I_{T1}=5\text{ mA})=6.08...6.32\text{ В}$, $Z_{T1}<10\text{ Ом}$	SOD-123	К*А
WB	BZT52C6V2	VISH	dz	$V_2(I_{T1}=5\text{ mA})=5.8...6.6\text{ В}$, $Z_{T1}<10\text{ Ом}$	SOD-123	К*А
WB	BZT52C6V8S	DIODS	dz	$V_2(I_{T1}=5\text{ mA})=6.4...7.2\text{ В}$, $Z_{T1}<15\text{ Ом}$	SOD-323, SC-76	К*А
WB	BZX384B6V2	VISH	dz	$V_2(I_{T1}=5\text{ mA})=6.08...6.32\text{ В}$, $Z_{T1}<10\text{ Ом}$	SOD-323, SC-76	К*А
WB	BZX384C6V2	VISH	dz	$V_2(I_{T1}=5\text{ mA})=5.8...6.6\text{ В}$, $Z_{T1}<10\text{ Ом}$	SOD-323, SC-76	К*А
WB	SMZG3789B	GS	dz	$V_2(I_2=37.5\text{ mA})=10\text{ В}\pm 5\%$, $Z_{T1}=5.0\text{ Ом}$	DO-215AA	К*А
WC	BZT52B6V8	VISH	dz	$V_2(I_{T1}=5\text{ mA})=6.66...6.94\text{ В}$, $Z_{T1}<8\text{ Ом}$	SOD-123	К*А
WC	BZT52C6V8	VISH	dz	$V_2(I_{T1}=5\text{ mA})=6.4...7.2\text{ В}$, $Z_{T1}<8\text{ Ом}$	SOD-123	К*А
WC	BZT52C7V5S	DIODS	dz	$V_2(I_{T1}=5\text{ mA})=7...7.9\text{ В}$, $Z_{T1}<15\text{ Ом}$	SOD-323, SC-76	К*А
WC	BZX384B6V8	VISH	dz	$V_2(I_{T1}=5\text{ mA})=6.66...6.94\text{ В}$, $Z_{T1}<15\text{ Ом}$	SOD-323, SC-76	К*А
WC	BZX384C6V8	VISH	dz	$V_2(I_{T1}=5\text{ mA})=6.4...7.2\text{ В}$, $Z_{T1}<15\text{ Ом}$	SOD-323, SC-76	К*А
WC	SMZG3790A	GS	dz	$V_2(I_2=34.1\text{ mA})=11\text{ В}\pm 10\%$, $Z_{T1}=6.0\text{ Ом}$	DO-215AA	К*А
WD	BZT52B7V5	VISH	dz	$V_2(I_{T1}=5\text{ mA})=7.35...7.66\text{ В}$, $Z_{T1}<7\text{ Ом}$	SOD-123	К*А
WD	BZT52C7V5	VISH	dz	$V_2(I_{T1}=5\text{ mA})=7...7.9\text{ В}$, $Z_{T1}<7\text{ Ом}$	SOD-123	К*А
WD	BZT52C8V2S	DIODS	dz	$V_2(I_{T1}=5\text{ mA})=7.7...8.7\text{ В}$, $Z_{T1}<15\text{ Ом}$	SOD-323, SC-76	К*А
WD	BZX384B7V5	VISH	dz	$V_2(I_{T1}=5\text{ mA})=7.35...7.66\text{ В}$, $Z_{T1}<15\text{ Ом}$	SOD-323, SC-76	К*А
WD	BZX384C7V5	VISH	dz	$V_2(I_{T1}=5\text{ mA})=7...7.5\text{ В}$, $Z_{T1}<15\text{ Ом}$	SOD-323, SC-76	К*А
WD	SMZG3790B	GS	dz	$V_2(I_2=34.1\text{ mA})=11\text{ В}\pm 5\%$, $Z_{T1}=6.0\text{ Ом}$	DO-215AA	К*А
WE	BZT52B8V2	VISH	dz	$V_2(I_{T1}=5\text{ mA})=8.04...8.36\text{ В}$, $Z_{T1}<7\text{ Ом}$	SOD-123	К*А
WE	BZT52C8V2	VISH	dz	$V_2(I_{T1}=5\text{ mA})=7.7...8.7\text{ В}$, $Z_{T1}<7\text{ Ом}$	SOD-123	К*А
WE	BZT52C9V1S	DIODS	dz	$V_2(I_{T1}=5\text{ mA})=8.5...9.6\text{ В}$, $Z_{T1}<15\text{ Ом}$	SOD-323, SC-76	К*А
WE	BZX384B8V2	VISH	dz	$V_2(I_{T1}=5\text{ mA})=8.04...8.36\text{ В}$, $Z_{T1}<15\text{ Ом}$	SOD-323, SC-76	К*А
WE	BZX384C8V2	VISH	dz	$V_2(I_{T1}=5\text{ mA})=7.7...8.7\text{ В}$, $Z_{T1}<15\text{ Ом}$	SOD-323, SC-76	К*А
WE	SMZG3791A	GS	dz	$V_2(I_2=31.2\text{ mA})=12\text{ В}\pm 10\%$, $Z_{T1}=7.0\text{ Ом}$	DO-215AA	К*А



Код	Типономинал	Б	Ф	Особенности	Корпус	Ц:1+2
WF	BZT52B9V1	VISH	dz	$V_2(I_{Z1}=5\text{ mA})=8.92...9.28\text{ В}$; $Z_{T1}<10\text{ Ом}$	SOD-123	K•A
WF	BZT52C10S	DIODS	dz	$V_2(I_{Z1}=5\text{ mA})=9.4...10.6\text{ В}$; $Z_{T1}<15\text{ Ом}$	SOD-323, SC-76	K•A
WF	BZT52C9V1	VISH	dz	$V_2(I_{Z1}=5\text{ mA})=8.5...9.6\text{ В}$; $Z_{T1}<10\text{ Ом}$	SOD-123	K•A
WF	BZX384B9V1	VISH	dz	$V_2(I_{Z1}=5\text{ mA})=8.92...9.28\text{ В}$; $Z_{T1}<15\text{ Ом}$	SOD-323, SC-76	K•A
WF	BZX384C9V1	VISH	dz	$V_2(I_{Z1}=5\text{ mA})=8.5...9.6\text{ В}$; $Z_{T1}<15\text{ Ом}$	SOD-323, SC-76	K•A
WF	SMZG3791B	GS	dz	$V_2(I_{Z1}=31.2\text{ mA})=12\text{ В} \pm 5\%$; $Z_{T1}=7.0\text{ Ом}$	DO-215AA	K•A
WG	BZT52B10	VISH	dz	$V_2(I_{Z1}=5\text{ mA})=9.8...10.2\text{ В}$; $Z_{T1}<15\text{ Ом}$	SOD-123	K•A
WG	BZT52C10	VISH	dz	$V_2(I_{Z1}=5\text{ mA})=9.4...10.6\text{ В}$; $Z_{T1}<15\text{ Ом}$	SOD-123	K•A
WG	BZT52C11S	DIODS	dz	$V_2(I_{Z1}=5\text{ mA})=10.4...11.6\text{ В}$; $Z_{T1}<20\text{ Ом}$	SOD-323, SC-76	K•A
WG	BZT52C12S	DIODS	dz	$V_2(I_{Z1}=5\text{ mA})=11.4...12.7\text{ В}$; $Z_{T1}<20\text{ Ом}$	SOD-323, SC-76	K•A
WG	BZT52C20S	DIODS	dz	$V_2(I_{Z1}=5\text{ mA})=18.8...21.2\text{ В}$; $Z_{T1}<50\text{ Ом}$	SOD-323, SC-76	K•A
WG	BZX384B10	VISH	dz	$V_2(I_{Z1}=5\text{ mA})=9.8...10.2\text{ В}$; $Z_{T1}<20\text{ Ом}$	SOD-323, SC-76	K•A
WG	BZX384C10	VISH	dz	$V_2(I_{Z1}=5\text{ mA})=9.4...10.6\text{ В}$; $Z_{T1}<20\text{ Ом}$	SOD-323, SC-76	K•A
WG	SMZG3792A	GS	dz	$V_2(I_{Z1}=28.8\text{ mA})=13\text{ В} \pm 10\%$; $Z_{T1}=7.5\text{ Ом}$	DO-215AA	K•A
WH	BZT52B11	VISH	dz	$V_2(I_{Z1}=5\text{ mA})=10.8...11.2\text{ В}$; $Z_{T1}<20\text{ Ом}$	SOD-123	K•A
WH	BZT52C11	VISH	dz	$V_2(I_{Z1}=5\text{ mA})=10.4...11.6\text{ В}$; $Z_{T1}<20\text{ Ом}$	SOD-123	K•A
WH	BZX384B11	VISH	dz	$V_2(I_{Z1}=5\text{ mA})=10.8...11.2\text{ В}$; $Z_{T1}<20\text{ Ом}$	SOD-323, SC-76	K•A
WH	BZX384C11	VISH	dz	$V_2(I_{Z1}=5\text{ mA})=10.4...11.6\text{ В}$; $Z_{T1}<20\text{ Ом}$	SOD-323, SC-76	K•A
WH	SMZG3792B	GS	dz	$V_2(I_{Z1}=28.8\text{ mA})=13\text{ В} \pm 5\%$; $Z_{T1}=7.5\text{ Ом}$	DO-215AA	K•A
WI	BZT52B12	VISH	dz	$V_2(I_{Z1}=5\text{ mA})=11.8...12.2\text{ В}$; $Z_{T1}<20\text{ Ом}$	SOD-123	K•A
WI	BZT52C12	VISH	dz	$V_2(I_{Z1}=5\text{ mA})=11.4...12.7\text{ В}$; $Z_{T1}<20\text{ Ом}$	SOD-123	K•A
WI	BZT52C13S	DIODS	dz	$V_2(I_{Z1}=5\text{ mA})=12.4...14.1\text{ В}$; $Z_{T1}<25\text{ Ом}$	SOD-323, SC-76	K•A
WI	BZX384B12	VISH	dz	$V_2(I_{Z1}=5\text{ mA})=11.8...12.2\text{ В}$; $Z_{T1}<25\text{ Ом}$	SOD-323, SC-76	K•A
WI	BZX384C12	VISH	dz	$V_2(I_{Z1}=5\text{ mA})=11.4...12.7\text{ В}$; $Z_{T1}<25\text{ Ом}$	SOD-323, SC-76	K•A
WI	SMZG3793A	GS	dz	$V_2(I_{Z1}=25.0\text{ mA})=15\text{ В} \pm 10\%$; $Z_{T1}=9.0\text{ Ом}$	DO-215AA	K•A
WJ	BZT52C15S	DIODS	dz	$V_2(I_{Z1}=5\text{ mA})=13.8...15.6\text{ В}$; $Z_{T1}<30\text{ Ом}$	SOD-323, SC-76	K•A
WJ	SMZG3793B	GS	dz	$V_2(I_{Z1}=25.0\text{ mA})=15\text{ В} \pm 5\%$; $Z_{T1}=9.0\text{ Ом}$	DO-215AA	K•A
WK	BZT52B13	VISH	dz	$V_2(I_{Z1}=5\text{ mA})=12.7...13.3\text{ В}$; $Z_{T1}<25\text{ Ом}$	SOD-123	K•A
WK	BZT52C13	VISH	dz	$V_2(I_{Z1}=5\text{ mA})=12.4...14.1\text{ В}$; $Z_{T1}<25\text{ Ом}$	SOD-123	K•A
WK	BZT52C16S	DIODS	dz	$V_2(I_{Z1}=5\text{ mA})=15.3...17.1\text{ В}$; $Z_{T1}<40\text{ Ом}$	SOD-323, SC-76	K•A
WK	BZX384B13	VISH	dz	$V_2(I_{Z1}=5\text{ mA})=12.7...13.3\text{ В}$; $Z_{T1}<30\text{ Ом}$	SOD-323, SC-76	K•A
WK	BZX384C13	VISH	dz	$V_2(I_{Z1}=5\text{ mA})=12.4...14.1\text{ В}$; $Z_{T1}<30\text{ Ом}$	SOD-323, SC-76	K•A
WK	SMZG3794A	GS	dz	$V_2(I_{Z1}=23.4\text{ mA})=16\text{ В} \pm 10\%$; $Z_{T1}=10.0\text{ Ом}$	DO-215AA	K•A
WL	BZT52B15	VISH	dz	$V_2(I_{Z1}=5\text{ mA})=14.7...15.3\text{ В}$; $Z_{T1}<30\text{ Ом}$	SOD-123	K•A
WL	BZT52C15	VISH	dz	$V_2(I_{Z1}=5\text{ mA})=13.8...15.6\text{ В}$; $Z_{T1}<30\text{ Ом}$	SOD-123	K•A
WL	BZT52C18S	DIODS	dz	$V_2(I_{Z1}=5\text{ mA})=16.8...19.1\text{ В}$; $Z_{T1}<50\text{ Ом}$	SOD-323, SC-76	K•A
WL	BZX384B15	VISH	dz	$V_2(I_{Z1}=5\text{ mA})=14.7...15.3\text{ В}$; $Z_{T1}<30\text{ Ом}$	SOD-323, SC-76	K•A
WL	BZX384C15	VISH	dz	$V_2(I_{Z1}=5\text{ mA})=13.8...15.6\text{ В}$; $Z_{T1}<30\text{ Ом}$	SOD-323, SC-76	K•A
WL	SMZG3794B	GS	dz	$V_2(I_{Z1}=23.4\text{ mA})=16\text{ В} \pm 5\%$; $Z_{T1}=10.0\text{ Ом}$	DO-215AA	K•A
WM	BZT52B16	VISH	dz	$V_2(I_{Z1}=5\text{ mA})=15.7...16.3\text{ В}$; $Z_{T1}<40\text{ Ом}$	SOD-123	K•A
WM	BZT52C16	VISH	dz	$V_2(I_{Z1}=5\text{ mA})=15.3...17.1\text{ В}$; $Z_{T1}<40\text{ Ом}$	SOD-123	K•A
WM	BZX384B16	VISH	dz	$V_2(I_{Z1}=5\text{ mA})=15.7...16.3\text{ В}$; $Z_{T1}<40\text{ Ом}$	SOD-323, SC-76	K•A
WM	BZX384C16	VISH	dz	$V_2(I_{Z1}=5\text{ mA})=15.3...17.1\text{ В}$; $Z_{T1}<40\text{ Ом}$	SOD-323, SC-76	K•A
WN	BZT52B18	VISH	dz	$V_2(I_{Z1}=5\text{ mA})=17.6...18.4\text{ В}$; $Z_{T1}<50\text{ Ом}$	SOD-123	K•A
WN	BZT52C18	VISH	dz	$V_2(I_{Z1}=5\text{ mA})=16.8...19.1\text{ В}$; $Z_{T1}<50\text{ Ом}$	SOD-123	K•A
WN	BZT52C22S	DIODS	dz	$V_2(I_{Z1}=5\text{ mA})=21.6...22.4\text{ В}$; $Z_{T1}<55\text{ Ом}$	SOD-323, SC-76	K•A
WN	BZX384B18	VISH	dz	$V_2(I_{Z1}=5\text{ mA})=17.6...18.4\text{ В}$; $Z_{T1}<45\text{ Ом}$	SOD-323, SC-76	K•A
WN	BZX384C18	VISH	dz	$V_2(I_{Z1}=5\text{ mA})=16.8...19.1\text{ В}$; $Z_{T1}<45\text{ Ом}$	SOD-323, SC-76	K•A
WO	BZT52B20	VISH	dz	$V_2(I_{Z1}=5\text{ mA})=19.6...20.4\text{ В}$; $Z_{T1}<50\text{ Ом}$	SOD-123	K•A
WO	BZT52C20	VISH	dz	$V_2(I_{Z1}=5\text{ mA})=18.8...21.2\text{ В}$; $Z_{T1}<50\text{ Ом}$	SOD-123	K•A
WO	BZT52C24S	DIODS	dz	$V_2(I_{Z1}=5\text{ mA})=22.8...23.3\text{ В}$; $Z_{T1}<80\text{ Ом}$	SOD-323, SC-76	K•A
WO	BZX384B20	VISH	dz	$V_2(I_{Z1}=5\text{ mA})=19.6...20.4\text{ В}$; $Z_{T1}<50\text{ Ом}$	SOD-323, SC-76	K•A



DO215, SOD123/323



DO216AA

Код	Типономинал	Б	Ф	Особенности	Корпус	Ц1*2
WO	BZX384C20	VISH	dz	$V_{\Sigma} (I_{\Sigma} = 5 \text{ mA}) = 18.8 \dots 21.2 \text{ В}$; $Z_{\Sigma} < 55 \text{ Ом}$	SOD-323, SC-76	К*А
WP	BZT52B22	VISH	dz	$V_{\Sigma} (I_{\Sigma} = 5 \text{ mA}) = 21.6 \dots 22.4 \text{ В}$; $Z_{\Sigma} < 55 \text{ Ом}$	SOD-123	К*А
WP	BZT52C22	VISH	dz	$V_{\Sigma} (I_{\Sigma} = 5 \text{ mA}) = 21.6 \dots 22.4 \text{ В}$; $Z_{\Sigma} < 55 \text{ Ом}$	SOD-123	К*А
WP	BZT52C27S	DIODS	dz	$V_{\Sigma} (I_{\Sigma} = 2 \text{ mA}) = 25.1 \dots 28.9 \text{ В}$; $Z_{\Sigma} < 80 \text{ Ом}$	SOD-323, SC-76	К*А
WP	BZX384B22	VISH	dz	$V_{\Sigma} (I_{\Sigma} = 5 \text{ mA}) = 21.6 \dots 22.4 \text{ В}$; $Z_{\Sigma} < 55 \text{ Ом}$	SOD-323, SC-76	К*А
WP	BZX384C22	VISH	dz	$V_{\Sigma} (I_{\Sigma} = 5 \text{ mA}) = 20.8 \dots 23.3 \text{ В}$; $Z_{\Sigma} < 55 \text{ Ом}$	SOD-323, SC-76	К*А
WQ	BZT52C30S	DIODS	dz	$V_{\Sigma} (I_{\Sigma} = 2 \text{ mA}) = 28 \dots 32 \text{ В}$; $Z_{\Sigma} < 80 \text{ Ом}$	SOD-323, SC-76	К*А
WR	BZT52B24	VISH	dz	$V_{\Sigma} (I_{\Sigma} = 5 \text{ mA}) = 23.5 \dots 24.5 \text{ В}$; $Z_{\Sigma} < 80 \text{ Ом}$	SOD-123	К*А
WR	BZT52C24	VISH	dz	$V_{\Sigma} (I_{\Sigma} = 5 \text{ mA}) = 22.8 \dots 23.3 \text{ В}$; $Z_{\Sigma} < 80 \text{ Ом}$	SOD-123	К*А
WR	BZT52C33S	DIODS	dz	$V_{\Sigma} (I_{\Sigma} = 2 \text{ mA}) = 31 \dots 35 \text{ В}$; $Z_{\Sigma} < 80 \text{ Ом}$	SOD-323, SC-76	К*А
WR	BZX384B24	VISH	dz	$V_{\Sigma} (I_{\Sigma} = 5 \text{ mA}) = 23.5 \dots 24.5 \text{ В}$; $Z_{\Sigma} < 70 \text{ Ом}$	SOD-323, SC-76	К*А
WR	BZX384C24	VISH	dz	$V_{\Sigma} (I_{\Sigma} = 5 \text{ mA}) = 22.8 \dots 25.6 \text{ В}$; $Z_{\Sigma} < 70 \text{ Ом}$	SOD-323, SC-76	К*А
WS	BZT52B27	VISH	dz	$V_{\Sigma} (I_{\Sigma} = 5 \text{ mA}) = 26.5 \dots 27.5 \text{ В}$; $Z_{\Sigma} < 80 \text{ Ом}$	SOD-123	К*А
WS	BZT52C27	VISH	dz	$V_{\Sigma} (I_{\Sigma} = 5 \text{ mA}) = 25.1 \dots 28.9 \text{ В}$; $Z_{\Sigma} < 80 \text{ Ом}$	SOD-123	К*А
WS	BZT52C36S	DIODS	dz	$V_{\Sigma} (I_{\Sigma} = 2 \text{ mA}) = 34 \dots 38 \text{ В}$; $Z_{\Sigma} < 90 \text{ Ом}$	SOD-323, SC-76	К*А
WS	BZX384B27	VISH	dz	$V_{\Sigma} (I_{\Sigma} = 2 \text{ mA}) = 26.5 \dots 27.5 \text{ В}$; $Z_{\Sigma} < 80 \text{ Ом}$	SOD-323, SC-76	К*А
WS	BZX384C27	VISH	dz	$V_{\Sigma} (I_{\Sigma} = 2 \text{ mA}) = 25.1 \dots 28.9 \text{ В}$; $Z_{\Sigma} < 80 \text{ Ом}$	SOD-323, SC-76	К*А
WT	BZT52B30	VISH	dz	$V_{\Sigma} (I_{\Sigma} = 5 \text{ mA}) = 29.4 \dots 30.6 \text{ В}$; $Z_{\Sigma} < 80 \text{ Ом}$	SOD-123	К*А
WT	BZT52C30	VISH	dz	$V_{\Sigma} (I_{\Sigma} = 5 \text{ mA}) = 28 \dots 32 \text{ В}$; $Z_{\Sigma} < 80 \text{ Ом}$	SOD-123	К*А
WT	BZT52C39S	DIODS	dz	$V_{\Sigma} (I_{\Sigma} = 2 \text{ mA}) = 37 \dots 41 \text{ В}$; $Z_{\Sigma} < 130 \text{ Ом}$	SOD-323, SC-76	К*А
WT	BZX384B30	VISH	dz	$V_{\Sigma} (I_{\Sigma} = 2 \text{ mA}) = 29.4 \dots 30.6 \text{ В}$; $Z_{\Sigma} < 80 \text{ Ом}$	SOD-323, SC-76	К*А
WT	BZX384C30	VISH	dz	$V_{\Sigma} (I_{\Sigma} = 2 \text{ mA}) = 28 \dots 32 \text{ В}$; $Z_{\Sigma} < 80 \text{ Ом}$	SOD-323, SC-76	К*А
WU	BZT52B33	VISH	dz	$V_{\Sigma} (I_{\Sigma} = 5 \text{ mA}) = 32.3 \dots 33.7 \text{ В}$; $Z_{\Sigma} < 80 \text{ Ом}$	SOD-123	К*А
WU	BZT52C33	VISH	dz	$V_{\Sigma} (I_{\Sigma} = 5 \text{ mA}) = 31 \dots 35 \text{ В}$; $Z_{\Sigma} < 80 \text{ Ом}$	SOD-123	К*А
WU	BZX384B33	VISH	dz	$V_{\Sigma} (I_{\Sigma} = 2 \text{ mA}) = 32.3 \dots 33.7 \text{ В}$; $Z_{\Sigma} < 80 \text{ Ом}$	SOD-323, SC-76	К*А
WU	BZX384C33	VISH	dz	$V_{\Sigma} (I_{\Sigma} = 2 \text{ mA}) = 31 \dots 35 \text{ В}$; $Z_{\Sigma} < 80 \text{ Ом}$	SOD-323, SC-76	К*А
WW	BZT52B36	VISH	dz	$V_{\Sigma} (I_{\Sigma} = 5 \text{ mA}) = 35.3 \dots 36.7 \text{ В}$; $Z_{\Sigma} < 90 \text{ Ом}$	SOD-123	К*А
WW	BZT52C36	VISH	dz	$V_{\Sigma} (I_{\Sigma} = 5 \text{ mA}) = 34 \dots 38 \text{ В}$; $Z_{\Sigma} < 90 \text{ Ом}$	SOD-123	К*А
WW	BZX384B36	VISH	dz	$V_{\Sigma} (I_{\Sigma} = 2 \text{ mA}) = 35.3 \dots 36.7 \text{ В}$; $Z_{\Sigma} < 90 \text{ Ом}$	SOD-323, SC-76	К*А
WW	BZX384C36	VISH	dz	$V_{\Sigma} (I_{\Sigma} = 2 \text{ mA}) = 34 \dots 38 \text{ В}$; $Z_{\Sigma} < 90 \text{ Ом}$	SOD-323, SC-76	К*А
WX	BZT52B39	VISH	dz	$V_{\Sigma} (I_{\Sigma} = 5 \text{ mA}) = 38.2 \dots 39.8 \text{ В}$; $Z_{\Sigma} < 90 \text{ Ом}$	SOD-123	К*А
WX	BZT52C2V4S	DIODS	dz	$V_{\Sigma} (I_{\Sigma} = 5 \text{ mA}) = 2.2 \dots 2.6 \text{ В}$; $Z_{\Sigma} < 100 \text{ Ом}$	SOD-323, SC-76	К*А
WX	BZT52C39	VISH	dz	$V_{\Sigma} (I_{\Sigma} = 5 \text{ mA}) = 37 \dots 41 \text{ В}$; $Z_{\Sigma} < 90 \text{ Ом}$	SOD-123	К*А
WX	BZX384B39	VISH	dz	$V_{\Sigma} (I_{\Sigma} = 2 \text{ mA}) = 38.2 \dots 39.8 \text{ В}$; $Z_{\Sigma} < 130 \text{ Ом}$	SOD-323, SC-76	К*А
WX	BZX384C39	VISH	dz	$V_{\Sigma} (I_{\Sigma} = 2 \text{ mA}) = 37 \dots 41 \text{ В}$; $Z_{\Sigma} < 130 \text{ Ом}$	SOD-323, SC-76	К*А
WY	BZT52B43	VISH	dz	$V_{\Sigma} (I_{\Sigma} = 5 \text{ mA}) = 42.1 \dots 43.9 \text{ В}$; $Z_{\Sigma} < 100 \text{ Ом}$	SOD-123	К*А
WY	BZT52C2V0S	DIODS	dz	$V_{\Sigma} (I_{\Sigma} = 5 \text{ mA}) = 1.91 \dots 2.09 \text{ В}$; $Z_{\Sigma} < 100 \text{ Ом}$	SOD-323, SC-76	К*А
WY	BZT52C43	VISH	dz	$V_{\Sigma} (I_{\Sigma} = 5 \text{ mA}) = 40 \dots 46 \text{ В}$; $Z_{\Sigma} < 100 \text{ Ом}$	SOD-123	К*А
WY	BZX384B43	VISH	dz	$V_{\Sigma} (I_{\Sigma} = 2 \text{ mA}) = 42.1 \dots 43.9 \text{ В}$; $Z_{\Sigma} < 150 \text{ Ом}$	SOD-323, SC-76	К*А
WY	BZX384C43	VISH	dz	$V_{\Sigma} (I_{\Sigma} = 2 \text{ mA}) = 40 \dots 46 \text{ В}$; $Z_{\Sigma} < 130 \text{ Ом}$	SOD-323, SC-76	К*А
WZ	BZT52B47	VISH	dz	$V_{\Sigma} (I_{\Sigma} = 5 \text{ mA}) = 46.1 \dots 47.9 \text{ В}$; $Z_{\Sigma} < 100 \text{ Ом}$	SOD-123	К*А
WZ	BZT52C47	VISH	dz	$V_{\Sigma} (I_{\Sigma} = 5 \text{ mA}) = 44 \dots 50 \text{ В}$; $Z_{\Sigma} < 100 \text{ Ом}$	SOD-123	К*А
WZ	BZX384B47	VISH	dz	$V_{\Sigma} (I_{\Sigma} = 2 \text{ mA}) = 46.1 \dots 47.9 \text{ В}$; $Z_{\Sigma} < 170 \text{ Ом}$	SOD-323, SC-76	К*А
WZ	BZX384C47	VISH	dz	$V_{\Sigma} (I_{\Sigma} = 2 \text{ mA}) = 44 \dots 50 \text{ В}$; $Z_{\Sigma} < 150 \text{ Ом}$	SOD-323, SC-76	К*А
X (бен)	BB833	INF	var	$V_{\Sigma} < 30 \text{ В}$; $I_{\Sigma} < 20 \text{ mA}$; $I_{\Sigma} < 0.02 \text{ mA}$; $C_{1B} = 8.5 \dots 10 \text{ нФ}$; $C_{2B} = 0.6 \dots 0.9$	SOD-323, SC-76	К*А
X (хен)	BB835	INF	var	$V_{\Sigma} < 30 \text{ В}$; $I_{\Sigma} < 20 \text{ mA}$; $I_{\Sigma} < 0.02 \text{ mA}$; $C_{1B} = 8.5 \dots 10 \text{ нФ}$; $C_{2B} = 0.5 \dots 0.75$	SOD-323, SC-76	К*А
X1	BZT52B51	VISH	dz	$V_{\Sigma} (I_{\Sigma} = 5 \text{ mA}) = 50.0 \dots 52.0 \text{ В}$; $Z_{\Sigma} < 100 \text{ Ом}$	SOD-123	К*А
X1	BZT52C51	VISH	dz	$V_{\Sigma} (I_{\Sigma} = 5 \text{ mA}) = 48 \dots 54 \text{ В}$; $Z_{\Sigma} < 100 \text{ Ом}$	SOD-123	К*А
X1	BZX384B51	VISH	dz	$V_{\Sigma} (I_{\Sigma} = 2 \text{ mA}) = 50.0 \dots 52.0 \text{ В}$; $Z_{\Sigma} < 180 \text{ Ом}$	SOD-323, SC-76	К*А
X1	BZX384C51	VISH	dz	$V_{\Sigma} (I_{\Sigma} = 2 \text{ mA}) = 48 \dots 54 \text{ В}$; $Z_{\Sigma} < 180 \text{ Ом}$	SOD-323, SC-76	К*А
X1	CMDZ5221B	CSI	dz	$V_{\Sigma} = 2.4 \text{ В (5\%)}$; $P_D < 250 \text{ мВт}$	SOD-323, SC-76	К*А
X1	MMSZ16T1	ON	dz	$V_{\Sigma} (I_{\Sigma} = 5 \text{ mA}) = 15.2 \dots 16.8 \text{ В}$; $I_{\Sigma} < 0.05 \text{ mA}$	SOD-123	К*А



Код	Типономинал	Б	Ф	Особенности	Корпус	Ц:1+2
X2	BZT52B66	VISH	dz	$V_Z(I_{ZT}=2.5\text{ mA})=54.9...57.1\text{ B}$; $Z_{T1}<135\text{ Ом}$	SOD-123	K•A
X2	BZT52C66	VISH	dz	$V_Z(I_{ZT}=2.5\text{ mA})=52...60\text{ B}$; $Z_{T1}<135\text{ Ом}$	SOD-123	K•A
X2	BZX384B66	VISH	dz	$V_Z(I_{ZT}=2\text{ mA})=54.9...57.1\text{ B}$; $Z_{T1}<200\text{ Ом}$	SOD-323, SC-76	K•A
X2	BZX384C66	VISH	dz	$V_Z(I_{ZT}=2\text{ mA})=52...60\text{ B}$; $Z_{T1}<200\text{ Ом}$	SOD-323, SC-76	K•A
X2	CMDZ5222B	CSI	dz	$V_Z=2.5\text{ B (5\%)}$; $P_3<250\text{ мВт}$	SOD-323, SC-76	K•A
X2	MMS218T1	ON	dz	$V_Z(I_{ZT}=5\text{ mA})=17.1...18.9\text{ B}$; $I_0<0.05\text{ мкА}$	SOD-123	K•A
X3	BZT52B62	VISH	dz	$V_Z(I_{ZT}=2.5\text{ mA})=60.8...63.2\text{ B}$; $Z_{T1}<135\text{ Ом}$	SOD-123	K•A
X3	BZT52C62	VISH	dz	$V_Z(I_{ZT}=2.5\text{ mA})=58...66\text{ B}$; $Z_{T1}<135\text{ Ом}$	SOD-123	K•A
X3	BZX384B62	VISH	dz	$V_Z(I_{ZT}=2\text{ mA})=60.8...63.2\text{ B}$; $Z_{T1}<215\text{ Ом}$	SOD-323, SC-76	K•A
X3	BZX384C62	VISH	dz	$V_Z(I_{ZT}=2\text{ mA})=58...66\text{ B}$; $Z_{T1}<215\text{ Ом}$	SOD-323, SC-76	K•A
X3	CMDZ5223B	CSI	dz	$V_Z=2.7\text{ B (5\%)}$; $P_3<250\text{ мВт}$	SOD-323, SC-76	K•A
X3	MMS220T1	ON	dz	$V_Z(I_{ZT}=5\text{ mA})=19.0...21.0\text{ B}$; $I_0<0.05\text{ мкА}$	SOD-123	K•A
X4	BZT52B68	VISH	dz	$V_Z(I_{ZT}=2.5\text{ mA})=66.6...69.4\text{ B}$; $Z_{T1}<200\text{ Ом}$	SOD-123	K•A
X4	BZT52C68	VISH	dz	$V_Z(I_{ZT}=2.5\text{ mA})=64...72\text{ B}$; $Z_{T1}<200\text{ Ом}$	SOD-123	K•A
X4	BZX384B68	VISH	dz	$V_Z(I_{ZT}=2\text{ mA})=66.6...69.4\text{ B}$; $Z_{T1}<240\text{ Ом}$	SOD-323, SC-76	K•A
X4	BZX384C68	VISH	dz	$V_Z(I_{ZT}=2\text{ mA})=64...72\text{ B}$; $Z_{T1}<240\text{ Ом}$	SOD-323, SC-76	K•A
X4	CMDZ5224B	CSI	dz	$V_Z=2.8\text{ B (5\%)}$; $P_3<250\text{ мВт}$	SOD-323, SC-76	K•A
X4	MMS222T1	ON	dz	$V_Z(I_{ZT}=5\text{ mA})=20.9...23.1\text{ B}$; $I_0<0.05\text{ мкА}$	SOD-123	K•A
X5	BZT52B75	VISH	dz	$V_Z(I_{ZT}=2.5\text{ mA})=73.5...76.5\text{ B}$; $Z_{T1}<250\text{ Ом}$	SOD-123	K•A
X5	BZT52C75	VISH	dz	$V_Z(I_{ZT}=2.5\text{ mA})=70...79\text{ B}$; $Z_{T1}<250\text{ Ом}$	SOD-123	K•A
X5	BZX384B75	VISH	dz	$V_Z(I_{ZT}=2\text{ mA})=73.5...76.5\text{ B}$; $Z_{T1}<255\text{ Ом}$	SOD-323, SC-76	K•A
X5	BZX384C75	VISH	dz	$V_Z(I_{ZT}=2\text{ mA})=70...79\text{ B}$; $Z_{T1}<255\text{ Ом}$	SOD-323, SC-76	K•A
X5	CMDZ5225B	CSI	dz	$V_Z=3.0\text{ B (5\%)}$; $P_3<250\text{ мВт}$	SOD-323, SC-76	K•A
X5	MMS224T1	ON	dz	$V_Z(I_{ZT}=5\text{ mA})=22.8...25.2\text{ B}$; $I_0<0.05\text{ мкА}$	SOD-123	K•A
X6	CMDZ5226B	CSI	dz	$V_Z=3.3\text{ B (5\%)}$; $P_3<250\text{ мВт}$	SOD-323, SC-76	K•A
X7	CMDZ5227B	CSI	dz	$V_Z=3.6\text{ B (5\%)}$; $P_3<250\text{ мВт}$	SOD-323, SC-76	K•A
X8	CMDZ5228B	CSI	dz	$V_Z=3.9\text{ B (5\%)}$; $P_3<250\text{ мВт}$	SOD-323, SC-76	K•A
X9	CMDZ5229B	CSI	dz	$V_Z=4.3\text{ B (5\%)}$; $P_3<250\text{ мВт}$	SOD-323, SC-76	K•A
XA	CMDZ5230B	CSI	dz	$V_Z=4.7\text{ B (5\%)}$; $P_3<250\text{ мВт}$	SOD-323, SC-76	K•A
XA	SMZG3795A	GS	dz	$V_Z(I_Z=20.8\text{ mA})=18\text{ B} \pm 10\%$; $Z_{T1}=12.0\text{ Ом}$	DO-215AA	K•A
XB	CMDZ5231B	CSI	dz	$V_Z=5.1\text{ B (5\%)}$; $P_3<250\text{ мВт}$	SOD-323, SC-76	K•A
XB	SMZG3796B	GS	dz	$V_Z(I_Z=20.8\text{ mA})=18\text{ B} \pm 5\%$; $Z_{T1}=12.0\text{ Ом}$	DO-215AA	K•A
XC	CMDZ5232B	CSI	dz	$V_Z=5.6\text{ B (5\%)}$; $P_3<250\text{ мВт}$	SOD-323, SC-76	K•A
XC	SMZG3796A	GS	dz	$V_Z(I_Z=18.7\text{ mA})=20\text{ B} \pm 10\%$; $Z_{T1}=14.0\text{ Ом}$	DO-215AA	K•A
XD	CMDZ5233B	CSI	dz	$V_Z=6.0\text{ B (5\%)}$; $P_3<250\text{ мВт}$	SOD-323, SC-76	K•A
XD	SMZG3796B	GS	dz	$V_Z(I_Z=18.7\text{ mA})=20\text{ B} \pm 5\%$; $Z_{T1}=14.0\text{ Ом}$	DO-215AA	K•A
XE	CMDZ5234B	CSI	dz	$V_Z=6.2\text{ B (5\%)}$; $P_3<250\text{ мВт}$	SOD-323, SC-76	K•A
XE	SMZG3797A	GS	dz	$V_Z(I_Z=17.0\text{ mA})=22\text{ B} \pm 10\%$; $Z_{T1}=17.5\text{ Ом}$	DO-215AA	K•A
XF	CMDZ5235B	CSI	dz	$V_Z=6.8\text{ B (5\%)}$; $P_3<250\text{ мВт}$	SOD-323, SC-76	K•A
XF	SMZG3797B	GS	dz	$V_Z(I_Z=17.0\text{ mA})=22\text{ B} \pm 5\%$; $Z_{T1}=17.5\text{ Ом}$	DO-215AA	K•A
XG	CMDZ5236B	CSI	dz	$V_Z=7.5\text{ B (5\%)}$; $P_3<250\text{ мВт}$	SOD-323, SC-76	K•A
XG	SMZG3796A	GS	dz	$V_Z(I_Z=15.6\text{ mA})=24\text{ B} \pm 10\%$; $Z_{T1}=19.0\text{ Ом}$	DO-215AA	K•A
XH	CMDZ5237B	CSI	dz	$V_Z=8.2\text{ B (5\%)}$; $P_3<250\text{ мВт}$	SOD-323, SC-76	K•A
XH	MMSD701T1	ON	shd	$V_R<70\text{ B}$; $V_E(I_E=10\text{ mA})<1\text{ В}$; $C_D<1\text{ нФ}$	SOD-123	K•A
XH	SMZG3798B	GS	dz	$V_Z(I_Z=15.6\text{ mA})=24\text{ B} \pm 5\%$; $Z_{T1}=19.0\text{ Ом}$	DO-215AA	K•A
XI	SMZG3799A	GS	dz	$V_Z(I_Z=13.9\text{ mA})=27\text{ B} \pm 10\%$; $Z_{T1}=23.0\text{ Ом}$	DO-215AA	K•A
XJ	CMDZ5238B	CSI	dz	$V_Z=8.7\text{ B (5\%)}$; $P_3<250\text{ мВт}$	SOD-323, SC-76	K•A
XJ	SMZG3799B	GS	dz	$V_Z(I_Z=13.9\text{ mA})=27\text{ B} \pm 5\%$; $Z_{T1}=23.0\text{ Ом}$	DO-215AA	K•A
XK	CMDZ5239B	CSI	dz	$V_Z=9.1\text{ B (5\%)}$; $P_3<250\text{ мВт}$	SOD-323, SC-76	K•A
XK	SMZG3800A	GS	dz	$V_Z(I_Z=12.5\text{ mA})=30\text{ B} \pm 10\%$; $Z_{T1}=26.0\text{ Ом}$	DO-215AA	K•A
XL	CMDZ5240B	CSI	dz	$V_Z=10\text{ B (5\%)}$; $P_3<250\text{ мВт}$	SOD-323, SC-76	K•A
XL	SMZG3800B	GS	dz	$V_Z(I_Z=12.5\text{ mA})=30\text{ B} \pm 5\%$; $Z_{T1}=26.0\text{ Ом}$	DO-215AA	K•A

**DO215, SOD123/323****DO216AA**

Код	Типономинал	Б	Ф	Особенности	Корпус	Ц:1:2
XN	CMDZ5241B	CSI	dz	$V_2 = 11 \text{ В (5\%); } P_0 < 250 \text{ мВт}$	SOD-323, SC-76	К * А
XO	CMDZ5242B	CSI	dz	$V_2 = 12 \text{ В (5\%); } P_0 < 250 \text{ мВт}$	SOD-323, SC-76	К * А
XP	CMDZ13L	CSI	dz	$V_2 (I_{T1} = 0.5 \text{ мА}) = 13 \text{ В; } P_0 < 250 \text{ мВт}$	SOD-323, SC-76	К * А
XR	CMDZ5243B	CSI	dz	$V_2 = 13 \text{ В (5\%); } P_0 < 250 \text{ мВт}$	SOD-323, SC-76	К * А
XQ	CMDZ5244B	CSI	dz	$V_2 = 14 \text{ В (5\%); } P_0 < 250 \text{ мВт}$	SOD-323, SC-76	К * А
XR	CMDZ5245B	CSI	dz	$V_2 = 15 \text{ В (5\%); } P_0 < 250 \text{ мВт}$	SOD-323, SC-76	К * А
XS	CMDZ5246B	CSI	dz	$V_2 = 16 \text{ В (5\%); } P_0 < 250 \text{ мВт}$	SOD-323, SC-76	К * А
XT	CMDZ5247B	CSI	dz	$V_2 = 17 \text{ В (5\%); } P_0 < 250 \text{ мВт}$	SOD-323, SC-76	К * А
XT	MMSD301T1	ON	shd	$V_{D1} < 30 \text{ В; } V_{F1} (I_F = 10 \text{ мА}) < 0.6 \text{ В; } C_D < 1.5 \text{ нФ}$	SCD-123	К * А
XU	CMDZ5248B	CSI	dz	$V_2 = 18 \text{ В (5\%); } P_0 < 250 \text{ мВт}$	SOD-323, SC-76	К * А
XV	CMDZ5249B	CSI	dz	$V_2 = 19 \text{ В (5\%); } P_0 < 250 \text{ мВт}$	SOD-323, SC-76	К * А
XX	CMDZ5250B	CSI	dz	$V_2 = 20 \text{ В (5\%); } P_0 < 250 \text{ мВт}$	SOD-323, SC-76	К * А
XY	CMDZ5251B	CSI	dz	$V_2 = 22 \text{ В (5\%); } P_0 < 250 \text{ мВт}$	SOD-323, SC-76	К * А
XZ	CMDZ5252B	CSI	dz	$V_2 = 24 \text{ В (5\%); } P_0 < 250 \text{ мВт}$	SOD-323, SC-76	К * А
Y1	CMDZ5253B	CSI	dz	$V_2 = 25 \text{ В (5\%); } P_0 < 250 \text{ мВт}$	SOD-323, SC-76	К * А
Y1	MMSZ2271	ON	dz	$V_2 (I_{T1} = 5 \text{ мА}) = 25.65...28.35 \text{ В; } I_{B1} < 0.05 \text{ мА}$	SCD-123	К * А
Y2	CMDZ5254B	CSI	dz	$V_2 = 27 \text{ В (5\%); } P_0 < 250 \text{ мВт}$	SOD-323, SC-76	К * А
Y2	MMSZ3071	ON	dz	$V_2 (I_{T1} = 5 \text{ мА}) = 28.50...31.5 \text{ В; } I_{B1} < 0.05 \text{ мА}$	SCD-123	К * А
Y3	CMDZ5255B	CSI	dz	$V_2 = 28 \text{ В (5\%); } P_0 < 250 \text{ мВт}$	SOD-323, SC-76	К * А
Y3	MMSZ3371	ON	dz	$V_2 (I_{T1} = 5 \text{ мА}) = 31.35...34.65 \text{ В; } I_{B1} < 0.05 \text{ мА}$	SCD-123	К * А
Y4	CMDZ5256B	CSI	dz	$V_2 = 30 \text{ В (5\%); } P_0 < 250 \text{ мВт}$	SOD-323, SC-76	К * А
Y4	MMSZ3671	ON	dz	$V_2 (I_{T1} = 5 \text{ мА}) = 34.2...37.8 \text{ В; } I_{B1} < 0.05 \text{ мА}$	SCD-123	К * А
Y5	CMDZ5257B	CSI	dz	$V_2 = 33 \text{ В (5\%); } P_0 < 250 \text{ мВт}$	SOD-323, SC-76	К * А
Y5	MMSZ3971	ON	dz	$V_2 (I_{T1} = 5 \text{ мА}) = 37.05...41.0 \text{ В; } I_{B1} < 0.05 \text{ мА}$	SCD-123	К * А
Y6	CMDZ5258B	CSI	dz	$V_2 = 36 \text{ В (5\%); } P_0 < 250 \text{ мВт}$	SOD-323, SC-76	К * А
Y7	CMDZ5259B	CSI	dz	$V_2 = 39 \text{ В (5\%); } P_0 < 250 \text{ мВт}$	SOD-323, SC-76	К * А
Y8	CMDZ5260B	CSI	dz	$V_2 = 43 \text{ В (5\%); } P_0 < 250 \text{ мВт}$	SOD-323, SC-76	К * А
Y9	CMDZ5261B	CSI	dz	$V_2 = 47 \text{ В (5\%); } P_0 < 250 \text{ мВт}$	SOD-323, SC-76	К * А
YA	SMZG3801A	GS	dz	$V_2 (I_2 = 11.4 \text{ мА}) = 33 \text{ В} \pm 10\%; Z_{T1} = 33.0 \text{ Ом}$	DO-215AA	К * А
YB	SMZG3801B	GS	dz	$V_2 (I_2 = 11.4 \text{ мА}) = 33 \text{ В} \pm 5\%; Z_{T1} = 33.0 \text{ Ом}$	DO-215AA	К * А
YC	SMZG3802A	GS	dz	$V_2 (I_2 = 10.4 \text{ мА}) = 36 \text{ В} \pm 10\%; Z_{T1} = 36.0 \text{ Ом}$	DO-215AA	К * А
YD	SMZG3802B	GS	dz	$V_2 (I_2 = 10.4 \text{ мА}) = 36 \text{ В} \pm 5\%; Z_{T1} = 36.0 \text{ Ом}$	DO-215AA	К * А
YE	SMZG3803A	GS	dz	$V_2 (I_2 = 9.6 \text{ мА}) = 39 \text{ В} \pm 10\%; Z_{T1} = 45.0 \text{ Ом}$	DO-215AA	К * А
YF	SMZG3803B	GS	dz	$V_2 (I_2 = 9.6 \text{ мА}) = 39 \text{ В} \pm 5\%; Z_{T1} = 45.0 \text{ Ом}$	DO-215AA	К * А
YG	SMZG3804A	GS	dz	$V_2 (I_2 = 8.7 \text{ мА}) = 43 \text{ В} \pm 10\%; Z_{T1} = 53.0 \text{ Ом}$	DO-215AA	К * А
YH	SMZG3804B	GS	dz	$V_2 (I_2 = 8.7 \text{ мА}) = 43 \text{ В} \pm 5\%; Z_{T1} = 53.0 \text{ Ом}$	DO-215AA	К * А
YI	SMZG3805A	GS	dz	$V_2 (I_2 = 8.0 \text{ мА}) = 47 \text{ В} \pm 10\%; Z_{T1} = 67.0 \text{ Ом}$	DO-215AA	К * А
YJ	SMZG3805B	GS	dz	$V_2 (I_2 = 8.0 \text{ мА}) = 47 \text{ В} \pm 5\%; Z_{T1} = 67.0 \text{ Ом}$	DO-215AA	К * А
YK	SMZG3806A	GS	dz	$V_2 (I_2 = 7.3 \text{ мА}) = 51 \text{ В} \pm 10\%; Z_{T1} = 70.0 \text{ Ом}$	DO-215AA	К * А
YL	SMZG3806B	GS	dz	$V_2 (I_2 = 7.3 \text{ мА}) = 51 \text{ В} \pm 5\%; Z_{T1} = 70.0 \text{ Ом}$	DO-215AA	К * А
YP	CMDZ15L	CSI	dz	$V_2 (I_{T1} = 0.5 \text{ мА}) = 15 \text{ В; } P_0 < 250 \text{ мВт}$	SOD-323, SC-76	К * А
Z0	PDZ2.4B	PHIL	dz	$V_2 = 2.4 \text{ В; } Z_{T1} (I_2 = 5 \text{ мА}) = 100 \text{ Ом}$	SOD-323, SC-76	К * А
Z1	MMSZ4371	ON	dz	$V_2 (I_{T1} = 5 \text{ мА}) = 40.85...45.15 \text{ В; } I_{B1} < 0.05 \text{ мА}$	SCD-123	К * А
Z1	PDZ2.7B	PHIL	dz	$V_2 = 2.7 \text{ В; } Z_{T1} (I_2 = 5 \text{ мА}) = 100 \text{ Ом}$	SOD-323, SC-76	К * А
Z2	MMSZ4771	ON	dz	$V_2 (I_{T1} = 5 \text{ мА}) = 44.65...49.35 \text{ В; } I_{B1} < 0.05 \text{ мА}$	SCD-123	К * А
Z2	PDZ3.0B	PHIL	dz	$V_2 = 3.0 \text{ В; } Z_{T1} (I_2 = 5 \text{ мА}) = 95 \text{ Ом}$	SOD-323, SC-76	К * А
Z3	MMSZ5171	ON	dz	$V_2 (I_{T1} = 5 \text{ мА}) = 48.45...53.55 \text{ В; } I_{B1} < 0.05 \text{ мА}$	SCD-123	К * А
Z3	PDZ3.3B	PHIL	dz	$V_2 = 3.3 \text{ В; } Z_{T1} (I_2 = 5 \text{ мА}) = 95 \text{ Ом}$	SOD-323, SC-76	К * А
Z4	MMSZ5671	ON	dz	$V_2 (I_{T1} = 5 \text{ мА}) = 53.20...58.80 \text{ В; } I_{B1} < 0.05 \text{ мА}$	SCD-123	К * А
Z4	PDZ3.6B	PHIL	dz	$V_2 = 3.6 \text{ В; } Z_{T1} (I_2 = 5 \text{ мА}) = 90 \text{ Ом}$	SOD-323, SC-76	К * А
Z5	MMSZ6271	ON	dz	$V_2 (I_{T1} = 5 \text{ мА}) = 57.00...63.00 \text{ В; } I_{B1} < 0.05 \text{ мА}$	SCD-123	К * А
Z5	PDZ3.9B	PHIL	dz	$V_2 = 3.9 \text{ В; } Z_{T1} (I_2 = 5 \text{ мА}) = 90 \text{ Ом}$	SOD-323, SC-76	К * А



Код	Типономинал	Б	Ф	Особенности	Корпус	Ц:1+2
Z6	MMS268T1	ON	dz	$V_z(I_{z1}=5\text{ mA})=64,60...71,40\text{ В}$, $I_{H1}<0,05\text{ мА}$	SOD-123	K•A
Z6	PDZ4.3B	PHIL	dz	$V_z=4,3\text{ В}$, $Z_{T1}(I_z=5\text{ mA})=90\text{ Ом}$	SOD-323, SC-76	K•A
Z7	MMS275T1	ON	dz	$V_z(I_{z1}=5\text{ mA})=71,25...78,75\text{ В}$, $I_{H1}<0,05\text{ мА}$	SOD-123	K•A
Z7	PDZ4.7B	PHIL	dz	$V_z=4,7\text{ В}$, $Z_{T1}(I_z=5\text{ mA})=90\text{ Ом}$	SOD-323, SC-76	K•A
Z8	PDZ5.1B	PHIL	dz	$V_z=5,1\text{ В}$, $Z_{T1}(I_z=5\text{ mA})=90\text{ Ом}$	SOD-323, SC-76	K•A
Z9	PDZ5.6B	PHIL	dz	$V_z=5,6\text{ В}$, $Z_{T1}(I_z=5\text{ mA})=90\text{ Ом}$	SOD-323, SC-76	K•A
ZA	PDZ5.2B	PHIL	dz	$V_z=6,2\text{ В}$, $Z_{T1}(I_z=5\text{ mA})=90\text{ Ом}$	SOD-323, SC-76	K•A
ZA	SMZG3807A	GS	dz	$V_z(I_z=6,7\text{ mA})=56\text{ В} \pm 10\%$, $Z_{T1}=86,0\text{ Ом}$	DO-215AA	K•A
ZB	PDZ5.8B	PHIL	dz	$V_z=6,8\text{ В}$, $Z_{T1}(I_z=5\text{ mA})=40\text{ Ом}$	SOD-323, SC-76	K•A
ZB	SMZG3807B	GS	dz	$V_z(I_z=6,7\text{ mA})=56\text{ В} \pm 5\%$, $Z_{T1}=86,0\text{ Ом}$	DO-215AA	K•A
ZC	PDZ7.5B	PHIL	dz	$V_z=7,5\text{ В}$, $Z_{T1}(I_z=5\text{ mA})=10\text{ Ом}$	SOD-323, SC-76	K•A
ZC	SMZG3809A	GS	dz	$V_z(I_z=6,0\text{ mA})=62\text{ В} \pm 10\%$, $Z_{T1}=100,0\text{ Ом}$	DO-215AA	K•A
ZD	PDZ9.2B	PHIL	dz	$V_z=9,2\text{ В}$, $Z_{T1}(I_z=5\text{ mA})=10\text{ Ом}$	SOD-323, SC-76	K•A
ZD	SMZG3809B	GS	dz	$V_z(I_z=6,0\text{ mA})=62\text{ В} \pm 5\%$, $Z_{T1}=100,0\text{ Ом}$	DO-215AA	K•A
ZE	PDZ9.1B	PHIL	dz	$V_z=9,1\text{ В}$, $Z_{T1}(I_z=5\text{ mA})=10\text{ Ом}$	SOD-323, SC-76	K•A
ZE	SMZG3809A	GS	dz	$V_z(I_z=5,5\text{ mA})=68\text{ В} \pm 10\%$, $Z_{T1}=120,0\text{ Ом}$	DO-215AA	K•A
ZF	PDZ10B	PHIL	dz	$V_z=10\text{ В}$, $Z_{T1}(I_z=5\text{ mA})=10\text{ Ом}$	SOD-323, SC-76	K•A
ZF	SMZG3809B	GS	dz	$V_z(I_z=5,5\text{ mA})=68\text{ В} \pm 5\%$, $Z_{T1}=120,0\text{ Ом}$	DO-215AA	K•A
ZG	PDZ11B	PHIL	dz	$V_z=11\text{ В}$, $Z_{T1}(I_z=5\text{ mA})=10\text{ Ом}$	SOD-323, SC-76	K•A
ZH	PDZ12B	PHIL	dz	$V_z=12\text{ В}$, $Z_{T1}(I_z=5\text{ mA})=10\text{ Ом}$	SOD-323, SC-76	K•A
ZJ	PDZ13B	PHIL	dz	$V_z=13\text{ В}$, $Z_{T1}(I_z=5\text{ mA})=10\text{ Ом}$	SOD-323, SC-76	K•A
ZK	PDZ15B	PHIL	dz	$V_z=15\text{ В}$, $Z_{T1}(I_z=5\text{ mA})=15\text{ Ом}$	SOD-323, SC-76	K•A
ZL	PDZ16B	PHIL	dz	$V_z=16\text{ В}$, $Z_{T1}(I_z=5\text{ mA})=20\text{ Ом}$	SOD-323, SC-76	K•A
ZM	PDZ18B	PHIL	dz	$V_z=18\text{ В}$, $Z_{T1}(I_z=5\text{ mA})=20\text{ Ом}$	SOD-323, SC-76	K•A
ZN	PDZ20B	PHIL	dz	$V_z=20\text{ В}$, $Z_{T1}(I_z=5\text{ mA})=20\text{ Ом}$	SOD-323, SC-76	K•A
ZP	CMDZ16L	CSI	dz	$V_z(I_{z1}=0,5\text{ mA})=16\text{ В}$, $P_D<250\text{ мВт}$	SOD-323, SC-76	K•A
ZP	PDZ22B	PHIL	dz	$V_z=22\text{ В}$, $Z_{T1}(I_z=5\text{ mA})=25\text{ Ом}$	SOD-323, SC-76	K•A
ZQ	PDZ24B	PHIL	dz	$V_z=24\text{ В}$, $Z_{T1}(I_z=5\text{ mA})=30\text{ Ом}$	SOD-323, SC-76	K•A
ZR	PDZ27B	PHIL	dz	$V_z=27\text{ В}$, $Z_{T1}(I_z=5\text{ mA})=40\text{ Ом}$	SOD-323, SC-76	K•A
ZS	PDZ30B	PHIL	dz	$V_z=30\text{ В}$, $Z_{T1}(I_z=5\text{ mA})=40\text{ Ом}$	SOD-323, SC-76	K•A
ZT	PDZ33B	PHIL	dz	$V_z=33\text{ В}$, $Z_{T1}(I_z=5\text{ mA})=40\text{ Ом}$	SOD-323, SC-76	K•A
ZU	PDZ36B	PHIL	dz	$V_z=36\text{ В}$, $Z_{T1}(I_z=5\text{ mA})=60\text{ Ом}$	SOD-323, SC-76	K•A

SOD623
SOD723- SOD523
SCD80- SOD219AB
SMF

SOD523/623/723, DO219, SMF

Код	Типономинал	Б	Ф	Особенности	Корпус	Ц1*2
1	BA277	PHIL	dtv	$V_A < 35 В$; $I_k < 100 мА$; $V_F (I_F = 10 мА) < 1.0 В$; $I_{S1} < 0.05 мА$; $C_{D0} < 1.2 пФ$	SOD-523, SC-79	К*А
2	BB182	PHIL	var	$V_A > 32 В$; $I_k (V_A = 30 В) < 0.01 мА$; $C_{1B} = 52...62 пФ$; $C_{2B8} = 2.48...2.89 пФ$	SOD-523, SC-79	К*А
2	BB182	LRC	var	$V_A > 32 В$; $I_k (V_A = 30 В) < 0.01 мА$; $C_{1B} = 52...62 пФ$; $C_{2B8} = 2.48...2.89 пФ$	SOD-523, SC-79	К*А
5	BA892	PHIL	dtv	$V_A < 35 В$; $I_k < 10 мА$; $V_F (I_F = 100 мА) < 1.0 В$; $I_{S1} < 0.02 мА$	SOD-523, SC-79	К*А
7	BBY55-02V	INF	var	$V_A < 16 В$; $I_k < 20 мА$; $I_{S1} < 0.003 мА$; $C_{1B} = 17.5...19.6 пФ$; $C_{10B} = 5.5...6.5 пФ$	SOD-523, SC-79	К*А
8	BB178	PHIL	var	$V_A > 32 В$; $I_k (V_A = 30 В) < 0.01 мА$; $C_{1B} = 34.65...42.35 пФ$; $C_{2B8} = 2.361...2.754 пФ$	SOD-523, SC-79	К*А
8	BB178	LRC	var	$V_A > 32 В$; $I_k (V_A = 30 В) < 0.01 мА$; $C_{1B} = 34.65...42.35 пФ$; $C_{2B8} = 2.361...2.754 пФ$	SOD-523, SC-79	К*А
8	BBY58-02V	INF	var	$V_A < 10 В$; $I_k < 20 мА$; $I_{S1} < 0.01 мА$; $C_{1B} = 17.5...19.3 пФ$; $C_{4B} = 5.5...6.6 пФ$	SOD-523, SC-79	К*А
9	BB179	PHIL	var	$V_A > 30 В$; $I_k (V_A = 30 В) < 0.01 мА$; $C_{1B} = 18.22...21.26 пФ$; $C_{2B8} = 1.951...2.225 пФ$	SOD-523, SC-79	К*А
9	BB179	LRC	var	$V_A > 30 В$; $I_k (V_A = 30 В) < 0.01 мА$; $C_{1B} = 18.22...21.26 пФ$; $C_{2B8} = 1.951...2.225 пФ$	SOD-523, SC-79	К*А
64	BAT64-02W	INF	shd	$V_A < 40 В$; $I_k < 250 мА$; $V_F (I_F = 100 мА) < 0.75 В$; $I_{S1} < 2 мА$; $C_{D0} < 6 пФ$	SCD-80	К*А
66	BBY56-02W	INF	var	$V_A < 10 В$; $I_k < 20 мА$; $I_{S1} < 0.005 мА$; $C_{1B} = 37...43 пФ$; $C_{4B} = 12.1 пФ$	SCD-80	К*А
77	BBY55-02W	INF	var	$V_A < 16 В$; $I_k < 20 мА$; $I_{S1} < 0.003 мА$; $C_{1B} = 17.5...19.6 пФ$; $C_{10B} = 5.5...6.5 пФ$	SCD-80	К*А
81	ZMV831BV2	ZETEX	var	$V_A < 25 В$; $I_k < 200 мА$; $I_{S1} < 0.02 мА$; $C_{1B} = 14.25...15.75 пФ$; $C_{2B}/C_{3B} = 4.5...6.0$	SOD-523, SC-79	К*А
82	ZMV832BV2	ZETEX	var	$V_A < 25 В$; $I_k < 200 мА$; $I_{S1} < 0.02 мА$; $C_{2B} = 20.9...23.1 пФ$; $C_{2B}/C_{3B} = 5...6.5$	SOD-523, SC-79	К*А
88	BBY58-02W	INF	var	$V_A < 10 В$; $I_k < 20 мА$; $I_{S1} < 0.01 мА$; $C_{1B} = 17.5...19.3 пФ$; $C_{4B} = 5.5...6.6 пФ$	SCD-80	К*А
91	ZV931V2	ZETEX	var	$V_A < 12 В$; $I_k < 100 мА$; $I_{S1} < 0.1 мА$; $C_{2.5B} = 6.5...7.8 пФ$	SOD-523, SC-79	К*А
92	ZV932V2	ZETEX	var	$V_A < 12 В$; $I_k < 100 мА$; $I_{S1} < 0.1 мА$; $C_{2.5B} = 8.5...10.5 пФ$	SOD-523, SC-79	К*А
93	ZV933V2	ZETEX	var	$V_A < 12 В$; $I_k < 100 мА$; $I_{S1} < 0.1 мА$; $C_{2.5B} = 18...27 пФ$	SOD-523, SC-79	К*А
0	BZX584C5V8-02V	VISH	dtz	$V_Z (I_{ZT} = 5 мА) = 5...6 В$; $Z_{T1} < 40 Ом$	SOD-523, SC-79	К*А
0	JDS2503S	TOSH	clf	$V_A < 30 В$; $I_k < 100 мА$; $V_F (I_F = 2 мА) < 0.85 В$; $I_{S1} < 0.1 мА$; $C_{D0} < 1.2 пФ$	SOD-623	К*А
1	BZX584C16-02V	VISH	dtz	$V_Z (I_{ZT} = 5 мА) = 15.3...17.1 В$; $Z_{T1} < 40 Ом$	SOD-523, SC-79	К*А
1	BZX584C22-02V	VISH	dtz	$V_Z (I_{ZT} = 5 мА) = 21.6...22.4 В$; $Z_{T1} < 55 Ом$	SOD-523, SC-79	К*А
1	BZX584C35V1-02V	VISH	dtz	$V_Z (I_{ZT} = 5 мА) = 4.8...5.4 В$; $Z_{T1} < 60 Ом$	SOD-523, SC-79	К*А
1	BZX584C35V2-02V	VISH	dtz	$V_Z (I_{ZT} = 5 мА) = 5.8...6.6 В$; $Z_{T1} < 10 Ом$	SOD-523, SC-79	К*А
2	BZX584C18-02V	VISH	dtz	$V_Z (I_{ZT} = 5 мА) = 16.8...19.1 В$; $Z_{T1} < 45 Ом$	SOD-523, SC-79	К*А
2	BZX584C2V4-02V	VISH	dtz	$V_Z (I_{ZT} = 5 мА) = 2.2...2.6 В$; $Z_{T1} < 100 Ом$	SOD-523, SC-79	К*А
2	BZX584C3V8-02V	VISH	dtz	$V_Z (I_{ZT} = 5 мА) = 6.4...7.2 В$; $Z_{T1} < 15 Ом$	SOD-523, SC-79	К*А
3	BZX584C2V7-02V	VISH	dtz	$V_Z (I_{ZT} = 5 мА) = 2.5...2.9 В$; $Z_{T1} < 100 Ом$	SOD-523, SC-79	К*А
3	BZX584C7V5-02V	VISH	dtz	$V_Z (I_{ZT} = 5 мА) = 7...7.9 В$; $Z_{T1} < 15 Ом$	SOD-523, SC-79	К*А
4	BB684-02V	INF	var	$V_A < 30 В$; $I_k < 20 мА$; $I_{S1} < 0.01 мА$; $C_{1B} = 39...44.5 пФ$; $C_{2B8} = 2.4...2.75$	SOD-523, SC-79	К*А
4	BZX584C15-02V	VISH	dtz	$V_Z (I_{ZT} = 5 мА) = 13.8...15.6 В$; $Z_{T1} < 30 Ом$	SOD-523, SC-79	К*А
4	BZX584C20-02V	VISH	dtz	$V_Z (I_{ZT} = 5 мА) = 18.8...21.2 В$; $Z_{T1} < 55 Ом$	SOD-523, SC-79	К*А
4	BZX584C3V0-02V	VISH	dtz	$V_Z (I_{ZT} = 5 мА) = 2.8...3.2 В$; $Z_{T1} < 95 Ом$	SOD-523, SC-79	К*А
44	BB684	INF	var	$V_A < 30 В$; $I_k < 20 мА$; $I_{S1} < 0.01 мА$; $C_{1B} = 39...44.5 пФ$; $C_{2B8} = 2.4...2.75$	SCD-80	К*А
55	BBY57-02V	INF	var	$V_A < 10 В$; $I_k < 20 мА$; $I_{S1} < 0.01 мА$; $C_{1B} = 16.5...18.6 пФ$; $C_{4B} = 3.5...5.5 пФ$	SOD-523, SC-79	К*А
5	BZX584C13-02V	VISH	dtz	$V_Z (I_{ZT} = 5 мА) = 12.4...14.1 В$; $Z_{T1} < 30 Ом$	SOD-523, SC-79	К*А
5	BZX584C24-02V	VISH	dtz	$V_Z (I_{ZT} = 5 мА) = 22.8...23.3 В$; $Z_{T1} < 70 Ом$	SOD-523, SC-79	К*А
5	BZX584C3V3-02V	VISH	dtz	$V_Z (I_{ZT} = 5 мА) = 3.1...3.5 В$; $Z_{T1} < 95 Ом$	SOD-523, SC-79	К*А
55	BBY57-02W	INF	var	$V_A < 10 В$; $I_k < 20 мА$; $I_{S1} < 0.01 мА$; $C_{1B} = 16.5...18.6 пФ$; $C_{4B} = 3.5...5.5 пФ$	SCD-80	К*А
6	BAS16-02V	INF	dti	$V_A < 80 В$; $I_k < 200 мА$; $V_F (I_F = 150 мА) < 1.25 В$; $I_{S1} < 50 мА$	SOD-523, SC-79	К*А
6	BZX584C3V6-02V	VISH	dtz	$V_Z (I_{ZT} = 5 мА) = 3.4...3.8 В$; $Z_{T1} < 90 Ом$	SOD-523, SC-79	К*А
62	BAT62-02W	INF	shd	$V_A < 40 В$; $I_k < 20 мА$; $V_F (I_F = 2 мА) < 1 В$; $I_{S1} < 10 мА$; $C_{D0} < 0.5 пФ$	SCD-80	К*А
7	BZX584C12-02V	VISH	dtz	$V_Z (I_{ZT} = 5 мА) = 11.4...12.7 В$; $Z_{T1} < 25 Ом$	SOD-523, SC-79	К*А
7	BZX584C27-02V	VISH	dtz	$V_Z (I_{ZT} = 2 мА) = 25.1...28.9 В$; $Z_{T1} < 80 Ом$	SOD-523, SC-79	К*А
7	BZX584C3V9-02V	VISH	dtz	$V_Z (I_{ZT} = 5 мА) = 3.7...4.1 В$; $Z_{T1} < 90 Ом$	SOD-523, SC-79	К*А
73	BAS70-02W	INF	shd	$V_A < 70 В$; $I_k < 70 мА$; $V_F (I_F = 15 мА) < 1.0 В$; $I_{S1} < 0.1 мА$; $C_{D0} < 2.0 пФ$	SCD-80	К*А
8	BZX584C4V3-02V	VISH	dtz	$V_Z (I_{ZT} = 5 мА) = 4.0...4.6 В$; $Z_{T1} < 90 Ом$	SOD-523, SC-79	К*А

- SOD623
SOD723

- SOD523
SCD80

■ SOD219AB
SMF



Код	Типоминал	Б	Ф	Особенности	Корпус	Ц:1*2
9	BZX584C33-02V	VISH	dz	$V_2 (I_{T1}=2\text{mA})=31...35\text{ В}$, $Z_{T1}<80\text{ Ом}$	SOD-523, SC-79	К*А
9	BZX584C4V7-02V	VISH	dz	$V_2 (I_{T1}=5\text{mA})=4.4...5.0\text{ В}$, $Z_{T1}<80\text{ Ом}$	SOD-523, SC-79	К*А
A	1SS400	ROHM	di	$V_R > 80\text{ В}$, $I_R < 225\text{ мА}$, $V_F (I_F=100\text{ мА}) < 1.2\text{ В}$, $I_{S1} < 0.1\text{ мА}$, $I_{FS1} < 4\text{ нс}$	SOD-523, SC-79	К*А
A	BA892-02L	INF	div	$V_R < 35\text{ В}$, $I_R < 10\text{ мА}$, $V_F (I_F=100\text{ мА}) < 1.0\text{ В}$, $I_{S1} < 0.02\text{ мА}$	SOD-523, SC-79	К*А
A	JDV2506S	TOSH	var	$V_R < 10\text{ В}$, $I_R < 0.003\text{ мА}$, $C_{1B}=15...17\text{ пФ}$, $C_{4B}=7.0...8.5$	SOD-523	К*А
A, 4	1SS400	WBT	di	$V_R > 80\text{ В}$, $I_R < 100\text{ мА}$, $V_F (I_F=100\text{ мА}) < 1.2\text{ В}$, $I_{S1} < 0.1\text{ мА}$, $I_{FS1} < 4\text{ нс}$	SOD-523, SC-79	К*А
A1	BB208-02	PHIL	var	$V_R > 10\text{ В}$, $I_R (V_R=10\text{ В}) < 0.01\text{ мА}$, $C_{1B}=19.9...23.2\text{ пФ}$, $C_{7.5B}=4.5...5.4\text{ пФ}$	SOD-523, SC-79	К*А
A2	BB184	PHIL	var	$V_R > 13\text{ В}$, $I_R (V_R=10\text{ В}) < 0.01\text{ мА}$, $C_{1B}=12.7...15.3\text{ пФ}$, $C_{10B}=1.87...2.13\text{ пФ}$	SOD-523, SC-79	К*А
A6	BAS16-02W	INF	di	$V_R > 80\text{ В}$, $I_R < 200\text{ мА}$, $V_F (I_F=150\text{ мА}) < 1.25\text{ В}$, $I_{S1} < 60\text{ мА}$	SCD-80	К*А
AA	BA892	INF	div	$V_R < 35\text{ В}$, $I_R < 10\text{ мА}$, $V_F (I_F=100\text{ мА}) < 1.0\text{ В}$, $I_{S1} < 0.02\text{ мА}$	SCD-80	К*А
AB	BB555	INF	var	$V_R < 30\text{ В}$, $I_R < 20\text{ мА}$, $I_{S1} < 0.01\text{ мА}$, $C_{1B}=17.5...20\text{ пФ}$, $C_{1B}/C_{28B}=8.2...9.8$	SCD-80	К*А
B	JDV2509S	TOSH	var	$V_R < 10\text{ В}$, $I_R < 0.003\text{ мА}$, $C_{1B}=9.7...11.1\text{ пФ}$, $C_{4B}=4.45...5.45$	SOD-523	К*А
BB	BB555-02V	INF	var	$V_R < 30\text{ В}$, $I_R < 20\text{ мА}$, $I_{S1} < 0.01\text{ мА}$, $C_{1B}=17.5...20\text{ пФ}$, $C_{1B}/C_{28B}=8.2...9.8$	SOD-523, SC-79	К*А
C	BB179B	PHIL	var	$V_R < 32\text{ В}$, $I_R (V_R=30\text{ В}) < 0.01\text{ мА}$, $C_{1B}=18.22...20\text{ пФ}$, $C_{28B}=1.9...2.25\text{ пФ}$	SOD-523, SC-79	К*А
C	BB555-02V	INF	var	$V_R < 30\text{ В}$, $I_R < 20\text{ мА}$, $I_{S1} < 0.01\text{ мА}$, $C_{1B}=18.5...21.5\text{ пФ}$, $C_{1B}/C_{28B}=9...11$	SOD-523, SC-79	К*А
C	JDV2508S	TOSH	var	$V_R < 10\text{ В}$, $I_R < 0.003\text{ мА}$, $C_{1B}=17.3...19.3\text{ пФ}$, $C_{4B}=5.3...6.6$	SCD-523	К*А
C0	BZX585-B5V6	PHIL	dz	$V_2 (I_{T1}=5\text{mA})=5.49...5.71\text{ В}$, $Z_{T1}<40\text{ Ом}$	SOD-523, SC-79	К*А
C1	1SS387	TOSH	di	$V_R > 80\text{ В}$, $I_R < 200\text{ мА}$, $V_F (I_F=100\text{ мА}) < 1.2\text{ В}$, $I_{S1} < 0.5\text{ мА}$, $I_{FS1} < 4\text{ нс}$	SOD-523, SC-79	К*А
C1	BZX585-B2V4	PHIL	dz	$V_2 (I_{T1}=5\text{mA})=2.35...2.45\text{ В}$, $Z_{T1}<100\text{ Ом}$	SOD-523, SC-79	К*А
C2	BZX585-B2V7	PHIL	dz	$V_2 (I_{T1}=5\text{mA})=2.65...2.75\text{ В}$, $Z_{T1}<100\text{ Ом}$	SOD-523, SC-79	К*А
C3	BZX585-B3V0	PHIL	dz	$V_2 (I_{T1}=5\text{mA})=2.94...3.06\text{ В}$, $Z_{T1}<95\text{ Ом}$	SOD-523, SC-79	К*А
C4	BZX585-B3V3	PHIL	dz	$V_2 (I_{T1}=5\text{mA})=3.23...3.37\text{ В}$, $Z_{T1}<95\text{ Ом}$	SOD-523, SC-79	К*А
C5	BZX585-B3V6	PHIL	dz	$V_2 (I_{T1}=5\text{mA})=3.53...3.67\text{ В}$, $Z_{T1}<90\text{ Ом}$	SOD-523, SC-79	К*А
C6	BZX585-B3V9	PHIL	dz	$V_2 (I_{T1}=5\text{mA})=3.82...3.98\text{ В}$, $Z_{T1}<90\text{ Ом}$	SOD-523, SC-79	К*А
C7	BZX585-B4V3	PHIL	dz	$V_2 (I_{T1}=5\text{mA})=4.21...4.39\text{ В}$, $Z_{T1}<90\text{ Ом}$	SOD-523, SC-79	К*А
C8	BZX585-B4V7	PHIL	dz	$V_2 (I_{T1}=5\text{mA})=4.61...4.79\text{ В}$, $Z_{T1}<80\text{ Ом}$	SOD-523, SC-79	К*А
C9	BZX585-B5V1	PHIL	dz	$V_2 (I_{T1}=5\text{mA})=5.0...5.2\text{ В}$, $Z_{T1}<60\text{ Ом}$	SOD-523, SC-79	К*А
CC	BB555	INF	var	$V_R < 30\text{ В}$, $I_R < 20\text{ мА}$, $I_{S1} < 0.01\text{ мА}$, $C_{1B}=18.5...21.5\text{ пФ}$, $C_{1B}/C_{28B}=9...11$	SCD-80	К*А
D	JDV2507S	TOSH	var	$V_R < 10\text{ В}$, $I_R < 0.003\text{ мА}$, $C_{1B}=4.0...4.9\text{ пФ}$, $C_{4B}=1.85...2.35$	SOD-523	К*А
D0	BZD27C3V6P	VISH	dz	$V_2 (I_{T1}=100\text{ мА})=3.4...3.8\text{ В}$, $Z_{T1}<8\text{ Ом}$	DO-219AB, SMF	К*А
D1	BZD27C3V9P	VISH	dz	$V_2 (I_{T1}=100\text{ мА})=3.7...4.1\text{ В}$, $Z_{T1}<8\text{ Ом}$	DO-219AB, SMF	К*А
D2	BZD27C4V3P	VISH	dz	$V_2 (I_{T1}=100\text{ мА})=4...4.6\text{ В}$, $Z_{T1}<7\text{ Ом}$	DO-219AB, SMF	К*А
D3	BZD27C4V7P	VISH	dz	$V_2 (I_{T1}=100\text{ мА})=4.4...5\text{ В}$, $Z_{T1}<7\text{ Ом}$	DO-219AB, SMF	К*А
D4	BZD27C5V1P	VISH	dz	$V_2 (I_{T1}=100\text{ мА})=4.8...5.4\text{ В}$, $Z_{T1}<6\text{ Ом}$	DO-219AB, SMF	К*А
D5	BZD27C5V6P	VISH	dz	$V_2 (I_{T1}=100\text{ мА})=5.2...6\text{ В}$, $Z_{T1}<4\text{ Ом}$	DO-219AB, SMF	К*А
D6	BZD27C6V2P	VISH	dz	$V_2 (I_{T1}=100\text{ мА})=5.8...6.6\text{ В}$, $Z_{T1}<3\text{ Ом}$	DO-219AB, SMF	К*А
D7	BZD27C6V8P	VISH	dz	$V_2 (I_{T1}=100\text{ мА})=6.4...7.2\text{ В}$, $Z_{T1}<3\text{ Ом}$	DO-219AB, SMF	К*А
D8	BZD27C7V5P	VISH	dz	$V_2 (I_{T1}=100\text{ мА})=7...7.9\text{ В}$, $Z_{T1}<2\text{ Ом}$	DO-219AB, SMF	К*А
D9	BZD27C8V2P	VISH	dz	$V_2 (I_{T1}=100\text{ мА})=7.7...8.7\text{ В}$, $Z_{T1}<2\text{ Ом}$	DO-219AB, SMF	К*А
DE	BB555	INF	var	$V_R < 30\text{ В}$, $I_R < 20\text{ мА}$, $I_{S1} < 0.01\text{ мА}$, $C_{1B}=36...40\text{ пФ}$, $C_{1B}/C_{28B}=14.7$	SCD-80	К*А
E	BB589-02V	INF	var	$V_R < 30\text{ В}$, $I_R < 20\text{ мА}$, $I_{S1} < 0.01\text{ мА}$, $C_{1B}=51...61.5\text{ пФ}$, $C_{28B}=2.5...2.9$	SOD-523, SC-79	К*А
E	JDV2513S	TOSH	var	$V_R < 10\text{ В}$, $I_R < 0.003\text{ мА}$, $C_{1B}=5.7...6.7\text{ пФ}$, $C_{4B}=1.85...2.45$	SOD-523	К*А
E0	BZD27C9V1P	VISH	dz	$V_2 (I_{T1}=50\text{ мА})=8.5...9.6\text{ В}$, $Z_{T1}<4\text{ Ом}$	DO-219AB, SMF	К*А
E0	BZX585-B15	PHIL	dz	$V_2 (I_{T1}=5\text{mA})=14.7...15.3\text{ В}$, $Z_{T1}<15\text{ Ом}$	SOD-523, SC-79	К*А
E1	BZD27C10P	VISH	dz	$V_2 (I_{T1}=50\text{ мА})=9.4...10.6\text{ В}$, $Z_{T1}<4\text{ Ом}$	DO-219AB, SMF	К*А
E1	BZX585-B6V2	PHIL	dz	$V_2 (I_{T1}=5\text{mA})=6.08...6.32\text{ В}$, $Z_{T1}<10\text{ Ом}$	SOD-523, SC-79	К*А
E2	BZD27C11P	VISH	dz	$V_2 (I_{T1}=50\text{ мА})=10.4...11.6\text{ В}$, $Z_{T1}<7\text{ Ом}$	DO-219AB, SMF	К*А
E2	BZX585-B6V8	PHIL	dz	$V_2 (I_{T1}=5\text{mA})=6.66...6.94\text{ В}$, $Z_{T1}<10\text{ Ом}$	SOD-523, SC-79	К*А
E3	BZD27C12P	VISH	dz	$V_2 (I_{T1}=50\text{ мА})=11.4...12.7\text{ В}$, $Z_{T1}<7\text{ Ом}$	DO-219AB, SMF	К*А
E3	BZX585-B7V5	PHIL	dz	$V_2 (I_{T1}=5\text{mA})=7.35...7.65\text{ В}$, $Z_{T1}<10\text{ Ом}$	SOD-523, SC-79	К*А
E4	BZD27C13P	VISH	dz	$V_2 (I_{T1}=50\text{ мА})=12.4...14.1\text{ В}$, $Z_{T1}<10\text{ Ом}$	DO-219AB, SMF	К*А
E4	BZX585-B8V2	PHIL	dz	$V_2 (I_{T1}=5\text{mA})=8.04...8.36\text{ В}$, $Z_{T1}<10\text{ Ом}$	SOD-523, SC-79	К*А



SOD623
SOD723

SOD523
SCD80

SOD219AB
SMF

Код	Типономинал	Б	Ф	Особенности	Корпус	Ц:1*2
E5	BZD27C15P	VISH	dz	$V_z (I_{ZT}=50\text{ mA})=13.8...15.6\text{ В}$; $Z_{T1}<10\text{ Ом}$	DO-219AB, SMF	К*А
E5	BZX585-B9V1	PHIL	dz	$V_z (I_{ZT}=5\text{ mA})=8.92...9.28\text{ В}$; $Z_{T1}<10\text{ Ом}$	SOD-523, SC-79	К*А
E6	BZD27C16P	VISH	dz	$V_z (I_{ZT}=25\text{ mA})=15.3...17.1\text{ В}$; $Z_{T1}<15\text{ Ом}$	DO-219AB, SMF	К*А
E6	BZX585-B10	PHIL	dz	$V_z (I_{ZT}=5\text{ mA})=9.8...10.2\text{ В}$; $Z_{T1}<10\text{ Ом}$	SOD-523, SC-79	К*А
E7	BZD27C18P	VISH	dz	$V_z (I_{ZT}=25\text{ mA})=16.8...19.1\text{ В}$; $Z_{T1}<15\text{ Ом}$	DO-219AB, SMF	К*А
E7	BZX585-B11	PHIL	dz	$V_z (I_{ZT}=5\text{ mA})=10.8...11.2\text{ В}$; $Z_{T1}<10\text{ Ом}$	SOD-523, SC-79	К*А
E8	BZD27C20P	VISH	dz	$V_z (I_{ZT}=25\text{ mA})=18.8...21.2\text{ В}$; $Z_{T1}<15\text{ Ом}$	DO-219AB, SMF	К*А
E8	BZX585-B12	PHIL	dz	$V_z (I_{ZT}=5\text{ mA})=11.8...12.2\text{ В}$; $Z_{T1}<10\text{ Ом}$	SOD-523, SC-79	К*А
E9	BZD27C22P	VISH	dz	$V_z (I_{ZT}=25\text{ mA})=20.8...23.3\text{ В}$; $Z_{T1}<15\text{ Ом}$	DO-219AB, SMF	К*А
E9	BZX585-B13	PHIL	dz	$V_z (I_{ZT}=5\text{ mA})=12.7...13.3\text{ В}$; $Z_{T1}<10\text{ Ом}$	SOD-523, SC-79	К*А
EE	BB889	INF	var	$V_A<30\text{ В}$; $I_A<20\text{ mA}$; $I_{B1}<0.01\text{ mA}$; $C_{1B}=51...61.5\text{ нФ}$; $C_{288}=2.5...2.9$	SCD-80	К*А
F	BAS20-02W	SIEM	di	$V_A<150\text{ В}$; $I_A<200\text{ mA}$; $V_{CE1}=100\text{ mA}$; $I_{B1}<0.1\text{ mA}$; $C_{1B}<5.0\text{ нФ}$; $I_{B1B}<50\text{ нс}$	SCD-80	К*А
F	BBY85-02V	INF	var	$V_A<15\text{ В}$; $I_A<50\text{ mA}$; $I_{B1}<0.01\text{ mA}$; $C_{1B}=20.25\text{ нФ}$; $C_{47V}=2.6...2.8\text{ нФ}$	SOD-523, SC-79	К*А
F	JDV2510S	TOSH	var	$V_A<10\text{ В}$; $I_A<0.003\text{ mA}$; $C_{1B}=7.3...8.4\text{ нФ}$; $C_{25B}=2.75...3.4$	SOD-523	К*А
F0	BZD27C24P	VISH	dz	$V_z (I_{ZT}=25\text{ mA})=22.8...25.6\text{ В}$; $Z_{T1}<15\text{ Ом}$	DO-219AB, SMF	К*А
F0	BZX585-C5V6	PHIL	dz	$V_z (I_{ZT}=5\text{ mA})=5.32...5.88\text{ В}$; $Z_{T1}<40\text{ Ом}$	SOD-523, SC-79	К*А
F0	CMQZ5V6	CSI	dz	$V_z=5.6\text{ В}(5\%)$; $P_D<350\text{ мВт}$	SOD-523, SC-79	К*А
F1	BZD27C27P	VISH	dz	$V_z (I_{ZT}=25\text{ mA})=25.1...28.9\text{ В}$; $Z_{T1}<15\text{ Ом}$	DO-219AB, SMF	К*А
F1	BZX585-C2V4	PHIL	dz	$V_z (I_{ZT}=5\text{ mA})=2.28...2.52\text{ В}$; $Z_{T1}<100\text{ Ом}$	SOD-523, SC-79	К*А
F1	CMQZ2V4	CSI	dz	$V_z=2.4\text{ В}(5\%)$; $P_D<350\text{ мВт}$	SOD-523, SC-79	К*А
F1A	CMQZ2V6	CSI	dz	$V_z=2.6\text{ В}(5\%)$; $P_D<350\text{ мВт}$	SOD-523, SC-79	К*А
F2	BZD27C30P	VISH	dz	$V_z (I_{ZT}=25\text{ mA})=28...32\text{ В}$; $Z_{T1}<15\text{ Ом}$	DO-219AB, SMF	К*А
F2	BZX585-C2V7	PHIL	dz	$V_z (I_{ZT}=5\text{ mA})=2.57...2.84\text{ В}$; $Z_{T1}<100\text{ Ом}$	SOD-523, SC-79	К*А
F2	CMQZ2V7	CSI	dz	$V_z=2.7\text{ В}(5\%)$; $P_D<350\text{ мВт}$	SOD-523, SC-79	К*А
F3	BZD27C33P	VISH	dz	$V_z (I_{ZT}=25\text{ mA})=31...35\text{ В}$; $Z_{T1}<15\text{ Ом}$	DO-219AB, SMF	К*А
F3	BZX585-C3V0	PHIL	dz	$V_z (I_{ZT}=5\text{ mA})=2.85...3.15\text{ В}$; $Z_{T1}<95\text{ Ом}$	SOD-523, SC-79	К*А
F3	CMQZ3V0	CSI	dz	$V_z=3.0\text{ В}(5\%)$; $P_D<350\text{ мВт}$	SOD-523, SC-79	К*А
F4	BZD27C36P	VISH	dz	$V_z (I_{ZT}=10\text{ mA})=34...38\text{ В}$; $Z_{T1}<40\text{ Ом}$	DO-219AB, SMF	К*А
F4	BZX585-C3V3	PHIL	dz	$V_z (I_{ZT}=5\text{ mA})=3.14...3.47\text{ В}$; $Z_{T1}<95\text{ Ом}$	SOD-523, SC-79	К*А
F4	CMQZ3V3	CSI	dz	$V_z=3.3\text{ В}(5\%)$; $P_D<350\text{ мВт}$	SOD-523, SC-79	К*А
F5	BZD27C39P	VISH	dz	$V_z (I_{ZT}=10\text{ mA})=37...41\text{ В}$; $Z_{T1}<40\text{ Ом}$	DO-219AB, SMF	К*А
F5	BZX585-C3V6	PHIL	dz	$V_z (I_{ZT}=5\text{ mA})=3.42...3.78\text{ В}$; $Z_{T1}<90\text{ Ом}$	SOD-523, SC-79	К*А
F5	CMQZ3V6	CSI	dz	$V_z=3.6\text{ В}(5\%)$; $P_D<350\text{ мВт}$	SOD-523, SC-79	К*А
F6	BZD27C43P	VISH	dz	$V_z (I_{ZT}=10\text{ mA})=40...46\text{ В}$; $Z_{T1}<45\text{ Ом}$	DO-219AB, SMF	К*А
F6	BZX585-C3V9	PHIL	dz	$V_z (I_{ZT}=5\text{ mA})=3.71...4.10\text{ В}$; $Z_{T1}<90\text{ Ом}$	SOD-523, SC-79	К*А
F6	CMQZ3V9	CSI	dz	$V_z=3.9\text{ В}(5\%)$; $P_D<350\text{ мВт}$	SOD-523, SC-79	К*А
F7	BZD27C47P	VISH	dz	$V_z (I_{ZT}=10\text{ mA})=44...50\text{ В}$; $Z_{T1}<45\text{ Ом}$	DO-219AB, SMF	К*А
F7	BZX585-C4V3	PHIL	dz	$V_z (I_{ZT}=5\text{ mA})=4.09...4.52\text{ В}$; $Z_{T1}<90\text{ Ом}$	SOD-523, SC-79	К*А
F7	CMQZ4V3	CSI	dz	$V_z=4.3\text{ В}(5\%)$; $P_D<350\text{ мВт}$	SOD-523, SC-79	К*А
F8	BZD27C51P	VISH	dz	$V_z (I_{ZT}=10\text{ mA})=48...54\text{ В}$; $Z_{T1}<60\text{ Ом}$	DO-219AB, SMF	К*А
F8	BZX585-C4V7	PHIL	dz	$V_z (I_{ZT}=5\text{ mA})=4.47...4.94\text{ В}$; $Z_{T1}<80\text{ Ом}$	SOD-523, SC-79	К*А
F8	CMQZ4V7	CSI	dz	$V_z=4.7\text{ В}(5\%)$; $P_D<350\text{ мВт}$	SOD-523, SC-79	К*А
F9	BZD27C56P	VISH	dz	$V_z (I_{ZT}=10\text{ mA})=52...60\text{ В}$; $Z_{T1}<60\text{ Ом}$	DO-219AB, SMF	К*А
F9	BZX585-C5V1	PHIL	dz	$V_z (I_{ZT}=5\text{ mA})=4.85...5.36\text{ В}$; $Z_{T1}<60\text{ Ом}$	SOD-523, SC-79	К*А
F9	CMQZ5V1	CSI	dz	$V_z=5.1\text{ В}(5\%)$; $P_D<350\text{ мВт}$	SOD-523, SC-79	К*А
FA	JDV2501E	TOSH	var	$V_A<10\text{ В}$; $I_A<0.003\text{ mA}$; $C_{1B}=2.85...3.45\text{ нФ}$; $C_{4B}=1.35...1.81$	SOD-523, SC-79	К*А
FA	JDV2502E	TOSH	var	$V_A<10\text{ В}$; $I_A<0.003\text{ mA}$; $C_{1B}=1.8...2.3\text{ нФ}$; $C_{4B}=0.83...1.23$	SOD-523, SC-79	К*А
FE	JDV2505E	TOSH	var	$V_A<10\text{ В}$; $I_A<0.003\text{ mA}$; $C_{1B}=3.85...4.55\text{ нФ}$; $C_{4B}=1.94...2.48$	SOD-523, SC-79	К*А
FH	JDV2514E	TOSH	var	$V_A<10\text{ В}$; $I_A<0.003\text{ mA}$; $C_{1B}=44...49.5\text{ нФ}$; $C_{4B}=9.2...12$	SOD-523, SC-79	К*А
G	BAR83-02V	INF	pin	$V_A<50\text{ В}$; $I_A<100\text{ mA}$; $V_{CE1}=100\text{ mA}$; $I_{B1}<0.01\text{ mA}$	SOD-523, SC-79	К*А
G	JDV2501S	TOSH	var	$V_A<10\text{ В}$; $I_A<0.003\text{ mA}$; $C_{1B}=2.85...3.45\text{ нФ}$; $C_{4B}=1.35...1.81$	SOD-523	К*А
G0	BZD27C52P	VISH	dz	$V_z (I_{ZT}=10\text{ mA})=58...66\text{ В}$; $Z_{T1}<80\text{ Ом}$	DO-219AB, SMF	К*А

- SOD623
SOD723

- SOD523
SCD80

■ SOD219AB
SMF



Код	Типоминал	Б	Ф	Особенности	Корпус	Ц:1+2
G1	BZD27C68P	VISH	dz	$V_Z (I_{ZT}=10\text{mA})=64...72\text{B}$; $Z_{T1}<80\text{Om}$	DC-219AB, SMF	K•A
G2	BZD27C75P	VISH	dz	$V_Z (I_{ZT}=10\text{mA})=70...79\text{B}$; $Z_{T1}<100\text{Om}$	DC-219AB, SMF	K•A
G3	BZD27C82P	VISH	dz	$V_Z (I_{ZT}=10\text{mA})=77...87\text{B}$; $Z_{T1}<100\text{Om}$	DC-219AB, SMF	K•A
G4	BZD27C91P	VISH	dz	$V_Z (I_{ZT}=5\text{mA})=85...96\text{B}$; $Z_{T1}<200\text{Om}$	DC-219AB, SMF	K•A
G5	BZD27C100P	VISH	dz	$V_Z (I_{ZT}=5\text{mA})=94...106\text{B}$; $Z_{T1}<200\text{Om}$	DC-219AB, SMF	K•A
G6	BZD27C110P	VISH	dz	$V_Z (I_{ZT}=5\text{mA})=104...116\text{B}$; $Z_{T1}<250\text{Om}$	DC-219AB, SMF	K•A
G7	BZD27C120P	VISH	dz	$V_Z (I_{ZT}=5\text{mA})=114...127\text{B}$; $Z_{T1}<250\text{Om}$	DC-219AB, SMF	K•A
G8	BZD27C130P	VISH	dz	$V_Z (I_{ZT}=5\text{mA})=124...141\text{B}$; $Z_{T1}<300\text{Om}$	DC-219AB, SMF	K•A
G9	BZD27C150P	VISH	dz	$V_Z (I_{ZT}=5\text{mA})=138...156\text{B}$; $Z_{T1}<300\text{Om}$	DC-219AB, SMF	K•A
GG	BAR63-02W	INF	pin	$V_R<50\text{B}$; $I_R<100\text{mA}$; $V_F (I_F=100\text{mA})<1.2\text{B}$; $I_{FS}<0.01\text{mA}$	SCD-80	K•A
H	BB141	PHIL	var	$V_R>6\text{B}$; $I_R (V_R=6\text{B})<0.01\text{mA}$; $C_{1B}=3.9...4.5\text{нФ}$; $C_{4B}=2.22...2.55\text{нФ}$	SOD-523, SC-79	K•A
H	BB141	LRC	var	$V_R>6\text{B}$; $I_R (V_R=6\text{B})<0.01\text{mA}$; $C_{1B}=3.9...4.5\text{нФ}$; $C_{4B}=2.22...2.55\text{нФ}$	SOD-523, SC-79	K•A
H	BB59C-02V	INF	var	$V_R<30\text{B}$; $I_R<20\text{mA}$; $I_{FS}<0.01\text{mA}$; $C_{1B}=36.5...42\text{нФ}$; $C_{1B}/C_{2B}=15.3$	SOD-523, SC-79	K•A
H	JDV2502S	TOSH	var	$V_R<10\text{B}$; $I_{FS}<0.003\text{mA}$; $C_{4B}=1.8...2.3\text{нФ}$; $C_{4B}=0.83...1.23$	SOD-523	K•A
H0	BZD27C160P	VISH	dz	$V_Z (I_{ZT}=5\text{mA})=153...171\text{B}$; $Z_{T1}<350\text{Om}$	DC-219AB, SMF	K•A
H0	BZX585-C15	PHIL	dz	$V_Z (I_{ZT}=5\text{mA})=14.25...15.75\text{B}$; $Z_{T1}<15\text{Om}$	SOD-523, SC-79	K•A
H0	CMOZ15V	CSI	dz	$V_Z=15\text{B}$ (5%); $P_0<350\text{мВт}$	SOD-523, SC-79	K•A
H1	BZD27C180P	VISH	dz	$V_Z (I_{ZT}=5\text{mA})=168...191\text{B}$; $Z_{T1}<400\text{Om}$	DC-219AB, SMF	K•A
H1	BZX585-C3V2	PHIL	dz	$V_Z (I_{ZT}=5\text{mA})=5.89...6.51\text{B}$; $Z_{T1}<10\text{Om}$	SOD-523, SC-79	K•A
H1	CMOZ6V2	CSI	dz	$V_Z=6.2\text{B}$ (5%); $P_0<350\text{мВт}$	SOD-523, SC-79	K•A
H2	BZD27C200P	VISH	dz	$V_Z (I_{ZT}=5\text{mA})=188...212\text{B}$; $Z_{T1}<500\text{Om}$	DC-219AB, SMF	K•A
H2	BZX585-C3V8	PHIL	dz	$V_Z (I_{ZT}=5\text{mA})=6.46...7.14\text{B}$; $Z_{T1}<10\text{Om}$	SOD-523, SC-79	K•A
H2	CMOZ6V8	CSI	dz	$V_Z=6.8\text{B}$ (5%); $P_0<350\text{мВт}$	SOD-523, SC-79	K•A
H3	BZX585-C7V5	PHIL	dz	$V_Z (I_{ZT}=5\text{mA})=7.13...7.88\text{B}$; $Z_{T1}<10\text{Om}$	SOD-523, SC-79	K•A
H3	CMOZ7V5	CSI	dz	$V_Z=7.5\text{B}$ (5%); $P_0<350\text{мВт}$	SOD-523, SC-79	K•A
H4	BZX585-C8V2	PHIL	dz	$V_Z (I_{ZT}=5\text{mA})=7.79...8.61\text{B}$; $Z_{T1}<10\text{Om}$	SOD-523, SC-79	K•A
H4	CMOZ8V2	CSI	dz	$V_Z=8.2\text{B}$ (5%); $P_0<350\text{мВт}$	SOD-523, SC-79	K•A
H5	BZX585-C9V1	PHIL	dz	$V_Z (I_{ZT}=5\text{mA})=8.65...9.56\text{B}$; $Z_{T1}<10\text{Om}$	SOD-523, SC-79	K•A
H5	CMOZ9V1	CSI	dz	$V_Z=9.1\text{B}$ (5%); $P_0<350\text{мВт}$	SOD-523, SC-79	K•A
H6	BZX585-C10	PHIL	dz	$V_Z (I_{ZT}=5\text{mA})=9.5...10.5\text{B}$; $Z_{T1}<10\text{Om}$	SOD-523, SC-79	K•A
H6	CMOZ10V	CSI	dz	$V_Z=10\text{B}$ (5%); $P_0<350\text{мВт}$	SOD-523, SC-79	K•A
H7	BZX585-C11	PHIL	dz	$V_Z (I_{ZT}=5\text{mA})=10.45...11.55\text{B}$; $Z_{T1}<10\text{Om}$	SOD-523, SC-79	K•A
H7	CMOZ11V	CSI	dz	$V_Z=11\text{B}$ (5%); $P_0<350\text{мВт}$	SOD-523, SC-79	K•A
H8	BZX585-C12	PHIL	dz	$V_Z (I_{ZT}=5\text{mA})=11.4...12.6\text{B}$; $Z_{T1}<10\text{Om}$	SOD-523, SC-79	K•A
H8	CMOZ12V	CSI	dz	$V_Z=12\text{B}$ (5%); $P_0<350\text{мВт}$	SOD-523, SC-79	K•A
H9	BZX585-C13	PHIL	dz	$V_Z (I_{ZT}=5\text{mA})=12.35...13.65\text{B}$; $Z_{T1}<10\text{Om}$	SOD-523, SC-79	K•A
H9	CMOZ13V	CSI	dz	$V_Z=13\text{B}$ (5%); $P_0<350\text{мВт}$	SOD-523, SC-79	K•A
HH	BB59C	INF	var	$V_R<30\text{B}$; $I_R<20\text{mA}$; $I_{FS}<0.01\text{mA}$; $C_{1B}=36.5...42\text{нФ}$; $C_{1B}/C_{2B}=15.3$	SCD-80	K•A
II	BBV51-02W	INF	var	$V_R<7\text{B}$; $I_R<20\text{mA}$; $I_{FS}<0.01\text{mA}$; $C_{1B}=5.05...5.75\text{нФ}$; $C_{4V}=2.5...3.7\text{нФ}$	SCD-80	K•A
J0	CMOZ39V	CSI	dz	$V_Z=39\text{B}$ (5%); $P_0<350\text{мВт}$	SOD-523, SC-79	K•A
J1	CMOZ16V	CSI	dz	$V_Z=16\text{B}$ (5%); $P_0<350\text{мВт}$	SOD-523, SC-79	K•A
J2	CMOZ18V	CSI	dz	$V_Z=18\text{B}$ (5%); $P_0<350\text{мВт}$	SOD-523, SC-79	K•A
J3	CMOZ20V	CSI	dz	$V_Z=20\text{B}$ (5%); $P_0<350\text{мВт}$	SOD-523, SC-79	K•A
J4	CMOZ22V	CSI	dz	$V_Z=22\text{B}$ (5%); $P_0<350\text{мВт}$	SOD-523, SC-79	K•A
J5	CMOZ24V	CSI	dz	$V_Z=24\text{B}$ (5%); $P_0<350\text{мВт}$	SOD-523, SC-79	K•A
J6	CMOZ27V	CSI	dz	$V_Z=27\text{B}$ (5%); $P_0<350\text{мВт}$	SOD-523, SC-79	K•A
J7	CMOZ30V	CSI	dz	$V_Z=30\text{B}$ (5%); $P_0<350\text{мВт}$	SOD-523, SC-79	K•A
J8	CMOZ33V	CSI	dz	$V_Z=33\text{B}$ (5%); $P_0<350\text{мВт}$	SOD-523, SC-79	K•A
J9	CMOZ36V	CSI	dz	$V_Z=36\text{B}$ (5%); $P_0<350\text{мВт}$	SOD-523, SC-79	K•A
K	BB142	PHIL	var	$V_R>6\text{B}$; $I_R (V_R=6\text{B})<0.01\text{mA}$; $C_{1B}=4...4.9\text{нФ}$; $C_{4B}=1.85...2.35\text{нФ}$	SOD-523, SC-79	K•A
K	BB142	LRC	var	$V_R>6\text{B}$; $I_R (V_R=6\text{B})<0.01\text{mA}$; $C_{1B}=4...4.9\text{нФ}$; $C_{4B}=1.85...2.35\text{нФ}$	SOD-523, SC-79	K•A
K	BB579-02V	INF	var	$V_R<30\text{B}$; $I_R<20\text{mA}$; $I_{FS}<0.01\text{mA}$; $C_{1B}=43.5...51.5\text{нФ}$; $C_{2B}=2.4...2.8$	SOD-523, SC-79	K•A



SOD623 - **SOD523** - **SOD219AB**
SOD723 **SCD80** **SMF**

Код	Типономинал	Б	Ф	Особенности	Корпус	1x1.2
K	BZX584C30-02V	VISH	dz	$V_Z (I_{ZT}=2\text{mA})=28...32\text{ В}$, $Z_{T1}<80\text{ Ом}$	SOD-523, SC-79	К*А
K	JDV2S05S	TOSH	var	$V_A<10\text{ В}$, $I_A<0.003\text{ мА}$, $C_{1B}=3.85...4.65\text{ нФ}$, $C_{4B}=1.94...2.48$	SOD-623	К*А
K1	SMCZ43V	CSI	dz	$V_Z=43\text{ В}$ (5%), $P_D<350\text{ мВт}$	SOD-523, SC-79	К*А
K3	BB145C	PHIL	var	$V_A>10\text{ В}$, $I_A (V_A=15\text{ В})<0.003\text{ мА}$, $C_{1B}=6.4...7.2\text{ нФ}$, $C_{4B}=2.55...2.85\text{ нФ}$	SOD-523, SC-79	К*А
KK	BBY52-02W	INF	var	$V_A>7\text{ В}$, $I_A<20\text{ мА}$, $I_A<0.01\text{ мА}$, $C_{1B}=1.4...2.2\text{ нФ}$, $C_{4B}=0.85...1.45\text{ нФ}$	SCD-80	К*А
L	BB143	PHIL	var	$V_A>6\text{ В}$, $I_A (V_A=6\text{ В})<0.01\text{ мА}$, $C_{1B}=4.75...5.75\text{ нФ}$, $C_{4B}=2.05...2.55\text{ нФ}$	SOD-523, SC-79	К*А
L	BB143	LRC	var	$V_A>6\text{ В}$, $I_A (V_A=6\text{ В})<0.01\text{ мА}$, $C_{1B}=4.75...5.75\text{ нФ}$, $C_{4B}=2.05...2.55\text{ нФ}$	SOD-523, SC-79	К*А
L	BBY53-02V	INF	var	$V_A>6\text{ В}$, $I_A<20\text{ мА}$, $I_A<0.01\text{ мА}$, $C_{1B}=4.8...5.8\text{ нФ}$, $C_{4B}=1.85...3.1\text{ нФ}$	SOD-523, SC-79	К*А
L	BZX584C47-02V	VISH	dz	$V_Z (I_{ZT}=2\text{mA})=44...50\text{ В}$, $Z_{T1}<170\text{ Ом}$	SOD-523, SC-79	К*А
L2	BB202	PHIL	var	$V_A>6\text{ В}$, $I_A (V_A=6\text{ В})<0.01\text{ мА}$, $C_{0.2V}=26.2...33.5\text{ нФ}$, $C_{2.3V}=7.2...11.2\text{ нФ}$	SOD-523, SC-79	К*А
LL	BBY53-02W	INF	var	$V_A>6\text{ В}$, $I_A<20\text{ мА}$, $I_A<0.01\text{ мА}$, $C_{1B}=4.8...5.8\text{ нФ}$, $C_{4B}=1.85...3.1\text{ нФ}$	SCD-80	К*А
M	BAR64-02W	SIEM	pin	$V_A<200\text{ В}$, $I_A<100\text{ мА}$, $V_A (I_A=50\text{ мА})<1.1\text{ В}$, $C_{0.3\text{ В}}<0.35\text{ нФ}$	SCD-80	К*А
M	BZX584C51-02V	VISH	dz	$V_Z (I_{ZT}=2\text{mA})=48...54\text{ В}$, $Z_{T1}<180\text{ Ом}$	SOD-523, SC-79	К*А
N	BAR65-02V	INF	pin	$V_A<30\text{ В}$, $I_A<100\text{ мА}$, $V_A (I_A=100\text{ мА})<1.0\text{ В}$, $C_{0.3\text{ В}}<0.9\text{ нФ}$	SOD-523, SC-79	К*А
n	BAT15-02V	INF	shd	$V_A<4\text{ В}$, $I_A<100\text{ мА}$, $V_A (I_A=10\text{ мА})<0.41\text{ В}$, $C_{0.3\text{ В}}<0.35\text{ нФ}$	SOD-523, SC-79	К*А
N	BB181	PHIL	var	$V_A>30\text{ В}$, $I_A (V_A=30\text{ В})<0.01\text{ мА}$, $C_{0.3\text{ В}}=8...17\text{ нФ}$, $C_{2B}=0.7...1.055\text{ нФ}$	SOD-523, SC-79	К*А
N	BB181	LRC	var	$V_A>30\text{ В}$, $I_A (V_A=30\text{ В})<0.01\text{ мА}$, $C_{0.3\text{ В}}=8...17\text{ нФ}$, $C_{2B}=0.7...1.055\text{ нФ}$	SOD-523, SC-79	К*А
O	BAR64-02V	INF	pin	$V_A<150\text{ В}$, $I_A<100\text{ мА}$, $V_A (I_A=50\text{ мА})<1.1\text{ В}$, $C_{0.3\text{ В}}<0.35\text{ нФ}$	SOD-523, SC-79	К*А
P	BZX584C11-02V	VISH	dz	$V_Z (I_{ZT}=5\text{mA})=10.4...11.6\text{ В}$, $Z_{T1}<20\text{ Ом}$	SOD-523, SC-79	К*А
P	BZX584C36-02V	VISH	dz	$V_Z (I_{ZT}=2\text{mA})=34...38\text{ В}$, $Z_{T1}<90\text{ Ом}$	SOD-523, SC-79	К*А
R	BZX584C10-02V	VISH	dz	$V_Z (I_{ZT}=5\text{mA})=9.4...10.6\text{ В}$, $Z_{T1}<20\text{ Ом}$	SOD-523, SC-79	К*А
R	BZX584C39-02V	VISH	dz	$V_Z (I_{ZT}=2\text{mA})=37...41\text{ В}$, $Z_{T1}<130\text{ Ом}$	SOD-523, SC-79	К*А
RA	BA895	INF	pin	$V_A>50\text{ В}$, $I_A<50\text{ мА}$, $V_A (I_A=50\text{ мА})<1.1\text{ В}$, $I_A<0.02\text{ мА}$	SCD-80	К*А
RR	BBY59-02V	INF	var	$V_A<15\text{ В}$, $I_A<50\text{ мА}$, $I_A<0.02\text{ мА}$, $C_{1B}=26.6...29\text{ нФ}$, $C_{4B}=8.1...7.8\text{ нФ}$	SOD-523, SC-79	К*А
S	BAR64-02	PHIL	pin	$V_A>175\text{ В}$, $I_A<100\text{ мА}$, $V_A (I_A=50\text{ мА})<1.1\text{ В}$, $I_A<0.1\text{ мА}$	SOD-523, SC-79	К*А
S	BZX584C43-02V	VISH	dz	$V_Z (I_{ZT}=2\text{mA})=40...46\text{ В}$, $Z_{T1}<150\text{ Ом}$	SOD-523, SC-79	К*А
S	BZX584C9V1-02V	VISH	dz	$V_Z (I_{ZT}=5\text{mA})=8.5...9.6\text{ В}$, $Z_{T1}<15\text{ Ом}$	SOD-523, SC-79	К*А
S3	1SS388	TOSH	shd	$V_A<40\text{ В}$, $V_A (I_A=50\text{ мА})<0.6\text{ В}$, $I_A (V_A=10\text{ В})<5\text{ мА}$, $C_1<25\text{ нФ}$	SOD-523, SC-79	К*А
S4	1SS389	TOSH	shd	$V_A<40\text{ В}$, $V_A (I_A=100\text{ мА})<0.5\text{ В}$, $I_A (V_A=10\text{ В})<20\text{ мА}$, $C_1<40\text{ нФ}$	SOD-523, SC-79	К*А
T	BAR67-02V	INF	pin	$V_A<150\text{ В}$, $I_A<200\text{ мА}$, $V_A (I_A=50\text{ мА})<1.2\text{ В}$, $C_{0.3\text{ В}}<0.9\text{ нФ}$	SOD-523, SC-79	К*А
T	BAR67-02W	SIEM	pin	$V_A<150\text{ В}$, $I_A<200\text{ мА}$, $V_A (I_A=50\text{ мА})<1.2\text{ В}$, $C_{0.3\text{ В}}<0.9\text{ нФ}$	SCD-80	К*А
t	BAT64-02V	INF	shd	$V_A<40\text{ В}$, $I_A<250\text{ мА}$, $V_A (I_A=100\text{ мА})<0.75\text{ В}$, $I_A<2\text{ мА}$, $C_{0.3\text{ В}}<0.6\text{ нФ}$	SOD-523, SC-79	К*А
T	BZX584C8V2-02V	VISH	dz	$V_Z (I_{ZT}=5\text{mA})=7.7...8.7\text{ В}$, $Z_{T1}<15\text{ Ом}$	SOD-523, SC-79	К*А
T1	1SV278	TOSH	var	$V_A>30\text{ В}$, $I_A (V_A=28\text{ В})<0.01\text{ мА}$, $C_{2B}=14.16...16.25\text{ нФ}$, $C_{25B}=2.11...2.43\text{ нФ}$	SOD-523, SC-79	К*А
T1	1SV309	TOSH	var	$V_A>30\text{ В}$, $I_A (V_A=28\text{ В})<0.01\text{ мА}$, $C_{2B}=3.31...4.65\text{ нФ}$, $C_{25B}=0.61...0.77\text{ нФ}$	SOD-523, SC-79	К*А
T7	1SV286	TOSH	var	$V_A>30\text{ В}$, $I_A (V_A=28\text{ В})<0.01\text{ мА}$, $C_{2B}=14.5...16.1\text{ нФ}$, $C_{25B}=1.56...1.86\text{ нФ}$	SOD-523, SC-79	К*А
T8	1SV279	TOSH	var	$V_A>15\text{ В}$, $I_A (V_A=15\text{ В})<0.003\text{ мА}$, $C_{2B}=14...16\text{ нФ}$, $C_{10B}=5.5...6.5\text{ нФ}$	SOD-523, SC-79	К*А
TC	1SV280	TOSH	var	$V_A>15\text{ В}$, $I_A (V_A=15\text{ В})<0.003\text{ мА}$, $C_{2B}=3.8...4.7\text{ нФ}$, $C_{10B}=1.5...2\text{ нФ}$	SOD-523, SC-79	К*А
TE	1SV282	TOSH	var	$V_A>34\text{ В}$, $I_A (V_A=32\text{ В})<0.01\text{ мА}$, $C_{2B}=33...38\text{ нФ}$, $C_{25B}=2.6...3\text{ нФ}$	SOD-523, SC-79	К*А
TE	1SV283	TOSH	var	$V_A>34\text{ В}$, $I_A (V_A=32\text{ В})<0.01\text{ мА}$, $C_{2B}=29...34\text{ нФ}$, $C_{25B}=2.5...2.9\text{ нФ}$	SOD-523, SC-79	К*А
TF	1SV281	TOSH	var	$V_A>10\text{ В}$, $I_A (V_A=10\text{ В})<0.003\text{ мА}$, $C_{1B}=15...17\text{ нФ}$, $C_{4B}=7.3...8.7\text{ нФ}$	SOD-523, SC-79	К*А
TJ	1SV290	TOSH	var	$V_A>30\text{ В}$, $I_A (V_A=28\text{ В})<0.01\text{ мА}$, $C_{2B}=41...49.5\text{ нФ}$, $C_{25B}=2.5...3.2\text{ нФ}$	SOD-523, SC-79	К*А
TK	1SV291	TOSH	var	$V_A>30\text{ В}$, $I_A (V_A=28\text{ В})<0.01\text{ мА}$, $C_{2B}=42...5.7\text{ нФ}$, $C_{25B}=0.53...0.68\text{ нФ}$	SOD-523, SC-79	К*А
TL	1SV284	TOSH	var	$V_A>10\text{ В}$, $I_A (V_A=10\text{ В})<0.003\text{ мА}$, $C_{1B}=15...17\text{ нФ}$, $C_{4B}=7...8.5\text{ нФ}$	SOD-523, SC-79	К*А
TO	1SV285	TOSH	var	$V_A>10\text{ В}$, $I_A (V_A=10\text{ В})<0.003\text{ мА}$, $C_{1B}=4...4.9\text{ нФ}$, $C_{4B}=1.85...2.35\text{ нФ}$	SOD-523, SC-79	К*А
TT	1SV303	TOSH	var	$V_A>30\text{ В}$, $I_A (V_A=28\text{ В})<0.01\text{ мА}$, $C_{2B}=42...51\text{ нФ}$, $C_{25B}=2.1...3.1\text{ нФ}$	SOD-523, SC-79	К*А
TV	1SV305	TOSH	var	$V_A>10\text{ В}$, $I_A (V_A=10\text{ В})<0.003\text{ мА}$, $C_{1B}=17.3...19.3\text{ нФ}$, $C_{4B}=5.3...6.6\text{ нФ}$	SOD-523, SC-79	К*А
TX	1SV308	TOSH	pin	$V_A>30\text{ В}$, $I_A<50\text{ мА}$, $V_A (I_A=50\text{ мА})<1\text{ В}$, $I_A<0.1\text{ мА}$	SOD-523, SC-79	К*А
TY	1SS381	TOSH	di	$V_A<30\text{ В}$, $I_A<100\text{ мА}$, $V_A (I_A=2\text{ мА})<0.85\text{ В}$, $I_A<0.1\text{ мА}$	SOD-523, SC-79	К*А
U	BB145	PHIL	var	$V_A>6\text{ В}$, $I_A (V_A=6\text{ В})<0.01\text{ мА}$, $C_{1B}=6.4...7.4\text{ нФ}$, $C_{4B}=2.75...3.25\text{ нФ}$	SOD-523, SC-79	К*А
U	BB145	LRC	var	$V_A>6\text{ В}$, $I_A (V_A=6\text{ В})<0.01\text{ мА}$, $C_{1B}=6.4...7.4\text{ нФ}$, $C_{4B}=2.75...3.25\text{ нФ}$	SOD-523, SC-79	К*А
V6	JDV2S10T	TOSH	var	$V_A<10\text{ В}$, $I_A<0.003\text{ мА}$, $C_{0.5\text{ В}}=7.3...8.4\text{ нФ}$, $C_{2.5\text{ В}}=2.75...3.4$	SOD-523, SC-79	К*А

- SOD623
SOD723

- SOD523
SCD80

■ SOD219AB
SMF



Код	Типономинал	Б	Ф	Особенности	Корпус	Ц:1*2
V1	1SV311	TOSH	var	$V_R > 10\text{ В}$; $I_R (V_R = 10\text{ В}) < 0.003\text{ мА}$; $C_{1B} = 9.7...11.1\text{ нФ}$; $C_{4B} = 4.45...5.46\text{ нФ}$	SOD-523, SC-79	K*А
V2	1SV329	TOSH	var	$V_R > 10\text{ В}$; $I_R (V_R = 10\text{ В}) < 0.003\text{ мА}$; $C_{1B} = 5.7...6.7\text{ нФ}$; $C_{4B} = 1.85...2.45\text{ нФ}$	SOD-523, SC-79	K*А
V6	1SV314	TOSH	var	$V_R > 10\text{ В}$; $I_R (V_R = 10\text{ В}) < 0.003\text{ мА}$; $C_{0.5B} = 7.3...8.4\text{ нФ}$; $C_{2.5B} = 2.75...3.4\text{ нФ}$	SOD-523, SC-79	K*А
V7	1SV323	TOSH	var	$V_R > 10\text{ В}$; $I_R (V_R = 10\text{ В}) < 0.003\text{ мА}$; $C_{1B} = 26.5...29.5\text{ нФ}$; $C_{4B} = 6...7.1\text{ нФ}$	SOD-523, SC-79	K*А
V8	1SV325	TOSH	var	$V_R > 10\text{ В}$; $I_R (V_R = 10\text{ В}) < 0.003\text{ мА}$; $C_{1B} = 44...49.5\text{ нФ}$; $C_{4B} = 9.2...12\text{ нФ}$	SOD-523, SC-79	K*А
V9	1SV331	TOSH	var	$V_R > 10\text{ В}$; $I_R (V_R = 10\text{ В}) < 0.003\text{ мА}$; $C_{1B} = 17...19\text{ нФ}$; $C_{4B} = 4.25...5.43\text{ нФ}$	SOD-523, SC-79	K*А
W5	GZF3V6C	VISH	dz	$V_2 = 3.4...3.8\text{ В}$; $Z_{T1}(I_2 = 100\text{ мА}) < 8\text{ Ом}$	DO-219AB, SMF	K*А
W6	GZF3V9C	VISH	dz	$V_2 = 3.7...4.1\text{ В}$; $Z_{T1}(I_2 = 100\text{ мА}) < 8\text{ Ом}$	DO-219AB, SMF	K*А
W7	GZF4V3C	VISH	dz	$V_2 = 4.0...4.6\text{ В}$; $Z_{T1}(I_2 = 100\text{ мА}) < 7\text{ Ом}$	DO-219AB, SMF	K*А
W8	GZF4V7C	VISH	dz	$V_2 = 4.4...5.0\text{ В}$; $Z_{T1}(I_2 = 100\text{ мА}) < 7\text{ Ом}$	DO-219AB, SMF	K*А
W9	GZF5V1C	VISH	dz	$V_2 = 4.8...5.4\text{ В}$; $Z_{T1}(I_2 = 100\text{ мА}) < 6\text{ Ом}$	DO-219AB, SMF	K*А
WA	GZF5V6C	VISH	dz	$V_2 = 5.2...6.0\text{ В}$; $Z_{T1}(I_2 = 100\text{ мА}) < 4\text{ Ом}$	DO-219AB, SMF	K*А
WB	GZF6V2C	VISH	dz	$V_2 = 5.8...6.6\text{ В}$; $Z_{T1}(I_2 = 100\text{ мА}) < 3\text{ Ом}$	DO-219AB, SMF	K*А
WC	GZF6V8C	VISH	dz	$V_2 = 6.4...7.2\text{ В}$; $Z_{T1}(I_2 = 100\text{ мА}) < 3\text{ Ом}$	DO-219AB, SMF	K*А
WD	GZF7V5C	VISH	dz	$V_2 = 7.0...7.9\text{ В}$; $Z_{T1}(I_2 = 100\text{ мА}) < 2\text{ Ом}$	DO-219AB, SMF	K*А
WE	GZF8V2C	VISH	dz	$V_2 = 7.7...8.7\text{ В}$; $Z_{T1}(I_2 = 100\text{ мА}) < 2\text{ Ом}$	DO-219AB, SMF	K*А
WF	GZF9V1C	VISH	dz	$V_2 = 8.5...9.6\text{ В}$; $Z_{T1}(I_2 = 50\text{ мА}) < 4\text{ Ом}$	DO-219AB, SMF	K*А
WG	GZF10C	VISH	dz	$V_2 = 9.4...10.6\text{ В}$; $Z_{T1}(I_2 = 50\text{ мА}) < 4\text{ Ом}$	DO-219AB, SMF	K*А
WH	GZF11C	VISH	dz	$V_2 = 10.4...11.6\text{ В}$; $Z_{T1}(I_2 = 50\text{ мА}) < 7\text{ Ом}$	DO-219AB, SMF	K*А
WI	GZF12C	VISH	dz	$V_2 = 11.4...12.7\text{ В}$; $Z_{T1}(I_2 = 50\text{ мА}) < 7\text{ Ом}$	DO-219AB, SMF	K*А
WK	GZF13C	VISH	dz	$V_2 = 12.4...14.1\text{ В}$; $Z_{T1}(I_2 = 50\text{ мА}) < 10\text{ Ом}$	DO-219AB, SMF	K*А
WL	GZF15C	VISH	dz	$V_2 = 13.8...15.6\text{ В}$; $Z_{T1}(I_2 = 50\text{ мА}) < 10\text{ Ом}$	DO-219AB, SMF	K*А
WM	GZF16C	VISH	dz	$V_2 = 15.3...17.1\text{ В}$; $Z_{T1}(I_2 = 25\text{ мА}) < 15\text{ Ом}$	DO-219AB, SMF	K*А
WN	GZF18C	VISH	dz	$V_2 = 16.8...19.1\text{ В}$; $Z_{T1}(I_2 = 25\text{ мА}) < 15\text{ Ом}$	DO-219AB, SMF	K*А
WO	GZF20C	VISH	dz	$V_2 = 18.8...21.2\text{ В}$; $Z_{T1}(I_2 = 25\text{ мА}) < 15\text{ Ом}$	DO-219AB, SMF	K*А
WP	GZF22C	VISH	dz	$V_2 = 20.8...23.3\text{ В}$; $Z_{T1}(I_2 = 25\text{ мА}) < 15\text{ Ом}$	DO-219AB, SMF	K*А
WR	GZF24C	VISH	dz	$V_2 = 22.8...25.6\text{ В}$; $Z_{T1}(I_2 = 25\text{ мА}) < 15\text{ Ом}$	DO-219AB, SMF	K*А
WS	GZF27C	VISH	dz	$V_2 = 25.1...28.9\text{ В}$; $Z_{T1}(I_2 = 25\text{ мА}) < 15\text{ Ом}$	DO-219AB, SMF	K*А
WT	GZF30C	VISH	dz	$V_2 = 28...32\text{ В}$; $Z_{T1}(I_2 = 25\text{ мА}) < 15\text{ Ом}$	DO-219AB, SMF	K*А
WU	GZF33C	VISH	dz	$V_2 = 31...35\text{ В}$; $Z_{T1}(I_2 = 25\text{ мА}) < 15\text{ Ом}$	DO-219AB, SMF	K*А
WW	GZF36C	VISH	dz	$V_2 = 34...38\text{ В}$; $Z_{T1}(I_2 = 10\text{ мА}) < 40\text{ Ом}$	DO-219AB, SMF	K*А
WX	GZF39C	VISH	dz	$V_2 = 37...41\text{ В}$; $Z_{T1}(I_2 = 10\text{ мА}) < 40\text{ Ом}$	DO-219AB, SMF	K*А
WY	GZF43C	VISH	dz	$V_2 = 40...46\text{ В}$; $Z_{T1}(I_2 = 10\text{ мА}) < 45\text{ Ом}$	DO-219AB, SMF	K*А
WZ	GZF47C	VISH	dz	$V_2 = 44...50\text{ В}$; $Z_{T1}(I_2 = 10\text{ мА}) < 45\text{ Ом}$	DO-219AB, SMF	K*А
X	BB187	PHIL	var	$V_R > 32\text{ В}$; $I_R (V_R = 30\text{ В}) < 0.01\text{ мА}$; $C_{2B} = 29.3...34.2\text{ нФ}$; $C_{25B} = 2.57...2.92\text{ нФ}$	SOD-523, SC-79	K*А
X	BB187	LRC	var	$V_R > 32\text{ В}$; $I_R (V_R = 30\text{ В}) < 0.01\text{ мА}$; $C_{2B} = 29.3...34.2\text{ нФ}$; $C_{25B} = 2.57...2.92\text{ нФ}$	SOD-523, SC-79	K*А
X1	GZF51C	VISH	dz	$V_2 = 48...54\text{ В}$; $Z_{T1}(I_2 = 10\text{ мА}) < 60\text{ Ом}$	DO-219AB, SMF	K*А
X2	GZF56C	VISH	dz	$V_2 = 52...60\text{ В}$; $Z_{T1}(I_2 = 10\text{ мА}) < 60\text{ Ом}$	DO-219AB, SMF	K*А
X3	GZF62C	VISH	dz	$V_2 = 58...66\text{ В}$; $Z_{T1}(I_2 = 10\text{ мА}) < 80\text{ Ом}$	DO-219AB, SMF	K*А
X4	GZF68C	VISH	dz	$V_2 = 64...72\text{ В}$; $Z_{T1}(I_2 = 10\text{ мА}) < 80\text{ Ом}$	DO-219AB, SMF	K*А
X5	GZF75C	VISH	dz	$V_2 = 70...79\text{ В}$; $Z_{T1}(I_2 = 10\text{ мА}) < 100\text{ Ом}$	DO-219AB, SMF	K*А
X6	GZF82C	VISH	dz	$V_2 = 77...87\text{ В}$; $Z_{T1}(I_2 = 10\text{ мА}) < 100\text{ Ом}$	DO-219AB, SMF	K*А
X7	GZF91C	VISH	dz	$V_2 = 85...96\text{ В}$; $Z_{T1}(I_2 = 5\text{ мА}) < 200\text{ Ом}$	DO-219AB, SMF	K*А
Y	BA52-02V	INF	shd	$V_R < 45\text{ В}$; $I_R < 750\text{ мА}$; $V_1(I_R = 200\text{ мА}) < 0.6\text{ В}$; $I_1 < 80\text{ мА}$; $C_0 < 10\text{ пФ}$	SOD-523, SC-79	K*А
Y	BB182B	PHIL	var	$V_R > 34\text{ В}$; $I_R (V_R = 32\text{ В}) < 0.01\text{ мА}$; $C_{2B} = 47...53\text{ нФ}$; $C_{25B} = 2.65...3\text{ нФ}$	SOD-523, SC-79	K*А
Y	BB182B	LRC	var	$V_R > 34\text{ В}$; $I_R (V_R = 32\text{ В}) < 0.01\text{ мА}$; $C_{2B} = 47...53\text{ нФ}$; $C_{25B} = 2.65...3\text{ нФ}$	SOD-523, SC-79	K*А
Z	BB145B	PHIL	var	$V_R > 6\text{ В}$; $I_R (V_R = 6\text{ В}) < 0.01\text{ мА}$; $C_{1B} = 6.4...7.2\text{ нФ}$; $C_{4B} = 2.55...2.95\text{ нФ}$	SOD-523, SC-79	K*А
Z	BB145B	LRC	var	$V_R > 6\text{ В}$; $I_R (V_R = 6\text{ В}) < 0.01\text{ мА}$; $C_{1B} = 6.4...7.2\text{ нФ}$; $C_{4B} = 2.55...2.95\text{ нФ}$	SOD-523, SC-79	K*А
Z1	BB145B-01	PHIL	var	$V_R > 6\text{ В}$; $I_R (V_R = 6\text{ В}) < 0.01\text{ мА}$; $C_{1B} = 6.4...7.2\text{ нФ}$; $C_{4B} = 2.55...2.95\text{ нФ}$	SOD-723	K*А



SOT883, TSLP, μDFN

Код	Типономинал	Б	Ф	Особенности	Корпус	Ц: 1*2*3...
62	BAT62-07L4	INF	shd	$V_R < 40В$; $I_F < 20mA$; $V_F(I_F = 2mA) < 1В$; $I_R < 10mA$; $C_D < 0.6пФ$	TSLP-4	K1 • K2 • A2 • A1
83	BAT88-02L	INF	shd	$V_R < 8В$; $I_F < 130mA$; $V_F(I_F = 10mA) < 0.5В$; $I_R < 0.1mA$; $C_D < 1.0пФ$	TSLP-2	K • A
98	BBY58-02L	INF	var	$V_R < 10В$; $I_F < 20mA$; $I_R < 0.01mA$; $C_{1B} = 17.5...19.3пФ$; $C_{4B} = 5.5...6.6пФ$	TSLP-2	K • A
55	BBY57-02L	INF	var	$V_R < 10В$; $I_F < 20mA$; $I_R < 0.01mA$; $C_{1B} = 16.5...18.6пФ$; $C_{4B} = 3.5...5.5пФ$	TSLP-2	K • A
6A	BAS16-07L4	INF	di x 2	$V_R < 80В$; $I_F < 200mA$; $V_F(I_F = 150mA) < 1.25В$; $I_R < 50mA$	TSLP-4	K1 • K2 • A2 • A1
A4	BA70L3	INF	di x 2	$V_R < 80В$; $I_F < 200mA$; $V_F(I_F = 50mA) < 1В$; $I_R(V_R = 70В) < 0.15mA$; $C_D < 1.5пФ$; $f_{Tn} < 4Hz$	TSLP-3	A1 • A2 • K1, K2
A6	BAS16-02L	INF	di	$V_R < 80В$; $I_F < 200mA$; $V_F(I_F = 150mA) < 1.25В$; $I_R < 50mA$	TSLP-2	K • A
AA	BA892-02L	INF	div	$V_R < 25В$; $I_F < 10mA$; $V_F(I_F = 100mA) < 1.0В$; $I_R < 0.02mA$	TSLP-2	K • A
AA	MAX4599ELT	MAX	asw	SPDT; $R_{ON} < 65\Omega$; $V_{DD} = 2.0...5.5В$	μDFN-6	IN • V+ • GND • NC • COM • NO
AB	MAX4594ELT	MAX	asw	SPST; $R_{ON} < 12\Omega$; $V_{DD} = 2.0...5.5В$	μDFN-6	COM • NO • GND • IN • n.c. • V+
AC	MAX4595ELT	MAX	asw	SPST; $R_{ON} < 12\Omega$; $V_{DD} = 2.0...5.5В$	μDFN-6	COM • NC • GND • IN • n.c. • V+
AD	MAX4596ELT	MAX	asw	SPST; $R_{ON} < 12\Omega$; $V_{DD} = 2.0...5.5В$	μDFN-6	IN • COM • GND • NC • n.c. • V+
AE	MAX4597ELT	MAX	asw	SPST; $R_{ON} < 12\Omega$; $V_{DD} = 2.0...5.5В$	μDFN-6	IN • COM • GND • NC • n.c. • V+
B8	BBY58-07L4	INF	var	$V_R < 10В$; $I_F < 20mA$; $I_R < 0.01mA$; $C_{1B} = 17.5...19.3пФ$; $C_{4B} = 5.5...6.6пФ$	TSLP-4	K1 • K2 • A2 • A1
D4	BC847AM	PHIL	rpn	$V_{CB0} = 50В$; $I_C = 100mA$; $P_D = 250mBt$; $h_{21} = 110...220$; $f_T > 100MHz$	SOT-883, SC-101	B • E • C
D5	BC847BM	PHIL	rpn	$V_{CB0} = 50В$; $I_C = 100mA$; $P_D = 250mBt$; $h_{21} = 200...450$; $f_T > 100MHz$	SOT-883, SC-101	B • E • C
D6	BC847CM	PHIL	rpn	$V_{CB0} = 50В$; $I_C = 100mA$; $P_D = 250mBt$; $h_{21} = 200...450$; $f_T > 100MHz$	SOT-883, SC-101	B • E • C
DE	PD7A1147M	PHIL	Drnp	$V_{CB0} = 50В$; $I_C = 100mA$; $P_D = 200mBt$; $h_{21} > 200$; $R_T > 10k\Omega$	SOT-883, SC-101	B • E • C
DF	PD7A114YM	PHIL	Drnp	$V_{CB0} = 50В$; $I_C = 100mA$; $P_D = 200mBt$; $h_{21} > 100$; $10k\Omega/47k\Omega$	SOT-883, SC-101	B • E • C
DH	PD7A124EM	PHIL	Drnp	$V_{CB0} = 50В$; $I_C = 100mA$; $P_D = 250mBt$; $h_{21} > 60$; $22k\Omega/22k\Omega$	SOT-883, SC-101	B • E • C
DL	PD7A143EM	PHIL	Drnp	$V_{CB0} = 50В$; $I_C = 100mA$; $P_D = 250mBt$; $h_{21} > 30$; $4.7k\Omega/4.7k\Omega$	SOT-883, SC-101	B • E • C
DN	PD7A143XM	PHIL	Drnp	$V_{CB0} = 50В$; $I_C = 100mA$; $P_D = 250mBt$; $h_{21} > 50$; $4.7k\Omega/10k\Omega$	SOT-883, SC-101	B • E • C
DP	PD7A143ZM	PHIL	Drnp	$V_{CB0} = 50В$; $I_C = 100mA$; $P_D = 250mBt$; $h_{21} > 100$; $4.7k\Omega/47k\Omega$	SOT-883, SC-101	B • E • C
DR	PD7A144EM	PHIL	Drnp	$V_{CB0} = 50В$; $I_C = 100mA$; $P_D = 250mBt$; $h_{21} > 80$; $47k\Omega/47k\Omega$	SOT-883, SC-101	B • E • C
DS	PD7C114EM	PHIL	Drnp	$V_{CB0} = 50В$; $I_C = 100mA$; $P_D = 250mBt$; $h_{21} > 30$; $10k\Omega/10k\Omega$	SOT-883, SC-101	B • E • C
DT	PD7C1147M	PHIL	Drnp	$V_{CB0} = 50В$; $I_C = 100mA$; $P_D = 200mBt$; $h_{21} > 200$; $R_T > 10k\Omega$	SOT-883, SC-101	B • E • C
DU	PD7C114YM	PHIL	Drnp	$V_{CB0} = 50В$; $I_C = 100mA$; $P_D = 200mBt$; $h_{21} > 100$; $10k\Omega/47k\Omega$	SOT-883, SC-101	B • E • C
DX	PD7C143EM	PHIL	Drnp	$V_{CB0} = 50В$; $I_C = 100mA$; $P_D = 250mBt$; $h_{21} > 60$; $22k\Omega/22k\Omega$	SOT-883, SC-101	B • E • C
E1	PD7C143EM	PHIL	Drnp	$V_{CB0} = 50В$; $I_C = 100mA$; $P_D = 250mBt$; $h_{21} > 30$; $4.7k\Omega/4.7k\Omega$	SOT-883, SC-101	B • E • C
E2	PD7C143XM	PHIL	Drnp	$V_{CB0} = 50В$; $I_C = 100mA$; $P_D = 250mBt$; $h_{21} > 50$; $4.7k\Omega/10k\Omega$	SOT-883, SC-101	B • E • C
E3	PD7C143ZM	PHIL	Drnp	$V_{CB0} = 50В$; $I_C = 100mA$; $P_D = 250mBt$; $h_{21} > 100$; $4.7k\Omega/47k\Omega$	SOT-883, SC-101	B • E • C
E7	PD7C144EM	PHIL	Drnp	$V_{CB0} = 50В$; $I_C = 100mA$; $P_D = 250mBt$; $h_{21} > 80$; $47k\Omega/47k\Omega$	SOT-883, SC-101	B • E • C
F	BAS70-02L	INF	shd	$V_R < 70В$; $I_F < 70mA$; $V_F(I_F = 15mA) < 1.0В$; $I_R < 0.1mA$; $C_D < 2.0пФ$	TSLP-2	K • A
FF	BAS40-02L	INF	shd	$V_R < 40В$; $I_F < 120mA$; $V_F(I_F = 40mA) < 1В$; $I_R < 1.0mA$; $C_D < 5пФ$	TSLP-2	K • A
G	BAR83-02L	INF	pin	$V_R < 50В$; $I_F < 100mA$; $V_F(I_F = 100mA) < 1.2В$; $I_R < 0.01mA$	TSLP-2	K • A
K	BBY51-02L	INF	var	$V_R < 7В$; $I_F < 20mA$; $I_R < 0.01mA$; $C_{1B} = 5.05...5.75пФ$; $C_{4B} = 2.5...3.7пФ$	TSLP-2	K • A
K	BBY52-02L	INF	var	$V_R < 7В$; $I_F < 20mA$; $I_R < 0.01mA$; $C_{1B} = 1.4...2.2пФ$; $C_{4B} = 0.85...1.45пФ$	TSLP-2	K • A
L	BAT62-02L	INF	shd	$V_R < 40В$; $I_F < 20mA$; $V_F(I_F = 2mA) < 1В$; $I_R < 10mA$; $C_D < 0.6пФ$	TSLP-2	K • A
LO	RN1101FS	TOSH	Drnp	$V_{CB0} = 50В$; $I_C = 150mA$; $P_D = 100mBt$; $f_T > 250MHz$; $R_T/R_G = 4.7/4.7k\Omega$	SOT-823	B • E • C

μDFN-6**TSLP-4****TSLP-3, SOT883****TSLP-2**

Код	Типовый номинал	Б	Ф	Особенности	Корпус	Ц: 1*2*3...
L1	RN1102FS	TOSH	Dnpr	$V_{CE0}=50\text{ В}$; $I_C=150\text{ мА}$; $P_D=100\text{ мВт}$; $f_T>250\text{ МГц}$; $R_1/R_2=10/10\text{ кОм}$	SOT-823	B•E•C
L2	RN1103FS	TOSH	Dnpr	$V_{CE0}=50\text{ В}$; $I_C=150\text{ мА}$; $P_D=100\text{ мВт}$; $f_T>250\text{ МГц}$; $R_1/R_2=22/22\text{ кОм}$	SOT-823	B•E•C
L3	RN1104FS	TOSH	Dnpr	$V_{CE0}=50\text{ В}$; $I_C=150\text{ мА}$; $P_D=100\text{ мВт}$; $f_T>250\text{ МГц}$; $R_1/R_2=47/47\text{ кОм}$	SOT-823	B•E•C
L4	RN1105FS	TOSH	Dnpr	$V_{CE0}=50\text{ В}$; $I_C=150\text{ мА}$; $P_D=100\text{ мВт}$; $f_T>250\text{ МГц}$; $R_1/R_2=2.2/47\text{ кОм}$	SOT-823	B•E•C
L5	RN1106FS	TOSH	Dnpr	$V_{CE0}=50\text{ В}$; $I_C=150\text{ мА}$; $P_D=100\text{ мВт}$; $f_T>250\text{ МГц}$; $R_1/R_2=4.7/47\text{ кОм}$	SOT-823	B•E•C
L6	RN1107FS	TOSH	Dnpr	$V_{CE0}=50\text{ В}$; $I_C=150\text{ мА}$; $P_D=100\text{ мВт}$; $f_T>250\text{ МГц}$; $R_1/R_2=10/47\text{ кОм}$	SOT-823	B•E•C
L7	RN1108FS	TOSH	Dnpr	$V_{CE0}=50\text{ В}$; $I_C=150\text{ мА}$; $P_D=100\text{ мВт}$; $f_T>250\text{ МГц}$; $R_1/R_2=22/47\text{ кОм}$	SOT-823	B•E•C
L8	RN1109FS	TOSH	Dnpr	$V_{CE0}=50\text{ В}$; $I_C=150\text{ мА}$; $P_D=100\text{ мВт}$; $f_T>250\text{ МГц}$; $R_1/R_2=47/22\text{ кОм}$	SOT-823	B•E•C
L9	RN1110FS	TOSH	Dnpr	$V_{CE0}=50\text{ В}$; $I_C=150\text{ мА}$; $P_D=100\text{ мВт}$; $f_T>250\text{ МГц}$; $R_1=4.7\text{ кОм}$	SOT-823	B•E•C
LF	RN1111FS	TOSH	Dnpr	$V_{CE0}=50\text{ В}$; $I_C=150\text{ мА}$; $P_D=100\text{ мВт}$; $f_T>250\text{ МГц}$; $R_1=10\text{ кОм}$	SOT-823	B•E•C
LH	RN1112FS	TOSH	Dnpr	$V_{CE0}=50\text{ В}$; $I_C=150\text{ мА}$; $P_D=100\text{ мВт}$; $f_T>250\text{ МГц}$; $R_1=22\text{ кОм}$	SOT-823	B•E•C
LJ	RN1113FS	TOSH	Dnpr	$V_{CE0}=50\text{ В}$; $I_C=150\text{ мА}$; $P_D=100\text{ мВт}$; $f_T>250\text{ МГц}$; $R_1=47\text{ кОм}$	SOT-823	B•E•C
LL	BBY53-02L	INF	var	$V_R<6\text{ В}$; $I_R<20\text{ мА}$; $I_S<0.01\text{ мА}$; $C_{18}=4.8\text{...}5.8\text{ нФ}$; $C_{38}=1.85\text{...}3.1\text{ нФ}$	TSLP-2	K•A
LL	BBY53-03L	INF	var	$V_R<6\text{ В}$; $I_R<20\text{ мА}$; $I_S<0.01\text{ мА}$; $C_{18}=4.8\text{...}5.8\text{ нФ}$; $C_{38}=1.85\text{...}3.1\text{ нФ}$	TSLP-3	A•n.c. • K
MM	BAR64-02L	INF	pin	$V_R<150\text{ В}$; $I_R<100\text{ мА}$; $V_F(I_R=50\text{ мА})<1.1\text{ В}$; $C_D<0.35\text{ нФ}$	TSLP-2	K•A
NN	BAR65-02L	INF	pin	$V_R<30\text{ В}$; $I_R<100\text{ мА}$; $V_F(I_R=100\text{ мА})<1.0\text{ В}$; $C_D<0.9\text{ нФ}$	TSLP-2	K•A
NP	BAT15-02L	INF	shd	$V_R<4\text{ В}$; $I_R<100\text{ мА}$; $V_F(I_R=10\text{ мА})<0.41\text{ В}$; $C_D<0.35\text{ нФ}$	TSLP-2	K•A
P3s	BAR63-07L4	INF	pin x2	$V_R<50\text{ В}$; $I_R<100\text{ мА}$; $V_F(I_R=100\text{ мА})<1.2\text{ В}$; $I_S<0.01\text{ мА}$	TSLP-4	K1 • K2 • A2 • A1
U0	RN2101FS	TOSH	Dnpr	$V_{CE0}=20\text{ В}$; $I_C=50\text{ мА}$; $P_D=50\text{ мВт}$; $R_1/R_2=4.7\text{ кОм}/4.7\text{ кОм}$	SOT-823	B•E•C
U1	RN2102FS	TOSH	Dnpr	$V_{CE0}=20\text{ В}$; $I_C=50\text{ мА}$; $P_D=50\text{ мВт}$; $R_1/R_2=10/10\text{ кОм}$	SOT-823	B•E•C
U2	RN2103FS	TOSH	Dnpr	$V_{CE0}=20\text{ В}$; $I_C=50\text{ мА}$; $P_D=50\text{ мВт}$; $R_1/R_2=22/22\text{ кОм}$	SOT-823	B•E•C
U3	RN2104FS	TOSH	Dnpr	$V_{CE0}=20\text{ В}$; $I_C=50\text{ мА}$; $P_D=50\text{ мВт}$; $R_1/R_2=47/47\text{ кОм}$	SOT-823	B•E•C
U4	RN2105FS	TOSH	Dnpr	$V_{CE0}=20\text{ В}$; $I_C=50\text{ мА}$; $P_D=50\text{ мВт}$; $R_1/R_2=2.2/47\text{ кОм}$	SOT-823	B•E•C
U5	RN2106FS	TOSH	Dnpr	$V_{CE0}=20\text{ В}$; $I_C=50\text{ мА}$; $P_D=50\text{ мВт}$; $R_1/R_2=10/47\text{ кОм}$	SOT-823	B•E•C
U6	RN2107FS	TOSH	Dnpr	$V_{CE0}=20\text{ В}$; $I_C=50\text{ мА}$; $P_D=50\text{ мВт}$; $R_1/R_2=22/47\text{ кОм}$	SOT-823	B•E•C
U7	RN2108FS	TOSH	Dnpr	$V_{CE0}=20\text{ В}$; $I_C=50\text{ мА}$; $P_D=50\text{ мВт}$; $R_1/R_2=47/22\text{ кОм}$	SOT-823	B•E•C
U8	RN2109FS	TOSH	Dnpr	$V_{CE0}=20\text{ В}$; $I_C=50\text{ мА}$; $P_D=50\text{ мВт}$; $R_1=4.7\text{ кОм}$	SOT-823	B•E•C
U9	RN2110FS	TOSH	Dnpr	$V_{CE0}=20\text{ В}$; $I_C=50\text{ мА}$; $P_D=50\text{ мВт}$; $R_1=10\text{ кОм}$	SOT-823	B•E•C
UF	RN2111FS	TOSH	Dnpr	$V_{CE0}=20\text{ В}$; $I_C=50\text{ мА}$; $P_D=50\text{ мВт}$; $R_1=22\text{ кОм}$	SOT-823	B•E•C
UH	RN2112FS	TOSH	Dnpr	$V_{CE0}=20\text{ В}$; $I_C=50\text{ мА}$; $P_D=50\text{ мВт}$; $R_1=47\text{ кОм}$	SOT-823	B•E•C
UJ	RN2113FS	TOSH	Dnpr	$V_{CE0}=20\text{ В}$; $I_C=50\text{ мА}$; $P_D=50\text{ мВт}$; $R_1=10\text{ кОм}$	SOT-823	B•E•C
WC	BCR133L3	INF	Dnpr	$V_{CE0}=50\text{ В}$; $I_C=100\text{ мА}$; $P_D=200\text{ мВт}$; $h_{FE1}>30$; $f_T=130\text{ МГц}$	TSLP-3	B•E•C
WD	BCR141L3	INF	Dnpr	$V_{CE0}=50\text{ В}$; $I_C=100\text{ мА}$; $P_D=200\text{ мВт}$; $h_{FE1}>50$; $f_T=130\text{ МГц}$	TSLP-3	B•E•C
WE	BCR148L3	INF	Dnpr	$V_{CE0}=50\text{ В}$; $I_C=70\text{ мА}$; $P_D=200\text{ мВт}$; $h_{FE1}>70$; $f_T>100\text{ МГц}$	TSLP-3	B•E•C
WH	BCR108L3	INF	Dnpr	$V_{CE0}=50\text{ В}$; $I_C=100\text{ мА}$; $P_D=200\text{ мВт}$; $h_{FE1}>70$; $f_T>170\text{ МГц}$	TSLP-3	B•E•C
WI	BCR158L3	INF	Dnpr	$V_{CE0}=50\text{ В}$; $I_C=70\text{ мА}$; $P_D=250\text{ мВт}$; $h_{FE1}>70$; $f_T=100\text{ МГц}$	TSLP-3	B•E•C
WJs	BCR135L3	INF	Dnpr	$V_{CE0}=50\text{ В}$; $I_C=100\text{ мА}$; $P_D=200\text{ мВт}$; $h_{FE1}>70$; $f_T>150\text{ МГц}$	TSLP-3	B•E•C
WM	BCR183L3	INF	Dnpr	$V_{CE0}=50\text{ В}$; $I_C=100\text{ мА}$; $P_D=250\text{ мВт}$; $h_{FE1}>30$	TSLP-3	B•E•C
WP	BCR192L3	INF	Dnpr	$V_{CE0}=50\text{ В}$; $I_C=100\text{ мА}$; $P_D=250\text{ мВт}$; $h_{FE1}>70$; $f_T>200\text{ МГц}$	TSLP-3	B•E•C
WU	BCR162L3	INF	Dnpr	$V_{CE0}=50\text{ В}$; $I_C=100\text{ мА}$; $P_D=200\text{ мВт}$; $h_{FE1}>20$; $f_T>200\text{ МГц}$	TSLP-3	B•E•C



SOT23-3 SOT323 SOT416
SOD23-3 SOT346 SOT523



SOT490 TSM VMT3
MPPAK TSFP-3 VMD3

SOT23-3, SOT323/523...

Код	Типономинал	Б	Ф	Особенности	Корпус	Ц: 1•2•3
-28	PDTA114WU	PHIL	Dnpn	$V_{CE0}=50 В$, $I_C=100 мА$, $P_D=200 мВт$; $h_{FE}>60$; $47 кОм/22 кОм$	SOT323, SC70	В•Е•С
-20	PDTC114WU	PHIL	Dnpn	$V_{CE0}=50 В$, $I_C=100 мА$, $P_D=200 мВт$; $h_{FE}>60$; $47 кОм/22 кОм$	SOT323, SC70	В•Е•С
9	BC849	MOT	npn	$V_{CE0}=30 В$, $I_C=100 мА$, $P_D=250 мВт$; $h_{FE}>200...800$, $f_T>100 МГц$	SOT23, SOD23	В•Е•С
11	MMBD1501	NS	di	$V_B<180 В$, $I_C<600 мА$, $V_{FE}(I_C=200 мА)<1.1 В$, $C_D<4 пФ$	SOT23, SOD23	А•п.с. • К
11	MMBD1501	FAIR	di	$V_B<200 В$, $I_C<200 мА$, $V_{FE}(I_C=200 мА)<1.1 В$, $C_D<4 пФ$	SOT23, SOD23	А•п.с. • К
13	MMBD1503	NS	di-2	$V_B<180 В$, $I_C<600 мА$, $V_{FE}(I_C=200 мА)<1.1 В$, $C_D<4 пФ$	SOT23, SOD23	А1•К2•К1, А2
13	MMBD1503	FAIR	di-2	$V_B<200 В$, $I_C<200 мА$, $V_{FE}(I_C=200 мА)<1.1 В$, $C_D<4 пФ$	SOT23, SOD23	А1•К2•К1, А2
14	DTA114ECA	ROHM	Dnpn	$V_{CE0}=50 В$, $I_C=100 мА$, $P_D=150 мВт$; $h_{FE}>30$; $f_T>250 МГц$, $R_T/R_F=10/10 кОм$	SOT23, SOD23	В•Е•С
14	MMBD1504	FAIR	di-2	$V_B<200 В$, $I_C<200 мА$, $V_{FE}(I_C=200 мА)<1.1 В$, $C_D<4 пФ$	SOT23, SOD23	А1•А2•К1, К2
15	DTA124ECA	ROHM	Dnpn	$V_{CE0}=50 В$, $I_{C(max)}=100 мА$, $P_D=150 мВт$; $h_{FE}>56$; $f_T>250 МГц$, $R_T/R_F=22/22 кОм$	SOT23, SOD23	В•Е•С
15	MMBD1505	FAIR	di-2	$V_B<200 В$, $I_C<200 мА$, $V_{FE}(I_C=200 мА)<1.1 В$, $C_D<4 пФ$	SOT23, SOD23	К1•К2•А1, А2
22	MMBT4209	NS	npn	$V_{CE0}=15 В$, $I_C=50 мА$, $P_D=300 мВт$; $h_{FE}>35$; $f_T=850 МГц$	SOT23, SOD23	В•Е•С
23	MMBT3646	NS	npn	$V_{CE0}=40 В$, $I_C=300 мА$, $P_D=625 мВт$; $h_{FE}>15$	SOT23, SOD23	В•Е•С
24	DTC114ECA	ROHM	Dnpn	$V_{CE0}=50 В$, $I_C=100 мА$, $P_D=150 мВт$; $h_{FE}>30$; $f_T>250 МГц$, $R_T/R_F=10/10 кОм$	SOT23, SOD23	В•Е•С
24	MMBD1201	FAIR	di	$V_B<100 В$, $I_C<200 мА$, $V_{FE}(I_C=200 мА)<1 В$, $C_D<2 пФ$, $t_{sp}<3 нс$	SOT23, SOD23	А•п.с. • К
25	DTC124ECA	ROHM	Dnpn	$V_{CE0}=50 В$, $I_{C(max)}=100 мА$, $P_D=150 мВт$; $h_{FE}>56$; $f_T>250 МГц$, $R_T/R_F=22/22 кОм$	SOT23, SOD23	В•Е•С
29	MMBD1401	NS	d	$V_B<175 В$, $I_C<600 мА$, $V_{FE}(I_C=200 мА)<1 В$, $I_S<0.1 мА$, $C_D<2 пФ$	SOT23, SOD23	А•п.с. • К
29	MMBD1401	NS	d	$V_B<175 В$, $I_C<600 мА$, $V_{FE}(I_C=200 мА)<1 В$, $I_S<0.1 мА$, $C_D<2 пФ$	SOT23, SOD23	А•п.с. • К
31	MMBD1402	NS	d	$V_B<175 В$, $I_C<600 мА$, $V_{FE}(I_C=200 мА)<1 В$, $I_S<0.1 мА$, $C_D<2 пФ$	SOT23, SOD23	п.с. • А • К
32	MMBD1403	NS	d-2	$V_B<175 В$, $I_C<600 мА$, $V_{FE}(I_C=200 мА)<1 В$, $I_S<0.1 мА$, $C_D<2 пФ$	SOT23, SOD23	А1•К2•К1, А2
33	MMBD1404	NS	d-2	$V_B<175 В$, $I_C<600 мА$, $V_{FE}(I_C=200 мА)<1 В$, $I_S<0.1 мА$, $C_D<2 пФ$	SOT23, SOD23	А1•А2•К1, К2
34	MMBD1405	NS	d-2	$V_B<175 В$, $I_C<600 мА$, $V_{FE}(I_C=200 мА)<1 В$, $I_S<0.1 мА$, $C_D<2 пФ$	SOT23, SOD23	К1•К2•А1, А2
43	DTA143EE	MOT	Dnpn	$V_{CE0}=50 В$, $I_C=100 мА$, $P_D=150 мВт$; $h_{FE}>20$; $f_T>250 МГц$, $R_T/R_F=4.7/4.7 кОм$	SOT416, SC75A	В•Е•С
45	BAS40-05	DIOT	shd-2	$V_B<40 В$; $I_C<200 мА$, $V_{FE}(I_C=40 мА)<1.0 В$, $I_S<0.2 мА$, $C_D<5.0 пФ$; $t_{sp}<5 нс$	SOT23, SOD23	А1•А2•К2, К1
45	BAS40-05	MCS	shd-2	$V_B<40 В$; $I_C<200 мА$, $V_{FE}(I_C=40 мА)<1.0 В$, $I_S<0.2 мА$, $C_D<5.0 пФ$; $t_{sp}<5 нс$	SOT23, SOD23	А1•А2•К2, К1
45	BAS40-05	TSC	shd-2	$V_B<40 В$; $I_C<200 мА$, $V_{FE}(I_C=40 мА)<1.0 В$, $I_S<0.2 мА$, $C_D<5.0 пФ$; $t_{sp}<5 нс$	SOT23, SOD23	А1•А2•К2, К1
45	BAS40-05	GS	shd-2	$V_B<40 В$; $I_C<200 мА$, $V_{FE}(I_C=40 мА)<1.0 В$, $I_S<0.2 мА$, $C_D<5.0 пФ$; $t_{sp}<5 нс$	SOT23, SOD23	А1•А2•К2, К1
46	BAS40-06	DIOT	shd-2	$V_B<40 В$; $I_C<200 мА$, $V_{FE}(I_C=40 мА)<1.0 В$, $I_S<0.2 мА$, $C_D<5.0 пФ$; $t_{sp}<5 нс$	SOT23, SOD23	К1•К2•А1, А2
46	BAS40-06	MCS	shd-2	$V_B<40 В$; $I_C<200 мА$, $V_{FE}(I_C=40 мА)<1.0 В$, $I_S<0.2 мА$, $C_D<5.0 пФ$; $t_{sp}<5 нс$	SOT23, SOD23	К1•К2•А1, А2
46	BAS40-06	TSC	shd-2	$V_B<40 В$; $I_C<200 мА$, $V_{FE}(I_C=40 мА)<1.0 В$, $I_S<0.2 мА$, $C_D<5.0 пФ$; $t_{sp}<5 нс$	SOT23, SOD23	К1•К2•А1, А2
46	BAS40-06	GS	shd-2	$V_B<40 В$; $I_C<200 мА$, $V_{FE}(I_C=40 мА)<1.0 В$, $I_S<0.2 мА$, $C_D<5.0 пФ$; $t_{sp}<5 нс$	SOT23, SOD23	К1•К2•А1, А2
69	DTA114YE	MOT	Dnpn	$V_{CE0}=50 В$, $I_C=100 мА$, $P_D=150 мВт$; $h_{FE}>68$; $f_T>250 МГц$, $R_T/R_F=10/47 кОм$	SOT416, SC75A	В•Е•С
69	DTC115EE	ROHM	Dnpn	$V_{CE0}=50 В$, $I_{C(max)}=100 мА$, $P_D=150 мВт$; $h_{FE}>82$; $f_T>250 МГц$, $R_T/R_F=100/100 кОм$	SOT416, SC75A	В•Е•С
69	DTC115EU	ROHM	Dnpn	$V_{CE0}=50 В$, $I_C=30 мА$, $P_D=200 мВт$; $h_{FE}>82$; $f_T>250 МГц$, $R_T/R_F=100/100 кОм$	SOT323, SC70	В•Е•С
72	2N7002	SIL	nFET	$V_{DS}=60 В$, $I_D=115 мА$, $P_D=300 мВт$; $V_{GS(th)}=-1.2...5 В$, $C_{iss}<50 пФ$	SOT23, SOD23	Г•S•D
73	MA4CS101A	M/A	shd	$V_B=70 В$; $I_C<15 мА$, $V_{FE}(I_C=15 мА)<1 В$, $C_D<2 пФ$	SOT23, SOD23	А•п.с. • К
74	MA4CS101B	M/A	shd-2	$V_B=70 В$; $I_C<15 мА$, $V_{FE}(I_C=15 мА)<1 В$, $C_D<2 пФ$	SOT23, SOD23	А1•К2•К1, А2
78	MMBT4258	FAIR	npn	$V_{CE0}=12 В$, $I_C=200 мА$, $P_D=225 мВт$; $h_{FE}>30...120$, $f_T>700 МГц$	SOT23, SOD23	В•Е•С
83	MA4CS102A	M/A	shd	$V_B=8 В$, $I_C<30 мА$, $V_{FE}(I_C=10 мА)<500 мВ$, $C_D<1 пФ$	SOT23, SOD23	А•п.с. • К
83	MMBT4400	FAIR	npn	$V_{CE0}=60 В$, $I_C=1 А$, $P_D=350 мВт$; $h_{FE}>50...150$	SOT23, SOD23	В•Е•С
84	MA4CS102B	M/A	shd-2	$V_B=8 В$, $I_C<30 мА$, $V_{FE}(I_C=10 мА)<500 мВ$, $C_D<1 пФ$	SOT23, SOD23	А1•К2•К1, А2
85	MA4CS102C	M/A	shd-2	$V_B=8 В$, $I_C<30 мА$, $V_{FE}(I_C=10 мА)<500 мВ$, $C_D<1 пФ$	SOT23, SOD23	А1•А2•К1, К2
85	MMBD1701	FAIR	di	$V_B<30 В$; $I_C<50 мА$, $V_{FE}(I_C=50 мА)<1.1 В$, $C_D<1 пФ$, $t_{sp}<0.7 нс$	SOT23, SOD23	А•п.с. • К
86	MMBD1702	FAIR	di	$V_B<30 В$; $I_C<50 мА$, $V_{FE}(I_C=50 мА)<1.1 В$, $C_D<1 пФ$, $t_{sp}<0.7 нс$	SOT23, SOD23	п.с. • А • К

**SOT490 TSM
MFPAK TSFP-3**

**VMT3
VMD3**



**SOT416 SOT323
SOT523 SOT346**

**SOT23-3
SOD23-3**



Код	Типономинал	Б	Ф	Особенности	Корпус	Ц: 1•2•3
87	MMBD1703	FAIR	dl-2	$V_{DS} < 30 В$, $I_C = 50 мА$, $V_{CE}(I_C = 50 мА) < 1.1 В$, $C_{D0} < 1 пФ$, $f_{T(100)} < 0.7 нс$	SOT23, SOD23	A1-K2-K1, A2
88	MMBD1704	FAIR	dl-2	$V_{DS} < 30 В$, $I_C = 50 мА$, $V_{CE}(I_C = 50 мА) < 1.1 В$, $C_{D0} < 1 пФ$, $f_{T(100)} < 0.7 нс$	SOT23, SOD23	A1-A2-K1, K2
89	MMBD1705	FAIR	dl-2	$V_{DS} < 30 В$, $I_C = 50 мА$, $V_{CE}(I_C = 50 мА) < 1.1 В$, $C_{D0} < 1 пФ$, $f_{T(100)} < 0.7 нс$	SOT23, SOD23	K1-K2-A1, A2
91	DTA1137KA	ROHM	Dnpn	$V_{DS(100)} = 50 В$, $I_C = 100 мА$, $P_D = 200 мВт$, $h_{FE} > 33$, $f_T > 250 МГц$, $R_{\theta JA} = 1 к$	SOT346, SC59	B-E-C
95	DTA124TCA	ROHM	Dnpn	$V_{DS(100)} = 50 В$, $I_C = 100 мА$, $P_D = 150 мВт$, $h_{FE} > 100$, $f_T > 250 МГц$, $R_{\theta JA} = 22 кОм$	SOT23, SOD23	B-E-C
101	PZM10NB1	PHIL	dz	$V_{CE}(I_{CT} = 5 мА) = 9.45...9.87 В$, $Z_{CT}(I_{CT} = 5 мА) < 10 Ом$	SOT346, SC59	A-н.с.-K
102	PZM10NB2	PHIL	dz	$V_{CE}(I_{CT} = 5 мА) = 9.77...10.21 В$, $Z_{CT}(I_{CT} = 5 мА) < 10 Ом$	SOT346, SC59	A-н.с.-K
103	PZM10NB3	PHIL	dz	$V_{CE}(I_{CT} = 5 мА) = 10.11...10.55 В$, $Z_{CT}(I_{CT} = 5 мА) < 10 Ом$	SOT346, SC59	A-н.с.-K
111	PZM11NB1	PHIL	dz	$V_{CE}(I_{CT} = 5 мА) = 10.44...10.88 В$, $Z_{CT}(I_{CT} = 5 мА) < 10 Ом$	SOT346, SC59	A-н.с.-K
112	PZM11NB2	PHIL	dz	$V_{CE}(I_{CT} = 5 мА) = 10.76...11.22 В$, $Z_{CT}(I_{CT} = 5 мА) < 10 Ом$	SOT346, SC59	A-н.с.-K
113	PZM11NB3	PHIL	dz	$V_{CE}(I_{CT} = 5 мА) = 11.10...11.56 В$, $Z_{CT}(I_{CT} = 5 мА) < 10 Ом$	SOT346, SC59	A-н.с.-K
121	PZM12NB1	PHIL	dz	$V_{CE}(I_{CT} = 5 мА) = 11.42...11.90 В$, $Z_{CT}(I_{CT} = 5 мА) < 10 Ом$	SOT346, SC59	A-н.с.-K
122	PZM12NB2	PHIL	dz	$V_{CE}(I_{CT} = 5 мА) = 11.74...12.24 В$, $Z_{CT}(I_{CT} = 5 мА) < 10 Ом$	SOT346, SC59	A-н.с.-K
123	PZM12NB3	PHIL	dz	$V_{CE}(I_{CT} = 5 мА) = 12.08...12.60 В$, $Z_{CT}(I_{CT} = 5 мА) < 10 Ом$	SOT346, SC59	A-н.с.-K
131	PZM13NB1	PHIL	dz	$V_{CE}(I_{CT} = 5 мА) = 12.47...13.03 В$, $Z_{CT}(I_{CT} = 5 мА) < 10 Ом$	SOT346, SC59	A-н.с.-K
132	PZM13NB2	PHIL	dz	$V_{CE}(I_{CT} = 5 мА) = 12.91...13.49 В$, $Z_{CT}(I_{CT} = 5 мА) < 10 Ом$	SOT346, SC59	A-н.с.-K
133	PZM13NB3	PHIL	dz	$V_{CE}(I_{CT} = 5 мА) = 13.37...13.96 В$, $Z_{CT}(I_{CT} = 5 мА) < 10 Ом$	SOT346, SC59	A-н.с.-K
142	DTA123JUA	ROHM	Dnpn	$V_{DS(100)} = 50 В$, $I_C = 100 мА$, $P_D = 200 мВт$, $h_{FE} > 80$, $f_T > 250 МГц$, $R_{\theta JA} = 2.2/47 кОм$	SOT323, SC70	B-E-C
151	PZM15NB1	PHIL	dz	$V_{CE}(I_{CT} = 5 мА) = 13.84...14.46 В$, $Z_{CT}(I_{CT} = 5 мА) < 15 Ом$	SOT346, SC59	A-н.с.-K
152	PZM15NB2	PHIL	dz	$V_{CE}(I_{CT} = 5 мА) = 14.34...14.98 В$, $Z_{CT}(I_{CT} = 5 мА) < 15 Ом$	SOT346, SC59	A-н.с.-K
153	PZM15NB3	PHIL	dz	$V_{CE}(I_{CT} = 5 мА) = 14.85...15.52 В$, $Z_{CT}(I_{CT} = 5 мА) < 15 Ом$	SOT346, SC59	A-н.с.-K
161	PZM16NB1	PHIL	dz	$V_{CE}(I_{CT} = 5 мА) = 15.37...16.01 В$, $Z_{CT}(I_{CT} = 5 мА) < 20 Ом$	SOT346, SC59	A-н.с.-K
162	PZM16NB2	PHIL	dz	$V_{CE}(I_{CT} = 5 мА) = 15.85...16.51 В$, $Z_{CT}(I_{CT} = 5 мА) < 20 Ом$	SOT346, SC59	A-н.с.-K
163	PZM16NB3	PHIL	dz	$V_{CE}(I_{CT} = 5 мА) = 16.35...17.09 В$, $Z_{CT}(I_{CT} = 5 мА) < 20 Ом$	SOT346, SC59	A-н.с.-K
181	PZM18NB1	PHIL	dz	$V_{CE}(I_{CT} = 5 мА) = 18.94...19.70 В$, $Z_{CT}(I_{CT} = 5 мА) < 20 Ом$	SOT346, SC59	A-н.с.-K
182	PZM18NB2	PHIL	dz	$V_{CE}(I_{CT} = 5 мА) = 17.66...18.35 В$, $Z_{CT}(I_{CT} = 5 мА) < 20 Ом$	SOT346, SC59	A-н.с.-K
183	PZM18NB3	PHIL	dz	$V_{CE}(I_{CT} = 5 мА) = 18.21...19.03 В$, $Z_{CT}(I_{CT} = 5 мА) < 20 Ом$	SOT346, SC59	A-н.с.-K
201	PZM20NB1	PHIL	dz	$V_{CE}(I_{CT} = 5 мА) = 18.86...19.70 В$, $Z_{CT}(I_{CT} = 5 мА) < 20 Ом$	SOT346, SC59	A-н.с.-K
202	PZM20NB2	PHIL	dz	$V_{CE}(I_{CT} = 5 мА) = 19.52...20.39 В$, $Z_{CT}(I_{CT} = 5 мА) < 20 Ом$	SOT346, SC59	A-н.с.-K
203	PZM20NB3	PHIL	dz	$V_{CE}(I_{CT} = 5 мА) = 20.21...21.08 В$, $Z_{CT}(I_{CT} = 5 мА) < 20 Ом$	SOT346, SC59	A-н.с.-K
221	PZM22NB1	PHIL	dz	$V_{CE}(I_{CT} = 5 мА) = 20.88...21.77 В$, $Z_{CT}(I_{CT} = 5 мА) < 25 Ом$	SOT346, SC59	A-н.с.-K
222	PZM22NB2	PHIL	dz	$V_{CE}(I_{CT} = 5 мА) = 21.54...22.47 В$, $Z_{CT}(I_{CT} = 5 мА) < 25 Ом$	SOT346, SC59	A-н.с.-K
223	PZM22NB3	PHIL	dz	$V_{CE}(I_{CT} = 5 мА) = 22.23...23.17 В$, $Z_{CT}(I_{CT} = 5 мА) < 25 Ом$	SOT346, SC59	A-н.с.-K
241	PZM24NB1	PHIL	dz	$V_{CE}(I_{CT} = 5 мА) = 22.93...23.96 В$, $Z_{CT}(I_{CT} = 5 мА) < 30 Ом$	SOT346, SC59	A-н.с.-K
242	PZM24NB2	PHIL	dz	$V_{CE}(I_{CT} = 5 мА) = 23.72...24.78 В$, $Z_{CT}(I_{CT} = 5 мА) < 30 Ом$	SOT346, SC59	A-н.с.-K
243	PZM24NB3	PHIL	dz	$V_{CE}(I_{CT} = 5 мА) = 24.54...25.57 В$, $Z_{CT}(I_{CT} = 5 мА) < 30 Ом$	SOT346, SC59	A-н.с.-K
271	PZM27NB1	PHIL	dz	$V_{CE}(I_{CT} = 5 мА) = 2.5...2.75 В$, $Z_{CT}(I_{CT} = 5 мА) < 100 Ом$	SOT346, SC59	A-н.с.-K
272	PZM27NB2	PHIL	dz	$V_{CE}(I_{CT} = 5 мА) = 2.65...2.9 В$, $Z_{CT}(I_{CT} = 5 мА) < 100 Ом$	SOT346, SC59	A-н.с.-K
301	PZM30NB1	PHIL	dz	$V_{CE}(I_{CT} = 5 мА) = 2.8...3.05 В$, $Z_{CT}(I_{CT} = 5 мА) < 95 Ом$	SOT346, SC59	A-н.с.-K
302	PZM30NB2	PHIL	dz	$V_{CE}(I_{CT} = 5 мА) = 2.95...3.2 В$, $Z_{CT}(I_{CT} = 5 мА) < 95 Ом$	SOT346, SC59	A-н.с.-K
331	PZM33NB1	PHIL	dz	$V_{CE}(I_{CT} = 5 мА) = 3.1...3.35 В$, $Z_{CT}(I_{CT} = 5 мА) < 95 Ом$	SOT346, SC59	A-н.с.-K
332	PZM33NB2	PHIL	dz	$V_{CE}(I_{CT} = 5 мА) = 3.25...3.5 В$, $Z_{CT}(I_{CT} = 5 мА) < 95 Ом$	SOT346, SC59	A-н.с.-K
358	FDN358P	FAIR	DpMOS	$V_{DS} = -30 В$, $I_D = 1.5 А$, $P_D = 500 мВт$, $R_{DS(on)} = 0.125 Ом$	SOT23, SOD23	G-S-D
361	PZM36NB1	PHIL	dz	$V_{CE}(I_{CT} = 5 мА) = 3.4...3.65 В$, $Z_{CT}(I_{CT} = 5 мА) < 90 Ом$	SOT346, SC59	A-н.с.-K
362	PZM36NB2	PHIL	dz	$V_{CE}(I_{CT} = 5 мА) = 3.55...3.8 В$, $Z_{CT}(I_{CT} = 5 мА) < 90 Ом$	SOT346, SC59	A-н.с.-K
391	PZM39NB1	PHIL	dz	$V_{CE}(I_{CT} = 5 мА) = 3.7...3.97 В$, $Z_{CT}(I_{CT} = 5 мА) < 90 Ом$	SOT346, SC59	A-н.с.-K
392	PZM39NB2	PHIL	dz	$V_{CE}(I_{CT} = 5 мА) = 3.87...4.1 В$, $Z_{CT}(I_{CT} = 5 мА) < 90 Ом$	SOT346, SC59	A-н.с.-K
431	PZM43NB1	PHIL	dz	$V_{CE}(I_{CT} = 5 мА) = 4.01...4.21 В$, $Z_{CT}(I_{CT} = 5 мА) < 90 Ом$	SOT346, SC59	A-н.с.-K
432	PZM43NB2	PHIL	dz	$V_{CE}(I_{CT} = 5 мА) = 4.15...4.34 В$, $Z_{CT}(I_{CT} = 5 мА) < 90 Ом$	SOT346, SC59	A-н.с.-K
433	PZM43NB3	PHIL	dz	$V_{CE}(I_{CT} = 5 мА) = 4.28...4.48 В$, $Z_{CT}(I_{CT} = 5 мА) < 90 Ом$	SOT346, SC59	A-н.с.-K
471	PZM47NB1	PHIL	dz	$V_{CE}(I_{CT} = 5 мА) = 4.42...4.61 В$, $Z_{CT}(I_{CT} = 5 мА) < 80 Ом$	SOT346, SC59	A-н.с.-K



SOT23-3
SOD23-3

SOT323
SOT346

SOT416
SOT523



SOT490
MFPK

TESM
TSFP-3

VMT3
VMD3

Код	Типономинал	Б	Ф	Особенности	Корпус	Ц: 1•2•3
472	PZM4.7NB2	PHIL	dz	$V_{d(L_{21})-5\text{ мА}}=4.55...4.75\text{ В}$, $Z_{г(L_{21})-5\text{ мА}} < 80\text{ Ом}$	SOT346, SC59	A-n.c.-K
473	PZM4.7NB3	PHIL	dz	$V_{d(L_{21})-5\text{ мА}}=4.89...4.90\text{ В}$, $Z_{г(L_{21})-5\text{ мА}} < 80\text{ Ом}$	SOT346, SC59	A-n.c.-K
500	SSTPAD500	SIL	dl	$V_B=55\text{ В}$; $I_C < 10\text{ мА}$; $V_{f(I_C=1\text{ мА})} < 1.5\text{ В}$; $I_{C1} < 500\text{ нА}$; $C_1 < 2\text{ нФ}$	SOT23, SOD23	K-K-A
511	PZM5.1NB1	PHIL	dz	$V_{d(L_{21})-5\text{ мА}}=4.84...5.04\text{ В}$, $Z_{г(L_{21})-5\text{ мА}} < 80\text{ Ом}$	SOT346, SC59	A-n.c.-K
512	PZM5.1NB2	PHIL	dz	$V_{d(L_{21})-5\text{ мА}}=4.98...5.20\text{ В}$, $Z_{г(L_{21})-5\text{ мА}} < 80\text{ Ом}$	SOT346, SC59	A-n.c.-K
513	PZM5.1NB3	PHIL	dz	$V_{d(L_{21})-5\text{ мА}}=5.14...5.37\text{ В}$, $Z_{г(L_{21})-5\text{ мА}} < 80\text{ Ом}$	SOT346, SC59	A-n.c.-K
561	PZM5.6NB1	PHIL	dz	$V_{d(L_{21})-5\text{ мА}}=5.31...5.55\text{ В}$, $Z_{г(L_{21})-5\text{ мА}} < 40\text{ Ом}$	SOT346, SC59	A-n.c.-K
562	PZM5.6NB2	PHIL	dz	$V_{d(L_{21})-5\text{ мА}}=5.49...5.73\text{ В}$, $Z_{г(L_{21})-5\text{ мА}} < 40\text{ Ом}$	SOT346, SC59	A-n.c.-K
563	PZM5.6NB3	PHIL	dz	$V_{d(L_{21})-5\text{ мА}}=5.67...5.92\text{ В}$, $Z_{г(L_{21})-5\text{ мА}} < 40\text{ Ом}$	SOT346, SC59	A-n.c.-K
605	NDS0605	FAIR	pMOS	$V_{DS}=60\text{ В}$; $I_D=180\text{ мА}$; $P_D=360\text{ мВт}$; $R_{DS(on)} < 15\text{ Ом}$	SOT23, SOD23	G-S-D
610	NDS0610	FAIR	pMOS	$V_{DS}=60\text{ В}$; $I_D=120\text{ мА}$; $P_D=360\text{ мВт}$; $R_{DS(on)} < 30\text{ Ом}$	SOT23, SOD23	G-S-D
621	PZM6.2NB1	PHIL	dz	$V_{d(L_{21})-5\text{ мА}}=5.85...6.12\text{ В}$, $Z_{г(L_{21})-5\text{ мА}} < 10\text{ Ом}$	SOT346, SC59	A-n.c.-K
622	PZM6.2NB2	PHIL	dz	$V_{d(L_{21})-5\text{ мА}}=6.05...6.33\text{ В}$, $Z_{г(L_{21})-5\text{ мА}} < 10\text{ Ом}$	SOT346, SC59	A-n.c.-K
623	PZM6.2NB3	PHIL	dz	$V_{d(L_{21})-5\text{ мА}}=6.26...6.53\text{ В}$, $Z_{г(L_{21})-5\text{ мА}} < 10\text{ Ом}$	SOT346, SC59	A-n.c.-K
634	FMMT834	ZETEX	dnpn	$V_{CE0}=120\text{ В}$; $I_C=900\text{ мА}$; $P_D=625\text{ мВт}$; $f_T > 140\text{ МГц}$	SOT23, SOD23	B-E-C
681	PZM6.6NB1	PHIL	dz	$V_{d(L_{21})-5\text{ мА}}=6.47...6.73\text{ В}$, $Z_{г(L_{21})-5\text{ мА}} < 15\text{ Ом}$	SOT346, SC59	A-n.c.-K
682	PZM6.6NB2	PHIL	dz	$V_{d(L_{21})-5\text{ мА}}=6.65...7.14\text{ В}$, $Z_{г(L_{21})-5\text{ мА}} < 15\text{ Ом}$	SOT346, SC59	A-n.c.-K
683	PZM6.6NB3	PHIL	dz	$V_{d(L_{21})-5\text{ мА}}=6.85...6.93\text{ В}$, $Z_{г(L_{21})-5\text{ мА}} < 15\text{ Ом}$	SOT346, SC59	A-n.c.-K
701	2N7001	MOT	nFET	$P_D=250\text{ мВт}$; $V_{BRSS} > 240\text{ В}$; $R_{DS(on)}=45\text{ Ом}$	SOT23, SOD23	G-S-D
702	2N7002	ON	nFET	$V_{DS}=60\text{ В}$; $I_D=115\text{ мА}$; $P_D=300\text{ мВт}$; $V_{GS(1)}=1...2.5\text{ В}$; $C_{ISS} < 50\text{ нФ}$	SOT23, SOD23	G-S-D
703	2N7003	MOT	nFET	$V_{DS}=500\text{ В}$; $I_D=10\text{ мА}$; $P_D=200\text{ мВт}$; $R_{DS(on)} < 300\text{ Ом}$	SOT23, SOD23	G-S-D
712	NDS7002A	NS	nMOS	$V_{DS}=60\text{ В}$; $I_D=0.28\text{ А}$	SOT23, SOD23	G-S-D
751	PZM7.5NB1	PHIL	dz	$V_{d(L_{21})-5\text{ мА}}=7.05...7.36\text{ В}$, $Z_{г(L_{21})-5\text{ мА}} < 10\text{ Ом}$	SOT346, SC59	A-n.c.-K
752	PZM7.5NB2	PHIL	dz	$V_{d(L_{21})-5\text{ мА}}=7.28...7.60\text{ В}$, $Z_{г(L_{21})-5\text{ мА}} < 10\text{ Ом}$	SOT346, SC59	A-n.c.-K
753	PZM7.5NB3	PHIL	dz	$V_{d(L_{21})-5\text{ мА}}=7.52...7.84\text{ В}$, $Z_{г(L_{21})-5\text{ мА}} < 10\text{ Ом}$	SOT346, SC59	A-n.c.-K
821	PZM8.2NB1	PHIL	dz	$V_{d(L_{21})-5\text{ мА}}=7.76...8.10\text{ В}$, $Z_{г(L_{21})-5\text{ мА}} < 10\text{ Ом}$	SOT346, SC59	A-n.c.-K
822	PZM8.2NB2	PHIL	dz	$V_{d(L_{21})-5\text{ мА}}=8.02...8.36\text{ В}$, $Z_{г(L_{21})-5\text{ мА}} < 10\text{ Ом}$	SOT346, SC59	A-n.c.-K
823	PZM8.2NB3	PHIL	dz	$V_{d(L_{21})-5\text{ мА}}=8.28...8.64\text{ В}$, $Z_{г(L_{21})-5\text{ мА}} < 10\text{ Ом}$	SOT346, SC59	A-n.c.-K
852	S8527	WISH	npn	$V_{CE0}=12\text{ В}$; $I_C=8\text{ мА}$; $P_D=30\text{ мВт}$; $h_{FE1}=40...150$; $f_T=5.2\text{ ГГц}$	SOT23, SOD23	B-E-C
911	PZM9.1NB1	PHIL	dz	$V_{d(L_{21})-5\text{ мА}}=8.56...8.93\text{ В}$, $Z_{г(L_{21})-5\text{ мА}} < 10\text{ Ом}$	SOT346, SC59	A-n.c.-K
912	PZM9.1NB2	PHIL	dz	$V_{d(L_{21})-5\text{ мА}}=8.85...9.23\text{ В}$, $Z_{г(L_{21})-5\text{ мА}} < 10\text{ Ом}$	SOT346, SC59	A-n.c.-K
913	PZM9.1NB3	PHIL	dz	$V_{d(L_{21})-5\text{ мА}}=9.15...9.55\text{ В}$, $Z_{г(L_{21})-5\text{ мА}} < 10\text{ Ом}$	SOT346, SC59	A-n.c.-K
01	PDTA143EE	PHIL	Dpnp	$V_{CE0}=50\text{ В}$; $I_C=100\text{ мА}$; $P_D=250\text{ мВт}$; $h_{FE1} > 30$; $4.7\text{ кОм}/4.7\text{ кОм}$	SOT416, SC75A	B-E-C
01	PDTA143EK	PHIL	Dpnp	$V_{CE0}=50\text{ В}$; $I_C=100\text{ мА}$; $P_D=250\text{ мВт}$; $h_{FE1} > 30$; $4.7\text{ кОм}/4.7\text{ кОм}$	SOT346, SC59	B-E-C
010	SSTPAD10	SIL	dl	$V_B=55\text{ В}$; $I_C < 10\text{ мА}$; $V_{f(I_C=1\text{ мА})} < 1.5\text{ В}$; $I_{C1} < 10\text{ нА}$; $C_1 < 2\text{ нФ}$	SOT23, SOD23	K-K-A
011	SQ2389R	STM	npn	$V_{CE0}=40\text{ В}$; $I_C=200\text{ мА}$; $P_D=200\text{ мВт}$; $h_{FE1}=40...120$; $f_T > 400\text{ МГц}$	SOT23, SOD23	B-E-C
02	DTIC1237KA	ROHM	Dnpn	$V_{CE0}=50\text{ В}$; $I_C=100\text{ мА}$; $P_D=200\text{ мВт}$; $h_{FE1} > 80$; $f_T > 250\text{ МГц}$; $P_1/P_2=2/4/7\text{ кОм}$	SOT346, SC59	B-E-C
02	PDTIC143EE	PHIL	Dnpn	$V_{CE0}=50\text{ В}$; $I_C=100\text{ мА}$; $P_D=250\text{ мВт}$; $h_{FE1} > 30$; $4.7\text{ кОм}/4.7\text{ кОм}$	SOT416, SC75A	B-E-C
02	PDTIC143EK	PHIL	Dnpn	$V_{CE0}=50\text{ В}$; $I_C=100\text{ мА}$; $P_D=250\text{ мВт}$; $h_{FE1} > 30$; $4.7\text{ кОм}/4.7\text{ кОм}$	SOT346, SC59	B-E-C
020	SSTPAD20	SIL	dl	$V_B=55\text{ В}$; $I_C < 10\text{ мА}$; $V_{f(I_C=1\text{ мА})} < 1.5\text{ В}$; $I_{C1} < 20\text{ нА}$; $C_1 < 2\text{ нФ}$	SOT23, SOD23	K-K-A
028	SQ3572R	SGS	npn	$V_{CE0}=15\text{ В}$; $P_D=200\text{ мВт}$; $f_T > 1\text{ ГГц}$	SOT23, SOD23	E-B-C
02p	BST82	PHIL	nMOS	$V_{DS}=80\text{ В}$; $I_D=175\text{ мА}$; $P_D=300\text{ мВт}$; $R_{DS(on)}=7\text{ Ом}$	SOT23, SOD23	G-S-D
03	DTIC143TE	ROHM	Dnpn	$V_{CE0}=50\text{ В}$; $I_C=100\text{ мА}$; $P_D=150\text{ мВт}$; $h_{FE1}=100...600$; $f_T > 250\text{ МГц}$; $P_1=4.7\text{ кОм}$	SOT416, SC75A	B-E-C
03	DTIC143TKA	ROHM	Dnpn	$V_{CE0}=50\text{ В}$; $I_C=100\text{ мА}$; $P_D=200\text{ мВт}$; $h_{FE1}=100...600$; $f_T > 250\text{ МГц}$; $P_1=4.7\text{ кОм}$	SOT346, SC59	B-E-C
03	DTIC143TUA	ROHM	Dnpn	$V_{CE0}=50\text{ В}$; $I_C=100\text{ мА}$; $P_D=200\text{ мВт}$; $h_{FE1}=100...600$; $f_T > 250\text{ МГц}$; $P_1=4.7\text{ кОм}$	SOT323, SC70	B-E-C
03	PDTA114EE	PHIL	Dpnp	$V_{CE0}=50\text{ В}$; $I_C=100\text{ мА}$; $P_D=200\text{ мВт}$; $h_{FE1} > 30$; $10\text{ кОм}/10\text{ кОм}$	SOT416, SC75A	B-E-C
03	PDTA114EEF	PHIL	Dpnp	$V_{CE0}=50\text{ В}$; $I_C=100\text{ мА}$; $P_D=200\text{ мВт}$; $h_{FE1} > 30$; $10\text{ кОм}/10\text{ кОм}$	SOT490, SC89	B-E-C
-03	PDTA114EU	PHIL	Dpnp	$V_{CE0}=50\text{ В}$; $I_C=100\text{ мА}$; $P_D=200\text{ мВт}$; $h_{FE1} > 30$; $10\text{ кОм}/10\text{ кОм}$	SOT323, SC70	B-E-C
03W	SQ2907AW	STM	npn	$V_{CE0}=60\text{ В}$; $I_C=600\text{ мА}$; $P_D=200\text{ мВт}$; $h_{FE1}=100...300$; $f_T > 200\text{ МГц}$	SOT323, SC70	B-E-C

**SOT490 TSM
MFPAK TSFP-3**

**VMT3
VMD3**



**SOT416
SOT523**

**SOT323
SOT346**

**SOT23-3
SOD23-3**



Код	Типономинал	Б	Ф	Особенности	Корпус	Ц: 1•2•3
04	DTC114TE	ROHM	Dnpn	$V_{CE0}=50\text{ В}; I_C=100\text{ мА}; P_D=150\text{ мВт}; h_{FE}>100\dots600; f_T>250\text{ МГц}; R_{\theta J}=10\text{ К/Вт}$	SOT416, SC75A	B•E•C
04	DTC114TKA	ROHM	Dnpn	$V_{CE0}=50\text{ В}; I_C=100\text{ мА}; P_D=200\text{ мВт}; h_{FE}>100\dots600; f_T>250\text{ МГц}; R_{\theta J}=10\text{ К/Вт}$	SOT346, SC59	B•E•C
04	DTC114TUA	ROHM	Dnpn	$V_{CE0}=50\text{ В}; I_C=100\text{ мА}; P_D=200\text{ мВт}; h_{FE}>100\dots600; f_T>250\text{ МГц}; R_{\theta J}=10\text{ К/Вт}$	SOT323, SC70	B•E•C
04	PDTC114EK	PHIL	Dnpn	$V_{CE0}=50\text{ В}; I_C=100\text{ мА}; P_D=250\text{ мВт}; h_{FE}>30; 10\text{ К/Вт}/10\text{ К/Вт}$	SOT346, SC59	B•E•C
04	PMSS3904	PHIL	nnpn	$V_{CE0}=60\text{ В}; I_C=200\text{ мА}; P_D=200\text{ мВт}; h_{FE}>100\dots300; f_T>180\text{ МГц}$	SOT323, SC70	B•E•C
04	DTC114TCA	ROHM	Dnpn	$V_{CE0}=50\text{ В}; I_C=100\text{ мА}; P_D=150\text{ мВт}; h_{FE}>100\dots600; f_T>250\text{ МГц}; R_{\theta J}=10\text{ К/Вт}$	SOT23, SOD23	B•E•C
044	SO3571R	SGS	nnpn	$V_{CE0}=15\text{ В}; P_D=200\text{ мВт}; f_T>1.2\text{ ГГц}$	SOT23, SOD23	E•B•C
047	SO3570R	SGS	nnpn	$V_{CE0}=15\text{ В}; P_D=200\text{ мВт}; f_T>1.5\text{ ГГц}$	SOT23, SOD23	E•B•C
05	DTC124TE	ROHM	Dnpn	$V_{CE0}=50\text{ В}; I_C=100\text{ мА}; P_D=150\text{ мВт}; h_{FE}>100\dots600; f_T>250\text{ МГц}; R_{\theta J}=22\text{ К/Вт}$	SOT416, SC75A	B•E•C
05	DTC124TKA	ROHM	Dnpn	$V_{CE0}=50\text{ В}; I_C=100\text{ мА}; P_D=200\text{ мВт}; h_{FE}>100\dots600; f_T>250\text{ МГц}; R_{\theta J}=22\text{ К/Вт}$	SOT346, SC59	B•E•C
05	DTC124TUA	ROHM	Dnpn	$V_{CE0}=50\text{ В}; I_C=100\text{ мА}; P_D=200\text{ мВт}; h_{FE}>100\dots600; f_T>250\text{ МГц}; R_{\theta J}=22\text{ К/Вт}$	SOT323, SOD23	B•E•C
05	PDTA124EE	PHIL	Dnpn	$V_{CE0}=50\text{ В}; I_C=100\text{ мА}; P_D=250\text{ мВт}; h_{FE}>60; 22\text{ К/Вт}/22\text{ К/Вт}$	SOT416, SC75A	B•E•C
05	PDTA124EK	PHIL	Dnpn	$V_{CE0}=50\text{ В}; I_C=100\text{ мА}; P_D=250\text{ мВт}; h_{FE}>60; 22\text{ К/Вт}/22\text{ К/Вт}$	SOT346, SC59	B•E•C
05	SSTPAD5	SIL	dl	$V_{AS}=55\text{ В}; I_C<10\text{ мА}; V_{CE}(I_C=1\text{ мА})<1.5\text{ В}; I_{BQ}>5\text{ нА}; C_T<2\text{ пФ}$	SOT23, SOD23	K•K•A
050	SSTPAD50	SIL	dl	$V_{AS}=55\text{ В}; I_C<10\text{ мА}; V_{CE}(I_C=1\text{ мА})<1.5\text{ В}; I_{BQ}>50\text{ нА}; C_T<2\text{ пФ}$	SOT23, SOD23	K•K•A
06	DTC144TE	ROHM	Dnpn	$V_{CE0}=50\text{ В}; I_C=100\text{ мА}; P_D=150\text{ мВт}; h_{FE}>100\dots600; f_T>250\text{ МГц}; R_{\theta J}=47\text{ К/Вт}$	SOT416, SC75A	B•E•C
06	DTC144TKA	ROHM	Dnpn	$V_{CE0}=50\text{ В}; I_C=100\text{ мА}; P_D=200\text{ мВт}; h_{FE}>100\dots600; f_T>250\text{ МГц}; R_{\theta J}=47\text{ К/Вт}$	SOT346, SC59	B•E•C
06	DTC144TUA	ROHM	Dnpn	$V_{CE0}=50\text{ В}; I_C=100\text{ мА}; P_D=200\text{ мВт}; h_{FE}>100\dots600; f_T>250\text{ МГц}; R_{\theta J}=47\text{ К/Вт}$	SOT323, SC70	B•E•C
06	PDTC124EE	PHIL	Dnpn	$V_{CE0}=50\text{ В}; I_C=100\text{ мА}; P_D=250\text{ мВт}; h_{FE}>60; 22\text{ К/Вт}/22\text{ К/Вт}$	SOT416, SC75A	B•E•C
06	PDTC124EK	PHIL	Dnpn	$V_{CE0}=50\text{ В}; I_C=100\text{ мА}; P_D=250\text{ мВт}; h_{FE}>60; 22\text{ К/Вт}/22\text{ К/Вт}$	SOT346, SC59	B•E•C
07	PDTA144EE	PHIL	Dnpn	$V_{CE0}=50\text{ В}; I_C=100\text{ мА}; P_D=250\text{ мВт}; h_{FE}>80; 47\text{ К/Вт}/47\text{ К/Вт}$	SOT416, SC75A	B•E•C
07	PDTA144EF	PHIL	Dnpn	$V_{CE0}=50\text{ В}; I_C=100\text{ мА}; P_D=250\text{ мВт}; h_{FE}>80; 47\text{ К/Вт}/47\text{ К/Вт}$	SOT490, SC89	B•E•C
07	PDTA144EK	PHIL	Dnpn	$V_{CE0}=50\text{ В}; I_C=100\text{ мА}; P_D=250\text{ мВт}; h_{FE}>80; 47\text{ К/Вт}/47\text{ К/Вт}$	SOT346, SC59	B•E•C
08	PDTC144EE	PHIL	Dnpn	$V_{CE0}=50\text{ В}; I_C=100\text{ мА}; P_D=250\text{ мВт}; h_{FE}>80; 47\text{ К/Вт}/47\text{ К/Вт}$	SOT416, SC75A	B•E•C
08	PDTC144EF	PHIL	Dnpn	$V_{CE0}=50\text{ В}; I_C=100\text{ мА}; P_D=250\text{ мВт}; h_{FE}>80; 47\text{ К/Вт}/47\text{ К/Вт}$	SOT490, SC89	B•E•C
08	PDTC144EK	PHIL	Dnpn	$V_{CE0}=50\text{ В}; I_C=100\text{ мА}; P_D=250\text{ мВт}; h_{FE}>80; 47\text{ К/Вт}/47\text{ К/Вт}$	SOT346, SC59	B•E•C
081	SO2369AR	SGS	nnpn	$V_{CE0}=40\text{ В}; I_C=200\text{ мА}; P_D=200\text{ мВт}; h_{FE}>40\dots120; f_T>500\text{ МГц}$	SOT23, SOD23	E•B•C
09	DTC115TH	ROHM	Dnpn	$V_{CE0}=50\text{ В}; I_C=100\text{ мА}; P_D=150\text{ мВт}; h_{FE}>100\dots600; f_T>250\text{ МГц}; R_{\theta J}=10\text{ К/Вт}$	SOT416, SC75A	B•E•C
09	DTC115TKA	ROHM	Dnpn	$V_{CE0}=50\text{ В}; I_C=100\text{ мА}; P_D=200\text{ мВт}; h_{FE}>100\dots600; f_T>250\text{ МГц}; R_{\theta J}=10\text{ К/Вт}$	SOT346, SC59	B•E•C
09	DTC115TUA	ROHM	Dnpn	$V_{CE0}=50\text{ В}; I_C=100\text{ мА}; P_D=200\text{ мВт}; h_{FE}>100\dots600; f_T>250\text{ МГц}; R_{\theta J}=10\text{ К/Вт}$	SOT323, SC70	B•E•C
09	PDTC114EE	PHIL	Dnpn	$V_{CE0}=50\text{ В}; I_C=100\text{ мА}; P_D=250\text{ мВт}; h_{FE}>30; 10\text{ К/Вт}/10\text{ К/Вт}$	SOT416, SC75A	B•E•C
09	PDTC114EEF	PHIL	Dnpn	$V_{CE0}=50\text{ В}; I_C=100\text{ мА}; P_D=250\text{ мВт}; h_{FE}>30; 10\text{ К/Вт}/10\text{ К/Вт}$	SOT490, SC89	B•E•C
0A	DTC125TKA	ROHM	Dnpn	$V_{CE0}=50\text{ В}; I_C=100\text{ мА}; P_D=200\text{ мВт}; h_{FE}>100\dots600; f_T>250\text{ МГц}; R_{\theta J}=200\text{ К/Вт}$	SOT346, SC59	B•E•C
0A	DTC125TUA	ROHM	Dnpn	$V_{CE0}=50\text{ В}; I_C=100\text{ мА}; P_D=200\text{ мВт}; h_{FE}>100\dots600; f_T>250\text{ МГц}; R_{\theta J}=200\text{ К/Вт}$	SOT323, SC70	B•E•C
10	MPF9411LT1	MOT	nnpn	$V_{CE0}=20\text{ В}; I_C=50\text{ мА}; P_D=250\text{ мВт}; h_{FE}>50\dots200; f_T>8\text{ ГГц}$	SOT323, SC70	B•E•C
100	SSTPAD100	SIL	dl	$V_{AS}=55\text{ В}; I_C<10\text{ мА}; V_{CE}(I_C=1\text{ мА})<1.5\text{ В}; I_{BQ}>100\text{ нА}; C_T<2\text{ пФ}$	SOT23, SOD23	K•K•A
10A	MMBZ10VAL	ON	dz-2	$V_{Z}(I_{ZT}=1\text{ мА})=9.5\dots10.5\text{ В}; V_{Z}(I_{ZT}=10\text{ мА})<0.9\text{ В}$	SOT23, SOD23	K1•K2•A1•A2
10A	PZM10NB2A	PHIL	dz-2	$V_{Z}(I_{ZT}=5\text{ мА})=9.77\dots10.21\text{ В}; Z_T(I_{ZT}=5\text{ мА})<10\text{ Ом}$	SOT346, SC59	K1•K2•A1•A2
10V	PZM10NB	PHIL	dz	$V_{Z}(I_{ZT}=5\text{ мА})=9.45\dots10.55\text{ В}; Z_T(I_{ZT}=5\text{ мА})<10\text{ Ом}$	SOT346, SC59	A•n.c. • K
10X	Q2C210	TOSH	dz	$V_{Z}(I_{ZT}=5\text{ мА})=9.40\dots10.60\text{ В}; I_C(V_{CE}=8.0\text{ В})<0.5\text{ мА}; Z_T(I_{ZT}=0.5\text{ мА})<120\text{ Ом}$	SOT346, SC59	A•n.c. • K
11	MPF9511LT1	MOT	nnpn	$V_{CE0}=20\text{ В}; I_C=100\text{ мА}; P_D=322\text{ мВт}; h_{FE}>50\dots200; f_T>8\text{ ГГц}$	SOT323, SC70	B•E•C
11	PDTA114TE	PHIL	Dnpn	$V_{CE0}=50\text{ В}; I_C=100\text{ мА}; P_D=200\text{ мВт}; h_{FE}>200; R_{\theta J}=10\text{ К/Вт}$	SOT416, SC75A	B•E•C
111	DTA1132UA	ROHM	Dnpn	$V_{CE0}=50\text{ В}; I_C=100\text{ мА}; P_D=200\text{ мВт}; h_{FE}>33; f_T>250\text{ МГц}; R_{\theta J}/R_{\theta JA}=1/10\text{ К/Вт}$	SOT323, SC70	B•E•C
113	DTA1132UA	ROHM	Dnpn	$V_{CE0}=50\text{ В}; I_C=100\text{ мА}; P_D=200\text{ мВт}; h_{FE}>80; f_T>250\text{ МГц}; R_{\theta J}/R_{\theta JA}=4.7/47\text{ К/Вт}$	SOT323, SC70	B•E•C



SOT23-3
SOD23-3

SOT323
SOT346

SOT416
SOT523



SOT490
MFPK

TESM
TSFP-3

VMT3
VMD3

Код	Типономинал	Б	Ф	Особенности	Корпус	Ц: 1•2•3
11A	PZM11NB2A	PHIL	dz-2	$V_A(I_{T1}-5\text{ мА}) < 10.76 \dots 11.22\text{ В}$, $Z_{T1}(I_{T1}-5\text{ мА}) < 10\text{ Ом}$	SOT346, SC59	K1•K2•A1, A2
11V	PZM11NB	PHIL	dz-2	$V_A(I_{T1}-5\text{ мА}) < 10.44 \dots 11.56\text{ В}$, $Z_{T1}(I_{T1}-5\text{ мА}) < 10\text{ Ом}$	SOT346, SC59	A•n.c•K
11X	Q2C211	TOSH	dz	$V_A(I_{T1}-5\text{ мА}) < 10.40 \dots 11.60\text{ В}$, $I_A(V_A: 8.5\text{ В}) < 0.5\text{ мА}$, $Z_{T1}(I_{T1}-0.5\text{ мА}) < 120\text{ Ом}$	SOT346, SC59	A•n.c•K
12	DTA123EE	ROHM	Dnpnp	$V_{CE0}-50\text{ В}$, $I_C=100\text{ мА}$, $P_D=150\text{ мВт}$; $h_{FE} > 20$; $f_T > 250\text{ МГц}$, $R_{11}/R_{21} \geq 2.2/2.2\text{ кОм}$	SOT416, SC75A	B•E•C
12	DTA123EKA	ROHM	Dnpnp	$V_{CE0}-50\text{ В}$, $I_C=100\text{ мА}$, $P_D=200\text{ мВт}$; $h_{FE} > 20$; $f_T > 250\text{ МГц}$, $R_{11}/R_{21} \geq 2.2/2.2\text{ кОм}$	SOT346, SC59	B•E•C
12	DTA123EUA	ROHM	Dnpnp	$V_{CE0}-50\text{ В}$, $I_C=100\text{ мА}$, $P_D=200\text{ мВт}$; $h_{FE} > 20$; $f_T > 250\text{ МГц}$, $R_{11}/R_{21} \geq 2.2/2.2\text{ кОм}$	SOT323, SC70	B•E•C
12	PDTCT114YEF	PHIL	Dnpnp	$V_{CE0}-50\text{ В}$, $I_C=100\text{ мА}$, $P_D=200\text{ мВт}$; $h_{FE} > 100$; $10\text{ кОм}/47\text{ кОм}$	SOT490, SC59	B•E•C
121	DTCT1132UA	ROHM	Dnpnp	$V_{CE0}-50\text{ В}$, $I_C=100\text{ мА}$, $P_D=200\text{ мВт}$; $h_{FE} > 33$; $f_T > 250\text{ МГц}$, $R_1/R_2=1/10\text{ кОм}$	SOT323, SC70	B•E•C
123	DTCT1432UA	ROHM	Dnpnp	$V_{CE0}-50\text{ В}$, $I_C=100\text{ мА}$, $P_D=200\text{ мВт}$; $h_{FE} > 80$; $f_T > 250\text{ МГц}$, $R_1/R_2=4.7/4.7\text{ кОм}$	SOT323, SC70	B•E•C
12A	MMBD1502A	NS		$V_A < 180\text{ В}$, $I_C < 600\text{ мА}$, $V_A(I_C=200\text{ мА}) < 1.1\text{ В}$, $C_0 < 4\text{ нФ}$	SOT23, SOD23	n.c•A•K
12A	MMBD10VAL	ON	dz-2	$V_A(I_{T1}-1\text{ мА}) < 11.4 \dots 12.6\text{ В}$, $V_A(I_C=10\text{ мА}) < 0.9\text{ В}$	SOT23, SOD23	K1•K2•A1, A2
12A	PZM12NB2A	PHIL	dz-2	$V_A(I_{T1}-5\text{ мА}) < 11.74 \dots 12.24\text{ В}$, $Z_{T1}(I_{T1}-5\text{ мА}) < 10\text{ Ом}$	SOT346, SC59	K1•K2•A1, A2
12E	ZC2812E	ZETEX	shd-2	$V_A < 15\text{ В}$; $V_A(I_C=1\text{ мА}) < 0.41\text{ В}$, $I_C < 0.1\text{ мА}$; $C_0 < 1.2\text{ нФ}$	SOT23, SOD23	A1•K2•K1, A2
12V	PZM12NB	PHIL	dz	$V_A(I_{T1}-5\text{ мА}) < 11.42 \dots 12.60\text{ В}$, $Z_{T1}(I_{T1}-5\text{ мА}) < 10\text{ Ом}$	SOT346, SC59	A•n.c•K
12X	Q2C212	TOSH	dz	$V_A(I_{T1}-5\text{ мА}) < 11.40 \dots 12.60\text{ В}$, $I_A(V_A: 9.0\text{ В}) < 0.5\text{ мА}$, $Z_{T1}(I_{T1}-0.5\text{ мА}) < 110\text{ Ом}$	SOT346, SC59	A•n.c•K
13	BAS125	SIEM	shd	$V_A < 25\text{ В}$; $I_C < 100\text{ мА}$; $V_A(I_C=35\text{ мА}) < 0.9\text{ В}$, $I_C < 0.10\text{ мА}$; $C_0 < 1.1\text{ нФ}$	SOT23, SOD23	A•n.c•K
13	DTA143ECA	ROHM	Dnpnp	$V_{CE0}-50\text{ В}$, $I_C=100\text{ мА}$, $P_D=150\text{ мВт}$; $h_{FE} > 20$; $f_T > 250\text{ МГц}$, $R_{11}/R_{21} \geq 4.7/4.7\text{ кОм}$	SOT23, SOD23	B•E•C
13	DTA143EE	ROHM	Dnpnp	$V_{CE0}-50\text{ В}$, $I_C=100\text{ мА}$, $P_D=150\text{ мВт}$; $h_{FE} > 20$; $f_T > 250\text{ МГц}$, $R_{11}/R_{21} \geq 4.7/4.7\text{ кОм}$	SOT416, SC75A	B•E•C
13	DTA143EKA	ROHM	Dnpnp	$V_{CE0}-50\text{ В}$, $I_C=100\text{ мА}$, $P_D=200\text{ мВт}$; $h_{FE} > 20$; $f_T > 250\text{ МГц}$, $R_{11}/R_{21} \geq 4.7/4.7\text{ кОм}$	SOT346, SC59	B•E•C
13	DTA143EUA	ROHM	Dnpnp	$V_{CE0}-50\text{ В}$, $I_C=100\text{ мА}$, $P_D=200\text{ мВт}$; $h_{FE} > 20$; $f_T > 250\text{ МГц}$, $R_{11}/R_{21} \geq 4.7/4.7\text{ кОм}$	SOT323, SC70	B•E•C
13	MA4CS103A	M/A	shd	$V_A < 20\text{ В}$; $I_C < 100\text{ мА}$; $V_A(I_C=35\text{ мА}) < 1\text{ В}$; $C_0 < 1.2\text{ нФ}$	SOT23, SOD23	A•n.c•K
132	DTA123JE	ROHM	Dnpnp	$V_{CE0}-50\text{ В}$, $I_C=100\text{ мА}$, $P_D=150\text{ мВт}$; $h_{FE} > 80$; $f_T > 250\text{ МГц}$, $R_{11}/R_{21} \geq 2.2/4.7\text{ кОм}$	SOT416, SC75A	B•E•C
132	DTA123JUA	ROHM	Dnpnp	$V_{CE0}-50\text{ В}$, $I_C=100\text{ мА}$, $P_D=200\text{ мВт}$; $h_{FE} > 80$; $f_T > 250\text{ МГц}$, $R_{11}/R_{21} \geq 2.2/4.7\text{ кОм}$	SOT323, SC70	B•E•C
13A	PZM13NB2A	PHIL	dz-2	$V_A(I_{T1}-5\text{ мА}) < 12.91 \dots 13.49\text{ В}$, $Z_{T1}(I_{T1}-5\text{ мА}) < 10\text{ Ом}$	SOT346, SC59	K1•K2•A1, A2
13E	ZC2813E	ZETEX	shd-2	$V_A < 15\text{ В}$; $V_A(I_C=1\text{ мА}) < 0.41\text{ В}$, $I_C < 0.1\text{ мА}$; $C_0 < 1.2\text{ нФ}$	SOT23, SOD23	K1•K2•A1, A2
13s	BAS125	INF	shd	$V_A < 25\text{ В}$; $I_C < 100\text{ мА}$; $V_A(I_C=35\text{ мА}) < 0.9\text{ В}$, $I_C < 0.015\text{ мА}$; $C_0 < 1.1\text{ нФ}$	SOT23, SOD23	A•n.c•K
13s	BAS125W	SIEM	shd	$V_A < 25\text{ В}$; $I_C < 100\text{ мА}$; $V_A(I_C=35\text{ мА}) < 0.9\text{ В}$, $I_C < 0.15\text{ мА}$; $C_0 < 1.1\text{ нФ}$	SOT323, SC70	A•n.c•K
13V	PZM13NB	PHIL	dz	$V_A(I_{T1}-5\text{ мА}) < 12.47 \dots 13.96\text{ В}$, $Z_{T1}(I_{T1}-5\text{ мА}) < 10\text{ Ом}$	SOT346, SC59	A•n.c•K
13X	Q2C213	TOSH	dz	$V_A(I_{T1}-5\text{ мА}) < 12.40 \dots 14.10\text{ В}$, $I_A(V_A: 10\text{ В}) < 0.5\text{ мА}$, $Z_{T1}(I_{T1}-0.5\text{ мА}) < 110\text{ Ом}$	SOT346, SC59	A•n.c•K
14	BAS125-04	SIEM	shd-2	$V_A < 25\text{ В}$; $I_C < 100\text{ мА}$; $V_A(I_C=35\text{ мА}) < 0.9\text{ В}$, $I_C < 0.10\text{ мА}$; $C_0 < 1.1\text{ нФ}$	SOT23, SOD23	A1•K2•K1, A2
14	BAS125-04W	SIEM	shd-2	$V_A < 25\text{ В}$; $I_C < 100\text{ мА}$; $V_A(I_C=35\text{ мА}) < 0.9\text{ В}$, $I_C < 0.15\text{ мА}$; $C_0 < 1.1\text{ нФ}$	SOT323, SC70	A1•K2•K1, A2
14	DTA114EE	ROHM	Dnpnp	$V_{CE0}-50\text{ В}$, $I_C=100\text{ мА}$, $P_D=150\text{ мВт}$; $h_{FE} > 30$; $f_T > 250\text{ МГц}$, $R_1/R_2=10/10\text{ кОм}$	SOT416, SC75A	B•E•C
14	DTA114EKA	ROHM	Dnpnp	$V_{CE0}-50\text{ В}$, $I_C=100\text{ мА}$, $P_D=200\text{ мВт}$; $h_{FE} > 30$; $f_T > 250\text{ МГц}$, $R_1/R_2=10/10\text{ кОм}$	SOT346, SC59	B•E•C
14	DTA114EUA	ROHM	Dnpnp	$V_{CE0}-50\text{ В}$, $I_C=100\text{ мА}$, $P_D=200\text{ мВт}$; $h_{FE} > 30$; $f_T > 250\text{ МГц}$, $R_1/R_2=10/10\text{ кОм}$	SOT323, SC70	B•E•C
14	MMBD1504	NS	dz-2	$V_A < 180\text{ В}$, $I_C < 600\text{ мА}$, $V_A(I_C=200\text{ мА}) < 1.1\text{ В}$, $C_0 < 4\text{ нФ}$	SOT23, SOD23	A1•A2•K1, K2
142	DTCT123JUA	ROHM	Dnpnp	$V_{CE0}-50\text{ В}$, $I_C=100\text{ мА}$, $P_D=200\text{ мВт}$; $h_{FE} > 80$; $f_T > 250\text{ МГц}$, $R_{11}/R_{21} \geq 2.2/4.7\text{ кОм}$	SOT323, SC70	B•E•C
14s	BAS125-04	INF	shd-2	$V_A < 25\text{ В}$; $I_C < 100\text{ мА}$; $V_A(I_C=35\text{ мА}) < 0.9\text{ В}$, $I_C < 0.015\text{ мА}$; $C_0 < 1.1\text{ нФ}$	SOT23, SOD23	A1•K2•K1, A2
14s	BAS125-04W	INF	shd-2	$V_A < 25\text{ В}$; $I_C < 100\text{ мА}$; $V_A(I_C=35\text{ мА}) < 0.9\text{ В}$, $I_C < 0.015\text{ мА}$; $C_0 < 1.1\text{ нФ}$	SOT323, SC70	A1•K2•K1, A2
15	BAS125-05	SIEM	shd-2	$V_A < 25\text{ В}$; $I_C < 100\text{ мА}$; $V_A(I_C=35\text{ мА}) < 0.9\text{ В}$, $I_C < 0.10\text{ мА}$; $C_0 < 1.1\text{ нФ}$	SOT23, SOD23	A1•A2•K1, K2
15	BAS125-05W	SIEM	shd-2	$V_A < 25\text{ В}$; $I_C < 100\text{ мА}$; $V_A(I_C=35\text{ мА}) < 0.9\text{ В}$, $I_C < 0.15\text{ мА}$; $C_0 < 1.1\text{ нФ}$	SOT323, SC70	A1•A2•K1, K2
15	DTA124EE	ROHM	Dnpnp	$V_{CE0}-50\text{ В}$, $I_C=100\text{ мА}$, $P_D=150\text{ мВт}$; $h_{FE} > 56$; $f_T > 250\text{ МГц}$, $R_{11}/R_{21} \geq 22/22\text{ кОм}$	SOT416, SC75A	B•E•C

SOT490 TSM
MFPAK TSFP-3

VMT3
VMD3



SOT416 SOT323 SOT23-3
SOT523 SOT346 SOD23-3



Код	Типономинал	Б	Ф	Особенности	Корпус	Ц: 1•2•3
15	DTA124EKA	ROHM	Dnnp	$V_{CE0}=50\text{ В}; I_C=30\text{ мА}; P_D=200\text{ мВт}; h_{FE}>56; f_T>250\text{ МГц}; R_{\theta JA}/R_{\theta JC}=22/22\text{ °С/мВт}$	SOT346, SC59	B•E•C
15	DTA124EUA	ROHM	Dnnp	$V_{CE0}=50\text{ В}; I_C=30\text{ мА}; P_D=200\text{ мВт}; h_{FE}>56; f_T>250\text{ МГц}; R_{\theta JA}/R_{\theta JC}=22/22\text{ °С/мВт}$	SOT323, SC70	B•E•C
15	MMB1505	NS	dl-2	$V_{CE0}=180\text{ В}; I_C=600\text{ мА}; V_{CE}(I_C=200\text{ мА})<1.1\text{ В}; C_{\theta J}<4\text{ нФ}$	SOT23, SOD23	K1•K2•A1, A2
15	MMBT3960	MOT	npn	$V_{CE0}=20\text{ В}; P_D=300\text{ мВт}; h_{FE}>30...300$	SOT23, SOD23	B•E•C
156	DTA144VUA	ROHM	Dnnp	$V_{CE0}=50\text{ В}; I_C=100\text{ мА}; P_D=200\text{ мВт}; h_{FE}>33; f_T>250\text{ МГц}; R_{\theta JA}/R_{\theta JC}=47/10\text{ °С/мВт}$	SOT323, SC70	B•E•C
15A	MMB215VAL	ON	dz-2	$V_{CE}(I_{T1}=1\text{ мА})=14.25...15.75\text{ В}; V_{CE}(I_C=0.9\text{ В})$	SOT23, SOD23	K1•K2•A1, A2
15A	PZM15NB2A	PHIL	dz-2	$V_{CE}(I_{T1}=5\text{ мА})=14.34...14.98\text{ В}; Z_{T1}(I_{T1}=5\text{ мА})<150\text{ Ом}$	SOT346, SC59	K1•K2•A1, A2
15s	BAS125-05	INF	shd-2	$V_{CE}<25\text{ В}; I_C<100\text{ мА}; V_{CE}(I_C=35\text{ мА})<0.9\text{ В}; I_{B1}<1.0\text{ мкА}; C_{\theta J}<1.1\text{ нФ}$	SOT23, SOD23	A1•A2•K1, K2
15s	BAS125-05W	INF	shd-2	$V_{CE}<25\text{ В}; I_C<100\text{ мА}; V_{CE}(I_C=35\text{ мА})<0.9\text{ В}; I_{B1}<1.0\text{ мкА}; C_{\theta J}<1.1\text{ нФ}$	SOT323, SC70	A1•A2•K2, K1
15V	PZM15NB	PHIL	dz	$V_{CE}(I_{T1}=5\text{ мА})=13.84...15.52\text{ В}; Z_{T1}(I_{T1}=5\text{ мА})<150\text{ Ом}$	SOT346, SC59	A•n.c. •K
15X	Q2C215	TOSH	dz	$V_{CE}(I_{T1}=5\text{ мА})=13.80...15.60\text{ В}; I_{B1}(V_{CE}=11\text{ В})<0.5\text{ мкА}; Z_{T1}(I_{T1}=0.5\text{ мА})<110\text{ Ом}$	SOT346, SC59	A•n.c. •K
16	BAS125-05W	SIEM	shd-2	$V_{CE}<25\text{ В}; I_C<100\text{ мА}; V_{CE}(I_C=35\text{ мА})<0.9\text{ В}; I_{B1}<0.15\text{ мкА}; C_{\theta J}<1.1\text{ нФ}$	SOT323, SC70	K1•K2•A1, A2
16	DTA144EE	ROHM	Dnnp	$V_{CE0}=50\text{ В}; I_{C(\text{max})}=100\text{ мА}; P_D=150\text{ мВт}; h_{FE}>88; f_T>250\text{ МГц}; R_{\theta JA}/R_{\theta JC}=47/47\text{ °С/мВт}$	SOT416, SC75A	B•E•C
16	DTA144EKA	ROHM	Dnnp	$V_{CE0}=50\text{ В}; I_C=30\text{ мА}; P_D=200\text{ мВт}; h_{FE}>88; f_T>250\text{ МГц}; R_{\theta JA}/R_{\theta JC}=47/47\text{ °С/мВт}$	SOT346, SC59	B•E•C
16	DTA144EUA	ROHM	Dnnp	$V_{CE0}=50\text{ В}; I_{C(\text{max})}=100\text{ мА}; P_D=200\text{ мВт}; h_{FE}>88; f_T>250\text{ МГц}; R_{\theta JA}/R_{\theta JC}=47/47\text{ °С/мВт}$	SOT323, SC70	B•E•C
166	DTC144VUA	ROHM	Dnnp	$V_{CE0}=50\text{ В}; I_C=100\text{ мА}; P_D=200\text{ мВт}; h_{FE}>33; f_T>250\text{ МГц}; R_{\theta JA}/R_{\theta JC}=47/10\text{ °С/мВт}$	SOT323, SC70	B•E•C
16s	BAS125-06	SIEM	shd-2	$V_{CE}<25\text{ В}; I_C<100\text{ мА}; V_{CE}(I_C=35\text{ мА})<0.9\text{ В}; I_{B1}<1.0\text{ мкА}; C_{\theta J}<1.1\text{ нФ}$	SOT23, SOD23	K1•K2•A1, A2
16s	BAS125-06W	INF	shd-2	$V_{CE}<25\text{ В}; I_C<100\text{ мА}; V_{CE}(I_C=35\text{ мА})<0.9\text{ В}; I_{B1}<1.0\text{ мкА}; C_{\theta J}<1.1\text{ нФ}$	SOT23, SC70	K1•K2•A1, A2
16V	PZM16NB	PHIL	dz	$V_{CE}(I_{T1}=5\text{ мА})=15.37...17.09\text{ В}; Z_{T1}(I_{T1}=5\text{ мА})<20\text{ Ом}$	SOT346, SC59	A•n.c. •K
16X	Q2C216	TOSH	dz	$V_{CE}(I_{T1}=5\text{ мА})=15.30...17.10\text{ В}; I_{B1}(V_{CE}=12\text{ В})<0.5\text{ мкА}; Z_{T1}(I_{T1}=0.5\text{ мА})<150\text{ Ом}$	SOT346, SC59	A•n.c. •K
179	DTA115UU	ROHM	Dnnp	$V_{CE0}=50\text{ В}; I_C=100\text{ мА}; P_D=200\text{ мВт}; h_{FE}>27; f_T>250\text{ МГц}$	SOT323, SC70	B•E•C
179	FMM15119	ZETEX	Dnnp	$V_{CE0}=20\text{ В}; I_C=50\text{ мА}; P_D=330\text{ мВт}; h_{FE}>250; f_T>1100\text{ МГц}$	SOT23, SOD23	B•E•C
18	PDT1432K	PHIL	Dnnp	$V_{CE0}=50\text{ В}; I_C=100\text{ мА}; P_D=250\text{ мВт}; h_{FE}>100; 4.7\text{ кОм}/47\text{ кОм}$	SOT346, SC59	B•E•C
181	BFQ181	SIEM	npn	$V_{CE0}=20\text{ В}; I_C=20\text{ мА}; P_D=200\text{ мВт}$	SOT23, SOD23	B•E•C
182	BFQ182	SIEM	npn	$V_{CE0}=20\text{ В}; I_C=35\text{ мА}; P_D=250\text{ мВт}; h_{FE}>50; f_T>8\text{ ГГц}$	SOT23, SOD23	B•E•C
183	DTC1115U	ROHM	Dnnp	$V_{CE0}=50\text{ В}; I_C=100\text{ мА}; P_D=200\text{ мВт}; h_{FE}>27; f_T>250\text{ МГц}$	SOT323, SC70	B•E•C
18A	CMP25221B	CSI	dz	$V_{CE}(I_{T1}=20\text{ мА})=2.28...2.52\text{ В}; I_{B1}(V_{CE}=1.0\text{ В})<100\text{ мкА}; Z_{T1}(I_{T1}=20\text{ мА})<30\text{ Ом}$	SOT23, SOD23	A•n.c. •K
18A	MMB215VAL	ON	dz-2	$V_{CE}(I_{T1}=1\text{ мА})=17.1...18.9\text{ В}; V_{CE}(I_C=10\text{ мА})<0.9\text{ В}$	SOT23, SOD23	K1•K2•A1, A2
18A	MMB25221BLT1	ON	dz	$V_{CE}(I_{T1}=20\text{ мА})=2.28...2.52\text{ В}; I_{B1}<100\text{ мкА}$	SOT23, SOD23	A•n.c. •K
18B	CMP25222B	CSI	dz	$V_{CE}(I_{T1}=20\text{ мА})=2.375...2.625\text{ В}; I_{B1}(V_{CE}=1.0\text{ В})<100\text{ мкА}; Z_{T1}(I_{T1}=20\text{ мА})<30\text{ Ом}$	SOT23, SOD23	A•n.c. •K
18B	MMB25222BLT1	ON	dz	$V_{CE}(I_{T1}=20\text{ мА})=2.37...2.63\text{ В}; I_{B1}<100\text{ мкА}$	SOT23, SOD23	A•n.c. •K
18C	CMP25223B	CSI	dz	$V_{CE}(I_{T1}=20\text{ мА})=2.565...2.835\text{ В}; I_{B1}(V_{CE}=1.0\text{ В})<75\text{ мкА}; Z_{T1}(I_{T1}=20\text{ мА})<30\text{ Ом}$	SOT23, SOD23	A•n.c. •K
18C	MMB25223BLT1	ON	dz	$V_{CE}(I_{T1}=20\text{ мА})=2.57...2.84\text{ В}; I_{B1}<75\text{ мкА}$	SOT23, SOD23	A•n.c. •K
18D	CMP25224B	CSI	dz	$V_{CE}(I_{T1}=20\text{ мА})=2.66...2.94\text{ В}; I_{B1}(V_{CE}=1.0\text{ В})<75\text{ мкА}; Z_{T1}(I_{T1}=20\text{ мА})<30\text{ Ом}$	SOT23, SOD23	A•n.c. •K
18D	MMB25224BLT1	ON	dz	$V_{CE}(I_{T1}=20\text{ мА})=2.66...2.94\text{ В}; I_{B1}<75\text{ мкА}$	SOT23, SOD23	A•n.c. •K
18E	CMP25225B	CSI	dz	$V_{CE}(I_{T1}=20\text{ мА})=2.85...3.15\text{ В}; I_{B1}(V_{CE}=1.0\text{ В})<50\text{ мкА}; Z_{T1}(I_{T1}=20\text{ мА})<29\text{ Ом}$	SOT23, SOD23	A•n.c. •K
18E	MMB25225B	VISH	dz	$V_{CE}(I_{T1}=20\text{ мА})=2.85...3.15\text{ В}; I_{B1}<50\text{ мкА}$	SOT23, SOD23	A•n.c. •K
18E	MMB25225BLT1	ON	dz	$V_{CE}(I_{T1}=20\text{ мА})=2.85...3.15\text{ В}; I_{B1}<50\text{ мкА}$	SOT23, SOD23	A•n.c. •K
18F	MMB25226B	VISH	dz	$V_{CE}(I_{T1}=3\text{ мА})=40.85...45.15\text{ В}; I_{B1}<0.1\text{ мкА}$	SOT23, SOD23	A•n.c. •K
18V	PZM18NB	PHIL	dz	$V_{CE}(I_{T1}=5\text{ мА})=16.94...19.03\text{ В}; Z_{T1}(I_{T1}=5\text{ мА})<20\text{ Ом}$	SOT346, SC59	A•n.c. •K
18X	Q2C218	TOSH	dz	$V_{CE}(I_{T1}=5\text{ мА})=16.80...19.10\text{ В}; I_{B1}(V_{CE}=14\text{ В})<0.5\text{ мкА}; Z_{T1}(I_{T1}=0.5\text{ мА})<150\text{ Ом}$	SOT346, SC59	A•n.c. •K
19	DTA115EE	ROHM	Dnnp	$V_{CE0}=50\text{ В}; I_{C(\text{max})}=100\text{ мА}; P_D=150\text{ мВт}; h_{FE}>82; f_T>250\text{ МГц}; R_{\theta JA}/R_{\theta JC}=100/100\text{ °С/мВт}$	SOT416, SC75A	B•E•C
19	DTA115EKA	ROHM	Dnnp	$V_{CE0}=50\text{ В}; I_C=30\text{ мА}; P_D=200\text{ мВт}; h_{FE}>82; f_T>250\text{ МГц}; R_{\theta JA}/R_{\theta JC}=100/100\text{ °С/мВт}$	SOT346, SC59	B•E•C
19	DTA115EUA	ROHM	Dnnp	$V_{CE0}=50\text{ В}; I_C=20\text{ мА}; P_D=200\text{ мВт}; h_{FE}>82; f_T>250\text{ МГц}; R_{\theta JA}/R_{\theta JC}=100/100\text{ °С/мВт}$	SOT323, SC70	B•E•C
19	PDTA1432K	PHIL	Dnnp	$V_{CE0}=50\text{ В}; I_C=100\text{ мА}; P_D=250\text{ мВт}; h_{FE}>100; 4.7\text{ кОм}/47\text{ кОм}$	SOT346, SC59	B•E•C
1A	BC846A	CDIL	npn	$V_{CE0}=80\text{ В}; I_C=100\text{ мА}; P_D=250\text{ мВт}; h_{FE}>110...220; f_T>100\text{ МГц}$	SOT23, SOD23	B•E•C

Код	Типономинал	Б	Ф	Особенности	Корпус	Ц: 1+2+3
1A	BC848A	TOSH	npn	$V_{CE0}=80B$, $I_C=100mA$, $P_D=150mBt$, $h_{FE}=110...220$, $f_T>300MHz$	SOT23, SOD23	B-E-C
1A	BC848A	DIODES	npn	$V_{CE0}=80B$, $I_C=100mA$, $P_D=150mBt$, $h_{FE}=110...220$, $f_T>300MHz$	SOT23, SOD23	B-E-C
1A	BC848A	VISH	npn	$V_{CE0}=80B$, $I_C=100mA$, $P_D=310mBt$, $h_{FE}=110...220$, $f_T>300MHz$	SOT23, SOD23	B-E-C
1A	BC848AF	PHIL	npn	$V_{CE0}=80B$, $I_C=100mA$, $P_D=250mBt$, $h_{FE}=110...220$, $f_T>100MHz$	SOT490, SC89	B-E-C
1A	BC848ALT1	MOT	npn	$V_{CE0}=80B$, $I_C=100mA$, $P_D=300mBt$, $h_{FE}=110...220$, $f_T>100MHz$	SOT23, SOD23	B-E-C
1A	BC848AT	PHIL	npn	$V_{CE0}=80B$, $I_C=100mA$, $P_D=150mBt$, $h_{FE}=110...220$, $f_T>100MHz$	SOT416, SC75A	B-E-C
1A	BC848AWT1	MOT	npn	$V_{CE0}=80B$, $I_C=100mA$, $P_D=300mBt$, $h_{FE}=110...220$, $f_T>100MHz$	SOT323, SC70	B-E-C
1A	BC848AWT1	LRC	npn	$V_{CE0}=80B$, $I_C=100mA$, $P_D=300mBt$, $h_{FE}=110...220$, $f_T>100MHz$	SOT323, SC70	B-E-C
1A	BC848AWT1	ON	npn	$V_{CE0}=80B$, $I_C=100mA$, $P_D=300mBt$, $h_{FE}=110...220$, $f_T>100MHz$	SOT323, SC70	B-E-C
1A	FMMT3904	MOT	npn	$V_{CE0}=60B$, $I_C=200mA$, $P_D=330mBt$, $h_{FE}=100...300$, $f_T>300MHz$	SOT23, SOD23	B-E-C
1A	FMMT3904	ZETEX	npn	$V_{CE0}=60B$, $I_C=200mA$, $P_D=330mBt$, $h_{FE}=100...300$, $f_T>300MHz$	SOT23, SOD23	B-E-C
1A	IRLML2402	IR	nMOS	HEXFET, $V_{DS}=20B$, $I_D=0.9A$, $P_D=540mBt$, $R_{DS(on)}<0.35\Omega$	SOT23, SOD23	G-S-D
1A	KST3904	SAMS	npn	$V_{CE0}=60B$, $I_C=100mA$, $P_D=200mBt$, $h_{FE}=100...300$, $f_T>300MHz$	SOT23, SOD23	B-E-C
1A	MMBT3904	VISH	npn	$V_{CE0}=60B$, $I_C=100mA$, $P_D=200mBt$, $h_{FE}=100...300$, $f_T>300MHz$	SOT23, SOD23	B-E-C
1A	TMPT3904	ALLEG	npn	$V_{CE0}=60B$, $I_C=100mA$, $P_D=200mBt$, $h_{FE}=100...300$, $f_T>300MHz$	SOT23, SOD23	B-E-C
-1A	PMST3904	PHIL	npn	$V_{CE0}=60B$, $I_C=200mA$, $P_D=200mBt$, $h_{FE}=100...300$, $f_T>300$	SOT323, SC70	B-E-C
1A-	BC848AW	PHIL	npn	$V_{CE0}=80B$, $I_C=100mA$, $P_D=200mBt$, $h_{FE}=110...220$, $f_T>100MHz$	SOT23, SOD23	B-E-C
1AG	25C3339GR	TOSH	npn	$V_{CE0}=50B$, $I_C=150mA$, $P_D=150mBt$, $h_{FE}=200...400$, $f_T>80MHz$	SOT23, SOD23	B-E-C
1AL	25C3339BL	TOSH	npn	$V_{CE0}=50B$, $I_C=150mA$, $P_D=150mBt$, $h_{FE}=350...700$, $f_T>80MHz$	SOT23, SOD23	B-E-C
1AM	MMBT3904LT1	MOT	npn	$V_{CE0}=60B$, $I_C=200mA$, $P_D=300mBt$, $h_{FE}=100...300$, $f_T>200MHz$	SOT23, SOD23	B-E-C
1AO	25C3339O	TOSH	npn	$V_{CE0}=50B$, $I_C=150mA$, $P_D=150mBt$, $h_{FE}=70...140$, $f_T>80MHz$	SOT23, SOD23	B-E-C
1AO	BC848A	PHIL	npn	$V_{CE0}=80B$, $I_C=100mA$, $P_D=250mBt$, $h_{FE}=110...220$, $f_T>100MHz$	SOT23, SOD23	B-E-C
1AQ	25B779Q	PAN	npn	$V_{CE0}=25B$, $I_C=500mA$, $P_D=200mBt$, $h_{FE}=90...155$, $f_T=150MHz$	SOT23, SOD23	B-E-C
1AR	25B779R	PAN	npn	$V_{CE0}=25B$, $I_C=500mA$, $P_D=200mBt$, $h_{FE}=130...220$, $f_T=150MHz$	SOT23, SOD23	B-E-C
1AR	BC848AR	PHIL	npn	$V_{CE0}=65B$, $I_C=100mA$, $P_D=310mBt$, $h_{FE}=220$, $f_T>300MHz$	SOT23, SOD23	E-B-C
1As	BC848A	INF	npn	$V_{CE0}=80B$, $I_C=100mA$, $P_D=330mBt$, $h_{FE}=110...220$, $f_T=250MHz$	SOT23, SOD23	B-E-C
1As	BC848AT	INF	npn	$V_{CE0}=80B$, $I_C=100mA$, $P_D=250mBt$, $h_{FE}=110...220$, $f_T=250MHz$	SOT416, SC75A	B-E-C
1As	BC848AW	INF	npn	$V_{CE0}=80B$, $I_C=100mA$, $P_D=250mBt$, $h_{FE}=110...220$, $f_T=250MHz$	SOT323, SC70	B-E-C
1At	BC848A	PHIL	npn	$V_{CE0}=80B$, $I_C=100mA$, $P_D=250mBt$, $h_{FE}=110...220$, $f_T>100MHz$	SOT23, SOD23	B-E-C
1At	BC848AW	PHIL	npn	$V_{CE0}=80B$, $I_C=100mA$, $P_D=200mBt$, $h_{FE}=110...220$, $f_T>100MHz$	SOT323, SC70	B-E-C
1AY	25C3339Y	TOSH	npn	$V_{CE0}=50B$, $I_C=150mA$, $P_D=150mBt$, $h_{FE}=120...240$, $f_T>80MHz$	SOT23, SOD23	B-E-C
1B	BC848B	CDIL	npn	$V_{CE0}=80B$, $I_C=100mA$, $P_D=250mBt$, $h_{FE}=200...450$, $f_T>100MHz$	SOT23, SOD23	B-E-C
1B	BC848B	TOSH	npn	$V_{CE0}=80B$, $I_C=100mA$, $P_D=150mBt$, $h_{FE}=200...450$, $f_T=300MHz$	SOT23, SOD23	B-E-C
1B	BC848B	DIODES	npn	$V_{CE0}=80B$, $I_C=100mA$, $P_D=300mBt$, $h_{FE}=200...450$, $f_T=300MHz$	SOT23, SOD23	B-E-C
1B	BC848B	VISH	npn	$V_{CE0}=80B$, $I_C=100mA$, $P_D=310mBt$, $h_{FE}=200...450$, $f_T>300MHz$	SOT23, SOD23	B-E-C
1B	BC848B	ZETEX	npn	$V_{CE0}=80B$, $I_C=100mA$, $P_D=330mBt$, $h_{FE}=200...450$, $f_T>300MHz$	SOT23, SOD23	B-E-C
1B	BC848BF	PHIL	npn	$V_{CE0}=80B$, $I_C=100mA$, $P_D=250mBt$, $h_{FE}=200...450$, $f_T>100MHz$	SOT490, SC89	B-E-C
1B	BC848BLT1	MOT	npn	$V_{CE0}=80B$, $I_C=100mA$, $P_D=300mBt$, $h_{FE}=200...450$, $f_T>100MHz$	SOT23, SOD23	B-E-C
1B	BC848BT	PHIL	npn	$V_{CE0}=80B$, $I_C=100mA$, $P_D=330mBt$, $h_{FE}=200...450$, $f_T>100MHz$	SOT416, SC75A	B-E-C
1B	BC848BT1	LRC	npn	$V_{CE0}=80B$, $I_C=100mA$, $P_D=200mBt$, $h_{FE}=200...450$, $f_T>100MHz$	SOT323, SC70	B-E-C
1B	BC848BW1	ON	npn	$V_{CE0}=80B$, $I_C=100mA$, $P_D=200mBt$, $h_{FE}=200...450$, $f_T>100MHz$	SOT323, SC70	B-E-C
1B	IRLML280T3	IR	nMOS	HEXFET, $V_{DS}=30B$, $I_D=0.9A$, $P_D=540mBt$, $R_{DS(on)}<0.4\Omega$	SOT23, SOD23	G-S-D
1B	KST2222	SAMS	npn	$V_{CE0}=60B$, $I_C=600mA$, $P_D=350mBt$, $h_{FE}>75$, $f_T=250MHz$	SOT23, SOD23	B-E-C
1B	TMFT2222	ALLEG	npn	$V_{CE0}=60B$, $I_{C(10)}<10mA$, $h_{FE}=100...300$, $V_{CE(sat)}<0.4B$, $f_T=250MHz$	SOT23, SOD23	B-E-C
-1B	PMST2222	PHIL	npn	$V_{CE0}=60B$, $I_C=600mA$, $P_D=200mBt$, $h_{FE}=100...300$, $f_T>100MHz$	SOT323, SC70	B-E-C
1B-	BC848BW	PHIL	npn	$V_{CE0}=80B$, $I_C=100mA$, $P_D=200mBt$, $h_{FE}=200...450$, $f_T>100MHz$	SOT323, SC70	B-E-C
1BG	25C33340GR	TOSH	npn	$V_{CE0}=120B$, $I_C=100mA$, $P_D=150mBt$, $h_{FE}=200...400$, $f_T>100MHz$	SOT23, SOD23	B-E-C
1BL	25C3340BL	TOSH	npn	$V_{CE0}=120B$, $I_C=100mA$, $P_D=150mBt$, $h_{FE}=350...700$, $f_T>100MHz$	SOT23, SOD23	B-E-C
1Bp	BC848B	PHIL	npn	$V_{CE0}=80B$, $I_C=100mA$, $P_D=250mBt$, $h_{FE}=200...450$, $f_T>100MHz$	SOT23, SOD23	B-E-C
1BR	BC848BR	PHIL	npn	$V_{CE0}=65B$, $I_C=100mA$, $P_D=310mBt$, $h_{FE}=330$, $f_T>300MHz$	SOT23, SOD23	E-B-C
1Bs	BC848B	SIEM	npn	$V_{CE0}=80B$, $I_C=100mA$, $P_D=330mBt$, $h_{FE}=200...450$, $f_T=250MHz$	SOT23, SOD23	B-E-C
1Bs	BC848BT	INF	npn	$V_{CE0}=80B$, $I_C=100mA$, $P_D=250mBt$, $h_{FE}=200...450$, $f_T=250MHz$	SOT416, SC75A	B-E-C

**SOT490 TSM
MFPAK TSFP-3**

**VMT3
VMD3**



**SOT416 SOT323
SOT523 SOT346**

**SOT23-3
SOD23-3**



Код	Типономинал	Б	Ф	Особенности	Корпус	Ц: 1•2•3
1B8	BC846BW	INF	npn	$V_{CE0}=80\text{ В}; I_C=100\text{ мА}; P_D=250\text{ мВт}; h_{FE1}=200...450; f_T=250\text{ МГц}$	SOT323, SC70	B-E-C
1B1	BC846B	PHIL	npn	$V_{CE0}=80\text{ В}; I_C=100\text{ мА}; P_D=250\text{ мВт}; h_{FE1}=200...450; f_T=100\text{ МГц}$	SOT323, SOD23	B-E-C
1B1	BC846BW	PHIL	npn	$V_{CE0}=80\text{ В}; I_C=100\text{ мА}; P_D=250\text{ мВт}; h_{FE1}=200...450; f_T=100\text{ МГц}$	SOT323, SC70	B-E-C
1B2	FMV7222	ZETEX	npn	$V_{CE0}=60\text{ В}; I_C=600\text{ мА}; P_D=330\text{ мВт}; h_{FE1}=100...300; f_T=250\text{ МГц}$	SOT23, SOD23	B-E-C
1C	FMV7A20	ZETEX	npn	$V_{CE0}=40\text{ В}; I_C=100\text{ мА}; P_D=330\text{ мВт}; h_{FE1}=40...400; f_T=125\text{ МГц}$	SOT23, SOD23	B-E-C
1C	IRLML6302	IR	pMOS	HEXFET; $V_{DS}=20\text{ В}; I_D=0.62\text{ А}; P_D=540\text{ мВт}; R_{DS(on)} < 0.9\text{ Ом}$	SOT23, SOD23	G-S-D
1C	KST20	SAMS	npn	$V_{CE0}=40\text{ В}; I_C=100\text{ мА}; P_D=350\text{ мВт}; h_{FE1}=40...400; f_T=125\text{ МГц}$	SOT23, SOD23	B-E-C
1C	MMBT420LT1	MOT	npn	$V_{CE0}=40\text{ В}; I_C=100\text{ мА}; P_D=225\text{ мВт}; h_{FE1}=40...400; f_T=125\text{ МГц}$	SOT23, SOD23	B-E-C
1CL	2SC482L	ROHM	npn	$V_{CE0}=30\text{ В}; I_C=50\text{ мА}; P_D=150\text{ мВт}; h_{FE1}=27...56; f_T=1500\text{ МГц}$	SOT323, SC70	B-E-C
1CM	2SC482M	ROHM	npn	$V_{CE0}=30\text{ В}; I_C=50\text{ мА}; P_D=150\text{ мВт}; h_{FE1}=39...82; f_T=1500\text{ МГц}$	SOT323, SC70	B-E-C
1CN	2SC482N	ROHM	npn	$V_{CE0}=30\text{ В}; I_C=50\text{ мА}; P_D=150\text{ мВт}; h_{FE1}=56...120; f_T=1500\text{ МГц}$	SOT323, SOD23	B-E-C
1CO	2SC3341O	TOSH	npn	$V_{CE0}=30\text{ В}; I_C=500\text{ мА}; P_D=200\text{ мВт}; h_{FE1}=70...140; f_T=200\text{ МГц}$	SOT23, SOD23	B-E-C
1CP	2SC4082P	ROHM	npn	$V_{CE0}=30\text{ В}; I_C=50\text{ мА}; P_D=150\text{ мВт}; h_{FE1}=82...180; f_T=1500\text{ МГц}$	SOT323, SC70	B-E-C
1Cp	BAP50-05	PHIL	pnp-2	$V_A=50\text{ В}; I_C < 60\text{ мА}; V_{CE(sat)} < 50\text{ мВ}; I_{C1} < 1.1\text{ В}; I_{C2} < 0.1\text{ мА}$	SOT23, SOD23	A1-A2-K1, K2
1CQ	2SC4082Q	ROHM	npn	$V_{CE0}=30\text{ В}; I_C=50\text{ мА}; P_D=150\text{ мВт}; h_{FE1}=120...270; f_T=1500\text{ МГц}$	SOT323, SC70	B-E-C
1CY	2SC3341Y	TOSH	npn	$V_{CE0}=30\text{ В}; I_C=500\text{ мА}; P_D=200\text{ мВт}; h_{FE1}=120...240; f_T=200\text{ МГц}$	SOT23, SOD23	B-E-C
1D	BC846	CDIL	npn	$V_{CE0}=80\text{ В}; I_C=100\text{ мА}; P_D=250\text{ мВт}; h_{FE1}=110...450; f_T=100\text{ МГц}$	SOT23, SOD23	B-E-C
1D	IRLML103	IR	pMOS	HEXFET; $V_{DS}=30\text{ В}; I_D=0.61\text{ А}; P_D=540\text{ мВт}; R_{DS(on)} < 1\text{ Ом}$	SOT23, SOD23	G-S-D
1D	KST42	SAMS	npn	$V_{CE0}=300\text{ В}; I_C=500\text{ мА}; P_D=350\text{ мВт}; h_{FE1}=40; f_T=50\text{ МГц}$	SOT23, SOD23	B-E-C
1D	MMBT442	TOSH	npn	$V_{CE0}=300\text{ В}; I_C=500\text{ мА}; P_D=250\text{ мВт}; h_{FE1}=40; f_T=50\text{ МГц}$	SOT23, SOD23	B-E-C
1D	MMBT442	VISH	npn	$V_{CE0}=300\text{ В}; I_C=200\text{ мА}; P_D=350\text{ мВт}; h_{FE1}=25; f_T>50\text{ МГц}$	SOT23, SOD23	B-E-C
1D	MMBT442LT1	ON	npn	$V_{CE0}=300\text{ В}; I_C=500\text{ мА}; P_D=225\text{ мВт}; h_{FE1}=25; f_T>50\text{ МГц}$	SOT23, SOD23	B-E-C
1D	SMBTA20	VISH	npn	$V_{CE0}=40\text{ В}; I_C=100\text{ мА}; P_D=330\text{ мВт}; h_{FE1}=40...400; f_T>125\text{ МГц}$	SOT23, SOD23	B-E-C
1D	TMPT442	ALLEG	npn	$V_{CE0}=300\text{ В}; I_{C20} < 100\text{ мА}; h_{FE1}>40; V_{CE(sat)} < 0.5\text{ В}; f_T>50\text{ МГц}$	SOT23, SOD23	B-E-C
1D-	BC846W	PHIL	npn	$V_{CE0}=80\text{ В}; I_C=100\text{ мА}; P_D=250\text{ мВт}; h_{FE1}=110...450; f_T=100\text{ МГц}$	SOT323, SC70	B-E-C
1D-	BC846W	PHIL	npn	$V_{CE0}=80\text{ В}; I_C=100\text{ мА}; P_D=250\text{ мВт}; h_{FE1}=110...450; f_T=100\text{ МГц}$	SOT323, SC70	B-E-C
1DL	2SC4083L	ROHM	npn	$V_{CE0}=20\text{ В}; I_C=50\text{ мА}; P_D=150\text{ мВт}; h_{FE1}=27...56; f_T=3200\text{ МГц}$	SOT323, SC70	B-E-C
1DM	2SC4083M	ROHM	npn	$V_{CE0}=20\text{ В}; I_C=50\text{ мА}; P_D=150\text{ мВт}; h_{FE1}=39...82; f_T=3200\text{ МГц}$	SOT323, SC70	B-E-C
1DN	2SC4083N	ROHM	npn	$V_{CE0}=20\text{ В}; I_C=50\text{ мА}; P_D=150\text{ мВт}; h_{FE1}=56...120; f_T=3200\text{ МГц}$	SOT323, SC70	B-E-C
1DP	2SC4083P	ROHM	npn	$V_{CE0}=20\text{ В}; I_C=50\text{ мА}; P_D=150\text{ мВт}; h_{FE1}=82...180; f_T=3200\text{ МГц}$	SOT323, SC70	B-E-C
1Dp	BC846	PHIL	npn	$V_{CE0}=80\text{ В}; I_C=100\text{ мА}; P_D=250\text{ мВт}; h_{FE1}=110...450; f_T=100\text{ МГц}$	SOT23, SOD23	B-E-C
1DQ	2SC4083Q	ROHM	npn	$V_{CE0}=20\text{ В}; I_C=50\text{ мА}; P_D=150\text{ мВт}; h_{FE1}=120...270; f_T=3200\text{ МГц}$	SOT323, SC70	B-E-C
1DR	2SD1328R	PAN	npn	$V_{CE0}=25\text{ В}; I_C=500\text{ мА}; P_D=200\text{ мВт}; h_{FE1}=200...350$	SOT346, SC59	B-E-C
1DR	MSD1328R	MOT	npn	$V_{CE0}=25\text{ В}; I_C=500\text{ мА}$	SOT346, SC59	B-E-C
1DS	2SD1328S	PAN	npn	$V_{CE0}=25\text{ В}; I_C=500\text{ мА}; P_D=200\text{ мВт}; h_{FE1}=300...500$	SOT346, SC59	B-E-C
1DT	2SD1328T	PAN	npn	$V_{CE0}=25\text{ В}; I_C=500\text{ мА}; P_D=200\text{ мВт}; h_{FE1}=400...800$	SOT346, SC59	B-E-C
1Dt	BC846	PHIL	npn	$V_{CE0}=80\text{ В}; I_C=100\text{ мА}; P_D=250\text{ мВт}; h_{FE1}=110...450; f_T=100\text{ МГц}$	SOT23, SOD23	B-E-C
1Dt	BC846W	PHIL	npn	$V_{CE0}=80\text{ В}; I_C=100\text{ мА}; P_D=250\text{ мВт}; h_{FE1}=110...450; f_T=100\text{ МГц}$	SOT323, SC70	B-E-C
1Dt	BC846W	PHIL	npn	$V_{CE0}=80\text{ В}; I_C=100\text{ мА}; P_D=250\text{ мВт}; h_{FE1}=110...450; f_T=100\text{ МГц}$	SOT323, SC70	B-E-C
1E	BC847A	CDIL	npn	$V_{CE0}=50\text{ В}; I_C=100\text{ мА}; P_D=150\text{ мВт}; h_{FE1}=110...220; f_T>300\text{ МГц}$	SOT23, SOD23	B-E-C
1E	BC847A	DIOXS	npn	$V_{CE0}=50\text{ В}; I_C=100\text{ мА}; P_D=300\text{ мВт}; h_{FE1}=110...220; f_T>300\text{ МГц}$	SOT23, SOD23	B-E-C
1E	BC847A	TOSH	npn	$V_{CE0}=50\text{ В}; I_C=100\text{ мА}; P_D=150\text{ мВт}; h_{FE1}=110...220; f_T>300\text{ МГц}$	SOT23, SOD23	B-E-C
1E	BC847A	VISH	npn	$V_{CE0}=50\text{ В}; I_C=100\text{ мА}; P_D=310\text{ мВт}; h_{FE1}=110...220; f_T>300\text{ МГц}$	SOT23, SOD23	B-E-C
1E	BC847AF	PHIL	npn	$V_{CE0}=50\text{ В}; I_C=100\text{ мА}; P_D=250\text{ мВт}; h_{FE1}=110...220; f_T>100\text{ МГц}$	SOT490, SC89	B-E-C
1E	BC847ALT1	MOT	npn	$V_{CE0}=50\text{ В}; I_C=100\text{ мА}; P_D=300\text{ мВт}; h_{FE1}=110...220; f_T>100\text{ МГц}$	SOT23, SOD23	B-E-C
1E	BC847AT	PHIL	npn	$V_{CE0}=50\text{ В}; I_C=100\text{ мА}; P_D=200\text{ мВт}; h_{FE1}=110...220; f_T>100\text{ МГц}$	SOT416, SC75A	B-E-C
1E	BC847AT	DIOXS	npn	$V_{CE0}=50\text{ В}; I_C=100\text{ мА}; P_D=150\text{ мВт}; h_{FE1}=110...220; f_T>100\text{ МГц}$	SOT523	B-E-C
1E	BC847AWT1	LRC	npn	$V_{CE0}=50\text{ В}; I_C=100\text{ мА}; P_D=250\text{ мВт}; h_{FE1}=110...220; f_T>250\text{ МГц}$	SOT323, SC70	B-E-C
1E	BC847AWT1	ON	npn	$V_{CE0}=50\text{ В}; I_C=100\text{ мА}; P_D=250\text{ мВт}; h_{FE1}=110...220; f_T>250\text{ МГц}$	SOT323, SC70	B-E-C
1E	FMV7A43	ZETEX	npn	$V_{CE0}=200\text{ В}; I_C=200\text{ мА}; P_D=330\text{ мВт}; h_{FE1}=50...200; f_T=50\text{ МГц}$	SOT23, SOD23	B-E-C
1E	IRLML6402	IR	pMOS	HEXFET; $V_{DS}=20\text{ В}; I_D=2.2\text{ А}; P_D=1.3\text{ Вт}; R_{DS(on)} < 0.135\text{ Ом}$	SOT23, SOD23	G-S-D
1E	KST43	SAMS	npn	$V_{CE0}=200\text{ В}; I_C=500\text{ мА}; P_D=350\text{ мВт}; h_{FE1}>40; f_T>50\text{ МГц}$	SOT23, SOD23	B-E-C



SOT23-3
SOD23-3

SOT323
SOT346

SOT416
SOT523



SOT490
MFPK

TESM
TSFP-3

VMT3
VMD3

Код	Типономинал	Б	Ф	Особенности	Корпус	Ц: 1+2+3
1E	TMPT443	ALLEG	n/n	$V_{CE0} = 200 В$; $I_{CE0} < 100 мА$; $h_{21} > 40$; $V_{CE(sat)} < 0.5 В$; $f_T > 50 МГц$	SOT23, SOD23	В+Е+С
1E-	BC847AW	PHIL	n/n	$V_{CE0} = 50 В$; $I_C = 100 мА$; $P_D = 200 мВт$; $h_{21} = 110...220$; $f_T > 100 МГц$	SOT323, SC70	В+Е+С
1EL	2SC4044L	ROHM	n/n	$V_{CE0} = 30 В$; $I_C = 50 мА$; $P_D = 150 мВт$; $h_{21} = 27...56$; $f_T > 200 МГц$	SOT323, SC70	В+Е+С
1EM	2SC4044M	ROHM	n/n	$V_{CE0} = 30 В$; $I_C = 50 мА$; $P_D = 150 мВт$; $h_{21} = 39...82$; $f_T > 200 МГц$	SOT323, SC70	В+Е+С
1EN	2SC4044N	ROHM	n/n	$V_{CE0} = 30 В$; $I_C = 50 мА$; $P_D = 150 мВт$; $h_{21} = 56...120$; $f_T > 200 МГц$	SOT323, SC70	В+Е+С
1EP	2SC4044P	ROHM	n/n	$V_{CE0} = 30 В$; $I_C = 50 мА$; $P_D = 150 мВт$; $h_{21} = 82...180$; $f_T > 200 МГц$	SOT323, SC70	В+Е+С
1Eр	BC847A	PHIL	n/n	$V_{CE0} = 50 В$; $I_C = 100 мА$; $P_D = 250 мВт$; $h_{21} = 110...220$; $f_T > 100 МГц$	SOT23, SOD23	В+Е+С
1EQ	2SC4084Q	ROHM	n/n	$V_{CE0} = 30 В$; $I_C = 50 мА$; $P_D = 150 мВт$; $h_{21} = 120...270$; $f_T > 200 МГц$	SOT323, SC70	В+Е+С
1ER	BC847AR	PHIL	n/n	$V_{CE0} = 45 В$; $I_C = 100 мА$; $P_D = 310 мВт$; $h_{21} = 220$; $f_T > 300 МГц$	SOT23, SOD23	Е+В+С
1Es	BC847A	INF	n/n	$V_{CE0} = 50 В$; $I_C = 100 мА$; $P_D = 330 мВт$; $h_{21} = 110...220$; $f_T = 250 МГц$	SOT23, SOD23	В+Е+С
1Es	BC847A	INF	n/n	$V_{CE0} = 50 В$; $I_C = 100 мА$; $P_D = 330 мВт$; $h_{21} = 110...220$; $f_T = 250 МГц$	SOT23, SOD23	В+Е+С
1Es	BC847AT	INF	n/n	$V_{CE0} = 50 В$; $I_C = 100 мА$; $P_D = 250 мВт$; $h_{21} = 110...220$; $f_T = 250 МГц$	SOT416, SC75A	В+Е+С
1Es	BC847AW	INF	n/n	$V_{CE0} = 50 В$; $I_C = 100 мА$; $P_D = 250 мВт$; $h_{21} = 110...220$; $f_T > 250 МГц$	SOT323, SC70	В+Е+С
1Et	BC847A	PHIL	n/n	$V_{CE0} = 50 В$; $I_C = 100 мА$; $P_D = 250 мВт$; $h_{21} = 110...220$; $f_T > 100 МГц$	SOT23, SOD23	В+Е+С
1Et	BC847AW	PHIL	n/n	$V_{CE0} = 50 В$; $I_C = 100 мА$; $P_D = 200 мВт$; $h_{21} = 110...220$; $f_T > 100 МГц$	SOT323, SC70	В+Е+С
1F	BC847B	CDIL	n/n	$V_{CE0} = 50 В$; $I_C = 100 мА$; $P_D = 150 мВт$; $h_{21} = 200...450$; $f_T > 300 МГц$	SOT23, SOD23	В+Е+С
1F	BC847B	DIODS	n/n	$V_{CE0} = 50 В$; $I_C = 100 мА$; $P_D = 300 мВт$; $h_{21} = 200...450$; $f_T > 300 МГц$	SOT23, SOD23	В+Е+С
1F	BC847B	TOSH	n/n	$V_{CE0} = 50 В$; $I_C = 100 мА$; $P_D = 150 мВт$; $h_{21} = 200...450$; $f_T > 300 МГц$	SOT23, SOD23	В+Е+С
1F	BC847B	YSH	n/n	$V_{CE0} = 50 В$; $I_C = 100 мА$; $P_D = 310 мВт$; $h_{21} = 200...450$; $f_T > 300 МГц$	SOT23, SOD23	В+Е+С
1F	BC847B	ZETEX	n/n	$V_{CE0} = 50 В$; $I_C = 100 мА$; $P_D = 330 мВт$; $h_{21} = 200...450$; $f_T > 300 МГц$	SOT23, SOD23	В+Е+С
1F	BC847BF	PHIL	n/n	$V_{CE0} = 50 В$; $I_C = 100 мА$; $P_D = 250 мВт$; $h_{21} = 200...450$; $f_T > 100 МГц$	SOT490, SC89	В+Е+С
1F	BC847BLT1	MOT	n/n	$V_{CE0} = 50 В$; $I_C = 100 мА$; $P_D = 300 мВт$; $h_{21} = 200...450$; $f_T > 100 МГц$	SOT23, SOD23	В+Е+С
1F	BC847BT	PHIL	n/n	$V_{CE0} = 50 В$; $I_C = 100 мА$; $P_D = 150 мВт$; $h_{21} = 200...450$; $f_T > 100 МГц$	SOT416, SC75A	В+Е+С
1F	BC847BT	DIODS	n/n	$V_{CE0} = 50 В$; $I_C = 100 мА$; $P_D = 150 мВт$; $h_{21} = 200...450$; $f_T > 100 МГц$	SOT523	В+Е+С
1F	BC847BWT1	LRC	n/n	$V_{CE0} = 50 В$; $I_C = 100 мА$; $P_D = 200 мВт$; $h_{21} = 200...450$; $f_T > 100 МГц$	SOT323, SC70	В+Е+С
1F	BC847BWT1	ON	n/n	$V_{CE0} = 50 В$; $I_C = 100 мА$; $P_D = 200 мВт$; $h_{21} = 200...450$; $f_T > 100 МГц$	SOT323, SC70	В+Е+С
1F	BC847CT	DIODS	n/n	$V_{CE0} = 50 В$; $I_C = 100 мА$; $P_D = 150 мВт$; $h_{21} = 420...800$; $f_T > 100 МГц$	SOT523	В+Е+С
1F	IRLMU5401	IR	p/MOS	HEXFET, $V_{GS} = 12 В$; $I_D = 3.4 А$; $P_D = 1.3 Вт$; $R_{DS(on)} < 125 Ом$	SOT23, SOD23	Г+С+D
1F	KST5550	SAMS	n/n	$V_{CE0} = 180 В$; $I_C = 800 мА$; $P_D = 350 мВт$; $h_{21} = 80...250$; $f_T > 150 МГц$	SOT23, SOD23	В+Е+С
1F	MMBT5550	MOT	n/n	$V_{CE0} = 180 В$; $I_C = 800 мА$; $P_D = 300 мВт$; $h_{21} = 80...250$	SOT23, SOD23	В+Е+С
1F-	BC847BW	PHIL	n/n	$V_{CE0} = 50 В$; $I_C = 100 мА$; $P_D = 200 мВт$; $h_{21} = 200...450$; $f_T > 100 МГц$	SOT323, SC70	В+Е+С
1FF	CMP75551	CSI	n/n	$V_{CE0} = 180 В$; $I_C = 800 мА$; $P_D = 350 мВт$; $h_{21} = 80...250$; $f_T = 100...300 МГц$	SOT23, SOD23	В+Е+С
1FP	2SK321P	PAN	n/FET	$V_{GS} = 15 В$; $I_D = 5 мА$; $P_D = 200 мВт$; $g_m > 15 мСм$; $I_{SSS} = 5...16 мА$	SOT23, SOD23	С+D+Г
1Fр	BC847B	PHIL	n/n	$V_{CE0} = 50 В$; $I_C = 100 мА$; $P_D = 250 мВт$; $h_{21} = 200...450$; $f_T > 100 МГц$	SOT23, SOD23	В+Е+С
1FQ	2SK321Q	PAN	n/FET	$V_{GS} = 15 В$; $I_D = 5 мА$; $P_D = 200 мВт$; $g_m > 15 мСм$; $I_{SSS} = 14...24 мА$	SOT23, SOD23	С+D+Г
1FR	2SK321R	PAN	n/FET	$V_{GS} = 15 В$; $I_D = 5 мА$; $P_D = 200 мВт$; $g_m > 15 мСм$; $I_{SSS} = 20...32 мА$	SOT23, SOD23	С+D+Г
1FR	BC847BR	PHIL	n/n	$V_{CE0} = 45 В$; $I_C = 100 мА$; $P_D = 310 мВт$; $h_{21} = 330$; $f_T > 300 МГц$	SOT23, SOD23	Е+В+С
1FS	2SK321S	PAN	n/FET	$V_{GS} = 15 В$; $I_D = 5 мА$; $P_D = 200 мВт$; $g_m > 15 мСм$; $I_{SSS} = 28...42 мА$	SOT23, SOD23	С+D+Г
1Fs	BC847B	INF	n/n	$V_{CE0} = 50 В$; $I_C = 100 мА$; $P_D = 330 мВт$; $h_{21} = 200...450$; $f_T = 250 МГц$	SOT23, SOD23	В+Е+С
1Fs	BC847BT	INF	n/n	$V_{CE0} = 50 В$; $I_C = 100 мА$; $P_D = 250 мВт$; $h_{21} = 200...450$; $f_T = 250 МГц$	SOT416, SC75A	В+Е+С
1Fs	BC847BW	INF	n/n	$V_{CE0} = 50 В$; $I_C = 100 мА$; $P_D = 250 мВт$; $h_{21} = 200...450$; $f_T = 250 МГц$	SOT323, SC70	В+Е+С
1Fi	BC847C	PHIL	n/n	$V_{CE0} = 50 В$; $I_C = 100 мА$; $P_D = 250 мВт$; $h_{21} = 200...450$; $f_T > 100 МГц$	SOT23, SOD23	В+Е+С
1Fi	BC847BW	PHIL	n/n	$V_{CE0} = 50 В$; $I_C = 100 мА$; $P_D = 200 мВт$; $h_{21} = 200...450$; $f_T > 100 МГц$	SOT323, SC70	В+Е+С
1FZ	FMB75550	ZETEX	n/n	$V_{CE0} = 140 В$	SOT23, SOD23	В+Е+С
1G	BC847C	CDIL	n/n	$V_{CE0} = 50 В$; $I_C = 100 мА$; $P_D = 310 мВт$; $h_{21} = 420...800$; $f_T > 300 МГц$	SOT23, SOD23	В+Е+С
1G	BC847C	YSH	n/n	$V_{CE0} = 50 В$; $I_C = 100 мА$; $P_D = 310 мВт$; $h_{21} = 420...800$; $f_T > 300 МГц$	SOT23, SOD23	В+Е+С
1G	BC847C	ZETEX	n/n	$V_{CE0} = 50 В$; $I_C = 100 мА$; $P_D = 330 мВт$; $h_{21} = 420...800$; $f_T > 300 МГц$	SOT23, SOD23	В+Е+С
1G	BC847C	DIODS	n/n	$V_{CE0} = 50 В$; $I_C = 100 мА$; $P_D = 300 мВт$; $h_{21} = 420...800$; $f_T > 300 МГц$	SOT23, SOD23	В+Е+С
1G	BC847CF	PHIL	n/n	$V_{CE0} = 50 В$; $I_C = 100 мА$; $P_D = 250 мВт$; $h_{21} = 420...800$; $f_T > 100 МГц$	SOT490, SC89	В+Е+С
1G	BC847CLT1	MOT	n/n	$V_{CE0} = 50 В$; $I_C = 100 мА$; $P_D = 300 мВт$; $h_{21} = 420...800$; $f_T > 100 МГц$	SOT23, SOD23	В+Е+С
1G	BC847CT	PHIL	n/n	$V_{CE0} = 50 В$; $I_C = 100 мА$; $P_D = 250 мВт$; $h_{21} = 420...800$; $f_T > 100 МГц$	SOT416, SC75A	В+Е+С
1G	BC847CWT1	LRC	n/n	$V_{CE0} = 50 В$; $I_C = 100 мА$; $P_D = 200 мВт$; $h_{21} = 420...800$; $f_T > 100 МГц$	SOT323, SC70	В+Е+С

SOT490 TSM
MFFPAK TSFP-3

VMT3 VMD3



SOT416 SOT523

SOT323 SOT346

SOT23-3 SOD23-3



Код	Типономинал	Б	Ф	Особенности	Корпус	Ц: 1*2*3
1G	BC847CW1	ON	npn	$V_{CE0} = 50 В; I_C = 100 мА; P_D = 200 мВт; h_{FE} > 420; f_T > 100 МГц$	SOT323, SC70	B-E-C
1G	FMM7A05	ZETEX	npn	$V_{CE0} = 80 В; I_C = 500 мА; P_D = 330 мВт; h_{FE} > 50; f_T > 100 МГц$	SOT23, SOD23	B-E-C
1G	IRLML2502	IR	nMOS	HEXFET; $V_{DS} = 30 В; I_D = 3.4 А; P_D = 1.25 Вт; R_{DS(on)} < 0.08 Ом$	SOT23, SOD23	G-S-D
1G	KST05	SAMS	npn	$V_{CE0} = 80 В; I_C = 500 мА; P_D = 350 мВт; h_{FE} > 50; f_T > 100 МГц$	SOT23, SOD23	B-E-C
1G	MMBT405	VISH	npn	$V_{CE0} = 80 В; I_C = 300 мА; P_D = 350 мВт; h_{FE} > 50; f_T > 100 МГц$	SOT23, SOD23	B-E-C
1G	MMBT406	MOT	npn	$V_{CE0} = 80 В; I_C = 300 мА; P_D = 350 мВт; h_{FE} > 50; f_T > 100 МГц$	SOT23, SOD23	B-E-C
1G	TMPTA06	ALLEG	npn	$V_{CE0} = 80 В; I_{C(sat)} < 100 мА; h_{FE} > 50; V_{CE(sat)} < 0.25 В; f_T > 100 МГц$	SOT23, SOD23	B-E-C
1G-	BC847CW	PHIL	npn	$V_{CE0} = 50 В; I_C = 100 мА; P_D = 200 мВт; h_{FE} > 420; f_T > 100 МГц$	SOT323, SC70	B-E-C
1G-	BC847CW	PHIL	npn	$V_{CE0} = 50 В; I_C = 100 мА; P_D = 200 мВт; h_{FE} > 420; f_T > 100 МГц$	SOT323, SC70	B-E-C
1G0	BC847C	PHIL	npn	$V_{CE0} = 50 В; I_C = 100 мА; P_D = 250 мВт; h_{FE} > 420; f_T > 100 МГц$	SOT23, SOD23	B-E-C
1GR	BC847CR	PHIL	npn	$V_{CE0} = 45 В; I_C = 100 мА; P_D = 310 мВт; h_{FE} > 600; f_T > 300 МГц$	SOT23, SOD23	B-E-C
1Gs	BC847C	INF	npn	$V_{CE0} = 50 В; I_C = 100 мА; P_D = 330 мВт; h_{FE} > 420; f_T > 250 МГц$	SOT23, SOD23	B-E-C
1Gs	BC847CT	INF	npn	$V_{CE0} = 50 В; I_C = 100 мА; P_D = 250 мВт; h_{FE} > 420; f_T > 250 МГц$	SOT416, SC75A	B-E-C
1Gs	BC847CW	INF	npn	$V_{CE0} = 50 В; I_C = 100 мА; P_D = 250 мВт; h_{FE} > 420; f_T > 250 МГц$	SOT323, SC70	B-E-C
1Gr	BC847C	PHIL	npn	$V_{CE0} = 50 В; I_C = 100 мА; P_D = 250 мВт; h_{FE} > 420; f_T > 100 МГц$	SOT23, SOD23	B-E-C
1Gr	BC847CW	PHIL	npn	$V_{CE0} = 50 В; I_C = 100 мА; P_D = 200 мВт; h_{FE} > 420; f_T > 100 МГц$	SOT323, SC70	B-E-C
1GT	SOA05	STM	npn	$V_{CE0} = 80 В; I_C = 500 мА; P_D = 350 мВт; h_{FE} > 50; f_T > 100 МГц$	SOT23, SOD23	B-E-C
1GZ	BC847C	ZETEX	npn	$V_{CE0} = 50 В; I_C = 100 мА; P_D = 330 мВт; h_{FE} > 420; f_T > 300 МГц$	SOT23, SOD23	B-E-C
1H	2SK123	PAN	nFET	$V_{DS} > 20 В; I_D = 2 мА; P_D = 200 мВт; g_{fs} > 0.7 мСм$	SOT23, SOD23	D-S-G
1H	BC847	CDIL	npn	$V_{CE0} = 50 В; I_C = 100 мА; P_D = 250 мВт; h_{FE} > 110; f_T > 100 МГц$	SOT23, SOD23	B-E-C
1H	FMM7A05	ZETEX	npn	$V_{CE0} = 80 В; I_C = 500 мА; P_D = 330 мВт; h_{FE} > 50; f_T > 100 МГц$	SOT23, SOD23	B-E-C
1H	IRLML2503	IR	nMOS	HEXFET; $V_{DS} = 30 В; I_D = 2.4 А; P_D = 1.25 Вт; R_{DS(on)} < 0.165 Ом$	SOT23, SOD23	G-S-D
1H	KST05	SAMS	npn	$V_{CE0} = 60 В; I_C = 500 мА; P_D = 350 мВт; h_{FE} > 50; f_T > 100 МГц$	SOT23, SOD23	B-E-C
1H	MMBT405	VISH	npn	$V_{CE0} = 60 В; I_C = 30 мА; P_D = 350 мВт; h_{FE} > 50; f_T > 100 МГц$	SOT23, SOD23	B-E-C
1H	MMBT405	MOT	npn	$V_{CE0} = 60 В; I_C = 30 мА; P_D = 350 мВт; h_{FE} > 50; f_T > 100 МГц$	SOT23, SOD23	B-E-C
1H	TMPTA05	ALLEG	npn	$V_{CE0} = 60 В; I_{C(sat)} < 100 мА; h_{FE} > 50; V_{CE(sat)} < 0.25 В; f_T > 100 МГц$	SOT23, SOD23	B-E-C
1H-	BC847W	PHIL	npn	$V_{CE0} = 50 В; I_C = 100 мА; P_D = 200 мВт; h_{FE} > 110; f_T > 100 МГц$	SOT323, SC70	B-E-C
1H0	BC847	PHIL	npn	$V_{CE0} = 50 В; I_C = 100 мА; P_D = 250 мВт; h_{FE} > 110; f_T > 100 МГц$	SOT23, SOD23	B-E-C
1H1	BC847	PHIL	npn	$V_{CE0} = 50 В; I_C = 100 мА; P_D = 250 мВт; h_{FE} > 110; f_T > 100 МГц$	SOT23, SOD23	B-E-C
1H1	BC847W	PHIL	npn	$V_{CE0} = 50 В; I_C = 100 мА; P_D = 200 мВт; h_{FE} > 110; f_T > 100 МГц$	SOT323, SC70	B-E-C
1HT	SOA05	SGS	npn	$V_{CE0} = 60 В; I_C = 500 мА; P_D = 625 мВт; h_{FE} > 100; f_T > 100 МГц$	SOT23, SOD23	B-E-C
1J	BC848A	CDIL	npn	$V_{CE0} = 30 В; I_C = 100 мА; P_D = 150 мВт; h_{FE} > 110; f_T > 300 МГц$	SOT23, SOD23	B-E-C
1J	BC848A	TOSH	npn	$V_{CE0} = 30 В; I_C = 100 мА; P_D = 150 мВт; h_{FE} > 110; f_T > 300 МГц$	SOT23, SOD23	B-E-C
1J	BC848A	DIODS	npn	$V_{CE0} = 30 В; I_C = 100 мА; P_D = 300 мВт; h_{FE} > 110; f_T > 300 МГц$	SOT23, SOD23	B-E-C
1J	BC848A	VISH	npn	$V_{CE0} = 30 В; I_C = 100 мА; P_D = 310 мВт; h_{FE} > 110; f_T > 300 МГц$	SOT23, SOD23	B-E-C
1J	BC848AF	PHIL	npn	$V_{CE0} = 30 В; I_C = 100 мА; P_D = 250 мВт; h_{FE} > 110; f_T > 100 МГц$	SOT490, SC89	B-E-C
1J	BC848ALT1	MOT	npn	$V_{CE0} = 30 В; I_C = 100 мА; P_D = 300 мВт; h_{FE} > 110; f_T > 100 МГц$	SOT23, SOD23	B-E-C
1J	BC848AW	PHIL	npn	$V_{CE0} = 30 В; I_C = 100 мА; P_D = 200 мВт; h_{FE} > 110; f_T > 100 МГц$	SOT323, SC70	B-E-C
1J	BC848AWT1	LRC	npn	$V_{CE0} = 30 В; I_C = 100 мА; P_D = 200 мВт; h_{FE} > 110; f_T > 100 МГц$	SOT323, SC70	B-E-C
1J	BC848AWT1	ON	npn	$V_{CE0} = 30 В; I_C = 100 мА; P_D = 200 мВт; h_{FE} > 110; f_T > 100 МГц$	SOT323, SC70	B-E-C
1J	FMM72369	ZETEX	npn	$V_{CE0} = 40 В; I_C = 200 мА; P_D = 330 мВт; h_{FE} > 40; f_T > 120$	SOT23, SOD23	B-E-C
1J	PMST2369	PHIL	npn	$V_{CE0} = 40 В; I_C = 500 мА; P_D = 200 мВт; h_{FE} > 40; f_T > 120$	SOT323, SC70	B-E-C
1JA	MMBT2369ALT1	MOT	npn	$V_{CE0} = 40 В; I_C = 200 мА; P_D = 300 мВт; h_{FE} > 40$	SOT23, SOD23	B-E-C
1J0	BC848A	PHIL	npn	$V_{CE0} = 30 В; I_C = 100 мА; P_D = 250 мВт; h_{FE} > 110; f_T > 100 МГц$	SOT23, SOD23	B-E-C
1JR	BC848AR	PHIL	npn	$V_{CE0} = 30 В; I_C = 100 мА; P_D = 300 мВт; h_{FE} > 110; f_T > 100 МГц$	SOT323, SC70	B-E-C
1Js	BC848A	INF	npn	$V_{CE0} = 30 В; I_C = 100 мА; P_D = 330 мВт; h_{FE} > 110; f_T > 250 МГц$	SOT23, SOD23	B-E-C
1Js	BC848AT	INF	npn	$V_{CE0} = 30 В; I_C = 100 мА; P_D = 250 мВт; h_{FE} > 110; f_T > 250 МГц$	SOT416, SC75A	B-E-C
1Js	BC848AW	INF	npn	$V_{CE0} = 30 В; I_C = 100 мА; P_D = 250 мВт; h_{FE} > 110; f_T > 250 МГц$	SOT323, SC70	B-E-C
1Jt	BC848A	PHIL	npn	$V_{CE0} = 30 В; I_C = 100 мА; P_D = 250 мВт; h_{FE} > 110; f_T > 100 МГц$	SOT23, SOD23	B-E-C
1JZ	BC848A	ZETEX	npn	$V_{CE0} = 30 В; I_C = 100 мА; P_D = 330 мВт; h_{FE} > 110; f_T > 300 МГц$	SOT23, SOD23	B-E-C
1K	BC848B	CDIL	npn	$V_{CE0} = 30 В; I_C = 100 мА; P_D = 310 мВт; h_{FE} > 200; f_T > 300 МГц$	SOT23, SOD23	B-E-C
1K	BC848B	TOSH	npn	$V_{CE0} = 30 В; I_C = 100 мА; P_D = 150 мВт; h_{FE} > 200; f_T > 300 МГц$	SOT23, SOD23	B-E-C



SOT23-3
SOD23-3

SOT323
SOT346

SOT416
SOT523



SOT490
MFPK

TESM
TSFP-3

VMT3
VMD3

Код	Типономинал	Б	Ф	Особенности	Корпус	Ц: 1+2+3
IK	BC848B	DIOS	npn	$V_{CE0}=30B$, $I_C=100mA$, $P_D=300mBt$, $h_{21}=200...450$, $f_T>300MHz$	SOT23, SOD23	B-E-C
IK	BC848B	VISH	npn	$V_{CE0}=30B$, $I_C=100mA$, $P_D=310mBt$, $h_{21}=200...450$, $f_T>300MHz$	SOT23, SOD23	B-E-C
IK	BC848B	ZETEX	npn	$V_{CE0}=30B$, $I_C=100mA$, $P_D=330mBt$, $h_{21}=200...450$, $f_T>300MHz$	SOT23, SOD23	B-E-C
IK	BC848B	ITT	npn	$V_{CE0}=30B$, $I_C=100mA$, $P_D=330mBt$, $h_{21}=200...450$, $f_T>300MHz$	SOT23, SOD23	B-E-C
IK	BC848BF	PHIL	npn	$V_{CE0}=30B$, $I_C=100mA$, $P_D=250mBt$, $h_{21}=200...450$, $f_T>100MHz$	SOT480, SC89	B-E-C
IK	BC848BLT1	MOT	npn	$V_{CE0}=30B$, $I_C=100mA$, $P_D=300mBt$, $h_{21}=200...450$, $f_T>100MHz$	SOT23, SOD23	B-E-C
IK	BC848BW	PHIL	npn	$V_{CE0}=30B$, $I_C=100mA$, $P_D=200mBt$, $h_{21}=200...450$, $f_T>100MHz$	SOT323, SC70	B-E-C
IK	BC848BWT1	LRC	npn	$V_{CE0}=30B$, $I_C=100mA$, $P_D=250mBt$, $h_{21}=200...450$, $f_T>250MHz$	SOT323, SC70	B-E-C
IK	BC848BWT1	ON	npn	$V_{CE0}=30B$, $I_C=100mA$, $P_D=250mBt$, $h_{21}=200...450$, $f_T>250MHz$	SOT323, SC70	B-E-C
IK	FMMT4400	ZETEX	npn	$V_{CE0}=60B$, $I_C=600mA$, $P_D=330mBt$, $h_{21}=50...150$, $f_T>200MHz$	SOT23, SOD23	B-E-C
IK	KST9428	SAMS	npn	$V_{CE0}=60B$, $I_C=200mA$, $P_D=350mBt$, $h_{21}=250...850$, $f_T>100...700MHz$	SOT23, SOD23	B-E-C
IK	NMBT6428	MOT	npn	$V_{CE0}=60B$, $I_C=200mA$, $P_D=300mBt$, $h_{21}=250...650$, $f_T>100MHz$	SOT23, SOD23	B-E-C
IK	PMST6428	PHIL	npn	$V_{CE0}=60B$, $I_C=200mA$, $P_D=200mBt$, $h_{21}=250...650$, $f_T>100...700MHz$	SOT323, SC70	B-E-C
IKP	2SK316P	PAN	nFET	$V_{GS}=10B$, $I_D=5mA$, $P_D=200mBt$; $g_m>15mCm$, $I_{DSS}=5...16mA$	SOT23, SOD23	S-D-G
IKD	BC848B	PHIL	npn	$V_{CE0}=30B$, $I_C=100mA$, $P_D=250mBt$, $h_{21}=200...450$, $f_T>100MHz$	SOT23, SOD23	B-E-C
IKQ	2SK316Q	PAN	nFET	$V_{GS}=10B$, $I_D=5mA$, $P_D=200mBt$; $g_m>15mCm$, $I_{DSS}=14...24mA$	SOT23, SOD23	S-D-G
IKR	BC848BF	PHIL	npn	$V_{CE0}=30B$, $I_C=100mA$, $P_D=310mBt$, $h_{21}=200...450$, $f_T>300MHz$	SOT23, SOD23	E-B-C
IKs	BC848B	INF	npn	$V_{CE0}=30B$, $I_C=100mA$, $P_D=330mBt$, $h_{21}=200...450$, $f_T>250MHz$	SOT23, SOD23	B-E-C
IKs	BC848BT	INF	npn	$V_{CE0}=30B$, $I_C=100mA$, $P_D=250mBt$, $h_{21}=200...450$, $f_T>250MHz$	SOT416, SC75A	B-E-C
IKs	BC848BW	INF	npn	$V_{CE0}=30B$, $I_C=100mA$, $P_D=250mBt$, $h_{21}=200...450$, $f_T>250MHz$	SOT323, SC70	B-E-C
IKl	BC848B	PHIL	npn	$V_{CE0}=30B$, $I_C=100mA$, $P_D=250mBt$, $h_{21}=200...450$, $f_T>100MHz$	SOT23, SOD23	B-E-C
IKZ	FMMT4400	ZETEX	npn	$V_{CE0}=60B$, $I_C=600mA$, $P_D=330mBt$, $h_{21}=50...150$, $f_T>200MHz$	SOT23, SOD23	B-E-C
IL	BC848C	ITT	npn	$V_{CE0}=30B$, $I_C=100mA$, $P_D=310mBt$, $h_{21}=420...800$, $f_T>300MHz$	SOT23, SOD23	B-E-C
IL	BC848C	CDIL	npn	$V_{CE0}=30B$, $I_C=100mA$, $P_D=310mBt$, $h_{21}=420...800$, $f_T>300MHz$	SOT23, SOD23	B-E-C
IL	BC848C	DIOS	npn	$V_{CE0}=30B$, $I_C=100mA$, $P_D=300mBt$, $h_{21}=420...800$, $f_T>300MHz$	SOT23, SOD23	B-E-C
IL	BC848C	TOSH	npn	$V_{CE0}=30B$, $I_C=100mA$, $P_D=150mBt$, $h_{21}=420...800$, $f_T>300MHz$	SOT23, SOD23	B-E-C
IL	BC848C	VISH	npn	$V_{CE0}=30B$, $I_C=100mA$, $P_D=310mBt$, $h_{21}=420...800$, $f_T>300MHz$	SOT23, SOD23	B-E-C
IL	BC848CF	PHIL	npn	$V_{CE0}=30B$, $I_C=100mA$, $P_D=250mBt$, $h_{21}=420...800$, $f_T>100MHz$	SOT480, SC89	B-E-C
IL	BC848CLT1	MOT	npn	$V_{CE0}=30B$, $I_C=100mA$, $P_D=300mBt$, $h_{21}=420...800$, $f_T>100MHz$	SOT23, SOD23	B-E-C
IL	BC848CW	PHIL	npn	$V_{CE0}=30B$, $I_C=100mA$, $P_D=200mBt$, $h_{21}=420...800$, $f_T>100MHz$	SOT323, SC70	B-E-C
IL	BC848CWT1	LRC	npn	$V_{CE0}=30B$, $I_C=100mA$, $P_D=250mBt$, $h_{21}=420...800$, $f_T>250MHz$	SOT323, SC70	B-E-C
IL	BC848CWT1	ON	npn	$V_{CE0}=30B$, $I_C=100mA$, $P_D=250mBt$, $h_{21}=420...800$, $f_T>250MHz$	SOT323, SC70	B-E-C
IL	FMMT4401	ZETEX	npn	$V_{CE0}=60B$, $I_C=600mA$, $P_D=330mBt$, $h_{21}=100...300$, $f_T>250MHz$	SOT23, SOD23	B-E-C
IL	NMBT6429	MOT	npn	$V_{CE0}=55B$, $I_C=200mA$, $P_D=300mBt$, $h_{21}=500...1250$, $f_T>100MHz$	SOT23, SOD23	B-E-C
IL	PMST6429	PHIL	npn	$V_{CE0}=55B$, $I_C=200mA$, $P_D=200mBt$, $h_{21}=500...1250$, $f_T>100MHz$	SOT323, SC70	B-E-C
ILM	2SC4103M	ROHM	npn	$V_{CE0}=30B$, $I_C=30mA$, $P_D=200mBt$, $h_{21}=39...82$, $f_T>110MHz$	SOT23, SOD23	B-E-C
ILN	2SC4103N	ROHM	npn	$V_{CE0}=30B$, $I_C=30mA$, $P_D=200mBt$, $h_{21}=56...120$, $f_T>110MHz$	SOT323, SC70	B-E-C
ILP	2SC4103P	ROHM	npn	$V_{CE0}=30B$, $I_C=30mA$, $P_D=200mBt$, $h_{21}=82...180$, $f_T>110MHz$	SOT323, SC70	B-E-C
ILP	2SK247P	PAN	nFET	$V_{GS}=15B$, $I_D=20mA$, $P_D=150mBt$; $g_m>3mCm$, $I_{DSS}=0.5...1.5mA$	SOT23, SOD23	S-D-G
ILp	BC848C	PHIL	npn	$V_{CE0}=30B$, $I_C=100mA$, $P_D=250mBt$, $h_{21}=420...800$, $f_T>100MHz$	SOT23, SOD23	B-E-C
ILQ	2SC4103Q	ROHM	npn	$V_{CE0}=30B$, $I_C=30mA$, $P_D=200mBt$, $h_{21}=120...270$, $f_T>110MHz$	SOT323, SC70	B-E-C
ILQ	2SK247Q	PAN	nFET	$V_{GS}=15B$, $I_D=20mA$, $P_D=150mBt$; $g_m>3mCm$, $I_{DSS}=1...3mA$	SOT23, SOD23	S-D-G
ILR	2SK247R	PAN	nFET	$V_{GS}=15B$, $I_D=20mA$, $P_D=150mBt$; $g_m>3mCm$, $I_{DSS}=2...6mA$	SOT23, SOD23	S-D-G
ILR	BC848CF	PHIL	npn	$V_{CE0}=30B$, $I_C=100mA$, $P_D=310mBt$, $h_{21}=600$, $f_T>300MHz$	SOT23, SOD23	E-B-C
ILS	2SK247S	PAN	nFET	$V_{GS}=15B$, $I_D=20mA$, $P_D=150mBt$; $g_m>3mCm$, $I_{DSS}=4...12mA$	SOT23, SOD23	S-D-G
ILs	BC848C	INF	npn	$V_{CE0}=30B$, $I_C=100mA$, $P_D=330mBt$, $h_{21}=420...800$, $f_T>250MHz$	SOT23, SOD23	B-E-C
ILs	BC848CT	INF	npn	$V_{CE0}=30B$, $I_C=100mA$, $P_D=330mBt$, $h_{21}=420...800$, $f_T>250MHz$	SOT416, SC75A	B-E-C
ILs	BC848CW	INF	npn	$V_{CE0}=30B$, $I_C=100mA$, $P_D=250mBt$, $h_{21}=420...800$, $f_T>250MHz$	SOT323, SC70	B-E-C
ILt	BC848C	PHIL	npn	$V_{CE0}=30B$, $I_C=100mA$, $P_D=250mBt$, $h_{21}=420...800$, $f_T>100MHz$	SOT23, SOD23	B-E-C
IM	BC848	CDIL	npn	$V_{CE0}=30B$, $I_C=100mA$, $P_D=250mBt$, $h_{21}=110...800$, $f_T>100MHz$	SOT23, SOD23	B-E-C
IM	BC848C	DIOS	npn	$V_{CE0}=30B$, $I_C=100mA$, $P_D=300mBt$, $h_{21}=420...800$, $f_T>300MHz$	SOT523	B-E-C
IM	FMMT413	ZETEX	npn	$V_{CE0}=40B$, $I_C=300mA$, $P_D=330mBt$, $h_{21}>10000$	SOT23, SOD23	B-E-C

SOT490 TSM
MFPAK TSFP-3

VMT3
VMD3



SOT416 SOT323
SOT523 SOT346

SOT23-3
SOD23-3



Код	Типономинал	Б	Ф	Особенности	Корпус	Ц: 1•2•3
1M	KST13	SAMS	npn	$V_{CE0}=30\text{ В}; I_C=300\text{ мА}; P_D=350\text{ мВт}; h_{FE}>5000; f_T>125\text{ МГц}$	SOT23, SOD23	B-E-C
1M	MMBT413	VISH	npn	$V_{CE0}=30\text{ В}; I_C=300\text{ мА}; P_D=350\text{ мВт}; h_{FE}<10000; f_T<125\text{ МГц}$	SOT23, SOD23	B-E-C
1M	MMBT413LT1	MOT	npn	$V_{CE0}=30\text{ В}; I_C=300\text{ мА}; P_D=350\text{ мВт}; h_{FE}>5000; f_T>125\text{ МГц}$	SOT23, SOD23	B-E-C
1M-	BC848W	PHIL	npn	$V_{CE0}=30\text{ В}; I_C=100\text{ мА}; P_D=200\text{ мВт}; h_{FE}\approx 110...800; f_T>100\text{ МГц}$	SOT323, SC70	B-E-C
1MN	2SC4128N	ROHM	npn	$V_{CE0}=40\text{ В}; I_C=100\text{ мА}; P_D=200\text{ мВт}; h_{FE}\approx 56...120; f_T>230\text{ МГц}$	SOT323, SC70	B-E-C
1MP	2SC4128P	ROHM	npn	$V_{CE0}=40\text{ В}; I_C=100\text{ мА}; P_D=200\text{ мВт}; h_{FE}\approx 82...180; f_T>230\text{ МГц}$	SOT323, SC70	B-E-C
1MP	2SJ84P	PAN	pFET	$V_{DS}=15\text{ В}; I_D=10\text{ мА}; P_D=200\text{ мВт}; g_{FS}=9\text{ мСм}$	SOT23, SOD23	D-S-G
1M0	BC848	PHIL	npn	$V_{CE0}=30\text{ В}; I_C=100\text{ мА}; P_D=250\text{ мВт}; h_{FE}\approx 110...800; f_T>100\text{ МГц}$	SOT23, SOD23	B-E-C
1MQ	2SJ84Q	PAN	pFET	$V_{DS}=15\text{ В}; I_D=10\text{ мА}; P_D=200\text{ мВт}; g_{FS}=9\text{ мСм}$	SOT23, SOD23	D-S-G
1MR	2SJ84R	PAN	pFET	$V_{DS}=15\text{ В}; I_D=10\text{ мА}; P_D=200\text{ мВт}; g_{FS}=9\text{ мСм}$	SOT23, SOD23	D-S-G
1Mt	BC848W	PHIL	npn	$V_{CE0}=30\text{ В}; I_C=100\text{ мА}; P_D=200\text{ мВт}; h_{FE}\approx 110...800; f_T>100\text{ МГц}$	SOT323, SC70	B-E-C
1N	FMMT414	ZETEX	npn	$V_{CE0}=40\text{ В}; I_C=300\text{ мА}; P_D=330\text{ мВт}; h_{FE}>20000$	SOT23, SOD23	B-E-C
1N	KST14	SAMS	npn	$V_{CE0}=30\text{ В}; I_C=300\text{ мА}; P_D=350\text{ мВт}; h_{FE}>10000; f_T>125\text{ МГц}$	SOT23, SOD23	B-E-C
1N	MMBT3904	VISH	npn	$V_{CE0}=60\text{ В}; I_C=100\text{ мА}; P_D=200\text{ мВт}; h_{FE}\approx 100...300; f_T>300\text{ МГц}$	SOT23, SOD23	B-E-C
1N	MMBT414	VISH	npn	$V_{CE0}=30\text{ В}; I_C=300\text{ мА}; P_D=350\text{ мВт}; h_{FE}<20000; f_T<125\text{ МГц}$	SOT23, SOD23	B-E-C
1N	MMBT414LT1	MOT	npn	$V_{CE0}=30\text{ В}; I_C=300\text{ мА}; P_D=350\text{ мВт}; h_{FE}>10000; f_T>125\text{ МГц}$	SOT23, SOD23	B-E-C
1N	TMPA14	ALLEG	npn	$V_{CE0}=30\text{ В}; I_{C0}<100\text{ мА}; h_{FE}>20 \times V_{CE0} < 1.5\text{ В}; f_T>125\text{ МГц}$	SOT23, SOD23	B-E-C
1N5	ZTX11N15DF	ZETEX	npn	$V_{CE0}=15\text{ В}; I_C=3\text{ А}$	SOT23, SOD23	B-E-C
1Q	2SK662P	PAN	nFET	$V_{DS}=30\text{ В}; I_D=20\text{ мА}; P_D=150\text{ мВт}; g_{FS}>4\text{ мСм}; I_{SS}>0.5...3\text{ мА}$	SOT323, SC70	S-D-G
1QQ	2SK662Q	PAN	nFET	$V_{DS}=30\text{ В}; I_D=20\text{ мА}; P_D=150\text{ мВт}; g_{FS}>4\text{ мСм}; I_{SS}>2...6\text{ мА}$	SOT323, SC70	S-D-G
1QR	2SK662R	PAN	nFET	$V_{DS}=30\text{ В}; I_D=20\text{ мА}; P_D=150\text{ мВт}; g_{FS}>4\text{ мСм}; I_{SS}>4...12\text{ мА}$	SOT323, SC70	S-D-G
1P	FMMT2222A	ZETEX	npn	$V_{CE0}=75\text{ В}; I_C=800\text{ мА}; P_D=330\text{ мВт}; h_{FE}\approx 120...360; f_T>300\text{ МГц}$	SOT23, SOD23	B-E-C
1P	KST2222A	SAMS	npn	$V_{CE0}=75\text{ В}; I_C=800\text{ мА}; P_D=350\text{ мВт}; h_{FE}\approx 75; f_T>300\text{ МГц}$	SOT23, SOD23	B-E-C
1P	MBT2222A	TOSH	npn	$V_{CE0}=75\text{ В}; I_C=800\text{ мА}; P_D=250\text{ мВт}; h_{FE}\approx 40; f_T>300\text{ МГц}$	SOT23, SOD23	B-E-C
1P	MMBT2222A	VISH	npn	$V_{CE0}=50\text{ В}; I_C=800\text{ мА}; P_D=200\text{ мВт}; h_{FE}\approx 100...300; f_T>200\text{ МГц}$	SOT23, SOD23	B-E-C
1P	MMBT2222ALT1	MOT	npn	$V_{CE0}=75\text{ В}; I_C=800\text{ мА}; P_D=330\text{ мВт}; h_{FE}\approx 75; f_T>300\text{ МГц}$	SOT23, SOD23	B-E-C
1P	MMBT2222LT1	ON	npn	$V_{CE0}=60\text{ В}; I_C=800\text{ мА}; P_D=225\text{ мВт}; h_{FE}>30$	SOT23, SOD23	B-E-C
1P	TMP2222A	ALLEG	npn	$V_{CE0}=75\text{ В}; I_{C0}<10\text{ мА}; h_{FE}\approx 100...300; V_{CE0} < 0.3\text{ В}; f_T>250\text{ МГц}$	SOT23, SOD23	B-E-C
-1P	PMS2222A	PHIL	npn	$V_{CE0}=75\text{ В}; I_C=800\text{ мА}; P_D=350\text{ мВт}; h_{FE}\approx 100...300; f_T>300\text{ МГц}$	SOT323, SC70	B-E-C
1Q	FMMT5088	ZETEX	npn	$V_{CE0}=35\text{ В}; I_C=50\text{ мА}; P_D=330\text{ мВт}; h_{FE}\approx 300...900; f_T>50\text{ МГц}$	SOT23, SOD23	B-E-C
1Q	KST5088	SAMS	npn	$V_{CE0}=35\text{ В}; I_C=50\text{ мА}; P_D=350\text{ мВт}; h_{FE}\approx 300...900; f_T>50\text{ МГц}$	SOT23, SOD23	B-E-C
1Q	MMBT5088	VISH	npn	$V_{CE0}=35\text{ В}; I_C=100\text{ мА}; P_D=350\text{ мВт}; h_{FE}\approx 300...900; f_T>50\text{ МГц}$	SOT23, SOD23	B-E-C
1Q	MMBT5088	MOT	npn	$V_{CE0}=30\text{ В}; I_C=100\text{ мА}; P_D=350\text{ мВт}; h_{FE}\approx 350...1400; f_T>50\text{ МГц}$	SOT23, SOD23	B-E-C
1Q	TMP5088	ALLEG	npn	$V_{CE0}=35\text{ В}; I_{C0}<60\text{ мА}; h_{FE}\approx 300...900; V_{CE0} < 0.5\text{ В}$	SOT23, SOD23	B-E-C
1R	FMMT5089	ZETEX	npn	$V_{CE0}=30\text{ В}; I_C=50\text{ мА}; P_D=330\text{ мВт}; h_{FE}\approx 400...1200; f_T>50\text{ МГц}$	SOT23, SOD23	B-E-C
1R	KST5089	SAMS	npn	$V_{CE0}=35\text{ В}; I_C=50\text{ мА}; P_D=350\text{ мВт}; h_{FE}\approx 400...1200; f_T>50\text{ МГц}$	SOT23, SOD23	B-E-C
1R	MMBT5089	VISH	npn	$V_{CE0}=30\text{ В}; I_C=100\text{ мА}; P_D=350\text{ мВт}; h_{FE}\approx 400...1200; f_T>50\text{ МГц}$	SOT23, SOD23	B-E-C
1R	MMBT5089	MOT	npn	$V_{CE0}=25\text{ В}; I_C=100\text{ мА}; P_D=350\text{ мВт}; h_{FE}\approx 450...1800; f_T>50\text{ МГц}$	SOT23, SOD23	B-E-C
1R	TMP5089	ALLEG	npn	$V_{CE0}=30\text{ В}; I_{C0}<60\text{ мА}; h_{FE}\approx 400...1200; V_{CE0} < 0.5\text{ В}$	SOT23, SOD23	B-E-C
1S	MMBT2369A	FAIR	npn	$V_{CE0}=40\text{ В}; I_C=200\text{ мА}; P_D=225\text{ мВт}; h_{FE}\approx 40$	SOT23, SOD23	B-E-C
1S	MSC3130	MOT	npn	$V_{CE0}=10\text{ В}; f_T=1.4\text{ ГГц}$	SOT346, SC59	B-E-C
1SP	2SC3130P	PAN	npn	$V_{CE0}=15\text{ В}; I_C=50\text{ мА}; P_D=150\text{ мВт}; h_{FE}\approx 75...130; f_T=1.9\text{ ГГц}$	SOT23, SOD23	B-E-C
1SP	2SC3935P	PAN	npn	$V_{CE0}=15\text{ В}; I_C=50\text{ мА}; P_D=150\text{ мВт}; h_{FE}\approx 75...130; f_T=1.9\text{ ГГц}$	SOT323, SC70	B-E-C
1SP	2SC4809P	PAN	npn	$V_{CE0}=15\text{ В}; I_C=50\text{ мА}; P_D=125\text{ мВт}; h_{FE}\approx 75...130; f_T=1.4...2.7\text{ ГГц}$	SOT416, SC75A	B-E-C
1SQ	2SC3130Q	PAN	npn	$V_{CE0}=15\text{ В}; I_C=50\text{ мА}; P_D=150\text{ мВт}; h_{FE}\approx 110...220; f_T=1.9\text{ ГГц}$	SOT23, SOD23	B-E-C
1SQ	2SC3935Q	PAN	npn	$V_{CE0}=15\text{ В}; I_C=50\text{ мА}; P_D=150\text{ мВт}; h_{FE}\approx 110...220; f_T=1.9\text{ ГГц}$	SOT323, SC70	B-E-C
1SQ	2SC4809Q	PAN	npn	$V_{CE0}=15\text{ В}; I_C=50\text{ мА}; P_D=125\text{ мВт}; h_{FE}\approx 110...220; f_T=1.4...2.7\text{ ГГц}$	SOT416, SC75A	B-E-C
1SR	2SC4809R	PAN	npn	$V_{CE0}=15\text{ В}; I_C=50\text{ мА}; P_D=125\text{ мВт}; h_{FE}\approx 200...400; f_T=1.4...2.7\text{ ГГц}$	SOT416, SC75A	B-E-C
1T	2SC3933T	PAN	npn	$V_{CE0}=30\text{ В}; I_C=20\text{ мА}; P_D=150\text{ мВт}; h_{FE}\approx 40...200; f_T>750\text{ МГц}$	SOT323, SC70	B-E-C
1TI	MM5T5101	ROHM	npn	$V_{CE0}=60\text{ В}; I_C=200\text{ мА}; h_{FE}\approx 200...400; f_T>125\text{ МГц}$	SOT23, SOD23	B-E-C
1TI	SST5101	ROHM	npn	$V_{CE0}=60\text{ В}; I_C=200\text{ мА}; h_{FE}\approx 200...400; f_T>125\text{ МГц}$	SOT346, SC59	B-E-C
1U	2SC3110	PAN	npn	$V_{CE0}=15\text{ В}; I_C=50\text{ мА}; P_D=200\text{ мВт}; h_{FE}\approx 40; f_T=4.5\text{ ГГц}$	SOT23, SOD23	B-E-C



SOT23-3
SOD23-3

SOT323
SOT346

SOT416
SOT523



SOT490
MFPK

TESM
TSFP-3

VMT3
VMD3

Код	Типономинал	Б	Ф	Особенности	Корпус	Ц: 1•2•3
1U	2SC3934	PAN	nnp	$V_{CE0} \geq 15 \text{ В}$; $I_C \leq 50 \text{ мА}$; $P_D \leq 150 \text{ мВт}$; $h_{FE} > 40$; $f_T \geq 4.5 \text{ ГГц}$	SOT323, SC70	В•Е•С
1U	KST2484	SAMS	nnp	$V_{CE0} \geq 60 \text{ В}$; $I_C \leq 50 \text{ мА}$; $P_D \leq 950 \text{ мВт}$; $h_{FE} > 250$	SOT23, SOD23	В•Е•С
1U	MMBT2484LT1	MOT	nnp	$V_{CE0} \geq 60 \text{ В}$; $I_C \leq 200 \text{ мА}$; $P_D \leq 225 \text{ мВт}$; $h_{FE} > 250$	SOT23, SOD23	В•Е•С
IV	BF820	CDIL	nnp	$V_{CE0} \geq 300 \text{ В}$; $I_C \leq 50 \text{ мА}$; $P_D \leq 250 \text{ мВт}$; $h_{FE} > 50$; $f_T \geq 60 \text{ МГц}$	SOT23, SOD23	В•Е•С
IV	MMBT6427	MOT	npnp	$V_{CE0} \geq 40 \text{ В}$; $I_C \leq 500 \text{ мА}$; $P_D \leq 225 \text{ мВт}$; $h_{FE} > 10000$	SOT23, SOD23	Е•В•С
IV	TMP7427	ALLEG	nnp	$V_{CE0} \geq 40 \text{ В}$; $I_{C(95)} \leq 50 \text{ мА}$; $h_{FE} > 10000$; $V_{CE(sat)} < 1.2 \text{ В}$; $f_T \geq 130 \text{ МГц}$	SOT23, SOD23	В•Е•С
IV-	BF820W	PHIL	nnp	$V_{CE0} \geq 300 \text{ В}$; $I_C \leq 100 \text{ мА}$; $P_D \leq 200 \text{ мВт}$; $h_{FE} > 50$; $f_T \geq 60 \text{ МГц}$	SOT323, SC70	В•Е•С
IVp	BF820	PHIL	nnp	$V_{CE0} \geq 300 \text{ В}$; $I_C \leq 50 \text{ мА}$; $P_D \leq 250 \text{ мВт}$; $h_{FE} > 50$; $f_T \geq 60 \text{ МГц}$	SOT23, SOD23	В•Е•С
IVR	2SD1149R	PAN	nnp	$V_{CE0} \geq 100 \text{ В}$; $I_C \leq 20 \text{ мА}$; $P_D \leq 200 \text{ мВт}$; $h_{FE} > 400$; $f_T \geq 800$	SOT346, SC59	В•Е•С
IVR	2SD1824R	PAN	nnp	$V_{CE0} \geq 100 \text{ В}$; $I_C \leq 50 \text{ мА}$; $P_D \leq 150 \text{ мВт}$; $h_{FE} > 400$; $f_T \geq 90 \text{ МГц}$	SOT323, SC70	В•Е•С
IVS	2SD1149S	PAN	nnp	$V_{CE0} \geq 100 \text{ В}$; $I_C \leq 20 \text{ мА}$; $P_D \leq 200 \text{ мВт}$; $h_{FE} > 50$; $f_T \geq 60 \text{ МГц}$	SOT346, SC59	В•Е•С
IVS	2SD1824S	PAN	nnp	$V_{CE0} \geq 100 \text{ В}$; $I_C \leq 50 \text{ мА}$; $P_D \leq 150 \text{ мВт}$; $h_{FE} > 600$; $f_T \geq 90 \text{ МГц}$	SOT323, SC70	В•Е•С
IVT	2SD1149T	PAN	nnp	$V_{CE0} \geq 100 \text{ В}$; $I_C \leq 20 \text{ мА}$; $P_D \leq 200 \text{ мВт}$; $h_{FE} > 800$; $f_T \geq 2000$	SOT346, SC59	В•Е•С
IVT	2SD1824T	PAN	nnp	$V_{CE0} \geq 100 \text{ В}$; $I_C \leq 50 \text{ мА}$; $P_D \leq 150 \text{ мВт}$; $h_{FE} > 1000$; $f_T \geq 90 \text{ МГц}$	SOT323, SC70	В•Е•С
IVt	BF820	PHIL	nnp	$V_{CE0} \geq 300 \text{ В}$; $I_C \leq 50 \text{ мА}$; $P_D \leq 250 \text{ мВт}$; $h_{FE} > 50$; $f_T \geq 60 \text{ МГц}$	SOT23, SOD23	В•Е•С
IVt	BF820W	PHIL	nnp	$V_{CE0} \geq 300 \text{ В}$; $I_C \leq 100 \text{ мА}$; $P_D \leq 200 \text{ мВт}$; $h_{FE} > 50$; $f_T \geq 60 \text{ МГц}$	SOT323, SC70	В•Е•С
IVw	BF821	CDIL	npnp	$V_{CE0} \geq 300 \text{ В}$; $I_C \leq 50 \text{ мА}$; $P_D \leq 250 \text{ мВт}$; $h_{FE} > 50$; $f_T \geq 60 \text{ МГц}$	SOT23, SOD23	В•Е•С
IVw	FMMT3903	ZETEX	nnp	$V_{CE0} \geq 60 \text{ В}$; $I_C \leq 200 \text{ мА}$; $P_D \leq 330 \text{ мВт}$; $h_{FE} > 50$; $f_T \geq 250 \text{ МГц}$	SOT23, SOD23	В•Е•С
IVw	BF822W	PHIL	nnp	$V_{CE0} \geq 250 \text{ В}$; $I_C \leq 50 \text{ мА}$; $P_D \leq 250 \text{ мВт}$; $h_{FE} > 50$; $f_T \geq 60 \text{ МГц}$	SOT323, SC70	В•Е•С
IVw	BF821	PHIL	npnp	$V_{CE0} \geq 300 \text{ В}$; $I_C \leq 50 \text{ мА}$; $P_D \leq 250 \text{ мВт}$; $h_{FE} > 50$; $f_T \geq 60 \text{ МГц}$	SOT23, SOD23	В•Е•С
IVt	BF821	PHIL	npnp	$V_{CE0} \geq 300 \text{ В}$; $I_C \leq 50 \text{ мА}$; $P_D \leq 250 \text{ мВт}$; $h_{FE} > 50$; $f_T \geq 60 \text{ МГц}$	SOT23, SOD23	В•Е•С
IVt	BF822W	PHIL	nnp	$V_{CE0} \geq 250 \text{ В}$; $I_C \leq 50 \text{ мА}$; $P_D \leq 250 \text{ мВт}$; $h_{FE} > 50$; $f_T \geq 60 \text{ МГц}$	SOT323, SC70	В•Е•С
IX	BF822	CDIL	nnp	$V_{CE0} \geq 250 \text{ В}$; $I_C \leq 50 \text{ мА}$; $P_D \leq 250 \text{ мВт}$; $h_{FE} > 50$; $f_T \geq 60 \text{ МГц}$	SOT23, SOD23	В•Е•С
IX	MMBT930L	MOT	nnp	$V_{CE0} \geq 45 \text{ В}$; $I_C \leq 30 \text{ мА}$; $P_D \leq 225 \text{ мВт}$; $h_{FE} > 100$; $f_T \geq 30 \text{ МГц}$	SOT23, SOD23	В•Е•С
IXp	BF822	PHIL	nnp	$V_{CE0} \geq 250 \text{ В}$; $I_C \leq 50 \text{ мА}$; $P_D \leq 250 \text{ мВт}$; $h_{FE} > 50$; $f_T \geq 60 \text{ МГц}$	SOT23, SOD23	В•Е•С
IXt	BF822	PHIL	nnp	$V_{CE0} \geq 250 \text{ В}$; $I_C \leq 50 \text{ мА}$; $P_D \leq 250 \text{ мВт}$; $h_{FE} > 50$; $f_T \geq 60 \text{ МГц}$	SOT23, SOD23	В•Е•С
IV	BF823	CDIL	npnp	$V_{CE0} \geq 250 \text{ В}$; $I_C \leq 50 \text{ мА}$; $P_D \leq 250 \text{ мВт}$; $h_{FE} > 50$; $f_T \geq 60 \text{ МГц}$	SOT23, SOD23	В•Е•С
IV	KST3903	SAMS	npnp	$V_{CE0} \geq 60 \text{ В}$; $I_C \leq 200 \text{ мА}$; $P_D \leq 350 \text{ мВт}$; $h_{FE} > 50$; $f_T \geq 250 \text{ МГц}$	SOT23, SOD23	В•Е•С
IV	MMBT3903	MOT	nnp	$V_{CE0} \geq 60 \text{ В}$; $I_C \leq 200 \text{ мА}$; $P_D \leq 350 \text{ мВт}$; $h_{FE} > 15$	SOT23, SOD23	В•Е•С
IVp	BF823	PHIL	npnp	$V_{CE0} \geq 250 \text{ В}$; $I_C \leq 50 \text{ мА}$; $P_D \leq 250 \text{ мВт}$; $h_{FE} > 50$; $f_T \geq 60 \text{ МГц}$	SOT23, SOD23	В•Е•С
IVt	BF823	PHIL	npnp	$V_{CE0} \geq 250 \text{ В}$; $I_C \leq 50 \text{ мА}$; $P_D \leq 250 \text{ мВт}$; $h_{FE} > 50$; $f_T \geq 60 \text{ МГц}$	SOT23, SOD23	В•Е•С
IZ	BAS706	ZETEX	shd-k2	$V_R \geq 70 \text{ В}$; $V_{F(I_T=1 \text{ мА})} < 0.41 \text{ В}$; $I_R < 0.2 \text{ мА}$; $C_J < 2.0 \text{ пФ}$	SOT23, SOD23	K1•K2•A1, A2
IZ	BAS70-06	ZETEX	shd-k2	$V_R \geq 70 \text{ В}$; $I_R < 70 \text{ мА}$; $V_{F(I_T=1 \text{ мА})} < 410 \text{ мВ}$; $C_J < 2 \text{ нФ}$	SOT23, SOD23	K1•K2•A1, A2
IZ	MMBT6517	MOT	nnp	$V_{CE0} \geq 350 \text{ В}$; $I_C \leq 500 \text{ мА}$; $P_D \leq 300 \text{ мВт}$; $h_{FE} > 20$; $f_T \geq 40 \text{ МГц}$	SOT23, SOD23	В•Е•С
IZR	2SD1030R	PAN	nnp	$V_{CE0} \geq 50 \text{ В}$; $I_C \leq 100 \text{ мА}$; $P_D \leq 200 \text{ мВт}$; $h_{FE} > 400$; $f_T \geq 800$	SOT346, SC59	В•Е•С
IZR	2SD1823R	PAN	nnp	$V_{CE0} \geq 50 \text{ В}$; $I_C \leq 50 \text{ мА}$; $P_D \leq 150 \text{ мВт}$; $h_{FE} > 400$; $f_T \geq 120 \text{ МГц}$	SOT323, SC70	В•Е•С
IZR	2SD2345R	PAN	nnp	$V_{CE0} \geq 50 \text{ В}$; $I_C \leq 100 \text{ мА}$; $P_D \leq 125 \text{ мВт}$; $h_{FE} > 400$; $f_T \geq 120 \text{ МГц}$	SOT416, SC75A	В•Е•С
IZS	2SD1030S	PAN	nnp	$V_{CE0} \geq 50 \text{ В}$; $I_C \leq 100 \text{ мА}$; $P_D \leq 200 \text{ мВт}$; $h_{FE} > 600$; $f_T \geq 1200$	SOT346, SC59	В•Е•С
IZS	2SD1823S	PAN	nnp	$V_{CE0} \geq 50 \text{ В}$; $I_C \leq 50 \text{ мА}$; $P_D \leq 150 \text{ мВт}$; $h_{FE} > 600$; $f_T \geq 120 \text{ МГц}$	SOT323, SC70	В•Е•С
IZS	2SD2345S	PAN	nnp	$V_{CE0} \geq 50 \text{ В}$; $I_C \leq 100 \text{ мА}$; $P_D \leq 125 \text{ мВт}$; $h_{FE} > 600$; $f_T \geq 120 \text{ МГц}$	SOT416, SC75A	В•Е•С
IZT	2SD1030T	PAN	nnp	$V_{CE0} \geq 50 \text{ В}$; $I_C \leq 100 \text{ мА}$; $P_D \leq 200 \text{ мВт}$; $h_{FE} > 1000$; $f_T \geq 2000$	SOT346, SC59	В•Е•С
IZT	2SD1823T	PAN	nnp	$V_{CE0} \geq 50 \text{ В}$; $I_C \leq 50 \text{ мА}$; $P_D \leq 150 \text{ мВт}$; $h_{FE} > 1000$; $f_T \geq 120 \text{ МГц}$	SOT323, SC70	В•Е•С
IZT	2SD2345T	PAN	nnp	$V_{CE0} \geq 50 \text{ В}$; $I_C \leq 100 \text{ мА}$; $P_D \leq 125 \text{ мВт}$; $h_{FE} > 1000$; $f_T \geq 120 \text{ МГц}$	SOT416, SC75A	В•Е•С
2.0X	02C22.0	TOSH	dz	$V_{F(I_T=5 \text{ мА})} \approx 1.85$; 2.15 В ; $I_F(V_R=0.5 \text{ В}) < 120 \text{ мА}$; $Z_{T1}(f_T=0.5 \text{ мА}) < 1000 \text{ Ом}$	SOT346, SC59	A•n.c. • K
2.2X	02C22.2	TOSH	dz	$V_{F(I_T=5 \text{ мА})} \approx 2.05$; 2.38 В ; $I_F(V_R=1.0 \text{ В}) < 120 \text{ мА}$; $Z_{T1}(f_T=0.5 \text{ мА}) < 1000 \text{ Ом}$	SOT346, SC59	A•n.c. • K
2.4X	02C22.4	TOSH	dz	$V_{F(I_T=5 \text{ мА})} \approx 2.28$; 2.60 В ; $I_F(V_R=1.0 \text{ В}) < 120 \text{ мА}$; $Z_{T1}(f_T=0.5 \text{ мА}) < 1000 \text{ Ом}$	SOT346, SC59	A•n.c. • K
2.7X	02C22.7	TOSH	dz	$V_{F(I_T=5 \text{ мА})} \approx 2.50$; 2.90 В ; $I_F(V_R=1.0 \text{ В}) < 120 \text{ мА}$; $Z_{T1}(f_T=0.5 \text{ мА}) < 1000 \text{ Ом}$	SOT346, SC59	A•n.c. • K
200	SSTPAD200	SIL	dl	$V_R \geq 55 \text{ В}$; $I_R < 10 \text{ мА}$; $V_{F(I_T=1 \text{ мА})} < 1.5 \text{ В}$; $I_R < 200 \text{ мА}$; $C_J < 2 \text{ нФ}$	SOT23, SOD23	K • K • A
20A	MMBZ20VAL	ON	dz-2	$V_{F(I_T=1 \text{ мА})} \approx 19$; 21 В ; $V_{F(I_T=10 \text{ мА})} < 0.9 \text{ В}$	SOT23, SOD23	K1•K2•A1, A2

**SOT490 TSM
MFPAK TSFP-3**

**VMT3
VMD3**



**SOT416 SOT323 SOT23-3
SOT523 SOT346 SOD23-3**



Код	Типономинал	Б	Ф	Особенности	Корпус	Ц: 1•2•3
20p	BF545A	PHIL	nFET	$V_{DS}=30\text{ В}$; $I_{DSS}=6.5\text{ мА}$; $P_D=250\text{ мВт}$; $g_F=3\ldots6.5\text{ мС}$	SOT23, SOD23	S-D-G
20t	BF545A	PHIL	nFET	$V_{DS}=30\text{ В}$; $I_{DSS}=6.5\text{ мА}$; $P_D=250\text{ мВт}$; $g_F=3\ldots6.5\text{ мС}$	SOT23, SOD23	S-D-G
20V	PZM20NB	PHIL	dz	$V_{ZT}(I_T=5\text{ мА})=18.86\ldots21.08\text{ В}$; $Z_{T1}(I_{T1}=5\text{ мА}) < 20\text{ Ом}$	SOT346, SC59	A-n.c.-K
20W	BF545A	PHIL	nFET	$V_{DS}=30\text{ В}$; $I_{DSS}=6.5\text{ мА}$; $P_D=250\text{ мВт}$; $g_F=3\ldots6.5\text{ мС}$	SOT23, SOD23	S-D-G
20W	SO2222AW	SGS	npn	$V_{CEB}=75\text{ В}$; $I_C=800\text{ мА}$; $P_D=310\text{ мВт}$; $h_{FE}=100\ldots300$; $f_T > 250\text{ МГц}$	SOT323, SC70	B-E-C
20X	O2C220	TOSH	dz	$V_{ZT}(I_T=5\text{ мА})=18.80\ldots21.20\text{ В}$; $I_C(V_Z=15\text{ В}) < 0.5\text{ мА}$; $Z_{T1}(I_{T1}=0.5\text{ мА}) < 200\text{ Ом}$	SOT346, SC59	A-n.c.-K
210	KTY82-210	PHIL	rts	$T_{MB}=-55\ldots150^\circ\text{C}$; $R_{DS}=1980\ldots2020\text{ Ом}$	SOT23, SOD23	CONT1 • CONT2 • SUB
21p	BF545B	PHIL	nFET	$V_{DS}=30\text{ В}$; $I_{DSS}=15\text{ мА}$; $P_D=250\text{ мВт}$; $g_F=3\ldots6.5\text{ мС}$	SOT23, SOD23	S-D-G
21t	BF545B	PHIL	nFET	$V_{DS}=30\text{ В}$; $I_{DSS}=15\text{ мА}$; $P_D=250\text{ мВт}$; $g_F=3\ldots6.5\text{ мС}$	SOT23, SOD23	S-D-G
21W	BF545B	PHIL	nFET	$V_{DS}=30\text{ В}$; $I_{DSS}=15\text{ мА}$; $P_D=250\text{ мВт}$; $g_F=3\ldots6.5\text{ мС}$	SOT23, SOD23	S-D-G
22	DTC123EE	ROHM	Dnpn	$V_{CEB}=50\text{ В}$; $I_C=100\text{ мА}$; $P_D=150\text{ мВт}$; $h_{FE} > 20$; $f_T > 250\text{ МГц}$; $R_1/R_2=2.2/2.2\text{ кОм}$	SOT416, SC75A	B-E-C
22	DTC123EKA	ROHM	Dnpn	$V_{CEB}=50\text{ В}$; $I_C=100\text{ мА}$; $P_D=200\text{ мВт}$; $h_{FE} > 20$; $f_T > 250\text{ МГц}$; $R_1/R_2=2.2/2.2\text{ кОм}$	SOT346, SC59	B-E-C
22	DTC123EUA	ROHM	Dnpn	$V_{CEB}=50\text{ В}$; $I_C=100\text{ мА}$; $P_D=200\text{ мВт}$; $h_{FE} > 20$; $f_T > 250\text{ МГц}$; $R_1/R_2=2.2/2.2\text{ кОм}$	SOT323, SC70	B-E-C
22	MMBT4209	MOT	npn	$V_{CEB}=15\text{ В}$; $I_C=50\text{ мА}$; $P_D=300\text{ мВт}$; $h_{FE} > 35$; $f_T=850\text{ МГц}$	SOT23, SOD23	B-E-C
220	KTY82-220	PHIL	rts	$T_{MB}=-55\ldots150^\circ\text{C}$; $R_{DS}=1980\ldots2040\text{ Ом}$	SOT23, SOD23	CONT1 • CONT2 • SUB
221	KTY82-221	PHIL	rts	$T_{MB}=-55\ldots150^\circ\text{C}$; $R_{DS}=1980\ldots2000\text{ Ом}$	SOT23, SOD23	CONT1 • CONT2 • SUB
222	KTY82-222	PHIL	rts	$T_{MB}=-55\ldots150^\circ\text{C}$; $R_{DS}=2000\ldots2040\text{ Ом}$	SOT23, SOD23	CONT1 • CONT2 • SUB
22p	BF545C	PHIL	nFET	$V_{DS}=30\text{ В}$; $I_{DSS}=25\text{ мА}$; $P_D=250\text{ мВт}$; $g_F=3\ldots6.5\text{ мС}$	SOT23, SOD23	S-D-G
22t	BF545C	PHIL	nFET	$V_{DS}=30\text{ В}$; $I_{DSS}=25\text{ мА}$; $P_D=250\text{ мВт}$; $g_F=3\ldots6.5\text{ мС}$	SOT23, SOD23	S-D-G
22V	PZM22NB	PHIL	dz	$V_{ZT}(I_T=5\text{ мА})=20.88\ldots23.17\text{ В}$; $Z_{T1}(I_{T1}=5\text{ мА}) < 25\text{ Ом}$	SOT346, SC59	A-n.c.-K
22W	BF545C	PHIL	nFET	$V_{DS}=30\text{ В}$; $I_{DSS}=25\text{ мА}$; $P_D=250\text{ мВт}$; $g_F=3\ldots6.5\text{ мС}$	SOT23, SOD23	S-D-G
22X	O2C222	TOSH	dz	$V_{ZT}(I_T=5\text{ мА})=20.80\ldots23.30\text{ В}$; $I_C(V_Z=17\text{ В}) < 0.5\text{ мА}$; $Z_{T1}(I_{T1}=0.5\text{ мА}) < 200\text{ Ом}$	SOT346, SC59	A-n.c.-K
23	DTC143EE	ROHM	Dnpn	$V_{CEB}=50\text{ В}$; $I_C=100\text{ мА}$; $P_D=150\text{ мВт}$; $h_{FE} > 20$; $f_T > 250\text{ МГц}$; $R_1/R_2=4.7/4.7\text{ кОм}$	SOT416, SC75A	B-E-C
23	DTC143EKA	ROHM	Dnpn	$V_{CEB}=50\text{ В}$; $I_C=100\text{ мА}$; $P_D=200\text{ мВт}$; $h_{FE} > 20$; $f_T > 250\text{ МГц}$; $R_1/R_2=4.7/4.7\text{ кОм}$	SOT346, SC59	B-E-C
23	DTC143EUA	ROHM	Dnpn	$V_{CEB}=50\text{ В}$; $I_C=100\text{ мА}$; $P_D=200\text{ мВт}$; $h_{FE} > 20$; $f_T > 250\text{ МГц}$; $R_1/R_2=4.7/4.7\text{ кОм}$	SOT323, SC70	B-E-C
23	PDTA114TK	PHIL	Dnpn	$V_{CEB}=50\text{ В}$; $I_C=100\text{ мА}$; $P_D=200\text{ мВт}$; $h_{FE} > 200$; $R_1/R_2=10/10\text{ кОм}$	SOT346, SC59	B-E-C
24	DTC114EE	ROHM	Dnpn	$V_{CEB}=50\text{ В}$; $I_C=100\text{ мА}$; $P_D=150\text{ мВт}$; $h_{FE} > 30$; $f_T > 250\text{ МГц}$; $R_1/R_2=10/10\text{ кОм}$	SOT416, SC75A	B-E-C
24	DTC114EKA	ROHM	Dnpn	$V_{CEB}=50\text{ В}$; $I_C=100\text{ мА}$; $P_D=200\text{ мВт}$; $h_{FE} > 30$; $f_T > 250\text{ МГц}$; $R_1/R_2=10/10\text{ кОм}$	SOT346, SC59	B-E-C
24	DTC114EUA	ROHM	Dnpn	$V_{CEB}=50\text{ В}$; $I_C=100\text{ мА}$; $P_D=200\text{ мВт}$; $h_{FE} > 30$; $f_T > 250\text{ МГц}$; $R_1/R_2=10/10\text{ кОм}$	SOT323, SC70	B-E-C
24	MMBT3648	ON	npn	$V_{CEB}=40\text{ В}$; $I_C=300\text{ мА}$; $P_D=625\text{ мВт}$; $h_{FE} > 15$	SOT23, SOD23	B-E-C
24	PDTC114TE	PHIL	Dnpn	$V_{CEB}=50\text{ В}$; $I_C=100\text{ мА}$; $P_D=200\text{ мВт}$; $h_{FE} > 200$; $R_1/R_2=10\text{ кОм}$	SOT416, SC75A	B-E-C
24	PDTC114TK	PHIL	Dnpn	$V_{CEB}=50\text{ В}$; $I_C=100\text{ мА}$; $P_D=200\text{ мВт}$; $h_{FE} > 200$; $R_1/R_2=10\text{ кОм}$	SOT346, SC59	B-E-C
24p	BF556A	PHIL	nFET	$V_{DS}=30\text{ В}$; $I_{DSS}=7\text{ мА}$; $P_D=250\text{ мВт}$; $g_F > 4.5\text{ мС}$	SOT23, SOD23	S-D-G
24t	BF556A	PHIL	nFET	$V_{DS}=30\text{ В}$; $I_{DSS}=7\text{ мА}$; $P_D=250\text{ мВт}$; $g_F > 4.5\text{ мС}$	SOT23, SOD23	S-D-G
24V	PZM24NB	PHIL	dz	$V_{ZT}(I_T=5\text{ мА})=22.93\ldots25.57\text{ В}$; $Z_{T1}(I_{T1}=5\text{ мА}) < 30\text{ Ом}$	SOT346, SC59	A-n.c.-K
24W	BF556A	PHIL	nFET	$V_{DS}=30\text{ В}$; $I_{DSS}=7\text{ мА}$; $P_D=250\text{ мВт}$; $g_F > 4.5\text{ мС}$	SOT23, SOD23	S-D-G
24X	O2C224	TOSH	dz	$V_{ZT}(I_T=5\text{ мА})=22.80\ldots25.60\text{ В}$; $I_C(V_Z=19\text{ В}) < 0.5\text{ мА}$; $Z_{T1}(I_{T1}=0.5\text{ мА}) < 200\text{ Ом}$	SOT346, SC59	A-n.c.-K
25	DTC124EE	ROHM	Dnpn	$V_{CEB}=50\text{ В}$; $I_C=100\text{ мА}$; $P_D=150\text{ мВт}$; $h_{FE} > 58$; $f_T > 250\text{ МГц}$; $R_1/R_2=22/22\text{ кОм}$	SOT416, SC75A	B-E-C
25	DTC124EKA	ROHM	Dnpn	$V_{CEB}=50\text{ В}$; $I_C=30\text{ мА}$; $P_D=200\text{ мВт}$; $h_{FE} > 58$; $f_T > 250\text{ МГц}$; $R_1/R_2=22/22\text{ кОм}$	SOT346, SC59	B-E-C
25	DTC124EUA	ROHM	Dnpn	$V_{CEB}=50\text{ В}$; $I_C=30\text{ мА}$; $P_D=200\text{ мВт}$; $h_{FE} > 58$; $f_T > 250\text{ МГц}$; $R_1/R_2=22/22\text{ кОм}$	SOT323, SC70	B-E-C
25	NMBD1202	ON	di	$V_R=100\text{ В}$; $I_R < 200\text{ мА}$; $V_{RR}(I_R=200\text{ мА}) < 1\text{ В}$; $C_D=2\text{ нФ}$; $t_{RR}=3\text{ нс}$	SOT23, SOD23	n.c.-A-K



SOT23-3
SOD23-3

SOT323
SOT346

SOT416
SOT523



SOT490
MFPK

TESM
TSFP-3

VMT3
VMD3

Код	Типономинал	Б	Ф	Особенности	Корпус	Ц: 1•2•3
25	PTA143XK	PHIL	Dnpn	$V_{CE0}=50 В, I_C=100 мА, P_D=250 мВт; h_{FE}>50, 4,7 кОм/10 кОм$	SOT346, SC59	В•Е•С
250	KTY82-250	PHIL	ris	$T_{AMB}=-55...150^{\circ}C, R_{DS}=1900...2100 Ом$	SOT23, SOD23	CONT1 CONT2-SUB
251	KTY82-251	PHIL	ris	$T_{AMB}=-55...150^{\circ}C, R_{DS}=1900...2000 Ом$	SOT23, SOD23	CONT1 CONT2-SUB
252	KTY82-252	PHIL	ris	$T_{AMB}=-55...150^{\circ}C, R_{DS}=2000...2100 Ом$	SOT23, SOD23	CONT1 CONT2-SUB
25p	BF556B	PHIL	nFET	$V_{DS}=30 В, I_{DSS}=13 мА, P_D=250 мВт; g_{FS}>4,5 мС$	SOT23, SOD23	S•D•G
25t	BF556B	PHIL	nFET	$V_{DS}=30 В, I_{DSS}=13 мА, P_D=250 мВт; g_{FS}>4,5 мС$	SOT23, SOD23	S•D•G
25W	BF556B	PHIL	nFET	$V_{DS}=30 В, I_{DSS}=13 мА, P_D=250 мВт; g_{FS}>4,5 мС$	SOT23, SOD23	S•D•G
26	DTC144EE	ROHM	Dnpn	$V_{CE0}=50 В, I_{C(100)}=100 мА, P_D=150 мВт; h_{FE1}>68, f_T>250 МГц, R_{11}/R_{21}=47/47 кОм$	SOT416, SC75A	В•Е•С
26	DTC144EK4	ROHM	Dnpn	$V_{CE0}=50 В, I_C=30 мА, P_D=200 мВт; h_{FE1}>68, f_T>250 МГц, R_{11}/R_{21}=47/47 кОм$	SOT346, SC59	В•Е•С
26	DTC144EU4	ROHM	Dnpn	$V_{CE0}=50 В, I_C=30 мА, P_D=200 мВт; h_{FE1}>68, f_T>250 МГц, R_{11}/R_{21}=47/47 кОм$	SOT323, SC70	В•Е•С
26t	MMBD1203	FAIR	di-2	$V_F<100 В, I_F<200 мА, V_{F(I_F=200 мА)}<1 В, C_D<2 нФ, t_{F95}<3 нС$	SOT23, SOD23	A1•K2-K1, A2
26	PTDTC143XK	PHIL	Dnpn	$V_{CE0}=50 В, I_C=100 мА, P_D=250 мВт; h_{FE}>50, 4,7 кОм/10 кОм$	SOT346, SC59	В•Е•С
26p	BF556C	PHIL	nFET	$V_{DS}=30 В, I_{DSS}=18 мА, P_D=250 мВт; g_{FS}>4,5 мС$	SOT23, SOD23	S•D•G
26t	BF556C	PHIL	nFET	$V_{DS}=30 В, I_{DSS}=18 мА, P_D=250 мВт; g_{FS}>4,5 мС$	SOT23, SOD23	S•D•G
26W	BF556C	PHIL	nFET	$V_{DS}=30 В, I_{DSS}=18 мА, P_D=250 мВт; g_{FS}>4,5 мС$	SOT23, SOD23	S•D•G
27	MMBD1204	FAIR	di-2	$V_F<100 В, I_F<200 мА, V_{F(I_F=200 мА)}<1 В, C_D<2 нФ, t_{F95}<3 нС$	SOT23, SOD23	A1•A2-K1, K2
27A	MMBD220V4L	ON	dz-2	$V_{F(I_F1=1 мА)}=25...65...28,35 В, V_{F(I_F=10 мА)}<0,9 В$	SOT23, SOD23	A1•K2-A1, A2
27V	FZM/27NB	PHIL	dz	$V_{F(I_F1=2 мА)}=25...1...28,9 В, Z_{T(I_F1=2 мА)}<40 Ом$	SOT346, SC59	A•n.c.-K
27X	C2C227	TOSH	dz	$V_{F(I_F1=2 мА)}=25...10...28,90 В, I_F(V_F=21 В)<0,5 мА, Z_{T(I_F1=0,5 мА)}<250 Ом$	SOT346, SC59	A•n.c.-K
28	MMBD1205	FAIR	di-2	$V_F<100 В, I_F<200 мА, V_{F(I_F=200 мА)}<1 В, C_D<2 нФ, t_{F95}<3 нС$	SOT23, SOD23	K1•K2-A1, A2
28p	BF851A	PHIL	nFET	$V_{DS}=25 В, I_{DSS}=6,5 мА, P_D=250 мВт; g_{FS}>12 мС$	SOT23, SOD23	S•D•G
28t	BF851A	PHIL	nFET	$V_{DS}=25 В, I_{DSS}=6,5 мА, P_D=250 мВт; g_{FS}>12 мС$	SOT23, SOD23	S•D•G
28W	BF851A	PHIL	nFET	$V_{DS}=25 В, I_{DSS}=6,5 мА, P_D=250 мВт; g_{FS}>12 мС$	SOT23, SOD23	S•D•G
29	DTC115EE	ROHM	Dnpn	$V_{CE0}=50 В, I_{C(100)}=100 мА, P_D=150 мВт; h_{FE1}>82, f_T>250 МГц, R_{11}/R_{21}=100/100 кОм$	SOT416, SC75A	В•Е•С
29	DTC115EK4	ROHM	Dnpn	$V_{CE0}=50 В, I_C=20 мА, P_D=200 мВт; h_{FE1}>82, f_T>250 МГц, R_{11}/R_{21}=100/100 кОм$	SOT346, SC59	В•Е•С
29	DTC115EU4	ROHM	Dnpn	$V_{CE0}=50 В, I_C=30 мА, P_D=200 мВт; h_{FE1}>82, f_T>250 МГц, R_{11}/R_{21}=100/100 кОм$	SOT323, SC70	В•Е•С
29	MMBD1401	FAIR	d	$V_F<175 В, I_F<600 мА, V_{F(I_F=200 мА)}<1 В, I_{S2}<0,1 мА, C_D<2 нФ$	SOT23, SOD23	A•n.c.-K
29p	BF851B	PHIL	nFET	$V_{DS}=25 В, I_{DSS}=15 мА, P_D=250 мВт; g_{FS}>16 мС$	SOT23, SOD23	S•D•G
29t	BF851B	PHIL	nFET	$V_{DS}=25 В, I_{DSS}=15 мА, P_D=250 мВт; g_{FS}>16 мС$	SOT23, SOD23	S•D•G
29W	BF851B	PHIL	nFET	$V_{DS}=25 В, I_{DSS}=15 мА, P_D=250 мВт; g_{FS}>16 мС$	SOT23, SOD23	S•D•G
2A	FMMT3906	ZETEX	npn	$V_{CE0}=40 В, I_C=200 мА, P_D=330 мВт; h_{FE1}=100...300, f_T>250 МГц$	SOT23, SOD23	В•Е•С
2A	KST3906	SAMS	npn	$V_{CE0}=40 В, I_C=200 мА, P_D=350 мВт; h_{FE1}=100...300, f_T>250 МГц$	SOT23, SOD23	В•Е•С
2A	MMBT3906	VISH	npn	$V_{CE0}=40 В, I_C=100 мА, P_D=200 мВт; h_{FE1}=100...300, f_T>250 МГц$	SOT23, SOD23	В•Е•С
2A	MMBT3906LT1	MOT	npn	$V_{CE0}=40 В, I_C=200 мА, P_D=300 мВт; h_{FE1}=100...300, f_T>250 МГц$	SOT23, SOD23	В•Е•С
2A	MMBT3906WT1	MOT	npn	$V_{CE0}=40 В, I_C=200 мА, P_D=300 мВт; h_{FE1}=100...300, f_T>250 МГц$	SOT323, SC70	В•Е•С
2A	TMPT3906	ALLEG	npn	$V_{CE0}=40 В, h_{FE1}=100...300; V_{CE(100)}<0,25 В, f_T>250 МГц$	SOT23, SOD23	В•Е•С
2A4	FZM/2.4N2A	PHIL	dz-2	$V_{F(I_F1=5 мА)}=2,3...2,6 В, Z_{T(I_F1=5 мА)}<100 Ом$	SOT346, SC59	K1•K2-A1, A2
2A7	FZM/2.7N2A	PHIL	dz-2	$V_{F(I_F1=5 мА)}=2,65...2,9 В, Z_{T(I_F1=5 мА)}<100 Ом$	SOT346, SC59	K1•K2-A1, A2
2AQ	2SD1304Q	PAN	npn	$V_{CE0}=20 В, I_C=100 мА, P_D=200 мВт; h_{FE1}=160...260$	SOT23, SOD23	В•Е•С
2AR	2SD1304R	PAN	npn	$V_{CE0}=20 В, I_C=100 мА, P_D=200 мВт; h_{FE1}=210...340$	SOT23, SOD23	В•Е•С
2AS	2SD1304S	PAN	npn	$V_{CE0}=20 В, I_C=100 мА, P_D=200 мВт; h_{FE1}=230...460$	SOT23, SOD23	В•Е•С
2B	BC849B	ITT	npn	$V_{CE0}=30 В, I_C=100 мА, P_D=330 мВт; h_{FE1}=200...450, f_T>300 МГц$	SOT23, SOD23	В•Е•С
2B	BC849B	CDIL	npn	$V_{CE0}=30 В, I_C=100 мА, P_D=330 мВт; h_{FE1}=200...450, f_T>300 МГц$	SOT23, SOD23	В•Е•С
2B	BC849B	TOSH	npn	$V_{CE0}=30 В, I_C=100 мА, P_D=150 мВт; h_{FE1}=200...450, f_T>300 МГц$	SOT23, SOD23	В•Е•С
2B	BC849B	ZETEX	npn	$V_{CE0}=30 В, I_C=100 мА, P_D=330 мВт; h_{FE1}=200...450, f_T>300 МГц$	SOT23, SOD23	В•Е•С
2B	FMMT2907	ZETEX	npn	$V_{CE0}=60 В, I_C=600 мА, P_D=330 мВт; h_{FE1}=100...300, f_T>200 МГц$	SOT23, SOD23	В•Е•С

**SOT490 TSM
MFPAK TSFP-3**

**VMT3
VMD3**



**SOT416 SOT323
SOT523 SOT346**

**SOT23-3
SOD23-3**



Код	Типономинал	Б	Ф	Особенности	Корпус	Ц: 1•2•3
2B	KST2907	SAMS	npn	$V_{CE0}=60\text{ В}; I_C=600\text{ мА}; P_D=350\text{ мВт}; h_{21}>75; f_T>200\text{ МГц}$	SOT23, SOD23	B-E-C
2B	MMBT2907	VISH	npn	$V_{CE0}=40\text{ В}; I_C=500\text{ мА}; P_D=310\text{ мВт}; h_{21}>100...300; f_T>200\text{ МГц}$	SOT23, SOD23	B-E-C
2B	MMBT2907	MOT	npn	$V_{CE0}=40\text{ В}; I_C=500\text{ мА}; P_D=310\text{ мВт}; h_{21}>100...300; f_T>200\text{ МГц}$	SOT23, SOD23	B-E-C
2B	TMP2907	ALLEG	npn	$V_{CE0}=60\text{ В}; I_{CBO}<20\text{ нА}; h_{21}>100...300; V_{CE(sat)}<0.4\text{ В}; f_T>200\text{ МГц}$	SOT23, SOD23	B-E-C
2B-	BC849BW	PHIL	npn	$V_{CE0}=30\text{ В}; I_C=100\text{ мА}; P_D=200\text{ мВт}; h_{21}>200...450; f_T>100\text{ МГц}$	SOT323, SC70	B-E-C
2BP	2SK374P	PAN	nFET	$V_{GS}=55\text{ В}; I_D=10\text{ мА}; P_D=200\text{ мВт}; g_{fs}>2.5\text{ мСм}; I_{DSS}=1...3\text{ мА}$	SOT23, SOD23	S-D-G
2BP	2SK663P	PAN	nFET	$V_{GS}=55\text{ В}; I_D=30\text{ мА}; P_D=150\text{ мВт}; g_{fs}>2.5\text{ мСм}; I_{DSS}=1...3\text{ мА}$	SOT323, SC70	S-D-G
2Br	BC849B	PHIL	npn	$V_{CE0}=30\text{ В}; I_C=100\text{ мА}; P_D=250\text{ мВт}; h_{21}>200...450; f_T>100\text{ МГц}$	SOT23, SOD23	B-E-C
2BQ	2SK374Q	PAN	nFET	$V_{GS}=55\text{ В}; I_D=10\text{ мА}; P_D=200\text{ мВт}; g_{fs}>2.5\text{ мСм}; I_{DSS}=2...6.5\text{ мА}$	SOT23, SOD23	S-D-G
2BQ	2SK663Q	PAN	nFET	$V_{GS}=55\text{ В}; I_D=30\text{ мА}; P_D=150\text{ мВт}; g_{fs}>2.5\text{ мСм}; I_{DSS}=2...6.5\text{ мА}$	SOT323, SC70	S-D-G
2BR	2SK374R	PAN	nFET	$V_{GS}=55\text{ В}; I_D=10\text{ мА}; P_D=200\text{ мВт}; g_{fs}>2.5\text{ мСм}; I_{DSS}=5...12\text{ мА}$	SOT23, SOD23	B-E-C
2BR	2SK663R	PAN	nFET	$V_{GS}=55\text{ В}; I_D=30\text{ мА}; P_D=150\text{ мВт}; g_{fs}>2.5\text{ мСм}; I_{DSS}=5...12\text{ мА}$	SOT323, SC70	S-D-G
2B-	BC849B	PHIL	npn	$V_{CE0}=30\text{ В}; I_C=100\text{ мА}; P_D=310\text{ мВт}; h_{21}>330; f_T>300\text{ МГц}$	SOT23, SOD23	B-E-C
2BS	2SK345	PAN	nFET	$V_{GS}=55\text{ В}; I_D=10\text{ мА}; P_D=200\text{ мВт}; g_{fs}>2.5\text{ мСм}; I_{DSS}=10...20\text{ мА}$	SOT23, SOD23	S-D-G
2Bs	BC849B	INF	npn	$V_{CE0}=30\text{ В}; I_C=100\text{ мА}; P_D=330\text{ мВт}; h_{21}>200...450; f_T>250\text{ МГц}$	SOT23, SOD23	B-E-C
2Bs	BC849B	INF	npn	$V_{CE0}=30\text{ В}; I_C=100\text{ мА}; P_D=250\text{ мВт}; h_{21}>200...450; f_T>250\text{ МГц}$	SOT416, SC75A	B-E-C
2Bs	BC849BW	INF	npn	$V_{CE0}=30\text{ В}; I_C=100\text{ мА}; P_D=250\text{ мВт}; h_{21}>200...450; f_T>250\text{ МГц}$	SOT323, SC70	B-E-C
2Bt	BC849B	PHIL	npn	$V_{CE0}=30\text{ В}; I_C=100\text{ мА}; P_D=250\text{ мВт}; h_{21}>200...450; f_T>100\text{ МГц}$	SOT23, SOD23	B-E-C
2Bt	BC849BW	PHIL	npn	$V_{CE0}=30\text{ В}; I_C=100\text{ мА}; P_D=200\text{ мВт}; h_{21}>200...450; f_T>100\text{ МГц}$	SOT323, SC70	B-E-C
2BZ	FMM2907	ZETEX	npn	$V_{CE0}=60\text{ В}; I_C=600\text{ мА}; P_D=330\text{ мВт}; h_{21}>100...300; f_T>200\text{ МГц}$	SOT23, SOD23	B-E-C
2C	BC849C	ITT	npn	$V_{CE0}=30\text{ В}; I_C=100\text{ мА}; P_D=330\text{ мВт}; h_{21}>420...800; f_T>300\text{ МГц}$	SOT23, SOD23	B-E-C
2C	BC849C	CDIL	npn	$V_{CE0}=30\text{ В}; I_C=100\text{ мА}; P_D=330\text{ мВт}; h_{21}>420...800; f_T>300\text{ МГц}$	SOT23, SOD23	B-E-C
2C	BC849C	TOSH	npn	$V_{CE0}=30\text{ В}; I_C=100\text{ мА}; P_D=150\text{ мВт}; h_{21}>420...800; f_T>300\text{ МГц}$	SOT23, SOD23	B-E-C
2C	BC849C	ZETEX	npn	$V_{CE0}=30\text{ В}; I_C=100\text{ мА}; P_D=330\text{ мВт}; h_{21}>420...800; f_T>300\text{ МГц}$	SOT23, SOD23	B-E-C
2C	BC849C	ITT	npn	$V_{CE0}=30\text{ В}; I_C=100\text{ мА}; P_D=330\text{ мВт}; h_{21}>420...800; f_T>300\text{ МГц}$	SOT23, SOD23	B-E-C
2C	TMPA70	ALLEG	npn	$I_{CBO}<100\text{ нА}; h_{21}>40...100; V_{CE(sat)}<0.25\text{ В}; f_T>125\text{ МГц}$	SOT23, SOD23	B-E-C
2C-	BC849CW	PHIL	npn	$V_{CE0}=30\text{ В}; I_C=100\text{ мА}; P_D=200\text{ мВт}; h_{21}>420...800; f_T>100\text{ МГц}$	SOT323, SC70	B-E-C
2Cp	BC849C	PHIL	npn	$V_{CE0}=30\text{ В}; I_C=100\text{ мА}; P_D=250\text{ мВт}; h_{21}>420...800; f_T>100\text{ МГц}$	SOT23, SOD23	B-E-C
2Cr	BC849CR	PHIL	npn	$V_{CE0}=30\text{ В}; I_C=100\text{ мА}; P_D=310\text{ мВт}; h_{21}>600; f_T>300\text{ МГц}$	SOT23, SOD23	B-E-C
2Cs	BC849C	INF	npn	$V_{CE0}=30\text{ В}; I_C=100\text{ мА}; P_D=330\text{ мВт}; h_{21}>420...800; f_T>250\text{ МГц}$	SOT23, SOD23	B-E-C
2Cs	BC849CT	INF	npn	$V_{CE0}=30\text{ В}; I_C=100\text{ мА}; P_D=330\text{ мВт}; h_{21}>420...800; f_T>250\text{ МГц}$	SOT416, SC75A	B-E-C
2Cs	BC849CW	INF	npn	$V_{CE0}=30\text{ В}; I_C=100\text{ мА}; P_D=250\text{ мВт}; h_{21}>420...800; f_T>250\text{ МГц}$	SOT323, SC70	B-E-C
2Ct	BC849C	PHIL	npn	$V_{CE0}=30\text{ В}; I_C=100\text{ мА}; P_D=250\text{ мВт}; h_{21}>420...800; f_T>100\text{ МГц}$	SOT23, SOD23	B-E-C
2Ct	BC849CW	PHIL	npn	$V_{CE0}=30\text{ В}; I_C=100\text{ мА}; P_D=200\text{ мВт}; h_{21}>420...800; f_T>100\text{ МГц}$	SOT323, SC70	B-E-C
2CZ	FMM2A70	ZETEX	npn	$V_{CE0}=40\text{ В}; I_C=100\text{ мА}; P_D=330\text{ мВт}; h_{21}>40...400; f_T>125\text{ МГц}$	SOT23, SOD23	B-E-C
2D	BC849	CDIL	npn	$V_{CE0}=30\text{ В}; I_C=100\text{ мА}; P_D=250\text{ мВт}; h_{21}>25; f_T>100\text{ МГц}$	SOT23, SOD23	B-E-C
2D	BC849W	PHIL	npn	$V_{CE0}=30\text{ В}; I_C=100\text{ мА}; P_D=200\text{ мВт}; h_{21}>200...800; f_T>100\text{ МГц}$	SOT323, SC70	B-E-C
2D	KST92	SAMS	npn	$V_{CE0}=300\text{ В}; I_C=500\text{ мА}; P_D=350\text{ мВт}; h_{21}>40; f_T>50\text{ МГц}$	SOT23, SOD23	B-E-C
2D	MBT492	TOSH	npn	$V_{CE0}=300\text{ В}; I_C=500\text{ мА}; P_D=250\text{ мВт}; h_{21}>40; f_T>50\text{ МГц}$	SOT23, SOD23	B-E-C
2D	MMBT4125	MOT	npn	$V_{CE0}=30\text{ В}; I_C=200\text{ мА}; P_D=350\text{ мВт}; h_{21}>50...150$	SOT23, SOD23	B-E-C
2D	MMBT492	PHIL	npn	$V_{CE0}=300\text{ В}; I_C=500\text{ мА}; P_D=300\text{ мВт}; h_{21}>25; f_T>50\text{ МГц}$	SOT23, SOD23	B-E-C
2D	MMBT492	MOT	npn	$V_{CE0}=300\text{ В}; I_C=500\text{ мА}; P_D=300\text{ мВт}; h_{21}>25; f_T>50\text{ МГц}$	SOT23, SOD23	B-E-C
2Dp	BC849	PHIL	npn	$V_{CE0}=30\text{ В}; I_C=100\text{ мА}; P_D=250\text{ мВт}; h_{21}>200...800; f_T>100\text{ МГц}$	SOT23, SOD23	B-E-C
2Dt	BC849	PHIL	npn	$V_{CE0}=30\text{ В}; I_C=100\text{ мА}; P_D=250\text{ мВт}; h_{21}>200...800; f_T>100\text{ МГц}$	SOT23, SOD23	B-E-C
2E	FMM7A93	ZETEX	npn	$V_{CE0}=200\text{ В}; I_C=200\text{ мА}; P_D=330\text{ мВт}; h_{21}>30...150; f_T>50\text{ МГц}$	SOT23, SOD23	B-E-C
2E	KST93	SAMS	npn	$V_{CE0}=200\text{ В}; I_C=500\text{ мА}; P_D=350\text{ мВт}; h_{21}>40; f_T>50\text{ МГц}$	SOT23, SOD23	B-E-C
2E	MMBT493	MOT	npn	$V_{CE0}=200\text{ В}; I_C=500\text{ мА}; P_D=300\text{ мВт}; h_{21}>25; f_T>50\text{ МГц}$	SOT23, SOD23	B-E-C
2F	BC850B	ITT	npn	$V_{CE0}=50\text{ В}; I_C=100\text{ мА}; P_D=250\text{ мВт}; h_{21}>200...450; f_T>100\text{ МГц}$	SOT23, SOD23	B-E-C
2F	BC850B	CDIL	npn	$V_{CE0}=50\text{ В}; I_C=100\text{ мА}; P_D=250\text{ мВт}; h_{21}>200...450; f_T>100\text{ МГц}$	SOT23, SOD23	B-E-C
2F	FMM2907A	ZETEX	npn	$V_{CE0}=60\text{ В}; I_C=600\text{ мА}; P_D=330\text{ мВт}; h_{21}>100...300; f_T>200\text{ МГц}$	SOT23, SOD23	B-E-C
2F	KST2907A	SAMS	npn	$V_{CE0}=60\text{ В}; I_C=600\text{ мА}; P_D=350\text{ мВт}; h_{21}>100...300; f_T>200\text{ МГц}$	SOT23, SOD23	B-E-C
2F	MBT2907A	TOSH	npn	$V_{CE0}=60\text{ В}; I_C=600\text{ мА}; P_D=250\text{ мВт}; h_{21}>50; f_T>200\text{ МГц}$	SOT23, SOD23	B-E-C



SOT23-3 SOT323 SOT416
SOD23-3 SOT346 SOT523



SOT490 TSM VMT3
MFPK TSFP-3 VMD3

Код	Типономинал	Б	Ф	Особенности	Корпус	Ц: 1+2+3
2F	MMBT2907A	VISH	npn	$V_{CE0} \geq 60 В$, $I_C \leq 500 мА$, $P_D \leq 310 мВт$; $h_{FE} \geq 75$, $f_T < 200 МГц$	SOT23, SOD23	В+Е+С
2F	MMBT2907ALT1	MOT	npn	$V_{CE0} \geq 60 В$, $I_C \leq 600 мА$, $P_D \leq 300 мВт$; $h_{FE} \geq 100$, $f_T > 200 МГц$	SOT23, SOD23	В+Е+С
2F	MMBT2907AWT1	MOT	npn	$V_{CE0} \geq 60 В$, $I_C \leq 600 мА$, $P_D \leq 300 мВт$; $h_{FE} \geq 100$, $f_T > 200 МГц$	SOT23, SC70	В+Е+С
2F	TMPT2907A	ALLEG	npn	$V_{CE0} \geq 60 В$, $I_{C(30)} \leq 10 мА$, $h_{FE} \geq 100$, $f_T \leq 300$, $V_{CE(sat)} < 0.4 В$, $f_T > 200 МГц$	SOT23, SOD23	В+Е+С
2F-	BC850BW	PHIL	npn	$V_{CE0} \geq 50 В$, $I_C \leq 100 мА$, $P_D \leq 200 мВт$; $h_{FE} \geq 200$, $f_T > 100 МГц$	SOT23, SC70	В+Е+С
2F0	BC850B	PHIL	npn	$V_{CE0} \geq 50 В$, $I_C \leq 100 мА$, $P_D \leq 250 мВт$; $h_{FE} \geq 200$, $f_T > 100 МГц$	SOT23, SOD23	В+Е+С
2FR	2SB7924R	PAN	npn	$V_{CE0} \geq 185 В$, $I_C \leq 50 мА$, $P_D \leq 200 мВт$; $h_{FE} \geq 130$, $f_T \geq 200 МГц$	SOT23, SOD23	В+Е+С
2FR	BC850BR	PHIL	npn	$V_{CE0} \geq 45 В$, $I_C \leq 100 мА$, $P_D \leq 310 мВт$; $h_{FE} \geq 330$, $f_T > 300 МГц$	SOT23, SOD23	Е+В+С
2FS	2SB7924S	PAN	npn	$V_{CE0} \geq 185 В$, $I_C \leq 50 мА$, $P_D \leq 200 мВт$; $h_{FE} \geq 185$, $f_T \geq 200 МГц$	SOT23, SOD23	В+Е+С
2Fs	BC850B	INF	npn	$V_{CE0} \geq 50 В$, $I_C \leq 100 мА$, $P_D \leq 330 мВт$; $h_{FE} \geq 200$, $f_T \geq 250 МГц$	SOT23, SOD23	В+Е+С
2Fs	BC850BT	INF	npn	$V_{CE0} \geq 50 В$, $I_C \leq 100 мА$, $P_D \leq 330 мВт$; $h_{FE} \geq 200$, $f_T \geq 250 МГц$	SOT23, SC75A	В+Е+С
2Fs	BC850BW	INF	npn	$V_{CE0} \geq 50 В$, $I_C \leq 100 мА$, $P_D \leq 250 мВт$; $h_{FE} \geq 200$, $f_T \geq 250 МГц$	SOT23, SC70	В+Е+С
2Fl	BC850B	PHIL	npn	$V_{CE0} \geq 50 В$, $I_C \leq 100 мА$, $P_D \leq 250 мВт$; $h_{FE} \geq 200$, $f_T > 100 МГц$	SOT23, SOD23	В+Е+С
2Fl	BC850BW	PHIL	npn	$V_{CE0} \geq 50 В$, $I_C \leq 100 мА$, $P_D \leq 200 мВт$; $h_{FE} \geq 200$, $f_T > 100 МГц$	SOT23, SC70	В+Е+С
2FZ	BC850B	ZETEX	npn	$V_{CE0} \geq 50 В$, $I_C \leq 100 мА$, $P_D \leq 330 мВт$; $h_{FE} \geq 200$, $f_T > 300 МГц$	SOT23, SOD23	В+Е+С
2G	BC850C	ITT	npn	$V_{CE0} \geq 50 В$, $I_C \leq 100 мА$, $P_D \leq 250 мВт$; $h_{FE} \geq 420$, $f_T > 100 МГц$	SOT23, SOD23	В+Е+С
2G	BC850C	CDIL	npn	$V_{CE0} \geq 50 В$, $I_C \leq 100 мА$, $P_D \leq 250 мВт$; $h_{FE} \geq 420$, $f_T > 100 МГц$	SOT23, SOD23	В+Е+С
2G	BC850C	ITT	npn	$V_{CE0} \geq 50 В$, $I_C \leq 100 мА$, $P_D \leq 330 мВт$; $h_{FE} \geq 420$, $f_T > 300 МГц$	SOT23, SOD23	В+Е+С
2G	FMMT4A58	ZETEX	npn	$V_{CE0} \geq 80 В$, $I_C \leq 500 мА$, $P_D \leq 330 мВт$; $h_{FE} > 50$, $f_T > 100 МГц$	SOT23, SOD23	В+Е+С
2G	KST56	SAMS	npn	$V_{CE0} \geq 80 В$, $I_C \leq 500 мА$, $P_D \leq 350 мВт$; $h_{FE} > 50$, $f_T > 50 МГц$	SOT23, SOD23	В+Е+С
2G	MMBT4A58	VISH	npn	$V_{CE0} \geq 80 В$, $I_C \leq 500 мА$, $P_D \leq 350 мВт$; $h_{FE} > 50$, $f_T < 50 МГц$	SOT23, SOD23	В+Е+С
2G	MMBT4A58	MOT	npn	$V_{CE0} \geq 80 В$, $I_C \leq 500 мА$, $P_D \leq 350 мВт$; $h_{FE} > 50$, $f_T < 100 МГц$	SOT23, SOD23	В+Е+С
2G	TMPT4A58	ALLEG	npn	$V_{CE0} \geq 80 В$, $I_{C(30)} \leq 100 мА$, $h_{FE} > 50$, $V_{CE(sat)} < 0.25 В$, $f_T \geq 50 МГц$	SOT23, SOD23	В+Е+С
2G-	BC850CW	PHIL	npn	$V_{CE0} \geq 50 В$, $I_C \leq 100 мА$, $P_D \leq 200 мВт$; $h_{FE} \geq 420$, $f_T > 100 МГц$	SOT23, SC70	В+Е+С
2G0	BC850C	PHIL	npn	$V_{CE0} \geq 50 В$, $I_C \leq 100 мА$, $P_D \leq 250 мВт$; $h_{FE} \geq 420$, $f_T > 100 МГц$	SOT23, SOD23	В+Е+С
2GR	BC850CR	PHIL	npn	$V_{CE0} \geq 45 В$, $I_C \leq 100 мА$, $P_D \leq 310 мВт$; $h_{FE} \geq 600$, $f_T > 300 МГц$	SOT23, SOD23	Е+В+С
2Gs	BC850C	INF	npn	$V_{CE0} \geq 50 В$, $I_C \leq 100 мА$, $P_D \leq 330 мВт$; $h_{FE} \geq 420$, $f_T \geq 250 МГц$	SOT23, SOD23	В+Е+С
2Gs	BC850CT	INF	npn	$V_{CE0} \geq 50 В$, $I_C \leq 100 мА$, $P_D \leq 330 мВт$; $h_{FE} \geq 420$, $f_T \geq 250 МГц$	SOT23, SC75A	В+Е+С
2Gi	BC850C	PHIL	npn	$V_{CE0} \geq 50 В$, $I_C \leq 100 мА$, $P_D \leq 250 мВт$; $h_{FE} \geq 420$, $f_T > 100 МГц$	SOT23, SOD23	В+Е+С
2Gi	BC850CW	PHIL	npn	$V_{CE0} \geq 50 В$, $I_C \leq 100 мА$, $P_D \leq 200 мВт$; $h_{FE} \geq 420$, $f_T > 100 МГц$	SOT23, SC70	В+Е+С
2GT	SQA58	STM	npn	$V_{CE0} \geq 80 В$, $I_C \leq 500 мА$, $P_D \leq 350 мВт$; $h_{FE} > 50$, $f_T > 50 МГц$	SOT23, SOD23	В+Е+С
2H	BC850	CDIL	npn	$V_{CE0} \geq 50 В$, $I_C \leq 100 мА$, $P_D \leq 250 мВт$; $h_{FE} \geq 200$, $f_T > 100 МГц$	SOT23, SOD23	В+Е+С
2H	BC850W	PHIL	npn	$V_{CE0} \geq 50 В$, $I_C \leq 100 мА$, $P_D \leq 200 мВт$; $h_{FE} \geq 200$, $f_T > 100 МГц$	SOT23, SC70	В+Е+С
2H	FMMT4A55	ZETEX	npn	$V_{CE0} \geq 60 В$, $I_C \leq 500 мА$, $P_D \leq 330 мВт$; $h_{FE} > 50$, $f_T > 100 МГц$	SOT23, SOD23	В+Е+С
2H	KST55	SAMS	npn	$V_{CE0} \geq 60 В$, $I_C \leq 500 мА$, $P_D \leq 350 мВт$; $h_{FE} > 50$, $f_T > 50 МГц$	SOT23, SOD23	В+Е+С
2H	MMBT4A55	VISH	npn	$V_{CE0} \geq 60 В$, $I_C \leq 500 мА$, $P_D \leq 225 мВт$; $h_{FE} > 50$, $f_T > 50 МГц$	SOT23, SOD23	В+Е+С
2H	MMBT4A55	MOT	npn	$V_{CE0} \geq 60 В$, $I_C \leq 500 мА$, $P_D \leq 225 мВт$; $h_{FE} > 50$, $f_T > 100 МГц$	SOT23, SOD23	В+Е+С
2H	TMPT4A55	ALLEG	npn	$V_{CE0} \geq 60 В$, $I_{C(30)} \leq 100 мА$, $h_{FE} > 50$, $V_{CE(sat)} < 0.25 В$, $f_T \geq 50 МГц$	SOT23, SOD23	В+Е+С
2H0	BC850	PHIL	npn	$V_{CE0} \geq 50 В$, $I_C \leq 100 мА$, $P_D \leq 250 мВт$; $h_{FE} \geq 200$, $f_T > 100 МГц$	SOT23, SOD23	В+Е+С
2HT	SQA55	STM	npn	$V_{CE0} \geq 60 В$, $I_C \leq 500 мА$, $P_D \leq 625 мВт$; $h_{FE} > 100$, $f_T > 50 МГц$	SOT23, SOD23	В+Е+С
2J	MMBT3640LT1	MOT	npn	$V_{CE0} \geq 12 В$, $I_C \leq 80 мА$, $P_D \leq 300 мВт$; $h_{FE} \geq 30$, $f_T > 500 МГц$	SOT23, SOD23	В+Е+С
2K	FMMT4402	ZETEX	npn	$V_{CE0} \geq 40 В$, $I_C \leq 600 мА$, $P_D \leq 330 мВт$; $h_{FE} > 50$, $f_T > 150 МГц$	SOT23, SOD23	В+Е+С
2K	MMBT8598LT1	MOT	npn	$V_{CE0} \geq 60 В$, $I_C \leq 500 мА$, $P_D \leq 225 мВт$; $h_{FE} > 50$, $f_T > 200 МГц$	SOT23, SOD23	В+Е+С
2L	FMMT4403	ZETEX	npn	$V_{CE0} \geq 40 В$, $I_C \leq 600 мА$, $P_D \leq 330 мВт$; $h_{FE} \geq 100$, $f_T > 200 МГц$	SOT23, SOD23	В+Е+С
2L	KST5401	SAMS	npn	$V_{CE0} \geq 160 В$, $I_C \leq 500 мА$, $P_D \leq 350 мВт$; $h_{FE} \geq 60$, $f_T > 150 МГц$	SOT23, SOD23	В+Е+С
2L	MMBT5401	VISH	npn	$V_{CE0} \geq 160 В$, $I_C \leq 200 мА$, $P_D \leq 350 мВт$; $h_{FE} \geq 60$, $f_T > 100 МГц$	SOT23, SOD23	В+Е+С
2L	MMBT5401	MOT	npn	$V_{CE0} \geq 150 В$, $I_C \leq 200 мА$, $P_D \leq 350 мВт$; $h_{FE} \geq 40$, $f_T > 100 МГц$	SOT23, SOD23	В+Е+С
2L	TMPT5401	ALLEG	npn	$V_{CE0} \geq 160 В$, $I_{C(30)} \leq 50 мА$, $h_{FE} \geq 60$, $f_T \leq 300$, $V_{CE(sat)} < 0.2 В$, $f_T > 100 МГц$	SOT23, SOD23	В+Е+С
2m	FMMT5087	ZETEX	npn	$V_{CE0} \geq 50 В$, $I_C \leq 100 мА$, $P_D \leq 330 мВт$; $h_{FE} \geq 250$, $f_T > 40 МГц$	SOT23, SOD23	В+Е+С
2N	MMBT404ALT1	MOT	npn	$V_{CE0} \geq 40 В$, $I_C \leq 150 мА$, $P_D \leq 300 мВт$; $h_{FE} \geq 100$, $f_T > 100 МГц$	SOT23, SOD23	В+Е+С
2NO	ZXT112N2DF	ZETEX	npn	$V_{CE0} \geq 40 В$, $I_C \leq 2.5 А$, $P_D \leq 625 мВт$; $h_{FE} \geq 300$, $f_T \geq 160 МГц$	SOT23, SOD23	В+Е+С
2NQ	2SD1478Q	PAN	npn	$V_{CE0} \geq 30 В$, $I_C \leq 500 мА$, $P_D \leq 200 мВт$; $h_{FE} \geq 4000$, $f_T \geq 10000$	SOT346, SC59	В+Е+С

SOT490 TSM
MFFPAK TSFP-3

VMT3 VMD3



SOT416 SOT523

SOT323 SOT346

SOT23-3 SOD23-3



Код	Типономинал	Б	Ф	Особенности	Корпус	Ц: 1•2•3
2NR	2SD1478R	PAN	dnpn	$V_{DS}=30\text{ В}; I_C=500\text{ мА}; P_D=200\text{ мВт}; h_{21}=8000...20000$	SOT346, SC59	B-E-C
2OQ	2SD1478AQ	PAN	dnpn	$V_{DS}=60\text{ В}; I_C=500\text{ мА}; P_D=200\text{ мВт}; h_{21}=4000...10000$	SOT346, SC59	B-E-C
2OR	2SD1478AR	PAN	dnpn	$V_{DS}=60\text{ В}; I_C=500\text{ мА}; P_D=200\text{ мВт}; h_{21}=8000...20000$	SOT346, SC59	B-E-C
2P	FMM72222R	ZETEX	nnpn	$V_{DS}=60\text{ В}; I_C=600\text{ мА}; P_D=330\text{ мВт}; h_{21}=120...360; f_T>250\text{ МГц}$	SOT23, SOD23	B-E-C
2P	KST5086	SAMS	npnp	$V_{DS}=50\text{ В}; I_C=50\text{ мА}; P_D=350\text{ мВт}; h_{21}=150...500; f_T>40\text{ МГц}$	SOT23, SOD23	B-E-C
2P	MMBT5086	MOT	npnp	$V_{DS}=50\text{ В}; I_C=50\text{ мА}; P_D=225\text{ мВт}; h_{21}=150...600; f_T>40\text{ МГц}$	SOT23, SOD23	B-E-C
2P	TMPT5086	ALLEG	npnp	$V_{DS}=50\text{ В}; I_{C_{\text{max}}}<50\text{ мА}; h_{21}=150...500; V_{CE(sat)}<0.3\text{ В}; f_T>40\text{ МГц}$	SOT23, SOD23	B-E-C
2Q	FMM7520R	ZETEX	nnpn	$V_{DS}=50\text{ В}; I_C=50\text{ мА}; P_D=330\text{ мВт}; h_{21}=100...300; f_T>30\text{ МГц}$	SOT23, SOD23	B-E-C
2Q	KST5087	SAMS	npnp	$V_{DS}=50\text{ В}; I_C=50\text{ мА}; P_D=350\text{ мВт}; h_{21}=250...800; f_T>40\text{ МГц}$	SOT23, SOD23	B-E-C
2Q	MMBT5087	MOT	npnp	$V_{DS}=50\text{ В}; I_C=50\text{ мА}; P_D=225\text{ мВт}; h_{21}=250...900; f_T>40\text{ МГц}$	SOT23, SOD23	B-E-C
2Q	TMPT5087	ALLEG	npnp	$V_{DS}=50\text{ В}; I_{C_{\text{max}}}<50\text{ мА}; h_{21}=250...800; V_{CE(sat)}<0.3\text{ В}; f_T>40\text{ МГц}$	SOT23, SOD23	B-E-C
2R	FMM75210	ZETEX	nnpn	$V_{DS}=50\text{ В}; I_C=50\text{ мА}; P_D=330\text{ мВт}; h_{21}=200...600; f_T>30\text{ МГц}$	SOT23, SOD23	B-E-C
2R	HSMS-8102	HP	shnd-2	$V_{DS}=4\text{ В}; V_{f(I_F=1\text{ мА})}<0.35\text{ В}; C_D<0.26\text{ пФ}; P_D=14\text{ Ом}$	SOT23, SOD23	K1-A2-A1 K2
2T	HT2	ZETEX	nnpn	$V_{DS}=90\text{ В}; I_C=100\text{ мА}; P_D=330\text{ мВт}; h_{21}>25$	SOT23, SOD23	B-E-C
2T	KST4403	SAMS	npnp	$V_{DS}=80\text{ В}; I_C=600\text{ мА}; P_D=350\text{ мВт}; h_{21}=100...300; f_T>200\text{ МГц}$	SOT23, SOD23	B-E-C
2T	MMBT4403	VISH	npnp	$V_{DS}=40\text{ В}; I_C=800\text{ мА}; P_D=200\text{ мВт}; h_{21}=100...300; f_T>200\text{ МГц}$	SOT23, SOD23	B-E-C
2T	MMBT4403LT1	MOT	npnp	$V_{DS}=40\text{ В}; I_C=600\text{ мА}; P_D=300\text{ мВт}; h_{21}=100...300; f_T>200\text{ МГц}$	SOT23, SOD23	B-E-C
2T	SO4403	STM	npnp	$V_{DS}=40\text{ В}; I_C=600\text{ мА}; P_D=350\text{ мВт}; h_{21}=100...300; f_T>200\text{ МГц}$	SOT23, SOD23	B-E-C
2T	TMPT4403	ALLEG	npnp	$V_{DS}=40\text{ В}; h_{21}=100...300; V_{CE(sat)}<0.4\text{ В}; f_T>200\text{ МГц}$	SOT23, SOD23	B-E-C
2U	KST63	SAMS	npnp	$V_{DS}=30\text{ В}; I_C=500\text{ мА}; P_D=350\text{ мВт}; h_{21}>5000; f_T>125\text{ МГц}$	SOT23, SOD23	B-E-C
2U	MMBT63LT1	MOT	npnp	$V_{DS}=30\text{ В}; I_C=500\text{ мА}; P_D=300\text{ мВт}; h_{21}>5000; f_T>125\text{ МГц}$	SOT23, SOD23	B-E-C
2V	KST64	SAMS	npnp	$V_{DS}=30\text{ В}; I_C=500\text{ мА}; P_D=350\text{ мВт}; h_{21}>10000; f_T>125\text{ МГц}$	SOT23, SOD23	B-E-C
2V	MMBT64LT1	MOT	npnp	$V_{DS}=30\text{ В}; I_C=500\text{ мА}; P_D=300\text{ мВт}; h_{21}>10000; f_T>125\text{ МГц}$	SOT23, SOD23	B-E-C
2V4	PZM2.4NB	PHIL	dz	$V_{f(I_T=5\text{ мА})}=2.3...2.6\text{ В}; Z_T(I_T=5\text{ мА})<100\text{ Ом}$	SOT346, SC59	A-n.c.-K
2V7	PZM2.7NB	PHIL	dz	$V_{f(I_T=5\text{ мА})}=2.5...2.9\text{ В}; Z_T(I_T=5\text{ мА})<100\text{ Ом}$	SOT346, SC59	A-n.c.-K
2W	2SC3704	PAN	nnpn	$V_{DS}=15\text{ В}; I_C=80\text{ мА}; P_D=200\text{ мВт}; h_{21}=50...300; f_T=6\text{ ГГц}$	SOT23, SOD23	B-E-C
2W	2SC3937	PAN	nnpn	$V_{DS}=15\text{ В}; I_C=80\text{ мА}; P_D=150\text{ мВт}; h_{21}=50...300; f_T=6\text{ ГГц}$	SOT323, SC70	B-E-C
2W	FMM73905	ZETEX	npnp	$V_{DS}=40\text{ В}; I_C=200\text{ мА}; P_D=330\text{ мВт}; h_{21}=150...150; f_T>200\text{ МГц}$	SOT23, SOD23	B-E-C
2W	MMBT8593LT1	MOT	npnp	$V_{DS}=80\text{ В}; I_C=500\text{ мА}; P_D=300\text{ мВт}; h_{21}=100...300; f_T>150\text{ МГц}$	SOT23, SOD23	B-E-C
2W	TMPT4402	ALLEG	npnp	$V_{DS}=40\text{ В}; h_{21}=50...150; V_{CE(sat)}<0.4\text{ В}; f_T>150\text{ МГц}$	SOT23, SOD23	B-E-C
2X	2SC3707	PAN	nnpn	$V_{DS}=10\text{ В}; I_C=10\text{ мА}; P_D=50\text{ мВт}; h_{21}=50...150; f_T=4\text{ ГГц}$	SOT23, SOD23	B-E-C
2X	KST4401	SAMS	npnp	$V_{DS}=60\text{ В}; I_C=600\text{ мА}; P_D=350\text{ мВт}; h_{21}=100...300; f_T>250\text{ МГц}$	SOT23, SOD23	B-E-C
2X	MMBT4401	VISH	npnp	$V_{DS}=50\text{ В}; I_C=800\text{ мА}; P_D=200\text{ мВт}; h_{21}=100...300; f_T>200\text{ МГц}$	SOT23, SOD23	B-E-C
2X	MMBT4401LT1	MOT	npnp	$V_{DS}=60\text{ В}; I_C=600\text{ мА}; P_D=300\text{ мВт}; h_{21}=100...300; f_T>250\text{ МГц}$	SOT23, SOD23	B-E-C
2X	SO4401	STM	npnp	$V_{DS}=60\text{ В}; I_C=600\text{ мА}; P_D=350\text{ мВт}; h_{21}=100...300; f_T>250\text{ МГц}$	SOT23, SOD23	B-E-C
2X	TMPT4401	ALLEG	npnp	$V_{DS}=60\text{ В}; I_{C_{\text{max}}}<100\text{ мА}; h_{21}=100...300; V_{CE(sat)}<0.4\text{ В}; f_T>250\text{ МГц}$	SOT23, SOD23	B-E-C
2YQ	2SC3757Q	PAN	nnpn	$V_{DS}=40\text{ В}; I_C=300\text{ мА}; P_D=200\text{ мВт}; h_{21}=60...120; f_T=450\text{ МГц}$	SOT23, SOD23	B-E-C
2YQ	2SC3938Q	PAN	nnpn	$V_{DS}=40\text{ В}; I_C=300\text{ мА}; P_D=150\text{ мВт}; h_{21}=60...120; f_T=450\text{ МГц}$	SOT323, SC70	B-E-C
2YQ	2SC4691Q	PAN	nnpn	$V_{DS}=40\text{ В}; I_C=100\text{ мА}; P_D=125\text{ мВт}; h_{21}=60...120; f_T=450\text{ МГц}$	SOT416, SC75A	B-E-C
2YR	2SC3757R	PAN	nnpn	$V_{DS}=40\text{ В}; I_C=300\text{ мА}; P_D=200\text{ мВт}; h_{21}=90...200; f_T=450\text{ МГц}$	SOT23, SOD23	B-E-C
2YR	2SC3938R	PAN	nnpn	$V_{DS}=40\text{ В}; I_C=300\text{ мА}; P_D=150\text{ мВт}; h_{21}=90...200; f_T=450\text{ МГц}$	SOT323, SC70	B-E-C
2YR	2SC4691R	PAN	nnpn	$V_{DS}=40\text{ В}; I_C=100\text{ мА}; P_D=125\text{ мВт}; h_{21}=90...200; f_T=450\text{ МГц}$	SOT416, SC75A	B-E-C
2Z	BAS7004	ZETEX	shnd-2	$V_F=70\text{ В}; V_{f(I_F=1\text{ мА})}<0.41\text{ В}; I_R<0.2\text{ мА}; C_D<2.0\text{ нФ}$	SOT23, SOD23	A1-K2-K1 A2
2Z	MMBT6520	MOT	npnp	$V_{DS}=350\text{ В}; I_C=500\text{ мА}; P_D=300\text{ мВт}; h_{21}=20...200; f_T>40\text{ МГц}$	SOT23, SOD23	B-E-C
2Z5	BAS7005	ZETEX	shnd-2	$V_F=70\text{ В}; V_{f(I_F=1\text{ мА})}<0.41\text{ В}; I_R<0.2\text{ мА}; C_D<2.0\text{ нФ}$	SOT23, SOD23	A1-A2-K1 K2
2Z5	BAS70-05	ZETEX	shnd-2	$V_F=70\text{ В}; I_R<70\text{ нА}; V_{f(I_F=1\text{ мА})}<410\text{ мВ}; C_D<2\text{ нФ}$	SOT23, SOD23	A1-A2-K1 K2
3.0X	02C23.0	TOSH	dz	$V_{f(I_T=5\text{ мА})}=2.80...3.20\text{ В}; I_{f(V_F=1.0\text{ В})}<50\text{ нмА}; Z_T(I_T=0.5\text{ мА})<1000\text{ Ом}$	SOT346, SC59	A-n.c.-K
3.3X	02C23.3	TOSH	dz	$V_{f(I_T=5\text{ мА})}=3.10...3.50\text{ В}; I_{f(V_F=1.0\text{ В})}<20\text{ нмА}; Z_T(I_T=0.5\text{ мА})<1000\text{ Ом}$	SOT346, SC59	A-n.c.-K
3.6X	02C23.6	TOSH	dz	$V_{f(I_T=5\text{ мА})}=3.40...3.80\text{ В}; I_{f(V_F=1.0\text{ В})}<10\text{ нмА}; Z_T(I_T=0.5\text{ мА})<1000\text{ Ом}$	SOT346, SC59	A-n.c.-K
3.9X	02C23.9	TOSH	dz	$V_{f(I_T=5\text{ мА})}=3.70...4.10\text{ В}; I_{f(V_F=1.0\text{ В})}<10\text{ нмА}; Z_T(I_T=0.5\text{ мА})<1000\text{ Ом}$	SOT346, SC59	A-n.c.-K
301	FDV301N	FAIR	DnMOS	$V_{DS}=25\text{ В}; I_D=220\text{ мА}; P_D=350\text{ мВт}; R_{DS(on)}=5\text{ Ом}$	SOT23, SOD23	G-S-D
302	FDV302P	FAIR	DpMOS	$V_{DS}=25\text{ В}; I_D=120\text{ мА}; P_D=350\text{ мВт}; R_{DS(on)}=13\text{ Ом}$	SOT23, SOD23	G-S-D



SOT23-3 SOT323 SOT416
SOD23-3 SOT346 SOT523



SOT490 TSM VMT3
MFPK TSFP-3 VMD3

Код	Типономинал	Б	Ф	Особенности	Корпус	Ц: 1+2+3
303	FDV303N	FAIR	DnMOS	$V_{DS}=25\text{ В}$, $I_D=880\text{ мА}$, $P_D=350\text{ мВт}$, $R_{DS(on)}=0.45\text{ Ом}$	SOT23, SOD23	G-S-D
304	FDV304P	FAIR	DnMOS	$V_{DS}=25\text{ В}$, $I_D=460\text{ мА}$, $P_D=350\text{ мВт}$, $R_{DS(on)}=1.1\text{ Ом}$	SOT23, SOD23	G-S-D
305	AT30533	HP	n-p-n	$V_{CE(sat)}=11\text{ В}$, $I_C=8\text{ мА}$, $P_D=100\text{ мВт}$, $h_{FE}=70...300$, $f_T=10\text{ ГГц}$	SOT23, SOD23	B-E-C
30r	BF861C	PHIL	nFET	$V_{DS}=25\text{ В}$, $I_{DSS}=25\text{ мА}$, $P_D=250\text{ мВт}$; $g_{DS}=20\text{ мС}$	SOT23, SOD23	S-D-G
30r	BF861C	PHIL	nFET	$V_{DS}=25\text{ В}$, $I_{DSS}=25\text{ мА}$, $P_D=250\text{ мВт}$; $g_{DS}=20\text{ мС}$	SOT23, SOD23	S-D-G
30V	PZM30NB	PHIL	dz	$V_A(I_{T1}=2\text{ мА})=28...32\text{ В}$, $Z_{CT}(I_{T1}=2\text{ мА})<40\text{ Ом}$	SOT346, SC59	A-n.c.-K
30W	BF861C	PHIL	nFET	$V_{DS}=25\text{ В}$, $I_{DSS}=25\text{ мА}$, $P_D=250\text{ мВт}$; $g_{DS}=20\text{ мС}$	SOT23, SOD23	S-D-G
30X	02C230	TOSH	dz	$V_A(I_{T1}=2\text{ мА})=28...32\text{ В}$, $I_C(V_A=23\text{ В})<0.5\text{ мА}$, $Z_{CT}(I_{T1}=0.5\text{ мА})<250\text{ Ом}$	SOT346, SC59	A-n.c.-K
31	MMBD1402	ON	d	$V_A<175\text{ В}$, $I_C<600\text{ мА}$, $V_A(I_C=200\text{ мА})<1\text{ В}$, $I_S<0.1\text{ мА}$, $C_D<2\text{ пФ}$	SOT23, SOD23	n.c.-A-K
310	AT31033	HP	n-p-n	$V_{CE(sat)}=11\text{ В}$, $I_C=16\text{ мА}$, $P_D=150\text{ мВт}$; $h_{FE}=70...300$, $f_T=10\text{ ГГц}$	SOT23, SOD23	B-E-C
31p	BFR505	PHIL	n-p-n	$V_{CE(sat)}=20\text{ В}$, $I_C=18\text{ мА}$, $P_D=150\text{ мВт}$; $h_{FE}=60...250$, $f_T=9\text{ ГГц}$	SOT23, SOD23	B-E-C
31t	BFR505	PHIL	n-p-n	$V_{CE(sat)}=20\text{ В}$, $I_C=18\text{ мА}$, $P_D=150\text{ мВт}$; $h_{FE}=60...250$, $f_T=9\text{ ГГц}$	SOT23, SOD23	B-E-C
31W	BFR505	PHIL	n-p-n	$V_{CE(sat)}=20\text{ В}$, $I_C=18\text{ мА}$, $P_D=150\text{ мВт}$; $h_{FE}=60...250$, $f_T=9\text{ ГГц}$	SOT23, SOD23	B-E-C
32	MMBD1403	FAIR	d-2	$V_A<175\text{ В}$, $I_C<600\text{ мА}$, $V_A(I_C=200\text{ мА})<1\text{ В}$, $I_S<0.1\text{ мА}$, $C_D<2\text{ пФ}$	SOT23, SOD23	A1-K2-K1, A2
32	MMBD1403	ON	d-2	$V_A<175\text{ В}$, $I_C<600\text{ мА}$, $V_A(I_C=200\text{ мА})<1\text{ В}$, $I_S<0.1\text{ мА}$, $C_D<2\text{ пФ}$	SOT23, SOD23	A1-K2-K1, A2
320	AT32033	HP	n-p-n	$V_{CE(sat)}=11\text{ В}$, $I_C=32\text{ мА}$, $P_D=200\text{ мВт}$; $h_{FE}=70...300$, $f_T=10\text{ ГГц}$	SOT23, SOD23	B-E-C
32p	BFR520	PHIL	n-p-n	$V_{CE(sat)}=20\text{ В}$, $I_C=70\text{ мА}$, $P_D=300\text{ мВт}$; $h_{FE}=60...250$, $f_T=9\text{ ГГц}$	SOT23, SOD23	B-E-C
32t	BFR520	PHIL	n-p-n	$V_{CE(sat)}=20\text{ В}$, $I_C=70\text{ мА}$, $P_D=300\text{ мВт}$; $h_{FE}=60...250$, $f_T=9\text{ ГГц}$	SOT23, SOD23	B-E-C
32W	BFR520	PHIL	n-p-n	$V_{CE(sat)}=20\text{ В}$, $I_C=70\text{ мА}$, $P_D=300\text{ мВт}$; $h_{FE}=60...250$, $f_T=9\text{ ГГц}$	SOT23, SOD23	B-E-C
33	DTA143XE	ROHM	Dn-p-n	$V_{CE(sat)}=60\text{ В}$, $I_C=100\text{ мА}$, $P_D=150\text{ мВт}$; $h_{FE}>30$; $f_T>250\text{ МГц}$, $R_{11}/R_{22}=4.7/10\text{ кОм}$	SOT416, SC75A	B-E-C
33	DTA143XKA	ROHM	Dn-p-n	$V_{CE(sat)}=60\text{ В}$, $I_C=100\text{ мА}$, $P_D=200\text{ мВт}$; $h_{FE}>30$; $f_T>250\text{ МГц}$, $R_{11}/R_{22}=4.7/10\text{ кОм}$	SOT346, SC59	B-E-C
33	DTA143XUA	ROHM	Dn-p-n	$V_{CE(sat)}=60\text{ В}$, $I_C=100\text{ мА}$, $P_D=200\text{ мВт}$; $h_{FE}>30$; $f_T>250\text{ МГц}$, $R_{11}/R_{22}=4.7/10\text{ кОм}$	SOT323, SC70	B-E-C
33	MMBD1404	FAIR	d-2	$V_A<175\text{ В}$, $I_C<600\text{ мА}$, $V_A(I_C=200\text{ мА})<1\text{ В}$, $I_S<0.1\text{ мА}$, $C_D<2\text{ пФ}$	SOT23, SOD23	A1-A2-K1, K2
33	MMBD1404	ON	d-2	$V_A<175\text{ В}$, $I_C<600\text{ мА}$, $V_A(I_C=200\text{ мА})<1\text{ В}$, $I_S<0.1\text{ мА}$, $C_D<2\text{ пФ}$	SOT23, SOD23	A1-A2-K1, K2
33	PDTCT14YE	PHIL	Dn-p-n	$V_{CE(sat)}=60\text{ В}$, $I_C=100\text{ мА}$, $P_D=200\text{ мВт}$; $h_{FE}>100$, $10\text{ кОм}/47\text{ кОм}$	SOT416, SC75A	B-E-C
331	NDS331N	FAIR	nMOS	$V_{DS}=20\text{ В}$, $I_D=1.3\text{ А}$, $P_D=500\text{ мВт}$, $R_{DS(on)}<0.4\text{ Ом}$	SOT23, SOD23	G-S-D
332	NDS332P	FAIR	pMOS	$V_{DS}=20\text{ В}$, $I_D=1\text{ А}$, $P_D=500\text{ мВт}$, $R_{DS(on)}<0.74\text{ Ом}$	SOT23, SOD23	G-S-D
335	NDS335N	FAIR	nMOS	$V_{DS}=20\text{ В}$, $I_D=1.7\text{ А}$, $P_D=500\text{ мВт}$, $R_{DS(on)}<0.25\text{ Ом}$	SOT23, SOD23	G-S-D
336	NDS336P	FAIR	pMOS	$V_{DS}=20\text{ В}$, $I_D=1.2\text{ А}$, $P_D=500\text{ мВт}$, $R_{DS(on)}<0.49\text{ Ом}$	SOT23, SOD23	G-S-D
337	NDS337N	FAIR	nMOS	$V_{DS}=20\text{ В}$, $I_D=2.5\text{ А}$, $P_D=500\text{ мВт}$	SOT23, SOD23	G-S-D
338	NDS338P	FAIR	pMOS	$V_{DS}=20\text{ В}$, $I_D=1.6\text{ А}$, $P_D=500\text{ мВт}$	SOT23, SOD23	G-S-D
33A	MMBZ33VAL	ON	dz-2	$V_A(I_{T1}=1\text{ мА})=31.35...34.65\text{ В}$, $V_A(I_C=10\text{ мА})<0.9\text{ В}$	SOT23, SOD23	K1-K2-A1, A2
33p	BFR540	PHIL	n-p-n	$V_{CE(sat)}=20\text{ В}$, $I_C=120\text{ мА}$, $P_D=500\text{ мВт}$; $h_{FE}=100...250$, $f_T=9\text{ ГГц}$	SOT23, SOD23	B-E-C
33t	BFR540	PHIL	n-p-n	$V_{CE(sat)}=20\text{ В}$, $I_C=120\text{ мА}$, $P_D=500\text{ мВт}$; $h_{FE}=100...250$, $f_T=9\text{ ГГц}$	SOT23, SOD23	B-E-C
33V	PZM33NB	PHIL	dz	$V_A(I_{T1}=2\text{ мА})=31.0...35.0\text{ В}$, $Z_{CT}(I_{T1}=2\text{ мА})<40\text{ Ом}$	SOT346, SC59	A-n.c.-K
33W	BFR540	PHIL	n-p-n	$V_{CE(sat)}=20\text{ В}$, $I_C=120\text{ мА}$, $P_D=500\text{ мВт}$; $h_{FE}=100...250$, $f_T=9\text{ ГГц}$	SOT23, SOD23	B-E-C
33X	02C233	TOSH	dz	$V_A(I_{T1}=2\text{ мА})=31.0...35.0\text{ В}$, $I_C(V_A=25\text{ В})<0.5\text{ мА}$, $Z_{CT}(I_{T1}=0.5\text{ мА})<250\text{ Ом}$	SOT346, SC59	A-n.c.-K
34	MMBD1405	FAIR	d-2	$V_A<175\text{ В}$, $I_C<600\text{ мА}$, $V_A(I_C=200\text{ мА})<1\text{ В}$, $I_S<0.1\text{ мА}$, $C_D<2\text{ пФ}$	SOT23, SOD23	K1-K2-A1, A2
34	MMBD1405	ON	d-2	$V_A<175\text{ В}$, $I_C<600\text{ мА}$, $V_A(I_C=200\text{ мА})<1\text{ В}$, $I_S<0.1\text{ мА}$, $C_D<2\text{ пФ}$	SOT23, SOD23	K1-K2-A1, A2
34	PDTCT143XE	PHIL	Dn-p-n	$V_{CE(sat)}=60\text{ В}$, $I_C=100\text{ мА}$, $P_D=250\text{ мВт}$; $h_{FE}>50$, $4.7\text{ кОм}/10\text{ кОм}$	SOT416, SC75A	B-E-C
340	FDV340P	FAIR	DnMOS S	$V_{DS}=20\text{ В}$, $I_D=70\text{ мА}$	SOT23, SOD23	G-S-D
35	DTA124XE	ROHM	Dn-p-n	$V_{CE(sat)}=60\text{ В}$, $I_C=100\text{ мА}$, $P_D=150\text{ мВт}$; $h_{FE}>68$; $f_T>250\text{ МГц}$, $R_{11}/R_{22}=22/47\text{ кОм}$	SOT416, SC75A	B-E-C
35	DTA124XKA	ROHM	Dn-p-n	$V_{CE(sat)}=60\text{ В}$, $I_C=100\text{ мА}$, $P_D=200\text{ мВт}$; $h_{FE}>68$; $f_T>250\text{ МГц}$, $R_{11}/R_{22}=22/47\text{ кОм}$	SOT346, SC59	B-E-C
35	DTA124XUA	ROHM	Dn-p-n	$V_{CE(sat)}=60\text{ В}$, $I_C=100\text{ мА}$, $P_D=200\text{ мВт}$; $h_{FE}>68$; $f_T>250\text{ МГц}$, $R_{11}/R_{22}=22/47\text{ кОм}$	SOT323, SC70	B-E-C
35	PDTCT143XE	PHIL	Dn-p-n	$V_{CE(sat)}=60\text{ В}$, $I_C=100\text{ мА}$, $P_D=250\text{ мВт}$; $h_{FE}>50$, $4.7\text{ кОм}/10\text{ кОм}$	SOT416, SC75A	B-E-C
351	NDS351N	FAIR	nMOS	$V_{DS}=30\text{ В}$, $I_D=1.1\text{ А}$, $P_D=500\text{ мВт}$	SOT23, SOD23	G-S-D
352	NDS352P	FAIR	pMOS	$V_{DS}=20\text{ В}$, $I_D=0.5\text{ А}$, $P_D=500\text{ мВт}$	SOT23, SOD23	G-S-D

SOT490 TSM
MFPAK TSFP-3

VMT3
VMD3



SOT416
SOT523

SOT323
SOT346

SOT23-3
SOD23-3



Код	Типономинал	Б	Ф	Особенности	Корпус	Ц: 1•2•3
355	NDS355N	FAIR	nMOS	$V_{DS}=30\text{ В}$, $I_{D1}=1.6\text{ А}$, $P_D=500\text{ мВт}$	SOT23, SOD23	G•S•D
356	NDS356P	FAIR	pMOS	$V_{DS}=20\text{ В}$, $I_{D1}=1.1\text{ А}$, $P_D=500\text{ мВт}$	SOT23, SOD23	G•S•D
357	NDS357N	FAIR	nMOS	$V_{DS}=30\text{ В}$, $I_{D1}=2.5\text{ А}$, $P_D=500\text{ мВт}$	SOT23, SOD23	G•S•D
358	NDS358P	FAIR	pMOS	$V_{DS}=30\text{ В}$, $I_{D1}=1.6\text{ А}$, $P_D=500\text{ мВт}$	SOT23, SOD23	G•S•D
36	PDTA114YE	PHIL	Dnnp	$V_{DS}=50\text{ В}$, $I_C=100\text{ мА}$, $P_D=200\text{ мВт}$; $h_{FE}>100$; $10\text{ кОм}/47\text{ кОм}$	SOT416, SC75A	B•E•C
36	PDTC124EEF	PHIL	Dnnp	$V_{DS}=50\text{ В}$, $I_C=100\text{ мА}$, $P_D=250\text{ мВт}$; $h_{FE}>60$; $22\text{ кОм}/22\text{ кОм}$	SOT490, SC89	B•E•C
360	FDN360P	FAIR	DnMOS	$V_{DS}=30\text{ В}$, $I_{D1}=2\text{ А}$, $P_D=500\text{ мВт}$, $R_{DS(on)}<0.08\text{ Ом}$	SOT23, SOD23	G•S•D
36V	PZM36NB	PHIL	dz	$V_{Z1}(I_{Z1}=2\text{ мА})=34.0...38.0\text{ В}$, $Z_{T1}(I_{T1}=2\text{ мА})<60\text{ Ом}$	SOT346, SC59	A•n.c. • K
36X	C2C236	TOSH	dz	$V_{Z1}(I_{Z1}=2\text{ мА})=34.00...38.00\text{ В}$, $I_{L1}(V_{Z1}=27\text{ В})<0.5\text{ мА}$; $Z_{T1}(I_{T1}=0.5\text{ мА})<250\text{ Ом}$	SOT346, SC59	A•n.c. • K
37	PDTA114YEF	PHIL	Dnnp	$V_{DS}=50\text{ В}$, $I_C=100\text{ мА}$, $P_D=200\text{ мВт}$; $h_{FE}>100$; $10\text{ кОм}/47\text{ кОм}$	SOT490, SC89	B•E•C
37	PDTA143ZE	PHIL	Dnnp	$V_{DS}=50\text{ В}$, $I_C=100\text{ мА}$, $P_D=250\text{ мВт}$; $h_{FE}>100$; $4.7\text{ кОм}/47\text{ кОм}$	SOT416, SC75A	B•E•C
38	PDTC143ZE	PHIL	Dnnp	$V_{DS}=50\text{ В}$, $I_C=100\text{ мА}$, $P_D=250\text{ мВт}$; $h_{FE}>100$; $4.7\text{ кОм}/47\text{ кОм}$	SOT416, SC75A	B•E•C
38p	PMBFJ108	PHIL	nFET	$V_{DS}=25\text{ В}$, $I_{DSS}>80\text{ мА}$, $P_D=250\text{ мВт}$; $R_{DS(on)}<8\text{ Ом}$	SOT23, SOD23	D•S•G
38t	PMBFJ108	PHIL	nFET	$V_{DS}=25\text{ В}$, $I_{DSS}>80\text{ мА}$, $P_D=250\text{ мВт}$; $R_{DS(on)}<8\text{ Ом}$	SOT23, SOD23	D•S•G
38W	PMBFJ108	PHIL	nFET	$V_{DS}=25\text{ В}$, $I_{DSS}>80\text{ мА}$, $P_D=250\text{ мВт}$; $R_{DS(on)}<8\text{ Ом}$	SOT23, SOD23	D•S•G
39p	PMBFJ109	PHIL	nFET	$V_{DS}=25\text{ В}$, $I_{DSS}>40\text{ мА}$, $P_D=250\text{ мВт}$; $R_{DS(on)}<12\text{ Ом}$	SOT23, SOD23	D•S•G
39t	PMBFJ109	PHIL	nFET	$V_{DS}=25\text{ В}$, $I_{DSS}>40\text{ мА}$, $P_D=250\text{ мВт}$; $R_{DS(on)}<12\text{ Ом}$	SOT23, SOD23	D•S•G
39V	PZM39NB	PHIL	dz	$V_{Z1}(I_{Z1}=2\text{ мА})=37.0...41.0\text{ В}$, $Z_{T1}(I_{T1}=2\text{ мА})<75\text{ Ом}$	SOT346, SC59	A•n.c. • K
39W	PMBFJ109	PHIL	nFET	$V_{DS}=25\text{ В}$, $I_{DSS}>40\text{ мА}$, $P_D=250\text{ мВт}$; $R_{DS(on)}<12\text{ Ом}$	SOT23, SOD23	D•S•G
39X	C2C239	TOSH	dz	$V_{Z1}(I_{Z1}=2\text{ мА})=37.00...41.00\text{ В}$, $I_{L1}(V_{Z1}=30\text{ В})<0.5\text{ мА}$; $Z_{T1}(I_{T1}=0.5\text{ мА})<250\text{ Ом}$	SOT346, SC59	A•n.c. • K
3A	BC856A	CDIL	npn	$V_{DS}=80\text{ В}$, $I_C=100\text{ мА}$, $P_D=310\text{ мВт}$; $h_{FE}>110$; 220 , $f_T>150\text{ МГц}$	SOT23, SOD23	B•E•C
3A	BC856A	TOSH	npn	$V_{DS}=80\text{ В}$, $I_C=100\text{ мА}$, $P_D=150\text{ мВт}$; $h_{FE}>125$; 250 , $f_T>300\text{ МГц}$	SOT23, SOD23	B•E•C
3A	BC856A	VISH	npn	$V_{DS}=80\text{ В}$, $I_C=100\text{ мА}$, $P_D=310\text{ мВт}$; $h_{FE}>110$; 220 , $f_T>150\text{ МГц}$	SOT23, SOD23	B•E•C
3A	BC856A	ZETEX	npn	$V_{DS}=80\text{ В}$, $I_C=100\text{ мА}$, $P_D=330\text{ мВт}$; $h_{FE}>125$; 250 , $f_T>150\text{ МГц}$	SOT23, SOD23	B•E•C
3A	BC856A	DIODS	npn	$V_{DS}=80\text{ В}$, $I_C=100\text{ мА}$, $P_D=300\text{ мВт}$; $h_{FE}>125$; 250 , $f_T>100\text{ МГц}$	SOT23, SOD23	B•E•C
3A	BC856A	ITT	npn	$V_{DS}=80\text{ В}$, $I_C=100\text{ мА}$, $P_D=330\text{ мВт}$; $h_{FE}>125$; 250 , $f_T>150\text{ МГц}$	SOT23, SOD23	B•E•C
3A	BC856AF	PHIL	npn	$V_{DS}=80\text{ В}$, $I_C=100\text{ мА}$, $P_D=250\text{ мВт}$; $h_{FE}>125$; 250 , $f_T>100\text{ МГц}$	SOT490, SC89	B•E•C
3A	BC856ALT1	MOT	npn	$V_{DS}=80\text{ В}$, $I_C=100\text{ мА}$, $P_D=300\text{ мВт}$; $h_{FE}>125$; 250 , $f_T>100\text{ МГц}$	SOT23, SOD23	B•E•C
3A	BC856AT	PHIL	npn	$V_{DS}=80\text{ В}$, $I_C=100\text{ мА}$, $P_D=150\text{ мВт}$; $h_{FE}>125$; 250 , $f_T>100\text{ МГц}$	SOT416, SC75A	B•E•C
3A	KST24	SAMS	npn	$V_{DS}=40\text{ В}$, $I_C=100\text{ мА}$, $P_D=350\text{ мВт}$; $h_{FE}>30$; $f_T>620\text{ МГц}$	SOT23, SOD23	B•E•C
3A	MMBTH24	MOT	npn	$V_{DS}=40\text{ В}$, $I_C=50\text{ мА}$, $P_D=300\text{ мВт}$; $h_{FE}>30$; $f_T>400\text{ МГц}$	SOT23, SOD23	B•E•C
3A	BC856AW	PHIL	npn	$V_{DS}=80\text{ В}$, $I_C=100\text{ мА}$, $P_D=200\text{ мВт}$; $h_{FE}>125$; 250 , $f_T>100\text{ МГц}$	SOT323, SC70	B•E•C
3AC	PZM3.0NB2A	PHIL	dzx2	$V_{Z1}(I_{Z1}=5\text{ мА})=2.95...3.2\text{ В}$, $Z_{T1}(I_{T1}=5\text{ мА})<95\text{ Ом}$	SOT346, SC59	K1 • K2 • A1, A2
3A3	PZM3.3NB2A	PHIL	dzx2	$V_{Z1}(I_{Z1}=5\text{ мА})=3.25...3.5\text{ В}$, $Z_{T1}(I_{T1}=5\text{ мА})<95\text{ Ом}$	SOT346, SC59	K1 • K2 • A1, A2
3A6	PZM3.6NB2A	PHIL	dzx2	$V_{Z1}(I_{Z1}=5\text{ мА})=3.55...3.8\text{ В}$, $Z_{T1}(I_{T1}=5\text{ мА})<90\text{ Ом}$	SOT346, SC59	K1 • K2 • A1, A2
3A7	PZM3.3NB2A	PHIL	dzx2	$V_{Z1}(I_{Z1}=5\text{ мА})=3.87...4.1\text{ В}$, $Z_{T1}(I_{T1}=5\text{ мА})<90\text{ Ом}$	SOT346, SC59	K1 • K2 • A1, A2
3Ap	BC856A	PHIL	npn	$V_{DS}=80\text{ В}$, $I_C=100\text{ мА}$, $P_D=250\text{ мВт}$; $h_{FE}>125$; 250 , $f_T>100\text{ МГц}$	SOT23, SOD23	B•E•C
3As	BC856AR	PHIL	npn	$V_{DS}=85\text{ В}$, $I_C=100\text{ мА}$, $P_D=200\text{ мВт}$; $h_{FE}>125$; $f_T>150\text{ МГц}$	SOT23, SOD23	B•E•C
3AR	BC856A	INF	npn	$V_{DS}=80\text{ В}$, $I_C=100\text{ мА}$, $P_D=330\text{ мВт}$; $h_{FE}>125$; 250 , $f_T>250\text{ МГц}$	SOT23, SOD23	B•E•C
3As	BC856AT	INF	npn	$V_{DS}=80\text{ В}$, $I_C=100\text{ мА}$, $P_D=250\text{ мВт}$; $h_{FE}>125$; 250 , $f_T>250\text{ МГц}$	SOT416, SC75A	B•E•C
3As	BC856AW	INF	npn	$V_{DS}=80\text{ В}$, $I_C=100\text{ мА}$, $P_D=250\text{ мВт}$; $h_{FE}>125$; 250 , $f_T>250\text{ МГц}$	SOT323, SC70	B•E•C
3At	BC856A	PHIL	npn	$V_{DS}=80\text{ В}$, $I_C=100\text{ мА}$, $P_D=250\text{ мВт}$; $h_{FE}>125$; 250 , $f_T>250\text{ МГц}$	SOT23, SOD23	B•E•C
3Ai	BC856AW	PHIL	npn	$V_{DS}=80\text{ В}$, $I_C=100\text{ мА}$, $P_D=200\text{ мВт}$; $h_{FE}>125$; 250 , $f_T>100\text{ МГц}$	SOT323, SC70	B•E•C
3B	BC856B	CDIL	npn	$V_{DS}=80\text{ В}$, $I_C=100\text{ мА}$, $P_D=310\text{ мВт}$; $h_{FE}>200$; 450 , $f_T>150\text{ МГц}$	SOT23, SOD23	B•E•C
3B	BC856B	TOSH	npn	$V_{DS}=80\text{ В}$, $I_C=100\text{ мА}$, $P_D=150\text{ мВт}$; $h_{FE}>220$; 475 , $f_T>300\text{ МГц}$	SOT23, SOD23	B•E•C
3B	BC856B	DIODS	npn	$V_{DS}=80\text{ В}$, $I_C=100\text{ мА}$, $P_D=300\text{ мВт}$; $h_{FE}>220$; 475 , $f_T>100\text{ МГц}$	SOT23, SOD23	B•E•C
3B	BC856B	VISH	npn	$V_{DS}=80\text{ В}$, $I_C=100\text{ мА}$, $P_D=310\text{ мВт}$; $h_{FE}>200$; 450 , $f_T>150\text{ МГц}$	SOT23, SOD23	B•E•C
3B	BC856B	ITT	npn	$V_{DS}=80\text{ В}$, $I_C=100\text{ мА}$, $P_D=310\text{ мВт}$; $h_{FE}>200$; 450 , $f_T>150\text{ МГц}$	SOT23, SOD23	B•E•C
3B	BC856BF	PHIL	npn	$V_{DS}=80\text{ В}$, $I_C=100\text{ мА}$, $P_D=250\text{ мВт}$; $h_{FE}>220$; 475 , $f_T>100\text{ МГц}$	SOT490, SC89	B•E•C
3B	BC856BLT1	MOT	npn	$V_{DS}=80\text{ В}$, $I_C=100\text{ мА}$, $P_D=300\text{ мВт}$; $h_{FE}>220$; 475 , $f_T>100\text{ МГц}$	SOT23, SOD23	B•E•C



SOT23-3
SOD23-3

SOT323
SOT346

SOT416
SOT523



SOT490
MFPK

TESM
TSFP-3

VMT3
VMD3

Код	Типономинал	Б	Ф	Особенности	Корпус	Ц: 1+2+3
3B	BC856BT	PHIL	npn	$V_{CE0}=80B$, $I_C=100mA$, $P_D=150mBt$, $h_{21}=220...475$, $f_T>100MГц$	SOT416, SC75A	В+Е+С
3B	FMMT918	ZETEX	npn	$V_{CE0}=30B$, $I_C=100mA$, $P_D=330mBt$, $h_{21}>20$, $f_T>600MГц$	SOT23, SOD23	В+Е+С
3B	TMP918	ALLEG	npn	$V_{CE0}=30B$, $I_{C(sat)}<10mA$, $h_{21}>20$, $V_{CE(sat)}<0.4B$, $f_T>600MГц$	SOT23, SOD23	В+Е+С
3B-	BC856BW	PHIL	npn	$V_{CE0}=80B$, $I_C=100mA$, $P_D=200mBt$, $h_{21}=220...475$, $f_T>100MГц$	SOT323, SC70	В+Е+С
3Bp	BC856B	PHIL	npn	$V_{CE0}=80B$, $I_C=100mA$, $P_D=250mBt$, $h_{21}=220...475$, $f_T>100MГц$	SOT23, SOD23	В+Е+С
3Bp	BC856B	PHIL	npn	$V_{CE0}=65B$, $I_C=100mA$, $P_D=200mBt$, $h_{21}=475$, $f_T>100MГц$	SOT23, SOD23	В+Е+С
3Bs	BC856B	INF	npn	$V_{CE0}=80B$, $I_C=100mA$, $P_D=330mBt$, $h_{21}=220...475$, $f_T=250MГц$	SOT23, SOD23	В+Е+С
3Bs	BC856BT	INF	npn	$V_{CE0}=80B$, $I_C=100mA$, $P_D=250mBt$, $h_{21}=220...475$, $f_T=250MГц$	SOT416, SC75A	В+Е+С
3Bs	BC856BW	INF	npn	$V_{CE0}=80B$, $I_C=100mA$, $P_D=250mBt$, $h_{21}=220...475$, $f_T=250MГц$	SOT323, SC70	В+Е+С
3Bl	BC856B	PHIL	npn	$V_{CE0}=80B$, $I_C=100mA$, $P_D=250mBt$, $h_{21}=220...475$, $f_T>100MГц$	SOT23, SOD23	В+Е+С
3Bl	BC856BW	PHIL	npn	$V_{CE0}=80B$, $I_C=100mA$, $P_D=200mBt$, $h_{21}=220...475$, $f_T>100MГц$	SOT323, SC70	В+Е+С
3C	FMMTA20R	ZETEX	npn	$V_{CE0}=40B$, $I_C=100mA$, $P_D=330mBt$, $h_{21}=40...400$, $f_T>125MГц$	SOT23, SOD23	В+Е+С
3D	BC856	CDIL	npn	$V_{CE0}=80B$, $I_C=100mA$, $P_D=250mBt$, $h_{21}=125...800$, $f_T>100MГц$	SOT23, SOD23	В+Е+С
3D	MMBT818LT1	MOT	npn	$V_{CE0}=20B$, $P_D=300mBt$, $h_{21}>60$, $f_T>600MГц$	SOT23, SOD23	В+Е+С
3D-	BC856W	PHIL	npn	$V_{CE0}=80B$, $I_C=100mA$, $P_D=200mBt$, $h_{21}=125...800$, $f_T>100MГц$	SOT323, SC70	В+Е+С
3Dp	BC856	PHIL	npn	$V_{CE0}=80B$, $I_C=100mA$, $P_D=250mBt$, $h_{21}=125...800$, $f_T>100MГц$	SOT23, SOD23	В+Е+С
3Dl	BC856	PHIL	npn	$V_{CE0}=80B$, $I_C=100mA$, $P_D=250mBt$, $h_{21}=125...800$, $f_T>100MГц$	SOT23, SOD23	В+Е+С
3Dl	BC856W	PHIL	npn	$V_{CE0}=80B$, $I_C=100mA$, $P_D=200mBt$, $h_{21}=125...800$, $f_T>100MГц$	SOT323, SC70	В+Е+С
3E	BC857A	CDIL	npn	$V_{CE0}=50B$, $I_C=100mA$, $P_D=310mBt$, $h_{21}=110...220$, $f_T>150MГц$	SOT23, SOD23	В+Е+С
3E	BC857A	TOSH	npn	$V_{CE0}=50B$, $I_C=100mA$, $P_D=150mBt$, $h_{21}=125...250$, $f_T=300MГц$	SOT23, SOD23	В+Е+С
3E	BC857A	VISH	npn	$V_{CE0}=50B$, $I_C=100mA$, $P_D=310mBt$, $h_{21}=110...220$, $f_T>150MГц$	SOT23, SOD23	В+Е+С
3E	BC857A	DIOCS	npn	$V_{CE0}=50B$, $I_C=100mA$, $P_D=300mBt$, $h_{21}=110...220$, $f_T>100MГц$	SOT23, SOD23	В+Е+С
3E	BC857AF	PHIL	npn	$V_{CE0}=50B$, $I_C=100mA$, $P_D=250mBt$, $h_{21}=125...250$, $f_T>100MГц$	SOT460, SC89	В+Е+С
3E	BC857ALT1	MOT	npn	$V_{CE0}=50B$, $I_C=100mA$, $P_D=300mBt$, $h_{21}=125...250$, $f_T>100MГц$	SOT23, SOD23	В+Е+С
3E	BC857AT	PHIL	npn	$V_{CE0}=50B$, $I_C=100mA$, $P_D=150mBt$, $h_{21}=125...250$, $f_T>100MГц$	SOT416, SC75A	В+Е+С
3E	FMMTA42	ZETEX	npn	$V_{CE0}=300B$, $I_C=200mA$, $P_D=330mBt$, $h_{21}>40$, $f_T>50MГц$	SOT23, SOD23	В+Е+С
3E	KST10	SAMS	npn	$V_{CE0}=30B$, $P_D=350mBt$, $h_{21}>60$, $f_T>650MГц$	SOT23, SOD23	В+Е+С
3E	MMBT110	MOT	npn	$V_{CE0}=30B$, $P_D=300mBt$, $h_{21}>60$, $f_T>650MГц$	SOT23, SOD23	В+Е+С
3E-	BC857AW	PHIL	npn	$V_{CE0}=50B$, $I_C=100mA$, $P_D=200mBt$, $h_{21}=125...250$, $f_T>100MГц$	SOT323, SC70	В+Е+С
3EM	MMBT110LT1	MOT	npn	$V_{CE0}=30B$, $P_D=300mBt$, $h_{21}>60$, $f_T>650MГц$	SOT23, SOD23	В+Е+С
3Eo	BC857A	PHIL	npn	$V_{CE0}=50B$, $I_C=100mA$, $P_D=250mBt$, $h_{21}=125...250$, $f_T>100MГц$	SOT23, SOD23	В+Е+С
3ER	BC857AR	PHIL	npn	$V_{CE0}=45B$, $I_C=100mA$, $P_D=250mBt$, $h_{21}=220...475$, $f_T>150MГц$	SOT23, SOD23	В+Е+С
3Es	BC857A	INF	npn	$V_{CE0}=50B$, $I_C=100mA$, $P_D=330mBt$, $h_{21}=125...250$, $f_T=150MГц$	SOT23, SOD23	В+Е+С
3Es	BC857AW	INF	npn	$V_{CE0}=50B$, $I_C=100mA$, $P_D=250mBt$, $h_{21}=125...250$, $f_T=250MГц$	SOT323, SC70	В+Е+С
3Et	BC857A	PHIL	npn	$V_{CE0}=50B$, $I_C=100mA$, $P_D=250mBt$, $h_{21}=125...250$, $f_T>100MГц$	SOT23, SOD23	В+Е+С
3El	BC857AW	PHIL	npn	$V_{CE0}=50B$, $I_C=100mA$, $P_D=200mBt$, $h_{21}=125...250$, $f_T>100MГц$	SOT323, SC70	В+Е+С
3EZ	FMMTH10	ZETEX	npn	$V_{CE0}=30B$, $I_C=25mA$, $P_D=330mBt$, $h_{21}>60$, $f_T>650MГц$	SOT23, SOD23	В+Е+С
3F	BC857B	CDIL	npn	$V_{CE0}=50B$, $I_C=100mA$, $P_D=310mBt$, $h_{21}=200...450$, $f_T>150MГц$	SOT23, SOD23	В+Е+С
3F	BC857B	DIOCS	npn	$V_{CE0}=50B$, $I_C=100mA$, $P_D=300mBt$, $h_{21}=200...450$, $f_T>100MГц$	SOT23, SOD23	В+Е+С
3F	BC857B	TOSH	npn	$V_{CE0}=50B$, $I_C=100mA$, $P_D=150mBt$, $h_{21}=220...475$, $f_T=300MГц$	SOT23, SOD23	В+Е+С
3F	BC857B	VISH	npn	$V_{CE0}=50B$, $I_C=100mA$, $P_D=310mBt$, $h_{21}=200...450$, $f_T>150MГц$	SOT23, SOD23	В+Е+С
3F	BC857B	ZETEX	npn	$V_{CE0}=50B$, $I_C=100mA$, $P_D=330mBt$, $h_{21}=220...475$, $f_T>100MГц$	SOT23, SOD23	В+Е+С
3F	BC857BF	PHIL	npn	$V_{CE0}=50B$, $I_C=100mA$, $P_D=250mBt$, $h_{21}=220...475$, $f_T>100MГц$	SOT460, SC89	В+Е+С
3F	BC857BLT1	MOT	npn	$V_{CE0}=50B$, $I_C=100mA$, $P_D=300mBt$, $h_{21}=220...475$, $f_T>100MГц$	SOT23, SOD23	В+Е+С
3F	BC857BT	PHIL	npn	$V_{CE0}=50B$, $I_C=100mA$, $P_D=150mBt$, $h_{21}=220...475$, $f_T>100MГц$	SOT416, SC75A	В+Е+С
3F-	BC857BW	PHIL	npn	$V_{CE0}=50B$, $I_C=100mA$, $P_D=200mBt$, $h_{21}=220...475$, $f_T>100MГц$	SOT323, SC70	В+Е+С
3Fo	BC857B	PHIL	npn	$V_{CE0}=50B$, $I_C=100mA$, $P_D=250mBt$, $h_{21}=220...475$, $f_T>100MГц$	SOT23, SOD23	В+Е+С
3FR	BC857BR	PHIL	npn	$V_{CE0}=45B$, $I_C=100mA$, $P_D=200mBt$, $h_{21}=475$, $f_T>150MГц$	SOT23, SOD23	В+Е+С
3Fs	BC857B	INF	npn	$V_{CE0}=50B$, $I_C=100mA$, $P_D=330mBt$, $h_{21}=220...475$, $f_T=250MГц$	SOT23, SOD23	В+Е+С
3Fs	BC857B	SIEM	npn	$V_{CE0}=50B$, $I_C=100mA$, $P_D=330mBt$, $h_{21}=220...475$, $f_T>150MГц$	SOT23, SOD23	В+Е+С
3Fs	BC857BW	SIEM	npn	$V_{CE0}=50B$, $I_C=100mA$, $P_D=250mBt$, $h_{21}=220...475$, $f_T=250MГц$	SOT323, SC70	В+Е+С
3Ft	BC857B	PHIL	npn	$V_{CE0}=50B$, $I_C=100mA$, $P_D=250mBt$, $h_{21}=220...475$, $f_T>100MГц$	SOT23, SOD23	В+Е+С

**SOT490 TSM
MFPAK TSFP-3**

**VMT3
VMD3**



**SOT416 SOT323
SOT523 SOT346**

**SOT23-3
SOD23-3**



Код	Типономинал	Б	Ф	Особенности	Корпус	Ц: 1*2*3
3F1	BC857BW	PHIL	онр	$V_{CE0}=50 В; I_C=100 мА; P_D=200 мВт; h_{21}=220...475; f_T > 100 МГц$	SOT323, SC70	B-E-C
3G	BC857C	CDIL	онр	$V_{CE0}=50 В; I_C=100 мА; P_D=310 мВт; h_{21}=420...800; f_T > 150 МГц$	SOT323, SOD23	B-E-C
3G	BC857C	TOSH	онр	$V_{CE0}=50 В; I_C=100 мА; P_D=150 мВт; h_{21}=420...800; f_T > 300 МГц$	SOT323, SOD23	B-E-C
3G	BC857C	DIODS	онр	$V_{CE0}=50 В; I_C=100 мА; P_D=150 мВт; h_{21}=420...800; f_T > 300 МГц$	SOT323, SOD23	B-E-C
3G	BC857C	VISH	онр	$V_{CE0}=50 В; I_C=100 мА; P_D=310 мВт; h_{21}=420...800; f_T > 150 МГц$	SOT323, SOD23	B-E-C
3G	BC857C	ZETEX	онр	$V_{CE0}=50 В; I_C=100 мА; P_D=330 мВт; h_{21}=420...800; f_T > 150 МГц$	SOT323, SOD23	B-E-C
3G	BC857CF	PHIL	онр	$V_{CE0}=50 В; I_C=100 мА; P_D=250 мВт; h_{21}=420...800; f_T > 100 МГц$	SOT490, SC89	B-E-C
3G	BC857CT	PHIL	онр	$V_{CE0}=50 В; I_C=100 мА; P_D=150 мВт; h_{21}=420...800; f_T > 100 МГц$	SOT416, SOT523	B-E-C
3G	BC857CT	DIODS	онр	$V_{CE0}=50 В; I_C=100 мА; P_D=310 мВт; h_{21}=420...800; f_T > 150 МГц$	SOT523	B-E-C
3G	MMBTH11	FAIR	нрн	$V_{CE0}=30 В; I_C=50 мА; P_D=3225 мВт; h_{21} > 60; f_T < 650 МГц$	SOT23, SOD23	B-E-C
3G	BC857CW	PHIL	онр	$V_{CE0}=50 В; I_C=100 мА; P_D=200 мВт; h_{21}=420...800; f_T > 100 МГц$	SOT323, SC70	B-E-C
3Gp	BC857C	PHIL	онр	$V_{CE0}=50 В; I_C=100 мА; P_D=250 мВт; h_{21}=420...800; f_T > 100 МГц$	SOT323, SOD23	B-E-C
3GR	BC857CR	PHIL	онр	$V_{CE0}=45 В; I_C=100 мА; P_D=200 мВт; h_{21}=800; f_T > 150 МГц$	SOT323, SOD23	B-E-C
3Gs	BC857C	INF	онр	$V_{CE0}=50 В; I_C=100 мА; P_D=330 мВт; h_{21}=420...800; f_T > 150 МГц$	SOT323, SOD23	B-E-C
3Gs	BC857CW	INF	онр	$V_{CE0}=50 В; I_C=100 мА; P_D=250 мВт; h_{21}=420...800; f_T > 150 МГц$	SOT323, SC70	B-E-C
3Gc	BC857C	PHIL	онр	$V_{CE0}=50 В; I_C=100 мА; P_D=250 мВт; h_{21}=420...800; f_T > 100 МГц$	SOT323, SOD23	B-E-C
3Gc	BC857CW	PHIL	онр	$V_{CE0}=50 В; I_C=100 мА; P_D=200 мВт; h_{21}=420...800; f_T > 100 МГц$	SOT323, SC70	B-E-C
3H	BC857	CDIL	онр	$V_{CE0}=50 В; I_C=100 мА; P_D=250 мВт; h_{21}=125...800; f_T > 100 МГц$	SOT323, SOD23	B-E-C
3H	BC857W	PHIL	онр	$V_{CE0}=50 В; I_C=100 мА; P_D=200 мВт; h_{21}=125...800; f_T > 100 МГц$	SOT323, SC70	B-E-C
3H	MMBTH30	NS	нрн	$V_{CE0}=20 В; I_C=50 мА; P_D=350 мВт; h_{21} > 200; f_T > 300 МГц$	SOT323, SOD23	B-E-C
3Hp	BC857	PHIL	онр	$V_{CE0}=50 В; I_C=100 мА; P_D=250 мВт; h_{21}=125...800; f_T > 100 МГц$	SOT323, SOD23	B-E-C
3J	BC858A	CDIL	онр	$V_{CE0}=30 В; I_C=100 мА; P_D=310 мВт; h_{21}=110...220; f_T > 150 МГц$	SOT323, SOD23	B-E-C
3J	BC858A	VISH	онр	$V_{CE0}=30 В; I_C=100 мА; P_D=310 мВт; h_{21}=110...220; f_T > 150 МГц$	SOT323, SOD23	B-E-C
3J	BC858A	ZETEX	онр	$V_{CE0}=30 В; I_C=100 мА; P_D=330 мВт; h_{21}=125...250; f_T > 150 МГц$	SOT323, SOD23	B-E-C
3J	BC858A	DIODS	онр	$V_{CE0}=30 В; I_C=100 мА; P_D=300 мВт; h_{21}=125...250; f_T > 100 МГц$	SOT323, SOD23	B-E-C
3J	BC858AF	PHIL	онр	$V_{CE0}=30 В; I_C=100 мА; P_D=250 мВт; h_{21}=125...250; f_T > 100 МГц$	SOT490, SC89	B-E-C
3J	BC858ALT1	MOT	онр	$V_{CE0}=30 В; I_C=100 мА; P_D=300 мВт; h_{21}=125...250; f_T > 100 МГц$	SOT323, SOD23	B-E-C
3J	BC858AW	PHIL	онр	$V_{CE0}=30 В; I_C=100 мА; P_D=200 мВт; h_{21}=125...250; f_T > 100 МГц$	SOT323, SC70	B-E-C
3J	MMBTH69	MOT	онр	$V_{CE0}=15 В; P_D=300 мВт; h_{21}=300...300; f_T > 2000 МГц$	SOT323, SOD23	B-E-C
3J	RB706F-40	ROHM	shd-2	$V_A < 40 В; I_A < 30 мА; V_{BE}(I_A=1 мА) < 370 мВ; C_{DS} = 2 нФ$	SOT323, SC70	A1-K1 A2-K2
3Jo	BC858A	PHIL	онр	$V_{CE0}=30 В; I_C=100 мА; P_D=250 мВт; h_{21}=125...250; f_T > 100 МГц$	SOT323, SOD23	B-E-C
3JR	BC858AR	PHIL	онр	$V_{CE0}=30 В; I_C=100 мА; P_D=250 мВт; h_{21}=125...250; f_T > 150 МГц$	SOT323, SOD23	B-E-C
3Js	BC858A	INF	онр	$V_{CE0}=30 В; I_C=100 мА; P_D=330 мВт; h_{21}=125...250; f_T > 250 МГц$	SOT323, SOD23	B-E-C
3Js	BC858AW	SIEM	онр	$V_{CE0}=30 В; I_C=100 мА; P_D=250 мВт; h_{21}=125...250; f_T > 250 МГц$	SOT323, SC70	B-E-C
3Jt	BC858A	PHIL	онр	$V_{CE0}=30 В; I_C=100 мА; P_D=250 мВт; h_{21}=125...250; f_T > 100 МГц$	SOT323, SOD23	B-E-C
3K	BC858B	CDIL	онр	$V_{CE0}=30 В; I_C=100 мА; P_D=310 мВт; h_{21}=200...450; f_T > 150 МГц$	SOT323, SOD23	B-E-C
3K	BC858B	TOSH	онр	$V_{CE0}=30 В; I_C=100 мА; P_D=150 мВт; h_{21}=220...475; f_T > 300 МГц$	SOT323, SOD23	B-E-C
3K	BC858B	DIODS	онр	$V_{CE0}=30 В; I_C=100 мА; P_D=300 мВт; h_{21}=220...475; f_T > 100 МГц$	SOT323, SOD23	B-E-C
3K	BC858B	VISH	онр	$V_{CE0}=30 В; I_C=100 мА; P_D=310 мВт; h_{21}=200...450; f_T > 150 МГц$	SOT323, SOD23	B-E-C
3K	BC858B	ZETEX	онр	$V_{CE0}=30 В; I_C=100 мА; P_D=330 мВт; h_{21}=220...475; f_T > 150 МГц$	SOT323, SOD23	B-E-C
3K	BC858BF	PHIL	онр	$V_{CE0}=30 В; I_C=100 мА; P_D=250 мВт; h_{21}=220...475; f_T > 100 МГц$	SOT490, SC89	B-E-C
3K	BC858BLT1	MOT	онр	$V_{CE0}=30 В; I_C=100 мА; P_D=300 мВт; h_{21}=220...475; f_T > 100 МГц$	SOT323, SOD23	B-E-C
3K	BC858BW	PHIL	онр	$V_{CE0}=30 В; I_C=100 мА; P_D=200 мВт; h_{21}=220...475; f_T > 100 МГц$	SOT323, SC70	B-E-C
3Kp	BC858B	PHIL	онр	$V_{CE0}=30 В; I_C=100 мА; P_D=250 мВт; h_{21}=220...475; f_T > 100 МГц$	SOT323, SOD23	B-E-C
3KR	BC858BR	PHIL	онр	$V_{CE0}=30 В; I_C=100 мА; P_D=200 мВт; h_{21}=475; f_T > 150 МГц$	SOT323, SOD23	B-E-C
3Ks	BC858B	SIEM	онр	$V_{CE0}=30 В; I_C=100 мА; P_D=330 мВт; h_{21}=220...475; f_T > 250 МГц$	SOT323, SOD23	B-E-C
3Ks	BC858BW	SIEM	онр	$V_{CE0}=30 В; I_C=100 мА; P_D=250 мВт; h_{21}=220...475; f_T > 250 МГц$	SOT323, SC70	B-E-C
3Kt	BC858B	PHIL	онр	$V_{CE0}=30 В; I_C=100 мА; P_D=250 мВт; h_{21}=220...475; f_T > 100 МГц$	SOT323, SOD23	B-E-C
3L	BC858C	CDIL	онр	$V_{CE0}=30 В; I_C=100 мА; P_D=310 мВт; h_{21}=420...800; f_T > 150 МГц$	SOT323, SOD23	B-E-C
3L	BC858C	TOSH	онр	$V_{CE0}=30 В; I_C=100 мА; P_D=150 мВт; h_{21}=420...800; f_T > 300 МГц$	SOT323, SOD23	B-E-C
3L	BC858C	VISH	онр	$V_{CE0}=30 В; I_C=100 мА; P_D=310 мВт; h_{21}=420...800; f_T > 150 МГц$	SOT323, SOD23	B-E-C
3L	BC858C	ZETEX	онр	$V_{CE0}=30 В; I_C=100 мА; P_D=330 мВт; h_{21}=420...800; f_T > 150 МГц$	SOT323, SOD23	B-E-C



SOT23-3
SOD23-3

SOT323
SOT346

SOT416
SOT523



SOT490
MFPK

TESM
TSFP-3

VMT3
VMD3

Код	Типономинал	Б	Ф	Особенности	Корпус	1: 2+3
3L	BC858C	DIOS	npn	$V_{CE0} = 30 В$, $I_C = 100 мА$, $P_D = 300 мВт$; $h_{21} = 420 \dots 800$, $f_T > 100 МГц$	SOT23, SOD23	В-Е-С
3L	BC858CF	PHIL	npn	$V_{CE0} = 30 В$, $I_C = 100 мА$, $P_D = 250 мВт$; $h_{21} = 420 \dots 800$, $f_T > 100 МГц$	SOT490, SC89	В-Е-С
3L	BC858CLT1	MOT	npn	$V_{CE0} = 30 В$, $I_C = 100 мА$, $P_D = 300 мВт$; $h_{21} = 420 \dots 800$, $f_T > 100 МГц$	SOT23, SOD23	В-Е-С
3L	BC858CW	PHIL	npn	$V_{CE0} = 30 В$, $I_C = 100 мА$, $P_D = 200 мВт$; $h_{21} = 420 \dots 800$, $f_T > 100 МГц$	SOT323, SC70	В-Е-С
3Lp	BC858C	PHIL	npn	$V_{CE0} = 30 В$, $I_C = 100 мА$, $P_D = 250 мВт$; $h_{21} = 420 \dots 800$, $f_T > 100 МГц$	SOT23, SOD23	В-Е-С
3LR	BC858CR	PHIL	npn	$V_{CE0} = 30 В$, $I_C = 100 мА$, $P_D = 250 мВт$; $h_{21} = 800$, $f_T > 150 МГц$	SOT23, SOD23	Е-В-С
3Ls	BC858C	SIEM	npn	$V_{CE0} = 30 В$, $I_C = 100 мА$, $P_D = 330 мВт$; $h_{21} = 420 \dots 800$, $f_T = 250 МГц$	SOT23, SOD23	В-Е-С
3Ls	BC858CW	SIEM	npn	$V_{CE0} = 30 В$, $I_C = 100 мА$, $P_D = 250 мВт$; $h_{21} = 420 \dots 800$, $f_T = 250 МГц$	SOT323, SC70	В-Е-С
3Li	BC858C	PHIL	npn	$V_{CE0} = 30 В$, $I_C = 100 мА$, $P_D = 250 мВт$; $h_{21} = 420 \dots 800$, $f_T > 100 МГц$	SOT23, SOD23	В-Е-С
3M	2SC4808	PAN	npn	$V_{CE0} = 15 В$, $I_C = 80 мА$, $P_D = 125 мВт$; $h_{21} = 50 \dots 300$, $f_T = 5 ГГц$	SOT416, SC75A	В-Е-С
3M	2SC4835	PAN	npn	$V_{CE0} = 15 В$, $I_C = 80 мА$, $P_D = 150 мВт$; $h_{21} = 50 \dots 200$, $f_T = 5 ГГц$	SOT323, SC70	В-Е-С
3M	BC858	CDIL	npn	$V_{CE0} = 30 В$, $I_C = 100 мА$, $P_D = 250 мВт$; $h_{21} = 125 \dots 800$, $f_T > 100 МГц$	SOT23, SOD23	В-Е-С
3M	BC858W	PHIL	npn	$V_{CE0} = 30 В$, $I_C = 100 мА$, $P_D = 200 мВт$; $h_{21} = 125 \dots 800$, $f_T > 100 МГц$	SOT323, SC70	В-Е-С
3m	FMMT5087R	ZETEX	npn	$V_{CE0} = 60 В$, $I_C = 100 мА$, $P_D = 330 мВт$; $h_{21} = 200 \dots 600$, $f_T > 40 МГц$	SOT23, SOD23	В-Е-С
3Mp	BC858	PHIL	npn	$V_{CE0} = 30 В$, $I_C = 100 мА$, $P_D = 250 мВт$; $h_{21} = 125 \dots 800$, $f_T > 100 МГц$	SOT23, SOD23	В-Е-С
3Mi	BC858	PHIL	npn	$V_{CE0} = 30 В$, $I_C = 100 мА$, $P_D = 250 мВт$; $h_{21} = 125 \dots 800$, $f_T > 100 МГц$	SOT23, SOD23	В-Е-С
3N	2SK620	PAN	nMOS	$V_{DS} = 50 В$, $I_D = 100 мА$, $P_D = 150 мВт$; $R_{DS(on)} < 50 Ом$	SOT346, SC59	Г-С-Д
3N	2SK664	PAN	nMOS	$V_{DS} = 50 В$, $I_D = 100 мА$, $P_D = 150 мВт$; $R_{DS(on)} < 50 Ом$	SOT323, SC70	Г-С-Д
3N	MMBT3906	VISH	npn	$V_{CE0} = 40 В$, $I_C = 100 мА$, $P_D = 200 мВт$; $h_{21} = 100 \dots 300$, $f_T > 250 МГц$	SOT23, SOD23	В-Е-С
3N	MMBT4402	NS	npn	$V_{CE0} = 40 В$, $I_C = 500 мА$, $P_D = 350 мВт$; $h_{21} > 30$, $f_T > 150 МГц$	SOT23, SOD23	В-Е-С
3O	2SK321	PAN	nMOS	$V_{DS} = 20 В$, $I_D = 100 мА$, $P_D = 150 мВт$; $R_{DS(on)} < 50 Ом$	SOT346, SC59	Г-С-Д
3O	2SK665	PAN	nMOS	$V_{DS} = 20 В$, $I_D = 100 мА$, $P_D = 150 мВт$; $R_{DS(on)} < 50 Ом$	SOT323, SC70	Г-С-Д
3P	FMMT2222AR	ZETEX	npn	$V_{CE0} = 75 В$, $I_C = 600 мА$, $P_D = 330 мВт$; $h_{21} = 120 \dots 350$, $f_T > 300 МГц$	SOT23, SOD23	В-Е-С
3P	FM72222AR	ZETEX	npn	$V_{CE0} = 75 В$, $I_C = 800 мА$, $P_D = 500 мВт$; $h_{21} > 30$	SOT23, SOD23	Е-В-С
3R	MMBT5571	NS	npn	$f_T = 850 МГц$	SOT23, SOD23	В-Е-С
3R	PDTA142EEF	PHIL	Dnpn	$V_{CE0} = 50 В$, $I_C = 100 мА$, $P_D = 250 мВт$; $h_{21} > 60$; $22 \times Ом / 22 \times Ом$	SOT490, SC89	В-Е-С
3S	2SC4805	PAN	npn	$V_{CE0} = 15 В$, $I_C = 65 мА$, $P_D = 150 мВт$; $h_{21} = 50 \dots 300$, $f_T = 7 ГГц$	SOT323, SC70	В-Е-С
3S	MMBT5551	ON	npn	$V_{CE0} = 180 В$, $I_C = 200 мА$, $P_D = 350 мВт$; $h_{21} = 80 \dots 250$, $f_T > 300 МГц$	SOT23, SOD23	В-Е-С
3S	MMBT5551	VISH	npn	$V_{CE0} = 180 В$, $I_C = 200 мА$, $P_D = 350 мВт$; $h_{21} = 80 \dots 250$, $f_T > 300 МГц$	SOT23, SOD23	В-Е-С
3S	MMBT5551	NS	npn	$V_{CE0} = 180 В$, $I_C = 600 мА$, $P_D = 300 мВт$; $h_{21} = 80 \dots 250$	SOT23, SOD23	В-Е-С
3T	HT3	ZETEX	npn	$V_{CE0} = 80 В$, $I_C = 100 мА$, $P_D = 330 мВт$; $h_{21} > 30$	SOT23, SOD23	В-Е-С
3U	2SC3967U	PAN	npn	$V_{CE0} = 30 В$, $I_C = 20 мА$, $P_D = 200 мВт$; $h_{21} = 40 \dots 200$, $f_T = 1.5 ГГц$	SOT23, SOD23	В-Е-С
3V	BC857AT	DIOS	npn	$V_{CE0} = 50 В$, $I_C = 100 мА$, $P_D = 300 мВт$; $h_{21} = 125 \dots 250$, $f_T > 100 МГц$	SOT523	В-Е-С
3V0	PZM/3.0NB	PHIL	dz	$V_A(V_{Z1} = 5 мА) = 2.8 \dots 3.2 В$; $Z_{CT}(I_{Z1} = 5 мА) < 95 Ом$	SOT346, SC59	А-н.с.-К
3V3	PZM/3.3NB	PHIL	dz	$V_A(V_{Z1} = 5 мА) = 3.1 \dots 3.5 В$; $Z_{CT}(I_{Z1} = 5 мА) < 95 Ом$	SOT346, SC59	А-н.с.-К
3V6	PZM/3.6NB	PHIL	dz	$V_A(V_{Z1} = 5 мА) = 3.4 \dots 3.8 В$; $Z_{CT}(I_{Z1} = 5 мА) < 90 Ом$	SOT346, SC59	А-н.с.-К
3V9	PZM/3.9NB	PHIL	dz	$V_A(V_{Z1} = 5 мА) = 3.7 \dots 4.1 В$; $Z_{CT}(I_{Z1} = 5 мА) < 90 Ом$	SOT346, SC59	А-н.с.-К
3W	BC857BT	DIOS	npn	$V_{CE0} = 50 В$, $I_C = 100 мА$, $P_D = 330 мВт$; $h_{21} = 220 \dots 475$, $f_T > 150 МГц$	SOT523	В-Е-С
3W	FMMT412	ZETEX	npn	$V_{CE0} = 20 В$, $I_C = 300 мА$, $P_D = 330 мВт$; $h_{21} > 20000$	SOT23, SOD23	В-Е-С
4.3X	02C24.3	TOSH	dz	$V_A(V_{Z1} = 5 мА) = 4.00 \dots 4.50 В$, $I_A(V_{Z1} = 1.0 В) < 5 мА$; $Z_{CT}(I_{Z1} = 0.5 мА) < 1000 Ом$	SOT346, SC59	А-н.с.-К
4.7X	02C24.7	TOSH	dz	$V_A(V_{Z1} = 5 мА) = 4.40 \dots 4.90 В$, $I_A(V_{Z1} = 1.0 В) < 5 мА$; $Z_{CT}(I_{Z1} = 0.5 мА) < 1000 Ом$	SOT346, SC59	А-н.с.-К
40p	PMBFJ110	PHIL	nFET	$V_{DS} = 25 В$, $I_{DSS} > 10 мА$, $P_D = 250 мВт$; $R_{DS(on)} < 18 Ом$	SOT23, SOD23	Д-С-Г
40l	PMBFJ110	PHIL	nFET	$V_{DS} = 25 В$, $I_{DSS} > 10 мА$, $P_D = 250 мВт$; $R_{DS(on)} < 18 Ом$	SOT23, SOD23	Д-С-Г
40W	PMBFJ110	PHIL	nFET	$V_{DS} = 25 В$, $I_{DSS} > 10 мА$, $P_D = 250 мВт$; $R_{DS(on)} < 18 Ом$	SOT23, SOD23	Д-С-Г
41	PDTA143XEF	PHIL	Dnpn	$V_{CE0} = 50 В$, $I_C = 100 мА$, $P_D = 250 мВт$; $h_{21} > 50$, $4.7 \times Ом / 10 \times Ом$	SOT490, SC89	В-Е-С
413	FMMT413	ZETEX	npn	$V_{CE0} = 150 В$, $I_C = 100 мА$, $P_D = 330 мВт$; $h_{21} > 50$, $f_T > 150 МГц$	SOT23, SOD23	В-Е-С
415	FMMT415	ZETEX	npn	$V_{CE0} = 260 В$, $I_C = 500 мА$, $P_D = 330 мВт$; $h_{21} > 25$, $f_T > 40 МГц$	SOT23, SOD23	В-Е-С
417	FMMT417	ZETEX	npn	$V_{CE0} = 320 В$, $I_C = 500 мА$, $P_D = 330 мВт$; $h_{21} > 25$, $f_T > 40 МГц$	SOT23, SOD23	В-Е-С
41A	FMMT491A	ZETEX	npn	$V_{CE0} = 40 В$, $I_C = 1000 мА$, $P_D = 500 мВт$; $h_{21} = 300 \dots 900$, $f_T > 150 МГц$	SOT23, SOD23	В-Е-С
41p	PMBFJ111	PHIL	nFET	$V_{DS} = 40 В$, $I_{DSS} > 20 мА$, $P_D = 300 мВт$; $R_{DS(on)} < 30 Ом$	SOT23, SOD23	Д-С-Г
41t	PMBFJ111	PHIL	nFET	$V_{DS} = 40 В$, $I_{DSS} > 20 мА$, $P_D = 300 мВт$; $R_{DS(on)} < 30 Ом$	SOT23, SOD23	Д-С-Г
41W	PMBFJ111	PHIL	nFET	$V_{DS} = 40 В$, $I_{DSS} > 20 мА$, $P_D = 300 мВт$; $R_{DS(on)} < 30 Ом$	SOT23, SOD23	Д-С-Г



Код	Типономинал	Б	Ф	Особенности	Корпус	Ц: 1•2•3
42	BAT544W	PHIL	shd-2	$V_{GS} < 30 В$, $I_{F1} < 200 мА$, $V_{F1}(I_F = 1 мА) < 320 мВ$, $C_{D1} < 10 пФ$, $t_{RR} < 5 нс$	SOT323, SC70	K1-K2-A2, A1
42p	PMBFJ112	PHIL	nFET	$V_{DS} < 40 В$, $I_{DSS} > 5 мА$, $P_D > 300 мВт$, $R_{DS(on)} < 50 Ом$	SOT323, SOD23	D-S-G
42i	PMBFJ112	PHIL	nFET	$V_{DS} < 40 В$, $I_{DSS} > 5 мА$, $P_D > 300 мВт$, $R_{DS(on)} < 50 Ом$	SOT323, SOD23	D-S-G
42W	PMBFJ112	PHIL	nFET	$V_{DS} < 40 В$, $I_{DSS} > 5 мА$, $P_D > 300 мВт$, $R_{DS(on)} < 50 Ом$	SOT323, SOD23	D-S-G
43	BAS40	VISH	shd	$V_{GS} < 40 В$, $I_F < 200 мА$, $V_{F1}(I_F = 40 мА) < 1.0 В$, $I_{B1} < 0.2 мА$, $C_{D1} < 5.0 пФ$, $t_{RR} < 5 нс$	SOT323, SOD23	A-n.c.-K
43	BAS40	DIOT	shd	$V_{GS} < 40 В$, $I_F < 200 мА$, $V_{F1}(I_F = 40 мА) < 1.0 В$, $I_{B1} < 0.2 мА$, $C_{D1} < 5.0 пФ$, $t_{RR} < 5 нс$	SOT323, SOD23	A-n.c.-K
43	BAS40	MCS	shd	$V_{GS} < 40 В$, $I_F < 200 мА$, $V_{F1}(I_F = 40 мА) < 1.0 В$, $I_{B1} < 0.2 мА$, $C_{D1} < 5.0 пФ$, $t_{RR} < 5 нс$	SOT323, SOD23	A-n.c.-K
43	BAS40	TSC	shd	$V_{GS} < 40 В$, $I_F < 200 мА$, $V_{F1}(I_F = 40 мА) < 1.0 В$, $I_{B1} < 0.2 мА$, $C_{D1} < 5.0 пФ$, $t_{RR} < 5 нс$	SOT323, SOD23	A-n.c.-K
43	BAS40	GS	shd	$V_{GS} < 40 В$, $I_F < 200 мА$, $V_{F1}(I_F = 40 мА) < 1.0 В$, $I_{B1} < 0.2 мА$, $C_{D1} < 5.0 пФ$, $t_{RR} < 5 нс$	SOT323, SOD23	A-n.c.-K
43	BAT54CW	PHIL	shd-2	$V_{GS} < 30 В$, $I_F < 200 мА$, $V_{F1}(I_F = 1 мА) < 320 мВ$, $C_{D1} < 10 пФ$, $t_{RR} < 5 нс$	SOT323, SC70	A1-A2-K1, K2
43	DTC143XE	ROHM	Dnpn	$V_{DS} < 50 В$, $I_C < 100 мА$, $P_D > 150 мВт$, $h_{FE} > 30$, $f_T > 250 МГц$, $R_{F1}/R_{F2} > 4.7/10 кОм$	SOT416, SC75A	B-E-C
43	DTC143XKA	ROHM	Dnpn	$V_{DS} < 50 В$, $I_C < 100 мА$, $P_D > 200 мВт$, $h_{FE} > 30$, $f_T > 250 МГц$, $R_{F1}/R_{F2} > 4.7/10 кОм$	SOT346, SC59	B-E-C
43	DTC143XJA	ROHM	Dnpn	$V_{DS} < 50 В$, $I_C < 100 мА$, $P_D > 200 мВт$, $h_{FE} > 30$, $f_T > 250 МГц$, $R_{F1}/R_{F2} > 4.7/10 кОм$	SOT323, SC70	B-E-C
43p	BAS40	INF	shd	$V_{GS} < 40 В$, $I_F < 120 мА$, $V_{F1}(I_F = 1 мА) < 380 мВ$, $C_{D1} < 5 пФ$	SOT323, SOD23	A-n.c.-K
43s	BAS40	INF	shd	$V_{GS} < 40 В$, $I_F < 120 мА$, $V_{F1}(I_F = 40 мА) < 1 В$, $I_{B1} < 1.0 мА$, $C_{D1} < 5 пФ$	SOT323, SOD23	A-n.c.-K
43s	BAS40	SIEM	shd	$V_{GS} < 40 В$, $I_F < 120 мА$, $V_{F1}(I_F = 40 мА) < 1.0 В$, $I_{B1} < 1.0 мА$, $C_{D1} < 5.0 пФ$	SOT323, SOD23	A-n.c.-K
43V	PZM43NB	PHIL	dz	$V_{Z1}(I_Z = 2 мА) = 40.0...46.0 В$, $Z_{T1}(I_Z = 2 мА) < 80 Ом$	SOT346, SC59	A-n.c.-K
43X	C2C243	TOSH	dz	$V_{Z1}(I_Z = 2 мА) = 40.00...45.00 В$, $I_{B1}(V_Z = 33 В) < 0.5 мА$	SOT346, SC59	A-n.c.-K
44	BAS4004	VISH	shd-2	$V_{GS} < 40 В$, $I_F < 200 мА$, $V_{F1}(I_F = 40 мА) < 1.0 В$, $I_{B1} < 0.2 мА$, $C_{D1} < 5.0 пФ$, $t_{RR} < 5 нс$	SOT323, SOD23	A1-K2-K1, A2
44	BAS40-04	DIOT	shd-2	$V_{GS} < 40 В$, $I_F < 200 мА$, $V_{F1}(I_F = 40 мА) < 1 В$, $I_{B1} < 1.0 мА$, $C_{D1} < 5 пФ$, $t_{RR} < 5 нс$	SOT323, SOD23	A1-K2-K1, A2
44	BAS40-04	MCS	shd-2	$V_{GS} < 40 В$, $I_F < 200 мА$, $V_{F1}(I_F = 40 мА) < 1 В$, $I_{B1} < 1.0 мА$, $C_{D1} < 5 пФ$, $t_{RR} < 5 нс$	SOT323, SOD23	A1-K2-K1, A2
44	BAS40-04	TSC	shd-2	$V_{GS} < 40 В$, $I_F < 200 мА$, $V_{F1}(I_F = 40 мА) < 1 В$, $I_{B1} < 1.0 мА$, $C_{D1} < 5 пФ$, $t_{RR} < 5 нс$	SOT323, SOD23	A1-K2-K1, A2
44	BAS40-04	GS	shd-2	$V_{GS} < 40 В$, $I_F < 200 мА$, $V_{F1}(I_F = 40 мА) < 1 В$, $I_{B1} < 1.0 мА$, $C_{D1} < 5 пФ$, $t_{RR} < 5 нс$	SOT323, SOD23	A1-K2-K1, A2
44	BAT54SW	PHIL	shd-2	$V_{GS} < 30 В$, $I_F < 200 мА$, $V_{F1}(I_F = 1 мА) < 320 мВ$, $C_{D1} < 10 пФ$, $t_{RR} < 5 нс$	SOT323, SC70	A1-K2-K1, A2
449	FMMT449	ZETEX	npn	$V_{DS} < 50 В$, $I_C < 100 мА$, $P_D > 500 мВт$, $h_{FE1} > 100...300$, $f_T > 150 МГц$	SOT323, SOD23	B-E-C
44p	BAS4004	PHIL	shd-2	$V_{GS} < 40 В$, $I_F < 120 мА$, $V_{F1}(I_F = 1 мА) < 380 мВ$, $C_{D1} < 5 пФ$	SOT323, SOD23	A1-K2-K1, A2
44s	BAS4004	SIEM	shd-2	$V_{GS} < 40 В$, $I_F < 120 мА$, $V_{F1}(I_F = 40 мА) < 1.0 В$, $I_{B1} < 1.0 мА$, $C_{D1} < 5.0 пФ$	SOT323, SOD23	A1-K2-K1, A2
44s	BAS40-04	INF	shd-2	$V_{GS} < 40 В$, $I_F < 120 мА$, $V_{F1}(I_F = 40 мА) < 1 В$, $I_{B1} < 1.0 мА$, $C_{D1} < 5 пФ$	SOT323, SOD23	A1-K2-K1, A2
44s	BAS40-04	INF	shd-2	$V_{GS} < 40 В$, $I_F < 120 мА$, $V_{F1}(I_F = 40 мА) < 1 В$, $I_{B1} < 1.0 мА$, $C_{D1} < 5 пФ$	SOT323, SOD23	A1-K2-K1, A2
44s	BAS4004W	SIEM	shd-2	$V_{GS} < 40 В$, $I_F < 120 мА$, $V_{F1}(I_F = 15 мА) < 1.0 В$, $I_{B1} < 1.0 мА$, $C_{D1} < 5.0 пФ$	SOT323, SC70	A1-K2-K1, A2
44s	BAS40-04W	INF	shd-2	$V_{GS} < 40 В$, $I_F < 120 мА$, $V_{F1}(I_F = 40 мА) < 1 В$, $I_{B1} < 1.0 мА$, $C_{D1} < 5 пФ$	SOT323, SC70	A1-K2-K1, A2
45	BAS4005	VISH	shd-2	$V_{GS} < 40 В$, $I_F < 200 мА$, $V_{F1}(I_F = 200 мВ)$, $t_{RR} < 5 нс$	SOT323, SOD23	A1-A2-K1, K2
45	DTC124XE	ROHM	Dnpn	$V_{DS} < 50 В$, $I_C < 100 мА$, $P_D > 150 мВт$, $h_{FE} > 68$, $f_T > 250 МГц$, $R_{F1}/R_{F2} > 22/47 кОм$	SOT416, SC75A	B-E-C
45	DTC124XKA	ROHM	Dnpn	$V_{DS} < 50 В$, $I_C < 100 мА$, $P_D > 200 мВт$, $h_{FE} > 68$, $f_T > 250 МГц$, $R_{F1}/R_{F2} > 22/47 кОм$	SOT346, SC59	B-E-C
45	DTC124XJA	ROHM	Dnpn	$V_{DS} < 50 В$, $I_C < 100 мА$, $P_D > 200 мВт$, $h_{FE} > 68$, $f_T > 250 МГц$, $R_{F1}/R_{F2} > 22/47 кОм$	SOT323, SC70	B-E-C
45i	FMMT45i	ZETEX	npn	$V_{DS} < 80 В$, $I_C < 100 мА$, $P_D > 500 мВт$, $h_{FE1} > 50...150$, $f_T > 150 МГц$	SOT323, SOD23	B-E-C
45s	FMMT45SE	ZETEX	npn	$V_{DS} < 160 В$, $I_C < 100 мА$, $P_D > 500 мВт$, $h_{FE1} > 100...300$, $f_T > 100 МГц$	SOT323, SOD23	B-E-C
458	FMMT458	ZETEX	npn	$V_{DS} < 400 В$, $I_C < 225 мА$, $P_D > 500 мВт$, $h_{FE1} > 100...300$, $f_T > 50 МГц$	SOT323, SOD23	B-E-C
459	TMPO459	ALLEG	di	$I_F < 600 мА$, $V_{RR} > 200 В$, $V_{F1}(I_F = 3 мА) < 1.0 В$, $I_{B1} < 25 мА$, $C_{D1} < 6.0 пФ$	SOT323, SOD23	A-n.c.-K
45p	BAS4005	PHIL	shd-2	$V_{GS} < 40 В$, $I_F < 120 мА$, $V_{F1}(I_F = 1 мА) < 380 мВ$, $C_{D1} < 5 пФ$	SOT323, SOD23	A1-K2-K1, K2
45s	BAS4005	SIEM	shd-2	$V_{GS} < 40 В$, $I_F < 120 мА$, $V_{F1}(I_F = 40 мА) < 1.0 В$, $I_{B1} < 1.0 мА$, $C_{D1} < 5.0 пФ$	SOT323, SOD23	A1-A2-K1, A2
45s	BAS40-05	INF	shd-2	$V_{GS} < 40 В$, $I_F < 120 мА$, $V_{F1}(I_F = 40 мА) < 1 В$, $I_{B1} < 1.0 мА$, $C_{D1} < 5 пФ$	SOT323, SOD23	A1-A2-K2, K1
45s	BAS4005W	SIEM	shd-2	$V_{GS} < 40 В$, $I_F < 120 мА$, $V_{F1}(I_F = 15 мА) < 1.0 В$, $I_{B1} < 1.0 мА$, $C_{D1} < 5.0 пФ$	SOT323, SC70	A1-K2-K1, A2
45s	BAS40-05W	INF	shd-2	$V_{GS} < 40 В$, $I_F < 120 мА$, $V_{F1}(I_F = 40 мА) < 1 В$, $I_{B1} < 1.0 мА$, $C_{D1} < 5 пФ$	SOT323, SC70	A1-A2-K2, K1
46	BAS4006	VISH	shd-2	$V_{GS} < 40 В$, $I_F < 200 мА$, $V_{F1}(I_F = 40 мА) < 1.0 В$, $I_{B1} < 0.2 мА$, $C_{D1} < 5.0 пФ$, $t_{RR} < 5 нс$	SOT323, SOD23	K1-K2-A1, A2
46	PDTA114TEF	PHIL	Dnpn	$V_{DS} < 50 В$, $I_C < 100 мА$, $P_D > 200 мВт$, $h_{FE} > 200$, $R_{F1}/R_{F2} > 10 кОм$	SOT490, SC89	B-E-C
46p	BAS4006	PHIL	shd-2	$V_{GS} < 40 В$, $I_F < 120 мА$, $V_{F1}(I_F = 1 мА) < 380 мВ$, $C_{D1} < 5 пФ$	SOT323, SOD23	K1-K2-A1, A2
46s	BAS4006	SIEM	shd-2	$V_{GS} < 40 В$, $I_F < 120 мА$, $V_{F1}(I_F = 40 мА) < 1.0 В$, $I_{B1} < 1.0 мА$, $C_{D1} < 5.0 пФ$	SOT323, SOD23	K1-K2-A1, A2
46s	BAS40-06	INF	shd-2	$V_{GS} < 40 В$, $I_F < 120 мА$, $V_{F1}(I_F = 40 мА) < 1 В$, $I_{B1} < 1.0 мА$, $C_{D1} < 5 пФ$	SOT323, SOD23	K1-K2-A1, A2



SOT23-3 SOT323 SOT416
SOD23-3 SOT346 SOT523



SOT490 TSM VMT3
MFPK TSFP-3 VMD3

Код	Типономинал	Б	Ф	Особенности	Корпус	К: 1•2•3
46s	BAS4036W	SIEM	shd-2	$V_B < 40 В; I_C < 120 мА; V_{CE(sat)} < 1.0 В; I_B < 1.0 мА; C_D < 5.0 пФ$	SOT323, SC70	K1•K2•A1, A2
46s	BAS40-08W	INF	shd-2	$V_B < 40 В; I_C < 120 мА; V_{CE(sat)} < 1 В; I_B < 1.0 мА; C_D < 5 пФ$	SOT323, SC70	K1•K2•A1, A2
47	PDTCT114YK	PHIL	Dnpn	$V_{CE(sat)} < 60 В; I_C < 100 мА; P_D < 200 мВт; h_{FE} > 100; 10 мОм/47 кОм$	SOT346, SC59	B•E•C
47p	PMBFJ113	PHIL	nFET	$V_{DS} < 40 В; I_{DSS} > 2 мА; P_D < 300 мВт; P_{D(sat)} < 100 мВт$	SOT23, SOD23	D•S•G
47t	PMBFJ113	PHIL	nFET	$V_{DS} < 40 В; I_{DSS} > 2 мА; P_D < 300 мВт; P_{D(sat)} < 100 мВт$	SOT23, SOD23	D•S•G
47V	PZM47NB	PHIL	dz	$V_{ZT} < 2 мА; I_Z < 44.00...50.0 В; Z_T(I_Z < 2 мА) < 30 Ом$	SOT346, SC59	A•n.c. • K
47W	PMBFJ113	PHIL	nFET	$V_{DS} < 40 В; I_{DSS} > 2 мА; P_D < 300 мВт; P_{D(sat)} < 100 мВт$	SOT23, SOD23	D•S•G
47X	Q2C247	TOSH	dz	$V_{ZT} < 2 мА; I_Z < 44.00...49.00 В; I_Z(V_Z < 36 В) < 0.5 мкА$	SOT346, SC59	A•n.c. • K
489	FMMT489	ZETEX	npn	$V_{CE(sat)} < 60 В; I_C < 1000 мА; P_D < 500 мВт; h_{FE} > 100...300; f_T > 150 МГц$	SOT23, SOD23	B•E•C
48p	PMBFJ308	PHIL	nFET	$V_{DS} < 25 В; I_{DSS} > 12...60 мА; P_D < 250 мВт; g_{fs} > 10 мСм$	SOT23, SOD23	S•D•G
48t	PMBFJ308	PHIL	nFET	$V_{DS} < 25 В; I_{DSS} > 12...60 мА; P_D < 250 мВт; g_{fs} > 10 мСм$	SOT23, SOD23	S•D•G
48W	PMBFJ308	PHIL	nFET	$V_{DS} < 25 В; I_{DSS} > 12...60 мА; P_D < 250 мВт; g_{fs} > 10 мСм$	SOT23, SOD23	S•D•G
491	FMMT491	ZETEX	npn	$V_{CE(sat)} < 80 В; I_C < 1000 мА; P_D < 500 мВт; h_{FE} > 100...300; f_T > 150 МГц$	SOT23, SOD23	B•E•C
493	FMMT493	ZETEX	npn	$V_{CE(sat)} < 120 В; I_C < 1000 мА; P_D < 500 мВт; h_{FE} > 100...300; f_T > 150 МГц$	SOT23, SOD23	B•E•C
494	FMMT494	ZETEX	npn	$V_{CE(sat)} < 140 В; I_C < 1000 мА; P_D < 500 мВт; h_{FE} > 100...300; f_T > 100 МГц$	SOT23, SOD23	B•E•C
495	FMMT495	ZETEX	npn	$V_{CE(sat)} < 170 В; I_C < 1000 мА; P_D < 500 мВт; h_{FE} > 100...300; f_T > 100 МГц$	SOT23, SOD23	B•E•C
497	FMMT497	ZETEX	npn	$V_{CE(sat)} < 300 В; I_C < 500 мА; P_D < 500 мВт; h_{FE} > 80...300; f_T > 75 МГц$	SOT23, SOD23	B•E•C
49p	PMBFJ309	PHIL	nFET	$V_{DS} < 25 В; I_{DSS} > 12...30 мА; P_D < 250 мВт; g_{fs} > 10 мСм$	SOT23, SOD23	S•D•G
49t	PMBFJ309	PHIL	nFET	$V_{DS} < 25 В; I_{DSS} > 12...30 мА; P_D < 250 мВт; g_{fs} > 10 мСм$	SOT23, SOD23	S•D•G
49W	PMBFJ309	PHIL	nFET	$V_{DS} < 25 В; I_{DSS} > 12...30 мА; P_D < 250 мВт; g_{fs} > 10 мСм$	SOT23, SOD23	S•D•G
4A	BC859A	CDIL	npn	$V_{CE(sat)} < 30 В; I_C < 100 мА; P_D < 310 мВт; h_{FE} > 110...220; f_T > 150 МГц$	SOT23, SOD23	B•E•C
4A	BC859AW	PHIL	npn	$V_{CE(sat)} < 30 В; I_C < 100 мА; P_D < 200 мВт; h_{FE} > 125...250; f_T > 100 МГц$	SOT323, SC70	B•E•C
4A	FMMV109	ZETEX	bcd	$V_A < 30 В; C_{3B} < 26...32 пФ; C_{3B}/C_{25B} < 5...6.5; Q > 250$	SOT23, SOD23	A•n.c. • K
4A	MMBV109	ZETEX	var	$V_A < 30 В; I_C < 200 мА; C_{3B} < 26...32 пФ; C_{3B}/C_{25B} < 5.0...6.5$	SOT23, SOD23	A•n.c. • K
4A3	PZM4.3NB2A	PHIL	dz-2	$V_{ZT} < 5 мА; I_Z < 4.15...4.34 В; Z_T(I_Z < 5 мА) < 80 Ом$	SOT346, SC59	K1•K2•A1, A2
4A7	PZM4.7NB2A	PHIL	dz-2	$V_{ZT} < 5 мА; I_Z < 4.55...4.75 В; Z_T(I_Z < 5 мА) < 80 Ом$	SOT346, SC59	K1•K2•A1, A2
4A0	BC859A	PHIL	npn	$V_{CE(sat)} < 30 В; I_C < 100 мА; P_D < 250 мВт; h_{FE} > 125...250; f_T > 100 МГц$	SOT23, SOD23	B•E•C
4AR	BC859AR	PHIL	npn	$V_{CE(sat)} < 30 В; I_C < 100 мА; P_D < 200 мВт; h_{FE} > 250; f_T > 150 МГц$	SOT23, SOD23	E•B•C
4As	BC859A	SIEM	npn	$V_{CE(sat)} < 30 В; I_C < 100 мА; P_D < 330 мВт; h_{FE} > 125...250; f_T > 250 МГц$	SOT23, SOD23	B•E•C
4As	BC859AW	INF	npn	$V_{CE(sat)} < 30 В; I_C < 100 мА; P_D < 250 мВт; h_{FE} > 125...250; f_T > 250 МГц$	SOT323, SC70	B•E•C
4At	BC859A	PHIL	npn	$V_{CE(sat)} < 30 В; I_C < 100 мА; P_D < 250 мВт; h_{FE} > 125...250; f_T > 100 МГц$	SOT23, SOD23	B•E•C
4B	BC859B	CDIL	npn	$V_{CE(sat)} < 30 В; I_C < 100 мА; P_D < 330 мВт; h_{FE} > 220...475; f_T > 300 МГц$	SOT23, SOD23	B•E•C
4B	BC859B	TOSH	npn	$V_{CE(sat)} < 30 В; I_C < 100 мА; P_D < 150 мВт; h_{FE} > 220...475; f_T > 300 МГц$	SOT23, SOD23	B•E•C
4B	BC859B	ZETEX	npn	$V_{CE(sat)} < 30 В; I_C < 100 мА; P_D < 330 мВт; h_{FE} > 220...475; f_T > 300 МГц$	SOT23, SOD23	B•E•C
4B	BC859B	ITT	npn	$V_{CE(sat)} < 30 В; I_C < 100 мА; P_D < 330 мВт; h_{FE} > 220...475; f_T > 300 МГц$	SOT23, SOD23	B•E•C
4B-	BC859BW	PHIL	npn	$V_{CE(sat)} < 30 В; I_C < 100 мА; P_D < 200 мВт; h_{FE} > 220...475; f_T > 100 МГц$	SOT323, SC70	B•E•C
4Bp	BC859B	PHIL	npn	$V_{CE(sat)} < 30 В; I_C < 100 мА; P_D < 250 мВт; h_{FE} > 220...475; f_T > 100 МГц$	SOT23, SOD23	B•E•C
4BR	BC859BR	PHIL	npn	$V_{CE(sat)} < 30 В; I_C < 100 мА; P_D < 200 мВт; h_{FE} > 475; f_T > 150 МГц$	SOT23, SOD23	E•B•C
4Bs	BC859B	INF	npn	$V_{CE(sat)} < 30 В; I_C < 100 мА; P_D < 330 мВт; h_{FE} > 220...475; f_T > 250 МГц$	SOT323, SC70	B•E•C
4Bs	BC859BW	SIEM	npn	$V_{CE(sat)} < 30 В; I_C < 100 мА; P_D < 250 мВт; h_{FE} > 220...475; f_T > 250 МГц$	SOT323, SC70	B•E•C
4Bt	BC859B	PHIL	npn	$V_{CE(sat)} < 30 В; I_C < 100 мА; P_D < 250 мВт; h_{FE} > 220...475; f_T > 100 МГц$	SOT23, SOD23	B•E•C
4Bt	BC859BW	PHIL	npn	$V_{CE(sat)} < 30 В; I_C < 100 мА; P_D < 200 мВт; h_{FE} > 220...475; f_T > 100 МГц$	SOT323, SC70	B•E•C
4C	BC859C	ITT	npn	$V_{CE(sat)} < 30 В; I_C < 100 мА; P_D < 250 мВт; h_{FE} > 220...475; f_T > 250 МГц$	SOT23, SOD23	B•E•C
4C	BC859C	CDIL	npn	$V_{CE(sat)} < 30 В; I_C < 100 мА; P_D < 330 мВт; h_{FE} > 420...800; f_T > 250 МГц$	SOT23, SOD23	B•E•C
4C	BC859C	TOSH	npn	$V_{CE(sat)} < 30 В; I_C < 100 мА; P_D < 150 мВт; h_{FE} > 420...800; f_T > 300 МГц$	SOT23, SOD23	B•E•C
4C	BC859C	ITT	npn	$V_{CE(sat)} < 30 В; I_C < 100 мА; P_D < 330 мВт; h_{FE} > 420...800; f_T > 300 МГц$	SOT23, SOD23	B•E•C
4C	FMMV3102	ZETEX	bcd	$V_A < 30 В; C_{3B} < 20...25 пФ; C_{3B}/C_{25B} < 4.5; Q > 300$	SOT23, SOD23	A•n.c. • K
4C	MMBV3102	MOT	var	$C_T < 35...35 пФ$	SOT23, SOD23	A•n.c. • K
4C-	BC859CW	PHIL	npn	$V_{CE(sat)} < 30 В; I_C < 100 мА; P_D < 200 мВт; h_{FE} > 420...800; f_T > 100 МГц$	SOT323, SC70	B•E•C
4Cp	BC859C	PHIL	npn	$V_{CE(sat)} < 30 В; I_C < 100 мА; P_D < 250 мВт; h_{FE} > 420...800; f_T > 100 МГц$	SOT23, SOD23	B•E•C
4CR	BC859CR	PHIL	npn	$V_{CE(sat)} < 30 В; I_C < 100 мА; P_D < 200 мВт; h_{FE} > 800; f_T > 150 МГц$	SOT23, SOD23	E•B•C
4Cs	BC859C	INF	npn	$V_{CE(sat)} < 30 В; I_C < 100 мА; P_D < 330 мВт; h_{FE} > 420...800; f_T > 250 МГц$	SOT23, SOD23	B•E•C

**SOT490 TSM
MFPAK TSFP-3**

**VMT3
VMD3**



**SOT416
SOT523**

**SOT323
SOT346**

**SOT23-3
SOD23-3**



Код	Типономинал	Б	Ф	Особенности	Корпус	Ц: 1•2•3
4Cs	BC859CW	INF	опр	$V_{CE0}=30\text{ В}; I_C=100\text{ мА}; P_D=250\text{ мВт}; h_{FE}=420...800; f_T=250\text{ МГц}$	SOT323, SC70	B-E-C
4Ct	BC859C	PHIL	опр	$V_{CE0}=30\text{ В}; I_C=100\text{ мА}; P_D=250\text{ мВт}; h_{FE}=420...800; f_T=100\text{ МГц}$	SOT323, SOD23	B-E-C
4Ct	BC859CW	PHIL	опр	$V_{CE0}=30\text{ В}; I_C=100\text{ мА}; P_D=200\text{ мВт}; h_{FE}=420...800; f_T=100\text{ МГц}$	SOT323, SC70	B-E-C
4D	BC859	CDIL	опр	$V_{CE0}=30\text{ В}; I_C=100\text{ мА}; P_D=250\text{ мВт}; h_{FE}=125...800; f_T=100\text{ МГц}$	SOT323, SOD23	B-E-C
4D	HD3A	ZETEX	нд	$V_{DS}=75\text{ В}; I_D<100\text{ мА}; V_{GS}(I_D=10\text{ мА})<1.0\text{ В}; I_{q1}<1.0\text{ мА}; C_{GS}<4.0\text{ нФ}; f_{TSS}<6\text{ МГц}$	SOT323, SOD23	A-n.c.-K
4D	MMBV3401LT1	ON	опр	$V_{DS}=35\text{ В}; I_{q1}<0.1\text{ мА}; C_{GS}<1\text{ нФ}$	SOT323, SOD23	A-n.c.-K
4D-	BC859W	PHIL	опр	$V_{CE0}=30\text{ В}; I_C=100\text{ мА}; P_D=200\text{ мВт}; h_{FE}=125...800; f_T=100\text{ МГц}$	SOT323, SC70	B-E-C
4Dp	BC859	PHIL	опр	$V_{CE0}=30\text{ В}; I_C=100\text{ мА}; P_D=250\text{ мВт}; h_{FE}=125...800; f_T=100\text{ МГц}$	SOT323, SOD23	B-E-C
4Dt	BC859W	PHIL	опр	$V_{CE0}=30\text{ В}; I_C=100\text{ мА}; P_D=200\text{ мВт}; h_{FE}=125...800; f_T=100\text{ МГц}$	SOT323, SC70	B-E-C
4E	BC850A	CDIL	опр	$V_{CE0}=50\text{ В}; I_C=100\text{ мА}; P_D=250\text{ мВт}; h_{FE}=125...250; f_T=100\text{ МГц}$	SOT323, SOD23	B-E-C
4E	BC850AW	PHIL	опр	$V_{CE0}=50\text{ В}; I_C=100\text{ мА}; P_D=200\text{ мВт}; h_{FE}=125...250; f_T=100\text{ МГц}$	SOT323, SC70	B-E-C
4E	FMMT492	ZETEX	опр	$V_{CE0}=300\text{ В}; I_C=200\text{ мА}; P_D=330\text{ мВт}; h_{FE}>25; f_T>50\text{ МГц}$	SOT323, SOD23	B-E-C
4Er	BC850A	PHIL	опр	$V_{CE0}=50\text{ В}; I_C=100\text{ мА}; P_D=250\text{ мВт}; h_{FE}=125...250; f_T=100\text{ МГц}$	SOT323, SOD23	B-E-C
4ER	BC850AR	PHIL	опр	$V_{CE0}=45\text{ В}; I_C=100\text{ мА}; P_D=200\text{ мВт}; h_{FE}=250; f_T>150\text{ МГц}$	SOT323, SOD23	B-E-C
4Et	BC850A	PHIL	опр	$V_{CE0}=50\text{ В}; I_C=100\text{ мА}; P_D=250\text{ мВт}; h_{FE}=125...250; f_T=100\text{ МГц}$	SOT323, SOD23	B-E-C
4EZ	FMMV105G	ZETEX	нд	$V_{GS}<30\text{ В}; C_{GS}<1.8...2.8\text{ нФ}; C_{3B}/C_{GS}<4...6; Q>350$	SOT323, SOD23	A-n.c.-K
4F	BC850B	CDIL	опр	$V_{CE0}=50\text{ В}; I_C=100\text{ мА}; P_D=330\text{ мВт}; h_{FE}=220...475; f_T=300\text{ МГц}$	SOT323, SOD23	B-E-C
4F	BC850B	ZETEX	опр	$V_{CE0}=50\text{ В}; I_C=100\text{ мА}; P_D=330\text{ мВт}; h_{FE}=220...475; f_T=300\text{ МГц}$	SOT323, SOD23	B-E-C
4F	BC850BW	PHIL	опр	$V_{CE0}=50\text{ В}; I_C=100\text{ мА}; P_D=200\text{ мВт}; h_{FE}=220...475; f_T=100\text{ МГц}$	SOT323, SC70	B-E-C
4Fr	BC850B	PHIL	опр	$V_{CE0}=50\text{ В}; I_C=100\text{ мА}; P_D=250\text{ мВт}; h_{FE}=220...475; f_T=100\text{ МГц}$	SOT323, SOD23	B-E-C
4FR	BC850BR	PHIL	опр	$V_{CE0}=45\text{ В}; I_C=100\text{ мА}; P_D=200\text{ мВт}; h_{FE}=475; f_T>150\text{ МГц}$	SOT323, SOD23	B-E-C
4Fs	BC850B	INF	опр	$V_{CE0}=50\text{ В}; I_C=100\text{ мА}; P_D=330\text{ мВт}; h_{FE}=220...475; f_T=250\text{ МГц}$	SOT323, SOD23	B-E-C
4Fs	BC850BW	INF	опр	$V_{CE0}=50\text{ В}; I_C=100\text{ мА}; P_D=250\text{ мВт}; h_{FE}=220...475; f_T=250\text{ МГц}$	SOT323, SC70	B-E-C
4Ft	BC850B	PHIL	опр	$V_{CE0}=50\text{ В}; I_C=100\text{ мА}; P_D=250\text{ мВт}; h_{FE}=220...475; f_T=100\text{ МГц}$	SOT323, SOD23	B-E-C
4Ft	BC850BW	PHIL	опр	$V_{CE0}=50\text{ В}; I_C=100\text{ мА}; P_D=200\text{ мВт}; h_{FE}=220...475; f_T=100\text{ МГц}$	SOT323, SC70	B-E-C
4G	BC850C	CDIL	опр	$V_{CE0}=50\text{ В}; I_C=100\text{ мА}; P_D=250\text{ мВт}; h_{FE}=420...800; f_T=100\text{ МГц}$	SOT323, SOD23	B-E-C
4G	FMMT2484	ZETEX	нрн	$V_{CE0}=60\text{ В}; I_C=50\text{ мА}; P_D=330\text{ мВт}; h_{FE}=100...500$	SOT323, SOD23	B-E-C
4G-	BC850CW	PHIL	опр	$V_{CE0}=50\text{ В}; I_C=100\text{ мА}; P_D=200\text{ мВт}; h_{FE}=420...800; f_T=100\text{ МГц}$	SOT323, SC70	B-E-C
4Go	BC850C	PHIL	опр	$V_{CE0}=50\text{ В}; I_C=100\text{ мА}; P_D=250\text{ мВт}; h_{FE}=420...800; f_T=100\text{ МГц}$	SOT323, SOD23	B-E-C
4GR	BC850CR	PHIL	опр	$V_{CE0}=45\text{ В}; I_C=100\text{ мА}; P_D=200\text{ мВт}; h_{FE}=800; f_T>150\text{ МГц}$	SOT323, SOD23	B-E-C
4Gs	BC850CW	INF	нрн	$V_{CE0}=50\text{ В}; I_C=100\text{ мА}; P_D=250\text{ мВт}; h_{FE}=420...800; f_T=250\text{ МГц}$	SOT323, SC70	B-E-C
4Gs	BC850C	INF	опр	$V_{CE0}=50\text{ В}; I_C=100\text{ мА}; P_D=330\text{ мВт}; h_{FE}=420...800; f_T=250\text{ МГц}$	SOT323, SOD23	B-E-C
4Gs	BC850CW	INF	опр	$V_{CE0}=50\text{ В}; I_C=100\text{ мА}; P_D=250\text{ мВт}; h_{FE}=420...800; f_T=250\text{ МГц}$	SOT323, SC70	B-E-C
4Gt	BC850C	PHIL	опр	$V_{CE0}=50\text{ В}; I_C=100\text{ мА}; P_D=250\text{ мВт}; h_{FE}=420...800; f_T=100\text{ МГц}$	SOT323, SOD23	B-E-C
4Gt	BC850CW	PHIL	опр	$V_{CE0}=50\text{ В}; I_C=100\text{ мА}; P_D=200\text{ мВт}; h_{FE}=420...800; f_T=100\text{ МГц}$	SOT323, SC70	B-E-C
4GZ	BC850C	ZETEX	опр	$V_{CE0}=50\text{ В}; I_C=100\text{ мА}; P_D=330\text{ мВт}; h_{FE}=420...800; f_T=300\text{ МГц}$	SOT323, SOD23	B-E-C
4H	BC850	CDIL	опр	$V_{CE0}=50\text{ В}; I_C=100\text{ мА}; P_D=250\text{ мВт}; h_{FE}=125...800; f_T=100\text{ МГц}$	SOT323, SOD23	B-E-C
4H	MMBV2103LT1	MOT	вар	$V_{DS}>30\text{ В}; I_D=200\text{ мА}; C_{GS}<9...11\text{ нФ}; C_{2B}/C_{GS}<2.5...3.2$	SOT323, SOD23	A-n.c.-K
4H-	BC850W	PHIL	опр	$V_{CE0}=50\text{ В}; I_C=100\text{ мА}; P_D=200\text{ мВт}; h_{FE}=125...800; f_T=100\text{ МГц}$	SOT323, SC70	B-E-C
4Hp	BC850	PHIL	опр	$V_{CE0}=50\text{ В}; I_C=100\text{ мА}; P_D=250\text{ мВт}; h_{FE}=125...800; f_T=100\text{ МГц}$	SOT323, SOD23	B-E-C
4Ht	BC850	PHIL	опр	$V_{CE0}=50\text{ В}; I_C=100\text{ мА}; P_D=250\text{ мВт}; h_{FE}=125...800; f_T=100\text{ МГц}$	SOT323, SOD23	B-E-C
4Ht	BC850W	PHIL	опр	$V_{CE0}=50\text{ В}; I_C=100\text{ мА}; P_D=200\text{ мВт}; h_{FE}=125...800; f_T=100\text{ МГц}$	SOT323, SC70	B-E-C
4J	FMMT388A	ZETEX	нрн	$V_{CE0}=80\text{ В}; I_C=300\text{ мА}; P_D=330\text{ мВт}; h_{FE}>500$	SOT323, SOD23	B-E-C
4J	MMBV2103LT1	MOT	вар	$V_{DS}>30\text{ В}; I_D=200\text{ мА}; C_{GS}<29.7...36.3\text{ нФ}; C_{2B}/C_{GS}<2.5...3.2$	SOT323, SOD23	A-n.c.-K
4M	MMBD101	MOT	шд	$V_{DS}<4\text{ В}; V_{GS}(I_D=10\text{ мА})<0.6\text{ В}; I_{q1}<0.25\text{ мА}; C_{GS}<1\text{ нФ}$	SOT323, SOD23	A-n.c.-K
4Ms	BAT240A	INF	шд-2	$V_{DS}=240\text{ В}; I_C=400\text{ мА}; V_{GS}(I_D=50\text{ мА})<470\text{ мВ}; C_{GS}<11.5\text{ нФ}$	SOT323, SOD23	K1-A2-K2-A1
4P	FMMT2307R	ZETEX	опр	$V_{CE0}=60\text{ В}; I_C=600\text{ мА}; P_D=330\text{ мВт}; h_{FE}=100...300; f_T>200\text{ МГц}$	SOT323, SOD23	B-E-C
4R	MMBV3700LT1	ON	опр	$V_{DS}=200\text{ В}; I_{q1}<0.1\text{ мА}; C_{GS}<1\text{ нФ}$	SOT323, SOD23	A-n.c.-K
4T	MMBD301LT1	ON	шд	$V_{DS}>30\text{ В}; V_{GS}(I_D=10\text{ мА})<0.6\text{ В}; C_{GS}<1.5\text{ нФ}$	SOT323, SOD23	A-n.c.-K
4U	MMBV2103LT1	MOT	вар	$V_{DS}>30\text{ В}; I_D=200\text{ мА}; C_{GS}<13.5...16.5\text{ нФ}; C_{2B}/C_{GS}<2.5...3.2$	SOT323, SOD23	A-n.c.-K
4V	BCWR54P	ZETEX	нрн	$V_{CE0}=60\text{ В}; I_C=800\text{ мА}; P_D=330\text{ мВт}; h_{FE}=100...250; f_T>100\text{ МГц}$	SOT323, SOD23	B-E-C
4V	MMBV2103LT1	MOT	вар	$V_{DS}>30\text{ В}; I_D=200\text{ мА}; C_{GS}<23.0...25.3\text{ нФ}$	SOT323, SOD23	A-n.c.-K



SOT23-3
SOD23-3

SOT323
SOT346

SOT416
SOT523



SOT490
MFPK

TESM
TSFP-3

VMT3
VMD3

Код	Типономинал	Б	Ф	Особенности	Корпус	Ц: 1+2+3
4V3	PZM4.3NB	PHIL	dz	$V_{d(L_{21}}-5\text{ мА})=4.01...4.48\text{ В}$, $Z_{\pi(L_{21}}+5\text{ мА}) < 90\text{ Ом}$	SOT346, SC59	A-n.c.-K
4V7	PZM4.7NB	PHIL	dz	$V_{d(L_{21}}-5\text{ мА})=4.42...4.90\text{ В}$, $Z_{\pi(L_{21}}+5\text{ мА}) < 80\text{ Ом}$	SOT346, SC59	A-n.c.-K
4W	BCW67AR	ZETEX	npnp	$V_{CE0}=45\text{ В}$, $I_C=800\text{ мА}$, $P_D=330\text{ мВт}$, $\eta_{21}=100...250$, $f_T > 100\text{ МГц}$	SOT23, SOD23	B-E-C
4W	MMBV210LT1	MOT	var	$V_B > 30\text{ В}$, $I_C=200\text{ мА}$, $C_{d0}=19.8...24.2\text{ нФ}$, $C_{29/C_{30}} > 2.5...3.2$	SOT23, SOD23	A-n.c.-K
4X	MMBV210BLT1	MOT	var	$V_B > 30\text{ В}$, $I_C=200\text{ мА}$, $C_{d0}=24.3...29.7\text{ нФ}$, $C_{29/C_{30}} > 2.5...3.2$	SOT23, SOD23	A-n.c.-K
4Y	MMBV210GLT1	MOT	var	$V_B > 30\text{ В}$, $C_1=8.2\text{ нФ}$, $C_{29/C_{30}} > 2.5...3.2$	SOT23, SOD23	A-n.c.-K
4Z	MMBV210ALT1	MOT	var	$V_B > 30\text{ В}$, $I_C=200\text{ мА}$, $C_{29/C_{30}} > 2.5...3.2$	SOT23, SOD23	A-n.c.-K
5 IX	02C25.1	TOSH	dz	$V_{d(L_{21}}-5\text{ мА})=4.80...5.40\text{ В}$, $I_1(V_{B1}=1.5\text{ В}) < 1\text{ мА}$, $Z_{\pi(L_{21}}+0.5\text{ мА}) < 1000\text{ Ом}$	SOT346, SC59	A-n.c.-K
5 6X	02C25.6	TOSH	dz	$V_{d(L_{21}}-5\text{ мА})=5.30...6.00\text{ В}$, $I_1(V_{B1}=2.5\text{ В}) < 1\text{ мА}$, $Z_{\pi(L_{21}}+0.5\text{ мА}) < 900\text{ Ом}$	SOT346, SC59	A-n.c.-K
50	PDTA143EEF	PHIL	Dnpnp	$V_{CE0}=50\text{ В}$, $I_C=100\text{ мА}$, $P_D=250\text{ мВт}$, $\eta_{21} > 30$, $4.7\text{ кОм}/4.7\text{ кОм}$	SOT490, SC89	B-E-C
50p	PMBFJ310	PHIL	nFET	$V_{DS}=25\text{ В}$, $I_{DSS}=24...60\text{ мА}$, $P_D=250\text{ мВт}$, $g_{fs} > 10\text{ мСм}$	SOT23, SOD23	S-D-G
50t	PMBFJ310	PHIL	nFET	$V_{DS}=25\text{ В}$, $I_{DSS}=24...60\text{ мА}$, $P_D=250\text{ мВт}$, $g_{fs} > 10\text{ мСм}$	SOT23, SOD23	S-D-G
50W	PMBFJ310	PHIL	nFET	$V_{DS}=25\text{ В}$, $I_{DSS}=24...60\text{ мА}$, $P_D=250\text{ мВт}$, $g_{fs} > 10\text{ мСм}$	SOT23, SOD23	S-D-G
51	PDTA143EEF	PHIL	Dnpnp	$V_{CE0}=50\text{ В}$, $I_C=100\text{ мА}$, $P_D=250\text{ мВт}$, $\eta_{21} > 30$, $4.7\text{ кОм}/4.7\text{ кОм}$	SOT490, SC89	B-E-C
517	FMMT5517	ZETEX	npnp	$V_{CE0}=350\text{ В}$, $I_C=500\text{ мА}$, $P_D=330\text{ мВт}$, $\eta_{21}=30...200$, $f_T > 50\text{ МГц}$	SOT23, SOD23	B-E-C
51V	PZM51NB	PHIL	dz	$V_{d(L_{21}}-2\text{ мА})=48.0...54.0\text{ В}$, $Z_{\pi(L_{21}}+2\text{ мА}) < 110\text{ Ом}$	SOT346, SC59	A-n.c.-K
52	DTA123YE	ROHM	Dnpnp	$V_{CE0}=50\text{ В}$, $I_C=100\text{ мА}$, $P_D=150\text{ мВт}$, $\eta_{21} > 33$, $f_T > 250\text{ МГц}$, $R_1/R_2 \geq 2/2/10\text{ кОм}$	SOT416, SC75A	B-E-C
52	DTA123YKA	ROHM	Dnpnp	$V_{CE0}=50\text{ В}$, $I_C=100\text{ мА}$, $P_D=200\text{ мВт}$, $\eta_{21} > 33$, $f_T > 250\text{ МГц}$, $R_1/R_2 \geq 2/2/10\text{ кОм}$	SOT346, SC59	B-E-C
52	DTA123YUA	ROHM	Dnpnp	$V_{CE0}=50\text{ В}$, $I_C=500\text{ мА}$, $P_D=200\text{ мВт}$, $\eta_{21} > 56$, $f_T > 250\text{ МГц}$, $R_1/R_2 \geq 2/2/10\text{ кОм}$	SOT323, SC70	B-E-C
52	PDTA143ZEF	PHIL	Dnpnp	$V_{CE0}=50\text{ В}$, $I_C=100\text{ мА}$, $P_D=250\text{ мВт}$, $\eta_{21} > 100$, $4.7\text{ кОм}/4.7\text{ кОм}$	SOT490, SC89	B-E-C
520	FMMT5520	ZETEX	npnp	$V_{CE0}=350\text{ В}$, $I_C=500\text{ мА}$, $P_D=330\text{ мВт}$, $\eta_{21}=30...200$, $f_T > 50\text{ МГц}$	SOT23, SOD23	B-E-C
53	BAT17	SIEM	shd-2	$V_B < 4\text{ В}$, $I_C < 30\text{ мА}$, $V_{d(L_{21}}-10\text{ мА}) < 0.6\text{ В}$, $I_B < 0.25\text{ мА}$, $C_D < 1\text{ нФ}$	SOT23, SOD23	A-n.c.-K
53	BAT17W	SIEM	shd-2	$V_B < 4\text{ В}$, $I_C < 130\text{ мА}$, $V_{d(L_{21}}-10\text{ мА}) < 0.6\text{ В}$, $I_B < 0.25\text{ мА}$, $C_D < 0.75\text{ нФ}$	SOT323, SC70	A-n.c.-K
53	PDTA143ZEF	PHIL	Dnpnp	$V_{CE0}=50\text{ В}$, $I_C=100\text{ мА}$, $P_D=250\text{ мВт}$, $\eta_{21} > 100$, $4.7\text{ кОм}/4.7\text{ кОм}$	SOT490, SC89	B-E-C
53s	BAT17	INF	shd-2	$V_B < 4\text{ В}$, $I_C < 130\text{ мА}$, $V_{d(L_{21}}-1\text{ мА}) < 450\text{ мВ}$, $C_D < 1\text{ нФ}$	SOT23, SOD23	A-n.c.-C
53s	BAT17W	INF	shd-2	$V_B < 4\text{ В}$, $I_C < 130\text{ мА}$, $V_{d(L_{21}}-10\text{ мА}) < 0.6\text{ В}$, $I_B < 0.25\text{ мА}$, $C_D < 0.75\text{ нФ}$	SOT323, SC70	A-n.c.-K
54	BAT1704	SIEM	shd-2	$V_B < 4\text{ В}$, $I_C < 130\text{ мА}$, $V_{d(L_{21}}-10\text{ мА}) < 0.6\text{ В}$, $I_B < 0.25\text{ мА}$, $C_D < 1\text{ нФ}$	SOT23, SOD23	A1-K2-K1, A2
54	BAT1704W	SIEM	shd-2	$V_B < 4\text{ В}$, $I_C < 130\text{ мА}$, $V_{d(L_{21}}-10\text{ мА}) < 0.6\text{ В}$, $I_B < 0.25\text{ мА}$, $C_D < 0.75\text{ нФ}$	SOT323, SC70	A1-K2-K1, A2
54	DTA114YE	ROHM	Dnpnp	$V_{CE0}=50\text{ В}$, $I_C=100\text{ мА}$, $P_D=150\text{ мВт}$, $\eta_{21} > 68$, $f_T > 250\text{ МГц}$, $R_1/R_2 \geq 10/4.7\text{ кОм}$	SOT416, SC75A	B-E-C
54	DTA114YKA	ROHM	Dnpnp	$V_{CE0}=50\text{ В}$, $I_C=100\text{ мА}$, $P_D=200\text{ мВт}$, $\eta_{21} > 68$, $f_T > 250\text{ МГц}$, $R_1/R_2 \geq 10/4.7\text{ кОм}$	SOT346, SC59	B-E-C
54	DTA114YUA	ROHM	Dnpnp	$V_{CE0}=50\text{ В}$, $I_C=100\text{ мА}$, $P_D=200\text{ мВт}$, $\eta_{21} > 68$, $f_T > 250\text{ МГц}$, $R_1/R_2 \geq 10/4.7\text{ кОм}$	SOT323, SC70	B-E-C
54	PDTA114YK	PHIL	Dnpnp	$V_{CE0}=50\text{ В}$, $I_C=100\text{ мА}$, $P_D=200\text{ мВт}$, $\eta_{21} > 100$, $10\text{ кОм}/4.7\text{ кОм}$	SOT346, SC59	B-E-C
54	PDTA143XEF	PHIL	Dnpnp	$V_{CE0}=50\text{ В}$, $I_C=100\text{ мА}$, $P_D=250\text{ мВт}$, $\eta_{21} > 50$, $4.7\text{ кОм}/10\text{ кОм}$	SOT490, SC89	B-E-C
549	FMMT549	ZETEX	npnp	$V_{CE0}=35\text{ В}$, $I_C=1000\text{ мА}$, $P_D=500\text{ мВт}$, $\eta_{21}=100...300$, $f_T > 100\text{ МГц}$	SOT23, SOD23	B-E-C
54s	BAT17-04	INF	shd-2	$V_B < 4\text{ В}$, $I_C < 130\text{ мА}$, $V_{d(L_{21}}-1\text{ мА}) < 450\text{ мВ}$, $C_D < 1\text{ нФ}$	SOT23, SOD23	A1-K2-K1, A2
54s	BAT17-04W	INF	shd-2	$V_B < 4\text{ В}$, $I_C < 130\text{ мА}$, $V_{d(L_{21}}-10\text{ мА}) < 0.6\text{ В}$, $I_B < 0.25\text{ мА}$, $C_D < 0.75\text{ нФ}$	SOT323, SC70	A1-K2-K1, A2
55	BAT1705	SIEM	shd-2	$V_B < 4\text{ В}$, $I_C < 130\text{ мА}$, $V_{d(L_{21}}-10\text{ мА}) < 0.6\text{ В}$, $I_B < 0.25\text{ мА}$, $C_D < 1\text{ нФ}$	SOT23, SOD23	A1-A2-K1, K2
55	BAT1705W	SIEM	shd-2	$V_B < 4\text{ В}$, $I_C < 130\text{ мА}$, $V_{d(L_{21}}-10\text{ мА}) < 0.6\text{ В}$, $I_B < 0.25\text{ мА}$, $C_D < 0.75\text{ нФ}$	SOT323, SC70	A1-A2-K1, K2
551	FMMT551	ZETEX	npnp	$V_{CE0}=80\text{ В}$, $I_C=1000\text{ мА}$, $P_D=500\text{ мВт}$, $\eta_{21}=50...150$, $f_T > 150\text{ МГц}$	SOT23, SOD23	B-E-C
555	FMMT555	ZETEX	npnp	$V_{CE0}=160\text{ В}$, $I_C=1000\text{ мА}$, $P_D=500\text{ мВт}$, $\eta_{21}=50...300$, $f_T > 100\text{ МГц}$	SOT23, SOD23	B-E-C
558	FMMT558	ZETEX	npnp	$V_{CE0}=400\text{ В}$, $I_C=150\text{ мА}$, $P_D=500\text{ мВт}$, $\eta_{21}=100...300$, $f_T > 50\text{ МГц}$	SOT23, SOD23	B-E-C
55s	BAT17-05	INF	shd-2	$V_B < 4\text{ В}$, $I_C < 130\text{ мА}$, $V_{d(L_{21}}-1\text{ мА}) < 450\text{ мВ}$, $C_D < 1\text{ нФ}$	SOT23, SOD23	A1-A2-K1, K2
55s	BAT17-05W	INF	shd-2	$V_B < 4\text{ В}$, $I_C < 130\text{ мА}$, $V_{d(L_{21}}-1\text{ мА}) < 450\text{ мВ}$, $C_D < 1\text{ нФ}$	SOT323, SC70	A1-A2-K1, K2
56	BAT1708	SIEM	shd-2	$V_B < 4\text{ В}$, $I_C < 130\text{ мА}$, $V_{d(L_{21}}-10\text{ мА}) < 0.6\text{ В}$, $I_B < 0.25\text{ мА}$, $C_D < 1\text{ нФ}$	SOT23, SOD23	K1-K2-A1, A2
56	BAT1706W	SIEM	shd-2	$V_B < 4\text{ В}$, $I_C < 130\text{ мА}$, $V_{d(L_{21}}-10\text{ мА}) < 0.6\text{ В}$, $I_B < 0.25\text{ мА}$, $C_D < 0.75\text{ нФ}$	SOT323, SC70	K1-K2-A1, A2
56s	BAT17-06	INF	shd-2	$V_B < 4\text{ В}$, $I_C < 130\text{ мА}$, $V_{d(L_{21}}-10\text{ мА}) < 0.6\text{ В}$, $I_B < 0.25\text{ мА}$, $C_D < 1\text{ нФ}$	SOT23, SOD23	K1-K2-A1, A2
56s	BAT17-06W	INF	shd-2	$V_B < 4\text{ В}$, $I_C < 130\text{ мА}$, $V_{d(L_{21}}-10\text{ мА}) < 0.6\text{ В}$, $I_B < 0.25\text{ мА}$, $C_D < 0.75\text{ нФ}$	SOT323, SC70	K1-K2-A1, A2
56V	PZM56NB	PHIL	dz	$V_{d(L_{21}}-2\text{ мА})=52.0...60.0\text{ В}$, $Z_{\pi(L_{21}}+2\text{ мА}) < 120\text{ Ом}$	SOT346, SC59	A-n.c.-K
576	FMMT576	ZETEX	npnp	$V_{CE0}=200\text{ В}$, $I_C=1000\text{ мА}$, $P_D=500\text{ мВт}$, $\eta_{21}=50...300$, $f_T > 100\text{ МГц}$	SOT23, SOD23	B-E-C

**SOT490 TSM
MFPAK TSFP-3**

VMT3 VMD3



SOT416 SOT523

SOT323 SOT346 SOT23-3 SOD23-3



Код	Типономинал	Б	Ф	Особенности	Корпус	Ц: 1•2•3
589	FMM7589	ZETEX	онр	$V_{DS0}=50 В; I_C=1000 мА; P_D=500 мВт; h_{FE}=100...300; f_T>100 МГц$	SOT23, SOD23	B-E-C
591	DTA114YE	MOT	онр	$V_{DS0}=50 В; I_C=100 мА; P_D=150 мВт; h_{FE}>68; f_T>250 МГц; P_{1,2}=10/47 кОм$	SOT416, SC75A	B-E-C
591	FMM7591	ZETEX	онр	$V_{DS0}=80 В; I_C=1000 мА; P_D=500 мВт; h_{FE}=100...300; f_T>150 МГц$	SOT23, SOD23	B-E-C
593	FMM7593	ZETEX	онр	$V_{DS0}=120 В; I_C=1000 мА; P_D=500 мВт; h_{FE}=100...300; f_T>50 МГц$	SOT23, SOD23	B-E-C
596	FMM7596	ZETEX	онр	$V_{DS0}=220 В; I_C=300 мА; P_D=500 мВт; h_{FE}=85...300; f_T>150 МГц$	SOT23, SOD23	B-E-C
597	FMM7597	ZETEX	онр	$V_{DS0}=300 В; I_C=200 мА; P_D=500 мВт; h_{FE}=100...300; f_T>75 МГц$	SOT23, SOD23	B-E-C
59A	FMM7549A	ZETEX	онр	$V_{DS0}=35 В; I_C=1000 мА; P_D=500 мВт; h_{FE}=150...500; f_T>100 МГц$	SOT23, SOD23	B-E-C
5A	BC807-16	CDIL	онр	$V_{DS0}=45 В; I_C=500 мА; P_D=250 мВт; h_{FE}=100...250; f_T>80 МГц$	SOT23, SOD23	B-E-C
5A	BC807-16LT1	MOT	онр	$V_{DS0}=50 В; I_C=500 мА; P_D=300 мВт; h_{FE}=100...250; f_T>200 МГц$	SOT23, SOD23	B-E-C
5A	BC807-16W	PHIL	онр	$V_{DS0}=50 В; I_C=500 мА; P_D=200 мВт; h_{FE}=100...250; f_T>80 МГц$	SOT323, SC70	B-E-C
5A	BSS123	MOT	nMOS	$V_{GS0}=100 В; I_D=170 мА; P_D=330 мВт; g_{fs}=90 мСм; P_{DS0(25)}=140 мВт$	SOT23, SOD23	G-S-D
5A	FMMD6050	ZETEX	фд	$V_{GS}<70 В; I_D<200 мА; V_{DS}(I_D=100 мА)<1.1 В; I_{R1}<0.1 мА; C_{GS}<2.5 нФ; t_{RR}<5 нс$	SOT23, SOD23	A-n-c-K
5A	MMB6060SLT1	MOT	di	$V_{GS}>70 В; I_D<200 мА; V_{DS}(I_D=100 мА)<1.1 В; C_{GS}<2.5 нФ; t_{RR}<4 нс$	SOT23, SOD23	A-n-c-K
5A1	PZM5.1NB2A	PHIL	dz-2	$V_{Z1(I_T=5 мА)}=4.38...5.20 В; Z_{TH(I_T=5 мА)}<60 Ом$	SOT346, SC59	K1-K2-A1, A2
5A6	MMBZ596AL	ON	dz-2	$V_{Z1(I_T=1 мА)}=5.32...5.88 В; V_{Z1(I_T=10 мА)}<0.9 В$	SOT23, SOD23	K1-K2-A1, A2
5A6	PZM5.6NB2A	PHIL	dz-2	$V_{Z1(I_T=5 мА)}=4.49...5.73 В; Z_{TH(I_T=5 мА)}<40 Ом$	SOT346, SC59	K1-K2-A1, A2
5Ap	BC807-16	PHIL	онр	$V_{DS0}=45 В; I_C=500 мА; P_D=250 мВт; h_{FE}=100...250; f_T>80 МГц$	SOT23, SOD23	B-E-C
5AR	BC807-16R	PHIL	онр	$V_{DS0}=50 В; I_C=500 мА; P_D=250 мВт; h_{FE}>250; f_T>100 МГц$	SOT23, SOD23	E-B-C
5As	BC807-16	SIEM	онр	$V_{DS0}=50 В; I_C=500 мА; P_D=230 мВт; h_{FE}=100...250; f_T>200 МГц$	SOT23, SOD23	B-E-C
5As	BC807-16W	SIEM	онр	$V_{DS0}=50 В; I_C=500 мА; P_D=250 мВт; h_{FE}=100...250; f_T>200 МГц$	SOT323, SC70	B-E-C
5AZ	BC807-16	ZETEX	онр	$V_{DS0}=50 В; I_C=500 мА; P_D=330 мВт; h_{FE}=100...250; f_T>100 МГц$	SOT23, SOD23	B-E-C
5B	BC80725	CDIL	онр	$V_{DS0}=45 В; I_C=500 мА; P_D=250 мВт; h_{FE}=160...400; f_T>80 МГц$	SOT23, SOD23	B-E-C
5B	BC807-25	STM	онр	$V_{DS0}=50 В; I_C=500 мА; P_D=250 мВт; h_{FE}=160...400; f_T>80 МГц$	SOT23, SOD23	B-E-C
5B	BC80725LT1	MOT	онр	$V_{DS0}=50 В; I_C=500 мА; P_D=300 мВт; h_{FE}=160...400; f_T>200 МГц$	SOT23, SOD23	B-E-C
5B	BC80725W	PHIL	онр	$V_{DS0}=50 В; I_C=500 мА; P_D=200 мВт; h_{FE}=160...400; f_T>80 МГц$	SOT323, SC70	B-E-C
5B	FMMD6100	ZETEX	фд-2	$V_{GS}<70 В; I_D<200 мА; V_{DS}(I_D=100 мА)<1.1 В; I_{R1}<0.1 мА; C_{GS}<2.5 нФ; t_{RR}<5 нс$	SOT23, SOD23	A1-A2-K1, K2
5B	KST4123	SAMS	нрп	$V_{DS0}=40 В; I_C=200 мА; P_D=350 мВт; h_{FE}=50...150; f_T>250 МГц$	SOT23, SOD23	B-E-C
5B	MMB74123	SAMS	нрп	$V_{DS0}=40 В; I_C=200 мА; P_D=350 мВт; h_{FE}=50...150$	SOT23, SOD23	B-E-C
5B	MMB74123	MOT	нрп	$V_{DS0}=40 В; I_C=200 мА; P_D=350 мВт; h_{FE}=50...150$	SOT23, SOD23	B-E-C
5BM	MMB6061COLT1	MOT	di-2	$V_{GS}>70 В; I_D<200 мА; V_{DS}(I_D=100 мА)<1.1 В; C_{GS}<2.5 нФ; t_{RR}<4 нс$	SOT23, SOD23	A1-A2-K1, K2
5Bp	BC80725	PHIL	онр	$V_{DS0}=45 В; I_C=500 мА; P_D=250 мВт; h_{FE}=160...400; f_T>80 МГц$	SOT23, SOD23	B-E-C
5Bs	BC80725	SIEM	онр	$V_{DS0}=50 В; I_C=500 мА; P_D=230 мВт; h_{FE}=160...400; f_T>200 МГц$	SOT23, SOD23	B-E-C
5Bs	BC80725W	SIEM	онр	$V_{DS0}=50 В; I_C=500 мА; P_D=250 мВт; h_{FE}=160...400; f_T>200 МГц$	SOT323, SC70	B-E-C
5Bt	BC80725	PHIL	онр	$V_{DS0}=45 В; I_C=500 мА; P_D=250 мВт; h_{FE}=160...400; f_T>80 МГц$	SOT23, SOD23	B-E-C
5BZ	BC80725	ZETEX	онр	$V_{DS0}=50 В; I_C=500 мА; P_D=330 мВт; h_{FE}=160...400; f_T>100 МГц$	SOT23, SOD23	B-E-C
5C	BAT54CLT1	ON	shd-2	$V_{GS}<30 В; I_D<200 мА; V_{DS}(I_D=30 мА)<500 мВ; t_{RR}<5 нс$	SOT23, SOD23	A1-A2-K1, K2
5C	BC807-40	CDIL	онр	$V_{DS0}=50 В; I_C=500 мА; P_D=330 мВт; h_{FE}=250...630; f_T>200 МГц$	SOT23, SOD23	B-E-C
5C	BC807-40	STM	онр	$V_{DS0}=50 В; I_C=500 мА; P_D=250 мВт; h_{FE}=250...600; f_T>100 МГц$	SOT23, SOD23	B-E-C
5C	BC80740LT1	MOT	онр	$V_{DS0}=50 В; I_C=500 мА; P_D=300 мВт; h_{FE}=250...600; f_T>200 МГц$	SOT23, SOD23	B-E-C
5C	BC807-40W	PHIL	онр	$V_{DS0}=50 В; I_C=500 мА; P_D=200 мВт; h_{FE}=250...600; f_T>80 МГц$	SOT323, SC70	B-E-C
5C	FMMD7000	ZETEX	фд-2	$V_{GS}<70 В; I_D<200 мА; V_{DS}(I_D=100 мА)<1.1 В; I_{R1}<0.3 мА; C_{GS}<2.5 нФ; t_{RR}<15 нс$	SOT23, SOD23	A1-K2-K1, A2
5Cp	BC807-40	PHIL	онр	$V_{DS0}=45 В; I_C=500 мА; P_D=250 мВт; h_{FE}=250...600; f_T>80 МГц$	SOT23, SOD23	B-E-C
5CR	BC807-40R	PHIL	онр	$V_{DS0}=50 В; I_C=500 мА; P_D=310 мВт; h_{FE}=2600; f_T>100 МГц$	SOT23, SOD23	B-E-C
5Cs	BC807-40	SIEM	онр	$V_{DS0}=50 В; I_C=500 мА; P_D=330 мВт; h_{FE}=250...630; f_T>200 МГц$	SOT23, SOD23	B-E-C
5Cs	BC807-40W	INF	онр	$V_{DS0}=50 В; I_C=500 мА; P_D=250 мВт; h_{FE}=250...630; f_T>200 МГц$	SOT323, SC70	B-E-C
5CZ	BC807-40	ZETEX	онр	$V_{DS0}=50 В; I_C=500 мА; P_D=330 мВт; h_{FE}=250...600; f_T>100 МГц$	SOT23, SOD23	B-E-C
5D	BC807	CDIL	онр	$V_{DS0}=45 В; I_C=500 мА; P_D=250 мВт; h_{FE}=100...600; f_T>80 МГц$	SOT23, SOD23	B-E-C
5D	BC807W	PHIL	онр	$V_{DS0}=50 В; I_C=500 мА; P_D=200 мВт; h_{FE}=100...600; f_T>80 МГц$	SOT323, SC70	B-E-C
5D	DAN21N3	CYS	di	$V_{GS}<70 В; I_D<200 мА; P_D<250 мВт; V_{DS}(I_D=150 мА)<1.25 В; t_{RR}<4 нс$	SOT23, SOD23	A-n-c-K



SOT23-3
SOD23-3

SOT323
SOT346

SOT416
SOT523



SOT490
MFPK

TESM
TSFP-3

VMT3
VMD3

Код	Типономинал	Б	Ф	Особенности	Корпус	Ц: 1+2+3
5D	FM/D914	ZETEX	fid	$V_B < 75 В$; $I_C < 225 мА$; $V_{CE}(I_C = 10 мА) < 1.0 В$; $I_{BQ} < 0.025 мА$; $C_D < 4.0 нФ$; $t_{BQ} < 8 нс$	SOT23, SOD23	A-n.c.-K
5D	HD2A	ZETEX	fid-2	$V_B < 35 В$; $I_C < 100 мА$; $V_{CE}(I_C = 10 мА) < 1.0 В$; $I_{BQ} < 1.0 мА$; $C_D < 4.0 нФ$; $t_{BQ} < 6 нс$	SOT23, SOD23	A1-A2-K1,K2
5D	MMBD914LT1	MOT	di	$V_B > 100 В$; $I_C < 200 мА$; $V_{CE}(I_C = 10 мА) < 1 В$; $C_D < 4 нФ$; $t_{BQ} < 4 нс$	SOT23, SOD23	A-n.c.-K
5D	TMFD4148	ALLEG	d	$I_C < 800 мА$; $V_{BQ} > 100 В$; $V_{CE}(I_C = 10 мА) < 1.0 В$; $I_B < 25 мА$; $t_{BQ} < 4.0 нс$; $C_D < 4.0 нФ$	SOT23, SOD23	A-n.c.-K
5D	TMFD914	ALLEG	d	$I_C < 800 мА$; $V_{BQ} > 100 В$; $V_{CE}(I_C = 10 мА) < 1.0 В$; $I_B < 25 мА$; $t_{BQ} < 4.0 нс$; $C_D < 6.0 нФ$	SOT23, SOD23	A-n.c.-K
5DQ	BC807	PHIL	npn	$V_{CEQ} < 45 В$; $I_C < 500 мА$; $P_D < 250 мВт$; $h_{FE} < 100...600$; $f_T > 80 МГц$	SOT23, SOD23	B-E-C
5DZ	BC807	ZETEX	npn	$V_{CEQ} < 50 В$; $I_C < 500 мА$; $P_D < 330 мВт$; $h_{FE} < 100...600$; $f_T > 100 МГц$	SOT23, SOD23	B-E-C
5E	BC808-16	CDIL	npn	$V_{CEQ} < 30 В$; $I_C < 500 мА$; $P_D < 330 мВт$; $h_{FE} < 100...250$; $f_T > 100 МГц$	SOT23, SOD23	B-E-C
5E	BC808-16W	PHIL	npn	$V_{CEQ} < 25 В$; $I_C < 500 мА$; $P_D < 200 мВт$; $h_{FE} < 100...250$; $f_T > 80 МГц$	SOT23, SC70	B-E-C
5E	FMMT443R	ZETEX	npn	$V_{CEQ} < 200 В$; $I_C < 200 мА$; $P_D < 330 мВт$; $h_{FE} < 50...200$; $f_T > 50 МГц$	SOT23, SOD23	B-E-C
5E	BC808-16	PHIL	npn	$V_{CEQ} < 25 В$; $I_C < 500 мА$; $P_D < 250 мВт$; $h_{FE} < 100...250$; $f_T > 80 МГц$	SOT23, SOD23	B-E-C
5ER	BC808-16R	PHIL	npn	$V_{CEQ} < 30 В$; $I_C < 500 мА$; $P_D < 310 мВт$; $h_{FE} > 250$; $f_T > 100 МГц$	SOT23, SOD23	E-B-C
5Es	BC808-16	SIEM	npn	$V_{CEQ} < 30 В$; $I_C < 500 мА$; $P_D < 330 мВт$; $h_{FE} < 100...250$; $f_T > 200 МГц$	SOT23, SOD23	B-E-C
5Es	BC808-16W	INF	npn	$V_{CEQ} < 30 В$; $I_C < 500 мА$; $P_D < 250 мВт$; $h_{FE} < 100...250$; $f_T > 200 МГц$	SOT23, SC70	B-E-C
5Et	BC808-16	PHIL	npn	$V_{CEQ} < 25 В$; $I_C < 500 мА$; $P_D < 250 мВт$; $h_{FE} < 100...250$; $f_T > 80 МГц$	SOT23, SOD23	B-E-C
5EZ	BC808-16	ZETEX	npn	$V_{CEQ} < 30 В$; $I_C < 500 мА$; $P_D < 330 мВт$; $h_{FE} < 100...250$; $f_T > 100 МГц$	SOT23, SOD23	B-E-C
5F	BC808-25	CDIL	npn	$V_{CEQ} < 30 В$; $I_C < 500 мА$; $P_D < 330 мВт$; $h_{FE} < 160...400$; $f_T > 200 МГц$	SOT23, SOD23	B-E-C
5F	BC808-25W	PHIL	npn	$V_{CEQ} < 25 В$; $I_C < 500 мА$; $P_D < 200 мВт$; $h_{FE} < 160...400$; $f_T > 80 МГц$	SOT323, SC70	B-E-C
5FQ	BC808-25	PHIL	npn	$V_{CEQ} < 25 В$; $I_C < 500 мА$; $P_D < 250 мВт$; $h_{FE} < 160...400$; $f_T > 80 МГц$	SOT23, SOD23	B-E-C
5FR	BC808-25R	PHIL	npn	$V_{CEQ} < 30 В$; $I_C < 500 мА$; $P_D < 310 мВт$; $h_{FE} > 400$; $f_T > 100 МГц$	SOT23, SOD23	E-B-C
5Fs	BC808-25	SIEM	npn	$V_{CEQ} < 30 В$; $I_C < 500 мА$; $P_D < 330 мВт$; $h_{FE} < 160...400$; $f_T > 200 МГц$	SOT23, SOD23	B-E-C
5Fs	BC808-25W	INF	npn	$V_{CEQ} < 30 В$; $I_C < 500 мА$; $P_D < 250 мВт$; $h_{FE} < 160...400$; $f_T > 200 МГц$	SOT323, SC70	B-E-C
5FZ	BC80825	ZETEX	npn	$V_{CEQ} < 30 В$; $I_C < 500 мА$; $P_D < 330 мВт$; $h_{FE} < 160...400$; $f_T > 100 МГц$	SOT23, SOD23	B-E-C
5G	BC808-40	CDIL	npn	$V_{CEQ} < 30 В$; $I_C < 500 мА$; $P_D < 330 мВт$; $h_{FE} < 250...630$; $f_T > 200 МГц$	SOT23, SOD23	B-E-C
5G	BC808-40W	PHIL	npn	$V_{CEQ} < 25 В$; $I_C < 500 мА$; $P_D < 200 мВт$; $h_{FE} < 250...630$; $f_T > 80 МГц$	SOT323, SC70	B-E-C
5Go	BC808-40	PHIL	npn	$V_{CEQ} < 25 В$; $I_C < 500 мА$; $P_D < 250 мВт$; $h_{FE} < 250...630$; $f_T > 80 МГц$	SOT23, SOD23	B-E-C
5GR	BC808-40R	PHIL	npn	$V_{CEQ} < 30 В$; $I_C < 500 мА$; $P_D < 310 мВт$; $h_{FE} > 100$; $f_T > 100 МГц$	SOT23, SOD23	E-B-C
5Gs	BC808-40	SIEM	npn	$V_{CEQ} < 30 В$; $I_C < 500 мА$; $P_D < 330 мВт$; $h_{FE} < 250...630$; $f_T > 200 МГц$	SOT23, SOD23	B-E-C
5Gs	BC808-40W	INF	npn	$V_{CEQ} < 30 В$; $I_C < 500 мА$; $P_D < 250 мВт$; $h_{FE} < 250...630$; $f_T > 200 МГц$	SOT323, SC70	B-E-C
5Gt	BC808-40	PHIL	npn	$V_{CEQ} < 25 В$; $I_C < 500 мА$; $P_D < 250 мВт$; $h_{FE} < 250...630$; $f_T > 80 МГц$	SOT23, SOD23	B-E-C
5GZ	BC808-40	ZETEX	npn	$V_{CEQ} < 30 В$; $I_C < 500 мА$; $P_D < 330 мВт$; $h_{FE} < 250...630$; $f_T > 100 МГц$	SOT23, SOD23	B-E-C
5H	BC808	CDIL	npn	$V_{CEQ} < 25 В$; $I_C < 500 мА$; $P_D < 250 мВт$; $h_{FE} < 100...600$; $f_T > 80 МГц$	SOT23, SOD23	B-E-C
5H	BC808W	PHIL	npn	$V_{CEQ} < 25 В$; $I_C < 500 мА$; $P_D < 200 мВт$; $h_{FE} < 100...600$; $f_T > 80 МГц$	SOT323, SC70	B-E-C
5H	MMBD4148	VISH	di	$V_B < 75 В$; $I_C < 300 мА$; $V_{CE}(I_C = 10 мА) < 1.0 В$; $I_{BQ} < 5.0 мА$; $C_D < 4 нФ$; $t_{BQ} < 5 нс$	SOT23, SOD23	A-n.c.-K
5H	MMBD4148	NS	di	$V_B < 75 В$; $I_C < 300 мА$; $V_{CE}(I_C = 10 мА) < 1.0 В$; $I_{BQ} < 5.0 мА$; $C_D < 4 нФ$; $t_{BQ} < 5 нс$	SOT23, SOD23	A-n.c.-K
5H	MMBD701LT1	MOT	shd	$V_B > 70 В$; $V_{CE}(I_C = 10 мА) < 1 В$; $C_D < 1 нФ$	SOT23, SOD23	A-n.c.-K
5Hb	BC808	PHIL	npn	$V_{CEQ} < 25 В$; $I_C < 500 мА$; $P_D < 250 мВт$; $h_{FE} < 100...600$; $f_T > 80 МГц$	SOT23, SOD23	B-E-C
5HZ	BC808	ZETEX	npn	$V_{CEQ} < 30 В$; $I_C < 500 мА$; $P_D < 330 мВт$; $h_{FE} < 100...600$; $f_T > 100 МГц$	SOT23, SOD23	B-E-C
5J	FMMT38B	ZETEX	npn	$V_{CEQ} < 80 В$; $I_C < 300 мА$; $P_D < 330 мВт$; $h_{FE} > 2000$	SOT23, SOD23	B-E-C
5K	MMBV809LT1	ON	var	$V_B > 20 В$; $I_C < 20 мА$; $C_{3B} < 4.5...6.1 нФ$; $C_{3B}/C_{4B} < 1.8...2.6$	SOT23, SOD23	A-n.c.-K
5L	MMBV809LT1	ON	var-2	$V_B > 20 В$; $I_C < 100 мА$; $C_{3B} < 26...32 нФ$; $C_{3B}/C_{4B} < 1.8...2.4$	SOT23, SOD23	A1-A2-K1,K2
5N	MMBD452LT1	MOT	shd-2	$V_B < 30 В$; $V_{CE}(I_C = 10 мА) < 0.46 В$; $C_D < 1.5 нФ$	SOT23, SOD23	A1-K2-K1,K2
5P	FMMT29074R	ZETEX	npn	$V_{CEQ} < 60 В$; $I_C < 600 мА$; $P_D < 330 мВт$; $h_{FE} < 100...300$; $f_T > 200 МГц$	SOT23, SOD23	B-E-C
5T	BCW65GR	ZETEX	npn	$V_{CEQ} < 75 В$; $I_C < 800 мА$; $P_D < 330 мВт$; $h_{FE} < 100...400$; $f_T > 100 МГц$	SOT23, SOD23	B-E-C
5T	BCW65GR	SIEM	npn	$V_{CEQ} < 75 В$; $I_C < 800 мА$; $P_D < 330 мВт$; $h_{FE} < 160...400$; $f_T > 170 МГц$	SOT23, SOD23	C-B-E
5T	BCW65GR	ZETEX	npn	$V_{CEQ} < 60 В$; $I_C < 800 мА$; $P_D < 330 мВт$; $h_{FE} < 160...400$; $f_T > 100 МГц$	SOT23, SOD23	B-E-C
5V	BCW65BR	ZETEX	npn	$V_{CEQ} < 60 В$; $I_C < 800 мА$; $P_D < 330 мВт$; $h_{FE} < 160...400$; $f_T > 100 МГц$	SOT23, SOD23	B-E-C
5V1	PZM/5 INB	PHIL	dz	$V_{A}(I_{Z1} = 5 мА) < 4.84...5.37 В$; $Z_{T1}(I_{Z1} = 5 мА) < 60 Ом$	SOT346, SC59	A-n.c.-K
5V6	PZM/5 GNB	PHIL	dz	$V_{A}(I_{Z1} = 5 мА) < 5.31...5.92 В$; $Z_{T1}(I_{Z1} = 5 мА) < 40 Ом$	SOT346, SC59	A-n.c.-K

**SOT490 TSM
MFPAK TSFP-3**

**VMT3
VMD3**



**SOT416
SOT523**

**SOT323
SOT346**

**SOT23-3
SOD23-3**



Код	Типономинал	Б	Ф	Особенности	Корпус	Ц: 1•2•3
5W	BCW67BR	ZETEX	npn	$V_{CE0}=45 В; I_C=800 мА; P_D=330 мВт; h_{FE1}=160...400; f_T > 100 МГц$	SOT23, SOD23	B-E-C
6 2X	Q2C225	TOSH	dz	$V_{f(T_{J1})}=5 В; I_T=80...660 В; I_{f(V_{f2}=3.0 В)} < 1 мкА; Z_{T1}(I_{T1}=0.5 мА) < 500 Ом$	SOT346, SC59	A-n-c-K
6 8	DF3A6 8FU	TOSH	pnp	$V_{f(T_{J1})}=5 В; I_T=6.4...7.2 В; I_{f(V_{f2}=5.0 В)} < 0.5 мкА$	SOT323, SC70	K1-K2-A1,A2
6 8X	Q2C25 8	TOSH	dz	$V_{f(T_{J1})}=5 В; I_T=6.40...7.20 В; I_{f(V_{f2}=5.0 В)} < 0.5 мкА; Z_{T1}(I_{T1}=0.5 мА) < 150 Ом$	SOT346, SC59	A-n-c-K
614	FMM7614	ZETEX	npn	$V_{CE0}=120 В; I_C=500 мА; P_D=500 мВт; h_{FE1} > 15000$	SOT23, SOD23	B-E-C
617	FMM7617	ZETEX	npn	$V_{CE0}=15 В; I_C=3000 мА; P_D=625 мВт$	SOT23, SOD23	B-E-C
618	FMM7618	ZETEX	npn	$V_{CE0}=20 В; I_C=2500 мА; P_D=625 мВт; h_{FE1} > 300...450; f_T > 140 МГц$	SOT23, SOD23	B-E-C
619	FMM7619	ZETEX	npn	$V_{CE0}=50 В; I_C=2000 мА; P_D=625 мВт; h_{FE1} > 300...450; f_T > 160 МГц$	SOT23, SOD23	B-E-C
61A	MMBF4117	FAIR	nFET	$V_{DS}=40 В; I_{DS}=50 мА; P_D=225 мВт; g_{fs}=3 мС$	SOT23, SOD23	D-S-G
61C	MMBF4118	FAIR	nFET	$V_{DS}=40 В; I_{DS}=50 мА; P_D=225 мВт; g_{fs}=5 мС$	SOT23, SOD23	D-S-G
61E	MMBF4119	FAIR	nFET	$V_{DS}=40 В; I_{DS}=50 мА; P_D=225 мВт; g_{fs}=10 мС$	SOT23, SOD23	D-S-G
61J	MMBF4091	FAIR	nFET	$V_{DS}=40 В; I_{DS}=50 мА; P_D=350 мВт; R_{DS(on)} < 30 Ом$	SOT23, SOD23	S-D-G
61K	MMBF4092	FAIR	nFET	$V_{DS}=40 В; I_{DS}=50 мА; P_D=350 мВт; R_{DS(on)} < 50 Ом$	SOT23, SOD23	S-D-G
61L	MMBF4093	FAIR	nFET	$V_{DS}=40 В; I_{DS}=50 мА; P_D=350 мВт; R_{DS(on)} < 80 Ом$	SOT23, SOD23	S-D-G
61S	MMBF5459	FAIR	nFET	$V_{DS}=25 В; I_{DS}=10 мА; P_D=350 мВт; I_{DSS} < 9 мА$	SOT23, SOD23	S-D-G
61S	MMBFJ270	FAIR	pFET	$V_{DS}=30 В; I_{DS}=50 мА; P_D=225 мВт; I_{DSS} < 15 мА$	SOT23, SOD23	D-S-G
61T	MMBF5459	NS	nFET	$V_{DS}=25 В; I_{DS}=10 мА; P_D=350 мВт; I_{DSS} < 16 мА$	SOT23, SOD23	S-D-G
61U	MMBF5461	FAIR	pFET	$V_{DS}=40 В; I_{DS}=10 мА; P_D=300 мВт; I_{DSS} < 9 мА$	SOT23, SOD23	D-S-G
61V	MMBF5462	FAIR	pFET	$V_{DS}=40 В; I_{DS}=10 мА; P_D=300 мВт; I_{DSS} < 16 мА$	SOT23, SOD23	D-S-G
62	DTC123YE	ROHM	Dnpn	$V_{CE0}=50 В; I_C=100 мА; P_D=150 мВт; h_{FE1} > 33; f_T > 250 МГц; R_1/R_2=2/2/10 кОм$	SOT416, SC75A	B-E-C
62	DTC123YKA	ROHM	Dnpn	$V_{CE0}=50 В; I_C=100 мА; P_D=200 мВт; h_{FE1} > 33; f_T > 250 МГц; R_1/R_2=2/2/10 кОм$	SOT346, SC59	B-E-C
62	DTC123YUA	ROHM	Dnpn	$V_{CE0}=50 В; I_C=100 мА; P_D=200 мВт; h_{FE1} > 33; f_T > 250 МГц; R_1/R_2=2/2/10 кОм$	SOT323, SC70	B-E-C
624	FMM7624	ZETEX	npn	$V_{CE0}=125 В; I_C=1000 мА; P_D=625 мВт; h_{FE1} > 300...450; f_T > 155 МГц$	SOT23, SOD23	B-E-C
625	FMM7625	ZETEX	npn	$V_{CE0}=150 В; I_C=1000 мА; P_D=625 мВт; h_{FE1} > 300...450; f_T > 135 МГц$	SOT23, SOD23	B-E-C
62P	MMBFJ201	FAIR	nFET	$V_{DS}=40 В; I_{DS}=50 мА; P_D=350 мВт; I_{DSS} < 1 мА$	SOT23, SOD23	S-D-G
62Q	MMBFJ202	FAIR	nFET	$V_{DS}=40 В; I_{DS}=50 мА; P_D=350 мВт; I_{DSS} < 4.5 мА$	SOT23, SOD23	S-D-G
62T	MMBFJ271	FAIR	pFET	$V_{DS}=30 В; I_{DS}=50 мА; P_D=225 мВт; I_{DSS} < 50 мА$	SOT23, SOD23	D-S-G
62V	PZM62NB	PHIL	dz	$V_{f(T_{J1})}=2 В; I_T=68.0...86.0 В; Z_{T1}(I_{T1}=2 мА) < 140 Ом$	SOT346, SC59	A-n-c-K
63	BAS40W	PHIL	shd	$V_{f2} < 40 В; I_C < 120 мА; V_{f1}(I_C=1 мА) < 380 мВ; C_{D1} < 5 нФ$	SOT323, SC70	A1-n-c-K
63Q	MMBFJ304	NS	nFET	$V_{DS}=30 В; I_{DS}=50 мА; P_D=350 мВт$	SOT23, SOD23	D-S-G
63s	BAT64	INF	shd	$V_{f2} < 40 В; I_C < 250 мА; V_{f1}(I_C=100 мА) < 0.75 В; I_{f2} < 2 мА; C_{D1} < 6 нФ$	SOT23, SOD23	A1-n-c-K
63s	BAT64W	INF	shd	$V_{f2} < 40 В; I_C < 250 мА; V_{f1}(I_C=100 мА) < 0.75 В; I_{f2} < 2 мА; C_{D1} < 6 нФ$	SOT323, SC70	A1-n-c-K
64	BAS4004W	PHIL	shd-2	$V_{f2} < 40 В; I_C < 120 мА; V_{f1}(I_C=1 мА) < 380 мВ; C_{D1} < 5 нФ$	SOT323, SC70	A1-K2-K1,A2
64	DTC114YE	ROHM	Dnpn	$V_{CE0}=50 В; I_C=100 мА; P_D=150 мВт; h_{FE1} > 68; f_T > 250 МГц; R_1/R_2=10/47 кОм$	SOT416, SC75A	B-E-C
64	DTC114YKA	ROHM	Dnpn	$V_{CE0}=50 В; I_C=100 мА; P_D=200 мВт; h_{FE1} > 68; f_T > 250 МГц; R_1/R_2=10/47 кОм$	SOT346, SC59	B-E-C
64	DTC114YUA	ROHM	Dnpn	$V_{CE0}=50 В; I_C=100 мА; P_D=200 мВт; h_{FE1} > 68; f_T > 250 МГц; R_1/R_2=10/47 кОм$	SOT323, SC70	B-E-C
64s	BAT6404	SIEM	shd-2	$V_{f2} < 40 В; I_C < 250 мА; V_{f1}(I_C=100 мА) < 0.75 В; I_{f2} < 2 мА; C_{D1} < 6 нФ$	SOT23, SOD23	A1-K2-K1,A2
64s	BAT64-04	INF	shd-2	$V_{f2} < 40 В; I_C < 250 мА; V_{f1}(I_C=100 мА) < 0.75 В; I_{f2} < 2 мА; C_{D1} < 6 нФ$	SOT23, SOD23	A1-K2-K1,A2
64s	BAT64-04W	INF	shd-2	$V_{f2} < 40 В; I_C < 250 мА; V_{f1}(I_C=100 мА) < 0.75 В; I_{f2} < 2 мА; C_{D1} < 6 нФ$	SOT323, SC70	A1-K2-K1,A2
65	BAS4005W	PHIL	shd-2	$V_{f2} < 40 В; I_C < 120 мА; V_{f1}(I_C=1 мА) < 380 мВ; C_{D1} < 5 нФ$	SOT323, SC70	A1-A2-K1,K2
65s	BAT6405	SIEM	shd-2	$V_{f2} < 40 В; I_C < 250 мА; V_{f1}(I_C=100 мА) < 0.75 В; I_{f2} < 2 мА; C_{D1} < 6 нФ$	SOT23, SOD23	A1-A2-K1,K2
65s	BAT64-05	INF	shd-2	$V_{f2} < 40 В; I_C < 250 мА; V_{f1}(I_C=100 мА) < 0.75 В; I_{f2} < 2 мА; C_{D1} < 6 нФ$	SOT23, SOD23	A1-A2-K1,K2
65s	BAT64-05W	INF	shd-2	$V_{f2} < 40 В; I_C < 250 мА; V_{f1}(I_C=100 мА) < 0.75 В; I_{f2} < 2 мА; C_{D1} < 6 нФ$	SOT323, SC70	A1-A2-K1,K2
66	BAS4006W	PHIL	shd-2	$V_{f2} < 40 В; I_C < 120 мА; V_{f1}(I_C=1 мА) < 380 мВ; C_{D1} < 5 нФ$	SOT323, SC70	K1-K2-A1,A2
66s	BAT6406	SIEM	shd-2	$V_{f2} < 40 В; I_C < 250 мА; V_{f1}(I_C=100 мА) < 0.75 В; I_{f2} < 2 мА; C_{D1} < 6 нФ$	SOT23, SOD23	K1-K2-A1,A2
66s	BAT64-06	INF	shd-2	$V_{f2} < 40 В; I_C < 250 мА; V_{f1}(I_C=100 мА) < 0.75 В; I_{f2} < 2 мА; C_{D1} < 6 нФ$	SOT23, SOD23	K1-K2-A1,A2
66s	BAT64-06W	INF	shd-2	$V_{f2} < 40 В; I_C < 250 мА; V_{f1}(I_C=100 мА) < 0.75 В; I_{f2} < 2 мА; C_{D1} < 6 нФ$	SOT323, SC70	K1-K2-A1,A2
68V	PZM68NB	PHIL	dz	$V_{f(T_{J1})}=2 В; I_T=64.0...72.0 В; Z_{T1}(I_{T1}=2 мА) < 160 Ом$	SOT346, SC59	A-n-c-K
69	DTC114YE	MOT	Dnpn	$V_{CE0}=50 В; I_C=100 мА; P_D=150 мВт; h_{FE1} > 68; f_T > 250 МГц; R_1/R_2=10/47 кОм$	SOT416, SC75A	B-E-C



SOT23-3
SOD23-3

SOT323
SOT346

SOT416
SOT523



SOT490
MFPK

TESM
TSFP-3

VMT3
VMD3

Код	Типономинал	Б	Ф	Особенности	Корпус	Ц: 1•2•3
69	OTC115TE	ROHM	Dnpn	$V_{CE0}=50 В$, $I_C=100 мА$, $P_D=150 мВт$; $h_{FE} > 100$, $f_T > 250 МГц$, $R_{TH} > 100 кОм$	SOT416, SC75A	В•Е•С
6A	BC817-16	CDIL	npn	$V_{CE0}=50 В$, $I_C=500 мА$, $P_D=330 мВт$; $h_{FE} > 100$, $f_T > 170 МГц$	SOT23, SOD23	В•Е•С
6A	BC817-16	VISH	npn	$V_{CE0}=50 В$, $I_C=800 мА$, $P_D=310 мВт$; $h_{FE} > 100$, $f_T > 100 МГц$	SOT23, SOD23	В•Е•С
6A	BC817-16LT1	MOT	npn	$V_{CE0}=50 В$, $I_C=500 мА$, $P_D=300 мВт$; $h_{FE} > 100$, $f_T > 200 МГц$	SOT23, SOD23	В•Е•С
6A	BC817-16W	PHIL	npn	$V_{CE0}=50 В$, $I_C=500 мА$, $P_D=200 мВт$; $h_{FE} > 100$, $f_T > 100 МГц$	SOT323, SC70	В•Е•С
6A	DTA114EET1	MOT	Dnpn	$V_{CE0}=50 В$, $I_C=100 мА$, $P_D=150 мВт$; $h_{FE} > 30$, $f_T > 250 МГц$, $R_{TH} > 10/10 кОм$	SOT416, SC75A	В•Е•С
6A	MMBF4416	MOT	nFET	$V_{DS}=30 В$, $I_D < 10 мА$, $P_D=300 мВт$; $NF < 4 дБ$	SOT23, SOD23	Д•S•G
6A	MUN2111T1	ON	Dnpn	$V_{CE0}=50 В$, $I_C=100 мА$, $P_D=246 мВт$; $h_{FE} > 35$, $10 кОм/10 кОм$	SOT346, SC59	В•Е•С
6A	MUN5111T1	ON	Dnpn	$V_{CE0}=50 В$, $I_C=100 мА$, $P_D=200 мВт$; $h_{FE} > 35$, $10 кОм/10 кОм$	SOT323, SC70	В•Е•С
6A2	MMBZ6V2AL	ON	d-z-2	$V_{d}(I_{T1}=1 мА)=5.89...6.51 В$, $V_{d}(I_{T1}=10 мА) < 0.9 В$	SOT23, SOD23	K1•K2•A1, A2
6A2	PZM/6.2NB2A	PHIL	d-z-2	$V_{d}(I_{T1}=5 мА)=6.06...6.33 В$, $Z_{T1}(I_{T1}=5 мА) < 10 Ом$	SOT346, SC59	K1•K2•A1, A2
6A8	MMBZ6V8AL	ON	d-z-2	$V_{d}(I_{T1}=1 мА)=6.45...7.14 В$, $V_{d}(I_{T1}=10 мА) < 0.9 В$	SOT23, SOD23	K1•K2•A1, A2
6A8	PZM/6.8NB2A	PHIL	d-z-2	$V_{d}(I_{T1}=5 мА)=6.65...6.93 В$, $Z_{T1}(I_{T1}=5 мА) < 15 Ом$	SOT346, SC59	K1•K2•A1, A2
6A0	BC817-16	PHIL	npn	$V_{CE0}=45 В$, $I_C=500 мА$, $P_D=250 мВт$; $h_{FE} > 100$, $f_T > 80 МГц$	SOT23, SOD23	В•Е•С
6AR	BC817-16R	PHIL	npn	$V_{CE0}=45 В$, $I_C=500 мА$, $P_D=310 мВт$; $h_{FE} > 250$, $f_T > 200 МГц$	SOT23, SOD23	Е•В•С
6As	BC817-16	SIEM	npn	$V_{CE0}=50 В$, $I_C=500 мА$, $P_D=330 мВт$; $h_{FE} > 100$, $f_T > 170 МГц$	SOT23, SOD23	В•Е•С
6As	BC817-16W	SIEM	npn	$V_{CE0}=50 В$, $I_C=500 мА$, $P_D=250 мВт$; $h_{FE} > 100$, $f_T > 170 МГц$	SOT323, SC70	В•Е•С
6At	BC817-16	PHIL	npn	$V_{CE0}=45 В$, $I_C=500 мА$, $P_D=250 мВт$; $h_{FE} > 100$, $f_T > 80 МГц$	SOT23, SOD23	В•Е•С
6AZ	BC817-16	ZETEX	npn	$V_{CE0}=50 В$, $I_C=500 мА$, $P_D=330 мВт$; $h_{FE} > 100$, $f_T > 200 МГц$	SOT23, SOD23	В•Е•С
6B	BC817-25	CDIL	npn	$V_{CE0}=45 В$, $I_C=500 мА$, $P_D=250 мВт$; $h_{FE} > 180$, $f_T > 80 МГц$	SOT23, SOD23	В•Е•С
6B	BC817-25	VISH	npn	$V_{CE0}=50 В$, $I_C=800 мА$, $P_D=310 мВт$; $h_{FE} > 160$, $f_T > 100 МГц$	SOT23, SOD23	В•Е•С
6B	BC817-25LT1	MOT	npn	$V_{CE0}=50 В$, $I_C=500 мА$, $P_D=300 мВт$; $h_{FE} > 180$, $f_T > 200 МГц$	SOT23, SOD23	В•Е•С
6B	BC817-25W	PHIL	npn	$V_{CE0}=50 В$, $I_C=500 мА$, $P_D=200 мВт$; $h_{FE} > 160$, $f_T > 100 МГц$	SOT323, SC70	В•Е•С
6B	DTA124EET1	MOT	Dnpn	$V_{CE0}=50 В$, $I_{D(max)}=100 мА$, $P_D=150 мВт$; $h_{FE} > 56$, $f_T > 250 МГц$, $R_{TH} > 22/22 кОм$	SOT416, SC75A	В•Е•С
6B	MMBF5484	MOT	nFET	$V_{DS}=25 В$, $I_{DS}=10 мА$, $P_D=200 мВт$, $I_{DSS} < 5 мА$	SOT23, SOD23	Д•S•G
6B	MUN2112T1	ON	Dnpn	$V_{CE0}=50 В$, $I_C=100 мА$, $P_D=246 мВт$; $h_{FE} > 60$, $22 кОм/22 кОм$	SOT346, SC59	В•Е•С
6B	MUN5112T1	ON	Dnpn	$V_{CE0}=50 В$, $I_C=100 мА$, $P_D=200 мВт$; $h_{FE} > 60$, $22 кОм/22 кОм$	SOT323, SC70	В•Е•С
6BG	CMFPA415A	CSI	nFET	$V_{GSS}=35 В$, $I_{DSS}=5...15 мА$, $V_{AS(10V)}=2.5...6 В$, $NF=2 дБ$	SOT23, SOD23	Д•S•G
6BP	BC817-25	PHIL	npn	$V_{CE0}=45 В$, $I_C=500 мА$, $P_D=250 мВт$; $h_{FE} > 160$, $f_T > 80 МГц$	SOT23, SOD23	В•Е•С
6BR	BC817-25R	PHIL	npn	$V_{CE0}=45 В$, $I_C=500 мА$, $P_D=310 мВт$; $h_{FE} > 400$, $f_T > 200 МГц$	SOT23, SOD23	Е•В•С
6Bs	BC817-25	SIEM	npn	$V_{CE0}=50 В$, $I_C=500 мА$, $P_D=330 мВт$; $h_{FE} > 160$, $f_T > 170 МГц$	SOT23, SOD23	В•Е•С
6Bs	BC817-25W	INF	npn	$V_{CE0}=50 В$, $I_C=500 мА$, $P_D=250 мВт$; $h_{FE} > 160$, $f_T > 170 МГц$	SOT323, SC70	В•Е•С
6BZ	BC817-25	ZETEX	npn	$V_{CE0}=50 В$, $I_C=500 мА$, $P_D=330 мВт$; $h_{FE} > 160$, $f_T > 200 МГц$	SOT23, SOD23	В•Е•С
6C	BC817-40	CDIL	npn	$V_{CE0}=50 В$, $I_C=500 мА$, $P_D=330 мВт$; $h_{FE} > 250$, $f_T > 170 МГц$	SOT23, SOD23	В•Е•С
6C	BC817-40	VISH	npn	$V_{CE0}=50 В$, $I_C=800 мА$, $P_D=310 мВт$; $h_{FE} > 250$, $f_T > 100 МГц$	SOT23, SOD23	В•Е•С
6C	BC817-40LT1	MOT	npn	$V_{CE0}=50 В$, $I_C=500 мА$, $P_D=300 мВт$; $h_{FE} > 250$, $f_T > 200 МГц$	SOT23, SOD23	В•Е•С
6C	BC817-40W	PHIL	npn	$V_{CE0}=45 В$, $I_C=500 мА$, $P_D=200 мВт$; $h_{FE} > 250$, $f_T > 100 МГц$	SOT323, SC70	В•Е•С
6C	DTA144EET1	MOT	Dnpn	$V_{CE0}=50 В$, $I_{D(max)}=100 мА$, $P_D=150 мВт$; $h_{FE} > 68$, $f_T > 250 МГц$, $R_{TH} > 47/47 кОм$	SOT416, SC75A	В•Е•С
6C	MMBFU310LT1	MOT	nFET	$V_{DS}=25 В$, $I_{DS}=10 мА$, $P_D=225 мВт$, $I_{DSS} < 60 мА$	SOT23, SOD23	Д•S•G
6C	MUN2113T1	ON	Dnpn	$V_{CE0}=50 В$, $I_C=100 мА$, $P_D=246 мВт$; $h_{FE} > 80$, $47 кОм/47 кОм$	SOT346, SC59	В•Е•С
6C	MUN5113T1	ON	Dnpn	$V_{CE0}=50 В$, $I_C=100 мА$, $P_D=200 мВт$; $h_{FE} > 80$, $47 кОм/47 кОм$	SOT323, SC70	В•Е•С
6C0	BC817-40	PHIL	npn	$V_{CE0}=45 В$, $I_C=500 мА$, $P_D=250 мВт$; $h_{FE} > 250$, $f_T > 80 МГц$	SOT23, SOD23	В•Е•С
6CR	BC817-40R	PHIL	npn	$V_{CE0}=45 В$, $I_C=500 мА$, $P_D=310 мВт$; $h_{FE} > 800$, $f_T > 200 МГц$	SOT23, SOD23	Е•В•С
6Cs	BC817-40	SIEM	npn	$V_{CE0}=50 В$, $I_C=500 мА$, $P_D=330 мВт$; $h_{FE} > 250$, $f_T > 170 МГц$	SOT23, SOD23	В•Е•С
6Cs	BC817-40W	INF	npn	$V_{CE0}=50 В$, $I_C=500 мА$, $P_D=250 мВт$; $h_{FE} > 250$, $f_T > 170 МГц$	SOT323, SC70	В•Е•С
6C1	BC817-40	PHIL	npn	$V_{CE0}=45 В$, $I_C=500 мА$, $P_D=250 мВт$; $h_{FE} > 250$, $f_T > 80 МГц$	SOT23, SOD23	В•Е•С
6C2	BC817-40	ZETEX	npn	$V_{CE0}=50 В$, $I_C=500 мА$, $P_D=330 мВт$; $h_{FE} > 250$, $f_T > 200 МГц$	SOT23, SOD23	В•Е•С
6D	BC817	CDIL	npn	$V_{CE0}=50 В$, $I_C=500 мА$, $P_D=330 мВт$; $h_{FE} > 100$, $f_T > 200 МГц$	SOT23, SOD23	В•Е•С
6D	DTA114YET1	MOT	Dnpn	$V_{CE0}=50 В$, $I_C=100 мА$, $P_D=150 мВт$; $h_{FE} > 68$, $f_T > 250 МГц$, $R_{TH} > 10/47 кОм$	SOT416, SC75A	В•Е•С

SOT490 TSM
MFPK TSFP-3

VMT3 VMD3



SOT416 SOT523

SOT323 SOT346

SOT23-3 SOD23-3



Код	Типономинал	Б	Ф	Особенности	Корпус	Ц: 1•2•3
6D	MMBF5457	FAIR	nFET	$V_{DS}=25\text{ В}$, $I_{CS}=10\text{ мА}$, $P_D=350\text{ мВт}$, $I_{DSS}<5\text{ мА}$	SOT23, SOD23	S-D•G
6D	MUN2114T1	ON	Dnpn	$V_{DS}=50\text{ В}$, $I_C=100\text{ мА}$, $P_D=246\text{ мВт}$, $h_{FE}>80$, $10\text{ кОм}/47\text{ кОм}$	SOT346, SC59	B•E•C
6D	MUN5114T1	ON	Dnpn	$V_{DS}=50\text{ В}$, $I_C=100\text{ мА}$, $P_D=200\text{ мВт}$, $h_{FE}>80$, $10\text{ кОм}/47\text{ кОм}$	SOT323, SC70	B•E•C
6D	BC817W	PHIL	npn	$V_{DS}=50\text{ В}$, $I_C=500\text{ мА}$, $P_D=200\text{ мВт}$, $h_{FE}>100$, $f_T>100\text{ МГц}$	SOT323, SC70	B•E•C
6D	BC817	PHIL	npn	$V_{DS}=45\text{ В}$, $I_C=500\text{ мА}$, $P_D=250\text{ мВт}$, $h_{FE}>100$, $f_T>80\text{ МГц}$	SOT23, SOD23	B•E•C
6Dt	BC817W	PHIL	npn	$V_{DS}=50\text{ В}$, $I_C=500\text{ мА}$, $P_D=200\text{ мВт}$, $h_{FE}>100$, $f_T>100\text{ МГц}$	SOT323, SC70	B•E•C
6DZ	BC817	ZETEX	npn	$V_{DS}=50\text{ В}$, $I_C=500\text{ мА}$, $P_D=330\text{ мВт}$, $h_{FE}>100$, $f_T>200\text{ МГц}$	SOT23, SOD23	B•E•C
6E	BC818-16	CDIL	npn	$V_{DS}=30\text{ В}$, $I_C=500\text{ мА}$, $P_D=330\text{ мВт}$, $h_{FE}>100$, $f_T>170\text{ МГц}$	SOT23, SOD23	B•E•C
6E	BC818-16W	PHIL	npn	$V_{DS}=30\text{ В}$, $I_C=500\text{ мА}$, $P_D=200\text{ мВт}$, $h_{FE}>100$, $f_T>100\text{ МГц}$	SOT323, SC70	B•E•C
6E	DTA114TET1	MOT	Dnpn	$V_{DS}=50\text{ В}$, $I_C=100\text{ мА}$, $P_D=150\text{ мВт}$, $h_{FE}>100$, $f_T>250\text{ МГц}$, $R_1=10\text{ кОм}$	SOT416, SC75A	B•E•C
6E	FMM7A93R	ZETEX	npn	$V_{DS}=200\text{ В}$, $I_C=200\text{ мА}$, $P_D=330\text{ мВт}$, $h_{FE}>30$, $f_T>50\text{ МГц}$	SOT23, SOD23	B•E•C
6E	MMBF5460	MOT	pFET	$V_{DS}=40\text{ В}$, $I_{CS}=10\text{ мА}$, $P_D=300\text{ мВт}$, $I_{DSS}<5\text{ мА}$	SOT23, SOD23	D•S•G
6E	MMBF5460	FAIR	pFET	$V_{DS}=40\text{ В}$, $I_{CS}=10\text{ мА}$, $P_D=300\text{ мВт}$, $I_{DSS}<5\text{ мА}$	SOT23, SOD23	D•S•G
6E	MUN2115T1	ON	Dnpn	$V_{DS}=50\text{ В}$, $I_C=100\text{ мА}$, $P_D=246\text{ мВт}$, $h_{FE}>160$, $R_1=10\text{ кОм}$	SOT346, SC59	B•E•C
6E	MUN5115T1	ON	Dnpn	$V_{DS}=50\text{ В}$, $I_C=100\text{ мА}$, $P_D=200\text{ мВт}$, $h_{FE}>160$, $R_1=10\text{ кОм}$	SOT323, SC70	B•E•C
6Er	BC818-16	PHIL	npn	$V_{DS}=25\text{ В}$, $I_C=500\text{ мА}$, $P_D=250\text{ мВт}$, $h_{FE}>100$, $f_T>80\text{ МГц}$	SOT23, SOD23	B•E•C
6ER	BC818-16R	PHIL	npn	$V_{DS}=25\text{ В}$, $I_C=500\text{ мА}$, $P_D=310\text{ мВт}$, $h_{FE}>250$, $f_T>200\text{ МГц}$	SOT23, SOD23	B•E•C
6Es	BC818-16	SIEM	npn	$V_{DS}=30\text{ В}$, $I_C=500\text{ мА}$, $P_D=330\text{ мВт}$, $h_{FE}>100$, $f_T>170\text{ МГц}$	SOT23, SOD23	B•E•C
6Es	BC818-16W	INF	npn	$V_{DS}=30\text{ В}$, $I_C=500\text{ мА}$, $P_D=250\text{ мВт}$, $h_{FE}>100$, $f_T>170\text{ МГц}$	SOT323, SC70	B•E•C
6EI	BC818-16	PHIL	npn	$V_{DS}=25\text{ В}$, $I_C=500\text{ мА}$, $P_D=250\text{ мВт}$, $h_{FE}>100$, $f_T>80\text{ МГц}$	SOT23, SOD23	B•E•C
6EZ	BC818-16	ZETEX	npn	$V_{DS}=30\text{ В}$, $I_C=500\text{ мА}$, $P_D=330\text{ мВт}$, $h_{FE}>100$, $f_T>200\text{ МГц}$	SOT23, SOD23	B•E•C
6F	BC818-25	CDIL	npn	$V_{DS}=30\text{ В}$, $I_C=500\text{ мА}$, $P_D=330\text{ мВт}$, $h_{FE}>160$, $f_T>170\text{ МГц}$	SOT23, SOD23	B•E•C
6F	BC818-25	PHIL	npn	$V_{DS}=30\text{ В}$, $I_C=500\text{ мА}$, $P_D=330\text{ мВт}$, $h_{FE}>160$, $f_T>200\text{ МГц}$	SOT23, SOD23	B•E•C
6F	BC818-25W	PHIL	npn	$V_{DS}=30\text{ В}$, $I_C=500\text{ мА}$, $P_D=200\text{ мВт}$, $h_{FE}>160$, $f_T>100\text{ МГц}$	SOT323, SC70	B•E•C
6F	DTA143TET1	MOT	Dnpn	$V_{DS}=50\text{ В}$, $I_C=100\text{ мА}$, $P_D=150\text{ мВт}$, $h_{FE}>100$, $f_T>250\text{ МГц}$, $R_1=4.7\text{ кОм}$	SOT416, SC75A	B•E•C
6F	MMBF4860	MOT	nFET	$V_{DS}=30\text{ В}$, $I_{CS}<50\text{ мА}$, $P_D=300\text{ мВт}$	SOT23, SOD23	D•S•G
6F	MUN2116T1	ON	Dnpn	$V_{DS}=50\text{ В}$, $I_C=100\text{ мА}$, $P_D=246\text{ мВт}$, $h_{FE}>160$, $R_1=4.7\text{ кОм}$	SOT346, SC59	B•E•C
6F	MUN5116T1	ON	Dnpn	$V_{DS}=50\text{ В}$, $I_C=100\text{ мА}$, $P_D=200\text{ мВт}$, $h_{FE}>160$, $R_1=4.7\text{ кОм}$	SOT323, SC70	B•E•C
6Fr	BC818-25	PHIL	npn	$V_{DS}=25\text{ В}$, $I_C=500\text{ мА}$, $P_D=250\text{ мВт}$, $h_{FE}>160$, $f_T>80\text{ МГц}$	SOT23, SOD23	B•E•C
6FR	BC818-25R	PHIL	npn	$V_{DS}=25\text{ В}$, $I_C=500\text{ мА}$, $P_D=310\text{ мВт}$, $h_{FE}>400$, $f_T>200\text{ МГц}$	SOT23, SOD23	B•E•C
6Fs	BC818-25	INF	npn	$V_{DS}=30\text{ В}$, $I_C=500\text{ мА}$, $P_D=330\text{ мВт}$, $h_{FE}>160$, $f_T>170\text{ МГц}$	SOT23, SOD23	B•E•C
6Fs	BC818-25W	INF	npn	$V_{DS}=30\text{ В}$, $I_C=500\text{ мА}$, $P_D=250\text{ мВт}$, $h_{FE}>160$, $f_T>170\text{ МГц}$	SOT23, SOD23	B•E•C
6FZ	BC818-25	ZETEX	npn	$V_{DS}=30\text{ В}$, $I_C=500\text{ мА}$, $P_D=330\text{ мВт}$, $h_{FE}>160$, $f_T>200\text{ МГц}$	SOT23, SOD23	B•E•C
6FZ	BC818-25	ZETEX	npn	$V_{DS}=30\text{ В}$, $I_C=500\text{ мА}$, $P_D=330\text{ мВт}$, $h_{FE}>160$, $f_T>200\text{ МГц}$	SOT23, SOD23	B•E•C
6G	BC818-40	CDIL	npn	$V_{DS}=25\text{ В}$, $I_C=500\text{ мА}$, $P_D=250\text{ мВт}$, $h_{FE}>250$, $f_T>80\text{ МГц}$	SOT23, SOD23	B•E•C
6G	BC818-40W	PHIL	npn	$V_{DS}=30\text{ В}$, $I_C=500\text{ мА}$, $P_D=200\text{ мВт}$, $h_{FE}>250$, $f_T>100\text{ МГц}$	SOT323, SC70	B•E•C
6G	CMF4393	CSI	nFET	$V_{DS}>40\text{ В}$, $I_{DSS}=5\text{...}30\text{ мА}$, $V_{GS(th)}=0.5\text{...}3\text{ В}$, $R_{DS(on)}<100\text{ Ом}$, $I_{GFF}<50\text{ мС}$	SOT23, SOD23	D•S•G
6G	FMMV2103	ZETEX	bd	$V_{GS}<30\text{ В}$, $C_{iss}=9\text{...}11\text{ пФ}$, $C_{2B}/C_{30B}=2.6\text{...}3.3$, $Q_g>400$	SOT23, SOD23	A•n•c•K
6G	MMBF4393	FAIR	nFET	$V_{DS}=30\text{ В}$, $I_{CS}=50\text{ мА}$, $P_D=350\text{ мВт}$, $R_{DS(on)}<100\text{ Ом}$	SOT23, SOD23	D•S•G
6G	MMBF4393LT1	ON	nFET	$V_{DS}=30\text{ В}$, $I_{CS}=50\text{ мА}$, $P_D=350\text{ мВт}$, $R_{DS(on)}<100\text{ Ом}$	SOT23, SOD23	D•S•G
6G	MUN2130T1	ON	Dnpn	$V_{DS}=50\text{ В}$, $I_C=100\text{ мА}$, $P_D=246\text{ мВт}$, $h_{FE}>3$, $1\text{ кОм}/1\text{ кОм}$	SOT346, SC59	B•E•C
6G	MUN5130T1	ON	Dnpn	$V_{DS}=50\text{ В}$, $I_C=100\text{ мА}$, $P_D=200\text{ мВт}$, $h_{FE}>3$, $1\text{ кОм}/1\text{ кОм}$	SOT323, SC70	B•E•C
6Go	BC818-40	PHIL	npn	$V_{DS}=25\text{ В}$, $I_C=500\text{ мА}$, $P_D=250\text{ мВт}$, $h_{FE}>250$, $f_T>80\text{ МГц}$	SOT23, SOD23	B•E•C
6GR	BC818-40R	PHIL	npn	$V_{DS}=25\text{ В}$, $I_C=500\text{ мА}$, $P_D=310\text{ мВт}$, $h_{FE}>600$, $f_T>200\text{ МГц}$	SOT23, SOD23	B•E•C
6Gs	BC818-40	INF	npn	$V_{DS}=30\text{ В}$, $I_C=500\text{ мА}$, $P_D=330\text{ мВт}$, $h_{FE}>250$, $f_T>170\text{ МГц}$	SOT23, SOD23	B•E•C
6Gs	BC818-40W	INF	npn	$V_{DS}=30\text{ В}$, $I_C=500\text{ мА}$, $P_D=250\text{ мВт}$, $h_{FE}>250$, $f_T>170\text{ МГц}$	SOT323, SC70	B•E•C
6Gi	BC818-40	PHIL	npn	$V_{DS}=25\text{ В}$, $I_C=500\text{ мА}$, $P_D=250\text{ мВт}$, $h_{FE}>250$, $f_T>80\text{ МГц}$	SOT23, SOD23	B•E•C
6GZ	BC818-40	ZETEX	npn	$V_{DS}=30\text{ В}$, $I_C=500\text{ мА}$, $P_D=330\text{ мВт}$, $h_{FE}>250$, $f_T>200\text{ МГц}$	SOT23, SOD23	B•E•C
6H	BC818	CDIL	npn	$V_{DS}=25\text{ В}$, $I_C=500\text{ мА}$, $P_D=250\text{ мВт}$, $h_{FE}>100$, $f_T>80\text{ МГц}$	SOT23, SOD23	B•E•C
6H	BC818W	PHIL	npn	$V_{DS}=30\text{ В}$, $I_C=500\text{ мА}$, $P_D=200\text{ мВт}$, $h_{FE}>100$, $f_T>100\text{ МГц}$	SOT323, SC70	B•E•C

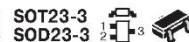


SOT23-3 SOT323 SOT416
SOD23-3 SOT346 SOT523



SOT490 TSM VMT3
MFPK TSFP-3 VMD3

Код	Типономинал	Б	Ф	Особенности	Корпус	Ц: 1+2+3
6H	DTA123EET1	MOT	Дрпк	$V_{CE0}=50\text{ В}$; $I_C=100\text{ мА}$; $P_D=150\text{ мВт}$; $h_{FE}>20$; $f_T>250\text{ МГц}$; $R_{11}/R_{22}=2/2,2\text{ кОм}$	SOT416, SC75A	В+Е+С
6H	FMMV2104	ZETEX	bcd	$V_A<30\text{ В}$; $C_{A0}=10\text{ пФ}$; $C_{20}/C_{30}\geq 2/6\text{...}3,3$; $Q>400$	SO23, SOD23	А+н.с.+К
6H	MMBF5486	MOT	nFET	$V_{DS}=25\text{ В}$; $I_{GS}=10\text{ мА}$; $P_D=300\text{ мВт}$; $I_{DSS}<20\text{ мА}$	SO23, SOD23	Д+С+G
6H	MUN2131T1	ON	Дрпк	$V_{CE0}=50\text{ В}$; $I_C=100\text{ мА}$; $P_D=246\text{ мВт}$; $h_{FE}>8$; $2,2\text{ кОм}/2,2\text{ кОм}$	SOT346, SC59	В+Е+С
6H	MUN5131T1	ON	Дрпк	$V_{CE0}=50\text{ В}$; $I_C=100\text{ мА}$; $P_D=200\text{ мВт}$; $h_{FE}>8$; $2,2\text{ кОм}/2,2\text{ кОм}$	SOT323, SC70	В+Е+С
6H0	BC818	PHIL	npn	$V_{CE0}=25\text{ В}$; $I_C=500\text{ мА}$; $P_D=250\text{ мВт}$; $h_{FE}>100$; 600 ; $f_T>80\text{ МГц}$	SOT23, SOD23	В+Е+С
6H2	BC818	ZETEX	npn	$V_{CE0}=30\text{ В}$; $I_C=500\text{ мА}$; $P_D=330\text{ мВт}$; $h_{FE}>100$; 600 ; $f_T>200\text{ МГц}$	SO23, SOD23	В+Е+С
6J	CMPP4391	CSI	nFET	$V_{DSS}=40\text{ В}$; $I_{DSS}=50\text{...}150\text{ мА}$; $V_{GS(on)}=4\text{...}10\text{ В}$; $R_{DS(on)}<30\text{ Ом}$; $t_{GFF}<20\text{ нс}$	SO23, SOD23	Д+С+G
6J	DTA143EET1	MOT	Дрпк	$V_{CE0}=50\text{ В}$; $I_C=100\text{ мА}$; $P_D=150\text{ мВт}$; $h_{FE}>20$; $f_T>250\text{ МГц}$; $R_{11}/R_{22}=4/7,4\text{ кОм}$	SOT416, SC75A	В+Е+С
6J	FMMV2105	ZETEX	bcd	$V_A<30\text{ В}$; $C_{A0}=13,5\text{...}16,5\text{ нФ}$; $C_{20}/C_{30}\geq 2/6\text{...}3,3$; $Q>400$	SO23, SOD23	А+н.с.+К
6J	MMBF4391	FAIR	nFET	$V_{DS}=30\text{ В}$; $I_{GS}=50\text{ мА}$; $P_D=350\text{ мВт}$; $R_{DS(on)}<30\text{ Ом}$	SO23, SOD23	Д+С+G
6J	MMBF4391LT1	ON	nFET	$V_{DS}=30\text{ В}$; $I_{GS}=50\text{ мА}$; $P_D=350\text{ мВт}$; $R_{DS(on)}<30\text{ Ом}$	SO23, SOD23	Д+С+G
6J	MUN2132T1	ON	Дрпк	$V_{CE0}=50\text{ В}$; $I_C=100\text{ мА}$; $P_D=246\text{ мВт}$; $h_{FE}>15$; $4,7\text{ кОм}/4,7\text{ кОм}$	SOT346, SC59	В+Е+С
6J	MUN5132T1	ON	Дрпк	$V_{CE0}=50\text{ В}$; $I_C=100\text{ мА}$; $P_D=200\text{ мВт}$; $h_{FE}>15$; $4,7\text{ кОм}/4,7\text{ кОм}$	SOT323, SC70	В+Е+С
6K	CMPP4392	CSI	nFET	$V_{DSS}=40\text{ В}$; $I_{DSS}=25\text{...}75\text{ мА}$; $V_{GS(on)}=2\text{...}5\text{ В}$; $R_{DS(on)}<60\text{ Ом}$; $t_{GFF}<35\text{ нс}$	SO23, SOD23	Д+С+G
6K	DTA1432ET1	MOT	Дрпк	$V_{CE0}=50\text{ В}$; $I_C=100\text{ мА}$; $P_D=150\text{ мВт}$; $h_{FE}>80$; $f_T>250\text{ МГц}$; $R_{11}/R_{22}=4/7,47\text{ кОм}$	SOT416, SC75A	В+Е+С
6K	MMBF4392	FAIR	nFET	$V_{DS}=30\text{ В}$; $I_{GS}=50\text{ мА}$; $P_D=350\text{ мВт}$; $R_{DS(on)}<60\text{ Ом}$	SO23, SOD23	Д+С+G
6K	MMBF4392LT1	ON	nFET	$V_{DS}=30\text{ В}$; $I_{GS}=50\text{ мА}$; $P_D=350\text{ мВт}$; $R_{DS(on)}<60\text{ Ом}$	SO23, SOD23	Д+С+G
6K	MUN2133T1	ON	Дрпк	$V_{CE0}=50\text{ В}$; $I_C=100\text{ мА}$; $P_D=246\text{ мВт}$; $h_{FE}>80$; $4,7\text{ кОм}/4,7\text{ кОм}$	SOT346, SC59	В+Е+С
6K	MUN5133T1	ON	Дрпк	$V_{CE0}=50\text{ В}$; $I_C=100\text{ мА}$; $P_D=200\text{ мВт}$; $h_{FE}>80$; $4,7\text{ кОм}/4,7\text{ кОм}$	SOT323, SC70	В+Е+С
6L	DTA124KET1	MOT	Дрпк	$V_{CE0}=50\text{ В}$; $I_C=100\text{ мА}$; $P_D=200\text{ мВт}$; $h_{FE}>68$; $f_T>250\text{ МГц}$; $R_{11}/R_{22}=22/47\text{ кОм}$	SOT416, SC75A	В+Е+С
6L	FMMV2107	ZETEX	bcd	$V_A<30\text{ В}$; $C_{A0}=19,8\text{...}24,2\text{ нФ}$; $C_{20}/C_{30}\geq 2/7\text{...}3,3$; $Q>350$	SO23, SOD23	А+н.с.+К
6L	MMBF5459	FAIR	nFET	$V_{DS}=25\text{ В}$; $I_{GS}=10\text{ мА}$; $P_D=350\text{ мВт}$; $I_{DSS}<16\text{ мА}$	SO23, SOD23	С+D+G
6L	MUN2134T1	ON	Дрпк	$V_{CE0}=50\text{ В}$; $I_C=100\text{ мА}$; $P_D=246\text{ мВт}$; $h_{FE}>80$; $22\text{ кОм}/47\text{ кОм}$	SOT346, SC59	В+Е+С
6L	MUN5134T1	ON	Дрпк	$V_{CE0}=50\text{ В}$; $I_C=100\text{ мА}$; $P_D=200\text{ мВт}$; $h_{FE}>80$; $22\text{ кОм}/47\text{ кОм}$	SOT323, SC70	В+Е+С
6M	DTA123JET1	MOT	Дрпк	$V_{CE0}=50\text{ В}$; $I_C=100\text{ мА}$; $P_D=150\text{ мВт}$; $h_{FE}>80$; $f_T>250\text{ МГц}$; $R_{11}/R_{22}=2/2,47\text{ кОм}$	SOT416, SC75A	В+Е+С
6M	FMMV2108	ZETEX	bcd	$V_A<30\text{ В}$; $C_{A0}=24,3\text{...}29,7\text{ нФ}$; $C_{20}/C_{30}\geq 2/7\text{...}3,3$; $Q>300$	SO23, SOD23	А+н.с.+К
6M	MMBF5485	NS	nFET	$V_{DS}=25\text{ В}$; $I_{GS}=10\text{ мА}$; $P_D=300\text{ мВт}$	SO23, SOD23	Д+С+G
6M	MUN5135T1	ON	Дрпк	$V_{CE0}=50\text{ В}$; $I_C=100\text{ мА}$; $P_D=200\text{ мВт}$; $h_{FE}>80$; $2,2\text{ кОм}/4,7\text{ кОм}$	SOT323, SC70	В+Е+С
6N	DTA115EET1	MOT	Дрпк	$V_{CE0}=50\text{ В}$; $I_{C(max)}=100$; $P_D=150\text{ мВт}$; $h_{FE}>82$; $f_T>250\text{ МГц}$; $R_{11}/R_{22}=100/100\text{ кОм}$	SOT416, SC75A	В+Е+С
6N	FMMV2109	ZETEX	bcd	$V_A<30\text{ В}$; $C_{A0}=29,3\text{...}36,3\text{ нФ}$; $C_{20}/C_{30}\geq 2/7\text{...}3,3$; $Q>280$	SO23, SOD23	А+н.с.+К
6N	MMBF4861	NS	nFET	$V_{DS}=30\text{ В}$; $P_D=350\text{ мВт}$; $R_{DS(on)}<60\text{ Ом}$	SO23, SOD23	Д+С+G
6N	MUN2136T1	ON	Дрпк	$V_{CE0}=50\text{ В}$; $I_C=100\text{ мА}$; $P_D=246\text{ мВт}$; $h_{FE}>80$; $100\text{ кОм}/100\text{ кОм}$	SOT346, SC59	В+Е+С
6N	MUN5136T1	ON	Дрпк	$V_{CE0}=50\text{ В}$; $I_C=100\text{ мА}$; $P_D=200\text{ мВт}$; $h_{FE}>80$; $100\text{ кОм}/100\text{ кОм}$	SOT323, SC70	В+Е+С
6P	BCX71HR	ZETEX	npn	$V_{CE0}=45\text{ В}$; $I_C=200\text{ мА}$; $P_D=330\text{ мВт}$; $h_{FE}>190$; 310 ; $f_T>180\text{ МГц}$	SO23, SOD23	В+Е+С
6P	BCX71HR	PHIL	npn	$V_{CE0}=45\text{ В}$; $I_C=200\text{ мА}$; $P_D=330\text{ мВт}$; $h_{FE}>180$; 310 ; $f_T>180\text{ МГц}$	SO23, SOD23	В+Е+С
6P	DTA144VET1	MOT	Дрпк	$V_{CE0}=50\text{ В}$; $I_{C(max)}=100\text{ мА}$; $P_D=200\text{ мВт}$; $h_{FE}>56$; $f_T>250\text{ МГц}$; $R_{11}/R_{22}=47/22\text{ кОм}$	SOT416, SC75A	В+Е+С
6P	MMBFJ111	FAIR	nFET	$V_{DS}=35\text{ В}$; $I_{GS}=50\text{ мА}$; $P_D=225\text{ мВт}$; $R_{DS(on)}<30\text{ Ом}$	SO23, SOD23	С+D+G
6P	MUN2137T1	ON	Дрпк	$V_{CE0}=50\text{ В}$; $I_C=100\text{ мА}$; $P_D=246\text{ мВт}$; $h_{FE}>80$; $47\text{ кОм}/22\text{ кОм}$	SOT346, SC59	В+Е+С
6P	MUN5137T1	ON	Дрпк	$V_{CE0}=50\text{ В}$; $I_C=100\text{ мА}$; $P_D=200\text{ мВт}$; $h_{FE}>80$; $47\text{ кОм}/22\text{ кОм}$	SOT323, SC70	В+Е+С
6Q	MMBFJ305	NS	nFET	$V_{DS}=30\text{ В}$; $I_{GS}=50\text{ мА}$; $P_D=350\text{ мВт}$	SO23, SOD23	Д+С+G
6R	FMMV2101	ZETEX	bcd	$V_A<30\text{ В}$; $C_{A0}=6\text{...}17,5\text{ нФ}$; $C_{20}/C_{30}\geq 2/5\text{...}3,3$; $Q>450$	SO23, SOD23	А+н.с.+К
6R	MMBFJ112	FAIR	nFET	$V_{DS}=35\text{ В}$; $I_{GS}=50\text{ мА}$; $P_D=225\text{ мВт}$; $R_{DS(on)}<50\text{ Ом}$	SO23, SOD23	С+D+G
6S	MMBFJ113	FAIR	nFET	$V_{DS}=35\text{ В}$; $I_{GS}=50\text{ мА}$; $P_D=225\text{ мВт}$; $R_{DS(on)}<100\text{ Ом}$	SO23, SOD23	С+D+G
6P	BCW68GR	SIEM	npn	$V_{CE0}=60\text{ В}$; $I_C=800\text{ мА}$; $P_D=330\text{ мВт}$; $h_{FE}>160$; 400 ; $f_T>100\text{ МГц}$	SO23, SOD23	С+В+Е
6T	MMBFJ310	NS	nFET	$V_{DS}=25\text{ В}$; $I_{GS}=50\text{ мА}$; $P_D=350\text{ мВт}$	SO23, SOD23	Д+С+G
6T	MUN2140T1	ON	Дрпк	$V_{CE0}=50\text{ В}$; $I_C=100\text{ мА}$; $P_D=246\text{ мВт}$; $h_{FE}>120$; $R_{11}/R_{22}=47\text{ кОм}$	SOT346, SC59	В+Е+С



Код	Типономинал	Б	Ф	Особенности	Корпус	Ц: 1•2•3
613	1PST05B40	PHIL	shd	$V_{DS} < 40 В$, $I_D < 120 мА$, $V_{DS}(I_D = 1 мА) < 380 мВ$, $C_{DS} < 5 пФ$	SOT323, SC70	A•n.c.-K
614	1PST05B44	PHIL	shd-2	$V_{DS} < 40 В$, $I_D < 120 мА$, $V_{DS}(I_D = 1 мА) < 380 мВ$, $C_{DS} < 10 пФ$	SOT323, SC70	A1-K2-K1, A2
615	1PST05B45	PHIL	shd-2	$V_{DS} < 40 В$, $I_D < 120 мА$, $V_{DS}(I_D = 1 мА) < 380 мВ$, $C_{DS} < 10 пФ$	SOT323, SC70	A1-A2-K1, K2
616	1PST05B46	PHIL	shd-2	$V_{DS} < 40 В$, $I_D < 120 мА$, $V_{DS}(I_D = 1 мА) < 380 мВ$, $C_{DS} < 10 пФ$	SOT323, SC70	K1-K2-A1, A2
61U	MMBFJ309	NS	nFET	$V_{DS} = 25 В$, $I_{DS} = 50 мА$, $P_D = 350 мВт$	SOT323, SOD23	D-S-G
6V	BCW65CR	ZETEX	npn	$V_{CE} = 60 В$, $I_C = 800 мА$, $P_D = 330 мВт$, $h_{FE} > 250$, $f_T > 100 МГц$	SOT23, SOD23	B-E-C
6V2	PZM6 2NB	PHIL	dz	$V_Z(I_{TZ} = 5 мА) = 5.86...6.53 В$, $Z_{TZ}(I_{TZ} = 5 мА) < 10 Ом$	SOT346, SC59	A•n.c.-K
6V8	PZM6 8NB	PHIL	dz	$V_Z(I_{TZ} = 5 мА) = 6.47...7.14 В$, $Z_{TZ}(I_{TZ} = 5 мА) < 15 Ом$	SOT346, SC59	A•n.c.-K
6W	BCW67CR	ZETEX	npn	$V_{CE} = 45 В$, $I_C = 800 мА$, $P_D = 330 мВт$, $h_{FE} > 250$, $f_T > 100 МГц$	SOT23, SOD23	B-E-C
6W	MMBFJ175	FAIR	pFET	$V_{DS} = 30 В$, $I_{DS} = 50 мА$, $P_D = 225 мВт$, $R_{DS(on)} < 125 Ом$	SOT23, SOD23	D-S-G
6X	MMBFJ176	FAIR	pFET	$V_{DS} = 30 В$, $I_{DS} = 50 мА$, $P_D = 225 мВт$, $R_{DS(on)} < 250 Ом$	SOT23, SOD23	D-S-G
6Y	MMBFJ177	FAIR	pFET	$V_{DS} = 30 В$, $I_{DS} = 50 мА$, $P_D = 225 мВт$, $R_{DS(on)} < 300 Ом$	SOT23, SOD23	D-S-G
6Z	MMBF170LT1	MOS	nMOS	$V_{DS} = 60 В$, $I_D = 500 мА$, $P_D = 225 мВт$	SOT323, SOD23	G-S-D
7.5X	Q2C27.5	TOSH	dz	$V_Z(I_{TZ} = 5 мА) = 7.00...7.90 В$, $I_{S}(V_{DS} = 6.0 В) < 0.5 мкА$, $Z_{TZ}(I_{TZ} = 0.5 мА) < 120 Ом$	SOT346, SC59	A•n.c.-K
702	2N7002	VISH	nFET	$V_{DS} = 60 В$, $I_D = 115 мА$, $P_D = 200 мВт$, $V_{GS} < 2.5 В$, $C_{ISS} = 60 пФ$	SOT23, SOD23	G-S-D
702W	L2N7002LT1	LRC	nFET	$V_{DS} = 60 В$, $I_D = 115 мА$, $P_D = 200 мВт$, $V_{GS(th)} = 1...2.5 В$, $C_{ISS} < 50 пФ$	SOT23, SOD23	G-S-D
717	FMM7171	ZETEX	npn	$V_{CE} = 12 В$, $I_C = 2500 мА$, $P_D = 625 мВт$	SOT23, SOD23	B-E-C
718	FMM71718	ZETEX	npn	$V_{CE} = 20 В$, $I_C = 1500 мА$, $P_D = 625 мВт$, $h_{FE} > 300$, $f_T > 180 МГц$	SOT23, SOD23	B-E-C
720	FMM71720	ZETEX	npn	$V_{CE} = 40 В$, $I_C = 1500 мА$, $P_D = 625 мВт$, $h_{FE} > 300$, $f_T > 190 МГц$	SOT23, SOD23	B-E-C
722	FMM71722	ZETEX	npn	$V_{CE} = 70 В$, $I_C = 1500 мА$, $P_D = 625 мВт$, $h_{FE} > 300$, $f_T > 200 МГц$	SOT23, SOD23	B-E-C
723	FMM71723	ZETEX	npn	$V_{CE} = 100 В$, $I_C = 1000 мА$, $P_D = 625 мВт$, $h_{FE} > 300$, $f_T > 200 МГц$	SOT23, SOD23	B-E-C
73	BAS70	VISH	shd	$V_{DS} < 70 В$, $I_D < 200 мА$, $V_{DS}(I_D = 15 мА) < 1.0 В$, $I_S < 0.1 мкА$, $C_{DS} < 2.0 пФ$, $f_{TSS} < 5 мГц$	SOT23, SOD23	A•n.c.-K
73	BAS70	GS	shd	$V_{DS} < 70 В$, $I_D < 200 мА$, $V_{DS}(I_D = 15 мА) < 1.0 В$, $I_S < 0.1 мкА$, $C_{DS} < 2.0 пФ$, $f_{TSS} < 5 мГц$	SOT23, SOD23	A•n.c.-K
73	BAS70	DIOT	shd	$V_{DS} < 70 В$, $I_D < 200 мА$, $V_{DS}(I_D = 15 мА) < 1.0 В$, $I_S < 0.1 мкА$, $C_{DS} < 2.0 пФ$, $f_{TSS} < 5 мГц$	SOT23, SOD23	A•n.c.-K
73	BAS70	MCS	shd	$V_{DS} < 70 В$, $I_D < 70 мА$, $V_{DS}(I_D = 15 мА) < 1.0 В$, $I_S < 0.1 мкА$, $C_{DS} < 2.0 пФ$, $f_{TSS} < 5 мГц$	SOT23, SOD23	A•n.c.-K
73-	BAS70W	PHIL	shd	$V_{DS} < 70 В$, $I_D < 70 мА$, $V_{DS}(I_D = 1 мА) < 410 мВ$, $C_{DS} < 2 нФ$	SOT323, SC70	A•n.c.-K
73p	BAS70	PHIL	shd	$V_{DS} < 70 В$, $I_D < 70 мА$, $V_{DS}(I_D = 1 мА) < 410 мВ$, $C_{DS} < 2 нФ$	SOT23, SOD23	A•n.c.-K
73p	BAS70W	PHIL	shd	$V_{DS} < 70 В$, $I_D < 70 мА$, $V_{DS}(I_D = 1 мА) < 410 мВ$, $C_{DS} < 2 нФ$	SOT323, SC70	A•n.c.-K
73s	BAS70	INF	shd	$V_{DS} < 70 В$, $I_D < 70 мА$, $V_{DS}(I_D = 15 мА) < 1.0 В$, $I_S < 0.1 мкА$, $C_{DS} < 2.0 пФ$	SOT323, SOD23	A•n.c.-K
73t	BAS70W	PHIL	shd	$V_{DS} < 70 В$, $I_D < 70 мА$, $V_{DS}(I_D = 1 мА) < 410 мВ$, $C_{DS} < 2 нФ$	SOT323, SC70	A•n.c.-K
74	BAS7004	VISH	shd-2	$V_{DS} < 70 В$, $I_D < 200 мА$, $V_{DS}(I_D = 15 мА) < 1.0 В$, $I_S < 0.1 мкА$, $C_{DS} < 2.0 пФ$, $f_{TSS} < 5 мГц$	SOT23, SOD23	A1-K2-K1, A2
74	BAS70-04	GS	shd-2	$V_{DS} < 70 В$, $I_D < 200 мА$, $V_{DS}(I_D = 15 мА) < 1.0 В$, $I_S < 0.1 мкА$, $C_{DS} < 2.0 пФ$, $f_{TSS} < 5 мГц$	SOT23, SOD23	A1-K2-K1, A2
74	BAS70-04	DIOT	shd-2	$V_{DS} < 70 В$, $I_D < 200 мА$, $V_{DS}(I_D = 15 мА) < 1.0 В$, $I_S < 0.1 мкА$, $C_{DS} < 2.0 пФ$, $f_{TSS} < 5 мГц$	SOT23, SOD23	A1-K2-K1, A2
74	BAS70-04	MCS	shd-2	$V_{DS} < 70 В$, $I_D < 70 мА$, $V_{DS}(I_D = 15 мА) < 1.0 В$, $I_S < 0.1 мкА$, $C_{DS} < 2.0 пФ$, $f_{TSS} < 5 мГц$	SOT23, SOD23	A1-K2-K1, A2
74	DTA114WE	ROHM	Dmpn	$V_{CE} = 50 В$, $I_C = 100 мА$, $P_D = 150 мВт$, $h_{FE} > 24$, $f_T > 250 МГц$, $R_1/R_2 = 10/4.7 кОм$	SOT418, SC75A	B-E-C
74	DTA114WKA	ROHM	Dmpn	$V_{CE} = 50 В$, $I_C = 100 мА$, $P_D = 200 мВт$, $h_{FE} > 24$, $f_T > 250 МГц$, $R_1/R_2 = 10/4.7 кОм$	SOT346, SC59	B-E-C
74	DTA114WUA	ROHM	Dmpn	$V_{CE} = 50 В$, $I_C = 100 мА$, $P_D = 200 мВт$, $h_{FE} > 24$, $f_T > 250 МГц$, $R_1/R_2 = 10/4.7 кОм$	SOT323, SC70	B-E-C
74-	BAS70-04W	PHIL	shd-2	$V_{DS} < 70 В$, $I_D < 70 мА$, $V_{DS}(I_D = 1 мА) < 410 мВ$, $C_{DS} < 2 нФ$	SOT323, SC70	A1-K2-K1, A2
74p	BAS7004	PHIL	shd-2	$V_{DS} < 70 В$, $I_D < 70 мА$, $V_{DS}(I_D = 1 мА) < 410 мВ$, $C_{DS} < 2 нФ$	SOT23, SOD23	A1-K2-K1, A2
74p	BAS7004W	PHIL	shd-2	$V_{DS} < 70 В$, $I_D < 70 мА$, $V_{DS}(I_D = 1 мА) < 410 мВ$, $C_{DS} < 2 нФ$	SOT323, SC70	A1-K2-K1, A2
74s	BAS7004	SIEM	shd-2	$V_{DS} < 70 В$, $I_D < 70 мА$, $V_{DS}(I_D = 15 мА) < 1.0 В$, $I_S < 0.1 мкА$, $C_{DS} < 2.0 пФ$	SOT23, SOD23	A1-K2-K1, A2
74s	BAS70-04	INF	shd-2	$V_{DS} < 70 В$, $I_D < 70 мА$, $V_{DS}(I_D = 15 мА) < 1.0 В$, $I_S < 0.1 мкА$, $C_{DS} < 2.0 пФ$	SOT23, SOD23	A1-K2-K1, A2
74s	BAS70-04T	INF	shd-2	$V_{DS} < 70 В$, $I_D < 70 мА$, $V_{DS}(I_D = 15 мА) < 1.0 В$, $I_S < 0.1 мкА$, $C_{DS} < 2.0 пФ$	SOT418, SC75A	A1-K2-K1, A2
74s	BAS7004W	SIEM	shd-2	$V_{DS} < 70 В$, $I_D < 70 мА$, $V_{DS}(I_D = 15 мА) < 1.0 В$, $I_S < 0.1 мкА$, $C_{DS} < 2.0 пФ$	SOT323, SC70	A1-K2-K1, A2
74s	BAS70-04W	INF	shd-2	$V_{DS} < 70 В$, $I_D < 70 мА$, $V_{DS}(I_D = 15 мА) < 1.0 В$, $I_S < 0.1 мкА$, $C_{DS} < 2.0 пФ$	SOT323, SC70	A1-K2-K1, A2
74t	BAS70-04W	PHIL	shd-2	$V_{DS} < 70 В$, $I_D < 70 мА$, $V_{DS}(I_D = 1 мА) < 410 мВ$, $C_{DS} < 2 нФ$	SOT323, SC70	A1-K2-K1, A2
75	BAS7005	VISH	shd-2	$V_{DS} < 70 В$, $I_D < 200 мА$, $V_{DS}(I_D = 15 мА) < 1.0 В$, $I_S < 0.1 мкА$, $C_{DS} < 2.0 пФ$, $f_{TSS} < 5 мГц$	SOT23, SOD23	A1-A2-K1, K2
75	BAS70-05	GS	shd-2	$V_{DS} < 70 В$, $I_D < 200 мА$, $V_{DS}(I_D = 15 мА) < 1.0 В$, $I_S < 0.1 мкА$, $C_{DS} < 2.0 пФ$, $f_{TSS} < 5 мГц$	SOT23, SOD23	A1-A2-K1, K2
75	BAS70-05	DIOT	shd-2	$V_{DS} < 70 В$, $I_D < 200 мА$, $V_{DS}(I_D = 15 мА) < 1.0 В$, $I_S < 0.1 мкА$, $C_{DS} < 2.0 пФ$, $f_{TSS} < 5 мГц$	SOT23, SOD23	A1-A2-K1, K2



SOT23-3 SOD23-3 **SOT323 SOT346** **SOT416 SOT523** **SOT490 MFPK** **TESM TSFP-3** **VMT3 VMD3**

Код	Типономинал	Б	Ф	Особенности	Корпус	Ц: 1•2•3
75	BAS70-05	MCS	shd-2	$V_B < 70 В; I_C < 70 мА; V_{CE}(I_C=15 мА) < 1.0 В; I_B < 0.1 мкА; C_{D3} < 2.0 пФ; t_{sp} < 5 нс$	SOT23, SOD23	A1•A2•K1, K2
75-	BAS70-05W	PHIL	shd-2	$V_B < 70 В; I_C < 70 мА; V_{CE}(I_C=1 мА) < 410 мВ; C_{D3} < 2 пФ$	SOT23, SC70	A1•A2•K1, K2
75p	BAS70-05	PHIL	shd-2	$V_B < 70 В; I_C < 70 мА; V_{CE}(I_C=1 мА) < 410 мВ; C_{D3} < 2 пФ$	SOT23, SOD23	A1•A2•K1, K2
75p	BAS7005W	PHIL	shd-2	$V_B < 70 В; I_C < 70 мА; V_{CE}(I_C=1 мА) < 410 мВ; C_{D3} < 2 пФ; t_{sp} < 0.1 нс$	SOT323, SC70	A1•A2•K1, K2
75s	BAS7005	SIEM	shd-2	$V_B < 70 В; I_C < 70 мА; V_{CE}(I_C=15 мА) < 1.0 В; I_B < 0.1 мкА; C_{D3} < 2.0 пФ$	SOT23, SOD23	A1•A2•K1, K2
75s	BAS70-05	INF	shd-2	$V_B < 70 В; I_C < 70 мА; V_{CE}(I_C=15 мА) < 1.0 В; I_B < 0.1 мкА; C_{D3} < 2.0 пФ$	SOT23, SOD23	A1•A2•K1, K2
75s	BAS7005W	SIEM	shd-2	$V_B < 70 В; I_C < 70 мА; V_{CE}(I_C=15 мА) < 1.0 В; I_B < 0.1 мкА; C_{D3} < 2.0 пФ$	SOT323, SC70	A1•A2•K1, K2
75s	BAS70-05W	INF	shd-2	$V_B < 70 В; I_C < 70 мА; V_{CE}(I_C=15 мА) < 1.0 В; I_B < 0.1 мкА; C_{D3} < 2.0 пФ$	SOT323, SC70	A1•A2•K1, K2
75t	BAS70-05	PHIL	shd-2	$V_B < 70 В; I_C < 70 мА; V_{CE}(I_C=1 мА) < 410 мВ; C_{D3} < 2 пФ$	SOT23, SOD23	A1•A2•K1, K2
75t	BAS70-05W	PHIL	shd-2	$V_B < 70 В; I_C < 70 мА; V_{CE}(I_C=1 мА) < 410 мВ; C_{D3} < 2 пФ$	SOT323, SC70	A1•A2•K1, K2
75V	PZM75NB	PHIL	dz	$V_{CE}(I_{T1}=2 мА) > 70.0 В; Z_{T1}(I_{T1}=2 мА) < 175 Ом$	SOT346, SC59	A•n.c. •K
76	BAS7006	WISH	shd-2	$V_B < 70 В; I_C < 200 мА; V_{CE}(I_C=15 мА) < 1.0 В; I_B < 0.1 мкА; C_{D3} < 2.0 пФ; t_{sp} < 5 нс$	SOT23, SOD23	K1•K2•A1, A2
76	BAS70-06	GS	shd-2	$V_B < 70 В; I_C < 200 мА; V_{CE}(I_C=15 мА) < 1.0 В; I_B < 0.1 мкА; C_{D3} < 2.0 пФ; t_{sp} < 5 нс$	SOT23, SOD23	K1•K2•A1, A2
76	BAS70-06	DIOT	shd-2	$V_B < 70 В; I_C < 200 мА; V_{CE}(I_C=15 мА) < 1.0 В; I_B < 0.1 мкА; C_{D3} < 2.0 пФ; t_{sp} < 5 нс$	SOT23, SOD23	K1•K2•A1, A2
76	BAS70-06	MCS	shd-2	$V_B < 70 В; I_C < 70 мА; V_{CE}(I_C=15 мА) < 1.0 В; I_B < 0.1 мкА; C_{D3} < 2.0 пФ; t_{sp} < 5 нс$	SOT23, SOD23	K1•K2•A1, A2
76	DTA144WE	ROHM	Dnpn	$V_{CE0}=50 В; I_{C0(max)}=100 мА; P_D=200 мВт; h_{FE} > 56; f_T > 250 МГц; R_{D1}R_{D2}=47/22 кОм$	SOT416, SC75A	B•E•C
76	DTA144WKA	ROHM	Dnpn	$V_{CE0}=50 В; I_{C0}=30 мА; P_D=200 мВт; h_{FE} > 56; f_T > 250 МГц; R_{D1}R_{D2}=47/22 кОм$	SOT346, SC59	B•E•C
76	DTA144WKA	ROHM	Dnpn	$V_{CE0}=50 В; I_{C0(max)}=100 мА; P_D=200 мВт; h_{FE} > 56; f_T > 250 МГц; R_{D1}R_{D2}=47/22 кОм$	SOT323, SC70	B•E•C
76-	BAS70-06W	PHIL	shd-2	$V_B < 70 В; I_C < 70 мА; V_{CE}(I_C=1 мА) < 410 мВ; C_{D3} < 2 пФ$	SOT323, SC70	K1•K2•A1, A2
76p	BAS70-06	PHIL	shd-2	$V_B < 70 В; I_C < 70 мА; V_{CE}(I_C=1 мА) < 410 мВ; C_{D3} < 2 пФ$	SOT23, SOD23	K1•K2•A1, A2
76p	BAS7006W	PHIL	shd-2	$V_B < 70 В; I_C < 70 мА; V_{CE}(I_C=1 мА) < 410 мВ; C_{D3} < 2 пФ; t_{sp} < 0.1 нс$	SOT323, SC70	K1•K2•A2, A1
76s	BAS7006	SIEM	shd-2	$V_B < 70 В; I_C < 70 мА; V_{CE}(I_C=15 мА) < 1.0 В; I_B < 0.1 мкА; C_{D3} < 2.0 пФ$	SOT23, SOD23	K1•K2•A1, A2
76s	BAS70-06	INF	shd-2	$V_B < 70 В; I_C < 70 мА; V_{CE}(I_C=15 мА) < 1.0 В; I_B < 0.1 мкА; C_{D3} < 2.0 пФ$	SOT23, SOD23	K1•K2•A1, A2
76s	BAS7006W	SIEM	shd-2	$V_B < 70 В; I_C < 70 мА; V_{CE}(I_C=15 мА) < 1.0 В; I_B < 0.1 мкА; C_{D3} < 2.0 пФ$	SOT323, SC70	K1•K2•A1, A2
76s	BAS70-06W	INF	shd-2	$V_B < 70 В; I_C < 70 мА; V_{CE}(I_C=15 мА) < 1.0 В; I_B < 0.1 мкА; C_{D3} < 2.0 пФ$	SOT323, SC70	K1•K2•A1, A2
76t	BAS70-06	PHIL	shd-2	$V_B < 70 В; I_C < 70 мА; V_{CE}(I_C=1 мА) < 410 мВ; C_{D3} < 2 пФ$	SOT23, SOD23	K1•K2•A1, A2
76t	BAS70-06W	PHIL	shd-2	$V_B < 70 В; I_C < 70 мА; V_{CE}(I_C=1 мА) < 410 мВ; C_{D3} < 2 пФ$	SOT323, SC70	K1•K2•A1, A2
7A	MMBR901LT1	MOT	nnp	$V_{CE0}=25 В; I_{C0}=30 мА; P_D=300 мВт; h_{FE} > 30...200$	SOT23, SOD23	B•E•C
7A	MMBR901LT3	MOT	nnp	$V_{CE0}=25 В; I_{C0}=30 мА; P_D=300 мВт; h_{FE} > 30...200$	SOT23, SOD23	B•E•C
7A5	PZM7.5NB2A	PHIL	dz-2	$V_{CE}(I_{T1}=5 мА) > 7.28...7.60 В; Z_{T1}(I_{T1}=5 мА) < 100 Ом$	SOT346, SC59	K1•K2•A1, A2
7B	MMBR920LT2	MOT	nnp	$V_{CE0}=20 В; I_{C0}=35 мА; P_D=268 мВт; h_{FE} > 25...250; f_T=4500 МГц$	SOT23, SOD23	B•E•C
7D	HDA4	ZETEX	fld-2	$V_B < 35 В; I_C < 100 мА; V_{CE}(I_C=10 мА) < 1.0 В; I_B < 1.0 мкА; C_{D3} < 4.0 пФ; t_{sp} < 6 нс$	SOT23, SOD23	K1•K2•A1, A2
7D	MMBR931LT1	MOT	nnp	$V_{CE0}=10 В; I_{C0}=5 мА; P_D=150 мВт; h_{FE} > 50...150$	SOT23, SOD23	B•E•C
7E	FMMT4A2R	ZETEX	nnp	$V_{CE0}=300 В; I_{C0}=200 мА; P_D=330 мВт; h_{FE} > 40; f_T > 50 МГц$	SOT23, SOD23	B•E•C
7E	MMBR2060	MOT	nnp	$V_{CE0}=30 В; I_{C0}=50 мА; f_T=1 ГГц$	SOT23, SOD23	B•E•C
7F	MMBR4957LT1	MOT	nnp	$V_{CE0}=30 В; I_{C0}=30 мА; P_D=278 мВт; h_{FE} > 1.2 ГГц$	SOT23, SOD23	B•E•C
7G	MMBR5031LT1	MOT	nnp	$V_{CE0}=15 В; I_{C0}=20 мА; P_D=300 мВт; h_{FE} > 25...300; f_T=1000 МГц$	SOT23, SOD23	B•E•C
7H	KST5179	SAMS	nnp	$V_{CE0}=20 В; I_{C0}=50 мА; P_D=350 мВт; h_{FE} > 25; f_T > 900 МГц$	SOT23, SOD23	B•E•C
7H	MMBR5179LT1	MOT	nnp	$V_{CE0}=20 В; I_{C0}=50 мА; P_D=375 мВт; h_{FE} > 25; f_T=1400 МГц$	SOT23, SOD23	B•E•C
7J	FMMT738C	ZETEX	nnp	$V_{CE0}=80 В; I_{C0}=300 мА; P_D=330 мВт; h_{FE} > 5000$	SOT23, SOD23	B•E•C
7K	MMBR2857LT1	MOT	nnp	$V_{CE0}=15 В; I_{C0}=40 мА; f_T=4 ГГц$	SOT23, SOD23	B•E•C
7M	BCW69HR	ZETEX	nnp	$V_{CE0}=75 В; I_{C0}=800 мА; P_D=330 мВт; h_{FE} > 250...630; f_T > 100 МГц$	SOT23, SOD23	B•E•C
7M	MMBR521LT1	MOT	nnp	$V_{CE0}=20 В; I_{C0}=70 мА; P_D=333 мВт; h_{FE} > 25...125; f_T=3400 МГц$	SOT23, SOD23	B•E•C
7N	BCW69HR	ZETEX	nnp	$V_{CE0}=60 В; I_{C0}=800 мА; P_D=330 мВт; h_{FE} > 250...630; f_T > 100 МГц$	SOT23, SOD23	B•E•C
7N	MMBR941BLT1	MOT	nnp	$V_{CE0}=20 В; I_{C0}=50 мА; P_D=250 мВт; h_{FE} > 100...200; f_T=8000 МГц$	SOT23, SOD23	B•E•C
7N	MMBR941BLT3	MOT	nnp	$V_{CE0}=20 В; I_{C0}=50 мА; P_D=250 мВт; h_{FE} > 100...200; f_T=8000 МГц$	SOT23, SOD23	B•E•C
7P	BCW69FR	ZETEX	nnp	$V_{CE0}=75 В; I_{C0}=800 мА; P_D=330 мВт; h_{FE} > 100...250; f_T > 100 МГц$	SOT23, SOD23	B•E•C
7P	BCW69FR	SGS	nnp	$V_{CE0}=75 В; I_{C0}=800 мА; P_D=350 мВт; h_{FE} > 100...250; f_T > 100 МГц$	SOT23, SOD23	C•B•E
7P	MMBR911LT1	MOT	nnp	$V_{CE0}=20 В; I_{C0}=60 мА; P_D=300 мВт; h_{FE} > 30...200; f_T=6000 МГц$	SOT23, SOD23	B•E•C
7R	MMBR536	MOT	nnp	$V_{CE0}=10 В; I_{C0}=10 мА$	SOT23, SOD23	B•E•C

**SOT490 TSM
MFPAK TSFP-3**

**VMT3
VMD3**



**SOT416
SOT523**

**SOT323
SOT346**

**SOT23-3
SOD23-3**



Код	Типономинал	Б	Ф	Особенности	Корпус	Ц: 1•2•3
7T	BCW68FF	ZETEX	npn	$V_{CE0}=60\text{ В}; I_C=800\text{ мА}; P_D=330\text{ мВт}; h_{FE1}=100...250; f_T>100\text{ МГц}$	SOT23, SOD23	В•Е•С
7U5	PZM7.5NB	PHIL	dz	$V_{Z1}(I_{Z1}=5\text{ мА})=7.06...7.84\text{ В}; Z_{CT}(I_{Z1}=5\text{ мА})<10\text{ Ом}$	SOT346, SC59	А•н.с. • К
7X	MMB9511LT1	MOT	npn	$V_{CE0}=20\text{ В}; I_C=80\text{ мА}; P_D=330\text{ мВт}; h_{FE1}=50...300; f_T=8000\text{ МГц}$	SOT23, SOD23	В•Е•С
7Y	MMB9511LT1	MOT	npn	$V_{CE0}=20\text{ В}; I_C=50\text{ мА}; P_D=250\text{ мВт}; h_{FE1}=50...200; f_T=8000\text{ МГц}$	SOT23, SOD23	В•Е•С
7Y	MMB9511LT3	MOT	npn	$V_{CE0}=20\text{ В}; I_C=50\text{ мА}; P_D=250\text{ мВт}; h_{FE1}=50...250; f_T=8000\text{ МГц}$	SOT23, SOD23	В•Е•С
-7Y	PD7B123YT	PHIL	Dnpn	$V_{CE0}=50\text{ В}; I_C=500\text{ мА}; P_D=250\text{ мВт}; h_{FE1}=70; 2.2\text{ кОм}/10\text{ мОм}$	SOT23, SOD23	В•Е•С
7Z	MMB9511LT1	MOT	npn	$V_{CE0}=20\text{ В}; I_C=100\text{ мА}; P_D=322\text{ мВт}; h_{FE1}=50...200; f_T=8000\text{ МГц}$	SOT23, SOD23	В•Е•С
8 2	01BZA8.2	TOSH	dz-z-2	$V_{Z1}(I_{Z1}=5\text{ мА})=7.7...8.7\text{ В}; I_R(V_R=6.5\text{ В})<0.5\text{ мА}$	SOT323, SC70	А•н.с. • К1 • К2 • А1, А2
8 2X	02C28.2	TOSH	dz	$V_{Z1}(I_{Z1}=5\text{ мА})=7.70...8.70\text{ В}; I_R(V_R=6.5\text{ В})<0.5\text{ мА}; Z_{CT}(I_{Z1}=0.5\text{ мА})<120\text{ Ом}$	SOT346, SC59	А•н.с. • К
81A	FMM25250	ZETEX	dz	$V_Z=20\text{ В}; Z_{CT}(I_Z=6.2\text{ мА})=25\text{ Ом}$	SOT23, SOD23	А•н.с. • К
81A	PMB25250B	PHIL	dz	$V_Z(I_{Z1}=6.2\text{ мА})=20\text{ В}; I_R(V_R=15\text{ В})<0.1\text{ мА}; Z_{CT}(I_{Z1}=6.2\text{ мА})<600\text{ Ом}; I_{ZM}=200\text{ мА}$	SOT23, SOD23	А•н.с. • К
81A	TMP25250	ALLEG	dz	$V_Z(I_{Z1}=6.2\text{ мА})=19.0...21.0\text{ В}; I_R(V_R=15.0\text{ В})<0.1\text{ мА}; Z_{CT}(I_{Z1}=6.2\text{ мА})<25\text{ Ом}$	SOT23, SOD23	А•н.с. • К
81A	MMB25250B	VISH	dz	$V_Z(I_{Z1}=6.2\text{ мА})=19.0...21.0\text{ В}; I_R<0.1\text{ мА}$	SOT23, SOD23	А•н.с. • К
81A	MMB25250BLT1	ON	dz	$V_Z(I_{Z1}=6.2\text{ мА})=19.0...21.0\text{ В}; I_R<0.1\text{ мА}$	SOT23, SOD23	А•н.с. • К
81B	FMM25251	ZETEX	dz	$V_Z=22\text{ В}; Z_{CT}(I_Z=5.6\text{ мА})=29\text{ Ом}$	SOT23, SOD23	А•н.с. • К
81B	PMB25251B	PHIL	dz	$V_Z(I_{Z1}=5.6\text{ мА})=22\text{ В}; I_R(V_R=17\text{ В})<0.1\text{ мА}; Z_{CT}(I_{Z1}=5.6\text{ мА})<600\text{ Ом}; I_{ZM}=200\text{ мА}$	SOT23, SOD23	А•н.с. • К
81B	TMP25251	ALLEG	dz	$V_Z(I_{Z1}=5.6\text{ мА})=20.9...23.1\text{ В}; I_R(V_R=17.0\text{ В})<0.1\text{ мА}; Z_{CT}(I_{Z1}=5.6\text{ мА})<29\text{ Ом}$	SOT23, SOD23	А•н.с. • К
81B	MMB25251B	VISH	dz	$V_Z(I_{Z1}=5.6\text{ мА})=20.9...23.1\text{ В}; I_R<0.1\text{ мА}$	SOT23, SOD23	А•н.с. • К
81B	MMB25251BLT1	ON	dz	$V_Z(I_{Z1}=5.6\text{ мА})=20.9...23.1\text{ В}; I_R<0.1\text{ мА}$	SOT23, SOD23	А•н.с. • К
81C	FMM25252	ZETEX	dz	$V_Z=24\text{ В}; Z_{CT}(I_Z=5.2\text{ мА})=33\text{ Ом}$	SOT23, SOD23	А•н.с. • К
81C	PMB25252B	PHIL	dz	$V_Z(I_{Z1}=5.2\text{ мА})=24\text{ В}; I_R(V_R=18\text{ В})<0.1\text{ мА}; Z_{CT}(I_{Z1}=5.2\text{ мА})<600\text{ Ом}; I_{ZM}=200\text{ мА}$	SOT23, SOD23	А•н.с. • К
81C	TMP25252	ALLEG	dz	$V_Z(I_{Z1}=5.2\text{ мА})=22.8...25.2\text{ В}; I_R(V_R=18.0\text{ В})<0.1\text{ мА}; Z_{CT}(I_{Z1}=5.2\text{ мА})<33\text{ Ом}$	SOT23, SOD23	А•н.с. • К
81C	MMB25252B	VISH	dz	$V_Z(I_{Z1}=5.2\text{ мА})=22.8...25.2\text{ В}; I_R<0.1\text{ мА}$	SOT23, SOD23	А•н.с. • К
81C	MMB25252BLT1	ON	dz	$V_Z(I_{Z1}=5.2\text{ мА})=22.8...25.2\text{ В}; I_R<0.1\text{ мА}$	SOT23, SOD23	А•н.с. • К
81D	FMM25253	ZETEX	dz	$V_Z=25\text{ В}; Z_{CT}(I_Z=5\text{ мА})=35\text{ Ом}$	SOT23, SOD23	А•н.с. • К
81D	PMB25253B	PHIL	dz	$V_Z(I_{Z1}=5.0\text{ мА})=25\text{ В}; I_R(V_R=19\text{ В})<0.1\text{ мА}; Z_{CT}(I_{Z1}=5.0\text{ мА})<600\text{ Ом}; I_{ZM}=200\text{ мА}$	SOT23, SOD23	А•н.с. • К
81D	TMP25253	ALLEG	dz	$V_Z(I_{Z1}=5.0\text{ мА})=23.8...26.3\text{ В}; I_R(V_R=19.0\text{ В})<0.1\text{ мА}; Z_{CT}(I_{Z1}=5.0\text{ мА})<35\text{ Ом}$	SOT23, SOD23	А•н.с. • К
81D	MMB25253B	VISH	dz	$V_Z(I_{Z1}=5.0\text{ мА})=23.75...26.25\text{ В}; I_R<0.1\text{ мА}$	SOT23, SOD23	А•н.с. • К
81D	MMB25253BLT1	ON	dz	$V_Z(I_{Z1}=5.0\text{ мА})=23.75...26.25\text{ В}; I_R<0.1\text{ мА}$	SOT23, SOD23	А•н.с. • К
81E	FMM25254	ZETEX	dz	$V_Z=27\text{ В}; Z_{CT}(I_Z=4.6\text{ мА})=41\text{ Ом}$	SOT23, SOD23	А•н.с. • К
81E	PMB25254B	PHIL	dz	$V_Z(I_{Z1}=4.6\text{ мА})=27\text{ В}; I_R(V_R=21\text{ В})<0.1\text{ мА}; Z_{CT}(I_{Z1}=4.6\text{ мА})<600\text{ Ом}; I_{ZM}=200\text{ мА}$	SOT23, SOD23	А•н.с. • К
81E	TMP25254	ALLEG	dz	$V_Z(I_{Z1}=4.6\text{ мА})=25.7...28.4\text{ В}; I_R(V_R=21.0\text{ В})<0.1\text{ мА}; Z_{CT}(I_{Z1}=4.6\text{ мА})<41\text{ Ом}$	SOT23, SOD23	А•н.с. • К
81E	MMB25254B	VISH	dz	$V_Z(I_{Z1}=5.0\text{ мА})=25.65...28.35\text{ В}; I_R<0.1\text{ мА}$	SOT23, SOD23	А•н.с. • К
81E	MMB25254BLT1	ON	dz	$V_Z(I_{Z1}=5.0\text{ мА})=25.65...28.35\text{ В}; I_R<0.1\text{ мА}$	SOT23, SOD23	А•н.с. • К
81F	FMM25255	ZETEX	dz	$V_Z=28\text{ В}; Z_{CT}(I_Z=4.5\text{ мА})=44\text{ Ом}$	SOT23, SOD23	А•н.с. • К
81F	PMB25255B	PHIL	dz	$V_Z(I_{Z1}=4.5\text{ мА})=28\text{ В}; I_R(V_R=21\text{ В})<0.1\text{ мА}; Z_{CT}(I_{Z1}=4.5\text{ мА})<600\text{ Ом}; I_{ZM}=200\text{ мА}$	SOT23, SOD23	А•н.с. • К
81F	TMP25255	ALLEG	dz	$V_Z(I_{Z1}=4.5\text{ мА})=26.6...29.4\text{ В}; I_R(V_R=21.0\text{ В})<0.1\text{ мА}; Z_{CT}(I_{Z1}=4.5\text{ мА})<44\text{ Ом}$	SOT23, SOD23	А•н.с. • К
81F	MMB25255B	VISH	dz	$V_Z(I_{Z1}=4.5\text{ мА})=26.6...29.4\text{ В}; I_R<0.1\text{ мА}$	SOT23, SOD23	А•н.с. • К
81F	MMB25255BLT1	ON	dz	$V_Z(I_{Z1}=4.5\text{ мА})=26.6...29.4\text{ В}; I_R<0.1\text{ мА}$	SOT23, SOD23	А•н.с. • К
81G	FMM25256	ZETEX	dz	$V_Z=30\text{ В}; Z_{CT}(I_Z=4.2\text{ мА})=49\text{ Ом}$	SOT23, SOD23	А•н.с. • К
81G	PMB25256B	PHIL	dz	$V_Z(I_{Z1}=4.2\text{ мА})=30\text{ В}; I_R(V_R=23\text{ В})<0.1\text{ мА}; Z_{CT}(I_{Z1}=4.2\text{ мА})<600\text{ Ом}; I_{ZM}=200\text{ мА}$	SOT23, SOD23	А•н.с. • К

Код	Типономинал	Б	Ф	Особенности	Корпус	Ц: 1•2•3
81G	TMP25256	ALLEG	dz	$V_{A(I_{T1})} = 4.2 \text{ mA}; 28.5 \dots 31.5 \text{ B}; I_1(V_{R1} = 23.0 \text{ B}) < 0.1 \text{ мкА};$ $Z_{T1(I_{T1})} = 4.2 \text{ мА}; < 49 \text{ Ом}$	SOT23, SOD23	A•n•c•K
81G	MMBZ5256B	VISH	dz	$V_{A(I_{T1})} = 4.2 \text{ mA}; 28.5 \dots 31.5 \text{ B}; I_1 < 0.1 \text{ мкА}$	SOT23, SOD23	A•n•c•K
81G	MMBZ5256BLT1	ON	dz	$V_{A(I_{T1})} = 4.2 \text{ mA}; 28.5 \dots 31.5 \text{ B}; I_1 < 0.1 \text{ мкА}$	SOT23, SOD23	A•n•c•K
81H	FMM25257	ZETEX	dz	$V_2 = 33 \text{ B}; Z_{T1(I_{T1})} = 3.8 \text{ мА}; < 58 \text{ Ом}$	SOT23, SOD23	A•n•c•K
81H	PMBZ5257B	PHIL	dz	$V_{A(I_{T1})} = 3.8 \text{ мА}; < 33 \text{ B}; I_1(V_{R1} = 25 \text{ B}) < 0.1 \text{ мкА}; Z_{T1(I_{T1})} = 3.8 \text{ мА}; < 600 \text{ Ом};$ $I_{ZM} = 200 \text{ мА}$	SOT23, SOD23	A•n•c•K
81H	TMP25257	ALLEG	dz	$V_{A(I_{T1})} = 3.8 \text{ мА}; < 31.4 \dots 34.7 \text{ B}; I_1(V_{R1} = 25.0 \text{ B}) < 0.1 \text{ мкА};$ $Z_{T1(I_{T1})} = 3.8 \text{ мА}; < 58 \text{ Ом}$	SOT23, SOD23	A•n•c•K
81H	MMBZ5257B	VISH	dz	$V_{A(I_{T1})} = 3.8 \text{ мА}; < 31.35 \dots 34.65 \text{ B}; I_1 < 0.1 \text{ мкА}$	SOT23, SOD23	A•n•c•K
81H	MMBZ5257BLT1	ON	dz	$V_{A(I_{T1})} = 3.8 \text{ мА}; < 31.35 \dots 34.65 \text{ B}; I_1 < 0.1 \text{ мкА}$	SOT23, SOD23	A•n•c•K
81J	MMBZ5256B	VISH	dz	$V_{A(I_{T1})} = 3.4 \text{ мА}; < 34.2 \dots 37.8 \text{ B}; I_1 < 0.1 \text{ мкА}$	SOT23, SOD23	A•n•c•K
81J	MMBZ5256BLT1	ON	dz	$V_{A(I_{T1})} = 3.4 \text{ мА}; < 34.2 \dots 37.8 \text{ B}; I_1 < 0.1 \text{ мкА}$	SOT23, SOD23	A•n•c•K
81K	MMBZ5259B	VISH	dz	$V_{A(I_{T1})} = 3.2 \text{ мА}; < 37.05 \dots 41.0 \text{ B}; I_1 < 0.1 \text{ мкА}$	SOT23, SOD23	A•n•c•K
81K	MMBZ5259BLT1	ON	dz	$V_{A(I_{T1})} = 3.2 \text{ мА}; < 37.05 \dots 41.0 \text{ B}; I_1 < 0.1 \text{ мкА}$	SOT23, SOD23	A•n•c•K
81L	MMBZ5260BLT1	ON	dz	$V_{A(I_{T1})} = 3 \text{ мА}; < 40.85 \dots 45.15 \text{ B}; I_1 < 0.1 \text{ мкА}$	SOT23, SOD23	A•n•c•K
81M	MMBZ5261B	VISH	dz	$V_{A(I_{T1})} = 2.7 \text{ мА}; < 44.65 \dots 49.35 \text{ B}; I_1 < 0.1 \text{ мкА}$	SOT23, SOD23	A•n•c•K
81M	MMBZ5261BLT1	ON	dz	$V_{A(I_{T1})} = 2.7 \text{ мА}; < 44.65 \dots 49.35 \text{ B}; I_1 < 0.1 \text{ мкА}$	SOT23, SOD23	A•n•c•K
81N	MMBZ5262B	VISH	dz	$V_{A(I_{T1})} = 2.5 \text{ мА}; < 48.45 \dots 53.55 \text{ B}; I_1 < 0.1 \text{ мкА}$	SOT23, SOD23	A•n•c•K
81N	MMBZ5262BLT1	ON	dz	$V_{A(I_{T1})} = 2.5 \text{ мА}; < 48.45 \dots 53.55 \text{ B}; I_1 < 0.1 \text{ мкА}$	SOT23, SOD23	A•n•c•K
81P	MMBZ5263B	VISH	dz	$V_{A(I_{T1})} = 2.2 \text{ мА}; < 53.20 \dots 58.80 \text{ B}; I_1 < 0.1 \text{ мкА}$	SOT23, SOD23	A•n•c•K
81P	MMBZ5263BLT1	ON	dz	$V_{A(I_{T1})} = 2.2 \text{ мА}; < 53.20 \dots 58.80 \text{ B}; I_1 < 0.1 \text{ мкА}$	SOT23, SOD23	A•n•c•K
81Q	MMBZ5264B	VISH	dz	$V_{A(I_{T1})} = 2.1 \text{ мА}; < 57.00 \dots 63.00 \text{ B}; I_1 < 0.1 \text{ мкА}$	SOT23, SOD23	A•n•c•K
81Q	MMBZ5264BLT1	ON	dz	$V_{A(I_{T1})} = 2.1 \text{ мА}; < 57.00 \dots 63.00 \text{ B}; I_1 < 0.1 \text{ мкА}$	SOT23, SOD23	A•n•c•K
81R	MMBZ5265B	VISH	dz	$V_{A(I_{T1})} = 2 \text{ мА}; < 58.90 \dots 65.10 \text{ B}; I_1 < 0.1 \text{ мкА}$	SOT23, SOD23	A•n•c•K
81R	MMBZ5265BLT1	ON	dz	$V_{A(I_{T1})} = 2 \text{ мА}; < 58.90 \dots 65.10 \text{ B}; I_1 < 0.1 \text{ мкА}$	SOT23, SOD23	A•n•c•K
81S	MMBZ5266B	VISH	dz	$V_{A(I_{T1})} = 1.8 \text{ мА}; < 64.60 \dots 71.40 \text{ B}; I_1 < 0.1 \text{ мкА}$	SOT23, SOD23	A•n•c•K
81S	MMBZ5266BLT1	ON	dz	$V_{A(I_{T1})} = 1.8 \text{ мА}; < 64.60 \dots 71.40 \text{ B}; I_1 < 0.1 \text{ мкА}$	SOT23, SOD23	A•n•c•K
81T	MMBZ5267B	VISH	dz	$V_{A(I_{T1})} = 1.7 \text{ мА}; < 71.25 \dots 78.75 \text{ B}; I_1 < 0.1 \text{ мкА}$	SOT23, SOD23	A•n•c•K
81T	MMBZ5267BLT1	ON	dz	$V_{A(I_{T1})} = 1.7 \text{ мА}; < 71.25 \dots 78.75 \text{ B}; I_1 < 0.1 \text{ мкА}$	SOT23, SOD23	A•n•c•K
81U	MMBZ5268BLT1	ON	dz	$V_{A(I_{T1})} = 1.5 \text{ мА}; < 77.90 \dots 86.10 \text{ B}; I_1 < 0.1 \text{ мкА}$	SOT23, SOD23	A•n•c•K
81V	MMBZ5269BLT1	ON	dz	$V_{A(I_{T1})} = 1.4 \text{ мА}; < 82.65 \dots 91.35 \text{ B}; I_1 < 0.1 \text{ мкА}$	SOT23, SOD23	A•n•c•K
81W	MMBZ5270BLT1	ON	dz	$V_{A(I_{T1})} = 1.4 \text{ мА}; < 85.45 \dots 95.55 \text{ B}; I_1 < 0.1 \text{ мкА}$	SOT23, SOD23	A•n•c•K
83	BAT88	SIEM	shd	$V_R < 8 \text{ B}; I_C < 130 \text{ мА}; V_{R(I_C)} = 10 \text{ мА}; < 0.5 \text{ B}; I_1 < 0.1 \text{ мкА}; C_{D1} < 1.0 \text{ пФ}$	SOT23, SOD23	A•n•c•K
83s	BAT88	INF	shd	$V_R < 8 \text{ B}; I_C < 130 \text{ мА}; V_{R(I_C)} = 10 \text{ мА}; < 0.5 \text{ B}; I_1 < 0.1 \text{ мкА}; C_{D1} < 1.0 \text{ пФ}$	SOT23, SOD23	A•n•c•K
83s	BAT88W	INF	shd-2	$V_R < 8 \text{ B}; I_C < 130 \text{ мА}; V_{R(I_C)} = 10 \text{ мА}; < 0.5 \text{ B}; I_1 < 0.1 \text{ мкА}; C_{D1} < 1.0 \text{ пФ}$	SOT323, SC70	A•n•c•K
84	BAT8804	SIEM	shd-2	$V_R < 8 \text{ B}; I_C < 130 \text{ мА}; V_{R(I_C)} = 10 \text{ мА}; < 0.5 \text{ B}; I_1 < 0.1 \text{ мкА}; C_{D1} < 1.0 \text{ пФ}$	SOT23, SOD23	A1•K2•K1, A2
84	DTCl14WE	ROHM	Dnpn	$V_{CE0} = 50 \text{ B}; I_C = 100 \text{ мА}; P_D = 150 \text{ мВт}; \eta_{25} > 24; f_T > 250 \text{ МГц};$ $R_{11}/R_{21} = 10/4.7 \text{ кОм}$	SOT416, SC75A	B•E•C
84	DTCl14WKA	ROHM	Dnpn	$V_{CE0} = 50 \text{ B}; I_C = 100 \text{ мА}; P_D = 200 \text{ мВт}; \eta_{25} > 24; f_T > 250 \text{ МГц};$ $R_{11}/R_{21} = 10/4.7 \text{ кОм}$	SOT346, SC59	B•E•C
84	DTCl14WUA	ROHM	Dnpn	$V_{CE0} = 50 \text{ B}; I_C = 100 \text{ мА}; P_D = 200 \text{ мВт}; \eta_{25} > 24; f_T > 250 \text{ МГц};$ $R_{11}/R_{21} = 10/4.7 \text{ кОм}$	SOT323, SC70	B•E•C
84s	BAT88-04	INF	shd-2	$V_R < 8 \text{ B}; I_C < 130 \text{ мА}; V_{R(I_C)} = 10 \text{ мА}; < 0.5 \text{ B}; I_1 < 0.1 \text{ мкА}; C_{D1} < 1.0 \text{ пФ}$	SOT23, SOD23	A1•K2•K1, A2
84s	BAT88-04W	INF	shd-2	$V_R < 8 \text{ B}; I_C < 130 \text{ мА}; V_{R(I_C)} = 10 \text{ мА}; < 0.5 \text{ B}; I_1 < 0.1 \text{ мкА}; C_{D1} < 1.0 \text{ пФ}$	SOT323, SC70	A1•K2•K1, A2
85	BAT8805	SIEM	shd-2	$V_R < 8 \text{ B}; I_C < 130 \text{ мА}; V_{R(I_C)} = 10 \text{ мА}; < 0.5 \text{ B}; I_1 < 0.1 \text{ мкА}; C_{D1} < 1.0 \text{ пФ}$	SOT23, SOD23	A1•A2•K1, K2
85A	MMBD1701A	FAIR	dl	$V_R < 30 \text{ B}; I_C = 50 \text{ мА}; V_{R(I_C)} = 50 \text{ мА}; < 1.1 \text{ B}; C_{D1} < 1 \text{ пФ}; \eta_{25} < 1 \text{ мс}$	SOT23, SOD23	A•n•c•K
85s	BAT88-05	INF	shd-2	$V_R < 8 \text{ B}; I_C < 130 \text{ мА}; V_{R(I_C)} = 10 \text{ мА}; < 0.5 \text{ B}; I_1 < 0.1 \text{ мкА}; C_{D1} < 1.0 \text{ пФ}$	SOT23, SOD23	A1•A2•K1, K2
85s	BAT88-05W	INF	shd-2	$V_R < 8 \text{ B}; I_C < 130 \text{ мА}; V_{R(I_C)} = 10 \text{ мА}; < 0.5 \text{ B}; I_1 < 0.1 \text{ мкА}; C_{D1} < 1.0 \text{ пФ}$	SOT323, SC70	A1•A2•K1, K2
86	BAT8806	SIEM	shd-2	$V_R < 8 \text{ B}; I_C < 130 \text{ мА}; V_{R(I_C)} = 10 \text{ мА}; < 0.5 \text{ B}; I_1 < 0.1 \text{ мкА}; C_{D1} < 1.0 \text{ пФ}$	SOT23, SOD23	K1•K2•A1, A2
86	DTCl144WE	ROHM	Dnpn	$V_{CE0} = 50 \text{ B}; I_C = 100 \text{ мА}; P_D = 150 \text{ мВт}; \eta_{25} > 26; f_T > 250 \text{ МГц};$ $R_{11}/R_{21} = 47/22 \text{ кОм}$	SOT416, SC75A	B•E•C
86	DTCl144WKA	ROHM	Dnpn	$V_{CE0} = 50 \text{ B}; I_C = 100 \text{ мА}; P_D = 200 \text{ мВт}; \eta_{25} > 26; f_T > 250 \text{ МГц}; R_{11}/R_{21} = 47/22 \text{ кОм}$	SOT346, SC59	B•E•C

**SOT490 TSM
MFPAK TSFP-3**

**VMT3
VMD3**



**SOT416
SOT523**

**SOT323
SOT346**

**SOT23-3
SOD23-3**



Код	Типономинал	Б	Ф	Особенности	Корпус	Ц: 1*2*3
8B	DTC144WAJA	ROHM	Dnpn	$V_{CE0}=50В; I_{C(max)}=100mA; P_D=200mBт; h_{21}>56; f_T>250MГц; R_1/R_2=47/22k\Omega$	SOT323, SC70	B-E-C
8B5	BAT68-05	INF	shd-2	$V_{DS}<8В; I_D<130mA; V_{GS}(I_D=10mA)<0.5В; I_{GS}<0.1mA; C_{GS}<1.0пФ$	SOT23, SOD23	K1-K2-A1, A2
8B5	BAT68-06W	INF	shd-2	$V_{DS}<8В; I_D<130mA; V_{GS}(I_D=10mA)<0.5В; I_{GS}<0.1mA; C_{GS}<1.0пФ$	SOT323, SC70	K1-K2-A1, A2
87A	MMBD1703A	FAIR	di-2	$V_{DS}<30В; I_D=50mA; V_{CE}(I_D=50mA)<1.1В; C_D<1пФ; t_{RR}<1нс$	SOT23, SOD23	A1-K2-K1, A2
88A	MMBD1704A	FAIR	di-2	$V_{DS}<30В; I_D=50mA; V_{CE}(I_D=50mA)<1.1В; C_D<1пФ; t_{RR}<1нс$	SOT23, SOD23	A1-A2-K1, K2
89A	MMBD1705A	FAIR	di-2	$V_{DS}<30В; I_D=50mA; V_{CE}(I_D=50mA)<1.1В; C_D<1пФ; t_{RR}<1нс$	SOT23, SOD23	K1-K2-A1, A2
8A	2DA1774Q	DIODS	dnp	$V_{CE0}=50В; I_C=150mA; P_D=150mBт; h_{21}=120...270; f_T=140MГц$	SOT523	B-E-C
8A	DTC114EET1	MOT	Dnpn	$V_{CE0}=50В; I_C=100mA; P_D=150mBт; h_{21}>30; f_T>250MГц; R_1/R_2=10/10k\Omega$	SOT416, SC75A	B-E-C
8A	MUN2211T1	ON	Dnpn	$V_{CE0}=50В; I_C=100mA; P_D=230mBт; h_{21}>35; 10k\Omega/10k\Omega$	SOT346, SC59	B-E-C
8A	MUN5211T1	ON	Dnpn	$V_{CE0}=50В; I_C=100mA; P_D=200mBт; h_{21}>35; 10k\Omega/10k\Omega$	SOT323, SC70	B-E-C
8A	MMBZ5228B	VISH	dz	$V_{Z}(I_T=20mA)=3.13...3.47В; I_T<25mA$	SOT23, SOD23	A-n.c.-K
8A	MMBZ5228BLT1	ON	dz	$V_{Z}(I_T=20mA)=3.13...3.47В; I_T<25mA$	SOT23, SOD23	A-n.c.-K
8A2	PZM8 2NB2A	PHIL	dze-2	$V_{Z}(I_T=5mA)=8.02...8.36В; Z_T(I_T=5mA)<10\Omega$	SOT346, SC59	K1-K2-A1, A2
8AA	BC845A	SAMS	nnpn	$V_{CE0}=80В; I_C=100mA; P_D=310mBт; h_{21}=110...220; f_T>300MГц$	SOT23, SOD23	B-E-C
8AA	BC846A	FAIR	nnpn	$V_{CE0}=80В; I_C=100mA; P_D=150mBт; h_{21}=110...220; f_T>300MГц$	SOT23, SOD23	B-E-C
8AAx	STM803L	STM	mrc	$V_{FE}=4.63В; V_{BE}=1.2...5.5В; I_{CE}<15mA$	SOT23, SOD23	VSS-RST-V _{DD}
8AB	BC845B	SAMS	nnpn	$V_{CE0}=80В; I_C=100mA; P_D=310mBт; h_{21}=200...450; f_T>300MГц$	SOT23, SOD23	B-E-C
8AB	BC846B	FAIR	nnpn	$V_{CE0}=80В; I_C=100mA; P_D=150mBт; h_{21}=200...450; f_T>300MГц$	SOT23, SOD23	B-E-C
8ABx	STM803M	STM	mrc	$V_{FE}=4.38В; V_{BE}=1.2...5.5В; I_{CE}<15mA$	SOT23, SOD23	VSS-RST-V _{DD}
8AC	BC846C	SAMS	nnpn	$V_{CE0}=80В; I_C=100mA; P_D=310mBт; h_{21}=420...800; f_T>300MГц$	SOT23, SOD23	B-E-C
8AC	BC846C	FAIR	nnpn	$V_{CE0}=80В; I_C=100mA; P_D=310mBт; h_{21}=420...800; f_T>300MГц$	SOT23, SOD23	B-E-C
8ACx	STM803T	STM	mrc	$V_{FE}=3.08В; V_{BE}=1.2...5.5В; I_{CE}<15mA$	SOT23, SOD23	VSS-RST-V _{DD}
8ADx	STM803S	STM	mrc	$V_{FE}=2.93В; V_{BE}=1.2...5.5В; I_{CE}<15mA$	SOT23, SOD23	VSS-RST-V _{DD}
8AEx	STM803R	STM	mrc	$V_{FE}=2.63В; V_{BE}=1.2...5.5В; I_{CE}<15mA$	SOT23, SOD23	VSS-RST-V _{DD}
8AFx	STM810L	STM	mrc	$V_{FE}=4.63В; V_{BE}=1.2...5.5В; I_{CE}<15mA$	SOT23, SOD23	VSS-RST-V _{DD}
8AGx	STM810M	STM	mrc	$V_{FE}=4.38В; V_{BE}=1.2...5.5В; I_{CE}<15mA$	SOT23, SOD23	VSS-RST-V _{DD}
8AHx	STM810T	STM	mrc	$V_{FE}=3.08В; V_{BE}=1.2...5.5В; I_{CE}<15mA$	SOT23, SOD23	VSS-RST-V _{DD}
8AJx	STM810S	STM	mrc	$V_{FE}=2.93В; V_{BE}=1.2...5.5В; I_{CE}<15mA$	SOT23, SOD23	VSS-RST-V _{DD}
8AKx	STM810R	STM	mrc	$V_{FE}=2.63В; V_{BE}=1.2...5.5В; I_{CE}<15mA$	SOT23, SOD23	VSS-RST-V _{DD}
8B	2DA1774R	DIODS	dnp	$V_{CE0}=50В; I_C=150mA; P_D=150mBт; h_{21}=180...390; f_T=140MГц$	SOT523	B-E-C
8B	DTC124EET1	MOT	Dnpn	$V_{CE0}=50В; I_{C(max)}=100mA; P_D=150mBт; h_{21}>56; f_T>250MГц; R_1/R_2=22/22k\Omega$	SOT416, SC75A	B-E-C
8B	MUN2212T1	ON	Dnpn	$V_{CE0}=50В; I_C=100mA; P_D=230mBт; h_{21}>60; 22k\Omega/22k\Omega$	SOT346, SC59	B-E-C
8B	MUN5212T1	ON	Dnpn	$V_{CE0}=50В; I_C=100mA; P_D=200mBт; h_{21}>60; 22k\Omega/22k\Omega$	SOT323, SC70	B-E-C
8B	MMBZ5227B	VISH	dz	$V_{Z}(I_T=20mA)=3.42...3.78В; I_T<15mA$	SOT23, SOD23	A-n.c.-K
8B	MMBZ5227BLT1	ON	dz	$V_{Z}(I_T=20mA)=3.42...3.78В; I_T<15mA$	SOT23, SOD23	A-n.c.-K
8BA	BC847A	FAIR	nnpn	$V_{CE0}=50В; I_C=100mA; P_D=310mBт; h_{21}=110...220; f_T>100MГц$	SOT23, SOD23	B-E-C
8BB	BC847B	SAMS	nnpn	$V_{CE0}=50В; I_C=100mA; P_D=310mBт; h_{21}=200...450; f_T>300MГц$	SOT23, SOD23	B-E-C
8BB	BC847B	FAIR	nnpn	$V_{CE0}=50В; I_C=100mA; P_D=310mBт; h_{21}=200...450; f_T>300MГц$	SOT23, SOD23	B-E-C
8BC	BC847C	SAMS	nnpn	$V_{CE0}=50В; I_C=100mA; P_D=310mBт; h_{21}=420...800; f_T>300MГц$	SOT23, SOD23	B-E-C
8BC	BC847C	FAIR	nnpn	$V_{CE0}=50В; I_C=100mA; P_D=310mBт; h_{21}=420...800; f_T>300MГц$	SOT23, SOD23	B-E-C
8C	2DA1774S	DIODS	dnp	$V_{CE0}=50В; I_C=150mA; P_D=150mBт; h_{21}=270...560; f_T=140MГц$	SOT523	B-E-C
8C	DTC144EET1	MOT	Dnpn	$V_{CE0}=50В; I_{C(max)}=100mA; P_D=150mBт; h_{21}>68; f_T>250MГц; R_1/R_2=47/47k\Omega$	SOT416, SC75A	B-E-C
8C	MUN2213T1	ON	Dnpn	$V_{CE0}=50В; I_C=100mA; P_D=230mBт; h_{21}>80; 47k\Omega/47k\Omega$	SOT346, SC59	B-E-C
8C	MUN5213T1	ON	Dnpn	$V_{CE0}=50В; I_C=100mA; P_D=200mBт; h_{21}>80; 47k\Omega/47k\Omega$	SOT323, SC70	B-E-C
8C	MMBZ5228B	VISH	dz	$V_{Z}(I_T=20mA)=3.70...4.10В; I_T<10mA$	SOT23, SOD23	A-n.c.-K
8C	MMBZ5228BLT1	ON	dz	$V_{Z}(I_T=20mA)=3.70...4.10В; I_T<10mA$	SOT23, SOD23	A-n.c.-K
8CA	BC848A	SAMS	nnpn	$V_{CE0}=30В; I_C=100mA; P_D=310mBт; h_{21}=110...220; f_T>300MГц$	SOT23, SOD23	B-E-C
8CA	BC848A	FAIR	nnpn	$V_{CE0}=30В; I_C=100mA; P_D=310mBт; h_{21}=110...220; f_T>300MГц$	SOT23, SOD23	B-E-C
8CB	BC848B	SAMS	nnpn	$V_{CE0}=30В; I_C=100mA; P_D=310mBт; h_{21}=200...450; f_T>300MГц$	SOT23, SOD23	B-E-C



1 2 3

SOT23-3
SOD23-3

SOT323
SOT346

SOT416
SOT523



1 2 3

SOT490
MFPK

TESM
TSFP-3

VMT3
VMD3

Код	Типономинал	Б	Ф	Особенности	Корпус	Ц: 1•2•3
8CB	BC848B	FAIR	npn	$V_{CE0}=30 В, I_C=100 мА, P_D=310 мВт, h_{FE} > 200...450, f_T > 300 МГц$	SOT23, SOD23	В•Е•С
8CC	BC848C	SAMS	npn	$V_{CE0}=30 В, I_C=100 мА, P_D=310 мВт, h_{FE} > 420...800, f_T > 300 МГц$	SOT23, SOD23	В•Е•С
8CC	BC848C	FAIR	npn	$V_{CE0}=30 В, I_C=100 мА, P_D=310 мВт, h_{FE} > 420...800, f_T > 300 МГц$	SOT23, SOD23	В•Е•С
8D	2DC417Q	DIOCS	npn	$V_{CE0}=60 В, I_C=150 мА, P_D=150 мВт, h_{FE} > 120...270, f_T > 180 МГц$	SOT523	В•Е•С
9D	DTC114YET1	MOT	Dnpn	$V_{CE0}=50 В, I_C=100 мА, P_D=150 мВт, h_{FE} > 68, f_T > 250 МГц, R_{TH} > 10/47 кОм$	SOT416, SC75A	В•Е•С
9D	MMBZ5223B	VISH	dz	$V_A(I_{T1}=20 мА): 4.08...4.52 В, I_R < 5 мА$	SOT23, SOD23	А•н.с. • К
9D	MMBZ5223BLT1	ON	dz	$V_A(I_{T1}=20 мА): 4.08...4.52 В, I_R < 5 мА$	SOT23, SOD23	А•н.с. • К
9D	MUN2214T1	ON	Dnpn	$V_{CE0}=50 В, I_C=100 мА, P_D=230 мВт, h_{FE} > 80, I_R < 10 кОм/47 кОм$	SOT346, SC59	В•Е•С
9D	MUN5214T1	ON	Dnpn	$V_{CE0}=50 В, I_C=100 мА, P_D=200 мВт, h_{FE} > 80, I_R < 10 кОм/47 кОм$	SOT323, SC70	В•Е•С
9D	TMP25229	ALLEG	dz	$V_A(I_{T1}=20 мА): 4.08...4.52 В, I_R(I_{T1}=1.0 В): < 5.0 мА, Z_{TH}(I_{T1}=20 мА): < 22 Ом$	SOT23, SOD23	А•н.с. • К
9DA	BC849A	SAMS	npn	$V_{CE0}=30 В, I_C=100 мА, P_D=310 мВт, h_{FE} > 110...220, f_T > 300 МГц$	SOT23, SOD23	В•Е•С
9DA	BC849A	FAIR	npn	$V_{CE0}=30 В, I_C=100 мА, P_D=310 мВт, h_{FE} > 110...220, f_T > 300 МГц$	SOT23, SOD23	В•Е•С
9DB	BC849B	FAIR	npn	$V_{CE0}=30 В, I_C=100 мА, P_D=150 мВт, h_{FE} > 200...450, f_T > 300 МГц$	SOT23, SOD23	В•Е•С
9DC	BC849C	FAIR	npn	$V_{CE0}=30 В, I_C=100 мА, P_D=150 мВт, h_{FE} > 420...800, f_T > 300 МГц$	SOT23, SOD23	В•Е•С
9E	2DC417R	DIOCS	npn	$V_{CE0}=60 В, I_C=150 мА, P_D=150 мВт, h_{FE} > 180...390, f_T > 180 МГц$	SOT523	В•Е•С
9E	DTC114YET1	MOT	Dnpn	$V_{CE0}=50 В, I_C=100 мА, P_D=150 мВт, h_{FE} > 100...600, f_T > 250 МГц, R_{TH} > 10 кОм$	SOT416, SC75A	В•Е•С
9E	MMBZ5230B	VISH	dz	$V_A(I_{T1}=20 мА): 4.46...4.94 В, I_R < 5 мА$	SOT23, SOD23	А•н.с. • К
9E	MMBZ5230BLT1	ON	dz	$V_A(I_{T1}=20 мА): 4.46...4.94 В, I_R < 5 мА$	SOT23, SOD23	А•н.с. • К
9E	MUN2215T1	ON	Dnpn	$V_{CE0}=50 В, I_C=100 мА, P_D=230 мВт, h_{FE} > 160, I_R < 10 кОм$	SOT346, SC59	В•Е•С
9E	MUN5215T1	ON	Dnpn	$V_{CE0}=50 В, I_C=100 мА, P_D=200 мВт, h_{FE} > 160, I_R < 10 кОм$	SOT323, SC70	В•Е•С
9E	FMMT492R	ZETEX	npn	$V_{CE0}=300 В, I_C=200 мА, P_D=330 мВт, h_{FE} > 25, f_T > 50 МГц$	SOT23, SOD23	Е•В•С
9EA	BC850A	FAIR	npn	$V_{CE0}=50 В, I_C=100 мА, P_D=310 мВт, h_{FE} > 110...220, f_T > 300 МГц$	SOT23, SOD23	В•Е•С
9EB	BC850B	FAIR	npn	$V_{CE0}=50 В, I_C=100 мА, P_D=330 мВт, h_{FE} > 200...450, f_T > 300 МГц$	SOT23, SOD23	В•Е•С
9EC	BC850C	FAIR	npn	$V_{CE0}=50 В, I_C=100 мА, P_D=330 мВт, h_{FE} > 420...800, f_T > 300 МГц$	SOT23, SOD23	В•Е•С
9F	2DC417S	DIOCS	npn	$V_{CE0}=60 В, I_C=150 мА, P_D=150 мВт, h_{FE} > 270...560, f_T > 180 МГц$	SOT523	В•Е•С
9F	DTC1437ET1	MOT	Dnpn	$V_{CE0}=50 В, I_C=100 мА, P_D=150 мВт, h_{FE} > 100...600, f_T > 250 МГц, R_{TH} > 4.7 кОм$	SOT416, SC75A	В•Е•С
9F	MMBZ5231B	VISH	dz	$V_A(I_{T1}=20 мА): 4.84...5.36 В, I_R < 5 мА$	SOT23, SOD23	А•н.с. • К
9F	MMBZ5231BLT1	ON	dz	$V_A(I_{T1}=20 мА): 4.84...5.36 В, I_R < 5 мА$	SOT23, SOD23	А•н.с. • К
9F	MUN2216T1	ON	Dnpn	$V_{CE0}=50 В, I_C=100 мА, P_D=230 мВт, h_{FE} > 160, I_R < 4.7 кОм$	SOT346, SC59	В•Е•С
9F	MUN5216T1	ON	Dnpn	$V_{CE0}=50 В, I_C=100 мА, P_D=200 мВт, h_{FE} > 160, I_R < 4.7 кОм$	SOT323, SC70	В•Е•С
9G	FMMZ5232	ZETEX	dz	$V_Z: 5.6 В; Z_{TH}(I_T=20 мА): 11 Ом$	SOT23, SOD23	А•н.с. • К
9G	MMBZ5232B	VISH	dz	$V_A(I_{T1}=20 мА): 5.32...5.88 В, I_R < 5 мА$	SOT23, SOD23	А•н.с. • К
9G	MMBZ5232BLT1	ON	dz	$V_A(I_{T1}=20 мА): 5.32...5.88 В, I_R < 5 мА$	SOT23, SOD23	А•н.с. • К
9G	MUN2230T1	ON	Dnpn	$V_{CE0}=50 В, I_C=100 мА, P_D=230 мВт, h_{FE} > 3, I_R < 1 кОм/1 кОм$	SOT346, SC59	В•Е•С
9G	MUN5230T1	ON	Dnpn	$V_{CE0}=50 В, I_C=100 мА, P_D=200 мВт, h_{FE} > 3, I_R < 1 кОм/1 кОм$	SOT323, SC70	В•Е•С
9H	DTC123EET1	MOT	Dnpn	$V_{CE0}=50 В, I_C=100 мА, P_D=150 мВт, h_{FE} > 20, f_T > 250 МГц, R_{TH} > 2.2/2.2 кОм$	SOT416, SC75A	В•Е•С
9H	FMMZ5233	ZETEX	dz	$V_Z: 6 В; Z_{TH}(I_T=20 мА): 7 Ом$	SOT23, SOD23	А•н.с. • К
9H	MMBZ5233B	VISH	dz	$V_A(I_{T1}=20 мА): 5.70...6.30 В, I_R < 5 мА$	SOT23, SOD23	А•н.с. • К
9H	MMBZ5233BLT1	ON	dz	$V_A(I_{T1}=20 мА): 5.70...6.30 В, I_R < 5 мА$	SOT23, SOD23	А•н.с. • К
9H	MUN2231T1	ON	Dnpn	$V_{CE0}=50 В, I_C=100 мА, P_D=230 мВт, h_{FE} > 8, 2.2 кОм/2.2 кОм$	SOT346, SC59	В•Е•С
9H	MUN5231T1	ON	Dnpn	$V_{CE0}=50 В, I_C=100 мА, P_D=200 мВт, h_{FE} > 8, 2.2 кОм/2.2 кОм$	SOT323, SC70	В•Е•С
9J	DTC143EET1	MOT	Dnpn	$V_{CE0}=50 В, I_C=100 мА, P_D=150 мВт, h_{FE} > 20, f_T > 250 МГц, R_{TH} > 4.7/4.7 кОм$	SOT416, SC75A	В•Е•С
9J	FMMZ5234	ZETEX	dz	$V_Z: 6.2 В; Z_{TH}(I_T=20 мА): 7 Ом$	SOT23, SOD23	А•н.с. • К
9J	MMBZ5234B	VISH	dz	$V_A(I_{T1}=20 мА): 5.89...6.51 В, I_R < 5 мА$	SOT23, SOD23	А•н.с. • К
9J	MMBZ5234BLT1	ON	dz	$V_A(I_{T1}=20 мА): 5.89...6.51 В, I_R < 5 мА$	SOT23, SOD23	А•н.с. • К
9J	MUN2232T1	ON	Dnpn	$V_{CE0}=50 В, I_C=100 мА, P_D=230 мВт, h_{FE} > 15, 4.7 кОм/4.7 кОм$	SOT346, SC59	В•Е•С
9J	MUN5232T1	ON	Dnpn	$V_{CE0}=50 В, I_C=100 мА, P_D=200 мВт, h_{FE} > 15, 4.7 кОм/4.7 кОм$	SOT323, SC70	В•Е•С
9K	DTC143ZET1	MOT	Dnpn	$V_{CE0}=50 В, I_C=100 мА, P_D=150 мВт, h_{FE} > 80, f_T > 250 МГц, R_{TH} > 4.7/4.7 кОм$	SOT416, SC75A	В•Е•С

SOT490 TSM
MFFPAK TSFP-3

VMT3
VMD3



SOT416
SOT523

SOT323
SOT346

SOT23-3
SOD23-3



Код	Типономинал	Б	Ф	Особенности	Корпус	Ц: 1*2*3
8K	FMM25235	ZETEX	dz	$V_{CE} = 6.8 \text{ В}$, $Z_{TE}(f_{TE} = 20 \text{ МГц}) = 5 \text{ Ом}$	SOT23, SOD23	A-н.с. + K
8K	MMB25235B	VISH	dz	$V_{CE}(I_{CE} = 20 \text{ мА}) = 6.46 \dots 7.14 \text{ В}$, $I_{CE} < 3 \text{ мА}$	SOT23, SOD23	A-н.с. + K
8K	MMB25235BLT1	ON	dz	$V_{CE}(I_{CE} = 20 \text{ мА}) = 6.46 \dots 7.14 \text{ В}$, $I_{CE} < 3 \text{ мА}$	SOT23, SOD23	A-н.с. + K
8K	MUN22371	ON	Dnprn	$V_{CE0} = 50 \text{ В}$, $I_C = 100 \text{ мА}$, $P_D = 230 \text{ мВт}$; $h_{FE} > 80$; $4.7 \text{ кОм}/47 \text{ кОм}$	SOT346, SC59	B-E + C
8K	MUN52371	ON	Dnprn	$V_{CE0} = 50 \text{ В}$, $I_C = 100 \text{ мА}$, $P_D = 200 \text{ мВт}$; $h_{FE} > 80$; $4.7 \text{ кОм}/47 \text{ кОм}$	SOT323, SC70	B-E + C
8L	DTC124MET1	MOT	Dnprn	$V_{CE0} = 50 \text{ В}$, $I_C = 100 \text{ мА}$, $P_D = 150 \text{ мВт}$; $h_{FE} > 58$; $f_T > 250 \text{ МГц}$; $R_1/R_2 = 22/47 \text{ кОм}$	SOT416, SC75A	B-E + C
8L	FMM25238	ZETEX	dz	$V_{CE} = 7.5 \text{ В}$, $Z_{TE}(f_{TE} = 20 \text{ МГц}) = 8 \text{ Ом}$	SOT23, SOD23	A-н.с. + K
8L	MMB25238B	VISH	dz	$V_{CE}(I_{CE} = 20 \text{ мА}) = 7.12 \dots 7.88 \text{ В}$, $I_{CE} < 3 \text{ мА}$	SOT23, SOD23	A-н.с. + K
8L	MMB25238BLT1	ON	dz	$V_{CE}(I_{CE} = 20 \text{ мА}) = 7.12 \dots 7.88 \text{ В}$, $I_{CE} < 3 \text{ мА}$	SOT23, SOD23	A-н.с. + K
8L	MUN22471	ON	Dnprn	$V_{CE0} = 50 \text{ В}$, $I_C = 100 \text{ мА}$, $P_D = 230 \text{ мВт}$; $h_{FE} > 80$; $22 \text{ кОм}/47 \text{ кОм}$	SOT346, SC59	B-E + C
8L	MUN52471	ON	Dnprn	$V_{CE0} = 50 \text{ В}$, $I_C = 100 \text{ мА}$, $P_D = 200 \text{ мВт}$; $h_{FE} > 80$; $22 \text{ кОм}/47 \text{ кОм}$	SOT323, SC70	B-E + C
8M	DTC123JET1	MOT	Dnprn	$V_{CE0} = 50 \text{ В}$, $I_C = 100 \text{ мА}$, $P_D = 150 \text{ мВт}$; $h_{FE} > 80$; $f_T > 250 \text{ МГц}$; $R_1/R_2 = 2.2/47 \text{ кОм}$	SOT416, SC75A	B-E + C
8M	FMM25237	ZETEX	dz	$V_{CE} = 8.2 \text{ В}$, $Z_{TE}(f_{TE} = 20 \text{ МГц}) = 8 \text{ Ом}$	SOT23, SOD23	A-н.с. + K
8M	MMB25237B	VISH	dz	$V_{CE}(I_{CE} = 20 \text{ мА}) = 7.79 \dots 8.61 \text{ В}$, $I_{CE} < 3 \text{ мА}$	SOT23, SOD23	A-н.с. + K
8M	MMB25237BLT1	ON	dz	$V_{CE}(I_{CE} = 20 \text{ мА}) = 7.79 \dots 8.61 \text{ В}$, $I_{CE} < 3 \text{ мА}$	SOT23, SOD23	A-н.с. + K
8M	MUN52351	ON	Dnprn	$V_{CE0} = 50 \text{ В}$, $I_C = 100 \text{ мА}$, $P_D = 200 \text{ мВт}$; $h_{FE} > 80$; $2.2 \text{ кОм}/4.7 \text{ кОм}$	SOT323, SC70	B-E + C
8N	DTC115EET1	MOT	Dnprn	$V_{CE0} = 50 \text{ В}$, $I_C = 100 \text{ мА}$, $P_D = 150 \text{ мВт}$; $h_{FE} > 82$; $f_T > 250 \text{ МГц}$; $R_1/R_2 = 100/100 \text{ кОм}$	SOT416, SC75A	B-E + C
8N	FMM25239	ZETEX	dz	$V_{CE} = 8.7 \text{ В}$, $Z_{TE}(f_{TE} = 20 \text{ МГц}) = 8 \text{ Ом}$	SOT23, SOD23	A-н.с. + K
8N	MMB25239B	VISH	dz	$V_{CE}(I_{CE} = 20 \text{ мА}) = 8.26 \dots 9.14 \text{ В}$, $I_{CE} < 3 \text{ мА}$	SOT23, SOD23	A-н.с. + K
8N	MMB25239BLT1	ON	dz	$V_{CE}(I_{CE} = 20 \text{ мА}) = 8.26 \dots 9.14 \text{ В}$, $I_{CE} < 3 \text{ мА}$	SOT23, SOD23	A-н.с. + K
8N	MUN22361	ON	Dnprn	$V_{CE0} = 50 \text{ В}$, $I_C = 100 \text{ мА}$, $P_D = 230 \text{ мВт}$; $h_{FE} > 80$; $100 \text{ кОм}/100 \text{ кОм}$	SOT346, SC59	B-E + C
8N	MUN52361	ON	Dnprn	$V_{CE0} = 50 \text{ В}$, $I_C = 100 \text{ мА}$, $P_D = 200 \text{ мВт}$; $h_{FE} > 80$; $100 \text{ кОм}/100 \text{ кОм}$	SOT323, SC70	B-E + C
8P	DTC144MET1	MOT	Dnprn	$V_{CE0} = 50 \text{ В}$, $I_C = 100 \text{ мА}$, $P_D = 150 \text{ мВт}$; $h_{FE} > 58$; $f_T > 250 \text{ МГц}$; $R_1/R_2 = 47/22 \text{ кОм}$	SOT416, SC75A	B-E + C
8P	FMM25239	ZETEX	dz	$V_{CE} = 9.1 \text{ В}$, $Z_{TE}(f_{TE} = 20 \text{ МГц}) = 10 \text{ Ом}$	SOT23, SOD23	A-н.с. + K
8P	MMB25239B	VISH	dz	$V_{CE}(I_{CE} = 20 \text{ мА}) = 8.65 \dots 9.56 \text{ В}$, $I_{CE} < 3 \text{ мА}$	SOT23, SOD23	A-н.с. + K
8P	MMB25239BLT1	ON	dz	$V_{CE}(I_{CE} = 20 \text{ мА}) = 8.65 \dots 9.56 \text{ В}$, $I_{CE} < 3 \text{ мА}$	SOT23, SOD23	A-н.с. + K
8P	MUN22371	ON	Dnprn	$V_{CE0} = 50 \text{ В}$, $I_C = 100 \text{ мА}$, $P_D = 230 \text{ мВт}$; $h_{FE} > 80$; $41 \text{ кОм}/22 \text{ кОм}$	SOT346, SC59	B-E + C
8P	MUN52371	ON	Dnprn	$V_{CE0} = 50 \text{ В}$, $I_C = 100 \text{ мА}$, $P_D = 200 \text{ мВт}$; $h_{FE} > 80$; $41 \text{ кОм}/22 \text{ кОм}$	SOT323, SC70	B-E + C
8Q	FMM25240	ZETEX	dz	$V_{CE} = 10 \text{ В}$, $Z_{TE}(f_{TE} = 20 \text{ МГц}) = 17 \text{ Ом}$	SOT23, SOD23	A-н.с. + K
8Q	MMB25240B	VISH	dz	$V_{CE}(I_{CE} = 20 \text{ мА}) = 9.5 \dots 10.5 \text{ В}$, $I_{CE} < 3 \text{ мА}$	SOT23, SOD23	A-н.с. + K
8Q	MMB25240BLT1	ON	dz	$V_{CE}(I_{CE} = 20 \text{ мА}) = 9.5 \dots 10.5 \text{ В}$, $I_{CE} < 3 \text{ мА}$	SOT23, SOD23	A-н.с. + K
8R	FMM25241	ZETEX	dz	$V_{CE} = 11 \text{ В}$, $Z_{TE}(f_{TE} = 20 \text{ МГц}) = 22 \text{ Ом}$	SOT23, SOD23	A-н.с. + K
8R	MMB25241B	VISH	dz	$V_{CE}(I_{CE} = 20 \text{ мА}) = 10.4 \dots 11.55 \text{ В}$, $I_{CE} < 2 \text{ мА}$	SOT23, SOD23	A-н.с. + K
8R	MMB25241BLT1	ON	dz	$V_{CE}(I_{CE} = 20 \text{ мА}) = 10.4 \dots 11.55 \text{ В}$, $I_{CE} < 2 \text{ мА}$	SOT23, SOD23	A-н.с. + K
8S	FMM25242	ZETEX	dz	$V_{CE} = 12 \text{ В}$, $Z_{TE}(f_{TE} = 20 \text{ МГц}) = 30 \text{ Ом}$	SOT23, SOD23	A-н.с. + K
8S	MMB25242B	VISH	dz	$V_{CE}(I_{CE} = 20 \text{ мА}) = 11.4 \dots 12.6 \text{ В}$, $I_{CE} < 1 \text{ мА}$	SOT23, SOD23	A-н.с. + K
8S	MMB25242BLT1	ON	dz	$V_{CE}(I_{CE} = 20 \text{ мА}) = 11.4 \dots 12.6 \text{ В}$, $I_{CE} < 1 \text{ мА}$	SOT23, SOD23	A-н.с. + K
8T	FMM25243	ZETEX	dz	$V_{CE} = 13 \text{ В}$, $Z_{TE}(f_{TE} = 9.5 \text{ МГц}) = 13 \text{ Ом}$	SOT23, SOD23	A-н.с. + K
8T	MMB25243B	VISH	dz	$V_{CE}(I_{CE} = 9.5 \text{ мА}) = 12.35 \dots 13.65 \text{ В}$, $I_{CE} < 0.5 \text{ мА}$	SOT23, SOD23	A-н.с. + K
8T	MMB25243BLT1	ON	dz	$V_{CE}(I_{CE} = 9.5 \text{ мА}) = 12.35 \dots 13.65 \text{ В}$, $I_{CE} < 0.5 \text{ мА}$	SOT23, SOD23	A-н.с. + K
8T	MUN22401	ON	Dnprn	$V_{CE0} = 50 \text{ В}$, $I_C = 100 \text{ мА}$, $P_D = 230 \text{ мВт}$; $h_{FE} > 160$; $R_1/R_2 = 47 \text{ кОм}$	SOT346, SC59	B-E + C
8U	FMM25244	ZETEX	dz	$V_{CE} = 14 \text{ В}$, $Z_{TE}(f_{TE} = 9 \text{ МГц}) = 15 \text{ Ом}$	SOT23, SOD23	A-н.с. + K
8U	MMB25244B	VISH	dz	$V_{CE}(I_{CE} = 8.5 \text{ мА}) = 13.30 \dots 14.70 \text{ В}$, $I_{CE} < 0.1 \text{ мА}$	SOT23, SOD23	A-н.с. + K
8U	MMB25244BLT1	ON	dz	$V_{CE}(I_{CE} = 8.5 \text{ мА}) = 13.30 \dots 14.70 \text{ В}$, $I_{CE} < 0.1 \text{ мА}$	SOT23, SOD23	A-н.с. + K
8U	MUN22411	ON	Dnprn	$V_{CE0} = 50 \text{ В}$, $I_C = 100 \text{ мА}$, $P_D = 230 \text{ мВт}$; $h_{FE} > 160$; $R_1/R_2 = 100 \text{ кОм}$	SOT346, SC59	B-E + C
8V	FMM25245	ZETEX	dz	$V_{CE} = 15 \text{ В}$, $Z_{TE}(f_{TE} = 8.5 \text{ МГц}) = 16 \text{ Ом}$	SOT23, SOD23	A-н.с. + K
8V	MMB25245B	VISH	dz	$V_{CE}(I_{CE} = 8.5 \text{ мА}) = 14.25 \dots 15.75 \text{ В}$, $I_{CE} < 0.1 \text{ мА}$	SOT23, SOD23	A-н.с. + K
8V	MMB25245BLT1	ON	dz	$V_{CE}(I_{CE} = 8.5 \text{ мА}) = 14.25 \dots 15.75 \text{ В}$, $I_{CE} < 0.1 \text{ мА}$	SOT23, SOD23	A-н.с. + K
8V2	P2M8.2NB	PHIL	dz	$V_{CE}(I_{CE} = 5 \text{ мА}) = 7.76 \dots 8.64 \text{ В}$, $Z_{TE}(f_{TE} = 5 \text{ МГц}) < 10 \text{ Ом}$	SOT346, SC59	A-н.с. + K



SOT23-3
SOD23-3

SOT323
SOT346

SOT416
SOT523



SOT490
MFPK

TESM
TSFP-3

VMT3
VMD3

Код	Типономинал	Б	Ф	Особенности	Корпус	Ц: 1•2•3
8W	FM25246	ZETEX	dz	$V_2=16\text{ В}$; $Z_{T1}(I_2=7.8\text{ мА})=17\text{ Ом}$	SOT23, SOD23	A•n.c. • K
8W	MMB25249B	VISH	dz	$V_2(I_{T1}=7.8\text{ мА})=15.2...16.8\text{ В}$; $I_B<0.1\text{ мА}$	SOT23, SOD23	A•n.c. • K
8W	MMB25249BLT1	ON	dz	$V_2(I_{T1}=7.8\text{ мА})=15.2...16.8\text{ В}$; $I_B<0.1\text{ мА}$	SOT23, SOD23	A•n.c. • K
8X	FM25247	ZETEX	dz	$V_2=17\text{ В}$; $Z_{T1}(I_2=7.4\text{ мА})=19\text{ Ом}$	SOT23, SOD23	A•n.c. • K
8X	MMB25247B	VISH	dz	$V_2(I_{T1}=7.0\text{ мА})=16.15...17.85\text{ В}$; $I_B<0.1\text{ мА}$	SOT23, SOD23	A•n.c. • K
8X	MMB25247BLT1	ON	dz	$V_2(I_{T1}=7.0\text{ мА})=16.15...17.85\text{ В}$; $I_B<0.1\text{ мА}$	SOT23, SOD23	A•n.c. • K
8Y	FM25248	ZETEX	dz	$V_2=18\text{ В}$; $Z_{T1}(I_2=7\text{ мА})=21\text{ Ом}$	SOT23, SOD23	A•n.c. • K
8Y	MMB25248B	VISH	dz	$V_2(I_{T1}=7.0\text{ мА})=17.1...18.9\text{ В}$; $I_B<0.1\text{ мА}$	SOT23, SOD23	A•n.c. • K
8Y	MMB25248BLT1	ON	dz	$V_2(I_{T1}=7.0\text{ мА})=17.1...18.9\text{ В}$; $I_B<0.1\text{ мА}$	SOT23, SOD23	A•n.c. • K
8Z	FM25249	ZETEX	dz	$V_2=19\text{ В}$; $Z_{T1}(I_2=6.6\text{ мА})=23\text{ Ом}$	SOT23, SOD23	A•n.c. • K
8Z	MMB25249B	VISH	dz	$V_2(I_{T1}=6.2\text{ мА})=18.05...19.95\text{ В}$; $I_B<0.1\text{ мА}$	SOT23, SOD23	A•n.c. • K
8Z	MMB25249BLT1	ON	dz	$V_2(I_{T1}=6.2\text{ мА})=18.05...19.95\text{ В}$; $I_B<0.1\text{ мА}$	SOT23, SOD23	A•n.c. • K
8Z	TMF25249	ALLEG	dz	$V_2(I_{T1}=6.6\text{ мА})=18.1...20.0\text{ В}$; $I_1(V_{B1}=14.0\text{ В})<0.1\text{ мА}$; $Z_{T1}(I_{T1}=6.6\text{ мА})<23\text{ Ом}$	SOT23, SOD23	A•n.c. • K
9 1X	02C29.1	TOSH	dz	$V_2(I_{T1}=5\text{ мА})=8.50...9.60\text{ В}$; $I_1(V_{B1}=7.0\text{ В})<0.5\text{ мА}$; $Z_{T1}(I_{T1}=0.5\text{ мА})<120\text{ Ом}$	SOT346, SC59	A•n.c. • K
91A	FM2T591A	ZETEX	npnp	$V_{CE0}=40\text{ В}$; $I_C=100\text{ мА}$; $P_D=500\text{ мВт}$; $h_{FE}=300...800$; $f_T>150\text{ МГц}$	SOT23, SOD23	B•E•C
93A	DTA143TE	ROHM	Dnpnp	$V_{CE0}=50\text{ В}$; $I_C=100\text{ мА}$; $P_D=150\text{ мВт}$; $h_{FE}=100...600$; $f_T>250\text{ МГц}$; $R_T=4.7\text{ кОм}$	SOT416, SC75A	B•E•C
93A	DTA143TKA	ROHM	Dnpnp	$V_{CE0}=50\text{ В}$; $I_C=100\text{ мА}$; $P_D=200\text{ мВт}$; $h_{FE}=100...600$; $f_T>250\text{ МГц}$; $R_T=4.7\text{ кОм}$	SOT346, SC59	B•E•C
93A	DTA143TUA	ROHM	Dnpnp	$V_{CE0}=50\text{ В}$; $I_C=100\text{ мА}$; $P_D=200\text{ мВт}$; $h_{FE}=100...600$; $f_T>250\text{ МГц}$; $R_T=4.7\text{ кОм}$	SOT323, SC70	B•E•C
94	DTA114TE	ROHM	Dnpnp	$V_{CE0}=50\text{ В}$; $I_C=100\text{ мА}$; $P_D=150\text{ мВт}$; $h_{FE}=100...600$; $f_T>250\text{ МГц}$; $R_T=10\text{ кОм}$	SOT416, SC75A	B•E•C
94	DTA114TKA	ROHM	Dnpnp	$V_{CE0}=50\text{ В}$; $I_C=100\text{ мА}$; $P_D=200\text{ мВт}$; $h_{FE}=100...600$; $f_T>250\text{ МГц}$; $R_T=10\text{ кОм}$	SOT346, SC59	B•E•C
94	DTA114TUA	ROHM	Dnpnp	$V_{CE0}=50\text{ В}$; $I_C=100\text{ мА}$; $P_D=200\text{ мВт}$; $h_{FE}=100...600$; $f_T>250\text{ МГц}$; $R_T=10\text{ кОм}$	SOT323, SC70	B•E•C
94	DT114TE1	MOT	Dnpnp	$V_{CE0}=50\text{ В}$; $I_C=100\text{ мА}$; $P_D=150\text{ мВт}$; $h_{FE}>100...600$; $f_T>250\text{ МГц}$; $R_T=10\text{ кОм}$	SOT416, SC75A	B•E•C
95	DTA124TE	ROHM	Dnpnp	$V_{CE0}=50\text{ В}$; $I_C=100\text{ мА}$; $P_D=150\text{ мВт}$; $h_{FE}=100...600$; $f_T>250\text{ МГц}$; $R_T=22\text{ кОм}$	SOT416, SC75A	B•E•C
95	DTA124TKA	ROHM	Dnpnp	$V_{CE0}=50\text{ В}$; $I_C=100\text{ мА}$; $P_D=200\text{ мВт}$; $h_{FE}=100...600$; $f_T>250\text{ МГц}$; $R_T=22\text{ кОм}$	SOT416, SC75A	B•E•C
95	DTA124TKA	ROHM	Dnpnp	$V_{CE0}=50\text{ В}$; $I_C=100\text{ мА}$; $P_D=200\text{ мВт}$; $h_{FE}=100...600$; $f_T>250\text{ МГц}$; $R_T=22\text{ кОм}$	SOT346, SC59	B•E•C
95	DTA124TUA	ROHM	Dnpnp	$V_{CE0}=50\text{ В}$; $I_C=100\text{ мА}$; $P_D=200\text{ мВт}$; $h_{FE}=100...600$; $f_T>250\text{ МГц}$; $R_T=22\text{ кОм}$	SOT323, SC70	B•E•C
96	DTA144TKA	ROHM	Dnpnp	$V_{CE0}=50\text{ В}$; $I_C=100\text{ мА}$; $P_D=150\text{ мВт}$; $h_{FE}=100...600$; $f_T>250\text{ МГц}$; $R_T=47\text{ кОм}$	SOT23, SOD23	B•E•C
96	DTA144TE	ROHM	Dnpnp	$V_{CE0}=50\text{ В}$; $I_C=100\text{ мА}$; $P_D=150\text{ мВт}$; $h_{FE}=100...600$; $f_T>250\text{ МГц}$; $R_T=47\text{ кОм}$	SOT416, SC75A	B•E•C
96	DTA144TKA	ROHM	Dnpnp	$V_{CE0}=50\text{ В}$; $I_C=100\text{ мА}$; $P_D=200\text{ мВт}$; $h_{FE}=100...600$; $f_T>250\text{ МГц}$; $R_T=47\text{ кОм}$	SOT346, SC59	B•E•C
96	DTA144TUA	ROHM	Dnpnp	$V_{CE0}=50\text{ В}$; $I_C=100\text{ мА}$; $P_D=200\text{ мВт}$; $h_{FE}=100...600$; $f_T>250\text{ МГц}$; $R_T=47\text{ кОм}$	SOT323, SC70	B•E•C
99	DTA115TE	ROHM	Dnpnp	$V_{CE0}=50\text{ В}$; $I_C=100\text{ мА}$; $P_D=150\text{ мВт}$; $h_{FE}=100...600$; $f_T>250\text{ МГц}$; $R_T=100\text{ кОм}$	SOT416, SC75A	B•E•C
99	DTA115TKA	ROHM	Dnpnp	$V_{CE0}=50\text{ В}$; $I_C=100\text{ мА}$; $P_D=200\text{ мВт}$; $h_{FE}=100...600$; $f_T>250\text{ МГц}$; $R_T=100\text{ кОм}$	SOT346, SC59	B•E•C
99	DTA115TUA	ROHM	Dnpnp	$V_{CE0}=50\text{ В}$; $I_C=100\text{ мА}$; $P_D=200\text{ мВт}$; $h_{FE}=100...600$; $f_T>250\text{ МГц}$; $R_T=100\text{ кОм}$	SOT323, SC70	B•E•C
9A	DTA125TKA	ROHM	Dnpnp	$V_{CE0}=50\text{ В}$; $I_C=100\text{ мА}$; $P_D=200\text{ мВт}$; $h_{FE}=100...600$; $f_T>250\text{ МГц}$; $R_T=200\text{ кОм}$	SOT346, SC59	B•E•C
9A	DTA125TUA	ROHM	Dnpnp	$V_{CE0}=50\text{ В}$; $I_C=100\text{ мА}$; $P_D=200\text{ мВт}$; $h_{FE}=100...600$; $f_T>250\text{ МГц}$; $R_T=200\text{ кОм}$	SOT323, SC70	B•E•C
9A	FM2T369AR	ZETEX	npnp	$V_{CE0}=40\text{ В}$; $I_C=200\text{ мА}$; $P_D=330\text{ мВт}$; $h_{FE}=40...120$	SOT23, SOD23	B•E•C
9A1	MMB2931AL	ON	dz-2	$V_2(I_{T1}=1\text{ мА})=8.85...9.56\text{ В}$; $V_2(I_B=10\text{ мА})<0.9\text{ В}$	SOT23, SOD23	K1 • K2 • A1, A2
9A1	FZM/9 INB2A	PHIL	dz-2	$V_2(I_{T1}=5\text{ мА})=8.85...9.23\text{ В}$; $Z_{T1}(I_{T1}=5\text{ мА})<10\text{ Ом}$	SOT346, SC59	K1 • K2 • A1, A2
9AA	BC858A	SAMS	npnp	$V_{CE0}=80\text{ В}$; $I_C=100\text{ мА}$; $P_D=310\text{ мВт}$; $h_{FE}=110...220$; $f_T>150\text{ МГц}$	SOT23, SOD23	B•E•C
9AB	BC858B	SAMS	npnp	$V_{CE0}=80\text{ В}$; $I_C=100\text{ мА}$; $P_D=310\text{ мВт}$; $h_{FE}=200...450$; $f_T>150\text{ МГц}$	SOT23, SOD23	B•E•C
9AC	BC858C	SAMS	npnp	$V_{CE0}=80\text{ В}$; $I_C=100\text{ мА}$; $P_D=310\text{ мВт}$; $h_{FE}=420...800$; $f_T>150\text{ МГц}$	SOT23, SOD23	B•E•C
9BA	BC857A	SAMS	npnp	$V_{CE0}=50\text{ В}$; $I_C=100\text{ мА}$; $P_D=310\text{ мВт}$; $h_{FE}=110...220$; $f_T>150\text{ МГц}$	SOT23, SOD23	B•E•C
9BB	BC857B	SAMS	npnp	$V_{CE0}=50\text{ В}$; $I_C=100\text{ мА}$; $P_D=310\text{ мВт}$; $h_{FE}=200...450$; $f_T>150\text{ МГц}$	SOT23, SOD23	B•E•C
9BC	BC857C	SAMS	npnp	$V_{CE0}=50\text{ В}$; $I_C=100\text{ мА}$; $P_D=310\text{ мВт}$; $h_{FE}=420...800$; $f_T>150\text{ МГц}$	SOT23, SOD23	B•E•C

**SOT490 TSM
MFPAK TSFP-3**

**VMT3
VMD3**



**SOT416
SOT523**

**SOT323
SOT346**

**SOT23-3
SOD23-3**



Код	Типономинал	Б	Ф	Особенности	Корпус	Ц: 1•2•3
9CA	BC858A	SAMS	npn	$V_{CE0} > 30 В$; $I_C < 100 мА$; $P_D < 310 мВт$; $h_{FE} > 110 \dots 220$; $f_T > 150 МГц$	SOT23, SOD23	В•Е•С
9CB	BC858B	SAMS	npn	$V_{CE0} > 30 В$; $I_C < 100 мА$; $P_D < 310 мВт$; $h_{FE} > 200 \dots 450$; $f_T > 150 МГц$	SOT23, SOD23	В•Е•С
9CC	BC858C	SAMS	npn	$V_{CE0} > 30 В$; $I_C < 100 мА$; $P_D < 310 мВт$; $h_{FE} > 420 \dots 800$; $f_T > 150 МГц$	SOT23, SOD23	В•Е•С
9DA	BC859A	SAMS	npn	$V_{CE0} > 30 В$; $I_C < 100 мА$; $P_D < 310 мВт$; $h_{FE} > 110 \dots 220$; $f_T > 150 МГц$	SOT23, SOD23	В•Е•С
9DB	BC859B	SAMS	npn	$V_{CE0} > 30 В$; $I_C < 100 мА$; $P_D < 310 мВт$; $h_{FE} > 200 \dots 450$; $f_T > 150 МГц$	SOT23, SOD23	В•Е•С
9DC	BC859C	SAMS	npn	$V_{CE0} > 30 В$; $I_C < 100 мА$; $P_D < 310 мВт$; $h_{FE} > 420 \dots 800$; $f_T > 150 МГц$	SOT23, SOD23	В•Е•С
9EA	BC860A	SAMS	npn	$V_{CE0} > 50 В$; $I_C < 100 мА$; $P_D < 310 мВт$; $h_{FE} > 110 \dots 220$; $f_T > 150 МГц$	SOT23, SOD23	В•Е•С
9EB	BC860B	SAMS	npn	$V_{CE0} > 50 В$; $I_C < 100 мА$; $P_D < 310 мВт$; $h_{FE} > 200 \dots 450$; $f_T > 150 МГц$	SOT23, SOD23	В•Е•С
9EC	BC860C	SAMS	npn	$V_{CE0} > 50 В$; $I_C < 100 мА$; $P_D < 310 мВт$; $h_{FE} > 420 \dots 800$; $f_T > 150 МГц$	SOT23, SOD23	В•Е•С
9FA	BC807-16	SAMS	npn	$V_{CE0} > 50 В$; $I_C < 800 мА$; $P_D < 310 мВт$; $h_{FE} > 100 \dots 250$; $f_T > 100 МГц$	SOT23, SOD23	В•Е•С
9FB	BC807-25	SAMS	npn	$V_{CE0} > 50 В$; $I_C < 800 мА$; $P_D < 310 мВт$; $h_{FE} > 160 \dots 400$; $f_T > 100 МГц$	SOT23, SOD23	В•Е•С
9FC	BC807-40	SAMS	npn	$V_{CE0} > 50 В$; $I_C < 800 мА$; $P_D < 310 мВт$; $h_{FE} > 250 \dots 630$; $f_T > 100 МГц$	SOT23, SOD23	В•Е•С
9GA	BC808-16	SAMS	npn	$V_{CE0} > 30 В$; $I_C < 800 мА$; $P_D < 310 мВт$; $h_{FE} > 100 \dots 250$; $f_T > 100 МГц$	SOT23, SOD23	В•Е•С
9GB	BC808-25	SAMS	npn	$V_{CE0} > 30 В$; $I_C < 800 мА$; $P_D < 310 мВт$; $h_{FE} > 160 \dots 400$; $f_T > 100 МГц$	SOT23, SOD23	В•Е•С
9GC	BC808-40	SAMS	npn	$V_{CE0} > 30 В$; $I_C < 800 мА$; $P_D < 310 мВт$; $h_{FE} > 250 \dots 630$; $f_T > 100 МГц$	SOT23, SOD23	В•Е•С
9P	BCX70HR	ZETEX	npn	$V_{CE0} > 45 В$; $I_C < 200 мА$; $P_D < 330 мВт$; $h_{FE} > 180 \dots 310$; $f_T > 250 МГц$	SOT23, SOD23	В•Е•С
9R	FMM72369R	ZETEX	npn	$V_{CE0} > 40 В$; $I_C < 200 мА$; $P_D < 330 мВт$; $h_{FE} > 40 \dots 120$	SOT23, SOD23	В•Е•С
9V1	PZM9 1NB	PHIL	dz	$V_{I(LT)} = 5 мА$; $B \cdot 56 \dots 9.55 В$; $Z_{TLT} = 5 мА$; $C_0 < 10 Ом$	SOT346, SC59	A•н.с. • К
A	IRLML2402	IR	nMOS	HEXFET; $V_{DS} > 20 В$; $I_D > 0.9 А$; $P_D = 540 мВт$; $R_{DS(on)} < 0.35 Ом$	SOT23, SOD23	Г•С•Д
A	MRF94T11	MOT	npn	$V_{CE0} > 20 В$; $I_C < 50 мА$; $P_D < 188 мВт$; $h_{FE} > 50$; $f_T > 8 ГГц$	SOT323, SC70	В•Е•С
A0	HSMS2800	HP	shd	$V_{BR} > 70 В$; $V_{IF}(I_F = 15 мА) < 1.0 В$; $I_{IS}(V_{IS} = 50 В) < 200 нА$; $C_0 < 2.0 пФ$	SOT23, SOD23	A•н.с. • К
A0	HSMS280B	HP	shd	$V_{BR} > 70 В$; $V_{IF}(I_F = 15 мА) < 1.0 В$; $I_{IS}(V_{IS} = 50 В) < 200 нА$; $C_0 < 2.0 пФ$	SOT323, SC70	A•н.с. • К
A03	SST203	CALOG	nFET	$V_{DS} > 40 В$; $P_D < 350 мВт$; $I_{DS(on)} < 20 мА$; $Q_g < 1.5 мСм$	SOT23, SOD23	Д•С•Г
A1	BAW56	ALLEG	di-2	$I_C < 70 мА$; $V_{BR} > 70 В$; $V_{IF}(I_F = 50 мА) < 1.1 В$; $I_{IS} < 2500 нА$; $t_{rr} < 6.0 нс$; $C_0 < 2.0 пФ$	SOT23, SOD23	K1 • K2 • A1, A2
A1	BAW56	VISH	di-2	$V_{IS} < 70 В$; $I_C < 300 мА$; $V_{IF}(I_F = 150 мА) < 1.25 В$; $I_{IS} < 5.0 мкА$; $C_0 < 4.0 пФ$; $t_{rr} < 6 нс$	SOT23, SOD23	K1 • K2 • A1, A2
A1	BAW56	ZETEX	di-2	$V_{IS} < 70 В$; $I_C < 100 мА$; $V_{IF}(I_F = 50 мА) < 1.1 В$; $I_{IS} < 2.5 мкА$; $C_0 < 2.0 пФ$; $t_{rr} < 6 нс$	SOT23, SOD23	K1 • K2 • A1, A2
A1	BAW56	FAIR	di-2	$V_{IS} < 85 В$; $I_C < 200 мА$; $V_{IF}(I_F = 50 мА) < 1 В$; $I_{IS} < 2.5 мкА$; $C_0 < 2.0 пФ$; $t_{rr} < 6 нс$	SOT23, SOD23	K1 • K2 • A1, A2
A1	BAW56W	PHIL	di-2	$V_{IS} < 75 В$; $I_C < 150 мА$; $V_{IF}(I_F = 50 мА) < 1.0 В$; $C_0 < 2 пФ$; $t_{rr} < 4 нс$	SOT323, SC70	K1 • K2 • A2, A1
A1	BAW56W11	ON	di-2	$V_{IS} < 70 В$; $I_C < 200 мА$; $V_{IF}(I_F = 150 мА) < 1.25 В$; $I_{IS} < 2 мкА$; $t_{rr} < 4 нс$	SOT323, SC70	K1 • K2 • A1, A2
A1	HSMS2801	HP	shd	$V_{BR} > 70 В$; $V_{IF}(I_F = 15 мА) < 1.0 В$; $I_{IS}(V_{IS} = 50 В) < 200 нА$; $C_0 < 2.0 пФ$	SOT23, SOD23	н.с. • А • К
A11	MMBD1501A	NS	di	$V_{IS} < 180 В$; $I_C < 600 мА$; $V_{IF}(I_F = 200 мА) < 1.1 В$; $C_0 < 4 пФ$	SOT23, SOD23	A•н.с. • К
A11	MMBD1501A	FAIR	di	$V_{IS} < 200 В$; $I_C < 200 мА$; $V_{IF}(I_F = 200 мА) < 1.1 В$; $C_0 < 4 пФ$	SOT23, SOD23	A•н.с. • К
A13	MMBD1503A	NS	di-2	$V_{IS} < 180 В$; $I_C < 600 мА$; $V_{IF}(I_F = 200 мА) < 1.1 В$; $C_0 < 4 пФ$	SOT23, SOD23	A1 • K2 • K1, A2
A13	MMBD1503A	FAIR	di-2	$V_{IS} < 200 В$; $I_C < 200 мА$; $V_{IF}(I_F = 200 мА) < 1.1 В$; $C_0 < 4 пФ$	SOT23, SOD23	A1 • K2 • K1, A2
A14	MMBD1504A	NS	di-2	$V_{IS} < 180 В$; $I_C < 600 мА$; $V_{IF}(I_F = 200 мА) < 1.1 В$; $C_0 < 4 пФ$	SOT23, SOD23	A1 • A2 • K1, K2
A14	MMBD1504A	FAIR	di-2	$V_{IS} < 200 В$; $I_C < 200 мА$; $V_{IF}(I_F = 200 мА) < 1.1 В$; $C_0 < 4 пФ$	SOT23, SOD23	A1 • A2 • K1, K2
A15	MMBD1505A	NS	di-2	$V_{IS} < 180 В$; $I_C < 600 мА$; $V_{IF}(I_F = 200 мА) < 1.1 В$; $C_0 < 4 пФ$	SOT23, SOD23	K1 • K2 • A1, A2
A15	MMBD1505A	FAIR	di-2	$V_{IS} < 200 В$; $I_C < 200 мА$; $V_{IF}(I_F = 200 мА) < 1.1 В$; $C_0 < 4 пФ$	SOT23, SOD23	K1 • K2 • A1, A2
A16	ZC934A	ZETEX	var	$V_{IS} < 12 В$; $C_{IF}(V_{IS} = 2.5 В) > 47.25 \dots 57.75 пФ$; $C_1, C_2 > 8.2, Q > 80$	SOT23, SOD23	A•н.с. • К
A17	ZC933A	ZETEX	var	$V_{IS} < 12 В$; $C_{IF}(V_{IS} = 2.5 В) > 20.25 \dots 24.75 пФ$; $C_1, C_2 > 3.5, Q > 150$	SOT23, SOD23	A•н.с. • К
A1s	BAW56	INF	di-2	$V_{IS} < 80 В$; $I_C < 200 мА$; $V_{IF}(I_F = 150 мА) < 1.25 В$; $C_0 < 2.0 пФ$; $t_{rr} < 4 нс$	SOT23, SOD23	K1 • K2 • A1, A2
A1s	BAW56T	INF	di-2	$V_{IS} < 80 В$; $I_C < 200 мА$; $V_{IF}(I_F = 150 мА) < 1.25 В$; $C_0 < 2.0 пФ$; $t_{rr} < 4 нс$	SOT416, SC75A	K1 • K2 • A1, A2
A1s	BAW56W	INF	di-2	$V_{IS} < 80 В$; $I_C < 200 мА$; $V_{IF}(I_F = 150 мА) < 1.25 В$; $C_0 < 2.0 пФ$; $t_{rr} < 4 нс$	SOT323, SC70	K1 • K2 • A1, A2
A11	BAW56T	PHIL	di-2	$V_{IS} < 75 В$; $I_C < 150 мА$; $V_{IF}(I_F = 150 мА) < 1.25 В$; $t_{rr} < 4 нс$	SOT416, SC75A	K1 • K2 • A1, A2
A1X	MBAW56	MOT	di-2	$V_{IS} < 70 В$; $I_C < 300 мА$; $V_{IF}(I_F = 150 мА) < 1.25 В$; $I_{IS} < 5.0 мкА$; $C_0 < 4.0 пФ$; $t_{rr} < 6 нс$	SOT23, SOD23	K1 • K2 • A1, A2
A2	BAS16T	DIODS	di	$V_{IS} < 85 В$; $I_C < 155 мА$; $V_{IF}(I_F = 150 мА) < 1.25 В$; $I_{IS} < 2 мкА$; $t_{rr} < 4 нс$	SOT523	A•н.с. • К
A2	BAT18	SIEM	ppin	$V_{IS} < 35 В$; $I_C < 100 мА$; $V_{IF}(I_F = 100 мА) < 1.2 В$; $I_{IS} < 0.02 мкА$; $C_0 < 1.0 пФ$	SOT23, SOD23	A•н.с. • К
A2	BAT18	PHIL	dtv	$V_{IS} < 35 В$; $I_C < 100 мА$; $R_D < 0.7 Ом$; $C_0 < 1.0 пФ$	SOT23, SOD23	A•н.с. • К
A2	FMM2836	ZETEX	flc-2	$V_{IS} < 75 В$; $I_C < 100 мА$; $V_{IF}(I_F = 50 мА) < 1.0 В$; $I_{IS} < 0.1 мкА$; $C_0 < 4.0 пФ$; $t_{rr} < 6 нс$	SOT23, SOD23	K1 • K2 • A1, A2



SOT23-3 SOT323 SOT416
SOD23-3 SOT346 SOT523



SOT490 TSM VMT3
MFPK TSFP-3 VMD3

Код	Типономинал	Б	Ф	Особенности	Корпус	Ц: 1•2•3
A2	HSMS2802	HP	shd-2	$V_{BR} > 70 В$; $V_{F(I_F=15 мА)} < 1.0 В$; $I_{B(V_F=50 В)} < 200 мА$; $C_D < 2.0 пФ$	SOT23, SOD23	A1•K2•K1, A2
A2	HSMS280C	HP	shd-2	$V_{BR} > 70 В$; $V_{F(I_F=15 мА)} < 1.0 В$; $I_{B(V_F=50 В)} < 200 мА$; $C_D < 2.0 пФ$	SOT323, SC70	A1•K2•K1, A2
A2	MMBD1418	VISH	di	$V_F < 75 В$; $I_C < 300 мА$; $V_{F(I_F=10 мА)} < 1.0 В$; $I_B < 5.0 мА$; $C_D < 4 пФ$; $t_{BPP} < 6 нс$	SOT23, SOD23	A•n.c•K
A2s	BAT18	INF	cpin	$V_F < 35 В$; $I_C < 100 мА$; $V_{F(I_F=100 мА)} < 1.2 В$; $I_B < 0.02 мА$; $C_D < 1.0 пФ$	SOT23, SOD23	A•n.c•K
A2X	MMBD2836LT1	MOT	di-2	$V_F < 75 В$; $I_C < 100 мА$; $V_{F(I_F=50 мА)} < 1 В$; $C_D < 4 пФ$; $t_{BPP} < 4 нс$	SOT23, SOD23	K1•K2•A1, A2
A3	IPS300	PHIL	fd-2	$V_F < 80 В$; $I_C < 200 мА$; $V_{F(I_F=50 мА)} < 1.0 В$; $C_D < 2.0 пФ$; $t_{BPP} < 4 нс$	SOT323, SC70	K1•K2•A1, A2
A3	ISS181	TOSH	di-2	$V_F < 80 В$; $I_C < 100 мА$; $V_{F(I_F=100 мА)} < 1.2 В$; $I_B < 0.5 мА$; $t_{BPP} < 4 нс$	SOT346, SC59	K1•K2•A1, A2
A3	ISS300	TOSH	di-2	$V_F < 80 В$; $I_C < 100 мА$; $V_{F(I_F=100 мА)} < 1.2 В$; $t_{BPP} < 4 нс$	SOT323, SC70	K1•K2•A1, A2
A3	ISS360	TOSH	di-2	$V_F < 80 В$; $I_C < 100 мА$; $V_{F(I_F=100 мА)} < 1.2 В$; $I_B < 0.5 мА$; $t_{BPP} < 4 нс$	SOT416, SC75A	K1•K2•A1, A2
A3	ISS360F	TOSH	di-2	$V_F < 80 В$; $I_C < 100 мА$; $V_{F(I_F=100 мА)} < 1.2 В$; $I_B < 0.5 мА$; $t_{BPP} < 4 нс$	SOT490, SC89	K1•K2•A1, A2
A3	HSMS280F	HP	shd-2	$V_{BR} > 70 В$; $V_{F(I_F=15 мА)} < 1.0 В$; $I_{B(V_F=50 В)} < 200 мА$; $C_D < 2.0 пФ$	SOT323, SC70	K1•K2•A1, A2
A3	HSMS280E	HP	shd-2	$V_{BR} > 70 В$; $V_{F(I_F=15 мА)} < 1.0 В$; $I_{B(V_F=50 В)} < 200 мА$; $C_D < 2.0 пФ$	SOT323, SC70	K1•K2•A1, A2
A3	KDS120	KEC	di-2	$V_F < 80 В$; $I_C < 100 мА$; $I_B < 0.5 мА$; $C_D < 2.2 пФ$	SOT323, SC70	K1•K2•A1, A2
A3	MMBD1005LT1	MOT	di-2	$V_F < 30 В$; $I_C < 200 мА$; $V_{F(I_F=10 мА)} < 0.95 В$	SOT23, SOD23	K1•K2•A1, A2
A3	MMBD4448	VISH	fd	$V_F < 75 В$; $I_C < 500 мА$; $V_{F(I_F=100 мА)} < 1.0 В$; $I_B < 5.0 мА$; $C_D < 4 пФ$; $t_{BPP} < 4 нс$	SOT23, SOD23	A•n.c•K
A3p	BAT17	PHIL	shd	$V_F < 4 В$; $I_C < 30 мА$; $V_{F(I_F=1 мА)} < 450 мВ$; $C_D < 1 пФ$	SOT23, SOD23	A•n.c•K
A3p	BAT17	PHIL	shd	$V_F < 4 В$; $I_C < 30 мА$; $V_{F(I_F=1 мА)} < 450 мВ$; $C_D < 1 пФ$	SOT23, SOD23	K1•K2•A1, A2
A3t	BAT17	PHIL	shd	$V_F < 4 В$; $I_C < 30 мА$; $V_{F(I_F=1 мА)} < 450 мВ$; $C_D < 1 пФ$	SOT23, SOD23	A1•n.c•K
A3X	MMBD2835LT1	MOT	di-2	$V_F < 35 В$; $I_C < 100 мА$; $V_{F(I_F=50 мА)} < 1 В$; $C_D < 4 пФ$; $t_{BPP} < 4 нс$	SOT23, SOD23	K1•K2•A1, A2
A4	BAV70	ALLEG	di-2	$I_C < 100 мА$; $V_{BR} > 70 В$; $V_{F(I_F=10 мА)} < 0.86 В$; $I_B < 5000 мА$; $t_{BPP} < 6.0 нс$; $C_D < 1.5 пФ$	SOT23, SOD23	A1•A2•K1, K2
A4	BAV70	VISH	di-2	$V_F < 70 В$; $I_C < 300 мА$; $V_{F(I_F=150 мА)} < 1.25 В$; $I_B < 5.0 мА$; $C_D < 4 пФ$; $t_{BPP} < 6 нс$	SOT23, SOD23	A1•A2•K1, K2
A4	BAV70	ZETEX	di-2	$V_F < 70 В$; $I_C < 100 мА$; $V_{F(I_F=50 мА)} < 1.1 В$; $I_B < 5.0 мА$; $C_D < 1.5 пФ$; $t_{BPP} < 6 нс$	SOT23, SOD23	A1•A2•K1, K2
A4	BAV70	MCC	di-2	$V_F < 75 В$; $I_C < 150 мА$; $V_{F(I_F=10 мА)} < 0.85 В$; $C_D < 2 пФ$; $t_{BPP} < 4 нс$	SOT23, SOD23	A1•A2•K1, K2
A4	BAV70	Nat	di-2	$V_F < 70 В$; $I_C < 200 мА$; $V_{F(I_F=10 мА)} < 0.85 В$; $C_D < 1.5 пФ$; $t_{BPP} < 6 нс$	SOT23, SOD23	A1•A2•K1, K2
A4	BAV70	ZOWIE	di-2	$V_F < 70 В$; $I_C < 200 мА$; $V_{F(I_F=10 мА)} < 0.85 В$; $C_D < 1.5 пФ$; $t_{BPP} < 6 нс$	SOT23, SOD23	A1•A2•K1, K2
A4	BAV70	PANJIT	di-2	$V_F < 75 В$; $I_C < 150 мА$; $V_{F(I_F=10 мА)} < 1 В$; $C_D < 4 пФ$; $t_{BPP} < 4 нс$	SOT23, SOD23	A1•A2•K1, K2
A4	BAV70TT1	ON	di-2	$V_F < 70 В$; $I_C < 200 мА$; $V_{F(I_F=50 мА)} < 1 В$; $C_D < 1.5 пФ$; $t_{BPP} < 6 нс$	SOT416, SC75A	A1•A2•K1, K2
A4	BAV70W	PHIL	di-2	$V_F < 70 В$; $I_C < 175 мА$; $V_{F(I_F=50 мА)} < 1.0 В$; $C_D < 1.5 пФ$; $t_{BPP} < 4 нс$	SOT323, SC70	A1•A2•K1, K2
A4	HSMS2804	HP	shd-2	$V_{BR} > 70 В$; $V_{F(I_F=15 мА)} < 1.0 В$; $I_{B(V_F=50 В)} < 200 мА$; $C_D < 2.0 пФ$	SOT23, SOD23	A1•A2•K1, K2
A4	HSMS280F	HP	shd-2	$V_{BR} > 70 В$; $V_{F(I_F=15 мА)} < 1.0 В$; $I_{B(V_F=50 В)} < 200 мА$; $C_D < 2.0 пФ$	SOT323, SC70	A1•A2•K1, K2
A4p	BAV70	PHIL	di-2	$V_F < 70 В$; $I_C < 215 мА$; $V_{F(I_F=50 мА)} < 1.0 В$; $C_D < 1.5 пФ$; $t_{BPP} < 4 нс$	SOT23, SOD23	A1•A2•K1, K2
A4s	BAV70	INF	di-2	$V_F < 80 В$; $I_C < 200 мА$; $V_{F(I_F=50 мА)} < 1 В$; $I_{B(V_F=70 В)} < 0.15 мА$; $C_D < 1.5 пФ$; $t_{BPP} < 4 нс$	SOT23, SOD23	A1•A2•K1, K2
A4s	BAV70F	INF	di-2	$V_F < 80 В$; $I_C < 200 мА$; $V_{F(I_F=50 мА)} < 1 В$; $I_{B(V_F=70 В)} < 0.15 мА$; $C_D < 1.5 пФ$; $t_{BPP} < 4 нс$	TSFP-3, VESM	A1•A2•K1, K2
A4s	BAV70T	INF	di-2	$V_F < 80 В$; $I_C < 200 мА$; $V_{F(I_F=50 мА)} < 1 В$; $I_{B(V_F=70 В)} < 0.15 мА$; $C_D < 1.5 пФ$; $t_{BPP} < 4 нс$	SOT416, SC75A	A1•A2•K1, K2
A4s	BAV70W	INF	di-2	$V_F < 80 В$; $I_C < 200 мА$; $V_{F(I_F=50 мА)} < 1 В$; $I_{B(V_F=70 В)} < 0.15 мА$; $C_D < 1.5 пФ$; $t_{BPP} < 4 нс$	SOT323, SC70	A1•A2•K1, K2
A4X	MBAV70	MOT	di-2	$V_F < 70 В$; $I_C < 300 мА$; $V_{F(I_F=150 мА)} < 1.25 В$; $I_B < 5.0 мА$; $C_D < 4 пФ$; $t_{BPP} < 6 нс$	SOT23, SOD23	A1•A2•K1, K2
A5	FMMD2837	ZETEX	fd-2	$V_F < 35 В$; $I_C < 100 мА$; $V_{F(I_F=50 мА)} < 1.0 В$; $I_B < 0.1 мА$; $C_D < 4 пФ$; $t_{BPP} < 6 нс$	SOT23, SOD23	A1•A2•K1, K2
A5	MMBD2837LT1	MOT	di-2	$V_F < 30 В$; $I_C < 150 мА$; $V_{F(I_F=50 мА)} < 1 В$; $C_D < 4 пФ$; $t_{BPP} < 4 нс$	SOT23, SOD23	A1•A2•K1, K2
A5p	BRF61	PHIL	prpin	$V_{BR} > 70 В$; $I_C < 175 мА$; $P_D < 250 мВт$; $I_B < 80 мА$	SOT23, SOD23	A•K•G
A5t	BRF61	PHIL	prpin	$V_{BR} > 70 В$; $I_C < 175 мА$; $P_D < 250 мВт$; $I_B < 80 мА$	SOT23, SOD23	A•K•G
A6	BAS16	ALLEG	di	$I_C < 600 мА$; $V_{BR} > 75 В$; $V_{F(I_F=1 мА)} < 0.72 В$; $I_B < 1000 мА$; $t_{BPP} < 6.0 нс$; $C_D < 2.0 пФ$	SOT23, SOD23	A•n.c•K
A6	BAS16	FAIR	di	$V_F < 85 В$; $I_C < 200 мА$; $V_{F(I_F=150 мА)} < 1.25 В$; $I_B < 1.0 мА$; $C_D < 2.0 пФ$; $t_{BPP} < 6 нс$	SOT23, SOD23	A•n.c•K
A6	BAS16	DIOT	di	$V_F < 85 В$; $I_C < 200 мА$; $V_{F(I_F=150 мА)} < 1.25 В$; $I_B < 1.0 мА$; $C_D < 2.0 пФ$; $t_{BPP} < 6 нс$	SOT23, SOD23	A•n.c•K
A6	BAS16	ZETEX	di	$V_F < 75 В$; $I_C < 250 мА$; $V_{F(I_F=50 мА)} < 1.0 В$; $I_B < 1.0 мА$; $C_D < 2.0 пФ$; $t_{BPP} < 6 нс$	SOT23, SOD23	A•n.c•K

SOT490 TSM
MFPAK TSFP-3

VMT3
VMD3



SOT416
SOT523

SOT323
SOT346

SOT23-3
SOD23-3



Код	Типономинал	Б	Ф	Особенности	Корпус	Ц: 1*2*3
A6	BAS16	VISH	fd	$V_{DS} < 75 В$, $I_C < 500 мА$, $V_{CE}(I_C = 150 мА) < 125 В$, $I_{B1} < 1.0 мА$, $C_{D1} < 4.0 пФ$, $t_{B1} < 4 нс$	SOT23, SOD23	A-н.с.-К
A6	BAS16	PANJIT	di	$V_{DS} < 75 В$, $I_C < 250 мА$, $V_{CE}(I_C = 10 мА) < 0.855 В$, $I_{B1} < 1 мА$, $C_{D1} < 2 пФ$, $t_{B1} < 6 нс$	SOT23, SOD23	A-н.с.-К
A6	BAS16T	PHIL	di	$V_{DS} < 75 В$, $I_C < 155 мА$, $V_{CE}(I_C = 150 мА) < 125 В$, $I_{B1} < 50 мА$, $C_{D1} < 1.5 пФ$, $t_{B1} < 4 нс$	SOT416, SOT37A	A-н.с.-К
A6	BAS16TT1	ON	di	$V_{DS} < 75 В$, $I_C < 200 мА$, $V_{CE}(I_C = 150 мА) < 125 В$, $I_{B1} < 1 мА$, $t_{B1} < 6 нс$	SOT416, SOT37A	A-н.с.-К
A6	BAS16W	PANJIT	di	$V_{DS} < 75 В$, $I_C < 250 мА$, $V_{CE}(I_C = 10 мА) < 0.855 В$, $I_{B1} < 1 мА$, $C_{D1} < 2 пФ$, $t_{B1} < 6 нс$	SOT23, SOD23	A-н.с.-К
A6	BAS16W	PHIL	di	$V_{DS} < 75 В$, $I_C < 175 мА$, $V_{CE}(I_C = 50 мА) < 1.0 В$, $C_{D1} < 1.5 пФ$, $t_{B1} < 4 нс$	SOT323, SC70	A-н.с.-К
A6A	MMUN2111LT1	ON	Dnnp	$V_{DS} < 50 В$, $I_C < 100 мА$, $P_D = 246 мВт$, $I_{B1} > 35$, $10 кОм/10 кОм$	SOT23, SOD23	B-E-C
A6B	MMUN2112LT1	ON	Dnnp	$V_{DS} < 50 В$, $I_C < 100 мА$, $P_D = 246 мВт$, $I_{B1} > 60$, $22 кОм/22 кОм$	SOT23, SOD23	B-E-C
A6C	MMUN2113LT1	ON	Dnnp	$V_{DS} < 50 В$, $I_C < 100 мА$, $P_D = 246 мВт$, $I_{B1} > 80$, $47 кОм/47 кОм$	SOT23, SOD23	B-E-C
A6D	MMUN2114LT1	ON	Dnnp	$V_{DS} < 50 В$, $I_C < 100 мА$, $P_D = 246 мВт$, $I_{B1} > 80$, $100 кОм/100 кОм$	SOT23, SOD23	B-E-C
A6E	MMUN2115LT1	ON	Dnnp	$V_{DS} < 50 В$, $I_C < 100 мА$, $P_D = 246 мВт$, $I_{B1} > 160$, $R_1 < 10 кОм$	SOT23, SOD23	B-E-C
A6F	MMUN2116LT1	ON	Dnnp	$V_{DS} < 50 В$, $I_C < 100 мА$, $P_D = 246 мВт$, $I_{B1} > 160$, $R_1 < 4.7 кОм$	SOT23, SOD23	B-E-C
A6H	MMUN2130LT1	ON	Dnnp	$V_{DS} < 50 В$, $I_C < 100 мА$, $P_D = 246 мВт$, $I_{B1} > 3$, $1 кОм/1 кОм$	SOT23, SOD23	B-E-C
AGH	MMUN2131LT1	ON	Dnnp	$V_{DS} < 50 В$, $I_C < 100 мА$, $P_D = 246 мВт$, $I_{B1} > 8$, $2.2 кОм/2.2 кОм$	SOT23, SOD23	B-E-C
AGJ	MMUN2132LT1	ON	Dnnp	$V_{DS} < 50 В$, $I_C < 100 мА$, $P_D = 246 мВт$, $I_{B1} > 15$, $4.7 кОм/4.7 кОм$	SOT23, SOD23	B-E-C
AKK	MMUN2133LT1	ON	Dnnp	$V_{DS} < 50 В$, $I_C < 100 мА$, $P_D = 246 мВт$, $I_{B1} > 80$, $4.7 кОм/4.7 кОм$	SOT23, SOD23	B-E-C
AKL	MMUN2134LT1	ON	Dnnp	$V_{DS} < 50 В$, $I_C < 100 мА$, $P_D = 246 мВт$, $I_{B1} > 80$, $22 кОм/22 кОм$	SOT23, SOD23	B-E-C
ABp	BAS16	PHIL	fd	$V_{DS} < 75 В$, $I_C < 215 мА$, $V_{CE}(I_C = 50 мА) < 1.0 В$, $C_{D1} < 1.5 пФ$, $t_{B1} < 4 нс$	SOT23, SOD23	A-н.с.-К
ABs	BAS16	SIEM	di	$V_{DS} < 75 В$, $I_C < 250 мА$, $V_{CE}(I_C = 50 мА) < 1.0 В$, $I_{B1} < 1.0 мА$, $C_{D1} < 2.0 пФ$, $t_{B1} < 6 нс$	SOT23, SOD23	A-н.с.-К
ABs	BAS16	INF	di	$V_{DS} < 80 В$, $I_C < 250 мА$, $V_{CE}(I_C = 150 мА) < 125 В$, $I_{B1} < 50 мА$	SOT23, SOD23	A-н.с.-К
ABs	BAS16W	INF	di	$V_{DS} < 80 В$, $I_C < 250 мА$, $V_{CE}(I_C = 150 мА) < 125 В$, $I_{B1} < 50 мА$	SOT323, SC70	A-н.с.-К
A7	BAV99	ALLEG	di-2	$I_C < 70 мА$, $V_{B1} > 70 В$, $V_{CE}(I_C = 50 мА) < 1.1 В$, $I_{B1} < 2500 мА$, $t_{B1} < 6.0 нс$, $C_{D1} < 2.0 пФ$	SOT23, SOD23	A1-K2-K1, A2
A7	BAV99	VISH	di-2	$V_{DS} < 70 В$, $I_C < 300 мА$, $V_{CE}(I_C = 150 мА) < 125 В$, $I_{B1} < 5.0 мА$, $C_{D1} < 4.0 пФ$, $t_{B1} < 6 нс$	SOT23, SOD23	A1-K2-K1, A2
A7	BAV99	ZETEX	di-2	$V_{DS} < 70 В$, $I_C < 100 мА$, $V_{CE}(I_C = 50 мА) < 1.1 В$, $I_{B1} < 2.5 мА$, $C_{D1} < 1.5 пФ$, $t_{B1} < 6 нс$	SOT23, SOD23	A1-K2-K1, A2
A7	BAV99	DIOT	di-2	$V_{DS} < 70 В$, $I_C < 200 мА$, $V_{CE}(I_C = 150 мА) < 125 В$, $I_{B1} < 2 мА$, $t_{B1} < 4 нс$	SOT23, SOD23	A1-K2-K1, A2
A7	BAV99	ZOWIE	di-2	$V_{DS} < 70 В$, $I_C < 200 мА$, $V_{CE}(I_C = 150 мА) < 125 В$, $I_{B1} < 2 мА$, $t_{B1} < 4 нс$	SOT23, SOD23	A1-K2-K1, A2
A7	BAV99	MCC	di-2	$V_{DS} < 75 В$, $I_C < 150 мА$, $V_{CE}(I_C = 150 мА) < 125 В$, $I_{B1} < 2.5 мА$, $t_{B1} < 4 нс$	SOT23, SOD23	A1-K2-K1, A2
A7	BAV99	Nat	di-2	$V_{DS} < 70 В$, $I_C < 200 мА$, $V_{CE}(I_C = 150 мА) < 125 В$, $t_{B1} < 6 нс$	SOT23, SOD23	A1-K2-K1, A2
A7	BAV99	JGD	di-2	$V_{DS} < 75 В$, $I_C < 300 мА$, $V_{CE}(I_C = 150 мА) < 125 В$, $I_{B1} < 2 мА$, $t_{B1} < 4 нс$	SOT23, SOD23	A1-K2-K1, A2
A7	BAV99W	DIOT	di-2	$V_{DS} < 70 В$, $I_C < 200 мА$, $V_{CE}(I_C = 150 мА) < 125 В$, $I_{B1} < 2 мА$, $t_{B1} < 4 нс$	SOT323, SC70	A1-K1, A2-K2
A7	BAV99W	PHIL	fd-2	$V_{DS} < 75 В$, $I_C < 150 мА$, $V_{CE}(I_C = 50 мА) < 1.0 В$, $C_{D1} < 1.5 пФ$, $t_{B1} < 4 нс$	SOT323, SC70	A1-K2-K1, A2
A7	BAV99WT1	ON	di-2	$V_{DS} < 70 В$, $I_C < 215 мА$, $V_{CE}(I_C = 150 мА) < 125 В$, $I_{B1} < 2 мА$, $t_{B1} < 4 нс$	SOT323, SC70	A1-K1, A2-K2
A7	DAN217U	ROHM	di-2	$V_{DS} < 80 В$, $I_C < 100 мА$, $P_D < 200 мВт$, $V_{CE}(I_C = 100 мА) < 1.2 В$	SOT323, SC70	A1-K2-K1, A2
A7p	BAV99	PHIL	di-2	$V_{DS} < 75 В$, $I_C < 215 мА$, $V_{CE}(I_C = 50 мА) < 1.0 В$, $C_{D1} < 1.5 пФ$, $t_{B1} < 4 нс$	SOT23, SOD23	A1-K2-K1, A2
A7s	BAV99	INF	di-2	$V_{DS} < 80 В$, $I_C < 200 мА$, $V_{CE}(I_C = 150 мА) < 125 В$, $I_{B1} < 0.15 мА$, $C_{D1} < 1.5 пФ$, $t_{B1} < 4 нс$	SOT23, SOD23	A1-K2-K1, A2
A7s	BAV99F	INF	di-2	$V_{DS} < 80 В$, $I_C < 200 мА$, $V_{CE}(I_C = 150 мА) < 125 В$, $I_{B1} < 0.15 мА$, $C_{D1} < 1.5 пФ$, $t_{B1} < 4 нс$	TSFP-3, VESM	A1-K2-K1, A2
A7s	BAV99T	INF	di-2	$V_{DS} < 80 В$, $I_C < 200 мА$, $V_{CE}(I_C = 150 мА) < 125 В$, $I_{B1} < 0.15 мА$, $C_{D1} < 1.5 пФ$, $t_{B1} < 4 нс$	SOT416, SOT37A	A1-K2-K1, A2
A7s	BAV99W	INF	di-2	$V_{DS} < 80 В$, $I_C < 200 мА$, $V_{CE}(I_C = 150 мА) < 125 В$, $I_{B1} < 0.15 мА$, $C_{D1} < 1.5 пФ$, $t_{B1} < 4 нс$	SOT323, SC70	A1-K2-K1, A2
A8	BAS19	ALLEG	d	$I_C < 200 мА$, $V_{B1} > 100 В$, $V_{CE}(I_C = 200 мА) < 1.25 В$, $I_{B1} < 100 мА$, $t_{B1} < 50 нс$, $C_{D1} < 5.0 пФ$	SOT23, SOD23	A-н.с.-К
A8	BAS19	PANJIT	di	$V_{DS} < 100 В$, $I_C < 200 мА$, $V_{CE}(I_C = 100 мА) < 1.0 В$, $I_{B1} < 1 мА$, $C_{D1} < 2 пФ$, $t_{B1} < 50 нс$	SOT23, SOD23	A-н.с.-К
A8	BAS19	JGD	di	$V_{DS} < 100 В$, $I_C < 200 мА$, $V_{CE}(I_C = 100 мА) < 1.0 В$, $I_{B1} < 1 мА$, $C_{D1} < 2 пФ$, $t_{B1} < 50 нс$	SOT23, SOD23	A-н.с.-К
A8	BAS19	VISH	di	$V_{DS} < 100 В$, $I_C < 400 мА$, $V_{CE}(I_C = 200 мА) < 1.25 В$, $I_{B1} < 0.1 мА$, $C_{D1} < 5.0 пФ$, $t_{B1} < 50 нс$	SOT23, SOD23	A-н.с.-К

Код	Типономинал	Б	Ф	Особенности	Корпус	Ц: 1•2•3
A8	BAS19	ZETEX	di	$V_R < 100 \text{ В}$, $I_R < 200 \text{ мА}$, $V_{F(I_R=100 \text{ мА})} < 1.0 \text{ В}$, $I_{RR} < 0.1 \text{ мА}$, $C_0 < 5.0 \text{ нФ}$, $t_{\text{RR}} < 50 \text{ нс}$	SOT23, SOD23	A•n.c•K
A8	BAS19W	PANJIT	di	$V_R < 100 \text{ В}$, $I_R < 200 \text{ мА}$, $V_{F(I_R=100 \text{ мА})} < 1.0 \text{ В}$, $I_{RR} < 0.1 \text{ мА}$, $C_0 < 2 \text{ нФ}$, $t_{\text{RR}} < 50 \text{ нс}$	SOT23, SC70	A•n.c•K
A8	SI2308DS	VISH	nMOS	$V_{DS}=60 \text{ В}$, $I_D > 1.6 \text{ А}$, $P_D=800 \text{ мВт}$, $R_{DS(on)} < 0.22 \text{ Ом}$	SOT23, SOD23	G•S•D
A80	BAS20	PANJIT	di	$V_R < 150 \text{ В}$, $I_R < 200 \text{ мА}$, $V_{F(I_R=100 \text{ мА})} < 1.0 \text{ В}$, $I_{RR} < 0.1 \text{ мА}$, $C_0 < 1.5 \text{ нФ}$, $t_{\text{RR}} < 50 \text{ нс}$	SOT23, SOD23	A•n.c•K
A80	BAS20W	PANJIT	di	$V_R < 150 \text{ В}$, $I_R < 200 \text{ мА}$, $V_{F(I_R=100 \text{ мА})} < 1.0 \text{ В}$, $I_{RR} < 0.1 \text{ мА}$, $C_0 < 1.5 \text{ нФ}$, $t_{\text{RR}} < 50 \text{ нс}$	SOT23, SC70	A•n.c•K
A81	BAS20	JGD	di	$V_R < 150 \text{ В}$, $I_R < 200 \text{ мА}$, $V_{F(I_R=100 \text{ мА})} < 1.0 \text{ В}$, $I_{RR} < 0.1 \text{ мА}$, $C_0 < 1.5 \text{ нФ}$, $t_{\text{RR}} < 50 \text{ нс}$	SOT23, SOD23	A•n.c•K
A81	BAS20	VISH	di	$V_R < 150 \text{ В}$, $I_R < 400 \text{ мА}$, $V_{F(I_R=200 \text{ мА})} < 1.25 \text{ В}$, $I_{RR} < 0.1 \text{ мА}$, $C_0 < 5.0 \text{ нФ}$, $t_{\text{RR}} < 50 \text{ нс}$	SOT23, SOD23	A•n.c•K
A81	BAS20	ZETEX	di	$V_R < 150 \text{ В}$, $I_R < 200 \text{ мА}$, $V_{F(I_R=100 \text{ мА})} < 1.0 \text{ В}$, $I_{RR} < 0.1 \text{ мА}$, $C_0 < 5.0 \text{ нФ}$, $t_{\text{RR}} < 50 \text{ нс}$	SOT23, SOD23	A•n.c•K
A82	BAS21	ALLEG	di	$I_C < 200 \text{ мА}$, $V_{DS} > 200 \text{ В}$, $V_{F(I_R=100 \text{ мА})} < 1.0 \text{ В}$, $I_{RR} < 100 \text{ нА}$, $t_{\text{RR}} < 50 \text{ нс}$, $C_0 < 5.0 \text{ нФ}$	SOT23, SOD23	A•n.c•K
A82	BAS21	PANJIT	di	$V_R < 200 \text{ В}$, $I_R < 200 \text{ мА}$, $V_{F(I_R=100 \text{ мА})} < 1.0 \text{ В}$, $I_{RR} < 0.1 \text{ мА}$, $C_0 < 1.5 \text{ нФ}$, $t_{\text{RR}} < 50 \text{ нс}$	SOT23, SOD23	A•n.c•K
A82	BAS21	VISH	di	$V_R < 200 \text{ В}$, $I_R < 400 \text{ мА}$, $V_{F(I_R=200 \text{ мА})} < 1.25 \text{ В}$, $I_{RR} < 0.1 \text{ мА}$, $C_0 < 5.0 \text{ нФ}$, $t_{\text{RR}} < 50 \text{ нс}$	SOT23, SOD23	A•n.c•K
A82	BAS21	ZETEX	di	$V_R < 200 \text{ В}$, $I_R < 200 \text{ мА}$, $V_{F(I_R=100 \text{ мА})} < 1.0 \text{ В}$, $I_{RR} < 0.1 \text{ мА}$, $C_0 < 5.0 \text{ нФ}$, $t_{\text{RR}} < 50 \text{ нс}$	SOT23, SOD23	A•n.c•K
A82	BAS21W	PANJIT	di	$V_R < 200 \text{ В}$, $I_R < 200 \text{ мА}$, $V_{F(I_R=100 \text{ мА})} < 1.0 \text{ В}$, $I_{RR} < 0.1 \text{ мА}$, $C_0 < 1.5 \text{ нФ}$, $t_{\text{RR}} < 50 \text{ нс}$	SOT23, SC70	A•n.c•K
A82	CMPPD2003	CSI	di	$I_C < 250 \text{ мА}$, $V_{DS}=200 \text{ В}$, $V_{F(I_R=100 \text{ мА})} < 1.0 \text{ В}$, $I_{RR} < 100 \text{ нА}$, $t_{\text{RR}} < 50 \text{ нс}$, $C_1 < 5.0 \text{ нФ}$	SOT23, SOD23	A•n.c•K
A8A	MMUN2211LT1	ON	Dnpn	$V_{CE(sat)} < 50 \text{ В}$, $I_C=100 \text{ мА}$, $P_D=200 \text{ мВт}$; $h_{FE} > 35$; $10 \text{ кОм}/10 \text{ кОм}$	SOT23, SOD23	B•E•C
A8B	MMUN2212LT1	ON	Dnpn	$V_{CE(sat)} < 50 \text{ В}$, $I_C=100 \text{ мА}$, $P_D=200 \text{ мВт}$; $h_{FE} > 60$; $22 \text{ кОм}/22 \text{ кОм}$	SOT23, SOD23	B•E•C
A8C	MMUN2213LT1	ON	Dnpn	$V_{CE(sat)} < 50 \text{ В}$, $I_C=100 \text{ мА}$, $P_D=200 \text{ мВт}$; $h_{FE} > 80$; $47 \text{ кОм}/47 \text{ кОм}$	SOT23, SOD23	B•E•C
A8D	MMUN2214LT1	ON	Dnpn	$V_{CE(sat)} < 50 \text{ В}$, $I_C=100 \text{ мА}$, $P_D=200 \text{ мВт}$; $h_{FE} > 80$; $100 \text{ кОм}/100 \text{ кОм}$	SOT23, SOD23	B•E•C
A8E	MMUN2215LT1	ON	Dnpn	$V_{CE(sat)} < 50 \text{ В}$, $I_C=100 \text{ мА}$, $P_D=200 \text{ мВт}$; $h_{FE} > 160$; $R_T 10 \text{ кОм}$	SOT23, SOD23	B•E•C
A8F	MMUN2216LT1	ON	Dnpn	$V_{CE(sat)} < 50 \text{ В}$, $I_C=100 \text{ мА}$, $P_D=200 \text{ мВт}$; $h_{FE} > 160$; $R_T 4.7 \text{ кОм}$	SOT23, SOD23	B•E•C
A8G	MMUN2230LT1	ON	Dnpn	$V_{CE(sat)} < 50 \text{ В}$, $I_C=100 \text{ мА}$, $P_D=200 \text{ мВт}$; $h_{FE} > 3$; $1 \text{ кОм}/1 \text{ кОм}$	SOT23, SOD23	B•E•C
A8H	MMUN2231LT1	ON	Dnpn	$V_{CE(sat)} < 50 \text{ В}$, $I_C=100 \text{ мА}$, $P_D=200 \text{ мВт}$; $h_{FE} > 8$; $2.2 \text{ кОм}/2.2 \text{ кОм}$	SOT23, SOD23	B•E•C
A8J	MMUN2232LT1	ON	Dnpn	$V_{CE(sat)} < 50 \text{ В}$, $I_C=100 \text{ мА}$, $P_D=200 \text{ мВт}$; $h_{FE} > 15$; $4.7 \text{ кОм}/4.7 \text{ кОм}$	SOT23, SOD23	B•E•C
A8K	MMUN2233LT1	ON	Dnpn	$V_{CE(sat)} < 50 \text{ В}$, $I_C=100 \text{ мА}$, $P_D=200 \text{ мВт}$; $h_{FE} > 80$; $4.7 \text{ кОм}/47 \text{ кОм}$	SOT23, SOD23	B•E•C
A8L	MMUN2234LT1	ON	Dnpn	$V_{CE(sat)} < 50 \text{ В}$, $I_C=100 \text{ мА}$, $P_D=200 \text{ мВт}$; $h_{FE} > 80$; $22 \text{ кОм}/47 \text{ кОм}$	SOT23, SOD23	B•E•C
A8P	MMUN2238LT1	ON	Dnpn	$V_{CE(sat)} < 50 \text{ В}$, $I_C=100 \text{ мА}$, $P_D=200 \text{ мВт}$; $h_{FE} > 160$; $R_T 2.2 \text{ кОм}$	SOT23, SOD23	B•E•C
A8U	MMUN2241LT1	ON	Dnpn	$V_{CE(sat)} < 50 \text{ В}$, $I_C=100 \text{ мА}$, $P_D=200 \text{ мВт}$; $h_{FE} > 160$; $R_T 100 \text{ кОм}$	SOT23, SOD23	B•E•C
A9	1SS294	TOSH	shld	$V_R > 40 \text{ В}$, $V_{F(I_R=100 \text{ мА})} < 0.6 \text{ В}$, $I_{RR}(V_R=40 \text{ В}) < 5 \text{ мА}$, $C_1 < 25 \text{ пФ}$	SOT346, SC59	A•n.c•K
A9	1SS322	TOSH	shld	$V_R > 40 \text{ В}$; $I_C < 100 \text{ мА}$; $V_{F(I_R=100 \text{ мА})} < 0.6 \text{ В}$; $C_0 < 18 \text{ нФ}$	SOT23, SC70	A•n.c•K
A9	FMMD2835	ZETEX	fid-2	$V_R < 35 \text{ В}$; $I_C < 100 \text{ мА}$; $V_{F(I_R=50 \text{ мА})} < 1.0 \text{ В}$; $I_{RR} < 0.1 \text{ мА}$; $C_0 < 4.0 \text{ нФ}$; $t_{\text{RR}} < 6 \text{ нс}$	SOT23, SOD23	K1•K2•A1•A2
A9	SI2309DS	VISH	pMOS	$V_{DS}=60 \text{ В}$; $I_D=0.85 \text{ А}$; $P_D=800 \text{ мВт}$; $R_{DS(on)} < 0.55 \text{ Ом}$	SOT23, SOD23	G•S•D
A91	BAS17	PHIL	dz	$V_R < 5 \text{ В}$; $I_R < 200 \text{ мА}$; $V_{F(I_R=100 \text{ мА})} < 0.95 \text{ В}$; $I_{RR} < 5 \text{ мА}$; $C_0 < 140 \text{ пФ}$	SOT23, SOD23	A•n.c•K
AA	BCW60A	ALLEG	nnpn	$V_{CE(sat)} < 32 \text{ В}$, $I_{C(sat)} < 20 \text{ мА}$; $h_{FE} > 120 \dots 220$; $V_{CE(sat)} < 0.35 \text{ В}$; $f_T > 125 \text{ МГц}$	SOT23, SOD23	B•E•C
AA	BCW60A	CDIL	nnpn	$V_{CE(sat)} < 32 \text{ В}$, $I_C < 200 \text{ мА}$; $P_D=250 \text{ мВт}$; $h_{FE} > 120 \dots 220$; $f_T > 100 \text{ МГц}$	SOT23, SOD23	G•S•D
AA	BCW60A	SAMS	nnpn	$V_{CE(sat)} < 32 \text{ В}$, $I_C < 100 \text{ мА}$; $P_D=350 \text{ мВт}$; $h_{FE} > 120 \dots 220$; $f_T > 125 \text{ МГц}$	SOT23, SOD23	B•E•C
AA	BCW60A	ZETEX	nnpn	$V_{CE(sat)} < 32 \text{ В}$, $I_C < 200 \text{ мА}$; $P_D=330 \text{ мВт}$; $h_{FE} > 120 \dots 220$; $f_T > 250 \text{ МГц}$	SOT23, SOD23	B•E•C
AAA	MAX8306XPR46	MAX	vd	$V_{IN}=4.6 \text{ В}$; $V_{DD}=1.2 \dots 5.5 \text{ В}$; $I_{CC} < 80 \text{ мА}$	SOT323, SC70	RST•GND•V _{CC}
AAA	MMBFR46SLT1	MOT	nFET	$V_{DS}=40 \text{ В}$; $I_{DSS}=50 \text{ мА}$; $P_D=225 \text{ мВт}$	SOT23, SOD23	D•S•G
AAAA	MAX8309LUR	MAX	mrc	$V_{IN}=4.63 \text{ В}$; $V_{DD}=1.2 \dots 5.5 \text{ В}$; $I_{CC} < 100 \text{ мА}$	SOT23, SOD23	GND•RST•V _{CC}
AAB	MAX8306XPR26	MAX	vd	$V_{IN}=2.6 \text{ В}$; $V_{DD}=1.2 \dots 5.5 \text{ В}$; $I_{CC} < 80 \text{ мА}$	SOT323, SOD23	RST•GND•V _{CC}
AAC	MAX8306XPR23	MAX	vd	$V_{IN}=2.3 \text{ В}$; $V_{DD}=1.2 \dots 5.5 \text{ В}$; $I_{CC} < 80 \text{ мА}$	SOT323, SC70	RST•GND•V _{CC}
AAD	CMPPD4448	CSI	dih	$I_C < 250 \text{ мА}$, $V_{DS}=75 \text{ В}$, $V_{F(I_R=100 \text{ мА})} < 1.0 \text{ В}$, $I_{RR} < 25 \text{ нА}$; $t_{\text{RR}} < 4.0 \text{ нс}$; $C_1 < 4.0 \text{ нФ}$	SOT23, SOD23	A•n.c•K

SOT490 TSM
MFFPAK TSFP-3

VMT3
VMD3



SOT416
SOT523

SOT323
SOT346

SOT23-3
SOD23-3



Код	Типономинал	Б	Ф	Особенности	Корпус	Ц: 1•2•3
AAD	MAX8807XP46	MAX	vd	$V_{TH}=4.6В; V_{DD}=1.2...5.5В; I_{CC}<80мкА$	SOT323, SC70	RST•GND•V _{CC}
AAD	TPMP4448	ALLEG	d	$I_C<600мА; V_{BR}>100В; V_{IH}(I_C=100мА)<1.0В; I_B<25нА; t_{BR}<4.0нс; C_0<4.0нФ$	SOT723, SOD23	A•n.c. • K
AAE	MAX8807XP26	MAX	vd	$V_{TH}=2.6В; V_{DD}=1.2...5.5В; I_{CC}<80мкА$	SOT323, SC70	RST•GND•V _{CC}
AAF	MAX8808XP46	MAX	vd	$V_{TH}=4.6В; V_{DD}=1.2...5.5В; I_{CC}<80мкА$	SOT323, SC70	RST•GND•V _{CC}
AAG	MAX8808XP26	MAX	vd	$V_{TH}=2.6В; V_{DD}=1.2...5.5В; I_{CC}<80мкА$	SOT323, SC70	RST•GND•V _{CC}
AAG	MMBR951ALT1	MOT	qpn	$V_{DS}=20В; I_C=100мА; P_D=322мВт; h_{21}=75...150; f_T=8000МГц$	SOT23, SOD23	B•E•C
AAN	MAX6326XP22	MAX	mrc	$V_{TH}=2.2В; V_{DD}=1.2...5.5В; I_{CC}<1.75мкА$	SOT323, SC70	GND•RST•V _{CC}
AAI	MAX6327XP22	MAX	mrc	$V_{TH}=2.2В; V_{DD}=1.2...5.5В; I_{CC}<1.75мкА$	SOT323, SC70	GND•RST•V _{CC}
AAJ	MAX6328XP22	MAX	mrc	$V_{TH}=2.2В; V_{DD}=1.2...5.5В; I_{CC}<1.75мкА$	SOT323, SC70	GND•RST•V _{CC}
AAN	MAX803LXR	MAX	mrc	$V_{TH}=4.63В; V_{DD}=1.2...5.5В; I_{CC}<60мкА$	SOT323, SC70	GND•RST•V _{CC}
AAO	MAX803MXR	MAX	mrc	$V_{TH}=4.63В; V_{DD}=1.2...5.5В; I_{CC}<60мкА$	SOT323, SC70	GND•RST•V _{CC}
AAp	BCW60A	PHIL	qpn	$V_{DS}=32В; I_C=200мА; P_D=250мВт; h_{21}=120...220; f_T>100МГц$	SOT23, SOD23	B•E•C
AAP	MAX803TXR	MAX	mrc	$V_{TH}=3.08В; V_{DD}=1.2...5.5В; I_{CC}<60мкА$	SOT323, SC70	GND•RST•V _{CC}
AAQ	2SD1757KQ	ROHM	qpn	$V_{DS}=30В; I_C=500мА; P_D=200мВт; h_{21}=120...270; f_T>150МГц$	SOT346, SC59	B•E•C
AAQ	MAX803SXR	MAX	mrc	$V_{TH}=2.93В; V_{DD}=1.2...5.5В; I_{CC}<60мкА$	SOT323, SC70	GND•RST•V _{CC}
AAR	2SD1757KR	ROHM	qpn	$V_{DS}=30В; I_C=500мА; P_D=200мВт; h_{21}=180...390; f_T>150МГц$	SOT346, SC59	B•E•C
AAR	MAX803RXR	MAX	mrc	$V_{TH}=2.63В; V_{DD}=1.2...5.5В; I_{CC}<60мкА$	SOT323, SC70	GND•RST•V _{CC}
AAR	TPMPD4153	ALLEG	d	$I_C<600мА; V_{BR}>75В; V_{IH}(I_C=1мА)<0.67В; I_B<50нА; t_{BR}<4.0нс; C_0<4.0нФ$	SOT23, SOD23	A•n.c. • K
AAS	2SD1757KS	ROHM	qpn	$V_{DS}=30В; I_C=500мА; P_D=200мВт; h_{21}=270...560; f_T>150МГц$	SOT346, SC59	B•E•C
AAs	BCW60A	SIEM	qpn	$V_{DS}=32В; I_C=100мА; P_D=330мВт; h_{21}=120...220; f_T>250МГц$	SOT23, SOD23	B•E•C
AAS	MAX803ZXR	MAX	mrc	$V_{TH}=2.32В; V_{DD}=1.2...5.5В; I_{CC}<60мкА$	SOT323, SC70	GND•RST•V _{CC}
AAT	MAX810LXR	MAX	mrc	$V_{TH}=4.63В; V_{DD}=1.2...5.5В; I_{CC}<60мкА$	SOT323, SC70	GND•RST•V _{CC}
AAU	MAX810MXR	MAX	mrc	$V_{TH}=4.38В; V_{DD}=1.2...5.5В; I_{CC}<60мкА$	SOT323, SC70	GND•RST•V _{CC}
AAV	MAX810TXR	MAX	mrc	$V_{TH}=3.08В; V_{DD}=1.2...5.5В; I_{CC}<60мкА$	SOT323, SC70	GND•RST•V _{CC}
AAW	MAX810RXR	MAX	mrc	$V_{TH}=2.63В; V_{DD}=1.2...5.5В; I_{CC}<60мкА$	SOT323, SC70	GND•RST•V _{CC}
AAX	MAX810SXR	MAX	mrc	$V_{TH}=2.93В; V_{DD}=1.2...5.5В; I_{CC}<60мкА$	SOT323, SC70	GND•RST•V _{CC}
AAy	MAX810ZXR	MAX	mrc	$V_{TH}=2.32В; V_{DD}=1.2...5.5В; I_{CC}<60мкА$	SOT323, SC70	GND•RST•V _{CC}
AAZ	MAX803LXR	MAX	mrc	$V_{TH}=4.63В; V_{DD}=1.2...5.5В; I_{CC}<60мкА$	SOT323, SC70	GND•RST•V _{CC}
AB	BCW60B	ALLEG	qpn	$V_{DS}=32В; I_{CIB}<20нА; h_{21}=180...310; V_{CE(sat)}<0.35В; f_T>125МГц$	SOT23, SOD23	B•E•C
AB	BCW60B	CDIL	qpn	$V_{DS}=32В; I_C=200мА; P_D=250мВт; h_{21}=180...320; f_T>100МГц$	SOT23, SOD23	B•E•C
AB	BCW60B	SAMS	qpn	$V_{DS}=32В; I_C=100мА; P_D=350мВт; h_{21}=180...310; f_T>125МГц$	SOT23, SOD23	B•E•C
AB	BCW60B	ZETEX	qpn	$V_{DS}=32В; I_C=200мА; P_D=330мВт; h_{21}=180...310; f_T>250МГц$	SOT23, SOD23	B•E•C
ABA	CMPD4150	CSI	dih	$I_C=250мА; V_{BR}=50В; V_{IH}(I_C=100мА)<0.82...0.92В; I_B<100нА; t_{BR}<4.0нс; C_0<4.0нФ$	SOT23, SOD23	A•n.c. • K
ABA	MAX803MXR	MAX	mrc	$V_{TH}=4.38В; V_{DD}=1.2...5.5В; I_{CC}<60мкА$	SOT323, SC70	GND•RST•V _{CC}
ABA	TPMPD4150	ALLEG	d	$I_C<600мА; V_{BR}>75В; V_{IH}(I_C=1мА)<0.62В; I_B<100нА; t_{BR}<4.0нс; C_0<2.5нФ$	SOT23, SOD23	A•n.c. • K
ABAA	MAX803MUR	MAX	mrc	$V_{TH}=4.38В; V_{DD}=1.2...5.5В; I_{CC}<100мкА$	SOT23, SOD23	GND•RST•V _{CC}
ABB	MAX803TXR	MAX	mrc	$V_{TH}=3.08В; V_{DD}=1.2...5.5В; I_{CC}<60мкА$	SOT323, SC70	GND•RST•V _{CC}
ABC	MAX803SXR	MAX	mrc	$V_{TH}=2.93В; V_{DD}=1.2...5.5В; I_{CC}<60мкА$	SOT323, SC70	GND•RST•V _{CC}
ABC	TPMPD4154	ALLEG	d	$I_C<600мА; V_{BR}>35В; V_{IH}(I_C=30мА)<1.0В; I_B<100нА; t_{BR}<4.0нс; C_0<4.0нФ$	SOT23, SOD23	A•n.c. • K
ABD	MAX803RXR	MAX	mrc	$V_{TH}=2.63В; V_{DD}=1.2...5.5В; I_{CC}<60мкА$	SOT323, SC70	GND•RST•V _{CC}
ABE	MAX803ZXR	MAX	mrc	$V_{TH}=2.32В; V_{DD}=1.2...5.5В; I_{CC}<60мкА$	SOT323, SC70	GND•RST•V _{CC}
ABF	LM4041AUX3-1.2	MAX	vref	$V_{DUT}=1.225В; ACC=0.1\%$	SOT323, SC70	+++•n.c.
ABG	LM4041BUX3-1.2	MAX	vref	$V_{DUT}=1.225В; ACC=0.2\%$	SOT323, SC70	+++•n.c.
ABH	LM4041CUX3-1.2	MAX	vref	$V_{DUT}=1.225В; ACC=0.5\%$	SOT323, SC70	+++•n.c.
ABI	LM4041DUX3-1.2	MAX	vref	$V_{DUT}=1.225В; ACC=1.0\%$	SOT323, SC70	+++•n.c.
ABJ	LM4040AUX3-2.1	MAX	vref	$V_{DUT}=2.048В; ACC=0.1\%$	SOT323, SC70	+++•n.c.
ABK	LM4040BUX3-2.1	MAX	vref	$V_{DUT}=2.048В; ACC=0.2\%$	SOT323, SC70	+++•n.c.
ABL	LM4040CUX3-2.1	MAX	vref	$V_{DUT}=2.048В; ACC=0.5\%$	SOT323, SC70	+++•n.c.

Код	Типономинал	Б	Ф	Особенности	Корпус	Ц: 1•2•3
ABM	LM4040CIBX3-2.1	MAX	vref	$V_{OUT}=2.048\text{ В}$, $ACC=1.0\%$	SOT323, SC70	+++н.с.
ABN	LM4040AIBX3-2.5	MAX	vref	$V_{OUT}=2.500\text{ В}$, $ACC=0.1\%$	SOT323, SC70	+++н.с.
ABO	LM4040BIBX3-2.5	MAX	vref	$V_{OUT}=2.500\text{ В}$, $ACC=0.2\%$	SOT323, SC70	+++н.с.
ABP	BCW60B	PHIL	npn	$V_{CE0}=32\text{ В}$, $I_C=200\text{ мА}$, $P_D=250\text{ мВт}$; $h_{21}=180...320$, $f_T>100\text{ МГц}$	SOT23, SOD23	В•Е•С
ABR	LM4040CIBX3-2.5	MAX	vref	$V_{OUT}=2.500\text{ В}$, $ACC=0.5\%$	SOT323, SC70	+++н.с.
ABQ	LM4040CIBX3-2.5	MAX	vref	$V_{OUT}=2.500\text{ В}$, $ACC=1.0\%$	SOT323, SC70	+++н.с.
ABR	LM4040AIBX3-3.0	MAX	vref	$V_{OUT}=3.000\text{ В}$, $ACC=0.1\%$	SOT323, SC70	+++н.с.
ABs	BCW60B	SIEM	npn	$V_{CE0}=32\text{ В}$, $I_C=100\text{ мА}$, $P_D=330\text{ мВт}$; $h_{21}=180...310$, $f_T=250\text{ МГц}$	SOT23, SOD23	В•Е•С
ABS	LM4040CIBX3-3.0	MAX	vref	$V_{OUT}=3.000\text{ В}$, $ACC=0.2\%$	SOT323, SC70	+++н.с.
ABi	BCW60B	PHIL	npn	$V_{CE0}=32\text{ В}$, $I_C=200\text{ мА}$, $P_D=250\text{ мВт}$; $h_{21}=180...320$, $f_T>100\text{ МГц}$	SOT23, SOD23	В•Е•С
ABT	LM4040CIBX3-3.0	MAX	vref	$V_{OUT}=3.000\text{ В}$, $ACC=0.5\%$	SOT323, SC70	+++н.с.
ABU	LM4040CIBX3-3.0	MAX	vref	$V_{OUT}=3.000\text{ В}$, $ACC=1.0\%$	SOT323, SC70	+++н.с.
ABV	LM4040AIBX3-4.1	MAX	vref	$V_{OUT}=4.096\text{ В}$, $ACC=0.1\%$	SOT323, SC70	+++н.с.
ABW	LM4040CIBX3-4.1	MAX	vref	$V_{OUT}=4.096\text{ В}$, $ACC=0.2\%$	SOT323, SC70	+++н.с.
ABX	LM4040CIBX3-4.1	MAX	vref	$V_{OUT}=4.096\text{ В}$, $ACC=0.5\%$	SOT323, SC70	+++н.с.
ABY	LM4040CIBX3-4.1	MAX	vref	$V_{OUT}=4.096\text{ В}$, $ACC=1.0\%$	SOT323, SC70	+++н.с.
ABZ	LM4040AIBX3-5.0	MAX	vref	$V_{OUT}=5.000\text{ В}$, $ACC=0.1\%$	SOT323, SC70	+++н.с.
AC	2SD1101	REN	npn	$V_{CE0}=25\text{ В}$, $I_C=700\text{ мА}$, $P_D=150\text{ мВт}$; $h_{21}=120...240$	SOT23, SOD23	В•Е•С
AC	BCW60C	ALLEG	npn	$V_{CE0}=32\text{ В}$, $I_{C00}<20\text{ мА}$, $h_{21}=250...460$, $V_{CE(sat)}<0.35\text{ В}$; $f_T>125\text{ МГц}$	SOT23, SOD23	В•Е•С
AC	BCW60C	CDIL	npn	$V_{CE0}=32\text{ В}$, $I_C=200\text{ мА}$, $P_D=330\text{ мВт}$; $h_{21}=250...460$, $f_T>250\text{ МГц}$	SOT23, SOD23	В•Е•С
AC	BCW60C	SAMS	npn	$V_{CE0}=32\text{ В}$, $I_C=100\text{ мА}$, $P_D=350\text{ мВт}$; $h_{21}=250...460$, $f_T>125\text{ МГц}$	SOT23, SOD23	В•Е•С
AC	BCW60C	ZETEX	npn	$V_{CE0}=32\text{ В}$, $I_C=200\text{ мА}$, $P_D=330\text{ мВт}$; $h_{21}=250...460$, $f_T>250\text{ МГц}$	SOT23, SOD23	В•Е•С
ACA	LM4040CIBX3-5.0	MAX	vref	$V_{OUT}=5.000\text{ В}$, $ACC=0.2\%$	SOT323, SC70	+++н.с.
ACAA	MAX803TUR	MAX	mrc	$V_{IH}=3.08\text{ В}$, $V_{DD}=1.2...5.5\text{ В}$, $I_{CC}<100\text{ мкА}$	SOT23, SOD23	GND-RST-V _{CC}
ACB	LM4040CIBX3-5.0	MAX	vref	$V_{OUT}=5.000\text{ В}$, $ACC=0.5\%$	SOT323, SC70	+++н.с.
ACC	LM4040CIBX3-5.0	MAX	vref	$V_{OUT}=5.000\text{ В}$, $ACC=1.0\%$	SOT323, SC70	+++н.с.
ACD	MAX6803XP32	MAX	vd	$V_{IH}=3.2\text{ В}$, $V_{DD}=1.2...5.5\text{ В}$, $I_{CC}<80\text{ мкА}$	SOT323, SC70	RST-GND-V _{CC}
ACE	MAX6326XP31	MAX	mrc	$V_{IH}=3.08\text{ В}$, $V_{DD}=1.2...5.5\text{ В}$, $I_{CC}<1.75\text{ мкА}$	SOT323, SC70	GND-RST-V _{CC}
ACF	MAX6347XP46	MAX	mrc	$V_{IH}=4.6\text{ В}$, $V_{DD}=1.2...5.5\text{ В}$, $I_{CC}<1.75\text{ мкА}$	SOT323, SC70	GND-RST-V _{CC}
ACH	MAX6326XP23	MAX	mrc	$V_{IH}=2.32\text{ В}$, $V_{DD}=1.2...5.5\text{ В}$, $I_{CC}<1.75\text{ мкА}$	SOT323, SC70	GND-RST-V _{CC}
ACI	MAX6326XP26	MAX	mrc	$V_{IH}=2.63\text{ В}$, $V_{DD}=1.2...5.5\text{ В}$, $I_{CC}<1.75\text{ мкА}$	SOT323, SC70	GND-RST-V _{CC}
ACJ	MAX6328XP26	MAX	mrc	$V_{IH}=2.63\text{ В}$, $V_{DD}=1.2...5.5\text{ В}$, $I_{CC}<1.75\text{ мкА}$	SOT323, SC70	GND-RST-V _{CC}
ACK	MAX6345XP44	MAX	mrc	$V_{IH}=4.38\text{ В}$, $V_{DD}=1.2...5.5\text{ В}$, $I_{CC}<1.75\text{ мкА}$	SOT323, SC70	GND-RST-V _{CC}
ACL	2SC3837KL	ROHM	npn	$V_{CE0}=30\text{ В}$, $I_C=50\text{ мА}$, $P_D=150\text{ мВт}$; $h_{21}=27...56$, $f_T=1500\text{ МГц}$	SOT346, SC59	В•Е•С
ACL	MAX6347XP44	MAX	mrc	$V_{IH}=4.38\text{ В}$, $V_{DD}=1.2...5.5\text{ В}$, $I_{CC}<1.75\text{ мкА}$	SOT323, SC70	GND-RST-V _{CC}
ACM	2SC3837KM	ROHM	npn	$V_{CE0}=30\text{ В}$, $I_C=50\text{ мА}$, $P_D=150\text{ мВт}$; $h_{21}=39...82$, $f_T=1500\text{ МГц}$	SOT346, SC59	В•Е•С
ACM	MAX6348XP44	MAX	mrc	$V_{IH}=4.38\text{ В}$, $V_{DD}=1.2...5.5\text{ В}$, $I_{CC}<1.75\text{ мкА}$	SOT323, SC70	GND-RST-V _{CC}
ACN	2SC3837KN	ROHM	npn	$V_{CE0}=30\text{ В}$, $I_C=50\text{ мА}$, $P_D=150\text{ мВт}$; $h_{21}=56...120$, $f_T=1500\text{ МГц}$	SOT346, SC59	В•Е•С
ACN	2SC4725N	ROHM	npn	$V_{CE0}=30\text{ В}$, $I_C=50\text{ мА}$, $P_D=150\text{ мВт}$; $h_{21}=56...120$, $f_T=1500\text{ МГц}$	SOT416, SC75A	В•Е•С
ACN	2SC5661N	ROHM	npn	$V_{CE0}=30\text{ В}$, $I_C=50\text{ мА}$, $P_D=150\text{ мВт}$; $h_{21}=56...120$, $f_T=1500\text{ МГц}$	VMT3, VMD3	В•Е•С
ACN	MAX6348XP46	MAX	mrc	$V_{IH}=4.6\text{ В}$, $V_{DD}=1.2...5.5\text{ В}$, $I_{CC}<1.75\text{ мкА}$	SOT323, SC70	GND-RST-V _{CC}
ACO	MAX6345XP46	MAX	mrc	$V_{IH}=4.63\text{ В}$, $V_{DD}=1.2...5.5\text{ В}$, $I_{CC}<1.75\text{ мкА}$	SOT323, SC70	GND-RST-V _{CC}
ACP	2SC3837KP	ROHM	npn	$V_{CE0}=30\text{ В}$, $I_C=50\text{ мА}$, $P_D=150\text{ мВт}$; $h_{21}=82...180$, $f_T=1500\text{ МГц}$	SOT346, SC59	В•Е•С
ACP	2SC4725P	ROHM	npn	$V_{CE0}=30\text{ В}$, $I_C=50\text{ мА}$, $P_D=150\text{ мВт}$; $h_{21}=82...180$, $f_T=1500\text{ МГц}$	SOT416, SC75A	В•Е•С
ACP	2SC5661P	ROHM	npn	$V_{CE0}=30\text{ В}$, $I_C=50\text{ мА}$, $P_D=150\text{ мВт}$; $h_{21}=82...180$, $f_T=1500\text{ МГц}$	VMT3, VMD3	В•Е•С
ACp	BCW60C	PHIL	npn	$V_{CE0}=32\text{ В}$, $I_C=200\text{ мА}$, $P_D=250\text{ мВт}$; $h_{21}=250...460$, $f_T>100\text{ МГц}$	SOT23, SOD23	В•Е•С
ACQ	MAX6326XP29	MAX	mrc	$V_{IH}=2.93\text{ В}$, $V_{DD}=1.2...5.5\text{ В}$, $I_{CC}<1.75\text{ мкА}$	SOT323, SC70	GND-RST-V _{CC}
ACQ	2SC3837QK	ROHM	npn	$V_{CE0}=30\text{ В}$, $I_C=50\text{ мА}$, $P_D=150\text{ мВт}$; $h_{21}=120...270$, $f_T=1500\text{ МГц}$	SOT346, SC59	В•Е•С
ACQ	MAX6327XP23	MAX	mrc	$V_{IH}=2.32\text{ В}$, $V_{DD}=1.2...5.5\text{ В}$, $I_{CC}<1.75\text{ мкА}$	SOT323, SC70	GND-RST-V _{CC}
ACQ	MAX6327XP24	MAX	vd	$V_{IH}=2.40\text{ В}$, $V_{DD}=1.2...5.5\text{ В}$, $I_{CC}<1.75\text{ мкА}$	SOT323, SC70	GND-OUT-V _{CC}
ACR	MAX6327XP26	MAX	mrc	$V_{IH}=2.63\text{ В}$, $V_{DD}=1.2...5.5\text{ В}$, $I_{CC}<1.75\text{ мкА}$	SOT323, SC70	GND-RST-V _{CC}
ACS	BCW60C	SIEM	npn	$V_{CE0}=32\text{ В}$, $I_C=100\text{ мА}$, $P_D=330\text{ мВт}$; $h_{21}=250...460$, $f_T=250\text{ МГц}$	SOT23, SOD23	В•Е•С



Код	Типономинал	Б	Ф	Особенности	Корпус	Ц: 1+2+3
ACS	MAX6327XR29	MAX	mmc	$V_{TH}=2.93B, V_{DD}=1.2...5.5B, I_{CC}<1.75mA$	SOT323, SC70	GND-RST- V_{CC}
ACI	BCW60C	PHIL	npn	$V_{CEB}=32B, I_C=200mA, P_D=250mBt, h_{21}=250...460, f_T>100MHz$	SOT23, SOD23	B-E-C
ACT	MAX6327XR31	MAX	mmc	$V_{TH}=3.08B, V_{DD}=1.2...5.5B, I_{CC}<1.75mA$	SOT323, SC70	GND-RST- V_{CC}
ACU	MAX6328XR29	MAX	mmc	$V_{TH}=2.32B, V_{DD}=1.2...5.5B, I_{CC}<1.75mA$	SOT323, SC70	GND-RST- V_{CC}
ACV	MAX6328XR29	MAX	mmc	$V_{TH}=2.93B, V_{DD}=1.2...5.5B, I_{CC}<1.75mA$	SOT323, SC70	GND-RST- V_{CC}
ACW	MAX6328XR31	MAX	mmc	$V_{TH}=3.08B, V_{DD}=1.2...5.5B, I_{CC}<1.75mA$	SOT323, SC70	GND-RST- V_{CC}
ACZ	MAX6375XR26	MAX	vd	$V_{TH}=2.63B, V_{DD}=1.2...5.5B, I_{CC}<1.75mA$	SOT323, SC70	GND-OUT- V_{CC}
AD	BCW60D	ALLEG	npn	$V_{CEB}=32B, I_C=200mA, P_D=250mBt, h_{21}=380...630, f_T>125MHz$	SOT23, SOD23	B-E-C
AD	BCW60D	CDIL	npn	$V_{CEB}=32B, I_C=100mA, P_D=250mBt, h_{21}=380...630, f_T>125MHz$	SOT23, SOD23	B-E-C
AD	BCW60D	SAMS	npn	$V_{CEB}=32B, I_C=100mA, P_D=250mBt, h_{21}=380...630, f_T>125MHz$	SOT23, SOD23	B-E-C
AD	BCW60D	ZETEX	npn	$V_{CEB}=32B, I_C=200mA, P_D=250mBt, h_{21}=380...630, f_T>250MHz$	SOT23, SOD23	B-E-C
ADA	MAX6376XR29	MAX	vd	$V_{TH}=2.93B, V_{DD}=1.2...5.5B, I_{CC}<1.75mA$	SOT323, SC70	GND-OUT- V_{CC}
ADA	MAX8039UR	MAX	mmc	$V_{TH}=2.93B, V_{DD}=1.2...5.5B, I_{CC}<100mA$	SOT23, SOD23	GND-RST- V_{CC}
ADB	MAX6377XR23	MAX	vd	$V_{TH}=2.32B, V_{DD}=1.2...5.5B, I_{CC}<1.75mA$	SOT323, SC70	GND-OUT- V_{CC}
ADC	MAX6377XR29	MAX	vd	$V_{TH}=2.93B, V_{DD}=1.2...5.5B, I_{CC}<1.75mA$	SOT323, SC70	GND-OUT- V_{CC}
ADD	MAX6378XR46	MAX	vd	$V_{TH}=4.63B, V_{DD}=1.2...5.5B, I_{CC}<1.75mA$	SOT323, SC70	GND-OUT- V_{CC}
ADE	MAX6379XR44	MAX	vd	$V_{TH}=4.38B, V_{DD}=1.2...5.5B, I_{CC}<1.75mA$	SOT323, SC70	GND-OUT- V_{CC}
ADF	MAX6380XR46	MAX	vd	$V_{TH}=4.63B, V_{DD}=1.2...5.5B, I_{CC}<1.75mA$	SOT323, SC70	GND-OUT- V_{CC}
ADI	MAX6375XR22	MAX	vd	$V_{TH}=2.20B, V_{DD}=1.2...5.5B, I_{CC}<1.75mA$	SOT323, SC70	GND-OUT- V_{CC}
ADI	MAX6375XR23	MAX	vd	$V_{TH}=2.32B, V_{DD}=1.2...5.5B, I_{CC}<1.75mA$	SOT323, SC70	GND-OUT- V_{CC}
ADJ	MAX6375XR29	MAX	vd	$V_{TH}=2.93B, V_{DD}=1.2...5.5B, I_{CC}<1.75mA$	SOT323, SC70	GND-OUT- V_{CC}
ADK	MAX6375XR31	MAX	vd	$V_{TH}=3.08B, V_{DD}=1.2...5.5B, I_{CC}<1.75mA$	SOT323, SC70	GND-OUT- V_{CC}
ADL	2SC3839KL	ROHM	npn	$V_{CEB}=20B, I_C=50mA, P_D=150mBt, h_{21}=27...56, f_T=3200MHz$	SOT346, SC59	B-E-C
ADL	MAX6376XR22	MAX	vd	$V_{TH}=2.20B, V_{DD}=1.2...5.5B, I_{CC}<1.75mA$	SOT323, SC70	GND-OUT- V_{CC}
ADM	2SC3839KM	ROHM	npn	$V_{CEB}=20B, I_C=50mA, P_D=150mBt, h_{21}=39...82, f_T=3200MHz$	SOT346, SC59	B-E-C
ADM	MAX6376XR23	MAX	vd	$V_{TH}=2.32B, V_{DD}=1.2...5.5B, I_{CC}<1.75mA$	SOT323, SC70	GND-OUT- V_{CC}
ADN	2SC3839KN	ROHM	npn	$V_{CEB}=20B, I_C=50mA, P_D=150mBt, h_{21}=56...120, f_T=3200MHz$	SOT346, SC59	B-E-C
ADN	2SC4729N	ROHM	npn	$V_{CEB}=20B, I_C=50mA, P_D=150mBt, h_{21}=56...120, f_T=3200MHz$	SOT416, SC75A	B-E-C
ADN	2SC5662N	ROHM	npn	$V_{CEB}=20B, I_C=50mA, P_D=150mBt, h_{21}=56...120, f_T=3200MHz$	VMT3, VMD3	B-E-C
ADN	MAX6376XR26	MAX	vd	$V_{TH}=2.63B, V_{DD}=1.2...5.5B, I_{CC}<1.75mA$	SOT323, SC70	GND-OUT- V_{CC}
ADO	MAX6376XR31	MAX	vd	$V_{TH}=3.08B, V_{DD}=1.2...5.5B, I_{CC}<1.75mA$	SOT323, SC70	GND-OUT- V_{CC}
ADP	2SC3839KP	ROHM	npn	$V_{CEB}=20B, I_C=50mA, P_D=150mBt, h_{21}=82...180, f_T=3200MHz$	SOT346, SC59	B-E-C
ADP	2SC4726P	ROHM	npn	$V_{CEB}=20B, I_C=50mA, P_D=150mBt, h_{21}=82...180, f_T=3200MHz$	SOT416, SC75A	B-E-C
ADP	2SC5662P	ROHM	npn	$V_{CEB}=20B, I_C=50mA, P_D=150mBt, h_{21}=82...180, f_T=3200MHz$	VMT3, VMD3	B-E-C
ADp	BCW60D	PHIL	npn	$V_{CEB}=32B, I_C=200mA, P_D=250mBt, h_{21}=380...630, f_T>100MHz$	SOT23, SOD23	B-E-C
ADQ	MAX6377XR22	MAX	vd	$V_{TH}=2.20B, V_{DD}=1.2...5.5B, I_{CC}<1.75mA$	SOT323, SC70	GND-OUT- V_{CC}
ADQ	2SC3839KQ	ROHM	npn	$V_{CEB}=20B, I_C=50mA, P_D=150mBt, h_{21}=120...270, f_T=3200MHz$	SOT346, SC59	B-E-C
ADQ	MAX6377XR26	MAX	vd	$V_{TH}=2.63B, V_{DD}=1.2...5.5B, I_{CC}<1.75mA$	SOT323, SC70	GND-OUT- V_{CC}
ADR	MAX6377XR31	MAX	vd	$V_{TH}=3.08B, V_{DD}=1.2...5.5B, I_{CC}<1.75mA$	SOT323, SC70	GND-OUT- V_{CC}
ADs	BCW60D	SIEM	npn	$V_{CEB}=32B, I_C=100mA, P_D=250mBt, h_{21}=380...630, f_T>250MHz$	SOT23, SOD23	B-E-C
ADs	MAX6378XR44	MAX	vd	$V_{TH}=4.38B, V_{DD}=1.2...5.5B, I_{CC}<1.75mA$	SOT323, SC70	GND-OUT- V_{CC}
ADt	BCW60D	PHIL	npn	$V_{CEB}=32B, I_C=200mA, P_D=250mBt, h_{21}=380...630, f_T>100MHz$	SOT23, SOD23	B-E-C
ADT	MAX6379XR46	MAX	vd	$V_{TH}=4.63B, V_{DD}=1.2...5.5B, I_{CC}<1.75mA$	SOT323, SC70	GND-OUT- V_{CC}
ADU	MAX6380XR46	MAX	vd	$V_{TH}=4.38B, V_{DD}=1.2...5.5B, I_{CC}<1.75mA$	SOT323, SC70	GND-OUT- V_{CC}
ADW	MAX6380XR42	MAX	vd	$V_{TH}=4.20B, V_{DD}=1.2...5.5B, I_{CC}<1.75mA$	SOT323, SC70	GND-OUT- V_{CC}
ADX	MAX6375XR28	MAX	vd	$V_{TH}=2.80B, V_{DD}=1.2...5.5B, I_{CC}<1.75mA$	SOT323, SC70	GND-OUT- V_{CC}
ADY	MAX6391XR16D3	MAX	mmc	$V_{TH}=1.58B, V_{DD}=1...5.5B, I_{CC}<13mA$	SOT323, SC70	GND-RST- V_{CC}
ADZ	MAX6329XR26D3	MAX	mmc	$V_{TH}=2.63B, V_{DD}=1...5.5B, I_{CC}<13mA$	SOT323, SC70	GND-RST- V_{CC}
AEA	MAX6383XR17D3	MAX	mmc	$V_{TH}=1.67B, V_{DD}=1...5.5B, I_{CC}<13mA$	SOT323, SC70	GND-RST- V_{CC}
AEB	MAX6391XR46D2	MAX	mmc	$V_{TH}=4.63B, V_{DD}=1...5.5B, I_{CC}<13mA$	SOT323, SC70	GND-RST- V_{CC}
AEL	2SC3839KL	ROHM	npn	$V_{CEB}=30B, I_C=50mA, P_D=150mBt, h_{21}=27...56, f_T>200MHz$	SOT346, SC59	B-E-C
AEM	2SC3839KM	ROHM	npn	$V_{CEB}=30B, I_C=50mA, P_D=150mBt, h_{21}=39...82, f_T>200MHz$	SOT346, SC59	B-E-C



SOT23-3
SOD23-3

SOT323
SOT346

SOT416
SOT523



SOT490
MFPK

TESM
TSFP-3

VMT3
VMD3

Код	Типономинал	Б	Ф	Особенности	Корпус	Ц: 1•2•3
AEN	25C3839KN	ROHM	npn	$V_{CE0} < 30 В$, $I_C < 50 мА$, $P_D < 150 мВт$; $h_{FE} > 56$, $I_{C1} > 200 мА$	SOT346, SC59	В•Е•С
AEP	25C3839KP	ROHM	npn	$V_{CE0} < 30 В$, $I_C < 50 мА$, $P_D < 150 мВт$; $h_{FE} > 82$, $I_{C1} > 200 мА$	SOT346, SC59	В•Е•С
AEQ	25C3839KQ	ROHM	npn	$V_{CE0} < 30 В$, $I_C < 50 мА$, $P_D < 150 мВт$; $h_{FE} > 120$, $I_{C1} > 200 мА$	SOT346, SC59	В•Е•С
AFAA	MAX809JUR	MAX	mpc	$V_{DD} < 2.63 В$, $V_{DD} > 1.2...5.5 В$, $I_{CC} < 100 мА$	SOT23, SOD23	GND-RST-V _{CC}
AFP	25D1781KP	ROHM	npn	$V_{CE0} < 40 В$, $I_C < 800 мА$, $P_D < 200 мВт$; $h_{FE} > 82$, $I_{C1} > 150 мА$	SOT346, SC59	В•Е•С
AFQ	25D1781KQ	ROHM	npn	$V_{CE0} < 40 В$, $I_C < 800 мА$, $P_D < 200 мВт$; $h_{FE} > 120$, $I_{C1} > 150 мА$	SOT346, SC59	В•Е•С
AFR	25D1781KR	ROHM	npn	$V_{CE0} < 40 В$, $I_C < 800 мА$, $P_D < 200 мВт$; $h_{FE} > 180$, $I_{C1} > 150 мА$	SOT346, SC59	В•Е•С
AFS	BCW60FF	SIEM	npn	$V_{CE0} < 32 В$, $I_C < 100 мА$, $P_D < 330 мВт$; $h_{FE} > 250$, $I_{C1} > 250 мА$	SOT23, SOD23	В•Е•С
AG	BCX70G	ALLEG	npn	$V_{CE0} < 45 В$, $I_{C0} < 20 мА$, $h_{FE} > 120$, $V_{CE(sat)} < 0.35 В$, $I_{C1} > 125 мА$	SOT23, SOD23	В•Е•С
AG	BCX70G	CDIL	npn	$V_{CE0} < 45 В$, $I_C < 200 мА$, $P_D < 250 мВт$; $h_{FE} > 120$, $I_{C1} > 100 мА$	SOT23, SOD23	В•Е•С
AG	BCX70G	SAMS	npn	$V_{CE0} < 45 В$, $I_C < 200 мА$, $P_D < 350 мВт$; $h_{FE} > 120$, $I_{C1} > 125 мА$	SOT23, SOD23	В•Е•С
AG	BCX70G	ZETEX	npn	$V_{CE0} < 45 В$, $I_C < 200 мА$, $P_D < 330 мВт$; $h_{FE} > 120$, $I_{C1} > 250 мА$	SOT23, SOD23	В•Е•С
AG	BPA144ECM	REN	Dnpn	$V_{CE} < 50 В$, $I_{C1} < 100 мА$, $P_D < 150 мВт$; $h_{FE} > 70$, $47 к/47 к$	SOT323, SC70	В•Е•С
AG	BPA144EMP	REN	Dnpn	$V_{CE} < 50 В$, $I_{C1} < 100 мА$, $P_D < 150 мВт$; $h_{FE} > 70$, $47 к/47 к$	SOT23, SOD23	В•Е•С
AGAA	MAX101UR	MAX	mpc	$V_{DD} < 4.63 В$, $V_{DD} > 1.2...5.5 В$, $I_{CC} < 100 мА$	SOT23, SOD23	GND-RST-V _{CC}
AGp	BCX70G	PHIL	npn	$V_{CE0} < 45 В$, $I_C < 200 мА$, $P_D < 250 мВт$; $h_{FE} > 120$, $I_{C1} > 100 мА$	SOT23, SOD23	В•Е•С
AGs	BCX70G	SIEM	npn	$V_{CE0} < 45 В$, $I_C < 100 мА$, $P_D < 330 мВт$; $h_{FE} > 120$, $I_{C1} > 100 мА$	SOT23, SOD23	В•Е•С
AGi	BCX70G	PHIL	npn	$V_{CE0} < 45 В$, $I_C < 200 мА$, $P_D < 250 мВт$; $h_{FE} > 120$, $I_{C1} > 100 мА$	SOT23, SOD23	В•Е•С
AH	15S345	SANYO	shd	$V_B > 55 В$; $V_{FE} (I_C = 1 мА) < 0.35 В$, $I_B (V_B = 40 В) < 50 мА$, $C_T < 120 пФ$	SOT23, SOD23	A+1•C•K
AH	BCX70H	ALLEG	npn	$V_{CE0} < 45 В$, $I_{C0} < 20 мА$, $h_{FE} > 180$, $V_{CE(sat)} < 0.35 В$, $I_{C1} > 125 мА$	SOT23, SOD23	В•Е•С
AH	BCX70H	CDIL	npn	$V_{CE0} < 45 В$, $I_C < 200 мА$, $P_D < 250 мВт$; $h_{FE} > 250$, $I_{C1} > 100 мА$	SOT23, SOD23	В•Е•С
AH	BCX70H	SAMS	npn	$V_{CE0} < 45 В$, $I_C < 200 мА$, $P_D < 350 мВт$; $h_{FE} > 180$, $I_{C1} > 125 мА$	SOT23, SOD23	В•Е•С
AH	BCX70H	ZETEX	npn	$V_{CE0} < 45 В$, $I_C < 200 мА$, $P_D < 330 мВт$; $h_{FE} > 180$, $I_{C1} > 250 мА$	SOT23, SOD23	В•Е•С
AHAA	MAX101UR	MAX	mpc	$V_{DD} < 4.38 В$, $V_{DD} > 1.2...5.5 В$, $I_{CC} < 100 мА$	SOT23, SOD23	GND-RST-V _{CC}
AHP	25B1197KP	ROHM	npn	$V_{CE0} < 40 В$, $I_C < 800 мА$, $P_D < 200 мВт$; $h_{FE} > 82$, $I_{C1} > 200 мА$	SOT346, SC59	В•Е•С
AHq	BCX70H	PHIL	npn	$V_{CE0} < 45 В$, $I_C < 200 мА$, $P_D < 250 мВт$; $h_{FE} > 250$, $I_{C1} > 100 мА$	SOT23, SOD23	В•Е•С
AHQ	25B1197KQ	ROHM	npn	$V_{CE0} < 40 В$, $I_C < 800 мА$, $P_D < 200 мВт$; $h_{FE} > 120$, $I_{C1} > 200 мА$	SOT346, SC59	В•Е•С
AHR	25B1197KR	ROHM	npn	$V_{CE0} < 40 В$, $I_C < 800 мА$, $P_D < 200 мВт$; $h_{FE} > 180$, $I_{C1} > 200 мА$	SOT346, SC59	В•Е•С
AHs	BCX70H	SIEM	npn	$V_{CE0} < 45 В$, $I_C < 100 мА$, $P_D < 330 мВт$; $h_{FE} > 180$, $I_{C1} > 250 мА$	SOT23, SOD23	В•Е•С
AHt	BCX70H	PHIL	npn	$V_{CE0} < 45 В$, $I_C < 200 мА$, $P_D < 250 мВт$; $h_{FE} > 250$, $I_{C1} > 100 мА$	SOT23, SOD23	В•Е•С
AJ	BCX70J	ALLEG	npn	$V_{CE0} < 45 В$, $I_{C0} < 20 мА$, $h_{FE} > 250$, $V_{CE(sat)} < 0.35 В$, $I_{C1} > 125 мА$	SOT23, SOD23	В•Е•С
AJ	BCX70J	CDIL	npn	$V_{CE0} < 45 В$, $I_C < 100 мА$, $P_D < 330 мВт$; $h_{FE} > 250$, $I_{C1} > 250 мА$	SOT23, SOD23	В•Е•С
AJ	BCX70J	SAMS	npn	$V_{CE0} < 45 В$, $I_C < 200 мА$, $P_D < 350 мВт$; $h_{FE} > 250$, $I_{C1} > 125 мА$	SOT23, SOD23	В•Е•С
AJ	BCX70J	ZETEX	npn	$V_{CE0} < 45 В$, $I_C < 200 мА$, $P_D < 330 мВт$; $h_{FE} > 250$, $I_{C1} > 250 мА$	SOT23, SOD23	В•Е•С
AJAA	MAX101UR	MAX	mpc	$V_{DD} < 3.08 В$, $V_{DD} > 1.2...5.5 В$, $I_{CC} < 100 мА$	SOT23, SOD23	GND-RST-V _{CC}
AJP	25D1782KP	ROHM	npn	$V_{CE0} < 80 В$, $I_C < 500 мА$, $P_D < 200 мВт$; $h_{FE} > 82$, $I_{C1} > 180 мА$	SOT346, SC59	В•Е•С
AJp	BCX70J	PHIL	npn	$V_{CE0} < 45 В$, $I_C < 200 мА$, $P_D < 250 мВт$; $h_{FE} > 180$, $I_{C1} > 100 мА$	SOT23, SOD23	В•Е•С
AJQ	25D1782KQ	ROHM	npn	$V_{CE0} < 80 В$, $I_C < 500 мА$, $P_D < 200 мВт$; $h_{FE} > 120$, $I_{C1} > 180 мА$	SOT346, SC59	В•Е•С
AJR	25D1782KR	ROHM	npn	$V_{CE0} < 80 В$, $I_C < 500 мА$, $P_D < 200 мВт$; $h_{FE} > 180$, $I_{C1} > 180 мА$	SOT346, SC59	В•Е•С
AJs	BCX70J	SIEM	npn	$V_{CE0} < 45 В$, $I_C < 100 мА$, $P_D < 330 мВт$; $h_{FE} > 250$, $I_{C1} > 250 мА$	SOT23, SOD23	В•Е•С
Ajt	BCX70J	PHIL	npn	$V_{CE0} < 45 В$, $I_C < 200 мА$, $P_D < 250 мВт$; $h_{FE} > 180$, $I_{C1} > 100 мА$	SOT23, SOD23	В•Е•С
AK	BCX70K	ALLEG	npn	$V_{CE0} < 45 В$, $I_{C0} < 20 мА$, $h_{FE} > 380$, $V_{CE(sat)} < 0.35 В$, $I_{C1} > 125 мА$	SOT23, SOD23	В•Е•С
AK	BCX70K	CDIL	npn	$V_{CE0} < 45 В$, $I_C < 200 мА$, $P_D < 250 мВт$; $h_{FE} > 380$, $I_{C1} > 100 мА$	SOT23, SOD23	В•Е•С
AK	BCX70K	SAMS	npn	$V_{CE0} < 45 В$, $I_C < 200 мА$, $P_D < 350 мВт$; $h_{FE} > 380$, $I_{C1} > 125 мА$	SOT23, SOD23	В•Е•С
AK	BCX70K	ZETEX	npn	$V_{CE0} < 45 В$, $I_C < 200 мА$, $P_D < 330 мВт$; $h_{FE} > 380$, $I_{C1} > 250 мА$	SOT23, SOD23	В•Е•С
AKAA	MAX101UR	MAX	mpc	$V_{DD} < 2.93 В$, $V_{DD} > 1.2...5.5 В$, $I_{CC} < 100 мА$	SOT23, SOD23	GND-RST-V _{CC}
AKP	25B1198KP	ROHM	npn	$V_{CE0} < 80 В$, $I_C < 500 мА$, $P_D < 200 мВт$; $h_{FE} > 82$, $I_{C1} > 180 мА$	SOT346, SC59	В•Е•С
AKp	BCX70K	PHIL	npn	$V_{CE0} < 45 В$, $I_C < 200 мА$, $P_D < 250 мВт$; $h_{FE} > 380$, $I_{C1} > 125 мА$	SOT23, SOD23	В•Е•С
AKQ	25B1198KQ	ROHM	npn	$V_{CE0} < 80 В$, $I_C < 500 мА$, $P_D < 200 мВт$; $h_{FE} > 120$, $I_{C1} > 180 мА$	SOT346, SC59	В•Е•С
AKR	25B1198KR	ROHM	npn	$V_{CE0} < 80 В$, $I_C < 500 мА$, $P_D < 200 мВт$; $h_{FE} > 180$, $I_{C1} > 180 мА$	SOT346, SC59	В•Е•С
AKs	BCX70K	SIEM	npn	$V_{CE0} < 45 В$, $I_C < 100 мА$, $P_D < 330 мВт$; $h_{FE} > 380$, $I_{C1} > 250 мА$	SOT23, SOD23	В•Е•С
ALAA	MAX101UR	MAX	mpc	$V_{DD} < 2.63 В$, $V_{DD} > 1.2...5.5 В$, $I_{CC} < 100 мА$	SOT23, SOD23	GND-RST-V _{CC}

**SOT490 TSM
MFPAK TSFP-3**

**VMT3
VMD3**



**SOT416 SOT323
SOT523 SOT346**

**SOT23-3
SOD23-3**



Код	Типономинал	Б	Ф	Особенности	Корпус	Ц: 1*2*3
ALM	2SC3802KM	ROHM	npn	$V_{CE0}=30\text{ В}; I_C=30\text{ мА}; P_D=200\text{ мВт}; h_{FE}=82...89; f_T>110\text{ МГц}$	SOT346, SC59	B-E-C
ALN	2SC3802KN	ROHM	npn	$V_{CE0}=30\text{ В}; I_C=30\text{ мА}; P_D=200\text{ мВт}; h_{FE}=56...120; f_T>110\text{ МГц}$	SOT346, SC59	B-E-C
ALP	2SC3802KP	ROHM	npn	$V_{CE0}=30\text{ В}; I_C=30\text{ мА}; P_D=200\text{ мВт}; h_{FE}=82...180; f_T>110\text{ МГц}$	SOT346, SC59	B-E-C
ALQ	2SC3802KQ	ROHM	npn	$V_{CE0}=30\text{ В}; I_C=30\text{ мА}; P_D=200\text{ мВт}; h_{FE}=120...270; f_T>110\text{ МГц}$	SOT346, SC59	B-E-C
AM	BSS54	MOT	npn	$V_{CE0}=120\text{ В}; I_C=800\text{ мА}; P_D=330\text{ мВт}; h_{FE}=20...80; f_T>100\text{ МГц}$	SOT23, SOD23	B-E-C
AM	MMBT3904WT1	MOT	npn	$V_{CE0}=60\text{ В}; I_C=200\text{ мА}; P_D=300\text{ мВт}; h_{FE}=100...300; f_T>200\text{ МГц}$	SOT323, SC70	B-E-C
AMN	2SC4018KN	ROHM	npn	$V_{CE0}=40\text{ В}; I_C=100\text{ мА}; P_D=200\text{ мВт}; h_{FE}=56...120; f_T>230\text{ МГц}$	SOT346, SC59	B-E-C
AMP	2SC4018KP	ROHM	npn	$V_{CE0}=40\text{ В}; I_C=100\text{ мА}; P_D=200\text{ мВт}; h_{FE}=82...180; f_T>230\text{ МГц}$	SOT346, SC59	B-E-C
AMp	BSS54	PHIL	npn	$V_{CE0}=120\text{ В}; I_C=100\text{ мА}; P_D=250\text{ мВт}; h_{FE}>20; f_T>80$	SOT23, SOD23	B-E-C
AMs	BSS54	SIEM	npn	$V_{CE0}=120\text{ В}; I_C=800\text{ мА}; P_D=330\text{ мВт}; h_{FE}=20...80; f_T>100\text{ МГц}$	SOT23, SOD23	B-E-C
AMt	BSS54	PHIL	npn	$V_{CE0}=120\text{ В}; I_C=100\text{ мА}; P_D=250\text{ мВт}; h_{FE}>20; f_T>80$	SOT23, SOD23	B-E-C
AN	2SC2413KN	ROHM	npn	$V_{CE0}=40\text{ В}; I_C=50\text{ мА}; P_D=200\text{ мВт}; h_{FE}=56...120; f_T>300\text{ МГц}$	SOT346, SC59	B-E-C
AN	2SC2532	TOSH	npn	$V_{CE0}=40\text{ В}; I_C=300\text{ мА}; P_D=150\text{ мВт}; h_{FE}>5000$	SOT346, SC59	B-E-C
AN	2SC4098N	ROHM	npn	$V_{CE0}=40\text{ В}; I_C=50\text{ мА}; P_D=200\text{ мВт}; h_{FE}=56...120; f_T>300\text{ МГц}$	SOT323, SC70	B-E-C
AN	2SC4618N	ROHM	npn	$V_{CE0}=40\text{ В}; I_C=50\text{ мА}; P_D=150\text{ мВт}; h_{FE}=56...120; f_T>300\text{ МГц}$	SOT416, SC75A	B-E-C
AN	2SC5659N	ROHM	npn	$V_{CE0}=25\text{ В}; I_C=50\text{ мА}; P_D=300\text{ мВт}; h_{FE}=56...120; f_T>150\text{ МГц}$	VMT3, VMD3	B-E-C
AN	2SK3287	REN	nMOS	$V_{DS}=30\text{ В}; I_D=300\text{ мА}; P_D=400\text{ мВт}; R_{DS(on)}<3.44\text{ Ом}$	SOT23, SOD23	G-S-D
AN	2SK3289	REN	nMOS	$V_{DS}=30\text{ В}; I_D=300\text{ мА}; P_D=400\text{ мВт}; R_{DS(on)}<3.44\text{ Ом}$	SOT23, SC70	G-S-D
ANM	2SC4061KM	ROHM	npn	$V_{CE0}=300\text{ В}; I_C=100\text{ мА}; P_D=200\text{ мВт}; h_{FE}=39...82; f_T>100\text{ МГц}$	SOT346, SC59	B-E-C
ANN	2SC4061KN	ROHM	npn	$V_{CE0}=300\text{ В}; I_C=100\text{ мА}; P_D=200\text{ мВт}; h_{FE}=56...120; f_T>100\text{ МГц}$	SOT346, SC59	B-E-C
ANP	2SC4061KP	ROHM	npn	$V_{CE0}=300\text{ В}; I_C=100\text{ мА}; P_D=200\text{ мВт}; h_{FE}=82...180; f_T>100\text{ МГц}$	SOT346, SC59	B-E-C
ANS	BCW60FN	SIEM	npn	$V_{CE0}=32\text{ В}; I_C=100\text{ мА}; P_D=330\text{ мВт}; h_{FE}=380...630; f_T>250\text{ МГц}$	SOT23, SOD23	B-E-C
AO	BCW60AR	ITT	npn	$V_{CE0}=32\text{ В}; I_C=200\text{ мА}; P_D=330\text{ мВт}; h_{FE}=120...220; f_T>250\text{ МГц}$	SOT23, SOD23	C-B-E
AP	2SC2413KP	ROHM	npn	$V_{CE0}=40\text{ В}; I_C=50\text{ мА}; P_D=200\text{ мВт}; h_{FE}=82...180; f_T>300\text{ МГц}$	SOT346, SC59	B-E-C
AP	2SC4098P	ROHM	npn	$V_{CE0}=40\text{ В}; I_C=50\text{ мА}; P_D=200\text{ мВт}; h_{FE}=82...180; f_T>300\text{ МГц}$	SOT323, SC70	B-E-C
AP	2SC4618P	ROHM	npn	$V_{CE0}=40\text{ В}; I_C=50\text{ мА}; P_D=150\text{ мВт}; h_{FE}=82...180; f_T>300\text{ МГц}$	SOT416, SC75A	B-E-C
AP	2SC5659P	ROHM	npn	$V_{CE0}=25\text{ В}; I_C=50\text{ мА}; P_D=300\text{ мВт}; h_{FE}=82...180; f_T>150\text{ МГц}$	VMT3, VMD3	B-E-C
AP	2SJ575	REN	pMOS	$V_{DS}=30\text{ В}; I_D=100\text{ мА}; P_D=400\text{ мВт}; R_{DS(on)}<7.9\text{ Ом}$	SOT23, SOD23	G-S-D
AP	2SJ576	REN	pMOS	$V_{DS}=30\text{ В}; I_D=100\text{ мА}; P_D=400\text{ мВт}; R_{DS(on)}<7.9\text{ Ом}$	SOT323, SC70	G-S-D
AP	BCW60BR	ITT	npn	$V_{CE0}=32\text{ В}; I_C=200\text{ мА}; P_D=330\text{ мВт}; h_{FE}=180...310; f_T>250\text{ МГц}$	SOT23, SOD23	C-B-E
AP	2SC4074K	ROHM	npn	$V_{CE0}=18\text{ В}; I_C=50\text{ мА}; P_D=150\text{ мВт}; h_{FE}=270; f_T>1500\text{ МГц}$	SOT346, SC59	B-E-C
AQ	2SC2413KQ	ROHM	npn	$V_{CE0}=40\text{ В}; I_C=50\text{ мА}; P_D=200\text{ мВт}; h_{FE}=120...270; f_T>300\text{ МГц}$	SOT346, SC59	B-E-C
AQ	2SC4098Q	ROHM	npn	$V_{CE0}=40\text{ В}; I_C=50\text{ мА}; P_D=200\text{ мВт}; h_{FE}=120...270; f_T>300\text{ МГц}$	SOT323, SC70	B-E-C
AQ	2SC4618Q	ROHM	npn	$V_{CE0}=40\text{ В}; I_C=50\text{ мА}; P_D=150\text{ мВт}; h_{FE}=120...270; f_T>300\text{ МГц}$	SOT416, SC75A	B-E-C
AQ	2SC5659Q	ROHM	npn	$V_{CE0}=25\text{ В}; I_C=50\text{ мА}; P_D=300\text{ мВт}; h_{FE}=120...270; f_T>150\text{ МГц}$	VMT3, VMD3	B-E-C
A-Q	2PD1820AQ	PHIL	npn	$V_{CE0}=60\text{ В}; I_C=500\text{ мА}; P_D=200\text{ мВт}; h_{FE}=85...170; f_T>150\text{ МГц}$	SOT323, SC70	B-E-C
A-Q	2PD1820AR	PHIL	npn	$V_{CE0}=60\text{ В}; I_C=500\text{ мА}; P_D=200\text{ мВт}; h_{FE}=120...240; f_T>150\text{ МГц}$	SOT323, SC70	B-E-C
AQP	2SB1051KP	ROHM	npn	$V_{CE0}=40\text{ В}; I_C=1000\text{ мА}; P_D=200\text{ мВт}; h_{FE}=82...180; f_T>150\text{ МГц}$	SOT346, SC59	B-E-C
AQQ	2SB1051KQ	ROHM	npn	$V_{CE0}=40\text{ В}; I_C=1000\text{ мА}; P_D=200\text{ мВт}; h_{FE}=120...270; f_T>150\text{ МГц}$	SOT346, SC59	B-E-C
AQR	2SB1051KR	ROHM	npn	$V_{CE0}=40\text{ В}; I_C=1000\text{ мА}; P_D=200\text{ мВт}; h_{FE}=180...390; f_T>150\text{ МГц}$	SOT346, SC59	B-E-C
AR	BCW60CR	ZETEX	npn	$V_{CE0}=32\text{ В}; I_C=200\text{ мА}; P_D=330\text{ мВт}; h_{FE}=250...460; f_T>250\text{ МГц}$	SOT23, SOD23	B-E-C
AR	BCW60CR	ITT	npn	$V_{CE0}=32\text{ В}; I_C=200\text{ мА}; P_D=330\text{ мВт}; h_{FE}=250...460; f_T>250\text{ МГц}$	SOT23, SOD23	C-B-E
AR	MSD709R	MOT	npn	$V_{CE0}=25\text{ В}$	SOT23, SOD23	B-E-C
AS	2SA1655	SANYO	npn	$V_{CE0}=40\text{ В}; I_C=100\text{ мА}; P_D=200\text{ мВт}; h_{FE}>30; f_T>200\text{ МГц}$	SOT23, SOD23	B-E-C
AS	BAT1805	SIEM	cmpr-2	$V_A<35\text{ В}; I_F<100\text{ мА}; V_F(I_F=100\text{ мА})<1.2\text{ В}; I_R<0.02\text{ мА}; C_J<1.0\text{ пФ}$	SOT23, SOD23	A1-A2-K1 K2
AS	BCW60DR	ITT	npn	$V_{CE0}=32\text{ В}; I_C=200\text{ мА}; P_D=330\text{ мВт}; h_{FE}=380...630; f_T>250\text{ МГц}$	SOT23, SOD23	C-B-E
AS	MSD709S	MOT	npn	$V_{CE0}=25\text{ В}$	SOT23, SOD23	B-E-C
A-S	2PD1820AS	PHIL	npn	$V_{CE0}=60\text{ В}; I_C=500\text{ мА}; P_D=200\text{ мВт}; h_{FE}=170...340; f_T>150\text{ МГц}$	SOT323, SC70	B-E-C
ASA	BC849UA	AIUK	npn	$V_{CE0}=80\text{ В}; I_C=100\text{ мА}; P_D=200\text{ мВт}; h_{FE}=110...220; f_T>150\text{ МГц}$	SOT323, SC70	B-E-C
ASB	BC849UB	AIUK	npn	$V_{CE0}=80\text{ В}; I_C=100\text{ мА}; P_D=200\text{ мВт}; h_{FE}=200...450; f_T>150\text{ МГц}$	SOT323, SC70	B-E-C
ASC	BC849UC	AIUK	npn	$V_{CE0}=80\text{ В}; I_C=100\text{ мА}; P_D=200\text{ мВт}; h_{FE}=420...800; f_T>150\text{ МГц}$	SOT323, SC70	B-E-C
ASG	KT41504	KEC	npn	$V_{CE0}=50\text{ В}; I_C=150\text{ мА}; P_D=150\text{ мВт}; h_{FE}=200...400; f_T>80\text{ МГц}$	SOT23, SOD23	B-E-C

Код	Типономинал	Б	Ф	Особенности	Корпус	1•2•3
ASO	КТА1504	KEC	pn-p	$V_{CE0}=50 В$, $I_C=150 мА$, $P_D=150 мВт$; $h_{21}=70...140$, $f_T>80 МГц$	SOT23, SOD23	В•Е•С
ASs	BAT18-05	INF	pn-p	$V_{BE}=35 В$; $I_C=100 мА$, $V_{CE}(I_C=100 мА)<1.2 В$; $I_{B1}<0.02 мА$, $C_D<1.0 нФ$	SOT23, SOD23	A1•A2•K1, K2
ASy	КТА1504	KEC	pn-p	$V_{CE0}=50 В$, $I_C=150 мА$, $P_D=150 мВт$; $h_{21}=120...240$, $f_T>80 МГц$	SOT23, SOD23	В•Е•С
AT	BAT1805	SIEM	pn-p	$V_{BE}=35 В$; $I_C=100 мА$, $V_{CE}(I_C=100 мА)<1.2 В$; $I_{B1}<0.02 мА$, $C_D<1.0 нФ$	SOT23, SOD23	K1•K2•A1, A2
AtQ	2PD1820AQ	PHIL	npn	$V_{CE0}=60 В$, $I_C=500 мА$, $P_D=200 мВт$; $h_{21}=85...170$, $f_T>150 МГц$	SOT323, SC70	В•Е•С
AtQ	2PD1820AP	PHIL	npn	$V_{CE0}=60 В$, $I_C=500 мА$, $P_D=200 мВт$; $h_{21}=120...240$, $f_T>150 МГц$	SOT323, SC70	В•Е•С
ATQ	2SC4326KQ	ROHM	npn	$V_{CE0}=12 В$, $I_C=50 мА$, $P_D=150 мВт$; $h_{21}=120...270$, $f_T>80 МГц$	SOT346, SC59	В•Е•С
ATR	2SC4326KR	ROHM	npn	$V_{CE0}=12 В$, $I_C=50 мА$, $P_D=150 мВт$; $h_{21}=180...390$, $f_T>80 МГц$	SOT346, SC59	В•Е•С
AtS	2PD1820AS	PHIL	npn	$V_{CE0}=60 В$, $I_C=500 мА$, $P_D=200 мВт$; $h_{21}=170...340$, $f_T>150 МГц$	SOT323, SC70	В•Е•С
ATS	2SC4326KS	ROHM	npn	$V_{CE0}=12 В$, $I_C=50 мА$, $P_D=150 мВт$; $h_{21}=270...580$, $f_T>80 МГц$	SOT346, SC59	В•Е•С
AtS	BAT18-06	SIEM	pn-p	$V_{BE}=35 В$; $I_C=100 мА$, $V_{CE}(I_C=100 мА)<1.2 В$; $I_{B1}<0.02 мА$, $C_D<1.0 нФ$	SOT23, SOD23	K1•K2•A1, A2
AU	BAT1804	SIEM	pn-p	$V_{BE}=35 В$; $I_C=100 мА$, $V_{CE}(I_C=100 мА)<1.2 В$; $I_{B1}<0.02 мА$, $C_D<1.0 нФ$	SOT23, SOD23	A1•K2•K1, A2
AUs	BAT18-04	INF	pn-p	$V_{BE}=35 В$; $I_C=100 мА$, $V_{CE}(I_C=100 мА)<1.2 В$; $I_{B1}<0.02 мА$, $C_D<1.0 нФ$	SOT23, SOD23	A1•K2•K1, A2
AV	DAN212K	ROHM	di	$V_{BE}=70 В$; $I_C=200 мА$, $P_D=250 мВт$; $V_{CE}(I_C=150 мА)<1.25 В$; $I_{B1}<4 нс$	SOT23, SOD23	A•n.c. • K
AW	BCX70GR	ZETEX	npn	$V_{CE0}=45 В$, $I_C=200 мА$, $P_D=330 мВт$; $h_{21}=120...220$, $f_T>250 МГц$	SOT23, SOD23	В•Е•С
AX	BCX70JR	ZETEX	npn	$V_{CE0}=45 В$, $I_C=200 мА$, $P_D=330 мВт$; $h_{21}=250...460$, $f_T>250 МГц$	SOT23, SOD23	В•Е•С
AX	BCX70UR	ITT	npn	$V_{CE0}=45 В$, $I_C=200 мА$, $P_D=330 мВт$; $h_{21}=250...460$, $f_T>250 МГц$	SOT23, SOD23	С•В•Е
AY	BCX70KR	ITT	npn	$V_{CE0}=45 В$, $I_C=200 мА$, $P_D=330 мВт$; $h_{21}=380...630$, $f_T>250 МГц$	SOT23, SOD23	С•В•Е
AY	MMBD1000LT1	MOT	di	$V_{BE}=30 В$; $I_C=200 мА$, $V_{CE}(I_C=10 мА)<0.95 В$; $C_D<2 нФ$; $t_{B1}<3 нс$	SOT23, SOD23	A•n.c. • K
AYAA	MAX912CEUR	MAX	vref	$V_{BE}=2.4...11 В$, $I_{B1}<70 мА$, $V_{CE0}=1.2 В$	SOT23, SOD23	VIN•VOUT•GND
AZO	КТА1505	KEC	pn-p	$V_{CE0}=35 В$, $I_C=500 мА$, $P_D=150 мВт$; $h_{21}=70...140$, $f_T>200 МГц$	SOT23, SOD23	В•Е•С
AZY	КТА1505	KEC	pn-p	$V_{CE0}=35 В$, $I_C=500 мА$, $P_D=150 мВт$; $h_{21}=120...240$, $f_T>200 МГц$	SOT23, SOD23	В•Е•С
B	IRLML2803	IR	nMOS	HEXFET; $V_{DS}=30 В$; $I_{D1}=0.9 А$; $P_D=540 мВт$, $R_{DS(on)}<0.4 Ом$	SOT23, SOD23	G•S•D
B	MPPF57T1	MOT	npn	$V_{CE0}=20 В$, $I_C=100 мА$, $P_D=227 мВт$; $h_{21}=50...200$, $f_T>9 ГГц$	SOT323, SC70	В•Е•С
B0	HSMS2810	HP	shd	$V_{BE}>20 В$, $V_{CE}(I_C=35 мА)<1.0 В$, $I_{B1}(V_{BE}=15 В)<200 нА$; $C_D<1.2 нФ$	SOT23, SOD23	A•n.c. • K
B0	HSMS281B	HP	shd	$V_{BE}>20 В$, $V_{CE}(I_C=35 мА)<1.0 В$, $I_{B1}(V_{BE}=15 В)<200 нА$; $C_D<1.2 нФ$	SOT323, SC70	A•n.c. • K
B0	SST5460	SIL	pFET	$V_{DS}=40 В$; $P_D=350 мВт$; $I_{BSS}=1...5 мА$, $g_m=1 мСм$	SOT23, SOD23	D•S•G
B1	HSMS2811	HP	shd	$V_{BE}>20 В$, $V_{CE}(I_C=35 мА)<1.0 В$, $I_{B1}(V_{BE}=15 В)<200 нА$; $C_D<1.2 нФ$	SOT23, SOD23	n.c. • A•K
B1	SST5461	SIL	pFET	$V_{DS}=40 В$; $P_D=350 мВт$; $I_{BSS}=2...4 мА$; $g_m>1 мСм$	SOT23, SOD23	D•S•G
B1O	KSC2715	SAMS	npn	$V_{CE0}=35 В$, $I_C=50 мА$, $P_D=150 мВт$; $h_{21}=70...140$, $f_T>150 МГц$	SOT23, SOD23	В•Е•С
B1R	KSC2715	SAMS	npn	$V_{CE0}=35 В$, $I_C=50 мА$, $P_D=150 мВт$; $h_{21}=40...80$, $f_T>150 МГц$	SOT23, SOD23	В•Е•С
B1Y	KSC2715	SAMS	npn	$V_{CE0}=35 В$, $I_C=50 мА$, $P_D=150 мВт$; $h_{21}=120...240$, $f_T>150 МГц$	SOT23, SOD23	В•Е•С
B2	BSV52	ZETEX	npn	$V_{CE0}=20 В$, $I_C=100 мА$, $P_D=330 мВт$; $h_{21}=40...120$, $f_T>500 МГц$	SOT23, SOD23	В•Е•С
B2	BSV52LT1	MOT	npn	$V_{CE0}=20 В$, $I_C=100 мА$, $P_D=330 мВт$; $h_{21}=40...120$, $f_T>400 МГц$	SOT23, SOD23	В•Е•С
B2	HSMS2812	HP	shd-2	$V_{BE}>20 В$, $V_{CE}(I_C=35 мА)<1.0 В$, $I_{B1}(V_{BE}=15 В)<200 нА$; $C_D<1.2 нФ$	SOT23, SOD23	A1•K2•K1, A2
B2	HSMS281C	HP	shd-2	$V_{BE}>20 В$, $V_{CE}(I_C=35 мА)<1.0 В$, $I_{B1}(V_{BE}=15 В)<200 нА$; $C_D<1.2 нФ$	SOT323, SC70	A1•K2•K1, A2
B2	SST5462	SIL	pFET	$V_{DS}=40 В$; $P_D=350 мВт$; $I_{BSS}=4...16 мА$; $g_m=2 мСм$	SOT23, SOD23	D•S•G
B26	BF570	PHIL	npn	$V_{CE0}=40 В$, $I_C=100 мА$, $P_D=250 мВт$; $h_{21}>40$; $f_T>490 МГц$	SOT23, SOD23	В•Е•С
B2p	BSV52	PHIL	npn	$V_{CE0}=20 В$, $I_C=100 мА$, $P_D=250 мВт$; $h_{21}=40...120$; $f_T>400$	SOT23, SOD23	В•Е•С
B2	BSV52	PHIL	npn	$V_{CE0}=20 В$, $I_C=100 мА$, $P_D=250 мВт$; $h_{21}=40...120$; $f_T>400$	SOT23, SOD23	В•Е•С
B3	1PS301	PHIL	fu-2	$V_{BE}=80 В$; $I_C=250 мА$, $V_{CE}(I_C=50 мА)<1.0 В$, $C_D<1.5 нФ$; $t_{B1}<4 нс$	SOT323, SC70	A1•A2•K1, K2
B3	1SS184	TOSH	di-2	$V_{BE}=80 В$; $I_C=100 мА$, $V_{CE}(I_C=100 мА)<1.2 В$; $I_{B1}<0.5 мА$; $t_{B1}<4 нс$	SOT346, SC59	A1•A2•K1, K2
B3	1SS301	TOSH	di-2	$V_{BE}=80 В$; $I_C=100 мА$, $V_{CE}(I_C=100 мА)<1.2 В$; $I_{B1}<4 нс$	SOT23, SOD23	A1•A2•K1, K2
B3	1SS361	TOSH	di-2	$V_{BE}=80 В$; $I_C=100 мА$, $V_{CE}(I_C=100 мА)<1.2 В$; $I_{B1}<0.5 мА$; $t_{B1}<4 нс$	SOT416, SC75A	A1•A2•K1, K2
B3	1SS361F	TOSH	di-2	$V_{BE}=80 В$; $I_C=100 мА$, $V_{CE}(I_C=100 мА)<1.2 В$; $I_{B1}<0.5 мА$; $t_{B1}<4 нс$	SOT490, SC89	A1•A2•K1, K2
B3	HSMS2813	HP	shd-2	$V_{BE}>20 В$, $V_{CE}(I_C=35 мА)<1.0 В$, $I_{B1}(V_{BE}=15 В)<200 нА$; $C_D<1.2 нФ$	SOT23, SOD23	A1•K2•A1, A2
B3	HSMS281E	HP	shd-2	$V_{BE}>20 В$, $V_{CE}(I_C=35 мА)<1.0 В$, $I_{B1}(V_{BE}=15 В)<200 нА$; $C_D<1.2 нФ$	SOT323, SC70	K1•K2•A2, A1
B3	MMBD171LT1	MOT	shd-2	$V_{BE}=20 В$; $V_{CE}(I_C=1 мА)<0.37 В$; $C_D<2.5 нФ$	SOT323, SC70	K1•K2•A1, A2
B31	IDB31	GS	btd	$V_{BE}=30...34 В$, $I_{B1}=2 А$, $P_D=150 мВт$	SOT23, SOD23	x•x•n.c.
B4	BSV52R	PHIL	npn	$V_{CE0}=12 В$, $I_C=200 мА$, $P_D=200 мВт$; $h_{21}=40$, $f_T>400$	SOT23, SOD23	В•Е•С
B4	BSV52R	ZETEX	npn	$V_{CE0}=20 В$, $I_C=100 мА$, $P_D=330 мВт$; $h_{21}=40...120$; $f_T>500 МГц$	SOT23, SOD23	В•Е•С

SOT490 TSM
MFPAK TSFP-3

VMT3
VMD3



SOT416
SOT523

SOT323
SOT346

SOT23-3
SOD23-3



Код	Типоминал	Б	Ф	Особенности	Корпус	Ц: 1•2•3
B4	HSMS2814	HP	shd-2	$V_{BR} > 20 В$, $V_{F1}(I_F = 35 мА) < 1.0 В$, $I_{H1}(V_R = 15 В) < 200 мА$, $C_D < 1.2 пФ$	SOT23, SOD23	A1-A2-K1, K2
B4	HSMS281F	HP	shd-2	$V_{BR} > 20 В$, $V_{F1}(I_F = 35 мА) < 1.0 В$, $I_{H1}(V_R = 15 В) < 200 мА$, $C_D < 1.2 пФ$	SOT323, SC70	A1-A2-K2, K1
B5S	BBY58-05W	INF	var	$V_{F5} < 10 В$, $I_C < 20 мА$, $I_B < 0.01 мА$, $C_{1F} < 17.5 \dots 19.3 пФ$, $C_{D5} < 5.5 \dots 6.6 пФ$	SOT323, SC70	A1-A2-K1, K2
B6	2SB815B6	SANYO	npn	$V_{CE0} > 20 В$, $I_C < 700 мА$, $P_D > 200 мВт$, $h_{21} > 200 \dots 400$, $f_T > 250 МГц$	SOT23, SOD23	B-E-C
B6	BAT54A	ZOWIE	shd-2	$V_{F5} < 30 В$, $V_{F1}(I_F = 30 мА) < 500 мВ$, $C_D < 10 пФ$, $f_{TBR} < 5 нс$	SOT23, SOD23	K1-K2-A1, A2
B6S	BBY58-06W	INF	var	$V_{F5} < 10 В$, $I_C < 20 мА$, $I_B < 0.01 мА$, $C_{1F} < 17.5 \dots 19.3 пФ$, $C_{D5} < 5.5 \dots 6.6 пФ$	SOT323, SC70	K1-K2-A1, A2
B7	2SB815B7	SANYO	npn	$V_{CE0} > 20 В$, $I_C < 700 мА$, $P_D > 200 мВт$, $h_{21} > 300 \dots 600$, $f_T > 250 МГц$	SOT23, SOD23	B-E-C
B9	ISS311	TOSH	di	$V_{F5} < 400 В$, $I_C < 100 мА$, $V_{F1}(I_F = 100 мА) < 1.2 В$, $I_{B5} < 1.0 мА$	SOT346, SC59	A-n.c.-K
B9	ISS397	TOSH	di	$V_{F5} < 400 В$, $I_C < 100 мА$, $V_{F1}(I_F = 100 мА) < 1.3 В$	SOT323, SC70	A-n.c.-K
B9	2SC4917	ON	npn	$V_{CE0} > 50 В$, $I_C < 100 мА$, $P_D > 125 мВт$, $h_{21} > 120 \dots 560$, $f_T > 180 МГц$	SOT416, SC75A	B-E-C
BA	ISS154	TOSH	shd	$V_{F5} > 6 В$, $I_C < 30 мА$, $V_{F1}(I_F = 10 мА) < 0.5 В$, $I_{B5} < 0.5 мА$	SOT346, SC59	n.c.-A-K
BA	BCW61A	ALLEG	npn	$V_{CE0} > 32 В$, $I_C < 20 мА$, $h_{21} > 120 \dots 220$, $V_{CE(sat)} < 0.25 В$	SOT23, SOD23	B-E-C
BA	BCW61A	CDIL	npn	$V_{CE0} > 32 В$, $I_C < 200 мА$, $P_D > 330 мВт$, $h_{21} > 120 \dots 220$, $f_T > 180 МГц$	SOT23, SOD23	B-E-C
BA	BCW61A	SAMS	npn	$V_{CE0} > 32 В$, $I_C < 100 мА$, $P_D > 350 мВт$, $h_{21} > 120 \dots 220$	SOT23, SOD23	B-E-C
BA	BCW61A	ZETEX	npn	$V_{CE0} > 32 В$, $I_C < 200 мА$, $P_D > 330 мВт$, $h_{21} > 120 \dots 220$, $f_T > 180 МГц$	SOT23, SOD23	B-E-C
BA	DAN217	ROHM	di-2	$V_{F5} < 80 В$, $I_F < 100 мА$, $P_D > 200 мВт$, $V_{F1}(I_F = 100 мА) < 1.2 В$	SOT346, SC59	A1-K2-K1, A2
BAQ	BCW61A	PHIL	npn	$V_{CE0} > 32 В$, $I_C < 200 мА$, $P_D > 250 мВт$, $h_{21} > 120 \dots 220$, $f_T > 100 МГц$	SOT23, SOD23	B-E-C
BA5	BCW61A	SIEM	npn	$V_{CE0} > 32 В$, $I_C < 100 мА$, $P_D > 330 мВт$, $h_{21} > 120 \dots 220$, $f_T > 250 МГц$	SOT23, SOD23	B-E-C
BAI	BCW61A	PHIL	npn	$V_{CE0} > 32 В$, $I_C < 200 мА$, $P_D > 250 мВт$, $h_{21} > 120 \dots 220$, $f_T > 100 МГц$	SOT23, SOD23	B-E-C
BB	ISV128	TOSH	pin	$V_{F5} < 50 В$, $I_C < 50 мА$, $V_{F1}(I_F = 50 мА) < 0.95 В$, $I_{B5} < 0.1 мА$	SOT346, SC59	A-n.c.-K
BB	2SB831B	REN	npn	$V_{CE0} > 25 В$, $I_C < 700 мА$, $P_D > 150 мВт$, $h_{21} > 85 \dots 170$	SOT23, SOD23	B-E-C
BB	BCW61B	ALLEG	npn	$V_{CE0} > 32 В$, $I_C < 20 мА$, $h_{21} > 180 \dots 310$, $V_{CE(sat)} < 0.25 В$	SOT23, SOD23	B-E-C
BB	BCW61B	CDIL	npn	$V_{CE0} > 32 В$, $I_C < 200 мА$, $P_D > 330 мВт$, $h_{21} > 180 \dots 310$, $f_T > 180 МГц$	SOT23, SOD23	B-E-C
BB	BCW61B	SAMS	npn	$V_{CE0} > 32 В$, $I_C < 100 мА$, $P_D > 350 мВт$, $h_{21} > 180 \dots 310$	SOT23, SOD23	B-E-C
BB	BCW61B	ZETEX	npn	$V_{CE0} > 32 В$, $I_C < 200 мА$, $P_D > 330 мВт$, $h_{21} > 180 \dots 310$, $f_T > 180 МГц$	SOT23, SOD23	B-E-C
BBQ	BCW61B	PHIL	npn	$V_{CE0} > 32 В$, $I_C < 200 мА$, $P_D > 250 мВт$, $h_{21} > 180 \dots 310$, $f_T > 100 МГц$	SOT23, SOD23	B-E-C
BB5	BCW61B	SIEM	npn	$V_{CE0} > 32 В$, $I_C < 100 мА$, $P_D > 330 мВт$, $h_{21} > 180 \dots 310$, $f_T > 250 МГц$	SOT23, SOD23	B-E-C
BBI	BCW61B	PHIL	npn	$V_{CE0} > 32 В$, $I_C < 200 мА$, $P_D > 250 мВт$, $h_{21} > 180 \dots 310$, $f_T > 100 МГц$	SOT23, SOD23	B-E-C
BBU	2SD2114KU	ROHM	npn	$V_{CE0} > 25 В$, $I_C < 500 мА$, $P_D > 200 мВт$, $h_{21} > 560 \dots 1200$, $f_T > 350 МГц$	SOT346, SC59	B-E-C
BBV	2SD2114KV	ROHM	npn	$V_{CE0} > 25 В$, $I_C < 500 мА$, $P_D > 200 мВт$, $h_{21} > 820 \dots 1800$, $f_T > 350 МГц$	SOT346, SC59	B-E-C
BBW	2SD2114KW	ROHM	npn	$V_{CE0} > 25 В$, $I_C < 500 мА$, $P_D > 200 мВт$, $h_{21} > 1200 \dots 2700$, $f_T > 350 МГц$	SOT346, SC59	B-E-C
BC	2SB831C	REN	npn	$V_{CE0} > 25 В$, $I_C < 700 мА$, $P_D > 150 мВт$, $h_{21} > 120 \dots 240$	SOT23, SOD23	B-E-C
BC	BCW61C	ALLEG	npn	$V_{CE0} > 32 В$, $I_C < 20 мА$, $h_{21} > 250 \dots 460$, $V_{CE(sat)} < 0.25 В$	SOT23, SOD23	B-E-C
BC	BCW61C	CDIL	npn	$V_{CE0} > 32 В$, $I_C < 200 мА$, $P_D > 330 мВт$, $h_{21} > 250 \dots 460$, $f_T > 180 МГц$	SOT23, SOD23	B-E-C
BC	BCW61C	SAMS	npn	$V_{CE0} > 32 В$, $I_C < 100 мА$, $P_D > 350 мВт$, $h_{21} > 250 \dots 460$, $f_T > 125 МГц$	SOT23, SOD23	B-E-C
BC	BCW61C	ZETEX	npn	$V_{CE0} > 32 В$, $I_C < 200 мА$, $P_D > 330 мВт$, $h_{21} > 250 \dots 460$, $f_T > 180 МГц$	SOT23, SOD23	B-E-C
BCQ	BCW61C	PHIL	npn	$V_{CE0} > 32 В$, $I_C < 200 мА$, $P_D > 250 мВт$, $h_{21} > 250 \dots 460$, $f_T > 100 МГц$	SOT23, SOD23	B-E-C
BC5	BCW61C	SIEM	npn	$V_{CE0} > 32 В$, $I_C < 100 мА$, $P_D > 330 мВт$, $h_{21} > 250 \dots 460$, $f_T > 250 МГц$	SOT23, SOD23	B-E-C
BCL	BCW61C	PHIL	npn	$V_{CE0} > 32 В$, $I_C < 200 мА$, $P_D > 250 мВт$, $h_{21} > 250 \dots 460$, $f_T > 100 МГц$	SOT23, SOD23	B-E-C
BD	ISS271	TOSH	shd-2	$V_{F5} > 6 В$, $I_C < 30 мА$, $V_{F1}(I_F = 10 мА) < 0.5 В$, $I_{B5} < 0.5 мА$	SOT346, SC59	A1-K2-K1, A2
BD	BCW61D	ALLEG	npn	$V_{CE0} > 32 В$, $I_C < 20 мА$, $h_{21} > 380 \dots 630$, $V_{CE(sat)} < 0.25 В$	SOT23, SOD23	B-E-C
BD	BCW61D	CDIL	npn	$V_{CE0} > 32 В$, $I_C < 200 мА$, $P_D > 330 мВт$, $h_{21} > 380 \dots 630$, $f_T > 180 МГц$	SOT23, SOD23	B-E-C
BD	BCW61D	SAMS	npn	$V_{CE0} > 32 В$, $I_C < 100 мА$, $P_D > 350 мВт$, $h_{21} > 380 \dots 630$, $f_T > 125 МГц$	SOT23, SOD23	B-E-C
BD	BCW61D	ZETEX	npn	$V_{CE0} > 32 В$, $I_C < 200 мА$, $P_D > 330 мВт$, $h_{21} > 380 \dots 630$, $f_T > 180 МГц$	SOT23, SOD23	B-E-C
BDM	2SA1733KM	ROHM	npn	$V_{CE0} > 30 В$, $I_C < 30 мА$, $P_D > 200 мВт$, $h_{21} > 39 \dots 82$, $f_T > 400 МГц$	SOT346, SC59	B-E-C
BDM	2SA1808M	ROHM	npn	$V_{CE0} > 30 В$, $I_C < 30 мА$, $P_D > 200 мВт$, $h_{21} > 39 \dots 82$, $f_T > 400 МГц$	SOT323, SC70	B-E-C
BDN	2SA1733KN	ROHM	npn	$V_{CE0} > 30 В$, $I_C < 30 мА$, $P_D > 200 мВт$, $h_{21} > 56 \dots 120$, $f_T > 400 МГц$	SOT346, SC59	B-E-C
BDN	2SA1808M	ROHM	npn	$V_{CE0} > 30 В$, $I_C < 30 мА$, $P_D > 200 мВт$, $h_{21} > 56 \dots 120$, $f_T > 400 МГц$	SOT323, SC70	B-E-C
BDP	2SA1733KP	ROHM	npn	$V_{CE0} > 30 В$, $I_C < 30 мА$, $P_D > 200 мВт$, $h_{21} > 82 \dots 180$, $f_T > 400 МГц$	SOT346, SC59	B-E-C
BDP	2SA1808P	ROHM	npn	$V_{CE0} > 30 В$, $I_C < 30 мА$, $P_D > 200 мВт$, $h_{21} > 82 \dots 180$, $f_T > 400 МГц$	SOT323, SC70	B-E-C
BDP	BCW61D	PHIL	npn	$V_{CE0} > 32 В$, $I_C < 200 мА$, $P_D > 250 мВт$, $h_{21} > 380 \dots 630$, $f_T > 100 МГц$	SOT23, SOD23	B-E-C
BDS	BCW61D	SIEM	npn	$V_{CE0} > 32 В$, $I_C < 100 мА$, $P_D > 330 мВт$, $h_{21} > 380 \dots 630$, $f_T > 250 МГц$	SOT23, SOD23	B-E-C

Код	Типономинал	Б	Ф	Особенности	Корпус	Ц: 1+2+3
BE1	BCW61D	PHIL	pn-p	$V_{CE0} > 32 В$, $I_C < 200 мА$, $P_D < 250 мВт$, $h_{FE} > 380$, $f_T > 100 МГц$	SOT23, SOD23	В+Е+С
BE	1SV172	TOSH	pn-p-2	$V_{CE} > 50 В$, $I_C < 50 мА$, $V_{CE(sat)} < 0.95 В$, $I_B < 0.1 мА$	SOT346, SC59	A1-K2-K1, A2
BE	1SV252	TOSH	pn-p-2	$V_{CE} > 50 В$, $I_C < 50 мА$, $V_{CE(sat)} < 0.98 В$, $I_B < 0.1 мА$	SOT23, SC70	A1-K2-K1, A2
BE2	MMB25221ELT1	ON	dz	$V_{CE(sat)} < 2.28 \dots 2.52 В$, $I_C < 100 мА$	SOT23, SOD23	A-n.c.-K
BE7	MMB25226ELT1	ON	dz	$V_{CE(sat)} < 2.0 мА$, $I_C < 13 \dots 3.47 В$, $I_B < 25 мА$	SOT23, SOD23	A-n.c.-K
BE9	MMB25228ELT1	ON	dz	$V_{CE(sat)} < 2.0 мА$, $I_C < 10 В$, $I_B < 10 мА$	SOT23, SOD23	A-n.c.-K
BF	1SS268	TOSH	di-2	$V_{CE} > 30 В$, $I_C < 50 мА$, $V_{CE(sat)} < 0.85 В$, $I_B < 0.1 мА$	SOT346, SC59	A1-A2-K1, K2
BF	1SS312	TOSH	di	$V_{CE} > 30 В$, $I_C < 50 мА$, $V_{CE(sat)} < 0.85 В$, $I_B < 0.1 мА$	SOT323, SC70	A-K-K
BF	1SS364	TOSH	di-2	$V_{CE} > 30 В$, $I_C < 50 мА$, $V_{CE(sat)} < 0.85 В$, $I_B < 0.1 мА$	SOT416, SC75A	A1-A2-K1, K2
BF	KDS112	KEC	di-2	$V_{CE} > 30 В$, $I_C < 50 мА$, $I_B < 0.1 мА$, $C_{f1} > 0.8 пФ$	SOT323, SC70	A1-A2-K1, K2
BF1	MMB25229ELT1	ON	dz	$V_{CE(sat)} < 2.0 мА$, $I_C < 4.08 \dots 4.52 В$, $I_B < 5 мА$	SOT23, SOD23	A-n.c.-K
BF2	MMB25230ELT1	ON	dz	$V_{CE(sat)} < 2.0 мА$, $I_C < 4.46 \dots 4.94 В$, $I_B < 5 мА$	SOT23, SOD23	A-n.c.-K
BF3	MMB25231ELT1	ON	dz	$V_{CE(sat)} < 2.0 мА$, $I_C < 4.84 \dots 5.36 В$, $I_B < 5 мА$	SOT23, SOD23	A-n.c.-K
BF4	MMB25232ELT1	ON	dz	$V_{CE(sat)} < 2.0 мА$, $I_C < 5.32 \dots 5.88 В$, $I_B < 5 мА$	SOT23, SOD23	A-n.c.-K
BF5	MMB25234ELT1	ON	dz	$V_{CE(sat)} < 2.0 мА$, $I_C < 5.89 \dots 6.51 В$, $I_B < 5 мА$	SOT23, SOD23	A-n.c.-K
BF7	MMB25235ELT1	ON	dz	$V_{CE(sat)} < 2.0 мА$, $I_C < 6.46 \dots 7.14 В$, $I_B < 3 мА$	SOT23, SOD23	A-n.c.-K
BF8	MMB25236ELT1	ON	dz	$V_{CE(sat)} < 2.0 мА$, $I_C < 7.12 \dots 7.88 В$, $I_B < 3 мА$	SOT23, SOD23	A-n.c.-K
BF9	MMB25237ELT1	ON	dz	$V_{CE(sat)} < 2.0 мА$, $I_C < 7.79 \dots 8.61 В$, $I_B < 3 мА$	SOT23, SOD23	A-n.c.-K
BF2	2SC4642R	ROHM	npn	$V_{CE0} > 50 В$, $I_C < 100 мА$, $P_D < 200 мВт$, $h_{FE} > 180 \dots 390$, $f_T > 180 МГц$	SOT346, SC59	В+Е+С
BF2	2SC4723R	ROHM	npn	$V_{CE0} > 50 В$, $I_C < 100 мА$, $P_D < 200 мВт$, $h_{FE} > 180 \dots 390$, $f_T > 180 МГц$	SOT23, SC70	В+Е+С
BF5	2SC4642KS	ROHM	npn	$V_{CE0} > 50 В$, $I_C < 100 мА$, $P_D < 200 мВт$, $h_{FE} > 270 \dots 560$, $f_T > 180 МГц$	SOT346, SC59	В+Е+С
BF5	2SC4723S	ROHM	npn	$V_{CE0} > 50 В$, $I_C < 100 мА$, $P_D < 200 мВт$, $h_{FE} > 270 \dots 560$, $f_T > 180 МГц$	SOT23, SC70	В+Е+С
BF5	BCW61FF	SIEM	pn-p	$V_{CE0} > 32 В$, $I_C < 100 мА$, $P_D < 330 мВт$, $h_{FE} > 250 \dots 460$, $f_T > 250 МГц$	SOT23, SOD23	В+Е+С
BG	1SS269	TOSH	di-2	$V_{CE} > 30 В$, $I_C < 50 мА$, $V_{CE(sat)} < 0.85 В$, $I_B < 0.1 мА$	SOT346, SC59	K1-K2-A1, A2
BG	1SS313	TOSH	di	$V_{CE} > 30 В$, $I_C < 50 мА$, $V_{CE(sat)} < 0.85 В$, $I_B < 0.1 мА$	SOT323, SC70	K-K-A
BG	BCX71G	ALLEG	pn-p	$V_{CE0} > 45 В$, $I_{C0} < 20 мА$, $h_{FE} > 120 \dots 220$, $V_{CE(sat)} < 0.25 В$	SOT23, SOD23	В+Е+С
BG	BCX71G	CDIL	pn-p	$V_{CE0} > 45 В$, $I_C < 200 мА$, $P_D < 250 мВт$, $h_{FE} > 120 \dots 220$, $f_T > 100 МГц$	SOT23, SOD23	В+Е+С
BG	BCX71G	SAMS	pn-p	$V_{CE0} > 45 В$, $I_C < 100 мА$, $P_D < 350 мВт$, $h_{FE} > 120 \dots 220$	SOT23, SOD23	В+Е+С
BG	BCX71G	ZETEX	pn-p	$V_{CE0} > 45 В$, $I_C < 200 мА$, $P_D < 330 мВт$, $h_{FE} > 120 \dots 220$, $f_T > 180 МГц$	SOT23, SOD23	В+Е+С
BG	BRC144ECM	REN	Dn-pn	$V_{CE} > 50 В$, $I_{C(sat)} < 100 мА$, $P_D < 150 мВт$, $h_{FE} > 70$, $47 К/47 К$	SOT323, SC70	В+Е+С
BG	BRC144EMP	REN	Dn-pn	$V_{CE} > 50 В$, $I_{C(sat)} < 100 мА$, $P_D < 150 мВт$, $h_{FE} > 70$, $47 К/47 К$	SOT23, SOD23	В+Е+С
BG2	MMB25239ELT1	ON	dz	$V_{CE(sat)} < 2.0 мА$, $I_C < 8.65 \dots 9.56 В$, $I_B < 3 мА$	SOT23, SOD23	A-n.c.-K
BG3	MMB25240ELT1	ON	dz	$V_{CE(sat)} < 2.0 мА$, $I_C < 9.5 \dots 10.5 В$, $I_B < 3 мА$	SOT23, SOD23	A-n.c.-K
BG5	MMB25242ELT1	ON	dz	$V_{CE(sat)} < 2.0 мА$, $I_C < 11.4 \dots 12.6 В$, $I_B < 1 мА$	SOT23, SOD23	A-n.c.-K
BG6	MMB25243ELT1	ON	dz	$V_{CE(sat)} < 9.5 мА$, $I_C < 12.35 \dots 13.65 В$, $I_B < 0.5 мА$	SOT23, SOD23	A-n.c.-K
BG7	MMB25244ELT1	ON	dz	$V_{CE(sat)} < 8.5 мА$, $I_C < 13.30 \dots 14.70 В$, $I_B < 0.1 мА$	SOT23, SOD23	A-n.c.-K
BG8	MMB25245ELT1	ON	dz	$V_{CE(sat)} < 8.5 мА$, $I_C < 14.25 \dots 15.75 В$, $I_B < 0.1 мА$	SOT23, SOD23	A-n.c.-K
BG9	MMB25246ELT1	ON	dz	$V_{CE(sat)} < 7.8 мА$, $I_C < 15.2 \dots 16.8 В$, $I_B < 0.1 мА$	SOT23, SOD23	A-n.c.-K
BG0	BCX71G	PHIL	pn-p	$V_{CE0} > 45 В$, $I_C < 200 мА$, $P_D < 250 мВт$, $h_{FE} > 120 \dots 220$, $f_T > 100 МГц$	SOT23, SOD23	В+Е+С
BG6	BCX71G	SIEM	pn-p	$V_{CE0} > 45 В$, $I_C < 100 мА$, $P_D < 330 мВт$, $h_{FE} > 120 \dots 220$, $f_T > 250 МГц$	SOT23, SOD23	В+Е+С
BG6	BCX71G	PHIL	pn-p	$V_{CE0} > 45 В$, $I_C < 200 мА$, $P_D < 250 мВт$, $h_{FE} > 120 \dots 220$, $f_T > 100 МГц$	SOT23, SOD23	В+Е+С
BH	1SS295	TOSH	shd-2	$V_{CE} > 45 В$, $I_C < 30 мА$, $V_{CE(sat)} < 2 мА$, $I_B < 25 мА$	SOT346, SC59	A1-K2-K1, A2
BH	1SS350	SANYO	shd	$V_{CE} > 5 В$, $V_{CE(sat)} < 0.23 В$, $I_B < 0.5 В$, $I_C < 25 мА$	SOT23, SOD23	A-n.c.-K
BH	BCX71H	ALLEG	pn-p	$V_{CE0} > 45 В$, $I_{C0} < 20 мА$, $h_{FE} > 180 \dots 310$, $V_{CE(sat)} < 0.25 В$	SOT23, SOD23	В+Е+С
BH	BCX71H	CDIL	pn-p	$V_{CE0} > 45 В$, $I_C < 200 мА$, $P_D < 250 мВт$, $h_{FE} > 180 \dots 310$, $f_T > 100 МГц$	SOT23, SOD23	В+Е+С
BH	BCX71H	SAMS	pn-p	$V_{CE0} > 45 В$, $I_C < 100 мА$, $P_D < 350 мВт$, $h_{FE} > 140 \dots 310$	SOT23, SOD23	В+Е+С
BH	BCX71H	ZETEX	pn-p	$V_{CE0} > 45 В$, $I_C < 200 мА$, $P_D < 330 мВт$, $h_{FE} > 180 \dots 310$, $f_T > 180 МГц$	SOT23, SOD23	В+Е+С
BH2	MMB25248ELT1	ON	dz	$V_{CE(sat)} < 7.0 мА$, $I_C < 17.1 \dots 18.9 В$, $I_B < 0.1 мА$	SOT23, SOD23	A-n.c.-K
BH4	MMB25250ELT1	ON	dz	$V_{CE(sat)} < 6.2 мА$, $I_C < 19.0 \dots 21.0 В$, $I_B < 0.1 мА$	SOT23, SOD23	A-n.c.-K
BH6	MMB25252ELT1	ON	dz	$V_{CE(sat)} < 5.2 мА$, $I_C < 22.8 \dots 25.2 В$, $I_B < 0.1 мА$	SOT23, SOD23	A-n.c.-K
BH7	MMB25253ELT1	ON	dz	$V_{CE(sat)} < 5.0 мА$, $I_C < 23.75 \dots 26.25 В$, $I_B < 0.1 мА$	SOT23, SOD23	A-n.c.-K
BH8	MMB25254ELT1	ON	dz	$V_{CE(sat)} < 5.0 мА$, $I_C < 25.65 \dots 28.35 В$, $I_B < 0.1 мА$	SOT23, SOD23	A-n.c.-K

SOT490 TSM
MFPAK TSFP-3

VMT3
VMD3



SOT416 SOT323
SOT523 SOT346

SOT23-3
SOD23-3



Код	Типономинал	Б	Ф	Особенности	Корпус	Ц: 1•2•3
BH9	MMBZ5255ELT1	ON	dz	$V_{CE1} = 4.5 \text{ mA} \leq 26.6 \dots 29.4 \text{ В}$, $I_{B1} < 0.1 \text{ мкА}$	SOT23, SOD23	A•n.c. • K
BH1	2SC4699KM	ROHM	npn	$V_{CE1} = 25 \text{ В}$, $I_C = 200 \text{ мА}$, $P_D = 200 \text{ мВт}$, $h_{FE1} = 39 \dots 82$, $f_T > 250 \text{ МГц}$	SOT346, SC59	B•E•C
BH1	2SC4700M	ROHM	npn	$V_{CE1} = 25 \text{ В}$, $I_C = 200 \text{ мА}$, $P_D = 150 \text{ мВт}$, $h_{FE1} = 39 \dots 82$, $f_T > 250 \text{ МГц}$	SOT323, SC70	B•E•C
BH1	2SC4699KN	ROHM	npn	$V_{CE1} = 25 \text{ В}$, $I_C = 200 \text{ мА}$, $P_D = 200 \text{ мВт}$, $h_{FE1} = 56 \dots 120$, $f_T > 250 \text{ МГц}$	SOT346, SC59	B•E•C
BH1	2SC4700N	ROHM	npn	$V_{CE1} = 25 \text{ В}$, $I_C = 200 \text{ мА}$, $P_D = 150 \text{ мВт}$, $h_{FE1} = 56 \dots 120$, $f_T > 250 \text{ МГц}$	SOT323, SC70	B•E•C
BH1	2SC4699KP	ROHM	npn	$V_{CE1} = 25 \text{ В}$, $I_C = 200 \text{ мА}$, $P_D = 200 \text{ мВт}$, $h_{FE1} = 82 \dots 180$, $f_T > 250 \text{ МГц}$	SOT346, SC59	B•E•C
BH1	2SC4700P	ROHM	npn	$V_{CE1} = 25 \text{ В}$, $I_C = 200 \text{ мА}$, $P_D = 150 \text{ мВт}$, $h_{FE1} = 82 \dots 180$, $f_T > 250 \text{ МГц}$	SOT323, SC70	B•E•C
BH1	BCX71H	PHIL	npn	$V_{CE1} = 45 \text{ В}$, $I_C = 200 \text{ мА}$, $P_D = 250 \text{ мВт}$, $h_{FE1} = 180 \dots 310$, $f_T > 100 \text{ МГц}$	SOT23, SOD23	B•E•C
BH1	BCX71H	SIEM	npn	$V_{CE1} = 45 \text{ В}$, $I_C = 100 \text{ мА}$, $P_D = 330 \text{ мВт}$, $h_{FE1} = 180 \dots 310$, $f_T > 250 \text{ МГц}$	SOT23, SOD23	B•E•C
BH1	BCX71H	PHIL	npn	$V_{CE1} = 45 \text{ В}$, $I_C = 200 \text{ мА}$, $P_D = 250 \text{ мВт}$, $h_{FE1} = 180 \dots 310$, $f_T > 100 \text{ МГц}$	SOT23, SOD23	B•E•C
BJ	BCX71J	ALLEG	npn	$V_{CE1} = 45 \text{ В}$, $I_{C100} < 20 \text{ мА}$, $h_{FE1} = 250 \dots 460$, $V_{CE(sat)} < 0.25 \text{ В}$	SOT23, SOD23	B•E•C
BJ	BCX71J	CDIL	npn	$V_{CE1} = 45 \text{ В}$, $I_C = 200 \text{ мА}$, $P_D = 250 \text{ мВт}$, $h_{FE1} = 250 \dots 460$, $f_T > 100 \text{ МГц}$	SOT23, SOD23	B•E•C
BJ	BCX71J	SAMS	npn	$V_{CE1} = 45 \text{ В}$, $I_C = 100 \text{ мА}$, $P_D = 350 \text{ мВт}$, $h_{FE1} = 250 \dots 460$	SOT23, SOD23	B•E•C
BJ	BCX71J	ZETEX	npn	$V_{CE1} = 45 \text{ В}$, $I_C = 200 \text{ мА}$, $P_D = 330 \text{ мВт}$, $h_{FE1} = 250 \dots 460$, $f_T > 180 \text{ МГц}$	SOT23, SOD23	B•E•C
BJ1	MMBZ5255ELT1	ON	dz	$V_{CE1} = 4.2 \text{ mA} \leq 28.5 \dots 31.5 \text{ В}$, $I_{B1} < 0.1 \text{ мкА}$	SOT23, SOD23	A•n.c. • K
BJ2	MMBZ5257ELT1	ON	dz	$V_{CE1} = 3.8 \text{ mA} \leq 31 \dots 35 \dots 34.65 \text{ В}$, $I_{B1} < 0.1 \text{ мкА}$	SOT23, SOD23	A•n.c. • K
BJ3	MMBZ5258ELT1	ON	dz	$V_{CE1} = 3.4 \text{ mA} \leq 34.2 \dots 37.8 \text{ В}$, $I_{B1} < 0.1 \text{ мкА}$	SOT23, SOD23	A•n.c. • K
BJ7	MMBZ5262ELT1	ON	dz	$V_{CE1} = 2.5 \text{ mA} \leq 48.45 \dots 53.55 \text{ В}$, $I_{B1} < 0.1 \text{ мкА}$	SOT23, SOD23	A•n.c. • K
BJ8	MMBZ5263ELT1	ON	dz	$V_{CE1} = 2.2 \text{ mA} \leq 53.20 \dots 58.80 \text{ В}$, $I_{B1} < 0.1 \text{ мкА}$	SOT23, SOD23	A•n.c. • K
BJ10	BCX71J	PHIL	npn	$V_{CE1} = 45 \text{ В}$, $I_C = 200 \text{ мА}$, $P_D = 250 \text{ мВт}$, $h_{FE1} = 250 \dots 460$, $f_T > 100 \text{ МГц}$	SOT23, SOD23	B•E•C
BJ1	BCX71J	SIEM	npn	$V_{CE1} = 45 \text{ В}$, $I_C = 100 \text{ мА}$, $P_D = 330 \text{ мВт}$, $h_{FE1} = 250 \dots 460$, $f_T > 250 \text{ МГц}$	SOT23, SOD23	B•E•C
BJ1	BCX71J	PHIL	npn	$V_{CE1} = 45 \text{ В}$, $I_C = 200 \text{ мА}$, $P_D = 250 \text{ мВт}$, $h_{FE1} = 250 \dots 460$, $f_T > 100 \text{ МГц}$	SOT23, SOD23	B•E•C
BJ1	2SD2229KU	ROHM	npn	$V_{CE1} = 60 \text{ В}$, $I_C = 150 \text{ мА}$, $P_D = 200 \text{ мВт}$, $h_{FE1} = 560 \dots 1200$, $f_T > 250 \text{ МГц}$	SOT346, SC59	B•E•C
BJ1	2SD2351U	ROHM	npn	$V_{CE1} = 60 \text{ В}$, $I_C = 150 \text{ мА}$, $P_D = 200 \text{ мВт}$, $h_{FE1} = 560 \dots 1200$, $f_T > 250 \text{ МГц}$	SOT323, SC70	B•E•C
BJ1	2SD2229KV	ROHM	npn	$V_{CE1} = 60 \text{ В}$, $I_C = 150 \text{ мА}$, $P_D = 200 \text{ мВт}$, $h_{FE1} = 820 \dots 1800$, $f_T > 250 \text{ МГц}$	SOT346, SC59	B•E•C
BJ1	2SD2351V	ROHM	npn	$V_{CE1} = 60 \text{ В}$, $I_C = 150 \text{ мА}$, $P_D = 200 \text{ мВт}$, $h_{FE1} = 820 \dots 1800$, $f_T > 250 \text{ МГц}$	SOT323, SC70	B•E•C
BJ1	2SD2229KW	ROHM	npn	$V_{CE1} = 60 \text{ В}$, $I_C = 150 \text{ мА}$, $P_D = 200 \text{ мВт}$, $h_{FE1} = 1200 \dots 2700$, $f_T > 250 \text{ МГц}$	SOT346, SC59	B•E•C
BJ1	2SD2351W	ROHM	npn	$V_{CE1} = 60 \text{ В}$, $I_C = 150 \text{ мА}$, $P_D = 200 \text{ мВт}$, $h_{FE1} = 1200 \dots 2700$, $f_T > 250 \text{ МГц}$	SOT323, SC70	B•E•C
BK	BCX71K	ALLEG	npn	$V_{CE1} = 45 \text{ В}$, $I_{C100} < 20 \text{ мА}$, $h_{FE1} = 380 \dots 830$, $V_{CE(sat)} < 0.25 \text{ В}$	SOT23, SOD23	B•E•C
BK	BCX71K	CDIL	npn	$V_{CE1} = 45 \text{ В}$, $I_C = 200 \text{ мА}$, $P_D = 250 \text{ мВт}$, $h_{FE1} = 380 \dots 830$, $f_T > 100 \text{ МГц}$	SOT23, SOD23	B•E•C
BK	BCX71K	SAMS	npn	$V_{CE1} = 45 \text{ В}$, $I_C = 100 \text{ мА}$, $P_D = 350 \text{ мВт}$, $h_{FE1} = 380 \dots 830$	SOT23, SOD23	B•E•C
BK	BCX71K	ZETEX	npn	$V_{CE1} = 45 \text{ В}$, $I_C = 200 \text{ мА}$, $P_D = 330 \text{ мВт}$, $h_{FE1} = 380 \dots 830$, $f_T > 180 \text{ МГц}$	SOT23, SOD23	B•E•C
BK1	MMBZ5265ELT1	ON	dz	$V_{CE1} = 2 \text{ mA} \leq 58.90 \dots 65.10 \text{ В}$, $I_{B1} < 0.1 \text{ мкА}$	SOT23, SOD23	A•n.c. • K
BK10	BCX71K	PHIL	npn	$V_{CE1} = 45 \text{ В}$, $I_C = 200 \text{ мА}$, $P_D = 250 \text{ мВт}$, $h_{FE1} = 380 \dots 830$, $f_T > 100 \text{ МГц}$	SOT23, SOD23	B•E•C
BK1	BCX71K	SIEM	npn	$V_{CE1} = 45 \text{ В}$, $I_C = 100 \text{ мА}$, $P_D = 330 \text{ мВт}$, $h_{FE1} = 380 \dots 830$, $f_T > 250 \text{ МГц}$	SOT23, SOD23	B•E•C
BK1	BCX71K	PHIL	npn	$V_{CE1} = 45 \text{ В}$, $I_C = 200 \text{ мА}$, $P_D = 250 \text{ мВт}$, $h_{FE1} = 380 \dots 830$, $f_T > 100 \text{ МГц}$	SOT23, SOD23	B•E•C
BL1	2SC4771KL	ROHM	npn	$V_{CE1} = 30 \text{ В}$, $I_C = 50 \text{ мА}$, $P_D = 200 \text{ мВт}$, $h_{FE1} = 27 \dots 56$, $f_T > 600 \text{ МГц}$	SOT346, SC59	B•E•C
BL1	2SC4772L	ROHM	npn	$V_{CE1} = 30 \text{ В}$, $I_C = 50 \text{ мА}$, $P_D = 150 \text{ мВт}$, $h_{FE1} = 27 \dots 56$, $f_T > 600 \text{ МГц}$	SOT323, SC70	B•E•C
BL1	2SC4771KM	ROHM	npn	$V_{CE1} = 30 \text{ В}$, $I_C = 50 \text{ мА}$, $P_D = 200 \text{ мВт}$, $h_{FE1} = 39 \dots 82$, $f_T > 600 \text{ МГц}$	SOT346, SC59	B•E•C
BL1	2SC4772M	ROHM	npn	$V_{CE1} = 30 \text{ В}$, $I_C = 50 \text{ мА}$, $P_D = 150 \text{ мВт}$, $h_{FE1} = 39 \dots 82$, $f_T > 600 \text{ МГц}$	SOT323, SC70	B•E•C
BL1	2SC4771KN	ROHM	npn	$V_{CE1} = 30 \text{ В}$, $I_C = 50 \text{ мА}$, $P_D = 200 \text{ мВт}$, $h_{FE1} = 56 \dots 120$, $f_T > 600 \text{ МГц}$	SOT346, SC59	B•E•C
BL1	2SC4772N	ROHM	npn	$V_{CE1} = 30 \text{ В}$, $I_C = 50 \text{ мА}$, $P_D = 150 \text{ мВт}$, $h_{FE1} = 56 \dots 120$, $f_T > 600 \text{ МГц}$	SOT323, SC70	B•E•C
BL1	2SC4771KP	ROHM	npn	$V_{CE1} = 30 \text{ В}$, $I_C = 50 \text{ мА}$, $P_D = 200 \text{ мВт}$, $h_{FE1} = 82 \dots 180$, $f_T > 600 \text{ МГц}$	SOT346, SC59	B•E•C
BL1	2SC4772P	ROHM	npn	$V_{CE1} = 30 \text{ В}$, $I_C = 50 \text{ мА}$, $P_D = 150 \text{ мВт}$, $h_{FE1} = 82 \dots 180$, $f_T > 600 \text{ МГц}$	SOT323, SC70	B•E•C
BM	BSS63L	MOT	npn	$V_{CE1} = 100 \text{ В}$, $I_C = 800 \text{ мА}$, $P_D = 330 \text{ мВт}$, $h_{FE1} > 30$, $f_T > 150 \text{ МГц}$	SOT23, SOD23	B•E•C
BM10	BSS63	PHIL	npn	$V_{CE1} = 110 \text{ В}$, $I_C = 100 \text{ мА}$, $P_D = 250 \text{ мВт}$, $h_{FE1} > 30$, $f_T > 50 \text{ МГц}$	SOT23, SOD23	B•E•C
BMQ	2SC4713KQ	ROHM	npn	$V_{CE1} = 12 \text{ В}$, $I_C = 50 \text{ мА}$, $P_D = 200 \text{ мВт}$, $h_{FE1} = 120 \dots 270$, $f_T > 800 \text{ МГц}$	SOT346, SC59	B•E•C
BMQ	2SC4774Q	ROHM	npn	$V_{CE1} = 12 \text{ В}$, $I_C = 50 \text{ мА}$, $P_D = 150 \text{ мВт}$, $h_{FE1} = 120 \dots 270$, $f_T > 800 \text{ МГц}$	SOT323, SC70	B•E•C
BM1	2SC4713KR	ROHM	npn	$V_{CE1} = 12 \text{ В}$, $I_C = 50 \text{ мА}$, $P_D = 200 \text{ мВт}$, $h_{FE1} = 180 \dots 330$, $f_T > 800 \text{ МГц}$	SOT346, SC59	B•E•C
BM1	2SC4774R	ROHM	npn	$V_{CE1} = 12 \text{ В}$, $I_C = 50 \text{ мА}$, $P_D = 150 \text{ мВт}$, $h_{FE1} = 180 \dots 330$, $f_T > 800 \text{ МГц}$	SOT323, SC70	B•E•C
BMS	2SC4713KS	ROHM	npn	$V_{CE1} = 12 \text{ В}$, $I_C = 50 \text{ мА}$, $P_D = 200 \text{ мВт}$, $h_{FE1} = 270 \dots 580$, $f_T > 800 \text{ МГц}$	SOT346, SC59	B•E•C
BMS	2SC4774S	ROHM	npn	$V_{CE1} = 12 \text{ В}$, $I_C = 50 \text{ мА}$, $P_D = 150 \text{ мВт}$, $h_{FE1} = 270 \dots 580$, $f_T > 800 \text{ МГц}$	SOT323, SC70	B•E•C



SOT23-3
SOD23-3

SOT323
SOT346

SOT416
SOT523



SOT490
MFPK

TESM
TSFP-3

VMT3
VMD3

Код	Типономинал	Б	Ф	Особенности	Корпус	Ц: 1+2+3
BMS	BSS563	SIEM	pnp	$V_{CE0} > 100 \text{ В}$; $I_C > 800 \text{ мА}$; $P_D > 330 \text{ мВт}$; $\eta_{21} > 30$; $f_T > 150 \text{ МГц}$	SOT23, SOD23	В+Е+С
BMS	BSS563	PHIL	pnp	$V_{CE0} > 110 \text{ В}$; $I_C > 100 \text{ мА}$; $P_D > 250 \text{ мВт}$; $\eta_{21} > 30$; $f_T > 50 \text{ МГц}$	SOT23, SOD23	В+Е+С
BN	2SK3290	REN	nMOS	$V_{DS0} > 30 \text{ В}$; $I_D > 500 \text{ мА}$; $P_D > 400 \text{ мВт}$; $R_{DS(on)} < 1.25 \text{ Ом}$	SOT23, SOD23	Г+С+D
BNs	BCW61FN	SIEM	pnp	$V_{CE0} > 32 \text{ В}$; $I_C > 100 \text{ мА}$; $P_D > 330 \text{ мВт}$; $\eta_{21} > 380$; $f_T > 250 \text{ МГц}$	SOT23, SOD23	В+Е+С
BO	BCW61AR	PHIL	pnp	$V_{CE0} > 32 \text{ В}$; $I_C > 200 \text{ мА}$; $P_D > 250 \text{ мВт}$; $\eta_{21} > 120$; $f_T > 100 \text{ МГц}$	SOT23, SOD23	В+Е+С
BP	2SJ574	REN	pMOS	$V_{DS0} > 30 \text{ В}$; $I_D > 300 \text{ мА}$; $P_D > 400 \text{ мВт}$; $R_{DS(on)} < 3.1 \text{ Ом}$	SOT23, SOD23	Г+С+D
BQ	2PB709AQ	PHIL	pnp	$V_{CE0} > 45 \text{ В}$; $I_C > 100 \text{ мА}$; $P_D > 250 \text{ мВт}$; $\eta_{21} > 150$; $f_T > 70 \text{ МГц}$	SOT346, SC59	В+Е+С
BQ	2SC2412KQ	ROHM	nnp	$V_{CE0} > 60 \text{ В}$; $I_C > 150 \text{ мА}$; $P_D > 200 \text{ мВт}$; $\eta_{21} > 120$; $f_T > 180 \text{ МГц}$	SOT346, SC59	В+Е+С
BQ	2SC2412KQLT1	LRC	nnp	$V_{CE0} > 60 \text{ В}$; $I_C > 150 \text{ мА}$; $P_D > 200 \text{ мВт}$; $\eta_{21} > 120$; $f_T > 180 \text{ МГц}$	SOT23, SOD23	В+Е+С
BQ	2SC4081Q	ROHM	nnp	$V_{CE0} > 50 \text{ В}$; $I_C > 150 \text{ мА}$; $P_D > 200 \text{ мВт}$; $\eta_{21} > 120$; $f_T > 180 \text{ МГц}$	SOT323, SC70	В+Е+С
BQ	2SC4617	ROHM	nnp	$V_{CE0} > 60 \text{ В}$; $I_C > 150 \text{ мА}$; $P_D > 150 \text{ мВт}$; $\eta_{21} > 120$; $f_T > 180 \text{ МГц}$	SOT416, SC75A	В+Е+С
BQ	2SC5658Q	ROHM	nnp	$V_{CE0} > 60 \text{ В}$; $I_C > 150 \text{ мА}$; $P_D > 150 \text{ мВт}$; $\eta_{21} > 120$; $f_T > 180 \text{ МГц}$	VMT3, VMD3	В+Е+С
BR	2PB709AR	PHIL	pnp	$V_{CE0} > 45 \text{ В}$; $I_C > 100 \text{ мА}$; $P_D > 250 \text{ мВт}$; $\eta_{21} > 290$; $f_T > 80 \text{ МГц}$	SOT346, SC59	В+Е+С
BR	2SC2412KR	ROHM	nnp	$V_{CE0} > 60 \text{ В}$; $I_C > 150 \text{ мА}$; $P_D > 200 \text{ мВт}$; $\eta_{21} > 180$; $f_T > 180 \text{ МГц}$	SOT346, SC59	В+Е+С
BR	2SC2412KRLT1	LRC	nnp	$V_{CE0} > 60 \text{ В}$; $I_C > 150 \text{ мА}$; $P_D > 200 \text{ мВт}$; $\eta_{21} > 180$; $f_T > 180 \text{ МГц}$	SOT23, SOD23	В+Е+С
BR	2SC4081R	ROHM	nnp	$V_{CE0} > 50 \text{ В}$; $I_C > 150 \text{ мА}$; $P_D > 200 \text{ мВт}$; $\eta_{21} > 180$; $f_T > 180 \text{ МГц}$	SOT323, SC70	В+Е+С
BR	2SC4617	ROHM	nnp	$V_{CE0} > 60 \text{ В}$; $I_C > 150 \text{ мА}$; $P_D > 150 \text{ мВт}$; $\eta_{21} > 180$; $f_T > 180 \text{ МГц}$	SOT416, SC75A	В+Е+С
BR	2SC5658R	ROHM	nnp	$V_{CE0} > 60 \text{ В}$; $I_C > 150 \text{ мА}$; $P_D > 150 \text{ мВт}$; $\eta_{21} > 180$; $f_T > 180 \text{ МГц}$	VMT3, VMD3	В+Е+С
BR	BCW60DR	ZETEX	pnp	$V_{CE0} > 32 \text{ В}$; $I_C > 200 \text{ мА}$; $P_D > 330 \text{ мВт}$; $\eta_{21} > 380$; $f_T > 250 \text{ МГц}$	SOT23, SOD23	В+Е+С
BR	MSB1218ART1	MOT	pnp	$V_{CE0} > 45 \text{ В}$; $I_C > 100 \text{ мА}$; $P_D > 150 \text{ мВт}$; $\eta_{21} > 210$; $f_T > 340$	SOT323, SC70	В+Е+С
BS	2PB709AS	PHIL	pnp	$V_{CE0} > 45 \text{ В}$; $I_C > 100 \text{ мА}$; $P_D > 250 \text{ мВт}$; $\eta_{21} > 160$; $f_T > 60 \text{ МГц}$	SOT346, SC59	В+Е+С
BS	2SC2412KS	ROHM	nnp	$V_{CE0} > 60 \text{ В}$; $I_C > 150 \text{ мА}$; $P_D > 200 \text{ мВт}$; $\eta_{21} > 270$; $f_T > 180 \text{ МГц}$	SOT346, SC59	В+Е+С
BS	2SC2412KSLT1	LRC	nnp	$V_{CE0} > 60 \text{ В}$; $I_C > 150 \text{ мА}$; $P_D > 200 \text{ мВт}$; $\eta_{21} > 270$; $f_T > 180 \text{ МГц}$	SOT23, SOD23	В+Е+С
BS	2SC4081S	ROHM	nnp	$V_{CE0} > 50 \text{ В}$; $I_C > 150 \text{ мА}$; $P_D > 200 \text{ мВт}$; $\eta_{21} > 270$; $f_T > 180 \text{ МГц}$	SOT323, SC70	В+Е+С
BS	2SC4617	ROHM	nnp	$V_{CE0} > 60 \text{ В}$; $I_C > 150 \text{ мА}$; $P_D > 150 \text{ мВт}$; $\eta_{21} > 270$; $f_T > 180 \text{ МГц}$	SOT416, SC75A	В+Е+С
BS	2SC5658S	ROHM	nnp	$V_{CE0} > 60 \text{ В}$; $I_C > 150 \text{ мА}$; $P_D > 150 \text{ мВт}$; $\eta_{21} > 270$; $f_T > 180 \text{ МГц}$	VMT3, VMD3	В+Е+С
BS	MSB1218AST1	MOT	pnp	$V_{CE0} > 45 \text{ В}$; $I_C > 100 \text{ мА}$; $P_D > 150 \text{ мВт}$; $\eta_{21} > 290$; $f_T > 460$	SOT323, SC70	В+Е+С
BSA	BC848AU	AUK	nnp	$V_{CE0} > 30 \text{ В}$; $I_C > 100 \text{ мА}$; $P_D > 200 \text{ мВт}$; $\eta_{21} > 110$; $f_T > 150 \text{ МГц}$	SOT323, SC70	В+Е+С
BSA	BC848AUF	AUK	nnp	$V_{CE0} > 30 \text{ В}$; $I_C > 100 \text{ мА}$; $P_D > 200 \text{ мВт}$; $\eta_{21} > 110$; $f_T > 150 \text{ МГц}$	SOT323, SC70	В+Е+С
BSB	BC848BU	AUK	nnp	$V_{CE0} > 30 \text{ В}$; $I_C > 100 \text{ мА}$; $P_D > 200 \text{ мВт}$; $\eta_{21} > 200$; $f_T > 150 \text{ МГц}$	SOT323, SC70	В+Е+С
BSB	BC848BUF	AUK	nnp	$V_{CE0} > 30 \text{ В}$; $I_C > 100 \text{ мА}$; $P_D > 200 \text{ мВт}$; $\eta_{21} > 200$; $f_T > 150 \text{ МГц}$	SOT323, SC70	В+Е+С
BSC	BC848CU	AUK	nnp	$V_{CE0} > 30 \text{ В}$; $I_C > 100 \text{ мА}$; $P_D > 200 \text{ мВт}$; $\eta_{21} > 420$; $f_T > 150 \text{ МГц}$	SOT323, SC70	В+Е+С
BSC	BC848CUF	AUK	nnp	$V_{CE0} > 30 \text{ В}$; $I_C > 100 \text{ мА}$; $P_D > 200 \text{ мВт}$; $\eta_{21} > 420$; $f_T > 150 \text{ МГц}$	SOT323, SC70	В+Е+С
BV	1SV247	SANYO	pnp	$V_{DS} > 50 \text{ В}$; $I_C < 50 \text{ мА}$; $V_{GS}(I_C = 50 \text{ мА}) > 0.95 \text{ В}$; $I_C < 0.1 \text{ мА}$	SOT323, SC70	А+н.с.+К
C	IRLML6302	IR	pMOS	HEXFET; $V_{GS} > 20 \text{ В}$; $I_D > 0.62 \text{ А}$; $P_D > 540 \text{ мВт}$; $R_{DS(on)} < 0.9 \text{ Ом}$	SOT23, SOD23	Г+С+D
CO	HSM52820	HP	shld	$V_{DS} > 15 \text{ В}$; $V_{GS}(I_D = 30 \text{ мА}) < 0.7 \text{ В}$; $I_{DS}(V_{GS} = 1 \text{ В}) < 100 \text{ мА}$; $C_{IS} < 1.0 \text{ нФ}$	SOT23, SOD23	А+н.с.+К
CO	HSM5282B	HP	shld	$V_{DS} > 15 \text{ В}$; $V_{GS}(I_D = 30 \text{ мА}) < 0.7 \text{ В}$; $I_{DS}(V_{GS} = 1 \text{ В}) < 100 \text{ мА}$; $C_{IS} < 1.0 \text{ нФ}$; $R_{DS} < 12 \text{ Ом}$	SOT323, SC70	А+н.с.+К
C1	BCW29	ALLEG	pnp	$V_{CE0} > 30 \text{ В}$; $I_C > 100 \text{ мА}$; $\eta_{21} > 120$; $f_T > 260$; $V_{CE(sat)} < 0.3 \text{ В}$	SOT23, SOD23	В+Е+С
C1	BCW29	CDIL	pnp	$V_{CE0} > 30 \text{ В}$; $I_C > 100 \text{ мА}$; $P_D > 330 \text{ мВт}$; $\eta_{21} > 120$; $f_T > 150 \text{ МГц}$	SOT23, SOD23	В+Е+С
C1	BCW29	SAMS	pnp	$V_{CE0} > 30 \text{ В}$; $I_C > 100 \text{ мА}$; $P_D > 350 \text{ мВт}$; $\eta_{21} > 120$; $f_T > 260$	SOT23, SOD23	В+Е+С
C1	BCW29	ZETEX	pnp	$V_{CE0} > 30 \text{ В}$; $I_C > 100 \text{ мА}$; $P_D > 330 \text{ мВт}$; $\eta_{21} > 120$; $f_T > 150 \text{ МГц}$	SOT23, SOD23	В+Е+С
C1	HSM52821	HP	shld	$V_{DS} > 15 \text{ В}$; $V_{GS}(I_D = 30 \text{ мА}) < 0.7 \text{ В}$; $I_{DS}(V_{GS} = 1 \text{ В}) < 100 \text{ мА}$; $C_{IS} < 1.0 \text{ нФ}$	SOT23, SOD23	н.с.+А+К
C1	MMB25221BT	DIODES	dz	$V_{A(I_T = 20 \text{ мА})} > 2.28$; 2.52 В ; $I_{RS} < 100 \text{ мА}$	SOT523	А+н.с.+К
C1	SST111	SIL	nFET	$V_{DS} > 35 \text{ В}$; $P_D > 350 \text{ мВт}$; $I_{DS} > 20 \text{ мА}$; $R_{DS(on)} < 30 \text{ Ом}$	SOT23, SOD23	Д+С+Г
C1A	CMP7390A	CSI	nnp	$V_{CE0} > 60 \text{ В}$; $I_C > 200 \text{ мА}$; $P_D > 350 \text{ мВт}$; $\eta_{21} > 100$; $f_T > 300 \text{ МГц}$	SOT23, SOD23	В+Е+С
C1D	CMP7A42	CSI	nnp	$V_{CE0} > 300 \text{ В}$; $I_C > 500 \text{ мА}$; $P_D > 350 \text{ мВт}$; $\eta_{21} > 40$; $f_T > 50 \text{ МГц}$	SOT23, SOD23	В+Е+С
C1G	CMP7A06	CSI	nnp	$V_{CE0} > 80 \text{ В}$; $I_C > 500 \text{ мА}$; $P_D > 350 \text{ мВт}$; $\eta_{21} > 50$; $f_T > 100 \text{ МГц}$	SOT23, SOD23	В+Е+С
C1G	KS41623	SAMS	nnp	$V_{CE0} > 60 \text{ В}$; $I_C > 100 \text{ мА}$; $P_D > 200 \text{ мВт}$; $\eta_{21} > 200$; $f_T > 250 \text{ МГц}$	SOT23, SOD23	В+Е+С
C1J	CMP72369	CSI	nnp	$V_{CE0} > 40 \text{ В}$; $I_C > 500 \text{ мА}$; $P_D > 350 \text{ мВт}$; $\eta_{21} > 40$; $f_T > 50 \text{ МГц}$	SOT23, SOD23	В+Е+С
C1K	CMP79428	CSI	nnp	$V_{CE0} > 60 \text{ В}$; $I_C > 200 \text{ мА}$; $P_D > 350 \text{ мВт}$; $\eta_{21} > 250$; $f_T > 100$; $f_T > 100$; $f_T > 100$ МГц	SOT23, SOD23	В+Е+С
C1K	CMP79429	CSI	nnp	$V_{CE0} > 65 \text{ В}$; $I_C > 200 \text{ мА}$; $P_D > 350 \text{ мВт}$; $\eta_{21} > 500$; $f_T > 100$; $f_T > 100$; $f_T > 100$ МГц	SOT23, SOD23	В+Е+С
C1L	KS41623	SAMS	nnp	$V_{CE0} > 60 \text{ В}$; $I_C > 100 \text{ мА}$; $P_D > 200 \text{ мВт}$; $\eta_{21} > 300$; $f_T > 250 \text{ МГц}$	SOT23, SOD23	В+Е+С

SOT490 TSM
MFFPAK TSFP-3

VMT3 VMD3



SOT416 SOT523

SOT323 SOT346

SOT23-3 SOD23-3



Код	Типономинал	Б	Ф	Особенности	Корпус	Ц: 1•2•3
C1M	CMPTA13	CSI	npn	$V_{CE0}=30\text{ В}$; $I_C=500\text{ мА}$; $P_D=350\text{ мВт}$; $h_{FE}>5000$; $f_T>125\text{ МГц}$	SOT23, SOD23	B•E•C
C1N	CMPTA14	CSI	npn	$V_{CE0}=30\text{ В}$; $I_C=500\text{ мА}$; $P_D=350\text{ мВт}$; $h_{FE}>10000$; $f_T>125\text{ МГц}$	SOT23, SOD23	B•E•C
C1O	KSA1623	SAMS	npn	$V_{CE0}=60\text{ В}$; $I_C=100\text{ мА}$; $P_D=200\text{ мВт}$; $h_{FE}=90...180$; $f_T>250\text{ МГц}$	SOT23, SOD23	B•E•C
C1p	BCW29	PHIL	npn	$V_{CE0}=32\text{ В}$; $I_C=100\text{ мА}$; $P_D=250\text{ мВт}$; $h_{FE}=120...260$; $f_T>100\text{ МГц}$	SOT23, SOD23	B•E•C
C1P	CMPT2222A	CSI	npn	$V_{CE0}=75\text{ В}$; $I_C=600\text{ мА}$; $P_D=350\text{ мВт}$; $h_{FE}<35$; $f_T>300\text{ МГц}$	SOT23, SOD23	B•omg•C
C1Q	CMPT5088	CSI	npn	$V_{CE0}=35\text{ В}$; $I_C=50\text{ мА}$; $P_D=350\text{ мВт}$; $h_{FE}=300...900$; $f_T>50\text{ МГц}$	SOT23, SOD23	B•E•C
C1R	CMPT5089	CSI	npn	$V_{CE0}=30\text{ В}$; $I_C=50\text{ мА}$; $P_D=350\text{ мВт}$; $h_{FE}=400...1200$; $f_T>50\text{ МГц}$	SOT23, SOD23	B•E•C
C1t	BCW29	PHIL	npn	$V_{CE0}=32\text{ В}$; $I_C=100\text{ мА}$; $P_D=250\text{ мВт}$; $h_{FE}=120...260$; $f_T>100\text{ МГц}$	SOT23, SOD23	B•E•C
C1U	CMPT2484	CSI	npn	$V_{CE0}=60\text{ В}$; $I_C=50\text{ мА}$; $P_D=350\text{ мВт}$; $h_{FE}=250...800$	SOT23, SOD23	B•E•C
C1x	CMPT6427	CSI	npn	$V_{CE0}=40\text{ В}$; $I_C=500\text{ мА}$; $P_D=350\text{ мВт}$; $h_{FE}=10...100$; $f_T>130\text{ МГц}$	SOT23, SOD23	B•E•C
C1B	CMPT930	CSI	npn	$V_{CE0}=45\text{ В}$; $I_C=30\text{ мА}$; $P_D=350\text{ мВт}$; $h_{FE}=100...300$; $f_T>30\text{ МГц}$	SOT23, SOD23	B•E•C
C1Y	KSA1623	SAMS	npn	$V_{CE0}=60\text{ В}$; $I_C=100\text{ мА}$; $P_D=200\text{ мВт}$; $h_{FE}=135...270$; $f_T>250\text{ МГц}$	SOT23, SOD23	B•E•C
C1Z	CMPT6517	CSI	npn	$V_{CE0}=350\text{ В}$; $I_C=500\text{ мА}$; $P_D=350\text{ мВт}$; $h_{FE}=20...200$; $f_T>40...200\text{ МГц}$	SOT23, SOD23	B•E•C
C2	BCW30	ALLEG	npn	$V_{CE0}=30\text{ В}$; $I_{C_{max}}<100\text{ мА}$; $h_{FE}=215...500$; $V_{CE(sat)}<0.3\text{ В}$	SOT23, SOD23	B•E•C
C2	BCW30	CDIL	npn	$V_{CE0}=30\text{ В}$; $I_C=100\text{ мА}$; $P_D=330\text{ мВт}$; $h_{FE}=215...500$; $f_T>150\text{ МГц}$	SOT23, SOD23	B•E•C
C2	BCW30	ZETEX	npn	$V_{CE0}=30\text{ В}$; $I_C=100\text{ мА}$; $P_D=330\text{ мВт}$; $h_{FE}=215...500$; $f_T>150\text{ МГц}$	SOT23, SOD23	B•E•C
C2	HSMS2822	HP	shcd-2	$V_{BE}>15\text{ В}$; $V_{BE(sat)}<0.7\text{ В}$; $I_{B1}(V_{BE}=1\text{ В})<100\text{ нА}$; $C_{C1}<1.0\text{ пФ}$; $P_D>120\text{ мВт}$	SOT23, SOD23	A1•K2•K1,A2
C2	HSMS282C	HP	shcd-2	$V_{BE}>15\text{ В}$; $V_{BE(sat)}<0.7\text{ В}$; $I_{B1}(V_{BE}=1\text{ В})<100\text{ нА}$; $C_{C1}<1.0\text{ пФ}$; $P_D>120\text{ мВт}$	SOT23, SOD23	A1•K2•K1,A2
C2	SST112	SIL	nFET	$V_{DS}=35\text{ В}$; $P_D=350\text{ мВт}$; $I_{DSS}>5\text{ мА}$; $R_{DS(on)}<50\text{ Ом}$	SOT23, SOD23	D•S•G
C29	CMPTA29	CSI	npn	$V_{CE0}=100\text{ В}$; $I_C=500\text{ мА}$; $P_D=350\text{ мВт}$; $h_{FE}>10000$; $f_T>125\text{ МГц}$	SOT23, SOD23	B•E•C
C2A	CMPT3906	CSI	npn	$V_{CE0}=40\text{ В}$; $I_C=200\text{ мА}$; $P_D=350\text{ мВт}$; $h_{FE}=100...300$; $f_T>250\text{ МГц}$	SOT23, SOD23	B•E•C
C2A	ZDC833A	ZETEX	var-2	$V_A<25\text{ В}$; $C_{2A}>29.7...33.6\text{ пФ}$; $C_{2A}/C_{2B}>5...6.5$; $Q>200$	SOT23, SOD23	A1•A2•K1,K2
C2D	CMPTA92	CSI	npn	$V_{CE0}=300\text{ В}$; $I_C=500\text{ мА}$; $P_D=350\text{ мВт}$; $h_{FE}>25$; $f_T>50\text{ МГц}$	SOT23, SOD23	B•E•C
C2F	CMPT2907A	CSI	npn	$V_{CE0}=60\text{ В}$; $I_C=600\text{ мА}$; $P_D=350\text{ мВт}$; $h_{FE}=100...300$; $f_T>200\text{ МГц}$	SOT23, SOD23	B•E•C
C2G	CMPTA66	CSI	npn	$V_{CE0}=80\text{ В}$; $I_C=500\text{ мА}$; $P_D=350\text{ мВт}$; $h_{FE}>50$; $f_T>100\text{ МГц}$	SOT23, SOD23	B•E•C
C2J	CMPT3640	CSI	npn	$V_{CE0}=12\text{ В}$; $I_C=80\text{ мА}$; $P_D=350\text{ мВт}$; $h_{FE}=30...120$; $f_T>500\text{ МГц}$	SOT23, SOD23	B•E•C
C2L	CMPT5401	CSI	npn	$V_{CE0}=160\text{ В}$; $I_C=500\text{ мА}$; $P_D=350\text{ мВт}$; $h_{FE}=60...240$; $f_T>100...300\text{ МГц}$	SOT23, SOD23	B•E•C
C2p	BCW30	PHIL	npn	$V_{CE0}=32\text{ В}$; $I_C=100\text{ мА}$; $P_D=250\text{ мВт}$; $h_{FE}=215...500$; $f_T>100\text{ МГц}$	SOT23, SOD23	B•E•C
C2B	CMPT5098	CSI	npn	$V_{CE0}=50\text{ В}$; $I_C=50\text{ мА}$; $P_D=350\text{ мВт}$; $h_{FE}=150...500$; $f_T>40\text{ МГц}$	SOT23, SOD23	B•E•C
C2Q	CMPT5087	CSI	npn	$V_{CE0}=50\text{ В}$; $I_C=50\text{ мА}$; $P_D=350\text{ мВт}$; $h_{FE}=250...800$; $f_T>40\text{ МГц}$	SOT23, SOD23	B•E•C
C2R	CMPT3646	CSI	npn	$V_{CE0}=40\text{ В}$; $I_C=200\text{ мА}$; $P_D=350\text{ мВт}$; $h_{FE}=30...120$; $f_T>350\text{ МГц}$	SOT23, SOD23	B•E•C
C2t	BCW30	PHIL	npn	$V_{CE0}=32\text{ В}$; $I_C=100\text{ мА}$; $P_D=250\text{ мВт}$; $h_{FE}=215...500$; $f_T>100\text{ МГц}$	SOT23, SOD23	B•E•C
C2T	CMPT4403	CSI	npn	$V_{CE0}=40\text{ В}$; $I_C=600\text{ мА}$; $P_D=350\text{ мВт}$; $h_{FE}=100...300$; $f_T>200\text{ МГц}$	SOT23, SOD23	B•E•C
C2U	CMPTA63	CSI	npn	$V_{CE0}=30\text{ В}$; $I_C=500\text{ мА}$; $P_D=350\text{ мВт}$; $h_{FE}>10000$; $f_T>125\text{ МГц}$	SOT23, SOD23	B•E•C
C2v	CMPTA64	CSI	npn	$V_{CE0}=30\text{ В}$; $I_C=500\text{ мА}$; $P_D=350\text{ мВт}$; $h_{FE}>20000$; $f_T>125\text{ МГц}$	SOT23, SOD23	B•E•C
C2W	CMPT8699	CSI	npn	$V_{CE0}=80\text{ В}$; $I_C=500\text{ мА}$; $P_D=350\text{ мВт}$; $h_{FE}=100...300$; $f_T>150\text{ МГц}$	SOT23, SOD23	B•E•C
C2X	CMPT4401	CSI	npn	$V_{CE0}=60\text{ В}$; $I_C=600\text{ мА}$; $P_D=350\text{ мВт}$; $h_{FE}=100...300$; $f_T>250\text{ МГц}$	SOT23, SOD23	B•E•C
C2Z	CMPT6520	CSI	npn	$V_{CE0}=350\text{ В}$; $I_C=500\text{ мА}$; $P_D=350\text{ мВт}$; $h_{FE}=20...200$; $f_T>40...200\text{ МГц}$	SOT23, SOD23	B•E•C
C3	1PS302	PHIL	tdc-2	$V_A<80\text{ В}$; $I_F<200\text{ мА}$; $V_{F(sat)}<50\text{ мА}$; $I_{C1}<1.0\text{ В}$; $C_{C1}<1.5\text{ нФ}$; $t_{RR}<4\text{ нс}$	SOT323, SOT70	A1•K2•K1,A2
C3	ISS226	TOSH	di-2	$V_A<80\text{ В}$; $I_F<100\text{ мА}$; $V_{F(sat)}<100\text{ мА}$; $I_{C1}<1.2\text{ В}$; $I_F<0.5\text{ мА}$; $t_{RR}<4\text{ нс}$	SOT346, SC59	A1•K2•K1,A2
C3	ISS302	TOSH	di-2	$V_A<80\text{ В}$; $I_F<100\text{ мА}$; $V_{F(sat)}<100\text{ мА}$; $I_{C1}<1.2\text{ В}$; $t_{RR}<4\text{ нс}$	SOT323, SOT70	A1•K2•K1,A2
C3	ISS362	TOSH	di-2	$V_A<80\text{ В}$; $I_F<80\text{ мА}$; $V_{F(sat)}<80\text{ мА}$; $I_{C1}<1.2\text{ В}$; $I_F<0.5\text{ мА}$; $t_{RR}<4\text{ нс}$	SOT416, SOT75A	A1•K2•K1,A2
C3	HSMS2823	HP	shcd-2	$V_{BE}>15\text{ В}$; $V_{BE(sat)}<0.7\text{ В}$; $I_{B1}(V_{BE}=1\text{ В})<100\text{ нА}$; $C_{C1}<1.0\text{ пФ}$	SOT23, SOD23	K1•K2•A1,A2
C3	HSMS282E	HP	shcd-2	$V_{BE}>15\text{ В}$; $V_{BE(sat)}<0.7\text{ В}$; $I_{B1}(V_{BE}=1\text{ В})<100\text{ нА}$; $C_{C1}<1.0\text{ пФ}$; $P_D>120\text{ мВт}$	SOT323, SOT70	K1•K2•A2,A1
C3	KST4126	SAMS	HP	$V_{CE0}=25\text{ В}$; $I_C=200\text{ мА}$; $P_D=350\text{ мВт}$; $h_{FE}=120...360$; $f_T>250\text{ МГц}$	SOT23, SOD23	B•E•C
C3	MMBZ5223B7	DIODES	dz	$V_{Z(I_{ZT}=20\text{ мА})}=2.57...2.84\text{ В}$; $I_{ZT}<75\text{ мА}$	SOT523	A•nc•K
C3	SST113	SIL	nFET	$V_{DS}=35\text{ В}$; $P_D=350\text{ мВт}$; $I_{DSS}>2\text{ мА}$; $R_{DS(on)}<100\text{ Ом}$	SOT23, SOD23	D•S•G
C38	SST5638	SIL	nFET	$V_{DS}=30\text{ В}$; $P_D=350\text{ мВт}$; $I_{DSS}>50\text{ мА}$; $R_{DS(on)}<30\text{ Ом}$	SOT23, SOD23	D•S•G
C39	SST5639	SIL	nFET	$V_{DS}=30\text{ В}$; $P_D=350\text{ мВт}$; $I_{DSS}>25\text{ мА}$; $R_{DS(on)}<60\text{ Ом}$	SOT23, SOD23	D•S•G
C3A	CMPT3019	CSI	npn	$V_{CE0}=120\text{ В}$; $I_C=500\text{ мА}$; $P_D=350\text{ мВт}$; $h_{FE}=100...300$; $f_T>100\text{ МГц}$	SOT23, SOD23	B•E•C
C3B	CMPT918	CSI	npn	$V_{CE0}=30\text{ В}$; $I_C=50\text{ мА}$; $P_D=350\text{ мВт}$; $h_{FE}>20$; $f_T>600\text{ МГц}$	SOT23, SOD23	B•E•C
C3E	CMPTH10	CSI	npn	$V_{CE0}=30\text{ В}$; $P_D=350\text{ мВт}$; $h_{FE}>80$; $f_T>850\text{ МГц}$	SOT23, SOD23	B•E•C



SOT23-3
SOD23-3

SOT323
SOT346

SOT416
SOT523

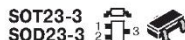


SOT490
MFPK

TESM
TSFP-3

VMT3
VMD3

Код	Типономинал	Б	Ф	Особенности	Корпус	Ц: 1+2+3
C3Z	CMPTA44	CSI	npn	$V_{CE0} > 450 \text{ В}$; $I_C < 300 \text{ мА}$; $P_D < 350 \text{ мВт}$; $h_{FE} > 50$; $f_T > 20 \text{ МГц}$	SOT23, SOD23	В+Е+С
C4	BCW23R	PHIL	npn	$V_{CE0} > 32 \text{ В}$; $I_C < 100 \text{ мА}$; $P_D < 350 \text{ мВт}$; $h_{FE} > 120$; $f_T > 100 \text{ МГц}$	SOT23, SOD23	В+Е+С
C4	BCW23R	ZETEX	npn	$V_{CE0} > 30 \text{ В}$; $I_C < 100 \text{ мА}$; $P_D < 330 \text{ мВт}$; $h_{FE} > 120$; $f_T > 150 \text{ МГц}$	SOT23, SOD23	Е+В+С
C4	HSMS2824	HP	shd-2	$V_{BE} > 15 \text{ В}$; $V_{CE} > 30 \text{ В}$; $I_C < 0.7 \text{ А}$; $I_B(V_{BE} = 1 \text{ В}) < 100 \text{ мА}$; $C_{D1} < 1.0 \text{ нФ}$	SOT23, SOD23	A1+A2-K1,K2
C4	HSMS2824	HP	shd-2	$V_{BE} > 15 \text{ В}$; $V_{CE} > 30 \text{ В}$; $I_C < 0.7 \text{ А}$; $I_B(V_{BE} = 1 \text{ В}) < 100 \text{ мА}$; $C_{D1} < 1.0 \text{ нФ}$; $P_D < 12 \text{ Вт}$	SOT23, SC70	A1+A2-K2,K1
C40	SST5640	SIL	nFET	$V_{DS} > 30 \text{ В}$; $P_D < 350 \text{ мВт}$; $I_{DSS} > 5 \text{ мА}$; $R_{DS(on)} < 100 \text{ Ом}$	SOT23, SOD23	D+С+G
C41	SST4091	SIL	nFET	$V_{DS} > 35 \text{ В}$; $P_D < 350 \text{ мВт}$; $I_{DSS} > 30 \text{ мА}$; $R_{DS(on)} < 30 \text{ Ом}$	SOT23, SOD23	D+С+G
C42	SST4092	SIL	nFET	$V_{DS} > 35 \text{ В}$; $P_D < 350 \text{ мВт}$; $I_{DSS} > 30 \text{ мА}$; $R_{DS(on)} < 50 \text{ Ом}$	SOT23, SOD23	D+С+G
C43	SST4093	SIL	nFET	$V_{DS} > 35 \text{ В}$; $P_D < 350 \text{ мВт}$; $I_{DSS} > 30 \text{ мА}$; $R_{DS(on)} < 80 \text{ Ом}$	SOT23, SOD23	D+С+G
C4A	CMPT4033	CSI	npn	$V_{CE0} > 80 \text{ В}$; $I_C < 500 \text{ мА}$; $P_D < 350 \text{ мВт}$; $h_{FE} > 100$; $f_T > 100 \text{ МГц}$	SOT23, SOD23	В+Е+С
C5	BCW30R	PHIL	npn	$V_{CE0} > 20 \text{ В}$; $I_C < 100 \text{ мА}$; $P_D < 350 \text{ мВт}$; $h_{FE} > 215$; $f_T > 100 \text{ МГц}$	SOT23, SOD23	Е+В+С
C5	BCW30R	ZETEX	npn	$V_{CE0} > 30 \text{ В}$; $I_C < 100 \text{ мА}$; $P_D < 330 \text{ мВт}$; $h_{FE} > 215$; $f_T > 150 \text{ МГц}$	SOT23, SOD23	В+Е+С
C5	MMBA811C5	MOT	npn	$V_{CE0} > 50 \text{ В}$; $I_C < 50 \text{ мА}$; $P_D < 350 \text{ мВт}$; $h_{FE} > 135$; $f_T > 270$	SOT23, SOD23	В+Е+С
C5	MMBZ2256BT	DIODES	dz	$V_{d1}(I_T = 20 \text{ мА}) > 2.85$; $V_{d2}(I_T = 15 \text{ мА}) < 50 \text{ мВ}$	SOT523	A+н.с.+К
C56	SST4856	SIL	nFET	$V_{DS} > 40 \text{ В}$; $P_D < 350 \text{ мВт}$; $I_{DSS} > 50 \text{ мА}$; $R_{DS(on)} < 25 \text{ Ом}$	SOT23, SOD23	D+С+G
C57	SST4857	SIL	nFET	$V_{DS} > 40 \text{ В}$; $P_D < 350 \text{ мВт}$; $I_{DSS} > 20 \text{ мА}$; $R_{DS(on)} < 40 \text{ Ом}$	SOT23, SOD23	D+С+G
C58	SST4858	SIL	nFET	$V_{DS} > 40 \text{ В}$; $P_D < 350 \text{ мВт}$; $I_{DSS} > 8 \text{ мА}$; $R_{DS(on)} < 60 \text{ Ом}$	SOT23, SOD23	D+С+G
C59	SST4859	SIL	nFET	$V_{DS} > 30 \text{ В}$; $P_D < 350 \text{ мВт}$; $I_{DSS} > 50 \text{ мА}$; $R_{DS(on)} < 25 \text{ Ом}$	SOT23, SOD23	D+С+G
C5A	ZDC834A	ZETEX	var-2	$V_B < 25 \text{ В}$; $I_C < 200 \text{ мА}$; $I_B < 0.02 \text{ мА}$; $C_{2B}(C_{2B1}) > 5.0 \dots 6.5$	SOT23, SOD23	A1+A2-K1,K2
C5C	CMPTD7000	CSI	shd-2	$I_C < 200 \text{ мА}$; $V_{CE0} > 100 \text{ В}$; $V_{CE}(I_C = 100 \text{ мА}) > 0.75$; $I_B < 1.0 \text{ В}$; $I_C < 300 \text{ мА}$; $I_{B1} < 4.0 \text{ мА}$; $C_{D1} < 1.5 \text{ нФ}$	SOT23, SOD23	A2-K1-K2,A1
C60	CMPTD914	CSI	shd	$I_C < 250 \text{ мА}$; $V_{CE} > 75 \text{ В}$; $V_{CE}(I_C = 10 \text{ мА}) < 1.0 \text{ В}$; $I_B < 25 \text{ мА}$; $I_{B1} < 4.0 \text{ мА}$; $C_{D1} < 4.0 \text{ нФ}$	SOT23, SOD23	A+н.с.+К
C65	MMBA811C6	SAMS	npn	$V_{CE0} > 50 \text{ В}$; $I_C < 50 \text{ мА}$; $P_D < 350 \text{ мВт}$; $h_{FE} > 200$; $f_T > 400$	SOT23, SOD23	В+Е+С
C6	MMBA811C6	MOT	npn	$V_{CE0} > 50 \text{ В}$; $I_C < 50 \text{ мА}$; $P_D < 300 \text{ мВт}$; $h_{FE} > 200$; $f_T > 400$	SOT23, SOD23	В+Е+С
C60	SST4860	SIL	nFET	$V_{DS} > 30 \text{ В}$; $P_D < 350 \text{ мВт}$; $I_{DSS} > 20 \text{ мА}$; $R_{DS(on)} < 40 \text{ Ом}$	SOT23, SOD23	D+С+G
C61	SST4861	SIL	nFET	$V_{DS} > 30 \text{ В}$; $P_D < 350 \text{ мВт}$; $I_{DSS} > 8 \text{ мА}$; $R_{DS(on)} < 60 \text{ Ом}$	SOT23, SOD23	D+С+G
C7	MMBA811C7	SAMS	npn	$V_{CE0} > 50 \text{ В}$; $I_C < 50 \text{ мА}$; $P_D < 350 \text{ мВт}$; $h_{FE} > 300$; $f_T > 600$	SOT23, SOD23	В+Е+С
C7	MMBA811C7	MOT	npn	$V_{CE0} > 50 \text{ В}$; $I_C < 50 \text{ мА}$; $P_D < 300 \text{ мВт}$; $h_{FE} > 300$; $f_T > 600$	SOT23, SOD23	В+Е+С
C77	BCF23R	PHIL	npn	$V_{CE0} > 32 \text{ В}$; $I_C < 100 \text{ мА}$; $P_D < 350 \text{ мВт}$; $h_{FE} > 120$; $f_T > 100 \text{ МГц}$	SOT23, SOD23	Е+В+С
C7H	CMPT5179	CSI	npn	$V_{CE0} > 20 \text{ В}$; $I_C < 50 \text{ мА}$; $P_D < 350 \text{ мВт}$; $h_{FE} > 25$; $f_T > 900 \text{ МГц}$	SOT23, SOD23	В+Е+С
C7p	BCF23	PHIL	npn	$V_{CE0} > 32 \text{ В}$; $I_C < 100 \text{ мА}$; $P_D < 250 \text{ мВт}$; $h_{FE} > 120$; $f_T > 100 \text{ МГц}$	SOT23, SOD23	В+Е+С
C8	BCF30	SGS	npn	$V_{CE0} > 32 \text{ В}$; $I_C < 100 \text{ мА}$; $P_D < 250 \text{ мВт}$; $h_{FE} > 215$; $f_T > 100 \text{ МГц}$	SOT23, SOD23	В+Е+С
C8	MMBA811C8	SAMS	npn	$V_{CE0} > 50 \text{ В}$; $I_C < 50 \text{ мА}$; $P_D < 350 \text{ мВт}$; $h_{FE} > 450$; $f_T > 300$	SOT23, SOD23	В+Е+С
C8	MMBA811C8	MOT	npn	$V_{CE0} > 50 \text{ В}$; $I_C < 50 \text{ мА}$; $P_D < 300 \text{ мВт}$; $h_{FE} > 450$; $f_T > 300$	SOT23, SOD23	В+Е+С
C8A	CMPT5226B	CSI	dz	$V_{d1}(I_T = 20 \text{ мА}) > 3.135$; $V_{d2}(I_T = 1.0 \text{ В}) < 25 \text{ мВ}$; $Z_T(I_T = 20 \text{ мА}) < 28 \text{ Ом}$	SOT23, SOD23	A+н.с.+К
C8B	CMPT5227B	CSI	dz	$V_{d1}(I_T = 20 \text{ мА}) > 3.42$; $V_{d2}(I_T = 1.0 \text{ В}) < 15 \text{ мВ}$; $Z_T(I_T = 20 \text{ мА}) < 24 \text{ Ом}$	SOT23, SOD23	A+н.с.+К
C8C	CMPT5228B	CSI	dz	$V_{d1}(I_T = 20 \text{ мА}) > 3.705$; $V_{d2}(I_T = 1.0 \text{ В}) < 10 \text{ мВ}$; $Z_T(I_T = 20 \text{ мА}) < 23 \text{ Ом}$	SOT23, SOD23	A+н.с.+К
C8D	CMPT5229B	CSI	dz	$V_{d1}(I_T = 20 \text{ мА}) > 4.085$; $V_{d2}(I_T = 1.0 \text{ В}) < 5.0 \text{ мВ}$; $Z_T(I_T = 20 \text{ мА}) < 22 \text{ Ом}$	SOT23, SOD23	A+н.с.+К
C8E	CMPT5230B	CSI	dz	$V_{d1}(I_T = 20 \text{ мА}) > 4.465$; $V_{d2}(I_T = 2.0 \text{ В}) < 5.0 \text{ мВ}$; $Z_T(I_T = 20 \text{ мА}) < 19 \text{ Ом}$	SOT23, SOD23	A+н.с.+К
C8F	CMPT5231B	CSI	dz	$V_{d1}(I_T = 20 \text{ мА}) > 4.845$; $V_{d2}(I_T = 3.0 \text{ В}) < 5.0 \text{ мВ}$; $Z_T(I_T = 20 \text{ мА}) < 17 \text{ Ом}$	SOT23, SOD23	A+н.с.+К
C8G	CMPT5232B	CSI	dz	$V_{d1}(I_T = 20 \text{ мА}) > 5.320$; $V_{d2}(I_T = 5.880 \text{ В}) < 5.0 \text{ мВ}$; $Z_T(I_T = 20 \text{ мА}) < 11 \text{ Ом}$	SOT23, SOD23	A+н.с.+К
C8H	CMPT5233B	CSI	dz	$V_{d1}(I_T = 20 \text{ мА}) > 5.700$; $V_{d2}(I_T = 6.300 \text{ В}) < 5.0 \text{ мВ}$; $Z_T(I_T = 20 \text{ мА}) < 7.0 \text{ Ом}$	SOT23, SOD23	A+н.с.+К
C8J	CMPT5234B	CSI	dz	$V_{d1}(I_T = 20 \text{ мА}) > 5.890$; $V_{d2}(I_T = 6.510 \text{ В}) < 5.0 \text{ мВ}$; $Z_T(I_T = 20 \text{ мА}) < 7.0 \text{ Ом}$	SOT23, SOD23	A+н.с.+К
C8K	CMPT5235B	CSI	dz	$V_{d1}(I_T = 20 \text{ мА}) > 6.460$; $V_{d2}(I_T = 7.140 \text{ В}) < 3.0 \text{ мВ}$; $Z_T(I_T = 20 \text{ мА}) < 5.0 \text{ Ом}$	SOT23, SOD23	A+н.с.+К
C8L	CMPT5236B	CSI	dz	$V_{d1}(I_T = 20 \text{ мА}) > 7.125$; $V_{d2}(I_T = 7.875 \text{ В}) < 3.0 \text{ мВ}$; $Z_T(I_T = 20 \text{ мА}) < 6.0 \text{ Ом}$	SOT23, SOD23	A+н.с.+К



Код	Типономинал	Б	Ф	Особенности	Корпус	Ц: 1•2•3
C8M	CMFZ5237B	CSI	dz	$V_{DS}(I_{D1}=20\text{ mA})=7.790...8.610\text{ В}$, $I_{D1}(V_{DS}=6.5\text{ В}) < 3.0\text{ mA}$, $Z_{TH}(I_{D1}=20\text{ mA}) < 8.0\text{ Ом}$	SOT23, SOD23	A•n.c•K
C8N	CMFZ5238B	CSI	dz	$V_{DS}(I_{D1}=20\text{ mA})=8.265...9.135\text{ В}$, $I_{D1}(V_{DS}=6.5\text{ В}) < 3.0\text{ mA}$, $Z_{TH}(I_{D1}=20\text{ mA}) < 8.0\text{ Ом}$	SOT23, SOD23	A•n.c•K
C8P	BCF30	PHIL	npn	$V_{CEB}=32\text{ В}$, $I_C=100\text{ mA}$, $P_D=250\text{ мВт}$, $h_{FE}=215...500$, $f_T > 100\text{ МГц}$	SOT23, SOD23	B•E•C
C8P	CMFZ5239B	CSI	dz	$V_{DS}(I_{D1}=20\text{ mA})=8.645...9.555\text{ В}$, $I_{D1}(V_{DS}=6.5\text{ В}) < 3.0\text{ mA}$, $Z_{TH}(I_{D1}=20\text{ mA}) < 10\text{ Ом}$	SOT23, SOD23	A•n.c•K
C8Q	CMFZ5240B	CSI	dz	$V_{DS}(I_{D1}=20\text{ mA})=9.500...10.50\text{ В}$, $I_{D1}(V_{DS}=8.0\text{ В}) < 3.0\text{ mA}$, $Z_{TH}(I_{D1}=20\text{ mA}) < 17\text{ Ом}$	SOT23, SOD23	A•n.c•K
C8R	CMFZ5241B	CSI	dz	$V_{DS}(I_{D1}=20\text{ mA})=10.45...11.55\text{ В}$, $I_{D1}(V_{DS}=8.4\text{ В}) < 2.0\text{ mA}$, $Z_{TH}(I_{D1}=20\text{ mA}) < 22\text{ Ом}$	SOT23, SOD23	A•n.c•K
C8S	CMFZ5242B	CSI	dz	$V_{DS}(I_{D1}=20\text{ mA})=11.40...12.60\text{ В}$, $I_{D1}(V_{DS}=9.1\text{ В}) < 1.0\text{ mA}$, $Z_{TH}(I_{D1}=20\text{ mA}) < 30\text{ Ом}$	SOT23, SOD23	A•n.c•K
C8T	CMFZ5243B	CSI	dz	$V_{DS}(I_{D1}=9.5\text{ mA})=12.35...13.65\text{ В}$, $I_{D1}(V_{DS}=9.9\text{ В}) < 0.5\text{ mA}$, $Z_{TH}(I_{D1}=9.5\text{ mA}) < 13\text{ Ом}$	SOT23, SOD23	A•n.c•K
C8U	CMFZ5244B	CSI	dz	$V_{DS}(I_{D1}=9.0\text{ mA})=13.30...14.70\text{ В}$, $I_{D1}(V_{DS}=10\text{ В}) < 0.1\text{ mA}$, $Z_{TH}(I_{D1}=9.0\text{ mA}) < 15\text{ Ом}$	SOT23, SOD23	A•n.c•K
C9	1SS307	TOSH	di	$V_{DS}=30\text{ В}$, $I_F < 100\text{ mA}$, $V_F(I_F=100\text{ mA}) < 1.3\text{ В}$, $I_F < 0.01\text{ mA}$	SOT346, SC59	A•n.c•K
C9	BCF30R	PHIL	npn	$V_{CEB}=32\text{ В}$, $I_C=100\text{ mA}$, $P_D=350\text{ мВт}$, $h_{FE}=215...500$, $f_T > 100\text{ МГц}$	SOT23, SOD23	E•B•C
CA	BCW61AR	ZETEX	npn	$V_{CEB}=32\text{ В}$, $I_C=200\text{ mA}$, $P_D=330\text{ мВт}$, $h_{FE}=120...220$, $f_T > 180\text{ МГц}$	SOT23, SOD23	B•E•C
CA	BCW61AR	PHIL	npn	$V_{CEB}=32\text{ В}$, $I_C=200\text{ mA}$, $P_D=250\text{ мВт}$, $h_{FE}=120...220$, $f_T > 100\text{ МГц}$	SOT23, SOD23	C•B•E
CA	MMB24691	VISH	dz	$V_{DS}(I_{D1}=50\text{ mA})=5.89...6.51\text{ В}$, $I_D < 10\text{ mA}$	SOT23, SOD23	A•n.c•K
CA	RN1444A	TOSH	Dnnpn	$V_{CEB}=50\text{ В}$, $I_C=300\text{ mA}$, $P_D=200\text{ мВт}$, $h_{FE}=200...700$, $f_T > 30\text{ МГц}$, $R_{DS(on)}=2.2\text{ Ом}$	SOT346, SC59	B•E•C
CA	SST4391	SIL	nFET	$V_{DS}=40\text{ В}$, $P_D=350\text{ мВт}$, $I_{DSS} > 50\text{ mA}$, $g_{FS}=6\text{ мС}$, $R_{DS(on)}=30\text{ Ом}$	SOT23, SOD23	D•S•G
CA2	CMFD2838	CSI	fid-c2	$I_D=200\text{ mA}$, $V_{RPM}=75\text{ В}$, $V_{DS}(I_D=100\text{ mA}) < 1.2\text{ В}$, $I_D < 100\text{ mA}$, $I_{RR} < 4.0\text{ нС}$, $C_T < 4.0\text{ нФ}$	SOT23, SOD23	K2•K1•A2, A1
CA6	CMFD2838	CSI	fid-c2	$I_D=200\text{ mA}$, $V_{RPM}=75\text{ В}$, $V_{DS}(I_D=100\text{ mA}) < 1.2\text{ В}$, $I_D < 100\text{ mA}$, $I_{RR} < 4.0\text{ нС}$, $C_T < 4.0\text{ нФ}$	SOT23, SOD23	A2•A1•K2, K1
CAR	2SA1885R	ROHM	npn	$V_{CEB}=15\text{ В}$, $I_C=100\text{ mA}$, $h_{FE}=180...390$, $f_T > 650\text{ МГц}$	SOT416, SC75A	B•E•C
CAS	2SA1885S	ROHM	npn	$V_{CEB}=15\text{ В}$, $I_C=100\text{ mA}$, $h_{FE}=180...390$, $f_T > 650\text{ МГц}$	SOT416, SC75A	B•E•C
CB	BCW61BR	ZETEX	npn	$V_{CEB}=32\text{ В}$, $I_C=200\text{ mA}$, $P_D=330\text{ мВт}$, $h_{FE}=180...310$, $f_T > 180\text{ МГц}$	SOT23, SOD23	B•E•C
CB	BCW61BR	PHIL	npn	$V_{CEB}=32\text{ В}$, $I_C=100\text{ mA}$, $P_D=330\text{ мВт}$, $h_{FE}=180...310$, $f_T > 250\text{ МГц}$	SOT23, SOD23	C•B•E
CB	RN1444B	TOSH	Dnnpn	$V_{CEB}=50\text{ В}$, $I_C=300\text{ mA}$, $P_D=200\text{ мВт}$, $h_{FE}=350...1200$, $f_T > 30\text{ МГц}$, $R_{DS(on)}=2.2\text{ Ом}$	SOT346, SC59	B•E•C
CB	SST4392	SIL	nFET	$V_{DS}=40\text{ В}$, $P_D=350\text{ мВт}$, $I_{DSS} > 25\text{ mA}$, $g_{FS}=6\text{ мС}$, $R_{DS(on)}=60\text{ Ом}$	SOT23, SOD23	D•S•G
CC	2SA1122B	REN	npn	$V_{CEB}=55\text{ В}$, $I_C=100\text{ mA}$, $P_D=150\text{ мВт}$, $h_{FE}=160...320$	SOT23, SOD23	B•E•C
CC	2SA2081C	REN	npn	$V_{CEB}=55\text{ В}$, $I_C=100\text{ mA}$, $P_D=150\text{ мВт}$, $h_{FE}=160...320$	SOT323, SC70	B•E•C
CC	BCW61CR	ZETEX	npn	$V_{CEB}=32\text{ В}$, $I_C=200\text{ mA}$, $P_D=330\text{ мВт}$, $h_{FE}=250...460$, $f_T > 180\text{ МГц}$	SOT23, SOD23	B•E•C
CC	BCW61CR	PHIL	npn	$V_{CEB}=32\text{ В}$, $I_C=200\text{ mA}$, $P_D=330\text{ мВт}$, $h_{FE}=250...460$, $f_T > 180\text{ МГц}$	SOT23, SOD23	C•B•E
CC	BF554	SIEM	npn	$V_{CEB}=20\text{ В}$, $I_C=30\text{ mA}$, $P_D=280\text{ мВт}$, $h_{FE}=60...250$, $f_T > 250\text{ МГц}$	SOT23, SOD23	B•E•C
CC	SST4393	SIL	nFET	$V_{DS}=40\text{ В}$, $P_D=350\text{ мВт}$, $I_{DSS} > 5\text{ mA}$, $g_{FS}=6\text{ мС}$, $R_{DS(on)}=100\text{ Ом}$	SOT23, SOD23	D•S•G
CC	ZMDC831B	ZETEX	var-z	$V_{DS}=25\text{ В}$, $I_C < 200\text{ mA}$, $I_F < 0.02\text{ mA}$, $C_{PB}=14.25...15.75\text{ нФ}$, $C_{P9/C_{P10}}=4.5...6$	SOT323, SC70	A1•A2•K1•K2
CC10	CMFZDC27V	CSI	dz-z2	$V_Z=27\text{ В}(5\%)$, $P_D < 350\text{ мВт}$	SOT23, SOD23	A1•A2•K1•K2
CC11	CMFZDC30V	CSI	dz-z2	$V_Z=30\text{ В}(5\%)$, $P_D < 350\text{ мВт}$	SOT23, SOD23	A1•A2•K1•K2
CC12	CMFZDC33V	CSI	dz-z2	$V_Z=33\text{ В}(5\%)$, $P_D < 350\text{ мВт}$	SOT23, SOD23	A1•A2•K1•K2
CC13	CMFZDC36V	CSI	dz-z2	$V_Z=36\text{ В}(5\%)$, $P_D < 350\text{ мВт}$	SOT23, SOD23	A1•A2•K1•K2
CC14	CMFZDC39V	CSI	dz-z2	$V_Z=39\text{ В}(5\%)$, $P_D < 350\text{ мВт}$	SOT23, SOD23	A1•A2•K1•K2
CC15	CMFZDC43V	CSI	dz-z2	$V_Z=43\text{ В}(5\%)$, $P_D < 350\text{ мВт}$	SOT23, SOD23	A1•A2•K1•K2
CC16	CMFZDC47V	CSI	dz-z2	$V_Z=47\text{ В}(5\%)$, $P_D < 350\text{ мВт}$	SOT23, SOD23	A1•A2•K1•K2
CCW3	CMFZDC2V4	CSI	dz-z2	$V_Z=2.4\text{ В}(5\%)$, $P_D < 350\text{ мВт}$	SOT23, SOD23	A1•A2•K1•K2
CCW4	CMFZDC2V7	CSI	dz-z2	$V_Z=2.7\text{ В}(5\%)$, $P_D < 350\text{ мВт}$	SOT23, SOD23	A1•A2•K1•K2
CCW5	CMFZDC3V0	CSI	dz-z2	$V_Z=3.0\text{ В}(5\%)$, $P_D < 350\text{ мВт}$	SOT23, SOD23	A1•A2•K1•K2
CCW6	CMFZDC3V3	CSI	dz-z2	$V_Z=3.3\text{ В}(5\%)$, $P_D < 350\text{ мВт}$	SOT23, SOD23	A1•A2•K1•K2
CCW7	CMFZDC3V6	CSI	dz-z2	$V_Z=3.6\text{ В}(5\%)$, $P_D < 350\text{ мВт}$	SOT23, SOD23	A1•A2•K1•K2
CCW8	CMFZDC3V9	CSI	dz-z2	$V_Z=3.9\text{ В}(5\%)$, $P_D < 350\text{ мВт}$	SOT23, SOD23	A1•A2•K1•K2



SOT23-3
SOD23-3

SOT323
SOT346

SOT416
SOT523



SOT490
MFPK

TESM
TSFP-3

VMT3
VMD3

Код	Типономинал	Б	Ф	Особенности	Корпус	Ц: 1+2+3
CCW9	CMPZDC4V3	CSI	dz-2	$V_{CE} = 4.3 \text{ В} (5\%); P_D < 350 \text{ мВт}$	SOT23, SOD23	A1+A2-K1,K2
CCY1	CMPZDC11V	CSI	dz-2	$V_{CE} = 11 \text{ В} (5\%); P_D < 350 \text{ мВт}$	SOT23, SOD23	A1+A2-K1,K2
CCY2	CMPZDC12V	CSI	dz-2	$V_{CE} = 12 \text{ В} (5\%); P_D < 350 \text{ мВт}$	SOT23, SOD23	A1+A2-K1,K2
CCY3	CMPZDC13V	CSI	dz-2	$V_{CE} = 13 \text{ В} (5\%); P_D < 350 \text{ мВт}$	SOT23, SOD23	A1+A2-K1,K2
CCY4	CMPZDC15V	CSI	dz-2	$V_{CE} = 15 \text{ В} (5\%); P_D < 350 \text{ мВт}$	SOT23, SOD23	A1+A2-K1,K2
CCY5	CMPZDC16V	CSI	dz-2	$V_{CE} = 16 \text{ В} (5\%); P_D < 350 \text{ мВт}$	SOT23, SOD23	A1+A2-K1,K2
CCY6	CMPZDC18V	CSI	dz-2	$V_{CE} = 18 \text{ В} (5\%); P_D < 350 \text{ мВт}$	SOT23, SOD23	A1+A2-K1,K2
CCY7	CMPZDC20V	CSI	dz-2	$V_{CE} = 20 \text{ В} (5\%); P_D < 350 \text{ мВт}$	SOT23, SOD23	A1+A2-K1,K2
CCY8	CMPZDC22V	CSI	dz-2	$V_{CE} = 22 \text{ В} (5\%); P_D < 350 \text{ мВт}$	SOT23, SOD23	A1+A2-K1,K2
CCY9	CMPZDC24V	CSI	dz-2	$V_{CE} = 24 \text{ В} (5\%); P_D < 350 \text{ мВт}$	SOT23, SOD23	A1+A2-K1,K2
CCZ1	CMPZDC4V7	CSI	dz-2	$V_{CE} = 4.7 \text{ В} (5\%); P_D < 350 \text{ мВт}$	SOT23, SOD23	A1+A2-K1,K2
CCZ2	CMPZDC5V1	CSI	dz-2	$V_{CE} = 5.1 \text{ В} (5\%); P_D < 350 \text{ мВт}$	SOT23, SOD23	A1+A2-K1,K2
CCZ3	CMPZDC5V6	CSI	dz-2	$V_{CE} = 5.6 \text{ В} (5\%); P_D < 350 \text{ мВт}$	SOT23, SOD23	A1+A2-K1,K2
CCZ4	CMPZDC6V2	CSI	dz-2	$V_{CE} = 6.2 \text{ В} (5\%); P_D < 350 \text{ мВт}$	SOT23, SOD23	A1+A2-K1,K2
CCZ5	CMPZDC6V8	CSI	dz-2	$V_{CE} = 6.8 \text{ В} (5\%); P_D < 350 \text{ мВт}$	SOT23, SOD23	A1+A2-K1,K2
CCZ6	CMPZDC7V5	CSI	dz-2	$V_{CE} = 7.5 \text{ В} (5\%); P_D < 350 \text{ мВт}$	SOT23, SOD23	A1+A2-K1,K2
CCZ7	CMPZDC8V2	CSI	dz-2	$V_{CE} = 8.2 \text{ В} (5\%); P_D < 350 \text{ мВт}$	SOT23, SOD23	A1+A2-K1,K2
CCZ8	CMPZDC9V1	CSI	dz-2	$V_{CE} = 9.1 \text{ В} (5\%); P_D < 350 \text{ мВт}$	SOT23, SOD23	A1+A2-K1,K2
CCZ9	CMPZDC10V	CSI	dz-2	$V_{CE} = 10 \text{ В} (5\%); P_D < 350 \text{ мВт}$	SOT23, SOD23	A1+A2-K1,K2
CD	2SA1122C	REN	pnp	$V_{CE0} = 55 \text{ В}; I_C = 100 \text{ мА}; P_D = 150 \text{ мВт}; h_{FE} > 250...500$	SOT23, SOD23	B+E-C
CD	2SA2081D	REN	pnp	$V_{CE0} = 55 \text{ В}; I_C = 100 \text{ мА}; P_D = 150 \text{ мВт}; h_{FE} > 250...500$	SOT323, SOT70	B+E-C
CD	BCW61DR	ZETEX	pnp	$V_{CE0} = 32 \text{ В}; I_C = 200 \text{ мА}; P_D = 330 \text{ мВт}; h_{FE} > 380...630; f_T > 180 \text{ МГц}$	SOT23, SOD23	B+E-C
CD	BCW61IDR	PHIL	pnp	$V_{CE0} = 32 \text{ В}; I_C = 200 \text{ мА}; P_D = 330 \text{ мВт}; h_{FE} > 380...630; f_T > 180 \text{ МГц}$	SOT23, SOD23	C+B-E
CD	ZMDC832B	ZETEX	var-2	$V_B < 25 \text{ В}; I_C = 200 \text{ мА}; I_{B0} < 0.02 \text{ нА}; C_{2B} = 20.9...23.1 \text{ нФ}; C_{2B}/C_{2B0} = 5...6.5$	SOT323, SOT70	A1+A2-K1,K2
CDs	BSS81B	SIEM	npn	$V_{CE0} = 75 \text{ В}; I_C = 800 \text{ мА}; P_D = 330 \text{ мВт}; h_{FE} > 40...120; f_T > 250 \text{ МГц}$	SOT23, SOD23	B+E-C
CE	2SA1122D	REN	pnp	$V_{CE0} = 55 \text{ В}; I_C = 100 \text{ мА}; P_D = 150 \text{ мВт}; h_{FE} > 400...800$	SOT23, SOD23	B+E-C
CE	BSS79B	ZETEX	pnp	$V_{CE0} = 75 \text{ В}; I_C = 800 \text{ мА}; P_D = 330 \text{ мВт}; h_{FE} > 40...120; f_T > 250 \text{ МГц}$	SOT23, SOD23	B+E-C
CEs	BSS79C	SIEM	npn	$V_{CE0} = 75 \text{ В}; I_C = 800 \text{ мА}; P_D = 330 \text{ мВт}; h_{FE} > 40...120; f_T > 250 \text{ МГц}$	SOT23, SOD23	B+E-C
CF	BSS79C	ZETEX	npn	$V_{CE0} = 75 \text{ В}; I_C = 800 \text{ мА}; P_D = 330 \text{ мВт}; h_{FE} > 100...300; f_T > 250 \text{ МГц}$	SOT23, SOD23	B+E-C
CF	MMBZ4681	VISH	dz	$V_{CE0} = 50 \text{ В}; I_{C0} = 2.28...2.52 \text{ В}; I_B < 2 \text{ мкА}$	SOT23, SOD23	A+n.c.-K
CFs	BSS79C	SIEM	npn	$V_{CE0} = 75 \text{ В}; I_C = 800 \text{ мА}; P_D = 330 \text{ мВт}; h_{FE} > 100...300; f_T > 250 \text{ МГц}$	SOT23, SOD23	B+E-C
CG	2SA1587G	TOSH	pnp	$V_{CE0} = 120 \text{ В}; I_C = 100 \text{ мА}; P_D = 100 \text{ мВт}; h_{FE} > 200...400; f_T > 100 \text{ МГц}$	SOT323, SOT70	B+E-C
CG	BCX71GR	ZETEX	pnp	$V_{CE0} = 45 \text{ В}; I_C = 200 \text{ мА}; P_D = 330 \text{ мВт}; h_{FE} > 120...220; f_T > 180 \text{ МГц}$	SOT23, SOD23	B+E-C
CG	BCX71GR	PHIL	pnp	$V_{CE0} = 45 \text{ В}; I_C = 200 \text{ мА}; P_D = 250 \text{ мВт}; h_{FE} > 120...220; f_T > 100 \text{ МГц}$	SOT23, SOD23	C+B-E
CG	BPA124ECM	REN	Dnpn	$V_{CE} = 50 \text{ В}; I_{C0} = 100 \text{ мА}; P_D = 150 \text{ мВт}; h_{FE} > 56; 22 \text{ к}/22 \text{ к}$	SOT323, SOT70	B+E-C
CG	BPA124EMP	REN	Dnpn	$V_{CE} = 50 \text{ В}; I_{C0} = 100 \text{ мА}; P_D = 150 \text{ мВт}; h_{FE} > 56; 22 \text{ к}/22 \text{ к}$	SOT23, SOD23	B+E-C
CGs	BSS81C	SIEM	npn	$V_{CE0} = 75 \text{ В}; I_C = 800 \text{ мА}; P_D = 330 \text{ мВт}; h_{FE} > 100...300; f_T > 250 \text{ МГц}$	SOT23, SOD23	B+E-C
CH	1SS351	SANYO	shd-2	$V_B > 5 \text{ В}; V_{BE} (I_B = 1 \text{ мА}) < 0.23 \text{ В}; I_{B0} (V_{BE} = 0.5 \text{ В}) < 25 \text{ мкА}$	SOT23, SOD23	A1+K2-K1,A2
CH	BSS80B	ZETEX	pnp	$V_{CE0} = 60 \text{ В}; I_C = 800 \text{ мА}; P_D = 330 \text{ мВт}; h_{FE} > 40...120; f_T > 200 \text{ МГц}$	SOT23, SOD23	B+E-C
CH	BSS82BL	MOT	pnp	$V_{CE0} = 60 \text{ В}; I_C = 800 \text{ мА}; P_D = 330 \text{ мВт}; h_{FE} > 40...120; f_T > 200 \text{ МГц}$	SOT23, SOD23	B+E-C
CH	MMBZ4682	VISH	dz	$V_{CE0} = 50 \text{ В}; I_{C0} = 2.57...2.84 \text{ В}; I_B < 1 \text{ мкА}$	SOT23, SOD23	A+n.c.-K
CHA	ZSC4657A	TOSH	pnp	$V_{CE0} = 15 \text{ В}; I_C = 200 \text{ мА}; P_D = 100 \text{ мВт}; h_{FE} > 600...1800; f_T > 250 \text{ МГц}$	SOT323, SOT70	B+E-C
CHB	ZSC4657B	TOSH	pnp	$V_{CE0} = 15 \text{ В}; I_C = 200 \text{ мА}; P_D = 100 \text{ мВт}; h_{FE} > 1200...3600; f_T > 250 \text{ МГц}$	SOT323, SOT70	B+E-C
CHs	BSS80B	SIEM	pnp	$V_{CE0} = 60 \text{ В}; I_C = 800 \text{ мА}; P_D = 330 \text{ мВт}; h_{FE} > 40...120; f_T > 250 \text{ МГц}$	SOT23, SOD23	B+E-C
CJs	BSS80C	ZETEX	pnp	$V_{CE0} = 60 \text{ В}; I_C = 800 \text{ мА}; P_D = 330 \text{ мВт}; h_{FE} > 100...300; f_T > 200 \text{ МГц}$	SOT23, SOD23	B+E-C
CJ	MMBZ4683	VISH	dz	$V_{CE0} = 50 \text{ В}; I_{C0} = 2.85...3.15 \text{ В}; I_B < 0.8 \text{ мкА}$	SOT23, SOD23	A+n.c.-K
CJs	BSS80C	SIEM	pnp	$V_{CE0} = 60 \text{ В}; I_C = 800 \text{ мА}; P_D = 330 \text{ мВт}; h_{FE} > 100...300; f_T > 250 \text{ МГц}$	SOT23, SOD23	B+E-C
CK	BCX71JR	PHIL	pnp	$V_{CE0} = 45 \text{ В}; I_C = 200 \text{ мА}; P_D = 250 \text{ мВт}; h_{FE} > 450...630; f_T > 100 \text{ МГц}$	SOT23, SOD23	C+B-E
CK	BCX71KR	ZETEX	pnp	$V_{CE0} = 45 \text{ В}; I_C = 200 \text{ мА}; P_D = 330 \text{ мВт}; h_{FE} > 380...630; f_T > 180 \text{ МГц}$	SOT23, SOD23	B+E-C
CK	MMBZ4684	VISH	dz	$V_{CE0} = 50 \text{ В}; I_{C0} = 3.14...3.47 \text{ В}; I_B < 7.5 \text{ мкА}$	SOT23, SOD23	A+n.c.-K
CKB	CMP7B099	CSI	pnp	$V_{CE0} = 80 \text{ В}; I_C = 500 \text{ мА}; P_D = 350 \text{ мВт}; h_{FE} > 100...300; f_T > 150 \text{ МГц}$	SOT23, SOD23	B+E-C
CL	2SA1587B	TOSH	pnp	$V_{CE0} = 120 \text{ В}; I_C = 100 \text{ мА}; P_D = 100 \text{ мВт}; h_{FE} > 350...700; f_T > 100 \text{ МГц}$	SOT323, SOT70	B+E-C

**SOT490 TSM
MFPAC TSFP-3**

**VMT3
VMD3**



**SOT416 SOT323
SOT523 SOT346**

**SOT23-3
SOD23-3**



Код	Типономинал	Б	Ф	Особенности	Корпус	Ц: 1•2•3
CL	BSS82B	ZETEX	npn	$V_{CE0}=60\text{ В}; I_C=800\text{ мА}; P_D=330\text{ мВт}; h_{FE}=40...120; f_T>200\text{ МГц}$	SOT23, SOD23	B-E-C
CLS	BSS82B	SIEM	npn	$V_{CE0}=60\text{ В}; I_C=800\text{ мА}; P_D=330\text{ мВт}; h_{FE}=40...120; f_T>250\text{ МГц}$	SOT23, SOD23	B-E-C
CM	BSS82C	ZETEX	npn	$V_{CE0}=60\text{ В}; I_C=800\text{ мА}; P_D=330\text{ мВт}; h_{FE}=100...300; f_T>200\text{ МГц}$	SOT23, SOD23	B-E-C
CM	MMB2468S	VISH	dz	$V_{Z(I_{T1})}=50\text{ мА}; 3.42...3.78\text{ В}; I_{S1}<7.5\text{ мА}$	SOT23, SOD23	A-п.с.-К
CM/S	BSS82C	SIEM	npn	$V_{CE0}=60\text{ В}; I_C=800\text{ мА}; P_D=330\text{ мВт}; h_{FE}=100...300; f_T>250\text{ МГц}$	SOT23, SOD23	B-E-C
CN	2SK3348	REN	nMOS	$V_{DS}=20\text{ В}; I_D=100\text{ мА}; P_D=300\text{ мВт}; R_{DS(on)}<3.2\text{ Ом}$	SOT323, SC70	G-S-D
CN	MMB2468S	VISH	dz	$V_{Z(I_{T1})}=50\text{ мА}; 3.71...4.10\text{ В}; I_{S1}<6\text{ мА}$	SOT23, SOD23	A-п.с.-К
CP	2SC2411 KP	ROHM	npn	$V_{CE0}=40\text{ В}; I_C=500\text{ мА}; P_D=200\text{ мВт}; h_{FE}=82...180; f_T>250\text{ МГц}$	SOT346, SC59	B-E-C
CP	2SC4097P	ROHM	npn	$V_{CE0}=40\text{ В}; I_C=500\text{ мА}; P_D=200\text{ мВт}; h_{FE}=82...180; f_T>250\text{ МГц}$	SOT323, SC70	B-E-C
CP	2SJ586	REN	pMOS	$V_{DS}=20\text{ В}; I_D=100\text{ мА}; P_D=400\text{ мВт}; R_{DS(on)}<8.5\text{ Ом}$	SOT323, SC70	G-S-D
CP	MMB2468T	VISH	dz	$V_{Z(I_{T1})}=50\text{ мА}; 4.09...4.52\text{ В}; I_{S1}<4\text{ мА}$	SOT23, SOD23	A-п.с.-К
CQ	2PB1219Q	PHIL	npn	$V_{CE0}=30\text{ В}; I_C=500\text{ мА}; P_D=200\text{ мВт}; h_{FE}=85...170; f_T>100\text{ МГц}$	SOT323, SC70	B-E-C
CQ	2SC2411 KQ	ROHM	npn	$V_{CE0}=40\text{ В}; I_C=500\text{ мА}; P_D=200\text{ мВт}; h_{FE}=120...270; f_T>250\text{ МГц}$	SOT346, SC59	B-E-C
CQ	2SC4097Q	ROHM	npn	$V_{CE0}=40\text{ В}; I_C=500\text{ мА}; P_D=200\text{ мВт}; h_{FE}=120...270; f_T>250\text{ МГц}$	SOT323, SC70	B-E-C
CQ	MSD710Q	MOT	npn	$V_{CE0}=25\text{ В}; I_C=150\text{ мА}$	SOT346, SC59	B-E-C
CR	2PB1219R	PHIL	npn	$V_{CE0}=30\text{ В}; I_C=500\text{ мА}; P_D=200\text{ мВт}; h_{FE}=120...240; f_T>120\text{ МГц}$	SOT323, SC70	B-E-C
CR	2SC2411 KR	ROHM	npn	$V_{CE0}=40\text{ В}; I_C=500\text{ мА}; P_D=200\text{ мВт}; h_{FE}=180...390; f_T>250\text{ МГц}$	SOT346, SC59	B-E-C
CR	2SC4097R	ROHM	npn	$V_{CE0}=40\text{ В}; I_C=500\text{ мА}; P_D=200\text{ мВт}; h_{FE}=180...390; f_T>250\text{ МГц}$	SOT323, SC70	B-E-C
CR	BCW60A	ZETEX	npn	$V_{CE0}=32\text{ В}; I_C=200\text{ мА}; P_D=330\text{ мВт}; h_{FE}=120...220; f_T>250\text{ МГц}$	SOT23, SOD23	B-E-C
CR	MSD701R	MOT	npn	$V_{CE0}=25\text{ В}; I_C=150\text{ мА}$	SOT346, SC59	B-E-C
CS	2PB1219S	PHIL	npn	$V_{CE0}=30\text{ В}; I_C=500\text{ мА}; P_D=200\text{ мВт}; h_{FE}=170...340; f_T>140\text{ МГц}$	SOT323, SC70	B-E-C
CT	MMB24688	VISH	dz	$V_{Z(I_{T1})}=50\text{ мА}; 4.47...4.94\text{ В}; I_{S1}<10\text{ мА}$	SOT23, SOD23	A-п.с.-К
CU	MMB24689	VISH	dz	$V_{Z(I_{T1})}=50\text{ мА}; 4.85...5.36\text{ В}; I_{S1}<10\text{ мА}$	SOT23, SOD23	A-п.с.-К
CV	1SV234	SANYO	pin-2	$V_A>50\text{ В}; I_A<50\text{ мА}; V_{Z(I_{T1})}=50\text{ мА}; 0.95\text{ В}; I_{S1}<0.1\text{ мА}$	SOT23, SOD23	A1-K2-K1, A2
CV	1SV246	SANYO	pin-2	$V_A>50\text{ В}; I_A<50\text{ мА}; V_{Z(I_{T1})}=50\text{ мА}; 0.95\text{ В}; I_{S1}<0.1\text{ мА}$	SOT323, SC70	A1-K2-K1, A2
CV	MMB24690	VISH	dz	$V_{Z(I_{T1})}=50\text{ мА}; 5.32...5.88\text{ В}; I_{S1}<10\text{ мА}$	SOT23, SOD23	A-п.с.-К
CWAA	MAX803LUR	MAX	mrcc	$V_{TH}=4.00\text{ В}; V_{DD}=1.2...5.5\text{ В}; I_{CC}<100\text{ мА}$	SOT23, SOD23	GND-RST-V _{CC}
CX	MMB24692	VISH	dz	$V_{Z(I_{T1})}=50\text{ мА}; 6.46...7.14\text{ В}; I_{S1}<10\text{ мА}$	SOT23, SOD23	A-п.с.-К
CY	MMB24693	VISH	dz	$V_{Z(I_{T1})}=50\text{ мА}; 7.13...7.88\text{ В}; I_{S1}<10\text{ мА}$	SOT23, SOD23	A-п.с.-К
CZ	MMB24694	VISH	dz	$V_{Z(I_{T1})}=50\text{ мА}; 7.79...8.61\text{ В}; I_{S1}<1\text{ мА}$	SOT23, SOD23	A-п.с.-К
D	IRLML5103	IR	pMOS	HEXFET; $V_{DS}=30\text{ В}; I_D=0.61\text{ А}; P_D=540\text{ мВт}; R_{DS(on)}<1\text{ Ом}$	SOT23, SOD23	G-S-D
D	MPF57711	MOT	npn	$V_{CE0}=20\text{ В}; I_C=80\text{ мА}; P_D=232\text{ мВт}; h_{FE}=50...300; f_T>7000\text{ МГц}$	SOT323, SC70	B-E-C
DO	HSMF3900	HP	pin	$I_C<1\text{ А}; V_{DS}>100\text{ В}; R_{DS}<2.0\text{ Ом}; C_D<0.37\text{ нФ}; R_{th}>1000\text{ Ом}; R_{th}<8\text{ Ом}$	SOT23, SOD23	A-п.с.-К
D1	A223B2V7	VISH	dz-2	$V_Z=2.65...2.75\text{ В}; R_{Z(I_{T1})}=5\text{ мА}; <83\text{ Ом}$	SOT23, SOD23	K1-K2-A1, A2
D1	A223C2V7	VISH	dz-2	$V_Z=2.5...2.9\text{ В}; R_{Z(I_{T1})}=5\text{ мА}; <83\text{ Ом}$	SOT23, SOD23	K1-K2-A1, A2
D1	A223C2V7	TSC	dz-2	$V_Z=2.5...2.9\text{ В}; R_{Z(I_{T1})}=5\text{ мА}; <83\text{ Ом}$	SOT23, SOD23	K1-K2-A1, A2
D1	BCW31	ALLEG	npn	$V_{CE0}=30\text{ В}; I_{C0}<100\text{ мА}; h_{FE}=110...220; V_{CE(sat)}<0.25\text{ В}$	SOT23, SOD23	B-E-C
D1	BCW31	CDIL	npn	$V_{CE0}=32\text{ В}; I_C=100\text{ мА}; P_D=330\text{ мВт}; h_{FE}=110...220; f_T>300\text{ МГц}$	SOT23, SOD23	B-E-C
D1	BCW31	SAMS	npn	$V_{CE0}=30\text{ В}; I_C=100\text{ мА}; P_D=350\text{ мВт}; h_{FE}=110...220$	SOT23, SOD23	B-E-C
D1	BCW31	ZETEX	npn	$V_{CE0}=32\text{ В}; I_C=100\text{ мА}; P_D=330\text{ мВт}; h_{FE}=110...220; f_T>300\text{ МГц}$	SOT23, SOD23	B-E-C
D1	HSMF3901	HP	pin	$I_C<1\text{ А}; V_{DS}>100\text{ В}; R_{DS}<2.0\text{ Ом}; C_D<0.37\text{ нФ}; R_{th}>1000\text{ Ом}; R_{th}<8\text{ Ом}$	SOT23, SOD23	п.с.-А-K
D10	A223B6V2	VISH	dz-2	$V_Z=0.8...0.832\text{ В}; R_{Z(I_{T1})}=5\text{ мА}; <10\text{ Ом}$	SOT23, SOD23	K1-K2-A1, A2
D10	A223C6V2	VISH	dz-2	$V_Z=0.8...0.86\text{ В}; R_{Z(I_{T1})}=5\text{ мА}; <10\text{ Ом}$	SOT23, SOD23	K1-K2-A1, A2
D10	A223C6V2	TSC	dz-2	$V_Z=0.8...0.86\text{ В}; R_{Z(I_{T1})}=5\text{ мА}; <10\text{ Ом}$	SOT23, SOD23	K1-K2-A1, A2
D11	A223B6V8	VISH	dz-2	$V_Z=0.66...0.694\text{ В}; R_{Z(I_{T1})}=5\text{ мА}; <8\text{ Ом}$	SOT23, SOD23	K1-K2-A1, A2
D11	A223C6V8	VISH	dz-2	$V_Z=0.64...0.72\text{ В}; R_{Z(I_{T1})}=5\text{ мА}; <8\text{ Ом}$	SOT23, SOD23	K1-K2-A1, A2
D11	A223C6V8	TSC	dz-2	$V_Z=0.64...0.72\text{ В}; R_{Z(I_{T1})}=5\text{ мА}; <8\text{ Ом}$	SOT23, SOD23	K1-K2-A1, A2
D12	A223B7V5	VISH	dz-2	$V_Z=0.735...0.765\text{ В}; R_{Z(I_{T1})}=5\text{ мА}; <7\text{ Ом}$	SOT23, SOD23	K1-K2-A1, A2
D12	A223C7V5	VISH	dz-2	$V_Z=0.70...0.79\text{ В}; R_{Z(I_{T1})}=5\text{ мА}; <7\text{ Ом}$	SOT23, SOD23	K1-K2-A1, A2
D12	A223C7V5	TSC	dz-2	$V_Z=0.70...0.79\text{ В}; R_{Z(I_{T1})}=5\text{ мА}; <7\text{ Ом}$	SOT23, SOD23	K1-K2-A1, A2
D13	A223B8V2	VISH	dz-2	$V_Z=0.804...0.836\text{ В}; R_{Z(I_{T1})}=5\text{ мА}; <7\text{ Ом}$	SOT23, SOD23	K1-K2-A1, A2
D13	A223C8V2	VISH	dz-2	$V_Z=0.77...0.78\text{ В}; R_{Z(I_{T1})}=5\text{ мА}; <7\text{ Ом}$	SOT23, SOD23	K1-K2-A1, A2



SOT23-3 **SOT323** **SOT416**
SOD23-3 **SOT346** **SOT523**



SOT490 **TESM** **VMT3**
MPPAK **TSFP-3** **VMD3**

Код	Типономинал	Б	Ф	Особенности	Корпус	Ц: 1•2•3
D13	AZ23C8V2	TSC	dz-2	$V_2 = 7.7 \dots 8.7 \text{ В}$; $P_2(I_2 = 5 \text{ мА}) < 70 \text{ мВ}$	SOT23, SOD23	K1•K2•A1, A2
D14	AZ23B9V1	VISH	dz-2	$V_2 = 8.92 \dots 9.28 \text{ В}$; $P_2(I_2 = 5 \text{ мА}) < 100 \text{ мВ}$	SOT23, SOD23	K1•K2•A1, A2
D14	AZ23C9V1	VISH	dz-2	$V_2 = 8.5 \dots 9.6 \text{ В}$; $P_2(I_2 = 5 \text{ мА}) < 100 \text{ мВ}$	SOT23, SOD23	K1•K2•A1, A2
D14	AZ23C9V1	TSC	dz-2	$V_2 = 8.5 \dots 9.6 \text{ В}$; $P_2(I_2 = 5 \text{ мА}) < 100 \text{ мВ}$	SOT23, SOD23	K1•K2•A1, A2
D15	AZ23B10	VISH	dz-2	$V_2 = 9.8 \dots 10.2 \text{ В}$; $P_2(I_2 = 5 \text{ мА}) < 150 \text{ мВ}$	SOT23, SOD23	K1•K2•A1, A2
D15	AZ23C10	VISH	dz-2	$V_2 = 9.4 \dots 10.6 \text{ В}$; $P_2(I_2 = 5 \text{ мА}) < 150 \text{ мВ}$	SOT23, SOD23	K1•K2•A1, A2
D15	AZ23C10	TSC	dz-2	$V_2 = 9.4 \dots 10.6 \text{ В}$; $P_2(I_2 = 5 \text{ мА}) < 150 \text{ мВ}$	SOT23, SOD23	K1•K2•A1, A2
D16	AZ23B11	VISH	dz-2	$V_2 = 10.8 \dots 11.2 \text{ В}$; $P_2(I_2 = 5 \text{ мА}) < 200 \text{ мВ}$	SOT23, SOD23	K1•K2•A1, A2
D16	AZ23C11	VISH	dz-2	$V_2 = 10.4 \dots 11.6 \text{ В}$; $P_2(I_2 = 5 \text{ мА}) < 200 \text{ мВ}$	SOT23, SOD23	K1•K2•A1, A2
D16	AZ23C11	TSC	dz-2	$V_2 = 10.4 \dots 11.6 \text{ В}$; $P_2(I_2 = 5 \text{ мА}) < 200 \text{ мВ}$	SOT23, SOD23	K1•K2•A1, A2
D17	AZ23B12	VISH	dz-2	$V_2 = 11.8 \dots 12.2 \text{ В}$; $P_2(I_2 = 5 \text{ мА}) < 200 \text{ мВ}$	SOT23, SOD23	K1•K2•A1, A2
D17	AZ23C12	VISH	dz-2	$V_2 = 11.4 \dots 12.7 \text{ В}$; $P_2(I_2 = 5 \text{ мА}) < 200 \text{ мВ}$	SOT23, SOD23	K1•K2•A1, A2
D17	AZ23C12	TSC	dz-2	$V_2 = 11.4 \dots 12.7 \text{ В}$; $P_2(I_2 = 5 \text{ мА}) < 200 \text{ мВ}$	SOT23, SOD23	K1•K2•A1, A2
D18	AZ23B13	VISH	dz-2	$V_2 = 12.7 \dots 13.3 \text{ В}$; $P_2(I_2 = 5 \text{ мА}) < 250 \text{ мВ}$	SOT23, SOD23	K1•K2•A1, A2
D18	AZ23C13	VISH	dz-2	$V_2 = 12.4 \dots 14.1 \text{ В}$; $P_2(I_2 = 5 \text{ мА}) < 250 \text{ мВ}$	SOT23, SOD23	K1•K2•A1, A2
D18	AZ23C13	TSC	dz-2	$V_2 = 12.4 \dots 14.1 \text{ В}$; $P_2(I_2 = 5 \text{ мА}) < 250 \text{ мВ}$	SOT23, SOD23	K1•K2•A1, A2
D19	AZ23B15	VISH	dz-2	$V_2 = 14.7 \dots 15.3 \text{ В}$; $P_2(I_2 = 5 \text{ мА}) < 300 \text{ мВ}$	SOT23, SOD23	K1•K2•A1, A2
D19	AZ23C15	VISH	dz-2	$V_2 = 13.8 \dots 15.6 \text{ В}$; $P_2(I_2 = 5 \text{ мА}) < 300 \text{ мВ}$	SOT23, SOD23	K1•K2•A1, A2
D19	AZ23C15	TSC	dz-2	$V_2 = 13.8 \dots 15.6 \text{ В}$; $P_2(I_2 = 5 \text{ мА}) < 300 \text{ мВ}$	SOT23, SOD23	K1•K2•A1, A2
D1G	KS4812	SAMS	pnp	$V_{CE0} = 60 \text{ В}$; $I_C = 100 \text{ мА}$; $P_T = 150 \text{ мВт}$; $h_{FE} = 200 \dots 400$; $f_T > 180 \text{ МГц}$	SOT23, SOD23	B•E•C
D1L	KS4812	SAMS	pnp	$V_{CE0} = 60 \text{ В}$; $I_C = 100 \text{ мА}$; $P_T = 150 \text{ мВт}$; $h_{FE} = 300 \dots 600$; $f_T > 180 \text{ МГц}$	SOT23, SOD23	B•E•C
D1O	KS4812	SAMS	pnp	$V_{CE0} = 60 \text{ В}$; $I_C = 100 \text{ мА}$; $P_T = 150 \text{ мВт}$; $h_{FE} = 90 \dots 180$; $f_T > 180 \text{ МГц}$	SOT23, SOD23	B•E•C
D1p	BCW31	PHIL	npn	$V_{CE0} = 32 \text{ В}$; $I_C = 100 \text{ мА}$; $P_T = 250 \text{ мВт}$; $h_{FE} = 110 \dots 220$; $f_T > 100 \text{ МГц}$	SOT23, SOD23	B•E•C
D1l	BCW31	PHIL	npn	$V_{CE0} = 32 \text{ В}$; $I_C = 100 \text{ мА}$; $P_T = 250 \text{ мВт}$; $h_{FE} = 110 \dots 220$; $f_T > 100 \text{ МГц}$	SOT23, SOD23	B•E•C
D1Y	KS4812	SAMS	pnp	$V_{CE0} = 60 \text{ В}$; $I_C = 100 \text{ мА}$; $P_T = 150 \text{ мВт}$; $h_{FE} = 135 \dots 270$; $f_T > 180 \text{ МГц}$	SOT23, SOD23	B•E•C
D2	AZ23B3V0	VISH	dz-2	$V_2 = 2.94 \dots 3.06 \text{ В}$; $P_2(I_2 = 5 \text{ мА}) < 950 \text{ мВ}$	SOT23, SOD23	K1•K2•A1, A2
D2	AZ23C3V0	VISH	dz-2	$V_2 = 2.8 \dots 3.2 \text{ В}$; $P_2(I_2 = 5 \text{ мА}) < 950 \text{ мВ}$	SOT23, SOD23	K1•K2•A1, A2
D2	AZ23C3V0	TSC	dz-2	$V_2 = 2.8 \dots 3.2 \text{ В}$; $P_2(I_2 = 5 \text{ мА}) < 950 \text{ мВ}$	SOT23, SOD23	K1•K2•A1, A2
D2	BCW32	ALLEG	npn	$V_{CE0} = 30 \text{ В}$; $I_{C0} = 100 \text{ мА}$; $h_{FE} = 200 \dots 450$; $V_{CE(sat)} < 0.25 \text{ В}$	SOT23, SOD23	B•E•C
D2	BCW32	CDIL	npn	$V_{CE0} = 32 \text{ В}$; $I_C = 100 \text{ мА}$; $P_T = 330 \text{ мВт}$; $h_{FE} = 200 \dots 450$; $f_T > 300 \text{ МГц}$	SOT23, SOD23	B•E•C
D2	BCW32	ZETEX	npn	$V_{CE0} = 32 \text{ В}$; $I_C = 100 \text{ мА}$; $P_T = 330 \text{ мВт}$; $h_{FE} = 200 \dots 450$; $f_T > 300 \text{ МГц}$	SOT23, SOD23	B•E•C
D2	HSPM3802	HP	pnp+2	$I_C = 1 \text{ А}$; $V_{BE} > 100 \text{ В}$; $R_{IS} < 2.0 \text{ Ом}$; $C_{IS} < 0.37 \text{ пФ}$; $R_{th} > 1000 \text{ Ом}$; $R_{th} < 8 \text{ Ом}$	SOT23, SOD23	A1•K2•K1, A2
D20	AZ23B16	VISH	dz-2	$V_2 = 15.7 \dots 16.3 \text{ В}$; $P_2(I_2 = 5 \text{ мА}) < 400 \text{ мВ}$	SOT23, SOD23	K1•K2•A1, A2
D20	AZ23C16	VISH	dz-2	$V_2 = 15.3 \dots 17.1 \text{ В}$; $P_2(I_2 = 5 \text{ мА}) < 400 \text{ мВ}$	SOT23, SOD23	K1•K2•A1, A2
D20	AZ23C16	TSC	dz-2	$V_2 = 15.3 \dots 17.1 \text{ В}$; $P_2(I_2 = 5 \text{ мА}) < 400 \text{ мВ}$	SOT23, SOD23	K1•K2•A1, A2
D21	AZ23B18	VISH	dz-2	$V_2 = 17.6 \dots 18.4 \text{ В}$; $P_2(I_2 = 5 \text{ мА}) < 500 \text{ мВ}$	SOT23, SOD23	K1•K2•A1, A2
D21	AZ23C18	VISH	dz-2	$V_2 = 16.8 \dots 19.1 \text{ В}$; $P_2(I_2 = 5 \text{ мА}) < 500 \text{ мВ}$	SOT23, SOD23	K1•K2•A1, A2
D21	AZ23C18	TSC	dz-2	$V_2 = 16.8 \dots 19.1 \text{ В}$; $P_2(I_2 = 5 \text{ мА}) < 500 \text{ мВ}$	SOT23, SOD23	K1•K2•A1, A2
D22	AZ23B20	VISH	dz-2	$V_2 = 19.6 \dots 20.4 \text{ В}$; $P_2(I_2 = 5 \text{ мА}) < 500 \text{ мВ}$	SOT23, SOD23	K1•K2•A1, A2
D22	AZ23C20	VISH	dz-2	$V_2 = 18.8 \dots 21.2 \text{ В}$; $P_2(I_2 = 5 \text{ мА}) < 500 \text{ мВ}$	SOT23, SOD23	K1•K2•A1, A2
D22	AZ23C20	TSC	dz-2	$V_2 = 18.8 \dots 21.2 \text{ В}$; $P_2(I_2 = 5 \text{ мА}) < 500 \text{ мВ}$	SOT23, SOD23	K1•K2•A1, A2
D23	AZ23B22	VISH	dz-2	$V_2 = 21.6 \dots 22.4 \text{ В}$; $P_2(I_2 = 5 \text{ мА}) < 550 \text{ мВ}$	SOT23, SOD23	K1•K2•A1, A2
D23	AZ23C22	VISH	dz-2	$V_2 = 20.8 \dots 23.3 \text{ В}$; $P_2(I_2 = 5 \text{ мА}) < 550 \text{ мВ}$	SOT23, SOD23	K1•K2•A1, A2
D23	AZ23C22	TSC	dz-2	$V_2 = 20.8 \dots 23.3 \text{ В}$; $P_2(I_2 = 5 \text{ мА}) < 550 \text{ мВ}$	SOT23, SOD23	K1•K2•A1, A2
D24	AZ23B24	VISH	dz-2	$V_2 = 23.5 \dots 24.5 \text{ В}$; $P_2(I_2 = 5 \text{ мА}) < 800 \text{ мВ}$	SOT23, SOD23	K1•K2•A1, A2
D24	AZ23C24	VISH	dz-2	$V_2 = 22.8 \dots 25.6 \text{ В}$; $P_2(I_2 = 5 \text{ мА}) < 800 \text{ мВ}$	SOT23, SOD23	K1•K2•A1, A2
D24	AZ23C24	TSC	dz-2	$V_2 = 22.8 \dots 25.6 \text{ В}$; $P_2(I_2 = 5 \text{ мА}) < 800 \text{ мВ}$	SOT23, SOD23	K1•K2•A1, A2
D25	AZ23B27	VISH	dz-2	$V_2 = 26.5 \dots 27.5 \text{ В}$; $P_2(I_2 = 5 \text{ мА}) < 800 \text{ мВ}$	SOT23, SOD23	K1•K2•A1, A2
D25	AZ23C27	VISH	dz-2	$V_2 = 25.1 \dots 28.9 \text{ В}$; $P_2(I_2 = 5 \text{ мА}) < 800 \text{ мВ}$	SOT23, SOD23	K1•K2•A1, A2
D25	AZ23C27	TSC	dz-2	$V_2 = 25.1 \dots 28.9 \text{ В}$; $P_2(I_2 = 5 \text{ мА}) < 800 \text{ мВ}$	SOT23, SOD23	K1•K2•A1, A2
D26	AZ23B30	VISH	dz-2	$V_2 = 29.4 \dots 30.6 \text{ В}$; $P_2(I_2 = 5 \text{ мА}) < 800 \text{ мВ}$	SOT23, SOD23	K1•K2•A1, A2
D26	AZ23C30	VISH	dz-2	$V_2 = 28 \dots 32 \text{ В}$; $P_2(I_2 = 5 \text{ мА}) < 800 \text{ мВ}$	SOT23, SOD23	K1•K2•A1, A2

SOT490 TSM
MFFPAK TSFP-3

VMT3
VMD3



SOT416 SOT323
SOT523 SOT346

SOT23-3
SOD23-3



Код	Типономинал	Б	Ф	Особенности	Корпус	Ц: 1•2•3
D26	A223C30	TSC	dz-2	$V_{f2}=28...32\text{ В}$, $P_{f2}(I_{f2}=5\text{ мА}) < 80\text{ Ом}$	SOT23, SOD23	K1-K2-A1, A2
D27	A223B33	VISH	dz-2	$V_{f2}=32...33\text{ В}$, $P_{f2}(I_{f2}=5\text{ мА}) < 80\text{ Ом}$	SOT23, SOD23	K1-K2-A1, A2
D27	A223C33	VISH	dz-2	$V_{f2}=31...35\text{ В}$, $P_{f2}(I_{f2}=5\text{ мА}) < 80\text{ Ом}$	SOT23, SOD23	K1-K2-A1, A2
D28	A223C33	TSC	dz-2	$V_{f2}=31...35\text{ В}$, $P_{f2}(I_{f2}=5\text{ мА}) < 80\text{ Ом}$	SOT23, SOD23	K1-K2-A1, A2
D28	A223B36	VISH	dz-2	$V_{f2}=35...36\text{ В}$, $P_{f2}(I_{f2}=5\text{ мА}) < 90\text{ Ом}$	SOT23, SOD23	K1-K2-A1, A2
D28	A223C36	VISH	dz-2	$V_{f2}=34...38\text{ В}$, $P_{f2}(I_{f2}=5\text{ мА}) < 90\text{ Ом}$	SOT23, SOD23	K1-K2-A1, A2
D28	A223C36	TSC	dz-2	$V_{f2}=34...38\text{ В}$, $P_{f2}(I_{f2}=5\text{ мА}) < 90\text{ Ом}$	SOT23, SOD23	K1-K2-A1, A2
D28	BA570W	STM	shd	$V_{f2} < 70\text{ В}$, $I_{f2} < 70\text{ мА}$, $V_{f2}(I_{f2}=1\text{ мА}) < 0.41\text{ В}$, $I_{f2} < 0.1\text{ мА}$, $C_{D2} < 2.0\text{ нФ}$	SOT323, SC70	A-n.c.-K
D29	A223B39	VISH	dz-2	$V_{f2}=38...39\text{ В}$, $P_{f2}(I_{f2}=5\text{ мА}) < 90\text{ Ом}$	SOT23, SOD23	K1-K2-A1, A2
D29	A223C39	VISH	dz-2	$V_{f2}=37...41\text{ В}$, $P_{f2}(I_{f2}=5\text{ мА}) < 90\text{ Ом}$	SOT23, SOD23	K1-K2-A1, A2
D29	A223C39	TSC	dz-2	$V_{f2}=37...41\text{ В}$, $P_{f2}(I_{f2}=5\text{ мА}) < 90\text{ Ом}$	SOT23, SOD23	K1-K2-A1, A2
D29	BA570-06W	STM	shd-2	$V_{f2} < 70\text{ В}$, $I_{f2} < 70\text{ мА}$, $V_{f2}(I_{f2}=1\text{ мА}) < 0.41\text{ В}$, $I_{f2} < 0.1\text{ мА}$, $C_{D2} < 2.0\text{ нФ}$	SOT323, SC70	K1-K2-A1, A2
D29	BCW32	PHIL	npn	$V_{CE(sat)}=32\text{ В}$, $I_C=100\text{ мА}$, $P_D=250\text{ мВт}$, $h_{FE}=200...450$, $f_T > 100\text{ МГц}$	SOT23, SOD23	B-E-C
D29	BCW32	PHIL	npn	$V_{CE(sat)}=32\text{ В}$, $I_C=100\text{ мА}$, $P_D=250\text{ мВт}$, $h_{FE}=200...450$, $f_T > 100\text{ МГц}$	SOT23, SOD23	B-E-C
D3	ISS187	TOSH	di	$V_{f2} < 80\text{ В}$, $I_{f2} < 100\text{ мА}$, $V_{f2}(I_{f2}=100\text{ мА}) < 1.2\text{ В}$, $I_{f2} < 0.5\text{ мА}$, $t_{rr} < 4\text{ нс}$	SOT346, SC59	K-n.c.-A
D3	A223B3V3	VISH	dz-2	$V_{f2}=23...33\text{ В}$, $P_{f2}(I_{f2}=5\text{ мА}) < 95\text{ Ом}$	SOT23, SOD23	K1-K2-A1, A2
D3	A223C3V3	VISH	dz-2	$V_{f2}=3...3.5\text{ В}$, $P_{f2}(I_{f2}=5\text{ мА}) < 95\text{ Ом}$	SOT23, SOD23	K1-K2-A1, A2
D3	A223C3V3	TSC	dz-2	$V_{f2}=3...3.5\text{ В}$, $P_{f2}(I_{f2}=5\text{ мА}) < 95\text{ Ом}$	SOT23, SOD23	K1-K2-A1, A2
D3	BCW33	ALLEG	npn	$V_{CE(sat)}=30\text{ В}$, $I_{C(sat)} < 100\text{ мА}$, $h_{FE}=420...800$, $V_{CE(sat)} < 0.25\text{ В}$	SOT23, SOD23	B-E-C
D3	BCW33	CDIL	npn	$V_{CE(sat)}=32\text{ В}$, $I_C=100\text{ мА}$, $P_D=250\text{ мВт}$, $h_{FE}=420...800$, $f_T > 100\text{ МГц}$	SOT23, SOD23	B-E-C
D3	BCW33	ZETEX	npn	$V_{CE(sat)}=32\text{ В}$, $I_C=100\text{ мА}$, $P_D=330\text{ мВт}$, $h_{FE}=420...800$, $f_T > 300\text{ МГц}$	SOT23, SOD23	B-E-C
D30	A223B43	VISH	dz-2	$V_{f2}=42...43.9\text{ В}$, $P_{f2}(I_{f2}=5\text{ мА}) < 100\text{ Ом}$	SOT23, SOD23	K1-K2-A1, A2
D30	A223C43	VISH	dz-2	$V_{f2}=40...46\text{ В}$, $P_{f2}(I_{f2}=5\text{ мА}) < 100\text{ Ом}$	SOT23, SOD23	K1-K2-A1, A2
D30	A223C43	DIODES	dz-2	$V_{f2}=40...46\text{ В}$, $P_{f2}(I_{f2}=5\text{ мА}) < 100\text{ Ом}$	SOT23, SOD23	K1-K2-A1, A2
D30	A223C43	TSC	dz-2	$V_{f2}=40...46\text{ В}$, $P_{f2}(I_{f2}=5\text{ мА}) < 100\text{ Ом}$	SOT23, SOD23	K1-K2-A1, A2
D30	BA570-05W	STM	shd-2	$V_{f2} < 70\text{ В}$, $I_{f2} < 70\text{ мА}$, $V_{f2}(I_{f2}=1\text{ мА}) < 0.41\text{ В}$, $I_{f2} < 0.1\text{ мА}$, $C_{D2} < 2.0\text{ нФ}$	SOT323, SC70	A1-A2-K1, K2
D31	A223B47	VISH	dz-2	$V_{f2}=46...47.9\text{ В}$, $P_{f2}(I_{f2}=5\text{ мА}) < 100\text{ Ом}$	SOT23, SOD23	K1-K2-A1, A2
D31	A223C47	VISH	dz-2	$V_{f2}=44...50\text{ В}$, $P_{f2}(I_{f2}=5\text{ мА}) < 100\text{ Ом}$	SOT23, SOD23	K1-K2-A1, A2
D31	A223C47	DIODES	dz-2	$V_{f2}=44...50\text{ В}$, $P_{f2}(I_{f2}=5\text{ мА}) < 100\text{ Ом}$	SOT23, SOD23	K1-K2-A1, A2
D31	A223C47	TSC	dz-2	$V_{f2}=44...50\text{ В}$, $P_{f2}(I_{f2}=5\text{ мА}) < 100\text{ Ом}$	SOT23, SOD23	K1-K2-A1, A2
D31	BA570-04W	STM	shd-2	$V_{f2} < 70\text{ В}$, $I_{f2} < 70\text{ мА}$, $V_{f2}(I_{f2}=1\text{ мА}) < 0.41\text{ В}$, $I_{f2} < 0.1\text{ мА}$, $C_{D2} < 2.0\text{ нФ}$	SOT323, SC70	A1-K2-K1, A2
D32	A223B51	VISH	dz-2	$V_{f2}=50...52\text{ В}$, $P_{f2}(I_{f2}=5\text{ мА}) < 100\text{ Ом}$	SOT23, SOD23	K1-K2-A1, A2
D32	A223C51	VISH	dz-2	$V_{f2}=48...54\text{ В}$, $P_{f2}(I_{f2}=5\text{ мА}) < 100\text{ Ом}$	SOT23, SOD23	K1-K2-A1, A2
D32	A223C51	DIODES	dz-2	$V_{f2}=48...54\text{ В}$, $P_{f2}(I_{f2}=5\text{ мА}) < 100\text{ Ом}$	SOT23, SOD23	K1-K2-A1, A2
D32	A223C51	TSC	dz-2	$V_{f2}=48...54\text{ В}$, $P_{f2}(I_{f2}=5\text{ мА}) < 100\text{ Ом}$	SOT23, SOD23	K1-K2-A1, A2
D38	RB420D	ROHM	shd	$V_{f2} < 40\text{ В}$, $I_{f2} < 100\text{ мА}$, $V_{f2}(I_{f2}=10\text{ мА}) < 450\text{ мВ}$, $C_{D2} < 6\text{ нФ}$	SOT346, SC59	A-n.c.-K
D3E	RB411D	ROHM	shd	$V_{f2} < 20\text{ В}$, $I_{f2} < 500\text{ мА}$, $V_{f2}(I_{f2}=500\text{ мА}) < 500\text{ мВ}$, $C_{D2} < 20\text{ нФ}$	SOT346, SC59	A-n.c.-K
D39	RB706D-40	ROHM	shd-2	$V_{f2} < 40\text{ В}$, $I_{f2} < 30\text{ мА}$, $V_{f2}(I_{f2}=1\text{ мА}) < 370\text{ мВ}$, $C_{D2} < 2\text{ нФ}$	SOT346, SC59	A1-K1, A2-K2
D39	BCW33	PHIL	npn	$V_{CE(sat)}=32\text{ В}$, $I_C=100\text{ мА}$, $P_D=250\text{ мВт}$, $h_{FE}=420...800$, $f_T > 100\text{ МГц}$	SOT23, SOD23	B-E-C
D39	BCW33	PHIL	npn	$V_{CE(sat)}=32\text{ В}$, $I_C=100\text{ мА}$, $P_D=250\text{ мВт}$, $h_{FE}=420...800$, $f_T > 100\text{ МГц}$	SOT23, SOD23	B-E-C
D4	A223B3V6	VISH	dz-2	$V_{f2}=3.53...3.67\text{ В}$, $P_{f2}(I_{f2}=5\text{ мА}) < 95\text{ Ом}$	SOT23, SOD23	K1-K2-A1, A2
D4	A223C3V6	VISH	dz-2	$V_{f2}=3.4...3.8\text{ В}$, $P_{f2}(I_{f2}=5\text{ мА}) < 95\text{ Ом}$	SOT23, SOD23	K1-K2-A1, A2
D4	A223C3V6	TSC	dz-2	$V_{f2}=3.4...3.8\text{ В}$, $P_{f2}(I_{f2}=5\text{ мА}) < 95\text{ Ом}$	SOT23, SOD23	K1-K2-A1, A2
D4	BCW31R	PHIL	npn	$V_{CE(sat)}=32\text{ В}$, $I_C=100\text{ мА}$, $P_D=350\text{ мВт}$, $h_{FE}=110...220$, $f_T > 100\text{ МГц}$	SOT23, SOD23	B-E-C
D4	BCW31R	ZETEX	npn	$V_{CE(sat)}=32\text{ В}$, $I_C=100\text{ мА}$, $P_D=330\text{ мВт}$, $h_{FE}=110...220$, $f_T > 300\text{ МГц}$	SOT23, SOD23	B-E-C
D4	HSMF3804	HP	pin-2	$I_C < 1\text{ А}$, $V_{DS} > 100\text{ В}$, $P_{DS} < 2.0\text{ Вт}$, $C_{DS} < 0.37\text{ нФ}$, $R_{DS(on)} < 1000\text{ Ом}$, $R_{DS(on)} < 8\text{ Ом}$	SOT23, SOD23	A1-A2-K1, K2
D46	BA746W	STM	shd	$V_{f2} < 100\text{ В}$, $I_{f2} < 150\text{ мА}$, $V_{f2}(I_{f2}=10\text{ мА}) < 0.45\text{ мВ}$, $C_{D2} < 10\text{ нФ}$	SOT323, SC70	A-n.c.-K
D49	CMPD5001S	CSI	dfn-2	$I_{f2} < 400\text{ мА}$, $V_{f2} < 120\text{ В}$, $V_{f2}(I_{f2}=100\text{ мА}) < 0.9\text{ В}$, $I_{f2} < 100\text{ мА}$, $t_{rr} < 50\text{ нс}$, $C_T < 35\text{ нФ}$	SOT23, SOD23	A2-K1-K2, A1
D5	A223B3V9	VISH	dz-2	$V_{f2}=3.82...3.98\text{ В}$, $P_{f2}(I_{f2}=5\text{ мА}) < 95\text{ Ом}$	SOT23, SOD23	K1-K2-A1, A2
D5	A223C3V9	VISH	dz-2	$V_{f2}=3.7...4.1\text{ В}$, $P_{f2}(I_{f2}=5\text{ мА}) < 95\text{ Ом}$	SOT23, SOD23	K1-K2-A1, A2
D5	A223C3V9	TSC	dz-2	$V_{f2}=3.7...4.1\text{ В}$, $P_{f2}(I_{f2}=5\text{ мА}) < 95\text{ Ом}$	SOT23, SOD23	K1-K2-A1, A2



SOT23-3 SOT323 SOT416
SOD23-3 SOT346 SOT523



SOT490 TSM VMT3
MFPK TSFP-3 VMD3

Код	Типономинал	Б	Ф	Особенности	Корпус	Ц: 1+2+3
D5	BCW32R	PHIL	npn	$V_{CE0} > 32 В$, $I_C = 100 мА$, $P_D = 350 мВт$, $h_{FE} > 200$, $f_T > 100 МГц$	SOT23, SOD23	Е+В+С
D5	BCW32R	ZETEX	npn	$V_{CE0} > 32 В$, $I_C = 100 мА$, $P_D = 330 мВт$, $h_{FE} > 200$, $f_T > 300 МГц$	SOT23, SOD23	В+Е+С
D53	CMCPD2004	CSI	fd	$I_C = 225 мА$, $V_{BE} = 240 В$, $V_{CE}(I_C = 100 мА) < 1.0 В$, $I_B < 100 мА$, $I_{BPP} < 50 мА$, $I_{BPP} < 5.0 нФ$	SOT23, SOD23	А+н.с.+К
D58	FLD258	ZETEX	d-z	$V_{BE} < 100 В$, $I_C < 250 мА$, $V_{CE}(I_C = 200 мА) < 1.4 В$, $I_B < 5 мА$, $C_D < 4 пФ$	SOT23, SOD23	A1+2-K1,K2
D56	BBY57-05W	INF	var	$V_{BE} < 10 В$, $I_C < 20 мА$, $I_B < 0.01 мА$, $C_D = 16 \dots 18.6 пФ$, $C_{d0} = 3.5 \dots 5.5 пФ$	SOT23, SC70	A1+2-K1,K2
D6	AZ23B4V3	VISH	d-z-2	$V_2 = 4.21 \dots 4.39 В$, $P_D(I_C = 5 мА) < 950 мВт$	SOT23, SOD23	K1+K2-A1,A2
D6	AZ23C4V3	VISH	d-z-2	$V_2 = 4.0 \dots 4.6 В$, $P_D(I_C = 5 мА) < 950 мВт$	SOT23, SOD23	K1+K2-A1,A2
D6	AZ23C4V3	TSC	d-z-2	$V_2 = 4.0 \dots 4.6 В$, $P_D(I_C = 5 мА) < 950 мВт$	SOT23, SOD23	K1+K2-A1,A2
D6	BCW33R	PHIL	npn	$V_{CE0} > 32 В$, $I_C = 100 мА$, $P_D = 350 мВт$, $h_{FE} > 200$, $f_T > 100 МГц$	SOT23, SOD23	Е+В+С
D6	BCW33R	ZETEX	npn	$V_{CE0} > 32 В$, $I_C = 100 мА$, $P_D = 330 мВт$, $h_{FE} > 200$, $f_T > 300 МГц$	SOT23, SOD23	В+Е+С
D6	MMBC1622D6	MOT	npn	$V_{CE0} > 40 В$, $I_C = 100 мА$, $P_D = 300 мВт$, $h_{FE} > 200$, $f_T > 400 МГц$	SOT23, SOD23	В+Е+С
D63	FLD263	ZETEX	d-z	$V_{BE} < 100 В$, $I_C < 250 мА$, $V_{CE}(I_C = 200 мА) < 1.4 В$, $I_B < 5 мА$, $C_D < 4 пФ$	SOT23, SOD23	K1+K2-A1,A2
D7	AZ23B4V7	VISH	d-z-2	$V_2 = 4.61 \dots 4.79 В$, $P_D(I_C = 5 мА) < 780 мВт$	SOT23, SOD23	K1+K2-A1,A2
D7	AZ23C4V7	VISH	d-z-2	$V_2 = 4.4 \dots 5.0 В$, $P_D(I_C = 5 мА) < 780 мВт$	SOT23, SOD23	K1+K2-A1,A2
D7	AZ23C4V7	TSC	d-z-2	$V_2 = 4.4 \dots 5.0 В$, $P_D(I_C = 5 мА) < 780 мВт$	SOT23, SOD23	K1+K2-A1,A2
D7	MMBC1622D7	MOT	npn	$V_{CE0} > 40 В$, $I_C = 100 мА$, $P_D = 300 мВт$, $h_{FE} > 200$, $f_T > 400 МГц$	SOT23, SOD23	В+Е+С
D73	BAT54W	STM	shd	$V_{BE} < 30 В$, $I_C < 300 мА$, $V_{CE}(I_C = 100 мА) < 0.9 В$, $I_B < 1 мА$, $C_D < 10 пФ$, $I_{BPP} < 5 мА$	SOT23, SC70	А+н.с.+К
D74	BAT54AW	STM	shd-2	$V_{BE} < 30 В$, $I_C < 300 мА$, $V_{CE}(I_C = 100 мА) < 0.9 В$, $I_B < 4.0 мА$, $C_D < 10 пФ$, $I_{BPP} < 5 мА$	SOT23, SC70	K1+K2-A2,A1
D76	BAR18	ALLEG	shd	$V_{BE} > 70 В$, $V_{CE}(I_C = 1 мА) < 0.41 В$, $I_B < 200 мА$, $C_T < 1.7 нФ$	SOT23, SOD23	А+н.с.+К
D76	BAR18	STM	shd	$V_{BE} > 70 В$, $V_{CE}(I_C = 1 мА) < 0.41 В$, $I_B < 200 мА$	SOT23, SOD23	А+н.с.+К
D76	CMMPD283	CSI	shd	$I_C = 15 мА$, $V_{BE}(I_C = 70 В)$, $V_{CE}(I_C = 1 мА) < 0.395 \dots 0.410 В$, $I_B < 200 мА$, $C_T < 2.0 пФ$	SOT23, SOD23	А+н.с.+К
D77	BAT54CW	STM	shd-2	$V_{BE} < 30 В$, $I_C < 300 мА$, $V_{CE}(I_C = 100 мА) < 0.9 В$, $I_B < 1 мА$, $C_D < 10 пФ$, $I_{BPP} < 5 мА$	SOT23, SC70	A1+2-K1,K2
D77	BCF32R	PHIL	npn	$V_{CE0} > 20 В$, $I_C = 200 мА$, $P_D = 200 мВт$, $h_{FE} > 200$, $f_T > 300 МГц$	SOT23, SOD23	Е+В+С
D78	BAT54SW	STM	shd-2	$V_{BE} < 30 В$, $I_C < 300 мА$, $V_{CE}(I_C = 100 мА) < 0.9 В$, $I_B < 1 мА$, $C_D < 10 пФ$, $I_{BPP} < 5 мА$	SOT23, SC70	A1+K2-K1,A2
D78	BCF32	PHIL	npn	$V_{CE0} > 32 В$, $I_C = 100 мА$, $P_D = 250 мВт$, $h_{FE} > 200$, $f_T > 100 МГц$	SOT23, SOD23	В+Е+С
D71	BCF32	PHIL	npn	$V_{CE0} > 32 В$, $I_C = 100 мА$, $P_D = 250 мВт$, $h_{FE} > 200$, $f_T > 100 МГц$	SOT23, SOD23	В+Е+С
D8	AZ23B5V1	VISH	d-z-2	$V_2 = 5.0 \dots 5.2 В$, $P_D(I_C = 5 мА) < 600 мВт$	SOT23, SOD23	K1+K2-A1,A2
D8	AZ23C5V1	VISH	d-z-2	$V_2 = 4.8 \dots 5.4 В$, $P_D(I_C = 5 мА) < 600 мВт$	SOT23, SOD23	K1+K2-A1,A2
D8	AZ23C5V1	TSC	d-z-2	$V_2 = 4.8 \dots 5.4 В$, $P_D(I_C = 5 мА) < 600 мВт$	SOT23, SOD23	K1+K2-A1,A2
D81	BCF33R	PHIL	npn	$V_{CE0} > 20 В$, $I_C = 200 мА$, $P_D = 200 мВт$, $h_{FE} > 200$, $f_T > 300 МГц$	SOT23, SOD23	Е+В+С
D84	BAT54A	STM	shd-2	$V_{BE} < 30 В$, $I_C < 300 мА$, $V_{CE}(I_C = 100 мА) < 0.9 В$, $I_B < 4.0 мА$, $C_D < 10 пФ$, $I_{BPP} < 5 мА$	SOT23, SOD23	K1+K2-A1,A2
D86	BAT54	STM	shd	$V_{BE} < 30 В$, $I_C < 300 мА$, $V_{CE}(I_C = 100 мА) < 0.9 В$, $I_B < 1 мА$, $C_D < 10 пФ$, $I_{BPP} < 5 мА$	SOT23, SOD23	А+н.с.+К
D87	BAT54C	STM	shd-2	$V_{BE} < 30 В$, $I_C < 300 мА$, $V_{CE}(I_C = 100 мА) < 0.9 В$, $I_B < 4.0 мА$, $C_D < 10 пФ$, $I_{BPP} < 5 мА$	SOT23, SOD23	A1+2-K1,K2
D88	BAT54S	STM	shd-2	$V_{BE} < 30 В$, $I_C < 300 мА$, $V_{CE}(I_C = 100 мА) < 0.9 В$, $I_B < 4.0 мА$, $C_D < 10 пФ$, $I_{BPP} < 5 мА$	SOT23, SOD23	A1+K2-K1,A2
D89	BCF33	PHIL	npn	$V_{CE0} > 32 В$, $I_C = 100 мА$, $P_D = 250 мВт$, $h_{FE} > 200$, $f_T > 100 МГц$	SOT23, SOD23	В+Е+С
D9	1SS401	TOSH	shd	$V_{BE} > 20 В$, $V_{CE}(I_C = 300 мА) < 0.45 В$, $I_B(V_{BE} = 20 В) < 50 мА$, $C_T = 46 пФ$	SOT23, SC70	А+н.с.+К
D9	AZ23B5V6	VISH	d-z-2	$V_2 = 5.49 \dots 5.71 В$, $P_D(I_C = 5 мА) < 400 мВт$	SOT23, SOD23	K1+K2-A1,A2
D9	AZ23C5V6	VISH	d-z-2	$V_2 = 5.2 \dots 6.0 В$, $P_D(I_C = 5 мА) < 400 мВт$	SOT23, SOD23	K1+K2-A1,A2
D9	AZ23C5V6	TSC	d-z-2	$V_2 = 5.2 \dots 6.0 В$, $P_D(I_C = 5 мА) < 400 мВт$	SOT23, SOD23	K1+K2-A1,A2
D94	BARM2	STM	shd	$V_{BE} > 30 В$, $V_{CE}(I_C = 50 мА) < 0.65 В$, $I_B < 100 мА$, $C_T = 7 пФ$	SOT23, SOD23	А+н.с.+К
D95	BARM3	STM	shd	$V_{BE} > 30 В$, $V_{CE}(I_C = 15 мА) < 0.45 В$, $I_B < 100 мА$, $C_T = 7 пФ$	SOT23, SOD23	А+н.с.+К
D95	CMPSM3	CSI	shd	$I_C = 100 мА$, $V_{BE}(I_C = 30 В)$, $V_{CE}(I_C = 100 мА) < 1.0 В$, $I_B < 500 мА$, $C_T = 7.0 пФ$	SOT23, SOD23	А+н.с.+К
D96	BAS70-04	STM	shd-2	$V_{BE} > 70 В$, $V_{CE}(I_C = 1 мА) < 0.41 В$, $I_B < 200 мА$	SOT23, SOD23	A2-K1+K2,A1
D96	CMMPD283S	CSI	shd-2	$I_C = 15 мА$, $V_{BE}(I_C = 70 В)$, $V_{CE}(I_C = 1 мА) < 0.395 \dots 0.410 В$, $I_B < 200 мА$, $C_T < 2.0 пФ$	SOT23, SOD23	A2-K1+K2,A1
D97	BAS70-05	STM	shd-2	$V_{BE} > 70 В$, $V_{CE}(I_C = 1 мА) < 0.41 В$, $I_B < 200 мА$	SOT23, SOD23	A2-A1-K2,K1
D97	CMMPD283C	CSI	shd-2	$I_C = 15 мА$, $V_{BE}(I_C = 70 В)$, $V_{CE}(I_C = 1 мА) < 0.395 \dots 0.410 В$, $I_B < 200 мА$, $C_T < 2.0 пФ$	SOT23, SOD23	A2-A1+K2,K1
D98	BAS70-06	STM	shd-2	$V_{BE} > 70 В$, $V_{CE}(I_C = 1 мА) < 0.41 В$, $I_B < 200 мА$	SOT23, SOD23	K2-K1-A2,A1
D98	CMMPD283A	CSI	shd-2	$I_C = 15 мА$, $V_{BE}(I_C = 70 В)$, $V_{CE}(I_C = 1 мА) < 0.395 \dots 0.410 В$, $I_B < 200 мА$, $C_T < 2.0 пФ$	SOT23, SOD23	K2-K1-A2,A1



Код	Типономинал	Б	Ф	Особенности	Корпус	Ц: 1•2•3
DA	BCW67A	ALLEG	опр	$V_{CE0}=45B$; $I_{CBO}<20\text{ мА}$; $h_{21}>100$; $V_{CE(sat)}<0.7B$; $f_T>100\text{ МГц}$	SOT23, SOD23	B-E-C
DA	BCW67A	CDIL	опр	$V_{CE0}=45B$; $I_C=800\text{ мА}$; $P_D=330\text{ мВт}$; $h_{21}>100$; $f_T>100\text{ МГц}$	SOT23, SOD23	B-E-C
DA	BCW67A	ZETEX	опр	$V_{CE0}=45B$; $I_C=800\text{ мА}$; $P_D=330\text{ мВт}$; $h_{21}>100$; $f_T>100\text{ МГц}$	SOT23, SOD23	B-E-C
DA	MMB24708	VISH	dz	$V_{CE(sat)}=50\text{ мА}$; $V_{CE(sat)}<20\text{ В}$; $I_{CE(sat)}<0.01\text{ мА}$	SOT23, SOD23	A-н.с.-К
DA2	CMPD5001	CSI	dih	$I_C=400\text{ мА}$; $V_{CE(sat)}=120\text{ В}$; $V_{CE(sat)}<0.9B$; $I_C<100\text{ мА}$; $t_{rr}<50\text{ нс}$; $C_T<35\text{ пФ}$	SOT23, SOD23	A-н.с.-К
DA5	BAR43S	STM	shd-c2	$V_{RR}=30B$; $V_{CE(sat)}=15\text{ мА}$; $I_C<0.45B$; $I_B<100\text{ мА}$; $C_T=7\text{ нФ}$	SOT23, SOD23	A2-K1-K2, A1
DA5	CMPSH3S	CSI	shd-c2	$I_C=100\text{ мА}$; $V_{RR}=30B$; $V_{CE(sat)}=100\text{ мА}$; $I_C<1.00B$; $I_B<500\text{ мА}$; $C_T=2.0\text{ нФ}$; $t_{rr}<5.0\text{ нс}$	SOT23, SOD23	A2-K1-K2, A1
DA5	BCW67A	SIEM	опр	$V_{CE0}=45B$; $I_C=800\text{ мА}$; $P_D=330\text{ мВт}$; $h_{21}>100$; $f_T>200\text{ МГц}$	SOT23, SOD23	B-E-C
DB	BCW67B	ALLEG	опр	$V_{CE0}=45B$; $I_{CBO}<20\text{ мА}$; $h_{21}>160$; $V_{CE(sat)}<0.7B$; $f_T>100\text{ МГц}$	SOT23, SOD23	B-E-C
DB	BCW67B	CDIL	опр	$V_{CE0}=45B$; $I_C=800\text{ мА}$; $P_D=330\text{ мВт}$; $h_{21}>160$; $f_T>100\text{ МГц}$	SOT23, SOD23	B-E-C
DB	BCW67B	ZETEX	опр	$V_{CE0}=45B$; $I_C=800\text{ мА}$; $P_D=330\text{ мВт}$; $h_{21}>160$; $f_T>100\text{ МГц}$	SOT23, SOD23	B-E-C
DB	BCW67B	SGS	опр	$V_{CE0}=45B$; $I_C=800\text{ мА}$; $P_D=330\text{ мВт}$; $h_{21}>160$; $f_T>100\text{ МГц}$	SOT23, SOD23	B-E-C
DB1	BAR43A	STM	shd-c2	$V_{RR}=30B$; $V_{CE(sat)}=15\text{ мА}$; $I_C<0.45B$; $I_B<100\text{ мА}$; $C_T=7\text{ нФ}$	SOT23, SOD23	K2-K1-A1, A2
DB1	CMPSH3A	CSI	shd-c2	$I_C=100\text{ мА}$; $V_{RR}=30B$; $V_{CE(sat)}=100\text{ мА}$; $I_C<1.00B$; $I_B<500\text{ мА}$; $C_T=2.0\text{ нФ}$; $t_{rr}<5.0\text{ нс}$	SOT23, SOD23	K2-K1-A2, A1
DB2	BAR43C	STM	shd-c2	$V_{RR}=30B$; $V_{CE(sat)}=15\text{ мА}$; $I_C<0.45B$; $I_B<100\text{ мА}$; $C_T=7\text{ нФ}$	SOT23, SOD23	A2-A1-K1, K2
DB2	CMPSH3C	CSI	shd-c2	$I_C=100\text{ мА}$; $V_{RR}=30B$; $V_{CE(sat)}=100\text{ мА}$; $I_C<1.00B$; $I_B<500\text{ мА}$; $C_T=2.0\text{ нФ}$; $t_{rr}<5.0\text{ нс}$	SOT23, SOD23	A2-A1-K2, K1
DB6	BAT46AW	STM	shd-c2	$V_{RR}=100B$; $I_C=150\text{ мА}$; $V_{CE(sat)}=10\text{ мА}$; $I_C<0.45\text{ мВ}$; $C_T=10\text{ нФ}$	SOT323, SC70	K2-K1-A1, A2
DB6	CMPD2004S	CSI	flw-2	$I_C=225\text{ мА}$; $V_{RR}=240\text{ В}$; $V_{CE(sat)}=100\text{ мА}$; $I_C<1.0B$; $I_B<100\text{ мА}$; $t_{rr}<50\text{ нс}$; $C_T<5.0\text{ нФ}$	SOT23, SOD23	A2-K1-K2, A1
DB5	BCW67B	SIEM	опр	$V_{CE0}=45B$; $I_C=800\text{ мА}$; $P_D=330\text{ мВт}$; $h_{21}>160$; $f_T>200\text{ МГц}$	SOT23, SOD23	B-E-C
DC	BCW67C	CDIL	опр	$V_{CE0}=45B$; $I_C=800\text{ мА}$; $P_D=330\text{ мВт}$; $h_{21}>250$; $f_T>100\text{ МГц}$	SOT23, SOD23	B-E-C
DC	BCW67C	ZETEX	опр	$V_{CE0}=45B$; $I_C=800\text{ мА}$; $P_D=330\text{ мВт}$; $h_{21}>250$; $f_T>100\text{ МГц}$	SOT23, SOD23	B-E-C
DC	BCW67C	SGS	опр	$V_{CE0}=45B$; $I_C=800\text{ мА}$; $P_D=330\text{ мВт}$; $h_{21}>250$; $f_T>100\text{ МГц}$	SOT23, SOD23	B-E-C
DC	MMB24696	VISH	dz	$V_{CE(sat)}=50\text{ мА}$; $V_{CE(sat)}<8.27\text{ В}$; $I_{CE(sat)}<1\text{ мА}$	SOT23, SOD23	A-н.с.-К
DC5	BCW67C	SIEM	опр	$V_{CE0}=45B$; $I_C=800\text{ мА}$; $P_D=330\text{ мВт}$; $h_{21}>250$; $f_T>200\text{ МГц}$	SOT23, SOD23	B-E-C
DD	2SC24630	REN	нпрн	$V_{CE0}=55B$; $I_C=100\text{ мА}$; $P_D=150\text{ мВт}$; $h_{21}>250$; $f_T>500$	SOT23, SOD23	B-E-C
DD	MMB24696	VISH	dz	$V_{CE(sat)}=50\text{ мА}$; $V_{CE(sat)}<8.65\text{ В}$; $I_{CE(sat)}<1\text{ мА}$	SOT23, SOD23	A-н.с.-К
DE	2SA1037AKLINE	ROHM	опр	$V_{CE0}=50B$; $I_C=150\text{ мА}$; $P_D=200\text{ мВт}$; $h_{21}>390$; $f_T>140\text{ МГц}$	SOT346, SC59	B-E-C
DE	2SC2463E	REN	нпрн	$V_{CE0}=55B$; $I_C=100\text{ мА}$; $P_D=150\text{ мВт}$; $h_{21}>400$; $f_T>800$	SOT23, SOD23	B-E-C
DE	MMB24697	VISH	dz	$V_{CE(sat)}=50\text{ мА}$; $V_{CE(sat)}<9.5\text{ В}$; $I_{CE(sat)}<1\text{ мА}$	SOT23, SOD23	A-н.с.-К
DF	BCW68F	ALLEG	опр	$V_{CE0}=60B$; $I_{CBO}<20\text{ мА}$; $h_{21}>100$; $V_{CE(sat)}<0.7B$; $f_T>100\text{ МГц}$	SOT23, SOD23	B-E-C
DF	BCW68F	CDIL	опр	$V_{CE0}=60B$; $I_C=800\text{ мА}$; $P_D=330\text{ мВт}$; $h_{21}>100$; $f_T>100\text{ МГц}$	SOT23, SOD23	B-E-C
DF	BCW68F	ZETEX	опр	$V_{CE0}=60B$; $I_C=800\text{ мА}$; $P_D=330\text{ мВт}$; $h_{21}>100$; $f_T>100\text{ МГц}$	SOT23, SOD23	B-E-C
DF	BCW68F	SGS	опр	$V_{CE0}=60B$; $I_C=800\text{ мА}$; $P_D=330\text{ мВт}$; $h_{21}>100$; $f_T>100\text{ МГц}$	SOT23, SOD23	B-E-C
DF	MMB24698	VISH	dz	$V_{CE(sat)}=50\text{ мА}$; $V_{CE(sat)}<10.5\text{ В}$; $I_{CE(sat)}<0.05\text{ мА}$	SOT23, SOD23	A-н.с.-К
DF5	BCW68F	SIEM	опр	$V_{CE0}=60B$; $I_C=800\text{ мА}$; $P_D=330\text{ мВт}$; $h_{21}>100$; $f_T>200\text{ МГц}$	SOT23, SOD23	B-E-C
DG	BCW68G	ALLEG	опр	$V_{CE0}=60B$; $I_{CBO}<20\text{ мА}$; $h_{21}>160$; $V_{CE(sat)}<0.7B$; $f_T>100\text{ МГц}$	SOT23, SOD23	B-E-C
DG	BCW68G	CDIL	опр	$V_{CE0}=60B$; $I_C=800\text{ мА}$; $P_D=330\text{ мВт}$; $h_{21}>160$; $f_T>100\text{ МГц}$	SOT23, SOD23	B-E-C
DG	BCW68G	ZETEX	опр	$V_{CE0}=60B$; $I_C=800\text{ мА}$; $P_D=330\text{ мВт}$; $h_{21}>160$; $f_T>100\text{ МГц}$	SOT23, SOD23	B-E-C
DG	BCW68G	SGS	опр	$V_{CE0}=60B$; $I_C=800\text{ мА}$; $P_D=330\text{ мВт}$; $h_{21}>160$; $f_T>100\text{ МГц}$	SOT23, SOD23	B-E-C
DG	BRC124ECM	REN	нпрн	$V_{CE0}=50B$; $I_{OUT}=100\text{ мА}$; $P_D=150\text{ мВт}$; $h_{21}>58$; $22\text{ к}/22\text{ к}$	SOT323, SC70	B-E-C
DG	BRC124EMP	REN	нпрн	$V_{CE0}=50B$; $I_{OUT}=100\text{ мА}$; $P_D=150\text{ мВт}$; $h_{21}>58$; $22\text{ к}/22\text{ к}$	SOT23, SOD23	B-E-C
DG6	BCW68G	SIEM	опр	$V_{CE0}=60B$; $I_C=800\text{ мА}$; $P_D=330\text{ мВт}$; $h_{21}>160$; $f_T>200\text{ МГц}$	SOT23, SOD23	B-E-C
DH	BCW68G	MOT	опр	$V_{CE0}=60B$; $I_C=800\text{ мА}$; $P_D=330\text{ мВт}$; $h_{21}>160$; $f_T>100\text{ МГц}$	SOT23, SOD23	B-E-C
DH	BCW68H	CDIL	опр	$V_{CE0}=60B$; $I_C=800\text{ мА}$; $P_D=330\text{ мВт}$; $h_{21}>250$; $f_T>100\text{ МГц}$	SOT23, SOD23	B-E-C
DH	BCW68H	ZETEX	опр	$V_{CE0}=60B$; $I_C=800\text{ мА}$; $P_D=330\text{ мВт}$; $h_{21}>250$; $f_T>100\text{ МГц}$	SOT23, SOD23	B-E-C
DH	BCW68H	SGS	опр	$V_{CE0}=60B$; $I_C=800\text{ мА}$; $P_D=330\text{ мВт}$; $h_{21}>250$; $f_T>100\text{ МГц}$	SOT23, SOD23	B-E-C
DH	MMB2000T1	MOT	di	$V_{CE0}=30B$; $I_C<200\text{ мА}$; $V_{CE(sat)}=10\text{ мА}$; $I_C<0.95B$; $C_T<2\text{ нФ}$; $t_{rr}<3\text{ нс}$	SOT323, SC70	A-н.с.-К
DH	MMB24699	VISH	dz	$V_{CE(sat)}=50\text{ мА}$; $V_{CE(sat)}<11.4\text{ В}$; $I_{CE(sat)}<0.05\text{ мА}$	SOT23, SOD23	A-н.с.-К

Код	Типономинал	Б	Ф	Особенности	Корпус	В-Е-С
DHs	BCW68H	SIEM	pnp	$V_{CE0}=60 В, I_C=800 мА, P_D=330 мВт, h_{FE} \geq 250, f_T \geq 200 МГц$	SOT23, SOD23	В-Е-С
DI	2SC3867	REN	pnp	$V_{CE0}=20 В, I_C=50 мА, P_D=150 мВт, h_{FE} \geq 200, f_T \geq 14 ГГц$	SOT346, SC59	Е-В-С
DI	MMBD2005T1	MOT	di-2	$V_{DS}=30 В, I_C=200 мА, V_{GS}(I_C=10 мА) < 0.95 В$	SOT323, SC70	K1-K2-A1, A2
DJ	MMBZ4701	VISH	dz	$V_{Z}(I_Z=50 мкА) \geq 12.4 \dots 13.7 В, I_Z < 0.05 мА$	SOT23, SOD23	А-н.с.-К
DK	MMBZ4701	VISH	dz	$V_{Z}(I_Z=50 мкА) \geq 13.3 \dots 14.7 В, I_Z < 0.05 мА$	SOT23, SOD23	А-н.с.-К
DKs	BCX42	SIEM	pnp	$V_{CE0}=125 В, I_C=800 мА, P_D=330 мВт, h_{FE} \geq 63, f_T=150 МГц$	SOT23, SOD23	В-Е-С
DM	MMBZ4702	VISH	dz	$V_{Z}(I_Z=50 мкА) \geq 14.3 \dots 15.8 В, I_Z < 0.05 мА$	SOT23, SOD23	А-н.с.-К
DN	2SK3349	REN	nMOS	$V_{DS}=20 В, I_D=50 мА, P_D=100 мВт, R_{DS(on)} < 7.2 Ом$	SOT416, SC75A	G-S-D
DN	MMBZ4703	VISH	dz	$V_{Z}(I_Z=50 мкА) \geq 15.2 \dots 16.8 В, I_Z < 0.05 мА$	SOT23, SOD23	А-н.с.-К
DP	2S1587	REN	pMOS	$V_{DS}=20 В, I_D=50 мА, P_D=100 мВт, R_{DS(on)} < 8.5 Ом$	SOT416, SC75A	G-S-D
DP	MMBD2010	MOT	di-2	$V_{DS}=30 В, I_C=200 мА, V_{GS}(I_C=10 мА) < 0.95 В, C_{gs} < 2 пФ, I_{gss} < 3 мс$	SOT23, SOD23	A1-A2-K1, K2
DP	MMBZ4704	VISH	dz	$V_{Z}(I_Z=50 мкА) \geq 16.2 \dots 17.9 В, I_Z < 0.05 мА$	SOT23, SOD23	А-н.с.-К
DQ	2PB1219AQ	PHIL	pnp	$V_{CE0}=60 В, I_C=500 мА, P_D=200 мВт, h_{FE} \geq 85 \dots 170, f_T \geq 100 МГц$	SOT323, SC70	В-Е-С
DQ	2PB1710AQ	PHIL	pnp	$V_{CE0}=60 В, I_C=500 мА, P_D=250 мВт, h_{FE} \geq 85 \dots 170, f_T \geq 100 МГц$	SOT346, SC59	В-Е-С
DR	2PB1219AR	PHIL	pnp	$V_{CE0}=60 В, I_C=500 мА, P_D=200 мВт, h_{FE} \geq 120 \dots 240, f_T \geq 120 МГц$	SOT323, SC70	В-Е-С
DR	2PB1710AR	PHIL	pnp	$V_{CE0}=60 В, I_C=500 мА, P_D=250 мВт, h_{FE} \geq 120 \dots 240, f_T \geq 120 МГц$	SOT346, SC59	В-Е-С
DR	2SA1037AKLNR	ROHM	pnp	$V_{CE0}=60 В, I_C=150 мА, P_D=200 мВт, h_{FE} \geq 180 \dots 390, f_T \geq 140 МГц$	SOT346, SC59	В-Е-С
DR	BCW60BR	ZETEX	pnp	$V_{CE0}=32 В, I_C=200 мА, P_D=330 мВт, h_{FE} \geq 180 \dots 310, f_T \geq 250 МГц$	SOT23, SOD23	В-Е-С
DS	2PB1219AS	PHIL	pnp	$V_{CE0}=60 В, I_C=500 мА, P_D=200 мВт, h_{FE} \geq 170 \dots 340, f_T \geq 140 МГц$	SOT323, SC70	В-Е-С
DS	2PB1710AS	PHIL	pnp	$V_{CE0}=60 В, I_C=500 мА, P_D=250 мВт, h_{FE} \geq 170 \dots 340, f_T \geq 140 МГц$	SOT346, SC59	В-Е-С
DS	2SA1037AKLNS	ROHM	pnp	$V_{CE0}=60 В, I_C=150 мА, P_D=200 мВт, h_{FE} \geq 270 \dots 560, f_T \geq 140 МГц$	SOT346, SC59	В-Е-С
DT	BCW67AR	SGS	pnp	$V_{CE0}=45 В, I_C=800 мА, P_D=330 мВт, h_{FE} \geq 100 \dots 250, f_T \geq 100 МГц$	SOT23, SOD23	С-В-Е
DT	MMBZ4705	VISH	dz	$V_{Z}(I_Z=50 мкА) \geq 17.1 \dots 18.9 В, I_Z < 0.05 мА$	SOT23, SOD23	А-н.с.-К
DU	BCW67BR	SGS	pnp	$V_{CE0}=45 В, I_C=800 мА, P_D=330 мВт, h_{FE} \geq 180 \dots 400, f_T \geq 100 МГц$	SOT23, SOD23	С-В-Е
DU	MMBZ4706	VISH	dz	$V_{Z}(I_Z=50 мкА) \geq 18.1 \dots 20.0 В, I_Z < 0.05 мА$	SOT23, SOD23	А-н.с.-К
DV	MMBZ4707	VISH	dz	$V_{Z}(I_Z=50 мкА) \geq 19.0 \dots 21.0 В, I_Z < 0.01 мА$	SOT23, SOD23	А-н.с.-К
DW	BCW67CR	SGS	pnp	$V_{CE0}=45 В, I_C=800 мА, P_D=330 мВт, h_{FE} \geq 250 \dots 630, f_T \geq 100 МГц$	SOT23, SOD23	С-В-Е
CX	BCW68FR	SGS	pnp	$V_{CE0}=60 В, I_C=800 мА, P_D=330 мВт, h_{FE} \geq 100 \dots 250, f_T \geq 100 МГц$	SOT23, SOD23	С-В-Е
DY	BCW68GR	SGS	pnp	$V_{CE0}=60 В, I_C=800 мА, P_D=330 мВт, h_{FE} \geq 160 \dots 400, f_T \geq 100 МГц$	SOT23, SOD23	С-В-Е
DY	MMBZ4710	VISH	dz	$V_{Z}(I_Z=50 мкА) \geq 23.8 \dots 26.3 В, I_Z < 0.01 мА$	SOT23, SOD23	А-н.с.-К
DZ	BCW68HR	SGS	pnp	$V_{CE0}=60 В, I_C=800 мА, P_D=330 мВт, h_{FE} \geq 250 \dots 630, f_T \geq 100 МГц$	SOT23, SOD23	С-В-Е
DZ	MMBZ4709	VISH	dz	$V_{Z}(I_Z=50 мкА) \geq 22.8 \dots 25.2 В, I_Z < 0.01 мА$	SOT23, SOD23	А-н.с.-К
E	1SS780	ROHM	sw	40 В, 100 мА Ic leakage	SOT416, SC75	А-К
E	IRLML6402	IR	pMOS	HEXFET, $V_{DS}=20 В, I_D=2.2 А, P_D=1.3 Вт, R_{DS(on)} < 0.135 Ом$	SOT23, SOD23	G-S-D
E0	HSMF3810	HP	pin	$I_C \leq 1 А, V_{BE} > 100 В, R_{IS} < 3.0 Ом, C_{gs} < 0.35 пФ, R_{th} > 1500 Ом, R_{th} < 10 Ом$	SOT23, SOD23	А-н.с.-К
E0	HSMF381B	HP	pin	$I_C \leq 1 А, V_{BE} > 100 В, R_{IS} < 3.0 Ом, C_{gs} < 0.35 пФ, R_{th} > 1500 Ом, R_{th} < 10 Ом$	SOT323, SC70	А-н.с.-К
E1	BFS17	ZETEX	pnp	$V_{CE0}=25 В, I_C=25 мА, P_D=330 мВт, h_{FE} \geq 25 \dots 150, f_T \geq 100 МГц$	SOT23, SOD23	В-Е-С
E1	BFS17	TELEF	pnp	$V_{CE0}=25 В, I_C=25 мА, P_D=200 мВт, h_{FE} \geq 20 \dots 150, f_T \geq 100 МГц$	SOT23, SOD23	В-Е-С
E1	BFS17LT1	MOT	pnp	$V_{CE0}=15 В, I_C=50 мА, P_D=200 мВт, h_{FE} \geq 20 \dots 150, f_T \geq 100 МГц$	SOT23, SOD23	В-Е-С
E1	HSMF3811	HP	pin	$I_C \leq 1 А, V_{BE} > 100 В, R_{IS} < 3.0 Ом, C_{gs} < 0.35 пФ, R_{th} > 1500 Ом, R_{th} < 10 Ом$	SOT23, SOD23	н.с.-А-К
E1	MMBZ5231BT	DIODES	dz	$V_{Z}(I_Z=20 мА) \geq 4.85 \dots 5.36 В, I_Z \leq 5 мА$	SOT523	А-н.с.-К
E11	DTA1132E	ROHM	Dnpnp	$V_{CE0}=60 В, I_C=100 мА, P_D=150 мВт, h_{FE} \geq 33, f_T \geq 250 МГц, R_{th}/R_{th2} \geq 1/10 Ом$	SOT416, SC75A	В-Е-С
E11	DTA1132KA	ROHM	Dnpnp	$V_{CE0}=60 В, I_C=100 мА, P_D=200 мВт, h_{FE} \geq 33, f_T \geq 250 МГц, R_{th}/R_{th2} \geq 1/10 Ом$	SOT346, SC59	В-Е-С
E13	DTA1432E	ROHM	Dnpnp	$V_{CE0}=60 В, I_C=100 мА, P_D=150 мВт, h_{FE} \geq 80, f_T \geq 250 МГц, R_{th}/R_{th2} \geq 4.7/47 Ом$	SOT416, SC75A	В-Е-С
E13	DTA1432KA	ROHM	Dnpnp	$V_{CE0}=60 В, I_C=100 мА, P_D=200 мВт, h_{FE} \geq 80, f_T \geq 250 МГц, R_{th}/R_{th2} \geq 4.7/47 Ом$	SOT346, SC59	В-Е-С
E1H	BFS17H	ZETEX	pnp	$V_{CE0}=25 В, I_C=25 мА, P_D=330 мВт, h_{FE} \geq 20 \dots 200, f_T \geq 100 МГц$	SOT23, SOD23	В-Е-С
E1L	BFS17L	ZETEX	pnp	$V_{CE0}=25 В, I_C=25 мА, P_D=330 мВт, h_{FE} \geq 25 \dots 100, f_T \geq 100 МГц$	SOT23, SOD23	В-Е-С
E10	KSC2859	SAMS	pnp	$V_{CE0}=35 В, I_C=500 мА, P_D=150 мВт, h_{FE} \geq 70 \dots 140, f_T \geq 300 МГц$	SOT23, SOD23	В-Е-С
E1p	BFS17	PHIL	pnp	$V_{CE0}=25 В, I_C=25 мА, P_D=330 мВт, h_{FE} \geq 25 \dots 150, f_T \geq 100 МГц$	SOT23, SOD23	В-Е-С
E1p	BFS17W	PHIL	pnp	$V_{CE0}=25 В, I_C=25 мА, P_D=330 мВт, h_{FE} \geq 25 \dots 150, f_T \geq 100 МГц$	SOT323, SC70	В-Е-С

**SOT490 TSMC
MFPK TSFP-3**

**VMT3
VMD3**



SOT416 SOT523

SOT323 SOT346

**SOT23-3
SOD23-3**



Код	Типономинал	Б	Ф	Особенности	Корпус	Ц: 1•2•3
E1Y	KSC2859	SAMS	npn	$V_{CE0} < 35 В$; $I_C < 500 мА$; $P_D < 150 мВт$; $h_{FE} > 120$; $f_T > 300 МГц$	SOT23, SOD23	В•Е•С
E2	BAL98	ZETEX	di	$V_{BE} < 70 В$; $I_C < 100 мА$; $V_{BE}(I_C = 50 мА) < 1 В$; $I_{B1} < 2.5 мкА$; $C_{D1} < 1.5 нФ$; $t_{RR} < 6 нс$	SOT23, SOD23	п.с. • К • А
E2	BFS17A	TELEF	npn	$V_{CE0} < 25 В$; $I_C < 25 мА$; $P_D < 200 мВт$; $h_{FE} > 20$; $f_T > 1000 МГц$	SOT23, SOD23	В•Е•С
E2	HSMF3812	HP	pnp	$I_C < 1 А$; $V_{BE} > 100 В$; $R_{BE} < 2.0 Ом$; $C_D < 0.37 нФ$; $R_{B1} > 1000 Ом$; $R_1 < 8 Ом$	SOT23, SOD23	A1 • K2 • K1, A2
E2	HSMF381C	HP	pnp	$I_C < 1 А$; $V_{BE} > 100 В$; $R_{BE} < 3.0 Ом$; $CT < 0.35 нФ$; $R_{B1} > 1500 Ом$; $R_1 < 10 Ом$	SOT23, SOD23	A1 • K2 • A2, K1
E2	MMBZ5232B7	DIODS	dz	$V_{I1}(I_T = 20 мА) < 5.32...5.88 В$; $I_{B1} < 5 мкА$	SOT523	А • п.с. • К
E21	DTC1132E	ROHM	Dnpn	$V_{CE0} < 50 В$; $I_C < 100 мА$; $P_D < 150 мВт$; $h_{FE} > 33$; $f_T > 250 МГц$; $R_1/R_2 < 1/10 кОм$	SOT416, SC75A	В•Е•С
E21	DTC1132KA	ROHM	Dnpn	$V_{CE0} < 50 В$; $I_C < 100 мА$; $P_D < 200 мВт$; $h_{FE} > 33$; $f_T > 250 МГц$; $R_1/R_2 < 1/10 кОм$	SOT346, SC59	В•Е•С
E23	DTC1432CA	ROHM	Dnpn	$V_{CE0} < 50 В$; $I_C < 100 мА$; $P_D < 150 мВт$; $h_{FE} > 80$; $f_T > 250 МГц$; $R_1/R_2 < 4.7/47 кОм$	SOT23, SOD23	В•Е•С
E23	DTC1432E	ROHM	Dnpn	$V_{CE0} < 50 В$; $I_C < 100 мА$; $P_D < 150 мВт$; $h_{FE} > 80$; $f_T > 250 МГц$; $R_1/R_2 < 4.7/47 кОм$	SOT416, SC75A	В•Е•С
E23	DTC1432KA	ROHM	Dnpn	$V_{CE0} < 50 В$; $I_C < 100 мА$; $P_D < 200 мВт$; $h_{FE} > 80$; $f_T > 250 МГц$; $R_1/R_2 < 4.7/47 кОм$	SOT346, SC59	В•Е•С
E3	ISS190	TOSH	di	$V_{BE} < 80 В$; $I_C < 100 мА$; $V_{BE}(I_C = 100 мА) < 1.2 В$; $I_{B1} < 0.5 мкА$; $t_{RR} < 4 нс$	SOT346, SC59	п.с. • К • А
E3	2SA1688	SANYO	pnp	$V_{CE0} < 30 В$; $I_C < 30 мА$; $P_D < 150 мВт$; $h_{FE} > 60$; $f_T > 320 МГц$	SOT323, SC70	В•Е•С
E3	BAR99	ZETEX	di	$V_{BE} < 70 В$; $I_C < 100 мА$; $V_{BE}(I_C = 50 мА) < 1 В$; $I_{B1} < 2.5 мкА$; $C_{D1} < 1.5 нФ$; $t_{RR} < 6 нс$	SOT23, SOD23	К • п.с. • А
E3	HSMF3813	HP	pnp	$I_C < 1 А$; $V_{BE} > 100 В$; $R_{BE} < 2.0 Ом$; $C_D < 0.37 нФ$; $R_{B1} > 1000 Ом$; $R_1 < 8 Ом$	SOT23, SOD23	K1 • K2 • A1, A2
E3	HSMF381E	HP	pnp	$I_C < 1 А$; $V_{BE} > 100 В$; $R_{BE} < 3.0 Ом$; $CT < 0.35 нФ$; $R_{B1} > 1500 Ом$; $R_1 < 10 Ом$	SOT323, SC70	K1 • K2 • A1, A2
E32	DTA123JE	ROHM	Dnpn	$V_{CE0} < 50 В$; $I_C < 100 мА$; $P_D < 150 мВт$; $h_{FE} > 80$; $f_T > 250 МГц$; $R_1/R_2 < 2.2/47 кОм$	SOT416, SC75A	В•Е•С
E32	DTA123JKA	ROHM	Dnpn	$V_{CE0} < 50 В$; $I_C < 100 мА$; $P_D < 200 мВт$; $h_{FE} > 80$; $f_T > 250 МГц$; $R_1/R_2 < 2.2/47 кОм$	SOT346, SC59	В•Е•С
E4	2SA1688	SANYO	pnp	$V_{CE0} < 30 В$; $I_C < 30 мА$; $P_D < 150 мВт$; $h_{FE} > 90$; $f_T > 320 МГц$	SOT323, SC70	В•Е•С
E4	BFS17P	PHIL	npn	$V_{CE0} < 25 В$; $I_C < 25 мА$; $P_D < 330 мВт$; $h_{FE} > 25$; $f_T > 1000 МГц$	SOT23, SOD23	С • В • Е
E4	BFS17P	TELEF	npn	$V_{CE0} < 25 В$; $I_C < 25 мА$; $P_D < 200 мВт$; $h_{FE} > 20$; $f_T > 1000 МГц$	SOT23, SOD23	С • В • Е
E4	HSMF3814	HP	pnp	$I_C < 1 А$; $V_{BE} > 100 В$; $R_{BE} < 2.0 Ом$; $C_D < 0.37 нФ$; $R_{B1} > 1000 Ом$; $R_1 < 8 Ом$	SOT23, SOD23	A1 • A2 • K1, K2
E4	HSMF381F	HP	pnp	$I_C < 1 А$; $V_{BE} > 100 В$; $R_{BE} < 3.0 Ом$; $CT < 0.35 нФ$; $R_{B1} > 1500 Ом$; $R_1 < 10 Ом$	SOT323, SC70	A1 • A2 • K1, K2
E4	MMBZ5234B7	DIODS	dz	$V_{I1}(I_T = 20 мА) < 5.89...6.51 В$; $I_{B1} < 5 мкА$	SOT523	А • п.с. • К
E42	DTC123JE	ROHM	Dnpn	$V_{CE0} < 50 В$; $I_C < 100 мА$; $P_D < 150 мВт$; $h_{FE} > 80$; $f_T > 250 МГц$; $R_1/R_2 < 2.2/47 кОм$	SOT416, SC75A	В•Е•С
E42	DTC123JKA	ROHM	Dnpn	$V_{CE0} < 50 В$; $I_C < 100 мА$; $P_D < 200 мВт$; $h_{FE} > 80$; $f_T > 250 МГц$; $R_1/R_2 < 2.2/47 кОм$	SOT346, SC59	В•Е•С
E42	DTC123JUA	ROHM	Dnpn	$V_{CE0} < 50 В$; $I_C < 100 мА$; $P_D < 200 мВт$; $h_{FE} > 80$; $f_T > 250 МГц$; $R_1/R_2 < 2.2/47 кОм$	SOT323, SC70	В•Е•С
E5	2SA1688	SANYO	pnp	$V_{CE0} < 30 В$; $I_C < 30 мА$; $P_D < 150 мВт$; $h_{FE} > 135$; $f_T > 320 МГц$	SOT323, SC70	В•Е•С
E5	BFS17AR	TELEF	npn	$V_{CE0} < 25 В$; $I_C < 25 мА$; $P_D < 200 мВт$; $h_{FE} > 20$; $f_T > 1000 МГц$	SOT23, SOD23	С • В • Е
E5	MMBZ5235B7	DIODS	dz	$V_{I1}(I_T = 20 мА) < 6.46...7.14 В$; $I_{B1} < 3 мкА$	SOT523	А • п.с. • К
E56	DTA144VE	ROHM	Dnpn	$V_{CE0} < 50 В$; $I_C < 100 мА$; $P_D < 150 мВт$; $h_{FE} > 33$; $f_T > 250 МГц$; $R_1/R_2 < 47/10 кОм$	SOT416, SC75A	В•Е•С
E56	DTA144VKA	ROHM	pnp	$V_{CE0} < 50 В$; $I_C < 100 мА$; $P_D < 200 мВт$; $h_{FE} > 33$; $f_T > 250 МГц$; $R_1/R_2 < 47/10 кОм$	SOT346, SC59	В•Е•С
E56	DTA144VUA	ROHM	Dnpn	$V_{CE0} < 50 В$; $I_C < 100 мА$; $P_D < 200 мВт$; $h_{FE} > 33$; $f_T > 250 МГц$; $R_1/R_2 < 47/10 кОм$	SOT323, SC70	В•Е•С
E6	ZC2800E	ZETEX	shd	$V_{BE} < 75 В$; $V_{BE}(I_C = 1 мА) < 0.41 В$; $I_{B1} < 0.2 мкА$; $C_D < 2.0 нФ$	SOT23, SOD23	А • п.с. • К
E66	DTA144VE	ROHM	Dnpn	$V_{CE0} < 50 В$; $I_C < 100 мА$; $P_D < 150 мВт$; $h_{FE} > 33$; $f_T > 250 МГц$; $R_1/R_2 < 47/10 кОм$	SOT416, SC75A	В•Е•С
E66	DTC144VKA	ROHM	Dnpn	$V_{CE0} < 50 В$; $I_C < 100 мА$; $P_D < 200 мВт$; $h_{FE} > 33$; $f_T > 250 МГц$; $R_1/R_2 < 47/10 кОм$	SOT346, SC59	В•Е•С
E79	DTA115UK	ROHM	Dnpn	$V_{CE0} < 50 В$; $I_C < 100 мА$; $P_D < 200 мВт$; $h_{FE} > 27$; $f_T > 250 МГц$	SOT346, SC59	В•Е•С
E8	PDTB123YK	PHIL	Dnpn	$V_{CE0} < 50 В$; $I_C < 500 мА$; $P_D < 250 мВт$; $h_{FE} > 70$; $2.2 кОм/10 кОм$	SOT346, SC59	В•Е•С
E8	ZC2811E	ZETEX	shd	$V_{BE} < 15 В$; $V_{BE}(I_C = 1 мА) < 0.41 В$; $I_{B1} < 0.1 мкА$; $C_D < 1.2 нФ$	SOT23, SOD23	А • п.с. • К
E89	DTC115UK	ROHM	Dnpn	$V_{CE0} < 50 В$; $I_C < 100 мА$; $P_D < 200 мВт$; $h_{FE} > 27$; $f_T > 250 МГц$	SOT346, SC59	В•Е•С
E9	ZC2800E	ZETEX	shd	$V_{BE} < 50 В$; $V_{BE}(I_C = 1 мА) < 0.41 В$; $I_{B1} < 0.2 мкА$; $C_D < 2.0 нФ$	SOT23, SOD23	А • п.с. • К
E32	DTB123TK	ROHM	Dnpn	$V_{CE0} < 50 В$; $I_C < 500 мА$; $P_D < 200 мВт$; $h_{FE} > 100$; $f_T > 200 МГц$; $R_1 < 2.2 кОм$	SOT346, SC59	В•Е•С
E34	DTB114TK	ROHM	Dnpn	$V_{CE0} < 50 В$; $I_C < 500 мА$; $P_D < 200 мВт$; $h_{FE} > 100$; $f_T > 200 МГц$; $R_1 < 10 кОм$	SOT346, SC59	В•Е•С
E37	DTB163TK	ROHM	Dnpn	$V_{CE0} < 50 В$; $I_C < 500 мА$; $P_D < 200 мВт$; $h_{FE} > 100$; $f_T > 200 МГц$	SOT346, SC59	В•Е•С
EA	BCW65A	ALLEG	Dnpn	$V_{CE0} < 60 В$; $I_{C_{max}} < 20 мА$; $h_{FE} > 100$; $f_T > 100 МГц$	SOT23, SOD23	В•Е•С



SOT23-3
SOD23-3

SOT323
SOT346

SOT416
SOT523



SOT490
MFPK

TESM
TSFP-3

VMT3
VMD3

Код	Типономинал	Б	Ф	Особенности	Корпус	Ц: 1+2+3
EA	BCW85A	CDIL	npn	$V_{CE0} \geq 60 \text{ В}$, $I_C \leq 800 \text{ мА}$, $P_D \leq 330 \text{ мВт}$; $h_{FE} \geq 100 \dots 250$, $f_T \geq 100 \text{ МГц}$	SOT23, SOD23	В+Е+С
EA	BCW85A	ZETEX	npn	$V_{CE0} \geq 60 \text{ В}$, $I_C \leq 800 \text{ мА}$, $P_D \leq 330 \text{ мВт}$; $h_{FE} \geq 100 \dots 250$, $f_T \geq 100 \text{ МГц}$	SOT23, SOD23	В+Е+С
EA	MMB24711	VISH	dz	$V_{d(I_{T1})} \leq 60 \text{ мкА}$; $25 \dots 28,4 \text{ В}$, $I_B \leq 0,01 \text{ мА}$	SOT23, SOD23	А+н.с.+К
EAs	BCW85A	SIEM	npn	$V_{CE0} \geq 60 \text{ В}$, $I_C \leq 800 \text{ мА}$, $P_D \leq 330 \text{ мВт}$; $h_{FE} \geq 100 \dots 250$, $f_T \geq 170 \text{ МГц}$	SOT23, SOD23	В+Е+С
EB	BCW85B	ALLEG	npn	$V_{CE0} \geq 60 \text{ В}$, $I_{C30} \leq 20 \text{ мА}$, $h_{FE} \geq 160 \dots 400$, $f_T \geq 100 \text{ МГц}$	SOT23, SOD23	В+Е+С
EB	BCW85B	CDIL	npn	$V_{CE0} \geq 60 \text{ В}$, $I_C \leq 800 \text{ мА}$, $P_D \leq 330 \text{ мВт}$; $h_{FE} \geq 160 \dots 400$, $f_T \geq 100 \text{ МГц}$	SOT23, SOD23	В+Е+С
EB	BCW85B	ZETEX	npn	$V_{CE0} \geq 60 \text{ В}$, $I_C \leq 800 \text{ мА}$, $P_D \leq 330 \text{ мВт}$; $h_{FE} \geq 160 \dots 400$, $f_T \geq 100 \text{ МГц}$	SOT23, SOD23	В+Е+С
EB	HSMF4810	HP	pin	$I_C \leq 1 \text{ А}$, $P_D \leq 250 \text{ мВт}$; $V_{DS0} \geq 100 \text{ В}$, $R_{DS} \leq 3,0 \text{ Ом}$, $C_{DS} \leq 0,40 \text{ нФ}$, $L_T \leq 1,0 \text{ нГ}$	SOT23, SOD23	К+К+А
EB	MSC1022-B	MOT	npnp	$V_{CE0} \geq 20 \text{ В}$, $f_T \geq 150 \text{ МГц}$	SOT23, SOD23	В+Е+С
EBAA	MAX6125EUR	MAX	vref	$V_{IN} \geq 2,7 \dots 12,6 \text{ В}$, $I_{CC} \leq 130 \text{ мкА}$, $V_{OUT} = 2,5 \text{ В}$	SOT23, SOD23	IN+OUT+GND
EBs	BCW85B	SIEM	npn	$V_{CE0} \geq 60 \text{ В}$, $I_C \leq 800 \text{ мА}$, $P_D \leq 330 \text{ мВт}$; $h_{FE} \geq 160 \dots 400$, $f_T \geq 170 \text{ МГц}$	SOT23, SOD23	В+Е+С
EC	2SC2732	REN	npn	$V_{CE0} \geq 30 \text{ В}$, $I_C \leq 20 \text{ мА}$, $P_D \leq 150 \text{ мВт}$; $h_{FE} \geq 30$, $f_T \geq 700 \text{ МГц}$	SOT346, SC59	В+Е+С
EC	2SC4462	REN	npn	$V_{CE0} \geq 30 \text{ В}$, $I_C \leq 20 \text{ мА}$, $P_D \leq 100 \text{ мВт}$; $h_{FE} \geq 30$, $f_T \geq 700 \text{ МГц}$	SOT323, SC70	В+Е+С
EC	BCW85C	CDIL	npn	$V_{CE0} \geq 60 \text{ В}$, $I_C \leq 800 \text{ мА}$, $P_D \leq 330 \text{ мВт}$; $h_{FE} \geq 250 \dots 630$, $f_T \geq 100 \text{ МГц}$	SOT23, SOD23	В+Е+С
EC	BCW85C	ZETEX	npn	$V_{CE0} \geq 60 \text{ В}$, $I_C \leq 800 \text{ мА}$, $P_D \leq 330 \text{ мВт}$; $h_{FE} \geq 250 \dots 630$, $f_T \geq 100 \text{ МГц}$	SOT23, SOD23	В+Е+С
EC	MMB24712	VISH	dz	$V_{d(I_{T1})} \leq 60 \text{ мкА}$; $26,6 \dots 29,4 \text{ В}$, $I_B \leq 0,01 \text{ мА}$	SOT23, SOD23	А+н.с.+К
EC	MSC1022-C	MOT	npnp	$V_{CE0} \geq 20 \text{ В}$, $f_T \geq 150 \text{ МГц}$	SOT23, SOD23	В+Е+С
ECAA	MAX6141EUR	MAX	vref	$V_{IN} \geq 2,7 \dots 12,6 \text{ В}$, $I_{CC} \leq 130 \text{ мкА}$, $V_{OUT} = 4,096 \text{ В}$	SOT23, SOD23	IN+OUT+GND
ECs	BCW85C	SIEM	npn	$V_{CE0} \geq 60 \text{ В}$, $I_C \leq 800 \text{ мА}$, $P_D \leq 330 \text{ мВт}$; $h_{FE} \geq 250 \dots 630$, $f_T \geq 170 \text{ МГц}$	SOT23, SOD23	В+Е+С
ED	MMB24713	VISH	dz	$V_{d(I_{T1})} \leq 60 \text{ мкА}$; $28,5 \dots 31,5 \text{ В}$, $I_B \leq 0,01 \text{ мА}$	SOT23, SOD23	А+н.с.+К
EDAA	MAX6146EUR	MAX	vref	$V_{IN} \geq 2,7 \dots 12,6 \text{ В}$, $I_{CC} \leq 130 \text{ мкА}$, $V_{OUT} = 4,5 \text{ В}$	SOT23, SOD23	IN+OUT+GND
EDAA	MAX6330SUR	MAX	reg+ mrc	$V_{IN} \geq 2,78 \text{ В}$; $V_{OUT} = 3,0 \text{ В}$, $I_{OUT} \geq 50 \text{ мА}$	SOT23, SOD23	GND+RST+SHUNT
EE	MMB24714	VISH	dz	$V_{d(I_{T1})} \leq 60 \text{ мкА}$; $31,4 \dots 34,7 \text{ В}$, $I_B \leq 0,01 \text{ мА}$	SOT23, SOD23	А+н.с.+К
EEAF	MAX6150EUR	MAX	vref	$V_{IN} \geq 2,7 \dots 12,6 \text{ В}$, $I_{CC} \leq 130 \text{ мкА}$, $V_{OUT} = 5,0 \text{ В}$	SOT23, SOD23	IN+OUT+GND
EF	BCW85F	ALLEG	npn	$V_{CE0} \geq 75 \text{ В}$, $I_{C30} \leq 20 \text{ мА}$, $h_{FE} \geq 100 \dots 250$, $f_T \geq 100 \text{ МГц}$	SOT23, SOD23	В+Е+С
EF	BCW85F	CDIL	npn	$V_{CE0} \geq 75 \text{ В}$, $I_C \leq 800 \text{ мА}$, $P_D \leq 330 \text{ мВт}$; $h_{FE} \geq 100 \dots 250$, $f_T \geq 100 \text{ МГц}$	SOT23, SOD23	В+Е+С
EF	BCW85F	ZETEX	npn	$V_{CE0} \geq 75 \text{ В}$, $I_C \leq 800 \text{ мА}$, $P_D \leq 330 \text{ мВт}$; $h_{FE} \geq 100 \dots 250$, $f_T \geq 100 \text{ МГц}$	SOT23, SOD23	В+Е+С
EF	MMB24715	VISH	dz	$V_{d(I_{T1})} \leq 60 \text{ мкА}$; $34,2 \dots 37,8 \text{ В}$, $I_B \leq 0,01 \text{ мА}$	SOT23, SOD23	А+н.с.+К
EFAA	MAX6520EUR	MAX	vref	$V_{IN} \geq 2,4 \dots 11 \text{ В}$, $T_{C_{OUT}} \leq 50 \text{ ppm/}^\circ\text{C}$, $V_{OUT} = 1,2 \text{ В}$	SOT23, SOD23	VIN+VOUT+GND
EFs	BCW85F	SIEM	npn	$V_{CE0} \geq 75 \text{ В}$, $I_C \leq 800 \text{ мА}$, $P_D \leq 330 \text{ мВт}$; $h_{FE} \geq 100 \dots 250$, $f_T \geq 170 \text{ МГц}$	SOT23, SOD23	В+Е+С
EG	BCW86G	ALLEG	npn	$V_{CE0} \geq 75 \text{ В}$, $I_{C30} \leq 20 \text{ мА}$, $h_{FE} \geq 160 \dots 400$, $f_T \geq 100 \text{ МГц}$	SOT23, SOD23	В+Е+С
EG	BCW86G	CDIL	npn	$V_{CE0} \geq 75 \text{ В}$, $I_C \leq 800 \text{ мА}$, $P_D \leq 330 \text{ мВт}$; $h_{FE} \geq 160 \dots 400$, $f_T \geq 100 \text{ МГц}$	SOT23, SOD23	В+Е+С
EG	BCW86G	ZETEX	npn	$V_{CE0} \geq 75 \text{ В}$, $I_C \leq 800 \text{ мА}$, $P_D \leq 330 \text{ мВт}$; $h_{FE} \geq 160 \dots 400$, $f_T \geq 100 \text{ МГц}$	SOT23, SOD23	В+Е+С
EG	BRA114ECM	REN	Dnpnp	$V_{CE} \leq 50 \text{ В}$, $I_{C_{OUT}} \leq 100 \text{ мА}$, $P_D \leq 150 \text{ мВт}$; $h_{FE} \geq 30$, $10 \text{ к}/10 \text{ к}$	SOT323, SC70	В+Е+С
EG	BRA114EMP	REN	Dnpnp	$V_{CE} \leq 50 \text{ В}$, $I_{C_{OUT}} \leq 100 \text{ мА}$, $P_D \leq 150 \text{ мВт}$; $h_{FE} \geq 30$, $10 \text{ к}/10 \text{ к}$	SOT23, SOD23	В+Е+С
EGs	BCW86G	SIEM	npn	$V_{CE0} \geq 75 \text{ В}$, $I_C \leq 800 \text{ мА}$, $P_D \leq 330 \text{ мВт}$; $h_{FE} \geq 160 \dots 400$, $f_T \geq 170 \text{ МГц}$	SOT23, SOD23	В+Е+С
EH	1SS365	SANYO	di	$V_D \leq 10 \text{ В}$; $I_C \leq 35 \text{ мА}$; $V_{D(I_{T1})} \leq 10 \text{ мА}$; $\leq 0,58 \text{ В}$; $I_B \leq 10 \text{ мкА}$	SOT23, SOD23	А+н.с.+К
EH	BCW86H	CDIL	npn	$V_{CE0} \geq 75 \text{ В}$, $I_C \leq 800 \text{ мА}$, $P_D \leq 330 \text{ мВт}$; $h_{FE} \geq 250 \dots 630$, $f_T \geq 100 \text{ МГц}$	SOT23, SOD23	В+Е+С
EH	BCW86H	ZETEX	npn	$V_{CE0} \geq 75 \text{ В}$, $I_C \leq 800 \text{ мА}$, $P_D \leq 330 \text{ мВт}$; $h_{FE} \geq 250 \dots 630$, $f_T \geq 100 \text{ МГц}$	SOT23, SOD23	В+Е+С
EH	MMB24716	VISH	dz	$V_{d(I_{T1})} \leq 60 \text{ мкА}$; $37,1 \dots 41,0 \text{ В}$, $I_B \leq 0,01 \text{ мА}$	SOT23, SOD23	А+н.с.+К
EHAA	MAX6326UR22	MAX	mrc	$V_{IN} \geq 2,2 \text{ В}$; $V_{DD} \geq 1,2 \dots 5,5 \text{ В}$, $I_{CC} \leq 1,75 \text{ мкА}$	SOT23, SOD23	GND+RST+V _{CC}
EHs	BCW86H	SIEM	npn	$V_{CE0} \geq 75 \text{ В}$, $I_C \leq 800 \text{ мА}$, $P_D \leq 330 \text{ мВт}$; $h_{FE} \geq 250 \dots 630$, $f_T \geq 170 \text{ МГц}$	SOT23, SOD23	В+Е+С
EIAA	MAX6327UR22	MAX	mrc	$V_{IN} \geq 2,2 \text{ В}$; $V_{DD} \geq 1,2 \dots 5,5 \text{ В}$, $I_{CC} \leq 1,75 \text{ мкА}$	SOT23, SOD23	GND+RST+V _{CC}
EJ	MMB24717	VISH	dz	$V_{d(I_{T1})} \leq 60 \text{ мкА}$; $40,9 \dots 45,2 \text{ В}$, $I_B \leq 0,01 \text{ мА}$	SOT23, SOD23	А+н.с.+К
EJAA	MAX6328UR22	MAX	mrc	$V_{IN} \geq 2,2 \text{ В}$; $V_{DD} \geq 1,2 \dots 5,5 \text{ В}$, $I_{CC} \leq 1,75 \text{ мкА}$	SOT23, SOD23	GND+RST+V _{CC}
EK	BCX41	ZETEX	npn	$V_{CE0} \geq 125 \text{ В}$; $I_C \leq 800 \text{ мА}$; $P_D \leq 330 \text{ мВт}$; $h_{FE} \geq 63$, $f_T \geq 100 \text{ МГц}$	SOT23, SOD23	В+Е+С
EKAA	MAX6330LUR	MAX	reg+ mrc	$V_{IN} \geq 4,63 \text{ В}$; $V_{OUT} = 5,0 \text{ В}$, $I_{OUT} \geq 50 \text{ мА}$	SOT23, SOD23	GND+RST+SHUNT
EKs	BCX41	SIEM	npn	$V_{CE0} \geq 125 \text{ В}$; $I_C \leq 800 \text{ мА}$; $P_D \leq 330 \text{ мВт}$; $h_{FE} \geq 63$, $f_T \geq 100 \text{ МГц}$	SOT23, SOD23	В+Е+С
ELAA	MAX6331LUR	MAX	reg+ mrc	$V_{IN} \geq 4,63 \text{ В}$; $V_{OUT} = 5,0 \text{ В}$, $I_{OUT} \geq 50 \text{ мА}$	SOT23, SOD23	GND+RST+SHUNT

**SOT490 TSM
MFFPAK TSFP-3**

**VMT3
VMD3**



**SOT416
SOT523**

**SOT323
SOT346**

**SOT23-3
SOD23-3**



Код	Типономинал	Б	Ф	Особенности	Корпус	Ц: 1•2•3
EMAA	MAX8330TUR	MAX	reg+ mrc	$V_{TH}=3.06B, V_{OUT}=3.3B, I_{OUT}=50mA$	SOT23, SOD23	GND-RST+ SHUNT
EN	25K3288	RBN	nMOS	$V_{DS}=30B, I_D=100mA, P_D=400mBt, R_{DS(on)} < 7Om$	SOT23, SOD23	G-S-D
EN	25K3378	RBN	nMOS	$V_{DS}=30B, I_D=100mA, P_D=300mBt, R_{DS(on)} < 7Om$	SOT323, SC70	G-S-D
ENAA	MAX8331TUR	MAX	reg+ mrc	$V_{TH}=3.06B, V_{OUT}=3.3B, I_{OUT}=50mA$	SOT23, SOD23	GND-RST+ SHUNT
EO	KTC3265	KEC	npn	$V_{CEB}=35B, I_C=800mA, P_D=200mBt, h_{FE}=100...200, f_T > 120MГц$	SOT23, SOD23	B-E-C
EPAA	MAX8331SUR	MAX	reg+ mrc	$V_{TH}=2.78B, V_{OUT}=3.0B, I_{OUT}=50mA$	SOT23, SOD23	GND-RST+ SHUNT
ET	BCW65AR	SIEM	npn	$V_{CEB}=60B, I_C=800mA, P_D=330mBt, h_{FE}=100...250, f_T=170MГц$	SOT23, SOD23	C-B-E
EJ	BCW65BR	SIEM	npn	$V_{CEB}=60B, I_C=800mA, P_D=330mBt, h_{FE}=160...400, f_T=170MГц$	SOT23, SOD23	C-B-E
EW	BCW65CR	SIEM	npn	$V_{CEB}=32B, I_C=800mA, h_{FE} > 240, f_T > 100MГц$	SOT23, SOD23	C-B-E
EWAA	MAX8326UR23	MAX	mrc	$V_{TH}=2.32B, V_{DD}=1.2...5.5B, I_{CC} < 1.75mA$	SOT23, SOD23	GND-RST-V _{CC}
EX	BCW65FR	SIEM	npn	$V_{CEB}=45B, I_C=800mA, h_{FE} > 100, f_T > 100MГц$	SOT23, SOD23	C-B-E
EXAA	MAX8326UR24	MAX	mrc	$V_{TH}=2.4B, V_{DD}=1.2...5.5B, I_{CC} < 1.75mA$	SOT23, SOD23	GND-RST-V _{CC}
EY	BCW65GR	SIEM	npn	$V_{CEB}=45B, I_C=800mA, h_{FE} > 160, f_T > 100MГц$	SOT23, SOD23	C-B-E
EY	KTC3265	KEC	npn	$V_{CEB}=35B, I_C=800mA, P_D=200mBt, h_{FE}=160...320, f_T > 120MГц$	SOT23, SOD23	B-E-C
EYAA	MAX8326UR25	MAX	mrc	$V_{TH}=2.5B, V_{DD}=1.2...5.5B, I_{CC} < 1.75mA$	SOT23, SOD23	GND-RST-V _{CC}
EZ	BCW65HR	SIEM	npn	$V_{CEB}=45B, I_C=800mA, h_{FE} > 240, f_T > 100MГц$	SOT23, SOD23	C-B-E
EZAA	MAX8326UR26	MAX	mrc	$V_{TH}=2.63B, V_{DD}=1.2...5.5B, I_{CC} < 1.75mA$	SOT23, SOD23	GND-RST-V _{CC}
F	IRLML6401	IR	pMOS	HEXFET; $V_{DS}=12B, I_D=3.4A, P_D=1.3Bt, R_{DS(on)} < 0.125Om$	SOT23, SOD23	G-S-D
F	MRP927T1	MOT	npn	$V_{CEB}=20B, I_C=10mA, P_D=100mBt, h_{FE}=50...200, f_T=8TГц$	SOT323, SC70	B-E-C
F0	HSMF3820	HP	pnp	$I_C < 1A, V_{BE} > 50B, R_E < 0.6Om, C_O < 0.8nF$	SOT23, SOD23	A-n.c.-K
F02	DTD123TK	ROHM	Dnpn	$V_{CEB}=50B, I_C=500mA, P_D=200mBt, h_{FE}=100...600, f_T > 200MГц, R_1=2.2kOm, R_2=4.7kOm$	SOT346, SC59	B-E-C
F03	DTB143TK	ROHM	Dnpn	$V_{CEB}=50B, I_C=500mA, P_D=200mBt, h_{FE} > 100...600, f_T > 200MГц, R_1=2.2kOm, R_2=4.7kOm$	SOT346, SC59	B-E-C
F04	DTD114TK	ROHM	Dnpn	$V_{CEB}=50B, I_C=500mA, P_D=200mBt, h_{FE}=100...600, f_T > 200MГц, R_1=10kOm$	SOT346, SC59	B-E-C
F07	DTD163TK	ROHM	Dnpn	$V_{CEB}=50B, I_C=500mA, P_D=200mBt, h_{FE}=100...600, f_T > 200MГц$	SOT346, SC59	B-E-C
F1	HSMF3821	HP	pnp	$I_C < 1A, V_{BE} > 50B, R_E < 0.6Om, C_O < 0.8nF$	SOT23, SOD23	n.c.-A-K
F1	KST1009F1	SAMS	npn	$V_{CEB}=50B, I_C=50mA, P_D=350mBt, h_{FE}=30...60, f_T > 150MГц$	SOT23, SOD23	B-E-C
F1	MMBIC1009F1	MOT	npn	$V_{CEB}=50B, I_C=50mA, P_D=300mBt, h_{FE}=30...60$	SOT23, SOD23	B-E-C
F1	MMB25238BT	DIODS	dz	$V_Z(I_{T1}=20mA)=7.13...7.88B, I_Z < 3mA$	SOT523	A-n.c.-K
F11	DTB113EK	ROHM	Dnpn	$V_{CEB}=50B, I_C=500mA, P_D=200mBt, h_{FE} > 33, f_T > 200MГц, R_1/R_2=1/1kOm$	SOT346, SC59	B-E-C
F12	DTB123EK	ROHM	Dnpn	$V_{CEB}=50B, I_C=500mA, P_D=200mBt, h_{FE} > 39, f_T > 200MГц, R_1/R_2=2.2/2.2kOm$	SOT346, SC59	B-E-C
F13	DTB143EC	ROHM	Dnpn	$V_{CEB}=50B, I_C=500mA, P_D=200mBt, h_{FE} > 47, f_T > 200MГц, R_1/R_2=4.7/4.7kOm$	SOT23, SOD23	B-E-C
F13	DTB143EK	ROHM	Dnpn	$V_{CEB}=50B, I_C=500mA, P_D=200mBt, h_{FE} > 47, f_T > 200MГц, R_1/R_2=4.7/4.7kOm$	SOT346, SC59	B-E-C
F14	DTB114EK	ROHM	Dnpn	$V_{CEB}=50B, I_C=500mA, P_D=200mBt, h_{FE} > 56, f_T > 200MГц, R_1/R_2=10/10kOm$	SOT346, SC59	B-E-C
F10	KSA1182	SAMS	npn	$V_{CEB}=35B, I_C=500mA, P_D=150mBt, h_{FE}=70...140, f_T > 200MГц$	SOT23, SOD23	B-E-C
F1p	BFS18	PHIL	npn	$V_{CEB}=30B, I_C=30mA, P_D=250mBt, h_{FE}=35...125, f_T > 200MГц$	SOT23, SOD23	B-E-C
F1Y	KSA1182	SAMS	npn	$V_{CEB}=35B, I_C=500mA, P_D=150mBt, h_{FE}=120...240, f_T > 200MГц$	SOT23, SOD23	B-E-C
F2	BFS19	SGS	npn	$V_{CEB}=30B, I_C=30mA, P_D=250mBt, h_{FE}=65...225, f_T > 260MГц$	SOT23, SOD23	E-E-C
F2	HSMF3822	HP	pnp-2	$I_C < 1A, V_{BE} > 50B, R_E < 0.6Om, C_O < 0.8nF$	SOT23, SOD23	A1-K2-K1,A2
F2	KST1009F2	SAMS	npn	$V_{CEB}=50B, I_C=50mA, P_D=350mBt, h_{FE}=30...60, f_T > 150MГц$	SOT23, SOD23	B-E-C
F2	MMB25237BT	DIODS	dz	$V_Z(I_{T1}=20mA)=7.79...8.61B, I_Z < 3mA$	SOT523	A-n.c.-K
F21	DTD113EK	ROHM	Dnpn	$V_{CEB}=50B, I_C=500mA, P_D=200mBt, h_{FE} > 33, f_T > 200MГц, R_1/R_2=1/1kOm$	SOT346, SC59	B-E-C
F22	DTD123EK	ROHM	Dnpn	$V_{CEB}=50B, I_C=500mA, P_D=200mBt, h_{FE} > 39, f_T > 200MГц, R_1/R_2=2.2/2.2kOm$	SOT346, SC59	B-E-C
F23	DTD143EC	ROHM	Dnpn	$V_{CEB}=50B, I_C=500mA, P_D=200mBt, h_{FE} > 47, f_T > 200MГц, R_1/R_2=4.7/4.7kOm$	SOT23, SOD23	B-E-C
F23	DTD143EK	ROHM	Dnpn	$V_{CEB}=50B, I_C=500mA, P_D=200mBt, h_{FE} > 47, f_T > 200MГц, R_1/R_2=4.7/4.7kOm$	SOT346, SC59	B-E-C



SOT23-3
SOD23-3

SOT323
SOT346

SOT416
SOT523



SOT490
MFPK

TESM
TSFP-3

VMT3
VMD3

Код	Типономинал	Б	Ф	Особенности	Корпус	Ц: 1•2•3
F23	DTD143ES	ROHM	Dnpn	$V_{CE0}=50 В, I_C=500 мА, P_D=200 мВт, h_{FE}>47, f_T>200 МГц, R_{11}/R_{21}=4.7/4.7 кОм$	SOT23, SOD23	В•Е•С
F23	DTD143TK	ROHM	Dnpn	$V_{CE0}=50 В, I_C=500 мА, P_D=200 мВт, h_{FE}>100...600, f_T>200 МГц, R_{11}/R_{21}=4.7 кОм$	SOT346, SC59	В•Е•С
F24	DTD114EK	ROHM	Dnpn	$V_{CE0}=50 В, I_C=500 мА, P_D=200 мВт, h_{FE}>56, f_T>200 МГц, R_{11}/R_{21}=10/10 кОм$	SOT346, SC59	В•Е•С
F2p	BFS19	PHIL	npn	$V_{CE0}=30 В, I_C=30 мА, P_D=250 мВт, h_{FE}=65...225, f_T=260 МГц$	SOT23, SOD23	В•Е•С
F2p	BFS19	PHIL	npn	$V_{CE0}=30 В, I_C=30 мА, P_D=250 мВт, h_{FE}=65...225, f_T=260 МГц$	SOT23, SOD23	В•Е•С
F3	1SS193	TOSH	di	$V_{DS}<80 В, I_S<100 мА, V_{CE}(I_S=100 мА)<1.2 В, I_{SK}<0.5 мА, t_{spk}<4 нс$	SOT346, SC59	А•п.с. • К
F3	2SC4399	SANYO	npn	$V_{CE0}=30 В, I_C=30 мА, P_D=150 мВт, h_{FE}=60...120, f_T>320 МГц$	SOT323, SC70	В•Е•С
F3	HSMP3823	HP	pin-2	$I_C<1 А, V_{DS}>50 В, R_{DS}<0.6 Ом, C_{D}<0.8 нФ$	SOT23, SOD23	К1 • К2 • А1, А2
F3	KST1009F3	SAMS	npn	$V_{CE0}=50 В, I_C=50 мА, P_D=950 мВт, h_{FE}=60...120, f_T>150 МГц$	SOT23, SOD23	В•Е•С
F3	MMBC1009F3	MOT	npn	$V_{CE0}=50 В, I_C=50 мА, P_D=300 мВт, h_{FE}=60...120$	SOT23, SOD23	В•Е•С
F4	2SC4399	SANYO	npn	$V_{CE0}=30 В, I_C=30 мА, P_D=150 мВт, h_{FE}=90...180, f_T>320 МГц$	SOT323, SC70	В•Е•С
F4	BFS18R	PHIL	npn	$V_{CE0}=20 В, I_C=30 мА, P_D=110 мВт, h_{FE}=35, f_T>200 МГц$	SOT23, SOD23	Е•В•С
F4	HSMP3824	HP	pin-2	$I_C<1 А, V_{DS}>50 В, R_{DS}<0.6 Ом, C_{D}<0.8 нФ$	SOT23, SOD23	А1 • А2 • К1, К2
F4	KST1009F4	SAMS	npn	$V_{CE0}=60 В, I_C=50 мА, P_D=950 мВт, h_{FE}=90...180, f_T>150 МГц$	SOT23, SOD23	В•Е•С
F4	MMBZ5239BT	DIODES	dz	$V_A(I_{T1}=20 мА)=8.65...9.56 В, I_{SK}<3 мА$	SOT523	А•п.с. • К
F5	1SS250	TOSH	di	$V_{DS}<200 В, I_S<100 мА, V_{CE}(I_S=100 мА)<1.2 В, I_{SK}<1.0 мА, t_{spk}<60 нс$	SOT346, SC59	А•п.с. • К
F5	1SS370	TOSH	di	$V_{DS}<200 В, I_S<100 мА, V_{CE}(I_S=100 мА)<1.2 В, I_{SK}<60 нс$	SOT323, SC70	К1 • К2 • А1, А2
F5	2SC4399	SANYO	npn	$V_{CE0}=30 В, I_C=30 мА, P_D=150 мВт, h_{FE}=135...270, f_T>320 МГц$	SOT323, SC70	В•Е•С
F5	BFS19R	PHIL	npn	$V_{CE0}=20 В, I_C=30 мА, P_D=200 мВт, h_{FE}=225, f_T=260 МГц$	SOT23, SOD23	Е•В•С
F5	KST1009F5	SAMS	npn	$V_{CE0}=50 В, I_C=50 мА, P_D=950 мВт, h_{FE}=135...270, f_T>150 МГц$	SOT23, SOD23	В•Е•С
F5	MMBZ5240BT	DIODES	dz	$V_A(I_{T1}=20 мА)=9.5...10.5 В, I_{SK}<3 мА$	SOT523	А•п.с. • К
F52	DTB123YС	ROHM	Dnpn	$V_{CE0}=50 В, I_C=500 мА, P_D=200 мВт, h_{FE}>100...600, f_T>200 МГц, R_{11}/R_{21}=2.2 кОм$	SOT23, SOD23	В•Е•С
F52	DTB123YK	ROHM	Dnpn	$V_{CE0}=50 В, I_C=500 мА, P_D=200 мВт, h_{FE}>56, f_T>200 МГц, R_{11}/R_{21}=2.2/10 кОм$	SOT346, SC59	В•Е•С
F62	DTD123YK	ROHM	Dnpn	$V_{CE0}=50 В, I_C=500 мА, P_D=200 мВт, h_{FE}>56, f_T>200 МГц, R_{11}/R_{21}=2.2/10 кОм$	SOT346, SC59	В•Е•С
F7	BAV99PW1	ON	di-2	$V_{DS}<70 В, I_S<215 мА, V_{CE}(I_S=150 мА)<1.25 В, I_{SK}<2 мА, t_{spk}<4 нс$	SOT323, SC70	А1 • К1, А2 • К2
F8	BF824W	PHIL	npn	$V_{CE0}=30 В, I_C=25 мА, P_D=200 мВт, h_{FE}>25, f_T>400 МГц$	SOT323, SC70	В•Е•С
F8p	BF824	PHIL	npn	$V_{CE0}=30 В, I_C=25 мА, P_D=250 мВт, f_T=450$	SOT23, SOD23	В•Е•С
F8p	BF824	PHIL	npn	$V_{CE0}=30 В, I_C=25 мА, P_D=250 мВт, f_T=450$	SOT23, SOD23	В•Е•С
F9	1SS321	TOSH	sltd-2	$V_{DS}<10 В, V_{CE}(I_S=50 мА)<1.0 В, I_{SK}(V_{DS}=10 В)<0.5 мА, C_T<4.5 нФ$	SOT346, SC59	А1 • А2 • К1, К2
F9	2SA1774	ON	npn	$V_{CE0}=60 В, I_C=100 мА, P_D=150 мВт, h_{FE}=120...560, f_T=140 МГц$	SOT416, SC75A	В•Е•С
F92	DTB123TK	ROHM	Dnpn	$V_{CE0}=50 В, I_C=500 мА, P_D=200 мВт, h_{FE}>100...600, f_T>200 МГц, R_{11}/R_{21}=2.2 кОм$	SOT346, SC59	В•Е•С
F93	DTB143TK	ROHM	Dnpn	$V_{CE0}=50 В, I_C=500 мА, P_D=200 мВт, h_{FE}>100...600, f_T>200 МГц, R_{11}/R_{21}=4.7 кОм$	SOT346, SC59	В•Е•С
FA	2SC5851A	REN	npn	$V_{CE0}=30 В, I_C=100 мА, P_D=150 мВт, h_{FE}=35...75, f_T=230 МГц$	SOT323, SC70	В•Е•С
FA	HSMP4820	HP	pin	$I_C<1 А, P_D<250 мВт, V_{DS}>50 В, R_{DS}<0.6 Ом, C_{D}<1.0 нФ, L_F<1.0 нГ$	SOT23, SOD23	А • А • К
FAAA	MAX326UR27	MAX	mrc	$V_{IH}=2.7 В, V_{DD}=1.2...5.5 В, I_{CC}<1.75 мА$	SOT23, SOD23	GND-RST-V _{CC}
FB	2SC5851B	REN	npn	$V_{CE0}=30 В, I_C=100 мА, P_D=150 мВт, h_{FE}=60...120, f_T=230 МГц$	SOT323, SC70	В•Е•С
FBAA	MAX326UR28	MAX	mrc	$V_{IH}=2.8 В, V_{DD}=1.2...5.5 В, I_{CC}<1.75 мА$	SOT23, SOD23	GND-RST-V _{CC}
FC	2SC5851C	REN	npn	$V_{CE0}=30 В, I_C=100 мА, P_D=150 мВт, h_{FE}=100...200, f_T=230 МГц$	SOT323, SC70	В•Е•С
FCAA	MAX326UR29	MAX	mrc	$V_{IH}=2.93 В, V_{DD}=1.2...5.5 В, I_{CC}<1.75 мА$	SOT23, SOD23	GND-RST-V _{CC}
FD	BCV26	SGS	dnpn	$V_{CE0}=40 В, I_C=500 мА, P_D=360 мВт, h_{FE}>10000, f_T=200 МГц$	SOT23, SOD23	В•Е•С
FDA	MAX326UR31	MAX	mrc	$V_{IH}=3.08 В, V_{DD}=1.2...5.5 В, I_{CC}<1.75 мА$	SOT23, SOD23	GND-RST-V _{CC}
FDp	BCV26	PHIL	dnpn	$V_{CE0}=40 В, I_C=300 мА, P_D=250 мВт, h_{FE}>20000, f_T=220 МГц$	SOT23, SOD23	В•Е•С
FDs	BCV26	INF	dnpn	$V_{CE0}=40 В, I_C=500 мА, P_D=360 мВт, h_{FE}>10000, f_T=200 МГц$	SOT23, SOD23	В•Е•С
FDt	BCV26	PHIL	dnpn	$V_{CE0}=40 В, I_C=300 мА, P_D=250 мВт, h_{FE}>20000, f_T=220 МГц$	SOT23, SOD23	В•Е•С
FE	BCV46	SGS	dnpn	$V_{CE0}=80 В, I_C=500 мА, P_D=330 мВт, h_{FE}>400, f_T>200 МГц$	SOT23, SOD23	В•Е•С
FEAA	MAX326UR30	MAX	mrc	$V_{IH}=3.0 В, V_{DD}=1.2...5.5 В, I_{CC}<1.75 мА$	SOT23, SOD23	GND-RST-V _{CC}

**SOT490 TSM
MFPAK TSFP-3**

**VMT3
VMD3**



**SOT416 SOT323
SOT523 SOT346**

**SOT23-3
SOD23-3**



Код	Типономинал	Б	Ф	Особенности	Корпус	Ц: 1•2•3
FEp	BCV46	PHIL	drnp	$V_{CE0}=80\text{ В}; I_C=500\text{ мА}; P_D=250\text{ мВт}; h_{21}>4000; f_T=220\text{ МГц}$	SOT23, SOD23	B-E•C
FES	BCV46	INF	drnp	$V_{CE0}=80\text{ В}; I_C=500\text{ мА}; P_D=250\text{ мВт}; h_{21}>4000; f_T=200\text{ МГц}$	SOT23, SOD23	B-E•C
FEI	BCV46	PHIL	drnp	$V_{CE0}=80\text{ В}; I_C=500\text{ мА}; P_D=250\text{ мВт}; h_{21}>4000; f_T=220\text{ МГц}$	SOT23, SOD23	B-E•C
FF	BCV27	TOSH	drnp	$V_{CE0}=40\text{ В}; I_C=500\text{ мА}; P_D=330\text{ мВт}; h_{21}>100; f_T=170\text{ МГц}$	SOT23, SOD23	B-E•C
FF	JDV3C11	SGS	var-2	$V_{GS}<20\text{ В}; I_D<0.01\text{ мА}; C_{13}=65\text{ нФ}; C_{4,5}=11\text{ нФ}; 11\text{ нФ}; 14\text{ нФ}$	SOT23, SOD23	A1•A2•K1•K2
FFAA	MAX6327UR23	MAX	mrc	$V_{IH}=2.32\text{ В}; V_{DD}=1.2\text{...}5.5\text{ В}; I_{CC}<1.75\text{ мА}$	SOT23, SOD23	GND•RST•V _{CC}
FFMA	MAX6327UR31	MAX	mrc	$V_{IH}=3.08\text{ В}; V_{DD}=1.2\text{...}5.5\text{ В}; I_{CC}<1.75\text{ мА}$	SOT23, SOD23	GND•RST•V _{CC}
FFNA	MAX6327UR30	MAX	mrc	$V_{IH}=3.0\text{ В}; V_{DD}=1.2\text{...}5.5\text{ В}; I_{CC}<1.75\text{ мА}$	SOT23, SOD23	GND•RST•V _{CC}
FFp	BCV27	PHIL	drnp	$V_{CE0}=40\text{ В}; I_C=300\text{ мА}; P_D=250\text{ мВт}; h_{21}>20000; f_T=220\text{ МГц}$	SOT23, SOD23	B-E•C
FFs	BCV27	INF	drnp	$V_{CE0}=40\text{ В}; I_C=500\text{ мА}; P_D=250\text{ мВт}; h_{21}>10000; f_T=170\text{ МГц}$	SOT23, SOD23	B-E•C
FFI	BCV27	PHIL	drnp	$V_{CE0}=40\text{ В}; I_C=300\text{ мА}; P_D=250\text{ мВт}; h_{21}>20000; f_T=220\text{ МГц}$	SOT23, SOD23	B-E•C
FG	BRC114ECM	REN	Drnp	$V_{CE0}=50\text{ В}; I_{OUT}=100\text{ мА}; P_D=150\text{ мВт}; h_{21}>30; 10\text{ к}/10\text{ к}$	SOT323, SC70	B-E•C
FG	BRC114EMP	REN	Drnp	$V_{CE0}=50\text{ В}; I_{OUT}=100\text{ мА}; P_D=150\text{ мВт}; h_{21}>30; 10\text{ к}/10\text{ к}$	SOT323, SOD23	B-E•C
FGAA	MAX6327UR24	MAX	mrc	$V_{IH}=2.4\text{ В}; V_{DD}=1.2\text{...}5.5\text{ В}; I_{CC}<1.75\text{ мА}$	SOT23, SOD23	GND•RST•V _{CC}
FGp	BCV47	PHIL	drnp	$V_{CE0}=80\text{ В}; I_C=500\text{ мА}; P_D=250\text{ мВт}; h_{21}>4000; f_T=220\text{ МГц}$	SOT23, SOD23	B-E•C
FGs	BCV47	INF	drnp	$V_{CE0}=80\text{ В}; I_C=500\text{ мА}; P_D=250\text{ мВт}; h_{21}>4000; f_T=170\text{ МГц}$	SOT23, SOD23	B-E•C
FGI	BCV47	PHIL	drnp	$V_{CE0}=80\text{ В}; I_C=500\text{ мА}; P_D=250\text{ мВт}; h_{21}>4000; f_T=220\text{ МГц}$	SOT23, SOD23	B-E•C
FH	1SS366	SANYO	shd-2	$V_{GS}>10\text{ В}; V_{GS}(I_D=10\text{ мА})<0.58\text{ В}; I_{DS}(V_{GS}=10\text{ В})<10\text{ мА}$	SOT23, SOD23	A1•K2•K1•A2
FH	1SS375	SANYO	shd-2	$V_{GS}>10\text{ В}; V_{GS}(I_D=10\text{ мА})<0.58\text{ В}; I_{DS}(V_{GS}=10\text{ В})<10\text{ мА}$	SOT323, SC70	A1•K2•K1•A2
FHAA	MAX6327UR25	MAX	mrc	$V_{IH}=2.5\text{ В}; V_{DD}=1.2\text{...}5.5\text{ В}; I_{CC}<1.75\text{ мА}$	SOT23, SOD23	GND•RST•V _{CC}
FHs	BFN24	SIEM	npn	$V_{CE0}=250\text{ В}; I_C=200\text{ мА}; P_D=360\text{ мВт}; h_{21}>40; f_T=70\text{ МГц}$	SOT23, SOD23	B-E•C
FAA	MAX6327UR26	MAX	mrc	$V_{IH}=2.63\text{ В}; V_{DD}=1.2\text{...}5.5\text{ В}; I_{CC}<1.75\text{ мА}$	SOT23, SOD23	GND•RST•V _{CC}
FJAA	MAX6327UR27	MAX	mrc	$V_{IH}=2.7\text{ В}; V_{DD}=1.2\text{...}5.5\text{ В}; I_{CC}<1.75\text{ мА}$	SOT23, SOD23	GND•RST•V _{CC}
FJs	BFN26	SIEM	npn	$V_{CE0}=300\text{ В}; I_C=200\text{ мА}; P_D=360\text{ мВт}; h_{21}>30; f_T=70\text{ МГц}$	SOT23, SOD23	B-E•C
FAAA	MAX6327UR28	MAX	mrc	$V_{IH}=2.8\text{ В}; V_{DD}=1.2\text{...}5.5\text{ В}; I_{CC}<1.75\text{ мА}$	SOT23, SOD23	GND•RST•V _{CC}
FKs	BFN25	SIEM	npn	$V_{CE0}=250\text{ В}; I_C=200\text{ мА}; P_D=360\text{ мВт}; h_{21}>40; f_T=100\text{ МГц}$	SOT23, SOD23	B-E•C
FLAA	MAX6327UR29	MAX	mrc	$V_{IH}=2.93\text{ В}; V_{DD}=1.2\text{...}5.5\text{ В}; I_{CC}<1.75\text{ мА}$	SOT23, SOD23	GND•RST•V _{CC}
FLs	BFN27	SIEM	npn	$V_{CE0}=300\text{ В}; I_C=200\text{ мА}; P_D=360\text{ мВт}; h_{21}>30; f_T=100\text{ МГц}$	SOT23, SOD23	B-E•C
FO	2SC27160	TOSH	npn	$V_{CE0}=35\text{ В}; I_C=100\text{ мА}; P_D=150\text{ мВт}; h_{21}>70\text{...}140; f_T>80\text{ МГц}$	SOT23, SOD23	B-E•C
FOAA	MAX6328UR23	MAX	mrc	$V_{IH}=2.32\text{ В}; V_{DD}=1.2\text{...}5.5\text{ В}; I_{CC}<1.75\text{ мА}$	SOT23, SOD23	GND•RST•V _{CC}
FPAA	MAX6328UR24	MAX	mrc	$V_{IH}=2.4\text{ В}; V_{DD}=1.2\text{...}5.5\text{ В}; I_{CC}<1.75\text{ мА}$	SOT23, SOD23	GND•RST•V _{CC}
FQ	2SA1037AKQ	ROHM	npn	$V_{CE0}=50\text{ В}; I_C=150\text{ мА}; P_D=200\text{ мВт}; h_{21}>120\text{...}270; f_T>140\text{ МГц}$	SOT346, SC59	B-E•C
FQ	2SA1576AQ	ROHM	npn	$V_{CE0}=50\text{ В}; I_C=150\text{ мА}; P_D=200\text{ мВт}; h_{21}>120\text{...}270; f_T>140\text{ МГц}$	SOT323, SC75A	B-E•C
FQ	2SA1774	ROHM	npn	$V_{CE0}=60\text{ В}; I_C=150\text{ мА}; P_D=200\text{ мВт}; h_{21}>120\text{...}270; f_T>140\text{ МГц}$	SOT416, SC75A	B-E•C
FQ	2SA2029Q	ROHM	npn	$V_{CE0}=60\text{ В}; I_C=150\text{ мА}; P_D=150\text{ мВт}; h_{21}>120\text{...}270; f_T>140\text{ МГц}$	SOT23, SOD23	B-E•C
F-Q	2PA1575Q	PHIL	npn	$V_{CE0}=50\text{ В}; I_C=100\text{ мА}; P_D=200\text{ мВт}; h_{21}>120\text{...}270; f_T>140\text{ МГц}$	VMT3, VMD3	B-E•C
FQAA	MAX6328UR25	MAX	mrc	$V_{IH}=2.5\text{ В}; V_{DD}=1.2\text{...}5.5\text{ В}; I_{CC}<1.75\text{ мА}$	SOT23, SOD23	GND•RST•V _{CC}
FR	2SA1034R	PAN	npn	$V_{CE0}=35\text{ В}; I_C=100\text{ мА}; P_D=200\text{ мВт}; h_{21}>180\text{...}360; f_T>200\text{ МГц}$	SOT23, SOD23	B-E•C
FR	2SA1037AKR	ROHM	npn	$V_{CE0}=50\text{ В}; I_C=150\text{ мА}; P_D=200\text{ мВт}; h_{21}>180\text{...}390; f_T>140\text{ МГц}$	SOT346, SC59	B-E•C
FR	2SA1531R	PAN	npn	$V_{CE0}=35\text{ В}; I_C=50\text{ мА}; P_D=150\text{ мВт}; h_{21}>180\text{...}360; f_T=80\text{ МГц}$	SOT323, SC70	B-E•C
FR	2SA1576AR	ROHM	npn	$V_{CE0}=50\text{ В}; I_C=150\text{ мА}; P_D=200\text{ мВт}; h_{21}>180\text{...}390; f_T>140\text{ МГц}$	SOT323, SC70	B-E•C
FR	2SA1774	ROHM	npn	$V_{CE0}=60\text{ В}; I_C=150\text{ мА}; P_D=200\text{ мВт}; h_{21}>180\text{...}390; f_T>140\text{ МГц}$	SOT416, SC75A	B-E•C
FR	2SA2029R	ROHM	npn	$V_{CE0}=60\text{ В}; I_C=150\text{ мА}; P_D=150\text{ мВт}; h_{21}>180\text{...}390; f_T>140\text{ МГц}$	VMT3, VMD3	B-E•C
FR	2SC2716R	TOSH	npn	$V_{CE0}=35\text{ В}; I_C=100\text{ мА}; P_D=150\text{ мВт}; h_{21}>40\text{...}80; f_T>80\text{ МГц}$	SOT23, SOD23	B-E•C
F-R	2PA1576R	PHIL	npn	$V_{CE0}=50\text{ В}; I_C=100\text{ мА}; P_D=200\text{ мВт}; h_{21}>180\text{...}390; f_T>100\text{ МГц}$	SOT323, SC70	B-E•C
FPAA	MAX6328UR26	MAX	mrc	$V_{IH}=2.63\text{ В}; V_{DD}=1.2\text{...}5.5\text{ В}; I_{CC}<1.75\text{ мА}$	SOT23, SOD23	GND•RST•V _{CC}
FS	2SA1034S	PAN	npn	$V_{CE0}=35\text{ В}; I_C=100\text{ мА}; P_D=200\text{ мВт}; h_{21}>260\text{...}520; f_T>200\text{ МГц}$	SOT23, SOD23	B-E•C
FS	2SA1037AKS	ROHM	npn	$V_{CE0}=50\text{ В}; I_C=150\text{ мА}; P_D=200\text{ мВт}; h_{21}>270\text{...}560; f_T>140\text{ МГц}$	SOT346, SC59	B-E•C
FS	2SA1531S	PAN	npn	$V_{CE0}=35\text{ В}; I_C=50\text{ мА}; P_D=150\text{ мВт}; h_{21}>260\text{...}520; f_T=80\text{ МГц}$	SOT323, SC70	B-E•C
FS	2SA1576AS	ROHM	npn	$V_{CE0}=50\text{ В}; I_C=150\text{ мА}; P_D=200\text{ мВт}; h_{21}>270\text{...}560; f_T>140\text{ МГц}$	SOT323, SC70	B-E•C
FS	2SA1774	ROHM	npn	$V_{CE0}=60\text{ В}; I_C=150\text{ мА}; P_D=200\text{ мВт}; h_{21}>270\text{...}560; f_T>140\text{ МГц}$	SOT416, SC75A	B-E•C
FS	2SA2029S	ROHM	npn	$V_{CE0}=60\text{ В}; I_C=150\text{ мА}; P_D=150\text{ мВт}; h_{21}>270\text{...}560; f_T>140\text{ МГц}$	VMT3, VMD3	B-E•C



SOT23-3 SOT323 SOT416
SOD23-3 SOT346 SOT523



SOT490 TSM VMT3
MFPK TSFP-3 VMD3

Код	Типономинал	Б	Ф	Особенности	Корпус	1: 2+3
F-S	2PA1578S	PHIL	npn	$V_{CE0}=50\text{ В}$, $I_C=100\text{ мА}$, $P_D=200\text{ мВт}$; $h_{FE}=270\dots580$, $f_T>100\text{ МГц}$	SOT323, SC70	B-E-C
FS-	2SC5890	REN	npn	$V_{CE0}=20\text{ В}$, $I_C=75\text{ мА}$, $P_D=700\text{ мВт}$; $h_{FE}=100\dots200$, $f_T>5.5\text{ ГГц}$	SOT23, SOD23	B-E-C
FSAA	MAX6328UR27	MAX	mrc	$V_{IH}=2.7\text{ В}$, $V_{DD}=1.2\dots5.5\text{ В}$, $I_{CC}<1.75\text{ мА}$	SOT23, SOD23	GND-RST- V_{CC}
FT	2SA1034T	PAN	npn	$V_{CE0}=35\text{ В}$, $I_C=100\text{ мА}$, $P_D=200\text{ мВт}$; $h_{FE}=360\dots700$, $f_T>200\text{ МГц}$	SOT23, SOD23	B-E-C
FTT	2SA1531T	PAN	npn	$V_{CE0}=35\text{ В}$, $I_C=50\text{ мА}$, $P_D=150\text{ мВт}$; $h_{FE}=360\dots700$, $f_T>80\text{ МГц}$	SOT23, SC70	B-E-C
FTAA	MAX6328UR28	MAX	mrc	$V_{IH}=2.8\text{ В}$, $V_{DD}=1.2\dots5.5\text{ В}$, $I_{CC}<1.75\text{ мА}$	SOT23, SOD23	GND-RST- V_{CC}
FIQ	2PA1578Q	PHIL	npn	$V_{CE0}=50\text{ В}$, $I_C=100\text{ мА}$, $P_D=200\text{ мВт}$; $h_{FE}=120\dots270$, $f_T>100\text{ МГц}$	SOT323, SC70	B-E-C
FIR	2PA1578R	PHIL	npn	$V_{CE0}=50\text{ В}$, $I_C=100\text{ мА}$, $P_D=200\text{ мВт}$; $h_{FE}=180\dots390$, $f_T>100\text{ МГц}$	SOT323, SC70	B-E-C
FIS	2PA1578S	PHIL	npn	$V_{CE0}=50\text{ В}$, $I_C=100\text{ мА}$, $P_D=200\text{ мВт}$; $h_{FE}=270\dots580$, $f_T>100\text{ МГц}$	SOT323, SC70	B-E-C
FJAA	MAX6328UR29	MAX	mrc	$V_{IH}=2.93\text{ В}$, $V_{DD}=1.2\dots5.5\text{ В}$, $I_{CC}<1.75\text{ мА}$	SOT23, SOD23	GND-RST- V_{CC}
FV	1SV248	SANYO	pin	$V_{DS}=50\text{ В}$; $I_D<50\text{ мА}$; $V_{GS}(I_D=50\text{ мА})=0.92\text{ В}$; $I_g<0.1\text{ мА}$	SOT23, SC70	A-n.c.-K
FV	1SV250	SANYO	pin	$V_{DS}=50\text{ В}$; $I_D<50\text{ мА}$; $V_{GS}(I_D=50\text{ мА})=0.92\text{ В}$; $I_g<0.1\text{ мА}$	SOT23, SOD23	A-n.c.-K
FVAA	MAX6328UR31	MAX	mrc	$V_{IH}=3.08\text{ В}$, $V_{DD}=1.2\dots5.5\text{ В}$, $I_{CC}<1.75\text{ мА}$	SOT23, SOD23	GND-RST- V_{CC}
FVAA	MAX6328UR30	MAX	mrc	$V_{IH}=3.0\text{ В}$, $V_{DD}=1.2\dots5.5\text{ В}$, $I_{CC}<1.75\text{ мА}$	SOT23, SOD23	GND-RST- V_{CC}
FY	2SC2716Y	TOSH	npn	$V_{CE0}=35\text{ В}$, $I_C=100\text{ мА}$, $P_D=150\text{ мВт}$; $h_{FE}=120\dots240$, $f_T>80\text{ МГц}$	SOT23, SOD23	B-E-C
FZAP	MAX6021AUR	MAX	wref	$V_{IN}=2.5\dots12.6\text{ В}$, $TC_{VOUT}<20\text{ ppm}/^\circ\text{C}$, $V_{OUT}=1.247\text{ В}$	SOT23, SOD23	IN-OUT-GND
FZAQ	MAX6025AUR	MAX	wref	$V_{IN}=V_{OUT}+0.2\dots12.6\text{ В}$, $TC_{VOUT}<20\text{ ppm}/^\circ\text{C}$, $V_{OUT}=2.500\text{ В}$	SOT23, SOD23	IN-OUT-GND
FZAR	MAX6041AUR	MAX	wref	$V_{IN}=V_{OUT}+0.2\dots12.6\text{ В}$, $TC_{VOUT}<20\text{ ppm}/^\circ\text{C}$, $V_{OUT}=4.096\text{ В}$	SOT23, SOD23	IN-OUT-GND
FZAS	MAX6045AUR	MAX	wref	$V_{IN}=V_{OUT}+0.2\dots12.6\text{ В}$, $TC_{VOUT}<20\text{ ppm}/^\circ\text{C}$, $V_{OUT}=4.500\text{ В}$	SOT23, SOD23	IN-OUT-GND
FZAT	MAX6050AUR	MAX	wref	$V_{IN}=V_{OUT}+0.2\dots12.6\text{ В}$, $TC_{VOUT}<20\text{ ppm}/^\circ\text{C}$, $V_{OUT}=5.000\text{ В}$	SOT23, SOD23	IN-OUT-GND
FZAU	MAX6021AUR	MAX	wref	$V_{IN}=2.5\dots12.6\text{ В}$, $TC_{VOUT}<20\text{ ppm}/^\circ\text{C}$, $V_{OUT}=2.048\text{ В}$	SOT23, SOD23	IN-OUT-GND
FZAW	MAX6346UR33	MAX	mrc	$V_{IH}=3.3\text{ В}$, $V_{DD}=1.2\dots5.5\text{ В}$, $I_{CC}<1.75\text{ мА}$	SOT23, SOD23	GND-RST- V_{CC}
FZAW	MAX6346UR34	MAX	mrc	$V_{IH}=3.4\text{ В}$, $V_{DD}=1.2\dots5.5\text{ В}$, $I_{CC}<1.75\text{ мА}$	SOT23, SOD23	GND-RST- V_{CC}
FZAX	MAX6346UR35	MAX	mrc	$V_{IH}=3.5\text{ В}$, $V_{DD}=1.2\dots5.5\text{ В}$, $I_{CC}<1.75\text{ мА}$	SOT23, SOD23	GND-RST- V_{CC}
FZAY	MAX6346UR36	MAX	mrc	$V_{IH}=3.6\text{ В}$, $V_{DD}=1.2\dots5.5\text{ В}$, $I_{CC}<1.75\text{ мА}$	SOT23, SOD23	GND-RST- V_{CC}
FZAZ	MAX6346UR37	MAX	mrc	$V_{IH}=3.7\text{ В}$, $V_{DD}=1.2\dots5.5\text{ В}$, $I_{CC}<1.75\text{ мА}$	SOT23, SOD23	GND-RST- V_{CC}
FZBA	MAX6346UR38	MAX	mrc	$V_{IH}=3.8\text{ В}$, $V_{DD}=1.2\dots5.5\text{ В}$, $I_{CC}<1.75\text{ мА}$	SOT23, SOD23	GND-RST- V_{CC}
FZBB	MAX6346UR39	MAX	mrc	$V_{IH}=3.9\text{ В}$, $V_{DD}=1.2\dots5.5\text{ В}$, $I_{CC}<1.75\text{ мА}$	SOT23, SOD23	GND-RST- V_{CC}
FZBC	MAX6346UR40	MAX	mrc	$V_{IH}=4.0\text{ В}$, $V_{DD}=1.2\dots5.5\text{ В}$, $I_{CC}<1.75\text{ мА}$	SOT23, SOD23	GND-RST- V_{CC}
FZBD	MAX6346UR41	MAX	mrc	$V_{IH}=4.1\text{ В}$, $V_{DD}=1.2\dots5.5\text{ В}$, $I_{CC}<1.75\text{ мА}$	SOT23, SOD23	GND-RST- V_{CC}
FZBE	MAX6346UR42	MAX	mrc	$V_{IH}=4.2\text{ В}$, $V_{DD}=1.2\dots5.5\text{ В}$, $I_{CC}<1.75\text{ мА}$	SOT23, SOD23	GND-RST- V_{CC}
FZBF	MAX6346UR43	MAX	mrc	$V_{IH}=4.3\text{ В}$, $V_{DD}=1.2\dots5.5\text{ В}$, $I_{CC}<1.75\text{ мА}$	SOT23, SOD23	GND-RST- V_{CC}
FZBG	MAX6346UR44	MAX	mrc	$V_{IH}=4.38\text{ В}$, $V_{DD}=1.2\dots5.5\text{ В}$, $I_{CC}<1.75\text{ мА}$	SOT23, SOD23	GND-RST- V_{CC}
FZBH	MAX6346UR45	MAX	mrc	$V_{IH}=4.5\text{ В}$, $V_{DD}=1.2\dots5.5\text{ В}$, $I_{CC}<1.75\text{ мА}$	SOT23, SOD23	GND-RST- V_{CC}
FZBI	MAX6346UR46	MAX	mrc	$V_{IH}=4.63\text{ В}$, $V_{DD}=1.2\dots5.5\text{ В}$, $I_{CC}<1.75\text{ мА}$	SOT23, SOD23	GND-RST- V_{CC}
FZBJ	MAX6347UR33	MAX	mrc	$V_{IH}=3.3\text{ В}$, $V_{DD}=1.2\dots5.5\text{ В}$, $I_{CC}<1.75\text{ мА}$	SOT23, SOD23	GND-RST- V_{CC}
FZBK	MAX6347UR34	MAX	mrc	$V_{IH}=3.4\text{ В}$, $V_{DD}=1.2\dots5.5\text{ В}$, $I_{CC}<1.75\text{ мА}$	SOT23, SOD23	GND-RST- V_{CC}
FZBL	MAX6347UR35	MAX	mrc	$V_{IH}=3.5\text{ В}$, $V_{DD}=1.2\dots5.5\text{ В}$, $I_{CC}<1.75\text{ мА}$	SOT23, SOD23	GND-RST- V_{CC}
FZBM	MAX6347UR36	MAX	mrc	$V_{IH}=3.6\text{ В}$, $V_{DD}=1.2\dots5.5\text{ В}$, $I_{CC}<1.75\text{ мА}$	SOT23, SOD23	GND-RST- V_{CC}
FZBN	MAX6347UR37	MAX	mrc	$V_{IH}=3.7\text{ В}$, $V_{DD}=1.2\dots5.5\text{ В}$, $I_{CC}<1.75\text{ мА}$	SOT23, SOD23	GND-RST- V_{CC}
FZBO	MAX6347UR38	MAX	mrc	$V_{IH}=3.8\text{ В}$, $V_{DD}=1.2\dots5.5\text{ В}$, $I_{CC}<1.75\text{ мА}$	SOT23, SOD23	GND-RST- V_{CC}
FZBP	MAX6347UR39	MAX	mrc	$V_{IH}=3.9\text{ В}$, $V_{DD}=1.2\dots5.5\text{ В}$, $I_{CC}<1.75\text{ мА}$	SOT23, SOD23	GND-RST- V_{CC}
FZBQ	MAX6347UR40	MAX	mrc	$V_{IH}=4.0\text{ В}$, $V_{DD}=1.2\dots5.5\text{ В}$, $I_{CC}<1.75\text{ мА}$	SOT23, SOD23	GND-RST- V_{CC}
FZBR	MAX6347UR41	MAX	mrc	$V_{IH}=4.1\text{ В}$, $V_{DD}=1.2\dots5.5\text{ В}$, $I_{CC}<1.75\text{ мА}$	SOT23, SOD23	GND-RST- V_{CC}
FZBS	MAX6347UR42	MAX	mrc	$V_{IH}=4.2\text{ В}$, $V_{DD}=1.2\dots5.5\text{ В}$, $I_{CC}<1.75\text{ мА}$	SOT23, SOD23	GND-RST- V_{CC}
FZBT	MAX6347UR43	MAX	mrc	$V_{IH}=4.3\text{ В}$, $V_{DD}=1.2\dots5.5\text{ В}$, $I_{CC}<1.75\text{ мА}$	SOT23, SOD23	GND-RST- V_{CC}
FZBU	MAX6347UR44	MAX	mrc	$V_{IH}=4.38\text{ В}$, $V_{DD}=1.2\dots5.5\text{ В}$, $I_{CC}<1.75\text{ мА}$	SOT23, SOD23	GND-RST- V_{CC}
FZBV	MAX6347UR45	MAX	mrc	$V_{IH}=4.5\text{ В}$, $V_{DD}=1.2\dots5.5\text{ В}$, $I_{CC}<1.75\text{ мА}$	SOT23, SOD23	GND-RST- V_{CC}
FZBW	MAX6347UR46	MAX	mrc	$V_{IH}=4.6\text{ В}$, $V_{DD}=1.2\dots5.5\text{ В}$, $I_{CC}<1.75\text{ мА}$	SOT23, SOD23	GND-RST- V_{CC}
FZBX	MAX6348UR33	MAX	mrc	$V_{IH}=3.3\text{ В}$, $V_{DD}=1.2\dots5.5\text{ В}$, $I_{CC}<1.75\text{ мА}$	SOT23, SOD23	GND-RST- V_{CC}
FZBY	MAX6348UR34	MAX	mrc	$V_{IH}=3.4\text{ В}$, $V_{DD}=1.2\dots5.5\text{ В}$, $I_{CC}<1.75\text{ мА}$	SOT23, SOD23	GND-RST- V_{CC}
FZBZ	MAX6348UR35	MAX	mrc	$V_{IH}=3.5\text{ В}$, $V_{DD}=1.2\dots5.5\text{ В}$, $I_{CC}<1.75\text{ мА}$	SOT23, SOD23	GND-RST- V_{CC}

SOT490 TSM
MFFPAK TSFP-3

VMT3
VMD3



SOT416 SOT323
SOT523 SOT346

SOT23-3
SOD23-3



Код	Типономинал	Б	Ф	Особенности	Корпус	Ц: 1•2•3
FZCA	MAX6348UR36	MAX	mmc	$V_{IF}=3.6B; V_{DD}=1.2...5.5B; I_{CC}<1.75mA$	SOT23, SOD23	GND-RST- V_{CC}
FZCB	MAX6348UR37	MAX	mmc	$V_{IF}=3.7B; V_{DD}=1.2...5.5B; I_{CC}<1.75mA$	SOT23, SOD23	GND-RST- V_{CC}
FZCC	MAX6348UR38	MAX	mmc	$V_{IF}=3.8B; V_{DD}=1.2...5.5B; I_{CC}<1.75mA$	SOT23, SOD23	GND-RST- V_{CC}
FZCD	MAX6348UR39	MAX	mmc	$V_{IF}=3.9B; V_{DD}=1.2...5.5B; I_{CC}<1.75mA$	SOT23, SOD23	GND-RST- V_{CC}
FZCE	MAX6348UR40	MAX	mmc	$V_{IF}=4.0B; V_{DD}=1.2...5.5B; I_{CC}<1.75mA$	SOT23, SOD23	GND-RST- V_{CC}
FZCF	MAX6348UR41	MAX	mmc	$V_{IF}=4.1B; V_{DD}=1.2...5.5B; I_{CC}<1.75mA$	SOT23, SOD23	GND-RST- V_{CC}
FZCG	MAX6348UR42	MAX	mmc	$V_{IF}=4.2B; V_{DD}=1.2...5.5B; I_{CC}<1.75mA$	SOT23, SOD23	GND-RST- V_{CC}
FZCH	MAX6348UR43	MAX	mmc	$V_{IF}=4.3B; V_{DD}=1.2...5.5B; I_{CC}<1.75mA$	SOT23, SOD23	GND-RST- V_{CC}
FZCI	MAX6348UR44	MAX	mmc	$V_{IF}=4.38B; V_{DD}=1.2...5.5B; I_{CC}<1.75mA$	SOT23, SOD23	GND-RST- V_{CC}
FZCJ	MAX6348UR45	MAX	mmc	$V_{IF}=4.5B; V_{DD}=1.2...5.5B; I_{CC}<1.75mA$	SOT23, SOD23	GND-RST- V_{CC}
FZCK	MAX6348UR46	MAX	mmc	$V_{IF}=4.6B; V_{DD}=1.2...5.5B; I_{CC}<1.75mA$	SOT23, SOD23	GND-RST- V_{CC}
FZCL	MAX6332UR1B03	MAX	mmc	$V_{IF}=1.6B; V_{DD}=1.2...5.5B; I_{CC}<7mA$	SOT23, SOD23	GND-RST- V_{CC}
FZCM	MAX6332UR1B03	MAX	mmc	$V_{IF}=1.8B; V_{DD}=1.2...5.5B; I_{CC}<7mA$	SOT23, SOD23	GND-RST- V_{CC}
FZCN	MAX6332UR2D03	MAX	mmc	$V_{IF}=2.2B; V_{DD}=1.2...5.5B; I_{CC}<7mA$	SOT23, SOD23	GND-RST- V_{CC}
FZCO	MAX6333UR1B03	MAX	mmc	$V_{IF}=1.6B; V_{DD}=1.2...5.5B; I_{CC}<7mA$	SOT23, SOD23	GND-RST- V_{CC}
FZCP	MAX6333UR1B03	MAX	mmc	$V_{IF}=1.8B; V_{DD}=1.2...5.5B; I_{CC}<7mA$	SOT23, SOD23	GND-RST- V_{CC}
FZCQ	MAX6333UR2D03	MAX	mmc	$V_{IF}=2.0B; V_{DD}=1.2...5.5B; I_{CC}<7mA$	SOT23, SOD23	GND-RST- V_{CC}
FZCR	MAX6333UR2D03	MAX	mmc	$V_{IF}=2.2B; V_{DD}=1.2...5.5B; I_{CC}<7mA$	SOT23, SOD23	GND-RST- V_{CC}
FZCS	MAX6333UR2D03	MAX	mmc	$V_{IF}=2.3B; V_{DD}=1.2...5.5B; I_{CC}<7mA$	SOT23, SOD23	GND-RST- V_{CC}
FZCT	MAX6334UR1B03	MAX	mmc	$V_{IF}=1.6B; V_{DD}=1.2...5.5B; I_{CC}<7mA$	SOT23, SOD23	GND-RST- V_{CC}
FZCU	MAX6334UR1B03	MAX	mmc	$V_{IF}=1.8B; V_{DD}=1.2...5.5B; I_{CC}<7mA$	SOT23, SOD23	GND-RST- V_{CC}
FZCV	MAX6334UR2D03	MAX	mmc	$V_{IF}=2.2B; V_{DD}=1.2...5.5B; I_{CC}<7mA$	SOT23, SOD23	GND-RST- V_{CC}
FZCW	MAX6011EUR	MAX	vref	$V_N+2.5...12.6B; I_{OUT}=400mA; V_{OUT}=1.250B$	SOT23, SOD23	IN-OUT-GND
FZCX	MAZ6011UR	MAX	vref	$V_{OUT}=1.250B$	SOT23, SOD23	+++n.c.
FZCX	MAX602EUR	MAX	vref	$V_N+V_{OUT}+0.2...12.6B; I_{OUT}=400mA; V_{OUT}=2.500B$	SOT23, SOD23	IN-OUT-GND
FZCY	MAZ602UR	MAX	vref	$V_{OUT}=2.500B$	SOT23, SOD23	+++n.c.
FZCY	MAX604EUR	MAX	vref	$V_N+V_{OUT}+0.2...12.6B; I_{OUT}=400mA; V_{OUT}=4.096B$	SOT23, SOD23	IN-OUT-GND
FZCY	MAZ604UR	MAX	vref	$V_{OUT}=4.096B$	SOT23, SOD23	+++n.c.
FZCZ	MAX605EUR	MAX	vref	$V_N+V_{OUT}+0.2...12.6B; I_{OUT}=400mA; V_{OUT}=5.000B$	SOT23, SOD23	IN-OUT-GND
FZCZ	MAZ605UR	MAX	vref	$V_{OUT}=5.000B$	SOT23, SOD23	+++n.c.
FZDA	MAX6012BEUR	MAX	vref	$V_N+2.5...12.6B; TC_{VOUT}<30ppm/^\circ C; V_{OUT}=1.247B$	SOT23, SOD23	IN-OUT-GND
FZDB	MAX6025BEUR	MAX	vref	$V_N+V_{OUT}+0.2...12.6B; TC_{VOUT}<30ppm/^\circ C; V_{OUT}=2.500B$	SOT23, SOD23	IN-OUT-GND
FZDC	MAX6041BEUR	MAX	vref	$V_N+V_{OUT}+0.2...12.6B; TC_{VOUT}<30ppm/^\circ C; V_{OUT}=4.096B$	SOT23, SOD23	IN-OUT-GND
FZDD	MAX6045BEUR	MAX	vref	$V_N+V_{OUT}+0.2...12.6B; TC_{VOUT}<30ppm/^\circ C; V_{OUT}=4.500B$	SOT23, SOD23	IN-OUT-GND
FZDE	MAX6050BEUR	MAX	vref	$V_N+V_{OUT}+0.2...12.6B; TC_{VOUT}<30ppm/^\circ C; V_{OUT}=5.000B$	SOT23, SOD23	IN-OUT-GND
FZDF	MAX6011BEUR	MAX	vref	$V_N+2.5...12.6B; TC_{VOUT}<30ppm/^\circ C; V_{OUT}=2.048B$	SOT23, SOD23	IN-OUT-GND
FZDK	MAX603EUR	MAX	vref	$V_N+V_{OUT}+0.2...12.6B; I_{OUT}=400mA; V_{OUT}=3.000B$	SOT23, SOD23	IN-OUT-GND
FZDK	MAZ603UR	MAX	vref	$V_{OUT}=3.000B$	SOT23, SOD23	+++n.c.
FZDL	MAX6332UR2D03	MAX	mmc	$V_{IF}=2.0B; V_{DD}=1.2...5.5B; I_{CC}<7mA$	SOT23, SOD23	GND-RST- V_{CC}
FZDM	MAX6332UR2D03	MAX	mmc	$V_{IF}=2.3B; V_{DD}=1.2...5.5B; I_{CC}<7mA$	SOT23, SOD23	GND-RST- V_{CC}
FZDN	MAX6334UR2D03	MAX	mmc	$V_{IF}=2.0B; V_{DD}=1.2...5.5B; I_{CC}<7mA$	SOT23, SOD23	GND-RST- V_{CC}
FZDO	MAX6334UR2D03	MAX	mmc	$V_{IF}=2.3B; V_{DD}=1.2...5.5B; I_{CC}<7mA$	SOT23, SOD23	GND-RST- V_{CC}
FZDP	MAX6806EUR46	MAX	vd	$V_{IF}=4.6B; V_{DD}=1.2...5.5B; I_{CC}<80mA$	SOT23, SOD23	RST-GND- V_{CC}
FZDQ	MAX6806EUR26	MAX	vd	$V_{IF}=2.6B; V_{DD}=1.2...5.5B; I_{CC}<80mA$	SOT23, SOD23	RST-GND- V_{CC}
FZDR	MAX6806EUR23	MAX	vd	$V_{IF}=2.3B; V_{DD}=1.2...5.5B; I_{CC}<80mA$	SOT23, SOD23	RST-GND- V_{CC}
FZDS	MAX6807EUR46	MAX	vd	$V_{IF}=4.6B; V_{DD}=1.2...5.5B; I_{CC}<80mA$	SOT23, SOD23	RST-GND- V_{CC}
FZDT	MAX6807EUR26	MAX	vd	$V_{IF}=2.6B; V_{DD}=1.2...5.5B; I_{CC}<80mA$	SOT23, SOD23	RST-GND- V_{CC}
FZDU	MAX6808EUR46	MAX	vd	$V_{IF}=4.6B; V_{DD}=1.2...5.5B; I_{CC}<80mA$	SOT23, SOD23	RST-GND- V_{CC}
FZDV	MAX6808EUR26	MAX	vd	$V_{IF}=2.6B; V_{DD}=1.2...5.5B; I_{CC}<80mA$	SOT23, SOD23	RST-GND- V_{CC}
FZDW	MAX6030AEUR	MAX	vref	$V_N+V_{OUT}+0.2...12.6B; TC_{VOUT}<20ppm/^\circ C; V_{OUT}=3.000B$	SOT23, SOD23	IN-OUT-GND
FZDX	MAX6030BEUR	MAX	vref	$V_N+V_{OUT}+0.2...12.6B; TC_{VOUT}<30ppm/^\circ C; V_{OUT}=3.000B$	SOT23, SOD23	IN-OUT-GND
FZDY	MAX6334UR1D03	MAX	mmc	$V_{IF}=1.7B; V_{DD}=1.2...5.5B; I_{CC}<7mA$	SOT23, SOD23	GND-RST- V_{CC}

Код	Типономинал	Б	Ф	Особенности	Корпус	Ц: 1•2•3
FZEA	MAX8333UR25D3	MAX	mrc	$V_{TH}=2.5B, V_{DD}=1.2...5.5B, I_{CC}<7mA$	SOT23, SOD23	GND-RST-V _{CC}
FZEB	LM4041AIM3-1.2	MAX	wref	$V_{OUT}=1.225B, ACC=0.1\%$	SOT23, SOD23	+++n.c.
FZEC	LM4041BIM3-1.2	MAX	wref	$V_{OUT}=1.225B, ACC=0.2\%$	SOT23, SOD23	+++n.c.
FZED	LM4041CIM3-1.2	MAX	wref	$V_{OUT}=1.225B, ACC=0.5\%$	SOT23, SOD23	+++n.c.
FZEE	LM4041DIM3-1.2	MAX	wref	$V_{OUT}=1.225B, ACC=1.0\%$	SOT23, SOD23	+++n.c.
FZEF	LM4043AIM3-2.1	MAX	wref	$V_{OUT}=2.048B, ACC=0.1\%$	SOT23, SOD23	+++n.c.
FZEG	LM4043BIM3-2.1	MAX	wref	$V_{OUT}=2.048B, ACC=0.2\%$	SOT23, SOD23	+++n.c.
FZEH	LM4043CIM3-2.1	MAX	wref	$V_{OUT}=2.048B, ACC=0.5\%$	SOT23, SOD23	+++n.c.
FZEI	LM4043DIM3-2.1	MAX	wref	$V_{OUT}=2.048B, ACC=1.0\%$	SOT23, SOD23	+++n.c.
FZEJ	LM4043AIM3-2.5	MAX	wref	$V_{OUT}=2.500B, ACC=0.1\%$	SOT23, SOD23	+++n.c.
FZEK	LM4043BIM3-2.5	MAX	wref	$V_{OUT}=2.500B, ACC=0.2\%$	SOT23, SOD23	+++n.c.
FZEL	LM4043CIM3-2.5	MAX	wref	$V_{OUT}=2.500B, ACC=0.5\%$	SOT23, SOD23	+++n.c.
FZEM	LM4043DIM3-2.5	MAX	wref	$V_{OUT}=2.500B, ACC=1.0\%$	SOT23, SOD23	+++n.c.
FZEN	LM4043AIM3-3.0	MAX	wref	$V_{OUT}=3.000B, ACC=0.1\%$	SOT23, SOD23	+++n.c.
FZEO	LM4043BIM3-3.0	MAX	wref	$V_{OUT}=3.000B, ACC=0.2\%$	SOT23, SOD23	+++n.c.
FZEP	LM4043CIM3-3.0	MAX	wref	$V_{OUT}=3.000B, ACC=0.5\%$	SOT23, SOD23	+++n.c.
FZEQ	LM4043DIM3-3.0	MAX	wref	$V_{OUT}=3.000B, ACC=1.0\%$	SOT23, SOD23	+++n.c.
FZER	LM4043AIM3-4.1	MAX	wref	$V_{OUT}=4.096B, ACC=0.1\%$	SOT23, SOD23	+++n.c.
FZES	LM4043BIM3-4.1	MAX	wref	$V_{OUT}=4.096B, ACC=0.2\%$	SOT23, SOD23	+++n.c.
FZET	LM4043CIM3-4.1	MAX	wref	$V_{OUT}=4.096B, ACC=0.5\%$	SOT23, SOD23	+++n.c.
FZEU	LM4043DIM3-4.1	MAX	wref	$V_{OUT}=4.096B, ACC=1.0\%$	SOT23, SOD23	+++n.c.
FZEV	LM4043AIM3-5.0	MAX	wref	$V_{OUT}=5.000B, ACC=0.1\%$	SOT23, SOD23	+++n.c.
FZEW	LM4043BIM3-5.0	MAX	wref	$V_{OUT}=5.000B, ACC=0.2\%$	SOT23, SOD23	+++n.c.
FZEX	LM4043CIM3-5.0	MAX	wref	$V_{OUT}=5.000B, ACC=0.5\%$	SOT23, SOD23	+++n.c.
FZEY	LM4043DIM3-5.0	MAX	wref	$V_{OUT}=5.000B, ACC=1.0\%$	SOT23, SOD23	+++n.c.
FZEZ	MA2803LUP	MAX	mrc	$V_{TH}=5.0B$	SOT23, SOD23	GND-RST-V _{CC}
FZFA	MA2803MUR	MAX	mrc	$V_{TH}=5.0B$	SOT23, SOD23	GND-RST-V _{CC}
FZFB	MA2803TUR	MAX	mrc	$V_{TH}=3.3B$	SOT23, SOD23	GND-RST-V _{CC}
FZFC	MA2803SUR	MAX	mrc	$V_{TH}=3.3B$	SOT23, SOD23	GND-RST-V _{CC}
FZFD	MA2803RUR	MAX	mrc	$V_{TH}=3.0B$	SOT23, SOD23	GND-RST-V _{CC}
FZFL	MAX8808UR32	MAX	vd	$V_{TH}=3.2B, V_{DD}=1.2...5.5B, I_{CC}<80mA$	SOT23, SOD23	RST-GND-V _{CC}
FZFM	MAX9068AUR	MAX	wref	$V_{IN}=V_{OUT}+0.2...12.6B, TC_{VOUT}<20ppm/^{\circ}C, V_{OUT}=2.500B$	SOT23, SOD23	IN-OUT-GND
FZFN	MAX9068BUR	MAX	wref	$V_{IN}=V_{OUT}+0.2...12.6B, TC_{VOUT}<30ppm/^{\circ}C, V_{OUT}=2.500B$	SOT23, SOD23	IN-OUT-GND
FZFP	MAX9061AUR	MAX	wref	$V_{IN}=2.5...12.6B, TC_{VOUT}<20ppm/^{\circ}C, V_{OUT}=1.248B$	SOT23, SOD23	IN-OUT-GND
FZFQ	MAX9061BUR	MAX	wref	$V_{IN}=2.5...12.6B, TC_{VOUT}<30ppm/^{\circ}C, V_{OUT}=1.248B$	SOT23, SOD23	IN-OUT-GND
FZFS	MAX9067AUR	MAX	wref	$V_{IN}=V_{OUT}+0.2...12.6B, TC_{VOUT}<20ppm/^{\circ}C, V_{OUT}=4.500B$	SOT23, SOD23	IN-OUT-GND
FZFT	MAX9067BUR	MAX	wref	$V_{IN}=V_{OUT}+0.2...12.6B, TC_{VOUT}<30ppm/^{\circ}C, V_{OUT}=4.500B$	SOT23, SOD23	IN-OUT-GND
FZFU	MAX9063AUR	MAX	wref	$V_{IN}=V_{OUT}+0.2...12.6B, TC_{VOUT}<20ppm/^{\circ}C, V_{OUT}=3.000B$	SOT23, SOD23	IN-OUT-GND
FZFW	MAX9063BUR	MAX	wref	$V_{IN}=V_{OUT}+0.2...12.6B, TC_{VOUT}<30ppm/^{\circ}C, V_{OUT}=3.000B$	SOT23, SOD23	IN-OUT-GND
FZFY	MAX9062AUR	MAX	wref	$V_{IN}=2.5...12.6B, R[-33]^{\circ}C, TC_{VOUT}<20ppm/^{\circ}C, V_{OUT}=2.048B$	SOT23, SOD23	IN-OUT-GND
FZFZ	MAX9062BUR	MAX	wref	$V_{IN}=2.5...12.6B, TC_{VOUT}<30ppm/^{\circ}C, V_{OUT}=2.048B$	SOT23, SOD23	IN-OUT-GND
FZGB	MAX9064AUR	MAX	wref	$V_{IN}=V_{OUT}+0.2...12.6B, TC_{VOUT}<20ppm/^{\circ}C, V_{OUT}=4.096B$	SOT23, SOD23	IN-OUT-GND
FZGC	MAX9064BUR	MAX	wref	$V_{IN}=V_{OUT}+0.2...12.6B, TC_{VOUT}<30ppm/^{\circ}C, V_{OUT}=4.096B$	SOT23, SOD23	IN-OUT-GND
FZGE	MAX9065AUR	MAX	wref	$V_{IN}=V_{OUT}+0.2...12.6B, TC_{VOUT}<20ppm/^{\circ}C, V_{OUT}=5.000B$	SOT23, SOD23	IN-OUT-GND
FZGF	MAX9065BUR	MAX	wref	$V_{IN}=V_{OUT}+0.2...12.6B, TC_{VOUT}<30ppm/^{\circ}C, V_{OUT}=5.000B$	SOT23, SOD23	IN-OUT-GND
FZGH	MAX9066AUR	MAX	wref	$ACC=0.2\%; I_{OUT}=+400mA, V_{OUT}=1.25B$	SOT23, SOD23	OUT-GND+1.c.
FZGI	MAX9066BUR	MAX	wref	$V_{OUT}=1.250B, ACC=0.2\%$	SOT23, SOD23	+++n.c.
FZGJ	MAX9066AUR	MAX	wref	$ACC=0.5\%; I_{OUT}=+400mA, V_{OUT}=1.25B$	SOT23, SOD23	IN-OUT-GND+1.c.
FZGK	MAX9066BUR	MAX	wref	$V_{OUT}=1.250B, ACC=0.5\%$	SOT23, SOD23	+++n.c.
FZGL	MAX9066AUR	MAX	wref	$V_{OUT}=1.250B, ACC=1.0\%$	SOT23, SOD23	+++n.c.
FZGM	MAX9067AUR	MAX	wref	$ACC=0.2\%; I_{OUT}=+400mA, V_{OUT}=2.048B$	SOT23, SOD23	OUT-GND+1.c.
FZGN	MAX9067BUR	MAX	wref	$V_{OUT}=2.480B, ACC=0.2\%$	SOT23, SOD23	+++n.c.

SOT490 TSM
MFFPAK TSFP-3

VMT3
VMD3



SOT416
SOT523

SOT323
SOT346

SOT23-3
SOD23-3



Код	Типономинал	Б	Ф	Особенности	Корпус	Ц: 1•2•3
FZGL	MAX6007BEUR	MAX	vref	ACC=0.5%, I _{OUT} ±400 мкА, V _{OUT} ±2.048 В	SOT23, SOD23	OUT-GND+I.C
FZGL	MAZ6007BUR	MAX	vref	V _{OUT} ±2.480 В, ACC=0.5%	SOT23, SOD23	+++n.c.
FZGM	MAZ6007CUR	MAX	vref	V _{OUT} ±2.480 В, ACC=1.0%	SOT23, SOD23	+++n.c.
FZGN	MAX6008AEUR	MAX	vref	ACC=0.2%, I _{OUT} ±400 мкА, V _{OUT} ±2.5 В	SOT23, SOD23	OUT-GND+I.C
FZGN	MAZ6008AUR	MAX	vref	V _{OUT} ±2.500 В, ACC=0.2%	SOT23, SOD23	+++n.c.
FZGO	MAX6008BEUR	MAX	vref	ACC=0.5%, I _{OUT} ±400 мкА, V _{OUT} ±2.5 В	SOT23, SOD23	OUT-GND+I.C
FZGO	MAZ6008BUR	MAX	vref	V _{OUT} ±2.500 В, ACC=0.5%	SOT23, SOD23	+++n.c.
FZGP	MAZ6008CUR	MAX	vref	V _{OUT} ±2.500 В, ACC=1.0%	SOT23, SOD23	+++n.c.
FZGQ	MAX6009AEUR	MAX	vref	ACC=0.2%, I _{OUT} ±400 мкА, V _{OUT} ±3.0 В	SOT23, SOD23	OUT-GND+I.C
FZGQ	MAZ6009AUR	MAX	vref	V _{OUT} ±3.000 В, ACC=0.2%	SOT23, SOD23	+++n.c.
FZGR	MAX6009BEUR	MAX	vref	ACC=0.5%, I _{OUT} ±400 мкА, V _{OUT} ±3.0 В	SOT23, SOD23	OUT-GND+I.C
FZGR	MAZ6009BUR	MAX	vref	V _{OUT} ±3.000 В, ACC=0.5%	SOT23, SOD23	+++n.c.
FZGS	MAZ6009CUR	MAX	vref	V _{OUT} ±3.000 В, ACC=1.0%	SOT23, SOD23	+++n.c.
FZGT	MAX6101EUR	MAX	vref	V _N ±2.5...12.6 В, I _{CC} <125 мкА, V _{OUT} ±1.250 В	SOT23, SOD23	IN-OUT-GND
FZGU	MAX6102EUR	MAX	vref	V _N ±V _{OUT} +0.2...12.6 В, I _{CC} <125 мкА, V _{OUT} ±2.500 В	SOT23, SOD23	IN-OUT-GND
FZGV	MAX6103EUR	MAX	vref	V _N ±V _{OUT} +0.2...12.6 В, I _{CC} <125 мкА, V _{OUT} ±3.000 В	SOT23, SOD23	IN-OUT-GND
FZGW	MAX6104EUR	MAX	vref	V _N ±V _{OUT} +0.2...12.6 В, I _{CC} <125 мкА, V _{OUT} ±4.096 В	SOT23, SOD23	IN-OUT-GND
FZGX	MAX6105EUR	MAX	vref	V _N ±V _{OUT} +0.2...12.6 В, I _{CC} <125 мкА, V _{OUT} ±5.000 В	SOT23, SOD23	IN-OUT-GND
FZGY	MAX6334UR16D2	MAX	mrc	V _{IN} ±1.6 В, V _{DD} ±1.2...5.5 В, I _{CC} <7 мкА	SOT23, SOD23	GND-RST+V _{CC}
FZHA	MAX6333UR24D1	MAX	mrc	V _{IN} ±2.4 В, V _{DD} ±1.2...5.5 В, I _{CC} <7 мкА	SOT23, SOD23	GND-RST+V _{CC}
FZHC	MAX6375UR26	MAX	vd	V _{IN} ±2.63 В, V _{DD} ±1.2...5.5 В, I _{CC} <1.75 мкА	SOT23, SOD23	OUT-GND+V _{CC}
FZHD	MAX6375UR22	MAX	vd	V _{IN} ±2.20 В, V _{DD} ±1.2...5.5 В, I _{CC} <1.75 мкА	SOT23, SOD23	OUT-GND+V _{CC}
FZHE	MAX6375UR23	MAX	vd	V _{IN} ±2.32 В, V _{DD} ±1.2...5.5 В, I _{CC} <1.75 мкА	SOT23, SOD23	OUT-GND+V _{CC}
FZHF	MAX6375UR29	MAX	vd	V _{IN} ±2.93 В, V _{DD} ±1.2...5.5 В, I _{CC} <1.75 мкА	SOT23, SOD23	OUT-GND+V _{CC}
FZHG	MAX6375UR31	MAX	vd	V _{IN} ±3.08 В, V _{DD} ±1.2...5.5 В, I _{CC} <1.75 мкА	SOT23, SOD23	OUT-GND+V _{CC}
FZHH	MAX6376UR22	MAX	vd	V _{IN} ±2.20 В, V _{DD} ±1.2...5.5 В, I _{CC} <1.75 мкА	SOT23, SOD23	OUT-GND+V _{CC}
FZHI	MAX6376UR23	MAX	vd	V _{IN} ±2.32 В, V _{DD} ±1.2...5.5 В, I _{CC} <1.75 мкА	SOT23, SOD23	OUT-GND+V _{CC}
FZHU	MAX6376UR26	MAX	vd	V _{IN} ±2.63 В, V _{DD} ±1.2...5.5 В, I _{CC} <1.75 мкА	SOT23, SOD23	OUT-GND+V _{CC}
FZHK	MAX6376UR29	MAX	vd	V _{IN} ±2.93 В, V _{DD} ±1.2...5.5 В, I _{CC} <1.75 мкА	SOT23, SOD23	OUT-GND+V _{CC}
FZHL	MAX6376UR31	MAX	vd	V _{IN} ±3.08 В, V _{DD} ±1.2...5.5 В, I _{CC} <1.75 мкА	SOT23, SOD23	OUT-GND+V _{CC}
FZHM	MAX6377UR22	MAX	vd	V _{IN} ±2.20 В, V _{DD} ±1.2...5.5 В, I _{CC} <1.75 мкА	SOT23, SOD23	OUT-GND+V _{CC}
FZHN	MAX6377UR23	MAX	vd	V _{IN} ±2.32 В, V _{DD} ±1.2...5.5 В, I _{CC} <1.75 мкА	SOT23, SOD23	OUT-GND+V _{CC}
FZHO	MAX6377UR26	MAX	vd	V _{IN} ±2.63 В, V _{DD} ±1.2...5.5 В, I _{CC} <1.75 мкА	SOT23, SOD23	OUT-GND+V _{CC}
FZHP	MAX6377UR29	MAX	vd	V _{IN} ±2.93 В, V _{DD} ±1.2...5.5 В, I _{CC} <1.75 мкА	SOT23, SOD23	OUT-GND+V _{CC}
FZHQ	MAX6377UR31	MAX	vd	V _{IN} ±3.08 В, V _{DD} ±1.2...5.5 В, I _{CC} <1.75 мкА	SOT23, SOD23	OUT-GND+V _{CC}
FZHR	MAX6377UR27	MAX	vd	V _{IN} ±2.70 В, V _{DD} ±1.2...5.5 В, I _{CC} <1.75 мкА	SOT23, SOD23	OUT-GND+V _{CC}
FZHS	MAX6377UR24	MAX	vd	V _{IN} ±2.40 В, V _{DD} ±1.2...5.5 В, I _{CC} <1.75 мкА	SOT23, SOD23	OUT-GND+V _{CC}
FZHT	MAX6377UR28	MAX	vd	V _{IN} ±2.80 В, V _{DD} ±1.2...5.5 В, I _{CC} <1.75 мкА	SOT23, SOD23	OUT-GND+V _{CC}
FZHU	MAX6378UR44	MAX	vd	V _{IN} ±4.38 В, V _{DD} ±1.2...5.5 В, I _{CC} <1.75 мкА	SOT23, SOD23	OUT-GND+V _{CC}
FZHV	MAX6378UR46	MAX	vd	V _{IN} ±4.63 В, V _{DD} ±1.2...5.5 В, I _{CC} <1.75 мкА	SOT23, SOD23	OUT-GND+V _{CC}
FZHW	MAX6379UR44	MAX	vd	V _{IN} ±4.38 В, V _{DD} ±1.2...5.5 В, I _{CC} <1.75 мкА	SOT23, SOD23	OUT-GND+V _{CC}
FZHX	MAX6379UR46	MAX	vd	V _{IN} ±4.63 В, V _{DD} ±1.2...5.5 В, I _{CC} <1.75 мкА	SOT23, SOD23	OUT-GND+V _{CC}
FZHY	MAX6380UR44	MAX	vd	V _{IN} ±4.38 В, V _{DD} ±1.2...5.5 В, I _{CC} <1.75 мкА	SOT23, SOD23	OUT-GND+V _{CC}
FZHZ	MAX6380UR46	MAX	vd	V _{IN} ±4.63 В, V _{DD} ±1.2...5.5 В, I _{CC} <1.75 мкА	SOT23, SOD23	OUT-GND+V _{CC}
FZIA	MAX6380UR42	MAX	vd	V _{IN} ±4.20 В, V _{DD} ±1.2...5.5 В, I _{CC} <1.75 мкА	SOT23, SOD23	OUT-GND+V _{CC}
FZIB	MAX6088AEUR	MAX	vref	V _N ±V _{OUT} +0.2...12.6 В, T _C OUT<20 ppm/°C, V _{OUT} ±1.800 В	SOT23, SOD23	IN-OUT-GND
FZIC	MAX6088BEUR	MAX	vref	V _N ±V _{OUT} +0.2...12.6 В, T _C OUT<30 ppm/°C, V _{OUT} ±1.800 В	SOT23, SOD23	IN-OUT-GND
FZID	MAX6100EUR	MAX	vref	V _N ±2.5...12.6 В, I _{CC} <125 мкА, V _{OUT} ±1.800 В	SOT23, SOD23	IN-OUT-GND
FZIE	MAX6800UR26D3	MAX	mrc	V _{IN} ±2.63 В, V _{DD} ±1.2...5.5 В, I _{CC} <12 мкА	SOT23, SOD23	GND-RST+V _{CC}
FZIF	MAX6800UR29D3	MAX	mrc	V _{IN} ±2.93 В, V _{DD} ±1.2...5.5 В, I _{CC} <12 мкА	SOT23, SOD23	GND-RST+V _{CC}
FZIG	MAX6800UR1D3	MAX	mrc	V _{IN} ±3.08 В, V _{DD} ±1.2...5.5 В, I _{CC} <12 мкА	SOT23, SOD23	GND-RST+V _{CC}
FZIH	MAX6800UR44D3	MAX	mrc	V _{IN} ±4.38 В, V _{DD} ±1.2...5.5 В, I _{CC} <12 мкА	SOT23, SOD23	GND-RST+V _{CC}

Код	Типоминал	Б	Ф	Особенности	Корпус	Ц: 1•2•3
FZII	MAX8803UR46D3	MAX	mrс	$V_{DD}=4.63 В; V_{DD}=1.2...5.5 В; I_{CC}<12 мА$	SOT23, SOD23	GND-RST-V _{CC}
FZIK	MAX8801UR26D3	MAX	mrс	$V_{DD}=2.63 В; V_{DD}=1.2...5.5 В; I_{CC}<12 мА$	SOT23, SOD23	GND-RST-V _{CC}
FZIL	MAX8801UR29D2	MAX	mrс	$V_{DD}=2.93 В; V_{DD}=1.2...5.5 В; I_{CC}<12 мА$	SOT23, SOD23	GND-RST-V _{CC}
FZIM	MAX8801UR29D3	MAX	mrс	$V_{DD}=2.93 В; V_{DD}=1.2...5.5 В; I_{CC}<12 мА$	SOT23, SOD23	GND-RST-V _{CC}
FZIN	MAX8801UR31D3	MAX	mrс	$V_{DD}=3.08 В; V_{DD}=1.2...5.5 В; I_{CC}<12 мА$	SOT23, SOD23	GND-RST-V _{CC}
FZIO	MAX8801UR44D3	MAX	mrс	$V_{DD}=4.38 В; V_{DD}=1.2...5.5 В; I_{CC}<12 мА$	SOT23, SOD23	GND-RST-V _{CC}
FZIP	MAX8801UR46D3	MAX	mrс	$V_{DD}=4.63 В; V_{DD}=1.2...5.5 В; I_{CC}<12 мА$	SOT23, SOD23	GND-RST-V _{CC}
FZIQ	MAX8802UR26D3	MAX	mrс	$V_{DD}=2.63 В; V_{DD}=1.2...5.5 В; I_{CC}<12 мА$	SOT23, SOD23	GND-RST-V _{CC}
FZIS	MAX8802UR31D3	MAX	mrс	$V_{DD}=3.08 В; V_{DD}=1.2...5.5 В; I_{CC}<12 мА$	SOT23, SOD23	GND-RST-V _{CC}
FZIT	MAX8802UR44D3	MAX	mrс	$V_{DD}=4.38 В; V_{DD}=1.2...5.5 В; I_{CC}<12 мА$	SOT23, SOD23	GND-RST-V _{CC}
FZIU	MAX8802UR46D3	MAX	mrс	$V_{DD}=4.63 В; V_{DD}=1.2...5.5 В; I_{CC}<12 мА$	SOT23, SOD23	GND-RST-V _{CC}
FZJR	MAX6106EUR	MAX	vref	$V_{IN}=2.5...12.6 В; I_{CC}<125 мА; V_{OUT}=2.048 В$	SOT23, SOD23	IN-OUT-GND
FZMV	MAX6107EUR	MAX	vref	$V_{IN}=V_{OUT}+0.2...12.6 В; I_{CC}<125 мА; V_{OUT}=4.500 В$	SOT23, SOD23	IN-OUT-GND
G	IRLML2502	IR	nMOS	HEXFET; $V_{DS}=30 В; I_D=3.4 А; P_D=1.25 Вт; R_{DS(on)}<0.08 Ом$	SOT23, SOD23	G-S-D
G	MRF947AT1	MOT	nprn	$V_{CE0}=20 В; I_C=50 мА; P_D=188 мВт; h_{FE}=75...150; f_T=8 ГГц$	SOT323, SC70	B-E-C
G0	HSMF3890	HP	pin	$I_C<1 А; P_D<250 мВт; V_{BE}>100 В; R_S<2.5 Ом; C_D<0.30 нФ$	SOT23, SOD23	A-n-c-K
G0	HSMF389B	HP	pin	$I_C<1 А; V_{BE}>100 В; R_S<2.5 Ом; CT<0.30 нФ$	SOT323, SC70	A-n-c-K
G08	DTD133HK	ROHM	Dnpn	$V_{CE0}=50 В; I_C=500 мА; P_D=200 мВт; h_{FE}>56; f_T>200 МГц; R_P/R_S=3/100 Ом$	SOT346, SC59	B-E-C
G1	BFS20	ZETEX	nprn	$V_{CE0}=30 В; I_C=25 мА; P_D=330 мВт; h_{FE}=40...85; f_T>450 МГц$	SOT23, SOD23	B-E-C
G1	MMBT5551	MOT	nprn	$V_{CE0}=160 В; I_C=600 мА; P_D=300 мВт; h_{FE}=200...250$	SOT23, SOD23	B-E-C
G10	MMBT5226BT	DIODES	dz	$V_A(I_{T1}=20 мА)>3.14...3.47 В; I_R<25 мА$	SOT523	A-n-c-K
G10	ND50610	NS	pMOS	$V_{DS}=60 В; I_D=120 мА; P_D=360 мВт; R_{DS(on)}<300 м$	SOT23, SOD23	G-S-D
G11	DTB1132K	ROHM	Dnpn	$V_{CE0}=50 В; I_C=500 мА; P_D=200 мВт; h_{FE}>56; f_T>200 МГц; R_P/R_S=1/100 Ом$	SOT346, SC59	B-E-C
G17	MMBZ4617	VISH	dz	$V_A(I_{T1}=250 мА)>2.4 В; Z_T(I_{T1}=250 мА)<1400 Ом$	SOT23, SOD23	A-n-c-K
G18	MMBZ4618	VISH	dz	$V_A(I_{T1}=250 мА)>2.7 В; Z_T(I_{T1}=250 мА)<1500 Ом$	SOT23, SOD23	A-n-c-K
G19	MMBZ4619	VISH	dz	$V_A(I_{T1}=250 мА)>3.0 В; Z_T(I_{T1}=250 мА)<1600 Ом$	SOT23, SOD23	A-n-c-K
G1E	BC847A	ROHM	nprn	$V_{CE0}=50 В; I_C=100 мА; P_D=200 мВт; h_{FE}=110...220; f_T>200 МГц$	SOT23, SOD23	B-E-C
G1F	BC847B	ROHM	nprn	$V_{CE0}=50 В; I_C=100 мА; P_D=200 мВт; h_{FE}=200...450; f_T>200 МГц$	SOT23, SOD23	B-E-C
G1G	BC847C	ROHM	nprn	$V_{CE0}=50 В; I_C=100 мА; P_D=200 мВт; h_{FE}=420...800; f_T>200 МГц$	SOT23, SOD23	B-E-C
G1J	BC848A	ROHM	nprn	$V_{CE0}=30 В; I_C=100 мА; P_D=250 мВт; h_{FE}=110...220; f_T>200 МГц$	SOT23, SOD23	B-E-C
G1K	BC848B	ROHM	nprn	$V_{CE0}=30 В; I_C=100 мА; P_D=250 мВт; h_{FE}=200...450; f_T>200 МГц$	SOT23, SOD23	B-E-C
G1K	BC848W	ROHM	nprn	$V_{CE0}=30 В; I_C=100 мА; P_D=250 мВт; h_{FE}=200...450; f_T>200 МГц$	SOT323, SC70	B-E-C
G1L	BC848C	ROHM	nprn	$V_{CE0}=30 В; I_C=100 мА; P_D=250 мВт; h_{FE}=420...800; f_T>200 МГц$	SOT23, SOD23	B-E-C
G1p	BFS20	PHIL	nprn	$V_{CE0}=30 В; I_C=25 мА; P_D=250 мВт; h_{FE}>40; f_T>450 МГц$	SOT23, SOD23	B-E-C
G1t	HSMF3891	HP	pin	$I_C<1 А; P_D<250 мВт; V_{BE}>100 В; R_S<2.5 Ом; C_D<0.30 нФ$	SOT23, SOD23	n-c-A-K
G2	HSMF3892	HP	pin-2	$I_C<1 А; P_D<250 мВт; V_{BE}>100 В; R_S<2.5 Ом; C_D<0.30 нФ$	SOT23, SOD23	A1-K2-K1, A2
G2	HSMF389C	HP	pin-2	$I_C<1 А; V_{BE}>100 В; R_S<2.5 Ом; CT<0.30 нФ$	SOT323, SC70	A1-K2-K1, A2
G2	MMBT5227BT	DIODES	dz	$V_A(I_{T1}=20 мА)>3.42...3.78 В; I_R<15 мА$	SOT523	A-n-c-K
G20	MMBZ4620	VISH	dz	$V_A(I_{T1}=250 мА)>3.3 В; Z_T(I_{T1}=250 мА)<1650 Ом$	SOT23, SOD23	A-n-c-K
G21	DTD1132K	ROHM	Dnpn	$V_{CE0}=50 В; I_C=500 мА; P_D=200 мВт; h_{FE}>56; f_T>200 МГц; R_P/R_S=1/100 Ом$	SOT346, SC59	B-E-C
G21	DTD1132U	ROHM	Dnpn	$V_{CE0}=50 В; I_C=500 мА; P_D=200 мВт; h_{FE}>56; f_T>200 МГц; R_P/R_S=1/100 Ом$	SOT323, SC70	B-E-C
G21	MMBZ4621	VISH	dz	$V_A(I_{T1}=250 мА)>3.6 В; Z_T(I_{T1}=250 мА)<1700 Ом$	SOT23, SOD23	A-n-c-K
G22	MMBZ4622	VISH	dz	$V_A(I_{T1}=250 мА)>3.9 В; Z_T(I_{T1}=250 мА)<1650 Ом$	SOT23, SOD23	A-n-c-K
G23	MMBZ4623	VISH	dz	$V_A(I_{T1}=250 мА)>4.3 В; Z_T(I_{T1}=250 мА)<1600 Ом$	SOT23, SOD23	A-n-c-K
G24	MMBZ4624	VISH	dz	$V_A(I_{T1}=250 мА)>4.7 В; Z_T(I_{T1}=250 мА)<1550 Ом$	SOT23, SOD23	A-n-c-K
G25	MMBZ4625	VISH	dz	$V_A(I_{T1}=250 мА)>5.1 В; Z_T(I_{T1}=250 мА)<1500 Ом$	SOT23, SOD23	A-n-c-K
G26	MMBZ4626	VISH	dz	$V_A(I_{T1}=250 мА)>5.6 В; Z_T(I_{T1}=250 мА)<1400 Ом$	SOT23, SOD23	A-n-c-K
G27	MMBZ4627	VISH	dz	$V_A(I_{T1}=250 мА)>6.2 В; Z_T(I_{T1}=250 мА)<1200 Ом$	SOT23, SOD23	A-n-c-K
G3	ISS196	TOSH	di	$V_R=80 В; I_R<100 мА; V_F(I_F=100 мА)<1.2 В; I_{RR}<0.5 мА; t_{RR}<4 нс$	SOT346, SC59	n-c-A-K
G3	BAF63	SIEM	pin	$V_R=50 В; I_R<100 мА; V_F(I_F=100 мА)<1.2 В; I_{RR}<0.05 мА; C_D<0.3 нФ$	SOT23, SOD23	A-n-c-K
G3	HSMF3893	HP	pin-2	$I_C<1 А; P_D<250 мВт; V_{BE}>100 В; R_S<2.5 Ом; C_D<0.30 нФ$	SOT23, SOD23	K1-K2-A1, A2



Код	Типономинал	Б	Ф	Особенности	Корпус	Ц: 1•2•3
G3	HSMF389E	HP	pin-2	$I_T < 1 \text{ A}$; $V_{DS} > 100 \text{ В}$; $R_{DS} < 2.5 \text{ Ом}$; $CT < 0.30 \text{ нФ}$	SOT323, SC70	K1-K2-A1, A2
G3	MMBZ5228BT	DIODS	dz	$V_{(I_T=20 \text{ мА})} = 3.71 \dots 4.10 \text{ В}$; $I_S < 10 \text{ мкА}$	SOT523	A-n.c.-K
G3	PMS15551	PHIL	npn	$V_{DS} = 180 \text{ В}$; $I_C = 600 \text{ мА}$; $P_D = 200 \text{ мВт}$; $h_{FE} = 80 \dots 250$; $f_T = 100 \dots 300 \text{ МГц}$	SOT323, SC70	B-E-C
G3C	DTB122JK	ROHM	Dnpn	$V_{DS} = 50 \text{ В}$; $I_C = 500 \text{ мА}$; $P_D = 200 \text{ мВт}$; $h_{FE} > 47$; $f_T > 250 \text{ МГц}$ $R_1/R_2 = 0.22/4.7 \text{ кОм}$	SOT346, SC59	B-E-C
G3E	BC857A	ROHM	npn	$V_{DS} = 50 \text{ В}$; $I_C = 100 \text{ мА}$; $P_D = 330 \text{ мВт}$; $h_{FE} = 125 \dots 250$; $f_T > 150 \text{ МГц}$	SOT23, SOD23	B-E-C
G3F	BC857B	ROHM	npn	$V_{DS} = 50 \text{ В}$; $I_C = 100 \text{ мА}$; $P_D = 330 \text{ мВт}$; $h_{FE} = 220 \dots 475$; $f_T > 150 \text{ МГц}$	SOT23, SOD23	B-E-C
G3FQ	2SA1037AKQLT1	LRC	npn	$V_{DS} = 50 \text{ В}$; $I_C = 150 \text{ мА}$; $P_D = 200 \text{ мВт}$; $h_{FE} = 120 \dots 270$; $f_T > 140 \text{ МГц}$	SOT23, SOD23	B-E-C
G3FR	2SA1037AKRLT1	LRC	npn	$V_{DS} = 50 \text{ В}$; $I_C = 150 \text{ мА}$; $P_D = 200 \text{ мВт}$; $h_{FE} = 180 \dots 390$; $f_T > 140 \text{ МГц}$	SOT23, SOD23	B-E-C
G3FS	2SA1037AKSLT1	LRC	npn	$V_{DS} = 50 \text{ В}$; $I_C = 150 \text{ мА}$; $P_D = 200 \text{ мВт}$; $h_{FE} = 270 \dots 560$; $f_T > 140 \text{ МГц}$	SOT23, SOD23	B-E-C
G3J	BC858A	ROHM	npn	$V_{DS} = 30 \text{ В}$; $I_C = 100 \text{ мА}$; $P_D = 300 \text{ мВт}$; $h_{FE} = 125 \dots 250$; $f_T > 100 \text{ МГц}$	SOT23, SOD23	B-E-C
G3K	BC858B	ROHM	npn	$V_{DS} = 30 \text{ В}$; $I_C = 100 \text{ мА}$; $P_D = 310 \text{ мВт}$; $h_{FE} = 200 \dots 450$; $f_T > 150 \text{ МГц}$	SOT23, SOD23	B-E-C
G3K	BC858BW	ROHM	npn	$V_{DS} = 30 \text{ В}$; $I_C = 100 \text{ мА}$; $P_D = 250 \text{ мВт}$; $h_{FE} = 220 \dots 475$; $f_T > 250 \text{ МГц}$	SOT323, SC70	B-E-C
G3L	BC858C	ROHM	npn	$V_{DS} = 30 \text{ В}$; $I_C = 100 \text{ мА}$; $P_D = 300 \text{ мВт}$; $h_{FE} = 420 \dots 800$; $f_T > 100 \text{ МГц}$	SOT23, SOD23	B-E-C
G4	BAR6304	SIEM	pin-2	$V_A < 50 \text{ В}$; $I_T < 100 \text{ мА}$; $V_{(I_T=100 \text{ мА})} < 1.2 \text{ В}$; $I_S < 0.05 \text{ мкА}$; $C_0 < 0.3 \text{ нФ}$	SOT23, SOD23	A1-K2-K1, A2
G4	BFS209	PHIL	npn	$V_{DS} = 30 \text{ В}$; $I_C = 25 \text{ мА}$; $P_D = 250 \text{ мВт}$; $h_{FE} > 40$; $f_T > 450 \text{ МГц}$	SOT23, SOD23	B-E-C
G4	HSMF389A	HP	pin-2	$I_T < 1 \text{ A}$; $P_D < 250 \text{ мВт}$; $V_{DS} > 100 \text{ В}$; $R_{DS} < 2.5 \text{ Ом}$; $C_0 < 0.30 \text{ нФ}$	SOT23, SOD23	A1-A2-K1, K2
G4	HSMF389F	HP	pin-2	$I_T < 1 \text{ A}$; $V_{DS} > 100 \text{ В}$; $R_{DS} < 2.5 \text{ Ом}$; $CT < 0.30 \text{ нФ}$	SOT323, SC70	A1-A2-K1, K2
G4	MMBZ5232BT	DIODS	dz	$V_{(I_T=20 \text{ мА})} = 4.09 \dots 4.52 \text{ В}$; $I_S < 5 \text{ мкА}$	SOT523	A-n.c.-K
G4C	DTD122JK	ROHM	Dnpn	$V_{DS} = 50 \text{ В}$; $I_C = 500 \text{ мА}$; $P_D = 200 \text{ мВт}$; $h_{FE} > 47$; $f_T > 200 \text{ МГц}$ $R_1/R_2 = 0.22/4.7 \text{ кОм}$	SOT23, SOD23	B-E-C
G4C	DTD122JK	ROHM	Dnpn	$V_{DS} = 50 \text{ В}$; $I_C = 500 \text{ мА}$; $P_D = 200 \text{ мВт}$; $h_{FE} > 47$; $f_T > 200 \text{ МГц}$ $R_1/R_2 = 0.22/4.7 \text{ кОм}$	SOT346, SC59	B-E-C
G4S	BAR63-04	INF	pin-2	$V_A < 50 \text{ В}$; $I_T < 100 \text{ мА}$; $V_{(I_T=100 \text{ мА})} < 1.2 \text{ В}$; $I_S < 0.01 \text{ мкА}$	SOT23, SOD23	A1-K2-K1, A2
G4S	BAR63-04W	INF	pin-2	$V_A < 50 \text{ В}$; $I_T < 100 \text{ мА}$; $V_{(I_T=100 \text{ мА})} < 1.2 \text{ В}$; $I_S < 0.01 \text{ мкА}$	SOT323, SC70	A1-K2-K1, A2
G6	BAR6305	SIEM	pin-2	$V_A < 50 \text{ В}$; $I_T < 100 \text{ мА}$; $V_{(I_T=100 \text{ мА})} < 1.2 \text{ В}$; $I_S < 0.05 \text{ мкА}$; $C_0 < 0.3 \text{ нФ}$	SOT23, SOD23	A1-A2-K1, A2
G6	MMBZ5230BT	DIODS	dz	$V_{(I_T=20 \text{ мА})} = 4.47 \dots 4.94 \text{ В}$; $I_S < 5 \text{ мкА}$	SOT523	A-n.c.-K
G6S	BAR63-05	INF	pin-2	$V_A < 50 \text{ В}$; $I_T < 100 \text{ мА}$; $V_{(I_T=100 \text{ мА})} < 1.2 \text{ В}$; $I_S < 0.01 \text{ мкА}$	SOT23, SOD23	A1-A2-K1, K2
G6S	BAR63-05W	INF	pin-2	$V_A < 50 \text{ В}$; $I_T < 100 \text{ мА}$; $V_{(I_T=100 \text{ мА})} < 1.2 \text{ В}$; $I_S < 0.01 \text{ мкА}$	SOT323, SC70	A1-A2-K1, K2
G6	BAR6306	SIEM	pin-2	$V_A < 50 \text{ В}$; $I_T < 100 \text{ мА}$; $V_{(I_T=100 \text{ мА})} < 1.2 \text{ В}$; $I_S < 0.05 \text{ мкА}$; $C_0 < 0.3 \text{ нФ}$	SOT23, SOD23	K1-K2-A1, A2
G6A	BC817-16	TOSH	npn	$V_{DS} = 50 \text{ В}$; $I_C = 800 \text{ мА}$; $P_D = 330 \text{ мВт}$; $h_{FE} = 100 \dots 250$; $f_T = 150 \text{ МГц}$	SOT23, SOD23	B-E-C
G6B	BC817-25	TOSH	npn	$V_{DS} = 50 \text{ В}$; $I_C = 800 \text{ мА}$; $P_D = 330 \text{ мВт}$; $h_{FE} = 160 \dots 400$; $f_T = 150 \text{ МГц}$	SOT23, SOD23	B-E-C
G6S	BAR63-06	INF	pin-2	$V_A < 50 \text{ В}$; $I_T < 100 \text{ мА}$; $V_{(I_T=100 \text{ мА})} < 1.2 \text{ В}$; $I_S < 0.01 \text{ мкА}$	SOT23, SOD23	K1-K2-A1, A2
G6S	BAR63-06W	INF	pin-2	$V_A < 50 \text{ В}$; $I_T < 100 \text{ мА}$; $V_{(I_T=100 \text{ мА})} < 1.2 \text{ В}$; $I_S < 0.01 \text{ мкА}$	SOT323, SC70	K1-K2-A1, A2
G7	BF579	VIS	npn	$V_{DS} = 20 \text{ В}$; $I_C = 25 \text{ мА}$; $P_D = 200 \text{ мВт}$; $h_{FE} = 20 \dots 90$; $f_T = 1750 \text{ МГц}$	SOT23, SOD23	B-E-C
G8	DTB133HK	ROHM	Dnpn	$V_{DS} = 50 \text{ В}$; $I_C = 500 \text{ мА}$; $P_D = 200 \text{ мВт}$; $h_{FE} > 56$; $f_T > 200 \text{ МГц}$ $R_1/R_2 = 3.3/10 \text{ кОм}$	SOT346, SC59	B-E-C
G8	HSMF4890	HP	pin	$I_T < 1 \text{ A}$; $P_D < 250 \text{ мВт}$; $V_{DS} > 100 \text{ В}$; $R_{DS} < 2.5 \text{ Ом}$; $C_0 < 0.375 \text{ нФ}$; $L_T = 1.0 \text{ нГ}$	SOT23, SOD23	A-A-K
GAB	BCW60B	ROHM	npn	$V_{DS} = 32 \text{ В}$; $I_C = 200 \text{ мА}$; $P_D = 330 \text{ мВт}$; $h_{FE} = 180 \dots 310$; $f_T > 250 \text{ МГц}$	SOT23, SOD23	B-E-C
GAC	BCW60C	ROHM	npn	$V_{DS} = 32 \text{ В}$; $I_C = 200 \text{ мА}$; $P_D = 330 \text{ мВт}$; $h_{FE} = 250 \dots 460$; $f_T > 250 \text{ МГц}$	SOT23, SOD23	B-E-C
GAD	BCW60D	ROHM	npn	$V_{DS} = 32 \text{ В}$; $I_C = 200 \text{ мА}$; $P_D = 330 \text{ мВт}$; $h_{FE} = 380 \dots 630$; $f_T > 250 \text{ МГц}$	SOT23, SOD23	B-E-C
GAH	BCX70H	ROHM	npn	$V_{DS} = 45 \text{ В}$; $I_C = 200 \text{ мА}$; $P_D = 330 \text{ мВт}$; $h_{FE} = 180 \dots 310$; $f_T > 250 \text{ МГц}$	SOT23, SOD23	B-E-C
GAJ	BCX70J	ROHM	npn	$V_{DS} = 45 \text{ В}$; $I_C = 200 \text{ мА}$; $P_D = 330 \text{ мВт}$; $h_{FE} = 250 \dots 460$; $f_T > 250 \text{ МГц}$	SOT23, SOD23	B-E-C
GAK	BCX70K	ROHM	npn	$V_{DS} = 45 \text{ В}$; $I_C = 200 \text{ мА}$; $P_D = 330 \text{ мВт}$; $h_{FE} = 380 \dots 630$; $f_T > 250 \text{ МГц}$	SOT23, SOD23	B-E-C
GBB	BCW61B	ROHM	npn	$V_{DS} = 32 \text{ В}$; $I_C = 100 \text{ мА}$; $P_D = 330 \text{ мВт}$; $h_{FE} = 180 \dots 310$; $f_T = 250 \text{ МГц}$	SOT23, SOD23	B-E-C
GBC	BCW61C	ROHM	npn	$V_{DS} = 32 \text{ В}$; $I_C = 200 \text{ мА}$; $P_D = 330 \text{ мВт}$; $h_{FE} = 250 \dots 460$; $f_T = 180 \text{ МГц}$	SOT23, SOD23	B-E-C
GBG	BCX71G	ROHM	npn	$V_{DS} = 45 \text{ В}$; $I_C = 100 \text{ мА}$; $P_D = 330 \text{ мВт}$; $h_{FE} = 120 \dots 220$; $f_T = 250 \text{ МГц}$	SOT23, SOD23	B-E-C
GBH	BCX71H	ROHM	npn	$V_{DS} = 45 \text{ В}$; $I_C = 200 \text{ мА}$; $P_D = 330 \text{ мВт}$; $h_{FE} = 180 \dots 310$; $f_T = 180 \text{ МГц}$	SOT23, SOD23	B-E-C
GBJ	BCX71J	ROHM	npn	$V_{DS} = 45 \text{ В}$; $I_C = 200 \text{ мА}$; $P_D = 330 \text{ мВт}$; $h_{FE} = 250 \dots 460$; $f_T = 180 \text{ МГц}$	SOT23, SOD23	B-E-C
GC	2SC2734	REN	npn	$V_{DS} = 20 \text{ В}$; $I_C = 50 \text{ мА}$; $P_D = 150 \text{ мВт}$; $h_{FE} = 20 \dots 200$; $f_T > 1.4 \text{ ГГц}$	SOT346, SC59	B-E-C
GC	2SC4264	REN	npn	$V_{DS} = 20 \text{ В}$; $I_C = 50 \text{ мА}$; $P_D = 100 \text{ мВт}$; $h_{FE} = 20 \dots 200$; $f_T > 1.4 \text{ ГГц}$	SOT323, SC70	B-E-C
GC1	BCW29	ROHM	npn	$V_{DS} = 30 \text{ В}$; $I_C = 100 \text{ мА}$; $P_D = 350 \text{ мВт}$; $h_{FE} = 120 \dots 260$	SOT23, SOD23	B-E-C
GC2	BCW30	ROHM	npn	$V_{DS} = 30 \text{ В}$; $I_C = 100 \text{ мА}$; $P_D = 330 \text{ мВт}$; $h_{FE} = 215 \dots 500$; $f_T > 150 \text{ МГц}$	SOT23, SOD23	B-E-C



SOT23-3
SOD23-3

SOT323
SOT346

SOT416
SOT523



SOT490
MFPK

TESM
TSFP-3

VMT3
VMD3

Код	Типономинал	Б	Ф	Особенности	Корпус	Ц: 1+2+3
GD1	BCW31	ROHM	npn	$V_{CE0}=32 В$; $I_C=100 мА$; $P_D=330 мВт$; $h_{FE1}=110...220$; $f_T>300 МГц$	SOT23, SOD23	В+Е+С
GD2	BCW32	ROHM	npn	$V_{CE0}=32 В$; $I_C=100 мА$; $P_D=330 мВт$; $h_{FE1}=200...450$; $f_T>300 МГц$	SOT23, SOD23	В+Е+С
GD3	BCW33	ROHM	npn	$V_{CE0}=32 В$; $I_C=100 мА$; $P_D=330 мВт$; $h_{FE1}=420...800$; $f_T>300 МГц$	SOT23, SOD23	В+Е+С
GE	2SA145KE	ROHM	npn	$V_{CE0}=120 В$; $I_C=50 мА$; $P_D=200 мВт$; $h_{FE1}=390...820$; $f_T>140 МГц$	SOT346, SC59	В+Е+С
GEF	BCW65C	ROHM	npn	$V_{CE0}=60 В$; $I_C=800 мА$; $P_D=330 мВт$; $h_{FE1}=250...630$; $f_T>100 МГц$	SOT23, SOD23	В+Е+С
GEs	BFR35AP	SIEM	npn	$V_{CE0}=20 В$; $I_C=30 мА$; $P_D=280 мВт$; $h_{FE1}=40...200$; $f_T=6000 МГц$	SOT23, SOD23	В+Е+С
GFs	BFR32P	SIEM	npn	$V_{CE0}=20 В$; $I_C=30 мА$; $P_D=280 мВт$; $h_{FE1}=40...200$; $f_T=6000 МГц$	SOT23, SOD23	В+Е+С
GG	BFS79R	VIS	npn	$V_{CE0}=20 В$; $I_C=25 мА$; $P_D=200 мВт$; $h_{FE1}=20...90$; $f_T=1750 МГц$	SOT23, SOD23	Е+В+С
GG	BFR33P	SIEM	npn	$V_{CE0}=20 В$; $I_C=50 мА$; $P_D=300 мВт$; $h_{FE1}=50...200$; $f_T=6500 МГц$	SOT23, SOD23	В+Е+С
GG	BRA143ECM	REN	Dnpn	$V_{CE0}=50 В$; $I_{C(HT)}=100 мА$; $P_D=150 мВт$; $h_{FE1}>20$; $4.7 к/4.7 к$	SOT323, SC70	В+Е+С
GG	BRA143EMP	REN	Dnpn	$V_{CE0}=50 В$; $I_{C(HT)}=100 мА$; $P_D=150 мВт$; $h_{FE1}>20$; $4.7 к/4.7 к$	SOT23, SOD23	В+Е+С
GH1	BCW69	ROHM	npn	$V_{CE0}=50 В$; $I_C=100 мА$; $P_D=330 мВт$; $h_{FE1}=120...250$; $f_T>150 МГц$	SOT23, SOD23	В+Е+С
GH2	BCW70	ROHM	npn	$V_{CE0}=50 В$; $I_C=100 мА$; $P_D=330 мВт$; $h_{FE1}=215...500$; $f_T>150 МГц$	SOT23, SOD23	В+Е+С
GK1	BCW71	ROHM	npn	$V_{CE0}=50 В$; $I_C=100 мА$; $P_D=350 мВт$; $h_{FE1}=120...220$; $f_T>300 МГц$	SOT23, SOD23	В+Е+С
GK2	BCW72	ROHM	npn	$V_{CE0}=50 В$; $I_C=100 мА$; $P_D=330 мВт$; $h_{FE1}=200...450$; $f_T>300 МГц$	SOT23, SOD23	В+Е+С
GLP	MMBT1010LT1	MOT	npn	$V_{CE0}=45 В$; $I_C=100 мА$; $P_D=250 мВт$; $h_{FE1}=300$	SOT23, SOD23	В+Е+С
GLP	MSD1010T1	ETL	npn	$V_{CE0}=45 В$; $I_C=100 мА$; $P_D=250 мВт$; $h_{FE1}>300$	SOT346, SC59	В+Е+С
GMA	BFS17	ROHM	npn	$V_{CE0}=25 В$; $I_C=25 мА$; $P_D=330 мВт$; $h_{FE1}=25...150$; $f_T>1000 МГц$	SOT23, SOD23	В+Е+С
GR	2SA145KR	ROHM	npn	$V_{CE0}=50 В$; $I_C=150 мА$; $P_D=200 мВт$; $h_{FE1}=180...390$; $f_T>140 МГц$	SOT346, SC59	В+Е+С
GS	2SA145KS	ROHM	npn	$V_{CE0}=50 В$; $I_C=150 мА$; $P_D=200 мВт$; $h_{FE1}=270...560$; $f_T>140 МГц$	SOT346, SC59	В+Е+С
GT1	BC846AT	CNTRL	npn	$V_{CE0}=80 В$; $I_C=100 мА$; $P_D=250 мВт$; $h_{FE1}=110...220$; $f_T>100 МГц$	SOT523	В+Е+С
GT2	BCX17	ROHM	npn	$V_{CE0}=45 В$; $I_C=500 мА$; $P_D=250 мВт$; $h_{FE1}=100...600$; $f_T>100 МГц$	SOT23, SOD23	В+Е+С
GT1	BC846BT	CNTRL	npn	$V_{CE0}=80 В$; $I_C=100 мА$; $P_D=250 мВт$; $h_{FE1}=200...450$; $f_T>100 МГц$	SOT523	В+Е+С
GT2	BCX18	ROHM	npn	$V_{CE0}=30 В$; $I_C=500 мА$; $P_D=330 мВт$; $h_{FE1}=100...600$; $f_T>100 МГц$	SOT23, SOD23	В+Е+С
GT3	BC847AT	CNTRL	npn	$V_{CE0}=50 В$; $I_C=100 мА$; $P_D=250 мВт$; $h_{FE1}=110...220$; $f_T>100 МГц$	SOT523	В+Е+С
GT4	BC847BT	CNTRL	npn	$V_{CE0}=50 В$; $I_C=100 мА$; $P_D=250 мВт$; $h_{FE1}=200...450$; $f_T>100 МГц$	SOT523	В+Е+С
GT5	BC847CT	CNTRL	npn	$V_{CE0}=50 В$; $I_C=100 мА$; $P_D=250 мВт$; $h_{FE1}=420...800$; $f_T>100 МГц$	SOT523	В+Е+С
GU1	BCX19	ROHM	npn	$V_{CE0}=50 В$; $I_C=500 мА$; $P_D=330 мВт$; $h_{FE1}=100...600$; $f_T>200 МГц$	SOT23, SOD23	В+Е+С
GU2	BCX20	ROHM	npn	$V_{CE0}=25 В$; $I_C=500 мА$; $P_D=250 мВт$; $h_{FE1}=100...600$; $f_T>100 МГц$	SOT23, SOD23	В+Е+С
GV	1SV249	SANYO	pin-2	$V_{BE}>50 В$; $I_C<50 мА$; $V_{CE(sat)}=0.92 В$; $I_C<0.1 мА$	SOT323, SC70	A1+K2-K1, A2
GV	1SV251	SANYO	pin-2	$V_{BE}>50 В$; $I_C<50 мА$; $V_{CE(sat)}=0.92 В$; $I_C<0.1 мА$	SOT23, SOD23	A1+K2-K1, A2
H1	MRF347BT1	MOT	npn	$V_{CE0}=20 В$; $I_C=50 мА$; $P_D=188 мВт$; $h_{FE1}=100...200$; $f_T=8 ГГц$	SOT323, SC70	В+Е+С
H2	DTC323TK	ROHM	Dnpn	$V_{CE0}=30 В$; $I_C=600 мА$; $P_D=200 мВт$; $h_{FE1}=100...600$; $f_T>200 МГц$; $R_T=2 кОм$	SOT346, SC59	В+Е+С
H02	DTC323TU	ROHM	Dnpn	$V_{CE0}=30 В$; $I_C=600 мА$; $P_D=200 мВт$; $h_{FE1}=100...600$; $f_T>200 МГц$; $R_T=2 кОм$	SOT323, SC70	В+Е+С
H03	DTC343TK	ROHM	Dnpn	$V_{CE0}=30 В$; $I_C=600 мА$; $P_D=200 мВт$; $h_{FE1}=100...600$; $f_T>200 МГц$; $R_T=4.7 кОм$	SOT346, SC59	В+Е+С
H04	DTC341TK	ROHM	Dnpn	$V_{CE0}=30 В$; $I_C=600 мА$; $P_D=200 мВт$; $h_{FE1}=100...600$; $f_T>200 МГц$; $R_T=10 кОм$	SOT346, SC59	В+Е+С
H04	DTC341TU	ROHM	Dnpn	$V_{CE0}=30 В$; $I_C=600 мА$; $P_D=200 мВт$; $h_{FE1}=100...600$; $f_T>200 МГц$; $R_T=10 кОм$	SOT323, SC70	В+Е+С
H07	DTC363TK	ROHM	Dnpn	$V_{CE0}=30 В$; $I_C=600 мА$; $P_D=200 мВт$; $h_{FE1}=100...600$; $f_T>200 МГц$; $R_T=6.8 кОм$	SOT346, SC59	В+Е+С
H1	BCW69	ALLEG	npn	$V_{CE0}=50 В$; $I_{C(30)}<100 мА$; $h_{FE1}=120...260$; $V_{CE(sat)}<0.3 В$	SOT23, SOD23	В+Е+С
H1	BCW69	CDIL	npn	$V_{CE0}=50 В$; $I_C=100 мА$; $P_D=250 мВт$; $h_{FE1}=120...260$; $f_T>100 МГц$	SOT23, SOD23	В+Е+С
H1	BCW69	ZETEX	npn	$V_{CE0}=50 В$; $I_C=100 мА$; $P_D=330 мВт$; $h_{FE1}=120...250$; $f_T>150 МГц$	SOT23, SOD23	В+Е+С
H1	MMBZ541BT	DIODES	dz	$V_{A(I_T)=20 мА}=10.45...11.55 В$; $I_C<2 мА$	SOT523	A+и.с.-K
H1	SST4416	SIL	nFET	$V_{DS0}=30 В$; $P_D=350 мВт$; $I_{DS0}=5...15 мА$; $g_m=4.5 мСм$; $R_{DS(on)}=150 Ом$	SOT23, SOD23	D+S+G
H10	KSC2755	SAMS	npn	$V_{CE0}=30 В$; $I_C=20 мА$; $P_D=150 мВт$; $h_{FE1}=70...140$; $f_T>600 МГц$	SOT23, SOD23	В+Е+С
H10	BCW69	PHIL	npn	$V_{CE0}=50 В$; $I_C=100 мА$; $P_D=250 мВт$; $h_{FE1}=120...260$; $f_T>100 МГц$	SOT23, SOD23	В+Е+С
H1R	KSC2755	SAMS	npn	$V_{CE0}=30 В$; $I_C=20 мА$; $P_D=150 мВт$; $h_{FE1}=40...80$; $f_T>800 МГц$	SOT23, SOD23	В+Е+С
H11	BCW69	PHIL	npn	$V_{CE0}=50 В$; $I_C=100 мА$; $P_D=250 мВт$; $h_{FE1}=120...260$; $f_T>100 МГц$	SOT23, SOD23	В+Е+С
H1Y	KSC2755	SAMS	npn	$V_{CE0}=30 В$; $I_C=20 мА$; $P_D=150 мВт$; $h_{FE1}=120...240$; $f_T>800 МГц$	SOT23, SOD23	В+Е+С
H2	BCW70	ALLEG	npn	$V_{CE0}=50 В$; $I_{C(30)}<100 мА$; $h_{FE1}=215...500$; $V_{CE(sat)}<0.3 В$	SOT23, SOD23	В+Е+С

**SOT490 TSM
MFPAK TSFP-3**

**VMT3
VMD3**



**SOT416 SOT323
SOT523 SOT346**

**SOT23-3
SOD23-3**



Код	Типономинал	Б	Ф	Особенности	Корпус	Ц: 1•2•3
H2	BCW70	CDIL	npn	$V_{CE0}=50 В; I_C=100 мА; P_D=250 мВт; h_{FE}=215 \dots 500; f_T > 100 МГц$	SOT23, SOD23	B-E-C
H2	BCW70	ZETEX	npn	$V_{CE0}=50 В; I_C=100 мА; P_D=230 мВт; h_{FE}=215 \dots 500; f_T > 150 МГц$	SOT23, SOD23	B-E-C
H2	MMBZ5242BT	DIODS	dz	$V_Z(I_{T1}=20 мА)=11.4 \dots 12.6 В; I_{R1} < 1 мкА$	SOT523	A-н.с.-K
H21	2SJ463A	NEC	pMOS	$V_{GS}=30 В; I_D=100 мА; P_D=150 мВт; R_{DS(on)} < 23 Ом$	SOT323, SC70	G-S-D
H27	DTC363EK	ROHM	Dnnp	$V_{CE0}=30 В; I_C=600 мА; P_D=200 мВт; h_{FE} > 70; f_T > 200 МГц; R_T/R_{T2}=6.8/6.8 мОм$	SOT346, SC59	B-E-C
H27	DTC363EU	ROHM	Dnnp	$V_{CE0}=30 В; I_C=600 мА; P_D=200 мВт; h_{FE} > 70; f_T > 200 МГц; R_T/R_{T2}=6.8/6.8 мОм$	SOT323, SC70	B-E-C
H20	KSC2756	SAMS	npn	$V_{CE0}=20 В; I_C=30 мА; P_D=150 мВт; h_{FE}=90 \dots 180; f_T > 850 МГц$	SOT23, SOD23	B-E-C
H20	BCW70	PHIL	npn	$V_{CE0}=50 В; I_C=100 мА; P_D=250 мВт; h_{FE}=215 \dots 500; f_T > 100 МГц$	SOT23, SOD23	B-E-C
H2R	KSC2756	SAMS	npn	$V_{CE0}=20 В; I_C=30 мА; P_D=150 мВт; h_{FE}=60 \dots 120; f_T > 850 МГц$	SOT23, SOD23	B-E-C
H21	BCW70	PHIL	npn	$V_{CE0}=50 В; I_C=100 мА; P_D=250 мВт; h_{FE}=215 \dots 500; f_T > 100 МГц$	SOT23, SOD23	B-E-C
H2Y	KSC2756	SAMS	npn	$V_{CE0}=20 В; I_C=30 мА; P_D=150 мВт; h_{FE}=120 \dots 240; f_T > 850 МГц$	SOT23, SOD23	B-E-C
H3	2SA969H3	NEC	npn	$V_{CE0}=60 В; I_C=100 мА; P_D=150 мВт; h_{FE}=80 \dots 130; f_T > 150 МГц$	SOT23, SOD23	B-E-C
H3	BCW89	CDIL	npn	$V_{CE0}=80 В; I_C=100 мА; P_D=250 мВт; h_{FE}=120 \dots 260; f_T > 100 МГц$	SOT23, SOD23	B-E-C
H3	BCW89	ZETEX	npn	$V_{CE0}=80 В; I_C=100 мА; P_D=230 мВт; h_{FE}=120 \dots 260; f_T > 150 МГц$	SOT23, SOD23	B-E-C
H3	KDV153	KEC	bd	$V_A=20 В; I_B=10 мА; C2B=15 нФ; C10B=5 нФ; R_S < 0.6 Ом$	SOT23, SOD23	A-н.с.-K
H3	MMBZ5243BT	DIODS	dz	$V_Z(I_{T1}=9.5 мА)=12.35 \dots 13.85 В; I_{R1} < 0.5 мкА$	SOT523	A-н.с.-K
H31	BCW89R	PHIL	npn	$V_{CE0}=60 В; I_C=100 мА; P_D=250 мВт; h_{FE}=120 \dots 260; f_T > 150 МГц$	SOT23, SOD23	B-E-C
H30	KSC2757	SAMS	npn	$V_{CE0}=30 В; I_C=50 мА; P_D=150 мВт; h_{FE}=90 \dots 180; f_T > 1100 МГц$	SOT23, SOD23	B-E-C
H30	BCW89	PHIL	npn	$V_{CE0}=80 В; I_C=100 мА; P_D=250 мВт; h_{FE}=120 \dots 260; f_T > 100 МГц$	SOT23, SOD23	B-E-C
H3R	KSC2757R	SAMS	npn	$V_{CE0}=30 В; I_C=50 мА; P_D=150 мВт; h_{FE}=60 \dots 120; f_T > 1100 МГц$	SOT23, SOD23	B-E-C
H3t	BCW89	PHIL	npn	$V_{CE0}=80 В; I_C=100 мА; P_D=250 мВт; h_{FE}=120 \dots 260; f_T > 100 МГц$	SOT23, SOD23	B-E-C
H3Y	KSC2757Y	SAMS	npn	$V_{CE0}=30 В; I_C=50 мА; P_D=150 мВт; h_{FE}=120 \dots 240; f_T > 100 МГц$	SOT23, SOD23	B-E-C
H4	2SA969H4	NEC	npn	$V_{CE0}=60 В; I_C=100 мА; P_D=150 мВт; h_{FE}=80 \dots 130; f_T > 150 МГц$	SOT23, SOD23	B-E-C
H4	BCW69R	PHIL	npn	$V_{CE0}=45 В; I_C=100 мА; P_D=250 мВт; h_{FE}=120 \dots 260; f_T > 100 МГц$	SOT23, SOD23	B-E-C
H4	BCW69R	ZETEX	npn	$V_{CE0}=50 В; I_C=100 мА; P_D=230 мВт; h_{FE}=120 \dots 260; f_T > 150 МГц$	SOT23, SOD23	B-E-C
H4	SST5484	SIL	nFET	$V_{GS}=25 В; P_D=350 мВт; I_{DSS}=1 \dots 1.5 мА; g_{FS}=2 мСм$	SOT23, SOD23	D-S-G
H4Z	KSC2758	SAMS	npn	$V_{CE0}=30 В; I_C=20 мА; P_D=150 мВт; h_{FE}=60 \dots 240; f_T > 1000 МГц$	SOT23, SOD23	B-E-C
H5	2SA969H5	NEC	npn	$V_{CE0}=60 В; I_C=100 мА; P_D=150 мВт; h_{FE}=150 \dots 240; f_T > 150 МГц$	SOT23, SOD23	B-E-C
H5	BCW70R	PHIL	npn	$V_{CE0}=45 В; I_C=100 мА; P_D=250 мВт; h_{FE}=215 \dots 500; f_T > 100 МГц$	SOT23, SOD23	B-E-C
H5	BCW70R	ZETEX	npn	$V_{CE0}=50 В; I_C=100 мА; P_D=230 мВт; h_{FE}=215 \dots 500; f_T > 150 МГц$	SOT23, SOD23	B-E-C
H5	MMBZ5245BT	DIODS	dz	$V_Z(I_{T1}=8.5 мА)=14.25 \dots 15.75 В; I_{R1} < 0.1 мкА$	SOT523	A-н.с.-K
H5	SST5485	SIL	nFET	$V_{GS}=25 В; P_D=350 мВт; I_{DSS}=4 \dots 10 мА; g_{FS}=3.5 мСм$	SOT23, SOD23	D-S-G
H50	KSC2223	SAMS	npn	$V_{CE0}=30 В; I_C=20 мА; P_D=150 мВт; h_{FE}=60 \dots 120; f_T > 600 МГц$	SOT23, SOD23	B-E-C
H5R	KSC2223	SAMS	npn	$V_{CE0}=30 В; I_C=20 мА; P_D=150 мВт; h_{FE}=40 \dots 80; f_T > 600 МГц$	SOT23, SOD23	B-E-C
H5Y	KSC2223	SAMS	npn	$V_{CE0}=30 В; I_C=20 мА; P_D=150 мВт; h_{FE}=90 \dots 180; f_T > 600 МГц$	SOT23, SOD23	B-E-C
H6	2SA969H6	NEC	npn	$V_{CE0}=60 В; I_C=100 мА; P_D=150 мВт; h_{FE}=200 \dots 320; f_T > 150 МГц$	SOT23, SOD23	B-E-C
H6	BCW89R	ZETEX	npn	$V_{CE0}=80 В; I_C=100 мА; P_D=230 мВт; h_{FE}=120 \dots 260; f_T > 150 МГц$	SOT23, SOD23	B-E-C
H6	BCW89R	PHIL	npn	$V_{CE0}=80 В; I_C=100 мА; P_D=250 мВт; h_{FE}=120 \dots 260; f_T > 100 МГц$	SOT23, SOD23	C-B-E
H6	SST5486	SIL	nFET	$V_{GS}=25 В; P_D=350 мВт; I_{DSS}=8 \dots 20 мА; g_{FS}=4 мСм$	SOT23, SOD23	D-S-G
H6R	KSC2759	SAMS	npn	$V_{CE0}=30 В; I_C=50 мА; P_D=150 мВт; h_{FE}=60 \dots 120; f_T > 2000 МГц$	SOT23, SOD23	B-E-C
H6R	KSC2759	SAMS	npn	$V_{CE0}=30 В; I_C=50 мА; P_D=150 мВт; h_{FE}=40 \dots 80; f_T > 2000 МГц$	SOT23, SOD23	B-E-C
H6Y	KSC2759	SAMS	npn	$V_{CE0}=30 В; I_C=50 мА; P_D=150 мВт; h_{FE}=90 \dots 180; f_T > 2000 МГц$	SOT23, SOD23	B-E-C
H71	BCF70R	PHIL	npn	$V_{CE0}=45 В; I_C=100 мА; P_D=250 мВт; h_{FE}=215 \dots 500; f_T > 100 МГц$	SOT23, SOD23	B-E-C
H7D	BCF70	PHIL	npn	$V_{CE0}=50 В; I_C=100 мА; P_D=250 мВт; h_{FE}=215 \dots 500; f_T > 100 МГц$	SOT23, SOD23	B-E-C
H8Z	KSC2734	SAMS	npn	$V_{CE0}=20 В; I_C=50 мА; P_D=150 мВт; h_{FE}=20 \dots 200; f_T > 3500 МГц$	SOT23, SOD23	B-E-C
H9	1SS344	TOSH	shd	$V_A=20 В; V_{CE}(I_C=500 мА) < 0.55 В; I_{B1}(V_{BE}=20 В) < 20 мкА; C_T < 120 пФ$	SOT346, SC59	A-н.с.-K
H8Z	KSC3120	SAMS	npn	$V_{CE0}=30 В; I_C=50 мА; P_D=150 мВт; h_{FE}=40 \dots 200; f_T > 2400 МГц$	SOT23, SOD23	B-E-C
HA	2SA1883	SANYO	npn	$V_{CE0}=15 В; I_C=200 мА; P_D=150 мВт; h_{FE}=50 \dots 140; f_T > 450 МГц$	SOT416, SC75A	B-E-C
HA	2SC2804	TOSH	npn	$V_{CE0}=25 В; I_C=20 мА; P_D=200 мВт; f_T > 900 МГц$	SOT23, SOD23	B-E-C
HA	2SD1464	REN	npn	$V_{CE0}=180 В; I_C=50 мА; P_D=1 Вт; h_{FE}=60 \dots 120; f_T > 140 МГц$	SOT23, SOD23	B-E-C



SOT23-3
SOD23-3

SOT323
SOT346

SOT416
SOT523



SOT490
MFPK

TESM
TSFP-3

VMT3
VMD3

Код	Типономинал	Б	Ф	Особенности	Корпус	Ц: 1•2•3
HAO	KSC3123	SAMS	npn	$V_{CE0}=30 В, I_C=50 мА, P_D=150 мВт, h_{FE}=90...180, f_T > 1400 МГц$	SOT23, SOD23	В•Е•С
HAR	KSC3123	SAMS	npn	$V_{CE0}=30 В, I_C=50 мА, P_D=150 мВт, h_{FE}=60...120, f_T > 1400 МГц$	SOT23, SOD23	В•Е•С
HAY	KSC3123	SAMS	npn	$V_{CE0}=30 В, I_C=50 мА, P_D=150 мВт, h_{FE}=120...240, f_T > 1400 МГц$	SOT23, SOD23	В•Е•С
HB	2SD1464	REN	npn	$V_{CE0}=180 В, I_C=50 мА, P_D=1 ВТ, h_{FE}=100...200, f_T=140 МГц$	SOT23, SOD23	В•Е•С
HB5	BFN22	SIEM	npn	$V_{CE0}=250 В, I_C=50 мА, P_D=360 мВт, h_{FE} > 50, f_T=100 МГц$	SOT23, SOD23	В•Е•С
HC	2SC2733	REN	npn	$V_{CE0}=30 В, I_C=50 мА, P_D=150 мВт, h_{FE} > 60, f_T > 600 МГц$	SOT346, SC59	В•Е•С
HC	2SC4463	REN	npn	$V_{CE0}=30 В, I_C=50 мА, P_D=100 мВт, h_{FE} > 60, f_T > 600 МГц$	SOT323, SC70	В•Е•С
HC5	BFN23	SIEM	npn	$V_{CE0}=250 В, I_C=50 мА, P_D=360 мВт, h_{FE} > 50, f_T=100 МГц$	SOT23, SOD23	В•Е•С
HE	2SC3906KE	ROHM	npn	$V_{CE0}=120 В, I_C=50 мА, P_D=200 мВт, h_{FE}=390...820, f_T > 140 МГц$	SOT346, SC59	В•Е•С
HE	2SC4102E	ROHM	npn	$V_{CE0}=120 В, I_C=50 мА, P_D=200 мВт, h_{FE}=390...820, f_T > 140 МГц$	SOT323, SC70	В•Е•С
HG	BRC143ECM	REN	Dnpn	$V_{CE0}=50 В, I_{C_{SAT}}=100 мА, P_D=150 мВт, h_{FE} > 20, 4.7 к/4.7 к$	SOT323, SC70	В•Е•С
HG	BRC143EM/P	REN	Dnpn	$V_{CE0}=50 В, I_{C_{SAT}}=100 мА, P_D=150 мВт, h_{FE} > 20, 4.7 к/4.7 к$	SOT23, SOD23	В•Е•С
HP	2SA1036KP	ROHM	npn	$V_{CE0}=40 В, I_C=500 мА, P_D=200 мВт, h_{FE}=82...180, f_T > 200 МГц$	SOT346, SC59	В•Е•С
HR	2SA1577P	HP	npn	$V_{CE0}=40 В, I_C=500 мА, P_D=200 мВт, h_{FE}=82...180, f_T > 200 МГц$	SOT323, SC70	В•Е•С
HQ	2SA1036KQ	ROHM	npn	$V_{CE0}=40 В, I_C=500 мА, P_D=200 мВт, h_{FE}=120...270, f_T > 200 МГц$	SOT346, SC59	В•Е•С
HQ	2SA1577Q	ROHM	npn	$V_{CE0}=40 В, I_C=500 мА, P_D=200 мВт, h_{FE}=120...270, f_T > 200 МГц$	SOT323, SC70	В•Е•С
HS	2SC3928Q	IDC	npn	$V_{CE0}=50 В, I_C=200 мА, P_D=200 мВт, h_{FE}=120...270, f_T > 200 МГц$	SOT23, SOD23	В•Е•С
HR	2SA1035R	PAN	npn	$V_{CE0}=55 В, I_C=100 мА, P_D=200 мВт, h_{FE}=180...360, f_T > 200 МГц$	SOT23, SOD23	В•Е•С
HR	2SA1036KR	ROHM	npn	$V_{CE0}=40 В, I_C=500 мА, P_D=200 мВт, h_{FE}=180...390, f_T > 200 МГц$	SOT346, SC59	В•Е•С
HR	2SA1531AR	PAN	npn	$V_{CE0}=55 В, I_C=50 мА, P_D=150 мВт, h_{FE}=180...360, f_T=80 МГц$	SOT323, SC70	В•Е•С
HR	2SA1577R	ROHM	npn	$V_{CE0}=40 В, I_C=500 мА, P_D=200 мВт, h_{FE}=180...390, f_T > 200 МГц$	SOT323, SC70	В•Е•С
HR	2SC3906KR	ROHM	npn	$V_{CE0}=120 В, I_C=50 мА, P_D=200 мВт, h_{FE}=180...390, f_T > 140 МГц$	SOT346, SC59	В•Е•С
HR	2SC3928R	IDC	npn	$V_{CE0}=50 В, I_C=200 мА, P_D=200 мВт, h_{FE}=180...390, f_T > 200 МГц$	SOT23, SOD23	В•Е•С
HR	2SC4102R	ROHM	npn	$V_{CE0}=120 В, I_C=50 мА, P_D=200 мВт, h_{FE}=180...390, f_T > 140 МГц$	SOT323, SC70	В•Е•С
HS	2SA1035S	PAN	npn	$V_{CE0}=55 В, I_C=100 мА, P_D=200 мВт, h_{FE}=260...520, f_T=200 МГц$	SOT23, SOD23	В•Е•С
HS	2SA1531AS	PAN	npn	$V_{CE0}=55 В, I_C=50 мА, P_D=150 мВт, h_{FE}=260...520, f_T=80 МГц$	SOT323, SC70	В•Е•С
HS	2SC3906KS	ROHM	npn	$V_{CE0}=120 В, I_C=50 мА, P_D=200 мВт, h_{FE}=270...560, f_T > 140 МГц$	SOT346, SC59	В•Е•С
HS	2SC3928S	IDC	npn	$V_{CE0}=50 В, I_C=200 мА, P_D=200 мВт, h_{FE}=270...560, f_T > 200 МГц$	SOT23, SOD23	В•Е•С
HS	2SC4102S	ROHM	npn	$V_{CE0}=120 В, I_C=50 мА, P_D=200 мВт, h_{FE}=270...560, f_T > 140 МГц$	SOT323, SC70	В•Е•С
HT	2SA1035T	PAN	npn	$V_{CE0}=55 В, I_C=100 мА, P_D=200 мВт, h_{FE}=360...700, f_T > 200 МГц$	SOT23, SOD23	В•Е•С
HT	2SA1531AT	PAN	npn	$V_{CE0}=55 В, I_C=50 мА, P_D=150 мВт, h_{FE}=360...700, f_T=80 МГц$	SOT323, SC70	В•Е•С
HT	2SC3928T	IDC	npn	$V_{CE0}=50 В, I_C=200 мА, P_D=200 мВт, h_{FE}=390...820, f_T > 200 МГц$	SOT23, SOD23	В•Е•С
I	MFP347RT3	MOT	npn	$V_{CE0}=20 В, I_C=50 мА, P_D=188 мВт, h_{FE} > 50, f_T=8000 МГц$	SOT323, SC70	Е•В•С
IO	SST110	SIL	nFET	$V_{DS}=25 В, P_D=350 мВт, I_{DSS} > 10 мА, R_{DS(on)} < 18 Ом$	SOT23, SOD23	Д•S•G
IB	SST108	SIL	nFET	$V_{DS}=25 В, P_D=350 мВт, I_{DSS} > 80 мА, R_{DS(on)} < 8 Ом$	SOT23, SOD23	Д•S•G
I9	1SS336	TOSH	di-2	$V_A=80 В, I_C=200 мА, V_{f(I_C=200 мА)} < 1.2 В, I_{f(I_C=0.5 мА)} < 20 мС$	SOT346, SC59	K1•K2•A1•A2
I9	SST109	SIL	nFET	$V_{DS}=25 В, P_D=350 мВт, I_{DSS} > 40 мА, R_{DS(on)} < 12 Ом$	SOT23, SOD23	Д•S•G
ID	2SC3127	REN	npn	$V_{CE0}=20 В, I_C=50 мА, P_D=150 мВт, f_T > 3.5 ГГц$	SOT346, SC59	В•Е•С
IE	2SC3722KE	ROHM	npn	$V_{CE0}=120 В, I_C=50 мА, P_D=200 мВт, h_{FE}=390...820, f_T > 140 МГц$	SOT346, SC59	В•Е•С
IGD	2SK1215D	REN	nMOS	$V_{DS}=20 В, I_D=30 мА, P_D=100 мВт, g_{fs} > 8 мСм, I_{DSS}=4...8 мА$	SOT323, SC70	Д•G•S
IGD	2SK360D	REN	nMOS	$V_{DS}=20 В, I_D=30 мА, P_D=150 мВт, g_{fs} > 8 мСм, I_{DSS}=4...8 мА$	SOT23, SOD23	Д•G•S
IGE	2SK1215E	REN	nMOS	$V_{DS}=20 В, I_D=30 мА, P_D=100 мВт, g_{fs} > 8 мСм, I_{DSS}=6...10 мА$	SOT323, SC70	Д•G•S
IGE	2SK360E	REN	nMOS	$V_{DS}=20 В, I_D=30 мА, P_D=150 мВт, g_{fs} > 8 мСм, I_{DSS}=8...10 мА$	SOT23, SOD23	Д•G•S
IGF	2SK1215F	REN	nMOS	$V_{DS}=20 В, I_D=30 мА, P_D=100 мВт, g_{fs} > 8 мСм, I_{DSS}=8...12 мА$	SOT323, SC70	Д•G•S
IGF	2SK360F	REN	nMOS	$V_{DS}=20 В, I_D=30 мА, P_D=150 мВт, g_{fs} > 8 мСм, I_{DSS}=8...12 мА$	SOT23, SOD23	Д•G•S
IJ	2SC3374	REN	npn	$V_{CE0}=20 В, I_C=20 мА, P_D=150 мВт, h_{FE}=20...200, f_T > 400 МГц$	SOT346, SC59	В•Е•С
IL	2SC3493	REN	npn	$V_{CE0}=15 В, I_C=20 мА, P_D=150 мВт, h_{FE}=30...200, f_T > 700 МГц$	SOT346, SC59	В•Е•С
IL	2SC4263	REN	npn	$V_{CE0}=15 В, I_C=20 мА, P_D=100 мВт, h_{FE}=30...200, f_T > 700 МГц$	SOT323, SC70	В•Е•С
IO	KTA1298	KEC	npn	$V_{CE0}=35 В, I_C=800 мА, P_D=200 мВт, h_{FE}=100...200, f_T > 120 МГц$	SOT23, SOD23	В•Е•С
IP	2SC3739	REN	npn	$V_{CE0}=20 В, I_C=50 мА, P_D=150 мВт, h_{FE}=50...200, f_T > 1.4 ГГц$	SOT346, SC59	В•Е•С
IP	2SC4262	REN	npn	$V_{CE0}=20 В, I_C=50 мА, P_D=100 мВт, h_{FE}=50...200, f_T > 1.4 ГГц$	SOT323, SC70	В•Е•С
IR	2SB792R	PAN	npn	$V_{CE0}=150 В, I_C=50 мА, P_D=200 мВт, h_{FE}=130...220, f_T > 200 МГц$	SOT23, SOD23	В•Е•С

**SOT490 TSM
MFPAK TSFP-3**

**VMT3
VMD3**



**SOT416
SOT523**

**SOT323
SOT346**

**SOT23-3
SOD23-3**



Код	Типономинал	Б	Ф	Особенности	Корпус	Ц: 1•2•3
IR	2SC3722KR	ROHM	npn	$V_{CEB} > 120 \text{ В}$, $I_C < 50 \text{ мА}$, $P_D > 200 \text{ мВт}$; $h_{FE} > 180 \dots 390$; $f_T > 140 \text{ МГц}$	SOT346, SC59	B-E-C
IR54	BAT54	IR	shd	$V_A < 30 \text{ В}$, $I_C < 200 \text{ мА}$, $V_F(I_C = 30 \text{ мА}) < 500 \text{ мВ}$, $C_{D1} < 10 \text{ нФ}$, $t_{sp} < 5 \text{ нс}$	SOT23, SOD23	A-n.c.-K
IR54C	BAT54C	IR	shd-2	$V_A < 30 \text{ В}$, $I_C < 200 \text{ мА}$, $V_F(I_C = 30 \text{ мА}) < 500 \text{ мВ}$, $C_{D1} < 10 \text{ нФ}$, $t_{sp} < 5 \text{ нс}$	SOT23, SOD23	A1-A2-K1-K2
IR54S	BAT54S	IR	shd-2	$V_A < 30 \text{ В}$, $I_C < 200 \text{ мА}$, $V_F(I_C = 30 \text{ мА}) < 500 \text{ мВ}$, $C_{D1} < 10 \text{ нФ}$, $t_{sp} < 5 \text{ нс}$	SOT23, SOD23	A1-K2-K1-A2
IRD	2SA1484D	Hit	npn	$V_{CEB} > 90 \text{ В}$, $I_C < 100 \text{ мА}$, $P_D > 150 \text{ мВт}$; $h_{FE} > 500 \dots 500$	SOT23, SOD23	B-E-C
IRE	2SA1484E	Hit	npn	$V_{CEB} > 90 \text{ В}$, $I_C < 100 \text{ мА}$, $P_D > 150 \text{ мВт}$; $h_{FE} > 400 \dots 800$	SOT23, SOD23	B-E-C
IS	2SB792S	PAN	npn	$V_{CEB} > 150 \text{ В}$, $I_C < 50 \text{ мА}$, $P_D > 200 \text{ мВт}$; $h_{FE} > 185 \dots 330$; $f_T > 200 \text{ МГц}$	SOT23, SOD23	B-E-C
IS	2SC3513	REN	npn	$V_{CEB} > 15 \text{ В}$, $I_C < 50 \text{ мА}$, $P_D > 150 \text{ мВт}$; $h_{FE} > 50 \dots 250$; $f_T > 4.5 \text{ ГГц}$	SOT346, SC59	B-E-C
IS	2SC3722KS	ROHM	npn	$V_{CEB} > 120 \text{ В}$, $I_C < 50 \text{ мА}$, $P_D > 200 \text{ мВт}$; $h_{FE} > 270 \dots 560$; $f_T > 140 \text{ МГц}$	SOT346, SC59	B-E-C
IS	2SC4537	REN	npn	$V_{CEB} > 15 \text{ В}$, $I_C < 50 \text{ мА}$, $P_D > 100 \text{ мВт}$; $h_{FE} > 50 \dots 250$; $f_T > 4.5 \text{ ГГц}$	SOT323, SC70	B-E-C
IT	2SB792T	PAN	npn	$V_{CEB} > 150 \text{ В}$, $I_C < 50 \text{ мА}$, $P_D > 200 \text{ мВт}$; $h_{FE} > 260 \dots 450$; $f_T > 200 \text{ МГц}$	SOT23, SOD23	B-E-C
IV	KT41298	KEC	npn	$V_{CEB} > 35 \text{ В}$, $I_C < 800 \text{ мА}$, $P_D > 200 \text{ мВт}$; $h_{FE} > 160 \dots 320$; $f_T > 120 \text{ МГц}$	SOT23, SOD23	B-E-C
JO	HSM52940	HP	shd	$V_A > 25 \text{ В}$, $V_F(I_C = 30 \text{ мА}) < 0.7 \text{ В}$, $I_{SS}(V_A = 1 \text{ В}) < 100 \text{ нА}$, $C_T < 1.0 \text{ нФ}$, $R_{DS(on)} < 12 \text{ Ом}$	SOT23, SOD23	A-n.c.-K
J01	SO2306R	SGS	npn	$V_{CEB} > 40 \text{ В}$, $I_C < 150 \text{ мА}$, $P_D > 300 \text{ мВт}$; $h_{FE} > 40 \dots 120$; $f_T > 200 \text{ МГц}$	SOT23, SOD23	E-B-C
J03	SO2307AR	SGS	npn	$V_{CEB} > 60 \text{ В}$, $I_C < 150 \text{ мА}$, $P_D > 300 \text{ мВт}$; $h_{FE} > 100 \dots 300$; $f_T > 200 \text{ МГц}$	SOT23, SOD23	E-B-C
J05	SO2307R	SGS	npn	$V_{CEB} > 40 \text{ В}$, $I_C < 200 \text{ мА}$, $P_D > 300 \text{ мВт}$; $h_{FE} > 100 \dots 300$; $f_T > 200 \text{ МГц}$	SOT23, SOD23	E-B-C
J06	SO2894R	SGS	npn	$V_{CEB} > 12 \text{ В}$, $I_C < 200 \text{ мА}$, $P_D > 300 \text{ мВт}$; $h_{FE} > 40 \dots 150$; $f_T > 400 \text{ МГц}$	SOT23, SOD23	E-B-C
J1	BSS138L	MOT	nMOS	$V_{DS} > 50 \text{ В}$, $I_D > 200 \text{ мА}$, $P_D > 360 \text{ мВт}$; $g_{fs} > 120 \text{ мСм}$, $R_{DS(on)} < 6 \text{ Ом}$	SOT23, SOD23	G-S-D
J1	HSM528H1	HP	shd	$V_A > 25 \text{ В}$, $V_F(I_C = 30 \text{ мА}) < 0.7 \text{ В}$, $I_{SS}(V_A = 1 \text{ В}) < 100 \text{ нА}$, $C_T < 1.0 \text{ нФ}$, $R_{DS(on)} < 12 \text{ Ом}$	SOT23, SOD23	A-n.c.-K
J1	MMBZ5246BT	DIODES	dz	$V_{Z(I_T = 7.8 \text{ мА})} > 15.2 \dots 16.8 \text{ В}$, $I_R < 0.1 \text{ мА}$	SOT523	A-n.c.-K
J12	SO2306AR	SGS	npn	$V_{CEB} > 60 \text{ В}$, $I_C < 150 \text{ мА}$, $P_D > 300 \text{ мВт}$; $h_{FE} > 40 \dots 120$; $f_T > 200 \text{ МГц}$	SOT23, SOD23	E-B-C
J1A	ZC830A	ZETEX	var	$V_A < 25 \text{ В}$, $C_{2B} > 10 \pm 10\% \text{ нФ}$, $C_{2B}/C_{20B} > 4.5 \dots 6$, $Q > 300$	SOT23, SOD23	A-n.c.-K
J1B	ZC830B	ZETEX	var	$V_A < 25 \text{ В}$, $C_{2B} > 10 \pm 5\% \text{ нФ}$, $C_{2B}/C_{20B} > 4.5 \dots 6$, $Q > 300$	SOT23, SOD23	A-n.c.-K
J1O	KSA1298	SAMS	npn	$V_{CEB} > 30 \text{ В}$, $I_C < 800 \text{ мА}$, $P_D > 200 \text{ мВт}$; $h_{FE} > 100 \dots 200$; $f_T > 120 \text{ МГц}$	SOT23, SOD23	B-E-C
J1S	ZC830	ZETEX	var	$V_A < 25 \text{ В}$, $C_{2B} > 10 \pm 20\% \text{ нФ}$, $C_{2B}/C_{20B} > 4.5 \dots 6$, $Q > 300$	SOT23, SOD23	A-n.c.-K
J1Y	KSA1298	SAMS	npn	$V_{CEB} > 30 \text{ В}$, $I_C < 800 \text{ мА}$, $P_D > 200 \text{ мВт}$; $h_{FE} > 160 \dots 320$; $f_T > 120 \text{ МГц}$	SOT23, SOD23	B-E-C
J2A	ZC833A	ZETEX	var	$V_A < 25 \text{ В}$, $C_{2B} > 33 \pm 10\% \text{ нФ}$, $C_{2B}/C_{20B} > 5 \dots 6.5$, $Q > 200$	SOT23, SOD23	A-n.c.-K
J2B	ZC833B	ZETEX	var	$V_A < 25 \text{ В}$, $C_{2B} > 33 \pm 5\% \text{ нФ}$, $C_{2B}/C_{20B} > 5 \dots 6.5$, $Q > 200$	SOT23, SOD23	A-n.c.-K
J2S	ZC833	ZETEX	var	$V_A < 25 \text{ В}$, $C_{2B} > 33 \pm 20\% \text{ нФ}$, $C_{2B}/C_{20B} > 5 \dots 6.5$, $Q > 200$	SOT23, SOD23	A-n.c.-K
J3	MMBZ5248BT	DIODES	dz	$V_{Z(I_T = 7.0 \text{ мА})} > 17.1 \dots 18.9 \text{ В}$, $I_R < 0.1 \text{ мА}$	SOT523	A-n.c.-K
J32	SO6400R	SGS	npn	$V_{CEB} > 130 \text{ В}$, $I_C < 600 \text{ мА}$, $P_D > 200 \text{ мВт}$; $h_{FE} > 40 \dots 180$; $f_T > 100 \text{ МГц}$	SOT23, SOD23	E-B-C
J33	SO6401R	SGS	npn	$V_{CEB} > 160 \text{ В}$, $I_C < 600 \text{ мА}$, $P_D > 200 \text{ мВт}$; $h_{FE} > 60 \dots 240$; $f_T > 100 \text{ МГц}$	SOT23, SOD23	E-B-C
J39	SO692R	SGS	npn	$V_{CEB} > 300 \text{ В}$, $I_C < 100 \text{ мА}$, $P_D > 310 \text{ мВт}$; $h_{FE} > 40$; $f_T > 50 \text{ МГц}$	SOT23, SOD23	E-B-C
J3A	ZC831A	ZETEX	var	$V_A < 25 \text{ В}$, $C_{2B} > 15 \pm 10\% \text{ нФ}$, $C_{2B}/C_{20B} > 4.5 \dots 6$, $Q > 300$	SOT23, SOD23	A-n.c.-K
J3B	ZC831B	ZETEX	var	$V_A < 25 \text{ В}$, $C_{2B} > 15 \pm 5\% \text{ нФ}$, $C_{2B}/C_{20B} > 4.5 \dots 6$, $Q > 300$	SOT23, SOD23	A-n.c.-K
J3D	MSB81T1	MOT	npn	$f_T > 0.6 \text{ ГГц}$	SOT23, SOD23	B-E-C
J3S	ZC831	ZETEX	var	$V_A < 25 \text{ В}$, $C_{2B} > 15 \pm 20\% \text{ нФ}$, $C_{2B}/C_{20B} > 4.5 \dots 6$, $Q > 300$	SOT23, SOD23	A-n.c.-K
J4A	MBV109T1	MOT	var	$V_A > 30 \text{ В}$, $I_D > 200 \text{ мА}$, $C_{2B} > 26 \dots 32 \text{ нФ}$, $C_{2B}/C_{20B} > 5.0 \dots 6.5$	SOT323, SC70	A-n.c.-K
J4A	ZC832A	ZETEX	var	$V_A < 25 \text{ В}$, $C_{2B} > 22 \pm 10\% \text{ нФ}$, $C_{2B}/C_{20B} > 5 \dots 6.5$, $Q > 200$	SOT23, SOD23	A-n.c.-K
J4B	ZC832B	ZETEX	var	$V_A < 25 \text{ В}$, $C_{2B} > 22 \pm 5\% \text{ нФ}$, $C_{2B}/C_{20B} > 5 \dots 6.5$, $Q > 200$	SOT23, SOD23	A-n.c.-K
J4S	ZC832	ZETEX	var	$V_A < 25 \text{ В}$, $C_{2B} > 22 \pm 20\% \text{ нФ}$, $C_{2B}/C_{20B} > 5 \dots 6.5$, $Q > 200$	SOT23, SOD23	A-n.c.-K
J5	MMBZ5250BT	DIODES	dz	$V_{Z(I_T = 6.2 \text{ мА})} > 19.0 \dots 21.0 \text{ В}$, $I_R < 0.1 \text{ мА}$	SOT523	A-n.c.-K
J5A	ZC834A	ZETEX	var	$V_A < 25 \text{ В}$, $C_{2B} > 47 \pm 10\% \text{ нФ}$, $C_{2B}/C_{20B} > 5 \dots 6.5$, $Q > 200$	SOT23, SOD23	A-n.c.-K
J5B	ZC834B	ZETEX	var	$V_A < 25 \text{ В}$, $C_{2B} > 47 \pm 5\% \text{ нФ}$, $C_{2B}/C_{20B} > 5 \dots 6.5$, $Q > 200$	SOT23, SOD23	A-n.c.-K
J5S	ZC834	ZETEX	var	$V_A < 25 \text{ В}$, $C_{2B} > 47 \pm 20\% \text{ нФ}$, $C_{2B}/C_{20B} > 5 \dots 6.5$, $Q > 200$	SOT23, SOD23	A-n.c.-K
J6	M1MA174	MOT	di	$V_A < 100 \text{ В}$, $I_C < 200 \text{ мА}$, $V_F(I_C = 10 \text{ мА}) < 1 \text{ В}$; $t_{sp} < 4 \text{ нс}$	SOT323, SC70	A-n.c.-K
J6A	ZC835A	ZETEX	var	$V_A < 25 \text{ В}$, $C_{2B} > 88 \pm 10\% \text{ нФ}$, $C_{2B}/C_{20B} > 5 \dots 6.5$, $Q > 100$	SOT23, SOD23	A-n.c.-K
J6B	ZC835B	ZETEX	var	$V_A < 25 \text{ В}$, $C_{2B} > 88 \pm 5\% \text{ нФ}$, $C_{2B}/C_{20B} > 5 \dots 6.5$, $Q > 100$	SOT23, SOD23	A-n.c.-K
J6S	ZC835	ZETEX	var	$V_A < 25 \text{ В}$, $C_{2B} > 88 \pm 20\% \text{ нФ}$, $C_{2B}/C_{20B} > 5 \dots 6.5$, $Q > 100$	SOT23, SOD23	A-n.c.-K
J7A	ZC836A	ZETEX	var	$V_A < 25 \text{ В}$, $C_{2B} > 100 \pm 10\% \text{ нФ}$, $C_{2B}/C_{20B} > 5 \dots 6.5$, $Q > 100$	SOT23, SOD23	A-n.c.-K
J7B	ZC836B	ZETEX	var	$V_A < 25 \text{ В}$, $C_{2B} > 100 \pm 5\% \text{ нФ}$, $C_{2B}/C_{20B} > 5 \dots 6.5$, $Q > 100$	SOT23, SOD23	A-n.c.-K
J7S	ZC836	ZETEX	var	$V_A < 25 \text{ В}$, $C_{2B} > 100 \pm 20\% \text{ нФ}$, $C_{2B}/C_{20B} > 5 \dots 6.5$, $Q > 100$	SOT23, SOD23	A-n.c.-K



SOT23-3
SOD23-3



SOT323
SOT346



SOT416
SOT523



SOT490
MFPK



TESM
VMT3

Код	Типономинал	Б	Ф	Особенности	Корпус	Ц: 1*2*3
J8	BCX71JR	ZETEX	pnp	$V_{CE0} > 45 В, I_C < 200 мА, P_D < 330 мВт, h_{FE} > 250, f_T > 180 МГц$	SOT23, SOD23	В-Е-С
J8	BCX71JR	PHIL	pnp	$V_{CE0} > 45 В, I_C < 200 мА, P_D < 250 мВт, h_{FE} > 250, f_T > 100 МГц$	SOT23, SOD23	С-В-Е
J9	1SS337	TOSH	di-2	$V_A < 80 В, I_C < 200 мА, V_{CE}(I_C < 200 мА) < 1.2 В, I_{B0} < 5.0 мА, C_{D0} < 20 нФ$	SOT346, SC59	А1-А2-К1, К2
J9A	ZC829A	ZETEX	var	$V_A < 25 В, I_C < 200 мА, I_{B0} < 0.02 мА, C_{D0} < 7.38...9.02 нФ, C_{D0} < 20 нФ, f_T > 4.3...5.8$	SOT23, SOD23	А-п-с-К
J9B	ZC829B	ZETEX	var	$V_A < 25 В, I_C < 200 мА, I_{B0} < 0.02 мА, C_{D0} < 7.79...8.61 нФ, C_{D0} < 20 нФ, f_T > 4.3...5.8$	SOT23, SOD23	А-п-с-К
JA	BAV70W	WTE	di-2	$V_A < 75 В, I_C < 300 мА, V_{CE}(I_C < 50 мА) < 1.0 В, C_{D0} < 2 нФ, f_{TBR} < 6 нс$	SOT323, SC70	А1-А2-К1, К2
JA	BAV74	ALLEG	di-2	$I_C < 70 мА, V_{FBR} > 50 В, V_{CE}(I_C < 100 мА) < 1.0 В, I_{B0} < 100 мА, f_{TBR} < 4.0 нс, C_{D0} < 2.0 нФ$	SOT23, SOD23	А1-А2-К1, К2
JA	BAV74	ZETEX	di-2	$V_A < 50 В, I_C < 150 мА, V_{CE}(I_C < 100 мА) < 1.0 В, I_{B0} < 0.1 мА, C_{D0} < 2 нФ, f_{TBR} < 4 нс$	SOT23, SOD23	А1-А2-К1, К2
JA	BAV74	Nat	di-2	$V_A < 50 В, I_C < 200 мА, V_{CE}(I_C < 100 мА) < 1.0 В, C_{D0} < 2 нФ, f_{TBR} < 4 нс$	SOT23, SOD23	А1-А2-К1, К2
JA0	BAV74	PHIL	di-2	$V_A < 50 В, I_C < 215 мА, V_{CE}(I_C < 100 мА) < 1.0 В, C_{D0} < 2.0 нФ, f_{TBR} < 4 нс$	SOT23, SOD23	А1-А2-К1, К2
JA5	BAV74	SIEM	di-2	$V_A < 50 В, I_C < 200 мА, V_{CE}(I_C < 100 мА) < 1.0 В, I_{B0} < 0.1 мА, C_{D0} < 2.0 нФ, f_{TBR} < 4 нс$	SOT23, SOD23	А1-А2-К1, К2
JB	BAV74	ZETEX	di	$V_A < 50 В, I_C < 150 мА, V_{CE}(I_C < 100 мА) < 1.0 В, I_{B0} < 0.1 мА, C_{D0} < 2.0 нФ, f_{TBR} < 4 нс$	SOT23, SOD23	А-п-с-К
JC	2SC2735	REN	nnp	$V_{CE0} < 30 В, I_C < 50 мА, P_D < 150 мВт, h_{FE} > 40, f_T > 800 МГц$	SOT346, SC59	В-Е-С
JC	2SC2485	REN	nnp	$V_{CE0} < 30 В, I_C < 50 мА, P_D < 100 мВт, h_{FE} > 40, f_T > 800 МГц$	SOT323, SC70	В-Е-С
JC	BAL74	ZETEX	di-2	$V_A < 50 В, I_C < 150 мА, V_{CE}(I_C < 100 мА) < 1.0 В, I_{B0} < 0.1 мА, C_{D0} < 2 нФ, f_{TBR} < 4 нс$	SOT23, SOD23	п-с-А-К
JC	BAL74W	PHIL	fd	$V_A < 75 В, I_C < 175 мА, V_{CE}(I_C < 50 мА) < 1.0 В, C_{D0} < 1.5 нФ, f_{TBR} < 4 нс$	SOT323, SC70	п-с-А-К
JC	BAW56W	PANJIT	di-2	$V_A < 75 В, I_C < 150 мА, V_{CE}(I_C < 10 мА) < 1.0 В, C_{D0} < 4 нФ, f_{TBR} < 4 нс$	SOT323, SC70	К1-К2-А1, А2
JC0	BAL74	PHIL	fd	$V_A < 50 В, I_C < 215 мА, V_{CE}(I_C < 50 мА) < 1.0 В, C_{D0} < 2 нФ, f_{TBR} < 4 нс$	SOT23, SOD23	п-с-А-К
JCS	BAL74	INF	di	$V_A < 50 В, I_C < 250 мА, V_{CE}(I_C < 100 мА) < 1.0 В, I_{B0} < 0.1 мА, C_{D0} < 2 нФ, f_{TBR} < 4 нс$	SOT23, SOD23	п-с-А-К
JD	BAW56	VISH	di-2	$V_A < 70 В, I_C < 300 мА, V_{CE}(I_C < 150 мА) < 1.25 В, I_{B0} < 5.0 мА, C_{D0} < 4.0 нФ, f_{TBR} < 6 нс$	SOT23, SOD23	К1-К2-А1, А2
JD	BAW56T	DIODS	di-2	$V_A < 85 В, I_C < 155 мА, V_{CE}(I_C < 150 мА) < 1.25 В, I_{B0} < 2 мА, f_{TBR} < 4 нс$	SOT523	К1-К2-А1, А2
JE	BAV93	VISH	di-2	$V_A < 70 В, I_C < 300 мА, V_{CE}(I_C < 150 мА) < 1.25 В, I_{B0} < 5.0 мА, C_{D0} < 4.0 нФ, f_{TBR} < 6 нс$	SOT23, SOD23	А1-К2-К1, А2
JE	BAV93	GS	di-2	$V_A < 70 В, I_C < 250 мА, V_{CE}(I_C < 150 мА) < 1.25 В, I_{B0} < 2 мА, f_{TBR} < 4 нс$	SOT23, SOD23	А1-К2-К1, А2
JE	BAV93	TD	di-2	$V_A < 75 В, I_C < 215 мА, V_{CE}(I_C < 150 мА) < 1.25 В, I_{B0} < 2 мА, f_{TBR} < 4 нс$	SOT23, SOD23	А1-К2-К1, А2
JE	BAV93T	DIODS	di-2	$V_A < 85 В, I_C < 155 мА, V_{CE}(I_C < 150 мА) < 1.25 В, I_{B0} < 2 мА, f_{TBR} < 4 нс$	SOT523	А1-К2-К1, А2
JF	BAL39	VISH	di	$V_A < 70 В, I_C < 250 мА, V_{CE}(I_C < 50 мА) < 1.0 В, I_{B0} < 2.5 мА, C_{D0} < 1.5 нФ, f_{TBR} < 6 нс$	SOT23, SOD23	п-с-К-А
JF	BAL39	GS	di	$V_A < 70 В, I_C < 250 мА, V_{CE}(I_C < 150 мА) < 1.25 В, I_{B0} < 2 мА, f_{TBR} < 4 нс$	SOT23, SOD23	п-с-К-А
JF	BAL39W	PHIL	di	$V_A < 70 В, I_C < 150 мА, V_{CE}(I_C < 50 мА) < 1.0 В, C_{D0} < 1.5 нФ, f_{TBR} < 4 нс$	SOT323, SC70	п-с-К-А
JF0	BAL39	PHIL	di	$V_A < 70 В, I_C < 250 мА, V_{CE}(I_C < 50 мА) < 1.0 В, C_{D0} < 1.5 нФ, f_{TBR} < 6 нс$	SOT23, SOD23	п-с-К-А
JFs	BAL39	INF	di	$V_A < 70 В, I_C < 250 мА, V_{CE}(I_C < 50 мА) < 1.0 В, I_{B0} < 2.5 мА, C_{D0} < 1.5 нФ, f_{TBR} < 6 нс$	SOT23, SOD23	п-с-К-А
JG	BAV99	WTE	di-2	$V_A < 75 В, I_C < 300 мА, V_{CE}(I_C < 150 мА) < 1.25 В, I_{B0} < 2 мА, f_{TBR} < 4 нс$	SOT23, SOD23	А1-К2-К1, А2
JG	BAV93	PANJIT	di-2	$V_A < 70 В, I_C < 150 мА, V_{CE}(I_C < 10 мА) < 1.0 В, f_{TBR} < 4 нс$	SOT23, SOD23	А1-К2-К1, А2
JG	BPA123ECM	REN	Dpnp	$V_{CE0} < 50 В, I_{C_{D0}} < 100 мА, P_D < 150 мВт, h_{FE} > 20, 2.2 к/2.2 к$	SOT323, SC70	В-Е-С
JG	BPA123EMP	REN	Dpnp	$V_{CE0} < 50 В, I_{C_{D0}} < 100 мА, P_D < 150 мВт, h_{FE} > 20, 2.2 к/2.2 к$	SOT23, SOD23	В-Е-С
JGs	BAF93	SIEM	di	$V_A < 70 В, I_C < 250 мА, V_{CE}(I_C < 50 мА) < 1.0 В, I_{B0} < 2.5 мА, C_{D0} < 1.5 нФ, f_{TBR} < 6 нс$	SOT23, SOD23	К-п-с-А
JID	2SA1566D	REN	pnp	$V_{CE0} < 120 В, I_C < 100 мА, P_D < 150 мВт, h_{FE} > 250...500$	SOT23, SOD23	В-Е-С
JIE	2SA1566E	REN	pnp	$V_{CE0} < 120 В, I_C < 100 мА, P_D < 150 мВт, h_{FE} > 400...800$	SOT23, SOD23	В-Е-С
JJ	BAV70	VISH	di-2	$V_A < 70 В, I_C < 300 мА, V_{CE}(I_C < 150 мА) < 1.25 В, I_{B0} < 5.0 мА, C_{D0} < 4.0 нФ, f_{TBR} < 6 нс$	SOT23, SOD23	А1-А2-К1, К2
JJ	BAV70T	DIODS	di-2	$V_A < 85 В, I_C < 155 мА, V_{CE}(I_C < 150 мА) < 1.25 В, I_{B0} < 2 мА, f_{TBR} < 4 нс$	SOT523	А1-А2-К1, К2
JL	MFP49T1	MOT	nnp	$V_{CE0} < 20 В, I_C < 50 мА, P_D < 144 мВт, h_{FE} > 50, f_T > 9 ГГц$	SOT323, SC70	В-Е-С
JM	2SC2059NM	ROHM	nnp	$V_{CE0} < 25 В, I_C < 20 мА, P_D < 150 мВт, h_{FE} > 39...82, f_T > 500 МГц$	SOT346, SC59	В-Е-С
JM	2SC4039M	ROHM	nnp	$V_{CE0} < 25 В, I_C < 20 мА, P_D < 150 мВт, h_{FE} > 39...82, f_T > 500 МГц$	SOT323, SC70	В-Е-С
JM	2SC4649	ROHM	nnp	$V_{CE0} < 25 В, I_C < 20 мА, P_D < 150 мВт, h_{FE} > 39...82, f_T > 500 МГц$	SOT416, SC75A	В-Е-С
JN	2SC2059NM	ROHM	nnp	$V_{CE0} < 25 В, I_C < 20 мА, P_D < 150 мВт, h_{FE} > 56...120, f_T > 500 МГц$	SOT346, SC59	В-Е-С
JN	2SC4039N	ROHM	nnp	$V_{CE0} < 25 В, I_C < 20 мА, P_D < 150 мВт, h_{FE} > 56...120, f_T > 500 МГц$	SOT323, SC70	В-Е-С
JN	2SC4649	ROHM	nnp	$V_{CE0} < 25 В, I_C < 20 мА, P_D < 150 мВт, h_{FE} > 56...120, f_T > 500 МГц$	SOT416, SC75A	В-Е-С
JP	2SC2059NP	ROHM	nnp	$V_{CE0} < 25 В, I_C < 20 мА, P_D < 150 мВт, h_{FE} > 82...180, f_T > 500 МГц$	SOT346, SC59	В-Е-С

**SOT490 TSM
MFFPAK TSFP-3**

**VMT3
VMD3**



SOT416 SOT523

SOT323 SOT346

**SOT23-3
SOD23-3**



Код	Типономинал	Б	Ф	Особенности	Корпус	Ц: 1•2•3
JP	2SC4039P	ROHM	npn	$V_{CE0} > 25 \text{ В}$; $I_C > 20 \text{ мА}$; $P_D = 150 \text{ мВт}$; $h_{FE} = 82 \dots 180$; $f_T > 500 \text{ МГц}$	SOT323, SC70	В•Е•С
JP	2SC4649	ROHM	npn	$V_{CE0} > 25 \text{ В}$; $I_C > 20 \text{ мА}$; $P_D = 150 \text{ мВт}$; $h_{FE} = 82 \dots 180$; $f_T > 500 \text{ МГц}$	SOT416, SC75A	В•Е•С
JPr	BAS19	PHIL	fd	$V_{CE} > 100 \text{ В}$; $I_C < 200 \text{ мА}$; $V_{CE}(I_C = 100 \text{ мА}) < 1.0 \text{ В}$; $C_{CE} < 5 \text{ нФ}$; $t_{\text{фр}} < 50 \text{ нс}$	SOT23, SOD23	А•п.с. • К
JPs	BAS19	INF	di	$V_{CE} < 100 \text{ В}$; $I_C < 250 \text{ мА}$; $V_{CE}(I_C = 100 \text{ мА}) < 1.0 \text{ В}$; $I_{B0} < 0.1 \text{ мкА}$; $C_{CE} < 5.0 \text{ нФ}$; $t_{\text{фр}} < 50 \text{ нс}$	SOT23, SOD23	А•п.с. • К
JPr	BAS20	PHIL	fd	$V_{CE} < 150 \text{ В}$; $I_C < 200 \text{ мА}$; $V_{CE}(I_C = 100 \text{ мА}) < 1.0 \text{ В}$; $C_{CE} < 5 \text{ нФ}$; $t_{\text{фр}} < 50 \text{ нс}$	SOT23, SOD23	А•п.с. • К
JRs	BAS20	INF	di	$V_{CE} < 150 \text{ В}$; $I_C < 250 \text{ мА}$; $V_{CE}(I_C = 100 \text{ мА}) < 1.0 \text{ В}$; $I_{B0} < 0.1 \text{ мкА}$; $C_{CE} < 5.0 \text{ нФ}$; $t_{\text{фр}} < 50 \text{ нс}$	SOT23, SOD23	А•п.с. • К
JS	BAS21	JGD	di	$V_{CE} < 200 \text{ В}$; $I_C < 200 \text{ мА}$; $V_{CE}(I_C = 100 \text{ мА}) < 1.0 \text{ В}$; $I_{B0} < 0.1 \text{ мкА}$; $C_{CE} < 1.5 \text{ нФ}$; $t_{\text{фр}} < 50 \text{ нс}$	SOT23, SOD23	А•п.с. • К
JS3	2SA1857	SANYO	npn	$V_{CE0} > 15 \text{ В}$; $I_C > 50 \text{ мА}$; $P_D = 150 \text{ мВт}$; $h_{FE} = 60 \dots 120$; $f_T > 750 \text{ МГц}$	SOT323, SC70	В•Е•С
JS4	2SA1857	SANYO	npn	$V_{CE0} > 15 \text{ В}$; $I_C > 50 \text{ мА}$; $P_D = 150 \text{ мВт}$; $h_{FE} = 90 \dots 180$; $f_T > 750 \text{ МГц}$	SOT323, SC70	В•Е•С
JS5	2SA1857	SANYO	npn	$V_{CE0} > 15 \text{ В}$; $I_C > 50 \text{ мА}$; $P_D = 150 \text{ мВт}$; $h_{FE} = 135 \dots 270$; $f_T > 750 \text{ МГц}$	SOT323, SC70	В•Е•С
JSr	BAS21	PHIL	fd	$V_{CE} < 200 \text{ В}$; $I_C < 200 \text{ мА}$; $V_{CE}(I_C = 100 \text{ мА}) < 1.0 \text{ В}$; $C_{CE} < 5 \text{ нФ}$; $t_{\text{фр}} < 50 \text{ нс}$	SOT23, SOD23	А•п.с. • К
JSs	BAS21	INF	di	$V_{CE} < 200 \text{ В}$; $I_C < 250 \text{ мА}$; $V_{CE}(I_C = 100 \text{ мА}) < 1.0 \text{ В}$; $I_{B0} < 0.1 \text{ мкА}$; $C_{CE} < 5.0 \text{ нФ}$; $t_{\text{фр}} < 50 \text{ нс}$	SOT23, SOD23	А•п.с. • К
JV	1SV263	SANYO	pin	$V_{CE} > 50 \text{ В}$; $I_C < 50 \text{ мА}$; $V_{CE}(I_C = 50 \text{ мА}) < 0.95 \text{ В}$; $I_{B0} < 0.1 \text{ мкА}$	SOT323, SC70	А•п.с. • К
JV	1SV266	SANYO	pin	$V_{CE} > 50 \text{ В}$; $I_C < 50 \text{ мА}$; $V_{CE}(I_C = 50 \text{ мА}) < 0.91 \text{ В}$; $I_{B0} < 0.1 \text{ мкА}$	SOT23, SOD23	А•п.с. • К
JPr	BAS116	PHIL	di	$V_{CE} < 75 \text{ В}$; $I_C < 215 \text{ мА}$; $V_{CE}(I_C = 10 \text{ мА}) < 1.0 \text{ В}$; $I_{B0}(V_{CE} = 75 \text{ В}) < 5 \text{ нА}$; $C_{CE} < 2 \text{ нФ}$; $t_{\text{фр}} < 3000 \text{ нс}$	SOT23, SOD23	А•п.с. • К
JVs	BAS116	SIEM	di	$V_{CE} < 75 \text{ В}$; $I_C < 250 \text{ мА}$; $V_{CE}(I_C = 50 \text{ мА}) < 1.1 \text{ В}$; $I_{B0} < 5.0 \text{ мкА}$; $C_{CE} < 2.0 \text{ нФ}$; $t_{\text{фр}} < 3000 \text{ нс}$	SOT23, SOD23	А•п.с. • К
JX	BAV170	MOT	di-2	$V_{CE} < 80 \text{ В}$; $I_C < 200 \text{ мА}$; $V_{CE}(I_C = 150 \text{ мА}) < 1.25 \text{ В}$; $I_{B0} < 0.005 \text{ мкА}$; $C_{CE} < 2.0 \text{ нФ}$; $t_{\text{фр}} < 3000 \text{ нс}$	SOT23, SOD23	A1•A2•K1•K2
JXr	BAV170	PHIL	di-2	$V_{CE} < 75 \text{ В}$; $I_C < 215 \text{ мА}$; $V_{CE}(I_C = 10 \text{ мА}) < 1.0 \text{ В}$; $I_{B0}(V_{CE} = 75 \text{ В}) < 5 \text{ нА}$; $C_{CE} < 2 \text{ нФ}$; $t_{\text{фр}} < 3000 \text{ нс}$	SOT23, SOD23	A1•A2•K1•K2
JXs	BAV170	INF	di-2	$V_{CE} < 80 \text{ В}$; $I_C < 200 \text{ мА}$; $V_{CE}(I_C = 150 \text{ мА}) < 1.25 \text{ В}$; $I_{B0} < 0.005 \text{ мкА}$; $C_{CE} < 2.0 \text{ нФ}$; $t_{\text{фр}} < 3000 \text{ нс}$	SOT23, SOD23	A1•A2•K1•K2
JXt	BAV170	PHIL	di-2	$V_{CE} < 75 \text{ В}$; $I_C < 215 \text{ мА}$; $V_{CE}(I_C = 10 \text{ мА}) < 1.0 \text{ В}$; $I_{B0}(V_{CE} = 75 \text{ В}) < 5 \text{ нА}$; $C_{CE} < 2 \text{ нФ}$; $t_{\text{фр}} < 3000 \text{ нс}$	SOT23, SOD23	A1•A2•K1•K2
JYr	BAV199	PHIL	di-2	$V_{CE} < 75 \text{ В}$; $I_C < 160 \text{ мА}$; $V_{CE}(I_C = 10 \text{ мА}) < 1.0 \text{ В}$; $I_{B0}(V_{CE} = 75 \text{ В}) < 5 \text{ нА}$; $C_{CE} < 2 \text{ нФ}$; $t_{\text{фр}} < 3000 \text{ нс}$	SOT23, SOD23	A1•K2•K1•A2
JYs	BAV199	INF	di-2	$V_{CE} < 80 \text{ В}$; $I_C < 200 \text{ мА}$; $V_{CE}(I_C = 150 \text{ мА}) < 1.25 \text{ В}$; $I_{B0} < 0.005 \text{ мкА}$; $C_{CE} < 2.0 \text{ нФ}$; $t_{\text{фр}} < 1500 \text{ нс}$	SOT23, SOD23	A1•K2•K1•A2
JYs	BAV199F	INF	di-2	$V_{CE} < 80 \text{ В}$; $I_C < 200 \text{ мА}$; $V_{CE}(I_C = 150 \text{ мА}) < 1.25 \text{ В}$; $I_{B0} < 0.005 \text{ мкА}$; $C_{CE} < 2.0 \text{ нФ}$; $t_{\text{фр}} < 1500 \text{ нс}$	TSFP-3, VESM	A1•K2•K1•A2
JZr	BAW156	PHIL	di-2	$V_{CE} < 75 \text{ В}$; $I_C < 160 \text{ мА}$; $V_{CE}(I_C = 10 \text{ мА}) < 1.0 \text{ В}$; $I_{B0}(V_{CE} = 75 \text{ В}) < 5 \text{ нА}$; $C_{CE} < 3 \text{ нФ}$; $t_{\text{фр}} < 3000 \text{ нс}$	SOT23, SOD23	K1•K2•A1•A2
JZs	BAW156	SIEM	di-2	$V_{CE} < 70 \text{ В}$; $I_C < 200 \text{ мА}$; $V_{CE}(I_C = 150 \text{ мА}) < 1.25 \text{ В}$; $I_{B0} < 0.005 \text{ мкА}$; $C_{CE} < 2.0 \text{ нФ}$; $t_{\text{фр}} < 3000 \text{ нс}$	SOT23, SOD23	K1•K2•A1•A2
K	MPF917T1	MOT	npn	$V_{CE0} > 20 \text{ В}$; $I_C > 60 \text{ мА}$; $P_D = 222 \text{ мВт}$; $h_{FE} = 40 \dots 220$; $f_T = 6 \text{ ГГц}$	SOT323, SC70	В•Е•С
K0	HSMF3830	HP	pin	$I_C < 1 \text{ А}$; $V_{BE0} > 200 \text{ В}$; $R_{DS} < 1.5 \text{ Ом}$; $C_{CE} < 0.3 \text{ нФ}$	SOT23, SOD23	А•п.с. • К
K1	BCW71	ALLEG	npn	$V_{CE0} > 50 \text{ В}$; $I_{CE0} < 100 \text{ мА}$; $h_{FE} = 110 \dots 220$; $V_{CE(sat)} < 0.25 \text{ В}$	SOT23, SOD23	В•Е•С
K1	BCW71	CDIL	npn	$V_{CE0} > 50 \text{ В}$; $I_C < 100 \text{ мА}$; $P_D = 250 \text{ мВт}$; $h_{FE} = 110 \dots 220$; $f_T > 100 \text{ МГц}$	SOT23, SOD23	В•Е•С
K1	BCW71	SAMS	npn	$V_{CE0} > 50 \text{ В}$; $I_C < 100 \text{ мА}$; $P_D = 350 \text{ мВт}$; $h_{FE} = 120 \dots 220$; $f_T > 300 \text{ МГц}$	SOT23, SOD23	В•Е•С
K1	BCW71	ZETEX	npn	$V_{CE0} > 50 \text{ В}$; $I_C < 100 \text{ мА}$; $P_D = 330 \text{ мВт}$; $h_{FE} = 110 \dots 220$; $f_T > 300 \text{ МГц}$	SOT23, SOD23	В•Е•С
K1	HSMF3831	HP	pin	$I_C < 1 \text{ А}$; $V_{BE0} > 200 \text{ В}$; $R_{DS} < 1.5 \text{ Ом}$; $C_{CE} < 0.3 \text{ нФ}$	SOT23, SOD23	п.с. • А•К
K1	MMBZ5251BT	DIODS	dz	$V_{Z}(I_{ZT} = 5 \text{ мА}) > 20.9 \dots 23.1 \text{ В}$; $I_{B0} < 0.1 \text{ мкА}$	SOT523	А•п.с. • К
K1	VN10KT	SIL	nMOS	$V_{DS} > 60 \text{ В}$; $I_{D0} > 310 \text{ мА}$; $P_D = 1000 \text{ мВт}$; $g_{fs} = 100 \text{ мСм}$; $R_{DS(on)} < 7.5 \text{ Ом}$	SOT23, SOD23	G•S•D
K14	DTA114GE	ROHM	Dnpnp	$V_{CE0} > 50 \text{ В}$; $I_C < 100 \text{ мА}$; $P_D = 200 \text{ мВт}$; $h_{FE} > 30$; $f_T > 250 \text{ МГц}$; $R_{CE} < 10 \text{ кОм}$	SOT416, SC75A	В•Е•С
K14	DTA114GKA	ROHM	Dnpnp	$V_{CE0} > 50 \text{ В}$; $I_C < 100 \text{ мА}$; $P_D = 200 \text{ мВт}$; $h_{FE} > 30$; $f_T > 250 \text{ МГц}$; $R_{CE} < 10 \text{ кОм}$	SOT346, SC59	В•Е•С
K14	DTA114GUA	ROHM	Dnpnp	$V_{CE0} > 50 \text{ В}$; $I_C < 100 \text{ мА}$; $P_D = 200 \text{ мВт}$; $h_{FE} > 30$; $f_T > 250 \text{ МГц}$; $R_{CE} < 10 \text{ кОм}$	SOT323, SC70	В•Е•С
K15	DTA124GKA	ROHM	Dnpnp	$V_{CE0} > 50 \text{ В}$; $I_C < 100 \text{ мА}$; $P_D = 200 \text{ мВт}$; $h_{FE} > 56$; $f_T > 250 \text{ МГц}$; $R_{CE} < 22 \text{ кОм}$	SOT346, SC59	В•Е•С
K15	DTA124GUA	ROHM	Dnpnp	$V_{CE0} > 50 \text{ В}$; $I_C < 100 \text{ мА}$; $P_D = 200 \text{ мВт}$; $h_{FE} > 56$; $f_T > 250 \text{ МГц}$; $R_{CE} < 22 \text{ кОм}$	SOT323, SC70	В•Е•С
K16	DTA144GKA	ROHM	Dnpnp	$V_{CE0} > 50 \text{ В}$; $I_C < 100 \text{ мА}$; $P_D = 200 \text{ мВт}$; $h_{FE} > 68$; $f_T > 250 \text{ МГц}$; $R_{CE} < 47 \text{ кОм}$	SOT346, SC59	В•Е•С
K16	DTA144GUA	ROHM	Dnpnp	$V_{CE0} > 50 \text{ В}$; $I_C < 100 \text{ мА}$; $P_D = 200 \text{ мВт}$; $h_{FE} > 68$; $f_T > 250 \text{ МГц}$; $R_{CE} < 47 \text{ кОм}$	SOT323, SC70	В•Е•С



SOT23-3
SOD23-3

SOT323
SOT346

SOT416
SOT523



SOT490
MFPK

TESM
TSFP-3

VMT3
VMD3

Код	Типономинал	Б	Ф	Особенности	Корпус	Ц: 1•2•3
K19	DTA115GE	ROHM	Dnpn	$V_{CE0} = 50 В, I_C = 100 мА, P_D = 150 мВт, h_{FE} > 82, f_T > 250 МГц, R_{\theta JA} = 100 К/Ом$	SOT416, SC75A	В•Е•С
K19	DTA115GUA	ROHM	Dnpn	$V_{CE0} = 50 В, I_C = 100 мА, P_D = 200 мВт, h_{FE} > 82, f_T > 250 МГц, R_{\theta JA} = 100 К/Ом$	SOT346, SC59	В•Е•С
K19	DTA115GUA	ROHM	Dnpn	$V_{CE0} = 50 В, I_C = 100 мА, P_D = 200 мВт, h_{FE} > 82, f_T > 250 МГц, R_{\theta JA} = 100 К/Ом$	SOT323, SC70	В•Е•С
K1E	BC847A	DIODES	npn	$V_{CE0} = 50 В, I_C = 100 мА, P_D = 300 мВт, h_{FE} > 110, \dots, 220, f_T > 300 МГц$	SOT23, SOD23	В•Е•С
K1E	BC848A	DIODES	npn	$V_{CE0} = 30 В, I_C = 100 мА, P_D = 300 мВт, h_{FE} > 110, \dots, 220, f_T > 300 МГц$	SOT23, SOD23	В•Е•С
K1F	BC847B	DIODES	npn	$V_{CE0} = 50 В, I_C = 100 мА, P_D = 300 мВт, h_{FE} > 200, \dots, 450, f_T > 300 МГц$	SOT23, SOD23	В•Е•С
K1F	BC848B	DIODES	npn	$V_{CE0} = 30 В, I_C = 100 мА, P_D = 300 мВт, h_{FE} > 200, \dots, 450, f_T > 300 МГц$	SOT23, SOD23	В•Е•С
K1G	MM1STA05	DIODES	npn	$V_{CE0} = 60 В, I_C = 500 мА, h_{FE} > 100, f_T > 100 МГц$	SOT323, SC70	В•Е•С
K1G	MM1STA08	DIODES	npn	$V_{CE0} = 80 В, I_C = 500 мА, h_{FE} > 100, f_T > 100 МГц$	SOT323, SC70	В•Е•С
K1H	MM1STA05	DIODES	npn	$V_{CE0} = 60 В, I_C = 500 мА, h_{FE} > 100, f_T > 100 МГц$	SOT323, SC70	В•Е•С
K1J	BC848A	DIODES	npn	$V_{CE0} = 30 В, I_C = 100 мА, P_D = 300 мВт, h_{FE} > 110, \dots, 220, f_T > 300 МГц$	SOT23, SOD23	В•Е•С
K1K	BC848B	DIODES	npn	$V_{CE0} = 30 В, I_C = 100 мА, P_D = 300 мВт, h_{FE} > 200, \dots, 450, f_T > 300 МГц$	SOT23, SOD23	В•Е•С
K1L	BC848C	DIODES	npn	$V_{CE0} = 30 В, I_C = 100 мА, P_D = 300 мВт, h_{FE} > 420, \dots, 800, f_T > 300 МГц$	SOT23, SOD23	В•Е•С
K1M	BC847C	DIODES	npn	$V_{CE0} = 50 В, I_C = 100 мА, P_D = 300 мВт, h_{FE} > 420, \dots, 800, f_T > 300 МГц$	SOT23, SOD23	В•Е•С
K1M	BC848C	DIODES	npn	$V_{CE0} = 30 В, I_C = 100 мА, P_D = 300 мВт, h_{FE} > 420, \dots, 800, f_T > 300 МГц$	SOT23, SOD23	В•Е•С
K1N	MMBT3904	VISH	npn	$V_{CE0} = 60 В, I_C = 100 мА, P_D = 200 мВт, h_{FE} > 100, \dots, 300, f_T > 300 МГц$	SOT23, SOD23	В•Е•С
K1O	KSA3265	SAMS	npn	$V_{CE0} = 30 В, I_C = 800 мА, P_D = 200 мВт, h_{FE} > 100, \dots, 200, f_T > 120 МГц$	SOT23, SOD23	В•Е•С
K1P	BCW71	PHIL	npn	$V_{CE0} = 50 В, I_C = 100 мА, P_D = 250 мВт, h_{FE} > 110, \dots, 220, f_T > 100 МГц$	SOT23, SOD23	В•Е•С
K1P	MMBT2222A	VISH	npn	$V_{CE0} = 50 В, I_C = 800 мА, P_D = 200 мВт, h_{FE} > 100, \dots, 300, f_T > 200 МГц$	SOT23, SOD23	В•Е•С
K1Q	BC846A	DIODES	npn	$V_{CE0} = 80 В, I_C = 100 мА, P_D = 150 мВт, h_{FE} > 110, \dots, 220, f_T > 300 МГц$	SOT23, SOD23	В•Е•С
K1Q	BC847A	DIODES	npn	$V_{CE0} = 50 В, I_C = 100 мА, P_D = 300 мВт, h_{FE} > 110, \dots, 220, f_T > 300 МГц$	SOT23, SOD23	В•Е•С
K1Q	BC848A	DIODES	npn	$V_{CE0} = 30 В, I_C = 100 мА, P_D = 300 мВт, h_{FE} > 110, \dots, 220, f_T > 300 МГц$	SOT23, SOD23	В•Е•С
K1R	BC846B	DIODES	npn	$V_{CE0} = 80 В, I_C = 100 мА, P_D = 300 мВт, h_{FE} > 200, \dots, 450, f_T > 300 МГц$	SOT23, SOD23	В•Е•С
K1R	BC847B	DIODES	npn	$V_{CE0} = 50 В, I_C = 100 мА, P_D = 300 мВт, h_{FE} > 200, \dots, 450, f_T > 300 МГц$	SOT23, SOD23	В•Е•С
K1R	BC848B	DIODES	npn	$V_{CE0} = 30 В, I_C = 100 мА, P_D = 300 мВт, h_{FE} > 200, \dots, 450, f_T > 300 МГц$	SOT23, SOD23	В•Е•С
K1I	BCW71	PHIL	npn	$V_{CE0} = 50 В, I_C = 100 мА, P_D = 250 мВт, h_{FE} > 110, \dots, 220, f_T > 100 МГц$	SOT23, SOD23	В•Е•С
K1Y	KSA3265	SAMS	npn	$V_{CE0} = 30 В, I_C = 800 мА, P_D = 200 мВт, h_{FE} > 160, \dots, 320, f_T > 120 МГц$	SOT23, SOD23	В•Е•С
K2	BCW72	ALLEG	npn	$V_{CE0} = 50 В, I_{B0} = 100 мА, h_{FE} > 200, \dots, 460, V_{CE(sat)} < 0,25 В$	SOT23, SOD23	В•Е•С
K2	BCW72	CDIL	npn	$V_{CE0} = 50 В, I_C = 100 мА, P_D = 250 мВт, h_{FE} > 200, \dots, 450, f_T > 100 МГц$	SOT23, SOD23	В•Е•С
K2	BCW72	ZETEX	npn	$V_{CE0} = 50 В, I_C = 100 мА, P_D = 330 мВт, h_{FE} > 200, \dots, 450, f_T > 300 МГц$	SOT23, SOD23	В•Е•С
K2	HSMPT3832	HP	pin-2	$I_C < 1 А, V_{BE} > 200 В, R_{\theta JA} < 1,5 О/Ом, C_{\theta J} < 0,3 нФ$	SOT23, SOD23	A1•K2•K1, A2
K2	MMBZ5252BT	DIODES	dz	$V_Z (I_{ZT} = 5,2 мА) = 22 В, \dots, 25,2 В, I_{ZT} < 0,1 мА$	SOT523	А•n.c. • K
K24	DTC114GKA	ROHM	Dnpn	$V_{CE0} = 50 В, I_C = 100 мА, P_D = 200 мВт, h_{FE} > 30, f_T > 250 МГц, R_{\theta JA} = 10 К/Ом$	SOT346, SC59	В•Е•С
K24	DTC114GUA	ROHM	Dnpn	$V_{CE0} = 50 В, I_C = 100 мА, P_D = 200 мВт, h_{FE} > 30, f_T > 250 МГц, R_{\theta JA} = 10 К/Ом$	SOT323, SC70	В•Е•С
K25	DTA124GKA	ROHM	Dnpn	$V_{CE0} = 50 В, I_C = 100 мА, P_D = 200 мВт, h_{FE} > 56, f_T > 250 МГц, R_{\theta JA} = 22 К/Ом$	SOT346, SC59	В•Е•С
K25	DTA124GUA	ROHM	Dnpn	$V_{CE0} = 50 В, I_C = 100 мА, P_D = 200 мВт, h_{FE} > 56, f_T > 250 МГц, R_{\theta JA} = 22 К/Ом$	SOT323, SC70	В•Е•С
K25	DTC124GKA	ROHM	Dnpn	$V_{CE0} = 50 В, I_C = 100 мА, P_D = 200 мВт, h_{FE} > 56, f_T > 250 МГц, R_{\theta JA} = 22 К/Ом$	SOT346, SC59	В•Е•С
K25	DTC124GUA	ROHM	Dnpn	$V_{CE0} = 50 В, I_C = 100 мА, P_D = 200 мВт, h_{FE} > 56, f_T > 250 МГц, R_{\theta JA} = 22 К/Ом$	SOT323, SC70	В•Е•С
K26	DTC144GE	ROHM	Dnpn	$V_{CE0} = 50 В, I_C = 100 мА, P_D = 200 мВт, h_{FE} > 68, f_T > 250 МГц, R_{\theta JA} = 10 К/Ом$	SOT416, SC75A	В•Е•С
K26	DTC144GKA	ROHM	Dnpn	$V_{CE0} = 50 В, I_C = 100 мА, P_D = 200 мВт, h_{FE} > 68, f_T > 250 МГц, R_{\theta JA} = 47 К/Ом$	SOT346, SC59	В•Е•С
K26	DTC144GUA	ROHM	Dnpn	$V_{CE0} = 50 В, I_C = 100 мА, P_D = 200 мВт, h_{FE} > 68, f_T > 250 МГц, R_{\theta JA} = 47 К/Ом$	SOT323, SC70	В•Е•С
K29	DTC115GE	ROHM	Dnpn	$V_{CE0} = 50 В, I_C = 100 мА, P_D = 150 мВт, h_{FE} > 82, f_T > 250 МГц, R_{\theta JA} = 100 К/Ом$	SOT416, SC75A	В•Е•С
K29	DTC115GKA	ROHM	Dnpn	$V_{CE0} = 50 В, I_C = 100 мА, P_D = 200 мВт, h_{FE} > 82, f_T > 250 МГц, R_{\theta JA} = 100 К/Ом$	SOT346, SC59	В•Е•С
K29	DTC115GUA	ROHM	Dnpn	$V_{CE0} = 50 В, I_C = 100 мА, P_D = 200 мВт, h_{FE} > 82, f_T > 250 МГц, R_{\theta JA} = 100 К/Ом$	SOT323, SC70	В•Е•С
K2D	MM1STA13	DIODES	dnpn	$V_{CE0} = 30 В, I_C = 300 мА, h_{FE} > 5000, f_T > 125 МГц$	SOT323, SC70	В•Е•С
K2E	MM1STA63	DIODES	dnpn	$V_{CE0} = 30 В, I_C = 500 мА, h_{FE} > 5000, f_T > 125 МГц$	SOT323, SC70	В•Е•С
K2F	MMBT2307A	VISH	npn	$V_{CE0} = 40 В, I_C = 500 мА, P_D = 310 мВт, h_{FE} > 100, \dots, 300, f_T > 200 МГц$	SOT23, SOD23	В•Е•С
K2G	MM1STA55	DIODES	npn	$V_{CE0} = 60 В, I_C = 500 мА, h_{FE} > 100, f_T > 50 МГц$	SOT323, SC70	В•Е•С
K2G	MM1STA56	DIODES	npn	$V_{CE0} = 80 В, I_C = 500 мА, h_{FE} > 100, f_T > 50 МГц$	SOT323, SC70	В•Е•С
K2H	MM1STA55	DIODES	npn	$V_{CE0} = 60 В, I_C = 500 мА, h_{FE} > 100, f_T > 50 МГц$	SOT323, SC70	В•Е•С
K2p	BCW72	PHIL	npn	$V_{CE0} = 50 В, I_C = 100 мА, P_D = 250 мВт, h_{FE} > 200, \dots, 450, f_T > 100 МГц$	SOT23, SOD23	В•Е•С
K2t	BCW72	PHIL	npn	$V_{CE0} = 50 В, I_C = 100 мА, P_D = 250 мВт, h_{FE} > 200, \dots, 450, f_T > 100 МГц$	SOT23, SOD23	В•Е•С

**SOT490 TSM
MFPAK TSFP-3**

**VMT3
VMD3**



**SOT416
SOT523**

**SOT323
SOT346**

**SOT23-3
SOD23-3**



Код	Типономинал	Б	Ф	Особенности	Корпус	Ц: 1•2•3
K2T	MMBT4403	VISH	npn	$V_{CE0} = 40 \text{ В}$, $I_C = 800 \text{ мА}$, $P_D = 200 \text{ мВт}$; $\eta_{H1} = 100 \dots 300$, $f_T > 200 \text{ МГц}$	SOT23, SOD23	B-E-C
K2X	MMBT4401	VISH	npn	$V_{CE0} = 50 \text{ В}$, $I_C = 800 \text{ мА}$, $P_D = 200 \text{ мВт}$; $\eta_{H1} = 100 \dots 300$, $f_T > 200 \text{ МГц}$	SOT23, SOD23	B-E-C
K3	BCW81	CDIL	npn	$V_{CE0} = 50 \text{ В}$, $I_C = 100 \text{ мА}$, $P_D = 250 \text{ мВт}$; $\eta_{H1} = 420 \dots 800$, $f_T > 100 \text{ МГц}$	SOT23, SOD23	B-E-C
K3	HSMFP3833	HP	npn-2	$I_C < 1 \text{ А}$, $V_{BE0} > 200 \text{ В}$, $R_{DS} < 1.5 \text{ Ом}$, $C_{D1} < 0.3 \text{ нФ}$	SOT23, SOD23	K1-K2-A1, A2
K31	BCW81R	PHIL	npn	$V_{CE0} = 50 \text{ В}$, $I_C = 100 \text{ мА}$, $P_D = 350 \text{ мВт}$; $\eta_{H1} = 420 \dots 800$, $f_T > 300 \text{ МГц}$	SOT23, SOD23	B-E-C
K3A	BC856A	DIODS	npn	$V_{CE0} = 80 \text{ В}$, $I_C = 100 \text{ мА}$, $P_D = 300 \text{ мВт}$; $\eta_{H1} = 125 \dots 250$, $f_T > 100 \text{ МГц}$	SOT23, SOD23	B-E-C
K3A	BC857A	DIODS	npn	$V_{CE0} = 50 \text{ В}$, $I_C = 100 \text{ мА}$, $P_D = 300 \text{ мВт}$; $\eta_{H1} = 110 \dots 220$, $f_T > 100 \text{ МГц}$	SOT23, SOD23	B-E-C
K3A	BC858A	DIODS	npn	$V_{CE0} = 30 \text{ В}$, $I_C = 100 \text{ мА}$, $P_D = 300 \text{ мВт}$; $\eta_{H1} = 125 \dots 250$, $f_T > 100 \text{ МГц}$	SOT23, SOD23	B-E-C
K3A	KDV804S	KEC	bd-2	$V_{BE1} = 15 \text{ В}$, $I_{B1} = 50 \text{ нА}$, $C_{B2} = 42.7 \text{ нФ}$, $C_{B3} = 25 \text{ нФ}$, $R_{B3} < 0.3 \text{ Ом}$	SOT23, SOD23	A1-A2-K1, K2
K3B	BC856B	DIODS	npn	$V_{CE0} = 80 \text{ В}$, $I_C = 100 \text{ мА}$, $P_D = 300 \text{ мВт}$; $\eta_{H1} = 220 \dots 475$, $f_T > 100 \text{ МГц}$	SOT23, SOD23	B-E-C
K3B	BC857B	DIODS	npn	$V_{CE0} = 50 \text{ В}$, $I_C = 100 \text{ мА}$, $P_D = 300 \text{ мВт}$; $\eta_{H1} = 200 \dots 450$, $f_T > 100 \text{ МГц}$	SOT23, SOD23	B-E-C
K3B	BC858B	DIODS	npn	$V_{CE0} = 30 \text{ В}$, $I_C = 100 \text{ мА}$, $P_D = 300 \text{ мВт}$; $\eta_{H1} = 220 \dots 475$, $f_T > 100 \text{ МГц}$	SOT23, SOD23	B-E-C
K3B	DTA1D3RE	ROHM	Dnpn	$V_{CE0} = 50 \text{ В}$, $I_{C(max)} = 100 \text{ мА}$, $P_D = 150 \text{ мВт}$; $\eta_{H1} > 20$, $f_T > 250 \text{ МГц}$	SOT416, SC75A	B-E-C
K3B	DTA1D3RKA	ROHM	Dnpn	$V_{CE0} = 50 \text{ В}$, $I_C = 30 \text{ мА}$, $P_D = 200 \text{ мВт}$; $\eta_{H1} > 20$, $f_T > 250 \text{ МГц}$, $R_1, R_2 = 2.7/1 \text{ кОм}$	SOT346, SC58C	B-E-C
K3B	DTA1D3RUA	ROHM	Dnpn	$V_{CE0} = 50 \text{ В}$, $I_{C(max)} = 100 \text{ мА}$, $P_D = 200 \text{ мВт}$; $\eta_{H1} > 20$, $f_T > 250 \text{ МГц}$	SOT323, SC70	B-E-C
K3B	KDV804S	KEC	bd-2	$V_{BE1} = 15 \text{ В}$, $I_{B1} = 50 \text{ нА}$, $C_{B2} = 43.7 \text{ нФ}$, $C_{B3} = 25 \text{ нФ}$, $R_{B3} < 0.3 \text{ Ом}$	SOT23, SOD23	A1-A2-K1, K2
K3C	KDV804S	KEC	bd-2	$V_{BE1} = 15 \text{ В}$, $I_{B1} = 50 \text{ нА}$, $C_{B2} = 44.7 \text{ нФ}$, $C_{B3} = 25 \text{ нФ}$, $R_{B3} < 0.3 \text{ Ом}$	SOT23, SOD23	A1-A2-K1, K2
K3D	KDV804S	KEC	bd-2	$V_{BE1} = 15 \text{ В}$, $I_{B1} = 50 \text{ нА}$, $C_{B2} = 45.7 \text{ нФ}$, $C_{B3} = 25 \text{ нФ}$, $R_{B3} < 0.3 \text{ Ом}$	SOT23, SOD23	A1-A2-K1, K2
K3D	MM5TA13	DIODS	dnpn	$V_{CE0} = 30 \text{ В}$, $I_C = 300 \text{ мА}$, $\eta_{H1} > 5000$, $f_T > 125 \text{ МГц}$	SOT323, SC70	B-E-C
K3D	MM5TA14	DIODS	dnpn	$V_{CE0} = 30 \text{ В}$, $I_C = 300 \text{ мА}$, $\eta_{H1} > 10000$, $f_T > 125 \text{ МГц}$	SOT323, SC70	B-E-C
K3E	KDV804S	KEC	bd-2	$V_{BE1} = 15 \text{ В}$, $I_{B1} = 50 \text{ нА}$, $C_{B2} = 46.7 \text{ нФ}$, $C_{B3} = 25 \text{ нФ}$, $R_{B3} < 0.3 \text{ Ом}$	SOT23, SOD23	A1-A2-K1, K2
K3E	MM5TA63	DIODS	dnpn	$V_{CE0} = 30 \text{ В}$, $I_C = 500 \text{ мА}$, $\eta_{H1} > 5000$, $f_T > 125 \text{ МГц}$	SOT323, SC70	B-E-C
K3E	MM5TA64	DIODS	dnpn	$V_{CE0} = 30 \text{ В}$, $I_C = 500 \text{ мА}$, $\eta_{H1} > 10000$, $f_T > 125 \text{ МГц}$	SOT323, SC70	B-E-C
K3G	BC857C	DIODS	npn	$V_{CE0} = 50 \text{ В}$, $I_C = 100 \text{ мА}$, $P_D = 150 \text{ мВт}$; $\eta_{H1} = 420 \dots 800$, $f_T > 300 \text{ МГц}$	SOT23, SOD23	B-E-C
K3G	BC858C	DIODS	npn	$V_{CE0} = 30 \text{ В}$, $I_C = 100 \text{ мА}$, $P_D = 300 \text{ мВт}$; $\eta_{H1} = 420 \dots 800$, $f_T > 100 \text{ МГц}$	SOT23, SOD23	B-E-C
K3J	BC858A	DIODS	npn	$V_{CE0} = 30 \text{ В}$, $I_C = 100 \text{ мА}$, $P_D = 300 \text{ мВт}$; $\eta_{H1} = 125 \dots 250$, $f_T > 100 \text{ МГц}$	SOT23, SOD23	B-E-C
K3K	BC858B	DIODS	npn	$V_{CE0} = 30 \text{ В}$, $I_C = 100 \text{ мА}$, $P_D = 300 \text{ мВт}$; $\eta_{H1} = 220 \dots 475$, $f_T > 100 \text{ МГц}$	SOT23, SOD23	B-E-C
K3L	BC858C	DIODS	npn	$V_{CE0} = 30 \text{ В}$, $I_C = 100 \text{ мА}$, $P_D = 300 \text{ мВт}$; $\eta_{H1} = 420 \dots 800$, $f_T > 100 \text{ МГц}$	SOT23, SOD23	B-E-C
K3N	MMBT3905	VISH	npn	$V_{CE0} = 40 \text{ В}$, $I_C = 100 \text{ мА}$, $P_D = 200 \text{ мВт}$; $\eta_{H1} = 100 \dots 300$, $f_T > 200 \text{ МГц}$	SOT23, SOD23	B-E-C
K3p	BCW81	PHIL	npn	$V_{CE0} = 50 \text{ В}$, $I_C = 100 \text{ мА}$, $P_D = 350 \text{ мВт}$; $\eta_{H1} = 420 \dots 800$, $f_T > 300 \text{ МГц}$	SOT23, SOD23	B-E-C
K3t	BCW81	PHIL	npn	$V_{CE0} = 50 \text{ В}$, $I_C = 100 \text{ мА}$, $P_D = 350 \text{ мВт}$; $\eta_{H1} = 420 \dots 800$, $f_T > 300 \text{ МГц}$	SOT23, SOD23	B-E-C
K3V	BC857A	DIODS	npn	$V_{CE0} = 50 \text{ В}$, $I_C = 100 \text{ мА}$, $P_D = 300 \text{ мВт}$; $\eta_{H1} = 110 \dots 220$, $f_T > 100 \text{ МГц}$	SOT23, SOD23	B-E-C
K3V	BC858A	DIODS	npn	$V_{CE0} = 30 \text{ В}$, $I_C = 100 \text{ мА}$, $P_D = 300 \text{ мВт}$; $\eta_{H1} = 125 \dots 250$, $f_T > 100 \text{ МГц}$	SOT23, SOD23	B-E-C
K3W	BC857B	DIODS	npn	$V_{CE0} = 50 \text{ В}$, $I_C = 100 \text{ мА}$, $P_D = 300 \text{ мВт}$; $\eta_{H1} = 200 \dots 450$, $f_T > 100 \text{ МГц}$	SOT23, SOD23	B-E-C
K3W	BC858B	DIODS	npn	$V_{CE0} = 30 \text{ В}$, $I_C = 100 \text{ мА}$, $P_D = 300 \text{ мВт}$; $\eta_{H1} = 220 \dots 475$, $f_T > 100 \text{ МГц}$	SOT23, SOD23	B-E-C
K4	BCW71R	PHIL	npn	$V_{CE0} = 45 \text{ В}$, $I_C = 100 \text{ мА}$, $P_D = 350 \text{ мВт}$; $\eta_{H1} = 110 \dots 220$, $f_T > 100 \text{ МГц}$	SOT23, SOD23	B-E-C
K4	BCW71R	ZETEX	npn	$V_{CE0} = 50 \text{ В}$, $I_C = 100 \text{ мА}$, $P_D = 330 \text{ мВт}$; $\eta_{H1} = 110 \dots 220$, $f_T > 300 \text{ МГц}$	SOT23, SOD23	B-E-C
K4	HSMFP3834	HP	npn-2	$I_C < 1 \text{ А}$, $V_{BE0} > 200 \text{ В}$, $R_{DS} < 1.5 \text{ Ом}$, $C_{D1} < 0.3 \text{ нФ}$	SOT23, SOD23	A1-A2-K1, K2
K4	MMBZ5254BT	DIODS	dz	$V_{I(T)} = 5.0 \text{ мА}$; $25 \dots 28.35 \text{ В}$, $I_{B3} < 0.1 \text{ мА}$	SOT523	A-n-c-K
K43	BAS40	DIODS	shd	$V_{B1} < 40 \text{ В}$, $I_C < 200 \text{ мА}$, $V_{F1}(I_C = 40 \text{ мА}) < 1.0 \text{ В}$, $I_{B3} < 0.2 \text{ мА}$, $C_{D1} < 5.0 \text{ пФ}$, $t_{RR} < 5 \text{ нс}$	SOT23, SOD23	A-n-c-K
K44	BAS40-04	DIODS	shd-2	$V_{B1} < 40 \text{ В}$, $I_C < 200 \text{ мА}$, $V_{F1}(I_C = 40 \text{ мА}) < 1.0 \text{ В}$, $I_{B3} < 0.1 \text{ мА}$, $C_{D1} < 5.0 \text{ пФ}$, $t_{RR} < 5 \text{ нс}$	SOT23, SOD23	A1-K2-K1, A2
K45	BAS40-05	DIODS	shd-2	$V_{B1} < 40 \text{ В}$, $I_C < 200 \text{ мА}$, $V_{F1}(I_C = 40 \text{ мА}) < 1.0 \text{ В}$, $I_{B3} < 0.2 \text{ мА}$, $C_{D1} < 5.0 \text{ пФ}$, $t_{RR} < 5 \text{ нс}$	SOT23, SOD23	A1-A2-K2, K1
K46	BAS40-06	DIODS	shd-2	$V_{B1} < 40 \text{ В}$, $I_C < 200 \text{ мА}$, $V_{F1}(I_C = 40 \text{ мА}) < 1.0 \text{ В}$, $I_{B3} < 0.2 \text{ мА}$, $C_{D1} < 5.0 \text{ пФ}$, $t_{RR} < 5 \text{ нс}$	SOT23, SOD23	K1-K2-A1, A2
K4B	DTC1D3RE	ROHM	Dnpn	$V_{CE0} = 50 \text{ В}$, $I_{C(max)} = 100 \text{ мА}$, $P_D = 150 \text{ мВт}$; $\eta_{H1} > 20$, $f_T > 250 \text{ МГц}$	SOT416, SC75A	B-E-C
K4B	DTC1D3RKA	ROHM	Dnpn	$V_{CE0} = 50 \text{ В}$, $I_C = 30 \text{ мА}$, $P_D = 200 \text{ мВт}$; $\eta_{H1} > 20$, $f_T > 250 \text{ МГц}$, $R_1, R_2 = 2.7/1 \text{ кОм}$	SOT416, SC75A	B-E-C
K4B	DTC1D3RUA	ROHM	Dnpn	$V_{CE0} = 50 \text{ В}$, $I_{C(max)} = 100 \text{ мА}$, $P_D = 200 \text{ мВт}$; $\eta_{H1} > 20$, $f_T > 250 \text{ МГц}$	SOT323, SC70	B-E-C
K5	BCW72R	PHIL	npn	$V_{CE0} = 45 \text{ В}$, $I_C = 100 \text{ мА}$, $P_D = 350 \text{ мВт}$; $\eta_{H1} = 200 \dots 450$, $f_T > 100 \text{ МГц}$	SOT23, SOD23	B-E-C
K5	BCW72R	ZETEX	npn	$V_{CE0} = 50 \text{ В}$, $I_C = 100 \text{ мА}$, $P_D = 330 \text{ мВт}$; $\eta_{H1} = 200 \dots 450$, $f_T > 300 \text{ МГц}$	SOT23, SOD23	B-E-C
K5	MMBZ5255BT	DIODS	dz	$V_{I(T)} = 4.5 \text{ мА}$; $26.6 \dots 29.4 \text{ В}$, $I_{B3} < 0.1 \text{ мА}$	SOT523	A-n-c-K
K5I	BAV170	DIODS	di-2	$V_{B1} < 85 \text{ В}$, $I_C < 215 \text{ мА}$, $V_{F1}(I_C = 150 \text{ мА}) < 1.25 \text{ В}$, $I_{B3} < 0.005 \text{ мА}$, $C_{D1} < 2.0 \text{ нФ}$, $t_{RR} < 3000 \text{ нс}$	SOT23, SOD23	A1-A2-K1, K2



SOT23-3
SOD23-3

SOT323
SOT346

SOT416
SOT523



SOT490
MFPK

TESM
TSFP-3

VMT3
VMD3

Код	Типономинал	Б	Ф	Особенности	Корпус	Ц: 1•2•3
K52	BAV199	DIOS	di-2	$V_A < 85 В$; $I_C < 160 мА$; $V_{CE}(I_C = 150 мА) < 1.25 В$; $I_B < 0.005 мА$; $C_0 < 2.0 пФ$, $I_{RR} < 3000 нс$	SOT23, SOD23	A1•K2•K1, A2
K6	BCV71R	ZETEX	npn	$V_{CE0} < 80 В$; $I_C < 100 мА$; $P_D < 330 мВт$; $h_{FE} < 110...220$; $f_T > 300 МГц$	SOT23, SOD23	B•E•C
K6	BCV71R	PHIL	npn	$V_{CE0} < 80 В$; $I_C < 100 мА$; $P_D < 330 мВт$; $h_{FE} < 110...220$; $f_T > 300 МГц$	SOT23, SOD23	C•B•E
K7	BCV71	CDIL	npn	$V_{CE0} < 80 В$; $I_C < 100 мА$; $P_D < 330 мВт$; $h_{FE} < 110...220$; $f_T > 300 МГц$	SOT23, SOD23	B•E•C
K7	BCV71	ZETEX	npn	$V_{CE0} < 80 В$; $I_C < 100 мА$; $P_D < 330 мВт$; $h_{FE} < 110...220$; $f_T > 300 МГц$	SOT23, SOD23	B•E•C
K72	2N7002	DIOS	nFET	$V_{DS} < 60 В$; $I_D < 115 мА$; $P_D < 300 мВт$; $V_{GS} < -1...2.5 В$; $C_{iss} < 50 пФ$	SOT23, SOD23	G•S•D
K73	BAS70	DIOS	shd	$V_A < 70 В$; $I_C < 70 мА$; $V_{CE}(I_C = 15 мА) < 1.0 В$; $I_B < 0.1 мА$; $C_0 < 2.0 пФ$; $I_{RR} < 5 нс$	SOT23, SOD23	A•n.c. • K
K74	BAS70-04	DIOS	shd-2	$V_A < 70 В$; $I_C < 70 мА$; $V_{CE}(I_C = 15 мА) < 1.0 В$; $I_B < 0.1 мА$; $C_0 < 2.0 пФ$; $I_{RR} < 5 нс$	SOT23, SOD23	A1•K2•K1, A2
K75	BAS70-05	DIOS	shd-2	$V_A < 70 В$; $I_C < 70 мА$; $V_{CE}(I_C = 15 мА) < 1.0 В$; $I_B < 0.1 мА$; $C_0 < 2.0 пФ$; $I_{RR} < 5 нс$	SOT23, SOD23	A1•A2•K1, K2
K76	BAS70-06	DIOS	shd-2	$V_A < 70 В$; $I_C < 70 мА$; $V_{CE}(I_C = 15 мА) < 1.0 В$; $I_B < 0.1 мА$; $C_0 < 2.0 пФ$; $I_{RR} < 5 нс$	SOT23, SOD23	K1•K2•A1, A2
K7A	2N7002-01	DIOS	nFET	$V_{DS} < 60 В$; $I_D < 115 мА$; $P_D < 300 мВт$; $V_{GS} < -1...2.5 В$; $C_{iss} < 50 пФ$	SOT23, SOD23	G•S•D
K7C	BAS70	DIOS	shd	$V_A < 70 В$; $I_C < 70 мА$; $V_{CE}(I_C = 15 мА) < 1.0 В$; $I_B < 0.1 мА$; $C_0 < 2.0 пФ$; $I_{RR} < 5 нс$	SOT23, SOD23	A•n.c. • K
K7D	BAS70-04	DIOS	shd-2	$V_A < 70 В$; $I_C < 70 мА$; $V_{CE}(I_C = 15 мА) < 1.0 В$; $I_B < 0.1 мА$; $C_0 < 2.0 пФ$; $I_{RR} < 5 нс$	SOT23, SOD23	A1•K2•K1, A2
K7E	BAS70-05	DIOS	shd-2	$V_A < 70 В$; $I_C < 70 мА$; $V_{CE}(I_C = 15 мА) < 1.0 В$; $I_B < 0.1 мА$; $C_0 < 2.0 пФ$; $I_{RR} < 5 нс$	SOT23, SOD23	A1•A2•K1, K2
K7E	BAS70-06	DIOS	shd-2	$V_A < 70 В$; $I_C < 70 мА$; $V_{CE}(I_C = 15 мА) < 1.0 В$; $I_B < 0.1 мА$; $C_0 < 2.0 пФ$; $I_{RR} < 5 нс$	SOT23, SOD23	K1•K2•A1, A2
K7P	BCV71	PHIL	npn	$V_{CE0} < 80 В$; $I_C < 100 мА$; $P_D < 250 мВт$; $h_{FE} < 110...220$; $f_T > 100 МГц$	SOT23, SOD23	B•E•C
K7i	BCV71	PHIL	npn	$V_{CE0} < 80 В$; $I_C < 100 мА$; $P_D < 250 мВт$; $h_{FE} < 110...220$; $f_T > 100 МГц$	SOT23, SOD23	B•E•C
K8	BCV72	CDIL	npn	$V_{CE0} < 80 В$; $I_C < 100 мА$; $P_D < 330 мВт$; $h_{FE} < 200...450$; $f_T > 300 МГц$	SOT23, SOD23	B•E•C
K8	BCV72	ZETEX	npn	$V_{CE0} < 80 В$; $I_C < 100 мА$; $P_D < 330 мВт$; $h_{FE} < 200...450$; $f_T > 300 МГц$	SOT23, SOD23	B•E•C
K8p	BCV72	PHIL	npn	$V_{CE0} < 80 В$; $I_C < 100 мА$; $P_D < 250 мВт$; $h_{FE} < 200...450$; $f_T > 100 МГц$	SOT23, SOD23	B•E•C
K8i	BCV72	PHIL	npn	$V_{CE0} < 80 В$; $I_C < 100 мА$; $P_D < 250 мВт$; $h_{FE} < 200...450$; $f_T > 100 МГц$	SOT23, SOD23	B•E•C
K9	1SS348	TOSH	shd	$V_A < 80 В$; $V_{CE}(I_C = 10 мА) < 0.7 В$; $I_{CE0}(V_A = 80 В) < 5 мкА$; $C_T < 100 пФ$	SOT346, SC59	A•n.c. • K
K9	BCV72R	ZETEX	npn	$V_{CE0} < 80 В$; $I_C < 100 мА$; $P_D < 330 мВт$; $h_{FE} < 200...450$; $f_T > 300 МГц$	SOT23, SOD23	B•E•C
K9	BCV72R	PHIL	npn	$V_{CE0} < 80 В$; $I_C < 100 мА$; $P_D < 330 мВт$; $h_{FE} < 200...450$; $f_T > 300 МГц$	SOT23, SOD23	C•B•E
K9i	BCF81R	PHIL	npn	$V_{CE0} < 45 В$; $I_C < 100 мА$; $P_D < 350 мВт$; $h_{FE} < 420...800$; $f_T > 100 МГц$	SOT23, SOD23	E•B•C
K9p	BCF81	PHIL	npn	$V_{CE0} < 50 В$; $I_C < 100 мА$; $P_D < 250 мВт$; $h_{FE} < 420...800$; $f_T > 100 МГц$	SOT23, SOD23	B•E•C
KA	PN1441A	TOSH	Dnpn	$V_{CE0} < 50 В$; $I_C < 300 мА$; $P_D < 200 мВт$; $h_{FE} < 200...700$; $f_T > 30 МГц$; $R_T < 5.6 кОм$	SOT346, SC59	B•E•C
KA2	MMBD4148	VISH	di	$V_A < 75 В$; $I_C < 300 мА$; $V_{CE}(I_C = 10 мА) < 1.0 В$; $I_B < 5.0 мА$; $C_0 < 4 пФ$; $I_{RR} < 5 нс$	SOT23, SOD23	A•n.c. • K
KA3	MMBD4448	VISH	fd	$V_A < 75 В$; $I_C < 500 мА$; $V_{CE}(I_C = 100 мА) < 1.0 В$; $I_B < 5.0 мА$; $C_0 < 4 пФ$; $I_{RR} < 4 нс$	SOT23, SOD23	A•n.c. • K
KA6	BAS16	VISH	fd	$V_A < 75 В$; $I_C < 500 мА$; $V_{CE}(I_C = 150 мА) < 1.25 В$; $I_B < 1.0 мА$; $C_0 < 4.0 пФ$; $I_{RR} < 4 нс$	SOT23, SOD23	A•n.c. • K
KA8	BAS19	DIOS	fd	$V_A < 100 В$; $I_C < 250 мА$; $V_{CE}(I_C = 100 мА) < 1.0 В$; $I_B < 0.1 мА$; $C_0 < 5.0 пФ$; $I_{RR} < 50 нс$	SOT23, SOD23	A•n.c. • K
KA8	BAS19W	DIOS	fd	$V_A < 100 В$; $I_C < 400 мА$; $V_{CE}(I_C = 100 мА) < 1.0 В$; $I_B < 0.1 мА$; $C_0 < 5 пФ$; $I_{RR} < 50 нс$	SOT323, SC70	A•n.c. • K
KB	MMBT8095LT1	ON	npn	$V_{CE0} < 80 В$; $I_C < 500 мА$; $P_D < 225 мВт$; $h_{FE} < 100...300$; $f_T > 150 МГц$	SOT23, SOD23	B•E•C
KB	PN1441B	TOSH	Dnpn	$V_{CE0} < 50 В$; $I_C < 300 мА$; $P_D < 200 мВт$; $h_{FE} < 350...1200$; $f_T > 30 МГц$; $R_T < 5.6 кОм$	SOT346, SC59	B•E•C
KC	BFQ23P	SIEM	npn	$V_{CE0} < 20 В$; $I_C < 30 мА$; $P_D < 280 мВт$; $h_{FE} < 50...250$; $f_T > 5000 МГц$	SOT23, SOD23	B•E•C
KD1	AZ23C2V7	DIOS	dz-2	$V_2 < 2.5...2.9 В$; $P_2(I_T = 5 мА) < 83 Ом$	SOT23, SOD23	K1•K2•A1, A2
KD2	AZ23C3V0	DIOS	dz-2	$V_2 < 2.8...3.2 В$; $P_2(I_T = 5 мА) < 95 Ом$	SOT23, SOD23	K1•K2•A1, A2
KD3	AZ23C3V3	DIOS	dz-2	$V_2 < 3.1...3.5 В$; $P_2(I_T = 5 мА) < 95 Ом$	SOT23, SOD23	K1•K2•A1, A2
KD4	AZ23C3V6	DIOS	dz-2	$V_2 < 3.4...3.8 В$; $P_2(I_T = 5 мА) < 95 Ом$	SOT23, SOD23	K1•K2•A1, A2
KD5	AZ23C3V9	DIOS	dz-2	$V_2 < 3.7...4.1 В$; $P_2(I_T = 5 мА) < 95 Ом$	SOT23, SOD23	K1•K2•A1, A2
KD6	AZ23C4V3	DIOS	dz-2	$V_2 < 4.0...4.6 В$; $P_2(I_T = 5 мА) < 95 Ом$	SOT23, SOD23	K1•K2•A1, A2
KD7	AZ23C4V7	DIOS	dz-2	$V_2 < 4.4...5.0 В$; $P_2(I_T = 5 мА) < 78 Ом$	SOT23, SOD23	K1•K2•A1, A2
KD8	AZ23C5V1	DIOS	dz-2	$V_2 < 4.8...5.4 В$; $P_2(I_T = 5 мА) < 60 Ом$	SOT23, SOD23	K1•K2•A1, A2
KD9	AZ23C5V6	DIOS	dz-2	$V_2 < 5.2...6.0 В$; $P_2(I_T = 5 мА) < 40 Ом$	SOT23, SOD23	K1•K2•A1, A2
KD9	AZ23C5V6W	DIOS	dz-2	$V_2 < 5.32...5.88 В$; $P_2(I_T = 5 мА) < 40 Ом$	SOT23, SOD23	K1•K2•A1, A2
KDA	AZ23C6V2	DIOS	dz-2	$V_2 < 5.8...6.6 В$; $P_2(I_T = 5 мА) < 10 Ом$	SOT23, SOD23	K1•K2•A1, A2
KDB	AZ23C6V8	DIOS	dz-2	$V_2 < 6.4...7.2 В$; $P_2(I_T = 5 мА) < 8 Ом$	SOT23, SOD23	K1•K2•A1, A2
KDB	AZ23C6V8W	DIOS	dz-2	$V_2 < 6.47...7.14 В$; $P_2(I_T = 5 мА) < 8 Ом$	SOT323, SC70	K1•K2•A1, A2
KDC	AZ23C7V5	DIOS	dz-2	$V_2 < 7.0...7.9 В$; $P_2(I_T = 5 мА) < 7 Ом$	SOT23, SOD23	K1•K2•A1, A2

**SOT490 TSM
MFPAK TSFP-3**

**VMT3
VMD3**



SOT416 SOT523

SOT323 SOT346

**SOT23-3
SOD23-3**



Код	Типономинал	Б	Ф	Особенности	Корпус	Ц: 1•2•3
KDD	A223C8V2	DIODS	dz-2	$V_F = 7.7 \dots 8.7 \text{ В}$; $R_{\text{F}}(I_F = 5 \text{ мА}) < 7 \text{ Ом}$	SOT23, SOD23	K1-K2-A1, A2
KDE	A223C9V1	DIODS	dz-2	$V_F = 8.5 \dots 9.6 \text{ В}$; $R_{\text{F}}(I_F = 5 \text{ мА}) < 10 \text{ Ом}$	SOT23, SOD23	K1-K2-A1, A2
KDF	A223C10	DIODS	dz-2	$V_F = 9.4 \dots 10.6 \text{ В}$; $R_{\text{F}}(I_F = 5 \text{ мА}) < 150 \text{ мОм}$	SOT23, SOD23	K1-K2-A1, A2
KDG	A223C10W	DIODS	dz-2	$V_F = 9.4 \dots 10.6 \text{ В}$; $R_{\text{F}}(I_F = 5 \text{ мА}) < 150 \text{ мОм}$	SOT323, SC70	K1-K2-A1, A2
KDG	A223C11	DIODS	dz-2	$V_F = 10.4 \dots 11.6 \text{ В}$; $R_{\text{F}}(I_F = 5 \text{ мА}) < 20 \text{ Ом}$	SOT23, SOD23	K1-K2-A1, A2
KDH	A223C12	DIODS	dz-2	$V_F = 11.4 \dots 12.7 \text{ В}$; $R_{\text{F}}(I_F = 5 \text{ мА}) < 20 \text{ Ом}$	SOT23, SOD23	K1-K2-A1, A2
KDI	A223C13	DIODS	dz-2	$V_F = 12.4 \dots 14.1 \text{ В}$; $R_{\text{F}}(I_F = 5 \text{ мА}) < 25 \text{ Ом}$	SOT23, SOD23	K1-K2-A1, A2
KDJ	A223C15	DIODS	dz-2	$V_F = 13.8 \dots 15.6 \text{ В}$; $R_{\text{F}}(I_F = 5 \text{ мА}) < 30 \text{ Ом}$	SOT23, SOD23	K1-K2-A1, A2
KDK	A223C16	DIODS	dz-2	$V_F = 15.3 \dots 17.1 \text{ В}$; $R_{\text{F}}(I_F = 5 \text{ мА}) < 40 \text{ Ом}$	SOT23, SOD23	K1-K2-A1, A2
KDL	A223C18	DIODS	dz-2	$V_F = 16.8 \dots 19.1 \text{ В}$; $R_{\text{F}}(I_F = 5 \text{ мА}) < 50 \text{ Ом}$	SOT23, SOD23	K1-K2-A1, A2
KDL	A223C18W	DIODS	dz-2	$V_F = 16.8 \dots 19.1 \text{ В}$; $R_{\text{F}}(I_F = 5 \text{ мА}) < 50 \text{ Ом}$	SOT323, SC70	K1-K2-A1, A2
KDM	A223C20	DIODS	dz-2	$V_F = 18.8 \dots 21.2 \text{ В}$; $R_{\text{F}}(I_F = 5 \text{ мА}) < 50 \text{ Ом}$	SOT23, SOD23	K1-K2-A1, A2
KDN	A223C22	DIODS	dz-2	$V_F = 20.8 \dots 23.3 \text{ В}$; $R_{\text{F}}(I_F = 5 \text{ мА}) < 55 \text{ Ом}$	SOT23, SOD23	K1-K2-A1, A2
KDO	A223C24	DIODS	dz-2	$V_F = 22.8 \dots 25.6 \text{ В}$; $R_{\text{F}}(I_F = 5 \text{ мА}) < 80 \text{ Ом}$	SOT23, SOD23	K1-K2-A1, A2
KDP	A223C27	DIODS	dz-2	$V_F = 25.1 \dots 28.9 \text{ В}$; $R_{\text{F}}(I_F = 5 \text{ мА}) < 80 \text{ Ом}$	SOT23, SOD23	K1-K2-A1, A2
KDQ	A223C30	DIODS	dz-2	$V_F = 28.3 \dots 32 \text{ В}$; $R_{\text{F}}(I_F = 5 \text{ мА}) < 80 \text{ Ом}$	SOT23, SOD23	K1-K2-A1, A2
KDR	A223C33	DIODS	dz-2	$V_F = 31.3 \dots 35 \text{ В}$; $R_{\text{F}}(I_F = 5 \text{ мА}) < 80 \text{ Ом}$	SOT23, SOD23	K1-K2-A1, A2
KDS	A223C36	DIODS	dz-2	$V_F = 34.3 \dots 38 \text{ В}$; $R_{\text{F}}(I_F = 5 \text{ мА}) < 90 \text{ Ом}$	SOT23, SOD23	K1-K2-A1, A2
KDT	A223C39	DIODS	dz-2	$V_F = 37.4 \dots 41 \text{ В}$; $R_{\text{F}}(I_F = 5 \text{ мА}) < 90 \text{ Ом}$	SOT23, SOD23	K1-K2-A1, A2
KE	2SK1062	TOSH	nMOS	$V_{DS} = 60 \text{ В}$; $I_D = 200 \text{ мА}$; $P_D = 200 \text{ мВт}$; $R_{\text{DS(on)}} = 0.6 \text{ Ом}$	SOT346, SC59	G-S-D
KF	2SJ168	TOSH	pMOS	$V_{DS} = 60 \text{ В}$; $I_D = 200 \text{ мА}$; $P_D = 200 \text{ мВт}$; $R_{\text{DS(on)}} = 1.3 \text{ Ом}$	SOT346, SC59	G-S-D
KG	BRC123ECM	REN	Dnnp	$V_{GS} = 60 \text{ В}$; $I_{D(on)} = 100 \text{ мА}$; $P_D = 150 \text{ мВт}$; $\eta_{\text{th}} > 20$; 2 К/2.2 К	SOT323, SC70	B-E-C
KG	BRC123EMP	REN	Dnnp	$V_{GS} = 60 \text{ В}$; $I_{D(on)} = 100 \text{ мА}$; $P_D = 150 \text{ мВт}$; $\eta_{\text{th}} > 20$; 2 К/2.2 К	SOT23, SOD23	B-E-C
KH	2SK1826	TOSH	nMOS	$V_{DS} = 50 \text{ В}$; $I_D = 50 \text{ мА}$; $P_D = 200 \text{ мВт}$; $R_{\text{DS(on)}} = 20 \text{ Ом}$	SOT346, SC59	G-S-D
KH	2SK1827	TOSH	nFET	$V_{GS} > 50 \text{ В}$; $I_D = 50 \text{ мА}$; $R_{\text{DS(on)}} < 50 \text{ Ом}$; $g_{fs} > 20 \text{ мСм}$; $P_D = 100 \text{ мВт}$	SOT323, SC70	G-S-D
KI	2SK1828	TOSH	nMOS	$V_{DS} = 20 \text{ В}$; $I_D = 50 \text{ мА}$; $P_D = 100 \text{ мВт}$; $R_{\text{DS(on)}} = 20 \text{ Ом}$	SOT346, SC59	G-S-D
KI	2SK1829	TOSH	nMOS	$V_{GS} > 20 \text{ В}$; $I_D = 50 \text{ мА}$; $R_{\text{DS(on)}} < 40 \text{ Ом}$; $g_{fs} > 20 \text{ мСм}$; $P_D = 100 \text{ мВт}$	SOT323, SC70	G-S-D
KJ	2SK1830	TOSH	nFET	$V_{GS} = 20 \text{ В}$; $I_D = 50 \text{ мА}$; $P_D = 200 \text{ мВт}$; $R_{\text{DS(on)}} = 20 \text{ Ом}$	SOT416, SC75A	G-S-D
KID	2SC4050D	REN	npn	$V_{CE} = 120 \text{ В}$; $I_C = 100 \text{ мА}$; $P_D = 150 \text{ мВт}$; $\eta_{\text{th}} = 250 \dots 600$	SOT23, SOD23	B-E-C
KIE	2SC4050E	REN	npn	$V_{CE} = 120 \text{ В}$; $I_C = 100 \text{ мА}$; $P_D = 150 \text{ мВт}$; $\eta_{\text{th}} = 400 \dots 800$	SOT23, SOD23	B-E-C
KJ	2SK2036	TOSH	nMOS	$V_{DS} = 20 \text{ В}$; $I_D = 100 \text{ мА}$; $P_D = 200 \text{ мВт}$; $R_{\text{DS(on)}} = 3.5 \text{ Ом}$	SOT346, SC59	G-S-D
KJ	2SK2037	TOSH	nMOS	$V_{DS} > 20 \text{ В}$; $I_D = 100 \text{ мА}$; $R_{\text{DS(on)}} < 6 \text{ Ом}$; $g_{fs} > 35 \text{ мСм}$; $P_D = 100 \text{ мВт}$	SOT323, SC70	G-S-D
KJA	BA170W	DIODS	di-2	$V_F < 75 \text{ В}$; $I_F < 300 \text{ мА}$; $V_F(I_F = 150 \text{ мА}) < 1.0 \text{ В}$; $C_J < 2 \text{ нФ}$; $t_{\text{rr}} < 6 \text{ нс}$	SOT323, SC70	A1-A2-K1, K2
KJC	BAW55W	DIODS	di-2	$V_F < 75 \text{ В}$; $I_F < 300 \text{ мА}$; $V_F(I_F = 150 \text{ мА}) < 1.25 \text{ В}$; $I_S < 2 \text{ мА}$; $t_{\text{rr}} < 4 \text{ нс}$	SOT323, SC70	K1-K2-A1, A2
KJD	BAW55	VISH	di-2	$V_F < 70 \text{ В}$; $I_F < 300 \text{ мА}$; $V_F(I_F = 150 \text{ мА}) < 1.25 \text{ В}$; $I_S < 5.0 \text{ мА}$; $C_J < 4.0 \text{ нФ}$; $t_{\text{rr}} < 6 \text{ нс}$	SOT23, SOD23	K1-K2-A1, A2
KJE	BA199	VISH	di-2	$V_F < 70 \text{ В}$; $I_F < 300 \text{ мА}$; $V_F(I_F = 150 \text{ мА}) < 1.25 \text{ В}$; $I_S < 5.0 \text{ мА}$; $C_J < 4.0 \text{ нФ}$; $t_{\text{rr}} < 6 \text{ нс}$	SOT23, SOD23	A1-K2-K1, A2
KJE	BA199	DIODS	di-2	$V_F < 75 \text{ В}$; $I_F < 300 \text{ мА}$; $V_F(I_F = 150 \text{ мА}) < 1.25 \text{ В}$; $I_S < 2 \text{ мА}$; $t_{\text{rr}} < 4 \text{ нс}$	SOT23, SOD23	A1-K2-K1, A2
KJF	BAL99	VISH	di	$V_F < 70 \text{ В}$; $I_F < 250 \text{ мА}$; $V_F(I_F = 50 \text{ мА}) < 1.0 \text{ В}$; $I_S < 2.5 \text{ мА}$; $C_J < 1.5 \text{ нФ}$; $t_{\text{rr}} < 6 \text{ нс}$	SOT23, SOD23	n.c. - K-A
KJG	BA199W	DIODS	di-2	$V_F < 75 \text{ В}$; $I_F < 300 \text{ мА}$; $V_F(I_F = 150 \text{ мА}) < 1.25 \text{ В}$; $I_S < 2 \text{ мА}$; $t_{\text{rr}} < 4 \text{ нс}$	SOT323, SC70	A1-K2-K1, A2
KJG	BA199W	DIOT	di-2	$V_F < 70 \text{ В}$; $I_F < 200 \text{ мА}$; $V_F(I_F = 150 \text{ мА}) < 1.25 \text{ В}$; $I_S < 2 \text{ мА}$; $t_{\text{rr}} < 4 \text{ нс}$	SOT323, SC70	A1-K1, A2-K2
KJU	BA170	VISH	di-2	$V_F < 70 \text{ В}$; $I_F < 300 \text{ мА}$; $V_F(I_F = 150 \text{ мА}) < 1.25 \text{ В}$; $I_S < 5.0 \text{ мА}$; $C_J < 4.0 \text{ нФ}$; $t_{\text{rr}} < 6 \text{ нс}$	SOT23, SOD23	A1-A2-K1, K2
KK	2SK2823	TOSH	nMOS	$V_{DS} = 20 \text{ В}$; $I_D = 100 \text{ мА}$; $P_D = 200 \text{ мВт}$; $R_{\text{DS(on)}} = 7 \text{ Ом}$	SOT346, SC59	G-S-D
KK	2SK2824	TOSH	nMOS	$V_{DS} > 20 \text{ В}$; $I_D = 100 \text{ мА}$; $R_{\text{DS(on)}} < 28 \text{ Ом}$; $g_{fs} > 35 \text{ мСм}$; $P_D = 100 \text{ мВт}$	SOT323, SC70	G-S-D
KK	2SK2825	TOSH	nFET	$V_{DS} = 20 \text{ В}$; $I_D = 100 \text{ мА}$; $P_D = 200 \text{ мВт}$; $R_{\text{DS(on)}} = 10 \text{ Ом}$	SOT416, SC75A	G-S-D
KL1	BAT54	DIOT	shd	$V_F < 30 \text{ В}$; $I_F < 300 \text{ мА}$; $V_F(I_F = 30 \text{ мА}) < 500 \text{ мВ}$; $C_J < 10 \text{ пФ}$; $t_{\text{rr}} < 5 \text{ нс}$	SOT23, SOD23	A-n.c. - K
KL1	BAT54	DIODS	shd	$V_F < 30 \text{ В}$; $I_F < 200 \text{ мА}$; $V_F(I_F = 30 \text{ мА}) < 500 \text{ мВ}$; $C_J < 10 \text{ пФ}$; $t_{\text{rr}} < 5 \text{ нс}$	SOT23, SOD23	A-n.c. - K
KL1	BAT54	VISH	shd	$V_F < 30 \text{ В}$; $I_F < 200 \text{ мА}$; $V_F(I_F = 100 \text{ мА}) < 1.0 \text{ В}$; $I_S < 2 \text{ мА}$; $C_J < 10 \text{ пФ}$; $t_{\text{rr}} < 5 \text{ нс}$	SOT23, SOD23	A-n.c. - K
KL2	BAT54A	VISH	shd-2	$V_F < 30 \text{ В}$; $I_F < 200 \text{ мА}$; $P_D = 200 \text{ мВт}$; $t_{\text{rr}} < 5 \text{ нс}$	SOT23, SOD23	K1-K2-A1, A2
KL2	BAT54A	DIOT	shd-2	$V_F < 30 \text{ В}$; $I_F < 300 \text{ мА}$; $V_F(I_F = 30 \text{ мА}) < 500 \text{ мВ}$; $C_J < 10 \text{ пФ}$; $t_{\text{rr}} < 5 \text{ нс}$	SOT23, SOD23	K1-K2-A1, A2

Код	Типономинал	Б	Ф	Особенности	Корпус	Ц: 1•2•3
KL2	BAT54A	DIOS	shd-2	$V_A < 30 \text{ В}; I_E < 200 \text{ мА}; V_{CE}(I_E = 30 \text{ мА}) < 500 \text{ мВ}; C_0 < 10 \text{ пФ}; I_{\text{ФЭ}} < 5 \text{ нс}$	SOT23, SOD23	K1•K2•A1, A2
KL2	BAT54A	DIOS	shd-2	$V_A < 30 \text{ В}; I_E < 200 \text{ мА}; V_{CE}(I_E = 100 \text{ мА}) < 1.0 \text{ В}; I_{B3} < 2.0 \text{ нмА}; C_0 < 10 \text{ пФ}; I_{\text{ФЭ}} < 5 \text{ нс}$	SOT23, SOD23	K1•K2•A1, A2
KL3	BAT54C	VISH	shd-2	$V_A < 30 \text{ В}; I_E < 200 \text{ мА}; P_D < 200 \text{ мВт}; I_{\text{ФЭ}} < 5 \text{ нс}$	SOT23, SOD23	A1•A2•K1, K2
KL3	BAT54B	VISH	shd-2	$V_A < 30 \text{ В}; I_E < 200 \text{ мА}; V_{CE}(I_E = 100 \text{ мА}) < 1.0 \text{ В}; I_{B3} < 2.0 \text{ нмА}; C_0 < 10 \text{ пФ}; I_{\text{ФЭ}} < 5 \text{ нс}$	SOT23, SOD23	A1•A2•K1, K2
KL3	BAT54C	DIOT	shd-2	$V_A < 30 \text{ В}; I_E < 300 \text{ мА}; V_{CE}(I_E = 30 \text{ мА}) < 500 \text{ мВ}; C_0 < 10 \text{ пФ}; I_{\text{ФЭ}} < 5 \text{ нс}$	SOT23, SOD23	A1•A2•K1, K2
KL3	BAT54C	DIOS	shd-2	$V_A < 30 \text{ В}; I_E < 200 \text{ мА}; V_{CE}(I_E = 30 \text{ мА}) < 500 \text{ мВ}; C_0 < 10 \text{ пФ}; I_{\text{ФЭ}} < 5 \text{ нс}$	SOT23, SOD23	A1•A2•K1, K2
KL4	BAT54S	VISH	shd-2	$V_A < 30 \text{ В}; I_E < 200 \text{ мА}; P_D < 200 \text{ мВт}; I_{\text{ФЭ}} < 5 \text{ нс}$	SOT23, SOD23	A1•K2•K1, A2
KL4	BAT54S	DIOT	shd-2	$V_A < 30 \text{ В}; I_E < 300 \text{ мА}; V_{CE}(I_E = 30 \text{ мА}) < 500 \text{ мВ}; C_0 < 10 \text{ пФ}; I_{\text{ФЭ}} < 5 \text{ нс}$	SOT23, SOD23	A1•K2•K1, A2
KL4	BAT54S	DIOS	shd-2	$V_A < 30 \text{ В}; I_E < 200 \text{ мА}; V_{CE}(I_E = 30 \text{ мА}) < 500 \text{ мВ}; C_0 < 10 \text{ пФ}; I_{\text{ФЭ}} < 5 \text{ нс}$	SOT23, SOD23	A1•K2•K1, A2
KL4	BAT54S	VISH	shd-2	$V_A < 30 \text{ В}; I_E < 200 \text{ мА}; V_{CE}(I_E = 100 \text{ мА}) < 1.0 \text{ В}; I_{B3} < 2.0 \text{ нмА}; C_0 < 10 \text{ пФ}; I_{\text{ФЭ}} < 5 \text{ нс}$	SOT23, SOD23	A1•K2•K1, A2
KM	2SK2009	TOSH	nMOS	$V_{DS} < 30 \text{ В}; I_D < 200 \text{ мА}; P_D < 200 \text{ мВт}; R_{DS(on)} < 1.2 \text{ Ом}$	SOT346, SC59	G•S•D
KN	2SJ305	TOSH	pMOS	$V_{DS} < 30 \text{ В}; I_D < 200 \text{ мА}; P_D < 200 \text{ мВт}; R_{DS(on)} < 2.4 \text{ Ом}$	SOT346, SC59	G•S•D
KP	2SK2033	TOSH	nMOS	$V_{DS} < 20 \text{ В}; I_D < 100 \text{ мА}; P_D < 200 \text{ мВт}; R_{DS(on)} < 8.0 \text{ м}$	SOT346, SC59	G•S•D
KP	2SK2034	TOSH	nMOS	$V_{DS} < 20 \text{ В}; I_D < 100 \text{ мА}; R_{DS(on)} < 12 \text{ Ом}; g_{fs} > 25 \text{ мСм}; P_D < 100 \text{ мВт}$	SOT323, SC70	G•S•D
KP	2SK2035	TOSH	nFET	$V_{DS} < 20 \text{ В}; I_D < 100 \text{ мА}; P_D < 200 \text{ мВт}; R_{DS(on)} < 8.0 \text{ м}$	SOT416, SC75A	G•S•D
KQ	2SJ343	TOSH	pMOS	$V_{DS} < 50 \text{ В}; I_D < 50 \text{ мА}; P_D < 200 \text{ мВт}; R_{DS(on)} < 20 \text{ Ом}$	SOT346, SC59	G•S•D
KQ	2SJ344	TOSH	pMOS	$V_{DS} < 50 \text{ В}; I_D < 50 \text{ мА}; R_{DS(on)} < 50 \text{ Ом}; g_{fs} > 15 \text{ мСм}; P_D < 100 \text{ мВт}$	SOT323, SC70	G•S•D
KS	2SJ345	TOSH	pMOS	$V_{DS} < 20 \text{ В}; I_D < 50 \text{ мА}; P_D < 200 \text{ мВт}; R_{DS(on)} < 20 \text{ Ом}$	SOT346, SC59	G•S•D
KS	2SJ346	TOSH	pMOS	$V_{DS} < 20 \text{ В}; I_D < 50 \text{ мА}; R_{DS(on)} < 40 \text{ Ом}; g_{fs} > 15 \text{ мСм}; P_D < 100 \text{ мВт}$	SOT323, SC70	G•S•D
KS	2SJ347	TOSH	pFET	$V_{DS} < 20 \text{ В}; I_D < 50 \text{ мА}; P_D < 200 \text{ мВт}; R_{DS(on)} < 20 \text{ Ом}$	SOT416, SC75A	G•S•D
KT2	BAS19	DIOS	fd	$V_A < 100 \text{ В}; I_E < 250 \text{ мА}; V_{CE}(I_E = 100 \text{ мА}) < 1.0 \text{ В}; I_{B3} < 0.1 \text{ мкА}; C_0 < 5.0 \text{ пФ}; I_{\text{ФЭ}} < 50 \text{ нс}$	SOT23, SOD23	A•n.c. • K
KT2	BAS19W	DIOS	fd	$V_A < 100 \text{ В}; I_E < 400 \text{ мА}; V_{CE}(I_E = 100 \text{ мА}) < 1.0 \text{ В}; I_{B3} < 0.1 \text{ мкА}; C_0 < 5.0 \text{ пФ}; I_{\text{ФЭ}} < 50 \text{ нс}$	SOT23, SC70	A•n.c. • K
KT2	BAS20	DIOS	fd	$V_A < 150 \text{ В}; I_E < 250 \text{ мА}; V_{CE}(I_E = 100 \text{ мА}) < 1.0 \text{ В}; I_{B3} < 0.1 \text{ мкА}; C_0 < 5.0 \text{ пФ}; I_{\text{ФЭ}} < 50 \text{ нс}$	SOT23, SOD23	A•n.c. • K
KT2	BAS20W	DIOS	fd	$V_A < 150 \text{ В}; I_E < 400 \text{ мА}; V_{CE}(I_E = 100 \text{ мА}) < 1.0 \text{ В}; I_{B3} < 0.1 \text{ мкА}; C_0 < 5.0 \text{ пФ}; I_{\text{ФЭ}} < 50 \text{ нс}$	SOT323, SC70	A•n.c. • K
KT3	BAS19	DIOS	fd	$V_A < 100 \text{ В}; I_E < 250 \text{ мА}; V_{CE}(I_E = 100 \text{ мА}) < 1.0 \text{ В}; I_{B3} < 0.1 \text{ мкА}; C_0 < 5.0 \text{ пФ}; I_{\text{ФЭ}} < 50 \text{ нс}$	SOT23, SOD23	A•n.c. • K
KT3	BAS19W	DIOS	fd	$V_A < 100 \text{ В}; I_E < 400 \text{ мА}; V_{CE}(I_E = 100 \text{ мА}) < 1.0 \text{ В}; I_{B3} < 0.1 \text{ мкА}; C_0 < 5.0 \text{ пФ}; I_{\text{ФЭ}} < 50 \text{ нс}$	SOT323, SC70	A•n.c. • K
KT3	BAS20	DIOS	fd	$V_A < 150 \text{ В}; I_E < 250 \text{ мА}; V_{CE}(I_E = 100 \text{ мА}) < 1.0 \text{ В}; I_{B3} < 0.1 \text{ мкА}; C_0 < 5.0 \text{ пФ}; I_{\text{ФЭ}} < 50 \text{ нс}$	SOT23, SOD23	A•n.c. • K
KT3	BAS20W	DIOS	fd	$V_A < 150 \text{ В}; I_E < 400 \text{ мА}; V_{CE}(I_E = 100 \text{ мА}) < 1.0 \text{ В}; I_{B3} < 0.1 \text{ мкА}; C_0 < 5.0 \text{ пФ}; I_{\text{ФЭ}} < 50 \text{ нс}$	SOT323, SC70	A•n.c. • K
KT3	BAS21	DIOS	di	$V_A < 200 \text{ В}; I_E < 250 \text{ мА}; V_{CE}(I_E = 100 \text{ мА}) < 1.0 \text{ В}; I_{B3} < 0.1 \text{ мкА}; C_0 < 5.0 \text{ пФ}; I_{\text{ФЭ}} < 50 \text{ нс}$	SOT23, SOD23	A•n.c. • K
KT3	BAS21	DIOS	di	$V_A < 200 \text{ В}; I_E < 400 \text{ мА}; V_{CE}(I_E = 100 \text{ мА}) < 1.0 \text{ В}; I_{B3} < 0.1 \text{ мкА}; C_0 < 5.0 \text{ пФ}; I_{\text{ФЭ}} < 50 \text{ нс}$	SOT323, SC70	A•n.c. • K
KV	1SV264	SANYO	pin-2	$V_A > 50 \text{ В}; I_E < 50 \text{ мА}; V_{CE}(I_E = 50 \text{ мА}) < 0.95 \text{ В}; I_{B3} < 0.1 \text{ мкА}$	SOT323, SC70	A1•K2•K1, A2
KV	1SV267	SANYO	pin-2	$V_A > 50 \text{ В}; I_E < 50 \text{ мА}; V_{CE}(I_E = 50 \text{ мА}) < 0.91 \text{ В}; I_{B3} < 0.1 \text{ мкА}$	SOT23, SOD23	A1•K2•K1, A2
KV1	DZ23C2V7	VISH	dz-2	$V_2 = 2.5 \dots 2.9 \text{ В}; Z_{TH}(I_2 = 5 \text{ мА}) = 83 \text{ Ом}$	SOT23, SOD23	A1•A2•K1, K2
KV1	DZ23C2V7	DIOS	dz-2	$V_2 = 2.5 \dots 2.9 \text{ В}; Z_{TH}(I_2 = 5 \text{ мА}) = 83 \text{ Ом}$	SOT23, SOD23	A1•A2•K1, K2
KV2	DZ23C3V0	VISH	dz-2	$V_2 = 2.8 \dots 3.2 \text{ В}; Z_{TH}(I_2 = 5 \text{ мА}) = 95 \text{ Ом}$	SOT23, SOD23	A1•A2•K1, K2
KV2	DZ23C3V0	DIOS	dz-2	$V_2 = 2.8 \dots 3.2 \text{ В}; Z_{TH}(I_2 = 5 \text{ мА}) = 95 \text{ Ом}$	SOT23, SOD23	A1•A2•K1, K2
KV3	DZ23C3V3	VISH	dz-2	$V_2 = 3.1 \dots 3.5 \text{ В}; Z_{TH}(I_2 = 5 \text{ мА}) = 95 \text{ Ом}$	SOT23, SOD23	A1•A2•K1, K2
KV3	DZ23C3V3	DIOS	dz-2	$V_2 = 3.1 \dots 3.5 \text{ В}; Z_{TH}(I_2 = 5 \text{ мА}) = 95 \text{ Ом}$	SOT23, SOD23	A1•A2•K1, K2
KV4	DZ23C3V6	VISH	dz-2	$V_2 = 3.4 \dots 3.8 \text{ В}; Z_{TH}(I_2 = 5 \text{ мА}) = 95 \text{ Ом}$	SOT23, SOD23	A1•A2•K1, K2
KV4	DZ23C3V6	DIOS	dz-2	$V_2 = 3.4 \dots 3.8 \text{ В}; Z_{TH}(I_2 = 5 \text{ мА}) = 95 \text{ Ом}$	SOT23, SOD23	A1•A2•K1, K2
KV5	DZ23C3V9	VISH	dz-2	$V_2 = 3.7 \dots 4.1 \text{ В}; Z_{TH}(I_2 = 5 \text{ мА}) = 95 \text{ Ом}$	SOT23, SOD23	A1•A2•K1, K2
KV5	DZ23C3V9	DIOS	dz-2	$V_2 = 3.7 \dots 4.1 \text{ В}; Z_{TH}(I_2 = 5 \text{ мА}) = 95 \text{ Ом}$	SOT23, SOD23	A1•A2•K1, K2
KV6	DZ23C4V3	VISH	dz-2	$V_2 = 4.0 \dots 4.6 \text{ В}; Z_{TH}(I_2 = 5 \text{ мА}) = 95 \text{ Ом}$	SOT23, SOD23	A1•A2•K1, K2
KV6	DZ23C4V3	DIOS	dz-2	$V_2 = 4.0 \dots 4.6 \text{ В}; Z_{TH}(I_2 = 5 \text{ мА}) = 95 \text{ Ом}$	SOT23, SOD23	A1•A2•K1, K2



SOT23-3
SOD23-3

SOT323
SOT346

SOT416
SOT523



SOT490
MFPK

TESM
TSFP-3

VMT3
VMD3

Код	Типономинал	Б	Ф	Особенности	Корпус	Ц: 1+2+3
KY1	BZX84C11	VISH	dz	$V_{z}(I_{zT}=5\text{ mA})=10.4...11.6\text{ В}$, $Z_{zT}(I_{zT}=5\text{ mA})<20\text{ Ом}$	SOT23, SOD23	A+nc+K
KY2	BZX84C12	VISH	dz	$V_{z}(I_{zT}=5\text{ mA})=11.4...12.7\text{ В}$, $Z_{zT}(I_{zT}=5\text{ mA})<25\text{ Ом}$	SOT23, SOD23	A+nc+K
KY3	BZX84C13	VISH	dz	$V_{z}(I_{zT}=5\text{ mA})=12.4...14.1\text{ В}$, $Z_{zT}(I_{zT}=5\text{ mA})<30\text{ Ом}$	SOT23, SOD23	A+nc+K
KY4	BZX84C15	VISH	dz	$V_{z}(I_{zT}=5\text{ mA})=13.8...15.6\text{ В}$, $Z_{zT}(I_{zT}=5\text{ mA})<30\text{ Ом}$	SOT23, SOD23	A+nc+K
KY5	BZX84C16	VISH	dz	$V_{z}(I_{zT}=5\text{ mA})=15.3...17.1\text{ В}$, $Z_{zT}(I_{zT}=5\text{ mA})<40\text{ Ом}$	SOT23, SOD23	A+nc+K
KY6	BZX84C18	VISH	dz	$V_{z}(I_{zT}=5\text{ mA})=16.8...19.1\text{ В}$, $Z_{zT}(I_{zT}=5\text{ mA})<45\text{ Ом}$	SOT23, SOD23	A+nc+K
KY7	BZX84C20	VISH	dz	$V_{z}(I_{zT}=5\text{ mA})=18.8...21.2\text{ В}$, $Z_{zT}(I_{zT}=5\text{ mA})<55\text{ Ом}$	SOT23, SOD23	A+nc+K
KY8	BZX84C22	VISH	dz	$V_{z}(I_{zT}=5\text{ mA})=20.8...23.3\text{ В}$, $Z_{zT}(I_{zT}=5\text{ mA})<55\text{ Ом}$	SOT23, SOD23	A+nc+K
KY9	BZX84C24	VISH	dz	$V_{z}(I_{zT}=5\text{ mA})=22.8...25.6\text{ В}$, $Z_{zT}(I_{zT}=5\text{ mA})<70\text{ Ом}$	SOT23, SOD23	A+nc+K
KYA	BZX84C27	VISH	dz	$V_{z}(I_{zT}=2\text{ mA})=25.1...28.9\text{ В}$, $Z_{zT}(I_{zT}=2\text{ mA})<80\text{ Ом}$	SOT23, SOD23	A+nc+K
KYB	BZX84C30	VISH	dz	$V_{z}(I_{zT}=2\text{ mA})=28.0...32.0\text{ В}$, $Z_{zT}(I_{zT}=2\text{ mA})<80\text{ Ом}$	SOT23, SOD23	A+nc+K
KYC	BZX84C33	VISH	dz	$V_{z}(I_{zT}=2\text{ mA})=31.0...35.0\text{ В}$, $Z_{zT}(I_{zT}=2\text{ mA})<80\text{ Ом}$	SOT23, SOD23	A+nc+K
KYD	BZX84C36	VISH	dz	$V_{z}(I_{zT}=2\text{ mA})=33.0...38.0\text{ В}$, $Z_{zT}(I_{zT}=2\text{ mA})<90\text{ Ом}$	SOT23, SOD23	A+nc+K
KYE	BZX84C39	VISH	dz	$V_{z}(I_{zT}=2\text{ mA})=36.0...41.0\text{ В}$, $Z_{zT}(I_{zT}=2\text{ mA})<130\text{ Ом}$	SOT23, SOD23	A+nc+K
KYF	BZX84C43	VISH	dz	$V_{z}(I_{zT}=2\text{ mA})=40.0...46.0\text{ В}$, $Z_{zT}(I_{zT}=2\text{ mA})<150\text{ Ом}$	SOT23, SOD23	A+nc+K
KYG	BZX84C47	VISH	dz	$V_{z}(I_{zT}=2\text{ mA})=44.0...50.0\text{ В}$, $Z_{zT}(I_{zT}=2\text{ mA})<170\text{ Ом}$	SOT23, SOD23	A+nc+K
KYH	BZX84C51	VISH	dz	$V_{z}(I_{zT}=2\text{ mA})=48.0...54.0\text{ В}$, $Z_{zT}(I_{zT}=2\text{ mA})<180\text{ Ом}$	SOT23, SOD23	A+nc+K
KZ1	BZX84C47	VISH	dz	$V_{z}(I_{zT}=5\text{ mA})=4.4...5.0\text{ В}$, $Z_{zT}(I_{zT}=5\text{ mA})<80\text{ Ом}$	SOT23, SOD23	A+nc+K
KZ2	BZX84C5V1	VISH	dz	$V_{z}(I_{zT}=5\text{ mA})=4.8...5.4\text{ В}$, $Z_{zT}(I_{zT}=5\text{ mA})<60\text{ Ом}$	SOT23, SOD23	A+nc+K
KZ3	BZX84C5V6	VISH	dz	$V_{z}(I_{zT}=5\text{ mA})=5.2...6.0\text{ В}$, $Z_{zT}(I_{zT}=5\text{ mA})<40\text{ Ом}$	SOT23, SOD23	A+nc+K
KZ4	BZX84C6V2	VISH	dz	$V_{z}(I_{zT}=5\text{ mA})=5.8...6.6\text{ В}$, $Z_{zT}(I_{zT}=5\text{ mA})<100\text{ Ом}$	SOT23, SOD23	A+nc+K
KZ5	BZX84C6V8	VISH	dz	$V_{z}(I_{zT}=5\text{ mA})=6.7...7.2\text{ В}$, $Z_{zT}(I_{zT}=5\text{ mA})<150\text{ Ом}$	SOT23, SOD23	A+nc+K
KZ6	BZX84C7V5	VISH	dz	$V_{z}(I_{zT}=5\text{ mA})=7.0...7.9\text{ В}$, $Z_{zT}(I_{zT}=5\text{ mA})<150\text{ Ом}$	SOT23, SOD23	A+nc+K
KZ7	BZX84C8V2	VISH	dz	$V_{z}(I_{zT}=5\text{ mA})=7.7...8.9\text{ В}$, $Z_{zT}(I_{zT}=5\text{ mA})<150\text{ Ом}$	SOT23, SOD23	A+nc+K
KZ8	BZX84C9V1	VISH	dz	$V_{z}(I_{zT}=5\text{ mA})=8.5...9.6\text{ В}$, $Z_{zT}(I_{zT}=5\text{ mA})<150\text{ Ом}$	SOT23, SOD23	A+nc+K
KZ9	BZX84C10	VISH	dz	$V_{z}(I_{zT}=5\text{ mA})=9.4...10.6\text{ В}$, $Z_{zT}(I_{zT}=5\text{ mA})<200\text{ Ом}$	SOT23, SOD23	A+nc+K
KZC	BZX84C2V7	VISH	dz	$V_{z}(I_{zT}=5\text{ mA})=2.51...2.89\text{ В}$, $Z_{zT}(I_{zT}=5\text{ mA})<100\text{ Ом}$	SOT23, SOD23	A+nc+K
KZD	BZX84C3V0	VISH	dz	$V_{z}(I_{zT}=5\text{ mA})=2.8...3.2\text{ В}$, $Z_{zT}(I_{zT}=5\text{ mA})<100\text{ Ом}$	SOT23, SOD23	A+nc+K
KZE	BZX84C3V3	VISH	dz	$V_{z}(I_{zT}=5\text{ mA})=3.1...3.5\text{ В}$, $Z_{zT}(I_{zT}=5\text{ mA})<95\text{ Ом}$	SOT23, SOD23	A+nc+K
KZF	BZX84C3V6	VISH	dz	$V_{z}(I_{zT}=5\text{ mA})=3.4...3.8\text{ В}$, $Z_{zT}(I_{zT}=5\text{ mA})<95\text{ Ом}$	SOT23, SOD23	A+nc+K
KZG	BZX84C3V9	VISH	dz	$V_{z}(I_{zT}=5\text{ mA})=3.7...4.1\text{ В}$, $Z_{zT}(I_{zT}=5\text{ mA})<90\text{ Ом}$	SOT23, SOD23	A+nc+K
KZH	BZX84C4V3	VISH	dz	$V_{z}(I_{zT}=5\text{ mA})=4.0...4.6\text{ В}$, $Z_{zT}(I_{zT}=5\text{ mA})<90\text{ Ом}$	SOT23, SOD23	A+nc+K
LO	HSPM3860	HP	pin	$I_{C}<1\text{ A}$, $V_{DS}>50\text{ В}$, $R_{DS(on)}>3.0\text{ Ом}$, $C_{IS}(f_{rr})>0.20\text{ нФ}$	SOT23, SOD23	A+nc+K
LO	HSPM386B	HP	pin	$I_{C}<1\text{ A}$, $V_{DS}>50\text{ В}$, $R_{DS(on)}>3.0\text{ Ом}$, $CT(f_{rr})>0.20\text{ нФ}$	SOT323, SC70	A+nc+K
LO5	ZLL5500	ZETEX	shld	$V_{IS}<40\text{ В}$, $I_{C}<0.7\text{ A}$, $V_{IS}(I_{C}=0.75\text{ A})<0.83\text{ В}$, $I_{IS}<10\text{ мА}$, $C_{IS}>16\text{ нФ}$	SOT23, SOD23	A+nc+K
LOp	BAT721S	PHIL	shld-2	$V_{IS}<40\text{ В}$, $I_{C}<200\text{ мА}$, $V_{IS}(I_{C}=100\text{ мА})<0.42\text{ В}$, $I_{IS}<15\text{ мА}$, $C_{IS}>50\text{ нФ}$	SOT23, SOD23	A1+K2-K1, A2
LOi	BAT721S	PHIL	shld-2	$V_{IS}<40\text{ В}$, $I_{C}<200\text{ мА}$, $V_{IS}(I_{C}=100\text{ мА})<0.42\text{ В}$, $I_{IS}<15\text{ мА}$, $C_{IS}>50\text{ нФ}$	SOT23, SOD23	A1+K2-K1, A2
LOW	BAT721S	PHIL	shld-2	$V_{IS}<40\text{ В}$, $I_{C}<200\text{ мА}$, $V_{IS}(I_{C}=100\text{ мА})<0.42\text{ В}$, $I_{IS}<15\text{ мА}$, $C_{IS}>50\text{ нФ}$	SOT23, SOD23	A1+K2-K1, A2
L1	BSS65	ZETEX	pinp	$V_{DS}>12\text{ В}$, $I_{C}<100\text{ мА}$, $P_{D}>330\text{ мВт}$, $h_{FE}>40...150$, $f_{T}>400\text{ МГц}$	SOT23, SOD23	B+E-C
L10	ZLL5100	ZETEX	shld	$V_{IS}<40\text{ В}$, $I_{C}<1.16\text{ A}$, $I_{IS}<20\text{ мА}$	SOT23, SOD23	A+nc+K
L14	DTB114GK	ROHM	Dnpn	$V_{DS}>50\text{ В}$, $I_{C}<500\text{ мА}$, $P_{D}>200\text{ мВт}$, $h_{FE}>58$, $f_{T}>200\text{ МГц}$, $R_{DS(on)}<10\text{ Ом}$	SOT346, SC59	B+E-C
L14	DTD114GK	ROHM	Dnpn	$V_{DS}>50\text{ В}$, $I_{C}<500\text{ мА}$, $P_{D}>200\text{ мВт}$, $h_{FE}>58$, $f_{T}>200\text{ МГц}$, $R_{DS(on)}<10\text{ Ом}$	SOT346, SC59	B+E-C
L2	BSS69	ZETEX	pinp	$V_{DS}>40\text{ В}$, $I_{C}<100\text{ мА}$, $P_{D}>330\text{ мВт}$, $h_{FE}>50...150$, $f_{T}>200\text{ МГц}$	SOT23, SOD23	B+E-C
L2	HSPM3862	HP	pin-2	$I_{C}<1\text{ A}$, $V_{DS}>50\text{ В}$, $R_{DS(on)}>3.0\text{ Ом}$, $C_{IS}(f_{rr})>0.20\text{ нФ}$	SOT23, SOD23	A1+K2-K1, A2
L2	HSPM386C	HP	pin-2	$I_{C}<1\text{ A}$, $V_{DS}>50\text{ В}$, $R_{DS(on)}>3.0\text{ Ом}$, $CT(f_{rr})>0.20\text{ нФ}$	SOT323, SC70	A1+K2-K1, A2
L2	KTC4075	KEC	npn	$V_{DS}>60\text{ В}$, $I_{C}<150\text{ мА}$, $P_{D}>100\text{ мВт}$, $h_{FE}>70...140$, $f_{T}>80\text{ МГц}$	SOT323, SC70	B+E-C
L20	BAS29	PHIL	di	$V_{IS}<90\text{ В}$, $I_{C}<250\text{ мА}$, $V_{IS}(I_{C}=200\text{ мА})<1.0\text{ В}$, $C_{IS}<35\text{ нФ}$, $I_{IS}<50$	SOT23, SOD23	A+nc+K
L20	CMPD1001	CSI	shld	$I_{C}<250\text{ мА}$, $V_{IS}>90\text{ В}$, $V_{IS}(I_{C}=10\text{ мА})<0.75\text{ В}$, $I_{IS}<100\text{ мА}$, $I_{IS}<50\text{ нс}$, $C_{T}<35\text{ нФ}$	SOT23, SOD23	A+nc+K
L20	KSK211	SAMS	rFET	$V_{DS}>18\text{ В}$, $P_{D}>200\text{ мВт}$, $I_{DSS}>1\text{ мА}$, $G_{FS}>9\text{ мСм}$	SOT23, SOD23	D+G-S
L21	BAS31	PHIL	di-2	$V_{IS}<90\text{ В}$, $I_{C}<250\text{ мА}$, $V_{IS}(I_{C}=200\text{ мА})<1.0\text{ В}$, $C_{IS}<35\text{ нФ}$, $I_{IS}<50\text{ нс}$	SOT23, SOD23	A1+K2-K1, A2
L21	CMPD1001S	CSI	shld-2	$I_{C}<250\text{ мА}$, $V_{IS}>90\text{ В}$, $V_{IS}(I_{C}=10\text{ мА})<0.75\text{ В}$, $I_{IS}<100\text{ мА}$, $I_{IS}<50\text{ нс}$, $C_{T}<35\text{ нФ}$	SOT23, SOD23	A2-K1-K2, A1
L22	BAS35	PHIL	di+2	$V_{IS}<90\text{ В}$, $I_{C}<250\text{ мА}$, $V_{IS}(I_{C}=200\text{ мА})<1.0\text{ В}$, $C_{IS}<35\text{ нФ}$, $I_{IS}<50\text{ нс}$	SOT23, SOD23	K1+K2-A1, A2

Код	Типономинал	Б	Ф	Особенности	Корпус	Ц: 1•2•3
L22	CMFD1001A	CSI	dln-2	$I_F < 250 \text{ мА}$; $V_{CE} < 90 \text{ В}$; $V_{CE(sat)} < 10 \text{ мА}$; $\alpha < 0.75$; $I_B < 100 \text{ мА}$; $t_{Fmax} < 50 \text{ с}$; $C_j < 35 \text{ пФ}$	SO723, SO023	K2•K1•A2, A1
L24	DTD114GK	ROHM	Dnpn	$V_{CE(sat)} < 50 \text{ В}$; $I_C < 500 \text{ мА}$; $P_D < 200 \text{ мВт}$; $\eta_{Fmax} > 56$; $f_T > 200 \text{ МГц}$; $R_T > 10 \text{ кОм}$	SO723, SO023	B•E•C
L24	DTD114GK	ROHM	Dnpn	$V_{CE(sat)} < 50 \text{ В}$; $I_C < 500 \text{ мА}$; $P_D < 200 \text{ мВт}$; $\eta_{Fmax} > 56$; $f_T > 200 \text{ МГц}$; $R_T > 10 \text{ кОм}$	SO7346, SC59	B•E•C
L3	BSS70	ZETEX	npn	$V_{CE(sat)} < 40 \text{ В}$; $I_C < 100 \text{ мА}$; $P_D < 330 \text{ мВт}$; $\eta_{Fmax} > 100...300$; $f_T > 250 \text{ МГц}$	SO723, SO023	B•E•C
L3	HSPM3863	HP	pin-2	$I_F < 1 \text{ А}$; $V_{Fmax} < 50 \text{ В}$; $R_{DS(on)} < 3.0 \text{ Ом}$; $C_{T(typ)} < 0.20 \text{ нФ}$	SO723, SO023	K1•K2•A1, A2
L3	HSPM386E	HP	pin-2	$I_F < 1 \text{ А}$; $V_{Fmax} < 50 \text{ В}$; $R_{DS(on)} < 3.0 \text{ Ом}$; $C_{T(typ)} < 0.20 \text{ нФ}$	SO7323, SC70	K1•K2•A1, A2
L3	KST1623L3	SAMS	npn	$V_{CE(sat)} < 50 \text{ В}$; $I_C < 100 \text{ мА}$; $P_D < 350 \text{ мВт}$; $\eta_{Fmax} > 80...120$; $f_T > 200 \text{ МГц}$	SO723, SO023	B•E•C
L3	MMBC1623L3	MOT	npn	$V_{CE(sat)} < 50 \text{ В}$; $I_C < 100 \text{ мА}$; $P_D < 300 \text{ мВт}$; $\eta_{Fmax} > 80...120$	SO723, SO023	B•E•C
L31	BAV23S	PHIL	d-2	$V_F < 200 \text{ В}$; $I_F < 225 \text{ мА}$; $V_{F(sat)} < 100 \text{ мВ}$; $\alpha < 1.0$; $B < 5 \text{ мФ}$; $t_{Fmax} < 50 \text{ с}$	SO723, SO023	A1•K2•K1, A2
L4	BAT54	PANJIT	shd	$V_A < 30 \text{ В}$; $I_C < 300 \text{ мА}$; $V_{F(sat)} < 100 \text{ мВ}$; $\alpha < 1.0$	SO723, SO023	A•n.c•K
L4	BAT54	TSC	shd	$V_A < 30 \text{ В}$; $I_C < 300 \text{ мА}$; $V_{F(sat)} < 30 \text{ мВ}$; $\alpha < 500 \text{ мВ}$; $C_j < 10 \text{ пФ}$; $t_{Fmax} < 5 \text{ с}$	SO723, SO023	A•n.c•K
L4	BAT54	GS	shd	$V_A < 30 \text{ В}$; $I_C < 200 \text{ мА}$; $V_{F(sat)} < 30 \text{ мВ}$; $\alpha < 500 \text{ мВ}$; $C_j < 10 \text{ пФ}$; $t_{Fmax} < 5 \text{ с}$	SO723, SO023	A•n.c•K
L4	BAT54	DIOT	shd	$V_A < 30 \text{ В}$; $I_C < 300 \text{ мА}$; $V_{F(sat)} < 30 \text{ мВ}$; $\alpha < 500 \text{ мВ}$; $C_j < 10 \text{ пФ}$; $t_{Fmax} < 5 \text{ с}$	SO723, SO023	A•n.c•K
L4	BAT54	VISH	shd	$V_A < 30 \text{ В}$; $I_C < 200 \text{ мА}$; $V_{F(sat)} < 100 \text{ мВ}$; $\alpha < 1.0$; $B < 4 \text{ мА}$; $C_j < 10 \text{ пФ}$; $t_{Fmax} < 5 \text{ с}$	SO723, SO023	A•n.c•K
L4	BAT54W	PHIL	shd	$V_A < 30 \text{ В}$; $I_C < 200 \text{ мА}$; $V_{F(sat)} < 1 \text{ мВ}$; $\alpha < 320 \text{ мВ}$; $C_j < 10 \text{ пФ}$; $t_{Fmax} < 5 \text{ с}$	SO7323, SC70	A•n.c•K
L4	HSPM3864	HP	pin-2	$I_F < 1 \text{ А}$; $V_{Fmax} < 50 \text{ В}$; $R_{DS(on)} < 3.0 \text{ Ом}$; $C_{T(typ)} < 0.20 \text{ нФ}$	SO723, SO023	A1•A2•K1, K2
L4	HSPM386F	HP	pin-2	$I_F < 1 \text{ А}$; $V_{Fmax} < 50 \text{ В}$; $R_{DS(on)} < 3.0 \text{ Ом}$; $C_{T(typ)} < 0.20 \text{ нФ}$	SO7323, SC70	A1•A2•K1, K2
L4	KST1623L4	SAMS	npn	$V_{CE(sat)} < 50 \text{ В}$; $I_C < 100 \text{ мА}$; $P_D < 350 \text{ мВт}$; $\eta_{Fmax} > 90...180$; $f_T > 200 \text{ МГц}$	SO723, SO023	B•E•C
L4	KTC4075	KEC	npn	$V_{CE(sat)} < 80 \text{ В}$; $I_C < 150 \text{ мА}$; $P_D < 100 \text{ мВт}$; $\eta_{Fmax} > 120...240$; $f_T > 80 \text{ МГц}$	SO7323, SC70	B•E•C
L4	MMBC1623L4	MOT	npn	$V_{CE(sat)} < 50 \text{ В}$; $I_C < 100 \text{ мА}$; $P_D < 300 \text{ мВт}$; $\eta_{Fmax} > 90...180$	SO723, SO023	B•E•C
L42	BAT54A	PHIL	shd-2	$V_A < 30 \text{ В}$; $I_C < 200 \text{ мА}$; $V_{F(sat)} < 30 \text{ мВ}$; $\alpha < 500 \text{ мВ}$; $C_j < 10 \text{ пФ}$; $t_{Fmax} < 5 \text{ с}$	SO723, SO023	K1•K2•A1, A2
L42	BAT54A	MCC	shd-2	$V_A < 30 \text{ В}$; $I_C < 300 \text{ мА}$; $V_{F(sat)} < 30 \text{ мВ}$; $\alpha < 500 \text{ мВ}$; $C_j < 10 \text{ пФ}$; $t_{Fmax} < 5 \text{ с}$	SO723, SO023	K1•K2•A1, A2
L42	BAT54A	PANJIT	shd-2	$V_A < 30 \text{ В}$; $I_C < 300 \text{ мА}$; $V_{F(sat)} < 100 \text{ мВ}$; $\alpha < 1.0$	SO723, SO023	K1•K2•A1, A2
L42	BAT54A	TSC	shd-2	$V_A < 30 \text{ В}$; $I_C < 300 \text{ мА}$; $V_{F(sat)} < 30 \text{ мВ}$; $\alpha < 500 \text{ мВ}$; $C_j < 10 \text{ пФ}$; $t_{Fmax} < 5 \text{ с}$	SO723, SO023	K1•K2•A1, A2
L42	BAT54A	GS	shd-2	$V_A < 30 \text{ В}$; $I_C < 200 \text{ мА}$; $V_{F(sat)} < 30 \text{ мВ}$; $\alpha < 500 \text{ мВ}$; $C_j < 10 \text{ пФ}$; $t_{Fmax} < 5 \text{ с}$	SO723, SO023	K1•K2•A1, A2
L42	BAT54A	DIOT	shd-2	$V_A < 30 \text{ В}$; $I_C < 300 \text{ мА}$; $V_{F(sat)} < 30 \text{ мВ}$; $\alpha < 500 \text{ мВ}$; $C_j < 10 \text{ пФ}$; $t_{Fmax} < 5 \text{ с}$	SO723, SO023	K1•K2•A1, A2
L42	BAT54A	Nat	shd-2	$V_A < 30 \text{ В}$; $I_C < 200 \text{ мА}$; $V_{F(sat)} < 30 \text{ мВ}$; $\alpha < 500 \text{ мВ}$; $C_j < 10 \text{ пФ}$; $t_{Fmax} < 5 \text{ с}$	SO723, SO023	K1•K2•A1, A2
L42	BAT54A	VISH	shd-2	$V_A < 30 \text{ В}$; $I_C < 200 \text{ мА}$; $V_{F(sat)} < 100 \text{ мВ}$; $\alpha < 1.0$; $B < 4 \text{ мА}$; $C_j < 10 \text{ пФ}$; $t_{Fmax} < 5 \text{ с}$	SO723, SO023	K1•K2•A1, A2
L42	BAT54A	ZETEX	shd-2	$V_A < 30 \text{ В}$; $I_C < 200 \text{ мА}$; $V_{F(sat)} < 100 \text{ мВ}$; $\alpha < 1.0$; $B < 4 \text{ мА}$; $C_j < 10 \text{ пФ}$; $t_{Fmax} < 5 \text{ с}$	SO723, SO023	K1•K2•A1, A2
L43	BAT54B	VISH	shd-2	$V_A < 30 \text{ В}$; $I_C < 200 \text{ мА}$; $V_{F(sat)} < 100 \text{ мВ}$; $\alpha < 1.0$; $B < 4 \text{ мА}$; $C_j < 10 \text{ пФ}$; $t_{Fmax} < 5 \text{ с}$	SO723, SO023	A1•A2•K1, K2
L43	BAT54C	PHIL	shd-2	$V_A < 30 \text{ В}$; $I_C < 200 \text{ мА}$; $V_{F(sat)} < 30 \text{ мВ}$; $\alpha < 500 \text{ мВ}$; $C_j < 10 \text{ пФ}$; $t_{Fmax} < 5 \text{ с}$	SO723, SO023	A1•A2•K1, K2
L43	BAT54C	MCC	shd-2	$V_A < 30 \text{ В}$; $I_C < 300 \text{ мА}$; $V_{F(sat)} < 30 \text{ мВ}$; $\alpha < 500 \text{ мВ}$; $C_j < 10 \text{ пФ}$; $t_{Fmax} < 5 \text{ с}$	SO723, SO023	A1•A2•K1, K2
L43	BAT54C	PANJIT	shd-2	$V_A < 30 \text{ В}$; $I_C < 300 \text{ мА}$; $V_{F(sat)} < 100 \text{ мВ}$; $\alpha < 1.0$	SO723, SO023	A1•A2•K1, K2
L43	BAT54C	TSC	shd-2	$V_A < 30 \text{ В}$; $I_C < 300 \text{ мА}$; $V_{F(sat)} < 30 \text{ мВ}$; $\alpha < 500 \text{ мВ}$; $C_j < 10 \text{ пФ}$; $t_{Fmax} < 5 \text{ с}$	SO723, SO023	A1•A2•K1, K2
L43	BAT54C	GS	shd-2	$V_A < 30 \text{ В}$; $I_C < 200 \text{ мА}$; $V_{F(sat)} < 30 \text{ мВ}$; $\alpha < 500 \text{ мВ}$; $C_j < 10 \text{ пФ}$; $t_{Fmax} < 5 \text{ с}$	SO723, SO023	A1•A2•K1, K2
L43	BAT54C	DIOT	shd-2	$V_A < 30 \text{ В}$; $I_C < 300 \text{ мА}$; $V_{F(sat)} < 30 \text{ мВ}$; $\alpha < 500 \text{ мВ}$; $C_j < 10 \text{ пФ}$; $t_{Fmax} < 5 \text{ с}$	SO723, SO023	A1•A2•K1, K2
L43	BAT54C	Nat	shd-2	$V_A < 30 \text{ В}$; $I_C < 200 \text{ мА}$; $V_{F(sat)} < 30 \text{ мВ}$; $\alpha < 500 \text{ мВ}$; $C_j < 10 \text{ пФ}$; $t_{Fmax} < 5 \text{ с}$	SO723, SO023	A1•A2•K1, K2
L43	BAT54C	VISH	shd-2	$V_A < 30 \text{ В}$; $I_C < 200 \text{ мА}$; $P_D < 200 \text{ мВт}$; $t_{Fmax} < 5 \text{ с}$	SO723, SO023	A1•A2•K1, K2
L43	BAT54C	ZETEX	shd-2	$V_A < 30 \text{ В}$; $I_C < 200 \text{ мА}$; $V_{F(sat)} < 100 \text{ мВ}$; $\alpha < 1.0$; $B < 4 \text{ мА}$; $C_j < 10 \text{ пФ}$; $t_{Fmax} < 5 \text{ с}$	SO723, SO023	A1•A2•K1, K2
L44	BAT54S	PHIL	shd-2	$V_A < 30 \text{ В}$; $I_C < 200 \text{ мА}$; $V_{F(sat)} < 30 \text{ мВ}$; $\alpha < 500 \text{ мВ}$; $C_j < 10 \text{ пФ}$; $t_{Fmax} < 5 \text{ с}$	SO723, SO023	A1•K2•K1, A2
L44	BAT54S	MCC	shd-2	$V_A < 30 \text{ В}$; $I_C < 300 \text{ мА}$; $V_{F(sat)} < 30 \text{ мВ}$; $\alpha < 500 \text{ мВ}$; $C_j < 10 \text{ пФ}$; $t_{Fmax} < 5 \text{ с}$	SO723, SO023	A1•K2•K1, A2
L44	BAT54S	PANJIT	shd-2	$V_A < 30 \text{ В}$; $I_C < 300 \text{ мА}$; $V_{F(sat)} < 100 \text{ мВ}$; $\alpha < 1.0$	SO723, SO023	A1•K2•K1, A2
L44	BAT54S	TSC	shd-2	$V_A < 30 \text{ В}$; $I_C < 300 \text{ мА}$; $V_{F(sat)} < 30 \text{ мВ}$; $\alpha < 500 \text{ мВ}$; $C_j < 10 \text{ пФ}$; $t_{Fmax} < 5 \text{ с}$	SO723, SO023	A1•K2•K1, A2
L44	BAT54S	GS	shd-2	$V_A < 30 \text{ В}$; $I_C < 200 \text{ мА}$; $V_{F(sat)} < 30 \text{ мВ}$; $\alpha < 500 \text{ мВ}$; $C_j < 10 \text{ пФ}$; $t_{Fmax} < 5 \text{ с}$	SO723, SO023	A1•K2•K1, A2
L44	BAT54S	DIOT	shd-2	$V_A < 30 \text{ В}$; $I_C < 300 \text{ мА}$; $V_{F(sat)} < 30 \text{ мВ}$; $\alpha < 500 \text{ мВ}$; $C_j < 10 \text{ пФ}$; $t_{Fmax} < 5 \text{ с}$	SO723, SO023	A1•K2•K1, A2
L44	BAT54S	Nat	shd-2	$V_A < 30 \text{ В}$; $I_C < 200 \text{ мА}$; $V_{F(sat)} < 30 \text{ мВ}$; $\alpha < 500 \text{ мВ}$; $C_j < 10 \text{ пФ}$; $t_{Fmax} < 5 \text{ с}$	SO723, SO023	A1•K2•K1, A2
L44	BAT54S	VISH	shd-2	$V_A < 30 \text{ В}$; $I_C < 200 \text{ мА}$; $V_{F(sat)} < 100 \text{ мВ}$; $\alpha < 1.0$; $B < 4 \text{ мА}$; $C_j < 10 \text{ пФ}$; $t_{Fmax} < 5 \text{ с}$	SO723, SO023	A1•K2•K1, A2
L44	BAT54S	ZETEX	shd-2	$V_A < 30 \text{ В}$; $I_C < 200 \text{ мА}$; $V_{F(sat)} < 100 \text{ мВ}$; $\alpha < 1.0$; $B < 4 \text{ мА}$; $C_j < 10 \text{ пФ}$; $t_{Fmax} < 5 \text{ с}$	SO723, SO023	A1•K2•K1, A2
L40	BAT54S	PHIL	shd	$V_A < 30 \text{ В}$; $I_C < 200 \text{ мА}$; $V_{F(sat)} < 30 \text{ мВ}$; $\alpha < 500 \text{ мВ}$; $C_j < 10 \text{ пФ}$; $t_{Fmax} < 5 \text{ с}$	SO723, SO023	A•n.c•K
L40	BAT54S	MCC	shd	$V_A < 30 \text{ В}$; $I_C < 300 \text{ мА}$; $V_{F(sat)} < 30 \text{ мВ}$; $\alpha < 500 \text{ мВ}$; $C_j < 10 \text{ пФ}$; $t_{Fmax} < 5 \text{ с}$	SO723, SO023	A•n.c•K
L40	BAT54	Nat	shd	$V_A < 30 \text{ В}$; $I_C < 200 \text{ мА}$; $V_{F(sat)} < 30 \text{ мВ}$; $\alpha < 500 \text{ мВ}$; $C_j < 10 \text{ пФ}$; $t_{Fmax} < 5 \text{ с}$	SO723, SO023	A•n.c•K
L40	BAT54	PHIL	shd	$V_A < 30 \text{ В}$; $I_C < 200 \text{ мА}$; $V_{F(sat)} < 30 \text{ мВ}$; $\alpha < 500 \text{ мВ}$; $C_j < 10 \text{ пФ}$; $t_{Fmax} < 5 \text{ с}$	SO723, SO023	A•n.c•K



SOT23-3
SOD23-3

SOT323
SOT346

SOT416
SOT523



SOT490
MFPK

TESM
TSFP-3

VMT3
VMD3

Код	Типономинал	Б	Ф	Особенности	Корпус	Ц: 1+2+3
L4W	BAT54	PHIL	shd	$V_A < 30 В$; $I_C < 200 мА$; $V_A(I_C = 30 мА) < 500 мВ$; $C_0 < 10 пФ$; $f_{TBR} < 5 нс$	SOT23, SOD23	A+н.с.-К
L4Z	BAT54	ZETEX	shd	$V_A < 30 В$; $I_C < 200 мА$; $V_A(I_C = 100 мА) < 1.0 В$; $I_B < 4.0 мА$; $C_0 < 10 пФ$; $f_{TBR} < 5 нс$	SOT23, SOD23	A+н.с.-К
L5	BSS69R	ZETEX	npn	$V_{CE0} = 12 В$; $I_C = 100 мА$; $P_D = 330 мВт$; $h_{FE} = 40...150$; $f_T > 400 МГц$	SOT23, SOD23	B+Е-С
L5	KST1623L5	SAMS	npn	$V_{CE0} = 50 В$; $I_C = 100 мА$; $P_D = 350 мВт$; $h_{FE} = 135...270$; $f_T > 200 МГц$	SOT23, SOD23	B+Е-С
L5	MMBC1623L5	MOT	npn	$V_{CE0} = 50 В$; $I_C = 100 мА$; $P_D = 300 мВт$; $h_{FE} = 1350...270$	SOT23, SOD23	B+Е-С
L52	BAS678	PHIL	fd	$V_A < 80 В$; $I_C < 250 мА$; $V_A(I_C = 200 мА) < 1.0 В$; $C_0 < 2 пФ$; $f_{TBR} < 6 нс$	SOT23, SOD23	A+н.с.-К
L5p	BAS65	PHIL	fd	$V_A < 60 В$; $I_C < 250 мА$; $V_A(I_C = 200 мА) < 1.0 В$; $C_0 < 2.5 пФ$; $f_{TBR} < 6 нс$	SOT23, SOD23	A+н.с.-К
L6	BAR17	INF	pin	$V_A < 100 В$; $I_C = 140 мА$; $V_A(I_C = 100 мА) < 1.0 В$; $I_B < 0.05 мА$; $C_0 < 0.37 пФ$	SOT23, SOD23	A+н.с.-К
L6	BSS69R	ZETEX	npn	$V_{CE0} = 40 В$; $I_C = 100 мА$; $P_D = 330 мВт$; $h_{FE} = 50...150$; $f_T > 200 МГц$	SOT23, SOD23	B+Е-С
L6	KST1623L6	SAMS	npn	$V_{CE0} = 50 В$; $I_C = 100 мА$; $P_D = 350 мВт$; $h_{FE} = 200...400$; $f_T > 200 МГц$	SOT23, SOD23	B+Е-С
L6	KTC4075	KEC	npn	$V_{CE0} = 60 В$; $I_C = 150 мА$; $P_D = 100 мВт$; $h_{FE} = 200...400$; $f_T > 80 МГц$	SOT323, SC70	B+Е-С
L6	MMBC1623L6	MOT	npn	$V_{CE0} = 50 В$; $I_C = 100 мА$; $P_D = 300 мВт$; $h_{FE} = 200...400$	SOT23, SOD23	B+Е-С
L7	BAR141	INF	pin-2	$V_A < 100 В$; $I_C = 140 мА$; $V_A(I_C = 100 мА) < 1.05 В$; $I_B < 0.1 мА$; $C_0 < 0.2 пФ$	SOT23, SOD23	A1-K2-K1,A2
L7	BAT17	GS	shd	$V_A < 4 В$; $I_C < 30 мА$; $V_A(I_C = 1 мА) < 450 мВ$; $C_0 < 1 пФ$	SOT23, SOD23	A1+н.с.-К
L7	BAT17DS	GS	shd-2	$V_A < 4 В$; $I_C < 30 мА$; $V_A(I_C = 1 мА) < 450 мВ$; $C_0 < 1 пФ$	SOT23, SOD23	A1-K2-K1,A2
L7	BSS70R	ZETEX	npn	$V_{CE0} = 40 В$; $I_C = 100 мА$; $P_D = 330 мВт$; $h_{FE} = 100...300$; $f_T > 250 МГц$	SOT23, SOD23	B+Е-С
L7	KST1623L7	SAMS	npn	$V_{CE0} = 50 В$; $I_C = 100 мА$; $P_D = 350 мВт$; $h_{FE} = 300...600$; $f_T > 200 МГц$	SOT23, SOD23	B+Е-С
L7	MMBC1623L7	MOT	npn	$V_{CE0} = 50 В$; $I_C = 100 мА$; $P_D = 300 мВт$; $h_{FE} = 300...600$	SOT23, SOD23	B+Е-С
L77	FMMTL717	ZETEX	npn	$V_{CE0} = 12 В$; $I_C = 1250 мА$; $P_D = 500 мВт$; $h_{FE} > 50$; $f_T > 205 МГц$	SOT23, SOD23	B+Е-С
L78	FMMTL718	ZETEX	npn	$V_{CE0} = 20 В$; $I_C = 1000 мА$; $P_D = 500 мВт$; $h_{FE} > 50$; $f_T > 265 МГц$	SOT23, SOD23	B+Е-С
L7p	BAT721	PHIL	shd	$V_A < 40 В$; $I_C < 200 мА$; $V_A(I_C = 100 мА) < 0.42 В$; $I_B < 15 мА$; $C_0 < 50 пФ$	SOT23, SOD23	A+н.с.-К
L7i	BAT721	PHIL	shd	$V_A < 40 В$; $I_C < 200 мА$; $V_A(I_C = 100 мА) < 0.42 В$; $I_B < 15 мА$; $C_0 < 50 пФ$	SOT23, SOD23	A+н.с.-К
L7W	BAT721	PHIL	shd	$V_A < 40 В$; $I_C < 200 мА$; $V_A(I_C = 100 мА) < 0.42 В$; $I_B < 15 мА$; $C_0 < 50 пФ$	SOT23, SOD23	A+н.с.-К
L8	BAR151	INF	pin-2	$V_A < 100 В$; $I_C = 140 мА$; $V_A(I_C = 100 мА) < 1.05 В$; $I_B < 0.1 мА$; $C_0 < 0.2 пФ$	SOT23, SOD23	A1-A2-K1,A2
L8	KTC4075	KEC	npn	$V_{CE0} = 60 В$; $I_C = 150 мА$; $P_D = 100 мВт$; $h_{FE} = 350...700$; $f_T > 80 МГц$	SOT323, SC70	B+Е-С
L8p	BAT721A	PHIL	shd-2	$V_A < 40 В$; $I_C < 200 мА$; $V_A(I_C = 100 мА) < 0.42 В$; $I_B < 15 мА$; $C_0 < 50 пФ$	SOT23, SOD23	K1-K2-A1,A2
L8i	BAT721A	PHIL	shd-2	$V_A < 40 В$; $I_C < 200 мА$; $V_A(I_C = 100 мА) < 0.42 В$; $I_B < 15 мА$; $C_0 < 50 пФ$	SOT23, SOD23	K1-K2-A1,A2
L8W	BAT721A	PHIL	shd-2	$V_A < 40 В$; $I_C < 200 мА$; $V_A(I_C = 100 мА) < 0.42 В$; $I_B < 15 мА$; $C_0 < 50 пФ$	SOT23, SOD23	K1-K2-A1,A2
L9	1SS349	TOSH	shd	$V_A > 20 В$; $V_A(I_C = 1 А) < 0.55 В$; $I_{B0}(V_A = 20 В) < 50 мкА$; $C_T < 250 пФ$	SOT346, SC59	A+н.с.-К
L9	BAR161	INF	pin-2	$V_A < 100 В$; $I_C = 140 мА$; $V_A(I_C = 100 мА) < 1.05 В$; $I_B < 0.1 мА$; $C_0 < 0.2 пФ$	SOT23, SOD23	K1-K2-A1,A2
L9p	BAT721C	PHIL	shd-2	$V_A < 40 В$; $I_C < 200 мА$; $V_A(I_C = 100 мА) < 0.42 В$; $I_B < 15 мА$; $C_0 < 50 пФ$	SOT23, SOD23	A1-A2-K1,K2
L9i	BAT721C	PHIL	shd-2	$V_A < 40 В$; $I_C < 200 мА$; $V_A(I_C = 100 мА) < 0.42 В$; $I_B < 15 мА$; $C_0 < 50 пФ$	SOT23, SOD23	A1-A2-K1,K2
L9W	BAT721C	PHIL	shd-2	$V_A < 40 В$; $I_C < 200 мА$; $V_A(I_C = 100 мА) < 0.42 В$; $I_B < 15 мА$; $C_0 < 50 пФ$	SOT23, SOD23	A1-A2-K1,K2
LA	BF550	SIEM	npn	$V_{CE0} = 40 В$; $I_C = 25 мА$; $P_D = 280 мВт$; $h_{FE} = 50...250$; $f_T = 350 МГц$	SOT23, SOD23	B+Е-С
LA	PN1442A	TOSH	Dnpn	$V_{CE0} = 50 В$; $I_C = 300 мА$; $P_D = 200 мВт$; $h_{FE} = 200...700$; $f_T = 30 МГц$; $R_T = 10 кОм$	SOT346, SC59	B+Е-С
LAp	BF550	PHIL	npn	$V_{CE0} = 40 В$; $I_C = 25 мА$; $P_D = 250 мВт$; $h_{FE} > 50$; $f_T = 325 МГц$	SOT23, SOD23	B+Е-С
LB	2SC2462B	REN	npn	$V_{CE0} = 50 В$; $I_C = 100 мА$; $P_D = 150 мВт$; $h_{FE} = 100...200$	SOT23, SOD23	B+Е-С
LB	2SC5850B	REN	npn	$V_{CE0} = 50 В$; $I_C = 100 мА$; $P_D = 150 мВт$; $h_{FE} = 100...200$	SOT323, SC70	B+Е-С
LB	PN1442B	TOSH	Dnpn	$V_{CE0} = 50 В$; $I_C = 300 мА$; $P_D = 200 мВт$; $h_{FE} = 350...1200$; $f_T = 30 МГц$; $R_T = 10 кОм$	SOT23, SOD23	B+Е-С
LB	SS257	MSH	nMOS	$V_{DS} = 20 В$; $I_D = 30 мА$; $P_D = 200 мВт$; $g_{fs} = 16 мСм$	SOT23, SOD23	G+D-S
LB	KTC4075	KEC	npn	$V_{CE0} = 60 В$; $I_C = 150 мА$; $P_D = 100 мВт$; $h_{FE} = 350...700$; $f_T > 80 МГц$	SOT323, SC70	B+Е-С
LBs	BF999	SIEM	nMOS	$V_{DS} = 20 В$; $I_D = 30 мА$; $P_D = 200 мВт$; $NF = 1.0 дБ$; $f_{max} = 5...18 А$; $g_{fs} = 18 мСм$	SOT23, SOD23	G+D-S
LC	2SC2462C	REN	npn	$V_{CE0} = 50 В$; $I_C = 100 мА$; $P_D = 150 мВт$; $h_{FE} = 160...320$	SOT23, SOD23	B+Е-С
LC	2SC5850C	REN	npn	$V_{CE0} = 50 В$; $I_C = 100 мА$; $P_D = 150 мВт$; $h_{FE} = 160...320$	SOT323, SC70	B+Е-С
LC	2SC2462D	REN	npn	$V_{CE0} = 50 В$; $I_C = 100 мА$; $P_D = 150 мВт$; $h_{FE} = 250...500$	SOT23, SOD23	B+Е-С
LD	2SC5850D	REN	npn	$V_{CE0} = 50 В$; $I_C = 100 мА$; $P_D = 150 мВт$; $h_{FE} = 250...500$	SOT323, SC70	B+Е-С
LD	BF543	TELEF	nMOS	$V_{DS} = 20 В$; $I_D = 30 мА$; $P_D = 200 мВт$; $g_{fs} = 70 мСм$; $R_{DS(on)} = 10 Ом$	SOT23, SOD23	G+D-S
LD3	BAT54S	ZOWIE	shd-2	$V_A < 30 В$; $V_A(I_C = 30 мА) < 500 мВ$; $C_0 < 10 пФ$; $f_{TBR} < 5 нс$	SOT23, SOD23	A1-K2-K1,A2
LDs	BF543	SIEM	nMOS	$V_{DS} = 20 В$; $I_D = 30 мА$; $P_D = 200 мВт$; $NF = 1.0 дБ$; $g_{fs} = 12 мСм$	SOT23, SOD23	G+D-S
LE	2SC2412KLINE	ROHM	npn	$V_{CE0} = 50 В$; $I_C = 150 мА$; $P_D = 200 мВт$; $h_{FE} = 390...820$; $f_T > 180 МГц$	SOT346, SC59	B+Е-С
LEp	BF660	PHIL	npn	$V_{CE0} = 30 В$; $I_C = 25 мА$; $P_D = 280 мВт$; $h_{FE} = 30$; $f_T = 850 МГц$	SOT23, SOD23	B+Е-С
LEs	BF660	SIEM	npn	$V_{CE0} = 40 В$; $I_C = 25 мА$; $P_D = 280 мВт$; $h_{FE} > 30$; $f_T > 700 МГц$	SOT23, SOD23	B+Е-С

SOT490 TSM
MFPAK TSFP-3

VMT3
VMD3



SOT416 SOT323
SOT523 SOT346

SOT23-3
SOD23-3



Код	Типономинал	Б	Ф	Особенности	Корпус	Ц: 1•2•3
LEs	BF660W	SIEM	npn	$V_{CE0}=40\text{ В}; I_C=25\text{ мА}; P_D=280\text{ мВт}; h_{FE1}>30; f_T=700\text{ МГц}$	SOT323, SC70	B-E-C
LG	2SC2712GR	TOSH	npn	$V_{CE0}=50\text{ В}; I_C=150\text{ мА}; P_D=150\text{ мВт}; h_{FE1}>200; f_T>80\text{ МГц}$	SOT346, SC59	B-E-C
LG	2SC4116	TOSH	npn	$V_{CE0}=60\text{ В}; I_C=150\text{ мА}; P_D=100\text{ мВт}; h_{FE1}>200; f_T>400; f_T>80\text{ МГц}$	SOT323, SC70	B-E-C
LGR	KTC4075	KEC	npn	$V_{CE0}=60\text{ В}; I_C=150\text{ мА}; P_D=100\text{ мВт}; h_{FE1}>200; f_T>400; f_T>80\text{ МГц}$	SOT323, SC70	B-E-C
LGS	BF775A	SIEM	npn	$V_{CE0}=25\text{ В}; I_C=30\text{ мА}; P_D=280\text{ мВт}; h_{FE1}>50; f_T>5800\text{ МГц}$	SOT23, SOD23	B-E-C
LH	BF569	TELEF	npn	$V_{CE0}=40\text{ В}; I_C=30\text{ мА}; P_D=200\text{ мВт}; h_{FE1}>25; f_T>950\text{ МГц}$	SOT23, SOD23	B-E-C
LHr	BF569	PHIL	npn	$V_{CE0}=35\text{ В}; I_C=30\text{ мА}; P_D=280\text{ мВт}; h_{FE1}>50; f_T=900\text{ МГц}$	SOT23, SOD23	B-E-C
LHs	BF569	SIEM	npn	$V_{CE0}=40\text{ В}; I_C=30\text{ мА}; P_D=280\text{ мВт}; h_{FE1}>20; f_T>950\text{ МГц}$	SOT23, SOD23	B-E-C
LHs	BF569W	SIEM	npn	$V_{CE0}=40\text{ В}; I_C=30\text{ мА}; P_D=280\text{ мВт}; h_{FE1}>20; f_T=950\text{ МГц}$	SOT23, SOD23	B-E-C
LK	BF799	SIEM	npn	$V_{CE0}=30\text{ В}; I_C=35\text{ мА}; P_D=280\text{ мВт}; h_{FE1}>40; f_T=1100\text{ МГц}$	SOT23, SOD23	B-E-C
LKs	BF799W	SIEM	npn	$V_{CE0}=30\text{ В}; I_C=35\text{ мА}; P_D=280\text{ мВт}; h_{FE1}>40; f_T=1100\text{ МГц}$	SOT23, SC70	B-E-C
LL	2SC2712BL	TOSH	npn	$V_{CE0}=50\text{ В}; I_C=150\text{ мА}; P_D=150\text{ мВт}; h_{FE1}>350; f_T>700; f_T>80\text{ МГц}$	SOT346, SC59	B-E-C
LL	2SC4116	TOSH	npn	$V_{CE0}=60\text{ В}; I_C=150\text{ мА}; P_D=100\text{ мВт}; h_{FE1}>350; f_T>700; f_T>80\text{ МГц}$	SOT323, SC70	B-E-C
LM	BF569R	TELEF	npn	$V_{CE0}=40\text{ В}; I_C=30\text{ мА}; P_D=200\text{ мВт}; h_{FE1}>25; f_T>950\text{ МГц}$	SOT23, SOD23	B-E-C
LO	2SC2712O	TOSH	npn	$V_{CE0}=50\text{ В}; I_C=150\text{ мА}; P_D=150\text{ мВт}; h_{FE1}>70; f_T>140; f_T>80\text{ МГц}$	SOT346, SC59	B-E-C
LO	2SC4116	TOSH	npn	$V_{CE0}=60\text{ В}; I_C=150\text{ мА}; P_D=100\text{ мВт}; h_{FE1}>70; f_T>140; f_T>80\text{ МГц}$	SOT323, SC70	B-E-C
LO	KTC4075	KEC	npn	$V_{CE0}=60\text{ В}; I_C=150\text{ мА}; P_D=100\text{ мВт}; h_{FE1}>70; f_T>140; f_T>80\text{ МГц}$	SOT323, SC70	B-E-C
LoS	BF775	SIEM	npn	$V_{CE0}=20\text{ В}; I_C=30\text{ мА}; P_D=280\text{ мВт}; h_{FE1}>40; f_T=4500\text{ МГц}$	SOT23, SOD23	B-E-C
LoS	BF775W	SIEM	npn	$V_{CE0}=20\text{ В}; I_C=30\text{ мА}; P_D=280\text{ мВт}; h_{FE1}>40; f_T=4500\text{ МГц}$	SOT23, SC70	B-E-C
LR	2SC2412KUNR	ROHM	npn	$V_{CE0}=50\text{ В}; I_C=150\text{ мА}; P_D=200\text{ мВт}; h_{FE1}>180; f_T>390; f_T>180\text{ МГц}$	SOT346, SC59	B-E-C
LRs	BF517	SIEM	npn	$V_{CE0}=20\text{ В}; I_C=25\text{ мА}; P_D=280\text{ мВт}; h_{FE1}>25; f_T=2000\text{ МГц}$	SOT23, SOD23	B-E-C
LS	2SC2412KLNS	ROHM	npn	$V_{CE0}=50\text{ В}; I_C=150\text{ мА}; P_D=200\text{ мВт}; h_{FE1}>70; f_T>560; f_T>180\text{ МГц}$	SOT346, SC59	B-E-C
LSs	BF770A	SIEM	npn	$V_{CE0}=15\text{ В}; I_C=50\text{ мА}; P_D=300\text{ мВт}; h_{FE1}>40; f_T=5500\text{ МГц}$	SOT23, SC70	B-E-C
LY	2SC2712Y	TOSH	npn	$V_{CE0}=50\text{ В}; I_C=150\text{ мА}; P_D=150\text{ мВт}; h_{FE1}>120; f_T>240; f_T>80\text{ МГц}$	SOT346, SC59	B-E-C
LY	2SC4116	TOSH	npn	$V_{CE0}=60\text{ В}; I_C=150\text{ мА}; P_D=100\text{ мВт}; h_{FE1}>120; f_T>240; f_T>80\text{ МГц}$	SOT323, SC70	B-E-C
LY	KTC4075	KEC	npn	$V_{CE0}=60\text{ В}; I_C=150\text{ мА}; P_D=100\text{ мВт}; h_{FE1}>120; f_T>240; f_T>80\text{ МГц}$	SOT323, SC70	B-E-C
M1	MMB25268BT	DIODS	dz	$V_{Z(I_{T1}=4.2\text{ мА})}=28.5\text{...}31.5\text{ В}; I_{R0}<0.1\text{ мА}$	SOT523	A-n-c-K
M16	PMBF4416A	PHIL	nFET	$V_{DS}=35\text{ В}; I_{DSS}=15\text{ мА}; P_D=250\text{ мВт}; g_{fs}>7.5\text{ мСм}$	SOT23, SOD23	B-E-C
M1B	MMBT222ALT1	ON	npn	$V_{CE0}=60\text{ В}; I_C=160\text{ мА}; P_D=225\text{ мВт}; h_{FE1}>30$	SOT23, SOD23	B-E-C
M1E	MMBT43LT1	MOT	npn	$V_{CE0}=200\text{ В}; I_C=500\text{ мА}; P_D=225\text{ мВт}; h_{FE1}>25; f_T>50\text{ МГц}$	SOT23, SOD23	B-E-C
M1J	MMBT2369LT1	MOT	npn	$V_{CE0}=40\text{ В}; I_C=200\text{ мА}; P_D=300\text{ мВт}; h_{FE1}>40; f_T>120$	SOT23, SOD23	B-E-C
M1p	BF930	PHIL	nFET	$V_{DS}=25\text{ В}; I_{DSS}=10\text{ мА}; P_D=250\text{ мВт}; g_{fs}>4\text{ мСм}$	SOT23, SOD23	D-S-G
M1T	ADM1811-10AKS	AD	mrc	$V_{TH}=4.35\text{ В}; V_{DD}=1\text{...}5.5\text{ В}; I_{C0}<16\text{ мА}$	SOT323, SC70	V_{CC} -RST-GND
M1T	ADM1811-10ART	AD	mrc	$V_{TH}=4.35\text{ В}; V_{DD}=1\text{...}5.5\text{ В}; I_{C0}<16\text{ мА}$	SOT23, SOD23	RST- V_{CC} -GND
M1V	ADM1811-5AKS	AD	mrc	$V_{TH}=4.62\text{ В}; V_{DD}=1\text{...}5.5\text{ В}; I_{C0}<16\text{ мА}$	SOT323, SC70	V_{CC} -RST-GND
M1V	ADM1811-5ART	AD	mrc	$V_{TH}=4.62\text{ В}; V_{DD}=1\text{...}5.5\text{ В}; I_{C0}<16\text{ мА}$	SOT23, SOD23	RST- V_{CC} -GND
M2	MMB25257BT	DIODS	dz	$V_{Z(I_{T1}=3.8\text{ мА})}=31.35\text{...}34.65\text{ В}; I_{R0}<0.1\text{ мА}$	SOT523	A-n-c-K
M2C	MMBT470LT1	MOT	npn	$V_{CE0}=40\text{ В}; I_C=100\text{ мА}; P_D=300\text{ мВт}; h_{FE1}>40; f_T>125\text{ МГц}$	SOT23, SOD23	B-E-C
M2p	BF931	PHIL	nFET	$V_{DS}=25\text{ В}; I_{DSS}=5\text{ мА}; P_D=250\text{ мВт}; g_{fs}>4.5\text{ мСм}$	SOT23, SOD23	D-S-G
M3	KDV173	KEC	pin-2	$V_{A0}=50\text{ В}; I_{A0}<0.1\text{ мА}; C_T=0.25\text{ мФ}; R_{S0}<7.0\text{ Ом}$	SOT23, SOD23	A1-K2-K1,A2
M3	KST812M3	SAMS	npn	$V_{CE0}=50\text{ В}; I_C=100\text{ мА}; P_D=350\text{ мВт}; h_{FE1}>60; f_T>120$	SOT23, SOD23	B-E-C
M3	MMB4812M3	SAMS	npn	$V_{CE0}=50\text{ В}; I_C=100\text{ мА}; P_D=350\text{ мВт}; h_{FE1}>60; f_T>120$	SOT23, SOD23	B-E-C
M3	MMB4812M3	MOT	npn	$V_{CE0}=50\text{ В}; I_C=100\text{ мА}; P_D=350\text{ мВт}; h_{FE1}>60; f_T>120$	SOT23, SOD23	B-E-C
M3	MMB25268BT	DIODS	dz	$V_{Z(I_{T1}=3.4\text{ мА})}=34.2\text{...}37.8\text{ В}; I_{R0}<0.1\text{ мА}$	SOT523	A-n-c-K
M3A	MMBT424LT1	MOT	npn	$V_{CE0}=40\text{ В}; I_C=50\text{ мА}; P_D=300\text{ мВт}; h_{FE1}>30; f_T>400\text{ МГц}$	SOT23, SOD23	B-E-C
M3B	MMBT918LT1	MOT	npn	$V_{CE0}=30\text{ В}; I_C=50\text{ мА}; P_D=300\text{ мВт}; h_{FE1}>20; f_T>600\text{ МГц}$	SOT23, SOD23	B-E-C
M3J	MMBT4693LT1	MOT	npn	$V_{CE0}=15\text{ В}; P_D=300\text{ мВт}; h_{FE1}>30; f_T>300; f_T>2000\text{ МГц}$	SOT23, SOD23	B-E-C
M3p	BF146	PHIL	nFET	$V_{DS}=25\text{ В}; I_{DSS}=1.5\text{ мА}; P_D=250\text{ мВт}; g_{fs}>0.5\text{ мСм}$	SOT23, SC70	D-S-G
M3T	ADM1813-10AKS	AD	mrc	$V_{TH}=4.35\text{ В}; V_{DD}=1\text{...}5.5\text{ В}; I_{C0}<16\text{ мА}$	SOT323, SC70	V_{CC} -RST-GND
M3T	ADM1813-10ART	AD	mrc	$V_{TH}=4.35\text{ В}; V_{DD}=1\text{...}5.5\text{ В}; I_{C0}<16\text{ мА}$	SOT23, SOD23	RST- V_{CC} -GND
M3V	ADM1813-5AKS	AD	mrc	$V_{TH}=4.62\text{ В}; V_{DD}=1\text{...}5.5\text{ В}; I_{C0}<16\text{ мА}$	SOT323, SC70	V_{CC} -RST-GND
M3V	ADM1813-5ART	AD	mrc	$V_{TH}=4.62\text{ В}; V_{DD}=1\text{...}5.5\text{ В}; I_{C0}<16\text{ мА}$	SOT23, SOD23	RST- V_{CC} -GND



SOT23-3
SOD23-3

SOT323
SOT346

SOT416
SOT523



SOT490
MFPK

TESM
TSFP-3

VMT3
VMD3

Код	Типономинал	Б	Ф	Особенности	Корпус	Ц: 1•2•3
M4	BSR59	FAIR	nFET	$V_{DS}=40\text{ В}; I_D=50\text{ мА}; P_D=250\text{ мВт}; R_{DS(on)} < 25\text{ Ом}$	SOT23, SOD23	D•S•G
M4	KST812M4	SAMS	pnp	$V_{CE0}=50\text{ В}; I_C=100\text{ мА}; P_D=350\text{ мВт}; h_{FE} \geq 90 \dots 180$	SOT23, SOD23	B•E•C
M4	MMBA812M4	MOT	pnp	$V_{CE0}=50\text{ В}; I_C=100\text{ мА}; P_D=350\text{ мВт}; h_{FE} \geq 90 \dots 180$	SOT23, SOD23	B•E•C
M4	MMB25259BT	DIOS	dz	$V_Z(I_{ZT}=3.2\text{ мА})=37.05 \dots 41.0\text{ В}; I_{C0} < 1\text{ мА}$	SOT523	A•n.c•K
M4A	MMBV109LT1	MOT	var	$V_A > 30\text{ В}; I_C=200\text{ мА}; C_{J0}=26 \dots 32\text{ пФ}; C_{J0}/C_{J0B}=5.0 \dots 6.5$	SOT23, SOD23	A•n.c•K
M4B	MMBV432LT1	ON	var-2	$V_A > 14\text{ В}; I_C=200\text{ мА}; C_{J0}=43 \dots 48.1\text{ нФ}; C_{J0}/C_{J0B}=1.5 \dots 2$	SOT23, SOD23	A1•A2•K1, K2
M4C	MMBV3102LT1	ON	var	$V_A > 30\text{ В}; I_C=200\text{ мА}; C_{J0}=20 \dots 25\text{ пФ}; C_{J0}/C_{J0B}=4.5 \dots 4.8$	SOT23, SOD23	A•n.c•K
M4E	MMBV105GLT1	ON	var	$V_A > 30\text{ В}; I_C=200\text{ мА}; C_{J0}/C_{J0B}=4.0 \dots 6.5$	SOT23, SOD23	A•n.c•K
M4F	ADM1815-10AKSZ	AD	mrc	$V_{TR}=2.88\text{ В}; V_{DD}=1 \dots 5.5\text{ В}; I_{CC} < 16\text{ мА}$	SOT323, SC70	V_{CC} -RST-GND
M4F	ADM1815-10ARTZ	AD	mrc	$V_{TR}=2.88\text{ В}; V_{DD}=1 \dots 5.5\text{ В}; I_{CC} < 16\text{ мА}$	SOT23, SOD23	RST- V_{CC} -GND
M4F	MMBD353LT1	MOT	shd-2	$V_A > 7\text{ В}; V_Z(I_Z=10\text{ мА}) < 0.6\text{ В}; C_T < 1\text{ нФ}$	SOT23, SOD23	K1•A2•A1, K2
M4G	MMBV2101LT1	MOT	var	$V_A > 30\text{ В}; I_C=200\text{ мА}; C_{J0}=6.1 \dots 7.5\text{ пФ}; C_{J0}/C_{J0B}=2.5 \dots 3.2$	SOT23, SOD23	A•n.c•K
M4P	BSR59	PHIL	nFET	$V_{DS}=40\text{ В}; I_D=50\text{ мА}; P_D=250\text{ мВт}; R_{DS(on)} < 25\text{ Ом}$	SOT23, SOD23	D•S•G
M4T	ADM1810-5AKSZ	AD	mrc	$V_{TR}=3.06\text{ В}; V_{DD}=1 \dots 5.5\text{ В}; I_{CC} < 16\text{ мА}$	SOT323, SC70	V_{CC} -RST-GND
M4T	ADM1810-5ARTZ	AD	mrc	$V_{TR}=3.06\text{ В}; V_{DD}=1 \dots 5.5\text{ В}; I_{CC} < 16\text{ мА}$	SOT23, SOD23	RST- V_{CC} -GND
M4Y	ADM1810-5AKSZ	AD	mrc	$V_{TR}=4.62\text{ В}; V_{DD}=1 \dots 5.5\text{ В}; I_{CC} < 16\text{ мА}$	SOT323, SC70	V_{CC} -RST-GND
M4Y	ADM1810-5ARTZ	AD	mrc	$V_{TR}=4.62\text{ В}; V_{DD}=1 \dots 5.5\text{ В}; I_{CC} < 16\text{ мА}$	SOT23, SOD23	RST- V_{CC} -GND
M4Z	ADM1810-10AKSZ	AD	mrc	$V_{TR}=4.35\text{ В}; V_{DD}=1 \dots 5.5\text{ В}; I_{CC} < 16\text{ мА}$	SOT323, SC70	V_{CC} -RST-GND
M4Z	ADM1810-10ARTZ	AD	mrc	$V_{TR}=4.35\text{ В}; V_{DD}=1 \dots 5.5\text{ В}; I_{CC} < 16\text{ мА}$	SOT23, SOD23	RST- V_{CC} -GND
M5	KST812M5	SAMS	pnp	$V_{CE0}=50\text{ В}; I_C=100\text{ мА}; P_D=350\text{ мВт}; h_{FE} \geq 135 \dots 270$	SOT23, SOD23	B•E•C
M5	MMBA812M5	SAMS	pnp	$V_{CE0}=50\text{ В}; I_C=100\text{ мА}; P_D=350\text{ мВт}; h_{FE} \geq 135 \dots 270$	SOT23, SOD23	B•E•C
M5	MMBA812M5	MOT	pnp	$V_{CE0}=50\text{ В}; I_C=100\text{ мА}; P_D=350\text{ мВт}; h_{FE} \geq 135 \dots 270$	SOT23, SOD23	B•E•C
M5	MMBD352WT1	MOT	shd-2	$V_A > 7\text{ В}; V_Z(I_Z=10\text{ мА}) < 0.6\text{ В}; C_T < 1\text{ нФ}$	SOT323, SC70	A1•K2•A2, K1
M54	ADM1816-10AKSZ	AD	mrc	$V_{TR}=2.88\text{ В}; V_{DD}=1 \dots 5.5\text{ В}; I_{CC} < 16\text{ мА}$	SOT323, SC70	V_{CC} -RST-GND
M54	ADM1816-10ARTZ	AD	mrc	$V_{TR}=2.88\text{ В}; V_{DD}=1 \dots 5.5\text{ В}; I_{CC} < 16\text{ мА}$	SOT23, SOD23	RST- V_{CC} -GND
M59	ADM1818-20AKSZ	AD	mrc	$V_{TR}=2.55\text{ В}; V_{DD}=1 \dots 5.5\text{ В}; I_{CC} < 16\text{ мА}$	SOT323, SC70	V_{CC} -RST-GND
M59	ADM1818-20ARTZ	AD	mrc	$V_{TR}=2.55\text{ В}; V_{DD}=1 \dots 5.5\text{ В}; I_{CC} < 16\text{ мА}$	SOT23, SOD23	RST- V_{CC} -GND
M5A	ADM1815-20AKS	AD	mrc	$V_{TR}=2.55\text{ В}; V_{DD}=1 \dots 5.5\text{ В}; I_{CC} < 16\text{ мА}$	SOT323, SC70	V_{CC} -RST-GND
M5A	ADM1815-20ART	AD	mrc	$V_{TR}=2.55\text{ В}; V_{DD}=1 \dots 5.5\text{ В}; I_{CC} < 16\text{ мА}$	SOT23, SOD23	RST- V_{CC} -GND
M5B	ADM1815-P22AKS	AD	mrc	$V_{TR}=2.18\text{ В}; V_{DD}=1 \dots 5.5\text{ В}; I_{CC} < 16\text{ мА}$	SOT323, SC70	V_{CC} -RST-GND
M5B	ADM1815-P22ART	AD	mrc	$V_{TR}=2.18\text{ В}; V_{DD}=1 \dots 5.5\text{ В}; I_{CC} < 16\text{ мА}$	SOT23, SOD23	RST- V_{CC} -GND
M5C	ADM1815-P23AKS	AD	mrc	$V_{TR}=2.31\text{ В}; V_{DD}=1 \dots 5.5\text{ В}; I_{CC} < 16\text{ мА}$	SOT323, SC70	V_{CC} -RST-GND
M5C	ADM1815-P23ART	AD	mrc	$V_{TR}=2.31\text{ В}; V_{DD}=1 \dots 5.5\text{ В}; I_{CC} < 16\text{ мА}$	SOT23, SOD23	RST- V_{CC} -GND
M5C	MMBD7000LT1	MOT	di-2	$V_A > 100\text{ В}; I_F < 200\text{ мА}; V_Z(I_Z=100\text{ мА}) < 1.1\text{ В}; C_D < 1.5\text{ нФ}; I_{RR} < 4\text{ нС}$	SOT23, SOD23	A1•K2•K1, A2
M5E	ADM1815-10AKS	AD	mrc	$V_{TR}=2.88\text{ В}; V_{DD}=1 \dots 5.5\text{ В}; I_{CC} < 16\text{ мА}$	SOT323, SC70	V_{CC} -RST-GND
M5E	ADM1815-10ART	AD	mrc	$V_{TR}=2.88\text{ В}; V_{DD}=1 \dots 5.5\text{ В}; I_{CC} < 16\text{ мА}$	SOT23, SOD23	RST- V_{CC} -GND
M5G	MMBD352LT1	MOT	shd-2	$V_A > 7\text{ В}; V_Z(I_Z=10\text{ мА}) < 0.6\text{ В}; C_T < 1\text{ нФ}$	SOT23, SOD23	A1•K2•A2, K1
M5K	ADM1815-5AKS	AD	mrc	$V_{TR}=3.06\text{ В}; V_{DD}=1 \dots 5.5\text{ В}; I_{CC} < 16\text{ мА}$	SOT323, SC70	V_{CC} -RST-GND
M5K	ADM1815-5ART	AD	mrc	$V_{TR}=3.06\text{ В}; V_{DD}=1 \dots 5.5\text{ В}; I_{CC} < 16\text{ мА}$	SOT23, SOD23	RST- V_{CC} -GND
M5P	BSR59	PHIL	nFET	$V_{DS}=40\text{ В}; I_D=50\text{ мА}; P_D=250\text{ мВт}; R_{DS(on)} < 40\text{ Ом}$	SOT23, SOD23	D•S•G
M6	BSS569	2ZETEX	pnp	$V_{CE0}=80\text{ В}; I_C=100\text{ мА}; P_D=330\text{ мВт}; h_{FE} \geq 50 \dots 150; f_T > 250\text{ МГц}$	SOT23, SOD23	B•E•C
M6	KST812M6	SAMS	pnp	$V_{CE0}=50\text{ В}; I_C=100\text{ мА}; P_D=350\text{ мВт}; h_{FE} \geq 200 \dots 400$	SOT23, SOD23	B•E•C
M6	MMBA812M6	SAMS	pnp	$V_{CE0}=50\text{ В}; I_C=100\text{ мА}; P_D=350\text{ мВт}; h_{FE} \geq 200 \dots 400$	SOT23, SOD23	B•E•C

**SOT490 TSM
MFFPAK TSFP-3**

**VMT3
VMD3**



**SOT416
SOT523**

**SOT323
SOT346**

**SOT23-3
SOD23-3**



Код	Типономинал	Б	Ф	Особенности	Корпус	Ц: 1•2•3
M6	MMB4812M6	MOT	npn	$V_{DS}=50\text{ В}$; $I_C=100\text{ мА}$; $P_D=350\text{ мВт}$; $\eta_H=200...400$	SOT23, SOD23	B•E•C
M68	PMBFJ12	PHIL	nFET	$V_{DS}=25\text{ В}$; $I_{DSS}=2...15\text{ мА}$; $P_D=250\text{ мВт}$; $g_F=4...12\text{ мСм}$	SOT23, SOD23	S•D•G
M69	PMBFJ211	PHIL	nFET	$V_{DS}=25\text{ В}$; $I_{DSS}=7...20\text{ мА}$; $P_D=250\text{ мВт}$; $g_F=6...12\text{ мСм}$	SOT23, SOD23	S•D•G
M6A	ADM1818-20AKS	AD	mrc	$V_{IF}=2.55\text{ В}$; $V_{DD}=1...5.5\text{ В}$; $I_{CC}<16\text{ мА}$	SOT323, SC70	V_{CC} -RST-GND
M6A	ADM1818-20ART	AD	mrc	$V_{IF}=2.55\text{ В}$; $V_{DD}=1...5.5\text{ В}$; $I_{CC}<16\text{ мА}$	SOT23, SOD23	RST- V_{CC} -GND
M6B	ADM1818-R22AKS	AD	mrc	$V_{IF}=2.18\text{ В}$; $V_{DD}=1...5.5\text{ В}$; $I_{CC}<16\text{ мА}$	SOT323, SC70	V_{CC} -RST-GND
M6B	ADM1818-R22ART	AD	mrc	$V_{IF}=2.18\text{ В}$; $V_{DD}=1...5.5\text{ В}$; $I_{CC}<16\text{ мА}$	SOT23, SOD23	RST- V_{CC} -GND
M6C	ADM1818-R23AKS	AD	mrc	$V_{IF}=2.31\text{ В}$; $V_{DD}=1...5.5\text{ В}$; $I_{CC}<16\text{ мА}$	SOT323, SC70	V_{CC} -RST-GND
M6C	ADM1818-R23ART	AD	mrc	$V_{IF}=2.31\text{ В}$; $V_{DD}=1...5.5\text{ В}$; $I_{CC}<16\text{ мА}$	SOT23, SOD23	RST- V_{CC} -GND
M6E	ADM1818-10AKS	AD	mrc	$V_{IF}=2.88\text{ В}$; $V_{DD}=1...5.5\text{ В}$; $I_{CC}<16\text{ мА}$	SOT323, SC70	V_{CC} -RST-GND
M6E	ADM1818-10ART	AD	mrc	$V_{IF}=2.88\text{ В}$; $V_{DD}=1...5.5\text{ В}$; $I_{CC}<16\text{ мА}$	SOT23, SOD23	RST- V_{CC} -GND
M6H	ADM1818-20AKSZ	AD	mrc	$V_{IF}=2.55\text{ В}$; $V_{DD}=1...5.5\text{ В}$; $I_{CC}<16\text{ мА}$	SOT323, SC70	V_{CC} -RST-GND
M6H	ADM1818-20ARTZ	AD	mrc	$V_{IF}=2.55\text{ В}$; $V_{DD}=1...5.5\text{ В}$; $I_{CC}<16\text{ мА}$	SOT23, SOD23	RST- V_{CC} -GND
M6H	MMBD354LT1	MOT	shcd-2	$V_A>7\text{ В}$; $V_{IF}(I_F=10\text{ мА})<0.6\text{ В}$; $C_T<1\text{ нФ}$	SOT23, SOD23	A1•A2•K1 K2
M6K	ADM1818-5AKS	AD	mrc	$V_{IF}=3.08\text{ В}$; $V_{DD}=1...5.5\text{ В}$; $I_{CC}<16\text{ мА}$	SOT323, SC70	V_{CC} -RST-GND
M6K	ADM1818-5ART	AD	mrc	$V_{IF}=3.08\text{ В}$; $V_{DD}=1...5.5\text{ В}$; $I_{CC}<16\text{ мА}$	SOT23, SOD23	RST- V_{CC} -GND
M6P	BSP58	PHIL	nFET	$V_{DS}=40\text{ В}$; $I_D=8\text{ мА}$; $P_D=250\text{ мВт}$; $R_{DS(on)}<60\text{ Ом}$	SOT23, SOD23	D•S•G
M6X	ADM1818-5AKSZ	AD	mrc	$V_{IF}=4.62\text{ В}$; $V_{DD}=1...5.5\text{ В}$; $I_{CC}<16\text{ мА}$	SOT323, SC70	V_{CC} -RST-GND
M6X	ADM1818-5ARTZ	AD	mrc	$V_{IF}=4.62\text{ В}$; $V_{DD}=1...5.5\text{ В}$; $I_{CC}<16\text{ мА}$	SOT23, SOD23	RST- V_{CC} -GND
M6Y	ADM1818-10AKSZ	AD	mrc	$V_{IF}=4.35\text{ В}$; $V_{DD}=1...5.5\text{ В}$; $I_{CC}<16\text{ мА}$	SOT323, SC70	V_{CC} -RST-GND
M6Y	ADM1818-10ARTZ	AD	mrc	$V_{IF}=4.35\text{ В}$; $V_{DD}=1...5.5\text{ В}$; $I_{CC}<16\text{ мА}$	SOT23, SOD23	RST- V_{CC} -GND
M6Z	ADM1818-5AKSZ	AD	mrc	$V_{IF}=4.62\text{ В}$; $V_{DD}=1...5.5\text{ В}$; $I_{CC}<16\text{ мА}$	SOT323, SC70	V_{CC} -RST-GND
M6Z	ADM1818-5ARTZ	AD	mrc	$V_{IF}=4.62\text{ В}$; $V_{DD}=1...5.5\text{ В}$; $I_{CC}<16\text{ мА}$	SOT23, SOD23	RST- V_{CC} -GND
M7	BSS57	ZETEX	npn	$V_{DS}=80\text{ В}$; $I_C=100\text{ мА}$; $P_D=330\text{ мВт}$; $\eta_H=100...300$; $f_T>300\text{ МГц}$	SOT23, SOD23	B•E•C
M7	KST812M7	SAMS	npn	$V_{DS}=50\text{ В}$; $I_C=100\text{ мА}$; $P_D=350\text{ мВт}$; $\eta_H=300...600$	SOT23, SOD23	B•E•C
M7	MMB4812M7	SAMS	npn	$V_{DS}=50\text{ В}$; $I_C=100\text{ мА}$; $P_D=350\text{ мВт}$; $\eta_H=300...600$	SOT23, SOD23	B•E•C
M7	MMB4812M7	MOT	npn	$V_{DS}=50\text{ В}$; $I_C=100\text{ мА}$; $P_D=350\text{ мВт}$; $\eta_H=300...600$	SOT23, SOD23	B•E•C
M70	ADM1818-10AKSZ	AD	mrc	$V_{IF}=4.35\text{ В}$; $V_{DD}=1...5.5\text{ В}$; $I_{CC}<16\text{ мА}$	SOT323, SC70	V_{CC} -RST-GND
M70	ADM1818-10ARTZ	AD	mrc	$V_{IF}=4.35\text{ В}$; $V_{DD}=1...5.5\text{ В}$; $I_{CC}<16\text{ мА}$	SOT23, SOD23	RST- V_{CC} -GND
M70	PMBFJ212	PHIL	nFET	$V_{DS}=25\text{ В}$; $I_{DSS}=15...40\text{ мА}$; $P_D=250\text{ мВт}$; $g_F=7...12\text{ мСм}$	SOT23, SOD23	S•D•G
M71	ADM1818-10AKSZ	AD	mrc	$V_{IF}=4.35\text{ В}$; $V_{DD}=1...5.5\text{ В}$; $I_{CC}<16\text{ мА}$	SOT323, SC70	V_{CC} -RST-GND
M71	ADM1818-10ARTZ	AD	mrc	$V_{IF}=4.35\text{ В}$; $V_{DD}=1...5.5\text{ В}$; $I_{CC}<16\text{ мА}$	SOT23, SOD23	RST- V_{CC} -GND
M72	ADM1818-5AKSZ	AD	mrc	$V_{IF}=4.62\text{ В}$; $V_{DD}=1...5.5\text{ В}$; $I_{CC}<16\text{ мА}$	SOT323, SC70	V_{CC} -RST-GND
M72	ADM1818-5ARTZ	AD	mrc	$V_{IF}=4.62\text{ В}$; $V_{DD}=1...5.5\text{ В}$; $I_{CC}<16\text{ мА}$	SOT23, SOD23	RST- V_{CC} -GND
M73	ADM1818-5AKSZ	AD	mrc	$V_{IF}=3.08\text{ В}$; $V_{DD}=1...5.5\text{ В}$; $I_{CC}<16\text{ мА}$	SOT323, SC70	V_{CC} -RST-GND
M73	ADM1818-5ARTZ	AD	mrc	$V_{IF}=3.08\text{ В}$; $V_{DD}=1...5.5\text{ В}$; $I_{CC}<16\text{ мА}$	SOT23, SOD23	RST- V_{CC} -GND
M74	ADM1818-R22AKSZ	AD	mrc	$V_{IF}=2.18\text{ В}$; $V_{DD}=1...5.5\text{ В}$; $I_{CC}<16\text{ мА}$	SOT323, SC70	V_{CC} -RST-GND
M74	ADM1818-R22ARTZ	AD	mrc	$V_{IF}=2.18\text{ В}$; $V_{DD}=1...5.5\text{ В}$; $I_{CC}<16\text{ мА}$	SOT23, SOD23	RST- V_{CC} -GND
M75	ADM1818-R23AKSZ	AD	mrc	$V_{IF}=2.31\text{ В}$; $V_{DD}=1...5.5\text{ В}$; $I_{CC}<16\text{ мА}$	SOT323, SC70	V_{CC} -RST-GND
M75	ADM1818-R23ARTZ	AD	mrc	$V_{IF}=2.31\text{ В}$; $V_{DD}=1...5.5\text{ В}$; $I_{CC}<16\text{ мА}$	SOT23, SOD23	RST- V_{CC} -GND

Код	Типономинал	Б	Ф	Особенности	Корпус	Ц: 1•2•3
M76	ADM 1815-20AKSZ	AD	myc	$V_{FR}=2.55\text{ В}; V_{DD}=1...5.5\text{ В}; I_{CC}<16\text{ мА}$	SOT323, SC70	$V_{CC}-RST-GND$
M76	ADM 1815-20ARTZ	AD	myc	$V_{FR}=2.55\text{ В}; V_{DD}=1...5.5\text{ В}; I_{CC}<16\text{ мА}$	SOT23, SOD23	$RST-V_{CC}-GND$
M77	ADM 1816-5AKSZ	AD	myc	$V_{FR}=3.06\text{ В}; V_{DD}=1...5.5\text{ В}; I_{CC}<16\text{ мА}$	SOT323, SC70	$V_{CC}-RST-GND$
M77	ADM 1816-5ARTZ	AD	myc	$V_{FR}=3.06\text{ В}; V_{DD}=1...5.5\text{ В}; I_{CC}<16\text{ мА}$	SOT23, SOD23	$RST-V_{CC}-GND$
M78	ADM 1816-P22AKSZ	AD	myc	$V_{FR}=2.18\text{ В}; V_{DD}=1...5.5\text{ В}; I_{CC}<16\text{ мА}$	SOT323, SC70	$V_{CC}-RST-GND$
M78	ADM 1816-P22ARTZ	AD	myc	$V_{FR}=2.18\text{ В}; V_{DD}=1...5.5\text{ В}; I_{CC}<16\text{ мА}$	SOT23, SOD23	$RST-V_{CC}-GND$
M79	ADM 1816-P23AKSZ	AD	myc	$V_{FR}=2.31\text{ В}; V_{DD}=1...5.5\text{ В}; I_{CC}<16\text{ мА}$	SOT323, SC70	$V_{CC}-RST-GND$
M79	ADM 1816-P23ARTZ	AD	myc	$V_{FR}=2.31\text{ В}; V_{DD}=1...5.5\text{ В}; I_{CC}<16\text{ мА}$	SOT23, SOD23	$RST-V_{CC}-GND$
M7A	ADM 1817-20AKS	AD	myc	$V_{FR}=2.55\text{ В}; V_{DD}=1...5.5\text{ В}; I_{CC}<16\text{ мА}$	SOT323, SC70	$V_{CC}-RST-GND$
M7A	ADM 1817-20ART	AD	myc	$V_{FR}=2.55\text{ В}; V_{DD}=1...5.5\text{ В}; I_{CC}<16\text{ мА}$	SOT23, SOD23	$RST-V_{CC}-GND$
M7B	ADM 1817-P22AKS	AD	myc	$V_{FR}=2.18\text{ В}; V_{DD}=1...5.5\text{ В}; I_{CC}<16\text{ мА}$	SOT323, SC70	$V_{CC}-RST-GND$
M7B	ADM 1817-P22ART	AD	myc	$V_{FR}=2.18\text{ В}; V_{DD}=1...5.5\text{ В}; I_{CC}<16\text{ мА}$	SOT23, SOD23	$RST-V_{CC}-GND$
M7C	ADM 1817-P23AKS	AD	myc	$V_{FR}=2.31\text{ В}; V_{DD}=1...5.5\text{ В}; I_{CC}<16\text{ мА}$	SOT323, SC70	$V_{CC}-RST-GND$
M7C	ADM 1817-P23ART	AD	myc	$V_{FR}=2.31\text{ В}; V_{DD}=1...5.5\text{ В}; I_{CC}<16\text{ мА}$	SOT23, SOD23	$RST-V_{CC}-GND$
M7E	ADM 1817-10AKS	AD	myc	$V_{FR}=2.88\text{ В}; V_{DD}=1...5.5\text{ В}; I_{CC}<16\text{ мА}$	SOT323, SC70	$V_{CC}-RST-GND$
M7E	ADM 1817-10ART	AD	myc	$V_{FR}=2.88\text{ В}; V_{DD}=1...5.5\text{ В}; I_{CC}<16\text{ мА}$	SOT23, SOD23	$RST-V_{CC}-GND$
M7F	ADM 1817-5AKSZ	AD	myc	$V_{FR}=3.06\text{ В}; V_{DD}=1...5.5\text{ В}; I_{CC}<16\text{ мА}$	SOT323, SC70	$V_{CC}-RST-GND$
M7F	ADM 1817-5ARTZ	AD	myc	$V_{FR}=3.06\text{ В}; V_{DD}=1...5.5\text{ В}; I_{CC}<16\text{ мА}$	SOT23, SOD23	$RST-V_{CC}-GND$
M7G	ADM 1817-10AKSZ	AD	myc	$V_{FR}=2.88\text{ В}; V_{DD}=1...5.5\text{ В}; I_{CC}<16\text{ мА}$	SOT323, SC70	$V_{CC}-RST-GND$
M7G	ADM 1817-10ARTZ	AD	myc	$V_{FR}=2.88\text{ В}; V_{DD}=1...5.5\text{ В}; I_{CC}<16\text{ мА}$	SOT23, SOD23	$RST-V_{CC}-GND$
M7H	ADM 1817-20AKSZ	AD	myc	$V_{FR}=2.55\text{ В}; V_{DD}=1...5.5\text{ В}; I_{CC}<16\text{ мА}$	SOT323, SC70	$V_{CC}-RST-GND$
M7H	ADM 1817-20ARTZ	AD	myc	$V_{FR}=2.55\text{ В}; V_{DD}=1...5.5\text{ В}; I_{CC}<16\text{ мА}$	SOT23, SOD23	$RST-V_{CC}-GND$
M7J	ADM 1817-P22AKSZ	AD	myc	$V_{FR}=2.18\text{ В}; V_{DD}=1...5.5\text{ В}; I_{CC}<16\text{ мА}$	SOT323, SC70	$V_{CC}-RST-GND$
M7J	ADM 1817-P22ARTZ	AD	myc	$V_{FR}=2.18\text{ В}; V_{DD}=1...5.5\text{ В}; I_{CC}<16\text{ мА}$	SOT23, SOD23	$RST-V_{CC}-GND$
M7K	ADM 1817-5AKS	AD	myc	$V_{FR}=3.06\text{ В}; V_{DD}=1...5.5\text{ В}; I_{CC}<16\text{ мА}$	SOT323, SC70	$V_{CC}-RST-GND$
M7K	ADM 1817-5ART	AD	myc	$V_{FR}=3.06\text{ В}; V_{DD}=1...5.5\text{ В}; I_{CC}<16\text{ мА}$	SOT23, SOD23	$RST-V_{CC}-GND$
M7L	ADM 1817-P23AKSZ	AD	myc	$V_{FR}=2.31\text{ В}; V_{DD}=1...5.5\text{ В}; I_{CC}<16\text{ мА}$	SOT323, SC70	$V_{CC}-RST-GND$
M7L	ADM 1817-P23ARTZ	AD	myc	$V_{FR}=2.31\text{ В}; V_{DD}=1...5.5\text{ В}; I_{CC}<16\text{ мА}$	SOT23, SOD23	$RST-V_{CC}-GND$
M7N	ADM 1818-P23AKS	AD	myc	$V_{FR}=2.31\text{ В}; V_{DD}=1...5.5\text{ В}; I_{CC}<16\text{ мА}$	SOT23, SOD23	$RST-V_{CC}-GND$
M7N	ADM 1818-P23AKSZ	AD	myc	$V_{FR}=2.31\text{ В}; V_{DD}=1...5.5\text{ В}; I_{CC}<16\text{ мА}$	SOT323, SC70	$V_{CC}-RST-GND$
M7P	ADM 1818-10AKSZ	AD	myc	$V_{FR}=2.88\text{ В}; V_{DD}=1...5.5\text{ В}; I_{CC}<16\text{ мА}$	SOT323, SC70	$V_{CC}-RST-GND$
M7P	ADM 1818-10ARTZ	AD	myc	$V_{FR}=2.88\text{ В}; V_{DD}=1...5.5\text{ В}; I_{CC}<16\text{ мА}$	SOT23, SOD23	$RST-V_{CC}-GND$
M8	BSH103	PHIL	nMOS	$V_{DS}=30\text{ В}; I_D=850\text{ мА}; P_D=500\text{ мВт}; R_{DS(on)}<0.50\text{ Ом}$	SOT23, SOD23	G•S•D
M8	BSS68R	ZETEX	npn	$V_{CE(sat)}=60\text{ В}; I_C=100\text{ мА}; P_D=330\text{ мВт}; h_{FE}=50...150; f_T>250\text{ МГц}$	SOT23, SOD23	B•E•C
M8A	ADM 1818-20AKS	AD	myc	$V_{FR}=2.55\text{ В}; V_{DD}=1...5.5\text{ В}; I_{CC}<16\text{ мА}$	SOT323, SC70	$V_{CC}-RST-GND$
M8A	ADM 1818-20ART	AD	myc	$V_{FR}=2.55\text{ В}; V_{DD}=1...5.5\text{ В}; I_{CC}<16\text{ мА}$	SOT23, SOD23	$RST-V_{CC}-GND$

**SOT490 TSM
MFPAK TSFP-3**

**VMT3
VMD3**



SOT416 SOT523

SOT323 SOT346

**SOT23-3
SOD23-3**



Код	Типономинал	Б	Ф	Особенности	Корпус	Ц: 1•2•3
M8B	ADM1818-R22AKS	AD	mrc	$V_{IF}=2.18\text{ В}, V_{DD}=1...5.5\text{ В}, I_{CC}<16\text{ мкА}$	SOT323, SC70	V_{CC} -RST-GND
M8C	ADM1818-R22AKSZ	AD	mrc	$V_{IF}=2.18\text{ В}, V_{DD}=1...5.5\text{ В}, I_{CC}<16\text{ мкА}$	SOT323, SC70	V_{CC} -RST-GND
M8C	ADM1818-R22ART	AD	mrc	$V_{IF}=2.18\text{ В}, V_{DD}=1...5.5\text{ В}, I_{CC}<16\text{ мкА}$	SOT23, SOD23	RST- V_{CC} -GND
M8C	ADM1818-R23ART	AD	mrc	$V_{IF}=2.31\text{ В}, V_{DD}=1...5.5\text{ В}, I_{CC}<16\text{ мкА}$	SOT323, SC70	V_{CC} -RST-GND
M8E	ADM1818-10AKS	AD	mrc	$V_{IF}=2.88\text{ В}, V_{DD}=1...5.5\text{ В}, I_{CC}<16\text{ мкА}$	SOT323, SC70	V_{CC} -RST-GND
M8E	ADM1818-10ART	AD	mrc	$V_{IF}=2.88\text{ В}, V_{DD}=1...5.5\text{ В}, I_{CC}<16\text{ мкА}$	SOT23, SOD23	RST- V_{CC} -GND
M8E	ADM1818-5AKS	AD	mrc	$V_{IF}=3.06\text{ В}, V_{DD}=1...5.5\text{ В}, I_{CC}<16\text{ мкА}$	SOT323, SC70	V_{CC} -RST-GND
M8K	ADM1818-SART	AD	mrc	$V_{IF}=3.06\text{ В}, V_{DD}=1...5.5\text{ В}, I_{CC}<16\text{ мкА}$	SOT23, SOD23	RST- V_{CC} -GND
M8p	BSN20	PHIL	nMOS	$V_{DS}=60\text{ В}, I_D=110\text{ мА}$	SOT23, SOD23	G-S-D
M9	BSS87R	ZETEX	npn	$V_{CE}=60\text{ В}, I_C=100\text{ мА}, P_D=330\text{ мВт}, h_{FE}=100...300, f_T>300\text{ МГц}$	SOT23, SOD23	B-E-C
MA	FMM7A06R	ZETEX	npn	$V_{CE}=80\text{ В}, I_C=500\text{ мА}, P_D=330\text{ мВт}, h_{FE}>50, f_T>100\text{ МГц}$	SOT23, SOD23	B-E-C
MA	M1MA151AT	MOT	di	$V_S<40\text{ В}, I_C<100\text{ мА}$	SOT346, SC59	K-A-nc-A
MA6	MMBD2838LT1	MOT	di-2	$V_S<60\text{ В}, I_C<150\text{ мА}, V_{IF}(I_C=50\text{ мА})<1\text{ В}, C_D<4\text{ нФ}, t_{rr}<4\text{ нс}$	SOT23, SOD23	A1-A2-K1, K2
MB	2SA1052B	REN	npn	$V_{CE}=30\text{ В}, I_C=100\text{ мА}, P_D=150\text{ мВт}, h_{FE}=100...200$	SOT23, SOD23	B-E-C
MB	FMM7A56R	ZETEX	npn	$V_{CE}=80\text{ В}, I_C=500\text{ мА}, P_D=330\text{ мВт}, h_{FE}>50, f_T>100\text{ МГц}$	SOT23, SOD23	B-E-C
MC	M1MA152AT	MOT	di	$V_S<80\text{ В}, I_C<100\text{ мА}$	SOT346, SC59	K-A-nc-A
MC	2SA1052C	REN	npn	$V_{CE}=30\text{ В}, I_C=100\text{ мА}, P_D=150\text{ мВт}, h_{FE}=160...320$	SOT23, SOD23	B-E-C
MC	2SA2080C	REN	npn	$V_{CE}=30\text{ В}, I_C=100\text{ мА}, P_D=150\text{ мВт}, h_{FE}=160...320$	SOT323, SC70	B-E-C
MC	ZVN3306F	ZETEX	nMOS	$V_{DS}=60\text{ В}, I_D=150\text{ мА}, P_D=330\text{ мВт}, g_{fs}=100\text{ мСм}, R_{DS(on)}=5\text{ Ом}$	SOT23, SOD23	G-S-D
MCs	BFS17P	SIEM	npn	$V_{CE}=25\text{ В}, I_C=25\text{ мА}, P_D=280\text{ мВт}, h_{FE}20...150, f_T=2500\text{ МГц}$	SOT23, SOD23	B-E-C
MCs	BFS17W	SIEM	npn	$V_{CE}=25\text{ В}, I_C=50\text{ мА}, P_D=280\text{ мВт}, h_{FE}21\pm20...150, f_T>2500\text{ МГц}$	SOT323, SC70	B-E-C
MD	2SA1052D	REN	npn	$V_{CE}=30\text{ В}, I_C=100\text{ мА}, P_D=150\text{ мВт}, h_{FE}=250...500$	SOT23, SOD23	B-E-C
MD	2SA2080D	REN	npn	$V_{CE}=30\text{ В}, I_C=100\text{ мА}, P_D=150\text{ мВт}, h_{FE}=250...500$	SOT323, SC70	B-E-C
MF	ZVN3310F	ZETEX	nMOS	$V_{DS}=100\text{ В}, I_D=100\text{ мА}, P_D=330\text{ мВт}, g_{fs}=150\text{ мСм}, R_{DS(on)}=5\text{ Ом}$	SOT23, SOD23	G-S-D
MH	M1MA141KT	MOT	di	$V_S<40\text{ В}, I_C<100\text{ мА}$	SOT323, SC70	A-nc-K
MH	M1MA151KT	MOT	di	$V_S<40\text{ В}, I_C<100\text{ мА}$	SOT346, SC59	A-nc-K
MI	M1MA142KT	MOT	di	$V_S<80\text{ В}, I_C<100\text{ мА}$	SOT323, SC70	A-nc-K
MI	M1MA152KT	MOT	di	$V_S<80\text{ В}, I_C<100\text{ мА}$	SOT346, SC59	A-nc-K
MJ1	MMBD356LT1	MOT	shcd-2	$V_{IF}>7\text{ В}, V_{IF}(I_C=10\text{ мА})<0.6\text{ В}, C_T<1\text{ нФ}$	SOT23, SOD23	K1-K2-A1, A2
ML	ZVP3306F	ZETEX	pMOS	$V_{DS}=60\text{ В}, I_D=90\text{ мА}, P_D=330\text{ мВт}, g_{fs}=25\text{ мСм}, R_{DS(on)}=80\text{ Ом}$	SOT23, SOD23	G-S-D
MN	M1MA141WA	MOT	di-2	$V_S<40\text{ В}, I_C<100\text{ мА}$	SOT323, SC70	K1-K2-A1, A2
MN	M1MA151WA	MOT	di-2	$V_S<40\text{ В}, I_C<100\text{ мА}$	SOT346, SC59	K1-K2-A1, A2
MO	M1MA142WA	MOT	di-2	$V_S<80\text{ В}, I_C<100\text{ мА}$	SOT323, SC70	K1-K2-A1, A2
MO	M1MA152W	MOT	di-2	$V_S<80\text{ В}, I_C<100\text{ мА}$	SOT346, SC59	K1-K2-A1, A2
MR	ZVP3310F	ZETEX	pMOS	$V_{DS}=100\text{ В}, I_D=45\text{ мА}, P_D=330\text{ мВт}, g_{fs}=60\text{ мСм}, R_{DS(on)}=14\text{ Ом}$	SOT23, SOD23	G-S-D
MT	M1MA141WK	MOT	di	$V_S<40\text{ В}, I_C<100\text{ мА}$	SOT323, SC70	A1-A2-K1, K2
MT	M1MA151WK	MOT	di	$V_S<40\text{ В}, I_C<100\text{ мА}$	SOT346, SC59	A1-A2-K1, K2
MT	ZVP1320F	ZETEX	pMOS	$V_{DS}=200\text{ В}, I_D=35\text{ мА}, P_D=330\text{ мВт}, g_{fs}=150\text{ мСм}, R_{DS(on)}=2.5\text{ Ом}$	SOT23, SOD23	G-S-D
MTT	ADM1812-10AKS	AD	mrc	$V_{IF}=4.35\text{ В}, V_{DD}=1...5.5\text{ В}, I_{CC}<16\text{ мкА}$	SOT323, SC70	V_{CC} -RST-GND
MTT	ADM1812-10ART	AD	mrc	$V_{IF}=4.35\text{ В}, V_{DD}=1...5.5\text{ В}, I_{CC}<16\text{ мкА}$	SOT23, SOD23	RST- V_{CC} -GND
MTV	ADM1812-5AKS	AD	mrc	$V_{IF}=4.62\text{ В}, V_{DD}=1...5.5\text{ В}, I_{CC}<16\text{ мкА}$	SOT323, SC70	V_{CC} -RST-GND
MTV	ADM1812-SART	AD	mrc	$V_{IF}=4.62\text{ В}, V_{DD}=1...5.5\text{ В}, I_{CC}<16\text{ мкА}$	SOT23, SOD23	RST- V_{CC} -GND
MU	M1MA142WK	MOT	di-2	$V_S<80\text{ В}, I_C<100\text{ мА}$	SOT323, SC70	A1-A2-K1, K2
MU	M1MA152WK	MOT	di-2	$V_S<80\text{ В}, I_C<100\text{ мА}$	SOT346, SC59	A1-A2-K1, K2
MU	ZVN3320F	ZETEX	nMOS	$V_{DS}=200\text{ В}, I_D=60\text{ мА}, P_D=330\text{ мВт}, g_{fs}=100\text{ мСм}, R_{DS(on)}=10\text{ Ом}$	SOT23, SOD23	G-S-D
MV	1SV272	SANYO	pnp	$V_{CE}>50\text{ В}, I_C<100\text{ мА}, V_{IF}(I_C=100\text{ мА})<1\text{ В}, I_{ES}<0.5\text{ мА}$	SOT23, SOD23	A-nc-K
MV	BS170F	ZETEX	nMOS	$V_{DS}=60\text{ В}, I_D=150\text{ мА}, P_D=330\text{ мВт}$	SOT23, SOD23	G-S-D
MX	BS250F	ZETEX	pMOS	$V_{DS}=45\text{ В}, I_D=90\text{ мА}, P_D=330\text{ мВт}, g_{fs}=200\text{ мСм}, R_{DS(on)}=5\text{ Ом}$	SOT23, SOD23	G-S-D
MY	1N10LF	ZETEX	nMOS	$V_{DS}=60\text{ В}, I_D=150\text{ мА}, P_D=330\text{ мВт}$	SOT23, SOD23	G-S-D



SOT23-3 SOT323 SOT416
SOD23-3 SOT346 SOT523



SOT490 TSM VMT3
MFPK TSFP-3 VMD3

Код	Типономинал	Б	Ф	Особенности	Корпус	Ц: 1•2•3
MZ	ZVM106F	ZETEX	nMOS	$V_{DS}=60\text{ В}$; $I_D=200\text{ мА}$; $P_D=330\text{ мВт}$; $f_T=75\text{ МГц}$; $R_{DS(on)}=25\text{ Ом}$	SOT23, SOD23	G•S•D
MZT	ADM1810-10AKS	AD	mrc	$V_{IH}=4.35\text{ В}$; $V_{DD}=1...5.5\text{ В}$; $I_{CC}=16\text{ мА}$	SOT323, SC70	V_{CC} -RST•GND
MZT	ADM1810-10ART	AD	mrc	$V_{IH}=4.35\text{ В}$; $V_{DD}=1...5.5\text{ В}$; $I_{CC}=16\text{ мА}$	SOT23, SOD23	RST• V_{CC} -GND
MZV	ADM1810-5AKS	AD	mrc	$V_{IH}=4.62\text{ В}$; $V_{DD}=1...5.5\text{ В}$; $I_{CC}=16\text{ мА}$	SOT323, SC70	V_{CC} -RST•GND
MZV	ADM1810-5ART	AD	mrc	$V_{IH}=4.62\text{ В}$; $V_{DD}=1...5.5\text{ В}$; $I_{CC}=16\text{ мА}$	SOT23, SOD23	RST• V_{CC} -GND
N	BAV70	MSH	di-2	$V_A=70\text{ В}$; $I_C=300\text{ мА}$; $V_{A(I_F=150\text{ мА})}<1.25\text{ В}$; $I_R=5.0\text{ мА}$; $C_{J0}=4.0\text{ пФ}$; $t_{\text{тип}}<6\text{ нс}$	SOT23, SOD23	A1•A2•K1, K2
N	DAN202K	ROHM	di-2	$V_A<80\text{ В}$; $I_C<300\text{ мА}$; $P_D<200\text{ мВт}$; $V_{A(I_F=100\text{ мА})}<1.2\text{ В}$; $t_{\text{тип}}<4\text{ нс}$	SOT346, SC59	A1•A2•K1, K2
N	DAN202U	ROHM	di-2	$V_A<80\text{ В}$; $I_C<300\text{ мА}$; $P_D<200\text{ мВт}$; $V_{A(I_F=100\text{ мА})}<1.2\text{ В}$; $t_{\text{тип}}<4\text{ нс}$	SOT323, SC70	A1•A2•K1, K2
N	DAN222J	ROHM	di-2	$V_A<80\text{ В}$; $I_C<300\text{ мА}$; $P_D<150\text{ мВт}$; $V_{A(I_F=100\text{ мА})}<1.2\text{ В}$; $t_{\text{тип}}<4\text{ нс}$	SOT416, SOT75A	A1•A2•K1, K2
N	DAN222M	ROHM	di-2	$V_A<80\text{ В}$; $I_C<300\text{ мА}$; $P_D<150\text{ мВт}$; $V_{A(I_F=100\text{ мА})}<1.2\text{ В}$; $t_{\text{тип}}<4\text{ нс}$	VMT3, VMD3	A1•A2•K1, K2
N0	TN0200T	SIL	nMOS	$V_{DS}=20\text{ В}$; $I_D=730\text{ мА}$; $P_D=350\text{ мВт}$; $I_{BSS}=8...20\text{ мА}$; $g_m=4\text{ мСм}$	SOT23, SOD23	G•S•D
N0	TN0200T	NS	nMOS	$V_{DS}=20\text{ В}$; $I_D=730\text{ мА}$; $P_D=350\text{ мВт}$; $I_{BSS}=8...20\text{ мА}$; $g_m=4\text{ мСм}$	SOT23, SOD23	G•S•D
N01	DDTC113TCA	DIODES	Дипол	$V_{CE}=50\text{ В}$; $I_C=100\text{ мА}$; $P_D<200\text{ мВт}$; R1 1 к	SOT23, SOD23	B•E•C
N01	DDTC113TE	DIODES	Дипол	$V_{CE}=50\text{ В}$; $I_C=100\text{ мА}$; $P_D<150\text{ мВт}$; R1 1 к	SOT523	B•E•C
N01	DDTC113TKA	DIODES	Дипол	$V_{CE}=50\text{ В}$; $I_C=100\text{ мА}$; $P_D<200\text{ мВт}$; R1 1 к	SOT346, SC59	B•E•C
N01	DDTC113TUA	DIODES	Дипол	$V_{CE}=50\text{ В}$; $I_C=100\text{ мА}$; $P_D<200\text{ мВт}$; R1 1 к	SOT323, SC70	B•E•C
N02	DDTC113ZCA	DIODES	Дипол	$V_{CE}=50\text{ В}$; $I_C=100\text{ мА}$; $P_D<200\text{ мВт}$; 1 к/10 к	SOT23, SOD23	B•E•C
N02	DDTC113ZE	DIODES	Дипол	$V_{CE}=50\text{ В}$; $I_C=100\text{ мА}$; $P_D<150\text{ мВт}$; 1 к/10 к	SOT523	B•E•C
N02	DDTC113ZKA	DIODES	Дипол	$V_{CE}=50\text{ В}$; $I_C=100\text{ мА}$; $P_D<200\text{ мВт}$; 1 к/10 к	SOT346, SC59	B•E•C
N02	DDTC113ZUA	DIODES	Дипол	$V_{CE}=50\text{ В}$; $I_C=100\text{ мА}$; $P_D<200\text{ мВт}$; 1 к/10 к	SOT323, SC70	B•E•C
N03	DDTC123TCA	DIODES	Дипол	$V_{CE}=50\text{ В}$; $I_C=100\text{ мА}$; $P_D<200\text{ мВт}$; R ₁ 2,2 к	SOT23, SOD23	B•E•C
N03	DDTC123TE	DIODES	Дипол	$V_{CE}=50\text{ В}$; $I_C=100\text{ мА}$; $P_D<150\text{ мВт}$; R ₁ 2,2 к	SOT523	B•E•C
N03	DDTC123TKA	DIODES	Дипол	$V_{CE}=50\text{ В}$; $I_C=100\text{ мА}$; $P_D<200\text{ мВт}$; R ₁ 2,2 к	SOT346, SC59	B•E•C
N03	DDTC123TUA	DIODES	Дипол	$V_{CE}=50\text{ В}$; $I_C=100\text{ мА}$; $P_D<200\text{ мВт}$; R ₁ 2,2 к	SOT323, SC70	B•E•C
N04	DDTC123ECA	DIODES	Дипол	$V_{CE}=50\text{ В}$; $I_C=100\text{ мА}$; $P_D<200\text{ мВт}$; 2,2 к/2,2 к	SOT23, SOD23	B•E•C
N04	DDTC123EE	DIODES	Дипол	$V_{CE}=50\text{ В}$; $I_C=100\text{ мА}$; $P_D<150\text{ мВт}$; 2,2 к/2,2 к	SOT523	B•E•C
N04	DDTC123EKA	DIODES	Дипол	$V_{CE}=50\text{ В}$; $I_C=100\text{ мА}$; $P_D<200\text{ мВт}$; 2,2 к/2,2 к	SOT346, SC59	B•E•C
N04	DDTC123EUA	DIODES	Дипол	$V_{CE}=50\text{ В}$; $I_C=100\text{ мА}$; $P_D<200\text{ мВт}$; 2,2 к/2,2 к	SOT323, SC70	B•E•C
N05	DDTC123YCA	DIODES	Дипол	$V_{CE}=50\text{ В}$; $I_C=100\text{ мА}$; $P_D<200\text{ мВт}$; 2,2 к/10 к	SOT23, SOD23	B•E•C
N05	DDTC123YE	DIODES	Дипол	$V_{CE}=50\text{ В}$; $I_C=100\text{ мА}$; $P_D<150\text{ мВт}$; 2,2 к/10 к	SOT523	B•E•C
N05	DDTC123YKA	DIODES	Дипол	$V_{CE}=50\text{ В}$; $I_C=100\text{ мА}$; $P_D<200\text{ мВт}$; 2,2 к/10 к	SOT346, SC59	B•E•C
N05	DDTC123YUA	DIODES	Дипол	$V_{CE}=50\text{ В}$; $I_C=100\text{ мА}$; $P_D<200\text{ мВт}$; 2,2 к/10 к	SOT323, SC70	B•E•C
N05	SO2484	SGS	npn	$V_{CE0}=60\text{ В}$; $I_C=200\text{ мА}$; $P_D=200\text{ мВт}$; $f_T>60\text{ МГц}$	SOT23, SOD23	B•E•C
N06	DDTC123JCA	DIODES	Дипол	$V_{CE}=50\text{ В}$; $I_C=100\text{ мА}$; $P_D<200\text{ мВт}$; 2,2 к/10 к	SOT23, SOD23	B•E•C
N06	DDTC123JE	DIODES	Дипол	$V_{CE}=50\text{ В}$; $I_C=100\text{ мА}$; $P_D<150\text{ мВт}$; 2,2 к/47 к	SOT523	B•E•C
N06	DDTC123JKA	DIODES	Дипол	$V_{CE}=50\text{ В}$; $I_C=100\text{ мА}$; $P_D<200\text{ мВт}$; 2,2 к/47 к	SOT346, SC59	B•E•C
N06	DDTC123JUA	DIODES	Дипол	$V_{CE}=50\text{ В}$; $I_C=100\text{ мА}$; $P_D<200\text{ мВт}$; 2,2 к/47 к	SOT323, SC70	B•E•C
N07	DDTC143TCA	DIODES	Дипол	$V_{CE}=50\text{ В}$; $I_C=100\text{ мА}$; $P_D<200\text{ мВт}$; R ₁ 4,7 к	SOT23, SOD23	B•E•C
N07	DDTC143TE	DIODES	Дипол	$V_{CE}=50\text{ В}$; $I_C=100\text{ мА}$; $P_D<150\text{ мВт}$; R ₁ 4,7 к	SOT523	B•E•C
N07	DDTC143TKA	DIODES	Дипол	$V_{CE}=50\text{ В}$; $I_C=100\text{ мА}$; $P_D<200\text{ мВт}$; R ₁ 4,7 к	SOT346, SC59	B•E•C
N07	DDTC143TUA	DIODES	Дипол	$V_{CE}=50\text{ В}$; $I_C=100\text{ мА}$; $P_D<200\text{ мВт}$; R ₁ 4,7 к	SOT323, SC70	B•E•C
N08	DDTC143ECA	DIODES	Дипол	$V_{CE}=50\text{ В}$; $I_C=100\text{ мА}$; $P_D<200\text{ мВт}$; 4,7 к/4,7 к	SOT23, SOD23	B•E•C
N08	DDTC143EE	DIODES	Дипол	$V_{CE}=50\text{ В}$; $I_C=100\text{ мА}$; $P_D<150\text{ мВт}$; 4,7 к/4,7 к	SOT523	B•E•C
N08	DDTC143EKA	DIODES	Дипол	$V_{CE}=50\text{ В}$; $I_C=100\text{ мА}$; $P_D<200\text{ мВт}$; 4,7 к/4,7 к	SOT346, SC59	B•E•C
N08	DDTC143EUA	DIODES	Дипол	$V_{CE}=50\text{ В}$; $I_C=100\text{ мА}$; $P_D<200\text{ мВт}$; 4,7 к/4,7 к	SOT323, SC70	B•E•C
N08	SO930	SGS	npn	$V_{CE0}=45\text{ В}$; $I_C=30\text{ мА}$; $P_D=200\text{ мВт}$; $h_{FE}<600$; $f_T>200\text{ МГц}$	SOT23, SOD23	B•E•C
N09	DDTC123XCA	DIODES	Дипол	$V_{CE}=50\text{ В}$; $I_C=100\text{ мА}$; $P_D<200\text{ мВт}$; 4,7 к/10 к	SOT23, SOD23	B•E•C
N09	DDTC123XE	DIODES	Дипол	$V_{CE}=50\text{ В}$; $I_C=100\text{ мА}$; $P_D<150\text{ мВт}$; 4,7 к/10 к	SOT523	B•E•C
N09	DDTC123XKA	DIODES	Дипол	$V_{CE}=50\text{ В}$; $I_C=100\text{ мА}$; $P_D<200\text{ мВт}$; 4,7 к/10 к	SOT346, SC59	B•E•C
N09	DDTC123XUA	DIODES	Дипол	$V_{CE}=50\text{ В}$; $I_C=100\text{ мА}$; $P_D<200\text{ мВт}$; 4,7 к/10 к	SOT323, SC70	B•E•C
N1	M1MBF201N	MOT	nMOS	$V_{DS}=20\text{ В}$; $I_D=200\text{ мА}$	SOT23, SOD23	G•S•D

SOT490 TSM
MFPAK TSFP-3

VMT3
VMD3



SOT416 SOT323
SOT523 SOT346

SOT23-3
SOD23-3



Код	Типономинал	Б	Ф	Особенности	Корпус	Ц: 1•2•3
N1	MMBT100	FAIR	npn	$V_{CE0}=75 В, I_C=500 мА, P_D=350 мВт, \eta_H=450, f_T>250 МГц$	SOT23, SOD23	В•Е•С
N1	TN0201T	SIL	nMOS	$V_{DS}=20 В, I_D=390 мА, P_D=350 мВт, g_m=450 мСм, R_{DS(on)}=0.75 Ом$	SOT23, SOD23	Г•С•D
N1	TN0201T	TEMIC	nMOS	$V_{DS}=20 В, I_D=390 мА, P_D=350 мВт, g_m=450 мСм, R_{DS(on)}=0.75 Ом$	SOT23, SOD23	Г•С•D
N10	DDTC143PCA	DIODS	Dnpn	$V_{CC}=50 В, I_C=100 мА, P_D<200 мВт, 4.7 к/22 к$	SOT23, SOD23	В•Е•С
N10	DDTC143FE	DIODS	Dnpn	$V_{CC}=50 В, I_C=100 мА, P_D<150 мВт, 4.7 к/22 к$	SOT523	В•Е•С
N10	DDTC143PCA	DIODS	Dnpn	$V_{CC}=50 В, I_C=100 мА, P_D<200 мВт, 4.7 к/22 к$	SOT346, SC59	В•Е•С
N10	DDTC143PUA	DIODS	Dnpn	$V_{CC}=50 В, I_C=100 мА, P_D<200 мВт, 4.7 к/22 к$	SOT323, SC70	В•Е•С
N10	SO918	SGS	npn	$V_{CE0}=15 В, I_C=30 мА, P_D=200 мВт, f_T>600 МГц$	SOT23, SOD23	В•Е•С
N11	DDTC1432CA	DIODS	Dnpn	$V_{CC}=50 В, I_C=100 мА, P_D<200 мВт, 4.7 к/47 к$	SOT23, SOD23	В•Е•С
N11	DDTC1432E	DIODS	Dnpn	$V_{CC}=50 В, I_C=100 мА, P_D<150 мВт, 4.7 к/47 к$	SOT523	В•Е•С
N11	DDTC1432KA	DIODS	Dnpn	$V_{CC}=50 В, I_C=100 мА, P_D<200 мВт, 4.7 к/47 к$	SOT346, SC59	В•Е•С
N11	DDTC1432UA	DIODS	Dnpn	$V_{CC}=50 В, I_C=100 мА, P_D<200 мВт, 4.7 к/47 к$	SOT323, SC70	В•Е•С
N11	SO2369	SGS	npn	$V_{CE0}=40 В, I_C=200 мА, P_D=200 мВт, \eta_H=40...120, f_T>400 МГц$	SOT23, SOD23	В•Е•С
N12	DDTC1141CA	DIODS	Dnpn	$V_{CC}=50 В, I_C=100 мА, P_D<200 мВт, R1 10 к$	SOT23, SOD23	В•Е•С
N12	DDTC1141TE	DIODS	Dnpn	$V_{CC}=50 В, I_C=100 мА, P_D<150 мВт, R1 10 к$	SOT523	В•Е•С
N12	DDTC1141KA	DIODS	Dnpn	$V_{CC}=50 В, I_C=100 мА, P_D<200 мВт, R1 10 к$	SOT346, SC59	В•Е•С
N12	DDTC1141UA	DIODS	Dnpn	$V_{CC}=50 В, I_C=100 мА, P_D<200 мВт, R1 10 к$	SOT323, SC70	В•Е•С
N12	SO2221	SGS	npn	$V_{CE0}=60 В, I_C=800 мА, P_D=310 мВт, \eta_H=40...120, f_T>250 МГц$	SOT23, SOD23	В•Е•С
N12	TMPT2221	ALLEG	npn	$V_{CE0}=60 В, I_{C0.95}<10 мА, \eta_H=40...120, V_{CE(sat)}<0.4 В, f_T>250 МГц$	SOT23, SOD23	В•Е•С
N13	DDTC114ECA	DIODS	Dnpn	$V_{CC}=50 В, I_C=100 мА, P_D<200 мВт, 10 к/10 к$	SOT23, SOD23	В•Е•С
N13	DDTC114EE	DIODS	Dnpn	$V_{CC}=50 В, I_C=100 мА, P_D<150 мВт, 10 к/10 к$	SOT523	В•Е•С
N13	DDTC114EKA	DIODS	Dnpn	$V_{CC}=50 В, I_C=100 мА, P_D<200 мВт, 10 к/10 к$	SOT346, SC59	В•Е•С
N13	DDTC114EUA	DIODS	Dnpn	$V_{CC}=50 В, I_C=100 мА, P_D<200 мВт, 10 к/10 к$	SOT323, SC70	В•Е•С
N13	SO2222	SGS	npn	$V_{CE0}=60 В, I_C=800 мА, P_D=310 мВт, \eta_H=100...300, f_T>250 МГц$	SOT23, SOD23	В•Е•С
N14	DDTC114YCA	DIODS	Dnpn	$V_{CC}=50 В, I_C=100 мА, P_D<200 мВт, 10 к/47 к$	SOT23, SOD23	В•Е•С
N14	DDTC114YE	DIODS	Dnpn	$V_{CC}=50 В, I_C=100 мА, P_D<150 мВт, 10 к/47 к$	SOT523	В•Е•С
N14	DDTC114YKA	DIODS	Dnpn	$V_{CC}=50 В, I_C=100 мА, P_D<200 мВт, 10 к/47 к$	SOT346, SC59	В•Е•С
N14	DDTC114YUA	DIODS	Dnpn	$V_{CC}=50 В, I_C=100 мА, P_D<200 мВт, 10 к/47 к$	SOT323, SC70	В•Е•С
N15	DDTC114WCA	DIODS	Dnpn	$V_{CC}=50 В, I_C=100 мА, P_D<200 мВт, 10 к/4.7 к$	SOT23, SOD23	В•Е•С
N15	DDTC114WE	DIODS	Dnpn	$V_{CC}=50 В, I_C=100 мА, P_D<150 мВт, 10 к/4.7 к$	SOT523	В•Е•С
N15	DDTC114WKA	DIODS	Dnpn	$V_{CC}=50 В, I_C=100 мА, P_D<200 мВт, 10 к/4.7 к$	SOT346, SC59	В•Е•С
N15	DDTC114WUA	DIODS	Dnpn	$V_{CC}=50 В, I_C=100 мА, P_D<200 мВт, 10 к/4.7 к$	SOT323, SC70	В•Е•С
N16	DDTC124TCA	DIODS	Dnpn	$V_{CC}=50 В, I_C=100 мА, P_D<200 мВт, R1 22 к$	SOT23, SOD23	В•Е•С
N16	DDTC124TE	DIODS	Dnpn	$V_{CC}=50 В, I_C=100 мА, P_D<150 мВт, R1 22 к$	SOT523	В•Е•С
N16	DDTC124TKA	DIODS	Dnpn	$V_{CC}=50 В, I_C=100 мА, P_D<200 мВт, R1 22 к$	SOT346, SC59	В•Е•С
N16	DDTC124TUA	DIODS	Dnpn	$V_{CC}=50 В, I_C=100 мА, P_D<200 мВт, R1 22 к$	SOT323, SC70	В•Е•С
N17	DDTC124ECA	DIODS	Dnpn	$V_{CC}=50 В, I_C=100 мА, P_D<200 мВт, 22 к/22 к$	SOT23, SOD23	В•Е•С
N17	DDTC124EE	DIODS	Dnpn	$V_{CC}=50 В, I_C=100 мА, P_D<150 мВт, 22 к/22 к$	SOT523	В•Е•С
N17	DDTC124EKA	DIODS	Dnpn	$V_{CC}=50 В, I_C=100 мА, P_D<150 мВт, 22 к/22 к$	SOT346, SC59	В•Е•С
N17	DDTC124EUA	DIODS	Dnpn	$V_{CC}=50 В, I_C=100 мА, P_D<150 мВт, 22 к/22 к$	SOT323, SC70	В•Е•С
N18	DDTC124XCA	DIODS	Dnpn	$V_{CC}=50 В, I_C=100 мА, P_D<200 мВт, 22 к/47 к$	SOT23, SOD23	В•Е•С
N18	DDTC124XE	DIODS	Dnpn	$V_{CC}=50 В, I_C=100 мА, P_D<150 мВт, 22 к/47 к$	SOT523	В•Е•С
N18	DDTC124XKA	DIODS	Dnpn	$V_{CC}=50 В, I_C=100 мА, P_D<200 мВт, 22 к/47 к$	SOT346, SC59	В•Е•С
N18	DDTC124XUA	DIODS	Dnpn	$V_{CC}=50 В, I_C=100 мА, P_D<200 мВт, 22 к/47 к$	SOT323, SC70	В•Е•С
N18	SO1711	SGS	npn	$V_{CE0}=75 В, I_C=800 мА, P_D=310 мВт, \eta_H>35, f_T>70 МГц$	SOT23, SOD23	В•Е•С
N19	DDTC144TCA	DIODS	Dnpn	$V_{CC}=50 В, I_C=100 мА, P_D<200 мВт, R1 47 к$	SOT23, SOD23	В•Е•С
N19	DDTC144TE	DIODS	Dnpn	$V_{CC}=50 В, I_C=100 мА, P_D<150 мВт, R1 47 к$	SOT523	В•Е•С
N19	DDTC144TKA	DIODS	Dnpn	$V_{CC}=50 В, I_C=100 мА, P_D<200 мВт, R1 47 к$	SOT346, SC59	В•Е•С
N19	DDTC144TUA	DIODS	Dnpn	$V_{CC}=50 В, I_C=100 мА, P_D<200 мВт, R1 47 к$	SOT323, SC70	В•Е•С
N2	BF5520	PHIL	npn	$V_{CE0}=20 В, I_C=70 мА, P_D=300 мВт, \eta_H=60...200, f_T=9 ГГц$	SOT323, SC70	В•Е•С
N2	MGSF1N02LT1	ON	nMOS	$V_{DS}=20 В, I_D=750 мА, P_D=400 мВт, R_{DS(on)}<0.13 Ом$	SOT23, SOD23	Г•С•D
N2	MMBC1653N2	MOT	npn	$V_{CE0}=150 В, I_C=50 мА, P_D=300 мВт, \eta_H=50...130$	SOT23, SOD23	В•Е•С



SOT23-3 SOT323 SOT416
SOD23-3 SOT346 SOT523



SOT490 TSM VMT3
MPPAK TSFP-3 VMD3

Код	Типономинал	Б	Ф	Особенности	Корпус	Ц: 1•2•3
N20	DDTC144ECA	DIODS	Длпн	$V_{CE} = 50 В; I_C = 100 мА; P_D < 200 мВт; 47 к/47 к$	SOT23, SOD23	В•Е•С
N20	DDTC144EE	DIODS	Длпн	$V_{CE} = 50 В; I_C = 100 мА; P_D < 150 мВт; 47 к/47 к$	SOT523	В•Е•С
N20	DDTC144EKA	DIODS	Длпн	$V_{CE} = 50 В; I_C = 100 мА; P_D < 200 мВт; 47 к/47 к$	SOT346, SC59	В•Е•С
N20	DDTC144EUA	DIODS	Длпн	$V_{CE} = 50 В; I_C = 100 мА; P_D < 200 мВт; 47 к/47 к$	SOT323, SC70	В•Е•С
N20	SO2222A	SGS	npn	$V_{CE0} = 75 В; I_C = 800 мА; P_D = 310 мВт; h_{FE} = 100...300; f_T > 250 МГц$	SOT23, SOD23	В•Е•С
N21	DDTC144VCA	DIODS	Длпн	$V_{CE} = 50 В; I_C = 100 мА; P_D < 200 мВт; 47 к/10 к$	SOT23, SOD23	В•Е•С
N21	DDTC144VE	DIODS	Длпн	$V_{CE} = 50 В; I_C = 100 мА; P_D < 150 мВт; 47 к/10 к$	SOT523	В•Е•С
N21	DDTC144VKA	DIODS	Длпн	$V_{CE} = 50 В; I_C = 100 мА; P_D < 200 мВт; 47 к/10 к$	SOT346, SC59	В•Е•С
N21	DDTC144VUA	DIODS	Длпн	$V_{CE} = 50 В; I_C = 100 мА; P_D < 200 мВт; 47 к/10 к$	SOT323, SC70	В•Е•С
N22	DDTC144WCA	DIODS	Длпн	$V_{CE} = 50 В; I_C = 100 мА; P_D < 200 мВт; 47 к/22 к$	SOT23, SOD23	В•Е•С
N22	DDTC144WE	DIODS	Длпн	$V_{CE} = 50 В; I_C = 100 мА; P_D < 150 мВт; 47 к/22 к$	SOT523	В•Е•С
N22	DDTC144WKA	DIODS	Длпн	$V_{CE} = 50 В; I_C = 100 мА; P_D < 200 мВт; 47 к/22 к$	SOT346, SC59	В•Е•С
N22	DDTC144WUA	DIODS	Длпн	$V_{CE} = 50 В; I_C = 100 мА; P_D < 200 мВт; 47 к/22 к$	SOT323, SC70	В•Е•С
N23	DDTC115TCA	DIODS	Длпн	$V_{CE} = 50 В; I_C = 100 мА; P_D < 200 мВт; 100 к/100 к$	SOT23, SOD23	В•Е•С
N23	DDTC115TE	DIODS	Длпн	$V_{CE} = 50 В; I_C = 100 мА; P_D < 150 мВт; R_1 = 100 к$	SOT523	В•Е•С
N23	DDTC115TKA	DIODS	Длпн	$V_{CE} = 50 В; I_C = 100 мА; P_D < 200 мВт; R_1 = 100 к$	SOT346, SC59	В•Е•С
N23	DDTC115TUA	DIODS	Длпн	$V_{CE} = 50 В; I_C = 100 мА; P_D < 200 мВт; R_1 = 100 к$	SOT23, SC70	В•Е•С
N24	DDTC115ECA	DIODS	Длпн	$V_{CE} = 50 В; I_C = 100 мА; P_D < 200 мВт; 100 к/100 к$	SOT23, SOD23	В•Е•С
N24	DDTC115EE	DIODS	Длпн	$V_{CE} = 50 В; I_C = 100 мА; P_D < 150 мВт; 100 к/100 к$	SOT523	В•Е•С
N24	DDTC115EKA	DIODS	Длпн	$V_{CE} = 50 В; I_C = 100 мА; P_D < 200 мВт; 100 к/100 к$	SOT346, SC59	В•Е•С
N24	DDTC115EUA	DIODS	Длпн	$V_{CE} = 50 В; I_C = 100 мА; P_D < 200 мВт; 100 к/100 к$	SOT323, SC70	В•Е•С
N25	DDTC125TCA	DIODS	Длпн	$V_{CE} = 50 В; I_C = 100 мА; P_D < 200 мВт; R_1 = 200 к$	SOT23, SOD23	В•Е•С
N25	DDTC125TE	DIODS	Длпн	$V_{CE} = 50 В; I_C = 100 мА; P_D < 150 мВт; R_1 = 200 к$	SOT523	В•Е•С
N25	DDTC125TKA	DIODS	Длпн	$V_{CE} = 50 В; I_C = 100 мА; P_D < 200 мВт; R_1 = 200 к$	SOT346, SC59	В•Е•С
N25	DDTC125TUA	DIODS	Длпн	$V_{CE} = 50 В; I_C = 100 мА; P_D < 200 мВт; R_1 = 200 к$	SOT323, SC70	В•Е•С
N26	DDTC114GCA	DIODS	Длпн	$V_{CE} = 50 В; I_C = 100 мА; P_D < 200 мВт; R_2 = 10 к$	SOT23, SOD23	В•Е•С
N26	DDTC114GE	DIODS	Длпн	$V_{CE} = 50 В; I_C = 100 мА; P_D < 150 мВт; R_2 = 10 к$	SOT523	В•Е•С
N26	DDTC114GKA	DIODS	Длпн	$V_{CE} = 50 В; I_C = 100 мА; P_D < 200 мВт; R_2 = 10 к$	SOT346, SC59	В•Е•С
N26	DDTC114GUA	DIODS	Длпн	$V_{CE} = 50 В; I_C = 100 мА; P_D < 200 мВт; R_2 = 10 к$	SOT323, SC70	В•Е•С
N27	DDTC124GCA	DIODS	Длпн	$V_{CE} = 50 В; I_C = 100 мА; P_D < 200 мВт; R_2 = 22 к$	SOT23, SOD23	В•Е•С
N27	DDTC124GE	DIODS	Длпн	$V_{CE} = 50 В; I_C = 100 мА; P_D < 150 мВт; R_2 = 22 к$	SOT523	В•Е•С
N27	DDTC124GKA	DIODS	Длпн	$V_{CE} = 50 В; I_C = 100 мА; P_D < 150 мВт; R_2 = 22 к$	SOT346, SC59	В•Е•С
N27	DDTC124GUA	DIODS	Длпн	$V_{CE} = 50 В; I_C = 100 мА; P_D < 150 мВт; R_2 = 22 к$	SOT323, SC70	В•Е•С
N27	SO1893	SGS	npn	$V_{CE0} = 120 В; I_C = 800 мА; P_D = 310 мВт; h_{FE} = 40...120; f_T > 50 МГц$	SOT23, SOD23	В•Е•С
N28	DDTC144GCA	DIODS	Длпн	$V_{CE} = 50 В; I_C = 100 мА; P_D < 200 мВт; R_2 = 47 к$	SOT23, SOD23	В•Е•С
N28	DDTC144GE	DIODS	Длпн	$V_{CE} = 50 В; I_C = 100 мА; P_D < 150 мВт; R_2 = 47 к$	SOT523	В•Е•С
N28	DDTC144GKA	DIODS	Длпн	$V_{CE} = 50 В; I_C = 100 мА; P_D < 200 мВт; R_2 = 47 к$	SOT346, SC59	В•Е•С
N28	DDTC144GUA	DIODS	Длпн	$V_{CE} = 50 В; I_C = 100 мА; P_D < 200 мВт; R_2 = 47 к$	SOT323, SC70	В•Е•С
N28	SO3572	SGS	npn	$V_{CE0} = 15 В; P_D = 200 мВт; f_T > 1 ГГц$	SOT23, SOD23	В•Е•С
N29	DDTC115GCA	DIODS	Длпн	$V_{CE} = 50 В; I_C = 100 мА; P_D < 200 мВт; R_2 = 100 к$	SOT23, SOD23	В•Е•С
N29	DDTC115GE	DIODS	Длпн	$V_{CE} = 50 В; I_C = 100 мА; P_D < 150 мВт; R_2 = 100 к$	SOT523	В•Е•С
N29	DDTC115GKA	DIODS	Длпн	$V_{CE} = 50 В; I_C = 100 мА; P_D < 200 мВт; R_2 = 100 к$	SOT346, SC59	В•Е•С
N29	DDTC115GUA	DIODS	Длпн	$V_{CE} = 50 В; I_C = 100 мА; P_D < 200 мВт; R_2 = 100 к$	SOT323, SC70	В•Е•С
N3	KDV152S	KEC	bcd	$V_A = 15 В; I_A = 50 мА; C_2 = 45 нФ; C_3 = 25 нФ; R_3 < 0.3 Ом$	SOT23, SOD23	A•n•c•K
N3	MGSF1N03LT1	ON	nMOS	$V_{DS0} = 30 В; I_D = 1.5 А; P_D = 420 мВт; R_{DS(on)} < 0.145 Ом$	SOT23, SOD23	G•S•D
N3	MMBC1653N3	MOT	npn	$V_{CE0} = 150 В; I_C = 50 мА; P_D = 300 мВт; h_{FE} = 100...220$	SOT23, SOD23	В•Е•С
N4	MMBC1653N4	MOT	npn	$V_{CE0} = 150 В; I_C = 50 мА; P_D = 300 мВт; h_{FE} = 150...330$	SOT23, SOD23	В•Е•С
N4	SO3571	SGS	npn	$V_{CE0} = 15 В; P_D = 200 мВт; f_T > 1.2 ГГц$	SOT23, SOD23	В•Е•С
N47	SO3570	SGS	npn	$V_{CE0} = 15 В; P_D = 200 мВт; f_T > 1.5 ГГц$	SOT23, SOD23	В•Е•С
N5	MMBC1654N5	MOT	npn	$V_{CE0} = 180 В; I_C = 50 мА; P_D = 300 мВт; h_{FE} = 50...130$	SOT23, SOD23	В•Е•С
N54	SO2221A	SGS	npn	$V_{CE0} = 75 В; I_C = 800 мА; P_D = 310 мВт; h_{FE} = 40...120; f_T > 250 МГц$	SOT23, SOD23	В•Е•С
N54	TMP72221A	ALLEG	npn	$V_{CE0} = 75 В; I_{C0} = 10 мА; h_{FE} = 40...120; V_{CE(sat)} < 0.3 В; f_T > 250 МГц$	SOT23, SOD23	В•Е•С

**SOT490 TSM
MFPAK TSFP-3**

**VMT3
VMD3**



**SOT416
SOT523**

**SOT323
SOT346**

**SOT23-3
SOD23-3**



Код	Типономинал	Б	Ф	Особенности	Корпус	Ц: 1•2•3
N6	BFS25A	PHIL	npn	$I_C=8.5\text{ мА}$, $P_D=32\text{ мВт}$; $h_{FE}>40$, $f_T=5.5\text{ ГГц}$	SOT323, SC70	B•E•C
N6	MMBC1654N6	MOT	npn	$V_{CEB}=180\text{ В}$, $I_C=50\text{ мА}$, $P_D=300\text{ мВт}$; $h_{FE}=100...220$	SOT323, SOD23	B•E•C
N7	MMBC1654N7	MOT	npn	$V_{CEB}=180\text{ В}$, $I_C=50\text{ мА}$, $P_D=300\text{ мВт}$; $h_{FE}=150...330$	SOT323, SOD23	B•E•C
N71	SO390A	SGS	npn	$V_{CEB}=60\text{ В}$, $I_C=200\text{ мА}$, $P_D=300\text{ мВт}$; $h_{FE}=100...300$, $f_T>300\text{ МГц}$	SOT323, SOD23	B•E•C
N72	SO3903	SGS	npn	$V_{CEB}=60\text{ В}$, $I_C=200\text{ мА}$, $P_D=300\text{ мВт}$; $h_{FE}=50...150$, $f_T>250\text{ МГц}$	SOT323, SOD23	B•E•C
N79	SO6550	SGS	npn	$V_{CEB}=160\text{ В}$, $I_C=600\text{ мА}$, $P_D=200\text{ мВт}$; $h_{FE}=60...250$, $f_T>100\text{ МГц}$	SOT323, SOD23	B•E•C
N80	SO6551	SGS	npn	$V_{CEB}=180\text{ В}$, $I_C=800\text{ мА}$, $P_D=200\text{ мВт}$; $h_{FE}=80...250$, $f_T>100\text{ МГц}$	SOT323, SOD23	B•E•C
N81	SO2368A	SGS	npn	$V_{CEB}=40\text{ В}$, $I_C=200\text{ мА}$, $P_D=200\text{ мВт}$; $h_{FE}=40...120$, $f_T>500\text{ МГц}$	SOT323, SOD23	B•E•C
N9	ISS372	TOSH	shch-2	$V_{GS}<10\text{ В}$, $I_D<100\text{ мА}$, $V_{DS}(I_D=100\text{ мА})<0.5\text{ В}$, $C_{DS}<40\text{ пФ}$	SOT323, SC70	A1•K2•K1, A2
N9	ISS374	TOSH	shch-2	$V_{GS}<10\text{ В}$, $V_{DS}(I_D=100\text{ мА})<0.5\text{ В}$, $I_{DS}(V_{GS}=10\text{ В})<20\text{ мА}$, $C_{DS}<40\text{ пФ}$	SOT346, SC59	A1•K2•K1, A2
N9	DAN222	ON	di-2	$V_{GS}<80\text{ В}$, $I_D<300\text{ мА}$, $P_D<150\text{ мВт}$; $V_{DS}(I_D=100\text{ мА})<1.2\text{ В}$, $t_{RR}<4\text{ нс}$	SOT416, SC75A	A1•A2•K1, K2
N91	SO642	SGS	npn	$V_{CEB}=300\text{ В}$, $I_C=100\text{ мА}$, $P_D=310\text{ мВт}$; $h_{FE}>40$, $f_T>50\text{ МГц}$	SOT323, SOD23	B•E•C
N94	SO617	SGS	dnnp	$V_{CEB}=40\text{ В}$, $I_C=400\text{ мА}$, $P_D=350\text{ мВт}$; $h_{FE}>3000$, $f_T>220\text{ МГц}$	SOT323, SOD23	B•E•C
NA	FNMTA05R	ZETEX	npn	$V_{CEB}=60\text{ В}$, $I_C=500\text{ мА}$, $P_D=330\text{ мВт}$; $h_{FE}>50$, $f_T>100\text{ МГц}$	SOT323, SOD23	B•E•C
NA	KRC401	KEC	npn	$V_{CEB}=50\text{ В}$, $I_C=100\text{ мА}$, $P_D=100\text{ мВт}$; $R_1/R_2=4.7/4.7\text{ кОм}$	SOT323, SC70	B•E•C
NA	RN1443A	TOSH	Дnpn	$V_{CEB}=50\text{ В}$, $I_C=300\text{ мА}$, $P_D=200\text{ мВт}$; $h_{FE}=200...700$, $f_T>30\text{ МГц}$, $R_1<22\text{ кОм}$	SOT346, SC59	B•E•C
NA1	MMBT100A	FAIR	npn	$V_{CEB}=75\text{ В}$, $I_C=500\text{ мА}$, $P_D=350\text{ мВт}$; $h_{FE}=600$, $f_T>250\text{ МГц}$	SOT323, SOD23	B•E•C
NB	BF599	SIEM	npn	$V_{CEB}=40\text{ В}$, $I_C=25\text{ мА}$, $P_D=280\text{ мВт}$; $h_{FE}>38$, $f_T=550\text{ МГц}$	SOT323, SOD23	B•E•C
NB	DAP222U	ON	di-2	$V_{GS}<80\text{ В}$, $I_D<300\text{ мА}$, $P_D<150\text{ мВт}$; $V_{DS}(I_D=100\text{ мА})<1.2\text{ В}$, $t_{RR}<4\text{ нс}$	SOT323, SC70	K1•K2•A1, A2
NB	FNMTA55R	ZETEX	npn	$V_{CEB}=60\text{ В}$, $I_C=500\text{ мА}$, $P_D=330\text{ мВт}$; $h_{FE}>50$, $f_T>100\text{ МГц}$	SOT323, SOD23	B•E•C
NB	KRC402	KEC	npn	$V_{CEB}=50\text{ В}$, $I_C=100\text{ мА}$, $P_D=100\text{ мВт}$; $R_1/R_2=10/10\text{ кОм}$	SOT323, SC70	B•E•C
NB	RN1443B	TOSH	Дnpn	$V_{CEB}=50\text{ В}$, $I_C=300\text{ мА}$, $P_D=200\text{ мВт}$; $h_{FE}=350...1200$, $f_T>30\text{ МГц}$, $R_1<22\text{ кОм}$	SOT346, SC59	B•E•C
NC	BF840	CDIL	npn	$V_{CEB}=40\text{ В}$, $I_C=25\text{ мА}$, $P_D=280\text{ мВт}$; $h_{FE}=65...220$, $f_T>380\text{ МГц}$	SOT323, SOD23	B•E•C
NC	BF840	SIEM	npn	$V_{CEB}=40\text{ В}$, $I_C=25\text{ мА}$, $P_D=280\text{ мВт}$; $h_{FE}=65...220$, $f_T>380\text{ МГц}$	SOT323, SOD23	B•E•C
NC	KRC403	KEC	npn	$V_{CEB}=50\text{ В}$, $I_C=100\text{ мА}$, $P_D=100\text{ мВт}$; $R_1/R_2=22/22\text{ кОм}$	SOT323, SC70	B•E•C
NCp	BF840	PHIL	npn	$V_{CEB}=40\text{ В}$, $I_C=25\text{ мА}$, $P_D=250\text{ мВт}$; $h_{FE}=4.5...15\text{ мА}$, $f_T=380\text{ МГц}$	SOT323, SOD23	B•E•C
ND	2SD1306D	REN	npn	$V_{CEB}=30\text{ В}$, $I_C=700\text{ мА}$, $P_D=150\text{ мВт}$; $h_{FE}=250...500$	SOT323, SOD23	B•E•C
ND	BF841	CDIL	npn	$V_{CEB}=40\text{ В}$, $I_C=25\text{ мА}$, $P_D=280\text{ мВт}$; $h_{FE}=35...125$, $f_T>380\text{ МГц}$	SOT323, SOD23	B•E•C
ND	BF841	SIEM	npn	$V_{CEB}=40\text{ В}$, $I_C=25\text{ мА}$, $P_D=280\text{ мВт}$; $h_{FE}=35...125$, $f_T>380\text{ МГц}$	SOT323, SOD23	B•E•C
ND	KRC404	KEC	npn	$V_{CEB}=50\text{ В}$, $I_C=100\text{ мА}$, $P_D=100\text{ мВт}$; $R_1/R_2=47/47\text{ кОм}$	SOT323, SC70	B•E•C
NDp	BF841	PHIL	npn	$V_{CEB}=40\text{ В}$, $I_C=25\text{ мА}$, $P_D=250\text{ мВт}$; $h_{FE}=8...28\text{ мА}$; $f_T=380\text{ МГц}$	SOT323, SOD23	B•E•C
NE	2SD1306E	REN	npn	$V_{CEB}=30\text{ В}$, $I_C=700\text{ мА}$, $P_D=150\text{ мВт}$; $h_{FE}=400...800$	SOT323, SOD23	B•E•C
NE	KRC405	KEC	npn	$V_{CEB}=50\text{ В}$, $I_C=100\text{ мА}$, $P_D=100\text{ мВт}$; $R_1/R_2=2.2/47\text{ кОм}$	SOT323, SC70	B•E•C
NF	KRC406	KEC	npn	$V_{CEB}=50\text{ В}$, $I_C=100\text{ мА}$, $P_D=100\text{ мВт}$; $R_1/R_2=4.7/47\text{ кОм}$	SOT323, SC70	B•E•C
NK	KRC410	KEC	npn	$V_{CEB}=50\text{ В}$, $I_C=100\text{ мА}$, $P_D=100\text{ мВт}$; $R_1=4.7\text{ кОм}$	SOT323, SC70	B•E•C
NM	KRC411	KEC	npn	$V_{CEB}=50\text{ В}$, $I_C=100\text{ мА}$, $P_D=100\text{ мВт}$; $R_1=10\text{ кОм}$	SOT323, SC70	B•E•C
NN	KRC412	KEC	npn	$V_{CEB}=50\text{ В}$, $I_C=100\text{ мА}$, $P_D=100\text{ мВт}$; $R_1=100\text{ кОм}$	SOT323, SC70	B•E•C
NO	KRC413	KEC	npn	$V_{CEB}=50\text{ В}$, $I_C=100\text{ мА}$, $P_D=100\text{ мВт}$; $R_1=22\text{ кОм}$	SOT323, SC70	B•E•C
NP	KRC414	KEC	npn	$V_{CEB}=50\text{ В}$, $I_C=100\text{ мА}$, $P_D=100\text{ мВт}$; $R_1=47\text{ кОм}$	SOT323, SC70	B•E•C
NS	THN20T0TS	SIL	nMOS	$V_{GS}=20\text{ В}$, $I_D=1200\text{ мА}$, $P_D=1000\text{ мВт}$; $g_{DS(on)}>2200\text{ мСм}$, $R_{DS(on)}<0.4\text{ Ом}$	SOT323, SOD23	G•S•D
O05	SO2484R	SGS	npn	$V_{CEB}=60\text{ В}$, $I_C=200\text{ мА}$, $P_D=200\text{ мВт}$; $f_T>60\text{ МГц}$	SOT323, SOD23	E•B•C
O08	SO930R	SGS	npn	$V_{CEB}=45\text{ В}$, $I_C=30\text{ мА}$, $P_D=200\text{ мВт}$; $h_{FE}<600$, $f_T>200\text{ МГц}$	SOT323, SOD23	E•B•C
O10	SO918R	SGS	npn	$V_{CEB}=15\text{ В}$, $I_C=30\text{ мА}$, $P_D=200\text{ мВт}$; $f_T>600\text{ МГц}$	SOT323, SOD23	E•B•C
O12	SO2221R	SGS	npn	$V_{CEB}=60\text{ В}$, $I_C=800\text{ мА}$, $P_D=310\text{ мВт}$; $h_{FE}=40...120$, $f_T>250\text{ МГц}$	SOT323, SOD23	E•B•C
O13	SO2222R	SGS	npn	$V_{CEB}=60\text{ В}$, $I_C=800\text{ мА}$, $P_D=310\text{ мВт}$; $h_{FE}=100...300$, $f_T>250\text{ МГц}$	SOT323, SOD23	E•B•C
O20	SO2222AR	SGS	npn	$V_{CEB}=75\text{ В}$, $I_C=800\text{ мА}$, $P_D=310\text{ мВт}$; $h_{FE}=100...300$, $f_T>250\text{ МГц}$	SOT323, SOD23	E•B•C
O27	SO1893R	SGS	npn	$V_{CEB}=120\text{ В}$, $I_C=800\text{ мА}$, $P_D=310\text{ мВт}$; $h_{FE}=40...120$, $f_T>50\text{ МГц}$	SOT323, SOD23	E•B•C
O54	SO2221AR	SGS	npn	$V_{CEB}=75\text{ В}$, $I_C=800\text{ мА}$, $P_D=310\text{ мВт}$; $h_{FE}=40...120$, $f_T>250\text{ МГц}$	SOT323, SOD23	E•B•C
O79	SO6550R	SGS	npn	$V_{CEB}=160\text{ В}$, $I_C=600\text{ мА}$, $P_D=200\text{ мВт}$; $h_{FE}=60...250$, $f_T>100\text{ МГц}$	SOT323, SOD23	E•B•C
O80	SO6551R	SGS	npn	$V_{CEB}=180\text{ В}$, $I_C=800\text{ мА}$, $P_D=200\text{ мВт}$; $h_{FE}=80...250$, $f_T>100\text{ МГц}$	SOT323, SOD23	E•B•C
O9	ISS377	TOSH	shch-2	$V_{GS}<10\text{ В}$, $V_{DS}(I_D=100\text{ мА})<0.5\text{ В}$, $I_{DS}(V_{GS}=10\text{ В})<20\text{ мА}$, $C_{DS}<40\text{ пФ}$	SOT346, SC59	A1•A2•K1, K2
O9	ISS378	TOSH	shch-2	$V_{GS}<10\text{ В}$, $I_D<100\text{ мА}$, $V_{DS}(I_D=100\text{ мА})<0.5\text{ В}$, $C_{DS}<20\text{ пФ}$	SOT323, SC70	A1•A2•K1, K2



SOT23-3
SOD23-3

SOT323
SOT346

SOT416
SOT523



SOT490
MFPK

TESM
TSFP-3

VMT3
VMD3

Код	Типономинал	Б	Ф	Особенности	Корпус	Ц: 1+2+3
Q9	1SS379	TO5H	di-2	$V_{BE} < 80 В; I_C < 100 мА; V_{CE(sat)} < 1 В; I_{BQ} < 0.01 мА$	SOT346, SC59	A1+K2-K1, A2
Q9	1SS385	TO5H	shd-2	$V_{BE} < 10 В; V_{CE(sat)} < 0.5 В; I_{BQ}(V_{BE} < 10 В) < 20 мкА; C_T < 20 пФ$	SOT416, SC75A	A1+K2-K1, K2
Q9	1SS385F	TO5H	shd-2	$V_{BE} < 10 В; V_{CE(sat)} < 0.5 В; I_{BQ}(V_{BE} < 10 В) < 20 мкА; C_T < 20 пФ$	SOT490, SC89	A1+K2-K1, K2
Q91	SO642R	SGS	npn	$V_{CE(sat)} < 300 В; I_C < 100 мА; P_D < 310 мВт; h_{FE} > 40; f_T > 50 МГц$	SOT23, SOD23	E-B-C
P	BAW55	MSH	di-2	$V_{BE} < 70 В; I_C < 300 мА; V_{CE(sat)} < 1.25 В; I_{BQ} < 5.0 мкА; C_D < 4.0 пФ; t_{BPP} < 6 нс$	SOT23, SOD23	K1+K2-A1, A2
P	DAP202K	ROHM	di-2	$V_{BE} < 80 В; I_C < 300 мА; P_D < 200 мВт; V_{CE(sat)} < 1.2 В; t_{BPP} < 4 нс$	SOT346, SC59	K1+K2-A1, A2
P	DAP202U	ROHM	di-2	$V_{BE} < 80 В; I_C < 300 мА; P_D < 200 мВт; V_{CE(sat)} < 1.2 В; t_{BPP} < 4 нс$	SOT323, SC70	K1+K2-A1, A2
P	DAP222	ROHM	di-2	$V_{BE} < 80 В; I_C < 300 мА; P_D < 150 мВт; V_{CE(sat)} < 1.0 В; t_{BPP} < 4 нс$	SOT416, SC75A	K1+K2-A1, A2
P	DAP222M	ROHM	di-2	$V_{BE} < 80 В; I_C < 300 мА; P_D < 150 мВт; V_{CE(sat)} < 1.0 В; t_{BPP} < 4 нс$	VMT3, VMD3	K1+K2-A1, A2
P0	HSMS2850	HP	shd	$V_{BE}(I_C = 1 мА) < 0.25 В; C_T < 0.3 пФ$	SOT23, SOD23	A-n.c.-K
P0	HSMS285B	HP	shd	$V_{BE}(I_C = 1 мА) < 0.25 В; C_T < 0.3 пФ$	SOT23, SOD23	A-n.c.-K
P0	TP0101T	SIL	pMOS	$V_{DS} < 20 В; I_{DQ} < 600 мА; P_D < 950 мВт; g_{fs} < 13000 См; R_{DS(on)} < 0.85 Ом$	SOT23, SOD23	G+S-D
P0	TP0101T	TEMIC	pMOS	$V_{DS} < 20 В; I_{DQ} < 600 мА; P_D < 950 мВт; g_{fs} < 13000 См; R_{DS(on)} < 0.85 Ом$	SOT23, SOD23	G+S-D
P01	DDTA113TCA	DIODS	Dnpnp	$V_{CE} < 50 В; I_C < 100 мА; P_D < 200 мВт; R_T < 1 К$	SOT23, SOD23	B-E-C
P01	DDTA113TE	DIODS	Dnpnp	$V_{CE} < 50 В; I_C < 100 мА; P_D < 150 мВт; R_T < 1 К$	SOT523	B-E-C
P01	DDTA113TKA	DIODS	Dnpnp	$V_{CE} < 50 В; I_C < 100 мА; P_D < 200 мВт; R_T < 1 К$	SOT346, SC59	B-E-C
P01	DDTA113TUA	DIODS	Dnpnp	$V_{CE} < 50 В; I_C < 100 мА; P_D < 200 мВт; R_T < 1 К$	SOT323, SC70	B-E-C
Q01	PDTA143ET	PHIL	Dnpnp	$V_{CE(sat)} < 50 В; I_C < 100 мА; P_D < 250 мВт; h_{FE} > 30; 4.7 кОм/4.7 кОм$	SOT23, SOD23	B-E-C
Q01	PDTA143EU	PHIL	Dnpnp	$V_{CE(sat)} < 50 В; I_C < 100 мА; P_D < 250 мВт; h_{FE} > 30; 4.7 кОм/4.7 кОм$	SOT23, SOD23	B-E-C
P01	SO2906	SGS	npnp	$V_{CE(sat)} < 40 В; I_C < 150 мА; P_D < 300 мВт; h_{FE} > 120; f_T > 200 МГц$	SOT23, SOD23	B-E-C
P02	DDTA1132CA	DIODS	Dnpnp	$V_{CE} < 50 В; I_C < 100 мА; P_D < 200 мВт; 1 К/10 К$	SOT23, SOD23	B-E-C
P02	DDTA1132E	DIODS	Dnpnp	$V_{CE} < 50 В; I_C < 100 мА; P_D < 150 мВт; 1 К/10 К$	SOT523	B-E-C
P02	DDTA1132KA	DIODS	Dnpnp	$V_{CE} < 50 В; I_C < 100 мА; P_D < 200 мВт; 1 К/10 К$	SOT346, SC59	B-E-C
P02	DDTA1132UA	DIODS	Dnpnp	$V_{CE} < 50 В; I_C < 100 мА; P_D < 200 мВт; 1 К/10 К$	SOT323, SC70	B-E-C
Q02	PDTA143ET	PHIL	Dnpnp	$V_{CE(sat)} < 50 В; I_C < 100 мА; P_D < 250 мВт; h_{FE} > 30; 4.7 кОм/4.7 кОм$	SOT23, SOD23	B-E-C
Q02	PDTA143EU	PHIL	Dnpnp	$V_{CE(sat)} < 50 В; I_C < 100 мА; P_D < 250 мВт; h_{FE} > 30; 4.7 кОм/4.7 кОм$	SOT23, SOD23	B-E-C
P03	DDTA123TCA	DIODS	Dnpnp	$V_{CE} < 50 В; I_C < 100 мА; P_D < 200 мВт; R1 2 2 К$	SOT23, SOD23	B-E-C
P03	DDTA123TE	DIODS	Dnpnp	$V_{CE} < 50 В; I_C < 100 мА; P_D < 150 мВт; R1 2 2 К$	SOT523	B-E-C
P03	DDTA123TKA	DIODS	Dnpnp	$V_{CE} < 50 В; I_C < 100 мА; P_D < 200 мВт; R1 2 2 К$	SOT346, SC59	B-E-C
P03	DDTA123TUA	DIODS	Dnpnp	$V_{CE} < 50 В; I_C < 100 мА; P_D < 200 мВт; R1 2 2 К$	SOT323, SC70	B-E-C
Q03	PDTA114ET	PHIL	Dnpnp	$V_{CE(sat)} < 50 В; I_C < 100 мА; P_D < 200 мВт; h_{FE} > 30; 10 кОм/10 кОм$	SOT23, SOD23	B-E-C
P03	SO2907A	SGS	npnp	$V_{CE(sat)} < 60 В; I_C < 200 мА; P_D < 300 мВт; h_{FE} > 100...300; f_T > 200 МГц$	SOT23, SOD23	B-E-C
P04	DDTA123ECA	DIODS	Dnpnp	$V_{CE} < 50 В; I_C < 100 мА; P_D < 200 мВт; 2 2 К/2 2 К$	SOT23, SOD23	B-E-C
P04	DDTA123EE	DIODS	Dnpnp	$V_{CE} < 50 В; I_C < 100 мА; P_D < 150 мВт; 2 2 К/2 2 К$	SOT523	B-E-C
P04	DDTA123EKA	DIODS	Dnpnp	$V_{CE} < 50 В; I_C < 100 мА; P_D < 200 мВт; 2 2 К/2 2 К$	SOT346, SC59	B-E-C
P04	DDTA123EUA	DIODS	Dnpnp	$V_{CE} < 50 В; I_C < 100 мА; P_D < 200 мВт; 2 2 К/2 2 К$	SOT323, SC70	B-E-C
Q04	PMSS3904	PHIL	npn	$V_{CE(sat)} < 60 В; I_C < 200 мА; P_D < 300 мВт; h_{FE} > 100...300; f_T > 180 МГц$	SOT23, SOD23	B-E-C
P05	DDTA123YCA	DIODS	Dnpnp	$V_{CE} < 50 В; I_C < 100 мА; P_D < 200 мВт; 2 2 К/10 К$	SOT23, SOD23	B-E-C
P05	DDTA123YE	DIODS	Dnpnp	$V_{CE} < 50 В; I_C < 100 мА; P_D < 150 мВт; 2 2 К/10 К$	SOT523	B-E-C
P05	DDTA123YKA	DIODS	Dnpnp	$V_{CE} < 50 В; I_C < 100 мА; P_D < 200 мВт; 2 2 К/10 К$	SOT346, SC59	B-E-C
P05	DDTA123YUA	DIODS	Dnpnp	$V_{CE} < 50 В; I_C < 100 мА; P_D < 200 мВт; 2 2 К/10 К$	SOT323, SC70	B-E-C
Q05	PDTA124ET	PHIL	Dnpnp	$V_{CE(sat)} < 50 В; I_C < 30 мА; P_D < 250 мВт; h_{FE} > 56$	SOT23, SOD23	B-E-C
Q05	PDTA124EU	PHIL	Dnpnp	$V_{CE(sat)} < 50 В; I_C < 100 мА; P_D < 250 мВт; h_{FE} > 60; 22 кОм/22 кОм$	SOT23, SOD23	B-E-C
Q05	PDTA124EU	PHIL	Dnpnp	$V_{CE(sat)} < 50 В; I_C < 100 мА; P_D < 250 мВт; h_{FE} > 60; 22 кОм/22 кОм$	SOT323, SC70	B-E-C
P05	SO2907	SGS	npnp	$V_{CE(sat)} < 40 В; I_C < 200 мА; P_D < 300 мВт; h_{FE} > 100...300; f_T > 200 МГц$	SOT23, SOD23	B-E-C
P06	DDTA123JCA	DIODS	Dnpnp	$V_{CE} < 50 В; I_C < 100 мА; P_D < 200 мВт; 2 2 К/47 К$	SOT23, SOD23	B-E-C
P06	DDTA123JE	DIODS	Dnpnp	$V_{CE} < 50 В; I_C < 100 мА; P_D < 150 мВт; 2 2 К/47 К$	SOT523	B-E-C
P06	DDTA123JKA	DIODS	Dnpnp	$V_{CE} < 50 В; I_C < 100 мА; P_D < 200 мВт; 2 2 К/47 К$	SOT346, SC59	B-E-C
P06	DDTA123JUA	DIODS	Dnpnp	$V_{CE} < 50 В; I_C < 100 мА; P_D < 200 мВт; 2 2 К/47 К$	SOT323, SC70	B-E-C
Q06	PDTA124EU	PHIL	Dnpnp	$V_{CE(sat)} < 50 В; I_C < 100 мА; P_D < 250 мВт; h_{FE} > 60; 22 кОм/22 кОм$	SOT323, SC70	B-E-C
Q06	PMSS3906	PHIL	npn	$V_{CE(sat)} < 40 В; I_C < 200 мА; P_D < 200 мВт; h_{FE} > 100...300; f_T > 150 МГц$	SOT23, SOD23	B-E-C

SOT490 TSM
MFPAK TSFP-3

VMT3
VMD3



SOT416
SOT523

SOT323
SOT346

SOT23-3
SOD23-3



Код	Типономинал	Б	Ф	Особенности	Корпус	Ц: 1*2*3
PO6	PMSS3906	PHIL	опн	$V_{DS}=40 В, I_C=200 мА, P_D=200 мВт, \eta_{21}=100...300, f_T > 150 МГц$	SOT323, SC70	B-E-C
PO6	SO2894	SGS	опн	$V_{DS}=12 В, I_C=200 мА, P_D=300 мВт, \eta_{21}=40...150, f_T > 400 МГц$	SOT23, SOD23	B-E-C
PO7	DDTA1437CA	DIODS	Допн	$V_{CC}=50 В, I_C=100 мА, P_D < 200 мВт, R_{14.7 К}$	SOT23, SOD23	B-E-C
PO7	DDTA1437E	DIODS	Допн	$V_{CC}=50 В, I_C=100 мА, P_D < 150 мВт, R_{14.7 К}$	SOT523	B-E-C
PO7	DDTA1437KA	DIODS	Допн	$V_{CC}=50 В, I_C=100 мА, P_D < 200 мВт, R_{14.7 К}$	SOT346, SC59	B-E-C
PO7	DDTA1437UA	DIODS	Допн	$V_{CC}=50 В, I_C=100 мА, P_D < 200 мВт, R_{14.7 К}$	SOT323, SC70	B-E-C
PO7	PDTA144ET	PHIL	Допн	$V_{DS}=50 В, I_C=100 мА, P_D=250 мВт, \eta_{21} > 80, 47 кОм/47 кОм$	SOT23, SOD23	B-E-C
PO7	PDTA144EU	PHIL	Допн	$V_{DS}=50 В, I_C=100 мА, P_D=250 мВт, \eta_{21} > 80, 47 кОм/47 кОм$	SOT323, SC70	B-E-C
PO8	DDTA143ECA	DIODS	Допн	$V_{CC}=50 В, I_C=100 мА, P_D < 200 мВт, 4.7 к/4.7 к$	SOT23, SOD23	B-E-C
PO8	DDTA143EE	DIODS	Допн	$V_{CC}=50 В, I_C=100 мА, P_D < 150 мВт, 4.7 к/4.7 к$	SOT523	B-E-C
PO8	DDTA143EKA	DIODS	Допн	$V_{CC}=50 В, I_C=100 мА, P_D < 200 мВт, 4.7 к/4.7 к$	SOT346, SC59	B-E-C
PO8	DDTA143EUA	DIODS	Допн	$V_{CC}=50 В, I_C=100 мА, P_D < 200 мВт, 4.7 к/4.7 к$	SOT323, SC70	B-E-C
PO8	PDTC14MET	PHIL	Допн	$V_{DS}=50 В, I_C=100 мА, P_D=250 мВт, \eta_{21} > 80, 47 кОм/47 кОм$	SOT23, SOD23	B-E-C
PO8	PDTC14MEU	PHIL	Допн	$V_{DS}=50 В, I_C=100 мА, P_D=250 мВт, \eta_{21} > 80, 47 кОм/47 кОм$	SOT323, SC70	B-E-C
PO9	DDTA123XCA	DIODS	Допн	$V_{CC}=50 В, I_C=100 мА, P_D < 200 мВт, 4.7 к/10 к$	SOT23, SOD23	B-E-C
PO9	DDTA123XE	DIODS	Допн	$V_{CC}=50 В, I_C=100 мА, P_D < 150 мВт, 4.7 к/10 к$	SOT523	B-E-C
PO9	DDTA123XKA	DIODS	Допн	$V_{CC}=50 В, I_C=100 мА, P_D < 200 мВт, 4.7 к/10 к$	SOT346, SC59	B-E-C
PO9	DDTA123XUA	DIODS	Допн	$V_{CC}=50 В, I_C=100 мА, P_D < 200 мВт, 4.7 к/10 к$	SOT323, SC70	B-E-C
PO9	PDTB11MET	PHIL	Допн	$V_{DS}=50 В, I_C=500 мА, P_D=250 мВт, \eta_{21} > 56, 10 кОм/10 кОм$	SOT23, SOD23	B-E-C
PO9	PDTC11MEU	PHIL	Допн	$V_{DS}=50 В, I_C=50 мА, P_D=250 мВт, \eta_{21} > 30, 10 кОм/10 кОм$	SOT323, SC70	B-E-C
P1	BFR92	PHIL	нрп	$V_{DS}=20 В, I_C=25 мА, P_D=273 мВт, \eta_{21} > 40, f_T=4500 МГц$	SOT23, SOD23	B-E-C
P1	BZX84C11T		dz	$V_Z(I_{ZT}=5 мА)=10...11.6 В, Z_{TH}(I_{ZT}=5 мА) < 20 Ом$	SOT523	A-н.с.-K
P1	SST201	SIL	nFET	$V_{DS}=30 В, I_D=350 мА, R_{DS(on)}=20...135 мОм, R_{\theta JA} < 85 Ом$	SOT23, SOD23	D-S-G
P10	DDTA143FCA	DIODS	Допн	$V_{CC}=50 В, I_C=100 мА, P_D < 200 мВт, 4.7 к/422 к$	SOT23, SOD23	B-E-C
P10	DDTA143FE	DIODS	Допн	$V_{CC}=50 В, I_C=100 мА, P_D < 150 мВт, 4.7 к/422 к$	SOT523	B-E-C
P10	DDTA143FKA	DIODS	Допн	$V_{CC}=50 В, I_C=100 мА, P_D < 200 мВт, 4.7 к/422 к$	SOT346, SC59	B-E-C
P10	DDTA143FUA	DIODS	Допн	$V_{CC}=50 В, I_C=100 мА, P_D < 200 мВт, 4.7 к/422 к$	SOT323, SC70	B-E-C
P10	PDTC11MET	PHIL	Допн	$V_{DS}=50 В, I_C=500 мА, P_D=250 мВт, \eta_{21} > 56, 10 кОм/10 кОм$	SOT23, SOD23	B-E-C
P11	DDTA1432CA	DIODS	Допн	$V_{CC}=50 В, I_C=100 мА, P_D < 200 мВт, 4.7 к/47 к$	SOT23, SOD23	B-E-C
P11	DDTA143ZE	DIODS	Допн	$V_{CC}=50 В, I_C=100 мА, P_D < 150 мВт, 4.7 к/47 к$	SOT523	B-E-C
P11	DDTA143ZKA	DIODS	Допн	$V_{CC}=50 В, I_C=100 мА, P_D < 200 мВт, 4.7 к/47 к$	SOT346, SC59	B-E-C
P11	DDTA143ZUA	DIODS	Допн	$V_{CC}=50 В, I_C=100 мА, P_D < 200 мВт, 4.7 к/47 к$	SOT323, SC70	B-E-C
P11	PDTA114TT	PHIL	Допн	$V_{DS}=50 В, I_C=100 мА, P_D=200 мВт, \eta_{21} > 200, R_1 10 кОм$	SOT23, SOD23	B-E-C
P12	DDTA114TCA	DIODS	Допн	$V_{CC}=50 В, I_C=100 мА, P_D < 200 мВт, R_1 10 к$	SOT23, SOD23	B-E-C
P12	DDTA114TE	DIODS	Допн	$V_{CC}=50 В, I_C=100 мА, P_D < 150 мВт, R_1 10 к$	SOT523	B-E-C
P12	DDTA114TKA	DIODS	Допн	$V_{CC}=50 В, I_C=100 мА, P_D < 200 мВт, R_1 10 к$	SOT346, SC59	B-E-C
P12	DDTA114TUA	DIODS	Допн	$V_{CC}=50 В, I_C=100 мА, P_D < 200 мВт, R_1 10 к$	SOT323, SC70	B-E-C
P12	PDTC114TT	PHIL	Допн	$V_{DS}=50 В, I_C=100 мА, P_D=200 мВт, \eta_{21} > 200, R_1 10 кОм$	SOT23, SOD23	B-E-C
P12	SO2906A	SGS	опн	$V_{DS}=60 В, I_C=150 мА, P_D=300 мВт, \eta_{21}=40...120, f_T > 200 МГц$	SOT23, SOD23	B-E-C
P13	BB207	PHIL	var-2	$V_B > 15 В, I_{d(V_B=15 В)} < 0.01 мкА, C_{1,2}=76...88 нФ, C_{7,8}=25.5...29.7 нФ$	SOT23, SOD23	A1-A2-K1,K2
P13	DDTA114ECA	DIODS	Допн	$V_{CC}=50 В, I_C=100 мА, P_D < 200 мВт, 10 к/10 к$	SOT23, SOD23	B-E-C
P13	DDTA114EE	DIODS	Допн	$V_{CC}=50 В, I_C=100 мА, P_D < 150 мВт, 10 к/10 к$	SOT523	B-E-C
P13	DDTA114EKA	DIODS	Допн	$V_{CC}=50 В, I_C=100 мА, P_D < 200 мВт, 10 к/10 к$	SOT346, SC59	B-E-C
P13	DDTA114EUA	DIODS	Допн	$V_{CC}=50 В, I_C=100 мА, P_D < 200 мВт, 10 к/10 к$	SOT323, SC70	B-E-C
P14	DDTA114YCA	DIODS	Допн	$V_{CC}=50 В, I_C=100 мА, P_D < 200 мВт, 10 к/47 к$	SOT23, SOD23	B-E-C
P14	DDTA114YE	DIODS	Допн	$V_{CC}=50 В, I_C=100 мА, P_D < 150 мВт, 10 к/47 к$	SOT523	B-E-C
P14	DDTA114YKA	DIODS	Допн	$V_{CC}=50 В, I_C=100 мА, P_D < 200 мВт, 10 к/47 к$	SOT346, SC59	B-E-C
P14	DDTA114YUA	DIODS	Допн	$V_{CC}=50 В, I_C=100 мА, P_D < 200 мВт, 10 к/47 к$	SOT323, SC70	B-E-C
P15	DDTA114WCA	DIODS	Допн	$V_{CC}=50 В, I_C=100 мА, P_D < 200 мВт, 10 к/47 к$	SOT23, SOD23	B-E-C
P15	DDTA114WE	DIODS	Допн	$V_{CC}=50 В, I_C=100 мА, P_D < 150 мВт, 10 к/47 к$	SOT523	B-E-C
P15	DDTA114WKA	DIODS	Допн	$V_{CC}=50 В, I_C=100 мА, P_D < 200 мВт, 10 к/47 к$	SOT346, SC59	B-E-C
P15	DDTA114WUA	DIODS	Допн	$V_{CC}=50 В, I_C=100 мА, P_D < 200 мВт, 10 к/47 к$	SOT323, SC70	B-E-C



SOT23-3
SOD23-3

SOT323
SOT346

SOT416
SOT523



SOT490
MFPK

TESM
TSFP-3

VMT3
VMD3

Код	Типономинал	Б	Ф	Особенности	Корпус	Ц: 1•2•3
P16	DDTA124TCA	DIOS	Дрпк	$V_{CC}=50 В, I_C=100 мА, P_D<200 мВт, R_{122} к$	SOT23, SOD23	В•Е•С
P16	DDTA124TE	DIOS	Дрпк	$V_{CC}=50 В, I_C=100 мА, P_D<150 мВт, R_{122} к$	SOT523	В•Е•С
P16	DDTA124TKA	DIOS	Дрпк	$V_{CC}=50 В, I_C=100 мА, P_D<200 мВт, R_{122} к$	SOT346, SC59	В•Е•С
P16	DDTA124TUA	DIOS	Дрпк	$V_{CC}=50 В, I_C=100 мА, P_D<200 мВт, R_{122} к$	SOT323, SC70	В•Е•С
o16	PDC114ET	PHIL	Длпк	$V_{CEB}=50 В, I_C=50 мА, P_D=250 мВт, h_{FE}>30, I_0 кОм/10 кОм$	SOT23, SOD23	В•Е•С
P17	DDTA124ECA	DIOS	Дрпк	$V_{CC}=50 В, I_C=100 мА, P_D<200 мВт, 22 к/22 к$	SOT23, SOD23	В•Е•С
P17	DDTA124EE	DIOS	Дрпк	$V_{CC}=50 В, I_C=100 мА, P_D<150 мВт, 22 к/22 к$	SOT523	В•Е•С
P17	DDTA124EKA	DIOS	Дрпк	$V_{CC}=50 В, I_C=100 мА, P_D<200 мВт, 22 к/22 к$	SOT346, SC59	В•Е•С
P17	DDTA124EUA	DIOS	Дрпк	$V_{CC}=50 В, I_C=100 мА, P_D<200 мВт, 22 к/22 к$	SOT323, SC70	В•Е•С
o17	PDC124ET	PHIL	Длпк	$V_{CEB}=50 В, I_C=100 мА, P_D=250 мВт, h_{FE}>60, 22 кОм/22 кОм$	SOT23, SOD23	В•Е•С
P18	DDTA124XCA	DIOS	Дрпк	$V_{CC}=50 В, I_C=100 мА, P_D<200 мВт, 22 к/47 к$	SOT23, SOD23	В•Е•С
P18	DDTA124XE	DIOS	Дрпк	$V_{CC}=50 В, I_C=100 мА, P_D<150 мВт, 22 к/47 к$	SOT523	В•Е•С
P18	DDTA124XKA	DIOS	Дрпк	$V_{CC}=50 В, I_C=100 мА, P_D<200 мВт, 22 к/47 к$	SOT346, SC59	В•Е•С
P18	DDTA124XUA	DIOS	Дрпк	$V_{CC}=50 В, I_C=100 мА, P_D<200 мВт, 22 к/47 к$	SOT323, SC70	В•Е•С
o18	PDC1432T	PHIL	Длпк	$V_{CEB}=50 В, I_C=100 мА, P_D=250 мВт, h_{FE}>100, 4,7 кОм/47 кОм$	SOT23, SOD23	В•Е•С
P19	DDTA144TCA	DIOS	Дрпк	$V_{CC}=50 В, I_C=100 мА, P_D<200 мВт, R_{147} к$	SOT23, SOD23	В•Е•С
P19	DDTA144TE	DIOS	Дрпк	$V_{CC}=50 В, I_C=100 мА, P_D<150 мВт, R_{147} к$	SOT523	В•Е•С
P19	DDTA144TKA	DIOS	Дрпк	$V_{CC}=50 В, I_C=100 мА, P_D<200 мВт, R_{147} к$	SOT346, SC59	В•Е•С
P19	DDTA144TUA	DIOS	Дрпк	$V_{CC}=50 В, I_C=100 мА, P_D<200 мВт, R_{147} к$	SOT323, SC70	В•Е•С
o19	PDC1432T	PHIL	Длпк	$V_{CEB}=50 В, I_C=100 мА, P_D=250 мВт, h_{FE}>100, 4,7 кОм/47 кОм$	SOT23, SOD23	В•Е•С
o1A	PMBT390A	PHIL	нрп	$V_{CEB}=60 В, I_C=200 мА, P_D=250 мВт, h_{FE}>100...300, f_T>300 МГц$	SOT23, SOD23	В•Е•С
o1A	PMST390A	PHIL	нрп	$V_{CEB}=60 В, I_C=200 мА, P_D=250 мВт, h_{FE}>100...300, f_T>300$	SOT323, SC70	В•Е•С
o1B	PMBT2222	PHIL	нрп	$V_{CEB}=60 В, I_C=600 мА, P_D=250 мВт, h_{FE}>100...300, f_T>250 МГц$	SOT23, SOD23	В•Е•С
o1D	PMBT442	PHIL	нрп	$V_{CEB}=300 В, I_C=500 мА, P_D=250 мВт, h_{FE}>40, f_T>50 МГц$	SOT23, SOD23	В•Е•С
o1E	PMBT443	PHIL	нрп	$V_{CEB}=200 В, I_C=500 мА, P_D=250 мВт, h_{FE}>40, f_T>60 МГц$	SOT23, SOD23	В•Е•С
o1F	PMBT5550	PHIL	нрп	$V_{CEB}=180 В, I_C=600 мА, P_D=250 мВт, h_{FE}>60...250, f_T>100...300$	SOT23, SOD23	В•Е•С
o1F	PMST5550	PHIL	нрп	$V_{CEB}=180 В, I_C=600 мА, P_D=200 мВт, h_{FE}>60...250, f_T>100...300$	SOT323, SC70	В•Е•С
o1G	PMBTA06	PHIL	нрп	$V_{CEB}=80 В, I_C=500 мА, P_D=250 мВт, h_{FE}>50, f_T>100 МГц$	SOT23, SOD23	В•Е•С
o1H	PMBTA05	PHIL	нрп	$V_{CEB}=80 В, I_C=500 мА, P_D=250 мВт, h_{FE}>50, f_T>100 МГц$	SOT23, SOD23	В•Е•С
o1J	PMBT2369	PHIL	нрп	$V_{CEB}=40 В, I_C=500 мА, P_D=250 мВт, h_{FE}>40...120$	SOT23, SOD23	В•Е•С
o1K	PMBT6428	PHIL	нрп	$V_{CEB}=60 В, I_C=200 мА, P_D=250 мВт, h_{FE}>250...650, f_T>100...700 МГц$	SOT23, SOD23	В•Е•С
o1L	PMBT6429	PHIL	нрп	$V_{CEB}=55 В, I_C=200 мА, P_D=250 мВт, h_{FE}>500...1250, f_T>100...700 МГц$	SOT23, SOD23	В•Е•С
o1M	PMBTA13	PHIL	длпк	$V_{CEB}=30 В, I_C=300 мА, P_D=250 мВт, h_{FE}>5000, f_T>125 МГц$	SOT23, SOD23	В•Е•С
o1N	PMBTA14	PHIL	длпк	$V_{CEB}=30 В, I_C=300 мА, P_D=250 мВт, h_{FE}>10000, f_T>125 МГц$	SOT23, SOD23	В•Е•С
o1P	PMBT2222A	PHIL	нрп	$V_{CEB}=75 В, I_C=600 мА, P_D=250 мВт, h_{FE}>100...300, f_T>300 МГц$	SOT23, SOD23	В•Е•С
o1Q	PMBT5088	PHIL	нрп	$V_{CEB}=30 В, I_C=50 мА, P_D=250 мВт, h_{FE}>350...1400$	SOT23, SOD23	В•Е•С
o1Q	PMST5088	PHIL	нрп	$V_{CEB}=35 В, I_C=50 мА, P_D=200 мВт, h_{FE}>300...900$	SOT323, SC70	В•Е•С
o1R	PMST5089	PHIL	нрп	$V_{CEB}=30 В, I_C=50 мА, P_D=200 мВт, h_{FE}>400...1200$	SOT323, SC70	В•Е•С
P1R	BFR92W	SIEM	нрп	$V_{CEB}=20 В, I_C=30 мА, P_D=280 мВт, h_{FE}>40...200, f_T=5000 МГц$	SOT23, SOD23	В•Е•С
P2	BFR92A	PHIL	нрп	$V_{CEB}=20 В, I_C=25 мА, P_D=273 мВт, h_{FE}>40, f_T=4500 МГц$	SOT23, SOD23	В•Е•С
P2	BFR92ALT1	MOT	нрп	$V_{CEB}=20 В, I_C=25 мА, P_D=273 мВт, h_{FE}>40, f_T=4500 МГц$	SOT23, SOD23	В•Е•С
P2	BZK84C12T	DIOS	dz	$V_{CEB}=5 мА, I_C=11 А...12 В, Z_{TE}(f_T=5 мА)<25 Ом$	SOT523	А•п•с•К
P2	HSMS2852	HP	shd-c2	$V_{CEB}=1 мА, I_C<0,25 В, C_T=0,3 нФ$	SOT23, SOD23	A1•K2•K1, A2
P2	HSMS285C	HP	shd-c2	$V_{CEB}=1 мА, I_C<0,25 В, C_T=0,3 нФ$	SOT323, SC70	A1•K2•K1, A2
P2	VST202	SIL	nFET	$V_{GS}=40 В, P_D=350 мВт, I_{DSS}=0,9...4,5 мА, g_{FS}=1 мСм$	SOT23, SOD23	D•S•G
P20	DDTA144ECA	DIOS	Дрпк	$V_{CC}=50 В, I_C=100 мА, P_D<200 мВт, 47 к/47 к$	SOT23, SOD23	В•Е•С
P20	DDTA144EE	DIOS	Дрпк	$V_{CC}=50 В, I_C=100 мА, P_D<150 мВт, 47 к/47 к$	SOT523	В•Е•С
P20	DDTA144EKA	DIOS	Дрпк	$V_{CC}=50 В, I_C=100 мА, P_D<200 мВт, 47 к/47 к$	SOT346, SC59	В•Е•С
P20	DDTA144EUA	DIOS	Дрпк	$V_{CC}=50 В, I_C=100 мА, P_D<200 мВт, 47 к/47 к$	SOT323, SC70	В•Е•С
P21	DDTA144VCA	DIOS	Дрпк	$V_{CC}=50 В, I_C=100 мА, P_D<200 мВт, 47 к/10 к$	SOT23, SOD23	В•Е•С
P21	DDTA144VE	DIOS	Дрпк	$V_{CC}=50 В, I_C=100 мА, P_D<150 мВт, 47 к/10 к$	SOT523	В•Е•С
P21	DDTA144VKA	DIOS	Дрпк	$V_{CC}=50 В, I_C=100 мА, P_D<200 мВт, 47 к/10 к$	SOT346, SC59	В•Е•С



Код	Типономинал	Б	Ф	Особенности	Корпус	Ц: 1•2•3
P21	DDTA144VUA	DIODS	Д1np	$V_{CE} = 50 \text{ В}$; $I_C = 100 \text{ мА}$; $P_D < 200 \text{ мВт}$; $47 \text{ к}/10 \text{ к}$	SOT323, SC70	B-E-C
P22	DDTA144WCA	DIODS	Д1np	$V_{CE} = 50 \text{ В}$; $I_C = 100 \text{ мА}$; $P_D < 200 \text{ мВт}$; $47 \text{ к}/22 \text{ к}$	SOT23, SOD23	B-E-C
P22	DDTA144WE	DIODS	Д1np	$V_{CE} = 50 \text{ В}$; $I_C = 100 \text{ мА}$; $P_D < 150 \text{ мВт}$; $47 \text{ к}/22 \text{ к}$	SOT523	B-E-C
P22	DDTA144WKA	DIODS	Д1np	$V_{CE} = 50 \text{ В}$; $I_C = 100 \text{ мА}$; $P_D < 200 \text{ мВт}$; $47 \text{ к}/22 \text{ к}$	SOT346, SC59	B-E-C
P22	DDTA144WUA	DIODS	Д1np	$V_{CE} = 50 \text{ В}$; $I_C = 100 \text{ мА}$; $P_D < 200 \text{ мВт}$; $47 \text{ к}/22 \text{ к}$	SOT323, SC70	B-E-C
P23	DDTA115TCA	DIODS	Д1np	$V_{CE} = 50 \text{ В}$; $I_C = 100 \text{ мА}$; $P_D < 200 \text{ мВт}$; R2100 к	SOT23, SOD23	B-E-C
P23	DDTA115TE	DIODS	Д1np	$V_{CE} = 50 \text{ В}$; $I_C = 100 \text{ мА}$; $P_D < 150 \text{ мВт}$; R1100 к	SOT523	B-E-C
P23	DDTA115TKA	DIODS	Д1np	$V_{CE} = 50 \text{ В}$; $I_C = 100 \text{ мА}$; $P_D < 200 \text{ мВт}$; R1100 к	SOT346, SC59	B-E-C
P23	DDTA115TUA	DIODS	Д1np	$V_{CE} = 50 \text{ В}$; $I_C = 100 \text{ мА}$; $P_D < 200 \text{ мВт}$; R1100 к	SOT323, SC70	B-E-C
p23	PDTA114TU	PHIL	Д1np	$V_{CE} = 50 \text{ В}$; $I_C = 100 \text{ мА}$; $P_D = 200 \text{ мВт}$; $\eta_{31} > 200$; $R_1 10 \text{ кОм}$	SOT323, SC70	B-E-C
P24	DDTA115ECA	DIODS	Д1np	$V_{CE} = 50 \text{ В}$; $I_C = 100 \text{ мА}$; $P_D < 200 \text{ мВт}$; 100 к/100 к	SOT23, SOD23	B-E-C
P24	DDTA115EE	DIODS	Д1np	$V_{CE} = 50 \text{ В}$; $I_C = 100 \text{ мА}$; $P_D < 150 \text{ мВт}$; 100 к/100 к	SOT523	B-E-C
P24	DDTA115EKA	DIODS	Д1np	$V_{CE} = 50 \text{ В}$; $I_C = 100 \text{ мА}$; $P_D < 200 \text{ мВт}$; 100 к/100 к	SOT346, SC59	B-E-C
P24	DDTA115EUA	DIODS	Д1np	$V_{CE} = 50 \text{ В}$; $I_C = 100 \text{ мА}$; $P_D < 200 \text{ мВт}$; 100 к/100 к	SOT323, SC70	B-E-C
p24	PDTCT14TU	PHIL	Д1np	$V_{CE} = 50 \text{ В}$; $I_C = 100 \text{ мА}$; $P_D = 200 \text{ мВт}$; $\eta_{31} > 200$; $R_1 10 \text{ кОм}$	SOT323, SC70	B-E-C
P25	DDTA125TCA	DIODS	Д1np	$V_{CE} = 50 \text{ В}$; $I_C = 100 \text{ мА}$; $P_D < 200 \text{ мВт}$; R1200 к	SOT23, SOD23	B-E-C
P25	DDTA125TE	DIODS	Д1np	$V_{CE} = 50 \text{ В}$; $I_C = 100 \text{ мА}$; $P_D < 150 \text{ мВт}$; R1200 к	SOT523	B-E-C
P25	DDTA125TKA	DIODS	Д1np	$V_{CE} = 50 \text{ В}$; $I_C = 100 \text{ мА}$; $P_D < 200 \text{ мВт}$; R1200 к	SOT346, SC59	B-E-C
P25	DDTA125TUA	DIODS	Д1np	$V_{CE} = 50 \text{ В}$; $I_C = 100 \text{ мА}$; $P_D < 200 \text{ мВт}$; R1200 к	SOT323, SC70	B-E-C
P25	SO3906	SGS	npn	$V_{CE} = 40 \text{ В}$; $I_C = 200 \text{ мА}$; $P_D = 300 \text{ мВт}$; $\eta_{31} = 100 \dots 300$; $f_T > 250 \text{ МГц}$	SOT23, SOD23	B-E-C
P26	DDTA114GCA	DIODS	Д1np	$V_{CE} = 50 \text{ В}$; $I_C = 100 \text{ мА}$; $P_D < 200 \text{ мВт}$; R210 к	SOT23, SOD23	B-E-C
P26	DDTA114GE	DIODS	Д1np	$V_{CE} = 50 \text{ В}$; $I_C = 100 \text{ мА}$; $P_D < 150 \text{ мВт}$; R210 к	SOT523	B-E-C
P26	DDTA114GKA	DIODS	Д1np	$V_{CE} = 50 \text{ В}$; $I_C = 100 \text{ мА}$; $P_D < 200 \text{ мВт}$; R210 к	SOT346, SC59	B-E-C
P26	DDTA114GUA	DIODS	Д1np	$V_{CE} = 50 \text{ В}$; $I_C = 100 \text{ мА}$; $P_D < 200 \text{ мВт}$; R210 к	SOT323, SC70	B-E-C
P26	SO3905	SGS	npn	$V_{CE} = 40 \text{ В}$; $I_C = 200 \text{ мА}$; $P_D = 300 \text{ мВт}$; $\eta_{31} = 50 \dots 150$; $f_T > 200 \text{ МГц}$	SOT23, SOD23	B-E-C
P27	DDTA124GCA	DIODS	Д1np	$V_{CE} = 50 \text{ В}$; $I_C = 100 \text{ мА}$; $P_D < 200 \text{ мВт}$; R222 к	SOT23, SOD23	B-E-C
P27	DDTA124GE	DIODS	Д1np	$V_{CE} = 50 \text{ В}$; $I_C = 100 \text{ мА}$; $P_D < 150 \text{ мВт}$; R222 к	SOT523	B-E-C
P27	DDTA124GKA	DIODS	Д1np	$V_{CE} = 50 \text{ В}$; $I_C = 100 \text{ мА}$; $P_D < 200 \text{ мВт}$; R222 к	SOT346, SC59	B-E-C
P27	DDTA124GUA	DIODS	Д1np	$V_{CE} = 50 \text{ В}$; $I_C = 100 \text{ мА}$; $P_D < 200 \text{ мВт}$; R222 к	SOT323, SC70	B-E-C
p27	PDTCT14YT	PHIL	Д1np	$V_{CE} = 50 \text{ В}$; $I_C = 100 \text{ мА}$; $P_D = 200 \text{ мВт}$; $\eta_{31} > 100$; $10 \text{ кОм}/47 \text{ кОм}$	SOT23, SOD23	B-E-C
P28	DDTA144GCA	DIODS	Д1np	$V_{CE} = 50 \text{ В}$; $I_C = 100 \text{ мА}$; $P_D < 200 \text{ мВт}$; R247 к	SOT23, SOD23	B-E-C
P28	DDTA144GE	DIODS	Д1np	$V_{CE} = 50 \text{ В}$; $I_C = 100 \text{ мА}$; $P_D < 150 \text{ мВт}$; R247 к	SOT523	B-E-C
P28	DDTA144GKA	DIODS	Д1np	$V_{CE} = 50 \text{ В}$; $I_C = 100 \text{ мА}$; $P_D < 200 \text{ мВт}$; R247 к	SOT346, SC59	B-E-C
P28	DDTA144GUA	DIODS	Д1np	$V_{CE} = 50 \text{ В}$; $I_C = 100 \text{ мА}$; $P_D < 200 \text{ мВт}$; R247 к	SOT323, SC70	B-E-C
P29	DDTA115GCA	DIODS	Д1np	$V_{CE} = 50 \text{ В}$; $I_C = 100 \text{ мА}$; $P_D < 200 \text{ мВт}$; R2100 к	SOT23, SOD23	B-E-C
P29	DDTA115GE	DIODS	Д1np	$V_{CE} = 50 \text{ В}$; $I_C = 100 \text{ мА}$; $P_D < 150 \text{ мВт}$; R2100 к	SOT523	B-E-C
P29	DDTA115GKA	DIODS	Д1np	$V_{CE} = 50 \text{ В}$; $I_C = 100 \text{ мА}$; $P_D < 200 \text{ мВт}$; R2100 к	SOT346, SC59	B-E-C
P29	DDTA115GUA	DIODS	Д1np	$V_{CE} = 50 \text{ В}$; $I_C = 100 \text{ мА}$; $P_D < 200 \text{ мВт}$; R2100 к	SOT323, SC70	B-E-C
p29	PDTA114YT	PHIL	Д1np	$V_{CE} = 50 \text{ В}$; $I_C = 100 \text{ мА}$; $P_D = 200 \text{ мВт}$; $\eta_{31} > 100$; $10 \text{ кОм}/47 \text{ кОм}$	SOT23, SOD23	B-E-C
p2A	PMBT3906	PHIL	npn	$V_{CE} = 40 \text{ В}$; $I_C = 200 \text{ мА}$; $P_D = 250 \text{ мВт}$; $\eta_{31} = 100 \dots 300$; $f_T > 250 \text{ МГц}$	SOT23, SOD23	B-E-C
p2A	PMBT3906	PHIL	npn	$V_{CE} = 40 \text{ В}$; $I_C = 200 \text{ мА}$; $P_D = 200 \text{ мВт}$; $\eta_{31} = 100 \dots 300$; $f_T > 250 \text{ МГц}$	SOT323, SC70	B-E-C
p2A	PMBT2907	PHIL	npn	$V_{CE} = 60 \text{ В}$; $I_C = 600 \text{ мА}$; $P_D = 250 \text{ мВт}$; $\eta_{31} > 30$; $f_T > 200 \text{ МГц}$	SOT23, SOD23	B-E-C
p2D	PMBTA92	PHIL	npn	$V_{CE} = 300 \text{ В}$; $I_C = 500 \text{ мА}$; $P_D = 250 \text{ мВт}$; $\eta_{31} > 40$; $f_T > 50 \text{ МГц}$	SOT23, SOD23	B-E-C
p2E	PMBTA93	PHIL	npn	$V_{CE} = 200 \text{ В}$; $I_C = 500 \text{ мА}$; $P_D = 250 \text{ мВт}$; $\eta_{31} > 40$; $f_T > 50 \text{ МГц}$	SOT23, SOD23	B-E-C
p2F	PMBT2907A	PHIL	npn	$V_{CE} = 60 \text{ В}$; $I_C = 600 \text{ мА}$; $P_D = 250 \text{ мВт}$; $\eta_{31} > 50$; $f_T > 200 \text{ МГц}$	SOT23, SOD23	B-E-C
p2G	PMBTA56	PHIL	npn	$V_{CE} = 80 \text{ В}$; $I_C = 500 \text{ мА}$; $P_D = 250 \text{ мВт}$; $\eta_{31} > 50$; $f_T > 50 \text{ МГц}$	SOT23, SOD23	B-E-C
p2H	PMBTA55	PHIL	npn	$V_{CE} = 60 \text{ В}$; $I_C = 500 \text{ мА}$; $P_D = 250 \text{ мВт}$; $\eta_{31} > 50$; $f_T > 50 \text{ МГц}$	SOT23, SOD23	B-E-C
p2L	PMBT5401	PHIL	npn	$V_{CE} = 160 \text{ В}$; $I_C = 500 \text{ мА}$; $P_D = 250 \text{ мВт}$; $\eta_{31} = 60 \dots 240$; $f_T = 100 \dots 300 \text{ МГц}$	SOT23, SOD23	B-E-C
p2L	PMBT5401	PHIL	npn	$V_{CE} = 160 \text{ В}$; $I_C = 500 \text{ мА}$; $P_D = 200 \text{ мВт}$; $\eta_{31} = 60 \dots 240$; $f_T = 100 \dots 300 \text{ МГц}$	SOT323, SC70	B-E-C
P2p	BFR92AW	PHIL	npn	$V_{CE} = 20 \text{ В}$; $I_C = 25 \text{ мА}$; $P_D = 273 \text{ мВт}$; $\eta_{31} > 40$; $f_T = 4500 \text{ МГц}$	SOT323, SC70	B-E-C
p2T	PMBT4403	PHIL	npn	$V_{CE} = 40 \text{ В}$; $I_C = 600 \text{ мА}$; $P_D = 250 \text{ мВт}$; $\eta_{31} = 100 \dots 300$; $f_T > 200 \text{ МГц}$	SOT23, SOD23	B-E-C
p2T	PMBT4403	PHIL	npn	$V_{CE} = 40 \text{ В}$; $I_C = 600 \text{ мА}$; $P_D = 200 \text{ мВт}$; $\eta_{31} = 100 \dots 300$; $f_T > 200 \text{ МГц}$	SOT323, SC70	B-E-C



SOT23-3 SOT323 SOT416
SOD23-3 SOT346 SOT523



SOT490 TSM VMT3
MFPK TSFP-3 VMD3

Код	Типономинал	Б	Ф	Особенности	Корпус	Ц: 1+2+3
Q2U	PMB7A83	PHIL	dnpn	$V_{CE0}=30 В, I_C=500 мА, P_D=250 мВт, h_{FE}>5000, f_T>125 МГц$	SOT23, SOD23	В+Е+С
Q2V	PMB7A84	PHIL	dnpn	$V_{CE0}=30 В, I_C=500 мА, P_D=250 мВт, h_{FE}>10000, f_T>125 МГц$	SOT23, SOD23	В+Е+С
Q2X	PMB74401	PHIL	npn	$V_{CE0}=40 В, I_C=600 мА, P_D=250 мВт, h_{FE}>100...300, f_T>250 МГц$	SOT23, SOD23	В+Е+С
Q2X	PM74401	PHIL	npn	$V_{CE0}=80 В, I_C=600 мА, P_D=200 мВт, h_{FE}>100...300, f_T>250 МГц$	SOT23, SC70	В+Е+С
P3	BZ84C13T	DIODS	dz	$V_{ZT(I_{ZT}=5 мА)}=12.4...14.1 В, Z_{T(I_{ZT}=5 мА)}<30 Ом$	SOT523	А+п.с.+К
P3	TP0202T	SIL	pMOS	$V_{DS}=20 В, I_D=410 мА, P_D=350 мВт, g_m=600 мСм, R_{DS(on)}=0.9 Ом$	SOT23, SOD23	Г+С+D
P3	TP0202T	TEMIC	pMOS	$V_{DS}=20 В, I_D=410 мА, P_D=350 мВт, g_m=600 мСм, R_{DS(on)}=0.9 Ом$	SOT23, SOD23	Г+С+D
Q30	PDTCl14YU	PHIL	Dnpn	$V_{CE0}=50 В, I_C=100 мА, P_D=200 мВт, h_{FE}>100, 10 кОм/47 кОм$	SOT23, SC70	В+Е+С
Q31	PDTA143XT	PHIL	Dnpn	$V_{CE0}=50 В, I_C=100 мА, P_D=250 мВт, h_{FE}>50, 4.7 кОм/10 кОм$	SOT23, SOD23	В+Е+С
Q32	PDTCl143XT	PHIL	Dnpn	$V_{CE0}=50 В, I_C=100 мА, P_D=250 мВт, h_{FE}>50, 4.7 кОм/10 кОм$	SOT23, SOD23	В+Е+С
Q30	SO6400	SGS	npn	$V_{CE0}=130 В, I_C=600 мА, P_D=200 мВт, h_{FE}>100, 10 кОм/47 кОм$	SOT23, SOD23	В+Е+С
P33	SO6401	SGS	npn	$V_{CE0}=160 В, I_C=600 мА, P_D=200 мВт, h_{FE}>100, 10 кОм/47 кОм$	SOT23, SOD23	В+Е+С
P38	SST4338	SIL	nFET	$V_{DS}=50 В, P_D=300 мВт, I_{DSS}<0.6 мА, g_m>0.6 мСм$	SOT23, SOD23	Д+С+G
P39	SO692	SGS	npn	$V_{CE0}=300 В, I_C=100 мА, P_D=310 мВт, h_{FE}>40...180, f_T>50 МГц$	SOT23, SOD23	В+Е+С
P39	SST4339	SIL	nFET	$V_{DS}=50 В, P_D=300 мВт, I_{DSS}<0.8 мА, g_m>1.5 мСм$	SOT23, SOD23	Д+С+G
P3W	NMBF222FT1	MOT	pMOS	$V_{DS}=20 В, I_D=30 мА, P_D=150 мВт, R_{DS(on)}=3.5 Ом$	SOT23, SC70	Г+С+D
P4	BFR92R	PHIL	Dnpn	$V_{CE0}=20 В, I_C=30 мА, P_D=280 мВт, h_{FE}>40...200, f_T=5000 МГц$	SOT23, SC70	С+В+Е
P4	BZ84C15T	DIODS	dz	$V_{ZT(I_{ZT}=5 мА)}=13.8...15.6 В, Z_{T(I_{ZT}=5 мА)}<30 Ом$	SOT523	А+п.с.+К
P4	SST204	SIL	nFET	$V_{DS}=25 В, P_D=350 мВт, I_{DSS}=0.2...3 мА, g_m>0.5 мСм$	SOT23, SOD23	Д+С+G
P40	SST4340	SIL	nFET	$V_{DS}=50 В, P_D=300 мВт, I_{DSS}<1.3 мА, g_m>9 мСм$	SOT23, SOD23	Д+С+G
P41	SST4341	SIL	nFET	$V_{DS}=50 В, P_D=300 мВт, I_{DSS}<2 мА, g_m>1.5 мСм$	SOT23, SOD23	Д+С+G
Q46	PDTA143XU	PHIL	Dnpn	$V_{CE0}=50 В, I_C=100 мА, P_D=250 мВт, h_{FE}>50, 4.7 кОм/10 кОм$	SOT23, SC70	В+Е+С
Q47	PDTA143ZU	PHIL	Dnpn	$V_{CE0}=50 В, I_C=100 мА, P_D=250 мВт, h_{FE}>100, 4.7 кОм/47 кОм$	SOT23, SC70	В+Е+С
Q4F	PMBD353	PHIL	shd-2	$V_A<4 В, I_A<30 мА, V_{F(I_F=10 мА)}<600 мВ, C_D<1 нФ$	SOT23, SOD23	K1+A2-A1, K2
P5	BFR92AR	PHIL	npn	$V_{CE0}=20 В, I_C=25 мА, P_D=273 мВт, h_{FE}>40, f_T=4500 МГц$	SOT23, SOD23	С+В+Е
P5	BZ84C16T	DIODS	dz	$V_{ZT(I_{ZT}=5 мА)}=15.3...17.1 В, Z_{T(I_{ZT}=5 мА)}<40 Ом$	SOT523	А+п.с.+К
P5	PM7T2369A	ZETEX	npn	$V_{CE0}=40 В, I_C=200 мА, P_D=330 мВт, h_{FE}>40...120$	SOT23, SOD23	В+Е+С
Q53	PDTCl143XU	PHIL	Dnpn	$V_{CE0}=50 В, I_C=100 мА, P_D=250 мВт, h_{FE}>50, 4.7 кОм/10 кОм$	SOT23, SC70	В+Е+С
Q54	PDTCl143ZU	PHIL	Dnpn	$V_{CE0}=50 В, I_C=100 мА, P_D=250 мВт, h_{FE}>100, 4.7 кОм/47 кОм$	SOT23, SC70	В+Е+С
Q55	PDTA114YU	PHIL	Dnpn	$V_{CE0}=50 В, I_C=100 мА, P_D=200 мВт, h_{FE}>100, 10 кОм/47 кОм$	SOT23, SC70	В+Е+С
P57	SST5457	SIL	nFET	$V_{DS}=25 В, P_D=310 мВт, I_{DSS}=1...5 мА, g_m>1 мСм$	SOT23, SOD23	Д+С+G
P58	SST5458	SIL	nFET	$V_{DS}=25 В, P_D=310 мВт, I_{DSS}=1...5 мА, g_m>1.5 мСм$	SOT23, SOD23	Д+С+G
P59	SST5459	SIL	nFET	$V_{DS}=25 В, P_D=350 мВт, I_{DSS}=4...16 мА, g_m>2 мСм$	SOT23, SOD23	Д+С+G
Q5A	PMBD6050	PHIL	fd	$V_A<70 В, I_A<215 мА, V_{F(I_F=150 мА)}<1.25 В, I_{B1}<100 мА, C_D<1.5 нФ, I_{FPP}<4 мС$	SOT23, SOD23	А+п.с.+К
Q5B	PMBD5100	PHIL	fd-2	$V_A<70 В, I_A<215 мА, V_{F(I_F=100 мА)}>0.85...1.1 В, I_{B1}<100 мА, C_D<1.5 нФ, I_{FPP}<4 мС$	SOT23, SOD23	A1+A2-K1, K2
Q5C	PMBD7000	PHIL	fd-2	$V_A<100 В, I_A<215 мА, V_{F(I_F=100 мА)}>0.75...1.25 В, I_{B1}<500 мА, C_D<1.5 нФ, I_{FPP}<4 мС$	SOT23, SOD23	A1+K2-K1, A2
Q5D	PMBD910	PHIL	fd	$V_A<70 В, I_A<215 мА, V_{F(I_F=150 мА)}<1.25 В, I_{B1}<1 мА, C_D<1.5 нФ, I_{FPP}<4 мС$	SOT23, SOD23	А+п.с.+К
Q5G	PMBD352	PHIL	shd-2	$V_A<4 В, I_A<30 мА, V_{F(I_F=10 мА)}<600 мВ, C_D<1 нФ$	SOT23, SOD23	A1+K2-K1, A2
P6	BZ84C18T	DIODS	dz	$V_{ZT(I_{ZT}=5 мА)}=16.8...19.1 В, Z_{T(I_{ZT}=5 мА)}<45 Ом$	SOT523	А+п.с.+К
P63	SST5463	SIL	pFET	$V_{DS}=60 В, P_D=310 мВт, I_{DSS}>5 мА, g_m>1...4 мСм$	SOT23, SOD23	Д+С+G
P64	SST5464	SIL	pFET	$V_{DS}=60 В, P_D=310 мВт, I_{DSS}=2...3 мА, g_m>5 мСм$	SOT23, SOD23	Д+С+G
P65	SST5465	SIL	pFET	$V_{DS}=60 В, P_D=310 мВт, I_{DSS}=4...16 мА, g_m>6 мСм$	SOT23, SOD23	Д+С+G
Q6A	PMBF4416	PHIL	nFET	$V_{DS}=30 В, I_{DSS}=15 мА, P_D=250 мВт, g_m>7.5 мСм$	SOT23, SOD23	С+D+G
Q6B	PMBF5484	PHIL	nFET	$V_{DS}=25 В, I_{DSS}=5 мА, P_D=250 мВт, g_m>6 мСм$	SOT23, SOD23	С+D+G
Q6G	PMBF4393	PHIL	nFET	$V_{DS}=40 В, I_{DSS}=5 мА, P_D=250 мВт, R_{DS(on)}<100 Ом$	SOT23, SOD23	Д+С+G
Q6H	PMBF5486	PHIL	nFET	$V_{DS}=25 В, I_{DSS}=15 мА, P_D=250 мВт, g_m>8 мСм$	SOT23, SOD23	С+D+G
Q6J	PMBF4391	PHIL	nFET	$V_{DS}=40 В, I_{DSS}=50 мА, P_D=250 мВт, R_{DS(on)}<30 Ом$	SOT23, SOD23	Д+С+G
Q6K	PMBF4392	PHIL	nFET	$V_{DS}=40 В, I_{DSS}=25 мА, P_D=250 мВт, R_{DS(on)}<60 Ом$	SOT23, SOD23	Д+С+G
Q6M	PMBF5485	PHIL	nFET	$V_{DS}=25 В, I_{DSS}=10 мА, P_D=250 мВт, g_m>7 мСм$	SOT23, SOD23	С+D+G

**SOT490 TSM
MFPAK TSFP-3**

**VMT3
VMD3**



**SOT416
SOT523**

**SOT323
SOT346**

**SOT23-3
SOD23-3**



Код	Типономинал	Б	Ф	Особенности	Корпус	Ц: 1*2*3
ρBS	PMBFJ176	PHIL	pFET	$V_{DS}=30\text{ В}$, $I_{DSS}>2\text{ мА}$, $P_D=300\text{ мВт}$, $R_{DS(on)}<250\text{ Ом}$	SOT23, SOD23	D-S-G
ρBW	PMBFJ175	PHIL	pFET	$V_{DS}=30\text{ В}$, $I_{DSS}>7\text{ мА}$, $P_D=300\text{ мВт}$, $R_{DS(on)}<125\text{ Ом}$	SOT23, SOD23	D-S-G
ρBX	PMBFJ174	PHIL	pFET	$V_{DS}=30\text{ В}$, $I_{DSS}>20\text{ мА}$, $P_D=300\text{ мВт}$, $R_{DS(on)}<85\text{ Ом}$	SOT23, SOD23	D-S-G
ρBY	PMBFJ177	PHIL	pFET	$V_{DS}=30\text{ В}$, $I_{DSS}>1.5\text{ мА}$, $P_D=300\text{ мВт}$, $R_{DS(on)}<300\text{ Ом}$	SOT23, SOD23	D-S-G
P7	BZX84C20T	DIODS	dz	$V_F(I_F=5\text{ мА})=18...21\text{ В}$; $Z_T(I_T=5\text{ мА})<55\text{ Ом}$	SOT523	A-н.с.-K
ρ7Y	PD7B123YT	PHIL	Dnpn	$V_{DS}=50\text{ В}$, $I_C=500\text{ мА}$, $P_T=250\text{ мВт}$; $\eta_{HT}>70$; $2\text{ кОм}/10\text{ кОм}$	SOT23, SOD23	B-E-C
P8	BZX84C22T	DIODS	dz	$V_F(I_F=5\text{ мА})=20...23\text{ В}$; $Z_T(I_T=5\text{ мА})<55\text{ Ом}$	SOT523	A-н.с.-K
P8A	FLD261	ZETEX	d-2	$V_S<100\text{ В}$; $I_S<250\text{ мА}$; $V_F(I_F=200\text{ мА})<1.4\text{ В}$; $I_S<5\text{ мкА}$; $C_D<4\text{ пФ}$	SOT23, SOD23	A1-K2-K1, A2
P8A	FLD261	FAIR	d-2	$V_S<100\text{ В}$; $I_S<250\text{ мА}$; $V_F(I_F=200\text{ мА})<1.4\text{ В}$; $I_S<5\text{ мкА}$; $C_D<4\text{ пФ}$	SOT23, SOD23	A1-K2-K1, A2
ρ8A	PMBZ5226B	PHIL	dz	$V_F(I_F=20\text{ мА})=3.3\text{ В}$; $I_S(V_S=1.0\text{ В})<25\text{ мкА}$; $Z_T(I_T=20\text{ мА})<1600\text{ Ом}$; $I_{DM}=200\text{ мА}$	SOT23, SOD23	A-н.с.-K
ρ8B	PMBZ5227B	PHIL	dz	$V_F(I_F=20\text{ мА})=3.6\text{ В}$; $I_S(V_S=1.0\text{ В})<15\text{ мкА}$; $Z_T(I_T=20\text{ мА})<1700\text{ Ом}$; $I_{DM}=200\text{ мА}$	SOT23, SOD23	A-н.с.-K
ρ8C	PMBZ5228B	PHIL	dz	$V_F(I_F=20\text{ мА})=3.9\text{ В}$; $I_S(V_S=1.0\text{ В})<10\text{ мкА}$; $Z_T(I_T=20\text{ мА})<1900\text{ Ом}$; $I_{DM}=200\text{ мА}$	SOT23, SOD23	A-н.с.-K
ρ8D	PMBZ5229B	PHIL	dz	$V_F(I_F=20\text{ мА})=4.3\text{ В}$; $I_S(V_S=1.0\text{ В})<5\text{ мкА}$; $Z_T(I_T=20\text{ мА})<2000\text{ Ом}$; $I_{DM}=200\text{ мА}$	SOT23, SOD23	A-н.с.-K
ρ8E	PMBZ5230B	PHIL	dz	$V_F(I_F=20\text{ мА})=4.7\text{ В}$; $I_S(V_S=1.0\text{ В})<5\text{ мкА}$; $Z_T(I_T=20\text{ мА})<2000\text{ Ом}$; $I_{DM}=200\text{ мА}$	SOT23, SOD23	A-н.с.-K
ρ8F	PMBZ5231B	PHIL	dz	$V_F(I_F=20\text{ мА})=5.1\text{ В}$; $I_S(V_S=2.0\text{ В})<5\text{ мкА}$; $Z_T(I_T=20\text{ мА})<2000\text{ Ом}$; $I_{DM}=200\text{ мА}$	SOT23, SOD23	A-н.с.-K
ρ8G	PMBZ5232B	PHIL	dz	$V_F(I_F=20\text{ мА})=5.6\text{ В}$; $I_S(V_S=3.0\text{ В})<5\text{ мкА}$; $Z_T(I_T=20\text{ мА})<1600\text{ Ом}$; $I_{DM}=200\text{ мА}$	SOT23, SOD23	A-н.с.-K
ρ8H	PMBZ5233B	PHIL	dz	$V_F(I_F=20\text{ мА})=6.0\text{ В}$; $I_S(V_S=3.5\text{ В})<5\text{ мкА}$; $Z_T(I_T=20\text{ мА})<1600\text{ Ом}$; $I_{DM}=200\text{ мА}$	SOT23, SOD23	A-н.с.-K
ρ8J	PMBZ5234B	PHIL	dz	$V_F(I_F=20\text{ мА})=6.2\text{ В}$; $I_S(V_S=4.0\text{ В})<5\text{ мкА}$; $Z_T(I_T=20\text{ мА})<1000\text{ Ом}$; $I_{DM}=200\text{ мА}$	SOT23, SOD23	A-н.с.-K
ρ8K	PMBZ5235B	PHIL	dz	$V_F(I_F=20\text{ мА})=6.8\text{ В}$; $I_S(V_S=5.0\text{ В})<3\text{ мкА}$; $Z_T(I_T=20\text{ мА})<750\text{ Ом}$; $I_{DM}=200\text{ мА}$	SOT23, SOD23	A-н.с.-K
ρ8L	PMBZ5236B	PHIL	dz	$V_F(I_F=20\text{ мА})=7.5\text{ В}$; $I_S(V_S=6.0\text{ В})<3\text{ мкА}$; $Z_T(I_T=20\text{ мА})<500\text{ Ом}$; $I_{DM}=200\text{ мА}$	SOT23, SOD23	A-н.с.-K
ρ8M	PMBZ5237B	PHIL	dz	$V_F(I_F=20\text{ мА})=8.2\text{ В}$; $I_S(V_S=6.5\text{ В})<3\text{ мкА}$; $Z_T(I_T=20\text{ мА})<500\text{ Ом}$; $I_{DM}=200\text{ мА}$	SOT23, SOD23	A-н.с.-K
ρ8N	PMBZ5238B	PHIL	dz	$V_F(I_F=20\text{ мА})=8.7\text{ В}$; $I_S(V_S=6.5\text{ В})<3\text{ мкА}$; $Z_T(I_T=20\text{ мА})<600\text{ Ом}$; $I_{DM}=200\text{ мА}$	SOT23, SOD23	A-н.с.-K
ρ8P	PMBZ5239B	PHIL	dz	$V_F(I_F=20\text{ мА})=9.1\text{ В}$; $I_S(V_S=7.0\text{ В})<3\text{ мкА}$; $Z_T(I_T=20\text{ мА})<600\text{ Ом}$; $I_{DM}=200\text{ мА}$	SOT23, SOD23	A-н.с.-K
ρ8Q	PMBZ5240B	PHIL	dz	$V_F(I_F=20\text{ мА})=10\text{ В}$; $I_S(V_S=8.0\text{ В})<3\text{ мкА}$; $Z_T(I_T=20\text{ мА})<600\text{ Ом}$; $I_{DM}=200\text{ мА}$	SOT23, SOD23	A-н.с.-K
ρ8R	PMBZ5241B	PHIL	dz	$V_F(I_F=20\text{ мА})=11\text{ В}$; $I_S(V_S=8.4\text{ В})<2\text{ мкА}$; $Z_T(I_T=20\text{ мА})<600\text{ Ом}$; $I_{DM}=200\text{ мА}$	SOT23, SOD23	A-н.с.-K
ρ8S	PMBZ5242B	PHIL	dz	$V_F(I_F=20\text{ мА})=12\text{ В}$; $I_S(V_S=9.1\text{ В})<1\text{ мкА}$; $Z_T(I_T=20\text{ мА})<600\text{ Ом}$; $I_{DM}=200\text{ мА}$	SOT23, SOD23	A-н.с.-K
ρ8T	PMBZ5243B	PHIL	dz	$V_F(I_F=9.5\text{ мА})=13\text{ В}$; $I_S(V_S=9.9\text{ В})<0.5\text{ мкА}$; $Z_T(I_T=9.5\text{ мА})<600\text{ Ом}$; $I_{DM}=200\text{ мА}$	SOT23, SOD23	A-н.с.-K
ρ8U	PMBZ5244B	PHIL	dz	$V_F(I_F=9.0\text{ мА})=14\text{ В}$; $I_S(V_S=10\text{ В})<0.1\text{ мкА}$; $Z_T(I_T=9.0\text{ мА})<600\text{ Ом}$; $I_{DM}=200\text{ мА}$	SOT23, SOD23	A-н.с.-K
ρ8V	PMBZ5245B	PHIL	dz	$V_F(I_F=8.5\text{ мА})=15\text{ В}$; $I_S(V_S=11\text{ В})<0.1\text{ мкА}$; $Z_T(I_T=8.5\text{ мА})<600\text{ Ом}$; $I_{DM}=200\text{ мА}$	SOT23, SOD23	A-н.с.-K
ρ8W	PMBZ5246B	PHIL	dz	$V_F(I_F=7.8\text{ мА})=16\text{ В}$; $I_S(V_S=12\text{ В})<0.1\text{ мкА}$; $Z_T(I_T=7.8\text{ мА})<600\text{ Ом}$; $I_{DM}=200\text{ мА}$	SOT23, SOD23	A-н.с.-K
ρ8X	PMBZ5247B	PHIL	dz	$V_F(I_F=7.4\text{ мА})=17\text{ В}$; $I_S(V_S=13\text{ В})<0.1\text{ мкА}$; $Z_T(I_T=7.4\text{ мА})<600\text{ Ом}$; $I_{DM}=200\text{ мА}$	SOT23, SOD23	A-н.с.-K
ρ8Y	PMBZ5248B	PHIL	dz	$V_F(I_F=7.0\text{ мА})=18\text{ В}$; $I_S(V_S=14\text{ В})<0.1\text{ мкА}$; $Z_T(I_T=7.0\text{ мА})<600\text{ Ом}$; $I_{DM}=200\text{ мА}$	SOT23, SOD23	A-н.с.-K
ρ8Z	PMBZ5249B	PHIL	dz	$V_F(I_F=6.6\text{ мА})=19\text{ В}$; $I_S(V_S=14\text{ В})<0.1\text{ мкА}$; $Z_T(I_T=6.6\text{ мА})<600\text{ Ом}$; $I_{DM}=200\text{ мА}$	SOT23, SOD23	A-н.с.-K
P9	BCX70KR	ZETEX	npn	$V_{CE}=45\text{ В}$; $I_C=200\text{ мА}$; $P_D=330\text{ мВт}$; $\eta_{HT}=380...630$; $f_T>250\text{ МГц}$	SOT23, SOD23	B-E-C



SOT23-3
SOD23-3

SOT323
SOT346

SOT416
SOT523



SOT490
MFPK

TESM
TSFP-3

VMT3
VMD3

Код	Типономинал	Б	Ф	Особенности	Корпус	Ц: 1•2•3
P9	BCX70KTR	PHIL	npn	$V_{CE0} > 45 В$, $I_C < 200 мА$, $P_D < 330 мВт$, $h_{FE} > 380$, $f_T > 250 МГц$	SOT23, SOD23	С•В•Е
P9	BZX84C24T	DIODS		$V_{DZ} < 5 В$, $I_Z < 22 В$, $25 В$, $Z_T(I_{T1} < 5 мА) < 70 Ом$	SOT523	А•п.с. • К
P9	DAP222	ON	di-z	$V_{A0} < 80 В$, $I_C < 300 мА$, $P_D < 150 мВт$, $V_{CE}(I_C < 100 мА) < 12 В$, $t_{off} < 4 нс$	SOT416, SC75A	K1 • K2 • A1, A2
o9A	PLVA650A	PHIL	dz	$V_{CE}(I_T < 250 мА) < 4 В$, $5 В$, $I_C(V_{CE} < 0.8 V_{CE}) < 20 мА$, $Z_T(I_T < 250 мА) < 700 Ом$, $I_{hT} < 250 мА$	SOT23, SOD23	А•п.с. • К
o9B	PLVA653A	PHIL	dz	$V_{CE}(I_T < 250 мА) < 5 В$, $5 В$, $I_C(V_{CE} < 0.8 V_{CE}) < 5 мА$, $Z_T(I_T < 250 мА) < 250 Ом$, $I_{hT} < 250 мА$	SOT23, SOD23	А•п.с. • К
o9C	PLVA656A	PHIL	dz	$V_{CE}(I_T < 250 мА) < 5 В$, $5 В$, $I_C(V_{CE} < 0.8 V_{CE}) < 1 мА$, $Z_T(I_T < 250 мА) < 100 Ом$, $I_{hT} < 250 мА$	SOT23, SOD23	А•п.с. • К
o9D	PLVA659A	PHIL	dz	$V_{CE}(I_T < 250 мА) < 5 В$, $5 В$, $I_C(V_{CE} < 0.8 V_{CE}) < 500 мА$, $Z_T(I_T < 250 мА) < 100 Ом$, $I_{hT} < 250 мА$	SOT23, SOD23	А•п.с. • К
o9E	PLVA662A	PHIL	dz	$V_{CE}(I_T < 250 мА) < 6 В$, $6 В$, $I_C(V_{CE} < 0.8 V_{CE}) < 100 мА$, $Z_T(I_T < 250 мА) < 100 Ом$, $I_{hT} < 250 мА$	SOT23, SOD23	А•п.с. • К
o9F	PLVA665A	PHIL	dz	$V_{CE}(I_T < 250 мА) < 6 В$, $6 В$, $I_C(V_{CE} < 0.8 V_{CE}) < 50 мА$, $Z_T(I_T < 250 мА) < 100 Ом$, $I_{hT} < 250 мА$	SOT23, SOD23	А•п.с. • К
o9G	PLVA668A	PHIL	dz	$V_{CE}(I_T < 250 мА) < 6 В$, $6 В$, $I_C(V_{CE} < 0.8 V_{CE}) < 10 мА$, $Z_T(I_T < 250 мА) < 100 Ом$, $I_{hT} < 250 мА$	SOT23, SOD23	А•п.с. • К
o9J	PLVA2650A	PHIL	dz-z	$V_{CE}(I_T < 250 мА) < 4 В$, $5 В$, $I_C(V_{CE} < 0.8 V_{CE}) < 20 мА$, $Z_T(I_T < 250 мА) < 700 Ом$, $I_{hT} < 250 мА$	SOT23, SOD23	K1 • K2 • A1, A2
o9K	PLVA2653A	PHIL	dz-z	$V_{CE}(I_T < 250 мА) < 5 В$, $5 В$, $I_C(V_{CE} < 0.8 V_{CE}) < 5 мА$, $Z_T(I_T < 250 мА) < 250 Ом$, $I_{hT} < 250 мА$	SOT23, SOD23	K1 • K2 • A1, A2
o9L	PLVA2656A	PHIL	dz-z	$V_{CE}(I_T < 250 мА) < 5 В$, $5 В$, $I_C(V_{CE} < 0.8 V_{CE}) < 1 мА$, $Z_T(I_T < 250 мА) < 100 Ом$, $I_{hT} < 250 мА$	SOT23, SOD23	K1 • K2 • A1, A2
o9M	PLVA2659A	PHIL	dz-z	$V_{CE}(I_T < 250 мА) < 5 В$, $5 В$, $I_C(V_{CE} < 0.8 V_{CE}) < 500 мА$, $Z_T(I_T < 250 мА) < 100 Ом$, $I_{hT} < 250 мА$	SOT23, SOD23	K1 • K2 • A1, A2
o9N	PLVA2662A	PHIL	dz-z	$V_{CE}(I_T < 250 мА) < 6 В$, $6 В$, $I_C(V_{CE} < 0.8 V_{CE}) < 100 мА$, $Z_T(I_T < 250 мА) < 100 Ом$, $I_{hT} < 250 мА$	SOT23, SOD23	K1 • K2 • A1, A2
o9O	PLVA2665A	PHIL	dz-z	$V_{CE}(I_T < 250 мА) < 6 В$, $6 В$, $I_C(V_{CE} < 0.8 V_{CE}) < 50 мА$, $Z_T(I_T < 250 мА) < 100 Ом$, $I_{hT} < 250 мА$	SOT23, SOD23	K1 • K2 • A1, A2
o9P	PLVA2668A	PHIL	dz-z	$V_{CE}(I_T < 250 мА) < 6 В$, $6 В$, $I_C(V_{CE} < 0.8 V_{CE}) < 10 мА$, $Z_T(I_T < 250 мА) < 100 Ом$, $I_{hT} < 250 мА$	SOT23, SOD23	K1 • K2 • A1, A2
PA	2SC4666	TOSH	npn	$V_{CE0} < 50 В$, $I_C < 150 мА$, $P_D < 100 мВт$, $h_{FE} > 600$, $f_T > 250 МГц$	SOT323, SC70	В•Е•С
PA	BA885	INF	pin	$V_A < 50 В$, $I_C < 50 мА$, $V_{FE}(I_C < 50 мА) < 1 В$, $I_B < 0.05 мА$, $C_D < 0.4 нФ$	SOT23, SOD23	А•п.с. • К
oA2	PMBD2836	PHIL	fd-z	$V_A < 75 В$, $I_C < 215 мА$, $V_{FE}(I_C < 150 мА) < 1.25 В$, $I_B < 100 мА$, $C_D < 2.5 нФ$, $t_{off} < 4 нс$	SOT23, SOD23	K1 • K2 • A1, A2
oA3	PMBD2835	PHIL	fd-z	$V_A < 35 В$, $I_C < 215 мА$, $V_{FE}(I_C < 150 мА) < 1.25 В$, $I_B < 100 мА$, $C_D < 2.5 нФ$, $t_{off} < 4 нс$	SOT23, SOD23	K1 • K2 • A1, A2
oA5	PMBD2837	PHIL	fd-z	$V_A < 30 В$, $I_C < 215 мА$, $V_{FE}(I_C < 150 мА) < 1.25 В$, $I_B < 100 мА$, $C_D < 2.5 нФ$, $t_{off} < 4 нс$	SOT23, SOD23	A1 • A2 • K1, K2
oA6	PMBD2838	PHIL	fd-z	$V_A < 50 В$, $I_C < 215 мА$, $V_{FE}(I_C < 150 мА) < 1.25 В$, $I_B < 100 мА$, $C_D < 2.5 нФ$, $t_{off} < 4 нс$	SOT23, SOD23	A1 • A2 • K1, K2
PB	2SC4666	TOSH	npn	$V_{CE0} < 50 В$, $I_C < 150 мА$, $P_D < 100 мВт$, $h_{FE} > 1200$, $f_T > 250 МГц$	SOT323, SC70	В•Е•С
PC	BA886	INF	pin	$V_A < 50 В$, $I_C < 50 мА$, $V_{FE}(I_C < 50 мА) < 1.15 В$, $I_B < 0.05 мА$, $C_D < 0.2 нФ$	SOT23, SOD23	А•п.с. • К
PC	MGSF10P2OL	ON	pMOS	$V_{DS} < 20 В$, $I_D < 750 мА$, $P_D < 400 мВт$, $R_{DS(on)} < 0.5 Ом$	SOT23, SOD23	G•S•D
PD	2SA1171D	REN	npn	$V_{CE0} < 90 В$, $I_C < 50 мА$, $P_D < 150 мВт$, $h_{FE} > 250$, $f_T > 500$	SOT23, SOD23	В•Е•С
PD	BSS84L	MOT	pMOS	$V_{DS} < 50 В$, $I_D < 130 мА$, $P_D < 360 мВт$, $g_m < 50 мСм$, $R_{DS(on)} < 10 Ом$	SOT23, SOD23	G•S•D
PDs	BA887	INF	pin	$V_A < 50 В$, $I_C < 100 мА$, $I_B < 0.02 мА$, $C_D < 0.27 нФ$	SOT23, SOD23	А•п.с. • К
PE	2SA1171E	REN	npn	$V_{CE0} < 90 В$, $I_C < 50 мА$, $P_D < 150 мВт$, $h_{FE} > 400$, $f_T > 800$	SOT23, SOD23	В•Е•С
oG1	PMBT5551	PHIL	pin	$V_{CE0} < 180 В$, $I_C < 600 мА$, $P_D < 250 мВт$, $h_{FE} > 80$, $f_T > 250$, $f_T > 100$, $f_T > 300$	SOT23, SOD23	В•Е•С
PH	KPA307	KEC	npn	$V_{CE0} < 50 В$, $I_C < 100 мА$, $P_D < 100 мВт$, $R_T/R_{FE} < 10/47 кОм$	SOT323, SC70	В•Е•С
PH2	SST4302	SIL	nFET	$V_{DS} < 30 В$, $P_D < 300 мВт$, $I_{DSS} > 5 мА$, $g_m > 1 мСм$	SOT23, SOD23	D•S•G
PH3	SST4303	SIL	nFET	$V_{DS} < 30 В$, $P_D < 300 мВт$, $I_{DSS} > 10 мА$, $g_m > 2 мСм$	SOT23, SOD23	D•S•G
PH4	SST4304	SIL	nFET	$V_{DS} < 30 В$, $P_D < 300 мВт$, $I_{DSS} > 15 мА$, $g_m > 2 мСм$	SOT23, SOD23	D•S•G
PI	KPA308	KEC	npn	$V_{CE0} < 50 В$, $I_C < 100 мА$, $P_D < 100 мВт$, $R_T/R_{FE} < 22/47 кОм$	SOT323, SC70	В•Е•С
PIB	2SK1070B	REN	nFET	$V_{DS} > 22 В$, $I_D < 50 мА$, $P_D < 150 мВт$, $g_m > 20 мСм$, $I_{DSS} < 6$, $f_T > 14 мА$	SOT23, SOD23	S•D•G
PIC	2SK1070C	REN	nFET	$V_{DS} > 22 В$, $I_D < 50 мА$, $P_D < 150 мВт$, $g_m > 20 мСм$, $I_{DSS} < 12$, $f_T > 22 мА$	SOT23, SOD23	S•D•G

**SOT490 TSM
MFPAK TSFP-3**

**VMT3
VMD3**



**SOT416 SOT323
SOT523 SOT346**

**SOT23-3
SOD23-3**



Код	Типономинал	Б	Ф	Особенности	Корпус	Ц: 1•2•3
PID	2SK1070D	REN	nFET	$V_{GS} > 22 \text{ В}$, $I_D = 50 \text{ мА}$, $P_D = 150 \text{ мВт}$; $g_{fs} > 20 \text{ мСм}$, $f_{OSS} = 18 \dots 30 \text{ МГц}$	SOT23, SOD23	S-D•G
PIE	2SK1070E	REN	nFET	$V_{GS} > 22 \text{ В}$, $I_D = 50 \text{ мА}$, $P_D = 150 \text{ мВт}$; $g_{fs} > 20 \text{ мСм}$, $f_{OSS} = 27 \dots 40 \text{ МГц}$	SOT23, SOD23	S-D•G
PJ	KPA309	KEC	npn	$V_{CE} = 50 \text{ В}$, $I_C = 100 \text{ мА}$, $P_D = 100 \text{ мВт}$; $R_{\theta JA}/R_{\theta PC} = 47/22 \text{ К/°С}$	SOT323, SC70	B•E•C
μJ1	BSH101	PHIL	nMOS	$V_{GS} = 60 \text{ В}$, $I_D = 700 \text{ мА}$, $P_D = 500 \text{ мВт}$; $R_{DS(on)} < 0.6 \text{ Ом}$	SOT23, SOD23	G•S•D
μJ2	BSH102	PHIL	nMOS	$V_{GS} = 30 \text{ В}$, $I_D = 1 \text{ А}$	SOT23, SOD23	G•S•D
μJ3	BSH103	PHIL	nMOS	$V_{GS} = 30 \text{ В}$, $I_D = 850 \text{ мА}$, $P_D = 500 \text{ мВт}$; $R_{DS(on)} < 0.5 \text{ Ом}$	SOT23, SOD23	G•S•D
PMs	BAR66	INF	pin-2	$V_A < 150 \text{ В}$, $I_C < 200 \text{ мА}$, $V_{CE}(I_C = 50 \text{ мА}) < 11 \text{ В}$, $C_{\theta} < 0.35 \text{ нФ}$	SOT23, SOD23	A1-K2-K1, A2
μO4	PMBS3904	PHIL	npn	$V_{CE} = 60 \text{ В}$, $I_C = 100 \text{ мА}$, $P_D = 250 \text{ мВт}$; $h_{FE} = 100 \dots 300$, $f_T = 180 \text{ МГц}$	SOT23, SOD23	B•E•C
μO6	PMBS3906	PHIL	npn	$V_{CE} = 40 \text{ В}$, $I_C = 100 \text{ мА}$, $P_D = 250 \text{ мВт}$; $h_{FE} = 100 \dots 300$, $f_T = 150 \text{ МГц}$	SOT23, SOD23	B•E•C
POs	BAR64	SIEM	pin	$V_A < 200 \text{ В}$, $I_C < 100 \text{ мА}$, $V_{CE}(I_C = 50 \text{ мА}) < 11 \text{ В}$, $C_{\theta} < 0.35 \text{ нФ}$	SOT23, SOD23	A•K•C
PFs	BAR64C	SIEM	pin-2	$V_A < 200 \text{ В}$, $I_C < 100 \text{ мА}$, $V_{CE}(I_C = 50 \text{ мА}) < 11 \text{ В}$, $C_{\theta} < 0.35 \text{ нФ}$	SOT23, SOD23	A1-K2-K1, A2
PFs	BAR64-C	INF	pin-2	$V_A < 150 \text{ В}$, $I_C < 100 \text{ мА}$, $V_{CE}(I_C = 50 \text{ мА}) < 11 \text{ В}$, $C_{\theta} < 0.35 \text{ нФ}$	SOT23, SOD23	A1-K2-K1, A2
PFs	BAR64-04W	INF	pin-2	$V_A < 150 \text{ В}$, $I_C < 100 \text{ мА}$, $V_{CE}(I_C = 50 \text{ мА}) < 11 \text{ В}$, $C_{\theta} < 0.35 \text{ нФ}$	SOT323, SC70	A1-K2-K1, A2
PFs	BAR64-04W	INF	pin-2	$V_A < 150 \text{ В}$, $I_C < 100 \text{ мА}$, $V_{CE}(I_C = 50 \text{ мА}) < 11 \text{ В}$, $C_{\theta} < 0.35 \text{ нФ}$	SOT416, SC75A	A1-K2-K1, A2
PFs	BAR64-05	SIEM	pin-2	$V_A < 200 \text{ В}$, $I_C < 100 \text{ мА}$, $V_{CE}(I_C = 50 \text{ мА}) < 11 \text{ В}$, $C_{\theta} < 0.35 \text{ нФ}$	SOT23, SOD23	A1-A2-K1, K2
PFs	BAR64-05	INF	pin-2	$V_A < 150 \text{ В}$, $I_C < 100 \text{ мА}$, $V_{CE}(I_C = 50 \text{ мА}) < 11 \text{ В}$, $C_{\theta} < 0.35 \text{ нФ}$	SOT23, SOD23	A1-A2-K1, K2
PFs	BAR64-05W	INF	pin-2	$V_A < 150 \text{ В}$, $I_C < 100 \text{ мА}$, $V_{CE}(I_C = 50 \text{ мА}) < 11 \text{ В}$, $C_{\theta} < 0.35 \text{ нФ}$	SOT323, SC70	A1-K2-K1, A2
PS	TP101CTS	SIL	pMOS	$V_{GS} = 20 \text{ В}$, $I_D = 1000 \text{ мА}$, $P_D = 1000 \text{ мВт}$; $g_{fs} = 1300 \text{ мСм}$, $R_{DS(on)} = 0.85 \text{ Ом}$	SOT23, SOD23	G•S•D
PSs	BAR6406	SIEM	pin-2	$V_A < 200 \text{ В}$, $I_C < 100 \text{ мА}$, $V_{CE}(I_C = 50 \text{ мА}) < 11 \text{ В}$, $C_{\theta} < 0.35 \text{ нФ}$	SOT23, SOD23	K1-K2-A1, A2
PSs	BAR64-06	INF	pin-2	$V_A < 150 \text{ В}$, $I_C < 100 \text{ мА}$, $V_{CE}(I_C = 50 \text{ мА}) < 11 \text{ В}$, $C_{\theta} < 0.35 \text{ нФ}$	SOT23, SOD23	K1-K2-A1, A2
PSs	BAR64-06W	INF	pin-2	$V_A < 150 \text{ В}$, $I_C < 100 \text{ мА}$, $V_{CE}(I_C = 50 \text{ мА}) < 11 \text{ В}$, $C_{\theta} < 0.35 \text{ нФ}$	SOT323, SC70	K1-K2-A1, A2
PV	1SV294	SANYO	pin	$V_A > 50 \text{ В}$, $I_C < 50 \text{ мА}$, $V_{CE}(I_C = 50 \text{ мА}) < 0.92 \dots 0.97 \text{ В}$, $I_{CS} < 0.1 \text{ мА}$	SOT23, SOD23	A•K•C
μV3	BAT54A	PHIL	shd-2	$V_A < 30 \text{ В}$, $I_C < 200 \text{ мА}$, $V_{CE}(I_C = 30 \text{ мА}) < 500 \text{ мВ}$, $C_{\theta} < 10 \text{ пФ}$, $t_{sp} < 5 \text{ нс}$	SOT23, SOD23	K1-K2-A1, A2
μV4	BAT54S	PHIL	shd-2	$V_A < 30 \text{ В}$, $I_C < 200 \text{ мА}$, $V_{CE}(I_C = 30 \text{ мА}) < 500 \text{ мВ}$, $C_{\theta} < 10 \text{ пФ}$, $t_{sp} < 5 \text{ нс}$	SOT23, SOD23	A1-K2-K1, A2
μW1	BAT54C	PHIL	shd-2	$V_A < 30 \text{ В}$, $I_C < 200 \text{ мА}$, $V_{CE}(I_C = 30 \text{ мА}) < 500 \text{ мВ}$, $C_{\theta} < 10 \text{ пФ}$, $t_{sp} < 5 \text{ нс}$	SOT23, SOD23	A1-K2-K1, K2
Q0	MCP100T-475/T	MCHP	mrc	$V_{TH} = 4.625 \text{ В}$, $V_{DD} = 1 \dots 5.5 \text{ В}$, $I_{DD} < 60 \text{ мкА}$	SOT23, SOD23	RST-VDD-VSS
Q2	MMBC1321Q2	MOT	npn	$V_{CE} = 30 \text{ В}$, $I_C = 10 \text{ мА}$, $h_{FE} = 40 \dots 80$	SOT23, SOD23	B•E•C
Q3	MMBC1321Q3	MOT	npn	$V_{CE} = 30 \text{ В}$, $I_C = 10 \text{ мА}$, $h_{FE} = 60 \dots 120$	SOT23, SOD23	B•E•C
Q4	MMBC1321Q4	MOT	npn	$V_{CE} = 30 \text{ В}$, $I_C = 10 \text{ мА}$, $h_{FE} = 90 \dots 180$	SOT23, SOD23	B•E•C
Q5	MMBC1321Q5	MOT	npn	$V_{CE} = 30 \text{ В}$, $I_C = 10 \text{ мА}$, $h_{FE} = 135 \dots 270$	SOT23, SOD23	B•E•C
QA	RN1421	TOSH	Dnpn	$V_{CE} = 50 \text{ В}$, $I_C = 800 \text{ мА}$, $P_D = 200 \text{ мВт}$; $h_{FE} = 110 \dots 220$, $f_T = 150 \text{ МГц}$	SOT346, SC59	B•E•C
QAA	BC846AF	AUK	npn	$V_{CE} = 80 \text{ В}$, $I_C = 100 \text{ мА}$, $P_D = 200 \text{ мВт}$; $h_{FE} = 200 \dots 450$, $f_T = 150 \text{ МГц}$	SOT490, SC89	B•E•C
QAB	BC846BF	AUK	npn	$V_{CE} = 80 \text{ В}$, $I_C = 100 \text{ мА}$, $P_D = 200 \text{ мВт}$; $h_{FE} = 200 \dots 450$, $f_T = 150 \text{ МГц}$	SOT490, SC89	B•E•C
QAC	BC846CF	AUK	npn	$V_{CE} = 80 \text{ В}$, $I_C = 100 \text{ мА}$, $P_D = 200 \text{ мВт}$; $h_{FE} = 420 \dots 800$, $f_T = 150 \text{ МГц}$	SOT490, SC89	B•E•C
QBC	RN1422	TOSH	Dnpn	$V_{CE} = 50 \text{ В}$, $I_C = 800 \text{ мА}$, $P_D = 200 \text{ мВт}$; $f_T > 250 \text{ МГц}$, $R_{\theta JA}/R_{\theta PC} = 2.2/2 \text{ К/°С}$	SOT346, SC59	B•E•C
QC	RN1423	TOSH	Dnpn	$V_{CE} = 50 \text{ В}$, $I_C = 800 \text{ мА}$, $P_D = 200 \text{ мВт}$; $f_T > 250 \text{ МГц}$, $R_{\theta JA}/R_{\theta PC} = 4.7/4.7 \text{ К/°С}$	SOT346, SC59	B•E•C
QD	RN1424	TOSH	Dnpn	$V_{CE} = 50 \text{ В}$, $I_C = 800 \text{ мА}$, $P_D = 200 \text{ мВт}$; $f_T > 250 \text{ МГц}$, $R_{\theta JA}/R_{\theta PC} = 10/10 \text{ К/°С}$	SOT346, SC59	B•E•C
QE	RN1425	TOSH	Dnpn	$V_{CE} = 50 \text{ В}$, $I_C = 800 \text{ мА}$, $P_D = 200 \text{ мВт}$; $f_T > 250 \text{ МГц}$, $R_{\theta JA}/R_{\theta PC} = 0.47/10 \text{ К/°С}$	SOT346, SC59	B•E•C
QF	RN1426	TOSH	Dnpn	$V_{CE} = 50 \text{ В}$, $I_C = 800 \text{ мА}$, $P_D = 200 \text{ мВт}$; $f_T > 250 \text{ МГц}$, $R_{\theta JA}/R_{\theta PC} = 1/10 \text{ К/°С}$	SOT346, SC59	B•E•C
QG	RN1427	TOSH	Dnpn	$V_{CE} = 50 \text{ В}$, $I_C = 800 \text{ мА}$, $P_D = 200 \text{ мВт}$; $f_T > 250 \text{ МГц}$, $R_{\theta JA}/R_{\theta PC} = 2/2 \text{ К/°С}$	SOT346, SC59	B•E•C
QI	2SC4196	REN	npn	$V_{CE} = 25 \text{ В}$, $I_C = 50 \text{ мА}$, $P_D = 150 \text{ мВт}$; $h_{FE} = 50 \dots 180$, $f_T > 1.8 \text{ ГГц}$	SOT346, SC59	B•E•C
QJ	2SC4261	REN	npn	$V_{CE} = 25 \text{ В}$, $I_C = 50 \text{ мА}$, $P_D = 100 \text{ мВт}$; $h_{FE} = 50 \dots 180$, $f_T > 1.8 \text{ ГГц}$	SOT323, SC70	B•E•C
QJ	MCP100T-270/T	MCHP	mrc	$V_{TH} = 2.625 \text{ В}$, $V_{DD} = 1 \dots 5.5 \text{ В}$, $I_{DD} < 60 \text{ мкА}$	SOT23, SOD23	RST-VDD-VSS
QK	MCP100T-300/T	MCHP	mrc	$V_{TH} = 2.925 \text{ В}$, $V_{DD} = 1 \dots 5.5 \text{ В}$, $I_{DD} < 60 \text{ мкА}$	SOT23, SOD23	RST-VDD-VSS
QL	MCP100T-315/T	MCHP	mrc	$V_{TH} = 3.075 \text{ В}$, $V_{DD} = 1 \dots 5.5 \text{ В}$, $I_{DD} < 60 \text{ мкА}$	SOT23, SOD23	RST-VDD-VSS
QM	MCP100T-450/T	MCHP	mrc	$V_{TH} = 4.375 \text{ В}$, $V_{DD} = 1 \dots 5.5 \text{ В}$, $I_{DD} < 60 \text{ мкА}$	SOT23, SOD23	RST-VDD-VSS
QN	MCP100T-460/T	MCHP	mrc	$V_{TH} = 4.475 \text{ В}$, $V_{DD} = 1 \dots 5.5 \text{ В}$, $I_{DD} < 60 \text{ мкА}$	SOT23, SOD23	RST-VDD-VSS
QO	KTC4080	KEC	npn	$V_{CE} = 40 \text{ В}$, $I_C = 20 \text{ мА}$, $P_D = 100 \text{ мВт}$; $h_{FE} = 70 \dots 140$, $f_T > 550 \text{ МГц}$	SOT323, SC70	B•E•C
QP	MCP100T-485/T	MCHP	mrc	$V_{TH} = 4.725 \text{ В}$, $V_{DD} = 1 \dots 5.5 \text{ В}$, $I_{DD} < 60 \text{ мкА}$	SOT23, SOD23	RST-VDD-VSS
QR	KTC4080	KEC	npn	$V_{CE} = 40 \text{ В}$, $I_C = 20 \text{ мА}$, $P_D = 100 \text{ мВт}$; $h_{FE} = 40 \dots 80$, $f_T > 550 \text{ МГц}$	SOT323, SC70	B•E•C
QY	KTC4080	KEC	npn	$V_{CE} = 40 \text{ В}$, $I_C = 20 \text{ мА}$, $P_D = 100 \text{ мВт}$; $h_{FE} = 100 \dots 200$, $f_T > 550 \text{ МГц}$	SOT323, SC70	B•E•C
RO	MCP101T-475/T	MCHP	mrc	$V_{TH} = 4.625 \text{ В}$, $V_{DD} = 1 \dots 5.5 \text{ В}$, $I_{DD} < 60 \text{ мкА}$	SOT23, SOD23	RST-VDD-VSS



SOT23-3 SOT323 SOT416
SOD23-3 SOT346 SOT523



SOT490 TSM VMT3
MPPAK TSFP-3 VMD3

Код	Типономинал	Б	Ф	Особенности	Корпус	Ц: 1•2•3
R01	КСR1101	SAMS	Днпр	$V_{CBO}=50 В, I_C=100 мА, P_D=200 мВт, h_{FE} > 20, f_T > 250 МГц$	SOT23, SOD23	В•Е•С
R02	КСR1102	SAMS	Днпр	$V_{CBO}=50 В, I_C=100 мА, P_D=200 мВт, h_{FE} > 30, f_T > 250 МГц$	SOT23, SOD23	В•Е•С
R03	КСR1103	SAMS	Днпр	$V_{CBO}=50 В, I_C=100 мА, P_D=200 мВт, h_{FE} > 58, f_T > 250 МГц$	SOT23, SOD23	В•Е•С
R04	КСR1104	SAMS	Днпр	$V_{CBO}=50 В, I_C=100 мА, P_D=200 мВт, h_{FE} > 68, f_T > 250 МГц$	SOT23, SOD23	В•Е•С
R05	КСR1105	SAMS	Днпр	$V_{CBO}=50 В, I_C=100 мА, P_D=200 мВт, h_{FE} > 30, f_T > 250 МГц$	SOT23, SOD23	В•Е•С
R06	КСR1106	SAMS	Днпр	$V_{CBO}=50 В, I_C=100 мА, P_D=200 мВт, h_{FE} > 68, f_T > 250 МГц$	SOT23, SOD23	В•Е•С
R07	КСR1107	SAMS	Днпр	$V_{CBO}=50 В, I_C=100 мА, P_D=200 мВт, h_{FE} > 68, f_T > 250 МГц$	SOT23, SOD23	В•Е•С
R08	КСR1108	SAMS	Днпр	$V_{CBO}=50 В, I_C=100 мА, P_D=200 мВт, h_{FE} > 58, f_T > 250 МГц$	SOT23, SOD23	В•Е•С
R09	КСR1109	SAMS	Днпр	$V_{CBO}=40 В, I_C=100 мА, P_D=200 мВт, h_{FE} > 100...600, f_T > 250 МГц$	SOT23, SOD23	В•Е•С
R1	BFR93	SGS	нпр	$V_{CBO}=20 В, I_C=50 мА, P_D=300 мВт, h_{FE} > 50...200, f_T=5500 МГц$	SOT23, SOD23	В•Е•С
R1	BZV44C4V7T	DIODES	dz	$V_{F(I_T=5 мА)} < 4...5.0 В, Z_T(I_T=5 мА) < 80 Ом$	SOT523	А•п.с. • К
R1	HSMS-8101	HP	shd	$V_{BB} > 4 В, V_{CE(sat)} < 0.35 В, C_{DQ} < 0.26 нФ, P_D > 140 мВт$	SOT23, SOD23	п.с. • А • К
R1	TN210T	SIL	nMOS	$V_{DS}=200 В, I_D=120 мА, P_D=360 мВт, g_{fs} > 300 мСм, P_{D(300K)} > 9.50 мВт$	SOT23, SOD23	Г•S•D
R10	КСR1110	SAMS	нпр	$V_{CBO}=40 В, I_C=100 мА, P_D=200 мВт, h_{FE} > 100...600, f_T > 250 МГц$	SOT23, SOD23	В•Е•С
R11	КСR1111	SAMS	нпр	$V_{CBO}=40 В, I_C=100 мА, P_D=200 мВт, h_{FE} > 100...600, f_T > 250 МГц$	SOT23, SOD23	В•Е•С
R12	КСR1112	SAMS	нпр	$V_{CBO}=40 В, I_C=100 мА, P_D=200 мВт, h_{FE} > 100...600, f_T > 250 МГц$	SOT23, SOD23	В•Е•С
R13	ZSC4885	NEC	нпр	$V_{CBO}=25 В, I_C=50 мА, P_D=120 мВт, h_{FE} > 80...150, f_T > 2.5 ГГц$	SOT323, SC70	В•Е•С
R13	КСR1113	SAMS	Днпр	$V_{CBO}=50 В, I_C=100 мА, P_D=300 мВт, h_{FE} > 58, f_T > 250 МГц$	SOT23, SOD23	В•Е•С
R14	КСR1114	SAMS	Днпр	$V_{CBO}=50 В, I_C=100 мА, P_D=300 мВт, h_{FE} > 68, f_T > 250 МГц$	SOT23, SOD23	В•Е•С
R1A	MMBT3904	VISH	нпр	$V_{CBO}=60 В, I_C=100 мА, P_D=200 мВт, h_{FE} > 100...300, f_T > 300 МГц$	SOT23, SOD23	В•Е•С
R1A	MMST3904	ROHM	нпр	$V_{CBO}=60 В, I_C=200 мА, h_{FE} > 100...300, f_T > 250 МГц$	SOT346, SC59	В•Е•С
R1A	SST3904	ROHM	нпр	$V_{CBO}=60 В, I_C=200 мА, h_{FE} > 100...300, f_T > 300 МГц$	SOT23, SOD23	В•Е•С
R1A	UMT3904	ROHM	нпр	$V_{CBO}=60 В, I_C=200 мА, P_D=200 мВт, h_{FE} > 100, f_T > 300 МГц$	SOT323, SC70	В•Е•С
R1B	MMST2222	ROHM	нпр	$V_{CBO}=60 В, I_C=600 мА, h_{FE} > 100...300, f_T > 250 МГц$	SOT346, SC59	В•Е•С
R1B	SST2222	ROHM	нпр	$V_{CBO}=60 В, I_C=600 мА, h_{FE} > 100...300, f_T > 250 МГц$	SOT23, SOD23	В•Е•С
R1C	MMST1130	ROHM	нпр	$V_{CBO}=30 В, I_C=200 мА, h_{FE} > 120...360$	SOT346, SC59	В•Е•С
R1C	MMSTA20	ROHM	нпр	$V_{CBO}=40 В, I_C=200 мА, h_{FE} > 120, f_T > 125 МГц$	SOT346, SC59	В•Е•С
R1C	SST1130	ROHM	нпр	$V_{CBO}=30 В, I_C=200 мА, h_{FE} > 120...360$	SOT23, SOD23	В•Е•С
R1C	SSTA20	ROHM	нпр	$V_{CBO}=40 В, I_C=200 мА, h_{FE} > 120, f_T > 125 МГц$	SOT23, SOD23	В•Е•С
R1G	MMBTAC6	VISH	нпр	$V_{CBO}=80 В, I_C=300 мА, P_D=350 мВт, h_{FE} > 50, f_T > 100 МГц$	SOT23, SOD23	В•Е•С
R1G	MMSTA06	ROHM	нпр	$V_{CBO}=80 В, I_C=500 мА, h_{FE} > 100, f_T > 100 МГц$	SOT23, SOD23	В•Е•С
R1G	MMSTA06	ROHM	нпр	$V_{CBO}=80 В, I_C=500 мА, h_{FE} > 100, f_T > 100 МГц$	SOT346, SC59	В•Е•С
R1G	SSTA06	ROHM	нпр	$V_{CBO}=80 В, I_C=500 мА, h_{FE} > 100, f_T > 100 МГц$	SOT23, SOD23	В•Е•С
R1H	MMBTAC6	VISH	нпр	$V_{CBO}=60 В, I_C=30 мА, P_D=350 мВт, h_{FE} > 50, f_T > 100 МГц$	SOT23, SOD23	В•Е•С
R1H	SSTA05	ROHM	нпр	$V_{CBO}=80 В, I_C=500 мА, h_{FE} > 100, f_T > 100 МГц$	SOT23, SOD23	В•Е•С
R1J	SST6427	ROHM	нпр	$V_{CBO}=40 В, I_C=500 мА, h_{FE} > 20000...200000$	SOT23, SOD23	В•Е•С
R1K	MMST6428	ROHM	нпр	$V_{CBO}=60 В, I_C=200 мА, h_{FE} > 250...650, f_T > 100 МГц$	SOT23, SOD23	В•Е•С
R1K	MMST6428	ROHM	нпр	$V_{CBO}=60 В, I_C=200 мА, h_{FE} > 250...650, f_T > 100 МГц$	SOT346, SC59	В•Е•С
R1K	SST6428	ROHM	нпр	$V_{CBO}=60 В, I_C=200 мА, h_{FE} > 250...650, f_T > 100 МГц$	SOT23, SOD23	В•Е•С
R1M	MMBT413	VISH	днпр	$V_{CBO}=30 В, I_C=300 мА, P_D=350 мВт, h_{FE} > 10000, f_T > 125 МГц$	SOT23, SOD23	В•Е•С
R1M	MMSTA13	ROHM	днпр	$V_{CBO}=30 В, I_C=500 мА, h_{FE} > 10000, f_T > 125 МГц$	SOT23, SOD23	В•Е•С
R1M	MMSTA13	ROHM	днпр	$V_{CBO}=30 В, I_C=500 мА, h_{FE} > 10000, f_T > 125 МГц$	SOT346, SC59	В•Е•С
R1M	SSTA13	ROHM	нпр	$V_{CBO}=30 В, I_C=500 мА, h_{FE} > 10000, f_T > 125 МГц$	SOT23, SOD23	В•Е•С
R1N	MMBT414	VISH	днпр	$V_{CBO}=30 В, I_C=300 мА, P_D=350 мВт, h_{FE} > 20000, f_T > 125 МГц$	SOT23, SOD23	В•Е•С
R1N	MMSTA14	ROHM	днпр	$V_{CBO}=30 В, I_C=500 мА, h_{FE} > 20000, f_T > 125 МГц$	SOT23, SOD23	В•Е•С
R1N	MMSTA14	ROHM	днпр	$V_{CBO}=30 В, I_C=500 мА, h_{FE} > 20000, f_T > 125 МГц$	SOT346, SC59	В•Е•С
R1N	SSTA14	ROHM	нпр	$V_{CBO}=30 В, I_C=500 мА, h_{FE} > 20000, f_T > 125 МГц$	SOT23, SOD23	В•Е•С
R1O	MMST5088	ROHM	нпр	$V_{CBO}=35 В, I_C=200 мА, h_{FE} > 300...900, f_T > 50 МГц$	SOT23, SOD23	В•Е•С
R1O	MMST5088	ROHM	нпр	$V_{CBO}=35 В, I_C=200 мА, h_{FE} > 300...900, f_T > 50 МГц$	SOT346, SC59	В•Е•С
R1P	MMBT2222A	VISH	нпр	$V_{CBO}=50 В, I_C=800 мА, P_D=200 мВт, h_{FE} > 100...300, f_T > 200 МГц$	SOT23, SOD23	В•Е•С
R1P	MMST2222A	ROHM	нпр	$V_{CBO}=75 В, I_C=600 мА, h_{FE} > 100...300, f_T > 250 МГц$	SOT346, SC59	В•Е•С
R1P	SST2222A	ROHM	нпр	$V_{CBO}=75 В, I_C=600 мА, h_{FE} > 100...300, f_T > 250 МГц$	SOT23, SOD23	В•Е•С

**SOT490 TSM
MFPAK TSFP-3**

VMT3 VMD3



SOT416 SOT523



SOT323 SOT346



SOT23-3 SOD23-3

Код	Типономинал	Б	Ф	Особенности	Корпус	Ц: 1•2•3
R1P	UMT2222A	ROHM	npn	$V_{CEB} = 75 \text{ В}$; $I_C = 800 \text{ мА}$; $P_D = 500 \text{ мВт}$; $h_{FE} > 30$	SOT323, SC70	B•E•C
R1Q	SST5088	ROHM	npn	$V_{CEB} = 35 \text{ В}$; $I_C = 200 \text{ мА}$; $h_{FE} = 300 \dots 900$; $f_T > 50 \text{ МГц}$	SOT323, SOD23	B•E•C
R1R	MMST5089	ROHM	npn	$V_{CEB} = 30 \text{ В}$; $I_C = 200 \text{ мА}$; $h_{FE} = 400 \dots 1200$; $f_T > 50 \text{ МГц}$	SOT346, SC59	B•E•C
R1R	SST5089	ROHM	npn	$V_{CEB} = 30 \text{ В}$; $I_C = 200 \text{ мА}$; $h_{FE} = 400 \dots 1200$; $f_T > 50 \text{ МГц}$	SOT23, SOD23	B•E•C
R2	2SC2351P	NEC	npn	$V_{CEB} = 25 \text{ В}$; $I_C = 70 \text{ мА}$; $P_D = 250 \text{ мВт}$; $h_{FE} = 40 \dots 120$; $f_T = 4.5 \text{ ГГц}$	SOT323, SOD23	B•E•C
R2	2SC4225	NEC	npn	$V_{CEB} = 25 \text{ В}$; $I_C = 70 \text{ мА}$; $P_D = 160 \text{ мВт}$; $h_{FE} = 40 \dots 120$; $f_T = 4 \text{ ГГц}$	SOT323, SC70	B•E•C
R2	BFR93A	PHIL	npn	$V_{CEB} = 20 \text{ В}$; $I_C = 50 \text{ мА}$; $P_D = 300 \text{ мВт}$; $h_{FE} = 50 \dots 200$; $f_T = 5500 \text{ МГц}$	SOT23, SOD23	B•E•C
R2	BFR93ALT1	MOT	npn	$V_{CEB} = 20 \text{ В}$; $I_C = 50 \text{ мА}$; $P_D = 300 \text{ мВт}$; $h_{FE} = 50 \dots 200$; $f_T = 5500 \text{ МГц}$	SOT23, SOD23	B•E•C
R2	BZX84C5V1T	DIODES	dz	$V_{ZL}(I_{ZT} = 5 \text{ мА}) = 4.8 \dots 5.4 \text{ В}$; $Z_{CT}(I_{CT} = 5 \text{ мА}) < 60 \text{ Ом}$	SOT523	A•n.c. • K
R23	2SC3356Q	NEC	npn	$V_{CEB} = 20 \text{ В}$; $I_C = 100 \text{ мА}$; $P_D = 200 \text{ мВт}$; $h_{FE} = 50 \dots 100$; $f_T = 7 \text{ ГГц}$	SOT23, SOD23	B•E•C
R23	2SC4226	NEC	npn	$V_{CEB} = 20 \text{ В}$; $I_C = 100 \text{ мА}$; $P_D = 150 \text{ мВт}$; $h_{FE} = 40 \dots 80$; $f_T = 3 \text{ ГГц}$	SOT323, SC70	B•E•C
R24	2SC3356R	NEC	npn	$V_{CEB} = 20 \text{ В}$; $I_C = 100 \text{ мА}$; $P_D = 200 \text{ мВт}$; $h_{FE} = 80 \dots 160$; $f_T = 7 \text{ ГГц}$	SOT23, SOD23	B•E•C
R24	2SC4226	NEC	npn	$V_{CEB} = 20 \text{ В}$; $I_C = 100 \text{ мА}$; $P_D = 150 \text{ мВт}$; $h_{FE} = 70 \dots 140$; $f_T = 3 \text{ ГГц}$	SOT323, SC70	B•E•C
R25	2SC3356S	NEC	npn	$V_{CEB} = 20 \text{ В}$; $I_C = 100 \text{ мА}$; $P_D = 200 \text{ мВт}$; $h_{FE} = 125 \dots 250$; $f_T = 7 \text{ ГГц}$	SOT23, SOD23	B•E•C
R25	2SC4226	NEC	npn	$V_{CEB} = 20 \text{ В}$; $I_C = 100 \text{ мА}$; $P_D = 150 \text{ мВт}$; $h_{FE} = 125 \dots 250$; $f_T = 3 \text{ ГГц}$	SOT323, SC70	B•E•C
R2A	ADR380ART	AD	vref	$V_N = 2.4 \dots 1.8 \text{ В}$; $I_{OUT} = 5 \text{ мА}$; $V_{OUT} = 2.048 \text{ В}$	SOT23, SOD23	VIN-VOUT • GND
R2A	MMBT3906	VISH	npn	$V_{CEB} = 40 \text{ В}$; $I_C = 100 \text{ мА}$; $P_D = 200 \text{ мВт}$; $h_{FE} = 100 \dots 300$; $f_T > 250 \text{ МГц}$	SOT23, SOD23	B•E•C
R2A	MMST3906	ROHM	npn	$V_{CEB} = 40 \text{ В}$; $I_C = 200 \text{ мА}$; $h_{FE} = 100 \dots 300$; $f_T > 250 \text{ МГц}$	SOT346, SC59	B•E•C
R2A	SST3906	ROHM	npn	$V_{CEB} = 40 \text{ В}$; $I_C = 200 \text{ мА}$; $h_{FE} = 100 \dots 300$; $f_T > 250 \text{ МГц}$	SOT23, SOD23	B•E•C
R2A	UMT3906	ROHM	npn	$V_{CEB} = 40 \text{ В}$; $I_C = 200 \text{ мА}$; $P_D = 200 \text{ мВт}$; $h_{FE} > 100$; $f_T > 250 \text{ МГц}$	SOT323, SC70	B•E•C
R2B	MMST2907	ROHM	npn	$V_{CEB} = 60 \text{ В}$; $I_C = 600 \text{ мА}$; $h_{FE} = 100 \dots 300$; $f_T > 200 \text{ МГц}$	SOT346, SC59	B•E•C
R2B	SST2907	ROHM	npn	$V_{CEB} = 60 \text{ В}$; $I_C = 600 \text{ мА}$; $h_{FE} = 100 \dots 300$; $f_T > 200 \text{ МГц}$	SOT23, SOD23	B•E•C
R2C	MMSTA70	ROHM	npn	$V_{CEB} = 60 \text{ В}$; $I_C = 200 \text{ мА}$; $h_{FE} = 160 \dots 400$; $f_T = 125 \text{ МГц}$	SOT23, SOD23	B•E•C
R2C	MMSTA70	ROHM	npn	$V_{CEB} = 60 \text{ В}$; $I_C = 200 \text{ мА}$; $h_{FE} = 160 \dots 400$; $f_T = 125 \text{ МГц}$	SOT346, SC59	B•E•C
R2F	MMST2907A	ROHM	npn	$V_{CEB} = 60 \text{ В}$; $I_C = 600 \text{ мА}$; $h_{FE} = 100 \dots 300$; $f_T > 200 \text{ МГц}$	SOT346, SC59	B•E•C
R2F	SST2907A	ROHM	npn	$V_{CEB} = 60 \text{ В}$; $I_C = 600 \text{ мА}$; $h_{FE} = 100 \dots 300$; $f_T > 200 \text{ МГц}$	SOT23, SOD23	B•E•C
R2F	UMT2907A	ROHM	npn	$V_{CEB} = 60 \text{ В}$; $I_C = 600 \text{ мА}$; $P_D = 200 \text{ мВт}$; $h_{FE} > 100$; $f_T > 200 \text{ МГц}$	SOT323, SC70	B•E•C
R2G	MMSTA56	ROHM	npn	$V_{CEB} = 80 \text{ В}$; $I_C = 500 \text{ мА}$; $h_{FE} > 100$; $f_T > 50 \text{ МГц}$	SOT23, SOD23	B•E•C
R2G	MMSTA56	ROHM	npn	$V_{CEB} = 80 \text{ В}$; $I_C = 500 \text{ мА}$; $h_{FE} > 100$; $f_T > 50 \text{ МГц}$	SOT346, SC59	B•E•C
R2G	SSTA56	ROHM	npn	$V_{CEB} = 80 \text{ В}$; $I_C = 500 \text{ мА}$; $h_{FE} > 100$; $f_T > 50 \text{ МГц}$	SOT23, SOD23	B•E•C
R2H	SSTA65	ROHM	npn	$V_{CEB} = 60 \text{ В}$; $I_C = 500 \text{ мА}$; $h_{FE} > 100$; $f_T > 50 \text{ МГц}$	SOT23, SOD23	B•E•C
R2K	MMST8598	ROHM	npn	$V_{CEB} = 60 \text{ В}$; $I_C = 200 \text{ мА}$; $h_{FE} = 100 \dots 300$; $f_T > 150 \text{ МГц}$	SOT23, SOD23	B•E•C
R2K	MMST8598	ROHM	npn	$V_{CEB} = 60 \text{ В}$; $I_C = 200 \text{ мА}$; $h_{FE} = 100 \dots 300$; $f_T > 150 \text{ МГц}$	SOT346, SC59	B•E•C
R2O	MMST5087	ROHM	npn	$V_{CEB} = 50 \text{ В}$; $I_C = 200 \text{ мА}$; $h_{FE} = 250 \dots 800$; $f_T > 40 \text{ МГц}$	SOT23, SOD23	B•E•C
R2O	MMST5087	ROHM	npn	$V_{CEB} = 50 \text{ В}$; $I_C = 200 \text{ мА}$; $h_{FE} = 250 \dots 800$; $f_T > 40 \text{ МГц}$	SOT346, SC59	B•E•C
R2P	MMST5086	ROHM	npn	$V_{CEB} = 50 \text{ В}$; $I_C = 200 \text{ мА}$; $h_{FE} = 150 \dots 500$; $f_T > 40 \text{ МГц}$	SOT23, SOD23	B•E•C
R2P	MMST5086	ROHM	npn	$V_{CEB} = 50 \text{ В}$; $I_C = 200 \text{ мА}$; $h_{FE} = 150 \dots 500$; $f_T > 40 \text{ МГц}$	SOT23, SOD23	B•E•C
R2P	MMST5086	ROHM	npn	$V_{CEB} = 50 \text{ В}$; $I_C = 200 \text{ мА}$; $h_{FE} = 150 \dots 500$; $f_T > 40 \text{ МГц}$	SOT346, SC59	B•E•C
R2Q	SST7157	ROHM	npn	$V_{CEB} = 60 \text{ В}$; $I_C = 200 \text{ мА}$; $h_{FE} > 100$	SOT346, SC59	B•E•C
R2s	BFR93A	SIEM	npn	$V_{CEB} = 20 \text{ В}$; $I_C = 50 \text{ мА}$; $P_D = 300 \text{ мВт}$; $h_{FE} = 50 \dots 200$; $f_T = 5500 \text{ МГц}$	SOT23, SOD23	B•E•C
R2s	BFR934W	SIEM	npn	$V_{CEB} = 20 \text{ В}$; $I_C = 50 \text{ мА}$; $P_D = 300 \text{ мВт}$; $h_{FE} = 50 \dots 200$; $f_T = 5500 \text{ МГц}$	SOT323, SC70	B•E•C
R2T	MMBT4403	VISH	npn	$V_{CEB} = 40 \text{ В}$; $I_C = 800 \text{ мА}$; $P_D = 200 \text{ мВт}$; $h_{FE} = 100 \dots 300$; $f_T > 200 \text{ МГц}$	SOT23, SOD23	B•E•C
R2T	MMST4403	ROHM	npn	$V_{CEB} = 40 \text{ В}$; $I_C = 600 \text{ мА}$; $h_{FE} = 100 \dots 300$; $f_T > 200 \text{ МГц}$	SOT346, SC59	B•E•C
R2T	SST4403	ROHM	npn	$V_{CEB} = 40 \text{ В}$; $I_C = 600 \text{ мА}$; $h_{FE} = 100 \dots 300$; $f_T > 200 \text{ МГц}$	SOT23, SOD23	B•E•C
R2T	UMT4403	ROHM	npn	$V_{CEB} = 40 \text{ В}$; $I_C = 600 \text{ мА}$; $P_D = 200 \text{ мВт}$; $h_{FE} > 100$; $f_T > 200 \text{ МГц}$	SOT323, SC70	B•E•C
R2U	MMSTA63	ROHM	dpnp	$V_{CEB} = 30 \text{ В}$; $I_C = 300 \text{ мА}$; $h_{FE} > 5000$; $f_T > 125 \text{ МГц}$	SOT346, SC59	B•E•C
R2U	SSTA63	ROHM	npn	$V_{CEB} = 30 \text{ В}$; $I_C = 300 \text{ мА}$; $h_{FE} > 5000$; $f_T > 125 \text{ МГц}$	SOT23, SOD23	B•E•C
R2V	MMSTA64	ROHM	dpnp	$V_{CEB} = 30 \text{ В}$; $I_C = 300 \text{ мА}$; $h_{FE} > 10000$; $f_T > 125 \text{ МГц}$	SOT23, SOD23	B•E•C
R2V	MMSTA64	ROHM	dpnp	$V_{CEB} = 30 \text{ В}$; $I_C = 300 \text{ мА}$; $h_{FE} > 10000$; $f_T > 125 \text{ МГц}$	SOT346, SC59	B•E•C
R2V	SSTA64	ROHM	npn	$V_{CEB} = 30 \text{ В}$; $I_C = 300 \text{ мА}$; $h_{FE} > 10000$; $f_T > 125 \text{ МГц}$	SOT23, SOD23	B•E•C
R2X	MMBT4401	VISH	npn	$V_{CEB} = 50 \text{ В}$; $I_C = 800 \text{ мА}$; $P_D = 200 \text{ мВт}$; $h_{FE} = 100 \dots 300$; $f_T > 200 \text{ МГц}$	SOT23, SOD23	B•E•C



SOT23-3
SOD23-3

SOT323
SOT346

SOT416
SOT523



SOT490
MFPK

TESM
TSFP-3

VMT3
VMD3

Код	Типономинал	Б	Ф	Особенности	Корпус	Ц: 1+2+3
R2X	MMST4401	ROHM	npn	$V_{CE0} \leq 60 В, I_C \leq 600 мА, h_{FE} \geq 100 \dots 300, f_T > 250 МГц$	SOT346, SC59	В+Е+С
R2X	SST4401	ROHM	npn	$V_{CE0} \leq 60 В, I_C \leq 600 мА, h_{FE} \geq 100 \dots 300, f_T > 250 МГц$	SOT23, SOD23	В+Е+С
R2X	UMT4401	ROHM	npn	$V_{CE0} \leq 60 В, I_C \leq 600 мА, P_D \leq 200 мВт, h_{FE} > 100, f_T > 250 МГц$	SOT323, SC70	В+Е+С
R22	SST4400	ROHM	npn	$V_{CE0} \leq 60 В, I_C \leq 600 мА, h_{FE} \geq 50 \dots 150, f_T > 200 МГц$	SOT23, SOD23	В+Е+С
R3	2SC2351Q	NEC	npn	$V_{CE0} \leq 25 В, I_C \leq 70 мА, P_D \leq 250 мВт, h_{FE} \geq 100 \dots 200, f_T > 4.5 ГГц$	SOT23, SOD23	В+Е+С
R3	2SC4226	NEC	npn	$V_{CE0} \leq 25 В, I_C \leq 70 мА, P_D \leq 160 мВт, h_{FE} \geq 100 \dots 200, f_T > 4 ГГц$	SOT323, SC70	В+Е+С
R3	6ZB84C5V6T	DIODES	dz	$V_Z(I_{ZT} \leq 5 мА) \leq 5.2 \dots 6.0 В, Z_{CT}(I_{ZT} \leq 5 мА) < 40 Ом$	SOT523	А+н.с.+К
R30A	REF3012AIDBZ	TI	vref	$V_{IN} \leq 1.8 \dots 5.5 В, I_{OUT} \leq 25 мА, V_{OUT} \leq 1.25 В$	SOT23, SOD23	IN+OUT+GND
R30B	REF3020AIDBZ	TI	vref	$V_{IN} \leq 1.8 \dots 5.5 В, I_{OUT} \leq 25 мА, V_{OUT} \leq 2.048 В$	SOT23, SOD23	IN+OUT+GND
R30C	REF3025AIDBZ	TI	vref	$V_{IN} \leq 1.8 \dots 5.5 В, I_{OUT} \leq 25 мА, V_{OUT} \leq 2.5 В$	SOT23, SOD23	IN+OUT+GND
R30D	REF3033AIDBZ	TI	vref	$V_{IN} \leq 1.8 \dots 5.5 В, I_{OUT} \leq 25 мА, V_{OUT} \leq 3.3 В$	SOT23, SOD23	IN+OUT+GND
R30E	REF3040AIDBZ	TI	vref	$V_{IN} \leq 1.8 \dots 5.5 В, I_{OUT} \leq 25 мА, V_{OUT} \leq 4.096 В$	SOT23, SOD23	IN+OUT+GND
R30F	REF3030AIDBZ	TI	vref	$V_{IN} \leq 1.8 \dots 5.5 В, I_{OUT} \leq 25 мА, V_{OUT} \leq 3.0 В$	SOT23, SOD23	IN+OUT+GND
R33	2SC3583Q	NEC	npn	$V_{CE0} \leq 20 В, I_C \leq 65 мА, P_D \leq 200 мВт, h_{FE} \geq 50 \dots 100, f_T \geq 9 ГГц$	SOT23, SOD23	В+Е+С
R33	2SC4227	NEC	npn	$V_{CE0} \leq 20 В, I_C \leq 65 мА, P_D \leq 150 мВт, h_{FE} \geq 40 \dots 90, f_T > 4.5 ГГц$	SOT323, SC70	В+Е+С
R34	2SC3583R	NEC	npn	$V_{CE0} \leq 20 В, I_C \leq 65 мА, P_D \leq 200 мВт, h_{FE} \geq 80 \dots 160, f_T \geq 9 ГГц$	SOT23, SOD23	В+Е+С
R34	2SC4227	NEC	npn	$V_{CE0} \leq 20 В, I_C \leq 65 мА, P_D \leq 150 мВт, h_{FE} \geq 70 \dots 150, f_T > 4.5 ГГц$	SOT323, SC70	В+Е+С
R35	2SC3583S	NEC	npn	$V_{CE0} \leq 20 В, I_C \leq 65 мА, P_D \leq 200 мВт, h_{FE} \geq 125 \dots 250, f_T \geq 9 ГГц$	SOT23, SOD23	В+Е+С
R35	2SC4227	NEC	npn	$V_{CE0} \leq 20 В, I_C \leq 65 мА, P_D \leq 150 мВт, h_{FE} \geq 110 \dots 240, f_T > 4.5 ГГц$	SOT323, SC70	В+Е+С
R3A	ADR381ART	AD	vref	$V_{IN} \leq 2.8 \dots 18 В, I_{OUT} \leq 5 мА, V_{OUT} \leq 2.5 В$	SOT23, SOD23	VIN+VOUT+GND
R3B	MMST918	ROHM	npn	$V_{CE0} \leq 30 В, I_C \leq 50 мА, h_{FE} > 20 \dots 650, f_T \geq 600 МГц$	SOT23, SOD23	В+Е+С
R3B	SST918	ROHM	npn	$V_{CE0} \leq 30 В, I_C \leq 50 мА, h_{FE} > 75, f_T \geq 600 МГц$	SOT23, SOD23	В+Е+С
R4	BFR93R	TELEF	npn	$V_{CE0} \leq 20 В, I_C \leq 50 мА, P_D \leq 300 мВт, h_{FE} \geq 50 \dots 200, f_T \geq 5500 МГц$	SOT323, SC70	С+В+Е
R4	6ZB84C6V2T	DIODES	dz	$V_Z(I_{ZT} \leq 5 мА) \leq 5.8 \dots 6.6 В, Z_{CT}(I_{ZT} \leq 5 мА) < 10 Ом$	SOT523	А+н.с.+К
R43	2SC3585Q	NEC	npn	$V_{CE0} \leq 20 В, I_C \leq 35 мА, P_D \leq 200 мВт, h_{FE} \geq 50 \dots 100, f_T \geq 10 ГГц$	SOT23, SOD23	В+Е+С
R43	2SC4228	NEC	npn	$V_{CE0} \leq 20 В, I_C \leq 35 мА, P_D \leq 150 мВт, h_{FE} \geq 50 \dots 100, f_T > 5.5 ГГц$	SOT323, SC70	В+Е+С
R44	2SC3585R	NEC	npn	$V_{CE0} \leq 20 В, I_C \leq 35 мА, P_D \leq 200 мВт, h_{FE} \geq 80 \dots 160, f_T \geq 10 ГГц$	SOT23, SOD23	В+Е+С
R44	2SC4228	NEC	npn	$V_{CE0} \leq 20 В, I_C \leq 35 мА, P_D \leq 150 мВт, h_{FE} \geq 80 \dots 160, f_T > 5.5 ГГц$	SOT323, SC70	В+Е+С
R45	2SC3585S	NEC	npn	$V_{CE0} \leq 20 В, I_C \leq 35 мА, P_D \leq 200 мВт, h_{FE} \geq 125 \dots 250, f_T \geq 10 ГГц$	SOT23, SOD23	В+Е+С
R45	2SC4228	NEC	npn	$V_{CE0} \leq 20 В, I_C \leq 35 мА, P_D \leq 150 мВт, h_{FE} \geq 125 \dots 250, f_T > 5.5 ГГц$	SOT323, SC70	В+Е+С
R5	BFR93AR	SGS	npn	$V_{CE0} \leq 20 В, I_C \leq 50 мА, P_D \leq 300 мВт, h_{FE} \geq 50 \dots 200, f_T \geq 5500 МГц$	SOT23, SOD23	С+В+Е
R5	6ZB84C6V8T	DIODES	dz	$V_Z(I_{ZT} \leq 5 мА) \leq 6.4 \dots 7.2 В, Z_{CT}(I_{ZT} \leq 5 мА) < 15 Ом$	SOT523	А+н.с.+К
R51	KSR2101	SAMS	Dnpn	$V_{CE0} \leq 50 В, I_C \leq 100 мА, P_D \leq 200 мВт, h_{FE} > 20, f_T > 250 МГц$	SOT23, SOD23	В+Е+С
R52	KSR2102	SAMS	Dnpn	$V_{CE0} \leq 50 В, I_C \leq 100 мА, P_D \leq 200 мВт, h_{FE} > 30, f_T > 250 МГц$	SOT23, SOD23	В+Е+С
R53	KSR2103	SAMS	Dnpn	$V_{CE0} \leq 50 В, I_C \leq 100 мА, P_D \leq 200 мВт, h_{FE} > 55, f_T > 250 МГц$	SOT23, SOD23	В+Е+С
R54	KSR2104	SAMS	Dnpn	$V_{CE0} \leq 50 В, I_C \leq 100 мА, P_D \leq 200 мВт, h_{FE} > 68, f_T > 250 МГц$	SOT23, SOD23	В+Е+С
R55	KSR2105	SAMS	Dnpn	$V_{CE0} \leq 50 В, I_C \leq 100 мА, P_D \leq 200 мВт, h_{FE} > 30, f_T > 250 МГц$	SOT23, SOD23	В+Е+С
R56	KSR2106	SAMS	Dnpn	$V_{CE0} \leq 50 В, I_C \leq 100 мА, P_D \leq 200 мВт, h_{FE} > 68, f_T > 250 МГц$	SOT23, SOD23	В+Е+С
R57	KSR2107	SAMS	Dnpn	$V_{CE0} \leq 50 В, I_C \leq 100 мА, P_D \leq 200 мВт, h_{FE} > 68, f_T > 250 МГц$	SOT23, SOD23	В+Е+С
R58	KSR2108	SAMS	Dnpn	$V_{CE0} \leq 50 В, I_C \leq 100 мА, P_D \leq 200 мВт, h_{FE} > 58, f_T > 250 МГц$	SOT23, SOD23	В+Е+С
R59	KSR2109	SAMS	pnnp	$V_{CE0} \leq 40 В, I_C \leq 100 мА, P_D \leq 200 мВт, h_{FE} \geq 100 \dots 600, f_T > 250 МГц$	SOT23, SOD23	В+Е+С
R6	6ZB84C7V5T	DIODES	dz	$V_Z(I_{ZT} \leq 5 мА) \leq 7.0 \dots 7.9 В, Z_{CT}(I_{ZT} \leq 5 мА) < 15 Ом$	SOT523	А+н.с.+К
R60	KSR2110	SAMS	pnnp	$V_{CE0} \leq 40 В, I_C \leq 100 мА, P_D \leq 200 мВт, h_{FE} \geq 100 \dots 600, f_T > 250 МГц$	SOT23, SOD23	В+Е+С
R61	KSR2111	SAMS	pnnp	$V_{CE0} \leq 40 В, I_C \leq 100 мА, P_D \leq 200 мВт, h_{FE} \geq 100 \dots 600, f_T > 250 МГц$	SOT23, SOD23	В+Е+С
R62	2SC3683	NEC	npn	$V_{CE0} \leq 15 В, I_C \leq 5 мА, P_D \leq 50 мВт, h_{FE} \geq 50 \dots 250, f_T > 4 ГГц$	SOT23, SOD23	В+Е+С
R62	KSR2112	SAMS	pnnp	$V_{CE0} \leq 40 В, I_C \leq 100 мА, P_D \leq 200 мВт, h_{FE} \geq 100 \dots 600, f_T > 250 МГц$	SOT23, SOD23	В+Е+С
R63	KSR2113	SAMS	pnnp	$V_{CE0} \leq 50 В, I_C \leq 100 мА, P_D \leq 300 мВт, h_{FE} > 68, f_T > 250 МГц$	SOT23, SOD23	В+Е+С
R64	KSR2114	SAMS	pnnp	$V_{CE0} \leq 50 В, I_C \leq 100 мА, P_D \leq 300 мВт, h_{FE} > 68, f_T > 250 МГц$	SOT23, SOD23	В+Е+С
R65	SSTA65	ROHM	pnnp	$V_{CE0} \leq 30 В, I_C \leq 300 мА, h_{FE} > 50000, f_T > 100 МГц$	SOT23, SOD23	В+Е+С
R67	BFO67R	VIS	npn	$V_{CE0} \leq 20 В, I_C \leq 50 мА, P_D \leq 200 мВт, h_{FE} > 85, f_T \geq 8 ГГц$	SOT23, SOD23	Е+В+С
R6A	2SC4187	NEC	npn	$V_{CE0} \leq 15 В, I_C \leq 5 мА, P_D \leq 50 мВт, h_{FE} \geq 50 \dots 100, f_T > 4 ГГц$	SOT323, SC70	В+Е+С

**SOT490 TSM
MFPAK TSFP-3**

**VMT3
VMD3**



**SOT416 SOT323
SOT523 SOT346**

**SOT23-3
SOD23-3**



Код	Типономинал	Б	Ф	Особенности	Корпус	Ц: 1•2•3
RB6	2SCA187	NEC	npn	$V_{CE0}=15 В, I_C=5 мА, P_D=50 мВт, h_{FE}=80...160, f_T=4 МГц$	SOT323, SC70	B-E-C
RB6	2SCA187	NEC	npn	$V_{CE0}=15 В, I_C=5 мА, P_D=50 мВт, h_{FE}=125...250, f_T=4 МГц$	SOT323, SC70	B-E-C
R7	BFR106	PHIL	npn	$V_{CE0}=20 В, I_C=100 мА, P_D=700 мВт, h_{FE}=25...250, f_T=5000 МГц$	SOT23, SOD23	B-E-C
R7	BZX84C8V2T	DIODS	dz	$V_Z(I_{ZT}=5 мА)=7...8.9 В, Z_T(I_{ZT}=5 мА)<15 Ом$	SOT523	A-n-c-K
R7s	BFR106	SIEM	npn	$V_{CE0}=20 В, I_C=100 мА, P_D=700 мВт, h_{FE}=25...250, f_T=5000 МГц$	SOT23, SOD23	B-E-C
R8	BZX84C3V1T	DIODS	dz	$V_Z(I_{ZT}=5 мА)=8...9.6 В, Z_T(I_{ZT}=5 мА)<15 Ом$	SOT523	A-n-c-K
R9	1SS392	TOSH	shnd-c	$V_A>40 В, V_F(I_F=100 мА)<0.6 В, I_{RR}(V_R=40 В)<5 мкА, C_T<25 пФ$	SOT346, SC59	A1-A2-K1, K2
R9	1SS393	TOSH	shnd-c	$V_A>40 В, I_F<100 мА, V_F(I_F=100 мА)<0.6 В, C_T=18 пФ$	SOT323, SC70	A1-A2-K1, K2
R9	BZX84C10T	DIODS	dz	$V_Z(I_{ZT}=5 мА)=9.4...10.6 В, Z_T(I_{ZT}=5 мА)<20 Ом$	SOT523	A-n-c-K
R93	SSTTIS93	ROHM	npn	$V_{CE0}=40 В, I_C=800 мА, h_{FE}=100...300, f_T>50 МГц$	SOT346, SC59	B-E-C
R97	SSTIS97	ROHM	npn	$V_{CE0}=40 В, I_C=500 мА, h_{FE}=250...800$	SOT23, SOD23	B-E-C
R97	SSTTIS97	ROHM	npn	$V_{CE0}=60 В, I_C=200 мА, h_{FE}=250...700$	SOT23, SOD23	B-E-C
RA	PN2421	TOSH	Dnnp	$V_{CE0}=50 В, I_C=800 мА, P_D=200 мВт, f_T>250 МГц, R_T/R_D=1/1 кОм$	SOT346, SC59	B-E-C
RA4	BAI/70	VISH	di-2	$V_A>100 В, I_R=300 мА, P_D=350 мВт, I_{RR}<6 нс$	SOT23, SOD23	A1-A2-K1, K2
RA5	BAS16	VISH	shd	$V_A>100 В, I_F=500 мА, P_D=350 мВт, I_{RR}<4 нс$	SOT23, SOD23	A-n-c-K
RA7	BAI/99	VISH	di-2	$V_A>100 В, I_R=300 мА, P_D=350 мВт, I_{RR}<6 нс$	SOT23, SOD23	A1-K2-K1, A2
RA7	BAI/99	ROHM	di-2	$V_A<75 В, I_R<450 мА, V_F(I_F=150 мА)<1.25 В, I_R<2.5 мкА, I_{RR}<4 нс$	SOT23, SOD23	A1-K2-K1, A2
RAA	ADP510ART	AD	vref	$I_{IN}=0.1...10 мА, V_{OUT}=1 В$	SOT23, SOD23	V-V-V-TRI/M,n,c
RAB	MMBD4448	VISH	shd	$V_A>100 В, I_F=500 мА, P_D=350 мВт, I_{RR}<4 нс$	SOT23, SOD23	A-n-c-K
RAF	SSTA29	ROHM	npn	$V_{CE0}=100 В, I_C=500 мА, h_{FE}>10000, f_T>125 МГц$	SOT23, SOD23	B-E-C
RA5	BFQ81	SIEM	npn	$V_{CE0}=25 В, I_C=30 мА, P_D=280 мВт, h_{FE}=50...200, f_T=5800 МГц$	SOT23, SOD23	B-E-C
RAT	MMSTA28	ROHM	dnnp	$V_{CE0}=80 В, I_C=500 мА, h_{FE}>10000, f_T>125 МГц$	SOT23, SOD23	B-E-C
RAT	MMSTA28	ROHM	dnnp	$V_{CE0}=80 В, I_C=500 мА, h_{FE}>10000, f_T>125 МГц$	SOT346, SC59	B-E-C
RAT	SSTA28	ROHM	npn	$V_{CE0}=80 В, I_C=500 мА, h_{FE}>10000, f_T>125 МГц$	SOT23, SOD23	B-E-C
RAV	BAS16	VISH	shd	$V_A>100 В, I_F=500 мА, P_D=350 мВт, I_{RR}<4 нс$	SOT23, SOD23	A-n-c-K
RB	BZX84C2V4T	DIODS	dz	$V_Z(I_{ZT}=5.0 мА)=2.2...2.6 В, I_Z(I_{ZT}=1.0 В)<50 мкА, Z_T(I_{ZT}=5.0 мА)<100 Ом, I_{RM}=200 мА$	SOT523	A-n-c-K
RB	MSC1621	MOT	npn	$V_{CE0}=20 В, f_T=200 МГц$	SOT23, SOD23	B-E-C
RB	RN422	TOSH	Dnnp	$V_{CE0}=50 В, I_C=800 мА, P_D=200 мВт, f_T>250 МГц, R_T/R_D=2.2/2.2 кОм$	SOT346, SC59	B-E-C
RBA	ADP280AKS	AD	vref	$V_N=2.4...5.5 В, I_{IN}<16 мкА, V_{OUT}=1.2 В$	SOT323, SC70	VOUT-VIN-GND
RBA	ADP280ART	AD	vref	$V_N=2.4...5.5 В, I_{IN}<16 мкА, V_{OUT}=1.2 В$	SOT23, SOD23	VIN-VOUT-GND
RBA	BAI/99	VISH	di-2	$V_A>100 В, I_R=300 мА, P_D=350 мВт, I_{RR}<6 нс$	SOT23, SOD23	A1-K2-K1, A2
RBQ	SST7208	ROHM	npn	$V_{CE0}=60 В, I_C=100 мА, h_{FE}>100, f_T>180 МГц$	SOT23, SOD23	B-E-C
RBR	MMST6838	ROHM	npn	$V_{CE0}=50 В, I_C=200 мА, h_{FE}>200, f_T>50 МГц$	SOT346, SC59	B-E-C
RBR	SST6838	ROHM	npn	$V_{CE0}=50 В, I_C=200 мА, h_{FE}>100, f_T>50 МГц$	SOT23, SOD23	B-E-C
RBs	BF771	SIEM	npn	$V_{CE0}=20 В, I_C=80 мА, P_D=580 мВт, h_{FE}=50...200, f_T=8000 МГц$	SOT23, SOD23	B-E-C
RBs	BF771W	SIEM	npn	$V_{CE0}=20 В, I_C=80 мА, P_D=400 мВт, h_{FE}=50...200, f_T=8000 МГц$	SOT323, SC70	B-E-C
RC	2SC2618C	REN	npn	$V_{CE0}=35 В, I_C=500 мА, P_D=150 мВт, h_{FE}=100...200$	SOT23, SOD23	B-E-C
RC	BZX84C2V7T	DIODS	dz	$V_Z(I_{ZT}=5 мА)=2.51...2.89 В, Z_T(I_{ZT}=5 мА)<100 Ом$	SOT523	A-n-c-K
RC	RN4243	TOSH	Dnnp	$V_{CE0}=50 В, I_C=800 мА, P_D=200 мВт, f_T>250 МГц, R_T/R_D=4.7/4.7 кОм$	SOT346, SC59	B-E-C
RCs	BFR133	SIEM	npn	$V_{CE0}=20 В, I_C=80 мА, P_D=580 мВт, h_{FE}=50...200, f_T=8000 МГц$	SOT23, SOD23	B-E-C
RCs	BFR133T	SIEM	npn	$V_{CE0}=20 В, I_C=80 мА, P_D=580 мВт, h_{FE}=50...200, f_T=8000 МГц$	SOT416, SC75A	B-E-C
RCs	BFR133W	SIEM	npn	$V_{CE0}=20 В, I_C=80 мА, P_D=580 мВт, h_{FE}=50...200, f_T=8000 МГц$	SOT323, SC70	B-E-C
RD	2SC2618D	REN	npn	$V_{CE0}=35 В, I_C=500 мА, P_D=150 мВт, h_{FE}=160...320$	SOT23, SOD23	B-E-C
RD	BZX84C3V0T	DIODS	dz	$V_Z(I_{ZT}=5.0 мА)=2.8...3.2 В, Z_T(I_{ZT}=5.0 мА)<100 Ом$	SOT523	A-n-c-K
RD	RN424	TOSH	Dnnp	$V_{CE0}=50 В, I_C=800 мА, P_D=200 мВт, f_T>250 МГц, R_T/R_D=10/10 кОм$	SOT346, SC59	B-E-C
RDs	BFR180	SIEM	npn	$V_{CE0}=10 В, I_C=4 мА, P_D=30 мВт, h_{FE}=30...200, f_T=6200 МГц$	SOT23, SOD23	B-E-C
RDs	BFR180W	SIEM	npn	$V_{CE0}=10 В, I_C=4 мА, P_D=30 мВт, h_{FE}=30...200, f_T=7000 МГц$	SOT323, SC70	B-E-C
RE	2SA1514KE	ROHM	npn	$V_{CE0}=120 В, I_C=50 мА, P_D=200 мВт, h_{FE}=390...820, f_T>140 МГц$	SOT346, SC59	B-E-C
RE	2SA1679E	ROHM	npn	$V_{CE0}=120 В, I_C=50 мА, P_D=200 мВт, h_{FE}=390...820, f_T>140 МГц$	SOT323, SC70	B-E-C



SOT23-3
SOD23-3

SOT323
SOT346

SOT416
SOT523



SOT490
MFPK

TESM
TSFP-3

VMT3
VMD3

Код	Типономинал	Б	Ф	Особенности	Корпус	Ц: 1•2•3
RE	BZX84C2V4T	DIOCS	dz	$V_{ZT}(I_{ZT}=5.0\text{ mA})=2.2...2.6\text{ В}$, $I_{\text{В}}(V_{\text{В}}=1.0\text{ В}) < 50\text{ мкА}$, $Z_{\text{ТТ}}(I_{\text{ZT}}=5.0\text{ mA}) < 100\text{ Ом}$, $I_{\text{ZT}}=200\text{ mA}$	SOT523	A•н.с. • K
RE	PN2425	TOSH	Dnpnp	$V_{\text{CEB}}=50\text{ В}$, $I_{\text{C}}=800\text{ mA}$, $P_{\text{D}}=200\text{ мВт}$, $f_{\text{T}} > 250\text{ МГц}$, $R_{\text{П}}/R_{\text{Э}}=0.47/1.0\text{ кОм}$	SOT346, SC59	B•E•C
REs	BFR280	SIEM	nnpn	$V_{\text{CEB}}=10\text{ В}$, $I_{\text{C}}=10\text{ mA}$, $P_{\text{D}}=80\text{ мВт}$, $h_{\text{FE}}=30...200$, $f_{\text{T}}=7500\text{ МГц}$	SO23, SOD23	B•E•C
REs	BFR280W	SIEM	nnpn	$V_{\text{CEB}}=10\text{ В}$, $I_{\text{C}}=10\text{ mA}$, $P_{\text{D}}=80\text{ мВт}$, $h_{\text{FE}}=30...200$, $f_{\text{T}}=7500\text{ МГц}$	SOT323, SC70	B•E•C
REs	BFR280W	SIEM	nnpn	$V_{\text{CEB}}=10\text{ В}$, $I_{\text{C}}=10\text{ mA}$, $P_{\text{D}}=80\text{ мВт}$, $h_{\text{FE}}=30...200$, $f_{\text{T}}=7500\text{ МГц}$	SOT323, SC70	B•E•C
RF	BFR181T	TELEF	nnpn	$V_{\text{CEB}}=20\text{ В}$, $I_{\text{C}}=20\text{ mA}$, $P_{\text{D}}=175\text{ мВт}$, $h_{\text{FE}} > 50$, $f_{\text{T}}=8\text{ ГГц}$	SO23, SOD23	B•E•C
RF	BZX84C3V6T	DIOCS	dz	$V_{ZT}(I_{ZT}=5\text{ mA})=3.4...3.8\text{ В}$, $Z_{\text{T}}(I_{ZT}=5\text{ mA}) < 95\text{ Ом}$	SO23, SOD23	A•н.с. • K
RF	PN2426	TOSH	Dnpnp	$V_{\text{CEB}}=50\text{ В}$, $I_{\text{C}}=800\text{ mA}$, $P_{\text{D}}=200\text{ мВт}$, $f_{\text{T}} > 250\text{ МГц}$, $R_{\text{П}}/R_{\text{Э}}=1/10\text{ кОм}$	SOT346, SC59	B•E•C
RFQ	SST8839	ROHM	nnpn	$V_{\text{CEB}}=50\text{ В}$, $I_{\text{C}}=200\text{ mA}$, $h_{\text{FE}} > 100$, $f_{\text{T}} > 60\text{ МГц}$	SO23, SOD23	B•E•C
RFQ	SST8839	ROHM	nnpn	$V_{\text{CEB}}=50\text{ В}$, $I_{\text{C}}=200\text{ mA}$, $h_{\text{FE}} > 100$, $f_{\text{T}} > 60\text{ МГц}$	SOT346, SC59	B•E•C
RFs	BFR181	SIEM	nnpn	$V_{\text{CEB}}=15\text{ В}$, $I_{\text{C}}=20\text{ mA}$, $P_{\text{D}}=160\text{ мВт}$, $h_{\text{FE}}=50...200$, $f_{\text{T}}=8000\text{ МГц}$	SO23, SOD23	B•E•C
RFs	BFR181W	SIEM	nnpn	$V_{\text{CEB}}=20\text{ В}$, $I_{\text{C}}=20\text{ mA}$, $P_{\text{D}}=175\text{ мВт}$, $h_{\text{FE}}=50...200$, $f_{\text{T}}=8000\text{ МГц}$	SOT323, SC70	B•E•C
RG	BZX84C3V9T	DIOCS	dz	$V_{ZT}(I_{ZT}=5\text{ mA})=3.7...4.1\text{ В}$, $Z_{\text{T}}(I_{ZT}=5\text{ mA}) < 90\text{ Ом}$	SOT523	A•н.с. • K
RG	PN2427	TOSH	Dnpnp	$V_{\text{CEB}}=50\text{ В}$, $I_{\text{C}}=800\text{ mA}$, $P_{\text{D}}=200\text{ мВт}$, $f_{\text{T}} > 250\text{ МГц}$, $R_{\text{П}}/R_{\text{Э}}=2.2/10\text{ кОм}$	SOT346, SC59	B•E•C
RGs	BFR182	SIEM	nnpn	$V_{\text{CEB}}=20\text{ В}$, $I_{\text{C}}=35\text{ mA}$, $P_{\text{D}}=250\text{ мВт}$, $h_{\text{FE}}=50...200$, $f_{\text{T}}=8000\text{ МГц}$	SO23, SOD23	B•E•C
RGs	BFR182T	SIEM	nnpn	$V_{\text{CEB}}=20\text{ В}$, $I_{\text{C}}=35\text{ mA}$, $P_{\text{D}}=250\text{ мВт}$, $h_{\text{FE}}=50...200$, $f_{\text{T}}=8000\text{ МГц}$	SOT416, SC75A	B•E•C
RGs	BFR182W	SIEM	nnpn	$V_{\text{CEB}}=20\text{ В}$, $I_{\text{C}}=35\text{ mA}$, $P_{\text{D}}=250\text{ мВт}$, $h_{\text{FE}}=50...200$, $f_{\text{T}}=8000\text{ МГц}$	SOT323, SC70	B•E•C
RH	BZX84C4V3T	DIOCS	dz	$V_{ZT}(I_{ZT}=5\text{ mA})=4.0...4.6\text{ В}$, $Z_{\text{T}}(I_{ZT}=5\text{ mA}) < 90\text{ Ом}$	SOT523	A•н.с. • K
RHs	BFR183	SIEM	nnpn	$V_{\text{CEB}}=20\text{ В}$, $I_{\text{C}}=65\text{ mA}$, $P_{\text{D}}=450\text{ мВт}$, $h_{\text{FE}}=50...200$, $f_{\text{T}}=8000\text{ МГц}$	SO23, SOD23	B•E•C
RHs	BFR183T	SIEM	nnpn	$V_{\text{CEB}}=20\text{ В}$, $I_{\text{C}}=65\text{ mA}$, $P_{\text{D}}=450\text{ мВт}$, $h_{\text{FE}}=50...200$, $f_{\text{T}}=8000\text{ МГц}$	SOT416, SC75A	B•E•C
RHs	BFR183W	SIEM	nnpn	$V_{\text{CEB}}=20\text{ В}$, $I_{\text{C}}=65\text{ mA}$, $P_{\text{D}}=450\text{ мВт}$, $h_{\text{FE}}=50...200$, $f_{\text{T}}=8000\text{ МГц}$	SOT323, SC70	B•E•C
RJ	MCP101T-270/TT	MCHIP	mrc	$V_{\text{TR}}=2.625\text{ В}$, $V_{\text{DD}}=1...5.5\text{ В}$, $I_{\text{DD}} < 60\text{ мкА}$	SO23, SOD23	RST•VDD•VSS
RK	MCP101T-300/TT	MCHIP	mrc	$V_{\text{TR}}=2.925\text{ В}$, $V_{\text{DD}}=1...5.5\text{ В}$, $I_{\text{DD}} < 60\text{ мкА}$	SO23, SOD23	RST•VDD•VSS
RKs	BFR194	SIEM	nnpn	$V_{\text{CEB}}=20\text{ В}$, $I_{\text{C}}=100\text{ mA}$, $P_{\text{D}}=700\text{ мВт}$, $h_{\text{FE}}=20...150$, $f_{\text{T}}=6000\text{ МГц}$	SO23, SOD23	B•E•C
PKS	PK7002A	ROHM	mMOS	$V_{\text{GS}}=60\text{ В}$, $I_{\text{D}}=300\text{ mA}$, $P_{\text{D}}=200\text{ мВт}$, $R_{\text{DS(on)}} < 1.5\text{ Ом}$	SO23, SOD23	G•S•D
PL	MCP101T-315/TT	MCHIP	mrc	$V_{\text{TR}}=3.075\text{ В}$, $V_{\text{DD}}=1...5.5\text{ В}$, $I_{\text{DD}} < 60\text{ мкА}$	SO23, SOD23	RST•VDD•VSS
PM	MCP101T-450/TT	MCHIP	mrc	$V_{\text{TR}}=4.375\text{ В}$, $V_{\text{DD}}=1...5.5\text{ В}$, $I_{\text{DD}} < 60\text{ мкА}$	SO23, SOD23	RST•VDD•VSS
RN	MCP101T-480/TT	MCHIP	mrc	$V_{\text{TR}}=4.475\text{ В}$, $V_{\text{DD}}=1...5.5\text{ В}$, $I_{\text{DD}} < 60\text{ мкА}$	SO23, SOD23	RST•VDD•VSS
RP	MCP101T-495/TT	MCHIP	mrc	$V_{\text{TR}}=4.725\text{ В}$, $V_{\text{DD}}=1...5.5\text{ В}$, $I_{\text{DD}} < 60\text{ мкА}$	SO23, SOD23	RST•VDD•VSS
RR	2SA1514KR	ROHM	nnpn	$V_{\text{CEB}}=120\text{ В}$, $I_{\text{C}}=50\text{ mA}$, $P_{\text{D}}=200\text{ мВт}$, $h_{\text{FE}}=180...390$, $f_{\text{T}} > 140\text{ МГц}$	SOT346, SC59	B•E•C
RR	2SA1579R	ROHM	nnpn	$V_{\text{CEB}}=120\text{ В}$, $I_{\text{C}}=50\text{ mA}$, $P_{\text{D}}=200\text{ мВт}$, $h_{\text{FE}}=180...390$, $f_{\text{T}} > 140\text{ МГц}$	SOT323, SC70	B•E•C
RPA	BC847AF	AUK	nnpn	$V_{\text{CEB}}=50\text{ В}$, $I_{\text{C}}=100\text{ mA}$, $P_{\text{D}}=200\text{ мВт}$, $h_{\text{FE}}=110...220$, $f_{\text{T}}=150\text{ МГц}$	SOT490, SC89	B•E•C
RPB	BC847BF	AUK	nnpn	$V_{\text{CEB}}=50\text{ В}$, $I_{\text{C}}=100\text{ mA}$, $P_{\text{D}}=200\text{ мВт}$, $h_{\text{FE}}=200...450$, $f_{\text{T}}=150\text{ МГц}$	SOT490, SC89	B•E•C
RPC	BC847CF	AUK	nnpn	$V_{\text{CEB}}=50\text{ В}$, $I_{\text{C}}=100\text{ mA}$, $P_{\text{D}}=200\text{ мВт}$, $h_{\text{FE}}=420...800$, $f_{\text{T}}=150\text{ МГц}$	SOT490, SC89	B•E•C
RS	2SA1514KS	ROHM	nnpn	$V_{\text{CEB}}=120\text{ В}$, $I_{\text{C}}=50\text{ mA}$, $P_{\text{D}}=200\text{ мВт}$, $h_{\text{FE}}=270...560$, $f_{\text{T}} > 140\text{ МГц}$	SOT346, SC59	B•E•C
RS	2SA1579S	ROHM	nnpn	$V_{\text{CEB}}=120\text{ В}$, $I_{\text{C}}=50\text{ mA}$, $P_{\text{D}}=200\text{ мВт}$, $h_{\text{FE}}=270...560$, $f_{\text{T}} > 140\text{ МГц}$	SOT323, SC70	B•E•C
RSR	SST5210	ROHM	nnpn	$V_{\text{CEB}}=50\text{ В}$, $I_{\text{C}}=200\text{ mA}$, $h_{\text{FE}}=200...600$, $f_{\text{T}} > 30\text{ МГц}$	SO23, SOD23	B•E•C
RT3	2SC4400	SANYO	nnpn	$V_{\text{CEB}}=40\text{ В}$, $I_{\text{C}}=50\text{ mA}$, $P_{\text{D}}=150\text{ мВт}$, $h_{\text{FE}}=80...120$, $f_{\text{T}} > 750\text{ МГц}$	SOT323, SC70	B•E•C
RT4	2SC4400	SANYO	nnpn	$V_{\text{CEB}}=40\text{ В}$, $I_{\text{C}}=50\text{ mA}$, $P_{\text{D}}=150\text{ мВт}$, $h_{\text{FE}}=90...180$, $f_{\text{T}} > 750\text{ МГц}$	SOT323, SC70	B•E•C
RT5	2SC4400	SANYO	nnpn	$V_{\text{CEB}}=40\text{ В}$, $I_{\text{C}}=50\text{ mA}$, $P_{\text{D}}=150\text{ мВт}$, $h_{\text{FE}}=135...270$, $f_{\text{T}} > 750\text{ МГц}$	SOT323, SC70	B•E•C
RVX	MM5T918	ROHM	nnpn	$V_{\text{CEB}}=30\text{ В}$, $I_{\text{C}}=50\text{ mA}$, $h_{\text{FE}} > 20...650$, $f_{\text{T}}=600\text{ МГц}$	SOT346, SC59	B•E•C
RVZ	MM5T4126	ROHM	nnpn	$V_{\text{CEB}}=25\text{ В}$, $I_{\text{C}}=200\text{ mA}$, $h_{\text{FE}}=120...360$, $f_{\text{T}} > 250\text{ МГц}$	SO23, SOD23	B•E•C
RVZ	MM5T4126	ROHM	nnpn	$V_{\text{CEB}}=25\text{ В}$, $I_{\text{C}}=200\text{ mA}$, $h_{\text{FE}}=120...360$, $f_{\text{T}} > 250\text{ МГц}$	SOT346, SC59	B•E•C
PX7	SST8426	ROHM	nnpn	$V_{\text{CEB}}=40\text{ В}$, $I_{\text{C}}=500\text{ mA}$, $h_{\text{FE}}=300...300000$	SO23, SOD23	B•E•C
RZC	MM5T4124	ROHM	nnpn	$V_{\text{CEB}}=30\text{ В}$, $I_{\text{C}}=200\text{ mA}$, $h_{\text{FE}}=120...360$, $f_{\text{T}} > 300\text{ МГц}$	SOT346, SC59	B•E•C
RZC	SST4124	ROHM	nnpn	$V_{\text{CEB}}=30\text{ В}$, $I_{\text{C}}=200\text{ mA}$, $h_{\text{FE}}=120...360$, $f_{\text{T}} > 300\text{ МГц}$	SO23, SOD23	B•E•C
RZQ	MM5T7157	ROHM	nnpn	$V_{\text{CEB}}=60\text{ В}$, $I_{\text{C}}=200\text{ mA}$, $h_{\text{FE}} > 100$	SO23, SOD23	B•E•C
S0	H5MP3880	HP	pin	$I_{\text{C}} < 1\text{ А}$, $P_{\text{D}} < 250\text{ мВт}$, $V_{\text{DS}}=100\text{ В}$, $R_{\text{DS}} < 6.5\text{ Ом}$, $\text{CT} < 0.40\text{ нФ}$	SO23, SOD23	A•н.с. • K
S0	SST270	SIL	pFET	$V_{\text{GS}}=30\text{ В}$, $P_{\text{D}}=350\text{ мВт}$, $g_{\text{fs}} < 6\text{ мСм}$, $I_{\text{DSS}}=2...15\text{ mA}$	SO23, SOD23	D•S•G
S1	BBY31	PHIL	var	$V_{\text{A}} < 30\text{ В}$, $I_{\text{B}} < 20\text{ mA}$, $I_{\text{B}} < 10\text{ mA}$, $R_{\text{B}} < 1.2\text{ Ом}$, $C_{\text{B}} < 16.5\text{ нФ}$, $C_{\text{B}2} < 1.6...2\text{ нФ}$	SO23, SOD23	A•н.с. • K
S1	H5MP3881	HP	pin	$I_{\text{C}} < 1\text{ А}$, $P_{\text{D}} < 250\text{ мВт}$, $V_{\text{DS}}=100\text{ В}$, $R_{\text{DS}} < 6.5\text{ Ом}$, $\text{CT} < 0.40\text{ нФ}$	SO23, SOD23	н.с. • A • K

SOT490 TSM
MFFPAK TSFP-3

VMT3 VMD3



SOT416 SOT523

SOT323 SOT346

SOT23-3 SOD23-3



Код	Типономинал	Б	Ф	Особенности	Корпус	Ц: 1•2•3
S1	SS271	SIL	pFET	$V_{DS}=30 В, P_D=350 мВт, I_{DSS}=6...50 мА, V_{GS}=0.5 мСм$	SOT23, SOD23	D-S-G
S12	BBY39	PHIL	var-2	$V_G<30 В, I_G<20 мА, C_{1B}=16.5 нФ, C_{2B}=1.6...2.2 нФ$	SOT23, SOD23	A1-A2-K1 K2
S13	BBY42	PHIL	var	$V_G<30 В, I_G<20 мА, I_{B3}<10 мА, R_{B3}<10 м, C_{1B}>31 нФ, C_{2B}=2.4...3.3 нФ$	SOT23, SOD23	A-n.c.-K
S14	BB901	PHIL	var	$V_G<28 В, I_G<20 мА, I_{B3}<10 мА, R_{B3}<30 м, C_{2B}=1.056 нФ, C_{0.5B}/C_{2B}>12$	SOT23, SOD23	A-n.c.-K
S14	SST5114	SIL	pFET	$V_{DS}=30 В, P_D=350 мВт, I_{DSS}=30...90 мА, R_{DS(on)}<75 Ом$	SOT23, SOD23	D-S-G
S15	SST5115	SIL	pFET	$V_{DS}=30 В, P_D=350 мВт, I_{DSS}=15...60 мА, R_{DS(on)}<100 Ом$	SOT23, SOD23	D-S-G
S16	SST5116	SIL	pFET	$V_{DS}=30 В, P_D=350 мВт, I_{DSS}=5...25 мА, R_{DS(on)}<150 Ом$	SOT23, SOD23	D-S-G
S16	ZHCS1006	ZETEX	shd	$V_G<60 В, I_G<0.9 А, V_{I(L)}=1 А, I_G<0.6 В, I_{B3}<100 мкА, C_D<17 пФ, I_{B3}<12 мС$	SOT23, SOD23	A-n.c.-K
S1A	SMBT3904	SIEM	npn	$V_{CB}=60 В, I_C=200 мА, P_D=330 мВт, h_{FE}>100...300, f_T>300 МГц$	SOT23, SOD23	B-E-C
S1B	PXTA93	SIEM	npn	$V_{CB}=200 В, I_C=500 мА, P_D=1000 мВт, h_{FE}>40, f_T>50 МГц$	SOT23, SOD23	B-E-C
S1B	SMBT2222	SIEM	npn	$V_{CB}=60 В, I_C=600 мА, P_D=330 мВт, h_{FE}>100...300, f_T>250 МГц$	SOT23, SOD23	B-E-C
S1C	SMBTA20	SIEM	npn	$V_{CB}=40 В, I_C=100 мА, P_D=330 мВт, h_{FE}>40...100, f_T>125 МГц$	SOT23, SOD23	B-E-C
S1D	SMBTA42	SIEM	npn	$V_{CB}=300 В, I_C=500 мА, P_D=360 мВт, h_{FE}>40, f_T>50 МГц$	SOT23, SOD23	B-E-C
S1E	SMBTA43	SIEM	npn	$V_{CB}=200 В, I_C=500 мА, P_D=360 мВт, h_{FE}>40, f_T>50 МГц$	SOT23, SOD23	B-E-C
S1G	SMBTA06	SIEM	npn	$V_{CB}=80 В, I_C=500 мА, P_D=330 мВт, h_{FE}>100, f_T>100 МГц$	SOT23, SOD23	B-E-C
S1H	SMBTA05	SIEM	npn	$V_{CB}=60 В, I_C=500 мА, P_D=330 мВт, h_{FE}>100, f_T>100 МГц$	SOT23, SOD23	B-E-C
S1K	SMBT6428	SIEM	npn	$V_{CB}=60 В, I_C=200 мА, P_D=330 мВт, h_{FE}>250...650, f_T>200 МГц$	SOT23, SOD23	B-E-C
S1L	SMBT6429	SIEM	npn	$V_{CB}=55 В, I_C=200 мА, P_D=330 мВт, h_{FE}>500...1250, f_T>200 МГц$	SOT23, SOD23	B-E-C
S1M	SMBTA13	SIEM	npn	$V_{CB}=30 В, I_C=300 мА, P_D=330 мВт, h_{FE}>5000, f_T>125 МГц$	SOT23, SOD23	B-E-C
S1N	SMBTA14	SIEM	npn	$V_{CB}=30 В, I_C=300 мА, P_D=330 мВт, h_{FE}>10000, f_T>125 МГц$	SOT23, SOD23	B-E-C
S1P	SMBT2222A	SIEM	npn	$V_{CB}=75 В, I_C=600 мА, P_D=330 мВт, h_{FE}>100...300, f_T>300 МГц$	SOT23, SOD23	B-E-C
S1V	SMBT6427	SIEM	npn	$V_{CB}=40 В, I_C=500 мА, P_D=360 мВт, h_{FE}>20000...200000, f_T>130 МГц$	SOT23, SOD23	B-E-C
S2	BBY40	PHIL	var	$V_G<30 В, I_G<20 мА, I_{B3}<10 мА, R_{B3}<0.7 Ом, C_{2B}=26...32 нФ, C_{2B}/C_{1B}=4.3...5.6 нФ$	SOT23, SOD23	A-n.c.-K
S2	BFQ31	ZETEX	npn	$V_{CB}=30 В, I_C=100 мА, P_D=330 мВт, h_{FE}>20, f_T>600 МГц$	SOT23, SOD23	B-E-C
S2	KTA2014	KEC	npn	$V_{CB}=50 В, I_C=150 мА, P_D=100 мВт, h_{FE}>70...140, f_T>80 МГц$	SOT323, SC70	B-E-C
S2A	SMBT3906	SIEM	npn	$V_{CB}=40 В, I_C=200 мА, P_D=330 мВт, h_{FE}>100...300, f_T>250 МГц$	SOT23, SOD23	B-E-C
S2B	SMBT2907	SIEM	npn	$V_{CB}=40 В, I_C=600 мА, P_D=330 мВт, h_{FE}>100...300, f_T>200 МГц$	SOT23, SOD23	B-E-C
S2C	SMBTA70	SIEM	npn	$V_{CB}=40 В, I_C=100 мА, P_D=330 мВт, h_{FE}>40...400, f_T>125 МГц$	SOT23, SOD23	B-E-C
S2D	SMBTA92	SIEM	npn	$V_{CB}=300 В, I_C=500 мА, P_D=360 мВт, h_{FE}>25, f_T>50 МГц$	SOT23, SOD23	B-E-C
S2E	SMBTA93	SIEM	npn	$V_{CB}=200 В, I_C=500 мА, P_D=360 мВт, h_{FE}>25, f_T>50 МГц$	SOT23, SOD23	B-E-C
S2F	SMBT2907A	SIEM	npn	$V_{CB}=60 В, I_C=600 мА, P_D=330 мВт, h_{FE}>100...300, f_T>200 МГц$	SOT23, SOD23	B-E-C
S2G	SMBTA56	SIEM	npn	$V_{CB}=80 В, I_C=500 мА, P_D=330 мВт, h_{FE}>100, f_T>100 МГц$	SOT23, SOD23	B-E-C
S2H	SMBTA55	SIEM	npn	$V_{CB}=60 В, I_C=500 мА, P_D=330 мВт, h_{FE}>100, f_T>100 МГц$	SOT23, SOD23	B-E-C
S2P	SMBT5086	SIEM	npn	$V_{CB}=50 В, I_C=50 мА, P_D=330 мВт, h_{FE}>150...500, f_T>40 МГц$	SOT23, SOD23	B-E-C
S2Q	SMBT5087	SIEM	npn	$V_{CB}=50 В, I_C=50 мА, P_D=330 мВт, h_{FE}>250...800, f_T>40 МГц$	SOT23, SOD23	B-E-C
S2U	SMBTA63	SIEM	npn	$V_{CB}=30 В, I_C=500 мА, P_D=360 мВт, h_{FE}>5000, f_T>125 МГц$	SOT23, SOD23	B-E-C
S2V	SMBTA64	SIEM	npn	$V_{CB}=30 В, I_C=500 мА, P_D=360 мВт, h_{FE}>10000, f_T>125 МГц$	SOT23, SOD23	B-E-C
S3	BBY51	SIEM	var-2	$V_G<7 В, I_G<20 мА, I_{B3}<0.01 мА, C_{1B}=4.5...6.1 нФ, C_{1B}/C_{2B}=1.55...2.2$	SOT23, SOD23	A1-A2-K1 K2
S3	BFQ31R	ZETEX	npn	$V_{CB}=30 В, I_C=100 мА, P_D=330 мВт, h_{FE}>20, f_T>600 МГц$	SOT23, SOD23	B-E-C
S3s	BBY51	INF	var-2	$V_G<7 В, I_G<20 мА, I_{B3}<0.01 мА, C_{1B}=5.05...5.75 нФ, C_{1B}/C_{2B}=2.5...3.7 нФ$	SOT23, SOD23	A1-A2-K1 K2
S4	BFQ31A	ZETEX	npn	$V_{CB}=30 В, I_C=100 мА, P_D=330 мВт, h_{FE}>100, f_T>600 МГц$	SOT23, SOD23	B-E-C
S4	KTA2014	KEC	npn	$V_{CB}=50 В, I_C=150 мА, P_D=100 мВт, h_{FE}>70...140, f_T>80 МГц$	SOT323, SC70	B-E-C
S4	SST1174	SIL	pFET	$V_{DS}=30 В, P_D=350 мВт, I_{DSS}=20...135 мА, R_{DS(on)}<85 Ом$	SOT23, SOD23	D-S-G
S5	BFQ31AR	ZETEX	npn	$V_{CB}=30 В, I_C=100 мА, P_D=330 мВт, h_{FE}>100, f_T>600 МГц$	SOT23, SOD23	B-E-C
S5	SST1175	SIL	pFET	$V_{DS}=30 В, P_D=350 мВт, I_{DSS}=7...70 мА, R_{DS(on)}<125 Ом$	SOT23, SOD23	D-S-G
S50	BS850	GS	pFET	$V_{DS}=60 В, I_D=250 мА, P_D=310 мВт, V_{GS}<20 В$	SOT23, SOD23	G-S-D
S56	ZHCS506	ZETEX	shd	$V_G<60 В, I_G<0.5 А, V_{I(L)}=0.5 А, I_G<0.6 В, I_{B3}<40 мкА, C_D<20 нФ, I_{B3}<10 мС$	SOT23, SOD23	A-n.c.-K
S5A	SMBD6050	SIEM	di-2	$V_G<70 В, I_G<250 мА, V_{I(L)}=100 мА, I_G<1.1 В, I_{B3}<0.1 мА, C_D<2.5 нФ, t_{B3}<10 мС$	SOT23, SOD23	A-n.c.-K
S5B	SMBD6100	SIEM	di-2	$V_G<70 В, I_G<250 мА, V_{I(L)}=100 мА, I_G<1.1 В, I_{B3}<0.1 мА, C_D<2.5 нФ, t_{B3}<15 мС$	SOT23, SOD23	A1-A2-K1 K2



SOT23-3
SOD23-3

SOT323
SOT346

SOT416
SOT523



SOT490
MFPK

TESM
TSFP-3

VMT3
VMD3

Код	Типономинал	Б	Ф	Особенности	Корпус	Ц: 1•2•3
s5C	SMBD7000	SIEM	di-2	$V_A < 100 В, I_F < 200 мА, V_{F1}(I_F = 100 мА) < 1 В, I_B < 0.5 мА, C_{D1} < 2.0 нФ, I_{FSP} < 15 мС$	SOT23, SOD23	A1•K2•K1, A2
s5D	SMBD914	SIEM	di	$V_A < 70 В, I_F < 250 мА, V_{F1}(I_F = 100 мА) < 1.0 В, I_B < 0.025 мА, C_{D1} < 2.0 нФ, I_{FSP} < 4 мС$	SOT23, SOD23	A•n.c. • K
S5s	BAT15-05W	INF	shd	$V_A < 4 В, I_F < 110 мА, V_{F1}(I_F = 10 мА) < 0.41 В, C_{D1} < 0.35 нФ$	SOT323, SC70	A1•A2•K1, K2
S5s	BBY52	SIEM	var-2	$V_A < 7 В, I_F < 20 мА, I_B < 0.01 мА, C_{1B} = 1...2.5 нФ, C_{1B}/C_{2B} = 1...2.1$	SOT23, SOD23	A1•A2•K1, K2
S6	KTA2014	KEC	pnp	$V_{CE0} = 50 В, I_C = 150 мА, P_D = 100 мВт, h_{FE} = 200...400, f_T > 80 МГц$	SOT323, SOD23	B•E•C
S6	SST176	SIL	pFET	$V_{DS} = 30 В, P_D = 350 мВт, I_{DSS} = 2...35 мА, R_{DS(on)} < 250 Ом$	SOT23, SOD23	D•S•G
S6p	BF510	PHIL	nFET	$V_{DS} = 20 В, I_{D3} < 3 мА, P_D = 250 мВт, g_{F1} = 2.5 мС$	SOT23, SOD23	G•D•S
S7	SST177	SIL	pFET	$V_{DS} = 30 В, P_D = 350 мВт, I_{DSS} = 1.5...20 мА, R_{DS(on)} < 300 Ом$	SOT23, SOD23	D•S•G
S70	BS870	GS	nFET	$V_{DS} = 60 В, I_D = 250 мА, P_D = 310 мВт, V_{GS} = 20 В$	SOT23, SOD23	G•S•D
S72	2N7002	VISH	nFET	$V_{DS} = 60 В, I_D = 115 мА, P_D = 200 мВт, V_{GS} = 2.5 В, C_{ISS} = 60 нФ$	SOT23, SOD23	G•S•D
S76	ZHCS756	ZETEX	shd	$V_A < 60 В, I_F < 0.75 А, V_{F1}(I_F = 0.75 А) < 0.61 В, I_B < 100 мА, C_{D1} < 17 нФ, I_{FSP} < 12 мС$	SOT23, SOD23	A•n.c. • K
S7p	BF511	PHIL	nFET	$V_{DS} = 20 В, I_{D3} < 7 мА, P_D = 250 мВт, g_{F1} = 4 мС$	SOT23, SOD23	G•D•S
S7s	BBY53	INF	var-2	$V_A = 6 В, I_F < 20 мА, I_B < 0.01 мА, C_{1B} = 4...5.8 нФ, C_{2B} = 1.85...3.1 нФ$	SOT23, SOD23	A1•A2•K1, K2
S7s	BBY53-05W	INF	var	$V_A = 6 В, I_F < 20 мА, I_B < 0.01 мА, C_{1B} = 4...5.8 нФ, C_{2B} = 1.85...3.1 нФ$	SOT323, SC70	A1•A2•K1, K2
S8	BAT1504	SIEM	shd	$V_A < 4 В, I_F < 110 мА, V_{F1}(I_F = 10 мА) < 0.48 В, C_{D1} < 0.35 нФ$	SOT23, SOD23	A•n.c. • K
S8p	BF512	PHIL	nFET	$V_{DS} = 20 В, I_{D3} < 12 мА, P_D = 250 мВт, g_{F1} = 6 мС$	SOT23, SOD23	G•D•S
S8s	BAT15-04W	INF	shd	$V_A < 4 В, I_F < 110 мА, V_{F1}(I_F = 10 мА) < 0.41 В, C_{D1} < 0.35 нФ$	SOT323, SC70	A1•K2•K1, A2
S9	1SS394	TOSH	shd	$V_A > 10 В, V_{F1}(I_F = 100 мА) < 0.5 В, I_B(V_A = 10 В) < 20 мА, C_{1B} < 40 пФ$	SOT346, SC59	A•n.c. • K
S9	1SS395	TOSH	shd	$V_A < 10 В, I_F < 100 мА, V_{F1}(I_F = 100 мА) < 0.5 В, C_{D1} < 40 пФ$	SOT323, SC70	A•n.c. • K
S9p	BF513	PHIL	nFET	$V_{DS} = 20 В, I_{D3} < 18 мА, P_D = 250 мВт, g_{F1} = 7 мС$	SOT23, SOD23	G•D•S
SA	BSS123	ZETEX	nMOS	$V_{DS} = 100 В, I_D = 170 мА, P_D = 330 мВт, g_{F1} = 90 мСм, R_{DS(on)} = 14 Ом$	SOT23, SOD23	G•S•D
sA2	SMBD2836	SIEM	di-2	$V_A = 50 В, I_F < 200 мА, V_{F1}(I_F = 100 мА) < 1.2 В, I_B < 0.1 мА, C_{D1} < 4 нФ, I_{FSP} < 6 мС$	SOT23, SOD23	K1•K2•A1, A2
sA3	SMBD2835	SIEM	di-2	$V_A = 30 В, I_F < 200 мА, V_{F1}(I_F = 100 мА) < 1.2 В, I_B < 0.1 мА, C_{D1} < 4 нФ, I_{FSP} < 6 мС$	SOT23, SOD23	K1•K2•A1, A2
sA4	SMBD2838	SIEM	di-2	$V_A < 50 В, I_F < 200 мА, V_{F1}(I_F = 100 мА) < 1.2 В, I_B < 0.1 мА, C_{D1} < 4 нФ, I_{FSP} < 6 мС$	SOT23, SOD23	A1•A2•K1, K2
sA5	SMBD2837	SIEM	di-2	$V_A = 30 В, I_F < 200 мА, V_{F1}(I_F = 100 мА) < 1.2 В, I_B < 0.1 мА, C_{D1} < 4 нФ, I_{FSP} < 6 мС$	SOT23, SOD23	A1•A2•K1, K2
SA5	BSS123	INF	nMOS	$V_{DS} = 100 В, I_D = 170 мА, P_D = 360 мВт, g_{F1} = 170 мСм, R_{DS(on)} < 6 Ом$	SOT23, SOD23	G•S•D
SB	2SA1121B	REN	pnp	$V_{CE0} = 35 В, I_C = 500 мА, P_D = 150 мВт, h_{FE} = 60...120$	SOT23, SOD23	B•E•C
SBp	BB200	PHIL	var-2	$V_A = 18 В, I_B(V_A = 10 В) < 0.05 мА, C_{1B} = 65...74.2 нФ, C_{4.5B}/C_{4.5B} = 12...14.8 нФ$	SOT23, SOD23	A1•A2•K1, K2
SBs	BSS145	INF	nMOS	$V_{DS} = 65 В, I_D = 220 мА, P_D = 360 мВт, g_{F1} > 120 мСм, R_{DS(on)} = 3.5 Ом$	SOT23, SOD23	G•S•D
SC	2SA1121C	REN	pnp	$V_{CE0} = 35 В, I_C = 500 мА, P_D = 150 мВт, h_{FE} = 100...200$	SOT23, SOD23	B•E•C
sC3	SMBT4126	SIEM	pnp	$V_{CE0} = 25 В, I_C = 200 мА, P_D = 330 мВт, h_{FE} = 120...360, f_T > 300 МГц$	SOT23, SOD23	B•E•C
SCp	BB201	PHIL	var-2	$V_A > 15 В, I_B(V_A = 15 В) < 0.2 мА, C_{1B} = 89...102 нФ, C_{7.5B} = 25.5...29.7 нФ$	SOT23, SOD23	A1•A2•K1, K2
SD	2SA1121D	REN	pnp	$V_{CE0} = 35 В, I_C = 500 мА, P_D = 150 мВт, h_{FE} = 160...320$	SOT23, SOD23	B•E•C
SDs	BSS284	INF	pMOS	$V_{DS} = 50 В, I_D = 130 мА, P_D = 360 мВт, g_{F1} > 50 мСм, R_{DS(on)} = 10 Ом$	SOT23, SOD23	G•S•D
SF0	BB804	PHIL	var-2	$V_A = 18 В, I_F < 50 мА, I_B < 20 нА, R_B < 0.2 Ом, C_{2B} = 42...43.5 нФ, C_{2B}/C_{3B} > 1.85$	SOT23, SOD23	A1•A2•K1, K2
SF0	BB804F0	SIEM	var-2	$V_A = 18 В, I_F < 50 мА, I_B < 0.02 мА, C_{2B} = 42...43.5 нФ, C_{2B}/C_{3B} > 1.85$	SOT23, SOD23	A1•A2•K1, K2
SF1	BB804	PHIL	var-2	$V_A = 18 В, I_F < 50 мА, I_B < 20 нА, R_B < 0.2 Ом, C_{2B} = 43...44.5 нФ, C_{2B}/C_{3B} > 1.85$	SOT23, SOD23	A1•A2•K1, K2
SF1	BB804F1	SIEM	var-2	$V_A = 18 В, I_F < 50 мА, I_B < 0.02 мА, C_{2B} = 43...44.5 нФ, C_{2B}/C_{3B} > 1.85$	SOT23, SOD23	A1•A2•K1, K2
SF2	BB804	PHIL	var-2	$V_A = 18 В, I_F < 50 мА, I_B < 20 нА, R_B < 0.2 Ом, C_{2B} = 44...45.5 нФ, C_{2B}/C_{3B} > 1.85$	SOT23, SOD23	A1•A2•K1, K2
SF2	BB804F2	SIEM	var-2	$V_A = 18 В, I_F < 50 мА, I_B < 0.02 мА, C_{2B} = 44...45.5 нФ, C_{2B}/C_{3B} > 1.85$	SOT23, SOD23	A1•A2•K1, K2
SF2	BB804W	PHIL	var-2	$V_A = 18 В, I_F < 50 мА, I_B < 0.02 мА, C_{2B} = 42...46.5 нФ, C_{2B}/C_{3B} > 1.85$	SOT23, SOD23	A1•A2•K1, K2
SF3	BB804	PHIL	var-2	$V_A = 18 В, I_F < 50 мА, I_B < 20 нА, R_B < 0.2 Ом, C_{2B} = 45...46.5 нФ, C_{2B}/C_{3B} > 1.85$	SOT23, SOD23	A1•A2•K1, K2
SF3	BB804F3	SIEM	var-2	$V_A = 18 В, I_F < 50 мА, I_B < 0.02 мА, C_{2B} = 45...46.5 нФ, C_{2B}/C_{3B} > 1.85$	SOT23, SOD23	A1•A2•K1, K2
SF4	BB804F4	SIEM	var-2	$V_A = 18 В, I_F < 50 мА, I_B < 0.02 мА, C_{2B} = 46...47.5 нФ, C_{2B}/C_{3B} > 1.85$	SOT23, SOD23	A1•A2•K1, K2
SF5	BB804	PHIL	var-2	$V_A = 18 В, I_F < 50 мА, I_B < 0.02 мА, C_{2B} = 42...46.5 нФ, C_{2B}/C_{3B} > 1.85$	SOT23, SOD23	A1•A2•K1, K2
SG	2SA1586	TOSH	pnp	$V_{CE0} = 50 В, I_C = 150 мА, P_D = 100 мВт, h_{FE} = 200...400, f_T > 80 МГц$	SOT323, SC70	B•E•C

**SOT490 TSM
MFPAK TSFP-3**

**VMT3
VMD3**



**SOT416
SOT523**

**SOT323
SOT346**

**SOT23-3
SOD23-3**



Код	Типономинал	Б	Ф	Особенности	Корпус	Ц: 1•2•3
SGR	KTA2014	KEC	npn	$V_{CE0}=50 В, I_C=150 мА, P_D=100 мВт, h_{FE}=200...400, f_T>80 МГц$	SOT323, SC70	B•E•C
SH1	B814H1	INF	var-2	$V_A<18 В, I_C<50 мА, I_{B3}<0.02 мА, C_{CB}=43...45 пФ, C_{CB}/C_{CB0}=2.05...2.25$	SOT323, SOD23	A1•A2•K1 K2
SH2	B814H2	INF	var-2	$V_A<18 В, I_C<50 мА, I_{B3}<0.02 мА, C_{CB}=44.5...46.5 пФ, C_{CB}/C_{CB0}=2.05...2.25$	SOT323, SOD23	A1•A2•K1 K2
SM	2SC3082KM	ROHM	npn	$V_{CE0}=30 В, I_C=50 мА, P_D=200 мВт, h_{FE}=39...82, f_T>110 МГц$	SOT346, SC59	B•E•C
SM	2SC4100M	ROHM	npn	$V_{CE0}=30 В, I_C=50 мА, P_D=200 мВт, h_{FE}=39...82, f_T>110 МГц$	SOT323, SC70	B•E•C
SM	2SC4619	ROHM	npn	$V_{CE0}=30 В, I_C=50 мА, P_D=150 мВт, h_{FE}=39...82, f_T>110 МГц$	SOT416, SC75A	B•E•C
SM's	B6914	SIEM	var-2	$V_A<18 В, I_C<50 мА, I_{B3}<0.02 мА, C_{CB}=42.5...45 пФ, C_{CB}/C_{CB0}=2.28...2.42$	SOT23, SOD23	A1•A2•K1 K2
SN	2SC3082KN	ROHM	npn	$V_{CE0}=30 В, I_C=50 мА, P_D=200 мВт, h_{FE}=56...120, f_T>110 МГц$	SOT346, SC59	B•E•C
SN	2SC4100N	ROHM	npn	$V_{CE0}=30 В, I_C=50 мА, P_D=200 мВт, h_{FE}=56...120, f_T>110 МГц$	SOT323, SC70	B•E•C
SN	2SC4619	ROHM	npn	$V_{CE0}=30 В, I_C=50 мА, P_D=150 мВт, h_{FE}=56...120, f_T>110 МГц$	SOT416, SC75A	B•E•C
SO	2SA1586	TOSH	npn	$V_{CE0}=50 В, I_C=150 мА, P_D=100 мВт, h_{FE}=56...120, f_T>80 МГц$	SOT323, SC70	B•E•C
SO	KTA2014	KEC	npn	$V_{CE0}=50 В, I_C=150 мА, P_D=100 мВт, h_{FE}=70...140, f_T>80 МГц$	SOT323, SC70	B•E•C
SP	2SC3082KP	ROHM	npn	$V_{CE0}=30 В, I_C=50 мА, P_D=200 мВт, h_{FE}=82...180, f_T>110 МГц$	SOT346, SC59	B•E•C
SP	2SC4100P	ROHM	npn	$V_{CE0}=30 В, I_C=50 мА, P_D=200 мВт, h_{FE}=82...180, f_T>110 МГц$	SOT323, SC70	B•E•C
SP	2SC4619	ROHM	npn	$V_{CE0}=30 В, I_C=50 мА, P_D=150 мВт, h_{FE}=82...180, f_T>110 МГц$	SOT416, SC75A	B•E•C
SP	BSS84	ZETEX	pMOS	$V_{DS}=50 В, I_D=130 мА, P_D=360 мВт, g_{FS}=50 мСм, R_{DS(on)}=10 Ом$	SOT23, SOD23	G•S•D
SP's	BSS84	SIEM	pMOS	$V_{DS}=50 В, I_D=130 мА, P_D=360 мВт, g_{FS}=50 мСм, R_{DS(on)}=10 Ом$	SOT23, SOD23	G•S•D
SQ	2SC3082KQ	ROHM	npn	$V_{CE0}=30 В, I_C=50 мА, P_D=200 мВт, h_{FE}=120...270, f_T>110 МГц$	SOT346, SC59	B•E•C
SQ	2SC4100Q	ROHM	npn	$V_{CE0}=30 В, I_C=50 мА, P_D=200 мВт, h_{FE}=120...270, f_T>110 МГц$	SOT323, SC70	B•E•C
SQ	2SC4619	ROHM	npn	$V_{CE0}=30 В, I_C=50 мА, P_D=150 мВт, h_{FE}=120...270, f_T>110 МГц$	SOT416, SC75A	B•E•C
SR	2SC3929P	PAN	npn	$V_{CE0}=35 В, I_C=50 мА, P_D=150 мВт, h_{FE}=180...360, f_T=100 МГц$	SOT323, SC70	B•E•C
SRS	BSS131	INF	nMOS	$V_{DS}=240 В, I_D=100 мА, P_D=360 мВт, g_{FS}=140 мСм, R_{DS(on)}=16 Ом$	SOT23, SOD23	G•S•D
SS	2SC3929S	PAN	npn	$V_{CE0}=35 В, I_C=50 мА, P_D=150 мВт, h_{FE}=260...520, f_T=100 МГц$	SOT323, SC70	B•E•C
SS	BSS138	ZETEX	nMOS	$V_{DS}=50 В, I_D=200 мА, P_D=360 мВт, g_{FS}=120 мСм, R_{DS(on)}=6 Ом$	SOT23, SOD23	G•S•D
sSF	SP0610T	SIEM	pMOS	$V_{DS}=60 В, I_D=130 мА, P_D=360 мВт, g_{FS}=80 мСм, R_{DS(on)}=10 Ом$	SOT23, SOD23	G•S•D
sSG	SN7002	SIEM	nMOS	$V_{DS}=60 В, I_D=190 мА, P_D=360 мВт, R_{DS(on)}<7.5 Ом$	SOT23, SOD23	G•S•D
sSH	BSS119	INF	nMOS	$V_{DS}=100 В, I_D=170 мА, P_D=360 мВт, g_{FS}=100 мСм, R_{DS(on)}=6 Ом$	SOT23, SOD23	G•S•D
sSJ	BSS728	SIEM	nMOS	$V_{DS}=60 В, I_D=150 мА, P_D=360 мВт, g_{FS}=80 мСм, R_{DS(on)}=7.5 Ом$	SOT23, SOD23	G•S•D
sSN	SN7002N	SIEM	nMOS	$V_{DS}=60 В, I_D=180 мА, P_D=360 мВт, R_{DS(on)}<7.5 Ом$	SOT23, SOD23	G•S•D
sSN	SN7002W	SIEM	nMOS	$V_{DS}=60 В, I_D=180 мА, P_D=360 мВт, R_{DS(on)}<7.5 Ом$	SOT323, SC70	G•S•D
SSs	BSS138	INF	nMOS	$V_{DS}=50 В, I_D=220 мА, P_D=360 мВт, g_{FS}=120 мСм, R_{DS(on)}=3.5 Ом$	SOT23, SOD23	G•S•D
ST	2SC3929T	PAN	npn	$V_{CE0}=35 В, I_C=50 мА, P_D=150 мВт, h_{FE}=700...700, f_T=100 МГц$	SOT323, SC70	B•E•C
STs	BSS139	INF	nMOS	$V_{DS}=250 В, I_D=140 мА, P_D=360 мВт, g_{FS}=50 мСм, R_{DS(on)}<100 Ом$	SOT23, SOD23	G•S•D
SY	2SA1586	TOSH	npn	$V_{CE0}=50 В, I_C=150 мА, P_D=100 мВт, h_{FE}=120...240, f_T>80 МГц$	SOT323, SC70	B•E•C
SY	KTA2014	KEC	npn	$V_{CE0}=50 В, I_C=150 мА, P_D=100 мВт, h_{FE}=120...240, f_T>80 МГц$	SOT323, SC70	B•E•C
szC	SMBT4124	SIEM	npn	$V_{CE0}=30 В, I_C=200 мА, P_D=330 мВт, h_{FE}=120...360, f_T>300 МГц$	SOT23, SOD23	B•E•C
TD	HSMS2860	HP	shd	$V_{BR}>5 В, V_{GE}(I_{B3}=30 мА)<0.6 В, C_T<0.30 пФ, P_{D3}=100 мВт$	SOT23, SOD23	A•n.c.~K
TD	HSMS2868	HP	shd	$V_{GE}(I_{B3}=1 мА)<0.35 В, C_T<0.30 пФ$	SOT323, SC70	A•n.c.~K
TD1	PDTA143ET	PHIL	Dnpn	$V_{CE0}=50 В, I_C=100 мА, P_D=250 мВт, h_{FE}>30, 4.7 кОм/4.7 кОм$	SOT23, SOD23	B•E•C
TD1	PDTA143EU	PHIL	Dnpn	$V_{CE0}=50 В, I_C=100 мА, P_D=250 мВт, h_{FE}>30, 4.7 кОм/4.7 кОм$	SOT323, SC70	B•E•C
TD2	PDTC143ET	PHIL	Dnpn	$V_{CE0}=50 В, I_C=100 мА, P_D=250 мВт, h_{FE}>30, 4.7 кОм/4.7 кОм$	SOT23, SOD23	B•E•C
TD2	PDTC143EU	PHIL	Dnpn	$V_{CE0}=50 В, I_C=100 мА, P_D=250 мВт, h_{FE}>30, 4.7 кОм/4.7 кОм$	SOT323, SC70	B•E•C
TD3	PDTA114ET	PHIL	Dnpn	$V_{CE0}=50 В, I_C=100 мА, P_D=200 мВт, h_{FE}>30, 10 кОм/10 кОм$	SOT23, SOD23	B•E•C
TD3	PDTA114EU	PHIL	Dnpn	$V_{CE0}=50 В, I_C=100 мА, P_D=200 мВт, h_{FE}>30, 10 кОм/10 кОм$	SOT323, SC70	B•E•C
TD4	PMSS3904	PHIL	npn	$V_{CE0}=60 В, I_C=200 мА, P_D=200 мВт, h_{FE}=100...300, f_T>180 МГц$	SOT323, SC70	B•E•C
TD5	PDTA124ET	PHIL	Dnpn	$V_{CE0}=50 В, I_C=100 мА, P_D=250 мВт, h_{FE}>60, 22 кОм/22 кОм$	SOT23, SOD23	B•E•C
TD5	PDTA124EU	PHIL	Dnpn	$V_{CE0}=50 В, I_C=100 мА, P_D=250 мВт, h_{FE}>60, 22 кОм/22 кОм$	SOT323, SC70	B•E•C
T06	SSTPAD5	CALOG	di	$V_A=55 В, I_C<10 мА, V_{GE}(I_A=1 мА)<1.5 В, I_{B3}<5 нА, C_T<2 нФ$	SOT23, SOD23	K•K•A
T06	PDTC124EU	PHIL	Dnpn	$V_{CE0}=50 В, I_C=100 мА, P_D=250 мВт, h_{FE}>60, 22 кОм/22 кОм$	SOT323, SC70	B•E•C
T06	PMSS3906	PHIL	npn	$V_{CE0}=40 В, I_C=200 мА, P_D=200 мВт, h_{FE}=100...300, f_T>150 МГц$	SOT323, SC70	B•E•C
T07	PDTA144ET	PHIL	Dnpn	$V_{CE0}=50 В, I_C=100 мА, P_D=250 мВт, h_{FE}>80, 47 кОм/47 кОм$	SOT23, SOD23	B•E•C
T07	PDTA144EU	PHIL	Dnpn	$V_{CE0}=50 В, I_C=100 мА, P_D=250 мВт, h_{FE}>80, 47 кОм/47 кОм$	SOT323, SC70	B•E•C



SOT23-3 SOT323 SOT416
SOD23-3 SOT346 SOT523



SOT490 TSM VMT3
MFPK TSFP-3 VMD3

Код	Типономинал	Б	Ф	Особенности	Корпус	Ц: 1•2•3
108	PDTCT144ET	PHIL	Дп/np	$V_{CE0}=50 В, I_C=100 мА, P_D=250 мВт; h_{FE}>80, 47 кОм/47 кОм$	SOT23, SOD23	В•Е•С
109	PDTCT144EU	PHIL	Дп/np	$V_{CE0}=50 В, I_C=100 мА, P_D=250 мВт; h_{FE}>80, 47 кОм/47 кОм$	SOT323, SC70	В•Е•С
109	PDTCT144EU	PHIL	Дп/np	$V_{CE0}=50 В, I_C=50 мА, P_D=250 мВт; h_{FE}>30, 10 кОм/10 кОм$	SOT323, SC70	В•Е•С
TKOF	NDS0610	NS	p/MOS	$V_{DS}=60 В, I_D=120 мА, P_D=360 мВт, R_{DS(on)}<300 м$	SOT23, SOD23	Г•S•D
T1	BCX17	ALLEG	np/np	$V_{CE0}=50 В, I_{C0}<100 мА, h_{FE}100...600, V_{CE(sat)}<0.62 В$	SOT23, SOD23	В•Е•С
T1	BCX17	CDIL	np/np	$V_{CE0}=45 В, I_C=500 мА, P_D=250 мВт; h_{FE}100...600, f_T>100 МГц$	SOT23, SOD23	В•Е•С
T1	BCX17	ZETEX	np/np	$V_{CE0}=50 В, I_C=500 мА, P_D=330 мВт; h_{FE}100...600, f_T>100 МГц$	SOT23, SOD23	В•Е•С
T1	BSS63	MOT	np/np	$V_{CE0}=100 В, I_C=800 мА, P_D=330 мВт; h_{FE}>30, f_T=150 МГц$	SOT23, SOD23	В•Е•С
T1	HSMS2862	HP	shd-2	$V_{DS}=5 В, V_{GS}(I_D=30 мА)<0.6 В, C_{I1}<0.30 нФ, R_{DS(on)}<10 Ом$	SOT23, SOD23	A1•K2•K1, A2
T10	SSTPAD10	CALOG	dl	$V_A=55 В, I_C<10 мА, V_{CE(sat)}<1.5 В, I_{B1}<10 мА, C_T<2 нФ$	SOT23, SOD23	К•К•А
T11	PDTA114TT	PHIL	Дп/np	$V_{CE0}=50 В, I_C=100 мА, P_D=200 мВт; h_{FE}>200, R_T, 10 кОм$	SOT23, SOD23	В•Е•С
T11	SSTPAD100	CALOG	dl	$V_A=55 В, I_C<10 мА, V_{CE(sat)}<1.5 В, I_{B1}<100 мА, C_T<2 нФ$	SOT23, SOD23	К•К•А
t12	PDTCT144T	PHIL	Дп/np	$V_{CE0}=50 В, I_C=100 мА, P_D=200 мВт; h_{FE}>200, R_T, 10 кОм$	SOT23, SOD23	В•Е•С
t16	PDTCT144ET	PHIL	Дп/np	$V_{CE0}=50 В, I_C=50 мА, P_D=250 мВт; h_{FE}>30, 10 кОм/10 кОм$	SOT23, SOD23	В•Е•С
t17	PDTCT144ET	PHIL	Дп/np	$V_{CE0}=50 В, I_C=100 мА, P_D=250 мВт; h_{FE}>60, 22 кОм/22 кОм$	SOT23, SOD23	В•Е•С
t18	PDTCT1432T	PHIL	Дп/np	$V_{CE0}=50 В, I_C=100 мА, P_D=250 мВт; h_{FE}>100, 4.7 кОм/47 кОм$	SOT23, SOD23	В•Е•С
t19	PDTA1432T	PHIL	Дп/np	$V_{CE0}=50 В, I_C=100 мА, P_D=250 мВт; h_{FE}>100, 4.7 кОм/47 кОм$	SOT23, SOD23	В•Е•С
t1A	PMST3904	PHIL	np/np	$V_{CE0}=80 В, I_C=200 мА, P_D=200 мВт; h_{FE}100...300, f_T>300$	SOT323, SC70	В•Е•С
T1B	UMS1BIM3	NS	ais	$T_{AMB}=-25...85^{\circ}C, V_{CE}=2.7...10 В, I_{OUT}<10 мА, ACC\pm 3^{\circ}C$	SOT23, SOD23	НVS•V0•GND
t1B	PMBT2222	PHIL	np/np	$V_{CE0}=60 В, I_C=600 мА, P_D=250 мВт; h_{FE}100...300, f_T>250 МГц$	SOT23, SOD23	В•Е•С
t1B	PMST2222	PHIL	np/np	$V_{CE0}=80 В, I_C=600 мА, P_D=200 мВт; h_{FE}100...300, f_T>250 МГц$	SOT323, SC70	В•Е•С
T1C	UMS1CIM3	NS	ais	$T_{AMB}=30...100^{\circ}C, V_{CE}=2.7...10 В, I_{OUT}<10 мА, ACC\pm 4^{\circ}C$	SOT23, SOD23	НVS•V0•GND
t1D	PMBTA42	PHIL	np/np	$V_{CE0}=300 В, I_C=500 мА, P_D=250 мВт; h_{FE}>40, f_T>50 МГц$	SOT23, SOD23	В•Е•С
t1D	PMSTA42	PHIL	np/np	$V_{CE0}=300 В, I_C=100 мА, P_D=200 мВт; h_{FE}>40, f_T>50 МГц$	SOT323, SC70	В•Е•С
t1E	PMBTA43	MOT	np/np	$V_{CE0}=200 В, I_C=500 мА, P_D=250 мВт; h_{FE}>40, f_T>50 МГц$	SOT23, SOD23	В•Е•С
t1E	PMSTA43	PHIL	np/np	$V_{CE0}=200 В, I_C=100 мА, P_D=200 мВт; h_{FE}>40, f_T>50 МГц$	SOT323, SC70	В•Е•С
t1F	PMBT5550	PHIL	np/np	$V_{CE0}=160 В, I_C=600 мА, P_D=250 мВт; h_{FE}60...250, f_T=100...300$	SOT23, SOD23	В•Е•С
t1F	PMST5550	PHIL	np/np	$V_{CE0}=160 В, I_C=600 мА, P_D=200 мВт; h_{FE}60...250, f_T=100...300$	SOT323, SC70	В•Е•С
t1H	MMBT405	PHIL	np/np	$V_{CE0}=80 В, I_C=30 мА, P_D=350 мВт; h_{FE}>50, f_T>100 МГц$	SOT23, SOD23	В•Е•С
t1J	PMBT2369	PHIL	np/np	$V_{CE0}=40 В, I_C=500 мА, P_D=250 мВт; h_{FE}40...120$	SOT23, SOD23	В•Е•С
t1K	PMBT6428	PHIL	np/np	$V_{CE0}=60 В, I_C=200 мА, P_D=250 мВт; h_{FE}250...650, f_T=100...700 МГц$	SOT23, SOD23	В•Е•С
t1L	PMBT6429	PHIL	np/np	$V_{CE0}=55 В, I_C=200 мА, P_D=250 мВт; h_{FE}500...1250, f_T=100...700 МГц$	SOT23, SOD23	В•Е•С
t1M	PMBTA13	PHIL	np/np	$V_{CE0}=30 В, I_C=300 мА, P_D=250 мВт; h_{FE}>5000, f_T>125 МГц$	SOT23, SOD23	В•Е•С
t1N	PMBTA14	PHIL	np/np	$V_{CE0}=30 В, I_C=300 мА, P_D=250 мВт; h_{FE}>10000, f_T>125 МГц$	SOT23, SOD23	В•Е•С
T1P	BCX17	PHIL	np/np	$V_{CE0}=45 В, I_C=500 мА, P_D=250 мВт; h_{FE}100...600, f_T>100 МГц$	SOT23, SOD23	В•Е•С
t1P	PMBT2222A	PHIL	np/np	$V_{CE0}=75 В, I_C=600 мА, P_D=250 мВт; h_{FE}100...300, f_T>300 МГц$	SOT23, SOD23	В•Е•С
t1P	PMST2222A	PHIL	np/np	$V_{CE0}=75 В, I_C=600 мА, P_D=200 мВт; h_{FE}100...300, f_T>300 МГц$	SOT323, SC70	В•Е•С
t1Q	PMBT5088	PHIL	np/np	$V_{CE0}=30 В, I_C=50 мА, P_D=250 мВт; h_{FE}350...1400$	SOT23, SOD23	В•Е•С
t1Q	PMST5088	PHIL	np/np	$V_{CE0}=35 В, I_C=50 мА, P_D=200 мВт; h_{FE}>300...900$	SOT323, SC70	В•Е•С
t1R	PMST5089	PHIL	np/np	$V_{CE0}=30 В, I_C=50 мА, P_D=200 мВт; h_{FE}>400...1200$	SOT323, SC70	В•Е•С
T1t	BCX17	PHIL	np/np	$V_{CE0}=45 В, I_C=500 мА, P_D=250 мВт; h_{FE}100...600, f_T>100 МГц$	SOT23, SOD23	В•Е•С
T2	BCX18	ALLEG	np/np	$V_{CE0}=30 В, I_{C0}<100 мА, h_{FE}100...600, V_{CE(sat)}<0.62 В$	SOT23, SOD23	В•Е•С
T2	BCX18	CDIL	np/np	$V_{CE0}=25 В, I_C=500 мА, P_D=250 мВт; h_{FE}100...600, f_T>100 МГц$	SOT23, SOD23	В•Е•С
T2	BCX18	ZETEX	np/np	$V_{CE0}=30 В, I_C=500 мА, P_D=330 мВт; h_{FE}100...600, f_T>100 МГц$	SOT23, SOD23	В•Е•С
T2	HSMS286C	HP	shd-2	$V_{GS}(I_D=1 мА)<0.35 В, C_{I1}<0.30 нФ$	SOT23, SOD23	A1•K2•K1, A2
T2	TN2460T	SIL	n/MOS	$V_{DS}=240 В, I_D=51 мА, P_D=360 мВт, g_{fs}=70 мСм, R_{DS(on)}=11 Ом$	SOT23, SOD23	Г•S•D
T20	SSTPAD20	CALOG	dl	$V_A=55 В, I_C<10 мА, V_{CE(sat)}<1.5 В, I_{B1}<20 мА, C_T<2 нФ$	SOT23, SOD23	К•К•А
T21	SSTPAD200	CALOG	dl	$V_A=55 В, I_C<10 мА, V_{CE(sat)}<1.5 В, I_{B1}<200 мА, C_T<2 нФ$	SOT23, SOD23	К•К•А
t23	PDTA114TU	PHIL	Дп/np	$V_{CE0}=50 В, I_C=100 мА, P_D=200 мВт; h_{FE}>200, R_T, 10 кОм$	SOT323, SC70	В•Е•С
t24	PDTCT144TU	PHIL	Дп/np	$V_{CE0}=50 В, I_C=100 мА, P_D=200 мВт; h_{FE}>200, R_T, 10 кОм$	SOT323, SC70	В•Е•С
t27	PDTCT144YT	PHIL	Дп/np	$V_{CE0}=50 В, I_C=100 мА, P_D=200 мВт; h_{FE}>100, 10 кОм/47 кОм$	SOT23, SOD23	В•Е•С

**SOT490 TSM
MFPAK TSFP-3**

**VMT3
VMD3**



**SOT416 SOT323
SOT523 SOT346**

**SOT23-3
SOD23-3**



Код	Типономинал	Б	Ф	Особенности	Корпус	Ц: 1•2•3
I28	PDTA114WU	PHIL	Дмпр	$V_{DSB}=50 В, I_C=100 мА, P_D=200 мВт; \eta_{21}>80, 47 кОм/22 кОм$	SOT323, SC70	B-E-C
I29	PDTA114YT	PHIL	Дмпр	$V_{DSB}=50 В, I_C=100 мА, P_D=200 мВт; \eta_{21}>100, 10 кОм/47 кОм$	SOT323, SOD23	B-E-C
I2A	PMBT3906	PHIL	опр	$V_{DSB}=40 В, I_C=200 мА, P_D=250 мВт; \eta_{21}=100...300, f_T>250 МГц$	SOT323, SOD23	B-E-C
I2A	PMBT3906	PHIL	опр	$V_{DSB}=40 В, I_C=200 мА, P_D=200 мВт; \eta_{21}=100...300, f_T>250 МГц$	SOT323, SC70	B-E-C
I2B	PMBT2907	PHIL	опр	$V_{DSB}=60 В, I_C=600 мА, P_D=250 мВт; \eta_{21}>30, f_T>200 МГц$	SOT323, SOD23	B-E-C
I2D	PMBTA92	PHIL	опр	$V_{DSB}=300 В, I_C=500 мА, P_D=250 мВт; \eta_{21}>40, f_T>50 МГц$	SOT323, SOD23	B-E-C
I2D	PMBTA92	PHIL	опр	$V_{DSB}=300 В, I_C=100 мА, P_D=200 мВт; \eta_{21}>40, f_T>50 МГц$	SOT323, SC70	B-E-C
I2E	PMBTA93	PHIL	опр	$V_{DSB}=200 В, I_C=500 мА, P_D=250 мВт; \eta_{21}>40, f_T>50 МГц$	SOT323, SOD23	B-E-C
I2E	PMBTA93	PHIL	опр	$V_{DSB}=200 В, I_C=100 мА, P_D=200 мВт; \eta_{21}>40, f_T>50 МГц$	SOT323, SC70	B-E-C
I2F	PMBT2907A	PHIL	опр	$V_{DSB}=60 В, I_C=600 мА, P_D=250 мВт; \eta_{21}>50, f_T>200 МГц$	SOT323, SOD23	B-E-C
I2G	PMBTA56	PHIL	опр	$V_{DSB}=80 В, I_C=500 мА, P_D=250 мВт; \eta_{21}>50, f_T>50 МГц$	SOT323, SOD23	B-E-C
I2G	PMBTA56	PHIL	опр	$V_{DSB}=80 В, I_C=500 мА, P_D=200 мВт; \eta_{21}>100, f_T>50 МГц$	SOT323, SC70	B-E-C
I2H	PMBTA55	PHIL	опр	$V_{DSB}=60 В, I_C=500 мА, P_D=250 мВт; \eta_{21}>50, f_T>50 МГц$	SOT323, SOD23	B-E-C
I2H	PMBTA55	PHIL	опр	$V_{DSB}=60 В, I_C=500 мА, P_D=200 мВт; \eta_{21}>100, f_T>50 МГц$	SOT323, SC70	B-E-C
I2L	PMBT5401	PHIL	опр	$V_{DSB}=160 В, I_C=500 мА, P_D=250 мВт; \eta_{21}=60...240, f_T=100...300 МГц$	SOT323, SOD23	B-E-C
I2L	PMBT5401	PHIL	опр	$V_{DSB}=160 В, I_C=500 мА, P_D=200 мВт; \eta_{21}=60...240, f_T=100...300 МГц$	SOT323, SC70	B-E-C
I2P	BCX18	PHIL	опр	$V_{DSB}=25 В, I_C=500 мА, P_D=250 мВт; \eta_{21}=100...600, f_T=100 МГц$	SOT323, SOD23	B-E-C
I2I	BCX18	PHIL	опр	$V_{DSB}=25 В, I_C=500 мА, P_D=250 мВт; \eta_{21}=100...600, f_T=100 МГц$	SOT323, SOD23	B-E-C
I2T	PMBT4403	PHIL	опр	$V_{DSB}=40 В, I_C=600 мА, P_D=250 мВт; \eta_{21}=100...300, f_T>200 МГц$	SOT323, SOD23	B-E-C
I2T	PMBT4403	PHIL	опр	$V_{DSB}=40 В, I_C=600 мА, P_D=200 мВт; \eta_{21}=100...300, f_T>200 МГц$	SOT323, SC70	B-E-C
I2U	PMBTA63	PHIL	дмпр	$V_{DSB}=30 В, I_C=500 мА, P_D=250 мВт; \eta_{21}>5000, f_T>125 МГц$	SOT323, SOD23	B-E-C
I2V	PMBTA64	PHIL	дмпр	$V_{DSB}=30 В, I_C=500 мА, P_D=250 мВт; \eta_{21}>10000, f_T>125 МГц$	SOT323, SOD23	B-E-C
I2X	PMBT4401	PHIL	опр	$V_{DSB}=40 В, I_C=600 мА, P_D=250 мВт; \eta_{21}=100...300, f_T>250 МГц$	SOT323, SOD23	B-E-C
I2X	PMBT4401	PHIL	опр	$V_{DSB}=60 В, I_C=600 мА, P_D=200 мВт; \eta_{21}=100...300, f_T>250 МГц$	SOT323, SC70	B-E-C
T3	BSS83	PHIL	опр	$V_{DSB}=100 В, I_C=800 мА, P_D=330 мВт; \eta_{21}>30, f_T=150 МГц$	SOT323, SOD23	B-E-C
T3	HSMS2863	HP	shcd-2	$V_{DS}=5 В, V_{GS}(I_C=30 мА)<0.6 В, C_T<0.30 нФ, P_{D3}=10 Ом$	SOT323, SOD23	K1-K2-A1, A2
T3	HSMS286E	HP	shcd-2	$V_{GS}(I_C=1 мА)<0.35 В, C_T<0.30 нФ$	SOT323, SC70	K1-K2-A1, A2
I30	PDTC114YU	PHIL	Дмпр	$V_{DSB}=50 В, I_C=100 мА, P_D=200 мВт; \eta_{21}>100, 10 кОм/47 кОм$	SOT323, SC70	B-E-C
I31	PDTA143XT	PHIL	Дмпр	$V_{DSB}=50 В, I_C=100 мА, P_D=250 мВт; \eta_{21}>50, 4.7 кОм/10 кОм$	SOT323, SOD23	B-E-C
I32	2SC4182	NEC	опр	$V_{DSB}=30 В, I_C=50 мА, P_D=160 мВт; \eta_{21}=60...105, f_T=1.1 ГГц$	SOT323, SC70	B-E-C
I32	PDTC143XT	PHIL	Дмпр	$V_{DSB}=50 В, I_C=100 мА, P_D=250 мВт; \eta_{21}>50, 4.7 кОм/10 кОм$	SOT323, SOD23	B-E-C
T33	2SC4182	NEC	опр	$V_{DSB}=30 В, I_C=50 мА, P_D=160 мВт; \eta_{21}=85...150, f_T=1.1 ГГц$	SOT323, SC70	B-E-C
T34	2SC4182	NEC	опр	$V_{DSB}=30 В, I_C=50 мА, P_D=160 мВт; \eta_{21}=120...220, f_T=1.1 ГГц$	SOT323, SC70	B-E-C
T35	BSR20	CDIL	опр	$V_{DSB}=130 В, I_C=600 мА, P_D=250 мВт; \eta_{21}>40, f_T=400 МГц$	SOT323, SOD23	B-E-C
T35	BSR20	CDIL	опр	$V_{DSB}=130 В, I_C=600 мА, P_D=250 мВт; \eta_{21}>40, f_T=100...400 МГц$	SOT323, SOD23	B-E-C
T36	BSR20A	CDIL	опр	$V_{DSB}=160 В, I_C=600 мА, P_D=250 мВт; \eta_{21}>60, f_T=300 МГц$	SOT323, SOD23	B-E-C
T36	BSR20A	PHIL	опр	$V_{DSB}=160 В, I_C=600 мА, P_D=250 мВт; \eta_{21}>60, f_T=100...300 МГц$	SOT323, SOD23	B-E-C
T4	BCX17R	ZETEX	опр	$V_{DSB}=50 В, I_C=500 мА, P_D=330 мВт; \eta_{21}=100...600, f_T>100 МГц$	SOT323, SOD23	B-E-C
T4	BCX17R	PHIL	опр	$V_{DSB}=45 В, I_C=500 мА, P_D=250 мВт; \eta_{21}=100...600, f_T>100 МГц$	SOT323, SOD23	C-B-E
T4	HSMS2864	HP	shcd-2	$V_{DS}=5 В, V_{GS}(I_C=30 мА)<0.6 В, C_T<0.30 нФ, P_{D3}=10 Ом$	SOT323, SOD23	A1-A2-K1, K2
T4	HSMS286F	HP	shcd-2	$V_{GS}(I_C=1 мА)<0.35 В, C_T<0.30 нФ$	SOT323, SC70	A1-A2-K1, K2
T42	2SC4184	NEC	опр	$V_{DSB}=30 В, I_C=50 мА, P_D=160 мВт; \eta_{21}=40...80, f_T>1.2 ГГц$	SOT323, SC70	B-E-C
T43	2SC4184	NEC	опр	$V_{DSB}=30 В, I_C=50 мА, P_D=160 мВт; \eta_{21}=60...120, f_T>1.2 ГГц$	SOT323, SC70	B-E-C
T44	2SC4184	NEC	опр	$V_{DSB}=30 В, I_C=50 мА, P_D=160 мВт; \eta_{21}=100...200, f_T>1.2 ГГц$	SOT323, SC70	B-E-C
I46	PDTA143XU	PHIL	Дмпр	$V_{DSB}=50 В, I_C=100 мА, P_D=250 мВт; \eta_{21}>50, 4.7 кОм/10 кОм$	SOT323, SC70	B-E-C
I47	PDTA143ZU	PHIL	Дмпр	$V_{DSB}=50 В, I_C=100 мА, P_D=250 мВт; \eta_{21}>100, 4.7 кОм/47 кОм$	SOT323, SC70	B-E-C
T48	LM45BM3	NS	ais	$T_{AMB}=-20...100^{\circ}C, V_{CE}(I_C=10 В, I_{CLM})<10 мА$	SOT323, SOD23	+Vs -Vo -GND
T48	LM45CM3	NS	ais	$T_{AMB}=-20...100^{\circ}C, V_{CE}(I_C=10 В, I_{CLM})<10 мА$	SOT323, SOD23	+Vs -Vo -GND
T5	BCX18R	ZETEX	опр	$V_{DSB}=30 В, I_C=500 мА, P_D=330 мВт; \eta_{21}=100...600, f_T>100 МГц$	SOT323, SOD23	B-E-C
T5	BCX18R	PHIL	опр	$V_{DSB}=30 В, I_C=500 мА, P_D=330 мВт; \eta_{21}=100...600, f_T>100 МГц$	SOT323, SOD23	C-B-E
T50	SSTPAD50	CALOG	dl	$V_{GS}=55 В, I_C<10 мА, V_{GS}(I_C=1 мА)<1.5 В, I_C<50 мА, C_T<2 нФ$	SOT323, SOD23	K-K-A
I53	PDTC143XU	PHIL	Дмпр	$V_{DSB}=50 В, I_C=100 мА, P_D=250 мВт; \eta_{21}>50, 4.7 кОм/10 кОм$	SOT323, SC70	B-E-C



SOT23-3
SOD23-3

SOT323
SOT346

SOT416
SOT523



SOT490
MFPK

TESM
TSFP-3

VMT3
VMD3

Код	Типономинал	Б	Ф	Особенности	Корпус	Ц: 1•2•3
154	PDTС1432U	PHIL	Dnpn	$V_{CE0}=50B$, $I_C=100mA$, $P_D=250mBt$, $h_{21}>100$, $4.7k\Omega/47k\Omega$	SOT323, SC70	B•E•C
165	PDTA114YU	PHIL	Dnpn	$V_{CE0}=50B$, $I_C=100mA$, $P_D=200mBt$, $h_{21}>100$, $10k\Omega/47k\Omega$	SOT323, SC70	B•E•C
T5B	LM50BIM3	NS	ats	$T_{AMB}= -40...125^{\circ}C$; $V_{CE0}=4.5...10B$, $I_{OUT}=10mA$, $ACC\pm 2^{\circ}C$	SOT23, SOD23	+Vs •Vo• GND
T5C	LM50CIM3	NS	ats	$T_{AMB}= -40...125^{\circ}C$; $V_{CE0}=4.5...10B$, $I_{OUT}=10mA$, $ACC\pm 3^{\circ}C$	SOT23, SOD23	+Vs •Vo• GND
T6	BSS63R	PHIL	pnp	$V_{CE0}=100B$, $I_C=800mA$, $P_D=330mBt$, $h_{21}>30$, $f_T=150MГц$	SOT23, SOD23	E•B•C
T61	ZUMT617	ZETEX	pnp	$V_{CE0}=15B$, $I_C=1.5A$, $P_D=385mBt$, $h_{21}>30$, $f_T=180MГц$	SOT323, SC70	B•E•C
T62	2SC3841P	NEC	pnp	$V_{CE0}=25B$, $I_C=30mA$, $P_D=200mBt$, $h_{21}>40$, $f_T=2.5ГГц$	SOT23, SOD23	B•E•C
T62	2SC4186	NEC	pnp	$V_{CE0}=25B$, $I_C=30mA$, $P_D=160mBt$, $h_{21}>40$, $f_T=2.5ГГц$	SOT323, SC70	B•E•C
T62	ZUMT618	ZETEX	pnp	$V_{CE0}=20B$, $I_C=1.25A$, $P_D=385mBt$, $h_{21}>20$, $f_T=210MГц$	SOT323, SC70	B•E•C
T63	2SC3841Q	NEC	pnp	$V_{CE0}=25B$, $I_C=30mA$, $P_D=200mBt$, $h_{21}>60$, $f_T=2.5ГГц$	SOT23, SOD23	B•E•C
T63	2SC4186	NEC	pnp	$V_{CE0}=25B$, $I_C=30mA$, $P_D=160mBt$, $h_{21}>60$, $f_T=2.5ГГц$	SOT323, SC70	B•E•C
T63	ZUMT619	ZETEX	pnp	$V_{CE0}=50B$, $I_C=1A$, $P_D=385mBt$, $h_{21}>20$, $f_T=215MГц$	SOT323, SC70	B•E•C
T64	2SC3841R	NEC	pnp	$V_{CE0}=25B$, $I_C=30mA$, $P_D=200mBt$, $h_{21}>100$, $f_T=2.5ГГц$	SOT23, SOD23	B•E•C
T64	2SC4186	NEC	pnp	$V_{CE0}=25B$, $I_C=30mA$, $P_D=160mBt$, $h_{21}>100$, $f_T=2.5ГГц$	SOT323, SC70	B•E•C
T6B	LM50BIM3	NS	ats	$T_{AMB}= -25...125^{\circ}C$; $V_{CE0}=4.5...10B$, $I_{OUT}=10mA$, $ACC\pm 3^{\circ}C$	SOT23, SOD23	+Vs •Vo• GND
T6C	LM50CIM3	NS	ats	$T_{AMB}= -40...125^{\circ}C$; $V_{CE0}=4.5...10B$, $I_{OUT}=10mA$, $ACC\pm 4^{\circ}C$	SOT23, SOD23	+Vs •Vo• GND
T7	BSR15	CDIL	pnp	$V_{CE0}=60B$, $I_C=600mA$, $P_D=250mBt$, $h_{21}>30$, $f_T=200MГц$	SOT23, SOD23	B•E•C
T7	BSR15	SGS	pnp	$V_{CE0}=80B$, $I_C=600mA$, $P_D=250mBt$, $h_{21}>30$, $f_T=200MГц$	SOT23, SOD23	B•E•C
T7	SST4117	SIL	nFET	$V_{DS}=40B$, $P_D=350mBt$, $I_{DSS}=0.03...0.09mA$, $g_{FS}=70mCm$	SOT23, SOD23	D•S•G
T71	BSR15R	SGS	pnp	$V_{CE0}=60B$, $I_C=600mA$, $P_D=250mBt$, $h_{21}>30$, $f_T=200MГц$	SOT23, SOD23	E•B•C
T71	ZUMT717	ZETEX	pnp	$V_{CE0}=12B$, $I_C=1.25A$, $P_D=385mBt$, $h_{21}>30$, $f_T=220MГц$	SOT323, SC70	B•E•C
T72	2SC4568	NEC	pnp	$V_{CE0}=20B$, $I_C=30mA$, $P_D=150mBt$, $h_{21}>40$, $f_T=5.5ГГц$	SOT23, SOD23	B•E•C
T72	2SC4570	NEC	pnp	$V_{CE0}=20B$, $I_C=30mA$, $P_D=120mBt$, $h_{21}>40$, $f_T=5.5ГГц$	SOT323, SC70	B•E•C
T72	ZUMT718	ZETEX	pnp	$V_{CE0}=20B$, $I_C=1A$, $P_D=385mBt$, $h_{21}>20$, $f_T=210MГц$	SOT323, SC70	B•E•C
T73	2SC4568	NEC	pnp	$V_{CE0}=20B$, $I_C=30mA$, $P_D=150mBt$, $h_{21}>60$, $f_T=5.5ГГц$	SOT23, SOD23	B•E•C
T73	2SC4570	NEC	pnp	$V_{CE0}=20B$, $I_C=30mA$, $P_D=120mBt$, $h_{21}>60$, $f_T=5.5ГГц$	SOT323, SC70	B•E•C
T73	ZUMT719	ZETEX	pnp	$V_{CE0}=40B$, $I_C=1A$	SOT323, SC70	B•E•C
T74	2SC4568	NEC	pnp	$V_{CE0}=20B$, $I_C=30mA$, $P_D=150mBt$, $h_{21}>100$, $f_T=5.5ГГц$	SOT23, SOD23	B•E•C
T74	2SC4570	NEC	pnp	$V_{CE0}=20B$, $I_C=30mA$, $P_D=120mBt$, $h_{21}>100$, $f_T=5.5ГГц$	SOT323, SC70	B•E•C
T75	2SC4569	NEC	pnp	$V_{CE0}=20B$, $I_C=60mA$, $P_D=150mBt$, $h_{21}>40$, $f_T=5.5ГГц$	SOT23, SOD23	B•E•C
T75	2SC4571	NEC	pnp	$V_{CE0}=20B$, $I_C=60mA$, $P_D=120mBt$, $h_{21}>40$, $f_T=5.5ГГц$	SOT323, SC70	B•E•C
T75	NE58230	NEC	pnp	$V_{CE0}=20B$, $I_C=60mA$, $P_D=120mBt$, $h_{21}>40$, $f_T=5.5ГГц$	SOT323, SC70	B•E•C
T76	2SC4569	NEC	pnp	$V_{CE0}=20B$, $I_C=60mA$, $P_D=150mBt$, $h_{21}>60$, $f_T=5.5ГГц$	SOT23, SOD23	B•E•C
T76	2SC4571	NEC	pnp	$V_{CE0}=20B$, $I_C=60mA$, $P_D=120mBt$, $h_{21}>60$, $f_T=5.5ГГц$	SOT323, SC70	B•E•C
T76	NE58230	NEC	pnp	$V_{CE0}=20B$, $I_C=60mA$, $P_D=120mBt$, $h_{21}>60$, $f_T=5.5ГГц$	SOT323, SC70	B•E•C
T77	2SC4569	NEC	pnp	$V_{CE0}=20B$, $I_C=60mA$, $P_D=150mBt$, $h_{21}>100$, $f_T=5.5ГГц$	SOT23, SOD23	B•E•C
T77	2SC4571	NEC	pnp	$V_{CE0}=20B$, $I_C=60mA$, $P_D=120mBt$, $h_{21}>100$, $f_T=5.5ГГц$	SOT323, SC70	B•E•C
T77	NE58230	NEC	pnp	$V_{CE0}=20B$, $I_C=60mA$, $P_D=120mBt$, $h_{21}>100$, $f_T=5.5ГГц$	SOT323, SC70	B•E•C
T7B	LM52BIM3	NS	ats	$T_{AMB}=0...90^{\circ}C$; $V_{CE0}=2.7...10B$, $I_{OUT}=10mA$, $ACC\pm 2^{\circ}C$	SOT23, SOD23	+Vs •Vo• GND
T7C	LM52CIM3	NS	ats	$T_{AMB}=0...90^{\circ}C$; $V_{CE0}=2.7...10B$, $I_{OUT}=10mA$, $ACC\pm 3^{\circ}C$	SOT23, SOD23	+Vs •Vo• GND
T7D	BSR15	PHIL	pnp	$V_{CE0}=60B$, $I_C=600mA$, $P_D=250mBt$, $h_{21}>30$, $f_T=200MГц$	SOT23, SOD23	B•E•C
T7t	BSR15	PHIL	pnp	$V_{CE0}=60B$, $I_C=600mA$, $P_D=250mBt$, $h_{21}>30$, $f_T=200MГц$	SOT23, SOD23	B•E•C
17Y	PDTB123YT	PHIL	Dnpn	$V_{CE0}=50B$, $I_C=500mA$, $P_D=250mBt$, $h_{21}>70$, $2.2k\Omega/10k\Omega$	SOT23, SOD23	B•E•C
T8	BSR15	CDIL	pnp	$V_{CE0}=60B$, $I_C=600mA$, $P_D=250mBt$, $h_{21}>50$, $f_T=200MГц$	SOT23, SOD23	B•E•C
T8	BSR15	SGS	pnp	$V_{CE0}=60B$, $I_C=600mA$, $P_D=250mBt$, $h_{21}>50$, $f_T=200MГц$	SOT23, SOD23	B•E•C
T8	SST4118	SIL	nFET	$V_{DS}=40B$, $P_D=350mBt$, $I_{DSS}=0.08...0.24mA$, $g_{FS}=80mCm$	SOT23, SOD23	D•S•G
T81	BSR16R	SGS	pnp	$V_{CE0}=60B$, $I_C=600mA$, $P_D=250mBt$, $h_{21}>50$, $f_T=200MГц$	SOT23, SOD23	E•B•C
T82	2SC4954	NEC	pnp	$V_{CE0}=9B$, $I_C=10mA$, $P_D=60mBt$, $h_{21}>75$, $f_T=150$, $f_T=12ГГц$	SOT23, SOD23	B•E•C
T82	2SC4958	NEC	pnp	$V_{CE0}=9B$, $I_C=10mA$, $P_D=60mBt$, $h_{21}>75$, $f_T=150$, $f_T=12ГГц$	SOT323, SC70	B•E•C
T83	2SC4955	NEC	pnp	$V_{CE0}=9B$, $I_C=30mA$, $P_D=180mBt$, $h_{21}>75$, $f_T=150$, $f_T=12ГГц$	SOT23, SOD23	B•E•C
T83	2SC4959	NEC	pnp	$V_{CE0}=9B$, $I_C=30mA$, $P_D=150mBt$, $h_{21}>75$, $f_T=150$, $f_T=12ГГц$	SOT323, SC70	B•E•C
T84	2SC5177	NEC	pnp	$V_{CE0}=5B$, $I_C=10mA$, $P_D=30mBt$, $h_{21}>70$, $f_T=10ГГц$	SOT23, SOD23	B•E•C

**SOT490 TSM
MFPAK TSFP-3**

**VMT3
VMD3**



**SOT416 SOT323
SOT523 SOT346**

**SOT23-3
SOD23-3**



Код	Типономинал	Б	Ф	Особенности	Корпус	Ц: 1•2•3
T84	2SC5179	NEC	npn	$V_{CE0}=5 В, I_C=10 мА, P_D=30 мВт, h_{FE}=70...140, f_T>10 ГГц$	SOT323, SC70	В•Е•С
T86	2SC5182	NEC	npn	$V_{CE0}=5 В, I_C=30 мА, P_D=90 мВт, h_{FE}=70...140, f_T>9 ГГц$	SOT323, SOD23	В•Е•С
T86	2SC5184	NEC	npn	$V_{CE0}=5 В, I_C=30 мА, P_D=90 мВт, h_{FE}=70...140, f_T>9 ГГц$	SOT323, SC70	В•Е•С
T88	2SC5191	NEC	npn	$V_{CE0}=9 В, I_C=100 мА, P_D=200 мВт, h_{FE}=80...160, f_T>4 ГГц$	SOT23, SOD23	В•Е•С
T88	2SC5193	NEC	npn	$V_{CE0}=9 В, I_C=100 мА, P_D=150 мВт, h_{FE}=80...160, f_T>4 ГГц$	SOT323, SC70	В•Е•С
T89	BSR16	PHIL	npn	$V_{CE0}=60 В, I_C=600 мА, P_D=250 мВт, h_{FE}>50, f_T>200 МГц$	SOT23, SOD23	В•Е•С
T81	BSR16	PHIL	npn	$V_{CE0}=60 В, I_C=600 мА, P_D=250 мВт, h_{FE}>50, f_T>200 МГц$	SOT23, SOD23	В•Е•С
T9	1SS396	TOSH	shcd-2	$V_A>40 В, V_{F(I_F=100 мА)}<0.6 В, I_R(V_A=40 В)<5 мкА, C_T<25 пФ$	SOT346, SC59	A1-K2-K1, A2
T9	SST4119	SIL	nFET	$V_{DS}=40 В, P_D=350 мВт, I_{DSS}<0.2...0.6 мА, g_F>100 мСм$	SOT23, SOD23	D•S•G
T92	2SA1977	NEC	npn	$V_{CE0}=20 В, I_C=50 мА, P_D=200 мВт, h_{FE}=20...100, f_T>6 ГГц$	SOT23, SOD23	В•Е•С
T92	BSR18A	CDIL	npn	$V_{CE0}=40 В, I_C=200 мА, P_D=250 мВт, h_{FE}=100...300, f_T>250 МГц$	SOT23, SOD23	В•Е•С
T92	BSR18A	FAIR	npn	$V_{CE0}=40 В, I_C=200 мА, P_D=250 мВт, h_{FE}=100...300, f_T>250 МГц$	SOT23, SOD23	В•Е•С
T92	NE37733	NEC	npn	$V_{CE0}=20 В, I_C=50 мА, P_D=200 мВт, h_{FE}=20...100, f_T>8 ГГц$	SOT23, SOD23	В•Е•С
T92p	BSR18A	PHIL	npn	$V_{CE0}=40 В, I_C=200 мА, P_D=250 мВт, h_{FE}=100...300, f_T>250 МГц$	SOT23, SOD23	В•Е•С
T93	2SA1978	NEC	npn	$V_{CE0}=20 В, I_C=50 мА, P_D=200 мВт, h_{FE}=20...100, f_T>4 ГГц$	SOT23, SOD23	В•Е•С
T93	NE37833	NEC	npn	$V_{CE0}=20 В, I_C=50 мА, P_D=200 мВт, h_{FE}=20...100, f_T>5 ГГц$	SOT23, SOD23	В•Е•С
I9A	PLVA650A	PHIL	dz	$V_{Z(I_T=250 мкА)}=4.8...5.2 В, I_T(V_Z=0.8 V_Z)<20 мА, Z_{CT}(I_T=250 мкА)<700 Ом, I_{ZM}=250 мА$	SOT23, SOD23	A•n.c•K
I9B	PLVA653A	PHIL	dz	$V_{Z(I_T=250 мкА)}=5.1...5.5 В, I_T(V_Z=0.8 V_Z)<5 мА, Z_{CT}(I_T=250 мкА)<250 Ом, I_{ZM}=250 мА$	SOT23, SOD23	A•n.c•K
I9C	PLVA656A	PHIL	dz	$V_{Z(I_T=250 мкА)}=5.4...5.8 В, I_T(V_Z=0.8 V_Z)<1 мА, Z_{CT}(I_T=250 мкА)<100 Ом, I_{ZM}=250 мА$	SOT23, SOD23	A•n.c•K
I9D	PLVA659A	PHIL	dz	$V_{Z(I_T=250 мкА)}=5.7...6.1 В, I_T(V_Z=0.8 V_Z)<500 нА, Z_{CT}(I_T=250 мкА)<100 Ом, I_{ZM}=250 мА$	SOT23, SOD23	A•n.c•K
I9E	PLVA662A	PHIL	dz	$V_{Z(I_T=250 мкА)}=6.0...6.4 В, I_T(V_Z=0.8 V_Z)<100 нА, Z_{CT}(I_T=250 мкА)<100 Ом, I_{ZM}=250 мА$	SOT23, SOD23	A•n.c•K
I9F	PLVA665A	PHIL	dz	$V_{Z(I_T=250 мкА)}=6.3...6.7 В, I_T(V_Z=0.8 V_Z)<50 нА, Z_{CT}(I_T=250 мкА)<100 Ом, I_{ZM}=250 мА$	SOT23, SOD23	A•n.c•K
I9G	PLVA668A	PHIL	dz	$V_{Z(I_T=250 мкА)}=6.6...7.0 В, I_T(V_Z=0.8 V_Z)<10 нА, Z_{CT}(I_T=250 мкА)<100 Ом, I_{ZM}=250 мА$	SOT23, SOD23	A•n.c•K
I9J	PLVA2650A	PHIL	dz-2	$V_{Z(I_T=250 мкА)}=4.8...5.2 В, I_T(V_Z=0.8 V_Z)<20 мА, Z_{CT}(I_T=250 мкА)<700 Ом, I_{ZM}=250 мА$	SOT23, SOD23	K1-K2-A1, A2
I9K	PLVA2653A	PHIL	dz-2	$V_{Z(I_T=250 мкА)}=5.1...5.5 В, I_T(V_Z=0.8 V_Z)<5 мА, Z_{CT}(I_T=250 мкА)<250 Ом, I_{ZM}=250 мА$	SOT23, SOD23	K1-K2-A1, A2
I9L	PLVA2656A	PHIL	dz-2	$V_{Z(I_T=250 мкА)}=5.4...5.8 В, I_T(V_Z=0.8 V_Z)<1 мА, Z_{CT}(I_T=250 мкА)<100 Ом, I_{ZM}=250 мА$	SOT23, SOD23	K1-K2-A1, A2
I9M	PLVA2659A	PHIL	dz-2	$V_{Z(I_T=250 мкА)}=5.7...6.1 В, I_T(V_Z=0.8 V_Z)<500 нА, Z_{CT}(I_T=250 мкА)<100 Ом, I_{ZM}=250 мА$	SOT23, SOD23	K1-K2-A1, A2
I9N	PLVA2662A	PHIL	dz-2	$V_{Z(I_T=250 мкА)}=6.0...6.4 В, I_T(V_Z=0.8 V_Z)<100 нА, Z_{CT}(I_T=250 мкА)<100 Ом, I_{ZM}=250 мА$	SOT23, SOD23	K1-K2-A1, A2
I9O	PLVA2665A	PHIL	dz-2	$V_{Z(I_T=250 мкА)}=6.3...6.7 В, I_T(V_Z=0.8 V_Z)<50 нА, Z_{CT}(I_T=250 мкА)<100 Ом, I_{ZM}=250 мА$	SOT23, SOD23	K1-K2-A1, A2
I9P	PLVA2668A	PHIL	dz-2	$V_{Z(I_T=250 мкА)}=6.6...7.0 В, I_T(V_Z=0.8 V_Z)<10 нА, Z_{CT}(I_T=250 мкА)<100 Ом, I_{ZM}=250 мА$	SOT23, SOD23	K1-K2-A1, A2
TA	2SC5431EB	NEC	npn	$V_{CE0}=20 В, I_C=60 мА, P_D=100 мВт, h_{FE}=60...90, f_T>3 ГГц$	SC81, MFPAK	В•Е•С
TA	KTC3295A	KEC	npn	$V_{CE0}=60 В, I_C=150 мА, P_D=150 мВт, h_{FE}=800...1800, f_T>250 МГц$	SOT23, SOD23	В•Е•С
TA	NE582M03	NEC	npn	$V_{CE0}=20 В, I_C=60 мА, P_D=100 мВт, h_{FE}=60...90, f_T>4.3 ГГц$	SC81, MFPAK	В•Е•С
TA5	MMBZ15VDA	VISH	dz-2	$V_{Z(I_T=1 мА)}=14.7...15.3 В, V_{Z(I_T=200 мА)}<0.9 В$	SOT23, SOD23	K1-K2-A1, A2
TA7	MMBZ227VDA	VISH	dz-2	$V_{Z(I_T=1 мА)}=26.46...27.54 В, V_{Z(I_T=200 мА)}<1.1 В$	SOT23, SOD23	K1-K2-A1, A2
TAA	BC855AF	AUK	npn	$V_{CE0}=80 В, I_C=100 мА, P_D=200 мВт, h_{FE}=110...220, f_T=150 МГц$	SOT490, SC89	В•Е•С
TAB	BC856BF	AUK	npn	$V_{CE0}=80 В, I_C=100 мА, P_D=200 мВт, h_{FE}=200...450, f_T=150 МГц$	SOT490, SC89	В•Е•С
TAC	BC856CF	AUK	npn	$V_{CE0}=80 В, I_C=100 мА, P_D=200 мВт, h_{FE}=420...800, f_T=150 МГц$	SOT490, SC89	В•Е•С
TB	2SC5431FB	NEC	npn	$V_{CE0}=20 В, I_C=60 мА, P_D=100 мВт, h_{FE}=80...120, f_T>3 ГГц$	SC81, MFPAK	В•Е•С
TB	KTC3295B	KEC	npn	$V_{CE0}=60 В, I_C=150 мА, P_D=150 мВт, h_{FE}=1200...3600, f_T>250 МГц$	SOT23, SOD23	В•Е•С
TBD	BAT46CW	STM	shcd-2	$V_A<100 В, I_C<150 мА, V_{F(I_F=10 мА)}<0.45 мВ, C_T<10 пФ$	SOT323, SC70	A2-A1-K1, K2



SOT23-3 SOT323 SOT416
SOD23-3 SOT346 SOT523



SOT490 TSM VMT3
MFPK TSFP-3 VMD3

Код	Типономинал	Б	Ф	Особенности	Корпус	1 • 2 • 3
TBD	BAT46SW	STM	shd-2	$V_A < 100 В, I_F < 150 мА, V_{F(1)} = 10 мА < 0.45 мВ, C_{D1} = 10 нФ$	SOT323, SC70	A2 • K1 • A1, K2
TC	2SC2736	REN	npn	$V_{CE0} = 30 В, I_C = 50 мА, P_D = 150 мВт, h_{FE1} = 30...200, f_T > 1.4 ГГц$	SOT346, SC59	B • E • C
TC	2SC5432EB	NEC	npn	$V_{CE0} = 20 В, I_C = 100 мА, P_D = 125 мВт, h_{FE1} = 80...110, f_T > 3 ГГц$	SC81, MFPK	B • E • C
TC5	MMBZ15VDC	WISH	dz-2	$V_{F(1)} = 1 мА < 14.3...15.8 В, V_{F(1)} = 200 мА < 0.9 В$	SOT23, SOD23	A1 • A2 • K1, K2
TC7	MMBZ27VDC	WISH	dz-2	$V_{F(1)} = 1 мА < 26.65...28.35 В, V_{F(1)} = 200 мА < 1.1 В$	SOT23, SOD23	A1 • A2 • K1, K2
TD	2SC5432FB	NEC	npn	$V_{CE0} = 20 В, I_C = 100 мА, P_D = 125 мВт, h_{FE1} = 100...145, f_T > 3 ГГц$	SC81, MFPK	B • E • C
TE	2SC3906KE	ROHM	npn	$V_{CE0} = 120 В, I_C = 50 мА, P_D = 200 мВт, h_{FE1} = 390...820, f_T > 140 МГц$	SOT346, SC59	B • E • C
TE	2SC4102E	ROHM	npn	$V_{CE0} = 120 В, I_C = 50 мА, P_D = 200 мВт, h_{FE1} = 390...820, f_T > 140 МГц$	SOT323, SC70	B • E • C
TE	2SC5433EB	NEC	npn	$V_{CE0} = 20 В, I_C = 65 мА, P_D = 125 мВт, h_{FE1} = 80...110, f_T > 4.5 ГГц$	SC81, MFPK	B • E • C
TF	2SC5433FB	NEC	npn	$V_{CE0} = 20 В, I_C = 65 мА, P_D = 125 мВт, h_{FE1} = 100...145, f_T > 4.5 ГГц$	SC81, MFPK	B • E • C
IG1	PMBT5551	PHIL	npn	$V_{CE0} = 180 В, I_C = 600 мА, P_D = 250 мВт, h_{FE1} = 80...250, f_T > 100...300$	SOT23, SOD23	B • E • C
IG3	PMT5551	PHIL	npn	$V_{CE0} = 180 В, I_C = 600 мА, P_D = 200 мВт, h_{FE1} = 80...250, f_T > 100...300 МГц$	SOT323, SC70	B • E • C
TH	2SC5434EB	NEC	npn	$V_{CE0} = 20 В, I_C = 35 мА, P_D = 125 мВт, h_{FE1} = 80...110, f_T > 5.5 ГГц$	SC81, MFPK	B • E • C
TI	2SC4197	REN	npn	$V_{CE0} = 25 В, I_C = 50 мА, P_D = 150 мВт, h_{FE1} = 50...180, f_T > 3 ГГц$	SOT346, SC59	B • E • C
TI	2SC4260	REN	npn	$V_{CE0} = 25 В, I_C = 50 мА, P_D = 100 мВт, h_{FE1} = 50...180, f_T > 3 ГГц$	SOT323, SC70	B • E • C
TJ	2SC5434FB	NEC	npn	$V_{CE0} = 20 В, I_C = 35 мА, P_D = 125 мВт, h_{FE1} = 100...145, f_T > 5.5 ГГц$	SC81, MFPK	B • E • C
TK	2SC5435EB	NEC	npn	$V_{CE0} = 9 В, I_C = 30 мА, P_D = 125 мВт, h_{FE1} = 75...110, f_T > 12 ГГц$	SC81, MFPK	B • E • C
TL	2SC5435FB	NEC	npn	$V_{CE0} = 9 В, I_C = 30 мА, P_D = 125 мВт, h_{FE1} = 95...140, f_T > 12 ГГц$	SC81, MFPK	B • E • C
TO	2SC5436EB	NEC	npn	$V_{CE0} = 5 В, I_C = 30 мА, P_D = 90 мВт, h_{FE1} = 75...100, f_T > 9 ГГц$	SC81, MFPK	B • E • C
TN	TP0610T	TEMIC	pMOS	$V_{DS} = 60 В, I_D = 120 мА, P_D = 360 мВт, g_{fs} = 60 мСм, R_{DS(on)} = 10 Ом$	SOT23, SOD23	G • S • D
TO	TP0610T	SIL	pMOS	$V_{DS} = 60 В, I_D = 120 мА, P_D = 360 мВт, g_{fs} = 60 мСм, R_{DS(on)} = 10 Ом$	SOT23, SOD23	G • S • D
IO4	PMBS3904	PHIL	npn	$V_{CE0} = 60 В, I_C = 100 мА, P_D = 250 мВт, h_{FE1} = 100...300, f_T > 180 МГц$	SOT23, SOD23	B • E • C
IO6	PMBS3906	PHIL	npn	$V_{CE0} = 40 В, I_C = 100 мА, P_D = 250 мВт, h_{FE1} = 100...300, f_T > 150 МГц$	SOT23, SOD23	B • E • C
TP	2SC5436FB	NEC	npn	$V_{CE0} = 5 В, I_C = 30 мА, P_D = 90 мВт, h_{FE1} = 90...130, f_T > 9 ГГц$	SC81, MFPK	B • E • C
TR	2SC3906KR	ROHM	npn	$V_{CE0} = 120 В, I_C = 50 мА, P_D = 200 мВт, h_{FE1} = 180...390, f_T > 140 МГц$	SOT346, SC59	B • E • C
TR	2SC3929AR	PAN	npn	$V_{CE0} = 55 В, I_C = 50 мА, P_D = 150 мВт, h_{FE1} = 180...360, f_T > 100 МГц$	SOT323, SC70	B • E • C
TR	2SC4102R	ROHM	npn	$V_{CE0} = 120 В, I_C = 50 мА, P_D = 200 мВт, h_{FE1} = 180...390, f_T > 140 МГц$	SOT323, SC70	B • E • C
TS	2SC3906KS	ROHM	npn	$V_{CE0} = 120 В, I_C = 50 мА, P_D = 200 мВт, h_{FE1} = 270...560, f_T > 140 МГц$	SOT346, SC59	B • E • C
TS	2SC3929AS	PAN	npn	$V_{CE0} = 55 В, I_C = 50 мА, P_D = 150 мВт, h_{FE1} = 260...520, f_T > 100 МГц$	SOT323, SC70	B • E • C
TS	2SC4102S	ROHM	npn	$V_{CE0} = 120 В, I_C = 50 мА, P_D = 200 мВт, h_{FE1} = 270...560, f_T > 140 МГц$	SOT323, SC70	B • E • C
TS	2SC5437EB	NEC	npn	$V_{CE0} = 9 В, I_C = 100 мА, P_D = 125 мВт, h_{FE1} = 80...110, f_T > 4 ГГц$	SC81, MFPK	B • E • C
TT	2SC3929AT	PAN	npn	$V_{CE0} = 55 В, I_C = 50 мА, P_D = 150 мВт, h_{FE1} = 360...700, f_T > 100 МГц$	SOT323, SC70	B • E • C
TT	2SC5437FB	NEC	npn	$V_{CE0} = 9 В, I_C = 100 мА, P_D = 125 мВт, h_{FE1} = 100...145, f_T > 4 ГГц$	SC81, MFPK	B • E • C
TV	2SC5599	NEC	npn	$V_{CE0} = 9 В, I_C = 100 мА, P_D = 200 мВт, h_{FE1} = 80...160, f_T > 3.5 ГГц$	SOT416, SC75A	B • E • C
TV	2SC5600	NEC	npn	$V_{CE0} = 5.5 В, I_C = 15 мА, f_T = 5 ГГц$	SOT346, SC59	B • E • C
IV3	BAT54A	PHIL	shd-2	$V_A < 30 В, I_C < 200 мА, V_{F(1)} = 30 мА < 500 мВ, C_{D1} < 10 пФ, I_{RR} < 5 мС$	SOT23, SOD23	K1 • K2 • A1, A2
IV4	BAT54S	PHIL	shd-2	$V_A < 30 В, I_C < 200 мА, V_{F(1)} = 30 мА < 500 мВ, C_{D1} < 10 пФ, I_{RR} < 5 мС$	SOT23, SOD23	A1 • K2 • K1, A2
TW	2SC5602	NEC	npn	$V_{CE0} = 15 В, I_C = 35 мА, P_D = 200 мВт, h_{FE1} = 80...120, f_T > 12 ГГц$	SOT416, SC75A	B • E • C
TW	2SC5603	NEC	npn	$V_{CE0} = 8 В, I_C = 15 мА, f_T = 13.5 ГГц$	SOT346, SC59	B • E • C
W1	BAT54C	PHIL	shd-2	$V_A < 30 В, I_C < 200 мА, V_{F(1)} = 30 мА < 500 мВ, C_{D1} < 10 пФ, I_{RR} < 5 мС$	SOT23, SOD23	A1 • A2 • K1, K2
U1	BCX19	ALLEG	npn	$V_{CE0} = 50 В, I_{C(1)} < 100 мА, h_{FE1} = 100...600, V_{CE(sat)} < 0.62 В$	SOT23, SOD23	B • E • C
U1	BCX19	CDIL	npn	$V_{CE0} = 45 В, I_C = 500 мА, P_D = 250 мВт, h_{FE1} = 100...600, f_T > 100 МГц$	SOT23, SOD23	B • E • C
U1	BCX19	ZETEX	npn	$V_{CE0} = 50 В, I_C = 500 мА, P_D = 330 мВт, h_{FE1} = 100...600, f_T > 200 МГц$	SOT23, SOD23	B • E • C
U1	BCX19	MOT	npn	$V_{CE0} = 50 В, I_C = 500 мА, P_D = 330 мВт, h_{FE1} = 100...600, f_T > 200 МГц$	SOT23, SOD23	B • E • C
U10	BCX19	PHIL	npn	$V_{CE0} = 45 В, I_C = 500 мА, P_D = 250 мВт, h_{FE1} = 100...600, f_T > 100 МГц$	SOT23, SOD23	B • E • C
U11	BCX19	PHIL	npn	$V_{CE0} = 45 В, I_C = 500 мА, P_D = 250 мВт, h_{FE1} = 100...600, f_T > 100 МГц$	SOT23, SOD23	B • E • C
U2	BCX20	ALLEG	npn	$V_{CE0} = 30 В, I_{C(1)} < 100 мА, h_{FE1} = 100...600, V_{CE(sat)} < 0.62 В$	SOT23, SOD23	B • E • C
U2	BCX20	ZETEX	npn	$V_{CE0} = 30 В, I_C = 500 мА, P_D = 330 мВт, h_{FE1} = 100...600, f_T > 200 МГц$	SOT23, SOD23	B • E • C
U2	BCX20	CDIL	npn	$V_{CE0} = 25 В, I_C = 500 мА, P_D = 250 мВт, h_{FE1} = 100...600, f_T > 100 МГц$	SOT23, SOD23	B • E • C
U20	BCX20	PHIL	npn	$V_{CE0} = 25 В, I_C = 500 мА, P_D = 250 мВт, h_{FE1} = 100...600, f_T > 100 МГц$	SOT23, SOD23	B • E • C
U21	BCX20	PHIL	npn	$V_{CE0} = 25 В, I_C = 500 мА, P_D = 250 мВт, h_{FE1} = 100...600, f_T > 100 МГц$	SOT23, SOD23	B • E • C
U3	BSS564	FAIR	npn	$V_{CE0} = 120 В, I_C = 200 мА, P_D = 350 мВт, h_{FE1} > 20, f_T > 60 МГц$	SOT23, SOD23	B • E • C

SOT490 TSM
MFFPAK TSFP-3

VMT3 VMD3



SOT416 SOT523

SOT323 SOT346

SOT23-3 SOD23-3



Код	Типономинал	Б	Ф	Особенности	Корпус	Ц: 1•2•3
U35	BSR19	CDIL	npn	$V_{CEB} = 160 \text{ В}$, $I_C = 800 \text{ мА}$, $P_D = 250 \text{ мВт}$; $h_{FE} > 60$, $f_T > 300$	SOT23, SOD23	B-E-C
U35	BSR19	PHIL	npn	$V_{CEB} = 160 \text{ В}$, $I_C = 800 \text{ мА}$, $P_D = 250 \text{ мВт}$; $h_{FE} > 60$, $f_T > 300$	SOT23, SOD23	B-E-C
U36	BSR19A	CDIL	npn	$V_{CEB} = 180 \text{ В}$, $I_C = 800 \text{ мА}$, $P_D = 250 \text{ мВт}$; $h_{FE} > 80$, $f_T > 300$	SOT23, SOD23	B-E-C
U36	BSR19A	PHIL	npn	$V_{CEB} = 180 \text{ В}$, $I_C = 800 \text{ мА}$, $P_D = 250 \text{ мВт}$; $h_{FE} > 80$, $f_T > 300$	SOT23, SOD23	B-E-C
U4	BCX19R	ZETEX	npn	$V_{CEB} = 50 \text{ В}$, $I_C = 500 \text{ мА}$, $P_D = 330 \text{ мВт}$; $h_{FE} > 100$, $f_T > 200 \text{ МГц}$	SOT23, SOD23	B-E-C
U4	BCX19R	PHIL	npn	$V_{CEB} = 45 \text{ В}$, $I_C = 500 \text{ мА}$, $P_D = 250 \text{ мВт}$; $h_{FE} > 100$, $f_T > 100 \text{ МГц}$	SOT23, SOD23	C-B-E
U5	BCX20R	ZETEX	npn	$V_{CEB} = 30 \text{ В}$, $I_C = 500 \text{ мА}$, $P_D = 330 \text{ мВт}$; $h_{FE} > 100$, $f_T > 200 \text{ МГц}$	SOT23, SOD23	B-E-C
U5	BCX20R	PHIL	npn	$V_{CEB} = 25 \text{ В}$, $I_C = 500 \text{ мА}$, $P_D = 250 \text{ мВт}$; $h_{FE} > 100$, $f_T > 100 \text{ МГц}$	SOT23, SOD23	C-B-E
U6	BSS84R	FAIR	npn	$V_{CEB} = 120 \text{ В}$, $I_C = 200 \text{ мА}$, $P_D = 350 \text{ мВт}$; $h_{FE} > 20$, $f_T > 60 \text{ МГц}$	SOT23, SOD23	E-B-C
U7	BSR13	CDIL	npn	$V_{CEB} = 60 \text{ В}$, $I_C = 800 \text{ мА}$, $P_D = 250 \text{ мВт}$; $h_{FE} > 100$, $f_T > 250 \text{ МГц}$	SOT23, SOD23	B-E-C
U7	BSR13	SGS	npn	$V_{CEB} = 60 \text{ В}$, $I_C = 800 \text{ мА}$, $P_D = 250 \text{ мВт}$; $h_{FE} > 100$, $f_T > 250 \text{ МГц}$	SOT23, SOD23	B-E-C
U71	BSR13R	SGS	npn	$V_{CEB} = 60 \text{ В}$, $I_C = 800 \text{ мА}$, $P_D = 250 \text{ мВт}$; $h_{FE} > 100$, $f_T > 250 \text{ МГц}$	SOT23, SOD23	E-B-C
U7o	BSR13	PHIL	npn	$V_{CEB} = 60 \text{ В}$, $I_C = 800 \text{ мА}$, $P_D = 250 \text{ мВт}$; $h_{FE} > 100$, $f_T > 250 \text{ МГц}$	SOT23, SOD23	B-E-C
U7i	BSR13	PHIL	npn	$V_{CEB} = 60 \text{ В}$, $I_C = 800 \text{ мА}$, $P_D = 250 \text{ мВт}$; $h_{FE} > 100$, $f_T > 250 \text{ МГц}$	SOT23, SOD23	B-E-C
U8	BSR14	CDIL	npn	$V_{CEB} = 75 \text{ В}$, $I_C = 800 \text{ мА}$, $P_D = 250 \text{ мВт}$; $h_{FE} > 100$, $f_T > 300 \text{ МГц}$	SOT23, SOD23	B-E-C
U8	BSR14	SGS	npn	$V_{CEB} = 75 \text{ В}$, $I_C = 800 \text{ мА}$, $P_D = 250 \text{ мВт}$; $h_{FE} > 100$, $f_T > 300 \text{ МГц}$	SOT23, SOD23	B-E-C
U81	BSR14R	SGS	npn	$V_{CEB} = 75 \text{ В}$, $I_C = 800 \text{ мА}$, $P_D = 250 \text{ мВт}$; $h_{FE} > 100$, $f_T > 300 \text{ МГц}$	SOT23, SOD23	C-B-C
U8p	BSR14	PHIL	npn	$V_{CEB} = 75 \text{ В}$, $I_C = 800 \text{ мА}$, $P_D = 250 \text{ мВт}$; $h_{FE} > 100$, $f_T > 300 \text{ МГц}$	SOT23, SOD23	B-E-C
U8i	BSR14	PHIL	npn	$V_{CEB} = 75 \text{ В}$, $I_C = 800 \text{ мА}$, $P_D = 250 \text{ мВт}$; $h_{FE} > 100$, $f_T > 300 \text{ МГц}$	SOT23, SOD23	B-E-C
U82	BSR17A	CDIL	npn	$V_{CEB} = 60 \text{ В}$, $I_C = 200 \text{ мА}$, $P_D = 350 \text{ мВт}$; $h_{FE} > 100$, $f_T > 300 \text{ МГц}$	SOT23, SOD23	B-E-C
U82	BSR17A	FAIR	npn	$V_{CEB} = 60 \text{ В}$, $I_C = 200 \text{ мА}$, $P_D = 350 \text{ мВт}$; $h_{FE} > 100$, $f_T > 300 \text{ МГц}$	SOT23, SOD23	B-E-C
U82o	BSR17A	PHIL	npn	$V_{CEB} = 60 \text{ В}$, $I_C = 200 \text{ мА}$, $P_D = 350 \text{ мВт}$; $h_{FE} > 100$, $f_T > 300 \text{ МГц}$	SOT23, SOD23	B-E-C
U8p	BSR17	PHIL	npn	$V_{CEB} = 40 \text{ В}$, $I_C = 200 \text{ мА}$, $P_D = 425 \text{ мВт}$; $h_{FE} > 40$, $f_T > 300 \text{ МГц}$	SOT23, SOD23	B-E-C
UA	2SB852KA	ROHM	npn	$V_{CEB} = 40 \text{ В}$, $I_C = 300 \text{ мА}$, $P_D = 200 \text{ мВт}$; $h_{FE} > 1000$, $f_T > 200 \text{ МГц}$	SOT346, SC59	B-E-C
UA	2SB852KB	ROHM	npn	$V_{CEB} = 40 \text{ В}$, $I_C = 300 \text{ мА}$, $P_D = 200 \text{ мВт}$; $h_{FE} > 5000$, $f_T > 200 \text{ МГц}$	SOT346, SC59	B-E-C
UB	2SC566K	NEC	npn	$V_{CEB} = 15 \text{ В}$, $I_C = 35 \text{ мА}$, $P_D = 115 \text{ мВт}$; $h_{FE} > 100$, $f_T > 21 \text{ ГГц}$	SC81, MFFPAK	B-E-C
UB	NE687M03	NEC	npn	$V_{CEB} = 15 \text{ В}$, $I_C = 35 \text{ мА}$, $P_D = 115 \text{ мВт}$; $h_{FE} > 50$, $f_T > 21 \text{ ГГц}$	SC81, MFFPAK	B-E-C
UC	MSC2404-C	MOT	npn	$V_{CEB} = 20 \text{ В}$, $I_C = 150 \text{ мА}$	SOT23, SOD23	C-B-E-C
UF	B8B01	SIEM	var	$V_R < 30 \text{ В}$, $I_R < 50 \text{ мА}$, $I_{R0} = 0.02 \text{ мА}$; $C_{2B} = 0.85 \dots 1.2 \text{ нФ}$; $C_{1B}/C_{2B} \approx 7.8 \dots 9.5$	SOT23, SOD23	A-n.c.-K
UI	2SC4229	REN	npn	$V_{CEB} = 30 \text{ В}$, $I_C = 20 \text{ мА}$, $P_D = 150 \text{ мВт}$; $h_{FE} > 50$, $f_T > 700 \text{ МГц}$	SOT346, SC59	B-E-C
UI	2SC4269	REN	npn	$V_{CEB} = 30 \text{ В}$, $I_C = 20 \text{ мА}$, $P_D = 100 \text{ мВт}$; $h_{FE} > 50$, $f_T > 700 \text{ МГц}$	SOT323, SC70	E-B-C
UV	1SV315	SANYO	pin-2	$V_R > 50 \text{ В}$, $I_R < 50 \text{ мА}$, $V_{R1} < 50 \text{ мА}$; $I_{R1} < 0.1 \text{ мА}$	SOT323, SC70	A1-K2-K1, A2
UV	1SV316	SANYO	pin-2	$V_R > 50 \text{ В}$, $I_R < 50 \text{ мА}$, $V_{R1} < 50 \text{ мА}$; $I_{R1} < 0.1 \text{ мА}$	SOT23, SOD23	A1-K2-K1, A2
VM	VN45350T	SIL	nMOS	$V_{DS} = 450 \text{ В}$, $I_D = 20 \text{ мА}$, $P_D = 800 \text{ мВт}$; $R_{DS(on)} < 350 \text{ Ом}$	SOT23, SOD23	G-S-D
V1	1SV160	TOSH	var	$V_R > 15 \text{ В}$, $I_R(V_R = 4 \text{ В}) < 0.1 \text{ мА}$; $C_T = 14 \text{ нФ}$	SOT346, SC59	n.c.-A-K
V1	D223C2V7	VISH	dz-2	$V_Z = 2.5 \dots 2.9 \text{ В}$, $I_Z(I_Z = 5 \text{ мА}) = 83 \text{ Ом}$	SOT23, SOD23	A1-A2-K1, K2
V1	MFP959T1	MOT	npn	$V_{CEB} = 20 \text{ В}$, $I_C = 100 \text{ мА}$, $P_D = 150 \text{ мВт}$; $h_{FE} = 75 \dots 150$, $f_T = 9 \text{ ГГц}$	SOT416, SC75A	B-E-C
V1	VN50300T	SIL	nMOS	$V_{DS} = 500 \text{ В}$, $I_D = 22 \text{ мА}$, $P_D = 350 \text{ мВт}$; $g_{fs} = 140 \text{ мСм}$; $R_{DS(on)} = 25 \text{ Ом}$	SOT23, SOD23	G-S-D
V10	D223C6V2	VISH	dz-2	$V_Z = 6.8 \dots 6.6 \text{ В}$, $I_Z(I_Z = 5 \text{ мА}) = 10 \text{ Ом}$	SOT23, SOD23	A1-A2-K1, K2
V11	D223C6V8	VISH	dz-2	$V_Z = 6.4 \dots 7.2 \text{ В}$, $I_Z(I_Z = 5 \text{ мА}) = 8 \text{ Ом}$	SOT23, SOD23	A1-A2-K1, K2
V12	D223C7V5	VISH	dz-2	$V_Z = 7.0 \dots 7.9 \text{ В}$, $I_Z(I_Z = 5 \text{ мА}) = 7 \text{ Ом}$	SOT23, SOD23	A1-A2-K1, K2
V13	D223C8V2	VISH	dz-2	$V_Z = 7.7 \dots 8.7 \text{ В}$, $I_Z(I_Z = 5 \text{ мА}) = 7 \text{ Ом}$	SOT23, SOD23	A1-A2-K1, K2
V13	ZC932	ZETEX	var	$V_R < 12 \text{ В}$, $C_{d1}(V_R = 2.5 \text{ В}) = 8.5 \dots 10.5 \text{ нФ}$; $C_{2B}/C_{20B} < 3$; $1/Q > 200$	SOT23, SOD23	A-n.c.-K
V14	D223C9V1	VISH	dz-2	$V_Z = 8.5 \dots 9.6 \text{ В}$, $I_Z(I_Z = 5 \text{ мА}) = 10 \text{ Ом}$	SOT23, SOD23	A1-A2-K1, K2
V14	ZC931	ZETEX	var	$V_R < 12 \text{ В}$, $C_{d1}(V_R = 2.5 \text{ В}) = 5.5 \dots 7.8 \text{ нФ}$; $C_{1B}/C_{d1} < 3.6$; $Q > 300$	SOT23, SOD23	A-n.c.-K
V15	ZC930	ZETEX	var	$V_R < 25 \text{ В}$, $C_{d1}(V_R = 2.5 \text{ В}) = 4.3 \dots 5.5 \text{ нФ}$; $C_{1B}/C_{d1} < 3.0$; $Q > 200$	SOT23, SOD23	A-n.c.-K
V15	ZD223C10	VISH	dz-2	$V_Z = 9.4 \dots 10 \text{ В}$, $I_Z(I_Z = 5 \text{ мА}) = 15 \text{ Ом}$	SOT23, SOD23	A1-A2-K1, K2
V16	D223C11	VISH	dz-2	$V_Z = 10.4 \dots 11.1 \text{ В}$, $I_Z(I_Z = 5 \text{ мА}) = 20 \text{ Ом}$	SOT23, SOD23	A1-A2-K1, K2
V16	ZC934	ZETEX	var	$V_R < 12 \text{ В}$, $C_{d1}(V_R = 2.5 \text{ В}) = 40 \dots 65 \text{ нФ}$; $C_{1B}/C_{d1} < 3.8$; $Q > 80$	SOT23, SOD23	A-n.c.-K
V17	D223C12	VISH	dz-2	$V_Z = 11.4 \dots 12 \text{ В}$, $I_Z(I_Z = 5 \text{ мА}) = 20 \text{ Ом}$	SOT23, SOD23	A1-A2-K1, K2
V17	ZC933	ZETEX	var	$V_R < 12 \text{ В}$, $C_{d1}(V_R = 2.5 \text{ В}) = 18 \dots 27 \text{ нФ}$; $C_{1B}/C_{d1} < 3.5$; $Q > 150$	SOT23, SOD23	A-n.c.-K
V18	D223C13	VISH	dz-2	$V_Z = 12.4 \dots 14 \text{ В}$, $I_Z(I_Z = 5 \text{ мА}) = 25 \text{ Ом}$	SOT23, SOD23	A1-A2-K1, K2



SOT23-3
SOD23-3

SOT323
SOT346

SOT416
SOT523



SOT490
MFPK

TESM
TSFP-3

VMT3
VMD3

Код	Типономинал	Б	Ф	Особенности	Корпус	Ц: 1•2•3
V19	DZ23C15	VISH	dz-2	$V_2 \geq 13.8 \dots 15 \text{ В}$, $Z_{T1}(I_2=5 \text{ мА}) \leq 30 \text{ Ом}$	SOT23, SOD23	A1•A2•K1, K2
V19	BFT75	PHIL	npn	$V_{CE0} \geq 8 \text{ В}$, $I_C \geq 5 \text{ мА}$, $P_D \geq 30 \text{ мВт}$; $\eta_{21} > 20$, $f_T \geq 2.3 \text{ ГГц}$	SOT23, SOD23	B•E•C
V2	BFO67	VIS	npn	$V_{CE0} \geq 20 \text{ В}$, $I_C \geq 50 \text{ мА}$, $P_D \geq 200 \text{ мВт}$; $\eta_{21} > 65$, $f_T \geq 5 \text{ ГГц}$	SOT23, SOD23	B•E•C
V2	DZ23C3V0	VISH	dz-2	$V_2 \geq 2.8 \dots 3.2 \text{ В}$, $Z_{T1}(I_2=5 \text{ мА}) \leq 95 \text{ Ом}$	SOT23, SOD23	A1•A2•K1, K2
V2	VN0605T	SIL	nMOS	$V_{DS} \geq 60 \text{ В}$, $I_D \geq 180 \text{ мА}$, $P_D \geq 360 \text{ мВт}$; $g_{fs} \geq 80 \text{ мСм}$, $R_{DS(on)} \leq 5 \text{ Ом}$	SOT23, SOD23	G•S•D
V20	DZ23C16	VISH	dz-2	$V_2 \geq 15.3 \dots 17 \text{ В}$, $Z_{T1}(I_2=5 \text{ мА}) \leq 40 \text{ Ом}$	SOT23, SOD23	A1•A2•K1, K2
V21	DZ23C18	VISH	dz-2	$V_2 \geq 16.8 \dots 19 \text{ В}$, $Z_{T1}(I_2=5 \text{ мА}) \leq 50 \text{ Ом}$	SOT23, SOD23	A1•A2•K1, K2
V22	DZ23C20	VISH	dz-2	$V_2 \geq 18.8 \dots 21 \text{ В}$, $Z_{T1}(I_2=5 \text{ мА}) \leq 50 \text{ Ом}$	SOT23, SOD23	A1•A2•K1, K2
V23	DZ23C22	VISH	dz-2	$V_2 \geq 20.8 \dots 23 \text{ В}$, $Z_{T1}(I_2=5 \text{ мА}) \leq 55 \text{ Ом}$	SOT23, SOD23	A1•A2•K1, K2
V24	DZ23C24	VISH	dz-2	$V_2 \geq 22.8 \dots 25 \text{ В}$, $Z_{T1}(I_2=5 \text{ мА}) \leq 80 \text{ Ом}$	SOT23, SOD23	A1•A2•K1, K2
V25	DZ23C27	VISH	dz-2	$V_2 \geq 25.1 \dots 28 \text{ В}$, $Z_{T1}(I_2=5 \text{ мА}) \leq 80 \text{ Ом}$	SOT23, SOD23	A1•A2•K1, K2
V25	PMB73640	PHIL	npn	$V_{CE0} \geq 12 \text{ В}$, $I_C \geq 80 \text{ мА}$, $P_D \geq 350 \text{ мВт}$; $\eta_{21} \geq 30$, $f_T \geq 500 \text{ МГц}$	SOT23, SOD23	B•E•C
V26	DZ23C30	VISH	dz-2	$V_2 \geq 28 \dots 32 \text{ В}$, $Z_{T1}(I_2=2 \text{ мА}) \leq 80 \text{ Ом}$	SOT23, SOD23	A1•A2•K1, K2
V27	DZ23C33	VISH	dz-2	$V_2 \geq 31 \dots 35 \text{ В}$, $Z_{T1}(I_2=2 \text{ мА}) \leq 80 \text{ Ом}$	SOT23, SOD23	A1•A2•K1, K2
V28	DZ23C36	VISH	dz-2	$V_2 \geq 34 \dots 38 \text{ В}$, $Z_{T1}(I_2=2 \text{ мА}) \leq 90 \text{ Ом}$	SOT23, SOD23	A1•A2•K1, K2
V29	DZ23C39	VISH	dz-2	$V_2 \geq 37 \dots 41 \text{ В}$, $Z_{T1}(I_2=2 \text{ мА}) \leq 90 \text{ Ом}$	SOT23, SOD23	A1•A2•K1, K2
V29	BFO67	PHIL	npn	$V_{CE0} \geq 20 \text{ В}$, $I_C \geq 50 \text{ мА}$, $P_D \geq 300 \text{ мВт}$; $\eta_{21} > 60$, $f_T \geq 5 \text{ ГГц}$	SOT23, SOD23	B•E•C
V3	1SV225	TOSH	var-2	$V_B \geq 32 \text{ В}$, $I_B(V_B=30 \text{ В}) \leq 0.05 \text{ мА}$, $C_{3B} \geq 18.5 \dots 21 \text{ нФ}$, $C_{3B} \geq 6 \dots 7.7 \text{ нФ}$	SOT346, SC59	A1•A2•K1, K2
V3	DZ23C3V3	VISH	dz-2	$V_2 \geq 3.1 \dots 3.5 \text{ В}$, $Z_{T1}(I_2=5 \text{ мА}) \leq 95 \text{ Ом}$	SOT23, SOD23	A1•A2•K1, K2
V30	DZ23C43	VISH	dz-2	$V_2 \geq 40 \dots 46 \text{ В}$, $Z_{T1}(I_2=2 \text{ мА}) \leq 100 \text{ Ом}$	SOT23, SOD23	A1•A2•K1, K2
V30	DZ23C43	DIODS	dz-2	$V_2 \geq 40 \dots 46 \text{ В}$, $Z_{T1}(I_2=2 \text{ мА}) \leq 100 \text{ Ом}$	SOT23, SOD23	A1•A2•K1, K2
V31	DZ23C47	VISH	dz-2	$V_2 \geq 44 \dots 50 \text{ В}$, $Z_{T1}(I_2=2 \text{ мА}) \leq 100 \text{ Ом}$	SOT23, SOD23	A1•A2•K1, K2
V31	DZ23C47	DIODS	dz-2	$V_2 \geq 44 \dots 50 \text{ В}$, $Z_{T1}(I_2=2 \text{ мА}) \leq 100 \text{ Ом}$	SOT23, SOD23	A1•A2•K1, K2
V32	DZ23C51	VISH	dz-2	$V_2 \geq 48 \dots 54 \text{ В}$, $Z_{T1}(I_2=2 \text{ мА}) \leq 100 \text{ Ом}$	SOT23, SOD23	A1•A2•K1, K2
V32	DZ23C51	DIODS	dz-2	$V_2 \geq 48 \dots 54 \text{ В}$, $Z_{T1}(I_2=2 \text{ мА}) \leq 100 \text{ Ом}$	SOT23, SOD23	A1•A2•K1, K2
V4	1SV228	TOSH	var-2	$V_B \geq 15 \text{ В}$, $I_B(V_B=15 \text{ В}) \leq 0.01 \text{ мА}$, $C_{3B} \geq 28.5 \dots 32.5 \text{ нФ}$, $C_{3B} \geq 11.7 \dots 13.7 \text{ нФ}$	SOT346, SC59	A1•A2•K1, K2
V4	DZ23C3V6	VISH	dz-2	$V_2 \geq 3.4 \dots 3.8 \text{ В}$, $Z_{T1}(I_2=5 \text{ мА}) \leq 95 \text{ Ом}$	SOT23, SOD23	A1•A2•K1, K2
V5	1SV242	TOSH	var-2	$V_B \geq 30 \text{ В}$, $I_B(V_B=28 \text{ В}) \leq 0.01 \text{ мА}$, $C_{1B} \geq 36 \dots 42 \text{ нФ}$, $C_{3B} \geq 2.43 \dots 3 \text{ нФ}$	SOT346, SC59	A1•A2•K1, K2
V5	DZ23C3V9	VISH	dz-2	$V_2 \geq 3.7 \dots 4.1 \text{ В}$, $Z_{T1}(I_2=5 \text{ мА}) \leq 95 \text{ Ом}$	SOT23, SOD23	A1•A2•K1, K2
V6	DZ23C4V3	VISH	dz-2	$V_2 \geq 4.0 \dots 4.6 \text{ В}$, $Z_{T1}(I_2=5 \text{ мА}) \leq 95 \text{ Ом}$	SOT23, SOD23	A1•A2•K1, K2
V7	DZ23C4V7	VISH	dz-2	$V_2 \geq 4.4 \dots 5.0 \text{ В}$, $Z_{T1}(I_2=5 \text{ мА}) \leq 78 \text{ Ом}$	SOT23, SOD23	A1•A2•K1, K2
V8	DZ23C5V1	VISH	dz-2	$V_2 \geq 4.8 \dots 5.4 \text{ В}$, $Z_{T1}(I_2=5 \text{ мА}) \leq 60 \text{ Ом}$	SOT23, SOD23	A1•A2•K1, K2
V9	DZ23C5V6	VISH	dz-2	$V_2 \geq 5.2 \dots 6.0 \text{ В}$, $Z_{T1}(I_2=5 \text{ мА}) \leq 40 \text{ Ом}$	SOT23, SOD23	A1•A2•K1, K2
VA	25C2776A	REN	npn	$V_{CE0} \geq 30 \text{ В}$, $I_C \geq 30 \text{ мА}$, $P_D \geq 100 \text{ мВт}$; $\eta_{21} \geq 35$, $f_T \geq 320 \text{ МГц}$	SOT23, SOD23	B•E•C
VB	25C2776B	REN	npn	$V_{CE0} \geq 30 \text{ В}$, $I_C \geq 30 \text{ мА}$, $P_D \geq 100 \text{ мВт}$; $\eta_{21} \geq 60$, $f_T \geq 320 \text{ МГц}$	SOT23, SOD23	B•E•C
VB	MSC2295-B	MOT	npn	$V_{CE0} \geq 20 \text{ В}$, $I_C \geq 30 \text{ мА}$, $P_D \geq 200 \text{ мВт}$; $\eta_{21} \geq 70$, $f_T \geq 150 \text{ МГц}$	SOT346, SC59	B•E•C
VC	25C2776C	REN	npn	$V_{CE0} \geq 30 \text{ В}$, $I_C \geq 30 \text{ мА}$, $P_D \geq 100 \text{ мВт}$; $\eta_{21} \geq 100$, $f_T \geq 320 \text{ МГц}$	SOT23, SOD23	B•E•C
VC	MSC2295-C	MOT	npn	$V_{CE0} \geq 20 \text{ В}$, $I_C \geq 30 \text{ мА}$, $P_D \geq 200 \text{ мВт}$; $\eta_{21} \geq 110$, $f_T \geq 150 \text{ МГц}$	SOT346, SC59	B•E•C
VO	VP0610T	SIL	pMOS	$V_{DS} \geq 60 \text{ В}$, $I_D \geq 120 \text{ мА}$, $P_D \geq 360 \text{ мВт}$; $g_{fs} \geq 70 \text{ мСм}$, $R_{DS(on)} \leq 10 \text{ Ом}$	SOT23, SOD23	G•S•D
W01	PDTA143ET	PHIL	Dnpnp	$V_{CE0} \geq 50 \text{ В}$, $I_C \geq 100 \text{ мА}$, $P_D \geq 250 \text{ мВт}$; $\eta_{21} > 30$, $4.7 \text{ кОм}/4.7 \text{ кОм}$	SOT23, SOD23	B•E•C
W01	PDTA143EU	PHIL	Dnpnp	$V_{CE0} \geq 50 \text{ В}$, $I_C \geq 100 \text{ мА}$, $P_D \geq 250 \text{ мВт}$; $\eta_{21} > 30$, $4.7 \text{ кОм}/4.7 \text{ кОм}$	SOT323, SC70	B•E•C
W02	PDTA143ET	PHIL	Dnpnp	$V_{CE0} \geq 50 \text{ В}$, $I_C \geq 100 \text{ мА}$, $P_D \geq 250 \text{ мВт}$; $\eta_{21} > 30$, $4.7 \text{ кОм}/4.7 \text{ кОм}$	SOT23, SOD23	B•E•C
W02	PDTA143EU	PHIL	Dnpnp	$V_{CE0} \geq 50 \text{ В}$, $I_C \geq 100 \text{ мА}$, $P_D \geq 250 \text{ мВт}$; $\eta_{21} > 30$, $4.7 \text{ кОм}/4.7 \text{ кОм}$	SOT323, SC70	B•E•C
W05	PDTA124ET	PHIL	Dnpnp	$V_{CE0} \geq 50 \text{ В}$, $I_C \geq 100 \text{ мА}$, $P_D \geq 250 \text{ мВт}$; $\eta_{21} > 60$, $22 \text{ кОм}/22 \text{ кОм}$	SOT23, SOD23	B•E•C
W05	PDTA124EU	PHIL	Dnpnp	$V_{CE0} \geq 50 \text{ В}$, $I_C \geq 100 \text{ мА}$, $P_D \geq 250 \text{ мВт}$; $\eta_{21} > 60$, $22 \text{ кОм}/22 \text{ кОм}$	SOT323, SC70	B•E•C
W06	PDTA124EU	PHIL	Dnpnp	$V_{CE0} \geq 50 \text{ В}$, $I_C \geq 100 \text{ мА}$, $P_D \geq 250 \text{ мВт}$; $\eta_{21} > 60$, $22 \text{ кОм}/22 \text{ кОм}$	SOT323, SC70	B•E•C
W06	PMSS3906	PHIL	npn	$V_{CE0} \geq 40 \text{ В}$, $I_C \geq 200 \text{ мА}$, $P_D \geq 200 \text{ мВт}$; $\eta_{21} \geq 100$, $f_T \geq 150 \text{ МГц}$	SOT323, SC70	B•E•C
W07	PDTA144ET	PHIL	Dnpnp	$V_{CE0} \geq 50 \text{ В}$, $I_C \geq 100 \text{ мА}$, $P_D \geq 250 \text{ мВт}$; $\eta_{21} > 80$, $47 \text{ кОм}/47 \text{ кОм}$	SOT23, SOD23	B•E•C
W07	PDTA144EU	PHIL	Dnpnp	$V_{CE0} \geq 50 \text{ В}$, $I_C \geq 100 \text{ мА}$, $P_D \geq 250 \text{ мВт}$; $\eta_{21} > 80$, $47 \text{ кОм}/47 \text{ кОм}$	SOT323, SC70	B•E•C
W08	PDTA144ET	PHIL	Dnpnp	$V_{CE0} \geq 50 \text{ В}$, $I_C \geq 100 \text{ мА}$, $P_D \geq 250 \text{ мВт}$; $\eta_{21} > 80$, $47 \text{ кОм}/47 \text{ кОм}$	SOT23, SOD23	B•E•C
W08	PDTA144EU	PHIL	Dnpnp	$V_{CE0} \geq 50 \text{ В}$, $I_C \geq 100 \text{ мА}$, $P_D \geq 250 \text{ мВт}$; $\eta_{21} > 80$, $47 \text{ кОм}/47 \text{ кОм}$	SOT323, SC70	B•E•C
W09	PDTA114EU	PHIL	Dnpnp	$V_{CE0} \geq 50 \text{ В}$, $I_C \geq 50 \text{ мА}$, $P_D \geq 250 \text{ мВт}$; $\eta_{21} > 30$, $10 \text{ кОм}/10 \text{ кОм}$	SOT323, SC70	B•E•C

**SOT490 TSM
MFPAK TSFP-3**

**VMT3
VMD3**



**SOT416
SOT523**

**SOT323
SOT346**

**SOT23-3
SOD23-3**



Код	Типономинал	Б	Ф	Особенности	Корпус	Ц: 1•2•3
W10	CMFZDA27V	CSI	dz-2	$V_{i(I_{B1}=2\text{ мА})} \geq 25 \dots 29 \text{ В}$; $I_{i(V_{B1}=18.9 \text{ В})} < 0.05 \text{ мкА}$; $Z_{T1}(I_{T1}=2.0 \text{ мА}) < 80 \text{ Ом}$, $I_{B2} \leq 6 \text{ мА}$	SOT23, SOD23	K2-K1-A2, A1
W11	CMFZDA30V	CSI	dz-2	$V_{i(I_{B1}=2.0 \text{ мА})} \geq 28 \dots 32 \text{ В}$; $I_{i(V_{B1}=21.0 \text{ В})} < 0.05 \text{ мкА}$; $Z_{T1}(I_{T1}=2.0 \text{ мА}) < 80 \text{ Ом}$, $I_{B2} \leq 6 \text{ мА}$	SOT23, SOD23	K2-K1-A2, A1
W11	PDTA114TT	PHIL	Dnpn	$V_{C80}=50 \text{ В}$; $I_{C1}=100 \text{ мА}$; $P_{D1}=200 \text{ мВт}$; $\eta_{D1} > 200$; $R_{\theta1}$ 10 кОм	SOT23, SOD23	B-E-C
W12	CMFZDA33V	CSI	dz-2	$V_{i(I_{B1}=2.0 \text{ мА})} \geq 31 \dots 35 \text{ В}$; $I_{i(V_{B1}=23.1 \text{ В})} < 0.05 \text{ мкА}$; $Z_{T1}(I_{T1}=2.0 \text{ мА}) < 80 \text{ Ом}$, $I_{B2} \leq 5.0 \text{ мА}$	SOT23, SOD23	K2-K1-A2, A1
W12	PDTC114TT	PHIL	Dnpn	$V_{C80}=50 \text{ В}$; $I_{C1}=100 \text{ мА}$; $P_{D1}=200 \text{ мВт}$; $\eta_{D1} > 200$; $R_{\theta1}$ 10 кОм	SOT23, SOD23	B-E-C
W13	BB207	PHIL	var-2	$V_{B2} > 15 \text{ В}$; $I_{B1}(V_{B1}=15 \text{ В}) < 0.01 \text{ мкА}$; $C_{1\text{ в } 8} \text{ } 76 \dots 86 \text{ пФ}$; $C_{7,5\text{ в } 8} \text{ } 25.5 \dots 29.7 \text{ пФ}$	SOT23, SOD23	A1-A2-K1, K2
W13	CMFZDA38V	CSI	dz-2	$V_{i2} \geq 36 \text{ В (5\%)}$; $P_{D1} < 350 \text{ мВт}$	SOT23, SOD23	K2-K1-A2, A1
W14	CMFZDA39V	CSI	dz-2	$V_{i2} \geq 39 \text{ В (5\%)}$; $P_{D1} < 350 \text{ мВт}$	SOT23, SOD23	K2-K1-A2, A1
W15	CMFZDA43V	CSI	dz-2	$V_{i2} \geq 43 \text{ В (5\%)}$; $P_{D1} < 350 \text{ мВт}$	SOT23, SOD23	K2-K1-A2, A1
W16	CMFZDA47V	CSI	dz-2	$V_{i2} \geq 47 \text{ В (5\%)}$; $P_{D1} < 350 \text{ мВт}$	SOT23, SOD23	K2-K1-A2, A1
W16	PDTC114ET	PHIL	Dnpn	$V_{C80}=50 \text{ В}$; $I_{C1}=50 \text{ мА}$; $P_{D1}=250 \text{ мВт}$; $\eta_{D1} > 30$; 10 кОм/10 кОм	SOT23, SOD23	B-E-C
W17	PDTC12MET	PHIL	Dnpn	$V_{C80}=50 \text{ В}$; $I_{C1}=100 \text{ мА}$; $P_{D1}=250 \text{ мВт}$; $\eta_{D1} > 60$; 22 кОм/22 кОм	SOT23, SOD23	B-E-C
W18	PDTC1432T	PHIL	Dnpn	$V_{C80}=50 \text{ В}$; $I_{C1}=100 \text{ мА}$; $P_{D1}=250 \text{ мВт}$; $\eta_{D1} > 100$; 4.7 кОм/47 кОм	SOT23, SOD23	B-E-C
W19	PDTA1432T	PHIL	Dnpn	$V_{C80}=50 \text{ В}$; $I_{C1}=100 \text{ мА}$; $P_{D1}=250 \text{ мВт}$; $\eta_{D1} > 100$; 4.7 кОм/47 кОм	SOT23, SOD23	B-E-C
W1B	PMBT2222	PHIL	npn	$V_{C80}=60 \text{ В}$; $I_{C1}=600 \text{ мА}$; $P_{D1}=250 \text{ мВт}$; $\eta_{D1} > 100$; 300; $f_T > 300 \text{ МГц}$	SOT23, SOD23	B-E-C
W1J	PMBT2393	PHIL	npn	$V_{C80}=40 \text{ В}$; $I_{C1}=500 \text{ мА}$; $P_{D1}=250 \text{ мВт}$; $\eta_{D1} > 140$; 120	SOT23, SOD23	B-E-C
W1P	PMBT2222A	PHIL	npn	$V_{C80}=75 \text{ В}$; $I_{C1}=600 \text{ мА}$; $P_{D1}=250 \text{ мВт}$; $\eta_{D1} > 100$; 300; $f_T > 300 \text{ МГц}$	SOT23, SOD23	B-E-C
W1s	BFT32	SIEM	npn	$V_{C80}=20 \text{ В}$; $I_{C1}=25 \text{ мА}$; $P_{D1}=200 \text{ мВт}$; $\eta_{D1} > 20$; $f_T > 5000 \text{ МГц}$	SOT23, SOD23	B-E-C
W1s	BFT32W	SIEM	npn	$V_{C80}=20 \text{ В}$; $I_{C1}=25 \text{ мА}$; $P_{D1}=200 \text{ мВт}$; $\eta_{D1} > 15$; $f_T > 5000 \text{ МГц}$	SOT23, SOD23	B-E-C
W23	PDTA114TU	PHIL	Dnpn	$V_{C80}=50 \text{ В}$; $I_{C1}=100 \text{ мА}$; $P_{D1}=200 \text{ мВт}$; $\eta_{D1} > 200$; $R_{\theta1}$ 10 кОм	SOT323, SC70	B-E-C
W24	PDTC114TU	PHIL	Dnpn	$V_{C80}=50 \text{ В}$; $I_{C1}=100 \text{ мА}$; $P_{D1}=200 \text{ мВт}$; $\eta_{D1} > 200$; $R_{\theta1}$ 10 кОм	SOT323, SC70	B-E-C
W27	PDTC114YT	PHIL	Dnpn	$V_{C80}=50 \text{ В}$; $I_{C1}=100 \text{ мА}$; $P_{D1}=200 \text{ мВт}$; $\eta_{D1} > 100$; 10 кОм/47 кОм	SOT23, SOD23	B-E-C
W29	PDTA114YT	PHIL	Dnpn	$V_{C80}=50 \text{ В}$; $I_{C1}=100 \text{ мА}$; $P_{D1}=200 \text{ мВт}$; $\eta_{D1} > 100$; 10 кОм/47 кОм	SOT23, SOD23	B-E-C
W2F	PMBT2307A	PHIL	npn	$V_{C80}=60 \text{ В}$; $I_{C1}=600 \text{ мА}$; $P_{D1}=250 \text{ мВт}$; $\eta_{D1} > 50$; $f_T > 200 \text{ МГц}$	SOT23, SOD23	B-E-C
W3	BZX84-C2V4	PHIL	dz	$V_{i(I_{B1}=5.0 \text{ мА})} \geq 2 \dots 2.6 \text{ В}$; $I_{i(V_{B1}=1.0 \text{ В})} < 50 \text{ мкА}$; $Z_{T1}(I_{T1}=5.0 \text{ мА}) < 100 \text{ Ом}$, $I_{B2} \leq 200 \text{ мА}$	SOT23, SOD23	A-n.c.-K
W30	PDTC114YU	PHIL	Dnpn	$V_{C80}=50 \text{ В}$; $I_{C1}=100 \text{ мА}$; $P_{D1}=200 \text{ мВт}$; $\eta_{D1} > 100$; 10 кОм/47 кОм	SOT323, SC70	B-E-C
W31	PDTA143XT	PHIL	Dnpn	$V_{C80}=50 \text{ В}$; $I_{C1}=100 \text{ мА}$; $P_{D1}=250 \text{ мВт}$; $\eta_{D1} > 50$; 4.7 кОм/10 кОм	SOT23, SOD23	B-E-C
W32	PDTC143XT	PHIL	Dnpn	$V_{C80}=50 \text{ В}$; $I_{C1}=100 \text{ мА}$; $P_{D1}=250 \text{ мВт}$; $\eta_{D1} > 50$; 4.7 кОм/10 кОм	SOT23, SOD23	B-E-C
W46	PDTA143XU	PHIL	Dnpn	$V_{C80}=50 \text{ В}$; $I_{C1}=100 \text{ мА}$; $P_{D1}=250 \text{ мВт}$; $\eta_{D1} > 50$; 4.7 кОм/10 кОм	SOT323, SC70	B-E-C
W47	PDTA143ZU	PHIL	Dnpn	$V_{C80}=50 \text{ В}$; $I_{C1}=100 \text{ мА}$; $P_{D1}=250 \text{ мВт}$; $\eta_{D1} > 100$; 4.7 кОм/47 кОм	SOT323, SC70	B-E-C
W5	BZX84-C3V0	PHIL	dz	$V_{i(I_{B1}=5.0 \text{ мА})} \geq 2 \dots 3.2 \text{ В}$; $Z_{T1}(I_{T1}=5.0 \text{ мА}) < 100 \text{ Ом}$	SOT23, SOD23	A-n.c.-K
W52	S852TW	VISH	npn	$V_{C80}=12 \text{ В}$; $I_{C1}=8 \text{ мА}$; $P_{D1}=30 \text{ мВт}$; $\eta_{D1} > 40$; 150; $f_T \geq 2 \text{ ГГц}$	SOT323, SC70	B-E-C
W53	PDTC143XU	PHIL	Dnpn	$V_{C80}=50 \text{ В}$; $I_{C1}=100 \text{ мА}$; $P_{D1}=250 \text{ мВт}$; $\eta_{D1} > 50$; 4.7 кОм/10 кОм	SOT323, SC70	B-E-C
W54	PDTC143ZU	PHIL	Dnpn	$V_{C80}=50 \text{ В}$; $I_{C1}=100 \text{ мА}$; $P_{D1}=250 \text{ мВт}$; $\eta_{D1} > 100$; 4.7 кОм/47 кОм	SOT323, SC70	B-E-C
W55	PDTA114YU	PHIL	Dnpn	$V_{C80}=50 \text{ В}$; $I_{C1}=100 \text{ мА}$; $P_{D1}=200 \text{ мВт}$; $\eta_{D1} > 100$; 10 кОм/47 кОм	SOT23, SC70	B-E-C
W6	BZX84C3V3	CSI	dz	$V_{i(I_{B1}=5 \text{ мА})} \geq 3.1 \dots 3.5 \text{ В}$; $I_{i(V_{B1}=1.0 \text{ В})} < 5.0 \text{ мкА}$; $Z_{T1}(I_{T1}=5 \text{ мА}) < 95 \text{ Ом}$, $I_{B2} \leq 76 \text{ мА}$	SOT23, SOD23	A-n.c.-K
W6	BZX84-C3V3	PHIL	dz	$V_{i(I_{B1}=5 \text{ мА})} \geq 3.1 \dots 3.5 \text{ В}$; $Z_{T1}(I_{T1}=5 \text{ мА}) < 95 \text{ Ом}$	SOT23, SOD23	A-n.c.-K
W7	BZX84C3V6	CSI	dz	$V_{i(I_{B1}=5 \text{ мА})} \geq 3.4 \dots 3.8 \text{ В}$; $I_{i(V_{B1}=1.0 \text{ В})} < 5.0 \text{ мкА}$; $Z_{T1}(I_{T1}=5 \text{ мА}) < 90 \text{ Ом}$, $I_{B2} \leq 89 \text{ мА}$	SOT23, SOD23	A-n.c.-K
W7	BZX84-C3V6	PHIL	dz	$V_{i(I_{B1}=5 \text{ мА})} \geq 3.4 \dots 3.8 \text{ В}$; $Z_{T1}(I_{T1}=5 \text{ мА}) < 95 \text{ Ом}$	SOT23, SOD23	A-n.c.-K
W74	BAW74	ZETEX	di-2	$V_{B1} \leq 50 \text{ В}$; $I_{C1} < 150 \text{ мА}$; $V_{i(I_{B1}=100 \text{ мА})} < 1.0 \text{ В}$; $I_{B2} < 0.1 \text{ мкА}$; $C_{D2} < 2.0 \text{ пФ}$, $t_{\text{всп}} < 4 \text{ нс}$	SOT23, SOD23	A1-A2-K1, K2
W7Y	PDTB123YT	PHIL	Dnpn	$V_{C80}=50 \text{ В}$; $I_{C1}=500 \text{ мА}$; $P_{D1}=250 \text{ мВт}$; $\eta_{D1} > 70$; 2.2 кОм/10 кОм	SOT23, SOD23	B-E-C
W8	BZX84C3V9	CSI	dz	$V_{i(I_{B1}=5 \text{ мА})} \geq 3.7 \dots 4.1 \text{ В}$; $I_{i(V_{B1}=1.0 \text{ В})} < 3.0 \text{ мкА}$; $Z_{T1}(I_{T1}=5 \text{ мА}) < 90 \text{ Ом}$, $I_{B2} \leq 64 \text{ мА}$	SOT23, SOD23	A-n.c.-K
W8	BZX84-C3V9	PHIL	dz	$V_{i(I_{B1}=5 \text{ мА})} \geq 3.7 \dots 4.1 \text{ В}$; $Z_{T1}(I_{T1}=5 \text{ мА}) < 90 \text{ Ом}$	SOT23, SOD23	A-n.c.-K
W9	BZX84C4V3	CSI	dz	$V_{i(I_{B1}=5 \text{ мА})} \geq 4.0 \dots 4.6 \text{ В}$; $I_{i(V_{B1}=1.0 \text{ В})} < 3.0 \text{ мкА}$; $Z_{T1}(I_{T1}=5 \text{ мА}) < 90 \text{ Ом}$, $I_{B2} \leq 58 \text{ мА}$	SOT23, SOD23	A-n.c.-K
W9	BZX84C4V3LT1	MOT	dz	$V_{i(I_{B1}=5 \text{ мА})} \geq 4.0 \dots 4.6 \text{ В}$; $Z_{T1}(I_{T1}=5 \text{ мА}) < 90 \text{ Ом}$	SOT23, SOD23	A-n.c.-K



SOT23-3
SOD23-3

SOT323
SOT346

SOT416
SOT523



SOT490
MFPK

TESM
TSFP-3

VMT3
VMD3

Код	Типономинал	Б	Ф	Особенности	Корпус	Ц: 1•2•3
W9A	PLVA650A	PHIL	dz	$V_{CE(sat)} = 250 \text{ мкВ}$; $I_C = 4 \text{ В}$; $I_B = 5 \text{ В}$; $I_{C1} \{V_{CE(sat)} = 0.8 \cdot V_{CE(sat)}\} < 20 \text{ мА}$; $Z_{TC}(I_{C1}) = 250 \text{ мкВ}$; $I_C = 700 \text{ Ом}$; $I_{C1} = 250 \text{ мА}$	SOT23, SOD23	A•n.c•K
W9B	PLVA653A	PHIL	dz	$V_{CE(sat)} = 250 \text{ мкВ}$; $I_C = 5 \text{ В}$; $I_B = 5 \text{ В}$; $I_{C1} \{V_{CE(sat)} = 0.8 \cdot V_{CE(sat)}\} < 5 \text{ мА}$; $Z_{TC}(I_{C1}) = 250 \text{ мкВ}$; $I_C = 250 \text{ Ом}$; $I_{C1} = 250 \text{ мА}$	SOT23, SOD23	A•n.c•K
W9C	PLVA656A	PHIL	dz	$V_{CE(sat)} = 250 \text{ мкВ}$; $I_C = 5 \text{ В}$; $I_B = 5 \text{ В}$; $I_{C1} \{V_{CE(sat)} = 0.8 \cdot V_{CE(sat)}\} < 1 \text{ мА}$; $Z_{TC}(I_{C1}) = 250 \text{ мкВ}$; $I_C = 100 \text{ Ом}$; $I_{C1} = 250 \text{ мА}$	SOT23, SOD23	A•n.c•K
W9D	PLVA659A	PHIL	dz	$V_{CE(sat)} = 250 \text{ мкВ}$; $I_C = 5 \text{ В}$; $I_B = 1 \text{ В}$; $I_{C1} \{V_{CE(sat)} = 0.8 \cdot V_{CE(sat)}\} < 500 \text{ нА}$; $Z_{TC}(I_{C1}) = 250 \text{ мкВ}$; $I_C = 100 \text{ Ом}$; $I_{C1} = 250 \text{ мА}$	SOT23, SOD23	A•n.c•K
W9E	PLVA662A	PHIL	dz	$V_{CE(sat)} = 250 \text{ мкВ}$; $I_C = 6 \text{ В}$; $I_B = 4 \text{ В}$; $I_{C1} \{V_{CE(sat)} = 0.8 \cdot V_{CE(sat)}\} < 100 \text{ нА}$; $Z_{TC}(I_{C1}) = 250 \text{ мкВ}$; $I_C = 100 \text{ Ом}$; $I_{C1} = 250 \text{ мА}$	SOT23, SOD23	A•n.c•K
W9F	PLVA665A	PHIL	dz	$V_{CE(sat)} = 250 \text{ мкВ}$; $I_C = 6 \text{ В}$; $I_B = 7 \text{ В}$; $I_{C1} \{V_{CE(sat)} = 0.8 \cdot V_{CE(sat)}\} < 50 \text{ нА}$; $Z_{TC}(I_{C1}) = 250 \text{ мкВ}$; $I_C = 100 \text{ Ом}$; $I_{C1} = 250 \text{ мА}$	SOT23, SOD23	A•n.c•K
W9G	PLVA668A	PHIL	dz	$V_{CE(sat)} = 250 \text{ мкВ}$; $I_C = 6 \text{ В}$; $I_B = 7 \text{ В}$; $I_{C1} \{V_{CE(sat)} = 0.8 \cdot V_{CE(sat)}\} < 10 \text{ нА}$; $Z_{TC}(I_{C1}) = 250 \text{ мкВ}$; $I_C = 100 \text{ Ом}$; $I_{C1} = 250 \text{ мА}$	SOT23, SOD23	A•n.c•K
WA	2SD1383KA	ROHM	npn	$V_{CE(sat)} = 40 \text{ В}$; $I_C = 300 \text{ мА}$; $P_D = 200 \text{ мВт}$; $h_{FE} > 100$; $f_T > 250 \text{ МГц}$	SOT346, SC59	B•E•C
WB	2SD1383KB	ROHM	npn	$V_{CE(sat)} = 40 \text{ В}$; $I_C = 300 \text{ мА}$; $P_D = 200 \text{ мВт}$; $h_{FE} > 5000$; $f_T > 250 \text{ МГц}$	SOT346, SC59	B•E•C
WB	2SC5700	REN	npn	$V_{CE(sat)} = 15 \text{ В}$; $I_C = 50 \text{ мА}$; $P_D = 80 \text{ мВт}$; $h_{FE} > 100 \dots 170$; $f_T > 10 \text{ ГГц}$	SC81, MFPK	B•E•C
WCs	BCR133	INF	Dnpn	$V_{CE(sat)} = 50 \text{ В}$; $I_C = 100 \text{ мА}$; $P_D = 200 \text{ мВт}$; $h_{FE} > 30$; $f_T > 130 \text{ МГц}$	SOT23, SOD23	B•E•C
WCs	BCR133F	INF	Dnpn	$V_{CE(sat)} = 50 \text{ В}$; $I_C = 100 \text{ мА}$; $P_D = 200 \text{ мВт}$; $h_{FE} > 30$; $f_T > 130 \text{ МГц}$	TSFP-3, VESM	B•E•C
WCs	BCR133T	INF	Dnpn	$V_{CE(sat)} = 50 \text{ В}$; $I_C = 100 \text{ мА}$; $P_D = 200 \text{ мВт}$; $h_{FE} > 30$; $f_T > 130 \text{ МГц}$	SOT416, SC75A	B•E•C
WCs	BCR133W	INF	Dnpn	$V_{CE(sat)} = 50 \text{ В}$; $I_C = 100 \text{ мА}$; $P_D = 250 \text{ мВт}$; $h_{FE} > 30$; $f_T > 130 \text{ МГц}$	SOT323, SC70	B•E•C
WDs	BCR141	INF	Dnpn	$V_{CE(sat)} = 50 \text{ В}$; $I_C = 100 \text{ мА}$; $P_D = 200 \text{ мВт}$; $h_{FE} > 50$; $f_T > 130 \text{ МГц}$	SOT23, SOD23	B•E•C
WDs	BCR141F	INF	Dnpn	$V_{CE(sat)} = 50 \text{ В}$; $I_C = 100 \text{ мА}$; $P_D = 200 \text{ мВт}$; $h_{FE} > 50$; $f_T > 130 \text{ МГц}$	TSFP-3, VESM	B•E•C
WDs	BCR141T	INF	Dnpn	$V_{CE(sat)} = 50 \text{ В}$; $I_C = 100 \text{ мА}$; $P_D = 200 \text{ мВт}$; $h_{FE} > 50$; $f_T > 130 \text{ МГц}$	SOT416, SC75A	B•E•C
WDs	BCR141W	INF	Dnpn	$V_{CE(sat)} = 50 \text{ В}$; $I_C = 100 \text{ мА}$; $P_D = 250 \text{ мВт}$; $h_{FE} > 50$; $f_T > 130 \text{ МГц}$	SOT323, SC70	B•E•C
WE1	BFS17W	TELEF	npn	$V_{CE(sat)} = 25 \text{ В}$; $I_C = 25 \text{ мА}$; $P_D = 200 \text{ мВт}$; $h_{FE} > 20 \dots 150$; $f_T > 1000 \text{ МГц}$	SOT323, SC70	B•E•C
WE2	BFS17AW	TELEF	npn	$V_{CE(sat)} = 25 \text{ В}$; $I_C = 25 \text{ мА}$; $P_D = 200 \text{ мВт}$; $h_{FE} > 20 \dots 150$; $f_T > 1000 \text{ МГц}$	SOT323, SC70	B•E•C
WEs	BCR148	INF	Dnpn	$V_{CE(sat)} = 50 \text{ В}$; $I_C = 70 \text{ мА}$; $P_D = 200 \text{ мВт}$; $h_{FE} > 70$; $f_T > 100 \text{ МГц}$	SOT23, SOD23	B•E•C
WEs	BCR148F	INF	Dnpn	$V_{CE(sat)} = 50 \text{ В}$; $I_C = 70 \text{ мА}$; $P_D = 200 \text{ мВт}$; $h_{FE} > 70$; $f_T > 100 \text{ МГц}$	TSFP-3, VESM	B•E•C
WEs	BCR148T	INF	Dnpn	$V_{CE(sat)} = 50 \text{ В}$; $I_C = 70 \text{ мА}$; $P_D = 200 \text{ мВт}$; $h_{FE} > 70$; $f_T > 100 \text{ МГц}$	SOT416, SC75A	B•E•C
WEs	BCR148W	INF	Dnpn	$V_{CE(sat)} = 50 \text{ В}$; $I_C = 70 \text{ мА}$; $P_D = 250 \text{ мВт}$; $h_{FE} > 70$; $f_T > 100 \text{ МГц}$	SOT323, SC70	B•E•C
WFs	BCR112	INF	Dnpn	$V_{CE(sat)} = 50 \text{ В}$; $I_C = 100 \text{ мА}$; $P_D = 200 \text{ мВт}$; $h_{FE} > 70$; $f_T > 140 \text{ МГц}$	SOT23, SOD23	B•E•C
WFs	BCR112W	INF	Dnpn	$V_{CE(sat)} = 50 \text{ В}$; $I_C = 100 \text{ мА}$; $P_D = 250 \text{ мВт}$; $h_{FE} > 20$; $f_T > 140 \text{ МГц}$	SOT323, SC70	B•E•C
WGs	BCR116	INF	Dnpn	$V_{CE(sat)} = 50 \text{ В}$; $I_C = 100 \text{ мА}$; $P_D = 200 \text{ мВт}$; $h_{FE} > 70$; $f_T > 160 \text{ МГц}$	SOT23, SOD23	B•E•C
WGs	BCR116W	INF	Dnpn	$V_{CE(sat)} = 50 \text{ В}$; $I_C = 100 \text{ мА}$; $P_D = 250 \text{ мВт}$; $h_{FE} > 70$; $f_T > 160 \text{ МГц}$	SOT323, SC70	B•E•C
WHs	BCR108	INF	Dnpn	$V_{CE(sat)} = 50 \text{ В}$; $I_C = 100 \text{ мА}$; $P_D = 200 \text{ мВт}$; $h_{FE} > 70$; $f_T > 170 \text{ МГц}$	SOT23, SOD23	B•E•C
WHs	BCR108F	INF	Dnpn	$V_{CE(sat)} = 50 \text{ В}$; $I_C = 100 \text{ мА}$; $P_D = 200 \text{ мВт}$; $h_{FE} > 70$; $f_T > 170 \text{ МГц}$	TSFP-3, VESM	B•E•C
WHs	BCR108T	INF	Dnpn	$V_{CE(sat)} = 50 \text{ В}$; $I_C = 100 \text{ мА}$; $P_D = 200 \text{ мВт}$; $h_{FE} > 70$; $f_T > 170 \text{ МГц}$	SOT416, SC75A	B•E•C
WHs	BCR108W	INF	Dnpn	$V_{CE(sat)} = 50 \text{ В}$; $I_C = 100 \text{ мА}$; $P_D = 250 \text{ мВт}$; $h_{FE} > 70$; $f_T > 170 \text{ МГц}$	SOT323, SC70	B•E•C
WIs	BCR158	INF	Dnpn	$V_{CE(sat)} = 50 \text{ В}$; $I_C = 100 \text{ мА}$; $P_D = 200 \text{ мВт}$; $h_{FE} > 70$; $f_T > 200 \text{ МГц}$	SOT23, SOD23	B•E•C
WIs	BCR158F	INF	Dnpn	$V_{CE(sat)} = 50 \text{ В}$; $I_C = 70 \text{ мА}$; $P_D = 250 \text{ мВт}$; $h_{FE} > 70$; $f_T > 100 \text{ МГц}$	TSFP-3, VESM	B•E•C
WIs	BCR158T	INF	Dnpn	$V_{CE(sat)} = 50 \text{ В}$; $I_C = 70 \text{ мА}$; $P_D = 250 \text{ мВт}$; $h_{FE} > 70$; $f_T > 100 \text{ МГц}$	SOT416, SC75A	B•E•C
WIs	BCR158W	INF	Dnpn	$V_{CE(sat)} = 50 \text{ В}$; $I_C = 100 \text{ мА}$; $P_D = 250 \text{ мВт}$; $h_{FE} > 70$; $f_T > 200 \text{ МГц}$	SOT323, SC70	B•E•C
WJs	BCR135	INF	Dnpn	$V_{CE(sat)} = 50 \text{ В}$; $I_C = 100 \text{ мА}$; $P_D = 200 \text{ мВт}$; $h_{FE} > 70$; $f_T > 150 \text{ МГц}$	SOT23, SOD23	B•E•C
WJs	BCR135F	INF	Dnpn	$V_{CE(sat)} = 50 \text{ В}$; $I_C = 100 \text{ мА}$; $P_D = 200 \text{ мВт}$; $h_{FE} > 70$; $f_T > 150 \text{ МГц}$	TSFP-3, VESM	B•E•C
WJs	BCR135T	INF	Dnpn	$V_{CE(sat)} = 50 \text{ В}$; $I_C = 100 \text{ мА}$; $P_D = 200 \text{ мВт}$; $h_{FE} > 70$; $f_T > 150 \text{ МГц}$	SOT416, SC75A	B•E•C
WJs	BCR135W	INF	Dnpn	$V_{CE(sat)} = 50 \text{ В}$; $I_C = 100 \text{ мА}$; $P_D = 250 \text{ мВт}$; $h_{FE} > 70$; $f_T > 150 \text{ МГц}$	SOT323, SC70	B•E•C
WK-	2SC5907	REN	npn	$V_{CE(sat)} = 15 \text{ В}$; $I_C = 80 \text{ мА}$; $P_D = 80 \text{ мВт}$; $h_{FE} > 120 \dots 170$; $f_T > 5 \text{ ГГц}$	SC81, MFPK	B•E•C
WKs	BCR119	INF	Dnpn	$V_{CE(sat)} = 50 \text{ В}$; $I_C = 100 \text{ мА}$; $P_D = 200 \text{ мВт}$; $h_{FE} > 120 \dots 630$; $f_T > 150 \text{ МГц}$	SOT23, SOD23	B•E•C
WKs	BCR119W	INF	Dnpn	$V_{CE(sat)} = 50 \text{ В}$; $I_C = 100 \text{ мА}$; $P_D = 200 \text{ мВт}$; $h_{FE} > 120 \dots 630$; $f_T > 150 \text{ МГц}$	SOT323, SC70	B•E•C
WL-	2SB1691	REN	npn	$V_{CE(sat)} = 80 \text{ В}$; $I_C = 1 \text{ А}$; $P_D = 800 \text{ мВт}$; $h_{FE} > 200 \dots 500$; $f_T > 310 \text{ МГц}$	SOT23, SOD23	B•E•C
WLs	BCR146	INF	Dnpn	$V_{CE(sat)} = 50 \text{ В}$; $I_C = 70 \text{ мА}$; $P_D = 200 \text{ мВт}$; $h_{FE} > 50$; $f_T > 150 \text{ МГц}$	SOT23, SOD23	B•E•C
WLs	BCR146W	INF	Dnpn	$V_{CE(sat)} = 50 \text{ В}$; $I_C = 70 \text{ мА}$; $P_D = 250 \text{ мВт}$; $h_{FE} > 50$; $f_T > 150 \text{ МГц}$	SOT323, SC70	B•E•C

**SOT490 TSM
MFPAK TSFP-3**

**VMT3
VMD3**



**SOT416 SOT323
SOT523 SOT346**

**SOT23-3
SOD23-3**



Код	Типономинал	Б	Ф	Особенности	Корпус	Ц: 1•2•3
WMs	BCR183	INF	Dnnp	$V_{DS} = 50 \text{ В}$; $I_C = 100 \text{ мА}$; $P_D = 200 \text{ мВт}$; $\eta_{21} > 30$; $f_T > 200 \text{ МГц}$	SOT23, SOD23	B•E•C
WMs	BCR183F	INF	Dnnp	$V_{DS} = 50 \text{ В}$; $I_C = 100 \text{ мА}$; $P_D = 250 \text{ мВт}$; $\eta_{21} > 30$	TSFP-3, VESM	B•E•C
WMs	BCR183T	INF	Dnnp	$V_{DS} = 50 \text{ В}$; $I_C = 100 \text{ мА}$; $P_D = 250 \text{ мВт}$; $\eta_{21} > 30$	SOT416, SC75A	B•E•C
WMs	BCR183W	INF	Dnnp	$V_{DS} = 50 \text{ В}$; $I_C = 100 \text{ мА}$; $P_D = 250 \text{ мВт}$; $\eta_{21} > 30$; $f_T > 200 \text{ МГц}$	SOT323, SC70	B•E•C
WMs	BCR185	INF	Dnnp	$V_{DS} = 50 \text{ В}$; $I_C = 100 \text{ мА}$; $P_D = 200 \text{ мВт}$; $\eta_{21} > 70$; $f_T > 200 \text{ МГц}$	SOT23, SOD23	B•E•C
WMs	BCR185W	INF	Dnnp	$V_{DS} = 50 \text{ В}$; $I_C = 100 \text{ мА}$; $P_D = 250 \text{ мВт}$; $\eta_{21} > 70$; $f_T > 200 \text{ МГц}$	SOT323, SC70	B•E•C
WO4	PMBS3904	PHIL	nnp	$V_{DS} = 60 \text{ В}$; $I_C = 100 \text{ мА}$; $P_D = 250 \text{ мВт}$; $\eta_{21} = 100 \dots 300$; $f_T > 180 \text{ МГц}$	SOT23, SOD23	B•E•C
WO6	PMBS3906	PHIL	nnp	$V_{DS} = 40 \text{ В}$; $I_C = 100 \text{ мА}$; $P_D = 250 \text{ мВт}$; $\eta_{21} = 100 \dots 300$; $f_T > 150 \text{ МГц}$	SOT23, SOD23	B•E•C
WOs	BCR191	INF	Dnnp	$V_{DS} = 50 \text{ В}$; $I_C = 100 \text{ мА}$; $P_D = 200 \text{ мВт}$; $\eta_{21} > 50$; $f_T > 200 \text{ МГц}$	SOT23, SOD23	B•E•C
WOs	BCR191W	INF	Dnnp	$V_{DS} = 50 \text{ В}$; $I_C = 100 \text{ мА}$; $P_D = 250 \text{ мВт}$; $\eta_{21} > 50$; $f_T > 200 \text{ МГц}$	SOT323, SC70	B•E•C
WP2	BFR92A	TELEF	nnp	$V_{DS} = 20 \text{ В}$; $I_C = 25 \text{ мА}$; $P_D = 273 \text{ мВт}$; $\eta_{21} > 40$; $f_T = 4500 \text{ МГц}$	SOT23, SOD23	B•E•C
WPs	BCR192	INF	Dnnp	$V_{DS} = 50 \text{ В}$; $I_C = 100 \text{ мА}$; $P_D = 250 \text{ мВт}$; $\eta_{21} > 70$; $f_T > 200 \text{ МГц}$	SOT23, SOD23	B•E•C
WPs	BCR192F	INF	Dnnp	$V_{DS} = 50 \text{ В}$; $I_C = 100 \text{ мА}$; $P_D = 250 \text{ мВт}$; $\eta_{21} > 70$; $f_T > 200 \text{ МГц}$	TSFP-3, VESM	B•E•C
WPs	BCR192T	INF	Dnnp	$V_{DS} = 50 \text{ В}$; $I_C = 100 \text{ мА}$; $P_D = 250 \text{ мВт}$; $\eta_{21} > 70$; $f_T > 200 \text{ МГц}$	SOT416, SC75A	B•E•C
WPs	BCR192W	INF	Dnnp	$V_{DS} = 50 \text{ В}$; $I_C = 100 \text{ мА}$; $P_D = 250 \text{ мВт}$; $\eta_{21} > 70$; $f_T > 200 \text{ МГц}$	SOT323, SC70	B•E•C
WR	MSD602R	MOT	nnp	$V_{DS} = 25 \text{ В}$; $I_C = 150 \text{ мА}$	SOT346, SC59	B•E•C
WR2	BFR93AW	TELEF	nnp	$V_{DS} = 20 \text{ В}$; $I_C = 50 \text{ мА}$; $P_D = 300 \text{ мВт}$; $\eta_{21} = 50 \dots 200$; $f_T = 5500 \text{ МГц}$	SOT323, SC70	B•E•C
WRE	BFR280TW	TELEF	nnp	$V_{DS} = 10 \text{ В}$; $I_C = 10 \text{ мА}$; $P_D = 80 \text{ мВт}$; $\eta_{21} = 30 \dots 200$; $f_T = 7500 \text{ МГц}$	SOT323, SC70	B•E•C
WRF	BFR181TW	TELEF	nnp	$V_{DS} = 20 \text{ В}$; $I_C = 20 \text{ мА}$; $P_D = 175 \text{ мВт}$; $\eta_{21} > 50$; $f_T = 8 \text{ ГГц}$	SOT323, SC70	B•E•C
WRG	BFR182TW	TELEF	nnp	$V_{DS} = 20 \text{ В}$; $I_C = 35 \text{ мА}$; $P_D = 250 \text{ мВт}$; $\eta_{21} = 50 \dots 200$; $f_T = 8000 \text{ МГц}$	SOT323, SC70	B•E•C
WRH	BFR183TW	TELEF	nnp	$V_{DS} = 20 \text{ В}$; $I_C = 65 \text{ мА}$; $P_D = 450 \text{ мВт}$; $\eta_{21} = 50 \dots 200$; $f_T = 8000 \text{ МГц}$	SOT323, SC70	B•E•C
WRs	BCR198	INF	Dnnp	$V_{DS} = 50 \text{ В}$; $I_C = 70 \text{ мА}$; $P_D = 200 \text{ мВт}$; $\eta_{21} > 70$; $f_T > 190 \text{ МГц}$	SOT23, SOD23	B•E•C
WRs	BCR198W	INF	Dnnp	$V_{DS} = 50 \text{ В}$; $I_C = 70 \text{ мА}$; $P_D = 250 \text{ мВт}$; $\eta_{21} > 70$; $f_T = 190 \text{ МГц}$	SOT323, SC70	B•E•C
WSs	BCR169	INF	Dnnp	$V_{DS} = 50 \text{ В}$; $I_C = 100 \text{ мА}$; $P_D = 200 \text{ мВт}$; $\eta_{21} = 120 \dots 630$; $f_T > 200 \text{ МГц}$	SOT23, SOD23	B•E•C
WSs	BCR169W	INF	Dnnp	$V_{DS} = 50 \text{ В}$; $I_C = 100 \text{ мА}$; $P_D = 250 \text{ мВт}$; $\eta_{21} = 120 \dots 630$; $f_T > 150 \text{ МГц}$	SOT323, SC70	B•E•C
WTs	BCR166	INF	Dnnp	$V_{DS} = 50 \text{ В}$; $I_C = 100 \text{ мА}$; $P_D = 200 \text{ мВт}$; $\eta_{21} > 70$; $f_T = 160 \text{ МГц}$	SOT23, SOD23	B•E•C
WTs	BCR166W	INF	Dnnp	$V_{DS} = 50 \text{ В}$; $I_C = 100 \text{ мА}$; $P_D = 250 \text{ мВт}$; $\eta_{21} > 70$; $f_T = 160 \text{ МГц}$	SOT323, SC70	B•E•C
WU	BCR162T	INF	Dnnp	$V_{DS} = 50 \text{ В}$; $I_C = 100 \text{ мА}$; $P_D = 200 \text{ мВт}$; $\eta_{21} > 20$; $f_T > 200 \text{ МГц}$	SOT416, SC75A	B•E•C
WUs	BCR162	INF	Dnnp	$V_{DS} = 50 \text{ В}$; $I_C = 100 \text{ мА}$; $P_D = 200 \text{ мВт}$; $\eta_{21} > 20$; $f_T > 200 \text{ МГц}$	SOT23, SOD23	B•E•C
WUs	BCR162F	INF	Dnnp	$V_{DS} = 50 \text{ В}$; $I_C = 100 \text{ мА}$; $P_D = 200 \text{ мВт}$; $\eta_{21} > 20$; $f_T > 200 \text{ МГц}$	TSFP-3, VESM	B•E•C
WUs	BCR162W	INF	Dnnp	$V_{DS} = 50 \text{ В}$; $I_C = 100 \text{ мА}$; $P_D = 250 \text{ мВт}$; $\eta_{21} > 20$; $f_T > 200 \text{ МГц}$	SOT323, SC70	B•E•C
WV2	BFG67W	VIS	nnp	$V_{DS} = 20 \text{ В}$; $I_C = 50 \text{ мА}$; $P_D = 200 \text{ мВт}$; $\eta_{21} > 65$; $f_T = 8 \text{ ГГц}$	SOT323, SC70	B•E•C
WV3	BAT54A	PHIL	shd-2	$V_A < 30 \text{ В}$; $I_C < 200 \text{ мА}$; $V_A(I_C = 30 \text{ мА}) < 500 \text{ мВ}$; $C_{95} < 10 \text{ нФ}$; $f_{\text{тгб}} < 5 \text{ нс}$	SOT23, SOD23	K1•K2•A1•A2
WV4	BAT54S	PHIL	shd-2	$V_A < 30 \text{ В}$; $I_C < 200 \text{ мА}$; $V_A(I_C = 30 \text{ мА}) < 500 \text{ мВ}$; $C_{95} < 10 \text{ нФ}$; $f_{\text{тгб}} < 5 \text{ нс}$	SOT23, SOD23	A1•K2•K1•A2
WVs	BCR129	INF	Dnnp	$V_{DS} = 50 \text{ В}$; $I_C = 100 \text{ мА}$; $P_D = 200 \text{ мВт}$; $\eta_{21} = 120 \dots 630$; $f_T > 150 \text{ МГц}$	SOT23, SOD23	B•E•C
WW1	BAT54C	PHIL	shd-2	$V_A < 30 \text{ В}$; $I_C < 200 \text{ мА}$; $V_A(I_C = 30 \text{ мА}) < 500 \text{ мВ}$; $C_{95} < 10 \text{ нФ}$; $f_{\text{тгб}} < 5 \text{ нс}$	SOT23, SOD23	A1•A2•K1•K2
WW3	CMFZDA2V4	CSI	dz-2	$V_2 = 2.4 \text{ В} (5\%)$; $P_D < 350 \text{ мВт}$	SOT23, SOD23	K2•K1•A2, A1
WW4	CMFZDA2V7	CSI	dz-2	$V_2 = 2.7 \text{ В} (5\%)$; $P_D < 350 \text{ мВт}$	SOT23, SOD23	K2•K1•A2, A1
WW5	CMFZDA3V0	CSI	dz-2	$V_2 = 3.0 \text{ В} (5\%)$; $P_D < 350 \text{ мВт}$	SOT23, SOD23	K2•K1•A2, A1
WW6	CMFZDA3V3	CSI	dz-2	$V_2 = 3.3 \text{ В} (5\%)$; $P_D < 350 \text{ мВт}$	SOT23, SOD23	K2•K1•A2, A1
WW7	CMFZDA3V6	CSI	dz-2	$V_2(I_{B1} = 5.0 \text{ мА}) > 3.4 \dots 3.8 \text{ В}$; $I_{B1}(V_A = 1.0 \text{ В}) < 2.0 \text{ мА}$; $Z_{21}(I_{B1} = 5.0 \text{ мА}) < 95 \text{ Ом}$; $I_{B2M} = 45 \text{ мА}$	SOT23, SOD23	K2•K1•A2, A1
WW8	CMFZDA3V9	CSI	dz-2	$V_2(I_{B1} = 5.0 \text{ мА}) > 3.7 \dots 4.1 \text{ В}$; $I_{B1}(V_A = 1.0 \text{ В}) < 2.0 \text{ мА}$; $Z_{21}(I_{B1} = 5.0 \text{ мА}) < 90 \text{ Ом}$; $I_{B2M} = 43 \text{ мА}$	SOT23, SOD23	K2•K1•A2, A1
WW9	CMFZDA4V3	CSI	dz-2	$V_2(I_{B1} = 5.0 \text{ мА}) > 4.0 \dots 4.6 \text{ В}$; $I_{B1}(V_A = 1.0 \text{ В}) < 1.0 \text{ мА}$; $Z_{21}(I_{B1} = 5.0 \text{ мА}) < 90 \text{ Ом}$; $I_{B2M} = 40 \text{ мА}$	SOT23, SOD23	K2•K1•A2, A1
WXs	BCR195	INF	Dnnp	$V_{DS} = 50 \text{ В}$; $I_C = 70 \text{ мА}$; $P_D = 200 \text{ мВт}$; $\eta_{21} > 50$; $f_T > 150 \text{ МГц}$	SOT23, SOD23	B•E•C
WXs	BCR195W	INF	Dnnp	$V_{DS} = 50 \text{ В}$; $I_C = 70 \text{ мА}$; $P_D = 250 \text{ мВт}$; $\eta_{21} > 50$; $f_T > 150 \text{ МГц}$	SOT323, SC70	B•E•C
WZ-	2SC5872	REN	nnp	$V_{DS} = 15 \text{ В}$; $I_C = 50 \text{ мА}$; $P_D = 200 \text{ мВт}$; $\eta_{21} = 90 \dots 140$; $f_T = 10 \text{ ГГц}$	SC81, MFPAK	B•E•C
WZs	BCR142	INF	Dnnp	$V_{DS} = 50 \text{ В}$; $I_C = 100 \text{ мА}$; $P_D = 200 \text{ мВт}$; $\eta_{21} > 70$; $f_T > 150 \text{ МГц}$	SOT23, SOD23	B•E•C
WZs	BCR142W	INF	Dnnp	$V_{DS} = 50 \text{ В}$; $I_C = 100 \text{ мА}$; $P_D = 250 \text{ мВт}$; $\eta_{21} > 70$; $f_T > 150 \text{ МГц}$	SOT323, SC70	B•E•C
X	2SB1051K	ROHM	nnp	$V_{DS} = 32 \text{ В}$; $I_C = 1000 \text{ мА}$; $P_D = 200 \text{ мВт}$; $\eta_{21} = 390$; $f_T > 150 \text{ МГц}$	SOT346, SC59	B•E•C



SOT23-3 SOT323 SOT416
SOD23-3 SOT346 SOT523



SOT490 TSM VMT3
MFPK TSFP-3 VMD3

Код	Типономинал	Б	Ф	Особенности	Корпус	К: 1+2+3
X1p	BFT93	PHIL	Дрnp	$V_{CE0} = 15 В, I_C = 35 мА, P_D = 300 мВт; h_{FE} > 20, f_T > 5500 МГц$	SOT23, SOD23	В+Е+С
X1s	BFT93	SIEM	Дрnp	$V_{CE0} = 15 В, I_C = 35 мА, P_D = 300 мВт; h_{FE} > 20, f_T > 5500 МГц$	SOT23, SOD23	В+Е+С
X2	BZK84-C30	ZETEX	dz	$V_{F(T_{J=25})} = 2 мА; -28 \dots -32 В, Z_T(I_{T=2 мА}) < 80 Ом$	SOT23, SOD23	А+н.с.+К
X2	BZK99-C13	PHIL	dz	$V_{F(T_{J=25})} = 50 мкА; 12.35 \dots 13.85 В, P_D < 300 мВт$	SOT23, SOD23	А+н.с.+К
X3	BZK84-C33	ZETEX	dz	$V_{F(T_{J=25})} = 2 мА; -31 \dots -35 В, Z_T(I_{T=2 мА}) < 80 Ом$	SOT23, SOD23	А+н.с.+К
X3	BZK99-C15	PHIL	dz	$V_{F(T_{J=25})} = 50 мкА; 14.25 \dots 15.75 В, P_D < 300 мВт$	SOT23, SOD23	А+н.с.+К
X4	BFT93P	SIEM	Дрnp	$V_{CE0} = 15 В, I_C = 35 мА, P_D = 300 мВт; h_{FE} > 20, f_T > 5500 МГц$	SOT23, SOD23	С+В+Е
X4	BZK84-C36	ZETEX	dz	$V_{F(T_{J=25})} = 2 мА; -33 \dots -38 В, Z_T(I_{T=2 мА}) < 80 Ом$	SOT23, SOD23	А+н.с.+К
X42	2SK1001	NEC	нFET	$V_{DS} = 22 В, I_D = 10 мА, P_D = 250 мВт; g_{fs} > 20 МСм, I_{DSS} = 10 \dots 50 мА$	SOT23, SOD23	Д+С+Г
X43	2SK1001	NEC	FET	$V_{DS} = 22 В, I_D = 10 мА, P_D = 250 мВт; g_{fs} > 20 МСм, I_{DSS} = 10 \dots 50 мА$	SOT23, SOD23	Д+С+Г
X5	MMBW409LTI	MOT	var	$V_0 = 20 В, I_C = 200 мА, C_{0.9} = 26 \dots 32 пФ, C_{30}/C_{60} = 1.5 \dots 1.9$	SOT23, SOD23	А+н.с.+К
X6	2SD1048X6	SANYO	npn	$V_{CE0} = 20 В, I_C = 700 мА, P_D = 200 мВт; h_{FE} = 200 \dots 400, f_T = 250 МГц$	SOT23, SOD23	В+Е+С
X6	BZK84-C43	ZETEX	dz	$V_{F(T_{J=25})} = 2 мА; -40 \dots -46 В, Z_T(I_{T=2 мА}) < 150 Ом$	SOT23, SOD23	А+н.с.+К
X7	2SD1048X7	SANYO	npn	$V_{CE0} = 20 В, I_C = 700 мА, P_D = 200 мВт; h_{FE} = 300 \dots 600, f_T = 250 МГц$	SOT23, SOD23	В+Е+С
X7	BZK84-C47	ZETEX	dz	$V_{F(T_{J=25})} = 2 мА; -44 \dots -50 В, Z_T(I_{T=2 мА}) < 170 Ом$	SOT23, SOD23	А+н.с.+К
X8	2SD1048X8	SANYO	npn	$V_{CE0} = 20 В, I_C = 700 мА, P_D = 200 мВт; h_{FE} = 450 \dots 900, f_T = 250 МГц$	SOT23, SOD23	В+Е+С
X9	1SS398	TOSH	di+2	$V_A = 400 В, I_C = 100 мА, V_{F(I_C = 100 мА)} < 1 В, I_n < 1.0 мкА$	SOT346, SC59	А1+К2+К1, A2
XA	BZK99-C47	PHIL	dz	$V_{F(T_{J=25})} = 50 мкА; 4.47 \dots 4.94 В, P_D < 300 мВт$	SOT23, SOD23	А+н.с.+К
XA	PN1101	TOSH	Днnp	$V_{CE0} = 50 В, I_C = 150 мА, P_D = 100 мВт; f_T > 250 МГц, R_{F1}/R_{F2} = 4.7/4.7 кОм$	SOT416, SC75A	В+Е+С
XA	PN1101F	TOSH	Днnp	$V_{CE0} = 50 В, I_C = 150 мА, P_D = 100 мВт; f_T > 250 МГц, R_{F1}/R_{F2} = 4.7/4.7 кОм$	SOT490, SC89	В+Е+С
XA	PN1101FT	TOSH	Днnp	$V_{CE0} = 50 В, I_C = 150 мА, P_D = 100 мВт; f_T > 250 МГц, R_{F1}/R_{F2} = 4.7/4.7 кОм$	TESM	В+Е+С
XA	PN1301	TOSH	Днnp	$V_{CE0} = 50 В, I_C = 100 мА, P_D = 100 мВт; f_T > 250 МГц, R_{F1}/R_{F2} = 4.7 кОм/4.7 кОм$	SOT323, SC70	В+Е+С
XA	PN1401	TOSH	Днnp	$V_{CE0} = 50 В, I_C = 100 мА, P_D = 200 мВт; f_T > 200 МГц, R_{F1}/R_{F2} = 4.7/4.7 кОм$	SOT346, SC59	В+Е+С
XAs	BCR503	INF	Дрnp	$V_{CE0} = 50 В, I_C = 500 мА, P_D = 330 мВт; h_{FE} > 40, f_T > 100 МГц$	SOT23, SOD23	В+Е+С
XB	2SC4416	REN	npn	$V_{CE0} = 25 В, I_C = 50 мА, P_D = 150 мВт; h_{FE} = 50 \dots 180, f_T > 3 ГГц$	SOT346, SC59	Е+В+С
XB	BZK99-C91	PHIL	dz	$V_{F(T_{J=25})} = 50 мкА; 4.85 \dots 5.36 В, P_D < 300 мВт$	SOT23, SOD23	А+н.с.+К
XB	PN1102	TOSH	Днnp	$V_{CE0} = 50 В, I_C = 150 мА, P_D = 100 мВт; f_T > 250 МГц, R_{F1}/R_{F2} = 10/10 кОм$	SOT416, SC75A	В+Е+С
XB	PN1102F	TOSH	Днnp	$V_{CE0} = 50 В, I_C = 150 мА, P_D = 100 мВт; f_T > 250 МГц, R_{F1}/R_{F2} = 10/10 кОм$	SOT490, SC89	В+Е+С
XB	PN1102FT	TOSH	Днnp	$V_{CE0} = 50 В, I_C = 150 мА, P_D = 100 мВт; f_T > 250 МГц, R_{F1}/R_{F2} = 10/10 кОм$	TESM	В+Е+С
XB	PN1302	TOSH	Днnp	$V_{CE0} = 50 В, I_C = 100 мА, P_D = 100 мВт; f_T > 250 МГц, R_{F1}/R_{F2} = 10 кОм/10 кОм$	SOT323, SC70	В+Е+С
XB	PN1402	TOSH	Днnp	$V_{CE0} = 50 В, I_C = 100 мА, P_D = 200 мВт; f_T > 200 МГц, R_{F1}/R_{F2} = 10/10 кОм$	SOT346, SC59	В+Е+С
XBs	BCR555	INF	Дрnp	$V_{CE0} = 50 В, I_C = 500 мА, P_D = 330 мВт; h_{FE} > 40, f_T > 150 МГц$	SOT23, SOD23	В+Е+С
XC	BZK99-C95/1	PHIL	dz	$V_{F(T_{J=25})} = 50 мкА; 5.32 \dots 5.88 В, P_D < 300 мВт$	SOT23, SOD23	А+н.с.+К
XC	PN1103	TOSH	Днnp	$V_{CE0} = 50 В, I_C = 150 мА, P_D = 100 мВт; f_T > 250 МГц, R_{F1}/R_{F2} = 22/22 кОм$	SOT416, SC75A	В+Е+С
XC	PN1103F	TOSH	Днnp	$V_{CE0} = 50 В, I_C = 150 мА, P_D = 100 мВт; f_T > 250 МГц, R_{F1}/R_{F2} = 22/22 кОм$	SOT490, SC89	В+Е+С
XC	PN1103FT	TOSH	Днnp	$V_{CE0} = 50 В, I_C = 150 мА, P_D = 100 мВт; f_T > 250 МГц, R_{F1}/R_{F2} = 22/22 кОм$	TESM	В+Е+С
XC	PN1303	TOSH	Днnp	$V_{CE0} = 50 В, I_C = 100 мА, P_D = 100 мВт; f_T > 250 МГц, R_{F1}/R_{F2} = 22 кОм/22 кОм$	SOT323, SC70	В+Е+С
XC	PN1403	TOSH	Днnp	$V_{CE0} = 50 В, I_C = 100 мА, P_D = 200 мВт; f_T > 200 МГц, R_{F1}/R_{F2} = 22 кОм$	SOT346, SC59	В+Е+С
XCs	BCR533	INF	Дрnp	$V_{CE0} = 50 В, I_C = 500 мА, P_D = 330 мВт; h_{FE} > 70, f_T > 100 МГц$	SOT23, SOD23	В+Е+С
XD	BZK99-C8/2	PHIL	dz	$V_{F(T_{J=25})} = 50 мкА; 5.88 \dots 6.51 В, P_D < 300 мВт$	SOT23, SOD23	А+н.с.+К
XD	PN1104	TOSH	Днnp	$V_{CE0} = 50 В, I_C = 150 мА, P_D = 100 мВт; f_T > 250 МГц, R_{F1}/R_{F2} = 47/47 кОм$	SOT416, SC75A	В+Е+С
XD	PN1104F	TOSH	Днnp	$V_{CE0} = 50 В, I_C = 150 мА, P_D = 100 мВт; f_T > 250 МГц, R_{F1}/R_{F2} = 47/47 кОм$	SOT490, SC89	В+Е+С
XD	PN1104FT	TOSH	Днnp	$V_{CE0} = 50 В, I_C = 150 мА, P_D = 100 мВт; f_T > 250 МГц, R_{F1}/R_{F2} = 47/47 кОм$	TESM	В+Е+С
XD	PN1304	TOSH	Днnp	$V_{CE0} = 50 В, I_C = 100 мА, P_D = 100 мВт; f_T > 250 МГц, R_{F1}/R_{F2} = 47 кОм/47 кОм$	SOT323, SC70	В+Е+С
XD	PN1404	TOSH	Днnp	$V_{CE0} = 50 В, I_C = 100 мА, P_D = 200 мВт; f_T > 200 МГц, R_{F1}/R_{F2} = 47/47 кОм$	SOT346, SC59	В+Е+С
XDs	BCR555	INF	Дрnp	$V_{CE0} = 50 В, I_C = 500 мА, P_D = 330 мВт; h_{FE} > 70, f_T > 150 МГц$	SOT23, SOD23	В+Е+С
XE	BZK99-C8/8	PHIL	dz	$V_{F(T_{J=25})} = 50 мкА; 6.46 \dots 7.14 В, P_D < 300 мВт$	SOT23, SOD23	А+н.с.+К
XE	PN1105	TOSH	Днnp	$V_{CE0} = 50 В, I_C = 150 мА, P_D = 100 мВт; f_T > 250 МГц, R_{F1}/R_{F2} = 2.2/47 кОм$	SOT416, SC75A	В+Е+С
XE	PN1105F	TOSH	Днnp	$V_{CE0} = 50 В, I_C = 150 мА, P_D = 100 мВт; f_T > 250 МГц, R_{F1}/R_{F2} = 2.2/47 кОм$	SOT490, SC89	В+Е+С
XE	PN1105FT	TOSH	Днnp	$V_{CE0} = 50 В, I_C = 150 мА, P_D = 100 мВт; f_T > 250 МГц, R_{F1}/R_{F2} = 2.2/47 кОм$	TESM	В+Е+С
XE	PN1305	TOSH	Днnp	$V_{CE0} = 50 В, I_C = 100 мА, P_D = 100 мВт; f_T > 250 МГц, R_{F1}/R_{F2} = 2.2 кОм/47 кОм$	SOT323, SC70	В+Е+С
XE	PN1405	TOSH	Днnp	$V_{CE0} = 50 В, I_C = 100 мА, P_D = 200 мВт; f_T > 200 МГц, R_{F1}/R_{F2} = 2.2/47 кОм$	SOT346, SC59	В+Е+С

SOT490 TSM
MFPK TSFP-3

VMT3
VMD3



SOT416 SOT323 SOT23-3
SOT523 SOT346 SOD23-3



Код	Типономинал	Б	Ф	Особенности	Корпус	Ц: 1•2•3
XF	2SC464	REN	npn	$V_{CEB} = 15 В; I_C = 5 мА; P_D = 50 мВт; \eta_{25} = 40...250; f_T > 2.5 ГГц$	SOT323, SC70	B-E-C
XF	PN1106	TOSH	Dnpn	$V_{CEB} = 50 В; I_C = 150 мА; P_D = 100 мВт; f_T > 250 МГц; R_1/R_2 = 4.7/47 кОм$	SOT416, SC75A	B-E-C
XF	PN1106F	TOSH	Dnpn	$V_{CEB} = 50 В; I_C = 150 мА; P_D = 100 мВт; f_T > 250 МГц; R_1/R_2 = 4.7/47 кОм$	SOT490, SC89	B-E-C
XF	PN1106FT	TOSH	Dnpn	$V_{CEB} = 50 В; I_C = 150 мА; P_D = 100 мВт; f_T > 250 МГц; R_1/R_2 = 4.7/47 кОм$	TESM	B-E-C
XF	PN1306	TOSH	Dnpn	$V_{CEB} = 50 В; I_C = 100 мА; P_D = 100 мВт; f_T > 250 МГц; R_1/R_2 = 4.7 кОм/47 кОм$	SOT323, SC70	B-E-C
XF	PN1406	TOSH	Dnpn	$V_{CEB} = 50 В; I_C = 100 мА; P_D = 200 мВт; f_T > 200 МГц; R_1/R_2 = 4.7/47 кОм$	SOT346, SC59	B-E-C
XF	BCR512	INF	Dnpn	$V_{CEB} = 50 В; I_C = 500 мА; P_D = 330 мВт; \eta_{25} > 80; f_T > 100 МГц$	SOT23, SOD23	B-E-C
XF	BCR523	INF	Dnpn	$V_{CEB} = 50 В; I_C = 500 мА; P_D = 330 мВт; \eta_{25} > 70; f_T > 100 МГц$	SOT23, SOD23	B-E-C
XH	PN1107	TOSH	Dnpn	$V_{CEB} = 50 В; I_C = 150 мА; P_D = 100 мВт; f_T > 250 МГц; R_1/R_2 = 10/47 кОм$	SOT416, SC75A	B-E-C
XH	PN1107F	TOSH	Dnpn	$V_{CEB} = 50 В; I_C = 150 мА; P_D = 100 мВт; f_T > 250 МГц; R_1/R_2 = 10/47 кОм$	SOT490, SC89	B-E-C
XH	PN1107FT	TOSH	Dnpn	$V_{CEB} = 50 В; I_C = 150 мА; P_D = 100 мВт; f_T > 250 МГц; R_1/R_2 = 10/47 кОм$	TESM	B-E-C
XH	PN1307	TOSH	Dnpn	$V_{CEB} = 50 В; I_C = 100 мА; P_D = 100 мВт; f_T > 250 МГц; R_1/R_2 = 10 кОм/47 кОм$	SOT323, SC70	B-E-C
XH	PN1407	TOSH	Dnpn	$V_{CEB} = 50 В; I_C = 100 мА; P_D = 200 мВт; f_T > 200 МГц; R_1/R_2 = 10/47 кОм$	SOT346, SC59	B-E-C
XH	BCR573	INF	Dnpn	$V_{CEB} = 50 В; I_C = 500 мА; P_D = 330 мВт; \eta_{25} > 70; f_T > 150 МГц$	SOT23, SOD23	B-E-C
XI	PN1108	TOSH	Dnpn	$V_{CEB} = 50 В; I_C = 150 мА; P_D = 100 мВт; f_T > 250 МГц; R_1/R_2 = 22/47 кОм$	SOT416, SC75A	B-E-C
XI	PN1108F	TOSH	Dnpn	$V_{CEB} = 50 В; I_C = 150 мА; P_D = 100 мВт; f_T > 250 МГц; R_1/R_2 = 22/47 кОм$	SOT490, SC89	B-E-C
XI	PN1108FT	TOSH	Dnpn	$V_{CEB} = 50 В; I_C = 150 мА; P_D = 100 мВт; f_T > 250 МГц; R_1/R_2 = 22/47 кОм$	TESM	B-E-C
XI	PN1308	TOSH	Dnpn	$V_{CEB} = 50 В; I_C = 100 мА; P_D = 100 мВт; f_T > 250 МГц; R_1/R_2 = 22 кОм/47 кОм$	SOT323, SC70	B-E-C
XI	PN1408	TOSH	Dnpn	$V_{CEB} = 50 В; I_C = 100 мА; P_D = 200 мВт; f_T > 200 МГц; R_1/R_2 = 22/47 кОм$	SOT346, SC59	B-E-C
XJ	PN1109	TOSH	Dnpn	$V_{CEB} = 50 В; I_C = 150 мА; P_D = 100 мВт; f_T > 250 МГц; R_1/R_2 = 47/22 кОм$	SOT416, SC75A	B-E-C
XJ	PN1109F	TOSH	Dnpn	$V_{CEB} = 50 В; I_C = 150 мА; P_D = 100 мВт; f_T > 250 МГц; R_1/R_2 = 47/22 кОм$	SOT490, SC89	B-E-C
XJ	PN1109FT	TOSH	Dnpn	$V_{CEB} = 50 В; I_C = 150 мА; P_D = 100 мВт; f_T > 250 МГц; R_1/R_2 = 47/22 кОм$	TESM	B-E-C
XJ	PN1309	TOSH	Dnpn	$V_{CEB} = 50 В; I_C = 100 мА; P_D = 100 мВт; f_T > 250 МГц; R_1/R_2 = 47 кОм/22 кОм$	SOT323, SC70	B-E-C
XJ	PN1409	TOSH	Dnpn	$V_{CEB} = 50 В; I_C = 100 мА; P_D = 200 мВт; f_T > 200 МГц; R_1/R_2 = 47/22 кОм$	SOT346, SC59	B-E-C
XK	PN1110	TOSH	Dnpn	$V_{CEB} = 50 В; I_C = 150 мА; P_D = 100 мВт; f_T > 250 МГц; R_1 = 4.7 кОм$	SOT416, SC75A	B-E-C
XK	PN1110F	TOSH	Dnpn	$V_{CEB} = 50 В; I_C = 150 мА; P_D = 100 мВт; f_T > 250 МГц; R_1 = 4.7 кОм$	SOT490, SC89	B-E-C
XK	PN1110FT	TOSH	Dnpn	$V_{CEB} = 50 В; I_C = 150 мА; P_D = 100 мВт; f_T > 250 МГц; R_1 = 4.7 кОм$	TESM	B-E-C
XK	PN1310	TOSH	Dnpn	$V_{CEB} = 50 В; I_C = 100 мА; P_D = 100 мВт; f_T > 250 МГц; R_1 = 4.7 кОм$	SOT323, SC70	B-E-C
XK	PN1410	TOSH	Dnpn	$V_{CEB} = 50 В; I_C = 100 мА; P_D = 200 мВт; f_T > 200 МГц; R_1 = 4.7 кОм$	SOT346, SC59	B-E-C
XK	BCR519	INF	Dnpn	$V_{CEB} = 50 В; I_C = 500 мА; P_D = 330 мВт; \eta_{25} = 120...630; f_T > 100 МГц$	SOT23, SOD23	B-E-C
XL	BZX99-C2V4	PHIL	dz	$V_{Z(10T)} = 50 мВ; I_Z = 2.28...2.52 В; P_D < 300 мВт$	SOT23, SOD23	A-n-c-K
XL	BCR569	INF	Dnpn	$V_{CEB} = 50 В; I_C = 500 мА; P_D = 330 мВт; \eta_{25} = 120...630; f_T > 150 МГц$	SOT23, SOD23	B-E-C
XM	2SC4591	REN	npn	$V_{CEB} = 15 В; I_C = 50 мА; P_D = 150 мВт; \eta_{25} = 40...250; f_T > 6.5 ГГц$	SOT346, SC59	B-E-C
XM	2SC4593	REN	npn	$V_{CEB} = 15 В; I_C = 50 мА; P_D = 100 мВт; \eta_{25} = 40...250; f_T > 6.5 ГГц$	SOT323, SC70	B-E-C
XM	BZX99-C2V7	PHIL	dz	$V_{Z(10T)} = 50 мВ; I_Z = 2.57...2.84 В; P_D < 300 мВт$	SOT23, SOD23	A-n-c-K
XM	PN1111	TOSH	Dnpn	$V_{CEB} = 50 В; I_C = 150 мА; P_D = 100 мВт; f_T > 250 МГц; R_1 = 10 кОм$	SOT416, SC75A	B-E-C
XM	PN1111F	TOSH	Dnpn	$V_{CEB} = 50 В; I_C = 150 мА; P_D = 100 мВт; f_T > 250 МГц; R_1 = 10 кОм$	SOT490, SC89	B-E-C
XM	PN1111FT	TOSH	Dnpn	$V_{CEB} = 50 В; I_C = 150 мА; P_D = 100 мВт; f_T > 250 МГц; R_1 = 10 кОм$	TESM	B-E-C
XM	PN1311	TOSH	Dnpn	$V_{CEB} = 50 В; I_C = 100 мА; P_D = 100 мВт; f_T > 250 МГц; R_1 = 10 кОм$	SOT323, SC70	B-E-C
XM	PN1411	TOSH	Dnpn	$V_{CEB} = 50 В; I_C = 100 мА; P_D = 200 мВт; f_T > 200 МГц; R_1 = 10 кОм$	SOT346, SC59	B-E-C
XM	BCR583	INF	Dnpn	$V_{CEB} = 50 В; I_C = 500 мА; P_D = 330 мВт; \eta_{25} > 70; f_T > 150 МГц$	SOT23, SOD23	B-E-C
XP	BZX99-C3V0	PHIL	dz	$V_{Z(10T)} = 50 мВ; I_Z = 2.85...3.15 В; P_D < 300 мВт$	SOT23, SOD23	A-n-c-K
XN	PN1112	TOSH	Dnpn	$V_{CEB} = 50 В; I_C = 150 мА; P_D = 100 мВт; f_T > 250 МГц; R_1 = 22 кОм$	SOT416, SC75A	B-E-C
XN	PN1112F	TOSH	Dnpn	$V_{CEB} = 50 В; I_C = 150 мА; P_D = 100 мВт; f_T > 250 МГц; R_1 = 22 кОм$	SOT490, SC89	B-E-C
XN	PN1112FT	TOSH	Dnpn	$V_{CEB} = 50 В; I_C = 150 мА; P_D = 100 мВт; f_T > 250 МГц; R_1 = 22 кОм$	TESM	B-E-C
XN	PN1312	TOSH	Dnpn	$V_{CEB} = 50 В; I_C = 100 мА; P_D = 100 мВт; f_T > 250 МГц; R_1 = 22 кОм$	SOT323, SC70	B-E-C
XN	PN1412	TOSH	Dnpn	$V_{CEB} = 50 В; I_C = 100 мА; P_D = 200 мВт; f_T > 200 МГц; R_1 = 22 кОм$	SOT346, SC59	B-E-C
XP	BZX99-C3V3	PHIL	dz	$V_{Z(10T)} = 50 мВ; I_Z = 3.14...3.47 В; P_D < 300 мВт$	SOT23, SOD23	A-n-c-K
XP	MMBD3000T1	MOT	di	$V_A < 30 В; I_A < 200 мА; V_{A(I_T = 10 мА)} < 0.95 В; C_{95} < 2 пФ; \tau_{95} < 3 нс$	SOT346, SC59	n-c-A-K
XP	PN1113	TOSH	Dnpn	$V_{CEB} = 50 В; I_C = 150 мА; P_D = 100 мВт; f_T > 250 МГц; R_1 = 47 кОм$	SOT416, SC75A	B-E-C
XP	PN1113F	TOSH	Dnpn	$V_{CEB} = 50 В; I_C = 150 мА; P_D = 100 мВт; f_T > 250 МГц; R_1 = 47 кОм$	SOT490, SC89	B-E-C
XP	PN1113FT	TOSH	Dnpn	$V_{CEB} = 50 В; I_C = 150 мА; P_D = 100 мВт; f_T > 250 МГц; R_1 = 47 кОм$	TESM	B-E-C



SOT23-3
SOD23-3

SOT323
SOT346

SOT416
SOT523



SOT490
MFPK

TESM
TSFP-3

VMT3
VMD3

Код	Типономинал	Б	Ф	Особенности	Корпус	К: 1•2•3
XP	PN1313	TOSH	Длпрп	$V_{CE0}=50 В, I_C=100 мА, P_D=100 мВт, f_T=250 МГц, R_{\theta JA}=47 К/Вт$	SOT323, SC70	В•Е•С
XP	PN1413	TOSH	Длпрп	$V_{CE0}=50 В, I_C=100 мА, P_D=200 мВт, f_T=200 МГц, R_{\theta JA}=47 К/Вт$	SOT346, SC59	В•Е•С
XQ	2PD602AQ	PHIL	прп	$V_{CE0}=80 В, I_C=500 мА, P_D=250 мВт, h_{FE}=85...170, f_T=140 МГц$	SOT346, SC59	В•Е•С
XQ	MMBD3005T1	MOT	di-2	$V_A < 30 В, I_C < 200 мА, V_{CE(sat)} < 0,95 В$	SOT346, SC59	K1•K2•A1, A2
XQ	PN1114	TOSH	Длпрп	$V_{CE0}=50 В, I_C=100 мА, P_D=100 мВт, f_T > 250 МГц, R_{\theta JA}/R_{\theta JC}=1/10 К/Вт$	SOT416, SC75A	В•Е•С
XQ	PN1114F	TOSH	Длпрп	$V_{CE0}=50 В, I_C=100 мА, P_D=100 мВт, f_T > 250 МГц, R_{\theta JA}/R_{\theta JC}=1/10 К/Вт$	SOT490, SC89	В•Е•С
XQ	PN1114FT	TOSH	Длпрп	$V_{CE0}=50 В, I_C=100 мА, P_D=100 мВт, f_T > 250 МГц, R_{\theta JA}/R_{\theta JC}=1/10 К/Вт$	TESM	В•Е•С
XQ	PN1314	TOSH	Длпрп	$V_{CE0}=50 В, I_C=100 мА, P_D=100 мВт, f_T > 250 МГц, R_{\theta JA}/R_{\theta JC}=1 К/Вт/10 К/Вт$	SOT323, SC70	В•Е•С
XQ	PN1414	TOSH	Длпрп	$V_{CE0}=50 В, I_C=100 мА, P_D=200 мВт, f_T=200 МГц, R_{\theta JA}/R_{\theta JC}=1/10 К/Вт$	SOT346, SC59	В•Е•С
XQ	PN2114FT	TOSH	Длпрп	$V_{CE0}=50 В, I_C=100 мА, P_D=100 мВт, f_T=200 МГц, R_{\theta JA}/R_{\theta JC}=1 К/Вт/10 К/Вт$	TESM	В•Е•С
XR	2PD602AR	PHIL	прп	$V_{CE0}=80 В, I_C=500 мА, P_D=250 мВт, h_{FE}=120...240, f_T=160 МГц$	SOT346, SC59	В•Е•С
XR	BZ99-C3/6	PHIL	dz	$V_{Z(t_{ZT})}=50 мкА) \cdot 3,42...3,78 В, P_D < 300 мВт$	SOT23, SOD23	А•н.с. • К
XS	2PD602AS	PHIL	прп	$V_{CE0}=80 В, I_C=500 мА, P_D=250 мВт, h_{FE}=170...340, f_T=180 МГц$	SOT346, SC59	В•Е•С
XS	BZ99-C3/9	PHIL	dz	$V_{Z(t_{ZT})}=50 мкА) \cdot 3,71...4,1 В, P_D < 300 мВт$	SOT23, SOD23	А•н.с. • К
XS	MMBD3010	MOT	di-2	$V_A < 30 В, I_C < 200 мА, V_{CE(sat)} < 0,95 В, C_D < 2 пФ, t_{brr} < 3 нс$	SOT346, SC59	A1•A2•K1, K2
XS	PN1115	TOSH	Длпрп	$V_{CE0}=50 В, I_C=150 мА, P_D=100 мВт, f_T > 250 МГц, R_{\theta JA}/R_{\theta JC}=2,2/10 К/Вт$	SOT416, SC75A	В•Е•С
XS	PN1115F	TOSH	Длпрп	$V_{CE0}=50 В, I_C=150 мА, P_D=100 мВт, f_T > 250 МГц, R_{\theta JA}/R_{\theta JC}=2,2/10 К/Вт$	SOT490, SC89	В•Е•С
XS	PN1115FT	TOSH	Длпрп	$V_{CE0}=50 В, I_C=150 мА, P_D=100 мВт, f_T > 250 МГц, R_{\theta JA}/R_{\theta JC}=2,2/10 К/Вт$	TESM	В•Е•С
XS	PN1315	TOSH	Длпрп	$V_{CE0}=50 В, I_C=100 мА, P_D=100 мВт, f_T > 250 МГц, R_{\theta JA}/R_{\theta JC}=2,2 К/Вт/10 К/Вт$	SOT323, SC70	В•Е•С
XS	PN1415	TOSH	Длпрп	$V_{CE0}=50 В, I_C=100 мА, P_D=200 мВт, f_T=200 МГц, R_{\theta JA}/R_{\theta JC}=2,2/10 К/Вт$	SOT346, SC59	В•Е•С
XS	PN2115FT	TOSH	Длпрп	$V_{CE0}=50 В, I_C=100 мА, P_D=100 мВт, f_T=200 МГц, R_{\theta JA}/R_{\theta JC}=2,2 К/Вт/10 К/Вт$	TESM	В•Е•С
XT	2SC4674	REN	прп	$V_{CE0}=12 В, I_C=8 мА, P_D=50 мВт, h_{FE}=50...250, f_T > 4 ГГц$	SOT323, SC70	В•Е•С
XT	BZ99-C#3	PHIL	dz	$V_{Z(t_{ZT})}=50 мкА) \cdot 4,08...4,52 В, P_D < 300 мВт$	SOT23, SOD23	А•н.с. • К
XT	PN1116	TOSH	Длпрп	$V_{CE0}=50 В, I_C=150 мА, P_D=100 мВт, f_T > 250 МГц, R_{\theta JA}/R_{\theta JC}=4,7/10 К/Вт$	SOT416, SC75A	В•Е•С
XT	PN1116F	TOSH	Длпрп	$V_{CE0}=50 В, I_C=150 мА, P_D=100 мВт, f_T > 250 МГц, R_{\theta JA}/R_{\theta JC}=4,7/10 К/Вт$	SOT490, SC89	В•Е•С
XT	PN1116FT	TOSH	Длпрп	$V_{CE0}=50 В, I_C=150 мА, P_D=100 мВт, f_T > 250 МГц, R_{\theta JA}/R_{\theta JC}=4,7/10 К/Вт$	TESM	В•Е•С
XT	PN1316	TOSH	Длпрп	$V_{CE0}=50 В, I_C=100 мА, P_D=100 мВт, f_T > 250 МГц, R_{\theta JA}/R_{\theta JC}=4,7 К/Вт/10 К/Вт$	SOT323, SC70	В•Е•С
XT	PN1416	TOSH	Длпрп	$V_{CE0}=50 В, I_C=100 мА, P_D=200 мВт, f_T=200 МГц, R_{\theta JA}/R_{\theta JC}=4,7/10 К/Вт$	SOT346, SC59	В•Е•С
XT	PN2116FT	TOSH	Длпрп	$V_{CE0}=50 В, I_C=100 мА, P_D=100 мВт, f_T=200 МГц, R_{\theta JA}/R_{\theta JC}=4,7 К/Вт/10 К/Вт$	TESM	В•Е•С
XU	2SC4680	REN	прп	$V_{CE0}=12 В, I_C=50 мА, P_D=150 мВт, h_{FE} > 100$	SOT346, SC59	В•Е•С
XU	BZ99-C7/5	PHIL	dz	$V_{Z(t_{ZT})}=50 мкА) \cdot 7,13...7,88 В, P_D < 300 мВт$	SOT23, SOD23	А•н.с. • К
XU	PN1117	TOSH	Длпрп	$V_{CE0}=50 В, I_C=150 мА, P_D=100 мВт, f_T > 250 МГц, R_{\theta JA}/R_{\theta JC}=10/4,7 К/Вт$	SOT416, SC75A	В•Е•С
XU	PN1117F	TOSH	Длпрп	$V_{CE0}=50 В, I_C=150 мА, P_D=100 мВт, f_T > 250 МГц, R_{\theta JA}/R_{\theta JC}=10/4,7 К/Вт$	SOT490, SC89	В•Е•С
XU	PN1117FT	TOSH	Длпрп	$V_{CE0}=50 В, I_C=150 мА, P_D=100 мВт, f_T > 250 МГц, R_{\theta JA}/R_{\theta JC}=10/4,7 К/Вт$	TESM	В•Е•С
XU	PN1317	TOSH	Длпрп	$V_{CE0}=50 В, I_C=100 мА, P_D=100 мВт, f_T > 250 МГц, R_{\theta JA}/R_{\theta JC}=10 К/Вт/4,7 К/Вт$	SOT323, SC70	В•Е•С
XU	PN1417	TOSH	Длпрп	$V_{CE0}=50 В, I_C=100 мА, P_D=200 мВт, f_T=200 МГц, R_{\theta JA}/R_{\theta JC}=10/4,7 К/Вт$	SOT346, SC59	В•Е•С
XU	PN2117FT	TOSH	Длпрп	$V_{CE0}=50 В, I_C=100 мА, P_D=100 мВт, f_T=200 МГц, R_{\theta JA}/R_{\theta JC}=10 К/Вт/4,7 К/Вт$	TESM	В•Е•С
XU	2SC4680	REN	прп	$V_{CE0}=12 В, I_C=50 мА, P_D=150 мВт, h_{FE} > 100$	SOT23, SOD23	В•Е•С
XUs	BCR562	INF	Длпрп	$V_{CE0}=50 В, I_C=500 мА, P_D=330 мВт, h_{FE} > 60, f_T > 150 МГц$	SOT23, SOD23	В•Е•С
XV	BZ99-C8/2	PHIL	dz	$V_{Z(t_{ZT})}=50 мкА) \cdot 7,78...8,61 В, P_D < 300 мВт$	SOT23, SOD23	А•н.с. • К
XVs	BCR521	INF	Длпрп	$V_{CE0}=50 В, I_C=500 мА, P_D=330 мВт, h_{FE} > 20, f_T > 100 МГц$	SOT23, SOD23	В•Е•С
XW	BZ99-C9/1	PHIL	dz	$V_{Z(t_{ZT})}=50 мкА) \cdot 8,66...9,56 В, P_D < 300 мВт$	SOT23, SOD23	А•н.с. • К
XW	PN1118	TOSH	Длпрп	$V_{CE0}=50 В, I_C=150 мА, P_D=100 мВт, f_T > 250 МГц, R_{\theta JA}/R_{\theta JC}=47/10 К/Вт$	SOT416, SC75A	В•Е•С
XW	PN1118F	TOSH	Длпрп	$V_{CE0}=50 В, I_C=150 мА, P_D=100 мВт, f_T > 250 МГц, R_{\theta JA}/R_{\theta JC}=47/10 К/Вт$	SOT490, SC89	В•Е•С
XW	PN1118FT	TOSH	Длпрп	$V_{CE0}=50 В, I_C=150 мА, P_D=100 мВт, f_T > 250 МГц, R_{\theta JA}/R_{\theta JC}=47/10 К/Вт$	TESM	В•Е•С
XW	PN1318	TOSH	Длпрп	$V_{CE0}=50 В, I_C=100 мА, P_D=100 мВт, f_T > 250 МГц, R_{\theta JA}/R_{\theta JC}=47 К/Вт/10 К/Вт$	SOT323, SC70	В•Е•С
XW	PN1418	TOSH	Длпрп	$V_{CE0}=50 В, I_C=100 мА, P_D=200 мВт, f_T=200 МГц, R_{\theta JA}/R_{\theta JC}=47/10 К/Вт$	SOT346, SC59	В•Е•С
XW	PN2118FT	TOSH	Длпрп	$V_{CE0}=50 В, I_C=100 мА, P_D=100 мВт, f_T=200 МГц, R_{\theta JA}/R_{\theta JC}=47 К/Вт/10 К/Вт$	TESM	В•Е•С
XWS	BCR505	INF	Длпрп	$V_{CE0}=50 В, I_C=500 мА, P_D=330 мВт, h_{FE} > 70, f_T > 100 МГц$	SOT23, SOD23	В•Е•С
XX	BZ99-C10	PHIL	dz	$V_{Z(t_{ZT})}=50 мкА) \cdot 9,5...10,5 В, P_D < 300 мВт$	SOT23, SOD23	А•н.с. • К
Xxs	BCR571	INF	Длпрп	$V_{CE0}=50 В, I_C=500 мА, P_D=330 мВт, h_{FE} > 20, f_T > 150 МГц$	SOT23, SOD23	В•Е•С
XY	BZ99-C11	PHIL	dz	$V_{Z(t_{ZT})}=50 мкА) \cdot 10,45...11,55 В, P_D < 300 мВт$	SOT23, SOD23	А•н.с. • К

**SOT490 TSM
MFPAK TSFP-3**

VMT3 VMD3



SOT416 SOT523

SOT323 SOT346

SOT23-3 SOD23-3



Код	Типономинал	Б	Ф	Особенности	Корпус	Ц: 1•2•3
XZ	BZX99-C12	PHIL	dz	$V_{f(I_{T1}=50 \text{ мА})} = 11.4 \dots 12.6 \text{ В}$, $P_D < 300 \text{ мВт}$	SOT23, SOD23	A•л.с. • К
XZ-	2SC5628	RBN	npn	$V_{CEB} = 15 \text{ В}$, $I_C = 50 \text{ мА}$, $P_D = 80 \text{ мВт}$; $\eta_{25} = 80 \dots 160$; $f_T > 6 \text{ ГГц}$	SC81, MFPAK	B•E•C
XZ-	2SC5629	RBN	npn	$V_{CEB} = 15 \text{ В}$, $I_C = 50 \text{ мА}$, $P_D = 80 \text{ мВт}$; $\eta_{25} = 80 \dots 160$; $f_T > 2 \text{ ГГц}$	SOT416, SC75A	B•E•C
Y1	BZX84C11	ALLEG	dz	$V_{f(I_{T1}=5 \text{ мА})} = 10.4 \dots 11.6 \text{ В}$, $I_{f(I_{T1}=8.0 \text{ В})} < 0.1 \text{ мА}$, $Z_{T1}(I_{T1}=5 \text{ мА}) < 20 \text{ Ом}$	SOT23, SOD23	A•л.с. • К
Y1	BZX84C11	CSI	dz	$V_{f(I_{T1}=5 \text{ мА})} = 10.4 \dots 11.6 \text{ В}$, $I_{f(I_{T1}=8.0 \text{ В})} < 0.1 \text{ мА}$, $Z_{T1}(I_{T1}=5 \text{ мА}) < 20 \text{ Ом}$, $I_{ZM} = 23 \text{ мА}$	SOT23, SOD23	A•л.с. • К
Y1	BZX84C11	VISH	dz	$V_{f(I_{T1}=5 \text{ мА})} = 10.4 \dots 11.6 \text{ В}$, $Z_{T1}(I_{T1}=5 \text{ мА}) < 20 \text{ Ом}$	SOT23, SOD23	A•л.с. • К
Y1	BZX84C11LT1	MOT	dz	$V_{f(I_{T1}=5 \text{ мА})} = 10.4 \dots 11.6 \text{ В}$, $Z_{T1}(I_{T1}=5 \text{ мА}) < 20 \text{ Ом}$	SOT23, SOD23	A•л.с. • К
Y10	BZX84C27	ALLEG	dz	$V_{f(I_{T1}=2 \text{ мА})} = 25.1 \dots 28.9 \text{ В}$, $I_{f(I_{T1}=21.0 \text{ В})} < 0.05 \text{ мА}$, $Z_{T1}(I_{T1}=2 \text{ мА}) < 80 \text{ Ом}$	SOT23, SOD23	A•л.с. • К
Y10	BZX84C27	CSI	dz	$V_{f(I_{T1}=2 \text{ мА})} = 25.1 \dots 28.9 \text{ В}$, $I_{f(I_{T1}=18.9 \text{ В})} < 0.05 \text{ мА}$, $Z_{T1}(I_{T1}=2 \text{ мА}) < 80 \text{ Ом}$, $I_{ZM} = 9 \text{ мА}$	SOT23, SOD23	A•л.с. • К
Y10	BZX84C27	PHIL	dz	$V_{f(I_{T1}=2 \text{ мА})} = 25.1 \dots 28.9 \text{ В}$, $I_{f(I_{T1}=18.9 \text{ В})} < 50 \text{ нА}$, $Z_{T1}(I_{T1}=2.0 \text{ мА}) < 80 \text{ Ом}$, $I_{ZM} = 200 \text{ мА}$	SOT23, SOD23	A•л.с. • К
Y10	BZX84C27	VISH	dz	$V_{f(I_{T1}=2 \text{ мА})} = 25.1 \dots 28.9 \text{ В}$, $Z_{T1}(I_{T1}=2 \text{ мА}) < 80 \text{ Ом}$	SOT23, SOD23	A•л.с. • К
Y11	BZX84C30	ALLEG	dz	$V_{f(I_{T1}=2 \text{ мА})} = 28.0 \dots 32.0 \text{ В}$, $I_{f(I_{T1}=18.9 \text{ В})} < 0.05 \text{ мА}$, $Z_{T1}(I_{T1}=2 \text{ мА}) < 80 \text{ Ом}$	SOT23, SOD23	A•л.с. • К
Y11	BZX84C30	CSI	dz	$V_{f(I_{T1}=2 \text{ мА})} = 28.0 \dots 32.0 \text{ В}$, $I_{f(I_{T1}=21.0 \text{ В})} < 0.05 \text{ мА}$, $Z_{T1}(I_{T1}=2 \text{ мА}) < 80 \text{ Ом}$, $I_{ZM} = 8 \text{ мА}$	SOT23, SOD23	A•л.с. • К
Y11	BZX84C30	PHIL	dz	$V_{f(I_{T1}=2 \text{ мА})} = 28.0 \dots 32.0 \text{ В}$, $I_{f(I_{T1}=21.0 \text{ В})} < 50 \text{ нА}$, $Z_{T1}(I_{T1}=2.0 \text{ мА}) < 80 \text{ Ом}$, $I_{ZM} = 200 \text{ мА}$	SOT23, SOD23	A•л.с. • К
Y11	BZX84C30	VISH	dz	$V_{f(I_{T1}=2 \text{ мА})} = 28.0 \dots 32.0 \text{ В}$, $Z_{T1}(I_{T1}=2 \text{ мА}) < 80 \text{ Ом}$	SOT23, SOD23	A•л.с. • К
Y11	BZX84C30LT1	MOT	dz	$V_{f(I_{T1}=2 \text{ мА})} = 28.0 \dots 32.0 \text{ В}$, $Z_{T1}(I_{T1}=2 \text{ мА}) < 80 \text{ Ом}$	SOT23, SOD23	A•л.с. • К
Y12	BZX84C33	ALLEG	dz	$V_{f(I_{T1}=2 \text{ мА})} = 31.0 \dots 35.0 \text{ В}$, $I_{f(I_{T1}=23.1 \text{ В})} < 0.05 \text{ мА}$, $Z_{T1}(I_{T1}=2 \text{ мА}) < 80 \text{ Ом}$	SOT23, SOD23	A•л.с. • К
Y12	BZX84C33	CSI	dz	$V_{f(I_{T1}=2 \text{ мА})} = 31.0 \dots 35.0 \text{ В}$, $I_{f(I_{T1}=23.1 \text{ В})} < 0.05 \text{ мА}$, $Z_{T1}(I_{T1}=2 \text{ мА}) < 80 \text{ Ом}$, $I_{ZM} = 7 \text{ мА}$	SOT23, SOD23	A•л.с. • К
Y12	BZX84C33	PHIL	dz	$V_{f(I_{T1}=2 \text{ мА})} = 31.0 \dots 35.0 \text{ В}$, $I_{f(I_{T1}=23.1 \text{ В})} < 50 \text{ нА}$, $Z_{T1}(I_{T1}=2.0 \text{ мА}) < 80 \text{ Ом}$, $I_{ZM} = 200 \text{ мА}$	SOT23, SOD23	A•л.с. • К
Y12	BZX84C33	VISH	dz	$V_{f(I_{T1}=2 \text{ мА})} = 31.0 \dots 35.0 \text{ В}$, $Z_{T1}(I_{T1}=2 \text{ мА}) < 80 \text{ Ом}$	SOT23, SOD23	A•л.с. • К
Y12	BZX84C33LT1	MOT	dz	$V_{f(I_{T1}=2 \text{ мА})} = 31.0 \dots 35.0 \text{ В}$, $Z_{T1}(I_{T1}=2 \text{ мА}) < 80 \text{ Ом}$	SOT23, SOD23	A•л.с. • К
Y13	BZX84C36	PHIL	dz	$V_{f(I_{T1}=2 \text{ мА})} = 34.0 \dots 38.0 \text{ В}$, $I_{f(I_{T1}=25.2 \text{ В})} < 50 \text{ нА}$, $Z_{T1}(I_{T1}=2.0 \text{ мА}) < 90 \text{ Ом}$, $I_{ZM} = 200 \text{ мА}$	SOT23, SOD23	A•л.с. • К
Y13	BZX84C36	VISH	dz	$V_{f(I_{T1}=2 \text{ мА})} = 33.0 \dots 38.0 \text{ В}$, $Z_{T1}(I_{T1}=2 \text{ мА}) < 90 \text{ Ом}$	SOT23, SOD23	A•л.с. • К
Y13	BZX84C36LT1	MOT	dz	$V_{f(I_{T1}=2 \text{ мА})} = 33.0 \dots 38.0 \text{ В}$, $Z_{T1}(I_{T1}=2 \text{ мА}) < 90 \text{ Ом}$	SOT23, SOD23	A•л.с. • К
Y14	BZX84C39	PHIL	dz	$V_{f(I_{T1}=2 \text{ мА})} = 37.0 \dots 41.0 \text{ В}$, $I_{f(I_{T1}=27.3 \text{ В})} < 50 \text{ нА}$, $Z_{T1}(I_{T1}=2.0 \text{ мА}) < 75 \text{ Ом}$, $I_{ZM} = 250 \text{ мА}$	SOT23, SOD23	A•л.с. • К
Y14	BZX84C39	VISH	dz	$V_{f(I_{T1}=2 \text{ мА})} = 36.0 \dots 41.0 \text{ В}$, $Z_{T1}(I_{T1}=2 \text{ мА}) < 130 \text{ Ом}$	SOT23, SOD23	A•л.с. • К
Y14	BZX84C39LT1	MOT	dz	$V_{f(I_{T1}=2 \text{ мА})} = 36.0 \dots 41.0 \text{ В}$, $Z_{T1}(I_{T1}=2 \text{ мА}) < 130 \text{ Ом}$	SOT23, SOD23	A•л.с. • К
Y15	BZX84C43	PHIL	dz	$V_{f(I_{T1}=2 \text{ мА})} = 40.0 \dots 46.0 \text{ В}$, $I_{f(I_{T1}=30.1 \text{ В})} < 50 \text{ нА}$, $Z_{T1}(I_{T1}=2.0 \text{ мА}) < 150 \text{ Ом}$, $I_{ZM} = 200 \text{ мА}$	SOT23, SOD23	A•л.с. • К
Y15	BZX84C43	VISH	dz	$V_{f(I_{T1}=2 \text{ мА})} = 40.0 \dots 46.0 \text{ В}$, $Z_{T1}(I_{T1}=2 \text{ мА}) < 150 \text{ Ом}$	SOT23, SOD23	A•л.с. • К
Y15	BZX84C43LT1	MOT	dz	$V_{f(I_{T1}=2 \text{ мА})} = 40.0 \dots 46.0 \text{ В}$, $Z_{T1}(I_{T1}=2 \text{ мА}) < 150 \text{ Ом}$	SOT23, SOD23	A•л.с. • К
Y16	BZX84C47	PHIL	dz	$V_{f(I_{T1}=2 \text{ мА})} = 44.0 \dots 50.0 \text{ В}$, $I_{f(I_{T1}=32.9 \text{ В})} < 50 \text{ нА}$, $Z_{T1}(I_{T1}=2.0 \text{ мА}) < 170 \text{ Ом}$, $I_{ZM} = 200 \text{ мА}$	SOT23, SOD23	A•л.с. • К
Y16	BZX84C47	VISH	dz	$V_{f(I_{T1}=2 \text{ мА})} = 44.0 \dots 50.0 \text{ В}$, $Z_{T1}(I_{T1}=2 \text{ мА}) < 170 \text{ Ом}$	SOT23, SOD23	A•л.с. • К
Y16	BZX84C47LT1	MOT	dz	$V_{f(I_{T1}=2 \text{ мА})} = 44.0 \dots 50.0 \text{ В}$, $Z_{T1}(I_{T1}=2 \text{ мА}) < 170 \text{ Ом}$	SOT23, SOD23	A•л.с. • К
Y17	BZX84C51	PHIL	dz	$V_{f(I_{T1}=2 \text{ мА})} = 48.0 \dots 54.0 \text{ В}$, $I_{f(I_{T1}=35.7 \text{ В})} < 50 \text{ нА}$, $Z_{T1}(I_{T1}=2.0 \text{ мА}) < 180 \text{ Ом}$, $I_{ZM} = 200 \text{ мА}$	SOT23, SOD23	A•л.с. • К
Y17	BZX84C51	VISH	dz	$V_{f(I_{T1}=2 \text{ мА})} = 48.0 \dots 54.0 \text{ В}$, $Z_{T1}(I_{T1}=2 \text{ мА}) < 180 \text{ Ом}$	SOT23, SOD23	A•л.с. • К
Y17	BZX84C51LT1	MOT	dz	$V_{f(I_{T1}=2 \text{ мА})} = 48.0 \dots 54.0 \text{ В}$, $Z_{T1}(I_{T1}=2 \text{ мА}) < 180 \text{ Ом}$	SOT23, SOD23	A•л.с. • К
Y18	BZX84C56	PHIL	dz	$V_{f(I_{T1}=2 \text{ мА})} = 52.0 \dots 60.0 \text{ В}$, $I_{f(I_{T1}=39.2 \text{ В})} < 50 \text{ нА}$, $Z_{T1}(I_{T1}=2.0 \text{ мА}) < 200 \text{ Ом}$, $I_{ZM} = 200 \text{ мА}$	SOT23, SOD23	A•л.с. • К
Y18	BZX84C56LT1	MOT	dz	$V_{f(I_{T1}=2 \text{ мА})} = 52.0 \dots 60.0 \text{ В}$, $I_{f(I_{T1}=39.2 \text{ В})} < 50 \text{ нА}$, $Z_{T1}(I_{T1}=2.0 \text{ мА}) < 200 \text{ Ом}$, $I_{ZM} = 200 \text{ мА}$	SOT23, SOD23	A•л.с. • К
Y19	BZX84C62	PHIL	dz	$V_{f(I_{T1}=2 \text{ мА})} = 58.0 \dots 66.0 \text{ В}$, $I_{f(I_{T1}=43.4 \text{ В})} < 50 \text{ нА}$, $Z_{T1}(I_{T1}=2.0 \text{ мА}) < 215 \text{ Ом}$, $I_{ZM} = 200 \text{ мА}$	SOT23, SOD23	A•л.с. • К
Y19	BZX84C62LT1	MOT	dz	$V_{f(I_{T1}=2 \text{ мА})} = 58.0 \dots 66.0 \text{ В}$, $I_{f(I_{T1}=43.4 \text{ В})} < 50 \text{ нА}$, $Z_{T1}(I_{T1}=2.0 \text{ мА}) < 215 \text{ Ом}$, $I_{ZM} = 200 \text{ мА}$	SOT23, SOD23	A•л.с. • К



SOT23-3
SOD23-3

SOT323
SOT346

SOT416
SOT523



SOT490
MFPK

TESM
TSFP-3

VMT3
VMD3

Код	Типономинал	Б	Ф	Особенности	Корпус	Ц: 1•2•3
Y1p	BZX84C11	PHIL	dz	$V_{ZT}(I_{ZT}=5\text{ mA})=10.4...11.6\text{ В}; I_L(V_R=8.0\text{ В}) < 100\text{ нА}; Z_{T1}(I_{ZT}=5.0\text{ мА}) < 20\text{ Ом}; I_{ZM}=200\text{ мА}$	SOT23, SOD23	А•п.с•К
Y1i	BZX84C11	PHIL	dz	$V_{ZT}(I_{ZT}=5\text{ mA})=10.4...11.6\text{ В}; I_L(V_R=8.0\text{ В}) < 100\text{ нА}; Z_{T1}(I_{ZT}=5.0\text{ мА}) < 20\text{ Ом}; I_{ZM}=200\text{ мА}$	SOT23, SOD23	А•п.с•К
Y2	BZX84C12	ALLEG	dz	$V_{ZT}(I_{ZT}=5\text{ mA})=11.4...12.7\text{ В}; I_L(V_R=8.0\text{ В}) < 0.1\text{ мкА}; Z_{T1}(I_{ZT}=5\text{ мА}) < 25\text{ Ом}$	SOT23, SOD23	А•п.с•К
Y2	BZX84C12	CSI	dz	$V_{ZT}(I_{ZT}=5\text{ mA})=11.4...12.7\text{ В}; I_L(V_R=8.0\text{ В}) < 0.1\text{ мкА}; Z_{T1}(I_{ZT}=5\text{ мА}) < 25\text{ Ом}; I_{ZM} < 21\text{ мА}$	SOT23, SOD23	А•п.с•К
Y2	BZX84C12	VISH	dz	$V_{ZT}(I_{ZT}=5\text{ mA})=11.4...12.7\text{ В}; Z_{T1}(I_{ZT}=5\text{ мА}) < 25\text{ Ом}$	SOT23, SOD23	А•п.с•К
Y2	BZX84C12LT1	MOT	dz	$V_{ZT}(I_{ZT}=5\text{ mA})=11.4...12.7\text{ В}; Z_{T1}(I_{ZT}=5\text{ мА}) < 25\text{ Ом}$	SOT23, SOD23	А•п.с•К
Y20	BZX84C68	PHIL	dz	$V_{ZT}(I_{ZT}=2\text{ mA})=64.60...72.0\text{ В}; I_L(V_R=47.6\text{ В}) < 50\text{ нА}; Z_{T1}(I_{ZT}=2.0\text{ мА}) < 240\text{ Ом}; I_{ZM}=200\text{ мА}$	SOT23, SOD23	А•п.с•К
Y2i	BZX84C75	PHIL	dz	$V_{ZT}(I_{ZT}=2\text{ mA})=70.0...79.0\text{ В}; I_L(V_R=52.5\text{ В}) < 50\text{ нА}; Z_{T1}(I_{ZT}=2.0\text{ мА}) < 255\text{ Ом}; I_{ZM}=200\text{ мА}$	SOT23, SOD23	А•п.с•К
Y2p	BZX84C12	PHIL	dz	$V_{ZT}(I_{ZT}=5\text{ mA})=11.4...12.7\text{ В}; I_L(V_R=8.0\text{ В}) < 100\text{ нА}; Z_{T1}(I_{ZT}=5.0\text{ мА}) < 25\text{ Ом}; I_{ZM}=200\text{ мА}$	SOT23, SOD23	А•п.с•К
Y2i	BZX84C12	PHIL	dz	$V_{ZT}(I_{ZT}=5\text{ mA})=11.4...12.7\text{ В}; I_L(V_R=8.0\text{ В}) < 100\text{ нА}; Z_{T1}(I_{ZT}=5.0\text{ мА}) < 25\text{ Ом}; I_{ZM}=200\text{ мА}$	SOT23, SOD23	А•п.с•К
Y3	BZX84C13	ALLEG	dz	$V_{ZT}(I_{ZT}=5\text{ mA})=12.4...14.1\text{ В}; I_L(V_R=8.0\text{ В}) < 0.1\text{ мкА}; Z_{T1}(I_{ZT}=5\text{ мА}) < 30\text{ Ом}$	SOT23, SOD23	А•п.с•К
Y3	BZX84C13	CSI	dz	$V_{ZT}(I_{ZT}=5\text{ mA})=12.4...14.1\text{ В}; I_L(V_R=8.0\text{ В}) < 0.1\text{ мкА}; Z_{T1}(I_{ZT}=5\text{ мА}) < 30\text{ Ом}; I_{ZM} < 19\text{ мА}$	SOT23, SOD23	А•п.с•К
Y3	BZX84C13	VISH	dz	$V_{ZT}(I_{ZT}=5\text{ mA})=12.4...14.1\text{ В}; Z_{T1}(I_{ZT}=5\text{ мА}) < 30\text{ Ом}$	SOT23, SOD23	А•п.с•К
Y3	BZX84C13LT1	MOT	dz	$V_{ZT}(I_{ZT}=5\text{ mA})=12.4...14.1\text{ В}; Z_{T1}(I_{ZT}=5\text{ мА}) < 30\text{ Ом}$	SOT23, SOD23	А•п.с•К
Y36	BZX84-C13V6	PHIL	dz	$V_{ZT}(I_{ZT}=5\text{ mA})=12.4...14.1\text{ В}; Z_{T1}(I_{ZT}=5\text{ мА}) < 30\text{ Ом}$	SOT23, SOD23	А•п.с•К
Y3p	BZX84C13	PHIL	dz	$V_{ZT}(I_{ZT}=5\text{ mA})=12.4...14.1\text{ В}; I_L(V_R=8.0\text{ В}) < 100\text{ нА}; Z_{T1}(I_{ZT}=5.0\text{ мА}) < 30\text{ Ом}; I_{ZM}=200\text{ мА}$	SOT23, SOD23	А•п.с•К
Y3i	BZX84C13	PHIL	dz	$V_{ZT}(I_{ZT}=5\text{ mA})=12.4...14.1\text{ В}; I_L(V_R=8.0\text{ В}) < 100\text{ нА}; Z_{T1}(I_{ZT}=5.0\text{ мА}) < 30\text{ Ом}; I_{ZM}=200\text{ мА}$	SOT23, SOD23	А•п.с•К
Y4	BZX84C15	ALLEG	dz	$V_{ZT}(I_{ZT}=5\text{ mA})=13.8...15.6\text{ В}; I_L(V_R=10.5\text{ В}) < 0.05\text{ мкА}; Z_{T1}(I_{ZT}=5\text{ мА}) < 30\text{ Ом}$	SOT23, SOD23	А•п.с•К
Y4	BZX84C15	CSI	dz	$V_{ZT}(I_{ZT}=5\text{ mA})=13.8...15.6\text{ В}; I_L(V_R=10.5\text{ В}) < 0.05\text{ мкА}; Z_{T1}(I_{ZT}=5\text{ мА}) < 30\text{ Ом}; I_{ZM} < 17\text{ мА}$	SOT23, SOD23	А•п.с•К
Y4	BZX84C15	VISH	dz	$V_{ZT}(I_{ZT}=5\text{ mA})=13.8...15.6\text{ В}; Z_{T1}(I_{ZT}=5\text{ мА}) < 30\text{ Ом}$	SOT23, SOD23	А•п.с•К
Y4	BZX84C15LT1	MOT	dz	$V_{ZT}(I_{ZT}=5\text{ mA})=13.8...15.6\text{ В}; Z_{T1}(I_{ZT}=5\text{ мА}) < 30\text{ Ом}$	SOT23, SOD23	А•п.с•К
Y4p	BZX84C15	PHIL	dz	$V_{ZT}(I_{ZT}=5\text{ mA})=13.8...15.6\text{ В}; I_L(V_R=10.5\text{ В}) < 0.05\text{ мкА}; Z_{T1}(I_{ZT}=5.0\text{ мА}) < 30\text{ Ом}; I_{ZM}=200\text{ мА}$	SOT23, SOD23	А•п.с•К
Y4i	BZX84C15	PHIL	dz	$V_{ZT}(I_{ZT}=5\text{ mA})=13.8...15.6\text{ В}; I_L(V_R=10.5\text{ В}) < 0.05\text{ мкА}; Z_{T1}(I_{ZT}=5.0\text{ мА}) < 30\text{ Ом}; I_{ZM}=200\text{ мА}$	SOT23, SOD23	А•п.с•К
Y5	BZX84C16	ALLEG	dz	$V_{ZT}(I_{ZT}=5\text{ mA})=15.3...17.1\text{ В}; I_L(V_R=11.2\text{ В}) < 0.05\text{ мкА}; Z_{T1}(I_{ZT}=5\text{ мА}) < 40\text{ Ом}$	SOT23, SOD23	А•п.с•К
Y5	BZX84C16	CSI	dz	$V_{ZT}(I_{ZT}=5\text{ mA})=15.3...17.1\text{ В}; I_L(V_R=11.2\text{ В}) < 0.05\text{ мкА}; Z_{T1}(I_{ZT}=5\text{ мА}) < 40\text{ Ом}; I_{ZM} < 16\text{ мА}$	SOT23, SOD23	А•п.с•К
Y5	BZX84C16	VISH	dz	$V_{ZT}(I_{ZT}=5\text{ mA})=15.3...17.1\text{ В}; Z_{T1}(I_{ZT}=5\text{ мА}) < 40\text{ Ом}$	SOT23, SOD23	А•п.с•К
Y50	BZX84A2V4	PHIL	dz	$V_{ZT}(I_{ZT}=5\text{ mA})=2.37...2.43\text{ В}; I_L(V_R=1.0\text{ В}) < 50\text{ мкА}; Z_{T1}(I_{ZT}=5.0\text{ мА}) < 100\text{ Ом}; I_{ZM}=200\text{ мА}$	SOT23, SOD23	А•п.с•К
Y51	BZX84A2V7	PHIL	dz	$V_{ZT}(I_{ZT}=5\text{ mA})=2.67...2.73\text{ В}; I_L(V_R=1.0\text{ В}) < 20\text{ мкА}; Z_{T1}(I_{ZT}=5.0\text{ мА}) < 100\text{ Ом}; I_{ZM}=200\text{ мА}$	SOT23, SOD23	А•п.с•К
Y52	BZX84A3V0	PHIL	dz	$V_{ZT}(I_{ZT}=5\text{ mA})=2.97...3.03\text{ В}; I_L(V_R=1.0\text{ В}) < 10\text{ мкА}; Z_{T1}(I_{ZT}=5.0\text{ мА}) < 95\text{ Ом}; I_{ZM}=200\text{ мА}$	SOT23, SOD23	А•п.с•К
Y53	BZX84A3V3	PHIL	dz	$V_{ZT}(I_{ZT}=5\text{ mA})=3.26...3.34\text{ В}; I_L(V_R=1.0\text{ В}) < 5\text{ мкА}; Z_{T1}(I_{ZT}=5.0\text{ мА}) < 95\text{ Ом}; I_{ZM}=200\text{ мА}$	SOT23, SOD23	А•п.с•К
Y54	BZX84A3V6	PHIL	dz	$V_{ZT}(I_{ZT}=5\text{ mA})=3.56...3.64\text{ В}; I_L(V_R=1.0\text{ В}) < 5\text{ мкА}; Z_{T1}(I_{ZT}=5.0\text{ мА}) < 90\text{ Ом}; I_{ZM}=200\text{ мА}$	SOT23, SOD23	А•п.с•К
Y55	BZX84A3V9	PHIL	dz	$V_{ZT}(I_{ZT}=5\text{ mA})=3.86...3.94\text{ В}; I_L(V_R=1.0\text{ В}) < 3\text{ мкА}; Z_{T1}(I_{ZT}=5.0\text{ мА}) < 90\text{ Ом}; I_{ZM}=200\text{ мА}$	SOT23, SOD23	А•п.с•К
Y56	BZX84A4V3	PHIL	dz	$V_{ZT}(I_{ZT}=5\text{ mA})=4.25...4.35\text{ В}; I_L(V_R=1.0\text{ В}) < 3\text{ мкА}; Z_{T1}(I_{ZT}=5.0\text{ мА}) < 90\text{ Ом}; I_{ZM}=200\text{ мА}$	SOT23, SOD23	А•п.с•К
Y57	BZX84A4V7	PHIL	dz	$V_{ZT}(I_{ZT}=5\text{ mA})=4.65...4.75\text{ В}; I_L(V_R=2.0\text{ В}) < 3\text{ мкА}; Z_{T1}(I_{ZT}=5.0\text{ мА}) < 80\text{ Ом}; I_{ZM}=200\text{ мА}$	SOT23, SOD23	А•п.с•К
Y58	BZX84A5V1	PHIL	dz	$V_{ZT}(I_{ZT}=5\text{ mA})=5.04...5.16\text{ В}; I_L(V_R=2.0\text{ В}) < 2\text{ мкА}; Z_{T1}(I_{ZT}=5.0\text{ мА}) < 60\text{ Ом}; I_{ZM}=200\text{ мА}$	SOT23, SOD23	А•п.с•К

**SOT490 TSM
MFFPAK TSFP-3**

**VMT3
VMD3**



**SOT416
SOT523**

**SOT323
SOT346**

**SOT23-3
SOD23-3**



Код	Типономинал	Б	Ф	Особенности	Корпус	Ц: 1•2•3
Y59	BZX84A5V6	PHIL	dz	$V_{Z(I_{ZT}=5\text{ мА})}=5.54...5.66\text{ В}$; $I_{Z(I_{ZT}=2.0\text{ В})}<1\text{ мА}$; $Z_{ZT}(I_{ZT}=5.0\text{ мА})<40\text{ Ом}$; $I_{ZM}=200\text{ мА}$	SOT23, SOD23	A•н.с. • К
Y59	BZX84C16	PHIL	dz	$V_{Z(I_{ZT}=5\text{ мА})}=15.3...17.1\text{ В}$; $I_{Z(I_{ZT}=11.2\text{ В})}<50\text{ нА}$; $Z_{ZT}(I_{ZT}=5.0\text{ мА})<40\text{ Ом}$; $I_{ZM}=200\text{ мА}$	SOT23, SOD23	A•н.с. • К
Y51	BZX84C16	PHIL	dz	$V_{Z(I_{ZT}=5\text{ мА})}=15.3...17.1\text{ В}$; $I_{Z(I_{ZT}=11.2\text{ В})}<50\text{ нА}$; $Z_{ZT}(I_{ZT}=5.0\text{ мА})<40\text{ Ом}$; $I_{ZM}=200\text{ мА}$	SOT23, SOD23	A•н.с. • К
Y6	BZX84C18	ALLEG	dz	$V_{Z(I_{ZT}=5\text{ мА})}=16.8...19.1\text{ В}$; $I_{Z(I_{ZT}=12.6\text{ В})}<0.05\text{ мА}$; $Z_{ZT}(I_{ZT}=5\text{ мА})<45\text{ Ом}$	SOT23, SOD23	A•н.с. • К
Y6	BZX84C18	CSI	dz	$V_{Z(I_{ZT}=5\text{ мА})}=16.8...19.1\text{ В}$; $I_{Z(I_{ZT}=12.6\text{ В})}<0.05\text{ мА}$; $Z_{ZT}(I_{ZT}=5\text{ мА})<45\text{ Ом}$; $I_{ZM}<14\text{ мА}$	SOT23, SOD23	A•н.с. • К
Y6	BZX84C18	VISH	dz	$V_{Z(I_{ZT}=5\text{ мА})}=16.8...19.1\text{ В}$; $Z_{ZT}(I_{ZT}=5\text{ мА})<45\text{ Ом}$	SOT23, SOD23	A•н.с. • К
Y6	BZX84C18LT1	MOT	dz	$V_{Z(I_{ZT}=5\text{ мА})}=16.8...19.1\text{ В}$; $Z_{ZT}(I_{ZT}=5\text{ мА})<45\text{ Ом}$	SOT23, SOD23	A•н.с. • К
Y60	BZX84A6V2	PHIL	dz	$V_{Z(I_{ZT}=5\text{ мА})}=6.13...6.27\text{ В}$; $I_{Z(I_{ZT}=4.0\text{ В})}<3\text{ мА}$; $Z_{ZT}(I_{ZT}=5.0\text{ мА})<10\text{ Ом}$; $I_{ZM}=200\text{ мА}$	SOT23, SOD23	A•н.с. • К
Y61	BZX84A6V8	PHIL	dz	$V_{Z(I_{ZT}=5\text{ мА})}=6.73...6.87\text{ В}$; $I_{Z(I_{ZT}=4.0\text{ В})}<2\text{ мА}$; $Z_{ZT}(I_{ZT}=5.0\text{ мА})<15\text{ Ом}$; $I_{ZM}=200\text{ мА}$	SOT23, SOD23	A•н.с. • К
Y62	BZX84A7V5	PHIL	dz	$V_{Z(I_{ZT}=5\text{ мА})}=7.42...7.58\text{ В}$; $I_{Z(I_{ZT}=5.0\text{ В})}<1\text{ мА}$; $Z_{ZT}(I_{ZT}=5.0\text{ мА})<15\text{ Ом}$; $I_{ZM}=200\text{ мА}$	SOT23, SOD23	A•н.с. • К
Y63	BZX84A8V2	PHIL	dz	$V_{Z(I_{ZT}=5\text{ мА})}=8.11...8.29\text{ В}$; $I_{Z(I_{ZT}=5.0\text{ В})}<700\text{ нА}$; $Z_{ZT}(I_{ZT}=5.0\text{ мА})<15\text{ Ом}$; $I_{ZM}=200\text{ мА}$	SOT23, SOD23	A•н.с. • К
Y64	BZX84A9V1	PHIL	dz	$V_{Z(I_{ZT}=5\text{ мА})}=9.00...9.20\text{ В}$; $I_{Z(I_{ZT}=6.0\text{ В})}<500\text{ нА}$; $Z_{ZT}(I_{ZT}=5.0\text{ мА})<15\text{ Ом}$; $I_{ZM}=200\text{ мА}$	SOT23, SOD23	A•н.с. • К
Y65	BZX84A10	PHIL	dz	$V_{Z(I_{ZT}=5\text{ мА})}=9.9...10.1\text{ В}$; $I_{Z(I_{ZT}=7.0\text{ В})}<200\text{ нА}$; $Z_{ZT}(I_{ZT}=5.0\text{ мА})<20\text{ Ом}$; $I_{ZM}=200\text{ мА}$	SOT23, SOD23	A•н.с. • К
Y66	BZX84A11	PHIL	dz	$V_{Z(I_{ZT}=5\text{ мА})}=10.8...11.11\text{ В}$; $I_{Z(I_{ZT}=8.0\text{ В})}<100\text{ нА}$; $Z_{ZT}(I_{ZT}=5.0\text{ мА})<20\text{ Ом}$; $I_{ZM}=200\text{ мА}$	SOT23, SOD23	A•н.с. • К
Y67	BZX84A12	PHIL	dz	$V_{Z(I_{ZT}=5\text{ мА})}=11.88...12.12\text{ В}$; $I_{Z(I_{ZT}=8.0\text{ В})}<100\text{ нА}$; $Z_{ZT}(I_{ZT}=5.0\text{ мА})<25\text{ Ом}$; $I_{ZM}=200\text{ мА}$	SOT23, SOD23	A•н.с. • К
Y68	BZX84A13	PHIL	dz	$V_{Z(I_{ZT}=5\text{ мА})}=12.87...13.13\text{ В}$; $I_{Z(I_{ZT}=8.0\text{ В})}<100\text{ нА}$; $Z_{ZT}(I_{ZT}=5.0\text{ мА})<30\text{ Ом}$; $I_{ZM}=200\text{ мА}$	SOT23, SOD23	A•н.с. • К
Y69	BZX84A15	PHIL	dz	$V_{Z(I_{ZT}=5\text{ мА})}=14.9...15.2\text{ В}$; $I_{Z(I_{ZT}=10.5\text{ В})}<0.05\text{ мА}$; $Z_{ZT}(I_{ZT}=5.0\text{ мА})<30\text{ Ом}$; $I_{ZM}=200\text{ мА}$	SOT23, SOD23	A•н.с. • К
Y69	BZX84C18	PHIL	dz	$V_{Z(I_{ZT}=5\text{ мА})}=16.8...19.1\text{ В}$; $I_{Z(I_{ZT}=12.6\text{ В})}<50\text{ нА}$; $Z_{ZT}(I_{ZT}=5.0\text{ мА})<45\text{ Ом}$; $I_{ZM}=200\text{ мА}$	SOT23, SOD23	A•н.с. • К
Y61	BZX84C18	PHIL	dz	$V_{Z(I_{ZT}=5\text{ мА})}=16.8...19.1\text{ В}$; $I_{Z(I_{ZT}=12.6\text{ В})}<50\text{ нА}$; $Z_{ZT}(I_{ZT}=5.0\text{ мА})<45\text{ Ом}$; $I_{ZM}=200\text{ мА}$	SOT23, SOD23	A•н.с. • К
Y7	BZX84C20	ALLEG	dz	$V_{Z(I_{ZT}=5\text{ мА})}=18.8...21.2\text{ В}$; $I_{Z(I_{ZT}=14.0\text{ В})}<0.05\text{ мА}$; $Z_{ZT}(I_{ZT}=5\text{ мА})<65\text{ Ом}$	SOT23, SOD23	A•н.с. • К
Y7	BZX84C20	CSI	dz	$V_{Z(I_{ZT}=5\text{ мА})}=18.8...21.2\text{ В}$; $I_{Z(I_{ZT}=14.0\text{ В})}<0.05\text{ мА}$; $Z_{ZT}(I_{ZT}=5\text{ мА})<65\text{ Ом}$; $I_{ZM}=12\text{ мА}$	SOT23, SOD23	A•н.с. • К
Y7	BZX84C20	VISH	dz	$V_{Z(I_{ZT}=5\text{ мА})}=18.8...21.2\text{ В}$; $Z_{ZT}(I_{ZT}=5\text{ мА})<65\text{ Ом}$	SOT23, SOD23	A•н.с. • К
Y7	BZX84C20LT1	MOT	dz	$V_{Z(I_{ZT}=5\text{ мА})}=18.8...21.2\text{ В}$; $Z_{ZT}(I_{ZT}=5\text{ мА})<65\text{ Ом}$	SOT23, SOD23	A•н.с. • К
Y70	BZX84A16	PHIL	dz	$V_{Z(I_{ZT}=5\text{ мА})}=15.84...16.16\text{ В}$; $I_{Z(I_{ZT}=11.2\text{ В})}<50\text{ нА}$; $Z_{ZT}(I_{ZT}=5.0\text{ мА})<40\text{ Ом}$; $I_{ZM}=200\text{ мА}$	SOT23, SOD23	A•н.с. • К
Y71	BZX84A18	PHIL	dz	$V_{Z(I_{ZT}=5\text{ мА})}=17.8...18.2\text{ В}$; $I_{Z(I_{ZT}=12.6\text{ В})}<50\text{ нА}$; $Z_{ZT}(I_{ZT}=5.0\text{ мА})<45\text{ Ом}$; $I_{ZM}=200\text{ мА}$	SOT23, SOD23	A•н.с. • К
Y72	BZX84A20	PHIL	dz	$V_{Z(I_{ZT}=5\text{ мА})}=19.8...20.2\text{ В}$; $I_{Z(I_{ZT}=14.0\text{ В})}<50\text{ нА}$; $Z_{ZT}(I_{ZT}=5.0\text{ мА})<55\text{ Ом}$; $I_{ZM}=200\text{ мА}$	SOT23, SOD23	A•н.с. • К
Y73	BZX84A22	PHIL	dz	$V_{Z(I_{ZT}=5\text{ мА})}=21.8...22.2\text{ В}$; $I_{Z(I_{ZT}=15.4\text{ В})}<50\text{ нА}$; $Z_{ZT}(I_{ZT}=5.0\text{ мА})<55\text{ Ом}$; $I_{ZM}=200\text{ мА}$	SOT23, SOD23	A•н.с. • К
Y74	BZX84A24	PHIL	dz	$V_{Z(I_{ZT}=5\text{ мА})}=23.8...24.2\text{ В}$; $I_{Z(I_{ZT}=16.8\text{ В})}<50\text{ нА}$; $Z_{ZT}(I_{ZT}=5.0\text{ мА})<30\text{ Ом}$; $I_{ZM}=250\text{ мА}$	SOT23, SOD23	A•н.с. • К
Y75	BZX84A27	PHIL	dz	$V_{Z(I_{ZT}=2\text{ мА})}=26.7...27.3\text{ В}$; $I_{Z(I_{ZT}=18.9\text{ В})}<50\text{ нА}$; $Z_{ZT}(I_{ZT}=2.0\text{ мА})<80\text{ Ом}$; $I_{ZM}=200\text{ мА}$	SOT23, SOD23	A•н.с. • К
Y76	BZX84A30	PHIL	dz	$V_{Z(I_{ZT}=2\text{ мА})}=29.7...30.3\text{ В}$; $I_{Z(I_{ZT}=21.0\text{ В})}<50\text{ нА}$; $Z_{ZT}(I_{ZT}=2.0\text{ мА})<80\text{ Ом}$; $I_{ZM}=200\text{ мА}$	SOT23, SOD23	A•н.с. • К
Y77	BZX84A33	PHIL	dz	$V_{Z(I_{ZT}=2\text{ мА})}=32.7...33.3\text{ В}$; $I_{Z(I_{ZT}=23.1\text{ В})}<50\text{ нА}$; $Z_{ZT}(I_{ZT}=2.0\text{ мА})<80\text{ Ом}$; $I_{ZM}=200\text{ мА}$	SOT23, SOD23	A•н.с. • К
Y78	BZX84A36	PHIL	dz	$V_{Z(I_{ZT}=2\text{ мА})}=35.6...36.4\text{ В}$; $I_{Z(I_{ZT}=25.2\text{ В})}<50\text{ нА}$; $Z_{ZT}(I_{ZT}=2.0\text{ мА})<90\text{ Ом}$; $I_{ZM}=200\text{ мА}$	SOT23, SOD23	A•н.с. • К

Код	Типономинал	Б	Ф	Особенности	Корпус	Ц: 1•2•3
Y79	BZX84A39	PHIL	dz	$V_{ZT}(I_{ZT}=2\text{ mA}) > 38.6 \dots 39.4\text{ В}; I_L(V_R=27.3\text{ В}) < 50\text{ нА}; Z_{T1}(I_{ZT}=2.0\text{ мА}) < 75\text{ Ом}; I_{ZM} < 250\text{ мА}$	SOT23, SOD23	А•п.с. • К
Y7p	BZX84C20	PHIL	dz	$V_{ZT}(I_{ZT}=5\text{ мА}) > 18.8 \dots 21.2\text{ В}; I_L(V_R=14.0\text{ В}) < 50\text{ нА}; Z_{T1}(I_{ZT}=5.0\text{ мА}) < 55\text{ Ом}; I_{ZM} < 200\text{ мА}$	SOT23, SOD23	А•п.с. • К
Y7l	BZX84C20	PHIL	dz	$V_{ZT}(I_{ZT}=5\text{ мА}) > 18.8 \dots 21.2\text{ В}; I_L(V_R=14.0\text{ В}) < 50\text{ нА}; Z_{T1}(I_{ZT}=5.0\text{ мА}) < 55\text{ Ом}; I_{ZM} < 200\text{ мА}$	SOT23, SOD23	А•п.с. • К
Y8	BZX84C22	ALLEG	dz	$V_{ZT}(I_{ZT}=5\text{ мА}) > 20.8 \dots 23.3\text{ В}; I_L(V_R=15.4\text{ В}) < 0.05\text{ мкА}; Z_{T1}(I_{ZT}=5\text{ мА}) < 55\text{ Ом}$	SOT23, SOD23	А•п.с. • К
Y8	BZX84C22	CSI	dz	$V_{ZT}(I_{ZT}=5\text{ мА}) > 20.8 \dots 23.3\text{ В}; I_L(V_R=15.4\text{ В}) < 0.05\text{ мкА}; Z_{T1}(I_{ZT}=5\text{ мА}) < 55\text{ Ом}; I_{ZM} < 11\text{ мА}$	SOT23, SOD23	А•п.с. • К
Y8	BZX84C22	VISH	dz	$V_{ZT}(I_{ZT}=5\text{ мА}) > 20.8 \dots 23.3\text{ В}; Z_{T1}(I_{ZT}=5\text{ мА}) < 55\text{ Ом}$	SOT23, SOD23	А•п.с. • К
Y8	BZX84C22LT1	MOT	dz	$V_{ZT}(I_{ZT}=5\text{ мА}) > 20.8 \dots 23.3\text{ В}; Z_{T1}(I_{ZT}=5\text{ мА}) < 55\text{ Ом}$	SOT23, SOD23	А•п.с. • К
Y8D	BZX84A43	PHIL	dz	$V_{ZT}(I_{ZT}=2\text{ мА}) > 42.6 \dots 43.4\text{ В}; I_L(V_R=30.1\text{ В}) < 50\text{ нА}; Z_{T1}(I_{ZT}=2.0\text{ мА}) < 150\text{ Ом}; I_{ZM} < 200\text{ мА}$	SOT23, SOD23	А•п.с. • К
Y8l	BZX84A47	PHIL	dz	$V_{ZT}(I_{ZT}=2\text{ мА}) > 46.5 \dots 47.5\text{ В}; I_L(V_R=32.9\text{ В}) < 50\text{ нА}; Z_{T1}(I_{ZT}=2.0\text{ мА}) < 170\text{ Ом}; I_{ZM} < 200\text{ мА}$	SOT23, SOD23	А•п.с. • К
Y82	BZX84A51	PHIL	dz	$V_{ZT}(I_{ZT}=2\text{ мА}) > 50.5 \dots 51.5\text{ В}; I_L(V_R=35.7\text{ В}) < 50\text{ нА}; Z_{T1}(I_{ZT}=2.0\text{ мА}) < 180\text{ Ом}; I_{ZM} < 200\text{ мА}$	SOT23, SOD23	А•п.с. • К
Y83	BZX84A56	PHIL	dz	$V_{ZT}(I_{ZT}=2\text{ мА}) > 55.4 \dots 56.6\text{ В}; I_L(V_R=39.2\text{ В}) < 50\text{ нА}; Z_{T1}(I_{ZT}=2.0\text{ мА}) < 200\text{ Ом}; I_{ZM} < 200\text{ мА}$	SOT23, SOD23	А•п.с. • К
Y84	BZX84A62	PHIL	dz	$V_{ZT}(I_{ZT}=2\text{ мА}) > 61.4 \dots 62.6\text{ В}; I_L(V_R=43.4\text{ В}) < 50\text{ нА}; Z_{T1}(I_{ZT}=2.0\text{ мА}) < 215\text{ Ом}; I_{ZM} < 200\text{ мА}$	SOT23, SOD23	А•п.с. • К
Y85	BZX84A68	PHIL	dz	$V_{ZT}(I_{ZT}=2\text{ мА}) > 67.3 \dots 68.7\text{ В}; I_L(V_R=47.6\text{ В}) < 50\text{ нА}; Z_{T1}(I_{ZT}=2.0\text{ мА}) < 240\text{ Ом}; I_{ZM} < 200\text{ мА}$	SOT23, SOD23	А•п.с. • К
Y86	BZX84A75	PHIL	dz	$V_{ZT}(I_{ZT}=2\text{ мА}) > 74.3 \dots 75.7\text{ В}; I_L(V_R=52.5\text{ В}) < 50\text{ нА}; Z_{T1}(I_{ZT}=2.0\text{ мА}) < 255\text{ Ом}; I_{ZM} < 200\text{ мА}$	SOT23, SOD23	А•п.с. • К
Y8p	BZX84C22	PHIL	dz	$V_{ZT}(I_{ZT}=5\text{ мА}) > 20.8 \dots 23.3\text{ В}; I_L(V_R=15.4\text{ В}) < 50\text{ нА}; Z_{T1}(I_{ZT}=5.0\text{ мА}) < 55\text{ Ом}; I_{ZM} < 200\text{ мА}$	SOT23, SOD23	А•п.с. • К
Y8t	BZX84C22	PHIL	dz	$V_{ZT}(I_{ZT}=5\text{ мА}) > 20.8 \dots 23.3\text{ В}; I_L(V_R=15.4\text{ В}) < 50\text{ нА}; Z_{T1}(I_{ZT}=5.0\text{ мА}) < 55\text{ Ом}; I_{ZM} < 200\text{ мА}$	SOT23, SOD23	А•п.с. • К
Y9	BZX84C24	ALLEG	dz	$V_{ZT}(I_{ZT}=5\text{ мА}) > 22.8 \dots 25.6\text{ В}; I_L(V_R=16.8\text{ В}) < 0.05\text{ мкА}; Z_{T1}(I_{ZT}=5\text{ мА}) < 70\text{ Ом}$	SOT23, SOD23	А•п.с. • К
Y9	BZX84C24	CSI	dz	$V_{ZT}(I_{ZT}=5\text{ мА}) > 22.8 \dots 25.6\text{ В}; I_L(V_R=16.8\text{ В}) < 0.05\text{ мкА}; Z_{T1}(I_{ZT}=5\text{ мА}) < 70\text{ Ом}; I_{ZM} < 10\text{ мА}$	SOT23, SOD23	А•п.с. • К
Y9	BZX84C24	VISH	dz	$V_{ZT}(I_{ZT}=5\text{ мА}) > 22.8 \dots 25.6\text{ В}; Z_{T1}(I_{ZT}=5\text{ мА}) < 70\text{ Ом}$	SOT23, SOD23	А•п.с. • К
Y9	BZX84C24LT1	MOT	dz	$V_{ZT}(I_{ZT}=5\text{ мА}) > 22.8 \dots 25.6\text{ В}; Z_{T1}(I_{ZT}=5\text{ мА}) < 70\text{ Ом}$	SOT23, SOD23	А•п.с. • К
Y9p	BZX84C24	PHIL	dz	$V_{ZT}(I_{ZT}=5\text{ мА}) > 22.8 \dots 25.6\text{ В}; I_L(V_R=16.8\text{ В}) < 50\text{ нА}; Z_{T1}(I_{ZT}=5.0\text{ мА}) < 30\text{ Ом}; I_{ZM} < 250\text{ мА}$	SOT23, SOD23	А•п.с. • К
Y9t	BZX84C24	PHIL	dz	$V_{ZT}(I_{ZT}=5\text{ мА}) > 22.8 \dots 25.6\text{ В}; I_L(V_R=16.8\text{ В}) < 50\text{ нА}; Z_{T1}(I_{ZT}=5.0\text{ мА}) < 30\text{ Ом}; I_{ZM} < 250\text{ мА}$	SOT23, SOD23	А•п.с. • К
YA	PN2101	TOSH	Дрnp	$V_{CE0} > 50\text{ В}; I_C = 100\text{ мА}; P_D = 200\text{ мВт}; f_T > 250\text{ МГц}; R_{TH}/R_{\theta JA} > 4.7\text{ К}/4.7\text{ К}/\text{мОм}$	SOT416, SC75A	Б•Е•С
YA	PN2101F	TOSH	Дрnp	$V_{CE0} > 50\text{ В}; I_C = 100\text{ мА}; P_D = 100\text{ мВт}; f_T > 250\text{ МГц}; R_{TH}/R_{\theta JA} > 4.7\text{ К}/\text{мОм}/4.7\text{ К}/\text{мОм}$	SOT490, SC89	Б•Е•С
YA	PN2101FT	TOSH	Дрnp	$V_{CE0} > 50\text{ В}; I_C = 100\text{ мА}; P_D = 100\text{ мВт}; f_T > 250\text{ МГц}; R_{TH}/R_{\theta JA} > 4.7\text{ К}/\text{мОм}/4.7\text{ К}/\text{мОм}$	TESM	Б•Е•С
YA	PN2301	TOSH	Дрnp	$V_{CE0} > 50\text{ В}; I_C = 100\text{ мА}; P_D = 100\text{ мВт}; f_T > 200\text{ МГц}; R_{TH}/R_{\theta JA} > 4.7\text{ К}/\text{мОм}/4.7\text{ К}/\text{мОм}$	SOT323, SC70	Б•Е•С
YA	PN2401	TOSH	Дрnp	$V_{CE0} > 50\text{ В}; I_C = 100\text{ мА}; P_D = 200\text{ мВт}; f_T > 200\text{ МГц}; R_{TH}/R_{\theta JA} > 4.7/4.7\text{ К}/\text{мОм}$	SOT346, SC59	Б•Е•С
YA-	2SC4784	REN	npn	$V_{CE0} > 15\text{ В}; I_C = 20\text{ мА}; P_D = 100\text{ мВт}; h_{FE} > 50 \dots 250; f_T > 7\text{ ГГц}$	SOT323, SC70	Б•Е•С
YA-	2SC5049	REN	npn	$V_{CE0} > 15\text{ В}; I_C = 20\text{ мА}; P_D = 150\text{ мВт}; h_{FE} > 50 \dots 250; f_T > 7\text{ ГГц}$	SOT23, SOD23	Б•Е•С
YA-	2SC5543	REN	npn	$V_{CE0} > 15\text{ В}; I_C = 20\text{ мА}; P_D = 80\text{ мВт}; h_{FE} > 85 \dots 170; f_T > 5.5\text{ ГГц}$	SC81, MPPAK	С•Б•Е
YB	PN2102	TOSH	Дрnp	$V_{CE0} > 50\text{ В}; I_C = 100\text{ мА}; P_D = 200\text{ мВт}; f_T > 250\text{ МГц}; R_{TH}/R_{\theta JA} > 10/10\text{ К}/\text{мОм}$	SOT416, SC75A	Б•Е•С
YB	PN2102F	TOSH	Дрnp	$V_{CE0} > 50\text{ В}; I_C = 100\text{ мА}; P_D = 100\text{ мВт}; f_T > 250\text{ МГц}; R_{TH}/R_{\theta JA} > 10/10\text{ К}/\text{мОм}$	SOT490, SC89	Б•Е•С
YB	PN2102FT	TOSH	Дрnp	$V_{CE0} > 50\text{ В}; I_C = 100\text{ мА}; P_D = 100\text{ мВт}; f_T > 250\text{ МГц}; R_{TH}/R_{\theta JA} > 10/10\text{ К}/\text{мОм}$	TESM	Б•Е•С
YB	PN2302	TOSH	Дрnp	$V_{CE0} > 50\text{ В}; I_C = 100\text{ мА}; P_D = 100\text{ мВт}; f_T > 200\text{ МГц}; R_{TH}/R_{\theta JA} > 10\text{ К}/\text{мОм}/10\text{ К}/\text{мОм}$	SOT323, SC70	Б•Е•С
YB	PN2402	TOSH	Дрnp	$V_{CE0} > 50\text{ В}; I_C = 100\text{ мА}; P_D = 200\text{ мВт}; f_T > 200\text{ МГц}; R_{TH}/R_{\theta JA} > 10/10\text{ К}/\text{мОм}$	SOT346, SC59	Б•Е•С
YBs	BSS84	INF	pMOS	$V_{DS} > 50\text{ В}; I_D = 130\text{ мА}; P_D = 360\text{ мВт}; g_{fs} > 50\text{ МСм}; R_{DS(on)} < 10\text{ мОм}$	SOT23, SOD23	Г•С•D
YC	PN2103	TOSH	Дрnp	$V_{CE0} > 50\text{ В}; I_C = 100\text{ мА}; P_D = 200\text{ мВт}; f_T > 250\text{ МГц}; R_{TH}/R_{\theta JA} > 22/22\text{ К}/\text{мОм}$	SOT416, SC75A	Б•Е•С
YC	PN2103F	TOSH	Дрnp	$V_{CE0} > 50\text{ В}; I_C = 100\text{ мА}; P_D = 100\text{ мВт}; f_T > 250\text{ МГц}; R_{TH}/R_{\theta JA} > 22/22\text{ К}/\text{мОм}$	SOT490, SC89	Б•Е•С
YC	PN2103FT	TOSH	Дрnp	$V_{CE0} > 50\text{ В}; I_C = 100\text{ мА}; P_D = 100\text{ мВт}; f_T > 250\text{ МГц}; R_{TH}/R_{\theta JA} > 22/22\text{ К}/\text{мОм}$	TESM	Б•Е•С
YC	PN2303	TOSH	Дрnp	$V_{CE0} > 50\text{ В}; I_C = 100\text{ мА}; P_D = 100\text{ мВт}; f_T > 200\text{ МГц}; R_{TH}/R_{\theta JA} > 22\text{ К}/\text{мОм}/22\text{ К}/\text{мОм}$	SOT323, SC70	Б•Е•С

**SOT490 TSM
MFPAK TSFP-3**

**VMT3
VMD3**



**SOT416 SOT323 SOT23-3
SOT523 SOT346 SOD23-3**



Код	Типономинал	Б	Ф	Особенности	Корпус	Ц: 1*2*3
YC	RN2403	TOSH	Дипр	$V_{CE0}=50 В, I_C=100 мА, P_D=200 мВт, f_T=200 МГц, R_{\theta J}/R_{\theta C}=22/22 кОм$	SOT346, SC59	B-E-C
YD	RN2104	TOSH	Дипр	$V_{CE0}=50 В, I_C=100 мА, P_D=200 мВт, f_T=250 МГц, R_{\theta J}/R_{\theta C}=47/47 кОм$	SOT416, SC75A	B-E-C
YD	RN2104F	TOSH	Дипр	$V_{CE0}=50 В, I_C=100 мА, P_D=100 мВт, f_T=250 МГц, R_{\theta J}/R_{\theta C}=47/47 кОм$	SOT490, SC89	B-E-C
YD	RN2104FT	TOSH	Дипр	$V_{CE0}=50 В, I_C=100 мА, P_D=100 мВт, f_T=250 МГц, R_{\theta J}/R_{\theta C}=47/47 кОм$	TESM	B-E-C
YD	RN2304	TOSH	Дипр	$V_{CE0}=50 В, I_C=100 мА, P_D=100 мВт, f_T=200 МГц, R_{\theta J}/R_{\theta C}=47 кОм/47 кОм$	SOT323, SC70	B-E-C
YD	RN2404	TOSH	Дипр	$V_{CE0}=50 В, I_C=100 мА, P_D=200 мВт, f_T=200 МГц, R_{\theta J}/R_{\theta C}=47/47 кОм$	SOT346, SC59	B-E-C
YE	RN2105	TOSH	Дипр	$V_{CE0}=50 В, I_C=100 мА, P_D=200 мВт, f_T=250 МГц, R_{\theta J}/R_{\theta C}=2.2/47 кОм$	SOT416, SC75A	B-E-C
YE	RN2105F	TOSH	Дипр	$V_{CE0}=50 В, I_C=100 мА, P_D=100 мВт, f_T=250 МГц, R_{\theta J}/R_{\theta C}=2.2/47 кОм$	SOT490, SC89	B-E-C
YE	RN2105FT	TOSH	Дипр	$V_{CE0}=50 В, I_C=100 мА, P_D=100 мВт, f_T=250 МГц, R_{\theta J}/R_{\theta C}=2.2/47 кОм$	TESM	B-E-C
YE	RN2305	TOSH	Дипр	$V_{CE0}=50 В, I_C=100 мА, P_D=100 мВт, f_T=200 МГц, R_{\theta J}/R_{\theta C}=2.2 кОм/47 кОм$	SOT323, SC70	B-E-C
YE	RN2405	TOSH	Дипр	$V_{CE0}=50 В, I_C=100 мА, P_D=200 мВт, f_T=200 МГц, R_{\theta J}/R_{\theta C}=2.2/47 кОм$	SOT346, SC59	B-E-C
YF	RN2106	TOSH	Дипр	$V_{CE0}=50 В, I_C=100 мА, P_D=200 мВт, f_T=250 МГц, R_{\theta J}/R_{\theta C}=4.7/47 кОм$	SOT416, SC75A	B-E-C
YF	RN2106F	TOSH	Дипр	$V_{CE0}=50 В, I_C=100 мА, P_D=100 мВт, f_T=250 МГц, R_{\theta J}/R_{\theta C}=4.7/47 кОм$	SOT490, SC89	B-E-C
YF	RN2106FT	TOSH	Дипр	$V_{CE0}=50 В, I_C=100 мА, P_D=100 мВт, f_T=250 МГц, R_{\theta J}/R_{\theta C}=4.7/47 кОм$	TESM	B-E-C
YF	RN2306	TOSH	Дипр	$V_{CE0}=50 В, I_C=100 мА, P_D=100 мВт, f_T=200 МГц, R_{\theta J}/R_{\theta C}=4.7 кОм/47 кОм$	SOT323, SC70	B-E-C
YF	RN2406	TOSH	Дипр	$V_{CE0}=50 В, I_C=100 мА, P_D=200 мВт, f_T=200 МГц, R_{\theta J}/R_{\theta C}=4.7/47 кОм$	SOT346, SC59	B-E-C
YH	RN2107	TOSH	Дипр	$V_{CE0}=50 В, I_C=100 мА, P_D=200 мВт, f_T=250 МГц, R_{\theta J}/R_{\theta C}=10/47 кОм$	SOT416, SC75A	B-E-C
YH	RN2107F	TOSH	Дипр	$V_{CE0}=50 В, I_C=100 мА, P_D=100 мВт, f_T=250 МГц, R_{\theta J}/R_{\theta C}=10/47 кОм$	SOT490, SC89	B-E-C
YH	RN2107FT	TOSH	Дипр	$V_{CE0}=50 В, I_C=100 мА, P_D=100 мВт, f_T=250 МГц, R_{\theta J}/R_{\theta C}=10/47 кОм$	TESM	B-E-C
YH	RN2307	TOSH	Дипр	$V_{CE0}=50 В, I_C=100 мА, P_D=100 мВт, f_T=200 МГц, R_{\theta J}/R_{\theta C}=10 кОм/47 кОм$	SOT323, SC70	B-E-C
YH	RN2407	TOSH	Дипр	$V_{CE0}=50 В, I_C=100 мА, P_D=200 мВт, f_T=200 МГц, R_{\theta J}/R_{\theta C}=10/47 кОм$	SOT346, SC59	B-E-C
YI	2SC4899	REN	прп	$V_{CE0}=15 В, I_C=20 мА, P_D=100 мВт, h_{FE}=50...250, f_T>6 ГГц$	SOT323, SC70	B-E-C
YI	RN2108	TOSH	Дипр	$V_{CE0}=50 В, I_C=100 мА, P_D=200 мВт, f_T=250 МГц, R_{\theta J}/R_{\theta C}=22/47 кОм$	SOT416, SC75A	B-E-C
YI	RN2108F	TOSH	Дипр	$V_{CE0}=50 В, I_C=100 мА, P_D=200 мВт, f_T=250 МГц, R_{\theta J}/R_{\theta C}=22/47 кОм$	SOT490, SC89	B-E-C
YI	RN2108FT	TOSH	Дипр	$V_{CE0}=50 В, I_C=100 мА, P_D=100 мВт, f_T=250 МГц, R_{\theta J}/R_{\theta C}=22/47 кОм$	TESM	B-E-C
YI	RN2308	TOSH	Дипр	$V_{CE0}=50 В, I_C=100 мА, P_D=100 мВт, f_T=200 МГц, R_{\theta J}/R_{\theta C}=22 кОм/47 кОм$	SOT323, SC70	B-E-C
YI	RN2408	TOSH	Дипр	$V_{CE0}=50 В, I_C=100 мА, P_D=200 мВт, f_T=200 МГц, R_{\theta J}/R_{\theta C}=22/47 кОм$	SOT346, SC59	B-E-C
YJ	RN2109	TOSH	Дипр	$V_{CE0}=50 В, I_C=100 мА, P_D=200 мВт, f_T=250 МГц, R_{\theta J}/R_{\theta C}=47/22 кОм$	SOT416, SC75A	B-E-C
YJ	RN2109F	TOSH	Дипр	$V_{CE0}=50 В, I_C=100 мА, P_D=100 мВт, f_T=250 МГц, R_{\theta J}/R_{\theta C}=47/22 кОм$	SOT490, SC89	B-E-C
YJ	RN2109FT	TOSH	Дипр	$V_{CE0}=50 В, I_C=100 мА, P_D=100 мВт, f_T=250 МГц, R_{\theta J}/R_{\theta C}=47/22 кОм$	TESM	B-E-C
YJ	RN2309	TOSH	Дипр	$V_{CE0}=50 В, I_C=100 мА, P_D=100 мВт, f_T=200 МГц, R_{\theta J}/R_{\theta C}=47 кОм/22 кОм$	SOT323, SC70	B-E-C
YJ	RN2409	TOSH	Дипр	$V_{CE0}=50 В, I_C=100 мА, P_D=200 мВт, f_T=200 МГц, R_{\theta J}/R_{\theta C}=47/22 кОм$	SOT346, SC59	B-E-C
YK	RN2110	TOSH	Дипр	$V_{CE0}=50 В, I_C=100 мА, P_D=200 мВт, f_T=250 МГц, R_{\theta J}/R_{\theta C}=4.7 кОм$	SOT416, SC75A	B-E-C
YK	RN2110F	TOSH	Дипр	$V_{CE0}=50 В, I_C=100 мА, P_D=100 мВт, f_T=250 МГц, R_{\theta J}/R_{\theta C}=4.7 кОм$	SOT490, SC89	B-E-C
YK	RN2110FT	TOSH	Дипр	$V_{CE0}=50 В, I_C=100 мА, P_D=100 мВт, f_T=250 МГц, R_{\theta J}/R_{\theta C}=4.7 кОм$	TESM	B-E-C
YK	RN2310	TOSH	Дипр	$V_{CE0}=50 В, I_C=100 мА, P_D=100 мВт, f_T=200 МГц, R_{\theta J}/R_{\theta C}=4.7 кОм$	SOT323, SC70	B-E-C
YK	RN2410	TOSH	Дипр	$V_{CE0}=50 В, I_C=100 мА, P_D=200 мВт, f_T=200 МГц, R_{\theta J}/R_{\theta C}=4.7 кОм$	SOT346, SC59	B-E-C
YK	2SC4901	REN	прп	$V_{CE0}=15 В, I_C=50 мА, P_D=150 мВт, h_{FE}=50...250, f_T>6 ГГц$	SOT323, SC70	B-E-C
YL	2SC4902	REN	прп	$V_{CE0}=20 В, I_C=30 мА, P_D=150 мВт, h_{FE}=50...250, f_T>4 ГГц$	SOT23, SOD23	B-E-C
YL	2SC4903	REN	прп	$V_{CE0}=20 В, I_C=30 мА, P_D=150 мВт, h_{FE}=50...250, f_T>4 ГГц$	SOT323, SC70	B-E-C
YM	RN2111	TOSH	Дипр	$V_{CE0}=50 В, I_C=100 мА, P_D=200 мВт, f_T=250 МГц, R_{\theta J}/R_{\theta C}=10 кОм$	SOT416, SC75A	B-E-C
YM	RN2111F	TOSH	Дипр	$V_{CE0}=50 В, I_C=100 мА, P_D=100 мВт, f_T=250 МГц, R_{\theta J}/R_{\theta C}=10 кОм$	SOT490, SC89	B-E-C
YM	RN2111FT	TOSH	Дипр	$V_{CE0}=50 В, I_C=100 мА, P_D=100 мВт, f_T=250 МГц, R_{\theta J}/R_{\theta C}=10 кОм$	TESM	B-E-C
YM	RN2311	TOSH	Дипр	$V_{CE0}=50 В, I_C=100 мА, P_D=100 мВт, f_T=200 МГц, R_{\theta J}/R_{\theta C}=10 кОм$	SOT323, SC70	B-E-C
YM	RN2411	TOSH	Дипр	$V_{CE0}=50 В, I_C=100 мА, P_D=200 мВт, f_T=200 МГц, R_{\theta J}/R_{\theta C}=10 кОм$	SOT346, SC59	B-E-C
YN	RN2112	TOSH	Дипр	$V_{CE0}=50 В, I_C=100 мА, P_D=200 мВт, f_T=250 МГц, R_{\theta J}/R_{\theta C}=22 кОм$	SOT416, SC75A	B-E-C
YN	RN2112F	TOSH	Дипр	$V_{CE0}=50 В, I_C=100 мА, P_D=100 мВт, f_T=250 МГц, R_{\theta J}/R_{\theta C}=22 кОм$	SOT490, SC89	B-E-C
YN	RN2112FT	TOSH	Дипр	$V_{CE0}=50 В, I_C=100 мА, P_D=100 мВт, f_T=250 МГц, R_{\theta J}/R_{\theta C}=22 кОм$	TESM	B-E-C
YN	RN2312	TOSH	Дипр	$V_{CE0}=50 В, I_C=100 мА, P_D=100 мВт, f_T=200 МГц, R_{\theta J}/R_{\theta C}=22 кОм$	SOT323, SC70	B-E-C
YN	RN2412	TOSH	Дипр	$V_{CE0}=50 В, I_C=100 мА, P_D=200 мВт, f_T=200 МГц, R_{\theta J}/R_{\theta C}=22 кОм$	SOT346, SC59	B-E-C
YP	2SD1484KP	ROHM	прп	$V_{CE0}=50 В, I_C=500 мА, P_D=200 мВт, h_{FE}=82...180, f_T>250 МГц$	SOT346, SC59	B-E-C
YP	2SD1949P	ROHM	прп	$V_{CE0}=50 В, I_C=500 мА, P_D=200 мВт, h_{FE}=82...180, f_T>250 МГц$	SOT323, SC70	B-E-C



SOT23-3
SOD23-3

SOT323
SOT346

SOT416
SOT523



SOT490
MFPK

TESM
TSFP-3

VMT3
VMD3

Код	Типономинал	Б	Ф	Особенности	Корпус	Ц: 1•2•3
YP	RN2113	TOSH	Drnp	$V_{CE0}=50B, I_C=100\text{ mA}, P_D=200\text{ мВт}, f_T=250\text{ МГц}, R_{\theta JA}=47\text{ К/м}$	SOT416, SC75A	В•Е•С
YP	RN2113F	TOSH	Drnp	$V_{CE0}=50B, I_C=100\text{ mA}, P_D=100\text{ мВт}, f_T=250\text{ МГц}, R_{\theta JA}=47\text{ К/м}$	SOT490, SC89	В•Е•С
YP	RN2113FT	TOSH	Drnp	$V_{CE0}=50B, I_C=100\text{ mA}, P_D=100\text{ мВт}, f_T=250\text{ МГц}, R_{\theta JA}=47\text{ К/м}$	TESM	В•Е•С
YP	RN2313	TOSH	Drnp	$V_{CE0}=50B, I_C=100\text{ mA}, P_D=100\text{ мВт}, f_T=200\text{ МГц}, R_{\theta JA}=47\text{ К/м}$	SOT323, SC70	В•Е•С
YP	RN2413	TOSH	Drnp	$V_{CE0}=50B, I_C=100\text{ mA}, P_D=200\text{ мВт}, f_T=200\text{ МГц}, R_{\theta JA}=47\text{ К/м}$	SOT346, SC59	В•Е•С
YQ	2SD1484KQ	ROHM	npn	$V_{CE0}=50B, I_C=500\text{ mA}, P_D=200\text{ мВт}, h_{FE}=120...270, f_T>250\text{ МГц}$	SOT346, SC59	В•Е•С
YQ	2SD1949Q	ROHM	npn	$V_{CE0}=50B, I_C=500\text{ mA}, P_D=200\text{ мВт}, h_{FE}=120...270, f_T>250\text{ МГц}$	SOT323, SC70	В•Е•С
YQ	RN2114	TOSH	Drnp	$V_{CE0}=50B, I_C=100\text{ mA}, P_D=100\text{ мВт}, f_T=200\text{ МГц}, R_{\theta JA}/R_{\theta JC}=1\text{ К/м}/10\text{ К/м}$	SOT416, SC75A	В•Е•С
YQ	RN2314	TOSH	Drnp	$V_{CE0}=50B, I_C=100\text{ mA}, P_D=100\text{ мВт}, f_T=200\text{ МГц}, R_{\theta JA}/R_{\theta JC}=1\text{ К/м}/10\text{ К/м}$	SOT323, SC70	В•Е•С
YQ	RN2414	TOSH	Drnp	$V_{CE0}=50B, I_C=100\text{ mA}, P_D=200\text{ мВт}, f_T=200\text{ МГц}, R_{\theta JA}/R_{\theta JC}=1/10\text{ К/м}$	SOT346, SC59	В•Е•С
YR	2SD1484KR	ROHM	npn	$V_{CE0}=50B, I_C=500\text{ mA}, P_D=200\text{ мВт}, h_{FE}=120...390, f_T>250\text{ МГц}$	SOT346, SC59	В•Е•С
YR	2SD1949R	ROHM	npn	$V_{CE0}=50B, I_C=500\text{ mA}, P_D=200\text{ мВт}, h_{FE}=180...390, f_T>250\text{ МГц}$	SOT323, SC70	В•Е•С
YR	MSD601R	MOT	npn	$V_{CE0}=25B$	SOT346, SC59	В•Е•С
YS	MSD601S	MOT	npn	$V_{CE0}=25B$	SOT346, SC59	В•Е•С
YS	RN2115	TOSH	Drnp	$V_{CE0}=50B, I_C=100\text{ mA}, P_D=100\text{ мВт}, f_T=200\text{ МГц}, R_{\theta JA}/R_{\theta JC}=2.2\text{ К/м}/10\text{ К/м}$	SOT416, SC75A	В•Е•С
YS	RN2315	TOSH	Drnp	$V_{CE0}=50B, I_C=100\text{ mA}, P_D=100\text{ мВт}, f_T=200\text{ МГц}, R_{\theta JA}/R_{\theta JC}=2.2\text{ К/м}/10\text{ К/м}$	SOT323, SC70	В•Е•С
YS	RN2415	TOSH	Drnp	$V_{CE0}=50B, I_C=100\text{ mA}, P_D=200\text{ мВт}, f_T=200\text{ МГц}, R_{\theta JA}/R_{\theta JC}=2.2/10\text{ К/м}$	SOT346, SC59	В•Е•С
YT	RN2116	TOSH	Drnp	$V_{CE0}=50B, I_C=100\text{ mA}, P_D=100\text{ мВт}, f_T=200\text{ МГц}, R_{\theta JA}/R_{\theta JC}=4.7\text{ К/м}/10\text{ К/м}$	SOT416, SC75A	В•Е•С
YT	RN2316	TOSH	Drnp	$V_{CE0}=50B, I_C=100\text{ mA}, P_D=100\text{ мВт}, f_T=200\text{ МГц}, R_{\theta JA}/R_{\theta JC}=4.7\text{ К/м}/10\text{ К/м}$	SOT323, SC70	В•Е•С
YT	RN2416	TOSH	Drnp	$V_{CE0}=50B, I_C=100\text{ mA}, P_D=200\text{ мВт}, f_T=200\text{ МГц}, R_{\theta JA}/R_{\theta JC}=4.7/10\text{ К/м}$	SOT346, SC59	В•Е•С
YU	RN2117	TOSH	Drnp	$V_{CE0}=50B, I_C=100\text{ mA}, P_D=100\text{ мВт}, f_T=200\text{ МГц}, R_{\theta JA}/R_{\theta JC}=10\text{ К/м}/4.7\text{ К/м}$	SOT416, SC75A	В•Е•С
YU	RN2317	TOSH	Drnp	$V_{CE0}=50B, I_C=100\text{ mA}, P_D=100\text{ мВт}, f_T=200\text{ МГц}, R_{\theta JA}/R_{\theta JC}=10\text{ К/м}/4.7\text{ К/м}$	SOT323, SC70	В•Е•С
YU	RN2417	TOSH	Drnp	$V_{CE0}=50B, I_C=100\text{ mA}, P_D=200\text{ мВт}, f_T=200\text{ МГц}, R_{\theta JA}/R_{\theta JC}=10/4.7\text{ К/м}$	SOT346, SC59	В•Е•С
YV-	2SC4964	REN	npn	$V_{CE0}=12B, I_C=100\text{ mA}, P_D=150\text{ мВт}, h_{FE}=100...600$	SOT23, SOD23	В•Е•С
YV-	2SC4965	REN	npn	$V_{CE0}=12B, I_C=100\text{ mA}, P_D=100\text{ мВт}, h_{FE}=100...600$	SOT323, SC70	В•Е•С
YW	RN2118	TOSH	Drnp	$V_{CE0}=50B, I_C=100\text{ mA}, P_D=100\text{ мВт}, f_T=200\text{ МГц}, R_{\theta JA}/R_{\theta JC}=47\text{ К/м}/10\text{ К/м}$	SOT416, SC75A	В•Е•С
YW	RN2318	TOSH	Drnp	$V_{CE0}=50B, I_C=100\text{ mA}, P_D=100\text{ мВт}, f_T=200\text{ МГц}, R_{\theta JA}/R_{\theta JC}=47\text{ К/м}/10\text{ К/м}$	SOT323, SC70	В•Е•С
YW	RN2418	TOSH	Drnp	$V_{CE0}=50B, I_C=100\text{ mA}, P_D=200\text{ мВт}, f_T=200\text{ МГц}, R_{\theta JA}/R_{\theta JC}=47/10\text{ К/м}$	SOT346, SC59	В•Е•С
YY1	CMPZDA11V	CSI	dz=2	$V_{F1}(I_{F1}=5\text{ mA})=10.4...11.6\text{ В}, I_1(V_{F1}=8.0\text{ В})<0.1\text{ мкА}, Z_{T1}(I_{F1}=5.0\text{ mA})<20\text{ Ом}, I_{RM}=15\text{ mA}$	SOT23, SOD23	K2•K1•A2, A1
YY2	CMPZDA12V	CSI	dz=2	$V_{F1}(I_{F1}=5\text{ mA})=11.4...12.7\text{ В}, I_1(V_{F1}=8.0\text{ В})<0.1\text{ мкА}, Z_{T1}(I_{F1}=5.0\text{ mA})<25\text{ Ом}, I_{RM}=13\text{ mA}$	SOT23, SOD23	K2•K1•A2, A1
YY3	CMPZDA13V	CSI	dz=2	$V_{F1}(I_{F1}=5\text{ mA})=12.4...14.1\text{ В}, I_1(V_{F1}=8.0\text{ В})<0.1\text{ мкА}, Z_{T1}(I_{F1}=5.0\text{ mA})<30\text{ Ом}, I_{RM}=12\text{ mA}$	SOT23, SOD23	K2•K1•A2, A1
YY4	CMPZDA15V	CSI	dz=2	$V_{F1}(I_{F1}=5\text{ mA})=13.8...15.6\text{ В}, I_1(V_{F1}=5.0\text{ В})<0.05\text{ мкА}, Z_{T1}(I_{F1}=5.0\text{ mA})<30\text{ Ом}, I_{RM}=11\text{ mA}$	SOT23, SOD23	K2•K1•A2, A1
YY5	CMPZDA16V	CSI	dz=2	$V_{F1}(I_{F1}=5\text{ mA})=15.3...17.1\text{ В}, I_1(V_{F1}=11.2\text{ В})<0.05\text{ мкА}, Z_{T1}(I_{F1}=5.0\text{ mA})<40\text{ Ом}, I_{RM}=10\text{ mA}$	SOT23, SOD23	K2•K1•A2, A1
YY6	CMPZDA18V	CSI	dz=2	$V_{F1}(I_{F1}=5\text{ mA})=16.8...19.1\text{ В}, I_1(V_{F1}=12.6\text{ В})<0.05\text{ мкА}, Z_{T1}(I_{F1}=5.0\text{ mA})<45\text{ Ом}, I_{RM}=9.2\text{ mA}$	SOT23, SOD23	K2•K1•A2, A1
YY7	CMPZDA20V	CSI	dz=2	$V_{F1}(I_{F1}=5\text{ mA})=18.8...21.2\text{ В}, I_1(V_{F1}=14.0\text{ В})<0.05\text{ мкА}, Z_{T1}(I_{F1}=5.0\text{ mA})<55\text{ Ом}, I_{RM}=8.3\text{ mA}$	SOT23, SOD23	K2•K1•A2, A1
YY8	CMPZDA22V	CSI	dz=2	$V_{F1}(I_{F1}=5\text{ mA})=20.8...23.3\text{ В}, I_1(V_{F1}=15.4\text{ В})<0.05\text{ мкА}, Z_{T1}(I_{F1}=5.0\text{ mA})<55\text{ Ом}, I_{RM}=7.6\text{ mA}$	SOT23, SOD23	K2•K1•A2, A1
YY9	CMPZDA24V	CSI	dz=2	$V_{F1}(I_{F1}=5\text{ mA})=22.8...25.6\text{ В}, I_1(V_{F1}=16.8\text{ В})<0.05\text{ мкА}, Z_{T1}(I_{F1}=5.0\text{ mA})<70\text{ Ом}, I_{RM}=7.0\text{ mA}$	SOT23, SOD23	K2•K1•A2, A1
YZ-	2SC5050	REN	npn	$V_{CE0}=15B, I_C=50\text{ mA}, P_D=150\text{ мВт}, h_{FE}=50...250, f_T>8\text{ ГГц}$	SOT23, SOD23	В•Е•С
YZ-	2SC5051	REN	npn	$V_{CE0}=15B, I_C=50\text{ mA}, P_D=100\text{ мВт}, h_{FE}=50...250, f_T>8\text{ ГГц}$	SOT323, SC70	В•Е•С
YZ-	2SC5544	REN	npn	$V_{CE0}=15B, I_C=50\text{ mA}, P_D=80\text{ мВт}, h_{FE}=85...170, f_T>3\text{ ГГц}$	SC81, MFPK	С•В•Е
Z0	SST310	SIL	nFET	$V_{DS}=25\text{ В}, P_D=350\text{ мВт}, I_{DSS}=24...60\text{ mA}, g_{FS}=10\text{ мСм}$	SOT23, SOD23	D•S•G
Z1	BZX84C4V7	ALLEG	dz	$V_{F1}(I_{F1}=5\text{ mA})=4.4...5.0\text{ В}, I_1(V_{F1}=2.0\text{ В})<3.0\text{ мкА}, Z_{T1}(I_{F1}=5\text{ mA})<80\text{ Ом}$	SOT23, SOD23	A•n.c. •K
Z1	BZX84C4V7	CSI	dz	$V_{F1}(I_{F1}=5\text{ mA})=4.4...5.0\text{ В}, I_1(V_{F1}=2.0\text{ В})<3.0\text{ мкА}, Z_{T1}(I_{F1}=5\text{ mA})<80\text{ Ом}, I_{RM}=53\text{ mA}$	SOT23, SOD23	A•n.c. •K
Z1	BZX84C4V7	VISH	dz	$V_{F1}(I_{F1}=5\text{ mA})=4.4...5.0\text{ В}, Z_{T1}(I_{F1}=5\text{ mA})<80\text{ Ом}$	SOT23, SOD23	A•n.c. •K

**SOT490 TSM
MFFPAK TSFP-3**

**VMT3
VMD3**



**SOT416
SOT523**

**SOT323
SOT346**

**SOT23-3
SOD23-3**



Код	Типономинал	Б	Ф	Особенности	Корпус	Ц: 1•2•3
Z1	BZX84C4VLT1	MOT	dz	$V_{Z1}(I_{Z1}=5\text{ mA})=4\text{...}4.5\text{ В}$, $Z_{Z1}(I_{Z1}=5\text{ mA}) < 80\text{ Ом}$	SOT23, SOD23	A•н.с. •К
Z1	RM2357	TOSH	Dnpnp	$V_{CEB}=50\text{ В}$, $I_C=100\text{ мА}$, $P_D=100\text{ мВт}$; $f_T=200\text{ МГц}$, $R_{\theta JA}/R_{\theta JE}=10\text{ К}/\text{мА}$, $47\text{ К}/\text{мА}$	SOT323, SC70	B•E•C
Z1	SS1J211	SIL	nFET	$V_{DS}=25\text{ В}$, $P_D=350\text{ мВт}$, $I_{DSS}=7\text{ мА}$, $g_{fs}>6\text{ мСм}$	SOT23, SOD23	D•S•G
Z11	BZX84C2V4	PHIL	dz	$V_{Z1}(I_{Z1}=5.0\text{ mA})=2\text{...}2.2\text{ В}$, $I_{Z1}(V_{Z1}=1.0\text{ В}) < 60\text{ мА}$, $Z_{Z1}(I_{Z1}=5.0\text{ mA}) < 100\text{ Ом}$, $I_{ZM}=200\text{ мА}$	SOT23, SOD23	A•н.с. •К
Z11	BZX84C2V4LT1	MOT	dz	$V_{Z1}(I_{Z1}=5.0\text{ mA})=2\text{...}2.2\text{ В}$, $I_{Z1}(V_{Z1}=1.0\text{ В}) < 60\text{ мА}$, $Z_{Z1}(I_{Z1}=5.0\text{ mA}) < 100\text{ Ом}$, $I_{ZM}=200\text{ мА}$	SOT23, SOD23	A•н.с. •К
Z12	BZX84C2V7	PHIL	dz	$V_{Z1}(I_{Z1}=5.0\text{ mA})=2\text{...}2.5\text{ В}$, $I_{Z1}(V_{Z1}=1.0\text{ В}) < 20\text{ мА}$, $Z_{Z1}(I_{Z1}=5.0\text{ mA}) < 100\text{ Ом}$, $I_{ZM}=200\text{ мА}$	SOT23, SOD23	A•н.с. •К
Z12	BZX84C2V7	VISH	dz	$V_{Z1}(I_{Z1}=5\text{ mA})=2\text{...}2.51\text{ В}$, $Z_{Z1}(I_{Z1}=5\text{ mA}) < 100\text{ Ом}$	SOT23, SOD23	A•н.с. •К
Z13	BZX84C3V0	PHIL	dz	$V_{Z1}(I_{Z1}=5.0\text{ mA})=2\text{...}2.8\text{ В}$, $I_{Z1}(V_{Z1}=1.0\text{ В}) < 10\text{ мА}$, $Z_{Z1}(I_{Z1}=5.0\text{ mA}) < 95\text{ Ом}$, $I_{ZM}=200\text{ мА}$	SOT23, SOD23	A•н.с. •К
Z13	BZX84C3V0	VISH	dz	$V_{Z1}(I_{Z1}=5.0\text{ mA})=2\text{...}2.8\text{ В}$, $Z_{Z1}(I_{Z1}=5.0\text{ mA}) < 100\text{ Ом}$	SOT23, SOD23	A•н.с. •К
Z13	BZX84-C3V0LT1	MOT	dz	$V_{Z1}(I_{Z1}=5.0\text{ mA})=2\text{...}2.8\text{ В}$, $Z_{Z1}(I_{Z1}=5.0\text{ mA}) < 100\text{ Ом}$	SOT23, SOD23	A•н.с. •К
Z14	BZX84C3V3	PHIL	dz	$V_{Z1}(I_{Z1}=5.0\text{ mA})=3\text{...}3.1\text{ В}$, $I_{Z1}(V_{Z1}=1.0\text{ В}) < 5\text{ мА}$, $Z_{Z1}(I_{Z1}=5.0\text{ mA}) < 95\text{ Ом}$, $I_{ZM}=200\text{ мА}$	SOT23, SOD23	A•н.с. •К
Z14	BZX84C3V3	VISH	dz	$V_{Z1}(I_{Z1}=5\text{ mA})=3\text{...}3.5\text{ В}$, $Z_{Z1}(I_{Z1}=5\text{ mA}) < 95\text{ Ом}$	SOT23, SOD23	A•н.с. •К
Z15	BZX84C3V6	PHIL	dz	$V_{Z1}(I_{Z1}=5.0\text{ mA})=3\text{...}3.4\text{ В}$, $I_{Z1}(V_{Z1}=1.0\text{ В}) < 5\text{ мА}$, $Z_{Z1}(I_{Z1}=5.0\text{ mA}) < 90\text{ Ом}$, $I_{ZM}=200\text{ мА}$	SOT23, SOD23	A•н.с. •К
Z15	BZX84C3V6	VISH	dz	$V_{Z1}(I_{Z1}=5\text{ mA})=3\text{...}3.8\text{ В}$, $Z_{Z1}(I_{Z1}=5\text{ mA}) < 95\text{ Ом}$	SOT23, SOD23	A•н.с. •К
Z16	BZX84C3V9	PHIL	dz	$V_{Z1}(I_{Z1}=5.0\text{ mA})=3\text{...}3.7\text{ В}$, $I_{Z1}(V_{Z1}=1.0\text{ В}) < 3\text{ мА}$, $Z_{Z1}(I_{Z1}=5.0\text{ mA}) < 90\text{ Ом}$, $I_{ZM}=200\text{ мА}$	SOT23, SOD23	A•н.с. •К
Z16	BZX84C3V9	VISH	dz	$V_{Z1}(I_{Z1}=5\text{ mA})=3\text{...}4\text{ В}$, $Z_{Z1}(I_{Z1}=5\text{ mA}) < 90\text{ Ом}$	SOT23, SOD23	A•н.с. •К
Z17	BZX84C4V3	PHIL	dz	$V_{Z1}(I_{Z1}=5.0\text{ mA})=4\text{...}4.0\text{ В}$, $I_{Z1}(V_{Z1}=1.0\text{ В}) < 3\text{ мА}$, $Z_{Z1}(I_{Z1}=5.0\text{ mA}) < 90\text{ Ом}$, $I_{ZM}=200\text{ мА}$	SOT23, SOD23	A•н.с. •К
Z17	BZX84C4V3	VISH	dz	$V_{Z1}(I_{Z1}=5\text{ mA})=4\text{...}4.6\text{ В}$, $Z_{Z1}(I_{Z1}=5\text{ mA}) < 90\text{ Ом}$	SOT23, SOD23	A•н.с. •К
Z1A	BC845A	ZETEX	nnpn	$V_{CEB}=80\text{ В}$, $I_C=100\text{ мА}$, $P_D=330\text{ мВт}$; $\eta_{H1}=110\text{...}220$, $f_T=300\text{ МГц}$	SOT23, SOD23	B•E•C
Z1E	BC847A	ZETEX	nnpn	$V_{CEB}=50\text{ В}$, $I_C=100\text{ мА}$, $P_D=330\text{ мВт}$; $\eta_{H1}=110\text{...}220$, $f_T=300\text{ МГц}$	SOT23, SOD23	B•E•C
Z1L	BC848C	ZETEX	nnpn	$V_{CEB}=30\text{ В}$, $I_C=100\text{ мА}$, $P_D=330\text{ мВт}$; $\eta_{H1}=420\text{...}800$, $f_T=300\text{ МГц}$	SOT23, SOD23	B•E•C
Z1p	BZX84C4V7	PHIL	dz	$V_{Z1}(I_{Z1}=5.0\text{ mA})=4\text{...}4.5\text{ В}$, $I_{Z1}(V_{Z1}=2.0\text{ В}) < 3\text{ мА}$, $Z_{Z1}(I_{Z1}=5.0\text{ mA}) < 80\text{ Ом}$, $I_{ZM}=200\text{ мА}$	SOT23, SOD23	A•н.с. •К
Z1t	BZX84C4V7	PHIL	dz	$V_{Z1}(I_{Z1}=5.0\text{ mA})=4\text{...}4.5\text{ В}$, $I_{Z1}(V_{Z1}=2.0\text{ В}) < 3\text{ мА}$, $Z_{Z1}(I_{Z1}=5.0\text{ mA}) < 80\text{ Ом}$, $I_{ZM}=200\text{ мА}$	SOT23, SOD23	A•н.с. •К
Z2	BZX84C5V1	ALLEG	dz	$V_{Z1}(I_{Z1}=5\text{ mA})=4\text{...}4.8\text{ В}$, $I_{Z1}(V_{Z1}=2.0\text{ В}) < 2.0\text{ мА}$, $Z_{Z1}(I_{Z1}=5\text{ mA}) < 60\text{ Ом}$	SOT23, SOD23	A•н.с. •К
Z2	BZX84C5V1	CSI	dz	$V_{Z1}(I_{Z1}=5\text{ mA})=4\text{...}5.4\text{ В}$, $I_{Z1}(V_{Z1}=2.0\text{ В}) < 2.0\text{ мА}$, $Z_{Z1}(I_{Z1}=5\text{ mA}) < 60\text{ Ом}$, $I_{ZM}<49\text{ мА}$	SOT23, SOD23	A•н.с. •К
Z2	BZX84C5V1	VISH	dz	$V_{Z1}(I_{Z1}=5\text{ mA})=4\text{...}5.4\text{ В}$, $Z_{Z1}(I_{Z1}=5\text{ mA}) < 60\text{ Ом}$	SOT23, SOD23	A•н.с. •К
Z2	SS1J212	SIL	nFET	$V_{DS}=25\text{ В}$, $P_D=350\text{ мВт}$, $I_{DSS}>15\text{ мА}$, $g_{fs}>7\text{ мСм}$	SOT23, SOD23	D•S•G
Z21	DT11132E	ROHM	Dnpnp	$V_{CEB}=50\text{ В}$, $I_C=100\text{ мА}$, $P_D=150\text{ мВт}$; $\eta_{H1}>33$, $f_T>250\text{ МГц}$, $R_{\theta JA}/R_{\theta JE}=1/10\text{ К}/\text{мА}$	SOT416, SC75A	B•E•C
Z21	DT11132KA	ROHM	Dnpnp	$V_{CEB}=50\text{ В}$, $I_C=100\text{ мА}$, $P_D=200\text{ мВт}$; $\eta_{H1}>33$, $f_T>250\text{ МГц}$, $R_{\theta JA}/R_{\theta JE}=1/10\text{ К}/\text{мА}$	SOT346, SC59	B•E•C
Z21	DT11132UA	ROHM	Dnpnp	$V_{CEB}=50\text{ В}$, $I_C=100\text{ мА}$, $P_D=200\text{ мВт}$; $\eta_{H1}>33$, $f_T>250\text{ МГц}$, $R_{\theta JA}/R_{\theta JE}=1/10\text{ К}/\text{мА}$	SOT323, SC70	B•E•C
Z2G	BC850C	ZETEX	nnpn	$V_{CEB}=50\text{ В}$, $I_C=100\text{ мА}$, $P_D=330\text{ мВт}$; $\eta_{H1}=420\text{...}800$, $f_T=300\text{ МГц}$	SOT23, SOD23	B•E•C
Z2p	BZX84C5V1	PHIL	dz	$V_{Z1}(I_{Z1}=5.0\text{ mA})=4\text{...}4.8\text{ В}$, $I_{Z1}(V_{Z1}=2.0\text{ В}) < 2\text{ мА}$, $Z_{Z1}(I_{Z1}=5.0\text{ mA}) < 60\text{ Ом}$, $I_{ZM}=200\text{ мА}$	SOT23, SOD23	A•н.с. •К
Z2t	BZX84C5V1	PHIL	dz	$V_{Z1}(I_{Z1}=5.0\text{ mA})=4\text{...}5.4\text{ В}$, $I_{Z1}(V_{Z1}=2.0\text{ В}) < 2\text{ мА}$, $Z_{Z1}(I_{Z1}=5.0\text{ mA}) < 60\text{ Ом}$, $I_{ZM}=200\text{ мА}$	SOT23, SOD23	A•н.с. •К
Z2U	FMM7A63	ZETEX	npnp	$V_{CEB}=30\text{ В}$, $I_C=500\text{ мА}$, $P_D=330\text{ мВт}$; $\eta_{H1}=10000$, $f_T>125\text{ МГц}$	SOT23, SOD23	B•E•C
Z2V	FMM7A64	ZETEX	npnp	$V_{CEB}=30\text{ В}$, $I_C=500\text{ мА}$, $P_D=330\text{ мВт}$; $\eta_{H1}=20000$, $f_T>125\text{ МГц}$	SOT23, SOD23	B•E•C
Z3	BZX84C5V6	ALLEG	dz	$V_{Z1}(I_{Z1}=5\text{ mA})=5\text{...}5.2\text{ В}$, $I_{Z1}(V_{Z1}=2.0\text{ В}) < 1.0\text{ мА}$, $Z_{Z1}(I_{Z1}=5\text{ mA}) < 40\text{ Ом}$	SOT23, SOD23	A•н.с. •К
Z3	BZX84C5V6	CSI	dz	$V_{Z1}(I_{Z1}=5\text{ mA})=5\text{...}5.2\text{ В}$, $I_{Z1}(V_{Z1}=2.0\text{ В}) < 1.0\text{ мА}$, $Z_{Z1}(I_{Z1}=5\text{ mA}) < 40\text{ Ом}$, $I_{ZM}<45\text{ мА}$	SOT23, SOD23	A•н.с. •К
Z3	BZX84C5V6	VISH	dz	$V_{Z1}(I_{Z1}=5\text{ mA})=5\text{...}5.2\text{ В}$, $Z_{Z1}(I_{Z1}=5\text{ mA}) < 40\text{ Ом}$	SOT23, SOD23	A•н.с. •К
Z3B	BC856B	ZETEX	npnp	$V_{CEB}=80\text{ В}$, $I_C=100\text{ мА}$, $P_D=330\text{ мВт}$; $\eta_{H1}=220\text{...}475$, $f_T>150\text{ МГц}$	SOT23, SOD23	B•E•C
Z3E	BC857A	ZETEX	npnp	$V_{CEB}=50\text{ В}$, $I_C=100\text{ мА}$, $P_D=330\text{ мВт}$; $\eta_{H1}=125\text{...}250$, $f_T>150\text{ МГц}$	SOT23, SOD23	B•E•C
Z3p	BZX84C5V6	PHIL	dz	$V_{Z1}(I_{Z1}=5.0\text{ mA})=5\text{...}5.2\text{ В}$, $I_{Z1}(V_{Z1}=2.0\text{ В}) < 1\text{ мА}$, $Z_{Z1}(I_{Z1}=5.0\text{ mA}) < 40\text{ Ом}$, $I_{ZM}=200\text{ мА}$	SOT23, SOD23	A•н.с. •К



SOT23-3
SOD23-3

SOT323
SOT346

SOT416
SOT523



SOT490
MFPK

TESM
TSFP-3

VMT3
VMD3

Код	Типономинал	Б	Ф	Особенности	Корпус	Ц: 1•2•3
Z3t	BZX84C5V6	PHIL	dz	$V_{ZT}(I_{ZT}=5.0\text{ mA})=5.2...6.0\text{ В}$, $I_{\text{L}}(V_R=2.0\text{ В}) < 1\text{ мкА}$, $Z_{\text{CT}}(I_{ZT}=5.0\text{ мА}) < 40\text{ Ом}$, $I_{\text{ZM}}=200\text{ мА}$	SOT23, SOD23	А•н.с. •К
Z4	BZX84C6V2	ALLEG	dz	$V_{ZT}(I_{ZT}=5\text{ мА})=5.8...6.6\text{ В}$, $I_{\text{L}}(V_R=4.0\text{ В}) < 3.0\text{ мкА}$, $Z_{\text{CT}}(I_{ZT}=5\text{ мА}) < 10\text{ Ом}$	SOT23, SOD23	А•н.с. •К
Z4	BZX84C6V2	CSI	dz	$V_{ZT}(I_{ZT}=5\text{ мА})=5.8...6.6\text{ В}$, $I_{\text{L}}(V_R=4.0\text{ В}) < 3.0\text{ мкА}$, $Z_{\text{CT}}(I_{ZT}=5\text{ мА}) < 10\text{ Ом}$, $I_{\text{ZM}}=40\text{ мА}$	SOT23, SOD23	А•н.с. •К
Z4	BZX84C6V2	VISH	dz	$V_{ZT}(I_{ZT}=5\text{ мА})=5.8...6.6\text{ В}$, $Z_{\text{CT}}(I_{ZT}=5\text{ мА}) < 10\text{ Ом}$	SOT23, SOD23	А•н.с. •К
Z4A	BC859A	ZETEX	pnp	$V_{\text{CEB}}=30\text{ В}$, $I_{\text{C}}=100\text{ мА}$, $P_{\text{D}}=330\text{ мВт}$, $h_{\text{FE}}=125...250$, $f_{\text{T}} > 300\text{ МГц}$	SOT23, SOD23	В•Е•С
Z4C	BC859C	ZETEX	pnp	$V_{\text{CEB}}=30\text{ В}$, $I_{\text{C}}=100\text{ мА}$, $P_{\text{D}}=330\text{ мВт}$, $h_{\text{FE}}=420...800$, $f_{\text{T}} > 300\text{ МГц}$	SOT23, SOD23	В•Е•С
Z4E	BC860A	ZETEX	pnp	$V_{\text{CEB}}=50\text{ В}$, $I_{\text{C}}=100\text{ мА}$, $P_{\text{D}}=330\text{ мВт}$, $h_{\text{FE}}=125...250$, $f_{\text{T}} > 300\text{ МГц}$	SOT23, SOD23	В•Е•С
Z4p	BZX84C6V2	PHIL	dz	$V_{ZT}(I_{ZT}=5.0\text{ мА})=5.8...6.6\text{ В}$, $I_{\text{L}}(V_R=4.0\text{ В}) < 3\text{ мкА}$, $Z_{\text{CT}}(I_{ZT}=5.0\text{ мА}) < 10\text{ Ом}$, $I_{\text{ZM}}=200\text{ мА}$	SOT23, SOD23	А•н.с. •К
Z4t	BZX84C6V2	PHIL	dz	$V_{ZT}(I_{ZT}=5.0\text{ мА})=5.8...6.6\text{ В}$, $I_{\text{L}}(V_R=4.0\text{ В}) < 3\text{ мкА}$, $Z_{\text{CT}}(I_{ZT}=5.0\text{ мА}) < 10\text{ Ом}$, $I_{\text{ZM}}=200\text{ мА}$	SOT23, SOD23	А•н.с. •К
Z5	BZX84C6V8	ALLEG	dz	$V_{ZT}(I_{ZT}=5\text{ мА})=6.4...7.2\text{ В}$, $I_{\text{L}}(V_R=4.0\text{ В}) < 2.0\text{ мкА}$, $Z_{\text{CT}}(I_{ZT}=5\text{ мА}) < 15\text{ Ом}$	SOT23, SOD23	А•н.с. •К
Z5	BZX84C6V8	CSI	dz	$V_{ZT}(I_{ZT}=5\text{ мА})=6.4...7.2\text{ В}$, $I_{\text{L}}(V_R=4.0\text{ В}) < 2.0\text{ мкА}$, $Z_{\text{CT}}(I_{ZT}=5\text{ мА}) < 15\text{ Ом}$, $I_{\text{ZM}}=37\text{ мА}$	SOT23, SOD23	А•н.с. •К
Z5	BZX84C6V8	VISH	dz	$V_{ZT}(I_{ZT}=5\text{ мА})=6.4...7.2\text{ В}$, $Z_{\text{CT}}(I_{ZT}=5\text{ мА}) < 15\text{ Ом}$	SOT23, SOD23	А•н.с. •К
Z50	BZX84B2V4	PHIL	dz	$V_{ZT}(I_{ZT}=5\text{ мА})=2.4...2.5\text{ В}$, $I_{\text{L}}(V_R=1.0\text{ В}) < 50\text{ мкА}$, $Z_{\text{CT}}(I_{ZT}=5.0\text{ мА}) < 100\text{ Ом}$, $I_{\text{ZM}}=200\text{ мА}$	SOT23, SOD23	А•н.с. •К
Z51	BZX84B2V7	PHIL	dz	$V_{ZT}(I_{ZT}=5\text{ мА})=2.68...2.75\text{ В}$, $I_{\text{L}}(V_R=1.0\text{ В}) < 20\text{ мкА}$, $Z_{\text{CT}}(I_{ZT}=5.0\text{ мА}) < 100\text{ Ом}$, $I_{\text{ZM}}=200\text{ мА}$	SOT23, SOD23	А•н.с. •К
Z52	BZX84B3V0	PHIL	dz	$V_{ZT}(I_{ZT}=5\text{ мА})=2.94...3.06\text{ В}$, $I_{\text{L}}(V_R=1.0\text{ В}) < 10\text{ мкА}$, $Z_{\text{CT}}(I_{ZT}=5.0\text{ мА}) < 95\text{ Ом}$, $I_{\text{ZM}}=200\text{ мА}$	SOT23, SOD23	А•н.с. •К
Z53	BZX84B3V3	PHIL	dz	$V_{ZT}(I_{ZT}=5\text{ мА})=3.23...3.37\text{ В}$, $I_{\text{L}}(V_R=1.0\text{ В}) < 5\text{ мкА}$, $Z_{\text{CT}}(I_{ZT}=5.0\text{ мА}) < 95\text{ Ом}$, $I_{\text{ZM}}=200\text{ мА}$	SOT23, SOD23	А•н.с. •К
Z54	BZX84B3V6	PHIL	dz	$V_{ZT}(I_{ZT}=5\text{ мА})=3.53...3.67\text{ В}$, $I_{\text{L}}(V_R=1.0\text{ В}) < 5\text{ мкА}$, $Z_{\text{CT}}(I_{ZT}=5.0\text{ мА}) < 90\text{ Ом}$, $I_{\text{ZM}}=200\text{ мА}$	SOT23, SOD23	А•н.с. •К
Z55	BZX84B3V9	PHIL	dz	$V_{ZT}(I_{ZT}=5\text{ мА})=3.82...3.98\text{ В}$, $I_{\text{L}}(V_R=1.0\text{ В}) < 3\text{ мкА}$, $Z_{\text{CT}}(I_{ZT}=5.0\text{ мА}) < 90\text{ Ом}$, $I_{\text{ZM}}=200\text{ мА}$	SOT23, SOD23	А•н.с. •К
Z56	BZX84B4V3	PHIL	dz	$V_{ZT}(I_{ZT}=5\text{ мА})=4.21...4.39\text{ В}$, $I_{\text{L}}(V_R=1.0\text{ В}) < 3\text{ мкА}$, $Z_{\text{CT}}(I_{ZT}=5.0\text{ мА}) < 90\text{ Ом}$, $I_{\text{ZM}}=200\text{ мА}$	SOT23, SOD23	А•н.с. •К
Z57	BZX84B4V7	PHIL	dz	$V_{ZT}(I_{ZT}=5\text{ мА})=4.61...4.79\text{ В}$, $I_{\text{L}}(V_R=2.0\text{ В}) < 3\text{ мкА}$, $Z_{\text{CT}}(I_{ZT}=5.0\text{ мА}) < 80\text{ Ом}$, $I_{\text{ZM}}=200\text{ мА}$	SOT23, SOD23	А•н.с. •К
Z58	BZX84B5V1	PHIL	dz	$V_{ZT}(I_{ZT}=5\text{ мА})=5.00...5.20\text{ В}$, $I_{\text{L}}(V_R=2.0\text{ В}) < 2\text{ мкА}$, $Z_{\text{CT}}(I_{ZT}=5.0\text{ мА}) < 60\text{ Ом}$, $I_{\text{ZM}}=200\text{ мА}$	SOT23, SOD23	А•н.с. •К
Z59	BZX84B5V6	PHIL	dz	$V_{ZT}(I_{ZT}=5\text{ мА})=5.49...5.71\text{ В}$, $I_{\text{L}}(V_R=2.0\text{ В}) < 1\text{ мкА}$, $Z_{\text{CT}}(I_{ZT}=5.0\text{ мА}) < 40\text{ Ом}$, $I_{\text{ZM}}=200\text{ мА}$	SOT23, SOD23	А•н.с. •К
Z5p	BZX84C6V8	PHIL	dz	$V_{ZT}(I_{ZT}=5\text{ мА})=6.4...7.2\text{ В}$, $I_{\text{L}}(V_R=4.0\text{ В}) < 2\text{ мкА}$, $Z_{\text{CT}}(I_{ZT}=5.0\text{ мА}) < 15\text{ Ом}$, $I_{\text{ZM}}=200\text{ мА}$	SOT23, SOD23	А•н.с. •К
Z5t	BZX84C6V8	PHIL	dz	$V_{ZT}(I_{ZT}=5\text{ мА})=6.4...7.2\text{ В}$, $I_{\text{L}}(V_R=4.0\text{ В}) < 2\text{ мкА}$, $Z_{\text{CT}}(I_{ZT}=5.0\text{ мА}) < 15\text{ Ом}$, $I_{\text{ZM}}=200\text{ мА}$	SOT23, SOD23	А•н.с. •К
Z6	BZX84C7V5	ALLEG	dz	$V_{ZT}(I_{ZT}=5\text{ мА})=7.0...7.9\text{ В}$, $I_{\text{L}}(V_R=5.0\text{ В}) < 1.0\text{ мкА}$, $Z_{\text{CT}}(I_{ZT}=5\text{ мА}) < 15\text{ Ом}$	SOT23, SOD23	А•н.с. •К
Z6	BZX84C7V5	CSI	dz	$V_{ZT}(I_{ZT}=5\text{ мА})=7.0...7.9\text{ В}$, $I_{\text{L}}(V_R=5.0\text{ В}) < 1.0\text{ мкА}$, $Z_{\text{CT}}(I_{ZT}=5\text{ мА}) < 15\text{ Ом}$, $I_{\text{ZM}}=33\text{ мА}$	SOT23, SOD23	А•н.с. •К
Z6	BZX84C7V5	VISH	dz	$V_{ZT}(I_{ZT}=5\text{ мА})=7.0...7.9\text{ В}$, $Z_{\text{CT}}(I_{ZT}=5\text{ мА}) < 15\text{ Ом}$	SOT23, SOD23	А•н.с. •К
Z60	BZX84B6V2	PHIL	dz	$V_{ZT}(I_{ZT}=5\text{ мА})=6.08...6.32\text{ В}$, $I_{\text{L}}(V_R=4.0\text{ В}) < 3\text{ мкА}$, $Z_{\text{CT}}(I_{ZT}=5.0\text{ мА}) < 10\text{ Ом}$, $I_{\text{ZM}}=200\text{ мА}$	SOT23, SOD23	А•н.с. •К
Z61	BZX84B6V8	PHIL	dz	$V_{ZT}(I_{ZT}=5\text{ мА})=6.66...6.94\text{ В}$, $I_{\text{L}}(V_R=4.0\text{ В}) < 2\text{ мкА}$, $Z_{\text{CT}}(I_{ZT}=5.0\text{ мА}) < 15\text{ Ом}$, $I_{\text{ZM}}=200\text{ мА}$	SOT23, SOD23	А•н.с. •К
Z62	BZX84B7V5	PHIL	dz	$V_{ZT}(I_{ZT}=5\text{ мА})=7.35...7.65\text{ В}$, $I_{\text{L}}(V_R=5.0\text{ В}) < 1\text{ мкА}$, $Z_{\text{CT}}(I_{ZT}=5.0\text{ мА}) < 15\text{ Ом}$, $I_{\text{ZM}}=200\text{ мА}$	SOT23, SOD23	А•н.с. •К
Z63	BZX84B8V2	PHIL	dz	$V_{ZT}(I_{ZT}=5\text{ мА})=8.04...8.36\text{ В}$, $I_{\text{L}}(V_R=5.0\text{ В}) < 700\text{ нА}$, $Z_{\text{CT}}(I_{ZT}=5.0\text{ мА}) < 15\text{ Ом}$, $I_{\text{ZM}}=200\text{ мА}$	SOT23, SOD23	А•н.с. •К
Z64	BZX84B9V1	PHIL	dz	$V_{ZT}(I_{ZT}=5\text{ мА})=8.92...9.28\text{ В}$, $I_{\text{L}}(V_R=6.0\text{ В}) < 500\text{ нА}$, $Z_{\text{CT}}(I_{ZT}=5.0\text{ мА}) < 15\text{ Ом}$, $I_{\text{ZM}}=200\text{ мА}$	SOT23, SOD23	А•н.с. •К
Z65	BZX84B10	PHIL	dz	$V_{ZT}(I_{ZT}=5\text{ мА})=9.8...10.2\text{ В}$, $I_{\text{L}}(V_R=7.0\text{ В}) < 200\text{ нА}$, $Z_{\text{CT}}(I_{ZT}=5.0\text{ мА}) < 20\text{ Ом}$, $I_{\text{ZM}}=200\text{ мА}$	SOT23, SOD23	А•н.с. •К

**SOT490 TSM
MFFPAK TSFP-3**

**VMT3
VMD3**



**SOT416
SOT523**

**SOT323
SOT346**

**SOT23-3
SOD23-3**



Код	Типономинал	Б	Ф	Особенности	Корпус	Ц: 1•2•3
Z86	BZX84B11	PHIL	dz	$V_{i(I_{T1}=5\text{ мА})}=10.8...11.2\text{ В}$, $I_{i(V_R=8.0\text{ В})}<100\text{ нА}$, $Z_{T(I_{T1}=5.0\text{ мА})}<20\text{ Ом}$, $I_{T1}=200\text{ мА}$	SOT23, SOD23	A•н.с. •К
Z87	BZX84B12	PHIL	dz	$V_{i(I_{T1}=5\text{ мА})}=11.8...12.2\text{ В}$, $I_{i(V_R=8.0\text{ В})}<100\text{ нА}$, $Z_{T(I_{T1}=5.0\text{ мА})}<25\text{ Ом}$, $I_{T1}=200\text{ мА}$	SOT23, SOD23	A•н.с. •К
Z88	BZX84B13	PHIL	dz	$V_{i(I_{T1}=5\text{ мА})}=12.7...13.3\text{ В}$, $I_{i(V_R=8.0\text{ В})}<100\text{ нА}$, $Z_{T(I_{T1}=5.0\text{ мА})}<30\text{ Ом}$, $I_{T1}=200\text{ мА}$	SOT23, SOD23	A•н.с. •К
Z89	BZX84B15	PHIL	dz	$V_{i(I_{T1}=5\text{ мА})}=14.7...15.3\text{ В}$, $I_{i(V_R=10.5\text{ В})}<0.05\text{ мА}$, $Z_{T(I_{T1}=5.0\text{ мА})}<30\text{ Ом}$, $I_{T1}=200\text{ мА}$	SOT23, SOD23	A•н.с. •К
Z90	BZX84C7V5	PHIL	dz	$V_{i(I_{T1}=5\text{ мА})}=7.0...7.9\text{ В}$, $I_{i(V_R=5.0\text{ В})}<1\text{ мА}$, $Z_{T(I_{T1}=5.0\text{ мА})}<15\text{ Ом}$, $I_{T1}=200\text{ мА}$	SOT23, SOD23	A•н.с. •К
Z91	BZX84C7V5	PHIL	dz	$V_{i(I_{T1}=5\text{ мА})}=7.0...7.9\text{ В}$, $I_{i(V_R=5.0\text{ В})}<1\text{ мА}$, $Z_{T(I_{T1}=5.0\text{ мА})}<15\text{ Ом}$, $I_{T1}=200\text{ мА}$	SOT23, SOD23	A•н.с. •К
Z7	BZX84C8V2	ALLEG	dz	$V_{i(I_{T1}=5\text{ мА})}=7.7...8.7\text{ В}$, $I_{i(V_R=5.0\text{ В})}<0.7\text{ мА}$, $Z_{T(I_{T1}=5\text{ мА})}<15\text{ Ом}$	SOT23, SOD23	A•н.с. •К
Z7	BZX84C8V2	CSI	dz	$V_{i(I_{T1}=5\text{ мА})}=7.7...8.9\text{ В}$, $I_{i(V_R=5.0\text{ В})}<0.7\text{ мА}$, $Z_{T(I_{T1}=5\text{ мА})}<15\text{ Ом}$, $I_{T1}<30\text{ мА}$	SOT23, SOD23	A•н.с. •К
Z7	BZX84C8V2	VISH	dz	$V_{i(I_{T1}=5\text{ мА})}=7.7...8.9\text{ В}$, $Z_{T(I_{T1}=5\text{ мА})}<15\text{ Ом}$	SOT23, SOD23	A•н.с. •К
Z70	BZX84B16	PHIL	dz	$V_{i(I_{T1}=5\text{ мА})}=15.7...16.3\text{ В}$, $I_{i(V_R=11.2\text{ В})}<50\text{ нА}$, $Z_{T(I_{T1}=5.0\text{ мА})}<40\text{ Ом}$, $I_{T1}=200\text{ мА}$	SOT23, SOD23	A•н.с. •К
Z71	BZX84B18	PHIL	dz	$V_{i(I_{T1}=5\text{ мА})}=17.6...18.4\text{ В}$, $I_{i(V_R=12.6\text{ В})}<50\text{ нА}$, $Z_{T(I_{T1}=5.0\text{ мА})}<45\text{ Ом}$, $I_{T1}=200\text{ мА}$	SOT23, SOD23	A•н.с. •К
Z72	BZX84B20	PHIL	dz	$V_{i(I_{T1}=5\text{ мА})}=19.6...20.4\text{ В}$, $I_{i(V_R=14.0\text{ В})}<50\text{ нА}$, $Z_{T(I_{T1}=5.0\text{ мА})}<55\text{ Ом}$, $I_{T1}=200\text{ мА}$	SOT23, SOD23	A•н.с. •К
Z73	BZX84B22	PHIL	dz	$V_{i(I_{T1}=5\text{ мА})}=21.6...22.4\text{ В}$, $I_{i(V_R=15.4\text{ В})}<50\text{ нА}$, $Z_{T(I_{T1}=5.0\text{ мА})}<55\text{ Ом}$, $I_{T1}=200\text{ мА}$	SOT23, SOD23	A•н.с. •К
Z74	BZX84B24	PHIL	dz	$V_{i(I_{T1}=5\text{ мА})}=23.5...24.5\text{ В}$, $I_{i(V_R=16.8\text{ В})}<50\text{ нА}$, $Z_{T(I_{T1}=5.0\text{ мА})}<30\text{ Ом}$, $I_{T1}=250\text{ мА}$	SOT23, SOD23	A•н.с. •К
Z75	BZX84B27	PHIL	dz	$V_{i(I_{T1}=2\text{ мА})}=26.5...27.5\text{ В}$, $I_{i(V_R=18.9\text{ В})}<50\text{ нА}$, $Z_{T(I_{T1}=2.0\text{ мА})}<80\text{ Ом}$, $I_{T1}=200\text{ мА}$	SOT23, SOD23	A•н.с. •К
Z76	BZX84B30	PHIL	dz	$V_{i(I_{T1}=2\text{ мА})}=29.4...30.6\text{ В}$, $I_{i(V_R=21.0\text{ В})}<50\text{ нА}$, $Z_{T(I_{T1}=2.0\text{ мА})}<80\text{ Ом}$, $I_{T1}=200\text{ мА}$	SOT23, SOD23	A•н.с. •К
Z77	BZX84B33	PHIL	dz	$V_{i(I_{T1}=2\text{ мА})}=32.3...33.7\text{ В}$, $I_{i(V_R=23.1\text{ В})}<50\text{ нА}$, $Z_{T(I_{T1}=2.0\text{ мА})}<80\text{ Ом}$, $I_{T1}=200\text{ мА}$	SOT23, SOD23	A•н.с. •К
Z78	BZX84B36	PHIL	dz	$V_{i(I_{T1}=2\text{ мА})}=35.3...36.7\text{ В}$, $I_{i(V_R=25.2\text{ В})}<50\text{ нА}$, $Z_{T(I_{T1}=2.0\text{ мА})}<90\text{ Ом}$, $I_{T1}=200\text{ мА}$	SOT23, SOD23	A•н.с. •К
Z79	BZX84B39	PHIL	dz	$V_{i(I_{T1}=2\text{ мА})}=38.2...39.8\text{ В}$, $I_{i(V_R=27.3\text{ В})}<50\text{ нА}$, $Z_{T(I_{T1}=2.0\text{ мА})}<75\text{ Ом}$, $I_{T1}=250\text{ мА}$	SOT23, SOD23	A•н.с. •К
Z7p	BZX84C8V2	PHIL	dz	$V_{i(I_{T1}=5\text{ мА})}=7.7...8.7\text{ В}$, $I_{i(V_R=5.0\text{ В})}<700\text{ нА}$, $Z_{T(I_{T1}=5.0\text{ мА})}<15\text{ Ом}$, $I_{T1}=200\text{ мА}$	SOT23, SOD23	A•н.с. •К
Z7i	BZX84C8V2	PHIL	dz	$V_{i(I_{T1}=5\text{ мА})}=7.7...8.7\text{ В}$, $I_{i(V_R=5.0\text{ В})}<700\text{ нА}$, $Z_{T(I_{T1}=5.0\text{ мА})}<15\text{ Ом}$, $I_{T1}=200\text{ мА}$	SOT23, SOD23	A•н.с. •К
Z8	BZX84C9V1	ALLEG	dz	$V_{i(I_{T1}=5\text{ мА})}=8.5...9.6\text{ В}$, $I_{i(V_R=6.0\text{ В})}<0.5\text{ мА}$, $Z_{T(I_{T1}=5\text{ мА})}<15\text{ Ом}$	SOT23, SOD23	A•н.с. •К
Z8	BZX84C9V1	CSI	dz	$V_{i(I_{T1}=5\text{ мА})}=8.5...9.6\text{ В}$, $I_{i(V_R=6.0\text{ В})}<0.5\text{ мА}$, $Z_{T(I_{T1}=5\text{ мА})}<15\text{ Ом}$, $I_{T1}<27\text{ мА}$	SOT23, SOD23	A•н.с. •К
Z8	BZX84C9V1	VISH	dz	$V_{i(I_{T1}=5\text{ мА})}=8.5...9.6\text{ В}$, $Z_{T(I_{T1}=5\text{ мА})}<15\text{ Ом}$	SOT23, SOD23	A•н.с. •К
Z8	SST308	SIL	nFET	$V_{DS}=25\text{ В}$, $P_D=350\text{ мВт}$, $T_{J, \text{loss}}=12...50\text{ мА}$, $\theta_J=8\text{ мСм}$	SOT23, SOD23	D•S•G
Z80	BZX84B43	PHIL	dz	$V_{i(I_{T1}=2\text{ мА})}=42.1...43.9\text{ В}$, $I_{i(V_R=30.1\text{ В})}<50\text{ нА}$, $Z_{T(I_{T1}=2\text{ мА})}<150\text{ Ом}$, $I_{T1}=200\text{ мА}$	SOT23, SOD23	A•н.с. •К
Z81	BZX84B47	PHIL	dz	$V_{i(I_{T1}=2\text{ мА})}=46.1...47.9\text{ В}$, $I_{i(V_R=32.9\text{ В})}<50\text{ нА}$, $Z_{T(I_{T1}=2\text{ мА})}<170\text{ Ом}$, $I_{T1}=200\text{ мА}$	SOT23, SOD23	A•н.с. •К
Z82	BZX84B51	PHIL	dz	$V_{i(I_{T1}=2\text{ мА})}=50.0...52.0\text{ В}$, $I_{i(V_R=35.7\text{ В})}<50\text{ нА}$, $Z_{T(I_{T1}=2\text{ мА})}<180\text{ Ом}$, $I_{T1}=200\text{ мА}$	SOT23, SOD23	A•н.с. •К
Z83	BZX84B56	PHIL	dz	$V_{i(I_{T1}=2\text{ мА})}=54.9...57.1\text{ В}$, $I_{i(V_R=39.2\text{ В})}<50\text{ нА}$, $Z_{T(I_{T1}=2\text{ мА})}<200\text{ Ом}$, $I_{T1}=200\text{ мА}$	SOT23, SOD23	A•н.с. •К
Z84	BZX84B62	PHIL	dz	$V_{i(I_{T1}=2\text{ мА})}=60.8...63.2\text{ В}$, $I_{i(V_R=43.4\text{ В})}<50\text{ нА}$, $Z_{T(I_{T1}=2\text{ мА})}<215\text{ Ом}$, $I_{T1}=200\text{ мА}$	SOT23, SOD23	A•н.с. •К
Z85	BZX84B68	PHIL	dz	$V_{i(I_{T1}=2\text{ мА})}=66.6...69.4\text{ В}$, $I_{i(V_R=47.6\text{ В})}<50\text{ нА}$, $Z_{T(I_{T1}=2\text{ мА})}<240\text{ Ом}$, $I_{T1}=200\text{ мА}$	SOT23, SOD23	A•н.с. •К
Z86	BZX84B75	PHIL	dz	$V_{i(I_{T1}=2\text{ мА})}=73.5...76.5\text{ В}$, $I_{i(V_R=52.5\text{ В})}<50\text{ нА}$, $Z_{T(I_{T1}=2\text{ мА})}<255\text{ Ом}$, $I_{T1}=200\text{ мА}$	SOT23, SOD23	A•н.с. •К

Код	Типономинал	Б	Ф	Особенности	Корпус	Ц: 1•2•3
Z8p	BZX84C9V1	PHIL	dz	$V_Z(I_{TZ}=5\text{ mA})=8.5\ldots9.6\text{ В}$; $I_{\text{В}}(V_{\text{В}}=6.0\text{ В}) < 500\text{ мА}$; $Z_{\text{ТН}}(I_{\text{ТН}}=5\text{ мА}) < 15\text{ Ом}$; $I_{\text{ТН}}=200\text{ мА}$	SOT23, SOD23	A•n.c•K
Z8t	BZX84C9V1	PHIL	dz	$V_Z(I_{TZ}=5\text{ мА})=8.5\ldots9.6\text{ В}$; $I_{\text{В}}(V_{\text{В}}=6.0\text{ В}) < 500\text{ мА}$; $Z_{\text{ТН}}(I_{\text{ТН}}=5\text{ мА}) < 15\text{ Ом}$; $I_{\text{ТН}}=200\text{ мА}$	SOT23, SOD23	A•n.c•K
Z9	BZX84C10	ALLEG	dz	$V_Z(I_{TZ}=5\text{ мА})=9.4\ldots10.6\text{ В}$; $I_{\text{В}}(V_{\text{В}}=7.0\text{ В}) < 0.2\text{ мА}$; $Z_{\text{ТН}}(I_{\text{ТН}}=5\text{ мА}) < 20\text{ Ом}$	SOT23, SOD23	A•n.c•K
Z9	BZX84C10	VISH	dz	$V_Z(I_{TZ}=5\text{ мА})=9.4\ldots10.6\text{ В}$; $Z_{\text{ТН}}(I_{\text{ТН}}=5\text{ мА}) < 20\text{ Ом}$	SOT23, SOD23	A•n.c•K
Z9	SST309	SIL	nFET	$V_{DS}=25\text{ В}$; $P_D=350\text{ мВт}$; $I_{\text{ВЭС}}=12\ldots30\text{ мА}$; $g_{\text{Ф}}=10\text{ мСм}$	SOT23, SOD23	D•S•G
Z9p	BZX84C10	PHIL	dz	$V_Z(I_{TZ}=5\text{ мА})=9.4\ldots10.6\text{ В}$; $I_{\text{В}}(V_{\text{В}}=7.0\text{ В}) < 200\text{ мА}$; $Z_{\text{ТН}}(I_{\text{ТН}}=5\text{ мА}) < 20\text{ Ом}$; $I_{\text{ТН}}=200\text{ мА}$	SOT23, SOD23	A•n.c•K
Z9t	BZX84C10	PHIL	dz	$V_Z(I_{TZ}=5\text{ мА})=9.4\ldots10.6\text{ В}$; $I_{\text{В}}(V_{\text{В}}=7.0\text{ В}) < 200\text{ мА}$; $Z_{\text{ТН}}(I_{\text{ТН}}=5\text{ мА}) < 20\text{ Ом}$; $I_{\text{ТН}}=200\text{ мА}$	SOT23, SOD23	A•n.c•K
ZA6	FMM2838	ZETEX	фd-2	$V_{\text{В}}=75\text{ В}$; $I_{\text{С}} < 100\text{ мА}$; $V_{\text{В}}(I_{\text{В}}=50\text{ мА}) < 1.0\text{ В}$; $I_{\text{В}} < 0.1\text{ мА}$; $C_{\text{Ф}} < 4.0\text{ нФ}$; $t_{\text{ВВ}} < 6\text{ нС}$	SOT23, SOD23	A1•A2•K1,K2
ZB	FMMT4123	ZETEX	npn	$V_{\text{СВ}}=40\text{ В}$; $I_{\text{С}}=200\text{ мА}$; $P_D=330\text{ мВт}$; $h_{21}=50\ldots150$; $f_T > 250\text{ МГц}$	SOT23, SOD23	B•E•C
ZC	FMMT4124	ZETEX	npn	$V_{\text{СВ}}=30\text{ В}$; $I_{\text{С}}=200\text{ мА}$; $P_D=330\text{ мВт}$; $h_{21}=120\ldots360$; $f_T > 300\text{ МГц}$	SOT23, SOD23	B•E•C
ZD	KST4124	SAMS	npn	$V_{\text{СВ}}=30\text{ В}$; $I_{\text{С}}=200\text{ мА}$; $P_D=350\text{ мВт}$; $h_{21}=120\ldots360$; $f_T > 300\text{ МГц}$	SOT23, SOD23	B•E•C
ZCA	KN3904S	KEC	npn	$V_{\text{СВ}}=60\text{ В}$; $I_{\text{С}}=200\text{ мА}$; $P_D=350\text{ мВт}$	SOT23, SOD23	B•E•C
ZD	FMMT4125	ZETEX	npn	$V_{\text{СВ}}=30\text{ В}$; $I_{\text{С}}=200\text{ мА}$; $P_D=330\text{ мВт}$; $h_{21}=50\ldots150$; $f_T > 200\text{ МГц}$	SOT23, SOD23	B•E•C
ZD	KST4125	SAMS	npn	$V_{\text{СВ}}=30\text{ В}$; $I_{\text{С}}=200\text{ мА}$; $P_D=350\text{ мВт}$; $h_{21}=50\ldots150$; $f_T > 200\text{ МГц}$	SOT23, SOD23	B•E•C
ZE	FMMT4126	ZETEX	npn	$V_{\text{СВ}}=25\text{ В}$; $I_{\text{С}}=200\text{ мА}$; $P_D=330\text{ мВт}$; $h_{21} > 60$; $f_T > 250\text{ МГц}$	SOT23, SOD23	B•E•C
ZFD	BCV25	ZETEX	dnpn	$V_{\text{СВ}}=40\text{ В}$; $I_{\text{С}}=500\text{ мА}$; $P_D=330\text{ мВт}$; $h_{21} > 100$; $f_T > 200\text{ МГц}$	SOT23, SOD23	B•E•C
ZFE	BCV46	ZETEX	dnpn	$V_{\text{СВ}}=80\text{ В}$; $I_{\text{С}}=500\text{ мА}$; $P_D=330\text{ мВт}$; $h_{21} > 400$; $f_T > 200\text{ МГц}$	SOT23, SOD23	B•E•C
ZFF	BCV27	ZETEX	dnpn	$V_{\text{СВ}}=40\text{ В}$; $I_{\text{С}}=500\text{ мА}$; $P_D=330\text{ мВт}$; $h_{21} > 100$; $f_T > 170\text{ МГц}$	SOT23, SOD23	B•E•C
ZFG	BCV47	ZETEX	dnpn	$V_{\text{СВ}}=80\text{ В}$; $I_{\text{С}}=500\text{ мА}$; $P_D=330\text{ мВт}$; $h_{21} > 400$; $f_T > 170\text{ МГц}$	SOT23, SOD23	B•E•C
ZK-	2SJ451	REN	pMOS	$V_{DS}=20\text{ В}$; $I_D=200\text{ мА}$; $P_D=150\text{ мВт}$; $R_{\text{DS(on)}} < 9\text{ Ом}$	SOT23, SOD23	G•S•D
ZM-	2SJ452	REN	pMOS	$V_{DS}=50\text{ В}$; $I_D=200\text{ мА}$; $P_D=150\text{ мВт}$; $R_{\text{DS(on)}} < 12\text{ Ом}$	SOT23, SOD23	G•S•D
ZQ	2PC4031Q	PHIL	npn	$V_{\text{СВ}}=50\text{ В}$; $I_{\text{С}}=100\text{ мА}$; $P_D=200\text{ мВт}$; $h_{21}=120\ldots270$; $f_T > 100\text{ МГц}$	SOT323, SC70	B•E•C
ZR	2PC4031R	PHIL	npn	$V_{\text{СВ}}=50\text{ В}$; $I_{\text{С}}=100\text{ мА}$; $P_D=200\text{ мВт}$; $h_{21}=180\ldots390$; $f_T > 100\text{ МГц}$	SOT323, SC70	B•E•C
ZR	MSD1819ART1	MOT	npn	$V_{\text{СВ}}=60\text{ В}$; $I_{\text{С}}=100\text{ мА}$; $P_D=150\text{ мВт}$; $h_{21}=210\ldots340$	SOT323, SC70	B•E•C
ZRA	KN3903S	KEC	npn	$V_{\text{СВ}}=60\text{ В}$; $I_{\text{С}}=200\text{ мА}$; $P_D=350\text{ мВт}$	SOT23, SOD23	B•E•C
ZS	2PC4031S	PHIL	npn	$V_{\text{СВ}}=50\text{ В}$; $I_{\text{С}}=100\text{ мА}$; $P_D=200\text{ мВт}$; $h_{21}=270\ldots560$; $f_T > 100\text{ МГц}$	SOT323, SC70	B•E•C
ZS-	2SC5702	REN	npn	$V_{\text{СВ}}=15\text{ В}$; $I_{\text{С}}=50\text{ мА}$; $P_D=80\text{ мВт}$; $h_{21}=80\ldots160$; $f_T > 6.5\text{ ГГц}$	SC81, MPPAK	B•E•C
ZS1	ZHCS1000	ZETEX	shd	$V_{\text{В}} < 40\text{ В}$; $I_{\text{С}} < 1\text{ А}$; $V_{\text{В}}(I_{\text{В}}=1\text{ А}) < 0.425\text{ В}$; $I_{\text{В}} < 100\text{ мА}$; $C_{\text{Ф}} < 25\text{ нФ}$; $t_{\text{ВВ}} < 12\text{ нС}$	SOT23, SOD23	A•n.c•K
ZS5	ZHCS500	ZETEX	shd	$V_{\text{В}} < 40\text{ В}$; $I_{\text{С}} < 0.5\text{ А}$; $V_{\text{В}}(I_{\text{В}}=0.5\text{ А}) < 0.55\text{ В}$; $I_{\text{В}} < 40\text{ мА}$; $C_{\text{Ф}} < 20\text{ нФ}$; $t_{\text{ВВ}} < 10\text{ нС}$	SOT23, SOD23	A•n.c•K
ZS7	ZHCS750	ZETEX	shd	$V_{\text{В}} < 40\text{ В}$; $I_{\text{С}} < 0.75\text{ А}$; $V_{\text{В}}(I_{\text{В}}=0.75\text{ А}) < 0.49\text{ В}$; $I_{\text{В}} < 0.1\text{ мА}$; $C_{\text{Ф}} < 25\text{ нФ}$; $t_{\text{ВВ}} < 12\text{ нС}$	SOT23, SOD23	A•n.c•K
ZU-	2SJ486	REN	pMOS	$V_{DS}=30\text{ В}$; $I_D=300\text{ мА}$; $P_D=150\text{ мВт}$; $R_{\text{DS(on)}} < 1.2\text{ Ом}$	SOT23, SOD23	G•S•D
ZZ1	CMPZDA4V7	CSI	dz-2	$V_Z(I_{TZ}=5\text{ мА})=4.4\ldots5.0\text{ В}$; $I_{\text{В}}(V_{\text{В}}=2.0\text{ В}) < 3.0\text{ мА}$; $Z_{\text{ТН}}(I_{\text{ТН}}=5\text{ мА}) < 80\text{ Ом}$; $I_{\text{ТН}}=38\text{ мА}$	SOT23, SOD23	K2•K1•A2,A1
ZZ2	CMPZDA5V1	CSI	dz-2	$V_Z(I_{TZ}=5\text{ мА})=4.8\ldots5.4\text{ В}$; $I_{\text{В}}(V_{\text{В}}=2.0\text{ В}) < 2.0\text{ мА}$; $Z_{\text{ТН}}(I_{\text{ТН}}=5\text{ мА}) < 60\text{ Ом}$; $I_{\text{ТН}}=35\text{ мА}$	SOT23, SOD23	K2•K1•A2,A1
ZZ3	CMPZDA5V6	CSI	dz-2	$V_Z(I_{TZ}=5\text{ мА})=5.2\ldots6.0\text{ В}$; $I_{\text{В}}(V_{\text{В}}=2.0\text{ В}) < 1.0\text{ мА}$; $Z_{\text{ТН}}(I_{\text{ТН}}=5\text{ мА}) < 40\text{ Ом}$; $I_{\text{ТН}}=32\text{ мА}$	SOT23, SOD23	K2•K1•A2,A1
ZZ4	CMPZDA6V2	CSI	dz-2	$V_Z(I_{TZ}=5\text{ мА})=5.8\ldots6.6\text{ В}$; $I_{\text{В}}(V_{\text{В}}=4.0\text{ В}) < 3.0\text{ мА}$; $Z_{\text{ТН}}(I_{\text{ТН}}=5\text{ мА}) < 10\text{ Ом}$; $I_{\text{ТН}}=28\text{ мА}$	SOT23, SOD23	K2•K1•A2,A1
ZZ5	CMPZDA6V8	CSI	dz-2	$V_Z(I_{TZ}=5\text{ мА})=6.4\ldots7.2\text{ В}$; $I_{\text{В}}(V_{\text{В}}=4.0\text{ В}) < 2.0\text{ мА}$; $Z_{\text{ТН}}(I_{\text{ТН}}=5\text{ мА}) < 15\text{ Ом}$; $I_{\text{ТН}}=25\text{ мА}$	SOT23, SOD23	K2•K1•A2,A1
ZZ6	CMPZDA7V5	CSI	dz-2	$V_Z(I_{TZ}=5\text{ мА})=7.0\ldots7.9\text{ В}$; $I_{\text{В}}(V_{\text{В}}=5.0\text{ В}) < 1.0\text{ мА}$; $Z_{\text{ТН}}(I_{\text{ТН}}=5\text{ мА}) < 15\text{ Ом}$; $I_{\text{ТН}}=23\text{ мА}$	SOT23, SOD23	K2•K1•A2,A1
ZZ7	CMPZDA8V2	CSI	dz-2	$V_Z(I_{TZ}=5\text{ мА})=7.7\ldots8.7\text{ В}$; $I_{\text{В}}(V_{\text{В}}=5.0\text{ В}) < 0.7\text{ мА}$; $Z_{\text{ТН}}(I_{\text{ТН}}=5\text{ мА}) < 15\text{ Ом}$; $I_{\text{ТН}}=21\text{ мА}$	SOT23, SOD23	K2•K1•A2,A1
ZZ8	CMPZDA9V1	CSI	dz-2	$V_Z(I_{TZ}=5\text{ мА})=8.5\ldots9.6\text{ В}$; $I_{\text{В}}(V_{\text{В}}=6.0\text{ В}) < 0.5\text{ мА}$; $Z_{\text{ТН}}(I_{\text{ТН}}=5\text{ мА}) < 15\text{ Ом}$; $I_{\text{ТН}}=18\text{ мА}$	SOT23, SOD23	K2•K1•A2,A1
ZZ9	CMPZDA10V	CSI	dz-2	$V_Z(I_{TZ}=5\text{ мА})=9.4\ldots10.6\text{ В}$; $I_{\text{В}}(V_{\text{В}}=7.0\text{ В}) < 0.2\text{ мА}$; $Z_{\text{ТН}}(I_{\text{ТН}}=5\text{ мА}) < 20\text{ Ом}$; $I_{\text{ТН}}=16\text{ мА}$	SOT23, SOD23	K2•K1•A2,A1
	2SA1666	REN	npn	$V_{\text{СВ}}=15\text{ В}$; $I_{\text{С}}=200\text{ мА}$; $P_D=150\text{ мВт}$; $h_{21}=20\ldots200$; $f_T=100\text{ МГц}$	SOT346, SC59	B•E•C

TO263
D2PAKTO252
DPAKSOT223
TO261ASOT89
SC62

SOT89/223, TO252/263...

Код	Типономинал	Б	Ф	Особенности	Корпус	Ц: 1*2*3*4
21	Gali-21	MC	amp	InGaP, $f_{BD} = 0...8 \text{ ГГц}$; GAIN = 14 дБ	SOT-89, SC-62	IN • GND • OUT, VD • GND
33	Gali-33	MC	amp	InGaP, $f_{BD} = 0...4 \text{ ГГц}$; GAIN = 19 дБ	SOT-89, SC-62	IN • GND • OUT, VD • GND
51	Gali-51	MC	amp	InGaP, $f_{BD} = 0...4 \text{ ГГц}$; GAIN = 18 дБ	SOT-89, SC-62	IN • GND • OUT, VD • GND
52	Gali-52	MC	amp	InGaP, $f_{BD} = 0...2 \text{ ГГц}$; GAIN = 23 дБ	SOT-89, SC-62	IN • GND • OUT, VD • GND
55	Gali-55	MC	amp	InGaP, $f_{BD} = 0...4 \text{ ГГц}$; GAIN = 21 дБ	SOT-89, SC-62	IN • GND • OUT, VD • GND
651	PZT651	ON	nnp	$V_{EB0} = 80 \text{ В}$; $I_C = 2 \text{ А}$; $P_D = 0.8 \text{ Вт}$; $h_{21} > 40$; $f_T > 75 \text{ МГц}$	SOT-223, TO-261AA	B • C • E • C
720	BF720	STM	nnp	$V_{EB} = 300 \text{ В}$; $I_C = 100 \text{ мА}$; $P_D = 1.5 \text{ Вт}$; $h_{21} > 50$; $f_T = 60 \text{ МГц}$	SOT-223, TO-261AA	B • C • E • C
721	BF721	STM	pnp	$V_{EB} = 300 \text{ В}$; $I_C = 100 \text{ мА}$; $P_D = 1.5 \text{ Вт}$; $h_{21} > 50$; $f_T = 60 \text{ МГц}$	SOT-223, TO-261AA	B • C • E • C
—	BCX68	SIEM	nnp	$V_{EB0} = 20 \text{ В}$; $I_C = 1 \text{ А}$; $P_D = 1 \text{ Вт}$; $h_{21} = 85...375$; $f_T > 100 \text{ МГц}$	SOT-89, SC-62	B • C • E • C
—	BCX69	SIEM	pnp	$V_{EB0} = 20 \text{ В}$; $I_C = 1 \text{ А}$; $P_D = 1 \text{ Вт}$; $h_{21} = 85...375$; $f_T > 100 \text{ МГц}$	SOT-89, SC-62	B • C • E • C
01	Gali-1	MC	amp	InGaP, $f_{BD} = 0...8 \text{ ГГц}$; GAIN = 12 дБ	SOT-89, SC-62	IN • GND • OUT, VD • GND
02	Gali-2	MC	amp	InGaP, $f_{BD} = 0...8 \text{ ГГц}$; GAIN = 16 дБ	SOT-89, SC-62	IN • GND • OUT, VD • GND
03	Gali-3	MC	amp	InGaP, $f_{BD} = 0...3 \text{ ГГц}$; GAIN = 22 дБ	SOT-89, SC-62	IN • GND • OUT, VD • GND
04	Gali-4	MC	amp	InGaP, $f_{BD} = 0...4 \text{ ГГц}$; GAIN = 17.5 дБ	SOT-89, SC-62	IN • GND • OUT, VD • GND
05	Gali-4	MC	amp	InGaP, $f_{BD} = 0...4 \text{ ГГц}$; GAIN = 18 дБ	SOT-89, SC-62	IN • GND • OUT, VD • GND
06	Gali-6	MC	amp	InGaP, $f_{BD} = 0...4 \text{ ГГц}$; GAIN = 11 дБ	SOT-89, SC-62	IN • GND • OUT, VD • GND
0C	MC78LC50HT1	ON	reg	LDO, $V_{IN} = 2.5...12 \text{ В}$; $V_{OUT} = 3.0 \text{ В}$; $I_{OUT} = 50 \text{ мА}$	SOT-89, SC-62	GND • VIN • VOUT • VIN
0D	MC78LC40HT1	ON	reg	LDO, $V_{IN} = 2.5...12 \text{ В}$; $V_{OUT} = 4.0 \text{ В}$; $I_{OUT} = 50 \text{ мА}$	SOT-89, SC-62	GND • VIN • VOUT • VIN
0E	MC78LC50HT1	ON	reg	LDO, $V_{IN} = 2.5...12 \text{ В}$; $V_{OUT} = 5.0 \text{ В}$; $I_{OUT} = 50 \text{ мА}$	SOT-89, SC-62	GND • VIN • VOUT • VIN
10Y	BZV49C10	PHIL	dz	$V_Z (I_{ZT} = 5.0 \text{ мА}) = 9.4...10.6 \text{ В}$; $Z_{CT} (I_{ZT} = 5.0 \text{ мА}) < 20 \text{ Ом}$; $I_{ZM} = 250 \text{ мА}$	SOT-89, SC-62	A • K • A • K
1117	LT1117CST	LT	reg	LDO, $V_{IN} < 15 \text{ В}$; $V_{REF} = 1.25 \text{ В}$; $I_{OUT} = 800 \text{ мА}$	SOT-223, TO-261AA	ADJ/GND • OUT • IN • OUT
11172	LT1117CST-2.85	LT	reg	LDO, $V_{IN} < 15 \text{ В}$; $V_{OUT} = 2.85 \text{ В}$; $I_{OUT} = 800 \text{ мА}$	SOT-223, TO-261AA	ADJ/GND • OUT • IN • OUT
11173	LT1117CST-3.3	LT	reg	LDO, $V_{IN} < 15 \text{ В}$; $V_{OUT} = 3.3 \text{ В}$; $I_{OUT} = 800 \text{ мА}$	SOT-223, TO-261AA	ADJ/GND • OUT • IN • OUT

**SOT89
SC62****SOT223
TO261A****TO252
DPAK****TO263
D2PAK**

Код	Типовый номинал	Б	Ф	Особенности	Корпус	Ц: 1+2+3+4
11175	LT1117CST-5	LT	reg	LDO; $V_{IN} < 15\text{ В}$; $V_{OUT} = 5\text{ В}$; $I_{OUT} = 800\text{ мА}$	SOT-223, TO-261AA	ADJ/GND • OUT • IN • OUT
111825	LT1118CST-2.5	LT	reg	LDO; $V_{IN} < 15\text{ В}$; $V_{OUT} = 2.5\text{ В}$; $I_{OUT} = 800\text{ мА}$	SOT-223, TO-261AA	OUT • GND • IN • GND
111828	LT1118CST-2.85	LT	reg	LDO; $V_{IN} < 15\text{ В}$; $V_{OUT} = 2.85\text{ В}$; $I_{OUT} = 800\text{ мА}$	SOT-223, TO-261AA	OUT • GND • IN • GND
11185	LT1118CST-5	LT	reg	LDO; $V_{IN} < 15\text{ В}$; $V_{OUT} = 5\text{ В}$; $I_{OUT} = 800\text{ мА}$	SOT-223, TO-261AA	OUT • GND • IN • GND
11Y	BZV49C11	PHIL	dz	$V_Z (I_{TZ} = 5.0\text{ мА}) = 10.4...11.6\text{ В}$; $Z_{TZ} (I_{TZ} = 5.0\text{ мА}) < 20\text{ Ом}$; $I_{ZM} = 250\text{ мА}$	SOT-89, SC-62	A • K • A • K
12Y	BZV49C12	PHIL	dz	$V_Z (I_{TZ} = 5.0\text{ мА}) = 11.4...12.7\text{ В}$; $Z_{TZ} (I_{TZ} = 5.0\text{ мА}) < 25\text{ Ом}$; $I_{ZM} = 250\text{ мА}$	SOT-89, SC-62	A • K • A • K
13Y	BZV49C13	PHIL	dz	$V_Z (I_{TZ} = 5.0\text{ мА}) = 12.4...14.1\text{ В}$; $Z_{TZ} (I_{TZ} = 5.0\text{ мА}) < 30\text{ Ом}$; $I_{ZM} = 250\text{ мА}$	SOT-89, SC-62	A • K • A • K
15Y	BZV49C15	PHIL	dz	$V_Z (I_{TZ} = 5.0\text{ мА}) = 13.8...15.6\text{ В}$; $Z_{TZ} (I_{TZ} = 5.0\text{ мА}) < 30\text{ Ом}$; $I_{ZM} = 250\text{ мА}$	SOT-89, SC-62	A • K • A • K
16Y	BZV49C16	PHIL	dz	$V_Z (I_{TZ} = 5.0\text{ мА}) = 15.3...17.1\text{ В}$; $Z_{TZ} (I_{TZ} = 5.0\text{ мА}) < 40\text{ Ом}$; $I_{ZM} = 250\text{ мА}$	SOT-89, SC-62	A • K • A • K
18Y	BZV49C18	PHIL	dz	$V_Z (I_{TZ} = 5.0\text{ мА}) = 16.8...19.1\text{ В}$; $Z_{TZ} (I_{TZ} = 5.0\text{ мА}) < 45\text{ Ом}$; $I_{ZM} = 250\text{ мА}$	SOT-89, SC-62	A • K • A • K
1A	SKT3904	SIEM	nnp	$V_{CE0} = 40\text{ В}$; $I_C = 200\text{ мА}$; $P_D = 1\text{ Вт}$; $h_{FE1} = 100...300$; $f_T > 300\text{ МГц}$	SOT-89, SC-62	B • C • E • C
1D	SKT4A2	SIEM	nnp	$V_{CE0} = 300\text{ В}$; $I_C = 500\text{ мА}$; $P_D = 1\text{ Вт}$; $h_{FE1} > 40$; $f_T > 50\text{ МГц}$	SOT-89, SC-62	B • C • E • C
1E	SKT4A3	SIEM	nnp	$V_{CE0} = 200\text{ В}$; $I_C = 500\text{ мА}$; $P_D = 1\text{ Вт}$; $h_{FE1} > 40$; $f_T > 50\text{ МГц}$	SOT-89, SC-62	B • C • E • C
1XP	2SB1599P	PAN	prnp	$V_{CE0} = 50\text{ В}$; $I_C = 3\text{ А}$; $P_D = 1\text{ Вт}$; $h_{FE1} = 50...100$; $f_T = 150\text{ МГц}$	SOT-89, SC-62	B • C • E • C
1XQ	2SB1599Q	PAN	prnp	$V_{CE0} = 50\text{ В}$; $I_C = 3\text{ А}$; $P_D = 1\text{ Вт}$; $h_{FE1} = 80...160$; $f_T = 150\text{ МГц}$	SOT-89, SC-62	B • C • E • C
1XR	2SB1599R	PAN	prnp	$V_{CE0} = 50\text{ В}$; $I_C = 3\text{ А}$; $P_D = 1\text{ Вт}$; $h_{FE1} = 100...220$; $f_T = 150\text{ МГц}$	SOT-89, SC-62	B • C • E • C
1YQ	2SD2457Q	PAN	nnp	$V_{CE0} = 50\text{ В}$; $I_C = 1.5\text{ А}$; $P_D = 1\text{ Вт}$; $h_{FE1} = 80...160$; $f_T = 150\text{ МГц}$	SOT-89, SC-62	B • C • E • C
1YR	2SD2457R	PAN	nnp	$V_{CE0} = 50\text{ В}$; $I_C = 1.5\text{ А}$; $P_D = 1\text{ Вт}$; $h_{FE1} = 120...220$; $f_T = 150\text{ МГц}$	SOT-89, SC-62	B • C • E • C
1ZQ	2SA1890Q	PAN	prnp	$V_{CE0} = 80\text{ В}$; $I_C = 1\text{ А}$; $P_D = 1\text{ Вт}$; $h_{FE1} = 120...240$; $f_T = 120\text{ МГц}$	SOT-89, SC-62	B • C • E • C
1ZR	2SA1890R	PAN	prnp	$V_{CE0} = 80\text{ В}$; $I_C = 1\text{ А}$; $P_D = 1\text{ Вт}$; $h_{FE1} = 170...340$; $f_T = 120\text{ МГц}$	SOT-89, SC-62	B • C • E • C
20Y	BZV49C20	PHIL	dz	$V_Z (I_{TZ} = 5.0\text{ мА}) = 18.8...21.2\text{ В}$; $Z_{TZ} (I_{TZ} = 5.0\text{ мА}) < 55\text{ Ом}$; $I_{ZM} = 250\text{ мА}$	SOT-89, SC-62	A • K • A • K
22Y	BZV49C22	PHIL	dz	$V_Z (I_{TZ} = 5.0\text{ мА}) = 20.8...23.3\text{ В}$; $Z_{TZ} (I_{TZ} = 5.0\text{ мА}) < 55\text{ Ом}$; $I_{ZM} = 250\text{ мА}$	SOT-89, SC-62	A • K • A • K
24Y	BZV49C24	PHIL	dz	$V_Z (I_{TZ} = 5.0\text{ мА}) = 22.8...25.6\text{ В}$; $Z_{TZ} (I_{TZ} = 5.0\text{ мА}) < 70\text{ Ом}$; $I_{ZM} = 250\text{ мА}$	SOT-89, SC-62	A • K • A • K
27Y	BZV49C27	PHIL	dz	$V_Z (I_{TZ} = 2.0\text{ мА}) = 25.1...28.9\text{ В}$; $Z_{TZ} (I_{TZ} = 2.0\text{ мА}) < 80\text{ Ом}$; $I_{ZM} = 250\text{ мА}$	SOT-89, SC-62	A • K • A • K
2A	SKT3906	SIEM	prnp	$V_{CE0} = 40\text{ В}$; $I_C = 200\text{ мА}$; $P_D = 1\text{ Вт}$; $h_{FE1} = 100...300$; $f_T > 250\text{ МГц}$	SOT-89, SC-62	B • C • E • C
2AR	2SC5026R	PAN	nnp	$V_{CE0} = 80\text{ В}$; $I_C = 1\text{ А}$; $P_D = 1\text{ Вт}$; $h_{FE1} = 120...240$; $f_T = 120\text{ МГц}$	SOT-89, SC-62	B • C • E • C
2AS	2SC5026S	PAN	nnp	$V_{CE0} = 80\text{ В}$; $I_C = 1\text{ А}$; $P_D = 1\text{ Вт}$; $h_{FE1} = 170...340$; $f_T = 120\text{ МГц}$	SOT-89, SC-62	B • C • E • C
2D	SKT492	SIEM	prnp	$V_{CE0} = 300\text{ В}$; $I_C = 500\text{ мА}$; $P_D = 1\text{ Вт}$; $h_{FE1} > 25$; $f_T > 50\text{ МГц}$	SOT-89, SC-62	B • C • E • C
2E	SKT493	SIEM	prnp	$V_{CE0} = 200\text{ В}$; $I_C = 500\text{ мА}$; $P_D = 1\text{ Вт}$; $h_{FE1} > 25$; $f_T > 50\text{ МГц}$	SOT-89, SC-62	B • C • E • C
2ER	2SD2459R	PAN	nnp	$V_{CE0} = 150\text{ В}$; $I_C = 1\text{ А}$; $P_D = 1\text{ Вт}$; $h_{FE1} = 120...240$; $f_T = 90\text{ МГц}$	SOT-89, SC-62	B • C • E • C
2ES	2SD2459S	PAN	nnp	$V_{CE0} = 150\text{ В}$; $I_C = 1\text{ А}$; $P_D = 1\text{ Вт}$; $h_{FE1} = 170...340$; $f_T = 90\text{ МГц}$	SOT-89, SC-62	B • C • E • C
2F	2SB1612	PAN	prnp	$V_{CE0} = 10\text{ В}$; $I_C = 2\text{ А}$; $P_D = 1\text{ Вт}$; $h_{FE1} = 200...800$; $f_T = 60\text{ МГц}$	SOT-89, SC-62	B • C • E • C
2F	SKT2907A	SIEM	prnp	$V_{CE0} = 60\text{ В}$; $I_C = 600\text{ мА}$; $P_D = 1\text{ Вт}$; $h_{FE1} = 100...300$; $f_T > 200\text{ МГц}$	SOT-89, SC-62	B • C • E • C
2I	2SD2474	PAN	nnp	$V_{CE0} = 10\text{ В}$; $I_C = 2\text{ А}$; $P_D = 1\text{ Вт}$; $h_{FE1} = 200...800$; $f_T = 180\text{ МГц}$	SOT-89, SC-62	B • C • E • C
2P	SKT2222A	SIEM	nnp	$V_{CE0} = 75\text{ В}$; $I_C = 600\text{ мА}$; $P_D = 1\text{ Вт}$; $h_{FE1} = 100...300$; $f_T > 300\text{ МГц}$	SOT-89, SC-62	B • C • E • C
2Y4	BZV49C2V4	PHIL	dz	$V_Z (I_{TZ} = 5.0\text{ мА}) = 2.2...2.6\text{ В}$; $Z_{TZ} (I_{TZ} = 5.0\text{ мА}) < 100\text{ Ом}$; $I_{ZM} = 250\text{ мА}$	SOT-89, SC-62	A • K • A • K
2Y7	BZV49C2V7	PHIL	dz	$V_Z (I_{TZ} = 5.0\text{ мА}) = 2.5...2.9\text{ В}$; $Z_{TZ} (I_{TZ} = 5.0\text{ мА}) < 100\text{ Ом}$; $I_{ZM} = 250\text{ мА}$	SOT-89, SC-62	A • K • A • K
30Y	BZV49C30	PHIL	dz	$V_Z (I_{TZ} = 2.0\text{ мА}) = 28.0...32.0\text{ В}$; $Z_{TZ} (I_{TZ} = 2.0\text{ мА}) < 80\text{ Ом}$; $I_{ZM} = 250\text{ мА}$	SOT-89, SC-62	A • K • A • K

**TO263
D2PAK**

**TO252
DPAK**

**SOT223
TO261A**

**SOT89
SC62**


Код	Типономинал	Б	Ф	Особенности	Корпус	Ц: 1•2•3•4
33Y	BZV49C33	PHIL	dz	$V_Z(I_{T1}=2.0\text{ mA})=31.0...35.0\text{ B}$; $Z_{T1}(I_{T1}=2.0\text{ mA})<80\text{ Ом}$; $I_{2M}=250\text{ mA}$	SOT-89, SC-62	A•K•A•K
36Y	BZV49C36	PHIL	dz	$V_Z(I_{T1}=2.0\text{ mA})=34.0...38.0\text{ B}$; $Z_{T1}(I_{T1}=2.0\text{ mA})<90\text{ Ом}$; $I_{2M}=250\text{ mA}$	SOT-89, SC-62	A•K•A•K
37518	MC33375ST-1.8	ON	reg	LDO, $V_{IN}=2.5...13\text{ B}$; $V_{OUT}=1.8\text{ B}$; $I_{OUT}=300\text{ mA}$	SOT-223, TO-261AA	IN • ON/OFF • OUT • GND
37525	MC33375ST-2.5	ON	reg	LDO, $V_{IN}=2.5...13\text{ B}$; $V_{OUT}=2.5\text{ B}$; $I_{OUT}=300\text{ mA}$	SOT-223, TO-261AA	IN • ON/OFF • OUT • GND
37530	MC33375ST-3.0	ON	reg	LDO, $V_{IN}=2.5...13\text{ B}$; $V_{OUT}=3.0\text{ B}$; $I_{OUT}=300\text{ mA}$	SOT-223, TO-261AA	IN • ON/OFF • OUT • GND
37533	MC33375ST-3.3	ON	reg	LDO, $V_{IN}=2.5...13\text{ B}$; $V_{OUT}=3.3\text{ B}$; $I_{OUT}=300\text{ mA}$	SOT-223, TO-261AA	IN • ON/OFF • OUT • GND
37550	MC33375ST-5.0	ON	reg	LDO, $V_{IN}=2.5...13\text{ B}$; $V_{OUT}=5.0\text{ B}$; $I_{OUT}=300\text{ mA}$	SOT-223, TO-261AA	IN • ON/OFF • OUT • GND
39Y	BZV49C39	PHIL	dz	$V_Z(I_{T1}=2.0\text{ mA})=37.0...41.0\text{ B}$; $Z_{T1}(I_{T1}=2.0\text{ mA})<130\text{ Ом}$; $I_{2M}=250\text{ mA}$	SOT-89, SC-62	A•K•A•K
3C	MC78LC33HT1	ON	reg	LDO, $V_{IN}=2.5...12\text{ B}$; $V_{OUT}=3.3\text{ B}$; $I_{OUT}=50\text{ mA}$	SOT-89, SC-62	IN • VIN • VOUT • VIN
3Y0	BZV49C3V0	PHIL	dz	$V_Z(I_{T1}=5.0\text{ mA})=2.8...3.2\text{ B}$; $Z_{T1}(I_{T1}=5.0\text{ mA})<95\text{ Ом}$; $I_{2M}=250\text{ mA}$	SOT-89, SC-62	A•K•A•K
3Y3	BZV49C3V3	PHIL	dz	$V_Z(I_{T1}=5.0\text{ mA})=3.1...3.5\text{ B}$; $Z_{T1}(I_{T1}=5.0\text{ mA})<95\text{ Ом}$; $I_{2M}=250\text{ mA}$	SOT-89, SC-62	A•K•A•K
3Y6	BZV49C3V6	PHIL	dz	$V_Z(I_{T1}=5.0\text{ mA})=3.4...3.8\text{ B}$; $Z_{T1}(I_{T1}=5.0\text{ mA})<90\text{ Ом}$; $I_{2M}=250\text{ mA}$	SOT-89, SC-62	A•K•A•K
3Y9	BZV49C3V9	PHIL	dz	$V_Z(I_{T1}=5.0\text{ mA})=3.7...4.1\text{ B}$; $Z_{T1}(I_{T1}=5.0\text{ mA})<90\text{ Ом}$; $I_{2M}=250\text{ mA}$	SOT-89, SC-62	A•K•A•K
43Y	BZV49C43	PHIL	dz	$V_Z(I_{T1}=2.0\text{ mA})=40.0...46.0\text{ B}$; $Z_{T1}(I_{T1}=2.0\text{ mA})<150\text{ Ом}$; $I_{2M}=250\text{ mA}$	SOT-89, SC-62	A•K•A•K
47Y	BZV49C47	PHIL	dz	$V_Z(I_{T1}=2.0\text{ mA})=44.0...50.0\text{ B}$; $Z_{T1}(I_{T1}=2.0\text{ mA})<170\text{ Ом}$; $I_{2M}=250\text{ mA}$	SOT-89, SC-62	A•K•A•K
4F	Gali-4F	MC	amp	InGaP, $f_{BD}=0...4\text{ ГГц}$; GAIN=15 дБ	SOT-89, SC-62	IN • GND • OUT, VD • GND
4Y3	BZV49C4V3	PHIL	dz	$V_Z(I_{T1}=5.0\text{ mA})=4.0...4.6\text{ B}$; $Z_{T1}(I_{T1}=5.0\text{ mA})<90\text{ Ом}$; $I_{2M}=250\text{ mA}$	SOT-89, SC-62	A•K•A•K
4Y7	BZV49C4V7	PHIL	dz	$V_Z(I_{T1}=5.0\text{ mA})=4.4...5.0\text{ B}$; $Z_{T1}(I_{T1}=5.0\text{ mA})<80\text{ Ом}$; $I_{2M}=250\text{ mA}$	SOT-89, SC-62	A•K•A•K
51Y	BZV49C51	PHIL	dz	$V_Z(I_{T1}=2.0\text{ mA})=48.0...54.0\text{ B}$; $Z_{T1}(I_{T1}=2.0\text{ mA})<180\text{ Ом}$; $I_{2M}=250\text{ mA}$	SOT-89, SC-62	A•K•A•K
56Y	BZV49C56	PHIL	dz	$V_Z(I_{T1}=2.0\text{ mA})=52.0...60.0\text{ B}$; $Z_{T1}(I_{T1}=2.0\text{ mA})<200\text{ Ом}$; $I_{2M}=250\text{ mA}$	SOT-89, SC-62	A•K•A•K
5F	Gali-5F	MC	amp	InGaP, $f_{BD}=0...4\text{ ГГц}$; GAIN=20 дБ	SOT-89, SC-62	IN • GND • OUT, VD • GND
5Y1	BZV49C5V1	PHIL	dz	$V_Z(I_{T1}=5.0\text{ mA})=4.8...5.4\text{ B}$; $Z_{T1}(I_{T1}=5.0\text{ mA})<60\text{ Ом}$; $I_{2M}=250\text{ mA}$	SOT-89, SC-62	A•K•A•K
5Y6	BZV49C5V6	PHIL	dz	$V_Z(I_{T1}=5.0\text{ mA})=5.2...6.0\text{ B}$; $Z_{T1}(I_{T1}=5.0\text{ mA})<40\text{ Ом}$; $I_{2M}=250\text{ mA}$	SOT-89, SC-62	A•K•A•K
62Y	BZV49C62	PHIL	dz	$V_Z(I_{T1}=2.0\text{ mA})=58.0...66.0\text{ B}$; $Z_{T1}(I_{T1}=2.0\text{ mA})<215\text{ Ом}$; $I_{2M}=250\text{ mA}$	SOT-89, SC-62	A•K•A•K
68Y	BZV49C68	PHIL	dz	$V_Z(I_{T1}=2.0\text{ mA})=64.0...72.0\text{ B}$; $Z_{T1}(I_{T1}=2.0\text{ mA})<240\text{ Ом}$; $I_{2M}=250\text{ mA}$	SOT-89, SC-62	A•K•A•K
6A	KIA7019AF	KEC	vd	$V_{BE}=1.9\text{ B}$; $V_{CC}(\text{max})=15\text{ B}$; $P_D=500\text{ мВт}$	SOT-89, SC-62	VCC • GND • OUT • GND
6B	KIA7021AF	KEC	vd	$V_{BE}=2.1\text{ B}$; $V_{CC}(\text{max})=15\text{ B}$; $P_D=500\text{ мВт}$	SOT-89, SC-62	VCC • GND • OUT • GND

**SOT89
SC62****SOT223
TO261A****TO252
DPAK****TO263
D2PAK**

Код	Типовый номинал	Б	Ф	Особенности	Корпус	Ц: 1*2*3*4
6C	KIA70234F	KEC	vd	$V_{RG} = 2.3 \text{ В}$; $V_{CC} (max) = 15 \text{ В}$; $P_D = 500 \text{ мВт}$	SOT-89, SC-62	VCC • GND • OUT • GND
6D	KIA70254F	KEC	vd	$V_{RG} = 2.5 \text{ В}$; $V_{CC} (max) = 15 \text{ В}$; $P_D = 500 \text{ мВт}$	SOT-89, SC-62	VCC • GND • OUT • GND
6E	KIA70274F	KEC	vd	$V_{RG} = 2.7 \text{ В}$; $V_{CC} (max) = 15 \text{ В}$; $P_D = 500 \text{ мВт}$	SOT-89, SC-62	VCC • GND • OUT • GND
6F	Gali-6F	MC	amp	InGaP; $f_{3\text{д}} = 0.4 \text{ ГГц}$; GAIN = 12 дБ	SOT-89, SC-62	IN • GND • OUT, VD • GND
6F	KIA70294F	KEC	vd	$V_{RG} = 2.9 \text{ В}$; $V_{CC} (max) = 15 \text{ В}$; $P_D = 500 \text{ мВт}$	SOT-89, SC-62	VCC • GND • OUT • GND
6G	KIA70314F	KEC	vd	$V_{RG} = 3.1 \text{ В}$; $V_{CC} (max) = 15 \text{ В}$; $P_D = 500 \text{ мВт}$	SOT-89, SC-62	VCC • GND • OUT • GND
6H	KIA70324F	KEC	vd	$V_{RG} = 3.2 \text{ В}$; $V_{CC} (max) = 15 \text{ В}$; $P_D = 500 \text{ мВт}$	SOT-89, SC-62	VCC • GND • OUT • GND
6J	KIA70334F	KEC	vd	$V_{RG} = 3.3 \text{ В}$; $V_{CC} (max) = 15 \text{ В}$; $P_D = 500 \text{ мВт}$	SOT-89, SC-62	VCC • GND • OUT • GND
6K	KIA70344F	KEC	vd	$V_{RG} = 3.4 \text{ В}$; $V_{CC} (max) = 15 \text{ В}$; $P_D = 500 \text{ мВт}$	SOT-89, SC-62	VCC • GND • OUT • GND
6L	KIA70354F	KEC	vd	$V_{RG} = 3.5 \text{ В}$; $V_{CC} (max) = 15 \text{ В}$; $P_D = 500 \text{ мВт}$	SOT-89, SC-62	VCC • GND • OUT • GND
6M	KIA70364F	KEC	vd	$V_{RG} = 3.6 \text{ В}$; $V_{CC} (max) = 15 \text{ В}$; $P_D = 500 \text{ мВт}$	SOT-89, SC-62	VCC • GND • OUT • GND
6N	KIA70394F	KEC	vd	$V_{RG} = 3.9 \text{ В}$; $V_{CC} (max) = 15 \text{ В}$; $P_D = 500 \text{ мВт}$	SOT-89, SC-62	VCC • GND • OUT • GND
6P	KIA70424F	KEC	vd	$V_{RG} = 4.2 \text{ В}$; $V_{CC} (max) = 15 \text{ В}$; $P_D = 500 \text{ мВт}$	SOT-89, SC-62	VCC • GND • OUT • GND
6R	KIA70454F	KEC	vd	$V_{RG} = 4.5 \text{ В}$; $V_{CC} (max) = 15 \text{ В}$; $P_D = 500 \text{ мВт}$	SOT-89, SC-62	VCC • GND • OUT • GND
6Y2	BZV49C6V2	PHIL	dz	$V_F (I_{F1} = 5.0 \text{ мА}) = 5.8 \dots 6.6 \text{ В}$; $Z_{T1} (I_{T1} = 5.0 \text{ мА}) < 10 \text{ Ом}$; $I_{RM} = 250 \text{ мА}$	SOT-89, SC-62	A • K • A • K
6Y8	BZV49C8V8	PHIL	dz	$V_F (I_{F1} = 5.0 \text{ мА}) = 6.4 \dots 7.2 \text{ В}$; $Z_{T1} (I_{T1} = 5.0 \text{ мА}) < 15 \text{ Ом}$; $I_{RM} = 250 \text{ мА}$	SOT-89, SC-62	A • K • A • K
75Y	BZV49C75	PHIL	dz	$V_F (I_{F1} = 2.0 \text{ мА}) = 70.0 \dots 79.0 \text{ В}$; $Z_{T1} (I_{T1} = 2.0 \text{ мА}) < 255 \text{ Ом}$; $I_{RM} = 250 \text{ мА}$	SOT-89, SC-62	A • K • A • K
7Y5	BZV49C7V5	PHIL	dz	$V_F (I_{F1} = 5.0 \text{ мА}) = 7.0 \dots 7.9 \text{ В}$; $Z_{T1} (I_{T1} = 5.0 \text{ мА}) < 15 \text{ Ом}$; $I_{RM} = 250 \text{ мА}$	SOT-89, SC-62	A • K • A • K
8A	NJM78L02A	NJR	reg	$V_{IN} = 2.5 \dots 30 \text{ В}$; $V_{OUT} = 2.6 \text{ В}$; $I_{OUT} = 100 \text{ мА}$	SOT-89, SC-62	OUT • GND • IN • GND
8B	NJM78L03A	NJR	reg	$V_{IN} = 2.5 \dots 30 \text{ В}$; $V_{OUT} = 3.0 \text{ В}$; $I_{OUT} = 100 \text{ мА}$	SOT-89, SC-62	OUT • GND • IN • GND
8C	NJM78L05A	NJR	reg	$V_{IN} = 2.5 \dots 30 \text{ В}$; $V_{OUT} = 5.0 \text{ В}$; $I_{OUT} = 100 \text{ мА}$	SOT-89, SC-62	OUT • GND • IN • GND
8E	NJM78L06A	NJR	reg	$V_{IN} = 2.5 \dots 30 \text{ В}$; $V_{OUT} = 6.0 \text{ В}$; $I_{OUT} = 100 \text{ мА}$	SOT-89, SC-62	OUT • GND • IN • GND
8F	NJM78L07A	NJR	reg	$V_{IN} = 2.5 \dots 30 \text{ В}$; $V_{OUT} = 7.0 \text{ В}$; $I_{OUT} = 100 \text{ мА}$	SOT-89, SC-62	OUT • GND • IN • GND
8G	NJM78L08A	NJR	reg	$V_{IN} = 2.5 \dots 30 \text{ В}$; $V_{OUT} = 8.0 \text{ В}$; $I_{OUT} = 100 \text{ мА}$	SOT-89, SC-62	OUT • GND • IN • GND
8H	NJM78L09A	NJR	reg	$V_{IN} = 2.5 \dots 30 \text{ В}$; $V_{OUT} = 9.0 \text{ В}$; $I_{OUT} = 100 \text{ мА}$	SOT-89, SC-62	OUT • GND • IN • GND
8J	NJM78L10A	NJR	reg	$V_{IN} = 2.5 \dots 35 \text{ В}$; $V_{OUT} = 10.0 \text{ В}$; $I_{OUT} = 100 \text{ мА}$	SOT-89, SC-62	OUT • GND • IN • GND
8K	NJM78L12A	NJR	reg	$V_{IN} = 2.5 \dots 35 \text{ В}$; $V_{OUT} = 12.0 \text{ В}$; $I_{OUT} = 100 \text{ мА}$	SOT-89, SC-62	OUT • GND • IN • GND
8L	NJM78L15A	NJR	reg	$V_{IN} = 2.5 \dots 35 \text{ В}$; $V_{OUT} = 15.0 \text{ В}$; $I_{OUT} = 100 \text{ мА}$	SOT-89, SC-62	OUT • GND • IN • GND
8M	NJM78L18A	NJR	reg	$V_{IN} = 2.5 \dots 40 \text{ В}$; $V_{OUT} = 18.0 \text{ В}$; $I_{OUT} = 100 \text{ мА}$	SOT-89, SC-62	OUT • GND • IN • GND

TO263
D2PAK



TO252
DPAK



SOT223
TO261A



SOT89
SC62



Код	Типовый символ	Б	Ф	Особенности	Корпус	Ц: 1+2+3+4
8N	NJM78L20A	NJR	reg	$V_{IN} = 2.5 \dots 40 \text{ В}$; $V_{OUT} = 20.0 \text{ В}$; $I_{OUT} = 100 \text{ мА}$	SOT-89, SC-62	OUT • GND • IN • GND
8P	NJM78L24A	NJR	reg	$V_{IN} = 2.5 \dots 40 \text{ В}$; $V_{OUT} = 24.0 \text{ В}$; $I_{OUT} = 100 \text{ мА}$	SOT-89, SC-62	OUT • GND • IN • GND
8Y2	BZV49C8V2	PHIL	dz	$V_Z (I_{ZT} = 5.0 \text{ мА}) = 7.7 \dots 8.7 \text{ В}$; $Z_{T1} (I_{ZT} = 5.0 \text{ мА}) < 15 \text{ Ом}$; $I_{ZM} = 250 \text{ мА}$	SOT-89, SC-62	A • K • A • K
8Z	NJM78L62A	NJR	reg	$V_{IN} = 2.5 \dots 30 \text{ В}$; $V_{OUT} = 6.2 \text{ В}$; $I_{OUT} = 100 \text{ мА}$	SOT-89, SC-62	OUT • GND • IN • GND
9B	NJM79L03UA	NJR	reg	$V_{IN} = -2.5 \dots -30 \text{ В}$; $V_{OUT} = -3.0 \text{ В}$; $I_{OUT} = 100 \text{ мА}$	SOT-89, SC-62	GND • IN • OUT • IN
9C	NJM79L05UA	NJR	reg	$V_{IN} = -2.5 \dots -30 \text{ В}$; $V_{OUT} = -5.0 \text{ В}$; $I_{OUT} = 100 \text{ мА}$	SOT-89, SC-62	GND • IN • OUT • IN
9E	NJM79L06UA	NJR	reg	$V_{IN} = -2.5 \dots -30 \text{ В}$; $V_{OUT} = -5.0 \text{ В}$; $I_{OUT} = 100 \text{ мА}$	SOT-89, SC-62	GND • IN • OUT • IN
9G	NJM79L08UA	NJR	reg	$V_{IN} = -2.5 \dots -30 \text{ В}$; $V_{OUT} = -8.0 \text{ В}$; $I_{OUT} = 100 \text{ мА}$	SOT-89, SC-62	GND • IN • OUT • IN
9H	NJM79L09UA	NJR	reg	$V_{IN} = -2.5 \dots -30 \text{ В}$; $V_{OUT} = -8.0 \text{ В}$; $I_{OUT} = 100 \text{ мА}$	SOT-89, SC-62	GND • IN • OUT • IN
9K	NJM79L12UA	NJR	reg	$V_{IN} = -2.5 \dots -35 \text{ В}$; $V_{OUT} = -12.0 \text{ В}$; $I_{OUT} = 100 \text{ мА}$	SOT-89, SC-62	GND • IN • OUT • IN
9L	NJM79L15UA	NJR	reg	$V_{IN} = -2.5 \dots -35 \text{ В}$; $V_{OUT} = -15.0 \text{ В}$; $I_{OUT} = 100 \text{ мА}$	SOT-89, SC-62	GND • IN • OUT • IN
9M	NJM79L18UA	NJR	reg	$V_{IN} = -2.5 \dots -40 \text{ В}$; $V_{OUT} = -18.0 \text{ В}$; $I_{OUT} = 100 \text{ мА}$	SOT-89, SC-62	GND • IN • OUT • IN
9P	NJM79L24UA	NJR	reg	$V_{IN} = -2.5 \dots -40 \text{ В}$; $V_{OUT} = -24.0 \text{ В}$; $I_{OUT} = 100 \text{ мА}$	SOT-89, SC-62	GND • IN • OUT • IN
9Y1	BZV49C9V1	PHIL	dz	$V_Z (I_{ZT} = 5.0 \text{ мА}) = 8.5 \dots 9.6 \text{ В}$; $Z_{T1} (I_{ZT} = 5.0 \text{ мА}) < 15 \text{ Ом}$; $I_{ZM} = 250 \text{ мА}$	SOT-89, SC-62	A • K • A • K
A27	PXTA27	PHIL	npn	$V_{CE0} = 60 \text{ В}$; $I_C = 500 \text{ мА}$; $P_D = 1 \text{ Вт}$; $h_{FE1} > 100$; $f_T > 125 \text{ МГц}$	SOT-89, SC-62	B • C • E • C
AA	BCX51	PHIL	pnnp	$V_{CE0} = 45 \text{ В}$; $I_C = 1 \text{ А}$; $P_D = 1 \text{ Вт}$; $h_{FE1} = 40 \dots 250$; $f_T = 50 \text{ МГц}$	SOT-89, SC-62	B • C • E • C
AA	BCX51	SIEM	pnnp	$V_{CE0} = 45 \text{ В}$; $I_C = 1 \text{ А}$; $P_D = 1 \text{ Вт}$; $h_{FE1} = 40 \dots 250$; $f_T = 125 \text{ МГц}$	SOT-89, SC-62	B • C • E • C
AB	BCX516	PHIL	pnnp	$V_{CE0} = 45 \text{ В}$; $I_C = 1 \text{ А}$; $P_D = 1 \text{ Вт}$; $h_{FE1} = 40 \dots 100$; $f_T = 125 \text{ МГц}$	SOT-89, SC-62	B • C • E • C
AC	2SA1690	ROHM	pnnp	$V_{CE0} = 400 \text{ В}$; $I_C = 100 \text{ мА}$; $P_D = 2 \text{ Вт}$; $h_{FE1} = 56 \dots 270$	SOT-89, SC-62	B • C • E • C
AC	BCX51-10	PHIL	pnnp	$V_{CE0} = 45 \text{ В}$; $I_C = 1 \text{ А}$; $P_D = 1 \text{ Вт}$; $h_{FE1} = 63 \dots 160$; $f_T = 50 \text{ МГц}$	SOT-89, SC-62	B • C • E • C
AC	BCX51-10	SIEM	pnnp	$V_{CE0} = 45 \text{ В}$; $I_C = 1 \text{ А}$; $P_D = 1 \text{ Вт}$; $h_{FE1} = 63 \dots 160$; $f_T = 125 \text{ МГц}$	SOT-89, SC-62	B • C • E • C
AD	BCX5116	PHIL	pnnp	$V_{CE0} = 45 \text{ В}$; $I_C = 1 \text{ А}$; $P_D = 1 \text{ Вт}$; $h_{FE1} = 100 \dots 250$; $f_T = 50 \text{ МГц}$	SOT-89, SC-62	B • C • E • C
AD	BCX5116	SIEM	pnnp	$V_{CE0} = 45 \text{ В}$; $I_C = 1 \text{ А}$; $P_D = 1 \text{ Вт}$; $h_{FE1} = 100 \dots 250$; $f_T = 125 \text{ МГц}$	SOT-89, SC-62	B • C • E • C
AE	BCX52	PHIL	pnnp	$V_{CE0} = 60 \text{ В}$; $I_C = 1 \text{ А}$; $P_D = 1 \text{ Вт}$; $h_{FE1} = 40 \dots 250$; $f_T = 50 \text{ МГц}$	SOT-89, SC-62	B • C • E • C
AE	BCX52	SIEM	pnnp	$V_{CE0} = 60 \text{ В}$; $I_C = 1 \text{ А}$; $P_D = 1 \text{ Вт}$; $h_{FE1} = 40 \dots 250$; $f_T = 125 \text{ МГц}$	SOT-89, SC-62	B • C • E • C
AEP	2SB1424	ROHM	pnnp	$V_{CE0} = 20 \text{ В}$; $I_C = 3 \text{ А}$; $P_D = 500 \text{ мВт}$; $h_{FE1} = 82 \dots 180$; $f_T > 240 \text{ МГц}$	SOT-89, SC-62	B • C • E • C
AEQ	2SB1424	ROHM	pnnp	$V_{CE0} = 20 \text{ В}$; $I_C = 3 \text{ А}$; $P_D = 500 \text{ мВт}$; $h_{FE1} = 120 \dots 270$; $f_T > 240 \text{ МГц}$	SOT-89, SC-62	B • C • E • C
AER	2SB1424	ROHM	pnnp	$V_{CE0} = 20 \text{ В}$; $I_C = 3 \text{ А}$; $P_D = 500 \text{ мВт}$; $h_{FE1} = 180 \dots 390$; $f_T > 240 \text{ МГц}$	SOT-89, SC-62	B • C • E • C
AF	2SA1575	SANYO	pnnp	$V_{CE0} = 200 \text{ В}$; $I_C = 100 \text{ мА}$; $P_D = 500 \text{ мВт}$; $h_{FE1} = 40 \dots 320$; $f_T = 400 \text{ МГц}$	SOT-89, SC-62	B • C • E • C
AF	BCX5206	PHIL	pnnp	$V_{CE0} = 60 \text{ В}$; $I_C = 1 \text{ А}$; $h_{FE1} = 40 \dots 100$; $f_T = 125 \text{ МГц}$	SOT-89, SC-62	B • C • E • C
AF	BCX526	SIEM	pnnp	$V_{CE0} = 60 \text{ В}$; $I_C = 1 \text{ А}$; $P_D = 1 \text{ Вт}$; $h_{FE1} = 40 \dots 100$; $f_T = 125 \text{ МГц}$	SOT-89, SC-62	B • C • E • C
AG	BCX5210	PHIL	pnnp	$V_{CE0} = 60 \text{ В}$; $I_C = 1 \text{ А}$; $P_D = 1 \text{ Вт}$; $h_{FE1} = 63 \dots 160$; $f_T = 50 \text{ МГц}$	SOT-89, SC-62	B • C • E • C
AG	BCX5210	SIEM	pnnp	$V_{CE0} = 60 \text{ В}$; $I_C = 1 \text{ А}$; $P_D = 1 \text{ Вт}$; $h_{FE1} = 63 \dots 160$; $f_T = 125 \text{ МГц}$	SOT-89, SC-62	B • C • E • C
AGP	2SA1797	ROHM	pnnp	$V_{CE0} = 50 \text{ В}$; $I_C = 2 \text{ А}$; $P_D = 500 \text{ мВт}$; $h_{FE1} = 82 \dots 180$; $f_T > 200 \text{ МГц}$	SOT-89, SC-62	B • C • E • C
AGQ	2SA1797	ROHM	pnnp	$V_{CE0} = 50 \text{ В}$; $I_C = 2 \text{ А}$; $P_D = 500 \text{ мВт}$; $h_{FE1} = 120 \dots 270$; $f_T > 200 \text{ МГц}$	SOT-89, SC-62	B • C • E • C
AH	BCP53	ON	pnnp	$V_{CE0} = 80 \text{ В}$; $I_C = 1.5 \text{ А}$; $P_D = 1.5 \text{ Вт}$; $h_{FE1} = 40 \dots 250$; $f_T = 50 \text{ МГц}$	SOT-223, TO-261AA	E • C • B • C
AH	BCX53	PHIL	pnnp	$V_{CE0} = 100 \text{ В}$; $I_C = 1 \text{ А}$; $P_D = 1 \text{ Вт}$; $h_{FE1} = 40 \dots 250$; $f_T = 50 \text{ МГц}$	SOT-89, SC-62	B • C • E • C
AH	BCX53	SIEM	pnnp	$V_{CE0} = 80 \text{ В}$; $I_C = 1 \text{ А}$; $P_D = 1 \text{ Вт}$; $h_{FE1} = 40 \dots 250$; $f_T = 125 \text{ МГц}$	SOT-89, SC-62	B • C • E • C
AH-10	BCP53-10	ON	pnnp	$V_{CE0} = 80 \text{ В}$; $I_C = 1.5 \text{ А}$; $P_D = 1.5 \text{ Вт}$; $h_{FE1} = 63 \dots 160$; $f_T = 50 \text{ МГц}$	SOT-223, TO-261AA	E • C • B • C
AH-16	BCP53-16	ON	pnnp	$V_{CE0} = 80 \text{ В}$; $I_C = 1.5 \text{ А}$; $P_D = 1.5 \text{ Вт}$; $h_{FE1} = 100 \dots 250$; $f_T = 50 \text{ МГц}$	SOT-223, TO-261AA	E • C • B • C

**SOT89
SC62****SOT223
TO261A****TO252
DPAK****TO263
D2PAK**

Код	Типовое наименование	Б	Ф	Особенности	Корпус	Ц: 1+2+3+4
AHN	2SA1759	ROHM	prp	$V_{CB0}=400\text{ В}$; $I_C=100\text{ мА}$; $P_D=500\text{ мВт}$; $h_{FE}=56...120$; $f_T>12\text{ МГц}$	SOT-89, SC-62	В•С•Е•С
ANP	2SA1759	ROHM	prp	$V_{CB0}=400\text{ В}$; $I_C=100\text{ мА}$; $P_D=500\text{ мВт}$; $h_{FE}=82...180$; $f_T>12\text{ МГц}$	SOT-89, SC-62	В•С•Е•С
ANQ	2SA1759	ROHM	prp	$V_{CB0}=400\text{ В}$; $I_C=100\text{ мА}$; $P_D=500\text{ мВт}$; $h_{FE}=120...270$; $f_T>12\text{ МГц}$	SOT-89, SC-62	В•С•Е•С
ANQ	2SD2098	ROHM	prp	$V_{CB0}=50\text{ В}$; $I_C=5\text{ А}$; $P_D=500\text{ мВт}$; $h_{FE}=120...270$; $f_T>150\text{ МГц}$	SOT-89, SC-62	В•С•Е•С
ANR	2SD2098	ROHM	prp	$V_{CB0}=50\text{ В}$; $I_C=5\text{ А}$; $P_D=500\text{ мВт}$; $h_{FE}=180...390$; $f_T>150\text{ МГц}$	SOT-89, SC-62	В•С•Е•С
AHS	2SD2098	ROHM	prp	$V_{CB0}=50\text{ В}$; $I_C=5\text{ А}$; $P_D=500\text{ мВт}$; $h_{FE}=270...550$; $f_T>150\text{ МГц}$	SOT-89, SC-62	В•С•Е•С
AJ	BCX536	PHIL	prp	$V_{CB0}=100\text{ В}$; $I_C=1\text{ А}$; $h_{FE}=40...100$; $f_T=50\text{ МГц}$	SOT-89, SC-62	В•С•Е•С
AJ	BCX536	SIEM	prp	$V_{CB0}=80\text{ В}$; $I_C=1\text{ А}$; $P_D=1\text{ Вт}$; $h_{FE}=40...100$; $f_T=125\text{ МГц}$	SOT-89, SC-62	В•С•Е•С
AJN	2SA1812	ROHM	prp	$V_{CB0}=400\text{ В}$; $I_C=500\text{ мА}$; $P_D=500\text{ мВт}$; $h_{FE}=56...120$; $f_T>12\text{ МГц}$	SOT-89, SC-62	В•С•Е•С
AJP	2SA1812	ROHM	prp	$V_{CB0}=400\text{ В}$; $I_C=500\text{ мА}$; $P_D=500\text{ мВт}$; $h_{FE}=82...180$; $f_T>12\text{ МГц}$	SOT-89, SC-62	В•С•Е•С
AJQ	2SA1812	ROHM	prp	$V_{CB0}=400\text{ В}$; $I_C=500\text{ мА}$; $P_D=500\text{ мВт}$; $h_{FE}=120...270$; $f_T>12\text{ МГц}$	SOT-89, SC-62	В•С•Е•С
AK	BCX5310	PHIL	prp	$V_{CB0}=100\text{ В}$; $I_C=1\text{ А}$; $P_D=1\text{ Вт}$; $h_{FE}=63...160$; $f_T=50\text{ МГц}$	SOT-89, SC-62	В•С•Е•С
AK	BCX5310	SIEM	prp	$V_{CB0}=80\text{ В}$; $I_C=1\text{ А}$; $P_D=1\text{ Вт}$; $h_{FE}=63...160$; $f_T=125\text{ МГц}$	SOT-89, SC-62	В•С•Е•С
AL	BCX5316	PHIL	prp	$V_{CB0}=100\text{ В}$; $I_C=1\text{ А}$; $P_D=1\text{ Вт}$; $h_{FE}=100...250$; $f_T=50\text{ МГц}$	SOT-89, SC-62	В•С•Е•С
AL	BCX5316	SIEM	prp	$V_{CB0}=80\text{ В}$; $I_C=1\text{ А}$; $P_D=1\text{ Вт}$; $h_{FE}=100...250$; $f_T=125\text{ МГц}$	SOT-89, SC-62	В•С•Е•С
ALP	2SA1900	ROHM	prp	$V_{CB0}=60\text{ В}$; $I_C=1\text{ А}$; $P_D=500\text{ мВт}$; $h_{FE}=82...180$; $f_T>150\text{ МГц}$	SOT-89, SC-62	В•С•Е•С
ALQ	2SA1900	ROHM	prp	$V_{CB0}=60\text{ В}$; $I_C=1\text{ А}$; $P_D=500\text{ мВт}$; $h_{FE}=120...270$; $f_T>150\text{ МГц}$	SOT-89, SC-62	В•С•Е•С
ALR	2SA1900	ROHM	prp	$V_{CB0}=60\text{ В}$; $I_C=1\text{ А}$; $P_D=500\text{ мВт}$; $h_{FE}=180...390$; $f_T>150\text{ МГц}$	SOT-89, SC-62	В•С•Е•С
AM	BCX5216	PHIL	prp	$V_{CB0}=60\text{ В}$; $I_C=1\text{ А}$; $P_D=1\text{ Вт}$; $h_{FE}=100...250$; $f_T=50\text{ МГц}$	SOT-89, SC-62	В•С•Е•С
AM	BCX5216	SIEM	prp	$V_{CB0}=60\text{ В}$; $I_C=1\text{ А}$; $P_D=1\text{ Вт}$; $h_{FE}=100...250$; $f_T=125\text{ МГц}$	SOT-89, SC-62	В•С•Е•С
AQ	2SB766Q	PAN	prp	$V_{CB0}=30\text{ В}$; $I_C=1\text{ А}$; $P_D=1\text{ Вт}$; $h_{FE}=85...170$; $f_T=200\text{ МГц}$	SOT-89, SC-62	В•С•Е•С
AR	2SB766R	PAN	prp	$V_{CB0}=30\text{ В}$; $I_C=1\text{ А}$; $P_D=1\text{ Вт}$; $h_{FE}=120...240$; $f_T=200\text{ МГц}$	SOT-89, SC-62	В•С•Е•С
AR	2SC3338	REN	prp	$V_{CB0}=20\text{ В}$; $I_C=50\text{ мА}$; $P_D=400\text{ мВт}$; $P_A=8.3\text{ дБ}$; $f_T>3.5\text{ ГГц}$	SOT-89, SC-62	В•С•Е•С
AR1	BSR40	PHIL	prp	$V_{CB0}=70\text{ В}$; $I_C=1\text{ А}$; $P_D=1\text{ Вт}$; $h_{FE}=40...120$; $f_T>100\text{ МГц}$	SOT-89, SC-62	В•С•Е•С
AR2	BSR41	PHIL	prp	$V_{CB0}=70\text{ В}$; $I_C=1\text{ А}$; $P_D=1\text{ Вт}$; $h_{FE}=100...300$; $f_T>100$	SOT-89, SC-62	В•С•Е•С
AR3	BSR42	PHIL	prp	$V_{CB0}=90\text{ В}$; $I_C=1\text{ А}$; $P_D=1\text{ Вт}$; $h_{FE}=40...120$; $f_T>100\text{ МГц}$	SOT-89, SC-62	В•С•Е•С
AR4	BSR43	PHIL	prp	$V_{CB0}=90\text{ В}$; $I_C=1\text{ А}$; $P_D=1\text{ Вт}$; $h_{FE}=100...300$; $f_T>100\text{ МГц}$	SOT-89, SC-62	В•С•Е•С
AS	2SB766S	PAN	prp	$V_{CB0}=30\text{ В}$; $I_C=1\text{ А}$; $P_D=1\text{ Вт}$; $h_{FE}=170...340$; $f_T=200\text{ МГц}$	SOT-89, SC-62	В•С•Е•С
AS1	BST50	PHIL	dpnp	$V_{CB0}=60\text{ В}$; $I_C=500\text{ мА}$; $P_D=1\text{ Вт}$; $h_{FE}>2000$	SOT-89, SC-62	В•С•Е•С
AS1	BST50	MOT	dpnp	$V_{CB0}=60\text{ В}$; $I_C=500\text{ мА}$; $P_D=1\text{ Вт}$; $h_{FE}>2000$	SOT-89, SC-62	В•С•Е•С
AS1	BST50	ZETEX	dpnp	$V_{CB0}=60\text{ В}$; $I_C=500\text{ мА}$; $P_D=1\text{ Вт}$; $h_{FE}>2000$	SOT-89, SC-62	В•С•Е•С
AS2	BST51	PHIL	dpnp	$V_{CB0}=80\text{ В}$; $I_C=500\text{ мА}$; $P_D=1\text{ Вт}$; $h_{FE}>2000$	SOT-89, SC-62	В•С•Е•С
AS2	BST51	MOT	dpnp	$V_{CB0}=80\text{ В}$; $I_C=500\text{ мА}$; $P_D=1\text{ Вт}$; $h_{FE}>2000$	SOT-89, SC-62	В•С•Е•С
AS2	BST51	ZETEX	dpnp	$V_{CB0}=80\text{ В}$; $I_C=500\text{ мА}$; $P_D=1\text{ Вт}$; $h_{FE}>2000$	SOT-89, SC-62	В•С•Е•С
AS3	BSP62	ON	dpnp	$V_{CB0}=90\text{ В}$; $I_C=800\text{ мА}$; $P_D=800\text{ мВт}$; $h_{FE}>2000$	SOT-223, TO-261AA	В•С•Е•С
AS3	BST52	PHIL	dpnp	$V_{CB0}=90\text{ В}$; $I_C=500\text{ мА}$; $P_D=1\text{ Вт}$; $h_{FE}>2000$	SOT-89, SC-62	В•С•Е•С
AS3	BST52	MOT	dpnp	$V_{CB0}=90\text{ В}$; $I_C=500\text{ мА}$; $P_D=1\text{ Вт}$; $h_{FE}>2000$	SOT-89, SC-62	В•С•Е•С
AS3	BST52	ZETEX	dpnp	$V_{CB0}=90\text{ В}$; $I_C=500\text{ мА}$; $P_D=1\text{ Вт}$; $h_{FE}>2000$	SOT-89, SC-62	В•С•Е•С
AT	2SD1470	REN	dpnp	$V_{CB0}=60\text{ В}$; $I_C=1\text{ А}$; $P_D=1\text{ Вт}$; $h_{FE}=2000...100000$	SOT-89, SC-62	В•С•Е•С
AT1	BST339	PHIL	prp	$V_{CB0}=400\text{ В}$; $I_C=1\text{ А}$; $P_D=1\text{ Вт}$; $h_{FE}>40$; $f_T>70\text{ МГц}$	SOT-89, SC-62	В•С•Е•С
AT1	BST339	ZETEX	prp	$V_{CB0}=400\text{ В}$; $I_C=1\text{ А}$; $P_D=1\text{ Вт}$; $h_{FE}>40$; $f_T>70\text{ МГц}$	SOT-89, SC-62	В•С•Е•С
AT2	BST40	PHIL	prp	$V_{CB0}=300\text{ В}$; $I_C=1\text{ А}$; $P_D=1\text{ Вт}$; $h_{FE}>40$; $f_T>70\text{ МГц}$	SOT-89, SC-62	В•С•Е•С
AT2	BST40	ZETEX	prp	$V_{CB0}=300\text{ В}$; $I_C=1\text{ А}$; $P_D=1\text{ Вт}$; $h_{FE}>40$; $f_T>70\text{ МГц}$	SOT-89, SC-62	В•С•Е•С
ATN	2SA1812	ROHM	prp	$V_{CB0}=400\text{ В}$; $I_C=500\text{ мА}$; $P_D=500\text{ мВт}$; $h_{FE}=56...120$; $f_T>12\text{ МГц}$	SOT-89, SC-62	В•С•Е•С
ATP	2SA1812	ROHM	prp	$V_{CB0}=400\text{ В}$; $I_C=500\text{ мА}$; $P_D=500\text{ мВт}$; $h_{FE}=82...180$; $f_T>12\text{ МГц}$	SOT-89, SC-62	В•С•Е•С
ATQ	2SA1812	ROHM	prp	$V_{CB0}=400\text{ В}$; $I_C=500\text{ мА}$; $P_D=500\text{ мВт}$; $h_{FE}=120...270$; $f_T>12\text{ МГц}$	SOT-89, SC-62	В•С•Е•С
BA	2SD1357A	REN	prp	$V_{CB0}=20\text{ В}$; $I_C=2\text{ А}$; $P_D=1\text{ Вт}$; $h_{FE}=100...200$; $f_T=100\text{ МГц}$	SOT-89, SC-62	В•С•Е•С
BA	BCX54	PHIL	prp	$V_{CB0}=45\text{ В}$; $I_C=1\text{ А}$; $P_D=1\text{ Вт}$; $h_{FE}=40...250$; $f_T=130\text{ МГц}$	SOT-89, SC-62	В•С•Е•С
BA	BCX54	SIEM	prp	$V_{CB0}=45\text{ В}$; $I_C=1\text{ А}$; $P_D=1\text{ Вт}$; $h_{FE}=40...250$; $f_T=100\text{ МГц}$	SOT-89, SC-62	В•С•Е•С
BAP	2SB1132	ROHM	prp	$V_{CB0}=40\text{ В}$; $I_C=1\text{ А}$; $P_D=500\text{ мВт}$; $h_{FE}=82...180$; $f_T>150\text{ МГц}$	SOT-89, SC-62	В•С•Е•С

**TO263
D2PAK**



**TO252
DPAK**



**SOT223
TO261A**



**SOT89
SC62**



Код	Типовый номинал	Б	Ф	Особенности	Корпус	Ц: 1+2+3+4
BAQ	2SB1132	ROHM	npn	$V_{CE0}=40\text{ В}$, $I_C=1\text{ А}$, $P_D=500\text{ мВт}$, $h_{FE}=120...270$, $f_T>150\text{ МГц}$	SOT-89, SC-62	B•C•E•C
BAR	2SB1132	ROHM	npn	$V_{CE0}=40\text{ В}$, $I_C=1\text{ А}$, $P_D=500\text{ мВт}$, $h_{FE}=180...390$, $f_T>150\text{ МГц}$	SOT-89, SC-62	B•C•E•C
BB	2SD1367B	REN	npn	$V_{CE0}=20\text{ В}$, $I_C=2\text{ А}$, $P_D=1\text{ Вт}$, $h_{FE}=160...320$, $f_T>100\text{ МГц}$	SOT-89, SC-62	B•C•E•C
BB	BCX546	PHIL	npn	$V_{CE0}=45\text{ В}$, $I_C=1\text{ А}$, $P_D=1\text{ Вт}$, $h_{FE}=40...100$, $f_T>100\text{ МГц}$	SOT-89, SC-62	B•C•E•C
BB	BCX546	SIEM	npn	$V_{CE0}=45\text{ В}$, $I_C=1\text{ А}$, $P_D=1\text{ Вт}$, $h_{FE}=40...100$, $f_T>100\text{ МГц}$	SOT-89, SC-62	B•C•E•C
BC	2SD1367C	REN	npn	$V_{CE0}=20\text{ В}$, $I_C=2\text{ А}$, $P_D=1\text{ Вт}$, $h_{FE}=250...500$, $f_T>100\text{ МГц}$	SOT-89, SC-62	B•C•E•C
BC	BCX5410	PHIL	npn	$V_{CE0}=45\text{ В}$, $I_C=1\text{ А}$, $P_D=1\text{ Вт}$, $h_{FE}=63...160$, $f_T>130\text{ МГц}$	SOT-89, SC-62	B•C•E•C
BC	BCX5410	SIEM	npn	$V_{CE0}=45\text{ В}$, $I_C=1\text{ А}$, $P_D=1\text{ Вт}$, $h_{FE}=63...160$, $f_T>130\text{ МГц}$	SOT-89, SC-62	B•C•E•C
BCP	2SB1188	ROHM	npn	$V_{CE0}=40\text{ В}$, $I_C=2\text{ А}$, $P_D=500\text{ мВт}$, $h_{FE}=82...180$, $f_T>100\text{ МГц}$	SOT-89, SC-62	B•C•E•C
BCQ	2SB1188	ROHM	npn	$V_{CE0}=40\text{ В}$, $I_C=2\text{ А}$, $P_D=500\text{ мВт}$, $h_{FE}=120...270$, $f_T>100\text{ МГц}$	SOT-89, SC-62	B•C•E•C
BCR	2SB1188	ROHM	npn	$V_{CE0}=40\text{ В}$, $I_C=2\text{ А}$, $P_D=500\text{ мВт}$, $h_{FE}=180...390$, $f_T>100\text{ МГц}$	SOT-89, SC-62	B•C•E•C
BD	BCX5416	PHIL	npn	$V_{CE0}=45\text{ В}$, $I_C=1\text{ А}$, $P_D=1\text{ Вт}$, $h_{FE}=100...250$, $f_T>130\text{ МГц}$	SOT-89, SC-62	B•C•E•C
BD	BCX5416	SIEM	npn	$V_{CE0}=45\text{ В}$, $I_C=1\text{ А}$, $P_D=1\text{ Вт}$, $h_{FE}=100...250$, $f_T>130\text{ МГц}$	SOT-89, SC-62	B•C•E•C
BDP	2SB1189	ROHM	npn	$V_{CE0}=80\text{ В}$, $I_C=700\text{ мА}$, $P_D=500\text{ мВт}$, $h_{FE}=82...180$, $f_T>100\text{ МГц}$	SOT-89, SC-62	B•C•E•C
BDQ	2SB1189	ROHM	npn	$V_{CE0}=80\text{ В}$, $I_C=700\text{ мА}$, $P_D=500\text{ мВт}$, $h_{FE}=120...270$, $f_T>100\text{ МГц}$	SOT-89, SC-62	B•C•E•C
BDR	2SB1189	ROHM	npn	$V_{CE0}=80\text{ В}$, $I_C=700\text{ мА}$, $P_D=500\text{ мВт}$, $h_{FE}=180...390$, $f_T>100\text{ МГц}$	SOT-89, SC-62	B•C•E•C
BE	BCX55	PHIL	npn	$V_{CE0}=60\text{ В}$, $I_C=1\text{ А}$, $P_D=1\text{ Вт}$, $h_{FE}=40...250$, $f_T>130\text{ МГц}$	SOT-89, SC-62	B•C•E•C
BE	BCX55	SIEM	npn	$V_{CE0}=60\text{ В}$, $I_C=1\text{ А}$, $P_D=1\text{ Вт}$, $h_{FE}=40...250$, $f_T>130\text{ МГц}$	SOT-89, SC-62	B•C•E•C
BE	2SB1260	ROHM	npn	$V_{CE0}=80\text{ В}$, $I_C=1\text{ А}$, $P_D=2\text{ Вт}$, $h_{FE}=82...390$, $f_T>100\text{ МГц}$	SOT-89, SC-62	B•C•E•C
BF	BCX5506	SIEM	npn	$V_{CE0}=60\text{ В}$, $I_C=1\text{ А}$, $P_D=1\text{ Вт}$, $h_{FE}=40...100$, $f_T>100\text{ МГц}$	SOT-89, SC-62	B•C•E•C
BF	BCX556	PHIL	npn	$V_{CE0}=60\text{ В}$, $I_C=1\text{ А}$, $P_D=1\text{ Вт}$, $h_{FE}=40...100$, $f_T>100\text{ МГц}$	SOT-89, SC-62	B•C•E•C
BFP	2SB1308	ROHM	npn	$V_{CE0}=30\text{ В}$, $I_C=3\text{ А}$, $P_D=500\text{ мВт}$, $h_{FE}=82...180$, $f_T>120\text{ МГц}$	SOT-89, SC-62	B•C•E•C
BFQ	2SB1308	ROHM	npn	$V_{CE0}=30\text{ В}$, $I_C=3\text{ А}$, $P_D=500\text{ мВт}$, $h_{FE}=120...270$, $f_T>120\text{ МГц}$	SOT-89, SC-62	B•C•E•C
BFR	2SB1308	ROHM	npn	$V_{CE0}=30\text{ В}$, $I_C=3\text{ А}$, $P_D=500\text{ мВт}$, $h_{FE}=180...390$, $f_T>120\text{ МГц}$	SOT-89, SC-62	B•C•E•C
BG	BCX5510	PHIL	npn	$V_{CE0}=60\text{ В}$, $I_C=1\text{ А}$, $P_D=1\text{ Вт}$, $h_{FE}=63...160$, $f_T>130\text{ МГц}$	SOT-89, SC-62	B•C•E•C
BG	BCX5510	SIEM	npn	$V_{CE0}=60\text{ В}$, $I_C=1\text{ А}$, $P_D=1\text{ Вт}$, $h_{FE}=63...160$, $f_T>130\text{ МГц}$	SOT-89, SC-62	B•C•E•C
BGR	2SB1124R	SANYO	npn	$V_{CE0}=60\text{ В}$, $I_C=3\text{ А}$, $P_D=500\text{ мВт}$, $h_{FE}=100...200$, $f_T>150\text{ МГц}$	SOT-89, SC-62	B•C•E•C
BGS	2SB1124S	SANYO	npn	$V_{CE0}=60\text{ В}$, $I_C=3\text{ А}$, $P_D=500\text{ мВт}$, $h_{FE}=140...280$, $f_T>150\text{ МГц}$	SOT-89, SC-62	B•C•E•C
BGT	2SB1124T	SANYO	npn	$V_{CE0}=60\text{ В}$, $I_C=3\text{ А}$, $P_D=500\text{ мВт}$, $h_{FE}=200...400$, $f_T>150\text{ МГц}$	SOT-89, SC-62	B•C•E•C
BGU	2SB1124U	SANYO	npn	$V_{CE0}=60\text{ В}$, $I_C=3\text{ А}$, $P_D=500\text{ мВт}$, $h_{FE}=280...560$, $f_T>150\text{ МГц}$	SOT-89, SC-62	B•C•E•C
BH	2SB1001BH	REN	npn	$V_{CE0}=20\text{ В}$, $I_C=2\text{ А}$, $P_D=1\text{ Вт}$, $h_{FE}=100...200$, $f_T>150\text{ МГц}$	SOT-89, SC-62	B•C•E•C
BH	2SB1125	SANYO	dpnp	$V_{CE0}=80\text{ В}$, $I_C=700\text{ мА}$, $P_D=500\text{ мВт}$, $h_{FE}>5000$, $f_T>200\text{ МГц}$	SOT-89, SC-62	B•C•E•C
BH	BCP56	ON	npn	$V_{CE0}=80\text{ В}$, $I_C=1\text{ А}$, $P_D=1.5\text{ Вт}$, $h_{FE}=40...250$, $f_T>130\text{ МГц}$	SOT-223, TO-261AA	E•C•B•C
BH	BCX56	PHIL	npn	$V_{CE0}=100\text{ В}$, $I_C=1\text{ А}$, $P_D=1\text{ Вт}$, $h_{FE}=40...250$, $f_T>130\text{ МГц}$	SOT-89, SC-62	B•C•E•C
BH	BCX56	SIEM	npn	$V_{CE0}=80\text{ В}$, $I_C=1\text{ А}$, $P_D=1\text{ Вт}$, $h_{FE}=40...250$, $f_T>130\text{ МГц}$	SOT-89, SC-62	B•C•E•C
BH-10	BCP56-10	ON	npn	$V_{CE0}=80\text{ В}$, $I_C=1\text{ А}$, $P_D=1.5\text{ Вт}$, $h_{FE}=63...160$, $f_T>130\text{ МГц}$	SOT-223, TO-261AA	E•C•B•C
BH-16	BCP56-16	ON	npn	$V_{CE0}=80\text{ В}$, $I_C=1\text{ А}$, $P_D=1.5\text{ Вт}$, $h_{FE}=100...250$, $f_T>130\text{ МГц}$	SOT-223, TO-261AA	E•C•B•C
BHP	2SB1386	ROHM	npn	$V_{CE0}=30\text{ В}$, $I_C=5\text{ А}$, $P_D=500\text{ мВт}$, $h_{FE}=82...180$, $f_T>120\text{ МГц}$	SOT-89, SC-62	B•C•E•C
BHQ	2SB1386	ROHM	npn	$V_{CE0}=30\text{ В}$, $I_C=5\text{ А}$, $P_D=500\text{ мВт}$, $h_{FE}=120...270$, $f_T>120\text{ МГц}$	SOT-89, SC-62	B•C•E•C
BHR	2SB1386	ROHM	npn	$V_{CE0}=30\text{ В}$, $I_C=5\text{ А}$, $P_D=500\text{ мВт}$, $h_{FE}=180...390$, $f_T>120\text{ МГц}$	SOT-89, SC-62	B•C•E•C
BI	2SB1126	SANYO	dpnp	$V_{CE0}=80\text{ В}$, $I_C=1.5\text{ А}$, $P_D=500\text{ мВт}$, $h_{FE}>4000$, $f_T>120\text{ МГц}$	SOT-89, SC-62	B•C•E•C
BJ	2SB1001BJ	REN	npn	$V_{CE0}=20\text{ В}$, $I_C=2\text{ А}$, $P_D=1\text{ Вт}$, $h_{FE}=160...320$, $f_T>150\text{ МГц}$	SOT-89, SC-62	B•C•E•C
BJ	BCX506	SIEM	npn	$V_{CE0}=80\text{ В}$, $I_C=1\text{ А}$, $P_D=1\text{ Вт}$, $h_{FE}=40...100$, $f_T>100\text{ МГц}$	SOT-89, SC-62	B•C•E•C
BJ	BCX56	PHIL	npn	$V_{CE0}=80\text{ В}$, $I_C=1\text{ А}$, $P_D=1\text{ Вт}$, $h_{FE}=40...100$, $f_T>50\text{ МГц}$	SOT-89, SC-62	B•C•E•C
BJE	2SB1427	ROHM	npn	$V_{CE0}=20\text{ В}$, $I_C=2\text{ А}$, $P_D=500\text{ мВт}$, $h_{FE}=390...820$, $f_T>90\text{ МГц}$	SOT-89, SC-62	B•C•E•C
BJS	2SB1427	ROHM	npn	$V_{CE0}=20\text{ В}$, $I_C=2\text{ А}$, $P_D=500\text{ мВт}$, $h_{FE}=270...560$, $f_T>90\text{ МГц}$	SOT-89, SC-62	B•C•E•C
BJU	2SB1427	ROHM	npn	$V_{CE0}=20\text{ В}$, $I_C=2\text{ А}$, $P_D=500\text{ мВт}$, $h_{FE}=560...1200$, $f_T>90\text{ МГц}$	SOT-89, SC-62	B•C•E•C
BK	BCX5610	PHIL	npn	$V_{CE0}=100\text{ В}$, $I_C=1\text{ А}$, $P_D=1\text{ Вт}$, $h_{FE}=63...160$, $f_T>130\text{ МГц}$	SOT-89, SC-62	B•C•E•C
BK	BCX5610	SIEM	npn	$V_{CE0}=80\text{ В}$, $I_C=1\text{ А}$, $P_D=1\text{ Вт}$, $h_{FE}=63...160$, $f_T>100\text{ МГц}$	SOT-89, SC-62	B•C•E•C

**SOT89
SC62****SOT223
TO261A****TO252
DPAK****TO263
D2PAK**

Код	Типовое обозначение	Б	Ф	Особенности	Корпус	Ц: 1*2*3*4
BL	BCX5616	PHIL	npn	$V_{CE0}=100\text{ В}$, $I_C=1\text{ А}$, $P_D=1\text{ Вт}$, $h_{21}=100...250$, $f_T=130\text{ МГц}$	SOT-89, SC-82	В•С•Е•С
BL	BCX5616	SIEM	npn	$V_{CE0}=80\text{ В}$, $I_C=1\text{ А}$, $P_D=1\text{ Вт}$, $h_{21}=100...250$, $f_T=100\text{ МГц}$	SOT-89, SC-62	В•С•Е•С
BLP	2SB1561	ROHM	npn	$V_{CE0}=60\text{ В}$, $I_C=2\text{ А}$, $P_D=500\text{ мВт}$, $h_{21}=82...180$, $f_T>200\text{ МГц}$	SOT-89, SC-62	В•С•Е•С
BLQ	2SB1561	ROHM	npn	$V_{CE0}=60\text{ В}$, $I_C=2\text{ А}$, $P_D=500\text{ мВт}$, $h_{21}=120...270$, $f_T>200\text{ МГц}$	SOT-89, SC-62	В•С•Е•С
BM	BCX5516	PHIL	npn	$V_{CE0}=60\text{ В}$, $I_C=1\text{ А}$, $P_D=1\text{ Вт}$, $h_{21}=100...250$, $f_T=130\text{ МГц}$	SOT-89, SC-62	В•С•Е•С
BM	BCX5516	SIEM	npn	$V_{CE0}=60\text{ В}$, $I_C=1\text{ А}$, $P_D=1\text{ Вт}$, $h_{21}=100...250$, $f_T=100\text{ МГц}$	SOT-89, SC-62	В•С•Е•С
BO	2SA1200	TOSH	npn	$V_{CE0}=150\text{ В}$, $I_C=50\text{ мА}$, $P_D=500\text{ мВт}$, $h_{21}>70...140$, $f_T>120\text{ МГц}$	SOT-89, SC-62	В•С•Е•С
BO	KTA1660	KEC	npn	$V_{CE0}=150\text{ В}$, $I_C=50\text{ мА}$, $P_D=500\text{ мВт}$, $h_{21}=70...140$, $f_T>120\text{ МГц}$	SOT-89, SC-62	В•С•Е•С
BQ	2SB766AQ	PAN	npn	$V_{CE0}=60\text{ В}$, $I_C=1\text{ А}$, $P_D=1\text{ Вт}$, $h_{21}=85...170$, $f_T=200\text{ МГц}$	SOT-89, SC-62	В•С•Е•С
BR	2SB766AR	PAN	npn	$V_{CE0}=60\text{ В}$, $I_C=1\text{ А}$, $P_D=1\text{ Вт}$, $h_{21}=120...240$, $f_T=200\text{ МГц}$	SOT-89, SC-62	В•С•Е•С
BR1	BSR30	PHIL	npn	$V_{CE0}=70\text{ В}$, $I_C=1\text{ А}$, $P_D=1\text{ Вт}$, $h_{21}=40...120$, $f_T>100\text{ МГц}$	SOT-89, SC-62	В•С•Е•С
BR2	BSR31	PHIL	npn	$V_{CE0}=70\text{ В}$, $I_C=1\text{ А}$, $P_D=1\text{ Вт}$, $h_{21}=100...300$, $f_T>100\text{ МГц}$	SOT-89, SC-62	В•С•Е•С
BR3	BSR32	PHIL	npn	$V_{CE0}=90\text{ В}$, $I_C=1\text{ А}$, $P_D=1\text{ Вт}$, $h_{21}=40...120$, $f_T>100\text{ МГц}$	SOT-89, SC-62	В•С•Е•С
BR4	BSR33	PHIL	npn	$V_{CE0}=90\text{ В}$, $I_C=1\text{ А}$, $P_D=1\text{ Вт}$, $h_{21}=100...300$, $f_T>100\text{ МГц}$	SOT-89, SC-62	В•С•Е•С
BS	2SB766AS	PAN	npn	$V_{CE0}=60\text{ В}$, $I_C=1\text{ А}$, $P_D=1\text{ Вт}$, $h_{21}=170...340$, $f_T=200\text{ МГц}$	SOT-89, SC-62	В•С•Е•С
BS1	BST60	PHIL	dpnp	$V_{CE0}=60\text{ В}$, $I_C=500\text{ мА}$, $P_D=1\text{ Вт}$, $h_{21}>2000$	SOT-89, SC-62	В•С•Е•С
BS1	BST60	MOT	dpnp	$V_{CE0}=60\text{ В}$, $I_C=500\text{ мА}$, $P_D=1\text{ Вт}$, $h_{21}>2000$	SOT-89, SC-62	В•С•Е•С
BS1	BST60	ZETEX	dpnp	$V_{CE0}=60\text{ В}$, $I_C=500\text{ мА}$, $P_D=1\text{ Вт}$, $h_{21}>2000$	SOT-89, SC-62	В•С•Е•С
BS2	BST61	PHIL	dpnp	$V_{CE0}=80\text{ В}$, $I_C=500\text{ мА}$, $P_D=1\text{ Вт}$, $h_{21}>2000$	SOT-89, SC-62	В•С•Е•С
BS2	BST61	MOT	dpnp	$V_{CE0}=80\text{ В}$, $I_C=500\text{ мА}$, $P_D=1\text{ Вт}$, $h_{21}>2000$	SOT-89, SC-62	В•С•Е•С
BS2	BST61	ZETEX	dpnp	$V_{CE0}=80\text{ В}$, $I_C=500\text{ мА}$, $P_D=1\text{ Вт}$, $h_{21}>2000$	SOT-89, SC-62	В•С•Е•С
BS3	BSP62	ON	dpnp	$V_{CE0}=90\text{ В}$, $I_C=1\text{ А}$, $P_D=1.25\text{ Вт}$, $h_{21}>2000$, $f_T=200\text{ МГц}$	SOT-89, SC-62	В•С•Е•С
BS3	BST62	PHIL	dpnp	$V_{CE0}=90\text{ В}$, $I_C=500\text{ мА}$, $P_D=1\text{ Вт}$, $h_{21}>2000$	SOT-89, SC-62	В•С•Е•С
BS3	BST62	MOT	dpnp	$V_{CE0}=90\text{ В}$, $I_C=500\text{ мА}$, $P_D=1\text{ Вт}$, $h_{21}>2000$	SOT-89, SC-62	В•С•Е•С
BS3	BST62	ZETEX	dpnp	$V_{CE0}=90\text{ В}$, $I_C=500\text{ мА}$, $P_D=1\text{ Вт}$, $h_{21}>2000$	SOT-89, SC-62	В•С•Е•С
BT	2SB1048	REN	dpnp	$V_{CE0}=60\text{ В}$, $I_C=1\text{ А}$, $P_D=1\text{ Вт}$, $h_{21}=2000...10000$	SOT-89, SC-62	В•С•Е•С
BT1	BST15	PHIL	npn	$V_{CE0}=200\text{ В}$, $I_C=1\text{ А}$, $P_D=1\text{ Вт}$, $h_{21}=30...150$, $f_T>15\text{ МГц}$	SOT-89, SC-62	В•С•Е•С
BT2	BSP16	ON	npn	$V_{CE0}=350\text{ В}$, $I_C=200\text{ мА}$, $P_D=1.28\text{ Вт}$, $h_{21}>30$, $f_T>15\text{ МГц}$	SOT-223, TO-261AA	В•С•Е•С
BT2	BST16	PHIL	npn	$V_{CE0}=350\text{ В}$, $I_C=1\text{ А}$, $P_D=1\text{ Вт}$, $h_{21}=30...120$, $f_T>15\text{ МГц}$	SOT-89, SC-62	В•С•Е•С
BY	2SA1200	TOSH	npn	$V_{CE0}=150\text{ В}$, $I_C=50\text{ мА}$, $P_D=500\text{ мВт}$, $h_{21}>120...240$, $f_T>120\text{ МГц}$	SOT-89, SC-62	В•С•Е•С
BY	KTA1660	KEC	npn	$V_{CE0}=150\text{ В}$, $I_C=50\text{ мА}$, $P_D=500\text{ мВт}$, $h_{21}=120...240$, $f_T>120\text{ МГц}$	SOT-89, SC-62	В•С•Е•С
BYR210	PBYR2100CT	PHIL	shd x2	$V_R<100\text{ В}$, $V_F(I_F=1\text{ А})<0.69\text{ В}$, $C_T<100\text{ нФ}$	SOT-223, TO-261AA	A1•K1, K2• A2•K1, K2
BYR215	PBYR2150CT	PHIL	shd x2	$V_R<150\text{ В}$, $V_F(I_F=1\text{ А})<0.69\text{ В}$, $C_T<100\text{ нФ}$	SOT-223, TO-261AA	A1•K1, K2• A2•K1, K2
BYR220	PBYR220CT	PHIL	shd x2	$V_R<20\text{ В}$, $V_F(I_F=2\text{ А})<0.51\text{ В}$, $C_T=160\text{ нФ}$	SOT-223, TO-261AA	A1•K1, K2• A2•K1, K2
BYR225	PBYR225CT	PHIL	shd x2	$V_R<25\text{ В}$, $V_F(I_F=2\text{ А})<0.51\text{ В}$, $C_T=160\text{ нФ}$	SOT-223, TO-261AA	A1•K1, K2• A2•K1, K2
BYR240	PBYR240CT	PHIL	shd x2	$V_R<40\text{ В}$, $V_F(I_F=2\text{ А})<0.7\text{ В}$, $C_T=60\text{ нФ}$	SOT-223, TO-261AA	A1•K1, K2• A2•K1, K2
BYR245	PBYR245CT	PHIL	shd x2	$V_R<45\text{ В}$, $V_F(I_F=2\text{ А})<0.7\text{ В}$, $C_T=60\text{ нФ}$	SOT-223, TO-261AA	A1•K1, K2• A2•K1, K2
BYR28	PBYR280CT	PHIL	shd x2	$V_R<80\text{ В}$, $V_F(I_F=1\text{ А})<0.69\text{ В}$, $C_T<100\text{ нФ}$	SOT-223, TO-261AA	A1•K1, K2• A2•K1, K2
BYR29	PBYR290CT	PHIL	shd x2	$V_R<90\text{ В}$, $V_F(I_F=1\text{ А})<0.69\text{ В}$, $C_T<100\text{ нФ}$	SOT-223, TO-261AA	A1•K1, K2• A2•K1, K2
CA	BCP68	MOT	npn	$V_{CE0}=20\text{ В}$, $I_C=1\text{ А}$, $P_D=1.5\text{ Вт}$, $h_{21}=85...375$, $f_T=60\text{ МГц}$	SOT-223, TO-261AA	Е•С•В•С
CAC	BC868	PHIL	npn	$V_{CE0}=25\text{ В}$, $I_C=1\text{ А}$, $P_D=1\text{ Вт}$, $h_{21}=85...375$, $f_T>40\text{ МГц}$	SOT-89, SC-62	В•С•Е•С
CB	2SD1368	REN	npn	$V_{CE0}=100\text{ В}$, $I_C=1\text{ А}$, $P_D=1\text{ Вт}$, $h_{21}=160...320$, $f_T=100\text{ МГц}$	SOT-89, SC-62	В•С•Е•С
CB	BCX6810	SIEM	npn	$V_{CE0}=20\text{ В}$, $I_C=1\text{ А}$, $P_D=1\text{ Вт}$, $h_{21}=85...160$, $f_T=100\text{ МГц}$	SOT-89, SC-62	В•С•Е•С

**TO263
D2PAK**



**TO252
DPAK**



**SOT223
TO261A**



**SOT89
SC62**



Код	Типовый номинал	Б	Ф	Особенности	Корпус	Ц: 1+2+3+4
CBC	BC68810	PHIL	npn	$V_{CE0}=25\text{ В}$; $I_C=1\text{ А}$; $P_D=1\text{ Вт}$; $h_{FE}=160...500$; $f_T>40\text{ МГц}$	SOT-89, SC-62	В•С•Е•С
CBN	2SC4132	ROHM	npn	$V_{CE0}=120\text{ В}$; $I_C=2\text{ А}$; $P_D=500\text{ мВт}$; $h_{FE}=56...120$; $f_T>80\text{ МГц}$	SOT-89, SC-62	В•С•Е•С
CBP	2SC4132	ROHM	npn	$V_{CE0}=120\text{ В}$; $I_C=2\text{ А}$; $P_D=500\text{ мВт}$; $h_{FE}=82...180$; $f_T>80\text{ МГц}$	SOT-89, SC-62	В•С•Е•С
CBQ	2SC4132	ROHM	npn	$V_{CE0}=120\text{ В}$; $I_C=2\text{ А}$; $P_D=500\text{ мВт}$; $h_{FE}=120...270$; $f_T>80\text{ МГц}$	SOT-89, SC-62	В•С•Е•С
CBR	2SC4132	ROHM	npn	$V_{CE0}=120\text{ В}$; $I_C=2\text{ А}$; $P_D=500\text{ мВт}$; $h_{FE}=180...390$; $f_T>80\text{ МГц}$	SOT-89, SC-62	В•С•Е•С
CC	2SD1368	REN	npn	$V_{CE0}=100\text{ В}$; $I_C=1\text{ А}$; $P_D=1\text{ Вт}$; $h_{FE}=250...500$; $f_T>100\text{ МГц}$	SOT-89, SC-62	В•С•Е•С
CC	BCX6816	SIEM	npn	$V_{CE0}=20\text{ В}$; $I_C=1\text{ А}$; $P_D=1\text{ Вт}$; $h_{FE}=100...250$; $f_T>100\text{ МГц}$	SOT-89, SC-62	В•С•Е•С
CCC	BC68816	PHIL	npn	$V_{CE0}=25\text{ В}$; $I_C=1\text{ А}$; $P_D=1\text{ Вт}$; $h_{FE}=100...250$; $f_T>40\text{ МГц}$	SOT-89, SC-62	В•С•Е•С
CD	BCX6825	SIEM	npn	$V_{CE0}=20\text{ В}$; $I_C=1\text{ А}$; $P_D=1\text{ Вт}$; $h_{FE}=160...375$; $f_T>100\text{ МГц}$	SOT-89, SC-62	В•С•Е•С
CDC	BC68825	PHIL	npn	$V_{CE0}=25\text{ В}$; $I_C=1\text{ А}$; $P_D=1\text{ Вт}$; $h_{FE}>160$; $f_T>40\text{ МГц}$	SOT-89, SC-62	В•С•Е•С
CE	BCP69	MOT	prnp	$V_{CE0}=20\text{ В}$; $I_C=1\text{ А}$; $P_D=1.5\text{ Вт}$; $h_{FE}=85...375$; $f_T>60\text{ МГц}$	SOT-223, TO-261AA	Е•С•В•С
CEC	BC689	PHIL	prnp	$V_{CE0}=25\text{ В}$; $I_C=1\text{ А}$; $P_D=1\text{ Вт}$; $h_{FE}=85...375$; $f_T>40\text{ МГц}$	SOT-89, SC-62	В•С•Е•С
CEN	2SC4505	ROHM	npn	$V_{CE0}=400\text{ В}$; $I_C=100\text{ мА}$; $P_D=500\text{ мВт}$; $h_{FE}=56...120$; $f_T>20\text{ МГц}$	SOT-89, SC-62	В•С•Е•С
CEP	2SC4505	ROHM	npn	$V_{CE0}=400\text{ В}$; $I_C=100\text{ мА}$; $P_D=500\text{ мВт}$; $h_{FE}=82...180$; $f_T>20\text{ МГц}$	SOT-89, SC-62	В•С•Е•С
CEQ	2SC4505	ROHM	npn	$V_{CE0}=400\text{ В}$; $I_C=100\text{ мА}$; $P_D=500\text{ мВт}$; $h_{FE}=120...270$; $f_T>20\text{ МГц}$	SOT-89, SC-62	В•С•Е•С
CF	BCX6910	SIEM	prnp	$V_{CE0}=20\text{ В}$; $I_C=1\text{ А}$; $P_D=1\text{ Вт}$; $h_{FE}=85...160$; $f_T>100\text{ МГц}$	SOT-89, SC-62	В•С•Е•С
CFC	BC68910	PHIL	prnp	$V_{CE0}=25\text{ В}$; $I_C=1\text{ А}$; $P_D=1\text{ Вт}$; $h_{FE}>160$; $f_T>40\text{ МГц}$	SOT-89, SC-62	В•С•Е•С
CFF	2SD2150	ROHM	npn	$V_{CE0}=40\text{ В}$; $I_C=3\text{ А}$; $P_D=500\text{ мВт}$; $h_{FE}=120...270$; $f_T>290\text{ МГц}$	SOT-89, SC-62	В•С•Е•С
CFR	2SD2150	ROHM	npn	$V_{CE0}=40\text{ В}$; $I_C=3\text{ А}$; $P_D=500\text{ мВт}$; $h_{FE}=180...390$; $f_T>290\text{ МГц}$	SOT-89, SC-62	В•С•Е•С
CFS	2SD2150	ROHM	npn	$V_{CE0}=40\text{ В}$; $I_C=3\text{ А}$; $P_D=500\text{ мВт}$; $h_{FE}=270...560$; $f_T>290\text{ МГц}$	SOT-89, SC-62	В•С•Е•С
CG	BCX6916	SIEM	prnp	$V_{CE0}=20\text{ В}$; $I_C=1\text{ А}$; $P_D=1\text{ Вт}$; $h_{FE}=100...250$; $f_T>100\text{ МГц}$	SOT-89, SC-62	В•С•Е•С
CGB	BC68916	PHIL	prnp	$V_{CE0}=25\text{ В}$; $I_C=1\text{ А}$; $P_D=1\text{ Вт}$; $h_{FE}=100...250$; $f_T>40\text{ МГц}$	SOT-89, SC-62	В•С•Е•С
CGP	2SC5053	ROHM	npn	$V_{CE0}=60\text{ В}$; $I_C=1\text{ А}$; $P_D=500\text{ мВт}$; $h_{FE}=82...180$; $f_T>150\text{ МГц}$	SOT-89, SC-62	В•С•Е•С
CGQ	2SC5053	ROHM	npn	$V_{CE0}=60\text{ В}$; $I_C=1\text{ А}$; $P_D=500\text{ мВт}$; $h_{FE}=120...270$; $f_T>150\text{ МГц}$	SOT-89, SC-62	В•С•Е•С
CGR	2SC5053	ROHM	npn	$V_{CE0}=60\text{ В}$; $I_C=1\text{ А}$; $P_D=500\text{ мВт}$; $h_{FE}=180...390$; $f_T>150\text{ МГц}$	SOT-89, SC-62	В•С•Е•С
CH	2SB1002CH	REN	prnp	$V_{CE0}=70\text{ В}$; $I_C=1\text{ А}$; $P_D=1\text{ Вт}$; $h_{FE}=100...200$; $f_T=150\text{ МГц}$	SOT-89, SC-62	В•С•Е•С
CHC	BCX6925	SIEM	prnp	$V_{CE0}=20\text{ В}$; $I_C=1\text{ А}$; $P_D=1\text{ Вт}$; $h_{FE}=160...375$; $f_T>100\text{ МГц}$	SOT-89, SC-62	В•С•Е•С
QHC	BC68925	PHIL	prnp	$V_{CE0}=25\text{ В}$; $I_C=1\text{ А}$; $P_D=1\text{ Вт}$; $h_{FE}=160$; $f_T>40\text{ МГц}$	SOT-89, SC-62	В•С•Е•С
CI	2SC4080	SANYO	npn	$V_{CE0}=200\text{ В}$; $I_C=100\text{ мА}$; $P_D=500\text{ мВт}$; $h_{FE}=40...320$; $f_T=400\text{ МГц}$	SOT-89, SC-62	В•С•Е•С
CJ	2SB1002CJ	REN	prnp	$V_{CE0}=70\text{ В}$; $I_C=1\text{ А}$; $P_D=1\text{ Вт}$; $h_{FE}=160...320$; $f_T=150\text{ МГц}$	SOT-89, SC-62	В•С•Е•С
CR	2SC4422	REN	npn	$V_{CE0}=15\text{ В}$; $I_C=50\text{ мА}$; $P_D=400\text{ мВт}$; $h_{FE}=50250$; $f_T>4.5\text{ ГГц}$	SOT-89, SC-62	В•С•Е•С
CT	2SD1472	REN	drnpn	$V_{CE0}=120\text{ В}$; $I_C=1.5\text{ А}$; $P_D=1\text{ Вт}$; $h_{FE}=2000...3000$	SOT-89, SC-62	В•С•Е•С
DA	2SD1418	REN	npn	$V_{CE0}=120\text{ В}$; $I_C=1\text{ А}$; $P_D=1\text{ Вт}$; $h_{FE}=60...120$; $f_T=140\text{ МГц}$	SOT-89, SC-62	В•С•Е•С
DA	BF622	PHIL	npn	$V_{CE0}=250\text{ В}$; $I_C=50\text{ мА}$; $P_D=1\text{ Вт}$; $h_{FE}>50$; $f_T>60\text{ МГц}$	SOT-89, SC-62	В•С•Е•С
DA	BF622	SIEM	npn	$V_{CE0}=250\text{ В}$; $I_C=50\text{ мА}$; $P_D=1\text{ Вт}$; $h_{FE}>50$; $f_T=100\text{ МГц}$	SOT-89, SC-62	В•С•Е•С
DAP	2SD1664	ROHM	npn	$V_{CE0}=40\text{ В}$; $I_C=1\text{ А}$; $P_D=500\text{ мВт}$; $h_{FE}=82...180$; $f_T>150\text{ МГц}$	SOT-89, SC-62	В•С•Е•С
DAQ	2SD1664	ROHM	npn	$V_{CE0}=40\text{ В}$; $I_C=1\text{ А}$; $P_D=500\text{ мВт}$; $h_{FE}=120...270$; $f_T>150\text{ МГц}$	SOT-89, SC-62	В•С•Е•С
DAR	2SD1664	ROHM	npn	$V_{CE0}=40\text{ В}$; $I_C=1\text{ А}$; $P_D=500\text{ мВт}$; $h_{FE}=180...390$; $f_T>150\text{ МГц}$	SOT-89, SC-62	В•С•Е•С
DB	2SD1418	REN	npn	$V_{CE0}=120\text{ В}$; $I_C=1\text{ А}$; $P_D=1\text{ Вт}$; $h_{FE}=60...120$; $f_T=140\text{ МГц}$	SOT-89, SC-62	В•С•Е•С
DB	BF623	PHIL	prnp	$V_{CE0}=250\text{ В}$; $I_C=50\text{ мА}$; $P_D=1\text{ Вт}$; $h_{FE}>50$; $f_T>60\text{ МГц}$	SOT-89, SC-62	В•С•Е•С
DB	BF623	SIEM	prnp	$V_{CE0}=250\text{ В}$; $I_C=50\text{ мА}$; $P_D=1\text{ Вт}$; $h_{FE}>50$; $f_T=100\text{ МГц}$	SOT-89, SC-62	В•С•Е•С
DBP	2SD1768	ROHM	npn	$V_{CE0}=40\text{ В}$; $I_C=2\text{ А}$; $P_D=500\text{ мВт}$; $h_{FE}=82...180$; $f_T>100\text{ МГц}$	SOT-89, SC-62	В•С•Е•С
DBQ	2SD1768	ROHM	npn	$V_{CE0}=40\text{ В}$; $I_C=2\text{ А}$; $P_D=500\text{ мВт}$; $h_{FE}=120...270$; $f_T>100\text{ МГц}$	SOT-89, SC-62	В•С•Е•С
DBR	2SD1768	ROHM	npn	$V_{CE0}=40\text{ В}$; $I_C=2\text{ А}$; $P_D=500\text{ мВт}$; $h_{FE}=180...390$; $f_T>100\text{ МГц}$	SOT-89, SC-62	В•С•Е•С
DC	2SD1418	REN	npn	$V_{CE0}=120\text{ В}$; $I_C=1\text{ А}$; $P_D=1\text{ Вт}$; $h_{FE}=60...120$; $f_T=140\text{ МГц}$	SOT-89, SC-62	В•С•Е•С
DC	BF620	PHIL	npn	$V_{CE0}=300\text{ В}$; $I_C=50\text{ мА}$; $P_D=1\text{ Вт}$; $h_{FE}>50$; $f_T>60\text{ МГц}$	SOT-89, SC-62	В•С•Е•С
DC	BF720T1	ON	npn	$V_{CE0}=300\text{ В}$; $I_C=100\text{ мА}$; $P_D=1.5\text{ Вт}$; $h_{FE}>50$; $f_T>60\text{ МГц}$	SOT-223, TO-261AA	В•С•Е•С
DC	BFN20	SIEM	npn	$V_{CE0}=300\text{ В}$; $I_C=50\text{ мА}$; $P_D=1\text{ Вт}$; $h_{FE}>40$; $f_T=100\text{ МГц}$	SOT-89, SC-62	В•С•Е•С
DCP	2SD1767	ROHM	npn	$V_{CE0}=80\text{ В}$; $I_C=700\text{ мА}$; $P_D=500\text{ мВт}$; $h_{FE}=82...180$; $f_T>120\text{ МГц}$	SOT-89, SC-62	В•С•Е•С

**SOT89
SC62****SOT223
TO261A****TO252
DPAK****TO263
D2PAK**

Код	Типовый микросхем	Б	Ф	Особенности	Корпус	Ц: 1+2+3+4
DCQ	2SD1767	ROHM	npn	$V_{CE0}=80В$; $I_C=700mA$; $P_D=500mBт$; $h_{21}=120...270$; $f_T > 120MГц$	SOT-89, SC-62	В•С•Е•С
DCR	2SD1767	ROHM	npn	$V_{CE0}=80В$; $I_C=700mA$; $P_D=500mBт$; $h_{21}=180...390$; $f_T > 120MГц$	SOT-89, SC-62	В•С•Е•С
DD	2SD1419	REN	npn	$V_{CE0}=120В$; $I_C=1A$; $P_D=1Вт$; $h_{21}=60...120$; $f_T=140MГц$	SOT-89, SC-62	В•С•Е•С
DD	BFN16	SIEM	npn	$V_{CE0}=250В$; $I_C=200mA$; $P_D=1Вт$; $h_{21} > 40$; $f_T > 70MГц$	SOT-89, SC-62	В•С•Е•С
DDP	2SD1766	ROHM	npn	$V_{CE0}=40В$; $I_C=2A$; $P_D=500mBт$; $h_{21}=82...180$; $f_T > 160MГц$	SOT-89, SC-62	В•С•Е•С
DDQ	2SD1766	ROHM	npn	$V_{CE0}=40В$; $I_C=2A$; $P_D=500mBт$; $h_{21}=120...270$; $f_T > 100MГц$	SOT-89, SC-62	В•С•Е•С
DDR	2SD1766	ROHM	npn	$V_{CE0}=40В$; $I_C=2A$; $P_D=500mBт$; $h_{21}=180...390$; $f_T > 100MГц$	SOT-89, SC-62	В•С•Е•С
DE	2SD1419	REN	npn	$V_{CE0}=120В$; $I_C=1A$; $P_D=1Вт$; $h_{21}=100...200$; $f_T=140MГц$	SOT-89, SC-62	В•С•Е•С
DE	2SD1834	ROHM	npn	$V_{CE0}=60В$; $I_C=1A$; $P_D=500mBт$; $h_{21} > 2000$	SOT-89, SC-62	В•С•Е•С
DE	BFN18	SIEM	npn	$V_{CE0}=300В$; $I_C=200mA$; $P_D=1Вт$; $h_{21} > 30$; $f_T > 70MГц$	SOT-89, SC-62	В•С•Е•С
DF	2SD1898	ROHM	npn	$V_{CE0}=80В$; $I_C=1A$; $P_D=2Вт$; $h_{21}=82...390$; $f_T > 100MГц$	SOT-89, SC-62	В•С•Е•С
DF	BF621	PHIL	prnp	$V_{CE0}=300В$; $I_C=50mA$; $P_D=1Вт$; $h_{21} > 50$; $f_T > 60MГц$	SOT-89, SC-62	В•С•Е•С
DF	BF721T1	ON	prnp	$V_{CE0}=300В$; $I_C=100mA$; $P_D=1.5Вт$; $h_{21} > 50$; $f_T=60MГц$	SOT-223, TO-261AA	В•С•Е•С
DF	BFN21	SIEM	prnp	$V_{CE0}=300В$; $I_C=50mA$; $P_D=1Вт$; $h_{21} > 40$; $f_T=100MГц$	SOT-89, SC-62	В•С•Е•С
DG	BFN17	SIEM	prnp	$V_{CE0}=250В$; $I_C=200mA$; $P_D=1Вт$; $h_{21} > 40$; $f_T=100MГц$	SOT-89, SC-62	В•С•Е•С
DGQ	2SD1963	ROHM	npn	$V_{CE0}=50В$; $I_C=3A$; $P_D=500mBт$; $h_{21}=120...270$; $f_T > 150MГц$	SOT-89, SC-62	В•С•Е•С
DGR	2SD1624R	SANYO	npn	$V_{CE0}=60В$; $I_C=3A$; $P_D=500mBт$; $h_{21}=100...200$; $f_T=150MГц$	SOT-89, SC-62	В•С•Е•С
DGR	2SD1963	ROHM	npn	$V_{CE0}=50В$; $I_C=3A$; $P_D=500mBт$; $h_{21}=180...390$; $f_T > 150MГц$	SOT-89, SC-62	В•С•Е•С
DGS	2SD1624S	SANYO	npn	$V_{CE0}=60В$; $I_C=3A$; $P_D=500mBт$; $h_{21}=140...280$; $f_T=150MГц$	SOT-89, SC-62	В•С•Е•С
DGS	2SD1963	ROHM	npn	$V_{CE0}=50В$; $I_C=3A$; $P_D=500mBт$; $h_{21}=270...560$; $f_T > 150MГц$	SOT-89, SC-62	В•С•Е•С
DGT	2SD1624T	SANYO	npn	$V_{CE0}=60В$; $I_C=3A$; $P_D=500mBт$; $h_{21}=200...400$; $f_T=150MГц$	SOT-89, SC-62	В•С•Е•С
DGU	2SD1624U	SANYO	npn	$V_{CE0}=60В$; $I_C=3A$; $P_D=500mBт$; $h_{21}=280...560$; $f_T=150MГц$	SOT-89, SC-62	В•С•Е•С
DH	2SB1025DH	REN	prnp	$V_{CE0}=120В$; $I_C=1A$; $P_D=1Вт$; $h_{21}=60...120$; $f_T=140MГц$	SOT-89, SC-62	В•С•Е•С
DH	2SD1625	SANYO	prnp	$V_{CE0}=80В$; $I_C=700mA$; $P_D=500mBт$; $h_{21} > 5000$; $f_T=200MГц$	SOT-89, SC-62	В•С•Е•С
DI	BFN19	SIEM	prnp	$V_{CE0}=300В$; $I_C=200mA$; $P_D=1Вт$; $h_{21} > 30$; $f_T=100MГц$	SOT-89, SC-62	В•С•Е•С
DI	2SD1626	SANYO	prnp	$V_{CE0}=80В$; $I_C=1.5A$; $P_D=500mBт$; $h_{21} > 4000$; $f_T=120MГц$	SOT-89, SC-62	В•С•Е•С
DJ	2SB1025DJ	REN	prnp	$V_{CE0}=120В$; $I_C=1A$; $P_D=1Вт$; $h_{21}=100...200$; $f_T=140MГц$	SOT-89, SC-62	В•С•Е•С
DJQ	2SD2098	ROHM	npn	$V_{CE0}=50В$; $I_C=5A$; $P_D=500mBт$; $h_{21}=120...270$; $f_T > 150MГц$	SOT-89, SC-62	В•С•Е•С
DJR	2SD2098	ROHM	npn	$V_{CE0}=50В$; $I_C=5A$; $P_D=500mBт$; $h_{21}=180...390$; $f_T > 150MГц$	SOT-89, SC-62	В•С•Е•С
DJS	2SD2098	ROHM	npn	$V_{CE0}=50В$; $I_C=5A$; $P_D=500mBт$; $h_{21}=270...560$; $f_T > 150MГц$	SOT-89, SC-62	В•С•Е•С
DK	2SB1025DK	REN	prnp	$V_{CE0}=120В$; $I_C=1A$; $P_D=1Вт$; $h_{21}=160...320$; $f_T=140MГц$	SOT-89, SC-62	В•С•Е•С
DKP	2SC4672	ROHM	npn	$V_{CE0}=60В$; $I_C=2A$; $P_D=500mBт$; $h_{21}=82...180$; $f_T > 210MГц$	SOT-89, SC-62	В•С•Е•С
DKQ	2SC4672	ROHM	npn	$V_{CE0}=60В$; $I_C=2A$; $P_D=500mBт$; $h_{21}=120...270$; $f_T > 210MГц$	SOT-89, SC-62	В•С•Е•С
DL	2SB1026DL	REN	prnp	$V_{CE0}=120В$; $I_C=1A$; $P_D=1Вт$; $h_{21}=60...120$; $f_T=140MГц$	SOT-89, SC-62	В•С•Е•С
DLN	2SD2167	ROHM	npn	$V_{CE0}=31В$; $I_C=2A$; $P_D=500mBт$; $h_{21}=56...120$; $f_T > 100MГц$	SOT-89, SC-62	В•С•Е•С
DLP	2SD2167	ROHM	npn	$V_{CE0}=31В$; $I_C=2A$; $P_D=500mBт$; $h_{21}=82...180$; $f_T > 160MГц$	SOT-89, SC-62	В•С•Е•С
DLQ	2SD2167	ROHM	npn	$V_{CE0}=31В$; $I_C=2A$; $P_D=500mBт$; $h_{21}=120...270$; $f_T > 100MГц$	SOT-89, SC-62	В•С•Е•С
DM	2SB1026DM	REN	prnp	$V_{CE0}=120В$; $I_C=1A$; $P_D=1Вт$; $h_{21}=100...200$; $f_T=140MГц$	SOT-89, SC-62	В•С•Е•С
DM	2SD2170	ROHM	npn	$V_{CE0}=90В$; $I_C=2A$; $P_D=500mBт$; $h_{21}=1000...10000$; $f_T > 80MГц$	SOT-89, SC-62	В•С•Е•С
DNE	2SD2153	ROHM	npn	$V_{CE0}=30В$; $I_C=2A$; $P_D=500mBт$; $h_{21}=390...820$; $f_T > 110MГц$	SOT-89, SC-62	В•С•Е•С
DNJ	2SD2153	ROHM	npn	$V_{CE0}=30В$; $I_C=2A$; $P_D=500mBт$; $h_{21}=580...1200$; $f_T > 110MГц$	SOT-89, SC-62	В•С•Е•С
DNV	2SD2153	ROHM	npn	$V_{CE0}=30В$; $I_C=2A$; $P_D=500mBт$; $h_{21}=820...1800$; $f_T > 110MГц$	SOT-89, SC-62	В•С•Е•С
DNW	2SD2153	ROHM	npn	$V_{CE0}=30В$; $I_C=2A$; $P_D=500mBт$; $h_{21}=1200...2700$; $f_T > 110MГц$	SOT-89, SC-62	В•С•Е•С
DO	2SA1201	TOSH	prnp	$V_{CE0}=120В$; $I_C=800mA$; $P_D=500mBт$; $h_{21} > 70...140$; $f_T=120MГц$	SOT-89, SC-62	В•С•Е•С
DP	2SD2196	ROHM	npn	$V_{CE0}=100В$; $I_C=2A$; $P_D=500mBт$; $h_{21}=1000...10000$; $f_T > 80MГц$	SOT-89, SC-62	В•С•Е•С
DQN	2SD2211	ROHM	npn	$V_{CE0}=160В$; $I_C=1500mA$; $P_D=500mBт$; $h_{21}=56...120$; $f_T > 80MГц$	SOT-89, SC-62	В•С•Е•С
DQP	2SD2211	ROHM	npn	$V_{CE0}=160В$; $I_C=1500mA$; $P_D=500mBт$; $h_{21}=82...180$; $f_T > 80MГц$	SOT-89, SC-62	В•С•Е•С
DQQ	2SD2211	ROHM	npn	$V_{CE0}=160В$; $I_C=1500mA$; $P_D=500mBт$; $h_{21}=120...270$; $f_T > 80MГц$	SOT-89, SC-62	В•С•Е•С

**TO263
D2PAK**

**TO252
DPAK**

**SOT223
TO261A**

**SOT89
SC62**


Код	Типовый номинал	Б	Ф	Особенности	Корпус	Ц: 1*2*3*4
DR	2SD4643	REN	npn	$V_{CE0} = 15 В$; $I_C = 50 мА$; $P_D = 400 мВт$; $h_{21} = 40260$; $f_T > 5.5 ГГц$	SOT-89, SC-62	B•C•E•C
DR	2SD2212	ROHM	npn	$V_{CE0} = 60 В$; $I_C = 2 А$; $P_D = 500 мВт$; $h_{21} = 1000$; $f_T > 80 МГц$	SOT-89, SC-62	B•C•E•C
DTP	2SD2391	ROHM	npn	$V_{CE0} = 60 В$; $I_C = 2 А$; $P_D = 500 мВт$; $h_{21} = 82 \dots 180$; $f_T > 210 МГц$	SOT-89, SC-62	B•C•E•C
DTQ	2SD2391	ROHM	npn	$V_{CE0} = 60 В$; $I_C = 2 А$; $P_D = 500 мВт$; $h_{21} = 120 \dots 270$; $f_T > 210 МГц$	SOT-89, SC-62	B•C•E•C
DY	2SA1201	TOSH	pnnp	$V_{CE0} = 120 В$; $I_C = 800 мА$; $P_D = 500 мВт$; $h_{21} > 120 \dots 240$; $f_T = 120 МГц$	SOT-89, SC-62	B•C•E•C
E01	DTDG14EP	ROHM	Dnpn+dz	$V_{CE0} = 60 В$; $I_C = 1 А$; $P_D = 500 мВт$; $h_{21} > 300$; $f_T > 80 МГц$; $R_{DS} = 10 кОм$	SOT-89, SC-62	B•C•E•C
E01	DTDG14GP	ROHM	Dnpn+dz	$V_{CE0} = 60 В$; $I_C = 1 А$; $P_D = 500 мВт$; $h_{21} > 300$; $f_T > 80 МГц$; $R_{DS} = 10 кОм$	SOT-89, SC-62	B•C•E•C
E02	DTDG22YP	ROHM	Dnpn+dz	$V_{CE0} = 60 В$; $I_C = 1 А$; $P_D = 1.5 Вт$; $h_{21} > 300$; $f_T = 80 МГц$; $2.2 к/10 к$	SOT-89, SC-62	B•C•E•C
ED	2SD1421	REN	npn	$V_{CE0} = 180 В$; $I_C = 1.5 А$; $P_D = 1 Вт$; $h_{21} = 60 \dots 120$	SOT-89, SC-62	B•C•E•C
ED	BCV28	INF	dnpn	$V_{CE0} = 40 В$; $I_C = 500 мА$; $P_D = 1 Вт$; $h_{21} > 100$; $f_T = 200 МГц$	SOT-89, SC-62	B•C•E•C
EE	2SD1421	REN	npn	$V_{CE0} = 180 В$; $I_C = 1.5 А$; $P_D = 1 Вт$; $h_{21} = 100 \dots 200$	SOT-89, SC-62	B•C•E•C
EE	BCV48	INF	dnpn	$V_{CE0} = 80 В$; $I_C = 500 мА$; $P_D = 1 Вт$; $h_{21} > 400$; $f_T = 200 МГц$	SOT-89, SC-62	B•C•E•C
EF	BCV29	INF	dnpn	$V_{CE0} = 40 В$; $I_C = 500 мА$; $P_D = 1 Вт$; $h_{21} > 100$; $f_T = 150 МГц$	SOT-89, SC-62	B•C•E•C
EG	BCV49	INF	dnpn	$V_{CE0} = 80 В$; $I_C = 500 мА$; $P_D = 1 Вт$; $h_{21} > 400$; $f_T = 150 МГц$	SOT-89, SC-62	B•C•E•C
EL	2SB1028EL	REN	pnnp	$V_{CE0} = 180 В$; $I_C = 1.5 А$; $P_D = 1 Вт$; $h_{21} = 60 \dots 120$	SOT-89, SC-62	B•C•E•C
EM	2SB1028EM	REN	pnnp	$V_{CE0} = 180 В$; $I_C = 1.5 А$; $P_D = 1 Вт$; $h_{21} = 100 \dots 200$	SOT-89, SC-62	B•C•E•C
ER	2SC4807	REN	npn	$V_{CE0} = 20 В$; $I_C = 200 мА$; $P_D = 800 мВт$; $h_{21} = 50 \dots 250$; $f_T = 3 ГГц$	SOT-89, SC-62	B•C•E•C
FA	BFQ17	PHIL	npn	$V_{CE0} = 40 В$; $I_C = 300 мА$; $P_D = 1 Вт$; $h_{21} = 85$; $f_T = 1.5 ГГц$	SOT-89, SC-62	B•C•E•C
FB	BFQ19	PHIL	npn	$V_{CE0} = 15 В$; $I_C = 100 мА$; $P_D = 1 Вт$; $h_{21} > 25$; $f_T = 5.5 ГГц$	SOT-89, SC-62	B•C•E•C
FC	BFQ94	SIEM	npn	$I_C = 200 мА$; $P_D = 1 Вт$; $h_{21} > 25$; $f_T > 3 ГГц$	SOT-89, SC-62	B•C•E•C
FD	BFQ17P	SIEM	npn	$V_{CE0} = 40 В$; $I_C = 300 мА$; $P_D = 1 Вт$; $h_{21} = 85$; $f_T = 1.5 ГГц$	SOT-89, SC-62	B•C•E•C
Fes	BFQ19P	SIEM	npn	$V_{CE0} = 15 В$; $I_C = 100 мА$; $P_D = 1 Вт$; $h_{21} > 25$; $f_T = 5.5 ГГц$	SOT-89, SC-62	B•C•E•C
FF	BFQ18A	PHIL	npn	$V_{CE0} = 25 В$; $I_C = 150 мА$; $P_D = 1 Вт$; $h_{21} > 25$; $f_T = 4 ГГц$	SOT-89, SC-62	B•C•E•C
FGs	BFQ19S	SIEM	npn	$V_{CE0} = 20 В$; $I_C = 75 мА$; $P_D = 1 Вт$; $h_{21} = 40 \dots 220$; $f_T = 5500 МГц$	SOT-89, SC-62	B•C•E•C
FO	2SA1202	TOSH	pnnp	$V_{CE0} = 80 В$; $I_C = 400 мА$; $P_D = 500 мВт$; $h_{21} > 70 \dots 140$; $f_T = 120 МГц$	SOT-89, SC-62	B•C•E•C
FY	2SA1202	TOSH	pnnp	$V_{CE0} = 80 В$; $I_C = 400 мА$; $P_D = 500 мВт$; $h_{21} > 120 \dots 240$; $f_T = 120 МГц$	SOT-89, SC-62	B•C•E•C
GA	BAW78A	SIEM	di	$V_R < 50 В$; $I_R < 1 А$; $V_F (I_F = 1 А) < 1.6 В$; $I_S < 1.0 мА$; $C_D < 10 пФ$; $f_{RR} < 1000 Гц$	SOT-89, SC-62	A•K•n.с. • K
GB	BAW78B	SIEM	di	$V_R < 100 В$; $I_R < 1 А$; $V_F (I_F = 1 А) < 1.6 В$; $I_S < 1.0 мА$; $C_D < 10 пФ$; $f_{RR} < 1000 Гц$	SOT-89, SC-62	A•K•n.с. • K
GC	BAW78C	SIEM	di	$V_R < 200 В$; $I_R < 1 А$; $V_F (I_F = 1 А) < 1.6 В$; $I_S < 1.0 мА$; $C_D < 10 пФ$; $f_{RR} < 1000 Гц$	SOT-89, SC-62	A•K•n.с. • K
GD	BAW78D	SIEM	di	$V_R < 400 В$; $I_R < 1 А$; $V_F (I_F = 1 А) < 1.6 В$; $I_S < 1.0 мА$; $C_D < 10 пФ$; $f_{RR} < 1000 Гц$	SOT-89, SC-62	A•K•n.с. • K
GE	BAW79A	SIEM	di x2	$V_R < 50 В$; $I_R < 1 А$; $V_F (I_F = 1 А) < 1.6 В$; $I_S < 1.0 мА$; $C_D < 10 пФ$; $f_{RR} < 1000 Гц$	SOT-89, SC-62	A1•K1, K2 • A2•K1, K2
GF	BAW79B	SIEM	di x2	$V_R < 100 В$; $I_R < 1 А$; $V_F (I_F = 1 А) < 1.6 В$; $I_S < 1.0 мА$; $C_D < 10 пФ$; $f_{RR} < 1000 Гц$	SOT-89, SC-62	A1•K1, K2 • A2•K1, K2
GG	BAW79C	SIEM	di x2	$V_R < 200 В$; $I_R < 1 А$; $V_F (I_F = 1 А) < 1.6 В$; $I_S < 1.0 мА$; $C_D < 10 пФ$; $f_{RR} < 1000 Гц$	SOT-89, SC-62	A1•K1, K2 • A2•K1, K2
GH	BAW79D	SIEM	di x2	$V_R < 400 В$; $I_R < 1 А$; $V_F (I_F = 1 А) < 1.6 В$; $I_S < 1.0 мА$; $C_D < 10 пФ$; $f_{RR} < 1000 Гц$	SOT-89, SC-62	A1•K1, K2 • A2•K1, K2
GO	KTC4375	KEC	npn	$V_{CE0} = 30 В$; $I_C = 1.5 А$; $P_D = 500 мВт$; $h_{21} = 100 \dots 200$; $f_T > 120 МГц$	SOT-89, SC-62	B•C•E•C
GY	KTC4375	KEC	npn	$V_{CE0} = 30 В$; $I_C = 1.5 А$; $P_D = 500 мВт$; $h_{21} = 160 \dots 320$; $f_T > 120 МГц$	SOT-89, SC-62	B•C•E•C
HO	2SA1203	TOSH	pnnp	$V_{CE0} = 30 В$; $I_C = 1.5 А$; $P_D = 500 мВт$; $h_{21} = 100 \dots 200$; $f_T = 200 МГц$	SOT-89, SC-62	B•C•E•C
HO	KTA1663	KEC	pnnp	$V_{CE0} = 30 В$; $I_C = 1.5 А$; $P_D = 500 мВт$; $h_{21} = 100 \dots 200$; $f_T > 120 МГц$	SOT-89, SC-62	B•C•E•C
HY	2SA1203	TOSH	pnnp	$V_{CE0} = 30 В$; $I_C = 1.5 А$; $P_D = 500 мВт$; $h_{21} > 160 \dots 320$; $f_T = 120 МГц$	SOT-89, SC-62	B•C•E•C
HY	KTA1663	KEC	pnnp	$V_{CE0} = 30 В$; $I_C = 1.5 А$; $P_D = 500 мВт$; $h_{21} = 160 \dots 320$; $f_T > 120 МГц$	SOT-89, SC-62	B•C•E•C

**SOT89
SC62****SOT223
TO261A****TO252
DPAK****TO263
D2PAK**

Код	Типовое обозначение	Б	Ф	Особенности	Корпус	Ц: 1+2+3+4
JO	2SA1384	TOSH	npn	$V_{CE0} = 300 В$; $I_C = 100 мА$; $P_D = 500 мВт$; $h_{FE} > 60$; $f_T > 50 МГц$	SOT-89, SC-62	В•С•Е•С
JR	2SA1384	TOSH	npn	$V_{CE0} = 300 В$; $I_C = 100 мА$; $P_D = 500 мВт$; $h_{FE} > 30$; $f_T > 90$; $f_T > 50 МГц$	SOT-89, SC-62	В•С•Е•С
JR	2SC5631	REN	npn	$V_{CE0} = 15 В$; $I_C = 80 мА$; $P_D = 800 мВт$; $h_{FE} > 80$; $f_T > 8 ГГц$	SOT-89, SC-62	В•С•Е•С
JX	2SC3391	REN	nMOS	$V_{DS} = 17 В$; $I_D = 300 мА$; $P_D = 5 Вт$	SOT-89, SC-62	Г•С•Д•С•Д
KO	BST86	PHIL	nMOS	$V_{DS} = 180 В$; $I_D = 300 мА$; $P_D = 1 Вт$; $R_{DS(on)} = 7 Ом$	SOT-89, SC-62	С•Д•Г•С•Д
KA	2SC4409	TOSH	npn	$V_{CE0} = 80 В$; $I_C = 2 А$; $P_D = 500 мВт$; $h_{FE} > 120$; $f_T = 100 МГц$	SOT-89, SC-62	В•С•Е•С
KA	BSS87	SIEM	nMOS	$V_{DS} = 240 В$; $I_D = 290 мА$; $P_D = 1 Вт$; $g_m = 50 мС$; $R_{DS(on)} = 10 Ом$	SOT-89, SC-62	Г•Д•С•С•Д
KB	2SC4539	TOSH	npn	$V_{CE0} = 30 В$; $I_C = 1.2 А$; $P_D = 500 мВт$; $h_{FE} > 120$; $f_T = 100 МГц$	SOT-89, SC-62	В•С•Е•С
KB	BSS192	INF	pMOS	$V_{DS} = 240 В$; $I_D = 150 мА$; $P_D = 1 Вт$; $g_m = 120 мС$; $R_{DS(on)} = 3.5 Ом$	SOT-89, SC-62	Г•Д•С•С•Д
KD	2SC4540	TOSH	npn	$V_{CE0} = 50 В$; $I_C = 1 А$; $P_D = 500 мВт$; $h_{FE} > 120$; $f_T = 100 МГц$	SOT-89, SC-62	В•С•Е•С
KC	2SC4541	TOSH	npn	$V_{CE0} = 50 В$; $I_C = 3 А$; $P_D = 1500 мВт$; $h_{FE} > 120$; $f_T = 100 МГц$	SOT-89, SC-62	В•С•Е•С
KM	BST80	PHIL	nMOS	$V_{DS} = 80 В$; $I_D = 500 мА$; $P_D = 1 Вт$; $R_{DS(on)} = 3 Ом$	SOT-89, SC-62	С•Д•Г•С•Д
KM	BST80	ZETEX	nMOS	$V_{DS} = 80 В$; $I_D = 500 мА$; $P_D = 1 Вт$; $R_{DS(on)} = 3 Ом$	SOT-89, SC-62	С•Д•Г•С•Д
KN	BST84	PHIL	nMOS	$V_{DS} = 200 В$; $I_D = 250 мА$; $P_D = 1 Вт$; $R_{DS(on)} = 6 Ом$	SOT-89, SC-62	С•Д•Г•С•Д
LA	2SC1681	TOSH	npn	$V_{CE0} = 60 В$; $I_C = 2 А$; $P_D = 500 мВт$; $h_{FE} > 120$; $f_T = 100 МГц$	SOT-89, SC-62	В•С•Е•С
LA	KTD1003	KEC	npn	$V_{CE0} = 60 В$; $I_C = 1.0 А$; $P_D = 500 мВт$; $h_{FE} > 800$; $f_T > 250 МГц$	SOT-89, SC-62	В•С•Е•С
LB	2SC1734	TOSH	npn	$V_{CE0} = 40 В$; $I_C = 1.2 А$; $P_D = 500 мВт$; $h_{FE} > 120$; $f_T = 100 МГц$	SOT-89, SC-62	В•С•Е•С
LB	KTD1003	KEC	npn	$V_{CE0} = 60 В$; $I_C = 1.0 А$; $P_D = 500 мВт$; $h_{FE} > 1200$; 2400 ; $f_T > 250 МГц$	SOT-89, SC-62	В•С•Е•С
LC	2SC1736	TOSH	npn	$V_{CE0} = 60 В$; $I_C = 1 А$; $P_D = 500 мВт$; $h_{FE} > 120$; $f_T = 100 МГц$	SOT-89, SC-62	В•С•Е•С
LC	KTD1003	KEC	npn	$V_{CE0} = 60 В$; $I_C = 1.0 А$; $P_D = 500 мВт$; $h_{FE} > 2000$; 3200 ; $f_T > 250 МГц$	SOT-89, SC-62	В•С•Е•С
LD	2SC1736	TOSH	npn	$V_{CE0} = 60 В$; $I_C = 3 А$; $P_D = 500 мВт$; $h_{FE} > 120$; $f_T = 100 МГц$	SOT-89, SC-62	В•С•Е•С
LM	BST120	PHIL	pMOS	$V_{DS} = 60 В$; $I_D = 300 мА$; $P_D = 1 Вт$; $g_m = 200 мС$; $R_{DS(on)} = 4.5 Ом$	SOT-89, SC-62	С•Д•Г•С•Д
LN	BST122	PHIL	pMOS	$V_{DS} = 60 В$; $I_D = 250 мА$; $P_D = 1 Вт$; $g_m = 125 мС$; $R_{DS(on)} = 7.5 Ом$	SOT-89, SC-62	С•Д•Г•С•Д
LYD	2SC4003D	SANYO	npn	$V_{CE0} = 400 В$; $I_C = 200 мА$; $P_D = 1 Вт$; $h_{FE} = 60$; $f_T = 70 МГц$	TO-252, DPAK	В•С•Е•С
LYE	2SC4003E	SANYO	npn	$V_{CE0} = 400 В$; $I_C = 200 мА$; $P_D = 1 Вт$; $h_{FE} = 100$; 200 ; $f_T = 70 МГц$	TO-252, DPAK	В•С•Е•С
N01	D7DM12ZP	ROHM	Dnpn+dz	$V_{CE0} = 30 В$; $I_C = 3 А$; $P_D = 500 мВт$; $h_{FE} > 68$; $f_T > 80 МГц$	SOT-89, SC-62	В•С•Е•С
p1A	PXT3904	PHIL	npn	$V_{CE0} = 60 В$; $I_C = 200 мА$; $P_D = 1 Вт$; $h_{FE} = 100$; 300 ; $f_T > 300 МГц$	SOT-89, SC-62	В•С•Е•С
p1B	PXT2222	PHIL	npn	$V_{CE0} = 60 В$; $I_C = 600 мА$; $P_D = 1 Вт$; $h_{FE} = 100$; 300 ; $f_T > 300 МГц$	SOT-89, SC-62	В•С•Е•С
p1D	PXTA42	PHIL	npn	$V_{CE0} = 300 В$; $I_C = 500 мА$; $P_D = 1 Вт$; $h_{FE} > 40$; $f_T > 50 МГц$	SOT-89, SC-62	В•С•Е•С
p1D	PZTA42	MOT	npn	$V_{CE0} = 300 В$; $I_C = 500 мА$; $P_D = 1.5 Вт$; $h_{FE} > 25$; $f_T > 50 МГц$	SOT-223, TO-261AA	В•С•Е•С
p1E	PXTA43	PHIL	npn	$V_{CE0} = 200 В$; $I_C = 500 мА$; $P_D = 1 Вт$; $h_{FE} > 40$; $f_T > 50 МГц$	SOT-89, SC-62	В•С•Е•С
p1F	PZT2222A	ON	npn	$V_{CE0} = 75 В$; $I_C = 800 мА$; $P_D = 1.5 Вт$; $h_{FE} = 50$; 300 ; $f_T > 300 МГц$	SOT-223, TO-261AA	В•С•Е•С
p1M	PXTA13	PHIL	npn	$V_{CE0} = 30 В$; $I_C = 500 мА$; $P_D = 625 мВт$; $h_{FE} > 5000$; $f_T > 125 МГц$	SOT-89, SC-62	В•С•Е•С
p1N	PXTA14	PHIL	npn	$V_{CE0} = 30 В$; $I_C = 300 мА$; $P_D = 1 Вт$; $h_{FE} > 20000$; $f_T > 125 МГц$	SOT-89, SC-62	В•С•Е•С
p1N	PZTA14	MOT	npn	$V_{CE0} = 30 В$; $I_C = 300 мА$; $P_D = 1.5 Вт$; $h_{FE} > 10000$; $f_T > 125 МГц$	SOT-223, TO-261AA	В•С•Е•С
p1P	PXT2222A	PHIL	npn	$V_{CE0} = 75 В$; $I_C = 600 мА$; $P_D = 1 Вт$; $h_{FE} = 100$; 300 ; $f_T > 300 МГц$	SOT-89, SC-62	В•С•Е•С
p2A	PXT3906	PHIL	npn	$V_{CE0} = 40 В$; $I_C = 200 мА$; $P_D = 1 Вт$; $h_{FE} = 100$; 300 ; $f_T > 300 МГц$	SOT-89, SC-62	В•С•Е•С
p2B	PXT2907	PHIL	npn	$V_{CE0} = 60 В$; $I_C = 600 мА$; $P_D = 1 Вт$; $h_{FE} = 100$; 300 ; $f_T > 200 МГц$	SOT-89, SC-62	В•С•Е•С
p2D	PXTA92	PHIL	npn	$V_{CE0} = 300 В$; $I_C = 500 мА$; $P_D = 1 Вт$; $h_{FE} > 40$; $f_T > 50 МГц$	SOT-89, SC-62	В•С•Е•С
p2D	PZTA92	MOT	npn	$V_{CE0} = 300 В$; $I_C = 500 мА$; $P_D = 1.5 Вт$; $h_{FE} > 25$; $f_T > 50 МГц$	SOT-223, TO-261AA	В•С•Е•С
p2E	PXTA93	PHIL	npn	$V_{CE0} = 200 В$; $I_C = 500 мА$; $P_D = 1 Вт$; $h_{FE} > 40$; $f_T > 50 МГц$	SOT-89, SC-62	В•С•Е•С
p2F	PXT2907A	PHIL	npn	$V_{CE0} = 60 В$; $I_C = 600 мА$; $P_D = 1 Вт$; $h_{FE} = 100$; 300 ; $f_T > 200 МГц$	SOT-89, SC-62	В•С•Е•С
p2F	PZT2907A	ON	npn	$V_{CE0} = 60 В$; $I_C = 600 мА$; $P_D = 1.5 Вт$; $h_{FE} = 100$; 300 ; $f_T > 200 МГц$	SOT-223, TO-261AA	В•С•Е•С
p2T	PXT4403	PHIL	npn	$V_{CE0} = 40 В$; $I_C = 600 мА$; $P_D = 1 Вт$; $h_{FE} = 100$; 300 ; $f_T > 200 МГц$	SOT-89, SC-62	В•С•Е•С
p2V	PXTA64	PHIL	npn	$V_{CE0} = 30 В$; $I_C = 300 мА$; $P_D = 1 Вт$; $h_{FE} > 10000$; $f_T > 125 МГц$	SOT-89, SC-62	В•С•Е•С
p2V	PZTA64	MOT	npn	$V_{CE0} = 30 В$; $I_C = 500 мА$; $P_D = 1.5 Вт$; $h_{FE} > 10000$; $f_T > 125 МГц$	SOT-223, TO-261AA	В•С•Е•С
p2X	PXT4401	PHIL	npn	$V_{CE0} = 40 В$; $I_C = 600 мА$; $P_D = 1 Вт$; $h_{FE} = 100$; 300 ; $f_T > 250 МГц$	SOT-89, SC-62	В•С•Е•С
PO	KTC4376	KEC	npn	$V_{CE0} = 35 В$; $I_C = 0.8 А$; $P_D = 500 мВт$; $h_{FE} = 100$; 200 ; $f_T > 120 МГц$	SOT-89, SC-62	В•С•Е•С
PY	KTC4376	KEC	npn	$V_{CE0} = 35 В$; $I_C = 0.8 А$; $P_D = 500 мВт$; $h_{FE} = 160$; 320 ; $f_T > 120 МГц$	SOT-89, SC-62	В•С•Е•С

**TO263
D2PAK**



**TO252
DPAK**



**SOT223
TO261A**



**SOT89
SC62**



Код	Типовый номинал	Б	Ф	Особенности	Корпус	Ц: 1•2•3•4
R111718	REG1117A-1.8	TI	reg	LDO, $I_{OUT}=1A$, $V_{OUT}=1.8B$	SOT-223, TO-261AA	GND • VOUT • VIN • VOUT
R111725	REG1117A-2.5	TI	reg	LDO, $I_{OUT}=1A$, $V_{OUT}=2.5B$	SOT-223, TO-261AA	GND • VOUT • VIN • VOUT
RCs	BFQ193	SIEM	npn	$V_{CE0}=20B$, $I_C=80mA$, $P_D=600mBt$, $h_{21}=50...200$, $f_T=7500MГц$	SOT-89, SC-62	B • C • E • C
RE	2SC3357E	NEC	npn	$V_{CE0}=20B$, $I_C=100mA$, $P_D=1.2Bt$, $h_{21}=125...250$, $f_T=6.5ГГц$	SOT-89, SC-62	B • C • E • C
REG1117F A	REG1117FA	TI	reg	LDO, $I_{OUT}=1A$, $V_{REF}=1.25B$	TO-263, D2PAK	ADJ • VOUT • VIN • VOUT
REG1117F A1.8	REG1117FA-1.8	TI	reg	LDO, $I_{OUT}=1A$, $V_{OUT}=1.8B$	TO-263, D2PAK	GND • VOUT • VIN • VOUT
REG1117F A2.5	REG1117FA-2.5	TI	reg	LDO, $I_{OUT}=1A$, $V_{OUT}=2.5B$	TO-263, D2PAK	GND • VOUT • VIN • VOUT
REG1117F A5.0	REG1117FA-5A5.0	TI	reg	LDO, $I_{OUT}=1A$, $V_{OUT}=5B$	TO-263, D2PAK	GND • VOUT • VIN • VOUT
RH	2SC3357F	NEC	npn	$V_{CE0}=20B$, $I_C=100mA$, $P_D=1.2Bt$, $h_{21}=80...160$, $f_T=6.5ГГц$	SOT-89, SC-62	B • C • E • C
RH	2SC3357H	NEC	npn	$V_{CE0}=20B$, $I_C=100mA$, $P_D=1.2Bt$, $h_{21}=50...100$, $f_T=6.5ГГц$	SOT-89, SC-62	B • C • E • C
RO	2SA1204	TOSH	prnp	$V_{CE0}=35B$, $I_C=800mA$, $P_D=500mBt$, $h_{21}=100...200$, $f_T=120MГц$	SOT-89, SC-62	B • C • E • C
RO	K7A1664	KEC	prnp	$V_{CE0}=35B$, $I_C=0.8A$, $P_D=500mBt$, $h_{21}=100...200$, $f_T>120MГц$	SOT-89, SC-62	B • C • E • C
RY	2SA1204	TOSH	prnp	$V_{CE0}=35B$, $I_C=800mA$, $P_D=500mBt$, $h_{21}>160...320$, $f_T=120MГц$	SOT-89, SC-62	B • C • E • C
RY	K7A1664	KEC	prnp	$V_{CE0}=35B$, $I_C=0.8A$, $P_D=500mBt$, $h_{21}=160...320$, $f_T>120MГц$	SOT-89, SC-62	B • C • E • C
SA	2SC2982	TOSH	npn	$V_{CE0}=30B$, $I_C=2A$, $P_D=500mBt$, $h_{21}=140...240$, $f_T=140MГц$	SOT-89, SC-62	B • C • E • C
SB	2SC2982	TOSH	npn	$V_{CE0}=30B$, $I_C=2A$, $P_D=500mBt$, $h_{21}=200...330$, $f_T=140MГц$	SOT-89, SC-62	B • C • E • C
SC	2SC2982	TOSH	npn	$V_{CE0}=30B$, $I_C=2A$, $P_D=500mBt$, $h_{21}=300...450$, $f_T=140MГц$	SOT-89, SC-62	B • C • E • C
SCO	KSC2881	SAMS	npn	$V_{CE0}=120B$, $I_C=800mA$, $P_D=500mBt$, $h_{21}=80...160$, $f_T>120MГц$	SOT-89, SC-62	B • C • E • C
SCY	KSC2881	SAMS	npn	$V_{CE0}=120B$, $I_C=800mA$, $P_D=500mBt$, $h_{21}=120...240$, $f_T>120MГц$	SOT-89, SC-62	B • C • E • C
SD	2SC2982	TOSH	npn	$V_{CE0}=30B$, $I_C=2A$, $P_D=500mBt$, $h_{21}=420...600$, $f_T=140MГц$	SOT-89, SC-62	B • C • E • C
SDO	KSA1201	SAMS	prnp	$V_{CE0}=120B$, $I_C=800mA$, $P_D=500mBt$, $h_{21}=80...160$, $f_T>120MГц$	SOT-89, SC-62	B • C • E • C
SDO	KSA1203	SAMS	prnp	$V_{CE0}=30B$, $I_C=1.5A$, $P_D=500mBt$, $h_{21}=100...200$, $f_T>120MГц$	SOT-89, SC-62	B • C • E • C
SDY	KSA1201	SAMS	prnp	$V_{CE0}=120B$, $I_C=800mA$, $P_D=500mBt$, $h_{21}=120...240$, $f_T>120MГц$	SOT-89, SC-62	B • C • E • C
SDY	KSA1203	SAMS	prnp	$V_{CE0}=30B$, $I_C=1.5A$, $P_D=500mBt$, $h_{21}=160...320$, $f_T>120MГц$	SOT-89, SC-62	B • C • E • C
SE	NE46234	NEC	npn	CB4, NF=2.3дБ, $h_{21}=125...250$	SOT-89, SC-62	B • C • E • C
SE	NE462M02	NEC	npn	CB4, $h_{21}=125...250$	SOT-89, SC-62	B • C • E • C
SF	NE46234	NEC	npn	CB4, NF=2.3дБ, $h_{21}=80...160$	SOT-89, SC-62	B • C • E • C
SF	NE462M02	NEC	npn	CB4, $h_{21}=80...160$	SOT-89, SC-62	B • C • E • C
SH	NE46234	NEC	npn	CB4, NF=2.3дБ, $h_{21}=50...100$	SOT-89, SC-62	B • C • E • C
SH	NE462M02	NEC	npn	CB4, $h_{21}=50...100$	SOT-89, SC-62	B • C • E • C
SHO	KSC2883	SAMS	npn	$V_{CE0}=30B$, $I_C=1500mA$, $P_D=500mBt$, $h_{21}=100...200$, $f_T>120MГц$	SOT-89, SC-62	B • C • E • C
SHY	KSC2883	SAMS	npn	$V_{CE0}=30B$, $I_C=1500mA$, $P_D=500mBt$, $h_{21}=160...320$, $f_T>120MГц$	SOT-89, SC-62	B • C • E • C
SLG	KSB798	SAMS	prnp	$V_{CE0}=30B$, $I_C=1A$, $P_D=2Bt$, $h_{21}=200...400$, $f_T>110MГц$	SOT-89, SC-62	B • C • E • C
SLO	KSB798	SAMS	prnp	$V_{CE0}=30B$, $I_C=1A$, $P_D=2Bt$, $h_{21}=90...180$, $f_T>110MГц$	SOT-89, SC-62	B • C • E • C
SLY	KSB798	SAMS	prnp	$V_{CE0}=30B$, $I_C=1A$, $P_D=2Bt$, $h_{21}=135...270$, $f_T>110MГц$	SOT-89, SC-62	B • C • E • C
SSA	KSC2982	SAMS	npn	$V_{CE0}=30B$, $I_C=2A$, $P_D=500mBt$, $h_{21}=140...240$, $f_T>150MГц$	SOT-89, SC-62	B • C • E • C
SSB	KSC2982	SAMS	npn	$V_{CE0}=30B$, $I_C=2A$, $P_D=500mBt$, $h_{21}=200...330$, $f_T>150MГц$	SOT-89, SC-62	B • C • E • C
SSC	KSC2982	SAMS	npn	$V_{CE0}=30B$, $I_C=2A$, $P_D=500mBt$, $h_{21}=300...450$, $f_T>150MГц$	SOT-89, SC-62	B • C • E • C
SSD	KSC2982	SAMS	npn	$V_{CE0}=30B$, $I_C=2A$, $P_D=500mBt$, $h_{21}=420...600$, $f_T>150MГц$	SOT-89, SC-62	B • C • E • C
SYR	KSD1621	SAMS	npn	$V_{CE0}=30B$, $I_C=2A$, $P_D=500mBt$, $h_{21}=100...200$, $f_T>150MГц$	SOT-89, SC-62	B • C • E • C

**SOT89
SC62****SOT223
TO261A****TO252
DPAK****TO263
D2PAK**

Код	Типовое наименование	Б	Ф	Особенности	Корпус	Ц: 1+2+3+4
SYS	KSD1621	SAMS	prnp	$V_{CE0}=30\text{ В}; I_C=2\text{ А}; P_D=500\text{ мВт}; h_{21}=140..280; f_T>150\text{ МГц}$	SOT-89, SC-62	B•C•E•C
SYT	KSD1621	SAMS	prnp	$V_{CE0}=30\text{ В}; I_C=2\text{ А}; P_D=500\text{ мВт}; h_{21}=200..400; f_T>150\text{ МГц}$	SOT-89, SC-62	B•C•E•C
SYU	KSD1621	SAMS	prnp	$V_{CE0}=30\text{ В}; I_C=2\text{ А}; P_D=500\text{ мВт}; h_{21}=280..560; f_T>150\text{ МГц}$	SOT-89, SC-62	B•C•E•C
SZR	KSБ1121	SAMS	prnp	$V_{CE0}=30\text{ В}; I_C=2\text{ А}; P_D=500\text{ мВт}; h_{21}=100..200; f_T>150\text{ МГц}$	SOT-89, SC-62	B•C•E•C
SZS	KSБ1121	SAMS	prnp	$V_{CE0}=30\text{ В}; I_C=2\text{ А}; P_D=500\text{ мВт}; h_{21}=140..280; f_T>150\text{ МГц}$	SOT-89, SC-62	B•C•E•C
SZT	KSБ1121	SAMS	prnp	$V_{CE0}=30\text{ В}; I_C=2\text{ А}; P_D=500\text{ мВт}; h_{21}=200..400; f_T>150\text{ МГц}$	SOT-89, SC-62	B•C•E•C
SZU	KSБ1121	SAMS	prnp	$V_{CE0}=30\text{ В}; I_C=2\text{ А}; P_D=500\text{ мВт}; h_{21}=280..560; f_T>150\text{ МГц}$	SOT-89, SC-62	B•C•E•C
T09A	MC33464N-09AT1	ON	mrc	$V_{IH}=0.9\text{ В}; V_{IH}=0.7...10\text{ В}$	SOT-89, SC-62	RESET•IN GND•IN
T09C	MC33464N-09CT1	ON	mrc	$V_{IH}=0.9\text{ В}; V_{IH}=0.7...10\text{ В}$	SOT-89, SC-62	RESET•IN GND•IN
T20A	MC33464N-20AT1	ON	mrc	$V_{IH}=2.0\text{ В}; V_{IH}=0.7...10\text{ В}$	SOT-89, SC-62	RESET•IN GND•IN
T20C	MC33464N-20CT1	ON	mrc	$V_{IH}=2.0\text{ В}; V_{IH}=0.7...10\text{ В}$	SOT-89, SC-62	RESET•IN GND•IN
T27A	MC33464N-27AT1	ON	mrc	$V_{IH}=2.7\text{ В}; V_{IH}=0.7...10\text{ В}$	SOT-89, SC-62	RESET•IN GND•IN
T27C	MC33464N-27CT1	ON	mrc	$V_{IH}=2.7\text{ В}; V_{IH}=0.7...10\text{ В}$	SOT-89, SC-62	RESET•IN GND•IN
T30A	MC33464N-30AT1	ON	mrc	$V_{IH}=3.0\text{ В}; V_{IH}=0.7...10\text{ В}$	SOT-89, SC-62	RESET•IN GND•IN
T30C	MC33464N-30CT1	ON	mrc	$V_{IH}=3.0\text{ В}; V_{IH}=0.7...10\text{ В}$	SOT-89, SC-62	RESET•IN GND•IN
T43C	MC33464N-43CT1	ON	mrc	$V_{IH}=4.3\text{ В}; V_{IH}=0.7...10\text{ В}$	SOT-89, SC-62	RESET•IN GND•IN
T45A	MC33464N-45AT1	ON	mrc	$V_{IH}=4.5\text{ В}; V_{IH}=0.7...10\text{ В}$	SOT-89, SC-62	RESET•IN GND•IN
T45C	MC33464N-45CT1	ON	mrc	$V_{IH}=4.5\text{ В}; V_{IH}=0.7...10\text{ В}$	SOT-89, SC-62	RESET•IN GND•IN
TA	2SA1314	TOSH	prnp	$V_{CE0}=20\text{ В}; I_C=2\text{ А}; P_D=500\text{ мВт}; h_{21}>140..280; f_T=140\text{ МГц}$	SOT-89, SC-62	B•C•E•C
TB	2SA1314	TOSH	prnp	$V_{CE0}=20\text{ В}; I_C=2\text{ А}; P_D=500\text{ мВт}; h_{21}>200..400; f_T=140\text{ МГц}$	SOT-89, SC-62	B•C•E•C
TC	2SA1314	TOSH	prnp	$V_{CE0}=20\text{ В}; I_C=2\text{ А}; P_D=500\text{ мВт}; h_{21}>300..600; f_T=140\text{ МГц}$	SOT-89, SC-62	B•C•E•C
VD	1SV268	SANYO	pin	$V_{DS}>60\text{ В}; I_C<100\text{ мА}; V_{FE}(I_C=100\text{ мА})<1\text{ В}; I_{CS}<0.5\text{ мА}$	SOT-89, SC-62	A•K•n•C•K
VO	2SC3803	TOSH	prnp	$V_{CE0}=45\text{ В}; I_C=200\text{ мА}; P_D=1\text{ Вт}; h_{21}>70..140; f_T>100\text{ МГц}$	SOT-89, SC-62	B•C•E•C
VR	2SC3803R	TOSH	prnp	$V_{CE0}=45\text{ В}; I_C=200\text{ мА}; P_D=1\text{ Вт}; h_{21}>40..80; f_T>100\text{ МГц}$	SOT-89, SC-62	B•C•E•C
VY	2SC3803Y	TOSH	prnp	$V_{CE0}=45\text{ В}; I_C=200\text{ мА}; P_D=1\text{ Вт}; h_{21}>140..280; f_T>100\text{ МГц}$	SOT-89, SC-62	B•C•E•C
VY	2SC3803Y	TOSH	prnp	$V_{CE0}=45\text{ В}; I_C=200\text{ мА}; P_D=1\text{ Вт}; h_{21}>140..280; f_T>200\text{ МГц}$	SOT-89, SC-62	B•C•E•C
W8	BZV49C3V9	ZETEX	dz	$V_Z(I_{ZT}=5.0\text{ мА})=3.7..4.1\text{ В}; Z_{CT}(I_{ZT}=5.0\text{ мА})<90\text{ Ом}; I_{ZM}=250\text{ мА}$	SOT-89, SC-62	A•K•A•K
W9	BZV49C4V3	ZETEX	dz	$V_Z(I_{ZT}=5.0\text{ мА})=4.0..4.6\text{ В}; Z_{CT}(I_{ZT}=5.0\text{ мА})<90\text{ Ом}; I_{ZM}=250\text{ мА}$	SOT-89, SC-62	A•K•A•K
WO	2SA14830	TOSH	prnp	$V_{CE0}=60\text{ В}; I_C=200\text{ мА}; P_D=500\text{ мВт}; h_{21}=70..140; f_T=200\text{ МГц}$	SOT-89, SC-62	B•C•E•C
WR	2SA1483R	TOSH	prnp	$V_{CE0}=60\text{ В}; I_C=200\text{ мА}; P_D=500\text{ мВт}; h_{21}=40..80; f_T=200\text{ МГц}$	SOT-89, SC-62	B•C•E•C
WY	2SA1483Y	TOSH	prnp	$V_{CE0}=60\text{ В}; I_C=200\text{ мА}; P_D=500\text{ мВт}; h_{21}=120..240; f_T=200\text{ МГц}$	SOT-89, SC-62	B•C•E•C
WY	2S484	REN	pMOS	$V_{DS}=30\text{ В}; I_D=2\text{ А}; P_D=1\text{ Вт}; R_{DS(on)}<0.23\text{ Ом}$	SOT-89, SC-62	G•D•S•D
X2	BZV49C30	ZETEX	dz	$V_Z(I_{ZT}=2.0\text{ мА})=28.0..32.0\text{ В}; Z_{CT}(I_{ZT}=2.0\text{ мА})<80\text{ Ом}; I_{ZM}=250\text{ мА}$	SOT-89, SC-62	A•K•A•K
X5	BZV49C39	ZETEX	dz	$V_Z(I_{ZT}=2.0\text{ мА})=37.0..41.0\text{ В}; Z_{CT}(I_{ZT}=2.0\text{ мА})<130\text{ Ом}; I_{ZM}=250\text{ мА}$	SOT-89, SC-62	A•K•A•K
X6	BZV49C43	ZETEX	dz	$V_Z(I_{ZT}=2.0\text{ мА})=40.0..46.0\text{ В}; Z_{CT}(I_{ZT}=2.0\text{ мА})<150\text{ Ом}; I_{ZM}=250\text{ мА}$	SOT-89, SC-62	A•K•A•K
XC	RN5003	TOSH	Drnp	$V_{CE0}=30\text{ В}; I_C=2\text{ А}; P_D=500\text{ мВт}; f_T=120\text{ МГц}; R_1=10\text{ кОм}$	SOT-89, SC-62	B•C•E•C
Y1	BZV49C11	ZETEX	dz	$V_Z(I_{ZT}=5.0\text{ мА})=10.4..11.6\text{ В}; Z_{CT}(I_{ZT}=5.0\text{ мА})<20\text{ Ом}; I_{ZM}=250\text{ мА}$	SOT-89, SC-62	A•K•A•K

**TO263
D2PAK**



**TO252
DPAK**



**SOT223
TO261A**



**SOT89
SC62**



Код	Тип/номинал	Б	Ф	Особенности	Корпус	Ц: 1*2*3*4
Y4	BZV49C15	ZETEX	dz	$V_Z(I_{ZT}=5.0\text{ mA})=13.8...15.6\text{ В}$; $Z_{CT}(I_{ZT}=5.0\text{ mA})<30\text{ Ом}$; $I_{ZM}=250\text{ mA}$	SOT-89, SC-62	A*K*A*K
Y5	BZV49C16	ZETEX	dz	$V_Z(I_{ZT}=5.0\text{ mA})=15.3...17.1\text{ В}$; $Z_{CT}(I_{ZT}=5.0\text{ mA})<40\text{ Ом}$; $I_{ZM}=250\text{ mA}$	SOT-89, SC-62	A*K*A*K
Y8	BZV49C22	ZETEX	dz	$V_Z(I_{ZT}=5.0\text{ mA})=20.8...23.3\text{ В}$; $Z_{CT}(I_{ZT}=5.0\text{ mA})<55\text{ Ом}$; $I_{ZM}=250\text{ mA}$	SOT-89, SC-62	A*K*A*K
Y9	BZV49C24	ZETEX	dz	$V_Z(I_{ZT}=5.0\text{ mA})=22.8...25.6\text{ В}$; $Z_{CT}(I_{ZT}=5.0\text{ mA})<70\text{ Ом}$; $I_{ZM}=250\text{ mA}$	SOT-89, SC-62	A*K*A*K
YA	RM6001	TOSH	Dnnp	$V_{DS}=30\text{ В}$; $I_C=2\text{ A}$; $P_D=500\text{ мВт}$; $f_T=120\text{ МГц}$; $R_{\theta}=2\text{ К/Вт}$	SOT-89, SC-62	B*C*E*C
YB	2SK680A	NEC	nMOS	$V_{DS}=30\text{ В}$; $I_D=1\text{ A}$; $P_D=2\text{ Вт}$; $R_{DS(on)}<1\text{ Ом}$	SOT-89, SC-62	S*D*G*D
YB	RM6002	TOSH	Dnnp	$V_{DS}=30\text{ В}$; $I_C=2\text{ A}$; $P_D=500\text{ мВт}$; $f_T=120\text{ МГц}$; $R_{\theta}=5.6\text{ К/Вт}$	SOT-89, SC-62	B*C*E*C
YK	2SB1115K	NEC	prp	$V_{DS}=60\text{ В}$; $I_C=1\text{ A}$; $P_D=2\text{ Вт}$; $h_{FE}=300...600$; $f_T>80\text{ МГц}$	SOT-89, SC-62	B*C*E*C
YL	2SB1115L	NEC	prp	$V_{DS}=60\text{ В}$; $I_C=1\text{ A}$; $P_D=2\text{ Вт}$; $h_{FE}=200...400$; $f_T>80\text{ МГц}$	SOT-89, SC-62	B*C*E*C
YM	2SB1115M	NEC	prp	$V_{DS}=60\text{ В}$; $I_C=1\text{ A}$; $P_D=2\text{ Вт}$; $h_{FE}=135...270$; $f_T>80\text{ МГц}$	SOT-89, SC-62	B*C*E*C
YP	2SB1115AP	NEC	prp	$V_{DS}=80\text{ В}$; $I_C=1\text{ A}$; $P_D=2\text{ Вт}$; $h_{FE}=200...400$; $f_T>80\text{ МГц}$	SOT-89, SC-62	B*C*E*C
YQ	2SB1115AQ	NEC	prp	$V_{DS}=80\text{ В}$; $I_C=1\text{ A}$; $P_D=2\text{ Вт}$; $h_{FE}=135...270$; $f_T>80\text{ МГц}$	SOT-89, SC-62	B*C*E*C
Z1	BZV49C10	ZETEX	dz	$V_Z(I_{ZT}=5.0\text{ mA})=9.4...10.6\text{ В}$; $Z_{CT}(I_{ZT}=5.0\text{ mA})<20\text{ Ом}$; $I_{ZM}=250\text{ mA}$	SOT-89, SC-62	A*K*A*K
Z1	BZV49C4V7	ZETEX	dz	$V_Z(I_{ZT}=5.0\text{ mA})=4.4...5.0\text{ В}$; $Z_{CT}(I_{ZT}=5.0\text{ mA})<80\text{ Ом}$; $I_{ZM}=250\text{ mA}$	SOT-89, SC-62	A*K*A*K
Z2	BZV49C5V1	ZETEX	dz	$V_Z(I_{ZT}=5.0\text{ mA})=4.8...5.4\text{ В}$; $Z_{CT}(I_{ZT}=5.0\text{ mA})<60\text{ Ом}$; $I_{ZM}=250\text{ mA}$	SOT-89, SC-62	A*K*A*K
Z3	2SK1078	TOSH	nMOS	$V_{DS}=60\text{ В}$; $I_D=800\text{ mA}$; $P_D=500\text{ мВт}$; $R_{DS(on)}<1.1\text{ Ом}$	SOT-89, SC-62	S*D*G*D
Z3	BZV49C5V6	ZETEX	dz	$V_Z(I_{ZT}=5.0\text{ mA})=5.2...6.0\text{ В}$; $Z_{CT}(I_{ZT}=5.0\text{ mA})<40\text{ Ом}$; $I_{ZM}=250\text{ mA}$	SOT-89, SC-62	A*K*A*K
Z4	2SK1079	TOSH	nMOS	$V_{DS}=100\text{ В}$; $I_D=600\text{ mA}$; $P_D=500\text{ мВт}$; $R_{DS(on)}<1.8\text{ Ом}$	SOT-89, SC-62	S*D*G*D
Z4	BZV49C8V2	ZETEX	dz	$V_Z(I_{ZT}=5.0\text{ mA})=5.8...6.6\text{ В}$; $Z_{CT}(I_{ZT}=5.0\text{ mA})<10\text{ Ом}$; $I_{ZM}=250\text{ mA}$	SOT-89, SC-62	A*K*A*K
Z5	2SK1717	TOSH	nMOS	$V_{DS}=60\text{ В}$; $I_D=2\text{ A}$; $P_D=500\text{ мВт}$; $R_{DS(on)}<0.53\text{ Ом}$	SOT-89, SC-62	G*D*S*D
Z5	BZV49C8V8	ZETEX	dz	$V_Z(I_{ZT}=5.0\text{ mA})=6.4...7.2\text{ В}$; $Z_{CT}(I_{ZT}=5.0\text{ mA})<15\text{ Ом}$; $I_{ZM}=250\text{ mA}$	SOT-89, SC-62	A*K*A*K
Z6	2SJ238	TOSH	pMOS	$V_{DS}=60\text{ В}$; $I_D=1\text{ A}$; $P_D=500\text{ мВт}$; $R_{DS(on)}=1.4\text{ Ом}$	SOT-89, SC-62	G*D*S*D
Z6	BZV49C7V5	ZETEX	dz	$V_Z(I_{ZT}=5.0\text{ mA})=7.0...7.9\text{ В}$; $Z_{CT}(I_{ZT}=5.0\text{ mA})<15\text{ Ом}$; $I_{ZM}=250\text{ mA}$	SOT-89, SC-62	A*K*A*K
Z7	BZV49C8V2	ZETEX	dz	$V_Z(I_{ZT}=5.0\text{ mA})=7.7...8.7\text{ В}$; $Z_{CT}(I_{ZT}=5.0\text{ mA})<15\text{ Ом}$; $I_{ZM}=250\text{ mA}$	SOT-89, SC-62	A*K*A*K
Z8	BZV49C9V1	ZETEX	dz	$V_Z(I_{ZT}=5.0\text{ mA})=8.5...9.6\text{ В}$; $Z_{CT}(I_{ZT}=5.0\text{ mA})<15\text{ Ом}$; $I_{ZM}=250\text{ mA}$	SOT-89, SC-62	A*K*A*K



SOT143/R
SOT343/R



MW-4



SC82



SC61



MFP4K-4
TSFP-4

SOT143/343...

Код	Типономинал	Б	Ф	Особенности	Корпус	Ц: 1•2•3•4
18	BFP118T	TELEF	nnp	$V_{CE0} = 15 \text{ В}$; $I_C = 20 \text{ мА}$; $P_D = 160 \text{ мВт}$; $h_{21} = 50...150$; $f_T = 8 \text{ ГГц}$	SOT143, TO253	C•E•B•E
67	BFP67	TELEF	nnp	$V_{CE0} = 20 \text{ В}$; $I_C = 50 \text{ мА}$; $P_D = 200 \text{ мВт}$; $h_{21} = 65...150$; $f_T = 7.5 \text{ ГГц}$	SOT143, TO253	C•E•B•E
77	MA4CS101E	M/A	shd x2	$V_B = 70 \text{ В}$; $I_E < 15 \text{ мА}$; $V_F (I_E = 15 \text{ мА}) < 1 \text{ В}$; $C_D < 2 \text{ пФ}$	SOT143, TO253	K2•K1•A1•A2
87	MA4CS102E	M/A	shd x2	$V_B = 8 \text{ В}$; $I_E < 30 \text{ мА}$; $V_F (I_E = 10 \text{ мА}) < 500 \text{ мВ}$; $C_D < 1 \text{ пФ}$	SOT143, TO253	K2•K1•A1•A2
822	S822T	VISH	nnp	$V_{CE0} = 12 \text{ В}$; $I_C = 8 \text{ мА}$; $P_D = 30 \text{ мВт}$; $h_{21} = 40...150$; $f_T = 5.2 \text{ ГГц}$	SOT143, TO253	C•E•B•E
01	MRP9011LT1	MOT	nnp	$V_{CE0} = 25 \text{ В}$; $I_C = 30 \text{ мА}$; $P_D = 300 \text{ мВт}$; $h_{21} = 30...200$; $f_T = 3800 \text{ МГц}$	SOT143, TO253	C•E•B•E
02	MRP5711LT1	MOT	nnp	$V_{CE0} = 20 \text{ В}$; $I_C = 80 \text{ мА}$; $P_D = 580 \text{ мВт}$; $h_{21} = 50...300$; $f_T = 8000 \text{ МГц}$	SOT143, TO253	C•E•B•E
04	MRP4427	MOT	nnp	$V_{CE0} = 40 \text{ В}$; $I_C = 400 \text{ мА}$; $P_D = 220 \text{ мВт}$; $h_{21} = 10...200$; $f_T = 1600 \text{ МГц}$	SOT143, TO253	C•E•B•E
04	MRP5211LT1	MOT	npn	$V_{CE0} = 20 \text{ В}$; $I_C = 70 \text{ мА}$; $P_D = 333 \text{ мВт}$; $h_{21} = 25...125$; $f_T = 4200 \text{ МГц}$	SOT143, TO253	C•E•B•E
05	MRP9331LT1	MOT	nnp	$V_{CE0} = 15 \text{ В}$; $I_C = 2 \text{ мА}$; $P_D = 50 \text{ мВт}$; $h_{21} = 50...200$; $f_T = 5000 \text{ МГц}$	SOT143, TO253	C•E•B•E
05F	TSDF1205R	TELEF	nnp	$V_{CE0} = 9 \text{ В}$; $I_C = 12 \text{ мА}$; $P_D = 40 \text{ мВт}$; $h_{21} = 50...250$; $f_T = 12 \text{ ГГц}$	SOT143R	C•E•B•E
11	MRP9511ALT1	MOT	nnp	$V_{CE0} = 20 \text{ В}$; $I_C = 100 \text{ мА}$; $P_D = 322 \text{ мВт}$; $h_{21} = 75...150$; $f_T = 8000 \text{ МГц}$	SOT143, TO253	C•E•B•E
17	BAS125-07	SIEM	shd x2	$V_B < 25 \text{ В}$; $I_E < 100 \text{ мА}$; $V_F (I_E = 35 \text{ мА}) < 0.9 \text{ В}$; $I_E < 1.0 \text{ мА}$; $C_D < 1.1 \text{ пФ}$	SOT143, TO253	K1•K2•A2•A1
17s	BAS125-07	INF	shd x2	$V_B < 25 \text{ В}$; $I_E < 100 \text{ мА}$; $V_F (I_E = 35 \text{ мА}) < 0.9 \text{ В}$; $I_E < 1.0 \text{ мА}$; $C_D < 1.1 \text{ пФ}$	SOT143, TO253	K1•K2•A2•A1
17s	BAS125-07W	INF	shd x2	$V_B < 25 \text{ В}$; $I_E < 100 \text{ мА}$; $V_F (I_E = 35 \text{ мА}) < 0.9 \text{ В}$; $I_E < 1.0 \text{ мА}$; $C_D < 1.1 \text{ пФ}$	SOT343, SC82A	K1•K2•A2•A1
18	MRP9331LT1	MOT	nnp	$V_{CE0} = 15 \text{ В}$; $I_C = 2 \text{ мА}$; $P_D = 50 \text{ мВт}$; $h_{21} = 30...200$; $f_T = 3500 \text{ МГц}$	SOT143, TO253	C•E•B•E
18	MRP9411BLT1	MOT	nnp	$V_{CE0} = 20 \text{ В}$; $I_C = 50 \text{ мА}$; $P_D = 250 \text{ мВт}$; $h_{21} = 100...200$; $f_T = 8000 \text{ МГц}$	SOT143, TO253	C•E•B•E
18	MRP9411BLT3	MOT	nnp	$V_{CE0} = 20 \text{ В}$; $I_C = 50 \text{ мА}$; $P_D = 250 \text{ мВт}$; $h_{21} = 100...200$; $f_T = 8000 \text{ МГц}$	SOT143, TO253	C•E•B•E
1Jp	BCV61A	PHIL	nnp x2	$V_{CE0} = 30 \text{ В}$; $I_C = 100 \text{ мА}$; $P_D = 250 \text{ мВт}$; $h_{21} = 110...220$; $f_T > 100 \text{ МГц}$	SOT143, TO253	B1, B2, C2•C1•E1•E2
1Jp	BCV61A	PHIL	nnp x2	$V_{CE0} = 30 \text{ В}$; $I_C = 100 \text{ мА}$; $P_D = 250 \text{ мВт}$; $h_{21} = 110...220$; $f_T > 100 \text{ МГц}$	SOT143, TO253	B1, B2, C2•C1•E1•E2
1Js	BCV61A	INF	nnp x2	$V_{CE0} = 30 \text{ В}$; $I_C = 100 \text{ мА}$; $P_D = 250 \text{ мВт}$; $h_{21} = 110...220$; $f_T > 100 \text{ МГц}$	SOT143, TO253	B1, B2, C2•C1•E1•E2
1Js	BCV61A	INF	nnp x2	$V_{CE0} = 30 \text{ В}$; $I_C = 100 \text{ мА}$; $P_D = 300 \text{ мВт}$; $h_{21} = 110...220$; $f_T = 250 \text{ МГц}$	SOT143, TO253	C1, B1, B2•C2•E2•E1
1Kp	BCV61B	PHIL	nnp x2	$V_{CE0} = 30 \text{ В}$; $I_C = 100 \text{ мА}$; $P_D = 250 \text{ мВт}$; $h_{21} = 200...450$; $f_T > 100 \text{ МГц}$	SOT143, TO253	B1, B2, C2•C1•E1•E2
1Ks	BCV61B	INF	nnp x2	$V_{CE0} = 30 \text{ В}$; $I_C = 100 \text{ мА}$; $P_D = 300 \text{ мВт}$; $h_{21} = 200...450$; $f_T = 250 \text{ МГц}$	SOT143, TO253	C1, B1, B2•C2•E2•E1
1Lp	BCV61C	PHIL	nnp x2	$V_{CE0} = 30 \text{ В}$; $I_C = 100 \text{ мА}$; $P_D = 250 \text{ мВт}$; $h_{21} = 420...800$; $f_T > 100 \text{ МГц}$	SOT143, TO253	B1, B2, C2•C1•E1•E2
1Ls	BCV61C	INF	nnp x2	$V_{CE0} = 30 \text{ В}$; $I_C = 100 \text{ мА}$; $P_D = 300 \text{ мВт}$; $h_{21} = 420...800$; $f_T = 250 \text{ МГц}$	SOT143, TO253	C1, B1, B2•C2•E2•E1
1Mp	BCV61	PHIL	nnp x2	$V_{CE0} = 30 \text{ В}$; $I_C = 100 \text{ мА}$; $P_D = 250 \text{ мВт}$; $h_{21} = 110...800$; $f_T > 100 \text{ МГц}$	SOT143, TO253	B1, B2, C2•C1•E1•E2
20	MRP5811LT1	MOT	nnp	$V_{CE0} = 36 \text{ В}$; $I_C = 200 \text{ мА}$; $P_D = 710 \text{ мВт}$; $h_{21} = 50...200$; $f_T = 5 \text{ ГГц}$	SOT143, TO253	C•E•B•E



Код	Типономинал	Б	Ф	Особенности	Корпус	Ц: 1•2•3•4
20F	TSD1220R	TELEF	npn	$V_{CE0} = 9\text{ В}$; $I_C = 40\text{ мА}$; $P_D = 200\text{ мВт}$; $h_{21} = 50 \dots 150$; $f_T = 12\text{ ГГц}$	SOT143R	C•E•B•E
28	BFP280T	TELEF	npn	$V_{CE0} = 15\text{ В}$; $I_C = 10\text{ мА}$; $P_D = 80\text{ мВт}$; $h_{21} = 50 \dots 150$; $f_T = 7\text{ ГГц}$	SOT143, TO253	C•E•B•E
305	AT30511	HP	npn	$V_{CE0} = 11\text{ В}$; $I_C = 8\text{ мА}$; $P_D = 100\text{ мВт}$; $h_{21} = 70 \dots 300$; $f_T = 10\text{ ГГц}$	SOT143, TO253	B•E•C•E
310	AT31011	HP	npn	$V_{CE0} = 11\text{ В}$; $I_C = 16\text{ мА}$; $P_D = 150\text{ мВт}$; $h_{21} = 70 \dots 300$; $f_T = 10\text{ ГГц}$	SOT143, TO253	B•E•C•E
320	AT32011	HP	npn	$V_{CE0} = 11\text{ В}$; $I_C = 32\text{ мА}$; $P_D = 200\text{ мВт}$; $h_{21} = 70 \dots 300$; $f_T = 10\text{ ГГц}$	SOT143, TO253	B•E•C•E
3Jp	BCV62A	PHIL	pnx x2	$V_{CE0} = 30\text{ В}$; $I_C = 100\text{ мА}$; $P_D = 250\text{ мВт}$; $h_{21} = 125 \dots 250$; $f_T > 100\text{ МГц}$	SOT143, TO253	B1, B2, C2•C1•E1•E2
3Js	BCV62A	INF	pnx x2	$V_{CE0} = 30\text{ В}$; $I_C = 100\text{ мА}$; $P_D = 300\text{ мВт}$; $h_{21} = 125 \dots 220$; $f_T = 250\text{ МГц}$	SOT143, TO253	C1, B1, B2•C2•E2•E1
3Kp	BCV62B	PHIL	pnx x2	$V_{CE0} = 30\text{ В}$; $I_C = 100\text{ мА}$; $P_D = 250\text{ мВт}$; $h_{21} = 220 \dots 475$; $f_T > 100\text{ МГц}$	SOT143, TO253	B1, B2, C2•C1•E1•E2
3Ks	BCV62B	INF	pnx x2	$V_{CE0} = 30\text{ В}$; $I_C = 100\text{ мА}$; $P_D = 300\text{ мВт}$; $h_{21} = 220 \dots 475$; $f_T = 250\text{ МГц}$	SOT143, TO253	C1, B1, B2•C2•E2•E1
3Lp	BCV62C	PHIL	pnx x2	$V_{CE0} = 30\text{ В}$; $I_C = 100\text{ мА}$; $P_D = 250\text{ мВт}$; $h_{21} = 420 \dots 800$; $f_T > 100\text{ МГц}$	SOT143, TO253	B1, B2, C2•C1•E1•E2
3Ls	BCV62C	INF	pnx x2	$V_{CE0} = 30\text{ В}$; $I_C = 100\text{ мА}$; $P_D = 300\text{ мВт}$; $h_{21} = 420 \dots 800$; $f_T = 250\text{ МГц}$	SOT143, TO253	C1, B1, B2•C2•E2•E1
3Mp	BCV62	PHIL	pnx x2	$V_{CE0} = 30\text{ В}$; $I_C = 100\text{ мА}$; $P_D = 250\text{ мВт}$; $h_{21} = 100 \dots 800$; $f_T > 100\text{ МГц}$	SOT143, TO253	B1, B2, C2•C1•E1•E2
3Ms	BCV62	INF	pnx x2	$V_{CE0} = 30\text{ В}$; $I_C = 100\text{ мА}$; $P_D = 250\text{ мВт}$; $h_{21} = 100 \dots 800$; $f_T > 100\text{ МГц}$	SOT143, TO253	B1, B2, C2•C1•E1•E2
3RP	3SK184P	PAN	dmESFET	$V_{GS} = 13\text{ В}$; $I_D = 50\text{ мА}$; $P_D = 200\text{ мВт}$; $g_F > 18\text{ мСм}$; $I_{DSS} = 8 \dots 17\text{ мА}$	SOT143, TO253	S•D•G2•G1
3RQ	3SK184Q	PAN	dmESFET	$V_{GS} = 13\text{ В}$; $I_D = 50\text{ мА}$; $P_D = 200\text{ мВт}$; $g_F > 18\text{ мСм}$; $I_{DSS} = 15 \dots 21\text{ мА}$	SOT143, TO253	S•D•G2•G1
3RR	3SK184R	PAN	dmESFET	$V_{GS} = 13\text{ В}$; $I_D = 50\text{ мА}$; $P_D = 200\text{ мВт}$; $g_F > 18\text{ мСм}$; $I_{DSS} = 19 \dots 30\text{ мА}$	SOT143, TO253	S•D•G2•G1
3RS	3SK184S	PAN	dmESFET	$V_{GS} = 13\text{ В}$; $I_D = 50\text{ мА}$; $P_D = 200\text{ мВт}$; $g_F > 18\text{ мСм}$; $I_{DSS} = 25 \dots 35\text{ мА}$	SOT143, TO253	S•D•G2•G1
414	AT41411	HP	npn	$V_{CE0} = 20\text{ В}$; $I_C = 50\text{ мА}$; $P_D = 225\text{ мВт}$; $h_{21} = 30 \dots 270$; $f_T = 700\text{ МГц}$	SOT143, TO253	C•E•B•E
47s	BAS4007	SIEM	shd x2	$V_S < 40\text{ В}$; $I_S < 120\text{ мА}$; $V_F (I_F = 40\text{ мА}) < 1.0\text{ В}$; $I_S < 1.0\text{ мА}$; $C_D < 5.0\text{ нФ}$	SOT143, TO253	K1•K2•A2•A1
47s	BAS40-07	INF	shd x2	$V_S < 40\text{ В}$; $I_S < 120\text{ мА}$; $V_F (I_F = 40\text{ мА}) < 1\text{ В}$; $I_S < 1.0\text{ мА}$; $C_D < 5\text{ нФ}$	SOT143, TO253	K1•K2•A2•A1
47s	BAS40-07W	INF	shd x2	$V_S < 40\text{ В}$; $I_S < 120\text{ мА}$; $V_F (I_F = 40\text{ мА}) < 1\text{ В}$; $I_S < 1.0\text{ мА}$; $C_D < 5\text{ нФ}$	SOT343, SC82A	K1•K2•A2•A1
57	BAT1707	SIEM	shd x2	$V_S < 4\text{ В}$; $I_S < 130\text{ мА}$; $V_F (I_F = 10\text{ мА}) < 0.6\text{ В}$; $I_S < 0.25\text{ мА}$; $C_D < 0.75\text{ нФ}$	SOT143, TO253	K1•K2•A2•A1
57s	BAT17-07	INF	shd x2	$V_S < 4\text{ В}$; $I_S < 130\text{ мА}$; $V_F (I_F = 10\text{ мА}) < 0.6\text{ В}$; $I_S < 0.25\text{ мА}$; $C_D < 1\text{ нФ}$	SOT143, TO253	K1•K2•A2•A1
60	BAR60	SIEM	pin x3	$V_S < 100\text{ В}$; $I_S < 140\text{ мА}$; $V_F (I_F = 100\text{ мА}) < 1.25\text{ В}$; $I_S < 0.1\text{ мА}$; $C_D < 0.2\text{ нФ}$	SOT143, TO253	K1, K2, A3•K3•A1•A2
61	BAR61	SIEM	pin x3	$V_S < 100\text{ В}$; $I_S < 140\text{ мА}$; $V_F (I_F = 100\text{ мА}) < 1.25\text{ В}$; $I_S < 0.1\text{ мА}$; $C_D < 0.2\text{ нФ}$	SOT143, TO253	K2, K3, A1•K1, A2•A3
62	BAT62	SIEM	shd x2	$V_S < 40\text{ В}$; $I_S < 20\text{ мА}$; $V_F (I_F = 2\text{ мА}) < 1\text{ В}$; $I_S < 10\text{ мА}$; $C_D < 0.6\text{ нФ}$	SOT143, TO253	A1•K2•A2•K1
62s	BAT62	INF	shd x2	$V_S < 40\text{ В}$; $I_S < 20\text{ мА}$; $V_F (I_F = 2\text{ мА}) < 1\text{ В}$; $I_S < 10\text{ мА}$; $C_D < 0.6\text{ нФ}$	SOT143, TO253	A1•K2•A2•K1
62s	BAT62-07W	INF	shd x2	$V_S < 40\text{ В}$; $I_S < 20\text{ мА}$; $V_F (I_F = 2\text{ мА}) < 1\text{ В}$; $I_S < 10\text{ мА}$; $C_D < 0.6\text{ нФ}$	SOT343, SC82A	K1•K2•A2•A1
63	BAT63	SIEM	shd x2	$V_S < 3\text{ В}$; $I_S < 100\text{ мА}$; $V_F (I_F = 1\text{ мА}) < 0.3\text{ В}$; $I_S < 0.01\text{ мА}$; $C_D < 0.85\text{ нФ}$	SOT143, TO253	A1•K2•A2•K1
67R	BFP67R	TELEF	npn	$V_{CE0} = 20\text{ В}$; $I_C = 50\text{ мА}$; $P_D = 200\text{ мВт}$; $h_{21} = 65 \dots 150$; $f_T = 7.5\text{ ГГц}$	SOT143R	C•E•B•E



Код	Тип/номинал	Б	Ф	Особенности	Корпус	Ц: 1•2•3•4
67s	BAT64-07	INF	shd x2	$V_R < 40 В$; $I_F < 250 мА$; $V_F (I_F = 100 мА) < 0.75 В$; $I_{R1} < 2.0 мА$; $C_0 < 6 пФ$	SOT143, TO253	K1•K2•A2•A1
67s	BAT64-07W	INF	shd x2	$V_R < 40 В$; $I_F < 250 мА$; $V_F (I_F = 100 мА) < 0.75 В$; $I_{R1} < 2 мА$; $C_0 < 6 пФ$	SOT343, SC82A	K1•K2•A2•A1
77p	BAS7007	PHIL	shd x2	$V_R < 70 В$; $I_F < 70 мА$; $V_F (I_F = 1 мА) < 410 мВ$; $C_0 < 2 пФ$	SOT143, TO253	K1•K2•A2•A1
77s	BAS7007	SIEM	shd x2	$V_R < 70 В$; $I_F < 70 мА$; $V_F (I_F = 15 мА) < 1.0 В$; $I_{R1} < 0.1 мА$; $C_0 < 2.0 пФ$	SOT143, TO253	K1•K2•A2•A1
77s	BAS70-07	INF	shd x2	$V_R < 70 В$; $I_F < 70 мА$; $V_F (I_F = 15 мА) < 1.0 В$; $I_{R1} < 0.1 мА$; $C_0 < 2.0 пФ$	SOT143, TO253	K1•K2•A2•A1
77s	BAS70-07W	INF	shd x2	$V_R < 70 В$; $I_F < 70 мА$; $V_F (I_F = 15 мА) < 1.0 В$; $I_{R1} < 0.1 мА$; $C_0 < 2.0 пФ$	SOT343, SC82A	K1•K2•A2•A1
82P	BFP182T	TELEF	npn	$V_{CE0} = 15 В$; $I_C = 35 мА$; $P_D = 200 мВт$; $h_{FE1} = 50...150$; $f_T = 7.5 ГГц$	SOT143, TO253	C•E•B•E
8372	MRF8372	MOT	npn	$V_{CE0} = 36 В$; $I_C = 200 мА$; $P_D = 1880 мВт$; $h_{FE1} = 30...200$	SOT143, TO253	C•E•B•E
83P	BFP183T	TELEF	npn	$V_{CE0} = 15 В$; $I_C = 65 мА$; $P_D = 200 мВт$; $h_{FE1} = 50...150$; $f_T = 8 ГГц$	SOT143, TO253	C•E•B•E
87s	BAT68-07	INF	shd x2	$V_R < 8 В$; $I_F < 130 мА$; $V_F (I_F = 10 мА) < 0.5 В$; $I_{R1} < 0.1 мА$; $C_0 < 1.0 пФ$	SOT143, TO253	K1•K2•A2•A1
87s	BAT68-07W	INF	shd x2	$V_R < 8 В$; $I_F < 130 мА$; $V_F (I_F = 10 мА) < 0.5 В$; $I_{R1} < 0.1 мА$; $C_0 < 1.0 пФ$	SOT343, SC82A	K1•K2•A2•A1
8ALx	STM811L	STM	mrc	$V_{RR} = 4.63 В$; $V_{DD} = 1.2...5.5 В$; $I_{CC} < 15 мА$	SOT143, TO253	VSS•RES•MR•VCC
8AMx	STM811M	STM	mrc	$V_{RR} = 4.38 В$; $V_{DD} = 1.2...5.5 В$; $I_{CC} < 15 мА$	SOT143, TO253	VSS•RES•MR•VCC
8ANx	STM811T	STM	mrc	$V_{RR} = 3.08 В$; $V_{DD} = 1.2...5.5 В$; $I_{CC} < 15 мА$	SOT143, TO253	VSS•RES•MR•VCC
8APx	STM811S	STM	mrc	$V_{RR} = 2.93 В$; $V_{DD} = 1.2...5.5 В$; $I_{CC} < 15 мА$	SOT143, TO253	VSS•RES•MR•VCC
8AQx	STM811R	STM	mrc	$V_{RR} = 2.63 В$; $V_{DD} = 1.2...5.5 В$; $I_{CC} < 15 мА$	SOT143, TO253	VSS•RES•MR•VCC
8ARx	STM812L	STM	mrc	$V_{RR} = 4.63 В$; $V_{DD} = 1.2...5.5 В$; $I_{CC} < 15 мА$	SOT143, TO253	VSS•RES•MR•VCC
8ASx	STM812M	STM	mrc	$V_{RR} = 4.38 В$; $V_{DD} = 1.2...5.5 В$; $I_{CC} < 15 мА$	SOT143, TO253	VSS•RES•MR•VCC
8ATx	STM812T	STM	mrc	$V_{RR} = 3.08 В$; $V_{DD} = 1.2...5.5 В$; $I_{CC} < 15 мА$	SOT143, TO253	VSS•RES•MR•VCC
8AUx	STM812S	STM	mrc	$V_{RR} = 2.93 В$; $V_{DD} = 1.2...5.5 В$; $I_{CC} < 15 мА$	SOT143, TO253	VSS•RES•MR•VCC
8AVx	STM812R	STM	mrc	$V_{RR} = 2.63 В$; $V_{DD} = 1.2...5.5 В$; $I_{CC} < 15 мА$	SOT143, TO253	VSS•RES•MR•VCC
92V	BFP92A	TELEF	npn	$V_{CE0} = 20 В$; $I_C = 30 мА$; $P_D = 200 мВт$; $h_{FE1} = 50...150$; $f_T = 6 ГГц$	SOT143, TO253	C•E•B•E
97p	BCV65	PHIL	npn(1)+npn(2)	$V_{CE0} = 30 В$; $I_C = 100 мА$; $P_D = 250 мВт$; $h_{FE1} = 75...800$	SOT143, TO253	C2•B1, B2•C1•E1, E2
98p	BCV65B	PHIL	npn(1)+npn(2)	$V_{CE0} = 30 В$; $I_C = 100 мА$; $P_D = 250 мВт$; $h_{FE1} = 200...475$	SOT143, TO253	C2•B1, B2•C1•E1, E2
A	MRF947T3	MOT	npn	$V_{CE0} = 20 В$; $I_C = 50 мА$; $P_D = 188 мВт$; $h_{FE1} > 50$; $f_T = 8000 МГц$	SOT143, TO253	C•E•B•E
A03	VAM-3	MC	amp	$V_{CC} = 4.7 В$; $I_{CC} = 35 мА$; $f_p = 0...2 ГГц$; GAIN = 9.5 дБ	SOT143, TO253	VCC, RF-OUT•GND•RF-IN•GND
A06	VAM-6	MC	amp	$V_{CC} = 3.3 В$; $I_{CC} = 16 мА$; $f_p = 0...2 ГГц$; GAIN = 10 дБ	SOT143, TO253	VCC, RF-OUT•GND•RF-IN•GND
A07	VAM-7	MC	amp	$V_{CC} = 3.8 В$; $I_{CC} = 22 мА$; $f_p = 0...2 ГГц$; GAIN = 9.8 дБ	SOT143, TO253	VCC, RF-OUT•GND•RF-IN•GND
A1	1SS272	TOSH	di x2	$V_R > 80 В$; $I_F < 300 мА$; $V_F (I_F = 100 мА) < 1.2 В$; $I_{R1} < 0.5 мА$; IFR < 4 нс	SC61, MPAK-4	K1•K2•A2•A1
A1	1SS382	TOSH	di x2	$V_R > 80 В$; $I_F < 300 мА$; $V_F (I_F = 100 мА) < 1.2 В$; $I_{R1} < 0.5 мА$; IFR < 4 нс	SC82, USQ	A1•A2•K2•K1
A2	CFY30	SIEM	nFET	GaAs; $V_{DS} = 5 В$; $I_D = 80 мА$; $P_D = 250 мВт$; $I_{DSS} = 15...50 мА$; $g_f = 30 МСм$	SOT143, TO253	S•D•S•G
A3	1SS306	TOSH	di x2	$V_R < 200 В$; $I_F < 300 мА$; $V_F (I_F = 100 мА) < 1.2 В$; $I_{R1} < 60 нс$	SC61, MPAK-4	K1•K2•A2•A1
A4	1SS319	TOSH	di x2	$V_R < 40 В$; $I_F < 300 мА$; $V_F (I_F = 100 мА) < 0.6 В$; $I_{R1} (V_R = 40 В) < 5 мА$	SC61, MPAK-4	K1•K2•A2•A1
A4	1SS383	TOSH	shd x2	$V_R < 40 В$; $V_F (I_F = 100 мА) < 0.6 В$; $I_{R1} (V_R = 40 В) < 5 мА$; $C_1 < 25 пФ$	SC82, USQ	A1•A2•K2•K1
A5	1SS384	TOSH	shd x2	$V_R < 15 В$; $V_F (I_F = 100 мА) < 0.5 В$; $I_{R1} (V_R = 10 В) < 20 мА$; $C_1 < 40 пФ$	SC82, USQ	A1•A2•K2•K1



Код	Типономинал	Б	Ф	Особенности	Корпус	Ц: 1•2•3•4
A5	1SS391	TOSH	shd x2	$V_{R1} < 10 \text{ В}$, $V_{F1}(I_F = 100 \text{ мА}) < 0.5 \text{ В}$; $I_{H1}(V_{R1} = 10 \text{ В}) < 20 \text{ мА}$; $C_T < 20 \text{ пФ}$	SC61, MPAK-4	K1 • K2 • A2 • A1
A5	HSMS2805	HP	shd x2	$V_{BR1} > 70 \text{ В}$, $V_{F1}(I_F = 15 \text{ мА}) < 1.0 \text{ В}$, $I_{H1}(V_{R1} = 50 \text{ В}) < 200 \text{ нА}$; $C_D < 2.0 \text{ нФ}$, $R_D = 35 \text{ Ом}$	SOT143, TO253	K1 • K2 • A2 • A1
A51	BRY62	PHIL	pnp/npn	$V_{CEB1} = 70 \text{ В}$, $I_C = 175 \text{ мА}$, $P_D = 250 \text{ мВт}$; $h_{FE1(NPN)} > 50$; $h_{FE1(PNP)} > 3$	SOT143, TO253	AG • A • C • CG
A6	1SS399	TOSH	di x2	$V_{R1} < 400 \text{ В}$, $I_F < 100 \text{ мА}$, $V_{F1}(I_F = 100 \text{ мА}) < 1.3 \text{ В}$; $I_{R1} < 1.0 \text{ мкА}$	SC61, MPAK-4	K1 • K2 • A2 • A1
A61	BA528	CSI	fid x2	$I_F < 250 \text{ мА}$, $V_{BR1} > 75 \text{ В}$, $V_{F1}(I_F = 10 \text{ мА}) < 0.855 \text{ В}$; $I_{R1} < 1000 \text{ нА}$; $t_{RR} < 6.0 \text{ нс}$; $C_D < 2.0 \text{ пФ}$	SOT143, TO253	A1 • A2 • K2 • K1
A7	1SS402	TOSH	shd x2	$V_{R1} > 20 \text{ В}$, $V_{F1}(I_F = 50 \text{ мА}) < 0.55 \text{ В}$, $I_{H1}(V_{R1} = 20 \text{ В}) < 0.5 \text{ мА}$; $C_T < 5 \text{ нФ}$	SC82, USQ	A1 • A2 • K2 • K1
A7	HSMS2807	HP	shd x4	$V_{BR1} > 70 \text{ В}$, $V_{F1}(I_F = 15 \text{ мА}) < 1.0 \text{ В}$, $I_{H1}(V_{R1} = 50 \text{ В}) < 200 \text{ нА}$; $C_D < 2.0 \text{ нФ}$, $R_D = 35 \text{ Ом}$	SOT143, TO253	K1, A4 • K4, A3 • K3, A2 • K2, A1
A8	HSMS2808	HP	shd x4	$V_{BR1} > 70 \text{ В}$, $V_{F1}(I_F = 15 \text{ мА}) < 1.0 \text{ В}$, $I_{H1}(V_{R1} = 50 \text{ В}) < 200 \text{ нА}$; $C_D < 2.0 \text{ нФ}$, $R_D = 35 \text{ Ом}$	SOT143, TO253	K1, K4 • A4, K3 • A3, A2 • K2, A1
AAB	MAX6711LXS	MAX	mrc	$V_{R1} = 4.63 \text{ В}$, $V_{DD} = 1.2 \dots 5.5 \text{ В}$, $I_{CC} < 60 \text{ мкА}$	SOT343, SC82A	GND • RES • MR • VCC
AAC	MAX6711MXS	MAX	mrc	$V_{R1} = 4.38 \text{ В}$, $V_{DD} = 1.2 \dots 5.5 \text{ В}$, $I_{CC} < 60 \text{ мкА}$	SOT343, SC82A	GND • RES • MR • VCC
AAD	MAX6711TXS	MAX	mrc	$V_{R1} = 3.08 \text{ В}$, $V_{DD} = 1.2 \dots 5.5 \text{ В}$, $I_{CC} < 60 \text{ мкА}$	SOT343, SC82A	GND • RES • MR • VCC
AAE	MAX6711SXs	MAX	mrc	$V_{R1} = 2.93 \text{ В}$, $V_{DD} = 1.2 \dots 5.5 \text{ В}$, $I_{CC} < 60 \text{ мкА}$	SOT343, SC82A	GND • RES • MR • VCC
AAF	MAX6711RXS	MAX	mrc	$V_{R1} = 2.63 \text{ В}$, $V_{DD} = 1.2 \dots 5.5 \text{ В}$, $I_{CC} < 60 \text{ мкА}$	SOT343, SC82A	GND • RES • MR • VCC
AAG	MAX6711ZXS	MAX	mrc	$V_{R1} = 2.32 \text{ В}$, $V_{DD} = 1.2 \dots 5.5 \text{ В}$, $I_{CC} < 60 \text{ мкА}$	SOT343, SC82A	GND • RES • MR • VCC
AAH	MAX6712LXS	MAX	mrc	$V_{R1} = 4.63 \text{ В}$, $V_{DD} = 1.2 \dots 5.5 \text{ В}$, $I_{CC} < 60 \text{ мкА}$	SOT343, SC82A	GND • RES • MR • VCC
AAI	MAX6712MXS	MAX	mrc	$V_{R1} = 4.38 \text{ В}$, $V_{DD} = 1.2 \dots 5.5 \text{ В}$, $I_{CC} < 60 \text{ мкА}$	SOT343, SC82A	GND • RES • MR • VCC
AAJ	MAX6712TXS	MAX	mrc	$V_{R1} = 3.08 \text{ В}$, $V_{DD} = 1.2 \dots 5.5 \text{ В}$, $I_{CC} < 60 \text{ мкА}$	SOT343, SC82A	GND • RES • MR • VCC
AAK	MAX6712SXs	MAX	mrc	$V_{R1} = 2.93 \text{ В}$, $V_{DD} = 1.2 \dots 5.5 \text{ В}$, $I_{CC} < 60 \text{ мкА}$	SOT343, SC82A	GND • RES • MR • VCC
AAL	MAX6712RXS	MAX	mrc	$V_{R1} = 2.63 \text{ В}$, $V_{DD} = 1.2 \dots 5.5 \text{ В}$, $I_{CC} < 60 \text{ мкА}$	SOT343, SC82A	GND • RES • MR • VCC
AAM	MAX6712ZXS	MAX	mrc	$V_{R1} = 2.32 \text{ В}$, $V_{DD} = 1.2 \dots 5.5 \text{ В}$, $I_{CC} < 60 \text{ мкА}$	SOT343, SC82A	GND • RES • MR • VCC
AAN	MAX6713LXS	MAX	mrc	$V_{R1} = 4.63 \text{ В}$, $V_{DD} = 1.2 \dots 5.5 \text{ В}$, $I_{CC} < 60 \text{ мкА}$	SOT343, SC82A	GND • RES • MR • VCC
AAO	MAX6713MXS	MAX	mrc	$V_{R1} = 4.38 \text{ В}$, $V_{DD} = 1.2 \dots 5.5 \text{ В}$, $I_{CC} < 60 \text{ мкА}$	SOT343, SC82A	GND • RES • MR • VCC
AAP	MAX6713TXS	MAX	mrc	$V_{R1} = 3.08 \text{ В}$, $V_{DD} = 1.2 \dots 5.5 \text{ В}$, $I_{CC} < 60 \text{ мкА}$	SOT343, SC82A	GND • RES • MR • VCC
AAQ	MAX6713SXs	MAX	mrc	$V_{R1} = 2.93 \text{ В}$, $V_{DD} = 1.2 \dots 5.5 \text{ В}$, $I_{CC} < 60 \text{ мкА}$	SOT343, SC82A	GND • RES • MR • VCC
AAR	MAX6713RXS	MAX	mrc	$V_{R1} = 2.63 \text{ В}$, $V_{DD} = 1.2 \dots 5.5 \text{ В}$, $I_{CC} < 60 \text{ мкА}$	SOT343, SC82A	GND • RES • MR • VCC
AAS	MAX6713ZXS	MAX	mrc	$V_{R1} = 2.32 \text{ В}$, $V_{DD} = 1.2 \dots 5.5 \text{ В}$, $I_{CC} < 60 \text{ мкА}$	SOT343, SC82A	GND • RES • MR • VCC
AAT	MAX6384XS16D3	MAX	mrc	$V_{R1} = 1.58 \text{ В}$, $V_{DD} = 1 \dots 5.5 \text{ В}$, $I_{CC} < 13 \text{ мкА}$	SOT343, SC82A	GND • RES • MR • VCC
AAU	MAX6385XS26D3	MAX	mrc	$V_{R1} = 2.63 \text{ В}$, $V_{DD} = 1 \dots 5.5 \text{ В}$, $I_{CC} < 13 \text{ мкА}$	SOT343, SC82A	GND • RES • MR • VCC
AAV	MAX6386XS17D3	MAX	mrc	$V_{R1} = 1.67 \text{ В}$, $V_{DD} = 1 \dots 5.5 \text{ В}$, $I_{CC} < 13 \text{ мкА}$	SOT343, SC82A	GND • RES • MR • VCC
AAW	MAX6387XS1D3	MAX	mrc	$V_{R1} = 3.08 \text{ В}$, $V_{DD} = 1 \dots 5.5 \text{ В}$, $I_{CC} < 13 \text{ мкА}$	SOT343, SC82A	GND • RES • RES IN • VCC
AAX	MAX6388XS29D1	MAX	mrc	$V_{R1} = 2.93 \text{ В}$, $V_{DD} = 1 \dots 5.5 \text{ В}$, $I_{CC} < 13 \text{ мкА}$	SOT343, SC82A	GND • RES • RES IN • VCC
AAy	MAX6389XS22D3	MAX	mrc	$V_{R1} = 2.2 \text{ В}$, $V_{DD} = 1 \dots 5.5 \text{ В}$, $I_{CC} < 13 \text{ мкА}$	SOT343, SC82A	GND • RES • RES IN • VCC
AAZ	MAX6390XS26D4	MAX	mrc	$V_{R1} = 2.63 \text{ В}$, $V_{DD} = 1 \dots 5.5 \text{ В}$, $I_{CC} < 13 \text{ мкА}$	SOT343, SC82A	GND • RES • MR • VCC
ABA	MAX6384XS45D2	MAX	mrc	$V_{R1} = 4.63 \text{ В}$, $V_{DD} = 1 \dots 5.5 \text{ В}$, $I_{CC} < 13 \text{ мкА}$	SOT343, SC82A	GND • RES • MR • VCC
ACs	BFP620F	SIEM	npn	$V_{CEB1} = 7.5 \text{ В}$, $I_C = 80 \text{ мА}$, $P_D = 185 \text{ мВт}$; $h_{FE1} = 110 \dots 270$; $f_T = 65 \text{ МГц}$	TSFP-4	B • E • C • E
AE	1SS383T1G	ON	shd x2	$V_{R1} < 40 \text{ В}$, $V_{F1}(I_F = 100 \text{ мА}) < 0.6 \text{ В}$; $I_{H1}(V_{R1} = 40 \text{ В}) < 5 \text{ мкА}$; $C_T < 25 \text{ нФ}$	SC82, USQ	A1 • A2 • K2 • K1
ALS	BFP405	SIEM	npn	$V_{CEB1} = 15 \text{ В}$, $I_C = 12 \text{ мА}$, $P_D = 55 \text{ мВт}$; $h_{FE1} = 50 \dots 150$; $f_T > 20 \text{ МГц}$	SOT343, SC82A	B • E • C • E
AMs	BFP420	SIEM	npn	$V_{CEB1} = 15 \text{ В}$, $I_C = 35 \text{ мА}$, $P_D = 160 \text{ мВт}$; $h_{FE1} = 50 \dots 150$; $f_T > 20 \text{ МГц}$	SOT343, SC82A	B • E • C • E
ANs	BFP450	SIEM	npn	$V_{CEB1} = 15 \text{ В}$, $I_C = 10 \text{ мА}$, $P_D = 450 \text{ мВт}$; $h_{FE1} = 50 \dots 150$; $f_T > 15 \text{ МГц}$	SOT343, SC82A	B • E • C • E



SOT143/R
SOT343/R



MW-4



SC82



SC61



MPPAK-4
TSPF-4

Код	Тип/номинал	Б	Ф	Особенности	Корпус	Ц: 1+2+3+4
APs	BFP520	INF	npn	$V_{CE0} = 10 \text{ В}$; $I_C = 40 \text{ мА}$; $P_D = 100 \text{ мВт}$; $h_{21} = 70 \dots 200$; $f_T = 45 \text{ ГГц}$	SOT343, SC82A	B • E • C • E
ATs	BFP540	SIEM	npn	$V_{CE0} = 14 \text{ В}$; $I_C = 80 \text{ мА}$; $P_D = 250 \text{ мВт}$; $h_{21} = 50 \dots 200$; $f_T = 30 \text{ ГГц}$	SOT343, SC82A	B • E • C • E
B08	SST6908	SIL	nFET	$V_{DS} = 30 \text{ В}$; $P_D = 350 \text{ мВт}$; $I_{DSS} > 2 \text{ мА}$; $g_F = 3 \text{ мСм}$	SOT143, TO253	G • PRDI • S • D
B09	SST6909	SIL	nFET	$V_{DS} = 30 \text{ В}$; $P_D = 350 \text{ мВт}$; $I_{DSS} > 10 \text{ мА}$; $g_F > 0.4 \text{ мСм}$	SOT143, TO253	G • PRDI • S • D
B10	SST6910	SIL	nFET	$V_{DS} = 30 \text{ В}$; $P_D = 350 \text{ мВт}$; $I_{DSS} > 10 \text{ мА}$; $g_F > 1.2 \text{ мСм}$	SOT143, TO253	G • PRDI • S • D
B5	HSMS2815	HP	shd x2	$V_{BR} > 20 \text{ В}$; $V_F(I_F = 95 \text{ мА}) < 1.0 \text{ В}$; $I_H(V_H = 15 \text{ В}) < 200 \text{ нА}$; $C_J < 1.2 \text{ пФ}$; $R_D = 15 \text{ Ом}$	SOT143, TO253	K1 • K2 • A2 • A1
B7	HSMS2817	HP	shd x4	$V_{BR} > 20 \text{ В}$; $V_F(I_F = 35 \text{ мА}) < 1.0 \text{ В}$; $I_H(V_H = 15 \text{ В}) < 200 \text{ нА}$; $C_J < 1.2 \text{ пФ}$; $R_D = 15 \text{ Ом}$	SOT143, TO253	K1, A4 • K4, A3 • K3, A2 • K2, A1
B8	HSMS2818	HP	shd x4	$V_{BR} > 20 \text{ В}$; $V_F(I_F = 35 \text{ мА}) < 1.0 \text{ В}$; $I_H(V_H = 15 \text{ В}) < 200 \text{ нА}$; $C_J < 1.2 \text{ пФ}$; $R_D = 15 \text{ Ом}$	SOT143, TO253	K1, K4 • A4, K3 • A3, A2 • K2, A1
BB	1SV237	TOSH	pin x2	$V_R > 50 \text{ В}$; $I_F < 50 \text{ мА}$; $V_F(I_F = 50 \text{ мА}) < 0.95 \text{ В}$; $I_H < 0.1 \text{ мА}$	SC61, MPAK-4	K1 • K2 • A2 • A1
BB	1SV312	TOSH	pin x2	$V_R > 50 \text{ В}$; $I_F < 50 \text{ мА}$; $V_F(I_F = 50 \text{ мА}) < 1 \text{ В}$; $I_H < 0.1 \text{ мА}$	SC82, USQ	A1 • A2 • K2 • K1
BBs	BAR61	INF	di	$V_R < 30 \text{ В}$; $I_F < 100 \text{ мА}$; $V_F(I_F = 100 \text{ мА}) < 1 \text{ В}$; $I_H < 0.02 \text{ мА}$; $C_D < 0.6 \text{ нФ}$	SOT143, TO253	K • A • K • A
BBs	BAR61W	INF	di	$V_R < 30 \text{ В}$; $I_F < 100 \text{ мА}$; $V_F(I_F = 100 \text{ мА}) < 1 \text{ В}$; $I_H < 0.02 \text{ мА}$; $C_D < 0.6 \text{ нФ}$	SOT343, SC82A	K • A • K • A
BLs	BGA310	INF	amp	$I_{CC} = 60 \text{ мА}$; $G_{MA} = 9 \text{ дБ}$ ($f_T = 1 \text{ ГГц}$)	SOT143, TO253	OUT/BIAS • GND • IN • GND
BLs	BGA420	SIEM	amp	$I_{CC} = 15 \text{ мА}$; $G_{MA} = 13 \text{ дБ}$ ($f_T = 1.8 \text{ ГГц}$)	SOT343, SC82A	IN • GND • OUT • VD
BMs	BGA312	INF	amp	$I_{CC} = 60 \text{ мА}$; $G_{MA} = 11 \text{ дБ}$ ($f_T = 1 \text{ ГГц}$)	SOT143, TO253	OUT/BIAS • GND • IN • GND
BMs	BGA427	INF	amp	$V_{CC} = 2 \dots 5 \text{ В}$; $I_{CC} = 25 \text{ мА}$; $G_{MA} = 18.5 \text{ дБ}$ ($f_T = 1.8 \text{ ГГц}$)	SOT343, SC82A	IN • GND • VD • OUT
BNs	BGA318	INF	amp	$I_{CC} = 60 \text{ мА}$; $G_{MA} = 16 \text{ дБ}$ ($f_T = 1 \text{ ГГц}$)	SOT143, TO253	OUT/BIAS • GND • IN • GND
BNs	BGA612	INF	amp	$V_{CC} = 2.4 \dots 3 \text{ В}$; $I_{CC} = 80 \text{ мА}$; $G_{MA} = 17 \text{ дБ}$ ($f_T = 1 \text{ ГГц}$)	SOT343, SC82A	IN • GND • OUT • GND
BOs	BGA614	INF	amp	$V_{CC} = 2.4 \dots 3 \text{ В}$; $I_{CC} = 80 \text{ мА}$; $G_{MA} = 17 \text{ дБ}$ ($f_T = 1 \text{ ГГц}$)	SOT343, SC82A	IN • GND • OUT • GND
BPs	BGA616	INF	amp	$V_{CC} = 4.5 \dots 6 \text{ В}$; $I_{CC} = 80 \text{ мА}$; $G_{MA} = 17 \text{ дБ}$ ($f_T = 1 \text{ ГГц}$)	SOT343, SC82A	IN • GND • OUT • GND
BRs	BGA622	INF	amp	$V_{CC} = 2.4 \dots 3 \text{ В}$; $I_{B0} = 0.5 \dots 6 \text{ ГГц}$	SOT343, SC82A	IN • GND • OUT • VCC
C5	HSMS2825	HP	shd x2	$V_{BR} > 15 \text{ В}$; $V_F(I_F = 30 \text{ мА}) < 0.7 \text{ В}$; $I_H(V_H = 1 \text{ В}) < 100 \text{ нА}$; $C_J < 1.0 \text{ пФ}$; $R_D = 12 \text{ Ом}$	SOT143, TO253	K1 • K2 • A2 • A1
C7	HSMS2827	HP	shd x4	$V_{BR} > 15 \text{ В}$; $V_F(I_F = 30 \text{ мА}) < 0.7 \text{ В}$; $I_H(V_H = 1 \text{ В}) < 100 \text{ нА}$; $C_J < 1.0 \text{ пФ}$; $R_D = 12 \text{ Ом}$	SOT143, TO253	K1, A4 • K4, A3 • K3, A2 • K2, A1
C8	HSMS2828	HP	shd x4	$V_{BR} > 15 \text{ В}$; $V_F(I_F = 30 \text{ мА}) < 0.7 \text{ В}$; $I_H(V_H = 1 \text{ В}) < 100 \text{ нА}$; $C_J < 1.0 \text{ пФ}$; $R_D = 12 \text{ Ом}$	SOT143, TO253	K1, K4 • A4, K3 • A3, A2 • K2, A1
C9	HSMS2829	HP	shd x4	$V_{BR} > 15 \text{ В}$; $V_F(I_F = 30 \text{ мА}) < 0.7 \text{ В}$; $I_H(V_H = 1 \text{ В}) < 100 \text{ нА}$; $C_J < 1.0 \text{ пФ}$; $R_D = 12 \text{ Ом}$	SOT143, TO253	K1, A2 • A3, K4 • A4, K2 • K3, A1
C95	BCV64	PHIL	npn x2	$V_{CE0} = 30 \text{ В}$; $I_C = 100 \text{ мА}$; $P_D = 250 \text{ мВт}$; $h_{21} = 110 \dots 800$; $f_T > 100 \text{ МГц}$	SOT143, TO253	B1, C2 • C1 • E1, E2 • B2
C96	BCV64B	PHIL	npn x2	$V_{CE0} = 30 \text{ В}$; $I_C = 100 \text{ мА}$; $P_D = 250 \text{ мВт}$; $h_{21} = 220 \dots 475$; $f_T > 100 \text{ МГц}$	SOT143, TO253	B1, C2 • C1 • E1, E2 • B2
D1	SST211	TEMI C	nFET	$V_{DS} = 30 \text{ В}$; $P_D = 300 \text{ мВт}$; $I_{DSS} = 4 \dots 20 \text{ мА}$; $R_{DS(on)} < 50 \text{ Ом}$	SOT143, TO253	SUBSTR • S • D • G
D3	SST213	TEMI C	nFET	$V_{DS} = 10 \text{ В}$; $P_D = 300 \text{ мВт}$; $I_{DSS} = 4 \dots 20 \text{ мА}$; $R_{DS(on)} < 50 \text{ Ом}$	SOT143, TO253	SUBSTR • S • D • G
D5	SST215	TEMI C	nFET	$V_{DS} = 20 \text{ В}$; $P_D = 300 \text{ мВт}$; $I_{DSS} = 4 \dots 20 \text{ мА}$; $R_{DS(on)} < 50 \text{ Ом}$	SOT143, TO253	SUBSTR • S • D • G
D89	BAI74	STM	shd x2	$V_R < 30 \text{ В}$; $I_F < 200 \text{ мА}$; $V_F(I_F = 1 \text{ мА}) < 320 \text{ мВ}$; $C_D < 10 \text{ нФ}$; $f_{RR} < 5 \text{ нС}$	SOT143, TO253	K1 • K2 • A2 • A1
D95	BCV63	PHIL	npn x2	$V_{CE0} = 30 \text{ В}$; $I_C = 100 \text{ мА}$; $P_D = 250 \text{ мВт}$; $h_{21} = 110 \dots 800$; $f_T > 100 \text{ МГц}$	SOT143, TO253	B1, C2 • C1 • E1, E2 • B2
D96	BCV63B	PHIL	npn x2	$V_{CE0} = 30 \text{ В}$; $I_C = 100 \text{ мА}$; $P_D = 250 \text{ мВт}$; $h_{21} = 200 \dots 450$; $f_T > 100 \text{ МГц}$	SOT143, TO253	B1, C2 • C1 • E1, E2 • B2
DF	MAX261EUS	MAX	amp	$V_{CC} = 5 \text{ В}$; $f_p = 0 \dots 1100 \text{ МГц}$; $I_{CC} < 40 \text{ мА}$	SOT143, TO253	OUT • GND • IN • GND
DG	MAX2630EUS	MAX	amp	$V_{CC} = 2.7 \dots 5.5 \text{ В}$; $f_p < 900 \text{ МГц}$; $I_{CC} = 6.6 \text{ мА}$	SOT143, TO253	OUT • GND • IN • VCC
DHAA	MAX2650EUS	MAX	amp	$V_{CC} = 4.5 \dots 5.5 \text{ В}$; $f_p < 900 \text{ МГц}$; $I_{CC} < 22 \text{ мА}$	SOT143, TO253	OUT • GND • IN • VCC

MFPАK-4
TSPF-4



SC61
SC82



MW-4



SOT143R
SOT343R



Код	Типономинал	Б	Ф	Особенности	Корпус	Ц: 1•2•3•4
DI	2SC3867	REN	npn	$V_{CE1}=20В; I_C=50мА; P_D=150мВт; h_{21}=20...200; f_T > 1400 МГц$	SOT343, SC82A	B•E•C•n.c
EC	2SC2732	REN	npn	$V_{CE1}=30В; I_C=20мА; P_D=150мВт; h_{21} > 30; f_T > 700 МГц$	SOT343, SC82A	E•B•C•n.c
EI	3SK182	REN	nMOS	$V_{DS}=20В; I_D=50мА; P_D=150мВт; P_g > 10дБ; NF < 0.0дБ$	SOT343, SC82A	S•D•G2•G1
F05	TSDF1205	TELEF	npn	$V_{CE1}=9В; I_C=12мА; P_D=40мВт; h_{21}=50...250; f_T=12 ГГц$	SOT143, TO253	C•E•B•E
F20	TSDF1220	TELEF	npn	$V_{CE1}=9В; I_C=40мА; P_D=200мВт; h_{21}=50...150; f_T=12 ГГц$	SOT143, TO253	C•E•B•E
FAs	BFP81	SIEM	npn	$V_{CE1}=25В; I_C=30мА; P_D=280мВт; h_{21}=50...200; f_T > 5800 МГц$	SOT143, TO253	C•E•B•E
FB	BFP17	INF	npn	$V_{CE1}=12В; I_C=50мА; P_D=280мВт$	SOT143, TO253	E•C•E•B
FC	BFP29	SIEM	npn	$V_{CE1}=15В; I_C=30мА; P_D=280мВт$	SOT143, TO253	E•C•E•B
Fes	BFP93A	SIEM	npn	$V_{CE1}=20В; I_C=50мА; P_D=300мВт; h_{21}=50...200; f_T > 8000 МГц$	SOT143, TO253	C•E•B•E
FI	3SK186	REN	nMOS	$V_{DS}=12В; I_D=35мА; P_D=150мВт; P_g > 16дБ; NF < 4.5дБ$	SOT343, SC82A	S•D•G2•G1
G2	CGY50	SIEM	amp	$G_{aS}, V_{CC}=2.7...6В; f_{3dB} < 0.1...3 ГГц$	SOT143, TO253	GND/S•OUT/D•GND/S•IN/G
G5	HSPM3895	HP	pinx2	$I_C < 1А; P_D < 250мВт; V_{BR} > 100В; R_g < 2.5 Ом; CT < 0.30 пФ$	SOT143, TO253	A1•A2•K2•K1
GC	2SC2734	REN	npn	$V_{CE1}=20В; I_C=50мА; P_D=150мВт; h_{21}=20...200; f_T > 1.4 ГГц$	SOT343, SC82A	E•B•C•n.c
GIA	2SC3957A	REN	dnnp	$V_{CE1}=40В; I_C=300мА; P_D=150мВт; h_{21}=2000...100000$	SOT143, TO253	C•n.c•B•E
GIB	2SC3957B	REN	dnnp	$V_{CE1}=40В; I_C=300мА; P_D=150мВт; h_{21}=5000...100000$	SOT143, TO253	C•n.c•B•E
HC	2SC2733	REN	npn	$V_{CE1}=30В; I_C=50мА; P_D=150мВт; h_{21} > 60; f_T > 800 МГц$	SOT343, SC82A	E•B•C•n.c
HG	CFY77-08	SIEM	nFET	$AlGaAs/InGaAs HEMT; V_{DS}=3.5В; I_D=60мА; P_D=180мВт; NF=0.8дБ$	MW-4	S•D•S•G
HH	CFY77-10	SIEM	nFET	$AlGaAs/InGaAs HEMT; V_{DS}=3.5В; I_D=60мА; P_D=180мВт; NF=1дБ$	MW-4	S•D•S•G
HHs	BBY51-07	INF	varx2	$V_g < 7В; I_C < 20мА; I_g < 0.01мкА; C_{1g}=4.8...6.0 нФ; C_{2g}/CAV=1.55...2.15$	SOT143, TO253	K1•K2•A2•A1
HI	3SK188	REN	nMOS	$V_{DS}=22В; I_D=35мА; P_D=150мВт; P_g > 18дБ; NF < 3.2дБ$	SOT343, SC82A	S•D•G2•G1
ID	2SC3127	REN	npn	$V_{CE1}=20В; I_C=50мА; P_D=150мВт; P_g=10.5дБ; f_T > 3500 МГц$	SOT343, SC82A	E•B•C•n.c
IJ	2SC3374	REN	npn	$V_{CE1}=20В; I_C=20мА; P_D=150мВт; h_{21}=20...200; f_T > 400 МГц$	SOT343, SC82A	E•B•C•n.c
IL	2SC3493	REN	npn	$V_{CE1}=15В; I_C=20мА; P_D=150мВт; h_{21}=30...200; f_T > 700 МГц$	SOT343, SC82A	E•B•C•n.c
IP	2SC3793	REN	npn	$V_{CE1}=20В; I_C=50мА; P_D=150мВт; h_{21}=50...200; f_T > 1400 МГц$	SOT343, SC82A	E•B•C•n.c
IS	2SC3513	REN	npn	$V_{CE1}=15В; I_C=50мА; P_D=150мВт; h_{21}=50...250; f_T > 4500 МГц$	SOT343, SC82A	E•B•C•n.c
IT	3SK162	REN	dnMOS	$V_{DS}=12В; I_D=35мА; P_D=150мВт; P_g > 18дБ; NF < 3.0дБ$	SOT343, SC82A	S•D•G2•G1
IV	2SK688	REN	nFET	$G_{aS}, V_{DS}=6.0В; I_D=100мА; P_{CH}=150мВт; P_g=10дБ; NF=2.5дБ$	SOT343, SC82A	G•S•D•G
IV	3SK136	REN	dnMOS	$V_{DS}=20В; I_D=35мА; P_D=150мВт; P_g > 17дБ; NF < 3.3дБ$	SOT343, SC82A	S•D•G2•G1
IW	3SK137	REN	dnMOS	$V_{DS}=15В; I_D=35мА; P_D=150мВт; P_g > 10дБ; NF < 5.0дБ$	SOT343, SC82A	S•D•G2•G1
IW	3SK137V	REN	dnMOS	$V_{DS}=15В; I_D=35мА; P_D=150мВт; P_g > 20дБ; NF < 3.0дБ$	SOT343, SC82A	S•D•G2•G1
IX	3SK138	REN	dnMOS	$V_{DS}=15В; I_D=35мА; P_D=150мВт; P_g > 10дБ; NF < 5.0дБ$	SOT343, SC82A	S•D•G2•G1



SOT143/R
SOT343/R



MFPK-4
TSPF-4

Код	Тип/номинал	Б	Ф	Особенности	Корпус	Ц: 1+2+3+4
IY	3SK194	REN	nMOS	$V_{DS} = 15 В$; $I_D = 35 мА$; $P_D = 150 мВт$; $P_0 > 27 дБ$; $NF < 2.5 дБ$	SOT343, SC82A	S•D•G2•G1
IZ	3SK154	REN	dnMOS	$V_{DS} = 15 В$; $I_D = 35 мА$; $P_D = 150 мВт$; $P_0 > 22 дБ$; $NF < 3.0 дБ$	SOT343, SC82A	S•D•G2•G1
JC	2SC2735	REN	npn	$V_{CE} = 30 В$; $I_C = 50 мА$; $P_D = 150 мВт$; $h_{FE} > 40$; $f_T > 600 МГц$	SOT343, SC82A	E•B•C•n. c.
JKs	BF1009	INF	dnMOS	$V_{DS} = 12 В$; $I_D = 25 мА$; $P_D = 200 мВт$; $g_F = 24 мСм$	SOT143, TO253	S•D•G2•G1
JLs	BF1009S	INF	dnMOS	$V_{DS} = 12 В$; $I_D = 25 мА$; $P_D = 200 мВт$; $g_F = 30 мСм$	SOT143, TO253	S•D•G2•G1
JLs	BF1009SR	INF	dnMOS	$V_{DS} = 12 В$; $I_D = 25 мА$; $P_D = 200 мВт$; $g_F = 30 мСм$	SOT143R	D•S•G1•G2
JP	BAW101	SIEM	di x2	$V_R < 30 В$; $I_R < 260 мА$; $V_F(I_R = 100 мА) < 1.3 В$; $I_R < 0.15 мА$; $C_D < 6.0 нФ$; $f_{RR} < 1000 Гц$	SOT143, TO253	K1•K2•A2•A1
JSs	BAW100	SIEM	di x2	$V_R < 75 В$; $I_R < 200 мА$; $V_F(I_R = 150 мА) < 1.25 В$; $I_R < 0.1 мА$; $C_D < 2.0 нФ$; $f_{RR} < 6 Гц$	SOT143, TO253	A1•A2•K2•K1
JTp	BAS28	PHIL	fd x2	$V_R < 75 В$; $I_R < 215 мА$; $V_F(I_R = 50 мА) < 1.0 В$; $C_D < 1.5 нФ$; $f_{RR} < 4 Гц$	SOT143, TO253	K1•K2•A2•A1
JTs	BAS28	INF	di x2	$V_R < 75 В$; $I_R < 200 мА$; $V_F(I_R = 50 мА) < 1.0 В$; $I_R < 0.1 мА$; $C_D < 2.0 нФ$; $f_{RR} < 4 Гц$	SOT143, TO253	K1•K2•A2•A1
JTs	BAS28W	INF	di x2	$V_R < 75 В$; $I_R < 200 мА$; $V_F(I_R = 50 мА) < 1.0 В$; $I_R < 0.1 мА$; $C_D < 2.0 нФ$; $f_{RR} < 4 Гц$	SOT343, SC82A	K1•K2•A2•A1
JXAA	MAX6160EUS	MAX	vref	$V_{IN} = 2.7...12.6 В$; $I_{CC} < 130 мА$; $V_{OUT} = 1.23...12.4 В$	SOT143, TO253	GND•ADJ•IN•OUT
KAAP	MAX6336US18D3	MAX	mic	$V_{TR} = 1.6 В$; $V_{DD} = 1.2...5.5 В$; $I_{CC} < 7 мА$	SOT143, TO253	GND•RES•MR•VCC
KAQ	MAX6336US18D3	MAX	mic	$V_{TR} = 1.8 В$; $V_{DD} = 1.2...5.5 В$; $I_{CC} < 7 мА$	SOT143, TO253	GND•RES•MR•VCC
KAAR	MAX6336US22D3	MAX	mic	$V_{TR} = 2.2 В$; $V_{DD} = 1.2...5.5 В$; $I_{CC} < 7 мА$	SOT143, TO253	GND•RES•MR•VCC
KAAS	MAX6336US18D3	MAX	mic	$V_{TR} = 1.6 В$; $V_{DD} = 1.2...5.5 В$; $I_{CC} < 7 мА$	SOT143, TO253	GND•RES•MR•VCC
KAAT	MAX6336US23D3	MAX	mic	$V_{TR} = 1.8 В$; $V_{DD} = 1.2...5.5 В$; $I_{CC} < 7 мА$	SOT143, TO253	GND•RES•MR•VCC
KAU	MAX6336US20D3	MAX	mic	$V_{TR} = 2.0 В$; $V_{DD} = 1.2...5.5 В$; $I_{CC} < 7 мА$	SOT143, TO253	GND•RES•MR•VCC
KAU	MAX6336US22D3	MAX	mic	$V_{TR} = 2.2 В$; $V_{DD} = 1.2...5.5 В$; $I_{CC} < 7 мА$	SOT143, TO253	GND•RES•MR•VCC
KAU	MAX6336US23D3	MAX	mic	$V_{TR} = 2.3 В$; $V_{DD} = 1.2...5.5 В$; $I_{CC} < 7 мА$	SOT143, TO253	GND•RES•MR•VCC
KAAX	MAX6337US18D3	MAX	mic	$V_{TR} = 1.6 В$; $V_{DD} = 1.2...5.5 В$; $I_{CC} < 7 мА$	SOT143, TO253	GND•RES•MR•VCC
KAAY	MAX6337US18D3	MAX	mic	$V_{TR} = 1.8 В$; $V_{DD} = 1.2...5.5 В$; $I_{CC} < 7 мА$	SOT143, TO253	GND•RES•MR•VCC
KAZ	MAX6337US22D3	MAX	mic	$V_{TR} = 2.2 В$; $V_{DD} = 1.2...5.5 В$; $I_{CC} < 7 мА$	SOT143, TO253	GND•RES•MR•VCC
KABA	MAX6816EUS	MAX	swd	$V_{CC} = 2.7...5.5 В$; $I_{CC} < 20 мА$	SOT143, TO253	GND•IN•OUT•VCC
KABP	MAX6336US20D3	MAX	mic	$V_{TR} = 2.0 В$; $V_{DD} = 1.2...5.5 В$; $I_{CC} < 7 мА$	SOT143, TO253	GND•RES•MR•VCC
KABQ	MAX6336US23D3	MAX	mic	$V_{TR} = 2.3 В$; $V_{DD} = 1.2...5.5 В$; $I_{CC} < 7 мА$	SOT143, TO253	GND•RES•MR•VCC
KABR	MAX6337US20D3	MAX	mic	$V_{TR} = 2.0 В$; $V_{DD} = 1.2...5.5 В$; $I_{CC} < 7 мА$	SOT143, TO253	GND•RES•MR•VCC
KABS	MAX6336US23D3	MAX	mic	$V_{TR} = 2.3 В$; $V_{DD} = 1.2...5.5 В$; $I_{CC} < 7 мА$	SOT143, TO253	GND•RES•MR•VCC
KABT	MAX6806US46	MAX	vd	$V_{TR} = 4.6 В$; $V_{DD} = 1.2...5.5 В$; $I_{CC} < 80 мА$	SOT143, TO253	RES•MR•VCC•GND
KABU	MAX6806US26	MAX	vd	$V_{TR} = 2.6 В$; $V_{DD} = 1.2...5.5 В$; $I_{CC} < 80 мА$	SOT143, TO253	RES•MR•VCC•GND
KABV	MAX6806US23	MAX	vd	$V_{TR} = 2.3 В$; $V_{DD} = 1.2...5.5 В$; $I_{CC} < 80 мА$	SOT143, TO253	RES•MR•VCC•GND
KABW	MAX6807US46	MAX	vd	$V_{TR} = 4.6 В$; $V_{DD} = 1.2...5.5 В$; $I_{CC} < 80 мА$	SOT143, TO253	RES•MR•VCC•GND
KABX	MAX6807US26	MAX	vd	$V_{TR} = 2.6 В$; $V_{DD} = 1.2...5.5 В$; $I_{CC} < 80 мА$	SOT143, TO253	RES•MR•VCC•GND
KABY	MAX6806US46	MAX	vd	$V_{TR} = 4.6 В$; $V_{DD} = 1.2...5.5 В$; $I_{CC} < 80 мА$	SOT143, TO253	RES•MR•VCC•GND
KABZ	MAX6806US26	MAX	vd	$V_{TR} = 2.6 В$; $V_{DD} = 1.2...5.5 В$; $I_{CC} < 80 мА$	SOT143, TO253	RES•MR•VCC•GND
KACA	MAX6336US25D3	MAX	mic	$V_{TR} = 2.5 В$; $V_{DD} = 1.2...5.5 В$; $I_{CC} < 7 мА$	SOT143, TO253	GND•RES•MR•VCC
KACB	MAX6337US17D3	MAX	mic	$V_{TR} = 1.7 В$; $V_{DD} = 1.2...5.5 В$; $I_{CC} < 7 мА$	SOT143, TO253	GND•RES•MR•VCC
KACC	MAX6806US32	MAX	vd	$V_{TR} = 3.2 В$; $V_{DD} = 1.2...5.5 В$; $I_{CC} < 80 мА$	SOT143, TO253	RES•MR•VCC•GND
KACE	MAX6337US18D2	MAX	mic	$V_{TR} = 1.6 В$; $V_{DD} = 1.2...5.5 В$; $I_{CC} < 7 мА$	SOT143, TO253	GND•RES•MR•VCC
KACF	MAX6336US24D1	MAX	mic	$V_{TR} = 2.4 В$; $V_{DD} = 1.2...5.5 В$; $I_{CC} < 7 мА$	SOT143, TO253	GND•RES•MR•VCC
KACH	MAX6803US26D3	MAX	mic	$V_{TR} = 2.6 В$; $V_{DD} = 1.2...5.5 В$; $I_{CC} < 12 мА$	SOT143, TO253	GND•RES•MR•VCC
KACI	MAX6803US29D3	MAX	mic	$V_{TR} = 2.9 В$; $V_{DD} = 1.2...5.5 В$; $I_{CC} < 12 мА$	SOT143, TO253	GND•RES•MR•VCC
KACJ	MAX6803US1D3	MAX	mic	$V_{TR} = 3.0 В$; $V_{DD} = 1.2...5.5 В$; $I_{CC} < 12 мА$	SOT143, TO253	GND•RES•MR•VCC
KACK	MAX6803US44D3	MAX	mic	$V_{TR} = 4.3 В$; $V_{DD} = 1.2...5.5 В$; $I_{CC} < 12 мА$	SOT143, TO253	GND•RES•MR•VCC
KACL	MAX6803US46D3	MAX	mic	$V_{TR} = 4.6 В$; $V_{DD} = 1.2...5.5 В$; $I_{CC} < 12 мА$	SOT143, TO253	GND•RES•MR•VCC
KACN	MAX6804US26D3	MAX	mic	$V_{TR} = 2.6 В$; $V_{DD} = 1.2...5.5 В$; $I_{CC} < 12 мА$	SOT143, TO253	GND•RES•MR•VCC



Код	Типономинал	Б	Ф	Особенности	Корпус	Ц: 1•2•3•4
KACO	MAX6804US29D2	MAX	nlnc	$V_{TH} = 2.93 В, V_{DD} = 1.2...5.5 В, I_{CC} < 12 мА$	SOT143, TO263	GND • RES • MR • VCC
KACP	MAX6804US29D3	MAX	nlnc	$V_{TH} = 2.93 В, V_{DD} = 1.2...5.5 В, I_{CC} < 12 мА$	SOT143, TO263	GND • RES • MR • VCC
KACQ	MAX6804US31D3	MAX	nlnc	$V_{TH} = 3.08 В, V_{DD} = 1.2...5.5 В, I_{CC} < 12 мА$	SOT143, TO263	GND • RES • MR • VCC
KACR	MAX6804US44D3	MAX	nlnc	$V_{TH} = 4.38 В, V_{DD} = 1.2...5.5 В, I_{CC} < 12 мА$	SOT143, TO263	GND • RES • MR • VCC
KACS	MAX6804US46D3	MAX	nlnc	$V_{TH} = 4.63 В, V_{DD} = 1.2...5.5 В, I_{CC} < 12 мА$	SOT143, TO263	GND • RES • MR • VCC
KACT	MAX6805US26D3	MAX	nlnc	$V_{TH} = 2.63 В, V_{DD} = 1.2...5.5 В, I_{CC} < 12 мА$	SOT143, TO263	GND • RES • MR • VCC
KACU	MAX6805US29D3	MAX	nlnc	$V_{TH} = 2.93 В, V_{DD} = 1.2...5.5 В, I_{CC} < 12 мА$	SOT143, TO263	GND • RES • MR • VCC
KACV	MAX6805US31D3	MAX	nlnc	$V_{TH} = 3.08 В, V_{DD} = 1.2...5.5 В, I_{CC} < 12 мА$	SOT143, TO263	GND • RES • MR • VCC
KACW	MAX6805US44D3	MAX	nlnc	$V_{TH} = 4.38 В, V_{DD} = 1.2...5.5 В, I_{CC} < 12 мА$	SOT143, TO263	GND • RES • MR • VCC
KACX	MAX6805US46D3	MAX	nlnc	$V_{TH} = 4.63 В, V_{DD} = 1.2...5.5 В, I_{CC} < 12 мА$	SOT143, TO263	GND • RES • MR • VCC
L30	BAV23	PHIL	d x2	$V_S < 200 В, I_F < 225 мА, V_F (I_F = 100 мА) < 1.0 В, C_D < 5 нФ, t_{RR} < 50 нс$	SOT143, TO263	K1 • K2 • A2 • A1
L41	BAT74	PHIL	shd x2	$V_S < 30 В, I_F < 200 мА, V_F (I_F = 1 мА) < 320 мВ, C_D < 10 нФ, t_{RR} < 5 нс$	SOT143, TO263	K1 • K2 • A2 • A1
L51	BAS56	PHIL	fid x2	$V_S < 60 В, I_F < 200 мА, V_F (I_F = 200 мА) < 1.0 В, C_D < 2.5 нФ, t_{RR} < 6 нс$	SOT143, TO263	K1 • K2 • A2 • A1
L51	BAS56	CNTR L	fid x2	$V_S < 60 В, I_F < 200 мА, V_F (I_F = 200 мА) < 1.0 В, C_D < 2.5 нФ, t_{RR} < 6 нс$	SOT143, TO263	K1 • K2 • A2 • A1
L51	BAS56	CSI	fid x2	$V_{BR} > 60 В, I_F < 200 мА, V_F (I_F = 10 мА) < 0.75 В, I_S < 100 нА, t_{RR} < 6.0 нс, C_D < 2.5 нФ$	SOT143, TO263	A1 • A2 • K2 • K1
M	BAR6507	SIEM	pin x2	$V_S < 30 В, I_F < 100 мА, V_F (I_F = 50 мА) < 1.0 В, C_D < 0.9 нФ$	SOT143, TO263	K1 • K2 • A2 • A1
MO1	BF901	PHIL	dmMOS	$V_{DS} = 12 В, I_{DS} = 30 мА, P_D = 200 мВт, g_F = 28 мС$	SOT143, TO263	S • D • G2 • G1
MO2	BF901R	PHIL	dmMOS	$V_{DS} = 12 В, I_{DS} = 30 мА, P_D = 200 мВт, g_F = 28 мС$	SOT143R	S • D • G2 • G1
MO4	BF904	PHIL	dmMOS	$V_{DS} = 7 В, I_{DS} = 30 мА, P_D = 200 мВт, g_F = 25 мС$	SOT143, TO263	S • D • G2 • G1
MO6	BF904R	PHIL	dmMOS	$V_{DS} = 7 В, I_{DS} = 30 мА, P_D = 200 мВт, g_F = 25 мС$	SOT143R	S • D • G2 • G1
M26	BF908	PHIL	dmMOS	$V_{DS} = 12 В, I_{DS} = 40 мА, P_D = 200 мВт, g_F = 43 мС$	SOT143, TO263	S • D • G2 • G1
M27	BF908R	PHIL	dmMOS	$V_{DS} = 12 В, I_{DS} = 40 мА, P_D = 200 мВт, g_F = 43 мС$	SOT143R	S • D • G2 • G1
M28	BF909	PHIL	dmMOS	$V_{DS} = 7 В, I_{DS} = 40 мА, P_D = 200 мВт, g_F = 43 мС$	SOT143, TO263	S • D • G2 • G1
M29	BF909R	PHIL	dmMOS	$V_{DS} = 7 В, I_{DS} = 40 мА, P_D = 200 мВт, g_F = 43 мС$	SOT143R	S • D • G2 • G1
M31	BSD20	PHIL	nMOS	$V_{DS} = 10 В$	SOT343, SC82A	G • S • D
M32	BSD22	PHIL	nMOS	$V_{DS} = 20 В, I_D = 50 мА, P_D = 230 мВт$	SOT143, TO263	SUB • S • D • G
M52	BF92R	PHIL	dmMOS	$V_{DS} = 20 В, I_D = 40 мА, P_D = 200 мВт, g_F > 25 мСм$	SOT143R	S • D • G2 • G1
M56	BF1100	PHIL	dmMOS	$V_{DS} = 14 В, I_D = 30 мА, P_D = 200 мВт, g_F = 28 мСм$	SOT143, TO263	S • D • G2 • G1
M57	BF1100R	PHIL	dmMOS	$V_{DS} = 14 В, I_D = 30 мА, P_D = 200 мВт, g_F = 28 мСм$	SOT143R	S • D • G2 • G1
M74	BSS83	PHIL	nMOS	$V_{DS} = 10 В, I_D = 50 мА, P_D = 230 мВт, R_{DS(on)} < 45 Ом$	SOT143, TO263	SUB • S • D • G
M87	BF990A	PHIL	dmMOS	$V_{DS} = 18 В, I_D = 30 мА, P_D = 200 мВт, NF = 2 дБ, g_F > 18 мСм$	SOT143, TO263	S • D • G2 • G1
M90	BF990	PHIL	dmMOS	$V_{DS} = 18 В, I_D = 30 мА, P_D = 200 мВт, NF = 2 дБ, g_F > 18 мСм$	SOT143, TO263	S • D • G2 • G1
M91	BF991	PHIL	dmMOS	$V_{DS} = 20 В, I_D = 20 мА, P_D = 200 мВт, NF = 2 дБ, g_F > 14 мСм$	SOT143, TO263	S • D • G2 • G1
M92	BF992	PHIL	dmMOS	$V_{DS} = 20 В, I_D = 40 мА, P_D = 200 мВт, g_F > 25 мСм$	SOT143, TO263	S • D • G2 • G1
M94	BF994	PHIL	dmMOS	$V_{DS} = 20 В, I_D = 30 мА, P_D = 200 мВт, I_{DS} = 4...18 мА, g_F > 15 мСм$	SOT143, TO263	S • D • G2 • G1
M96	BF996	PHIL	dmMOS	$V_{DS} = 20 В, I_D = 30 мА, P_D = 200 мВт, NF = 1.8 дБ, I_{DSS} = 2...20 мА, g_F > 15 мСм$	SOT143, TO263	S • D • G2 • G1
MAp	BF989	PHIL	dmMOS	$V_{DS} = 20 В, I_{DS} = 20 мА, P_D = 200 мВт, g_F > 12 мС$	SOT143, TO263	S • D • G2 • G1
MB	BF985	SIEM	dmMOS	$V_{DS} = 20 В, I_D = 30 мА, P_D = 200 мВт, NF = 1.1 дБ, I_{DSS} = 4...20 мА, g_F > 12 мСм$	SOT143, TO263	S • D • G2 • G1
MB	BF995	TELEF	dmMOS	$V_{DS} = 20 В, I_D = 30 мА, P_D = 200 мВт, I_{DS} = 4...18 мА, g_F > 12 мСм$	SOT143, TO263	S • D • G2 • G1
MB	BF998WR	PHIL	dmMOS	$V_{DS} = 12 В, I_D = 30 мА, P_D = 200 мВт, g_F > 24 мСм$	SOT343, SC82A	S • D • G2 • G1
MB3	ADM811-3TART	AD	nlnc	$V_{TH} = 3.08 В, I_{RES} = 300...700 мС, V_{DD} = 1...5.5 В, I_{CC} < 15 мА$	SOT143, TO263	GND • RES • RES • MR • VCC



SOT143/F
SOT343/F



4 SC82
1 4
2 3



SC82



SC61

1 2 3 4



MFP-4
TSFP-4

Код	Типономинал	Б	Ф	Особенности	Корпус	Ц: 1+2+3+4
MBB	ADM8111RART	AD	mic	$V_{IR}=2.63 В$; $I_{RES}=140...560 мА$; $V_{DD}=1...5.5 В$; $I_{CC}<15 мА$	SOT143, TQ253	GND • RES/RES • MR • VCC
MBE	ADM8111SART	AD	mic	$V_{IR}=2.93 В$; $I_{RES}=140...560 мА$; $V_{DD}=1...5.5 В$; $I_{CC}<15 мА$	SOT143, TQ253	GND • RES/RES • MR • VCC
MBG	ADM8111TART	AD	mic	$V_{IR}=3.08 В$; $I_{RES}=140...560 мА$; $V_{DD}=1...5.5 В$; $I_{CC}<15 мА$	SOT143, TQ253	GND • RES/RES • MR • VCC
MBT	ADM8111MART	AD	mic	$V_{IR}=4.38 В$; $I_{RES}=140...560 мА$; $V_{DD}=1...5.5 В$; $I_{CC}<15 мА$	SOT143, TQ253	GND • RES/RES • MR • VCC
MBV	ADM8111LART	AD	mic	$V_{IR}=4.63 В$; $I_{RES}=140...560 мА$; $V_{DD}=1...5.5 В$; $I_{CC}<15 мА$	SOT143, TQ253	GND • RES/RES • MR • VCC
MBZ	ADM8112ZART	AD	mic	$V_{IR}=2.32 В$; $I_{RES}=140...560 мА$; $V_{DD}=1...5.5 В$; $I_{CC}<15 мА$	SOT143, TQ253	GND • RES/RES • MR • VCC
MC	BF904WR	PHIL	cmMOS	$V_{DS}=7 В$; $I_{DS}=30 мА$; $P_D=280 мВт$; $g_f=25 мС$	SOT343R	S • D • G2 • G1
MCB	ADM812RART	AD	mic	$V_{IR}=2.93 В$; $I_{RES}=140...560 мА$; $V_{DD}=1...5.5 В$; $I_{CC}<15 мА$	SOT143, TQ253	GND • RES/RES • MR • VCC
MCE	ADM812SART	AD	mic	$V_{IR}=2.93 В$; $I_{RES}=140...560 мА$; $V_{DD}=1...5.5 В$; $I_{CC}<15 мА$	SOT143, TQ253	GND • RES/RES • MR • VCC
MCG	ADM812TART	AD	mic	$V_{IR}=3.08 В$; $I_{RES}=140...560 мА$; $V_{DD}=1...5.5 В$; $I_{CC}<15 мА$	SOT143, TQ253	GND • RES/RES • MR • VCC
MCT	ADM812MART	AD	mic	$V_{IR}=4.38 В$; $I_{RES}=140...560 мА$; $V_{DD}=1...5.5 В$; $I_{CC}<15 мА$	SOT143, TQ253	GND • RES/RES • MR • VCC
MCV	ADM812LART	AD	mic	$V_{IR}=4.63 В$; $I_{RES}=140...560 мА$; $V_{DD}=1...5.5 В$; $I_{CC}<15 мА$	SOT143, TQ253	GND • RES/RES • MR • VCC
MCZ	ADM812ZART	AD	mic	$V_{IR}=2.32 В$; $I_{RES}=140...560 мА$; $V_{DD}=1...5.5 В$; $I_{CC}<15 мА$	SOT143, TQ253	GND • RES/RES • MR • VCC
MD	BF908WR	PHIL	cmMOS	$V_{DS}=12 В$; $I_{DS}=40 мА$; $P_D=300 мВт$; $g_f=43 мС$	SOT343R	S • D • G2 • G1
MDB	ADM6315-26D1ART	AD	mic	$V_{IR}=2.63 В$; $I_{RES}=1 мС$; $V_{DD}=1...5.5 В$; $I_{CC}<15 мА$	SOT143, TQ253	GND • RES • MR • VCC
MDC	ADM6315-29D1ART	AD	mic	$V_{IR}=2.93 В$; $I_{RES}=1 мС$; $V_{DD}=1...5.5 В$; $I_{CC}<15 мА$	SOT143, TQ253	GND • RES • MR • VCC
MDG	ADM6315-31D1ART	AD	mic	$V_{IR}=3.08 В$; $I_{RES}=1 мС$; $V_{DD}=1...5.5 В$; $I_{CC}<15 мА$	SOT143, TQ253	GND • RES • MR • VCC
MDT	ADM6315-44D1ART	AD	mic	$V_{IR}=4.39 В$; $I_{RES}=1 мС$; $V_{DD}=1...5.5 В$; $I_{CC}<15 мА$	SOT143, TQ253	GND • RES • MR • VCC
MDU	ADM6315-45D1ART	AD	mic	$V_{IR}=4.5 В$; $I_{RES}=1 мС$; $V_{DD}=1...5.5 В$; $I_{CC}<15 мА$	SOT143, TQ253	GND • RES • MR • VCC
MDV	ADM6315-46D1ART	AD	mic	$V_{IR}=4.63 В$; $I_{RES}=1 мС$; $V_{DD}=1...5.5 В$; $I_{CC}<15 мА$	SOT143, TQ253	GND • RES • MR • VCC
MEB	ADM6315-26D2ART	AD	mic	$V_{IR}=2.63 В$; $I_{RES}=20 мС$; $V_{DD}=1...5.5 В$; $I_{CC}<15 мА$	SOT143, TQ253	GND • RES • MR • VCC
MEC	ADM6315-29D2ART	AD	mic	$V_{IR}=2.93 В$; $I_{RES}=20 мС$; $V_{DD}=1...5.5 В$; $I_{CC}<15 мА$	SOT143, TQ253	GND • RES • MR • VCC
MEG	ADM6315-31D2ART	AD	mic	$V_{IR}=3.08 В$; $I_{RES}=20 мС$; $V_{DD}=1...5.5 В$; $I_{CC}<15 мА$	SOT143, TQ253	GND • RES • MR • VCC
MET	ADM6315-44D2ART	AD	mic	$V_{IR}=4.39 В$; $I_{RES}=20 мС$; $V_{DD}=1...5.5 В$; $I_{CC}<15 мА$	SOT143, TQ253	GND • RES • MR • VCC
MEU	ADM6315-45D2ART	AD	mic	$V_{IR}=4.5 В$; $I_{RES}=20 мС$; $V_{DD}=1...5.5 В$; $I_{CC}<15 мА$	SOT143, TQ253	GND • RES • MR • VCC
MEV	ADM6315-46D2ART	AD	mic	$V_{IR}=4.63 В$; $I_{RES}=20 мС$; $V_{DD}=1...5.5 В$; $I_{CC}<15 мА$	SOT143, TQ253	GND • RES • MR • VCC
MF	BF1100WR	PHIL	cmMOS	$V_{DS}=14 В$; $I_{DS}=30 мА$; $P_D=280 мВт$; $g_f=28 мС$	SOT343R	S • D • G2 • G1
MFB	ADM6315-26D3ART	AD	mic	$V_{IR}=2.63 В$; $I_{RES}=140 мС$; $V_{DD}=1...5.5 В$; $I_{CC}<15 мА$	SOT143, TQ253	GND • RES • MR • VCC
MFC	ADM6315-29D3ART	AD	mic	$V_{IR}=2.93 В$; $I_{RES}=140 мС$; $V_{DD}=1...5.5 В$; $I_{CC}<15 мА$	SOT143, TQ253	GND • RES • MR • VCC
MFG	ADM6315-31D3ART	AD	mic	$V_{IR}=3.08 В$; $I_{RES}=140 мС$; $V_{DD}=1...5.5 В$; $I_{CC}<15 мА$	SOT143, TQ253	GND • RES • MR • VCC
MFT	ADM6315-44D3ART	AD	mic	$V_{IR}=4.39 В$; $I_{RES}=140 мС$; $V_{DD}=1...5.5 В$; $I_{CC}<15 мА$	SOT143, TQ253	GND • RES • MR • VCC
MFU	ADM6315-45D3ART	AD	mic	$V_{IR}=4.5 В$; $I_{RES}=140 мС$; $V_{DD}=1...5.5 В$; $I_{CC}<15 мА$	SOT143, TQ253	GND • RES • MR • VCC
MFV	ADM6315-46D3ART	AD	mic	$V_{IR}=4.63 В$; $I_{RES}=140 мС$; $V_{DD}=1...5.5 В$; $I_{CC}<15 мА$	SOT143, TQ253	GND • RES • MR • VCC
MG	BF994S	SIEM	cmMOS	$V_{DS}=20 В$; $I_{DS}=30 мА$; $P_D=200 мВт$; $NF=1 дБ$; $I_{BSS}=2...20 мА$; $g_f>15 мС$	SOT143, TQ253	S • D • G2 • G1
MG	BF994S	TELEF	cmMOS	$V_{DS}=20 В$; $I_{DS}=30 мА$; $P_D=200 мВт$; $I_{DS-4...18 мА$; $g_f>15 мС$	SOT143, TQ253	S • D • G2 • G1
MGB	ADM6315-26D4ART	AD	mic	$V_{IR}=2.63 В$; $I_{RES}=1120 мС$; $V_{DD}=1...5.5 В$; $I_{CC}<15 мА$	SOT143, TQ253	GND • RES • MR • VCC
MGC	ADM6315-29D4ART	AD	mic	$V_{IR}=2.93 В$; $I_{RES}=1120 мС$; $V_{DD}=1...5.5 В$; $I_{CC}<15 мА$	SOT143, TQ253	GND • RES • MR • VCC
MGG	ADM6315-31D4ART	AD	mic	$V_{IR}=3.08 В$; $I_{RES}=1120 мС$; $V_{DD}=1...5.5 В$; $I_{CC}<15 мА$	SOT143, TQ253	GND • RES • MR • VCC
MGT	BF994S	PHIL	cmMOS	$V_{DS}=20 В$; $I_{DS}=30 мА$; $P_D=200 мВт$; $I_{DS-4...18 мА$; $g_f>15 мС$	SOT143, TQ253	S • D • G1 • G2
MGF	ADM6315-44D4ART	AD	mic	$V_{IR}=4.39 В$; $I_{RES}=1120 мС$; $V_{DD}=1...5.5 В$; $I_{CC}<15 мА$	SOT143, TQ253	GND • RES • MR • VCC
MGU	ADM6315-45D4ART	AD	mic	$V_{IR}=4.5 В$; $I_{RES}=1120 мС$; $V_{DD}=1...5.5 В$; $I_{CC}<15 мА$	SOT143, TQ253	GND • RES • MR • VCC



Код	Типономинал	Б	Ф	Особенности	Корпус	Ц: 1•2•3•4
MGV	ADM6315-46D4ART	AD	mic	$V_{TH} = 4.63 В$; $I_{RES} = 1120 мА$; $V_{DS} = 1...5.5 В$; $I_{CC} < 15 мА$	SOT143, TO263	GND•RES•MR•VCC
MH	BF996S	SIEM	dnMOS	$V_{DS} = 20 В$; $I_D = 30 мА$; $P_D = 200 мВт$; $NF = 1.8 дБ$; $I_{DSS} = 2...20 мА$; $g_f > 15 мСм$	SOT143, TO263	S•D•G2•G1
MH	BF996S	TELEF	dnMOS	$V_{DS} = 20 В$; $I_D = 30 мА$; $P_D = 200 мВт$; $I_{DS} = 4...20 мА$; $g_f > 15 мСм$	SOT143, TO263	S•D•G2•G1
MH	BF996S	VIS	dnMOS	$V_{DS} = 20 В$; $I_D = 30 мА$; $P_D = 200 мВт$; $NF = 1.8 дБ$; $g_f > 18 мСм$	SOT143, TO263	S•D•G2•G1
MHr	BF996S	PHIL	dnMOS	$V_{DS} = 20 В$; $I_D = 30 мА$; $P_D = 200 мВт$; $NF = 1.8 дБ$; $g_f > 18 мСм$	SOT143, TO263	S•D•G2•G1
MI	2SC4126	REN	npn	$V_{CE1} = 15 В$; $I_C = 50 мА$; $P_D = 150 мВт$; $h_{21} = 50...250$; $f_T > 4500 МГц$	SOT343, SC82A	C•E•B•E
MK	BF997	SIEM	dnMOS	$V_{DS} = 20 В$; $I_D = 30 мА$; $P_D = 200 мВт$; $NF = 1.0 дБ$; $I_{DSS} = 2...20 мА$; $g_f > 15 мСм$	SOT143, TO263	S•D•G2•G1
MO	BF998	VIS	dnMOS	$V_{DS} = 12 В$; $I_D = 30 мА$; $P_D = 200 мВт$; $I_{DS} = 4...18 мА$; $g_f > 21 мСм$	SOT143, TO263	S•D•G2•G1
MOp	BF998	PHIL	dnMOS	$V_{DS} = 12 В$; $I_D = 30 мА$; $P_D = 200 мВт$; $g_f > 24 мСм$	SOT143, TO263	S•D•G2•G1
MOp	BF998R	PHIL	dnMOS	$V_{DS} = 12 В$; $I_D = 30 мА$; $P_D = 200 мВт$; $g_f > 24 мСм$	SOT143R	S•D•G2•G1
MOR	BF998R	VIS	dnMOS	$V_{DS} = 12 В$; $I_D = 30 мА$; $P_D = 200 мВт$; $I_{DS} = 4...18 мА$; $g_f > 21 мСм$	SOT143R	S•D•G2•G1
MOs	BF998	INF	dnMOS	$V_{DS} = 12 В$; $I_D = 30 мА$; $P_D = 200 мВт$; $NF = 1.0 дБ$; $I_{DSS} = 2...20 мА$; $g_f = 24 мСм$	SOT143, TO263	S•D•G2•G1
MR	BF998W	INF	dnMOS	$V_{DS} = 12 В$; $I_D = 30 мА$; $P_D = 200 мВт$; $NF = 1.0 дБ$; $I_{DSS} = 2...18 мА$; $g_f = 24 мСм$	SOT343, SC82A	S•D•G2•G1
MRs	BF998R	INF	dnMOS	$V_{DS} = 12 В$; $I_D = 30 мА$; $P_D = 200 мВт$; $NF = 1.0 дБ$; $I_{DSS} = 2...20 мА$; $g_f = 24 мСм$	SOT143R	S•D•G2•G1
Ms	BAR65-07	INF	pin x2	$V_E < 30 В$; $I_E < 100 мА$; $V_F(I_F = 100 мА) < 1.0 В$; $C_0 < 0.9 пФ$	SOT143, TO263	K1•K2•A2•A1
MS	CF739	SIEM	nFET	GaAs; $V_{DS} = 10 В$; $I_D = 80 мА$; $P_D = 240 мВт$; $I_{DSS} = 6...60 мА$; $g_f = 25 мСм$	SOT143, TO263	S•D•G2•G1
MX	CF750	SIEM	nFET	GaAs; $V_{DS} = 8 В$; $I_D = 80 мА$; $P_D = 300 мВт$; $I_{DSS} = 50 мА$; $g_f = 25 мСм$	SOT143, TO263	GND•D•G•S
MYs	BF1012	SIEM	dnMOS	$V_{DS} = 16 В$; $I_D = 25 мА$; $P_D = 200 мВт$; $NF = 1.4 дБ$; $g_f = 26 мСм$	SOT143, TO263	S•D•G2•G1
MYs	BF1012W	SIEM	dnMOS	$V_{DS} = 16 В$; $I_D = 40 мА$; $P_D = 200 мВт$; $NF = 1.4 дБ$; $g_f = 26 мСм$	SOT343, SC82A	D•S•G1•G2
MZs	BF1005	SIEM	dnMOS	$V_{DS} = 8 В$; $I_D = 25 мА$; $P_D = 200 мВт$; $NF = 1.4 дБ$; $g_f = 24 мСм$	SOT143, TO263	S•D•G2•G1
N20	DA227	ROH M	di x2	$V_E < 80 В$; $I_E < 300 мА$; $P_D < 200 мВт$; $V_F(I_F = 100 мА) < 1.2 В$; $t_{RR} < 4 нс$	SOT343, SC82A	K1•A1•A2•K2
N3	BFG520W	PHIL	npn	$V_{CE1} = 20 В$; $I_C = 70 мА$; $P_D = 300 мВт$; $h_{21} > 60$; $f_T = 9 ГГц$	SOT343, SC82A	C•B•E•E
N33	BFG505	PHIL	npn	$V_{CE1} = 20 В$; $I_C = 18 мА$; $P_D = 150 мВт$; $h_{21} > 60$; $f_T = 9 ГГц$	SOT143, TO263	C•B•E•E
N36	BFG520	PHIL	npn	$V_{CE1} = 20 В$; $I_C = 70 мА$; $P_D = 300 мВт$; $h_{21} > 60$; $f_T = 9 ГГц$	SOT143, TO263	C•B•E•E
N37	BFG540	PHIL	npn	$V_{CE1} = 20 В$; $I_C = 120 мА$; $P_D = 400 мВт$; $h_{21} > 100$; $f_T = 9 ГГц$	SOT143, TO263	C•B•E•E
N38	BFG590	PHIL	npn	$V_{CE1} = 20 В$; $I_C = 200 мА$; $P_D = 400 мВт$; $h_{21} > 60$; $f_T = 5 ГГц$	SOT143, TO263	C•B•E•E
N39	BFG505X	PHIL	npn	$V_{CE1} = 20 В$; $I_C = 18 мА$; $P_D = 150 мВт$; $h_{21} > 60$; $f_T = 9 ГГц$	SOT143, TO263	C•B•E•E
N4	BFG520W/X	PHIL	npn	$V_{CE1} = 20 В$; $I_C = 70 мА$; $P_D = 300 мВт$; $h_{21} > 60$; $f_T = 9 ГГц$	SOT343, SC82A	C•E•B•E
N42	BFG520/X	PHIL	npn	$V_{CE1} = 20 В$; $I_C = 70 мА$; $P_D = 300 мВт$; $h_{21} > 60$; $f_T = 9 ГГц$	SOT143, TO263	C•E•B•E
N43	BFG540/X	PHIL	npn	$V_{CE1} = 20 В$; $I_C = 120 мА$; $P_D = 400 мВт$; $h_{21} > 100$; $f_T = 9 ГГц$	SOT143, TO263	C•E•B•E
N44	BFG590X	PHIL	npn	$V_{CE1} = 20 В$; $I_C = 200 мА$; $P_D = 400 мВт$; $h_{21} > 60$; $f_T = 5 ГГц$	SOT143, TO263	C•E•B•E
N48	BFG520/XR	PHIL	npn	$V_{CE1} = 20 В$; $I_C = 70 мА$; $P_D = 300 мВт$; $h_{21} > 60$; $f_T = 9 ГГц$	SOT143R	C•E•B•E
N49	BFG540/XR	PHIL	npn	$V_{CE1} = 20 В$; $I_C = 120 мА$; $P_D = 400 мВт$; $h_{21} > 100$; $f_T = 9 ГГц$	SOT143R	C•E•B•E
N70	BFG10	PHIL	npn	$V_{CE1} = 20 В$; $I_C = 250 мА$; $P_D = 400 мВт$; $h_{21} > 25$; $f_T > 1.8 ГГц$	SOT143, TO263	C•B•E•E
N71	BFG10/X	PHIL	npn	$V_{CE1} = 20 В$; $I_C = 250 мА$; $P_D = 400 мВт$; $h_{21} > 25$; $f_T > 1.8 ГГц$	SOT143, TO263	C•E•B•E



SOT143/R
SOT343/R

MW-4
SC82

SC61



MFP4K-4
TSPF-4

Код	Типономинал	Б	Ф	Особенности	Корпус	Ц: 1*2*3*4
N72	BFG11	PHIL	npn	$V_{CEB} = 20 \text{ В}$; $I_C = 500 \text{ мА}$; $P_D = 400 \text{ мВт}$; $h_{21} > 25$; $f_T > 1.8 \text{ ГГц}$	SOT143, T0253	C•B•E•E
N73	BFG11/X	PHIL	npn	$V_{CEB} = 20 \text{ В}$; $I_C = 500 \text{ мА}$; $P_D = 400 \text{ мВт}$; $h_{21} > 25$; $f_T > 1.8 \text{ ГГц}$	SOT143, T0253	C•E•B•E
NA	BF1105WR	PHIL	dmOS	$V_{DS} = 7 \text{ В}$; $I_D = 30 \text{ мА}$; $P_D = 200 \text{ мВт}$; $g_F = 31 \text{ мСм}$	SOT343R	S•D•G2•G1
NA	CFY35-20	SIEM	nFET	GaAs; $V_{DS} = 5 \text{ В}$; $I_D = 60 \text{ мА}$; $P_D = 180 \text{ мВт}$; $NF = 2.0 \text{ дБ}$	MW-4	S•D•S•G
NAp	BF1105R	PHIL	dmOS	$V_{DS} = 7 \text{ В}$; $I_D = 30 \text{ мА}$; $P_D = 200 \text{ мВт}$; $g_F = 31 \text{ мСм}$	SOT143R	S•D•G2•G1
NB	BF1109WR	PHIL	dmOS	$V_{DS} = 11 \text{ В}$; $I_D = 30 \text{ мА}$; $P_D = 200 \text{ мВт}$; $g_F = 30 \text{ мСм}$	SOT343R	S•D•G2•G1
NB	CFY35-23	SIEM	nFET	GaAs; $V_{DS} = 5 \text{ В}$; $I_D = 60 \text{ мА}$; $P_D = 180 \text{ мВт}$; $NF = 2.3 \text{ дБ}$	MW-4	S•D•S•G
NBp	BF1109R	PHIL	dmOS	$V_{DS} = 11 \text{ В}$; $I_D = 30 \text{ мА}$; $P_D = 200 \text{ мВт}$; $g_F = 30 \text{ мСм}$	SOT143R	S•D•G2•G1
NEp	BF1105	PHIL	dmOS	$V_{DS} = 7 \text{ В}$; $I_D = 30 \text{ мА}$; $P_D = 200 \text{ мВт}$; $g_F = 31 \text{ мСм}$	SOT143, T0253	S•D•G2•G1
NFp	BF1109	PHIL	dmOS	$V_{DS} = 11 \text{ В}$; $I_D = 30 \text{ мА}$; $P_D = 200 \text{ мВт}$; $g_F = 30 \text{ мСм}$	SOT143, T0253	S•D•G2•G1
NI	3SK191	REN	nFET	GaAs; $V_{DS} = 12 \text{ В}$; $I_D = 80 \text{ мА}$; $P_D = 150 \text{ мВт}$; $P_G > 12 \text{ дБ}$; $NF < 3.0 \text{ дБ}$	SOT343, SC82A	S•D•G2•G1
NYs	BF1012S	SIEM	dmOS	$V_{DS} = 18 \text{ В}$; $I_D = 25 \text{ мА}$; $P_D = 200 \text{ мВт}$; $NF = 1.4 \text{ дБ}$; $g_F = 28 \text{ мСм}$	SOT143, T0253	S•D•G2•G1
NZs	BF1005S	SIEM	dmOS	$V_{DS} = 8 \text{ В}$; $I_D = 25 \text{ мА}$; $P_D = 200 \text{ мВт}$; $NF = 1.6 \text{ дБ}$; $g_F = 24 \text{ мСм}$	SOT143, T0253	S•D•G2•G1
P5	HSM52855	HP	shd x2	$V_F (I_F = 1 \text{ мА}) < 0.25 \text{ В}$; $C_T = 0.3 \text{ нФ}$	SOT143, T0253	A1•A2•K2•K1
PAp	BFP135W	SIEM	nnp	$V_{CEB} = 20 \text{ В}$; $I_C = 150 \text{ мА}$; $P_D = 1000 \text{ мВт}$; $h_{21} = 80...250$; $f_T > 5900 \text{ МГц}$	SOT343, SC82A	E•C•E•B
PTs	BAR6407	SIEM	pin x2	$V_B < 200 \text{ В}$; $I_C < 100 \text{ мА}$; $V_F (I_F = 50 \text{ мА}) < 1.1 \text{ В}$; $C_3 < 0.35 \text{ нФ}$	SOT143, T0253	K1•K2•A2•A1
PTs	BAR64-07	INF	pin x2	$V_B < 150 \text{ В}$; $I_C < 100 \text{ мА}$; $V_F (I_F = 50 \text{ мА}) < 1.1 \text{ В}$; $C_3 < 0.35 \text{ нФ}$	SOT143, T0253	K1•K2•A2•A1
QI	2SC4196	REN	nnp	$V_{CEB} = 25 \text{ В}$; $I_C = 50 \text{ мА}$; $P_D = 150 \text{ мВт}$; $h_{21} = 50...180$; $f_T > 1800 \text{ МГц}$	SOT343, SC82A	E•B•C•n. c.
QV	1SV298	SANYO	pin x3	$V_B > 50 \text{ В}$; $I_C < 50 \text{ мА}$; $V_F (I_F = 50 \text{ мА}) = 0.92...0.97 \text{ В}$; $I_B < 0.1 \text{ мА}$	SOT143, T0253	K1, K2, A3•A2, K3•A1
R26	2SC4093Q	NEC	nnp	$V_{CEB} = 20 \text{ В}$; $I_C = 100 \text{ мА}$; $P_D = 200 \text{ мВт}$; $h_{21} = 50...100$; $f_T = 7 \text{ ГГц}$	SOT143, T0253	C•E•B•E
R26	2SC5011Q	NEC	nnp	$V_{CEB} = 20 \text{ В}$; $I_C = 100 \text{ мА}$; $P_D = 150 \text{ мВт}$; $h_{21} = 50...100$; $f_T = 8.5 \text{ ГГц}$	SOT343, SC82A	E•C•E•B
R27	2SC4093R	NEC	nnp	$V_{CEB} = 20 \text{ В}$; $I_C = 100 \text{ мА}$; $P_D = 200 \text{ мВт}$; $h_{21} = 80...160$; $f_T = 7 \text{ ГГц}$	SOT143, T0253	C•E•B•E
R27	2SC5011R	NEC	nnp	$V_{CEB} = 20 \text{ В}$; $I_C = 100 \text{ мА}$; $P_D = 150 \text{ мВт}$; $h_{21} = 80...160$; $f_T = 8.5 \text{ ГГц}$	SOT343, SC82A	E•C•E•B
R28	2SC4093S	NEC	nnp	$V_{CEB} = 20 \text{ В}$; $I_C = 100 \text{ мА}$; $P_D = 200 \text{ мВт}$; $h_{21} = 125...250$; $f_T = 7 \text{ ГГц}$	SOT143, T0253	C•E•B•E
R28	2SC5011S	NEC	nnp	$V_{CEB} = 20 \text{ В}$; $I_C = 100 \text{ мА}$; $P_D = 150 \text{ мВт}$; $h_{21} = 125...250$; $f_T = 8.5 \text{ ГГц}$	SOT343, SC82A	E•C•E•B
R2s	BFP620	SIEM	nnp	$V_{CEB} = 7.5 \text{ В}$; $I_C = 80 \text{ мА}$; $P_D = 185 \text{ мВт}$; $h_{21} = 110...270$; $f_T = 66 \text{ ГГц}$	SOT343, SC82A	B•E•C•E
R36	2SC4094Q	NEC	nnp	$V_{CEB} = 20 \text{ В}$; $I_C = 65 \text{ мА}$; $P_D = 200 \text{ мВт}$; $h_{21} = 50...100$; $f_T = 9 \text{ ГГц}$	SOT143, T0253	C•E•B•E
R36	2SC5012Q	NEC	nnp	$V_{CEB} = 20 \text{ В}$; $I_C = 65 \text{ мА}$; $P_D = 150 \text{ мВт}$; $h_{21} = 50...100$; $f_T = 9 \text{ ГГц}$	SOT343, SC82A	E•C•E•B
R37	2SC4094R	NEC	nnp	$V_{CEB} = 20 \text{ В}$; $I_C = 65 \text{ мА}$; $P_D = 200 \text{ мВт}$; $h_{21} = 80...160$; $f_T = 9 \text{ ГГц}$	SOT143, T0253	C•E•B•E
R37	2SC5012R	NEC	nnp	$V_{CEB} = 20 \text{ В}$; $I_C = 65 \text{ мА}$; $P_D = 150 \text{ мВт}$; $h_{21} = 80...160$; $f_T = 9 \text{ ГГц}$	SOT343, SC82A	E•C•E•B
R38	2SC4094S	NEC	nnp	$V_{CEB} = 20 \text{ В}$; $I_C = 65 \text{ мА}$; $P_D = 200 \text{ мВт}$; $h_{21} = 125...250$; $f_T = 9 \text{ ГГц}$	SOT143, T0253	C•E•B•E
R38	2SC5012S	NEC	nnp	$V_{CEB} = 20 \text{ В}$; $I_C = 65 \text{ мА}$; $P_D = 150 \text{ мВт}$; $h_{21} = 125...250$; $f_T = 9 \text{ ГГц}$	SOT343, SC82A	E•C•E•B
R4	2SC4092	NEC	nnp	$V_{CEB} = 25 \text{ В}$; $I_C = 70 \text{ мА}$; $P_D = 200 \text{ мВт}$; $h_{21} = 40...120$; $f_T = 8 \text{ ГГц}$	SOT143, T0253	C•E•B•E

MFPK-4
TSPF-4



SC61
SC61

SC82
SC82

MW-4
MW-4

SOT143R
SOT343R



Код	Типономинал	Б	Ф	Особенности	Корпус	Ц: 1•2•3•4
R46	2SC4096Q	NEC	npn	$V_{CEB}=20В$; $I_C=35mA$; $P_D=200mB$; $h_{21}=50...100$; $f_T=10ГГц$	SOT143, TO263	C•E•B•E
R46	2SC5013Q	NEC	npn	$V_{CEB}=20В$; $I_C=35mA$; $P_D=150mB$; $h_{21}=50...100$; $f_T=10ГГц$	SOT343, SC82A	E•C•E•B
R47	2SC4095R	NEC	npn	$V_{CEB}=20В$; $I_C=35mA$; $P_D=200mB$; $h_{21}=80...160$; $f_T=10ГГц$	SOT143, TO263	C•E•B•E
R47	2SC5013R	NEC	npn	$V_{CEB}=20В$; $I_C=35mA$; $P_D=150mB$; $h_{21}=80...160$; $f_T=10ГГц$	SOT343, SC82A	E•C•E•B
R48	2SC4095S	NEC	npn	$V_{CEB}=20В$; $I_C=35mA$; $P_D=200mB$; $h_{21}=125...250$; $f_T=10ГГц$	SOT143, TO263	C•E•B•E
R48	2SC5013S	NEC	npn	$V_{CEB}=20В$; $I_C=35mA$; $P_D=150mB$; $h_{21}=125...250$; $f_T=10ГГц$	SOT343, SC82A	E•C•E•B
R4s	BFP640	SIEM	npn	$V_{CEB}=13В$; $I_C=50mA$; $P_D=185mB$; $h_{21}=110...270$; $f_T=40ГГц$	SOT343, SC82A	B•E•C•E
R5	2SC4092	NEC	npn	$V_{CEB}=25В$; $I_C=70mA$; $P_D=200mB$; $h_{21}=100...200$; $f_T=6ГГц$	SOT143, TO263	C•E•B•E
R5	HSMS-8205	HP	shd x2	$V_{BR}>4В$; $V_f(I_F=1mA)<0.35В$; $C_D<0.26nF$; $R_D=14Om$	SOT143, TO263	A1•A2•K2•K1
R54	2SC5454	NEC	npn	$V_{CEB}=9В$; $I_C=50mA$; $P_D=200mB$; $h_{21}=75...150$; $f_T=14.5ГГц$	SOT143, TO263	C•E•B•E
R54	2SC5750	NEC	npn	$V_{CEB}=9В$; $I_C=50mA$; $P_D=200mB$; $h_{21}=75...150$; $f_T=15ГГц$	SOT343, SC82A	C•E•B•E
R54	2SC5751	NEC	npn	$V_{CEB}=9В$; $I_C=50mA$; $P_D=205mB$; $h_{21}=75...150$; $f_T=15ГГц$	MFPK-4	E•C•E•B
R54	NE67718	NEC	npn	$V_{CEB}=9В$; $I_C=50mA$; $P_D=200mB$; $h_{21}=75...150$; $f_T=15ГГц$	SOT343, SC82A	C•E•B•E
R54	NE67739	NEC	npn	$V_{CEB}=9В$; $I_C=50mA$; $P_D=200mB$; $h_{21}=75...150$; $f_T=14.5ГГц$	SOT143, TO263	C•E•B•E
R54	NE677M04	NEC	npn	$V_{CEB}=9В$; $I_C=50mA$; $P_D=205mB$; $h_{21}=75...150$; $f_T=15ГГц$	MFPK-4	E•C•E•B
R55	2SC5455	NEC	npn	$V_{CEB}=9В$; $I_C=100mA$; $P_D=200mB$; $h_{21}=75...150$; $f_T=12ГГц$	SOT143, TO263	C•E•B•E
R55	2SC5752	NEC	npn	$V_{CEB}=9В$; $I_C=100mA$; $P_D=200mB$; $h_{21}=75...150$; $f_T=12ГГц$	SOT343, SC82A	C•E•B•E
R55	2SC5753	NEC	npn	$V_{CEB}=9В$; $I_C=100mA$; $P_D=205mB$; $h_{21}=75...150$; $f_T=12ГГц$	MFPK-4	E•C•E•B
R55	NE67818	NEC	npn	$V_{CEB}=9В$; $I_C=100mA$; $P_D=200mB$; $h_{21}=75...150$; $f_T=12ГГц$	SOT343, SC82A	C•E•B•E
R55	NE67839	NEC	npn	$V_{CEB}=9В$; $I_C=100mA$; $P_D=200mB$; $h_{21}=75...150$; $f_T=12ГГц$	SOT143, TO263	C•E•B•E
R55	NE678M04	NEC	npn	$V_{CEB}=9В$; $I_C=100mA$; $P_D=205mB$; $h_{21}=75...150$; $f_T=12ГГц$	MFPK-4	E•C•E•B
R5s	BFP650	SIEM	npn	$V_{CEB}=13В$; $I_C=150mA$; $P_D=500mB$; $h_{21}=110...270$; $f_T=37ГГц$	SOT343, SC82A	B•E•C•E
R66	2SC4091Q	NEC	npn	$V_{CEB}=15В$; $I_C=5mA$; $P_D=50mB$; $h_{21}=50...100$; $f_T>4ГГц$	SOT143, TO263	C•E•B•E
R67	2SC4091R	NEC	npn	$V_{CEB}=15В$; $I_C=5mA$; $P_D=50mB$; $h_{21}=80...160$; $f_T>4ГГц$	SOT143, TO263	C•E•B•E
R68	2SC4091S	NEC	npn	$V_{CEB}=15В$; $I_C=5mA$; $P_D=50mB$; $h_{21}=125...250$; $f_T>4ГГц$	SOT143, TO263	C•E•B•E
R7	HSMS-8207	HP	shd x4	$V_{BR}>4В$; $V_f(I_F=1mA)<0.35В$; $C_D<0.26nF$; $R_D=14Om$	SOT143, TO263	A1, K4•A2, K1•A3, K2•A4, K3
R8	BFG93A	PHIL	npn	$V_{CEB}=15В$; $I_C=35mA$; $P_D=300mB$; $h_{21}>40$; $f_T>4.5ГГц$	SOT143, TO263	C•B•E•E
R9	HSMS-8209	HP	shd x4	$V_{BR}>4В$; $V_f(I_F=1mA)<0.35В$; $C_D<0.26nF$; $R_D=14Om$	SOT143, TO263	A1, K4•A2, K3•A3, K1•A4, K2
RA5	BF772	SIEM	npn	$V_{CEB}=20В$; $I_C=80mA$; $P_D=580mB$; $h_{21}=50...200$; $f_T=8000МГц$	SOT143, TO263	C•E•B•E
RCs	BFP193	SIEM	npn	$V_{CEB}=20В$; $I_C=80mA$; $P_D=580mB$; $h_{21}=50...200$; $f_T=8000МГц$	SOT143, TO263	C•E•B•E



SOT143/R
SOT343/R



Код	Тип/номинал	Б	Ф	Особенности	Корпус	Ц: 1•2•3•4
RCs	BFP193W	SIEM	npn	$V_{CE0} = 20 \text{ В}$; $I_C = 80 \text{ мА}$; $P_D = 580 \text{ мВт}$; $h_{21} = 50 \dots 200$; $f_T = 8000 \text{ МГц}$	SOT343, SC82A	Е•С•Е•В
RDs	BFP180	SIEM	npn	$V_{CE0} = 10 \text{ В}$; $I_C = 4 \text{ мА}$; $P_D = 30 \text{ мВт}$; $h_{21} = 30 \dots 200$; $f_T = 8200 \text{ МГц}$	SOT143, TO253	С•Е•В•Е
RDs	BFP180W	SIEM	npn	$V_{CE0} = 10 \text{ В}$; $I_C = 4 \text{ мА}$; $P_D = 30 \text{ мВт}$; $h_{21} = 30 \dots 200$; $f_T > 8200 \text{ МГц}$	SOT343, SC82A	Е•С•Е•В
REs	BFP280	SIEM	npn	$V_{CE0} = 10 \text{ В}$; $I_C = 10 \text{ мА}$; $P_D = 80 \text{ мВт}$; $h_{21} = 30 \dots 200$; $f_T > 7000 \text{ МГц}$	SOT143, TO253	С•Е•В•Е
REs	BFP280W	SIEM	npn	$V_{CE0} = 10 \text{ В}$; $I_C = 10 \text{ мА}$; $P_D = 80 \text{ мВт}$; $h_{21} = 30 \dots 200$; $f_T > 7000 \text{ МГц}$	SOT343, SC82A	Е•С•Е•В
RFs	BFP181	SIEM	npn	$V_{CE0} = 20 \text{ В}$; $I_C = 20 \text{ мА}$; $P_D = 175 \text{ мВт}$; $h_{21} = 50 \dots 200$; $f_T = 8000 \text{ МГц}$	SOT143, TO253	С•Е•В•Е
RFs	BFP181R	SIEM	npn	$V_{CE0} = 20 \text{ В}$; $I_C = 20 \text{ мА}$; $P_D = 175 \text{ мВт}$; $h_{21} = 50 \dots 200$; $f_T > 8000 \text{ МГц}$	SOT143, TO253	С•Е•В•Е
RFs	BFP181W	SIEM	npn	$V_{CE0} = 20 \text{ В}$; $I_C = 20 \text{ мА}$; $P_D = 175 \text{ мВт}$; $h_{21} = 50 \dots 200$; $f_T = 8000 \text{ МГц}$	SOT343, SC82A	Е•С•Е•В
RGs	BFP182	SIEM	npn	$V_{CE0} = 20 \text{ В}$; $I_C = 35 \text{ мА}$; $P_D = 250 \text{ мВт}$; $h_{21} = 50 \dots 200$; $f_T > 8000 \text{ МГц}$	SOT143, TO253	С•Е•В•Е
RGs	BFP182R	SIEM	npn	$V_{CE0} = 20 \text{ В}$; $I_C = 35 \text{ мА}$; $P_D = 250 \text{ мВт}$; $h_{21} = 50 \dots 200$; $f_T > 8000 \text{ МГц}$	SOT143, TO253	С•Е•В•Е
RGs	BFP182W	SIEM	npn	$V_{CE0} = 20 \text{ В}$; $I_C = 35 \text{ мА}$; $P_D = 250 \text{ мВт}$; $h_{21} = 50 \dots 200$; $f_T > 8300 \text{ МГц}$	SOT343, SC82A	Е•С•Е•В
RHs	BFP183	SIEM	npn	$V_{CE0} = 20 \text{ В}$; $I_C = 65 \text{ мА}$; $P_D = 450 \text{ мВт}$; $h_{21} = 50 \dots 200$; $f_T = 8000 \text{ МГц}$	SOT143, TO253	С•Е•В•Е
RHs	BFP183R	SIEM	npn	$V_{CE0} = 20 \text{ В}$; $I_C = 65 \text{ мА}$; $P_D = 250 \text{ мВт}$; $h_{21} = 50 \dots 200$; $f_T > 8000 \text{ МГц}$	SOT143, TO253	С•Е•В•Е
RHs	BFP183W	SIEM	npn	$V_{CE0} = 20 \text{ В}$; $I_C = 65 \text{ мА}$; $P_D = 450 \text{ мВт}$; $h_{21} = 50 \dots 200$; $f_T = 8000 \text{ МГц}$	SOT343, SC82A	Е•С•Е•В
RKs	BFP194	SIEM	npn	$V_{CE0} = 20 \text{ В}$; $I_C = 100 \text{ мА}$; $P_D = 700 \text{ мВт}$; $h_{21} = 20 \dots 150$; $f_T = 5000 \text{ МГц}$	SOT143, TO253	С•Е•В•Е
RLs	BFP196	SIEM	npn	$V_{CE0} = 20 \text{ В}$; $I_C = 100 \text{ мА}$; $P_D = 700 \text{ мВт}$; $h_{21} = 50 \dots 200$; $f_T = 7500 \text{ МГц}$	SOT143, TO253	С•Е•В•Е
RLs	BFP196W	SIEM	npn	$V_{CE0} = 20 \text{ В}$; $I_C = 100 \text{ мА}$; $P_D = 700 \text{ мВт}$; $h_{21} = 50 \dots 200$; $f_T > 7200 \text{ МГц}$	SOT343, SC82A	Е•С•Е•В
S4	BBY62	PHIL	var x2	$V_R < 30 \text{ В}$; $I_F < 20 \text{ мА}$; $C_{1B} = 16.5 \text{ пФ}$; $C_{2B3} = 1.6 \dots 2 \text{ пФ}$; $C_{1B}/C_{2B3} = 8.3$	SOT143, TO253	K1•K2•A2•A1
S5	BAT15099	SIEM	shd x2	$V_R < 4 \text{ В}$; $I_F < 110 \text{ мА}$; $V_F(I_F = 10 \text{ мА}) < 0.32 \text{ В}$; $C_{D3} < 0.35 \text{ нФ}$	SOT143, TO253	K1•A2•K2•A1
S5s	BAT15-099	INF	shd x2	$V_R < 4 \text{ В}$; $I_F < 110 \text{ мА}$; $V_F(I_F = 10 \text{ мА}) < 0.41 \text{ В}$; $C_{D3} < 0.35 \text{ нФ}$	SOT143, TO253	K1•A2•K2•A1
S6	BAT15099R	SIEM	shd x4	$V_R < 4 \text{ В}$; $I_F < 110 \text{ мА}$; $V_F(I_F = 10 \text{ мА}) < 0.32 \text{ В}$; $C_{D3} < 0.38 \text{ нФ}$	SOT143, TO253	K1, A4•A3, K2•K4, A2•A1, K3
S6s	BAT15-099R	INF	shd x4	$V_R < 4 \text{ В}$; $I_F < 110 \text{ мА}$; $V_F(I_F = 10 \text{ мА}) < 0.41 \text{ В}$; $C_{D3} < 0.35 \text{ нФ}$	SOT143, TO253	K1, A4•A3, K2•K4, A2•A1, K3
S7	BAT114-099	SIEM	shd x2	$V_R < 4 \text{ В}$; $I_F < 90 \text{ мА}$; $V_F(I_F = 10 \text{ мА}) < 0.8 \text{ В}$; $I_B = 5 \text{ мА}$; $C_{D3} < 0.5 \text{ нФ}$	SOT143, TO253	K1•A2•K2•A1
S8	BAT14099R	SIEM	shd x4	$V_R < 4 \text{ В}$; $I_F < 90 \text{ мА}$; $V_F(I_F = 10 \text{ мА}) < 0.48 \text{ В}$; $C_{D3} < 0.38 \text{ нФ}$	SOT143, TO253	K1, A4•A3, K2•K4, A2•A1, K3
S8s	BAT14-099R	INF	shd x4	$V_R < 4 \text{ В}$; $I_F < 90 \text{ мА}$; $V_F(I_F = 10 \text{ мА}) < 0.48 \text{ В}$; $C_{D3} < 0.38 \text{ нФ}$	SOT143, TO253	A1, K4•A3, K2•K1, A2•K3, A4
S9	BAT14099	SIEM	shd x2	$V_R < 4 \text{ В}$; $I_F < 90 \text{ мА}$; $V_F(I_F = 10 \text{ мА}) < 0.55 \text{ В}$; $C_{D3} < 0.35 \text{ нФ}$	SOT143, TO253	K1•A2•K2•A1
SN	BAT63099R	SIEM	shd x4	$I_C = 50 \text{ мА}$; $V_F(I_F = 1 \text{ мА}) < 0.3 \text{ В}$; $C_{D3} < 1.1 \text{ нФ}$	SOT143, TO253	A3, K1•A4, K2•K3, A2•A1, C4
T5	HSMS2866	HP	shd x2	$V_{BR} > 5 \text{ В}$; $V_F(I_F = 30 \text{ мА}) < 0.6 \text{ В}$; $C_{D3} < 0.30 \text{ нФ}$; $P_D = 10 \text{ Ом}$	SOT143, TO253	K1•K2•A2•A1
T78	2SC5507	NEC	npn	$V_{CE0} = 15 \text{ В}$; $I_C = 12 \text{ мА}$; $P_D = 39 \text{ мВт}$; $h_{21} = 50 \dots 100$; $f_T > 20 \text{ ГГц}$	MPPAK-4	Е•С•Е•В
T79	2SC5508	NEC	npn	$V_{CE0} = 15 \text{ В}$; $I_C = 35 \text{ мА}$; $P_D = 115 \text{ мВт}$; $h_{21} = 50 \dots 100$; $f_T > 20 \text{ ГГц}$	MPPAK-4	Е•С•Е•В



Код	Типономинал	Б	Ф	Особенности	Корпус	Ц: 1•2•3•4
T8	1SV306	TOSH	varx2	$V_{DS} > 15 В$; $I_{D1} (V_{DS} = 15 В) < 0.003 мА$; $C_{DS} = 14...16 пФ$; $C_{10B} = 5.5...6.6 пФ$	SC82, USQ	A1•A2•K2•K1
T82	2SC4966	NEC	npn	$V_{DS1} = 9 В$; $I_{D1} = 10 мА$; $P_D = 60 мВт$; $h_{21} = 75...150$; $f_T = 12 ГГц$	SC61, MPAK-4	C•E•B•E
T82	2SC5014	NEC	npn	$V_{DS1} = 9 В$; $I_{D1} = 10 мА$; $P_D = 60 мВт$; $h_{21} = 75...150$; $f_T = 12 ГГц$	SOT343, SC82A	E•C•E•B
T83	2SC4957	NEC	npn	$V_{DS1} = 9 В$; $I_{D1} = 30 мА$; $P_D = 180 мВт$; $h_{21} = 75...150$; $f_T = 12 ГГц$	SC61, MPAK-4	C•E•B•E
T83	2SC5015	NEC	npn	$V_{DS1} = 9 В$; $I_{D1} = 30 мА$; $P_D = 150 мВт$; $h_{21} = 75...150$; $f_T = 12 ГГц$	SOT343, SC82A	E•C•E•B
T84	2SC5178	NEC	npn	$V_{DS1} = 5 В$; $I_{D1} = 10 мА$; $P_D = 30 мВт$; $h_{21} = 70...140$; $f_T > 10.5 ГГц$	SOT143, TO253	C•E•B•E
T84	2SC5180	NEC	npn	$V_{DS1} = 5 В$; $I_{D1} = 10 мА$; $P_D = 30 мВт$; $h_{21} = 70...140$; $f_T > 10 ГГц$	SOT343, SC82A	E•C•E•B
T86	2SC5183	NEC	npn	$V_{DS1} = 5 В$; $I_{D1} = 30 мА$; $P_D = 90 мВт$; $h_{21} = 70...140$; $f_T > 9.5 ГГц$	SOT143, TO253	C•E•B•E
T88	2SC5192	NEC	npn	$V_{DS1} = 9 В$; $I_{D1} = 100 мА$; $P_D = 200 мВт$; $h_{21} = 80...160$; $f_T > 4 ГГц$	SOT143, TO253	C•E•B•E
T89	2SC5288	NEC	npn	$V_{DS1} = 9 В$; $I_{D1} = 150 мА$; $P_D = 200 мВт$; $h_{21} > 60$	SOT143, TO253	C•E•B•E
T90	2SC5289	NEC	npn	$V_{DS1} = 9 В$; $I_{D1} = 300 мА$; $P_D = 200 мВт$; $h_{21} > 60$	SOT143, TO253	C•E•B•E
TC	2SC2736	REN	npn	$V_{DS1} = 30 В$; $I_{D1} = 50 мА$; $P_D = 150 мВт$; $h_{21} = 30...200$; $f_T > 1400 МГц$	SOT343, SC82A	E•B•C•n. c.
TI	2SC4197	REN	npn	$V_{DS1} = 25 В$; $I_{D1} = 50 мА$; $P_D = 150 мВт$; $h_{21} = 60...180$; $f_T > 3 ГГц$	SOT343, SC82A	E•B•C•n. c.
TV	JDV4P08U	TOSH	varx2	$V_{DS} < 10 В$; $I_{D1} < 0.003 мА$; $C_{1B1} = 17.3...19.3 пФ$; $C_{4B} = 5.3...6.6$	SOT343, SC82A	A1•A2•K2•K1
U1A	3SK230UAA	NEC	dnMOS	$V_{DS} = 18 В$; $I_{D1} = 25 мА$; $P_D = 200 мВт$; $g_F > 16 мСм$; $I_{DSS} = 0.01...3 мА$	SC61, MPAK-4	S•D•G2•G1
U1B	3SK230UAB	NEC	dnMOS	$V_{DS} = 18 В$; $I_{D1} = 25 мА$; $P_D = 200 мВт$; $g_F > 16 мСм$; $I_{DSS} = 0.01...3 мА$	SC61, MPAK-4	S•D•G2•G1
U1C	3SK231C	NEC	dnMESFET	$V_{DS} = 18 В$; $I_{D1} = 25 мА$; $P_D = 200 мВт$; $I_{DSS} = 0.01...10 мА$	SOT143, TO253	S•D•G2•G1
U1D	3SK231D	NEC	dnMESFET	$V_{DS} = 18 В$; $I_{D1} = 25 мА$; $P_D = 200 мВт$; $I_{DSS} = 0.01...10 мА$	SC61, MPAK-4	S•D•G2•G1
U1E	3SK252UAE	NEC	dnMOS	$V_{DS} = 18 В$; $I_{D1} = 25 мА$; $P_D = 200 мВт$; $g_F > 14 мСм$; $I_{DSS} = 0.1...5 мА$	SC61, MPAK-4	S•D•G2•G1
U1E	3SK254U1E	NEC	dnMOS	$V_{DS} = 18 В$; $I_{D1} = 25 мА$; $P_D = 130 мВт$; $g_F > 14 мСм$; $I_{DSS} = 0.1...0.5 мА$	SOT343, SC82A	S•D•G2•G1
U1G	3SK253UAG	NEC	dnMOS	$V_{DS} = 18 В$; $I_{D1} = 25 мА$; $P_D = 200 мВт$; $g_F > 14 мСм$; $I_{DSS} = 0.5...7 мА$	SC61, MPAK-4	S•D•G2•G1
U1G	3SK255U1G	NEC	dnMOS	$V_{DS} = 18 В$; $I_{D1} = 25 мА$; $P_D = 130 мВт$; $g_F > 14 мСм$; $I_{DSS} = 0.1...7 мА$	SOT343, SC82A	S•D•G2•G1
U1s	BGX50A	INF	di x4	$V_{DS} < 60 В$; $I_{D1} < 140 мА$; $V_{FE} (I_{FE} = 100 мА) < 1.3 В$; $I_{S} < 0.2 мА$; $C_{DS} < 1.5 пФ$; $f_{TS} < 6 ГГц$	SOT143, TO253	K1, K2•K4, A1•A4, A3•A2, K3
U65	3SK134UEE	NEC	dnMOS	$V_{DS} = 18 В$; $I_{D1} = 25 мА$; $P_D = 200 мВт$; $g_F > 25 мСм$; $I_{DSS} = 0.4...5 мА$	SC61, MPAK-4	S•D•G2•G1
U65	3SK245	NEC	dnMESFET	$V_{DS} = 18 В$; $I_{D1} = 25 мА$; $P_D = 130 мВт$; $I_{DSS} = 0.4...8 мА$	SOT343, SC82A	S•D•G2•G1
U66	3SK134UEF	NEC	dnMOS	$V_{DS} = 18 В$; $I_{D1} = 25 мА$; $P_D = 200 мВт$; $g_F > 25 мСм$; $I_{DSS} = 3...8 мА$	SC61, MPAK-4	S•D•G2•G1
U66	3SK245	NEC	dnMESFET	$V_{DS} = 18 В$; $I_{D1} = 25 мА$; $P_D = 130 мВт$; $I_{DSS} = 0.4...8 мА$	SOT343, SC82A	S•D•G2•G1
U65	3SK135ALS	NEC	dnMOS	$V_{DS} = 20 В$; $I_{D1} = 25 мА$; $P_D = 200 мВт$; $g_F > 14 мСм$; $I_{DSS} = 0.01...2 мА$	SC61, MPAK-4	S•D•G2•G1
U66	3SK135AKS	NEC	dnMOS	$V_{DS} = 20 В$; $I_{D1} = 25 мА$; $P_D = 200 мВт$; $g_F > 14 мСм$; $I_{DSS} = 1...6 мА$	SC61, MPAK-4	S•D•G2•G1
U7	3SK320	TOSH	dnMESFET	$V_{DS} = 6 В$; $I_{D1} = 18 мА$; $P_D = 100 мВт$; $g_F = 22 мСм$	SC82, USQ	G1•G2•D•S
U71	3SK177U71	NEC	dnMESFET	$V_{DS} = 13 В$; $I_{D1} = 40 мА$; $P_D = 200 мВт$; $g_F > 18 мСм$; $I_{DSS} = 5...15 мА$	SC61, MPAK-4	S•D•G2•G1
U71	3SK299	NEC	dnMESFET	$V_{DS} = 13 В$; $I_{D1} = 40 мА$; $P_D = 120 мВт$; $g_F > 18 мСм$; $I_{DSS} = 5...15 мА$	SOT343, SC82A	S•D•G2•G1
U72	3SK177U72	NEC	dnMESFET	$V_{DS} = 13 В$; $I_{D1} = 40 мА$; $P_D = 200 мВт$; $g_F > 18 мСм$; $I_{DSS} = 10...25 мА$	SC61, MPAK-4	S•D•G2•G1



SOT143/R

MW-4

SC82

SC61

MPPAK-4

SOT343/R

1 2 3 4

1 2 3 4

1 2 3 4

TSFP-4

Код	Тип/номинал	Б	Ф	Особенности	Корпус	Ц: 1•2•3•4
U72	3SK299	NEC	днMESFET	$V_{DS} = 13\text{ В}$, $I_D = 40\text{ мА}$, $P_D = 120\text{ мВт}$; $g_f > 18\text{ мСм}$; $I_{DSS} = 10...25\text{ мА}$	SOT343, SC82A	S•D•G2•G1
U72	NE25118	NEC	днMESFET	$GaAs$, $V_{DS} = 13\text{ В}$, $I_D = 40\text{ мА}$, $P_D = 120\text{ мВт}$; $g_f = 25\text{ мСм}$	SOT343, SC82A	S•D•G2•G1
U73	3SK177U73	NEC	днMESFET	$V_{DS} = 13\text{ В}$, $I_D = 40\text{ мА}$, $P_D = 200\text{ мВт}$; $g_f > 18\text{ мСм}$; $I_{DSS} = 20...35\text{ мА}$	SC61, MPAK-4	S•D•G2•G1
U73	3SK299	NEC	днMESFET	$V_{DS} = 13\text{ В}$, $I_D = 40\text{ мА}$, $P_D = 120\text{ мВт}$; $g_f > 18\text{ мСм}$; $I_{DSS} = 20...35\text{ мА}$	SOT343, SC82A	S•D•G2•G1
U73	NE25118	NEC	днMESFET	$GaAs$, $V_{DS} = 13\text{ В}$, $I_D = 40\text{ мА}$, $P_D = 120\text{ мВт}$; $g_f = 25\text{ мСм}$	SOT343, SC82A	S•D•G2•G1
U74	3SK177U74	NEC	днMESFET	$V_{DS} = 13\text{ В}$, $I_D = 40\text{ мА}$, $P_D = 200\text{ мВт}$; $g_f > 18\text{ мСм}$; $I_{DSS} = 30...40\text{ мА}$	SC61, MPAK-4	S•D•G2•G1
U74	3SK299	NEC	днMESFET	$V_{DS} = 13\text{ В}$, $I_D = 40\text{ мА}$, $P_D = 120\text{ мВт}$; $g_f > 18\text{ мСм}$; $I_{DSS} = 30...40\text{ мА}$	SOT343, SC82A	S•D•G2•G1
U74	NE25118	NEC	днMESFET	$GaAs$, $V_{DS} = 13\text{ В}$, $I_D = 40\text{ мА}$, $P_D = 120\text{ мВт}$; $g_f = 25\text{ мСм}$	SOT343, SC82A	S•D•G2•G1
U76	3SK206	NEC	днMESFET	$V_{DS} = 10\text{ В}$, $I_D = 40\text{ мА}$, $P_D = 200\text{ мВт}$; $g_f > 25\text{ мСм}$; $I_{DSS} = 10...25\text{ мА}$	SC61, MPAK-4	S•D•G2•G1
U77	3SK206	NEC	днMESFET	$V_{DS} = 10\text{ В}$, $I_D = 40\text{ мА}$, $P_D = 200\text{ мВт}$; $g_f > 25\text{ мСм}$; $I_{DSS} = 20...35\text{ мА}$	SC61, MPAK-4	S•D•G2•G1
U78	3SK206	NEC	днMESFET	$V_{DS} = 10\text{ В}$, $I_D = 80\text{ мА}$, $P_D = 200\text{ мВт}$; $g_f > 25\text{ мСм}$; $I_{DSS} = 30...50\text{ мА}$	SC61, MPAK-4	S•D•G2•G1
U79	3SK206	NEC	днMESFET	$V_{DS} = 10\text{ В}$, $I_D = 80\text{ мА}$, $P_D = 200\text{ мВт}$; $g_f > 25\text{ мСм}$; $I_{DSS} = 45...80\text{ мА}$	SC61, MPAK-4	S•D•G2•G1
U87	3SK176AUHG	NEC	днMOS	$V_{DS} = 18\text{ В}$, $I_D = 25\text{ мА}$, $P_D = 200\text{ мВт}$; $g_f > 22\text{ мСм}$; $I_{DSS} = 1...6\text{ мА}$	SC61, MPAK-4	S•D•G2•G1
U88	3SK176AUHH	NEC	днMOS	$V_{DS} = 18\text{ В}$, $I_D = 25\text{ мА}$, $P_D = 200\text{ мВт}$; $g_f > 22\text{ мСм}$; $I_{DSS} = 4...10\text{ мА}$	SC61, MPAK-4	S•D•G2•G1
U90	3SK223UJO	NEC	днMOS	$V_{DS} = 18\text{ В}$, $I_D = 25\text{ мА}$, $P_D = 200\text{ мВт}$; $g_f > 15\text{ мСм}$; $I_{DSS} = 0.01...3\text{ мА}$	SC61, MPAK-4	S•D•G2•G1
U90	3SK243	NEC	днMESFET	$V_{DS} = 18\text{ В}$, $I_D = 25\text{ мА}$, $P_D = 200\text{ мВт}$; $I_{DSS} = 0.01...8\text{ мА}$	SOT343, SC82A	S•D•G2•G1
U91	3SK223UJA	NEC	днMOS	$V_{DS} = 18\text{ В}$, $I_D = 25\text{ мА}$, $P_D = 200\text{ мВт}$; $g_f > 15\text{ мСм}$; $I_{DSS} = 1...8\text{ мА}$	SC61, MPAK-4	S•D•G2•G1
U91	3SK243	NEC	днMESFET	$V_{DS} = 18\text{ В}$, $I_D = 25\text{ мА}$, $P_D = 200\text{ мВт}$; $I_{DSS} = 0.01...8\text{ мА}$	SOT343, SC82A	S•D•G2•G1
U94	3SK224UID	NEC	днMOS	$V_{DS} = 18\text{ В}$, $I_D = 25\text{ мА}$, $P_D = 200\text{ мВт}$; $g_f > 18\text{ мСм}$; $I_{DSS} = 0.5...7\text{ мА}$	SC61, MPAK-4	S•D•G2•G1
U94	3SK244D	NEC	днMESFET	$V_{DS} = 18\text{ В}$, $I_D = 25\text{ мА}$, $P_D = 130\text{ мВт}$; $I_{DSS} = 0.5...15\text{ мА}$	SOT343, SC82A	S•D•G2•G1
U95	3SK224UIE	NEC	днMOS	$V_{DS} = 18\text{ В}$, $I_D = 25\text{ мА}$, $P_D = 200\text{ мВт}$; $g_f > 18\text{ мСм}$; $I_{DSS} = 5...15\text{ мА}$	SC61, MPAK-4	S•D•G2•G1
U95	3SK244E	NEC	днMESFET	$V_{DS} = 18\text{ В}$, $I_D = 25\text{ мА}$, $P_D = 130\text{ мВт}$; $I_{DSS} = 0.5...15\text{ мА}$	SOT343, SC82A	S•D•G2•G1
UIF	3SK293	TOSH	днMOS	$V_{DS} = 12.5\text{ В}$, $I_D = 30\text{ мА}$, $P_D = 100\text{ мВт}$; $g_f > 22\text{ мСм}$; $I_{DSS} < 0.1\text{ мА}$	SC82, USQ	D•S•G1•G2
UHGR	3SK260GR	TOSH	днMOS	$V_{DS} = 13.5\text{ В}$, $I_D = 30\text{ мА}$, $P_D = 100\text{ мВт}$; $g_f = 27\text{ мСм}$; $I_{DSS} = 6...14\text{ мА}$	SC82, USQ	G1•G2•D•S
UIHY	3SK260Y	TOSH	днMOS	$V_{DS} = 13.5\text{ В}$, $I_D = 30\text{ мА}$, $P_D = 100\text{ мВт}$; $g_f = 27\text{ мСм}$; $I_{DSS} = 3...7\text{ мА}$	SC82, USQ	G1•G2•D•S
UII	3SK259	TOSH	днMOS	$V_{DS} = 13.5\text{ В}$, $I_D = 30\text{ мА}$, $P_D = 100\text{ мВт}$; $g_f = 21\text{ мСм}$; $I_{DSS} < 2\text{ мА}$	SC82, USQ	G1•G2•D•S
UIK	3SK294	TOSH	днMOS	$V_{DS} = 12.5\text{ В}$, $I_D = 30\text{ мА}$, $P_D = 100\text{ мВт}$; $g_f > 19.5\text{ мСм}$; $I_{DSS} < 0.1\text{ мА}$	SC82, USQ	G1•G2•D•S
UIN	3SK274	TOSH	днMESFET	$V_{DS} = 9\text{ В}$, $I_D = 20\text{ мА}$, $P_D = 100\text{ мВт}$; $I_{DSS} = 0.4...8\text{ мА}$; $g_f = 19\text{ мСм}$	SC82, USQ	G1•G2•D•S
UIO	3SK249	TOSH	днMOS	$V_{DS} = 12.5\text{ В}$, $I_D = 30\text{ мА}$, $P_D = 100\text{ мВт}$; $g_f > 17\text{ мСм}$; $I_{DSS} = 0.01...3\text{ мА}$	SC82, USQ	G1•G2•D•S
UIR	3SK256	TOSH	днMOS	$V_{DS} = 13.5\text{ В}$, $I_D = 30\text{ мА}$, $P_D = 100\text{ мВт}$; $g_f = 21.5\text{ мСм}$; $I_{DSS} < 0.1\text{ мА}$	SC82, USQ	G1•G2•D•S
UIT	3SK257	TOSH	днMOS	$V_{DS} = 13.5\text{ В}$, $I_D = 30\text{ мА}$, $P_D = 100\text{ мВт}$; $g_f = 21\text{ мСм}$	SC82, USQ	G1•G2•D•S
UIU	3SK258	TOSH	днMOS	$V_{DS} = 13.5\text{ В}$, $I_D = 30\text{ мА}$, $P_D = 100\text{ мВт}$; $g_f = 13\text{ мСм}$; $I_{DSS} < 0.1\text{ мА}$	SC82, USQ	G1•G2•D•S
V11	3SK131	NEC	днMOS	$V_{DS} = 20\text{ В}$, $I_D = 25\text{ мА}$, $P_D = 200\text{ мВт}$; $g_f > 22\text{ мСм}$; $I_{DSS} = 7...13\text{ мА}$	SC61, MPAK-4	S•D•G2•G1

MFPK-4
TSPF-4



SC61
SC82



MW-4



SOT143R
SOT343R



Код	Типономинал	Б	Ф	Особенности	Корпус	Ц: 1•2•3•4
V11	3SK242	NEC	dnlMOS	$V_{DS}=20\text{ В}; I_D=25\text{ мА}; P_D=130\text{ мВт}; I_{OSS}=7...25\text{ мА}$	SOT343, SC82A	S•D•G2•G1
V12	3SK131	NEC	dnlMOS	$V_{DS}=20\text{ В}; I_D=25\text{ мА}; P_D=200\text{ мВт}; g_f>22\text{ мСм}; I_{OSS}=11...19\text{ мА}$	SC61, MPAK-4	S•D•G2•G1
V12	3SK242	NEC	dnlMOS	$V_{DS}=20\text{ В}; I_D=25\text{ мА}; P_D=130\text{ мВт}; I_{OSS}=7...25\text{ мА}$	SOT343, SC82A	S•D•G2•G1
V12	BFG67/X	PHIL	npn	$V_{CEB}=10\text{ В}; I_C=50\text{ мА}; P_D=300\text{ мВт}; h_{21}>60; f_T>8\text{ ГГц}$	SOT143, TO253	C•E•B•E
V13	3SK131	NEC	dnlMOS	$V_{DS}=20\text{ В}; I_D=25\text{ мА}; P_D=200\text{ мВт}; g_f>22\text{ мСм}; I_{OSS}=17...25\text{ мА}$	SC61, MPAK-4	S•D•G2•G1
V13	3SK242	NEC	dnlMOS	$V_{DS}=20\text{ В}; I_D=25\text{ мА}; P_D=130\text{ мВт}; I_{OSS}=7...25\text{ мА}$	SOT343, SC82A	S•D•G2•G1
V13	BFG197/X	PHIL	npn	$V_{CEB}=20\text{ В}; I_C=100\text{ мА}; P_D=350\text{ мВт}; h_{21}>40; f_T=7.5\text{ ГГц}$	SOT143, TO253	C•E•B•E
V15	BFG83A/X	PHIL	npn	$V_{CEB}=15\text{ В}; I_C=35\text{ мА}; P_D=300\text{ мВт}; h_{21}>40; f_T>4.5\text{ ГГц}$	SOT143, TO253	C•E•B•E
V21	3SK222VBA	NEC	dnlMOS	$V_{DS}=18\text{ В}; I_D=25\text{ мА}; P_D=200\text{ мВт}; g_f>15\text{ мСм}; I_{OSS}=0.01...3\text{ мА}$	SC61, MPAK-4	S•D•G2•G1
V21	3SK246	NEC	dnlMOS	$V_{DS}=20\text{ В}; I_D=25\text{ мА}; P_D=130\text{ мВт}; I_{OSS}=0.01...8\text{ мА}$	SOT343, SC82A	S•D•G2•G1
V22	3SK222VBB	NEC	dnlMOS	$V_{DS}=18\text{ В}; I_D=25\text{ мА}; P_D=200\text{ мВт}; g_f>15\text{ мСм}; I_{OSS}=1...8\text{ мА}$	SC61, MPAK-4	S•D•G2•G1
V22	3SK246	NEC	dnlMOS	$V_{DS}=20\text{ В}; I_D=25\text{ мА}; P_D=130\text{ мВт}; I_{OSS}=0.01...8\text{ мА}$	SOT343, SC82A	S•D•G2•G1
V26	BFG67/XR	PHIL	npn	$V_{CEB}=10\text{ В}; I_C=50\text{ мА}; P_D=300\text{ мВт}; h_{21}>60; f_T>8\text{ ГГц}$	SOT143R	C•E•B•E
V3	BFG67	VIS	npn	$V_{CEB}=10\text{ В}; I_C=50\text{ мА}; P_D=300\text{ мВт}; h_{21}>60; f_T>8\text{ ГГц}$	SOT143, TO253	C•E•B•E
V3	BFG67	PHIL	npn	$V_{CEB}=10\text{ В}; I_C=50\text{ мА}; P_D=300\text{ мВт}; h_{21}>60; f_T>8\text{ ГГц}$	SOT143, TO253	C•E•B•E
V35	BFG197A/XR	PHIL	npn	$V_{CEB}=20\text{ В}; I_C=100\text{ мА}; P_D=350\text{ мВт}; h_{21}>40; f_T=7.5\text{ ГГц}$	SOT143R	C•E•B•E
V5	BFG197	PHIL	npn	$V_{CEB}=20\text{ В}; I_C=100\text{ мА}; P_D=350\text{ мВт}; h_{21}>40; f_T=7.5\text{ ГГц}$	SOT143, TO253	C•E•B•E
VH-	2SC5624	REN	npn	$V_{CEB}=10\text{ В}; I_C=35\text{ мА}; P_D=100\text{ мВт}; h_{21}=80...160; f_T>25\text{ ГГц}$	SOT343, SC82A	B•E•C•E
VI	2SC4229	REN	npn	$V_{CEB}=30\text{ В}; I_C=20\text{ мА}; P_D=150\text{ мВт}; h_{21}=50...180; f_T>700\text{ МГц}$	SOT343, SC82A	E•B•C•n.c.
WCF	TSDF1206RW	TELEF	npn	$V_{CEB}=9\text{ В}; I_C=12\text{ мА}; P_D=40\text{ мВт}; h_{21}=50...250; f_T=12\text{ ГГц}$	SOT343R	C•E•B•E
W18	BFP181TW	TELEF	npn	$V_{CEB}=15\text{ В}; I_C=20\text{ мА}; P_D=160\text{ мВт}; h_{21}=50...150; f_T=8\text{ ГГц}$	SOT343, SC82A	C•E•B•E
W22	S822TW	VISH	npn	$V_{CEB}=12\text{ В}; I_C=8\text{ мА}; P_D=30\text{ мВт}; h_{21}=40...150; f_T=5.2\text{ ГГц}$	SOT343, SC82A	E•C•E•B
W28	BFP280TW	TELEF	npn	$V_{CEB}=15\text{ В}; I_C=10\text{ мА}; P_D=80\text{ мВт}; h_{21}=50...150; f_T=7\text{ ГГц}$	SOT343, SC82A	C•E•B•E
W2F	TSDF1220RW	TELEF	npn	$V_{CEB}=9\text{ В}; I_C=40\text{ мА}; P_D=200\text{ мВт}; h_{21}=50...150; f_T=12\text{ ГГц}$	SOT343R	C•E•B•E
W4s	BCR400R	INF	abc	$V_{CC}<18\text{ В}; I_{SMN}=0.1\text{ мА}$	SOT143, TO253	GND•CONTR•VS•REXT
W4s	BCR400W	INF	abc	$V_{CC}<18\text{ В}; I_{SMN}=0.1\text{ мА}$	SOT343, SC82A	GND•CONTR•VS•REXT
W67	BFP67W	TELEF	npn	$V_{CEB}=20\text{ В}; I_C=50\text{ мА}; P_D=200\text{ мВт}; h_{21}=65...150; f_T=7.5\text{ ГГц}$	SOT343, SC82A	C•E•B•E
W82	BFP182TW	TELEF	npn	$V_{CEB}=15\text{ В}; I_C=35\text{ мА}; P_D=200\text{ мВт}; h_{21}=50...150; f_T=7.5\text{ ГГц}$	SOT343, SC82A	C•E•B•E
W83	BFP183TW	TELEF	npn	$V_{CEB}=15\text{ В}; I_C=65\text{ мА}; P_D=200\text{ мВт}; h_{21}=50...150; f_T=8\text{ ГГц}$	SOT343, SC82A	C•E•B•E
W92	BFP92AW	TELEF	npn	$V_{CEB}=20\text{ В}; I_C=30\text{ мА}; P_D=200\text{ мВт}; h_{21}=50...150; f_T=6\text{ ГГц}$	SOT343, SC82A	C•E•B•E
WF0	TSDF1206W	TELEF	npn	$V_{CEB}=9\text{ В}; I_C=12\text{ мА}; P_D=40\text{ мВт}; h_{21}=50...250; f_T=12\text{ ГГц}$	SOT343, SC82A	C•E•B•E
WF2	TSDF1220W	TELEF	npn	$V_{CEB}=9\text{ В}; I_C=40\text{ мА}; P_D=200\text{ мВт}; h_{21}=50...150; f_T=12\text{ ГГц}$	SOT343, SC82A	C•E•B•E
WFE	BFP93A	TELEF	npn	$V_{CEB}=20\text{ В}; I_C=50\text{ мА}; P_D=300\text{ мВт}; h_{21}=50...200; f_T=6\text{ ГГц}$	SOT343, SC82A	E•C•E•B
WH-	2SC5623	REN	npn	$V_{CEB}=10\text{ В}; I_C=12\text{ мА}; P_D=50\text{ мВт}; h_{21}=60...140; f_T>23\text{ ГГц}$	SOT343, SC82A	B•E•C•E

**SOT143/R****MW-4****SC82****SC61****SOT343/R****2****2****2****MPPAK-4****TSFP-4**

Код	Тип/номинал	Б	Ф	Особенности	Корпус	Ц: 1•2•3•4
WI	3SK197	REN	nMOS	$V_{DS} = 12 \text{ В}$; $I_D = 35 \text{ мА}$; $P_D = 150 \text{ мВт}$; $P_G = 24.6 \text{ дБ}$; $NF = 6.5 \text{ дБ}$	SOT343, SC82A	S•D•G2•G1
WJ	2SC5894	REN	npn	$V_{CEB} = 12 \text{ В}$; $I_C = 12 \text{ мА}$; $P_D = 50 \text{ мВт}$; $h_{21} = 70 \dots 150$; $f_T > 16 \text{ ГГц}$	SOT343, SC82A	B•E•C•E
WMO	BF998RW	VIS	dmMOS	$V_{DS} = 12 \text{ В}$; $I_D = 30 \text{ мА}$; $P_D = 200 \text{ мВт}$; $I_{DS} = 4 \dots 18 \text{ мА}$; $g_F > 2 \text{ мСм}$	SOT343R	S•D•G2•G1
WSE	BFP280TRW	TELEF	npn	$V_{CEB} = 15 \text{ В}$; $I_C = 10 \text{ мА}$; $P_D = 80 \text{ мВт}$; $h_{21} = 50 \dots 150$; $f_T = 7 \text{ ГГц}$	SOT343R	C•E•B•E
WSF	BFP181TRW	TELEF	npn	$V_{CEB} = 15 \text{ В}$; $I_C = 20 \text{ мА}$; $P_D = 160 \text{ мВт}$; $h_{21} = 50 \dots 150$; $f_T = 8 \text{ ГГц}$	SOT343R	C•E•B•E
WSF	S822TRW	VISH	npn	$V_{CEB} = 12 \text{ В}$; $I_C = 8 \text{ мА}$; $P_D = 30 \text{ мВт}$; $h_{21} = 40 \dots 150$; $f_T = 5.2 \text{ ГГц}$	SOT343R	E•C•E•B
WSG	BFP182TRW	TELEF	npn	$V_{CEB} = 15 \text{ В}$; $I_C = 35 \text{ мА}$; $P_D = 200 \text{ мВт}$; $h_{21} = 50 \dots 150$; $f_T = 7.5 \text{ ГГц}$	SOT343R	C•E•B•E
WSH	BFP183TRW	TELEF	npn	$V_{CEB} = 15 \text{ В}$; $I_C = 65 \text{ мА}$; $P_D = 200 \text{ мВт}$; $h_{21} = 50 \dots 150$; $f_T = 8 \text{ ГГц}$	SOT343R	C•E•B•E
XB	2SC4416	REN	npn	$V_{CEB} = 25 \text{ В}$; $I_C = 50 \text{ мА}$; $P_D = 150 \text{ мВт}$; $h_{21} = 50 \dots 180$; $f_T > 3000 \text{ МГц}$	SOT343, SC82A	B•E•C•n. c.
XC	2SC4415	REN	npn	$V_{CEB} = 30 \text{ В}$; $I_C = 20 \text{ мА}$; $P_D = 150 \text{ мВт}$; $h_{21} = 50 \dots 180$; $f_T > 700 \text{ МГц}$	SOT343, SC82A	C•B•E•B
XE	2SK1092	REN	nFET	GaAs; $V_{DS} = 4 \text{ В}$; $I_D = 150 \text{ мА}$; $P_D = 150 \text{ мВт}$; $P_G > 8 \text{ дБ}$; $NF < 3.5 \text{ дБ}$	SOT343, SC82A	S•D•n. c. •G
XI	3SK196	REN	nMOS	$V_{DS} = 12 \text{ В}$; $I_D = 35 \text{ мА}$; $P_D = 150 \text{ мВт}$; $P_G = 32 \text{ дБ}$; $NF = 1.0 \text{ дБ}$	SOT343, SC82A	S•D•G2•G1
XM	2SC4591	REN	npn	$V_{CEB} = 15 \text{ В}$; $I_C = 50 \text{ мА}$; $P_D = 150 \text{ мВт}$; $h_{21} = 40 \dots 250$; $f_T > 8500 \text{ МГц}$	SOT343, SC82A	E•B•C•n. c.
XN	2SC4592	REN	npn	$V_{CEB} = 15 \text{ В}$; $I_C = 50 \text{ мА}$; $P_D = 150 \text{ мВт}$; $h_{21} = 40 \dots 250$; $f_T > 7000 \text{ МГц}$	SOT343, SC82A	C•E•B•E
XR	3SK228	REN	nFET	GaAs; $V_{DS} = 12 \text{ В}$; $I_D = 50 \text{ мА}$; $P_D = 150 \text{ мВт}$; $P_G > 17 \text{ дБ}$; $NF < 2.0 \text{ дБ}$	SOT343, SC82A	S•D•G2•G1
XS	3SK229	REN	nFET	GaAs; $V_{DS} = 12 \text{ В}$; $I_D = 50 \text{ мА}$; $P_D = 150 \text{ мВт}$; $P_G > 17 \text{ дБ}$; $NF < 2.0 \text{ дБ}$	SOT343, SC82A	S•D•G2•G1
XV	2SC4680	REN	npn	$V_{CEB} = 12 \text{ В}$; $I_C = 50 \text{ мА}$; $P_D = 150 \text{ мВт}$; $h_{21} > 100$;	SOT343, SC82A	E•B•C•n. c.
XV	3SK309	REN	dmMESFET	$V_{DS} = 6 \text{ В}$; $I_D = 18 \text{ мА}$; $P_D = 100 \text{ мВт}$; $g_F > 30 \text{ мСм}$	SOT343, SC82A	S•G1•G2•D
YB	3SK318	REN	dmMOS	$V_{DS} = 6 \text{ В}$; $I_D = 20 \text{ мА}$; $P_D = 100 \text{ мВт}$; $g_F > 18 \text{ мСм}$	SOT343, SC82A	S•G1•G2•D
YB	3SK319	REN	dmMOS	$V_{DS} = 6 \text{ В}$; $I_D = 20 \text{ мА}$; $P_D = 100 \text{ мВт}$; $g_F > 18 \text{ мСм}$	SC61, MPAK-4	S•G1•G2•D
YJ	2SC4900	REN	npn	$V_{CEB} = 15 \text{ В}$; $I_C = 50 \text{ мА}$; $P_D = 150 \text{ мВт}$; $h_{21} = 50 \dots 250$; $f_T > 6 \text{ ГГц}$	SC61, MPAK-4	C•E•B•E
ZD	2SC5060	REN	npn	$V_{CEB} = 15 \text{ В}$; $I_C = 50 \text{ мА}$; $P_D = 150 \text{ мВт}$; $h_{21} = 50 \dots 160$; $f_T > 10.5 \text{ ГГц}$	SC61, MPAK-4	E•C•E•B
ZD	2SC5061	REN	npn	$V_{CEB} = 15 \text{ В}$; $I_C = 50 \text{ мА}$; $P_D = 100 \text{ мВт}$; $h_{21} = 50 \dots 160$; $f_T > 10.5 \text{ ГГц}$	SOT343, SC82A	E•C•E•B
ZP	3SK297	REN	dmMOS	$V_{DS} = 12 \text{ В}$; $I_D = 25 \text{ мА}$; $P_D = 150 \text{ мВт}$; $g_F > 16 \text{ мСм}$; $I_{DSS} = 0.5 \dots 10 \text{ мА}$	SC61, MPAK-4	S•G1•G2•D
ZP	3SK298	REN	dmMOS	$V_{DS} = 12 \text{ В}$; $I_D = 25 \text{ мА}$; $P_D = 150 \text{ мВт}$; $g_F > 16 \text{ мСм}$; $I_{DSS} = 0.5 \dots 10 \text{ мА}$	SOT343, SC82A	S•G1•G2•D
ZQ	3SK295	REN	dmMOS	$V_{DS} = 12 \text{ В}$; $I_D = 25 \text{ мА}$; $P_D = 150 \text{ мВт}$; $g_F > 16 \text{ мСм}$; $I_{DSS} = 0.5 \dots 10 \text{ мА}$	SC61, MPAK-4	S•G1•G2•D
ZQ	3SK296	REN	dmMOS	$V_{DS} = 12 \text{ В}$; $I_D = 25 \text{ мА}$; $P_D = 150 \text{ мВт}$; $g_F > 16 \text{ мСм}$; $I_{DSS} = 0.5 \dots 10 \text{ мА}$	SOT343, SC82A	S•G1•G2•D
ZP	3SK300	REN	dmMOS	$V_{DS} = 14 \text{ В}$; $I_D = 25 \text{ мА}$; $P_D = 150 \text{ мВт}$; $g_F > 20 \text{ мСм}$	SC61, MPAK-4	S•G1•G2•D
ZP	3SK317	REN	dmMOS	$V_{DS} = 14 \text{ В}$; $I_D = 25 \text{ мА}$; $P_D = 100 \text{ мВт}$; $g_F > 20 \text{ мСм}$	SOT343, SC82A	S•G1•G2•D
ZS	2SC5545	REN	npn	$V_{CEB} = 15 \text{ В}$; $I_C = 50 \text{ мА}$; $P_D = 150 \text{ мВт}$; $h_{21} = 80 \dots 160$; $f_T > 10 \text{ ГГц}$	SC61, MPAK-4	B•C•E•C

SOT553

SOT353
SC88ASOT23-5
TSOT23-5

SOT23-5, SOT353/553...

Код	Типономинал	Б	Ф	Особенности	Корпус	Ц: 1•2•3•4•5
#CGA	AD7415ARTZ	AD	dis	10-разр.; SMBus/I ² C; V _{DD} =2.7...5.5 В	SOT23-5	AS•GND•VDD•SDA•SCL
#CGB	AD7415ARTZ	AD	dis	10-разр.; SMBus/I ² C; V _{DD} =2.7...5.5 В	SOT23-5	AS•GND•VDD•SDA•SCL
0J	MC33464N-20CTR	ON	mrc	V _{IR} =2.0 В; V _{IN} =0.7...10 В	SOT23-5	RES•IN•GND•n.c.•n.c.
0K	MC33464N-30CTR	ON	mrc	V _{IR} =3.0 В; V _{IN} =0.7...10 В	SOT23-5	RES•IN•GND•n.c.•n.c.
0R	MC33464N-20ATR	ON	mrc	V _{IR} =2.0 В; V _{IN} =0.7...10 В	SOT23-5	RES•IN•GND•n.c.•n.c.
0S	MC33464N-30ATR	ON	mrc	V _{IR} =3.0 В; V _{IN} =0.7...10 В	SOT23-5	RES•IN•GND•n.c.~n.c.
1R	MC33464N-21ATR	ON	mrc	V _{IR} =2.1 В; V _{IN} =0.7...10 В	SOT23-5	RES•IN•GND•n.c.~n.c.
21	RN47A1	TOSH	Dnpnp/npn	V _{CE0} =50 В; I _C =100 мА; P _D =200 мВт; f _T =250 МГц; R ₁ =4.7 кОм	SOT353, SC88A	E1•B1•E2•C2•C1, B2
22	RN47A2	TOSH	Dnpnp/npn	V _{CE0} =50 В; I _C =100 мА; P _D =200 мВт; f _T =250 МГц; R ₁ =22 кОм	SOT353, SC88A	E1•B1•E2•C2•C1, B2
23	RN47A3	TOSH	Dnpnp/npn	V _{CE0} =50 В; I _C =100 мА; P _D =200 мВт; f _T =250 МГц; R ₁ =10 кОм	SOT353, SC88A	E1•B1•E2•C2•C1, B2
24	RN47A4	TOSH	Dnpnp/npn	V _{CE0} =50 В; I _C =100 мА; P _D =200 мВт; Q1: R ₁ /R ₂ =47 кОм/47 кОм; Q2: R ₁ /R ₂ =10 кОм/47 кОм	SOT353, SC88A	E1•B1•E2•C2•C1, B2
25	RN47A5	TOSH	Dnpnp/npn	V _{CE0} =50 В; I _C =100 мА; P _D =200 мВт; Q1: R ₁ /R ₂ =47 кОм/47 кОм; Q2: R ₁ /R ₂ =4.7 кОм/47 кОм	SOT353, SC88A	E1•B1•E2•C2•C1, B2
44A	RN1544A	TOSH	Dnpnp x2	V _{CE0} =50 В; I _C =300 мА; P _D =300 мВт; h _{FE1} =200...700; f _T =30 МГц; R ₁ =2.2 кОм	SOT23-5	B1•E1, E2•B2•C2•C1
44B	RN1544B	TOSH	Dnpnp x2	V _{CE0} =50 В; I _C =300 мА; P _D =300 мВт; h _{FE1} =350...1200; f _T =30 МГц; R ₁ =2.2 кОм	SOT23-5	B1•E1, E2•B2•C2•C1
5L	MC33464N-45CTR	ON	mrc	V _{IR} =4.5 В; V _{IN} =0.7...10 В	SOT23-5	RES•IN•GND•n.c.~n.c.
5T	MC33464N-45ATR	ON	mrc	V _{IR} =4.5 В; V _{IN} =0.7...10 В	SOT23-5	RES•IN•GND•n.c.~n.c.
7J	MC33464N-27CTR	ON	mrc	V _{IR} =2.7 В; V _{IN} =0.7...10 В	SOT23-5	RES•IN•GND•n.c.~n.c.
7R	MC33464N-27ATR	ON	mrc	V _{IR} =2.7 В; V _{IN} =0.7...10 В	SOT23-5	RES•IN•GND•n.c.~n.c.
7Z25	NC7SZ125M5X	FAIR	3-stbuff	V _{CC} =1.85...5.5 В; I _{OUT} =±24 мА	SOT23-5	OE•A•GND•Y•VCC
8T	MC33464N-48ATR	ON	mrc	V _{IR} =4.8 В; V _{IN} =0.7...10 В	SOT23-5	RES•IN•GND•n.c.~n.c.
9F	MC33464N-09CTR	ON	mrc	V _{IR} =0.9 В; V _{IN} =0.7...10 В	SOT23-5	RES•IN•GND•n.c.~n.c.
9N	MC33464N-09ATR	ON	mrc	V _{IR} =0.9 В; V _{IN} =0.7...10 В	SOT23-5	RES•IN•GND•n.c.~n.c.
A03	OPA703NA	TI	OA	R-R; V _{DD} =4...12/±2...±6 В; f _{DD} =1 МГц; I _S =300 мкА; V _{OS} <±0.75 мВ	SOT23-5	OUT•V-•+IN•-IN•V+
A04	OPA704NA	TI	OA	R-R; V _{DD} =4...12/±2...±6 В; f _{DD} =3 МГц; I _S =300 мкА; V _{OS} <±0.75 мВ	SOT23-5	OUT•V-•+IN•-IN•V+
A05	OPA705NA	TI	OA	R-R; V _{DD} =4...12/±2...±6 В; f _{DD} =1 МГц; I _S =250 мкА; V _{OS} <±0.75 мВ	SOT23-5	OUT•V-•+IN•-IN•V+
ACN	AD8565AKSZ	AD	OA	f _{DD} =5 МГц; P _D =12 мВт; V _{DD} =4.5...16 В	SOT353, SC88A	OUT•V+•+IN•-IN•V-
AOP	AD8531ARTZ	AD	OA	f _{DD} =3 МГц; P _D =6 мВт; V _{DD} =2.7...6 В	SOT23-5	OUT•A•V-•+IN•-IN•A•V+
A0Q	AD8531AKSZ	AD	OA	f _{DD} =3 МГц; P _D =6 мВт; V _{DD} =2.7...6 В	SOT353, SC88A	OUT•A•V-•+IN•-IN•A•V+
A1	1SS308	TOSH	di x4	V _S <80 В; I _C <300 мА; V _{CE} (I _F =100 мА)<1.2 В; I _S <0.5 мА; IRR<4 нс	SOT23-5	K1•A•K2•K3•K4
A1	FMA1A	ROHM	Dnpnp x2	V _{CE} =50 В; I _{OUT} =100 мА; P _D =300 мВт; h _{FE1} >56; 22 кОм/22 кОм	SOT23-5	C1•C2•B2•E1, E2•B1
A1	UMA1N	ROHM	Dnpnp x2	V _{CE} =50 В; I _{OUT} =100 мА; P _D =150 мВт; h _{FE1} >56; 22 кОм/22 кОм	SOT353, SC88A	B1•E1, E2•B2•C2•C1
A10	FMA10A	ROHM	Dnpnp x2	V _{CE} =50 В; I _{OUT} =100 мА; P _D =300 мВт; h _{FE1} >56; R2/R1=10	SOT23-5	C1•C2•B2•E1, E2•B1
A10	FMA5A	ROHM	Dnpnp x2	V _{CE} =50 В; I _{OUT} =100 мА; P _D =300 мВт; h _{FE1} >56; 10 кОм/10 кОм	SOT23-5	C1•C2•B2•E1, E2•B1



SOT23-5 **TSOT23-5**
SC88A



SOT553

Код	Типономинал	Б	Ф	Особенности	Корпус	Ц: 1•2•3•4•5
A10	UMA10N	ROHM	Dnpnp x2	$V_{CE} = 50B$; $I_{OUT} = 100mA$; $P_D = 150mBt$; $h_{21} > 56$; $R_2/R_1 = 10$	SOT353, SC88A	B1•E1, E2•B2•C2•C1
A10	UMA9N	ROHM	Dnpnp x2	$V_{CE} = 50B$; $I_{OUT} = 100mA$; $P_D = 150mBt$; $h_{21} > 56$; $10k\Omega / 10k\Omega$	SOT353, SC88A	B1•E1, E2•B2•C2•C1
A11	EMA11	ROHM	Dnpnp x2	$V_{CE} = 50B$; $I_{OUT} = 100mA$; $P_D = 150mBt$; $h_{21} > 56$; $4.7k\Omega / 47k\Omega$	SOT553, EMT5	B1•E1, E2•B2•C2•C1
A11	FMA11A	ROHM	Dnpnp x2	$V_{CE} = 50B$; $I_{OUT} = 100mA$; $P_D = 300mBt$; $h_{21} > 56$; $4.7k\Omega / 47k\Omega$	SOT23-5	C1•C2•B2•E1, E2•B1
A11	UMA11N	ROHM	Dnpnp x2	$V_{CE} = 50B$; $I_{OUT} = 100mA$; $P_D = 150mBt$; $h_{21} > 56$; $4.7k\Omega / 47k\Omega$	SOT353, SC88A	B1•E1, E2•B2•C2•C1
A2	1SS309	TOSH	di x4	$V_R < 80B$; $I_R < 300mA$; $V_F (I_R = 100mA) < 1.2B$; $I_R < 0.5mA$; $t_{RR} < 4нс$	SOT23-5	A1•K•A2•A3•A4
A2	EMA2	ROHM	Dnpnp x2	$V_{CE} = 50B$; $I_{OUT} = 100mA$; $P_D = 150mBt$; $h_{21} > 68$; $47k\Omega / 47k\Omega$	SOT553, EMT5	B1•E1, E2•B2•C2•C1
A2	FMA2A	ROHM	Dnpnp x2	$V_{CE} = 50B$; $I_{OUT} = 100mA$; $P_D = 300mBt$; $h_{21} > 68$; $47k\Omega / 47k\Omega$	SOT23-5	C1•C2•B2•E1, E2•B1
A2	UMA2N	ROHM	Dnpnp x2	$V_{CE} = 50B$; $I_{OUT} = 100mA$; $P_D = 150mBt$; $h_{21} > 68$; $47k\Omega / 47k\Omega$	SOT353, SC88A	B1•E1, E2•B2•C2•C1
A2G	OP179GRT	AD	OA	$R-R$; $V_{DD} = 5...12B$; $f_{DD} = 5MГц$; $I_S = 3.5mA$; $V_{OS} < \pm 5mB$	SOT23-5	OUT•V+•+IN•-IN•V+
A3	EMA3	ROHM	Dnpnp x2	$V_{CE} = 50B$; $I_{OUT} = 100mA$; $P_D = 150mBt$; $h_{21} > 68$; $R_1 4.7k\Omega$	SOT553, EMT5	B1•E1, E2•B2•C2•C1
A3	FMA3A	ROHM	Dnpnp x2	$V_{CE} = 50B$; $I_{OUT} = 100mA$; $P_D = 300mBt$; $h_{21} > 68$; $R_1 4.7k\Omega$	SOT23-5	C1•C2•B2•E1, E2•B1
A3	UMA3N	ROHM	Dnpnp x2	$V_{CE} = 50B$; $I_{OUT} = 100mA$; $P_D = 150mBt$; $h_{21} > 68$; $R_1 4.7k\Omega$	SOT353, SC88A	B1•E1, E2•B2•C2•C1
A36	OPA336NA	TI	OA	$R-R$; $V_{DD} = 2.3...5.5B$; $I_S = 42mA$; $V_{OS} < \pm 125mB$	SOT23-5	OUT•V+•+IN•-IN•V+
A38	OPA338N	TI	OA	$R-R$; $V_{DD} = 2.5...5.5B$; $f_{DD} = 12.5MГц$; $I_S = 2mA$; $V_{OS} < \pm 3.5mB$	SOT23-5	OUT•V+•+IN•-IN•V+
A3A	AD8519ART	AD	OA	$f_{DD} = 8MГц$; $P_D = 12mBt$; $V_{DD} = 2.7...12B$	SOT23-5	OUT A•V+•+IN A•-IN A•V+
A3B	AD8519AKS	AD	OA	$f_{DD} = 8MГц$; $P_D = 12mBt$; $V_{DD} = 2.7...12B$	SOT353, SC88A	OUT A•V+•+IN A•-IN A•V+
A4	EMA4	ROHM	Dnpnp x2	$V_{CE} = 50B$; $I_{OUT} = 100mA$; $P_D = 150mBt$; $h_{21} > 68$; $R_1 10k\Omega$	SOT553, EMT5	B1•E1, E2•B2•C2•C1
A4	FMA4A	ROHM	Dnpnp x2	$V_{CE} = 50B$; $I_{OUT} = 100mA$; $P_D = 300mBt$; $h_{21} > 68$; $R_1 10k\Omega$	SOT23-5	C1•C2•B2•E1, E2•B1
A4	UMA4N	ROHM	Dnpnp x2	$V_{CE} = 50B$; $I_{OUT} = 100mA$; $P_D = 150mBt$; $h_{21} > 68$; $R_1 10k\Omega$	SOT353, SC88A	B1•E1, E2•B2•C2•C1
A40	OPA340NA	TI	OA	$R-R$; $V_{DD} = 2.7...5.5B$; $f_{DD} = 5.5MГц$; $I_S = 1.1mA$; $V_{OS} < \pm 0.5mB$	SOT23-5	OUT•V+•+IN•-IN•V+
A41	OPA341I	TI	OA	$R-R$; $V_{DD} = 1.8...5.5B$; $f_{DD} = 7MГц$; $I_S = 1.4mA$; $V_{OS} < 0.9mB$	SOT23-5	OUT•V+•+IN•-IN•V+
A44	OPA244NA	TI	OA	$V_{DD} = 2.2...3.6 \pm 1.1...18B$; $I_S = 70mA$; $V_{OS} < \pm 2mB$	SOT23-5	OUT•V+•+IN•-IN•V+
A47	OPA347NA	TI	OA	$R-R$; $V_{DD} = 2.3...5.5B$; $f_{DD} = 350MГц$; $I_S = 43mA$; $V_{OS} < 7mB$	SOT23-5	OUT•V+•+IN•-IN•V+
A48	OPA348AI	TI	OA	$R-R$; $V_{DD} = 2.1...5.5B$; $f_{DD} = 1MГц$; $I_S = 75mA$; $V_{OS} < 5mB$	SOT23-5	OUT•V+•+IN•-IN•V+
A4A	AD8541ART	AD	OA	$f_{DD} = 1MГц$; $P_D = 0.3mBt$; $V_{DD} = 2.7...5.5B$	SOT23-5	OUT A•V+•+IN A•-IN A•V+
A4B	AD8541AKS	AD	OA	$f_{DD} = 1MГц$; $P_D = 0.3mBt$; $V_{DD} = 2.7...5.5B$	SOT353, SC88A	OUT A•V+•+IN A•-IN A•V+
A5	EMA5	ROHM	Dnpnp x2	$V_{CE} = 50B$; $I_{OUT} = 100mA$; $P_D = 150mBt$; $h_{21} > 68$; $R_2/R_1 = 21$	SOT553, EMT5	B1•E1, E2•B2•C2•C1
A5	FMA5A	ROHM	Dnpnp x2	$V_{CE} = 50B$; $I_{OUT} = 100mA$; $P_D = 300mBt$; $h_{21} > 68$; $R_2/R_1 = 21$	SOT23-5	C1•C2•B2•E1, E2•B1
A5	UMA5N	ROHM	Dnpnp x2	$V_{CE} = 50B$; $I_{OUT} = 100mA$; $P_D = 150mBt$; $h_{21} > 68$; $R_2/R_1 = 21$	SOT353, SC88A	B1•E1, E2•B2•C2•C1
A6	FMA6A	ROHM	Dnpnp x2	$V_{CE} = 50B$; $I_{OUT} = 100mA$; $P_D = 300mBt$; $h_{21} > 68$; $R_1 47k\Omega$	SOT23-5	C1•C2•B2•E1, E2•B1

SOT553

SOT353
SC88ASOT23-5
TSOT23-5

Код	Типономинал	Б	Ф	Особенности	Корпус	Ц: 1+2+3+4+5
A6	UMA6N	ROHM	Dnpn x2	$V_{CC}=50B$; $I_{OUT}=100mA$; $P_D=150mB$; $h_{21}>68$; $R_1/4\Omega M$	SOT353, SC88A	B1•E1, E2•B2•C2•C1
A6A	AD8614ART	AD	OA	$f_{30}=5.5MГц$; $P_D=20mB$; $V_{DD}=5...18B$	SOT23-5	OUT A•V-•HN•-IN•V+
A7	EMA7	ROHM	Dnpn x2	$V_{CC}=50B$; $I_{OUT}=100mA$; $P_D=150mB$; $h_{21}>68$; $R_2/R_1=2.1$	SOT553, BM75	B1•E1, E2•B2•C2•C1
A7	FMA7A	ROHM	Dnpn x2	$V_{CC}=50B$; $I_{OUT}=100mA$; $P_D=300mB$; $h_{21}>68$; $R_2/R_1=2.1$	SOT23-5	C1•C2•B2•E1, E2•B1
A7	UMA7N	ROHM	Dnpn x2	$V_{CC}=50B$; $I_{OUT}=100mA$; $P_D=150mB$; $h_{21}>68$; $R_2/R_1=2.1$	SOT353, SC88A	B1•E1, E2•B2•C2•C1
A7A	AD8531ART	AD	OA	$f_{30}=3MГц$; $P_D=6mB$; $V_{DD}=2.7...6B$	SOT23-5	OUT A•V-•HN A•-IN A•V+
A7B	AD8531AKS	AD	OA	$f_{30}=3MГц$; $P_D=6mB$; $V_{DD}=2.7...6B$	SOT353, SC88A	OUT A•V-•HN A•-IN A•V+
A8	EMA8	ROHM	Dnpn x2	$V_{CC}=50B$; $I_{OUT}=100mA$; $P_D=150mB$; $h_{21}>68$; $R_2/R_1=4.7$	SOT553, BM75	B1•E1, E2•B2•C2•C1
A8	FMA8A	ROHM	Dnpn x2	$V_{CC}=50B$; $I_{OUT}=100mA$; $P_D=300mB$; $h_{21}>68$; $R_2/R_1=4.7$	SOT23-5	C1•C2•B2•E1, E2•B1
A8	UMA8N	ROHM	Dnpn x2	$V_{CC}=50B$; $I_{OUT}=100mA$; $P_D=150mB$; $h_{21}>68$; $R_2/R_1=4.7$	SOT353, SC88A	B1•E1, E2•B2•C2•C1
AAA	AD8601ART	AD	OA	$f_{30}=8MГц$; $P_D=6mB$; $V_{DD}=2.7...5.5B$	SOT23-5	OUT A•V-•HN A•-IN A•V+
AAA	MAX4450EXX	MAX	OA	R-R; $V_{DD}=4.5...11/12$; $25...55B$; $f_{30}=210MГц$; $V_{DS}<25mB$	SOT353, SC88A	OUT•VEE•IN•-IN•VCC
AAAA	MAX4501UK	MAX	asw	SPST; $R_{ON}<350\Omega$; $V_{DD}=2...12B$	SOT23-5	COM•NO•GND•IN•V+
AAAB	MAX4502UK	MAX	asw	SPST; $R_{ON}<350\Omega$; $V_{DD}=2...12B$	SOT23-5	COM•NC•GND•IN•V+
AAAG	MAX4516CUK	MAX	asw	SPST; $R_{ON}<25\Omega$; $V_{DD}=2...16B$	SOT23-5	COM•NO•V•IN•V+
AAAH	MAX4517CUK	MAX	asw	SPST; $R_{ON}<25\Omega$; $V_{DD}=2...16B$	SOT23-5	COM•NC•V•IN•V+
AAB	MAX4490AXX	MAX	OA	R-R; $V_{DD}=2.7...5.5/1.35...2.75B$; $f_{30}=10MГц$; $V_{DS}<16mB$	SOT353, SC88A	IN+•VSS•IN-•OUT•VDD
AABK	MAX2631EUK	MAX	amp	$V_{CC}=2.7...5.5B$; $f_p<900MГц$; $I_{CC}=6.6mA$	SOT23-5	SHDN•GND•OUT•VCC•IN
AABL	MAX2632EUK	MAX	amp	$V_{CC}=2.7...5.5B$; $f_p<900MГц$; $I_{CC}=6.6mA$	SOT23-5	BIAS•GND•OUT•VCC•IN
AABZ	MAX200EUK	MAX	buf	$V_{DD}=15B$; $f_{30}=780MГц$; $G_{m0}=0.96$; $V_{DS}<15mB$	SOT23-5	n.c. VEE•IN•VCC•OUT
AAC	MAX9075EXX	MAX	cmp	R-R; $V_{DS}<16mB$; $V_{CC}=2.1...5.5B$; $I_{CC}<6.6mA$	SOT353, SC88A	OUT•GND•IN+•IN-•VCC
AAD	AD8601DRT	AD	OA	$f_{30}=8MГц$; $P_D=6mB$; $V_{DD}=2.7...5.5B$	SOT23-5	OUT A•V-•HN A•-IN•V+
AAD	MAX4291EXX	MAX	OA	R-R; $V_{DD}=1.8...5.5/0.9...2.75B$; $f_{30}=500MГц$; $V_{DS}<2.5mB$	SOT353, SC88A	IN+•VEE•IN-•OUT•VCC
AAE	MAX4501EXX	MAX	asw	SPST; $R_{ON}<350\Omega$; $V_{DD}=2...12B$	SOT353, SC88A	COM•NO•GND•IN•V+
AAF	MAX4502EXX	MAX	asw	SPST; $R_{ON}<350\Omega$; $V_{DD}=2...12B$	SOT353, SC88A	COM•NC•GND•IN•V+
AAFx	SA56606-20	PHIL	mrc	$V_{DS}=2.0B$; $V_{DD}=1...12B$; $I_{OUT}<50mA$; x=коды	SOT23-5	VOUT•VDD•VSS•n.c. n.c.
AAG	MAX4400AXX	MAX	OA	R-R; $V_{DD}=2.5...5.5B$; $f_{30}=800MГц$; $V_{DS}<5.5mB$	SOT353, SC88A	IN+•VSS•IN-•OUT•VDD
AAGx	SA56606-27	PHIL	mrc	$V_{DS}=2.7B$; $V_{DD}=1...12B$; $I_{OUT}<50mA$; x=коды	SOT23-5	VOUT•VDD•VSS•n.c. n.c.
AAH	MAX4594EXX	MAX	asw	SPST; $R_{ON}<12\Omega$; $V_{DD}=2.0...5.5B$	SOT353, SC88A	COM•NO•GND•IN•V+
AAHx	SA56606-28	PHIL	mrc	$V_{DS}=2.8B$; $V_{DD}=1...12B$; $I_{OUT}<50mA$; x=коды	SOT23-5	VOUT•VDD•VSS•n.c. n.c.
AAI	MAX4595EXX	MAX	asw	SPST; $R_{ON}<12\Omega$; $V_{DD}=2.0...5.5B$	SOT353, SC88A	COM•NC•GND•IN•V+
AAJ	MAX4596EXX	MAX	asw	SPST; $R_{ON}<12\Omega$; $V_{DD}=2.0...5.5B$	SOT353, SC88A	IN•COM•GND•NO•V+
AAJx	SA56606-29	PHIL	mrc	$V_{DS}=2.9B$; $V_{DD}=1...12B$; $I_{OUT}<50mA$; x=коды	SOT23-5	VOUT•VDD•VSS•n.c. n.c.
AAK	MAX4597EXX	MAX	asw	SPST; $R_{ON}<12\Omega$; $V_{DD}=2.0...5.5B$	SOT353, SC88A	IN•COM•GND•NC•V+
AAKx	SA56606-30	PHIL	mrc	$V_{DS}=3.0B$; $V_{DD}=1...12B$; $I_{OUT}<50mA$; x=коды	SOT23-5	VOUT•VDD•VSS•n.c. n.c.
AAIx	SA56606-31	PHIL	mrc	$V_{DS}=3.1B$; $V_{DD}=1...12B$; $I_{OUT}<50mA$; x=коды	SOT23-5	VOUT•VDD•VSS•n.c. n.c.



SOT23-5 **SOT353**
TSOT23-5 **SC88A**



SOT553

Код	Типономинал	Б	Ф	Особенности	Корпус	Ц: 1•2•3•4•5
AAMx	SA56806-42	PHIL	mrc	$V_{TR}=4.2\text{ В}$, $V_{DD}=1...12\text{ В}$, $I_{OUT}<50\text{ мА}$, х — КОД, даты	SOT23-5	VOUТ • VDD • VSS • n. c. • n. c.
AANx	SA56806-43	PHIL	mrc	$V_{TR}=4.3\text{ В}$, $V_{DD}=1...12\text{ В}$, $I_{OUT}<50\text{ мА}$, х — КОД, даты	SOT23-5	VOUТ • VDD • VSS • n. c. • n. c.
AAPx	SA56806-44	PHIL	mrc	$V_{TR}=4.4\text{ В}$, $V_{DD}=1...12\text{ В}$, $I_{OUT}<50\text{ мА}$, х — КОД, даты	SOT23-5	VOUТ • VDD • VSS • n. c. • n. c.
AARx	SA56806-45	PHIL	mrc	$V_{TR}=4.5\text{ В}$, $V_{DD}=1...12\text{ В}$, $I_{OUT}<50\text{ мА}$, х — КОД, даты	SOT23-5	VOUТ • VDD • VSS • n. c. • n. c.
AASx	SA56806-46	PHIL	mrc	$V_{TR}=4.6\text{ В}$, $V_{DD}=1...12\text{ В}$, $I_{OUT}<50\text{ мА}$, х — КОД, даты	SOT23-5	VOUТ • VDD • VSS • n. c. • n. c.
AATx	SA56806-47	PHIL	mrc	$V_{TR}=4.7\text{ В}$, $V_{DD}=1...12\text{ В}$, $I_{OUT}<50\text{ мА}$, х — КОД, даты	SOT23-5	VOUТ • VDD • VSS • n. c. • n. c.
ABAA	MAX4201EUK	MAX	buf	$V_{DD}=+5\text{ В}$, $f_{BD}=780\text{ МГц}$, Gain=0.5, $R_I=50\text{ Ом}$, $V_{OS}<15\text{ мВ}$	SOT23-5	n. c. • VEE • IN+ • VCC • OUT
ABAB	MAX4202EUK	MAX	buf	$V_{DD}=+5\text{ В}$, $f_{BD}=780\text{ МГц}$, Gain=0.5, $R_I=75\text{ Ом}$, $V_{OS}<15\text{ мВ}$	SOT23-5	n. c. • VEE • IN+ • VCC • OUT
ABAF	MAX4212EUK	MAX	OA	R_I -R, $V_{DD}=3...10/\pm 1.65...+5\text{ В}$, $f_{BD}=300\text{ МГц}$, $V_{OS}<12\text{ мВ}$	SOT23-5	OUT • VEE • IN+ • IN- • VCC
ABAH	MAX4214EUK	MAX	buf	R_I -R, $V_{DD}=3...15...11/\pm 1.575...+5\text{ В}$, $f_{BD}=230\text{ МГц}$, Gain=2, $V_{OS}<15\text{ мВ}$	SOT23-5	OUT • VEE • IN+ • IN- • VCC
ABAJ	MAX4330EUK	MAX	OA	R_I -R, $V_{DD}=2...3...6.5/\pm 1.15...+3.25\text{ В}$, $f_{BD}=3\text{ МГц}$, $V_{OS}<1.5\text{ мВ}$	SOT23-5	OUT • VEE • IN+ • IN- • VCC
ABAK	MAX6305UK00D1	MAX	mrc	$V_{TR}=2.5...5\text{ В}$, $V_{DD}=1...5.5\text{ В}$, $I_{CC}<16\text{ мкА}$	SOT23-5	RES • GND • RST IN1 • RST IN2 • VCC
ABAL	MAX6305UK00D2	MAX	mrc	$V_{TR}=2.5...5\text{ В}$, $V_{DD}=1...5.5\text{ В}$, $I_{CC}<16\text{ мкА}$	SOT23-5	RES • GND • RST IN1 • RST IN2 • VCC
ABAM	MAX6305UK00D3	MAX	mrc	$V_{TR}=2.5...5\text{ В}$, $V_{DD}=1...5.5\text{ В}$, $I_{CC}<16\text{ мкА}$	SOT23-5	RES • GND • RST IN1 • RST IN2 • VCC
ABBB	MAX6306UK47D2	MAX	mrc	$V_{TR}=2.5...5\text{ В}$, $V_{DD}=1...5.5\text{ В}$, $I_{CC}<16\text{ мкА}$	SOT23-5	RES • GND • MR • RST IN • VCC
ABBG	MAX6306UK46D3	MAX	mrc	$V_{TR}=2.5...5\text{ В}$, $V_{DD}=1...5.5\text{ В}$, $I_{CC}<16\text{ мкА}$	SOT23-5	RES • GND • MR • RST IN • VCC
ABBO	MAX6306UK44D3	MAX	mrc	$V_{TR}=2.5...5\text{ В}$, $V_{DD}=1...5.5\text{ В}$, $I_{CC}<16\text{ мкА}$	SOT23-5	RES • GND • MR • RST IN • VCC
ABDC	MAX6306UK31D3	MAX	mrc	$V_{TR}=2.5...5\text{ В}$, $V_{DD}=1...5.5\text{ В}$, $I_{CC}<16\text{ мкА}$	SOT23-5	RES • GND • MR • RST IN • VCC
ABDP	MAX6306UK31D4	MAX	mrc	$V_{TR}=2.5...5\text{ В}$, $V_{DD}=1...5.5\text{ В}$, $I_{CC}<16\text{ мкА}$	SOT23-5	RES • GND • MR • RST IN • VCC
ABDQ	MAX6306UK30D1	MAX	mrc	$V_{TR}=2.5...5\text{ В}$, $V_{DD}=1...5.5\text{ В}$, $I_{CC}<16\text{ мкА}$	SOT23-5	RES • GND • MR • RST IN • VCC
ABDS	MAX6306UK30D3	MAX	mrc	$V_{TR}=2.5...5\text{ В}$, $V_{DD}=1...5.5\text{ В}$, $I_{CC}<16\text{ мкА}$	SOT23-5	RES • GND • MR • RST IN • VCC
ABDW	MAX6306UK29D3	MAX	mrc	$V_{TR}=2.5...5\text{ В}$, $V_{DD}=1...5.5\text{ В}$, $I_{CC}<16\text{ мкА}$	SOT23-5	RES • GND • MR • RST IN • VCC
ABEA	MAX6306UK28D3	MAX	mrc	$V_{TR}=2.5...5\text{ В}$, $V_{DD}=1...5.5\text{ В}$, $I_{CC}<16\text{ мкА}$	SOT23-5	RES • GND • MR • RST IN • VCC
ABEK	MAX6306UK25D1	MAX	mrc	$V_{TR}=2.5...5\text{ В}$, $V_{DD}=1...5.5\text{ В}$, $I_{CC}<16\text{ мкА}$	SOT23-5	RES • GND • MR • RST IN • VCC
ABEM	MAX6306UK25D3	MAX	mrc	$V_{TR}=2.5...5\text{ В}$, $V_{DD}=1...5.5\text{ В}$, $I_{CC}<16\text{ мкА}$	SOT23-5	RES • GND • MR • RST IN • VCC
ABFG	MAX6307UK46D3	MAX	mrc	$V_{TR}=2.5...5\text{ В}$, $V_{DD}=1...5.5\text{ В}$, $I_{CC}<16\text{ мкА}$	SOT23-5	RES • GND • RST IN • OVSRST IN • VCC
ABFJ	MAX6307UK45D2	MAX	mrc	$V_{TR}=2.5...5\text{ В}$, $V_{DD}=1...5.5\text{ В}$, $I_{CC}<16\text{ мкА}$	SOT23-5	RES • GND • RST IN • OVSRST IN • VCC
ABFO	MAX6307UK44D3	MAX	mrc	$V_{TR}=2.5...5\text{ В}$, $V_{DD}=1...5.5\text{ В}$, $I_{CC}<16\text{ мкА}$	SOT23-5	RES • GND • RST IN • OVSRST IN • VCC
ABG	MAX9031AXK	MAX	cmp	R_I -R, $V_{OS}<\pm 5\text{ мВ}$, $V_{DD}=2.5...5.5\text{ В}$, $I_{DD}<55\text{ мкА}$	SOT353, SC88A	IN+ • VSS • IN- • OUT • VDD
ABGY	MAX9037UK35D3	MAX	mrc	$V_{TR}=2.5...5\text{ В}$, $V_{DD}=1...5.5\text{ В}$, $I_{CC}<16\text{ мкА}$	SOT23-5	RES • GND • RST IN • OVSRST IN • VCC
ABH	MAX4412EXK	MAX	OA	R_I -R, $V_{DD}=2.7...5.5\text{ В}$, $f_{BD}=500\text{ МГц}$, $V_{OS}<9\text{ мВ}$	SOT353, SC88A	OUT • VEE • IN+ • IN- • VCC
ABI	MAX4452EXK	MAX	OA	R_I -R, $V_{DD}=2.7...5.25\text{ В}$, $f_{BD}=200\text{ МГц}$, $V_{OS}<12\text{ мВ}$	SOT353, SC88A	OUT • VEE • IN+ • IN- • VCC
ABIC	MAX6308UK00D1	MAX	mrc	$V_{TR}=2.5...5\text{ В}$, $V_{DD}=1...5.5\text{ В}$, $I_{CC}<16\text{ мкА}$	SOT23-5	RES • GND • RST IN1 • RST IN2 • VCC
ABIQ	MAX6308UK00D3	MAX	mrc	$V_{TR}=2.5...5\text{ В}$, $V_{DD}=1...5.5\text{ В}$, $I_{CC}<16\text{ мкА}$	SOT23-5	RES • GND • RST IN1 • RST IN2 • VCC

SOT553

SOT353
SC88ASOT23-5
TSOT23-5

Код	Типономинал	Б	Ф	Особенности	Корпус	Ц: 1+2+3+4+5
ABJ	MAX4352EXX	MAX	OA	R-R; $V_{DS} = 2.7...5.25$ В; $f_{BD} = 80$ МГц; $V_{DS} < 12$ мВ	SOT353, SC88A	OUT • VEE • IN+ • IN- • VCC
ABJK	MAX6309UK46D3	MAX	mrc	$V_{TR} = 2.5...5$ В; $V_{DD} = 1...5.5$ В; $I_{CC} < 16$ мкА	SOT23-5	RES • GND • MR • RST IN • VCC
ABJL	MAX6309UK46D4	MAX	mrc	$V_{TR} = 2.5...5$ В; $V_{DD} = 1...5.5$ В; $I_{CC} < 16$ мкА	SOT23-5	RES • GND • MR • RST IN • VCC
ABJS	MAX6309UK44D3	MAX	mrc	$V_{TR} = 2.5...5$ В; $V_{DD} = 1...5.5$ В; $I_{CC} < 16$ мкА	SOT23-5	RES • GND • MR • RST IN • VCC
ABK	MAX985EXX	MAX	cmp	R-R; $V_{DS} < 17$ мВ; $V_{CC} = 2.5...5.5$ В; $I_{CC} < 24$ мкА	SOT353, SC88A	OUT • VCC • IN+ • IN- • VEE
ABKA	MAX6309UK42D3	MAX	mrc	$V_{TR} = 2.5...5$ В; $V_{DD} = 1...5.5$ В; $I_{CC} < 16$ мкА	SOT23-5	RES • GND • MR • RST IN • VCC
ABL	MAX986EXX	MAX	cmp	R-R; $V_{DS} < 17$ мВ; $V_{CC} = 2.5...5.5$ В; $I_{CC} < 24$ мкА	SOT353, SC88A	OUT • VCC • IN+ • IN- • VEE
ABLM	MAX6309UK32D1	MAX	mrc	$V_{TR} = 2.5...5$ В; $V_{DD} = 1...5.5$ В; $I_{CC} < 16$ мкА	SOT23-5	RES • GND • MR • RST IN • VCC
ABLS	MAX6309UK31D3	MAX	mrc	$V_{TR} = 2.5...5$ В; $V_{DD} = 1...5.5$ В; $I_{CC} < 16$ мкА	SOT23-5	RES • GND • MR • RST IN • VCC
ABM	MAX987EXX	MAX	cmp	R-R; $V_{DS} < 17$ мВ; $V_{CC} = 2.5...5.5$ В; $I_{CC} < 96$ мкА	SOT353, SC88A	OUT • VCC • IN+ • IN- • VEE
ABMA	MAX6309UK29D3	MAX	mrc	$V_{TR} = 2.5...5$ В; $V_{DD} = 1...5.5$ В; $I_{CC} < 16$ мкА	SOT23-5	RES • GND • MR • RST IN • VCC
ABN	MAX988EXX	MAX	cmp	R-R; $V_{DS} < 17$ мВ; $V_{CC} = 2.5...5.5$ В; $I_{CC} < 96$ мкА	SOT353, SC88A	OUT • VCC • IN+ • IN- • VEE
ABNK	MAX6310UK46D3	MAX	mrc	$V_{TR} = 2.5...5$ В; $V_{DD} = 1...5.5$ В; $I_{CC} < 16$ мкА	SOT23-5	RES • GND • RST IN • OVRST IN • VCC
ABO	MAX6805MXK	MAX	als	$T_{AMB} = -55...125^{\circ}\text{C}$; $V_{CC} = 2.7...5.5$ В; $I_{CC} < 10$ мА	SOT353, SC88A	VCC • A • OUT • B • GND
ABOH	MAX6310UK40D2	MAX	mrc	$V_{TR} = 2.5...5$ В; $V_{DD} = 1...5.5$ В; $I_{CC} < 16$ мкА	SOT23-5	RES • GND • RST IN • OVRST IN • VCC
ABP	MAX9021AXK	MAX	cmp	R-R; $V_{DS} < 18$ мВ; $V_{DD} = 2.5...5.5$ В; $I_{DD} < 5$ мкА	SOT353, SC88A	IN+ • VSS • IN- • OUT • VDD
ABQ	MAX4484AXK	MAX	OA	R-R; $V_{DD} = 2.7...5.5$ В; $f_{BD} = 7$ МГц; $V_{DS} < 9$ мВ	SOT353, SC88A	IN+ • VSS • IN- • OUT • VDD
ABQU	MAX6311UK00D3	MAX	mrc	$V_{TR} = 2.5...5$ В; $V_{DD} = 1...5.5$ В; $I_{CC} < 16$ мкА	SOT23-5	RES • GND • RST IN1 • RST IN2 • VCC
ABR	MAX4493AXK	MAX	OA	R-R; $V_{DD} = 2.25...5.5$ В; $f_{BD} = 5$ МГц; $V_{DS} < 10$ мВ	SOT353, SC88A	IN+ • VEE • IN- • OUT • VCC
ABRO	MAX6312UK46D3	MAX	mrc	$V_{TR} = 2.5...5$ В; $V_{DD} = 1...5.5$ В; $I_{CC} < 16$ мкА	SOT23-5	RES • GND • MR • RST IN • VCC
ABRP	MAX6312UK46D4	MAX	mrc	$V_{TR} = 2.5...5$ В; $V_{DD} = 1...5.5$ В; $I_{CC} < 16$ мкА	SOT23-5	RES • GND • MR • RST IN • VCC
ABFW	MAX6312UK44D3	MAX	mrc	$V_{TR} = 2.5...5$ В; $V_{DD} = 1...5.5$ В; $I_{CC} < 16$ мкА	SOT23-5	RES • GND • MR • RST IN • VCC
ABS	MAX4470EXX	MAX	OA	R-R; $V_{DS} = 1.8...5.5$ В; $f_{BD} = 9$ МГц; $I_{CC} < 1.2$ мкА; $V_{DS} < 7$ мВ	SOT353, SC88A	IN+ • VSS • IN- • OUT • VDD
ABSA	MAX6312UK43D3	MAX	mrc	$V_{TR} = 2.5...5$ В; $V_{DD} = 1...5.5$ В; $I_{CC} < 16$ мкА	SOT23-5	RES • GND • MR • RST IN • VCC
ABT	MAX4464EXX	MAX	OA	R-R; $V_{DS} = 1.8...5.5$ В; $f_{BD} = 40$ МГц; $I_{CC} < 1.2$ мкА; $V_{DS} < 7$ мВ	SOT353, SC88A	IN+ • VSS • IN- • OUT • VDD
ABU	MAX4480AXK	MAX	OA	R-R; $V_{DS} = 2.5...5.5$ В; $I_{CC} < 100$ мкА; $V_{DS} < 5.5$ мВ	SOT353, SC88A	IN+ • VSS • IN- • OUT • VDD
ABUE	MAX6312UK29D3	MAX	mrc	$V_{TR} = 2.5...5$ В; $V_{DD} = 1...5.5$ В; $I_{CC} < 16$ мкА	SOT23-5	RES • GND • MR • RST IN • VCC
ABV	MAX3370EXX	MAX	levtrans	RS-232; $V_{CC} = 2.5...5.5$ В; $f_{DR} = 2$ МГц; $I_{CC} < 100$ мкА	SOT353, SC88A	VI • GND • I/OV • I/OV • VCC • VCC
ABVO	MAX6313UK46D3	MAX	mrc	$V_{TR} = 2.5...5$ В; $V_{DD} = 1...5.5$ В; $I_{CC} < 16$ мкА	SOT23-5	RES • GND • RST IN • OVRST IN • VCC
ABW	MAX9117EXX	MAX	cmp+ref	$V_{DS} < 10$ мВ; $V_{CC} = 1.8...5.5$ В; $V_{REF} = 1.252$ В; $I_{CC} < 1.6$ мкА	SOT353, SC88A	OUT • VEE • IN+ • REF • VCC
ABX	MAX9118EXX	MAX	cmp+ref	$V_{DS} < 10$ мВ; $V_{CC} = 1.8...5.5$ В; $V_{REF} = 1.252$ В; $I_{CC} < 1.6$ мкА	SOT353, SC88A	OUT • VEE • IN+ • REF • VCC
ABY	MAX9119EXX	MAX	cmp	$V_{DS} < 10$ мВ; $V_{CC} = 1.8...5.5$ В; $I_{CC} < 0.8$ мкА	SOT353, SC88A	OUT • VEE • IN+ • IN- • VCC
ABYW	MAX477EJX	MAX	OA	$V_{DD} = \pm 15$ В; $f_{BD} = 300$ МГц; $V_{DS} < 5$ мВ	SOT23-5	OUT • VEE • IN+ • IN- • VCC
ABYX	MAX4178EJX	MAX	buf	$V_{DD} = \pm 5$ В; $f_{BD} = 30$ МГц; $V_{DS} < 13$ мВ	SOT23-5	OUT • VEE • IN • GND • VCC
ABYY	MAX4278EJX	MAX	buf	$V_{DD} = \pm 5$ В; $f_{BD} = 30$ МГц; $V_{DS} < 3$ мВ	SOT23-5	OUT • VEE • IN • GND • VCC
ABYZ	MAX985EJX	MAX	cmp	R-R; $V_{DS} < 17$ мВ; $V_{CC} = 2.5...5.5$ В; $I_{CC} < 24$ мкА	SOT23-5	OUT • VCC • IN+ • IN- • VEE



SOT23-5
TSOT23-5



SOT353
SC88A



Код	Типономинал	Б	Ф	Особенности	Корпус	Ц: 1+2+3+4+5
ABZ	MAX9120EXK	MAX	cmp	$V_{DS} < 10 \text{ мВ}; V_{CC} = 1.8 \dots 5.5 \text{ В}; I_{CC} < 0.8 \text{ мА}$	SOT353, SC88A	OUT • VEE • IN+ • IN- • VCC
ABZA	MAX988BJK	MAX	cmp	R-R, $V_{DS} < \pm 7 \text{ мВ}; V_{CC} = 2.5 \dots 5.5 \text{ В}; I_{CC} < 24 \text{ мА}$	SOT23-5	OUT • VCC • IN+ • IN- • VEE
ABZB	MAX987BJK	MAX	cmp	R-R, $V_{DS} < \pm 7 \text{ мВ}; V_{CC} = 2.5 \dots 5.5 \text{ В}; I_{CC} < 96 \text{ мА}$	SOT23-5	OUT • VCC • IN+ • IN- • VEE
ABZC	MAX988BJK	MAX	cmp	R-R, $V_{DS} < \pm 7 \text{ мВ}; V_{CC} = 2.5 \dots 5.5 \text{ В}; I_{CC} < 96 \text{ мА}$	SOT23-5	OUT • VCC • IN+ • IN- • VEE
ABZD	MAX1615BJK	MAX	reg	$V_{IN} = 4 \dots 28 \text{ В}; V_{OUT} = 3.3/5 \text{ В}; I_{OUT} = 30 \text{ мА}$	SOT23-5	IN • GND • OUT • 5/3 (FB) • SHDN
ABZE	MAX1616BJK	MAX	reg	$V_{IN} = 4 \dots 28 \text{ В}; V_{OUT} = 1.24 \dots 28 \text{ В}; I_{OUT} = 30 \text{ мА}$	SOT23-5	IN • GND • OUT • 5/3 (FB) • SHDN
ABZF	MAX6501UKP035	MAX	tempsw	$V_{CC} = 2.7 \dots 5.5 \text{ В}; T_{TH} = +35^\circ \text{C}; I_{CC} < 85 \text{ мА}$	SOT23-5	GND • GND • HYST • VCC • TOVER
ABZG	MAX6502UKP035	MAX	tempsw	$V_{CC} = 2.7 \dots 5.5 \text{ В}; T_{TH} = +35^\circ \text{C}; I_{CC} < 85 \text{ мА}$	SOT23-5	GND • GND • HYST • VCC • TOVER
ABZH	MAX8873TUK	MAX	reg	LDO, $V_{IN} = 2.5 \dots 6.5 \text{ В}; V_{OUT} = 3.15 \text{ В}; I_{OUT} = 120 \text{ мА}$	SOT23-5	IN • GND • SHDN • SET • OUT
ABZI	MAX8873SUK	MAX	reg	LDO, $V_{IN} = 2.5 \dots 6.5 \text{ В}; V_{OUT} = 2.88 \text{ В}; I_{OUT} = 120 \text{ мА}$	SOT23-5	IN • GND • SHDN • SET • OUT
ABZJ	MAX8874TUK	MAX	reg	LDO, $V_{IN} = 2.5 \dots 6.5 \text{ В}; V_{OUT} = 3.15 \text{ В}; I_{OUT} = 120 \text{ мА}$	SOT23-5	IN • GND • SHDN • SET • OUT
ABZK	MAX8874SUK	MAX	reg	LDO, $V_{IN} = 2.5 \dots 6.5 \text{ В}; V_{OUT} = 2.88 \text{ В}; I_{OUT} = 120 \text{ мА}$	SOT23-5	IN • GND • SHDN • SET • OUT
ABZL	MAX8873RUK	MAX	reg	LDO, $V_{IN} = 2.5 \dots 6.5 \text{ В}; V_{OUT} = 2.8 \text{ В}; I_{OUT} = 120 \text{ мА}$	SOT23-5	IN • GND • SHDN • SET • OUT
ABZM	MAX8874RUK	MAX	reg	LDO, $V_{IN} = 2.5 \dots 6.5 \text{ В}; V_{OUT} = 2.8 \text{ В}; I_{OUT} = 120 \text{ мА}$	SOT23-5	IN • GND • SHDN • SET • OUT
ABZP	MAX4012BJK	MAX	OA	R-R, $V_{DD} = 3.3 \dots 10 \pm 1.65 \dots 5 \text{ В}; f_{DB} = 200 \text{ МГц}$	SOT23-5	OUT • VEE • IN+ • IN- • VCC
ABZQ	MAX4014BJK	MAX	OA	R-R, $V_{DD} = 3.15 \dots 11 \pm 1.575 \dots 5.5 \text{ В}; f_{DB} = 200 \text{ МГц}; V_{DS} < 20 \text{ мВ}$	SOT23-5	OUT • VEE • IN+ • IN- • VCC
ABZR	MAX6501UKP045	MAX	tempsw	$V_{CC} = 2.7 \dots 5.5 \text{ В}; T_{TH} = +45^\circ \text{C}; I_{CC} < 85 \text{ мА}$	SOT23-5	GND • GND • HYST • VCC • TOVER
ABZS	MAX6501UKP065	MAX	tempsw	$V_{CC} = 2.7 \dots 5.5 \text{ В}; T_{TH} = +65^\circ \text{C}; I_{CC} < 85 \text{ мА}$	SOT23-5	GND • GND • HYST • VCC • TOVER
ABZT	MAX6501UKP095	MAX	tempsw	$V_{CC} = 2.7 \dots 5.5 \text{ В}; T_{TH} = +95^\circ \text{C}; I_{CC} < 85 \text{ мА}$	SOT23-5	GND • GND • HYST • VCC • TOVER
ABZU	MAX6502UKP045	MAX	tempsw	$V_{CC} = 2.7 \dots 5.5 \text{ В}; T_{TH} = +45^\circ \text{C}; I_{CC} < 85 \text{ мА}$	SOT23-5	GND • GND • HYST • VCC • TOVER
ABZV	MAX6502UKP065	MAX	tempsw	$V_{CC} = 2.7 \dots 5.5 \text{ В}; T_{TH} = +65^\circ \text{C}; I_{CC} < 85 \text{ мА}$	SOT23-5	GND • GND • HYST • VCC • TOVER
ABZW	MAX6502UKP095	MAX	tempsw	$V_{CC} = 2.7 \dots 5.5 \text{ В}; T_{TH} = +95^\circ \text{C}; I_{CC} < 85 \text{ мА}$	SOT23-5	GND • GND • HYST • VCC • TOVER
ABZX	MAX6503UKP005	MAX	tempsw	$V_{CC} = 2.7 \dots 5.5 \text{ В}; T_{TH} = +5^\circ \text{C}; I_{CC} < 85 \text{ мА}$	SOT23-5	GND • GND • HYST • VCC • TUNDR
ABZY	MAX6504UKP005	MAX	tempsw	$V_{CC} = 2.7 \dots 5.5 \text{ В}; T_{TH} = +5^\circ \text{C}; I_{CC} < 85 \text{ мА}$	SOT23-5	GND • GND • HYST • VCC • TUNDR
ACA	MAX5460EXK	MAX	Dpot	32 позиции; $100 \text{ кОм}; V_{DD} = 2.7 \dots 5.5 \text{ В}$	SOT353, SC88A	VDD • GND • U/D • CS • H
ACAB	MAX999BJK	MAX	cmp	R-R, $V_{DS} < \pm 4.5 \text{ мВ}; V_{CC} = 2.7 \dots 5.5 \text{ В}; I_{CC} < 5 \text{ мА}$	SOT23-5	Q • GND • IN+ • IN- • VCC
ACAG	MAX6501UKP115	MAX	tempsw	$V_{CC} = 2.7 \dots 5.5 \text{ В}; T_{TH} = +115^\circ \text{C}; I_{CC} < 85 \text{ мА}$	SOT23-5	GND • GND • HYST • VCC • TOVER
ACAM	MAX6503UKP015	MAX	tempsw	$V_{CC} = 2.7 \dots 5.5 \text{ В}; T_{TH} = +15^\circ \text{C}; I_{CC} < 85 \text{ мА}$	SOT23-5	GND • GND • HYST • VCC • TUNDR
ACAN	MAX6503UKN005	MAX	tempsw	$V_{CC} = 2.7 \dots 5.5 \text{ В}; T_{TH} = -5^\circ \text{C}; I_{CC} < 85 \text{ мА}$	SOT23-5	GND • GND • HYST • VCC • TUNDR
ACAP	MAX6503UKN025	MAX	tempsw	$V_{CC} = 2.7 \dots 5.5 \text{ В}; T_{TH} = -25^\circ \text{C}; I_{CC} < 85 \text{ мА}$	SOT23-5	GND • GND • HYST • VCC • TUNDR
ACAQ	MAX6503UKN035	MAX	tempsw	$V_{CC} = 2.7 \dots 5.5 \text{ В}; T_{TH} = -35^\circ \text{C}; I_{CC} < 85 \text{ мА}$	SOT23-5	GND • GND • HYST • VCC • TUNDR
ACAT	MAX6504UKN005	MAX	tempsw	$V_{CC} = 2.7 \dots 5.5 \text{ В}; T_{TH} = -5^\circ \text{C}; I_{CC} < 85 \text{ мА}$	SOT23-5	GND • GND • HYST • VCC • TUNDR
ACAV	MAX6504UKN025	MAX	tempsw	$V_{CC} = 2.7 \dots 5.5 \text{ В}; T_{TH} = -25^\circ \text{C}; I_{CC} < 85 \text{ мА}$	SOT23-5	GND • GND • HYST • VCC • TUNDR
ACAW	MAX6504UKN035	MAX	tempsw	$V_{CC} = 2.7 \dots 5.5 \text{ В}; T_{TH} = -35^\circ \text{C}; I_{CC} < 85 \text{ мА}$	SOT23-5	GND • GND • HYST • VCC • TUNDR
ACAX	MAX6504UKN045	MAX	tempsw	$V_{CC} = 2.7 \dots 5.5 \text{ В}; T_{TH} = -45^\circ \text{C}; I_{CC} < 85 \text{ мА}$	SOT23-5	GND • GND • HYST • VCC • TUNDR
ACAY	MAX8867UK25	MAX	reg	LDO, $V_{IN} = 2.5 \dots 6.5 \text{ В}; V_{OUT} = 2.5 \text{ В}; I_{OUT} = 150 \text{ мА}$	SOT23-5	SHDN • GND • IN • OUT • BP
ACAZ	MAX8867UK28	MAX	reg	LDO, $V_{IN} = 2.5 \dots 6.5 \text{ В}; V_{OUT} = 2.8 \text{ В}; I_{OUT} = 150 \text{ мА}$	SOT23-5	SHDN • GND • IN • OUT • BP
ACB	MAX5463EXK	MAX	Dpot	32 позиции; $50 \text{ кОм}; V_{DD} = 2.7 \dots 5.5 \text{ В}$	SOT353, SC88A	VDD • GND • U/D • CS • H
ACBA	MAX8867UK29	MAX	reg	LDO, $V_{IN} = 2.5 \dots 6.5 \text{ В}; V_{OUT} = 2.84 \text{ В}; I_{OUT} = 150 \text{ мА}$	SOT23-5	SHDN • GND • IN • OUT • BP
ACBB	MAX8867UK30	MAX	reg	LDO, $V_{IN} = 2.5 \dots 6.5 \text{ В}; V_{OUT} = 3.0 \text{ В}; I_{OUT} = 150 \text{ мА}$	SOT23-5	SHDN • GND • IN • OUT • BP

SOT553

SOT353
SC88ASOT23-5
TSOT23-5

Код	Типономинал	Б	Ф	Особенности	Корпус	Ц: 1+2+3+4+5
ACBG	MAX8867UK32	MAX	reg	LDO, $V_{IN}=2.5...6.5\text{ В}$; $V_{OUT}=3.15\text{ В}$; $I_{OUT}=150\text{ мА}$	SOT23-5	SHDN • GND • IN • OUT • BP
ACBE	MAX8867UK33	MAX	reg	LDO, $V_{IN}=2.5...6.5\text{ В}$; $V_{OUT}=3.3\text{ В}$; $I_{OUT}=150\text{ мА}$	SOT23-5	SHDN • GND • IN • OUT • BP
ACBV	MAX8867UK50	MAX	reg	LDO, $V_{IN}=2.5...6.5\text{ В}$; $V_{OUT}=5.0\text{ В}$; $I_{OUT}=150\text{ мА}$	SOT23-5	SHDN • GND • IN • OUT • BP
ACBF	MAX8868UK25	MAX	reg	LDO, $V_{IN}=2.5...6.5\text{ В}$; $V_{OUT}=2.5\text{ В}$; $I_{OUT}=150\text{ мА}$	SOT23-5	SHDN • GND • IN • OUT • BP
ACBG	MAX8868UK28	MAX	reg	LDO, $V_{IN}=2.5...6.5\text{ В}$; $V_{OUT}=2.8\text{ В}$; $I_{OUT}=150\text{ мА}$	SOT23-5	SHDN • GND • IN • OUT • BP
ACBN	MAX8868UK29	MAX	reg	LDO, $V_{IN}=2.5...6.5\text{ В}$; $V_{OUT}=2.84\text{ В}$; $I_{OUT}=150\text{ мА}$	SOT23-5	SHDN • GND • IN • OUT • BP
ACBI	MAX8868UK30	MAX	reg	LDO, $V_{IN}=2.5...6.5\text{ В}$; $V_{OUT}=3.0\text{ В}$; $I_{OUT}=150\text{ мА}$	SOT23-5	SHDN • GND • IN • OUT • BP
ACBJ	MAX8868UK32	MAX	reg	LDO, $V_{IN}=2.5...6.5\text{ В}$; $V_{OUT}=3.15\text{ В}$; $I_{OUT}=150\text{ мА}$	SOT23-5	SHDN • GND • IN • OUT • BP
ACBK	MAX8868UK33	MAX	reg	LDO, $V_{IN}=2.5...6.5\text{ В}$; $V_{OUT}=3.3\text{ В}$; $I_{OUT}=150\text{ мА}$	SOT23-5	SHDN • GND • IN • OUT • BP
ACBL	MAX8868UK50	MAX	reg	LDO, $V_{IN}=2.5...6.5\text{ В}$; $V_{OUT}=5.0\text{ В}$; $I_{OUT}=150\text{ мА}$	SOT23-5	SHDN • GND • IN • OUT • BP
ACC	MAX9140EXK	MAX	cmp	$V_{DS}<4.5\text{ мВ}$; $V_{CC}=2.7...5.5\text{ В}$; $I_{CC}<300\text{ мА}$	SOT353, SC88A	OUT • GND • IN+ • IN- • VCC
ACCO	MAX4104EUK	MAX	OA	$V_{DD}=+3.5...+5.5\text{ В}$; $f_{BP}=625\text{ МГц}$; $V_{DS}<8\text{ мВ}$	SOT23-5	OUT • VEE • IN+ • IN- • VCC
ACCP	MAX4105EUK	MAX	OA	$V_{DD}=+3.5...+5.5\text{ В}$; $f_{BP}=410\text{ МГц}$; $V_{DS}<8\text{ мВ}$	SOT23-5	OUT • VEE • IN+ • IN- • VCC
ACCO	MAX4304EUK	MAX	OA	$V_{DD}=+3.5...+5.5\text{ В}$; $f_{BP}=730\text{ МГц}$; $V_{DS}<8\text{ мВ}$	SOT23-5	OUT • VEE • IN+ • IN- • VCC
ACCR	MAX4305EUK	MAX	OA	$V_{DD}=+3.5...+5.5\text{ В}$; $f_{BP}=340\text{ МГц}$; $V_{DS}<8\text{ мВ}$	SOT23-5	OUT • VEE • IN+ • IN- • VCC
ACCS	MAX4240EUK	MAX	OA	R-R; $V_{DD}=1.8...5.5\text{ В}$; $\pm 0.9... \pm 2.75\text{ В}$; $I_{CC}<18\text{ мА}$; $V_{DS}<1.4\text{ мВ}$	SOT23-5	OUT • VEE • IN+ • IN- • VCC
ACCC	MAX8867UK36	MAX	reg	LDO, $V_{IN}=2.5...6.5\text{ В}$; $V_{OUT}=3.6\text{ В}$; $I_{OUT}=150\text{ мА}$	SOT23-5	SHDN • GND • IN • OUT • BP
ACDA	MAX8868UK36	MAX	reg	LDO, $V_{IN}=2.5...6.5\text{ В}$; $V_{OUT}=3.6\text{ В}$; $I_{OUT}=150\text{ мА}$	SOT23-5	SHDN • GND • IN • OUT • BP
ACDD	MAX6316LUK46C	MAX	mrc	$V_{I1}=4.63\text{ В}$; $V_{DD}=1...5.5\text{ В}$; $I_{CC}<20\text{ мА}$	SOT23-5	RES • GND • MR • WDI • VCC
ACDE	MAX6316LUK29C	MAX	mrc	$V_{I1}=2.93\text{ В}$; $V_{DD}=1...5.5\text{ В}$; $I_{CC}<20\text{ мА}$	SOT23-5	RES • GND • MR • WDI • VCC
ACDF	MAX6316MUK46C	MAX	mrc	$V_{I1}=4.63\text{ В}$; $V_{DD}=1...5.5\text{ В}$; $I_{CC}<20\text{ мА}$	SOT23-5	RES • GND • MR • WDI • VCC
ACDG	MAX6316MUK29C	MAX	mrc	$V_{I1}=2.93\text{ В}$; $V_{DD}=1...5.5\text{ В}$; $I_{CC}<20\text{ мА}$	SOT23-5	RES • GND • MR • WDI • VCC
ACDH	MAX6318LUK46C	MAX	mrc	$V_{I1}=4.63\text{ В}$; $V_{DD}=1...5.5\text{ В}$; $I_{CC}<20\text{ мА}$	SOT23-5	RES • GND • RES • WDI • VCC
ACDI	MAX6318LUK29C	MAX	mrc	$V_{I1}=2.93\text{ В}$; $V_{DD}=1...5.5\text{ В}$; $I_{CC}<20\text{ мА}$	SOT23-5	RES • GND • RES • WDI • VCC
ACDJ	MAX6318MHUK46C	MAX	mrc	$V_{I1}=4.63\text{ В}$; $V_{DD}=1...5.5\text{ В}$; $I_{CC}<20\text{ мА}$	SOT23-5	RES • GND • RES • WDI • VCC
ACDK	MAX6319LUK46C	MAX	mrc	$V_{I1}=4.63\text{ В}$; $V_{DD}=1...5.5\text{ В}$; $I_{CC}<20\text{ мА}$	SOT23-5	RES • GND • RES • MR • VCC
ACDL	MAX6319LUK29C	MAX	mrc	$V_{I1}=2.93\text{ В}$; $V_{DD}=1...5.5\text{ В}$; $I_{CC}<20\text{ мА}$	SOT23-5	RES • GND • RES • MR • VCC
ACDM	MAX6319MHUK46C	MAX	mrc	$V_{I1}=4.63\text{ В}$; $V_{DD}=1...5.5\text{ В}$; $I_{CC}<20\text{ мА}$	SOT23-5	RES • GND • RES • MR • VCC
ACDN	MAX6320PUK46C	MAX	mrc	$V_{I1}=4.63\text{ В}$; $V_{DD}=1...5.5\text{ В}$; $I_{CC}<20\text{ мА}$	SOT23-5	RES • GND • MR • WDI • VCC
ACDO	MAX6320PUK29C	MAX	mrc	$V_{I1}=2.93\text{ В}$; $V_{DD}=1...5.5\text{ В}$; $I_{CC}<20\text{ мА}$	SOT23-5	RES • GND • MR • WDI • VCC
ACDP	MAX6501UKP085	MAX	tempsw	$V_{CC}=2.7...5.5\text{ В}$; $T_{TH}=+85^\circ\text{C}$; $I_{CC}<85\text{ мА}$	SOT23-5	GND • GND • HYST • VCC • TOVER
ACDO	MAX6317HUK46C	MAX	mrc	$V_{I1}=4.63\text{ В}$; $V_{DD}=1...5.5\text{ В}$; $I_{CC}<20\text{ мА}$	SOT23-5	RES • GND • MR • WDI • VCC
ACDR	MAX4281EUK	MAX	OA	R-R; $V_{DD}=2.5...5.5\text{ В}$; Gain=1; $I_S<530\text{ мА}$; $V_{DS}<2.5\text{ мВ}$	SOT23-5	OUT • VEE • IN+ • IN- • VCC
ACDS	MAX4174ABUK	MAX	OA	R-R; $V_{DD}=2.5...5.5\text{ В}$; Gain=1.25; $I_S<530\text{ мА}$; $V_{DS}<2.5\text{ мВ}$	SOT23-5	OUT • VEE • IN+ • IN- • VCC
ACDT	MAX4174ACUK	MAX	OA	R-R; $V_{DD}=2.5...5.5\text{ В}$; Gain=1.5; $I_S<530\text{ мА}$; $V_{DS}<2.5\text{ мВ}$	SOT23-5	OUT • VEE • IN+ • IN- • VCC
ACDU	MAX4174ADUK	MAX	OA	R-R; $V_{DD}=2.5...5.5\text{ В}$; Gain=2; $I_S<530\text{ мА}$; $V_{DS}<32.5\text{ мВ}$	SOT23-5	OUT • VEE • IN+ • IN- • VCC
ACDV	MAX4174AEUK	MAX	OA	R-R; $V_{DD}=2.5...5.5\text{ В}$; Gain=2.25; $I_S<530\text{ мА}$; $V_{DS}<2.5\text{ мВ}$	SOT23-5	OUT • VEE • IN+ • IN- • VCC
ACDW	MAX4174AFUK	MAX	OA	R-R; $V_{DD}=2.5...5.5\text{ В}$; Gain=2.5; $I_S<530\text{ мА}$; $V_{DS}<2.5\text{ мВ}$	SOT23-5	OUT • VEE • IN+ • IN- • VCC
ACDX	MAX4174AGUK	MAX	OA	R-R; $V_{DD}=2.5...5.5\text{ В}$; Gain=3; $I_S<530\text{ мА}$; $V_{DS}<2.5\text{ мВ}$	SOT23-5	OUT • VEE • IN+ • IN- • VCC
ACDY	MAX4174AHUK	MAX	OA	R-R; $V_{DD}=2.5...5.5\text{ В}$; Gain=3.5; $I_S<530\text{ мА}$; $V_{DS}<2.5\text{ мВ}$	SOT23-5	OUT • VEE • IN+ • IN- • VCC
ACDZ	MAX4174AJUK	MAX	OA	R-R; $V_{DD}=2.5...5.5\text{ В}$; Gain=4; $I_S<530\text{ мА}$; $V_{DS}<2.5\text{ мВ}$	SOT23-5	OUT • VEE • IN+ • IN- • VCC
ACEA	MAX4174AKUK	MAX	OA	R-R; $V_{DD}=2.5...5.5\text{ В}$; Gain=5; $I_S<530\text{ мА}$; $V_{DS}<2.5\text{ мВ}$	SOT23-5	OUT • VEE • IN+ • IN- • VCC



SOT23-5
TSOT23-5



SOT353
SC88A



SOT555

Код	Типономинал	Б	Ф	Особенности	Корпус	Ц: 1•2•3•4•5
ACEB	MAX4174AIJUK	MAX	OA	R-R, $V_{DD}=2.5...5.5$ В, Gain=6; $I_S < 530$ мкА; $V_{DS} < 2.5$ МВ	SOT23-5	OUT•VEE•IN+•IN-•VCC
ACEC	MAX4174AMUK	MAX	OA	R-R, $V_{DD}=2.5...5.5$ В, Gain=7; $I_S < 530$ мкА; $V_{DS} < 2.5$ МВ	SOT23-5	OUT•VEE•IN+•IN-•VCC
ACED	MAX4174ANUK	MAX	OA	R-R, $V_{DD}=2.5...5.5$ В, Gain=9; $I_S < 530$ мкА; $V_{DS} < 2.5$ МВ	SOT23-5	OUT•VEE•IN+•IN-•VCC
ACEE	MAX4174AOUK	MAX	OA	R-R, $V_{DD}=2.5...5.5$ В, Gain=10; $I_S < 530$ мкА; $V_{DS} < 2.5$ МВ	SOT23-5	OUT•VEE•IN+•IN-•VCC
ACEF	MAX4174BIJUK	MAX	OA	R-R, $V_{DD}=2.5...5.5$ В, Gain=11; $I_S < 530$ мкА; $V_{DS} < 2.5$ МВ	SOT23-5	OUT•VEE•IN+•IN-•VCC
ACEG	MAX4174BBUK	MAX	OA	R-R, $V_{DD}=2.5...5.5$ В, Gain=13.5; $I_S < 530$ мкА; $V_{DS} < 2.5$ МВ	SOT23-5	OUT•VEE•IN+•IN-•VCC
ACEH	MAX4174BCUK	MAX	OA	R-R, $V_{DD}=2.5...5.5$ В, Gain=16; $I_S < 530$ мкА; $V_{DS} < 2.5$ МВ	SOT23-5	OUT•VEE•IN+•IN-•VCC
ACEI	MAX4174BDUK	MAX	OA	R-R, $V_{DD}=2.5...5.5$ В, Gain=21; $I_S < 530$ мкА; $V_{DS} < 2.5$ МВ	SOT23-5	OUT•VEE•IN+•IN-•VCC
ACEJ	MAX4174BBUK	MAX	OA	R-R, $V_{DD}=2.5...5.5$ В, Gain=25; $I_S < 530$ мкА; $V_{DS} < 2.5$ МВ	SOT23-5	OUT•VEE•IN+•IN-•VCC
ACEK	MAX4174BRUK	MAX	OA	R-R, $V_{DD}=2.5...5.5$ В, Gain=28; $I_S < 530$ мкА; $V_{DS} < 2.5$ МВ	SOT23-5	OUT•VEE•IN+•IN-•VCC
ACEL	MAX4174BGUK	MAX	OA	R-R, $V_{DD}=2.5...5.5$ В, Gain=31; $I_S < 530$ мкА; $V_{DS} < 2.5$ МВ	SOT23-5	OUT•VEE•IN+•IN-•VCC
ACEM	MAX4174BHUK	MAX	OA	R-R, $V_{DD}=2.5...5.5$ В, Gain=41; $I_S < 530$ мкА; $V_{DS} < 2.5$ МВ	SOT23-5	OUT•VEE•IN+•IN-•VCC
ACEN	MAX4174BJUK	MAX	OA	R-R, $V_{DD}=2.5...5.5$ В, Gain=50; $I_S < 530$ мкА; $V_{DS} < 2.5$ МВ	SOT23-5	OUT•VEE•IN+•IN-•VCC
ACEO	MAX4174BKUK	MAX	OA	R-R, $V_{DD}=2.5...5.5$ В, Gain=51; $I_S < 530$ мкА; $V_{DS} < 2.5$ МВ	SOT23-5	OUT•VEE•IN+•IN-•VCC
ACEP	MAX4174BLUK	MAX	OA	R-R, $V_{DD}=2.5...5.5$ В, Gain=61; $I_S < 530$ мкА; $V_{DS} < 2.5$ МВ	SOT23-5	OUT•VEE•IN+•IN-•VCC
ACEQ	MAX4174BMUK	MAX	OA	R-R, $V_{DD}=2.5...5.5$ В, Gain=80; $I_S < 530$ мкА; $V_{DS} < 2.5$ МВ	SOT23-5	OUT•VEE•IN+•IN-•VCC
ACER	MAX4174BNUK	MAX	OA	R-R, $V_{DD}=2.5...5.5$ В, Gain=100; $I_S < 530$ мкА; $V_{DS} < 2.5$ МВ	SOT23-5	OUT•VEE•IN+•IN-•VCC
ACES	MAX4174CAUK	MAX	OA	R-R, $V_{DD}=2.5...5.5$ В, Gain=101; $I_S < 530$ мкА; $V_{DS} < 2.5$ МВ	SOT23-5	OUT•VEE•IN+•IN-•VCC
ACET	MAX4175ABUK	MAX	OA	R-R, $V_{DD}=2.5...5.5$ В, Gain=1.25; $I_S < 530$ мкА; $V_{DS} < 2.5$ МВ	SOT23-5	OUT•VEE•IN+•IN-•VCC
ACEU	MAX4175ACUK	MAX	OA	R-R, $V_{DD}=2.5...5.5$ В, Gain=1.5; $I_S < 530$ мкА; $V_{DS} < 2.5$ МВ	SOT23-5	OUT•VEE•IN+•IN-•VCC
ACEV	MAX4175ADUK	MAX	OA	R-R, $V_{DD}=2.5...5.5$ В, Gain=2; $I_S < 530$ мкА; $V_{DS} < 32.5$ МВ	SOT23-5	OUT•VEE•IN+•IN-•VCC
ACEW	MAX4175AEUK	MAX	OA	R-R, $V_{DD}=2.5...5.5$ В, Gain=2.25; $I_S < 530$ мкА; $V_{DS} < 2.5$ МВ	SOT23-5	OUT•VEE•IN+•IN-•VCC
ACEX	MAX4175AFUK	MAX	OA	R-R, $V_{DD}=2.5...5.5$ В, Gain=2.5; $I_S < 530$ мкА; $V_{DS} < 2.5$ МВ	SOT23-5	OUT•VEE•IN+•IN-•VCC
ACEY	MAX4175AGUK	MAX	OA	R-R, $V_{DD}=2.5...5.5$ В, Gain=3; $I_S < 530$ мкА; $V_{DS} < 2.5$ МВ	SOT23-5	OUT•VEE•IN+•IN-•VCC
ACEZ	MAX4175AHUK	MAX	OA	R-R, $V_{DD}=2.5...5.5$ В, Gain=3.5; $I_S < 530$ мкА; $V_{DS} < 2.5$ МВ	SOT23-5	OUT•VEE•IN+•IN-•VCC
ACF	MAX4350EXK	MAX	OA	R-R, $V_{DD}=+4.5...+5.5$ В; $f_{30}=210$ МГц; $V_{DS} < 26$ МВ	SOT353, SC88A	OUT•VEE•IN+•IN-•VCC
ACFA	MAX4175AJUK	MAX	OA	R-R, $V_{DD}=2.5...5.5$ В, Gain=4; $I_S < 530$ мкА; $V_{DS} < 2.5$ МВ	SOT23-5	OUT•VEE•IN+•IN-•VCC
ACFB	MAX4175AKUK	MAX	OA	R-R, $V_{DD}=2.5...5.5$ В, Gain=5; $I_S < 530$ мкА; $V_{DS} < 2.5$ МВ	SOT23-5	OUT•VEE•IN+•IN-•VCC
ACFC	MAX4175ALUK	MAX	OA	R-R, $V_{DD}=2.5...5.5$ В, Gain=6; $I_S < 530$ мкА; $V_{DS} < 2.5$ МВ	SOT23-5	OUT•VEE•IN+•IN-•VCC

SOT553

SOT353
SC88ASOT23-5
TSOT23-5

Код	Типономинал	Б	Ф	Особенности	Корпус	Ц: 1+2+3+4+5
ACFD	MAX4175AMUK	MAX	OA	R-R; $V_{DS}=2.5...5.5$ В; Gain=7; $I_S < 530$ мкА; $V_{DS} < 2.5$ мВ	SOT23-5	OUT • VEE • IN+ • IN- • VCC
ACFE	MAX4175ANUK	MAX	OA	R-R; $V_{DS}=2.5...5.5$ В; Gain=9; $I_S < 530$ мкА; $V_{DS} < 2.5$ мВ	SOT23-5	OUT • VEE • IN+ • IN- • VCC
ACFF	MAX4175AUIK	MAX	OA	R-R; $V_{DS}=2.5...5.5$ В; Gain=10; $I_S < 530$ мкА; $V_{DS} < 2.5$ мВ	SOT23-5	OUT • VEE • IN+ • IN- • VCC
ACFG	MAX4175BAUK	MAX	OA	R-R; $V_{DS}=2.5...5.5$ В; Gain=11; $I_S < 530$ мкА; $V_{DS} < 2.5$ мВ	SOT23-5	OUT • VEE • IN+ • IN- • VCC
ACFH	MAX4175BBUK	MAX	OA	R-R; $V_{DS}=2.5...5.5$ В; Gain=13.5; $I_S < 530$ мкА; $V_{DS} < 2.5$ мВ	SOT23-5	OUT • VEE • IN+ • IN- • VCC
ACFI	MAX4175BCUK	MAX	OA	R-R; $V_{DS}=2.5...5.5$ В; Gain=16; $I_S < 530$ мкА; $V_{DS} < 2.5$ мВ	SOT23-5	OUT • VEE • IN+ • IN- • VCC
ACFJ	MAX4175BDUK	MAX	OA	R-R; $V_{DS}=2.5...5.5$ В; Gain=21; $I_S < 530$ мкА; $V_{DS} < 2.5$ мВ	SOT23-5	OUT • VEE • IN+ • IN- • VCC
ACFK	MAX4175BEUK	MAX	OA	R-R; $V_{DS}=2.5...5.5$ В; Gain=25; $I_S < 530$ мкА; $V_{DS} < 2.5$ мВ	SOT23-5	OUT • VEE • IN+ • IN- • VCC
ACFL	MAX4175BFUK	MAX	OA	R-R; $V_{DS}=2.5...5.5$ В; Gain=26; $I_S < 530$ мкА; $V_{DS} < 2.5$ мВ	SOT23-5	OUT • VEE • IN+ • IN- • VCC
ACFM	MAX4175BGUK	MAX	OA	R-R; $V_{DS}=2.5...5.5$ В; Gain=31; $I_S < 530$ мкА; $V_{DS} < 2.5$ мВ	SOT23-5	OUT • VEE • IN+ • IN- • VCC
ACFN	MAX4175BHUK	MAX	OA	R-R; $V_{DS}=2.5...5.5$ В; Gain=41; $I_S < 530$ мкА; $V_{DS} < 2.5$ мВ	SOT23-5	OUT • VEE • IN+ • IN- • VCC
ACFO	MAX4175BIUK	MAX	OA	R-R; $V_{DS}=2.5...5.5$ В; Gain=50; $I_S < 530$ мкА; $V_{DS} < 2.5$ мВ	SOT23-5	OUT • VEE • IN+ • IN- • VCC
ACFP	MAX4175BKUK	MAX	OA	R-R; $V_{DS}=2.5...5.5$ В; Gain=51; $I_S < 530$ мкА; $V_{DS} < 2.5$ мВ	SOT23-5	OUT • VEE • IN+ • IN- • VCC
ACFQ	MAX4175BLUK	MAX	OA	R-R; $V_{DS}=2.5...5.5$ В; Gain=61; $I_S < 530$ мкА; $V_{DS} < 2.5$ мВ	SOT23-5	OUT • VEE • IN+ • IN- • VCC
ACFR	MAX4175BMUK	MAX	OA	R-R; $V_{DS}=2.5...5.5$ В; Gain=80; $I_S < 530$ мкА; $V_{DS} < 2.5$ мВ	SOT23-5	OUT • VEE • IN+ • IN- • VCC
ACFS	MAX4175BNUK	MAX	OA	R-R; $V_{DS}=2.5...5.5$ В; Gain=100; $I_S < 530$ мкА; $V_{DS} < 2.5$ мВ	SOT23-5	OUT • VEE • IN+ • IN- • VCC
ACFT	MAX4175CAUK	MAX	OA	R-R; $V_{DS}=2.5...5.5$ В; Gain=101; $I_S < 530$ мкА; $V_{DS} < 2.5$ мВ	SOT23-5	OUT • VEE • IN+ • IN- • VCC
ACFU	MAX6501UKP105	MAX	tempsw	$V_{CC}=2.7...5.5$ В; $T_{H1}=+105^{\circ}\text{C}$; $I_{CC} < 85$ мкА	SOT23-5	GND • GND • HYST • VCC • TOVER
ACFV	MAX6501UKP075	MAX	tempsw	$V_{CC}=2.7...5.5$ В; $T_{H1}=+75^{\circ}\text{C}$; $I_{CC} < 85$ мкА	SOT23-5	GND • GND • HYST • VCC • TOVER
ACFW	MAX6501UKP055	MAX	tempsw	$V_{CC}=2.7...5.5$ В; $T_{H1}=+55^{\circ}\text{C}$; $I_{CC} < 85$ мкА	SOT23-5	GND • GND • HYST • VCC • TOVER
ACFX	MAX6503UKN015	MAX	tempsw	$V_{CC}=2.7...5.5$ В; $T_{H1}=-15^{\circ}\text{C}$; $I_{CC} < 85$ мкА	SOT23-5	GND • GND • HYST • VCC • TUNDR
ACFY	MAX6502UKP115	MAX	tempsw	$V_{CC}=2.7...5.5$ В; $T_{H1}=+115^{\circ}\text{C}$; $I_{CC} < 85$ мкА	SOT23-5	GND • GND • HYST • VCC • TOVER
ACFZ	MAX6502UKP105	MAX	tempsw	$V_{CC}=2.7...5.5$ В; $T_{H1}=+105^{\circ}\text{C}$; $I_{CC} < 85$ мкА	SOT23-5	GND • GND • HYST • VCC • TOVER
ACG	MAX4465EXK	MAX	OA	R-R; $V_{DS}=2.4...5.5$ В; $I_{B0}=200\text{ мкА}$; $I_{CC} < 60$ мкА; $V_{DS} < 5$ мВ	SOT353, SC88A	IN+ • GND • IN- • OUT • VCC
ACGA	MAX6502UKP085	MAX	tempsw	$V_{CC}=2.7...5.5$ В; $T_{H1}=+85^{\circ}\text{C}$; $I_{CC} < 85$ мкА	SOT23-5	GND • GND • HYST • VCC • TOVER
ACGB	MAX6502UKP075	MAX	tempsw	$V_{CC}=2.7...5.5$ В; $T_{H1}=+75^{\circ}\text{C}$; $I_{CC} < 85$ мкА	SOT23-5	GND • GND • HYST • VCC • TOVER
ACGC	MAX6502UKP055	MAX	tempsw	$V_{CC}=2.7...5.5$ В; $T_{H1}=+55^{\circ}\text{C}$; $I_{CC} < 85$ мкА	SOT23-5	GND • GND • HYST • VCC • TOVER
ACGD	MAX6504UKN015	MAX	tempsw	$V_{CC}=2.7...5.5$ В; $T_{H1}=-15^{\circ}\text{C}$; $I_{CC} < 85$ мкА	SOT23-5	GND • GND • HYST • VCC • TUNDR
ACGE	MAX4322EUK	MAX	OA	R-R; $V_{DS}=2.4...6.5/\pm 1.2...13.25$ В; $I_{B0}=5\text{ мА}$; $V_{DS} < 3.5$ мВ	SOT23-5	OUT • VEE • IN+ • IN- • VCC
ACGF	MAX4040EUK	MAX	OA	R-R; $V_{DS}=2.4...5.5/\pm 1.2...12.75$ В; $I_S < 20$ мкА; $V_{DS} < 2.5$ мВ	SOT23-5	OUT • VEE • IN+ • IN- • VCC
ACGJ	MAX6317HUK29C	MAX	mic	$V_{I1}=2.93$ В; $V_{D0}=1...5.5$ В; $I_{CC} < 20$ мкА	SOT23-5	RES • GND • MR • WDI • VCC
ACGK	MAX6321HPUK29	MAX	mic	$V_{I1}=2.93$ В; $V_{D0}=1...5.5$ В; $I_{CC} < 20$ мкА	SOT23-5	RES • GND • RES • WDI • VCC
ACGL	MAX6321HPUK46	MAX	mic	$V_{I1}=4.63$ В; $V_{D0}=1...5.5$ В; $I_{CC} < 20$ мкА	SOT23-5	RES • GND • RES • WDI • VCC
ACGM	MAX6322HPUK29	MAX	mic	$V_{I1}=2.93$ В; $V_{D0}=1...5.5$ В; $I_{CC} < 20$ мкА	SOT23-5	RES • GND • RES • MR • VCC
ACGN	MAX6322HPUK46	MAX	mic	$V_{I1}=4.63$ В; $V_{D0}=1...5.5$ В; $I_{CC} < 20$ мкА	SOT23-5	RES • GND • RES • MR • VCC



SOT23-5
TSOT23-5



SOT353
SC88A



SOT553

Код	Типономинал	Б	Ф	Особенности	Корпус	Ц: 1•2•3•4•5
ACGY	MAX987ELJK	MAX	cmp	R-R, $V_{DS} < \pm 7 \text{ мВ}$; $V_{CC} = 2.5...5.5 \text{ В}$; $I_{CC} < 96 \text{ мкА}$	SOT23-5	OUT • VCC • IN+ • IN- • VEE
ACH	MAX4466EXK	MAX	OA	R-R, $V_{DD} = 2.4...5.5 \text{ В}$; $f_{BD} = 200 \text{ кГц}$; $I_{CC} < 80 \text{ мкА}$; $V_{OS} < 5 \text{ мВ}$	SOT353, SC88A	IN+ • GND • IN- • OUT • VCC
ACHF	MAX8667UK27	MAX	reg	LDO, $V_{IN} = 2.5...6.5 \text{ В}$; $V_{OUT} = 2.7 \text{ В}$; $I_{OUT} = 150 \text{ мА}$	SOT23-5	SHDN • GND • IN • OUT • BP
ADA	AD8517ART	AD	OA	$f_{BD} = 7 \text{ МГц}$; $P_D = 6 \text{ мВт}$; $V_{DD} = 1.8...6 \text{ В}$	SOT23-5	OUT A • V- • IN A • -IN A • V+
ADIP	MAX8319LUK49	MAX	mic	$V_{IR} = 4.9 \text{ В}$; $V_{DD} = 1...5.5 \text{ В}$; $I_{CC} < 20 \text{ мкА}$	SOT23-5	RES • GND • RES • MR • VCC
ADIQ	MAX917ELJK	MAX	cmp+ref	$V_{DS} < 10 \text{ мВ}$; $V_{CC} = 1.8...5.5 \text{ В}$; $V_{REF} = 1.245 \text{ В}$; $I_{CC} < 1.6 \text{ мкА}$	SOT23-5	OUT • VEE • IN+ • REF • VCC
ADIR	MAX918ELJK	MAX	cmp+ref	$V_{DS} < 10 \text{ мВ}$; $V_{CC} = 1.8...5.5 \text{ В}$; $V_{REF} = 1.245 \text{ В}$; $I_{CC} < 1.6 \text{ мкА}$	SOT23-5	OUT • VEE • IN+ • REF • VCC
ADIS	MAX919ELJK	MAX	cmp	$V_{DS} < 10 \text{ мВ}$; $V_{CC} = 1.8...5.5 \text{ В}$; $I_{CC} < 0.8 \text{ мкА}$	SOT23-5	OUT • VEE • IN+ • IN- • VCC
ADIT	MAX920ELJK	MAX	cmp	$V_{DS} < 10 \text{ мВ}$; $V_{CC} = 1.8...5.5 \text{ В}$; $I_{CC} < 0.8 \text{ мкА}$	SOT23-5	OUT • VEE • IN+ • IN- • VCC
ADIU	MAX4372ELJK	MAX	CSA	$V_{DD} = 2.7...28 \text{ В}$; Gain = 20; $I_{CC} < 1.9 \text{ мА}$	SOT23-5	GND • OUT • VCC • RS+ • RS-
ADIV	MAX4372FELJK	MAX	CSA	$V_{DD} = 2.7...28 \text{ В}$; Gain = 50; $I_{CC} < 1.9 \text{ мА}$	SOT23-5	GND • OUT • VCC • RS+ • RS-
ADIW	MAX4372HELJK	MAX	CSA	$V_{DD} = 2.7...28 \text{ В}$; Gain = 100; $I_{CC} < 1.9 \text{ мА}$	SOT23-5	GND • OUT • VCC • RS+ • RS-
ADIX	MAX1749ELJK	MAX	vibdrv	$V_{IN} = 2.5...6.5 \text{ В}$; $V_{OUT} = 1.25/1.25...6.5 \text{ В}$; $I_{OUT} < 120 \text{ мА}$	SOT23-5	ON • GND • IN • OUT • SET
ADIZ	MAX8603UKN045	MAX	tempsw	$V_{CC} = 2.7...5.5 \text{ В}$; $T_{TH} = -45^\circ \text{C}$; $I_{CC} < 85 \text{ мкА}$	SOT23-5	GND • GND • HYST • VCC • TUNDR
ADJA	MAX4076ELJK	MAX	OA	R-R, $V_{DD} = 2.5...5.5 \text{ В}$; Gain = 1; $I_S < 55 \text{ мкА}$; $V_{OS} < 3.5 \text{ мВ}$	SOT23-5	OUT • VEE • IN+ • IN • VCC
ADJB	MAX4074ABUK	MAX	OA	R-R, $V_{DD} = 2.5...5.5 \text{ В}$; Gain = 125; $I_S < 55 \text{ мкА}$; $V_{OS} < 3.5 \text{ мВ}$	SOT23-5	OUT • VEE • IN+ • IN • VCC
ADJC	MAX4074ACUK	MAX	OA	R-R, $V_{DD} = 2.5...5.5 \text{ В}$; Gain = 1.5; $I_S < 55 \text{ мкА}$; $V_{OS} < 3.5 \text{ мВ}$	SOT23-5	OUT • VEE • IN+ • IN • VCC
ADJD	MAX4074ADUK	MAX	OA	R-R, $V_{DD} = 2.5...5.5 \text{ В}$; Gain = 2; $I_S < 55 \text{ мкА}$; $V_{OS} < 3.5 \text{ мВ}$	SOT23-5	OUT • VEE • IN+ • IN • VCC
ADJE	MAX4074AEUK	MAX	OA	R-R, $V_{DD} = 2.5...5.5 \text{ В}$; Gain = 2.25; $I_S < 55 \text{ мкА}$; $V_{OS} < 3.5 \text{ мВ}$	SOT23-5	OUT • VEE • IN+ • IN • VCC
ADJF	MAX4074AFUK	MAX	OA	R-R, $V_{DD} = 2.5...5.5 \text{ В}$; Gain = 2.5; $I_S < 55 \text{ мкА}$; $V_{OS} < 3.5 \text{ мВ}$	SOT23-5	OUT • VEE • IN+ • IN • VCC
ADJG	MAX4074AGUK	MAX	OA	R-R, $V_{DD} = 2.5...5.5 \text{ В}$; Gain = 3; $I_S < 55 \text{ мкА}$; $V_{OS} < 3.5 \text{ мВ}$	SOT23-5	OUT • VEE • IN+ • IN • VCC
ADJH	MAX4074AHUK	MAX	OA	R-R, $V_{DD} = 2.5...5.5 \text{ В}$; Gain = 3.5; $I_S < 55 \text{ мкА}$; $V_{OS} < 3.5 \text{ мВ}$	SOT23-5	OUT • VEE • IN+ • IN • VCC
ADJI	MAX4074AJUK	MAX	OA	R-R, $V_{DD} = 2.5...5.5 \text{ В}$; Gain = 4; $I_S < 55 \text{ мкА}$; $V_{OS} < 3.5 \text{ мВ}$	SOT23-5	OUT • VEE • IN+ • IN • VCC
ADJJ	MAX4074AKUK	MAX	OA	R-R, $V_{DD} = 2.5...5.5 \text{ В}$; Gain = 5; $I_S < 55 \text{ мкА}$; $V_{OS} < 3.5 \text{ мВ}$	SOT23-5	OUT • VEE • IN+ • IN • VCC
ADJK	MAX4074ALUK	MAX	OA	R-R, $V_{DD} = 2.5...5.5 \text{ В}$; Gain = 6; $I_S < 55 \text{ мкА}$; $V_{OS} < 3.5 \text{ мВ}$	SOT23-5	OUT • VEE • IN+ • IN • VCC
ADJL	MAX4074AMUK	MAX	OA	R-R, $V_{DD} = 2.5...5.5 \text{ В}$; Gain = 7; $I_S < 55 \text{ мкА}$; $V_{OS} < 3.5 \text{ мВ}$	SOT23-5	OUT • VEE • IN+ • IN • VCC
ADJM	MAX4074ANUK	MAX	OA	R-R, $V_{DD} = 2.5...5.5 \text{ В}$; Gain = 9; $I_S < 55 \text{ мкА}$; $V_{OS} < 3.5 \text{ мВ}$	SOT23-5	OUT • VEE • IN+ • IN • VCC
ADJN	MAX4074AOUK	MAX	OA	R-R, $V_{DD} = 2.5...5.5 \text{ В}$; Gain = 10; $I_S < 55 \text{ мкА}$; $V_{OS} < 3.5 \text{ мВ}$	SOT23-5	OUT • VEE • IN+ • IN • VCC
ADJO	MAX4074BAUK	MAX	OA	R-R, $V_{DD} = 2.5...5.5 \text{ В}$; Gain = 11; $I_S < 55 \text{ мкА}$; $V_{OS} < 3.5 \text{ мВ}$	SOT23-5	OUT • VEE • IN+ • IN • VCC
ADJP	MAX4074BBUK	MAX	OA	R-R, $V_{DD} = 2.5...5.5 \text{ В}$; Gain = 13.5; $I_S < 55 \text{ мкА}$; $V_{OS} < 3.5 \text{ мВ}$	SOT23-5	OUT • VEE • IN+ • IN • VCC
ADJQ	MAX4074BCUK	MAX	OA	R-R, $V_{DD} = 2.5...5.5 \text{ В}$; Gain = 16; $I_S < 55 \text{ мкА}$; $V_{OS} < 3.5 \text{ мВ}$	SOT23-5	OUT • VEE • IN+ • IN • VCC
ADJR	MAX4074BDUK	MAX	OA	R-R, $V_{DD} = 2.5...5.5 \text{ В}$; Gain = 21; $I_S < 55 \text{ мкА}$; $V_{OS} < 3.5 \text{ мВ}$	SOT23-5	OUT • VEE • IN+ • IN • VCC
ADJS	MAX4074BELJK	MAX	OA	R-R, $V_{DD} = 2.5...5.5 \text{ В}$; Gain = 25; $I_S < 55 \text{ мкА}$; $V_{OS} < 3.5 \text{ мВ}$	SOT23-5	OUT • VEE • IN+ • IN • VCC

SOT553

SOT353
SC88ASOT23-5
TSOT23-5

Код	Типономинал	Б	Ф	Особенности	Корпус	Ц: 1+2+3+4+5
ADUT	MAX4074BFUK	MAX	OA	R-R; $V_{DD}=2.5...5.5$ В; Gain=26; $I_S < 55$ мкА; $V_{DS} < 3.5$ МВ	SOT23-5	OUT • VEE • IN+ • IN • VCC
ADJU	MAX4074BGUK	MAX	OA	R-R; $V_{DD}=2.5...5.5$ В; Gain=31; $I_S < 55$ мкА; $V_{DS} < 3.5$ МВ	SOT23-5	OUT • VEE • IN+ • IN • VCC
ADJV	MAX4074BHUK	MAX	OA	R-R; $V_{DD}=2.5...5.5$ В; Gain=41; $I_S < 55$ мкА; $V_{DS} < 3.5$ МВ	SOT23-5	OUT • VEE • IN+ • IN • VCC
ADJW	MAX4074BJUK	MAX	OA	R-R; $V_{DD}=2.5...5.5$ В; Gain=50; $I_S < 55$ мкА; $V_{DS} < 3.5$ МВ	SOT23-5	OUT • VEE • IN+ • IN • VCC
ADJX	MAX4074BKUK	MAX	OA	R-R; $V_{DD}=2.5...5.5$ В; Gain=51; $I_S < 55$ мкА; $V_{DS} < 3.5$ МВ	SOT23-5	OUT • VEE • IN+ • IN • VCC
ADJY	MAX4074BLUK	MAX	OA	R-R; $V_{DD}=2.5...5.5$ В; Gain=61; $I_S < 55$ мкА; $V_{DS} < 3.5$ МВ	SOT23-5	OUT • VEE • IN+ • IN • VCC
ADJZ	MAX4074BMUK	MAX	OA	R-R; $V_{DD}=2.5...5.5$ В; Gain=80; $I_S < 55$ мкА; $V_{DS} < 3.5$ МВ	SOT23-5	OUT • VEE • IN+ • IN • VCC
ADKA	MAX4074BNUK	MAX	OA	R-R; $V_{DD}=2.5...5.5$ В; Gain=100; $I_S < 55$ мкА; $V_{DS} < 3.5$ МВ	SOT23-5	OUT • VEE • IN+ • IN • VCC
ADKB	MAX4074CAUK	MAX	OA	R-R; $V_{DD}=2.5...5.5$ В; Gain=101; $I_S < 55$ мкА; $V_{DS} < 3.5$ МВ	SOT23-5	OUT • VEE • IN+ • IN • VCC
ADKC	MAX6318LUK49	MAX	mic	$V_{TR}=4.9$ В; $V_{DD}=1...5.5$ В; $I_{CC} < 20$ мкА	SOT23-5	RES • GND • RES • WDI • VCC
ADKD	MAX8867UK40	MAX	reg	LDO; $V_{IN}=2.5...6.5$ В; $V_{OUT}=4.0$ В; $I_{OUT}=150$ мА	SOT23-5	SHDN • GND • IN • OUT • BP
ADKE	MAX6504LKP015	MAX	tempsw	$V_{CC}=2.7...5.5$ В; $T_{TH}=+15$ °C; $I_{CC} < 85$ мкА	SOT23-5	GND • GND • HYST • VCC • TUNDR
ADKF	MAX3180EUK	MAX	rec	RS-232; $V_{CC}=3...5.5$ В; $f_{DR}=1.5$ МГц/с; $I_{CC} < 5$ мкА	SOT23-5	EN • GND • ROUT • RIN • VCC
ADKG	MAX3181EUK	MAX	rec	RS-232; $V_{CC}=3...5.5$ В; $f_{DR}=1.5$ МГц/с; $I_{CC} < 5$ мкА	SOT23-5	INVALID • GND • ROUT • RIN • VCC
ADKH	MAX3182EUK	MAX	rec	RS-232; $V_{CC}=3...5.5$ В; $f_{DR}=1.5$ МГц/с; $I_{CC} < 5$ мкА	SOT23-5	EN • GND • ROUT • RIN • VCC
ADKI	MAX3183EUK	MAX	rec	RS-232; $V_{CC}=3...5.5$ В; $f_{DR}=1.5$ МГц/с; $I_{CC} < 5$ мкА	SOT23-5	INVALID • GND • ROUT • RIN • VCC
ADKJ	MAX6352LSUK	MAX	mic	$V_{TR}=4.63$ В; $V_{TR2}=2.93$ В; $V_{DD}=1.2...5.5$ В; $I_{CC} < 50$ мкА	SOT23-5	RST • GND • MR • VCC2 • VCC1
ADKK	MAX6352SYUK	MAX	mic	$V_{TR}=2.93$ В; $V_{TR2}=2.19$ В; $V_{DD}=1.2...5.5$ В; $I_{CC} < 50$ мкА	SOT23-5	RST • GND • MR • VCC2 • VCC1
ADKL	MAX6353LSUK	MAX	mic	$V_{TR}=4.63$ В; $V_{TR2}=2.93$ В; $V_{DD}=1.2...5.5$ В; $I_{CC} < 50$ мкА	SOT23-5	RST • GND • MR • VCC2 • VCC1
ADKM	MAX6353SYUK	MAX	mic	$V_{TR}=2.93$ В; $V_{TR2}=2.19$ В; $V_{DD}=1.2...5.5$ В; $I_{CC} < 50$ мкА	SOT23-5	RST • GND • MR • VCC2 • VCC1
ADKN	MAX6354LSUK	MAX	mic	$V_{TR}=4.63$ В; $V_{TR2}=2.93$ В; $V_{DD}=1.2...5.5$ В; $I_{CC} < 50$ мкА	SOT23-5	RST • GND • MR • VCC2 • VCC1
ADKO	MAX6354SYUK	MAX	mic	$V_{TR}=2.93$ В; $V_{TR2}=2.19$ В; $V_{DD}=1.2...5.5$ В; $I_{CC} < 50$ мкА	SOT23-5	RST • GND • MR • VCC2 • VCC1
ADKP	MAX4450EUK	MAX	OA	R-R; $V_{DD}=4.5...11/±25...±5.5$ В; $f_{DD}=210$ МГц; $V_{DS} < 25$ МВ	SOT23-5	OUT • VEE • IN+ • IN • VCC
ADQK	MAX4490AUK	MAX	OA	R-R; $V_{DD}=2.7...5.5/±1.35...±2.75$ В; $f_{DD}=10$ МГц; $V_{DS} < 16$ МВ	SOT23-5	IN+ • VSS • IN • OUT • VDD
ADKR	MAX6318LUK49B	MAX	mic	$V_{TR}=4.63$ В; $V_{DD}=1...5.5$ В; $I_{CC} < 20$ мкА	SOT23-5	RES • GND • MR • WDI • VCC
ADKS	MAX6308UK47D3	MAX	mic	$V_{TR}=2.5...5$ В; $V_{DD}=1...5.5$ В; $I_{CC} < 16$ мкА	SOT23-5	RES • GND • MR • RST • IN • VCC
ADKT	MAX1734EUK33	MAX	dcdc	$V_{IN}=2.7...5.5$ В; $V_{OUT}=3.3$ В; $I_{OUT}=250$ мА	SOT23-5	IN • GND • SHDN • OUT (FB) • LX
ADKU	MAX1734EUK30	MAX	dcdc	$V_{IN}=2.7...5.5$ В; $V_{OUT}=3$ В; $I_{OUT}=250$ мА	SOT23-5	IN • GND • SHDN • OUT (FB) • LX
ADKV	MAX1734EUK25	MAX	dcdc	$V_{IN}=2.7...5.5$ В; $V_{OUT}=2.5$ В; $I_{OUT}=250$ мА	SOT23-5	IN • GND • SHDN • OUT (FB) • LX
ADKW	MAX1734EUK18	MAX	dcdc	$V_{IN}=2.7...5.5$ В; $V_{OUT}=1.8$ В; $I_{OUT}=250$ мА	SOT23-5	IN • GND • SHDN • OUT (FB) • LX
ADKX	MAX1734EUK15	MAX	dcdc	$V_{IN}=2.7...5.5$ В; $V_{OUT}=1.5$ В; $I_{OUT}=250$ мА	SOT23-5	IN • GND • SHDN • OUT (FB) • LX
ADKY	MAX1733EUK	MAX	dcdc	$V_{IN}=2.7...5.5$ В; $V_{OUT}=1.25...2$ В; $I_{OUT}=250$ мА	SOT23-5	IN • GND • SHDN • OUT (FB) • LX
ADLM	MAX6318LUK26C	MAX	mic	$V_{TR}=2.63$ В; $V_{DD}=1...5.5$ В; $I_{CC} < 20$ мкА	SOT23-5	RES • GND • RES • WDI • VCC
ADLO	MAX6318LUK44C	MAX	mic	$V_{TR}=4.39$ В; $V_{DD}=1...5.5$ В; $I_{CC} < 20$ мкА	SOT23-5	RES • GND • RES • WDI • VCC
ADLP	MAX6319LUK26	MAX	mic	$V_{TR}=2.63$ В; $V_{DD}=1...5.5$ В; $I_{CC} < 20$ мкА	SOT23-5	RES • GND • RES • MR • VCC



SOT23-5 **SOT353**
TSOT23-5 **SC88A**



SOT553

Код	Типономинал	Б	Ф	Особенности	Корпус	Ц: 1+2+3+4+5
ADLQ	MAX6319LHJK29	MAX	mrc	$V_{TR}=2.93\text{ В}$; $V_{DD}=1...5.5\text{ В}$; $I_{CC}<20\text{ мкА}$	SOT23-5	RES • GND • RES • MR • VCC
ADLR	MAX6319LHJK31	MAX	mrc	$V_{TR}=3.08\text{ В}$; $V_{DD}=1...5.5\text{ В}$; $I_{CC}<20\text{ мкА}$	SOT23-5	RES • GND • RES • MR • VCC
ADLS	MAX6319LHJK44	MAX	mrc	$V_{TR}=4.39\text{ В}$; $V_{DD}=1...5.5\text{ В}$; $I_{CC}<20\text{ мкА}$	SOT23-5	RES • GND • RES • MR • VCC
ADLT	MAX6316LJK26C	MAX	mrc	$V_{TR}=2.63\text{ В}$; $V_{DD}=1...5.5\text{ В}$; $I_{CC}<20\text{ мкА}$	SOT23-5	RES • GND • MR • WDI • VCC
ADLU	MAX6316LJK31C	MAX	mrc	$V_{TR}=3.08\text{ В}$; $V_{DD}=1...5.5\text{ В}$; $I_{CC}<20\text{ мкА}$	SOT23-5	RES • GND • MR • WDI • VCC
ADLV	MAX6309UK27D1	MAX	mrc	$V_{TR}=2.5...5\text{ В}$; $V_{DD}=1...5.5\text{ В}$; $I_{CC}<16\text{ мкА}$	SOT23-5	RES • GND • MR • RST • IN • VCC
ADLX	MAX9075EUK	MAX	cmp	R-R; $V_{OS}<\pm 8\text{ мВ}$; $V_{CC}=2.1...5.5\text{ В}$; $I_{CC}<6.6\text{ мкА}$	SOT23-5	OUT • GND • IN+ • IN- • VCC
ADMA	MAX4430EUK	MAX	OA	$V_{DD}=+5\text{ В}$; $f_{BD}=180\text{ МГц}$; $V_{OS}<5\text{ мВ}$	SOT23-5	OUT • VEE • IN+ • IN- • VCC
ADMB	MAX4431EUK	MAX	OA	$V_{DD}=+5\text{ В}$; $f_{BD}=215\text{ МГц}$; $V_{OS}<5\text{ мВ}$	SOT23-5	OUT • VEE • IN+ • IN- • VCC
ADMI	MAX6316LJK26D	MAX	mrc	$V_{TR}=2.63\text{ В}$; $V_{DD}=1...5.5\text{ В}$; $I_{CC}<20\text{ мкА}$	SOT23-5	RES • GND • MR • WDI • VCC
ADMJ	MAX4626EUK	MAX	asw	SPST; $R_{ON}<12\text{ Ом}$; $V_{DD}=1.8...5.5\text{ В}$	SOT23-5	COM • NO • GND • IN • V+
ADMK	MAX4627EUK	MAX	asw	SPST; $R_{ON}<12\text{ Ом}$; $V_{DD}=1.8...5.5\text{ В}$	SOT23-5	COM • NC • GND • IN • V+
ADML	MAX4291EUK	MAX	OA	R-R; $V_{DD}=1.8...5.5/4.0\text{ В}$; $\pm 2.75\text{ В}$; $f_{BD}=600\text{ кГц}$; $V_{OS}<2.5\text{ мВ}$	SOT23-5	IN+ • VEE • IN- • OUT • VCC
ADM	MAX360LEUK	MAX	DAC	6-разр.; I^2C ; адрес: 0x60; $V_{DD}=2.7...3.6\text{ В}$; $V_{REF}=2\text{ В}$	SOT23-5	OUT • GND • VDD • SDA • SCL
ADMN	MAX360LEUK	MAX	DAC	8-разр.; I^2C ; адрес: 0x60; $V_{DD}=2.7...3.6\text{ В}$; $V_{REF}=2\text{ В}$	SOT23-5	OUT • GND • VDD • SDA • SCL
ADMO	MAX360PEUK	MAX	DAC	6-разр.; I^2C ; адрес: 0x66; $V_{DD}=2.7...3.6\text{ В}$; $V_{REF}=2\text{ В}$	SOT23-5	OUT • GND • VDD • SDA • SCL
ADMP	MAX360PEUK	MAX	DAC	8-разр.; I^2C ; адрес: 0x66; $V_{DD}=2.7...3.6\text{ В}$; $V_{REF}=2\text{ В}$	SOT23-5	OUT • GND • VDD • SDA • SCL
ADMQ	MAX361PEUK	MAX	DAC	6-разр.; I^2C ; адрес: 0x66; $V_{DD}=4.5...5.5\text{ В}$; $V_{REF}=4\text{ В}$	SOT23-5	OUT • GND • VDD • SDA • SCL
ADMR	MAX361PEUK	MAX	DAC	8-разр.; I^2C ; адрес: 0x66; $V_{DD}=4.5...5.5\text{ В}$; $V_{REF}=4\text{ В}$	SOT23-5	OUT • GND • VDD • SDA • SCL
ADMS	MAX362PEUK	MAX	DAC	6-разр.; I^2C ; адрес: 0x66; $V_{DD}=2.7...5.5\text{ В}$; $V_{REF}=0.9 \times V_{DD}$	SOT23-5	OUT • GND • VDD • SDA • SCL
ADMT	MAX362PEUK	MAX	DAC	8-разр.; I^2C ; адрес: 0x66; $V_{DD}=2.7...5.5\text{ В}$; $V_{REF}=0.9 \times V_{DD}$	SOT23-5	OUT • GND • VDD • SDA • SCL
ADMU	MAX361LEUK	MAX	DAC	6-разр.; I^2C ; адрес: 0x60; $V_{DD}=4.5...5.5\text{ В}$; $V_{REF}=4\text{ В}$	SOT23-5	OUT • GND • VDD • SDA • SCL
ADMV	MAX361LEUK	MAX	DAC	8-разр.; I^2C ; адрес: 0x60; $V_{DD}=4.5...5.5\text{ В}$; $V_{REF}=4\text{ В}$	SOT23-5	OUT • GND • VDD • SDA • SCL
ADMW	MAX362LEUK	MAX	DAC	6-разр.; I^2C ; адрес: 0x60; $V_{DD}=2.7...5.5\text{ В}$; $V_{REF}=0.9 \times V_{DD}$	SOT23-5	OUT • GND • VDD • SDA • SCL
ADMX	MAX362LEUK	MAX	DAC	8-разр.; I^2C ; адрес: 0x60; $V_{DD}=2.7...5.5\text{ В}$; $V_{REF}=0.9 \times V_{DD}$	SOT23-5	OUT • GND • VDD • SDA • SCL
ADMY	MAX360MEUK	MAX	DAC	6-разр.; I^2C ; адрес: 0x62; $V_{DD}=2.7...3.6\text{ В}$; $V_{REF}=2\text{ В}$	SOT23-5	OUT • GND • VDD • SDA • SCL
ADMZ	MAX360MEUK	MAX	DAC	8-разр.; I^2C ; адрес: 0x62; $V_{DD}=2.7...3.6\text{ В}$; $V_{REF}=2\text{ В}$	SOT23-5	OUT • GND • VDD • SDA • SCL
ADNA	MAX361MEUK	MAX	DAC	6-разр.; I^2C ; адрес: 0x62; $V_{DD}=4.5...5.5\text{ В}$; $V_{REF}=4\text{ В}$	SOT23-5	OUT • GND • VDD • SDA • SCL
ADNB	MAX361MEUK	MAX	DAC	8-разр.; I^2C ; адрес: 0x62; $V_{DD}=4.5...5.5\text{ В}$; $V_{REF}=4\text{ В}$	SOT23-5	OUT • GND • VDD • SDA • SCL
ADNC	MAX362MEUK	MAX	DAC	6-разр.; I^2C ; адрес: 0x62; $V_{DD}=2.7...5.5\text{ В}$; $V_{REF}=0.9 \times V_{DD}$	SOT23-5	OUT • GND • VDD • SDA • SCL
ADND	MAX362MEUK	MAX	DAC	8-разр.; I^2C ; адрес: 0x62; $V_{DD}=2.7...5.5\text{ В}$; $V_{REF}=0.9 \times V_{DD}$	SOT23-5	OUT • GND • VDD • SDA • SCL
ADNE	MAX360NEUK	MAX	DAC	6-разр.; I^2C ; адрес: 0x64; $V_{DD}=2.7...3.6\text{ В}$; $V_{REF}=2\text{ В}$	SOT23-5	OUT • GND • VDD • SDA • SCL
ADNF	MAX360NEUK	MAX	DAC	8-разр.; I^2C ; адрес: 0x64; $V_{DD}=2.7...3.6\text{ В}$; $V_{REF}=2\text{ В}$	SOT23-5	OUT • GND • VDD • SDA • SCL
ADNG	MAX361NEUK	MAX	DAC	6-разр.; I^2C ; адрес: 0x64; $V_{DD}=4.5...5.5\text{ В}$; $V_{REF}=4\text{ В}$	SOT23-5	OUT • GND • VDD • SDA • SCL
ADNH	MAX361NEUK	MAX	DAC	8-разр.; I^2C ; адрес: 0x64; $V_{DD}=4.5...5.5\text{ В}$; $V_{REF}=4\text{ В}$	SOT23-5	OUT • GND • VDD • SDA • SCL

SOT553

SOT353
SC88ASOT23-5
TSOT23-5

Код	Типономинал	Б	Ф	Особенности	Корпус	Ц: 1+2+3+4+5
ADNI	MAX632NEUK	MAX	DAC	8-разр.; FC; адрес: 0x64; $V_{DD}=2.7...5.5\text{ В}$; $V_{REF}=0.9 \times V_{DD}$	SOT23-5	OUT • GND • VDD • SDA • SCL
ADNJ	MAX632NEUK	MAX	DAC	8-разр.; FC; адрес: 0x64; $V_{DD}=2.7...5.5\text{ В}$; $V_{REF}=0.9 \times V_{DD}$	SOT23-5	OUT • GND • VDD • SDA • SCL
ADNP	MAX4400AJK	MAX	OA	R-R; $V_{DD}=2.5...5.5\text{ В}$; $f_{BD}=800\text{ кГц}$; $V_{OS}<5\text{ мВ}$	SOT23-5	IN+ • VSS • IN- • OUT • VDD
ADNR	MAX6316LUK44C	MAX	mrc	$V_{I18}=4.39\text{ В}$; $V_{DD}=1...5.5\text{ В}$; $I_{CC}<20\text{ мА}$	SOT23-5	RES • GND • MR • WDI • VCC
ADNS	MAX6318LUK26	MAX	mrc	$V_{I18}=2.63\text{ В}$; $V_{DD}=1...5.5\text{ В}$; $I_{CC}<20\text{ мА}$	SOT23-5	RES • GND • RES • WDI • VCC
ADNT	MAX6509CAJK	MAX	tempsw	$V_{CC}=2.7...5.5\text{ В}$; $T_{H1}=-40...+125\text{ °C}$; $I_{CC}<165\text{ мА}$	SOT23-5	SET • GND • OUT • HYST • VCC
ADNU	MAX6509HAJK	MAX	tempsw	$V_{CC}=2.7...5.5\text{ В}$; $T_{H1}=-40...+125\text{ °C}$; $I_{CC}<165\text{ мА}$	SOT23-5	SET • GND • OUT • HYST • VCC
ADNV	MAX9040AEUK	MAX	cmp+vfref	R-R; $V_{OS}<+7\text{ мВ}$; $V_{CC}=2.5...5.5\text{ В}$; $V_{REF}=2.048\text{ В}$; $I_{CC}<72\text{ мА}$	SOT23-5	OUT • VEE • IN+ • REF • VCC
ADNW	MAX9050AEUK	MAX	cmp+vfref	R-R; $V_{OS}<+7\text{ мВ}$; $V_{CC}=2.7...5.5\text{ В}$; $V_{REF}=2.500\text{ В}$; $I_{CC}<72\text{ мА}$	SOT23-5	OUT • VEE • IN+ • REF • VCC
ADNX	MAX9040BEUK	MAX	cmp+vfref	R-R; $V_{OS}<+7\text{ мВ}$; $V_{CC}=2.5...5.5\text{ В}$; $V_{REF}=2.048\text{ В}$; $I_{CC}<72\text{ мА}$	SOT23-5	OUT • VEE • IN+ • REF • VCC
ADNY	MAX9050BEUK	MAX	cmp+vfref	R-R; $V_{OS}<+7\text{ мВ}$; $V_{CC}=2.7...5.5\text{ В}$; $V_{REF}=2.500\text{ В}$; $I_{CC}<72\text{ мА}$	SOT23-5	OUT • VEE • IN+ • REF • VCC
ADOA	MAX4321EUK	MAX	OA	R-R; $V_{DD}=2.4...6.5/1.2...3.25\text{ В}$; $f_{BD}=5\text{ МГц}$; $V_{OS}<3.5\text{ мВ}$	SOT23-5	OUT • VCC • IN+ • IN- • VEE
ADOB	MAX4645EUK	MAX	asw	SPST; $R_{ON}<3\text{ Ом}$; $V_{DD}=1.8...5.5\text{ В}$	SOT23-5	COM • NO • GND • IN • V+
ADOC	MAX4645EUK	MAX	asw	SPST; $R_{ON}<3\text{ Ом}$; $V_{DD}=1.8...5.5\text{ В}$	SOT23-5	COM • NC • GND • IN • V+
ADOD	MAX6320PUK26C	MAX	mrc	$V_{I18}=2.63\text{ В}$; $V_{DD}=1...5.5\text{ В}$; $I_{CC}<20\text{ мА}$	SOT23-5	RES • GND • MR • WDI • VCC
ADOE	MAX4568EUK	MAX	asw	SPST; $R_{ON}<75\text{ Ом}$; $V_{DD}=1.8...12\text{ В}$	SOT23-5	COM • NO • GND • IN • V+
ADOF	MAX4569EUK	MAX	asw	SPST; $R_{ON}<75\text{ Ом}$; $V_{DD}=1.8...12\text{ В}$	SOT23-5	COM • NC • GND • IN • V+
ADOG	MAX4376TAUK	MAX	CSA	$V_{DD}=3...28\text{ В}$; Gain=20; $I_{CC}<2.2\text{ мА}$	SOT23-5	OUT • GND • VCC • RS+ • RS-
ADOH	MAX4376FAUK	MAX	CSA	$V_{DD}=3...28\text{ В}$; Gain=50; $I_{CC}<2.2\text{ мА}$	SOT23-5	OUT • GND • VCC • RS+ • RS-
ADOI	MAX4376HAUK	MAX	CSA	$V_{DD}=3...28\text{ В}$; Gain=100; $I_{CC}<2.2\text{ мА}$	SOT23-5	OUT • GND • VCC • RS+ • RS-
ADOL	MAX4412EUK	MAX	OA	R-R; $V_{DD}=2.7...5.5\text{ В}$; $f_{BD}=500\text{ МГц}$; $V_{OS}<9\text{ мВ}$	SOT23-5	OUT • VEE • IN+ • IN- • VCC
ADOM	MAX6319MHUK29	MAX	mrc	$V_{I18}=2.93\text{ В}$; $V_{DD}=1...5.5\text{ В}$; $I_{CC}<20\text{ мА}$	SOT23-5	RES • GND • RES • MR • VCC
ADOK	MAX6316LUK46C	MAX	mrc	$V_{I18}=4.63\text{ В}$; $V_{DD}=1...5.5\text{ В}$; $I_{CC}<20\text{ мА}$	SOT23-5	RES • GND • MR • WDI • VCC
ADOL	MAX4412EUK	MAX	OA	R-R; $V_{DD}=2.7...5.5\text{ В}$; $f_{BD}=500\text{ МГц}$; $V_{OS}<9\text{ мВ}$	SOT23-5	OUT • VEE • IN+ • IN- • VCC
ADOM	MAX6319MHUK29	MAX	mrc	$V_{I18}=2.93\text{ В}$; $V_{DD}=1...5.5\text{ В}$; $I_{CC}<20\text{ мА}$	SOT23-5	RES • GND • RES • MR • VCC
ADOP	MAX6319MHUK46	MAX	mrc	$V_{I18}=4.63\text{ В}$; $V_{DD}=1...5.5\text{ В}$; $I_{CC}<20\text{ мА}$	SOT23-5	RES • GND • RES • MR • VCC
ADOR	MAX9100EUK	MAX	cmp	R-R; $V_{OS}<+20\text{ мВ}$; $V_{CC}=1...5.5\text{ В}$; $I_{CC}<13\text{ мА}$	SOT23-5	OUT • GND • IN+ • IN- • VCC
ADOS	MAX9101EUK	MAX	cmp	$V_{OS}<+20\text{ мВ}$; $V_{CC}=1...5.5\text{ В}$; $I_{CC}<13\text{ мА}$	SOT23-5	OUT • GND • IN+ • IN- • VCC
ADOT	MAX4434EUK	MAX	OA	$V_{DD}=+5\text{ В}$; $f_{BD}=150\text{ МГц}$; Gain=1; $V_{OS}<3.5\text{ мВ}$	SOT23-5	OUT • VEE • IN+ • IN- • VCC
ADOU	MAX4435EUK	MAX	OA	$V_{DD}=+5\text{ В}$; $f_{BD}=150\text{ МГц}$; Gain=5; $V_{OS}<3.5\text{ мВ}$	SOT23-5	OUT • VEE • IN+ • IN- • VCC
ADOV	MAX4452EUK	MAX	OA	R-R; $V_{DD}=2.7...5.25\text{ В}$; $f_{BD}=200\text{ МГц}$; $V_{OS}<12\text{ мВ}$	SOT23-5	OUT • VEE • IN+ • IN- • VCC
ADOW	MAX4352EUK	MAX	OA	R-R; $V_{DD}=2.7...5.25\text{ В}$; $f_{BD}=80\text{ МГц}$; $V_{OS}<12\text{ мВ}$	SOT23-5	OUT • VEE • IN+ • IN- • VCC
ADOX	MAX1735EUK25	MAX	reg	LDO; $V_{H1}=-2.5...-6.5\text{ В}$; $V_{OUT}=-2.5/-1.25...-5.5\text{ В}$; $I_{OUT}=200\text{ мА}$	SOT23-5	GND • IN • SHDN • SET • OUT
ADOO	MAX1735EUK30	MAX	reg	LDO; $V_{H1}=-2.5...-6.5\text{ В}$; $V_{OUT}=-3.0/-1.25...-5.5\text{ В}$; $I_{OUT}=200\text{ мА}$	SOT23-5	GND • IN • SHDN • SET • OUT
ADOZ	MAX1735EUK50	MAX	reg	LDO; $V_{H1}=-2.5...-6.5\text{ В}$; $V_{OUT}=-5.0/-1.25...-5.5\text{ В}$; $I_{OUT}=200\text{ мА}$	SOT23-5	GND • IN • SHDN • SET • OUT
ADPC	MAX6321HPUK25	MAX	mrc	$V_{I18}=2.463\text{ В}$; $V_{DD}=1...5.5\text{ В}$; $I_{CC}<20\text{ мА}$	SOT23-5	RES • GND • RES • WDI • VCC
ADPD	MAX9021AJK	MAX	cmp	R-R; $V_{OS}<+8\text{ мВ}$; $V_{DD}=2.5...5.5\text{ В}$; $I_{DD}<5\text{ мА}$	SOT23-5	IN+ • VSS • IN- • OUT • VDD
ADPE	MAX4484AJK	MAX	OA	R-R; $V_{DD}=2.7...5.5\text{ В}$; $f_{BD}=7\text{ МГц}$; $V_{OS}<9\text{ мВ}$	SOT23-5	IN+ • VSS • IN- • OUT • VDD
ADPF	MAX6317HUK46B	MAX	mrc	$V_{I18}=4.63\text{ В}$; $V_{DD}=1...5.5\text{ В}$; $I_{CC}<20\text{ мА}$	SOT23-5	RES • GND • MR • WDI • VCC
ADPG	MAX4493AJK	MAX	OA	R-R; $V_{DD}=+2.25...+5.6\text{ В}$; $f_{BD}=5\text{ МГц}$; $V_{OS}<10\text{ мВ}$	SOT23-5	IN+ • VEE • IN- • OUT • VCC
ADPH	MAX4470EUK	MAX	OA	R-R; $V_{DD}=1.8...5.5\text{ В}$; $f_{BD}=9\text{ кГц}$; $I_{CC}<1.2\text{ мА}$; $V_{OS}<7\text{ мВ}$	SOT23-5	IN+ • VSS • IN- • OUT • VDD
ADPI	MAX4464EUK	MAX	OA	R-R; $V_{DD}=1.8...5.5\text{ В}$; $f_{BD}=40\text{ кГц}$; $I_{CC}<1.2\text{ мА}$; $V_{OS}<7\text{ мВ}$	SOT23-5	IN+ • VSS • IN- • OUT • VDD
ADPJ	MAX4480AJK	MAX	OA	R-R; $V_{DD}=2.5...5.5\text{ В}$; $I_{CC}<100\text{ мА}$; $V_{OS}<5\text{ мВ}$	SOT23-5	IN+ • VSS • IN- • OUT • VDD



SOT23-5 **SOT353**
TSOT23-5 **SC88A**



SOT553

Код	Типономинал	Б	Ф	Особенности	Корпус	Ц: 1•2•3•4•5
ADPP	MAX8823VUK	MAX	mrc+wdt	$V_{IR} = 1.58 \text{ В}$; $V_{DD} = 1.2 \dots 5.5 \text{ В}$; $I_{CC} < 30 \text{ мкА}$	SOT23-5	RES • GND • MR • WDI • VCC
ADPQ	MAX8821UJK	MAX	mrc+wdt	$V_{IR} = 4.63 \text{ В}$; $V_{DD} = 1.2 \dots 5.5 \text{ В}$; $I_{CC} < 30 \text{ мкА}$	SOT23-5	RES • GND • MR • WDI • VCC
ADPR	MAX8822VUK	MAX	mrc+wdt	$V_{IR} = 1.67 \text{ В}$; $V_{DD} = 1.2 \dots 5.5 \text{ В}$; $I_{CC} < 30 \text{ мкА}$	SOT23-5	RES • GND • MR • WDI • VCC
ADPS	MAX8824ZUK	MAX	mrc+wdt	$V_{IR} = 2.32 \text{ В}$; $V_{DD} = 1.2 \dots 5.5 \text{ В}$; $I_{CC} < 30 \text{ мкА}$	SOT23-5	RES • GND • RES • WDI • VCC
ADPT	MAX8825TUK	MAX	mrc+wdt	$V_{IR} = 3.08 \text{ В}$; $V_{DD} = 1.2 \dots 5.5 \text{ В}$; $I_{CC} < 30 \text{ мкА}$	SOT23-5	RES • GND • RES • MR • VCC
ADPU	MAX8352VUK	MAX	mrc	$V_{IR1} = 3.08 \text{ В}$; $V_{IR2} = 1.67 \text{ В}$; $V_{DD} = 1.2 \dots 5.5 \text{ В}$; $I_{CC} < 50 \text{ мкА}$	SOT23-5	RST • GND • MR • VCC2 • VCC1
ADPV	MAX8353SVUK	MAX	mrc	$V_{IR1} = 2.93 \text{ В}$; $V_{IR2} = 1.58 \text{ В}$; $V_{DD} = 1.2 \dots 5.5 \text{ В}$; $I_{CC} < 50 \text{ мкА}$	SOT23-5	RST • GND • MR • VCC2 • VCC1
ADPW	MAX8354UWUK	MAX	mrc	$V_{IR1} = 2.78 \text{ В}$; $V_{IR2} = 1.67 \text{ В}$; $V_{DD} = 1.2 \dots 5.5 \text{ В}$; $I_{CC} < 50 \text{ мкА}$	SOT23-5	RST • GND • MR • VCC2 • VCC1
ADQF	MAX1722EZK	MAX	dcdd	$V_{IN} = 0.8 \dots 5.5 \text{ В}$; $V_{OUT} = 2 \dots 5.5 \text{ В}$; $I_{OUT} = 150 \text{ мА}$	TSOT23-5	BATT • GND • FB • OUT • LX
ADQG	MAX1723EZK	MAX	dcdd	$V_{IN} = 0.8 \dots 5.5 \text{ В}$; $V_{OUT} = 2 \dots 5.5 \text{ В}$; $I_{OUT} = 150 \text{ мА}$	SOT23-5	BATT • GND • FB • OUT • LX
ADQH	MAX1724EZK27	MAX	dcdd	$V_{IN} = 0.8 \dots 5.5 \text{ В}$; $V_{OUT} = 2.7 \text{ В}$; $I_{OUT} = 150 \text{ мА}$	TSOT23-5	BATT • GND • FB • OUT • LX
ADQI	MAX1724EZK30	MAX	dcdd	$V_{IN} = 0.8 \dots 5.5 \text{ В}$; $V_{OUT} = 3 \text{ В}$; $I_{OUT} = 150 \text{ мА}$	TSOT23-5	BATT • GND • FB • OUT • LX
ADQJ	MAX1724EZK33	MAX	dcdd	$V_{IN} = 0.8 \dots 5.5 \text{ В}$; $V_{OUT} = 3.3 \text{ В}$; $I_{OUT} = 150 \text{ мА}$	TSOT23-5	BATT • GND • FB • OUT • LX
ADQJ	MAX8354LTUK	MAX	mrc	$V_{IR1} = 4.63 \text{ В}$; $V_{IR2} = 3.08 \text{ В}$; $V_{DD} = 1.2 \dots 5.5 \text{ В}$; $I_{CC} < 50 \text{ мкА}$	SOT23-5	RST • GND • MR • VCC2 • VCC1
ADQK	MAX1724EZK50	MAX	dcdd	$V_{IN} = 0.8 \dots 5.5 \text{ В}$; $V_{OUT} = 5 \text{ В}$; $I_{OUT} = 150 \text{ мА}$	TSOT23-5	BATT • GND • FB • OUT • LX
ADQK	MAX8601UKP125	MAX	tempsw	$V_{CC} = 2.7 \dots 5.5 \text{ В}$; $T_{TH} = +125 \text{ °C}$; $I_{CC} < 85 \text{ мкА}$	SOT23-5	GND • GND • HYST • VCC • TOVER
ADQL	MAX8821ZUK	MAX	mrc+wdt	$V_{IR} = 2.32 \text{ В}$; $V_{DD} = 1.2 \dots 5.5 \text{ В}$; $I_{CC} < 30 \text{ мкА}$	SOT23-5	RES • GND • MR • WDI • VCC
ADQM	MAX8825YUK	MAX	mrc+wdt	$V_{IR} = 2.19 \text{ В}$; $V_{DD} = 1.2 \dots 5.5 \text{ В}$; $I_{CC} < 30 \text{ мкА}$	SOT23-5	RES • GND • RES • WDI • VCC
ADCM	MAX8867ZK25	MAX	reg	LDO; $V_{IN} = 2.5 \dots 6.5 \text{ В}$; $V_{OUT} = 2.5 \text{ В}$; $I_{OUT} = 150 \text{ мА}$	TSOT23-5	SHDN • GND • IN • OUT • BP
ADCO	MAX8867ZK28	MAX	reg	LDO; $V_{IN} = 2.5 \dots 6.5 \text{ В}$; $V_{OUT} = 2.8 \text{ В}$; $I_{OUT} = 150 \text{ мА}$	TSOT23-5	SHDN • GND • IN • OUT • BP
ADCP	MAX8867ZK29	MAX	reg	LDO; $V_{IN} = 2.5 \dots 6.5 \text{ В}$; $V_{OUT} = 2.84 \text{ В}$; $I_{OUT} = 150 \text{ мА}$	TSOT23-5	SHDN • GND • IN • OUT • BP
ADCP	MAX9140EUK	MAX	cmp	$V_{DS} < 4.5 \text{ мВ}$; $V_{CC} = 2.7 \dots 5.5 \text{ В}$; $I_{CC} < 300 \text{ мкА}$	SOT23-5	OUT • GND • IN • IN- • VCC
ADQO	MAX5466EUK	MAX	Dpot	32 позиции; 10 кОм ; $V_{DD} = 2.7 \dots 5.5 \text{ В}$	SOT23-5	VDD • GND • U/D • CS • H
ADQC	MAX8867ZK30	MAX	reg	LDO; $V_{IN} = 2.5 \dots 6.5 \text{ В}$; $V_{OUT} = 3.0 \text{ В}$; $I_{OUT} = 150 \text{ мА}$	TSOT23-5	SHDN • GND • IN • OUT • BP
ADCR	MAX8867ZK32	MAX	reg	LDO; $V_{IN} = 2.5 \dots 6.5 \text{ В}$; $V_{OUT} = 3.15 \text{ В}$; $I_{OUT} = 150 \text{ мА}$	TSOT23-5	SHDN • GND • IN • OUT • BP
ADQS	MAX8867ZK33	MAX	reg	LDO; $V_{IN} = 2.5 \dots 6.5 \text{ В}$; $V_{OUT} = 3.3 \text{ В}$; $I_{OUT} = 150 \text{ мА}$	TSOT23-5	SHDN • GND • IN • OUT • BP
ADCT	MAX8867ZK36	MAX	reg	LDO; $V_{IN} = 2.5 \dots 6.5 \text{ В}$; $V_{OUT} = 3.6 \text{ В}$; $I_{OUT} = 150 \text{ мА}$	TSOT23-5	SHDN • GND • IN • OUT • BP
ADCV	MAX8867ZK50	MAX	reg	LDO; $V_{IN} = 2.5 \dots 6.5 \text{ В}$; $V_{OUT} = 5.0 \text{ В}$; $I_{OUT} = 150 \text{ мА}$	TSOT23-5	SHDN • GND • IN • OUT • BP
ADQW	MAX8352SVUK	MAX	mrc	$V_{IR1} = 2.93 \text{ В}$; $V_{IR2} = 1.58 \text{ В}$; $V_{DD} = 1.2 \dots 5.5 \text{ В}$; $I_{CC} < 50 \text{ мкА}$	SOT23-5	RST • GND • MR • VCC2 • VCC1
ADQW	MAX8868ZK25	MAX	reg	LDO; $V_{IN} = 2.5 \dots 6.5 \text{ В}$; $V_{OUT} = 2.5 \text{ В}$; $I_{OUT} = 150 \text{ мА}$	TSOT23-5	SHDN • GND • IN • OUT • BP
ADQX	MAX8353RVUK	MAX	mrc	$V_{IR1} = 2.63 \text{ В}$; $V_{IR2} = 1.58 \text{ В}$; $V_{DD} = 1.2 \dots 5.5 \text{ В}$; $I_{CC} < 50 \text{ мкА}$	SOT23-5	RST • GND • MR • VCC2 • VCC1
ADQX	MAX8868ZK28	MAX	reg	LDO; $V_{IN} = 2.5 \dots 6.5 \text{ В}$; $V_{OUT} = 2.8 \text{ В}$; $I_{OUT} = 150 \text{ мА}$	TSOT23-5	SHDN • GND • IN • OUT • BP
ADCY	MAX8354SVUK	MAX	mrc	$V_{IR1} = 2.93 \text{ В}$; $V_{IR2} = 1.67 \text{ В}$; $V_{DD} = 1.2 \dots 5.5 \text{ В}$; $I_{CC} < 50 \text{ мкА}$	SOT23-5	RST • GND • MR • VCC2 • VCC1
ADCY	MAX8868ZK29	MAX	reg	LDO; $V_{IN} = 2.5 \dots 6.5 \text{ В}$; $V_{OUT} = 2.84 \text{ В}$; $I_{OUT} = 150 \text{ мА}$	TSOT23-5	SHDN • GND • IN • OUT • BP
ADQZ	MAX8354RVUK	MAX	mrc	$V_{IR1} = 2.63 \text{ В}$; $V_{IR2} = 1.58 \text{ В}$; $V_{DD} = 1.2 \dots 5.5 \text{ В}$; $I_{CC} < 50 \text{ мкА}$	SOT23-5	RST • GND • MR • VCC2 • VCC1
ADQZ	MAX8868ZK30	MAX	reg	LDO; $V_{IN} = 2.5 \dots 6.5 \text{ В}$; $V_{OUT} = 3.0 \text{ В}$; $I_{OUT} = 150 \text{ мА}$	TSOT23-5	SHDN • GND • IN • OUT • BP
ADRA	MAX4350EUK	MAX	OA	R-R; $V_{DD} = \pm 4.5 \dots \pm 5.5 \text{ В}$; $f_{BD} = 210 \text{ МГц}$; $V_{OS} < 26 \text{ мВ}$	SOT23-5	OUT • VEE • IN+ • IN- • VCC
ADRA	MAX8868ZK32	MAX	reg	LDO; $V_{IN} = 2.5 \dots 6.5 \text{ В}$; $V_{OUT} = 3.15 \text{ В}$; $I_{OUT} = 150 \text{ мА}$	TSOT23-5	SHDN • GND • IN • OUT • BP
ADRB	MAX8316MUK46A	MAX	mrc	$V_{IR} = 4.63 \text{ В}$; $V_{DD} = 1 \dots 5.5 \text{ В}$; $I_{CC} < 20 \text{ мкА}$	SOT23-5	RES • GND • MR • WDI • VCC
ADRB	MAX8868ZK33	MAX	reg	LDO; $V_{IN} = 2.5 \dots 6.5 \text{ В}$; $V_{OUT} = 3.3 \text{ В}$; $I_{OUT} = 150 \text{ мА}$	TSOT23-5	SHDN • GND • IN • OUT • BP
ADRC	MAX8353UVUK	MAX	mrc	$V_{IR1} = 2.78 \text{ В}$; $V_{IR2} = 1.58 \text{ В}$; $V_{DD} = 1.2 \dots 5.5 \text{ В}$; $I_{CC} < 50 \text{ мкА}$	SOT23-5	RST • GND • MR • VCC2 • VCC1
ADRC	MAX8868ZK36	MAX	reg	LDO; $V_{IN} = 2.5 \dots 6.5 \text{ В}$; $V_{OUT} = 3.6 \text{ В}$; $I_{OUT} = 150 \text{ мА}$	TSOT23-5	SHDN • GND • IN • OUT • BP
ADRD	MAX4465EUK	MAX	OA	R-R; $V_{DD} = 2.4 \dots 5.5 \text{ В}$; $f_{BD} = 200 \text{ МГц}$; $I_{CC} < 60 \text{ мкА}$; $V_{OS} < 5 \text{ мВ}$	SOT23-5	IN+ • GND • IN- • OUT • VDD

SOT553

SOT353
SC88ASOT23-5
TSOT23-5

Код	Типономинал	Б	Ф	Особенности	Корпус	Ц: 1+2+3+4+5
ADRD	MAX8288ZK50	MAX	reg	LDO; $V_{IN}=2.5...6.5\text{ В}$; $V_{OUT}=5.0\text{ В}$; $I_{OUT}=150\text{ мА}$	TSOT23-5	SHDN • GND • IN • OUT • BP
ADRE	MAX4466EJK	MAX	OA	R-R; $V_{DD}=2.4...5.5\text{ В}$; $I_{DD}=200\text{ мА}$; $I_{CC}<60\text{ мА}$; $V_{DS}<5\text{ МВ}$	SOT23-5	IN+ • GND • IN- • OUT • VCC
ADUD	MAX6502UKP125	MAX	tempsw	$V_{CC}=2.7...5.5\text{ В}$; $T_{TH}=+125\text{ °C}$; $I_{CC}<85\text{ мА}$	SOT23-5	GND • GND • HYST • VCC • TOVER
AEA	AD6831ART	AD	OA	$V_{DD}=5\text{ МГц}$; $P_D=3\text{ мВт}$; $V_{DD}=1.8...6\text{ В}$	SOT23-5	OUT A • V- • IN A • -IN A • V+
ALW	TPS62208DBV	TI	dotc	$V_{IN}=2.5...6.0\text{ В}$; $V_{OUT}=1.875\text{ В}$; $I_{OUT}=300\text{ мА}$	SOT23-5	VI • GND • EN • FB • SW
AOH	AD8515AKSZ	AD	OA	$I_{DD}=5\text{ МГц}$; $P_D=3\text{ мВт}$; $V_{DD}=1.8...5\text{ В}$	SOT353, SC88A	OUT • V- • +IN • -IN • V+
AOH	AD8515ARTZ	AD	OA	$I_{DD}=5\text{ МГц}$; $P_D=3\text{ мВт}$; $V_{DD}=1.8...5\text{ В}$	SOT23-5	OUT • V- • +IN • -IN • V+
AQ	AN1433SSM	PAN	reg	$V_{IN}=1.25...14\text{ В}$; $I_{OUT}<20\text{ мА}$; $V_{OUT}=1.25...15\text{ В}$	SOT553, BMT5	VCC • ANODE • CATHODE • n. c. • REF
ASA	AD8566AKS	AD	OA	$I_{DD}=5\text{ МГц}$; $P_D=12\text{ мВт}$; $V_{DD}=4.5...16\text{ В}$	SOT353, SC88A	OUT • V+ • +IN • -IN • V-
B3A	AD8605ART	AD	OA	$I_{DD}=10\text{ МГц}$; $P_D=7\text{ мВт}$; $V_{DD}=2.7...5.5\text{ В}$	SOT23-5	OUT • V- • +IN • -IN • V+
B3A#	AD8605ARTZ	AD	OA	$I_{DD}=10\text{ МГц}$; $P_D=7\text{ мВт}$; $V_{DD}=2.7...5.5\text{ В}$	SOT23-5	OUT • V- • +IN • -IN • V+
B43	OPA343NA	TI	OA	R-R; $V_{DD}=2.5...5.5\text{ В}$; $I_{DD}=5\text{ МГц}$; $I_S=1.4\text{ мА}$; $V_{DS}<+8\text{ МВ}$	SOT23-5	OUT • V- • +IN • -IN • V+
B8A	AD6827AKS	AD	OA	$I_{DD}=5\text{ МГц}$; $P_D=25\text{ мВт}$; $V_{DD}=5...26/42.5...13\text{ В}$	SOT353, SC88A	OUT A • V- • +IN • -IN • V+
BA	AN80L18RMS	PAN	reg	LDO; $V_{IN}=2.8\text{ В}$; $I_{OUT}=150\text{ мА}$; $V_{OUT}=1.8\text{ В}$	SOT23-5	CONT • GND • n. c. • OUT • IN
BB	AN80L19RMS	PAN	reg	LDO; $V_{IN}=2.9\text{ В}$; $I_{OUT}=150\text{ мА}$; $V_{OUT}=1.9\text{ В}$	SOT23-5	CONT • GND • n. c. • OUT • IN
BC	AN80L20RMS	PAN	reg	LDO; $V_{IN}=3.0\text{ В}$; $I_{OUT}=150\text{ мА}$; $V_{OUT}=2.0\text{ В}$	SOT23-5	CONT • GND • n. c. • OUT • IN
BD	AN80L21RMS	PAN	reg	LDO; $V_{IN}=3.1\text{ В}$; $I_{OUT}=150\text{ мА}$; $V_{OUT}=2.1\text{ В}$	SOT23-5	CONT • GND • n. c. • OUT • IN
BDA	AD8515AKS	AD	OA	$I_{DD}=5\text{ МГц}$; $P_D=3\text{ мВт}$; $V_{DD}=1.8...5\text{ В}$	SOT353, SC88A	OUT • V- • +IN • -IN • V+
BDA	AD8515ART	AD	OA	$I_{DD}=5\text{ МГц}$; $P_D=3\text{ мВт}$; $V_{DD}=1.8...5\text{ В}$	SOT23-5	OUT • V- • +IN • -IN • V+
BE	AN80L22RMS	PAN	reg	LDO; $V_{IN}=3.2\text{ В}$; $I_{OUT}=150\text{ мА}$; $V_{OUT}=2.2\text{ В}$	SOT23-5	CONT • GND • n. c. • OUT • IN
BF	AN80L23RMS	PAN	reg	LDO; $V_{IN}=3.3\text{ В}$; $I_{OUT}=150\text{ мА}$; $V_{OUT}=2.3\text{ В}$	SOT23-5	CONT • GND • n. c. • OUT • IN
BG	AN80L24RMS	PAN	reg	LDO; $V_{IN}=3.4\text{ В}$; $I_{OUT}=150\text{ мА}$; $V_{OUT}=2.4\text{ В}$	SOT23-5	CONT • GND • n. c. • OUT • IN
BH	AN80L25RMS	PAN	reg	LDO; $V_{IN}=3.5\text{ В}$; $I_{OUT}=150\text{ мА}$; $V_{OUT}=2.5\text{ В}$	SOT23-5	CONT • GND • n. c. • OUT • IN
BJ	AN80L26RMS	PAN	reg	LDO; $V_{IN}=3.6\text{ В}$; $I_{OUT}=150\text{ мА}$; $V_{OUT}=2.6\text{ В}$	SOT23-5	CONT • GND • n. c. • OUT • IN
BK	AN80L27RMS	PAN	reg	LDO; $V_{IN}=3.7\text{ В}$; $I_{OUT}=150\text{ мА}$; $V_{OUT}=2.7\text{ В}$	SOT23-5	CONT • GND • n. c. • OUT • IN
BL	AN80L28RMS	PAN	reg	LDO; $V_{IN}=3.8\text{ В}$; $I_{OUT}=150\text{ мА}$; $V_{OUT}=2.8\text{ В}$	SOT23-5	CONT • GND • n. c. • OUT • IN
BM	AN80L29RMS	PAN	reg	LDO; $V_{IN}=3.9\text{ В}$; $I_{OUT}=150\text{ мА}$; $V_{OUT}=2.9\text{ В}$	SOT23-5	CONT • GND • n. c. • OUT • IN
BN	AN80L30RMS	PAN	reg	LDO; $V_{IN}=4.0\text{ В}$; $I_{OUT}=150\text{ мА}$; $V_{OUT}=3.0\text{ В}$	SOT23-5	CONT • GND • n. c. • OUT • IN
BP	AN80L31RMS	PAN	reg	LDO; $V_{IN}=4.1\text{ В}$; $I_{OUT}=150\text{ мА}$; $V_{OUT}=3.1\text{ В}$	SOT23-5	CONT • GND • n. c. • OUT • IN
BQ	AN80L32RMS	PAN	reg	LDO; $V_{IN}=4.2\text{ В}$; $I_{OUT}=150\text{ мА}$; $V_{OUT}=3.2\text{ В}$	SOT23-5	CONT • GND • n. c. • OUT • IN
BR	AN80L33RMS	PAN	reg	LDO; $V_{IN}=4.3\text{ В}$; $I_{OUT}=150\text{ мА}$; $V_{OUT}=3.3\text{ В}$	SOT23-5	CONT • GND • n. c. • OUT • IN
BS	AN80L34RMS	PAN	reg	LDO; $V_{IN}=4.4\text{ В}$; $I_{OUT}=150\text{ мА}$; $V_{OUT}=3.4\text{ В}$	SOT23-5	CONT • GND • n. c. • OUT • IN
BT	AN80L35RMS	PAN	reg	LDO; $V_{IN}=4.5\text{ В}$; $I_{OUT}=150\text{ мА}$; $V_{OUT}=3.5\text{ В}$	SOT23-5	CONT • GND • n. c. • OUT • IN
BV	AN80L36RMS	PAN	reg	LDO; $V_{IN}=4.6\text{ В}$; $I_{OUT}=150\text{ мА}$; $V_{OUT}=3.6\text{ В}$	SOT23-5	CONT • GND • n. c. • OUT • IN
BW	AN80L37RMS	PAN	reg	LDO; $V_{IN}=4.7\text{ В}$; $I_{OUT}=150\text{ мА}$; $V_{OUT}=3.7\text{ В}$	SOT23-5	CONT • GND • n. c. • OUT • IN
BX	AN80L38RMS	PAN	reg	LDO; $V_{IN}=4.8\text{ В}$; $I_{OUT}=150\text{ мА}$; $V_{OUT}=3.8\text{ В}$	SOT23-5	CONT • GND • n. c. • OUT • IN
BY	AN80L39RMS	PAN	reg	LDO; $V_{IN}=4.9\text{ В}$; $I_{OUT}=150\text{ мА}$; $V_{OUT}=3.9\text{ В}$	SOT23-5	CONT • GND • n. c. • OUT • IN
BZ	AN80L40RMS	PAN	reg	LDO; $V_{IN}=5.0\text{ В}$; $I_{OUT}=150\text{ мА}$; $V_{OUT}=4.0\text{ В}$	SOT23-5	CONT • GND • n. c. • OUT • IN
C1	FMC1A	ROHM	Dnpn/npn	$V_{CC}=50\text{ В}$; $I_{OUT}=100\text{ мА}$; $P_D=300\text{ мВт}$; $h_{21}>86$	SOT23-5	C1 • C2 • E2, B2 • B1 • E1
C1	UMC1N	ROHM	Dnpn/npn	$V_{CC}=50\text{ В}$; $I_{OUT}=100\text{ мА}$; $P_D=150\text{ мВт}$; $h_{21}>86$	SOT353, SC88A	E1 • B1 • E2, B2 • C2 • C1
C12	UMV331M5	NS	cmp	$V_{DS}<7\text{ мВ}$; $V_{DD}=2.7...5\text{ В}$; $I_{CC}<100\text{ мА}$	SOT23-5	+IN • V- • -IN • OUT • V+
C13	UMV331M7	NS	cmp	$V_{DS}<7\text{ мВ}$; $V_{DD}=2.7...5\text{ В}$; $I_{CC}<100\text{ мА}$	SOT353, SC88A	+IN • V- • -IN • OUT • V+
C2	BMC2	ROHM	Dnpn/npn	$V_{CC}=50\text{ В}$; $I_{OUT}=100\text{ мА}$; $P_D=150\text{ мВт}$; $h_{21}>86$; $22\text{ кОм}/22\text{ кОм}$	SOT553, BMT5	E1 • B1 • E2, B2 • C2 • C1
C2	FMC2A	ROHM	Dnpn/npn	$V_{CC}=50\text{ В}$; $I_{OUT}=100\text{ мА}$; $P_D=300\text{ мВт}$; $h_{21}>86$; $22\text{ кОм}/22\text{ кОм}$	SOT23-5	C1 • C2 • E2, B2 • B1 • E1
C2	UMC2N	ROHM	Dnpn/npn	$V_{CC}=50\text{ В}$; $I_{OUT}=100\text{ мА}$; $P_D=150\text{ мВт}$; $h_{21}>86$; $22\text{ кОм}/22\text{ кОм}$	SOT353, SC88A	E1 • B1 • E2, B2 • C2 • C1



SOT23-5
TSOT23-5



SOT553

Код	Типономинал	Б	Ф	Особенности	Корпус	Ц: 1•2•3•4•5
C3	FMC3A	ROHM	Dnpnp/nnp	$V_{CE}=50B$; $I_{OUT}=100mA$; $P_D=300mBt$; $h_{21}>56$; $10k\Omega m/10k\Omega m$	SOT23-5	C1•C2•E2, B2•B1•E1
C3	UMC3N	ROHM	Dnpnp/nnp	$V_{CE}=50B$; $I_{OUT}=100mA$; $P_D=150mBt$; $h_{21}>56$; $10k\Omega m/10k\Omega m$	SOT353, SC88A	E1•B1•E2, B2•C2•C1
C4	FMC4A	ROHM	Dnpnp/nnp	$V_{CE}=50B$; $I_{OUT}=100mA$; $P_D=300mBt$; $h_{21}>56$; $47k\Omega m/47k\Omega m$; $47k\Omega m/10k\Omega m$	SOT23-5	C1•C2•E2, B2•B1•E1
C4	UMC4N	ROHM	Dnpnp/nnp	$V_{CE}=50B$; $I_{OUT}=100mA$; $P_D=150mBt$; $h_{21}>56$; $47k\Omega m/47k\Omega m$; $47k\Omega m/10k\Omega m$	SOT353, SC88A	E1•B1•E2, B2•C2•C1
C5	FMC5A	ROHM	Dnpnp/nnp	$V_{CE}=50B$; $I_{OUT}=100mA$; $P_D=300mBt$; $h_{21}>56$; $47k\Omega m/47k\Omega m$; $47k\Omega m/10k\Omega m$	SOT23-5	C1•C2•E2, B2•B1•E1
C5	UMC5N	ROHM	Dnpnp/nnp	$V_{CE}=50B$; $I_{OUT}=100mA$; $P_D=150mBt$; $h_{21}>56$; $47k\Omega m/47k\Omega m$; $47k\Omega m/10k\Omega m$	SOT353, SC88A	E1•B1•E2, B2•C2•C1
C6	FMC6A	ROHM	Dnpnp/nnp	$V_{CE}=50B$; $I_{OUT}=100mA$; $P_D=300mBt$; $h_{21}>56$; $100k\Omega m/100k\Omega m$	SOT23-5	C1•C2•E2, B2•B1•E1
C6	UMC6N	ROHM	Dnpnp/nnp	$V_{CE}=50B$; $I_{OUT}=100mA$; $P_D=150mBt$; $h_{21}>56$; $100k\Omega m/100k\Omega m$	SOT353, SC88A	E1•B1•E2, B2•C2•C1
C7	FMC7A	ROHM	Dnpnp/nnp	$V_{CE}=50B$; $I_{OUT}=100mA$; $P_D=300mBt$; $h_{21}>56$	SOT23-5	C1•C2•E2, B2•B1•E1
C7	UMC7N	ROHM	Dnpnp/nnp	$V_{CE}=50B$; $I_{OUT}=100mA$; $P_D=150mBt$; $h_{21}>56$	SOT353, SC88A	E1•B1•E2, B2•C2•C1
CGA	AD7415ART	AD	dis	10-pasp; SMBus/I ² C; $V_{DD}=2.7...5.5B$	SOT23-5	AS•GND•VDD•SDA•SCL
CGB	AD7415ART	AD	dis	10-pasp; SMBus/I ² C; $V_{DD}=2.7...5.5B$	SOT23-5	AS•GND•VDD•SDA•SCL
DM3	OPA743NA	TI	OA	R-R; $V_{DD}=8.5...12(\pm 1.75...16B$; $f_{BD}=7M\Omega$; $I_S=1.7mA$; $V_{OS}<17mB$	SOT23-5	OUT•V-•+IN•-IN•V+
D53	OPA353NA	TI	OA	R-R; $V_{DD}=2.7...5.5B$; $f_{BD}=44M\Omega$; $I_S=9mA$; $V_{OS}<10mB$	SOT23-5	OUT•V-•+IN•-IN•V+
DNC	ADP3309ART-2.7	AD	reg	LDO; $V_{IN}=2.8...12B$; $I_{OUT}=100mA$; $V_{OUT}=2.7B$	SOT23-5	IN•GND•SD•ERR/n.c. •OUT
DPC	ADP3309ART-3	AD	reg	LDO; $V_{IN}=2.8...12B$; $I_{OUT}=100mA$; $V_{OUT}=3B$	SOT23-5	IN•GND•SD•ERR/n.c. •OUT
DRC	ADP3309ART-3.3	AD	reg	LDO; $V_{IN}=2.8...12B$; $I_{OUT}=100mA$; $V_{OUT}=3.3B$	SOT23-5	IN•GND•SD•ERR/n.c. •OUT
DTC	ADP3309ART-3.6	AD	reg	LDO; $V_{IN}=2.8...12B$; $I_{OUT}=100mA$; $V_{OUT}=3.6B$	SOT23-5	IN•GND•SD•ERR/n.c. •OUT
DVC	ADP3309ART-2.85	AD	reg	LDO; $V_{IN}=2.8...12B$; $I_{OUT}=100mA$; $V_{OUT}=2.85B$	SOT23-5	IN•GND•SD•ERR/n.c. •OUT
DWC	ADP3309ART-2.9	AD	reg	LDO; $V_{IN}=2.8...12B$; $I_{OUT}=100mA$; $V_{OUT}=2.9B$	SOT23-5	IN•GND•SD•ERR/n.c. •OUT
E37	OPA137NA	TI	OA	$V_{DD}=4.5...36(\pm 2.25...18B$; $I_S=320mA$; $V_{OS}<17mB$	SOT23-5	OUT•V-•+IN•-IN•V+
EV	TSV241	SANYO	pin x2	$V_A>50B$; $I_L<50mA$; $V_F(I_F=50mA)=0.95B$; $I_S<0.1mA$	SOT23-5	A1•n.c. •A2•K2•K1
G1	EMG1	ROHM	Dnpnp x2	$V_{CE}=50B$; $I_{OUT}=100mA$; $P_D=150mBt$; $h_{21}>56$; $22k\Omega m/22k\Omega m$	SOT553, EMT5	B1•E1, E2•B2•C2•C1
G1	FMG1A	ROHM	Dnpnp x2	$V_{CE}=50B$; $I_{OUT}=100mA$; $P_D=300mBt$; $h_{21}>56$; $22k\Omega m/22k\Omega m$	SOT23-5	C1•C2•B2•E1, E2•B1
G1	UMG1N	ROHM	Dnpnp x2	$V_{CE}=50B$; $I_{OUT}=100mA$; $P_D=150mBt$; $h_{21}>56$; $22k\Omega m/22k\Omega m$	SOT353, SC88A	B1•E1, E2•B2•C2•C1
G10	UMG10N	ROHM	Dnpnp x2	$V_{CE}=50B$; $I_{OUT}=100mA$; $P_D=150mBt$; $h_{21}>33$; $R2/R1=10$	SOT353, SC88A	C1•C2•B2•E1, E2•B1
G11	EMG11	ROHM	Dnpnp x2	$V_{CE}=50B$; $I_{OUT}=100mA$; $P_D=150mBt$; $h_{21}>56$; $R2/R1=21$	SOT553, EMT5	B1•E1, E2•B2•C2•C1
G11	FMG11A	ROHM	Dnpnp x2	$V_{CE}=50B$; $I_{OUT}=100mA$; $P_D=300mBt$; $h_{21}>56$; $R2/R1=21$	SOT23-5	C1•C2•B2•E1, E2•B1
G11	UMG11N	ROHM	Dnpnp x2	$V_{CE}=50B$; $I_{OUT}=100mA$; $P_D=150mBt$; $h_{21}>56$; $R2/R1=21$	SOT353, SC88A	B1•E1, E2•B2•C2•C1
G2	FMG2A	ROHM	Dnpnp x2	$V_{CE}=50B$; $I_{OUT}=100mA$; $P_D=300mBt$; $h_{21}>56$; $47k\Omega m/47k\Omega m$	SOT23-5	C1•C2•B2•E1, E2•B1
G2	UMG2N	ROHM	Dnpnp x2	$V_{CE}=50B$; $I_{OUT}=100mA$; $P_D=150mBt$; $h_{21}>56$; $47k\Omega m/47k\Omega m$	SOT353, SC88A	B1•E1, E2•B2•C2•C1
G3	IMG3A	ROHM	Dnpnp x2	$V_{BD}=50B$; $I_C=100mA$; $P_D=300mBt$; $h_{21}>100$; $R1/4.7k\Omega m$	SOT23-5	B2•B1•C2•E1, E1•C1
G37	OPA37NA	TI	OA	R-R; $V_{DD}=2.5...5.5B$; $f_{BD}=3M\Omega$; $I_S=1.2mA$; $V_{OS}<13.5mB$	SOT23-5	OUT•V-•+IN•-IN•V+

SOT553

SOT353
SC88ASOT23-5
TSOT23-5

Код	Типономинал	Б	Ф	Особенности	Корпус	Ц: 1•2•3•4•5
G4	BMG4	ROHM	Dnprn x2	$V_{CE0}=50B$; $I_C=100mA$; $P_D=150mBt$; $h_{21}>100$; $R_1 10k\Omega$	SOT553, BMT5	B1•E1, E2•B2•C2•C1
G4	FMG4A	ROHM	Dnprn x2	$V_{CE0}=50B$; $I_C=100mA$; $P_D=300mBt$; $h_{21}>100$; $R_1 10k\Omega$	SOT23-5	C1•C2•B2•E1, E2•B1
G4	UMG4N	ROHM	Dnprn x2	$V_{CE0}=50B$; $I_C=100mA$; $P_D=150mBt$; $h_{21}>100$; $R_1 10k\Omega$	SOT353, SC88A	B1•E1, E2•B2•C2•C1
G5	BMG5	ROHM	Dnprn x2	$V_{CE0}=50B$; $I_C=100mA$; $P_D=150mBt$; $h_{21}>100$; $10k\Omega/47k\Omega$	SOT553, BMT5	B1•E1, E2•B2•C2•C1
G5	FMG5A	ROHM	Dnprn x2	$V_{CE0}=50B$; $I_C=100mA$; $P_D=300mBt$; $h_{21}>100$; $10k\Omega/47k\Omega$	SOT23-5	C1•C2•B2•E1, E2•B1
G5	UMG5N	ROHM	Dnprn x2	$V_{CE0}=50B$; $I_C=100mA$; $P_D=150mBt$; $h_{21}>100$; $10k\Omega/47k\Omega$	SOT353, SC88A	B1•E1, E2•B2•C2•C1
G5	UMG5N	ROHM	Dnprn x2	$V_{CE0}=50B$; $I_{CUT}=100mA$; $P_D=150mBt$; $h_{21}>68$; $R_2/R_1=4.7$	SOT353, SC88A	B1•E1, E2•B2•C2•C1
G6	BMG6	ROHM	Dnprn x2	$V_{CE0}=50B$; $I_C=100mA$; $P_D=150mBt$; $h_{21}>100$; $R_1 47k\Omega$	SOT553, BMT5	B1•E1, E2•B2•C2•C1
G6	FMG6A	ROHM	Dnprn x2	$V_{CE0}=50B$; $I_C=100mA$; $P_D=300mBt$; $h_{21}>100$; $R_1 47k\Omega$	SOT23-5	C1•C2•B2•E1, E2•B1
G6	UMG6N	ROHM	Dnprn x2	$V_{CE0}=50B$; $I_C=100mA$; $P_D=150mBt$; $h_{21}>100$; $R_1 47k\Omega$	SOT353, SC88A	B1•E1, E2•B2•C2•C1
G6	UMG6N	ROHM	Dnprn x2	$V_{CE0}=50B$; $I_C=100mA$; $P_D=150mBt$; $h_{21}>100$; $R_1=47k\Omega$	SOT353, SC88A	B1•E1, E2•B2•C2•C1
G7	FMG7A	ROHM	Dnprn x2	$V_{CE0}=50B$; $I_C=100mA$; $P_D=300mBt$; $h_{21}>100$	SOT23-5	C1•C2•B2•E1, E2•B1
G7	UMG7N	ROHM	Dnprn x2	$V_{CE0}=50B$; $I_C=100mA$; $P_D=150mBt$; $h_{21}>100$	SOT353, SC88A	B1•E1, E2•B2•C2•C1
G7	UMG7N	ROHM	Dnprn x2	$V_{CE0}=50B$; $I_C=100mA$; $P_D=150mBt$; $h_{21}>100$; $R_1=10k\Omega$	SOT353, SC88A	B1•E1•E2•C2•C1, B2
G8	BMG8	ROHM	Dnprn x2	$V_{CE0}=50B$; $I_C=100mA$; $P_D=150mBt$; $h_{21}>100$; $4.7k\Omega/47k\Omega$	SOT553, BMT5	B1•E1, E2•B2•C2•C1
G8	FMG8A	ROHM	Dnprn x2	$V_{CE0}=50B$; $I_C=100mA$; $P_D=300mBt$; $h_{21}>100$; $4.7k\Omega/47k\Omega$	SOT23-5	C1•C2•B2•E1, E2•B1
G8	UMG8N	ROHM	Dnprn x2	$V_{CE0}=50B$; $I_C=100mA$; $P_D=150mBt$; $h_{21}>100$; $4.7k\Omega/47k\Omega$	SOT353, SC88A	B1•E1, E2•B2•C2•C1
G8	UMG8N	ROHM	Dnprn x2	$V_{CE0}=50B$; $I_{CUT}=100mA$; $P_D=150mBt$; $h_{21}>80$; $R_2/R_1=10$	SOT353, SC88A	B1•E1, E2•B2•C2•C1
G9	BMG9	ROHM	Dnprn x2	$V_{CE0}=50B$; $I_{CUT}=100mA$; $P_D=150mBt$; $h_{21}>56$; $10k\Omega/10k\Omega$	SOT553, BMT5	B1•E1, E2•B2•C2•C1
G9	FMG9A	ROHM	Dnprn x2	$V_{CE0}=50B$; $I_{CUT}=100mA$; $P_D=300mBt$; $h_{21}>56$; $10k\Omega/10k\Omega$	SOT23-5	C1•C2•B2•E1, E2•B1
G9	UMG9N	ROHM	Dnprn x2	$V_{CE0}=50B$; $I_{CUT}=100mA$; $P_D=150mBt$; $h_{21}>56$; $10k\Omega/10k\Omega$	SOT353, SC88A	B1•E1, E2•B2•C2•C1
H0A	AD8031ART	AD	OA	$f_{30}=80MГц$; $P_D=16mBt$; $V_{DD}=2.7...12B$	SOT23-5	VOUT•-VS•+IN•-IN•+VS
H0D	AD8061ARTZ	AD	OA	$f_{30}=320MГц$; $P_D=75mBt$; $V_{DD}=2.7...8B$	SOT23-5	VOUT•-VS•+IN•-IN•+VS
H1A	AD6035AR	AD	OA	$f_{30}=270MГц$; $P_D=4mBt$; $V_{DD}=±3...±6B$	SOT23-5	OUT•-VS•+IN•-IN•+VS
H2A	AD8051ART	AD	OA	$f_{30}=110MГц$; $P_D=60mBt$; $V_{DD}=3...12B$	SOT23-5	VOUT•-VS•+IN•-IN•+VS
H3A	AD8055ART	AD	OA	$f_{30}=300MГц$; $P_D=40mBt$; $V_{DD}=±4...±6B$	SOT23-5	VOUT•-VS•+IN•-IN•+VS
H3B	AD6033AKS	AD	OA	$f_{30}=80MГц$; $P_D=85mBt$; $V_{DD}=5...24B$	SOT353, SC88A	VOUT•-VS•+IN•-IN•+VS
H4	BMH4	ROHM	Dnprn x2	$V_{CE0}=50B$; $I_C=100mA$; $P_D=150mBt$; $h_{21}>100$; $R_1 10k\Omega$	SOT553, BMT5	B1•E1, E2•B2•C2•C1
H7A	AD8057ART	AD	OA	$f_{30}=325MГц$; $P_D=70mBt$; $V_{DD}=3...12B$	SOT23-5	VOUT•-VS•+IN•-IN•+VS
HAA	AD8014ART	AD	OA	$f_{30}=480MГц$; $P_D=8mBt$; $V_{DD}=±2.25...±6B$	SOT23-5	VOUT•-VS•+IN•-IN•+VS
H5A	AD8001ART	AD	OA	$f_{30}<880MГц$; $P_D=60mBt$; $V_{DD}=±3...±6B$	SOT23-5	VOUT•-VS•+IN•-IN•+VS
H6A	AD8061ART	AD	OA	$f_{30}=320MГц$; $P_D=75mBt$; $V_{DD}=2.7...8B$	SOT23-5	VOUT•-VS•+IN•-IN•+VS
HRA	AD6035ART	AD	OA	$f_{30}=145MГц$; $P_D=150mBt$; $V_{DD}=5...24B$	SOT23-5	VOUT•-VS•+IN•-IN•+VS
HRA#	AD8065ARTZ	AD	OA	$f_{30}=145MГц$; $P_D=150mBt$; $V_{DD}=5...24B$	SOT23-5	VOUT•-VS•+IN•-IN•+VS
HTA	AD6007AKS	AD	OA	$f_{30}=650MГц$; $P_D=120mBt$; $V_{DD}=5...12B$	SOT353, SC88A	VOUT•-VS•+IN•-IN•+VS



SOT23-5 **SOT353**
TSOT23-5 **SC88A**



SOT553

Код	Типономинал	Б	Ф	Особенности	Корпус	Ц: 1•2•3•4•5
HUA	AD8038AKS	AD	QA	$f_{BD}=350\text{ МГц}$; $P_D=18\text{ мВт}$; $V_{DD}=3\ldots12\text{ В}$	SOT353, SC88A	VOUТ • -VS • +IN • -IN • +VS
HVA	AD8091ART	AD	QA	$f_{BD}=110\text{ МГц}$; $P_D=60\text{ мВт}$; $V_{DD}=3\ldots12\text{ В}$	SOT23-5	VOUТ • -VS • +IN • -IN • +VS
HVA#	AD8091ARTZ	AD	QA	$f_{BD}=110\text{ МГц}$; $P_D=60\text{ мВт}$; $V_{DD}=3\ldots12\text{ В}$	SOT23-5	VOUТ • -VS • +IN • -IN • +VS
J36	OP4336NJ	TI	QA	R-R, $V_{DD}=2.3\ldots5.5\text{ В}$; $I_S=42\text{ мкА}$; $V_{DS}<125\text{ мВ}$	SOT23-5	OUT • V- • +IN • -IN • V+
K1	UM5K1N	ROHM	nMOS x2	$V_{DS}=30\text{ В}$; $I_D=100\text{ мА}$; $P_D=150\text{ мВт}$; $R_{DS(on)}<13\text{ мОм}$	SOT353, SC88A	G1•S1, S2•G2•D2•D1
L1	UML1N	ROHM	npn+di	$V_{CE(sat)}=60\text{ В}$; $I_C=150\text{ мА}$; $h_{FE}>120$; $V_{BE}=80\text{ В}$; $I_E=100\text{ мА}$; $V_{CE}(I_C=100\text{ мА})<1.2\text{ В}$	SOT353, SC88A	A•E•B•C•K
L2	UML2N	ROHM	npn+di	$V_{CE(sat)}=60\text{ В}$; $I_C=150\text{ мА}$; $h_{FE}>120$; $V_{BE}=80\text{ В}$; $I_E=100\text{ мА}$; $V_{CE}(I_C=100\text{ мА})<1.2\text{ В}$	SOT353, SC88A	A•E•B•C•K
LA	MC74LCX1G14	ON	Schminv	$V_{CC}=2.0\ldots3.6\text{ В}$; $I_{OUI}=24\text{ мА}$	SOT23-5	n.c. • INA • GND • OUT Y • VCC
LAG	MC74LC15NTR	ON	reg	LDO, $V_{IN}=2.5\ldots12\text{ В}$; $V_{OUT}=1.5\text{ В}$; $I_{OUI}=50\text{ мА}$	SOT23-5	GND • VIN • VOUT • n.c. • n.c.
LAH	MC74LC18NTR	ON	reg	LDO, $V_{IN}=2.5\ldots12\text{ В}$; $V_{OUT}=1.8\text{ В}$; $I_{OUI}=50\text{ мА}$	SOT23-5	GND • VIN • VOUT • n.c. • n.c.
LAI	MC74LC25NTR	ON	reg	LDO, $V_{IN}=2.5\ldots12\text{ В}$; $V_{OUT}=2.5\text{ В}$; $I_{OUI}=50\text{ мА}$	SOT23-5	GND • VIN • VOUT • n.c. • n.c.
LAI	MC74LC27NTR	ON	reg	LDO, $V_{IN}=2.5\ldots12\text{ В}$; $V_{OUT}=2.7\text{ В}$; $I_{OUI}=50\text{ мА}$	SOT23-5	GND • VIN • VOUT • n.c. • n.c.
LAK	MC74LC28NTR	ON	reg	LDO, $V_{IN}=2.5\ldots12\text{ В}$; $V_{OUT}=2.8\text{ В}$; $I_{OUI}=50\text{ мА}$	SOT23-5	GND • VIN • VOUT • n.c. • n.c.
LAL	MC74LC30NTR	ON	reg	LDO, $V_{IN}=2.5\ldots12\text{ В}$; $V_{OUT}=3.0\text{ В}$; $I_{OUI}=50\text{ мА}$	SOT23-5	GND • VIN • VOUT • n.c. • n.c.
LAM	MC74LC33NTR	ON	reg	LDO, $V_{IN}=2.5\ldots12\text{ В}$; $V_{OUT}=3.3\text{ В}$; $I_{OUI}=50\text{ мА}$	SOT23-5	GND • VIN • VOUT • n.c. • n.c.
LAN	MC74LC50NTR	ON	reg	LDO, $V_{IN}=2.5\ldots12\text{ В}$; $V_{OUT}=5.0\text{ В}$; $I_{OUI}=50\text{ мА}$	SOT23-5	GND • VIN • VOUT • n.c. • n.c.
LDE	ADP3309ART-2.5	AD	reg	LDO, $V_{IN}=2.8\ldots12\text{ В}$; $I_{OUI}=100\text{ мА}$; $V_{OUT}=2.5\text{ В}$	SOT23-5	IN • GND • SD • ERR • n.c. • OUT
LEC	MC74LC40NTR	ON	reg	LDO, $V_{IN}=2.5\ldots12\text{ В}$; $V_{OUT}=4.0\text{ В}$; $I_{OUI}=50\text{ мА}$	SOT23-5	GND • VIN • VOUT • n.c. • n.c.
LV	1SV265	SANYO	pin x2	$V_{DS}>50\text{ В}$; $I_C<50\text{ мА}$; $V_{CE}(I_C=50\text{ мА})=0.91\text{ В}$; $I_S<0.1\text{ мА}$	SOT23-5	A1 • n.c. • A2 • K2 • K1
OAGI	OPA842IDB	TI	QA	$V_{DD}=1.5\ldots1.6\text{ В}$; $f_{BD}=200\text{ МГц}$; $I_S=22.5\text{ мА}$; $V_{DS}<\pm1.5\text{ мВ}$	SOT23-5	OUT • V- • +IN • -IN • V+
PAP1	TPS3823-25DB	TI	mic+wdt	$V_{IR}=2.25\text{ В}$; $V_{DD}=1.1\ldots5.5\text{ В}$; $I_{CC}<25\text{ мкА}$	SOT23-5	RES • GND • MR • WDI • VDD
PAQ1	TPS3823-30DB	TI	mic+wdt	$V_{IR}=2.63\text{ В}$; $V_{DD}=1.1\ldots5.5\text{ В}$; $I_{CC}<25\text{ мкА}$	SOT23-5	RES • GND • MR • WDI • VDD
PAP1	TPS3823-33DB	TI	mic+wdt	$V_{IR}=2.93\text{ В}$; $V_{DD}=1.1\ldots5.5\text{ В}$; $I_{CC}<25\text{ мкА}$	SOT23-5	RES • GND • MR • WDI • VDD
PAS1	TPS3823-50DB	TI	mic+wdt	$V_{IR}=4.56\text{ В}$; $V_{DD}=1.1\ldots5.5\text{ В}$; $I_{CC}<25\text{ мкА}$	SOT23-5	RES • GND • MR • WDI • VDD
PAT1	TPS3824-25DB	TI	mic+wdt	$V_{IR}=2.25\text{ В}$; $V_{DD}=1.1\ldots5.5\text{ В}$; $I_{CC}<25\text{ мкА}$	SOT23-5	RES • GND • RES • WDI • VDD
PAU1	TPS3824-30DB	TI	mic+wdt	$V_{IR}=2.63\text{ В}$; $V_{DD}=1.1\ldots5.5\text{ В}$; $I_{CC}<25\text{ мкА}$	SOT23-5	RES • GND • RES • WDI • VDD
PAU1	TPS3824-33DB	TI	mic+wdt	$V_{IR}=2.93\text{ В}$; $V_{DD}=1.1\ldots5.5\text{ В}$; $I_{CC}<25\text{ мкА}$	SOT23-5	RES • GND • RES • WDI • VDD
PAU1	TPS3824-50DB	TI	mic+wdt	$V_{IR}=4.56\text{ В}$; $V_{DD}=1.1\ldots5.5\text{ В}$; $I_{CC}<25\text{ мкА}$	SOT23-5	RES • GND • RES • WDI • VDD
PCP1	TPS77001DB	TI	reg	LDO, $V_{IN}=2.7\ldots10.0\text{ В}$; $V_{OUT}=1.2\ldots5.5\text{ В}$; $I_{OUI}=50\text{ мА}$	SOT23-5	IN • GND • EN • NC/FB • OUT
PCQ1	TPS77012DB	TI	reg	LDO, $V_{IN}=2.7\ldots10.0\text{ В}$; $V_{OUT}=1.2\text{ В}$; $I_{OUI}=50\text{ мА}$	SOT23-5	IN • GND • EN • NC/FB • OUT
PCQ1	TPS77018DB	TI	reg	LDO, $V_{IN}=2.7\ldots10.0\text{ В}$; $V_{OUT}=1.8\text{ В}$; $I_{OUI}=50\text{ мА}$	SOT23-5	IN • GND • EN • NC/FB • OUT
PCR1	TPS77015DB	TI	reg	LDO, $V_{IN}=2.7\ldots10.0\text{ В}$; $V_{OUT}=1.5\text{ В}$; $I_{OUI}=50\text{ мА}$	SOT23-5	IN • GND • EN • NC/FB • OUT
PCU1	TPS77025DB	TI	reg	LDO, $V_{IN}=2.7\ldots10.0\text{ В}$; $V_{OUT}=2.5\text{ В}$; $I_{OUI}=50\text{ мА}$	SOT23-5	IN • GND • EN • NC/FB • OUT
PCU1	TPS77027DB	TI	reg	LDO, $V_{IN}=2.7\ldots10.0\text{ В}$; $V_{OUT}=2.7\text{ В}$; $I_{OUI}=50\text{ мА}$	SOT23-5	IN • GND • EN • NC/FB • OUT
PCV1	TPS77028DB	TI	reg	LDO, $V_{IN}=2.7\ldots10.0\text{ В}$; $V_{OUT}=2.8\text{ В}$; $I_{OUI}=50\text{ мА}$	SOT23-5	IN • GND • EN • NC/FB • OUT
PCW1	TPS77030DB	TI	reg	LDO, $V_{IN}=2.7\ldots10.0\text{ В}$; $V_{OUT}=3.0\text{ В}$; $I_{OUI}=50\text{ мА}$	SOT23-5	IN • GND • EN • NC/FB • OUT
PCX1	TPS77033DB	TI	reg	LDO, $V_{IN}=2.7\ldots10.0\text{ В}$; $V_{OUT}=3.3\text{ В}$; $I_{OUI}=50\text{ мА}$	SOT23-5	IN • GND • EN • NC/FB • OUT
PCY1	TPS77050DB	TI	reg	LDO, $V_{IN}=2.7\ldots10.0\text{ В}$; $V_{OUT}=5.0\text{ В}$; $I_{OUI}=50\text{ мА}$	SOT23-5	IN • GND • EN • NC/FB • OUT
PDD1	TPS3820-50DB	TI	mic+wdt	$V_{IR}=4.56\text{ В}$; $V_{DD}=1.1\ldots5.5\text{ В}$; $I_{CC}<25\text{ мкА}$	SOT23-5	RES • GND • MR • WDI • VDD
PDE1	TPS3820-33DB	TI	mic+wdt	$V_{IR}=2.93\text{ В}$; $V_{DD}=1.1\ldots5.5\text{ В}$; $I_{CC}<25\text{ мкА}$	SOT23-5	RES • GND • MR • WDI • VDD
PDI1	TPS3825-50DB	TI	mic+wdt	$V_{IR}=4.56\text{ В}$; $V_{DD}=1.1\ldots5.5\text{ В}$; $I_{CC}<25\text{ мкА}$	SOT23-5	RES • GND • RES • MR • WDI • VDD
PDG1	TPS3825-33DB	TI	mic+wdt	$V_{IR}=2.93\text{ В}$; $V_{DD}=1.1\ldots5.5\text{ В}$; $I_{CC}<25\text{ мкА}$	SOT23-5	RES • GND • RES • MR • WDI • VDD
PDH1	TPS3828-50DB	TI	mic+wdt	$V_{IR}=4.56\text{ В}$; $V_{DD}=1.1\ldots5.5\text{ В}$; $I_{CC}<25\text{ мкА}$	SOT23-5	RES • GND • MR • WDI • VDD
PDH1	TPS3828-33DB	TI	mic+wdt	$V_{IR}=2.93\text{ В}$; $V_{DD}=1.1\ldots5.5\text{ В}$; $I_{CC}<25\text{ мкА}$	SOT23-5	RES • GND • MR • WDI • VDD
PHK1	TPS62200DB	TI	dc/dc	$V_{IN}=2.5\ldots6.0\text{ В}$; $V_{OUT}=0.7\ldots V_{IN}\text{ В}$; $I_{OUI}=300\text{ мА}$	SOT23-5	VI • GND • EN • FB • SW
PHU	TPS62201DB	TI	dc/dc	$V_{IN}=2.5\ldots6.0\text{ В}$; $V_{OUT}=1.5\text{ В}$; $I_{OUI}=300\text{ мА}$	SOT23-5	VI • GND • EN • FB • SW

SOT553

SOT353
SC88ASOT23-5
TSOT23-5

Код	Типономинал	Б	Ф	Особенности	Корпус	Ц: 1+2+3+4+5
PHM1	TPS62202DBV	TI	dddc	$V_{IN}=2.5...6.0\text{ В}$; $V_{OUT}=1.8\text{ В}$; $I_{OUT}=300\text{ мА}$	SOT23-5	V1•GND•EN•FB•SW
PHN1	TPS62203DBV	TI	dddc	$V_{IN}=2.5...6.0\text{ В}$; $V_{OUT}=3.3\text{ В}$; $I_{OUT}=300\text{ мА}$	SOT23-5	V1•GND•EN•FB•SW
PHS1	TPS62204DBV	TI	dddc	$V_{IN}=2.5...6.0\text{ В}$; $V_{OUT}=1.6\text{ В}$; $I_{OUT}=300\text{ мА}$	SOT23-5	V1•GND•EN•FB•SW
PHT1	TPS62205DBV	TI	dddc	$V_{IN}=2.5...6.0\text{ В}$; $V_{OUT}=2.5\text{ В}$; $I_{OUT}=300\text{ мА}$	SOT23-5	V1•GND•EN•FB•SW
PJG1	TPS62207DBV	TI	dddc	$V_{IN}=2.5...6.0\text{ В}$; $V_{OUT}=1.2\text{ В}$; $I_{OUT}=300\text{ мА}$	SOT23-5	V1•GND•EN•FB•SW
Q2	FMQ2	ROHM	Dnpn x2	$V_{DS0}=40\text{ В}$; $I_C=30\text{ мА}$; $P_D=300\text{ мВт}$; $h_{FE}>120$; $100\text{ кОм}/100\text{ кОм}/200\text{ Ом}$	SOT23-5	E2•B2 E2•C1•B1•C2
R02A	LM4130AIM5-2.0	NS	vref	$V_{OUT}=2.0\text{ В}$; ACC=0.05%; 10 ppm/°C	SOT23-5	n.c.•GND•n.c.•VIN•VREF
R02B	LM4130BIM5-2.0	NS	vref	$V_{OUT}=2.0\text{ В}$; ACC=0.2%; 10 ppm/°C	SOT23-5	n.c.•GND•n.c.•VIN•VREF
R02C	LM4130CIM5-2.0	NS	vref	$V_{OUT}=2.0\text{ В}$; ACC=0.1%; 20 ppm/°C	SOT23-5	n.c.•GND•n.c.•VIN•VREF
R02D	LM4130DIM5-2.0	NS	vref	$V_{OUT}=2.0\text{ В}$; ACC=0.4%; 20 ppm/°C	SOT23-5	n.c.•GND•n.c.•VIN•VREF
R02E	LM4130EIM5-2.0	NS	vref	$V_{OUT}=2.0\text{ В}$; ACC=0.5%; 30 ppm/°C	SOT23-5	n.c.•GND•n.c.•VIN•VREF
R03A	LM4130AIM5-2.5	NS	vref	$V_{OUT}=2.5\text{ В}$; ACC=0.05%; 10 ppm/°C	SOT23-5	n.c.•GND•n.c.•VIN•VREF
R03B	LM4130BIM5-2.5	NS	vref	$V_{OUT}=2.5\text{ В}$; ACC=0.2%; 10 ppm/°C	SOT23-5	n.c.•GND•n.c.•VIN•VREF
R03C	LM4130CIM5-2.5	NS	vref	$V_{OUT}=2.5\text{ В}$; ACC=0.1%; 20 ppm/°C	SOT23-5	n.c.•GND•n.c.•VIN•VREF
R03D	LM4130DIM5-2.5	NS	vref	$V_{OUT}=2.5\text{ В}$; ACC=0.4%; 20 ppm/°C	SOT23-5	n.c.•GND•n.c.~VIN•VREF
R03E	LM4130EIM5-2.5	NS	vref	$V_{OUT}=2.5\text{ В}$; ACC=0.5%; 30 ppm/°C	SOT23-5	n.c.~GND•n.c.~VIN•VREF
R04A	LM4130AIM5-4.1	NS	vref	$V_{OUT}=4.1\text{ В}$; ACC=0.05%; 10 ppm/°C	SOT23-5	n.c.~GND•n.c.~VIN•VREF
R04B	LM4130BIM5-4.1	NS	vref	$V_{OUT}=4.1\text{ В}$; ACC=0.2%; 10 ppm/°C	SOT23-5	n.c.~GND•n.c.~VIN•VREF
R04C	LM4130CIM5-4.1	NS	vref	$V_{OUT}=4.1\text{ В}$; ACC=0.1%; 20 ppm/°C	SOT23-5	n.c.~GND•n.c.~VIN•VREF
R04D	LM4130DIM5-4.1	NS	vref	$V_{OUT}=4.1\text{ В}$; ACC=0.4%; 20 ppm/°C	SOT23-5	n.c.~GND•n.c.~VIN•VREF
R04E	LM4130EIM5-4.1	NS	vref	$V_{OUT}=4.1\text{ В}$; ACC=0.5%; 30 ppm/°C	SOT23-5	n.c.~GND•n.c.~VIN•VREF
R0A	ADR318ARJ	AD	vref	$V_{IN}=2.4...15\text{ В}$; $I_{OUT}=5\text{ мА}$; $V_{OUT}=1.8\text{ В}$	SOT23-5	SHDN•VIN•VOUTS•VOUTF•GND
R0A	ADR390AUJZ	AD	vref	$V_{IN}=2.5...15\text{ В}$; $I_{OUT}=5\text{ мА}$; $V_{OUT}=2.048\text{ В}$	TSOT23-5	SHDN•VIN•VOUTS•VOUTF•GND
R0B	ADR390BUJZ	AD	vref	$V_{IN}=2.5...15\text{ В}$; $I_{OUT}=5\text{ мА}$; $V_{OUT}=2.048\text{ В}$	TSOT23-5	SHDN•VIN•VOUTS•VOUTF•GND
R1A	ADR391AUJZ	AD	vref	$V_{IN}=2.5...15\text{ В}$; $I_{OUT}=5\text{ мА}$; $V_{OUT}=2.5\text{ В}$	TSOT23-5	SHDN•VIN•VOUTS•VOUTF•GND
R1B	ADR391BUJZ	AD	vref	$V_{IN}=2.5...15\text{ В}$; $I_{OUT}=5\text{ мА}$; $V_{OUT}=2.5\text{ В}$	TSOT23-5	SHDN•VIN•VOUTS•VOUTF•GND
R1E	ADRO1AKSZ	AD	vref	$V_{IN}=12...40\text{ В}$; $I_{OUT}=10\text{ мА}$; $V_{OUT}=10\text{ В}$	SOT353, SC88A	TEMP•GND•VIN•VOUT•TRIM
R1E	ADRO1AUJZ	AD	vref	$V_{IN}=12...40\text{ В}$; $I_{OUT}=10\text{ мА}$; $V_{OUT}=10\text{ В}$	TSOT23-5	TEMP•GND•VIN•VOUT•TRIM
R1F	ADRO1BKSZ	AD	vref	$V_{IN}=12...40\text{ В}$; $I_{OUT}=10\text{ мА}$; $V_{OUT}=10\text{ В}$	SOT353, SC88A	TEMP•GND•VIN•VOUT•TRIM
R1F	ADRO1BUJZ	AD	vref	$V_{IN}=12...40\text{ В}$; $I_{OUT}=10\text{ мА}$; $V_{OUT}=10\text{ В}$	TSOT23-5	TEMP•GND•VIN•VOUT•TRIM
R1G	ADRO2AKSZ	AD	vref	$V_{IN}=7...40\text{ В}$; $I_{OUT}=10\text{ мА}$; $V_{OUT}=5\text{ В}$	SOT353, SC88A	TEMP•GND•VIN•VOUT•TRIM
R1G	ADRO2AUJZ	AD	vref	$V_{IN}=7...40\text{ В}$; $I_{OUT}=10\text{ мА}$; $V_{OUT}=5\text{ В}$	TSOT23-5	TEMP•GND•VIN•VOUT•TRIM
R1H	ADRO2BKSZ	AD	vref	$V_{IN}=7...40\text{ В}$; $I_{OUT}=10\text{ мА}$; $V_{OUT}=5\text{ В}$	SOT353, SC88A	TEMP•GND•VIN•VOUT•TRIM
R1H	ADRO2BUJZ	AD	vref	$V_{IN}=7...40\text{ В}$; $I_{OUT}=10\text{ мА}$; $V_{OUT}=5\text{ В}$	TSOT23-5	TEMP•GND•VIN•VOUT•TRIM
R1J	ADRO3AKSZ	AD	vref	$V_{IN}=4.5...40\text{ В}$; $I_{OUT}=10\text{ мА}$; $V_{OUT}=2.5\text{ В}$	SOT353, SC88A	TEMP•GND•VIN•VOUT•TRIM
R1J	ADRO3AUJZ	AD	vref	$V_{IN}=4.5...40\text{ В}$; $I_{OUT}=10\text{ мА}$; $V_{OUT}=2.5\text{ В}$	TSOT23-5	TEMP•GND•VIN•VOUT•TRIM
R1K	ADRO3BKSZ	AD	vref	$V_{IN}=4.5...40\text{ В}$; $I_{OUT}=10\text{ мА}$; $V_{OUT}=2.5\text{ В}$	SOT353, SC88A	TEMP•GND•VIN•VOUT•TRIM
R1K	ADRO3BUJZ	AD	vref	$V_{IN}=4.5...40\text{ В}$; $I_{OUT}=10\text{ мА}$; $V_{OUT}=2.5\text{ В}$	TSOT23-5	TEMP•GND•VIN•VOUT•TRIM
R1L	ADRO6AKSZ	AD	vref	$V_{IN}=5...40\text{ В}$; $I_{OUT}=10\text{ мА}$; $V_{OUT}=3\text{ В}$	SOT353, SC88A	TEMP•GND•VIN•VOUT•TRIM
R1L	ADRO6AUJZ	AD	vref	$V_{IN}=5...40\text{ В}$; $I_{OUT}=10\text{ мА}$; $V_{OUT}=3\text{ В}$	TSOT23-5	TEMP•GND•VIN•VOUT•TRIM
R1M	ADRO6BKSZ	AD	vref	$V_{IN}=5...40\text{ В}$; $I_{OUT}=10\text{ мА}$; $V_{OUT}=3\text{ В}$	SOT353, SC88A	TEMP•GND•VIN•VOUT•TRIM



SOT23-5 **SOT353**
TSOT23-5 **SC88A**



SOT555

Код	Типономинал	Б	Ф	Особенности	Корпус	Ц: 1•2•3•4•5
R1M	ADR06BUJZ	AD	vref	$V_{IN}=5...40\text{ В}$; $I_{OUT}=10\text{ мА}$; $V_{OUT}=3\text{ В}$	TSOT23-5	TEMP•GND•VIN•VOUT•TRIM
R8A	ADR01AKS	AD	vref	$V_{IN}=12...40\text{ В}$; $I_{OUT}=10\text{ мА}$; $V_{OUT}=10\text{ В}$	SOT353, SC88A	TEMP•GND•VIN•VOUT•TRIM
R8A	ADR01AUJ	AD	vref	$V_{IN}=12...40\text{ В}$; $I_{OUT}=10\text{ мА}$; $V_{OUT}=10\text{ В}$	TSOT23-5	TEMP•GND•VIN•VOUT•TRIM
R8B	ADR01BKS	AD	vref	$V_{IN}=12...40\text{ В}$; $I_{OUT}=10\text{ мА}$; $V_{OUT}=10\text{ В}$	SOT353, SC88A	TEMP•GND•VIN•VOUT•TRIM
R8B	ADR01BUJ	AD	vref	$V_{IN}=12...40\text{ В}$; $I_{OUT}=10\text{ мА}$; $V_{OUT}=10\text{ В}$	TSOT23-5	TEMP•GND•VIN•VOUT•TRIM
R9A	ADR02AKS	AD	vref	$V_{IN}=7...40\text{ В}$; $I_{OUT}=10\text{ мА}$; $V_{OUT}=5\text{ В}$	SOT353, SC88A	TEMP•GND•VIN•VOUT•TRIM
R9A	ADR02AUJ	AD	vref	$V_{IN}=7...40\text{ В}$; $I_{OUT}=10\text{ мА}$; $V_{OUT}=5\text{ В}$	TSOT23-5	TEMP•GND•VIN•VOUT•TRIM
R9B	ADR02BKS	AD	vref	$V_{IN}=7...40\text{ В}$; $I_{OUT}=10\text{ мА}$; $V_{OUT}=5\text{ В}$	SOT353, SC88A	TEMP•GND•VIN•VOUT•TRIM
R9B	ADR02BUJ	AD	vref	$V_{IN}=7...40\text{ В}$; $I_{OUT}=10\text{ мА}$; $V_{OUT}=5\text{ В}$	TSOT23-5	TEMP•GND•VIN•VOUT•TRIM
RCA	ADR392AUJZ	AD	vref	$V_{IN}=2.5...15\text{ В}$; $I_{OUT}=5\text{ мА}$; $V_{OUT}=4.096\text{ В}$	TSOT23-5	SHDN•VIN•VOUTS•VOUTF•GND
RCB	ADR392BUJZ	AD	vref	$V_{IN}=2.5...15\text{ В}$; $I_{OUT}=5\text{ мА}$; $V_{OUT}=4.096\text{ В}$	TSOT23-5	SHDN•VIN•VOUTS•VOUTF•GND
RDA	ADR395AUJZ	AD	vref	$V_{IN}=2.5...15\text{ В}$; $I_{OUT}=5\text{ мА}$; $V_{OUT}=5\text{ В}$	TSOT23-5	SHDN•VIN•VOUTS•VOUTF•GND
RDB	ADR395BUJZ	AD	vref	$V_{IN}=2.5...15\text{ В}$; $I_{OUT}=5\text{ мА}$; $V_{OUT}=5\text{ В}$	TSOT23-5	SHDN•VIN•VOUTS•VOUTF•GND
RFA	ADR03AKS	AD	vref	$V_{IN}=4.5...40\text{ В}$; $I_{OUT}=10\text{ мА}$; $V_{OUT}=2.5\text{ В}$	SOT353, SC88A	TEMP•GND•VIN•VOUT•TRIM
RFA	ADR03AUJ	AD	vref	$V_{IN}=4.5...40\text{ В}$; $I_{OUT}=10\text{ мА}$; $V_{OUT}=2.5\text{ В}$	TSOT23-5	TEMP•GND•VIN•VOUT•TRIM
RFB	ADR03BKS	AD	vref	$V_{IN}=4.5...40\text{ В}$; $I_{OUT}=10\text{ мА}$; $V_{OUT}=2.5\text{ В}$	SOT353, SC88A	TEMP•GND•VIN•VOUT•TRIM
RFB	ADR03BUJ	AD	vref	$V_{IN}=4.5...40\text{ В}$; $I_{OUT}=10\text{ мА}$; $V_{OUT}=2.5\text{ В}$	TSOT23-5	TEMP•GND•VIN•VOUT•TRIM
RWA	ADR06AKS	AD	vref	$V_{IN}=5...40\text{ В}$; $I_{OUT}=10\text{ мА}$; $V_{OUT}=3\text{ В}$	SOT353, SC88A	TEMP•GND•VIN•VOUT•TRIM
RWA	ADR06AUJ	AD	vref	$V_{IN}=5...40\text{ В}$; $I_{OUT}=10\text{ мА}$; $V_{OUT}=3\text{ В}$	TSOT23-5	TEMP•GND•VIN•VOUT•TRIM
RWB	ADR06BKS	AD	vref	$V_{IN}=5...40\text{ В}$; $I_{OUT}=10\text{ мА}$; $V_{OUT}=3\text{ В}$	SOT353, SC88A	TEMP•GND•VIN•VOUT•TRIM
RWB	ADR06BUJ	AD	vref	$V_{IN}=5...40\text{ В}$; $I_{OUT}=10\text{ мА}$; $V_{OUT}=3\text{ В}$	TSOT23-5	TEMP•GND•VIN•VOUT•TRIM
S00	ADG741BKSZ5	AD	asw	2x SPST; $R_{ON}<4\text{ Ом}$; $V_{DD}=1.8...5.5\text{ В}$	SOT353, SC88A	D•S•GND•IN•VDD
S01	ADG742BKSZ5	AD	asw	2x SPST; $R_{ON}<4\text{ Ом}$; $V_{DD}=1.8...5.5\text{ В}$	SOT353, SC88A	D•S•GND•IN•VDD
S1	EMS1	ROHM	pnp x2	$V_{CEB}=60\text{ В}$; $I_C=150\text{ мА}$; $P_D=150\text{ мВт}$; $h_{21}>120$	SOT555, EM75	B1•E1, E2•B2•C2•C1
S1	FMS1A	ROHM	pnp x2	$V_{CEB}=60\text{ В}$; $I_C=150\text{ мА}$; $P_D=300\text{ мВт}$; $h_{21}>120$	TSOT23-5	C1•C2•B2•E1, E2•B1
S1	UMS1N	ROHM	pnp x2	$V_{CEB}=60\text{ В}$; $I_C=100\text{ мА}$; $P_D(\text{com})=300\text{ мВт}$; $h_{21}>120$	SOT353, SC88A	B1•E1, E2•B2•C2•C1
S2	FMS2A	ROHM	pnp x2	$V_{CEB}=60\text{ В}$; $I_C=100\text{ мА}$; $P_D=300\text{ мВт}$; $h_{21}>120$	TSOT23-5	C1•C2•E2•B1, B2•E1
S2	UMS2N	ROHM	pnp x2	$V_{CEB}=60\text{ В}$; $I_C=100\text{ мА}$; $P_D(\text{com})=300\text{ мВт}$; $h_{21}>120$	SOT353, SC88A	E1•B1, B2•E2•C2•C1
S3	FMS3	ROHM	pnp x2	$V_{CEB}=60\text{ В}$; $I_C=100\text{ мА}$; $P_D=300\text{ мВт}$; $h_{21}>120$	TSOT23-5	C2•E1, E2•C1•B1•B2
S3B	ADG701BRJ	AD	asw	SPST; $R_{ON}<4\text{ Ом}$; $V_{DD}=1.8...5.5\text{ В}$	TSOT23-5	D•S•GND•IN•VDD
S4	FMS4	ROHM	pnp x2	$V_{CEB}=60\text{ В}$; $I_C=100\text{ мА}$; $P_D=300\text{ мВт}$; $h_{21}>120$	TSOT23-5	C1•C2•B2•E1, E2•B1
S47	OPA347SA	TI	OA	R-R; $V_{DD}=2.3...5.5\text{ В}$; $f_{DB}=350\text{ мГц}$; $I_S=43\text{ мкА}$; $V_{OS}<7\text{ мВ}$	SOT353, SC88A	+IN•V-•-IN•OUT•V+
S48	OPA348AJ	TI	OA	R-R; $V_{DD}=2.1...5.5\text{ В}$; $f_{DB}=1\text{ МГц}$; $I_S=75\text{ мкА}$; $V_{OS}<6\text{ мВ}$	SOT353, SC88A	+IN•V-•-IN•OUT•V+
S4B	ADG702BRJ	AD	asw	SPST; $R_{ON}<4\text{ Ом}$; $V_{DD}=1.8...5.5\text{ В}$	TSOT23-5	D•S•GND•IN•VDD
T2B	LM20CIM7	NS	ais	$T_{AMB}=-55...130^\circ\text{C}$; $V_{CC}=2.4...5.5\text{ В}$; $I_{OUT}<10\text{ мА}$	SOT353, SC88A	n.c.•GND•V0•GND•V+
T2C	LM20CIM7	NS	ais	$T_{AMB}=-55...130^\circ\text{C}$; $V_{CC}=2.4...5.5\text{ В}$; $I_{OUT}<10\text{ мА}$	SOT353, SC88A	n.c.•GND•V0•GND•V+

SOT553

SOT353
SC88ASOT23-5
TSOT23-5

Код	Типономинал	Б	Ф	Особенности	Корпус	Ц: 1+2+3+4+5
T5G	TMP35GRT	AD	als	$T_{AMB}=10...125^{\circ}\text{C}$; $V_{CC}=2.7...5.5\text{В}$; $I_{OUT}<50\text{мкА}$; $ACC=\pm 3^{\circ}\text{C}$	SOT23-5	$V_{OUT}=+V_S \bullet n \bullet c \bullet SHDN \bullet GND$
T6G	TMP36GRT	AD	als	$T_{AMB}=-40...125^{\circ}\text{C}$; $V_{CC}=2.7...5.5\text{В}$; $I_{OUT}<50\text{мкА}$; $ACC=\pm 3^{\circ}\text{C}$	SOT23-5	$V_{OUT}=+V_S \bullet n \bullet c \bullet SHDN \bullet GND$
T7G	TMP37GRT	AD	als	$T_{AMB}=5...100^{\circ}\text{C}$; $V_{CC}=2.7...5.5\text{В}$; $I_{OUT}<50\text{мкА}$; $ACC=\pm 3^{\circ}\text{C}$	SOT23-5	$V_{OUT}=+V_S \bullet n \bullet c \bullet SHDN \bullet GND$
V0	MC74VHC1G01DF	ON	2-NAND	$V_{CC}=2.0...5.5\text{В}$; $t_{PD}=3.7\text{нс}$	SOT353, SC88A	$INB \bullet INA \bullet GND \bullet OUTY \bullet VCC$
V0	MC74VHC1G01DT	ON	2-NAND	$V_{CC}=2.0...5.5\text{В}$; $t_{PD}=3.7\text{нс}$	SOT23-5	$INB \bullet INA \bullet GND \bullet OUTY \bullet VCC$
V3	MC74VHC1G02DF	ON	2-NOR	$V_{CC}=2.0...5.5\text{В}$; $t_{PD}=3.0\text{нс}$	SOT353, SC88A	$INB \bullet INA \bullet GND \bullet OUTY \bullet VCC$
VA	MC74VHC1G14	ON	Schmitt	$V_{CC}=2.0...5.5\text{В}$; $t_{PD}=4.5\text{нс}$	SOT23-5	$n \bullet c \bullet INA \bullet GND \bullet OUTY \bullet VCC$
VAZI	TLV2631DBV	TI	OA	$R \bullet R$; $V_{DD}=2.7...5.5\text{В}$; $I_{DD}=9\text{мА}$; $V_{OS}<4.5\text{мВ}$	SOT23-5	$OUT \bullet GND \bullet IN+ \bullet IN- \bullet VDD$
VC	MC74VHC1G14DF	ON	Schmitt	$V_{CC}=3.0...5.5\text{В}$; $t_{PD}=4.5\text{нс}$	SOT353, SC88A	$n \bullet c \bullet INA \bullet GND \bullet OUTY \bullet VCC$
VC	MC74VHC1G14DT	ON	Schmitt	$V_{CC}=3.0...5.5\text{В}$; $t_{PD}=4.5\text{нс}$	SOT23-5	$n \bullet c \bullet INA \bullet GND \bullet OUTY \bullet VCC$
VD	MC74VHC1G132DF	ON	SchmittNAND	$V_{CC}=2.0...5.5\text{В}$; $t_{PD}=3.6\text{нс}$	SOT353, SC88A	$INB \bullet INA \bullet GND \bullet OUTY \bullet VCC$
VD	MC74VHC1G132DT	ON	SchmittNAND	$V_{CC}=2.0...5.5\text{В}$; $t_{PD}=3.6\text{нс}$	SOT23-5	$INB \bullet INA \bullet GND \bullet OUTY \bullet VCC$
VT	MC74VHC1G108DF	ON	2-AND	$V_{CC}=3.0...5.5\text{В}$; $t_{PD}=3.5\text{нс}$	SOT353, SC88A	$INB \bullet INA \bullet GND \bullet OUTY \bullet VCC$
VT	MC74VHC1G108DT	ON	2-AND	$V_{CC}=3.0...5.5\text{В}$; $t_{PD}=3.5\text{нс}$	SOT23-5	$INB \bullet INA \bullet GND \bullet OUTY \bullet VCC$
VU	MC74VHC1G132DF	MOT	SchmittNAND	$V_{CC}=3.0...5.5\text{В}$; $t_{PD}=3.6\text{нс}$	SOT353, SC88A	$INB \bullet INA \bullet GND \bullet OUTY \bullet VCC$
VU	MC74VHC1G132DT	MOT	SchmittNAND	$V_{CC}=3.0...5.5\text{В}$; $t_{PD}=3.6\text{нс}$	SOT23-5	$INB \bullet INA \bullet GND \bullet OUTY \bullet VCC$
VX	MC74VHC1G09DF	ON	2-AND	$V_{CC}=2.0...5.5\text{В}$; $t_{PD}=4.3\text{нс}$	SOT353, SC88A	$INB \bullet INA \bullet GND \bullet OUTY \bullet VCC$
VZ	MC74VHC1G135DF	ON	SchmittNAND	$V_{CC}=2.0...5.5\text{В}$; $t_{PD}=4.9\text{нс}$	SOT353, SC88A	$INB \bullet INA \bullet GND \bullet OUTY \bullet VCC$
VZ	MC74VHC1G135DT	ON	SchmittNAND	$V_{CC}=2.0...5.5\text{В}$; $t_{PD}=4.9\text{нс}$	SOT23-5	$INB \bullet INA \bullet GND \bullet OUTY \bullet VCC$
W0	MC74VHC1G125DF	ON	3-stbuff	$V_{CC}=2.0...5.5\text{В}$; $t_{PD}=3.5\text{нс}$	SOT353, SC88A	$OE \bullet INA \bullet GND \bullet OUTY \bullet VCC$
W0	MC74VHC1G125DT	ON	3-stbuff	$V_{CC}=2.0...5.5\text{В}$; $t_{PD}=3.5\text{нс}$	SOT23-5	$OE \bullet INA \bullet GND \bullet OUTY \bullet VCC$
W1	FMW1	ROHM	nnpn x2	$V_{CBO}=60\text{В}$; $I_C=150\text{мА}$; $P_D=300\text{мВт}$; $t_{21}>120$	SOT23-5	$C1 \bullet C2 \bullet B2 \bullet E1 \bullet E2 \bullet B1$
W1	MC74VHC1G125DF	ON	3-stbuff	$V_{CC}=3.0...5.5\text{В}$; $t_{PD}=3.5\text{нс}$	SOT353, SC88A	$OE \bullet INA \bullet GND \bullet OUTY \bullet VCC$
W1	MC74VHC1G125DT	ON	3-stbuff	$V_{CC}=3.0...5.5\text{В}$; $t_{PD}=3.5\text{нс}$	SOT23-5	$OE \bullet INA \bullet GND \bullet OUTY \bullet VCC$
W1	UMW1N	ROHM	nnpn x2	$V_{CBO}=60\text{В}$; $I_C=100\text{мА}$; $P_D(\text{com})=300\text{мВт}$; $t_{21}=180...560$	SOT353, SC88A	$B1 \bullet E1 \bullet E2 \bullet B2 \bullet C1$
W11	UMW11N	ROHM	nnpn x2	$V_{CBO}=30\text{В}$; $I_C=50\text{мА}$; $P_D(\text{com})=300\text{мВт}$; $t_{21}=27...270$; $f_T>1500\text{МГц}$	SOT353, SC88A	$E1 \bullet B1 \bullet B2 \bullet E2 \bullet C2 \bullet C1$
W12	UMW12N	ROHM	nnpn x2	$V_{CBO}=60\text{В}$; $I_C=100\text{мА}$; $P_D(\text{com})=300\text{мВт}$; $t_{21}>120$	SOT353, SC88A	$E1 \bullet C2 \bullet C1 \bullet B1 \bullet B2 \bullet E2$
W13	UMW13N	ROHM	nnpn x2	$V_{CBO}=30\text{В}$; $I_C=50\text{мА}$; $P_D(\text{com})=300\text{мВт}$; $t_{21}=27...270$; $f_T>2000\text{МГц}$	SOT353, SC88A	$E1 \bullet B1 \bullet B2 \bullet E2 \bullet C2 \bullet C1$
W2	FMW2	ROHM	nnpn x2	$V_{CBO}=60\text{В}$; $I_C=150\text{мА}$; $P_D=300\text{мВт}$; $t_{21}>120$	SOT23-5	$C1 \bullet C2 \bullet E2 \bullet B1 \bullet B2 \bullet E1$
W2	MC74VHC1G126DF	ON	3-stbuff	$V_{CC}=2.0...5.5\text{В}$; $t_{PD}=3.5\text{нс}$	SOT353, SC88A	$OE \bullet INA \bullet GND \bullet OUTY \bullet VCC$
W2	MC74VHC1G126DT	ON	3-stbuff	$V_{CC}=2.0...5.5\text{В}$; $t_{PD}=3.5\text{нс}$	SOT23-5	$OE \bullet INA \bullet GND \bullet OUTY \bullet VCC$
W2	UMW2N	ROHM	nnpn x2	$V_{CBO}=60\text{В}$; $I_C=100\text{мА}$; $P_D(\text{com})=300\text{мВт}$; $t_{21}>120$	SOT353, SC88A	$E1 \bullet B1 \bullet B2 \bullet E2 \bullet C2 \bullet C1$
W3	FMW3	ROHM	nnpn x2	$V_{CBO}=120\text{В}$; $I_C=50\text{мА}$; $P_D=300\text{мВт}$; $t_{21}>180$	SOT23-5	$C1 \bullet C2 \bullet B2 \bullet E1 \bullet E2 \bullet B1$
W3	MC74VHC1G126DF	ON	3-stbuff	$V_{CC}=3.0...5.5\text{В}$; $t_{PD}=3.5\text{нс}$	SOT353, SC88A	$OE \bullet INA \bullet GND \bullet OUTY \bullet VCC$
W3	MC74VHC1G126DT	ON	3-stbuff	$V_{CC}=3.0...5.5\text{В}$; $t_{PD}=3.5\text{нс}$	SOT23-5	$OE \bullet INA \bullet GND \bullet OUTY \bullet VCC$
W4	FMW4	ROHM	nnpn x2	$V_{CBO}=120\text{В}$; $I_C=50\text{мА}$; $P_D=300\text{мВт}$; $t_{21}>180$	SOT23-5	$C1 \bullet C2 \bullet E2 \bullet B1 \bullet B2 \bullet E1$



**SOT23-5
TSOT23-5**



**SOT353
SC88A**



SOT553

Код	Типономинал	Б	Ф	Особенности	Корпус	Ц: 1•2•3•4•5
W5	UMW5N	ROHM	npn x2	$V_{CE0}=50 В$; $I_C=100 мА$; $P_D(ком.)=300 мВт$; $h_{21}>250$	SOT353, SC88A	B1•E1, E2•B2•C2•C1
W6	FMW6	ROHM	npn x2	$V_{CE0}=30 В$; $I_C=50 мА$; $P_D=300 мВт$; $h_{21}>27$	SOT23-5	C2, E1•C1•B1•B2•E2
W6	UMW6N	ROHM	npn x2	$V_{CE0}=30 В$; $I_C=50 мА$; $P_D(ком.)=300 мВт$; $h_{21}=27$; $f_T>1500 МГц$	SOT353, SC88A	E2•B2•B1•C1•E1, C2
W7	FMW7	ROHM	npn x2	$V_{CE0}=20 В$; $I_C=50 мА$; $P_D=300 мВт$; $h_{21}>27$	SOT23-5	C1, E2•C2•B2•B1•E1
W7	UMW7N	ROHM	npn x2	$V_{CE0}=20 В$; $I_C=50 мА$; $P_D(ком.)=300 мВт$; $h_{21}=27$; $f_T>3200 МГц$	SOT353, SC88A	E2•B2•B1•C1•E1, C2
W8	UMW8N	ROHM	npn x2	$V_{CE0}=20 В$; $I_C=50 мА$; $P_D(ком.)=300 мВт$; $h_{21}=27$; $f_T>3200 МГц$	SOT353, SC88A	B1•E1, E2•B2•C2•C1
W9	UMW9T	ROHM	npn x2	$V_{CE0}=20 В$; $I_C=50 мА$; $P_D(ком.)=300 мВт$; $h_{21}=27$; $f_T>3200 МГц$	SOT353, SC88A	E1•B1, B2•E2•C2•C1
XA	RN1501	TOSH	Dnpn x2	$V_{CE0}=50 В$; $I_C=100 мА$; $P_D=300 мВт$; $f_T=250 МГц$; $R_1/R_2=4,7 кОм/4,7 кОм$	SOT23-5	B1•E1, E2•B2•C2•C1
XA	RN1701	TOSH	Dnpn x2	$V_{CE0}=50 В$; $I_C=100 мА$; $P_D=200 мВт$; $f_T=250 МГц$; $R_1/R_2=4,7 кОм/4,7 кОм$	SOT353, SC88A	B1•E1, E2•B2•C2•C1
XA	RN1701JE	TOSH	Dnpn x2	$V_{CE0}=50 В$; $I_C=100 мА$; $P_D=100 мВт$; $f_T=250 МГц$; $R_1/R_2=4,7 кОм/4,7 кОм$	SOT553, EMT5	B1•E1, E2•B2•C2•C1
XB	RN1502	TOSH	Dnpn x2	$V_{CE0}=50 В$; $I_C=100 мА$; $P_D=300 мВт$; $f_T=250 МГц$; $R_1/R_2=10 кОм/10 кОм$	SOT23-5	B1•E1, E2•B2•C2•C1
XB	RN1702	TOSH	Dnpn x2	$V_{CE0}=50 В$; $I_C=100 мА$; $P_D=200 мВт$; $f_T=250 МГц$; $R_1/R_2=10 кОм/10 кОм$	SOT353, SC88A	B1•E1, E2•B2•C2•C1
XB	RN1702JE	TOSH	Dnpn x2	$V_{CE0}=50 В$; $I_C=100 мА$; $P_D=100 мВт$; $f_T=250 МГц$; $R_1/R_2=10 кОм/10 кОм$	SOT553, EMT5	B1•E1, E2•B2•C2•C1
XC	RN1503	TOSH	Dnpn x2	$V_{CE0}=50 В$; $I_C=100 мА$; $P_D=300 мВт$; $f_T=250 МГц$; $R_1/R_2=22 кОм/22 кОм$	SOT23-5	B1•E1, E2•B2•C2•C1
XC	RN1703	TOSH	Dnpn x2	$V_{CE0}=50 В$; $I_C=100 мА$; $P_D=200 мВт$; $f_T=250 МГц$; $R_1/R_2=22 кОм/22 кОм$	SOT353, SC88A	B1•E1, E2•B2•C2•C1
XC	RN1703JE	TOSH	Dnpn x2	$V_{CE0}=50 В$; $I_C=100 мА$; $P_D=100 мВт$; $f_T=250 МГц$; $R_1/R_2=22 кОм/22 кОм$	SOT553, EMT5	B1•E1, E2•B2•C2•C1
XD	RN1504	TOSH	Dnpn x2	$V_{CE0}=50 В$; $I_C=100 мА$; $P_D=300 мВт$; $f_T=250 МГц$; $R_1/R_2=47 кОм/47 кОм$	SOT23-5	B1•E1, E2•B2•C2•C1
XD	RN1704	TOSH	Dnpn x2	$V_{CE0}=50 В$; $I_C=100 мА$; $P_D=200 мВт$; $f_T=250 МГц$; $R_1/R_2=47 кОм/47 кОм$	SOT353, SC88A	B1•E1, E2•B2•C2•C1
XD	RN1704JE	TOSH	Dnpn x2	$V_{CE0}=50 В$; $I_C=100 мА$; $P_D=100 мВт$; $f_T=250 МГц$; $R_1/R_2=47 кОм/47 кОм$	SOT553, EMT5	B1•E1, E2•B2•C2•C1
XE	RN1505	TOSH	Dnpn x2	$V_{CE0}=50 В$; $I_C=100 мА$; $P_D=300 мВт$; $f_T=250 МГц$; $R_1/R_2=2,2 кОм/47 кОм$	SOT23-5	B1•E1, E2•B2•C2•C1
XE	RN1705	TOSH	Dnpn x2	$V_{CE0}=50 В$; $I_C=100 мА$; $P_D=200 мВт$; $f_T=250 МГц$; $R_1/R_2=2,2 кОм/47 кОм$	SOT353, SC88A	B1•E1, E2•B2•C2•C1
XE	RN1705JE	TOSH	Dnpn x2	$V_{CE0}=50 В$; $I_C=100 мА$; $P_D=100 мВт$; $f_T=250 МГц$; $R_1/R_2=2,2 кОм/47 кОм$	SOT553, EMT5	B1•E1, E2•B2•C2•C1
XF	RN1506	TOSH	Dnpn x2	$V_{CE0}=50 В$; $I_C=100 мА$; $P_D=300 мВт$; $f_T=250 МГц$; $R_1/R_2=4,7 кОм/47 кОм$	SOT23-5	B1•E1, E2•B2•C2•C1
XF	RN1706	TOSH	Dnpn x2	$V_{CE0}=50 В$; $I_C=100 мА$; $P_D=200 мВт$; $f_T=250 МГц$; $R_1/R_2=4,7 кОм/47 кОм$	SOT353, SC88A	B1•E1, E2•B2•C2•C1
XF	RN1706JE	TOSH	Dnpn x2	$V_{CE0}=50 В$; $I_C=100 мА$; $P_D=100 мВт$; $f_T=250 МГц$; $R_1/R_2=4,7 кОм/47 кОм$	SOT553, EMT5	B1•E1, E2•B2•C2•C1
XH	RN1507	TOSH	Dnpn x2	$V_{CE0}=50 В$; $I_C=100 мА$; $P_D=300 мВт$; $f_T=250 МГц$; $R_1/R_2=10 кОм/47 кОм$	SOT23-5	B1•E1, E2•B2•C2•C1
XH	RN1707	TOSH	Dnpn x2	$V_{CE0}=50 В$; $I_C=100 мА$; $P_D=200 мВт$; $f_T=250 МГц$; $R_1/R_2=10 кОм/47 кОм$	SOT353, SC88A	B1•E1, E2•B2•C2•C1
XH	RN1707JE	TOSH	Dnpn x2	$V_{CE0}=50 В$; $I_C=100 мА$; $P_D=100 мВт$; $f_T=250 МГц$; $R_1/R_2=10 кОм/47 кОм$	SOT553, EMT5	B1•E1, E2•B2•C2•C1
XI	RN1508	TOSH	Dnpn x2	$V_{CE0}=50 В$; $I_C=100 мА$; $P_D=300 мВт$; $f_T=250 МГц$; $R_1/R_2=22 кОм/47 кОм$	SOT23-5	B1•E1, E2•B2•C2•C1
XI	RN1708	TOSH	Dnpn x2	$V_{CE0}=50 В$; $I_C=100 мА$; $P_D=200 мВт$; $f_T=250 МГц$; $R_1/R_2=22 кОм/47 кОм$	SOT353, SC88A	B1•E1, E2•B2•C2•C1

SOT553

SOT353
SC88ASOT23-5
TSOT23-5

Код	Типономинал	Б	Ф	Особенности	Корпус	Ц: 1*2*3*4*5
XI	RN1708JE	TOSH	Dnpn x2	$V_{CE0} = 50\text{ В}$; $I_C = 100\text{ мА}$; $P_D = 100\text{ мВт}$; $f_T = 250\text{ МГц}$; $R_{\theta JA}/R_{\theta JC} = 22\text{ К}/47\text{ К}$	SOT553, BMT5	B1*E1, E2*B2*C2*C1
XJ	RN1509	TOSH	Dnpn x2	$V_{CE0} = 50\text{ В}$; $I_C = 100\text{ мА}$; $P_D = 300\text{ мВт}$; $f_T = 250\text{ МГц}$; $R_{\theta JA}/R_{\theta JC} = 47\text{ К}/22\text{ К}$	SOT23-5	B1*E1, E2*B2*C2*C1
XJ	RN1709	TOSH	Dnpn x2	$V_{CE0} = 50\text{ В}$; $I_C = 100\text{ мА}$; $P_D = 200\text{ мВт}$; $f_T = 250\text{ МГц}$; $R_{\theta JA}/R_{\theta JC} = 47\text{ К}/22\text{ К}$	SOT353, SC88A	B1*E1, E2*B2*C2*C1
XJ	RN1709JE	TOSH	Dnpn x2	$V_{CE0} = 50\text{ В}$; $I_C = 100\text{ мА}$; $P_D = 100\text{ мВт}$; $f_T = 250\text{ МГц}$; $R_{\theta JA}/R_{\theta JC} = 47\text{ К}/22\text{ К}$	SOT553, BMT5	B1*E1, E2*B2*C2*C1
XK	RN1510	TOSH	Dnpn x2	$V_{CE0} = 50\text{ В}$; $I_C = 100\text{ мА}$; $P_D = 300\text{ мВт}$; $f_T = 250\text{ МГц}$; $R_{\theta JA} = 4,7\text{ К}$	SOT23-5	B1*E1, E2*B2*C2*C1
XK	RN1710	TOSH	Dnpn x2	$V_{CE0} = 50\text{ В}$; $I_C = 100\text{ мА}$; $P_D = 200\text{ мВт}$; $f_T = 250\text{ МГц}$; $R_{\theta JA} = 4,7\text{ К}$	SOT353, SC88A	B1*E1, E2*B2*C2*C1
XK	RN1710JE	TOSH	Dnpn x2	$V_{CE0} = 50\text{ В}$; $I_C = 100\text{ мА}$; $P_D = 100\text{ мВт}$; $f_T = 250\text{ МГц}$; $R_{\theta JA} = 4,7\text{ К}$	SOT553, BMT5	B1*E1, E2*B2*C2*C1
XM	RN1511	TOSH	Dnpn x2	$V_{CE0} = 50\text{ В}$; $I_C = 100\text{ мА}$; $P_D = 300\text{ мВт}$; $f_T = 250\text{ МГц}$; $R_{\theta JA} = 10\text{ К}$	SOT23-5	B1*E1, E2*B2*C2*C1
XM	RN1711	TOSH	Dnpn x2	$V_{CE0} = 50\text{ В}$; $I_C = 100\text{ мА}$; $P_D = 200\text{ мВт}$; $f_T = 250\text{ МГц}$; $R_{\theta JA} = 10\text{ К}$	SOT353, SC88A	B1*E1, E2*B2*C2*C1
XM	RN1711JE	TOSH	Dnpn x2	$V_{CE0} = 50\text{ В}$; $I_C = 100\text{ мА}$; $P_D = 100\text{ мВт}$; $f_T = 250\text{ МГц}$; $R_{\theta JA} = 10\text{ К}$	SOT553, BMT5	B1*E1, E2*B2*C2*C1
Y1	BMV1	ROHM	npn+prnp	$V_{CE0} = 60\text{ В}$; $I_C = 150\text{ мА}$; $P_D = 300\text{ мВт}$; $h_{FE} > 120$	SOT553, BMT5	B1*E1, E2*B2*C2*C1
Y1	FMV1A	ROHM	npn+prnp	$V_{CE0} = 60\text{ В}$; $I_C = 150\text{ мА}$; $P_D = 300\text{ мВт}$; $h_{FE} > 120$	SOT23-5	C1*C2*B2*E1, E2*B1
Y1	UMY1N	ROHM	npn(1)+npn(2)	$V_{CE0} = 50\text{ В}$; $I_C = 100\text{ мА}$; $P_D(\text{com}) = 300\text{ мВт}$; $h_{FE} > 120$; $f_T > 180\text{ МГц}$	SOT353, SC88A	B1*E1, E2*B2*C2*C1
Y3	FMV3A	ROHM	npn+prnp	$V_{CE0} = 60\text{ В}$; $I_C = 150\text{ мА}$; $P_D = 300\text{ мВт}$; $h_{FE} > 120$	SOT23-5	C1*C2*E2*B2, E1*B1
Y3	UMY3N	ROHM	npn(1)+npn(2)	$V_{CE0} = 50\text{ В}$; $I_C = 100\text{ мА}$; $P_D(\text{com}) = 300\text{ мВт}$; $h_{FE} = 120...580$; $f_T > 180\text{ МГц}$	SOT353, SC88A	B1*E1, E2*B2*C2*C1
Y4	FMV4A	ROHM	npn+prnp	$V_{CE0} = 60\text{ В}$; $I_C = 150\text{ мА}$; $P_D = 300\text{ мВт}$; $h_{FE} > 120$	SOT23-5	C1*C2*B2*B1, E2*E1
Y4	UMY4N	ROHM	npn(1)+npn(2)	$V_{CE0} = 50\text{ В}$; $I_C = 100\text{ мА}$; $P_D(\text{com}) = 300\text{ мВт}$; $h_{FE} = 120...580$; $f_T > 180\text{ МГц}$	SOT353, SC88A	E1*B1, E2*B2*C2*C1
Y5	FMV5	ROHM	npn+prnp	$V_{CE0} = 120\text{ В}$; $I_C = 50\text{ мА}$; $P_D = 300\text{ мВт}$; $h_{FE} > 120$	SOT23-5	C1*C2*B2*E1, E2*B2
Y6	FMV6	ROHM	npn+prnp	$V_{CE0} = 40\text{ В}$; $I_C = 500\text{ мА}$; $P_D = 300\text{ мВт}$; $h_{FE} > 120$	SOT23-5	C1*C2*B2*E1, E2*B2
YA	RN2501	TOSH	Dnpn x2	$V_{CE0} = 50\text{ В}$; $I_C = 100\text{ мА}$; $P_D = 300\text{ мВт}$; $f_T = 200\text{ МГц}$; $R_{\theta JA}/R_{\theta JC} = 4,7\text{ К}/4,7\text{ К}$	SOT23-5	B1*E1, E2*B2*C2*C1
YA	RN2701	TOSH	Dnpn x2	$V_{CE0} = 50\text{ В}$; $I_C = 100\text{ мА}$; $P_D = 200\text{ мВт}$; $f_T = 200\text{ МГц}$; $R_{\theta JA}/R_{\theta JC} = 4,7\text{ К}/4,7\text{ К}$	SOT353, SC88A	B1*E1, E2*B2*C2*C1
YA	RN2701JE	TOSH	Dnpn x2	$V_{CE0} = 50\text{ В}$; $I_C = 100\text{ мА}$; $P_D = 100\text{ мВт}$; $f_T = 200\text{ МГц}$; $R_{\theta JA}/R_{\theta JC} = 4,7\text{ К}/4,7\text{ К}$	SOT553, BMT5	B1*E1, E2*B2*C2*C1
YB	RN2502	TOSH	Dnpn x2	$V_{CE0} = 50\text{ В}$; $I_C = 100\text{ мА}$; $P_D = 300\text{ мВт}$; $f_T = 200\text{ МГц}$; $R_{\theta JA}/R_{\theta JC} = 10\text{ К}/10\text{ К}$	SOT23-5	B1*E1, E2*B2*C2*C1
YB	RN2702	TOSH	Dnpn x2	$V_{CE0} = 50\text{ В}$; $I_C = 100\text{ мА}$; $P_D = 200\text{ мВт}$; $f_T = 200\text{ МГц}$; $R_{\theta JA}/R_{\theta JC} = 10\text{ К}/10\text{ К}$	SOT353, SC88A	B1*E1, E2*B2*C2*C1
YB	RN2702JE	TOSH	Dnpn x2	$V_{CE0} = 50\text{ В}$; $I_C = 100\text{ мА}$; $P_D = 100\text{ мВт}$; $f_T = 200\text{ МГц}$; $R_{\theta JA}/R_{\theta JC} = 10\text{ К}/10\text{ К}$	SOT553, BMT5	B1*E1, E2*B2*C2*C1
YC	RN2503	TOSH	Dnpn x2	$V_{CE0} = 50\text{ В}$; $I_C = 100\text{ мА}$; $P_D = 300\text{ мВт}$; $f_T = 200\text{ МГц}$; $R_{\theta JA}/R_{\theta JC} = 22\text{ К}/22\text{ К}$	SOT23-5	B1*E1, E2*B2*C2*C1
YC	RN2703	TOSH	Dnpn x2	$V_{CE0} = 50\text{ В}$; $I_C = 100\text{ мА}$; $P_D = 200\text{ мВт}$; $f_T = 200\text{ МГц}$; $R_{\theta JA}/R_{\theta JC} = 22\text{ К}/22\text{ К}$	SOT353, SC88A	B1*E1, E2*B2*C2*C1
YC	RN2703JE	TOSH	Dnpn x2	$V_{CE0} = 50\text{ В}$; $I_C = 100\text{ мА}$; $P_D = 100\text{ мВт}$; $f_T = 200\text{ МГц}$; $R_{\theta JA}/R_{\theta JC} = 22\text{ К}/22\text{ К}$	SOT553, BMT5	B1*E1, E2*B2*C2*C1
YD	RN2504	TOSH	Dnpn x2	$V_{CE0} = 50\text{ В}$; $I_C = 100\text{ мА}$; $P_D = 300\text{ мВт}$; $f_T = 200\text{ МГц}$; $R_{\theta JA}/R_{\theta JC} = 47\text{ К}/47\text{ К}$	SOT23-5	B1*E1, E2*B2*C2*C1
YD	RN2704	TOSH	Dnpn x2	$V_{CE0} = 50\text{ В}$; $I_C = 100\text{ мА}$; $P_D = 200\text{ мВт}$; $f_T = 200\text{ МГц}$; $R_{\theta JA}/R_{\theta JC} = 47\text{ К}/47\text{ К}$	SOT353, SC88A	B1*E1, E2*B2*C2*C1
YD	RN2704JE	TOSH	Dnpn x2	$V_{CE0} = 50\text{ В}$; $I_C = 100\text{ мА}$; $P_D = 100\text{ мВт}$; $f_T = 200\text{ МГц}$; $R_{\theta JA}/R_{\theta JC} = 47\text{ К}/47\text{ К}$	SOT553, BMT5	B1*E1, E2*B2*C2*C1
YE	RN2505	TOSH	Dnpn x2	$V_{CE0} = 50\text{ В}$; $I_C = 100\text{ мА}$; $P_D = 300\text{ мВт}$; $f_T = 200\text{ МГц}$; $R_{\theta JA}/R_{\theta JC} = 2,2\text{ К}/47\text{ К}$	SOT23-5	B1*E1, E2*B2*C2*C1



SOT23-5
TSOT23-5



SOT353
SC88A



SOT565

Код	Типономинал	Б	Ф	Особенности	Корпус	Ц: 1•2•3•4•5
YE	RN2705	TOSH	Дрnp x2	$V_{CE0} = 50 \text{ В}$; $I_C = 100 \text{ мА}$; $P_D = 200 \text{ мВт}$; $f_T = 200 \text{ МГц}$; $R_1/R_2 = 2.2 \text{ кОм}/47 \text{ кОм}$	SOT353, SC88A	B1•E1, E2•B2•C2•C1
YE	RN2705JE	TOSH	Дрnp x2	$V_{CE0} = 50 \text{ В}$; $I_C = 100 \text{ мА}$; $P_D = 100 \text{ мВт}$; $f_T = 200 \text{ МГц}$; $R_1/R_2 = 2.2 \text{ кОм}/47 \text{ кОм}$	SOT563, BM75	B1•E1, E2•B2•C2•C1
YF	RN2506	TOSH	Дрnp x2	$V_{CE0} = 50 \text{ В}$; $I_C = 100 \text{ мА}$; $P_D = 300 \text{ мВт}$; $f_T = 200 \text{ МГц}$; $R_1/R_2 = 4.7 \text{ кОм}/47 \text{ кОм}$	SOT23-5	B1•E1, E2•B2•C2•C1
YF	RN2706	TOSH	Дрnp x2	$V_{CE0} = 50 \text{ В}$; $I_C = 100 \text{ мА}$; $P_D = 200 \text{ мВт}$; $f_T = 200 \text{ МГц}$; $R_1/R_2 = 4.7 \text{ кОм}/47 \text{ кОм}$	SOT353, SC88A	B1•E1, E2•B2•C2•C1
YF	RN2706JE	TOSH	Дрnp x2	$V_{CE0} = 50 \text{ В}$; $I_C = 100 \text{ мА}$; $P_D = 100 \text{ мВт}$; $f_T = 200 \text{ МГц}$; $R_1/R_2 = 4.7 \text{ кОм}/47 \text{ кОм}$	SOT563, BM75	B1•E1, E2•B2•C2•C1
YH	RN2507	TOSH	Дрnp x2	$V_{CE0} = 50 \text{ В}$; $I_C = 100 \text{ мА}$; $P_D = 300 \text{ мВт}$; $f_T = 200 \text{ МГц}$; $R_1/R_2 = 10 \text{ кОм}/47 \text{ кОм}$	SOT23-5	B1•E1, E2•B2•C2•C1
YH	RN2707	TOSH	Дрnp x2	$V_{CE0} = 50 \text{ В}$; $I_C = 100 \text{ мА}$; $P_D = 200 \text{ мВт}$; $f_T = 200 \text{ МГц}$; $R_1/R_2 = 10 \text{ кОм}/47 \text{ кОм}$	SOT353, SC88A	B1•E1, E2•B2•C2•C1
YH	RN2707JE	TOSH	Дрnp x2	$V_{CE0} = 50 \text{ В}$; $I_C = 100 \text{ мА}$; $P_D = 100 \text{ мВт}$; $f_T = 200 \text{ МГц}$; $R_1/R_2 = 10 \text{ кОм}/47 \text{ кОм}$	SOT563, BM75	B1•E1, E2•B2•C2•C1
YI	RN2508	TOSH	Дрnp x2	$V_{CE0} = 50 \text{ В}$; $I_C = 100 \text{ мА}$; $P_D = 300 \text{ мВт}$; $f_T = 200 \text{ МГц}$; $R_1/R_2 = 22 \text{ кОм}/47 \text{ кОм}$	SOT23-5	B1•E1, E2•B2•C2•C1
YI	RN2708	TOSH	Дрnp x2	$V_{CE0} = 50 \text{ В}$; $I_C = 100 \text{ мА}$; $P_D = 200 \text{ мВт}$; $f_T = 200 \text{ МГц}$; $R_1/R_2 = 22 \text{ кОм}/47 \text{ кОм}$	SOT353, SC88A	B1•E1, E2•B2•C2•C1
YI	RN2708JE	TOSH	Дрnp x2	$V_{CE0} = 50 \text{ В}$; $I_C = 100 \text{ мА}$; $P_D = 100 \text{ мВт}$; $f_T = 200 \text{ МГц}$; $R_1/R_2 = 22 \text{ кОм}/47 \text{ кОм}$	SOT563, BM75	B1•E1, E2•B2•C2•C1
YJ	RN2509	TOSH	Дрnp x2	$V_{CE0} = 50 \text{ В}$; $I_C = 100 \text{ мА}$; $P_D = 300 \text{ мВт}$; $f_T = 200 \text{ МГц}$; $R_1/R_2 = 47 \text{ кОм}/22 \text{ кОм}$	SOT23-5	B1•E1, E2•B2•C2•C1
YJ	RN2709	TOSH	Дрnp x2	$V_{CE0} = 50 \text{ В}$; $I_C = 100 \text{ мА}$; $P_D = 200 \text{ мВт}$; $f_T = 200 \text{ МГц}$; $R_1/R_2 = 47 \text{ кОм}/22 \text{ кОм}$	SOT353, SC88A	B1•E1, E2•B2•C2•C1
YJ	RN2709JE	TOSH	Дрnp x2	$V_{CE0} = 50 \text{ В}$; $I_C = 100 \text{ мА}$; $P_D = 100 \text{ мВт}$; $f_T = 200 \text{ МГц}$; $R_1/R_2 = 47 \text{ кОм}/22 \text{ кОм}$	SOT563, BM75	B1•E1, E2•B2•C2•C1
YK	RN2510	TOSH	Дрnp x2	$V_{CE0} = 50 \text{ В}$; $I_C = 100 \text{ мА}$; $P_D = 300 \text{ мВт}$; $f_T = 200 \text{ МГц}$; $R_1 = 4.7 \text{ кОм}$	SOT23-5	B1•E1, E2•B2•C2•C1
YK	RN2710	TOSH	Дрnp x2	$V_{CE0} = 50 \text{ В}$; $I_C = 100 \text{ мА}$; $P_D = 200 \text{ мВт}$; $f_T = 200 \text{ МГц}$; $R_1 = 4.7 \text{ кОм}$	SOT353, SC88A	B1•E1, E2•B2•C2•C1
YK	RN2710JE	TOSH	Дрnp x2	$V_{CE0} = 50 \text{ В}$; $I_C = 100 \text{ мА}$; $P_D = 100 \text{ мВт}$; $f_T = 200 \text{ МГц}$; $R_1 = 4.7 \text{ кОм}$	SOT563, BM75	B1•E1, E2•B2•C2•C1
YM	RN2511	TOSH	Дрnp x2	$V_{CE0} = 50 \text{ В}$; $I_C = 100 \text{ мА}$; $P_D = 300 \text{ мВт}$; $f_T = 200 \text{ МГц}$; $R_1 = 10 \text{ кОм}$	SOT23-5	B1•E1, E2•B2•C2•C1
YM	RN2711	TOSH	Дрnp x2	$V_{CE0} = 50 \text{ В}$; $I_C = 100 \text{ мА}$; $P_D = 200 \text{ мВт}$; $f_T = 200 \text{ МГц}$; $R_1 = 10 \text{ кОм}$	SOT353, SC88A	B1•E1, E2•B2•C2•C1
YM	RN2711JE	TOSH	Дрnp x2	$V_{CE0} = 50 \text{ В}$; $I_C = 100 \text{ мА}$; $P_D = 100 \text{ мВт}$; $f_T = 200 \text{ МГц}$; $R_1 = 10 \text{ кОм}$	SOT563, BM75	B1•E1, E2•B2•C2•C1
Z25	NC7SZ125P5X	FAIR	3-stbuff	$V_{CE0} = 1.65 \dots 5.5 \text{ В}$; $I_{OUI} = \pm 24 \text{ мА}$	SOT353, SC88A	OE•A•GND•Y•VCC

fS6 SON-6
M16 USM-6

SOT563
SOT666



SOT363 SOT457 SOT23-6
TSOT363 MW-6 TSOT23-6



SOT23-6, SOT363/563...

Код	Типономинал	Б	Ф	Особенности	Корпус	Ц: 1•2•3•4•5•6
11	MUN5311DW1	ON	Dnpn/pnp	$V_{CE0} = 50 В$; $I_C = 100 мА$; $P_D = 200 мВт$; $h_{FE1} > 35$; 10 кОм/10 кОм	SOT363, SC88	E2•B2•C1•E1•B1•C2
12	MUN5312DW1	ON	Dnpn/pnp	$V_{CE0} = 50 В$; $I_C = 100 мА$; $P_D = 200 мВт$; $h_{FE1} > 60$; 22 кОм/22 кОм	SOT363, SC88	E2•B2•C1•E1•B1•C2
13	MUN5313DW1	ON	Dnpn/pnp	$V_{CE0} = 50 В$; $I_C = 100 мА$; $P_D = 200 мВт$; $h_{FE1} > 80$; 47 кОм/47 кОм	SOT363, SC88	E2•B2•C1•E1•B1•C2
14	MUN5314DW1	ON	Dnpn/pnp	$V_{CE0} = 50 В$; $I_C = 100 мА$; $P_D = 200 мВт$; $h_{FE1} > 80$; 10 кОм/47 кОм	SOT363, SC88	E2•B2•C1•E1•B1•C2
15	MUN5315DW1	ON	Dnpn/pnp	$V_{CE0} = 50 В$; $I_C = 100 мА$; $P_D = 200 мВт$; $h_{FE1} > 160$; $R_1 = 10 кОм$	SOT363, SC88	E2•B2•C1•E1•B1•C2
16	MUN5316DW1	ON	Dnpn/pnp	$V_{CE0} = 50 В$; $I_C = 100 мА$; $P_D = 200 мВт$; $h_{FE1} > 160$; $R_1 = 4,7 кОм$	SOT363, SC88	E2•B2•C1•E1•B1•C2
30	MUN5330DW1	ON	Dnpn/pnp	$V_{CE0} = 50 В$; $I_C = 100 мА$; $P_D = 200 мВт$; $h_{FE1} > 3$; 1 кОм/1 кОм	SOT363, SC88	E2•B2•C1•E1•B1•C2
31	MUN5331DW1	ON	Dnpn/pnp	$V_{CE0} = 50 В$; $I_C = 100 мА$; $P_D = 200 мВт$; $h_{FE1} > 8$; 2,2 кОм/2,2 кОм	SOT363, SC88	E2•B2•C1•E1•B1•C2
32	MUN5332DW1	ON	Dnpn/pnp	$V_{CE0} = 50 В$; $I_C = 100 мА$; $P_D = 200 мВт$; $h_{FE1} > 15$; 4,7 кОм/4,7 кОм	SOT363, SC88	E2•B2•C1•E1•B1•C2
33	MUN5333DW1	ON	Dnpn/pnp	$V_{CE0} = 50 В$; $I_C = 100 мА$; $P_D = 200 мВт$; $h_{FE1} > 80$; 4,7 кОм/47 кОм	SOT363, SC88	E2•B2•C1•E1•B1•C2
34	MUN5334DW1	ON	Dnpn/pnp	$V_{CE0} = 50 В$; $I_C = 100 мА$; $P_D = 200 мВт$; $h_{FE1} > 80$; 22 кОм/4,7 кОм	SOT363, SC88	E2•B2•C1•E1•B1•C2
35	MUN5335DW1	ON	Dnpn/pnp	$V_{CE0} = 50 В$; $I_C = 100 мА$; $P_D = 200 мВт$; $h_{FE1} > 80$; 2,2 кОм/4,7 кОм	SOT363, SC88	E2•B2•C1•E1•B1•C2
#CHA	AD7414ARTZ	AD	dis	10-ppap, SMBus/I ² C, $V_{DD} = 2,7...5,5 В$	SOT23-6	AS•GND•VDD•SCL•ALERT•SDA
0A	NSBA114EDXV6	ON	Dnpn x2	$V_{CE0} = 50 В$; $I_C = 100 мА$; $P_D = 357 мВт$; $h_{FE1} > 35$; 10 кОм/10 кОм	SOT563, EMT6	E2•B2•C1•E1•B1•C2
0A	MUN5111DW1	ON	Dnpn x2	$V_{CE0} = 50 В$; $I_C = 100 мА$; $P_D = 200 мВт$; $h_{FE1} > 35$; 10 кОм/10 кОм	SOT363, SC88	E2•B2•C1•E1•B1•C2
0B	NSBA124EDXV6	ON	Dnpn x2	$V_{CE0} = 50 В$; $I_C = 100 мА$; $P_D = 357 мВт$; $h_{FE1} > 60$; 22 кОм/22 кОм	SOT563, EMT6	E2•B2•C1•E1•B1•C2
0B	MUN5112DW1	ON	Dnpn x2	$V_{CE0} = 50 В$; $I_C = 100 мА$; $P_D = 200 мВт$; $h_{FE1} > 60$; 22 кОм/22 кОм	SOT363, SC88	E2•B2•C1•E1•B1•C2
0C	NSBA144EDXV6	ON	Dnpn x2	$V_{CE0} = 50 В$; $I_C = 100 мА$; $P_D = 357 мВт$; $h_{FE1} > 80$; 47 кОм/47 кОм	SOT563, EMT6	E2•B2•C1•E1•B1•C2
0C	MUN5113DW1	ON	Dnpn x2	$V_{CE0} = 50 В$; $I_C = 100 мА$; $P_D = 200 мВт$; $h_{FE1} > 80$; 47 кОм/47 кОм	SOT363, SC88	E2•B2•C1•E1•B1•C2
0D	NSBA114YDXV6	ON	Dnpn x2	$V_{CE0} = 50 В$; $I_C = 100 мА$; $P_D = 357 мВт$; $h_{FE1} > 80$; 10 кОм/47 кОм	SOT563, EMT6	E2•B2•C1•E1•B1•C2
0D	MUN5114DW1	ON	Dnpn x2	$V_{CE0} = 50 В$; $I_C = 100 мА$; $P_D = 200 мВт$; $h_{FE1} > 80$; 10 кОм/47 кОм	SOT363, SC88	E2•B2•C1•E1•B1•C2
0E	NSBA114TDXV6	ON	Dnpn x2	$V_{CE0} = 50 В$; $I_C = 100 мА$; $P_D = 357 мВт$; $h_{FE1} > 160$; $R_1 = 10 кОм$	SOT563, EMT6	E2•B2•C1•E1•B1•C2
0E	MUN5115DW1	ON	Dnpn x2	$V_{CE0} = 50 В$; $I_C = 100 мА$; $P_D = 200 мВт$; $h_{FE1} > 160$; $R_1 = 10 кОм$	SOT363, SC88	E2•B2•C1•E1•B1•C2
0F	NSBA143TDXV6	ON	Dnpn x2	$V_{CE0} = 50 В$; $I_C = 100 мА$; $P_D = 357 мВт$; $h_{FE1} > 160$; $R_1 = 4,7 кОм$	SOT563, EMT6	E2•B2•C1•E1•B1•C2
0F	MUN5116DW1	ON	Dnpn x2	$V_{CE0} = 50 В$; $I_C = 100 мА$; $P_D = 200 мВт$; $h_{FE1} > 160$; $R_1 = 4,7 кОм$	SOT363, SC88	E2•B2•C1•E1•B1•C2
0G	MUN5130DW1	ON	Dnpn x2	$V_{CE0} = 50 В$; $I_C = 100 мА$; $P_D = 200 мВт$; $h_{FE1} > 3$; 1 кОм/1 кОм	SOT363, SC88	E2•B2•C1•E1•B1•C2
0G	NSBA113EDXV6	ON	Dnpn x2	$V_{CE0} = 50 В$; $I_C = 100 мА$; $P_D = 357 мВт$; $h_{FE1} > 3$; 1 кОм/1 кОм	SOT563, EMT6	E2•B2•C1•E1•B1•C2



SOT23-6 SOT457 SOT363
TSOT23-6 MW-6 TSOT363



SOT563 SON-6 fS6
SOT666 USM-6 M16

Код	Типономинал	Б	Ф	Особенности	Корпус	Ц: 1•2•3•4•5•6
QH	NSBA123EDXV6	ON	Dnpn x2	$V_{CE0} = 50 В$, $I_C = 100 мА$, $P_D = 357 мВт$, $h_{21} > 8$; $2,2 кОм/2,2 кОм$	SOT563, EMT6	E2•B2•C1•E1•B1•C2
QH	MUN5131DW1	ON	Dnpn x2	$V_{CE0} = 50 В$, $I_C = 100 мА$, $P_D = 200 мВт$, $h_{21} > 8$; $2,2 кОм/2,2 кОм$	SOT363, SC88	E2•B2•C1•E1•B1•C2
QJ	NSBA143EDXV6	ON	Dnpn x2	$V_{CE0} = 50 В$, $I_C = 100 мА$, $P_D = 357 мВт$, $h_{21} > 15$; $4,7 кОм/4,7 кОм$	SOT563, EMT6	E2•B2•C1•E1•B1•C2
QJ	MUN5132DW1	ON	Dnpn x2	$V_{CE0} = 50 В$, $I_C = 100 мА$, $P_D = 200 мВт$, $h_{21} > 15$; $4,7 кОм/4,7 кОм$	SOT363, SC88	E2•B2•C1•E1•B1•C2
OK	NSBA143ZDXV6	ON	Dnpn x2	$V_{CE0} = 50 В$, $I_C = 100 мА$, $P_D = 357 мВт$, $h_{21} > 80$; $4,7 кОм/4,7 кОм$	SOT563, EMT6	E2•B2•C1•E1•B1•C2
OK	MUN5133DW1	ON	Dnpn x2	$V_{CE0} = 50 В$, $I_C = 100 мА$, $P_D = 200 мВт$, $h_{21} > 80$; $4,7 кОм/4,7 кОм$	SOT363, SC88	E2•B2•C1•E1•B1•C2
OL	NSBA124DXV6	ON	Dnpn x2	$V_{CE0} = 50 В$, $I_C = 100 мА$, $P_D = 357 мВт$, $h_{21} > 80$; $22 кОм/4,7 кОм$	SOT563, EMT6	E2•B2•C1•E1•B1•C2
OL	MUN5134DW1	ON	Dnpn x2	$V_{CE0} = 50 В$, $I_C = 100 мА$, $P_D = 200 мВт$, $h_{21} > 80$; $22 кОм/4,7 кОм$	SOT363, SC88	E2•B2•C1•E1•B1•C2
OM	NSBA123JDXV6	ON	Dnpn x2	$V_{CE0} = 50 В$, $I_C = 100 мА$, $P_D = 357 мВт$, $h_{21} > 80$; $2,2 кОм/4,7 кОм$	SOT563, EMT6	E2•B2•C1•E1•B1•C2
OM	MUN5135DW1	ON	Dnpn x2	$V_{CE0} = 50 В$, $I_C = 100 мА$, $P_D = 200 мВт$, $h_{21} > 80$; $2,2 кОм/4,7 кОм$	SOT363, SC88	E2•B2•C1•E1•B1•C2
ON	MUN5136DW1	ON	Dnpn x2	$V_{CE0} = 50 В$, $I_C = 100 мА$, $P_D = 200 мВт$, $h_{21} > 80$; $100 кОм/100 кОм$	SOT363, SC88	E2•B2•C1•E1•B1•C2
ON	NSBA115EDXV6	ON	Dnpn x2	$V_{CE0} = 50 В$, $I_C = 100 мА$, $P_D = 357 мВт$, $h_{21} > 80$; $100 кОм/100 кОм$	SOT563, EMT6	E2•B2•C1•E1•B1•C2
OP	MUN5137DW1	ON	Dnpn x2	$V_{CE0} = 50 В$, $I_C = 100 мА$, $P_D = 200 мВт$, $h_{21} > 80$; $4,7 кОм/22 кОм$	SOT363, SC88	E2•B2•C1•E1•B1•C2
OP	NSBA144WDXV6	ON	Dnpn x2	$V_{CE0} = 50 В$, $I_C = 100 мА$, $P_D = 357 мВт$, $h_{21} > 80$; $4,7 кОм/22 кОм$	SOT563, EMT6	E2•B2•C1•E1•B1•C2
100	NMT2222	NS	npn	$V_{CE0} = 75 В$, $I_C = 1 А$, $h_{21} > 35$, $f_T > 300 МГц$	SOT23-6	B1•E2•B2•C2•E1•C1
1000	ZXTS100E6	ZETEX	pnnp+shd	$V_{CE0} = 12 В$, $I_C = 1,26 А$; $V_{R1} = 40 В$, $I_E = 0,5 А$	SOT23-6	C•E•K•A•n.c. •B1
11	NSBC114EPDXV6	ON	Dnpn/npn	$V_{CE0} = 50 В$, $I_C = 100 мА$, $P_D = 357 мВт$, $h_{21} > 35$; $10 кОм/10 кОм$	SOT563, EMT6	E2•B2•C1•E1•B1•C2
11	RM46A1	TOSH	Dnpn/npn	$V_{CE0} = 50 В$, $I_C = 100 мА$, $P_D = 300 мВт$; Q1: $R_1/R_2 = 22 кОм/22 кОм$; Q2: $R_1/R_2 = 10 кОм/10 кОм$	SOT23-6	E1•B1•C2•E2•B2•C1
12	NSBC124EPDXV6	ON	Dnpn/npn	$V_{CE0} = 50 В$, $I_C = 100 мА$, $P_D = 357 мВт$, $h_{21} > 80$; $22 кОм/22 кОм$	SOT563, EMT6	E2•B2•C1•E1•B1•C2
13	NSBC144EPDXV6	ON	Dnpn/npn	$V_{CE0} = 50 В$, $I_C = 100 мА$, $P_D = 357 мВт$, $h_{21} > 80$; $4,7 кОм/4,7 кОм$	SOT563, EMT6	E2•B2•C1•E1•B1•C2
14	NSBC114YPDV6	ON	Dnpn/npn	$V_{CE0} = 50 В$, $I_C = 100 мА$, $P_D = 357 мВт$, $h_{21} > 80$; $10 кОм/4,7 кОм$	SOT563, EMT6	E2•B2•C1•E1•B1•C2
15	NSBC114YPDV6	ON	Dnpn/npn	$V_{CE0} = 50 В$, $I_C = 100 мА$, $P_D = 357 мВт$, $h_{21} > 160$; $R_1 10 кОм$	SOT563, EMT6	E2•B2•C1•E1•B1•C2
15	RM49A1	TOSH	Dnpn/npn	$V_{CE0} = 50 В$, $I_C = 100 мА$, $P_D = 200 мВт$; Q1: $R_1/R_2 = 22 кОм/4,7 кОм$; Q2: $R_1/R_2 = 22 кОм/4,7 кОм$	SOT363, SC88	E1•B1•C2•E2•B2•C1
16	MT6L61AFS	TOSH	npn x2	$V_{CE0} = 5 В$, $I_C = 25/40 мА$, $P_D = 50 мВт$; $f_T > 7 ГГц$	fS6	B2•E2•B1•C1•E1•C2
16	NSBC143TPDXV6	ON	Dnpn/npn	$V_{CE0} = 50 В$, $I_C = 100 мА$, $P_D = 357 мВт$, $h_{21} > 160$; $R_1 4,7 кОм$	SOT563, EMT6	E2•B2•C1•E1•B1•C2
17	MT6L62AFS	TOSH	npn x2	$V_{CE0} = 5 В$, $I_C = 25/40 мА$, $P_D = 50 мВт$; $f_T > 10 ГГц$	fS6	B2•E2•B1•C1•E1•C2
17B	RM962FE	TOSH	Dnpn/npn	$V_{CE0} = 50 В$, $I_C = 100 мА$, $P_D = 100 мВт$; $f_T = 200 МГц$; $R_1/R_2 = 10 кОм/10 кОм$	SOT666	E1•E2•B2•C2•B1•C1
1Bs	BC817UPN	INF	npn/npn	$V_{CE0} = 50 В$, $I_C = 500 мА$, $P_D = 330 мВт$; $h_{21} = 160...400$; $f_T = 170 МГц$	SOT457, SC74	E1•B1•C2•E2•B2•C1
1Cs	BC847S	INF	npn x2	$V_{CE0} = 50 В$, $I_C = 100 мА$, $P_D = 250 мВт$; $h_{21} = 110...630$; $f_T = 250 МГц$	SOT363, SC88	E1•B1•C2•E2•B2•C1
1Ds	BC846U	INF	npn x2	$V_{CE0} = 80 В$, $I_C = 100 мА$, $P_D = 250 мВт$; $h_{21} = 200...450$; $f_T = 250 МГц$	SOT457, SC74	E1•B1•C2•E2•B2•C1

f56 SON-6
M16 USM-6SOT563
SOT666SOT363
TSOT363SOT457
MW-6SOT23-6
TSOT23-6

Код	Типоименал	Б	Ф	Особенности	Корпус	Ц: 1•2•3•4•5•6
10s	BC846PN	INF	npn/npn	$V_{CE0} = 80 В$; $I_C = 100 мА$; $P_D = 250 мВт$; $h_{21} = 200$; A_{50} ; $f_T > 100 МГц$	SOT363, SC88	E1•B1•C2•E2•B2•C1
1Ps	BC847PN	INF	npn/npn	$V_{CE0} = 50 В$; $I_C = 100 мА$; $P_D = 250 мВт$; $h_{21} = 110$; $.630$; $f_T = 250 МГц$	SOT363, SC88	E1•B1•C2•E2•B2•C1
24R	μPA810T	NEC	npn x2	$V_{CE0} = 20 В$; $I_C = 100 мА$; $P_D = 230 мВт$; $h_{21} = 70$; $.140$; $f_T > 3 ГГц$	SOT363, SC88	C1•E1•C2•E2•B2•B1
25R	μPA810T	NEC	npn x2	$V_{CE0} = 20 В$; $I_C = 100 мА$; $P_D = 230 мВт$; $h_{21} = 110$; $.240$; $f_T > 3 ГГц$	SOT363, SC88	C1•E1•C2•E2•B2•B1
28	RN49A2	TOSH	Dnpn/npn	$V_{CE0} = 50 В$; $I_C = 100 мА$; $P_D = 200 мВт$; Q_1 ; R_1 ; $R_2 = 47 кОм/47 кОм$; Q_2 ; R_1 ; $R_2 = 2.2 кОм/47 кОм$	SOT363, SC88	E1•B1•C2•E2•B2•C1
2N02	ZXME2N02E6	ZETEX	nMOS	$V_{DS} = 20 В$; $I_D = 2.6 А$; $P_D = 330 мВт$; $R_{DS(on)} < 0.125 Ом$	SOT23-6	D•D•G•S•D•D
30	NSBC113EPDXV6	ON	Dnpn/npn	$V_{CE0} = 50 В$; $I_C = 100 мА$; $P_D = 357 мВт$; $h_{21} > 3$; $1 кОм/1 кОм$	SOT563, EMT8	E2•B2•C1•E1•B1•C2
31	NSBC123EPDXV6	ON	Dnpn/npn	$V_{CE0} = 50 В$; $I_C = 100 мА$; $P_D = 357 мВт$; $h_{21} > 8$; $2.2 кОм/2.2 кОм$	SOT563, EMT8	E2•B2•C1•E1•B1•C2
32	NSBC143EPDXV6	ON	Dnpn/npn	$V_{CE0} = 50 В$; $I_C = 100 мА$; $P_D = 357 мВт$; $h_{21} > 15$; $4.7 кОм/4.7 кОм$	SOT563, EMT8	E2•B2•C1•E1•B1•C2
33	NSBC143ZPDXV6	ON	Dnpn/npn	$V_{CE0} = 50 В$; $I_C = 100 мА$; $P_D = 357 мВт$; $h_{21} > 80$; $4.7 кОм/47 кОм$	SOT563, EMT8	E2•B2•C1•E1•B1•C2
34	NSBC124XPDXV6	ON	Dnpn/npn	$V_{CE0} = 50 В$; $I_C = 100 мА$; $P_D = 357 мВт$; $h_{21} > 80$; $22 кОм/47 кОм$	SOT563, EMT8	E2•B2•C1•E1•B1•C2
34R	μPA8127FB	NEC	npn x2	$V_{CE0} = 20 В$; $I_C = 65 мА$; $P_D = 200 мВт$; $h_{21} = 70$...150; $f_T > 4.5 ГГц$	SOT363, SC88	C1•B2•C2•E2•E1•B1
35	NSBC123XPDXV6	ON	Dnpn/npn	$V_{CE0} = 50 В$; $I_C = 100 мА$; $P_D = 357 мВт$; $h_{21} > 80$; $2.2 кОм/4.7 кОм$	SOT563, EMT8	E2•B2•C1•E1•B1•C2
35R	μPA8127GB	NEC	npn x2	$V_{CE0} = 20 В$; $I_C = 65 мА$; $P_D = 200 мВт$; $h_{21} = 110$; $.240$; $f_T > 4.5 ГГц$	SOT363, SC88	C1•B2•C2•E2•E1•B1
3Cs	BC857S	INF	npn x2	$V_{CE0} = 50 В$; $I_C = 100 мА$; $P_D = 250 мВт$; $h_{21} = 125$; $.630$; $f_T = 250 МГц$	SOT363, SC88	E1•B1•C2•E2•B2•C1
3F	μPA873TC	NEC	npn x2	$V_{CE0} = 9 В$; $I_C = 100 мА$; $P_D = 230 мВт$; $h_{21} = 100$; $.145$; $f_T > 3 ГГц$	USM-6	C1•E1•C2•E2•B2•B1
3FI	BC857BS	PHIL	npn x2	$V_{CE0} = 50 В$; $I_C = 100 мА$; $P_D = 330 мВт$; $h_{21} = 220$; $.475$; $f_T > 150 МГц$	SOT363, SC88	E1•B1•C2•E2•B2•C1
3G	MGSF3454X	ON	nMOS	$I_D = 1.75 А$	SOT457, SC74	D•D•G•S•D•D
44R	μPA8117FB	NEC	npn x2	$V_{CE0} = 20 В$; $I_C = 35 мА$; $P_D = 200 мВт$; $h_{21} = 80$...160; $f_T > 5.5 ГГц$	SOT363, SC88	C1•B2•C2•E2•E1•B1
4591	ZXTD4591E6	ZETEX	npn/npn	$V_{CE0} = 80 В$; $I_C = 1 А$; $h_{21} > 20$; $P_D = 1.1 Вт$	SOT23-6	C1•B1•C2•E2•B2•E1
45R	μPA8117GB	NEC	npn x2	$V_{CE0} = 20 В$; $I_C = 35 мА$; $P_D = 200 мВт$; $h_{21} = 125$; $.250$; $f_T > 5.5 ГГц$	SOT363, SC88	C1•B2•C2•E2•E1•B1
46	MBT3946DW1	ON	npn/npn	$V_{CE0} = 40 В$; $I_C = 200 мА$; $P_D = 150 мВт$; $h_{21} > 30$; $f_T > 250 МГц$	SOT363, SC88	E2•B2•C1•E1•B1•C2
4B	μPA891TC	NEC	npn x2	$V_{CE0} = 9 В$; $I_C = 100 мА$; $P_D = 230 мВт$; $h_{21} = 100$...160; $f_T > 3.5 ГГц$	USM-6	C1•E1•C2•B2•E2•B1
4C	μPA892TC	NEC	npn x2	$V_{CE0} = 15 В$; $I_C = 35 мА$; $P_D = 210 мВт$; $h_{21} = 50$...100; $f_T > 18 ГГц$	USM-6	C1•E1•C2•B2•E2•B1
5FI	BC856S	PHIL	npn x2	$V_{CE0} = 80 В$; $I_C = 100 мА$; $P_D = 200 мВт$; $h_{21} > 110$; $f_T > 100 МГц$	SOT363, SC88	E1•B1•C2•E2•B2•C1
62s	BAT62-08S	INF	shd x3	$V_S < 40 В$; $I_S < 20 мА$; $V_F (I_F = 2 мА) < 1 В$; $I_R < 10 мА$; $C_D < 0.6 нФ$	SOT363, SC88	A1•A2•A3•K3•K2•K1
69s	BAT62-09S	INF	shd x2	$V_S < 40 В$; $I_S < 20 мА$; $V_F (I_F = 2 мА) < 1 В$; $I_R < 10 мА$; $C_D < 0.6 нФ$	SOT363, SC88	A1•n.c. •A2•K2•n.c. •K1
6A	RN4981	TOSH	Dnpn/npn	$V_{CE0} = 50 В$; $I_C = 100 мА$; $P_D = 200 мВт$; $f_T = 200 МГц$; $R_1/R_2 = 4.7 кОм/4.7 кОм$	SOT363, SC88	E1•B1•C2•E2•B2•C1
6A	RN4981FE	TOSH	Dnpn/npn	$V_{CE0} = 50 В$; $I_C = 100 мА$; $P_D = 100 мВт$; $f_T = 200 МГц$; $R_1/R_2 = 4.7 кОм/4.7 кОм$	SOT666	E1•B1•C2•E2•B2•C1



SOT23-6
TSOT23-6

SOT457
MW-6

SOT363
TSOT363



SOT563
SOT666

SON-6
USM-6

fS6
M16

Код	Типономинал	Б	Ф	Особенности	Корпус	Ц: 1•2•3•4•5•6
6B	RM4982	TOSH	Dnpnp/npn	$V_{CEB}=50\text{ В}$, $I_C=100\text{ мА}$, $P_D=200\text{ мВт}$, $f_T=200\text{ МГц}$, $R_{\theta J}/R_{\theta 2}=10\text{ К}/10\text{ К}/10\text{ К}$	SOT363, SC88	E1•B1•C2•E2•B2•C1
6B	RM4982FE	TOSH	Dnpnp/npn	$V_{CEB}=50\text{ В}$, $I_C=100\text{ мА}$, $P_D=100\text{ мВт}$, $f_T=200\text{ МГц}$, $R_{\theta J}/R_{\theta 2}=10\text{ К}/10\text{ К}/10\text{ К}$	SOT666	E1•B1•C2•E2•B2•C1
6C	RM4983	TOSH	Dnpnp/npn	$V_{CEB}=50\text{ В}$, $I_C=100\text{ мА}$, $P_D=200\text{ мВт}$, $f_T=200\text{ МГц}$, $R_{\theta J}/R_{\theta 2}=22\text{ К}/22\text{ К}/22\text{ К}$	SOT363, SC88	E1•B1•C2•E2•B2•C1
6C	RM4983FE	TOSH	Dnpnp/npn	$V_{CEB}=50\text{ В}$, $I_C=100\text{ мА}$, $P_D=100\text{ мВт}$, $f_T=200\text{ МГц}$, $R_{\theta J}/R_{\theta 2}=22\text{ К}/22\text{ К}/22\text{ К}$	SOT666	E1•B1•C2•E2•B2•C1
6D	RM4984	TOSH	Dnpnp/npn	$V_{CEB}=50\text{ В}$, $I_C=100\text{ мА}$, $P_D=200\text{ мВт}$, $f_T=200\text{ МГц}$, $R_{\theta J}/R_{\theta 2}=47\text{ К}/47\text{ К}/47\text{ К}$	SOT363, SC88	E1•B1•C2•E2•B2•C1
6D	RM4984FE	TOSH	Dnpnp/npn	$V_{CEB}=50\text{ В}$, $I_C=100\text{ мА}$, $P_D=100\text{ мВт}$, $f_T=200\text{ МГц}$, $R_{\theta J}/R_{\theta 2}=47\text{ К}/47\text{ К}/47\text{ К}$	SOT666	E1•B1•C2•E2•B2•C1
6E	RM4985	TOSH	Dnpnp/npn	$V_{CEB}=50\text{ В}$, $I_C=100\text{ мА}$, $P_D=200\text{ мВт}$, $f_T=200\text{ МГц}$, $R_{\theta J}/R_{\theta 2}=2.2\text{ К}/2.2\text{ К}/47\text{ К}$	SOT363, SC88	E1•B1•C2•E2•B2•C1
6E	RM4985FE	TOSH	Dnpnp/npn	$V_{CEB}=50\text{ В}$, $I_C=100\text{ мА}$, $P_D=100\text{ мВт}$, $f_T=200\text{ МГц}$, $R_{\theta J}/R_{\theta 2}=2.2\text{ К}/2.2\text{ К}/47\text{ К}$	SOT666	E1•B1•C2•E2•B2•C1
6F	RM4986	TOSH	Dnpnp/npn	$V_{CEB}=50\text{ В}$, $I_C=100\text{ мА}$, $P_D=200\text{ мВт}$, $f_T=200\text{ МГц}$, $R_{\theta J}/R_{\theta 2}=4.7\text{ К}/4.7\text{ К}/47\text{ К}$	SOT363, SC88	E1•B1•C2•E2•B2•C1
6F	RM4986FE	TOSH	Dnpnp/npn	$V_{CEB}=50\text{ В}$, $I_C=100\text{ мА}$, $P_D=100\text{ мВт}$, $f_T=200\text{ МГц}$, $R_{\theta J}/R_{\theta 2}=4.7\text{ К}/4.7\text{ К}/47\text{ К}$	SOT666	E1•B1•C2•E2•B2•C1
6H	RM4987	TOSH	Dnpnp/npn	$V_{CEB}=50\text{ В}$, $I_C=100\text{ мА}$, $P_D=200\text{ мВт}$, $f_T=200\text{ МГц}$, $R_{\theta J}/R_{\theta 2}=10\text{ К}/10\text{ К}/47\text{ К}$	SOT363, SC88	E1•B1•C2•E2•B2•C1
6H	RM4987FE	TOSH	Dnpnp/npn	$V_{CEB}=50\text{ В}$, $I_C=100\text{ мА}$, $P_D=100\text{ мВт}$, $f_T=200\text{ МГц}$, $R_{\theta J}/R_{\theta 2}=10\text{ К}/10\text{ К}/47\text{ К}$	SOT666	E1•B1•C2•E2•B2•C1
6I	RM4988	TOSH	Dnpnp/npn	$V_{CEB}=50\text{ В}$, $I_C=100\text{ мА}$, $P_D=200\text{ мВт}$, $f_T=200\text{ МГц}$, $R_{\theta J}/R_{\theta 2}=22\text{ К}/22\text{ К}/47\text{ К}$	SOT363, SC88	E1•B1•C2•E2•B2•C1
6I	RM4988FE	TOSH	Dnpnp/npn	$V_{CEB}=50\text{ В}$, $I_C=100\text{ мА}$, $P_D=100\text{ мВт}$, $f_T=200\text{ МГц}$, $R_{\theta J}/R_{\theta 2}=22\text{ К}/22\text{ К}/47\text{ К}$	SOT666	E1•B1•C2•E2•B2•C1
6J	RM4989	TOSH	Dnpnp/npn	$V_{CEB}=50\text{ В}$, $I_C=100\text{ мА}$, $P_D=200\text{ мВт}$, $f_T=200\text{ МГц}$, $R_{\theta J}/R_{\theta 2}=47\text{ К}/47\text{ К}/22\text{ К}$	SOT363, SC88	E1•B1•C2•E2•B2•C1
6J	RM4989FE	TOSH	Dnpnp/npn	$V_{CEB}=50\text{ В}$, $I_C=100\text{ мА}$, $P_D=100\text{ мВт}$, $f_T=200\text{ МГц}$, $R_{\theta J}/R_{\theta 2}=47\text{ К}/47\text{ К}/22\text{ К}$	SOT666	E1•B1•C2•E2•B2•C1
6K	RM4990	TOSH	Dnpnp/npn	$V_{CEB}=50\text{ В}$, $I_C=100\text{ мА}$, $P_D=200\text{ мВт}$, $f_T=200\text{ МГц}$, $R_1=4.7\text{ К}$	SOT363, SC88	E1•B1•C2•E2•B2•C1
6K	RM4990FE	TOSH	Dnpnp/npn	$V_{CEB}=50\text{ В}$, $I_C=100\text{ мА}$, $P_D=100\text{ мВт}$, $f_T=200\text{ МГц}$, $R_1=4.7\text{ К}$	SOT666	E1•B1•C2•E2•B2•C1
6M	RM4991	TOSH	Dnpnp/npn	$V_{CEB}=50\text{ В}$, $I_C=100\text{ мА}$, $P_D=200\text{ мВт}$, $f_T=200\text{ МГц}$, $R_1=10\text{ К}$	SOT363, SC88	E1•B1•C2•E2•B2•C1
6M	RM4991FE	TOSH	Dnpnp/npn	$V_{CEB}=50\text{ В}$, $I_C=100\text{ мА}$, $P_D=100\text{ мВт}$, $f_T=200\text{ МГц}$, $R_1=10\text{ К}$	SOT666	E1•B1•C2•E2•B2•C1
70	μPA801TCFB	NEC	nnp x2	$V_{CEB}=20\text{ В}$, $I_C=100\text{ мА}$, $P_D=230\text{ мВт}$, $h_{21}=70...140$, $f_T>3\text{ ГГц}$	USM-6	C1•E1•C2•E2•B2•B1
71	μPA801TCGB	NEC	nnp x2	$V_{CEB}=20\text{ В}$, $I_C=100\text{ мА}$, $P_D=230\text{ мВт}$, $h_{21}=125...250$, $f_T>3\text{ ГГц}$	USM-6	C1•E1•C2•E2•B2•B1
72	μPA804TCFB	NEC	nnp x2	$V_{CEB}=20\text{ В}$, $I_C=60\text{ мА}$, $P_D=200\text{ мВт}$, $h_{21}=60...120$, $f_T>3\text{ ГГц}$	USM-6	C1•E1•C2•E2•B2•B1
73	μPA804TCGB	NEC	nnp x2	$V_{CEB}=20\text{ В}$, $I_C=60\text{ мА}$, $P_D=200\text{ мВт}$, $h_{21}=100...200$, $f_T>3\text{ ГГц}$	USM-6	C1•E1•C2•E2•B2•B1
73T	μPA813TFB	NEC	nnp x2	$V_{CEB}=20\text{ В}$, $I_C=30\text{ мА}$, $P_D=160\text{ мВт}$, $h_{21}=60...120$, $f_T=5.5\text{ ГГц}$	SOT363, SC88	C1•B2•C2•E2•E1•B1
74s	BAS70-04S	INF	shd x4	$V_P<70\text{ В}$, $I_C<70\text{ мА}$, $V_P(I_C=15\text{ мА})<1.0\text{ В}$, $I_Q<0.1\text{ мА}$, $C_Q<2.0\text{ пФ}$	SOT363, SC88	A1•K2•A3, K4•A4•K3•K1, A2
74T	μPA813TGB	NEC	nnp x2	$V_{CEB}=20\text{ В}$, $I_C=30\text{ мА}$, $P_D=160\text{ мВт}$, $h_{21}=100...200$, $f_T=5.5\text{ ГГц}$	SOT363, SC88	C1•B2•C2•E2•E1•B1
75	μPA810TC	NEC	nnp x2	$V_{CEB}=20\text{ В}$, $I_C=100\text{ мА}$, $P_D=230\text{ мВт}$, $h_{21}=70...140$, $f_T>3\text{ ГГц}$	USM-6	C1•E1•C2•E2•B2•B1
7A	MUN5211DW1	ON	Dnpn x2	$V_{CEB}=50\text{ В}$, $I_C=100\text{ мА}$, $P_D=200\text{ мВт}$, $h_{21}>35$, $10\text{ К}/10\text{ К}/10\text{ К}$	SOT363, SC88	E2•B2•C1•E1•B1•C2

f56 SON-6
M16 USM-6SOT563
SOT666SOT363 SOT457 SOT23-6
TSOT363 MW-6 TSOT23-6

Код	Типономинал	Б	Ф	Особенности	Корпус	Ц: 1•2•3•4•5•6
7A	NSBC114EDXV6	ON	Drnp x2	$V_{CE0} = 50 В$; $I_C = 100 мА$; $P_D = 357 мВт$; $h_{FE} > 35$; 10 кОм/10 кОм	SOT563, EMT6	E2•B2•C1•E1•B1•C2
7B	MUN5212DW1	ON	Drnp x2	$V_{CE0} = 50 В$; $I_C = 100 мА$; $P_D = 200 мВт$; $h_{FE} > 60$; 22 кОм/22 кОм	SOT363, SC88	E2•B2•C1•E1•B1•C2
7B	NSBC124EDXV6	ON	Drnp x2	$V_{CE0} = 50 В$; $I_C = 100 мА$; $P_D = 357 мВт$; $h_{FE} > 60$; 22 кОм/22 кОм	SOT563, EMT6	E2•B2•C1•E1•B1•C2
7C	MUN5213DW1	ON	Drnp x2	$V_{CE0} = 50 В$; $I_C = 100 мА$; $P_D = 200 мВт$; $h_{FE} > 80$; 47 кОм/47 кОм	SOT363, SC88	E2•B2•C1•E1•B1•C2
7C	NSBC144EDXV6	ON	Drnp x2	$V_{CE0} = 50 В$; $I_C = 100 мА$; $P_D = 357 мВт$; $h_{FE} > 80$; 47 кОм/47 кОм	SOT563, EMT6	E2•B2•C1•E1•B1•C2
7D	MUN5214DW1	ON	Drnp x2	$V_{CE0} = 50 В$; $I_C = 100 мА$; $P_D = 200 мВт$; $h_{FE} > 80$; 10 кОм/47 кОм	SOT363, SC88	E2•B2•C1•E1•B1•C2
7D	NSBC114YDXV6	ON	Drnp x2	$V_{CE0} = 50 В$; $I_C = 100 мА$; $P_D = 357 мВт$; $h_{FE} > 80$; 10 кОм/47 кОм	SOT563, EMT6	E2•B2•C1•E1•B1•C2
7E	MUN5215DW1	ON	Drnp x2	$V_{CE0} = 50 В$; $I_C = 100 мА$; $P_D = 200 мВт$; $h_{FE} > 160$; R_1 10 кОм	SOT363, SC88	E2•B2•C1•E1•B1•C2
7E	NSBC114TDXV6	ON	Drnp x2	$V_{CE0} = 50 В$; $I_C = 100 мА$; $P_D = 357 мВт$; $h_{FE} > 160$; R_1 10 кОм	SOT563, EMT6	E2•B2•C1•E1•B1•C2
7F	MUN5216DW1	ON	Drnp x2	$V_{CE0} = 50 В$; $I_C = 100 мА$; $P_D = 200 мВт$; $h_{FE} > 160$; R_1 4,7 кОм	SOT363, SC88	E2•B2•C1•E1•B1•C2
7F	NSBC143TDXV6	ON	Drnp x2	$V_{CE0} = 50 В$; $I_C = 100 мА$; $P_D = 357 мВт$; $h_{FE} > 160$; R_1 4,7 кОм	SOT563, EMT6	E2•B2•C1•E1•B1•C2
7G	MUN5230DW1	ON	Drnp x2	$V_{CE0} = 50 В$; $I_C = 100 мА$; $P_D = 200 мВт$; $h_{FE} > 3$; 1 кОм/1 кОм	SOT363, SC88	E2•B2•C1•E1•B1•C2
7G	NSBC113EDXV6	ON	Drnp x2	$V_{CE0} = 50 В$; $I_C = 100 мА$; $P_D = 357 мВт$; $h_{FE} > 3$; 1 кОм/1 кОм	SOT563, EMT6	E2•B2•C1•E1•B1•C2
7H	MUN5231DW1	ON	Drnp x2	$V_{CE0} = 50 В$; $I_C = 100 мА$; $P_D = 200 мВт$; $h_{FE} > 8$; 2,2 кОм/2,2 кОм	SOT363, SC88	E2•B2•C1•E1•B1•C2
7H	NSBC123EDXV6	ON	Drnp x2	$V_{CE0} = 50 В$; $I_C = 100 мА$; $P_D = 357 мВт$; $h_{FE} > 8$; 2,2 кОм/2,2 кОм	SOT563, EMT6	E2•B2•C1•E1•B1•C2
7J	MUN5232DW1	ON	Drnp x2	$V_{CE0} = 50 В$; $I_C = 100 мА$; $P_D = 200 мВт$; $h_{FE} > 15$; 4,7 кОм/4,7 кОм	SOT363, SC88	E2•B2•C1•E1•B1•C2
7J	NSBC143EDXV6	ON	Drnp x2	$V_{CE0} = 50 В$; $I_C = 100 мА$; $P_D = 357 мВт$; $h_{FE} > 15$; 4,7 кОм/4,7 кОм	SOT563, EMT6	E2•B2•C1•E1•B1•C2
7K	MUN5233DW1	ON	Drnp x2	$V_{CE0} = 50 В$; $I_C = 100 мА$; $P_D = 200 мВт$; $h_{FE} > 80$; 4,7 кОм/47 кОм	SOT363, SC88	E2•B2•C1•E1•B1•C2
7K	NSBC143ZDXV6	ON	Drnp x2	$V_{CE0} = 50 В$; $I_C = 100 мА$; $P_D = 357 мВт$; $h_{FE} > 80$; 4,7 кОм/47 кОм	SOT563, EMT6	E2•B2•C1•E1•B1•C2
7L	MUN5234DW1	ON	Drnp x2	$V_{CE0} = 50 В$; $I_C = 100 мА$; $P_D = 200 мВт$; $h_{FE} > 80$; 22 кОм/4,7 кОм	SOT363, SC88	E2•B2•C1•E1•B1•C2
7L	NSBC124DXV6	ON	Drnp x2	$V_{CE0} = 50 В$; $I_C = 100 мА$; $P_D = 357 мВт$; $h_{FE} > 80$; 22 кОм/47 кОм	SOT563, EMT6	E2•B2•C1•E1•B1•C2
7M	MUN5235DW1	ON	Drnp x2	$V_{CE0} = 50 В$; $I_C = 100 мА$; $P_D = 200 мВт$; $h_{FE} > 80$; 2,2 кОм/4,7 кОм	SOT363, SC88	E2•B2•C1•E1•B1•C2
7M	NSBC123JDXV6	ON	Drnp x2	$V_{CE0} = 50 В$; $I_C = 100 мА$; $P_D = 357 мВт$; $h_{FE} > 80$; 2,2 кОм/4,7 кОм	SOT563, EMT6	E2•B2•C1•E1•B1•C2
7N	MUN5236DW1	ON	Drnp x2	$V_{CE0} = 50 В$; $I_C = 100 мА$; $P_D = 200 мВт$; $h_{FE} > 80$; 100 кОм/100 кОм	SOT363, SC88	E2•B2•C1•E1•B1•C2
7N	NSBC115EDXV6	ON	Drnp x2	$V_{CE0} = 50 В$; $I_C = 100 мА$; $P_D = 357 мВт$; $h_{FE} > 80$; 100 кОм/100 кОм	SOT563, EMT6	E2•B2•C1•E1•B1•C2
7P	MUN5237DW1	ON	Drnp x2	$V_{CE0} = 50 В$; $I_C = 100 мА$; $P_D = 200 мВт$; $h_{FE} > 80$; 47 кОм/22 кОм	SOT363, SC88	E2•B2•C1•E1•B1•C2
7P	NSBC144WDXV6	ON	Drnp x2	$V_{CE0} = 50 В$; $I_C = 100 мА$; $P_D = 357 мВт$; $h_{FE} > 80$; 47 кОм/22 кОм	SOT563, EMT6	E2•B2•C1•E1•B1•C2
83s	BAT68-06S	INF	shd x3	$V_A < 8 В$; $I_S < 130 мА$; $V_F(I_S = 10 мА) < 0,5 В$; $I_S < 0,1 мА$; $C_D < 1,0 пФ$	SOT363, SC88	A1•A2•A3•K3•K2•K1
87	μPA814TC	NEC	rnpn x2	$V_{CE0} = 9 В$; $I_C = 100 мА$; $P_D = 230 мВт$; $h_{FE} = 80...160$; $f_T > 4 ГГц$	USM-6	C1•B2•C2•E2•E1•B1



SOT23-6
TSOT23-6

SOT457
MW-6

SOT363
TSOT363



SOT563
SOT666

SON-6
USM-6

fS6
M16

Код	Типономинал	Б	Ф	Особенности	Корпус	Ц: 1•2•3•4•5•6
88T	μPA814T	NEC	pn-p x2	$V_{DS} = 9\text{ В}$; $I_C = 100\text{ мА}$; $P_D = 230\text{ мВт}$; $h_{21} = 80 \dots 160$; $f_T > 4\text{ ГГц}$	SOT363, SC88	C1•B2•C2•E2•E1•B1
89s	BA78-09S	INF	shd x2	$V_R < 8\text{ В}$; $I_C < 130\text{ мА}$; $V_F (I_F = 10\text{ мА}) < 0.5\text{ В}$; $I_{R1} < 0.1\text{ мА}$; $C_D < 1.0\text{ нФ}$	SOT363, SC88	A1•n.c. • A2•K2•n.c. • K1
A1s	BAW56S	INF	di x4	$V_R < 80\text{ В}$; $I_C < 200\text{ мА}$; $V_F (I_F = 150\text{ мА}) < 1.25\text{ В}$; $C_D < 2.0\text{ нФ}$; $t_{RR} < 4\text{ нс}$	SOT363, SC88	K1•K2•A3, A4•K4•K3•A2, A1
A1s	BAW56U	INF	di x4	$V_R < 80\text{ В}$; $I_C < 200\text{ мА}$; $V_F (I_F = 150\text{ мА}) < 1.25\text{ В}$; $C_D < 2.0\text{ нФ}$; $t_{RR} < 4\text{ нс}$	SOT457, SC74	K1•K2•A3, A4•K4•K3•A2, A1
A1t	BAW56S	PHIL	di x2	$V_R < 85\text{ В}$; $I_C < 250\text{ мА}$; $V_F (I_F = 50\text{ мА}) < 1\text{ В}$; $I_{R1} < 1\text{ мА}$; $C_D < 2.0\text{ нФ}$; $t_{RR} < 4\text{ нс}$	SOT363, SC88	K1•K2•A3, A4•K4•K3•A2, A1
A2	MBT3966DW1	ON	pn-p x2	$V_{DS} = 40\text{ В}$; $I_C = 200\text{ мА}$; $P_D = 150\text{ мВт}$; $h_{21} > 30$; $V_{DS} > 250\text{ мВ}$	SOT363, SC88	E2•B2•C1•E1•B1•C2
A40	OPX3631	TI	OA	R-R: $V_{DD} = 1.8 \dots 5.5\text{ В}$; $I_{DD} = 7\text{ мА}$; $I_S = 1.4\text{ мА}$; $V_{OS} < 0.9\text{ мВ}$	SOT23-6	OUT • V- • IN • -IN • ENBL • V+
A4s	BAV70S	INF	di x4	$V_R < 80\text{ В}$; $I_C < 200\text{ мА}$; $V_F (I_F = 50\text{ мА}) < 1\text{ В}$; $I_{R1} (V_R = 70\text{ В}) < 0.15\text{ мА}$; $C_D < 1.5\text{ нФ}$; $t_{RR} < 4\text{ нс}$	SOT363, SC88	A1•A2•K3, K4•A4•A3•K1, K2
A4s	BAV70U	INF	di x4	$V_R < 80\text{ В}$; $I_C < 200\text{ мА}$; $V_F (I_F = 50\text{ мА}) < 1\text{ В}$; $I_{R1} (V_R = 70\text{ В}) < 0.15\text{ мА}$; $C_D < 1.5\text{ нФ}$; $t_{RR} < 4\text{ нс}$	SOT457, SC74	A1•A2•K3, K4•A4•A3•K1, K2
A5	HN2D02FU	TOSH	di x3	$V_R < 80\text{ В}$; $I_C < 80\text{ мА}$; $V_F (I_F = 100\text{ мА}) < 1.2\text{ В}$; $C_D < 4\text{ нФ}$	SOT363, SC88	A1•A2•A3•K3•K2•K1
A6	HN2S01F	TOSH	shd x3	$V_R < 10\text{ В}$; $I_C < 100\text{ мА}$; $V_F (I_F = 100\text{ мА}) < 0.5\text{ В}$; $C_D < 40\text{ нФ}$	SOT23-6	K1•K2•K3•A3•A2•A1
A6	HN2S01FU	TOSH	shd x3	$V_R < 10\text{ В}$; $I_C < 100\text{ мА}$; $V_F (I_F = 100\text{ мА}) < 0.5\text{ В}$; $C_D < 40\text{ нФ}$	SOT363, SC88	K1•K2•K3•A3•A2•A1
A6s	BAS18S	INF	di x 3	$V_R < 80\text{ В}$; $I_C < 200\text{ мА}$; $V_F (I_F = 150\text{ мА}) < 1.25\text{ В}$; $I_{R1} < 50\text{ мА}$	SOT363, SC88	A1•A2•A3•K3•K2•K1
A6s	BAS18U	INF	di x 3	$V_R < 80\text{ В}$; $I_C < 200\text{ мА}$; $V_F (I_F = 150\text{ мА}) < 1.25\text{ В}$; $I_{R1} < 50\text{ мА}$	SOT457, SC74	A1•A2•A3•K3•K2•K1
A7s	BAV99S	INF	di x4	$V_R < 80\text{ В}$; $I_C < 200\text{ мА}$; $V_F (I_F = 150\text{ мА}) < 1.25\text{ В}$; $I_{R1} < 0.15\text{ мА}$; $C_D < 1.5\text{ нФ}$; $t_{RR} < 4\text{ нс}$	SOT363, SC88	A1•K2•A3, K4•A4•K3•A2, K1
A7s	BAV99U	INF	di x4	$V_R < 80\text{ В}$; $I_C < 200\text{ мА}$; $V_F (I_F = 150\text{ мА}) < 1.25\text{ В}$; $I_{R1} < 0.15\text{ мА}$; $C_D < 1.5\text{ нФ}$; $t_{RR} < 4\text{ нс}$	SOT457, SC74	A1•K2•A3, K4•A4•K3•A2, K1
A8	HN2S03FU	TOSH	shd x3	$V_R < 20\text{ В}$; $I_C < 50\text{ мА}$; $V_F (I_F = 50\text{ мА}) < 0.55\text{ В}$; $C_D = 3.9\text{ нФ}$	SOT363, SC88	K1•K2•K3•A3•A2•A1
A9	HN2S02FU	TOSH	shd x3	$V_R < 40\text{ В}$; $I_C < 100\text{ мА}$; $V_F (I_F = 100\text{ мА}) < 0.6\text{ В}$; $C_D = 18\text{ нФ}$	SOT363, SC88	K1•K2•K3•A3•A2•A1
A9A	AD8591ART	AD	OA	$f_{DD} = 2.2\text{ МГц}$; $P_D = 7\text{ мВт}$; $V_{DD} = 2.5 \dots 5\text{ В}$	SOT23-6	OUT A • V- • -IN A • -IN A • SD • V+
AAA	MAX9010EXT	MAX	amp	$V_{DS} < 17\text{ мВ}$; $V_{CC} = 4.5 \dots 5.5\text{ В}$; $I_{CC} < 2.1\text{ мА}$	SOT363, SC88	OUT • GND • IN • -IN • VCC • VCC
AAAA	MAX2633EUT	MAX	amp	$V_{CC} = 2.7 \dots 5.5\text{ В}$; $f_p < 900\text{ МГц}$; $I_{CC} = 6.6\text{ мА}$	SOT23-6	SHDN • GND • OUT • VCC • BIAS • IN
AAAA	MAX5161LEZT	MAX	Dpot	32 позиции; 50 кОм ; $V_{DD} = 2.7 \dots 5.5\text{ В}$	SOT23-6	L • H • GND • U/D • INC • VDD
AAAB	MAX4180EUT	MAX	OA	$V_{DD} = +5/+2.25 \dots 15.5\text{ В}$; $f_{DD} = 270\text{ МГц}$; $V_{DS} < 17\text{ мВ}$	SOT23-6	OUT • VEE • IN • -IN • SHDN • VCC
AAAB	MAX5161MEZT	MAX	Dpot	32 позиции; 100 кОм ; $V_{DD} = 2.7 \dots 5.5\text{ В}$	SOT23-6	L • H • GND • U/D • INC • VDD
AAAC	MAX4181EUT	MAX	OA	$V_{DD} = +5/+2.25 \dots 15.5\text{ В}$; $f_{DD} = 270\text{ МГц}$; $V_{DS} < 17\text{ мВ}$	SOT23-6	OUT • VEE • IN • -IN • SHDN • VCC
AAAC	MAX5161NEZT	MAX	Dpot	32 позиции; 200 кОм ; $V_{DD} = 2.7 \dots 5.5\text{ В}$	SOT23-6	L • H • GND • U/D • INC • VDD
AAAD	MAX4223EUT	MAX	OA	$V_{DD} = 12.85 \dots 15.5\text{ В}$; $f_{DD} = 1\text{ ГГц}$; $V_{DS} < 7\text{ мВ}$	SOT23-6	OUT • VEE • IN • -IN • SHDN • VCC
AAAE	MAX4224EUT	MAX	OA	$V_{DD} = 12.85 \dots 15.5\text{ В}$; $f_{DD} = 1\text{ ГГц}$; $V_{DS} < 7\text{ мВ}$	SOT23-6	OUT • VEE • IN • -IN • SHDN • VCC
AAAF	MAX2660EUT	MAX	upmixer	$V_{CC} = 2.7 \dots 5.5\text{ В}$; $f_p = 400 \dots 2500\text{ МГц}$; $I_{CC} = 4.8\text{ мА}$	SOT23-6	LO • GND • IFIN • RFOUT • VCC • SHDN
AAAG	MAX2661EUT	MAX	upmixer	$V_{CC} = 2.7 \dots 5.5\text{ В}$; $f_p = 400 \dots 2500\text{ МГц}$; $I_{CC} = 8.3\text{ мА}$	SOT23-6	LO • GND • IFIN • RFOUT • VCC • SHDN
AAAH	MAX2662EUT	MAX	upmixer	$V_{CC} = 2.7 \dots 5.5\text{ В}$; $f_p = 400 \dots 2500\text{ МГц}$	SOT23-6	LOIN • GND • IFIN • RFOUT • VCC • SHDN

f56 SON-6
M16 USM-6

SOT563
SOT666



SOT363 SOT457 SOT23-6
TSOT363 MW-6 TSOT23-6



Код	Типономинал	Б	Ф	Особенности	Корпус	Ц: 1+2+3+4+5+6
AA4I	MAX5383EZT	MAX	DAC	8-пасп. SPI/QSPI/Microwire; $V_{DD}=2.7 \dots 3.6$ В; $V_{REF}=2$ В	TSOT23-6	OUT • GND • VDD • DIN • SCLK • CS
AAAJ	MAX2671EUT	MAX	upmixer	$V_{CC}=2.7 \dots 5.5$ В; $I_P=400 \dots 2500$ мА; $I_{CC}=11.8$ мА	SOT23-6	LO • GND • IFIN • RFOUT • VCC • SHDN
AAAJ	MAX5385EZT	MAX	DAC	8-пасп. SPI/QSPI/Microwire; $V_{DD}=2.7 \dots 5.5$ В; $V_{REF}=0.9 \times V_{DD}$	TSOT23-6	OUT • GND • VDD • DIN • SCLK • CS
AAAL	MAX2663EUT	MAX	upmixer	$V_{CC}=2.7 \dots 5.5$ В; $I_P=400 \dots 2500$ мА; $I_{CC}=3.0$ мА	SOT23-6	LO • GND • IFIN • RFOUT • VCC • SHDN
AAAM	MAX4544EUT	MAX	asw	SPDT; $R_{ON} < 75$ Ом; $V_{DD}=2.7 \dots 12$ В	SOT23-6	IN • V+ • GND • NC • COM • NO
AAAO	MAX998EUT	MAX	cmp	R-R; $V_{OS} < \pm 3$ мВ; $V_{CC}=2.7 \dots 5.5$ В; $I_{CC} < 650$ мА	SOT23-6	OUT • GND • IN+ • IN- • SHDN • VCC
AAAQ	MAX4529EUT	MAX	asw	двунапр. РЧ/видео; $R_{ON} < 100$ Ом; $V_{DD}=2.7 \dots 12/2 \dots 7 \dots 5.5$ В	SOT23-6	NC • V+ • V- • IN • GND • COM
AAAR	MAX2680EUT	MAX	dnmixer	$V_{CC}=2.7 \dots 5.5$ В; $I_P=400 \dots 2500$ мА; $I_{CC} < 21.8$ мА	SOT23-6	LO • GND • RFIN • IFOUT • VCC • SHDN
AAAS	MAX2681EUT	MAX	dnmixer	$V_{CC}=2.7 \dots 5.5$ В; $I_P=400 \dots 2500$ мА; $I_{CC} < 21.8$ мА	SOT23-6	LO • GND • RFIN • IFOUT • VCC • SHDN
AAAT	MAX2682EUT	MAX	dnmixer	$V_{CC}=2.7 \dots 5.5$ В; $I_P=400 \dots 2500$ мА; $I_{CC} < 21.8$ мА	SOT23-6	LO • GND • RFIN • IFOUT • VCC • SHDN
AAAU	MAX6817EUT	MAX	swd x2	$V_{CC}=2.7 \dots 5.5$ В; $I_{CC} < 20$ мА	SOT23-6	IN1 • GND • IN2 • OUT2 • VCC • OUT1
AAAV	MAX2640EUT	MAX	amp	SiGe; $V_{CC}=2.7 \dots 5.5$ В; $I_P=400 \dots 1500$ мА; $I_{CC}=3.5$ мА	SOT23-6	RFIN • GND • GND • RFOUT • GND • VCC
AAAW	MAX2641EUT	MAX	amp	SiGe; $V_{CC}=2.7 \dots 5.5$ В; $I_P=1400 \dots 2500$ мА; $I_{CC}=3.5$ мА	SOT23-6	RFIN • GND • GND • RFOUT • GND • VCC
AAAX	MAX2470EUT	MAX	amp	$V_{CC}=2.7 \dots 5.5$ В; $I_P=10 \dots 200/10 \dots 500$ мА; $I_{CC} < 7.4$ мА	SOT23-6	OUT • GND • OUT • HI/LO (IN) • IN • VCC
AAAY	MAX2471EUT	MAX	amp	$V_{CC}=2.7 \dots 5.5$ В; $I_P=10 \dots 500$ мА; $I_{CC} < 7.4$ мА	SOT23-6	OUT • GND • OUT • HI/LO (IN) • IN • VCC
AAAZ	MAX2472EUT	MAX	amp	$V_{CC}=2.7 \dots 5.5$ В; $I_P=500 \dots 2500$ мА; $I_{CC} < 8$ мА	SOT23-6	OUT1 • GND • OUT2 • IN • GND • VCC
AAB	MAX4401AXT	MAX	OA	R-R; $V_{DD}=2.5 \dots 5.5$ В; $f_{DB}=800$ кГц; $V_{OS} < 5$ мВ	SOT363 SC88	IN+ • VSS • IN- • OUT • SHDN • VDD
AABA	MAX2473EUT	MAX	amp	$V_{CC}=2.7 \dots 5.5$ В; $I_P=500 \dots 2500$ мА; $I_{CC}=2.7$ мА	SOT23-6	OUT • GND • BIAS • IN • GND • VCC
AABB	MAX2605EUT	MAX	VCO	$V_{CC}=2.7 \dots 5.5$ В; $I_P=45 \dots 70$ мА; $I_{CC}=1.9$ мА	SOT23-6	IND • GND • TUNE • OUT- • VCC • OUT+
AABC	MAX2606EUT	MAX	VCO	$V_{CC}=2.7 \dots 5.5$ В; $I_P=70 \dots 150$ мА; $I_{CC}=2.1$ мА	SOT23-6	IND • GND • TUNE • OUT- • VCC • OUT+
AABD	MAX2607EUT	MAX	VCO	$V_{CC}=2.7 \dots 5.5$ В; $I_P=150 \dots 300$ мА; $I_{CC}=2.1$ мА	SOT23-6	IND • GND • TUNE • OUT- • VCC • OUT+
AABE	MAX2608EUT	MAX	VCO	$V_{CC}=2.7 \dots 5.5$ В; $I_P=300 \dots 500$ мА; $I_{CC}=2.7$ мА	SOT23-6	IND • GND • TUNE • OUT- • VCC • OUT+
AABF	MAX2609EUT	MAX	VCO	$V_{CC}=2.7 \dots 5.5$ В; $I_P=500 \dots 650$ мА; $I_{CC}=3.6$ мА	SOT23-6	IND • GND • TUNE • OUT- • VCC • OUT+
AABG	MAX6575LZUT	MAX	dis	$T_{AMB}=-40 \dots 125$ °C; $V_{CC}=2.7 \dots 5.5$ В; $I_{CC} < 400$ мА	SOT23-6	VDD • GND • n.c. • TS0 • TS1 • I/O
AABH	MAX6575HZUT	MAX	dis	$T_{AMB}=-40 \dots 125$ °C; $V_{CC}=2.7 \dots 5.5$ В; $I_{CC} < 400$ мА	SOT23-6	VDD • GND • n.c. • TS0 • TS1 • I/O
AABI	MAX6576ZUT	MAX	dis	$T_{AMB}=-40 \dots 125$ °C; $V_{CC}=2.7 \dots 5.5$ В; $I_{CC} < 400$ мА	SOT23-6	VDD • GND • n.c. • TS0 • TS1 • OUT
AABJ	MAX6577ZUT	MAX	dis	$T_{AMB}=-40 \dots 125$ °C; $V_{CC}=2.7 \dots 5.5$ В; $I_{CC} < 400$ мА	SOT23-6	VDD • GND • n.c. • TS0 • TS1 • OUT
AABN	MAX4173TEUT	MAX	CSA	$V_{DD}=3 \dots 28$ В; $f_{DB}=1.7$ МГц; Gain=20; $I_{CC} < 1$ мА	SOT23-6	GND • GND • VCC • RS+ • RS • OUT
AABO	MAX4173FEUT	MAX	CSA	$V_{DD}=3 \dots 28$ В; $f_{DB}=1.7$ МГц; Gain=50; $I_{CC} < 1$ мА	SOT23-6	GND • GND • VCC • RS+ • RS • OUT
AABP	MAX4173HEUT	MAX	CSA	$V_{DD}=3 \dots 28$ В; $f_{DB}=1.7$ МГц; Gain=100; $I_{CC} < 1$ мА	SOT23-6	GND • GND • VCC • RS+ • RS • OUT
AABQ	MAX4285EUT	MAX	buf	$V_{DD}=+2.85 \dots +6.5/\pm 1.425 \dots \pm 3.25$ В; $f_{DB}=250$ МГц; $V_{OS} \leq \pm 12$ мВ	SOT23-6	OUT • VEE • IN+ • IN- • DISABLE • VCC
AABR	MAX4286EUT	MAX	buf	$V_{DD}=+2.85 \dots +6.5/\pm 1.425 \dots \pm 3.25$ В; $f_{DB}=150$ МГц; $V_{OS} \leq \pm 12$ мВ	SOT23-6	OUT • VEE • IN+ • IN- • DISABLE • VCC
AABV	MAX1697EUT	MAX	vcpcon	$V_{IN}=1.25 \dots 5.5$ В; $I_P=12$ мА; $I_{ON}=80$ мА	SOT23-6	OUT • IN • C1 • GND • SHDN • C1+
AABW	MAX1697SEUT	MAX	vcpcon	$V_{IN}=1.25 \dots 5.5$ В; $I_P=35$ мА; $I_{ON}=80$ мА	SOT23-6	OUT • IN • C1 • GND • SHDN • C1+



SOT23-6
TSOT23-6

SOT457
MW-6

SOT363
TSOT363



SOT563
SOT666

SON-6
USM-6

fS6
M16

Код	Типономинал	Б	Ф	Особенности	Корпус	Ц: 1•2•3•4•5•6
AABX	MAX1697TEUT	MAX	vcprcon	$V_{IN}=1.25...5.5\text{ В}$; $f_p=125\text{ кГц}$; $I_{OUT}=60\text{ мА}$	SOT23-6	OUT•IN•C1•GND•SHDN•C1+
AABY	MAX1697UEUT	MAX	vcprcon	$V_{IN}=1.25...5.5\text{ В}$; $f_p=250\text{ кГц}$; $I_{OUT}=60\text{ мА}$	SOT23-6	OUT•IN•C1•GND•SHDN•C1+
AABZ	MAX4510EUT	MAX	asw	SPST; $R_{ON}<225\text{ Ом}$; $V_{DD}=9...36/±4.5...±20\text{ В}$	SOT23-6	V+•V-•IN•GND•COM•NC
AAC	MAX2642EXT	MAX	amp	SGE; $V_{CC}=2.7...5.5\text{ В}$; $f_p=800...1000\text{ МГц}$; $I_{CC}<7.5\text{ мА}$	SOT363, SC88	BIAS•GND•RFIN•VCC•GND•RFOUT
AACB	MAX6351LSUT	MAX	mrc	$V_{TRI}=4.63\text{ В}$; $V_{IRE}=2.93\text{ В}$; $V_{DD}=1.2...5.5\text{ В}$; $I_{CC}<50\text{ мА}$	SOT23-6	RST1•GND•MR•VCC2•RST2•VCC1
AACC	MAX6351VSUT	MAX	mrc	$V_{TRI}=2.93\text{ В}$; $V_{IRE}=2.19\text{ В}$; $V_{DD}=1.2...5.5\text{ В}$; $I_{CC}<50\text{ мА}$	SOT23-6	RST1•GND•MR•VCC2•RST2•VCC1
AACD	MAX6355LSUT	MAX	mrc	$V_{TRI}=4.63\text{ В}$; $V_{IRE}=2.93\text{ В}$; $V_{DD}=1.2...5.5\text{ В}$; $I_{CC}<50\text{ мА}$	SOT23-6	RST•GND•MR•VCC2•RSTIN•VCC1
AACE	MAX6355VSUT	MAX	mrc	$V_{TRI}=2.93\text{ В}$; $V_{IRE}=2.19\text{ В}$; $V_{DD}=1.2...5.5\text{ В}$; $I_{CC}<50\text{ мА}$	SOT23-6	RST•GND•MR•VCC2•RSTIN•VCC1
AACF	MAX6356LSUT	MAX	mrc	$V_{TRI}=4.63\text{ В}$; $V_{IRE}=2.93\text{ В}$; $V_{DD}=1.2...5.5\text{ В}$; $I_{CC}<50\text{ мА}$	SOT23-6	RST•GND•MR•VCC2•RSTIN•VCC1
AACG	MAX6356VSUT	MAX	mrc	$V_{TRI}=2.93\text{ В}$; $V_{IRE}=2.19\text{ В}$; $V_{DD}=1.2...5.5\text{ В}$; $I_{CC}<50\text{ мА}$	SOT23-6	RST•GND•MR•VCC2•RSTIN•VCC1
AACH	MAX6357LSUT	MAX	mrc	$V_{TRI}=4.63\text{ В}$; $V_{IRE}=2.93\text{ В}$; $V_{DD}=1.2...5.5\text{ В}$; $I_{CC}<50\text{ мА}$	SOT23-6	RST•GND•MR•VCC2•RSTIN•VCC1
AACI	MAX6357VSUT	MAX	mrc	$V_{TRI}=2.93\text{ В}$; $V_{IRE}=2.19\text{ В}$; $V_{DD}=1.2...5.5\text{ В}$; $I_{CC}<50\text{ мА}$	SOT23-6	RST•GND•MR•VCC2•RSTIN•VCC1
AACJ	MAX6358LSUT	MAX	mrc	$V_{TRI}=4.63\text{ В}$; $V_{IRE}=2.93\text{ В}$; $V_{DD}=1.2...5.5\text{ В}$; $I_{CC}<50\text{ мА}$	SOT23-6	RST•GND•MR•VCC2•WDI•VCC1
AACK	MAX6358VSUT	MAX	mrc	$V_{TRI}=2.93\text{ В}$; $V_{IRE}=2.19\text{ В}$; $V_{DD}=1.2...5.5\text{ В}$; $I_{CC}<50\text{ мА}$	SOT23-6	RST•GND•MR•VCC2•WDI•VCC1
AACL	MAX6359LSUT	MAX	mrc	$V_{TRI}=4.63\text{ В}$; $V_{IRE}=2.93\text{ В}$; $V_{DD}=1.2...5.5\text{ В}$; $I_{CC}<50\text{ мА}$	SOT23-6	RST•GND•MR•VCC2•WDI•VCC1
AACM	MAX6359VSUT	MAX	mrc	$V_{TRI}=2.93\text{ В}$; $V_{IRE}=2.19\text{ В}$; $V_{DD}=1.2...5.5\text{ В}$; $I_{CC}<50\text{ мА}$	SOT23-6	RST•GND•MR•VCC2•WDI•VCC1
AACN	MAX6360LSUT	MAX	mrc	$V_{TRI}=4.63\text{ В}$; $V_{IRE}=2.93\text{ В}$; $V_{DD}=1.2...5.5\text{ В}$; $I_{CC}<50\text{ мА}$	SOT23-6	RST•GND•MR•VCC2•WDI•VCC1
AACO	MAX6360VSUT	MAX	mrc	$V_{TRI}=2.93\text{ В}$; $V_{IRE}=2.19\text{ В}$; $V_{DD}=1.2...5.5\text{ В}$; $I_{CC}<50\text{ мА}$	SOT23-6	RST•GND•MR•VCC2•WDI•VCC1
AACP	MAX6342LUT	MAX	mrc	$V_{IR}=4.63\text{ В}$; $V_{DD}=1.2...5.5\text{ В}$; $I_{CC}<60\text{ мА}$	SOT23-6	VCC•GND•PFI•PFO•MR•RES
AACQ	MAX6342MUT	MAX	mrc	$V_{IR}=4.38\text{ В}$; $V_{DD}=1.2...5.5\text{ В}$; $I_{CC}<60\text{ мА}$	SOT23-6	VCC•GND•PFI•PFO•MR•RES
AACR	MAX6342TUT	MAX	mrc	$V_{IR}=3.08\text{ В}$; $V_{DD}=1.2...5.5\text{ В}$; $I_{CC}<60\text{ мА}$	SOT23-6	VCC•GND•PFI•PFO•MR•RES
AACS	MAX6342SUT	MAX	mrc	$V_{IR}=2.93\text{ В}$; $V_{DD}=1.2...5.5\text{ В}$; $I_{CC}<60\text{ мА}$	SOT23-6	VCC•GND•PFI•PFO•MR•RES
AACT	MAX6342RUT	MAX	mrc	$V_{IR}=2.63\text{ В}$; $V_{DD}=1.2...5.5\text{ В}$; $I_{CC}<60\text{ мА}$	SOT23-6	VCC•GND•PFI•PFO•MR•RES
AACU	MAX6342ZUT	MAX	mrc	$V_{IR}=2.33\text{ В}$; $V_{DD}=1.2...5.5\text{ В}$; $I_{CC}<60\text{ мА}$	SOT23-6	VCC•GND•PFI•PFO•MR•RES
AACV	MAX6343LUT	MAX	mrc	$V_{IR}=4.63\text{ В}$; $V_{DD}=1.2...5.5\text{ В}$; $I_{CC}<60\text{ мА}$	SOT23-6	VCC•GND•PFI•PFO•MR•RES
AACW	MAX6343MUT	MAX	mrc	$V_{IR}=4.38\text{ В}$; $V_{DD}=1.2...5.5\text{ В}$; $I_{CC}<60\text{ мА}$	SOT23-6	VCC•GND•PFI•PFO•MR•RES
AACX	MAX6343TUT	MAX	mrc	$V_{IR}=3.08\text{ В}$; $V_{DD}=1.2...5.5\text{ В}$; $I_{CC}<60\text{ мА}$	SOT23-6	VCC•GND•PFI•PFO•MR•RES
AACY	MAX6343SUT	MAX	mrc	$V_{IR}=2.93\text{ В}$; $V_{DD}=1.2...5.5\text{ В}$; $I_{CC}<60\text{ мА}$	SOT23-6	VCC•GND•PFI•PFO•MR•RES
AACZ	MAX6343RUT	MAX	mrc	$V_{IR}=2.63\text{ В}$; $V_{DD}=1.2...5.5\text{ В}$; $I_{CC}<60\text{ мА}$	SOT23-6	VCC•GND•PFI•PFO•MR•RES
AAD	MAX2643EXT	MAX	amp	SGE; $V_{CC}=2.7...5.5\text{ В}$; $f_p=800...1000\text{ МГц}$; $I_{CC}<7.5\text{ мА}$	SOT363, SC88	BIAS•GND•RFIN•VCC•GND•RFOUT
AADA	MAX6343ZUT	MAX	mrc	$V_{IR}=2.33\text{ В}$; $V_{DD}=1.2...5.5\text{ В}$; $I_{CC}<60\text{ мА}$	SOT23-6	VCC•GND•PFI•PFO•MR•RES
AADD	MAX9011EUT	MAX	cmp	$V_{DS}<±7\text{ мВ}$; $V_{CC}=4.5...5.5\text{ В}$; $I_{CC}<2.1\text{ мА}$	SOT23-6	OUT•GND•IN+•IN-•LE•VCC
AADE	MAX5363EUT	MAX	DAC	8-pasp; SPI/GSPI/Microwire; $V_{DD}=2.7...3.6\text{ В}$; $V_{REF}=2\text{ В}$	SOT23-6	OUT•GND•VDD•DIN•SCLK•CS
AADF	MAX5363EUT	MAX	DAC	8-pasp; SPI/GSPI/Microwire; $V_{DD}=2.7...3.6\text{ В}$; $V_{REF}=2\text{ В}$	SOT23-6	OUT•GND•VDD•DIN•SCLK•CS
AADG	MAX5364EUT	MAX	DAC	8-pasp; SPI/GSPI/Microwire; $V_{DD}=4.5...5.5\text{ В}$; $V_{REF}=4\text{ В}$	SOT23-6	OUT•GND•VDD•DIN•SCLK•CS
AADH	MAX5364EUT	MAX	DAC	8-pasp; SPI/GSPI/Microwire; $V_{DD}=4.5...5.5\text{ В}$; $V_{REF}=4\text{ В}$	SOT23-6	OUT•GND•VDD•DIN•SCLK•CS

f56 SON-6
M16 USM-6

SOT563
SOT666



SOT363 SOT457 SOT23-6
TSOT363 MW-6 TSOT23-6



Код	Типоименд	Б	Ф	Особенности	Корпус	Ц: 1•2•3•4•5•6
AADI	MAX6365EUT	MAX	DAC	6-пасп. SPI/QSPI/Microwire; $V_{DD}=2.7...5.5\text{ В}$; $V_{REF}=0.9 \times V_{DD}$	SOT23-6	OUT•GND•VDD•DIN•SCLK•CS
AADJ	MAX6384EZT	MAX	DAC	8-пасп. SPI/QSPI/Microwire; $V_{DD}=4.5...5.5\text{ В}$; $V_{REF}=4\text{ В}$	TSOT23-6	OUT•GND•VDD•DIN•SCLK•CS
AADJ	MAX6385EUT	MAX	DAC	8-пасп. SPI/QSPI/Microwire; $V_{DD}=2.7...5.5\text{ В}$; $V_{REF}=0.9 \times V_{DD}$	SOT23-6	OUT•GND•VDD•DIN•SCLK•CS
AADK	MAX4520EUT	MAX	asw	SPST, $R_{ON} < 225\text{ Ом}$; $V_{DD}=9...36/14.5...20\text{ В}$	SOT23-6	V+•V-•IN•GND•COM•NO
AADN	MAX4628EUT	MAX	asw	SPST, $R_{ON} < 120\text{ Ом}$; $V_{DD}=1.8...5.5\text{ В}$	SOT23-6	COM•NO•GND•IN•IN•V+
AADQ	MAX6344LUT	MAX	mrc	$V_{IR}=4.63\text{ В}$; $V_{DD}=1.2...5.5\text{ В}$; $I_{CC} < 60\text{ мкА}$	SOT23-6	VCC•GND•PFI•PFO•MR•RES
AADR	MAX6344MUT	MAX	mrc	$V_{IR}=4.38\text{ В}$; $V_{DD}=1.2...5.5\text{ В}$; $I_{CC} < 60\text{ мкА}$	SOT23-6	VCC•GND•PFI•PFO•MR•RES
AADS	MAX6344TUT	MAX	mrc	$V_{IR}=3.08\text{ В}$; $V_{DD}=1.2...5.5\text{ В}$; $I_{CC} < 60\text{ мкА}$	SOT23-6	VCC•GND•PFI•PFO•MR•RES
AADT	MAX6344SUT	MAX	mrc	$V_{IR}=2.93\text{ В}$; $V_{DD}=1.2...5.5\text{ В}$; $I_{CC} < 60\text{ мкА}$	SOT23-6	VCC•GND•PFI•PFO•MR•RES
AADI	MAX6344RUT	MAX	mrc	$V_{IR}=2.63\text{ В}$; $V_{DD}=1.2...5.5\text{ В}$; $I_{CC} < 60\text{ мкА}$	SOT23-6	VCC•GND•PFI•PFO•MR•RES
AADV	MAX6344ZUT	MAX	mrc	$V_{IR}=2.33\text{ В}$; $V_{DD}=1.2...5.5\text{ В}$; $I_{CC} < 60\text{ мкА}$	SOT23-6	VCC•GND•PFI•PFO•MR•RES
AADW	MAX6345LUT	MAX	mrc	$V_{IR}=4.63\text{ В}$; $V_{DD}=1.2...5.5\text{ В}$; $I_{CC} < 60\text{ мкА}$	SOT23-6	VCC•GND•PFI•PFO•MR•RES
AADX	MAX6345MUT	MAX	mrc	$V_{IR}=4.38\text{ В}$; $V_{DD}=1.2...5.5\text{ В}$; $I_{CC} < 60\text{ мкА}$	SOT23-6	VCC•GND•PFI•PFO•MR•RES
AADY	MAX6345TUT	MAX	mrc	$V_{IR}=3.08\text{ В}$; $V_{DD}=1.2...5.5\text{ В}$; $I_{CC} < 60\text{ мкА}$	SOT23-6	VCC•GND•PFI•PFO•MR•RES
AADZ	MAX6345SUT	MAX	mrc	$V_{IR}=2.93\text{ В}$; $V_{DD}=1.2...5.5\text{ В}$; $I_{CC} < 60\text{ мкА}$	SOT23-6	VCC•GND•PFI•PFO•MR•RES
AAEA	MAX6345RUT	MAX	mrc	$V_{IR}=2.63\text{ В}$; $V_{DD}=1.2...5.5\text{ В}$; $I_{CC} < 60\text{ мкА}$	SOT23-6	VCC•GND•PFI•PFO•MR•RES
AAEB	MAX6345ZUT	MAX	mrc	$V_{IR}=2.33\text{ В}$; $V_{DD}=1.2...5.5\text{ В}$; $I_{CC} < 60\text{ мкА}$	SOT23-6	VCC•GND•PFI•PFO•MR•RES
AAEC	MAX4323EUT	MAX	OA	R-R, $V_{DD}=2.4...6.5/11.2...3.25\text{ В}$; $I_{SD}=5\text{ мА}$; $I_{DS} < 3.5\text{ мА}$	SOT23-6	OUT•VEE•IN+•IN-•SHDN•VCC
AAED	MAX6361LUT46	MAX	mrc	$V_{IR}=4.63\text{ В}$; $V_{DD}=1.2...5.5\text{ В}$; $I_{CC} < 50\text{ мкА}$	SOT23-6	RES•GND•MR•VCC•OUT•BATT
AAEE	MAX6361LUT44	MAX	mrc	$V_{IR}=4.38\text{ В}$; $V_{DD}=1.2...5.5\text{ В}$; $I_{CC} < 50\text{ мкА}$	SOT23-6	RES•GND•MR•VCC•OUT•BATT
AAEF	MAX6361LUT31	MAX	mrc	$V_{IR}=3.08\text{ В}$; $V_{DD}=1.2...5.5\text{ В}$; $I_{CC} < 50\text{ мкА}$	SOT23-6	RES•GND•MR•VCC•OUT•BATT
AAEG	MAX6361LUT29	MAX	mrc	$V_{IR}=2.93\text{ В}$; $V_{DD}=1.2...5.5\text{ В}$; $I_{CC} < 50\text{ мкА}$	SOT23-6	RES•GND•MR•VCC•OUT•BATT
AAEH	MAX6361LUT26	MAX	mrc	$V_{IR}=2.63\text{ В}$; $V_{DD}=1.2...5.5\text{ В}$; $I_{CC} < 50\text{ мкА}$	SOT23-6	RES•GND•MR•VCC•OUT•BATT
AAE	MAX6361LUT23	MAX	mrc	$V_{IR}=2.32\text{ В}$; $V_{DD}=1.2...5.5\text{ В}$; $I_{CC} < 50\text{ мкА}$	SOT23-6	RES•GND•MR•VCC•OUT•BATT
AAEJ	MAX6361PUT46	MAX	mrc	$V_{IR}=4.63\text{ В}$; $V_{DD}=1.2...5.5\text{ В}$; $I_{CC} < 50\text{ мкА}$	SOT23-6	RES•GND•MR•VCC•OUT•BATT
AAEK	MAX6361PUT44	MAX	mrc	$V_{IR}=4.38\text{ В}$; $V_{DD}=1.2...5.5\text{ В}$; $I_{CC} < 50\text{ мкА}$	SOT23-6	RES•GND•MR•VCC•OUT•BATT
AAEL	MAX6361PUT31	MAX	mrc	$V_{IR}=3.08\text{ В}$; $V_{DD}=1.2...5.5\text{ В}$; $I_{CC} < 50\text{ мкА}$	SOT23-6	RES•GND•MR•VCC•OUT•BATT
AAEM	MAX6361PUT29	MAX	mrc	$V_{IR}=2.93\text{ В}$; $V_{DD}=1.2...5.5\text{ В}$; $I_{CC} < 50\text{ мкА}$	SOT23-6	RES•GND•MR•VCC•OUT•BATT
AAEN	MAX6361PUT26	MAX	mrc	$V_{IR}=2.63\text{ В}$; $V_{DD}=1.2...5.5\text{ В}$; $I_{CC} < 50\text{ мкА}$	SOT23-6	RES•GND•MR•VCC•OUT•BATT
AAEO	MAX6361PUT23	MAX	mrc	$V_{IR}=2.32\text{ В}$; $V_{DD}=1.2...5.5\text{ В}$; $I_{CC} < 50\text{ мкА}$	SOT23-6	RES•GND•MR•VCC•OUT•BATT
AAEP	MAX6361HUT46	MAX	mrc	$V_{IR}=4.63\text{ В}$; $V_{DD}=1.2...5.5\text{ В}$; $I_{CC} < 50\text{ мкА}$	SOT23-6	RES•GND•MR•VCC•OUT•BATT
AAEQ	MAX6361HUT44	MAX	mrc	$V_{IR}=4.38\text{ В}$; $V_{DD}=1.2...5.5\text{ В}$; $I_{CC} < 50\text{ мкА}$	SOT23-6	RES•GND•MR•VCC•OUT•BATT
AAER	MAX6361HUT31	MAX	mrc	$V_{IR}=3.08\text{ В}$; $V_{DD}=1.2...5.5\text{ В}$; $I_{CC} < 50\text{ мкА}$	SOT23-6	RES•GND•MR•VCC•OUT•BATT
AAES	MAX6361HUT29	MAX	mrc	$V_{IR}=2.93\text{ В}$; $V_{DD}=1.2...5.5\text{ В}$; $I_{CC} < 50\text{ мкА}$	SOT23-6	RES•GND•MR•VCC•OUT•BATT
AAET	MAX6361HUT26	MAX	mrc	$V_{IR}=2.63\text{ В}$; $V_{DD}=1.2...5.5\text{ В}$; $I_{CC} < 50\text{ мкА}$	SOT23-6	RES•GND•MR•VCC•OUT•BATT
AAEU	MAX6361HUT23	MAX	mrc	$V_{IR}=2.32\text{ В}$; $V_{DD}=1.2...5.5\text{ В}$; $I_{CC} < 50\text{ мкА}$	SOT23-6	RES•GND•MR•VCC•OUT•BATT
AAEV	MAX6362LUT46	MAX	mrc	$V_{IR}=4.63\text{ В}$; $V_{DD}=1.2...5.5\text{ В}$; $I_{CC} < 50\text{ мкА}$	SOT23-6	RES•GND•WDI•VCC•OUT•BATT
AAEW	MAX6362LUT44	MAX	mrc	$V_{IR}=4.38\text{ В}$; $V_{DD}=1.2...5.5\text{ В}$; $I_{CC} < 50\text{ мкА}$	SOT23-6	RES•GND•WDI•VCC•OUT•BATT
AAEX	MAX6362LUT31	MAX	mrc	$V_{IR}=3.08\text{ В}$; $V_{DD}=1.2...5.5\text{ В}$; $I_{CC} < 50\text{ мкА}$	SOT23-6	RES•GND•WDI•VCC•OUT•BATT
AAEY	MAX6362LUT29	MAX	mrc	$V_{IR}=2.93\text{ В}$; $V_{DD}=1.2...5.5\text{ В}$; $I_{CC} < 50\text{ мкА}$	SOT23-6	RES•GND•WDI•VCC•OUT•BATT
AAEZ	MAX6362LUT26	MAX	mrc	$V_{IR}=2.63\text{ В}$; $V_{DD}=1.2...5.5\text{ В}$; $I_{CC} < 50\text{ мкА}$	SOT23-6	RES•GND•WDI•VCC•OUT•BATT
AAF	MAX4599EXT	MAX	asw	SPDT, $R_{ON} < 65\text{ Ом}$; $V_{DD}=2.0...5.5\text{ В}$	SOT363, SC88	IN•V+•GND•NC•COM•NO



SOT23-6 **SOT457** **SOT363**
TSOT23-6 **MW-6** **TSOT363**



SOT563 **SON-6** **TS6**
SOT666 **USM-6** **M16**

Код	Типономинал	Б	Ф	Особенности	Корпус	Ц: 1•2•3•4•5•6
AAGA	MAX6362LUT23	MAX	mic	$V_{TR}=2.32\text{ В}; V_{DD}=1.2...5.5\text{ В}; I_{CC}<50\text{ мкА}$	SOT23-6	RES • GND • WDI • VCC • OUT • BATT
AAGB	MAX6362PUT46	MAX	mic	$V_{TR}=4.63\text{ В}; V_{DD}=1.2...5.5\text{ В}; I_{CC}<50\text{ мкА}$	SOT23-6	RES • GND • WDI • VCC • OUT • BATT
AAGC	MAX6362PUT44	MAX	mic	$V_{TR}=4.38\text{ В}; V_{DD}=1.2...5.5\text{ В}; I_{CC}<50\text{ мкА}$	SOT23-6	RES • GND • WDI • VCC • OUT • BATT
AAGD	MAX6362PUT31	MAX	mic	$V_{TR}=3.08\text{ В}; V_{DD}=1.2...5.5\text{ В}; I_{CC}<50\text{ мкА}$	SOT23-6	RES • GND • WDI • VCC • OUT • BATT
AAGE	MAX6362PUT29	MAX	mic	$V_{TR}=2.63\text{ В}; V_{DD}=1.2...5.5\text{ В}; I_{CC}<50\text{ мкА}$	SOT23-6	RES • GND • WDI • VCC • OUT • BATT
AAGF	MAX6362PUT26	MAX	mic	$V_{TR}=2.32\text{ В}; V_{DD}=1.2...5.5\text{ В}; I_{CC}<50\text{ мкА}$	SOT23-6	RES • GND • WDI • VCC • OUT • BATT
AAGG	MAX6362PUT23	MAX	mic	$V_{TR}=2.25\text{ В}; V_{DD}=1.2...5.5\text{ В}; I_{CC}<50\text{ мкА}$	SOT23-6	RES • GND • WDI • VCC • OUT • BATT
AAGH	MAX6362HUT46	MAX	mic	$V_{TR}=4.63\text{ В}; V_{DD}=1.2...5.5\text{ В}; I_{CC}<50\text{ мкА}$	SOT23-6	RES • GND • WDI • VCC • OUT • BATT
AAGI	MAX6362HUT44	MAX	mic	$V_{TR}=4.38\text{ В}; V_{DD}=1.2...5.5\text{ В}; I_{CC}<50\text{ мкА}$	SOT23-6	RES • GND • WDI • VCC • OUT • BATT
AAGJ	MAX6362HUT31	MAX	mic	$V_{TR}=3.08\text{ В}; V_{DD}=1.2...5.5\text{ В}; I_{CC}<50\text{ мкА}$	SOT23-6	RES • GND • WDI • VCC • OUT • BATT
AAGK	MAX6362HUT29	MAX	mic	$V_{TR}=2.93\text{ В}; V_{DD}=1.2...5.5\text{ В}; I_{CC}<50\text{ мкА}$	SOT23-6	RES • GND • WDI • VCC • OUT • BATT
AAGL	MAX6362HUT26	MAX	mic	$V_{TR}=2.63\text{ В}; V_{DD}=1.2...5.5\text{ В}; I_{CC}<50\text{ мкА}$	SOT23-6	RES • GND • WDI • VCC • OUT • BATT
AAGM	MAX6362HUT23	MAX	mic	$V_{TR}=2.32\text{ В}; V_{DD}=1.2...5.5\text{ В}; I_{CC}<50\text{ мкА}$	SOT23-6	RES • GND • WDI • VCC • OUT • BATT
AAGN	MAX6363LUT46	MAX	mic	$V_{TR}=4.63\text{ В}; V_{DD}=1.2...5.5\text{ В}; I_{CC}<50\text{ мкА}$	SOT23-6	RES • GND • BATT ON • VCC • OUT • BATT
AAGO	MAX6363LUT44	MAX	mic	$V_{TR}=4.38\text{ В}; V_{DD}=1.2...5.5\text{ В}; I_{CC}<50\text{ мкА}$	SOT23-6	RES • GND • BATT ON • VCC • OUT • BATT
AAGP	MAX6363LUT31	MAX	mic	$V_{TR}=3.08\text{ В}; V_{DD}=1.2...5.5\text{ В}; I_{CC}<50\text{ мкА}$	SOT23-6	RES • GND • BATT ON • VCC • OUT • BATT
AAGQ	MAX6363LUT29	MAX	mic	$V_{TR}=2.93\text{ В}; V_{DD}=1.2...5.5\text{ В}; I_{CC}<50\text{ мкА}$	SOT23-6	RES • GND • BATT ON • VCC • OUT • BATT
AAGR	MAX6363LUT26	MAX	mic	$V_{TR}=2.63\text{ В}; V_{DD}=1.2...5.5\text{ В}; I_{CC}<50\text{ мкА}$	SOT23-6	RES • GND • BATT ON • VCC • OUT • BATT
AAGS	MAX6363LUT23	MAX	mic	$V_{TR}=2.32\text{ В}; V_{DD}=1.2...5.5\text{ В}; I_{CC}<50\text{ мкА}$	SOT23-6	RES • GND • BATT ON • VCC • OUT • BATT
AAGT	MAX6363PUT46	MAX	mic	$V_{TR}=4.63\text{ В}; V_{DD}=1.2...5.5\text{ В}; I_{CC}<50\text{ мкА}$	SOT23-6	RES • GND • BATT ON • VCC • OUT • BATT
AAGU	MAX6363PUT44	MAX	mic	$V_{TR}=4.38\text{ В}; V_{DD}=1.2...5.5\text{ В}; I_{CC}<50\text{ мкА}$	SOT23-6	RES • GND • BATT ON • VCC • OUT • BATT
AAGV	MAX6363PUT31	MAX	mic	$V_{TR}=3.08\text{ В}; V_{DD}=1.2...5.5\text{ В}; I_{CC}<50\text{ мкА}$	SOT23-6	RES • GND • BATT ON • VCC • OUT • BATT
AAGW	MAX6363PUT29	MAX	mic	$V_{TR}=2.93\text{ В}; V_{DD}=1.2...5.5\text{ В}; I_{CC}<50\text{ мкА}$	SOT23-6	RES • GND • BATT ON • VCC • OUT • BATT
AAGX	MAX6363PUT26	MAX	mic	$V_{TR}=2.63\text{ В}; V_{DD}=1.2...5.5\text{ В}; I_{CC}<50\text{ мкА}$	SOT23-6	RES • GND • BATT ON • VCC • OUT • BATT
AAGY	MAX6363PUT23	MAX	mic	$V_{TR}=2.32\text{ В}; V_{DD}=1.2...5.5\text{ В}; I_{CC}<50\text{ мкА}$	SOT23-6	RES • GND • BATT ON • VCC • OUT • BATT
AAGZ	MAX6363HUT46	MAX	mic	$V_{TR}=4.63\text{ В}; V_{DD}=1.2...5.5\text{ В}; I_{CC}<50\text{ мкА}$	SOT23-6	RES • GND • BATT ON • VCC • OUT • BATT
AAGA	MAX2644EXT	MAX	amp	$S_{IGR}, V_{CC}=2.7...5.5\text{ В}; f_p=2400...2600\text{ МГц}; I_{CC}<11\text{ мА}$	SOT363, SC88	BIAS • GND • PFIN • VCC • GND • RFOUT
AAGA	MAX6363HUT44	MAX	mic	$V_{TR}=4.38\text{ В}; V_{DD}=1.2...5.5\text{ В}; I_{CC}<50\text{ мкА}$	SOT23-6	RES • GND • BATT ON • VCC • OUT • BATT
AAGB	MAX6363HUT31	MAX	mic	$V_{TR}=3.08\text{ В}; V_{DD}=1.2...5.5\text{ В}; I_{CC}<50\text{ мкА}$	SOT23-6	RES • GND • BATT ON • VCC • OUT • BATT

f56 SON-6
M16 USM-6

SOT563
SOT666



SOT363
TSOT363

SOT457
MW-6

SOT23-6
TSOT23-6



Код	Типономинал	Б	Ф	Особенности	Корпус	Ц: 1•2•3•4•5•6
AAGC	MAX6363HUT29	MAX	mic	$V_{IR}=2.93\text{ В}; V_{DD}=1.2...5.5\text{ В}; I_{CC}<50\text{ мкА}$	SOT23-6	RES•GND•BATT ON•VCC•OUT•BATT
AAGD	MAX6363HUT26	MAX	mic	$V_{IR}=2.63\text{ В}; V_{DD}=1.2...5.5\text{ В}; I_{CC}<50\text{ мкА}$	SOT23-6	RES•GND•BATT ON•VCC•OUT•BATT
AAGE	MAX6363HUT23	MAX	mic	$V_{IR}=2.32\text{ В}; V_{DD}=1.2...5.5\text{ В}; I_{CC}<50\text{ мкА}$	SOT23-6	RES•GND•BATT ON•VCC•OUT•BATT
AAGF	MAX6364LUT46	MAX	mic	$V_{IR}=4.63\text{ В}; V_{DD}=1.2...5.5\text{ В}; I_{CC}<50\text{ мкА}$	SOT23-6	RES•GND•RES IN•VCC•OUT•BATT
AAGG	MAX6364LUT44	MAX	mic	$V_{IR}=4.38\text{ В}; V_{DD}=1.2...5.5\text{ В}; I_{CC}<50\text{ мкА}$	SOT23-6	RES•GND•RES IN•VCC•OUT•BATT
AAGH	MAX6364LUT31	MAX	mic	$V_{IR}=3.08\text{ В}; V_{DD}=1.2...5.5\text{ В}; I_{CC}<50\text{ мкА}$	SOT23-6	RES•GND•RES IN•VCC•OUT•BATT
AAGI	MAX6364LUT29	MAX	mic	$V_{IR}=2.93\text{ В}; V_{DD}=1.2...5.5\text{ В}; I_{CC}<50\text{ мкА}$	SOT23-6	RES•GND•RES IN•VCC•OUT•BATT
AAGJ	MAX6364LUT26	MAX	mic	$V_{IR}=2.63\text{ В}; V_{DD}=1.2...5.5\text{ В}; I_{CC}<50\text{ мкА}$	SOT23-6	RES•GND•RES IN•VCC•OUT•BATT
AAGK	MAX6364LUT23	MAX	mic	$V_{IR}=2.32\text{ В}; V_{DD}=1.2...5.5\text{ В}; I_{CC}<50\text{ мкА}$	SOT23-6	RES•GND•RES IN•VCC•OUT•BATT
AAGL	MAX6364PUT46	MAX	mic	$V_{IR}=4.63\text{ В}; V_{DD}=1.2...5.5\text{ В}; I_{CC}<50\text{ мкА}$	SOT23-6	RES•GND•RES IN•VCC•OUT•BATT
AAGM	MAX6364PUT44	MAX	mic	$V_{IR}=4.38\text{ В}; V_{DD}=1.2...5.5\text{ В}; I_{CC}<50\text{ мкА}$	SOT23-6	RES•GND•RES IN•VCC•OUT•BATT
AAGN	MAX6364PUT31	MAX	mic	$V_{IR}=3.08\text{ В}; V_{DD}=1.2...5.5\text{ В}; I_{CC}<50\text{ мкА}$	SOT23-6	RES•GND•RES IN•VCC•OUT•BATT
AAGO	MAX6364PUT29	MAX	mic	$V_{IR}=2.93\text{ В}; V_{DD}=1.2...5.5\text{ В}; I_{CC}<50\text{ мкА}$	SOT23-6	RES•GND•RES IN•VCC•OUT•BATT
AAGP	MAX6364PUT26	MAX	mic	$V_{IR}=2.63\text{ В}; V_{DD}=1.2...5.5\text{ В}; I_{CC}<50\text{ мкА}$	SOT23-6	RES•GND•RES IN•VCC•OUT•BATT
AAGQ	MAX6364PUT23	MAX	mic	$V_{IR}=2.32\text{ В}; V_{DD}=1.2...5.5\text{ В}; I_{CC}<50\text{ мкА}$	SOT23-6	RES•GND•RES IN•VCC•OUT•BATT
AAGR	MAX6364HUT46	MAX	mic	$V_{IR}=4.63\text{ В}; V_{DD}=1.2...5.5\text{ В}; I_{CC}<50\text{ мкА}$	SOT23-6	RES•GND•RES IN•VCC•OUT•BATT
AAGS	MAX6364HUT44	MAX	mic	$V_{IR}=4.38\text{ В}; V_{DD}=1.2...5.5\text{ В}; I_{CC}<50\text{ мкА}$	SOT23-6	RES•GND•RES IN•VCC•OUT•BATT
AAGT	MAX6364HUT31	MAX	mic	$V_{IR}=3.08\text{ В}; V_{DD}=1.2...5.5\text{ В}; I_{CC}<50\text{ мкА}$	SOT23-6	RES•GND•RES IN•VCC•OUT•BATT
AAGU	MAX6364HUT29	MAX	mic	$V_{IR}=2.93\text{ В}; V_{DD}=1.2...5.5\text{ В}; I_{CC}<50\text{ мкА}$	SOT23-6	RES•GND•RES IN•VCC•OUT•BATT
AAGV	MAX6364HUT26	MAX	mic	$V_{IR}=2.63\text{ В}; V_{DD}=1.2...5.5\text{ В}; I_{CC}<50\text{ мкА}$	SOT23-6	RES•GND•RES IN•VCC•OUT•BATT
AAGW	MAX6364HUT23	MAX	mic	$V_{IR}=2.32\text{ В}; V_{DD}=1.2...5.5\text{ В}; I_{CC}<50\text{ мкА}$	SOT23-6	RES•GND•RES IN•VCC•OUT•BATT
AAH	MAX9303AXT	MAX	cmp	$R\text{-}R; V_{DS1}<+5\text{ мВ}; V_{DD}=2.5...5.5\text{ В}; I_{DD}<55\text{ мкА}$	SOT363 SC88	IN•VSS•IN•OUT•SHDN•VDD
AAHA	MAX6510CAUT	MAX	tempsw	$V_{CC}=2.7...5.5\text{ В}; T_{IH}=-40...+125\text{ }^{\circ}\text{C}; I_{CC}<165\text{ мкА}$	SOT23-6	SET•GND•OUT•OUT•HYST•OUTSET•VCC
AAHB	MAX6510HAUT	MAX	tempsw	$V_{CC}=2.7...5.5\text{ В}; T_{IH}=-40...+125\text{ }^{\circ}\text{C}; I_{CC}<165\text{ мкА}$	SOT23-6	SET•GND•OUT•OUT•HYST•OUTSET•VCC
AAHC	MAX4599EUT	MAX	asw	$SPDT; R_{ON}<65\text{ Ом}; V_{DD}=2.0...5.5\text{ В}$	SOT23-6	IN•V+•GND•NC•COM•NO
AAHF	MAX9041AEUT	MAX	cmp + vref	$R\text{-}R; V_{DS1}<+7\text{ мВ}; V_{CC}=2.5...5.5\text{ В}; V_{REF}=2.048\text{ В}; I_{CC}<72\text{ мкА}$	SOT23-6	OUT•VEE•IN+•IN•REF•VCC
AAHG	MAX9051AEUT	MAX	cmp + vref	$R\text{-}R; V_{DS1}<+7\text{ мВ}; V_{CC}=2.7...5.5\text{ В}; V_{REF}=2.500\text{ В}; I_{CC}<72\text{ мкА}$	SOT23-6	OUT•VEE•IN+•IN•REF•VCC
AAHH	MAX9041BEUT	MAX	cmp + vref	$R\text{-}R; V_{DS1}<+7\text{ мВ}; V_{CC}=2.5...5.5\text{ В}; V_{REF}=2.048\text{ В}; I_{CC}<72\text{ мкА}$	SOT23-6	OUT•VEE•IN+•IN•REF•VCC
AAHI	MAX9051BEUT	MAX	cmp + vref	$R\text{-}R; V_{DS1}<+7\text{ мВ}; V_{CC}=2.7...5.5\text{ В}; V_{REF}=2.500\text{ В}; I_{CC}<72\text{ мкА}$	SOT23-6	OUT•VEE•IN+•IN•REF•VCC



SOT23-6 SOT457 SOT363
TSOT23-6 MW-6 TSOT363



SOT563 SON-6 fS6
SOT666 USM-6 M16

Код	Типономинал	Б	Ф	Особенности	Корпус	Ц: 1•2•3•4•5•6
AAHJ	MAX3188EUT	MAX	transmit	RS-232, $V_{CC} = \pm 4.5 \dots \pm 6 \text{ В}$, $f_{DR} = 256 \text{ Кбит/с}$, $I_{CC} < 170 \text{ мА}$	SOT23-6	SHDN • GND • TIN • TOUT • VEE • VCC
AAHK	MAX3189EUT	MAX	transmit	RS-232, $V_{CC} = \pm 4.5 \dots \pm 6 \text{ В}$, $f_{DR} = 1 \text{ Мбит/с}$, $I_{CC} < 170 \text{ мА}$	SOT23-6	SHDN • GND • TIN • TOUT • VEE • VCC
AAHL	MAX4645EUT	MAX	asw	SPST, $R_{ON} < 3 \text{ Ом}$, $V_{DD} = 1.8 \dots 5.5 \text{ В}$	SOT23-6	COM • NC • GND • IN • p.c. • V+
AAHM	MAX4646EUT	MAX	asw	SPST, $R_{ON} < 3 \text{ Ом}$, $V_{DD} = 1.8 \dots 5.5 \text{ В}$	SOT23-6	COM • NC • GND • IN • p.c. • V+
AAHO	MAX1736EUT42	MAX	chg	1 x Li+, $V_{IN} = 4.7 \dots 22 \text{ В}$, $V_{OUT} = 4.2 \text{ В}$, $I_{CH} < 0.75 \text{ мА}$	SOT23-6	IN • GATE • GND • BN • CT • BATT
AAHP	MAX1605EUT	MAX	vcon	$V_{IN} = 2.4 \dots 5.5 \text{ В}$, $V_{OUT} = 0.8 \dots 30 \text{ В}$, $I_{CC} < 35 \text{ мА}$	SOT23-6	SHDN • VCC • GND • LX • LIM • FB
AAHQ	MAX4644EUT	MAX	asw	SPDT, $R_{ON} < 4.75 \text{ Ом}$, $V_{DD} = 1.8 \dots 5.5 \text{ В}$	SOT23-6	IN • V+ • GND • NC • COM • NO
AAHR	MAX888EUT	MAX	reg	LDO, $V_{IN} = 2.5 \dots 12 \text{ В}$, $V_{OUT} = 1.25 \dots 5.8 \text{ В}$, $I_{OUT} = 200 \text{ мА}$	SOT23-6	IN • GND • OUT • FB • SHDN • POK
AAHS	MAX8881EUT18	MAX	reg	LDO, $V_{IN} = 2.5 \dots 12 \text{ В}$, $V_{OUT} = 1.8 \text{ В}$, $I_{OUT} = 200 \text{ мА}$	SOT23-6	IN • GND • OUT • FB • SHDN • POK
AAHT	MAX8881EUT25	MAX	reg	LDO, $V_{IN} = 2.5 \dots 12 \text{ В}$, $V_{OUT} = 2.5 \text{ В}$, $I_{OUT} = 200 \text{ мА}$	SOT23-6	IN • GND • OUT • FB • SHDN • POK
AAHU	MAX8881EUT33	MAX	reg	LDO, $V_{IN} = 2.5 \dots 12 \text{ В}$, $V_{OUT} = 3.3 \text{ В}$, $I_{OUT} = 200 \text{ мА}$	SOT23-6	IN • GND • OUT • FB • SHDN • POK
AAHV	MAX8881EUT50	MAX	reg	LDO, $V_{IN} = 2.5 \dots 12 \text{ В}$, $V_{OUT} = 5.0 \text{ В}$, $I_{OUT} = 200 \text{ мА}$	SOT23-6	IN • GND • OUT • FB • SHDN • POK
AAHY	MAX6625PMUT	MAX	dis	9-pasp, $T_{AMB} = -55 \dots 125^\circ \text{C}$, $V_{DD} = 3 \dots 5.5 \text{ В}$	SOT23-6	SDA • GND • SCL • OT • ADD • VS
AAHZ	MAX6625PMUT	MAX	dis	9-pasp, $T_{AMB} = -55 \dots 125^\circ \text{C}$, $V_{DD} = 3 \dots 5.5 \text{ В}$	SOT23-6	SDA • GND • SCL • OT • ADD • VS
AAI	MAX2654EXT	MAX	amp	$V_{CC} = 2.7 \dots 5.5 \text{ В}$, $f_p = 1575 \text{ МГц}$, $I_{CC} < 9.2 \text{ мА}$	SOT363, SC88	GND • GND • RFIN • VCC • GND • RFOUT
AAIA	MAX3190EUT	MAX	transmit	RS-232, $V_{CC} = \pm 7.5 \dots \pm 12 \text{ В}$, $I_{DR} = 460 \text{ Кбит/с}$, $I_{CC} < 250 \text{ мА}$	SOT23-6	SHDN • GND • TIN • TOUT • VEE • VCC
AAIE	MAX4561EUT	MAX	asw	SPDT, $R_{ON} < 75 \text{ Ом}$, $V_{DD} = 1.8 \dots 12 \text{ В}$	SOT23-6	IN • V+ • GND • NC • COM • NO
AAIJ	MAX9303OUT	MAX	cmp	R-R, $V_{DS} < 15 \text{ В}$, $V_{DD} = 2.5 \dots 5.5 \text{ В}$, $I_{DD} < 55 \text{ мА}$	SOT23-6	IN+ • VSS • IN- • OUT • SHDN • VDD
AAIK	MAX6329SHUT	MAX	reg + mrc	LDO, $V_{IN} = 2.5 \dots 5.5 \text{ В}$, $V_{OUT} = 3.3 \text{ В}$, $I_{OUT} > 150 \text{ мА}$	SOT23-6	IN • GND • SHDN • RES • SET • OUT
AAIL	MAX6329SLUT	MAX	reg + mrc	LDO, $V_{IN} = 2.5 \dots 5.5 \text{ В}$, $V_{OUT} = 3.3 \text{ В}$, $I_{OUT} > 150 \text{ мА}$	SOT23-6	IN • GND • SHDN • RES • SET • OUT
AAIM	MAX6329SPUT	MAX	reg + mrc	LDO, $V_{IN} = 2.5 \dots 5.5 \text{ В}$, $V_{OUT} = 3.3 \text{ В}$, $I_{OUT} > 150 \text{ мА}$	SOT23-6	IN • GND • SHDN • RES • SET • OUT
AAIN	MAX6329THUT	MAX	reg + mrc	LDO, $V_{IN} = 2.5 \dots 5.5 \text{ В}$, $V_{OUT} = 3.3 \text{ В}$, $I_{OUT} > 150 \text{ мА}$	SOT23-6	IN • GND • SHDN • RES • SET • OUT
AAIO	MAX6329TLUT	MAX	reg + mrc	LDO, $V_{IN} = 2.5 \dots 5.5 \text{ В}$, $V_{OUT} = 3.3 \text{ В}$, $I_{OUT} > 150 \text{ мА}$	SOT23-6	IN • GND • SHDN • RES • SET • OUT
AAIP	MAX6329TPUT	MAX	reg + mrc	LDO, $V_{IN} = 2.5 \dots 5.5 \text{ В}$, $V_{OUT} = 3.3 \text{ В}$, $I_{OUT} > 150 \text{ мА}$	SOT23-6	IN • GND • SHDN • RES • SET • OUT
AAIQ	MAX6329VHUT	MAX	reg + mrc	LDO, $V_{IN} = 2.5 \dots 5.5 \text{ В}$, $V_{OUT} = 1.8 \text{ В}$, $I_{OUT} > 150 \text{ мА}$	SOT23-6	IN • GND • SHDN • RES • SET • OUT
AAIR	MAX6329VLUT	MAX	reg + mrc	LDO, $V_{IN} = 2.5 \dots 5.5 \text{ В}$, $V_{OUT} = 1.8 \text{ В}$, $I_{OUT} > 150 \text{ мА}$	SOT23-6	IN • GND • SHDN • RES • SET • OUT
AAIS	MAX6329VPUT	MAX	reg + mrc	LDO, $V_{IN} = 2.5 \dots 5.5 \text{ В}$, $V_{OUT} = 1.8 \text{ В}$, $I_{OUT} > 150 \text{ мА}$	SOT23-6	IN • GND • SHDN • RES • SET • OUT
AAIT	MAX6329WHUT	MAX	reg + mrc	LDO, $V_{IN} = 2.5 \dots 5.5 \text{ В}$, $V_{OUT} = 1.8 \text{ В}$, $I_{OUT} > 150 \text{ мА}$	SOT23-6	IN • GND • SHDN • RES • SET • OUT
AAIU	MAX6329WLUT	MAX	reg + mrc	LDO, $V_{IN} = 2.5 \dots 5.5 \text{ В}$, $V_{OUT} = 1.8 \text{ В}$, $I_{OUT} > 150 \text{ мА}$	SOT23-6	IN • GND • SHDN • RES • SET • OUT
AAIV	MAX6329WPUT	MAX	reg + mrc	LDO, $V_{IN} = 2.5 \dots 5.5 \text{ В}$, $V_{OUT} = 1.8 \text{ В}$, $I_{OUT} > 150 \text{ мА}$	SOT23-6	IN • GND • SHDN • RES • SET • OUT
AAIW	MAX6329YHUT	MAX	reg + mrc	LDO, $V_{IN} = 2.5 \dots 5.5 \text{ В}$, $V_{OUT} = 2.5 \text{ В}$, $I_{OUT} > 150 \text{ мА}$	SOT23-6	IN • GND • SHDN • RES • SET • OUT
AAIX	MAX6329YLUT	MAX	reg + mrc	LDO, $V_{IN} = 2.5 \dots 5.5 \text{ В}$, $V_{OUT} = 2.5 \text{ В}$, $I_{OUT} > 150 \text{ мА}$	SOT23-6	IN • GND • SHDN • RES • SET • OUT
AAIY	MAX6329YPUT	MAX	reg + mrc	LDO, $V_{IN} = 2.5 \dots 5.5 \text{ В}$, $V_{OUT} = 2.5 \text{ В}$, $I_{OUT} > 150 \text{ мА}$	SOT23-6	IN • GND • SHDN • RES • SET • OUT
AAIZ	MAX6329ZHUT	MAX	reg + mrc	LDO, $V_{IN} = 2.5 \dots 5.5 \text{ В}$, $V_{OUT} = 2.5 \text{ В}$, $I_{OUT} > 150 \text{ мА}$	SOT23-6	IN • GND • SHDN • RES • SET • OUT
AAJ	MAX2655EXT	MAX	amp	$V_{CC} = 2.7 \dots 5.5 \text{ В}$, $f_p = 1575 \text{ МГц}$, $I_{CC} < 9.2 \text{ мА}$	SOT363, SC88	Bias • GND • RFIN • VCC • GND • RFOUT
AAJA	MAX6329ZLUT	MAX	reg + mrc	LDO, $V_{IN} = 2.5 \dots 5.5 \text{ В}$, $V_{OUT} = 2.5 \text{ В}$, $I_{OUT} > 150 \text{ мА}$	SOT23-6	IN • GND • SHDN • RES • SET • OUT
AAJB	MAX6329ZPUT	MAX	reg + mrc	LDO, $V_{IN} = 2.5 \dots 5.5 \text{ В}$, $V_{OUT} = 2.5 \text{ В}$, $I_{OUT} > 150 \text{ мА}$	SOT23-6	IN • GND • SHDN • RES • SET • OUT
AAJC	MAX6349SHUT	MAX	reg + mrc	LDO, $V_{IN} = 2.5 \dots 5.5 \text{ В}$, $V_{OUT} = 3.3 \text{ В}$, $I_{OUT} > 150 \text{ мА}$	SOT23-6	IN • GND • MR • RES • SET • OUT
AAJD	MAX6349SLUT	MAX	reg + mrc	LDO, $V_{IN} = 2.5 \dots 5.5 \text{ В}$, $V_{OUT} = 3.3 \text{ В}$, $I_{OUT} > 150 \text{ мА}$	SOT23-6	IN • GND • MR • RES • SET • OUT
AAJE	MAX6349SPUT	MAX	reg + mrc	LDO, $V_{IN} = 2.5 \dots 5.5 \text{ В}$, $V_{OUT} = 3.3 \text{ В}$, $I_{OUT} > 150 \text{ мА}$	SOT23-6	IN • GND • MR • RES • SET • OUT
AAJF	MAX6349THUT	MAX	reg + mrc	LDO, $V_{IN} = 2.5 \dots 5.5 \text{ В}$, $V_{OUT} = 3.3 \text{ В}$, $I_{OUT} > 150 \text{ мА}$	SOT23-6	IN • GND • MR • RES • SET • OUT
AAJG	MAX6349TLUT	MAX	reg + mrc	LDO, $V_{IN} = 2.5 \dots 5.5 \text{ В}$, $V_{OUT} = 3.3 \text{ В}$, $I_{OUT} > 150 \text{ мА}$	SOT23-6	IN • GND • MR • RES • SET • OUT
AAJH	MAX6349TPUT	MAX	reg + mrc	LDO, $V_{IN} = 2.5 \dots 5.5 \text{ В}$, $V_{OUT} = 3.3 \text{ В}$, $I_{OUT} > 150 \text{ мА}$	SOT23-6	IN • GND • MR • RES • SET • OUT
AAJI	MAX6349VHUT	MAX	reg + mrc	LDO, $V_{IN} = 2.5 \dots 5.5 \text{ В}$, $V_{OUT} = 1.8 \text{ В}$, $I_{OUT} > 150 \text{ мА}$	SOT23-6	IN • GND • MR • RES • SET • OUT
AAJJ	MAX6349VLUT	MAX	reg + mrc	LDO, $V_{IN} = 2.5 \dots 5.5 \text{ В}$, $V_{OUT} = 1.8 \text{ В}$, $I_{OUT} > 150 \text{ мА}$	SOT23-6	IN • GND • MR • RES • SET • OUT
AAJK	MAX6349VPUT	MAX	reg + mrc	LDO, $V_{IN} = 2.5 \dots 5.5 \text{ В}$, $V_{OUT} = 1.8 \text{ В}$, $I_{OUT} > 150 \text{ мА}$	SOT23-6	IN • GND • MR • RES • SET • OUT

f56 SON-6
M16 USM-6SOT563
SOT666SOT363 SOT457 SOT23-6
TSOT363 MW-6 TSOT23-6

Код	Типономинал	Б	Ф	Особенности	Корпус	Ц: 1•2•3•4•5•6
AAJL	MAX6349WHUT	MAX	reg + mrc	LDO; $V_{IN}=2.5 \dots 5.5\text{ В}$; $V_{OUT}=1.8\text{ В}$; $I_{OUT}>150\text{ мА}$	SOT23-6	IN • GND • MR • RES • SET • OUT
AAJM	MAX6349WLUT	MAX	reg + mrc	LDO; $V_{IN}=2.5 \dots 5.5\text{ В}$; $V_{OUT}=1.8\text{ В}$; $I_{OUT}>150\text{ мА}$	SOT23-6	IN • GND • MR • RES • SET • OUT
AAJN	MAX6349WPUT	MAX	reg + mrc	LDO; $V_{IN}=2.5 \dots 5.5\text{ В}$; $V_{OUT}=1.8\text{ В}$; $I_{OUT}>150\text{ мА}$	SOT23-6	IN • GND • MR • RES • SET • OUT
AAJO	MAX6349YHUT	MAX	reg + mrc	LDO; $V_{IN}=2.5 \dots 5.5\text{ В}$; $V_{OUT}=2.5\text{ В}$; $I_{OUT}>150\text{ мА}$	SOT23-6	IN • GND • MR • RES • SET • OUT
AAJP	MAX6349YLUT	MAX	reg + mrc	LDO; $V_{IN}=2.5 \dots 5.5\text{ В}$; $V_{OUT}=2.5\text{ В}$; $I_{OUT}>150\text{ мА}$	SOT23-6	IN • GND • MR • RES • SET • OUT
AAJQ	MAX6349YPUT	MAX	reg + mrc	LDO; $V_{IN}=2.5 \dots 5.5\text{ В}$; $V_{OUT}=2.5\text{ В}$; $I_{OUT}>150\text{ мА}$	SOT23-6	IN • GND • MR • RES • SET • OUT
AAJR	MAX6349ZHUT	MAX	reg + mrc	LDO; $V_{IN}=2.5 \dots 5.5\text{ В}$; $V_{OUT}=2.5\text{ В}$; $I_{OUT}>150\text{ мА}$	SOT23-6	IN • GND • MR • RES • SET • OUT
AAJS	MAX6349ZLUT	MAX	reg + mrc	LDO; $V_{IN}=2.5 \dots 5.5\text{ В}$; $V_{OUT}=2.5\text{ В}$; $I_{OUT}>150\text{ мА}$	SOT23-6	IN • GND • MR • RES • SET • OUT
AAJT	MAX6349ZPUT	MAX	reg + mrc	LDO; $V_{IN}=2.5 \dots 5.5\text{ В}$; $V_{OUT}=2.5\text{ В}$; $I_{OUT}>150\text{ мА}$	SOT23-6	IN • GND • MR • RES • SET • OUT
AAJU	MAX6339AUT	MAX	mrc	$V_{IN1}=5\text{ В}$; $V_{IN2}=3.3\text{ В}$; $V_{IN3}=2.5\text{ В}$; $V_{IN4}=\text{per.}$; $V_{DD}=1.0 \dots 5.5\text{ В}$; $I_{CC}<115\text{ мкА}$	SOT23-6	IN1 • IN2 • IN3 • IN4 • GND • RES
AAJV	MAX6339BUT	MAX	mrc	$V_{IN1}=5\text{ В}$; $V_{IN2}=3.3\text{ В}$; $V_{IN3}=2.5\text{ В}$; $V_{IN4}=\text{per.}$; $V_{DD}=1.0 \dots 5.5\text{ В}$; $I_{CC}<115\text{ мкА}$	SOT23-6	IN1 • IN2 • IN3 • IN4 • GND • RES
AAJW	MAX6339CUT	MAX	mrc	$V_{IN1}=5\text{ В}$; $V_{IN2}=3.3\text{ В}$; $V_{IN3}=1.8\text{ В}$; $V_{IN4}=\text{per.}$; $V_{DD}=1.0 \dots 5.5\text{ В}$; $I_{CC}<115\text{ мкА}$	SOT23-6	IN1 • IN2 • IN3 • IN4 • GND • RES
AAJX	MAX6339DUT	MAX	mrc	$V_{IN1}=5\text{ В}$; $V_{IN2}=3.3\text{ В}$; $V_{IN3}=1.8\text{ В}$; $V_{IN4}=\text{per.}$; $V_{DD}=1.0 \dots 5.5\text{ В}$; $I_{CC}<115\text{ мкА}$	SOT23-6	IN1 • IN2 • IN3 • IN4 • GND • RES
AAJY	MAX6339EUT	MAX	mrc	$V_{IN1}=5\text{ В}$; $V_{IN2}=3\text{ В}$; $V_{IN3}=2.5\text{ В}$; $V_{IN4}=\text{per.}$; $V_{DD}=1.0 \dots 5.5\text{ В}$; $I_{CC}<115\text{ мкА}$	SOT23-6	IN1 • IN2 • IN3 • IN4 • GND • RES
AAJZ	MAX6339FUT	MAX	mrc	$V_{IN1}=5\text{ В}$; $V_{IN2}=3\text{ В}$; $V_{IN3}=2.5\text{ В}$; $V_{IN4}=\text{per.}$; $V_{DD}=1.0 \dots 5.5\text{ В}$; $I_{CC}<115\text{ мкА}$	SOT23-6	IN1 • IN2 • IN3 • IN4 • GND • RES
AAK	MAX2606EXT	MAX	amp	$V_{CC}=2.7 \dots 5.5\text{ В}$; $I_P=1960\text{ мА}$; $I_{CC}<9.2\text{ мА}$	SOT363 SC88	BIAS • GND • RFIN • VCC • GND • RFOUT
AAKA	MAX6339GUT	MAX	mrc	$V_{IN1}=5\text{ В}$; $V_{IN2}=3\text{ В}$; $V_{IN3}=1.8\text{ В}$; $V_{IN4}=\text{per.}$; $V_{DD}=1.0 \dots 5.5\text{ В}$; $I_{CC}<115\text{ мкА}$	SOT23-6	IN1 • IN2 • IN3 • IN4 • GND • RES
AAKB	MAX6339HUT	MAX	mrc	$V_{IN1}=5\text{ В}$; $V_{IN2}=3\text{ В}$; $V_{IN3}=1.8\text{ В}$; $V_{IN4}=\text{per.}$; $V_{DD}=1.0 \dots 5.5\text{ В}$; $I_{CC}<115\text{ мкА}$	SOT23-6	IN1 • IN2 • IN3 • IN4 • GND • RES
AAKC	MAX6339IUT	MAX	mrc	$V_{IN1}=5\text{ В}$; $V_{IN2}=3.3\text{ В}$; $V_{IN3}=2.5\text{ В}$; $V_{IN4}=1.8\text{ В}$; $V_{DD}=1.0 \dots 5.5\text{ В}$; $I_{CC}<115\text{ мкА}$	SOT23-6	IN1 • IN2 • IN3 • IN4 • GND • RES
AAKD	MAX6339JUT	MAX	mrc	$V_{IN1}=5\text{ В}$; $V_{IN2}=3.3\text{ В}$; $V_{IN3}=2.5\text{ В}$; $V_{IN4}=1.8\text{ В}$; $V_{DD}=1.0 \dots 5.5\text{ В}$; $I_{CC}<115\text{ мкА}$	SOT23-6	IN1 • IN2 • IN3 • IN4 • GND • RES
AAKE	MAX6339KUT	MAX	mrc	$V_{IN1}=\text{per.}$; $V_{IN2}=3.3\text{ В}$; $V_{IN3}=2.5\text{ В}$; $V_{IN4}=\text{per.}$; $V_{DD}=1.0 \dots 5.5\text{ В}$; $I_{CC}<115\text{ мкА}$	SOT23-6	IN1 • IN2 • IN3 • IN4 • GND • RES
AAKF	MAX6339LUT	MAX	mrc	$V_{IN1}=\text{per.}$; $V_{IN2}=3.3\text{ В}$; $V_{IN3}=2.5\text{ В}$; $V_{IN4}=\text{per.}$; $V_{DD}=1.0 \dots 5.5\text{ В}$; $I_{CC}<115\text{ мкА}$	SOT23-6	IN1 • IN2 • IN3 • IN4 • GND • RES
AAKG	MAX6339MUT	MAX	mrc	$V_{IN1}=5\text{ В}$; $V_{IN2}=3\text{ В}$; $V_{IN3}=\text{per.}$; $V_{IN4}=-5\text{ В}$; $V_{DD}=1.0 \dots 5.5\text{ В}$; $I_{CC}<115\text{ мкА}$	SOT23-6	IN1 • IN2 • IN3 • IN4 • GND • RES
AAKH	MAX6339NUT	MAX	mrc	$V_{IN1}=5\text{ В}$; $V_{IN2}=3\text{ В}$; $V_{IN3}=\text{per.}$; $V_{IN4}=-5\text{ В}$; $V_{DD}=1.0 \dots 5.5\text{ В}$; $I_{CC}<115\text{ мкА}$	SOT23-6	IN1 • IN2 • IN3 • IN4 • GND • RES
AAKI	MAX6339OUT	MAX	mrc	$V_{IN1}=5\text{ В}$; $V_{IN2}=3.3\text{ В}$; $V_{IN3}=\text{per.}$; $V_{IN4}=-5\text{ В}$; $V_{DD}=1.0 \dots 5.5\text{ В}$; $I_{CC}<115\text{ мкА}$	SOT23-6	IN1 • IN2 • IN3 • IN4 • GND • RES
AAKJ	MAX6339PUT	MAX	mrc	$V_{IN1}=5\text{ В}$; $V_{IN2}=3.3\text{ В}$; $V_{IN3}=\text{per.}$; $V_{IN4}=-5\text{ В}$; $V_{DD}=1.0 \dots 5.5\text{ В}$; $I_{CC}<115\text{ мкА}$	SOT23-6	IN1 • IN2 • IN3 • IN4 • GND • RES
AAKK	MAX6505UTN035	MAX	tempsw	$V_{CC}=2.5 \dots 5.5\text{ В}$; $T_{TH}=-35^\circ\text{C}$; $I_{CC}<80\text{ мкА}$	SOT23-6	WARN • GND • S1 • VCC • SO • ALARM
AAKL	MAX6505UTN030	MAX	tempsw	$V_{CC}=2.5 \dots 5.5\text{ В}$; $T_{TH}=-30^\circ\text{C}$; $I_{CC}<80\text{ мкА}$	SOT23-6	WARN • GND • S1 • VCC • SO • ALARM
AAKM	MAX6505UTN025	MAX	tempsw	$V_{CC}=2.5 \dots 5.5\text{ В}$; $T_{TH}=-25^\circ\text{C}$; $I_{CC}<80\text{ мкА}$	SOT23-6	WARN • GND • S1 • VCC • SO • ALARM
AAKN	MAX6505UTN020	MAX	tempsw	$V_{CC}=2.5 \dots 5.5\text{ В}$; $T_{TH}=-20^\circ\text{C}$; $I_{CC}<80\text{ мкА}$	SOT23-6	WARN • GND • S1 • VCC • SO • ALARM
AAKO	MAX6505UTN015	MAX	tempsw	$V_{CC}=2.5 \dots 5.5\text{ В}$; $T_{TH}=-15^\circ\text{C}$; $I_{CC}<80\text{ мкА}$	SOT23-6	WARN • GND • S1 • VCC • SO • ALARM
AAKP	MAX6505UTN010	MAX	tempsw	$V_{CC}=2.5 \dots 5.5\text{ В}$; $T_{TH}=-10^\circ\text{C}$; $I_{CC}<80\text{ мкА}$	SOT23-6	WARN • GND • S1 • VCC • SO • ALARM
AAKQ	MAX6505UTN005	MAX	tempsw	$V_{CC}=2.5 \dots 5.5\text{ В}$; $T_{TH}=-5^\circ\text{C}$; $I_{CC}<80\text{ мкА}$	SOT23-6	WARN • GND • S1 • VCC • SO • ALARM



SOT23-6 SOT457 SOT363
TSOT23-6 MW-6 TSOT363



SOT563 SON-6 fS6
SOT666 USM-6 M16

Код	Типономинал	Б	Ф	Особенности	Корпус	Ц: 1•2•3•4•5•6
AAKR	MAX6605UTP000	MAX	tempsw	$V_{CC}=2.5 \dots 5.5 \text{ В}; T_{TH}=0^{\circ}\text{C}; I_{CC}<80 \text{ мкА}$	SOT23-6	WARN • GND • S1 • VCC • S0 • ALARM
AAKS	MAX6605UTP005	MAX	tempsw	$V_{CC}=2.5 \dots 5.5 \text{ В}; T_{TH}=+5^{\circ}\text{C}; I_{CC}<80 \text{ мкА}$	SOT23-6	WARN • GND • S1 • VCC • S0 • ALARM
AAKT	MAX6605UTP010	MAX	tempsw	$V_{CC}=2.5 \dots 5.5 \text{ В}; T_{TH}=+10^{\circ}\text{C}; I_{CC}<80 \text{ мкА}$	SOT23-6	WARN • GND • S1 • VCC • S0 • ALARM
AAKU	MAX6605UTP015	MAX	tempsw	$V_{CC}=2.5 \dots 5.5 \text{ В}; T_{TH}=+15^{\circ}\text{C}; I_{CC}<80 \text{ мкА}$	SOT23-6	WARN • GND • S1 • VCC • S0 • ALARM
AAKV	MAX6605UTP020	MAX	tempsw	$V_{CC}=2.5 \dots 5.5 \text{ В}; T_{TH}=+20^{\circ}\text{C}; I_{CC}<80 \text{ мкА}$	SOT23-6	WARN • GND • S1 • VCC • S0 • ALARM
AAKW	MAX6605UTP025	MAX	tempsw	$V_{CC}=2.5 \dots 5.5 \text{ В}; T_{TH}=+25^{\circ}\text{C}; I_{CC}<80 \text{ мкА}$	SOT23-6	WARN • GND • S1 • VCC • S0 • ALARM
AAKX	MAX6605UTP030	MAX	tempsw	$V_{CC}=2.5 \dots 5.5 \text{ В}; T_{TH}=+30^{\circ}\text{C}; I_{CC}<80 \text{ мкА}$	SOT23-6	WARN • GND • S1 • VCC • S0 • ALARM
AAKY	MAX6605UTP035	MAX	tempsw	$V_{CC}=2.5 \dots 5.5 \text{ В}; T_{TH}=+35^{\circ}\text{C}; I_{CC}<80 \text{ мкА}$	SOT23-6	WARN • GND • S1 • VCC • S0 • ALARM
AAKZ	MAX6605UTP040	MAX	tempsw	$V_{CC}=2.5 \dots 5.5 \text{ В}; T_{TH}=+40^{\circ}\text{C}; I_{CC}<80 \text{ мкА}$	SOT23-6	WARN • GND • S1 • VCC • S0 • ALARM
AAL	MAX1852EXT	MAX	vcpcon	$V_{IN}=2.5 \dots 5.5 \text{ В}; I_{D}=50 \text{ мА}; I_{OUT}=30 \text{ мА}$	SOT363, SC88	OUT • GND • SHDN • IN • C1 • C+
AALA	MAX6605UTP045	MAX	tempsw	$V_{CC}=2.5 \dots 5.5 \text{ В}; T_{TH}=+45^{\circ}\text{C}; I_{CC}<80 \text{ мкА}$	SOT23-6	WARN • GND • S1 • VCC • S0 • ALARM
AALB	MAX6605UTP050	MAX	tempsw	$V_{CC}=2.5 \dots 5.5 \text{ В}; T_{TH}=+50^{\circ}\text{C}; I_{CC}<80 \text{ мкА}$	SOT23-6	WARN • GND • S1 • VCC • S0 • ALARM
AALC	MAX6605UTP055	MAX	tempsw	$V_{CC}=2.5 \dots 5.5 \text{ В}; T_{TH}=+55^{\circ}\text{C}; I_{CC}<80 \text{ мкА}$	SOT23-6	WARN • GND • S1 • VCC • S0 • ALARM
AALD	MAX6605UTP060	MAX	tempsw	$V_{CC}=2.5 \dots 5.5 \text{ В}; T_{TH}=+60^{\circ}\text{C}; I_{CC}<80 \text{ мкА}$	SOT23-6	WARN • GND • S1 • VCC • S0 • ALARM
AALE	MAX6605UTP065	MAX	tempsw	$V_{CC}=2.5 \dots 5.5 \text{ В}; T_{TH}=+65^{\circ}\text{C}; I_{CC}<80 \text{ мкА}$	SOT23-6	WARN • GND • S1 • VCC • S0 • ALARM
AALF	MAX6605UTP070	MAX	tempsw	$V_{CC}=2.5 \dots 5.5 \text{ В}; T_{TH}=+70^{\circ}\text{C}; I_{CC}<80 \text{ мкА}$	SOT23-6	WARN • GND • S1 • VCC • S0 • ALARM
AALG	MAX6605UTP075	MAX	tempsw	$V_{CC}=2.5 \dots 5.5 \text{ В}; T_{TH}=+75^{\circ}\text{C}; I_{CC}<80 \text{ мкА}$	SOT23-6	WARN • GND • S1 • VCC • S0 • ALARM
AALH	MAX6605UTP080	MAX	tempsw	$V_{CC}=2.5 \dots 5.5 \text{ В}; T_{TH}=+80^{\circ}\text{C}; I_{CC}<80 \text{ мкА}$	SOT23-6	WARN • GND • S1 • VCC • S0 • ALARM
AALI	MAX6605UTP085	MAX	tempsw	$V_{CC}=2.5 \dots 5.5 \text{ В}; T_{TH}=+85^{\circ}\text{C}; I_{CC}<80 \text{ мкА}$	SOT23-6	WARN • GND • S1 • VCC • S0 • ALARM
AALJ	MAX6605UTP090	MAX	tempsw	$V_{CC}=2.5 \dots 5.5 \text{ В}; T_{TH}=+90^{\circ}\text{C}; I_{CC}<80 \text{ мкА}$	SOT23-6	WARN • GND • S1 • VCC • S0 • ALARM
AALK	MAX6605UTP095	MAX	tempsw	$V_{CC}=2.5 \dots 5.5 \text{ В}; T_{TH}=+95^{\circ}\text{C}; I_{CC}<80 \text{ мкА}$	SOT23-6	WARN • GND • S1 • VCC • S0 • ALARM
AALL	MAX6605UTP100	MAX	tempsw	$V_{CC}=2.5 \dots 5.5 \text{ В}; T_{TH}=+100^{\circ}\text{C}; I_{CC}<80 \text{ мкА}$	SOT23-6	WARN • GND • S1 • VCC • S0 • ALARM
AALM	MAX6605UTP105	MAX	tempsw	$V_{CC}=2.5 \dots 5.5 \text{ В}; T_{TH}=+105^{\circ}\text{C}; I_{CC}<80 \text{ мкА}$	SOT23-6	WARN • GND • S1 • VCC • S0 • ALARM
AALN	MAX6605UTP110	MAX	tempsw	$V_{CC}=2.5 \dots 5.5 \text{ В}; T_{TH}=+110^{\circ}\text{C}; I_{CC}<80 \text{ мкА}$	SOT23-6	WARN • GND • S1 • VCC • S0 • ALARM
AALO	MAX6605UTP115	MAX	tempsw	$V_{CC}=2.5 \dots 5.5 \text{ В}; T_{TH}=+115^{\circ}\text{C}; I_{CC}<80 \text{ мкА}$	SOT23-6	WARN • GND • S1 • VCC • S0 • ALARM
AALP	MAX6605UTP120	MAX	tempsw	$V_{CC}=2.5 \dots 5.5 \text{ В}; T_{TH}=+120^{\circ}\text{C}; I_{CC}<80 \text{ мкА}$	SOT23-6	WARN • GND • S1 • VCC • S0 • ALARM
AALQ	MAX6605UTP125	MAX	tempsw	$V_{CC}=2.5 \dots 5.5 \text{ В}; T_{TH}=+125^{\circ}\text{C}; I_{CC}<80 \text{ мкА}$	SOT23-6	WARN • GND • S1 • VCC • S0 • ALARM
AALR	MAX6605UTN035	MAX	tempsw	$V_{CC}=2.5 \dots 5.5 \text{ В}; T_{TH}=-35^{\circ}\text{C}; I_{CC}<80 \text{ мкА}$	SOT23-6	WARN • GND • S1 • VCC • S0 • ALARM
AALS	MAX6605UTN030	MAX	tempsw	$V_{CC}=2.5 \dots 5.5 \text{ В}; T_{TH}=-30^{\circ}\text{C}; I_{CC}<80 \text{ мкА}$	SOT23-6	WARN • GND • S1 • VCC • S0 • ALARM

f56 SON-6
M16 USM-6

SOT563
SOT666



SOT363 SOT457 SOT23-6
TSOT363 MW-6 TSOT23-6



Код	Типономинал	Б	Ф	Особенности	Корпус	Ц: 1•2•3•4•5•6
AALT	MAX650GUTN025	MAX	tempsw	$V_{CC}=2.5 \dots 5.5 \text{ В}; T_{TH}=-25^{\circ}\text{C}; I_{CC}<80 \text{ мкА}$	SOT23-6	WARN • GND • S1 • VCC • S0 • ALARM
AALU	MAX650GUTN020	MAX	tempsw	$V_{CC}=2.5 \dots 5.5 \text{ В}; T_{TH}=-20^{\circ}\text{C}; I_{CC}<80 \text{ мкА}$	SOT23-6	WARN • GND • S1 • VCC • S0 • ALARM
AALV	MAX650GUTN015	MAX	tempsw	$V_{CC}=2.5 \dots 5.5 \text{ В}; T_{TH}=-15^{\circ}\text{C}; I_{CC}<80 \text{ мкА}$	SOT23-6	WARN • GND • S1 • VCC • S0 • ALARM
AALW	MAX650GUTN010	MAX	tempsw	$V_{CC}=2.5 \dots 5.5 \text{ В}; T_{TH}=-10^{\circ}\text{C}; I_{CC}<80 \text{ мкА}$	SOT23-6	WARN • GND • S1 • VCC • S0 • ALARM
AALX	MAX650GUTN005	MAX	tempsw	$V_{CC}=2.5 \dots 5.5 \text{ В}; T_{TH}=-5^{\circ}\text{C}; I_{CC}<80 \text{ мкА}$	SOT23-6	WARN • GND • S1 • VCC • S0 • ALARM
AALY	MAX650GUTP000	MAX	tempsw	$V_{CC}=2.5 \dots 5.5 \text{ В}; T_{TH}=0^{\circ}\text{C}; I_{CC}<80 \text{ мкА}$	SOT23-6	WARN • GND • S1 • VCC • S0 • ALARM
AALZ	MAX650GUTP005	MAX	tempsw	$V_{CC}=2.5 \dots 5.5 \text{ В}; T_{TH}=+5^{\circ}\text{C}; I_{CC}<80 \text{ мкА}$	SOT23-6	WARN • GND • S1 • VCC • S0 • ALARM
AAM	MAX1853EXT	MAX	vcpcn	$V_{IN}=2.5 \dots 5.5 \text{ В}; I_P=200 \text{ кА}; I_{OUT}=30 \text{ мА}$	SOT363, SC88	OUT • GND • SHDN • IN • C1 • C1+
AAMA	MAX650GUTP010	MAX	tempsw	$V_{CC}=2.5 \dots 5.5 \text{ В}; T_{TH}=+10^{\circ}\text{C}; I_{CC}<80 \text{ мкА}$	SOT23-6	WARN • GND • S1 • VCC • S0 • ALARM
AAMB	MAX650GUTP015	MAX	tempsw	$V_{CC}=2.5 \dots 5.5 \text{ В}; T_{TH}=+15^{\circ}\text{C}; I_{CC}<80 \text{ мкА}$	SOT23-6	WARN • GND • S1 • VCC • S0 • ALARM
AAMC	MAX650GUTP020	MAX	tempsw	$V_{CC}=2.5 \dots 5.5 \text{ В}; T_{TH}=+20^{\circ}\text{C}; I_{CC}<80 \text{ мкА}$	SOT23-6	WARN • GND • S1 • VCC • S0 • ALARM
AAMD	MAX650GUTP025	MAX	tempsw	$V_{CC}=2.5 \dots 5.5 \text{ В}; T_{TH}=+25^{\circ}\text{C}; I_{CC}<80 \text{ мкА}$	SOT23-6	WARN • GND • S1 • VCC • S0 • ALARM
AAME	MAX650GUTP030	MAX	tempsw	$V_{CC}=2.5 \dots 5.5 \text{ В}; T_{TH}=+30^{\circ}\text{C}; I_{CC}<80 \text{ мкА}$	SOT23-6	WARN • GND • S1 • VCC • S0 • ALARM
AAMF	MAX650GUTP035	MAX	tempsw	$V_{CC}=2.5 \dots 5.5 \text{ В}; T_{TH}=+35^{\circ}\text{C}; I_{CC}<80 \text{ мкА}$	SOT23-6	WARN • GND • S1 • VCC • S0 • ALARM
AAMG	MAX650GUTP040	MAX	tempsw	$V_{CC}=2.5 \dots 5.5 \text{ В}; T_{TH}=+40^{\circ}\text{C}; I_{CC}<80 \text{ мкА}$	SOT23-6	WARN • GND • S1 • VCC • S0 • ALARM
AAMH	MAX650GUTP045	MAX	tempsw	$V_{CC}=2.5 \dots 5.5 \text{ В}; T_{TH}=+45^{\circ}\text{C}; I_{CC}<80 \text{ мкА}$	SOT23-6	WARN • GND • S1 • VCC • S0 • ALARM
AAMI	MAX650GUTP050	MAX	tempsw	$V_{CC}=2.5 \dots 5.5 \text{ В}; T_{TH}=+50^{\circ}\text{C}; I_{CC}<80 \text{ мкА}$	SOT23-6	WARN • GND • S1 • VCC • S0 • ALARM
AAMJ	MAX650GUTP055	MAX	tempsw	$V_{CC}=2.5 \dots 5.5 \text{ В}; T_{TH}=+55^{\circ}\text{C}; I_{CC}<80 \text{ мкА}$	SOT23-6	WARN • GND • S1 • VCC • S0 • ALARM
AAMK	MAX650GUTP060	MAX	tempsw	$V_{CC}=2.5 \dots 5.5 \text{ В}; T_{TH}=+60^{\circ}\text{C}; I_{CC}<80 \text{ мкА}$	SOT23-6	WARN • GND • S1 • VCC • S0 • ALARM
AAML	MAX650GUTP065	MAX	tempsw	$V_{CC}=2.5 \dots 5.5 \text{ В}; T_{TH}=+65^{\circ}\text{C}; I_{CC}<80 \text{ мкА}$	SOT23-6	WARN • GND • S1 • VCC • S0 • ALARM
AAMM	MAX650GUTP070	MAX	tempsw	$V_{CC}=2.5 \dots 5.5 \text{ В}; T_{TH}=+70^{\circ}\text{C}; I_{CC}<80 \text{ мкА}$	SOT23-6	WARN • GND • S1 • VCC • S0 • ALARM
AAMN	MAX650GUTP075	MAX	tempsw	$V_{CC}=2.5 \dots 5.5 \text{ В}; T_{TH}=+75^{\circ}\text{C}; I_{CC}<80 \text{ мкА}$	SOT23-6	WARN • GND • S1 • VCC • S0 • ALARM
AAMO	MAX650GUTP080	MAX	tempsw	$V_{CC}=2.5 \dots 5.5 \text{ В}; T_{TH}=+80^{\circ}\text{C}; I_{CC}<80 \text{ мкА}$	SOT23-6	WARN • GND • S1 • VCC • S0 • ALARM
AAMP	MAX650GUTP085	MAX	tempsw	$V_{CC}=2.5 \dots 5.5 \text{ В}; T_{TH}=+85^{\circ}\text{C}; I_{CC}<80 \text{ мкА}$	SOT23-6	WARN • GND • S1 • VCC • S0 • ALARM
AAMQ	MAX650GUTP090	MAX	tempsw	$V_{CC}=2.5 \dots 5.5 \text{ В}; T_{TH}=+90^{\circ}\text{C}; I_{CC}<80 \text{ мкА}$	SOT23-6	WARN • GND • S1 • VCC • S0 • ALARM
AAMR	MAX650GUTP095	MAX	tempsw	$V_{CC}=2.5 \dots 5.5 \text{ В}; T_{TH}=+95^{\circ}\text{C}; I_{CC}<80 \text{ мкА}$	SOT23-6	WARN • GND • S1 • VCC • S0 • ALARM
AAMS	MAX650GUTP100	MAX	tempsw	$V_{CC}=2.5 \dots 5.5 \text{ В}; T_{TH}=+100^{\circ}\text{C}; I_{CC}<80 \text{ мкА}$	SOT23-6	WARN • GND • S1 • VCC • S0 • ALARM
AAMT	MAX650GUTP105	MAX	tempsw	$V_{CC}=2.5 \dots 5.5 \text{ В}; T_{TH}=+105^{\circ}\text{C}; I_{CC}<80 \text{ мкА}$	SOT23-6	WARN • GND • S1 • VCC • S0 • ALARM
AAMU	MAX650GUTP110	MAX	tempsw	$V_{CC}=2.5 \dots 5.5 \text{ В}; T_{TH}=+110^{\circ}\text{C}; I_{CC}<80 \text{ мкА}$	SOT23-6	WARN • GND • S1 • VCC • S0 • ALARM

SOT23-6 SOT457 SOT363
TSOT23-6 MW-6 TSOT363

SOT563 SON-6 fS6
SOT666 USM-6 M16

Код	Типономинал	Б	Ф	Особенности	Корпус	Ц: 1•2•3•4•5•6
AAMV	MAX6506UTP115	MAX	tempws	$V_{CC}=2.5 \dots 5.5\text{ В}$; $T_{TH}=+115^{\circ}\text{C}$; $I_{CC}<80\text{ мкА}$	SOT23-6	WARN•GND•S1•VCC•S0•ALARM
AAMW	MAX6506UTP120	MAX	tempws	$V_{CC}=2.5 \dots 5.5\text{ В}$; $T_{TH}=+120^{\circ}\text{C}$; $I_{CC}<80\text{ мкА}$	SOT23-6	WARN•GND•S1•VCC•S0•ALARM
AAMX	MAX6506UTP125	MAX	tempws	$V_{CC}=2.5 \dots 5.5\text{ В}$; $T_{TH}=+125^{\circ}\text{C}$; $I_{CC}<80\text{ мкА}$	SOT23-6	WARN•GND•S1•VCC•S0•ALARM
AAMY	MAX6507UT8255	MAX	tempws	$V_{CC}=2.5 \dots 5.5\text{ В}$; $T_{TH}=-80^{\circ}\text{C}$; $T_{THH}=+85^{\circ}\text{C}$; $I_{CC}<60\text{ мкА}$	SOT23-6	OK•GND•S0•VCC•n.c. •OVER
AAMZ	MAX6507UT0A32	MAX	tempws	$V_{CC}=2.5 \dots 5.5\text{ В}$; $T_{TH}=+10^{\circ}\text{C}$; $T_{THH}=+50^{\circ}\text{C}$; $I_{CC}<60\text{ мкА}$	SOT23-6	OK•GND•S0•VCC•n.c. •OVER
AAN	MAX4481AXT	MAX	OA	R-R; $V_{DD}=2.5 \dots 5.5\text{ В}$; $I_{CC}<100\text{ мкА}$; $V_{CS}<5.5\text{ мВ}$	SOT363, SC88	IN•VSS•IN-•OUT•SHDN•VDD
AANA	MAX6508UT8255	MAX	tempws	$V_{CC}=2.5 \dots 5.5\text{ В}$; $T_{TH}=-80^{\circ}\text{C}$; $T_{THH}=+85^{\circ}\text{C}$; $I_{CC}<60\text{ мкА}$	SOT23-6	OK•GND•S0•VCC•n.c. •OVER
AANB	MAX6508UT0A32	MAX	tempws	$V_{CC}=2.5 \dots 5.5\text{ В}$; $T_{TH}=+10^{\circ}\text{C}$; $T_{THH}=+50^{\circ}\text{C}$; $I_{CC}<60\text{ мкА}$	SOT23-6	OK•GND•S0•VCC•n.c. •OVER
AANC	MAX1736EJT41	MAX	chg	1 x Li-I; $V_{IN}=4.7 \dots 22\text{ В}$; $V_{OUT}=4.1\text{ В}$; $I_{CH}<0.75\text{ mA}$	SOT23-6	IN•GATE•GND•EN•CT•BATT
AAND	MAX4675EJT	MAX	asw	SPST; $R_{ON}<40\text{ м}$; $V_{DD}=2.7 \dots 5.5/2.7 \dots 5.5\text{ В}$	SOT23-6	V+•COM•V-•GND•NO•IN
AANE	MAX4676EJT	MAX	asw	SPST; $R_{ON}<40\text{ м}$; $V_{DD}=2.7 \dots 5.5/2.7 \dots 5.5\text{ В}$	SOT23-6	V+•COM•V-•GND•NC•IN
AANF	MAX1818EJT25	MAX	reg	LDO; $V_{IN}=2.5 \dots 5.5\text{ В}$; $V_{OUT}=2.5/1.25 \dots 5\text{ В}$; $I_{OUT}=500\text{ mA}$	SOT23-6	IN•POK•SHDN•GND•SET•OUT
AANG	MAX1818EJT33	MAX	reg	LDO; $V_{IN}=2.5 \dots 5.5\text{ В}$; $V_{OUT}=3.3/1.25 \dots 5\text{ В}$; $I_{OUT}=500\text{ mA}$	SOT23-6	IN•POK•SHDN•GND•SET•OUT
AANH	MAX1818EJT50	MAX	reg	LDO; $V_{IN}=2.5 \dots 5.5\text{ В}$; $V_{OUT}=5.0/1.25 \dots 5\text{ В}$; $I_{OUT}=500\text{ mA}$	SOT23-6	IN•POK•SHDN•GND•SET•OUT
AANI	MAX6351LRUT	MAX	mrc	$V_{IHS}=4.63\text{ В}$; $V_{IR2}=2.63\text{ В}$; $V_{DD}=1.2 \dots 5.5\text{ В}$; $I_{CC}<50\text{ мкА}$	SOT23-6	RST1•GND•MR•VCC2•RST2•VCC1
AANL	MAX1755BAUT	MAX	itcmp	SMBus; $V_{CC}=2.375 \dots 5.5\text{ В}$; $T_{THAC}=+3^{\circ}\text{C}$; $I_{CC}<200\text{ мкА}$	SOT23-6	ADD•SMBDATA•SMBCLK•OVERT•VCC•GND
AANM	MAX1755AAUT	MAX	itcmp	SMBus; $V_{CC}=2.375 \dots 5.5\text{ В}$; $T_{THAC}=+3^{\circ}\text{C}$; $I_{CC}<200\text{ мкА}$	SOT23-6	ADD•SMBDATA•SMBCLK•OVERT•VCC•GND
AANN	MAX1756BAUT	MAX	itcmp	SMBus; $V_{CC}=2.375 \dots 5.5\text{ В}$; $T_{THAC}=+3^{\circ}\text{C}$; $I_{CC}<200\text{ мкА}$	SOT23-6	ADD•SMBDATA•SMBCLK•ALERT•VCC•GND
AANO	MAX1756AAUT	MAX	itcmp	SMBus; $V_{CC}=2.375 \dots 5.5\text{ В}$; $T_{THAC}=+3^{\circ}\text{C}$; $I_{CC}<200\text{ мкА}$	SOT23-6	ADD•SMBDATA•SMBCLK•ALERT•VCC•GND
AANP	MAX8626PMUT	MAX	dis	12-pasp.; $T_{AMB}=-55 \dots 125^{\circ}\text{C}$; $I^{\circ}\text{C}$; $V_{DD}=3 \dots 5.5\text{ В}$	SOT23-6	SDA•GND•SCL•OT•ADD•VS
AANQ	MAX8626RMUT	MAX	dis	12-pasp.; $T_{AMB}=-55 \dots 125^{\circ}\text{C}$; $I^{\circ}\text{C}$; $V_{DD}=3 \dots 5.5\text{ В}$	SOT23-6	SDA•GND•SCL•OT•ADD•VS
AANT	MAX6355MRUT	MAX	mrc	$V_{IHS}=4.38\text{ В}$; $V_{IR2}=2.63\text{ В}$; $V_{DD}=1.2 \dots 5.5\text{ В}$; $I_{CC}<50\text{ мкА}$	SOT23-6	RST1•GND•MR•VCC2•RSTIN•VCC1
AANU	MAX1818EJT18	MAX	reg	LDO; $V_{IN}=2.5 \dots 5.5\text{ В}$; $V_{OUT}=1.8/1.25 \dots 5\text{ В}$; $I_{OUT}=500\text{ mA}$	SOT23-6	IN•POK•SHDN•GND•SET•OUT
AANV	MAX1818EJT20	MAX	reg	LDO; $V_{IN}=2.5 \dots 5.5\text{ В}$; $V_{OUT}=2.0/1.25 \dots 5\text{ В}$; $I_{OUT}=500\text{ mA}$	SOT23-6	IN•POK•SHDN•GND•SET•OUT
AANW	MAX1836EJT50	MAX	vcon	$V_{IN}=4.5 \dots 24\text{ В}$; $V_{OUT}=5\text{ В}$; $I_{OUT}<125\text{ mA}$	SOT23-6	FB•GND•IN•LX•SHDN•OUT
AANX	MAX1837EJT50	MAX	vcon	$V_{IN}=4.5 \dots 24\text{ В}$; $V_{OUT}=5\text{ В}$; $I_{OUT}<250\text{ mA}$	SOT23-6	FB•GND•IN•LX•SHDN•OUT
AANY	MAX1836EJT33	MAX	vcon	$V_{IN}=4.5 \dots 24\text{ В}$; $V_{OUT}=3.3\text{ В}$; $I_{OUT}<125\text{ mA}$	SOT23-6	FB•GND•IN•LX•SHDN•OUT
AANZ	MAX1837EJT33	MAX	vcon	$V_{IN}=4.5 \dots 24\text{ В}$; $V_{OUT}=3.3\text{ В}$; $I_{OUT}<250\text{ mA}$	SOT23-6	FB•GND•IN•LX•SHDN•OUT
AAC	MAX3371EXT	MAX	levtrans	RS-232; $V_{CC}=2.5 \dots 5.5\text{ В}$; $I_{DR}=2\text{ мА}/\text{мВ}/\text{с}$; $I_{CC}<100\text{ мкА}$	SOT363, SC88	VL•GND•I/O VL•I/O VCC•SHDN•VCC
AACA	MAX6511UT045	MAX	tempws	$V_{CC}=3.0 \dots 5.5\text{ В}$; $T_{TH}=+65^{\circ}\text{C}$; $I_{CC}<600\text{ мкА}$	SOT23-6	VDD•GND•HYST•TOVER•DXN•DXP
AACB	MAX6511UT055	MAX	tempws	$V_{CC}=3.0 \dots 5.5\text{ В}$; $T_{TH}=+55^{\circ}\text{C}$; $I_{CC}<600\text{ мкА}$	SOT23-6	VDD•GND•HYST•TOVER•DXN•DXP
AACD	MAX6511UT065	MAX	tempws	$V_{CC}=3.0 \dots 5.5\text{ В}$; $T_{TH}=+65^{\circ}\text{C}$; $I_{CC}<600\text{ мкА}$	SOT23-6	VDD•GND•HYST•TOVER•DXN•DXP
AACD	MAX6511UT075	MAX	tempws	$V_{CC}=3.0 \dots 5.5\text{ В}$; $T_{TH}=+75^{\circ}\text{C}$; $I_{CC}<600\text{ мкА}$	SOT23-6	VDD•GND•HYST•TOVER•DXN•DXP

f56 SON-6
M16 USM-6SOT563
SOT666SOT363 SOT457 SOT23-6
TSOT363 MW-6 TSOT23-6

Код	Типономинал	Б	Ф	Особенности	Корпус	Ц: 1•2•3•4•5•6
AAOE	MAX6511UT085	MAX	tempsw	$V_{CC}=3.0 \dots 5.5 \text{ В}; T_{\text{TH}}=+85^{\circ}\text{C}; I_{CC}<600 \text{ мкА}$	SOT23-6	VDD•GND•HYST•TOVER•DXN•DXP
AAOF	MAX6511UT095	MAX	tempsw	$V_{CC}=3.0 \dots 5.5 \text{ В}; T_{\text{TH}}=+95^{\circ}\text{C}; I_{CC}<600 \text{ мкА}$	SOT23-6	VDD•GND•HYST•TOVER•DXN•DXP
AAOG	MAX6511UT105	MAX	tempsw	$V_{CC}=3.0 \dots 5.5 \text{ В}; T_{\text{TH}}=+105^{\circ}\text{C}; I_{CC}<600 \text{ мкА}$	SOT23-6	VDD•GND•HYST•TOVER•DXN•DXP
AAOH	MAX6511UT115	MAX	tempsw	$V_{CC}=3.0 \dots 5.5 \text{ В}; T_{\text{TH}}=+115^{\circ}\text{C}; I_{CC}<600 \text{ мкА}$	SOT23-6	VDD•GND•HYST•TOVER•DXN•DXP
AAOI	MAX6511UT125	MAX	tempsw	$V_{CC}=3.0 \dots 5.5 \text{ В}; T_{\text{TH}}=+125^{\circ}\text{C}; I_{CC}<600 \text{ мкА}$	SOT23-6	VDD•GND•HYST•TOVER•DXN•DXP
AAOJ	MAX6512UT045	MAX	tempsw	$V_{CC}=3.0 \dots 5.5 \text{ В}; T_{\text{TH}}=+45^{\circ}\text{C}; I_{CC}<600 \text{ мкА}$	SOT23-6	VDD•GND•HYST•TOVER•DXN•DXP
AAOK	MAX6512UT055	MAX	tempsw	$V_{CC}=3.0 \dots 5.5 \text{ В}; T_{\text{TH}}=+55^{\circ}\text{C}; I_{CC}<600 \text{ мкА}$	SOT23-6	VDD•GND•HYST•TOVER•DXN•DXP
AAOL	MAX6512UT065	MAX	tempsw	$V_{CC}=3.0 \dots 5.5 \text{ В}; T_{\text{TH}}=+65^{\circ}\text{C}; I_{CC}<600 \text{ мкА}$	SOT23-6	VDD•GND•HYST•TOVER•DXN•DXP
AAOM	MAX6512UT075	MAX	tempsw	$V_{CC}=3.0 \dots 5.5 \text{ В}; T_{\text{TH}}=+75^{\circ}\text{C}; I_{CC}<600 \text{ мкА}$	SOT23-6	VDD•GND•HYST•TOVER•DXN•DXP
AAON	MAX6512UT085	MAX	tempsw	$V_{CC}=3.0 \dots 5.5 \text{ В}; T_{\text{TH}}=+85^{\circ}\text{C}; I_{CC}<600 \text{ мкА}$	SOT23-6	VDD•GND•HYST•TOVER•DXN•DXP
AAOO	MAX6512UT095	MAX	tempsw	$V_{CC}=3.0 \dots 5.5 \text{ В}; T_{\text{TH}}=+95^{\circ}\text{C}; I_{CC}<600 \text{ мкА}$	SOT23-6	VDD•GND•HYST•TOVER•DXN•DXP
AAOP	MAX6512UT105	MAX	tempsw	$V_{CC}=3.0 \dots 5.5 \text{ В}; T_{\text{TH}}=+105^{\circ}\text{C}; I_{CC}<600 \text{ мкА}$	SOT23-6	VDD•GND•HYST•TOVER•DXN•DXP
AAOQ	MAX6512UT115	MAX	tempsw	$V_{CC}=3.0 \dots 5.5 \text{ В}; T_{\text{TH}}=+115^{\circ}\text{C}; I_{CC}<600 \text{ мкА}$	SOT23-6	VDD•GND•HYST•TOVER•DXN•DXP
AAOR	MAX6512UT125	MAX	tempsw	$V_{CC}=3.0 \dots 5.5 \text{ В}; T_{\text{TH}}=+125^{\circ}\text{C}; I_{CC}<600 \text{ мкА}$	SOT23-6	VDD•GND•HYST•TOVER•DXN•DXP
AAOS	MAX4481AUT	MAX	OA	R-R; $V_{DD}=2.5 \dots 5.5 \text{ В}; I_{CC}<100 \text{ мкА}; V_{DS}<5.5 \text{ МВ}$	SOT23-6	IN+•VSS•IN-•OUT•SHDN•VDD
AAOT	MAX1832EUT	MAX	vcon	$V_{\text{IN}}=1.5 \dots 5.5 \text{ В}; V_{\text{OUT}}=2 \dots 5.5 \text{ В}; I_{\text{OUT}}<150 \text{ мА}$	SOT23-6	SHDN•BATT•GND•LX•OUT•FB
AAOU	MAX1833EUT	MAX	vcon	$V_{\text{IN}}=1.5 \dots 5.5 \text{ В}; V_{\text{OUT}}=3.3 \text{ В}; I_{\text{OUT}}<150 \text{ мА}$	SOT23-6	SHDN•BATT•GND•LX•OUT•RST
AAOV	MAX1834EUT	MAX	vcon	$V_{\text{IN}}=1.5 \dots 5.5 \text{ В}; V_{\text{OUT}}=2 \dots 5.5 \text{ В}; I_{\text{OUT}}<150 \text{ мА}$	SOT23-6	SHDN•BATT•GND•LX•OUT•FB
AAOW	MAX1835EUT	MAX	vcon	$V_{\text{IN}}=1.5 \dots 5.5 \text{ В}; V_{\text{OUT}}=3.3 \text{ В}; I_{\text{OUT}}<150 \text{ мА}$	SOT23-6	SHDN•BATT•GND•LX•OUT•RST
AAOX	MAX1522EUT	MAX	bcontr	$V_{CC}=2.5 \dots 5.5 \text{ В}; I_{CC}<50 \text{ мкА}; T_{\text{AMB}}=-40 \dots 85^{\circ}\text{C}$	SOT23-6	GND•FB•SET•SHDN•EXT•VCC
AAOY	MAX1523EUT	MAX	bcontr	$V_{CC}=2.5 \dots 5.5 \text{ В}; I_{CC}<50 \text{ мкА}; T_{\text{AMB}}=-40 \dots 85^{\circ}\text{C}$	SOT23-6	GND•FB•SET•SHDN•EXT•VCC
AAOZ	MAX1524EUT	MAX	bcontr	$V_{CC}=2.5 \dots 5.5 \text{ В}; I_{CC}<50 \text{ мкА}; T_{\text{AMB}}=-40 \dots 85^{\circ}\text{C}$	SOT23-6	GND•FB•SET•SHDN•EXT•VCC
AAP	MAX5461EXT	MAX	Dpot	32 позиции; $100 \text{ кОм}; V_{DD}=2.7 \dots 5.5 \text{ В}$	SOT363, SC88	VDD•GND•U/D•CS•L•H
AAPD	MAX6513UT045	MAX	tempsw	$V_{CC}=3.0 \dots 5.5 \text{ В}; T_{\text{TH}}=+45^{\circ}\text{C}; I_{CC}<600 \text{ мкА}$	SOT23-6	VDD•GND•HYST•TOVER•DXN•DXP
AAPE	MAX6513UT055	MAX	tempsw	$V_{CC}=3.0 \dots 5.5 \text{ В}; T_{\text{TH}}=+55^{\circ}\text{C}; I_{CC}<600 \text{ мкА}$	SOT23-6	VDD•GND•HYST•TOVER•DXN•DXP
AAPF	MAX6513UT065	MAX	tempsw	$V_{CC}=3.0 \dots 5.5 \text{ В}; T_{\text{TH}}=+65^{\circ}\text{C}; I_{CC}<600 \text{ мкА}$	SOT23-6	VDD•GND•HYST•TOVER•DXN•DXP
AAPG	MAX6513UT075	MAX	tempsw	$V_{CC}=3.0 \dots 5.5 \text{ В}; T_{\text{TH}}=+75^{\circ}\text{C}; I_{CC}<600 \text{ мкА}$	SOT23-6	VDD•GND•HYST•TOVER•DXN•DXP
AAPH	MAX6513UT085	MAX	tempsw	$V_{CC}=3.0 \dots 5.5 \text{ В}; T_{\text{TH}}=+85^{\circ}\text{C}; I_{CC}<600 \text{ мкА}$	SOT23-6	VDD•GND•HYST•TOVER•DXN•DXP
AAPI	MAX6513UT095	MAX	tempsw	$V_{CC}=3.0 \dots 5.5 \text{ В}; T_{\text{TH}}=+95^{\circ}\text{C}; I_{CC}<600 \text{ мкА}$	SOT23-6	VDD•GND•HYST•TOVER•DXN•DXP
AARJ	MAX6513UT105	MAX	tempsw	$V_{CC}=3.0 \dots 5.5 \text{ В}; T_{\text{TH}}=+105^{\circ}\text{C}; I_{CC}<600 \text{ мкА}$	SOT23-6	VDD•GND•HYST•TOVER•DXN•DXP
AAPK	MAX6513UT115	MAX	tempsw	$V_{CC}=3.0 \dots 5.5 \text{ В}; T_{\text{TH}}=+115^{\circ}\text{C}; I_{CC}<600 \text{ мкА}$	SOT23-6	VDD•GND•HYST•TOVER•DXN•DXP

**SOT23-6**
TSOT23-6**SOT457**
MW-6**SOT363**
TSOT363**SOT563**
SOT666**SON-6**
USM-6**fS6**
M16

Код	Типономинал	Б	Ф	Особенности	Корпус	Ц: 1•2•3•4•5•6
AAPL	MAX6613UT125	MAX	tempsw	$V_{CC}=3.0 \dots 5.5\text{ В}$; $T_{\text{TH}}=+125^{\circ}\text{C}$; $I_{CC}<600\text{ мкА}$	SOT23-6	VDD • GND • HYST • TOVER • DXN • DXP
AAPM	MAX6629MUT	MAX	dis	12-разр.+знак; $T_{\text{AMB}}=-55 \dots 125^{\circ}\text{C}$; SPI; $V_{DD}=3 \dots 5.5\text{ В}$; $I_{CC}=200\text{ мкА}$	SOT23-6	n. c. • GND • VCC • SCK • CS • SO
AAPN	MAX6633MUT	MAX	dis	12-разр.+знак; $T_{\text{AMB}}=-55 \dots 125^{\circ}\text{C}$; SPI; $V_{DD}=3 \dots 5.5\text{ В}$; $I_{CC}=200\text{ мкА}$	SOT23-6	GND • n. c. • VCC • SCK • CS • SO
AAPO	MAX6631MUT	MAX	dis	12-разр.+знак; $T_{\text{AMB}}=-55 \dots 125^{\circ}\text{C}$; SPI; $V_{DD}=3 \dots 5.5\text{ В}$; $I_{CC}=30\text{ мкА}$	SOT23-6	n. c. • GND • VCC • SCK • CS • SO
AAPP	MAX6632MUT	MAX	dis	12-разр.+знак; $T_{\text{AMB}}=-55 \dots 125^{\circ}\text{C}$; SPI; $V_{DD}=3 \dots 5.5\text{ В}$; $I_{CC}=30\text{ мкА}$	SOT23-6	GND • n. c. • VCC • SCK • CS • SO
AAPQ	MAX6826SUT	MAX	mrc + wdt	$V_{\text{IR}}=2.93\text{ В}$; $V_{\text{DD}}=1.2 \dots 5.5\text{ В}$; $I_{CC}<30\text{ мкА}$	SOT23-6	RES • GND • MR • WDI • RES IN • VCC
AAPR	MAX6827RUT	MAX	mrc + wdt	$V_{\text{IR}}=2.63\text{ В}$; $V_{\text{DD}}=1.2 \dots 5.5\text{ В}$; $I_{CC}<30\text{ мкА}$	SOT23-6	RES • GND • MR • WDI • RES IN • VCC
AAPS	MAX6828YUT	MAX	mrc + wdt	$V_{\text{IR}}=2.19\text{ В}$; $V_{\text{DD}}=1.2 \dots 5.5\text{ В}$; $I_{CC}<30\text{ мкА}$	SOT23-6	RES • GND • MR • WDI • RES IN • VCC
AAPT	MAX6829SUT	MAX	mrc + wdt	$V_{\text{IR}}=2.93\text{ В}$; $V_{\text{IRE}}=1.575\text{ В}$; $V_{\text{DD}}=1.2 \dots 5.5\text{ В}$; $I_{CC}<30\text{ мкА}$	SOT23-6	RES • GND • MR • WDI • VCC2 • VCC
AAPU	MAX6830ZGUT	MAX	mrc + wdt	$V_{\text{IR}}=2.32\text{ В}$; $V_{\text{IRE}}=1.11\text{ В}$; $V_{\text{DD}}=1.2 \dots 5.5\text{ В}$; $I_{CC}<30\text{ мкА}$	SOT23-6	RES • GND • MR • WDI • VCC2 • VCC
AAPV	MAX6831VDUT	MAX	mrc + wdt	$V_{\text{IR}}=1.58\text{ В}$; $V_{\text{IRE}}=0.788\text{ В}$; $V_{\text{DD}}=1.2 \dots 5.5\text{ В}$; $I_{CC}<30\text{ мкА}$	SOT23-6	RES • GND • MR • WDI • VCC2 • VCC
AAQ	MAX5462EXT	MAX	Dpot	32 позиции; 100 кОм ; $V_{DD}=2.7 \dots 5.5\text{ В}$	SC363, SC88	VDD • GND • U/D • CS • W • H
AAQA	MAX6351UWUT	MAX	mrc	$V_{\text{IR}}=2.78\text{ В}$; $V_{\text{IRE}}=1.58\text{ В}$; $V_{\text{DD}}=1.2 \dots 5.5\text{ В}$; $I_{CC}<50\text{ мкА}$	SOT23-6	RST1 • GND • MR • VCC2 • RST2 • VCC1
AAQB	MAX6358FWUT	MAX	mrc	$V_{\text{IR}}=2.63\text{ В}$; $V_{\text{IRE}}=1.67\text{ В}$; $V_{\text{DD}}=1.2 \dots 5.5\text{ В}$; $I_{CC}<50\text{ мкА}$	SOT23-6	RST • GND • MR • VCC2 • WDI • VCC1
AAQC	MAX6359TWUT	MAX	mrc	$V_{\text{IR}}=2.93\text{ В}$; $V_{\text{IRE}}=2.19\text{ В}$; $V_{\text{DD}}=1.2 \dots 5.5\text{ В}$; $I_{CC}<50\text{ мкА}$	SOT23-6	RST • GND • MR • VCC2 • WDI • VCC1
AAQD	MAX6360RWUT	MAX	mrc	$V_{\text{IR}}=2.63\text{ В}$; $V_{\text{IRE}}=1.58\text{ В}$; $V_{\text{DD}}=1.2 \dots 5.5\text{ В}$; $I_{CC}<50\text{ мкА}$	SOT23-6	RST • GND • MR • VCC2 • WDI • VCC1
AAQE	MAX6355TVUT	MAX	mrc	$V_{\text{IR}}=3.08\text{ В}$; $V_{\text{IRE}}=1.58\text{ В}$; $V_{\text{DD}}=1.2 \dots 5.5\text{ В}$; $I_{CC}<50\text{ мкА}$	SOT23-6	RST • GND • MR • VCC2 • RSTIN • VCC1
AAQF	MAX6356SWUT	MAX	mrc	$V_{\text{IR}}=2.93\text{ В}$; $V_{\text{IRE}}=1.67\text{ В}$; $V_{\text{DD}}=1.2 \dots 5.5\text{ В}$; $I_{CC}<50\text{ мкА}$	SOT23-6	RST • GND • MR • VCC2 • RSTIN • VCC1
AAQG	MAX6357UWUT	MAX	mrc	$V_{\text{IR}}=2.78\text{ В}$; $V_{\text{IRE}}=1.58\text{ В}$; $V_{\text{DD}}=1.2 \dots 5.5\text{ В}$; $I_{CC}<50\text{ мкА}$	SOT23-6	RST • GND • MR • VCC2 • RSTIN • VCC1
AAQH	MAX6355TVUT	MAX	mrc	$V_{\text{IR}}=3.08\text{ В}$; $V_{\text{IRE}}=2.19\text{ В}$; $V_{\text{DD}}=1.2 \dots 5.5\text{ В}$; $I_{CC}<50\text{ мкА}$	SOT23-6	RST • GND • MR • VCC2 • RSTIN • VCC1
AAQJ	MAX5900AAEUT	MAX	hscontr	$V_{EE}=-100 \dots -9\text{ В}$; $I_{CC}<1.3\text{ мА}$; $V_{CB}=200\text{ мВ}$	SOT23-6	VEE • DRAIN • GATE • GND • PGOOD • ON/OFF
AAQK	MAX5900ABEUT	MAX	hscontr	$V_{EE}=-100 \dots -9\text{ В}$; $I_{CC}<1.3\text{ мА}$; $V_{CB}=300\text{ мВ}$	SOT23-6	VEE • DRAIN • GATE • GND • PGOOD • ON/OFF
AAQL	MAX5900ACEUT	MAX	hscontr	$V_{EE}=-100 \dots -9\text{ В}$; $I_{CC}<1.3\text{ мА}$; $V_{CB}=400\text{ мВ}$	SOT23-6	VEE • DRAIN • GATE • GND • PGOOD • ON/OFF
AAQM	MAX5900ABEUT	MAX	hscontr	$V_{EE}=-100 \dots -9\text{ В}$; $I_{CC}<1.3\text{ мА}$; $V_{CB}=200\text{ мВ}$	SOT23-6	VEE • DRAIN • GATE • GND • PGOOD • ON/OFF
AAQN	MAX5900LBEUT	MAX	hscontr	$V_{EE}=-100 \dots -9\text{ В}$; $I_{CC}<1.3\text{ мА}$; $V_{CB}=300\text{ мВ}$	SOT23-6	VEE • DRAIN • GATE • GND • PGOOD • ON/OFF
AAQO	MAX5900LCEUT	MAX	hscontr	$V_{EE}=-100 \dots -9\text{ В}$; $I_{CC}<1.3\text{ мА}$; $V_{CB}=400\text{ мВ}$	SOT23-6	VEE • DRAIN • GATE • GND • PGOOD • ON/OFF
AAQP	MAX5901AAEUT	MAX	hscontr	$V_{EE}=-100 \dots -9\text{ В}$; $I_{CC}<1.3\text{ мА}$; $V_{CB}=200\text{ мВ}$	SOT23-6	VEE • DRAIN • GATE • GND • PGOOD • ON/OFF
AAQQ	MAX5901ABEUT	MAX	hscontr	$V_{EE}=-100 \dots -9\text{ В}$; $I_{CC}<1.3\text{ мА}$; $V_{CB}=300\text{ мВ}$	SOT23-6	VEE • DRAIN • GATE • GND • PGOOD • ON/OFF
AAQR	MAX5901ACEUT	MAX	hscontr	$V_{EE}=-100 \dots -9\text{ В}$; $I_{CC}<1.3\text{ мА}$; $V_{CB}=400\text{ мВ}$	SOT23-6	VEE • DRAIN • GATE • GND • PGOOD • ON/OFF

f56 SON-6
M16 USM-6

SOT563
SOT666



SOT363 SOT457 SOT23-6
TSOT363 MW-6 TSOT23-6



Код	Типономинал	Б	Ф	Особенности	Корпус	Ц: 1*2*3*4*5*6
AAQS	MAX5901LAEUT	MAX	hscntr	$V_{EE} = -100 \dots -9\text{ В}$; $I_{CC} < 1.3\text{ мА}$; $V_{CB} = 200\text{ мВ}$	SOT23-6	VEE • DRAIN • GATE • GND • PGOOD • ON/OFF
AAQT	MAX5901LBEUT	MAX	hscntr	$V_{EE} = -100 \dots -9\text{ В}$; $I_{CC} < 1.3\text{ мА}$; $V_{CB} = 300\text{ мВ}$	SOT23-6	VEE • DRAIN • GATE • GND • PGOOD • ON/OFF
AAQU	MAX5901LCEUT	MAX	hscntr	$V_{EE} = -100 \dots -9\text{ В}$; $I_{CC} < 1.3\text{ мА}$; $V_{CB} = 400\text{ мВ}$	SOT23-6	VEE • DRAIN • GATE • GND • PGOOD • ON/OFF
AAQV	MAX5900NBEUT	MAX	hscntr	$V_{EE} = -100 \dots -9\text{ В}$; $I_{CC} < 1.3\text{ мА}$	SOT23-6	VEE • DRAIN • GATE • GND • PGOOD • ON/OFF
AAQW	MAX5901NBEUT	MAX	hscntr	$V_{EE} = -100 \dots -9\text{ В}$; $I_{CC} < 1.3\text{ мА}$	SOT23-6	VEE • DRAIN • GATE • GND • PGOOD • ON/OFF
AAQX	MAX6826TUT	MAX	mrc + wdt	$V_{IR} = 3.08\text{ В}$; $V_{DD} = 1.2 \dots 5.5\text{ В}$; $I_{CC} < 30\text{ мкА}$	SOT23-6	RES • GND • MR • WDI • RES IN • VCC
AAQY	MAX6827LUT	MAX	mrc + wdt	$V_{IR} = 4.63\text{ В}$; $V_{DD} = 1.2 \dots 5.5\text{ В}$; $I_{CC} < 30\text{ мкА}$	SOT23-6	RES • GND • MR • WDI • RES IN • VCC
AAQZ	MAX6829SHUT	MAX	mrc + wdt	$V_{IR1} = 2.93\text{ В}$; $V_{IR2} = 1.313\text{ В}$; $V_{DD} = 1.2 \dots 5.5\text{ В}$; $I_{CC} < 30\text{ мкА}$	SOT23-6	RES • GND • MR • WDI • VCC2 • VCC
AAR	MAX5464EXT	MAX	Dpot	32 позиции; 50 кОм ; $V_{DD} = 2.7 \dots 5.5\text{ В}$	SOT363, SC88	VDD • GND • U/D • CS • L • H
AARA	MAX6830YGLUT	MAX	mrc + wdt	$V_{IR1} = 2.19\text{ В}$; $V_{IR2} = 1.11\text{ В}$; $V_{DD} = 1.2 \dots 5.5\text{ В}$; $I_{CC} < 30\text{ мкА}$	SOT23-6	RES • GND • MR • WDI • VCC2 • VCC
AARB	MAX6323CUT46	MAX	mrc	$V_{IR} = 4.63\text{ В}$; $V_{DD} = 1.2 \dots 5.5\text{ В}$; $I_{CC} < 57\text{ мкА}$	SOT23-6	MR • GND • WDI • VCC • WDPO • RES
AARC	MAX6324HUT31	MAX	mrc	$V_{IR} = 3.00\text{ В}$; $V_{DD} = 1.2 \dots 5.5\text{ В}$; $I_{CC} < 57\text{ мкА}$	SOT23-6	MR • GND • WDI • VCC • WDPO • RES
AARD	MAX6323PUT23	MAX	mrc	$V_{IR} = 2.25\text{ В}$; $V_{DD} = 1.2 \dots 5.5\text{ В}$; $I_{CC} < 57\text{ мкА}$	SOT23-6	MR • GND • WDI • VCC • WDPO • RES
AARE	MAX6324AUT46	MAX	mrc	$V_{IR} = 4.63\text{ В}$; $V_{DD} = 1.2 \dots 5.5\text{ В}$; $I_{CC} < 57\text{ мкА}$	SOT23-6	MR • GND • WDI • VCC • WDPO • RES
AARF	MAX6819UT	MAX	vseq	$V_{IR} = 0.62\text{ В}$; $V_{CC} = 0.9 \dots 5.5\text{ В}$; $I_{CC} < 120\text{ мкА}$	SOT23-6	VCC1 • GND • SETV • EN • GATE • VCC2
AARG	MAX6820UT	MAX	vseq	$V_{IR} = 0.62\text{ В}$; $V_{CC} = 0.9 \dots 5.5\text{ В}$; $I_{CC} < 120\text{ мкА}$	SOT23-6	VCC1 • GND • SETV • SETD • GATE • VCC2
AARH	MAX5467EUT	MAX	Dpot	32 позиции; 10 кОм ; $V_{DD} = 2.7 \dots 5.5\text{ В}$	SOT23-6	VDD • GND • U/D • CS • L • H
AARI	MAX5468EUT	MAX	Dpot	32 позиции; 10 кОм ; $V_{DD} = 2.7 \dots 5.5\text{ В}$	SOT23-6	VDD • GND • U/D • CS • W • H
AARJ	MAX6323AUT29	MAX	mrc	$V_{IR} = 2.93\text{ В}$; $V_{DD} = 1.2 \dots 5.5\text{ В}$; $I_{CC} < 57\text{ мкА}$	SOT23-6	MR • GND • WDI • VCC • WDPO • RES
AARK	MAX6351RVUT	MAX	mrc	$V_{IR1} = 2.63\text{ В}$; $V_{IR2} = 1.58\text{ В}$; $V_{DD} = 1.2 \dots 5.5\text{ В}$; $I_{CC} < 50\text{ мкА}$	SOT23-6	RST1 • GND • MR • VCC2 • RST2 • VCC1
AARL	MAX6356RWUT	MAX	mrc	$V_{IR1} = 2.63\text{ В}$; $V_{IR2} = 1.67\text{ В}$; $V_{DD} = 1.2 \dots 5.5\text{ В}$; $I_{CC} < 50\text{ мкА}$	SOT23-6	RST • GND • MR • VCC2 • RSTIN • VCC1
AARM	MAX6357UVUT	MAX	mrc	$V_{IR1} = 2.78\text{ В}$; $V_{IR2} = 1.67\text{ В}$; $V_{DD} = 1.2 \dots 5.5\text{ В}$; $I_{CC} < 50\text{ мкА}$	SOT23-6	RST • GND • MR • VCC2 • RSTIN • VCC1
AARN	MAX6358TWUT	MAX	mrc	$V_{IR1} = 2.93\text{ В}$; $V_{IR2} = 2.19\text{ В}$; $V_{DD} = 1.2 \dots 5.5\text{ В}$; $I_{CC} < 50\text{ мкА}$	SOT23-6	RST • GND • MR • VCC2 • WDI • VCC1
AARO	MAX6358SVUT	MAX	mrc	$V_{IR1} = 2.93\text{ В}$; $V_{IR2} = 1.58\text{ В}$; $V_{DD} = 1.2 \dots 5.5\text{ В}$; $I_{CC} < 50\text{ мкА}$	SOT23-6	RST • GND • MR • VCC2 • WDI • VCC1
AARP	MAX6359RVUT	MAX	mrc	$V_{IR1} = 2.63\text{ В}$; $V_{IR2} = 1.58\text{ В}$; $V_{DD} = 1.2 \dots 5.5\text{ В}$; $I_{CC} < 50\text{ мкА}$	SOT23-6	RST • GND • MR • VCC2 • WDI • VCC1
AARQ	MAX6360SVUT	MAX	mrc	$V_{IR1} = 2.93\text{ В}$; $V_{IR2} = 1.67\text{ В}$; $V_{DD} = 1.2 \dots 5.5\text{ В}$; $I_{CC} < 50\text{ мкА}$	SOT23-6	RST • GND • MR • VCC2 • WDI • VCC1
AARR	MAX6356RWUT	MAX	mrc	$V_{IR1} = 2.63\text{ В}$; $V_{IR2} = 1.67\text{ В}$; $V_{DD} = 1.2 \dots 5.5\text{ В}$; $I_{CC} < 50\text{ мкА}$	SOT23-6	RST • GND • MR • VCC2 • RSTIN • VCC1
AARS	MAX6356UVUT	MAX	mrc	$V_{IR1} = 2.78\text{ В}$; $V_{IR2} = 1.58\text{ В}$; $V_{DD} = 1.2 \dots 5.5\text{ В}$; $I_{CC} < 50\text{ мкА}$	SOT23-6	RST • GND • MR • VCC2 • RSTIN • VCC1
AART	MAX6359UVUT	MAX	mrc	$V_{IR1} = 2.78\text{ В}$; $V_{IR2} = 1.58\text{ В}$; $V_{DD} = 1.2 \dots 5.5\text{ В}$; $I_{CC} < 50\text{ мкА}$	SOT23-6	RST • GND • MR • VCC2 • WDI • VCC1
AARU	MAX9109EUT	MAX	cmp	$V_{DS} < 4\text{ мВ}$; $V_{CC} = 4.5 \dots 5.5\text{ В}$; $I_{CC} < 0.7\text{ мА}$	SOT23-6	OUT • GND • IN+ • IN- • LE • VCC
AARV	MAX4647EUT	MAX	asw	SPST, $R_{ON} < 300\text{ Ом}$; $V_{DD} = 9 \dots 36\text{ В}$; $I_{A} = 5 \dots 20\text{ В}$	SOT23-6	NC • V- • IN • GND • V+ • COM



SOT23-6 SOT457 SOT363
TSOT23-6 MW-6 TSOT363



SOT563 SON-6 fS6
SOT666 USM-6 M16

Код	Типономинал	Б	Ф	Особенности	Корпус	Ц: 1•2•3•4•5•6
AARW	MAX464BEUT	MAX	asw	SPST; $R_{ON} < 30 \text{ Ом}$; $V_{DD} = 9...36$; $I_{AS} = 20 \text{ Б}$	SOT23-6	NO • V+ • IN • GND • V+ • COM
AARX	MAX4289EUT	MAX	OA	P-R; $V_{DD} = 1.0...5.5 \text{ В}$; $I_{CC} < 40 \text{ мА}$; $V_{DS} < 6 \text{ мВ}$	SOT23-6	OUT • GND • IN+ • IN- • n.c. • VCC
AAS	MAX546EEXT	MAX	Dpot	32 позиции; 50 кОм ; $V_{DD} = 2.7...5.5 \text{ В}$	SOT363, SC88	VDD • GND • U/D • CS • W • H
AASA	MAX5902AAEUT	MAX	hscontr	$V_S = +9...+72 \text{ В}$; $I_{CC} < 2 \text{ мА}$; $V_{CB} = 300 \text{ мВ}$	SOT23-6	VS • DRAIN • GATE • GND • PGOOD • ON/OFF
AASB	MAX5902ABEUT	MAX	hscontr	$V_S = +9...+72 \text{ В}$; $I_{CC} < 2 \text{ мА}$; $V_{CB} = 400 \text{ мВ}$	SOT23-6	VS • DRAIN • GATE • GND • PGOOD • ON/OFF
AASC	MAX5902ACEUT	MAX	hscontr	$V_S = +9...+72 \text{ В}$; $I_{CC} < 2 \text{ мА}$; $V_{CB} = 500 \text{ мВ}$	SOT23-6	VS • DRAIN • GATE • GND • PGOOD • ON/OFF
AASD	MAX5902ALEUT	MAX	hscontr	$V_S = +9...+72 \text{ В}$; $I_{CC} < 2 \text{ мА}$; $V_{CB} = 300 \text{ мВ}$	SOT23-6	VS • DRAIN • GATE • GND • PGOOD • ON/OFF
AASE	MAX5902LBEUT	MAX	hscontr	$V_S = +9...+72 \text{ В}$; $I_{CC} < 2 \text{ мА}$; $V_{CB} = 400 \text{ мВ}$	SOT23-6	VS • DRAIN • GATE • GND • PGOOD • ON/OFF
AASF	MAX5902LCEUT	MAX	hscontr	$V_S = +9...+72 \text{ В}$; $I_{CC} < 2 \text{ мА}$; $V_{CB} = 500 \text{ мВ}$	SOT23-6	VS • DRAIN • GATE • GND • PGOOD • ON/OFF
AASG	MAX5903AAEUT	MAX	hscontr	$V_S = +9...+72 \text{ В}$; $I_{CC} < 2 \text{ мА}$; $V_{CB} = 300 \text{ мВ}$	SOT23-6	VS • DRAIN • GATE • GND • PGOOD • ON/OFF
AASH	MAX5903ABEUT	MAX	hscontr	$V_S = +9...+72 \text{ В}$; $I_{CC} < 2 \text{ мА}$; $V_{CB} = 400 \text{ мВ}$	SOT23-6	VS • DRAIN • GATE • GND • PGOOD • ON/OFF
AASI	MAX5903ACEUT	MAX	hscontr	$V_S = +9...+72 \text{ В}$; $I_{CC} < 2 \text{ мА}$; $V_{CB} = 500 \text{ мВ}$	SOT23-6	VS • DRAIN • GATE • GND • PGOOD • ON/OFF
AASJ	MAX5903LAEUT	MAX	hscontr	$V_S = +9...+72 \text{ В}$; $I_{CC} < 2 \text{ мА}$; $V_{CB} = 300 \text{ мВ}$	SOT23-6	VS • DRAIN • GATE • GND • PGOOD • ON/OFF
AASK	MAX5903LBEUT	MAX	hscontr	$V_S = +9...+72 \text{ В}$; $I_{CC} < 2 \text{ мА}$; $V_{CB} = 400 \text{ мВ}$	SOT23-6	VS • DRAIN • GATE • GND • PGOOD • ON/OFF
AASL	MAX5903LCEUT	MAX	hscontr	$V_S = +9...+72 \text{ В}$; $I_{CC} < 2 \text{ мА}$; $V_{CB} = 500 \text{ мВ}$	SOT23-6	VS • DRAIN • GATE • GND • PGOOD • ON/OFF
AASM	MAX5902NNEUT	MAX	hscontr	$V_S = +9...+72 \text{ В}$; $I_{CC} < 2 \text{ мА}$	SOT23-6	VS • DRAIN • GATE • GND • PGOOD • ON/OFF
AASN	MAX5903NNEUT	MAX	hscontr	$V_S = +9...+72 \text{ В}$; $I_{CC} < 2 \text{ мА}$	SOT23-6	VS • DRAIN • GATE • GND • PGOOD • ON/OFF
AASO	MAX1818EUT15	MAX	reg	LDO; $V_{IN} = 2.5...5.5 \text{ В}$; $V_{OUT} = 1.5/1.25...5 \text{ В}$; $I_{OUT} = 500 \text{ мА}$	SOT23-6	IN • POK • SHDN • GND • SET • OUT
AASP	MAX635MSUT	MAX	mic	$V_{TRI} = 4.38 \text{ В}$; $V_{IRE} = 2.93 \text{ В}$; $V_{DD} = 1.2...5.5 \text{ В}$; $I_{CC} < 50 \text{ мА}$	SOT23-6	RST • GND • MR • VCC2 • RSTIN • VCC1
AASQ	MAX5021EUT	MAX	PWM	$V_{IN} = 11...28 \text{ В}$; $DT < 50\%$; $I_{CC} < 2.43 \text{ мА}$	SOT23-6	CS • GND • NDRV • VCC • VIN • OPTO
AASR	MAX5022EUT	MAX	PWM	$V_{IN} = 11...28 \text{ В}$; $DT < 70\%$; $I_{CC} < 2.43 \text{ мА}$	SOT23-6	CS • GND • NDRV • VCC • VIN • OPTO
AAT	MAX1474AXT	MAX	флсеп	$C = 6.4...13.3 \text{ нФ}$; цифровой интерфейс; $V_{DD} = 4.5...5.5 \text{ В}$	SOT363, SC88	CP • VDD • EN • DAT • VSS • CM
AAU	MAX9109EXT	MAX	cmp	$V_{DS} < 4 \text{ мВ}$; $V_{CC} = 4.5...5.5 \text{ В}$; $I_{CC} < 0.7 \text{ мА}$	SOT363, SC88	OUT • GND • IN+ • IN- • LE • VCC
AAV	MAX4380EXT	MAX	OA	P-R; $V_{DD} = 4.5...11/12.25...5.5 \text{ В}$; $I_{DD} = 210 \text{ мА}$; $V_{DS} < 20 \text{ мВ}$	SOT363, SC88	OUT • VEE • IN+ • IN- • DISABLE • VCC
AAXH	MAX6033CAUT25	MAX	vref	$V_{IN} = 2.7...12.6 \text{ В}$; $AC < \pm 0.1\%$; $V_{OUT} = 2.500 \text{ В}$	SOT23-6	i.c. • GND • i.c. • IN • OUTF • OUTS
AAXI	MAX6033CAUT30	MAX	vref	$V_{IN} = 2.7...12.6 \text{ В}$; $AC < \pm 0.1\%$; $V_{OUT} = 3.000 \text{ В}$	SOT23-6	i.c. • GND • i.c. • IN • OUTF • OUTS
AAXJ	MAX6033CAUT41	MAX	vref	$V_{IN} = 2.7...12.6 \text{ В}$; $AC < \pm 0.1\%$; $V_{OUT} = 4.096 \text{ В}$	SOT23-6	i.c. • GND • i.c. • IN • OUTF • OUTS
AAXK	MAX6033CAUT50	MAX	vref	$V_{IN} = 2.7...12.6 \text{ В}$; $AC < \pm 0.1\%$; $V_{OUT} = 5.000 \text{ В}$	SOT23-6	i.c. • GND • i.c. • IN • OUTF • OUTS
AAXL	MAX6033BAUT25	MAX	vref	$V_{IN} = 2.7...12.6 \text{ В}$; $AC < \pm 0.2\%$; $V_{OUT} = 2.500 \text{ В}$	SOT23-6	i.c. • GND • i.c. • IN • OUTF • OUTS
AAXM	MAX6033BAUT30	MAX	vref	$V_{IN} = 2.7...12.6 \text{ В}$; $AC < \pm 0.2\%$; $V_{OUT} = 3.000 \text{ В}$	SOT23-6	i.c. • GND • i.c. • IN • OUTF • OUTS
AAXN	MAX6033BAUT41	MAX	vref	$V_{IN} = 2.7...12.6 \text{ В}$; $AC < \pm 0.2\%$; $V_{OUT} = 4.096 \text{ В}$	SOT23-6	i.c. • GND • i.c. • IN • OUTF • OUTS
AAXO	MAX6033BAUT50	MAX	vref	$V_{IN} = 2.7...12.6 \text{ В}$; $AC < \pm 0.2\%$; $V_{OUT} = 5.000 \text{ В}$	SOT23-6	i.c. • GND • i.c. • IN • OUTF • OUTS
ABDF	MAX6033AAUT25	MAX	vref	$V_{IN} = 2.7...12.6 \text{ В}$; $AC < \pm 0.04\%$; $V_{OUT} = 2.500 \text{ В}$	SOT23-6	i.c. • GND • i.c. • IN • OUTF • OUTS
ABDG	MAX6033AAUT30	MAX	vref	$V_{IN} = 2.7...12.6 \text{ В}$; $AC < \pm 0.04\%$; $V_{OUT} = 3.000 \text{ В}$	SOT23-6	i.c. • GND • i.c. • IN • OUTF • OUTS

f56 SON-6
M16 USM-6

SOT563
SOT666



SOT363 SOT457
TSOT363 MW-6

SOT23-6
TSOT23-6



Код	Типономинал	Б	Ф	Особенности	Корпус	Ц: 1•2•3•4•5•6
ABDH	MAX6033AAUJT41	MAX	vref	$V_{IN} = 2.7 \dots 12.6 \text{ В}$; $AC < \pm 0.04\%$; $V_{OUT} = 4.096 \text{ В}$	SOT23-6	i.c. • GND • i.c. • IN • OUT • OUTS
ABDI	MAX6033AAUJT50	MAX	vref	$V_{IN} = 2.7 \dots 12.6 \text{ В}$; $AC < \pm 0.04\%$; $V_{OUT} = 5.000 \text{ В}$	SOT23-6	i.c. • GND • i.c. • IN • OUT • OUTS
ABEC	MAX5048AAUJT	MAX	drv	KМОП-вход; $V_{CC} = 4 \dots 12.6 \text{ В}$; $I_{OUT} < 7.6/1.3 \text{ А}$	SOT23-6	+V • P_OUT • N_OUT • GND • IN • IN+
ABED	MAX5048BAUT	MAX	drv	ТТЛ-вход; $V_{CC} = 4 \dots 12.6 \text{ В}$; $I_{OUT} < 7.6/1.3 \text{ А}$	SOT23-6	+V • P_OUT • N_OUT • GND • IN • IN+
ABGS	MAX3190EEUJT	MAX	Transmit	RS-232; $V_{CC} = \pm 7.5 \dots \pm 12 \text{ В}$; $f_{DR} = 460 \text{ КГц}$; $I_{CC} < 250 \text{ мА}$	SOT23-6	SHDN • GND • TIN • TOUT • VEE • VCC
ADO	ADS1100A1DBV	TI	ADC	16-разр.; I^2C ; адрес 1001000; $V_{DD} = 2.7 \dots 5.5 \text{ В}$	SOT23-6	VIN+ • GND • SCL • SDA • VDD • VIN-
AD1	ADS1100A1DBV	TI	ADC	16-разр.; I^2C ; адрес 1001001; $V_{DD} = 2.7 \dots 5.5 \text{ В}$	SOT23-6	VIN+ • GND • SCL • SDA • VDD • VIN-
AD2	ADS1100A2DBV	TI	ADC	16-разр.; I^2C ; адрес 1001010; $V_{DD} = 2.7 \dots 5.5 \text{ В}$	SOT23-6	VIN+ • GND • SCL • SDA • VDD • VIN-
AD3	ADS1100A3DBV	TI	ADC	16-разр.; I^2C ; адрес 1001011; $V_{DD} = 2.7 \dots 5.5 \text{ В}$	SOT23-6	VIN+ • GND • SCL • SDA • VDD • VIN-
AD4	ADS1100A4DBV	TI	ADC	16-разр.; I^2C ; адрес 1001100; $V_{DD} = 2.7 \dots 5.5 \text{ В}$	SOT23-6	VIN+ • GND • SCL • SDA • VDD • VIN-
AD5	ADS1100A5DBV	TI	ADC	16-разр.; I^2C ; адрес 1001101; $V_{DD} = 2.7 \dots 5.5 \text{ В}$	SOT23-6	VIN+ • GND • SCL • SDA • VDD • VIN-
AD6	ADS1100A6DBV	TI	ADC	16-разр.; I^2C ; адрес 1001110; $V_{DD} = 2.7 \dots 5.5 \text{ В}$	SOT23-6	VIN+ • GND • SCL • SDA • VDD • VIN-
AD7	ADS1100A7DBV	TI	ADC	16-разр.; I^2C ; адрес 1001111; $V_{DD} = 2.7 \dots 5.5 \text{ В}$	SOT23-6	VIN+ • GND • SCL • SDA • VDD • VIN-
AK	HSMS280K	HP	shd x2	$V_{BB} > 70 \text{ В}$; $V_F(I_F = 15 \text{ мА}) < 1.0 \text{ В}$; $I_H(V_A = 50 \text{ В}) < 200 \text{ нА}$; $C_D < 2.0 \text{ нФ}$	SOT363, SC88	A1 • n.c. • A2 • K2 • n.c. • K1
AL	HSMS280L	HP	shd x3	$V_{BB} > 70 \text{ В}$; $V_F(I_F = 15 \text{ мА}) < 1.0 \text{ В}$; $I_H(V_A = 50 \text{ В}) < 200 \text{ нА}$; $C_D < 2.0 \text{ нФ}$	SOT363, SC88	A1 • A2 • A3 • K3 • K2 • K1
AM	HSMS280M	HP	shd x4	$V_{BB} > 70 \text{ В}$; $V_F(I_F = 15 \text{ мА}) < 1.0 \text{ В}$; $I_H(V_A = 50 \text{ В}) < 200 \text{ нА}$; $C_D < 2.0 \text{ нФ}$	SOT363, SC88	A1 • K1, K2, K3, K4 • A2 • A3 • K1, K2, K3, K4 • A4
AN	HSMS280N	HP	shd x4	$V_{BB} > 70 \text{ В}$; $V_F(I_F = 15 \text{ мА}) < 1.0 \text{ В}$; $I_H(V_A = 50 \text{ В}) < 200 \text{ нА}$; $C_D < 2.0 \text{ нФ}$	SOT363, SC88	A1 • A1, A2, A3, A4 • K2 • K3 • A1, A2, A3, A4 • K4
AP	HSMS280P	HP	shd x4	$V_{BB} > 70 \text{ В}$; $V_F(I_F = 15 \text{ мА}) < 1.0 \text{ В}$; $I_H(V_A = 50 \text{ В}) < 200 \text{ нА}$; $C_D < 2.0 \text{ нФ}$	SOT363, SC88	A1 • K1, A2 • K2 • K3 • K4, A3 • A4
B1	IMB1A	ROHM	Dnpn x2	$V_{CC} = 50 \text{ В}$; $I_{OUT} = 30 \text{ мА}$; $P_D = 300 \text{ мВт}$; $h_{21} > 56$; $22 \text{ кОм}/22 \text{ кОм}$	SOT23-6	C1 • B2 • E2 • C2 • B1 • E1
B1	UMB1N	ROHM	Dnpn x2	$V_{CC} = 50 \text{ В}$; $I_{OUT} = 30 \text{ мА}$; $P_D = 150 \text{ мВт}$; $h_{21} > 56$; $22 \text{ кОм}/22 \text{ кОм}$	SOT363, SC88	E1 • B1 • C2 • E2 • B2 • C1
B10	EMB10	ROHM	Dnpn x2	$V_{CC} = 50 \text{ В}$; $I_{OUT} = 100 \text{ мА}$; $P_D = 150 \text{ мВт}$; $h_{21} > 80$; $2.2 \text{ кОм}/47 \text{ кОм}$	SOT563, EMT6	E1 • B1 • C2 • E2 • B2 • C1
B10	IMB10A	ROHM	Dnpn x2	$V_{CC} = 50 \text{ В}$; $I_{OUT} = 100 \text{ мА}$; $P_D = 300 \text{ мВт}$; $h_{21} > 80$; $2.2 \text{ кОм}/47 \text{ кОм}$	SOT23-6	C1 • B2 • E2 • C2 • B1 • E1
B10	UMB10N	ROHM	Dnpn x2	$V_{CC} = 50 \text{ В}$; $I_{OUT} = 100 \text{ мА}$; $P_D = 150 \text{ мВт}$; $h_{21} > 80$; $2.2 \text{ кОм}/47 \text{ кОм}$	SOT363, SC88	E1 • B1 • C2 • E2 • B2 • C1
B11	EMB11	ROHM	Dnpn x2	$V_{CC} = 50 \text{ В}$; $I_{OUT} = 100 \text{ мА}$; $P_D = 150 \text{ мВт}$; $h_{21} > 30$; $10 \text{ кОм}/10 \text{ кОм}$	SOT563, EMT6	E1 • B1 • C2 • E2 • B2 • C1
B11	IMB11A	ROHM	Dnpn x2	$V_{CC} = 50 \text{ В}$; $I_{OUT} = 100 \text{ мА}$; $P_D = 300 \text{ мВт}$; $h_{21} > 30$; $10 \text{ кОм}/10 \text{ кОм}$	SOT23-6	C1 • B2 • E2 • C2 • B1 • E1
B11	UMB11N	ROHM	Dnpn x2	$V_{CC} = 50 \text{ В}$; $I_{OUT} = 100 \text{ мА}$; $P_D = 150 \text{ мВт}$; $h_{21} > 30$; $10 \text{ кОм}/10 \text{ кОм}$	SOT363, SC88	E1 • B1 • C2 • E2 • B2 • C1
B16	IMB16	ROHM	Dnpn x2	$V_{CC} = 50 \text{ В}$; $I_{OUT} = 500 \text{ мА}$; $P_D = 300 \text{ мВт}$; $h_{21} > 30$; $R2/R1 = 2.1$	SOT23-6	C1 • B2 • E2 • C2 • B1 • E1
B17	IMB17A	ROHM	Dnpn x2	$V_{CC} = 50 \text{ В}$; $I_{OUT} = 100 \text{ мА}$; $P_D = 300 \text{ мВт}$; $h_{21} > 33$; $R2/R1 = 10$	SOT23-6	C1 • B1 • C2 • E2 • B2 • E1
B2	EMB2	ROHM	Dnpn x2	$V_{CC} = 50 \text{ В}$; $I_{OUT} = 30 \text{ мА}$; $P_D = 150 \text{ мВт}$; $h_{21} > 68$; $47 \text{ кОм}/47 \text{ кОм}$	SOT563, EMT6	E1 • B1 • C2 • E2 • B2 • C1
B2	IMB2A	ROHM	Dnpn x2	$V_{CC} = 50 \text{ В}$; $I_{OUT} = 30 \text{ мА}$; $P_D = 300 \text{ мВт}$; $h_{21} > 68$; $47 \text{ кОм}/47 \text{ кОм}$	SOT23-6	C1 • B2 • E2 • C2 • B1 • E1



SOT23-6 SOT457 SOT363
TSOT23-6 MW-6 TSOT363



SOT563 SON-6 fS6
SOT666 USM-6 M16

Код	Типономинал	Б	Ф	Особенности	Корпус	Ц: 1•2•3•4•5•6
B2	UMB2N	ROHM	Dnpn x2	$V_{CC}=50В; I_{OUT}=30mA; P_D=150mBт; h_{21}>68; R_1 4,7k\Omega/47k\Omega$	SOT363, SC88	E1•B1•C2•E2•B2•C1
B3	EMB3	ROHM	Dnpn x2	$V_{CC}=50В; I_{OUT}=100mA; P_D=150mBт; h_{21}>100; R_1 4,7k\Omega$	SOT563, EMT6	E1•B1•C2•E2•B2•C1
B3	IMB3A	ROHM	Dnpn x2	$V_{CC}=50В; I_{OUT}=100mA; P_D=300mBт; h_{21}>100; R_1 4,7k\Omega$	SOT23-6	C1•B2•E2•C2•B1•E1
B3	UMB3N	ROHM	Dnpn x2	$V_{CC}=50В; I_{OUT}=100mA; P_D=150mBт; h_{21}>100; R_1 4,7k\Omega$	SOT363, SC88	E1•B1•C2•E2•B2•C1
B4	EMB4	ROHM	Dnpn x2	$V_{CC}=50В; I_{OUT}=100mA; P_D=150mBт; h_{21}>100; R_1 10k\Omega$	SOT563, EMT6	E1•B1•C2•E2•B2•C1
B4	IMB4A	ROHM	Dnpn x2	$V_{CC}=50В; I_{OUT}=100mA; P_D=300mBт; h_{21}>100; R_1 10k\Omega$	SOT23-6	C1•B2•E2•C2•B1•E1
B4	UMB4N	ROHM	Dnpn x2	$V_{CC}=50В; I_{OUT}=100mA; P_D=150mBт; h_{21}>100; R_1 10k\Omega$	SOT363, SC88	E1•B1•C2•E2•B2•C1
B5	IMB5A	ROHM	Dnpn x2	$V_{CC}=50В; I_{OUT}=100mA; P_D=300mBт; h_{21}>56; R_2/R_1=1$	SOT23-6	C1•B1•C2•B2•E2•C1
B5	UMB5N	ROHM	Dnpn x2	$V_{CC}=50В; I_{OUT}=100mA; P_D=150mBт; h_{21}>56; R_2/R_1=22k\Omega/22k\Omega$	SOT363, SC88	E1•E2•B2•C2•B1•C1
B6	EMB6	ROHM	Dnpn x2	$V_{CC}=50В; I_{OUT}=50mA; P_D=150mBт; h_{21}>68; R_2/R_1=1$	SOT563, EMT6	C1•B1•C2•B2•E2•E1
B6	IMB6A	ROHM	Dnpn x2	$V_{CC}=50В; I_{OUT}=50mA; P_D=300mBт; h_{21}>68; R_2/R_1=1$	SOT23-6	C1•B1•C2•B2•E2•E1
B6	UMB6N	ROHM	Dnpn x2	$V_{CC}=50В; I_{OUT}=50mA; P_D=300mBт; h_{21}>68; R_2/R_1=1$	SOT363, SC88	C1•B1•C2•B2•E2•E1
B7	IMB7A	ROHM	Dnpn x2	$V_{CC}=50В; I_{OUT}=100mA; P_D=150mBт; h_{21}>100; R_1 4,7k\Omega$	SOT23-6	C1•B1•C2•B2•E2•E1
B8	IMB8A	ROHM	Dnpn x2	$V_{CC}=50В; I_{OUT}=100mA; P_D=150mBт; h_{21}>100; R_1 10k\Omega$	SOT23-6	C1•B1•C2•B2•E2•E1
B8	UMB8N	ROHM	Dnpn x2	$V_{CC}=50В; I_{OUT}=100mA; P_D=150mBт; h_{21}>100; R_1 10k\Omega$	SOT363, SC88	E1•E2•B2•C2•B1•C1
B9	EMB9	ROHM	Dnpn x2	$V_{CC}=50В; I_{OUT}=70mA; P_D=150mBт; h_{21}>100; 10k\Omega/47k\Omega$	SOT563, EMT6	E1•B1•C2•E2•B2•C1
B9	IMB9A	ROHM	Dnpn x2	$V_{CC}=50В; I_{OUT}=70mA; P_D=300mBт; h_{21}>100; 10k\Omega/47k\Omega$	SOT23-6	C1•B2•E2•C2•B1•E1
B9	UMB9N	ROHM	Dnpn x2	$V_{CC}=50В; I_{OUT}=70mA; P_D=150mBт; h_{21}>100; 10k\Omega/47k\Omega$	SOT363, SC88	E1•B1•C2•E2•B2•C1
BAC	ADP3820ART-4.1	AD	chg	Li-Ion; $V_{IN}=4.5...15В; V_{OUT}=4.1В$	SOT23-6	SD•GND•VOUT•GATE•VIN•IS
BBC	ADP3820ART-4.2	AD	chg	Li-Ion; $V_{IN}=4.5...15В; V_{OUT}=4.2В$	SOT23-6	SD•GND•VOUT•GATE•VIN•IS
BK	HSMS281K	HP	shd x2	$V_{BE}>20В; V_{CE}(I_C=35mA)<1.0В; I_B(I_{AS}=15В)<200\mu A; C_0<1.2nF$	SOT363, SC88	A1•n.c.•A2•K3•n.c.•K1
BL	HSMS281L	HP	shd x3	$V_{BE}>20В; V_{CE}(I_C=35mA)<1.0В; I_B(I_{AS}=15В)<200\mu A; C_0<1.2nF$	SOT363, SC88	A1•A2•A3•K3•K2•K1
BL	MBD54DW	ON	shd x2	$V_{BE}<30В; V_{CE}(I_C=10mA)<0.4В; C_0<10nF$	SOT363, SC88	A1•n.c.•K2•A2•n.c.•K1
C06	DDX123JK	DIODS	Dnpn/pnp	$V_{CC}=50В; I_C=100mA; 2.2k/47k$	SOT23-6	E1•B1•C2•E2•B2•C1
C06	DDX123JU	DIODS	Dnpn/pnp	$V_{CC}=50В; I_C=100mA; 2.2k/47k$	SOT363, SC88	E1•B1•C2•E2•B2•C1
C07	DDX143TK	DIODS	Dnpn/pnp	$V_{CC}=50В; I_C=100mA; R_1 4,7k$	SOT23-6	E1•B1•C2•E2•B2•C1
C07	DDX143TU	DIODS	Dnpn/pnp	$V_{CC}=50В; I_C=100mA; R_1 4,7k$	SOT363, SC88	E1•B1•C2•E2•B2•C1
C12	DDX114TK	DIODS	Dnpn/pnp	$V_{CC}=50В; I_C=100mA; R_1 10k$	SOT23-6	E1•B1•C2•E2•B2•C1
C12	DDX114TU	DIODS	Dnpn/pnp	$V_{CC}=50В; I_C=100mA; R_1 10k$	SOT363, SC88	E1•B1•C2•E2•B2•C1
C13	DDX114EK	DIODS	Dnpn/pnp	$V_{CC}=50В; I_C=100mA; 10k/10k$	SOT23-6	E1•B1•C2•E2•B2•C1
C13	DDX114EU	DIODS	Dnpn/pnp	$V_{CC}=50В; I_C=100mA; 10k/10k$	SOT363, SC88	E1•B1•C2•E2•B2•C1
C14	DDX114YK	DIODS	Dnpn/pnp	$V_{CC}=50В; I_C=100mA; 10k/47k$	SOT23-6	E1•B1•C2•E2•B2•C1

f56 SON-6
M16 USM-6SOT563
SOT666SOT363
TSOT363SOT457
MW-6SOT23-6
TSOT23-6

Код	Типономинал	Б	Ф	Особенности	Корпус	Ц: 1•2•3•4•5•6
C14	DDX114YU	DIODS	Dnpn/pnp	$V_{CC}=50\text{ В}; I_C=100\text{ мА}; 10\text{ к}/47\text{ к}$	SOT363, SC88	E1•B1•C2•E2•B2•C1
C17	DDX124EK	DIODS	Dnpn/pnp	$V_{CC}=50\text{ В}; I_C=100\text{ мА}; 22\text{ к}/22\text{ к}$	SOT23-6	E1•B1•C2•E2•B2•C1
C17	DDX124EU	DIODS	Dnpn/pnp	$V_{CC}=50\text{ В}; I_C=100\text{ мА}; 22\text{ к}/22\text{ к}$	SOT363, SC88	E1•B1•C2•E2•B2•C1
C20	DDX144EK	DIODS	Dnpn/pnp	$V_{CC}=50\text{ В}; I_C=100\text{ мА}; 47\text{ к}/47\text{ к}$	SOT23-6	E1•B1•C2•E2•B2•C1
C20	DDX144EU	DIODS	Dnpn/pnp	$V_{CC}=50\text{ В}; I_C=100\text{ мА}; 47\text{ к}/47\text{ к}$	SOT363, SC88	E1•B1•C2•E2•B2•C1
C2T	AD7466BRTZ	AD	ADC	12-pasp., SPI/QSPI/Microwire, $V_{DD}=1.6...3.6\text{ В}$	SOT23-6	VDD•GND•VIN•SCLK•SDATA•CS
C410	ZXSC410	ZETEX	vcon	$V_{CC}=1.65...8.0\text{ В}; I_{OUT}=300\text{ мА}$	SOT23-6	VCC•GND•STON•SENSE•VFB•DRIVE
C420	ZXSC420	ZETEX	vcon	$V_{CC}=1.65...8.0\text{ В}; I_{OUT}=300\text{ мА}$	SOT23-6	VCC•GND•EOR•SENSE•VFB•DRIVE
C65	OPA355NA	TI	OA	R-R; $V_{DD}=2.7...5.5\text{ В}; f_{3\text{ dB}}=200\text{ МГц}; I_S=14\text{ мА}; V_{OS}<\pm 15\text{ мВ}$	SOT23-6	OUT•V-•+IN•-IN•ENBL•V+
CAA	AD7814ART	AD	dis	10-pasp., SPI/QSPI/Microwire, $V_{DD}=2.7...5.5\text{ В}$	SOT23-6	GND•DIN•VDD•SCLK•CS•DOUT
CEW	AD7476AYKS	AD	ADC	12-pasp., SPI/QSPI/Microwire, $V_{DD}=2.35...5.25\text{ В}$	SOT363, SC88	VDD•GND•VIN•SCLK•SDATA•CS
CEY	AD7476ABKS	AD	ADC	12-pasp., SPI/QSPI/Microwire, $V_{DD}=2.35...5.25\text{ В}$	SOT363, SC88	VDD•GND•VIN•SCLK•SDATA•CS
CEZ	AD7476AAKS	AD	ADC	12-pasp., SPI/QSPI/Microwire, $V_{DD}=2.35...5.25\text{ В}$	SOT363, SC88	VDD•GND•VIN•SCLK•SDATA•CS
CFZ	AD7477AAKS	AD	ADC	10-pasp., SPI/QSPI/Microwire, $V_{DD}=2.35...5.25\text{ В}$	SOT363, SC88	VDD•GND•VIN•SCLK•SDATA•CS
CHA	AD7414ART	AD	dis	10-pasp., SMBus/I ² C, $V_{DD}=2.7...5.5\text{ В}$	SOT23-6	AS•GND•VDD•SCL•ALERT•SDA
CHB	AD7414ART	AD	dis	10-pasp., SMBus/I ² C, $V_{DD}=2.7...5.5\text{ В}$	SOT23-6	AS•GND•VDD•SCL•ALERT•SDA
CHC	AD7414ART	AD	dis	10-pasp., SMBus/I ² C, $V_{DD}=2.7...5.5\text{ В}$	SOT23-6	AS•GND•VDD•SCL•ALERT•SDA
CHD	AD7414ART	AD	dis	10-pasp., SMBus/I ² C, $V_{DD}=2.7...5.5\text{ В}$	SOT23-6	AS•GND•VDD•SCL•ALERT•SDA
CJZ	AD7478AAKS	AD	ADC	8-pasp., SPI/QSPI/Microwire, $V_{DD}=2.35...5.25\text{ В}$	SOT363, SC88	VDD•GND•VIN•SCLK•SDATA•CS
CK	HSMS282K	HP	shd x2	$V_{BE}>15\text{ В}; V_{CE}(I_C=30\text{ мА})<0.7\text{ В}; I_B(V_{BE}=1\text{ В})<100\text{ нА}; C_T<1.0\text{ нФ}; R_{10}=120\text{ Ом}$	SOT363, SC88	A1•n.c.•A2•K2•n.c.•K1
CL	HSMS282L	HP	shd x3	$V_{BE}>15\text{ В}; V_{CE}(I_C=30\text{ мА})<0.7\text{ В}; I_B(V_{BE}=1\text{ В})<100\text{ нА}; C_T<1.0\text{ нФ}; R_{10}=120\text{ Ом}$	SOT363, SC88	A1•A2•A3•K3•K2•K1
CLB	AD7466BRT	AD	ADC	12-pasp., SPI/QSPI/Microwire, $V_{DD}=1.6...3.6\text{ В}$	SOT23-6	VDD•GND•VIN•SCLK•SDATA•CS
CMB	AD7467BRT	AD	ADC	10-pasp., SPI/QSPI/Microwire, $V_{DD}=1.6...3.6\text{ В}$	SOT23-6	VDD•GND•VIN•SCLK•SDATA•CS
CMU	AD7467BRTZ	AD	ADC	10-pasp., SPI/QSPI/Microwire, $V_{DD}=1.6...3.6\text{ В}$	SOT23-6	VDD•GND•VIN•SCLK•SDATA•CS
CNA	AD7466ART	AD	ADC	12-pasp., SPI/QSPI/Microwire, $V_{DD}=1.6...3.6\text{ В}$	SOT23-6	VDD•GND•VIN•SCLK•SDATA•CS
CNB	AD7468BRT	AD	ADC	8-pasp., SPI/QSPI/Microwire, $V_{DD}=1.6...3.6\text{ В}$	SOT23-6	VDD•GND•VIN•SCLK•SDATA•CS
CNU	AD7468BRTZ	AD	ADC	8-pasp., SPI/QSPI/Microwire, $V_{DD}=1.6...3.6\text{ В}$	SOT23-6	VDD•GND•VIN•SCLK•SDATA•CS
cP	μPA873TD	NEC	npx x2	$V_{CE0}=9\text{ В}; I_C=100\text{ мА}; P_D=230\text{ мВт}; f_{T1}=100...145; f_T>3\text{ ГГц}$	M16, 1208	C1•E1•C2•E2•B2•B1
cP	μPA873TS	NEC	npx x2	$V_{CE0}=9\text{ В}; I_C=100\text{ мА}; P_D=230\text{ мВт}; f_{T1}=100...145; f_T>3\text{ ГГц}$	SOT666	C1•E1•C2•E2•B2•B1
CP	HSMS282P	HP	shd x4	$V_{BE}>15\text{ В}; V_{CE}(I_C=30\text{ мА})<0.7\text{ В}; I_B(V_{BE}=1\text{ В})<100\text{ нА}; C_T<1.0\text{ нФ}; R_{10}=120\text{ Ом}$	SOT363, SC88	A1•K1, A2•K2•K3•K4, A3•A4



SOT23-6
TSOT23-6

SOT457
MW-6

SOT363
TSOT363



SOT563
SOT666

SON-6
USM-6

fS6
M16

Код	Типономинал	Б	Ф	Особенности	Корпус	Ц: 1•2•3•4•5•6
CQA	AD7680ARJ	AD	ADC	16-пазр., SPI/QSPI/Microwire, $V_{DD} = 2.5...5.5B$	SOT23-6	VDD • GND • VIN • SCLK • SDATA • CS
CQB	AD7680BRJ	AD	ADC	16-пазр., SPI/QSPI/Microwire, $V_{DD} = 2.5...5.5B$	SOT23-6	VDD • GND • VIN • SCLK • SDATA • CS
CUA	AD7920AKS	AD	ADC	12-пазр., SPI/QSPI/Microwire, $V_{DD} = 2.35...5.25B$	SOT363, SC88	VDD • GND • VIN • SCLK • SDATA • CS
CUB	AD7920BKS	AD	ADC	12-пазр., SPI/QSPI/Microwire, $V_{DD} = 2.35...5.25B$	SOT363, SC88	VDD • GND • VIN • SCLK • SDATA • CS
CVA	AD7910AKS	AD	ADC	10-пазр., SPI/QSPI/Microwire, $V_{DD} = 2.35...5.25B$	SOT363, SC88	VDD • GND • VIN • SCLK • SDATA • CS
D1	IMD1A	ROHM	Dnpnp/npn	$V_{CC} = 50B$; $I_{OUT} = 100mA$; $P_D = 300mBt$; $h_{21} > 100$; $R_1 22k\Omega$	SOT23-6	C1 • B2 • E2 • C2 • B1 • E1
D10	IMD10A	ROHM	Dnpnp/npn	$V_{CC} = 50B$; $I_{OUT} = 500mA$; $I_{OUT2} = 100mA$; $P_D = 300mBt$; $h_{21} > 68$; $10k\Omega/100k\Omega$	SOT23-6	C1 • B2 • E2 • C2 • B1 • E1
D12	UMD12N	ROHM	Dnpnp/npn	$V_{CC} = 50B$; $I_{OUT} = 100mA$; $P_D = 150mBt$; $h_{21} > 68$; $47k\Omega/47k\Omega$	SOT363, SC88	E1 • B1 • C2 • E2 • B2 • C1
D14	IMD14	ROHM	Dnpnp/npn	$V_{CC} = 50B$; $I_{OUT} = 500mA$; $P_D = 300mBt$; $h_{21} > 82$; $R2/R1 = 45.5$	SOT23-6	C1 • B2 • E2 • C2 • B1 • E1
D16	IMD16A	ROHM	Dnpnp/npn	$V_{CC} = 50B$; $I_{OUT} = 500mA$; $P_D = 300mBt$; $h_{21} > 82$; $22k\Omega/22k\Omega$; $R_1 100k\Omega$	SOT23-6	C1 • B2 • E2 • C2 • B1 • E1
D2	EMD2	ROHM	Dnpnp/npn	$V_{CC} = 50B$; $I_{OUT} = 30mA$; $P_D = 150mBt$; $h_{21} > 56$; $22k\Omega/22k\Omega$	SOT563, EMT6	E1 • B1 • C2 • E2 • B2 • C1
D2	IMD2A	ROHM	Dnpnp/npn	$V_{CC} = 50B$; $I_{OUT} = 30mA$; $P_D = 300mBt$; $h_{21} > 56$; $22k\Omega/22k\Omega$	SOT23-6	C1 • B2 • E2 • C2 • B1 • E1
D2	UMD2N	ROHM	Dnpnp/npn	$V_{CC} = 50B$; $I_{OUT} = 500mA$; $P_D = 150mBt$; $h_{21} > 56$; $22k\Omega/22k\Omega$	SOT363, SC88	E1 • B1 • C2 • E2 • B2 • C1
D2B	AD5300BRT	AD	DAC	8-пазр., SPI/Microwire, $V_{DD} = 2.7...5.5B$	SOT23-6	VOUT • GND • VDD • DIN • SCLK • SYNC
D3	EMD3	ROHM	Dnpnp/npn	$V_{CC} = 50B$; $I_{OUT} = 50mA$; $P_D = 150mBt$; $h_{21} > 30$; $10k\Omega/10k\Omega$	SOT563, EMT6	E1 • B1 • C2 • E2 • B2 • C1
D3	IMD3A	ROHM	Dnpnp/npn	$V_{CC} = 50B$; $I_{OUT} = 50mA$; $P_D = 300mBt$; $h_{21} > 30$; $10k\Omega/10k\Omega$	SOT23-6	C1 • B2 • E2 • C2 • B1 • E1
D3	UMD3N	ROHM	Dnpnp/npn	$V_{CC} = 50B$; $I_{OUT} = 50mA$; $P_D = 150mBt$; $h_{21} > 30$; $10k\Omega/10k\Omega$	SOT363, SC88	E1 • B1 • C2 • E2 • B2 • C1
D3B	AD5310BRT	AD	DAC	10-пазр., SPI/Microwire, $V_{DD} = 2.7...5.5B$	SOT23-6	VOUT • GND • VDD • DIN • SCLK • SYNC
D4B	AD5320BRT	AD	DAC	12-пазр., SPI/Microwire, $V_{DD} = 2.7...5.5B$	SOT23-6	VOUT • GND • VDD • DIN • SCLK • SYNC
D6	EMD6	ROHM	Dnpnp/npn	$V_{CC} = 50B$; $I_{OUT} = 100mA$; $P_D = 150mBt$; $h_{21} > 100$; $R_1 4.7k\Omega$	SOT563, EMT6	E1 • B1 • C2 • E2 • B2 • C1
D6	IMD6A	ROHM	Dnpnp/npn	$V_{CC} = 50B$; $I_{OUT} = 100mA$; $P_D = 300mBt$; $h_{21} > 100$; $R_1 4.7k\Omega$	SOT23-6	C1 • B2 • E2 • C2 • B1 • E1
D6	UMD6N	ROHM	Dnpnp/npn	$V_{CC} = 50B$; $I_{OUT} = 100mA$; $P_D = 150mBt$; $h_{21} > 100$; $R_1 4.7k\Omega$	SOT363, SC88	E1 • B1 • C2 • E2 • B2 • C1
D619	ZXTD09N50DE6	ZETEX	nnp x2	$V_{DS} = 50B$; $I_C = 1A$; $P_D = 900mBt$; $h_{21} > 20$; $f_t = 215MHz$	SOT23-6	C1 • E1 • C2 • B2 • E2 • B1
D8	IMD8A	ROHM	Dnpnp/npn	$V_{CC} = 50B$; $I_{OUT} = 100mA$; $P_D = 300mBt$; $h_{21} > 100$; $R_1 4.7k\Omega$	SOT23-6	C1 • B2 • E2 • C2 • B1 • E1
D8B	AD5301BRT	AD	DAC	8-пазр.; I ² C; $V_{DD} = 2.7...5.5B$	SOT23-6	GND • SDA • SCL • VOUT • A0 • VDD
D9	EMD9	ROHM	Dnpnp/npn	$V_{CC} = 50B$; $I_{OUT} = 70mA$; $P_D = 150mBt$; $h_{21} > 100$; $10k\Omega/47k\Omega$	SOT563, EMT6	E1 • B1 • C2 • E2 • B2 • C1
D9	IMD9A	ROHM	Dnpnp/npn	$V_{CC} = 50B$; $I_{OUT} = 70mA$; $P_D = 300mBt$; $h_{21} > 100$; $10k\Omega/47k\Omega$	SOT23-6	C1 • B2 • E2 • C2 • B1 • E1
D9	UMD9N	ROHM	Dnpnp/npn	$V_{CC} = 50B$; $I_{OUT} = 70mA$; $P_D = 150mBt$; $h_{21} > 100$; $10k\Omega/47k\Omega$	SOT363, SC88	E1 • B1 • C2 • E2 • B2 • C1
D9B	AD5311BRT	AD	DAC	10-пазр.; I ² C; $V_{DD} = 2.7...5.5B$	SOT23-6	GND • SDA • SCL • VOUT • A0 • VDD
D9N	AD5320BRTZ	AD	DAC	12-пазр., SPI/Microwire, $V_{DD} = 2.7...5.5B$	SOT23-6	VOUT • GND • VDD • DIN • SCLK • SYNC

IS6 SON-6
M16 USM-6

SOT563
SOT666



SOT363
TSOT363

SOT457
MW-6

SOT23-6
TSOT23-6



Код	Типономинал	Б	Ф	Особенности	Корпус	Ц: 1•2•3•4•5•6
DAB	AD5321BRT	AD	DAC	12-разр.; I_C ; $V_{DD}=2.7...5.5$ В	SOT23-6	GND•SDA•SCL•VOUT•A0•VDD
F2	RN1903FS	TOSH	Dnnp x2	$V_{(D3)}=20$ В; $I_C=50$ мА; $P_D=50$ мВт; $R_1/R_2=22$ кОм/22 кОм	IS6	E1•B1•C2•E2•B2•C1
F3	RN1904FS	TOSH	Dnnp x2	$V_{(D3)}=20$ В; $I_C=50$ мА; $P_D=50$ мВт; $R_1/R_2=47$ кОм/47 кОм	IS6	E1•B1•C2•E2•B2•C1
F4	RN1905FS	TOSH	Dnnp x2	$V_{(D3)}=20$ В; $I_C=50$ мА; $P_D=50$ мВт; $R_1/R_2=2.2$ кОм/47 кОм	IS6	E1•B1•C2•E2•B2•C1
F5	RN1906FS	TOSH	Dnnp x2	$V_{(D3)}=20$ В; $I_C=50$ мА; $P_D=50$ мВт; $R_1/R_2=4.7$ кОм/47 кОм	IS6	E1•B1•C2•E2•B2•C1
F6	RN1907FS	TOSH	Dnnp x2	$V_{(D3)}=20$ В; $I_C=50$ мА; $P_D=50$ мВт; $R_1/R_2=10$ кОм/47 кОм	IS6	E1•B1•C2•E2•B2•C1
F7	RN1908FS	TOSH	Dnnp x2	$V_{(D3)}=20$ В; $I_C=50$ мА; $P_D=50$ мВт; $R_1/R_2=22$ кОм/47 кОм	IS6	E1•B1•C2•E2•B2•C1
F8	RN1909FS	TOSH	Dnnp x2	$V_{(D3)}=20$ В; $I_C=50$ мА; $P_D=50$ мВт; $R_1/R_2=47$ кОм/22 кОм	IS6	E1•B1•C2•E2•B2•C1
F9	RN1910FS	TOSH	Dnnp x2	$V_{(D3)}=20$ В; $I_C=50$ мА; $P_D=50$ мВт; $R_1=4.7$ кОм	IS6	E1•B1•C2•E2•B2•C1
FF	RN1911FS	TOSH	Dnnp x2	$V_{(D3)}=20$ В; $I_C=50$ мА; $P_D=50$ мВт; $R_1=10$ кОм	IS6	E1•B1•C2•E2•B2•C1
FF	RN2971FS	TOSH	Dnnp x2	$V_{(D3)}=20$ В; $I_C=50$ мА; $P_D=50$ мВт; $R_1=10$ кОм	IS6	E1•E2•B2•C2•B1•C1
GAAI	REG71050DDC	TI	савон	$V_{IN}=1.8...5.5$ В; $I_{OUT}>30$ мА; $V_{OUT}=5.0$ В	TSOT23-6	VOUT•GND•ENBL•CPUMP•VIN•CPUMP+
H0	RN2901FS	TOSH	Dnnp x2	$V_{(D3)}=20$ В; $I_C=50$ мА; $P_D=50$ мВт; $R_1/R_2=4.7$ кОм/47 кОм	IS6	E1•B1•C2•E2•B2•C1
H0E	AD8063ARTZ	AD	OA	$f_{3dB}=320$ МГц; $P_D=75$ мВт; $V_{DD}=2.7...8$ В	SOT23-6	VOUT•VS•IN•IN•DIS•VS
H1	EMH1	ROHM	Dnnp x2	$V_{(D3)}=50$ В; $I_C=30$ мА; $P_D=150$ мВт; $h_{21}>56$; 22 кОм/22 кОм	SOT563, EMT6	E1•B1•C2•E2•B2•C1
H1	IMH1A	ROHM	Dnnp x2	$V_{(D3)}=50$ В; $I_C=30$ мА; $P_D=300$ мВт; $h_{21}>56$; 22 кОм/22 кОм	SOT23-6	C1•B1•B2•C2•E2•E1
H1	RN2902FS	TOSH	Dnnp x2	$V_{(D3)}=20$ В; $I_C=50$ мА; $P_D=50$ мВт; $R_1/R_2=10$ кОм/10 кОм	IS6	E1•B1•C2•E2•B2•C1
H1	UMH1N	ROHM	Dnnp x2	$V_{(D3)}=50$ В; $I_C=30$ мА; $P_D=150$ мВт; $h_{21}>56$; 22 кОм/22 кОм	SOT363, SC88	E1•B1•C2•E2•B2•C1
H10	EMH10	ROHM	Dnnp x2	$V_{(D3)}=50$ В; $I_C=100$ мА; $P_D=150$ мВт; $h_{21}>80$; 22 кОм/47 кОм	SOT563, EMT6	E1•B1•C2•E2•B2•C1
H10	IMH10A	ROHM	Dnnp x2	$V_{(D3)}=50$ В; $I_C=100$ мА; $P_D=300$ мВт; $h_{21}>80$; 22 кОм/47 кОм	SOT23-6	C1•B2•E2•C2•B1•E1
H10	UMH10N	ROHM	Dnnp x2	$V_{(D3)}=50$ В; $I_C=100$ мА; $P_D=150$ мВт; $h_{21}>80$; 22 кОм/47 кОм	SOT363, SC88	E1•B1•C2•E2•B2•C1
H11	EMH11	ROHM	Dnnp x2	$V_{(D3)}=50$ В; $I_C=50$ мА; $P_D=150$ мВт; $h_{21}>30$; 10 кОм/10 кОм	SOT563, EMT6	E1•B1•C2•E2•B2•C1
H11	IMH11A	ROHM	Dnnp x2	$V_{(D3)}=50$ В; $I_C=50$ мА; $P_D=300$ мВт; $h_{21}>30$; 10 кОм/10 кОм	SOT23-6	C1•B1•B2•C2•E2•E1
H11	UMH11N	ROHM	Dnnp x2	$V_{(D3)}=50$ В; $I_C=50$ мА; $P_D=150$ мВт; $h_{21}>30$; 10 кОм/10 кОм	SOT363, SC88	E1•B1•C2•E2•B2•C1
H14	IMH14A	ROHM	Dnnp x2	$V_{(D3)}=50$ В; $I_C=100$ мА; $P_D=300$ мВт; $h_{21}>100$; $R_1=47$ кОм	SOT23-6	C1•B1•B2•C2•E2•E1
H14	UMH14N	ROHM	Dnnp x2	$V_{(D3)}=50$ В; $I_C=100$ мА; $P_D=150$ мВт; $h_{21}>100$; $R_1=47$ кОм	SOT363, SC88	E1•E2•B2•C2•B1•C1
H14	UMH14N	ROHM	Dnnp x2	$V_{(D3)}=50$ В; $I_C=100$ мА; $P_D=150$ мВт; $h_{21}>100$; $R_1=47$ кОм	SOT363, SC88	E1•E2•B2•C2•B1•C1
H15	IMH15A	ROHM	Dnnp x2	$V_{(D3)}=50$ В; $I_C=100$ мА; $P_D=300$ мВт; $h_{21}>100$; $R_1=47$ кОм	SOT23-6	C1•B2•E2•C2•B1•E1
H2	EMH2	ROHM	Dnnp x2	$V_{(D3)}=50$ В; $I_C=30$ мА; $P_D=150$ мВт; $h_{21}>68$; 47 кОм/47 кОм	SOT563, EMT6	E1•B1•C2•E2•B2•C1
H2	IMH2A	ROHM	Dnnp x2	$V_{(D3)}=50$ В; $I_C=30$ мА; $P_D=300$ мВт; $h_{21}>68$; 47 кОм/47 кОм	SOT23-6	C1•B1•B2•C2•E2•E1
H2	RN2903FS	TOSH	Dnnp x2	$V_{(D3)}=20$ В; $I_C=50$ мА; $P_D=50$ мВт; $R_1/R_2=22$ кОм/22 кОм	IS6	E1•B1•C2•E2•B2•C1



SOT23-6
TSOT23-6

SOT457
MW-6

SOT363
TSOT363



SOT563
SOT666

SON-6
USM-6

fS6
M16

Код	Типономинал	Б	Ф	Особенности	Корпус	Ц: 1•2•3•4•5•6
H2	UMH2N	ROHM	Dnpn x2	$V_{CE0}=50\text{ В}$; $I_C=30\text{ мА}$; $P_D=150\text{ мВт}$; $h_{21}>68$; $47\text{ кОм}/47\text{ кОм}$	SOT363, SC88	C1•B1•B2•C2•E2•E1
H3	EMH3	ROHM	Dnpn x2	$V_{CE0}=50\text{ В}$; $I_C=100\text{ мА}$; $P_D=150\text{ мВт}$; $h_{21}>100$; $R_{14}, 7\text{ кОм}$	SOT563, EMT6	E1•B1•C2•E2•B2•C1
H3	IMH3A	ROHM	Dnpn x2	$V_{CE0}=50\text{ В}$; $I_C=100\text{ мА}$; $P_D=300\text{ мВт}$; $h_{21}>100$; $R_{14}, 7\text{ кОм}$	SOT23-6	C1•B1•B2•C2•E2•E1
H3	RN2904FS	TOSH	Dnpn x2	$V_{CE0}=20\text{ В}$; $I_C=50\text{ мА}$; $P_D=50\text{ мВт}$; $R_1/R_2=47\text{ кОм}/47\text{ кОм}$	fS6	E1•B1•C2•E2•B2•C1
H3	UMH3N	ROHM	Dnpn x2	$V_{CE0}=50\text{ В}$; $I_C=100\text{ мА}$; $P_D=150\text{ мВт}$; $h_{21}>100$; $R_{14}, 7\text{ кОм}$	SOT363, SC88	E1•B1•C2•E2•B2•C1
H4	IMH4A	ROHM	Dnpn x2	$V_{CE0}=50\text{ В}$; $I_C=100\text{ мА}$; $P_D=300\text{ мВт}$; $h_{21}>100$; $R_{14}, 10\text{ кОм}$	SOT23-6	C1•B2•E2•C2•B1•E1
H4	RN2905FS	TOSH	Dnpn x2	$V_{CE0}=20\text{ В}$; $I_C=50\text{ мА}$; $P_D=50\text{ мВт}$; $R_1/R_2=2,2\text{ кОм}/47\text{ кОм}$	fS6	E1•B1•C2•E2•B2•C1
H4	UMH4N	ROHM	Dnpn x2	$V_{CE0}=50\text{ В}$; $I_C=100\text{ мА}$; $P_D=150\text{ мВт}$; $h_{21}>100$; $R_{14}, 10\text{ кОм}$	SOT363, SC88	E1•B1•C2•E2•B2•C1
H5	IMH5A	ROHM	Dnpn x2	$V_{CE0}=50\text{ В}$; $I_C=30\text{ мА}$; $P_D=150\text{ мВт}$; $h_{21}>56$; $22\text{ кОм}/22\text{ кОм}$	SOT23-6	C1•B1•C2•B2•E2•E1
H5	MBD770DW	ON	shd x2	$V_R<70\text{ В}$; $V_{I_1}(I_1=10\text{ мА})<1\text{ В}$; $C_0<1\text{ нФ}$	SOT363, SC88	A1•n.c. •K2•A2•n.c. •K1
H5	RN2906FS	TOSH	Dnpn x2	$V_{CE0}=20\text{ В}$; $I_C=50\text{ мА}$; $P_D=50\text{ мВт}$; $R_1/R_2=4,7\text{ кОм}/47\text{ кОм}$	fS6	E1•B1•C2•E2•B2•C1
H5	UMH5N	ROHM	Dnpn x2	$V_{CE0}=50\text{ В}$; $I_C=30\text{ мА}$; $P_D=150\text{ мВт}$; $h_{21}>56$; $22\text{ кОм}/22\text{ кОм}$	SOT363, SC88	C1•B1•C2•B2•E2•E1
H6	IMH6A	ROHM	Dnpn x2	$V_{CE0}=50\text{ В}$; $I_{OUT}=30\text{ мА}$; $P_D=300\text{ мВт}$; $h_{21}>68$; $R_2/R_1=1$	SOT23-6	C1•B1•C2•B2•E2•E1
H6	RN2907FS	TOSH	Dnpn x2	$V_{CE0}=20\text{ В}$; $I_C=50\text{ мА}$; $P_D=50\text{ мВт}$; $R_1/R_2=10\text{ кОм}/47\text{ кОм}$	fS6	E1•B1•C2•E2•B2•C1
H6	UMH6N	ROHM	Dnpn x2	$V_{CE0}=50\text{ В}$; $I_{OUT}=30\text{ мА}$; $P_D=300\text{ мВт}$; $h_{21}>68$; $R_2/R_1=1$	SOT363, SC88	C1•B1•C2•B2•E2•E1
H6B	AD8029AKS	AD	OA	$f_{BD}=120\text{ МГц}$; $P_D=18\text{ мВт}$; $V_{DD}=2,7\ldots12\text{ В}$	SOT363, SC88	VOUT•-VS•+IN•-IN•DIS•+VS
H7	RN2908FS	TOSH	Dnpn x2	$V_{CE0}=20\text{ В}$; $I_C=50\text{ мА}$; $P_D=50\text{ мВт}$; $R_1/R_2=22\text{ кОм}/47\text{ кОм}$	fS6	E1•B1•C2•E2•B2•C1
H8	IMH8A	ROHM	Dnpn x2	$V_{CE0}=50\text{ В}$; $I_C=100\text{ мА}$; $P_D=300\text{ мВт}$; $h_{21}>100$; $R_{14}, 10\text{ кОм}$	SOT23-6	C1•B1•C2•B2•E2•E1
H8	RN2909FS	TOSH	Dnpn x2	$V_{CE0}=20\text{ В}$; $I_C=50\text{ мА}$; $P_D=50\text{ мВт}$; $R_1/R_2=47\text{ кОм}/22\text{ кОм}$	fS6	E1•B1•C2•E2•B2•C1
H8	UMH8N	ROHM	Dnpn x2	$V_{CE0}=50\text{ В}$; $I_C=100\text{ мА}$; $P_D=150\text{ мВт}$; $h_{21}>100$; $R_{14}, 10\text{ кОм}$	SOT363, SC88	E1•E2•B2•C2•B1•C1
H9	EMH9	ROHM	Dnpn x2	$V_{CE0}=50\text{ В}$; $I_{OUT}=70\text{ мА}$; $P_D=150\text{ мВт}$; $h_{21}>68$; $10\text{ кОм}/47\text{ кОм}$	SOT563, EMT6	E1•B1•C2•E2•B2•C1
H9	IMH9A	ROHM	Dnpn x2	$V_{CE0}=50\text{ В}$; $I_{OUT}=70\text{ мА}$; $P_D=300\text{ мВт}$; $h_{21}>68$; $10\text{ кОм}/47\text{ кОм}$	SOT23-6	C1•B1•E2•C2•B1•E1
H9	RN2910FS	TOSH	Dnpn x2	$V_{CE0}=20\text{ В}$; $I_C=50\text{ мА}$; $P_D=50\text{ мВт}$; $R_1=4,7\text{ кОм}$	fS6	E1•B1•C2•E2•B2•C1
H9	UMH9N	ROHM	Dnpn x2	$V_{CE0}=50\text{ В}$; $I_{OUT}=70\text{ мА}$; $P_D=150\text{ мВт}$; $h_{21}>68$; $10\text{ кОм}/47\text{ кОм}$	SOT363, SC88	E1•B1•C2•E2•B2•C1
HF	RN2911FS	TOSH	Dnpn x2	$V_{CE0}=20\text{ В}$; $I_C=50\text{ мА}$; $P_D=50\text{ мВт}$; $R_1=10\text{ кОм}$	fS6	E1•B1•C2•E2•B2•C1
HH	HSMS282M	HP	shd x4	$V_{BR}>15\text{ В}$; $V_{I_1}(I_1=30\text{ мА})<0,7\text{ В}$; $I_{S_1}(V_{S_1}=1\text{ В})<100\text{ нА}$; $C_1<1,0\text{ нФ}$; $R_D=12\text{ кОм}$	SOT363, SC88	A1•K1, K2, K3, K4•A2•A3•K1, K2, K3, K4•A4
HHA	AD8063ART	AD	OA	$f_{BD}=320\text{ МГц}$; $P_D=75\text{ мВт}$; $V_{DD}=2,7\ldots8\text{ В}$	SOT23-6	VOUT•-VS•+IN•-IN•DIS•+VS
J0	RN1961FS	TOSH	Dnpn x2	$V_{CE0}=20\text{ В}$; $I_C=50\text{ мА}$; $P_D=50\text{ мВт}$; $R_1/R_2=4,7\text{ кОм}/4,7\text{ кОм}$	fS6	E1•E2•B2•C2•B1•C1
J1	RN1962FS	TOSH	Dnpn x2	$V_{CE0}=20\text{ В}$; $I_C=50\text{ мА}$; $P_D=50\text{ мВт}$; $R_1/R_2=10\text{ кОм}/10\text{ кОм}$	fS6	E1•E2•B2•C2•B1•C1
J2	RN1963FS	TOSH	Dnpn x2	$V_{CE0}=20\text{ В}$; $I_C=50\text{ мА}$; $P_D=50\text{ мВт}$; $R_1/R_2=22\text{ кОм}/22\text{ кОм}$	fS6	E1•E2•B2•C2•B1•C1

fS6 SON-6
M16 USM-6

SOT563 SOT666

SOT363 SOT457 SOT23-6
TSOT363 MW-6 TSOT23-6

Код	Типоименал	Б	Ф	Особенности	Корпус	Ц: 1•2•3•4•5•6
J3	RN1961FS	TOSH	Dnnp x2	$V_{CE20} = 20 \text{ В}; I_C = 50 \text{ мА}; P_D = 50 \text{ мВт};$ $R_{\theta JA}/R_{\theta JE} = 47 \text{ К}/47 \text{ К}/47 \text{ К}$	fS6	E1•E2•B2•C2•B1•C1
J3A	AD8361ART	AD	PD	$f_{3dB} < 2.5 \text{ ГГц}; P_{ID} = 12 \text{ мВт}; V_{DD} = 2.7...5.5 \text{ В}$	SOT23-6	VIMS•COMM•FLTR•PWN• RFIN•VPOS
J4	RN1965FS	TOSH	Dnnp x2	$V_{CE20} = 20 \text{ В}; I_C = 50 \text{ мА}; P_D = 50 \text{ мВт};$ $R_{\theta JA}/R_{\theta JE} = 2.2 \text{ К}/47 \text{ К}/47 \text{ К}$	fS6	E1•E2•B2•C2•B1•C1
J5	RN1968FS	TOSH	Dnnp x2	$V_{CE20} = 20 \text{ В}; I_C = 50 \text{ мА}; P_D = 50 \text{ мВт};$ $R_{\theta JA}/R_{\theta JE} = 4.7 \text{ К}/47 \text{ К}/47 \text{ К}$	fS6	E1•E2•B2•C2•B1•C1
J6	RN1967FS	TOSH	Dnnp x2	$V_{CE20} = 20 \text{ В}; I_C = 50 \text{ мА}; P_D = 50 \text{ мВт};$ $R_{\theta JA}/R_{\theta JE} = 10 \text{ К}/47 \text{ К}/47 \text{ К}$	fS6	E1•E2•B2•C2•B1•C1
J7	RN1968FS	TOSH	Dnnp x2	$V_{CE20} = 20 \text{ В}; I_C = 50 \text{ мА}; P_D = 50 \text{ мВт};$ $R_{\theta JA}/R_{\theta JE} = 22 \text{ К}/47 \text{ К}/47 \text{ К}$	fS6	E1•E2•B2•C2•B1•C1
J8	RN1969FS	TOSH	Dnnp x2	$V_{CE20} = 20 \text{ В}; I_C = 50 \text{ мА}; P_D = 50 \text{ мВт};$ $R_{\theta JA}/R_{\theta JE} = 47 \text{ К}/47 \text{ К}/22 \text{ К}$	fS6	E1•E2•B2•C2•B1•C1
J9	RN1901FS	TOSH	Dnnp x2	$V_{CE20} = 20 \text{ В}; I_C = 50 \text{ мА}; P_D = 50 \text{ мВт};$ $R_{\theta JA}/R_{\theta JE} = 4.7 \text{ К}/47 \text{ К}/47 \text{ К}$	fS6	E1•B1•C2•E2•B2•C1
J9	RN1970FS	TOSH	Dnnp x2	$V_{CE20} = 20 \text{ В}; I_C = 50 \text{ мА}; P_D = 50 \text{ мВт}; R_1 = 4.7 \text{ К}$	fS6	E1•E2•B2•C2•B1•C1
JF	RN1902FS	TOSH	Dnnp x2	$V_{CE20} = 20 \text{ В}; I_C = 50 \text{ мА}; P_D = 50 \text{ мВт};$ $R_{\theta JA}/R_{\theta JE} = 10 \text{ К}/47 \text{ К}/10 \text{ К}$	fS6	E1•B1•C2•E2•B2•C1
JF	RN1971FS	TOSH	Dnnp x2	$V_{CE20} = 20 \text{ В}; I_C = 50 \text{ мА}; P_D = 50 \text{ мВт}; R_1 = 10 \text{ К}$	fS6	E1•E2•B2•C2•B1•C1
JH	RN1972FS	TOSH	Dnnp x2	$V_{CE20} = 20 \text{ В}; I_C = 50 \text{ мА}; P_D = 50 \text{ мВт}; R_1 = 22 \text{ К}$	fS6	E1•E2•B2•C2•B1•C1
JJ	RN1973FS	TOSH	Dnnp x2	$V_{CE20} = 20 \text{ В}; I_C = 50 \text{ мА}; P_D = 50 \text{ мВт}; R_1 = 47 \text{ К}$	fS6	E1•E2•B2•C2•B1•C1
JSs	BA521U	INF	di x3	$V_{DS} < 200 \text{ В}; I_{CS} < 250 \text{ мА}; V_{GS}(I_C = 100 \text{ мА}) < 1.0 \text{ В};$ $I_{CS} < 0.1 \text{ мА}$	SOT457, SC74	A1•A2•A3•K3•K2•K1
K0	RN2961FS	TOSH	Dnnp x2	$V_{CE20} = 20 \text{ В}; I_C = 50 \text{ мА}; P_D = 50 \text{ мВт};$ $R_{\theta JA}/R_{\theta JE} = 4.7 \text{ К}/47 \text{ К}/47 \text{ К}$	fS6	E1•E2•B2•C2•B1•C1
K1	RN2962FS	TOSH	Dnnp x2	$V_{CE20} = 20 \text{ В}; I_C = 50 \text{ мА}; P_D = 50 \text{ мВт};$ $R_{\theta JA}/R_{\theta JE} = 10 \text{ К}/47 \text{ К}/10 \text{ К}$	fS6	E1•E2•B2•C2•B1•C1
K1	UM6K1N	ROHM	nMOS x2	$V_{DS} = 30 \text{ В}; I_{DS} = 100 \text{ мА}; P_D = 150 \text{ мВт};$ $R_{DS(on)} < 13 \text{ Ом}$	SOT363, SC88	S1•G1•D2•S2•G2•D1
K2	RN2963FS	TOSH	Dnnp x2	$V_{CE20} = 20 \text{ В}; I_C = 50 \text{ мА}; P_D = 50 \text{ мВт};$ $R_{\theta JA}/R_{\theta JE} = 22 \text{ К}/47 \text{ К}/22 \text{ К}$	fS6	E1•E2•B2•C2•B1•C1
K3	RN2964FS	TOSH	Dnnp x2	$V_{CE20} = 20 \text{ В}; I_C = 50 \text{ мА}; P_D = 50 \text{ мВт};$ $R_{\theta JA}/R_{\theta JE} = 47 \text{ К}/47 \text{ К}/47 \text{ К}$	fS6	E1•E2•B2•C2•B1•C1
K4	RN2965FS	TOSH	Dnnp x2	$V_{CE20} = 20 \text{ В}; I_C = 50 \text{ мА}; P_D = 50 \text{ мВт};$ $R_{\theta JA}/R_{\theta JE} = 2.2 \text{ К}/47 \text{ К}/47 \text{ К}$	fS6	E1•E2•B2•C2•B1•C1
K5	RN2966FS	TOSH	Dnnp x2	$V_{CE20} = 20 \text{ В}; I_C = 50 \text{ мА}; P_D = 50 \text{ мВт};$ $R_{\theta JA}/R_{\theta JE} = 4.7 \text{ К}/47 \text{ К}/47 \text{ К}$	fS6	E1•E2•B2•C2•B1•C1
K6	RN2967FS	TOSH	Dnnp x2	$V_{CE20} = 20 \text{ В}; I_C = 50 \text{ мА}; P_D = 50 \text{ мВт};$ $R_{\theta JA}/R_{\theta JE} = 10 \text{ К}/47 \text{ К}/47 \text{ К}$	fS6	E1•E2•B2•C2•B1•C1
K7	NCP802SANT1	ON	batprot	$V_{CC} = 1.5...5 \text{ В}; V_{THOU} = 4.275 \text{ В}$	SON-6	DO•Vcell•GND•DS•CO•P
K7	RN2968FS	TOSH	Dnnp x2	$V_{CE20} = 20 \text{ В}; I_C = 50 \text{ мА}; P_D = 50 \text{ мВт};$ $R_{\theta JA}/R_{\theta JE} = 22 \text{ К}/47 \text{ К}/47 \text{ К}$	fS6	E1•E2•B2•C2•B1•C1
K7P	BC847PN	DIODS	npn/npn	$V_{RRM} = 50 \text{ В}; I_{FS} = 100 \text{ мА}; P_D = 250 \text{ мВт};$ $t_{ST} = 200...475 \text{ нс}; f_T > 100 \text{ МГц}$	SOT363, SC88	E1•B1•C2•E2•B2•C1
K8	RN2969FS	TOSH	Dnnp x2	$V_{CE20} = 20 \text{ В}; I_C = 50 \text{ мА}; P_D = 50 \text{ мВт};$ $R_{\theta JA}/R_{\theta JE} = 47 \text{ К}/47 \text{ К}/22 \text{ К}$	fS6	E1•E2•B2•C2•B1•C1
K9	RN2970FS	TOSH	Dnnp x2	$V_{CE20} = 20 \text{ В}; I_C = 50 \text{ мА}; P_D = 50 \text{ мВт}; R_1 = 4.7 \text{ К}$	fS6	E1•E2•B2•C2•B1•C1
KC1	MMBZ5221BS	DIODS	dz x2	$V_Z(I_{ZT} = 20 \text{ мА}) = 2.28...2.62 \text{ В}; I_{R1} < 100 \text{ мА}$	SOT363, SC88	A1•n.c. • K2 • A2 • n.c. • K1
KC3	MMBZ5223BS	DIODS	dz x2	$V_Z(I_{ZT} = 20 \text{ мА}) = 2.57...2.84 \text{ В}; I_{R1} < 75 \text{ мА}$	SOT363, SC88	A1•n.c. • K2 • A2 • n.c. • K1
KC5	MMBZ5225BS	DIODS	dz x2	$V_Z(I_{ZT} = 20 \text{ мА}) = 2.85...3.15 \text{ В}; I_{R1} < 50 \text{ мА}$	SOT363, SC88	A1•n.c. • K2 • A2 • n.c. • K1
KD	NCP802SANT61	ON	batprot	$V_{CC} = 1.5...5 \text{ В}; V_{THOU} = 4.28 \text{ В}$	SON-6	DO•Vcell•GND•DS•CO•P
KE1	MMBZ5231BS	DIODS	dz x2	$V_Z(I_{ZT} = 20 \text{ мА}) = 4.85...5.36 \text{ В}; I_{R1} < 5 \text{ мА}$	SOT363, SC88	A1•n.c. • K2 • A2 • n.c. • K1



SOT23-6
TSOT23-6

SOT457
MW-6

SOT363
TSOT363



SOT563
SOT666

SON-6
USM-6

fS6
M16

Код	Типономинал	Б	Ф	Особенности	Корпус	Ц: 1•2•3•4•5•6
KE2	MMB25232BS	DIODS	dz x2	$V_Z(I_{ZT}=20\text{ mA})=5.32...5.88\text{ В}$; $I_{H}<5\text{ мкА}$	SOT363, SC88	A1•n.c.•K2•A2•n.c.•K1
KE3	MMB25233BS	DIODS	dz x2	$V_Z(I_{ZT}=20\text{ mA})=5.70...6.30\text{ В}$; $I_{H}<5\text{ мкА}$	SOT363, SC88	A1•n.c.•K2•A2•n.c.•K1
KE4	MMB25234BS	DIODS	dz x2	$V_Z(I_{ZT}=20\text{ mA})=5.89...6.51\text{ В}$; $I_{H}<5\text{ мкА}$	SOT363, SC88	A1•n.c.•K2•A2•n.c.•K1
KE5	MMB25235BS	DIODS	dz x2	$V_Z(I_{ZT}=20\text{ mA})=6.46...7.14\text{ В}$; $I_{H}<5\text{ мкА}$	SOT363, SC88	A1•n.c.•K2•A2•n.c.•K1
KF1	MMB25236BS	DIODS	dz x2	$V_Z(I_{ZT}=20\text{ mA})=7.13...7.88\text{ В}$; $I_{H}<5\text{ мкА}$	SOT363, SC88	A1•n.c.•K2•A2•n.c.~K1
KF2	MMB25237BS	DIODS	dz x2	$V_Z(I_{ZT}=20\text{ mA})=7.79...8.61\text{ В}$; $I_{H}<5\text{ мкА}$	SOT363, SC88	A1•n.c.~K2•A2•n.c.~K1
KF3	MMB25238BS	DIODS	dz x2	$V_Z(I_{ZT}=20\text{ mA})=8.27...9.14\text{ В}$; $I_{H}<5\text{ мкА}$	SOT363, SC88	A1•n.c.~K2•A2•n.c.~K1
KF4	MMB25239BS	DIODS	dz x2	$V_Z(I_{ZT}=20\text{ mA})=8.65...9.56\text{ В}$; $I_{H}<5\text{ мкА}$	SOT363, SC88	A1•n.c.~K2•A2•n.c.~K1
KF5	MMB25240BS	DIODS	dz x2	$V_Z(I_{ZT}=20\text{ mA})=9.5...10.5\text{ В}$; $I_{H}<5\text{ мкА}$	SOT363, SC88	A1•n.c.~K2•A2•n.c.~K1
KG1	MMB25226BS	DIODS	dz x2	$V_Z(I_{ZT}=20\text{ mA})=3.14...3.47\text{ В}$; $I_{H}<25\text{ мкА}$	SOT363, SC88	A1•n.c.~K2•A2•n.c.~K1
KG2	MMB25227BS	DIODS	dz x2	$V_Z(I_{ZT}=20\text{ mA})=3.42...3.78\text{ В}$; $I_{H}<15\text{ мкА}$	SOT363, SC88	A1•n.c.~K2•A2•n.c.~K1
KG3	MMB25228BS	DIODS	dz x2	$V_Z(I_{ZT}=20\text{ mA})=3.71...4.10\text{ В}$; $I_{H}<10\text{ мкА}$	SOT363, SC88	A1•n.c.~K2•A2•n.c.~K1
KG4	MMB25229BS	DIODS	dz x2	$V_Z(I_{ZT}=20\text{ mA})=4.09...4.52\text{ В}$; $I_{H}<5\text{ мкА}$	SOT363, SC88	A1•n.c.~K2•A2•n.c.~K1
KG5	MMB25230BS	DIODS	dz x2	$V_Z(I_{ZT}=20\text{ mA})=4.47...4.94\text{ В}$; $I_{H}<5\text{ мкА}$	SOT363, SC88	A1•n.c.~K2•A2•n.c.~K1
kH	μPA891TD	NEC	npn x2	$V_{CE0}=9\text{ В}$; $I_C=100\text{ мА}$; $P_D=230\text{ мВт}$; $f_T=100...160$; $f_T>3.5\text{ ГГц}$	M16, 1208	C1•E1•C2•B2•E2•B1
KH1	MMB25241BS	DIODS	dz x2	$V_Z(I_{ZT}=20\text{ mA})=10.45...11.55\text{ В}$; $I_{H}<2\text{ мкА}$	SOT363, SC88	A1•n.c.~K2•A2•n.c.~K1
KH2	MMB25242BS	DIODS	dz x2	$V_Z(I_{ZT}=20\text{ mA})=11.4...12.6\text{ В}$; $I_{H}<1\text{ мкА}$	SOT363, SC88	A1•n.c.~K2•A2•n.c.~K1
KH3	MMB25243BS	DIODS	dz x2	$V_Z(I_{ZT}=9.5\text{ mA})=12.35...13.65\text{ В}$; $I_{H}<0.5\text{ мкА}$	SOT363, SC88	A1•n.c.~K2•A2•n.c.~K1
KH5	MMB25245BS	DIODS	dz x2	$V_Z(I_{ZT}=8.5\text{ mA})=14.25...15.75\text{ В}$; $I_{H}<0.1\text{ мкА}$	SOT363, SC88	A1•n.c.~K2•A2•n.c.~K1
KJ1	MMB25246BS	DIODS	dz x2	$V_Z(I_{ZT}=7.8\text{ mA})=15.2...16.8\text{ В}$; $I_{H}<0.1\text{ мкА}$	SOT363, SC88	A1•n.c.~K2•A2•n.c.~K1
KJ3	MMB25248BS	DIODS	dz x2	$V_Z(I_{ZT}=7.0\text{ mA})=17.1...18.9\text{ В}$; $I_{H}<0.1\text{ мкА}$	SOT363, SC88	A1•n.c.~K2•A2•n.c.~K1
KJ5	MMB25250BS	DIODS	dz x2	$V_Z(I_{ZT}=6.2\text{ mA})=19.0...21.0\text{ В}$; $I_{H}<0.1\text{ мкА}$	SOT363, SC88	A1•n.c.~K2•A2•n.c.~K1
KK1	MMB25251BS	DIODS	dz x2	$V_Z(I_{ZT}=5.6\text{ mA})=20.9...23.1\text{ В}$; $I_{H}<0.1\text{ мкА}$	SOT363, SC88	A1•n.c.~K2•A2•n.c.~K1
KK2	MMB25252BS	DIODS	dz x2	$V_Z(I_{ZT}=5.2\text{ mA})=22.8...25.2\text{ В}$; $I_{H}<0.1\text{ мкА}$	SOT363, SC88	A1•n.c.~K2•A2•n.c.~K1
KK4	MMB25254BS	DIODS	dz x2	$V_Z(I_{ZT}=5.0\text{ mA})=25.65...28.35\text{ В}$; $I_{H}<0.1\text{ мкА}$	SOT363, SC88	A1•n.c.~K2•A2•n.c.~K1
KK5	MMB25255BS	DIODS	dz x2	$V_Z(I_{ZT}=4.5\text{ mA})=26.6...29.4\text{ В}$; $I_{H}<0.1\text{ мкА}$	SOT363, SC88	A1•n.c.~K2•A2•n.c.~K1
kL	μPA828TD	NEC	npn x2	$V_{CE0}=5\text{ В}$; $I_C=30\text{ мА}$; $P_D=180\text{ мВт}$; $f_T=70...140$; $f_T>7\text{ ГГц}$	M16, 1208	C1•E1•C2•B2•E2•B1
KM1	MMB25256BS	DIODS	dz x2	$V_Z(I_{ZT}=4.2\text{ mA})=28.5...31.5\text{ В}$; $I_{H}<0.1\text{ мкА}$	SOT363, SC88	A1•n.c.~K2•A2•n.c.~K1
KM2	MMB25257BS	DIODS	dz x2	$V_Z(I_{ZT}=3.8\text{ mA})=31.35...34.65\text{ В}$; $I_{H}<0.1\text{ мкА}$	SOT363, SC88	A1•n.c.~K2•A2•n.c.~K1

f56 SON-6
M16 USM-6SOT563
SOT666SOT363 SOT457 SOT23-6
TSOT363 MW-6 TSOT23-6

Код	Типономинал	Б	Ф	Особенности	Корпус	Ц: 1•2•3•4•5•6
KM3	MMBZ525BS	DIODS	dz x2	$V_Z(I_{ZT}=3.4\text{ mA})=34.2...37.8\text{ В}$; $I_{RZ}<0.1\text{ мА}$	SOT363, SC88	A1•n.c. • K2 • A2 • n.c. • K1
KM4	MMBZ525BS	DIODS	dz x2	$V_Z(I_{ZT}=3.2\text{ mA})=37.05...41.0\text{ В}$; $I_{RZ}<0.1\text{ мА}$	SOT363, SC88	A1•n.c. • K2 • A2 • n.c. • K1
KN	μPA892TD	NEC	nnpn x2	$V_{CE0}=15\text{ В}$; $I_C=35\text{ мА}$; $P_D=210\text{ мВт}$; $f_{T1}=50...100$; $f_T>18\text{ ГГц}$	M16, 1208	C1 • E1 • C2 • B2 • E2 • B1
KN	NCBP02SN1T1	ON	batprot	$V_{CE}=1.5...5\text{ В}$; $V_{THOU}=4.35\text{ В}$	SON-6	DO • Vcell • GND • DS • CO • P
KN	NCBP02SN1T1	ON	batprot	$V_{CE}=1.5...5\text{ В}$; $V_{THOU}=4.35\text{ В}$	SOT23-6	DO • P • CO • DS • Vcell • GND
KP	μPA895TD	NEC	nnpn x2	$V_{CE0}=9\text{ В}$; $I_C=100\text{ мА}$; $P_D=210\text{ мВт}$; $f_{T1}=100...145$; $f_T>3\text{ ГГц}$	M16, 1208	C1 • E1 • C2 • B2 • E2 • B1
KP	μPA895TS	NEC	nnpn x2	$V_{CE0}=9\text{ В}$; $I_C=100\text{ мА}$; $P_D=210\text{ мВт}$; $f_{T1}=100...145$; $f_T>3\text{ ГГц}$	SOT666	C1 • E1 • C2 • B2 • E2 • B1
L1B	ADP3330ART-2.5	AD	reg	LDO; $V_{IN}=2.9...12\text{ В}$; $I_{OUT}=200\text{ мА}$; $V_{OUT}=2.5\text{ В}$	SOT23-6	OUT • IN • ERR • GND • NR • SD
L2B	ADP3330ART-2.75	AD	reg	LDO; $V_{IN}=2.9...12\text{ В}$; $I_{OUT}=200\text{ мА}$; $V_{OUT}=2.75\text{ В}$	SOT23-6	OUT • IN • ERR • GND • NR • SD
L3B	ADP3330ART-2.85	AD	reg	LDO; $V_{IN}=2.9...12\text{ В}$; $I_{OUT}=200\text{ мА}$; $V_{OUT}=2.85\text{ В}$	SOT23-6	OUT • IN • ERR • GND • NR • SD
L4B	ADP3330ART-3	AD	reg	LDO; $V_{IN}=2.9...12\text{ В}$; $I_{OUT}=200\text{ мА}$; $V_{OUT}=3\text{ В}$	SOT23-6	OUT • IN • ERR • GND • NR • SD
L5B	ADP3330ART-3.3	AD	reg	LDO; $V_{IN}=2.9...12\text{ В}$; $I_{OUT}=200\text{ мА}$; $V_{OUT}=3.3\text{ В}$	SOT23-6	OUT • IN • ERR • GND • NR • SD
L6B	ADP3330ART-3.6	AD	reg	LDO; $V_{IN}=2.9...12\text{ В}$; $I_{OUT}=200\text{ мА}$; $V_{OUT}=3.6\text{ В}$	SOT23-6	OUT • IN • ERR • GND • NR • SD
L8B	ADP3330ART-5	AD	reg	LDO; $V_{IN}=2.9...12\text{ В}$; $I_{OUT}=200\text{ мА}$; $V_{OUT}=5\text{ В}$	SOT23-6	OUT • IN • ERR • GND • NR • SD
L9B	ADP3331ART	AD	reg	LDO; $V_{IN}=2.6...12\text{ В}$; $I_{OUT}=200\text{ мА}$; $V_{OUT}=1.5...11.75\text{ В}$	SOT23-6	OUT • IN • ERR • GND • FB • SD
LAB	ADP3300ART-2.7	AD	reg	LDO; $V_{IN}=3...12\text{ В}$; $I_{OUT}=50\text{ мА}$; $V_{OUT}=2.7\text{ В}$	SOT23-6	GND • NR • SD • OUT • IN • ERR
LB8	ADP3300ART-3	AD	reg	LDO; $V_{IN}=3...12\text{ В}$; $I_{OUT}=50\text{ мА}$; $V_{OUT}=3\text{ В}$	SOT23-6	GND • NR • SD • OUT • IN • ERR
LCB	ADP3300ART-3.2	AD	reg	LDO; $V_{IN}=3...12\text{ В}$; $I_{OUT}=50\text{ мА}$; $V_{OUT}=3.2\text{ В}$	SOT23-6	GND • NR • SD • OUT • IN • ERR
LDB	ADP3300ART-3.3	AD	reg	LDO; $V_{IN}=3...12\text{ В}$; $I_{OUT}=50\text{ мА}$; $V_{OUT}=3.3\text{ В}$	SOT23-6	GND • NR • SD • OUT • IN • ERR
LEB	ADP3300ART-5	AD	reg	LDO; $V_{IN}=3...12\text{ В}$; $I_{OUT}=50\text{ мА}$; $V_{OUT}=5\text{ В}$	SOT23-6	GND • NR • SD • OUT • IN • ERR
LFB	ADP3300ART-2.85	AD	reg	LDO; $V_{IN}=3...12\text{ В}$; $I_{OUT}=50\text{ мА}$; $V_{OUT}=2.85\text{ В}$	SOT23-6	GND • NR • SD • OUT • IN • ERR
LTC	ADP3307ART-2.7	AD	reg	LDO; $V_{IN}=3...12\text{ В}$; $I_{OUT}=100\text{ мА}$; $V_{OUT}=2.7\text{ В}$	SOT23-6	GND • NR • SD • OUT • IN • ERR
LWC	ADP3307ART-3	AD	reg	LDO; $V_{IN}=3...12\text{ В}$; $I_{OUT}=100\text{ мА}$; $V_{OUT}=3\text{ В}$	SOT23-6	GND • NR • SD • OUT • IN • ERR
LVC	ADP3307ART-3.2	AD	reg	LDO; $V_{IN}=3...12\text{ В}$; $I_{OUT}=100\text{ мА}$; $V_{OUT}=3.2\text{ В}$	SOT23-6	GND • NR • SD • OUT • IN • ERR
LWC	ADP3307ART-3.3	AD	reg	LDO; $V_{IN}=3...12\text{ В}$; $I_{OUT}=100\text{ мА}$; $V_{OUT}=3.3\text{ В}$	SOT23-6	GND • NR • SD • OUT • IN • ERR
LXC	ADP3307ART-2.85	AD	reg	LDO; $V_{IN}=3...12\text{ В}$; $I_{OUT}=100\text{ мА}$; $V_{OUT}=2.85\text{ В}$	SOT23-6	GND • NR • SD • OUT • IN • ERR
M4	MBD110DW	ON	shd x2	$V_A<7\text{ В}$; $V_E(I_E=10\text{ мА})<0.6\text{ В}$; $C_D<1\text{ нФ}$	SOT363, SC88	A1•n.c. • K2 • A2 • n.c. • K1
MA	MBT3904DW1	ON	nnpn x2	$V_{CE0}=60\text{ В}$; $I_C=200\text{ мА}$; $P_D=150\text{ мВт}$; $f_{T1}>30$; $f_T>300\text{ МГц}$	SOT363, SC88	E2 • B2 • C1 • E1 • B1 • C2
MCs	BFS17S	SIEM	nnpn x2	$V_{CE0}=25\text{ В}$; $I_C=50\text{ мА}$; $P_D=280\text{ мВт}$; $f_{T1}=20...150$; $f_T>2500\text{ МГц}$	SOT363, SC88	B1 • E1 • C2 • B2 • E2 • C1
MJ	MBT3904DW2	ON	nnpn x2	$V_{CE0}=60\text{ В}$; $I_C=200\text{ мА}$; $P_D=150\text{ мВт}$; $f_{T1}>30$; $f_T>300\text{ МГц}$	SOT363, SC88	B2 • B1 • C1 • E1 • E2 • C2
MMO	ADM8828ART	AD	dc/dc	$V_{IN}=1.5...5.5\text{ В}$; $I_{OUT}>25\text{ мА}$; $V_{OUT}=-1.5...-5.5\text{ В}$; $I_{CC}<1\text{ мА}$	SOT23-6	OUT • IN • CAP- • GND • SHDN • CAP+
MMO	ADM8829ART	AD	dc/dc	$V_{IN}=1.5...5.5\text{ В}$; $I_{OUT}>25\text{ мА}$; $V_{OUT}=-1.5...-5.5\text{ В}$; $I_{CC}<1\text{ мА}$	SOT23-6	OUT • IN • CAP- • GND • n.c. • CAP+
N06	DDC123JK	DIODS	Dnnpn x2	$V_{CE}=50\text{ В}$; $I_C=100\text{ мА}$; $2\text{ к}/47\text{ к}$	SOT23-6	E1 • B1 • C2 • E2 • B2 • C1
N06	DDC123JU	DIODS	Dnnpn x2	$V_{CE}=50\text{ В}$; $I_C=100\text{ мА}$; $2\text{ к}/47\text{ к}$	SOT363, SC88	E1 • B1 • C2 • E2 • B2 • C1
N07	DDC143TK	DIODS	Dnnpn x2	$V_{CE}=50\text{ В}$; $I_C=100\text{ мА}$; $R_T 4.7\text{ к}$	SOT23-6	E1 • B1 • C2 • E2 • B2 • C1
N07	DDC143TU	DIODS	Dnnpn x2	$V_{CE}=50\text{ В}$; $I_C=100\text{ мА}$; $R_T 4.7\text{ к}$	SOT363, SC88	E1 • B1 • C2 • E2 • B2 • C1
N12	DDC114TK	DIODS	Dnnpn x2	$V_{CE}=50\text{ В}$; $I_C=100\text{ мА}$; $R_T 10\text{ к}$	SOT23-6	E1 • B1 • C2 • E2 • B2 • C1



SOT23-6
TSOT23-6

SOT457
MW-6

SOT363
TSOT363



SOT563
SOT666

SON-6
USM-6

fS6
M16

Код	Типономинал	Б	Ф	Особенности	Корпус	Ц: 1•2•3•4•5•6
N12	DDC114TU	DIODS	Dnpn x2	$V_{CC}=50\text{ В}; I_C=100\text{ мА}; R_f=10\text{ к}$	SOT363, SC88	E1•B1•C2•E2•B2•C1
N13	DDC114EK	DIODS	Dnpn x2	$V_{CC}=50\text{ В}; I_C=100\text{ мА}; 10\text{ к}/10\text{ к}$	SOT23-6	E1•B1•C2•E2•B2•C1
N13	DDC114EU	DIODS	Dnpn x2	$V_{CC}=50\text{ В}; I_C=100\text{ мА}; 10\text{ к}/10\text{ к}$	SOT363, SC88	E1•B1•C2•E2•B2•C1
N14	DDC114YK	DIODS	Dnpn x2	$V_{CC}=50\text{ В}; I_C=100\text{ мА}; 10\text{ к}/47\text{ к}$	SOT23-6	E1•B1•C2•E2•B2•C1
N14	DDC114YU	DIODS	Dnpn x2	$V_{CC}=50\text{ В}; I_C=100\text{ мА}; 10\text{ к}/47\text{ к}$	SOT363, SC88	E1•B1•C2•E2•B2•C1
N17	DDC124EK	DIODS	Dnpn x2	$V_{CC}=50\text{ В}; I_C=100\text{ мА}; 22\text{ к}/22\text{ к}$	SOT23-6	E1•B1•C2•E2•B2•C1
N17	DDC124EU	DIODS	Dnpn x2	$V_{CC}=50\text{ В}; I_C=100\text{ мА}; 22\text{ к}/22\text{ к}$	SOT363, SC88	E1•B1•C2•E2•B2•C1
N20	DDC144EK	DIODS	Dnpn x2	$V_{CC}=50\text{ В}; I_C=100\text{ мА}; 47\text{ к}/47\text{ к}$	SOT23-6	E1•B1•C2•E2•B2•C1
N20	DDC144EU	DIODS	Dnpn x2	$V_{CC}=50\text{ В}; I_C=100\text{ мА}; 47\text{ к}/47\text{ к}$	SOT363, SC88	E1•B1•C2•E2•B2•C1
NN	HSMS282N	HP	shd x4	$V_{BR}>15\text{ В}; V_F(I_F=30\text{ мА})<0.7\text{ В};$ $I_{H}(I_{H_A}=1\text{ В})<100\text{ мА}; C_T<1.0\text{ нФ}; P_D=12\text{ Ом}$	SOT363, SC88	K1•A1, A2, A3, A4•K2•K3•A1, A2, A3, A4•K4
nQ	μPA841TD	NEC	npn x2	$V_{CE0}=9\text{ В}; I_{C1}=30\text{ мА}; I_{C2}=100\text{ мА}; P_D=210\text{ мВт};$ $f_T>10\text{ ГГц}; f_{T2}>3.5\text{ ГГц}$	M16, 1208	C1•E1•C2•B2•E2•B1
O	HSMS280R	HP	shd x4	$V_{BR}>70\text{ В}; V_F(I_F=15\text{ мА})<1.0\text{ В};$ $I_{H}(I_{H_A}=50\text{ В})<200\text{ мА}; C_D<2.0\text{ нФ}$	SOT363, SC88	K1•A1, K2•A2•K3•A3, K4•A4
OO	HSMS282R	HP	shd x4	$V_{BR}>15\text{ В}; V_F(I_F=30\text{ мА})<0.7\text{ В};$ $I_{H}(I_{H_A}=1\text{ В})<100\text{ мА}; C_T<1.0\text{ нФ}; P_D=12\text{ Ом}$	SOT363, SC88	K1•A1, K2•A2•K3•A3, K4•A4
P06	DDA123JK	DIODS	Dnpn x2	$V_{CC}=50\text{ В}; I_C=100\text{ мА}; 2.2\text{ к}/47\text{ к}$	SOT23-6	E1•B1•C2•E2•B2•C1
P06	DDA123JU	DIODS	Dnpn x2	$V_{CC}=50\text{ В}; I_C=100\text{ мА}; 2.2\text{ к}/47\text{ к}$	SOT363, SC88	E1•B1•C2•E2•B2•C1
P07	DDA143TK	DIODS	Dnpn x2	$V_{CC}=50\text{ В}; I_C=100\text{ мА}; R_f=4.7\text{ к}$	SOT23-6	E1•B1•C2•E2•B2•C1
P07	DDA143TU	DIODS	Dnpn x2	$V_{CC}=50\text{ В}; I_C=100\text{ мА}; R_f=4.7\text{ к}$	SOT363, SC88	E1•B1•C2•E2•B2•C1
P12	DDA114TK	DIODS	Dnpn x2	$V_{CC}=50\text{ В}; I_C=100\text{ мА}; R_f=10\text{ к}$	SOT23-6	E1•B1•C2•E2•B2•C1
P12	DDA114TU	DIODS	Dnpn x2	$V_{CC}=50\text{ В}; I_C=100\text{ мА}; R_f=10\text{ к}$	SOT363, SC88	E1•B1•C2•E2•B2•C1
P13	DDA114EK	DIODS	Dnpn x2	$V_{CC}=50\text{ В}; I_C=100\text{ мА}; 10\text{ к}/10\text{ к}$	SOT23-6	E1•B1•C2•E2•B2•C1
P13	DDA114EU	DIODS	Dnpn x2	$V_{CC}=50\text{ В}; I_C=100\text{ мА}; 10\text{ к}/10\text{ к}$	SOT363, SC88	E1•B1•C2•E2•B2•C1
P14	DDA114YK	DIODS	Dnpn x2	$V_{CC}=50\text{ В}; I_C=100\text{ мА}; 10\text{ к}/47\text{ к}$	SOT23-6	E1•B1•C2•E2•B2•C1
P14	DDA114YU	DIODS	Dnpn x2	$V_{CC}=50\text{ В}; I_C=100\text{ мА}; 10\text{ к}/47\text{ к}$	SOT363, SC88	E1•B1•C2•E2•B2•C1
P17	DDC124EK	DIODS	Dnpn x2	$V_{CC}=50\text{ В}; I_C=100\text{ мА}; 22\text{ к}/22\text{ к}$	SOT23-6	E1•B1•C2•E2•B2•C1
P17	DDC124EU	DIODS	Dnpn x2	$V_{CC}=50\text{ В}; I_C=100\text{ мА}; 22\text{ к}/22\text{ к}$	SOT363, SC88	E1•B1•C2•E2•B2•C1
P20	DDA144EK	DIODS	Dnpn x2	$V_{CC}=50\text{ В}; I_C=100\text{ мА}; 47\text{ к}/47\text{ к}$	SOT23-6	E1•B1•C2•E2•B2•C1
P20	DDA144EU	DIODS	Dnpn x2	$V_{CC}=50\text{ В}; I_C=100\text{ мА}; 47\text{ к}/47\text{ к}$	SOT363, SC88	E1•B1•C2•E2•B2•C1
PGS	BGA428	INF	amp	$V_{CC}=2.4...3\text{ В}; I_{CC}=8.2\text{ мА}; G_{M(A)}=20\text{ дБ} (f_T=1\text{ ГГц})$	SOT363, SC88	V0•GND•OUT•GS•GND•IN
PL	HSMS285L	HP	shd x3	$V_F(I_F=1\text{ мА})<0.25\text{ В}; C_T=0.3\text{ нФ}$	SOT363, SC88	A1•A2•A3•K3•K2•K1
PP	HSMS285P	HP	shd x4	$V_F(I_F=1\text{ мА})<0.25\text{ В}; C_T=0.3\text{ нФ}$	SOT363, SC88	A1•K1, A2•K2•K3•K4, A3•A4
R10B	REG710NA-5	TI	scvcon	$V_{IN}=1.8...5.5\text{ В}; I_{OUT}>30\text{ мА}; V_{OUT}=5.0\text{ В}$	SOT23-6	VOUT•GND•Enable•CPUMP• VIN•CPUMP+
R10C	REG710NA-3.3	TI	scvcon	$V_{IN}=1.8...5.5\text{ В}; I_{OUT}>30\text{ мА}; V_{OUT}=3.3\text{ В}$	SOT23-6	VOUT•GND•Enable•CPUMP• VIN•CPUMP+
R10D	REG710NA-3	TI	scvcon	$V_{IN}=1.8...5.5\text{ В}; I_{OUT}>30\text{ мА}; V_{OUT}=3.0\text{ В}$	SOT23-6	VOUT•GND•Enable•CPUMP• VIN•CPUMP+
R10F	REG710NA-2.7	TI	scvcon	$V_{IN}=1.8...5.5\text{ В}; I_{OUT}>30\text{ мА}; V_{OUT}=2.7\text{ В}$	SOT23-6	VOUT•GND•Enable•CPUMP• VIN•CPUMP+

f56 SON-6
M16 USM-6

SOT563
SOT666



SOT363
TSOT363

SOT457
MW-6

SOT23-6
TSOT23-6



Код	Типономинал	Б	Ф	Особенности	Корпус	Ц: 1•2•3•4•5•6
R10G	REG710NA-2.5	TI	scvcon	$V_{IN} = 1.8 \dots 5.5 \text{ В}$; $I_{OUT} > 30 \text{ мА}$; $V_{OUT} = 2.5 \text{ В}$	SOT23-6	YOUT • GND • Enable • CPUMP • VIN • CPUMP+
R10H	REG71055DDC	TI	scvcon	$V_{IN} = 1.8 \dots 5.5 \text{ В}$; $I_{OUT} > 30 \text{ мА}$; $V_{OUT} = 5.5 \text{ В}$	TSOT23-6	YOUT • GND • Enable • CPUMP • VIN • CPUMP+
R24	μPA801TFB	NEC	npn x2	$V_{CE0} = 20 \text{ В}$; $I_C = 100 \text{ мА}$; $P_D = 230 \text{ мВт}$; $h_{FE1} = 70 \dots 140$; $f_T > 3 \text{ ГГц}$	SOT363, SC88	C1 • E1 • C2 • E2 • B2 • B1
R25	μPA801TGB	NEC	npn x2	$V_{CE0} = 20 \text{ В}$; $I_C = 100 \text{ мА}$; $P_D = 230 \text{ мВт}$; $h_{FE1} = 125 \dots 250$; $f_T > 3 \text{ ГГц}$	SOT363, SC88	C1 • E1 • C2 • E2 • B2 • B1
R34	μPA802TFB	NEC	npn x2	$V_{CE0} = 20 \text{ В}$; $I_C = 65 \text{ мА}$; $P_D = 200 \text{ мВт}$; $h_{FE1} = 70 \dots 150$; $f_T > 4.5 \text{ ГГц}$	SOT363, SC88	C1 • E1 • C2 • E2 • B2 • B1
R35	μPA802TGB	NEC	npn x2	$V_{CE0} = 20 \text{ В}$; $I_C = 65 \text{ мА}$; $P_D = 200 \text{ мВт}$; $h_{FE1} = 110 \dots 240$; $f_T > 4.5 \text{ ГГц}$	SOT363, SC88	C1 • E1 • C2 • E2 • B2 • B1
R84	μPA827TF	NEC	npn x2	$V_{CE0} = 5 \text{ В}$; $I_C = 10 \text{ мА}$; $P_D = 60 \text{ мВт}$; $h_{FE1} = 70 \dots 140$; $f_T > 8.5 \text{ ГГц}$	TSOT363	C1 • E1 • C2 • B2 • E2 • B1
R86	μPA828TF	NEC	npn x2	$V_{CE0} = 5 \text{ В}$; $I_C = 30 \text{ мА}$; $P_D = 180 \text{ мВт}$; $h_{FE1} = 70 \dots 140$; $f_T > 7 \text{ ГГц}$	TSOT363	C1 • E1 • C2 • B2 • E2 • B1
REs	BFS480	SIEM	npn x2	$V_{CE0} = 10 \text{ В}$; $I_C = 10 \text{ мА}$; $P_D = 80 \text{ мВт}$; $h_{FE1} = 30 \dots 200$; $f_T = 7500 \text{ МГц}$	SOT363, SC88	B1 • E1 • C2 • B2 • E2 • C1
RFs	BFS481	SIEM	npn x2	$V_{CE0} = 20 \text{ В}$; $I_C = 20 \text{ мА}$; $P_D = 150 \text{ мВт}$; $h_{FE1} = 50 \dots 200$; $f_T = 8000 \text{ МГц}$	SOT363, SC88	B1 • E1 • C2 • B2 • E2 • C1
RGs	BFS482	SIEM	npn x2	$V_{CE0} = 20 \text{ В}$; $I_C = 35 \text{ мА}$; $P_D = 250 \text{ мВт}$; $h_{FE1} = 50 \dots 200$; $f_T = 8000 \text{ МГц}$	SOT363, SC88	B1 • E1 • C2 • B2 • E2 • C1
RHs	BFS483	SIEM	npn x2	$V_{CE0} = 20 \text{ В}$; $I_C = 65 \text{ мА}$; $P_D = 450 \text{ мВт}$; $h_{FE1} = 50 \dots 200$; $f_T = 8000 \text{ МГц}$	SOT363, SC88	B1 • E1 • C2 • B2 • E2 • C1
RL	μPA800T	NEC	npn x2	$V_{CE0} = 20 \text{ В}$; $I_C = 35 \text{ мА}$; $P_D = 200 \text{ мВт}$; $h_{FE1} = 80 \dots 200$; $f_T > 5.5 \text{ ГГц}$	SOT363, SC88	C1 • E1 • C2 • E2 • B2 • B1
RL	μPA800TF	NEC	npn x2	$V_{CE0} = 20 \text{ В}$; $I_C = 35 \text{ мА}$; $P_D = 200 \text{ мВт}$; $h_{FE1} = 80 \dots 200$; $f_T > 5.5 \text{ ГГц}$	TSOT363	C1 • E1 • C2 • E2 • B2 • B1
S00	ADG741BKSZ	AD	asw	2 x SPST; $R_{ON} < 4 \text{ Ом}$; $V_{DD} = 1.8 \dots 5.5 \text{ В}$	SOT363, SC88	D • S • GND • IN • n. c. • VDD
S01	ADG742BKSZ	AD	asw	2 x SPST; $R_{ON} < 4 \text{ Ом}$; $V_{DD} = 1.8 \dots 5.5 \text{ В}$	SOT363, SC88	D • S • GND • IN • n. c. • VDD
S0M	ADG759BKSZ	AD	asw	SPDT; $R_{ON} < 6 \text{ Ом}$; $V_{DD} = 1.8 \dots 5.5 \text{ В}$	SOT363, SC88	IN • VDD • GND • S1 • D • S2
S18	ADG602BRTZ	AD	asw	SPST; $R_{ON} < 5 \text{ Ом}$; $V_{DD} = 2.7 \dots 5.5 \pm 2.7 \dots \pm 5.5 \text{ В}$	SOT23-6	VDD • S • VSS • GND • D • IN
s1A	SMBT3904S	SIEM	npn x2	$V_{CE0} = 60 \text{ В}$; $I_C = 200 \text{ мА}$; $P_D = 250 \text{ мВт}$; $h_{FE1} = 100 \dots 300$; $f_T > 300 \text{ МГц}$	SOT363, SC88	E1 • B1 • C2 • E2 • B2 • C1
s1A	SMBT3904U	SIEM	npn x2	$V_{CE0} = 60 \text{ В}$; $I_C = 200 \text{ мА}$; $P_D = 250 \text{ мВт}$; $h_{FE1} = 100 \dots 300$; $f_T > 300 \text{ МГц}$	TSOT457, SC74	E1 • B1 • C2 • E2 • B2 • C1
S1B	ADG465BRT	AD	prot	$V_{F10T} < \pm 40 \text{ В}$; $V_{DD} = \pm 15 \text{ В}$	SOT23-6	VD1 • n. c. • VSS • VS1 • n. c. • VDD
s2A	SMBT3906S	SIEM	npn x2	$V_{CE0} = 40 \text{ В}$; $I_C = 200 \text{ мА}$; $P_D = 250 \text{ мВт}$; $h_{FE1} = 100 \dots 300$; $f_T > 250 \text{ МГц}$	SOT363, SC88	E1 • B1 • C2 • E2 • B2 • C1
s2A	SMBT3906U	SIEM	npn x2	$V_{CE0} = 40 \text{ В}$; $I_C = 200 \text{ мА}$; $P_D = 250 \text{ мВт}$; $h_{FE1} = 100 \dots 300$; $f_T > 250 \text{ МГц}$	TSOT457, SC74	E1 • B1 • C2 • E2 • B2 • C1
S3B	ADG701BRT	AD	asw	SPST; $R_{ON} < 4 \text{ Ом}$; $V_{DD} = 1.8 \dots 5.5 \text{ В}$	SOT23-6	D • S • GND • IN • n. c. • VDD
s3P	SMBT3904PN	SIEM	npn/npn	$V_{CE0} = 40 \text{ В}$; $I_C = 200 \text{ мА}$; $P_D = 250 \text{ мВт}$; $h_{FE1} = 100 \dots 300$; $f_T > 250 \text{ МГц}$	SOT363, SC88	E1 • B1 • C2 • E2 • B2 • C1
S4B	ADG702BRT	AD	asw	SPST; $R_{ON} < 4 \text{ Ом}$; $V_{DD} = 1.8 \dots 5.5 \text{ В}$	SOT23-6	D • S • GND • IN • n. c. • VDD
S5B	ADG719BRT	AD	asw	SPDT; $R_{ON} < 7 \text{ Ом}$; $V_{DD} = 1.8 \dots 5.5 \text{ В}$	SOT23-6	IN • VDD • GND • S1 • D • S2
S0A	ADG751ART	AD	asw	SPST; $R_{ON} < 40 \text{ Ом}$; $V_{DD} = 1.8 \dots 5.5 \text{ В}$	SOT23-6	S • VDD • n. c. • IN • GND • D
S0B	ADG751BRT	AD	asw	SPST; $R_{ON} < 40 \text{ Ом}$; $V_{DD} = 1.8 \dots 5.5 \text{ В}$	SOT23-6	S • VDD • n. c. • IN • GND • D
SEB	ADG752BRT	AD	asw	SPDT; $R_{ON} < 20 \text{ Ом}$; $V_{DD} = 1.8 \dots 5.5 \text{ В}$	SOT23-6	D • VDD • S1 • IN • GND • S2
SFB	ADG741BKS	AD	asw	2 x SPST; $R_{ON} < 4 \text{ Ом}$; $V_{DD} = 1.8 \dots 5.5 \text{ В}$	SOT363, SC88	D • S • GND • IN • n. c. • VDD
SGB	ADG742BKS	AD	asw	2 x SPST; $R_{ON} < 4 \text{ Ом}$; $V_{DD} = 1.8 \dots 5.5 \text{ В}$	SOT363, SC88	D • S • GND • IN • n. c. • VDD



Код	Типонаимал	Б	Ф	Особенности	Корпус	Ц: 1•2•3•4•5•6
SHB	ADG749BKS	AD	asw	SPDT, $R_{ON} < 70 \text{ M}\Omega$, $V_{DD} = 1.8 \dots 5.5 \text{ В}$	SOT363, SC88	$\text{IN} \bullet \text{VDD} \bullet \text{GND} \bullet \text{S1} \bullet \text{D} \bullet \text{S2}$
SKB	ADG779BKS	AD	asw	SPDT, $R_{ON} < 6 \text{ M}\Omega$, $V_{DD} = 1.8 \dots 5.5 \text{ В}$	SOT363, SC88	$\text{IN} \bullet \text{VDD} \bullet \text{GND} \bullet \text{S1} \bullet \text{D} \bullet \text{S2}$
SLB	ADG801BRT	AD	asw	SPST, $R_{ON} < 0.4 \text{ M}\Omega$, $V_{DD} = 1.8 \dots 5.5 \text{ В}$	SOT23-6	$\text{D} \bullet \text{S} \bullet \text{GND} \bullet \text{IN} \bullet \text{n.c.} \bullet \text{VDD}$
SMB	ADG802BRT	AD	asw	SPST, $R_{ON} < 0.4 \text{ M}\Omega$, $V_{DD} = 1.8 \dots 5.5 \text{ В}$	SOT23-6	$\text{D} \bullet \text{S} \bullet \text{GND} \bullet \text{IN} \bullet \text{n.c.} \bullet \text{VDD}$
SNB	ADG819BRT	AD	asw	SPDT, $R_{ON} < 0.8 \text{ M}\Omega$, $V_{DD} = 1.8 \dots 5.5 \text{ В}$	SOT23-6	$\text{IN} \bullet \text{VDD} \bullet \text{GND} \bullet \text{S1} \bullet \text{D} \bullet \text{S2}$
SPB	ADG820BRT	AD	asw	SPDT, $R_{ON} < 0.8 \text{ M}\Omega$, $V_{DD} = 1.8 \dots 5.5 \text{ В}$	SOT23-6	$\text{IN} \bullet \text{VDD} \bullet \text{GND} \bullet \text{S1} \bullet \text{D} \bullet \text{S2}$
STB	ADG801BRT	AD	asw	SPST, $R_{ON} < 5.5 \text{ M}\Omega$, $V_{DD} = 2.7 \dots 5.5 / 2.7 \dots 5.5 \text{ В}$	SOT23-6	$\text{VDD} \bullet \text{S} \bullet \text{VSS} \bullet \text{GND} \bullet \text{D} \bullet \text{IN}$
STB#	ADG801BRTZ	AD	asw	SPST, $R_{ON} < 5.5 \text{ M}\Omega$, $V_{DD} = 2.7 \dots 5.5 / 2.7 \dots 5.5 \text{ В}$	SOT23-6	$\text{VDD} \bullet \text{S} \bullet \text{VSS} \bullet \text{GND} \bullet \text{D} \bullet \text{IN}$
SUB	ADG802BRT	AD	asw	SPST, $R_{ON} < 5.5 \text{ M}\Omega$, $V_{DD} = 2.7 \dots 5.5 / 2.7 \dots 5.5 \text{ В}$	SOT23-6	$\text{VDD} \bullet \text{S} \bullet \text{VSS} \bullet \text{GND} \bullet \text{D} \bullet \text{IN}$
T1	EMT1	ROHM	pnnp x2	$V_{CE0} = 60 \text{ В}$; $I_C = 150 \text{ мА}$; $P_D = 150 \text{ мВт}$; $h_{FE} > 120$	SOT563, EMT6	$\text{E1} \bullet \text{D} \bullet \text{C2} \bullet \text{E2} \bullet \text{B2} \bullet \text{C1}$
T1	IMT1A	ROHM	pnnp x2	$V_{CE0} = 60 \text{ В}$; $I_C = 150 \text{ мА}$; $P_D = 300 \text{ мВт}$; $h_{FE} > 120$	SOT23-6	$\text{C1} \bullet \text{B1} \bullet \text{E2} \bullet \text{C2} \bullet \text{B1} \bullet \text{E1}$
T1	UMT1N	ROHM	pnnp x2	$V_{CE0} = 60 \text{ В}$; $I_C = 100 \text{ мА}$; $P_D(\text{com}) = 300 \text{ мВт}$; $h_{FE} > 120$	SOT363, SC88	$\text{E1} \bullet \text{B1} \bullet \text{C2} \bullet \text{E2} \bullet \text{B2} \bullet \text{C1}$
T17	IMT17	ROHM	pnnp x2	$V_{CE0} = 60 \text{ В}$; $I_C = 500 \text{ мА}$; $P_D = 300 \text{ мВт}$; $h_{FE} > 120$	SOT23-6	$\text{C1} \bullet \text{B2} \bullet \text{E2} \bullet \text{C2} \bullet \text{B1} \bullet \text{E1}$
T1H	ADT7301ARTZ	AD	dis	13-pasp., SPI/QSPI/Microwire, $V_{DD} = 2.7 \dots 5.25 \text{ В}$	SOT23-6	$\text{GND} \bullet \text{DIN} \bullet \text{VDD} \bullet \text{SCLK} \bullet \text{CS} \bullet \text{DOUT}$
T2	EMT2	ROHM	pnnp x2	$V_{CE0} = 60 \text{ В}$; $I_C = 150 \text{ мА}$; $P_D = 300 \text{ мВт}$; $h_{FE} > 100$	SOT563, EMT6	$\text{E2} \bullet \text{E1} \bullet \text{B1} \bullet \text{C1} \bullet \text{B2} \bullet \text{C2}$
T2	IMT2A	ROHM	pnnp x2	$V_{CE0} = 60 \text{ В}$; $I_C = 150 \text{ мА}$; $P_D = 300 \text{ мВт}$; $h_{FE} > 100$	SOT23-6	$\text{C2} \bullet \text{B2} \bullet \text{C1} \bullet \text{B1} \bullet \text{E1} \bullet \text{E2}$
T2	UMT2N	ROHM	pnnp x2	$V_{CE0} = 60 \text{ В}$; $I_C = 100 \text{ мА}$; $P_D(\text{com}) = 300 \text{ мВт}$; $h_{FE} > 120$	SOT363, SC88	$\text{E1} \bullet \text{E2} \bullet \text{B2} \bullet \text{C2} \bullet \text{B1} \bullet \text{C1}$
T3	EMT3	ROHM	pnnp x2	$V_{CE0} = 60 \text{ В}$; $I_C = 150 \text{ мА}$; $P_D = 150 \text{ мВт}$; $h_{FE} > 100$	SOT563, EMT6	$\text{E2} \bullet \text{B2} \bullet \text{B1} \bullet \text{C1} \bullet \text{E1} \bullet \text{C2}$
T3	IMT3A	ROHM	pnnp x2	$V_{CE0} = 60 \text{ В}$; $I_C = 150 \text{ мА}$; $P_D = 300 \text{ мВт}$; $h_{FE} > 100$	SOT457, SC74	$\text{C2} \bullet \text{E1} \bullet \text{C1} \bullet \text{B1} \bullet \text{B2} \bullet \text{E2}$
T3	UMT3N	ROHM	pnnp x2	$V_{CE0} = 60 \text{ В}$; $I_C = 100 \text{ мА}$; $P_D(\text{com}) = 300 \text{ мВт}$; $h_{FE} > 120$	SOT363, SC88	$\text{E1} \bullet \text{B1} \bullet \text{B2} \bullet \text{C2} \bullet \text{E2} \bullet \text{C1}$
T4	IMT4	ROHM	pnnp x2	$V_{CE0} = 120 \text{ В}$; $I_C = 50 \text{ мА}$; $P_D = 300 \text{ мВт}$; $h_{FE} > 180$	SOT23-6	$\text{C1} \bullet \text{E2} \bullet \text{C2} \bullet \text{B2} \bullet \text{B1} \bullet \text{E1}$
T4	MBD330DW	ON	shd x2	$V_R < 30 \text{ В}$; $V_F(I_F = 10 \text{ мА}) < 0.6 \text{ В}$; $C_D < 1 \text{ нФ}$	SOT363, SC88	$\text{A1} \bullet \text{n.c.} \bullet \text{K2} \bullet \text{A2} \bullet \text{n.c.} \bullet \text{K1}$
T76	$\mu\text{PA804TFB}$	NEC	npn x2	$V_{CE0} = 20 \text{ В}$; $I_C = 60 \text{ мА}$; $P_D = 200 \text{ мВт}$; $h_{FE} = 60 \dots 120$; $f_T > 3 \text{ ГГц}$	SOT363, SC88	$\text{C1} \bullet \text{E1} \bullet \text{C2} \bullet \text{E2} \bullet \text{B2} \bullet \text{B1}$
T77	$\mu\text{PA804TGB}$	NEC	npn x2	$V_{CE0} = 20 \text{ В}$; $I_C = 60 \text{ мА}$; $P_D = 200 \text{ мВт}$; $h_{FE} = 100 \dots 200$; $f_T > 3 \text{ ГГц}$	SOT363, SC88	$\text{C1} \bullet \text{E1} \bullet \text$

f56 SON-6
M16 USM-6

SOT563
SOT666



SOT363 SOT457 SOT23-6
TSOT363 MW-6 TSOT23-6



Код	Типономинал	Б	Ф	Особенности	Корпус	Ц: 1•2•3•4•5•6
TR	HSMS286R	HP	shd x1	$V_f (I_F = 1 \text{ мА}) < 0.35 \text{ В}; C_T < 0.30 \text{ пФ}$	SOT363, SC88	K1•A1, K2•A2•K3•A3, K4•A4
VA	RN4601	TOSH	Dnpn/rnpn	$V_{CE0} = 50 \text{ В}; I_C = 100 \text{ мА}; P_D = 300 \text{ мВт}; f_T = 200 \text{ МГц};$ $R_{\theta JA}/R_{\theta JE} = 4.7 \text{ К}/4.7 \text{ К}$	SOT23-6	E1•B1•C2•E2•B2•C1
VA	RN4901	TOSH	Dnpn/rnpn	$V_{CE0} = 50 \text{ В}; I_C = 100 \text{ мА}; P_D = 200 \text{ мВт}; f_T = 200 \text{ МГц};$ $R_{\theta JA}/R_{\theta JE} = 4.7 \text{ К}/4.7 \text{ К}$	SOT363, SC88	E1•B1•C2•E2•B2•C1
VA	RN4901FE	TOSH	Dnpn/rnpn	$V_{CE0} = 50 \text{ В}; I_C = 100 \text{ мА}; P_D = 100 \text{ мВт}; f_T = 200 \text{ МГц};$ $R_{\theta JA}/R_{\theta JE} = 4.7 \text{ К}/4.7 \text{ К}$	SOT666	E1•B1•C2•E2•B2•C1
VAY1	TLV2630DBV	TI	OA	$R-R; V_{DD} = 2.7...5.5 \text{ В}; f_{BD} = 9 \text{ МГц}; V_{OS} < 4.5 \text{ мВ}$	SOT23-6	OUT•GND•IN+•IN-•SHDN•VDD
VB	RN4602	TOSH	Dnpn/rnpn	$V_{CE0} = 50 \text{ В}; I_C = 100 \text{ мА}; P_D = 300 \text{ мВт}; f_T = 200 \text{ МГц};$ $R_{\theta JA}/R_{\theta JE} = 10 \text{ К}/10 \text{ К}$	SOT23-6	E1•B1•C2•E2•B2•C1
VB	RN4902	TOSH	Dnpn/rnpn	$V_{CE0} = 50 \text{ В}; I_C = 100 \text{ мА}; P_D = 200 \text{ мВт}; f_T = 200 \text{ МГц};$ $R_{\theta JA}/R_{\theta JE} = 10 \text{ К}/10 \text{ К}$	SOT363, SC88	E1•B1•C2•E2•B2•C1
VB	RN4902FE	TOSH	Dnpn/rnpn	$V_{CE0} = 50 \text{ В}; I_C = 100 \text{ мА}; P_D = 100 \text{ мВт}; f_T = 200 \text{ МГц};$ $R_{\theta JA}/R_{\theta JE} = 10 \text{ К}/10 \text{ К}$	SOT666	E1•B1•C2•E2•B2•C1
VC	RN4603	TOSH	Dnpn/rnpn	$V_{CE0} = 50 \text{ В}; I_C = 100 \text{ мА}; P_D = 300 \text{ мВт}; f_T = 200 \text{ МГц};$ $R_{\theta JA}/R_{\theta JE} = 22 \text{ К}/22 \text{ К}$	SOT23-6	E1•B1•C2•E2•B2•C1
VC	RN4903	TOSH	Dnpn/rnpn	$V_{CE0} = 50 \text{ В}; I_C = 100 \text{ мА}; P_D = 200 \text{ мВт}; f_T = 200 \text{ МГц};$ $R_{\theta JA}/R_{\theta JE} = 22 \text{ К}/22 \text{ К}$	SOT363, SC88	E1•B1•C2•E2•B2•C1
VC	RN4903FE	TOSH	Dnpn/rnpn	$V_{CE0} = 50 \text{ В}; I_C = 100 \text{ мА}; P_D = 100 \text{ мВт}; f_T = 200 \text{ МГц};$ $R_{\theta JA}/R_{\theta JE} = 22 \text{ К}/22 \text{ К}$	SOT666	E1•B1•C2•E2•B2•C1
VD	RN4604	TOSH	Dnpn/rnpn	$V_{CE0} = 50 \text{ В}; I_C = 100 \text{ мА}; P_D = 300 \text{ мВт}; f_T = 200 \text{ МГц};$ $R_{\theta JA}/R_{\theta JE} = 47 \text{ К}/47 \text{ К}$	SOT23-6	E1•B1•C2•E2•B2•C1
VD	RN4904	TOSH	Dnpn/rnpn	$V_{CE0} = 50 \text{ В}; I_C = 100 \text{ мА}; P_D = 200 \text{ мВт}; f_T = 200 \text{ МГц};$ $R_{\theta JA}/R_{\theta JE} = 47 \text{ К}/47 \text{ К}$	SOT363, SC88	E1•B1•C2•E2•B2•C1
VD	RN4904FE	TOSH	Dnpn/rnpn	$V_{CE0} = 50 \text{ В}; I_C = 100 \text{ мА}; P_D = 100 \text{ мВт}; f_T = 200 \text{ МГц};$ $R_{\theta JA}/R_{\theta JE} = 47 \text{ К}/47 \text{ К}$	SOT666	E1•B1•C2•E2•B2•C1
VE	RN4605	TOSH	Dnpn/rnpn	$V_{CE0} = 50 \text{ В}; I_C = 100 \text{ мА}; P_D = 300 \text{ мВт}; f_T = 200 \text{ МГц};$ $R_{\theta JA}/R_{\theta JE} = 2.2 \text{ К}/47 \text{ К}$	SOT23-6	E1•B1•C2•E2•B2•C1
VE	RN4905	TOSH	Dnpn/rnpn	$V_{CE0} = 50 \text{ В}; I_C = 100 \text{ мА}; P_D = 200 \text{ мВт}; f_T = 200 \text{ МГц};$ $R_{\theta JA}/R_{\theta JE} = 2.2 \text{ К}/47 \text{ К}$	SOT363, SC88	E1•B1•C2•E2•B2•C1
VE	RN4905FE	TOSH	Dnpn/rnpn	$V_{CE0} = 50 \text{ В}; I_C = 100 \text{ мА}; P_D = 100 \text{ мВт}; f_T = 200 \text{ МГц};$ $R_{\theta JA}/R_{\theta JE} = 2.2 \text{ К}/47 \text{ К}$	SOT666	E1•B1•C2•E2•B2•C1
VF	RN4606	TOSH	Dnpn/rnpn	$V_{CE0} = 50 \text{ В}; I_C = 100 \text{ мА}; P_D = 300 \text{ мВт}; f_T = 200 \text{ МГц};$ $R_{\theta JA}/R_{\theta JE} = 4.7 \text{ К}/47 \text{ К}$	SOT23-6	E1•B1•C2•E2•B2•C1
VF	RN4906	TOSH	Dnpn/rnpn	$V_{CE0} = 50 \text{ В}; I_C = 100 \text{ мА}; P_D = 200 \text{ мВт}; f_T = 200 \text{ МГц};$ $R_{\theta JA}/R_{\theta JE} = 4.7 \text{ К}/47 \text{ К}$	SOT363, SC88	E1•B1•C2•E2•B2•C1
VF	RN4906FE	TOSH	Dnpn/rnpn	$V_{CE0} = 50 \text{ В}; I_C = 100 \text{ мА}; P_D = 100 \text{ мВт}; f_T = 200 \text{ МГц};$ $R_{\theta JA}/R_{\theta JE} = 4.7 \text{ К}/47 \text{ К}$	SOT666	E1•B1•C2•E2•B2•C1
VH	μPA851TD	NEC	rnpn x2	$V_{CE01} = 5 \text{ В}; V_{CE02} = 15 \text{ В}; I_{C1} = 30 \text{ мА}; I_{C2} = 100 \text{ мА};$ $P_D = 210 \text{ мВт}; f_{T1} > 10 \text{ ГГц}; f_{T2} > 4.5 \text{ ГГц}$	M16, 1208	C1•E1•C2•B2•E2•B1
VH	RN4607	TOSH	Dnpn/rnpn	$V_{CE0} = 50 \text{ В}; I_C = 100 \text{ мА}; P_D = 300 \text{ мВт}; f_T = 200 \text{ МГц};$ $R_{\theta JA}/R_{\theta JE} = 10 \text{ К}/47 \text{ К}$	SOT23-6	E1•B1•C2•E2•B2•C1
VH	RN4907	TOSH	Dnpn/rnpn	$V_{CE0} = 50 \text{ В}; I_C = 100 \text{ мА}; P_D = 200 \text{ мВт}; f_T = 200 \text{ МГц};$ $R_{\theta JA}/R_{\theta JE} = 10 \text{ К}/47 \text{ К}$	SOT363, SC88	E1•B1•C2•E2•B2•C1
VH	RN4907FE	TOSH	Dnpn/rnpn	$V_{CE0} = 50 \text{ В}; I_C = 100 \text{ мА}; P_D = 100 \text{ мВт}; f_T = 200 \text{ МГц};$ $R_{\theta JA}/R_{\theta JE} = 10 \text{ К}/47 \text{ К}$	SOT666	E1•B1•C2•E2•B2•C1
VI	RN4608	TOSH	Dnpn/rnpn	$V_{CE0} = 50 \text{ В}; I_C = 100 \text{ мА}; P_D = 300 \text{ мВт}; f_T = 200 \text{ МГц};$ $R_{\theta JA}/R_{\theta JE} = 22 \text{ К}/47 \text{ К}$	SOT23-6	E1•B1•C2•E2•B2•C1
VI	RN4908	TOSH	Dnpn/rnpn	$V_{CE0} = 50 \text{ В}; I_C = 100 \text{ мА}; P_D = 200 \text{ мВт}; f_T = 200 \text{ МГц};$ $R_{\theta JA}/R_{\theta JE} = 22 \text{ К}/47 \text{ К}$	SOT363, SC88	E1•B1•C2•E2•B2•C1
VI	RN4908FE	TOSH	Dnpn/rnpn	$V_{CE0} = 50 \text{ В}; I_C = 100 \text{ мА}; P_D = 100 \text{ мВт}; f_T = 200 \text{ МГц};$ $R_{\theta JA}/R_{\theta JE} = 22 \text{ К}/47 \text{ К}$	SOT666	E1•B1•C2•E2•B2•C1
VJ	RN4609	TOSH	Dnpn/rnpn	$V_{CE0} = 50 \text{ В}; I_C = 100 \text{ мА}; P_D = 300 \text{ мВт}; f_T = 200 \text{ МГц};$ $R_{\theta JA}/R_{\theta JE} = 47 \text{ К}/22 \text{ К}$	SOT23-6	E1•B1•C2•E2•B2•C1
VJ	RN4909	TOSH	Dnpn/rnpn	$V_{CE0} = 50 \text{ В}; I_C = 100 \text{ мА}; P_D = 200 \text{ мВт}; f_T = 200 \text{ МГц};$ $R_{\theta JA}/R_{\theta JE} = 47 \text{ К}/22 \text{ К}$	SOT363, SC88	E1•B1•C2•E2•B2•C1



SOT23-6 SOT457 SOT363
TSOT23-6 MW-6 TSOT363



SOT563 SON-6 fS6
SOT666 USM-6 M16

Код	Типономинал	Б	Ф	Особенности	Корпус	Ц: 1•2•3•4•5•6
VJ	RM4909FE	TOSH	Dnpnp/npn	$V_{CE0} = 50 \text{ В}$; $I_C = 100 \text{ мА}$; $P_D = 100 \text{ мВт}$; $f_T = 200 \text{ МГц}$ $R_{\theta JA} = 47 \text{ К}^\circ\text{C}/\text{Вт}$	SOT666	E1•B1•C2•E2•B2•C1
VK	RM4610	TOSH	Dnpnp/npn	$V_{CE0} = 50 \text{ В}$; $I_C = 100 \text{ мА}$; $P_D = 300 \text{ мВт}$; $f_T = 200 \text{ МГц}$ $R_{\theta JA} = 4,7 \text{ К}^\circ\text{C}/\text{Вт}$	SOT23-6	E1•B1•C2•E2•B2•C1
VK	RM4910	TOSH	Dnpnp/npn	$V_{CE0} = 50 \text{ В}$; $I_C = 100 \text{ мА}$; $P_D = 200 \text{ мВт}$; $f_T = 200 \text{ МГц}$ $R_{\theta JA} = 4,7 \text{ К}^\circ\text{C}/\text{Вт}$	SOT363, SC88	E1•B1•C2•E2•B2•C1
VK	RM4910FE	TOSH	Dnpnp/npn	$V_{CE0} = 50 \text{ В}$; $I_C = 100 \text{ мА}$; $P_D = 100 \text{ мВт}$; $f_T = 200 \text{ МГц}$ $R_{\theta JA} = 4,7 \text{ К}^\circ\text{C}/\text{Вт}$	SOT666	E1•B1•C2•E2•B2•C1
vL	μPA854TD	NEC	nnp x2	$V_{CE01} = 9 \text{ В}$; $V_{CE02} = 15 \text{ В}$; $I_{C1} = 30 \text{ мА}$; $I_{C2} = 100 \text{ мА}$ $P_D = 210 \text{ мВт}$; $f_{T1} > 10 \text{ ГГц}$; $f_{T2} > 3 \text{ ГГц}$	M16, 1208	C1•E1•C2•B2•E2•B1
VM	RM4611	TOSH	Dnpnp/npn	$V_{CE0} = 50 \text{ В}$; $I_C = 100 \text{ мА}$; $P_D = 300 \text{ мВт}$; $f_T = 200 \text{ МГц}$ $R_{\theta JA} = 10 \text{ К}^\circ\text{C}/\text{Вт}$	SOT23-6	E1•B1•C2•E2•B2•C1
VM	RM4911	TOSH	Dnpnp/npn	$V_{CE0} = 50 \text{ В}$; $I_C = 100 \text{ мА}$; $P_D = 200 \text{ мВт}$; $f_T = 200 \text{ МГц}$ $R_{\theta JA} = 10 \text{ К}^\circ\text{C}/\text{Вт}$	SOT363, SC88	E1•B1•C2•E2•B2•C1
VM	RM4911FE	TOSH	Dnpnp/npn	$V_{CE0} = 50 \text{ В}$; $I_C = 100 \text{ мА}$; $P_D = 100 \text{ мВт}$; $f_T = 200 \text{ МГц}$ $R_{\theta JA} = 10 \text{ К}^\circ\text{C}/\text{Вт}$	SOT666	E1•B1•C2•E2•B2•C1
vN	μPA856TD	NEC	nnp x2	$V_{CE01} = 5 \text{ В}$; $V_{CE02} = 15 \text{ В}$; $I_{C1} = 30 \text{ мА}$; $I_{C2} = 100 \text{ мА}$ $P_D = 210 \text{ мВт}$; $f_{T1} > 10 \text{ ГГц}$; $f_{T2} > 3 \text{ ГГц}$	M16, 1208	C1•E1•C2•B2•E2•B1
VN	RM4612	TOSH	Dnpnp/npn	$V_{CE0} = 50 \text{ В}$; $I_C = 100 \text{ мА}$; $P_D = 300 \text{ мВт}$; $f_T = 200 \text{ МГц}$ $R_{\theta JA} = 22 \text{ К}^\circ\text{C}/\text{Вт}$	SOT23-6	E1•B1•C2•E2•B2•C1
vT	μPA859TD	NEC	nnp x2	$V_{CE01} = 5 \text{ В}$; $V_{CE02} = 9 \text{ В}$; $I_{C1} = 30 \text{ мА}$; $I_{C2} = 100 \text{ мА}$ $P_D = 210 \text{ мВт}$; $f_{T1} > 10 \text{ ГГц}$; $f_{T2} > 4 \text{ ГГц}$	M16, 1208	C1•E1•C2•B2•E2•B1
vV	μPA860TD	NEC	nnp x2	$V_{CE01} = 9 \text{ В}$; $V_{CE02} = 9 \text{ В}$; $I_{C1} = 30 \text{ мА}$; $I_{C2} = 35 \text{ мА}$ $P_D = 210 \text{ мВт}$; $f_{T1} > 10 \text{ ГГц}$; $f_{T2} > 17 \text{ ГГц}$	M16, 1208	C1•E1•C2•B2•E2•B1
vX	μPA861TD	NEC	nnp x2	$V_{CE01} = 5 \text{ В}$; $V_{CE02} = 9 \text{ В}$; $I_{C1} = 30 \text{ мА}$; $I_{C2} = 35 \text{ мА}$ $P_D = 195 \text{ мВт}$; $f_{T1} > 10 \text{ ГГц}$; $f_{T2} > 17 \text{ ГГц}$	M16, 1208	C1•E1•C2•B2•E2•B1
vY	μPA862TD	NEC	nnp x2	$V_{CE01} = 9 \text{ В}$; $V_{CE02} = 9 \text{ В}$; $I_{C1} = 30 \text{ мА}$; $I_{C2} = 100 \text{ мА}$ $P_D = 210 \text{ мВт}$; $f_{T1} > 10 \text{ ГГц}$; $f_{T2} > 3 \text{ ГГц}$	M16, 1208	C1•E1•C2•B2•E2•B1
vY	μPA862TS	NEC	nnp x2	$V_{CE01} = 9 \text{ В}$; $V_{CE02} = 9 \text{ В}$; $I_{C1} = 30 \text{ мА}$; $I_{C2} = 100 \text{ мА}$ $P_D = 130 \text{ мВт}$; $f_{T1} > 10 \text{ ГГц}$; $f_{T2} > 3 \text{ ГГц}$	SOT666	C1•E1•C2•B2•E2•B1
W10	FMW10	ROHM	nnp x2	$V_{CE0} = 30 \text{ В}$; $I_C = 50 \text{ мА}$; $P_D = 300 \text{ мВт}$; $h_{21} > 27$	SOT23-6	C1•C2•B2•E1, E2•B1•n.c.
W10	UMW10N	ROHM	nnp x2	$V_{CE0} = 30 \text{ В}$; $I_C = 50 \text{ мА}$; $P_D(\text{com}) = 300 \text{ мВт}$ $h_{21} \approx 27 \dots 270$; $f_T > 1500 \text{ МГц}$	SOT363, SC88	B1•E1, E2•B2•C2•C1•n.c.
W1s	BCR10PN	INF	Dnpnp(2) +npn(1)	$V_{CE0} = 50 \text{ В}$; $I_C = 100 \text{ мА}$; $P_D = 250 \text{ мВт}$; $h_{21} > 30$ $f_T = 130 \text{ МГц}$	SOT363, SC88	E1•B1•C2•E2•B2•C1
W5	SEMB10	INF	Dnpnp x2	$V_{CE0} = 50 \text{ В}$; $I_C = 70 \text{ мА}$; $P_D = 250 \text{ мВт}$; $h_{21} > 70$ $f_T = 100 \text{ МГц}$	SOT666	E1•B1•C1•E2•B2•C2
W8	FMW8	ROHM	nnp x2	$V_{CE0} = 20 \text{ В}$; $I_C = 50 \text{ мА}$; $P_D = 300 \text{ мВт}$; $h_{21} > 27$	SOT457, SC74	C1•n.c. • C2•B2•E1, E2•B1
WC	SEM411	INF	Dnpnp x2	$V_{CE0} = 50 \text{ В}$; $I_C = 100 \text{ мА}$; $P_D = 200 \text{ мВт}$; $h_{21} > 30$ $f_T = 130 \text{ МГц}$	SOT666	E1•B1•C1•E2•B2•C2
WCs	BCR133S	INF	Dnpnp x2	$V_{CE0} = 50 \text{ В}$; $I_C = 100 \text{ мА}$; $P_D = 200 \text{ мВт}$; $h_{21} > 30$ $f_T = 130 \text{ МГц}$	SOT363, SC88	E1•B1•C2•E2•B2•C1
WCs	BCR133U	INF	Dnpnp x2	$V_{CE0} = 50 \text{ В}$; $I_C = 100 \text{ мА}$; $P_D = 200 \text{ мВт}$; $h_{21} > 30$ $f_T = 130 \text{ МГц}$	E1•B1•C1•E2•B2•C2	
WD	SEM41	INF	Dnpnp x2	$V_{CE0} = 50 \text{ В}$; $I_C = 100 \text{ мА}$; $P_D = 200 \text{ мВт}$; $h_{21} > 50$ $f_T > 130 \text{ МГц}$	SOT666	E1•B1•C1•E2•B2•C2
WDs	BCR141S	INF	Dnpnp x2	$V_{CE0} = 50 \text{ В}$; $I_C = 100 \text{ мА}$; $P_D = 250 \text{ мВт}$; $h_{21} > 50$ $f_T > 130 \text{ МГц}$	SOT363, SC88	E1•B1•C1•E2•B2•C2
WDs	BCR141U	INF	Dnpnp x2	$V_{CE0} = 50 \text{ В}$; $I_C = 100 \text{ мА}$; $P_D = 200 \text{ мВт}$; $h_{21} > 50$ $f_T > 130 \text{ МГц}$	SOT457, SC74	E1•B1•C1•E2•B2•C2
WE	SEM41	INF	Dnpnp x2	$V_{CE0} = 50 \text{ В}$; $I_C = 70 \text{ мА}$; $P_D = 200 \text{ мВт}$; $h_{21} > 70$ $f_T > 100 \text{ МГц}$	SOT666	E1•B1•C1•E2•B2•C2
WEs	BCR148S	INF	Dnpnp x2	$V_{CE0} = 50 \text{ В}$; $I_C = 70 \text{ мА}$; $P_D = 250 \text{ мВт}$; $h_{21} > 70$ $f_T > 100 \text{ МГц}$	SOT363, SC88	E1•B1•C1•E2•B2•C2
WEs	BCR148U	INF	Dnpnp x2	$V_{CE0} = 50 \text{ В}$; $I_C = 70 \text{ мА}$; $P_D = 200 \text{ мВт}$; $h_{21} > 70$ $f_T > 100 \text{ МГц}$	SOT457, SC74	E1•B1•C1•E2•B2•C2

f56 SON-6
M16 USM-6

SOT563 SOT666

SOT363 SOT457 SOT23-6
TSOT363 MW-6 TSOT23-6

Код	Типоименал	Б	Ф	Особенности	Корпус	Ц: 1•2•3•4•5•6
WfS	BCR36PN	INF	Dnpn(2) +npn(1)	$V_{CE0}=50\text{ В}; I_C=100\text{ мА}; P_D=250\text{ мВт}; h_{FE1}>70;$ $f_T=170\text{ МГц}$	SOT363, SC88	E1•B1•C2•E2•B2•C1
WH	SEM110	INF	Dnpn x2	$V_{CE0}=50\text{ В}; I_C=100\text{ мА}; P_D=200\text{ мВт}; h_{FE1}>70;$ $f_T>170\text{ МГц}$	SOT666	E1•B1•C1•E2•B2•C2
WHs	BCR108S	INF	Dnpn x2	$V_{CE0}=50\text{ В}; I_C=100\text{ мА}; P_D=200\text{ мВт}; h_{FE1}>70;$ $f_T>170\text{ МГц}$	SOT363, SC88	E1•B1•C1•E2•B2•C2
WJ	SEM19	INF	Dnpn x2	$V_{CE0}=50\text{ В}; I_C=100\text{ мА}; P_D=250\text{ мВт}; h_{FE1}>70;$ $f_T>150\text{ МГц}$	SOT666	E1•B1•C1•E2•B2•C2
WJs	BCR135S	INF	Dnpn x2	$V_{CE0}=50\text{ В}; I_C=100\text{ мА}; P_D=250\text{ мВт}; h_{FE1}>70;$ $f_T>150\text{ МГц}$	SOT363, SC88	E1•B1•C1•E2•B2•C2
Wks	BCR119S	INF	Dnpn x2	$V_{CE0}=50\text{ В}; I_C=100\text{ мА}; P_D=250\text{ мВт};$ $h_{FE1}=120...630; f_T>150\text{ МГц}$	SOT363, SC88	E1•B1•C1•E2•B2•C2
Wms	BCR183S	INF	Dnpn x2	$V_{CE0}=50\text{ В}; I_C=100\text{ мА}; P_D=250\text{ мВт}; h_{FE1}>30;$	SOT363, SC88	E1•B1•C2•E2•B2•C1
Wms	BCR183U	INF	Dnpn x2	$V_{CE0}=50\text{ В}; I_C=100\text{ мА}; P_D=250\text{ мВт}; h_{FE1}>30;$	SOT457, SC74	E1•B1•C2•E2•B2•C1
WNs	BCR185S	INF	Dnpn x2	$V_{CE0}=50\text{ В}; I_C=100\text{ мА}; P_D=250\text{ мВт}; h_{FE1}>70;$ $f_T>200\text{ МГц}$	SOT363, SC88	E1•B1•C1•E2•B2•C2
WNs	BCR185U	INF	Dnpn x2	$V_{CE0}=50\text{ В}; I_C=100\text{ мА}; P_D=250\text{ мВт}; h_{FE1}>70;$ $f_T>200\text{ МГц}$	SOT457, SC74	E1•B1•C1•E2•B2•C2
WOs	BCR191S	INF	Dnpn x2	$V_{CE0}=50\text{ В}; I_C=100\text{ мА}; P_D=250\text{ мВт}; h_{FE1}>50;$ $f_T>200\text{ МГц}$	SOT363, SC88	E1•B1•C1•E2•B2•C2
WPs	BCR192U	INF	Dnpn x2	$V_{CE0}=50\text{ В}; I_C=100\text{ мА}; P_D=250\text{ мВт}; h_{FE1}>70;$ $f_T>200\text{ МГц}$	SOT457, SC74	E1•B1•C1•E2•B2•C2
WPs	BCR22PN	INF	Dnpn(2) +npn(1)	$V_{CE0}=50\text{ В}; I_C=100\text{ мА}; P_D=250\text{ мВт}; h_{FE1}>50;$ $f_T=130\text{ МГц}$	SOT363, SC88	E1•B1•C2•E2•B2•C1
WRs	BCR198S	INF	DZ prnp x2	$V_{CE0}=50\text{ В}; I_C=70\text{ мА}; P_D=250\text{ мВт}; h_{FE1}>70;$ $f_T>190\text{ МГц}$	SOT363, SC88	E1•B1•C1•E2•B2•C2
WSs	BCR169S	INF	Dnpn x2	$V_{CE0}=50\text{ В}; I_C=100\text{ мА}; P_D=250\text{ мВт};$ $h_{FE1}=120...630; f_T>150\text{ МГц}$	SOT363, SC88	E1•B1•C1•E2•B2•C2
Wts	BCR48PN	INF	Dnpn(1) +npn(2)	$V_{CE0}=50\text{ В}; I_{CNP}=70\text{ мА}; I_{CNP}=100\text{ мА};$ $P_D=250\text{ мВт}; h_{FE1}>70; f_T>100\text{ МГц}$	SOT363, SC88	E1•B1•C1•E2•B2•C2
WU	MRF2947AT1	MOT	prnp x2	$V_{CE0}=20\text{ В}; I_C=50\text{ мА}; P_D=188\text{ мВт}; h_{FE1}=75...150;$ $f_T=9\text{ ГГц}$	SOT363, SC88	B1•E2•C2•B2•E1•C1
WVs	BCR129S	INF	Dnpn x2	$V_{CE0}=50\text{ В}; I_C=100\text{ мА}; P_D=250\text{ мВт};$ $h_{FE1}=120...630; f_T>150\text{ МГц}$	SOT363, SC88	E1•B1•C1•E2•B2•C2
WVs	BCR35PN	INF	Dnpn(1) +npn(2)	$V_{CE0}=50\text{ В}; I_C=100\text{ мА}; P_D=250\text{ мВт}; h_{FE1}>70;$ $f_T>150\text{ МГц}$	SOT363, SC88	E1•B1•C1•E2•B2•C2
X1	EMX1	ROHM	prnp x2	$V_{CE0}=60\text{ В}; I_C=500\text{ мА}; P_D=150\text{ мВт}; h_{FE1}>120$	SOT663, EMT6	E1•B1•C2•E2•B2•C1
X1	IMX1	ROHM	prnp x2	$V_{CE0}=60\text{ В}; I_C=150\text{ мА}; P_D=300\text{ мВт}; h_{FE1}>120$	SOT23-6	C1•B2•E2•C2•B1•E1
X1	UMX1N	ROHM	prnp x2	$V_{CE0}=50\text{ В}; I_C=100\text{ мА}; P_D(\text{com.})=300\text{ мВт};$ $h_{FE1}>120$	SOT363, SC88	E1•B1•C2•E2•B2•C1
X11	UMX11N	ROHM	prnp x2	$V_{CE0}=25\text{ В}; I_C=20\text{ мА}; h_{FE1}=39...180; f_T>700\text{ МГц}$	SOT363, SC88	E1•B1•B2•C2•E2•C1
X17	IMX17	ROHM	prnp x2	$V_{CE0}=60\text{ В}; I_C=150\text{ мА}; P_D=150\text{ мВт}; h_{FE1}>120$	SOT23-6	C1•B2•E2•C2•B1•E1
X2	IMX2	ROHM	prnp x2	$V_{CE0}=60\text{ В}; I_C=150\text{ мА}; P_D=300\text{ мВт}; h_{FE1}>120$	SOT23-6	C1•B1•C2•B2•E2•E1
X2	UMX2N	ROHM	prnp x2	$V_{CE0}=50\text{ В}; I_C=100\text{ мА}; P_D(\text{com.})=300\text{ мВт};$ $h_{FE1}>120$	SOT363, SC88	E1•E2•B2•C2•B1•C1
X3	IMX3	ROHM	prnp x2	$V_{CE0}=60\text{ В}; I_C=150\text{ мА}; P_D=300\text{ мВт}; h_{FE1}>120$	SOT23-6	C1•E2•C2•B2•B1•E1
X3	UMX3N	ROHM	prnp x2	$V_{CE0}=50\text{ В}; I_C=100\text{ мА}; P_D(\text{com.})=300\text{ мВт};$ $h_{FE1}>120$	SOT363, SC88	E1•B1•B2•C2•E2•C1
X4	EMX4	ROHM	prnp x2	$V_{CE0}=30\text{ В}; I_C=50\text{ мА}; P_D=300\text{ мВт}; h_{FE1}>27$	SOT663, EMT6	E1•B1•B2•C2•E2•C1
X4	IMX4	ROHM	prnp x2	$V_{CE0}=30\text{ В}; I_C=50\text{ мА}; P_D=300\text{ мВт}; h_{FE1}>27$	SOT23-6	C1•E2•C2•B2•B1•E1
X4	UMX4N	ROHM	prnp x2	$V_{CE0}=30\text{ В}; I_C=50\text{ мА}; P_D(\text{com.})=300\text{ мВт};$ $h_{FE1}=56...180; f_T>1500\text{ МГц}$	SOT363, SC88	E1•B1•B2•C2•E2•C1



SOT23-6
TSOT23-6

SOT457
MW-6

SOT363
TSOT363



SOT563
SOT666

SON-6
USM-6

fS6
M16

Код	Типономинал	Б	Ф	Особенности	Корпус	Ц: 1•2•3•4•5•6
X5	IMX5	ROHM	npn x2	$V_{CEB} = 20\text{ В}$; $I_C = 50\text{ мА}$; $P_D = 300\text{ мВт}$; $h_{FE} > 27$	SOT23-6	C1•E2•C2•B2•B1•E1
X5	UMX5N	ROHM	npn x2	$V_{CEB} = 30\text{ В}$; $I_C = 50\text{ мА}$; $P_D(\text{com}) = 300\text{ мВт}$; $h_{FE1} = 56 \dots 180$; $f_T > 1500\text{ МГц}$	SOT363, SC88	E1•B1•B2•C2•E2•C1
X6	UMX6N	ROHM	npn x2	$V_{CEB} = 40\text{ В}$; $I_C = 50\text{ мА}$; $P_D(\text{com}) = 300\text{ мВт}$; $h_{FE1} > 56$; $f_T > 300\text{ МГц}$	SOT363, SC88	E1•E2•B2•C2•B1•C1
X8	IMX8	ROHM	npn x2	$V_{CEB} = 120\text{ В}$; $I_C = 50\text{ мА}$; $P_D = 300\text{ мВт}$; $h_{FE1} > 180$	SOT23-6	C1•E2•C2•B2•B1•E1
X9	IMX9	ROHM	npn x2	$V_{CEB} = 25\text{ В}$; $I_C = 500\text{ мА}$; $P_D = 300\text{ мВт}$; $h_{FE1} > 560$	SOT23-6	C1•B2•E2•C2•B1•E1
XA	RN1601	TOSH	Dnpn x2	$V_{CEB} = 50\text{ В}$; $I_C = 100\text{ мА}$; $P_D = 300\text{ мВт}$; $f_T = 250\text{ МГц}$; $R_{f1}/R_{f2} = 4.7\text{ кОм}/4.7\text{ кОм}$	SOT23-6	E1•B1•C2•E2•B2•C1
XA	RN1901	TOSH	Dnpn x2	$V_{CEB} = 50\text{ В}$; $I_C = 100\text{ мА}$; $P_D = 200\text{ мВт}$; $f_T = 250\text{ МГц}$; $R_{f1}/R_{f2} = 4.7\text{ кОм}/4.7\text{ кОм}$	SOT363, SC88	E1•B1•C2•E2•B2•C1
XA	RN1901FE	TOSH	Dnpn x2	$V_{CEB} = 50\text{ В}$; $I_C = 100\text{ мА}$; $P_D = 100\text{ мВт}$; $f_T = 250\text{ МГц}$; $R_{f1}/R_{f2} = 4.7\text{ кОм}/4.7\text{ кОм}$	SOT666	E1•B1•C2•E2•B2•C1
XB	RN1602	TOSH	Dnpn x2	$V_{CEB} = 50\text{ В}$; $I_C = 100\text{ мА}$; $P_D = 300\text{ мВт}$; $f_T = 250\text{ МГц}$; $R_{f1}/R_{f2} = 10\text{ кОм}/10\text{ кОм}$	SOT23-6	E1•B1•C2•E2•B2•C1
XB	RN1902	TOSH	Dnpn x2	$V_{CEB} = 50\text{ В}$; $I_C = 100\text{ мА}$; $P_D = 200\text{ мВт}$; $f_T = 250\text{ МГц}$; $R_{f1}/R_{f2} = 10\text{ кОм}/10\text{ кОм}$	SOT363, SC88	E1•B1•C2•E2•B2•C1
XB	RN1902FE	TOSH	Dnpn x2	$V_{CEB} = 50\text{ В}$; $I_C = 100\text{ мА}$; $P_D = 100\text{ мВт}$; $f_T = 250\text{ МГц}$; $R_{f1}/R_{f2} = 10\text{ кОм}/10\text{ кОм}$	SOT666	E1•B1•C2•E2•B2•C1
xC	μPA863TD	NEC	npn x2	$V_{CEB1} = 5\text{ В}$; $V_{CEB2} = 9\text{ В}$; $I_{C1} = 30\text{ мА}$; $I_{C2} = 100\text{ мА}$; $P_D = 130\text{ мВт}$; $f_{T1} > 10\text{ ГГц}$; $f_{T2} > 3\text{ ГГц}$	M16, 1208	C1•E1•C2•B2•E2•B1
xC	μPA863TS	NEC	npn x2	$V_{CEB1} = 5\text{ В}$; $V_{CEB2} = 9\text{ В}$; $I_{C1} = 30\text{ мА}$; $I_{C2} = 100\text{ мА}$; $P_D = 130\text{ мВт}$; $f_{T1} > 10\text{ ГГц}$; $f_{T2} > 3\text{ ГГц}$	SOT666	C1•E1•C2•B2•E2•B1
XC	RN1603	TOSH	Dnpn x2	$V_{CEB} = 50\text{ В}$; $I_C = 100\text{ мА}$; $P_D = 300\text{ мВт}$; $f_T = 250\text{ МГц}$; $R_{f1}/R_{f2} = 22\text{ кОм}/22\text{ кОм}$	SOT23-6	E1•B1•C2•E2•B2•C1
XC	RN1903	TOSH	Dnpn x2	$V_{CEB} = 50\text{ В}$; $I_C = 100\text{ мА}$; $P_D = 200\text{ мВт}$; $f_T = 250\text{ МГц}$; $R_{f1}/R_{f2} = 22\text{ кОм}/22\text{ кОм}$	SOT363, SC88	E1•B1•C2•E2•B2•C1
XC	RN1903FE	TOSH	Dnpn x2	$V_{CEB} = 50\text{ В}$; $I_C = 100\text{ мА}$; $P_D = 100\text{ мВт}$; $f_T = 250\text{ МГц}$; $R_{f1}/R_{f2} = 22\text{ кОм}/22\text{ кОм}$	SOT666	E1•B1•C2•E2•B2•C1
XD	RN1604	TOSH	Dnpn x2	$V_{CEB} = 50\text{ В}$; $I_C = 100\text{ мА}$; $P_D = 300\text{ мВт}$; $f_T = 250\text{ МГц}$; $R_{f1}/R_{f2} = 47\text{ кОм}/47\text{ кОм}$	SOT23-6	E1•B1•C2•E2•B2•C1
XD	RN1904	TOSH	Dnpn x2	$V_{CEB} = 50\text{ В}$; $I_C = 100\text{ мА}$; $P_D = 200\text{ мВт}$; $f_T = 250\text{ МГц}$; $R_{f1}/R_{f2} = 47\text{ кОм}/47\text{ кОм}$	SOT363, SC88	E1•B1•C2•E2•B2•C1
XD	RN1904FE	TOSH	Dnpn x2	$V_{CEB} = 50\text{ В}$; $I_C = 100\text{ мА}$; $P_D = 100\text{ мВт}$; $f_T = 250\text{ МГц}$; $R_{f1}/R_{f2} = 47\text{ кОм}/47\text{ кОм}$	SOT666	E1•B1•C2•E2•B2•C1
XE	RN1605	TOSH	Dnpn x2	$V_{CEB} = 50\text{ В}$; $I_C = 100\text{ мА}$; $P_D = 300\text{ мВт}$; $f_T = 250\text{ МГц}$; $R_{f1}/R_{f2} = 2.2\text{ кОм}/47\text{ кОм}$	SOT23-6	E1•B1•C2•E2•B2•C1
XE	RN1905	TOSH	Dnpn x2	$V_{CEB} = 50\text{ В}$; $I_C = 100\text{ мА}$; $P_D = 200\text{ мВт}$; $f_T = 250\text{ МГц}$; $R_{f1}/R_{f2} = 2.2\text{ кОм}/47\text{ кОм}$	SOT363, SC88	E1•B1•C2•E2•B2•C1
XE	RN1905FE	TOSH	Dnpn x2	$V_{CEB} = 50\text{ В}$; $I_C = 100\text{ мА}$; $P_D = 100\text{ мВт}$; $f_T = 250\text{ МГц}$; $R_{f1}/R_{f2} = 2.2\text{ кОм}/47\text{ кОм}$	SOT666	E1•B1•C2•E2•B2•C1
XF	RN1606	TOSH	Dnpn x2	$V_{CEB} = 50\text{ В}$; $I_C = 100\text{ мА}$; $P_D = 300\text{ мВт}$; $f_T = 250\text{ МГц}$; $R_{f1}/R_{f2} = 4.7\text{ кОм}/47\text{ кОм}$	SOT23-6	E1•B1•C2•E2•B2•C1
XF	RN1906	TOSH	Dnpn x2	$V_{CEB} = 50\text{ В}$; $I_C = 100\text{ мА}$; $P_D = 200\text{ мВт}$; $f_T = 250\text{ МГц}$; $R_{f1}/R_{f2} = 4.7\text{ кОм}/47\text{ кОм}$	SOT363, SC88	E1•B1•C2•E2•B2•C1
XF	RN1906FE	TOSH	Dnpn x2	$V_{CEB} = 50\text{ В}$; $I_C = 100\text{ мА}$; $P_D = 100\text{ мВт}$; $f_T = 250\text{ МГц}$; $R_{f1}/R_{f2} = 4.7\text{ кОм}/47\text{ кОм}$	SOT666	E1•B1•C2•E2•B2•C1
XH	RN1607	TOSH	Dnpn x2	$V_{CEB} = 50\text{ В}$; $I_C = 100\text{ мА}$; $P_D = 300\text{ мВт}$; $f_T = 250\text{ МГц}$; $R_{f1}/R_{f2} = 10\text{ кОм}/47\text{ кОм}$	SOT23-6	E1•B1•C2•E2•B2•C1
XH	RN1907	TOSH	Dnpn x2	$V_{CEB} = 50\text{ В}$; $I_C = 100\text{ мА}$; $P_D = 200\text{ мВт}$; $f_T = 250\text{ МГц}$; $R_{f1}/R_{f2} = 10\text{ кОм}/47\text{ кОм}$	SOT363, SC88	E1•B1•C2•E2•B2•C1
XH	RN1907FE	TOSH	Dnpn x2	$V_{CEB} = 50\text{ В}$; $I_C = 100\text{ мА}$; $P_D = 100\text{ мВт}$; $f_T = 250\text{ МГц}$; $R_{f1}/R_{f2} = 10\text{ кОм}/47\text{ кОм}$	SOT666	E1•B1•C2•E2•B2•C1
XI	RN1608	TOSH	Dnpn x2	$V_{CEB} = 50\text{ В}$; $I_C = 100\text{ мА}$; $P_D = 300\text{ мВт}$; $f_T = 250\text{ МГц}$; $R_{f1}/R_{f2} = 22\text{ кОм}/47\text{ кОм}$	SOT23-6	E1•B1•C2•E2•B2•C1
XI	RN1908	TOSH	Dnpn x2	$V_{CEB} = 50\text{ В}$; $I_C = 100\text{ мА}$; $P_D = 200\text{ мВт}$; $f_T = 250\text{ МГц}$; $R_{f1}/R_{f2} = 22\text{ кОм}/47\text{ кОм}$	SOT363, SC88	E1•B1•C2•E2•B2•C1

f56 SON-6
M16 USM-6SOT563
SOT666SOT363 SOT457 SOT23-6
TSOT363 MW-6 TSOT23-6

Код	Типоиминал	Б	Ф	Особенности	Корпус	Ц: 1•2•3•4•5•6
XI	RN1908FE	TOSH	Drnpn x2	$V_{CE(30)} = 50 В$; $I_C = 100 мА$; $P_D = 100 мВт$; $f_T = 250 МГц$ $R_1/P_2 = 22 кОм/47 кОм$	SOT666	E1•B1•C2•E2•B2•C1
XJ	RN1609	TOSH	Drnpn x2	$V_{CE(30)} = 50 В$; $I_C = 100 мА$; $P_D = 300 мВт$; $f_T = 250 МГц$ $R_1/P_2 = 47 кОм/22 кОм$	SOT23-6	E1•B1•C2•E2•B2•C1
XJ	RN1909	TOSH	Drnpn x2	$V_{CE(30)} = 50 В$; $I_C = 100 мА$; $P_D = 200 мВт$; $f_T = 250 МГц$ $R_1/P_2 = 47 кОм/22 кОм$	SOT363, SC88	E1•B1•C2•E2•B2•C1
XJ	RN1909FE	TOSH	Drnpn x2	$V_{CE(30)} = 50 В$; $I_C = 100 мА$; $P_D = 100 мВт$; $f_T = 250 МГц$ $R_1/P_2 = 47 кОм/22 кОм$	SOT666	E1•B1•C2•E2•B2•C1
XK	RN1610	TOSH	Drnpn x2	$V_{CE(30)} = 50 В$; $I_C = 100 мА$; $P_D = 300 мВт$; $f_T = 250 МГц$ $R_1 = 4,7 кОм$	SOT23-6	E1•B1•C2•E2•B2•C1
XK	RN1910	TOSH	Drnpn x2	$V_{CE(30)} = 50 В$; $I_C = 100 мА$; $P_D = 200 мВт$; $f_T = 250 МГц$ $R_1 = 4,7 кОм$	SOT363, SC88	E1•B1•C2•E2•B2•C1
XK	RN1910FE	TOSH	Drnpn x2	$V_{CE(30)} = 50 В$; $I_C = 100 мА$; $P_D = 100 мВт$; $f_T = 250 МГц$ $R_1 = 4,7 кОм$	SOT666	E1•B1•C2•E2•B2•C1
XM	RN1611	TOSH	Drnpn x2	$V_{CE(30)} = 50 В$; $I_C = 100 мА$; $P_D = 300 мВт$; $f_T = 250 МГц$ $R_1 = 10 кОм$	SOT23-6	E1•B1•C2•E2•B2•C1
XM	RN1911	TOSH	Drnpn x2	$V_{CE(30)} = 50 В$; $I_C = 100 мА$; $P_D = 200 мВт$; $f_T = 250 МГц$ $R_1 = 10 кОм$	SOT363, SC88	E1•B1•C2•E2•B2•C1
XM	RN1911FE	TOSH	Drnpn x2	$V_{CE(30)} = 50 В$; $I_C = 100 мА$; $P_D = 100 мВт$; $f_T = 250 МГц$ $R_1 = 10 кОм$	SOT666	E1•B1•C2•E2•B2•C1
XR	MRF2947RAT1	MOT	npn x2	$V_{CE(30)} = 20 В$; $I_C = 50 мА$; $P_D = 188 мВт$; $f_T = 75...150$ $f_T = 9 ГГц$	SOT363, SC88	B1•E1•C2•B2•E2•C1
XXA	RN1961	TOSH	Drnpn x2	$V_{CE(30)} = 50 В$; $I_C = 100 мА$; $P_D = 200 мВт$; $f_T = 250 МГц$ $R_1/P_2 = 4,7 кОм/4,7 кОм$	SOT363, SC88	E1•E2•B2•C2•B1•C1
XXA	RN1961FE	TOSH	Drnpn x2	$V_{CE(30)} = 50 В$; $I_C = 100 мА$; $P_D = 100 мВт$; $f_T = 250 МГц$ $R_1/P_2 = 4,7 кОм/4,7 кОм$	SOT666	E1•E2•B2•C2•B1•C1
XXB	RN1962	TOSH	Drnpn x2	$V_{CE(30)} = 50 В$; $I_C = 100 мА$; $P_D = 200 мВт$; $f_T = 250 МГц$ $R_1/P_2 = 10 кОм/10 кОм$	SOT363, SC88	E1•E2•B2•C2•B1•C1
XXB	RN1962FE	TOSH	Drnpn x2	$V_{CE(30)} = 50 В$; $I_C = 100 мА$; $P_D = 100 мВт$; $f_T = 250 МГц$ $R_1/P_2 = 10 кОм/10 кОм$	SOT666	E1•E2•B2•C2•B1•C1
XXC	RN1963	TOSH	Drnpn x2	$V_{CE(30)} = 50 В$; $I_C = 100 мА$; $P_D = 200 мВт$; $f_T = 250 МГц$ $R_1/P_2 = 22 кОм/22 кОм$	SOT363, SC88	E1•E2•B2•C2•B1•C1
XXC	RN1963FE	TOSH	Drnpn x2	$V_{CE(30)} = 50 В$; $I_C = 100 мА$; $P_D = 100 мВт$; $f_T = 250 МГц$ $R_1/P_2 = 22 кОм/22 кОм$	SOT666	E1•E2•B2•C2•B1•C1
XXD	RN1964	TOSH	Drnpn x2	$V_{CE(30)} = 50 В$; $I_C = 100 мА$; $P_D = 200 мВт$; $f_T = 250 МГц$ $R_1/P_2 = 47 кОм/47 кОм$	SOT363, SC88	E1•E2•B2•C2•B1•C1
XXD	RN1964FE	TOSH	Drnpn x2	$V_{CE(30)} = 50 В$; $I_C = 100 мА$; $P_D = 100 мВт$; $f_T = 250 МГц$ $R_1/P_2 = 47 кОм/47 кОм$	SOT666	E1•E2•B2•C2•B1•C1
XXE	RN1965	TOSH	Drnpn x2	$V_{CE(30)} = 50 В$; $I_C = 100 мА$; $P_D = 200 мВт$; $f_T = 250 МГц$ $R_1/P_2 = 2,2 кОм/47 кОм$	SOT363, SC88	E1•E2•B2•C2•B1•C1
XXE	RN1965FE	TOSH	Drnpn x2	$V_{CE(30)} = 50 В$; $I_C = 100 мА$; $P_D = 100 мВт$; $f_T = 250 МГц$ $R_1/P_2 = 2,2 кОм/47 кОм$	SOT666	E1•E2•B2•C2•B1•C1
XXF	RN1966	TOSH	Drnpn x2	$V_{CE(30)} = 50 В$; $I_C = 100 мА$; $P_D = 200 мВт$; $f_T = 250 МГц$ $R_1/P_2 = 4,7 кОм/47 кОм$	SOT363, SC88	E1•E2•B2•C2•B1•C1
XXF	RN1966FE	TOSH	Drnpn x2	$V_{CE(30)} = 50 В$; $I_C = 100 мА$; $P_D = 100 мВт$; $f_T = 250 МГц$ $R_1/P_2 = 4,7 кОм/47 кОм$	SOT666	E1•E2•B2•C2•B1•C1
XXH	RN1967	TOSH	Drnpn x2	$V_{CE(30)} = 50 В$; $I_C = 100 мА$; $P_D = 200 мВт$; $f_T = 250 МГц$ $R_1/P_2 = 10 кОм/47 кОм$	SOT363, SC88	E1•E2•B2•C2•B1•C1
XXH	RN1967FE	TOSH	Drnpn x2	$V_{CE(30)} = 50 В$; $I_C = 100 мА$; $P_D = 100 мВт$; $f_T = 250 МГц$ $R_1/P_2 = 10 кОм/47 кОм$	SOT666	E1•E2•B2•C2•B1•C1
XXI	RN1968	TOSH	Drnpn x2	$V_{CE(30)} = 50 В$; $I_C = 100 мА$; $P_D = 200 мВт$; $f_T = 250 МГц$ $R_1/P_2 = 22 кОм/47 кОм$	SOT363, SC88	E1•E2•B2•C2•B1•C1
XXI	RN1968FE	TOSH	Drnpn x2	$V_{CE(30)} = 50 В$; $I_C = 100 мА$; $P_D = 100 мВт$; $f_T = 250 МГц$ $R_1/P_2 = 22 кОм/47 кОм$	SOT666	E1•E2•B2•C2•B1•C1
XXJ	RN1969	TOSH	Drnpn x2	$V_{CE(30)} = 50 В$; $I_C = 100 мА$; $P_D = 200 мВт$; $f_T = 250 МГц$ $R_1/P_2 = 47 кОм/22 кОм$	SOT363, SC88	E1•E2•B2•C2•B1•C1
XXJ	RN1969FE	TOSH	Drnpn x2	$V_{CE(30)} = 50 В$; $I_C = 100 мА$; $P_D = 100 мВт$; $f_T = 250 МГц$ $R_1/P_2 = 47 кОм/22 кОм$	SOT666	E1•E2•B2•C2•B1•C1



SOT23-6
TSOT23-6

SOT457
MW-6

SOT363
TSOT363



SOT563
SOT666

SON-6
USM-6

fS6
M16

Код	Типономинал	Б	Ф	Особенности	Корпус	Ц: 1•2•3•4•5•6
XXK	RN1970	TOSH	Dnpn x2	$V_{CE0}=50\text{ В}$, $I_C=100\text{ мА}$, $P_D=200\text{ мВт}$, $f_T=250\text{ МГц}$, $R_{\theta JA}=4,7\text{ К/м}^2\text{С}$	SOT363, SC88	E1•E2•B2•C2•B1•C1
XXK	RN1970FE	TOSH	Dnpn x2	$V_{CE0}=50\text{ В}$, $I_C=100\text{ мА}$, $P_D=100\text{ мВт}$, $f_T=250\text{ МГц}$, $R_{\theta JA}=4,7\text{ К/м}^2\text{С}$	SOT666	E1•E2•B2•C2•B1•C1
XXM	RN1971	TOSH	Dnpn x2	$V_{CE0}=50\text{ В}$, $I_C=100\text{ мА}$, $P_D=200\text{ мВт}$, $f_T=250\text{ МГц}$, $R_{\theta JA}=10\text{ К/м}^2\text{С}$	SOT363, SC88	E1•E2•B2•C2•B1•C1
XXM	RN1971FE	TOSH	Dnpn x2	$V_{CE0}=50\text{ В}$, $I_C=100\text{ мА}$, $P_D=100\text{ мВт}$, $f_T=250\text{ МГц}$, $R_{\theta JA}=10\text{ К/м}^2\text{С}$	SOT666	E1•E2•B2•C2•B1•C1
XXP	RN1973	TOSH	Dnpn x2	$V_{CE0}=50\text{ В}$, $I_C=100\text{ мА}$, $P_D=200\text{ мВт}$, $R_{\theta JA}=47\text{ К/м}^2\text{С}$	SOT363, SC88	E1•E2•B2•C2•B1•C1
Y0s	CGY121B	SIEM	amp	GaAs, $V_{CE0}=2,7...5\text{ В}$, $f_{BD}=0,8...2,5\text{ ГГц}$	MW-6	V2/RF-OUT•RF-GND•VD1•RF- IN•RF-GND•VCONTR
Y2	CLY2	SIEM	nFET	GaAs, $V_{DS}=9\text{ В}$, $I_D=600\text{ мА}$, $P_D=900\text{ мВт}$, $I_{DSS}=650\text{ мА}$	MW-6	G•S•D•D•S•G
Y5s	CGY59	SIEM	amp	GaAs, $f_{BD}=0,9/1,8\text{ ГГц}$	SOT363, SC88	DC-GND•RF-GND•IN•OUT•RF- GND•VD
Y6s	CGY62	SIEM	amp	GaAs, $V_{CE0}=2,7...5\text{ В}$, $f_{BD}=0,2...2,5\text{ ГГц}$	MW-6	OUT•GND•INTER•IN•GND• GND
Y7	CGY60	SIEM	amp	GaAs, $f_{BD}=1,8\text{ ГГц}$	MW-6	DC-GND•RF-GND•IN•OUT•RF- GND•VD
Y8	CGY120	SIEM	amp	GaAs, $V_{CE0}=2,7...5\text{ В}$, $f_{BD}=0,8...2,5\text{ ГГц}$	MW-6	IN•GND•VCONTR•OUT•GND• VD1
Y9s	CGY121A	SIEM	amp	GaAs, $V_{CE0}=2,7...5\text{ В}$, $f_{BD}=0,8...2,5\text{ ГГц}$	MW-6	V2/RF-OUT•RF-GND•VD1•RF- IN•RF-GND•VCONTR
YA	RN2601	TOSH	Dnpn x2	$V_{CE0}=50\text{ В}$, $I_C=100\text{ мА}$, $P_D=300\text{ мВт}$, $f_T=200\text{ МГц}$, $R_{\theta JA}/R_{\theta JC}=4,7\text{ К/м}^2\text{С}/4,7\text{ К/м}^2\text{С}$	SOT23-6	E1•B1•C2•E2•B2•C1
YA	RN2901	TOSH	Dnpn x2	$V_{CE0}=50\text{ В}$, $I_C=100\text{ мА}$, $P_D=200\text{ мВт}$, $f_T=200\text{ МГц}$, $R_{\theta JA}/R_{\theta JC}=4,7\text{ К/м}^2\text{С}/4,7\text{ К/м}^2\text{С}$	SOT363, SC88	E1•B1•C2•E2•B2•C1
YA	RN2901FE	TOSH	Dnpn x2	$V_{CE0}=50\text{ В}$, $I_C=100\text{ мА}$, $P_D=100\text{ мВт}$, $f_T=200\text{ МГц}$, $R_{\theta JA}/R_{\theta JC}=4,7\text{ К/м}^2\text{С}/4,7\text{ К/м}^2\text{С}$	SOT666	E1•B1•C2•E2•B2•C1
YB	RN2602	TOSH	Dnpn x2	$V_{CE0}=50\text{ В}$, $I_C=100\text{ мА}$, $P_D=300\text{ мВт}$, $f_T=200\text{ МГц}$, $R_{\theta JA}/R_{\theta JC}=10\text{ К/м}^2\text{С}/10\text{ К/м}^2\text{С}$	SOT23-6	E1•B1•C2•E2•B2•C1
YB	RN2902	TOSH	Dnpn x2	$V_{CE0}=50\text{ В}$, $I_C=100\text{ мА}$, $P_D=200\text{ мВт}$, $f_T=200\text{ МГц}$, $R_{\theta JA}/R_{\theta JC}=10\text{ К/м}^2\text{С}/10\text{ К/м}^2\text{С}$	SOT363, SC88	E1•B1•C2•E2•B2•C1
YB	RN2902FE	TOSH	Dnpn x2	$V_{CE0}=50\text{ В}$, $I_C=100\text{ мА}$, $P_D=100\text{ мВт}$, $f_T=200\text{ МГц}$, $R_{\theta JA}/R_{\theta JC}=10\text{ К/м}^2\text{С}/10\text{ К/м}^2\text{С}$	SOT666	E1•B1•C2•E2•B2•C1
YC	RN2603	TOSH	Dnpn x2	$V_{CE0}=50\text{ В}$, $I_C=100\text{ мА}$, $P_D=300\text{ мВт}$, $f_T=200\text{ МГц}$, $R_{\theta JA}/R_{\theta JC}=22\text{ К/м}^2\text{С}/22\text{ К/м}^2\text{С}$	SOT23-6	E1•B1•C2•E2•B2•C1
YC	RN2903	TOSH	Dnpn x2	$V_{CE0}=50\text{ В}$, $I_C=100\text{ мА}$, $P_D=200\text{ мВт}$, $f_T=200\text{ МГц}$, $R_{\theta JA}/R_{\theta JC}=22\text{ К/м}^2\text{С}/22\text{ К/м}^2\text{С}$	SOT363, SC88	E1•B1•C2•E2•B2•C1
YC	RN2903FE	TOSH	Dnpn x2	$V_{CE0}=50\text{ В}$, $I_C=100\text{ мА}$, $P_D=100\text{ мВт}$, $f_T=200\text{ МГц}$, $R_{\theta JA}/R_{\theta JC}=22\text{ К/м}^2\text{С}/22\text{ К/м}^2\text{С}$	SOT666	E1•B1•C2•E2•B2•C1
YD	RN2604	TOSH	Dnpn x2	$V_{CE0}=50\text{ В}$, $I_C=100\text{ мА}$, $P_D=300\text{ мВт}$, $f_T=200\text{ МГц}$, $R_{\theta JA}/R_{\theta JC}=47\text{ К/м}^2\text{С}/47\text{ К/м}^2\text{С}$	SOT23-6	E1•B1•C2•E2•B2•C1
YD	RN2904	TOSH	Dnpn x2	$V_{CE0}=50\text{ В}$, $I_C=100\text{ мА}$, $P_D=200\text{ мВт}$, $f_T=200\text{ МГц}$, $R_{\theta JA}/R_{\theta JC}=47\text{ К/м}^2\text{С}/47\text{ К/м}^2\text{С}$	SOT363, SC88	E1•B1•C2•E2•B2•C1
YD	RN2904FE	TOSH	Dnpn x2	$V_{CE0}=50\text{ В}$, $I_C=100\text{ мА}$, $P_D=100\text{ мВт}$, $f_T=200\text{ МГц}$, $R_{\theta JA}/R_{\theta JC}=47\text{ К/м}^2\text{С}/47\text{ К/м}^2\text{С}$	SOT666	E1•B1•C2•E2•B2•C1
YE	RN2605	TOSH	Dnpn x2	$V_{CE0}=50\text{ В}$, $I_C=100\text{ мА}$, $P_D=300\text{ мВт}$, $f_T=200\text{ МГц}$, $R_{\theta JA}/R_{\theta JC}=2,2\text{ К/м}^2\text{С}/47\text{ К/м}^2\text{С}$	SOT23-6	E1•B1•C2•E2•B2•C1
YE	RN2905	TOSH	Dnpn x2	$V_{CE0}=50\text{ В}$, $I_C=100\text{ мА}$, $P_D=200\text{ мВт}$, $f_T=200\text{ МГц}$, $R_{\theta JA}/R_{\theta JC}=2,2\text{ К/м}^2\text{С}/47\text{ К/м}^2\text{С}$	SOT363, SC88	E1•B1•C2•E2•B2•C1
YE	RN2905FE	TOSH	Dnpn x2	$V_{CE0}=50\text{ В}$, $I_C=100\text{ мА}$, $P_D=100\text{ мВт}$, $f_T=200\text{ МГц}$, $R_{\theta JA}/R_{\theta JC}=2,2\text{ К/м}^2\text{С}/47\text{ К/м}^2\text{С}$	SOT666	E1•B1•C2•E2•B2•C1
YF	RN2606	TOSH	Dnpn x2	$V_{CE0}=50\text{ В}$, $I_C=100\text{ мА}$, $P_D=300\text{ мВт}$, $f_T=200\text{ МГц}$, $R_{\theta JA}/R_{\theta JC}=4,7\text{ К/м}^2\text{С}/47\text{ К/м}^2\text{С}$	SOT23-6	E1•B1•C2•E2•B2•C1
YF	RN2906	TOSH	Dnpn x2	$V_{CE0}=50\text{ В}$, $I_C=100\text{ мА}$, $P_D=200\text{ мВт}$, $f_T=200\text{ МГц}$, $R_{\theta JA}/R_{\theta JC}=4,7\text{ К/м}^2\text{С}/47\text{ К/м}^2\text{С}$	SOT363, SC88	E1•B1•C2•E2•B2•C1

f56 SON-6
M16 USM-6

SOT563
SOT666



SOT363 SOT457 SOT23-6
TSOT363 MW-6 TSOT23-6



Код	Типономинал	Б	Ф	Особенности	Корпус	Ц: 1•2•3•4•5•6
YF	RN2906FE	TOSH	Dnpn x2	$V_{CE(30)} = 50 В$; $I_C = 100 мА$; $P_D = 100 мВт$; $f_T = 200 МГц$ $R_1/R_2 = 4.7 кОм/47 кОм$	SOT666	E1•B1•C2•E2•B2•C1
YH	RN2607	TOSH	Dnpn x2	$V_{CE(30)} = 50 В$; $I_C = 100 мА$; $P_D = 300 мВт$; $f_T = 200 МГц$ $R_1/R_2 = 10 кОм/47 кОм$	SOT23-6	E1•B1•C2•E2•B2•C1
YH	RN2907	TOSH	Dnpn x2	$V_{CE(30)} = 50 В$; $I_C = 100 мА$; $P_D = 200 мВт$; $f_T = 200 МГц$ $R_1/R_2 = 10 кОм/47 кОм$	SOT363, SC88	E1•B1•C2•E2•B2•C1
YH	RN2907FE	TOSH	Dnpn x2	$V_{CE(30)} = 50 В$; $I_C = 100 мА$; $P_D = 100 мВт$; $f_T = 200 МГц$ $R_1/R_2 = 10 кОм/47 кОм$	SOT666	E1•B1•C2•E2•B2•C1
YI	RN2608	TOSH	Dnpn x2	$V_{CE(30)} = 50 В$; $I_C = 100 мА$; $P_D = 300 мВт$; $f_T = 200 МГц$ $R_1/R_2 = 22 кОм/47 кОм$	SOT23-6	E1•B1•C2•E2•B2•C1
YI	RN2908	TOSH	Dnpn x2	$V_{CE(30)} = 50 В$; $I_C = 100 мА$; $P_D = 200 мВт$; $f_T = 200 МГц$ $R_1/R_2 = 22 кОм/47 кОм$	SOT363, SC88	E1•B1•C2•E2•B2•C1
YI	RN2908FE	TOSH	Dnpn x2	$V_{CE(30)} = 50 В$; $I_C = 100 мА$; $P_D = 100 мВт$; $f_T = 200 МГц$ $R_1/R_2 = 22 кОм/47 кОм$	SOT666	E1•B1•C2•E2•B2•C1
YJ	RN2609	TOSH	Dnpn x2	$V_{CE(30)} = 50 В$; $I_C = 100 мА$; $P_D = 300 мВт$; $f_T = 200 МГц$ $R_1/R_2 = 47 кОм/22 кОм$	SOT23-6	E1•B1•C2•E2•B2•C1
YJ	RN2909	TOSH	Dnpn x2	$V_{CE(30)} = 50 В$; $I_C = 100 мА$; $P_D = 200 мВт$; $f_T = 200 МГц$ $R_1/R_2 = 47 кОм/22 кОм$	SOT363, SC88	E1•B1•C2•E2•B2•C1
YJ	RN2909FE	TOSH	Dnpn x2	$V_{CE(30)} = 50 В$; $I_C = 100 мА$; $P_D = 100 мВт$; $f_T = 200 МГц$ $R_1/R_2 = 47 кОм/22 кОм$	SOT666	E1•B1•C2•E2•B2•C1
YK	RN2610	TOSH	Dnpn x2	$V_{CE(30)} = 50 В$; $I_C = 100 мА$; $P_D = 300 мВт$; $f_T = 200 МГц$ $R_1 = 4.7 кОм$	SOT23-6	E1•B1•C2•E2•B2•C1
YK	RN2910	TOSH	Dnpn x2	$V_{CE(30)} = 50 В$; $I_C = 100 мА$; $P_D = 200 мВт$; $f_T = 200 МГц$ $R_1 = 4.7 кОм$	SOT363, SC88	E1•B1•C2•E2•B2•C1
YK	RN2910FE	TOSH	Dnpn x2	$V_{CE(30)} = 50 В$; $I_C = 100 мА$; $P_D = 100 мВт$; $f_T = 200 МГц$ $R_1 = 4.7 кОм$	SOT666	E1•B1•C2•E2•B2•C1
YM	RN2611	TOSH	Dnpn x2	$V_{CE(30)} = 50 В$; $I_C = 100 мА$; $P_D = 300 мВт$; $f_T = 200 МГц$ $R_1 = 10 кОм$	SOT23-6	E1•B1•C2•E2•B2•C1
YM	RN2911	TOSH	Dnpn x2	$V_{CE(30)} = 50 В$; $I_C = 100 мА$; $P_D = 200 мВт$; $f_T = 200 МГц$ $R_1 = 10 кОм$	SOT363, SC88	E1•B1•C2•E2•B2•C1
YM	RN2911FE	TOSH	Dnpn x2	$V_{CE(30)} = 50 В$; $I_C = 100 мА$; $P_D = 100 мВт$; $f_T = 200 МГц$ $R_1 = 10 кОм$	SOT666	E1•B1•C2•E2•B2•C1
YYA	RN2961	TOSH	Dnpn x2	$V_{CE(30)} = 50 В$; $I_C = 100 мА$; $P_D = 200 мВт$; $f_T = 200 МГц$ $R_1/R_2 = 4.7 кОм/4.7 кОм$	SOT363, SC88	E1•E2•B2•C2•B1•C1
YYA	RN2961FE	TOSH	Dnpn x2	$V_{CE(30)} = 50 В$; $I_C = 100 мА$; $P_D = 100 мВт$; $f_T = 200 МГц$ $R_1/R_2 = 4.7 кОм/4.7 кОм$	SOT666	E1•E2•B2•C2•B1•C1
YYB	RN2962	TOSH	Dnpn x2	$V_{CE(30)} = 50 В$; $I_C = 100 мА$; $P_D = 200 мВт$; $f_T = 200 МГц$ $R_1/R_2 = 10 кОм/10 кОм$	SOT363, SC88	E1•E2•B2•C2•B1•C1
YYB	RN2962FE	TOSH	Dnpn x2	$V_{CE(30)} = 50 В$; $I_C = 100 мА$; $P_D = 100 мВт$; $f_T = 200 МГц$ $R_1/R_2 = 10 кОм/10 кОм$	SOT666	E1•E2•B2•C2•B1•C1
YYC	RN2963	TOSH	Dnpn x2	$V_{CE(30)} = 50 В$; $I_C = 100 мА$; $P_D = 200 мВт$; $f_T = 200 МГц$ $R_1/R_2 = 22 кОм/22 кОм$	SOT363, SC88	E1•E2•B2•C2•B1•C1
YYC	RN2963FE	TOSH	Dnpn x2	$V_{CE(30)} = 50 В$; $I_C = 100 мА$; $P_D = 100 мВт$; $f_T = 200 МГц$ $R_1/R_2 = 22 кОм/22 кОм$	SOT666	E1•E2•B2•C2•B1•C1
YYD	RN2964	TOSH	Dnpn x2	$V_{CE(30)} = 50 В$; $I_C = 100 мА$; $P_D = 200 мВт$; $f_T = 200 МГц$ $R_1/R_2 = 47 кОм/47 кОм$	SOT363, SC88	E1•E2•B2•C2•B1•C1
YYD	RN2964FE	TOSH	Dnpn x2	$V_{CE(30)} = 50 В$; $I_C = 100 мА$; $P_D = 100 мВт$; $f_T = 200 МГц$ $R_1/R_2 = 47 кОм/47 кОм$	SOT666	E1•E2•B2•C2•B1•C1
YYE	RN2965	TOSH	Dnpn x2	$V_{CE(30)} = 50 В$; $I_C = 100 мА$; $P_D = 200 мВт$; $f_T = 200 МГц$ $R_1/R_2 = 2.2 кОм/47 кОм$	SOT363, SC88	E1•E2•B2•C2•B1•C1
YYE	RN2965FE	TOSH	Dnpn x2	$V_{CE(30)} = 50 В$; $I_C = 100 мА$; $P_D = 100 мВт$; $f_T = 200 МГц$ $R_1/R_2 = 2.2 кОм/47 кОм$	SOT666	E1•E2•B2•C2•B1•C1
YYF	RN2966	TOSH	Dnpn x2	$V_{CE(30)} = 50 В$; $I_C = 100 мА$; $P_D = 200 мВт$; $f_T = 200 МГц$ $R_1/R_2 = 4.7 кОм/47 кОм$	SOT363, SC88	E1•E2•B2•C2•B1•C1
YYF	RN2966FE	TOSH	Dnpn x2	$V_{CE(30)} = 50 В$; $I_C = 100 мА$; $P_D = 100 мВт$; $f_T = 200 МГц$ $R_1/R_2 = 4.7 кОм/47 кОм$	SOT666	E1•E2•B2•C2•B1•C1
YYH	RN2967	TOSH	Dnpn x2	$V_{CE(30)} = 50 В$; $I_C = 100 мА$; $P_D = 200 мВт$; $f_T = 200 МГц$ $R_1/R_2 = 10 кОм/47 кОм$	SOT363, SC88	E1•E2•B2•C2•B1•C1



SOT23-6
TSOT23-6

SOT457
MW-6

SOT363
TSOT363



SOT563
SOT666

SON-6
USM-6

TS6
M16

Код	Типономинал	Б	Ф	Особенности	Корпус	Ц: 1•2•3•4•5•6
YYH	RN2967FE	TOSH	Dnpn x2	$V_{CEB} = 50 \text{ В}$, $I_C = 100 \text{ мА}$, $P_D = 100 \text{ мВт}$; $f_T = 200 \text{ МГц}$, $R_U/R_D = 10 \text{ кОм}/47 \text{ кОм}$	SOT666	E1•E2•B2•C2•B1•C1
YYI	RN2968	TOSH	Dnpn x2	$V_{CEB} = 50 \text{ В}$, $I_C = 100 \text{ мА}$, $P_D = 200 \text{ мВт}$; $f_T = 200 \text{ МГц}$, $R_U/R_D = 22 \text{ кОм}/47 \text{ кОм}$	SOT363, SC88	E1•E2•B2•C2•B1•C1
YYI	RN2968FE	TOSH	Dnpn x2	$V_{CEB} = 50 \text{ В}$, $I_C = 100 \text{ мА}$, $P_D = 100 \text{ мВт}$; $f_T = 200 \text{ МГц}$, $R_U/R_D = 22 \text{ кОм}/47 \text{ кОм}$	SOT666	E1•E2•B2•C2•B1•C1
YYJ	RN2969	TOSH	Dnpn x2	$V_{CEB} = 50 \text{ В}$, $I_C = 100 \text{ мА}$, $P_D = 200 \text{ мВт}$; $f_T = 200 \text{ МГц}$, $R_U/R_D = 47 \text{ кОм}/22 \text{ кОм}$	SOT363, SC88	E1•E2•B2•C2•B1•C1
YYJ	RN2969FE	TOSH	Dnpn x2	$V_{CEB} = 50 \text{ В}$, $I_C = 100 \text{ мА}$, $P_D = 100 \text{ мВт}$; $f_T = 200 \text{ МГц}$, $R_U/R_D = 47 \text{ кОм}/22 \text{ кОм}$	SOT666	E1•E2•B2•C2•B1•C1
YYK	RN2970	TOSH	Dnpn x2	$V_{CEB} = 50 \text{ В}$, $I_C = 100 \text{ мА}$, $P_D = 200 \text{ мВт}$; $f_T = 200 \text{ МГц}$, $R_1 = 4,7 \text{ кОм}$	SOT363, SC88	E1•E2•B2•C2•B1•C1
YYK	RN2970FE	TOSH	Dnpn x2	$V_{CEB} = 50 \text{ В}$, $I_C = 100 \text{ мА}$, $P_D = 100 \text{ мВт}$; $f_T = 200 \text{ МГц}$, $R_1 = 4,7 \text{ кОм}$	SOT666	E1•E2•B2•C2•B1•C1
YYM	RN2971	TOSH	Dnpn x2	$V_{CEB} = 50 \text{ В}$, $I_C = 100 \text{ мА}$, $P_D = 200 \text{ мВт}$; $f_T = 200 \text{ МГц}$, $R_1 = 10 \text{ кОм}$	SOT363, SC88	E1•E2•B2•C2•B1•C1
YYM	RN2971FE	TOSH	Dnpn x2	$V_{CEB} = 50 \text{ В}$, $I_C = 100 \text{ мА}$, $P_D = 100 \text{ мВт}$; $f_T = 200 \text{ МГц}$, $R_1 = 10 \text{ кОм}$	SOT666	E1•E2•B2•C2•B1•C1
YYS	RN2975	TOSH	Dnpn x2	$V_{CEB} = 50 \text{ В}$, $I_C = 100 \text{ мА}$, $P_D = 200 \text{ мВт}$; $f_T = 200 \text{ МГц}$, $R_U/R_D = 2,2 \text{ кОм}/10 \text{ кОм}$	SOT363, SC88	E1•E2•B2•C2•B1•C1
Z1	BMZ1	ROHM	npn/npn	$V_{CEB} = 60 \text{ В}$, $I_C = 150 \text{ мА}$, $P_D = 150 \text{ мВт}$; $h_{21} > 120$	SOT563, EMT6	E1•B1•C2•E2•B2•C1
Z1	IMZ1A	ROHM	npn/npn	$V_{CEB} = 60 \text{ В}$, $I_C = 150 \text{ мА}$, $P_D = 300 \text{ мВт}$; $h_{21} > 120$	SOT23-6	C1•B2•E2•C2•B1•E1
Z1	UMZ1N	ROHM	pn(p2)+npn (1)	$V_{CEB} = 50 \text{ В}$, $I_C = 100 \text{ мА}$, $P_D(\text{com.}) = 300 \text{ мВт}$, $h_{21} = 120...560$, $f_T > 400 \text{ МГц}$	SOT363, SC88	E1•B1•C2•E2•B2•C1
Z2	BMZ2	ROHM	npn/npn	$V_{CEB} = 60 \text{ В}$, $I_C = 150 \text{ мА}$, $P_D = 150 \text{ мВт}$; $h_{21} > 120$	SOT563, EMT6	E1•B1•B2•C2•E2•C1
Z2	IMZ2A	ROHM	npn/npn	$V_{CEB} = 60 \text{ В}$, $I_C = 150 \text{ мА}$, $P_D = 300 \text{ мВт}$; $h_{21} > 120$	SOT23-6	C1•B2•E2•C2•B2•B1•E1
Z2	UMZ2N	ROHM	pn(p1)+npn (2)	$V_{CEB} = 50 \text{ В}$, $I_C = 100 \text{ мА}$, $P_D(\text{com.}) = 300 \text{ мВт}$, $h_{21} = 120...560$, $f_T > 180 \text{ МГц}$	SOT363, SC88	E1•B1•B2•C2•E2•C1
Z4	IMZ4	ROHM	npn/npn	$V_{CEB} = 40 \text{ В}$, $I_C = 500 \text{ мА}$, $P_D = 300 \text{ мВт}$; $h_{21} > 120$	SOT23-6	C1•B2•E2•C2•B1•E1
ZS20	ZHCS2000	ZETEX	shd	$V_F < 40 \text{ В}$; $I_F < 2 \text{ А}$; $V_R(I_F = 3 \text{ А}) < 0,615 \text{ В}$, $I_R < 300 \text{ мА}$, $C_T = 50 \text{ нФ}$	SOT23-6	K•K•A•A•A•K•K

MSOP-10



US-8

SOT23-8
TSOT23-8MSOP-8
SOP-8

MSOP/SOP-8/10

Код	Типономинал	Б	Ф	Особенности	Корпус	Ц: 1•2•3•4•5•6•7•8•9•10
#DBB	AD5304BRMZ	AD	DAC	4x8-разр., SPI/Microwire, $V_{DD}=2.5...5.5\text{ В}$	MSOP-10	VDD•VOUTA•VOUTB•VOUTC•REFIN•VOUTD•GND•DIN•SCLK•SYNC
#DCA	AD5314ARMZ	AD	DAC	4x10-разр., SPI/Microwire, $V_{DD}=2.5...5.5\text{ В}$	MSOP-10	VDD•VOUTA•VOUTB•VOUTC•REFIN•VOUTD•GND•DIN•SCLK•SYNC
#DCB	AD5314BRMZ	AD	DAC	4x10-разр., SPI/Microwire, $V_{DD}=2.5...5.5\text{ В}$	MSOP-10	VDD•VOUTA•VOUTB•VOUTC•REFIN•VOUTD•GND•DIN•SCLK•SYNC
#DDB	AD5324BRMZ	AD	DAC	4x12-разр., SPI/Microwire, $V_{DD}=2.5...5.5\text{ В}$	MSOP-10	VDD•VOUTA•VOUTB•VOUTC•REFIN•VOUTD•GND•DIN•SCLK•SYNC
#HCA	AD8062ARMZ	AD	dOA	$f_{BW}=320\text{ МГц}$, $P_O=75\text{ мВт}$, $V_{DD}=2.7...8\text{ В}$	MSOP-8	VOUT1•-IN1•+IN1•-VS•+IN2•-IN2•VOUT2•+VS
0412	LT1004CS8-1.2	LT	vref	$V_{OUT}=1.2\text{ В}$, $\text{ACC}=\pm4\text{ мВ}$	SOP-8	n.c. • n.c. • n.c. • GND • n.c. • VOUT • n.c. • VOUT
0412I	LT1004IS8-1.2	LT	vref	$V_{OUT}=1.2\text{ В}$, $\text{ACC}=\pm4\text{ мВ}$	SOP-8	n.c. • n.c. • n.c. • GND • n.c. • VOUT • n.c. • VOUT
0425	LT1004CS8-2.5	LT	vref	$V_{OUT}=2.5\text{ В}$, $\text{ACC}=\pm20\text{ мВ}$	SOP-8	n.c. • n.c. • n.c. • GND • n.c. • VOUT • n.c. • VOUT
0425I	LT1004IS8-2.5	LT	vref	$V_{OUT}=2.5\text{ В}$, $\text{ACC}=\pm20\text{ мВ}$	SOP-8	n.c. • n.c. • n.c. • GND • n.c. • VOUT • n.c. • VOUT
1001	LT1001CS8	LT	OA	$V_{OS}<60\text{ мкВ}$, $V_{DD}=\pm15\text{ В}$, $P_O<80\text{ мВт}$	SOP-8	VOSTRIM•-IN•+IN•V•-n.c. • OUT•V+•VOSTRIM
1006	LT1006S8	LT	OA	$V_{OS}<50\text{ мкВ}$, $V_{DD}>2.7\text{ В}$, $P_O<80\text{ мВт}$	SOP-8	VOSTRIM•-IN•+IN•V•-VOSTRIM•OUT•V+•ISY SET
1007	LT1007CS8	LT	OA	$V_{OS}<60\text{ мкВ}$, $V_{DD}>2.7\text{ В}$, $P_O<160\text{ мВт}$	SOP-8	VOSTRIM•-IN•+IN•V•-n.c. • OUT•V+•VOSTRIM
1007I	LT1007IS8	LT	OA	$V_{OS}<60\text{ мкВ}$, $V_{DD}>2.7\text{ В}$, $P_O<160\text{ мВт}$	SOP-8	VOSTRIM•-IN•+IN•V•-n.c. • OUT•V+•VOSTRIM
1008	LT1008S8	LT	OA	$V_{OS}<180\text{ мкВ}$, $V_{DD}>2.7\text{ В}$	SOP-8	COMP1•-IN•+IN•V•-n.c. • OUT•V+•COMP2
1009	LT1009S8	LT	vref	$V_{OUT}=2.5\text{ В}$, $\text{ACC}<0.2\%$, $T_{AMB}=0...70^\circ\text{C}$	SOP-8	n.c. • n.c. • n.c. • (-)•ADJ•(+•n.c. • (+)
1009I	LT1009IS8	LT	vref	$V_{OUT}=2.5\text{ В}$, $\text{ACC}<0.2\%$, $T_{AMB}=-40...85^\circ\text{C}$	SOP-8	n.c. • n.c. • n.c. • (-)•ADJ•(+•n.c. • (+)
1011	LT1011CS8	LT	cmp	$V_{OS}<0.5\text{ мВ}$, $V_{DD}=\pm15\text{ В}$, $T_{AMB}=0...70^\circ\text{C}$	SOP-8	GND•INPUT•INPUT•V•-BAL•BAL/STR•OUTPUT•V+
1011AI	LT1011AIS8	LT	cmp	$V_{OS}<0.5\text{ мВ}$, $V_{DD}=\pm15\text{ В}$, $T_{AMB}=-55...125^\circ\text{C}$	SOP-8	GND•INPUT•INPUT•V•-BAL•BAL/STR•OUTPUT•V+
1011I	LT1011IS8	LT	cmp	$V_{OS}<0.5\text{ мВ}$, $V_{DD}=\pm15\text{ В}$, $T_{AMB}=-40...85^\circ\text{C}$	SOP-8	GND•INPUT•INPUT•V•-BAL•BAL/STR•OUTPUT•V+
1012	LT1012S8	LT	OA	$V_{OS}<25\text{ мкВ}$, $V_{DD}=\pm15\text{ В}$, $I_O<600\text{ мкА}$, $T_{AMB}=0...70^\circ\text{C}$	SOP-8	VOSTRIM•-IN•+IN•V•-OVER COMP•OUT•V+•VOSTRIM
1012A	LT1012ACS8	LT	OA	$V_{OS}<25\text{ мкВ}$, $V_{DD}=\pm15\text{ В}$, $I_O<600\text{ мкА}$, $T_{AMB}=0...70^\circ\text{C}$	SOP-8	VOSTRIM•-IN•+IN•V•-OVER COMP•OUT•V+•VOSTRIM
1012AI	LT1012AIS8	LT	OA	$V_{OS}<25\text{ мкВ}$, $V_{DD}=\pm15\text{ В}$, $I_O<600\text{ мкА}$, $T_{AMB}=-40...85^\circ\text{C}$	SOP-8	VOSTRIM•-IN•+IN•V•-OVER COMP•OUT•V+•VOSTRIM
1012I	LT1012IS8	LT	OA	$V_{OS}<25\text{ мкВ}$, $V_{DD}=\pm15\text{ В}$, $I_O<600\text{ мкА}$, $T_{AMB}=-40...85^\circ\text{C}$	SOP-8	VOSTRIM•-IN•+IN•V•-OVER COMP•OUT•V+•VOSTRIM
1013	LT1013DS8	LT	dOA	$V_{OS}<150\text{ мкВ}$, $V_{DD}=\pm15\text{ В}$, $I_O<550\text{ мкА}$, $T_{AMB}=0...70^\circ\text{C}$	SOP-8	-INA•V•-+INB•-INB•OUTB•V+•OUTA•-INA
1013I	LT1013IS8	LT	dOA	$V_{OS}<150\text{ мкВ}$, $V_{DD}=\pm15\text{ В}$, $I_O<550\text{ мкА}$, $T_{AMB}=-40...85^\circ\text{C}$	SOP-8	-INA•V•-+INB•-INB•OUTB•V+•OUTA•-INA
1016	LT1016CS8	LT	cmp	$V_{OS}<0.5\text{ мВ}$, $V_{DD}=5/\pm5\text{ В}$, $I_O=10\text{ нА}$, $T_{AMB}=0...70^\circ\text{C}$	SOP-8	V+•+IN•-IN•V•-LAT ENBL•GND•Q OUT•Q OUT
1016I	LT1016IS8	LT	cmp	$V_{OS}<0.5\text{ мВ}$, $V_{DD}=5/\pm5\text{ В}$, $I_O=10\text{ нА}$, $T_{AMB}=-40...85^\circ\text{C}$	SOP-8	V+•+IN•-IN•V•-LAT ENBL•GND•Q OUT•Q OUT
1017	LT1017CS8	LT	cmp x2	$V_{OS}<1\text{ мВ}$, $V_{DD}=1.1...40\text{ В}$, $T_{AMB}=0...70^\circ\text{C}$	SOP-8	-IN A•V•-+IN B•-IN B•OUT B•V+•OUT A•-IN A



MSOP-8 **SOT23-8**
SOP-8 **TSOT23-8**

US-8



MSOP-10

Код	Типономинал	Б	Ф	Особенности	Корпус	Ц: 1•2•3•4•5•6•7•8•9•10
10171	LT1017IS	LT	cmr x2	$V_{OS1} < 1 \text{ мВ}$, $V_{DD} = 1.1...40 \text{ В}$, $T_{AMB} = -40...85^\circ \text{C}$	SOP-8	+IN A • V- • -IN B • -IN B • OUT B • V+ • OUT A • -IN A
1018	LT1018CS	LT	cmr x2	$V_{OS1} < 1 \text{ мВ}$, $V_{DD} = 1.1...40 \text{ В}$, $T_{AMB} = 0...70^\circ \text{C}$	SOP-8	+IN A • V- • -IN B • -IN B • OUT B • V+ • OUT A • -IN A
1026	LT1026CS	LT	vcon	$V_{OUT} = \pm 18 \text{ В}$, $I_{OUT} > 10 \text{ мА}$, $T_{AMB} = 0...70^\circ \text{C}$	SOP-8	C1 • C2+ • C2- • -VOUT • GND • VIN • C1+ • +VOUT
1026I	LT1026IS	LT	vcon	$V_{OUT} = \pm 18 \text{ В}$, $I_{OUT} > 10 \text{ мА}$, $T_{AMB} = -40...85^\circ \text{C}$	SOP-8	C1 • C2+ • C2- • -VOUT • GND • VIN • C1+ • +VOUT
1027C5	LT1027CCS-5	LT	vref	$V_{OUT} = 5 \text{ В}$, $T_{AMB} = 0...70^\circ \text{C}$, $T_{CVDOUT} < 3 \text{ ppm/}^\circ \text{C}$	SOP-8	NR • GND • VTRIM • VOUT • n.c. • n.c. • n.c. • VIN
1027D5	LT1027DCS-5	LT	vref	$V_{OUT} = 5 \text{ В}$, $T_{AMB} = 0...70^\circ \text{C}$, $T_{CVDOUT} < 5 \text{ ppm/}^\circ \text{C}$	SOP-8	NR • GND • VTRIM • VOUT • n.c. • n.c. • n.c. • VIN
1027E5	LT1027ECS-5	LT	vref	$V_{OUT} = 5 \text{ В}$, $T_{AMB} = 0...70^\circ \text{C}$, $T_{CVDOUT} < 7.5 \text{ ppm/}^\circ \text{C}$	SOP-8	NR • GND • VTRIM • VOUT • n.c. • n.c. • n.c. • VIN
1028	LT1028CS	LT	OA	$V_{OS1} < 40 \text{ мВ}$, $V_{DD} = \pm 15 \text{ В}$, $I_D < 10.5 \text{ мА}$, $T_{AMB} = -40...85^\circ \text{C}$	SOP-8	VOSTRIM • -IN • +IN • V- • OVER COMP • OUT • V+ • VOSTRIM
1034I12	LT1034IS-1.2	LT	vref x2	$V_{OUT1} = 1.2 \text{ В}$, $V_{OUT2} = 7 \text{ В}$, $T_{AMB} = -40...85^\circ \text{C}$	SOP-8	n.c. • n.c. • n.c. • GND • 7V • 2.5V • n.c. • 2.5V
1037	LT1037CS	LT	OA	$V_{OS1} < 60 \text{ мВ}$, $V_{DD} > 2.7 \text{ В}$, $P_D < 160 \text{ мВт}$	SOP-8	VOSTRIM • -IN • +IN • V- • n.c. • OUT • V+ • VOSTRIM
1054	LT1054CS	LT	vcon + reg	$V_{CC} = 3.5...15 \text{ В}$, $I_{OUT} = 100 \text{ мА}$, $T_{AMB} = 0...100^\circ \text{C}$	SOP-8	FB/SHDN • CAP+ • GND • CAP- • VOUT • VREF • OSC • V+
1054A	LT1054ACS	LT	vcon + reg	$V_{CC} = 3.5...15 \text{ В}$, $I_{OUT} = 100 \text{ мА}$, $T_{AMB} = 0...100^\circ \text{C}$	SOP-8	FB/SHDN • CAP+ • GND • CAP- • VOUT • VREF • OSC • V+
1054I	LT1054IS	LT	vcon + reg	$V_{CC} = 3.5...15 \text{ В}$, $I_{OUT} = 100 \text{ мА}$, $T_{AMB} = -40...100^\circ \text{C}$	SOP-8	FB/SHDN • CAP+ • GND • CAP- • VOUT • VREF • OSC • V+
1054L	LT1054LCS	LT	vcon + reg	$V_{CC} = 3.5...7 \text{ В}$, $I_{OUT} = 100 \text{ мА}$, $T_{AMB} = 0...100^\circ \text{C}$	SOP-8	FB/SHDN • CAP+ • GND • CAP- • VOUT • VREF • OSC • V+
1055	LT1055S	LT	OA	$V_{OS1} < 150 \text{ мВ}$, $V_{DD} = \pm 15 \text{ В}$, $I_D < 7 \text{ мА}$, $T_{AMB} = 0...70^\circ \text{C}$	SOP-8	BAL • -IN • +IN • V- • BAL • OUT • V+ • n.c.
1056	LT1056S	LT	OA	$V_{OS1} < 150 \text{ мВ}$, $V_{DD} = \pm 15 \text{ В}$, $I_D < 7 \text{ мА}$, $T_{AMB} = 0...70^\circ \text{C}$	SOP-8	BAL • -IN • +IN • V- • BAL • OUT • V+ • n.c.
1057	LT1057S	LT	dOA	$V_{OS1} < 450 \text{ мВ}$, $V_{DD} = \pm 15 \text{ В}$, $I_D < 2.8 \text{ мА}$, $T_{AMB} = 0...70^\circ \text{C}$	SOP-8	+IN A • V- • -IN B • -IN B • OUT B • V+ • OUT A • -IN A
1057I	LT1057IS	LT	dOA	$V_{OS1} < 450 \text{ мВ}$, $V_{DD} = \pm 15 \text{ В}$, $I_D < 2.8 \text{ мА}$, $T_{AMB} = -40...85^\circ \text{C}$	SOP-8	+IN A • V- • -IN B • -IN B • OUT B • V+ • OUT A • -IN A
1072	LT1072CS	LT	reg	$V_{IN} = 3...60 \text{ В}$, $i_{SW} = 40 \text{ мА}$	SOP-8	GND • VC • FB • n.c. • VIN • E1 • VSW • E2
1073	LT1073CS	LT	ddcc	$V_{IN} = 1...30 \text{ В}$, $I_S < 130 \text{ мА}$	SOP-8	ILIM • VIN • SW1 • SW2 • GND • A0 • SET • FB/SENSE
107312	LT1073CS-12	LT	ddcc	$V_{IN} = 1...30 \text{ В}$, $V_{OUT} = 12 \text{ В}$, $I_S < 130 \text{ мА}$	SOP-8	ILIM • VIN • SW1 • SW2 • GND • A0 • SET • FB/SENSE
10735	LT1073CS-5	LT	ddcc	$V_{IN} = 1...30 \text{ В}$, $V_{OUT} = 5 \text{ В}$, $I_S < 130 \text{ мА}$	SOP-8	ILIM • VIN • SW1 • SW2 • GND • A0 • SET • FB/SENSE
1077	LT1077S	LT	OA	$V_{OS1} < 40 \text{ мВ}$, $V_{DD} = \pm 15 \text{ В}$, $I_D < 68 \text{ мА}$, $T_{AMB} = 0...70^\circ \text{C}$	SOP-8	VOSTRIM • -IN • +IN • V- • n.c. • OUT • V+ • VOSTRIM
1077I	LT1077IS	LT	OA	$V_{OS1} < 40 \text{ мВ}$, $V_{DD} = \pm 15 \text{ В}$, $I_D < 68 \text{ мА}$, $T_{AMB} = -40...85^\circ \text{C}$	SOP-8	VOSTRIM • -IN • +IN • V- • n.c. • OUT • V+ • VOSTRIM
1078	LT1078S	LT	dOA	$V_{OS1} < 70 \text{ мВ}$, $V_{DD} = \pm 15 \text{ В}$, $I_D < 68 \text{ мА}$, $T_{AMB} = 0...70^\circ \text{C}$	SOP-8	+IN A • V- • -IN B • -IN B • OUT B • V+ • OUT A • -IN A
1078I	LT1078IS	LT	dOA	$V_{OS1} < 70 \text{ мВ}$, $V_{DD} = \pm 15 \text{ В}$, $I_D < 68 \text{ мА}$, $T_{AMB} = -40...85^\circ \text{C}$	SOP-8	+IN A • V- • -IN B • -IN B • OUT B • V+ • OUT A • -IN A
10905	LT1109CS-5	LT	ddcc	$V_{IN} = 3...20 \text{ В}$, $V_{OUT} = 5 \text{ В}$, $I_S < 320 \text{ мА}$, $T_{AMB} = 0...70^\circ \text{C}$	SOP-8	VIN • n.c. • SW • GND • n.c. • n.c. • SHUTDOWN • SENSE
10912	LT1109CS-12	LT	ddcc	$V_{IN} = 3...20 \text{ В}$, $V_{OUT} = 12 \text{ В}$, $I_S < 320 \text{ мА}$, $T_{AMB} = 0...70^\circ \text{C}$	SOP-8	VIN • n.c. • SW • GND • n.c. • n.c. • SHUTDOWN • SENSE
1097	LT1097S	LT	OA	$V_{OS1} < 50 \text{ мВ}$, $V_{DD} = \pm 15 \text{ В}$, $I_D < 0.7 \text{ мА}$, $T_{AMB} = -40...85^\circ \text{C}$	SOP-8	VOSTRIM • -IN • +IN • V- • OVER COMP • OUT • V+ • VOSTRIM
11012	LT1110CS-12	LT	ddcc	$V_{IN} = 1...30 \text{ В}$, $V_{OUT} = 12 \text{ В}$, $T_{AMB} = 0...70^\circ \text{C}$	SOP-8	ILIM • VIN • SW1 • SW2 • GND • A0 • SET • FB/SENSE

MSOP-10



US-8

SOT23-8
TSOT23-8

MSOP-8
SOP-8



Код	Типономинал	Б	Ф	Особенности	Корпус	Ц: 1•2•3•4•5•6•7•8•9•10
1107	LT1107CS8	LT	dddc	$V_{IN}=2...30\text{ В}$, $I_S<450\text{ мкА}$, $T_{AMB}=0...70^\circ\text{C}$	SOP-8	IUM•VIN•SW1•SW2•GND•AO•SET•FB/SENSE
110712	LT1107CS8-12	LT	dddc	$V_{IN}=2...30\text{ В}$, $V_{OUT}=12\text{ В}$, $I_S<450\text{ мкА}$, $T_{AMB}=0...70^\circ\text{C}$	SOP-8	IUM•VIN•SW1•SW2•GND•AO•SET•FB/SENSE
11075	LT1107CS8-5	LT	dddc	$V_{IN}=2...30\text{ В}$, $V_{OUT}=5\text{ В}$, $I_S<450\text{ мкА}$, $T_{AMB}=0...70^\circ\text{C}$	SOP-8	IUM•VIN•SW1•SW2•GND•AO•SET•FB/SENSE
11071	LT1107IS8	LT	dddc	$V_{IN}=2...30\text{ В}$, $I_S<450\text{ мкА}$, $T_{AMB}=-40...85^\circ\text{C}$	SOP-8	IUM•VIN•SW1•SW2•GND•AO•SET•FB/SENSE
1108	LT1108CS8	LT	dddc	$V_{IN}=2...30\text{ В}$, $I_S<110\text{ мкА}$, $T_{AMB}=0...70^\circ\text{C}$	SOP-8	IUM•VIN•SW1•SW2•GND•AO•SET•FB/SENSE
11081	LT1108CS8-12	LT	dddc	$V_{IN}=2...30\text{ В}$, $V_{OUT}=12\text{ В}$, $I_S<110\text{ мкА}$, $T_{AMB}=0...70^\circ\text{C}$	SOP-8	IUM•VIN•SW1•SW2•GND•AO•SET•FB/SENSE
11085	LT1108CS8-5	LT	dddc	$V_{IN}=2...30\text{ В}$, $V_{OUT}=5\text{ В}$, $I_S<110\text{ мкА}$, $T_{AMB}=0...70^\circ\text{C}$	SOP-8	IUM•VIN•SW1•SW2•GND•AO•SET•FB/SENSE
1109	LT1109CS8	LT	dddc	$V_{IN}=3...20\text{ В}$, $I_S<320\text{ мкА}$, $T_{AMB}=0...70^\circ\text{C}$	SOP-8	VIN•n.c. • SW•GND•n.c. • n.c. • SHUTDOWN•SENSE
1109A	LT1109ACS8	LT	dddc	$V_{IN}=3...20\text{ В}$, $I_S<320\text{ мкА}$, $T_{AMB}=0...70^\circ\text{C}$	SOP-8	VIN•n.c. • SW•GND•n.c. • n.c. • SHUTDOWN•SENSE
1109A1	LT1109ACS8-12	LT	dddc	$V_{IN}=3...20\text{ В}$, $V_{OUT}=12\text{ В}$, $I_S<320\text{ мкА}$, $T_{AMB}=0...70^\circ\text{C}$	SOP-8	VIN•n.c. • SW•GND•n.c. • n.c. • SHUTDOWN•SENSE
1109A5	LT1109ACS8-5	LT	dddc	$V_{IN}=3...20\text{ В}$, $V_{OUT}=5\text{ В}$, $I_S<320\text{ мкА}$, $T_{AMB}=0...70^\circ\text{C}$	SOP-8	VIN•n.c. • SW•GND•n.c. • n.c. • SHUTDOWN•SENSE
1110	LT1110CS8	LT	dddc	$V_{IN}=1...30\text{ В}$, $T_{AMB}=0...70^\circ\text{C}$	SOP-8	IUM•VIN•SW1•SW2•GND•AO•SET•FB/SENSE
11105	LT1110CS8-5	LT	dddc	$V_{IN}=1...30\text{ В}$, $V_{OUT}=5\text{ В}$, $T_{AMB}=0...70^\circ\text{C}$	SOP-8	IUM•VIN•SW1•SW2•GND•AO•SET•FB/SENSE
1111	LT1111CS8	LT	dddc	$V_{IN}=2...30\text{ В}$, $T_{AMB}=0...70^\circ\text{C}$	SOP-8	IUM•VIN•SW1•SW2•GND•AO•SET•FB/SENSE
11111	LT1111CS8-12	LT	dddc	$V_{IN}=2...30\text{ В}$, $V_{OUT}=12\text{ В}$, $T_{AMB}=0...70^\circ\text{C}$	SOP-8	IUM•VIN•SW1•SW2•GND•AO•SET•FB/SENSE
11115	LT1111CS8-5	LT	dddc	$V_{IN}=2...30\text{ В}$, $V_{OUT}=5\text{ В}$, $T_{AMB}=0...70^\circ\text{C}$	SOP-8	IUM•VIN•SW1•SW2•GND•AO•SET•FB/SENSE
11111	LT1111IS8	LT	dddc	$V_{IN}=2...30\text{ В}$, $T_{AMB}=-40...85^\circ\text{C}$	SOP-8	IUM•VIN•SW1•SW2•GND•AO•SET•FB/SENSE
1112	LT1112S8	LT	dOA	$V_{OS}<60\text{ мкВ}$, $V_{DD}=15\text{ В}$, $I_O<400\text{ мкА}$, $T_{AMB}=0...70^\circ\text{C}$	SOP-8	OUT A•-IN A•+IN A•V•-+IN B•-IN B• OUT B•V•
11121	LT1112IS8	LT	dOA	$V_{OS}<60\text{ мкВ}$, $V_{DD}=15\text{ В}$, $I_O<400\text{ мкА}$, $T_{AMB}=-40...85^\circ\text{C}$	SOP-8	OUT A•-IN A•+IN A•V•-+IN B•-IN B• OUT B•V•
1113	LT1113CS8	LT	dOA	JFET; $V_{DS}<1.5\text{ мВ}$, $V_{DD}=15\text{ В}$, $I_O<6.5\text{ мА}$, $T_{AMB}=0...70^\circ\text{C}$	SOP-8	OUT A•-IN A•+IN A•V•-+IN B•-IN B• OUT B•V•
1116	LT1116CS8	LT	cmp	$V_{OS}<3.5\text{ мВ}$, $V_{DD}=5/\pm 5\text{ В}$, $I_{DD}=12\text{ мА}$, $T_{AMB}=0...70^\circ\text{C}$	SOP-8	V•-+IN•-IN•V•-LAT ENBL•GND•Q OUT•Q OUT
1118	LT1118CS8	LT	reg	LDO; $V_{IN}<15\text{ В}$, $I_{OUT}=800\text{ мА}$	SOP-8	GND•n.c. • EN•FB•IN•OUT•IN•GND
111825	LT1118CS8-2.5	LT	reg	LDO; $V_{IN}<15\text{ В}$, $V_{OUT}=2.5\text{ В}$, $I_{OUT}=800\text{ мА}$	SOP-8	IN•OUT•GND•IN•n.c. • GND•GND•EN
111828	LT1118CS8-2.85	LT	reg	LDO; $V_{IN}<15\text{ В}$, $V_{OUT}=2.85\text{ В}$, $I_{OUT}=800\text{ мА}$	SOP-8	IN•OUT•GND•IN•n.c. • GND•GND•EN
11185	LT1118CS8-5	LT	reg	LDO; $V_{IN}<15\text{ В}$, $V_{OUT}=5\text{ В}$, $I_{OUT}=800\text{ мА}$	SOP-8	IN•OUT•GND•IN•n.c. • GND•GND•EN
1128	LT1128CS8	LT	OA	$V_{OS}<40\text{ мкВ}$, $V_{DD}=15\text{ В}$, $I_O<10.5\text{ мА}$, $T_{AMB}=-40...85^\circ\text{C}$	SOP-8	VOSTRIM•-IN•+IN•V•-OVER COMP OUT•V•-VOSTRIM
1905	LT1019CS8-5	LT	vref	$V_{OUT}=5\text{ В}$, $\text{ACC}<0.2\%$, $T_{AMB}=0...70^\circ\text{C}$	SOP-8	i.c. • INPUT•TEMP•GND•TRIM• OUTPUT•i.c. • i.c.
1910	LT1019CS8-10	LT	vref	$V_{OUT}=10\text{ В}$, $\text{ACC}<0.2\%$, $T_{AMB}=0...70^\circ\text{C}$	SOP-8	i.c. • INPUT•TEMP•GND•TRIM• OUTPUT•i.c. • i.c.
1925	LT1019CS8-2.5	LT	vref	$V_{OUT}=2.5\text{ В}$, $\text{ACC}<0.2\%$, $T_{AMB}=0...70^\circ\text{C}$	SOP-8	i.c. • INPUT•TEMP•GND•TRIM• OUTPUT•i.c. • i.c.
1945	LT1019CS8-4.5	LT	vref	$V_{OUT}=4.5\text{ В}$, $\text{ACC}<0.2\%$, $T_{AMB}=0...70^\circ\text{C}$	SOP-8	i.c. • INPUT•TEMP•GND•TRIM• OUTPUT•i.c. • i.c.
19A05	LT1019ACS8-5	LT	vref	$V_{OUT}=5\text{ В}$, $\text{ACC}<0.05\%$, $T_{AMB}=0...70^\circ\text{C}$	SOP-8	i.c. • INPUT•TEMP•GND•TRIM• OUTPUT•i.c. • i.c.

**MSOP-8
SOP-8****SOT23-8
TSOT23-8****US-8****MSOP-10**

Код	Типономинал	Б	Ф	Особенности	Корпус	Ц: 1•2•3•4•5•6•7•8•9•10
19A25	LT1019ACS8-2.5	LT	vref	$V_{OUT}=2.5\text{ В}$, $\text{ACC} < 0.05\%$, $T_{AMB}=0...70^\circ\text{C}$	SOP-8	i.c. • INPUT • TEMP • GND • TRIM • OUTPUT • i.c. • i.c.
19A05	LT1019AIS8-5	LT	vref	$V_{OUT}=5\text{ В}$, $\text{ACC} < 0.05\%$, $T_{AMB}=-40...85^\circ\text{C}$	SOP-8	i.c. • INPUT • TEMP • GND • TRIM • OUTPUT • i.c. • i.c.
19A125	LT1019AIS8-2.5	LT	vref	$V_{OUT}=2.5\text{ В}$, $\text{ACC} < 0.05\%$, $T_{AMB}=-40...85^\circ\text{C}$	SOP-8	i.c. • INPUT • TEMP • GND • TRIM • OUTPUT • i.c. • i.c.
19I05	LT1019IS8-5	LT	vref	$V_{OUT}=5\text{ В}$, $\text{ACC} < 0.2\%$, $T_{AMB}=-40...85^\circ\text{C}$	SOP-8	i.c. • INPUT • TEMP • GND • TRIM • OUTPUT • i.c. • i.c.
19I25	LT1019IS8-2.5	LT	vref	$V_{OUT}=2.5\text{ В}$, $\text{ACC} < 0.2\%$, $T_{AMB}=-40...85^\circ\text{C}$	SOP-8	i.c. • INPUT • TEMP • GND • TRIM • OUTPUT • i.c. • i.c.
2105	LT1021DCS8-5	LT	vref	$V_{OUT}=5\text{ В}$, $T_{AMB}=0...70^\circ\text{C}$	SOP-8	i.c. • VIN • i.c. • GND • TRIM • VOUT • i.c. • i.c.
2107	LT1021DCS8-7	LT	vref	$V_{OUT}=7\text{ В}$, $T_{AMB}=0...70^\circ\text{C}$	SOP-8	i.c. • VIN • i.c. • GND • TRIM • VOUT • i.c. • i.c.
2110	LT1021DCS8-10	LT	vref	$V_{OUT}=10\text{ В}$, $T_{AMB}=0...70^\circ\text{C}$	SOP-8	i.c. • VIN • i.c. • GND • TRIM • VOUT • i.c. • i.c.
3401	LT1034CS8-1.2	LT	vref x2	$V_{OUT1}=1.2\text{ В}$, $V_{OUT2}=7\text{ В}$, $T_{AMB}=0...70^\circ\text{C}$	SOP-8	n.c. • n.c. • n.c. • GND • 7V • 2.5V • n.c. • 2.5V
3402	LT1034CS8-2.5	LT	vref x2	$V_{OUT1}=2.5\text{ В}$, $V_{OUT2}=7\text{ В}$, $T_{AMB}=0...70^\circ\text{C}$	SOP-8	n.c. • n.c. • n.c. • GND • 7V • 2.5V • n.c. • 2.5V
34I02	LT1034IS8-2.5	LT	vref x2	$V_{OUT1}=2.5\text{ В}$, $V_{OUT2}=7\text{ В}$, $T_{AMB}=-40...85^\circ\text{C}$	SOP-8	n.c. • n.c. • n.c. • GND • 7V • 2.5V • n.c. • 2.5V
37518	MC3375D-1.8	ON	reg	LDO; $V_{IN}=2.5...13\text{ В}$; $V_{OUT}=1.8\text{ В}$; $I_{OUT}=300\text{ мА}$	SOP-8	IN • GND • GND • ON/OFF • n.c. • GND • GND • OUT
37525	MC3375D-2.5	ON	reg	LDO; $V_{IN}=2.5...13\text{ В}$; $V_{OUT}=2.5\text{ В}$; $I_{OUT}=300\text{ мА}$	SOP-8	IN • GND • GND • ON/OFF • n.c. • GND • GND • OUT
37530	MC3375D-3.0	ON	reg	LDO; $V_{IN}=2.5...13\text{ В}$; $V_{OUT}=3.0\text{ В}$; $I_{OUT}=300\text{ мА}$	SOP-8	IN • GND • GND • ON/OFF • n.c. • GND • GND • OUT
37533	MC3375D-3.3	ON	reg	LDO; $V_{IN}=2.5...13\text{ В}$; $V_{OUT}=3.3\text{ В}$; $I_{OUT}=300\text{ мА}$	SOP-8	IN • GND • GND • ON/OFF • n.c. • GND • GND • OUT
37550	MC3375D-5.0	ON	reg	LDO; $V_{IN}=2.5...13\text{ В}$; $V_{OUT}=5.0\text{ В}$; $I_{OUT}=300\text{ мА}$	SOP-8	IN • GND • GND • ON/OFF • n.c. • GND • GND • OUT
5812	MRF5812	MOT	npn	$V_{CE0}=30\text{ В}$; $I_C=200\text{ мА}$; $P_D=1670\text{ мВт}$; $h_{FE}=30...200$; $f_T=5.5\text{ ГГц}$	SOP-8	E • C • C • E • E • B • B • E
5943	MRF5943	MOT	npn	$V_{CE0}=40\text{ В}$; $I_C=400\text{ мА}$; $P_D=1\text{ Вт}$; $h_{FE}=25...200$; $f_T=1.3\text{ ГГц}$	SOP-8	E • C • C • E • E • B • B • E
A0R	AD6532ARMZ	AD	dCA	$f_{DD}=3\text{ МГц}$; $P_D=12\text{ мВт}$; $V_{DD}=2.7...6\text{ В}$	MSOP-8	OUT A • -IN A • -IN A • V- • -IN B • -IN B • OUT B • V+
A1A	OP777ARM	AD	OA	$V_{DD}=2.7...3.0/±1.35...±15\text{ В}$; $I_S=320\text{ мкА}$; $V_{OS1}<200\text{ мкВ}$	MSOP-8	n.c. • -IN • -IN • V- • n.c. • OUT • V+ • n.c.
A34	OPA234EA	TI	OA	$V_{DD}=2.7...3.6/±1.35...±18\text{ В}$; $I_S=300\text{ мкА}$; $V_{OS1}<±350\text{ мкВ}$	MSOP-8	OFF TRIM • -IN • -IN • V- • OFF TRIM • OUT • V+ • n.c.
A4	NLAS323US	ON	asw	2x SPST; $R_{ON}<55\text{ Ом}$; $V_{DD}=2.7...6.0\text{ В}$	US-8	NO1 • COM1 • IN2 • GND • NO2 • COM2 • IN1 • VCC
A40A	OPA2340EA	TI	dCA	R-R; $V_{DD}=2.7...5.5\text{ В}$; $f_{DD}=5.5\text{ МГц}$; $I_S=1.1\text{ мА}$; $V_{OS1}<±0.5\text{ мВ}$	MSOP-8	OUT A • -IN A • -IN A • V- • -IN B • -IN B • OUT B • V+
A44	OPA2244EA	TI	dCA	$V_{DD}=2.2...3.6/±1.1...±18\text{ В}$; $I_S=70\text{ мкА}$; $V_{OS1}<±2\text{ мВ}$	MSOP-8	OUT A • -IN A • -IN A • V- • -IN B • -IN B • OUT B • V+
A5A	AD8529ARJ	AD	dCA	$f_{DD}=8\text{ МГц}$; $P_D=24\text{ мВт}$; $V_{DD}=2.7...12\text{ В}$	MSOP-8	OUT A • -IN A • -IN A • V- • -IN B • -IN B • OUT B • V+
A7	OPA2337EA	TI	dCA	R-R; $V_{DD}=2.5...5.5\text{ В}$; $f_{DD}=3\text{ МГц}$; $I_S=2\text{ мА}$; $V_{OS1}<±3.5\text{ мВ}$	SOT23-8	OUT A • -IN A • -IN A • V- • -IN B • -IN B • OUT B • V+
A8	OPA2338EA	TI	dCA	R-R; $V_{DD}=2.5...5.5\text{ В}$; $f_{DD}=12\text{ МГц}$; $I_S=2\text{ мА}$; $V_{OS1}<±3.5\text{ мВ}$	SOT23-8	OUT A • -IN A • -IN A • V- • -IN B • -IN B • OUT B • V+
AAAA	MAX1792EUA18	MAX	reg	LDO; $V_{IN}=2.5...5.5\text{ В}$; $V_{OUT}=1/8/1/25...5\text{ В}$; $I_{OUT}=500\text{ мА}$	MSOP-8	IN • IN • RST • SHDN • GND • SET • OUT • OUT
AAAA	MAX4451EKA	MAX	dCA	R-R; $V_{DD}=4.5...11/±2/25...±5.5\text{ В}$; $f_{DD}=2/10\text{ МГц}$; $V_{OS1}<±25\text{ мВ}$	SOT23-8	OUTA • INA • -INA • VEE • INB • -INB • OUTB • VCC

MSOP-10



US-8

SOT23-8
TSOT23-8MSOP-8
SOP-8

Код	Типономинал	Б	Ф	Особенности	Корпус	Ц: 1•2•3•4•5•6•7•8•9•10
AAAB	MAX1792EUA25	MAX	reg	LDO, $V_{IN}=2.5 \dots 5.5$ В; $V_{OUT}=2.5/1.25 \dots 5$ В; $I_{OUT}=500$ мА	MSOP-8	IN•IN•RST•SHDN•GND•SET•OUT•OUT
AAAB	MAX4453EZA	MAX	dOA	R-R, $V_{DD}=2.7 \dots 2.5$ В; $I_{DD}=200$ мА; $V_{OS}<12$ мВ	TSOT23-8	OUTA•INA•INA•VEE•INB•INB•OUTB•VCC
AAAC	MAX1792EUA33	MAX	reg	LDO, $V_{IN}=2.5 \dots 5.5$ В; $V_{OUT}=3.3/1.25 \dots 5$ В; $I_{OUT}=500$ мА	MSOP-8	IN•IN•RST•SHDN•GND•SET•OUT•OUT
AAAC	MAX5222EKA	MAX	DAC	2x8-разр.; SPI/QSPI/Microwire; $V_{DD}=2.7 \dots 5.5$ В	SOT23-8	CS•GND•VDD•SCLK•OUTA•OUTB•REF•DIN
AAAD	MAX1792EUA50	MAX	reg	LDO, $V_{IN}=2.5 \dots 5.5$ В; $V_{OUT}=5.0/1.25 \dots 5$ В; $I_{OUT}=500$ мА	MSOP-8	IN•IN•RST•SHDN•GND•SET•OUT•OUT
AAAD	MAX9077EKA	MAX	cmp x2	R-R, $V_{DD}=+18$ мВ; $V_{CC}=2.1 \dots 5.5$ В; $I_{CC}<13$ мА	SOT23-8	OUTA•GND•INA•INA•INB•INB•OUTB•VCC
AAAE	MAX1792EUA15	MAX	reg	LDO, $V_{IN}=2.5 \dots 5.5$ В; $V_{OUT}=1.5/1.25 \dots 5$ В; $I_{OUT}=500$ мА	MSOP-8	IN•IN•RST•SHDN•GND•SET•OUT•OUT
AAAE	MAX4541EKA	MAX	asw	2xSPST; $R_{ON}<75$ Ом; $V_{DD}=2.7 \dots 12$ В	SOT23-8	NO1•V+•IN2•COM2•NO2•GND•IN1•COM1
AAAF	MAX1792EUA20	MAX	reg	LDO, $V_{IN}=2.5 \dots 5.5$ В; $V_{OUT}=2.0/1.25 \dots 5$ В; $I_{OUT}=500$ мА	MSOP-8	IN•IN•RST•SHDN•GND•SET•OUT•OUT
AAAF	MAX4542EKA	MAX	asw	2xSPST; $R_{ON}<75$ Ом; $V_{DD}=2.7 \dots 12$ В	SOT23-8	NC1•V+•IN2•COM2•NC2•GND•IN1•COM1
AAAG	MAX4543EKA	MAX	asw	2xSPST; $R_{ON}<75$ Ом; $V_{DD}=2.7 \dots 12$ В	SOT23-8	NO1•V+•IN2•COM2•NC2•GND•IN1•COM1
AAAH	MAX365LKA46	MAX	mrc	$V_{TH}=4.63$ В; $V_{DD}=1.2 \dots 5.5$ В; $I_{CC}<50$ мА	SOT23-8	RESET•CE IN•GND•MR•VCC•OUT•BATT•CE OUT
AAAI	MAX365LKA44	MAX	mrc	$V_{TH}=4.38$ В; $V_{DD}=1.2 \dots 5.5$ В; $I_{CC}<50$ мА	SOT23-8	RESET•CE IN•GND•MR•VCC•OUT•BATT•CE OUT
AAAJ	MAX365LKA31	MAX	mrc	$V_{TH}=3.08$ В; $V_{DD}=1.2 \dots 5.5$ В; $I_{CC}<50$ мА	SOT23-8	RESET•CE IN•GND•MR•VCC•OUT•BATT•CE OUT
AAAK	MAX365LKA29	MAX	mrc	$V_{TH}=2.93$ В; $V_{DD}=1.2 \dots 5.5$ В; $I_{CC}<50$ мА	SOT23-8	RESET•CE IN•GND•MR•VCC•OUT•BATT•CE OUT
AAAL	MAX365LKA26	MAX	mrc	$V_{TH}=2.63$ В; $V_{DD}=1.2 \dots 5.5$ В; $I_{CC}<50$ мА	SOT23-8	RESET•CE IN•GND•MR•VCC•OUT•BATT•CE OUT
AAAM	MAX365LKA23	MAX	mrc	$V_{TH}=2.32$ В; $V_{DD}=1.2 \dots 5.5$ В; $I_{CC}<50$ мА	SOT23-8	RESET•CE IN•GND•MR•VCC•OUT•BATT•CE OUT
AAAN	MAX365PKA46	MAX	mrc	$V_{TH}=4.63$ В; $V_{DD}=1.2 \dots 5.5$ В; $I_{CC}<50$ мА	SOT23-8	RESET•CE IN•GND•MR•VCC•OUT•BATT•CE OUT
AAAO	MAX365PKA44	MAX	mrc	$V_{TH}=4.38$ В; $V_{DD}=1.2 \dots 5.5$ В; $I_{CC}<50$ мА	SOT23-8	RESET•CE IN•GND•MR•VCC•OUT•BATT•CE OUT
AAAP	MAX365PKA31	MAX	mrc	$V_{TH}=3.08$ В; $V_{DD}=1.2 \dots 5.5$ В; $I_{CC}<50$ мА	SOT23-8	RESET•CE IN•GND•MR•VCC•OUT•BATT•CE OUT
AAAQ	MAX365PKA29	MAX	mrc	$V_{TH}=2.93$ В; $V_{DD}=1.2 \dots 5.5$ В; $I_{CC}<50$ мА	SOT23-8	RESET•CE IN•GND•MR•VCC•OUT•BATT•CE OUT
AAAR	MAX365PKA26	MAX	mrc	$V_{TH}=2.63$ В; $V_{DD}=1.2 \dots 5.5$ В; $I_{CC}<50$ мА	SOT23-8	RESET•CE IN•GND•MR•VCC•OUT•BATT•CE OUT
AAAS	MAX365PKA23	MAX	mrc	$V_{TH}=2.32$ В; $V_{DD}=1.2 \dots 5.5$ В; $I_{CC}<50$ мА	SOT23-8	RESET•CE IN•GND•MR•VCC•OUT•BATT•CE OUT
AAAT	MAX365HKA46	MAX	mrc	$V_{TH}=4.63$ В; $V_{DD}=1.2 \dots 5.5$ В; $I_{CC}<50$ мА	SOT23-8	RESET•CE IN•GND•MR•VCC•OUT•BATT•CE OUT
AAAU	MAX365HKA44	MAX	mrc	$V_{TH}=4.38$ В; $V_{DD}=1.2 \dots 5.5$ В; $I_{CC}<50$ мА	SOT23-8	RESET•CE IN•GND•MR•VCC•OUT•BATT•CE OUT
AAAV	MAX365HKA31	MAX	mrc	$V_{TH}=3.08$ В; $V_{DD}=1.2 \dots 5.5$ В; $I_{CC}<50$ мА	SOT23-8	RESET•CE IN•GND•MR•VCC•OUT•BATT•CE OUT
AAAW	MAX365HKA29	MAX	mrc	$V_{TH}=2.93$ В; $V_{DD}=1.2 \dots 5.5$ В; $I_{CC}<50$ мА	SOT23-8	RESET•CE IN•GND•MR•VCC•OUT•BATT•CE OUT
AAAX	MAX365HKA26	MAX	mrc	$V_{TH}=2.63$ В; $V_{DD}=1.2 \dots 5.5$ В; $I_{CC}<50$ мА	SOT23-8	RESET•CE IN•GND•MR•VCC•OUT•BATT•CE OUT
AAAY	MAX365HKA23	MAX	mrc	$V_{TH}=2.32$ В; $V_{DD}=1.2 \dots 5.5$ В; $I_{CC}<50$ мА	SOT23-8	RESET•CE IN•GND•MR•VCC•OUT•BATT•CE OUT

[illegible]

MSOP-10



US-8

SOT23-8
TSOT23-8MSOP-8
SOP-8

Код	Типономинал	Б	Ф	Особенности	Корпус	Ц: 1•2•3•4•5•6•7•8•9•10
AACC	MAX6367PKA23	MAX	mnc	$V_{TH}=2.32\text{ В}$, $V_{DD}=1.2...5.5\text{ В}$, $I_{CC}<50\text{ мкА}$	SOT23-8	RESET • CE IN • GND • BATT ON • VCC • OUT • BATT • CE OUT
AACD	MAX6367HKA46	MAX	mnc	$V_{TH}=4.63\text{ В}$, $V_{DD}=1.2...5.5\text{ В}$, $I_{CC}<50\text{ мкА}$	SOT23-8	RESET • CE IN • GND • BATT ON • VCC • OUT • BATT • CE OUT
AACE	MAX6367HKA44	MAX	mnc	$V_{TH}=4.38\text{ В}$, $V_{DD}=1.2...5.5\text{ В}$, $I_{CC}<50\text{ мкА}$	SOT23-8	RESET • CE IN • GND • BATT ON • VCC • OUT • BATT • CE OUT
AACF	MAX6367HKA31	MAX	mnc	$V_{TH}=3.08\text{ В}$, $V_{DD}=1.2...5.5\text{ В}$, $I_{CC}<50\text{ мкА}$	SOT23-8	RESET • CE IN • GND • BATT ON • VCC • OUT • BATT • CE OUT
AACG	MAX6367HKA29	MAX	mnc	$V_{TH}=2.93\text{ В}$, $V_{DD}=1.2...5.5\text{ В}$, $I_{CC}<50\text{ мкА}$	SOT23-8	RESET • CE IN • GND • BATT ON • VCC • OUT • BATT • CE OUT
AACH	MAX6367HKA26	MAX	mnc	$V_{TH}=2.63\text{ В}$, $V_{DD}=1.2...5.5\text{ В}$, $I_{CC}<50\text{ мкА}$	SOT23-8	RESET • CE IN • GND • BATT ON • VCC • OUT • BATT • CE OUT
AACI	MAX6367HKA23	MAX	mnc	$V_{TH}=2.32\text{ В}$, $V_{DD}=1.2...5.5\text{ В}$, $I_{CC}<50\text{ мкА}$	SOT23-8	RESET • CE IN • GND • BATT ON • VCC • OUT • BATT • CE OUT
AACJ	MAX6368LKA46	MAX	mnc	$V_{TH}=4.63\text{ В}$, $V_{DD}=1.2...5.5\text{ В}$, $I_{CC}<50\text{ мкА}$	SOT23-8	RESET • CE IN • GND • RESET IN • VCC • OUT • BATT • CE OUT
AACK	MAX6368LKA44	MAX	mnc	$V_{TH}=4.38\text{ В}$, $V_{DD}=1.2...5.5\text{ В}$, $I_{CC}<50\text{ мкА}$	SOT23-8	RESET • CE IN • GND • RESET IN • VCC • OUT • BATT • CE OUT
AACL	MAX6368LKA31	MAX	mnc	$V_{TH}=3.08\text{ В}$, $V_{DD}=1.2...5.5\text{ В}$, $I_{CC}<50\text{ мкА}$	SOT23-8	RESET • CE IN • GND • RESET IN • VCC • OUT • BATT • CE OUT
AACM	MAX6368LKA29	MAX	mnc	$V_{TH}=2.93\text{ В}$, $V_{DD}=1.2...5.5\text{ В}$, $I_{CC}<50\text{ мкА}$	SOT23-8	RESET • CE IN • GND • RESET IN • VCC • OUT • BATT • CE OUT
AACN	MAX6368LKA26	MAX	mnc	$V_{TH}=2.63\text{ В}$, $V_{DD}=1.2...5.5\text{ В}$, $I_{CC}<50\text{ мкА}$	SOT23-8	RESET • CE IN • GND • RESET IN • VCC • OUT • BATT • CE OUT
AACO	MAX6368LKA23	MAX	mnc	$V_{TH}=2.32\text{ В}$, $V_{DD}=1.2...5.5\text{ В}$, $I_{CC}<50\text{ мкА}$	SOT23-8	RESET • CE IN • GND • RESET IN • VCC • OUT • BATT • CE OUT
AACP	MAX6368PKA46	MAX	mnc	$V_{TH}=4.63\text{ В}$, $V_{DD}=1.2...5.5\text{ В}$, $I_{CC}<50\text{ мкА}$	SOT23-8	RESET • CE IN • GND • RESET IN • VCC • OUT • BATT • CE OUT
AACQ	MAX6368PKA44	MAX	mnc	$V_{TH}=4.38\text{ В}$, $V_{DD}=1.2...5.5\text{ В}$, $I_{CC}<50\text{ мкА}$	SOT23-8	RESET • CE IN • GND • RESET IN • VCC • OUT • BATT • CE OUT
AACR	MAX6368PKA31	MAX	mnc	$V_{TH}=3.08\text{ В}$, $V_{DD}=1.2...5.5\text{ В}$, $I_{CC}<50\text{ мкА}$	SOT23-8	RESET • CE IN • GND • RESET IN • VCC • OUT • BATT • CE OUT
AACS	MAX6368PKA29	MAX	mnc	$V_{TH}=2.93\text{ В}$, $V_{DD}=1.2...5.5\text{ В}$, $I_{CC}<50\text{ мкА}$	SOT23-8	RESET • CE IN • GND • RESET IN • VCC • OUT • BATT • CE OUT
AACT	MAX6368PKA26	MAX	mnc	$V_{TH}=2.63\text{ В}$, $V_{DD}=1.2...5.5\text{ В}$, $I_{CC}<50\text{ мкА}$	SOT23-8	RESET • CE IN • GND • RESET IN • VCC • OUT • BATT • CE OUT
AACU	MAX6368PKA23	MAX	mnc	$V_{TH}=2.32\text{ В}$, $V_{DD}=1.2...5.5\text{ В}$, $I_{CC}<50\text{ мкА}$	SOT23-8	RESET • CE IN • GND • RESET IN • VCC • OUT • BATT • CE OUT
AACV	MAX6368HKA46	MAX	mnc	$V_{TH}=4.63\text{ В}$, $V_{DD}=1.2...5.5\text{ В}$, $I_{CC}<50\text{ мкА}$	SOT23-8	RESET • CE IN • GND • RESET IN • VCC • OUT • BATT • CE OUT
AACW	MAX6368HKA44	MAX	mnc	$V_{TH}=4.38\text{ В}$, $V_{DD}=1.2...5.5\text{ В}$, $I_{CC}<50\text{ мкА}$	SOT23-8	RESET • CE IN • GND • RESET IN • VCC • OUT • BATT • CE OUT
AACX	MAX6368HKA31	MAX	mnc	$V_{TH}=3.08\text{ В}$, $V_{DD}=1.2...5.5\text{ В}$, $I_{CC}<50\text{ мкА}$	SOT23-8	RESET • CE IN • GND • RESET IN • VCC • OUT • BATT • CE OUT
AACY	MAX6368HKA29	MAX	mnc	$V_{TH}=2.93\text{ В}$, $V_{DD}=1.2...5.5\text{ В}$, $I_{CC}<50\text{ мкА}$	SOT23-8	RESET • CE IN • GND • RESET IN • VCC • OUT • BATT • CE OUT
AACZ	MAX6368HKA26	MAX	mnc	$V_{TH}=2.63\text{ В}$, $V_{DD}=1.2...5.5\text{ В}$, $I_{CC}<50\text{ мкА}$	SOT23-8	RESET • CE IN • GND • RESET IN • VCC • OUT • BATT • CE OUT
AADA	MAX6368HKA23	MAX	mnc	$V_{TH}=2.32\text{ В}$, $V_{DD}=1.2...5.5\text{ В}$, $I_{CC}<50\text{ мкА}$	SOT23-8	RESET • CE IN • GND • RESET IN • VCC • OUT • BATT • CE OUT
AADB	MAX4491AKA	MAX	dOA	$R\text{-}R$, $V_{DD}=2.7...5.5\pm1.35... \pm 2.75\text{ В}$, $I_{EO}=10\text{ мА}$, $V_{OS}<16\text{ мВ}$	SOT23-8	OUTA • INA • INA+ • VSS • INB+ • INB- • OUTB • VDD
AADC	MAX6369KA	MAX	wdt	$I_{STUP}=0.001...60\text{ с}$, $V_{DD}=2.5...5.5\text{ В}$, $I_{CC}<20\text{ мкА}$	SOT23-8	WDI • GND • n.c. • SET0 • SET1 • SET2 • WDO • VCC
AADD	MAX6370KA	MAX	wdt	$I_{STUP}=0.001...60\text{ с}$, $V_{DD}=2.5...5.5\text{ В}$, $I_{CC}<20\text{ мкА}$	SOT23-8	WDI • GND • n.c. • SET0 • SET1 • SET2 • WDO • VCC
AADE	MAX6371KA	MAX	wdt	$I_{STUP}=60\text{ с}$, $V_{DD}=2.5...5.5\text{ В}$, $I_{CC}<20\text{ мкА}$	SOT23-8	WDI • GND • n.c. • SET0 • SET1 • SET2 • WDO • VCC



**MSOP-8
SOP-8**

**SOT23-8
TSOT23-8**

US-8



MSOP-10

Код	Типономинал	Б	Ф	Особенности	Корпус	Ц: 1+2+3+4+5+6+7+8+9+10
AADF	MAX6372KA	MAX	wdt	$t_{STUP}=60\text{c}$; $V_{DD}=2.5\ldots 5.5\text{В}$; $I_{CC}<20\text{мкА}$	SOT23-8	WDI • GND • n.c. • SET0 • SET1 • SET2 • WDO • VCC
AADG	MAX6373KA	MAX	wdt	$t_{STUP}=0.0002\ldots 60\text{c}$; $V_{DD}=2.5\ldots 5.5\text{В}$; $I_{CC}<20\text{мкА}$	SOT23-8	WDI • GND • n.c. • SET0 • SET1 • SET2 • WDO • VCC
AADH	MAX6374KA	MAX	wdt	$t_{STUP}=0.0002\ldots 60\text{c}$; $V_{DD}=2.5\ldots 5.5\text{В}$; $I_{CC}<20\text{мкА}$	SOT23-8	WDI • GND • n.c. • SET0 • SET1 • SET2 • WDO • VCC
AADI	MAX4402AKA	MAX	dOA	R-R; $V_{DD}=2.5\ldots 5.5\text{В}$; $f_{BD}=800\text{кГц}$; $V_{OSI}<5.5\text{мВ}$	SOT23-8	OUTA • INA • INA+ • VSS • INB+ • INB- • OUTB • VCC
AADK	MAX3314KA	MAX	trans	RS-232; $V_{CC}=4.75\ldots 5.25\text{В}$; $f_{DR}=460\text{кГц}/\text{с}$; $I_{CC}<100\text{мкА}$	SOT23-8	VCC • SHDN • ROUT • TIN • TOUT • RIN • V- • GND
AADL	MAX3314EKA	MAX	trans	RS-232; $V_{CC}=4.75\ldots 5.25\text{В}$; $f_{DR}=460\text{кГц}/\text{с}$; $I_{CC}<100\text{мкА}$	SOT23-8	VCC • SHDN • ROUT • TIN • TOUT • RIN • V- • GND
AADM	MAX1801EKA	MAX	ddcc	$V_{IN}=2.7\ldots 5.5\text{В}$; $V_{REF}=1.25\text{В}$; $I_{CC}<300\text{мкА}$	SOT23-8	OSC • GND • REF • DCON • COMP • FB • IN • DL
AADN	MAX9110EKA	MAX	LVS div	$V_{DD}=350\text{мВ}$; $V_{CC}=3\ldots 3.6\text{В}$; $I_{CC}<8\text{мА}$	SOT23-8	DIN • GND • n.c. • VCC • n.c. • n.c. • DO+ • DC-
AADO	MAX9112EKA	MAX	LVS divx2	$V_{DD}=350\text{мВ}$; $V_{CC}=3\ldots 3.6\text{В}$; $I_{CC}<13\text{мА}$	SOT23-8	DIN1 • GND • DIN2 • VCC • DO2- • DO2+ • DO1+ • DO1-
AADR	MAX4413EKA	MAX	dOA	R-R; $V_{DD}=2.7\ldots 5.5\text{В}$; $f_{BD}=500\text{мГц}$; $V_{OSI}<9\text{мВ}$	SOT23-8	OUTA • INA • INA+ • VEE • INB+ • INB- • OUTB • VCC
AADS	MAX4453EKA	MAX	dOA	R-R; $V_{DD}=2.7\ldots 5.25\text{В}$; $f_{BD}=200\text{мГц}$; $V_{OSI}<12\text{мВ}$	SOT23-8	OUTA • INA • INA+ • VEE • INB+ • INB- • OUTB • VCC
AADT	MAX4363EKA	MAX	dOA	R-R; $V_{DD}=2.7\ldots 5.25\text{В}$; $f_{BD}=80\text{мГц}$; $V_{OSI}<12\text{мВ}$	SOT23-8	OUTA • INA • INA+ • VEE • INB+ • INB- • OUTB • VCC
AADU	MAX1115EKA	MAX	ADC	8-pasp; SPI/GSPI/Microwire; $V_{DD}=2.7\ldots 3.6\text{В}$	SOT23-8	VDD • CH0 • i.c. • GND • i.c. • CONVST • DOUT • SCLK
AADV	MAX1116EKA	MAX	ADC	8-pasp; SPI/GSPI/Microwire; $V_{DD}=4.5\ldots 5.5\text{В}$	SOT23-8	VDD • CH0 • i.c. • GND • i.c. • CONVST • DOUT • SCLK
AADW	MAX1117EKA	MAX	ADC	2x8-pasp; SPI/GSPI/Microwire; $V_{DD}=2.7\ldots 3.6\text{В}$	SOT23-8	VDD • CH0 • CH1 • GND • (REF) i.c. • CNVST • DOUT • SCLK
AADX	MAX1118EKA	MAX	ADC	2x8-pasp; SPI/GSPI/Microwire; $V_{DD}=2.7\ldots 5.5\text{В}$	SOT23-8	VDD • CH0 • CH1 • GND • (REF) i.c. • CNVST • DOUT • SCLK
AADY	MAX1119EKA	MAX	ADC	2x8-pasp; SPI/GSPI/Microwire; $V_{DD}=4.5\ldots 5.5\text{В}$	SOT23-8	VDD • CH0 • CH1 • GND • (REF) i.c. • CNVST • DOUT • SCLK
AADZ	MAX989EKA	MAX	cmp x2	R-R; $V_{OSI}\leq 7\text{мВ}$; $V_{CC}=2.5\ldots 5.5\text{В}$; $I_{CC}<48\text{мкА}$	SOT23-8	OUTA • INA • INA+ • VEE • INB+ • INB- • OUTB • VCC
AAEA	MAX990EKA	MAX	cmp x2	R-R; $V_{OSI}\leq 7\text{мВ}$; $V_{CC}=2.5\ldots 5.5\text{В}$; $I_{CC}<48\text{мкА}$	SOT23-8	OUTA • INA • INA+ • VEE • INB+ • INB- • OUTB • VCC
AAEB	MAX991EKA	MAX	cmp x2	R-R; $V_{OSI}\leq 7\text{мВ}$; $V_{CC}=2.5\ldots 5.5\text{В}$; $I_{CC}<190\text{мкА}$	SOT23-8	OUTA • INA • INA+ • VEE • INB+ • INB- • OUTB • VCC
AAEC	MAX992EKA	MAX	cmp x2	R-R; $V_{OSI}\leq 7\text{мВ}$; $V_{CC}=2.5\ldots 5.5\text{В}$; $I_{CC}<190\text{мкА}$	SOT23-8	OUTA • INA • INA+ • VEE • INB+ • INB- • OUTB • VCC
AAED	MAX9113EKA	MAX	LVS divx2	$V_{OH}>2\text{В}$; $V_{OL}<0.4\text{В}$; $V_{CC}=3\ldots 3.6\text{В}$; $I_{CC}<11\text{мА}$	SOT23-8	VCC • GND • OUT1 • OUT2 • IN2+ • IN2- • IN1+ • IN1-
AAEE	MAX9111EKA	MAX	LVS div	$V_{OH}>2\text{В}$; $V_{OL}<0.4\text{В}$; $V_{CC}=3\ldots 3.6\text{В}$; $I_{CC}<6\text{мА}$	SOT23-8	VCC • GND • OUT • n.c. • n.c. • n.c. • IN+ • IN1-
AAEF	MAX93024KA	MAX	cmp x2	R-R; $V_{OSI}\leq 5\text{мВ}$; $V_{DD}=2.5\ldots 5.5\text{В}$; $I_{BD}<110\text{мкА}$	SOT23-8	OUTA • INA • INA+ • VSS • INB+ • INB- • OUTB • VDD
AAEG	MAX93022AKA	MAX	cmp x2	R-R; $V_{OSI}\leq 8\text{мВ}$; $V_{DD}=2.5\ldots 5.5\text{В}$; $I_{BD}<10\text{мкА}$	SOT23-8	OUTA • INA • INA+ • VSS • INB+ • INB- • OUTB • VDD
AAE	MAX4564EKA	MAX	asw	SPDT; $R_{ON}<100\text{Ом}$; $V_{DD}=1.8\ldots 12\text{В}$; $I_{B}\leq 1.8\text{мА}$; $I_{B}\leq 6\text{В}$	SOT23-8	NC • V+ • IN • NO • GND • V- • EN • COM
AAEJ	MAX44824KA	MAX	dOA	R-R; $V_{DD}=2.5\ldots 5.5\text{В}$; $I_{CC}<100\text{мкА}$; $V_{OSI}<5.5\text{мВ}$	SOT23-8	OUTA • INA • INA+ • VSS • INB+ • INB- • OUTB • VDD
AAEK	MAX4471EKA	MAX	dOA	R-R; $V_{DD}=1.8\ldots 5.5\text{В}$; $f_{BD}=9\text{кГц}$; $I_{CC}<1.2\text{мкА}$; $V_{OSI}<7\text{мВ}$	SOT23-8	OUTA • INA • INA+ • VSS • INB+ • INB- • OUTB • VCC
AAEL	MAX4474EKA	MAX	dOA	R-R; $V_{DD}=1.8\ldots 5.5\text{В}$; $f_{BD}=40\text{кГц}$; $I_{CC}<1.2\text{мкА}$; $V_{OSI}<7\text{мВ}$	SOT23-8	OUTA • INA • INA+ • VSS • INB+ • INB- • OUTB • VCC

MSOP-10



US-8

SOT23-8
TSOT23-8MSOP-8
SOP-8

Код	Типономинал	Б	Ф	Особенности	Корпус	Ц: 1•2•3•4•5•6•7•8•9•10
AAEM	MAX4494AKA	MAX	αCA	R-R, $V_{DD} = \pm 2.25 \dots \pm 5.5$ В, $f_{BD} = 5$ МГц, $V_{DS} < 10$ МВ	SOT23-8	OUTA•INA•INA+•VEE•INB+•INB• OUTB•VDD
AAEN	MAX5400EKA	MAX	DPot	256 позиций, 50 кОм, $V_{DD} = 2.7 \dots 5.5$ В	SOT23-8	LE•GND•CS•DIN•SCLK•VDD•W•H
AAEO	MAX5401EKA	MAX	DPot	256 позиций, 100 кОм, $V_{DD} = 2.7 \dots 5.5$ В	SOT23-8	LE•GND•CS•DIN•SCLK•VDD•W•H
AAEP	MAX4486AKA	MAX	αCA	R-R, $V_{DD} = 2.7 \dots 5.5$ В, $f_{BD} = 7$ МГц, $V_{DS} < 9$ МВ	SOT23-8	OUTA•INA•INA+•VSS•INB+•INB• OUTB•VDD
AAEQ	MAX6627MKA	MAX	dtS	12-пасп. + анал., $T_{AMB} = -55 \dots 125$ °C, SPI, $V_{DD} = 3 \dots 5.5$ В, $I_{CC} = 30$ мкА	SOT23-8	GND•DXN•DXP•VCC•SCK•CS•SO• n.c.
AAER	MAX6628MKA	MAX	dtS	12-пасп. + анал., $T_{AMB} = -55 \dots 125$ °C, SPI, $V_{DD} = 3 \dots 5.5$ В, $I_{CC} = 200$ мкА	SOT23-8	GND•DXN•DXP•VCC•SCK•CS•SO• n.c.
AAES	MAX5223EKA	MAX	DAC	2х8-пасп., SPI/QSPI/Microwire, $V_{DD} = 2.7 \dots 5.5$ В	SOT23-8	CS•GND•VDD•SCLK•OUTA•OUTB• REF•DIN
AAEU	MAX9203EKA	MAX	cmp	$V_{DS} < 7.5$ МВ, $V_{CC} = 4.75 \dots 10.5$ В, $V_{DD} = 4.75 \dots 5.25$ В	SOT23-8	VDD•OUT•GND•LATCH•VEE•IN• IN+•VCC
AAEV	MAX1087EKA	MAX	ADC	2х10-пасп., SPI/QSPI/Microwire, $V_{DD} = 2.7 \dots 3.6$ В	SOT23-8	VDD•AIN1•AIN2•GND•REF•CNVST• DOUT•SCLK
AAEW	MAX1287EKA	MAX	ADC	2х12-пасп., SPI/QSPI/Microwire, $V_{DD} = 2.7 \dots 3.6$ В	SOT23-8	VDD•AIN1•AIN2•GND•REF•CNVST• DOUT•SCLK
AAEX	MAX1089EKA	MAX	ADC	10-пасп., SPI/QSPI/Microwire, $V_{DD} = 2.7 \dots 3.6$ В	SOT23-8	VDD•AIN+•AIN-•GND•REF•CNVST• DOUT•SCLK
AAEY	MAX1289EKA	MAX	ADC	12-пасп., SPI/QSPI/Microwire, $V_{DD} = 2.7 \dots 3.6$ В	SOT23-8	VDD•AIN+•AIN-•GND•REF•CNVST• DOUT•SCLK
AAEZ	MAX1086EKA	MAX	ADC	2х10-пасп., SPI/QSPI/Microwire, $V_{DD} = 4.5 \dots 5.5$ В	SOT23-8	VDD•AIN1•AIN2•GND•REF•CNVST• DOUT•SCLK
AAFA	MAX1286EKA	MAX	ADC	2х12-пасп., SPI/QSPI/Microwire, $V_{DD} = 4.5 \dots 5.5$ В	SOT23-8	VDD•AIN1•AIN2•GND•REF•CNVST• DOUT•SCLK
AAFB	MAX1088EKA	MAX	ADC	10-пасп., SPI/QSPI/Microwire, $V_{DD} = 4.5 \dots 5.5$ В	SOT23-8	VDD•AIN+•AIN-•GND•REF•CNVST• DOUT•SCLK
AAFC	MAX1288EKA	MAX	ADC	12-пасп., SPI/QSPI/Microwire, $V_{DD} = 4.5 \dots 5.5$ В	SOT23-8	VDD•AIN+•AIN-•GND•REF•CNVST• DOUT•SCLK
AAFD	MAX9141EKA	MAX	cmp	$V_{DS} < 4.5$ МВ, $V_{CC} = 2.7 \dots 5.5$ В, $I_{CC} < 300$ мкА	SOT23-8	VCC•IN+•IN-•GND•LE•SHDN•OUT• n.c.
AAFE	MAX9142EKA	MAX	cmp x2	$V_{DS} < 4.5$ МВ, $V_{CC} = 2.7 \dots 5.5$ В, $I_{CC} < 300$ мкА	SOT23-8	OUTA•INA•INA+•GND•INB+•INB• OUTB•VCC
AAFF	MAX6705LKA	MAX	mrc + wdt	$V_{TH} = 4.63$ В, $V_{DD} = 1.2 \dots 5.5$ В, $I_{CC} < 20$ мкА	SOT23-8	MR•VCC•GND•PFI•PFO•WDI• RESET•WDO
AAFG	MAX6705MKA	MAX	mrc + wdt	$V_{TH} = 4.38$ В, $V_{DD} = 1.2 \dots 5.5$ В, $I_{CC} < 20$ мкА	SOT23-8	MR•VCC•GND•PFI•PFO•WDI• RESET•WDO
AAFH	MAX6705RKA	MAX	mrc + wdt	$V_{TH} = 2.63$ В, $V_{DD} = 1.2 \dots 5.5$ В, $I_{CC} < 20$ мкА	SOT23-8	MR•VCC•GND•PFI•PFO•WDI• RESET•WDO
AAFI	MAX6705SKA	MAX	mrc + wdt	$V_{TH} = 2.93$ В, $V_{DD} = 1.2 \dots 5.5$ В, $I_{CC} < 20$ мкА	SOT23-8	MR•VCC•GND•PFI•PFO•WDI• RESET•WDO
AAFJ	MAX6705TKA	MAX	mrc + wdt	$V_{TH} = 3.08$ В, $V_{DD} = 1.2 \dots 5.5$ В, $I_{CC} < 20$ мкА	SOT23-8	MR•VCC•GND•PFI•PFO•WDI• RESET•WDO
AAFK	MAX6705VKA	MAX	mrc + wdt	$V_{TH} = 2.19$ В, $V_{DD} = 1.2 \dots 5.5$ В, $I_{CC} < 20$ мкА	SOT23-8	MR•VCC•GND•PFI•PFO•WDI• RESET•WDO
AAFL	MAX6705ZKA	MAX	mrc + wdt	$V_{TH} = 2.32$ В, $V_{DD} = 1.2 \dots 5.5$ В, $I_{CC} < 20$ мкА	SOT23-8	MR•VCC•GND•PFI•PFO•WDI• RESET•WDO
AAFM	MAX6706LKA	MAX	mrc + wdt	$V_{TH} = 4.63$ В, $V_{DD} = 1.2 \dots 5.5$ В, $I_{CC} < 20$ мкА	SOT23-8	MR•VCC•GND•PFI•PFO•WDI• RESET•WDO
AAFN	MAX6706MKA	MAX	mrc + wdt	$V_{TH} = 4.38$ В, $V_{DD} = 1.2 \dots 5.5$ В, $I_{CC} < 20$ мкА	SOT23-8	MR•VCC•GND•PFI•PFO•WDI• RESET•WDO
AAFO	MAX6706RKA	MAX	mrc + wdt	$V_{TH} = 2.63$ В, $V_{DD} = 1.2 \dots 5.5$ В, $I_{CC} < 20$ мкА	SOT23-8	MR•VCC•GND•PFI•PFO•WDI• RESET•WDO
AAFP	MAX6706SKA	MAX	mrc + wdt	$V_{TH} = 2.93$ В, $V_{DD} = 1.2 \dots 5.5$ В, $I_{CC} < 20$ мкА	SOT23-8	MR•VCC•GND•PFI•PFO•WDI• RESET•WDO
AAFO	MAX6706TKA	MAX	mrc + wdt	$V_{TH} = 3.08$ В, $V_{DD} = 1.2 \dots 5.5$ В, $I_{CC} < 20$ мкА	SOT23-8	MR•VCC•GND•PFI•PFO•WDI• RESET•WDO



MSOP-8 **SOT23-8**
SOP-8 **TSOT23-8**

US-8



MSOP-10

Код	Типономинал	Б	Ф	Особенности	Корпус	Ц: 1•2•3•4•5•6•7•8•9•10
AAFR	MAX6706YKA	MAX	mrc + wdt	$V_{in} = 2.19B; V_{DD} = 1.2...5.5B; I_{CC} < 20mA$	SOT23-8	MR•VCC•GND•PFI•PFO•WDI•RESET•WDO
AAFS	MAX6706ZKA	MAX	mrc + wdt	$V_{in} = 2.32B; V_{DD} = 1.2...5.5B; I_{CC} < 20mA$	SOT23-8	MR•VCC•GND•PFI•PFO•WDI•RESET•WDO
AAFU	MAX6707MKA	MAX	mrc + wdt	$V_{in} = 4.38B; V_{DD} = 1.2...5.5B; I_{CC} < 20mA$	SOT23-8	MR•VCC•GND•PFI•PFO•WDI•RESET•WDO
AAFV	MAX6707PKA	MAX	mrc + wdt	$V_{in} = 2.63B; V_{DD} = 1.2...5.5B; I_{CC} < 20mA$	SOT23-8	MR•VCC•GND•PFI•PFO•WDI•RESET•WDO
AAFW	MAX6707SKA	MAX	mrc + wdt	$V_{in} = 2.93B; V_{DD} = 1.2...5.5B; I_{CC} < 20mA$	SOT23-8	MR•VCC•GND•PFI•PFO•WDI•RESET•WDO
AAFX	MAX6707TKA	MAX	mrc + wdt	$V_{in} = 3.08B; V_{DD} = 1.2...5.5B; I_{CC} < 20mA$	SOT23-8	MR•VCC•GND•PFI•PFO•WDI•RESET•WDO
AAFY	MAX6707YKA	MAX	mrc + wdt	$V_{in} = 2.19B; V_{DD} = 1.2...5.5B; I_{CC} < 20mA$	SOT23-8	MR•VCC•GND•PFI•PFO•WDI•RESET•WDO
AAFZ	MAX6707ZKA	MAX	mrc + wdt	$V_{in} = 2.32B; V_{DD} = 1.2...5.5B; I_{CC} < 20mA$	SOT23-8	MR•VCC•GND•PFI•PFO•WDI•RESET•WDO
AAGA	MAX6708LKA	MAX	mrc + wdt	$V_{in} = 4.63B; V_{DD} = 1.2...5.5B; I_{CC} < 20mA$	SOT23-8	MR•VCC•GND•PFI•PFO•n.c. • RESET•RESET
AAGB	MAX6708MKA	MAX	mrc + wdt	$V_{in} = 4.38B; V_{DD} = 1.2...5.5B; I_{CC} < 20mA$	SOT23-8	MR•VCC•GND•PFI•PFO•n.c. • RESET•RESET
AAGC	MAX6708RKA	MAX	mrc + wdt	$V_{in} = 2.63B; V_{DD} = 1.2...5.5B; I_{CC} < 20mA$	SOT23-8	MR•VCC•GND•PFI•PFO•n.c. • RESET•RESET
AAGD	MAX6708SKA	MAX	mrc + wdt	$V_{in} = 2.93B; V_{DD} = 1.2...5.5B; I_{CC} < 20mA$	SOT23-8	MR•VCC•GND•PFI•PFO•n.c. • RESET•RESET
AAGE	MAX6708TKA	MAX	mrc + wdt	$V_{in} = 3.08B; V_{DD} = 1.2...5.5B; I_{CC} < 20mA$	SOT23-8	MR•VCC•GND•PFI•PFO•n.c. • RESET•RESET
AAGF	MAX6708YKA	MAX	mrc + wdt	$V_{in} = 2.19B; V_{DD} = 1.2...5.5B; I_{CC} < 20mA$	SOT23-8	MR•VCC•GND•PFI•PFO•n.c. • RESET•RESET
AAGG	MAX6708ZKA	MAX	mrc + wdt	$V_{in} = 2.32B; V_{DD} = 1.2...5.5B; I_{CC} < 20mA$	SOT23-8	MR•VCC•GND•PFI•PFO•n.c. • RESET•RESET
AAGH	MAX6701LKA	MAX	mrc + wdt	$V_{in} = 4.63B; V_{DD} = 1.2...5.5B; I_{CC} < 20mA$	SOT23-8	MR•VCC•GND•RST_IN1•RST_IN2•WDI•RESET•WDO
AAGI	MAX6701MKA	MAX	mrc + wdt	$V_{in} = 4.38B; V_{DD} = 1.2...5.5B; I_{CC} < 20mA$	SOT23-8	MR•VCC•GND•RST_IN1•RST_IN2•WDI•RESET•WDO
AAGJ	MAX6701RKA	MAX	mrc + wdt	$V_{in} = 2.63B; V_{DD} = 1.2...5.5B; I_{CC} < 20mA$	SOT23-8	MR•VCC•GND•RST_IN1•RST_IN2•WDI•RESET•WDO
AAGK	MAX6701SKA	MAX	mrc + wdt	$V_{in} = 2.93B; V_{DD} = 1.2...5.5B; I_{CC} < 20mA$	SOT23-8	MR•VCC•GND•RST_IN1•RST_IN2•WDI•RESET•WDO
AAGL	MAX6701TKA	MAX	mrc + wdt	$V_{in} = 3.08B; V_{DD} = 1.2...5.5B; I_{CC} < 20mA$	SOT23-8	MR•VCC•GND•RST_IN1•RST_IN2•WDI•RESET•WDO
AAGM	MAX6701YKA	MAX	mrc + wdt	$V_{in} = 2.19B; V_{DD} = 1.2...5.5B; I_{CC} < 20mA$	SOT23-8	MR•VCC•GND•RST_IN1•RST_IN2•WDI•RESET•WDO
AAGN	MAX6701ZKA	MAX	mrc + wdt	$V_{in} = 2.32B; V_{DD} = 1.2...5.5B; I_{CC} < 20mA$	SOT23-8	MR•VCC•GND•RST_IN1•RST_IN2•WDI•RESET•WDO
AAGO	MAX6702LKA	MAX	mrc + wdt	$V_{in} = 4.63B; V_{DD} = 1.2...5.5B; I_{CC} < 20mA$	SOT23-8	MR•VCC•GND•RST_IN1•RST_IN2•WDI•RESET•WDO
AAGP	MAX6702MKA	MAX	mrc + wdt	$V_{in} = 4.38B; V_{DD} = 1.2...5.5B; I_{CC} < 20mA$	SOT23-8	MR•VCC•GND•RST_IN1•RST_IN2•WDI•RESET•WDO
AAGQ	MAX6702RKA	MAX	mrc + wdt	$V_{in} = 2.63B; V_{DD} = 1.2...5.5B; I_{CC} < 20mA$	SOT23-8	MR•VCC•GND•RST_IN1•RST_IN2•WDI•RESET•WDO
AAGR	MAX6702SKA	MAX	mrc + wdt	$V_{in} = 2.93B; V_{DD} = 1.2...5.5B; I_{CC} < 20mA$	SOT23-8	MR•VCC•GND•RST_IN1•RST_IN2•WDI•RESET•WDO
AAGS	MAX6702TKA	MAX	mrc + wdt	$V_{in} = 3.08B; V_{DD} = 1.2...5.5B; I_{CC} < 20mA$	SOT23-8	MR•VCC•GND•RST_IN1•RST_IN2•WDI•RESET•WDO
AAGT	MAX6702YKA	MAX	mrc + wdt	$V_{in} = 2.19B; V_{DD} = 1.2...5.5B; I_{CC} < 20mA$	SOT23-8	MR•VCC•GND•RST_IN1•RST_IN2•WDI•RESET•WDO
AAGU	MAX6702ZKA	MAX	mrc + wdt	$V_{in} = 2.32B; V_{DD} = 1.2...5.5B; I_{CC} < 20mA$	SOT23-8	MR•VCC•GND•RST_IN1•RST_IN2•WDI•RESET•WDO

MSOP-10

US-8
**SOT23-8
TSOT23-8**
**MSOP-8
SOP-8**


Код	Типономинал	Б	Ф	Особенности	Корпус	Ц: 1•2•3•4•5•6•7•8•9•10
AAGV	MAX6703LKA	MAX	mrc + wdt	$V_{TR}=4.63\text{ В}$, $V_{DD}=1.2...5.5\text{ В}$, $I_{CC}<20\text{ мкА}$	SOT23-8	MR•VCC•GND•RST_IN1•RST_IN2•WDI•RESET•WDO
AAGW	MAX6703MKA	MAX	mrc + wdt	$V_{TR}=4.38\text{ В}$, $V_{DD}=1.2...5.5\text{ В}$, $I_{CC}<20\text{ мкА}$	SOT23-8	MR•VCC•GND•RST_IN1•RST_IN2•WDI•RESET•WDO
AAGX	MAX6703RKA	MAX	mrc + wdt	$V_{TR}=2.63\text{ В}$, $V_{DD}=1.2...5.5\text{ В}$, $I_{CC}<20\text{ мкА}$	SOT23-8	MR•VCC•GND•RST_IN1•RST_IN2•WDI•RESET•WDO
AAGY	MAX6703SKA	MAX	mrc + wdt	$V_{TR}=2.93\text{ В}$, $V_{DD}=1.2...5.5\text{ В}$, $I_{CC}<20\text{ мкА}$	SOT23-8	MR•VCC•GND•RST_IN1•RST_IN2•WDI•RESET•WDO
AAGZ	MAX6703TKA	MAX	mrc + wdt	$V_{TR}=3.08\text{ В}$, $V_{DD}=1.2...5.5\text{ В}$, $I_{CC}<20\text{ мкА}$	SOT23-8	MR•VCC•GND•RST_IN1•RST_IN2•WDI•RESET•WDO
AAHA	MAX6703YKA	MAX	mrc + wdt	$V_{TR}=2.19\text{ В}$, $V_{DD}=1.2...5.5\text{ В}$, $I_{CC}<20\text{ мкА}$	SOT23-8	MR•VCC•GND•RST_IN1•RST_IN2•WDI•RESET•WDO
AAHB	MAX6703ZKA	MAX	mrc + wdt	$V_{TR}=2.32\text{ В}$, $V_{DD}=1.2...5.5\text{ В}$, $I_{CC}<20\text{ мкА}$	SOT23-8	MR•VCC•GND•RST_IN1•RST_IN2•WDI•RESET•WDO
AAHC	MAX6704LKA	MAX	mrc + wdt	$V_{TR}=4.63\text{ В}$, $V_{DD}=1.2...5.5\text{ В}$, $I_{CC}<20\text{ мкА}$	SOT23-8	MR•VCC•GND•PFI•PFO•WDI•RESET•RESET
AAHD	MAX6704MKA	MAX	mrc + wdt	$V_{TR}=4.38\text{ В}$, $V_{DD}=1.2...5.5\text{ В}$, $I_{CC}<20\text{ мкА}$	SOT23-8	MR•VCC•GND•PFI•PFO•WDI•RESET•RESET
AAHE	MAX6704RKA	MAX	mrc + wdt	$V_{TR}=2.63\text{ В}$, $V_{DD}=1.2...5.5\text{ В}$, $I_{CC}<20\text{ мкА}$	SOT23-8	MR•VCC•GND•PFI•PFO•WDI•RESET•RESET
AAHF	MAX6704SKA	MAX	mrc + wdt	$V_{TR}=2.93\text{ В}$, $V_{DD}=1.2...5.5\text{ В}$, $I_{CC}<20\text{ мкА}$	SOT23-8	MR•VCC•GND•PFI•PFO•WDI•RESET•RESET
AAHG	MAX6704TKA	MAX	mrc + wdt	$V_{TR}=3.08\text{ В}$, $V_{DD}=1.2...5.5\text{ В}$, $I_{CC}<20\text{ мкА}$	SOT23-8	MR•VCC•GND•PFI•PFO•WDI•RESET•RESET
AAHG	MAX9052AEJA	MAX	cmp x2 + vref	R-R, $V_{DS}<17\text{ мВ}$; $V_{CC}=2.7...5.5\text{ В}$; $V_{REF}=2.500\text{ В}$, $I_{CC}<72\text{ мкА}$	MSOP-8	OUTA•REF•INA•VEE•INB•INB•OUTB•VCC
AAHN	MAX6704YKA	MAX	mrc + wdt	$V_{TR}=2.19\text{ В}$, $V_{DD}=1.2...5.5\text{ В}$, $I_{CC}<20\text{ мкА}$	SOT23-8	MR•VCC•GND•PFI•PFO•WDI•RESET•RESET
AAHI	MAX6704ZKA	MAX	mrc + wdt	$V_{TR}=2.32\text{ В}$, $V_{DD}=1.2...5.5\text{ В}$, $I_{CC}<20\text{ мкА}$	SOT23-8	MR•VCC•GND•PFI•PFO•WDI•RESET•RESET
AAHI	MAX9052BEJA	MAX	cmp x2 + vref	R-R, $V_{DS}<17\text{ мВ}$; $V_{CC}=2.7...5.5\text{ В}$; $V_{REF}=2.500\text{ В}$, $I_{CC}<72\text{ мкА}$	MSOP-8	OUTA•REF•INA•VEE•INB•INB•OUTB•VCC
AAHU	MAX6391KA46	MAX	mrc	$V_{TR}=4.63\text{ В}$, $V_{DD}=1.2...5.5\text{ В}$, $I_{CC}<25\text{ мкА}$	SOT23-8	RESET IN2•VCC•CSRT•GND•RESET2•R2•RESET1•R1
AAHK	MAX6391KA44	MAX	mrc	$V_{TR}=4.38\text{ В}$, $V_{DD}=1.2...5.5\text{ В}$, $I_{CC}<25\text{ мкА}$	SOT23-8	RESET IN2•VCC•CSRT•GND•RESET2•R2•RESET1•R1
AAHL	MAX6391KA31	MAX	mrc	$V_{TR}=3.08\text{ В}$, $V_{DD}=1.2...5.5\text{ В}$, $I_{CC}<25\text{ мкА}$	SOT23-8	RESET IN2•VCC•CSRT•GND•RESET2•R2•RESET1•R1
AAHM	MAX6391KA29	MAX	mrc	$V_{TR}=2.93\text{ В}$, $V_{DD}=1.2...5.5\text{ В}$, $I_{CC}<25\text{ мкА}$	SOT23-8	RESET IN2•VCC•CSRT•GND•RESET2•R2•RESET1•R1
AAHN	MAX6391KA26	MAX	mrc	$V_{TR}=2.63\text{ В}$, $V_{DD}=1.2...5.5\text{ В}$, $I_{CC}<25\text{ мкА}$	SOT23-8	RESET IN2•VCC•CSRT•GND•RESET2•R2•RESET1•R1
AAHO	MAX6391KA23	MAX	mrc	$V_{TR}=2.32\text{ В}$, $V_{DD}=1.2...5.5\text{ В}$, $I_{CC}<25\text{ мкА}$	SOT23-8	RESET IN2•VCC•CSRT•GND•RESET2•R2•RESET1•R1
AAHP	MAX6391KA22	MAX	mrc	$V_{TR}=2.19\text{ В}$, $V_{DD}=1.2...5.5\text{ В}$, $I_{CC}<25\text{ мкА}$	SOT23-8	RESET IN2•VCC•CSRT•GND•RESET2•R2•RESET1•R1
AAHQ	MAX6391KA17	MAX	mrc	$V_{TR}=1.67\text{ В}$, $V_{DD}=1.2...5.5\text{ В}$, $I_{CC}<25\text{ мкА}$	SOT23-8	RESET IN2•VCC•CSRT•GND•RESET2•R2•RESET1•R1
AAHR	MAX6391KA16	MAX	mrc	$V_{TR}=1.58\text{ В}$, $V_{DD}=1.2...5.5\text{ В}$, $I_{CC}<25\text{ мкА}$	SOT23-8	RESET IN2•VCC•CSRT•GND•RESET2•R2•RESET1•R1
AAHS	MAX6392KA46	MAX	mrc	$V_{TR}=4.63\text{ В}$, $V_{DD}=1.2...5.5\text{ В}$, $I_{CC}<25\text{ мкА}$	SOT23-8	RESET IN2•VCC•CSRT•GND•RESET2•R2•RESET1•MR
AAHT	MAX6392KA44	MAX	mrc	$V_{TR}=4.38\text{ В}$, $V_{DD}=1.2...5.5\text{ В}$, $I_{CC}<25\text{ мкА}$	SOT23-8	RESET IN2•VCC•CSRT•GND•RESET2•R2•RESET1•MR
AAHU	MAX6392KA31	MAX	mrc	$V_{TR}=3.08\text{ В}$, $V_{DD}=1.2...5.5\text{ В}$, $I_{CC}<25\text{ мкА}$	SOT23-8	RESET IN2•VCC•CSRT•GND•RESET2•R2•RESET1•MR

**MSOP-8
SOP-8****SOT23-8
TSOT23-8****US-8****MSOP-10**

Код	Типономинал	Б	Ф	Особенности	Корпус	Ц: 1•2•3•4•5•6•7•8•9•10
AAHV	MAX6392KA29	MAX	mrc	$V_{TR} = 2.93B$; $V_{DD} = 1.2...5.5B$; $I_{CC} < 25 \text{ мкА}$	SOT23-8	RESET IN2 • VCC • CSRT • GND • RESET2 • R2 • RESET1 • MR
AAHW	MAX6392KA26	MAX	mrc	$V_{TR} = 2.63B$; $V_{DD} = 1.2...5.5B$; $I_{CC} < 25 \text{ мкА}$	SOT23-8	RESET IN2 • VCC • CSRT • GND • RESET2 • R2 • RESET1 • MR
AAHX	MAX6392KA23	MAX	mrc	$V_{TR} = 2.32B$; $V_{DD} = 1.2...5.5B$; $I_{CC} < 25 \text{ мкА}$	SOT23-8	RESET IN2 • VCC • CSRT • GND • RESET2 • R2 • RESET1 • MR
AAHY	MAX6392KA22	MAX	mrc	$V_{TR} = 2.19B$; $V_{DD} = 1.2...5.5B$; $I_{CC} < 25 \text{ мкА}$	SOT23-8	RESET IN2 • VCC • CSRT • GND • RESET2 • R2 • RESET1 • MR
AAHZ	MAX6392KA17	MAX	mrc	$V_{TR} = 1.67B$; $V_{DD} = 1.2...5.5B$; $I_{CC} < 25 \text{ мкА}$	SOT23-8	RESET IN2 • VCC • CSRT • GND • RESET2 • R2 • RESET1 • MR
AAIA	MAX6392KA16	MAX	mrc	$V_{TR} = 1.58B$; $V_{DD} = 1.2...5.5B$; $I_{CC} < 25 \text{ мкА}$	SOT23-8	RESET IN2 • VCC • CSRT • GND • RESET2 • R2 • RESET1 • MR
AAIB	MAX9107EKA	MAX	cmr x2	$V_{OS1} < 4 \text{ мВ}$; $V_{CC} = 4.5...5.5B$; $I_{CC} < 1.4 \text{ мА}$	SOT23-8	OUTA • INA • INA+ • GND • INB • INB+ • OUTB • VCC
AAIC	MAX4351EKA	MAX	dOA	R-R; $V_{DD} = \pm 4.5...5.5B$; $f_{BD} = 210 \text{ МГц}$; $V_{OS1} < 25 \text{ мВ}$	SOT23-8	OUTA • INA • INA+ • VEE • INB • INB+ • OUTB • VCC
AAID	MAX5407EKA	MAX	Dpot	32 позиции; логарифм.; 20 кОм ; $V_{DD} = 2.7...5.5B$	SOT23-8	H • GND • W • L • U/D • CS • VDD • ZCEN
AAIE	MAX4549EKA	MAX	asw	SPDT; $R_{ON} < 60 \text{ Ом}$; $V_{DD} = 9...36/54.5...120B$	SOT23-8	COM • NC • GND • V+ • n.c. • IN • V • NO
ABA	AD6602ARM	AD	dOA	$f_{BD} = 8 \text{ МГц}$; $P_D = 12 \text{ мВт}$; $V_{DD} = 2.7...5.5B$	MSOP-8	OUT A • -IN A • -IN A • V- • -IN B • -IN B • OUT B • V+
ABD	AD8602DRM	AD	dOA	$f_{BD} = 8 \text{ МГц}$; $P_D = 12 \text{ мВт}$; $V_{DD} = 2.7...5.5B$	MSOP-8	OUT A • -IN A • -IN A • V- • -IN B • -IN B • OUT B • V+
AFA	AD8527ARM	AD	dOA	$f_{BD} = 7 \text{ МГц}$; $P_D = 12 \text{ мВт}$; $V_{DD} = 1.8...6B$	MSOP-8	OUT A • -IN A • -IN A • V- • -IN B • -IN B • OUT B • V+
AGA	AD8632ARM	AD	dOA	$f_{BD} = 5 \text{ МГц}$; $P_D = 6 \text{ мВт}$; $V_{DD} = 1.8...6B$	MSOP-8	OUT A • -IN A • -IN A • V- • -IN B • -IN B • OUT B • V+
AHA	AD8551ARM	AD	OA	$f_{BD} = 1.5 \text{ МГц}$; $P_D = 5 \text{ мВт}$; $V_{DD} = 2.7...5.5B$	MSOP-8	n.c. • -IN A • -IN A • V- • n.c. • OUT A • V+ • n.c.
AJA	AD8571ARM	AD	OA	$f_{BD} = 1.5 \text{ МГц}$; $P_D = 5 \text{ мВт}$; $V_{DD} = 2.7...5.5B$	MSOP-8	n.c. • -IN A • -IN A • V- • n.c. • OUT A • V+ • n.c.
AK	SSM2250RM	AD	amp	$V_{CC} = 2.7...6B$; $I_{CC} = 6.4 \text{ мА}$; $P_{OUT} = 1.5 \text{ Вт}$ (мон.) / 0.25 Вт (ср.); $f_{BD} = 4 \text{ МГц}$	MSOP-10	LIN • SHDN • SE/BTL • GND • R • IN • R • OUT • BPS • BTL • VDD • L • OUT/BTL-
AK#	SSM2250RMZ	AD	amp	$V_{CC} = 2.7...6B$; $I_{CC} = 6.4 \text{ мА}$; $P_{OUT} = 1.5 \text{ Вт}$ (мон.) / 0.25 Вт (ср.); $f_{BD} = 4 \text{ МГц}$	MSOP-10	LIN • SHDN • SE/BTL • GND • R • IN • R • OUT • BPS • BTL • VDD • L • OUT/BTL-
AKG	TLV2632IDGK	TI	dOA	R-R; $V_{DD} = 2.7...5.5B$; $f_{BD} = 9 \text{ МГц}$; $V_{OS1} < 4.5 \text{ мВ}$	MSOP-8	OUT1 • IN1 • IN1+ • GND • IN2+ • IN2 • OUT2 • VDD
AKK	TLV2632IDGS	TI	dOA	R-R; $V_{DD} = 2.7...5.5B$; $f_{BD} = 9 \text{ МГц}$; $V_{OS1} < 4.5 \text{ мВ}$	MSOP-10	OUT1 • IN1 • IN1+ • GND • SHDN1 • SHDN2 • IN2+ • IN2 • OUT2 • VDD
AND	OP162DRM	AD	OA	R-R; $V_{DD} = 2.7...12B$; $f_{BD} = 15 \text{ МГц}$; $I_S = 850 \text{ нА}$; $V_{OS1} < 325 \text{ мВ}$	MSOP-8	NULL • -IN • -IN • V- • n.c. • OUT • V+ • NULL
AOB	THS4130CDGN	TI	DA	$V_{DD} = 5...30/2.5...15B$; $f_{BD} = 150 \text{ МГц}$; $V_{OS1} < 3 \text{ мВ}$	MSOP-8 werPAD-8	VIN • VOCM • VCC+ • VOUT+ • VOUT • VCC • PD • VIN+
ACC	THS4130IDGN	TI	DA	$V_{DD} = 5...30/2.5...15B$; $f_{BD} = 150 \text{ МГц}$; $V_{OS1} < 3 \text{ мВ}$	MSOP-8 werPAD-8	VIN • VOCM • VCC+ • VOUT+ • VOUT • VCC • n.c. • VIN+
ACD	THS4131CDGN	TI	DA	$V_{DD} = 5...30/2.5...15B$; $f_{BD} = 150 \text{ МГц}$; $V_{OS1} < 3 \text{ мВ}$	MSOP-8 werPAD-8	VIN • VOCM • VCC+ • VOUT+ • VOUT • VCC • n.c. • VIN+
AOE	THS4131IDGN	TI	DA	$V_{DD} = 5...30/2.5...15B$; $f_{BD} = 150 \text{ МГц}$; $V_{OS1} < 3 \text{ мВ}$	MSOP-8 werPAD-8	VIN • VOCM • VCC+ • VOUT+ • VOUT • VCC • n.c. • VIN+
ACF	THS4140CDGN	TI	DA	$V_{DD} = 5...30/2.5...15B$; $f_{BD} = 160 \text{ МГц}$; $V_{OS1} < 8.5 \text{ мВ}$	MSOP-8 werPAD-8	VIN • VOCM • VCC+ • VOUT+ • VOUT • VCC • PD • VIN+
ACG	THS4140IDGN	TI	DA	$V_{DD} = 5...30/2.5...15B$; $f_{BD} = 160 \text{ МГц}$; $V_{OS1} < 8.5 \text{ мВ}$	MSOP-8 werPAD-8	VIN • VOCM • VCC+ • VOUT+ • VOUT • VCC • PD • VIN+
ACI	THS4141CDGN	TI	DA	$V_{DD} = 5...30/2.5...15B$; $f_{BD} = 180 \text{ МГц}$; $V_{OS1} < 8.5 \text{ мВ}$	MSOP-8 werPAD-8	VIN • VOCM • VCC+ • VOUT+ • VOUT • VCC • n.c. • VIN+
ACJ	OP162DRMZ	AD	OA	R-R; $V_{DD} = 2.7...12B$; $f_{BD} = 15 \text{ МГц}$; $I_S = 850 \text{ нА}$; $V_{OS1} < 325 \text{ мВ}$	MSOP-8	NULL • -IN • -IN • V- • n.c. • OUT • V+ • NULL

MSOP-10



US-8

SOT23-8
TSOT23-8MSOP-8
SOP-8

Код	Типономинал	Б	Ф	Особенности	Корпус	Ц: 1•2•3•4•5•6•7•8•9•10
ACK	THS4141IDGN	TI	DA	$V_{DD} = 5...30/2.5... \pm 15$ В; $f_{DD} = 160$ МГц; $V_{OS} < 8.5$ мВ	MSOP-8 wePAD-8	VIN • VOCM • VCC • VOUT • VOUT • VCC • n.c. • VIN •
AQA	AD8592ARM	AD	dOA	$f_{DD} = 2.2$ МГц; $P_D = 14$ мВт; $V_{DD} = 2.5...6$ В	MSOP-10	OUT A • -IN A • +IN A • V- • SDA • SDB • HN B • -IN B • OUT B • V+
ARA	AD8532ARM	AD	dOA	$f_{DD} = 3$ МГц; $P_D = 12$ мВт; $V_{DD} = 2.7...6$ В	MSOP-8	OUT A • -IN A • +IN A • V- • HN B • -IN B • OUT B • V+
ASO	THS4130IDGK	TI	DA	$V_{DD} = 5...30/2.5... \pm 15$ В; $f_{DD} = 150$ МГц; $V_{OS} < 3$ мВ	MSOP-8	VIN • VOCM • VCC • VOUT • VOUT • VCC • PD • VIN •
ASP	THS4131IDGK	TI	DA	$V_{DD} = 5...30/2.5... \pm 15$ В; $f_{DD} = 150$ МГц; $V_{OS} < 3$ мВ	MSOP-8	VIN • VOCM • VCC • VOUT • VOUT • VCC • n.c. • VIN •
ASQ	THS4140IDGK	TI	DA	$V_{DD} = 5...30/2.5... \pm 15$ В; $f_{DD} = 160$ МГц; $V_{OS} < 8.5$ мВ	MSOP-8	VIN • VOCM • VCC • VOUT • VOUT • VCC • PD • VIN •
ASR	THS4141IDGK	TI	DA	$V_{DD} = 5...30/2.5... \pm 15$ В; $f_{DD} = 160$ МГц; $V_{OS} < 8.5$ мВ	MSOP-8	VIN • VOCM • VCC • VOUT • VOUT • VCC • n.c. • VIN •
ATA	AD8566ARM	AD	dOA	$f_{DD} = 5$ МГц; $P_D = 24$ мВт; $V_{DD} = 4.5...16$ В	MSOP-8	OUT A • -IN A • +IN A • V- • HN B • -IN B • OUT B • V+
ATA#	AD8566ARMZ	AD	dOA	$f_{DD} = 5$ МГц; $P_D = 24$ мВт; $V_{DD} = 4.5...16$ В	MSOP-8	OUT A • -IN A • +IN A • V- • HN B • -IN B • OUT B • V+
ATP	THS4130CDGK	TI	DA	$V_{DD} = 5...30/2.5... \pm 15$ В; $f_{DD} = 150$ МГц; $V_{OS} < 3$ мВ	MSOP-8	VIN • VOCM • VCC • VOUT • VOUT • VCC • PD • VIN •
ATQ	THS4131CDGK	TI	DA	$V_{DD} = 5...30/2.5... \pm 15$ В; $f_{DD} = 150$ МГц; $V_{OS} < 3$ мВ	MSOP-8	VIN • VOCM • VCC • VOUT • VOUT • VCC • n.c. • VIN •
ATR	THS4140CDGK	TI	DA	$V_{DD} = 5...30/2.5... \pm 15$ В; $f_{DD} = 160$ МГц; $V_{OS} < 8.5$ мВ	MSOP-8	VIN • VOCM • VCC • VOUT • VOUT • VCC • PD • VIN •
ATS	THS4141CDGK	TI	DA	$V_{DD} = 5...30/2.5... \pm 15$ В; $f_{DD} = 160$ МГц; $V_{OS} < 8.5$ мВ	MSOP-8	VIN • VOCM • VCC • VOUT • VOUT • VCC • n.c. • VIN •
AVA	AD8542ARM	AD	dOA	$f_{DD} = 1$ МГц; $P_D = 0.6$ мВт; $V_{DD} = 2.7...5.5$ В	MSOP-8	OUT A • -IN A • +IN A • V- • HN B • -IN B • OUT B • V+
AZA	OP1177ARM	AD	OA	$V_{DD} = \pm 2.5... \pm 15$ В; $I_S = 600$ мкА; $V_{OS} < 60$ мВ	MSOP-8	n.c. • -IN • +IN • V- • n.c. • OUT • V+ • n.c.
B03	OPA2703EA	TI	dOA	R-R; $V_{DD} = 4...12/ \pm 2... \pm 6$ В; $f_{DD} = 1$ МГц; $I_S = 300$ мкА; $V_{OS} < \pm 0.75$ мВ	MSOP-8	OUT A • -IN A • +IN A • V- • HN B • -IN B • OUT B • V+
B04	OPA2704EA	TI	dOA	R-R; $V_{DD} = 4...12/ \pm 2... \pm 6$ В; $f_{DD} = 3$ МГц; $I_S = 300$ мкА; $V_{OS} < \pm 0.75$ мВ	MSOP-8	OUT A • -IN A • +IN A • V- • HN B • -IN B • OUT B • V+
B05	OPA2705EA	TI	dOA	R-R; $V_{DD} = 4...12/ \pm 2... \pm 6$ В; $f_{DD} = 1$ МГц; $I_S = 250$ мкА; $V_{OS} < \pm 5$ мВ	MSOP-8	OUT A • -IN A • +IN A • V- • HN B • -IN B • OUT B • V+
B0A	AD8610ARM	AD	OA	$f_{DD} = 25$ МГц; $P_D = 40$ мВт; $V_{DD} = \pm 5... \pm 13$ В	MSOP-8	NULL • -IN • +IN • V- • NULL • OUT • V+ • n.c.
B10	AD5220BRM-10	AD	Dpot	128 позиций; 10 кОм	MSOP-8	CLK • U/D • A1 • GND • W1 • B1 • CS • VDD
B100	AD5220BRM-100	AD	Dpot	128 позиций; 100 кОм	MSOP-8	CLK • U/D • A1 • GND • W1 • B1 • CS • VDD
B26	INA326	BB/ТИ	IA	R-R; $V_{OS} = 100$ мкВ; $V_{DD} = 2.7...5.5$ В	MSOP-8	R1 • VIN • VIN • V • R2 • VO • V+ • R1
B27	INA327	BB/ТИ	IA	R-R; $V_{OS} = 100$ мкВ; $V_{DD} = 2.7...5.5$ В; блокировка	MSOP-10	R1 • VIN • VIN • V • V+ • ENBL • R2 • VO • V+ • R1
B2A	OP2177ARM	AD	dOA	$V_{DD} = \pm 2.5... \pm 15$ В; $I_S = 1.2$ мА; $V_{OS} < 60$ мкВ	MSOP-8	OUT A • -IN A • +IN A • V- • HN B • -IN B • OUT B • V+
B36	OPA2336EA	TI	dOA	R-R; $V_{DD} = 2.3...5.5$ В; $I_S = 85$ мкА; $V_{OS} < \pm 125$ мВ	MSOP-8	OUT A • -IN A • +IN A • V- • HN B • -IN B • OUT B • V+
B47	OPA2347EA	TI	dOA	R-R; $V_{DD} = 2.3...5.5$ В; $f_{DD} = 350$ кГц; $I_S = 80$ мкА; $V_{OS} < 7$ мВ	SOT23-8	OUT A • -IN A • +IN A • V- • HN B • -IN B • OUT B • V+
B48	OPA2348AI	TI	dOA	R-R; $V_{DD} = 2.1...5.5$ В; $f_{DD} = 1$ МГц; $I_S = 150$ мкА; $V_{OS} < 6$ мВ	SOT23-8	OUT A • -IN A • +IN A • V- • HN B • -IN B • OUT B • V+
B4A	AD822ARM	AD	dOA	$f_{DD} = 1.8$ МГц; $P_D = 50$ мВт; $V_{DD} = 3...36/ \pm 1.5... \pm 18$ В	MSOP-8	OUT1 • -IN1 • +IN1 • V- • HN2 • -IN2 • OUT2 • V+
B60	AD5220BRM-50	AD	Dpot	128 позиций; 50 кОм	MSOP-8	CLK • U/D • A1 • GND • W1 • B1 • CS • VDD
B6A	AD8606ARM	AD	dOA	$f_{DD} = 10$ МГц; $P_D = 14$ мВт; $V_{DD} = 2.7...5.5$ В	MSOP-8	OUT A • -IN A • +IN A • V- • HN B • -IN B • OUT B • V+
B6A#	AD8606ARMZ	AD	dOA	$f_{DD} = 10$ МГц; $P_D = 14$ мВт; $V_{DD} = 2.7...5.5$ В	MSOP-8	OUT A • -IN A • +IN A • V- • HN B • -IN B • OUT B • V+
B7A	AD8510ARM	AD	OA	$f_{DD} = 8$ МГц; $P_D = 70$ мВт; $V_{DD} = \pm 5... \pm 15$ В	MSOP-8	n.c. • -IN • +IN • V- • n.c. • OUT • V+ • n.c.



MSOP-8
SOP-8

SOT23-8
TSOT23-8

US-8



MSOP-10

Код	Типономинал	Б	Ф	Особенности	Корпус	Ц: 1•2•3•4•5•6•7•8•9•10
B8A	AD8512ARM	AD	dQA	$f_{DD}=8\text{ МГц}$; $P_D=70\text{ мВт}$; $V_{DD}=+5\ldots\pm 15\text{ В}$	MSOP-8	OUT A • -IN A • -IN A • V- • -IN B • -IN B • OUT B • V+
BHK	OPA2363A	TI	dQA	R-R; $V_{DD}=1.8\ldots 5.5\text{ В}$; $f_{DD}=7\text{ МГц}$; $I_S=1.4\text{ мА}$; $V_{OS1}<0.9\text{ мВ}$	MSOP-10	OUT A • -IN A • -IN A • V- • ENBLA • ENBL B • -IN B • -IN B • OUT B • V+
BHL	OPA2364A	TI	dQA	R-R; $V_{DD}=1.8\ldots 5.5\text{ В}$; $f_{DD}=7\text{ МГц}$; $I_S=1.4\text{ мА}$; $V_{OS1}<0.9\text{ мВ}$	MSOP-8	OUT A • -IN A • -IN A • V- • -IN B • -IN B • OUT B • V+
BJA	AD8528ARM	AD	dQA	$f_{DD}=5\text{ МГц}$; $P_D=50\text{ мВт}$; $V_{DD}=5\ldots 26/2.5\ldots 13\text{ В}$	MSOP-8	OUT A • -IN A • -IN A • V- • -IN B • -IN B • OUT B • V+
C1Y	AD7810YRM	AD	ADC	10-пасп; послед. интерфейс; $V_{DD}=2.7\ldots 5.5\text{ В}$	MSOP-8	CONVST • VIN+ • VIN- • GND • VREF • DOUT • SCLK • VDD
C2T	AD7468BRMZ	AD	ADC	12-пасп; SPI/QSPI/Microwire; $V_{DD}=1.6\ldots 3.6\text{ В}$	MSOP-8	CS • SDATA • SCLK • n.c. • n.c. • VIN • GND • VDD
C2Y	AD7823YRM	AD	ADC	8-пасп; 1°C ; $V_{DD}=2.7\ldots 5.5\text{ В}$	MSOP-8	CONVST • VIN+ • VIN- • GND • VREF • DOUT • SCLK • VDD
C3A	AD7818ARM	AD	ADC	10-пасп; SPI/QSPI/Microwire; $V_{DD}=2.7\ldots 5.5\text{ В}$	MSOP-8	CONVST • OTI • GND • VIN • VDD • DIN/OUT • SCLK • RD/WR
C3B	AD7496ARMZ	AD	ADC	12-пасп; SPI/QSPI/Microwire; $V_{DD}=2.7\ldots 5.5\text{ В}$	MSOP-8	REF OUT • VIN • GND • SCLK • SDATA • VDRIVE • CS • VDD
C3C	AD7475BRMZ	AD	ADC	12-пасп; SPI/QSPI/Microwire; $V_{DD}=2.7\ldots 5.5\text{ В}$	MSOP-8	REF IN • VIN • GND • SCLK • SDATA • VDRIVE • CS • VDD
C43	OPA2343EA	TI	dQA	R-R; $V_{DD}=2.5\ldots 5.5\text{ В}$; $f_{DD}=5.5\text{ МГц}$; $I_S=2.7\text{ мА}$; $V_{OS}<\pm 8\text{ мВ}$	MSOP-8	OUT A • -IN A • -IN A • V- • -IN B • -IN B • OUT B • V+
C4A	AD7816ARM	AD	dis	10-пасп; SPI/QSPI/Microwire; $V_{DD}=2.7\ldots 5.5\text{ В}$	MSOP-8	CONVST • OTI • GND • REFIN • VDD • DIN/OUT • SCLK • RD/WR
C50	OPA350EA	TI	QA	R-R; $V_{DD}=2.7\ldots 5.5\text{ В}$; $f_{DD}=38\text{ МГц}$; $I_S=8.5\text{ мА}$; $V_{OS}<\pm 1\text{ мВ}$	MSOP-8	n.c. • -IN • -IN • V- • n.c. • OUT • V+ • n.c.
C5A	AD7887ARM	AD	ADC	2x 12-пасп; SPI/QSPI/Microwire; $V_{DD}=2.7\ldots 5.5\text{ В}$	MSOP-8	CS • VDD • GND • AIN1/VREF • AIN0 • DIN • DOUT • SCLK
C6A	AD7416ARM	AD	dis	10-пасп; 1°C ; $V_{DD}=2.7\ldots 5.5\text{ В}$	MSOP-8	SDA • SCL • OTI • GND • A2 • A1 • A0 • VDD
C7A	AD7418ARM	AD	ADC	10-пасп; 1°C ; $V_{DD}=2.7\ldots 5.5\text{ В}$	MSOP-8	SDA • SCL • OTI • GND • AIN • REFIN • VDD • CONVST
C9A	AD7475ARM	AD	ADC	12-пасп; SPI/QSPI/Microwire; $V_{DD}=2.7\ldots 5.5\text{ В}$	MSOP-8	REF IN • VIN • GND • SCLK • SDATA • VDRIVE • CS • VDD
C9B	AD7475BRM	AD	ADC	12-пасп; SPI/QSPI/Microwire; $V_{DD}=2.7\ldots 5.5\text{ В}$	MSOP-8	REF IN • VIN • GND • SCLK • SDATA • VDRIVE • CS • VDD
CAA	AD7814ARM	AD	dis	10-пасп; SPI/QSPI/Microwire; $V_{DD}=2.7\ldots 5.5\text{ В}$	MSOP-8	n.c. • DOUT • CS • SCLK • VDD • DIN • GND • n.c.
CCA	AD7496ARM	AD	ADC	12-пасп; SPI/QSPI/Microwire; $V_{DD}=2.7\ldots 5.5\text{ В}$	MSOP-8	REF OUT • VIN • GND • SCLK • SDATA • VDRIVE • CS • VDD
CCB	AD7496BRM	AD	ADC	12-пасп; SPI/QSPI/Microwire; $V_{DD}=2.7\ldots 5.5\text{ В}$	MSOP-8	REF OUT • VIN • GND • SCLK • SDATA • VDRIVE • CS • VDD
CEW	AD7476AYRM	AD	ADC	12-пасп; SPI/QSPI/Microwire; $V_{DD}=2.35\ldots 5.25\text{ В}$	MSOP-8	VDD • SDATA • CS • n.c. • n.c. • SCLK • GND • VIN
CEY	AD7476ABRM	AD	ADC	12-пасп; SPI/QSPI/Microwire; $V_{DD}=2.35\ldots 5.25\text{ В}$	MSOP-8	VDD • SDATA • CS • n.c. • n.c. • SCLK • GND • VIN
CFZ	AD7477AARM	AD	ADC	10-пасп; SPI/QSPI/Microwire; $V_{DD}=2.35\ldots 5.25\text{ В}$	MSOP-8	VDD • SDATA • CS • n.c. • n.c. • SCLK • GND • VIN
CHA	AD7414ARM	AD	dis	10-пасп; SMBus; 1°C ; $V_{DD}=2.7\ldots 5.5\text{ В}$	MSOP-8	n.c. • SDA • ALERT • SCL • VDD • GND • AS • NC
CHB	AD7414ARM	AD	dis	10-пасп; SMBus; 1°C ; $V_{DD}=2.7\ldots 5.5\text{ В}$	MSOP-8	n.c. • SDA • ALERT • SCL • VDD • GND • AS • NC
CJZ	AD7478AARM	AD	ADC	8-пасп; SPI/QSPI/Microwire; $V_{DD}=2.35\ldots 5.25\text{ В}$	MSOP-8	VDD • SDATA • CS • n.c. • n.c. • SCLK • GND • VIN
CKA	AD7314ARM	AD	dis	10-пасп; SPI; $V_{DD}=2.65\ldots 5.5\text{ В}$	MSOP-8	n.c. • OE • SCLK • GND • SDO • SDI • ID • VDD
CLB	AD7468BRM	AD	ADC	12-пасп; SPI/QSPI/Microwire; $V_{DD}=1.6\ldots 3.6\text{ В}$	MSOP-8	CS • SDATA • SCLK • n.c. • n.c. • VIN • GND • VDD
CMB	AD7467BRM	AD	ADC	10-пасп; SPI/QSPI/Microwire; $V_{DD}=1.6\ldots 3.6\text{ В}$	MSOP-8	CS • SDATA • SCLK • n.c. • n.c. • VIN • GND • VDD

MSOP-10



US-8

SOT23-8
TSOT23-8MSOP-8
SOP-8

Код	Типономинал	Б	Ф	Особенности	Корпус	Ц: 1•2•3•4•5•6•7•8•9•10
CNA	AD7466ARM	AD	ADC	12-паз.; SPI/GSPI/Microwire; $V_{DD}=1.6...3.6\text{ В}$	MSOP-8	CS•SDATA•SCLK•n.c. • n.c. • VIN • GND • VDD
CNB	AD7468BRM	AD	ADC	8-паз.; SPI/GSPI/Microwire; $V_{DD}=1.6...3.6\text{ В}$	MSOP-8	CS•SDATA•SCLK•n.c. • n.c. • VIN • GND • VDD
CNU	AD7468BRMZ	AD	ADC	8-паз.; SPI/GSPI/Microwire; $V_{DD}=1.6...3.6\text{ В}$	MSOP-8	CS•SDATA•SCLK•n.c. • n.c. • VIN • GND • VDD
CPA	AD7450ARM	AD	ADC	12-паз.; SPI/Microwire; $V_{DD}=3...5.5\text{ В}$	MSOP-8	VREF•VIN•VIN•GND•CS•SDATA•SCLK•VDD
CPB	AD7450BRM	AD	ADC	12-паз.; SPI/Microwire; $V_{DD}=3...5.5\text{ В}$	MSOP-8	VREF•VIN•VIN•GND•CS•SDATA•SCLK•VDD
CQA	AD7680ARM	AD	ADC	16-паз.; SPI/GSPI/Microwire; $V_{DD}=2.5...5.5\text{ В}$	MSOP-8	VDD•GND•GND•VIN•SCLK•n.c. • SDATA•CS
COB	AD7680BRM	AD	ADC	16-паз.; SPI/GSPI/Microwire; $V_{DD}=2.5...5.5\text{ В}$	MSOP-8	VDD•GND•GND•VIN•SCLK•n.c. • SDATA•CS
CUB	AD7920BRM	AD	ADC	12-паз.; SPI/GSPI/Microwire; $V_{DD}=2.35...5.25\text{ В}$	MSOP-8	VDD•SDATA•CS•n.c. • n.c. • SCLK • GND • VIN
CVA	AD7910ARM	AD	ADC	10-паз.; SPI/GSPI/Microwire; $V_{DD}=2.35...5.25\text{ В}$	MSOP-8	VDD•SDATA•CS•n.c. • n.c. • SCLK • GND • VIN
D13E	DAC7513E	TI	DAC	12-паз.; SPI/GSPI/Microwire; $V_{DD}=2.7...5.5\text{ В}$	MSOP-8	VDD•VREF•VFB•VOUT•SYNC•SCLK • DIN • GND
D13N	DAC7513N	TI	DAC	12-паз.; SPI/GSPI/Microwire; $V_{DD}=2.7...5.5\text{ В}$	SOT23-8	VOUT•VFB•VREF•VDD•GND•DIN • SCLK•SYNC
D1B	AD7303BRM	AD	DAC	2x8-паз.; SPI/Microwire; $V_{DD}=2.7...5.5\text{ В}$	MSOP-8	VOUTA•VDD•GND•REF•SCLK•DIN • SYNC•VOUTB
D1P	AD5425YRM	AD	DAC	8-паз.; SPI/Microwire; $V_{DD}=2.5...5.5\text{ В}$	MSOP-10	IOUT1•IOUT2•GND•SCLK•SDIN • SYNC•LDAC•VDD•VREF•RFB
D1Q	AD5426YRM	AD	DAC	8-паз.; SPI/Microwire; $V_{DD}=3...5.5\text{ В}$	MSOP-10	IOUT1•IOUT2•GND•SCLK•SDIN • SYNC•SDO•VDD•VREF•RFB
D1R	AD5432YRM	AD	DAC	10-паз.; SPI/Microwire; $V_{DD}=3...5.5\text{ В}$	MSOP-10	IOUT1•IOUT2•GND•SCLK•SDIN • SYNC•SDO•VDD•VREF•RFB
D1S	AD5443YRM	AD	DAC	12-паз.; SPI/Microwire; $V_{DD}=3...5.5\text{ В}$	MSOP-10	IOUT1•IOUT2•GND•SCLK•SDIN • SYNC•SDO•VDD•VREF•RFB
D22	OPA2822E	TI	dOA	$V_{DD}=5...12\text{ В}$; $I_{DD}=100\text{ мА}$; $I_S=10.4\text{ мА}$; $V_{OS}\leq\pm 1.6\text{ мВ}$	SOP-8	OUT A • -IN A • +IN A • V- • -IN B • -IN B • OUT B • V+
D2B	AD5300BRM	AD	DAC	8-паз.; SPI/Microwire; $V_{DD}=2.7...5.5\text{ В}$	MSOP-8	VDD•n.c. • n.c. • VOUT•SYNC•SCLK • DIN • GND
D3B	AD5310BRM	AD	DAC	10-паз.; SPI/Microwire; $V_{DD}=2.7...5.5\text{ В}$	MSOP-8	VDD•n.c. • n.c. • VOUT•SYNC•SCLK • DIN • GND
D4B	AD5320BRM	AD	DAC	12-паз.; SPI/Microwire; $V_{DD}=2.7...5.5\text{ В}$	MSOP-8	VDD•n.c. • n.c. • VOUT•SYNC•SCLK • DIN • GND
D60	OPA2350EA	TI	dOA	R-R; $V_{DD}=2.7...5.5\text{ В}$; $I_{DD}=38\text{ мА}$; $I_S=8.5\text{ мА}$; $V_{OS}<\pm 1\text{ мВ}$	MSOP-8	OUT A • -IN A • +IN A • V- • -IN B • -IN B • OUT B • V+
D65	OPA2355DGSA	TI	dOA	R-R; $V_{DD}=2.7...5.5\text{ В}$; $I_{DD}=200\text{ мА}$; $I_S=14\text{ мА}$; $V_{OS}<\pm 15\text{ мВ}$	MSOP-10	OUT A • -IN A • +IN A • V- • ENBLA • ENBL B • -IN B • -IN B • OUT B • V+
D6A	AD5302ARM	AD	DAC	2x8-паз.; SPI/Microwire; $V_{DD}=2.5...5.5\text{ В}$	MSOP-10	LDAC•VDD•VREFB•VREFA•VOUTA • VOUTB•SYNC•SCLK•DIN•GND
D6B	AD5302BRM	AD	DAC	2x8-паз.; SPI/Microwire; $V_{DD}=2.5...5.5\text{ В}$	MSOP-10	LDAC•VDD•VREFB•VREFA•VOUTA • VOUTB•SYNC•SCLK•DIN•GND
D6A	AD5312ARM	AD	DAC	2x10-паз.; SPI/Microwire; $V_{DD}=2.5...5.5\text{ В}$	MSOP-10	LDAC•VDD•VREFB•VREFA•VOUTA • VOUTB•SYNC•SCLK•DIN•GND
D6B	AD5312BRM	AD	DAC	2x10-паз.; SPI/Microwire; $V_{DD}=2.5...5.5\text{ В}$	MSOP-10	LDAC•VDD•VREFB•VREFA•VOUTA • VOUTB•SYNC•SCLK•DIN•GND
D6C	AD5322BRMZ	AD	DAC	2x12-паз.; SPI/Microwire; $V_{DD}=2.5...5.5\text{ В}$	MSOP-10	LDAC•VDD•VREFB•VREFA•VOUTA • VOUTB•SYNC•SCLK•DIN•GND
D6T	AD5322ARMZ	AD	DAC	2x12-паз.; SPI/Microwire; $V_{DD}=2.5...5.5\text{ В}$	MSOP-10	LDAC•VDD•VREFB•VREFA•VOUTA • VOUTB•SYNC•SCLK•DIN•GND
D6U	AD5443YRMZ	AD	DAC	12-паз.; SPI/Microwire; $V_{DD}=3...5.5\text{ В}$	MSOP-10	IOUT1•IOUT2•GND•SCLK•SDIN • SYNC•SDO•VDD•VREF•RFB



MSOP-8 **SOT23-8**
SOP-8 **TSOT23-8**

US-8



MSOP-10

Код	Типономинал	Б	Ф	Особенности	Корпус	Ц: 1•2•3•4•5•6•7•8•9•10
D6V	AD5432YRMZ	AD	DAC	10-пасп.; SPI/Microwire; $V_{DD}=3...5.5$ В	MSOP-10	IOUT1•IOUT2•GND•SCLK•SDIN•SYNC•SDO•VDD•VREF•RFB
D6W	AD5426YRMZ	AD	DAC	8-пасп.; SPI/Microwire; $V_{DD}=3...5.5$ В	MSOP-10	IOUT1•IOUT2•GND•SCLK•SDIN•SYNC•SDO•VDD•VREF•RFB
D7A	AD5322ARM	AD	DAC	2x 12-пасп.; SPI/Microwire; $V_{DD}=2.5...5.5$ В	MSOP-10	LDAC•VDD•VREFB•VREFA•VOUTA•VOUTB•SYNC•SCLK•DIN•GND
D7B	AD5322BRM	AD	DAC	2x 12-пасп.; SPI/Microwire; $V_{DD}=2.5...5.5$ В	MSOP-10	LDAC•VDD•VREFB•VREFA•VOUTA•VOUTB•SYNC•SCLK•DIN•GND
D8B	AD5301BRM	AD	DAC	8-пасп.; I^2C ; $V_{DD}=2.7...5.5$ В	MSOP-8	VDD•A0•A1•VOUT•PD•SCL•SDA•GND
D8V	AD5302ARMZ	AD	DAC	2x 8-пасп.; SPI/Microwire; $V_{DD}=2.5...5.5$ В	MSOP-10	LDAC•VDD•VREFB•VREFA•VOUTA•VOUTB•SYNC•SCLK•DIN•GND
D8W	AD5302BRMZ	AD	DAC	2x 8-пасп.; SPI/Microwire; $V_{DD}=2.5...5.5$ В	MSOP-10	LDAC•VDD•VREFB•VREFA•VOUTA•VOUTB•SYNC•SCLK•DIN•GND
D8X	AD5312ARMZ	AD	DAC	2x 10-пасп.; SPI/Microwire; $V_{DD}=2.5...5.5$ В	MSOP-10	LDAC•VDD•VREFB•VREFA•VOUTA•VOUTB•SYNC•SCLK•DIN•GND
D8Y	AD5312BRMZ	AD	DAC	2x 10-пасп.; SPI/Microwire; $V_{DD}=2.5...5.5$ В	MSOP-10	LDAC•VDD•VREFB•VREFA•VOUTA•VOUTB•SYNC•SCLK•DIN•GND
D9B	AD5311BRM	AD	DAC	10-пасп.; I^2C ; $V_{DD}=2.7...5.5$ В	MSOP-8	VDD•A0•A1•VOUT•PD•SCL•SDA•GND
D9N	AD5320BRMZ	AD	DAC	12-пасп.; SPI/Microwire; $V_{DD}=2.7...5.5$ В	MSOP-8	VDD•n.c.•n.c.•VOUT•SYNC•SCLK•DIN•GND
DAB	AD5321BRM	AD	DAC	12-пасп.; I^2C ; $V_{DD}=2.7...5.5$ В	MSOP-8	VDD•A0•A1•VOUT•PD•SCL•SDA•GND
DBA	AD5304ARM	AD	DAC	4x 8-пасп.; SPI/Microwire; $V_{DD}=2.5...5.5$ В	MSOP-10	VDD•VOUTA•VOUTB•VOUTC•REFIN•VOUTD•GND•DIN•SCLK•SYNC
DBB	AD5304BRM	AD	DAC	4x 8-пасп.; SPI/Microwire; $V_{DD}=2.5...5.5$ В	MSOP-10	VDD•VOUTA•VOUTB•VOUTC•REFIN•VOUTD•GND•DIN•SCLK•SYNC
DCA	AD5314ARM	AD	DAC	4x 10-пасп.; SPI/Microwire; $V_{DD}=2.5...5.5$ В	MSOP-10	VDD•VOUTA•VOUTB•VOUTC•REFIN•VOUTD•GND•DIN•SCLK•SYNC
DCB	AD5314BRM	AD	DAC	4x 10-пасп.; SPI/Microwire; $V_{DD}=2.5...5.5$ В	MSOP-10	VDD•VOUTA•VOUTB•VOUTC•REFIN•VOUTD•GND•DIN•SCLK•SYNC
DDA	AD5324ARM	AD	DAC	4x 12-пасп.; SPI/Microwire; $V_{DD}=2.5...5.5$ В	MSOP-10	VDD•VOUTA•VOUTB•VOUTC•REFIN•VOUTD•GND•DIN•SCLK•SYNC
ddb	AD5324BRM	AD	DAC	4x 12-пасп.; SPI/Microwire; $V_{DD}=2.5...5.5$ В	MSOP-10	VDD•VOUTA•VOUTB•VOUTC•REFIN•VOUTD•GND•DIN•SCLK•SYNC
DEA	AD5305ARM	AD	DAC	4x 8-пасп.; I^2C ; $V_{DD}=2.5...5.5$ В	MSOP-10	VDD•VOUTA•VOUTB•VOUTC•REFIN•VOUTD•GND•SDA•SCL•A0
DEB	AD5305BRM	AD	DAC	4x 8-пасп.; I^2C ; $V_{DD}=2.5...5.5$ В	MSOP-10	VDD•VOUTA•VOUTB•VOUTC•REFIN•VOUTD•GND•SDA•SCL•A0
DFA	AD5315ARM	AD	DAC	4x 10-пасп.; I^2C ; $V_{DD}=2.5...5.5$ В	MSOP-10	VDD•VOUTA•VOUTB•VOUTC•REFIN•VOUTD•GND•SDA•SCL•A0
DFB	AD5315BRM	AD	DAC	4x 10-пасп.; I^2C ; $V_{DD}=2.5...5.5$ В	MSOP-10	VDD•VOUTA•VOUTB•VOUTC•REFIN•VOUTD•GND•SDA•SCL•A0
DGA	AD5325ARM	AD	DAC	4x 12-пасп.; I^2C ; $V_{DD}=2.5...5.5$ В	MSOP-10	VDD•VOUTA•VOUTB•VOUTC•REFIN•VOUTD•GND•SDA•SCL•A0
DGB	AD5325BRM	AD	DAC	4x 12-пасп.; I^2C ; $V_{DD}=2.5...5.5$ В	MSOP-10	VDD•VOUTA•VOUTB•VOUTC•REFIN•VOUTD•GND•SDA•SCL•A0
DJB	AD9833BRM	AD	gen	$f_{OUT} < 12.5$ МГц; $P_O = 30$ мВт; $V_{DD}=2.3...5.5$ В	MSOP-10	COMP•VDD•CAP2/5V•DGND•MCLK•SDATA•SCLK•FSYNC•AGND•VOUT
DLA	AD5200BRM-10	AD	Dpot	256 позиций; 10 кОм; SPI	MSOP-10	B•VSS•GND•CS•SDI•CLK•SHDN•VDD•W•A
DLB	AD5200BRM-50	AD	Dpot	256 позиций; 50 кОм; SPI	MSOP-10	B•VSS•GND•CS•SDI•CLK•SHDN•VDD•W•A
DMA	AD5201BRM-10	AD	Dpot	33 позиции; 10 кОм; SPI	MSOP-10	B•VSS•GND•CS•SDI•CLK•SHDN•VDD•W•A
DMB	AD5201BRM-50	AD	Dpot	33 позиции; 50 кОм; SPI	MSOP-10	B•VSS•GND•CS•SDI•CLK•SHDN•VDD•W•A

MSOP-10



US-8

SOT23-8
TSOT23-8

MSOP-8
SOP-8



Код	Типономинал	Б	Ф	Особенности	Корпус	Ц: 1•2•3•4•5•6•7•8•9•10
DSB	AD5399RM	AD	DAC	2х12-разр.; SPI/Microwire; $V_{DD}=4.5...5.5B$	MSOP-10	CLK•SDI•DQND•VOUTB•VOUTA•VBZ•AGND•VDD•VTP•CS
DUC	AD5553CRM	AD	DAC	14-разр.; SPI; $V_{DD}=4.5...5.5B$	MSOP-8	CLK•SDI•RFB•VREF•IOUT•GND•VDD•CS
DXB	AD5543BRM	AD	DAC	16-разр.; SPI; $V_{DD}=4.5...5.5B$	MSOP-8	CLK•SDI•RFB•VREF•IOUT•GND•VDD•CS
DYA	AD5273BRJ1	AD	Dpot	64позиции; 1кОм; ОТП; I°C	SOT23-8	W•VDD•GND•SCL•SDA•AD0•B•A
DYB	AD5273BRJ10	AD	Dpot	64позиции; 10кОм; ОТП; I°C	SOT23-8	W•VDD•GND•SCL•SDA•AD0•B•A
DYC	AD5273BRJ50	AD	Dpot	64позиции; 50кОм; ОТП; I°C	SOT23-8	W•VDD•GND•SCL•SDA•AD0•B•A
DYD	AD5273BRJ100	AD	Dpot	64позиции; 100кОм; ОТП; I°C	SOT23-8	W•VDD•GND•SCL•SDA•AD0•B•A
E37	OPA2137EA	TI	dOA	$V_{DD}=4.5...36/±2.25...±18B$; $I_S=600\mu A$; $V_{OS}<±7mB$	MSOP-8	OUTA•-IN A•+IN A•V-•+IN B•-IN B•OUT B•V+
E43	OPA2743EA	TI	dOA	$V_{DD}=3.5...12/±1.75...±6B$; $f_{BD}=7MГц$; $I_S=1.7mA$; $V_{OS}<±7mB$	MSOP-8	OUTA•-IN A•+IN A•V-•+IN B•-IN B•OUT B•V+
E53	OPA2353EA	TI	dOA	R-R; $V_{DD}=2.7...5.5B$; $f_{BD}=44MГц$; $I_S=9\mu A$; $V_{OS}<±10mB$	MSOP-8	OUTA•-IN A•+IN A•V-•+IN B•-IN B•OUT B•V+
G1A	AD8611ARM	AD	cmp	$f_{IN}=100MГц$; $P_D=14mB$; $V_{DD}=3...5B$	MSOP-8	V+•+IN•-IN•-V•-LATCH•GND•OUT•OUT
G37	OPA337EA	TI	OA	R-R; $V_{DD}=2.5...5.5B$; $f_{BD}=3MГц$; $I_S=1.2mA$; $V_{OS}<±3.5mB$	MSOP-8	n.c. •-IN •+IN •V-•n.c. •OUT •V+•n.c.
H1B	AD8066ARM	AD	dOA	$f_{BD}=145MГц$; $P_D=150mB$; $V_{DD}=5...24B$	MSOP-8	VOUT1•-IN1•+IN1•-VS•+IN2•-IN2•VOUT2•+VS
H2B	AD8008ARM	AD	dOA	$f_{BD}=860MГц$; $P_D=120mB$; $V_{DD}=5...12B$	MSOP-8	VOUT1•-IN1•+IN1•-VS•+IN2•-IN2•VOUT2•+VS
H4A	AD8052ARM	AD	dOA	$f_{BD}=110MГц$; $P_D=80mB$; $V_{DD}=3...12B$	MSOP-8	OUT1•-IN1•+IN1•-VS•+IN2•-IN2•OUT2•+VS
H5A	AD8056ARM	AD	dOA	$f_{BD}=300MГц$; $P_D=40mB$; $V_{DD}=±4...±6B$	MSOP-8	OUT1•-IN1•+IN1•-VS•+IN2•-IN2•OUT2•+VS
H6B	AD8028ARM	AD	dOA	$f_{BD}=185MГц$; $P_D=100mB$; $V_{DD}=2.7...12B$	MSOP-10	VOUTA•-IN A•-IN A•-VS•DIS/SELA•DIS/SEL B•+IN B•-IN B•VOUTB•+VS
H6B#	AD8028ARMZ	AD	dOA	$f_{BD}=185MГц$; $P_D=100mB$; $V_{DD}=2.7...12B$	MSOP-10	VOUTA•-IN A•-IN A•-VS•DIS/SELA•DIS/SEL B•+IN B•-IN B•VOUTB•+VS
H6A	AD8012ARM	AD	dOA	$f_{BD}=350MГц$; $P_D=12mB$; $V_{DD}=±1.5...±6B$	MSOP-8	OUT1•-IN1•+IN1•-VS•+IN2•-IN2•OUT2•+VS
H7B	AD8030ARJ	AD	dOA	$f_{BD}=120MГц$; $P_D=18mB$; $V_{DD}=2.7...12B$	SOT23-8	VOUT1•-IN1•+IN1•-VS•+IN2•-IN2•+VOUT2•+VS
H7C	AD8066ARMZ	AD	dOA	$f_{BD}=145MГц$; $P_D=150mB$; $V_{DD}=5...24B$	MSOP-8	VOUT1•-IN1•+IN1•-VS•+IN2•-IN2•VOUT2•+VS
H8A	AD8058ARM	AD	dOA	$f_{BD}=325MГц$; $P_D=70mB$; $V_{DD}=3...12B$	MSOP-8	OUT1•-IN1•+IN1•-VS•+IN2•-IN2•OUT2•+VS
H9A	AD8032ARM	AD	dOA	$f_{BD}=80MГц$; $P_D=16mB$; $V_{DD}=2.7...12B$	MSOP-8	OUT1•-IN1•+IN1•-VS•+IN2•-IN2•OUT2•+VS
HCA	AD8062ARM	AD	dOA	$f_{BD}=320MГц$; $P_D=75mB$; $V_{DD}=2.7...8B$	MSOP-8	VOUT1•-IN1•+IN1•-VS•+IN2•-IN2•VOUT2•+VS
HDA	AD8022ARM	AD	dOA	$f_{BD}=130MГц$; $P_D=55mB$; $V_{DD}=±4.5...±13B$	MSOP-8	OUT1•-IN1•+IN1•-VS•+IN2•-IN2•OUT2•+VS
HDB	AD8022ARMZ	AD	dOA	$f_{BD}=130MГц$; $P_D=55mB$; $V_{DD}=±4.5...±13B$	MSOP-8	OUT1•-IN1•+IN1•-VS•+IN2•-IN2•OUT2•+VS
HFA	AD8002ARM	AD	dOA	$f_{BD}=600MГц$; $P_D=55mB$; $V_{DD}=±3...±6B$	MSOP-8	OUT1•-IN1•+IN1•-VS•+IN2•-IN2•OUT2•+VS
HKJ	AD8009ARM	AD	OA	$f_{BD}=1ГГц$; $P_D=100mB$; $V_{DD}=±4...±6B$	SOT23-8	n.c. •-IN •+IN •-VS•n.c. •OUT •+VS•n.c.
HLA	AD8072JR	AD	dOA	$f_{BD}=100MГц$; $P_D=30mB$; $V_{DD}=±2.5...±6B$	MSOP-8	OUT1•-IN1•+IN1•-VS•+IN2•-IN2•OUT2•+VS
HMA	AD6132ARM	AD	OA	$f_{BD}=350MГц$; $P_D=70mB$; $V_{DD}=±1.35...±5.5B$	MSOP-8	-IN•VOCM•V+•+OUT•-OUT•V-•n.c. •+IN
HMA#	AD6132ARMZ	AD	OA	$f_{BD}=350MГц$; $P_D=70mB$; $V_{DD}=±1.35...±5.5B$	MSOP-8	-IN•VOCM•V+•+OUT•-OUT•V-•n.c. •+IN



MSOP-8 **SOT23-8**
SOP-8 **TSOT23-8**

US-8



MSOP-10

Код	Типономинал	Б	Ф	Особенности	Корпус	Ц: 1•2•3•4•5•6•7•8•9•10
HNA	AD8021ARM	AD	QA	$f_{BD}=490\text{ МГц}$; $P_0=100\text{ мВт}$; $V_{DD}= \pm 2.25... \pm 12\text{ В}$	MSOP-8	LOG REF -IN•+IN•-VS•CCOMP• VOUT•+VS•DIS
HNA	AD8021ARMZ	AD	QA	$f_{BD}=490\text{ МГц}$; $P_0=100\text{ мВт}$; $V_{DD}= \pm 2.25... \pm 12\text{ В}$	MSOP-8	LOG REF -IN•+IN•-VS•CCOMP• VOUT•+VS•DIS
HWA	AD8092ARM	AD	dQA	$f_{BD}=110\text{ МГц}$; $P_0=60\text{ мВт}$; $V_{DD}=3...12\text{ В}$	MSOP-8	OUT1•-IN1•+IN1•-VS•+IN2•-IN2• OUT•+VS
HWA#	AD8092ARMZ	AD	dQA	$f_{BD}=110\text{ МГц}$; $P_0=60\text{ мВт}$; $V_{DD}=3...12\text{ В}$	MSOP-8	OUT1•-IN1•+IN1•-VS•+IN2•-IN2• OUT•+VS
HYA	AD8039ART	AD	dQA	$f_{BD}=350\text{ МГц}$; $P_0=18\text{ мВт}$; $V_{DD}=3...12\text{ В}$	SOT23-8	VOUT1•-IN1•+IN1•-VS•+IN2•-IN2• VOUT2•+VS
HZA	AD8039ART	AD	dQA	$f_{BD}=80\text{ МГц}$; $P_0=65\text{ мВт}$; $V_{DD}=5...24\text{ В}$	SOT23-8	VOUT1•-IN1•+IN1•-VS•+IN2•-IN2• VOUT2•+VS
JOA	AD623ARM	AD	IA	$V_{DD}=3...12\text{ В}$; Gain=1...1000; $V_{OS}<500\text{ мВ}$	MSOP-8	-RG•-IN•+IN•-VS•REF•OUTPUT• +VS•RG
J1A	AD8313ARM	AD	LA	$f_{BD}=0.1...2.5\text{ ГГц}$; DD=70 дБ; $P_0=60\text{ мВт}$; $V_{DD}=2.7...5.5\text{ В}$	MSOP-8	VPOS•+INB•INLO•VPOS•PWN• COMM•VSET•VOUT
J2N	AD8350ARM15	AD	DA	$f_{BD}=1.1\text{ ГГц}$; Gain=15 дБ; $P_0=330\text{ мВт}$; $V_{DD}=4...11\text{ В}$	MSOP-8	IN+•ENBL•VCC•OUT+•OUT-•GND• GND•IN-
J2P	AD8350ARM20	AD	DA	$f_{BD}=1.1\text{ ГГц}$; Gain=20 дБ; $P_0=330\text{ мВт}$; $V_{DD}=4...11\text{ В}$	MSOP-8	IN+•ENBL•VCC•OUT+•OUT-•GND• GND•IN-
J3A	AD8361ARM	AD	PD	$f_{BD}<2.5\text{ ГГц}$; $P_0=12\text{ мВт}$; $V_{DD}=2.7...5.5\text{ В}$	MSOP-8	VPOS•IREF•RFIN•PWN•COMM• FLTR•VRMS•SREF
J5A	AD8314ARM	AD	LA	$f_{BD}=0.1...2.7\text{ ГГц}$; $P_0=30\text{ мВт}$; $V_{DD}=2.7...5.5\text{ В}$	MSOP-8	RFIN•ENBL•VSET•FLTR•COMM•V UP•VDN•VPOS
J6A	AD8310ARM	AD	LA	$f_{BD}<440\text{ МГц}$; DD=95 дБ; $P_0=50\text{ мВт}$; $V_{DD}=2.7...5.5\text{ В}$	MSOP-8	INLO•COMM•OFLT•VOUT•VPOS• BFIN•ENBL•INHI
J7A	AD8315ARM	AD	LA	$f_{BD}=0.1...2.5\text{ ГГц}$; $P_0=60\text{ мВт}$; $V_{DD}=2.7...5.5\text{ В}$	MSOP-8	RFIN•ENBL•VSET•FLTR•COMM•n.c• VAPC•VPOS
J8A	AD8316ARM	AD	LA	$f_{BD}=0.1...2.5\text{ ГГц}$; $P_0=60\text{ мВт}$; $V_{DD}=2.7...5.5\text{ В}$	MSOP-10	RFIN•ENBL•VSET•FLTR•BSEL•FLT2• OUT2•COMM•OUT1•VPOS
L0C	ADP420ARMZ	AD	vref	XFET®; $V_{IN}=4...18\text{ В}$; $I_{OUT}=10\text{ мА}$; $V_{OUT}=2.048\text{ В}$	MSOP-8	TP•VIN•n.c•GND•TRIM•VOUT•n.c• TP
L7	NLAS324US	ON	asw	2x SPST; $R_{ON}<55\text{ Ом}$; $V_{DD}=2.7...6.0\text{ В}$	US-8	NC1•COM1•IN2•GND•NC2•COM2• IN1•VCC
L7	NLAS325US	ON	asw	2x SPST; $R_{ON}<105\text{ Ом}$; $V_{DD}=2.7...6.0\text{ В}$	US-8	NC1•COM1•IN2•GND•NC2•COM2• IN1•VCC
LFA	ADP3335ARM-1.8	AD	reg	LDO; $V_{IN}=2.6...12\text{ В}$; $I_{OUT}=500\text{ мА}$; $V_{OUT}=1.8\text{ В}$	MSOP-8	OUT•OUT•OUT•GND•NR•SD•IN•IN
LFC	ADP3335ARM-2.5	AD	reg	LDO; $V_{IN}=2.6...12\text{ В}$; $I_{OUT}=500\text{ мА}$; $V_{OUT}=2.5\text{ В}$	MSOP-8	OUT•OUT•OUT•GND•NR•SD•IN•IN
LFD	ADP3335ARM-2.85	AD	reg	LDO; $V_{IN}=2.6...12\text{ В}$; $I_{OUT}=500\text{ мА}$; $V_{OUT}=2.85\text{ В}$	MSOP-8	OUT•OUT•OUT•GND•NR•SD•IN•IN
LFE	ADP3335ARM-3.3	AD	reg	LDO; $V_{IN}=2.6...12\text{ В}$; $I_{OUT}=500\text{ мА}$; $V_{OUT}=3.3\text{ В}$	MSOP-8	OUT•OUT•OUT•GND•NR•SD•IN•IN
LFF	ADP3335ARM-5	AD	reg	LDO; $V_{IN}=2.6...12\text{ В}$; $I_{OUT}=500\text{ мА}$; $V_{OUT}=5\text{ В}$	MSOP-8	OUT•OUT•OUT•GND•NR•SD•IN•IN
LHA	ADP3336ARM	AD	reg	LDO; $V_{IN}=2.6...12\text{ В}$; $I_{OUT}=500\text{ мА}$; $V_{OUT}=1.5...10\text{ В}$	MSOP-8	OUT•OUT•OUT•GND•FB•SD•IN•IN
LKA	ADP3333ARM-1.5	AD	reg	LDO; $V_{IN}=2.6...12\text{ В}$; $I_{OUT}=300\text{ мА}$; $V_{OUT}=1.5\text{ В}$	MSOP-8	OUT•IN•GND•n.c•n.c•n.c•SD•n.c•
LKB	ADP3333ARM-1.8	AD	reg	LDO; $V_{IN}=2.6...12\text{ В}$; $I_{OUT}=300\text{ мА}$; $V_{OUT}=1.8\text{ В}$	MSOP-8	OUT•IN•GND•n.c•n.c•n.c•SD•n.c•
LKC	ADP3333ARM-2.5	AD	reg	LDO; $V_{IN}=2.6...12\text{ В}$; $I_{OUT}=300\text{ мА}$; $V_{OUT}=2.5\text{ В}$	MSOP-8	OUT•IN•GND•n.c•n.c•n.c•SD•n.c•
LKD	ADP3333ARM-2.77	AD	reg	LDO; $V_{IN}=2.6...12\text{ В}$; $I_{OUT}=300\text{ мА}$; $V_{OUT}=2.77\text{ В}$	MSOP-8	OUT•IN•GND•n.c•n.c•n.c•SD•n.c•
LKE	ADP3333ARM-3	AD	reg	LDO; $V_{IN}=2.6...12\text{ В}$; $I_{OUT}=300\text{ мА}$; $V_{OUT}=3\text{ В}$	MSOP-8	OUT•IN•GND•n.c•n.c•n.c•SD•n.c•
LKF	ADP3333ARM-3.15	AD	reg	LDO; $V_{IN}=2.6...12\text{ В}$; $I_{OUT}=300\text{ мА}$; $V_{OUT}=3.15\text{ В}$	MSOP-8	OUT•IN•GND•n.c•n.c•n.c•SD•n.c•
LKG	ADP3333ARM-3.3	AD	reg	LDO; $V_{IN}=2.6...12\text{ В}$; $I_{OUT}=300\text{ мА}$; $V_{OUT}=3.3\text{ В}$	MSOP-8	OUT•IN•GND•n.c•n.c•n.c•SD•n.c•



MSOP-8 **SOT23-8**
SOP-8 **TSOT23-8**

US-8



MSOP-10

Код	Типономинал	Б	Ф	Особенности	Корпус	Ц: 1•2•3•4•5•6•7•8•9•10
SBB	ADG419BRM	AD	asw	SPDT; $R_{ON} < 70 \text{ Ом}$; $V_{DD} = \pm 15 \text{ В}$; $V_I = 5 \text{ В}$	MSOP-8	D•S1•GND•VDD•VL•IN•VSS•S2
SCC	ADG619BRMZ	AD	asw	SPDT; $R_{ON} < 8.5 \text{ Ом}$; $V_{DD} = 2.7...5.5/\pm 2.7...5.5 \text{ В}$	MSOP-8	D•S1•GND•VDD•n.c.•IN•VSS•S2
SCC	ADG619BRTZ	AD	asw	SPDT; $R_{ON} < 8.5 \text{ Ом}$; $V_{DD} = 2.7...5.5/\pm 2.7...5.5 \text{ В}$	SOT23-8	D•S1•GND•VDD•n.c.•IN•VSS•S2
SDA	ADG751ARM	AD	asw	SPST; $R_{ON} < 40 \text{ Ом}$; $V_{DD} = 1.8...5.5 \text{ В}$	MSOP-8	n.c.•S•GND•IN•n.c.•n.c.•D•VDD
SDB	ADG751BRM	AD	asw	SPST; $R_{ON} < 40 \text{ Ом}$; $V_{DD} = 1.8...5.5 \text{ В}$	MSOP-8	n.c.•S•GND•IN•n.c.•n.c.•D•VDD
SEB	ADG752BRM	AD	asw	SPDT; $R_{ON} < 20 \text{ Ом}$; $V_{DD} = 1.8...5.5 \text{ В}$	MSOP-8	n.c.•S2•GND•IN•n.c.•S1•VDD•D
SLB	ADG801BRM	AD	asw	SPST; $R_{ON} < 0.4 \text{ Ом}$; $V_{DD} = 1.8...5.5 \text{ В}$	MSOP-8	D•n.c.•n.c.•VDD•n.c.•IN•GND•S
SMB	ADG802BRM	AD	asw	SPST; $R_{ON} < 0.4 \text{ Ом}$; $V_{DD} = 1.8...5.5 \text{ В}$	MSOP-8	D•n.c.•n.c.•VDD•n.c.•IN•GND•S
SNB	ADG819BRM	AD	asw	SPDT; $R_{ON} < 0.8 \text{ Ом}$; $V_{DD} = 1.8...5.5 \text{ В}$	MSOP-8	D•S1•GND•VDD•n.c.•IN•n.c.•S2
SPB	ADG820BRM	AD	asw	SPDT; $R_{ON} < 0.8 \text{ Ом}$; $V_{DD} = 1.8...5.5 \text{ В}$	MSOP-8	D•S1•GND•VDD•n.c.•IN•n.c.•S2
SQB	ADG821BRM	AD	asw	2x SPST; $R_{ON} < 0.8 \text{ Ом}$; $V_{DD} = 1.8...5.5 \text{ В}$	MSOP-8	S1•D1•IN2•GND•S2•D2•IN1•VDD
SRB	ADG822BRM	AD	asw	2x SPST; $R_{ON} < 0.8 \text{ Ом}$; $V_{DD} = 1.8...5.5 \text{ В}$	MSOP-8	S1•D1•IN2•GND•S2•D2•IN1•VDD
SSB	ADG823BRM	AD	asw	2x SPST; $R_{ON} < 0.8 \text{ Ом}$; $V_{DD} = 1.8...5.5 \text{ В}$	MSOP-8	S1•D1•IN2•GND•S2•D2•IN1•VDD
STB	ADG601BRM	AD	asw	SPST; $R_{ON} < 5 \text{ Ом}$; $V_{DD} = 2.7...5.5/\pm 2.7...5.5 \text{ В}$	MSOP-8	D•n.c.•n.c.•VDD•VSS•IN•GND•S
SUB	ADG602BRM	AD	asw	SPST; $R_{ON} < 5 \text{ Ом}$; $V_{DD} = 2.7...5.5/\pm 2.7...5.5 \text{ В}$	MSOP-8	D•n.c.•n.c.•VDD•VSS•IN•GND•S
SVB	ADG619BRM	AD	asw	SPDT; $R_{ON} < 8.5 \text{ Ом}$; $V_{DD} = 2.7...5.5/\pm 2.7...5.5 \text{ В}$	MSOP-8	D•S1•GND•VDD•n.c.•IN•VSS•S2
SVB	ADG619BRT	AD	asw	SPDT; $R_{ON} < 8.5 \text{ Ом}$; $V_{DD} = 2.7...5.5/\pm 2.7...5.5 \text{ В}$	SOT23-8	D•S1•GND•VDD•n.c.•IN•VSS•S2
SWB	ADG620BRM	AD	asw	SPDT; $R_{ON} < 8.5 \text{ Ом}$; $V_{DD} = 2.7...5.5/\pm 2.7...5.5 \text{ В}$	MSOP-8	D•S1•GND•VDD•n.c.•IN•VSS•S2
SWB	ADG620BRT	AD	asw	SPDT; $R_{ON} < 8.5 \text{ Ом}$; $V_{DD} = 2.7...5.5/\pm 2.7...5.5 \text{ В}$	SOT23-8	D•S1•GND•VDD•n.c.~IN~VSS~S2
SXB	ADG621BRM	AD	asw	2x SPST; $R_{ON} < 7 \text{ Ом}$; $V_{DD} = 2.7...5.5/\pm 2.7...5.5 \text{ В}$	MSOP-10	S1•D1•IN2•GND•VSS•n.c.~S2~D2~IN1~VDD
SYB	ADG622BRM	AD	asw	2x SPST; $R_{ON} < 7 \text{ Ом}$; $V_{DD} = 2.7...5.5/\pm 2.7...5.5 \text{ В}$	MSOP-10	S1•D1•IN2•GND•VSS•n.c.~S2~D2~IN1~VDD
SZB	ADG623BRM	AD	asw	2x SPST; $R_{ON} < 7 \text{ Ом}$; $V_{DD} = 2.7...5.5/\pm 2.7...5.5 \text{ В}$	MSOP-10	S1•D1•IN2•GND•VSS•n.c.~S2~D2~IN1~VDD
T13	ADM1032ARIMZ-1	AD	dis	2 канала; 108 °C; SMBus; $V_{DD} = 3...5.5 \text{ В}$	MSOP-8	VDD•D+•D-•THERM•GND•ALERT•SDATA•SCLK
T1A	ADM1032ARIM-1	AD	dis	2 канала; 108 °C; SMBus; $V_{DD} = 3...5.5 \text{ В}$	MSOP-8	VDD•D+•D-•THERM•GND•ALERT•SDATA•SCLK
T1C	ADM1032ARIMZ-2	AD	dis	2 канала; 85 °C; SMBus; $V_{DD} = 3...5.5 \text{ В}$	MSOP-8	VDD•D+•D-•THERM•GND•ALERT•SDATA•SCLK
T1H	AD77301ARIMZ	AD	dis	13-пасп.; SPI/QSPI/Microwire; $V_{DD} = 2.7...5.25 \text{ В}$	MSOP-8	n.c.~DOU~CS•SCLK•VDD•DIN•GND•n.c.
T1J	ADM1032ARIMZ	AD	dis	2 канала; 85 °C; SMBus; $V_{DD} = 3...5.5 \text{ В}$	MSOP-8	VDD•D+•D-•THERM•GND•ALERT•SDATA•SCLK
T2A	ADM1032ARIM	AD	dis	2 канала; 85 °C; SMBus; $V_{DD} = 3...5.5 \text{ В}$	MSOP-8	VDD•D+•D-•THERM•GND•ALERT•SDATA•SCLK
TOH	AD7414ARIMZ	AD	dis	10-пасп.; SMBus; 1 °C; $V_{DD} = 2.7...5.5 \text{ В}$	MSOP-8	n.c.~SDA•ALERT•SCL•VDD•GND•AS•NC
TOL	AD7414ARIMZ	AD	dis	10-пасп.; SMBus; 1 °C; $V_{DD} = 2.7...5.5 \text{ В}$	MSOP-8	n.c.~SDA•ALERT•SCL•VDD•GND•AS•NC
VOK	AD7740KRM	AD	VFC	$V_{DD} = 3...3.6 \text{ В}/4.75...5.25 \text{ В}$; синхронный	MSOP-8	CLKOUT•CLKIN•GND•REFIN/OUT•VIN•VDD•FOUT•BUF
VOY	AD7740YRM	AD	VFC	$V_{DD} = 3...3.6 \text{ В}/4.75...5.25 \text{ В}$; синхронный	MSOP-8	CLKOUT•CLKIN•GND•REFIN/OUT•VIN•VDD•FOUT•BUF
VOY	AD7740YRT	AD	VFC	$V_{DD} = 3...3.6 \text{ В}/4.75...5.25 \text{ В}$; синхронный	SOT23-8	BUF•FOUT•VDD•VIN•REFIN/OUT•GND•CLKIN•CLKOUT
W1B	ADG3233BRJ	AD	dsw	$I_{DD} < 10.5 \text{ нА}$; $V_{DD} = 1.65...3.6 \text{ В}$	SOT23-8	VCC1•A1•A2•EN•GND•Y2•Y1•VCC2
W1B	ADG3233BRM	AD	dsw	$I_{DD} < 10.5 \text{ нА}$; $V_{DD} = 1.65...3.6 \text{ В}$	MSOP-8	VCC2•Y1•Y2•GND•EN•A2•A1•VCC1



LFCSP, TDFN, TQFN

Код	Типономинал	Б	Ф	Особенности	Корпус	Ц: 1•2•3•4•5•6...•16
#DBA	AD5304ACPZ	AD	DAC	4x 8-папп; SPI/Microwire; V _{DD} =2.5...5.5 В	LFCSP-10	VDD•VOUTA•VOUTB•VOUTC•REFIN• VOUTD•GND•DIN•SCLK•SYNC
#DBB	AD5304BCPZ	AD	DAC	4x 8-папп; SPI/Microwire; V _{DD} =2.5...5.5 В	LFCSP-10	VDD•VOUTA•VOUTB•VOUTC•REFIN• VOUTD•GND•DIN•SCLK•SYNC
#DCA	AD5314ACPZ	AD	DAC	4x 10-папп; SPI/Microwire; V _{DD} =2.5...5.5 В	LFCSP-10	VDD•VOUTA•VOUTB•VOUTC•REFIN• VOUTD•GND•DIN•SCLK•SYNC
#DCB	AD5314BCPZ	AD	DAC	4x 10-папп; SPI/Microwire; V _{DD} =2.5...5.5 В	LFCSP-10	VDD•VOUTA•VOUTB•VOUTC•REFIN• VOUTD•GND•DIN•SCLK•SYNC
#DDA	AD5324ACPZ	AD	DAC	4x 12-папп; SPI/Microwire; V _{DD} =2.5...5.5 В	LFCSP-10	VDD•VOUTA•VOUTB•VOUTC•REFIN• VOUTD•GND•DIN•SCLK•SYNC
#ddb	AD5324BCPZ	AD	DAC	4x 12-папп; SPI/Microwire; V _{DD} =2.5...5.5 В	LFCSP-10	VDD•VOUTA•VOUTB•VOUTC•REFIN• VOUTD•GND•DIN•SCLK•SYNC
+AFN	MAX1287ETA	MAX	ADC	2x 12-папп; SPI/GSPI/Microwire; V _{DD} =2.7...3.6 В	TDFN-8	VDD•AIN1•AIN2•GND•REF•CNVST• DOUT•SCLK
+AFP	MAX1289ETA	MAX	ADC	12-папп; SPI/GSPI/Microwire; V _{DD} =2.7...3.6 В	TDFN-8	VDD•AIN+•AIN-•GND•REF•CNVST• DOUT•SCLK
+AFR	MAX1288ETA	MAX	ADC	2x 12-папп; SPI/GSPI/Microwire; V _{DD} =4.5...5.5 В	TDFN-8	VDD•AIN1•AIN2•GND•REF•CNVST• DOUT•SCLK
+AFT	MAX1288ETA	MAX	ADC	12-папп; SPI/GSPI/Microwire; V _{DD} =4.5...5.5 В	TDFN-8	VDD•AIN+•AIN-•GND•REF•CNVST• DOUT•SCLK
1S1	ZX3CD1S1M832	ZETEX	pnp+shd	V _{CEO} =12 В; I _C =4 А; V _R =40 В; I _E =1.85 А	MLP-832	B•E•n.c. А•F2•K•K•C•C•F1
2S1	ZX3CD2S1M832	ZETEX	pnp+shd	V _{CEO} =20 В; I _C =3.5 А; V _R =40 В; I _E =1.85 А	MLP-832	B•E•n.c. А•F2•K•K•C•C•F1
3S1	ZX3CD3S1M832	ZETEX	pnp+shd	V _{CEO} =40 В; I _C =3 А; V _R =40 В; I _E =1.85 А	MLP-832	B•E•n.c. А•F2•K•K•C•C•F1
91A	ZXTD4591AM832	ZETEX	npn/pnp	V _{CEO} =40 В; I _{CM} =2 А; I _{CP} =1.5 А; P _D =1.5 Вт	MLP-832	B1•E1•B2•E2•F2•C2•C2•C1•C1•F1
AAAM	MAX1595ETC50	MAX	cpreg	V _R =1.8...5.5 В; V _{OUT} =5 В; I _{OUT} =125 мА	TQFN-12	SHDN•IN•IN•GND•PGND•PGND•CXN• CXN•CXP•OUT•OUT•AOUT
AAAP	MAX1595ETC33	MAX	cpreg	V _R =1.8...5.5 В; V _{OUT} =3.3 В; I _{OUT} =125 мА	TQFN-12	SHDN•IN•IN•GND•PGND•PGND•CXN• CXN•CXP•OUT•OUT•AOUT
AAG	MAX4684ETB	MAX	asw	2x SPDT; R _{ON} <0.5 Ом; V _{DD} =1.8...5.5 В	TQFN-10	V+•NC1•COM1•IN1•NC1•GND•NC2• IN2•COM2•NO2
AAH	MAX4685ETB	MAX	asw	2x SPDT; R _{ON} <0.8 Ом; V _{DD} =1.8...5.5 В	TQFN-10	V+•NC1•COM1•IN1•NC1•GND•NC2• IN2•COM2•NO2
ABW	MAX1805ETT	MAX	vcon	V _R =2.4...5.5 В; V _{OUT} =0.8...30 В; I _{CC} <35 мкА	TDFN-6	SHDN•VCC•GND•LX•LIM•FB
ABX	MAX1833ETT30	MAX	vcon	V _R =1.5...5.5 В; V _{OUT} =3.3 В; I _{OUT} <150 мА	TDFN-6	SHDN•BATT•GND•LX•OUT•RST
AGS	MAX8880ETT	MAX	reg	LDO; V _{IN} =2.5...12 В; V _{OUT} =1.25...5 В; I _{OUT} =200 мА	TDFN-6	FB•GND•OUT•IN•SHDN•POK
ALJ	MAX1838ETT50	MAX	vcon	V _R =4.5...24 В; V _{OUT} =5 В; I _{OUT} <125 мА	TDFN-6	FB•GND•IN•LX•SHDN•OUT
ALJF	MAX1837ETT50	MAX	vcon	V _R =4.5...24 В; V _{OUT} =5 В; I _{OUT} <250 мА	TDFN-6	FB•GND•IN•LX•SHDN•OUT
ALJG	MAX1838ETT33	MAX	vcon	V _R =4.5...24 В; V _{OUT} =3.3 В; I _{OUT} <125 мА	TDFN-6	FB•GND•IN•LX•SHDN•OUT
ALJH	MAX1837ETT33	MAX	vcon	V _R =4.5...24 В; V _{OUT} =3.3 В; I _{OUT} <250 мА	TDFN-6	FB•GND•IN•LX•SHDN•OUT
ALJ	MAX5900NETT	MAX	hscontr	V _{EE} =-100...-9 В; I _{CC} <1.3 мА	TDFN-6	VEE•DRAIN•GATE•GND•PGOOD•ON/OFF
ALJU	MAX5900AAETT	MAX	hscontr	V _{EE} =-100...-9 В; I _{CC} <1.3 мА; V _{CB} =200 мВ	TDFN-6	VEE•DRAIN•GATE•GND•PGOOD•ON/OFF


TDFN-6

LFCSP-8
TDFN-8

LFCSP-10
TDFN-10
TQFN-10

TQFN-12

LFCSP-16


Код	Типономинял	Б	Ф	Особенности	Корпус	Ц: 1*2*3*4*5*6...*16
AJV	MAX5900ABETT	MAX	hscntr	$V_{EE} = -100 \dots -9B$; $I_{CC} < 1.3 \text{ mA}$; $V_{CB} = 300 \text{ mB}$	TDFN-6	VEE • DRAIN • GATE • GND • PGOOD • ON/OFF
AJW	MAX5900ACETT	MAX	hscntr	$V_{EE} = -100 \dots -9B$; $I_{CC} < 1.3 \text{ mA}$; $V_{CB} = 400 \text{ mB}$	TDFN-6	VEE • DRAIN • GATE • GND • PGOOD • ON/OFF
AJX	MAX5900LAETT	MAX	hscntr	$V_{EE} = -100 \dots -9B$; $I_{CC} < 1.3 \text{ mA}$; $V_{CB} = 200 \text{ mB}$	TDFN-6	VEE • DRAIN • GATE • GND • PGOOD • ON/OFF
AJY	MAX5900LBETT	MAX	hscntr	$V_{EE} = -100 \dots -9B$; $I_{CC} < 1.3 \text{ mA}$; $V_{CB} = 300 \text{ mB}$	TDFN-6	VEE • DRAIN • GATE • GND • PGOOD • ON/OFF
AJZ	MAX5900LCETT	MAX	hscntr	$V_{EE} = -100 \dots -9B$; $I_{CC} < 1.3 \text{ mA}$; $V_{CB} = 400 \text{ mB}$	TDFN-6	VEE • DRAIN • GATE • GND • PGOOD • ON/OFF
AKA	MAX5901NNETT	MAX	hscntr	$V_{EE} = -100 \dots -9B$; $I_{CC} < 1.3 \text{ mA}$	TDFN-6	VEE • DRAIN • GATE • GND • PGOOD • ON/OFF
AKB	MAX5901AAETT	MAX	hscntr	$V_{EE} = -100 \dots -9B$; $I_{CC} < 1.3 \text{ mA}$; $V_{CB} = 200 \text{ mB}$	TDFN-6	VEE • DRAIN • GATE • GND • PGOOD • ON/OFF
AKC	MAX5901ABETT	MAX	hscntr	$V_{EE} = -100 \dots -9B$; $I_{CC} < 1.3 \text{ mA}$; $V_{CB} = 300 \text{ mB}$	TDFN-6	VEE • DRAIN • GATE • GND • PGOOD • ON/OFF
AKD	MAX5901ACETT	MAX	hscntr	$V_{EE} = -100 \dots -9B$; $I_{CC} < 1.3 \text{ mA}$; $V_{CB} = 400 \text{ mB}$	TDFN-6	VEE • DRAIN • GATE • GND • PGOOD • ON/OFF
AKE	MAX5901LAETT	MAX	hscntr	$V_{EE} = -100 \dots -9B$; $I_{CC} < 1.3 \text{ mA}$; $V_{CB} = 200 \text{ mB}$	TDFN-6	VEE • DRAIN • GATE • GND • PGOOD • ON/OFF
AKF	MAX5901LBETT	MAX	hscntr	$V_{EE} = -100 \dots -9B$; $I_{CC} < 1.3 \text{ mA}$; $V_{CB} = 300 \text{ mB}$	TDFN-6	VEE • DRAIN • GATE • GND • PGOOD • ON/OFF
AKG	MAX5901LCETT	MAX	hscntr	$V_{EE} = -100 \dots -9B$; $I_{CC} < 1.3 \text{ mA}$; $V_{CB} = 400 \text{ mB}$	TDFN-6	VEE • DRAIN • GATE • GND • PGOOD • ON/OFF
AKH	MAX5902NNETT	MAX	hscntr	$V_S = +9 \dots +72B$; $I_{CC} < 2 \text{ mA}$	TDFN-6	VS • DRAIN • GATE • GND • PGOOD • ON/OFF
AKI	MAX5902AAEUT	MAX	hscntr	$V_S = +9 \dots +72B$; $I_{CC} < 2 \text{ mA}$; $V_{CB} = 300 \text{ mB}$	TDFN-6	VS • DRAIN • GATE • GND • PGOOD • ON/OFF
AKJ	MAX5902ABETT	MAX	hscntr	$V_S = +9 \dots +72B$; $I_{CC} < 2 \text{ mA}$; $V_{CB} = 400 \text{ mB}$	TDFN-6	VS • DRAIN • GATE • GND • PGOOD • ON/OFF
AKK	MAX5902ACEUT	MAX	hscntr	$V_S = +9 \dots +72B$; $I_{CC} < 2 \text{ mA}$; $V_{CB} = 500 \text{ mB}$	TDFN-6	VS • DRAIN • GATE • GND • PGOOD • ON/OFF
AKL	MAX5902LAETT	MAX	hscntr	$V_S = +9 \dots +72B$; $I_{CC} < 2 \text{ mA}$; $V_{CB} = 300 \text{ mB}$	TDFN-6	VS • DRAIN • GATE • GND • PGOOD • ON/OFF
AKM	MAX5902LBETT	MAX	hscntr	$V_S = +9 \dots +72B$; $I_{CC} < 2 \text{ mA}$; $V_{CB} = 400 \text{ mB}$	TDFN-6	VS • DRAIN • GATE • GND • PGOOD • ON/OFF
AKN	MAX5902LCEUT	MAX	hscntr	$V_S = +9 \dots +72B$; $I_{CC} < 2 \text{ mA}$; $V_{CB} = 500 \text{ mB}$	TDFN-6	VS • DRAIN • GATE • GND • PGOOD • ON/OFF
AKO	MAX5903NNETT	MAX	hscntr	$V_S = +9 \dots +72B$; $I_{CC} < 2 \text{ mA}$	TDFN-6	VS • DRAIN • GATE • GND • PGOOD • ON/OFF
AKP	MAX5903AAETT	MAX	hscntr	$V_S = +9 \dots +72B$; $I_{CC} < 2 \text{ mA}$; $V_{CB} = 300 \text{ mB}$	TDFN-6	VS • DRAIN • GATE • GND • PGOOD • ON/OFF
AKQ	MAX5903ABETT	MAX	hscntr	$V_S = +9 \dots +72B$; $I_{CC} < 2 \text{ mA}$; $V_{CB} = 400 \text{ mB}$	TDFN-6	VS • DRAIN • GATE • GND • PGOOD • ON/OFF
AKR	MAX5903ACEUT	MAX	hscntr	$V_S = +9 \dots +72B$; $I_{CC} < 2 \text{ mA}$; $V_{CB} = 500 \text{ mB}$	TDFN-6	VS • DRAIN • GATE • GND • PGOOD • ON/OFF
AKS	MAX5903LAETT	MAX	hscntr	$V_S = +9 \dots +72B$; $I_{CC} < 2 \text{ mA}$; $V_{CB} = 300 \text{ mB}$	TDFN-6	VS • DRAIN • GATE • GND • PGOOD • ON/OFF
AKT	MAX5903LBETT	MAX	hscntr	$V_S = +9 \dots +72B$; $I_{CC} < 2 \text{ mA}$; $V_{CB} = 400 \text{ mB}$	TDFN-6	VS • DRAIN • GATE • GND • PGOOD • ON/OFF
AKU	MAX5903LCEUT	MAX	hscntr	$V_S = +9 \dots +72B$; $I_{CC} < 2 \text{ mA}$; $V_{CB} = 500 \text{ mB}$	TDFN-6	VS • DRAIN • GATE • GND • PGOOD • ON/OFF
AKV	MAX5048AATT	MAX	drv	КМОП-выход; $V_{CC} = 4 \dots 12.6 \text{ B}$; $I_{OUT} < 7.6/1.3 \text{ A}$	TDFN-6	V+ • P_OUT • N_OUT • GND • IN- • IN+
AKW	MAX5048BATT	MAX	drv	ТТЛ-выход; $V_{CC} = 4 \dots 12.6 \text{ B}$; $I_{OUT} < 7.6/1.3 \text{ A}$	TDFN-6	V+ • P_OUT • N_OUT • GND • IN- • IN+
BS1	ZXCDBS1M832	ZETEX	npn + shd	$V_{CE0} = 20 \text{ B}$; $I_C = 4.5 \text{ A}$; $V_A = 40 \text{ B}$; $I_E = 1.85 \text{ A}$	MLP-832	B • E • n.c. • A • F2 • K • C • C • F1
C01	ZXMC3AM832	ZETEX	nMOS/p MOS	$V_{DS} = 30 \text{ B}$; $I_{D1} = 2.9 \text{ A}$; $I_{D2} = 2.1 \text{ A}$; $R_{DS(on)} < 0.18 \text{ Ом}$; $R_{DS(on)} < 0.33 \text{ Ом}$	MLP-832	S1 • G1 • S2 • G2 • F2 • D2 • D1 • D1 • F1
D11	ZXTD1M832	ZETEX	pnnp x2	$V_{CE0} = 12 \text{ B}$; $I_C = 4 \text{ A}$; $P_D = 1.5 \text{ Вт}$	MLP-832	B1 • E1 • B2 • E2 • F2 • C2 • C2 • C1 • C1 • F1
D22	ZXTD2M832	ZETEX	pnnp x2	$V_{CE0} = 20 \text{ B}$; $I_C = 3.5 \text{ A}$; $P_D = 1.5 \text{ Вт}$	MLP-832	B1 • E1 • B2 • E2 • F2 • C2 • C2 • C1 • C1 • F1
D33	ZXTD3M832	ZETEX	pnnp x2	$V_{CE0} = 40 \text{ B}$; $I_C = 3 \text{ A}$; $P_D = 1.5 \text{ Вт}$	MLP-832	B1 • E1 • B2 • E2 • F2 • C2 • C2 • C1 • C1 • F1
DA1	ZXTDA1M832	ZETEX	npnp/npnp	$V_{CE0N} = 15 \text{ B}$; $V_{CE0P} = 12 \text{ B}$; $I_{DN} = 4.5 \text{ A}$; $I_{DP} = 4 \text{ A}$; $P_D = 1.5 \text{ Вт}$	MLP-832	B1 • E1 • B2 • E2 • F2 • C2 • C2 • C1 • C1 • F1
DAA	ZXTDAM832	ZETEX	npn x2	$V_{CE0} = 15 \text{ B}$; $I_C = 4.5 \text{ A}$; $P_D = 1.5 \text{ Вт}$	MLP-832	B1 • E1 • B2 • E2 • F2 • C2 • C2 • C1 • C1 • F1

LFCSP-16



TQFN-12



LFCSP-10

TDFN-10



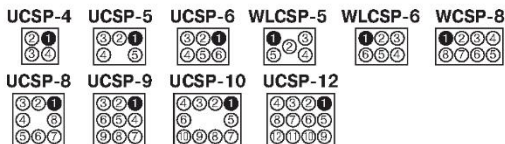
LFCSP-8



TDFN-6



Код	Типономинал	Б	Ф	Особенности	Корпус	Ц: 1•2•3•4•5•6•...•16
DB2	ZXTDB2M832	ZETEX	npn/pnp	$V_{CE01}=20\text{В}$, $V_{CE02}=20\text{В}$, $I_{CN}=4.5\text{А}$, $I_{CP}=3.5\text{А}$, $P_D=1.5\text{Вт}$	MLP-832	B1•E1•B2•E2•F2•C2•C2•C1•C1•F1
DBB	ZXTDBM832	ZETEX	npn x2	$V_{CE01}=20\text{В}$, $I_{C1}=4.5\text{А}$, $P_D=1.5\text{Вт}$	MLP-832	B1•E1•B2•E2•F2•C2•C2•C1•C1•F1
DC3	ZXTDC3M832	ZETEX	npn/pnp	$V_{CE01}=50\text{В}$, $V_{CE02}=40\text{В}$, $I_{CN}=4\text{А}$, $I_{CP}=3\text{А}$, $P_D=1.5\text{Вт}$	MLP-832	B1•E1•B2•E2•F2•C2•C2•C1•C1•F1
DCC	ZXTDCM832	ZETEX	npn x2	$V_{CE01}=50\text{В}$, $I_{C1}=4\text{А}$, $P_D=1.5\text{Вт}$	MLP-832	B1•E1•B2•E2•F2•C2•C2•C1•C1•F1
DE4	ZXTDE4M832	ZETEX	npn/pnp	$V_{CE01}=80\text{В}$, $V_{CE02}=70\text{В}$, $I_{CN}=3.5\text{А}$, $I_{CP}=2.5\text{А}$, $P_D=1.5\text{Вт}$	MLP-832	B1•E1•B2•E2•F2•C2•C2•C1•C1•F1
DNA	ZXMN2AM832	ZETEX	nMOS x2	$V_{DS}=20\text{В}$, $I_D=13\text{А}$, $P_D=1.5\text{Вт}$, $R_{DS(on)} < 0.3\text{Ом}$	MLP-832	S1•G1•S2•G2•F2•D2•D2•D1•D1•F1
DNB	ZXMN3AM832	ZETEX	nMOS x2	$V_{DS}=30\text{В}$, $I_D=13\text{А}$, $P_D=1.5\text{Вт}$, $R_{DS(on)} < 0.18\text{Ом}$	MLP-832	S1•G1•S2•G2•F2•D2•D2•D1•D1•F1
DPA	ZXMP62M832	ZETEX	pMOS x2	$V_{DS}=20\text{В}$, $I_D=1.3\text{А}$, $P_D=1.5\text{Вт}$, $R_{DS(on)} < 0.9\text{Ом}$	MLP-832	S1•G1•S2•G2•F2•D2•D2•D1•D1•F1
J5A	AD8314ACP	AD	LA	$f_{90}=0.1...2.7\text{ГГц}$, $P_D=30\text{мВт}$, $V_{DD}=2.7...5.5\text{В}$	LFCSP-8	RFIN•ENBL•VSET•FLTR•COMM•VUP•V DN•VPOS
J7A	AD8315ACP	AD	LA	$f_{90}=0.1...2.5\text{ГГц}$, $P_D=60\text{мВт}$, $V_{DD}=2.7...5.5\text{В}$	LFCSP-8	RFIN•ENBL•VSET•FLTR•COMM•n.c. • VAPC•VPOS
J8A	AD8316ACP	AD	LA	$f_{90}=0.1...2.5\text{ГГц}$, $P_D=60\text{мВт}$, $V_{DD}=2.7...5.5\text{В}$	LFCSP-16	RFIN•ENBL•VSET•FLTR•n.c. •BSEL• FLT2•n.c. •OUT2•COMM•OUT1•VPOS•n. c. •COMM•n.c. •n.c.
LFA	ADP3335ACP-1.8	AD	reg	LDO; $V_{IN}=2.6...12\text{В}$, $I_{OUT}=500\text{мА}$, $V_{OUT}=1.8\text{В}$	LFCSP-8	OUT•OUT•OUT•GND•NR•SD•IN•IN
LFC	ADP3335ACP-2.5	AD	reg	LDO; $V_{IN}=2.6...12\text{В}$, $I_{OUT}=500\text{мА}$, $V_{OUT}=2.5\text{В}$	LFCSP-8	OUT•OUT•OUT•GND•NR•SD•IN•IN
LFD	ADP3335ACP-2.85	AD	reg	LDO; $V_{IN}=2.6...12\text{В}$, $I_{OUT}=500\text{мА}$, $V_{OUT}=2.85\text{В}$	LFCSP-8	OUT•OUT•OUT•GND•NR•SD•IN•IN
LFE	ADP3335ACP-3.3	AD	reg	LDO; $V_{IN}=2.6...12\text{В}$, $I_{OUT}=500\text{мА}$, $V_{OUT}=3.3\text{В}$	LFCSP-8	OUT•OUT•OUT•GND•NR•SD•IN•IN
LF	ADP3335ACP-5	AD	reg	LDO; $V_{IN}=2.6...12\text{В}$, $I_{OUT}=500\text{мА}$, $V_{OUT}=5\text{В}$	LFCSP-8	OUT•OUT•OUT•GND•NR•SD•IN•IN
MSA	ZXMN3BM832	ZETEX	nMOS + shd	$V_{DS}=30\text{В}$, $I_D=2\text{А}$, $V_R=40\text{В}$, $I_F=1.85\text{А}$	MLP-832	S•G•n.c. •A•F2•K•K•D•D•F1
MSB	ZXMP62M832	ZETEX	pMOS + shd	$V_{DS}=20\text{В}$, $I_D=1.3\text{А}$, $V_R=40\text{В}$, $I_F=1.85\text{А}$	MLP-832	S•G•n.c. •A•F2•K•K•D•D•F1



UCSP, WCSP..

Код	Типономинал	Б	Ф	Особенности	Корпус	Ц: 1•2•3•4...•12
AAA	MAX2240EBL	MAX	amp	$V_{CC}=2.7...5.5\text{ В}$; $f_p=2.4...2.5\text{ ГГц}$; $I_{CC}<155\text{ мА}$	UCSP-9	DO•D1•BIAS•RFOUT•SHDN•GND1•GND2•VCC•RFIN
AAA	MAX6400BS22	MAX	mrc	$V_{IH}=2.2\text{ В}$; $V_{DD}=1.2...5.5\text{ В}$; $I_{CC}<1\text{ мА}$	UCSP-4	GND•VCC•MR•RESET
AAB	MAX1820ZEB	MAX	dc/dc	$V_{IH}=2.6...5.5\text{ В}$; $V_{OUT}=0.4...3.4\text{ В}$; $I_{OUT}=600\text{ мА}$	UCSP-10	SKIP•COMP•OUT•REF•GND•PGND•LX•BATT•SHDN•SYNC
AAB	MAX2374EBT	MAX	amp	SiGe ; $V_{CC}=2.7...5.5\text{ В}$; $f_p=750...1000\text{ МГц}$; $I_{CC}<10.5\text{ мА}$	UCSP-6	GAIN•LNAIN•GND•BIAS•LNACUT•VCC
AAB	MAX6400BS23	MAX	mrc	$V_{IH}=2.32\text{ В}$; $V_{DD}=1.2...5.5\text{ В}$; $I_{CC}<1\text{ мА}$	UCSP-4	GND•VCC•MR•RESET
AAC	MAX1819EBL20	MAX	reg	LDO; $V_{IN}=2.5...5.5\text{ В}$; $V_{OUT}=2.0/1.25...5\text{ В}$; $I_{OUT}=500\text{ мА}$	UCSP-6	IN•POK•SHDN•GND•SET•OUT
AAC	MAX1821EBC	MAX	dc/dc	$V_{IH}=2.6...5.5\text{ В}$; $V_{OUT}=1.25...5.5\text{ В}$; $I_{OUT}=600\text{ мА}$	UCSP-10	SKIP•COMP•FB•REF•GND•PGND•LX•BATT•SHDN•SYNC
AAC	MAX6400BS24	MAX	mrc	$V_{IH}=2.4\text{ В}$; $V_{DD}=1.2...5.5\text{ В}$; $I_{CC}<1\text{ мА}$	UCSP-4	GND•VCC•MR•RESET
AAD	MAX1819EBL25	MAX	reg	LDO; $V_{IN}=2.5...5.5\text{ В}$; $V_{OUT}=2.5/1.25...5\text{ В}$; $I_{OUT}=500\text{ мА}$	UCSP-6	IN•POK•SHDN•GND•SET•OUT
AAD	MAX6400BS25	MAX	mrc	$V_{IH}=2.5\text{ В}$; $V_{DD}=1.2...5.5\text{ В}$; $I_{CC}<1\text{ мА}$	UCSP-4	GND•VCC•MR•RESET
AAE	MAX1819EBL33	MAX	reg	LDO; $V_{IN}=2.5...5.5\text{ В}$; $V_{OUT}=3.3/1.25...5\text{ В}$; $I_{OUT}=500\text{ мА}$	UCSP-6	IN•POK•SHDN•GND•SET•OUT
AAE	MAX2242EBC	MAX	amp	$V_{CC}=2.7...3.6\text{ В}$; $f_p=2.4...2.5\text{ ГГц}$; $I_{CC}<335\text{ мА}$	UCSP-12	GND•VCC2•GND•VCC1•RF OUT•PD OUT•n.c. •GND•BIAS•SHDN•VCCB•RF IN
AAE	MAX2648EBT	MAX	amp	SiGe ; $V_{CC}=2.7...3.6\text{ В}$; $f_p=5000\text{+R}[1841]\text{ ГГц}$; $I_{CC}<18\text{ мА}$	UCSP-6	RFIN•GND•GND•VCC•GND•RFOUT
AAE	MAX6400BS26	MAX	mrc	$V_{IH}=2.63\text{ В}$; $V_{DD}=1.2...5.5\text{ В}$; $I_{CC}<1\text{ мА}$	UCSP-4	GND•VCC•MR•RESET
AAF	MAX1819EBL50	MAX	reg	LDO; $V_{IN}=2.5...5.5\text{ В}$; $V_{OUT}=5.0/1.25...5\text{ В}$; $I_{OUT}=500\text{ мА}$	UCSP-6	IN•POK•SHDN•GND•SET•OUT
AAF	MAX64684EBC	MAX	asw	2xSPDT; $R_{ON}<0.5\text{ Ом}$; $V_{DD}=1.8...5.5\text{ В}$	UCSP-10	NC2•IN2•COM2•NC2•GND•V+•NC1•IN1•COM1•NC1
AAF	MAX6400BS27	MAX	mrc	$V_{IH}=2.7\text{ В}$; $V_{DD}=1.2...5.5\text{ В}$; $I_{CC}<1\text{ мА}$	UCSP-4	GND•VCC•MR•RESET
AAG	MAX1819EBL18	MAX	reg	LDO; $V_{IN}=2.5...5.5\text{ В}$; $V_{OUT}=1.8/1.25...5\text{ В}$; $I_{OUT}=500\text{ мА}$	UCSP-6	IN•POK•SHDN•GND•SET•OUT
AAG	MAX64685EBC	MAX	asw	2xSPDT; $R_{ON}<0.8\text{ Ом}$; $V_{DD}=1.8...5.5\text{ В}$	UCSP-10	NC2•IN2•COM2•NC2•GND•V+•NC1•IN1•COM1•NC1
AAG	MAX6400BS28	MAX	mrc	$V_{IH}=2.8\text{ В}$; $V_{DD}=1.2...5.5\text{ В}$; $I_{CC}<1\text{ мА}$	UCSP-4	GND•VCC•MR•RESET
AAH	MAX1819EBL15	MAX	reg	LDO; $V_{IN}=2.5...5.5\text{ В}$; $V_{OUT}=1.5/1.25...5\text{ В}$; $I_{OUT}=500\text{ мА}$	UCSP-6	IN•POK•SHDN•GND•SET•OUT
AAH	MAX2307EBC	MAX	amp	$V_{CC}=2.8...4.2\text{ В}$; $f_p=887...925\text{ МГц}$; $I_{CC}<38\text{ мА}$	UCSP-12	VCC•VCC MIXP•VCC MIXM•GND•LOIN/SHDN•n.c. •GC•RF OUT•GND•IFINP•IFINM•SHDN
AAH	MAX6400BS29	MAX	mrc	$V_{IH}=2.93\text{ В}$; $V_{DD}=1.2...5.5\text{ В}$; $I_{CC}<1\text{ мА}$	UCSP-4	GND•VCC•MR•RESET
AAI	MAX6468EBT	MAX	asw	SPST; $R_{ON}<3.5\text{ Ом}$; $V_{DD}=1.8...5.5\text{ В}$	UCSP-6	NC0•I.C. •COM•GND•IN•V+
AAI	MAX6400BS30	MAX	mrc	$V_{IH}=3.0\text{ В}$; $V_{DD}=1.2...5.5\text{ В}$; $I_{CC}<1\text{ мА}$	UCSP-4	GND•VCC•MR•RESET
AAJ	MAX2383BC	MAX	amp	$V_{CC}=2.7...3\text{ В}$; $f_p=1920...1960\text{ МГц}$; $I_{CC}<44\text{ мА}$	UCSP-12	LO+/LO EN•VCC•DROUT•GND•LD/SHDN•n.c. •GC•DRIN•IRN•IFIN+•RF OUT•GND
AAJ	MAX4292EBL	MAX	cOA	R-R; $V_{DD}=1.8...5.5/0.9...2.75\text{ В}$; $f_{3dB}=500\text{ кГц}$; $V_{OS}<2.5\text{ мВ}$	UCSP-8	OUTA•VCC•OUTB•INB•INB+•VEE•INA+•INA-
AAJ	MAX6468EBT	MAX	asw	SPST; $R_{ON}<3.5\text{ Ом}$; $V_{DD}=1.8...5.5\text{ В}$	UCSP-6	NC0•I.C. •COM•GND•IN•V+
AAJ	MAX6400BS31	MAX	mrc	$V_{IH}=3.08\text{ В}$; $V_{DD}=1.2...5.5\text{ В}$; $I_{CC}<1\text{ мА}$	UCSP-4	GND•VCC•MR•RESET
AAK	MAX6468EBT	MAX	asw	SPDT; $R_{ON}<3.5\text{ Ом}$; $V_{DD}=1.8...5.5\text{ В}$	UCSP-6	NC0•COM•NC0•GND•IN•V+

WCSP-8



WLCSP-6



WLCSP-5



UCSP-6



UCSP-5



UCSP-4



UCSP-12



UCSP-10



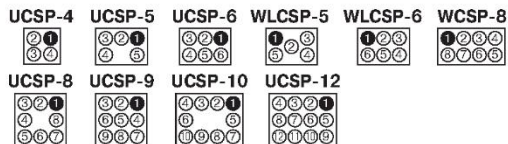
UCSP-9



UCSP-8



Код	Типономинал	Б	Ф	Особенности	Корпус	Ц: 1•2•3•4•...•12
AAK	MAX6410BS33	MAX	vd	$V_{TR}=3.30B; V_{DD}=1.2...5.5B; I_{CC}<1.75mA$	UCSP-4	GND•VCC•MR•OUT
AAL	MAX1820XEB	MAX	dc/dc	$V_{IN}=2.6...5.5B; V_{OUT}=0.4...3.4B; f_{CLK}=19.8MHz; I_{OUT}=600mA$	UCSP-10	SKIP•COMP•OUT•REF•GND•PGND•LX•BATT•SHDN•SYNC
AAL	MAX4696EBT	MAX	asw	SPST; $R_{ON}<40\Omega; V_{DD}=2.0...5.5B$	UCSP-6	NO•COM•COM•GND•IN•V+
AAL	MAX6410BS34	MAX	vd	$V_{TR}=3.40B; V_{DD}=1.2...5.5B; I_{CC}<1.75mA$	UCSP-4	GND•VCC•MR•OUT
AAM	MAX1820XEB	MAX	dc/dc	$V_{IN}=2.6...5.5B; V_{OUT}=0.4...3.4B; f_{CLK}=13MHz; I_{OUT}=600mA$	UCSP-10	SKIP•COMP•OUT•REF•GND•PGND•LX•BATT•SHDN•SYNC
AAM	MAX4697EBT	MAX	asw	SPST; $R_{ON}<40\Omega; V_{DD}=2.0...5.5B$	UCSP-6	NC•COM•COM•GND•IN•V+
AAM	MAX6410BS35	MAX	vd	$V_{TR}=3.50B; V_{DD}=1.2...5.5B; I_{CC}<1.75mA$	UCSP-4	GND•VCC•MR•OUT
AAN	MAX4696EBT	MAX	asw	SPDT; $R_{ON}<40\Omega; V_{DD}=2.0...5.5B$	UCSP-6	NO•COM•NC•GND•IN•V+
AAN	MAX6410BS36	MAX	vd	$V_{TR}=3.60B; V_{DD}=1.2...5.5B; I_{CC}<1.75mA$	UCSP-4	GND•VCC•MR•OUT
AAO	MAX6410BS37	MAX	vd	$V_{TR}=3.70B; V_{DD}=1.2...5.5B; I_{CC}<1.75mA$	UCSP-4	GND•VCC•MR•OUT
AAP	MAX6410BS38	MAX	vd	$V_{TR}=3.80B; V_{DD}=1.2...5.5B; I_{CC}<1.75mA$	UCSP-4	GND•VCC•MR•OUT
AAQ	MAX6410BS39	MAX	vd	$V_{TR}=3.90B; V_{DD}=1.2...5.5B; I_{CC}<1.75mA$	UCSP-4	GND•VCC•MR•OUT
AAR	MAX6410BS40	MAX	vd	$V_{TR}=4.00B; V_{DD}=1.2...5.5B; I_{CC}<1.75mA$	UCSP-4	GND•VCC•MR•OUT
AAS	MAX6410BS41	MAX	vd	$V_{TR}=4.10B; V_{DD}=1.2...5.5B; I_{CC}<1.75mA$	UCSP-4	GND•VCC•MR•OUT
AAT	MAX6410BS42	MAX	vd	$V_{TR}=4.20B; V_{DD}=1.2...5.5B; I_{CC}<1.75mA$	UCSP-4	GND•VCC•MR•OUT
AAU	MAX6410BS43	MAX	vd	$V_{TR}=4.30B; V_{DD}=1.2...5.5B; I_{CC}<1.75mA$	UCSP-4	GND•VCC•MR•OUT
AAV	MAX1821XEB	MAX	dc/dc	$V_{IN}=2.6...5.5B; V_{OUT}=1.25...5.5B; f_{CLK}=13MHz; I_{OUT}=600mA$	UCSP-10	SKIP•COMP•FB•REF•GND•PGND•LX•BATT•SHDN•SYNC
AAV	MAX6410BS44	MAX	vd	$V_{TR}=4.38B; V_{DD}=1.2...5.5B; I_{CC}<1.75mA$	UCSP-4	GND•VCC•MR•OUT
AAW	MAX4322EBT	MAX	OA	R-R; $V_{DD}=2.4...6.5V; \pm 2...3.25B; f_{DB}=5MHz; V_{DS}<3.5MB$	UCSP-6	VEE•OUT•VCC•SHDN•IN•IN+
AAW	MAX6410BS45	MAX	vd	$V_{TR}=4.50B; V_{DD}=1.2...5.5B; I_{CC}<1.75mA$	UCSP-4	GND•VCC•MR•OUT
AAX	MAX6410BS46	MAX	vd	$V_{TR}=4.63B; V_{DD}=1.2...5.5B; I_{CC}<1.75mA$	UCSP-4	GND•VCC•MR•OUT
AAZ	MAX6411BS33	MAX	vd	$V_{TR}=3.30B; V_{DD}=1.2...5.5B; I_{CC}<1.75mA$	UCSP-4	GND•VCC•MR•OUT
AAZ	MAX985EBT	MAX	cmp	R-R; $V_{OS}<\pm 7mV; V_{CC}=2.5...5.5B; I_{CC}<24mA$	UCSP-6	VEE•OUT•VCC•n.c. IN•IN+
AAZ	MAX6411BS34	MAX	vd	$V_{TR}=3.40B; V_{DD}=1.2...5.5B; I_{CC}<1.75mA$	UCSP-4	GND•VCC•MR•OUT
AAZ	MAX9039EBT	MAX	cmp + vref	R-R; $V_{OS}<\pm 7mV; V_{CC}=2.5...5.5B; V_{REF}=1.230B; I_{CC}<72mA$	UCSP-6	VEE•OUT•VCC•REF•IN•IN+
ABA	MAX6411BS35	MAX	vd	$V_{TR}=3.50B; V_{DD}=1.2...5.5B; I_{CC}<1.75mA$	UCSP-4	GND•VCC•MR•OUT
ABB	MAX6411BS36	MAX	vd	$V_{TR}=3.60B; V_{DD}=1.2...5.5B; I_{CC}<1.75mA$	UCSP-4	GND•VCC•MR•OUT
ABC	MAX6411BS37	MAX	vd	$V_{TR}=3.70B; V_{DD}=1.2...5.5B; I_{CC}<1.75mA$	UCSP-4	GND•VCC•MR•OUT
ABD	MAX6411BS38	MAX	vd	$V_{TR}=3.80B; V_{DD}=1.2...5.5B; I_{CC}<1.75mA$	UCSP-4	GND•VCC•MR•OUT
ABE	MAX6411BS39	MAX	vd	$V_{TR}=3.90B; V_{DD}=1.2...5.5B; I_{CC}<1.75mA$	UCSP-4	GND•VCC•MR•OUT
ABF	MAX6411BS40	MAX	vd	$V_{TR}=4.00B; V_{DD}=1.2...5.5B; I_{CC}<1.75mA$	UCSP-4	GND•VCC•MR•OUT
ABG	MAX6411BS41	MAX	vd	$V_{TR}=4.10B; V_{DD}=1.2...5.5B; I_{CC}<1.75mA$	UCSP-4	GND•VCC•MR•OUT
ABH	MAX6411BS42	MAX	vd	$V_{TR}=4.20B; V_{DD}=1.2...5.5B; I_{CC}<1.75mA$	UCSP-4	GND•VCC•MR•OUT
ABI	MAX6411BS43	MAX	vd	$V_{TR}=4.30B; V_{DD}=1.2...5.5B; I_{CC}<1.75mA$	UCSP-4	GND•VCC•MR•OUT
ABJ	MAX6411BS44	MAX	vd	$V_{TR}=4.38B; V_{DD}=1.2...5.5B; I_{CC}<1.75mA$	UCSP-4	GND•VCC•MR•OUT
ABK	MAX6411BS45	MAX	vd	$V_{TR}=4.50B; V_{DD}=1.2...5.5B; I_{CC}<1.75mA$	UCSP-4	GND•VCC•MR•OUT
ABL	MAX6411BS46	MAX	vd	$V_{TR}=4.63B; V_{DD}=1.2...5.5B; I_{CC}<1.75mA$	UCSP-4	GND•VCC•MR•OUT
ABM	MAX6401BS22	MAX	mnc	$V_{TR}=2.2B; V_{DD}=1.2...5.5B; I_{CC}<1mA$	UCSP-4	GND•VCC•MR•RESET
ABN	MAX6401BS23	MAX	mnc	$V_{TR}=2.32B; V_{DD}=1.2...5.5B; I_{CC}<1mA$	UCSP-4	GND•VCC•MR•RESET
ABO	MAX6401BS24	MAX	mnc	$V_{TR}=2.4B; V_{DD}=1.2...5.5B; I_{CC}<1mA$	UCSP-4	GND•VCC•MR•RESET
ABP	MAX6401BS25	MAX	mnc	$V_{TR}=2.5B; V_{DD}=1.2...5.5B; I_{CC}<1mA$	UCSP-4	GND•VCC•MR•RESET



Код	Типономинал	Б	Ф	Особенности	Корпус	Ц: 1+2+3+4...+12
ABQ	MAX6401BS26	MAX	mic	$V_{TH}=2.63B$, $V_{DD}=1.2...5.5B$, $I_{CC}<1mA$	UCSP-4	GND • VCC • MR • RESET
ABR	MAX6401BS27	MAX	mic	$V_{TH}=2.7B$, $V_{DD}=1.2...5.5B$, $I_{CC}<1mA$	UCSP-4	GND • VCC • MR • RESET
ABS	MAX6401BS28	MAX	mic	$V_{TH}=2.8B$, $V_{DD}=1.2...5.5B$, $I_{CC}<1mA$	UCSP-4	GND • VCC • MR • RESET
ABT	MAX6401BS29	MAX	mic	$V_{TH}=2.93B$, $V_{DD}=1.2...5.5B$, $I_{CC}<1mA$	UCSP-4	GND • VCC • MR • RESET
ABU	MAX6401BS30	MAX	mic	$V_{TH}=3.0B$, $V_{DD}=1.2...5.5B$, $I_{CC}<1mA$	UCSP-4	GND • VCC • MR • RESET
ABV	MAX6401BS31	MAX	mic	$V_{TH}=3.08B$, $V_{DD}=1.2...5.5B$, $I_{CC}<1mA$	UCSP-4	GND • VCC • MR • RESET
ABW	MAX6402BS22	MAX	mic	$V_{TH}=2.2B$, $V_{DD}=1.2...5.5B$, $I_{CC}<1mA$	UCSP-4	GND • VCC • MR • RESET
ABX	MAX6402BS23	MAX	mic	$V_{TH}=2.32B$, $V_{DD}=1.2...5.5B$, $I_{CC}<1mA$	UCSP-4	GND • VCC • MR • RESET
ABY	MAX6402BS24	MAX	mic	$V_{TH}=2.4B$, $V_{DD}=1.2...5.5B$, $I_{CC}<1mA$	UCSP-4	GND • VCC • MR • RESET
ABZ	MAX6402BS25	MAX	mic	$V_{TH}=2.5B$, $V_{DD}=1.2...5.5B$, $I_{CC}<1mA$	UCSP-4	GND • VCC • MR • RESET
ACA	MAX6402BS26	MAX	mic	$V_{TH}=2.63B$, $V_{DD}=1.2...5.5B$, $I_{CC}<1mA$	UCSP-4	GND • VCC • MR • RESET
ACB	MAX6402BS27	MAX	mic	$V_{TH}=2.7B$, $V_{DD}=1.2...5.5B$, $I_{CC}<1mA$	UCSP-4	GND • VCC • MR • RESET
ACC	MAX6402BS28	MAX	mic	$V_{TH}=2.8B$, $V_{DD}=1.2...5.5B$, $I_{CC}<1mA$	UCSP-4	GND • VCC • MR • RESET
ACD	MAX6402BS29	MAX	mic	$V_{TH}=2.93B$, $V_{DD}=1.2...5.5B$, $I_{CC}<1mA$	UCSP-4	GND • VCC • MR • RESET
ACE	MAX6402BS30	MAX	mic	$V_{TH}=3.0B$, $V_{DD}=1.2...5.5B$, $I_{CC}<1mA$	UCSP-4	GND • VCC • MR • RESET
ACF	MAX6402BS31	MAX	mic	$V_{TH}=3.08B$, $V_{DD}=1.2...5.5B$, $I_{CC}<1mA$	UCSP-4	GND • VCC • MR • RESET
ACG	MAX6403BS33	MAX	mic	$V_{TH}=3.3B$, $V_{DD}=1.2...5.5B$, $I_{CC}<1mA$	UCSP-4	GND • VCC • MR • RESET
ACH	MAX6403BS34	MAX	mic	$V_{TH}=3.4B$, $V_{DD}=1.2...5.5B$, $I_{CC}<1mA$	UCSP-4	GND • VCC • MR • RESET
ACI	MAX6403BS35	MAX	mic	$V_{TH}=3.5B$, $V_{DD}=1.2...5.5B$, $I_{CC}<1mA$	UCSP-4	GND • VCC • MR • RESET
ACJ	MAX6403BS36	MAX	mic	$V_{TH}=3.6B$, $V_{DD}=1.2...5.5B$, $I_{CC}<1mA$	UCSP-4	GND • VCC • MR • RESET
ACK	MAX6403BS37	MAX	mic	$V_{TH}=3.7B$, $V_{DD}=1.2...5.5B$, $I_{CC}<1mA$	UCSP-4	GND • VCC • MR • RESET
ACL	MAX6403BS38	MAX	mic	$V_{TH}=3.8B$, $V_{DD}=1.2...5.5B$, $I_{CC}<1mA$	UCSP-4	GND • VCC • MR • RESET
ACM	MAX6403BS39	MAX	mic	$V_{TH}=3.9B$, $V_{DD}=1.2...5.5B$, $I_{CC}<1mA$	UCSP-4	GND • VCC • MR • RESET
ACN	MAX6403BS40	MAX	mic	$V_{TH}=4.0B$, $V_{DD}=1.2...5.5B$, $I_{CC}<1mA$	UCSP-4	GND • VCC • MR • RESET
ACO	MAX6403BS41	MAX	mic	$V_{TH}=4.1B$, $V_{DD}=1.2...5.5B$, $I_{CC}<1mA$	UCSP-4	GND • VCC • MR • RESET
ACP	MAX6403BS42	MAX	mic	$V_{TH}=4.2B$, $V_{DD}=1.2...5.5B$, $I_{CC}<1mA$	UCSP-4	GND • VCC • MR • RESET
ACQ	MAX6403BS43	MAX	mic	$V_{TH}=4.3B$, $V_{DD}=1.2...5.5B$, $I_{CC}<1mA$	UCSP-4	GND • VCC • MR • RESET
ACR	MAX6403BS44	MAX	mic	$V_{TH}=4.38B$, $V_{DD}=1.2...5.5B$, $I_{CC}<1mA$	UCSP-4	GND • VCC • MR • RESET
ACS	MAX6403BS45	MAX	mic	$V_{TH}=4.5B$, $V_{DD}=1.2...5.5B$, $I_{CC}<1mA$	UCSP-4	GND • VCC • MR • RESET
ACT	MAX6403BS46	MAX	mic	$V_{TH}=4.63B$, $V_{DD}=1.2...5.5B$, $I_{CC}<1mA$	UCSP-4	GND • VCC • MR • RESET
ACU	MAX6404BS33	MAX	mic	$V_{TH}=3.3B$, $V_{DD}=1.2...5.5B$, $I_{CC}<1mA$	UCSP-4	GND • VCC • MR • RESET
ACV	MAX6404BS34	MAX	mic	$V_{TH}=3.4B$, $V_{DD}=1.2...5.5B$, $I_{CC}<1mA$	UCSP-4	GND • VCC • MR • RESET
ACW	MAX6404BS35	MAX	mic	$V_{TH}=3.5B$, $V_{DD}=1.2...5.5B$, $I_{CC}<1mA$	UCSP-4	GND • VCC • MR • RESET
ACX	MAX4372T EBT	MAX	CSA	$V_{DD}=2.7...28B$, Gain=20, $I_{CC}<1.9mA$	UCSP-5	VCC • GND • OUT • RS • RS+
ACX	MAX6404BS36	MAX	mic	$V_{TH}=3.6B$, $V_{DD}=1.2...5.5B$, $I_{CC}<1mA$	UCSP-4	GND • VCC • MR • RESET
ACY	MAX4372FEBT	MAX	CSA	$V_{DD}=2.7...28B$, Gain=50, $I_{CC}<1.9mA$	UCSP-5	VCC • GND • OUT • RS • RS+
ACY	MAX6404BS37	MAX	mic	$V_{TH}=3.7B$, $V_{DD}=1.2...5.5B$, $I_{CC}<1mA$	UCSP-4	GND • VCC • MR • RESET
ACZ	MAX4372HEBT	MAX	CSA	$V_{DD}=2.7...28B$, Gain=100, $I_{CC}<1.9mA$	UCSP-5	VCC • GND • OUT • RS • RS+
ACZ	MAX6404BS38	MAX	mic	$V_{TH}=3.8B$, $V_{DD}=1.2...5.5B$, $I_{CC}<1mA$	UCSP-4	GND • VCC • MR • RESET
ADA	MAX6404BS39	MAX	mic	$V_{TH}=3.9B$, $V_{DD}=1.2...5.5B$, $I_{CC}<1mA$	UCSP-4	GND • VCC • MR • RESET
ADB	MAX6404BS40	MAX	mic	$V_{TH}=4.0B$, $V_{DD}=1.2...5.5B$, $I_{CC}<1mA$	UCSP-4	GND • VCC • MR • RESET
ADC	MAX6404BS41	MAX	mic	$V_{TH}=4.1B$, $V_{DD}=1.2...5.5B$, $I_{CC}<1mA$	UCSP-4	GND • VCC • MR • RESET
ADD	MAX6404BS42	MAX	mic	$V_{TH}=4.2B$, $V_{DD}=1.2...5.5B$, $I_{CC}<1mA$	UCSP-4	GND • VCC • MR • RESET
ADE	MAX6404BS43	MAX	mic	$V_{TH}=4.3B$, $V_{DD}=1.2...5.5B$, $I_{CC}<1mA$	UCSP-4	GND • VCC • MR • RESET

WCSP-8



WLCSP-6



WLCSP-5



UCSP-6



UCSP-5



UCSP-4



UCSP-12



UCSP-10



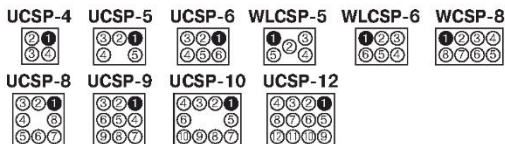
UCSP-9



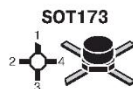
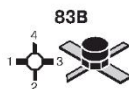
UCSP-8



Код	Типономинал	Б	Ф	Особенности	Корпус	Ц: 1•2•3•4•...•12
ADF	MAX6404BS44	MAX	плс	$V_{TH}=4.38В$, $V_{DD}=1.2...5.5В$, $I_{CC}<1мкА$	UCSP-4	GND•VCC•MR•RESET
ADG	MAX6404BS45	MAX	плс	$V_{TH}=4.5В$, $V_{DD}=1.2...5.5В$, $I_{CC}<1мкА$	UCSP-4	GND•VCC•MR•RESET
ADH	MAX6404BS46	MAX	плс	$V_{TH}=4.63В$, $V_{DD}=1.2...5.5В$, $I_{CC}<1мкА$	UCSP-4	GND•VCC•MR•RESET
ADI	MAX6406BS33	MAX	плс	$V_{TH}=3.3В$, $V_{DD}=1.2...5.5В$, $I_{CC}<1мкА$	UCSP-4	GND•VCC•MR•RESET
ADJ	MAX6406BS34	MAX	плс	$V_{TH}=3.4В$, $V_{DD}=1.2...5.5В$, $I_{CC}<1мкА$	UCSP-4	GND•VCC•MR•RESET
ADK	MAX6406BS35	MAX	плс	$V_{TH}=3.5В$, $V_{DD}=1.2...5.5В$, $I_{CC}<1мкА$	UCSP-4	GND•VCC•MR•RESET
ADL	MAX6406BS36	MAX	плс	$V_{TH}=3.6В$, $V_{DD}=1.2...5.5В$, $I_{CC}<1мкА$	UCSP-4	GND•VCC•MR•RESET
ADM	MAX6406BS37	MAX	плс	$V_{TH}=3.7В$, $V_{DD}=1.2...5.5В$, $I_{CC}<1мкА$	UCSP-4	GND•VCC•MR•RESET
ADN	MAX6406BS38	MAX	плс	$V_{TH}=3.8В$, $V_{DD}=1.2...5.5В$, $I_{CC}<1мкА$	UCSP-4	GND•VCC•MR•RESET
ADO	MAX6406BS39	MAX	плс	$V_{TH}=3.9В$, $V_{DD}=1.2...5.5В$, $I_{CC}<1мкА$	UCSP-4	GND•VCC•MR•RESET
ADP	MAX6406BS40	MAX	плс	$V_{TH}=4.0В$, $V_{DD}=1.2...5.5В$, $I_{CC}<1мкА$	UCSP-4	GND•VCC•MR•RESET
ADO	MAX6406BS41	MAX	плс	$V_{TH}=4.1В$, $V_{DD}=1.2...5.5В$, $I_{CC}<1мкА$	UCSP-4	GND•VCC•MR•RESET
ADR	MAX6406BS42	MAX	плс	$V_{TH}=4.2В$, $V_{DD}=1.2...5.5В$, $I_{CC}<1мкА$	UCSP-4	GND•VCC•MR•RESET
ADS	MAX6406BS43	MAX	плс	$V_{TH}=4.3В$, $V_{DD}=1.2...5.5В$, $I_{CC}<1мкА$	UCSP-4	GND•VCC•MR•RESET
ADT	MAX6406BS44	MAX	плс	$V_{TH}=4.38В$, $V_{DD}=1.2...5.5В$, $I_{CC}<1мкА$	UCSP-4	GND•VCC•MR•RESET
ADU	MAX6406BS45	MAX	плс	$V_{TH}=4.5В$, $V_{DD}=1.2...5.5В$, $I_{CC}<1мкА$	UCSP-4	GND•VCC•MR•RESET
ADV	MAX6406BS46	MAX	плс	$V_{TH}=4.63В$, $V_{DD}=1.2...5.5В$, $I_{CC}<1мкА$	UCSP-4	GND•VCC•MR•RESET
ADW	MAX6406BS22	MAX	vd	$V_{TH}=2.20В$, $V_{DD}=1.2...5.5В$, $I_{CC}<1.75мкА$	UCSP-4	GND•VCC•MR•OUT
ADX	MAX6406BS23	MAX	vd	$V_{TH}=2.32В$, $V_{DD}=1.2...5.5В$, $I_{CC}<1.75мкА$	UCSP-4	GND•VCC•MR•OUT
ADY	MAX6406BS24	MAX	vd	$V_{TH}=2.40В$, $V_{DD}=1.2...5.5В$, $I_{CC}<1.75мкА$	UCSP-4	GND•VCC•MR•OUT
ADZ	MAX6406BS25	MAX	vd	$V_{TH}=2.50В$, $V_{DD}=1.2...5.5В$, $I_{CC}<1.75мкА$	UCSP-4	GND•VCC•MR•OUT
AEB	MAX6406BS26	MAX	vd	$V_{TH}=2.63В$, $V_{DD}=1.2...5.5В$, $I_{CC}<1.75мкА$	UCSP-4	GND•VCC•MR•OUT
AEB	MAX6406BS27	MAX	vd	$V_{TH}=2.70В$, $V_{DD}=1.2...5.5В$, $I_{CC}<1.75мкА$	UCSP-4	GND•VCC•MR•OUT
AEC	MAX6406BS28	MAX	vd	$V_{TH}=2.80В$, $V_{DD}=1.2...5.5В$, $I_{CC}<1.75мкА$	UCSP-4	GND•VCC•MR•OUT
AED	MAX6406BS29	MAX	vd	$V_{TH}=2.93В$, $V_{DD}=1.2...5.5В$, $I_{CC}<1.75мкА$	UCSP-4	GND•VCC•MR•OUT
AEE	MAX6406BS30	MAX	vd	$V_{TH}=3.06В$, $V_{DD}=1.2...5.5В$, $I_{CC}<1.75мкА$	UCSP-4	GND•VCC•MR•OUT
AEF	MAX6407BS31	MAX	vd	$V_{TH}=3.06В$, $V_{DD}=1.2...5.5В$, $I_{CC}<1.75мкА$	UCSP-4	GND•VCC•MR•OUT
AEG	MAX6407BS22	MAX	vd	$V_{TH}=2.20В$, $V_{DD}=1.2...5.5В$, $I_{CC}<1.75мкА$	UCSP-4	GND•VCC•MR•OUT
AEH	MAX6407BS23	MAX	vd	$V_{TH}=2.32В$, $V_{DD}=1.2...5.5В$, $I_{CC}<1.75мкА$	UCSP-4	GND•VCC•MR•OUT
AEI	MAX6407BS24	MAX	vd	$V_{TH}=2.40В$, $V_{DD}=1.2...5.5В$, $I_{CC}<1.75мкА$	UCSP-4	GND•VCC•MR•OUT
AEJ	MAX6407BS25	MAX	vd	$V_{TH}=2.50В$, $V_{DD}=1.2...5.5В$, $I_{CC}<1.75мкА$	UCSP-4	GND•VCC•MR•OUT
AEK	MAX6407BS26	MAX	vd	$V_{TH}=2.63В$, $V_{DD}=1.2...5.5В$, $I_{CC}<1.75мкА$	UCSP-4	GND•VCC•MR•OUT
IEL	MAX6407BS27	MAX	vd	$V_{TH}=2.70В$, $V_{DD}=1.2...5.5В$, $I_{CC}<1.75мкА$	UCSP-4	GND•VCC•MR•OUT
AEM	MAX6407BS28	MAX	vd	$V_{TH}=2.80В$, $V_{DD}=1.2...5.5В$, $I_{CC}<1.75мкА$	UCSP-4	GND•VCC•MR•OUT
AEN	MAX6407BS29	MAX	vd	$V_{TH}=2.93В$, $V_{DD}=1.2...5.5В$, $I_{CC}<1.75мкА$	UCSP-4	GND•VCC•MR•OUT
AEO	MAX6407BS30	MAX	vd	$V_{TH}=3.06В$, $V_{DD}=1.2...5.5В$, $I_{CC}<1.75мкА$	UCSP-4	GND•VCC•MR•OUT
AEP	MAX6407BS31	MAX	vd	$V_{TH}=3.06В$, $V_{DD}=1.2...5.5В$, $I_{CC}<1.75мкА$	UCSP-4	GND•VCC•MR•OUT
AEQ	MAX6408BS22	MAX	vd	$V_{TH}=2.20В$, $V_{DD}=1.2...5.5В$, $I_{CC}<1.75мкА$	UCSP-4	GND•VCC•MR•OUT
AER	MAX6408BS23	MAX	vd	$V_{TH}=2.32В$, $V_{DD}=1.2...5.5В$, $I_{CC}<1.75мкА$	UCSP-4	GND•VCC•MR•OUT
AES	MAX6408BS24	MAX	vd	$V_{TH}=2.40В$, $V_{DD}=1.2...5.5В$, $I_{CC}<1.75мкА$	UCSP-4	GND•VCC•MR•OUT
AET	MAX6408BS25	MAX	vd	$V_{TH}=2.50В$, $V_{DD}=1.2...5.5В$, $I_{CC}<1.75мкА$	UCSP-4	GND•VCC•MR•OUT
AEU	MAX6408BS26	MAX	vd	$V_{TH}=2.63В$, $V_{DD}=1.2...5.5В$, $I_{CC}<1.75мкА$	UCSP-4	GND•VCC•MR•OUT
AEV	MAX6408BS27	MAX	vd	$V_{TH}=2.70В$, $V_{DD}=1.2...5.5В$, $I_{CC}<1.75мкА$	UCSP-4	GND•VCC•MR•OUT
AEW	MAX6408BS28	MAX	vd	$V_{TH}=2.80В$, $V_{DD}=1.2...5.5В$, $I_{CC}<1.75мкА$	UCSP-4	GND•VCC•MR•OUT



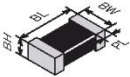



















Код	Типономинал	Б	Ф	Особенности	Корпус	Ц: 1•2•3•4•...•12
AEX	MAX6408BS29	MAX	vd	$V_{TH}=2.93\text{ В}$, $V_{DD}=1.2...5.5\text{ В}$, $I_{CC}<1.75\text{ мА}$	UCSP-4	GND • VCC • MR • OUT
AEY	MAX6408BS30	MAX	vd	$V_{TH}=3.00\text{ В}$, $V_{DD}=1.2...5.5\text{ В}$, $I_{CC}<1.75\text{ мА}$	UCSP-4	GND • VCC • MR • OUT
AEZ	MAX6408BS31	MAX	vd	$V_{TH}=3.08\text{ В}$, $V_{DD}=1.2...5.5\text{ В}$, $I_{CC}<1.75\text{ мА}$	UCSP-4	GND • VCC • MR • OUT
AFA	MAX6409BS33	MAX	vd	$V_{TH}=3.30\text{ В}$, $V_{DD}=1.2...5.5\text{ В}$, $I_{CC}<1.75\text{ мА}$	UCSP-4	GND • VCC • MR • OUT
AFB	MAX6409BS34	MAX	vd	$V_{TH}=3.40\text{ В}$, $V_{DD}=1.2...5.5\text{ В}$, $I_{CC}<1.75\text{ мА}$	UCSP-4	GND • VCC • MR • OUT
AFC	MAX6409BS35	MAX	vd	$V_{TH}=3.50\text{ В}$, $V_{DD}=1.2...5.5\text{ В}$, $I_{CC}<1.75\text{ мА}$	UCSP-4	GND • VCC • MR • OUT
AFD	MAX6409BS36	MAX	vd	$V_{TH}=3.60\text{ В}$, $V_{DD}=1.2...5.5\text{ В}$, $I_{CC}<1.75\text{ мА}$	UCSP-4	GND • VCC • MR • OUT
AFE	MAX6409BS37	MAX	vd	$V_{TH}=3.70\text{ В}$, $V_{DD}=1.2...5.5\text{ В}$, $I_{CC}<1.75\text{ мА}$	UCSP-4	GND • VCC • MR • OUT
AFF	MAX6409BS38	MAX	vd	$V_{TH}=3.80\text{ В}$, $V_{DD}=1.2...5.5\text{ В}$, $I_{CC}<1.75\text{ мА}$	UCSP-4	GND • VCC • MR • OUT
AFG	MAX6409BS39	MAX	vd	$V_{TH}=3.90\text{ В}$, $V_{DD}=1.2...5.5\text{ В}$, $I_{CC}<1.75\text{ мА}$	UCSP-4	GND • VCC • MR • OUT
AFH	MAX6409BS40	MAX	vd	$V_{TH}=4.00\text{ В}$, $V_{DD}=1.2...5.5\text{ В}$, $I_{CC}<1.75\text{ мА}$	UCSP-4	GND • VCC • MR • OUT
AFI	MAX6409BS41	MAX	vd	$V_{TH}=4.10\text{ В}$, $V_{DD}=1.2...5.5\text{ В}$, $I_{CC}<1.75\text{ мА}$	UCSP-4	GND • VCC • MR • OUT
AFJ	MAX6409BS42	MAX	vd	$V_{TH}=4.20\text{ В}$, $V_{DD}=1.2...5.5\text{ В}$, $I_{CC}<1.75\text{ мА}$	UCSP-4	GND • VCC • MR • OUT
AFK	MAX6409BS43	MAX	vd	$V_{TH}=4.30\text{ В}$, $V_{DD}=1.2...5.5\text{ В}$, $I_{CC}<1.75\text{ мА}$	UCSP-4	GND • VCC • MR • OUT
AFL	MAX6409BS44	MAX	vd	$V_{TH}=4.38\text{ В}$, $V_{DD}=1.2...5.5\text{ В}$, $I_{CC}<1.75\text{ мА}$	UCSP-4	GND • VCC • MR • OUT
AFM	MAX6409BS45	MAX	vd	$V_{TH}=4.50\text{ В}$, $V_{DD}=1.2...5.5\text{ В}$, $I_{CC}<1.75\text{ мА}$	UCSP-4	GND • VCC • MR • OUT
AFN	MAX6409BS46	MAX	vd	$V_{TH}=4.63\text{ В}$, $V_{DD}=1.2...5.5\text{ В}$, $I_{CC}<1.75\text{ мА}$	UCSP-4	GND • VCC • MR • OUT
B3A	AD8605ACB	AD	OA	$f_{BD}=10\text{ МГц}$; $P_D=7\text{ мВт}$; $V_{DD}=2.7...5.5\text{ В}$	WLCSP-5	OUT • V- • +IN • -IN • V+
CCS	OPA2347YED	TI	сOA	R-R; $V_{DD}=2.3...5.5\text{ В}$; $f_{BD}=350\text{ кГц}$; $I_S=80\text{ мкА}$; $V_{OS}<7\text{ мВ}$	WCSP-8	OUT A • -IN A • +IN A • V- • +IN B • -IN B • OUT B • V+
SNB	ADG819BCB	AD	asw	SPDT, $R_{CH}<0.8\text{ Ом}$, $V_{DD}=1.8...5.5\text{ В}$	WLCSP-6	S2 • D • S1 • GND • VDD • IN



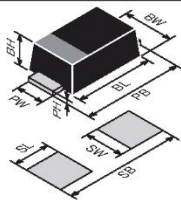
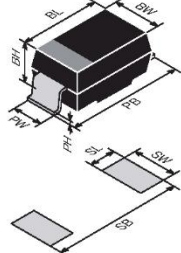
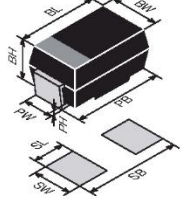
SOT173...

Код	Типономинал	Б	Ф	Особенности	Корпус	Ц: 1•2•3•4
57	BFG57	SIEM	npn	$V_{CE0} = 25 \text{ В}$; $I_C = 35 \text{ мА}$; $P_D = 450 \text{ мВт}$	SOT-173	В•Е•С•Е
58	BFG58	SIEM	npn	$V_{CE0} = 18 \text{ В}$; $I_C = 30 \text{ мА}$; $P_D = 450 \text{ мВт}$	SOT-173	В•Е•С•Е
70	BFG70	SIEM	npn	$V_{CE0} = 20 \text{ В}$; $I_C = 35 \text{ мА}$; $P_D = 300 \text{ мВт}$; $h_{21} > 50$; $f_T = 5 \text{ ГГц}$	SOT-173	В•Е•С•Е
71	BFG71	SIEM	npn	$V_{CE0} = 20 \text{ В}$; $I_C = 30 \text{ мА}$; $P_D = 300 \text{ мВт}$; $h_{21} > 40$; $f_T = 5.2 \text{ ГГц}$	SOT-173	В•Е•С•Е
72	BFG72	SIEM	npn	$V_{CE0} = 20 \text{ В}$; $I_C = 50 \text{ мА}$; $P_D = 350 \text{ мВт}$; $h_{21} > 40$; $f_T = 5.1 \text{ ГГц}$	SOT-173	В•Е•С•Е
74	BFG74	SIEM	npn	$V_{CE0} = 25 \text{ В}$; $I_C = 35 \text{ мА}$; $P_D = 300 \text{ мВт}$; $h_{21} > 50$; $f_T = 6 \text{ ГГц}$	SOT-173	В•Е•С•Е
75	BFG75	SIEM	npn	$V_{CE0} = 15 \text{ В}$; $I_C = 50 \text{ мА}$; $P_D = 350 \text{ мВт}$; $h_{21} > 20$; $f_T = 6 \text{ ГГц}$	SOT-173	В•Е•С•Е
76	BFG76	SIEM	npn	$V_{CE0} = 20 \text{ В}$; $I_C = 30 \text{ мА}$; $P_D = 250 \text{ мВт}$; $h_{21} > 20$; $f_T = 5 \text{ ГГц}$	SOT-173	В•Е•С•Е
77	BFG77	SIEM	npn	$V_{CE0} = 25 \text{ В}$; $I_C = 20 \text{ мА}$; $P_D = 250 \text{ мВт}$; $f_T = 2 \text{ ГГц}$	SOT-173	В•Е•С•Е
0	2SC3603	NEC	npn	$V_{CE0} = 20 \text{ В}$; $I_C = 100 \text{ мА}$; $P_D = 580 \text{ мВт}$; $h_{21} = 50 \dots 300$; $f_T = 7 \text{ ГГц}$	SOT-173	В•Е•С•Е
1	2SC3587	NEC	npn	$V_{CE0} = 20 \text{ В}$; $I_C = 35 \text{ мА}$; $P_D = 580 \text{ мВт}$; $h_{21} = 50 \dots 250$; $f_T = 10 \text{ ГГц}$	SOT-173	В•Е•С•Е
32	BAT32	INF	shd	$V_R < 6.5 \text{ В}$; $I_R < 50 \text{ мА}$; $V_F (I_R = 10 \text{ мА}) < 0.6 \text{ В}$; $C_0 = 0.24 \text{ пФ}$	Cerrec-X	А•К
674	NE67483B	NEC	nMESFET	GaAs ; $V_{DS} = 5 \text{ В}$; $I_D = 120 \text{ мА}$; $P_D = 270 \text{ мВт}$; $g_F < 100 \text{ мСм}$	83B	С•D•S•G
73S	BFG73S	SIEM	npn	$V_{CE0} = 20 \text{ В}$; $I_C = 100 \text{ мА}$; $P_D = 500 \text{ мВт}$; $h_{21} > 30$; $f_T = 5.3 \text{ ГГц}$	SOT-173	В•Е•С•Е
C1	BFG51C	PHIL	npn	$V_{CE0} = 15 \text{ В}$; $I_C = 30 \text{ мА}$; $P_D = 250 \text{ мВт}$; $h_{21} > 20$; $f_T > 5 \text{ ГГц}$	SOT-173	В•Е•С•Е
C2	BFG32C	PHIL	npn	$V_{CE0} = 15 \text{ В}$; $I_C = 100 \text{ мА}$; $P_D = 500 \text{ мВт}$; $h_{21} > 20$; $f_T > 4.5 \text{ ГГц}$	SOT-173	В•Е•С•Е
C3	BFG23C	PHIL	npn	$V_{CE0} = 15 \text{ В}$; $I_C = 50 \text{ мА}$; $P_D = 350 \text{ мВт}$; $h_{21} > 20$; $f_T > 5 \text{ ГГц}$	SOT-173	В•Е•С•Е
IX	2SK3390	REN	nMOS	$V_{DS} = 17 \text{ В}$; $I_D = 1 \text{ А}$; $P_D = 20 \text{ Вт}$	RP8P	G•S•D
P0	BFP90A	PHIL	npn	$V_{CE0} = 15 \text{ В}$; $I_C = 80 \text{ мА}$; $P_D = 350 \text{ мВт}$	SOT-173	В•Е•С•Е
P1	BFP91A	PHIL	npn	$V_{CE0} = 15 \text{ В}$; $I_C = 80 \text{ мА}$; $P_D = 350 \text{ мВт}$	SOT-173	В•Е•С•Е
P6	BFP96	PHIL	npn	$V_{CE0} = 20 \text{ В}$; $I_C = 100 \text{ мА}$; $P_D = 500 \text{ мВт}$; $h_{21} > 25$; $f_T > 5 \text{ ГГц}$	SOT-173	В•Е•С•Е

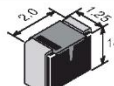
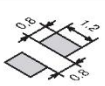
РАЗМЕРЫ КОРПУСОВ ДЛЯ ПОВЕРХНОСТНОГО МОНТАЖА

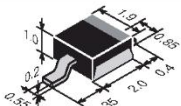
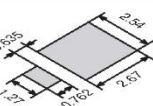

 Резисторы <i>стр. 16</i> Конденсаторы <i>стр. 17</i> Индуктивности Термисторы Варисторы	1:1		BL	BW	BH	PL
		0402 (1005)	1	0.5	0.35...0.55	0.2
		0603 (1608)	1.6	0.8	0.45...0.95	0.3
		0805 (2012)	2	1.2	0.4...1.6	0.5
		1206 (3216)	3.2	1.6	0.4...1.75	0.5
		1210 (3225)	3.2	2.5	0.55...1.9	0.5
		1218 (3245)	3.2	4.5	0.55...1.9	0.5
		1806 (4516)	4.5	1.6	1.6	0.5
		1808 (4520)	4.5	2	2	0.5
		1812 (4532)	4.5	3.2	0.6...2.3	0.5
		2010 (5025)	5	2.5	0.55	0.5
		2220 (5750)	5.7	5	1.7	0.5
		2225 (5763)	5.7	6.3	2	0.5
		2512 (6432)	6.4	3.2	2	0.5
		2824 (7161)	7.1	6.1	3.9	0.5
		3225 (8063)	8	6.3	3.2	0.5
		4030	10.2	7.6	3.9	0.5
		4032	10.2	8	3.2	0.5
		5040	12.7	10.2	4.8	0.5
		6054	15.2	13.7	4.8	0.5

Размеры корпусов для поверхностного монтажа

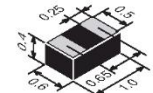
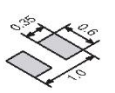


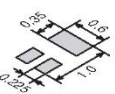


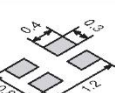


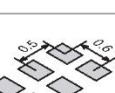

	1:1	Тип	BL	BW	BH	PB	PW	PH	SB	SL	SW
		SOD623	1.0	0.6	0.52	1.4	0.2	0.12			
		SOD723	1.0	0.6	0.52	1.4	0.29	0.1			
		SOD523, SC79	1.2	0.8	0.6	1.6	0.3	0.14			
		SCD80	1.3	0.8	0.7	1.7	0.3	0.13	1.8	0.35	0.35
	1:1	Тип	BL	BW	BH	PB	PW	PH	SB	SL	SW
		ESC	1.2	0.8	0.6	1.6	0.3				
		SSC	1.3	0.8	0.8	2.1	0.3				
		SOD323, SC76	1.7	1.25	0.9	2.5	0.3	0.15	3.3	0.8	0.6
		SOD123	2.7	1.55	1.35	3.2	0.6	0.15	4.19	0.91	1.22
		DO215AC	4.3	2.6	2.4	6.1	1.4				
		DO215AA	4.3	3.6	2.3	6.2	2.0	0.25			
		DO215BA	4.45	2.6	2.95	6.2	1.3				
		DO215AB	6.85	5.9	2.3	9.9	3				
 <p>Конденсаторы стр. 17</p> <p>Индуктивности стр. 18</p> <p>Термисторы Варисторы</p> <p>Диоды Стабилитроны стр. 35 (DO214) стр. 63 (DO215) стр. 82 (DO219)</p>	1:1	Тип	BL	BW	BH	PW	PH	PB	SB	SL	SW
		2012 (0805)		1.2	1.2	1.1		2			
		3216L 3216 (1206)		1.6	1.2	1.6		3.2			
		3528L 3528		2.8	1.2 1.9	2.2		3.5			
		DO214AC SMA	4.4	2.6	2.15	1.5	0.15	5.2	5.5	1.7	2
		DO214BA		2.6	2.95	1.3		5.25			
		DO214AA SMB	4.4	3.6	2.2	2	0.2	5.4	6.1	2	2.5
		SOD6		3.8	2.5	2.2		5.5			
		5832		3.2	1.5	2.2		5.8			
		5845		4.5	3.1	2.2		5.8			
		6032		3.2	2.5	2.2		6			
		7343 7343H		4.3	2.8 4.3	2.4		7.3			
		SOD15		5	2.8	3		7.8			
		DO214AB, SMC	6.8	5.8	2.3	3	0.2	7.9	8.5	2.2	3.5

Размеры корпусов для поверхностного монтажа

		 <p>Метка 1 Катод 2 Анод Вид сверху</p>	■	SOD110	Стабилитроны <i>стр. 35</i>
---	---	--	---	---------------	--------------------------------

		 <p>Катод 1 2 Анод</p>	■	DO216AA Powermite	Стабилитроны <i>стр. 63</i>
---	---	---	---	--------------------------	--------------------------------

 <p>Резисторы <i>стр. 8</i> Конденсаторы Диоды Стабилитроны</p>	1:1	Тип корпуса	BL	BD	PL	PH	Источник
	■	ERD03LL	1.6	1	0.2	0.05	PANASONIC
	■	ERO21L	2	1.25	0.3	0.07	PANASONIC
	■	DO213AC	3.45	1.4	0.42	-	JEDEC
	■	SOD80, miniMELF	3.5	1.6	0.3	0.075	PHILIPS
	■	DO213AA, SOD80	3.5	1.65	0.48	0.03	JEDEC
	■	SOD80C	3.6	1.52	0.3	0.075	PHILIPS
	■	SOD87	3.5	2.05	0.3	0.075	PHILIPS
	■	MELF	5	2.5	0.5	0.1	CENTS
	■	DO213AB, MELF	5	2.52	0.48	0.03	JEDEC
	■	ERSM	5.9	2.2	0.6	0.15	PANASONIC

			■	TSLP-2	Диоды Варикапы Транзисторы <i>стр. 88</i>
			■	TSLP-3	
			■	TSLP-4	
			■	μDFN-6	

Размеры корпусов для поверхностного монтажа

	1:1	Тип корпуса	PP	BL	BW	BH	PW	PH	PB	SW	SL	SB
		SOT523	1	1.6	0.8	0.75	0.22	0.12	1.6			
		SOT416, SC75A	1	1.6	0.8	0.75	0.2	0.15	1.6	0.4	0.65	1.15
		SOT323, SC70	1.3	2	1.25	0.9	0.32	0.13	2.1	0.45	0.9	1.5
		SOT346, SC59	1.9	2.9	1.5	1	0.4	0.18	2.8			
		SOT23, SOD23	1.9	2.9	1.5	1.1	0.42	0.13	2.8	0.55	1.05	1.95
<p>Диоды, Стабилитроны Транзисторы, Датчики Стабилизаторы Схемы сброса стр. 90</p>	1:1	Тип корпуса	PP	BL	BW	BH	PW	PH	PB	SW	SL	SB
		TSFP-3, VESM	0.8	1.2	0.8	0.53	0.2	0.15	1.2			
		VMT3, VMD3	0.8	1.2	0.8	0.5	0.22*	0.13	1.2			
		SC81, MFPK	0.9	1.4	0.8	0.57	0.22	0.13	1.2	0.35	0.5	0.75
		TESM	0.9	1.4	0.8	0.59	0.22	0.14	1.2			
		SOT490, SC89	1	1.6	0.85	0.7	0.28	0.15	1.6			
* Для вывода 3: PW = 0.32												





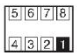

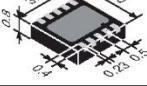





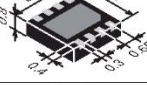


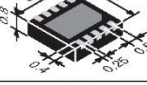







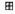



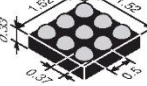


		<p>Вид сверху</p>	SOT89, SC62	<p>Диоды Стабилитроны Транзисторы Стабилизаторы Мониторы Схемы сброса АЦП стр. 229</p>
			SOT223, TO261AA	
			TO252, DPAK	
			TO263, D2PAK	

Размеры корпусов для поверхностного монтажа

	1:1	Тип корпуса	PP	BL	BW	BH	PW	PH	PB	SW	SL	SB
		TSFP-4	1	1.4	0.8	0.55	0.2	0.15	1.2			
		MFPK-4	1.3*	2	1.25	0.59	0.3*	0.11	2.05			
* Для вывода 2: PW = 0.4, PP = 1.25												
	1:1	Тип корпуса	PP	BL	BW	BH	PW	PH	PB	SW	SL	SB
		SC82, USQ	1.3	2	1.25	0.95	0.2	0.15	2.1			
		SOT343, SC82A	1.3 ¹⁾	2	1.25	1	0.3 ¹⁾	0.12	2	0.5 ¹⁾	0.55	1.85
		SOT343R	1.3 ¹⁾	2	1.25	1	0.3 ¹⁾	0.12	2	0.5 ¹⁾	0.55	1.85
		MW-4	1.3 ²⁾	2.9	1.3	1	0.4 ²⁾	0.12	2.6			
		SOT143, TO253	1.9	2.9	1.3	1	0.4 ³⁾	0.1	2.5	0.5 ³⁾	0.6	1.9
		SOT143R	1.9	2.9	1.3	1	0.4 ³⁾	0.1	2.5	0.5 ³⁾	0.6	1.9
		SC61, MPAK-4	1.9	2.9	1.5	1.1	0.4 ⁴⁾	0.16	2.9 ⁵⁾			
Диоды Варикапы Транзисторы ИС стр. 244		¹⁾ Для вывода 1: PW = 0.6, SW = 0.7, PP = 1.15 ²⁾ Для выводов 1 и 4: PW = 0.7, PP = 1.15 ³⁾ Для вывода 1: PW = 0.8, SW = 0.9 ⁴⁾ Для вывода 4: PW = 0.6 ⁵⁾ Выводы имеют разную длину: 0.55 для выводов 1, 2 и 0.85 для выводов 3, 4										

	1:1	Тип корпуса	PP	BL	BW	BH	PW	PH	PB	SW	SL	SB
		SOT553, EMT5	0.5	1.6	1.2	0.55	0.2	0.12	1.6			
	1:1	Тип корпуса	PP	BL	BW	BH	PW	PH	PB	SW	SL	SB
		SOT353, SC88A	0.65	2	1.25	0.9	0.22	0.15	2.1	0.5	0.55	1.85
		TSOT23-5	0.95	2.9	1.6	0.87	0.4	0.14	2.8			
		SOT23-5	0.95	2.9	1.6	1.15	0.4	0.15	2.8	0.65	1.06	2.2
Диоды Транзисторы ИС стр. 261												

Размеры корпусов для поверхностного монтажа

	 Вид снизу		MLP832-8	Транзисторы ИС стр. 345
	 Вид снизу		LFCSP-8	
	 Вид снизу		LFCSP-10	
	 Вид снизу		TDFN-6	
	 Вид снизу		TDFN-8	
	 Вид снизу		TDFN-10, TQFN-10	
	 Вид снизу		TQFN-12	
	 Вид снизу		UCSP-4 2 × 2	ИС стр. 348
	 Вид снизу	 Вид снизу	UCSP-5 UCSP-6 3 × 2	
	 Вид снизу	 Вид снизу	UCSP-8 UCSP-9 3 × 3	

Размеры корпусов для поверхностного монтажа

	 Вид снизу Вид снизу		UCSP-10 UCSP-12 4 × 3	ИС стр. 348
	 Вид снизу		WLCSP-5 2 × 1 × 2	
	 Вид снизу		WLCSP-6 2 × 3	
	 Вид снизу		WCSP-8 4 × 2	

			CerecX	Диоды Транзисторы стр. 353
			83B	
			SOT173	
			RP8P	

СПИСОК ФИРМ-ПРОИЗВОДИТЕЛЕЙ

Сокращение	Полное название фирмы
8X8	8x8, Inc.
ACAP	Acapella, Ltd.
ACC	ACC Microelectronics Corp.
ACCUL	Acculin, Inc.
ACTEL	Actel Corporation
AD	Analog Devices
ADAP	Adaptec
AEROF	Aeroflex Circuit Technology
AGI	Agilent
AHA	Advanced Hardware Architectures, Inc.
AIT	AI Tech International
AKM	AKM Semiconductor, Inc.
ALD	Advanced Linear Devices
ALLEG	Allegro Micro Systems, Inc.
ALLIA	Alliance Semiconductor
ALPHA	Alpha Semiconductor
ALT	AverLogic Technologies, Inc.
ALTER	Altera Corporation
AMC	Accutec Microcircuit Corporation
AMCC	AMCC (Applied Micro Circuits Corp.)
AMD	Advanced Micro Devices, Inc.
AMI	American Microsystems, Inc.
AMS	Applied Microsystems Corporation
AMSI	Austria Mikro Systeme International, Inc.
ANAD	Anadigics, Inc.
ANALO	Analogic Corporation
APEX	Apex Microtechnology Corporation
APTEK	Aptek Williams, Inc.
APTOS	Aptos Semiconductor Corporation
ARRAY	Array Microsystems
AS	Analog Systems
ASHL	Ashling Microsystems Ltd
ASPEC	Aspec Technology, Inc.
ASTEC	Astec Semiconductor
ATMEL	ATMEL Corporation
AUK	AUK Semiconductor
AUST	Austin Semiconductor, Inc.
AVG	AVG Semiconductors
AVX	AVX KYOCERA
BB	Burr Brown Corporation
BEL	Bel Fuse Incorporated
BENCH	Benchmark Microelectronics
BOUR	BOURNS
BROOK	Brooktree Corporation
BUTT	Butterfly DSP, Inc.
C&T	Chips and Technologies, Incorporated
CALOG	Calogic Corporation
CATAL	Catalyst Semiconductor

Сокращение	Полное название фирмы
CCD	Cologne Chip Designs
CDIL	CDIL
CEC	Chip Express Corporation
CENTO	Centon Electronics, Inc.
CENTU	Century Microelectronics, Inc.
CERM	Cermetek Microelectronics, Inc.
CHERR	Cherry Semiconductor Corporation
CHRON	Chrontel
CL	Cirrus Logic, Inc.
CMDC	California Micro Devices Corporation
CML	Consumer Microcircuits Limited
CNTRL	Central Semiconductor
COLOR	Colorado Microcircuits
COMC	Comcore Semiconductor
COML	Comlinear Corporation
CONV	Conversion Devices, Inc.
CPC	CP Clare Corporation
CPS	Crosspoint Solutions, Inc.
CROSS	Crosslink Semiconductor, Inc.
CRYST	Crystal
CSC	Central Semiconductor Corp
CSI	Central Semiconductor, Inc.
CTC	CTC
CYBER	Cybernetic Micro Systems
CYPR	Cypress Semiconductor Corp.
CYRIX	Cyrix Corporation
CYS	CYTech Electronic Corporation
DALL	Dallas Semiconductor
DALSA	Dalsa Incorporated
DATL	Datel, Inc.
DDD	Data Delay Devices, Inc.
DENSE	DensePac Microsystems, Inc.
DIGIT	Digital Semiconductor
DIODS	Diodes Incorporated
DION	Dionics Inc.
DIOT	Diotech Semiconductor
DSPG	DSP Group, Inc.
EDGE	Edge Technology, Inc.
EDI	Electronic Designs Inc.
EG&GI	EG&G IC Sensors
EG&GR	EG&G Reticon Corporation
ELANT	Elantec, Inc.
ELET	Eletech Electronics
ELMOS	Elmos Elektronik in MOS Technologie GmbH
ELNA	ELNA
EMBED	Embedded Support Tools Corp.
EMM	EM Microelectronics
EMS	Enhanced Memory Systems, Inc.

Список фирм-производителей

Сокращение	Полное название фирмы	Сокращение	Полное название фирмы
EMUL	Emulation Technology, Inc.	INTRO	Intronics, Inc.
ENABL	Enable Semiconductor, Inc.	IO	IOtech, Inc.
EPSON	Epson America Inc.	IPC	Interpoint Corporation
ERIC	Ericsson Components	IR	International Rectifier Corp.
ESC	ESC Electronics Corporation	ISD	Information Storage Devices, Inc.
ESS	ESS Technology, Inc.	ISOC	Isocom Incorporated
ETC	Electronic Technology Corporation	ISS	Integrated Silicon Solution Inc.
EUROM	Eurom Ltd.	IST	International Semiconductor Technologies
EXAR	Exar Corporation	ITI	Interface Technology, Inc.
EXEL	EXEL Microelectronics, Inc.	ITT	ITT Semiconductor
EXPO	Exponential Technology, Inc.	ITTI	Integrated Telecom Technology, Inc.
FAIR	Fairchild Semiconductor	IXYS	IXYS Corporation
FUJIT	Fujitsu Microelectronics, Inc.	JGD	Japan Gude Electronic Devices
GALIL	Galileo Technology	KAWAS	Kawasaki LSI, USA
GENES	Genesis Microchip Inc.	KEC	Korean Electr. Corp.
GENN	Gennum Corporation	KEMET	KEMET
GETE	GET Engineering Corp.	KRUE	Krueger Company
GLINK	GLink Technology Corporation	LAMB	Lambda Advanced Analog
GOAL	Goal Electronics Inc.	LANSD	Lansdale Semiconductor, Inc.
GREEN	Greenwich Instruments USA	LATT	Lattice Semiconductor Corp.
GS	General Semiconductor	LD	Logic Devices Inc.
GSI	GSI Technology	LECRO	LeCroy Corporation
HARR	Harris Corporation	LEVEL	Level One
HIFN	Hifn	LG	LG Semicon Company, Ltd.
HIT	Hitachi Semiconductor (America), Inc.	LINF	Lifinity Microelectronics
HOLT	Holt Integrated Circuits, Inc.	LINT	Lintel Security S.A.
HOLTE	Holtek Microelectronics Inc.	LS	Linear Integrated Systems
HONEY	Honeywell Solid State Electronics Ctr.	LM	Lockheed Martin
HP	HewlettPackard Logic Systems Division	LRC	Leshan Radio Company, Ltd.
HUAL	Hualon Microelectronics Corp	LSC	LSI Computer Systems, Inc.
HUGH	Hughes Aircraft Co.	LSIL	LSI Logic Corporation
HUNT	Huntsville Microsystems, Inc.	LT	Linear Technology Corporation
HYU	Hyundai Electronics America	LUC	Lucent Technologies Inc.
IBM	IBM Corporation	M/A	M/A-COM, Inc.
ICH	IC Haus	MALL	Mallory
ICS	Integrated Circuit Systems, Inc.	MARV	Marvell Semiconductor, Inc.
ICT	ICT Inc	MATRA	Matra MHS, Inc.
ICW	IC Works, Inc.	MATS	Matsuo
IDC	IDC Semiconductors	MAX	Maxim Integrated Products
IDEAL	Ideal Semiconductor	MC	Mini-Circuits
IDT	Integrated Device Technology, Inc.	MCC	Micro Commercial Components
ILC	ILC Data Device Corp.	MCHP	Microchip Technology, Inc.
ILS	Integrated Logic Systems Inc.	MCS	Microsemi
IMI	International Microcircuits, Inc.	MICR	Micrel
IMP	IMP, Inc.	MICRO	Microtek International, Inc.
IMPAL	Impala Linear Corporation	MII	Micropac Industries, Inc.
INF	Infineon	MISI	Micronix Integrated Systems, Inc.
INTEL	Intel Corporation	MITEL	Mitel Semiconductor

Список фирм-производителей

Сокращение	Полное название фирмы
MTS	Mitsubishi Electronics America, Inc.
ML	Micro Linear
MLINK	MetaLink Corporation
MNC	Micro Networks Company
MOSAI	Mosaic Semiconductor, Inc.
MOSEL	MoselVitec
MOSYS	MOSYS
MOT	Motorola Semiconductor Products
MPSC	MagePOWER Semiconductor Corporation
MR	MicroRel
MSIC	Mixed Signal Integration Corporation
MSIS	MSIS Semiconductor, Incorporated
MTI	Micron Technology, Inc.
MUR	Murata
MUSC	Muscle Semiconductors, Inc.
MXC	MXCOM, Inc.
NACC	NACC
NANO	Nanotek (Pty) Ltd
Nat	National Semiconductor
NCM	NCM Corporation
NEC	NEC Electronics Inc.
NEWP	Newport Components Limited
NEXC	Nexcom Technology, Inc.
NI	National Instruments
NJR	NJR Corporation
NOHAU	Nohau Corporation
NOVER	Nover
NPC	Nippon Precision Circuits Ltd.
NPX	NPX Corporation
NS	National Semiconductor Corporation
NTE	NTE Electronics, Inc.
OAK	Oak Technology, Inc.
OEL	Optical Electronics Inc.
OKI	OKI Semiconductor, Inc.
ON	ON Semiconductors
ONCH	OnChip Systems, Inc.
OPTK	Optek Technology, Inc.
OPTI	OPTI inc.
OPTO	Optotek Limited
ORBIT	Orbit Semiconductor Inc.
ORION	Orion Instruments, Inc.
OXFOR	Oxford Micro Device, Inc.
PAN	Panasonic Industrial Company/Electronic Comp.
PANJIT	Panjit Semiconductor
PARAD	Paradigm Technology, Inc.
PCA	PCA Electronics Inc.
PCC	Power Convertibles Corporation
PEGG	Philips ECG

Сокращение	Полное название фирмы
PEPS	Performance Electronic Packaging Services
PERIC	Pericom Semiconductor Corporation
PHIL	Philips Semiconductors
PHYLO	Phylon Inc.
PI	Power Integrations, Inc.
PLESS	GEC Plessey Semiconductors
PLX	PLX Technology, Inc.
PMCS	PMCSierra
PMD	Performance Motion Devices, Inc.
PSC	Performance Semiconductor Corp.
PT	Power Trends
QLC	QuickLogic Corp
QLOG	QLogic Corporation
QS	Quality Semiconductor
QUALC	Qualcomm Incorporated
R&E	R&E International, Inc
RAMTR	Ramtron Corporation
RAYTH	Raytheon Company
REALT	Realtek Semiconductor Corporation
REN	Renesas
RFM	RF Micro Devices
RIKOH	Ricoh Corporation
RMV	RMV Electronics Inc.
ROCH	Rochester Electronics Incorporated
ROCK	Rockwell Semiconductor Systems
ROHM	ROHM Corporation
S+M	Siemens Matsushita Components.
SAMS	Samsung Semiconductor, Inc.
SANYO	Sanyo Semiconductor Corporation
SCI	Silicon Composers, Inc.
SEEQ	SEEQ Technology, Incorporated
SEI	Space Electronics Incorporated
SEIKO	Seiko Instruments USA, Inc.
SEMT	Semtech Corporation
SENS	Sensory, Inc.
SEPN	Seponix Corporation
SGS	SGS-Thompson
SHARP	Sharp Electronics Corporation
SIEM	Siemens Microelectronics Inc.
SIGN	Signum Systems
SIL	Vishay Siliconix
SILIC	Silicom Inc.
SIMT	Simtek Corporation
SINC	Sincera
SIPX	Sipex Corporation
SIS	SIS Microelectronics, Inc.
SMC	Standard Microsystems Corporation
SMOS	SMOS Systems, Inc.

Список фирм-производителей

Сокращение	Полное название фирмы	Сокращение	Полное название фирмы
SMS	Samsung Microwave Semiconductor, Inc.	TSC	Taiwan Semiconductor
SOFT	Soft Device	TSENG	Tseng Labs, Inc.
SOLIT	Soliton Devices, Inc.	TSQW	Tsquare, Inc.
SONY	Sony Semiconductor Company of America	TUNDR	Tundra Semiconductor Corporation
SOUTH	South African MicroElectronic Systems (Pty) Ltd	TURBO	Turbo IC, Inc.
SPACE	Space Research Technology, Inc.	UMC	United Microelectronics Corporation
SPT	Signal Processing Technologies	UNITR	Unitrode Integrated Circuits Corp.
SS	Silicon Systems Inc.	UNIV	Universal Semiconductor Inc.
SST	Silicon Storage Technology, Inc.	US M	US MikroChips, Inc.
STANF	Stanford Telecommunications Inc.	USAR	USAR Systems, Inc.
STM	ST Microelectronics, Inc.	UTM	United Technologies Microelectronics Center
SUMIT	Sumitomo Metal Industries, Ltd.	V3	V3 Semiconductor
SUN	Sun Microsystems, Inc.	VADEM	Vadem
SUPER	Supertex, Inc.	VANT	Vantis Corporation
SYFER	Syfer	VETRA	Vetra Systems Corporation
SYMB	Symbios Logic	VIA	VIA Technologies, Inc
SYNER	Synergy Semiconductor Corporation	VIS	Vishay Semiconductors (Gen Semi, Tfk, Sil etc)
SYNT	Syntaq Technology Inc.	VISH	Lite On (Vishay Lite On)
SYSTR	Systonix, Inc.	VITES	Vitesse Semiconductor Corp.
TDK	TDK Semiconductor Corp.	VITR	Vitramon
TECH	Technitrol Pulse Components Div.	VLSI	VLSI Technology Inc.
TELC	TelCom Semiconductor	VORT	Vortex Incorporated
TELEF	Vishay Telefunken	VTC	VTC Inc.
TELT	Telton Corporation	WAFER	Waferscale Integration Inc.
TEMIC	Temic Semiconductors	WD	Western Digital Corporation
Tfk	Telefunken (Vishay-Telefunken)	WDC	The Western Design Center, Inc.
THAL	Thaler Corp	WEIT	Weitron
THAT	THAT Corporation	WELTR	Weltrend
THES	Thesys Gesellschaft fur Mikroelektronik mbH	WHITE	White Microelectronics
THIRD	Third Domain, Inc.	WINB	Winbond Electronics Corp
THOMS	Thomson Components and Tubes Corporation	WOLF	Wolfson Microelectronics
TI	Texas Instruments, Inc.	WTE	WTE Power Semiconductors
TLSI	TLSI Incorporated	XECOM	Xecom, Inc.
Tok	Toko Inc.	XICOR	Xicor, Inc.
TOKO	Toko America Incorporated	XILIN	Xilinx Corp.
TOSH	Toshiba America Electronic Components, Inc.	YAGEO	Yageo
TRANS	TransSwitch Corporation	YAMA	Yamaha Corp of America
TRID	Trident Microsystems Incorporated	ZAXT	Zaxtek, Inc.
TRIQ	TriQuint Semiconductor	ZETEX	Zetex
TRITE	TriTech Microelectronics	ZOWIE	Zowie Technology Corporation

СПИСОК СОКРАЩЕНИЙ И УСЛОВНЫХ ОБОЗНАЧЕНИЙ

—	вывод отсутствует	n.c.	вывод не подключен
A	анод	out	выход
a	соединено с анодом	pd	несимметричный диодистор для защиты обо- рудования связи
ACC	погрешность	P _D	рассеиваемая мощность
B	база	R _D	сопротивление температурного датчика
C	коллектор	R _{DS(on)}	сопротивление канала в открытом состоянии
C _{10 B}	емкость при напряжении на варикале 10 В	R _{ON}	сопротивление ключа в открытом состоянии
C _{25 B}	емкость при напряжении на варикале 25 В	R-R	вход/выход полного размаха (rail-to-rail)
C _{25 B}	емкость при напряжении на варикале 2 В	R _Z	динамическое сопротивление
C _{25 B} /C _{30 B}	отношение емкостей для различных напря- жений	S	исток
ca	с общим анодом	Si	кремний
cc	с общим катодом	substr	подложка
C _D	емкость диода	T _{AMB}	температура окружающей среды
C _{DS}	входная емкость полевого транзистора	TC _{OUT}	температурный коэффициент выходного на- пряжения
Com	общий	TC _{VZ}	температурный коэффициент напряжения стабилизации
comp	комплементарный	t _{OFF}	время выключения
C _T	суммарная емкость	t _{PD}	задержка переключения
D	сток	t _{RES}	длительность сброса
DD	динамический диапазон	t _{RR}	время обратного восстановления
DT	рабочий цикл	t _{STUP}	задержка включения
E	эмиттер	T _{TH}	температурный порог срабатывания
f _{BD}	ширина полосы пропускания	T _{THC}	точность температурного порога срабатыва- ния
f _{CLK}	тактовая частота	T _{THL}	нижний температурный порог срабатывания
f _{DR}	скорость передачи данных	T _{THU}	верхний температурный порог срабатывания
f _{IN}	входная частота	V _{BR}	напряжение пробоя
f _{OSC}	частота генератора	V _{BRSS}	напряжение пробоя сток-исток
f _P	рабочая частота	V _C	напряжение фиксации (коллектора)
f _T	граничная частота	V _{CB}	пороговое напряжение circuit-breaker thresholds
f _{1K5}	частота единичного усиления	V _{CB0}	постоянное напряжение коллектор — база
G	затвор/управляющий электрод	V _{CC}	положительное напряжение питания
Gain	коэффициент усиления	V _{CE(sat)}	напряжение насыщения коллектор — эмит- тер
g _F	прямая проводимость полевого транзистора	V _{CE0}	постоянное напряжение коллектор эмиттер
G _{MA}	коэффициент усиления мощности	V _{CS}	напряжение сток — исток
gnd	земля	V _F	прямое напряжение
h ₂₁	статический коэффициент передачи тока	V _{GS}	напряжение затвор — исток
i.c.	вывод внутренне подключен (не присоеди- нить к внешней точке)	V _{GS}	напряжение пробоя затвор исток
IC	ток коллектора	V _{GSTH}	пороговое напряжение на затворе
I _{CAT}	ток катода	V _{OD}	дифференциальное выходное напряжение
I _{CS0}	обратный ток перехода коллектор — база	V _{OH}	выходное напряжение высокого уровня
I _{CH}	ток заряда батареи	V _{OL}	выходное напряжение низкого уровня
I _D	ток стока	V _{OSI}	напряжение смещения
I _{DSS}	ток стока при нулевом потенциале на затворе	V _{OUT}	выходное напряжение
I _F	прямой ток	V _R	обратное напряжение
I _G	ток затвора	V _{REF}	спорное напряжение
I _{leak}	ток утечки	V _{TR}	пороговое напряжение срабатывания
in	вход	V _{TR0V}	порог превышения допустимого напряжения
I _{PP}	пииковый импульсный ток разряда	V _{VM}	напряжение выключения
I _R	обратный ток	V _Z	напряжение стабилизации
I _T	средний ток в состоянии включения	x	безразличное состояние
I _Z	ток стабилизации	Z _Z	дифференциальное сопротивление
I _{ZM}	максимальный ток стабилизации	Z _{ZT}	дифференциальное сопротивление в конт- рольной точке
I _{ZT}	ток стабилизации в контрольной точке		
K	катод		
k	соединено с катодом		
LT	суммарная индуктивность		
max	максимальное значение		
min	минимальное значение		

СПИСОК ОБОЗНАЧЕНИЙ ФУНКЦИИ ПРИБОРА

2-AND — 2-входный вентиль И	levtrans — преобразователь уровней логических сигналов
2-NAND — 2-входный вентиль И-НЕ	ltemp — компаратор локальной температуры
2-NOR — 2-входный вентиль ИЛИ-НЕ	LVDSdrv — LVDS-драйвер линии
3-stbuff — неинвертирующий буфер с тремя состояниями	lmic — СВЧ-микросхема
abc — контроллер тока смещения	nlrc — схема сброса для микропроцессора
ADC — аналого-цифровой преобразователь	nFET — <i>n</i> -канальный полевой транзистор с управляющим <i>p</i> - <i>n</i> -переходом
amp — усилитель	nMESFET — <i>n</i> -канальный полевой транзистор с барьером Шоттки на основе GaAs
amux — аналоговый мультиплексор	nMOS — <i>n</i> -канальный МОП-транзистор
asw — аналоговый ключ	npn — <i>p</i> - <i>n</i> - <i>p</i> -транзистор
ats — аналоговый температурный датчик	o — однопереходный транзистор
atten — аттенуатор	OA — операционный усилитель
batprof — схема защиты литиевых аккумуляторов	PD — детектор ВЧ-сигнала
bcontr — контроллер для повышающих dc-dc-преобразователей	pd — несимметричный диодистор для защиты оборудования связи
btd — диодистор	pFET — <i>p</i> -канальный полевой транзистор с управляющим <i>p</i> - <i>n</i> -переходом
buf — буфер	pin — <i>p</i> - <i>i</i> - <i>n</i> -диод
bud — быстрый выпрямительный диод с «мягким» восстановлением	pMOS — <i>p</i> -канальный МОП-транзистор
bug — быстрый высоковольтный выпрямительный диод с «мягким» восстановлением	pnp — <i>p</i> - <i>n</i> - <i>p</i> -транзистор
bui — выпрямительный диод общего применения	prnp — программируемый однопереходный транзистор
buv — высоковольтный выпрямительный диод	prot — микросхема защиты аналоговых входов
cdc — стабилизатор тока	PWM — ШИМ-контроллер для изолированных источников питания
chg — контроллер зарядного устройства для аккумуляторов	pz — защитный стабилитрон
cmp — компаратор	rec — приемник
cpin — переключаемый pin-диод	reg+nlrc — стабилизатор напряжения со схемой сброса для микропроцессора
cpreg — стабилизатор напряжения с накачкой заряда	reg — стабилизатор напряжения
CSA — токовый усилитель	reg- — стабилизатор отрицательного напряжения
d — диод (сборка)	reg+ — стабилизатор положительного напряжения
DA — дифференциальный усилитель	rts — резистивный температурный датчик
DAC — цифро-аналоговый преобразователь	Schminv — инвертор с триггером Шмитта на входе
dcdc — DC/DC-преобразователь	SchminAND — 2-входный вентиль И-НЕ с триггером Шмитта на входе
di — импульсный диод	scvcon — преобразователь напряжения на переключающих конденсаторах
dih — импульсный диод с большим рабочим током	sd — импульсный переключающий диод
dj — диод общего применения с малым током утечки	shd — диод Шоттки
dnMESFET — <i>n</i> -канальный полевой транзистор с барьером Шоттки на основе GaAs с двумя затворами	shy — выпрямительный диод Шоттки
dnmixer — преобразователь-смеситель с понижением частоты сигнала	spd — симметричный диодистор для защиты оборудования связи
dnMOS — «цифровой» <i>n</i> -канальный МОП-транзистор	SPM — ШИМ-контроллер для понижающих dc-dc-преобразователей
dnMOS — <i>n</i> -канальный МОП-транзистор с двумя затворами	spz — симметричный защитный стабилитрон
Dnpn — «цифровой» <i>p</i> - <i>n</i> - <i>p</i> -транзистор	sw — переключатель (ключ)
dnnpn — составной <i>p</i> - <i>n</i> - <i>p</i> -транзистор	swd — подавитель дребезга контактов
dOA — двухканальный операционный усилитель	tempsw — пороговый датчик температуры
DrMOS — «цифровой» <i>p</i> -канальный МОП-транзистор	trans — приемопередатчик
Dnpnp — «цифровой» <i>pnp</i> -транзистор	trnsmit — передатчик
dnnpn — составной <i>pnp</i> -транзистор	TSPD — тиристорный прибор защиты
Dpot — цифровой потенциометр	upmixer — преобразователь-смеситель с повышением частоты сигнала
di — выпрямительный диод	var — варикап
drv — драйвер МОП-транзистора	VCO — генератор управляемый напряжением
dsw — цифровой ключ	vcon — преобразователь напряжения
cts — цифровой температурный датчик	vcrcpn — инвертирующий преобразователь напряжения с накачкой заряда
ctv — диод для переключения диапазонов телевизионного приемника	vd — монитор напряжения (детектор напряжения)
cz — стабилитрон	VFC — преобразователь напряжение-частота
fd — быстросветящийся диод	vibdrv — драйвер вибровозвонка
fid — быстросветящийся импульсный диод	vref — источник опорного напряжения
fiscap — программируемый конденсатор	vs — подавитель выбросов напряжения (супрессор)
fd — быстросветящийся диод	vsec — монитор напряжения для приборов с двумя напряжениями питания
gen — программируемый генератор сигналов	wdt — сторожевой таймер
hscntrl — контроллер «горячей замены»	
IA — инструментальный усилитель	
JFETOA — операционный усилитель с полевыми транзисторами на входе	
LA — логарифмический усилитель	

ТАБЛИЦА СООТВЕТСТВИЯ ОБОЗНАЧЕНИЙ НАИБОЛЕЕ ПОПУЛЯРНЫХ КОРПУСОВ

JEDEC	EIAJ	PHILIPS SIEMENS CENTS MAXIM	ROHM	SANYO	HITACHI	MOTOROLA	TOSHIBA KEC
TO-236	SC-59	SOT-346	SMD/T3		MPAK2	SC-59	S-MINI
TO-236AB	SC-59A	SOT/SOD-23	SSD/T3	CP	MPAK	SOT-23	
TO-243AA	SC-62	SOT-89A	MPT3	PCP	UPAK		PW-MINI
TO-243AB		SOT-89B					
TO-252-3	SC-63		CPT3				
TO-253		SOT-143	SMD/T4			SOT-143	
TO-253		SOT-143R					
		SOD-123				SOD-123	
	SC-76	SOD-323	UMD2				USE
	SC-82A	SOT-343					
		SOT-343R			CMPAK-4		
		SOT-87					
	SC-70	SOT-323	UMD/T3	MCP	CMPAK	SOT-323	USM
	SC-74	SOT457	SMD/T6				SM6
	SC-74A	SOT23-5	SMD/T5				SMV
	SC-75A, SC90	SOT-416	EMD/T3	SMCP	SMPAK		SSM
	SC-79	SOD-523	EMD2				ESC
	SC-82		UMD/T4				USQ
	SC-88	SOT-363	UMD/T6				US6
	SC-88A	SOT-353	UMD/T5				USV
	SC61				MPAK-4		SMQ
	SC89	SOT490					ESM
			VMT3				USQ



RadioHata.RU

Портал радиолюбителя

[Радиотехнические журналы](#)

[Журнал Радио](#)

[Программы для радиолюбителя](#)

[Начинающему радиолюбителю](#)

[Телевидение и Радио](#)

[Источники питания](#)

[Для дома и быта](#)

[Прием-передача](#)

[Полезное видео](#)

[Автолюбителю](#)

[Аудиотехника](#)

[Arduino / Raspberry](#)

[Разное](#)